Федеральное агентство по образованию
ГОУ ВПО
«Уральский государственный горный университет»

ОДОБРЕНО
Методической комиссией
факультета геологии и
геофизики УГГУ
«16» ноября 2016 г.
Председатель комиссии
проф. С.Н. Тагильцев

О. А. Суставов

ПЕТРОГРАФИЯ МАГМАТИЧЕСКИХ И МЕТАМОРФИЧЕСКИХ ПОРОД, ПЕТРОЛОГИЯ

Учебно-методическое пособие
к практическим занятиям (часть 1)
для студентов специальности 21.05.02 Прикладная геология

Издание УГГУ
Екатеринбург, 2017

ДОКУМЕНТ ПОДПИСАН
ЭЛЕКТРОННОЙ ПОДПИСЬЮ

Сертификат: 0261A6BD005DAC979B410F3EA731403511
Владелец: Упоров Сергей Александрович
Действителен: с 23.10.2020 до 23.01.2022

С 89

Рецензент – *В. И. Русин*, доктор геол.-минер. наук, профессор кафедры МПГ Уральского государственного горного университета

Учебно-методическое пособие рассмотрено на заседании кафедры минералогии, петрографии и геохимии 2 ноября 2016 г. (протокол № 3) и рекомендовано для издания в УГГУ.

Суставов О. А.

С 89 ПЕТРОГРАФИЯ МАГМАТИЧЕСКИХ ИМЕТАМОРФИЧЕСКИХПОРОД, ПЕТРОЛОГИЯ : Учебно-методическое пособие к практическим занятиям (часть 1) / О. А. Суставов. – Екатеринбург: Изд-во УГГУ, 2017. - 64 с.

Рассматривается методика изучения минералов в петрографических шлифах и дается микроскопическая характеристика наиболее распространенных минералов магматических и метаморфических пород. Приводятся некоторые понятия кристаллооптики, данные об устройстве и поверках микроскопа, о методах изучения минералов при выключенном анализаторе и в скрещенных николях, с использованием параллельного и сходящегося света. Подробно описываются практические приемы работы с микроскопом при диагностике и описании породообразующих минералов. Пособие может быть использовано при проведении аудиторных лабораторных занятий и для самостоятельной работы студентов.
Учебно-методическое пособие предназначено для студентов специальности 21.05.02 Прикладная геология

© Суставов О. А., 2017

© Уральский государственный горный университет, 2017

Оглавление

1.МЕТОДИКА ИЗУЧЕНИЯ МИНЕРАЛОВ ПОД МИКРОСКОПОМ4

1.1. Некоторые понятия кристаллооптики 4

1.2. Устройство и поверки микроскопа..... 6

1.3. Исследования при выключенном анализаторе.....11

1.4. Исследования при включенном анализаторе в параллельном свете...17

1.5. Исследования при включенном анализаторе в сходящемся свете.....27

1.6. План описания минерала под микроскопом 30

1.7. Примеры описания минералов в шлифе.....31

1.8. Контрольные вопросы.....33

2. ПОРОДООБРАЗУЮЩИЕ МИНЕРАЛЫ34

2.1. Минералы магматических пород.....34

2.2. Минералы метаморфических пород.....52

2.3. Контрольные вопросы.....60

БИБЛИОГРАФИЧЕСКИЙ СПИСОК61

ПРЕДМЕТНЫЙ УКАЗАТЕЛЬ61

1. МЕТОДИКА ИЗУЧЕНИЯ МИНЕРАЛОВ ПОД МИКРОСКОПОМ

1.1. Некоторые понятия кристаллооптики

Кристаллооптика – раздел физики, изучающий законы распространения света в кристаллах и возникающие при этом оптические эффекты.

В *естественном (неполяризованном)* свете векторы напряженности электрического поля ориентированы во всех направлениях, перпендикулярных световому лучу. В *плоскополяризованном* свете эти векторы расположены в одной плоскости, перпендикулярной направлению распространения светового луча; эта плоскость называется *плоскостью колебаний* света.

В *оптическикически изотропных* веществах свет распространяется во всех направлениях с равной скоростью. То есть показатель преломления *n* таких веществ во всех направлениях одинаков. Оптически изотропными являются жидкости, аморфные твердые тела (стекла, смолы) и кристаллы кубической сингонии.

Кристаллы остальных сингоний, кроме кубической, *оптически анизотропны.* Луч естественного света, попадая в оптически анизотропный кристалл, разделяется на два плоскополяризованных луча, имеющих неодинаковые скорости распространения и взаимно перпендикулярные плоскости колебаний. Скорость одного или обоих лучейзависит от направления их распространения в кристалле. Поэтому соответствующие этим лучам показатели преломления изменяются в зависимости от направления в кристалле. Разность наибольшего (n_g) и наименьшего (n_p) показателей преломления кристалла (n_g - n_p)называется его *двойным лучепреломлением (двупреломлением).*

В оптически анизотропных кристаллах имеются направления, по которым двойного лучепреломления не происходит (скорости распространения обоих лучей в этих направлениях одинаковы). Эти направления называются *оптическими осями*. Кристаллы средних сингоний: гексагональной, тетрагональной и тригональной, имеют одну оптическую ось (*оптически одноосные*кристаллы; оптическая ось в них совпадает с осью симметрии высшего порядка – L_6, L_4,L_3). Кристаллы низших сингоний: ромбической, моноклинной и триклинной, имеют две оптических оси (*оптически двуосные* кристаллы).

Поверхность, построенная на величинах показателей преломления, значения которых откладываются по направлению колебаний светового луча называется о*птической индикатрисой*.

В кристаллах кубической сингонии оптическая индикатриса имеет форму шара–показатели преломления имеют одинаковую величину во всех направлениях.

В одноосных кристаллах (гексагональная, тетрагональная и тригональная сингонии) индикатриса представляет собой эллипсоид вращения, ось вращения которого совпадает с оптической осью.

В двуосных кристаллах (ромбическая, моноклинная и триклинная сингонии)оптическая индикатриса имеет форму трехосного эллипсоида – с тремя взаимно перпендикулярными и неравными друг другу по величине осямиN_g, N_m и N_p.

В кристаллах ромбической сингонии оси N_g, N_m и N_pсовпадают с осями L_2 или нормалями к плоскостям симметрии.

В кристаллах моноклинной сингонии одна из осей индикатрисы совпадает с кристаллографической осью ***b***. Часто с осью ***b*** совпадает ось N_m, а плоскость N_gN_p совпадает с кристаллографической плоскостью (010). Оси N_gиN_p, лежащие в этой плоскости, образуют с кристаллографическими осями ***a***и ***c***некоторые углы, постоянные для каждого минерала.

В кристаллах триклинной сингонии оси индикатрисы N_g, N_m и N_pне совпадают с кристаллографическими осями.

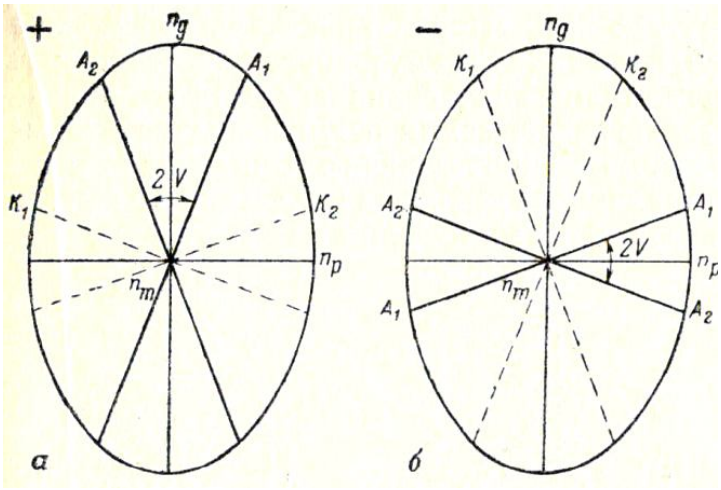

Рис. 1. Разрез индикатрисы оптически положительного (*а*) и оптически отрицательного (*б*) кристаллов; A_1 и A_2 – оптические оси, K_1 и K_2 – соответствующие им круговые сечения

В оптических индикатрисах двуосных кристаллов имеется два перпендикулярных оптическим осям *круговых сечения* с радиусомN_m(K_1 и K_2 на рис. 1). Сечение N_gN_p называется *плоскостью оптических осей*(в этом сечении располагаются оптические оси). Острый угол между оптическими осями называется *углом оптических осей*($2V$). Оси индикатрисы N_gиN_pявляются биссектрисами угла $2V$(рис. 1). Одна из них делит пополам острый угол между оптическими осями и поэтому называется *острой биссектрисой*, другая является биссектрисой тупого угла между оптическими осями и называется *тупой биссектрисой*.

Если острой биссектрисой является N_g,кристалл называется *оптически положительным*(+), если острой биссектрисой является N_p– *оптически отрицательным*(-).

Произвольное сечение индикатрисы двуосного кристалла представляет собой эллипс, большая полуось которого меньше N_g (обозначаетсяN_g'), а малая полуось большеN_p (обозначается N_p').

1.2. Устройство и поверки микроскопа

Устройство микроскопа

Микроскопы серии **ПОЛАМ** (рис. 2) состоят из осветительной и наблюдательной систем.

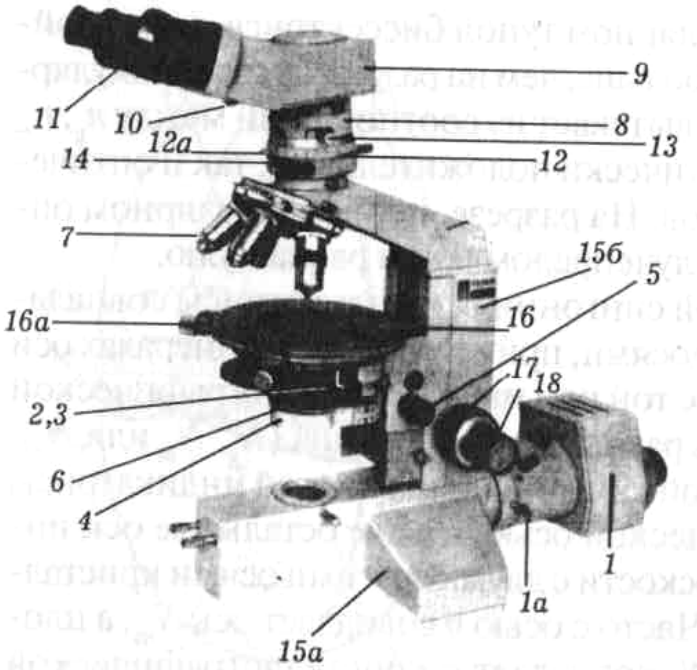

Рис. 2. Схема устройства поляризационного микроскопа серии Полам (объяснения в тексте)

Осветительная система включает в себя*осветитель1*, закрепленный с помощью винта *1а*, и *конденсорное устройство2*, состоящее из двух линз, верхняя из которых съемная. Выше конденсора помещена *диафрагма* с рукояткой *3.4* – откидная осветительная линза в оправе. Конденсорное устройство может перемещаться вверх и вниз вращением рукоятки *5*. В нижней части конденсорного устройства помещен*поляризатор*6, закрепленный винтом. При ослаблении винта поляризатор можно вращать за кольцо оправы.

Наблюдательная система состоит из сменных объективов *7*, тубуса *8*, а также монокулярной насадки *9* с диафрагмой *10* и окуляром *11*. В некоторых микроскопах имеется бинокулярная насадка.

В тубусе размещены *анализатор* и *линза Бертрана*.Анализаторможно поворачивать с помощью кольца *12* и фиксировать винтом. Анализатор вводится и выводится рукояткой *12а*. Рукоятка *13* служит для включения и выключения линзы Бертрана. В нижней части тубуса имеется расположенный под углом 45° к плоскости симметрии микроскопа паз *14*, предназначенный для введения компенсаторов.

Все узлы микроскопа укреплены на *штативе* с основанием *15а* и тубусодержателем *15б*, в который смонтирован механизм фокусировки, перемещающий *предметный столик16*. Грубое перемещение направляющей механизма фокусировки осуществляется рукоятками *17*, точное – рукоятками

18.Предметный столик представляет собой вращающийся диск, имеющий по окружности лимб с градусными делениями. Два нониуса *16а* дают возможность измерять углы поворота столика. Винты у нониусов обеспечивают фиксацию предметного столика.

Главными частями микроскопа **МП-6** (рис. 3) является штатив, тубус, предметный столик и осветительное устройство.

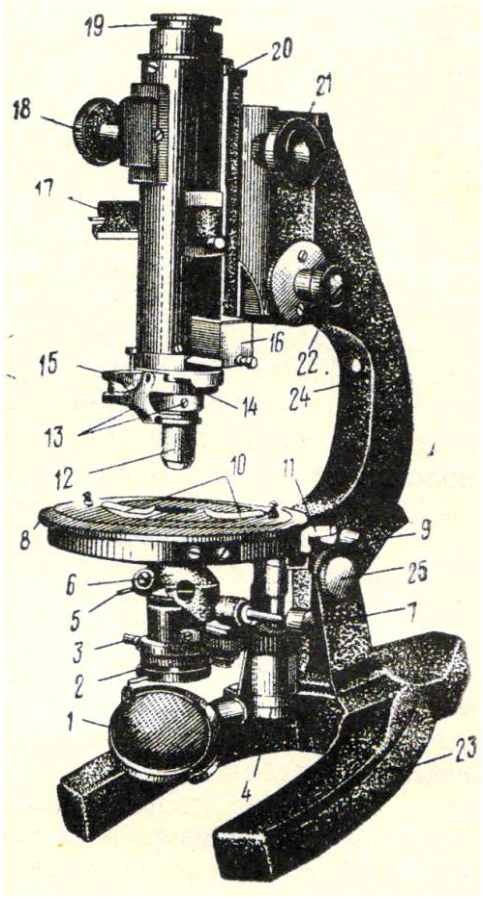

Рис. 3. Поляризационный микроскоп МП-6:
1 – осветительное зеркало;
2 – поляризатор; 3 – стопорный винт поляризатора; 4 – винт подъема поляризатора; 5 – рукоятка диафрагмы;6 – линза Лазо;
7 – рукоятка линзы Лазо;
8 – предметный столик;
9 – стопорный винт столика;
10 – зажимы для крепления шлифа;
11 – нониус; 12 – объектив;
13 – центрировочные винты;
14 – прорезь для компенсатора;
15 – щипцы для крепления объектива; 16 – анализатор;
17 – линза Бертрана; 18 – винт линзы Бертрана; 19 – окуляр;
20 – тубус; 21 – винт грубой наводки; 22 – винт тонкой наводки;
23 – основание штатива; 24 – ручка тубусодержателя; 25 – стопорный винт штатива

Штатив состоит из массивной неподвижной нижней части*23* и верхней подвижной части*24*, на которой закреплены все другие устройства микроскопа. Обе части штатива соединены шарнирно, что позволяет наклонять верхнюю часть микроскопа на наблюдателя и закреплять ее с помощью стопорного винта в удобном для работы положении.

Тубус – цилиндр, который может перемещаться с помощью винта грубой наводки *21* и микрометренного винта *22*, позволяющих ставить объект на фокус. В нижней части тубуса имеются щипцы *15*, закрепляющие *объектив*. Выше располагается *анализатор*, который можно вводить и выводить из тубуса. Выше анализатора находится *линза Бертрана*, которую также можно вводить в тубус и выводить из него; эта линза используется при исследованиях в сходящемся свете, а при работе в параллельном свете выключается. В верхнее отверстие тубуса вставляется*окуляр19*.

Предметный столик – массивный диск, вращающийся вокруг вертикальной оси. Внешний край столика градуирован, что позволяет с помощью нониусов *11* производить отсчеты углов поворота. Препарат закрепляется на столике с помощью пружинящих зажимов *10*.

Осветительное устройство располагается под предметным столиком. В его нижней части находится двустороннее осветительное*зеркало1*. В большинстве случаев можно пользоваться его вогнутой стороной. Над зеркалом расположен*поляризатор2*, выше которого находится *диафрагма*, регулирующая степень освещенности объекта и изолирующая боковые лучи. Над диафрагмой установлен *конденсор*, направляющий поток параллельных световых лучей на исследуемый объект. Выше располагается *линза Лазо6*, которая используется для получения сходящегося светового пучка, необходимого при исследованиях коноскопическим методом. При изучении минералов в параллельном свете линза Лазо не используется и с помощью специального рычага *7* выводится из оптической системы микроскопа.

Осветительное устройство поднимается и опускается с помощьювинта*4*, расположенного вертикально под столиком слева.

К каждому микроскопу приложен набор объективов с увеличениями3^x, 8^x, 20^x, 40^x и 60^x.

Шлиф

Горные породы изучают под микроскопом в срезах толщиной около 0,03 мм, которые называются *шлифами*. Шлиф изготавливают следующим образом. С помощью алмазной пилы отпиливают небольшую пластинку горной породы, пришлифовывают ее с одной стороны на специальном станке, а затем приклеивают ровной стороной на *предметное* стекло. В качестве клея используют канадский бальзам – прозрачное смолоподобное вещество с показателем преломления около 1.537. Приклеенную к стеклу пластинку горной породы шлифуют с противоположной стороны до толщины около 0.03 мм, покрывают вторым слоем канадского бальзама и тонким *покровным стеклом.*

Подготовка микроскопа к работе

Для подготовки микроскопа к работе необходимо:

1. Установив микроскоп на рабочем месте, поворотом тубусодержателя придать тубусу удобный для работы наклон.

2. Поднять осветительное устройство винтом вверх до упора. Вывести из оптической системы микроскопа линзу Бертрана, анализатор, линзу Лазо, полностью открыть диафрагму.

3. Поставить объектив нужного увеличения (при рядовой работе обычно 8^xили9^x). На оправе объектива имеется два стерженька для установки центрировочных винтов и наклонный фиксирующий штифт для закрепления объектива щипцами тубуса. Для установки объектива нужносначала с помощью винта грубой наводки несколько приподнять тубус, а затем, сжав пальцами

левой руки щипцы, **правой** рукой надеть объектив на кольцеобразный выступ тубуса микроскопа.Затем нужно повернуть объектив против часовой стрелки так, чтобы фиксирующий штифт вошел в прорезь зажима, после чего отпустить щипцы.

4. Поворотами осветительного зеркала добиться наиболее яркой и равномерной освещенности поля зрения.

5. На предметный столик положить шлиф (покровным стеклом кверху) и с помощью зажима закрепить его.

6. Навести изображение шлифа на резкость при помощи винтов грубой и точной наводки (чтобы не повредить шлиф, лучше это делать, постепенно увеличивая расстояние между шлифом и объективом). Работая с объективами с увеличением 20^x, 40^x и 60^x, фокусные расстояния которых очень малы, наведение на резкостьследует производить с особой осторожностью, чтобы не раздавить шлиф и не повредить линзы объективов. Для этогосначала нужно, глядя сбоку на конец объектива, осторожно с помощью винта грубой наводки подвести объектив близко к поверхности шлифа, а затем, смотря в окуляр, увеличивать фокусное расстояние до появления отчетливого изображения объекта.

7. Чтобы глаза не уставали,рекомендуется научиться, глядя одним глазом в окуляр микроскопа, оставлять другой глаз при работе открытым. Для этого вначале можно работать с надетым на тубус бумажным экраном.

Перед тем, как приступать к изучению шлифа, следует выполнить **поверки микроскопа.**

1. *Поверка скрещенности николей.*

Скрещенным называется такое положение поляризатора и анализатора, при котором плоскость колебаний света, пропускаемого анализатором, перпендикулярна плоскости колебаний света, пропускаемого поляризатором.

Поверка делается без шлифа. При выключенном анализаторе устанавливается освещенное поле зрения. Затем включается анализатор. Если николи скрещены, поле зрения при включенном анализаторе будет темным, почти черным. Если же при включенном анализаторе поле зрения просветлено, то николи не скрещены. В этом случае нужно открепить стопорный винт поляризатора, повернуть поляризатор за оправу на некоторый угол до полного угасания поля зрения и в этом положении закрепить винт.

Эту же поверкуподобным образом можноделатьипо участку канадского бальзама в шлифе.

2.*Поверка совпадения нитей окуляра снаправлениями колебанийполяризатора и анализатора.*

Находим в шлифе зерно мусковита или биотита с хорошо различимыми трещинами спайности и устанавливаем это зерно при включенном анализаторе на угасание (делаем зерно максимально темным). Выключаем анализатор. Трещины спайности в зерне должны быть параллельны одной из нитей окуляра.

Если такой параллельности нет и в положении угасания трещины спайности ориентированыпод некоторым(обычно небольшим)угломк нити окуляра, то следует несколько повернуть окуляр - до совпадения нити окуляра с направлением трещин спайности.

3. *Определение направления колебаний света в поляризаторе.*

Поверка производится при выключенном анализаторе с помощью зерна биотита с хорошо заметными трещинами спайности. Вращая столик микроскопа,наблюдаем, как при повороте столикабиотит меняет окраску (плеохроирует). В тот момент, когда биотит приобретает самую густую окраску, трещины спайности ориентированы параллельно плоскости колебаний света в поляризаторе (совпадающей либо с вертикальной, либо с горизонтальной нитью окуляра). Следут записать, с какой именно нитью сопадает направление колебаний света в поляризаторе.

4. *Центрировка объектива.*

Центрировка объектива заключается в совмещении оптической оси объектива с осью микроскопа.При отцентрированном объективе зерно, поставленноена пересечение нитей окуляра, при вращении столика не смещается и все время остается на пересечении нитей окуляра. Если же объектив не отцентрирован, топри вращении столика зерно будет отклоняться от пересечения нитей окуляра.

Для этой поверки выбираем в шлифе какую-либо хорошо заметную точку и, передвигая шлиф на столике, ставим ее на перекрестие нитей окуляра (*1* на рис.4), а затем вращаем столик микроскопа, следя за точкой. Если при вращении столика точка смещается относительно центра креста нитей, то объектив следует центрировать (обнаружив нарушение центрировки, следует сначала проверить,правильно ли вставлен объектив).

Для центрировки нужно повернуть столик микроскопа в положение, когда наблюдаемая точка максимально отклонилась от перекрестия нитей окуляра (*2* на рис. 4), надеть на специальные штифтына корпусе объектива

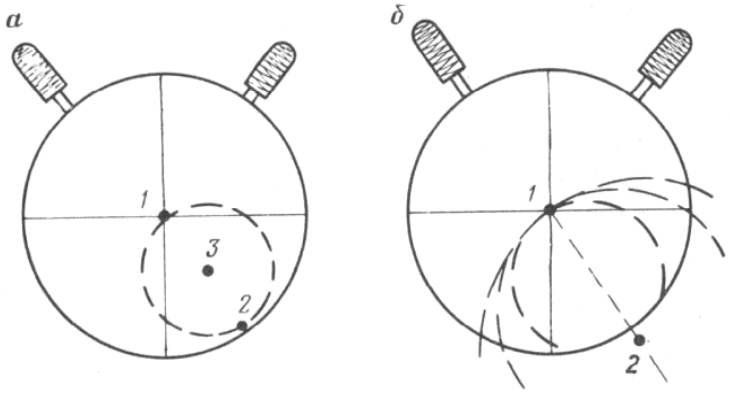

Рис. 4. Схема центрировки

центрировочные ключи и, вращая их, переместить точку в сторону перекрестия нитей на половину расстояния от точки до перекрестия нитей (в положение *3* на рис. 4, *а*). Затем передвинуть шлиф руками на столике так, чтобы точка вновь

попала в центр креста нитей. Повторять эти операции, пока точка при вращении столика не будет отклоняться от центра креста нитей.

Иногда, при сильной расцентрированности объектива, наблюдаемая точка при повороте столика микроскопа уходит за пределы поля зрения. В этом случае следует поворачивать предметный столик на некоторый угол то в одну, то в другую сторону, чтобы мысленно определить, где располагается центр окружности, которую описывает точка (направление *1 – 2* на рис. 4,*б*). Затем вращением центрировочных винтов перемещаем предполагаемый центр окружности, которую описывает точка, к перекрестию нитей окуляра.После этого, передвигая шлиф руками, снова ставим точку на центр поля зрения и повторяем описанные выше операции (иногда это приходится делать несколько раз) до достижения центрировки.

1.3. Исследования при выключенном анализаторе

Размер зерен.Приближенно размеры зерен в шлифах можно оценить, сравнивая зерна с диаметром поля зрения микроскопа.Величину диаметра поля зрения (с точностью до десятых долей миллиметра) можноопределить, поставив на столик микроскопа вместо шлифа линейку с миллиметровыми делениями.

Для более точного измерения размеров зерен используется окуляр 6^xс микрометрическойшкалой. Цена минимального деления этой шкалыпри использовании объектива 8^x или 9^x- около 0.02 мм.

Для точного определения цены деления шкалы окуляра используется объект-микрометр, представляющий собой металлическую пластинку, в центре которой вставлено стекло с нанесенной линейной шкалой длиной 1 мм, разделенной на 100 делений. Объект-микрометр устанавливается на столике микроскопа как обычный шлиф. В тубус микроскопа вставляется окуляр со шкалой. Перемещая на столике объект-микрометр, совмещаем начало обеих шкал. Определяем, скольким делениям шкалы окуляра соответствует шкала объект-микрометра и вычисляем цену деления окуляра. Например: длина всей шкалы объект-микрометра (1 мм) соответствует 54 малым делениям шкалы окуляра. Отсюда 1 малое деление шкалы окуляра равно 1 мм : 54 = 0,0185 мм.

Форма зерен. Зерна минералов могут иметьпризматическую, таблитчатую, пластинчатую, а также изометрическую и неправильную форму. При изучениишлифов объемная форма зерен минерала устанавливается на основе сопоставления между собой имеющихся в шлифе плоских разрезов минерала. На рис. 5представлены продольные и поперечные разрезыкристаллов призматической, таблитчатой и пластинчатой формы.

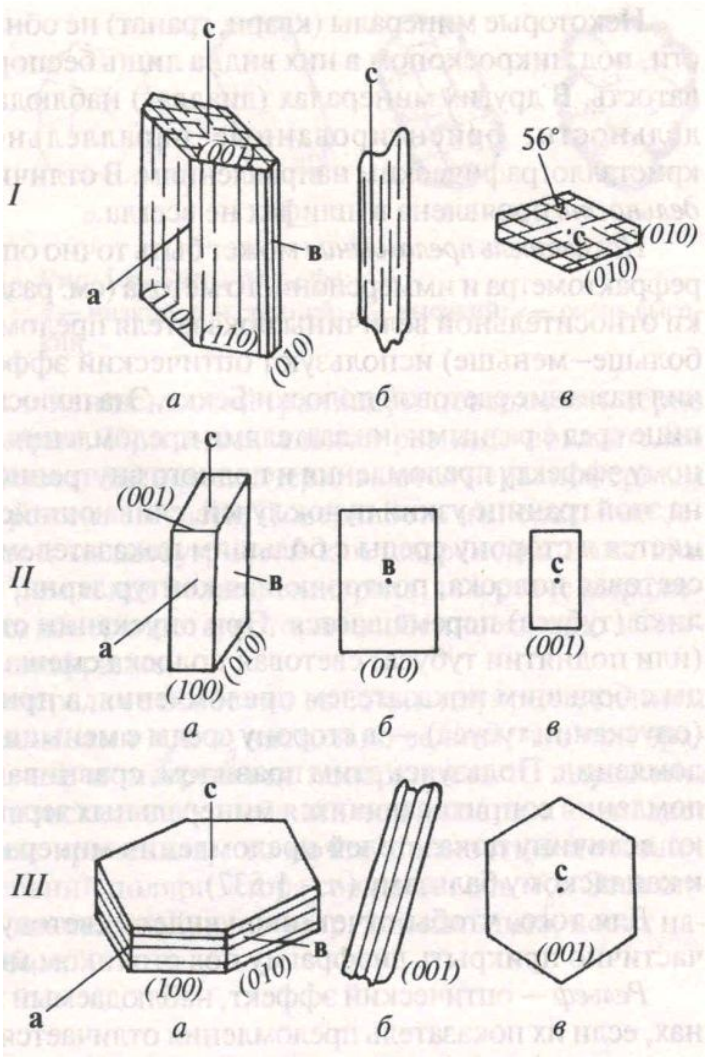

Рис. 5. Кристаллы призматической (*I*), таблитчатой (*II*) и пластинчатой (*III*) формы:
а – объемная форма кристаллов;
б, *в* – разрезы:
б – продольные,
в - поперечные

Спайность.Спайность наблюдается в шлифе в виде серии трещин, пересекающих минерал. Она видна не во всех сечениях кристаллов, а хорошо различается лишь там, где трещины спайности ориентированы по отношению к плоскости шлифа под углом, близким к 90 °. Так, у слюд в разрезах, перпендикулярных уплощенности кристаллов, видны четкие трещиныспайности, а в разрезах, проходящих параллельно уплощенности кристаллов, трещин спайности не видно (см. рис. 5,*III*). У минералов, обладающих
спайностью в двух направлениях, в шлифе чаще всего наблюдаются разрезы с трещинами спайности, проходящими лишь в одном направлении (см. рис. 5,*I, б*). Поэтому заключение оспайности минерала следует основывать на просмотрев шлифе всех зеренданного минерала.

У минералов с *весьма совершенной* спайностью (слюды) тонкиепараллельные трещины спайности идут через весь кристалл (см. рис. 5, *III, б*).Минералы с *совершенной* спайностью (пироксены, амфиболы) характеризуются общим параллельным расположением трещин, но эти трещины прерывисты и не всегда строго параллельныдруг другу (см. рис. 5, *I, б*).*Несовершенная* спайность (оливин) характеризуется отсутствием строгой

параллельности, прерывистостью, иногда ветвлением и пересечением трещин, при наличии общего направления в их расположении. Иногда несовершенная спайность проявлена в виде редких и коротких трещин (нефелин). Если минералспайностью не обладает, то трещины отсутствуют или имеют неровную форму и ориентированы беспорядочно.

При наличии спайности по двум направлениям (см. рис. 5, *I*) измеряется угол между плоскостями спайности. Порядок работы при определении угла между плоскостями спайности следующий:

1) находим разрез, перпендикулярный трещинам спайности обоих направлений: трещины должны быть тонкими и не смещаться в сторону при подъеме и опускании тубуса микроскопа;

2) совмещаем трещины спайности одного направления с одной из нитей окуляра;берем отсчет по лимбу столика;

3) вращением столика совмещаем с той же нитью окуляра трещины спайности второго направления; снова берем отсчет. Разность отсчетов - угол между плоскостями спайности. Принято измерять острый угол между плоскостями спайности.

Цвет. При работе с выключенным анализатором различают зерна*непрозрачные*, которые выглядят совершенно черными (это главным образом рудные минералы, их определение проводится на специальных микроскопах в отраженном свете), и*прозрачные* – бесцветные и окрашенные.

Цветминерала в шлифе отличается от цвета того жеминерала в образце. Многие минералы, отчетливо окрашенные в образцах, под микроскопом оказываются бесцветными. Цвет минерала обычно характеризуетсясловом из двух частей: например, сине-зеленый, светло-коричневый. Некоторые минералы в анизотропных сечениях при вращении столика микроскопа изменяют интенсивность окраски, а иногда и цвет (*плеохроируют).*

Показатель преломления.Показатель преломления минерала оценивается в шлифепутем егосравнения с показателем преломления канадского бальзама (1.537 ± 0.004) или с показателями преломления окружающих минералов.Эта оценка производится исходя из наблюдения у изучаемого минерала описываемых ниже рельефа, характера ограничений, шагреневой поверхности и полоски Бекке (лучше всего они видныпри частично прикрытой диафрагме и опущенном осветительном устройстве).

Рельеф – оптический эффект, свойственный зернам минералов, показатели преломления которых отличаются от показателя преломления канадского бальзама.У минералов с показателями преломления, более высокими, чем у канадского бальзама, рельеф *положительный*– минерал кажется более толстым, чем другие минералы, как бы рельефно выступающим над общей поверхностью шлифа.У минералов с показателями преломления, более низкими, чем у канадского бальзама,рельеф*отрицательный*– кажется, что минерал образует впадину на поверхности шлифа.



Рис. 6. Резкие ограниче-ния и шагреневая поверхностьу минералов с высоким показателем преломления

Чем больше отличается показатель преломления изучаемого зерна от канадского бальзама или соседних зерен, тем сильнее выражен рельеф данного зерна. При равенстве показателей преломления минерала и канадскогобальзама рельеф у минерала отсутствует.

Ограничения. Граница между минералом и канадским бальзамом, или между двумя бесцветными минералами, находящимися в непосредственном контакте друг с другом, четко заметна в том случае, если их показатели преломления различны. Чем больше разница в показателях преломления соприкасающихся минералов, или минерала и канадского бальзама, тем ограничения становятся более резкими(рис. 6).

Шагреневая поверхность. При изготовлении шлифов на поверхностях срезов зерен образуются микроскопические неровности. У минералов с показателями преломления, близкими к канадскому бальзаму, эти неровности не заметны и поверхность зерен выглядит гладкой. Еслиже показатели преломления минерала значительно отличаются от канадского бальзама, то неровности на поверхности зерна становятся заметнее и поверхность зернакажется шероховатой, мелкобугристой - как шагреневая кожа или кожура апельсина. Чем больше отличие показателей преломления зерна от показателя преломления канадского бальзама, тем резче выражена шагреневая поверхность этого зерна (см. рис. 6).

На границе двух соприкасающихся бесцветных минералов, обладающих близкими показателями преломления, при внимательном наблюдении заметно явление окрашивания минералов в зеленоватые и розоватые тона (*дисперсионный эффект*). Бесцветный минерал, имеющий более высокий показатель преломления, приобретает светло-зеленоватую окраску, а бесцветный минерал с более низким показателем преломления - розоватую окраску. Этот эффект становится более отчетливым при прикрытой диафрагме и некотором расфокусировании изображения.

Умение видеть дисперсионный эффект особенно важно при расмотрении мелких бесцветных включений одного минерала в другом, например, мелких вростков плагиоклаза в калиевом полевом шпате (пертиты) или, наоборот, калиевого полевого шпата в плагиоклазе (антипертиты). Отличить калиевый полевой шпат от кварца и плагиоклаза в мелкозернистых агрегатах иногда можно только по дисперсионному эффекту.

По характеру ограничений,рельефу и шагреневойповерхности В.Н.Лодочников подразделяет все бесцветные минералы на 7 групп (табл. 1).

Для более точного определения относительного показателя преломления используется так называемая световая *полоска Бекке*. Это возникающая при расфокусировании микроскопа узкая световая полоска, повторяющая контур

зерна. Наиболее четко она видна при использовании объективов с увеличением 20^x и более. При увеличении расстояния между объективом и шлифом полоска Бекке перемещается в сторону вещества с *бóльшим* показателем преломления,

Таблица 1

Группы В.Н.Лодочникова

Группа	Показатель преломления	Ограничения, шагреневая поверхность	Рельеф	Примерыминералов
1	1.41-1.47	ясные	отрицательный	опал
2	1.47-1.53	слабые	«	калиевый полевой шпат
3	1.53-1.55	отсутствуют	нет	кварц, кислый плагиоклаз
4	1.55-1.60	слабые	положительный	мусковит, основной плагиоклаз
5	1.61-1.66	ясные	«	апатит
6	1.66-1.78	резкие	«	пироксен, оливин
7	более 1.78	очень резкие	«	титанит, циркон

априуменьшении расстояния между объективом и шлифом –в сторону вещества с*меньшим* показателем преломления.

Порядок работы при определении показателя преломления минерала:

1) Находим зерно определяемогоминерала на границе с канадскимбальзамом (на краю шлифа или на границе с заполненной канадским бальзамом трещиной внутри шлифа). При включенном анализаторе зерно имеет некоторую интерференционную окраску, а канадский бальзам черный и остается черным при вращении столика микроскопа.

2) Выключаем анализатор, несколько опускаем осветительное устройство и частично прикрываем диафрагму.

3) Определяем рельеф, характер ограничений и шагреневой поверхности изучаемого зерна.

4) Находим границу между зерном и канадским бальзамом. При подъеме и опускании тубуса наблюдаем полоску Бекке и отмечаем направление ее перемещения.

5) По таблице 1 оцениваем величину показателя преломления минерала.

Для оценки показателя преломления по определенной оси индикатрисы (N_g, N_m, N_p) нужно совместить эту ось с направлением колебаний света в поляризаторе (как определять наименования осей индикатрисы – см. в разделе 1.3). Для этого зерно ставится на угасание при включенном анализаторе, а

затем анализатор выключается и производится наблюдение. Видимые рельеф, ограничения, шагреневая поверхность и поведение полоски Бекке определяются величиной показателя преломления по той оси индикатрисы, которая совмещена с направлением колебаний света в поляризаторе.

Псевдоабсорбция. Как отмечено выше, наблюдаемые под микроскопом рельеф и шагреневая поверхность минерала зависят от того, какой показатель преломления минерала совпадает с направлением колебаний света, пропускаемого поляризатором. У большинства минералов разница в величине показателей преломления по разным направлениям невелика. Поэтому при вращении минерала на столике микроскопа (то есть при совмещении различных направлений изучаемого минерала с плоскостью колебаний света в поляризаторе) заметных изменений рельефа и шагреневой поверхности минерала чаще всего не наблюдается.

Но у некоторых минералов с особенно высоким двупреломлением (например, у карбонатов) один показатель преломлениямного выше канадского бальзама, адругойблизок илиниже канадского бальзама (например, у кальцита один показатель преломления равен 1.658,а другой - 1.486). В этом случае при вращении столика микроскопа рельеф и шагреневая поверхность зерна то выражены очень отчетливо – рис. 7, слева (когда с плоскостью колебаний света в поляризаторе совпадает наибольший показатель преломления), то почти полностью исчезают - рис. 7, справа (когда с плоскостью колебаний света в поляризаторе совпадает наименьший показатель преломления). Этот оптический эффект носит название псевдоабсорбции.

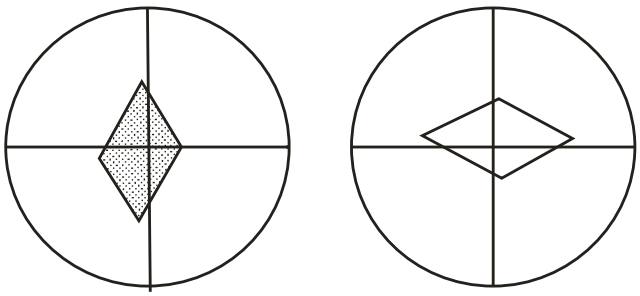

Рис. 7. Явление псевдоабсорбции

Степень проявления псевдоабсорбции у одного и того же минерала зависит от сечения минерала. В том разрезе минерала, где располагаются наибольший и наименьший показатели преломления, псевдоабсорбция выражена наиболее резко. В произвольном косом сечении псевдоабсорбция проявлена слабее. А в сечении, перпендикулярном оптической оси (в этом сечении показатель преломления одинаков во всех направлениях), псевдоабсорбция отсутствует.
Сильной псевдоабсорбцией обладают карбонаты, несколько слабее она проявлена у мусковита, а опытный глаз иногда улавливает псевдоабсорбцию даже у таких минералов, как кварц.

1.4. Исследования при включенном анализаторе в параллельном свете

Двупреломление минерала

В оптически анизотропных веществах луч света, входя в кристалл, раздваивается.Образовавшиесядва луча распространяются в кристалле с разными скоростями. В результате один луч обгоняет другой - между ними возникает разность хода*R*(обычно измеряется в нанометрах).Величина разности хода *R*пропорциональна толщине кристалла *d* (толщине шлифа) и величине N_g' - N_p' в данном сечении кристалла:

$$R=d(N_g' - N_p')$$

При прохождениидвухобразовавшихся в кристалле световых лучей через анализатор происходитинтерференция этих лучей (вследствие наличия между ними разности хода *R*). В результате кристаллприобретает при включенном анализаторе*интерференционную окраску*. Каждому значению разности хода *R*соответствует своя интерференционная окраска.

Интерференционная окраска возникает, если разность хода *R* не равна нулю. Если же разность хода *R* равна нулю (это имеет место при$N_g' - N_p' = 0$, то есть когда сечение индикатрисы в данном зерне имеет форму круга),то свет через кристалл не проходит и кристалл выглядит в скрещенных николях черным. Форму круга имеют сечения оптической индикатрисы аморфных веществ и кристаллов кубической сингонии (оптически изотропных веществ), а также перпендикулярные оптическим осям сечения индикатрисы кристаллов остальных сингоний (такие сечения называются оптически изотропными сечениями).

Таким образом, аморфные вещества (в том числе стекло и канадский бальзам), кристаллы кубической сингонии и перпендикулярные оптическим осям сечения одноосных и двуосных кристаллов в скрещенных николях выглядят темными (черными) и не просветляются при вращении столика микроскопа.

Унекоторыхаморфных веществ и кристаллов кубической сингонии иногда отмечается слабаяаномальнаяанизотропия(вследствие внутренних напряжений и т.п.),проявляющаяся в скрещенных николяхв слабой серой интерференционной окраске. Это свойственно, например, некоторым гранатам. Участки, обнаруживающие двупреломление, нередко располагаются в кристаллах граната зонально и секториально. Аномальная анизотропия в некоторых случаях проявляетсяив таком аморфном веществе, как вулканическое стекло.

При повороте столика микроскопа на 360 ° анизотропное сечение минерала четыре раза гаснет (становится черным) и четыре раза просветляется, приобретая ту или иную интерференционную окраску (максимальная яркость наступает при повороте столика на 45° от положения угасания).Угасание

происходит в тотмомент, когда оси индикатрисы совпадают с направлениями колебаний света в поляризаторе и анализаторе(рис. 8). В правильно настроенном микроскопе нити окуляра ориентированы параллельно этим направлениям, так что*в момент угасания нити окуляра указывают на положение осей индикатрисы*вданном разрезе минерала.

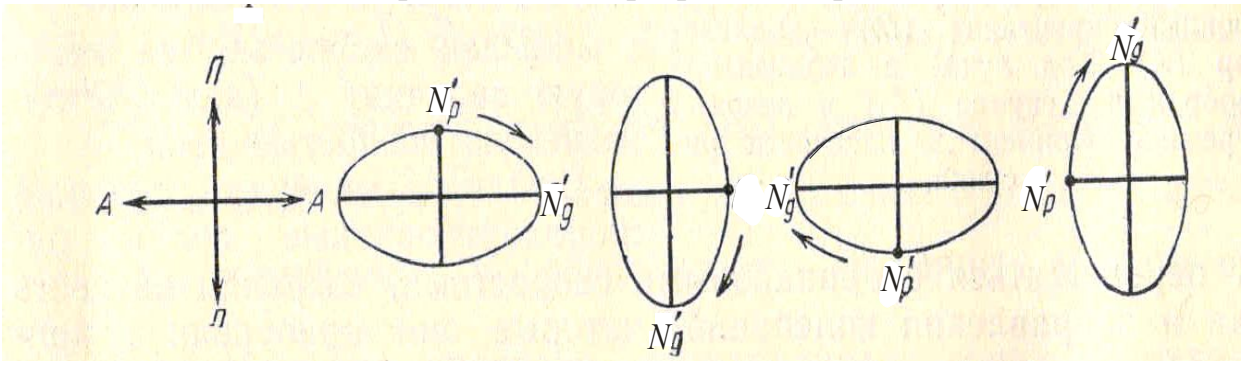

Рис. 8. Четырехкратное угасание минерала в анизотропном сечениипри повороте столика микроскопа на 360° (*П, А* – плоскости колебаний света в поляризаторе и анализаторе)

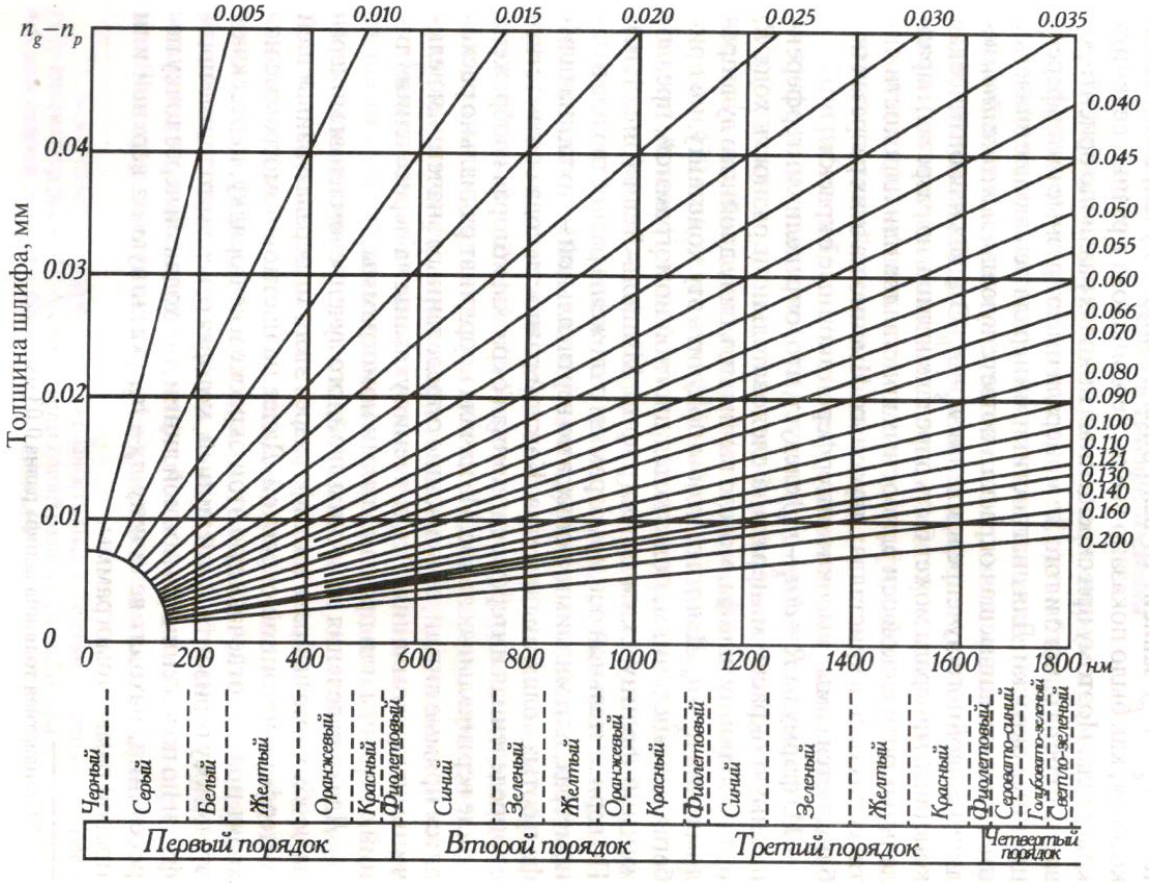

Рис. 9. Номограмма Мишель-Леви. Внизу – цвета интерференционной окраски и соответствующие им значения разности хода *R* (в нанометрах). Объяснения в тексте.

Наблюдаемые у кристаллов интерференционные окраски делятся на порядки (*I, II, III*и так далее), границы между которыми проводятся по фиолетовой окраске (рис. 9). Первый порядок начинается с низких цветов интерференции – темно-серого, серого, белого, далее желтого, и заканчивается красным, а затем фиолетовым цветом (последний соответствует разности хода около 550 нм).

Цвета интерференции *II* и *III* порядков повторяются в одинаковой последовательности: каждый порядок начинается с синего цвета, затем следуют зеленый, желтый, красный цвет. Фиолетовый цвет на границе *II* и *III* порядка отвечает разности хода 1100 нм, на границе *III* и *IV* порядков – 1650 нм (см. рис. 9). При больших разностях хода интерференционные окраски становятся все более бледными и выше *III* порядка трудно различимы.

У некоторых минералов величинадвупреломления для световых лучей разного цвета несколько отличается по величине (дисперсия двупреломления). Это приводит к образованию *аномальных* (отличающихся от приводимых на рис. 9) интерференционных окрасок – ржаво-бурых, красно-фиолетовых, индигово-синих в *I* порядке и очень ярких и пестрых в более высоких порядках. Аномальные интерференционные окраски характерны для хлорита, эпидота и некоторых других минералов.

При наблюдении интерференционной краски минерала нужно уметь определять ее порядок. Это можно сделать, рассматривая края зерен минерала.Нужно найти в шлифе зерно минерала, край которого скошен на клин. В пределах клина толщина зерна постепенно увеличивается.Поэтому всоответствующей клину каемке на краю зерна наблюдается последовательный(как на номограмме Мишель-Леви) переход от низких цветовинтерференционной окраски*I* порядка в самой тонкой части клинак все более высокойинтерференционной окраске, соответствующей толщине основной части зерна.

Например, если зернов своей основной части имеет желтую интерференционнуюокраску*II*порядка(рис. 10),то в периферической клиновидной части зерна будут последовательно наблюдаться серая, белая, желтая, красная окраска *I* порядка, затем синяя и зеленая окраска*II*порядка,

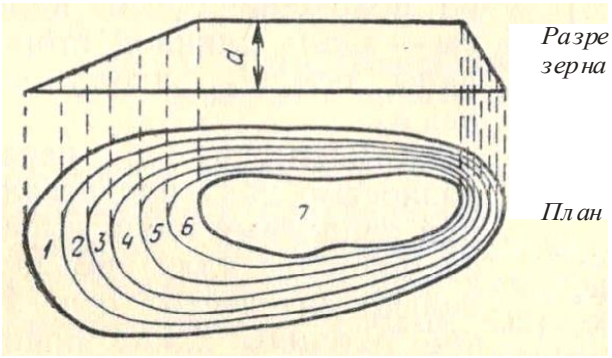

Рис. 10. Образование цветных каемок в краевых скошенных на клин частях зерна: 1 – серый *I*; 2 – белый*I*; 3 – желтый*I*; 4-красный*I*; 5-синий*II*; 6-зеленый *II*; 7 – желтый *II* (*I, II* – порядок интерференционной окраски)

после чего идет свойственная основной части зерна желтая интерференционная окраска *II* порядка (см. рис. 10). Прослеживая эти цветные каемки на краю

зерна (сравнивая последовательность цветов с номограммой Мишель-Леви), можно определить, какой порядок имеет интерференционная окраска, которую имеет основная часть изучаемого зерна.

Ширина цветных каемок на краях зерен зависит от угла наклона клина на краю зерна.Если при пологом клине можно наблюдать последовательную смену всех цветов интерференции (см. рис. 10, слева), топри крутом наклоне клина(см. рис. 10, справа) некоторые цвета выпадают, а другие (обычно синий и зеленый) сливаются в одну темную полоску. Для определения порядка окраски может быть использованаи такаяслившаяся сине-зеленая полоска:отсутствие этой полоски говорит о *I* порядке интерференционной краскиминерала, одна полоска указывает на *II* порядок, а наличие вдоль края зерна двух таких полосок указывает на*III*порядок интерференционной окраски в основной части зерна.

Интерференционную окраску может несколько искажатьсобственнаяокраскаминерала (наблюдаемая при выключенном анализаторе, например, у биотита или роговой обманки). Например, зерно роговой обманки (зеленое при выключенном анализаторе) с красной интерференционнойокраской*I* порядка будет выглядеть при включенном анализаторе из-за зеленой собственной окраски не красным, а бурым. То есть при изучении минералов с интенсивной собственной окраской следует иметь ввиду, что для определния истинной интерференционной окраски следует «вычитать» из наблюдаемой интерференционной окраски собственную окраску минерала .

Из формулы $R=d(N_g' - N_p')$следует, что в скрещенныхниколях различно ориентированные зерна(зерна с различными значениями $N_g' - N_p'$) одного и того жеанизотропного минерала имеют разные значения *R*, то есть разнуюинтерференционную окраску.Таким образом, один и тот же минералв зависимости от сечения может иметь в шлифе различнуюинтерференционную окраску.Эта окраска минимальная (черная) в разрезах, перпендикулярных оптической оси, наивысшая в разрезах, соответствующих$N_g - N_p$, и промежуточная в прочих разрезах.

В случае наивысшей интерференционной краски приведенная выше формула имеет вид$R=d(N_g - N_p)$. Используя эту формулу, можно определять толщину шлифа (*d)* и двупреломление минерала ($N_g - N_p$).

Определение толщины шлифа. Чаще всего производится по кварцу. Для этой цели находимв шлифе зерно кварца с наивысшей интерференционной окраской. По таблице Мишель-Леви определяем разность хода лучей *R* для этой окраски. Затемпо формуле $d=R/(N_g - N_p) = R/0.009$(0.009 – величина $N_g - N_p$ кварца) вычисляем толщину шлифа (*R* и *d*должны быть выражены в одинаковых единицах измерения – нанометрах или миллиметрах).

Определить толщину шлифа по кварцу с помощью номограммы Мишель-Леви можно и не прибегая к вычислениям. По горизонтальной оси номограммы (см. рис. 9) отложены разности хода в нанометрах (каждой

разности хода соответствует определенная интерференционная окраска), а по вертикальной оси – толщина шлифа в сотых долях миллиметра. Из начала координат радиально расходятся прямые линии, отвечающие определенным значениям величины двупреломления, указанным на пересечениях линий с верхним или правым краями номограммы.

Для определения толщины шлифа находим точку пересечения наклонной линии, соответствующей двупреломлению 0.009, и вертикальной линии, соответствующей значению разности хода *R* наблюдаемой в данном шлифе наивысшей интерференционной окраски кварца. После этого по оси ординат считываем соответствующее этой точке значение толщины шлифа.

В тех случаях, когда в породе нет кварца, для определения толщины шлифа можно использовать плагиоклаз, условно приняв его двупреломление равным 0,008 (такое двупреломление имеют встречающиеся в ряде бескварцевых магматических пород плагиоклазы состава андезин-лабрадор).

*Определение двупреломления минерала.*В шлифе находим зерноизучаемого минерала с наивысшей интерференционной окраской (для этого просматриваем все зерна данного минерала и оцениваем интерференционную окраску каждого зерна). По номограмме Мишель-Левиопределяем разность хода *R*для найденной наивысшей интерференционной окраски. Зная толщину шлифа *d*, по формулеN_g - N_p=*R*/ *d*вычисляем величину двупреломления (N_g - N_p) минерала.

Графическое определение двупреломления N_g - N_pпо номограмме Мишель-Леви производится следующим образом. От взятого по оси ординат значения толщины данного шлифа перемещаемся слева направодо определенной нами наивысшей интерференционной окраски минерала. Из полученной точки по наклонной линии поднимаемся вверх направо и считываем на конце этой линии значение двупреломления минерала.

Таблица 2

Интерференционная окраска минералов в зависимости от двупреломления (по А. Н. Феногенову, с изменениями)

Двупреломление	Интерференционная окраска в шлифах стандартной толщины (0,03 мм)	Характерные минералы
Менее 0.005 (очень слабое)	Серая, светло-серая	Апатит, нефелин
0.005 – 0.010 (слабое)	Белая, светло-желтая	Кварц (0.009), полевые шпаты
0.011-0.030 (умеренное)	Желто-оранжевая, красная *I* порядка до желто-зеленой *II* порядка	Роговая обманка, авгит
0.31 – 0.100 (сильное)	Желтая *II* порядка до *V* порядка	Оливин, биотит, циркон
Более 0.100 (очень сильное)	Перламутровые, бело-розовые окраски высших порядков –*IV* порядок и выше	Карбонаты, титанит, рутил

Двупреломление минерала может быть: 1) очень слабым, 2) слабым, 3) умеренным, 4) сильным (табл. 2). Граница двупреломления 0.030 (между умеренным и сильным двупреломлением) соответствует появлению в скошенных на клин краях зерен повторяющихся цветных полосок, по которым можно определять порядок интерференционной окраски (см. выше). При оченьсильном двупреломлении порядок интерференционной окраски установить практически невозможно.

Угол угасания

Угол угасания– это угол между одной из осей индикатрисы и какой-либо кристаллографической плоскостью (гранью кристалла, трещиной спайности, двойниковым швом). Если угол угасания равен нулю, угасание называется прямым, если не равен нулю – косым (рис. 11).В случае, если указанные выше кристаллографические плоскости в зерне не выражены (например, в зернах кварца неправильной формы), характер угасанияминерала не определяется.

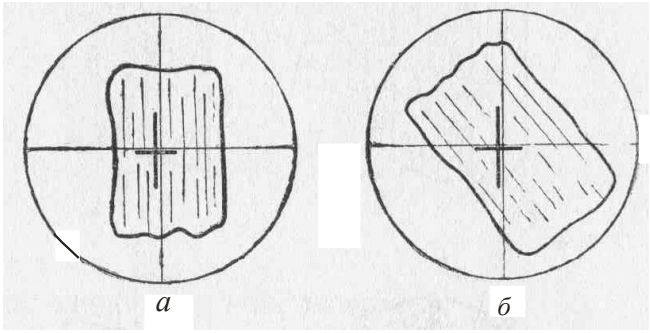

Рис. 11. Характер угасания минерала:
а – прямое, б – косое (минерал зарисован в положении угасания,
черные линии в центре – оси оптическойиндикатрисы зерна)

Минералам гексагональной, тетрагональной, тригональной и ромбической сингоний в большинстве разрезов свойственно прямое угасание.Минералы моноклинной сингонии в разрезах, перпендикулярных (010), обладают прямым угасанием, а в разрезе,параллельном(010) (такой разрез характеризуется наивысшей интерференционной окраской),– косым. Минералы триклинной сингонииобладают во всех разрезах косым угасанием.

Для определения характера угасания какого-либо зерна нужно установить грань кристалла или трещины спайности параллельно вертикальной нити окулярного креста и, включив анализатор, посмотреть, будет зерно при скрещенныхниколях находиться в положении угасания или нет. Если минералв этом положении гаснет, значит угасание прямое, а если минералпросветлен, то угасание косое.

Если угасание косое, то следует измерить угол угасания. Для этого нужно повернуть столик микроскопа из положения, когда грань кристалла или трещины спайности параллельны вертикальной нити,в положение угасания зерна. Угол поворота равен углу угасания. Достигать положения угасания

можно, поворачивая столик как вправо, так и влево. При измерении угла угасания столик вращают в сторону ближайшего угасанияминерала, чтобы угол угасания был менее 45°.

При определении угла угасания следует указывать, по отношению к какой осиоптической индикатрисы он измерен. В положении угасания оси оптической индикатрисы зерна располагаются параллельно нитям окуляра, но нужно определить наименования этих осей.

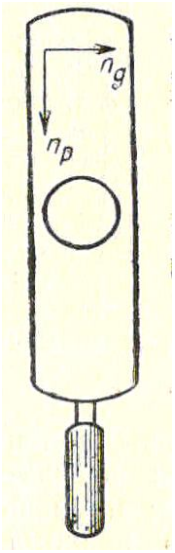

Рис. 12 . Компенсатор

Определение наименований осей индикатрисы производится с помощью*компенсаторов,*которые представляют собой кристаллические пластинки с известной разностью хода и фиксированным положением осей индикатрисы. Вдоль длинной стороны компенсаторов расположена ось N_p, а поперек длинной стороны -N_g(рис. 12).

Во многих случаях используется компенсатор с разностью хода 550-560 нм. Введенный в специальную прорезь тубуса микроскопа (см. рис. 1, 2), он дает красно-фиолетовую интерференционную окраску, поэтому его называют «красным».

Для определениянаименования осей индикатрисысначала ставим исследуемый минералв положение угасания. В этом положении оси индикатрисы параллельны нитям окуляра (см. рис.11). Затем поворачиваем столик микроскопа на 45 ° против часовой стрелки. Этим мы поворачиваем ось индикатрисы, которая совпадала с вертикальной нитью микроскопа, в положение, ориентированное параллельно прорези тубусамикроскопа, в которую вставляется компенсатор.

Вводим компенсатор и наблюдаем изменение интерференционной окраскиминерала. Если оси индикатрисыминералаN_p иN_g*совпадают*по направлению с одноименными осями компенсатора(рис. 13), то происходит

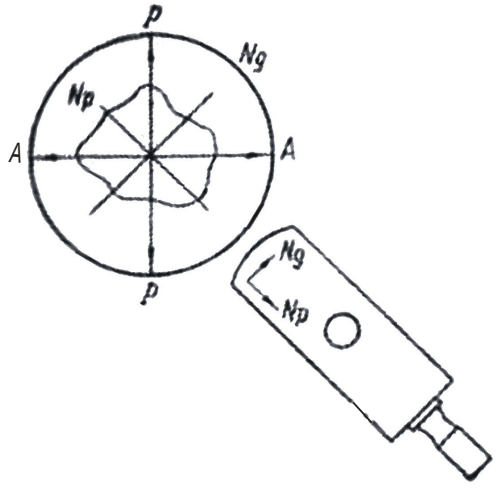

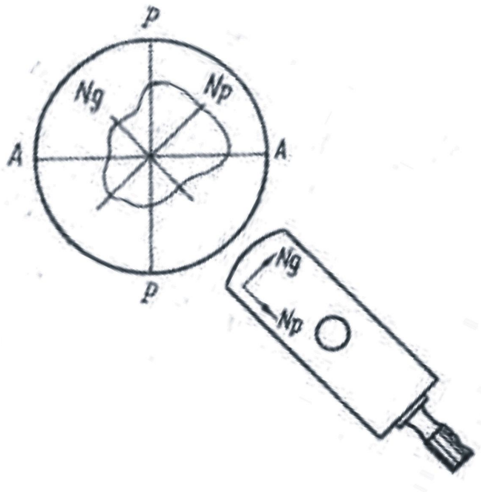

Рис. 13. Совпадение одноименныхосей индикатрисы осейиндикатрисы

Рис. 14. Совпадение разноименных

сложение разностей хода минерала и компенсатора – интерференционная окраска *повышается*. Если оси индикатрисы минерала и компенсатора *не совпадают* по направлению (рис. 14), то общая разность хода уменьшается и интерференционная окраска *понижается*. Если компенсатором с разностью хода 550-560 нм устанавливают наименования осей индикатрисы зерна с интерференционной окраской **I порядка**, то повышение или понижение интерференционной окраски определяется по отношению к компенсатору.

Например, минералобладает белой интерференционной окраской*I*порядка (R = 200 нм). При совпадении одноименных осей индикатрисы в минерале и в компенсаторе происходит сложение разностей хода (R = 200 + 560 = 760 нм) и интерференционная окраска повышается (относительно красной окраски компенсатора - 550-560 нм) до сине-зеленой *II* порядка (760 нм). При обратном расположении осей индикатрисы разность хода уменьшается (R = 560 - 200 = 360 нм) и интерференционная окраска понижается (относительно красной окраски компенсатора - 550-560 нм) до желтой *I*порядка (360 нм).

Компенсатор с разностью хода550-560 нм может быть использован и при определении наименования осей индикатрисы минералов **с высокой интерференционной окраской**. Как отмечалось ранее, на скошенных краях зерен таких минералов могут наблюдаться участки (чаще всего в виде полосок покраям зерен) с низкой интерференционной окраской (серой, белой, желтой*I*порядка). По ним описанным выше способом можно определить наименование осей индикатрисы. В случае совпадения одноименных осей индикатрисы компенсатора и зерна серая окраска на скошенномкрае зерна при введении компенсатора станет синей или зеленой и, наоборот, если у компенсатора и зерна совпадут разноименные оси, серая окраска на скошенном крае зерна станет желтой или оранжевой.

При работе с компенсатором рекомендуется контролировать правильность измерений, определяя у изучаемого зерна наименования обеих осей индикатрисы. Если в одном положении было, например, совпадение направления осей индикатрисы в зерне и в компенсаторе, то после поворота на 90° должен наблюдаться противоположный эффект.

Для определения наименования осей индикатрисы может быть использован также *кварцевый клин*– компенсатор, толщинакоторого увеличивается от одного его конца к другому. Направление тонкого конца обозначается на оправе острым углом треугольника (рис. 15). По мере введения кварцевого клина в прорезь тубуса микроскопа тонким концом вперед толщина

.

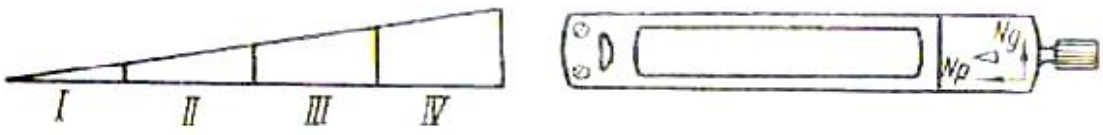

Рис. 15 . Кварцевый клин

наблюдаемой в поле зрения части компенсатора возрастает и видимая интерференционная окраска компенсатора последовательно повышается - от *I* до *III* и *IV* порядка (см. рис. 15), как на номограмме Мишель-Леви.

Кварцевый клин позволяет различать повышение или понижение интерференционной окраски по скошенным краям зерен высокодвупреломляющихминералов(«метод бегущих полосок»).

Если при вдвигании кварцевого клина цветные полоски интерференционной окраски на скошенном крае зерна перемещаются*от центра*минерала к его краям, тооси эллипса в клине и в минерале *совпадают*. Если же цветные полоски при вдвигании клина перемещаются от краев зерна к центру, то оси эллипса в клине и в минерале не совпадают. Чтобы передвижение цветных полосок было заметно, следует вдвигать клин не слишком медленно. Следует иметь ввиду, что при несовпадении осей эллипса передвижение полосок обычно заметно лучше, чем при совпадении осей.

Порядок работы при определении угла угасания:

1) Находим зерно с наивысшейинтерференционной окраской и системой четких параллельных трещин спайности; ставим зерно на центр нитей окуляра.

2) Поворотом столика микроскопа ставим трещины спайности параллельно вертикальной нити окуляра. Берем отсчет на лимбе столика микроскопа.

3) Поворачиваем столик микроскопа до ближайшего положенияугасанияминерала(то есть совмещаемодну из осей индикатрисы с вертикальной нитью окуляра). Снова берем отсчет на лимбе столика микроскопа. Разность первого и второго отсчетов - угол угасания.

4) В положении угасания зерно зарисовываем, отмечаемнаправления осей индикатрисы (параллельно нитям окуляра), трещин спайности и показываем измеренный угол угасания (чтобы лучше видеть спайность, зарисовку можно делать, выключив в положении угасания анализатор).

5) С помощью компенсатора определяем наименование оси индикатрисы, по отношению к которой измерен угол угасания. Подписываем наименования осей индикатрисы на зарисовке.

Записываем результаты измерения угла угасания: например, cN_g = 15°(угол между спайностью и N_g равен 15°).

Знакудлинения

Знак удлиненияхарактеризует ориентировку оптическойиндикатрисы относительно направления вытянутости кристалловили относительно трещин спайности в вытянутых сечениях кристаллов.

Удлинение считается положительным, если ось индикатрисы N_g совпадает с длинной осью кристалла (трещинами спайности) или отклоняется от нее не более, чем на 30° ($cN_g \leq 30°$). Если же такое положение занимает ось N_p($cN_p \leq 30°$), то удлинение считается отрицательным. При углах угасания, равных 30-45°, знак удлинения не определяют.

Плеохроизм

Плеохроизм– способностьминерала неодинаково поглощать свет разных частей спектра по различным направлениям. Плеохроизм проявляется в изменении собственной окраскиминерала (наблюдается при выключенном анализаторе)при вращении столика микроскопа: поворачивая столик микроскопа, мы изменяем положение зерна относительно плоскости колебаний света,выходящего из поляризатора.

Различают три типа плеохроизма:

1) изменяется интенсивность окраски, а цвет сохраняется (например,у биотита, который может плеохроировать от светло- до темно-бурого цвета);

2) изменяется как интенсивность окраски, так и цветминерала (например,у роговаяобманки, которая можетпри вращении столика микроскопа менять окраску от светло-желтой до темно-зеленой);

3) изменение окраски не сопровождается изменением ее интенсивности (например, у гиперстена, которыйплеохроирует от бледно-розового до бледно-зеленого).

Для определения окраски по N_g и N_pиспользуют зерноминерала с наивысшей интерференционной окраской.Сначала в зерне определяют положение и наименования осей индикатрисы. Затем устанавливают зерно в положение угасания. Выключают анализатор и наблюдают окраску по той оси индикатрисы, которая в данный момент совмещена с плоскостью колебаний поляризатора (например,N_g). Затем поворотом столика на 90° совмещают с направлением колебаний света в поляризаторе другую ось индикатрисы (например,N_p) и, выключив анализатор, наблюдают соответствующую ей окраску.

Для определения окраски по N_m(у двуосных минералов)используются разрезы с наинизшей интерференционной окраской. В скрещенныхниколях такие разрезы черные или темно-серые и остаются таковыми при вращении столика микроскопа.Разрез с наинизшей интерференционной окраскойсоответствует круговому сечению индикатрисы, радиусомкоторого является N_m, так что при любом повороте столика микроскопа собственная окраска минерала (наблюдаемая при выключенном анализаторе) в этом разрезе одинакова и характеризует N_m.Чаще всего окраска по N_mявляется промежуточной между окрасками по N_gи N_p.

Записав цвета по осям индикатрисы (запись ведется с указанием окраски и ее интенсивности, например: N_g– темно-зеленая,N_p– светлая зеленовато-желтая), составляем*схему абсорбции*(поглощения света).

Если окраска по N_gболее темная, чем поN_m, а последняя более темная, чем поN_p, то схема абсорбции называется*прямой* (обозначается$N_g>N_m>N_p$). Такая схема абсорбции наблюдается, например, у биотита.

Если окраска по N_pболее темная, чем N_m, а последняя более темная, чем по N_g, то схема абсорбции называется*обратной* (обозначается$N_g<N_m<N_p$), например, у эгирина.

В тех случаях, когда меняется только окраска, а густота окраски не меняется, исследование плеохроизма ограничивается записями окрасок по осям индикатрисы: например, у гиперстена:N_g– бледно-зеленая,N_p– бледно-розовая.

1.5. Исследованияпри включенном анализаторе в сходящемся свете

Метод исследования в сходящемся свете (коноскопический метод) основан на использовании прохождения через кристалл сходящегося (в виде конуса) пучка плоскополяризованных лучей, которые пересекаются в центре кристалла. При этом под микроскопомнаблюдается не сам кристалл, а его интерференционная (коноскопическая) фигура.

Исследования в сходящемся свете позволяют определить оностьминерала, его оптический знак и приближенно величину угла оптических осей (*2V*) двуосныхминералов.

Методика работы

Изучениеминералов коноскопическим методом проводится привключенном анализаторе с введенной в осветительную систему микроскопа линзой Лазо (см. рис. 2, 3), создающей сходящийся пучок лучей. Пройдя через кристалл, лучи становятся расходящимися. Чтобы затемсобрать эти лучи, используют объектив с увеличением 40^x или 60^x. После прохождениясобранных лучей через анализатор возникает оптический эффект, называемый интерференционной, или коноскопической, фигурой. Ее рассматривают при вынутом окуляре или через окуляр, но с линзой Бертрана.

Чаще всего в сходящемся свете изучают разрезы, перпендикулярные к оптической оси, или близкие к этому направлению.

Порядок работы:

1. В параллельном свете с объективом 8^x или 9^x находим разрезминерала с наиболее низкой интерференционной окраской – черной или темно-серой, не меняющейся или почти не меняющейся при вращении столика микроскопа (в случаеминерала с высокимдвупреломлением можно использовать и сечения с белой и желтоватой окраской *I* порядка). Если минералокрашен, то без анализатора такое зерно не должно обнаруживать плеохроизма. Зерно должно быть достаточно крупным – при большом увеличении (60^x или 40^x) занимать не менее четверти поля зрения.

Помещаем это зерно в центр поля зрения. При выключенном анализаторе добиваемся наиболее яркого и равномерного освещения поля зрения; полностью открываем диафрагму, поднимаем осветительное устройство вверх до упора.

2) Меняем объектив 8^x или 9^xна объектив 60^x или 40^x (предварительно хорошо отцентрированный) и еще раз проверяем, что шлиф установлен покровным стеклом вверх. Объектив с большим увеличением имеет короткое

фокусное расстояние. Это расстояние меньше толщины предметного стекла и при попытке сфокусировать его на минерал в шлифе, положенном покровным стеклом вниз, шлиф может быть раздавлен и объектив испорчен.

Наводим на фокус. Чтобы не раздавить шлиф, сначала опускаем тубус винтом грубой наводки, смотря сбоку на объектив. Подводим объектив к шлифу так, чтобы между входной линзой объектива и поверхностью шлифа остался лишь незначительный просвет (меньше миллиметра). После этого, глядя в окуляр, начинаем поднимать тубус и наводим на резкость.

3) Включаем анализатор и линзу Лазо, а затем вводим линзу Бертрана или вынимаем окуляр. Наблюдаем коноскопическую фигуру (без окуляра она будет маленькой и четкой, а с окуляром и линзой Бертрана – менее четкой, но зато более крупной).

Разрез, перпендикулярный оптической оси одноосного кристалла

В данном разрезе коноскопическая фигура имеет вид темного креста, ветви (балки)которогоориентированы вдоль нитей окуляра и пересекаются в центре поля зрения (в точке выхода оптической оси).При вращении столика микроскопа крест не изменяет своего положения (рис. 16).

У минералов с низким двупреломлением (кварц, нефелин) контуры коноскопического креста расплывчатые, между балками креста - интерференционная окраска *I* порядка. У минералов с высоким двупреломлением балки креста более тонкие и четкие, между балками располагаются цветные кольца интерференционной окраски нескольких порядков.

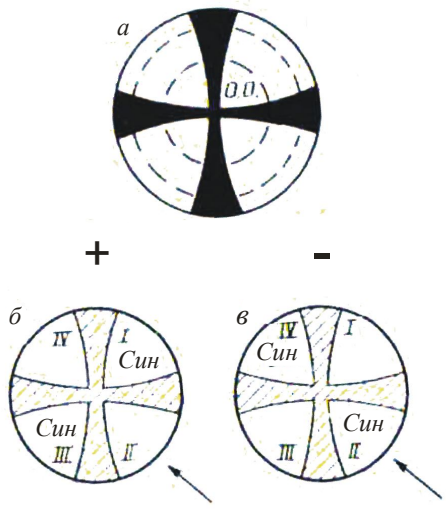

Рис. 16. Коноскопическая фигура одноосного кристалла в разрезе, перпендикулярном оптической оси (*а*), и определение оптического знака в этом разрезе с помощью компенсатора (*б, в*)

Для определения оптического знака кристалла можно использовать компенсатор с разностью хода 560-570 нм. Получив коноскопическую фигуру,вводим компенсатор в прорезь тубуса микроскопа и наблюдаем изменение интерференционной окраски у перекрестия балок креста. Если во *II* и *IV* квадрантах появляется желтая окраска первого порядка, а в *I* и *III* квадрантах– синяя окраска второго порядка, то кристалл оптически положителен (рис. 16, *б*). Если во *II* и *IV* квадрантах возникает синяя окраска второго порядка, а в*I*и*III* квадрантах – желтая окраска первого порядка, то кристалл оптическиотрицателен (рис. 16, *в*). Сам крест приобретает при этом красную окраску, соответствующую разности хода компенсатора (*R* = 560-570 нм).

Если разрез не строго перпендикулярен оптической оси, то центр коноскопической фигуры (креста)будет смещен относительноперекрестия

нитей окуляра. При вращении столика микроскопа центр креста будет описывать окружность вокруг центра поля зрения, а балки креста будут перемещаться параллельно нитям окуляра. Горизонтальная балка при этом перемещается снизу вверх или сверху вниз, а вертикальная – справа налево или слева направо (рис. 17).



Рис. 17. Коноскопическая фигура одноосного кристалла в косом разрезе (стрелками показано направление вращения столика)

При определении оптического знака в данном случае крест коноскопической фигуры следует перед введением компенсатора установить так, чтобы большая часть поля зрения была занята *II* или *IV* квадрантом (см. рис. 16),а далее вести определение, как описано выше.

Разрез, перпендикулярный оптической оси двуосного кристалла

Коноскопическая фигура имеет видтемной изогнутойполосы –*изогиры*, проходящей через центр поля зрения (выход оптической оси). При вращении столика микроскопа изогира поворачивается вокруг центра поля зрения, то выпрямляясь (при совпадении с одной из нитей окуляра), то изгибаясь (рис. 18).

Если разрез ориентирован строго перпендикулярно оптической оси, изогира при вращении столика микроскопа из поля зрения не выходит. Если же разрез ориентирован не совсем перпендикулярно оптической оси, то изогира

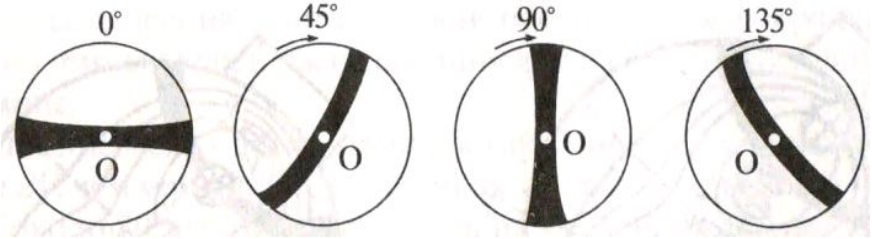

Рис.18.Коноскопическая фигура двуосного кристалла в разрезе, перпендикулярном оптической оси (О), и ее поведение при вращении столика микроскопа (показано стрелками)

при вращении столика может уходить за пределы поля зрения, перемещаясь*диагонально* по отношению к нитям окуляра (это отличает сечения двуосных кристаллов от косых разрезоводноосных кристаллов, когда балки креста перемещаются *параллельно* нитям окуляра).

По степени изогнутости изогиры приближенно можно оценить величину угла *2V*. Для этого изогиру нужно установить под углом 45° к нитям окуляра. Чем больше угол оптических осей, тем меньше изогнута изогира, а при угле *2V*, равном 90°, она становится прямолинейной (рис. 19).

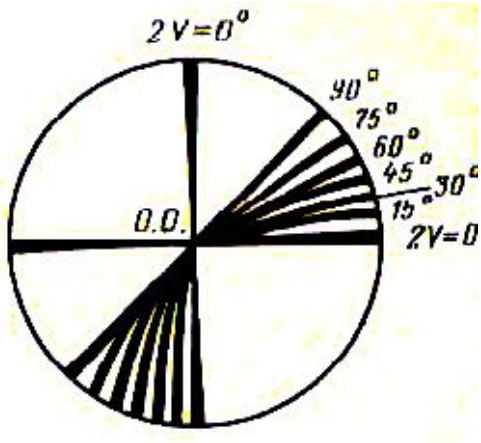

Рис.19 . Диаграмма для приближенной оценки величины угла *2V* в разрезе, перпендикулярном оптической оси

Для определения оптического знака двуосногоминерала следует повернуть столик микроскопа так, чтобы изогира располагалась поперек направленияввведения компенсатора (рис. 20). Если при введенномкомпенсаторе навыпуклой стороне изогиры появится синий, а на вогнутой– желтый цвет, то минерал оптическиположительный. Если распределение окрасок обратное, то минералоптически отрицательный (см. рис. 20). Сама изогира в обоих случаях принимает красную окраску.

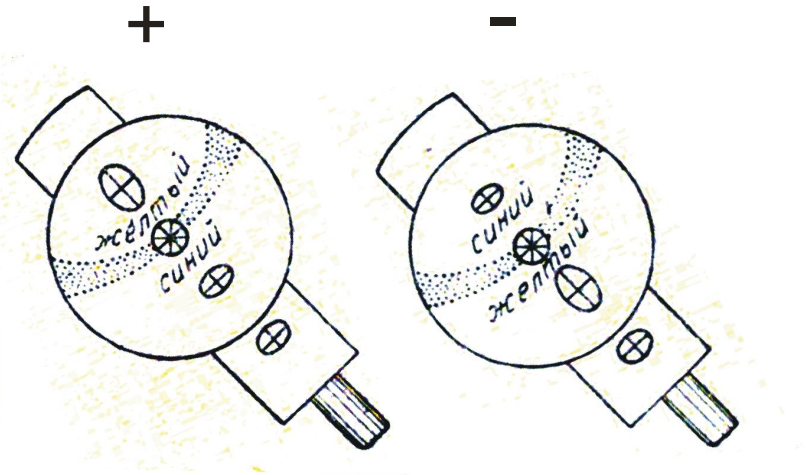

Рис. 20. Определение оптического знака двуосного кристалла в разрезе, перпендикулярном оптической оси (рисунок с введенным компенсатором)

1.6. План описания минерала под микроскопом

Приступая к описанию исследуемогоминерала, нужно сначала внимательно просмотреть весь шлиф(при выключенном и при включенном анализаторе) и примерно оценить, сколько и какие минералыимеются в шлифе. После этого изучаемый минерал описывают в следующем порядке.

При выключенном анализаторе

1. Процентное содержание минерала в породе – путем сравнения площади, занимаемой минералом, с площадью поля зрения.

2. Размеры зерен минерала. Измеряют длину и ширину преобладающих по размеру зерен.

3. Форма зерен в различных разрезах и, как вывод, пространственная форма кристалла.

4. Спайность. Отмечают наличие или отсутствие спайности, степень ее совершенства, число направлений спайности, величину угламежду плоскостями спайности.

5. Цвет и плеохроизм минерала.

6. Показатель преломления: направление перемещения полоски Бекке, характер ограничений, рельефа, шагреневой поверхности, группа по таблице Лодочникова. Псевдоабсорбция.

При включенном анализаторе

А. В параллельном свете

7. Толщина шлифа.

8. Двупреломление, с указанием наивысшей интерференционной окраски и метода определения.

9. Угасание и ориентировка осей индикатрисы с зарисовкой.

10. Характер удлинения.

11. Схема плеохроизма с указанием окраски по осям индикатрисы.

Б. В сходящемся свете

12. Осность.

13. Оптический знак.

14. *2V* (грубая оценка).

1.7. Примеры описанияминералов в шлифе

(по Л.И.Кравцовой и М.Н.Чукашевой, с изменениями)

1. Зернаминерала в шлифе имеют преимущественно вытянутую форму с прямолинейными ограничениямипараллельно спайности и неровными поперек спайности. Реже встречается неправильная, близкая к изометричной, форма зерен. В разрезах вытянутой формы наблюдается весьма совершенная спайность в виде тонких почти непрерывных линий вдоль удлинения. В зернах изометричной формы спайности не наблюдается. Судя по этим данным, минералимеет пластинчатую форму.

Минерал в шлифе прозрачен, бесцветен. Показатель преломленияявыше, чем у канадского бальзама, так как полоска Бекке при поднятии тубуса микроскопа перемещается в сторонуминерала. Ограничения и шагреневая поверхность относительно слабые. По этим признакам минералотносится к IV группе таблицы Лодочникова.

Минерал обладает псевдоабсорбцией: при совмещении спайности с вертикальной нитью окуляра ограничения и шагреневая поверхность более отчетливы, чем при совмещении спайности с горизонтальной нитью.

В скрещенныхниколях минералимеет прямое угасание относительно спайности и положительное удлинение ($cN_g = 0°$).

Толщина шлифа определена по кварцу. Наивысшаяинтерференционная окраска кварца желтовато-белая *I*порядка, что соответствует разности хода 300 нм. Зная, что у кварца$N_g - N_p$ =0.009, по номограмме Мишель-Леви находим, что толщина шлифа равна 0.033 мм.

Наивысшая интерференционная окраска исследуемогоминерала красная*II* порядка (разность хода 1050 нм), что соответствует, по номограмме Мишель-Леви, величине двупреломления $N_g - N_p$,равной 0.032.

Для определения остостиминерала использовано зерно изометричной формы с белой интерференционной окраской *I*порядка. В сходящемся свете наблюдалась интерференционная фигура в виде изогиры, из чего можно сделать вывод, что минерал двуосен. По кривизне изогиры $2V$ = 40-50°. Оптический знакминерала отрицательный – на вогнутой стороне изогиры при введении компенсатора появляется синяя окраска.

Судя по приведенным данным, изученный минерал – мусковит.

2. Минерал образует сечения прямоугольной удлиненной формы, с отношением длины к ширине 4:1 (со спайностью вдоль удлинения), а также ромбовидной формы (со спайностью по двум направлениям под углом 124°). Из этого можно сделать вывод, чтокристаллы минерала имеют призматический облик.

Минерал прозрачный, окрашен в зеленый цвет и обнаруживает плеохроизм, проявляющийся в изменении цвета и интенсивности окраски. По показателю преломления минералсоответствует Vгруппе таблицы Лодочникова: имеет ясные ограничения, ясную шагреневую поверхность и положительный рельеф.

В скрещенных николях в отдельных зернах (преимущественно в поперечных разрезах) наблюдаются простые двойники. Наивысшая интерференционная окраска синяя *II* порядка, разность хода 700 нм (определено по естественному клину на краю зерна). Толщина шлифа определена по плагиоклазу, двупреломлениекоторого принято равным 0.008. Наивысшая интерференционная окраска плагиоклаза в шлифе белая *I* порядка, соответствующая разности хода 250 нм. По этим данным толщина шлифа, определенная по номограмме Мишель-Леви, равна 0.031 мм. Используя данное значение толщины шлифа, определяем по номограмме двупреломление изучаемого минерала: $N_g - N_p$= 0.022.

Угасание относительно спайности в разрезе с наивысшей интерференционной окраской косое: cN_g = 18°, удлинение положительное.Прямая схема абсорбции $N_g > N_m > N_p$: окраска поN_g – густая сине-зеленая, по N_m- буровато-зеленая, поN_p – светлая желто-зеленая.

Осность определялась в изотропном сечении. В сходящемся свете наблюдалась интерференционная фигура в виде слабоизогнутой изогиры - минерал двуосный, угол $2V$ около 70-80°. Оптический знак отрицательный –

при введенном компенсаторе на вогнутой стороне изогиры наблюдалась синяя окраска.

По полученным данным минерал диагностируется как амфибол (роговая обманка).

1.8. Контрольные вопросы

1. Дайте определение понятия «оптическая ось кристалла».
2. Что означает величина *2V*?
3. Каков оптический знак кристалла, если острой биссектрисой угла *2V*является N_g?
4. Для чего в микроскопе предназначена диафрагма?
5. Существует ли связь между положением нитей в окуляре микроскопа и расположением плоскостей поляризации в поляризаторе и анализаторе?
6. Как ориентирована плоскость колебаний поляризатора в Вашем микроскопе?
7. Как производится центрировка микроскопа?
8. Чему равняется цена минимального деления шкалы окуляр-микрометра с объективом 8^x?
9. Какие оптические свойстваминералов определяются при выключенном анализаторе?
10. При каком положении николей (поляризатора и анализатора) наблюдают плеохроизм?
11. Что является причиной псевдоабсорбции?
12. Каково положение осей индикатрисы в зерне минерала в момент его угасания?
13. Дайте определение понятия «сила двойного лучепреломления».
14. Перечислите цвета интерференции, относящиеся к *I*порядку.
15. В каких разрезах индикатрисы интерференционная окраска кристалла наивысшая, и в каких наинизшая?
16. Для определения каких констант используются разрезы с наивысшей интерференционной окраской?
17. Какованаивысшаяинтерференционная окраска у пироксена, если N_g= 1.654,N_p= 1.664, а толщина шлифа равна 0.03 мм?
18. Какова толщина шлифа, если плагиоклаз имеет наивысшуюинтерференционную окраску желтую *I* порядка (разность хода 400 нм) при N_g-N_p= 0.008 ?
19. Какое зерноминерала выбирается для определения угла угасания?
20. Какая ось индикатрисы совпадает с длинной стороной компенсатора?
21. В каких разрезах плеохроичныхминералов можно наблюдать окраску по N_m?
22. По каким признакам выбирается в шлифе зерноминерала для определения осности и оптического знака?

23. Как в сходящемся свете отличить минерал тетрагональной сингонии отминерала ромбической сингонии?
24. Чем отличается коноскопическая фигура одноосного и двуосного кристаллов в разрезах, перпендикулярныхоптической оси?
25. Чем отличается коноскопическая фигура в разрезе, перпендикулярном оптической оси, у двуосныхминералов при угле *2V*, близком к 90°, и при угле *2V*, близком к 0°?

2. ПОРОДООБРАЗУЮЩИЕ МИНЕРАЛЫ

2.1. Минералы магматических пород

Кварц

SiO_2. Низкотемпературный кварц относится к тригональной сингонии, а высокотемпературный – к гексагональной.

В интрузивных породах форма зерен кварца чаще всего неправильная.В вулканических и жильныхпородах кварцобразует вкрапленники в форме гексагональной дипирамиды (продольные сечения таких вкрапленников могут иметьквадратную форму) или в виде изометричных округлых выделений.

Без анализатора прозрачный, бесцветный, без спайности и вторичных изменений. Иногда наблюдается волнистое угасание.

Показатели преломления(наибольший - 1.553, наименьший - 1.544)больше показателя преломления канадскогобальзама. Относится к *III*группе Лодочникова –шагреневая поверхность отсутствует, рельеф слабый положительный,ограничения заметны слабо.

Двупреломление 0.009. Интерференционная окраска серая, белая, в утолщенных шлифах – желтая *I* порядка. Одноосный, положительный.

Кварц может быть сходен в шлифах с несдвойникованным плагиоклазом. В этом случае его можноотличить от плагиоклаза по осности и отсутствию спайности. От калиевых полевых шпатов кварц отличается более высоким показателем преломления и осностью. Кварц можно спутать с нефелином, от которого он отличается оптическим знаком и отсутствием вторичных изменений. С кварцем в шлифах сходен также свежий кордиерит, но последний нередко имеет двойниковое строение и двуосен.

Нефелин $Na_3K(A1SiO_4)_4$

Гексагональная сингония. Идиоморфные зерна нефелина имеют форму гексагональных призм и дают срезыпрямоугольнойили правильной шестиугольной формы. Во многих случаях образует зерна неправильной формы.

Без анализатора прозрачный, бесцветный (измененный – сероватый, мутный).Спайность плохо выражена и может не наблюдаться.

Показатель преломления близок к показателю преломления канадскогобальзама (n_o= 1.532-1.547, n_e= 1.529-1.542).Рельеф и шагреневая поверхность отсутствуют.

Двупреломление0.003 –0,005.Интерференционнаяокраска серая*I* порядка. Иногда почти изотропный.

Одноосный, отрицательный. Для определения осности нефелина следует выбирать совершенно изотропные сечения, так как вследствие низкого двупреломления он дает расплывчатуюконоскопическую фигуру (это является одним из отличий нефелина от кварца, укоторого даже в недостаточно изотропных сечениях получается отчетливая коноскопическая фигура).

Нефелин легче других минералов магматических породподвергаетсявторичным изменениям – замещению канкринитом, цеолитами, серицитом (показатель преломления канкринита и цеолитов ниже, чем у канадскогобальзама и у нефелина;канкринит в скрещенныхниколях по ярким цветам интерференции напоминает мусковит, откоторого отличается низким показателем преломления, отрицательным знаком удлинения и одноосностью;цеолитам свойственно низкое двупреломление и розовый дисперсионный эффект).

Нефелин обладает сходством с кварцем и калиевым полевым шпатом. От кварца нефелин отличается меньшим двупреломлением, оптическим знаком, а также по присутствию продуктов изменения и иногда – слабо проявленной спайности. Показатель преломления нефелина не может служить достаточным критерием для отличия его от кварца, так как он изменчив и по величине иногда больше, чем у канадского бальзама. Совместно с кварцем нефелин не встречается. Калиевые полевые шпаты, в отличие от нефелина, имеют отчетливо отрицательный рельеф, совершенную спайность иоптически двуосны (кроме санидина).

Калиевые полевые шпаты

Калиевые полевые шпаты - санидин, ортоклаз, микроклин - имеют общий состав $K(AlSi_3O_8)$. Санидин и ортоклаз моноклинные, микроклин триклинный. Они являются тремя структурными разновидностями одного минерального вида «калиевый полевой шпат».

В шлифах эти минералы представлены идиоморфными таблитчатыми зернами (в эффузивных породах), либо зернами изометрической или неправильной формы (в ряде интрузивных и метаморфических пород).

Неизмененные калиевые полевые шпаты обычно бесцветны. Они обладают совершенной спайностью по двум направлениям - в моноклинных кристаллах угол между плоскостями спайности 90°, а в триклинных - незначительно отличается от 90°. В шлифах взернахкалиевого полевого шпатачасто виднолишь одно направлениеспайности.

Характерны низкие показатели преломления -ниже, чем у канадского бальзама, и ниже, чем у любогоплагиоклаза, в том числе альбита.Это важнейший диагностическийпризнак калиевых полевых шпатов, отличающий

их от кварца и плагиоклазов. В связи с этим присутствие калиевого полевого шпата в шлифе можно устанавливать при выключенном анализаторе по дисперсионному эффекту (см. раздел 1.3). Особенно полезно использовать дисперсионный эффект, когда калиевый полевой шпатобразует мелкие зерна, которыеможно спутать с зернами несдвойникованного кислого плагиоклаза и кварца.

Интерференционная окраска калиевых полевых шпатов низкая (темно-серая, серая) – двупреломление редко превышает 0.007, а у санидина может иногда опускаться до 0.003.

Измененные (пелитизированные) калиевые полевые шпаты без анализатора выглядятбуроватыми (в отличие от сероватых соссюритизированныхплагиоклазов).

Санидин– наименее упорядоченная разновидность калиевых полевых шпатов. Кристаллизуется при температуре более 800°Си сохраняется при условии быстрого охлажденияминерала(в эффузивных породах).

В шлифахсанидинсвежий, типичны водяно-прозрачные кристаллы с прямым угасанием относительно (010), простыми двойниками и очень малой, в отличие от остальных полевых шпатов, величиной угла *2V*(0-40°), в силу чего в сходящемся свете санидин дает коноскопическую фигуру одноосного кристалла.

Ортоклаз– калиевыйполевой шпат с промежуточной степенью упорядоченности между санидином и микроклином. В шлифах отличается от санидина большим углом *2V*(40-80°) и нередкой пелитизацией.

Микроклин - наиболее упорядоченный калиевый полевой шпат. Образуется при температуре ниже 600-650°Св условиях медленного охлаждения или является продуктом преобразования ортоклаза и санидина, возникших при более высокой температуре.

Микроклин узнается по максимальному углу *2V* (80-85 °), косому угасанию относительно (010) и частому присутствию характерных полисинтетических двойников решетчатого облика, в которых сочетаются альбитовый и периклиновый законы двойникования (микроклиновая решетка). Двойниковая решетка микроклина отличается от перекрещивающихся полисинтетических двойниковплагиоклаза узловатым строением и нерезкими границами полосок. Решетчатые двойники видны в плоскости (100). В других разрезах наблюдаются полоски одного направления, которые отличаются от прямых и параллельных двойников плагиоклаза расплывчатыми контурами.

В некоторых случаях в отдельных участках зерен решетчатая структура микроклина может становиться все более тонкой, вплоть до ее полного видимого исчезновения;в таких участкахмикроклин под микроскопом неотличим от ортоклаза. Поэтому при микроскопической диагностике калиевых полевых шпатов следует выделять санидин (с малым углом *2V*), микроклин (с решетчатой структурой) и нерешетчатый калиевый полевой шпат, который может быть как ортоклазом, так и микроклином.

Для точной диагностики калиевых полевых шпатов используют столик Федорова и рентгеноструктурный анализ.

Из-за большой разницы в размерах ионов калия (1,33 Å) и натрия (0,98 Å) изоморфизм между ними в калиевых полевых шпатах осуществляется только при высоких температурах и при быстрой кристаллизации. При последующем медленном понижении температуры первоначально гомогенная кристаллическая фаза распадается на калиевую и натриевую: в калиевом полевом шпате образуются тонкие закономерно ориентированные вростки альбита - *пертиты*; вростки калиевого полевого шпата в плагиоклазе - *антипертиты.*

Наряду с пертитами, образующимися при распаде высокотемпературного твердого раствора калишпат-альбитового состава (пертиты распада) встречаются также пертиты замещения, которые образуютсяв результате замещения калиевого полевого шпата альбитом при постмагматической альбитизации.

Закономерные прорастания калиевого полевого шпата и кварца графической структуры называются *микропегматитовыми*.

По отношению к серицитизации калиевые полевые шпаты обычно более устойчивы, чем плагиоклазы. Поэтому в одной и той же породе серицитизированныеплагиоклазымогут соседствовать с совершенно свежими несерицитизированными зернамикалиевого полевого шпата.

Калиевый полевой шпат можно спутать в шлифах с кварцем, нефелиномы плагиоклазом.

Кварц не имеет спайности и практически не замещается вторичными минералами, а потому не имеет мутноватого облика. В случае же водяно-прозрачных разностей калиевого полевого шпата (санидина и адуляра), главным отличием является показатель преломления, который у кварца во всех сечениях больше, а у калиевых полевых шпатов меньше, чем у канадскогобальзама. Кварц одноосный и положительный, а из всех полевых шпатов одноосным может быть только санидин; при этом его оптический знак отрицательный. При одинаковой толщине шлифа интерференционная окраска кварца (светло-серая, белая) чаще всего выше, чем у калиевых полевых шпатов (серая).

Нефелин одноосен, чем сходен с санидином. Но показатель преломления нефелина в зависимости от сечения может быть то выше, то ниже, чем у канадского бальзама. Идиоморфные зерна нефелина часто дают сечения прямоугольной или квадратной формы с прямым угасанием, в то время как для калиевого полевого шпата характерно косое угасание.

Микроклин при наличии микроклиновой решетки может быть по ней отличим от других минералов, в том числе от плагиоклазов. У плагиоклазов границы двойников прямые, тогда как у микроклина двойники веретеновидные с расплывчатыми границами. Несдвойникованные плагиоклазы и калиевые

полевые шпатымежду собой отличаются с трудом - по характеру вторичных изменений (пелитизация калиевых полевых шпатов и серицитизация, соссюритизацияплагиоклазов) и по показателю преломления.

У плагиоклазов, более основных, чем олигоклаз, показатель преломления всегда выше канадского бальзама, и лишь у кислых плагиоклазов он может быть ниже канадскогобальзама. У калиевых полевых шпатов показатель преломления еще ниже, чем у кислых плагиоклазов. В мелкозернистых агрегатах для отличия калиевого полевого шпата от плагиоклазов может быть использован упоминавшийся выше дисперсионный эффект.

Плагиоклазы

Плагиоклазы(триклинная сингония) представляют собой изоморфные смеси альбита $Na(AlSi_30_8)$ и анортита $Ca(A1_2Si_20_8)$; процентное содержание анортита в плагиоклазеназываетсяномером плагиоклаза.

Номер плагиоклаза
0 - 10 альбиткислый плагиоклаз
10 - 30олигоклаз"
30 - 50андезинсредний плагиоклаз
50 - 70лабрадоросновной плагиоклаз
70 - 90битовнит"
90 - 100анортит "

Форма кристалловплагиоклазов чаще всего таблитчатая. Как и калиевые полевые шпаты, плагиоклазы в шлифах бесцветны – водяно-прозрачны, или же содержат скопления мельчайших включений, придающие им мутноватый характер. Спайность по двум направлениям под углом около 87°.

Показатели преломления плагиоклазов: n_g= 1.538-1.590, $n_{p=}$ 1.527-1.572. Значения показателей преломления возрастают с увеличением номера плагиоклаза: у альбита показатель преломления несколько ниже, чем у канадскогобальзама, у олигоклаза примерно равен, а у средних и тем более основных плагиоклазов он выше, чем у канадскогобальзама (в связи с этим у основныхплагиоклазов появляется шагреневая поверхность).

Двупреломление 0.007-0.013 (минимальное – у олигоклаза), так что при включенном анализаторе при нормальной толщине шлифа наблюдается интерференционная окраска, подобная интерференционной окраске кварца (серовато-белая, белая, реже желтоватая*I* порядка), и лишь у плагиоклазов, близких по составу к анортиту, она может быть желтой*I* порядка.

Оптически двуосные, с большим углом *2V* (±70-90°).

Очень характерно наличие полисинтетических двойников,особенно по альбитовому (имеют отрицательное удлинение) и периклиновому (имеют положительное удлинение) законам.У основныхплагиоклазов обычны редкие широкие двойниковые полосы, у кислых – более многочисленные тонкие двойниковые полоски. Двойники, особенно по альбитовому закону, настолько

характерны для плагиоклазов, что позволяют отличать по ним плагиоклазы от другихминералов.

Периклиновые и альбитовые двойники могут одновременно присутствовать в одном и том же зернеплагиоклаза. В этом случае наблюдается решетчатая структура, напоминающая такую же структуру микроклина, но отличающаяся тем, что двойниковые полоски всегда ограничены прямыми линиями, а не имеют веретеновидный облик с раздувами и пережимами, как у микроклина.

Зернам плагиоклазов свойственна зональность, наиболее хорошо развитая в вулканических породах, но практически всегда присутствующая и в плутоническихпородах. От центра к краям зеренплагиоклаза в большинстве случаев наблюдается повышение содержания альбитового компонента (прямая зональность). Реже встречается обратная зональность, характеризующаяся снижением содержания альбитового компонента к краям зерен. Иногда наблюдается ритмическая зональность с более сложным изменением состава от центра к краям зеренплагиоклаза.

Мирмекиты – червеобразные и каплевидные (в зависимости от разреза) вростки кварца в плагиоклазе на стыке его с калиевым полевым шпатом.

Вторичные изменения плагиоклазов: по кислымплагиоклазам развивается серицит, по основным – соссюрит (тонкозернистая смесь альбита, кальцита иминералов группы эпидота), пренит (сходен с серицитом, в отличие от которого имеет более высокий показатель преломления и отрицательное удлинение в разрезах со спайностью). Поэтому кислые и основные плагиоклазы можно в первом приближении различать по характеру вторичных изменений.

Серицитизированные плагиоклазы в шлифе при наблюдении без анализатора бесцветны, а соссюритизированные – из-за высокого рельефаминералов группы эпидота –серые, реже буроватые (при очень тонкозернистой соссюритизации). В скрещенных николях соссюрит имеет серую интерференционную окраску; высокие цвета интерференции имеют лишь отдельные достаточно крупные зерна эпидота.

Основные плагиоклазы легче подвергаются вторичным изменениям, чем кислые.Поэтому в зернах плагиоклаза, обладающих прямой зональностью, при почти полном разложении центральных частей зерен (имеющих более основной состав)наружные зоны роста (имеющие более кислый состав) могут быть чистыми, почти не затронутыми вторичными изменениями.

Плагиоклазыв шлифах можно спутать с калиевыми полевыми шпатами, кварцем, нефелином.

От калиевых полевых шпатов средние и основные плагиоклазы отличаются отчетливо положительным рельефом (калиевые полевые шпаты имеют отрицательный рельеф). Несдвойникованные кислые плагиоклазы отличаются от калиевых полевых шпатов вторичными изменениями: калиевые полевые шпаты подвергаются пелитизации, а плагиоклазы – серицитизации и

соссюритизации.Плагиоклазс одновременно присутствующими альбитовыми и периклиновыми двойниками можно спутать с микроклином, имеющим микроклиновую решетку. Но двойники плагиоклазов имеют четкие и прямые границы, в то время как микроклиновая решетка имеет многочисленные раздувы и пережимы.

При отсутствии двойников плагиоклазы отличаются от кварца наличием спайности и вторичных изменений, а также тем, что кварц является одноосным положительным минералом, в то время как плагиоклазы двуосны.

От нефелина плагиоклазы отличаются частым присутствием двойников и более высоким двупреломлением; кроме того, нефелин,в отличие от плагиоклазов – одноосный отрицательный минерал.

Определение состава плагиоклаза

Полная и надежная диагностика плагиоклазов, включающая в себя определение их состава, степени упорядоченности и закона двойникования, под микроскопом может быть проведена с использованием специальных федоровского и иммерсионного методов. Более точное определение составаплагиоклазов (с учетом зональности кристаллов) производитсяс помощью электронного микрозонда. Однако достаточно надежные оценки составаплагиоклаза можно получить с помощью поляризационного микроскопа и без использования специальных методик. Рассмотрим один из методов определения состава плагиоклазов, основанный на данных по ориентировке оптической индикатрисы в кристаллах плагиоклаза разного состава.

Метод Мишель-Леви (метод максимального симметричного угасания)

Для определения номераплагиоклаза используются зерна с хорошо выраженными двойниками по альбитовому закону (эти двойники имеют отрицательное удлинение).

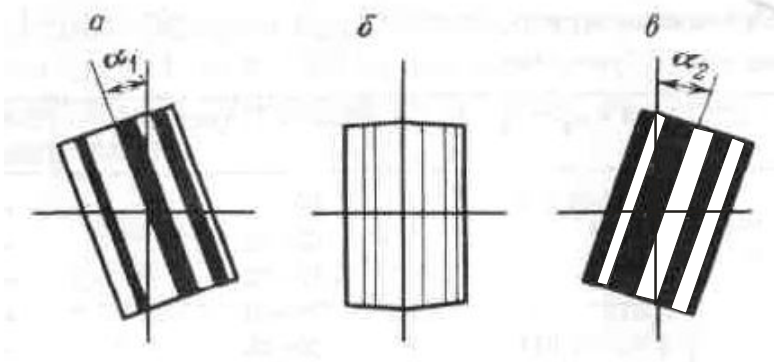

Рис. 21. Зерно плагиоклаза с симметричным угасанием альбитовых двойников:
а,в – моменты угасания первой (*а*)и второй (*в*) систем двойников;
б – при совпадении двойникового шва с вертикальной нитью окуляра
(двойниковые полоски имеют одинаковую интерференционную окраску)

При выборе зерен для замеров необходимо следовать следующим критериям:

1) граница между двойниковыми полосками должна быть четкая и резкая, при поднятии и опускании тубуса микроскопа она не должна смещаться в сторону;

2) в положении, когда двойниковый шов параллелен вертикальной нити окуляра, двойники по обе стороны от нее должны иметь одинаковую интерференционную окраску, то есть в этом положении двойниковое строение становится неразличимым (рис. 21, *б*)

Кроме того, следует стараться выбирать такие разрезы, которые при совмещении двойникового шва с вертикальной нитью окуляра являются более светлыми (углы угасания двойников в таких разрезахбольше).

Найдя нужное зерно, измеряем угол угасания сначала для одной системы двойниковых полосок (поворотом столика в одну сторону – α_1 на рис. 21, *а*), а затем - для второй системы двойниковых полосок (поворотом столика в другую сторону– α_2 на рис. 21, *в*). Разница между углами угасания обеих систем двойников не должна превышать 3 - 4 ° («симметричное угасание»). Из двух полученных значений определяют средний угол симметричного угасания.

Измерение угла симметричного угасания производят у трех - пяти зерен и из полученных замеров берут максимальное значение, по которому определяют номер плагиоклаза, используя диаграмму, приведенную на рис. 22. Надиаграмме по горизонтальной оси указаны номера плагиоклазов, а по вертикальной – углы угасания(если показатель преломления плагиоклаза
выше, чем у канадского бальзама, угол угасания берется со знаком плюс, а если меньше или равен показателю преломления канадского бальзама – со знаком минус).

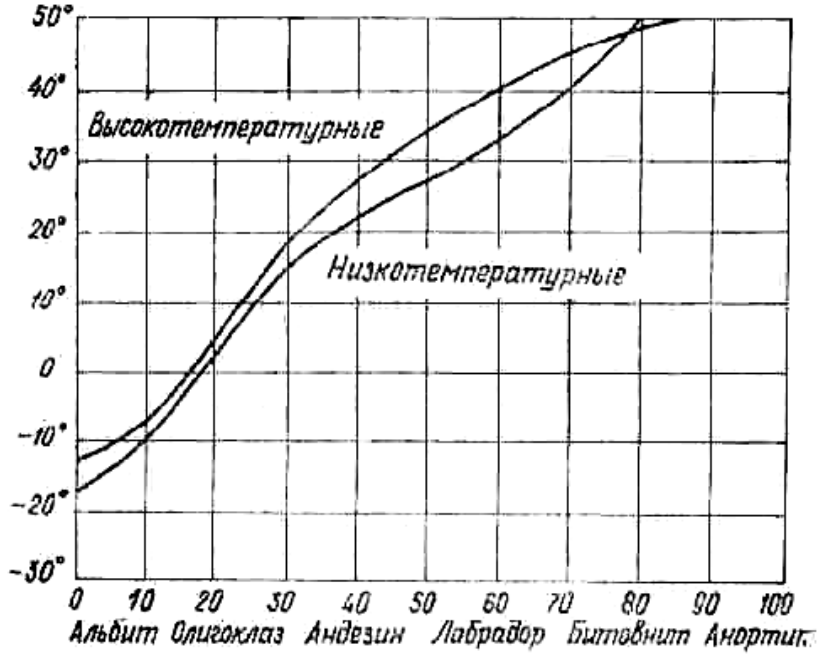

Рис. 22. Диаграмма для определения состава плагиоклазов методом Мишель-Леви (методом максимального симметричного угасания)

Нижняякривая на диаграмме отображает изменение состава низкотемпературных плагиоклазов - по ней определяют плагиоклазы интрузивных и метаморфических пород. Верхняя кривая отображает состав высокотемпературных плагиоклазов – по ней определяют плагиоклазы кайнотипных эффузивных пород.

Биотит

$K(Mg,Fe)_3(AlSi_3O_{10})(OH)_2$.Моноклинная сингония. Относится к магнезиально-железистым триоктаэдрическим слюдам, образующим ряды флогопит –аннити истонит –сидерофиллит. Межвидовым названием «биотит» обозначают изоморфные смеси упомянутыхминалов.

В шлифахбиотит бурый, зеленовато-бурый, красно-бурый (красно-бурый оттенок окраски вызывает повышенное содержание TiO_2, зеленый - высокое содержание окисного железа).

Образует чешуйки с весьма совершенной спайностью в одном направлении. Характерно полное отсутствие каких-либо пересекающих спайность поперечных трещин, как это обычно бывает у амфиболов и пироксенов.

В разрезах со спайностью наблюдается резкая шагреневая поверхность и относительно высокий рельеф (n_g = 1.610 – 1.697, n_p = 1.571 – 1.616). Показатели преломления и двупреломление биотита возрастают с увеличением содержания в нем железа. Характерен резкий плеохроизм с прямой схемой абсорбции ($N_g \approx N_m > N_p$), причем по N_gи N_m цвет густой бурый или зеленый, а по N_p цветслабый, иногда почти бесцветный. В разрезах, параллельных спайности, шагреневая поверхность, рельеф и плеохроизм выражены слабее. Нередко в биотите встречаются включения циркона, монацита и другихминералов, окруженные плеохроичными «двориками» с более густой, иногда почти черной, окраской.

Двупреломление 0.039-0.081.Интерференционная окраска биотита часто затушевывается густой собственной окраской, поэтому разрез с наивысшей интерференционной окраской, необходимый для определения двупреломления,часто отыскивается струдом.Угасание относительно спайности прямое, удлинение положительное.

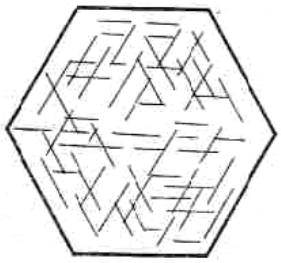

Рис. 23. Сагенит – тонкие иголки рутила, образующие сетку в хлорите, заместившем биотит

Двуосный, отрицательный. Угол *2V* часто приближается к 0°, из-за чего коноскопическая фигура в сходящемся свете близка к кресту.

В эффузивных породах вкрапленники биотита нередко окружены непрозрачной опацитовой каймой, образующейся за счет превращения биотита в магнетит.

При вторичных изменениях биотит замещается хлоритом и мусковитом. Переход биотита в хлоритсопровождается осветлением биотита, появлением зеленой окраски и уменьшением

двупреломления. Часто наместебиотита вместе схлоритом образуются линзовидные скопления эпидота и титанита по трещинам спайности, а также тонкие иголки рутила. Последние, пересекаясь под углом 60°, иногда образуютв хлорите,замещающем биотит, сетку, называемую сагенитовой (рис. 23).

От хлорита биотит отличается резким плеохроизмом, более высоким двупреломлением и отсутствием аномальных цветов интерференции. От турмалина сходной окраски биотитотличается наличиемспайности, двуосностью, положительным удлинением.От амфиболов биотит в разрезах со спайностью отличается прямым угасанием, резким плеохроизмом и более высоким двупреломлением. В разрезах, где спайность не видна, биотит отличается от амфиболов более низкими показателями преломления и небольшим углом *2V*.

Мусковит

$KAl_2(AlSi_3O_{10})(OH)_2$. Моноклинная сингония. Относится к диоктаэдрическим слюдам.

В шлифахбесцветный или слабо желтоватый, буроватый, зеленоватый. Образует чешуйки с весьма совершенной спайностью в одном направлении. В разрезах со спайностью наблюдается псевдоабсорбция (n_g= 1.588 – 1.624, n_p = 1.552 – 1.570).

Двупреломление 0.036 – 0.054. В разрезах со спайностью обладает чистыми и яркими цветами интерференции *II* и начала *III* порядков. В разрезах, параллельных спайности, мусковит имеет низкую интерференционную окраску – серовато-белую или желтоватую*I* порядка, как у кварца. От кварца в этих разрезах мусковит отличается более высоким показателем преломления и двуосной отрицательной коноскопической фигурой.

Мелкочешуйчатая разновидность мусковита (*серицит*) в случае, если чешуйки тоньше толщины шлифа, обладает более низкими цветами интерференции, чем мусковит.

Угасание относительно спайности прямое, удлинение положительное. Угол *2V*=35 – 50°.

Мусковит можно спутать с тальком, пренитом, канкринитом и другими бесцветными минералами, обладающими отчетливой спайностью и высокими цветами интерференции. От талька мусковит отличается по минеральным ассоциациям и углу *2V* (у талька *2V*не превышает 30°). Канкринит имеет показатели преломления ниже канадского бальзама.

Мусковит встречается в гранитах, аплитах, пегматитах, а также во многих метаморфических породах. При высоких давлениях он может кристаллизоваться из гранитной магмы, но чаще образуется в результате метасоматического замещения биотитаи полевых шпатов. Серицит - самый распространенный продукт постмагматического изменения плагиоклазов.

Амфиболы

Амфиболы – одна из наиболее распространенных группминералов в земной коре. Они кристаллизуются в широком диапазоне температур и давлений, встречаютсявмагматическихи метаморфических породах.

Моноклинныекальциевые амфиболы - тремолит□$Ca_2Mg_5(Si_8O_{22})(OH)_2$-ферроактинолит□$Ca_2Fe_5(Si_8O_{22})(OH)_2$. Из их формул можно вывести формулыминералов, которые раньше обозначались как*роговые обманки*(в них кремний и другие катионы частично замещены алюминием с одновременным вхождением одновалентных и других катионов). Роговымиобманками объединенно называют амфиболы магматических пород до точного определения их состава. Встречающиеся в базальтах роговые обманки с высоким отношением Fe^{2+}/Fe^{3+} называют базальтическими роговымиобманками.

Кристаллам амфиболов свойственна вытянутая призматическая, до игольчатой, форма,отчетливый положительный рельеф и ясная шагреневая поверхность. Все наиболее распространенные амфиболы, кроме тремолита, который почти бесцветен, окрашены в зеленые, бурые, реже синие цвета и обладают плеохроизмом.

Самый надежный признак при микроскопической диагностике амфиболов- наличие спайности под углом 124°, которая обнаруживается в поперечных разрезах. В продольных разрезах видна система параллельных трещин спайности и секущие их косые неправильные трещинки.

Во всех разрезах моноклинных амфиболов, кроме перпендикулярных (010), наблюдается косое угасание, причем углы угасания cN_gне превышают 30°. Иногда встречаются простые и полисинтетические двойники по (100).

Двупреломление амфиболов колеблется в широких пределах. Наибольшего значения оно достигает у базальтической роговойобманки, минимального - у щелочных амфиболов.

Угол *2V*амфиболов большой и почти всегда отрицательный.

*Обыкновенная роговаяобманка.*Окрашена в зеленые и бурые цвета, плеохроирует с изменением лишь густоты, но не оттенка окраски (в отличие от эгирина, обычно плеохроирующего от бурого до зеленого, а также от щелочныхамфиболов).Следует помнить, что наиболее резко плеохроизм проявляется в разрезах с наивысшей интерференционной окраской, в которых располагаются оси N_gи N_p. Для определения окраски по N_m можно использовать изотропные сечения или разрезы со спайностью по двум направлениям, где ось N_mпроходит вдоль длинной диагонали ромба, образуемого трещинами спайности.

Двупреломление 0.014-0.026. Углы угасания (cN_g)14-25°. Удлинение положительное.

*Базальтическая роговаяобманка.*Образуетпорфировые вкрапленники в вулканических породах. Характерен резкий плеохроизм от соломенно-желтого до красно-бурого цвета, чем похожа на биотит. Базальтическая роговаяобманка сходна с биотитом такжетем, что имеет углы угасания, близкие к прямому (0-15°), и высокоедвупреломление (цвета интерференции*III*порядка). Наилучшее отличие от биотита– наличие поперечных разрезов с призматической спайностью. В сходящемся свете базальтическая роговаяобманка, в отличие от биотита, дает двуосную фигуру с большим углом *2V*.

Как и биотит, базальтическая роговая обманкаможет быть подвержена опацитизации, которая проявляется в ее замещении агрегатом мельчайших зерен черного железорудногоминерала и пироксена. При частичной опацитизации черный минералразвивается в краевых частях кристаллов. Когда кристаллы опацитизированы целиком, о роговойобманке можно судить по характерной форме кристаллов, особенно по ромбовидным поперечным сечениям. Наличие опацитизированных амфиболов свойственно эффузивным и гипабиссальным магматическим породам.

Тремолит. Образует радиально-лучистые и волокнистые агрегаты сильно вытянутых кристаллов. Бесцветен, в сочетании с довольно высоким двупреломлением, косым угасанием и положительным удлинением. В магматических породах встречается как продукт изменения магнезиальных силикатов (оливина, пироксена).

Актинолит. Окрашен в светлые зеленоватые тона и обнаруживает слабый плеохроизм (от светло-синевато-зеленого или светло-зеленого по N_gдо бледно-желтого или светло-желто-зеленого по N_p). Углы угасания (cN_g)11-17°. Двупреломление 0.020. В магматических породах встречается как вторичный минерал.

Щелочные амфиболы. Отличаются от остальных амфиболов специфическими сине-черными, фиолетовыми и сиреневыми цветами плеохроизма, обратной схемой абсорбции и отрицательным удлинением (кроме встречающегося в метаморфических породах глаукофана, имеющего положительное удлинение и прямую схему абсорбции). Углы угасания 2-20°, двупреломление ниже 0.012 (интерференционная окраска обычно затемняется густой собственной окраской минерала).

Характерна дисперсия оптических осей, проявляющаяся в отсутствии полного угасания – вместо полного угасания получается тусклая синеватая окраска, сменяющаяся при вращении столика микроскопа на красноватую окраску.

Арфведсонитхарактеризуетсярезким плеохроизмом с голубовато-зеленой или сине-зеленой окраской по N_p(обратная схема абсорбции), низким двупреломлением и отрицательным удлинением.

Рибекит окрашен в более яркие тона. Плеохроизм очень резкий – от густо-синего, почти черного, по N_p,до светлого желтоватого поN_g(обратная

схема абсорбции). Двупреломление очень низкое, угол угасания мал (1-8°), удлинение отрицательное.

Пироксены

Пироксены – одни из наиболее распространенных мафических силикатов многих высокотемпературных пород магматического и метаморфического происхождения.

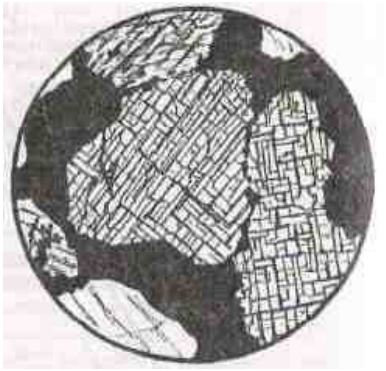

Магнезиально-железистые пироксены кристаллизуются в ромбической (энстатит $Mg_2(Si_2O_6)$ и ферросилит $Fe_2(Si_2O_6)$) и моноклинной (клиноэнстатит и клиноферросилит) сингониях. Раньше промежуточные составы ряда энстатит – ферросилит имели свои названия (бронзит, гиперстен, феррогиперстен), которые сейчас упразднены.

Кальциевые пироксены. Диопсид $CaMg(Si_2O_6)$ – геденбергит $CaFe(Si_2O_6)$.

Натриевые пироксены. Эгирин $NaFe(Si_2O_6)$, жадеит $NaAl(Si_2O_6)$.

По преобладающим миналам пироксенам дают составные названия типа диопсид-геденбергит, геденбергит-эгирин и т.п.

Авгит – это диопсид, или диопсид-геденбергит, или диопсид-эгирин несколько усложненного состава, имеющий характерные аномальные цвета интерференции.

Омфацит – диопсид-геденбергит, обогащенный жадеитовым и эгириновым миналом. Типичен для эклогитов.

В ультраосновных и основныхмагматических породахпироксены представлены энстатитом (и его более железистыми разновидностями, называемыми ранее гиперстеном и бронзитом) и диопсид-геденбергитом (в нем всегда есть примесь натриевого и алюминиевого миналов).

В средних и кислых интрузивных породах встречается диопсид (с изоморфной примесью геденбергита и эгирина),вщелочныхпородах – эгирин-диопсид, диопсид-геденбергит-эгирин (его называют эгирин-авгитом), эгирин.

В горных породах типа диабазов или базальтов пироксены чаще всего представлены диопсид-геденбергитом, но всегда с примесью натрия, алюминия, титана.

Все пироксены имеют ряд общих признаков, позволяющих уверенно отличать их под микроскопом от другихминералов. Это прежде всего два направления совершенной спайности, пересекающихся под углом 87-89° (рис.

24), и высокие (1.65 – 1.80) показатели преломления (определяют высокий рельеф и резкую шагреневую поверхность пироксенов).

Для кальциевых и магниевых пироксенов (диопсид, энстатит) характерны зернистые агрегаты короткопризматических кристаллов, железистые пироксены (эгирин, геденбергит) образуют шестоватые и игольчатые кристаллы, радиально-лучистыеагрегаты.В шлифах пироксены премущественнобесцветны или окрашены в слабые зеленоватые цвета и не плеохроируют (кроме гиперстена и эгирина).

При вторичных изменениях пироксены замещаются амфиболами, слюдами, хлоритом, иногда серпентином и тальком (особенно энстатит).

Ортопироксены

Отличаются от клинопироксенов прямым угасанием (в связи с этим название «ортопироксены») и более низким двупреломлением. Следует, однако,иметь ввиду, что в сечениях, ориентированных не перпендикулярно плоскостям спайности, или поперечных двум плоскостям спайности, угасание будет косым. Для определения угла угасания нужно использовать удлиненные сечения с наиболее четкими следами спайности. Иногда cN_gдостигает10° - из-за присутствия ориентированных вдоль плоскостей спайности субмикроскопических вростков клинопироксена (эти вростки иногда бывают и крупными, различимыми в скрещенныхниколях).

Энстатит бесцветен,cN_g= 0°, двупреломление 0.009. Оптически положителен.

Гиперстен плеохроирует от бледно-розового до бледно-зеленого (очень слабо). Угол угасания cN_g0-10°, двупреломление до 0.013. Оптически отрицателен (как и бронзит). Смена оптического знака в ряду энстатит – ферросилит соответствует составу En_{88}.

В эффузивных породах вокруг вкрапленников ортопироксенов может быть опацитовая кайма.

При вторичных изменениях ортопироксены могут замещаться ромбическими амфиболами. В низкотемпературных условиях по ортопироксену образуются тонкозернистые псевдоморфозы ориентированного талька с магнетитом. Типично также замещение ортопироксенов, особенно энстатита, серпентином. В отличие от петельчатых псевдоморфоз серпентина по оливину, серпентин по ортопироксену ориентирован, образуя так называемый *бастит* – пластинчатые псевдоморфозы антигорита.

Клинопироксены

Отличаются от ортопироксенов косым угасанием (поэтому и называются «клинопироксены») и более высоким двупреломлением. Угол угасания определяется в разрезах с наивысшейинтерференционной окраской.

Иногда встречается похожая на совершенную спайность «диаллаговая» отдельность. Угол между этой отдельностью и спайностью около 54°, напоминая сечение амфиболов.

Клинопироксены могут содержать вростки ромбического пироксена;при вторичных изменениях замещаютсяуралитом (волокнистым зеленым амфиболом), хлоритом, эпидотом, карбонатами.

Диопсид-геденбергит – бесцветный или слабозеленоватый, без плеохроизма. cN_g= 38-48°, двупреломление 0.030-0.018.

Авгит – слегка буроватый, иногда слабо плеохроирует (имеет розовато-буроватую окраску по N_g - в отличие от гиперстена, укотороготакая окраска поN_p). Присутствие титана придает авгиту фиолетовый оттенококраски. cN_g= 40-54°, то есть при cN_gменее 48° авгит по углу угасания не отличается от пироксенов ряда диопсид-геденбергит.

Для авгита характерна дисперсия осей эллипсоида, проявляющаяся в неполном угасании (у пироксенов ряда диопсид-геденбергит дисперсия незначительна и они имеют четкое угасание).

В эффузивных породах вкрапленники авгита нередко имеют зональную окраску и обусловленное сильной дисперсией оптических осей зональное и секториальное угасание (фигура песочных часов). Двупреломление ниже 0.025.

Диопсид и авгит обладают близкими оптическими свойствами. Увеличение угла угасания в авгите, а также некоторая разница в двупреломлении (у диопсида оно несколько выше) далеко не всегда могут быть однозначно установлены из-за неточной ориентировки разрезов. Поэтому отличить авгит от диопсида под микроскопом удается далеко не всегда. Для точнойдиагностики пироксенов необходимо использовать микрозонд.

Эгирин-авгиту свойственен сильный плеохроизм,cN_g= 54-85°; наблюдаются все переходы от эгирин-авгита к эгирину.

Эгирин – характерны длиннопризматический облик и густая окраска с обратной схемой абсорбции – зеленая по N_pи более светлая зеленовато-желтая по N_g. Отрицательное удлинение, cN_p до 8°, двупреломление 0.037-0.059. При определении двупреломления следует иметь ввиду, что интерференционная окраска эгирина затушевывается его густой собственной окраской.

Таким образом,для эгирина в шлифах характерны интенсивная зеленая окраска, очень высокий рельеф и шагреневая поверхность, высокая интерференционная окраска*II*и *III* порядка, близкое к прямому угасание и отрицательное удлинение. От сходных по окраске амфиболов эгирин отличается обратной схемой абсорбции, малым углом угасания, отрицательным удлинением, высокой интерференционной окраской и углом между трещинами спайности.

Оливин

Оливин представляет собой непрерывный ряд изоморфных смесей от форстерита $Mg_2(SiO_4)$ до фаялита $Fe_2(SiO_4)$. Ромбическая сингония.

В шлифах бесцветный. В интрузивных породах форма зерен неправильная, изометричная. В эффузивных породах порфировые вкрапленники оливина могут иметь форму несколько вытянутых шестиугольников, иногда с отчетливой спайностью, в то время как в оливине из

интрузивных пород спайность отсутствует или отмечается лишь в редких зернах.

Имеет самый высокийпоказатель преломления из всех мафическихминералов (n_g = 1.669 – 1.975, n_p = 1.636 – 1.827), вследствие чего обладает резким положительным рельефом и четко выраженной шагреневой поверхностью.

Высокоедвупреломление (форстерит 0.033, фаялит 0.052), вследствие чего имеет высокую интерференционную окраску.В зернах со спайностью угасание прямое.

Угол *2V* форстерита +85°, фаялита -48°. Смена оптического знака в ряду форстерит – фаялит соответствует Fo_{88}.У большинства природных оливинов магматических пород, которые содержат от 10 до 30% $Fe_2(SiO_4)$, оптический знак нередко определить не удается: изогира коноскопической фигуры в разрезе, перпендикулярном оптической оси, обычно прямая, то есть не имеет различимой кривизны, необходимой для определения оптического знака.

Свежим оливин бывает редко, даже в кайнотипных эффузивных породах он по трещинам и по периферии зерен окрашен в бурый цвет гидроксидами железа. При вторичныхизменениях наиболее характерными продуктами замещения оливина является серпентин и иддингсит (биотитоподобная смесь смектита, хлорита, серпентина и гетита). Серпентин развивается преимущественно по магнезиальному оливину, иддингсит – по железистому. Иногда отмечается замещение тальком, карбонатом, хлоритом.Вокруг зерен оливина могут наблюдаться реакционные оболочки, сложенные пироксеном и амфиболом.

Оливин в шлифах нередко имеет значительное сходство с минералами из группы пироксенов. Оливин отличается от пироксенов следущими особенностями.

1. При выключенном анализаторе оливин магматических пород всегда бесцветен, а пироксены нередко имеют буроватый или зеленоватый оттенок; этот оттенокслабый и может отсутствовать, но если он заметен, определяемый минералне может быть оливином.

2. Пироксены обладают совершенной спайностью; оливинже имеет несовершенную спайность и во многих случаях она в шлифах не обнаруживается.

3. Коноскопическая фигура оливинав разрезах, перпендикулярных оптической оси, характеризуется тем, что изогира приближается к прямой, так как для большинства оливинов угол *2V* близок к 90°. Моноклинные пироксены имеют угол *2V*около 60° и отчетливо изогнутую изогиру.

4. Наиболее обычные продукты изменения оливина – серпентин и иддингсит. Серпентин образуется и по ромбическим пироксенам, но в соответствии с формой первичныхзерен псевдоморфозы серпентина по оливину имеют в шлифах изометричную форму, а по пироксену – прямоугольную. Вторичными минералами, замещающими моноклинные пироксены, являются актинолит и хлорит.

Акцессорные минералы

Нерудные акцессорные минералы в шлифах выделяются своей преимущественно правильной формой зерен и высоким рельефом. Они обычно устойчивы и не подвержены вторичным изменениям.

Anatum$Ca_5(PO_4)(F,Cl)$, гексагональная сингония. Образует столбчатые и таблитчатые кристаллы с прямоугольными и гексагональными сечениями. Бесцветный, без спайности, с высоким рельефом и ясной шагреневой поверхностью (n_o = 1.633 – 1.667, n_e = 1.630 – 1.664). Наличие тория и урана в апатите обусловливает появление плеохроичных двориков вокруг его кристаллов, включенных в биотит или амфибол.

Низкая серая интерференционная окраска (двупреломление 0.003). Угасание прямое, удлинение отрицательное. Одноосный, отрицательный.

В небольших количествах встречается во всех магматических породах. Максимальные содержания апатита характерны для щелочных пород, в которых он может переходить в разряд главных породообразующихминералов.

В шлифах апатит имеет сходство с андалузитом и силлиманитом. Но эти минералы оптически двуосны, обладают совершенной спайностью и их кристаллы в поперечных сечениях имеют форму ромба или прямоугольника. Двупреломление этихминералов более высокое, чем у апатита (интерференционная окраскапоследнегоне поднимается выше серой окраски*I* порядка).

*Циркон*Zr(SiO4), тетрагональная сингония.Образует короткостолбчатые или призматические кристаллы с дипирамидальными окончаниями и округлые зерна. В поперечных сечениях дает четырех- и восьмиугольники.

Бесцветный, с очень резкими чернымиограничениями из-за очень высокого показателя преломления (1.924 – 2.015); в скрещенныхниколях имеет высокуюинтерференционную окраску (двупреломление 0.044 – 0.055). Угасание прямое, удлинение положительное. Одноосный, положительный.

Часто образует включения в биотите, амфиболе и других минералах. Эти включения обычно окружены интенсивно окрашенными и резко плеохроирующими ореолами, образование которых связано с радиационным воздействием циркона.

В очень мелких зернах циркон в шлифах практически неотличим от монацита и ксенотима.

Циркон – один из наиболее распространенных акцессорныхминералов, встречается практически во всех типах горных пород.Наиболее высокие содержания циркона – в щелочных породах.

Титанит$CaTi(SiO_4)$, моноклинная сингония.Характерна клиновидная форма кристаллов.Бесцветный, серый, часто буроватый.Очень резкие ограничения, очень высокий рельеф (n_o = 1.98 – 2.05, n_e = 1.89 – 1.91).

Цвета интерференции блеклые («перламутровые») высших порядков. Двупреломление титанита 0.09 – 0.14, что значительно выше, чем у циркона.Поэтому, в отличие от циркона, окраска титанита при включенном анализаторе остается практически такой же (буроватой), как без анализатора. Нередко наблюдается неполное угасание, обусловленное сильной дисперсией. Иногда отмечаются простые или полисинтетические двойники.

Титанит встречается в широком диапазонемагматическихпород и во многих метаморфических породах. В габброидах, долеритах, базальтах титанит нередко образует ксеноморфные оторочки вокруг зерен титаномагнетита и ильменита. В диоритах, сиенитах и гранитоидах он дает индивидуализированные кристаллы и ксеноморфные зерна, включенные в роговую обманку и биотит или располагающиеся между другими породообразующими минералами. В гранитоидах повышенной основности и в щелочных породах содержание титанита иногда превышает 1 – 2%.

Шпинель$MgAlO_2$, кубическая сингония.Образует октаэдрические кристаллы, дающие в шлифах квадратные, четырехугольные и треугольные срезы. Встречается и неправильная форма зерен, нередки графические срастания с пироксеном. Спайность отсутствует, но весьма обычна отдельность.

Зеленая, бурая. Изотропна, с высоким рельефом и резкой шагреневой поверхностью (показатель преломления 1.763-2.05).

Бурую шпинель можно спутать с титанистым гранатом, но в отличие от него шпинелисвойственна октаэдрическая форма кристаллов и характерная отдельность. Следует также иметь ввиду,что шпинель встречается в основных и ультраосновных породах. От хромита шпинельотличается меньшим показателем преломления.

Непрозрачные*рудные* минералы под микроскопом в проходящем свете выглядят черными; их точная диагностика производится в отраженном свете на специальном рудном микроскопе в полировках. В прозрачных петрографических шлифах окраска рудныхминералов может быть определена, если направить свет не на зеркало микроскопа, а на поверхность шлифа сверху. В этом случае магнетит обнаруживает свойственную ему в отраженном свете стально-серую, пирит – желтую, хромит – буроватую окраску, и т.п.

Вулканическое стекло – не минерал, а аморфное вещество, представляющее собой застывший магматический расплав, не успевший раскристаллизоваться вследствие быстрого остывания. Обычно входит в состав основной массы эффузивных пород, а вряде случаев слагает ее полностью.

В шлифе вулканическое стекло бесцветно или окрашено в желтые или бурые тона. Интенсивность окраски зависит от содержания и степени окисления железа.Показатель преломления изменяется от 1.492 (стекло

риолитового состава) до 1.575 (стекло базальтового состава). Изотропно, хотя иногда обладает слабым двупреломлением вследствие внутренних напряжений.

При вторичных изменениях вулканическое стекло среднего и основного состава чаще всего замещается хлоритом, а кислое стеклоподвергаетсяраскристаллизации,превращаясь в смесь субмикроскопических зерен кварца и полевых шпатов.

2.2. Минералы метаморфических пород

Гранаты

Общая химическая формула гранатов $R^{2+}_3R^{3+}_2(SiO_4)_3$:

(пиральспиты)(уграндиты)

пироп$Mg_3Al_2(SiO_4)_3$уваровит$Ca_3Cr_2(SiO_4)_3$

альмандин$Fe_3Al_2(SiO_4)_3$гроссуляр$Ca_3Al_2(SiO_4)_3$

спессартин $Mn_3Al_2(SiO_4)_3$андрадит$Ca_3Fe_2(SiO_4)_3$

Гранаты пироп-альмандинового ряда широко распространены в метаморфических породах. Доля пиропового компонента в гранатах увеличивается с ростом температуры и давления. В наиболее низкотемпературных условиях образуются гранаты, обогащенные спессартином. Пиральспиты с высокой долей альмандина и спессартина кристаллизуются также из кислых магматических расплавов, пересыщенных глиноземом, встречаются в гранитных пегматитах.

Смесимость между собой пиральспитов и уграндитов ограничена. В твердых растворах одного ряда может быть растворено не более 20-25 мольных процентов компонентов другого ряда. В высокобарных условиях растворимость гранатов этих двух рядов между собой становится более значительной.

Точное определение состава гранатов производится с помощью микрозонда. Под микроскопом в ряде случаев возможна, с привлечением особенностей парагенезисов,приближенная оценка состава гранатов.

Гранаты в шлифе образуют изометричные зерна - идиоморфные или неправильной формы, часто ситовидные, с многочисленными включениями другихминералов. Бесцветны илислабо окрашены в желтоватый или розоватый цвет. Характерны высокие показатели преломления, которыми обусловлены резко выраженный рельеф и шагреневая поверхность.

Обычно изотропны, но спессартин и некоторые уграндиты обнаруживают слабое (до 0.003) аномальноедвупреломление, особенно в толстых шлифах. Такое двупреломление (с появлением серых интерференционных окрасок) особенно характерно для гранатов из скарнов. В некоторых уграндитах наблюдается зональное угасание и секториальныедвойники.

Пироп может замещаться хлоритом, альмандин – хлоритом и эпидотом. Уграндиты замещаются эпидотом, хлоритом, кальцитом, плагиоклазом.

Андалузит

$AlAl(SiO_4)O$, ромбическая сингония.

Андалузит, кианит и силлиманит – полиморфные модификации Al_2SiO_5, устойчивые при разных температурах и давлениях. Входят в состав метаморфических пород, богатых глиноземом; силлиманит и андалузит встречаются также в высокоглиноземистых кислых магматических породах. Андалузит устойчив при относительно низких давлениях – встречается в контактовых ореолах малоглубинных интрузивов и в продуктах регионального метаморфизма умеренного давления. Кианит образуется при высоком давлении, силлиманит – при высокой температуре.

Андалузит образует короткостолбчатые кристаллы с хорошо развитыми гранями ромбической призмы. В поперечном сечении – ромб, близкий к

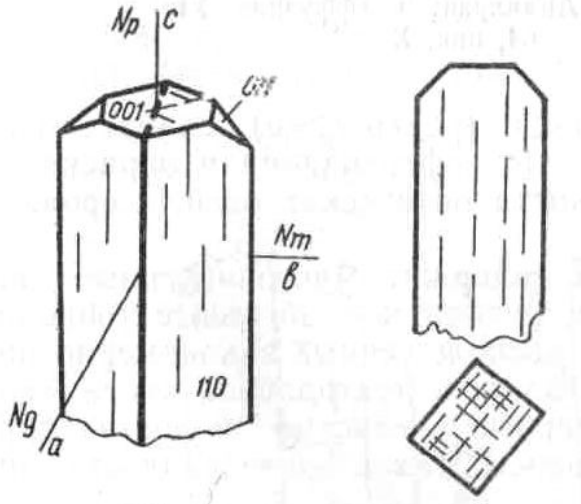

а *б*

Рис. 25. Андалузит:
а – кристалл;
б – спайность
в продольном и
поперечном сечениях

квадрату, с трещинами спайности под углом 89° (рис. 25).Нередко встречается также в виде зерен неправильной формы с извилистыми границами.

Бесцветен или слабо и неравномерно окрашен в розоватый или зеленоватый цвет (плеохроирует от бледно-розового по N_p до бледно-зеленого или почти бесцветного по N_g). Обладает ясным рельефом и шагреневой поверхностью(n_g = 1.638 – 1.651, n_p = 1.629 – 1.640).

Двупреломление 0.009-0.011. В продольных разрезах имеет прямое угасание и отрицательное удлинение.Оптически отрицательный, угол *2V* около 85°.

Отличается от похожих на него пироксенов и кианитаболее слабым рельефом,прямым угасанием и отрицательным удлинением, от силлиманита – низким двупреломлением и отрицательным удлинением. При вторичных изменениях замещается мусковитом.

Кианит

$Al_2(SiO_4)O$, триклинная сингония.

Бесцветный или слабо-голубоватый. Образует идиоморфные призматические или таблитчатые зерна. Часты простые и полисинтетические двойники.Спайность по двум направлениям под углом, близким к 90°.

Очень высокий рельеф и резкая шагреневая поверхность(n_g = 1.728 – 1.729, n_p = 1.712 – 1.717).

Двупреломление 0.012-0.016. Характер угасания и знак удлинения в разных разрезах разный. В сечениях с более совершенной спайностью угасание почти прямое (0-3°), а в сечениях, где спайность выражена хуже, угол угасания 27-32°.

От андалузита отличаетсяболее высокими показателями преломления, положительным удлинением, наличием двойников, от силлиманита – меньшим двупреломлением, наличием двойников и двумя системами спайности.

По кианиту развиваются белые слюды, пирофиллит, каолинит. Вместе с кианитом встречаются гранат, ставролит, мусковит, биотит, кордиерит.

Силлиманит

$Al(AlSiO_5)$, ромбическая сингония.

Обычно встречается в виде удлиненных призм без концевых граней, дающих в поперечном сечении прямоугольники, почти квадраты и ромбы, а также в форме иголочек, палочек, лучистых и волокнистых агрегатов (фибролит), неправильных зерен (рис. 26).

Бесцветен. Фибролит вследствие дисперсии света кажется окрашенным в буроватый цвет. Совершенная спайность по одному направлению. Характерны высокие показатели преломления (n_g = 1.677 – 1.682, n_p = 1.657 – 1.660), в связи с чем обладает высоким рельефом и ясной шагреневой поверхностью.

Двупреломление 0.020 - 0.022. Прямое угасание, положительное удлинение. Малый угол $2V$ (21 – 30 °).

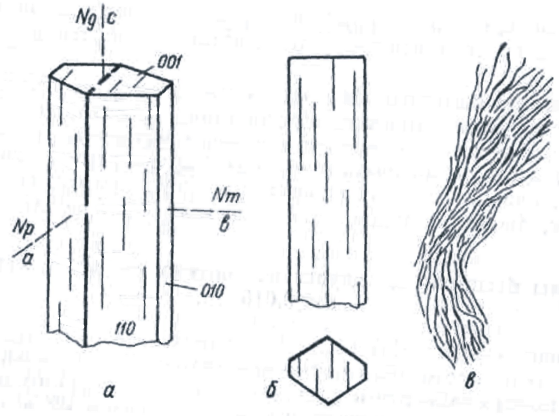

Рис. 26. Силлиманит:
а – форма кристаллов;
б – спайность в продольном и поперечном разрезах;
в – волокнистый силлиманит (фибролит)

Силлиманит может быть сходен в шлифахс андалузитом, кианитом, цоизитом, апатитом, ромбическим пироксеном.

Андалузит и апатит имеют отрицательное удлинение и отрицательный оптический знак. Кианит и цоизит обладают более высоким рельефом; кроме того, кианит дает сечения с косым угасанием, обладает большим углом$2V$ и оптическиотрицателен, а цоизит отличается характерными аномальными

индигово-синими интерференционными окрасками и переменным знаком удлинения. Ромбические пироксены отличаются характером спайности (по двум направлениям под углом 87°) и меньшим двупреломлением.

Силлиманит – высокотемпературный метаморфический минерал метапелитов. Он встречается вместе с биотитом, калиевым полевым шпатом, гранатом, кордиеритом, гиперстеном, шпинелью, корундом. При вторичных изменениях по силлиманиту развиваются белые слюды, пирофиллит, каолинит.

Ставролит

$(Fe,Mg,Zn)_2Al_9(Si,Al)_4O_{22}(OH)_2$. Ромбическая сингония.

Образует короткопризматические кристаллы или неправильные удлиненные порфиробласты ситовидного строения. Нередки крестообразные двойники со срастанием призматических индивидов почти под прямым углом или под углом 60°.

Спайность несовершенная. Плеохроирует от оранжево- или золотисто-желтого по N_g до бледно-желтого, почти бесцветного, по N_p. Отчетливые рельеф и шагреневая поверхность (n_g = 1.746 – 1.762, n_p = 1.736 – 1.747).

Двупреломление 0.009-0.016. Прямое угасание, положительное удлинение.

Высокие показатели преломления и среднее двупреломление, характерная желтая окраска, плеохроизм и высокий положительный *2V* (82–90°) позволяют в совокупности надежно определять ставролит в шлифах.

Ставролит – типичный минералсреднетемпературных фаций метапелитов, встречаетсяс альмандином, мусковитом, биотитоми др.Может замещаться мусковитом, серицитом, хлоритом.

Кордиерит

$(Mg,Fe)_2Al_3(AlSi_5O_{18})\cdot nH_2O$, ромбическая сингония.

Образует зерна неправильной формы, бесцветные или голубоватые, с низким положительным рельефом (n_g = 1.543 – 1.575, n_p = 1.534 – 1.558) и низким двупреломлением (0.009 – 0.017). Спайность несовершенная. Характерны двойники – полисинтетические или секториальные(тройники и шестерники).

В кордиеритах умеренной или высокой железистости вокруг включений циркона и других акцессорныхминералов наблюдаются «плеохроичные дворики» - ореолы плеохроизма от бесцветного до ярко-желтого. В магнезиальных кордиеритах таких плеохроичных двориков не отмечается.

Кордиерит можно спутать с кварцем или плагиоклазом, имеющими близкий рельеф и двупреломление.

От кварца кордиерит отличается наличием двойников, плеохроичных ореолов, двуосностью. Кроме того, кварц часто имеет характерное волнистое угасание и чуть более высокое двупреломление.От плагиоклазакордиерит отличается плеохроичными ореолами, менее совершенной спайностью, полисинтетические двойники в нем часто не доходят до краев зерен. От

альбита, сходного с кордиеритом по показателю преломления и двупреломлению, последний отличается также отрицательнымоптическим знаком.

Кордиерит может замещаться пинитом – бесцветной, зеленовато-голубоватой, желтой войлокообразной смесью мусковита, хлорита, серпентина и оксидов железа.Даже небольшие следы проявленной пинитизациимогут быть использованы для отличия кордиерита от других минералов.

Встречается в метаморфических породах, богатых алюминием, и в высокоглиноземистых магматических породах кислого состава. Характерен для высоких ступеней регионального и контактового метаморфизма, нередко встречаетсявместе с гранатом, калиевым полевым шпатом, гиперстеном, силлиманитом.

Группа эпидота

Изоморфный ряд клиноцоизит$Ca_2Al_3(SiO_4)(SiO_2)O(OH)$– эпидот $Ca_2(Al,Fe)_3(SiO_4)(Si_2O_7)O(OH)$, моноклинная сингония. Цоизит – ромбическая сингония.

Минералы группы эпидота образуют в шлифах удлиненные или неправильные зерна с высоким рельефом и шагреневой поверхностью. Эпидот в шлифе слабо окрашен в зеленовато-желтый цвет (со слабым плеохроизмом) или бесцветен, клиноцоизит и цоизит бесцветны.

Спайность по двум направлениям под углом 65° (в одном направлении совершенная, в другом – несовершенная, в виде коротких трещин). Угол угасания 0 – 30°(в зависимости от спайности, по отношению к которой измеряется угол угасания). По длине кристаллов клиноцоизита и эпидота располагаетсяN_m, поэтому разрезы могут иметь как положительное, так и отрицательное удлинение.

Минералам группы эпидота свойственна аномальнаяинтерференционная окраска – у цоизита тусклая серо-синяя, желтовато-бурая, у клиноцоизита – густые желтые и оранжево-желтые цвета, у эпидота – яркие красные, малиново-красные и зеленые цвета.

Клиноцоизит также отличается от цоизита косым угасанием в большей части разрезови углом *2V* (65-90°). От эпидота цоизит и клиноцоизит отличаются меньшим двупреломлением (0.005 – 0.008). Клиноцоизит оптически положительный, эпидот – отрицательный.

От клинопироксена эпидот отличается малым углом угасания (в удлиненных разрезах угасание может быть прямым), хуже проявленной спайностью, плеохроизмом, цветами интерференции, отрицательным оптическим знаком.

Цоизит – типичный минералпрогрессивного и регрессивного метаморфизма фаций зеленых сланцев, глаукофановых сланцев и эпидот-амфиболитовой фации. Входит в состав соссюрита (агрегат серицита, цоизита и кварца), образующего псевдоморфозы по основным и средним плагиоклазам при изменении магматических пород.

Клиноцоизит и эпидот – типичные минералы метаморфических пород фаций зеленых сланцев, глаукофановых сланцев и эпидотовых амфиболитов, их парагенезисы почти не отличаются от парагенезисов цоизита.

Хлориты

Хлориты – большая и сложная по составу группаминералов, главными представителями которых являются клинохлор $Mg_5Al(AlSi_3O_{10})(OH)_8$ и шамозит $Fe_5Al(AlSi_3O_{10})(OH)_8$. Моноклинная сингония. Разнообразный изоморфизм приводит к изменчивости свойств хлоритов.

Характерными признакамихлоритов в шлифах является пластинчатая форма кристаллов, весьма совершенная спайность, зеленые оттенки окраски, слабый плеохроизм (от синевато-зеленого или бесцветного до желто-зеленого), низкое двупреломление, прямое угасание (иногда с отклонением в несколько градусов), нередко аномальнаяинтерференционная окраска (грязная желто-зелено-серая, синяя, фиолетовая, реже бурая).

Могут иметь как положительное, так и отрицательное удлинение. В чешуйках хлоритамогут наблюдаться плеохроичные дворики, сходные с двориками в биотите; в центре таких плеохроичных двориков часто находятся включения циркона.

От серпентина минералы группы хлорита можно отличить по часто наблюдаемому отчетливому плеохроизму, аномальным сиреневым и бурым цветам интерференции, а также по присутствию плеохроичных двориков, не характерных для серпентина. От похожего по окраске биотита хлорит в разрезах со спайностьюотличается низкой интерференционной окраской и более слабым плеохроизмом.

Трудность для диагностики могут представлять бесцветные оптическиизотропные или почти изотропные хлориты. Они отличаются от других изотропныхминералов низким рельефом и слюдоподобной спайностью.

В магматических породах минералы группы хлорита являются вторичными. Они развиваются по главным породообразующимминералам (преимущественномафическим). Часто хлорит замещает биотит, причем при этом в хлорите нередко образуются тончайшие иголки рутила, пересекающиеся под углом 60° и слагающие так называемую сагенитовую решетку (см. рис. 23). Хлоритом могут замещаться также пироксены, амфиболы, оливин, гранат, иногда полевые шпаты.

Серпентин

$Mg_3(Si_2O_5)(OH)_4$, моноклинная сингония.

Бесцветный или зеленоватый, буроватый, желтоватый.У окрашенных разностей плеохроизм от зеленовато-желтого по N_g до бесцветного по N_p. Спайность весьма совершенная по одному направлению. Показатели преломления близки к канадскому бальзаму, в связи с чем рельеф и шагреневая поверхность отсутствуют.

Серая, белая, иногда бледно-желтаяинтерференционная окраска*I*порядка (двупреломление 0.006 – 0.013). Угасание прямое, удлинение положительное.

От хлорита серпентин отличается по цвету и отсутствию аномальных интерференционных окрасок. Сходные с серпентином бесцветные или слабоокрашенные разности хлоритов лучше окристаллизованы, обладают слюдоподобной спайностью, менее смяты и имеют более высокий положительный рельеф.

Серпентин – типичный вторичный минерал, развивающийся в ультраосновных и основных породах по магнезиальному оливину, пироксенам, реже амфиболам.

Тальк

$Mg_3(Si_4O_{10})(OH)_2$, моноклинная сингония.

Образует чешуйчатые агрегаты. В шлифе бесцветный, буроватый и зеленовато-буроватый. Спайность весьма совершенная по одному направлению. N_g - N_p= 0.050 – 0.045. Угасание прямое, удлинение положительное. Оптически отрицательный, угол $2V$= 0-30°.

Под микроскопом сходен с мусковитом. Отличается показателями преломления (n_g= 1.589 – 1.590, n_p= 1.539 – 1.545), углом $2V$, минеральными ассоциациями.Кроме того, тальк отличается от мусковитасвоей пластичностью, плавной изогнутостьючешуек, что у мусковитанаблюдается редко.

В основных и ультраосновных магматических породах тальк развивается по магнезиальныминералам – оливину, ортопироксенам, серпентину и др.Характерны ориентированные псевдоморфозы талька по магнезиальным ортопироксенам.

Турмалин

$NaFe_3Al_6(Si_6O_{18})(BO_3)_3(OH)_4$. Тригональная сингония.

Призматический. Спайность отсутствует. Рельеф и шагреневая поверхность хорошо заметны (n_o = 1.639 – 1.692, n_e = 1.620 – 1.657).Двупреломление 0.017-0.030, обычно около 0.020.

В шлифе часто окрашен в бурый цвет, хотя может иметь и другую окраску. Плеохроизм резкий, с изменением интенсивности окраски. В отличие от биотита, турмалин принимает наиболее темную окраску, когда длинная сторона кристалла перпендикулярнак направлению колебаний света в поляризаторе (у биотитанаиболее темная окраска - когда длинная сторона кристалла параллельнанаправлению колебаний света в поляризаторе).

Угасание прямое, удлинение отрицательное.

Рутил

TiO_2, тетрагональная сингония.

Обычно встречаетсяв виде мелких зерен.Кристаллы рутила призматические, столбчатые, игольчатые, но в кристаллических сланцах нередко встречается и в виде изометричных зерен.

Густо окрашен в буро-красный или желто-бурый цвет, часто почти непрозрачен.Очень высокий рельеф (n_e = 2.895 – 2.903, n_o = 2.609 – 2.616).Очень высокоедвупреломление (0.286 – 0.287), в силу чего интерференционную окраску определить невозможно. Яркие цвета интерференции видны даже в тончайших иголочках, что позволяет по этому свойству отличить рутил от других тонкоигольчатыхминералов.

Прямое угасание. Из-за интенсивной собственной окраски рутил обычно одного и того же цвета как при включенном, так и при выключенном анализаторе.

Сагенитовая решетка - включения тонкоигольчатого рутила в хлорите или в слюдах, имеющие вид сетки с треугольными ячейками (см. рис.23).

Титанит, в отличие от рутила, имеет меньшие показатели преломления и двупреломление, и двуосен. Циркон более светло окрашен и имеет более низкие показатели преломления и двупреломление.

Рутил – широко распространенный акцессорный минерал. Он встречается в различных магматических породах - от ультрамафитов до гранитов, в метаморфических породах разныхь фаций. Рутил иногда развивается по ильмениту, но и сам может замещаться ильменитом или титанитом.

Карбонаты

Кальцит$CaCO_3$, доломит $CaMg(CO_3)_2$, магнезит $MgCO_3$, сидерит $FeCO_3$. Тригональная сингония.

Карбонаты в шлифах преимущественно бесцветны. Спайность по трем направлениям под косым углом. В крупных зернах встречаются полисинтетические двойники. В сечениях, где четко видны два направления спайности, у кальцита двойниковые полоски располагаются ближе к длинной диагонали ромба спайности, а у доломита – ближе к короткой диагонали ромба спайности. Магнезит обычно не подвержен двойникованию.

Характерна четко выраженная псевдоабсорбция. У кальцита псевдоабсорбция проявляетсяболее отчетливо, чем, например, у сидерита, так как у кальцита показатель преломленияn_g выше, аn_p ниже, чем у канадскогобальзама, а у сидерита оба показателя преломления выше, чем у канадскогобальзама.

Очень высокоедвупреломление (более 0.170), которому отвечает очень высокаяпестро-белая («перламутровая») интерференционная окраска, по которой, вместе с псевдоабсорбцией, карбонаты могут быть отличимы от других породообразующихминералов.

Одноосные, отрицательные.

Флюорит

CaF_2, кубическая сингония. Встречается преимущественно в виде неправильных зерен, выполняющих промежутки между другими минералами, реже в виде идиоморфных кристаллов.

Бесцветный, со спайностью по октаэдру, в связи с чем в некоторых разрезах можно наблюдать две или три системы пересекающихся трещин спайности. Показатель преломления много ниже канадскогобальзама (1.434), вследствие чего минерал имеет отрицательный рельеф и резкуюшагреневую поверхность. Изотропный.

Флюорит может быть спутан в шлифах с другими изотропными минералами со средним рельефом и шагреневой поверхностью. На него похожа слабо окрашенная (бесцветная, зеленая или фиолетовая) шпинель, имеющая к тому же отдельность по октаэдру, сходную со спайностью флюорита. Но у шпинели положительный рельеф. Гранаты не имеют спайности и также имеют положительный рельеф.

Флюорит нередко встречается в нефелиновых сиенитах, гранитоидах, пегматитах, грейзенах.

2.3. Контрольные вопросы

1. Как отличить в шлифе кварц и нефелин, кварц и кордиерит?
2. Назовите разновидности калиевых полевых шпатов и охарактеризуйте их диагностические признаки в шлифах.
3. Как отличить между собой пертиты и антипертиты?
4. Что общего и каковы различия в оптических свойствах плагиоклазов и калиевых полевых шпатов?
5. Перечислите признаки, по которым в шлифах выбирают зерна плагиоклаза для определения их состава методом максимального симметричного угасания.
6. Чем замещаются кислые и основные плагиоклазы при вторичных изменениях?
7. Назовите признаки отличия в шлифе биотита от хлорита, турмалина, амфиболов.
8. Что такое опацитизация и у какихминералов она может быть проявлена?
9. Перечислите характерные признаки тремолита, актинолита, щелочных амфиболов.
10. Как отличить в шлифе пироксен от оливина?
11. Как в шлифе различаются ромбические и моноклинные пироксены?
12. Перечислите сходства и различия минералов из группы пироксенов и амфиболов.
13. Чем эгирин отличается в шлифе от амфиболов?
14. Назовите оптически изотропные минералы и их отличия между собой в шлифе.
15. Как отличить в шлифе титанит и рутил, титанит и циркон?

16. Назовите характерные диагностические признаки кианита, андалузита, силлиманита.
17. Как определить в шлифе ставролит и кордиерит?
18. Охарактеризуйте особенности диагностики в шлифе минералов группы эпидота.
19. Как хлорит отличается в шлифе от серпентина и талька?
20. Назовите оптические свойства, характерные дляминералов группы карбонатов.

БИБЛИОГРАФИЧЕСКИЙ СПИСОК

Белоусова О.Н., Михина В.В. Общий курс петрографии. М., Недра, 1972. 344 с.

Кравцова Л.И., Чукашева М.Н. Кристаллооптика. Методическое пособие к лабораторным работам по курсу петрографии. Изд. СГИ, 1961. 58с.

Маракушев А.А., Бобров А.В., Перцев Н.Н., Феногенов А.Н. Петрология. I. Основы кристаллооптики и породообразующие минералы. М.: Научный мир, 2000. 316 с.

Петрография и петрология магматических, метаморфических и метасоматических горных пород. М.: Логос, 2001. 768 с.

Сиротин К.М. Практическая петрография. Изд. Саратов. ун-та. 1988. 312с.

ПРЕДМЕТНЫЙ УКАЗАТЕЛЬ

Авгит, 46, 48
Актинолит, 45
Альбит, 38
Амфиболы, 44
Андалузит, 53
Андезин, 38
Аномальная анизотропия, 17
Анортит, 38
Антигорит, 58
Антипертиты, 37
Апатит, 50
Арфведсонит, 45

Бастит, 47, 58
Биотит, 42
Битовнит, 38

Вулканическое стекло, 51

Гиперстен, 47
Глаукофан, 45
Гранаты, 52

Двупреломление, 17, 4, 21
Диопсид-геденбергит, 48
Дисперсионный эффект, 14
Дисперсия двупреломления, 19
Доломит, 60

Знак удлинения, 25

Интерференционная окраска, 17

Калиевые полевые шпаты, 35
Кальцит, 60
Канадский бальзам, 8
Канкринит, 35
Карбонаты, 59
Кварц, 34

Кварцевый клин, 24
Кианит, 53
Клинопироксены, 47
Клинохлор, 57
Клиноцоизит, 56
Компенсатор, 23
Кордиерит, 55
Круговое сечение, 5

Лабрадор, 38
Лизардит, 58

Магнезит, 60
Микроклин, 36
Микропегматит, 37
Мирмекит, 39
Мусковит, 43

Нефелин, 34

Объект-микрометр, 11
Ограничения, 14
Оливин, 48
Олигоклаз, 38
Омфацит, 46
Оптически двуосный, 4
Оптически одноосный, 4
Оптически отрицательный, 5
Оптически положительный, 5
Оптическая ось, 4
Ортоклаз, 36
Ортопироксены, 47
Острая биссектриса, 5

Пертиты, 37
Пироксены, 46
Плагиоклазы, 38
Плеохроизм, 26
Плоскость оптических осей, 5
Полоска Бекке, 14
Пренит, 39
Псевдоабсорбция, 16

Разность хода, 17
Рельеф, 13
Рибекит, 45
Роговая обманка, 44
Рутил, 59

Сагенит, 43, 59
Санидин, 36
Серицит, 39, 43
Серпентин, 58
Сидерит, 60
Силлиманит, 53
Симметричное угасание, 41

Скрещенность николей, 9
Соссюрит, 39
Ставролит, 55
Схема абсорбции, 26

Тальк, 58
Титанит, 50
Тремолит, 45
Тупая биссектриса, 5
Турмалин, 59

Угол оптических осей (2V), 5, 30
Угол угасания, 22

Фаялит, 48
Флюорит, 60
Форстерит, 48

Хлорит, 57
Хризотил, 58

Центрировка, 10
Цеолит, 35
Циркон, 50
Цоизит, 56

Шагреневая поверхность, 14
Шпинель, 51

Щелочные амфиболы, 45

Эгирин, 48
Эгирин-авгит, 48
Энстатит, 47
Эпидот, 56

Учебное издание

Олег Анатольевич Суставов

ПЕТРОГРАФИЯ МАГМАТИЧЕСКИХ И МЕТАМОРФИЧЕСКИХ ПОРОД, ПЕТРОЛОГИЯ

Учебно-методическое пособие
к лабораторным занятиям (часть 1)
для студентов специальности 080100 - «Геологическая съемка, поиски и разведка месторождений полезных ископаемых» (РМ) направления 130301 – «Прикладная геология»

Редактор

Подписано в печать Бумага писчая. Формат 60 х 84 1/16.
Гарнитура TimesNewRoman. Печать на ризографе.
Печ. л. 4 . Уч.-изд. л.. Тираж . Заказ №

Издательство УГГУ
620144, г. Екатеринбург, ул. Куйбышева, 30
Уральский государственный горный университет
Отпечатано с оригинал-макета
в лаборатории множительной техники УГГУ

МИНОБРНАУКИ РФ

ФГБОУ ВО «Уральский государственный горный университет»

УТВЕРЖДАЮ
Проректор по учебно-методическому комплексу
_____ С.А.Упоров

МЕТОДИЧЕСКИЕ РЕКОМЕНДАЦИИ К САМОСТОЯТЕЛЬНОЙ РАБОТЕ ПО ДИСЦИПЛИНЕ

Б1.В.02 МЕТОДЫ ИЗУЧЕНИЯ ОСАДОЧНЫХ ПОРОД

Специальность:
21.05.02 Прикладная геология

Специализация:
Геология месторождений нефти и газа

форма обучения: очная

Автор: Кривихин С.В., к.г.-м.н., доцент

Одобрены на заседании кафедры
Литологии и геологии горючих ископаемых
(название кафедры)
Зав. кафедрой _____
(подпись)
к.г.-м.н., доц. Рыльков С.А.
(Фамилия И.О.)
Протокол № 2 от 06.10.2020
(Дата)

Рассмотрены методической комиссией
факультета геологии и геофизики
(название факультета)
Председатель _____
(подпись)
д.г.-м.н., проф. Бондарев В.И.
(Фамилия И.О.)
Протокол № 2 от 13.10.2020
(Дата)

Екатеринбург

Введение

Самостоятельная работа студента является важнейшей составной частью образовательной программы подготовки дипломированного специалиста. По курсу «Методы изучения осадочных пород» обязательная самостоятельная работа студента осуществляется в следующих направлениях:

- ✓ выполнение домашних заданий;
- ✓ освоение материалов по отдельным темам, входящим в Рабочую программу дисциплины [9];
- ✓ подготовка к экзамену;

Самостоятельная работа студентов направлена на развитие интеллектуальных умений, повышение творческого потенциала студентов и заключается в:

– поиске, анализе, структурировании и презентации информации, анализе научных публикаций по вопросам методик изучения осадочных пород;

– исследовательской работе и участии в научных студенческих конференциях, семинарах и олимпиадах.

Оценка результатов самостоятельной работы организуется как единство двух форм: самоконтроль и контроль со стороны преподавателей.

Данные методические указания предназначены для организации самостоятельной работы студентов при освоении отдельных тем дисциплины.

Методические указания к самостоятельной работе студента

В последующем разделе пособия приведена развернутая программа дисциплины « Методы изучения осадочных пород». Здесь указаны наименование и содержание лекционных тем в соответствии с рабочей программой дисциплины [9]. Каждая тема является основой вопросов в экзаменационном билете. При чтении лекций по курсу преподаватель указывает те темы дисциплины, которые выносятся на самостоятельную проработку студентами. Основной объем информации по каждой теме содержится в учебниках по курсу [1-4]. Для углубленного освоения темы рекомендуется дополнительная литература [5-8]. Для самоконтроля и приобретения навыков решения задач по отдельным разделам дисциплины в последнем разделе приведены контрольные вопросы и упражнения, которые являются основой подготовки к экзамену.

При освоении указанных ниже тем рекомендуется следующий порядок самостоятельной работы студента.

1. Ознакомьтесь со структурой темы.
2. По учебникам [1-4] освойте каждый структурный элемент темы. Во всех темах указаны разделы и страницы учебника, содержащие данный материал.
3. При необходимости используйте указанную дополнительную литературу. Консультацию по использованию дополнительной литературы Вы можете получить у преподавателя.
4. Ответьте на контрольные вопросы и выполните рекомендованные упражнения. При затруднениях в ответах на вопросы вернитесь к изучению рекомендованной литературы.
5. Законспектируйте материал. При этом конспект может быть написан в виде ответов на контрольные вопросы и упражнения.

При самостоятельной работе над указанными темами рекомендуется вести записи в конспектах, формируемых на лекционных занятиях по курсу, и в том порядке, в котором данные темы следуют по учебной программе.

Данное учебно-методическое пособие может быть использовано при подготовке ответов на вопросы во время экзамена.

Содержание курса

Тема 1. Общие сведения об осадочных породах, общие вопросы безопасности геологоразведочных работ. [1-4]

Место осадочных пород в общей классификации горных пород. Образование осадочных пород: гипергенез, седиментогенез, диагенез, катагенез, метагенез. Классификации осадочных пород. Безопасность геологоразведочных работ: требования к персоналу, работа в условиях повышенной опасности, эксплуатация оборудования, инструментов и аппаратуры.

Дополнительная литература: [5-8].

Контрольные вопросы и упражнения:

1.На какой стадии формирования осадочных пород происходит «мобилизация вещества»?

2. Приведите приме биохемогенной осадочной породы

3. Объясните понятие механической и химической дифференциации вещества.

Тема 2. Основные типы осадочных пород. [1-4]

Распространение и промышленная значимость осадочных пород. Разновидности и характерные особенности основных типов осадочных пород: терригенные (грубообломочные, песчано-алевритовые, глинистые), карбонатные породы (известняки, доломиты), галоиды (соли – галиты, сильвиниты), сульфаты (гипсы, ангидрит), каустобиолиты (угли, нефть).

Дополнительная литература: [5-8].

Контрольные вопросы и упражнения:

1. Дайте определение понятию «палеоландшафт».

2. Какие отложения характеризуются наибольшей связью с питающими провинциями.

3. Какие отложения главным образом накапливаются в условиях глубоководной бассейновой седиментации?

Тема 3. Методы полевого изучения осадочных горных пород, требования безопасности к геологоразведочным работам. [1-4]

Методология исследований. Выделение слоев. Определение признаков пород: окраска, структура, текстура, органические остатки, вторичные изменения, степень цементации. Принципы генетических исследований. Основные понятия, используемые при седиментологических реконструкциях. Обстановки осадконакопления: континентальные, переходные, бассейновые. Фациальное расчленение отложений. Процедура установления фаций. Правила обеспечения безопасности при проведении полевых исследований. Правила отбора образцов из естественных и искусственных обнажений. Правила отбора керна буровых скважин. Пожарная профилактика при полевых работах, средства и методы тушения пожаров.

Дополнительная литература: [5-8].

Контрольные вопросы и упражнения:

1. Чем определяется окраска пород?

2. Что понимается под «сортированностью породы»

3. Объясните формирование косой слоистости

Тема 4. Лабораторные методы изучения осадочных горных пород. [1-4]

Гранулометрический анализ. Методы минералого-петрографического исследования пород. Геохимические исследования. Использование данных лабораторных исследований для генетических реконструкций и качественной оценки коллекторских свойств. Правила обеспечения безопасности при проведении лабораторных исследований и эксплуатации лабораторного оборудования.

Дополнительная литература: [5-8].

Контрольные вопросы и упражнения:

1. Как проводится гранулометрический анализ?
2. Какие методы минералого-петрографического исследования пород Вы знаете?
3. Перечислите правила обеспечения безопасности при проведении лабораторных исследований и эксплуатации лабораторного оборудования.

Рекомендуемая литература

1. Алексеев В.П. Методы исследования осадочных пород [Текст] : методические указания к практическим занятиям и самостоятельной работе для студентов специальности 130101 / В. П. Алексеев, Н. С. Носова ; Министерство образования и науки РФ, Уральский государственный горный университет. - Екатеринбург : УГГУ, 2015. - 64 с.
2. Алексеев В.П. Фациальный анализ : методические указания к практическим занятиям и самостоятельной работе по дисциплине "Формационный анализ" для студентов специальности 130101.65 - "Прикладная геология", специализации "Геология нефти и газа" / П. В. Алексеев ; Министерство образования и науки Российской Федерации, Уральский государственный горный университет. - Екатеринбург : УГГУ. Часть 2 : Обстановки осадконакопления. - 2017. - 68 с.
3. Алексеев В.П. Литолого-фациальный анализ : учеб.-метод. пособие / Уральская гос. горно-геологическая академия. - Екатеринбург : УГГГА, 2002. - 147 с. : табл.; рис. - Библиогр.: с. 128-139.
4. Ежова, А.В. Литолого-фациальный анализ нефтегазоносных толщ [Электронный ресурс] : учебное пособие / А.В. Ежова, Тен Т.Г.. — Электрон. дан. — Томск : ТПУ, 2015. — 112 с. — Режим доступа: https://e.lanbook.com/book/82840. — Загл. с экрана Электронный ресурс
5. Бурлин Ю.К. Литология нефтегазоносных толщ : учебное пособие для вузов по специальности "Геология нефти и газа" / Ю. К. Бурлин, А. И. Конюхов, Е. Е. Карнюшина. - Москва : Недра, 1991. - 286 с.
6. Типовые решения организации труда в геологосъемочных партиях, проводящих групповую геологическую съемку масштаба 1:50000 : нормативно-технический материал / Всесоюзный научно-исследовательский институт экономики минерального сырья и геологоразведочных работ ; сост. С. Е. Синицкий [и др.]. - Москва : ВИЭМС, 1987. - 49 с.
7. Охрана труда при геологоразведочных работах : учебное пособие / Новочеркасский политехнический институт ; науч. ред. С. И. Сергеев. - Новочеркасск : [б. и.], 1987. - 72 с.
8. Ветошкин А.Г. Нормативное и техническое обеспечение безопасности жизнедеятельности. Часть 2. Инженерно-техническое обеспечение безопасности жизнедеятельности [Электронный ресурс] : учебно-практическое пособие / А.Г. Ветошкин. — Электрон. текстовые данные. — М. : Инфра-Инженерия, 2017. — 652 с. — 978-5-9729-0163-0. — Режим доступа: http://www.iprbookshop.ru/68997.html
9. Методы изучения осадочных пород: рабочая программа дисциплины для студентов специальности 21.05.02 Прикладная геология специализация № 3 Геология нефти и газа / С.В. Кривихин. Екатеринбург: УГГУ, 2020. 8 с.

МИНОБРНАУКИ РФ

ФГБОУ ВО «Уральский государственный горный университет»

УТВЕРЖДАЮ
Проректор по учебно-методическому комплексу
_____С.А.Упоров

МЕТОДИЧЕСКИЕ РЕКОМЕНДАЦИИ К САМОСТОЯТЕЛЬНОЙ РАБОТЕ ПО ДИСЦИПЛИНЕ

Б1.В.03 ПОЛЕВАЯ ГЕОФИЗИКА

Специальность:
21.05.02 Прикладная геология

Специализация:
Геология месторождений нефти и газа

форма обучения: очная

Автор: Крылаткова Н.А., к.г.-м.н.

Одобрены на заседании кафедры
Геофизики нефти и газа
(название кафедры)
Зав. кафедрой _____
(подпись)
д.г.-м.н., проф. Бондарев В.И.
(Фамилия И.О.)
Протокол № 2 от 12.10.2020
(Дата)

Рассмотрены методической комиссией
факультета геологии и геофизики
(название факультета)
Председатель _____
(подпись)
д.г.-м.н., проф. Бондарев В.И.
(Фамилия И.О.)
Протокол № 2 от 13.10.2020
(Дата)

Екатеринбург

Методические рекомендации по дисциплине согласованы с выпускающей кафедрой литологии и геологии горючих ископаемых

Заведующий кафедрой ЛГГИ _____ к.г.-м.н., С.А. Рыльков____

подпись *И.О. Фамилия*

Введение

Самостоятельная работа студента составная часть образовательной программы подготовки дипломированного специалиста. По курсу «Полевая геофизика» обязательная самостоятельная работа студента осуществляется в следующих направлениях:

- выполнение домашних заданий по темам лекций;
- написание отчетов по лабораторным работам, представляющим собой практико-ориентированное задание;
- работа с научными статьями, посвященным современным технологиям геологической интерпретации данных сейсморазведки, основного метода поисков и разведки месторождений нефти и газа
- подготовка к экзамену;

Самостоятельная работа студентов направлена на:

– закрепление и расширение знаний, умений и навыков, полученных студентами во время аудиторных и внеаудиторных занятий;
– формирование и развитие знаний и навыков, связанных с научно-исследовательской деятельностью;
– развитие установки на качественное освоение образовательной программы;
– формирование самостоятельности мышления, способности к саморазвитию.

Оценка результатов самостоятельной работы организуется как единство двух форм: самоконтроль и контроль со стороны преподавателей.

Данные методические указания предназначены для организации самостоятельной работы студентов при освоении разделов, связанных с сейсморазведкой. Уровень освоения других методов полевой геофизики оценивается по результатам написания контрольной работы.

Методические указания к самостоятельной работе студента

В следующем разделе пособия приведена тематика лекций в соответствии с рабочей программой дисциплины «Полевая геофизика» для сейсмического метода [5]. Каждая тема является основой для нескольких экзаменационных вопросов.

При чтении лекций по курсу преподаватель указывает те разделы, которые выносятся на самостоятельную проработку студентами. По этим разделам дается специальное задание по дополнительной литературе. В задании могут быть предложены следующие виды работы: конспект научной статьи или разделов научных монографий, посвященным современным технологиям геологической интерпретации данных сейсморазведки.

Основной объем информации по каждой лекции содержится в учебниках [1, 2]. Для углубленного освоения темы рекомендуется дополнительная литература [4-6]. Для самоконтроля и приобретения навыков решения задач по отдельным разделам дисциплины в учебнике по курсу [1] приведены контрольные вопросы и упражнения, которые являются основой подготовки к экзамену.

Для освоения лекционного материала рекомендуется следующий порядок самостоятельной работы студента.

1. По учебникам [1,2] освойте материал лекции.
2. Ответьте письменно на вопросы указанные в учебнике к материалу лекции (номера вопросов преподаватель указывает в конце лекции).
3. При необходимости используйте указанную дополнительную литературу.

При самостоятельной работе над темами лекционного курса рекомендуется на лекционных занятиях вести записи в конспектах.

Данное учебно-методическое пособие может быть использовано при подготовке ответов на вопросы во время экзамена.

Содержание лекционного курса

Лекция 1. Физические и геологические основы сейсморазведки

Лекция 2. Методы сейсморазведки, применяемые при поисках и разведке месторождений углеводородов. Методика полевых сейсморазведочных работ МОГТ, ВСП.

Лекция 3-4. Обработка данных сейсморазведки: стандартная, специализированная, интерпретационная.

Лекция 5. Основы геологической интерпретации результатов сейсморазведки. Форма представления геолого-геофизических построений (карт, разрезов, кубов).

Лекция 6. Анализ сейсмических атрибутов. Технологии сейсмической инверсии.

Лекция 7. Сейсмостратиграфия и палеореконструкции.

Лекция 8. Понятие о комплексной геолого-геофизической интерпретации. Технология создания цифровой геологической модели месторождения углеводородов на основе комплексного использования информации исследований керна, каротажа и сейсморазведки.

Развернутое содержание лекционного курса

Лекция 1. Физические и геологические основы сейсморазведки

Продольные и поперечные сейсмические волны, соотношение скорости их распространения. Форма колебаний и частотный состав сейсмических волн. Фронты и лучи сейсмических волн. Геометрическое расхождение и поглощение сейсмических волн. Упругие свойства горных пород: скорости, упругие модули, коэффициенты и декременты поглощения. Влияние глубины, условий накопления осадков, литологии, возраста, термобарических условий, коллекторских свойств, трещиноватости и типа флюидонасыщения на упругие свойства горных пород. Отражение и прохождение сейсмических волн. Монотипные и обменные волны. Коэффициенты отражения и прохождения. Модели геологических сред и сейсмические границы. Классификация сейсмических границ. Многократно-отраженные волны. Образование головной (преломленной) волны. Рефрагированные волны. Дифракция сейсмических волн.

Лекция 2. Методы сейсморазведки, применяемые при поисках и разведке месторождений углеводородов. Методика полевых сейсморазведочных работ МОГТ, ВСП.

Классификация методов сейсморазведки. Источники сейсмических колебаний: взрывные, невзрывные импульсные и вибрационные. Динамический диапазон сейсмической записи. Сейсмоприемники. Группирование сейсмоприемников и источников. Принципы цифровой регистрации сейсмических колебаний: квантование сейсмических сигналов по времени и амплитуде. Цифровые регистрирующие комплексы. Системы наблюдений в сейсморазведке. Системы многократных перекрытий (МОГТ). Площадные системы. Вертикальное сейсмопрофилирование (ВСП). Технология проведения сейсмических работ на суше, на море и в скважинах.

Лекция 3-4. Обработка данных сейсморазведки: стандартная, специализированная, интерпретационная

Вертикальные годографы проходящих и отраженных волн. Наземные годографы прямых, отраженных и головных сейсмических волн и их соотношение для двухслойной модели среды. Годограф дифрагированной волны. Понятие об эффективной модели среды. Сейсмограммы общей точки возбуждения (ОТВ) для многослойной модели среды. Сейсмограммы общей средней точки (ОСТ). Кинематические поправки. Скорости ОСТ. Временные разрезы ОСТ. Понятие о сейсмической миграции. Модель сейсмической записи отраженных волн, импульсная и синтетическая трассы. Признаки выделения волн (осей синфазности) на сейсмограммах и разрезах. Понятие о типовой и специальной обработке. Основные процедуры цифровой обработки: регулировка амплитуд, ввод и коррекция статических поправок, частотная и пространственно-временная фильтрации, ввод и корректировка кинематических поправок, суммирование по ОСТ, миграция. Представление результатов обработки. Технические средства и программное обеспечение обработки сейсмической информации.

Лекция 5. Основы геологической интерпретации результатов сейсморазведки. Форма представления геолого-геофизических построений (карт, разрезов, кубов).

Определение эффективных, пластовых и средних скоростей. Геологическая привязка сейсмических горизонтов по данным ВСП и на основе моделирования сейсмических трасс по данным ГИС. Построение отражающих границ, сейсмических разрезов, структурных карт и схем. Получение куба данных и его вертикальных и горизонтальных срезов. Вертикальная и горизонтальная разрешающая способность сейсморазведки. Динамическая интерпретация - прогнозирование геологического разреза (ПГР) на основе связи физических характеристик осадочной толщи с кинематическими и динамическими параметрами (атрибутами) волнового поля. Влияние анизотропии физических свойств на параметры сейсмического поля.

Лекция 6. Анализ сейсмических атрибутов. Технологии сейсмической инверсии.

Мгновенные амплитуды, частоты, фазы, когерентность, их физический смысл и геологическое истолкование. Погоризонтный динамический анализ в сейсморазведке. Сейсмофациальный анализ при изучении режима осадконакопления и возможных ловушек углеводородов. Спектрально-временной анализ (СВАН) - способ изучения внутренней структуры и прогноза вещественного состава геологических формаций. Изучение сейсморазведкой детального строения осадочной толщи. Псевдоакустический каротаж (ПАК): его возможности и ограничения. Использование эмпирических связей для перехода от акустического разреза к разрезам геологических параметров. Анализ амплитуд сейсмических записей. Аномалии типа залежь - «яркие» и «темные» пятна Отражения от контактов флюидов – «плоские» пятна. Явление дифракции от края залежи. Анализ амплитуд в зависимости от удаления (AVO). Многоволновая сейсморазведка. Совместное использование продольных и поперечных волн. Связь коэффициента Пуассона с насыщением коллекторов углеводородами.

Лекция 7. Сейсмостратиграфия и палеореконструкции.

Возможности изучения земной коры, внутреннего строения и рельефа фундамента, мощности и структуры осадочного чехла. Анализ сейсмокомплексов и сейсмофаций с целью выявления условий осадконакопления и зон вероятного скопления УВ.

Лекция 8. Понятие о комплексной геолого-геофизической интерпретации. Технология создания цифровой геологической модели месторождения углеводородов на основе комплексного использования информации исследований керна, каротажа и сейсморазведки.

Роль сейсморазведки 3D на стадии разведки и разработки месторождений. Анализ вертикальных и горизонтальных срезов куба 3D сейсмических данных. Трассирование сбросов в объеме куба. Непрерывная интерполяция и экстраполяция скважинных геологических данных в пределах сейсмического куба. Построение геологических моделей резервуаров нефти и газа с помощью геолого-геофизических систем интерпретации данных сейсморазведки 3D, бурения и ГИС. Сейсморазведка 4D для мониторинга разработки залежей нефти и газа. Возможности метода ВСП для изучения околоскважинного пространства. Исследование качества трещиноватости коллекторов межскважинным сейсмическим просвечиванием.

Рекомендуемая литература

Основная литература

№ п/п	Наименование	Кол-во экз.
1	Воскресенский, Ю. Н. Полевая геофизика: учебник для вузов / Ю. Н. Воскресенский; РГУ нефти и газа им. И. М. Губкина. - Москва: Недра, 2010. - 479 с.	10
2	Бондарев, В. И. Сейсморазведка: учебник для вузов: в 2-х т. / В. И. Бондарев, С. М. Крылатков ; Уральский государственный горный университет. - 2-е изд., испр. и доп. - Екатеринбург: УГГУ. Т. 1: Основы теории метода, сбор и регистрация данных. - 2010. - 400 с. Т. 2: Обработка, анализ и интерпретация данных. - 2011. - 408 с.	10 10
3	Папоротная А. А. Полевая геофизика. Сейсморазведка и интерпретация материалов сейсморазведки [Электронный ресурс]: лабораторный практикум / А. А. Папоротная, С. В. Потапова. — Электрон. текстовые данные. — Ставрополь: Северо-Кавказский федеральный университет, 2017. — 107 с. — 2227-8397. — Режим доступа: http://www.iprbookshop.ru/69416.html	Электронный ресурс

Дополнительная литература

№ п/п	Наименование	Кол-во экз.
4	Сафонов А. С. Поиск неантиклинальных ловушек углеводородов методами сейсморазведки: научное издание / А. С. Сафонов, О. О. Кондратьева, О. В. Федотова. - Москва: Научный мир, 2011. - 511 с.	2
5	Шлезингер А. Е. Региональная сейсмостратиграфия: научное издание / Шлезингер А. Е. - Москва: Научный мир, 1998. - 144 с. - (Геологический институт РАН : труды , ISSN 0002-3272 ; выпуск 512).	2
6	Прогнозирование геологического разреза и поиски сложноэкранированных ловушек: научное издание / Академия Наук СССР, Министерство нефтяной промышленности, Институт геологии и разработки го-	4

	рючих ископаемых; отв. ред. А. Г. Алексин. - Москва: Наука, 1986. - 192 с.	
4	Шерифф Р.Е. Сейсмическая стратиграфия: использование при поисках и разведке нефти и газа = Seismic Stratigraphy - applications to hudrocarbon exploration : в 2-х ч. / Р. Е. Шерифф [и др.] ; под ред. Ч. Пейтона ; пер. с англ.: Г. А. Былевского, Ю. Г. Такаева; ред. перевода: Н. Я. Кунин, Г. Н. Гогоненков. - М.: Мир.Ч. 1. - 1982. - 376 с.Ч. 2. - 1982. - с. 381-846	1

МИНОБРНАУКИ РФ

ФГБОУ ВО «Уральский государственный горный университет»

УТВЕРЖДАЮ

Проректор по учебно-методическому комплексу

_____С.А.Упоров

МЕТОДИЧЕСКИЕ РЕКОМЕНДАЦИИ К САМОСТОЯТЕЛЬНОЙ РАБОТЕ ПО ДИСЦИПЛИНЕ

Б1.В.05 ОСНОВЫ УЧЕНИЯ О ПОЛЕЗНЫХ ИСКОПАЕМЫХ

Специальность:
21.05.02 Прикладная геология

Специализация:
Геология месторождений нефти и газа

Автор: Макаров А.Б. профессор, д.г.-м.н.

Одобрены на заседании кафедры

Геологии, поисков и разведки МПИ
(название кафедры)

Зав.кафедрой _____
(подпись)

Душин В.А.
(Фамилия И.О.)

Протокол № 1 от 10.09.2020
(Дата)

Рассмотрены методической комиссией факультета

Геологии и геофизики
(название факультета)

Председатель _____
(подпись)

Бондарев В.И.
(Фамилия И.О.)

Протокол № 2 от 13.10.2020
(Дата)

Екатеринбург

Методические указания к дисциплине согласованы с выпускающей кафедрой литологии и геологии горючих ископаемых

Заведующий кафедрой ЛГГИ _____к.г.-м.н., С.А. Рыльков____

Самостоятельная работа студентов в рамках учебного процесса играет важную роль в изучении дисциплины «Основы учения о полезных ископаемых», поскольку основными объектами труда горных инженеров-геологов – поисков, разведки являются месторождения полезных ископаемых. Поэтому в процессе обучения у студентов формируются представления о месторождения полезных ископаемых как геологических объектах, возникающих в процессах формирования и развития земной коры. Главные задачи профессиональной деятельности – разработка научно обоснованных направлений поисковых работ и выбор рациональной методики разведки месторождений полезных ископаемых могут быть успешно решены при условии овладения студентом современных представлений о геологических и физико-химических условиях их формирования. В процессе самостоятельной работы студент получает представление об особенностях строения каждого типа месторождений как модели месторождений, с которым он будет сталкиваться в процессе своей будущей практической деятельности, и сравнивать с ними конкретные объекты. Для этого в рамках самостоятельной работы в первую очередь следует обратить внимание на изучение имеющегося на кафедре каменного материала, характеризующего большую часть типов промышленных месторождений.

Основное содержание дисциплины и объемы самостоятельной работы по разделам дисциплины приведены в таблице

№№ тем	Содержание	Часы по СРС
1	Форма и условия залегания рудных тел	10
2	Структуры и текстуры руд	10
3	Изучение генетических типов месторождений полезных ископаемых	33
4	Подготовка к экзамену	27

Методические указания по организации самостоятельного изучения дисциплины

1. Освоение лекционного курса

Лекции по дисциплине «Основы учения о полезных ископаемых» дают главный материал, как по теории, так и по практике исследований генезиса и геолого-промышленных типов месторождений полезных ископаемых. Современные проблемы, рассматриваемые в данной дисциплине, обусловлены как появлением новых теоретических представлений о геологии месторождений, так и их новых промышленных

типов. Это требует после прослушивания лекций обращаться к рекомендуемой литературе для более глубокой проработки соответствующей темы, детального рассмотрения основных терминов, проблемных вопросов и подходов к их решению, а также изучения дополнительного материала по теме для последующего выполнения лабораторных заданий.

После прослушивания лекции необходимо:

- внимательно просмотреть конспект лекции и (используя поля) сделать необходимые пояснения к сокращениям, аббревиатурам, терминам и т.п.;
- используя рекомендованную литературу уяснить проблемные вопросы и подходы к их решению;
- в письменном виде сформулировать вопросы, которые следует задать преподавателю для окончательного усвоения темы лекции;
- следует взять за правило – выполнять работу с конспектом лекций в тот же день, когда лекция прослушана и в памяти еще осталась часть ее содержания.

2. Подготовка, выполнение и оформление лабораторных занятий

Лабораторные занятия расширяют область знаний в изучаемой дисциплине и показывают применение теоретической части в практике исследований, позволяют самостоятельно оперировать знаниями в решении практических задач.

Наиболее важным в этом плане является изучение и закрепление знаний о вещественном составе минерального сырья по методическим указаниям, имеющимся на кафедре ГПР МПИ. Последующим этапом закрепления теоретического материала является изучение новых разрабатываемых месторождений в рамках существующих геолого-промышленных типов и генетической классификации МПИ.

Особое внимание при изучении генетических типов месторождений следует обратить на работу с научной литературой по данной проблематике.

Чтобы лабораторные занятия приносили максимальную пользу, необходимо помнить, что упражнения в решении практических задач, подготовка к занятиям проводятся по прочитанному на лекциях материалу и связаны, как правило, с детальным разбором отдельных разделов лекционного курса. Они вырабатывают навыки самостоятельной творческой работы, развивают мыслительные способности.

В рамках программы изучения дисциплины «Основы учения о полезных ископаемых» предусматривается следующая тематика лабораторных работ.

Тема 1. Форма и условия залегания рудных тел.

Цель лабораторных работ – ознакомиться с принципами определения формы рудных тел, изучить геологические разрезы, определить формы рудных тел на реальных геологических разрезах и найти их место в

квалификационной таблице; по геологической обстановке на разрезе определить главные факторы, обусловившие форму и место локализации полезного ископаемого.

Места локализации рудных тел и, соответственно, их форма определяется рядом геологических факторов, в частности, условиям образования (эндогенными, экзогенными, или метаморфогенными). Как следствие, при изучении геологических разрезов месторождений, после определения формы рудного тела следует внимательно ознакомиться с геологической обстановкой и попытаться определить, какой из геологических факторов является определяющим: сингенетичность или эпигенетичность руд: отложения или замещения и др.

При выполнении работы следует иметь в виду, что форма природных геологических тел в большинстве случаев далека от идеальной, и при определении названия подбирается наиболее близкий эталон – идеальное геологическое тело.

Тема 2. Структуры и текстуры руд

Цель занятий – ознакомиться с основными структурами и текстурами руд, описать особенности минералогического состава и текстур руд различного генезиса. При изучении образцов необходимо, прежде всего, определить рудные минералы, текстуры, определить тип месторождения по типоморфным текстурам. Для этого используются таблицы «Типы текстур руд» по С.А. Вахромееву (1979).

Тема 3. Изучение генетических типов месторождений полезных ископаемых

Цель лабораторных работ – изучение теоретического и имеющегося в учебных коллекциях каменного материала, изучить парагенетические ассоциации минералов руд, описать имеющиеся в коллекциях образцы руд и определить их место согласно генетической классификации месторождений полезных ископаемых (по В.Ф. Рудницкому, «Основы учения о полезных ископаемых», стр. 46).

Последовательность изучения генетических типов МПИ рекомендуется следующим образом:

1). Повторение теоретического материала по лекции, учебным пособиям, консультации с преподавателем, просмотр дополнительной литературы из рекомендованного списка.

2). Самостоятельная работа по дополнительному изучению образцов руд из учебных коллекций кафедры.

3). Изучение примеров месторождений данного класса по литературным данным.

4). Проверка усвоения материала по «Вопросам и заданиям для самопроверки» (В.Ф. Рудницкий, «Основы учения о полезных ископаемых», стр. 233-245).

3. Рекомендации по работе с литературой

Изучение учебной и научной литературы является основным видом самостоятельной работы, которая сопровождает весь процесс изучения любой дисциплины. Организацию этой работы следует строить, используя следующие рекомендации:

1. Составить перечень книг, с которыми следует познакомиться ,ориентируяясь на источники, содержащие необходимый материал.

2. Систематизировать перечень источников (для экзамена, для написания исследовательских работ.

3. Зафиксировать выходные данные по каждой книге.

4. Установить для себя, какие книги (или какие главы книги) следует прочитать более внимательно, а какие – просмотреть. При этом целесообразно проконсультироваться с преподавателем.

5. Все прочитанные книги, учебники и статьи рекомендуется конспектировать с указанием основных идей автора, наиболее ярких цитат (с указанием страниц источника).

6. На собственных книгах допускается делать на полях краткие пометки или же в конце книги, на пустых страницах просто сделать свой «предметный указатель», где отмечаются наиболее интересные для Вас мысли и обязательно указываются страницы в тексте – это позволяет экономить время и быстро находить «избранные» места в разных книгах.

7. Рекомендуется широко использовать интернет-источники и базы геологической литературы.

4. Подготовка к экзамену

На экзамене будут оценены полученные в процессе обучения знания (примерный перечень рассматриваемых на экзамене вопросов приведен ниже).

1). Понятие о полезных ископаемых и их месторождениях

2).Вещественный состав руд. Вредные и полезные компоненты. Комплексное использование руд.

3). Минеральный состав руд. Массивные и вкрапленные руды.

4). Рудоконтролирующие структуры.

5). Морфологическая классификация рудных тел. Формы рудных тел.

6). Понятия текстуры и структуры руд. Классификация текстур.

7). Гидротермально-метасоматические изменения вмещающих пород.

8). Источники рудного вещества эндогенных месторождений.

9). Источники рудного вещества экзогенных месторождений.

100. Причины и способы рудоотложения.

11). Раннемагматические месторождения- условия образования полезных ископаемых.

12). Позднемагматические месторождения- условия образования полезных ископаемых.

13. Ликвационные месторождения – условия образования и примеры месторождений.

14). Пегматиты: условия формирования месторождений, их типы и примеры.

15). Карбонатиты. Условия формирования, примеры месторождений.

16). Грейзены: факторы их образования, примеры месторождений.

17). Скарновые месторождения: условия формирования и примеры.

18). Порфировые месторождения: условия формирования и примеры.

19).Субвулканические (гидротермально-метасоматические) вулканогенные месторождения

20).Гидротермально-осадочные вулканогенные месторождения, условия их формирования и примеры.

21). Гидротермальные амагматогенные месторождения, условия формирования и примеры.

22). Месторождения выветривания и факторы их формирования.

23). Инфильтрационные месторождения.

24). Остаточные месторождения.

25). Механические месторождения полезных ископаемых и условия их формирования. Россыпные месторождения и их примеры.

26). Химические месторождения и условия их формирования.

27). Биохимические месторождения и условия их формирования.

28). Метаморфогенные месторождения.

Подготовка к экзамену способствует закреплению, углублению и обобщению знаний, получаемых в процессе обучения, а также применению их к решению практических задач. В процессе подготовки к экзамену имеющиеся пробелы в знаниях, углубляются, систематизируются и упорядочиваются знания. На экзамене демонстрируются знания и навыки, приобретенные в процессе обучения по данной дисциплине.

СПИСОК ЛИТЕРАТУРЫ, РЕКОМЕНДУЕМОЙ ДЛЯ ИЗУЧЕНИЯ

а) основная

Рудницкий В. Ф. Основы учения о полезных ископаемых. Учебное пособие.- 3-е издание, исправленное и дополненное -Екатеринбург: Изд-во УГГУ, 2015. -245 с.

б) дополнительная

Попова О.М. Полезные ископаемые: Лабораторный практикум с основами теории.-Екатеринбург: Изд-во УГГУ, 2007. – 97 с.

Рудные месторождения СССР В 3-х томах /под ред. Смирнова В.И., М.: Недра, 1978.

Смирнов В.И. Геология полезных ископаемых. М.: Недра, 1989

Рабочая программа дисциплины Б1.В.03-Основы учения о полезных ископаемых

Интернет ресурсы: Все о геологии http://www.geo.web.ru

МИНОБРНАУКИ РФ

ФГБОУ ВО «Уральский государственный горный университет»

УТВЕРЖДАЮ

Проректор по учебно-методическому комплексу

_____С.А.Упоров

МЕТОДИЧЕСКИЕ РЕКОМЕНДАЦИИ К КОНТРОЛЬНОЙ РАБОТЕ ПО ДИСЦИПЛИНЕ

Б1.В.06 ЛИТОЛОГИЯ

Специальность:
21.05.02 Прикладная геология

Специализация:
Геология месторождений нефти и газа

форма обучения: очная

Автор: Кривихин С.В., д.г.-м.н., доцент

Одобрены на заседании кафедры
Литологии и геологии горючих ископаемых
(название кафедры)

Зав. кафедрой _____
(подпись)

к.г.-м.н., доц. Рыльков С.А.
(Фамилия И.О.)

Протокол № 2 от 06.10.2020
(Дата)

Рассмотрены методической комиссией
факультета геологии и геофизики
(название факультета)

Председатель _____
(подпись)

д.г.-м.н., проф. Бондарев В.И.
(Фамилия И.О.)

Протокол № 2 от 13.10.2020
(Дата)

Екатеринбург

Введение

Учебным планом специальности 21.05.02 Прикладная геология по дисциплине «Литология» предусматривается написание контрольной работы на тему «Литолого-фациальное изучение образцов осадочных горных пород». Это самостоятельный труд студента, который способствует углублённому изучению пройденного материала.

Задания контрольной работы направлены на оценку уровня умений и навыков, формирующих компетенцию:

- способен использовать теоретические знания при выполнении производственных, технологических и инженерных исследований в соответствии со специализацией (ПК-1);
- способен обрабатывать и интерпретировать вскрытые глубокими скважинами геологические разрезы (ПК-3).

Результаты обучения, достижение которых свидетельствует об освоении компетенции:

Знания: предмет литологии, этапы её развития; современные разделы литологии; характеристику основных этапов формирования и «бытия» осадочных пород; основные внешние и внутренние факторы, влияющие на осадочный процесс; эволюцию основных типов осадочных пород во времени; закономерности распределения и формирования основных типов осадочных полезных ископаемых, их экономическое значение; эволюцию литосферы, гидросферы, атмосферы, биосферы в истории Земли; основные типы осадочных толщ, обстановки их формирования и типичные для них полезные ископаемые

Умения: работать с текстовой и графической литологической документацией; составлять различные виды первичной литологической документации обнажений и керна скважин (колонки, гистограммы, циклограммы, фациальные профили, формационные профили и т.д.); ориентироваться в пространстве, определять координаты геологических объектов, горных выработок и скважин, наносить их на карты, планы и разрезы; собирать и обрабатывать фондовую и опубликованную геологическую, информацию; выполнять графические документы горно-геологического содержания в различных видах проекций

Владения: навыками полевых литологических исследований, макроскопического (текстурно-структурного) изучения обнажений и образцов керна; навыками работы с литологическими колонками, картами терригенно-минеральных ассоциаций, литолого-палеогеографическими картами, схемами распределения осадочных формаций; другими типами литологических материалов; способностью анализировать и обобщать фондовые геологические, геохимические данные, регламентом составления геологических и методических разделов проектов производственных подразделений в составе творческих коллективов и самостоятельно.

Цель выполняемой работы: получить специальные знания по заданной теме.

Основные задачи выполняемой работы:

1) закрепление полученных ранее теоретических знаний;
2) выработка навыков самостоятельной работы;
3) оценка уровня подготовленности студента к будущей практической работе.

Задания к контрольной работе

Задание:

I Выполнить зарисовку образцов с выделением наиболее характерных текстурно-структурных признаков.

II. Выполнить детальное описание диагностических признаков образцов в следующей последовательности:

1. Порода, структура, состав:

а) гранулометрический состав (название породы);
б) изменение крупности зерна;
в) сортировка зерен;
г) окатанность зерен;
д) минеральный состав зерен;
е) характер галек и неокатанных включений (форма, состав, распределение).
2. Текстура:
а) тип слоистости (или соотношение нескольких типов);
б) четкость серий и слоев;
в) причины, обусловившие слоистость;
г) распределение материала в слойках;
д) толщина слоев и серий, углы наклона слойков;
е) переходы внутри слоя, однородность и другие признаки текстуры слоя в целом.
3. Органические остатки (растительные остатки и фауна)
а) чем представлены,
б) степень сохранности.
в) форма захоронения,
г) распределение в породе
4. Минеральные включения:
а) конкреции – форма, состав, строение, распределение в породе;
б) отдельные минералы – пирит и др.
5. Вскипаемость с соляной кислотой.
6.Физико-механические свойства
а) степень цементации,
б) трещиноватость
7. Контакты и переходы (нижний и верхний).

III. На основании описания и в соответствии с предложенной классификацией литолого-фациального состава пород определить фациальную принадлежность образцов

Вариативность работы осуществляется выдачей студентам индивидуальных наборов образцов

Порядок выполнения контрольной работы

Подготовку контрольной работы следует начинать с повторения соответствующего раздела учебника, учебных пособий по данной теме и конспектов лекций прочитанных ранее. Приступать к выполнению работы без изучения основных положений и понятий науки, не следует, так как в этом случае студент, как правило, плохо ориентируется в материале, не может отграничить смежные вопросы и сосредоточить внимание на основных, первостепенных проблемах рассматриваемой темы.

После выбора темы необходимо внимательно изучить методические рекомендации по подготовке контрольной работы, составить план работы, который должен включать основные вопросы, охватывающие в целом всю прорабатываемую тему.

Результат выполнения контрольной работы представляет собой решение задачи, выполненное в рукописном варианте, согласно представленному в задании плану.

Текст работы должен демонстрировать:

- знакомство автора с основными внешними и внутренними факторами, влияющими на осадочный процесс;
- умение проводить литологическое описание осадочных пород
- владение навыкамифациального расчленения отложений по комплексу диагностических признаков;
- приемлемый уровень языковой грамотности, включая владение функциональным

стилем научного изложения.

Общий объем контрольной работы не должен превышать 2-3 страниц.

Пример описания образца:



Нижний слой представлен крупнозернистым алевролитом темно-серогодо черного цвета, с примесью в нижнейчасти светло-серого мелкозернистогопесчаного материала в виде тонкихслойков и линз. Сортированность средняя до плохой. Слоистость меняется откосо-волнистой прерывистой слабо срезанной в низах до пологоволнистойсплошной (полосовидной) в верхах; подчеркнута большим количеством разнообразной (от сечки до крупных фрагментов), неравномерно распределенной растительной органики. Повышение концентрации органики, наряду с утонением материала, имеет направленный (снизу вверх) характер.

Верхний слой представлен крупнозернистым темно-серым алевролитом –тонкозернистым песчаником, плохосортированным, с неоднородной косо-волнистой слоистостью, вплоть до узловатой текстуры, обусловленной неравно-мерным распределением большого количества крупной растительной органики иединичных слабоокатанных (1-2 балла) обломков темно-серых алевролитов, размером до 0,5 см.

Контакт слоев (по стрелкам) неровный, со взмучиваниями и соответствует межслоевому перерыву (диастеме), с относительно небольшой (по близкому составу и признакам слоев) длительностью.

Отложения макрофации пойменного аллювия (АП) Переход от фации АПС (внизу) к АПП вверху.

Оценивание результатов контрольной работы

Оценивание результатов контрольной работы должно быть проведено до начала промежуточной аттестации и проводится по традиционной четырехбалльной шкале: «отлично», «хорошо», «удовлетворительно», «неудовлетворительно».

Решение об оценке контрольной работы принимается по результатам проверки предъявленной работы и ответов студента на вопросы в случае неполного ее содержания.

Свои критерии оценки из КОМа

Критерии оценивания: Правильность выполнения задания - (определения всех признаков) по каждому из образцов: 0-3 балла; аккуратность и детальность зарисовки каждого из образцов и обоснованное определение фации: 0-1 балл;использование профессиональной терминологии 0-1 балл

Критерии оценки:

Оценка «отлично» выставляется обучающемуся, если:

- зарисовка оформлена аккуратно, с выделением всех характерных признаков породы, по всем трем образцам диагностические признаки определены правильно и в полном объеме, в соответствии с требованиями; описание проведено в рамках профессиональной терминологии; генезис отложений определен верно.

Оценка «хорошо» выставляется обучающемуся, если:

-зарисовка оформлена аккуратно, с выделением всех характерных признаков породы; есть небольшие замечания по определению диагностических признаков по одному из трех образцов; описание в целом соответствует профессиональной терминологии; допускаются небольшие неточности при определении генезиса отложений.

Оценка «удовлетворительно» выставляется обучающемуся, если

- зарисовка не отражает всех особенностей образцов, диагностические признаки определены правильно как минимум по двум образцам (из трех), профессиональная терминология соблюдается не всегда; замечания по определению генезиса отложений..

Оценка «не удовлетворительно» выставляется обучающемуся, если зарисовки оформлены неаккуратно и не отражает особенностей образца; как минимум по двум образцам имеются замечания по определению диагностических признаков и генезису отложений.

МИНОБРНАУКИ РОССИИ

ФГБОУ ВО «Уральский государственный горный университет»

УТВЕРЖДАЮ

Проректор по учебно-методическому комплексу _____ С.А. Норов

МЕТОДИЧЕСКИЕ РЕКОМЕНДАЦИИ К САМОСТОЯТЕЛЬНОЙ РАБОТЕ ПО ДИСЦИПЛИНЕ

Б1.В.06 ЛИТОЛОГИЯ

Специальность:

21.05.02 Прикладная геология

Специализация:

Геология месторождений нефти и газа

форма обучения: очная

Авторы: Бадида Л.В., к.г.-м.н.; Кривихин С.В., к.г.-м.н., доцент

Одобрены на заседании кафедры *Литологии и геологии горючих ископаемых*	Рассмотрены методической комиссией факультета геологии и геофизики
(название кафедры)	*(название факультета)*
Зав. кафедрой _____ *(подпись)*	Председатель _____ *(подпись)*
к.г.-м.н., доц. Рыльков С.А.	д.г.-м.н., проф. Бондарев В.И.
(Фамилия И.О.)	*(Фамилия И.О.)*
Протокол № 2 от 06.10.2020	Протокол № 2 от 13.10.2020
(Дата)	*(Дата)*

Екатеринбург

Введение

Самостоятельная работа студента является важнейшей составной частью образовательной программы подготовки дипломированного специалиста. По курсу «Литология» обязательная самостоятельная работа студента осуществляется в следующих направлениях:

- ✓ выполнение домашних заданий;
- ✓ освоение материалов по отдельным темам, входящим в Рабочую программу дисциплины [5];
- ✓ подготовка к экзамену;

Самостоятельная работа студентов направлена на развитие интеллектуальных умений, повышение творческого потенциала студентов и заключается в:

– поиске, анализе, структурировании и презентации информации, анализе научных публикаций по вопросам литологии осадочных пород-коллекторов нефти и газа;

– исследовательской работе и участии в научных студенческих конференциях, семинарах и олимпиадах.

Оценка результатов самостоятельной работы организуется как единство двух форм: самоконтроль и контроль со стороны преподавателей.

Данные методические указания предназначены для организации самостоятельной работы студентов при освоении отдельных тем дисциплины.

Методические указания к самостоятельной работе студента

В последующем разделе пособия приведена развернутая программа дисциплины «Литология». Здесь указаны наименование и содержание лекционных тем в соответствии с рабочей программой дисциплины [5]. Каждая тема является основой вопросов в экзаменационном билете. При чтении лекций по курсу преподаватель указывает те темы дисциплины, которые выносятся на самостоятельную проработку студентами. Основной объем информации по каждой теме содержится в учебнике по курсу [1]. Для углубленного освоения темы рекомендуется дополнительная литература [2, 3, 4, 5]. Для самоконтроля и приобретения навыков решения задач по отдельным разделам дисциплины в последнем разделе приведены контрольные вопросы и упражнения, которые являются основой подготовки к экзамену.

При освоении указанных ниже тем рекомендуется следующий порядок самостоятельной работы студента.

1. Ознакомьтесь со структурой темы.
2. По учебнику [1] освойте каждый структурный элемент темы. Во всех темах указаны разделы и страницы учебника, содержащие данный материал.
3. При необходимости используйте указанную дополнительную литературу. Консультацию по использованию дополнительной литературы Вы можете получить у преподавателя.
4. Ответьте на контрольные вопросы и выполните рекомендованные упражнения. При затруднениях в ответах на вопросы вернитесь к изучению рекомендованной литературы.
5. Законспектируйте материал. При этом конспект может быть написан в виде ответов на контрольные вопросы и упражнения.

При самостоятельной работе над указанными темами рекомендуется вести записи в конспектах, формируемых на лекционных занятиях по курсу, и в том порядке, в котором данные темы следуют по учебной программе.

Данное учебно-методическое пособие может быть использовано при подготовке ответов на вопросы во время экзамена.

Содержание курса

Тема 1. **Объект и предмет литологии. История развития науки** [1], с. 3-8.

Литология - наука об осадочных горных породах и осадочных комплексах, связанных с ними полезных ископаемых, их составе, строении, происхождении, закономерностях пространственного распространения и эволюции во времени. Основная учебная литература. Основные разделы литологии. Этапы изучения осадочных пород. Основные направления настоящего этапа.

Дополнительная литература: [2, 3, 4, 5].

Контрольные вопросы и упражнения:

1. Что такое литология?
2. Составные части литологии, их содержание.
3. Области исследования, относящиеся к теоретической литологии.
4. Основные направления теоретической литологии.
5. Суть стадиального направления литологических исследований.

Тема 2**. Осадочные горные породы: состав, строение, классификация** [1], с. 9-57.

Осадочные горные породы и стратисфера. Химический состав осадочных пород. Минеральный состав. Осадочные породы и их составные части. Общие черты строения осадочных горных пород. Общие принципы классификации и названия осадочных горных пород. Примеры классификаций некоторых типов осадочных горных пород.

Дополнительная литература: [2, 3, 4, 5].

Контрольные вопросы и упражнения:

1. Пути/способы образования осадочного материала. Общая их характеристика.
2. Вулканизм и его влияние на процессы седиментации.
3. Основные агенты выветривания.
4. Суть процессов физического выветривания. Обстановки в которых проявляется физическое выветривание.
5. Устойчивость различных минералов к воздействию процессов химического выветривания.

Тема 3. **Стадии образования и преобразования осадочных пород** [2], с. 16-17.

Мобилизация материала на водосборах. Источники и механизмы образования осадочного материала. Перенос и осаждение обломочного материала. Агенты переноса. Водный и воздушные перенос. Процессы гравитационного перемещения кластики. Перенос материала льдом. Растворенный материал и его перенос. Осаждение обломочного материала. Диагенез, катагенез (метагенез).

Дополнительная литература: [1, 3, 4, 5].

Контрольные вопросы и упражнения:

1. Роль обвалов, оползней и других подобных процессов в переносе обломочного материала.
2. Водный перенос обломочного материала и его особенности
3. Процессы выветривания в холодном климате.
4. Отличие (или сходство) минерального состава пород осадочных и магматических.
5. Процессы выветривания в жарком и сухом климате.

Тема 4: **Внешние факторы, влияющие на осадочный процесс.** Основные факторы - тектоника, климат, органическое вещество. Климатические типы литогенеза. Основные области осадконакопления и строение осадочных комплексов. Строение осадочных комплексов. цикличность разрезов. [2], с. 4-15.

Дополнительная литература: [1, 3, 4, 5].

Контрольные вопросы и упражнения:

1. Прямое и косвенное воздействие жизни на осадочный процесс.
2. Основные агенты химического выветривания.
3. Суть процессов физического выветривания. Обстановки в которых проявляется физическое выветривание.
4. Прямое и косвенное влияние климата на процессы осадконакопления.
5. Основные агенты выветривания.

Тема 5: **Фации и основы фациального анализа**. Понятие фации и значение фациального анализа. Общие принципы фациального анализа. Литологическое изучение осадочных пород для целей фациального анализа. Генетическое значение структуры и текстуры осадочных пород. Использование остатков древних организмов и следов жизнедеятельности для целей фациального анализа. Изучение строения и формы осадочных тел и их взаимоотношений с окружающими образованиями. Основные приемы фациального картирования. [2], с.48-75.

Дополнительная литература: [1, 3, 4, 5].

Контрольные вопросы и упражнения:

1. Укажите основные обстановки современного осадконакопления.
2. Сформулируйте сходство и различие понятий "генетический тип" и "фация".
3. Перечислите основные области активного осадконакопления, обусловленные рельефом земной поверхности
4. Каковы основные черты аккумуляции в дельтовых конусах выноса?
5. Перечислите основные диагенетические признаки, используемые для установления генезиса отложений.

Тема 6: Становление учения об эволюции осадочного процесса в истории Земли. Внешние факторы эволюции осадочного породообразования. Эволюция обломочного породообразования. Эволюция карбонатонакопления. Эволюция соленакопления. Эволюция кремненакопления. Эволюция накопления органического вещества. Основные черты эволюции осадочного породообразования.[1], с. 365-377.

Дополнительная литература: [2, 3, 4, 5].

Контрольные вопросы и упражнения:

1. Имеет ли место в геологической истории Земли эволюция состава гидросферы?
2. Внешние факторы, влияющие на эволюцию процессов осадконакопления.
3. Имеет ли место в геологической истории Земли эволюция состава атмосферы?
4. Эволюция карбонатонакопления в истории Земли.
5. Имеет ли место эволюция кремненакопления в истории Земли?

Тема 7: Формационный анализ. Определение и содержание понятия формация. Главные подходы в учении о формациях. Принципы классификации и главные группы формаций. Формации и полезные ископаемые [3], с. 169-174.

Дополнительная литература: [1, 2, 4, 5].

Контрольные вопросы и упражнения:

1. Осадочная формация. Основные подходы к выделению осадочных формаций.
2. Основные факторы, определяющие появление различных осадочных формаций.
3. Основные типы формаций, сложенные преимущественно обломочными породами.

4. Формации областей гумидного климата.

5. Формации областей аридного климата.

Тема 8: Отдельные типы осадочных пород. Фосфориты. Соляные породы (эвапориты). Алюминиевые, железистые (железные) и марганцевые породы. [1], с. 479-487.

Дополнительная литература: [2, 3, 4, 5].

Контрольные вопросы и упражнения:

1. Назовите и охарактеризуйте главные типы песчаных пород.

2. Назовите и охарактеризуйте главные типы карбонатных пород.

3. Что такое гравититы? Какими типами пород они представлены?

4. Перечислите породы, содержащие в своем составе значительную долю оксида алюминия.

5. Назовите породы – источники редких и редкоземельных элементов для промышленности.

Тема 9: Использование литогеохимических данных для реконструкции обстановок формирования осадочных последовательностей. Методы, подходы и приемы реконструкции палеоклимата, палеогеодинамических обстановок, состава пород в областях размыва. [4], с. 84-141.

Дополнительная литература: [1, 2, 3, 5].

Контрольные вопросы и упражнения:

1. Можно ли на основе данных химического анализа судить о климатических обстановках накопления глинистых пород?

2. Дают ли сведения о содержаниях в песчаниках и глинистых породах редких и рассеянных элементов возможность судить о составе пород в областях размыва?

3. Вы рассчитали величину CIA для образца глинистых сланцев и получили значение 78. О чем оно говорит?

4. Можно ли на основе данных химического анализа судить о палеогеодинамических обстановках накопления глинистых пород?

5. Для кислых магматических пород более типичен Th или Cr?

Вопросы
к экзамену по курсу «Литология»

1. Суть эволюционного направления литологических исследований.

2. Роль живых организмов в формировании осадочных образований.

3. Периоды глобальных похолоданий и теплые климатические эпохи в истории Земли.

4. Этапы изучения осадочных образований.

5. Выветривание. Что это такое? Типы выветривания и их общая характеристика.

6. Гумидный тип литогенеза Н.М. Страхова.

7. Суть первого этапа литологических исследований.

8. Основные агенты выветривания.

9. Аридный тип литогенеза Н.М. Страхова.

10. Суть второго этапа литологических исследований.

11. Суть процессов физического выветривания. Обстановки в которых проявляется физическое выветривание.

12. Геологическая роль жизни. Формы биогенной миграции.

13. Суть третьего этапа литологических исследований.

14. Суть процессов химического выветривания. Обстановки, в которых проявляется химическое выветривание.

15. Причины/факторы, обусловившие интенсивное изучение осадочных пород после Второй мировой войны.

16. Основные агенты химического выветривания.

17. Роль кислорода в формировании осадочных пород.

18 Основные направления исследований третьего этапа развития литологии.

19. Устойчивость различных минералов к воздействию процессов химического выветривания.

20. Прямое и косвенное воздействие жизни на осадочный процесс.

Рекомендуемая литература

1. Ежова А.В. Литология. Краткий курс [Электронный ресурс]: учебное пособие / А.В. Ежова. — Электрон. текстовые данные. — Томск: Томский политехнический университет, 2014. — 102 c. — 978-5-4387-0492-8. — Режим доступа: http://www.iprbookshop.ru/34674.html.

2. Кузнецов В.Г. Литология. Осадочные горные породы и их изучение: Учеб. пособие для вузов. М.: ООО «Недра-Бизнесцентр», 2007. 511 с.

3. Стерленко З.В. Литология [Электронный ресурс]: учебное пособие / З.В. Стерленко, К.В. Уманжинова. — Электрон. текстовые данные. — Ставрополь: Северо-Кавказский федеральный университет, 2016. — 219 c. — 2227-8397. — Режим доступа: http://www.iprbookshop.ru/66047.html

4. *Япаскурт О.В.* Литология. М.: Издательский центр «Академия». 2008. 336 с.

5. Литология: рабочая программа дисциплины для студентов специальности 21.05.02 Прикладная геология специализация № 3 Геология месторождений нефти и газа / Л.В. Бадида, С.В. Кривихин. Екатеринбург: УГГУ, 2020. 11 с.

МИНОБРНАУКИ РФ

ФГБОУ ВО «Уральский государственный горный университет»

УТВЕРЖДАЮ
Проректор по учебно-методическому комплексу
_____С.А.Упоров

МЕТОДИЧЕСКИЕ РЕКОМЕНДАЦИИ К ВЫПОЛНЕНИЮ КУРСОВОГО ПРОЕКТА ПО ДИСЦИПЛИНЕ

Б1.В.07 ГЕОЛОГИЯ И ГЕОХИМИЯ НЕФТИ И ГАЗА

Специальность:
21.05.02 Прикладная геология

Специализация:
Геология месторождений нефти и газа

форма обучения: очная

Автор: Кривихин С.В., к.г.-м.н., доцент

Одобрены на заседании кафедры
Литологии и геологии горючих ископаемых
(название кафедры)
Зав. кафедрой _____
(подпись)
к.г.-м.н., доц. Рыльков С.А.
(Фамилия И.О.)
Протокол № 2 от 06.10.2020
(Дата)

Рассмотрены методической комиссией
факультета геологии и геофизики
(название факультета)
Председатель _____
(подпись)
д.г.-м.н., проф. Бондарев В.И.
(Фамилия И.О.)
Протокол № 2 от 13.10.2020
(Дата)

Екатеринбург

ОГЛАВЛЕНИЕ

ВВЕДЕНИЕ....4
1. ПАЛЕОТЕКТОНИЧЕСКИЕ ПРОФИЛИ....7
2. ИЗОПАХИЧЕСКИЕ ТРЕУГОЛЬНИКИ....14
3. МОДЕЛИ ПРОГРЕВА....24
3.1. Построение моделей прогрева....24
3.2. Особенности установления степени катагенеза осадочных пород (на примере мезозойских отложений Западно-Сибирской плиты)....34
3.3. Пример построения и интерпретации модели прогрева....44

ЗАКЛЮЧЕНИЕ....51
АББРЕВИАТУРА....52
СПИСОК ЛИТЕРАТУРЫ....53

ВВЕДЕНИЕ

Изучение дисциплины «Геология и геохимия нефти и газа» для студентов специализации «Геология нефти и газа» предусматривает помимо лекционных и практических занятий также и написание курсовой работы, направленной на выработку у студентов навыков извлечения геолого-геохимической информации из результатов бурения скважин и лабораторных исследований, а также приемов изображения этой информации. Известно, что в геологии основной формой анализа полученных первичных данных являются графические документы – стратиграфические и литологические колонки; разрезы; геологические, структурные, литолого-фациальные и другие карты. Грамотно построенные графические документы, отражающие геологическое строение и основные этапы геологического развития территории, создают надежную основу для последующего выявления закономерностей размещения месторождений (залежей) нефти и газа.

Настоящее учебно-методическое пособие имеет целью помочь студентам освоить приемы интерпретации, в первую очередь материалов бурения скважин и графического изображения результатов их обработки. Пособие содержит описание приемов изображения анализа материалов бурения для определенных условий генерации углеводородов (УВ), определения объемов пород, участвующих в этой генерации (очаги нефтегазообразования), направления миграции образующих УВ и мест их скопления в зонах нефтегазонакопления (ЗНГН) и локальных ловушках различного типа. В конечном счете пособие имеет целью помочь студентам в написании курсовой работы по дисциплине «Геология и геохимия нефти и газа».

Задачи курсовой работы:

– закрепление и углубление знаний по изучаемой дисциплине путем проработки специальной литературы и реферативного изложения отдельных вопросов курса;

– овладение приемами графического изображения и анализа истории геологического развития конкретной нефтегазоносной площади, анализа и обобщения фактического и литературного материала по этой территории, прогнозирование положения по площади и в разрезе возможных скоплений УВ.

Для выполнения курсовой работы студент получает задание по конкретной площади (как правило в пределах известныхнефтегазопоисковых районов или областей Западно-Сибирской, Волго-Уральской и Лено-Тунгусской нефтегазоносных провинций (НГП)), на которой есть пять скважин с реальным геологическим разрезом, полученным по результатам бурения. По этим скважинам для определенных интервалов (обычно не менее 5-6) разреза приводятся следующие сведения:

1) возраст отложений (индекс), название свиты, индекс отражающего горизонта;

2) литологический состав пород, наличие нефтегазоносности;

3) мощности (толщины) отложений по выбранным интервалам.

Курсовая работа должна состоять из двух частей.

В первой части для конкретной территории по литературным источникам следует дать характеристику геологии и нефтегазоносности анализируемой территории, входящей в конкретный нефтегазоносный район (НГР) или нефтегазоносную область (НГО) по схеме:

1) стратиграфия и литология;

2) тектоника;

3) нефтегазоносность (коллекторы, флюидоупоры, ловушки, залежи, нефтегазоматеринские (НГМ) свиты, нефтегазоносные комплексы, положение площади в иерархии нефтегазоносных территорий, состав нефти (газа)).

Основная литература, рекомендуемая для написания первой части курсовой работы, приведена в конце настоящего учебного пособия [5, 7, 14]. Кроме этих обзорных работ желательно использование и более конкретной литературы – монографий, журнальных статей по объекту исследования – месторождению, НГР и т. д.

Во второй части курсовой работынеобходимо по исходным данным (сводный геолого-геофизический разрез месторождения (площади), геологические (или сейсмические) разрезы, структурные карты по поверхности фундамента и различным горизонтам осадочного чехла, литологический состав отложений, колонки и план расположения 5 скважин) расчленить осадочный разрез на оценочные литолого-стратиграфические комплексы и построить:

– сводный литолого-стратиграфический разрез;

– сводный геохронологический разрез;

– палеотектонические профили;

– изопахический треугольник;

– модель прогрева (при отсутствии других данных принять для верхней границы главной зоны нефтеобразования (ГЗН) температуру 60 °С и глубину 1,5 км, для нижней – соответственно 120 °С и 3 км).

С методикой построения сводных литолого-стратиграфического и геохоронологического разрезов студенты должны быть знакомы по предыдущему изучению ими таких дисциплин, как «Основы палеонтологии и общая стратиграфия» и «Историческая геология». Здесь отметим только, что в первом должны быть последовательно показаны: эратема, система, отдел, ярус, свита (горизонт, ЛСК, сейсмический интервал), пласт, глубина залегания подошвы конкретного интервала разреза, литологическая колонка, мощность (толщина) рассматриваемого интервала и его краткое литологическое описание. Во втором,соответственно, приводятся: эра, период, эпоха, век, литологическая колонка, мощность (толщина) интервала (в метрах), длительность его накопления (в млн лет) и скорость седиментации

(представляется в м/млн лет в цифровом и графическом виде). Вертикальный масштаб первого разреза выбирается в метрах, второго – в млн лет.

На изопахическом треугольнике по возможности следует показать элементы эволюционного треугольника [2]. По результатам выполненных построений дается анализ истории формирования структуры, глубины погружения отложений в определенные этапы геологического развития территории; прогнозируется время вхождения и длительность пребывания отложений в катагенезе, прослеживается, по возможности, изменение пространственного положения очага(ов) нефтегазообразования (НГОг) в ходе развития рассматриваемой площади, условия миграции и аккумуляции образующихся углеводородов.

Первая часть курсовой работы сопровождается картами, схемами, разрезами из литературных источников, вторая – выполненными построениями.

Объем курсовой работы должен составлять не менее 10 страниц текста, срок представления – по действующему рабочему учебному плану специализации 130101 – «Геология нефти и газа» 2011 г. – конец шестого семестра обучения (перед весенней экзаменационной сессией).

1. ПАЛЕОТЕКТОНИЧЕСКИЕ ПРОФИЛИ

Палеотектонические профили отражают глубину погружения отложений в определенные этапы геологического развития территории (рис. 1, 2) или акватории (рис. 3). Такие профили позволяют прогнозировать степень прогревания различных частей разреза и, таким образом, предположить время вхождения и длительность пребывания НГМ-отложений в определенных зонах генерации УВ. Построение палеотектонических профилей позволяет также оценивать палеогидрогеологические условия, определяющие условия миграции образующихся в ГЗН углеводородов. Их отрисовка является составной частью палеотектонического анализа, проводимого с целью оценки влияния кон- и постседиментационных тектонических процессов на формирование резервуаров УВ и нефтегазовых залежей на основе изменения толщин стратиграфических пачек пород.

Методика палеотектонических реконструкций, основанная на анализе мощностей, впервые была предложена Н. С. Шатским (1924) и получила дальнейшее развитие в работах В. В. Белоусова (1940), Р. Г. Гарецкого (1960), К. А. Машковича (1976), В. Б. Неймана (1984) и др. Она базируется на утверждении, что толщины стратиграфических пачек в осадочных бассейнах (ОБ) зависят от амплитудытектонических движений. По В. В. Белоусову (1940), «размер мощностей осадков связан прежде всего и главным образом с масштабом погружения земной коры». Ее погружение постепенно компенсируется накоплением осадков, а различие в мощностях на разных участках является следствием неравномерного погружения земной коры: на тех участках, где погружение происходит медленно, накапливаются осадки малой мощности, а где погружение происходит быстрыми темпами, там накапливаются осадки большей мощности. Отсутствие осадков объясняется тем, что участок находился в области размыва. Такая интерпретация мощностей позволяет использовать профили и карты толщин для восстановленияистории тектонических движений как регионального, так и локального уровней. По разности мощностей одновозрастных толщ, отложившихся на соседних участках, можно судить об амплитудах вертикальных движений блоков относительно друг друга: чем больше разность мощностей, тем интенсивнее были блоковые тектонические перемещения.

Таким образом, в основу построения палеотектонических профилей положен принцип выравнивания. При выравнивании выбранная опорная поверхность принимается за горизонтальную плоскость или линию, от которой строятся палеотектонические профили. Выравнивание является в значительной степени условным, так как не всегда выбранный для построения опорный пласт мог образовываться в «горизонтальных» условиях. То есть не всегда при завершении формирования циклов осадконакопления формируются поверхности выравнивания и реализуется процесс компенсированного осадконакопления. Погрешности метода анализа тол-

щин могут быть связаны и с неравномерным уплотнением разреза в процессе литификации пород.

По мнению А. В. Лобусева с соавторами (2008), метод анализа толщин не применим для восстановления истории тектонического развития по стратиграфическим границам бокового наращивания клиноформных комплексов, стратиграфических несогласий, размывов, перекомпенсированного формирования осадков (рифы, литологические границы баров и др.). В связи с этим и во избежание ошибок некомпенсированного прогибания рекомендуют принимать значительные интервалы разреза с законченным седиментационным мегациклом, внутри которого произошла компенсация неровностей палеорельефа трансгрессивной серией осадков, или строить их с учетом фациальных палеогеоморфологических условий образования (в соответствии с разной глубиной древних водных бассейнов и первичного уклона дна). Поэтому при построении палеотектонических профилей целесообразно, по мнению А. А. Бакирова с соавторами [3], составление корреляционных схем, анализ которых позволяет выявить причины изменения мощностей изучаемых комплексов и тем самым правильно выбрать горизонтальные плоскости уровней компенсации. Палеотектонические профили широко применяют в практике нефтегазопоисковых работ. Они являются наиболее простым геологическим документом, позволяющим наглядно демонстрировать изменения во времени геологического строения изучаемой территории одновременно по различным опорным поверхностям в одной выбранной плоскости.

Как уже было сказано выше, построение палеотектонических профилей основано на принципе выравнивания. Для этого по выбранному направлению строят современный геологический профиль и затем, начиная сверху, путем последовательного выравнивания различных стратиграфических границ получают серию палеотектонических профилей, показывающих изменение геологического строения по линии от эпохи к эпохе. Число палеотектонических профилей должно определяться расчлененностью стратиграфических разрезов и, в основном, количеством фаз проявления тектонических движений. Число последних устанавливается в зависимости от крупных несогласий, наблюдаемых в стратиграфическом разрезе изучаемой территории. Профили мощностей (профили компенсации) отдельных горизонтов и комплексов строят следующим образом. От горизонтальной линии, теоретически принимаемой за уровень компенсации (подошва перекрывающих отложений), в различных точках (скважинах) по профилю откладывают мощность стратиграфического комплекса, получая структурную поверхность его подошвы. В качестве примера на рис. 1 (*б*, *в*, *г*) представлена серия профилей мощностей, позволяющая проследить формирование крупных тектонических элементов Предкавказья в мезозойское время [2, 3]. Эти структуры в западной части Предкавказья в общем плане характеризовались унаследованным геологическим развитием с проявле-

нием преимущественно положительных тектоническихдвижений в Ейско-Березанском районе и преимущественно отрицательных движений в Тихорецко-Кропоткинской впадине. В центральной и восточной частях Предкавказьяунаследованность тектонического развития крупных структурных элементов в начале палеогенового времени (P_1-P_2) была нарушена. Ставропольский свод, постоянно испытывающий в мезо-кайнозое положительные движения, в этот период был вовлечен в глубокое погружение. Наоборот, территория Восточного Предкавказья, постоянно характеризовавшаяся преобладанием относительно нисходящих движений, в палеоцен-эоценовое время испытывала более замедленное опускание. Заканчивается серия описываемых профилей геологическим профилем, показывающим современное тектоническое строение (см. рис. 1, *а*).

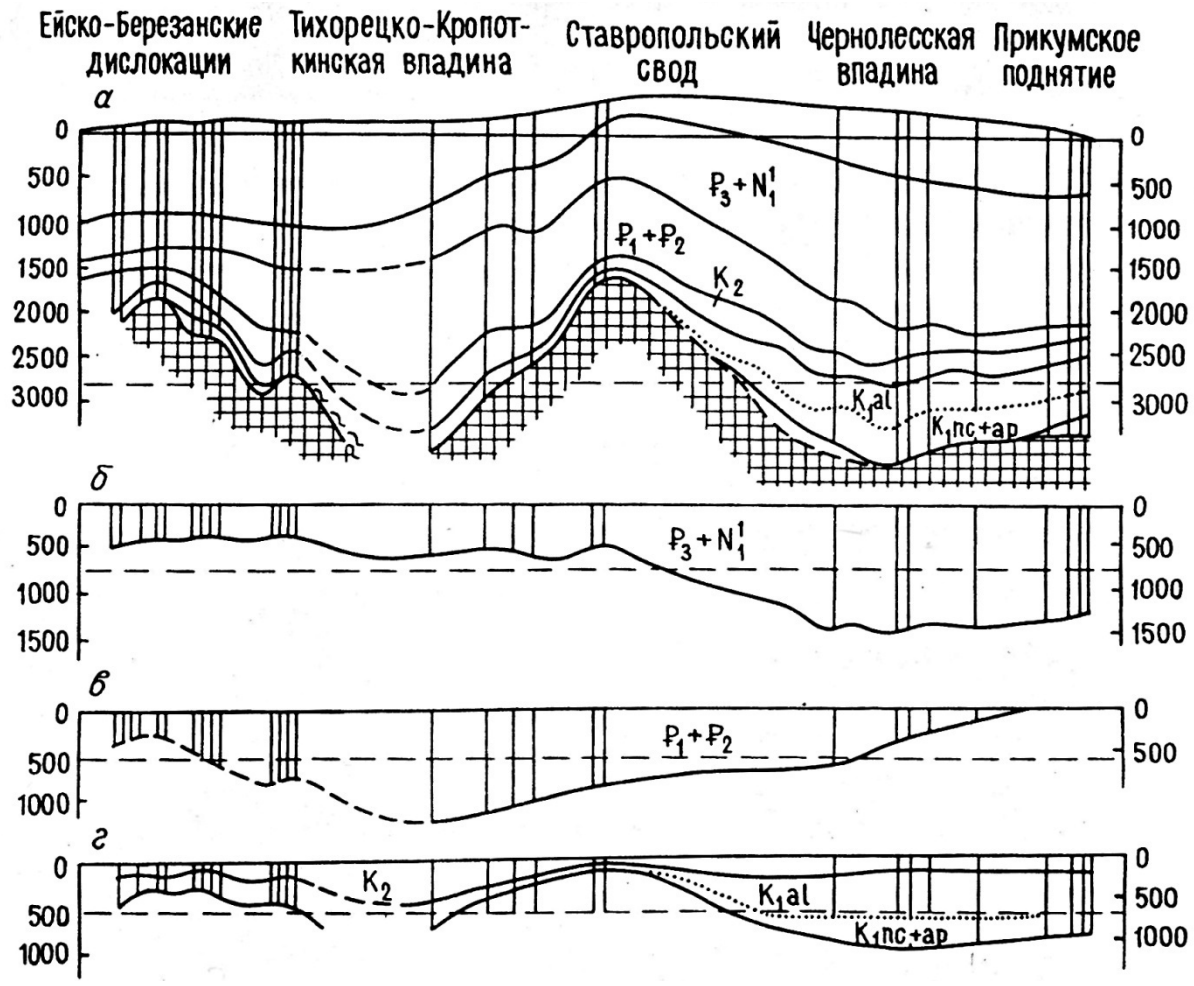

Рис. 1. Современный и палеотектонические профили (профили компенсации) Предкавказья (по Ю. А.Сударикову [2, 3]):
а – современный профиль; палеотектонические профили: *б* – к началу среднего миоцена (мощность майкопской серии), *в* – к началу майкопского времени (мощность палеоцена и эоцена), *г* – к началу палеогена (мощность мела)

На практике построение палеотектонических профилей часто начинают снизу и при этом последовательно наращивают мощности отложений вверх по разрезу, т. е. практически производят последовательное складывание профилей компенсации. В результате этого общая мощность геологических отложений на профилях постоянно увеличивается (см. рис. 2, 3).

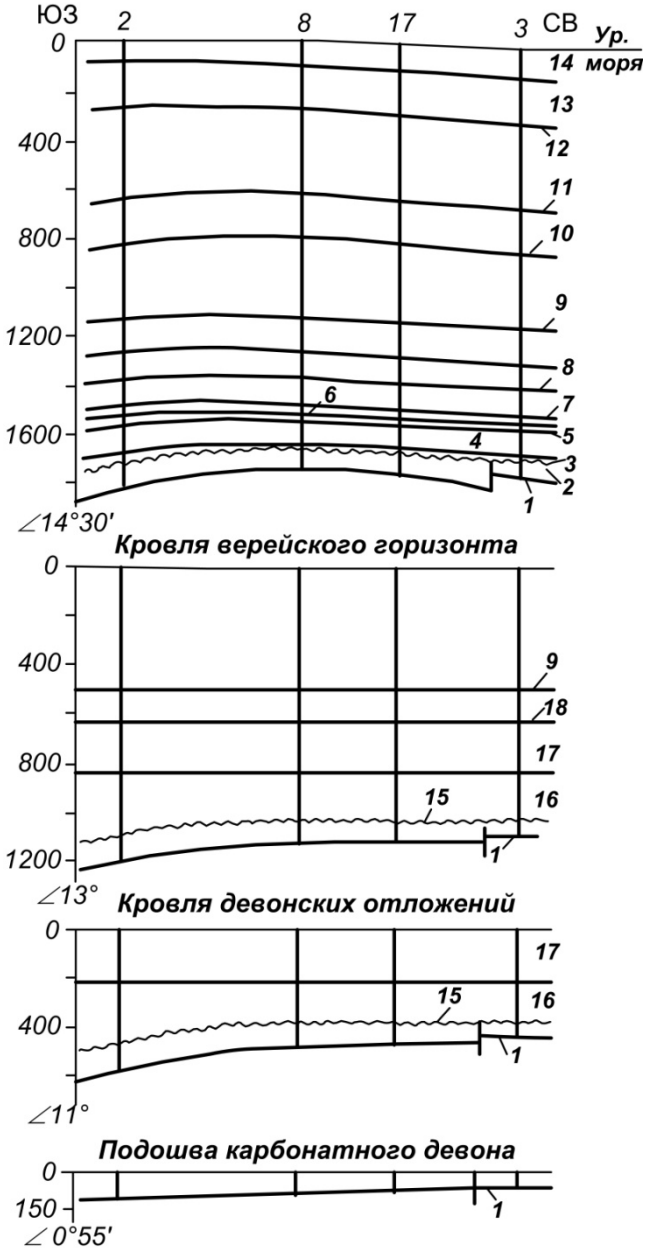

Рис. 2. Современный и палеотектонические профили вкрест простирания Генеральского поднятия (Саратовское Поволжье) [1]:

1 – кровля пласта D_2-V; отложения: *2* – живетские, *3* – кыновско-пашийские (D_3f_1),*4* – семилукские (D_3f_1), *5* – воронежские (D_3f_2), *6* – евлановско-ливенские (D_3f_2), задонско-елецкие (D_3fm_1), *7* – задонско-елецкие (D_3fm_1), *8* – данково-лебедянские (D_3fm_2); кровли: *9* – тульского горизонта (C_1v_2), *10* – нижнебашкирскогоподъяруса (C_2b_1), *11* – верейского горизонта (C_2m); *12* – поверхность палеозойских отложений; отложения: *13* – юрские, *14* – меловые, *15* – размытая поверхность живетских отложений, *16* – франские, *17* – фаменские; *18* – кровля девонских отложений

Вот как описывает эту методику построения Е. М. Максимов [10], основываясь на данных А. К. Машковича (1970): «…Профили выравнивания строятся вдоль линии скважин, начиная с наиболее древнего слоя. Мощности этого слоя (например, пласта D_2-Vживетского яруса, Саратовское Поволжье) откладывается вниз от горизонтальной линии, которая принимается за линию выравнивания (см. рис. 2). Концы отрезков линий, в масштабе изображающих мощность в каждой скважине, соединяются плавной линией. Эта линия будет изображать положение подошвы живетского яруса к началу франского века. Второй профиль выравнивания строится аналогичным образом, но к мощности слоя 1 (живетский ярус) добавляется мощность слоя 2 (франский ярус). Получится профиль выравнивания, изображающий положение подошв живетского и франского ярусов к началу фаменского века. Так же строятся и истолковываются все другие профили выравнивания, которые при палеогеологической интерпретации именуются палеоструктурными профилями…». Анализируя последовательно историю тектонического развития кровли пласта D_2-Vживетского яруса, характеризующую строение живетских отложений, и приняв поверхность размыва за практически горизонтальную, мы увидим, что к этому времени в пределах современного свода поднятия по пласту D_2-Vживетские отложения залегалимоноклинально с падением слоев на юго-запад под углом 0°55′ (на рис. 2 – подошва карбонатного девона). Рассматривая положение кровли пласта D_2-V к концу малевского времени (C_1t_1), можно увидеть, что и к этому времени сохранилось моноклинальное залегание живетских отложений с увеличением угла наклона на запад до 4°40′.* Залегание этих отложений продолжало оставаться моноклинальным и к концу верейского времени (C_2m) и, вероятно, только к началу мезозойской эры произошло опускание восточной части Генеральской площади и образование северо-восточного крыла складки в живетских отложениях. В современном структурном плане живетские отложения образуют асимметричную брахиантиклиналь с углами падения от 14°30′ на юго-западном крыле до 4°40′ на северо-восточном. Предполагается, что свод поднятия осложнен погребенным сбросом амплитудой около 40 м (из анализа структурных и палеоструктурных карт Генеральского поднятия [1]).

В качестве еще одного примера сошлемся на палеотектонический анализ, выполненный Ю. Ф. Федоровским и Е. В.Захаровым [17] в связи с геологическим прогнозированием нефтегазоносности карбонатных отложений в пределах российского шельфа Баренцева моря. Здесь Адмиралтейский вал и Центрально-Баренцевская зона поднятий, по данным Ю. Ф. Федоровского (2006, 2008), рассматриваются как крупные и наиболее

* Из-за сложности изображения в настоящем учебно-методическом пособии структурных и палеоструктурных карт Генеральского поднятия, знакомство с которыми облегчило бы понимание истории формирования этой структуры, мы адресуем заинтересованного читателя к первоисточнику [1]

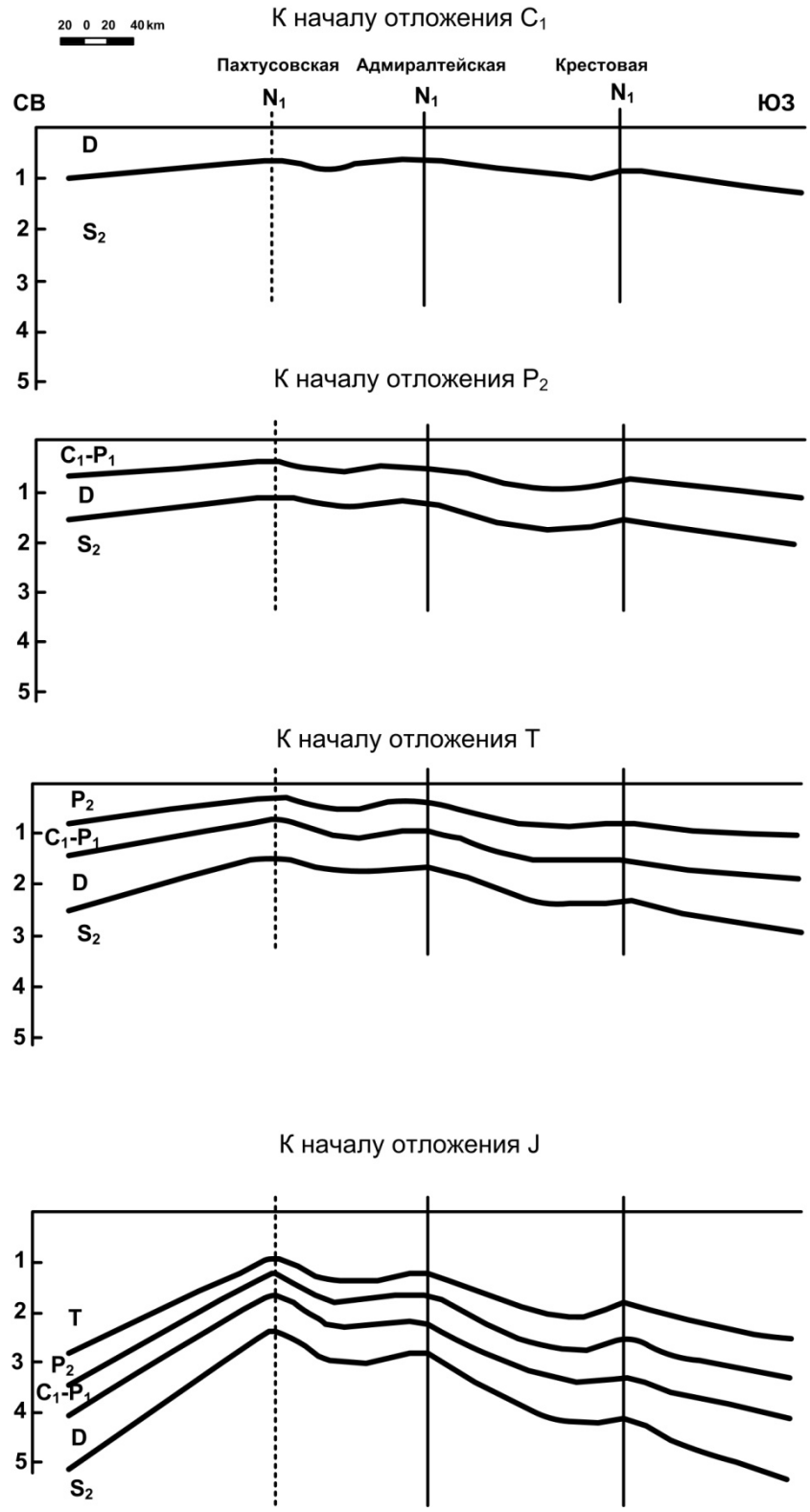

Рис. 3. Палеотектонические профили через Адмиралтейский вал [17]

перспективные в восточной части Баренцева моря зоны преимущественно-гонефтенакопления в карбонатных верхне-среднепалеозойских отложениях. В частности, в современном палеозойском разрезе Адмиралтейскойп-

лощади нефтегенерирующими могут считаться глинисто-аргиллитовые отложения верхнего девона, карбона и перми на глубинах от 2700 до 4200 м ($0{,}70\ \% \leq R_0 \leq 1{,}30\ \%$). Структуры в пределах Адмиралтейского вала по указанным отложениям попадают в «нефтяное окно» [ГЗН, – *В. Р.*]. При наличии коллекторов и покрышек, упомянутые нефтематеринские породы могли в течение мела и кайнозоя сформировать месторождения нефти на Адмиралтейской и Пахтусовской (к востоку от Адмиралтейского вала) площадях.На палеотектонических профилях, построенных по простиранию Адмиралтейского вала и свода Федынского, отчетливо видно, что на протяжении многих отрезков времени палеозойской и мезозойской эр они характеризовались устойчивым конседиментационным развитием. Эти поднятия развивались одинаково по основным этапам – позднедевонское, каменноугольное и раннепермское время (см. рис. 3).

Для дополнения истории геологического развития на палеотектонических профилях рекомендуют показывать размывы и несогласия между анализируемыми комплексами, а также внутри них. Желательно помечать также штриховкой или цветом тип осадков и условия их происхождения (континентальные, морские, мелководные, глубоководные). По мнению А. А. Бакирова с соавторами [3], все указанные данные в совокупности дают более или менее точную картину истории геологического развития по выбранному направлению.

После построения изопахического треугольника и модели прогрева (см. соответственно разделы 2 и 3 настоящего пособия) на отрисованные палеотектонические профили можно вынести дополнительную информацию (стадии и градации катагенеза отложений определенного стратиграфического горизонта – через индекс градации катагенеза, направление миграции флюидов и положение возможных залежей УВ).

2. ИЗОПАХИЧЕСКИЕ ТРЕУГОЛЬНИКИ

Для анализа формирования различных структур (чаще – локальных поднятий, в отдельных случаях и более крупных структурных элементов – валов, сводов и т. д.) составляют изопахический треугольник. Впервые метод его построения был предложен сотрудниками ВНИГНИ Ю. А. Каравашкиным и Е. Н. Пермяковым (1951). Он представляет собой комплект карт мощностей, палеоструктурных и структурных карт, показывающих динамику формирования структуры во времени.

Карты мощностей. Они могут быть построены для каждого стратиграфического горизонта (слоя, свиты, яруса и др.). Фактически материалом для таких построений обычно являются мощности, вычисленные по скважинам. По скважинам (и точкам) на карты наносят значения истинных мощностей изучаемого объекта и на основе интерполяции проводят изопахиты. По относительным изменениям мощностей судят о проявлениитектонических движений: положительных – по участкам относительного уменьшения мощностей, отрицательных – по участкам повышенных мощностей. В основе таких суждений лежит положение о связи интенсивности осадконакопления с размахом колебательных движений (подразумевается компенсирование осадконакопления, см. также раздел 1). Как уже отмечалось ранее, изменения мощностей могут быть связаны с размывом, неравномерным уплотнением различных литотипов пород, наличием погребенного рельефа и т. п. Чтобы исключить влияние указанных факторов увеличивают интервалы анализируемых мощностей: интервалы разреза, характеризующиеся наличием эрозионного рельефа, линзовидным строением и т. д., объединяют с другими частями разреза, нивелирующими искажения (в этом случае, однако, затушевываются детали и особенности формирования локальных структур). Для изучения истории геологического развития исследуемой территории обычно составляется серия карт мощностей, позволяющая проследить историю вертикальных движений [2].

Палеоструктурные карты представляют собой карты мощностей определенного стратиграфического комплекса. Они отображают условия залегания его подошвы на момент окончания накопления данного комплекса. Карта строится на основании предположения, что к моменту начала накопления вышележащей толщи произошла полная компенсация погружения осадконакоплением (т. е. верхняя поверхность толщи горизонтальна). При построении палеоструктурной карты выбирается условная нулевая поверхность (для каждой карты своя). За нее принимается поверхность опорного горизонта, на конец времени образования которого строится карта (рис. 4). Для анализа истории формирования структур строят серии палеструктурных карт, на которых изображается гипсометрическая структура опорного горизонта в разные моменты геологического времени. Делается это путем последовательного сложения мощностей изучаемого

комплекса с мощностями вышележащих (графическое суммирование карт мощностей при их наложении) [2].

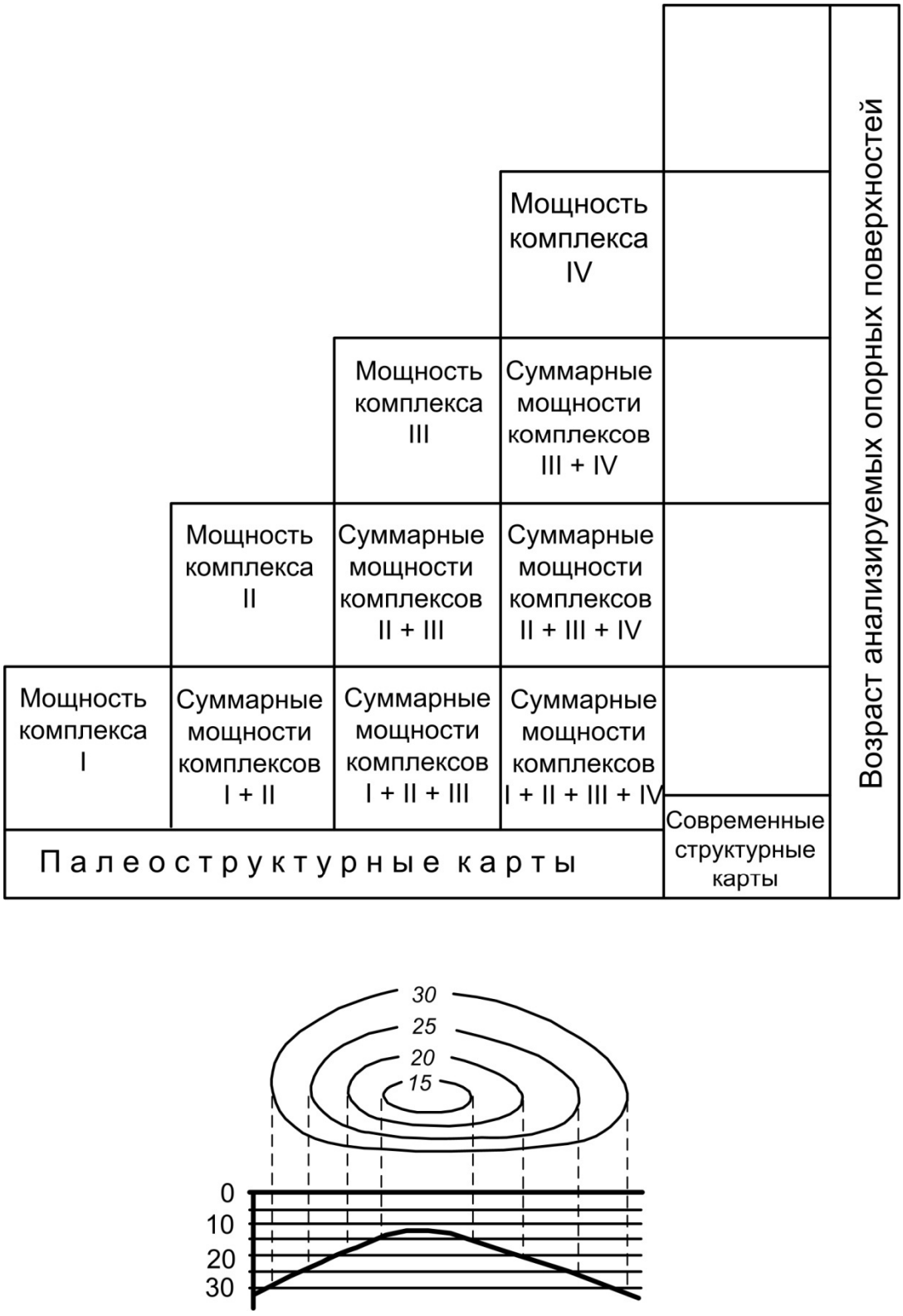

Рис. 4. Схема расположения карт в изопахическом треугольнике и принцип построения палеоструктурных карт [2]

Для построения изопахического треугольника выбирают ряд стратиграфо-тектонических поверхностей (по числу тектонических фаз, имеющих место в истории геологического развития изучаемой территории)* и поверхностей нефтегазоносных комплексов, структурный анализ которых имеет большое значение для оценки перспектив нефтегазоносности изучаемых площадей. Для исследования структур, не изученных бурением, в качестве объектов выбираются сейсмические поверхности (строятся карты мощностей между отражающими горизонтами – изохорический треугольник).

По количеству выбранных для анализа стратиграфо-тетконических поверхностей определяют общее число карт в изопахическом треугольнике

$$m_n = (n + 1)n/2,$$

где n – количество выбранных для анализа объектов стратиграфических поверхностей,

m_n – общее число карт.

Между указанными величинами существует следующая зависимость:

n 2	3	4	5	6	7
m3	6	10	15	21	28

В изопахическом треугольнике в правом вертикальном ряду представлены современные структурные карты по выбранным горизонтам. Они позволяют проследить современное изменение строения по разрезу. Горизонтальные ряды начинаются (слева) с палеоструктурной карты мощностей анализируемого комплекса и продолжаются во времени структурных планов изучаемых горизонтов для различных этапов времени – от самого древнего до современного. Развитие каждого более молодого (вышерасположенного) горизонта начинается на этап позже предыдущего, поэтому каждый новый ряд оказывается на одну карту короче (в результате этого схема и приобретает форму треугольника) (см. рис. 4).

В изопахическом треугольнике применяются различные варианты расположения карт. Одни из них показан на рис. 5, *А*, составленном Б. А. Соколовым с соавторами [2] для Средне-Вилюйского газоконденсатного месторождения (Лено-Вилюйская ГНП). Как видно из рисунка, крайний правый вертикальный ряд карт представляет собой серию современных структурных карт по нескольким выбранным опорным горизонтам, которые позволяют проследить изменение строения рассматриваемой территории по стратиграфическому разрезу. Каждый вертикальный ряд, располагающийся параллельно ряду современных структурных карт, представляет

* При этом рекомендуется выбрать минимальное число стратиграфо-тектонических поверхностей, с тем, чтобы при анализе истории геологического развития изучаемой территории были освещены как эпохи тектонических перестроек, так и периоды спокойного тектонического развития [3].

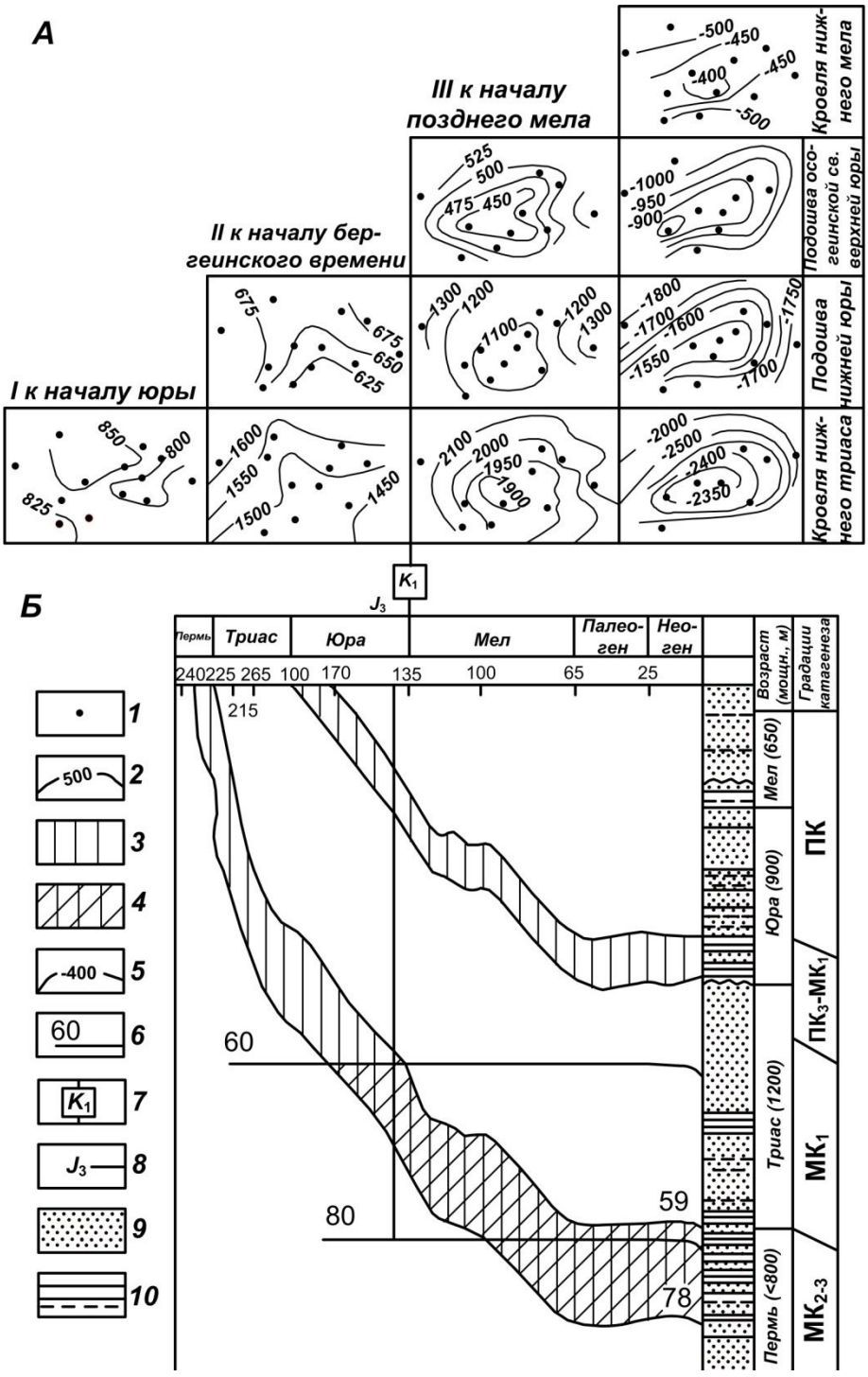

Рис. 5. Генерационно-аккумулятивный хроно-блок. Средне-Вилюйское месторождение (Соколов, Ларченков, 1978):

А – изопахический треугольник; *Б* – модель прогрева*; *1* – скважины; *2* – изопахиты (м); *3* – нефтегазоматеринские отложения; *4*–нефтегазопроизводящие слои (в очаге $НГО_г$); *5* – стратоизогипсы (м); *6* – изотермы (°С); *7* – время формирования ловушки; *8* – время вступления материнской толщи в очаг $НГО_г$; *9* – песчаники и алевролиты; *10* – глины

* Методика построения модели прогрева и комментарий к рис. 5, *Б* приведены в разделе 3 настоящего учебно-методического пособия.

собой серию палеоструктурных карт по нескольким опорным горизонтам, построенным для отдельных этапов геологического времени. Горизонтальные ряды карт изопахического треугольника являются сериями палеоструктурных карт, которые дают возможность проследить изменение во времени структурных планов по одному из выбранных опорных горизонтов. Таким образом, время на схеме как бы «течет» слева направо. По гипотенузе располагаются простейшие палеоструктурные карты (карты мощностей анализируемых комплексов).

Другой вариант изображения изопахических треугольников для унаследованных и «молодых» структур (по «палеотектонической» классификации локальных поднятий К. А. Машковича [1][*] приведен на рис. 6 и 7. На рис. 6 показан изопахический треугольник Соколовогорского поднятия (Степановский вал, Саратовское Поволжье, Волго-Уральская НГП), являющегося представителем унаследованных структур. Структуры этого типа характеризуются относительным совпадением в плане сводовых частей, поднятий по всем слагающим их отложениям, закономерным увеличением со стратиграфической глубиной углов падения на крыльях и для ряда слагающих структуру стратиграфических комплексов сокращением их мощностей по направлению к своду поднятий (конседиментационные поднятия).

Девонское поднятие Соколовогорской структуры отражено в ней в вышележащих каменноугольных и мезозойских отложениях. По кровле пласта $Д_2$-Vживетского яруса это поднятие представляет собой асимметричную брахиантиклинальную складку с более крутым юго-западным крылом, где углы падения достигают 20°. Северо-восточное крыло более пологое, с углами падения до 3°30′(рис. 6, *I*). На своде Соколовогорского поднятия отсутствуют морсовские отложения (D_2gv), вскрываемые скважинами на крыльях. Это позволяет предположить, что оно формировалось уже в среднем девоне. Более детально последовательные этапы тектонической жизни можно проследить, начиная с живетского века. Антиклинальное строение пласта $Д_2$-V фиксируется уже к концу кыновского времени (D_3f_1; рис. 6, *II*). Положение в плане и форма Соколовогорского поднятия с течением времени существенно не изменялись за исключением постепенного увеличения углов падения на крыльях (см. рис.6, *II –V*).

Прослеживая развитие поверхности кыновско-пашийских (D_3f_1) отложений во времени, можно установить, что к малевскому (C_1t_1) времени поднятие в них существовало (см. рис. 6, *VII*). К концу верейского (C_2m_1) времени и батского века оно сохраняло в кыновско-пашийских отложениях свою прежнюю форму и положение в плане с постепенным увеличением углов падения (см. рис. 6, *VIII*, *IX*). В современном структурном плане углы падения в этих отложениях на юго-западном крыле составляют 3°30′, а на северо-восточном – 2° 30′.

[*] К. А. Машкович выделил зоны поднятий трех категорий: древнего заложения и длительного конседиментационного роста, новообразованных и инверсионных.

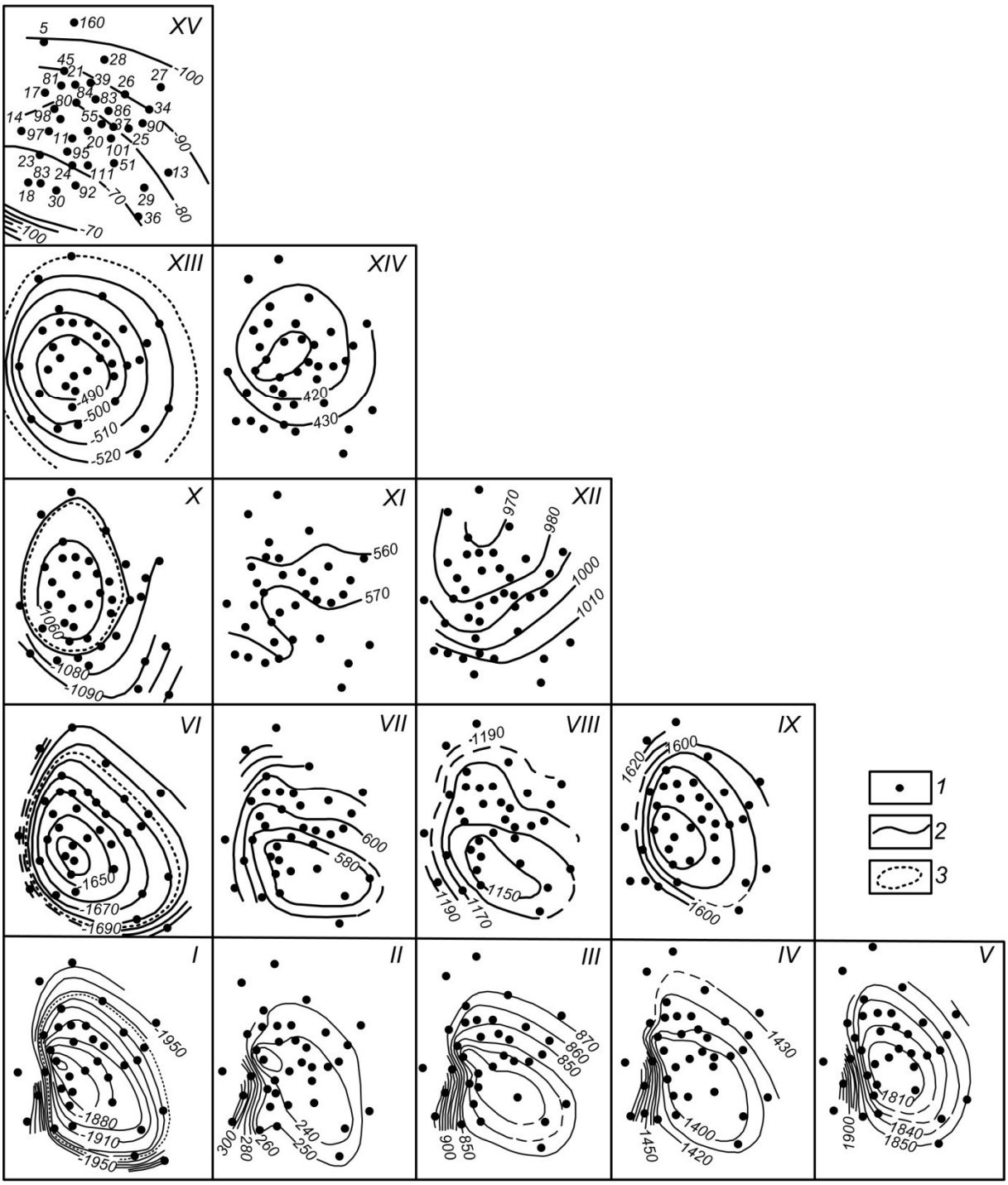

Рис. 6. Структурные и палеоструктурные карты Соколовогорского поднятия [1]:
1 – скважины; 2 – изогипсы и изопахиты; *3* – контуры нефтяных и газовых залежей

Малевские отложения нижнего карбона в современном структурном плане образуют пологое поднятие. Углы падения изменяются от 3°45' на юго-западном крыле до 2°30' на северо-восточном. К концу верейского времени малевские отложения образовали моноклиналь, наклоненную на юг, и только к концу батского (точнее, к началу среднеюрского) времени в

нижнекаменноугольных отложениях сформировалось поднятие. По мнению К. А. Машковича [1], в данном случае мы, по-видимому, получаем искаженное представление о действительном положении древнего свода вследствие регионального (с юга на север) сокращения мощности каменноугольных отложений в интервале от кровли малевского горизонта до кровли верейского (рис. 6, *XI*).

По кровле верейскихотложений Соколовогорское поднятие приобретает более округлую форму и еще более пологие углы падения (до 1°14' в северо-восточном крыле). К концу батского века поднятие в верейскихотложениях уже существовало (рис. 6, *XIII, XIV*).

Разрез палеозойских отложений от кровли пласта $Д_2$-V до поверхности палеозоя на своде Соколовогорского поднятия сокращен на 232 м по сравнению с их мощностью в прогибе, отделяющем это поднятие от соседнего, расположенного к востоку.

В отложениях живетского и франского ярусов девонской системы и в каменноугольных отложениях Соколовогорского месторождения содержится 13 продуктивных горизонтов.

Представителем «молодых» (позднего формирования) структур является Гусихинская, расположенная в Сурско-Мокшинской зоне поднятий (Волго-Уральская НГП). Девонские отложения на Гусихинской площади вскрыты четырьмя скважинами, позволяющими достаточно уверенно осветить историю тектонического развития (рис. 7). При сопоставлении мощности терригенных отложений девонской системы от кровли пласта $Д_2$-Vживетского яруса до кровли кыновско-пашийских отложений (D_3f_1) обращает на себя внимание малая ее изменчивость по всем четырем скважинам (в пределах 268–274 м). Постоянство мощности терригенных девонских отложений на Гусихинской площади позволяет сделать вывод, что к концу кыновско-пашийского времени поднятия в живетских отложениях здесь не существовало. К концу тульского и верейского времени поднятие в девонских отложениях также не сформировалось, о чем свидетельствует моноклинальное залегание живетских отложений к этому времени (см. рис. 7, *II–IV*). В современном же структурном плане живетские отложения образуют антиклинальную складку северо-восточного простирания с более крупным юго-восточным крылом, где углы падения достигают 9–10° (см. рис. 7, *I*).

Положение подошвы карбонатных девонских отложений на конец тульского и верейского времени также свидетельствуют о моноклинальном залегании с падением на юго-восток под углом 0°40´ (см. рис. 7, *VI*, *VII*).

Сопоставление мощности отложений от кровли тульского горизонта до кровли верейского выявляет удивительное, по мнению К. А. Машковича [1], ее постоянство (она изменяется от 332 до 334 м, т. е. всего на 2 м).

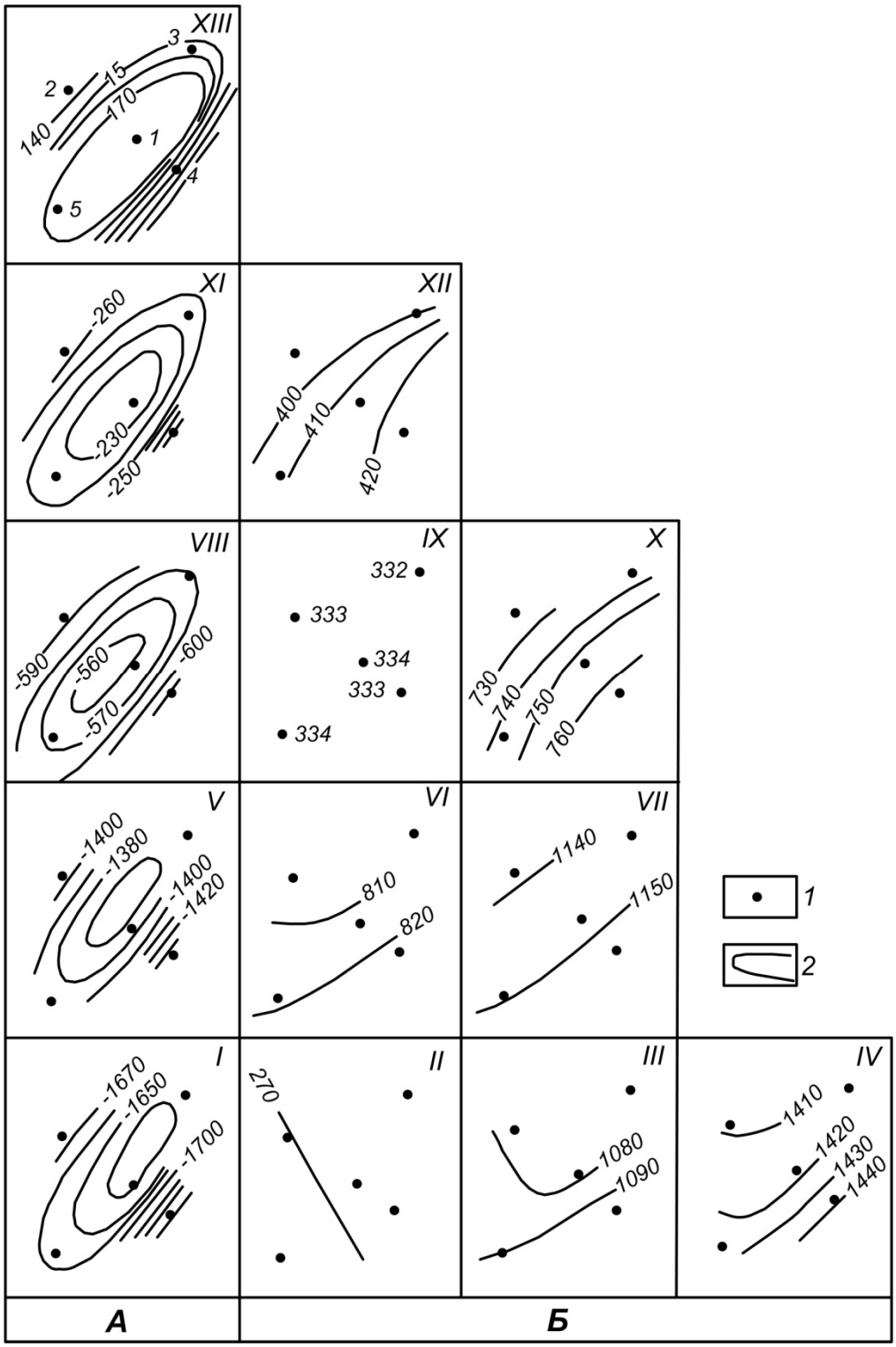

Рис. 7. Структурные и палеоструктурные карты Гусихинского поднятия [1]:
А – структурные карты:*I* – по кровле пласта D_2-V; *V* – по подошве карбонатных девонских отложений; *VIII* – по кровле тульского горизонта (C_1v_2); *XI* – по кровле верейского горизонта (C_2m); *XIII* – по кровле барремского яруса; Б – палеоструктурные карты:*II* – кровля пласта D_2-V; к началу отложения карбонатного девона; кровля пласта D_2-V к концу: *III* – тульского и *IV* – верейского времени; подошва карбонатных девонских отложений к концу: *VI* – тульского и *VII* – верейокого времени; кровля тульского, горизонта к концу: *IX* – верейского времени и *X* – барремского века; *XII* – кровля верейского горизонта к концу барремского века;*1* – скважины; *2* – изогипсы и изопахиты

Это позволяет говорить о практически горизонтальном положении кровли тульского горизонта к концу верейского времени (см. рис. 7, *IX*). К концу барремского века тульские отложения залегали моноклинально с наклоном на юго-восток под углом 0°50′ (см. рис. 7, *X*).

В современном структурном плане в каменноугольных отложениях фиксируется брахиантиклинальная складка северо-восточного простирания с углами падения на северо-западном крыле 1°50′ и на относительно крутом юго-восточном – до 9°.

Гусихинская складка сформировалась в третичный период, так как на основании исследований, проведенных В. Я. Дороховым, палеогеновые отложения, залегающие на ее крутом крыле, достигают 22°. Ближе к своду в верхне- и нижнемеловых отложениях они уменьшаются последовательно до 11°4′.

Пробуренные на описанном поднятии скважины не обнаружили залежей нефти и газа в разрезе девонских и каменноугольных отложений, что, по-видимому, является следствием позднего времени его формирования (миграция УВ в отложениях девона и карбона к этому времени закончилась).

Следует отметить, что вариант построения изопахического треугольника К. А. Машковича (см. рис. 6, 7) позднее был подвергнут критике В. Б. Нейманом [12]. По мнению последнего, в отличие от авторов метода (Ю. А. Каравашкина и Е. Н. Пермякова) на схемах К. А. Машковича(см. рис. 6, 7) «… уже не существует одновременности вертикальных рядов изопахических схем, так как схемы вышерасположенных рядов относительно нижерасположенных последовательно сдвинуты влево. Единовременные схемы приходится находить «по диагонали», что усложняет восприятие построений. К тому же изображаемые на схемах современные структурные карты помещены слева от палеотектонических, хотя направленность времени (слева направо) заставляет помещать их в правой части чертежа…». Поэтому неудивительно, что первичный вариант метода применяется в настоящее время значительно чаще (например, учеными: МГУ – см. рис. 4, 5, [2]; РГУНГ – [3]; ИНГГ им. А. А. Трофимука СО РАН – [18]).

В завершение этого раздела отметим еще раз, что в общем случае на палеоструктурных картах изолиниями максимальных значений мощности отображаются палеовпадины и палеопрогибы, а изолиниями сокращенных значений – палеосводы, палеовалы, палеокупола и другие палеоподнятия – потенциальные структурные ловушки нефти и газа. По разности мощностей можно оценить амплитуду конседиментационного роста и крутизну склонов палеоподнятий для каждого отрезка геологического времени. Построив серию карт изопахит (карт мощности) можно определить как менялись конфигурации и размеры структур за период накопления всей осадочной толщи [10].

В целях прогноза нефтегазоносности площадей по времени формирования локальных структур, не исследованных бурением, рекомендуются первые палеоструктурные построения проводить по данным детальных сейсмических исследований, записанным на магнитных носителях. При благоприятных сейсмогеологических условиях сейсморазведка может дать удовлетворительные материалы для построения карт мощностей между отражающими горизонтами. Палеотектоническая интерпретация их производится так же, как и профилей выравнивания. Примерами таких построений является серия статей ученых ИНГГ им. А. А. Трофимука СО РАН, опубликованных в журнале «Геология нефти и газа», № 5 за 2011 г. (стр. 92–127), и посвященных структурной характеристике и истории тектонического развития ряда нефтегазоносных площадей на северо-востоке и востоке Западно-Сибирской НГП.*

*Из-за большого объема приведенного там материала и сложности воспроизведения представленных там карт показать их в настоящем пособии не представляется возможным.

3. МОДЕЛИ ПРОГРЕВА

3.1. Построение моделей прогрева

Для установления начала времени нефтегазообразования, выделения эпох наибольшей интенсивности этого процесса, прослеживания изменений в пространственном положении (по площади и глубине) очага НГО,* применяется анализ истории погружения НГМ-толщ, названный *методом моделей прогрева*. Этот метод, используемый в комплексе с геохимико-литологическими и палеотемпературными исследованиями, дает возможность не только прогнозировать интервал осадочного разреза, находящегося в ГЗН, но также определить длительность пребывания каждой НГМ-свиты в условиях, оптимальных для нефтегазообразования, выяснить историю нефтегазообразования на фоне общей истории формирования нефтегазоносных бассейнов (НГБ) [16].

Прежде чем рассмотреть методику построения модели прогрева, целесообразно, по нашему мнению, напомнить читателям некоторые общие аспекты вертикальной зональности нефтидогенеза. Накопленный к настоящему времени материал показывает, что глубинное расположение залежей нефти, газа и газоконденсатных систем (ГКС) в недрах НГБ или НГП определяется, главным образом, глубинной зональностью генерации нафтидов различного фазового состояния. Наивысшим достижением в области составления схем вертикальной зональности нафтидогенеза было в нашей стране разработанное Н. Б. Вассоевичем совместно с сотрудниками кафедры геологии и геохимии горючих ископаемых МГУ (1969 г.) учение о главной фазе нефтеобразования (ГФН). В 1974 г. Н. Б. Вассоевич опубликовал «Принципиальную схему вертикальной зональности генерации метана, жирного газа и нефти органическим веществом (ОВ) в процессе литогенеза», в которой присутствовали следующие генерационные зоны (сверху вниз): диагенетическая зона газообразования, верхняя катагенетическая зона газообразования (низов протокатагенеза), ГЗН (градации катагенеза $МК_{1-3}$), зона образования газоконденсатов (градации катагенеза $МК_{3-4}$), нижняя катагенетическая зона или ГЗГ (градации катагенеза $МК_5$ – $АК_1$) (рис. 8). В дальнейшем Н. Б. Вассоевич отказался от термина «главная зона газообразования», полагая, что в зависимости от конкретных условий главной зоной может быть либо верхняя, либо нижняя катагенетические зоны газообразования.

*Очаг нефтегазообразования (НГО) – часть нефтематеринских (НГМ) пород, находящихся в ГЗН и главной зоне газообразования (ГЗГ), где проявляются оптимальные условия для генерации и миграции УВ (Соколов, 1975). Очаг в пределах осадочного бассейна возникает, когда первая из накопившихся нефтематеринских толщ оказывается на глубинах с термобарическим условиями, соотвествующими ГЗН.

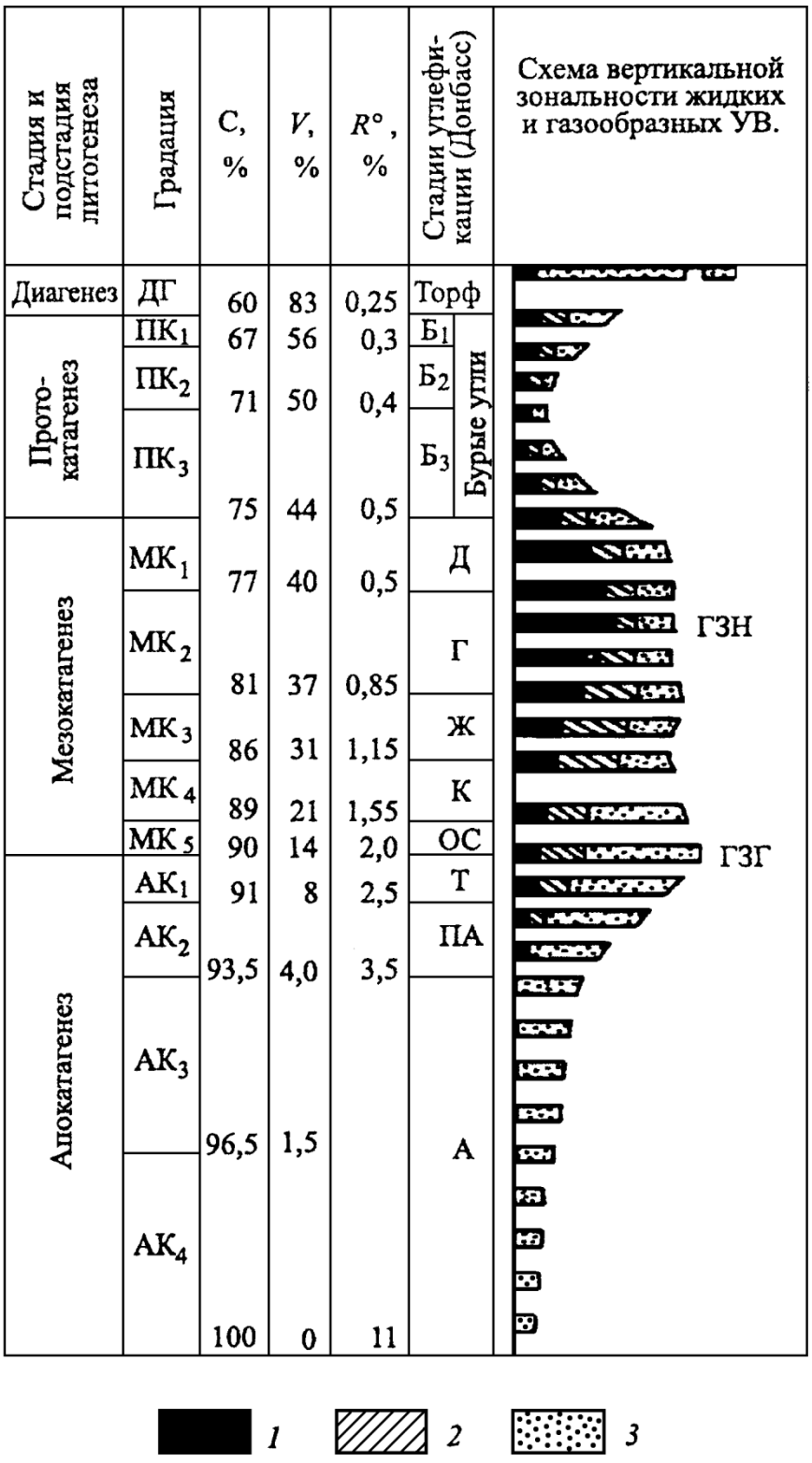

Рис. 8.Соотношение процессов генерации жидких и газообразных УВ с общей шкалой катагенеза (углефикации) (по Н. Б. Вассоевичу) (заимствовано из работы В. Н. Волкова «Основы геологии горючих ископаемых», 2005 г.):

1 – нефть; *2* – жирный газ; *3* – метан; *ГЗН* – главная зона нефтеобразования, «нефтяное окно», *ГЗГ* – главная зона газообразования, *C* – содержание углерода, *V* – выход летучих веществ, *R°* – показатель отражения (все три характеристики – по витриниту)

В 1976 г. А. Э. Конторович и А. А. Трофимук, используя материалы А. М. Акрамходжаева, Н. Б. Вассоевича, В. С. Вышемирского, А. А. Карцева, С. П. Максимова, М. С. Моделевского, С. Г. Неручева, В. А. Соколова, В. А. Успенского, а также данные свои собственные и зарубежных исследователей (Дж. Ханта, Б. Тиссо, Д. Вельте и др.), предложили схему интенсивности генерации нефти и газа и распределения их ресурсов в стратисфере, которая до настоящего времени являлась наиболее признанной. Согласно этой схеме в разрезе НГБ выделяются четыре основные зоны генерации фазоворазличныхнафтидов (сверху вниз): диагенетическая зона газообразования и зона накопления гидратов газов, верхняя зона интенсивного газообразования и газонакопления, ГЗН и, наконец, глубинная зона интенсивного газообразования и газонакопления (рис. 9). В дополнение к схеме вертикальной зональности образования УВ Н. Б. Вассоевича (см. рис. 8) Е. И. Тараненко с соавторами включают в нее данные по изотопному составу углерода метана ($\delta^{13}C$), который, по их мнению, чутко реагирует на катагенетическое преобразование керогена и является «умеренным индикатором степени катагенеза ОВ…». На основе схемы вертикальной зональности нафтидогенеза Н. Б. Вассоевичасотрудниками кафедры геологии и геохимии горючих ископаемых МГУ была разработана методика построения и анализа модели прогрева НГМ-отложений в процессе катагенеза. Для ее построения используется конкретный разрез скважины, принимаемый за ось ординат (рис. 10). По оси абсцисс откладывается время в млн лет, отвечающее геологическому возрасту пород, слагающих разрез. Затем на диаграмму наносятся эпейрогенетические кривые, отражающие постепенное изменение глубины залегания отдельных стратиграфических подразделений, включающих НГМ-свиты, от начала их образования, т. е. от нулевых мощностей, когда толща только появляется, до современного положения, установленного бурением. Так воссоздается картина последовательного достижения конкретными НГМ-толщами различных глубинных интервалов и, следовательно, различных температурных зон. На диаграмме по оси ординат отмечается температурный интервал, соответствующий ГЗН. Для этого используются данные замеров современной температуры в скважине, а также все сведения о палеотемпературах.

Для корректировки положения ГЗН необходимо учитывать имеющиеся геохимические, углепетрографические, литологические и другие показатели катагенеза пород и ОВ, получаемые в процессе изучения разрезов скважин [2]. Все эти показатели различными значками можно показать на вертикальной оси. Верхняя граница ГЗН выделяется на графике

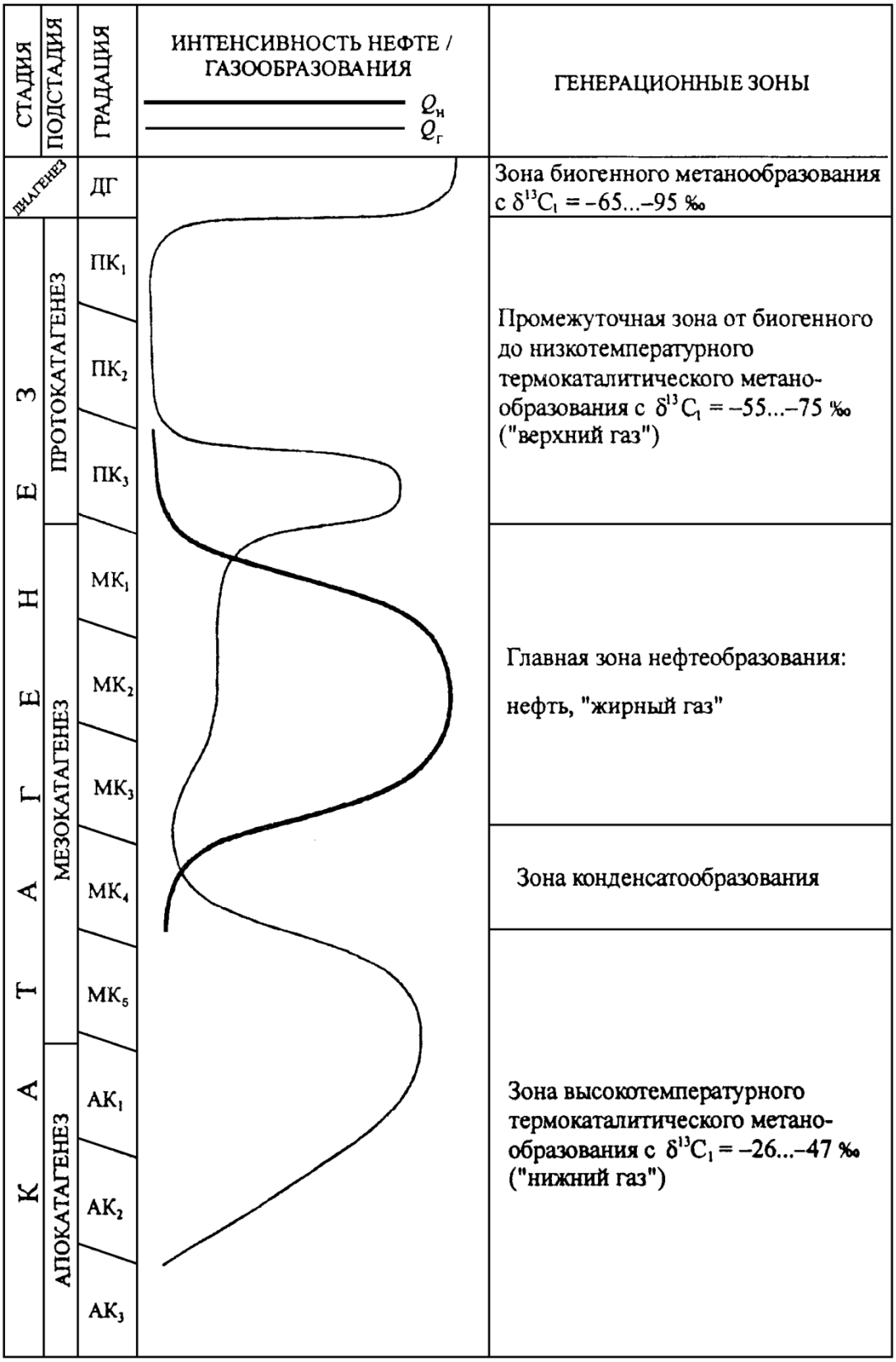

Рис. 9. Обобщенная традиционная схема вертикальной зональности нафтидогенеза (заимствовано из работы Е. И. Тараненко и др. «Современные аспекты вертикальной зональности нафтидогенеза», 2008)

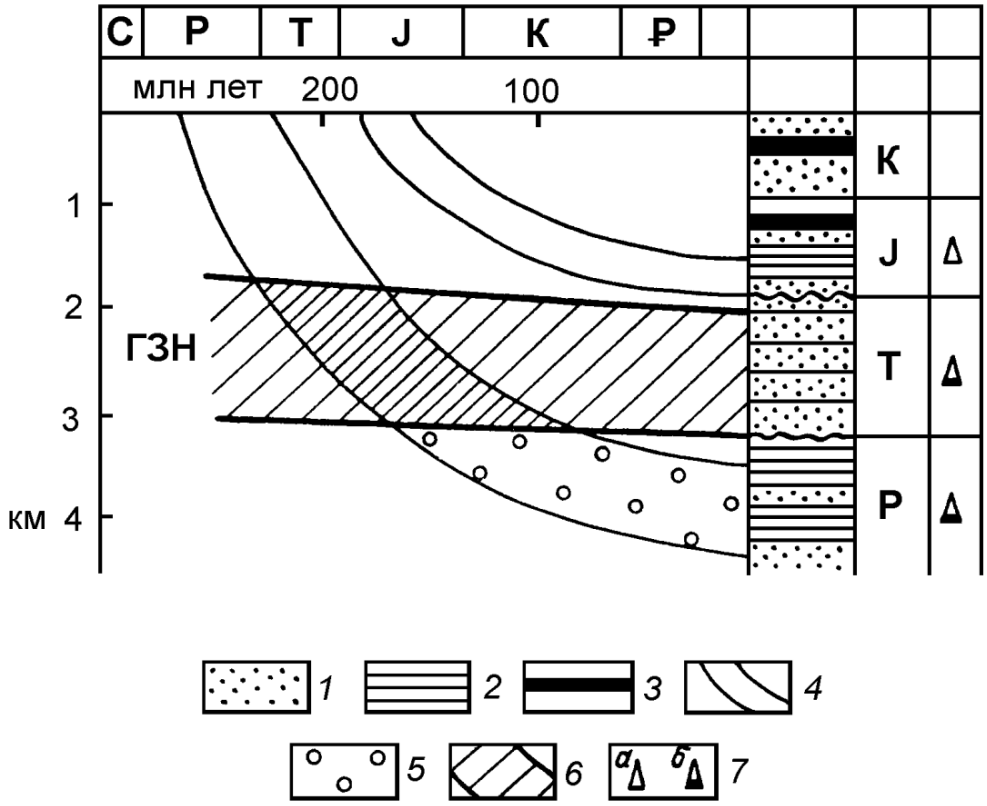

Рис. 10.Принцип построения-модели прогрева (Соколов, Ларченков, 1985):
1 – песчаники; *2* – глины; *3* – каменный уголь; *4* – нефтематеринские породы; *5* – газопроизводящие породы; *6*– ГЗН;*7* – залежи: *а* – газовые, *б* – нефтяные и нефтегазовые

соответствующей линией (60 °С; 1,5 км – при отсутствии других данных).* Нефтематеринские свиты, находящиеся ниже указанной линии, оказываются вочаге $НГО_г$. По модели прогрева можно установить время начала вступления нефтегазопроизводящих пород в очаг $НГО_г$, если спроектировать на временную шкалу точку пересечения этой линии с кривой, соответствующей подошве генерируемой толщи. Точка пересечения кривой, отвечающей кровле производящей свиты с нижней границей ГЗН (120 °С, 3 км – при отсутствии других данных), фиксирует время выхода свиты из ГЗН.**

*В качестве примера расположения верхней границы ГЗН (или так называемого «нефтяного окна») сошлемся на И. М. Гурьева [6], который для юго-восточной части Надымской впадины и Северного Приобья указывает на глубину около 1700 м. По данным В. А. Скоробогатова и Д. А. Соина[15], эта граница в нижнемеловых породах п-ва Ямал залегает в диапазоне 1,25–1,40 км (в зоне Харасовейско-Крузенштерновской геотермической аномалии – геотермический градиент до 4,5 °С/100 м) до 1,8–2,2 км в Тамбейской зоне, или в диапазоне современных температур 55-65 °С на Новопортовской площади.

**Опять же в качестве примера приведем данные И. М. Гурьева [6], который показывает глубину перехода из зоны нефтегенерации в зону газогенерации на отметках 4000–4100 м.

Время вхождения и выхода НГМ-отложений в ГЗН, ГЗГ и длительность пребывания в них обычно указывается в млн лет, для чего используется приводимая в различных источниках общая стратиграфическая шкала. Вот как, например, указывает И. М. Гурьев [6] возраст основных стратиграфических горизонтов при рассмотрении им катагенетических преобразований НГМ-пород в истории развития юго-восточной части Надымской впадины (Западно-Сибирская НГП) (табл. 1).

Таблица 1

Возраст основных стратиграфических горизонтов (Надымская впадина, Надым-Пурской НГО)

Свита, горизонт (кровля)	Абсолютный возраст, млн лет	Свита, горизонт (кровля)	Абсолютный возраст, млн лет
Дневная поверхность	0	ВикуловскаяK_1ap-K_1al	113
Неоген	1,8	ЧеркашинскаяK_1g-br	118
ТавдинскаяP_2^2-P_2^3	33,7	Ахская K_1be_2-K_1g	128
ЛюлинворскаяP_1^3-P_2^1	43,6	Баженовская J_3tt-K_1be_1	144
ТалицкаяP_1	59,0	Абалакская J_2k-J_3km	152
Ганькинская K_2cp_2-K_m	63,6	Тюменская J_2aa-J_2bt	169,5
Березовская K_2cn-K_2cp_1	74,5	Котухтинская J_1p-t	187
Кузнецовская K_2t	88,5	Акустический фундамент	198
Ханты-Мансийская K_2al-K_2cm	97,5		

Примечание. Возрастные индексы взяты из разных литературных источников

Конкретный пример построения модели прогрева приведен на рис. 11 [16]. На нем изотермы 50–60 и 120-150 °С очерчивают глубинный интервал, отвечающий зоне проявления ГФН. Вертикальные линии, проведенные через точки пересечения указанных изотерм с выделенными НГМ-свитами, позволяют установить время вхождения определенных свит в зону ГФН, длительность пребываниях их в зоне и время выхода из нее. Таким образом, устанавливается пространственно-временное положение нефтепроизводящей свиты для конкретного участка бассейна.

При построении моделей прогрева по сериям пересекающих бассейн профилей (что выходит, разумеется, за рамки настоящей курсовой работы, но несомненно расширяет представление студента об эволюции осадочного бассейна и нефтегазообразовании в нем), исследователь будут иметь профильные модели прогрева, показывающие историю нефтегазообразования для бассейна в поперечном или продольном сечении (пример такой профильной модели приведен на рис. 12). По серии такого рода профилей можно получить современное площадное положение нефтепроизводящих

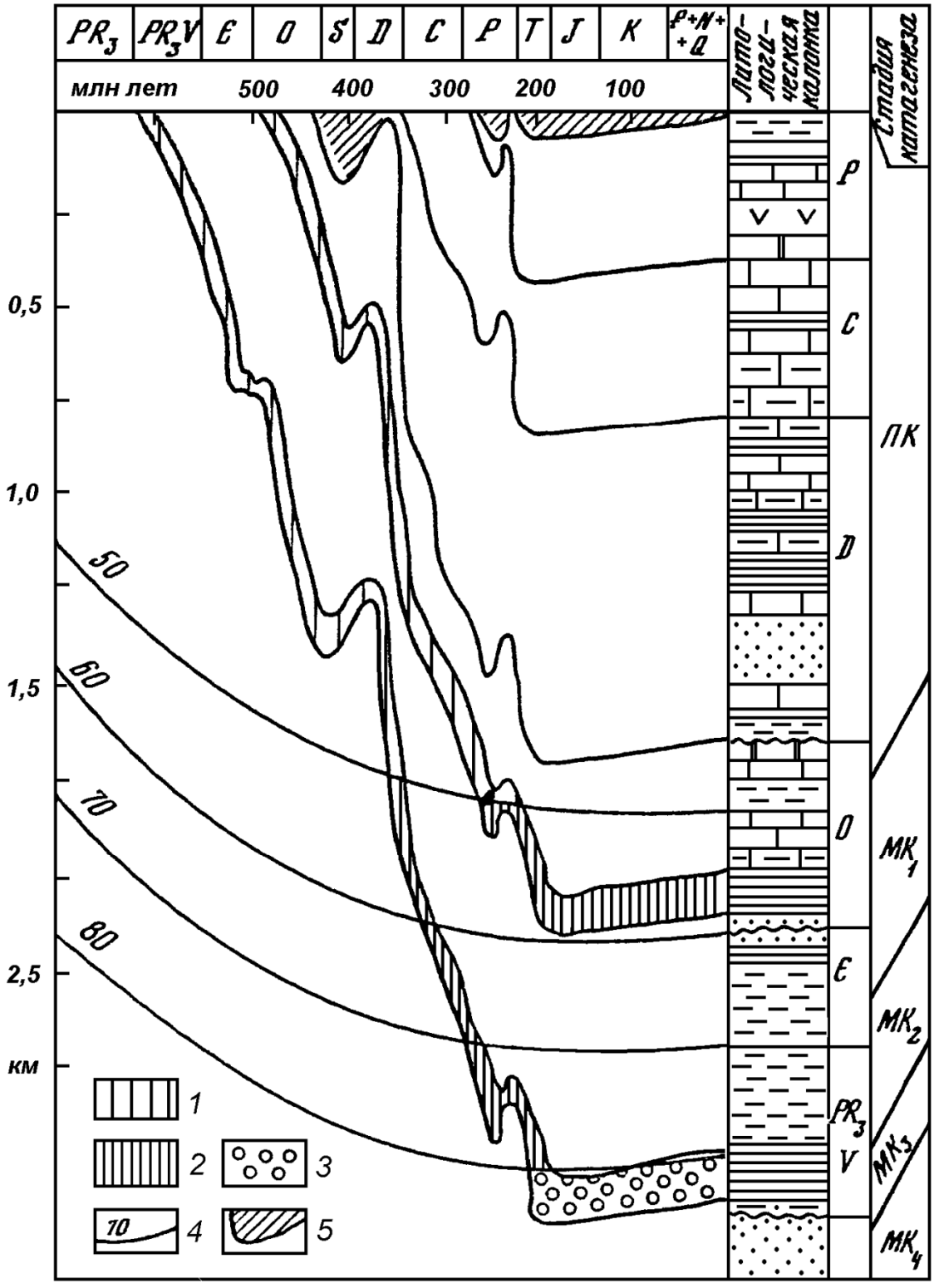

Рис. 11.Модель прогрева отложений для Любимской площади (Среднерусский бассейн) [16]:
отложения: *1*–нефтематеринские, *2* – нефтепроизводящие, *3* –нефтепроизводившие, *4* – изотермы (°С); 5 – перерывы в осадконакоплении;
в литологической колонке показано переслаивание известняков, мергелей, глин, аргиллитов и песчаников

толщ – карт очагов $НГО_г$. При построении их для определения геологических этапов возможно графически выявить эволюцию очагов $НГО_г$ от времени их зарождения, когда они имеют точечный характер, затем приобретают вид сплошного овала и далее переходят к кольцевому виду в плане.

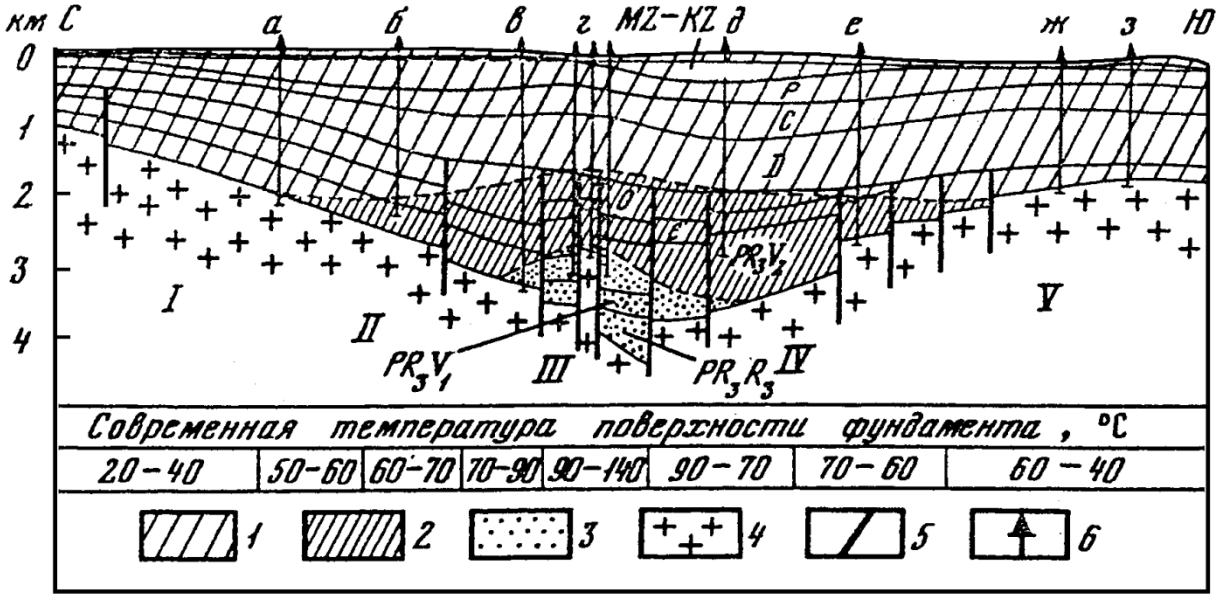

Рис. 12.Схема положения зон генерации УВ Среднерусского бассейна (составили Б. А. Соколов, В. А. Егоров, Ю. И. Корчагина) [16]:
1 – верхняя зона нефтегазообразования (протокатагенетическая); *2* – главная зона нефтеобразования (начало мезокатагенеза); *3* – нижняя зона нефтегазообразования (окончания мезокатагенеза); *4* – фундамент; *5* – разломы; *6* – скважины (*а* – Кубенская, *б* – Вологодская, *в* – Лежская, *г* – Любимские, *д* – Судиславская, *е* – Решминская, *ж* – Балахнинская, *з* – Горьковская); структурные элементы; *I* – склон Балтийского щита, *II* – Вологодский прогиб, *III* – Среднерусский авлакоген, *IV* – Галичский прогиб, *V* – Токмовский свод

Кольцевая форма обусловлена тем, что погружение очага $НГО_г$ приводит к центробежному расширению его площади, центральная его часть постепенно выходит из зоны действия ГФН и очаг превращается в кольцо, расширяющееся и мигрирующее к периферии бассейна до полного исчезновения. Последнее возможно при интенсивном прогреве бассейна и достижении породами НГМ-свиты высоких значений уровня катагенеза (рис. 13). Таким образом, при выполнении курсовой работы студенту постоянно следует помнить, что анализируемый им конкретный объект (участок месторождения, месторождение, площадь) являются составной частью какой-то более крупной единицы нефтегазогеологического районирования: ЗНГН, НГР, $НГО_р$, НГБ (НГП). Необходимо представить себе, в какой части НГБ находится рассматриваемый им участок, какому типу очагов $НГО_г$ [16] он соответствует.

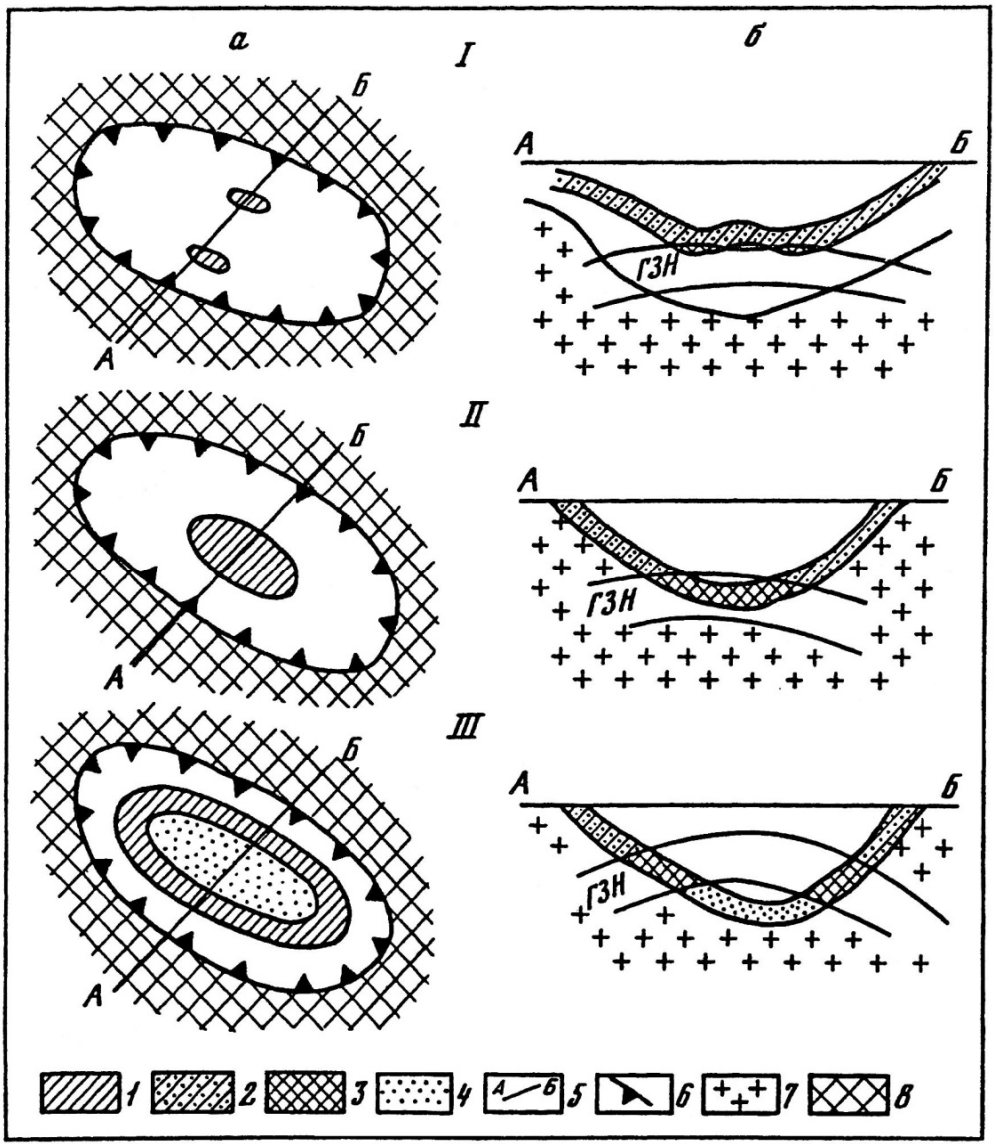

Рис. 13.Типы очагов нефтегазообразования (*а* – плановое положение очага в бассейне, *б* – положение очага в разрезе бассейна) [16]:
1 – очаг нефтегазообразования в плане; нефтематеринские породы: *2* – не вошедшие в ГЗН, *3* – находящиеся в ГЗН, *4* – вышедшие из ГЗН; *5* – линия разреза; 6 – граница бассейна; *7* – фундамент; *8* – обрамление бассейна;типы очагов: *I* – точечный, *II* – овальный. *III* – кольцевой

Студенту следует также определиться с положением объекта его исследования по отношению к конкретной ЗНГН (осуществив необходимый поиск по литературным источникам). В этой связи напомним, что при изучении возможных ЗНГН особое значение имеет установление пространственных и временных взаимоотношений между очагами $НГО_г$ и ЗНГН. По отношению к очагам $НГО_г$ зоны могут быть совмещенными, периферийными и разобщенными [16]. В первых двух случаях формирование залежей будет идти за счет локальной миграции, в последнем – за счет дальней латеральной. Наиболее перспективными могут быть ловушки, располагающиеся в пределах очагов $НГО_г$ и имеющие раннее время образования. Сле-

довательно, поиски ЗНГН следует вести, имея уже представление как о размещении в бассейне очагов $НГО_г$, так и о вертикальной зональности УВ-скоплений.

Напомним еще раз, что время формирования зон возможного нефтегазонакопления устанавливается методами палеотектонического анализа: путем расчленения осадочной толщи на структурные этажи и фиксации времени проявления несогласий между ними; путем построения изопахических треугольников и палетектонических профилей, определяющих тектоническую эволюцию бассейна (см. разделы 1, 2).

По мнению Б. А. Соколова (1990), использование моделей прогрева особенно эффективно при оценке перспектив древних (позднепротерозойских и раннепалеозойских) отложений, поскольку для обоснованных выводов большое значение имеет установление времени начала и продолжительности интенсивной генерации УВ. По моделям прогрева можно проводить сравнительный анализ истории нефтеобразования и оценку перспектив нефтегазоносности для однотипных бассейнов. Как отмечает Б. А. Соколов, использование моделей прогрева правомочно только для тех бассейнов или их частей, где катагенетические изменения ОВ происходили и происходят под воздействием *нормального геотемепературного поля*. При этом имеется, по крайней мере, три ограничения: во-первых, из анализа следует исключить зоны, близкие к областям интенсивного складкообразования, так как уровень катагенеза ОВ в них будет определяться сочетанием нескольких факторов, а не только температурой, и не будет пропорционален глубине погружения отложений. Второе ограничение связано с перерывами – длительные и многократные перерывы в осадконакоплении затрудняют реконструкцию динамики прогибания и прогрева НГМ-толщ. Третье ограничение связано с присутствием в НГБ (НГП) катагенетических аномалий, возникших под воздействием флюидомиграционных процессов в тектонискиактивных зонах. И, наконец, для верхней части разреза таких регионов, как север ЗСП, следует иметь ввиду ее охлажденность под влиянием криолитозоны (см. раздел 3.2).

Б. А. Соколов с соавторами предлагают при историко-генетическом анализе нефтегазоносности локальных поднятий (ЛП) размещать на одном чертежеизопахический треугольник и модель прогрева (см. рис. 5). По ним прослеживаются время формирования ЛП и вхождения НГМ-отложений в ГЗН. Эти построения позволяют наглядно отобразить взаимоотношение во времени процессов образования и накопления нефти и газа в пределах изучаемого участка и определить время образования скопления.

На представленном на рис. 5 генерационно-аккумулятивном хроноблоке Средне-Вилюйского месторождения (Восточная Сибирь, западная часть Хапчагайскогомегавала; Лено-Вилюйская НГП) показано, что основным источником углеводородов служили терригенные угленосные верхнепермские отложения, вошедшие в ГЗН в середине поздней юры.

Окончательное образование ловушки несколько задержалось относительно начала интенсивной генерации УВ. На восточных участках Хапчагайскогомегавала этот разрыв между началом образования и накопления УВ несколько увеличивается, потому что НГМ-породы верхней перми раньше оказались в ГЗН, а ловушки сформировались лишь к концу раннего мела. Следовательно, условия для формирования скоплений нефти и газа были более благоприятными в западной части вала по сравнению с восточной (Ларченков, 1978). Впоследствии это подтвердилось результатами поисково-разведочных работ, установившими большую нефтегазоносность западной части Хапчагайскогомегавала [2].

3.2. Особенности установления степени катагенеза осадочных пород (на примере мезозойских отложений Западно-Сибирской плиты)

Степень катагенетичности преобразования ОВ (в пределах конкретного горизонта, пласта и т. д.) устанавливают в общем случае по величине показателя отражения витринитаR_0, на котором основаны шкалы катагенеза как в нашей стране: С. Г. Неручева, Н. Б. Вассоевича, А. Э. Конторовича, А. Н. Фомина и других исследователей (табл. 2), так и за рубежом (например, Б. Тиссо при анализе условий жизни нефтематеринских пород силура на алжирском месторождении Хасси-Месауд).

Процессы формирования, размещения и сохранности УВ-скоплений в любом ОБ во многом обусловлены и контролируются катагенетической зональностью, определяемой геотермическим режимом бассейна, показателем которого является плотность теплового потока (ТП). ТП – один из главных энергетических источников геологических процессов на Земле, на распределение которого в литосфере влияют различные факторы, в частности литологический, тектонический, физико-географический и др.

Западная Сибирь характеризуется заметными вариациями ТП от 41 до 80 мВт/м^2,* что определяется комплексом причин: различный возраст консолидации фундамента; различные толщины осадочного чехла, многолетних мерзлых пород (ММП); влияние экзотермических эффектов в процессе преобразования ОВ и минеральной матрицы пород и др. [6]. По мнению А. Р. Курчикова и Б. П. Ставицкого [9], на характер ТП может оказывать влияние вертикальная миграция флюидов через слабо проницаемые породы. Большую роль в формировании геотермического режима сыграл рифтогенез (Сурков В. С. и др., 1981). По мнению многих исследователей прогрев осадочных толщ над рифтами продолжается и в последующие геологические эпохи.

*Так, например, плотность ТП изменяется в диапазонах: на юго-востоке Надымской впадины и Северном Приобье – 54–56 мВт/м^2 (при наиболее распространенных значениях геотермического градиента 2,9–3,0 °/100 км [6]; на п-ве Ямал – 47–58 мВт/м^2; в Широтном Приобье – 46–75 мВт/м^2 (максимальные величины – в Салымском районе) [9].

Таблица 2

Шкалы катагенеза органического вещества по данным разных авторов (Неручев С. Г. и др., 1976; Вассоевич Н. Б., 1983; Конторович А. Э. и др, 1994; Фомин А. Н., 2005)

<table>
<tr><th>Стадии катагенеза</th><th colspan="2">Этапы</th><th colspan="2">Подэтапы</th><th colspan="2">Градации катагенеза</th><th>Показатель отражения витинита</th><th>Марка углей</th></tr>
<tr><td>Логвинен-ко и Орло-ва, 1987</td><td colspan="3">литогенеза</td><td>Неручев и др., 1976;Вассоевич, 1983</td><td>Конторович и др., 1994; Фомин, 2005</td><td>R^0,% (по Фомину, 2005)</td><td>ГОСТ 9414-74</td></tr>
<tr><td>Диагенез</td><td colspan="3">Диагенез</td><td>Диагенез</td><td>Диагенез</td><td></td><td>Торф</td></tr>
<tr><td rowspan="3">Ранний катагенез</td><td rowspan="11">Катагенез</td><td colspan="2" rowspan="3">Прото</td><td>$ПК_1$</td><td>$ПК_1$</td><td>0,25</td><td>1Б</td></tr>
<tr><td>$ПК_2$</td><td>$ПК_2$</td><td>0,30</td><td>2Б</td></tr>
<tr><td>$ПК_3$</td><td>$ПК_3$</td><td>0,40</td><td>3Б</td></tr>
<tr><td>Средний катагенез</td><td rowspan="5">Мезо</td><td>Начальный</td><td>$МК_1$</td><td>$МК_1^1$</td><td>0,50</td><td>Д</td></tr>
<tr><td>Поздний катагенез</td><td>Средний</td><td>$МК_2$</td><td>$МК_1^2$</td><td>0,65</td><td>Г</td></tr>
<tr><td rowspan="2">Глубинный (поздний)</td><td>$МК_3$</td><td>$МК_2$</td><td>0,85</td><td>Ж</td></tr>
<tr><td>$МК_4$</td><td>$МК_3^1$</td><td>1,15</td><td>К</td></tr>
<tr><td>$МК_5$</td><td>$МК_3^2$</td><td>1,50</td><td>ОС</td></tr>
<tr><td rowspan="2">Ранний метагенез</td><td colspan="2" rowspan="4">Апо</td><td>$АК_1$</td><td>$АК_1$</td><td>2,00</td><td>Т</td></tr>
<tr><td>$АК_2$</td><td>$АК_2$</td><td>2,50</td><td>ПА</td></tr>
<tr><td rowspan="2">Поздний метагенез</td><td>$АК_3$</td><td>$АК_3$</td><td>3,50</td><td rowspan="2">А</td></tr>
<tr><td>$АК_4$</td><td>$АК_4$</td><td>5,00</td></tr>
<tr><td colspan="2">Метагенез</td><td colspan="2">Метагенез</td><td colspan="2">Метагенез</td><td>7,00</td><td>–</td></tr>
<tr><td colspan="7">Региональный метаморфизм</td><td>11,00</td><td>–</td></tr>
</table>

Примечание. Марки углей: 1Б – бурый землистый, 2Б – бурый матовый, 3Б – бурый блестящий, Д– длиннопламенный, Г – газовый, Ж – жирный, К – коксовый, ОС – отощенно-спекающийся, Т – тощий, ПА – полуантрацит, А – антрацит

Отличительной особенностью Западной Сибири является нестационарный характер ТП. Современный геотермический режим осадочного чехла ЗСП прошел сложную историю формирования. На его обычную картину, свойственную молодым платформам в мезозое, в кайнозое наложились региональные особенности. В частности, это – похолодание в олигоцен-четвертичном периоде и особенно формирование и деградация криоли-

тозоны в квартере (вследствие чередования очень холодных и относительно теплых периодов на фоне новейших тектонических движений – НТД). Эти события привели к значительному охлаждению недр. По степени влияния процессов формирования и деградации криолитозоны на характер теплового поля территория Западной Сибири подразделяется А. Р. Курчиковым и Б. П. Ставицким на три части: южную – до 61° с. ш., центральную – 61…64° с. ш., и северную – 64° с. ш. [9]. В южной зоне породы охлаждены на всю мощность осадочного чехла. По сравнению с условиями, имевшими место в конце неогенового периода, величина охлажденности увеличивается от 6–8 °С на глубине 0,5-1 км до 15–20 °С на глубине 3–4 км. Охлажденность пород в центральной части сильно зависит от глубин, изменяясь от 20 °С в кровле покурской свиты до 5 °С в кровле доюрского основания. Позднее всего процесс образования криолитозоны начался в северной зоне и в целом продолжается и в настоящее время. Так, на п-ове Ямал развита мощная криолитозона (на большей части ее толщина составляет 200–250 м), оказывающая охлаждающее влияние на геотемпературы осадочного чехла, особенно в его верхней части. Вследствие близости к подошве ММП современная температура в кровле сеноманских отложений изменяется от 10-20 °С на юге п-ова до 25–30 ° на севере [15]. Расчеты А. Р. Курчикова и Б. П. Ставицкого [9] показали, что практически на всей территории ЗСП до глубин 2-3 км геотермические градиенты (а следовательно, и ТП) значительно искажены. Величины отклонений геотермических градиентов (в долях единицы) южнее 60° с. ш. составляют- 0,2 – -0,6 в интервале глубин 0-500 м и уменьшаются до -0,08 – 0,6 на глубине 2000 м. В центральной части ЗС (61–64° с. ш.) величины искажения геотермических градиентов на глубине 500 м составляют -0,1 – -0,2 на глубине 1000 м – -0,1 – 0,2, на глубине 2000 м – 0,05–0,15, а на глубине 3000 м – 0,03–0,1. На севере ЗС на тех же глубинах отклонения геотермических градиентов имеют следующие интервалы значений: 0,3–0,5, 0,3–0,45, 0,05–0,15, 0–0,03.

Расчеты вышеупомянутых исследователей показали, что за позднеолигоценовое – четвертичное время в различных районах ЗСП для пород разновозрастных горизонтов произошло охлаждение на 20–35 °С. Причем это понижение произошло не столько вследствие естественного снижениякондуктивногоТП во времени, сколько в связи с климатическими изменениями и возникновением криолитозоны.

Что касается современных температур осадочного чехла Западной Сибири, то по его подошве они изменяются от 35 до 200 °С и выше, что связано в основном с глубиной залегания доюрского основания. В кровле тюменской свиты температуры варьируют от 30 до 130 °С, по кровле баррремских отложений – от 20 до 82 °С, в кровле сеноманских отложений – от 10 до 60 °С [9].

В свете всего вышеизложенного при использовании палеотеператур для оценки степени катагенетической преобразованности НГМ-толщ ЗС

следует руководствоваться максимальными палеотемпературами, зафиксированными величиной показателя отражения витринита – R_0.

Наряду с показателем отражения витринита при установлении степени катагенеза терригенных осадочных пород учитывают изменения их структурно-минералогических показателей. Вопросы зональности и стадийности преобразования осадочных толщ разработаны Н. В. Логвиненко, Л. А. Орловой, А. Г. Коссовской, В. Д. Шутовым, Н. М. Симановичем, а в последние годы О. В. Бурлевой, А. Д. Коробовым, Л. А. Коробовой, Е. А. Предтеченской и др. учеными. Установлено, что каждая стадия катагенеза характеризуется специфическим парагенезомаутигенных минералов-индикаторов. Н. В. Логвиненко и Л. В. Орловой были выделены стадии раннего (начального), среднего и позднего (глубинного) катагенеза пород, границы между которыми проведены с помощью минеральных, структурных индикаторов, с использованием данных о степени катагенеза ОВ по величине R^0. Так, по минеральному составу и уплотнению глинистых осадков, граница между зонами диа- и катагенеза на континентах проводится на глубине 250–300 м, по данным глубоководного бурения в океанах – на глубине до 200 м. При этом ее положение нестабильно и контролируется Р–Т условиями, глубиной захоронения и тектоническим фактором. Основными критериями выделения границы между зоной среднего и глубинного катагенеза являются полиморфные превращения глинистых минералов – гидрослюд и хлоритов. Это трансформация гидрослюды 1М и монтмориллонит-гидрослюдистых минералов в диоктаэдрическую гидрослюду 2М и низкотемпературного хлорита политипа 7Å в высокотемпературный политип IB 14Å, β 90° (Коссовская, Шутов, 1983).

Как еще один пример приуроченности аутигенных минералов к определенным зонам катагенеза приведем данные О. В. Бурлевой для келловей-оксфордских алеврито-песчаных пород Обь-Иртышского междуречья, в которых отмечены кальцит, кварц, каолинит, сидерит, полевые шпаты и др. (табл. 3). Здесь наибольшее распространение среди катагенетических минералов имеет кальцит. Формирующий разнокристаллический, часто пойкилитовый цемент порово-базального типа, характерный для позднего катагенеза (градации $МК_2$, $МК_3^1$ по классификации А. Э. Конторовича и др., 1994). Кварц в песчаниках и крупнозернистых алевролитах образует неполные регенерационные каемки толщиной 0,02…0,04 мм. Другая форма аутигенного кварца связана с растворением обломочного кварца и перераспределением его в пределах одного слоя. Наиболее широко это явление встречается в терригенно-карбонатных породах пласта $Ю_2^0$, где аутигенный кремнезем выполняет пустоты и замещает карбонат оолитов, остатков фауны. Растворение кварца и развитие кварцевого регенерационного цемента многие исследователи (Коссовская, Шутов, 1961; Предтеченская и др., 1993; Прошляков, 1991) связывают со стадией среднего катагенеза (градации $МК_1^1$, $МК_1^2$ (см. табл. 3)).

Таблица 3

Стадии постдиагенетических изменений келловей-оксфордских алеврито-песчаных породОбь-Иртышского междуречья [4]

Стадии катагенеза / Градации катагенеза поОВ	Объемная плотность, г/см^3		Изменения структур и текстур	Изменения обломочных компонентов	Глинистые минералы и их стадийные изменения
Ранний $ПК_{1-2}$	–		Уплотнение глин и песков, начало аутигенной цементации, образование цементов пленочного, крустификационного и порового типов	*Аморфизация, каолинитизация, гидратизация, сидеритизация и хлоритизация железистых слюд, начало хлоритизации обломков	*Каолинит, гидрослюда 1М, монтмориллонит, 7Å-хлорит, смешанослойные фазы
$ПК_3$					
Средний $МК_1^1$	*2,28...2,3		Цементация и уплотнение, образование пленочных и порово-базальных цементов, формирование мелкозернистых модификаций Mg-Fe-кальцита, тонко-мелкозернистых ромбоэдров доломита	Агрегизация и деформация железистых слюд, хлоритизация, начало коррозии обломочных минералов	*То же и 14Å-хлорит
$МК_1^2$	*2,31...2,52		Дальнейшее уплотнение и цементация, образование регенерационных цементов, перекристаллизация, инкорпорация, начало микростилолитизации	Частичное преобразование обломков эффузивов, коррозия и регенерация кварца, полевых шпатов, альбитизация, деформация и агрегизацияслюд	Каолинит, гидрослюда 2М, 1М,Mg-Fe-хлорит-14Å, редко 7Å-хлорит, смешанослойные фазы
Поздний $МК_2$	*	**2,37... 2,41	Цементация и уплотнение, развитие регенерационных, инкорпорационных и микростилолитовых структур; образование по остаточным порам ясно-зернистого кальцита, регенерационных кварца и альбита	Коррозия и регенерация кварца, коррозия и деформация полевых шпатов, интенсивная деформация и агрегизация слюд, появление контактов, осложненных грануляцией и начальным бластезом	Гидрослюда 2М, 1М, 14Å-хлорит, каолинит
$МК_3^1$	2,5... 2,6	**2,42... 2,46			*Стабилизация монтмориллонита и смешанослойных фаз, гидрослюдизация каолинита
$МК_3^2$		**2,47... 2,51			**То же и начало дегидратации гидрослюд; гидрослюда $2М_1$, серицит, 14Å-хлорит

Примечание. * – данные Н. В. Логвиненко, Л. В. Орловой, 1987; ** – данные Е. А. Предтеченской и др., 1993.

В порах рассматриваемых песчаников часто встречается катагенетический средне- и крупночешуйчатый каолинит с высокой степенью структурной упорядоченности. По стравнению с каолинитом «сухих» нефтенасыщенных песчаниковкаолинит водонасыщенных песчаников имеет крупные и наиболее морфологически развитые кристаллы, обладающие большей степенью совершенства структуры. Образование его происходит в результате взаимодействия глинозема и кремнезема в порах терригенных пород при фильтрации сквозь них кислых вод.

С этапом катагенеза связно образование пелитоморфного «хлопьевидного» сидерита по биотиту и его сферолитовых и мелкоромбоэдрических модификаций, а также развитие по кальциту более позднего тонкокристаллического доломита. Ряд исследователей (Недоливко и др., 2001; Прошляков, 1991) появление сферолитов сидерита считают индикатором позднего катагенеза.

Возникновение в порах песчано-алевритовых пород аутигенных гидрослюд и хлоритов некоторые исследователи (Пустовалов, 1940) связывают в основном с действием повышенных температур и минерализованных подземных вод. Как было показано Г. Н. Перозио (1967) и О. В. Бурлевой [4], аутигенный альбит и альбит-олигоклаз появляются в разрезах Западной Сибири с готерив-баррема и почти исчезают в келловей-оксфорде.

Исследования трансформации глинистых минералов в процессе уплотнения и дегидратации показали, что с ростом глубины захоронения кристаллическая решетка монтмориллонита изменяется от разбухающей до неразбухающей. Следовательно, ту глубину, где исчезает монтмориллонит, Е. А. Предтеченская предлагает рассматривать как некий маркирующий уровень. Индикаторами начального этапа стадии глубинного катагенеза являются диккит, высокотемпературный кварц, С-Т-опал и халцедон, а также вторичные альбит и адуляр. Таким образом, по составу и ассоциациям глинистых минералов в цементе алеврито-песчаных пород можно судить о степени катагенетической преобразованности последних и ОВ в них. Вместе с тем, ряд исследователей (Коссовская, Шутов, 1976; Соколов, Абля, 1999 и др.) обращали внимание на особенности минеральных ассоциаций в ряде ОБ, свидетельствующие об отклонениях от общепринятых закономерностей. В тектонически активных зонах таких ОБ в условиях повышенного теплового потока степень изменения ОВ не совпадает с фоновыми катагенетическими изменениями алюмосиликатных пород, т. е. имеет место несовпадение границ между стадиями катагенеза, установленными по степени изменения ОВ и пород. В Западной Сибири это проявляется в широком развитии термодинамически неустойчивых минералов (смектитов, гидрослюд модификации 1М, септохлоритов и др.), обнаруженных в породах, испытавших по результатам определения величины R_0 (Матусевич и др., 2008) глубокий катагенез. Примеры вышеупомянутого несоответствия связаны с вторичным разуплотнением песчаников

под действием горячих циркулирующих на глубине растворов. Породы, характеризующиеся высокими стадиями изменения ОВ, в таких случаях становятся рыхлыми, легко проницаемыми (Колокольцев и др., 2008; Матусевич и др., 2008). В прогретых (в том числе и упомянутыми водами) породах ОВ преобразуется легче, чем минеральное.

Напомним, что на бóльшую чувствительность ОВ (углей) к изменению температуры по сравнению с осадочными терригенными породами ранее указывали Ю. Р. Мазор и А. К. Матвеев (1974). Ю. Р. Мазор (1983) писал о невозможности «…прямого сопоставления стадий изменения углей и вмещающих пород и механического перенесения терминов стадийного преобразования осадочных пород на превращения ОВ…, поскольку ни объемы, ни начало и конец одноименных процессов изменения углей и вмещающих их пород не совпадают во времени за исключением двух начальных стадий – седименто- и диагенеза…». По мнению В. М. Матусевича и его коллег (2008), недоучет характера наложенных (эпигенетических) изменений пород, содержащих ОВ, приводит к неправильной оценке регионального уровня литогенеза осадочных толщ и прогнозу нефтегазоносности территорий. На эту же особенность катагенетического преобразования пород Западно-Сибирского ОБ обращает внимание и Е. А. Предтеченская[13]. В своих работах она описывает катагенетические аномалии, индикаторами которых, наряду с повышенными концентрациями аутигенных минералов, а также появлением минералов, не типичных для данных глубин, служит несовпадение границ между зонами катагенеза, установленным по структурным и минеральным индикаторам, и зонами, установленными по степени преобразования ОВ. Аномалии прослеживаются на различных стратиграфических уровнях и приурочены, в основном, к зонам надрифтовых желобов и узлам их пересечений. Следует помнить, что температура в недрах надрифтовых ОБ испытывала значительный подъем в периоды тектонической перестройки региона (А. Д. Коробов называет это явление тектоно-гидротермальной активизацией – ТГА), а затем, во время относительного тектонического покоя, существенно снижались. Всплески такой термальной активности происходили на фоне погружения ОБ. Как известно, имевший место в надрифтовых ОБ тепломассоперенос способствовал продуцированию УВ (Аммосов и др., 1980; Гречишников, 1978, 1991) и являлся причиной возникновения флюидодинамических систем нефтегазообразования (Соколов, Абля, 1999). Показатель отражения витринита, как известно, фиксирует ту максимальную температуру прогрева пород, которая когда-то была достигнута на исследуемом участке (Аммосов и др., 1980). Поэтому в ОБ, испытавших неоднократную ТГА, температура, полученная по маркам метаморфизма углей, как правило, не соответствует современной, а является палеотемпературой (на что мы уже обращали внимание ранее).

А. Д. и Л. А. Коробовыми [8] разработана минералого-катагенетическая шкала фазовой зональности УВ для ОБ с ископаемым континентальным рифтом. Она отражает схему сопоставления шкал катагенеза и углефикации ОВ и вертикальной зональности нафтидогенеза с вертикальной температурой и метасоматической зональностью гидротермальных систем надрифтовых ОБ (рис. 14).

Как отмечалось, при тектонической перестройке седиментационных бассейнов с погребенным континентальным рифтом циркулирующие по ослабленным направлениям горячие воды участвуют в эпигенетическом минералообразовании и, в частности, приводят к возникновению цеолитов и сопутствующихглинистых минералов.

Как известно, в областях тектоно-магматической активизации (ТМА) наиболее высокотемпературные метасоматические формации или зоны (на отметках свыше 3 км) представлены актинолитовой, эпидот-хлоритовой и пренитовой фациями; промежуточные зоны (от 1 до 3 км) – хлорит-альбитовой фацией; приповерхностные зоны (менее 1 км) – цеолитовой и трансильванской фациями. Среднетемпературная (хлорит-альбитовая) пропилитизация характеризуется появлением в метасоматитах равновесного парагенезиса альбит + эпидот + хлорит + пирит + лейкоксен (Коржинский, 1953, 1961). Низкотемпературная пропилитизация подразделяется на цеолитовую (ломонтит, анальцин, вайракит, нотролит + хлорит + адуляр + пирит) и трансильванскую (карбонат + иллит + хлорит + + селадонит + адуляр + пирит; Коробов и др., 2004).

Установлено (Коробов и др., 2004, 2005, 2008), что характер эпигенетических изменений пород фундамента и осадочного чехла Западно-Сибирской плиты (ЗСП) контролируется разрывными нарушениями и определяется вспышками гидротермальной деятельности, которая сопровождала периоды тектонической перестройки региона. В течение мезозоя активизация ЗСП возобновлялась неоднократно. В частности, она наблюдалась в средней юре (180 … 160 млн лет), раннем мелу – неокоме (145 … 120 млн лет) и позднем мелу – раннем палеогене (100 … 60 млн лет) (Федоров и др., 2004). Это увязывается с представлениями В. С. Бочкарева (Бочкарев и др., 2005), согласно которым максимальный разогрев пород осадочного чехла в Западной Сибири, сопряженный с активным погружением бассейна, т. е. с его тектонической активизацией, приходился на среднеюрско-позднемеловое время. Во время этой ТГА эпицентры гидротермальных процессов были сосредоточены в погребенных рифтах и изолированных впадинах, порожденных раннемезозойским континентальным рифтогенезом (Коробов и др., 2004). В наложенных на домезозойское основание структурах, выполненных нижне-среднетриасовыми изверженными породами, зарождались и циркулировали горячие растворы, проникавшие в осадочный чехол по разломам. Различия тектонической позиции рифтов и генетически с ними связанныхизолированных впадин (Сурков,

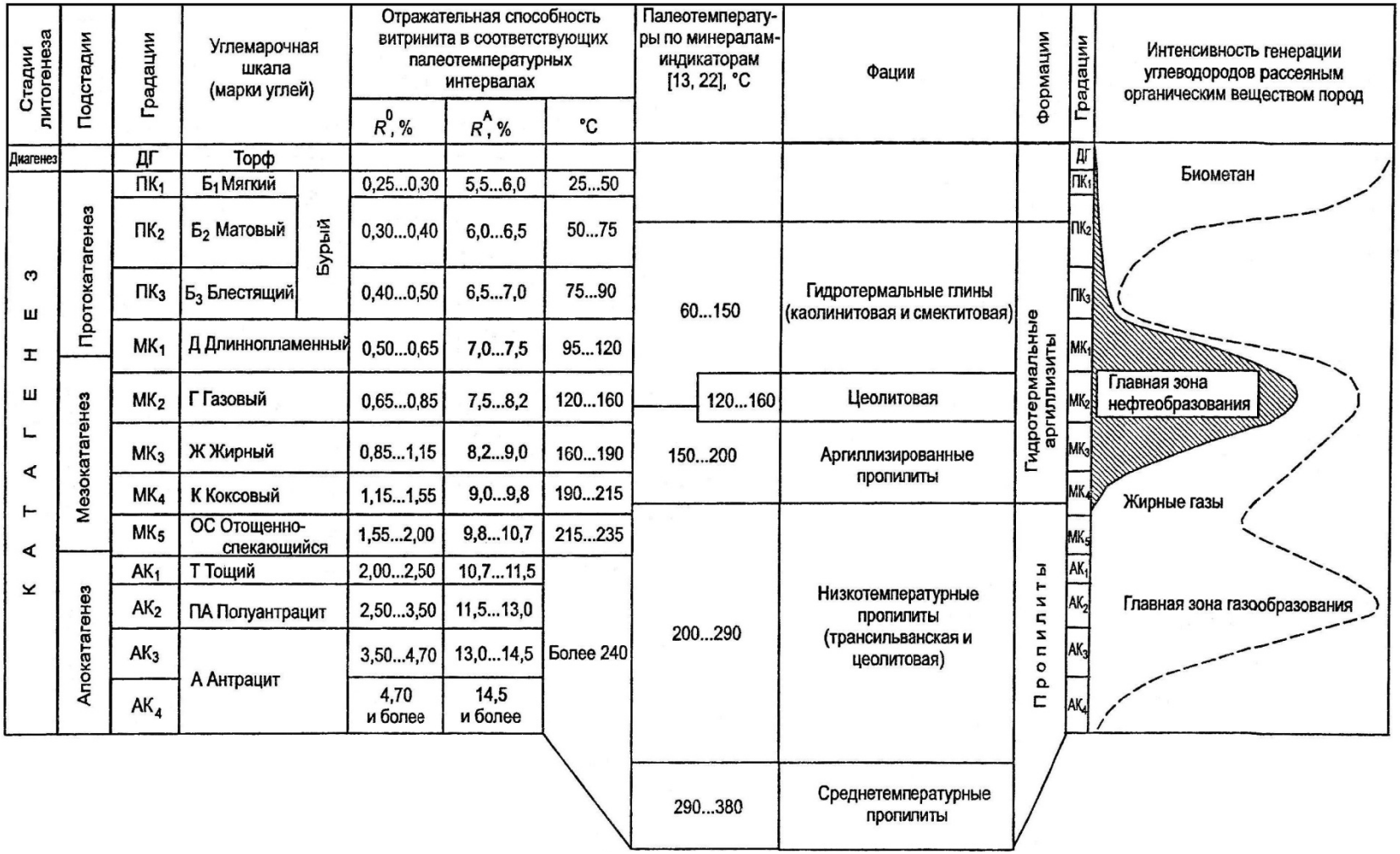

Рис. 14. Принципиальная схема сопоставления шкал катагенеза иуглефикацииОВ(Аммосов и др., 1980; Конторович и др., 1990) и вертикальной зональности нафтидогенеза(Вассоевич, 1986) с вертикальной температурной и метасоматической зональностью гидротермальных систем осадочных бассейнов с погребенным континентальным рифтом (Коробов, 1995; Коробов, Коробова, 2010)

Смирнов, 2003) определили спецификузаполняющего их изверженного материала и протекавших в этих структурах гидротермальных процессов как доплитной, так и более поздней стадий. По данным А. Д. Коробова с соавторами (2004, 2005) в рифтах господствовало высокотемпературное, а в изолированных депрессиях – низкотемпературное гидротермально-метасоматическое минералообразование, что, в частности, подтверждается зональным развитием цеолитов. На примере Тальниковой площади Шаимского НГР (изолированные впадины) установлено (Иванов и др., 2002), что с приближением к кислым экструзивным куполам (породы туринской серии) перлиты сначала метасоматически замещаются клиноптилолитом, а затем более высокотемпературным морденитом (иногда в ассоциации с левинитом), что соответствует цеолитовой фации гидротермальных аргиллизитов. В самих же рифтах (скв. СГ-6) аналогичный изверженный материал в зонах цеолитизацииломонититизирован (Казанский, 1995), что отвечает уже фации низкотемпературных аргиллитов (см. рис. 14). Основываясь на существовании определенных парагенезисов цеолитов и слоистых силикатов (Дриц, Коссовская, 1985, 1991) А. Д. Коробов (1995) утверждает, что увеличение температуры гидротермально-метасоматического минералообразования при переходе от изолированных впадин к рифтам отражается в закономерной смене не только самих цеолитов, но и генетически ассоциируемых с ними глинистых минералов. Это подтверждается и различием современных температур, замеренных на одинаковой глубине в стволах скважин, пробуренных на различных расстояниях от погребенного континентального рифта. Так, непосредственно в надрифтовом желобе центральной части плиты (Черемшанская площадь) на глубине 3007 м зафиксирована пластовая температура 157 °С. На борту желоба (Восточно-Таркосалинская площадь) она составляет уже 105 °С, а на удалении от желоба (Западно-Таркосалинская площадь) подает до 93 °С (Сурков и др., 1982).

По мнению ряда геологов (Коробов, 2010; и др.) глинистый цемент коллекторов месторождений Западной Сибири сформировался за счет кластогенного биотита в процессе его гидротермального перерождения. Вместе с тем, одинаковый механизм формирования таких цементов даже в одновозрастных коллекторах зачастую приводит к новообразованию хлоритов разного состава. Так, на газоконденсатных месторождениях Северо-Хальмерпаютинской площади А. Д. и Л. А. Коробовыми [8] установлен Mg-хлорит, на Ватинском нефтяном месторождении (Широтное Приобье) в валанжинских коллекторах диагностирован Fe-Mg-хлорит (Котельников, Колобова, 1972), на Южно-Ягунском нефтяном месторождении в тех же по возрасту продуктивных алевро-песчаниках присутствует Fe-хлорит (Колокольцев и др., 2008). Установленная смена железистых хлоритов магнезиальными через промежуточные Fe-Mg(Mg-Fe) разности происходит при повышении температуры, а также росте концентрации и активности маг-

ния в гидротермальных растворах. Последнему обстоятельству способствует разрушение нестойких высокомагнезиальных силикатов, а возможно и воздействие мантийных флюидов [8].

Учитывая изложенное, А. Д. и Л. А. Коробовы (2008) дают нижеследующее объяснение полученным фактам с позиции пространственного размещения месторождений УВ разного фазового состава относительно ископаемых рифтов ЗСП. Большехетскаясинеклиза с находящейся в ее пределах Северо-Хальмерпаютинской площадью с трех сторон окружена погребенными континентальными рифтами: на западе и севере – Колтогорско-Уренгойским, на востоке – Худосейским (Сурков, Смирнов, 2003). В них рифтовый комплекс представлен высокомагнезиальными и их пирокластическими аналогами (T_{1-2}). Как уже было отмечено выше, в периоды тектонической активизации именно в рифтовых системах зарождались высокотемпературные богатые магнием растворы, проникавшие по разломам в породы чехла. На удаленных от погребенных рифтов Ватинском и Южно-Ягунском месторождениях в периоды ТГА УВ-производящие породы чехла испытывали воздействие менее нагретых и менее богатых магнием пород. Этими обстоятельствами А. Д. и Л. А. Коробовы объясняют корреляцию зональности состава аутигенных хлоритов из коллекторов с фазовой зональностью находящихся в этих коллекторах нафтидов: нефтяные месторождения (Fe-хлорит, Fe-Mg-хлорит) → газоконденсатные месторождения (Mg-хлорит). Таким образом, по мнению А. Д. и Л. А. Коробовых (2008) в ОБ с погребенным континентальным рифтом устанавливается контроль фазовой зональности УВ прогревом материнских толщ в процессе ТГА, а сама фазовая зональность УВ для Западно-Сибирского НГБ представляется следующим образом: газ (330–280 °С) → газоконденсат (280–200 °С) → нефть + газоконденсат (200–170 °С) → нефть (170–60 °С).

3.3. Пример построения и интерпретации модели прогрева

В этом разделе методических указаний приведен пример построения конкретной модели прогрева и ее интерпретации с учетом результатов изучения НГМ-свойств триасовых отложений севера ЗСП, выполненные учеными Пермского гос. университета и ОАО «КамНИИКИГС» [16]. Здесь объектом исследования явились осадочные породы триаса, вскрытые Ярудейской параметрической скважиной 38 (забой 5010 м, одноименный прогиб в северо-западной части Надым-Тазовскойсинеклизы), а также сопоставление результатов их изучения содновозрастными породами, вскрытыми Тюменской сверхглубокой скважиной СГ-6 (забой 7502 м, осевая часть Нижнепурскогомегапрогиба, Уренгойский НГР) и Ен-Яхинской сверхглубокой скважиной СГ-7 (забой 8250 м, Ен-Яхинский прогиб, в 200 км на СЗ от СГ-6, в седловине между куполами Песцового и Ен-Яхинского поднятий). В результате литолого-стратиграфических исследований возраст тер-

ригенных триасовых отложений по остаткам флоры и данным спорово-пыльцевого метода определен как средне(?)-верхнетриасовый, а вскрытый разрез со стратотипом в интервале 3834…4397,5 м Ю. А. Ехлаковым (2008) назван тыявинской свитой.

Выделение НГМ-пород и свиты в разрезе Ярудейской скважины проводилось на основе следующих диагностических признаков: литолого-фациальных особенностей пород (относительная однородность терригенной толщи, доля глинистых пород не менее 35 %, преимущественно восстановительные геохимические фации), комплекса литолого-геохимических данных (тип и содержание ОВ, плотность которого в НГМ-свите должна быть более 1 млн т/км^2, присутствие автохтонных и параавтохтонныхбитумоидов и др.). Осадконакопление в триасовое время происходило в обстановках периодически меняющихся от прибрежно-морских, опресненных лагун до озерно-болотных. Тыявинскую свиту слагают переслаивающиеся песчаники, алевролиты, аргиллиты, а также гравелиты, конгломераты и туффиты.

По распределению ОВ и битуминозных компонентов в НГМ-свите К. А. Мещеряков с соавторами [11] выделяют две пачки (1 – 3972…4075 м и 2 – 3834…3972 м). Литологически они представлены переслаиванием алевролитов, песчаников с прослоями аргиллитов, а в верхней пачке присутствуют и туфоалевролиты. Что касается $C_{орг}$ и битуминозных компонентов, то их содержание в нижней пачке 1 относительно верхней увеличивается почти в 2 раза.

В отложениях кровли среднетыявинской и верхнетыявинской подсвит в пачке 1 из интервала 3972…4075 м залегают глинистые алевролиты, алевритистые аргиллиты и углистые песчаники. При содержании $C_{орг}$ в среднем 2,5 % породы равномерно обогащены битумоидами (до 0,94 % $Б_{хл.}$), битумоидный коэффициент – от 12,5 до 26,7 %. Широкий диапазон колебаний пиролитических характеристик ОВ пород – S_1 (от 0,02 до 24,5 мг/г породы) и S_2(от 0,02 до 59,6 мг/г породы) связан с развитием процесса генерации УВ в НГМ-породах. Параметр T_{max} не превышает 457 °С, что по мнению К. А. Мещерякова с соавторами, указывает на нахождение отложений в ГЗН. Водородный индекс HJ в основном менее 300 мг/г $С_{ор}$г, что свидетельствует о доминировании гумусового ОВ. Значения индекса нефтяной продуктивности PJ (в основном менее 0,5) указывают на отсутствиемакроаккумуляции УВ нефтяного ряда, несмотря на высокие концентрации битумоидови признаки миграции. Значения общего нефтяного потенциала (S_1 + S_2), особенно в аргиллитах и глинистых алевролитах, отражают богатый нефтематеринский потенциал ($П_{нм}$) пород.

Аргиллиты и глинистые алевролиты пачки 2 при содержании $C_{орг}$ до 3,53 % отличаются от пачки 1 меньшими: концентрациями битумоидов всех видов, степенью битуминозности ($β_{хл}$ в среднем 13,7 %), количеством свободных УВ нефтяного ряда (S_1 до 6,48 мг/г), водородным индексом

HJ(в основном до 200 мг/г $C_{орг}$). $T_{мах}$ (от 441 до 457 °С) соответствует градации катагенеза $МК_2$. В прослоях песчаников из этого интервала отмечены повышенные для исследуемого разреза концентрации аллохтонных битумоидов (до 0,156 % $Б_{хл}$ смолистого типа), битумоидный коэффициент изменяется в пределах 22,3…28,6 %, что свидетельствует, по мнению К. А. Мещерякова с соавторами [11], о развитии не только первичной, но и вторичной миграции УВ.

С учетом среднего содержания $C_{орг}$ 1,8 % для всей НГМ-свиты, толщины НГМ-пород 162 м и средней плотности пород 2,3 г/см^3 было определено количество$C_{орг}$ в свите. Оно оказалось равным 6,71 млн т/км^2, что соответствует НГМ-свите с промышленным потенциалом генерации УВ.

На основании моделирования процессов нефтегазообразования с использованием программы PetroMod 1D (рис. 15) установлено, что подошва и кровля НГМ-свиты в триасовых отложениях вступили в ГЗН в первой половине мелового периода: соответственно приблизительно 120 и 113 млн лет назад.В результате, как считает К. А. Мещеряков с соавторами [11], генерированные УВ могли заполнить только ловушки триасовых и юрских отложений. В начале кайнозоя (55 млн лет назад) началось постепенное затухание процессов погружения с последующим *выстуживанием* отложений, следовательно, произошло замедление процессов нефтеобразования.

По результатам моделирования ГЗН в разрезе располагается на глубине 2570…4397,5 м (интервал 2570…3390 м отнесен к градации катагенеза $МК_1$, интервал 3390–4397,5 м – к градации $МК_2$). В целом, полученные данные соответствуют приведенным ниже (табл. 4) геохимическим результатам и указывают на перспективность триасовых отложений на нефть.

Ранее (Т. В. Белоконь-Карасева и др., 2006) в триасовых отложениях, вскрытых скважинами СГ-6 и СГ-7 на глубинах более 6 км, также были выявлены НГМ-свиты. Эти скважины обнаружили сходные отложения триаса, представленные в средней и верхней частях терригенными породами тампейской серии, а в нижней – эффузивамикрасноселькупской серии (рис. 16). По геохимическим парамерам осадочные триасовые породы скважин СГ-6 и СГ-7 обеднены битумоидами по сравнению с Ярудейской-скважиной при сходном гумусовом типе ОВ и распределении содержаний Сорг. По данным определения Тмах (см. табл. 4) НГМ-свиты в разрезе скважин СГ-6 и СГ-7 испытали значительно более жесткие катагенетические преобразования – до АК2. В скважине СГ-6 по литолого-фациальным данным, содержанию ОВ и битуминозных компонентов в разрезе пурской свиты (аргиллиты, алевролиты и песчаники) выделены НГМ-породы в интервале 6012 м (см. рис. 16, Белоконь-Карасева и др., 2006).НГМ-потенциал пород (см. табл. 4): фоновое содержание ОВ более 1 %, Сорг достигает 6,8 %, максимальными концентрациями (> 3 %) отличаются аргиллиты, минимальными (0,11 %) – песчаники. Преобладающий тип ОВ – сапропелево-

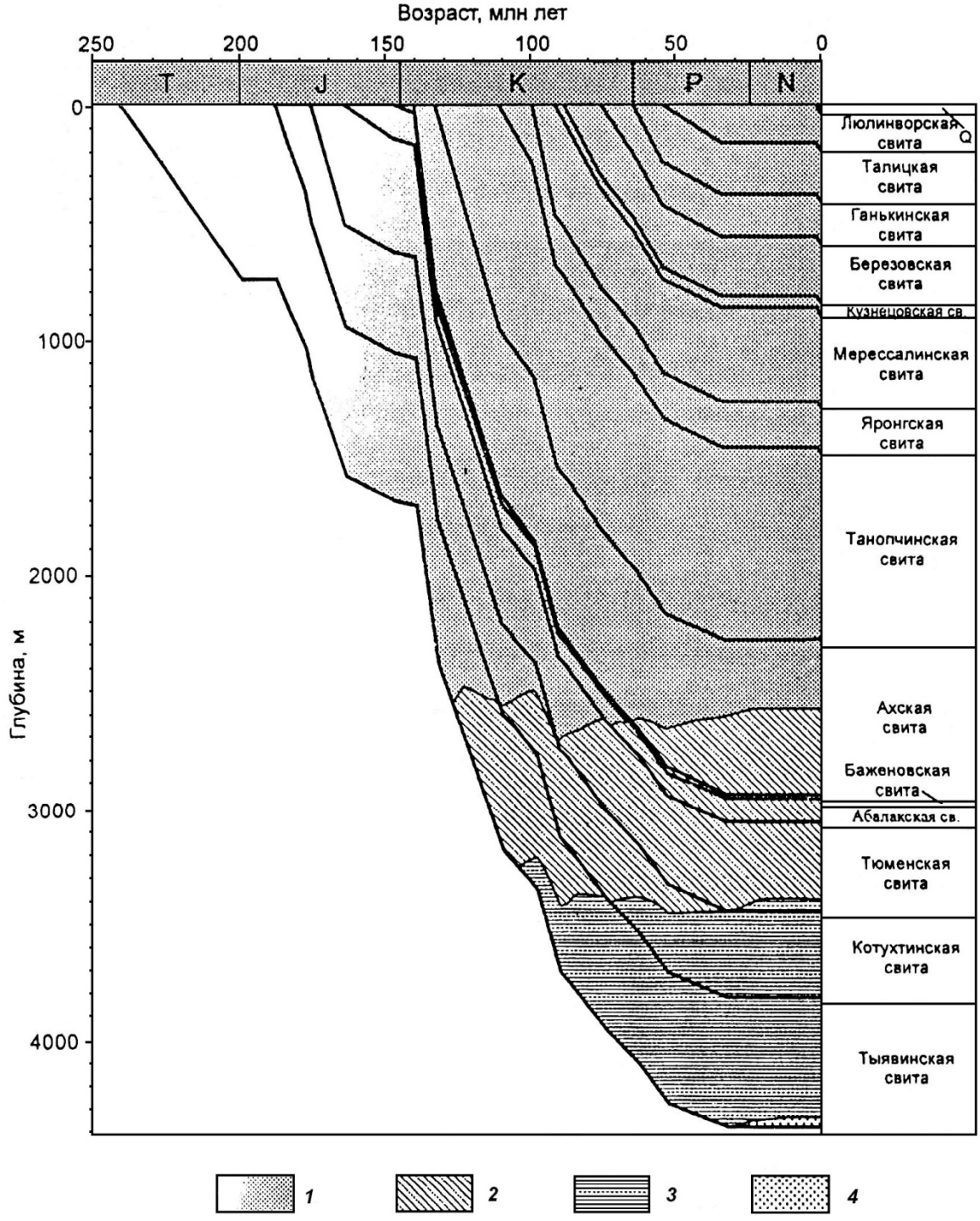

Рис. 15. Модель эволюции катагенетической зональности в районе бурения Ярудейскойскв. 38[11]:

1 – незрелое ОВ; *2–4* – градации катагенеза: *2* – $МК_1$, *3* – $МК_2$, *4* – $МК_3$

Таблица 4

Результаты пиролиза ОВ НГМ-пород триасовых отложений севера Западной Сибири (по К. А. Мещерякову и др., 2010; с сокращениями)

Скважина	Интервал НГМ-пород, м		$C_{орг}$, %	$Б_{хл}$, %	S_1, мг/г породы	S_2, мг/г породы	$T_{мах}$,°С	PJ	HJ, мг/г $C_{орг}$
	кровля, м	подош-ва, м	среднее (число определений)						
Тюменская (СГ-6)	6023	6191	2,06 (13)	0,028 (12)	0,2 (14)	0,28 (14)	555,85 (13)	0,84 (14)	16,47 (13)
Ен-Яхинская (СГ-7)	6260	6504	1,04 (31)	0,002 (37)	0,05 (39)	0,3 (39)	597,2 8 (32)	0,27 (39)	6,22 (31)
Ярудейская-38	3834	4075	1,88 (36)	0,26 (95)	1,15 (95)	5,57 (95)	450 (93)	0,19 (88)	225,0 (34)

гумусовый, битуминозность пород низкая. Степень битуминозности пород (β) достигает 9,4 %;однако для трех образцов β менее 1 %, что связано с высокой степенью их катагенеза. Более 50 % пород относятся к НГМ, реализовавшим нефтяной потенциал (Карасева и др., 1996). S_1 изменяется от 0,04 до 0,62 мг/г. Значения $T_{мах}$ достаточно высоки. Эти НГМ-породы прошли ГЗН и находятся в ГЗГ, достигнув градации катагенеза $АК_1$. В ГЗН отложения свиты вошли приблизительно 150 млн лет назад (J_3), а вышли из нее 125 млн лет назад(K_1g).

В разрезе Ен-Яхинской скважины НГМ-породы выделены в составе пурской свиты в интервале 6226…6504 м и представлены переслаиванием углистых аргиллитов, глинистых алевролитов, реже песчаников и углей. Свободные нефтяные УВ присутствуют в них в очень низких количествах (S_1 до 0,14 мг/г), водородный индекс HJ вследствие исчерпания НГМ-потенциала менее 10 мг/г $C_{орг}$.

НГМ-свита в триасовых отложениях, вскрытыхЕн-Яхинской скважиной, также находится в ГЗГ, но на градации катагенеза $АК_3$. Подошва свиты вошла в ГЗН приблизительно 180 млн лет назад (в начале среднеюрского времени), вышла – 130 млн лет назад (в середине мелового времени). Таким образом, свита находилась в ГЗН около 50 млн лет и полностью реализовала свой нефтяной потенциал. Эмигрировавшие нефтяные УВ, как и в случае со скважиной СГ-6, скорее всего (по мнению пермских ученых [11]), были рассеяны или в последующем подвергались разрушению в условиях жесткого катагенеза.

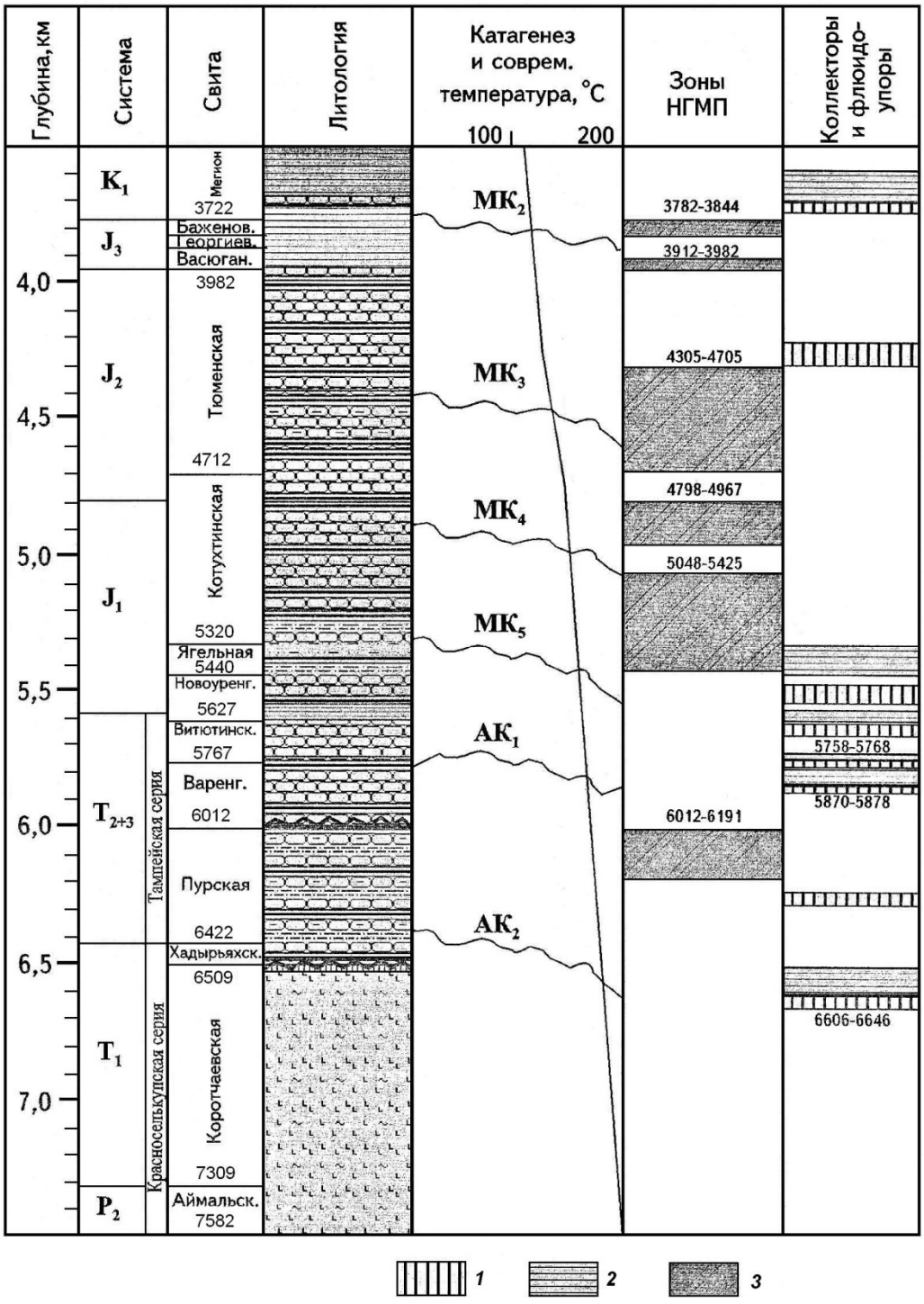

Рис. 16. Схематический геологический разрез СГ-6 (Т. В.Белоконь-Карасева, 2006):
1 – коллекторы; *2* – флюидоупоры; *3* – нефтегазоматеринские породы

Сравнительный анализ в целом близких по исходному потенциалу НГМ-свит (табл. 5) показывает, что основное их различие связано с катагенетическими преобразованиями ОВ пород.

Таблица 5

Характеристика НГМ-свит триасовых прогибов (по К. А. Мещерякову и др., 2010; с изменениями)

Параметры НГМ свиты	Нижнепурский прогиб	Ен-Яхинский прогиб	Ярудейский прогиб
Геологический возраст	T_{2+3}	T_2	T_3
Глубина, м: кровля подошва	6012 6191	6260 6504	3834 4075
Литологический состав	Аргиллиты, глинистые алевролиты, глинистые песчаники	Углистые аргиллиты, глинистые алевролиты, песчаники	Глинистые алевролиты, песчаники с прослоями углистых аргиллитов
Градации катагенеза ОВ пород	$АК_1$-$АК_2$	$АК_3$	$МК_2$
Доминирующий тип ОВ	Гумусовый	Гумусовый	Гумусовый
Тощина НГМ-пород в свите, м	102(51 %)	180 (74%)	162 (70 %)
$С_{орг.ср.}$, %	1,75	1,04	1,8
Плотность содержания $С_{орг.}$, млн т/км^2	4,02	4,31	6,71
Геологическое время вхождения в ГЗН, млн лет назад	150	180	120
Геологическое время выхода из ГЗН, млн лет назад	125	140	55 (прекращение погружения)
Время пребывания в ГФН, млн лет	25	40	65

Если в Ярудейском прогибе относительно невысокий катагенез ($МК_2$) обеспечивает развитие только процессов нефтеобразования, то в Ен-Яхинском и Нижнепурском прогибах НГМ-свиты почти полностью реализовали нефтяной потенциал более 100 млн лет назад и активно участвовали в процессах газообразования. При этом в первом случае прогиб развит в основном в нефтеносном районе по верхним горизонтам, во втором – в газоносном. Такое совпадение свидетельствует о возможном влиянии глубокопогруженных НГМ-свит триаса севера ЗСП на формирование залежей в вышележащих горизонтах вследствие вертикальной миграции УВ разного фазового состояния.

ЗАКЛЮЧЕНИЕ

В настоящем учебно-методическом пособии рассмотрены некоторые задачи, решение которых важно при поисково-разведочных работах на нефть и газ. Эти задачи охватывают сравнительно небольшой, но достаточно представительный круг проблем, стоящих перед геологом, изучающим строение перспективной на нефть и газ территории.

Выработка навыков направленной обработки геологических и геофизических данных, в первую очередь глубокого бурения – необходимое условие создания достоверной геологической информации, получившей от профессора МГУ И. О. Брода название «основных геологических документов». Они включают в том числе: схемы корреляции разрезов скважин, геологические профильные разрезы, структурные и палеогеографические карты, а также палеотектонические профильные разрезы, изопахические треугольники и модели прогрева. Первая часть этих документов осваивается студентами в процессе изучения таких дисциплин, как «Структурная геология», «Основы палеонтология и общая стратиграфия», «Историческая геология», «Геофизические методы исследования скважин». Вторая часть, являющаяся предметом настоящего учебного пособия, отражает историю формирования структур, условия и время генерации, миграции и аккумуляции в благоприятных структурах нефти и газа. Все сделанные в процессе выполнения работы построения должны быть увязаны между собой и в конечном счете служить обоснованием перспективности изучаемой площади на предмет обнаружения здесь залежей УВ.

Рассмотренными в настоящем пособии методами историко-генетических построений не исчерпывается вся возможная тематика курсовых работ по дисциплине «Геология и геохимия нефти и газа. При наличии определенного материала и возможностей курсовые работы могут быть посвящены вопросам геохимии нефтей и вмещающих их пород. Такие работы могут быть выполнены под руководством профессоров кафедры – сотрудников Института геологии и геохимии УрО РАН на его лабораторной базе. Объектами курсовых работ могут быть и минералы-индикаторы степени катагенеза терригенных пород, изучаемые в прозрачных шлифах и физическими методами, опять же с привлечением лабораторной базы ФГГ УГГУ и ИГГ УрО РАН.

АББРЕВИАТУРА

ВЗГ – верхняя зона газообразования
ВНИГНИ – Всероссийский научно-исследовательский геологический нефтяной институт
ГЗГ – главная зона газообразования
ГЗН – главная зона нефтеобразования
ГКС – газоконденсатная система
ГНП – газонефтеносная провинция
ГФН – главная фаза нефтеобразования
ЗНГН – зона нефтегазонакопления
ЗС – Западная Сибирь
ЗСНГП – Западно-Сибирская нефтегазоносная провинция
ЗСП – Западно-Сибирская плита
ИГГ УрО РАН – Институт геологии и геохимии УрО РАН
ИНГГ – Институт нефтегазовой геологии и геофизики им. А. А.Трофимука СО РАН
ЛП – локальное поднятие
ЛСК – литолого-стратиграфический комплекс
МГУ – Московский государственный университет им. М. В. Ломоносова
ММП – многолетнемерзлые породы
НГБ – нефтегазоносный бассейн
НГМ – нефтегазоматеринская (порода, свита, толща)
$НГО_г$ – нефтегазообразование (очаг НГО)
$НГО_р$ – нефтегазоносная область
НГП – нефтегазоносная провинция
НГР – нефтегазоносный район
НТД – новейшие тектонические движения
ОБ – осадочный бассейн
ОВ – органическое вещество
РГУНГ – Российский государственный университет нефти и газа им. И. М. Губкина
СГ – сверхглубокая (скважина)
ТГА – тектоно-гидротермальная активизация
ТМА – тектоно-магматическая активизация
ТП – тепловой поток
УВ – углеводороды
ФГГ УГГУ – факультет геологии и геофизики УГГУ

СПИСОК ЛИТЕРАТУРЫ

Основная литература

1. *Машкович А. К.* Методы палеотектонических исследований в практике поисков нефти и газа. М.: Недра, 1976. 222 с.

2. *Соколов Б. А., Кравченко Т. П., Трофимук А. А.* Структурные и историко-генетические построения при поисках нефти и газа. М.: Изд-во МГУ, 1991. 96 с.

3. Теоретические основы и методы поисков нефти и газа / А. А. Бакиров, Э. А. Бакиров, В. С. Мелик-Пашаев, Л. П. Мстиславская, В. Ю. Керимов, Г. Т. Юдин /под ред. А. А. Бакирова. М.: Высшая школа, 1987. 384 с.

Дополнительная литература

4. *Бурлева О. В.* Постседиментационные преобразования келловей-оксфордских отложений Обь-Иртышского междуречья: процессы и минеральные ассоциации / Геология, геофизика и разработка нефтяных и газовых месторождений. М.: ОАО «ВНИИОЭН», 2008. № 6. С. 9-22.

5. *Геология и полезные ископаемые России*. Т. 2. Западная Сибирь / Ред. А. Э. Конторович, В. С. Сурков. СПб: Изд-во ВСЕГЕИ, 2000. 479 с.; т. 3. Восточная Сибирь / ред. Н. С. Малич. СПб.: Изд-во ВСЕГЕИ, 2002. 396 с.; т. 1. Запад России и Урал. Кн. 1. Запад России / ред. Б. В. Петров, В. П. Кириков. СПб.: Изд-во ВСЕГЕИ, 2006. 528 с.

6. *Гурьев И. М.* Катагенетические преобразования нефтегазоматеринских пород в истории развития юго-восточной части Надымской впадины // Геология, геофизика и разработка нефтяных и газовых месторождений. М.: ОАО «ВНИИОЭН», 2009. № 9. С. 11-18.

7. *Клещев К. А., Шеин В. С.* Нефтяные и газовые месторождения России: справочник в 2-х книгах. Кн. 1 – европейская часть России, 832 с.; Кн. 2 – азиатская часть России, 720 с. М., 2010.

8. *Коробов А. Д., Коробова Л. А.* Парагенезисы и история формирования глинистых минералов терригенных коллекторов Западной Сибири – ключ к прогнозу зон нефтегазонакопления // Геология, геофизика и разработка нефтяных и газовых месторождений. М.: ОАО «ВНИИОЭН», 2010. № 10. С. 13-21.

9. *Курчиков А. Р., Ставицкий Б. П.* Геотермическая история осадочного чехла Западной Сибири // Осадочные бассейны и их нефтегазоносность. М.: Наука, 1989. С. 167-173.

10.*Максимов Е. М.* Литология природных резервуаров нефти и газа: учебное пособие. М.: ЦентрЛитНефтегаз, 2008. 432 с.

11. *Нефтегазоматеринские свойства триасовых отложений севера Западной Сибири* / Мещеряков К. А., Пестерева С. А., Субботин Н. Б., Карасева Т. В. / Геология, геофизика и разработка нефтяных и газовых месторождений. М.: ОАО «ВНИИОЭН», 2010. № 7. С. 4-8.

12. *Нейман В. Б.* Теория и методика палеотектонического анализа. М.: Недра, 1984. 80 с.

13. *Предтеченская Е. А.* Катагенетические преобразования нижне-среднеюрских нефтегазоносных отложений Западно-Сибирского осадочного мегабассейна: автореф. дис. д-ра геол.-мин. наук. Екатеринбург, 2011. 39 с.

14. *Русский В. И.* Нефтегазоносные провинции России и зарубежных стран. Екатеринбург: Изд-во УГГУ, 2010. 514 с.

15. *Скоробогатов В. А., Соин Д. А.* Геотермические условия газонефтеносностиЯмальской области Западной Сибири / Геология нефти и газа, 2009. № 9. С. 25-29.

16. *Соколов Б. А.* Эволюция и нефтегазоносность осадочных бассейнов. М.: Наука, 1980. 234 с.

17. *Федоровский Ю. Ф., Захаров Е. В.* Геологическое прогнозирование нефтеносности карбонатных верхне-среднепалеозойских отложений на российском шельфе Баренцева моря // Геология, геофизика и разработка нефтяных и газовых месторождений. М.: ОАО «ВНИИОЭН», 2008. № 1. С. 4-9.

18. *Шемин Г. Г.* Геология и перспективы нефтегазоносности венда и нижнего кембрия центральных районов Сибирской платформы (Непско-Ботуобинская, Байкитскаяантеклизы и Катангская седловина). Новосибирск: Изд-во СО РАН, 2007. 467 с.

МИНОБРНАУКИ РФ

ФГБОУ ВО «Уральский государственный горный университет»

УТВЕРЖДАЮ

Проректор по учебно-методическому комплексу

_____ С.А.Упоров

МЕТОДИЧЕСКИЕ РЕКОМЕНДАЦИИ К САМОСТОЯТЕЛЬНОЙ РАБОТЕ ПО ДИСЦИПЛИНЕ

Б1.В.07 ГЕОЛОГИЯ И ГЕОХИМИЯ НЕФТИ И ГАЗА

Специальность:
21.05.02 Прикладная геология

Специализация:
Геология месторождений нефти и газа

форма обучения: очная

Автор: Кривихин С.В., к.г.-м.н., доцент

Одобрены на заседании кафедры
Литологии и геологии горючих ископаемых
(название кафедры)

Зав. кафедрой _____
(подпись)

к.г.-м.н., доц. Рыльков С.А.
(Фамилия И.О.)

Протокол № 2 от 06.10.2020
(Дата)

Рассмотрены методической комиссией
факультета геологии и геофизики
(название факультета)

Председатель _____
(подпись)

д.г.-м.н., проф. Бондарев В.И.
(Фамилия И.О.)

Протокол № 2 от 13.10.2020
(Дата)

Екатеринбург

Введение

Самостоятельная работа студента является важнейшей составной частью образовательной программы подготовки дипломированного специалиста. По курсу «Геология и геохимия нефти и газа» обязательная самостоятельная работа студента осуществляется в следующих направлениях:

- ✓ выполнение домашних заданий;
- ✓ освоение материалов по отдельным темам, входящим в Рабочую программу дисциплины [4];
- ✓ подготовка к экзамену;

Самостоятельная работа студентов направлена на развитие интеллектуальных умений, повышение творческого потенциала студентов и заключается в:

– поиске, анализе, структурировании и презентации информации, анализе научных публикаций по вопросам характеристик нефтегазоносных комплексов.;

– исследовательской работе и участии в научных студенческих конференциях, семинарах и олимпиадах.

Оценка результатов самостоятельной работы организуется как единство двух форм: самоконтроль и контроль со стороны преподавателей.

Данные методические указания предназначены для организации самостоятельной работы студентов при освоении отдельных тем дисциплины.

Методические указания к самостоятельной работе студента

В последующем разделе пособия приведена развернутая программа дисциплины «Геология и геохимия нефти и газа». Здесь указаны наименование и содержание лекционных тем в соответствии с рабочей программой дисциплины [4]. Каждая тема является основой вопросов в экзаменационном билете. При чтении лекций по курсу преподаватель указывает те темы дисциплины, которые выносятся на самостоятельную проработку студентами. Основной объем информации по каждой теме содержится в учебнике по курсу [1]. Для углубленного освоения темы рекомендуется дополнительная литература [2, 3, 4]. Для самоконтроля и приобретения навыков решения задач по отдельным разделам дисциплины в последнем разделе приведены контрольные вопросы и упражнения, которые являются основой подготовки к экзамену.

При освоении указанных ниже тем рекомендуется следующий порядок самостоятельной работы студента.

1. Ознакомьтесь со структурой темы.
2. По учебнику [1] освойте каждый структурный элемент темы. Во всех темах указаны разделы и страницы учебника, содержащие данный материал.
3. При необходимости используйте указанную дополнительную литературу. Консультацию по использованию дополнительной литературы Вы можете получить у преподавателя.
4. Ответьте на контрольные вопросы и выполните рекомендованные упражнения. При затруднениях в ответах на вопросы вернитесь к изучению рекомендованной литературы.
5. Законспектируйте материал. При этом конспект может быть написан в виде ответов на контрольные вопросы и упражнения.

При самостоятельной работе над указанными темами рекомендуется вести записи в конспектах, формируемых на лекционных занятиях по курсу, и в том порядке, в котором данные темы следуют по учебной программе.

Данное учебно-методическое пособие может быть использовано при подготовке ответов на вопросы во время экзамена.

Содержание курса

Тема 1. **Характеристика природных углеводородных систем** [1], с. 11-73.

Круговорот углерода. Понятие о каустобилитах, их классификации. Каустобиолиты угольного и нефтяного ряда. Химический состав и физические свойства нефти. Хемофоссилии. Химический состав и физические свойства природных горючих газов. Газоконденсатные системы. Газогидраты. Продукты природного преобразования нефтей. Классификации углеводородов.

Дополнительная литература: [2, 3, 4].

Контрольные вопросы и упражнения:

1. Химический состав и физические свойства нефти.
2. Хемофессилии.
3. Химический состав и физические свойства природных горючих газов.
4. Газоконденсатные системы
5. Продукты природного преобразования нефтей.

Тема 2. **Концепции нефтеобразования** [1].с. 172-238.

История взглядов на образование нефти. Распределение и состав органического вещества в стратисфере. Осадочно-миграционная теория. Органическое вещество и его эволюция в литосфере. Факторы, благоприятствующие сохранению органического вещества в осадках при седименто и диагенезе. Трансформация органического вещества при катагенезе Формирование керогена, его генетические типы. Нефтематеринский потенциал органического вещества. Понятие нефтематеринской породы. Формы и виды миграции углеводородных флюидов. Механизм, геологические и геохимические аспекты различных типов миграции. Формирование и разрушение залежей углеводородов. Современные гипотезы абиогенного (неорганического) происхождения углеводородов. Гипотезы полигенного образования залежей углеводородов.

Дополнительная литература: [2, 3, 4].

Контрольные вопросы и упражнения:

1. Понятие о нефтегазоматеринской свите.
2. Современные концепции нефтегазообразования.

Тема 3**. Нефтегазоносные комплексы, природные резервуары и ловушки, покрышки нефти и газа.** [1], с. 239-307.

Пустотное пространство пород. Понятие пористости и проницаемости. Классификации пустот. Фильтрационно-емкостные свойства пород. Факторы, влияющие на изменения фильтрационно-емкостных свойств. Коллекторы, их разновидности и классификация. Традиционные и нетрадиционные коллекторы. Породы флюидупоры, их состав и классификация. Природные резервуары и их классификации. Понятие ловушки. Классификации ловушек по различным параметрам. Фации и формации, благоприятные для нефтегазообразования и нефтегазонакопления. Нефтегазоносные комплексы.

Дополнительная литература: [2, 3, 4].

Контрольные вопросы и упражнения:

1. Природные резервуары и ловушки

2. Коллекторы нефти и газа.

3. Породы флюидоупоры (покрышки).

4. Фации, благоприятные для нефтегазообразования и нефтегазонакопления..

Тема 4**. Локальные и региональные скопления нефти и газа.** [1], 378-417.

Локальные и региональные скопления нефти и газа. Залежи углеводородов. Элементы залежи. Генетическая классификация залежей. Месторождения нефти и газа и их классификации. Принципы нефтегазогеологического районирования. Нефтегазоносный пояс; нефтегазоносная мегапровинция; нефтегазоносная провинция (бассейн); нефтегазоносная область; нефтегазоносный район; зона нефтегазонакопления. Классификации нефтегазоносных провинций. Особенности геологического строения провинций различных типов. Распределение нефти и газа в земной коре.

Дополнительная литература: [2, 3, 4].

Контрольные вопросы и упражнения:

1. Локальные и региональные скопления нефти и газа.
2. Элементы залежи.
3. Генетическая классификация залежей.
4. Месторождения нефти и газа.
5. Зоны нефтегазонакоплений.
6. Нефтегазоносные провинции (бассейны).

Вопросы
к экзамену по курсу «Геология и геохимия нефти и газа»

1. Что такое нефть (дать определение) ?
2. Из каких видов (классов) состоит нефть?
3. Что такое гетероорганические соединения нефтей?
4. Чем объяснить различия в плотности нефтей?
5. Какие физические свойства нефтей используются при проведении геологоразведочных работ на нефть?
6. По каким принципам классифицируются нефти?
7. В чем особенности химического состава газов нефтяных и газовых месторождений?
8. В чем различие эффузии и диффузии УВ-газов?
9. Что такое газовый фактор, газоконденсат, конденсат?
10. Какая сегодня цена нефти и газа на внешнем и внутреннем рынке?
11. Как осуществлялся поиск нефтяных залежей в начальный период развития ее добычи?
12. Опишите методику поиска нефтяных залежей в начале XX столетия.
13. Опишите методику поиска нефтяных и газовых залежей во второй половине XX столетия.
14. Какие Вы знаете основные методы геологоразведочных работ на нефть и газ?
15. Охарактеризуйте состояние мировой базы УВ-сырья.
16. Какое место занимает Россия в мировом рейтинге по разведанным запасам и суточной добыче?
17. Назовите основные регионы добычи нефти и газа в России.
18. Каковы действующие ориентиры Энергетической стратегии России?
19. Охарактеризуйте финансирование геологоразведочных работ.
20. В чем заключается проблема изучения полярного шельфа
21. Что является основой системного подхода в естественных науках?
22. Дайте характеристику природной системы.
23. О чем говорит вакуумная концепция строения природных систем?
24. Что такое статическая и динамическая природные системы?

25. Какие известны гипотезы образования нефти и газа?

26. В чем состоит цель геологоразведочных работ на углеводороды?

27. Какова роль моделирования природных систем в геологоразведочном процессе?

28. Что такое запасы и ресурсы?

29. Исторический экскурс первых подсчетов запасов.

30. Охарактеризуйте Временную классификацию запасов и ресурсов 2001 г. В чем заключается отличие ее от предыдущих (без деталей)?

31. Охарактеризуйте Классификацию 2005 г. (общие положения).

32. Охарактеризуйте Классификацию 2005 г. (категории запасов А, В, $С_1$, $С_2$).

33. Охарактеризуйте Классификацию 2005 г. (категории ресурсов $Д_1$, $Д_2$, $Д_3$).

34. Охарактеризуйте Классификацию 2005 г. (группы запасов и ресурсов нефти и газа по экономической эффективности).

35. Охарактеризуйте Классификацию 2005 г. (группы запасов по величине и сложности месторождений).

36. Перечислите наименование газонефтяных скважин.

37. Охарактеризуйте сверхглубокие скважины.

38. Перечислите объемы отбора керна, шлама в скважинах различного назначения.

39. Как осуществляется опробование скважины в открытом стволе с ОПК?

40. Как осуществляется опробование скважины в открытом стволе с ИПТ?

41. Расскажите об испытании продуктивного пласта в колонне.

42. Какой обязательный для Западной Сибири комплекс ГИС?

43. Какие геологические задачи решает отряд ГТИ?

44. Какие технологические задачи решает отряд ГТИ?

45. Какие работы сопутствуют бурению?

46. Кто обладает собственностью на геологическую информацию? Какова возможность ее получения?

47. Что означает понятия: Государственная экспертиза запасов, Государственный баланс?

48. Что означает стадийность геологоразведочных работ (Объекты изучения, основные задачи, результаты)?

49. Какова структура НСР России (нефть, газ)?

50. Какова доля Уральского федерального округа в структуре НСР России?

51. Назовите основные задачи стадии прогноза нефтегазоносности и типовой комплекс ГРР на этой стадии.

52. Как дается качественная оценка нефтегазоносности осадочного бассейна?

53. Как дается количественная оценка нефтегазоносности (методы: удельных плотностей ресурсов, историко-статистический, объемно-генетический)?

54. Каковы основные задачи ГРР на стадии оценки зон нефтегазонакоплений?

55. Что дает дешифрирование фото-, аэро-, космоснимков на региональном этапе работ?

56. Какие задачи решают сейсморазведка, гравиразведка на региональном этапе работ?

57. Каковы основные принципы производства региональных работ?

58. Какие стадии входят в поисково-оценочный этап?

59. Какие трудности возникают при финансировании поисково-оценочных работ на углеводороды?

60. Какие основные задачи стоят перед стадией выявления объектов поискового бурения?

61. Какой комплекс геологоразведочных работ рекомендуется на стадии выявления объектов поискового бурения?

62. Какая задача решается построением изопахического треугольника?

63. Какой конечный результат работ стадии выявления объектов поискового бурения?

64. Какие основные задачи стоят перед стадией подготовки объектов к поисковому бурению?

65. Что представляет собой паспорт на локальную структуру?

66. Какие документы прилагаются к паспорту на структуру?

67. Как производится оценка перспектив локальных структур?

68. Какие основные задачи стоят перед стадией поиска и оценки месторождений (залежей)?

69. Какое количество скважин рекомендуется бурить на данной стадии?

70. Как определяется эффективность поискового бурения?

71. Как закладывают поисковые скважины на асимметричной складке?

72. Какие методы заложения скважин используют на антиклинальных ловушках?

73.Объясните принцип заложения поисковых скважин по радиальным профилям?

74. Расскажите о методе заложения поисковых скважин по методу «шаг поискового бурения»?

75.Как размещают скважины на сводовых ловушках, осложненных литологическими экранами?

76. Как осуществляется опробование скважин в открытом стволе?

77. Как проводится испытание объектов в колонне?

78. Какие геолого-технологические исследования проводятся в процессе бурения скважины?

79. Как проходят исследования продуктивных скважин?

80. Как осуществляется подсчет запасов?

81. Какие вопросы решаются на разведочном этапе работ (цель, объекты работ, решаемые задачи)?

82. Какой типовой комплекс геологоразведочных работ применяется на разведочном этапе?

83. Какие особенности разведки массивных залежей?

84. Как производится разведка неантиклинальных залежей нефти и газа в терригенных отложениях?

85. Как производится разведка неантиклинальных залежей нефти и газа в карбонатных отложениях?

86. Какие вы знаете особенности разведки газовых, газоконденсатных и газонефтяных залежей?

87. Какая применяется сеть разведочных скважин на различных объектах разведки?

88. Какое количество скважин рекомендуется для разведки мелких месторождений?

89. Какие известны методы определения контура продуктивной части залежи (ВНК, ГВК)?

90. Какие задачи решает объемная сейсморазведка?

91. Что достигается при проведении пробной эксплуатации продуктивных скважин (залежи)?

92. Что дают аналитические исследования керна, грунтов, шлама, флюидов?

93. Какие основные документы определяют государственную экологическую политику?

94. Назовите объекты окружающей среды, на которые ожидается воздействие при проведении региональных геологоразведочных работ.

95. Назовите объекты окружающей среды, на которые ожидается воздействие при проведении поисково-оценочных геологоразведочных работ.

96. Объясните понятие «аварийность при проведении геологоразведочных работ».

97. Какие существуют регламентные документы природоохранных мероприятий при проведении геологоразведочных работ?

98. Как осуществляются природоохранные мероприятия атмосферного воздуха, по-

верхностных и подземных вод?

99. Как проводится охрана растительного и животного мира?

100. Какие разрабатываются мероприятия по предотвращению ущерба окружающей среде при строительстве и эксплуатации скважин?

Рекомендуемая литература

1. Геология и геохимия нефти и газа [Электронный ресурс]: учебник / О.К. Баженова [и др.]. — Электрон. текстовые данные. — М. : Московский государственный университет имени М.В. Ломоносова, 2012. — 432 c. — 978-5-211-05326-7. — Режим доступа: http://www.iprbookshop.ru/13049.html.

2. Геология нефти и газа : учебно-методическое пособие / В. И. Русский, С. В. Кривихин [и др.]. ; ред. С. В. Кривихин ; Уральский государственный горный университет. - Екатеринбург : УГГУ, 2010. - 139 с. - Библиогр. в конце разд.

3. Геология нефти и газа : учебное пособие / Е. С. Ворожев ; Уральский государственный горный университет. - Екатеринбург : УГГУ, 2014. - 198 с. : рис., табл. - Библиогр.: с. 190-191.

4. Геология им геохимия нефти и газа: рабочая программа дисциплины для студентов специальности 21.05.02 Прикладная геология специализация № 3 Геология месторождений нефти и газа / С.В. Кривихин. Екатеринбург: УГГУ, 2020. 10 с.

МИНОБРНАУКИ РФ

ФГБОУ ВО «Уральский государственный горный университет»

УТВЕРЖДАЮ

Проректор по учебно-методическому комплексу_____ С.А.Куюров

МЕТОДИЧЕСКИЕ УКАЗАНИЯ К ПРАКТИЧЕСКИМ РАБОТАМ ПО ДИСЦИПЛИНЕ

Б1.В.08 МАТЕМАТИЧЕСКИЕ МЕТОДЫ МОДЕЛИРОВАНИЯ В ГЕОЛОГИИ

Специальность:
21.05.02 Прикладная геология

Специализация:
Геология месторождений нефти и газа

форма обучения: очная

Автор: Хасанова Г.Г., доцент, к.г.-м.н.

Одобрены на заседании кафедры

Геологии, поисков и разведки МПИ
(название кафедры)

Зав.кафедрой _____
(подпись)

Душин В.А.
(Фамилия И.О.)

Протокол № 1 от 10.09.2020
(Дата)

Рассмотрены методической комиссией факультета

Геологии и геофизики
(название факультета)

Председатель _____
(подпись)

Бондарев В.И.
(Фамилия И.О.)

Протокол № 2 от 13.10.2020
(Дата)

Екатеринбург

Методические указания по дисциплине «Математические методы моделирования в геологии» согласованы с выпускающей кафедрой литологии и геологии горючих ископаемых

Заведующий кафедрой ЛГГИ _____ к.г.-м.н., С.А. Рыльков

подпись *И.О. Фамилия*

Методические указания к практическим работам

Темы практических работ:

1. Упорядочение статистических совокупностей в виде вариационных рядов. Вариационный анализ.
2. Решение задач на статистическую оценку параметров генеральной совокупности.
3. Параметрические методы сравнения групп переменных.
4. Корреляционный, кластерный и факторный анализы.

Практическая работа № 1 (4-6 часов). Упорядочение статистических совокупностей в виде вариационных рядов. Вариационный анализ.

Задание:

1) Рассчитать ряд распределения проб по содержанию в них элемента (вариант из **приложения 1**). Построить таблицу интервального ряда для нормального закона распределения.
2) Рассчитать статистические характеристики
   Ũ-среднее значение
   S^2-дисперсия
   S-стандарт
   V-коэффициент вариации
   A-показатель асимметрии
   E- эксцесс
3) Построить графики (для нормального распределения) – полигон, гистограмму, кумуляту.
4) Рассчитать значение моды Mo и медианы Med по формулам, показать их на графике. По кумуляте определить медианное значение и сравнить его с вычисленным по формуле.
5) Выбрать наиболее подходящую вероятностную модель распределения по критерию Пирсона χ^2
6) Сделать вывод о характере вариационного ряда:

- О степени изменчивости
- По статистическим характеристикам
- По наиболее подходящей вероятностной модели

Порядок выполнения работы:

1) Для построения интервального вариационного ряда непрерывного признака рассчитатьширину интервала(h) по формуле Стерджесса:
   $h = \frac{Umax - Umin}{1 + 3.32 \lg N}$, где
   U_{max}и U_{min}- соответственномаксимальное и минимальное значение в выборке,
   N-объем выборки(количество проб).
   Упорядочить значения в виде интервального ряда для нормального закона распределения (пример табл. 1).

Таблица 1

Интервальный вариационный ряд распределения проб по содержанию в них меди

Границы	Серединный интервал	Частота (n_i)	Накопленная частота	Частность (w_i)	Накопленная частость
0,4-2,6	1,5	21	21	0,677	0,677
2,6-4,8	3,7	7	28	0,225	0,895

4,8-7,0	5,9	1	29	0,032	0,927
7,0-9,2	8,1	1	30	0,032	0,959
9,2-11,4	10,3	-	-	-	-
11,4-13,7	12,5	1	31	0,032	1

2) Создать исходную таблицу значений в программе Statistica. В меню программы выбрать: Главная → Создать → Таблица → выбрать число переменных (1 – количество признаков), число наблюдений (32 – количество проб)→ ОК

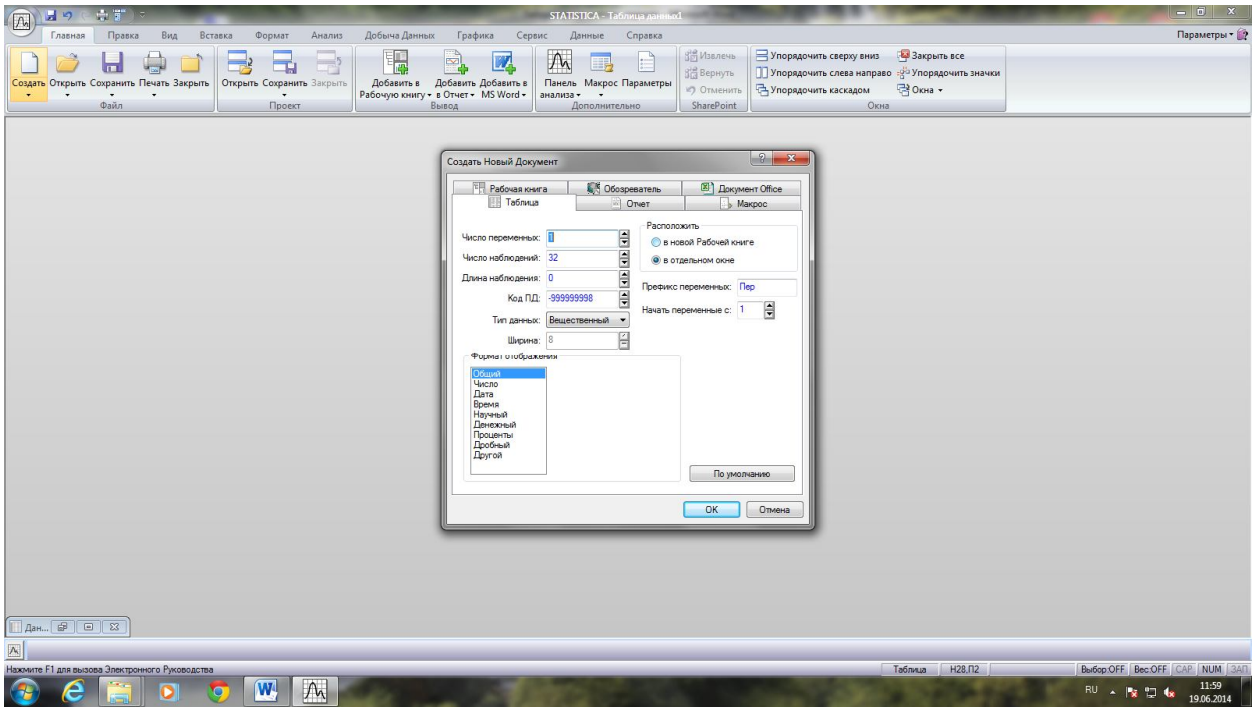

Рассчитать статистические характеристики в программе Statistica:
В меню выбрать:
Анализ →Основные статистики и таблицы→Описательныестатистики→ОК

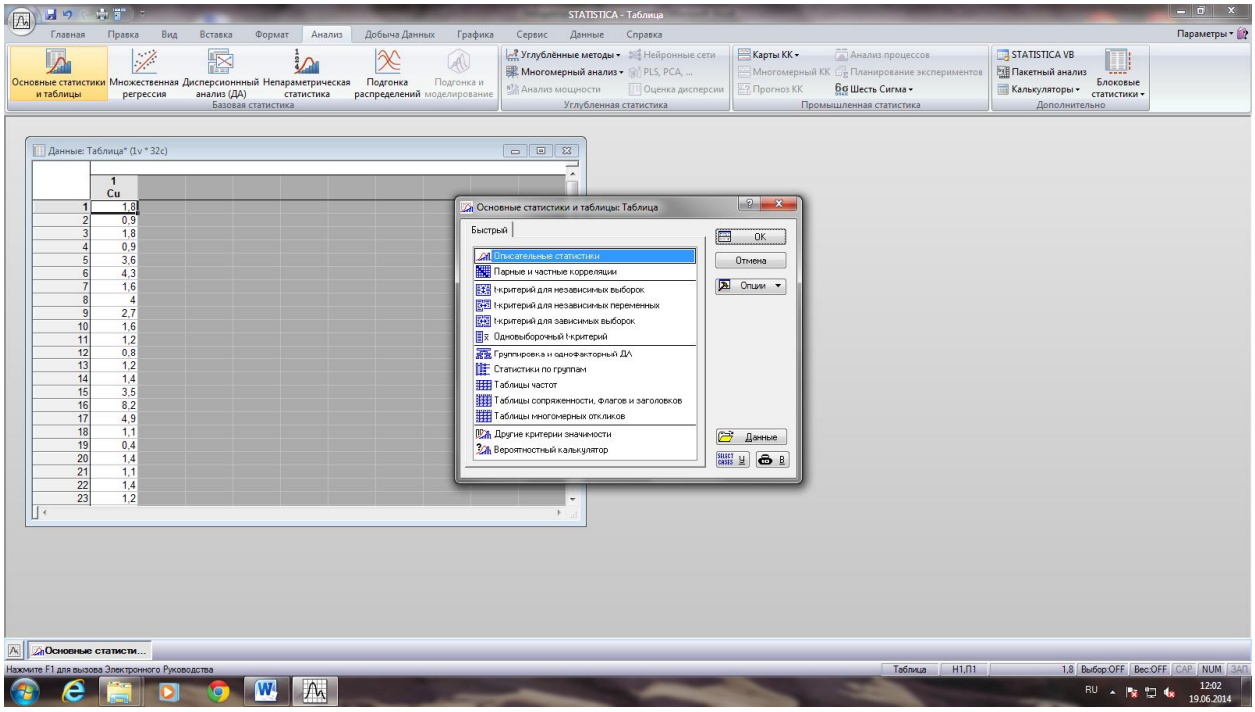

Далее выбрать переменную (вкладка «переменные» в верхнем левом углу) → ОК

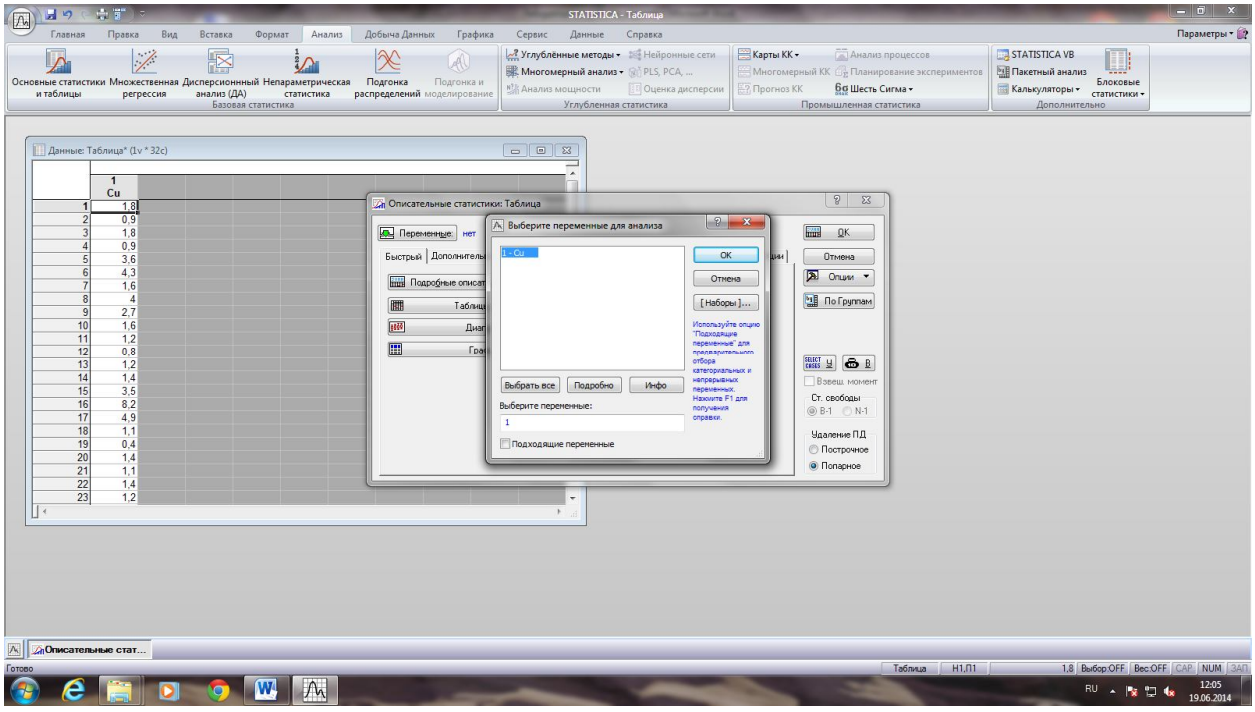

Впоявившимся диалогом окне выбрать: Дополнительно → отметить необходимые характеристики→ ОК (пример табл.2).

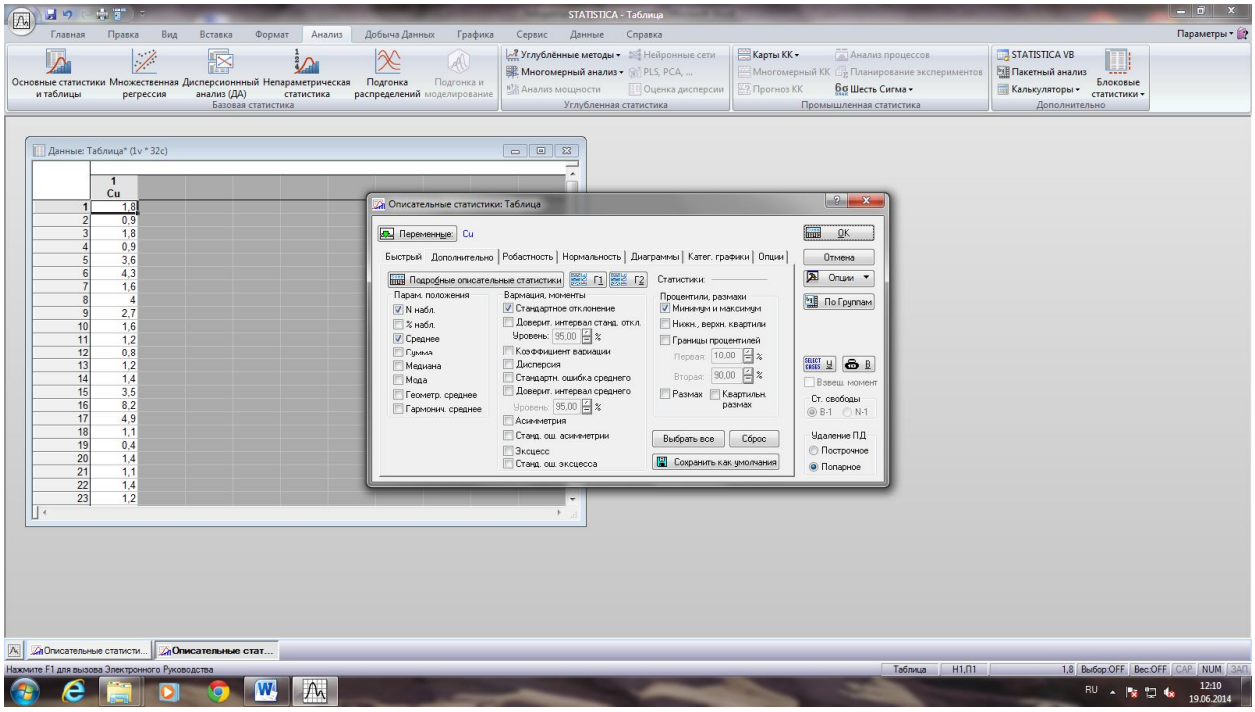

Описательные статистики Таблица 2

	N набл.	Среднее	Минимум	Максим.	Диспер-сия	Ст.откл.	Коэф. вар.	Асим-метрия	Эксцесс
Cu	31	2,47	0,40	13,70	7,25	2,69	108,74	2,86	9,90

3) Построить графики (для нормального распределения) – полигон, гистограмму, кумуляту. При построении полигона по оси абсцисс отмечаются середины интервалов признака, по оси ординат – соответствующие этим интервалам частоты (или частости) (рис. 1)

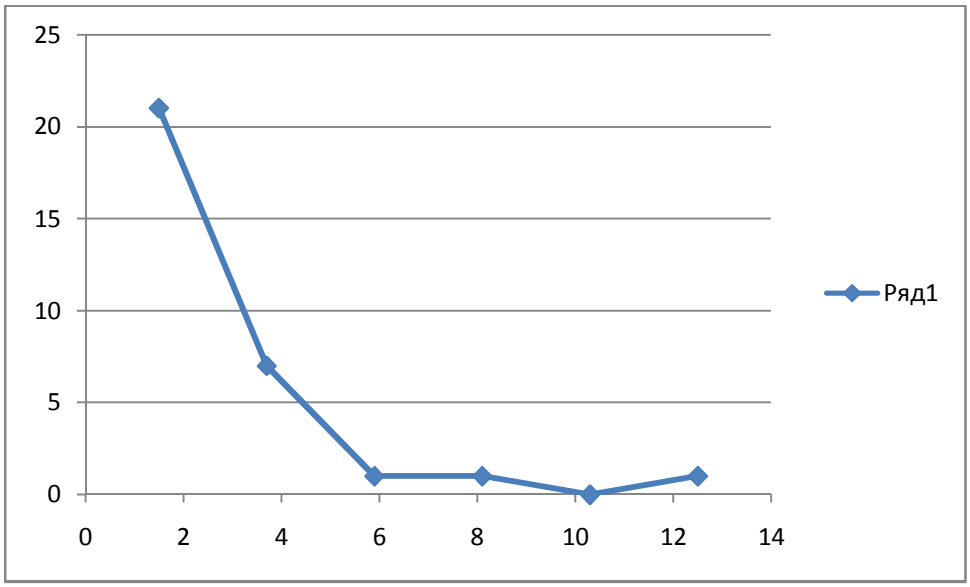

Рис 1. Полигон распределения проб по содержанию в них Cu

При построении гистограммы по оси абсцисс отмечаются границы интервалов признака, по оси ординат – соответствующие этим интервалам частоты (или частости) (рис. 2)

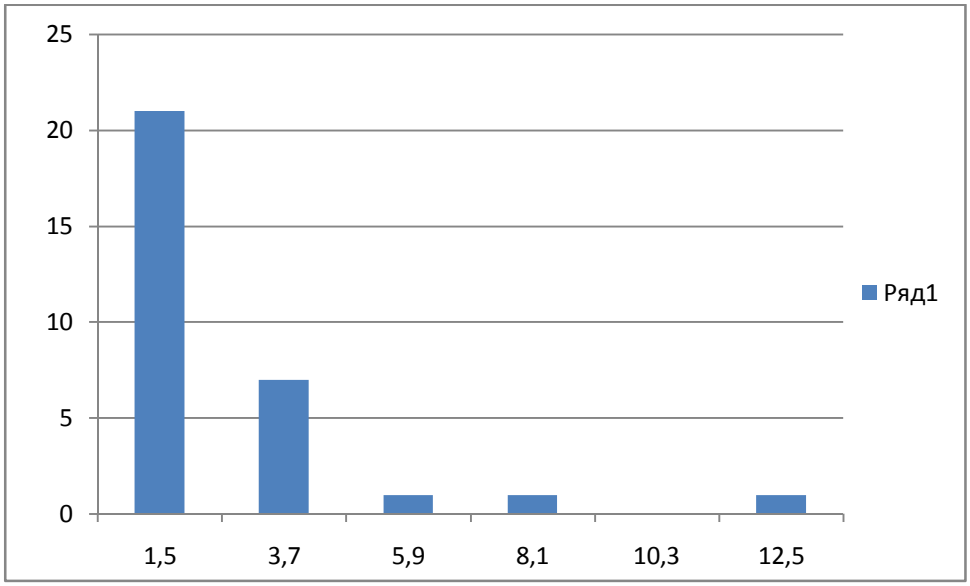

Рис.2 Гистограмма распределенияпроб по содержанию в них Cu

При построении кумуляты по оси абсцисс отмечаются верхние границы интервалов, по оси ординат – соответствующие накопленные частости.

4) Рассчитать значение моды Мо по формуле

Мо=$U_{mo} + h(\frac{n_{mo}-n_{mo-1}}{(n_{mo}-n_{mo+1})+(n_{mo}-n_{mo-1})})$, где

U_{mo} – начало модального интервала,
h - ширина интервала
n_{mo} – частота модального интервала,
n_{mo-1}- частота домодального интервала,
n_{mo+1}- частота послемодального интервала.

Рассчитать значение медианы (Med) по формуле.

Med=$U_{med} + h(\frac{\frac{N}{2}-n_{sm}}{n_{med}})$, где

U_{med}- начало медианного интервала (определяется по кумуляте),
n_{med} – частота медианного интервала,
n_{sm} – накопленная частота интервала, предшествующего медианному
По кумуляте определить медианное значение и сравнить его с вычисленным по формуле.

5) Выбрать наиболее подходящую вероятностную модель распределения по критерию Пирсона χ^2, который рассчитывается в программе Statistica.
В меню выбрать: Анализ → Подгонка распределений → выбрать нормальное распределение → ОК

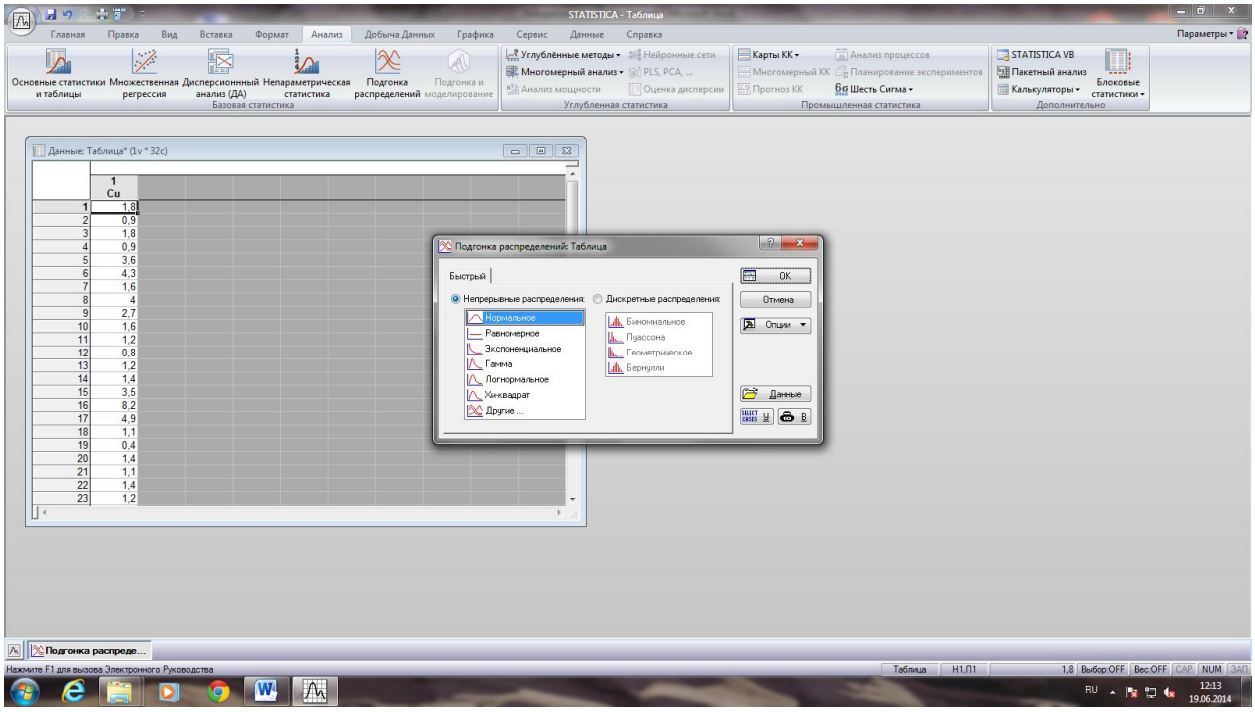

Не забыть выбрать переменную!

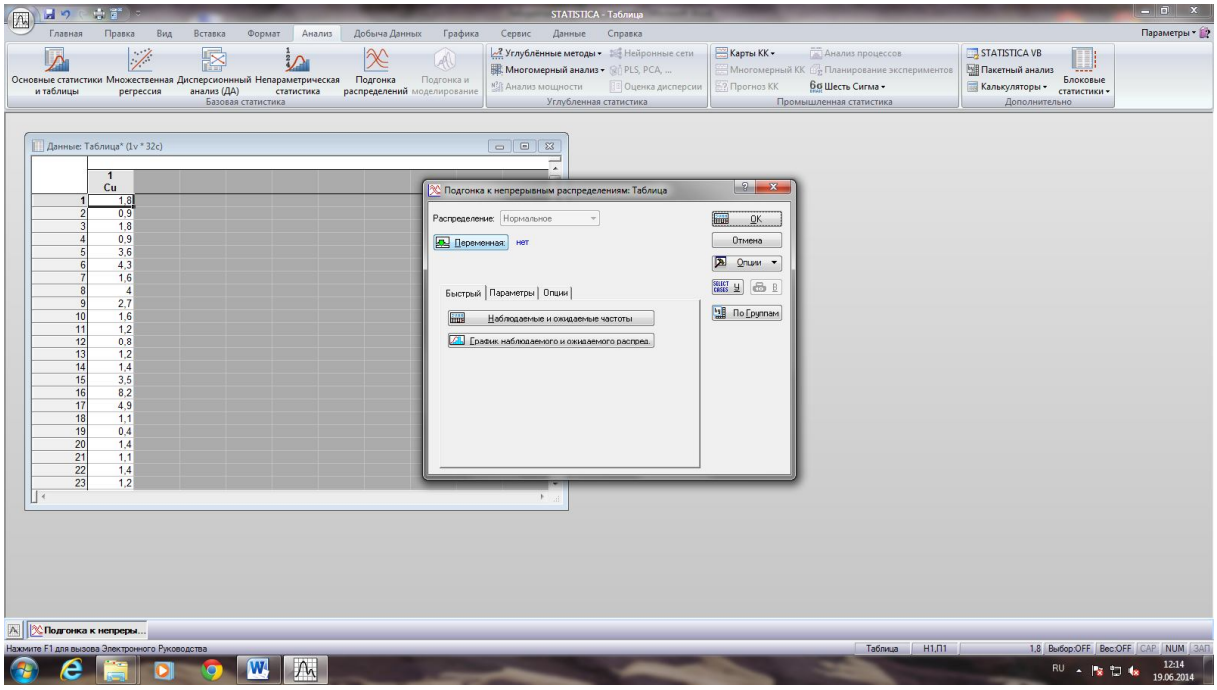

В появившемся окне в таблице отобразится ряд распределения признака, а в шапке тблице указан критерий Пирсона – хи-квадрат.

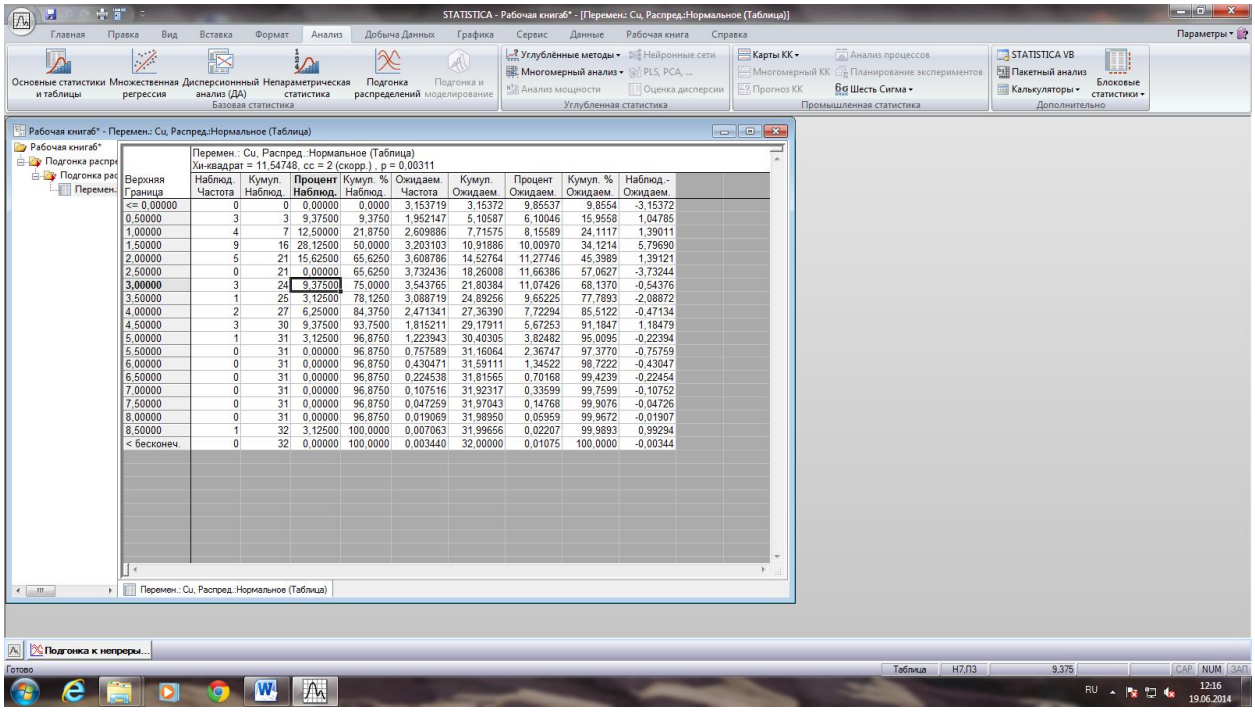

Верхняя Граница	Наблюд. Частота	Кумул. Наблюд.	Процент Наблюд.	Кумул. % Наблюд.	Ожидаем. Частота	Кумул. Ожидаем.	Процент Ожидаем.	Кумул. % Ожидаем.	Наблюд - Ожидаем.
<= 0,00000	0	0	0,00000	0,0000	3,153719	3,15372	9,85537	9,8554	-3,15372
0,50000	3	3	9,37500	9,3750	1,952147	5,10587	6,10046	15,9558	1,04785
1,00000	4	7	12,50000	21,8750	2,609886	7,71575	8,15589	24,1117	1,39011
1,50000	9	16	28,12500	50,0000	3,203103	10,91886	10,00970	34,1214	5,79690
2,00000	5	21	15,62500	65,6250	3,608786	14,52764	11,27746	45,3989	1,39121
2,50000	0	21	0,00000	65,6250	3,732436	18,26008	11,66386	57,0627	-3,73244
3,00000	3	24	9,37500	75,0000	3,543765	21,80384	11,07426	68,1370	-0,54376
3,50000	1	25	3,12500	78,1250	3,088719	24,89256	9,65225	77,7893	-2,08872
4,00000	2	27	6,25000	84,3750	2,471341	27,36390	7,72294	85,5122	-0,47134
4,50000	3	30	9,37500	93,7500	1,815211	29,17911	5,67253	91,1847	1,18479
5,00000	1	31	3,12500	96,8750	1,223943	30,40305	3,82482	95,0095	-0,22394
5,50000	0	31	0,00000	96,8750	0,757589	31,16064	2,36747	97,3770	-0,75759
6,00000	0	31	0,00000	96,8750	0,430471	31,59111	1,34522	98,7222	-0,43047
6,50000	0	31	0,00000	96,8750	0,224538	31,81565	0,70168	99,4239	-0,22454
7,00000	0	31	0,00000	96,8750	0,107516	31,92317	0,33599	99,7599	-0,10752
7,50000	0	31	0,00000	96,8750	0,047259	31,97043	0,14768	99,9076	-0,04726
8,00000	0	31	0,00000	96,8750	0,019069	31,98950	0,05959	99,9672	-0,01907
8,50000	1	32	3,12500	100,0000	0,007063	31,99656	0,02207	99,9893	0,99294
< бесконеч.	0	32	0,00000	100,0000	0,003440	32,00000	0,01075	100,0000	-0,00344

Вычисленный критерий Пирсона для нормального закона сравнить с табличным значением. Табличное значение находится по статистическим таблицам (учебник Шестакова Ю.Г. Математические методы в геологии) и зависит от уровня значимости α (α=0,05) и числа степеней свободы f (f= k-2, где k-количество интервалов). Если вычисленное значение критерия Пирсона ($\chi^2_{\text{вычисл.}}$) меньше табличного ($\chi^2_{\text{табл.}}$), то распределение признака не противоречит нормальному закону. Если вычисленное значение критерия Пирсона ($\chi^2_{\text{вычисл.}}$) больше табличного ($\chi^2_{\text{табл.}}$), то проверяемый закон (в данном случае нормальный) не подходит. И далее таким же образом выполняем проверку на соответствие логнормальному распределению.

Практическая работа № 2 (4 часа).

РЕШЕНИЕ ЗАДАЧ НА СТАТИСТИЧЕСКУЮ ОЦЕНКУ ПАРАМЕТРОВ ГЕНЕРАЛЬНОЙ СОВОКУПНОСТИ

1.Примеры решения задач на статистическую оценку параметров генеральной совокупности.

Задача. Качество хромитовых руд Кемпирсайских месторождений определяется содержанием оксида хрома (V = Cr_2O_3) и оксида кремния (U = SiO_2), по соотношению которых могут выделяться естественные природные типы руд (по интенсивности вкрапленности) и технологические промышленные сорта (марки руд) по данным опробования кернов скважин на стадии предварительной и детальной разведки месторождений. Для изучения распределения содержаний указанных выше компонентов на одном из рудных тел месторождения было отобрано 120 керновых проб, по которым были рассчитаны средние значения содержаний V = 43,50 % Cr_2O_3, Ū = 10,50 % SiO_2 выборочные дисперсии S_v^2 = 11,00 и S_u^2 = 6,00 и коэффициент корреляции r_{uv} = 0,92. При доверительной вероятности γ = 0,95 соответственно с уровнем значимости α = 1, γ = 0,05 оценить генеральную среднюю V, генеральную дисперсию σ_v^2 и генеральный коэффициент корреляции ρ_{uv} для всего рудного тела.

Решение:

Оценка генерального среднего. Поскольку объем выборки большой n> 120, то для оценки генерального среднего используем классическую оценку и соответствующую

статистическую таблицу (Методическая разработка к лабораторным занятиям по разделу «Статистические оценки параметров генеральной совокупности при решении геологоразведочных задач»,выпуск 5, приложение 1).

$P(V - t_\gamma\frac{S_v}{\sqrt{n}} \le \hat{U} \le V + t_\gamma\frac{S_v}{\sqrt{n}}) = \Phi(t)$

Для $\gamma = 0{,}95$, $t_\gamma = 1{,}96$ (статистическая таблицаиз Методической разработки к лабораторным занятиям по разделу «Статистические оценки параметров генеральной совокупности при решении геологоразведочных задач»,выпуск 5, приложение 1).

Подставляя цифровые данные примера в формулу, получаем

$P(43{,}5 - 1{,}96\frac{3{,}32}{\sqrt{120}} \le V \le 43{,}5 + 1{,}96\frac{3{,}32}{\sqrt{120}}) = 0{,}95$

Следовательно, с доверительной вероятностью $\gamma = 0{,}95$ можно утверждать, что генеральное среднее V будет находиться в интервале от 42,91 до 44,09 % оксида хрома.

Оценка генеральной дисперсии σ_v^2. Для нахождения интервальной оценки используем формулу и таблицу (Методическая разработка к лабораторным занятиям по разделу «Статистические оценки параметров генеральной совокупности при решении геологоразведочных задач»,выпуск 5, приложение 3).

$P(\frac{S_u^2 \cdot n}{\chi^2_{1-\alpha,f}} \le \sigma_v^2 \le \frac{S_v^2 n}{\chi^2_{\alpha,f}}) = \gamma = 1-\alpha$

Подставляя цифры нашего примера, имеем

$P(\frac{11{,}0 \cdot 120}{146{,}57} \le \sigma_v^2 \le \frac{11{,}0 \cdot 120}{95{,}70}) = 0{,}95$

С доверительной вероятностью $\gamma = 0{,}95$ можно утверждать, что генеральная дисперсия σ_v^2 находится в доверительном интервале 9,00 – 13,79.

Оценка генерального коэффициента корреляции. По таблице (Методическая разработка к лабораторным занятиям по разделу «Статистические оценки параметров генеральной совокупности при решении геологоразведочных задач»,выпуск 5,приложение 4) находим значение Z = 1,589 для r = - 0,92. Затем вычисляем погрешность $\delta_Z = 1 : \sqrt{n-3} = 1 = \sqrt{117} = 0{,}092$. Для $\gamma = 0{,}95$ находим значение $\gamma = 1{,}96$ по таблице (Приложение 1). По формулам вычисляем Z_1 и Z_2, т.е. нижнюю и верхнюю границу доверительного интервала для величины Z.

$Z_1 = Z - t_\gamma\delta_Z = 1{,}589 - 1{,}96 \cdot 0{,}092 = 1{,}409$

$Z_2 = Z + t_\gamma\delta_Z = 1{,}589 + 1{,}96 \cdot 0{,}092 = 1{,}769$

$P(Z_1 \le Z \le Z_2) = \gamma$

$P(1{,}409 \le Z \le 1{,}769) = 0{,}95$

По таблице (Приложение 4 из методической разработки …) по значениям Z_1 и Z_2 находим соответствующие значения $r_1 = -0{,}89$ и $r_2 = -0{,}94$ и с учетом знака коэффициента корреляции определяем доверительный интервал для генерального коэффициента корреляции

$P(-0{,}94 \le \rho \le -0{,}89) = \gamma = 0{,}95$

Выводы: в 95 случаях из 100 можно утверждать, что генеральное среднее содержание оксида хрома будет находиться в интервале от 42,91 до 44,09 %; генеральная дисперсия в интервале от 9,00 до 13,79 и генеральный коэффициент корреляции в интервале от – 0,94 до -0,89 и только в 5 случаях из 100 генеральное среднее содержание оксида хрома, генеральная дисперсия и генеральный коэффициент корреляции могут выйти за пределы указанных доверительных интервалов.

2. Задания для решениязадач на статистическую оценку параметров генеральной совокупности

Задача 1. (Приложение 2, вариант 1 – 6).

В рудном теле Кемпирсайскогохромитового месторождения изучалось распределение содержаний оксидов хрома (V = Cr_2O_3) и оксида кремния (U = SiO_2). По

выборкам различного объема (n_1, n_2, n_3, n_4, n_5, n_6), состоящих из керновых проб, рассчитаны средние значения компонентов ∇ и Ū, выборочные дисперсии S_v^2 и S_u^2 и коэффициенты корреляции r_{VU}. При доверительной вероятности γ или соответственно с уровнем значимости α = 1-γ оценить генеральную среднюю ∇, генеральную дисперсию σ_v^2 и генеральный коэффициенты корреляции ρ_{VU} для всего рудного тела.

Задача 2. (Приложение 2, вариант 7 – 12).

В рудном теле Магнитогорского железорудного месторождения, представленным магнетитовой рудой с хлоритом, изучалось распределение оксидов кальция (∇ = CaO %) и оксида магния (U = MgO %). По выборкам различного объема (n_1, n_2, n_3, n_4, n_5, n_6), состоящих из штуфных проб, рассчитаны средние значения компонентов ∇ и Ū, выборочные дисперсии S_v^2 и S_u^2 и коэффициенты корреляции r_{UV}. При доверительной вероятности γ или соответственно с уровнем значимости α = 1-γ оценить генеральную среднюю Ū, генеральную дисперсию σ_v^2 и генеральный коэффициент корреляции ρ_{UV} для всего рудного тела для данного варианта.

Задача 3. (Приложение 2, вариант 13 – 18).

В рудном теле Магнитогорского железорудного месторождения, представленным магнетитовой рудой с гранатом, изучалось распределение оксидов кремния (∇ = SiO_2 %) и оксида алюминия (U = Al_2O_3 %).По выборкам различного объема ((n_1, n_2, n_3, n_4, n_5, n_6), рассчитаны средние значения компонентов ∇ и Ū, выборочные дисперсии S_v^2 и S_u^2 и коэффициенты корреляции r_{UV}. При доверительной вероятности γ или соответственно с уровнем значимости α = 1-γ оценить генеральную среднюю Ū дисперсию Û, σ_v^2 и генеральный коэффициент корреляции ρ_{UV} для всего рудного тела для выданного варианта.

Задача 4. (Приложение 2, вариант 19 – 24).

В рудном теле Петлинского железорудного месторождения, сложенного охристо-глинистыми бурыми железняками, изучалось распределение содержаний железа (∇ = Fe %) и оксида кремния (U = SiO_2 %). %). По выборкам различного объема (n_1, n_2, n_3, n_4, n_5, n_6), состоящих из бороздовых проб, рассчитаны средние значения компонентов ∇ и Ū, выборочные дисперсии S_v^2 и S_u^2 и коэффициенты корреляции r_{VU}. При доверительной вероятности γ соответственно с уровнем значимости α = 1-γ оценить генеральную среднюю Ū, генеральную дисперсию σ_v^2 и генеральный коэффициент корреляции ρ_{VU} для всего рудного тела для выданного варианта.

Задача 5. (Приложение 2, вариант 25 – 30).

В главной залежи Качканарского железорудного месторождения изучалось распределение содержаний железа (∇ = Fe %) и оксида ванадия (U =V_2O_5 %). По выборкам различного объема (n_1, n_2, n_3, n_4, n_5, n_6), состоящих из штуфных проб, рассчитаны средние значения компонентов Ū и V, выборочные дисперсии S_v^2 и S_u^2 и коэффициенты корреляции r_{VU}. При доверительной вероятности γ или соответственно с уровнем значимости α = 1-γ оценить генеральную среднюю ∇, генеральную дисперсию σ_v^2 и генеральный коэффициент корреляции ρ_{VU} для всего рудного тела для выданного варианта.

Практическая работа № 3 (2 часа).

Параметрические методы сравнения групп переменных

Исходные: даны результаты химического анализа (породообразующие окислы) щелочнополевошпатовыхсиенитов,которые были отбранысразличных массивов центрального Алдана (Якутия) – Якокутского, Ыллымахвского, Джекондинского и Юхтинского. См. **Приложение 3.**

Задание: Проверить параметрическими методами (по t-критериюСтьюдента(сравнение средних значений) и по F-критерию Фишера (сравнение дисперсий)) различие или сходство щелочных пород их массивов по содержанию определенного компонента (приложение 3).

Ход выполнения работы:

1. Создать исходную таблицу значений (вариант из приложения 3) в программе «Statistica».
2. Рассчитать t-критерий Стьюдентав программе:
   Анализ → Основные статистики и таблицы →t-критерий для независимых переменных → ОК.
   Далее произвести выбор переменных для попарного сравнения: в левом «окне» выбрать первую переменную (A), а в правом – последующие три переменные (B, C, D). Далее последовательно менять переменные: B – C, D; C-D.

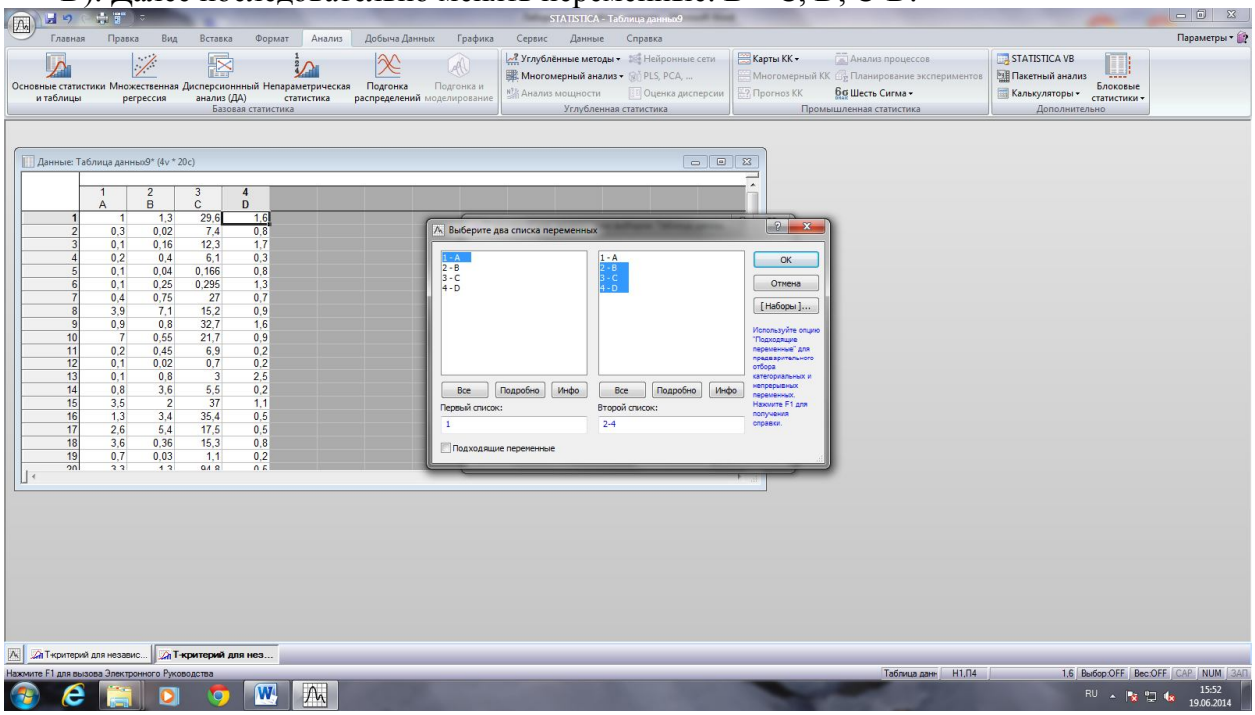

   ОК
   Выбрать: Т-критерий→ ОК

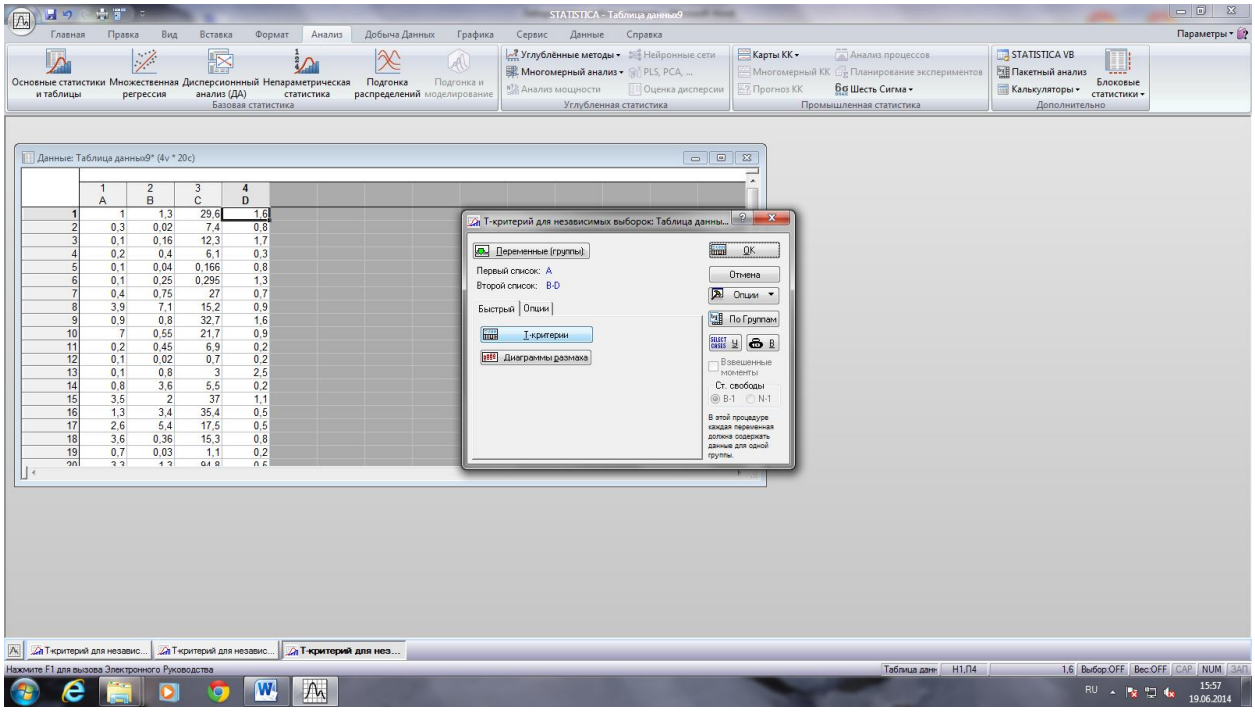

Эта процедура предназначена для установления достоверной статистической разницы (или сходства) между средними значениями выборок на основе t-критерий Стьюдента Результаты занести в таблицу (табл. 3)

Таблица 3

Результаты вычисления t-критерия Стьюдента и F-критерияФишера

Сравниваемые переменные		Среднее значение	S	$t_{эмп.}$	$t_{табл.}$	$F_{эмп.}$	$F_{табл.}$
A		61,52	3,97	2,35	2,00	1,46	1,85
	B	59,26	3,29				
A		61,52	3,97	1,27		2,56	
	C	60,59	2,48				
A		61,52	3,97	-2,66		1,38	
	D	64,45	4,68				
B		59,26	3,29	-1,68		1,75	
	C	60,59	2,48				
B		59,26	3,29	-5,05		2,02	
	D	64,45	4,68				
C		60,59	2,48	-3,70		3,56	
	D	64,45	4,68				

$t_{эмп.}$– эмпирическоезначение критерия Стьюдента (вычисленное в программе)

$t_{табл.}$- табличное значение критерия Стьюдента. Находится по статистическим таблицам (α=0.05, f = N1+N2-2)

$F_{эмп.}$ – эмпирический критерий Фишера.

$F_{табл.}$- табличное значение критерий Фишера. (α=0.95, $f_1 = N_1-1$, $f_2 = N_2-1$,)

Далее по таблице сделать выводы, учитывая следующее:

Нулевая гипотеза состоит в том, что средние значения выборочных (сравниваемых) совокупностей существенно не различаются. Нулевая гипотеза отвергается, если полученное значение критерия Стьюдента ($t_{эмп}$) больше табличного значения t-критерия ($t_{табл}$) при принятом уровне значимости (α) и имеющемся числе степеней свободы (f).

Нередко совокупности не различаются по средним значениям признака, но могут существенно различаться по дисперсиям. Для сравнения генеральных дисперсий по выборочным используется критерий Фишера. Он вычисляется по формуле: S_1^2/S_2^2, где и S_1^2 – дисперсий большей по объему выборки, S_2^2 – дисперсия меньшей выборки; сравнивается с табличным значением.

Нулевая гипотеза состоит в том, что дисперсии сравниваемых совокупностей существенно не различаются. Нулевая гипотеза отвергается, если полученное значение критерия Фишера ($F_{эмп}$) больше табличного значения ($F_{табл}$) F-критерия.

Практическая работа № 4 (4 часа).
Корреляционный, кластерный и факторный анализы

Задание:

1. Определить направленность и силу корреляционной связи между геохимическими элементами (выбрать пару элементов из приложения 1), построив корреляционную матрицу. Выделить значимые корреляционные связи по другим элементам.
2. Построить корреляционное поле между данными элементами, провести геометрическую проверку правильности построения линии регрессии.
3. Рассчитать коэффициент корреляции по формуле Матерона (метод дробового выстрела) и сравнить его с вычисленным в программе Statistica.
4. Сделать заключение о виде связи между переменными и о возможности практического использования уравнения регрессии в целях прогноза.
5. Рассчитать коэффициент детерминации и сделать вывод по нему.
6. Выполнить кластерный и факторный анализы, сделать выводы по ним.

Ход работы:

1. В программе «Statistica» произвести набор исходных значений (из приложения 1) и выполнить корреляционный анализ.

   В меню программы выбрать:

   Анализ → Основные статистики и таблицы→ Парные и частные корреляции →ОК

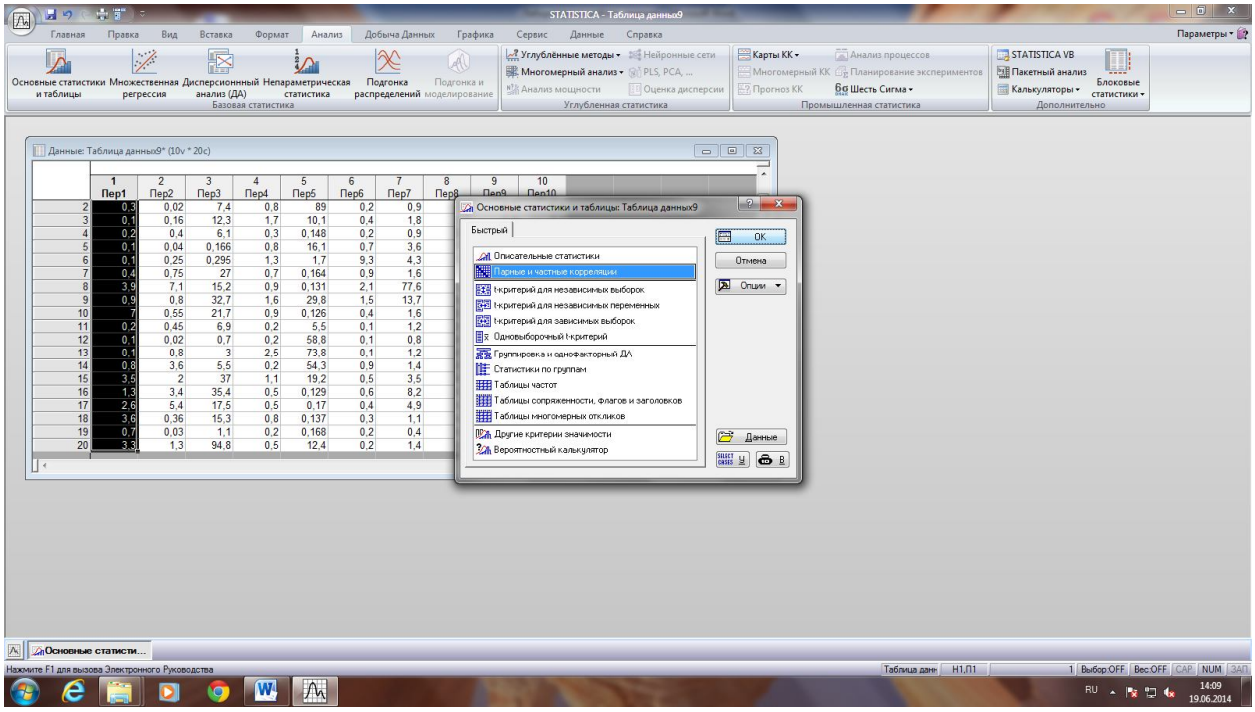

В новом окне выбрать: матрица парных корреляций→ отметить все переменные (или лишь те, которые необходимо проанализировать) →ОК

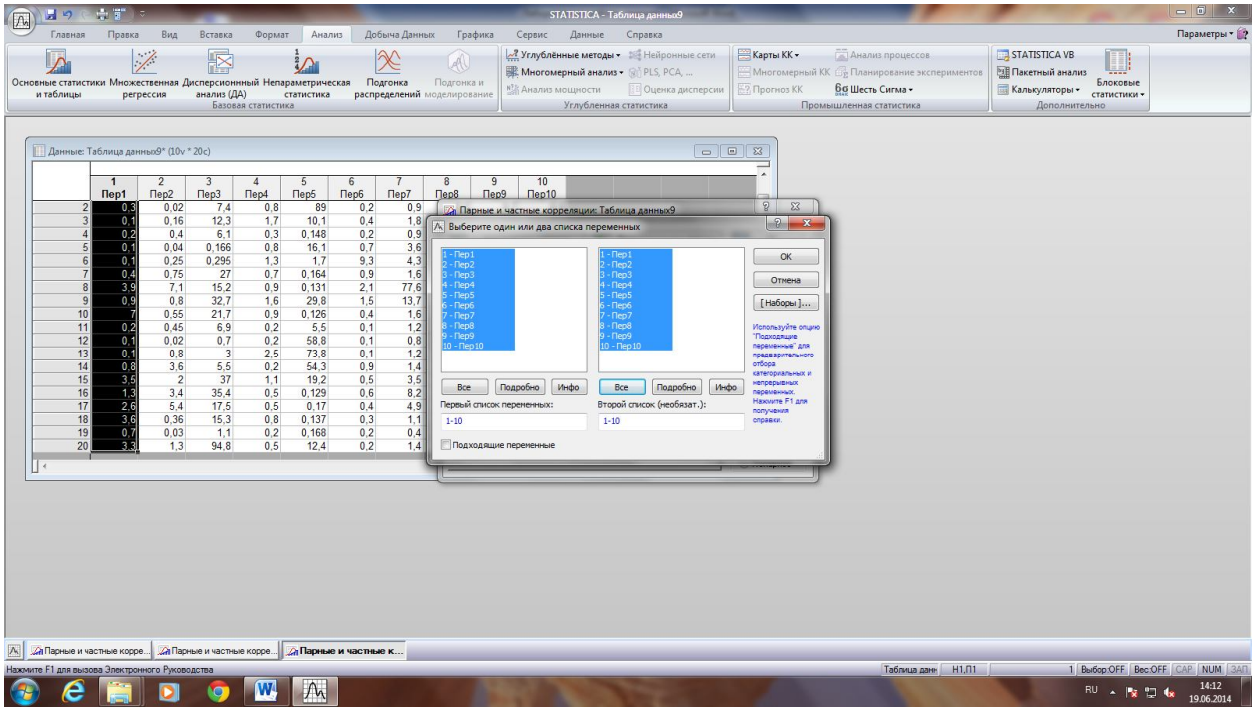

Результатом анализа является корреляционная матрица (рис. 3) – таблица, в которой по диагонали расположены единицы, а недиагональные значения представляют парные коэффициенты корреляции между соответствующими элементами.
Красным цветом в таблице выделены значимые коэффициенты корреляции

Корреляционная матрица.

	Ag	Au	As	B	Ba	Co	Cu	La	Mn	Mo	Ni	Pb
Ag	1,00	0,32	0,39	-0,24	0,21	-0,15	0,16	-0,21	-0,21	-0,06	-0,20	-0,04
Au	0,32	1,00	0,04	-0,06	0,01	-0,04	0,02	0,15	0,24	0,09	-0,14	0,36
As	0,39	0,04	1,00	-0,18	0,25	-0,17	0,40	-0,34	-0,22	-0,06	-0,12	0,29
B	-0,24	-0,06	-0,18	1,00	-0,06	0,26	-0,03	0,35	0,30	0,00	0,29	-0,10
Ba	0,21	0,01	0,25	-0,06	1,00	-0,20	-0,04	-0,29	-0,10	-0,17	-0,23	0,28
Co	-0,15	-0,04	-0,17	0,26	-0,20	1,00	-0,01	-0,11	-0,00	0,03	0,92	0,02
Cu	0,16	0,02	0,40	-0,03	-0,04	-0,01	1,00	-0,10	-0,06	-0,09	-0,04	-0,07
La	-0,21	0,15	-0,34	0,35	-0,29	-0,11	-0,10	1,00	0,56	0,49	-0,10	-0,08
Mn	-0,21	0,24	-0,22	0,30	-0,10	-0,00	-0,06	0,56	1,00	0,12	0,09	-0,17
Mo	-0,06	0,09	-0,06	0,00	-0,17	**0,03**	-0,09	0,49	0,12	1,00	0,02	-0,01
Ni	-0,20	-0,14	-0,12	0,29	-0,23	0,92	-0,04	-0,10	0,09	0,02	1,00	-0,05
Pb	-0,04	0,36	0,29	-0,10	0,28	0,02	-0,07	-0,08	-0,17	-0,01	-0,05	1,00

Рис. 3. Корреляционная матрица

2. Построить корреляционное поле (рис. 4).

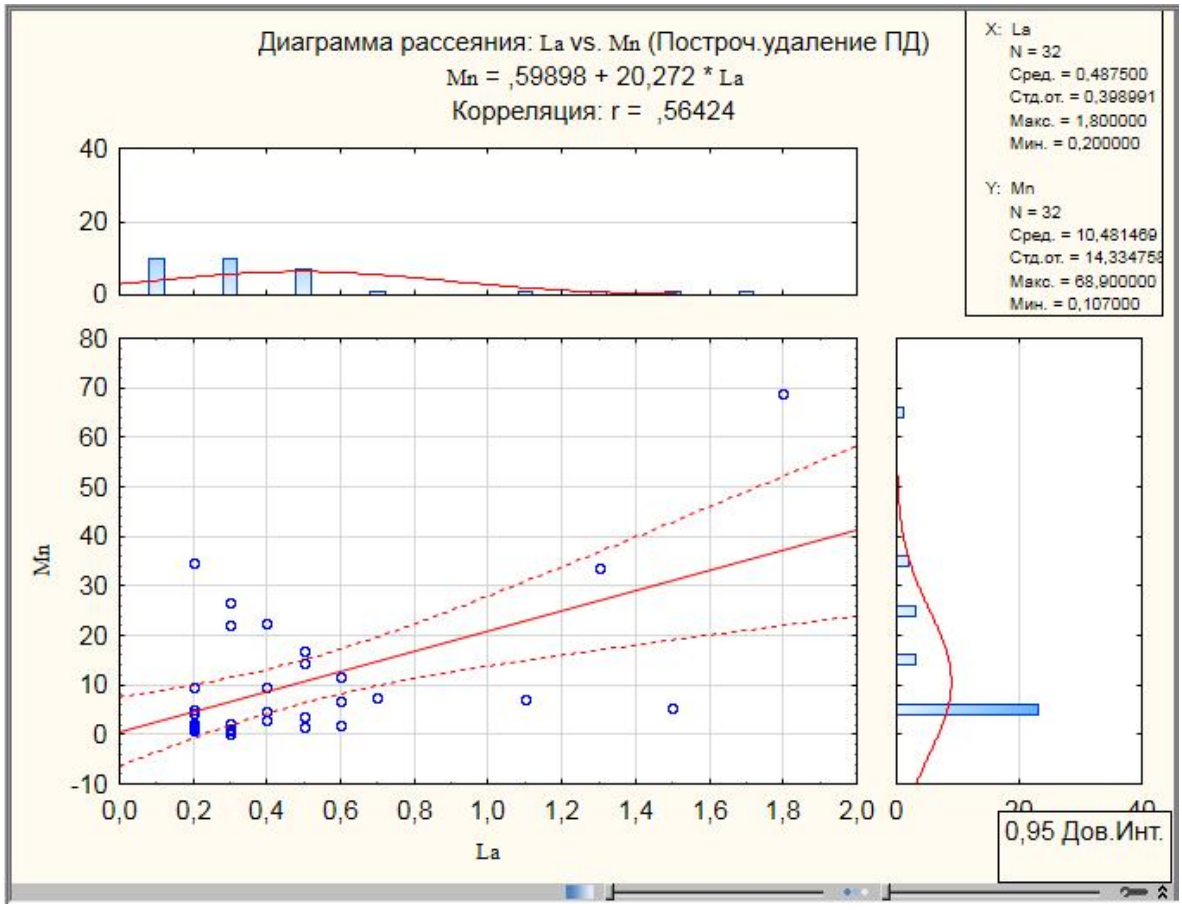

3. Рассчитать коэффициент корреляции по формуле Матерона (метод дробового выстрела):

$r = \sin\left[90 * \frac{n1-n2}{n1+n2}\right]$ где n_1 – число точек в квадрантах 1 и 3,n_2 – число точек в квадрантах 2 и 4.

При правильном расчете коэффициент корреляции, вычисленный методом дробового выстрела должен быть близок к коэффициенту, вычисленному в программе «Статистика»

4. Рассчитать коэффициент детерминации R^2по формуле:

$R^2 = r^2 * 100$; R^2 =25% ,при $r_{Mo\text{-}Ni} = 0.5$

Коэффициент детерминации показывает, насколько изменчивость одного признака обусловлена изменчивостью другого.

4. Выполнить кластерный анализ.
В меню выбрать: Анализ → Многомерный анализ → Кластерный анализ

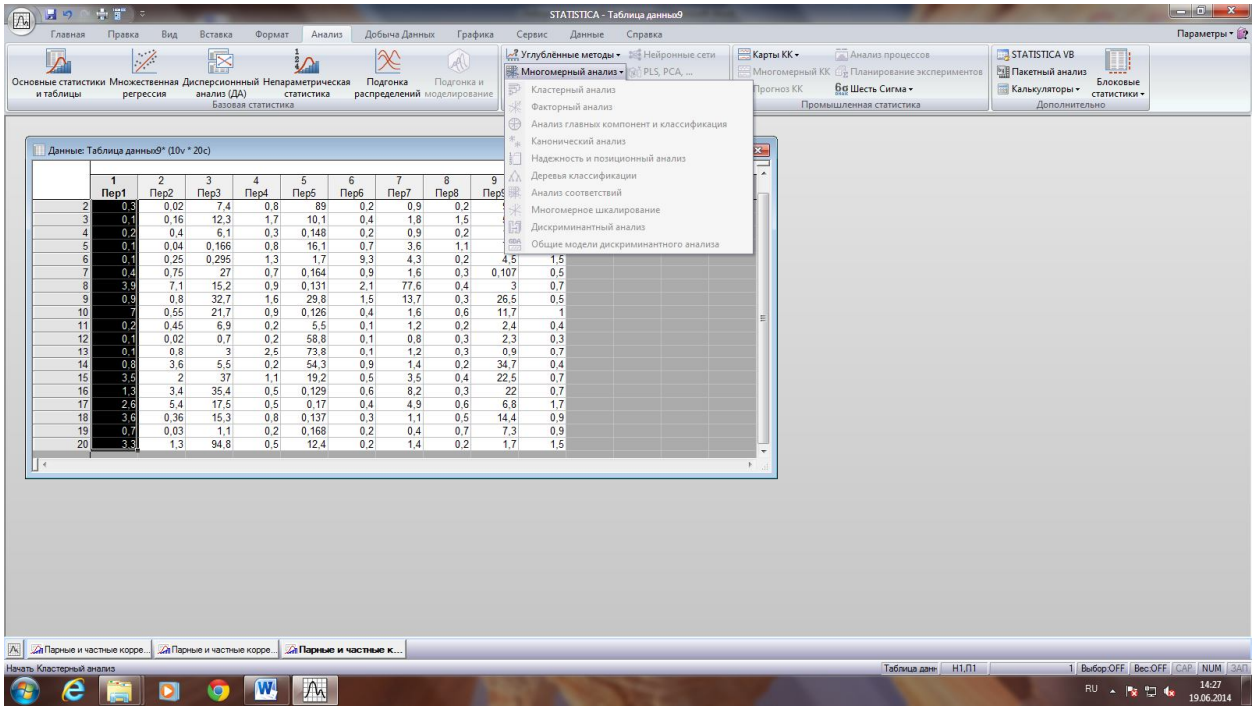

Результатом анализа является дендрограмма(рис.5), на которой элементы объединены в группы по силе корреляционной связи

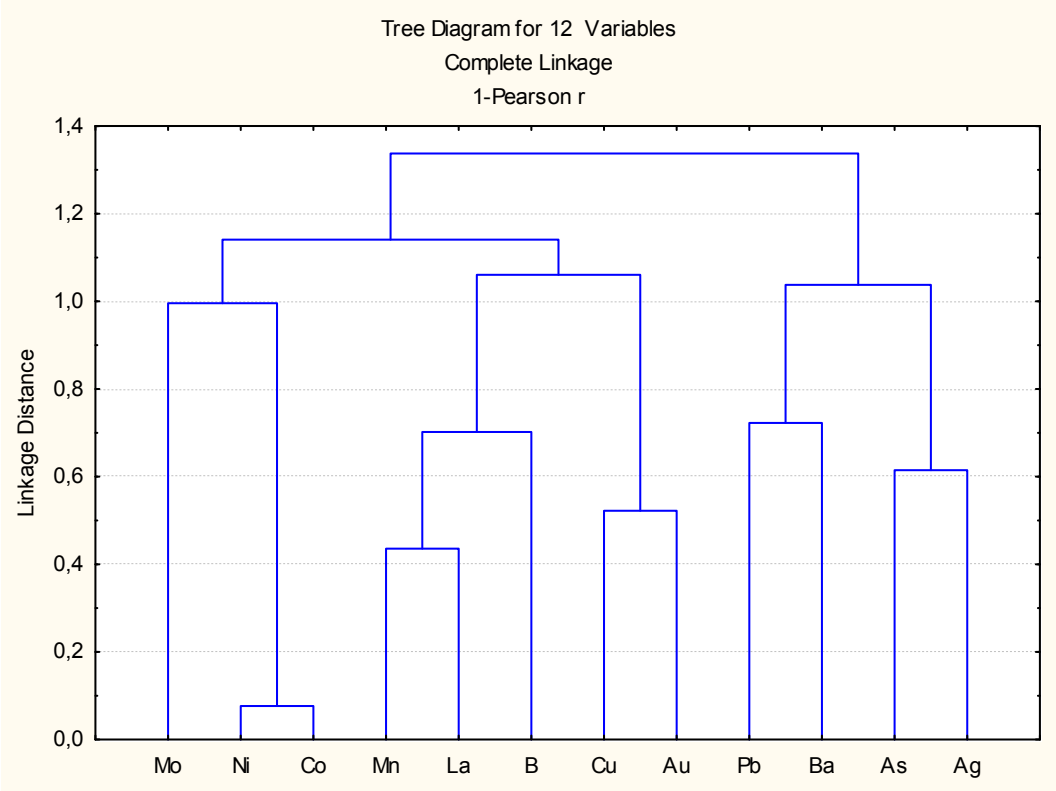

Рис. 5. Дендрограмма

5. Выполнить факторный анализ.
В меню программы выбрать: Анализ →Многомерный анализ → Факторный анализ

Результатом анализа является факторная таблица, в которой по горизонтали перечислены факторы, влияющие на изменчивость объекта (располагаются по мере уменьшения их влияния). По вертикали расположены признаки (элементы) и их вклад в данный фактор. Красным цветом выделены значимые факторы (значение больше 0,7)

Factor Loadings (Varimax normalized) (полнаятаблица) Extraction: Principal components (Marked loadings are >,700000)

	Factor	**Factor**	**Factor**	**Factor**	**Factor**
Ag	-0,544677	-0,222147	0,292940	0,151587	0,006173
Au	0,031876	-0,127341	0,851671	0,232546	0,188428
As	-0,452401	-0,065245	-0,015270	0,570009	0,012023
B	0,715945	0,267331	0,022059	0,024204	-0,119592
Ba	0,004869	-0,240497	-0,191223	0,719354	-0,298353
Co	0,064896	0,961585	0,094613	-0,057629	-0,009537
Cu	0,018482	0,144409	0,835138	-0,123668	-0,181491
La	0,628861	-0,195490	0,100675	-0,174568	0,613719
Mn	0,728010	-0,115447	0,146296	-0,068046	0,214196
Mo	0,012532	0,047769	-0,049093	-0,027290	0,914888
Ni	0,124181	0,946175	-0,077177	-0,054121	0,003878
Pb	-0,042506	0,097271	0,285034	0,759587	0,085653
Expl.Var	1,962361	2,103160	1,676000	1,554387	1,438936

Prp.Totl	0,163530	0,175263	0,139667	0,129532	0,119911

ПРИЛОЖЕНИЯ к лабораторным работам

ПРИЛОЖЕНИЕ 1

К ЗАДАНИЮ: "Вариационный и корреляционный анализы"

Геохимический состав рудныхджаспероидов

(Au, Ag --- в г/т; остальные элементы --- в n x 10^{-3} %)

	Вар.1	Вар.2	Вар.3	Вар.4	Вар.5	Вар.6	Вар.7	Вар.8	Вар.9	Вар.10	Вар.11	Вар.12
№ п/п	Ag	Au	As	B	Ba	Co	Cu	La	Mn	Mo	Ni	Pb
1.	1.0	1.3	29.6	1.6	0.156	0.8	1.8	0.4	9.6	0.8	3.4	3.5
2.	0.3	0.02	7.4	0.8	89.0	0.2	0.9	0.2	9.7	0.8	0.8	0.3
3.	0.1	0.16	12.3	1.7	10.1	0.4	1.8	1.5	5.3	1.1	1.5	4.4
4.	0.2	0.4	6.1	0.3	0.148	0.2	0.9	0.2	1.8	0.3	0.5	1.9
5.	0.1	0.04	0.166	0.8	16.1	0.7	3.6	1.1	7.2	3.8	2.6	2.2
6.	0.1	0.25	0.295	1.3	1.7	9.3	4.3	0.2	4.5	1.5	33.6	3.1
7.	0.4	0.75	27.0	0.7	0.164	0.9	1.6	0.3	0.107	0.5	8.6	0.8
8.	3.9	7.1	15.2	0.9	0.131	2.1	77.6	0.4	3.0	0.7	0.9	8.8
9.	0.9	0.8	32.7	1.6	29.8	1.5	13.7	0.3	26.5	0.5	7.2	1.2
10.	7.0	0.55	21.7	0.9	0.126	0.4	1.6	0.6	11.7	1.0	1.8	0.145
11.	0.2	0.45	6.9	0.2	5.5	0.1	1.2	0.2	2.4	0.4	0.3	1.3
12.	0.1	0.02	0.7	0.2	58.8	0.1	0.8	0.3	2.3	0.3	0.8	0.5
13.	0.1	0.8	3.0	2.5	73.8	0.1	1.2	0.3	0.9	0.7	0.7	0.6
14.	0.8	3.6	5.5	0.2	54.3	0.9	1.4	0.2	34.7	0.4	2.1	0.8
15.	3.5	2.0	37.0	1.1	19.2	0.5	3.5	0.4	22.5	0.7	10.7	1.1
16.	1.3	3.4	35.4	0.5	0.129	0.6	8.2	0.3	22.0	0.7	5.0	1.5

17.	2.6	5.4	17.5	0.5	0.17	0.4	4.9	0.6	6.8	1.7	1.0	4.8
18.	3.6	0.36	15.3	0.8	0.137	0.3	1.1	0.5	14.4	0.9	1.3	0.127
19.	0.7	0.03	1.1	0.2	0.168	0.2	0.4	0.7	7.3	0.9	0.8	1.6
20.	3.3	1.3	94.8	0.5	12.4	0.2	1.4	0.2	1.7	1.5	1.9	0.4
21.	3.6	0.35	0.153	0.2	3.0	0.1	1.1	0.5	1.4	3.3	0.6	0.4
22.	13.0	7.0	0.206	0.4	24.6	0.2	1.4	0.5	3.5	1.5	0.9	0.3
23.	0.8	2.2	46.8	0.2	27.1	0.2	1.2	0.6	1.9	4.7	1.0	1.0
24.	0.1	5.0	0.174	0.7	14.5	0.2	2.6	1.3	33.6	1.2	1.6	0.2
25.	0.1	3.6	0.145	1.7	10.6	0.6	4.5	1.8	68.9	3.0	3.7	0.2
26.	0.3	0.01	23.2	0.2	26.2	0.4	4.3	0.5	16.8	0.9	5.0	3.6
27.	2.8	0.7	31.9	0.4	24.7	0.2	1.4	0.4	4.7	0.2	0.6	0.6
28.	3.0	5.4	75.6	0.3	88.7	0.2	2.7	0.3	1.2	1.2	0.5	39.8
29.	0.8	0.3	10.3	0.2	13.0	0.1	0.5	0.2	1.2	0.7	0.3	7.4
30.	5.4	1.5	24.6	0.2	82.2	0.2	1.8	0.2	1.0	0.4	0.4	0.148
31.	5.8	0.9	85.4	0.5	28.0	0.1	0.5	0.2	1.6	0.6	0.1	0.161
32.	13.2	1.3	79.0	0.3	81.9	0.2	0.5	0.2	5.2	0.8	0.3	0.171

Продолжение приложения 1

К ЗАДАНИЮ: "Вариационный и корреляционный анализы"

Геохимический состав рудныхджаспероидов
(Au, Ag --- в г/т; остальные элементы --- в n x 10^{-3} %)

	Вар.13	**Вар.14**	**Вар.15**	**Вар.16**	**Вар.17**	**Вар.18**
№ п/п	Sb	Sr	Th	V	W	Zn
1.	7.8	11.3	0.2	1.8	0.2	10.1
2.	4.8	4.1	0.1	0.5	0.2	2.0
3.	3.6	8.8	0.3	3.2	0.2	6.4
4.	17.7	1.7	0.1	0.3	0.2	0.7
5.	13.0	2.3	0.2	8.1	0.6	11.7
6.	77.6	2.7	0.3	13.7	23.7	86.0
7.	46.6	2.5	0.2	8.6	8.7	35.7
8.	18.3	4.9	0.2	6.8	1.1	2.8
9.	12.4	2.9	0.5	14.3	4.9	25.3
10.	71.7	2.0	0.2	65.2	9.8	10.2
11.	2.3	0.6	0.1	0.8	0.1	1.1
12.	1.0	2.1	0.1	0.6	0.2	0.3
13.	52.3	3.5	0.1	1.3	0.1	1.0
14.	4.1	0.7	0.1	4.2	1.3	7.5
15.	53.2	1.3	0.1	14.7	4.3	45.2
16.	31.8	1.8	0.2	7.9	4.5	31.9
17.	21.1	3.2	0.3	8.1	1.9	4.9
18.	55.6	2.4	0.2	51.5	10.6	7.8
19.	0.9	1.8	0.1	1.4	0.3	1.2
20.	19.7	1.7	0.1	0.5	0.1	11.4
21.	35.4	2.1	0.1	1.9	0.1	0.7

22.	34.7	3.9	0.1	2.8	0.1	0.9
23.	33.2	2.5	0.1	1.1	0.1	2.8
24.	5.2	2.4	0.1	9.3	10.3	6.8
25.	7.3	2.0	0.2	21.8	11.6	11.4
26.	2.8	7.6	0.1	15.6	4.8	19.9
27.	0.8	1.6	0.2	1.3	0.3	1.3
28.	46.1	2.8	0.1	0.3	0.1	1.9
29.	5.7	1.4	0.1	0.1	0.1	0.7
30.	53.9	1.6	0.2	0.2	0.1	1.5
31.	22.4	3.8	0.2	0.3	0.1	1.0
32.	43.4	0.7	0.1	0.1	0.1	0.9

ПРИЛОЖЕНИЕ 2

Варианты к решению задач по оценке параметров генеральной совокупности

Вари-анты	Объем выборки, n	Выборочные дисперсии		Выборочные средние значения		Выборочный коэффициент корреляции, r	Надеж-ность, γ
		Sv^2	Su^2	$\bar{V}$	$\bar{U}$		
1	50	12,53	7,29	39,90	13,00	-0,90	0,95
2	60	14,50	6,25	40,50	12,10	-0,92	0,99
3	90	11,80	6,40	40,10	11,80	-0,95	0,99
4	100	10,50	5,20	43,20	10,20	-0,94	0,95
5	95	9,40	4,25	45,00	8,00	-0,89	0,99
6	150	13,90	4,90	42,10	9,90	-0,96	0,95
7	30	2,60	0,50	2,32	0,83	0,89	0,95
8	36	2,80	0,60	2,50	0,90	0,85	0,99
9	25	2,46	0,48	2,10	0,70	0,92	0,95
10	40	2,25	0,60	2,80	1,00	0,82	0,95
11	50	2,10	0,49	2,60	0,85	0,90	0,99
12	45	2,05	0,56	2,90	1,10	0,86	0,95
13	25	26,25	1,49	13,60	3,31	0,79	0,95
14	30	20,10	1,80	15,00	4,05	0,83	0,99
15	28	30,15	2,00	14,50	3,60	0,85	0,95
16	36	25,70	1,90	14,20	3,80	0,78	0,99
17	32	28,25	1,60	13,90	3,50	0,79	0,95
18	29	25,00	1,85	14,80	3,70	0,82	0,99
19	160	31,40	34,50	44,63	14,82	-0,86	0,95
20	120	30,60	36,10	46,20	13,90	-0,92	0,95
21	150	34,20	34,50	44,50	14,50	-0,90	0,99
22	160	36,60	36,20	45,00	15,00	-0,85	0,99
23	180	35,80	34,70	43,50	15,50	-0,95	0,95
24	190	32,50	36,80	44,00	15,30	-0,80	0,99
25	180	7,10	0,001	17,76	0,14	0,14	0,95

26	164	7,00	0,002	18,00	0,15	0,60	0,95
27	170	6,25	0,001	17,40	0,14	0,58	0,95
28	160	6,50	0,002	17,20	0,14	0,54	0,99
29	156	6,80	0,001	18,10	0,15	0,62	0,99
30	149	7,20	0,002	17,80	0,14	0,55	0,95

ПРИЛОЖЕНИЕ 3

Параметрические методы сравнения групп переменных

№ пробы	Вариант 1				Вариант 2			
	Содержание K_2O (%)				Содержание Na_2O (%)			
	A	B	C	D	A	B	C	D
1	6,86	3,82	4,21	4,95	4,75	5,41	4,61	6,71
2	11,50	4,47	5,00	4,88	2,80	6,66	5,13	5,23
3	10,25	4,17	3,02	6,11	0,98	5,96	5,00	4,61
4	10,03	4,96	7,14	6,25	0,82	5,00	3,97	5,15
5	11,04	4,72	3,68	7,08	1,02	4,17	4,93	4,72
6	11,37	5,52	3,19	8,32	1,18	4,95	4,62	3,80
7	10,70	4,44	11,1	4,25	1,08	5,64	3,72	5,00
8	4,09	8,55	6,60	6,16	5,81	5,45	4,89	4,42
9	4,95	5,11	4,55	5,88	5,68	6,35	5,87	5,52
10	2,65	10,7	6,98	5,88	6,88	3,39	4,43	4,42
11	4,72	4,42	6,13	4,36	5,74	4,98	5,07	5,13
12	5,65	4,54	3,67	1,88	3,86	5,21	5,11	5,90
13	3,46	3,30	5,32	6,16	5,34	8,20	4,42	5,63
14	4,28	11,40	3,78	5,21	5,74	2,36	6,66	5,69
15	4,88	4,49	4,02	5,27	5,98	6,67	5,20	6,00
16	3,73	3,84	3,29	5,58	4,75	5,32	5,60	6,20
17	2,79	4,46	4,37	5,02	5,38	6,60	5,66	6,00
18	5,73	5,40	5,13	4,77	5,62	4,20	5,00	5,95
19	4,26	4,54	4,48	5,88	5,87	5,22	4,14	6,22
20	5,46	3,27	4,09	5,14	5,08	8,18	4,70	5,63
21	5,06	4,48	4,32	4,90	0,62	6,60	6,26	5,82
22	6,11	4,15	7,46	11,40	3,88	5,80	5,02	2,36
23	6,08	3,26	5,42	4,60	3,24	8,05	5,11	4,57
24	5,80	4,14	12,20	5,74	3,04	5,90	2,36	5,65
25	10,08	5,08	9,40	4,89	3,50	6,02	4,97	4,74
26	14,54	4,05	4,89	8,97	3,08	5,20	5,38	3,98

27	10,20	4,50	6,58	3,34	2,40	4,95	4,80	4,95
28	2,85	4,42	6,95	5,83	4,80	5,02	4,40	6,07
29	5,80	4,00	5,06	6,91	3,04	5,12	4,42	5,80
30	5,45	8,95	5,02	4,60	4,30	4,48	5,12	5,58

Щелочные массивы: A – Якокутский; B – Ыллымахский; C – Джекондинский; D- Юхтинский.

МИНОБРНАУКИ РФ

ФГБОУ ВО «Уральский государственный горный университет»

УТВЕРЖДАЮ

Проректор по учебно-методическому комплексу _____ С.А.Упоров

МЕТОДИЧЕСКИЕ УКАЗАНИЯ ПО ОРГАНИЗАЦИИ САМОСТОЯТЕЛЬНОЙ РАБОТЫ СТУДЕНТОВ ПО ДИСЦИПЛИНЕ

Б1.В.08 МАТЕМАТИЧЕСКИЕ МЕТОДЫ МОДЕЛИРОВАНИЯ В ГЕОЛОГИИ

Специальность:
21.05.02 Прикладная геология

Специализация:
Геология месторождений нефти и газа

форма обучения: очная

Автор: Хасанова Г.Г., доцент, к.г.-м.н.

Одобрены на заседании кафедры	Рассмотрены методической комиссией факультета
Геологии, поисков и разведки МПИ	Геологии и геофизики
(название кафедры)	*(название факультета)*
Зав.кафедрой _____	Председатель _____
(подпись)	*(подпись)*
Душин В.А.	Бондарев В.И.
(Фамилия И.О.)	*(Фамилия И.О.)*
Протокол № 1 от 10.09.2020	Протокол № 2 от 13.10.2020
(Дата)	*(Дата)*

Екатеринбург

Методические указания по дисциплине согласованы с выпускающей кафедрой литологии и геологии горючих ископаемых

Заведующий кафедрой ЛГГИ _____к.г.-м.н., С.А. Рыльков____

Цель дисциплины: изучение принципов математического моделирования геологических объектов, явлений и процессов; приобретение студентами знаний о типах математических моделей в различных областях геологии.

Содержание учебной дисциплины

Основные принципы и методы геолого-математического моделирования

Особенности геологических образований и процессов как объектов математического моделирования. Виды геолого-математических моделей. Основные принципы математического моделирования. Выборочная и генеральная совокупности. Требования, предъявляемые к выборочным совокупностям. Предмет математической статистики, его цели и задачи. Понятие о статистической совокупности.

Одномерные статистические совокупности. Вариационный анализ. Законы распределения.

Упорядочение количественных признаков в виде вариационных рядов и кумулят. Статистические характеристики. Меры положения и рассеяния вариационного ряда; их определение, логический смысл и области применения в геологии. Закон больших чисел. Понятие о теоретическом распределении. Следствие из теоремы Ляпунова. Нормальный закон и его математические свойства. Логнормальный закон распределения: основные понятия и критерии его выбора.

Статистическая оценка параметров генеральной совокупности. Применение статистических гипотез в геологии.

Понятие о статистической оценке параметров генеральной совокупности. Точечная и интервальная оценки. Несмещенность и эффективность оценки. Оценка генерального среднего значения, генеральной дисперсии по выборочным данным. Понятие статистической гипотезы. Процедура принятия или отказа от нулевой гипотезы.

Двумерные статистические совокупности и методы их анализа.

Функциональные и корреляционные связи. Упорядочение двумерной статистической совокупности в виде полей корреляции и их качественный анализ. Количественные показатели тесноты корреляционной связи. Эмпирическая и теоретическая линии регрессии для парной корреляционной зависимости. Регрессионный анализ.

Математические методы анализа многомерных статистических совокупностей.

Многомерные статистические совокупности и методы их анализа: корреляционный анализ, кластерный и факторный анализы, задачи распознавания образов, дискриминантный анализ.

Геолого-математическое моделирование пространственных переменных.

Математические методы изучения изменчивости геологических объектов.

Понятие пространственной переменной. Виды пространственных моделей. Детерминированные и вероятностные модели. Модель на основе случайной функции и ее свойства. Корелограмма и её практическое использование.

Основной постулат геостатистики. Определение вариограммы и метод её расчета. Типы вариограмм. Геостатистический метод интерполяции – кригинг.

Виды изменчивости в геологии. Регулярная и случайная составляющие геологического поля. Математический аппарат исследования закономерной и случайной изменчивости

Особенности геологических образований и процессов как объектов математического моделирования. Типы моделей и принципы геолого-математического моделирования

Геологические процессы и образования обладают специфическими особенностями, в значительной мере определяющими методы их изучения:

- представляют собой совокупность физических, химических и биологических природных явлений, между которыми существуют сложные причинно-следственные связи, поэтому свойства геологических образований зависят от множества факторов, характеризуются сильной изменчивостью, а сами объекты имеют весьма сложное строение;
- геологические процессы длительны, а геологические образования имеют значительные размеры и скрыты в недрах, что исключает возможность их полного всестороннего изучения путем непосредственного наблюдения.

Последнее обусловило распространение в практике геологических исследований ***выборочных методов изучения*** с помощью естественных и искусственных обнажений, в пределах которых отбираются образцы и пробы для различных исследований

Основным методом изучения плохо организованных систем, к которым относятся геологические процессы и явления является ***моделирование,*** когда непосредственный объект наблюдения заменяется его упрощенным аналогом – ***моделью.***

Модели – это искусственно созданные объекты, фигуры и математические выражения, воспроизводящие свойства и характеристики изучаемых объектов, явлений и процессов.

Физические модели отражают подобие форм геометрических соотношений и происходящих в них физических процессов. Примерами являются: изучение закономерностей выпадения в осадок из взмученного состояния частиц различной крупности или различных химических соединений из раствора; изучение процессов складкообразования наклоном плоскости, на которую нанесены слои песка, глин, или боковым давлением на слои пластелина различных цветов; разделение пород основного состава на сульфидную и силикатную составляющие в результате экспериментальной плавки и т.д.

Геометрические модели представляют собой объекты, геометрически подобные прототипу, дающие внешнее представление, часто служат для демонстрационных целей. Примеры: слепки самородков геологические, геохимические карты и планы, фотографии и т.д.

Понятийные модели являются мысленным образом природных явлений. Основаны на наблюдениях, служат для выражения изучаемого явления в идеализированной форме, отвечают существующему уровню знаний. Основная часть процессов и явлений в геологии описана понятийными моделями. Например: «**Альбитизация** – это метасоматическое, главным образом, гидротермальное образование альбита, характерна для процессов **соссюритизации, пропилитизации, зеленокаменного перерождения**, **формирования зеленых сланцев**».

Математические модели – абстрактный аналог физических, геометрических, понятийных моделей, в которых силы, события, соотношения участков, площадей, понятия и т.п. элементы заменены математическими символами, связанными между собой определенными отношениями. Предполагается лишь тождественность математического описания процесса (явления) в оригинале и математическом выражении.

По характеру связи между параметрами и свойствами изучаемых объектов математические модели разделяются на *детерминированные* и *статистические*. ***Детерминированные*** модели выражают функциональные связи между аргументом и зависимыми переменными. Они записываются в виде уравнений, в которых определенному значению аргумента соответствует только одно значение переменной. Вид ее $y= f(x_1, x_2, \ldots, x_k)$, где y-зависимая переменная (функция), а x_1-x_k – независимые (аргументы).

Статистические модели – это математические выражения содержащие случайную компоненту (ε), имеет вид $y= f(x_1, x_2, \ldots, x_k)+ \varepsilon$, т.е. одному значению аргумента соответствуют близкие, но различающиеся между собой значения переменной. Различие их обуславливается влиянием случайных, неуправляемых воздействий неучтенных факторов. При характери-

стике результатов, получающихся на основе этих моделей, говорят не о законе, а о закономерности.

По типу решаемых задач, набору используемых для этого математических методов и главным допущениям относительно свойств объектов все геолого-математические модели делят на две группы:

1. Модели, использующие главным образом математический аппарат теории вероятности и математической статистики. В них геологические объекты предполагаются внутренне однородными, а изменения их свойств в пространстве случайными, не зависящими от места замера. Их условно называют **статистическими**. В зависимости от одновременно рассматриваемых свойств они разделяются на одномерные, двумерные и многомерные.

Обычно используют для:

- получения по выборочным данным надежных оценок свойств геологических объектов;
- проверки геологических гипотез;
- выявления и описания зависимостей между свойствами геологических объектов;
- классификации геологических объектов;
- определения объема выборочных данных, необходимого для оценки свойств геологических объектов с заданной точностью.

2. Модели, рассматривающие свойства геологических объектов как *пространственные переменные.* В них предполагается, что свойства геологических объектов зависят от координат точек замера, а в изменении этих свойств в пространстве существуют закономерности. При этом кроме вероятностных методов (случайные функции, временные ряды, дисперсионный анализ) применяются приемы комбинаторики (полиномы), гармонического анализа, векторной алгебры, дифференциальной геометрии и др. разделов математики.

Используются приемы как статистического, так и динамического моделирования. Такие модели используют для решения задач связанных с:

- проверкой гипотез о закономерностях размещения геологических объектов относительно друг друга;
- проверкой гипотез о характере процессов формирования геологических образований;
- выделением аномалий в геологических и геофизических полях;
- классификацией геологических объектов по особенностям их внутреннего строения;
- разработкой приемов интерполяции и экстраполяции при оконтуривании геологических объектов;
- выбором оптимальной густоты и формы сети наблюдений при изучении геологических объектов.

Математическая статистика.

Математическая статистика - это прикладная математическая дисциплина, которая занимается изучением закономерностей в массовых, случайных, однородных, повторяющихся объектах и явлениях природы, техники и общественной жизни.

Предметом исследования математической статистики является *статистическая совокупность*. ***Статистическая совокупность*** – это такое множество, которое состоит из массы однородных, случайных, повторяющихся объектов или явлений, обладающих качественной общностью.

Основным методом математической статистики, ее теоретической базой является теория вероятностей, изучающая случайные события и величины.

Объектами геологических исследований являются металлогенические провинции, рудные районы, поля, месторождения, рудные тела, минералы и их агрегаты, окаменелости, про-

цессы осадконакопления, магматизма и многое другое. Математические методы изучения имеют дело не с перечисленными материальными объектами и явлениями, а с совокупностями значений оцениваемых признаков, которыми эти объекты и явления обладают.

Статистические данные и являются объектом изучения математической статистики. К ним относятся результаты экспериментов, наблюдений и измерений свойств горных пород, руд, процессов, геометрические параметры и показатели качества залежей полезных ископаемых. Определение объекта изучения в каждом конкретном случае зависит от решаемой задачи и формулировки условий, при которых осуществляется оценка признаков.

Расположение наблюдений зачастую неравномерно, что обусловлено обнаженностью территории, трудностями вскрытия изучаемых тел. Поэтому необходимо четко представлять насколько выборочная (опробуемая) совокупность представительна по отношению к изучаемой.

Результаты химического анализа пород по профилю, замеры физических свойств образцов керна и т.п. представляют собой выборки из генеральных совокупностей, которые характеризуют явление в целом, т.е. химический состав отложений, физические свойства руд и пород и т.п. Задача геолога заключается в том, чтобы по свойствам исследуемого признака в выборке сделать с определенной вероятностью заключение о его свойствах в генеральной совокупности.

Некоторые положения теории вероятности

Первичные понятия в теории вероятности – события, вероятность, случайная величина, статистическая устойчивость эксперимента.

Событие – результат опыта или естественного явления может быть получен или не получен при имеющихся условиях.

Например: появление конкретного содержания щелочей при анализе γ.

События обычно обозначают буквами *A, B, C* и т.д. Известно, что возможность появления событий различна.

Например: при возвращении из маршрута у геолога в рюкзаке 30 образцов интрузивных пород и 3 образца осадочных. Очевидно, при отборе наугад одного мешочка с образцами пород больше шансов извлечь интрузив, т.к. их в 10 раз больше, чем осадочных.

Количественной мерой объективной возможности события при данных условиях является вероятность его. Для установления границ изменения этой величины рассмотрим предельные случаи. Если наступление события при данных условиях исключено, то такое событие называют невозможным и приписывают вероятность равную нулю.

Например: обнаружение промышленных содержаний железа в известняках. Если событие в данных условиях обязательно возникает, то такое событие называют достоверным и его вероятность равна единице.

Пример. Обнаружение кальция в химическом составе известняков. Вероятность появления какого-то события прямо пропорциональна *m* числу случаев, благоприятствующих появлению этого события и обратно пропорционально числу *n* всех равновозможных случаев, могущих произойти при данном испытании.

$$P = \frac{m}{n}$$

На практике изучить все возможные случаи часто невозможно, поэтому предполагается, что *n* – это имеющиеся, а не все возможные случаи.

Вероятность характеризует объективную возможность появления события.

Пример: интересующий минимум может появляться в 20 шлифах из 100, изготовленных по изучаемой породе.

Частость – практическая оценка этой возможности, характеризует совершившийся факт.

Случайные величины и их числовые характеристики

Случайная величина – это случайный эксперимент с числовыми исходами.

Например: соединение элемента *A* в пробе количества ильменита в шлихах. Соединение может принимать любые значения в определенных пределах. Число появлений зерен ильменита может быть только целым. Величины, которые могут принимать лишь отдельные значения, являются дискретными, а любые значения заданного интервала – непрерывными.

Дискретная случайная величина может задаваться таблично, графически, аналитически при табличном способе задаются значения случайной величины и соответствующие им вероятности.

Пример: $a_1,a_2,a_3,....,a_n$ $\sum_{i=1}^{p} p = 1$

$p_1,p_2,p_3,....,p_n$ $0 \le p < 1$

При аналитическом способе соответствие между значениями, принимаемыми случайной величиной и вероятностями этих значений задаются некоторой функцией $p=f(x)$, называемой законом распределения случайной величины. Для непрерывности случайной величины вводятся понятия интегральной функции распределения $F(x)$. Функция $F(x)$ определяет для каждого значения x вероятность того, что случайная величина x примет значение меньше *x,* то есть $F(x) = P(X<x)$. Вероятность того, что случайная величина x примет значение в интервале от *a* до *b*, равна разности значений интегральной функции на концах этого интеграла, т.е.

$$P\{a \le x\langle b\} = \int_a^b f(x)dx = F(b) - F(a),$$

Где $f(x) \ge 0$ плотность распределения вероятностей непрерывной случайной величины значение $\int_{-\infty}^{+\infty} f(x) \cdot dx = 1$.

Математическим ожиданием случайной дискретной величины *X* называется сумма произведений значений, принимаемых этой величиной, на соответствующие им вероятности, т.е.

$$M(X) = x_1 p_1 + x_2 p_2 + ... + xp = \sum_{i=1}^{n} x_i p_i$$

Если x – непрерывная случайная величина, изменяющаяся в пределах от $-\infty$ *до* $+\infty$ с плотностью вероятности $f(x)$, т.е. ее математическое ожидание определяют из выражения

$$M(x) = \int_{-\infty}^{+\infty} xf(x)dx$$

Для краткости обозначают математическое ожидание a.

Некоторые свойства этого параметра:

1. $M(C)=C$, т.е. математическое ожидание постоянной величины равно самой постоянной величине.

2. $M(CX)=CM(X)$, т.е. постоянный множитель можно выносить за знак математического ожидания.

3. $M(X+Y+...+Z)=M(X)+M(Y)+...+M(Z)$, т.е. математическое ожидание суммы нескольких случайных величин равно сумме их математических ожиданий.

Дисперсией $D(X)$ случайной величины называется математическое ожидание квадрата отклонения случайной величины *X*.

$D(X)=M(X-M(X))^2$

В развернутом виде дисперсия случайной величины:

$$D(X) = \sum_{i=1}^{n} (x_1 - a)^2 \cdot p_i,$$

а непрерывной

$$D(X) = \int_{-\infty}^{+\infty} (x - a)^2 f(x)dx$$

Дисперсию принято обозначать σ^2, некоторые свойства этого параметра:

1. $D(C)=0$, т.е. дисперсия постоянной величины равна 0.

2. $D(CX)=C^2Д(X)$, т.е. постоянный множитель можно выносить за знак дисперсии возводя его в квадрат.

3. $D(X+Y+...+Z)=D(X)+D(Y)+...+D(Z)$, т.е. дисперсия суммы нескольких взаимно независимых случайных величин равна сумме дисперсий этих величин.

4. $D(X)=M(X^2)-(M(X))^2$ дисперсия случайной величины X равна разности математического ожидания квадрата этой величины и квадрата ее математического ожидания.

Упорядочение статистических совокупностей в интервальные вариационные ряды

Одномерной статистической совокупностью называется такая совокупность, каждый член которой характеризуется одним признаком.

Раздел математической статистики, который занимается изучением закономерностей в одномерных статистических совокупностях называется ***вариационный анализ***.

Статистической обработке в практике ГРР обычно подвергается геохимический фактический материал. Для этого производятся простейшие преобразования количественной геологической информации. Они заключаются в следующем:

результаты геохимических наблюдений сводятся в таблицы. Наиболее простую форму статистической обработки представляют ***ряды распределения***. Они строятся по методу ранжирования, т.е. путем расположения вариант в возрастающем или убывающем порядке. Варианты необходимо располагать в виде двойного ряда, учитывая их повторяемость.

Например: содержание ртути (C_{Hg}) в n_x10^{-7} % (первая строка) и повторяемость классов содержаний n (вторая строка):

C_{Hg}: 2 3 4 6 8 …

n 2 1 4 5 2 …

Числа, с которыми отдельные варианты встречаются в совокупности, называются их весами или ***частотами*** (n_i).

Общее число вариант, входящих в состав данной совокупности называется ее ***объемом*** (N).

Общая сумма частот равна объему совокупности: $\Sigma n_i = N$.

Частоты, выражающиеся в относительных значениях варьирующего признака, т.е. в долях единицы или в процентах от общей численности вариант в данной совокупности называются относительными частотами или ***частостями*** (Wi).

$Wi = n_i/ N$ или $Wi = (n_i/ N)x\ 100$ %

Сумма частостей выраженных в долях единицы равна 1: $\Sigma Wi= 1$;

сумма частостей выраженная в %, равна 100 %: $\Sigma Wi= 100$ %.

В вариационные ряды распределяются только количественные признаки. Существуют *интервальные* и *безинтервальные* вариационные ряды. Если признак варьирует слабо, дискретно, совокупность его значений можно разделить в *безинтервальный* вариационный ряд (что мы и сделали с содержанием ртути). Если распределение плохо выражает закономерность варьирования, то нужно переходить в *интервальный* вариационный ряд.

Упорядочение совокупностей с непрерывными признаками ведется *методом группировок* – посредством построения вариационных рядов и соответствующих им графиков. Вариации признака (от минимальной до максимальной) разбиваются на равные интервалы (классы). Для выбора ***ширины интервала*** (h) пользуются формулой Стерджеса Г.А. (Sturges, 1926):

$h= (Umax-Umin)/ (1+3,2\ lgN)$, где h – ширина интервала, Umax – максимальное значение признака совокупности, Umin – минимальное значение признака совокупности, N – объем совокупности.

Вычисленное значение h округляют до удобной величины. Кроме того, вычисляют значения ***середины интервалов:***

$Ui = (a_i+b_i)/ 2$, где a_i и b_i – соответственно начало и конец интервала.;

плотность частот (Pn_i): $Pn_i= n_i/ h$, где n_i – частота интервала, h – ширина интервала (шаг);

плотность частостей (P_{Wi}): P_{Wi}= Wi/ h, где Wi – частость интервала, h – ширина интервала (шаг).

Таким образом, ***вариационным рядом совокупности*** с непрерывным признаком называется таблица, в которой в возрастающем порядке перечислены интервалы, середины интервалов и соответствующие им частоты, частости, плотности частот или частостей (табл. 1).

Таблица 1

Интервальный вариационный ряд совокупности

№№ интервалов	Границы интервалов, ai - b_i	Середина интервалов, Ui	Частоты, n_i	Частости, Wi	Плотности частот, Pn_i	Плотности частостей, P_{Wi}
1.	48,0-50,0	49,0	6	0,12	3,0	0,05
2.	50,0-52,0	51,0	10	0,20	5,0	0,10
3.	52,0-54,0	53,0	15	0,30	7,5	0,15
…	…	…	…	…	…	…
Σ			50	1,00	25,0	0,50

Проверка правильности построения вариационного ряда осуществляется по формулам: $\Sigma n_i = N$; $\Sigma Wi = 1$; $\Sigma Pn_i = N / h$; $\Sigma P_{Wi} = 1/ h$.

Для большей наглядности закономерностей варьирования признаков, вариационные ряды могут быть представлены графически в виде *полигона, гистограммы, кумуляты*.

Полигоном распределения непрерывного признака называется ломаный график, при построении которого на оси абсцисс откладываются в возрастающем порядке середины интервалов, а по оси ординат – соответствующие им частоты или частости.

Гистограммой вариационного ряда непрерывного признака называется ступенчатый график, состоящий из примыкающих друг к другу прямоугольников с основанием по оси абсцисс, равными ширине интервала, с высотами по оси ординат, соответствующими значениями частот или частостей.

Кумулята – это кривая накопленных частостей (интегральный полигон). Это график, при построении которого по оси абсцисс откладываются в возрастающем порядке границы интервалов, а по оси ординат – соответствующие концам интервалов накопленные частости (Wsi) .

Статистические характеристики вариационного ряда

Для получения характеристики признака наряду с построением вариационных рядов и графиков вычисляют различного рода суммарные числовые показатели – ***статистические характеристики***.

По своему назначению *статистические характеристики* делятся на:

- меры положения (средняя величина, медиана, мода);
- меры рассеяния (дисперсия, среднее квадратическое отклонение, стандарт, коэффициент вариации, показатели асимметрии и эксцесса).

Мерами положения вариационного ряда называют характерные точки на оси абсцисс графика распределения, около которых группируется подавляющее количество наблюдений.

а) Например: характеризуя геохимическую аномалию, приводят параметры: *среднее* содержание элемента, *средняя* ширина ореола, *средняя* линейная продуктивность и т.д. Значение средних заключается в их свойстве нивелировать частные различия.

Существует несколько видов средних: они делятся на *парметрические* (степенные) *и непараметрические* (порядковые). ***Непараметрические средние*** характеризуют лишь структурные особенности вариации и не имеют функциональной связи с распределением признаков. ***Параметрические средние*** функционально связаны с распределением варьирующих признаков.

Меры рассеяния– это статистические характеристики , которые указывают на степень и характер концентрации или рассеяния отдельных вариант относительно мер положения.

Графически меры рассеяния указывают на сжатость или растянутость вариационной кривой по оси абсцисс.

Основными показателями вариации являются:

- дисперсия (S^2);
- среднеквадратическое отклонение (стандарт – S);
- коэффициент вариации(V);
- показатель асимметрии (A);
- показатель эксцесса (E);

Законы распределения
Нормальное распределение

Нормальное распределение возникает, когда на изменение случайной величины влияет множество различных, независимых факторов, каждый из которых в отдельности не имеет преобладающего значения.

Подчинение закону нормального распределения проявляется тем точнее, чем больше случайных причин действует вместе. Основное условие формирования нормального распределения заключается в том, чтобы все случайные величины, действующие вместе, играли в общей сумме примерно одинаковую роль.

Плотность вероятности нормального распределения имеет вид

$$f(x) = \frac{1}{\sigma_x\sqrt{2\pi}} e^{\frac{-(x-\mu)^2}{2\sigma_x^2}}$$

e – основание натурального логарифма (2,718);

x – значение случайной величины, лежит в интервале (-∞, +∞);

σ^2 – дисперсия случайной величины x;

μ - математическое ожидание случайной величины x.

Математическим ожиданием случайной величины (μ) называется сумма произведений всех возможных значений случайной величина на вероятность появления этих значений:

$$\mu(x) = M[X] = \sum_{i=1}^{n} x_i \bullet Pi$$

По своему логическому смыслу ***математическое ожидание*** является мерой положения и эквивалентно среднему значению вариационного ряда. Около математического ожидания группируется подавляющее количество значений случайной величины.

Дисперсия случайной величины σ^2 характеризует степень рассеяния отдельных возможных значений или интервалов значений случайной величины относительно ее математического ожидания. Для дискретной и непрерывной случайной величины вычисляется соответственно по следующим формулам:

$$\sigma_x^2 = D[X] = \sum_{i=1}^{n} (x_i - \mu)^2 \bullet Pi$$

$$\sigma_x^2 = D[X] = \sum_{-\infty}^{+\infty} (x-\mu)^2 \bullet f(x)dx$$

Функция плотности вероятности нормального распределения обладает следующими математическими свойствами (рис. 2):

1. При всех значениях X функция f(x) принимает только положительные значения, т.е. кривая располагается над осью абсцисс.

2. Предел функции f(x) при неограниченном возрастании X равен 0:

$\lim_{|x| \to \infty} f(x) = 0$

Ветви кривой асимптотически приближаются к оси абсцисс нигде с ней не пересекаясь.

1. Функция f(x) имеет максимум, равный

$f(x)_{max} = \frac{1}{\sigma_x \sqrt{2\pi}}$ при $X = \mu$

2. Ветви кривой симметричны относительно прямой $X = \mu$, т.к. $(x-\mu)$ содержится в формуле в квадрате.

3. Точки перегиба ветвей кривой f(x) имеют координаты:

$(\mu-\sigma_x^2; \frac{1}{\sigma_x \sqrt{2\pi}} e)$ и $(\mu+\sigma_x^2; \frac{1}{\sigma_x \sqrt{2\pi}} e)$

Согласно математическим свойствам кривая функции f(x) имеет колоколообразную форму.

Логнормальное распределение

Нормальное распределение вероятностей реализуется в том случае, если распределение случайной величины определяется достаточно большим количеством взаимонезависимых примерно равнодействующих факторов. Однако в природе подобные условия выполняются далеко не всегда. В результате эмпирические кривые, характеризующие распределение в конкретных выборках, в большинстве случаев (при геохимических исследованиях и т.д.) имеют асимметричный вид, отличный от кривой нормального распределения. Естественно, что для описания этих распределений нельзя использовать формулы, основанные на нормальном законе, а также соответствующие ему расчетные статистические таблицы.

Среди асимметричных статистических кривых в геологии наиболее распространены кривые отличающиеся левосторонней (положительной) асимметрией. Характерным свойством подобных распределений является изменение формы кривой на симметричную при замене значений, составляющих распределение, их логарифмами.

В результате возможно и в этом случае использовать все закономерности, основанные на функции нормального распределения, однако статистические операции следует производить не с вариантами, а с их логарифмами. Таким образом, возникло представление о законе логарифмически нормального (логнормального) распределения.

Логарифмически нормальным называется закон, при котором нормально распределены логарифмы значений случайной величины.

Такое распределение является положительно асимметричным и имеет положительный эксцесс. Математическое ожидание, мода и медиана логнормально распределенной случайной величины не совпадают, причем $Mo<Med<\mu_x$.

Логарифмически нормальный закон распределения имеет место в том случае, когда изучаемая случайная величина формируется под влиянием некоторого фактора, результат воздействия которого в данный момент времени пропорционален значению случайной величины, созданной под воздействием, предшествовавшим данному моменту времени, т.е. когда случайная величина подвержена *эффекту пропорциональности*.

Дисперсионный анализ

Свойства геологических объектов, обычно зависят от ряда факторов, обуславливающих их изменчивость. Выявление этих факторов и оценка степени их влияния на изменчивость свойств изучаемых объектов осуществляется с помощью дисперсионного анализа.

Задача его – выделить те факторы и их сочетание, которое оказывают существенное влияние на изменение изучаемой величины.

Метод основан на следующем принципе: если на случайную величину действуют взаимонезависимые факторы *A, B,……, D*, то общую дисперсию следующих величин σ^2 можно рассматривать, как сумму дисперсий $\sigma^2 = \sigma_A^2 + \sigma_B^2 + ... + \sigma_D^2$

По количеству оцениваемых факторов дисперсионный анализ распределяется на одно-, двух-, и многофакторный.

Каждый фактор представляет собой переменную величину, изменяющуюся дискретно или непрерывно. Точечные значения дискретной величины и интервальные непрерывных называются уровнями факторов и обозначаются цифрами 1,2,3 и т.д.

Если количество замеров изучаемой случайной величины на всех уровнях по всем факторам одинаково, дисперсионный анализ принято называть равномерным, а если разное – неравномерным.

Суждение о влиянии определенного фактора на изменчивость случайной величины основано на группировке ее замеров по факторам и их уровням и проверке гипотезы о равенстве σ^2; обусловленных данными факторами с остаточной (случайной) σ^2, вызванной неучтенными факторами. Если гипотеза отвергается, то делается вывод о том, что данный фактор оказывает существенной влияние на изменение изучаемого свойства геологического объекта.

С помощью дисперсионного анализа решается широкий круг геологических задач – проверяются гипотезы о влиянии литологических, геолого-химических, петрофизических, структурных и других факторов на локализацию оруденения – определяют влияние способа отбора проб на их достоверность и представительность; решается вопрос о влиянии гипергенных процессов и т.д.

Пример: решение геологической задачи.

Установить влияние выветривания на изменение содержаний элемента А в изучаемых породах.

1. Дискретный фактор – выветривание может варьировать на уровне: 1 – свежие породы, 2 – слабовыветрелые породы, 3 – сильновыветрелые породы и т.п.

Значения случайной величины принято обозначать через x_{ik}, x_{ijk}, последний индекс *k* обозначает номер пробы (*N*), остальные указывают на каком уровне каждого из факторов наблюдается соответствующее значение случайной величины.

Чтобы выводы при дисперсионном анализе были достоверными необходимо соблюдать следующие условия:

1. Изучаемые факторы должны быть независимыми;

2. Распределение выборочных данных не должно противоречить нормальному закону распределения или должно быть ≈ нормальному.

3. Дисперсии, обусловленные ошибками воспроизводимости на разных уровнях одного и того же фактора должны быть однородными, т.е. не должны существенно различаться.

Однофакторный анализ

Пусть случайная величина *x* изменяется под действием одного учтенного фактора *A*, варьирующего на *k* уровнях при количестве замеров на каждом уровне равном n, результаты наблюдения обозначаются, как x_{ij}, *i* – номер наблюдения *(i – 1,2,..n),* а *j* – номер уровня фактора *(j=1,2,..., k)*.

№ измерения	Уровень фактора			
	A_1	A_2	…	A_k
1	x_{11}	x_{12}	...	x_{1k}
2	x_{21}	x_{22}	...	x_{2k}
…	...	...	...	...

…	…	…	…	…
…	…	…	…	…
n	x_{n1}	x_{n2}	…	x_{nk}
Групповые средние	$\bar{x}_1$	$\bar{x}_2$	…	$\bar{x}_k$

По этим данным рассчитываются следующие статистики:

1. Общая сумма квадратов отклонений наблюдаемых значений признака от общей средней $\bar{x}$:

$$C_{общ} = \sum_{j=1}^{k}\sum_{i=1}^{n}\left(x_{ij} - \bar{x}\right)^2$$

2. Факторная сумма квадратов отклонений групповых средних от общей средней, характеризующая рассеяние между группами:

$$C_{фак} = n \cdot \sum_{j=1}^{k}\left(\bar{x}_i - \bar{x}\right)^2$$

3. Остаточная сумма квадратов отклонений наблюдаемых значений от своей групповой средней, характеризующая рассеяние внутри групп:

$$C_{ост} = \sum_{i=1}^{n}\left(x_{i1} - \bar{x}_1\right)^2 + \sum_{i=1}^{n}\left(x_{i2} - \bar{x}_2\right)^2 + ... + \sum_{i=1}^{n}\left(x_{ik} - \bar{x}_k\right)^2$$

4. Общая, факторная и остаточная дисперсии

$$S^2_{общ} = \frac{C_{общ}}{k \cdot (n-1)}; \qquad S^2_{факт} = \frac{C_{факт}}{k-1}; \qquad S^2_{ост} = \frac{C_{ост}}{k \cdot (n-1)}$$

5. Значения критерия Фишера

$$F = \frac{S^2_{факт}}{S^2_{ост}}$$

Значение критерия Фишера сравнивается с критическим для заданного уровня значимости α и числа степеней свободы *k-1* и *k·(n-1)* после чего делают вывод о вкладе фактора *A* в изменение случайной величины x.

В случае неравномерного однофакторного дисперсионного анализа вычисления проводятся небольшими изменениями всей выборки.

$N=\Sigma n_i$,

n_i – число значений x_{ik} в строке сумму квадратов эффектов фактора *A* вычисляют по формуле:

$$Q_A = \sum_{i=1}^{n}\left(c_i' \div n_i\right) - C^2 \div N$$

Двухфакторный анализ

При двухфакторном дисперсионном анализе квадратов отклонений от общего среднего разделяется на компоненты, отвечающие двум предполагаемым факторам изменчивости *A* и *B*.

Если по фактору *A* выделяется p уровней, а по фактору *B* – *q* уровней, то общее количество групп будет равно *m=pq,* а походные данные можно записать в виде таблицы:

A	Уровни фактора B						Среднее
	B_1	B_2	…	B_j	…	B_q	
A_1	x_{11}	x_{12}	…	x_{1j}	…	x_{1q}	$\bar{x}_1$
A_2	x_{21}	x_{22}	…	x_{2j}	…	x_{2q}	$\bar{x}_2$
…	…	…	…	…	…	…	…
A_i	x_{i1}	x_{i2}	…	x_{ij}	…	x_{iq}	$\bar{x}_i$
…	…	…	…	…	…	…	…

A_p	x_{p1}	x_{p2}	...	x_{pj}	...	x_{pq}	$\bar{x}_p$
Среднее	$\bar{x}_{\cdot 1}$	$\bar{x}_{\cdot 2}$	...	$\bar{x}_{\cdot j}$	...	$\bar{x}_{\cdot q}$	$\bar{x}$

Если для каждого значения факторов A_iB_i произведено n наблюдений, то в каждую клетку таблицы помещается n значений, а единичное наблюдение обозначается как x_{ijk}, где k=1,2,…, n. Оценки средних значений по группам $\bar{x}_{ij}$; по факторам ($x_{i\ldots n}$ $x_{.j.}$) и общее среднее $\bar{x}$ в этом случае рассчитывается по формулам:

$$\bar{x}_{ij} = \frac{1}{n}\sum_{k=1}^{n} x_{ijk}\ ; \quad \bar{x}_{i..} = \frac{1}{qn}\sum_{j=1}^{q}\sum_{k=1}^{n} x_{ijk} = \frac{1}{q}\sum_{j=1}^{q}\bar{x}_{ij}\ ; \quad \bar{x}_{.j.} = \frac{1}{pn}\sum_{i=1}^{p}\sum_{k=1}^{n} x_{ijk} = \frac{1}{p}\sum_{i=1}^{p}\bar{x}_{ij}$$

Общая схема вычислений дисперсий при двухфакторном анализе в таблице.

Вид дисперсий	Сумма квадратов отклонений	Число степеней свободы	Дисперсия
Факторная по фактору А	$C_1 = nq\sum_{i=1}^{p}\left(\bar{x}_i\ldots - \bar{x}\right)^2$	*p-1*	$S_1^2 = \frac{C_1}{p-1}$
Факторная по фактору В	$C_2 = nq\sum_{j=1}^{q}\left(\bar{x}_{.j.} - \bar{x}\right)^2$	*q-1*	$S_2^2 = \frac{C_2}{q-1}$
Смешанная по факторам АВ	$C_3 = n\cdot\sum_{i=1}^{p}\sum_{j=1}^{q}\left(\bar{x}_{ij} - \bar{x}_i\ldots - x_{.j.} + \bar{x}\right)^2$	*(p-1)·(q-1)*	$S_3^2 = \frac{C_3}{(p-1)(q-1)}$
Остаточная	$C_4 = \sum_{i=1}^{p}\sum_{j=1}^{q}\sum_{k=1}^{n}\left(x_{ijk} - \bar{x}_{ij}.\right)^2$	*p·q·(n-1)*	$S_4^2 = \frac{C_4}{pq\cdot(n-1)}$
Общая	$C = \sum_{i=1}^{p}\sum_{j=1}^{q}\sum_{k=1}^{n}\left(x_{ijk} - \bar{x}\right)^2$	*n·p·q-1*	$S^2 = \frac{C}{npq-1}$

Проверка гипотезы о влиянии на изменчивость изучаемого свойства каждого фактора в отдельности и их совместного влияния производятся по критерию Фишера.

$$F_A = \frac{S_1^2}{S_4^2}\ ; \qquad F_B = \frac{S_2^2}{S_4^2}\ ; \qquad F_{AB} = \frac{S_3^2}{S_4^2}$$

Полученные значения F – критерии сравниваются с критическими для заданного уровня значимости и числа степеней свободы.

Корреляционный анализ

Математический анализ связей, существующих между случайными величинами составляет содержание корреляционного анализа. С помощью корреляционного анализа решаются две основные задачи:

1. установление формы корреляционной связи, т.е. линии регрессии (линейная, квадратичная, показательная и т.д.);

Корреляция называется ***линейной***, когда направление связи между признаками x и y графически или аналитически выражается прямой линией.

Когда корреляционная зависимость имеет другое направление, она называется ***нелинейной.***

2. оценить тесноту (силу) корреляционной связи или степень сопряженности между варьирующими признаками.

Исследования двумерных случайных величин, также как и одномерных, целесообразно начинать с предварительного анализа их свойств с помощью простейших графических преобразований. Двумерную случайную величину |x,y| наглядно изображают в виде корреляционно-

го поля точек. При этом каждая пара значений изображается в виде точки с координатами x_i y_i. По горизонтальной оси откладывается аргумент x, а по вертикальной - функция y. Масштаб и начало отсчета по каждой оси выбираются по размаху варьирования каждого признака таким образом, чтобы поле графика было квадратным или соотношением сторон x:y не более чем 2: 1.

Статистические характеристики тесноты корреляционной связи

В качестве количественной меры используется ***коэффициент корреляции r***.

Коэффициент корреляции вычисляется по формуле

$r = cov_{xy} / \sigma_x\sigma_y$

$cov_{xy} = \Sigma(x_i - \bar{x}_i)\bullet(y_i - \bar{y}_i)/ n$ – ковариация x и x (совместная изменчивость).

σ_x и σ_y – стандарты признаков x и y.

и представляет собой правильную дробь, изменяющуюся от –1 до +1.

При **r>0** зависимость прямая,

при **r<1** – обратная,

r=0 свидетельствует об отсутствии линейной связи, но не является показателем независимости X и Y.

При $|\mathbf{r}|=1$ между X и Y устанавливается функциональная зависимость вида $\mathbf{y = a + bx}$.

По модулю r выделяют группы по силе связи:

$0 < \|r\| \le 0{,}25$	отсутствие связи;
$0{,}25 < \|r\| \le 0{,}5$	слабая связь;
$0{,}5 < \|r\| \le 0{,}75$	средняя связь;
$0{,}75 < \|r\| \le 0{,}9$	сильная связь;
$0{,}9 < \|r\| \le 1{,}0$	очень сильная связь, близкая к функциональной.

Корреляционным отношением называется отношение меры рассеяния условных средних зависимой переменной к мере рассеяния всех значений зависимой переменной, т.е.

$$\bar{\eta} = \frac{\sigma(\bar{yi})}{\sigma(y)}$$, где

$\mathbf{y}$ – значения, принимаемые зависимой переменной;

$\bar{\mathbf{y}}_\mathbf{i}$ – условные средние, соответствующие значениям x_i.

По выборочным данным вычисляют выборочное корреляционное отношение

$$\eta = \frac{S(\bar{yi})}{S(y)}.$$

значение η изменяется от 0 до 1.равенство $\eta = 0$ – необходимое и достаточное условие отсутствия корреляционной зависимости. При $\eta = 1$ корреляционная связь переходит в функциональную $\mathbf{S(\bar{y}_i) = S(y)}$.

Доказано, что всегда $\eta \ge |\mathbf{r}|$.

Равенство $\eta = |\mathbf{r}|$ имеет место в тех случаях, когда зависимость между X и Y линейная, т.е. это равенство может служить критерием линейности зависимости X и Y.

Коэффициент детерминации – коэффициент причинности (η_{uv}^2, η_{vu}^2). Он рассчитывается по формулам

$$\eta_{uv}^2 = \frac{S_{\phi(v)}^2}{S_{(u)}^2}; \qquad \eta_{vu}^2 = \frac{S_{\phi(u)}^2}{S_{(v)}^2};$$

S_u^2 – дисперсия признака u,

S_v^2 - дисперсия признака v,

S_ϕ – факторная дисперсия. Она характеризует изменчивость признака условной функции под действием фактора условного аргумента.

$S_u^2 = \frac{\sum (u_i - \bar{u})^2}{n}$ $S_v^2 = \frac{\sum (v_i - \bar{v})^2}{n}$

$S_{ф(v)}^2 = \frac{\sum_{i=1}^{k} n_i \bullet (\bar{u_i} - \bar{u})^2}{n}$ $S_{ф(u)}^2 = \frac{\sum_{i=1}^{k} n_i \bullet (\bar{v_i} - v)^2}{n}$

k – число интервалов соответственно по признаку v и u;

$\bar{u}_i$ – условное среднее для i-ого интервала;

$S_ф^2$ оценивая изменчивость признака **u** от изменчивости признака v, она оценивает разброс условных средних признака **u** относительно среднего значения этого признака.

Коэффициент детерминации оценивает долю изменчивости условной функции под действием условного аргумента от общей дисперсии условной функции.

Если $\eta^2_{Au\text{-}Ag}$ =81 %, то

Это значит, что на 81 % изменчивость содержаний Au в руде бусловлена изменчивостью содержаний Ag и на 19 % какими-то неучтенными нами другими факторами.

При нелинейной связи используются корреляционные отношения. Они представляют собой $\sqrt{\eta^2_{uv}}$

$\eta_{uv} = \sqrt{\eta^2_{uv}}$ $\eta_{vu} = \sqrt{\eta^2_{vu}}$

$0 \le \eta_{uv}$ и $\eta_{vu} \le 1{,}0$

Корреляционное отношение является аналогом коэффициента корреляции. В случае линейной связи в качестве коэффициента детерминации используется квадрат коэффициента корреляции. По соотношению r и η^2 можно сделать вывод о линейности связи. Если $r^2 = \eta^2_{uv}$, то связь строго линейная. Если не строго линейная, то $r^2 < \eta^2_{uv}$. Чем больше различия, тем менее линейная связь.

При линейной зависимости двух признаков вводится ***коэффициент регрессии***:

$$\beta u/v = r \bullet \frac{Su}{Sv} \qquad \beta v/u = r \bullet \frac{Sv}{Su}$$

Коэффициент регрессии истолковывается с двух позиций:

1. с точки зрения физики коэффициент регрессии – это скорость изменения одного признака относительно другого. Коэффициент регрессии βu/v показывает на сколько единиц изменяется признак u при изменении признака v на 1 единицу.

2. с точки зрения геометрии коэффициент регрессии βu/v – это tgα, где α - угол наклона линии регрессии u = a+bv к оси абсцисс. Чем больше угол α, тем больше скорость изменения признака u от признака v.

В случае линейности корреляционных связей существенно отличается расчет ТЛР. при этом ТЛР можно рассчитать без нормирования уравнений Гаусса и не проводить группировку по интервалам, а использовать таблицу перечисления двух признаков.

Многомерные статистические модели

Любое геологическое явление может быть охарактеризовано множеством признаков, поддающихся наблюдению и измерению. Геологические объекты должны рассматриваться как системы, зависящие от большого числа факторов и требующие для своего описания многомерного признакового пространства.

В качестве математической модели значений комплекса признаков рассматривается ***многомерная случайная величина***, которая часто называется *случайным вектором*. Многомерные модели подразумевают вероятность нормального статистического распределения рассматриваемых случайных величин или хотя бы возможность их нормализации.

Вследствие сложных взаимосвязей между изучаемыми признаками эффективно всестороннее исследование системы с выделением наиболее важных факторов. Записи исходных

данных и математические действия над ними производятся в матричной форме (работы Дж. Дэвиса).

Многомерный корреляционный анализ применяется для выявления зависимостей между наблюденными значениями различных геологических характеристик и разделения множества признаков по характеру их внутренних связей.

Статистические свойства случайных величин с многомерным нормальным распределением задаются ковариационными или корреляционными матрицами, которые могут быть вычислены по исходным матрицам.

Корреляционная матрица – матрица в которой по диагонали расположены единицы, а недиагональные элементы представляют собой парные коэффициенты корреляции между соответствующими признаками.

$$[R] = \begin{pmatrix} 1 & r_{x1x2} & \dots & \dots & r_{x1xm} \\ \dots & 1 & \dots & \dots & \dots \\ \dots & \dots & 1 & \dots & \dots \\ \dots & \dots & \dots & 1 & \dots \\ r_{xmx1} & \dots & \dots & \dots & 1 \end{pmatrix}$$

Методы многомерного корреляционного анализа используется в геологии для изучения зависимостей между случайными величинами, зависящими от совокупного влияния факторов неясной физической природы.

Для распределения исходных совокупностей на несколько классов по степени сходства, составляющих их объектов используется в частности кластерный анализ (анализ групп). Широко применяется в геолого-минералогической науке в частности при классификации парагенетических ассоциаций элементов.

Множественная регрессия и ее использование для предсказания свойств геологических объектов.

В отличие от двумерной регрессии в методах множественной регрессии зависимая переменная (Y) рассматривается как функция не одной, а нескольких переменных (x_1, x_2, x_3, …, x_n). Уравнение множественной регрессии записывается как …… функция.

$y = \beta_0 + \beta_1 x_1 + \beta_2 x_2 + \beta_3 x_3 + \dots + \beta_n x_n = \beta_0 + \Sigma \beta_i x_i$;

β_0, β_1, … - коэффициенты регрессионной модели.

Этому уравнению соответствует так называемая гиперплоскость, т.е. плоскость n-мерного пространства. Множественная регрессия строится на основе учета всех возможных взаимодействий между переменными и их сочетаниями. В ее задачи входит оценка общего вклада всех переменных в изменчивость Y, а т.ж. определение относительного влияния каждого из них с помощью коэффициентов β_i. Таким образом, множественный регрессионный анализ сводится к вычислению значений коэффициентов регрессионной модели (β_0, β_1, …, β_n) по совокупности n наблюдений над переменными (x_1, x_2, x_3, …, x_n) и Y, оценке влияния каждой переменной и их общего вклада в оценку зависимой переменной (Y). Все математические расчеты производятся в матричной форме.

Модели множественной регрессии используются для предсказания значений зависимой переменной (содержания ценного компонента, объемной массы руды, глубины формирования минерала и т.д.) по набору независимых переменных (содержаний петрогенных элеметов, объемной массы тяжелых минералов в рудах, содержаний элементов–индикаторов и т.д.).

Задачи распознавания образов в геологии

Многие прогнозные и интерпретационные задачи решаются в практической геологии путем сопоставления комплексов признаков изучаемого объекта с комплексом тех же призна-

ков эталонного объекта. Совокупность подобных методов основанных на принципе аналогии получила название ***методов распознавания образов***.

С позиций многомерного математического анализа реальному геологическому объекту ставят в соответствие набор действительных чисел x_1, x_2, …, x_n, которые выражают значения измеренных геологических, геохимических или геофизических его признаков. Каждая совокупность таких признаков как вектор или точка в многомерном пространстве, а множество объектов одного класса в пространстве признаков соответствуют некоторые множества точек.

Кластерный анализ многомерных совокупностей

Кластерный анализ - метод иерархической группировки переменных, метод анализа групп переменных. Задача кластерного анализа - разбивка множества элементов корреляционной матрицы признаков [R] на группы так, чтобы в них объединились объекты с наивысшими значениями характеристик сходства, а разобщенные группы оставались бы при этом максимально изолированными по данному признаку. В качестве меры сходства могут использоваться непосредственно парные коэффициенты корреляции (r) или другие дистанционные показатели (dt).

Первый шаг анализа групп методом объединения элементов состоит в выявлении наивысших коэффициентов корреляции между отдельными парами элементов, которые объединяются и принимаются за центры групп. Число таких центров изменяется от 1 до 3 (редко более).

Далее матрица вычисляется снова. Причем сгруппированные элементы считаются за один элемент, а коэффициенты корреляции с другими группами вычисляют заново. По результатам вычислений составляется новая матрица, которая вновь подвергается сокращению путем выявления и объединения пар с максимальными значениями признаков сходства. Операция последовательного сокращения и пересчета матрицы повторяется до тех пор, пока значения групповых коэффициентов сходства не достигнут порогового значения.

Результаты кластерного анализа изображаются в виде древовидного графика – ***дендрограммы***, в которой по оси абсцисс располагаются символьные значения переменных, а по оси ординат – значения коэффициентов корреляции. Дендровидный граф, который учитывает не только внутригрупповые расстояния, но и средние расстояния между группами называется ***дендрографом*** (применяется для сравнения месторождений и др. геологических объектов)**.**

Факторный анализ

Факторный анализ представляет собой совокупность приемов математической статистики, предназначенных для обработки массивов экспериментальных, многомерных данных, где каждый объект описан фиксированным набором признаков. При этом каждый признак рассматривается не изолировано от остальных, а анализируется в заданной совокупности признаков.

В качестве объектов могут быть рассмотрены точки наблюдения, пробы, обнажения, замеры по скважинам и т.п. В качестве признаков - содержания химических элементов, параметры физических полей и физических свойств и т.д. Среди многочисленных приемов факторного анализа одним из наиболее эффективных при решении геологических задач является *метод главных компонент* (МГК).

В основе моделей факторного анализа лежит следующая гипотеза: измеряемые признаки представляют собой результат воздействия некоторых процессов и косвенное отражение внутренних свойств, обуславливающих закономерную изменчивость объекта в пространстве и времени. Тем самым допускается, что объекты и явления могут быть эффективно описаны небольшим числом функциональных единиц, фиксирующих объективно существующие закономерности и характеризующих весь класс в целом. Эти функциональные единицы «внутренние» свойства объектов, процессы – принято называть ***факторами***.

В рамках принятой гипотезы предполагается, что число факторов значительно меньше (не больше) числа исходных признаков. Когда при неизвестном, предположительно большом

числе факторов требуется оценить их природу и степень влияния на совокупность признаков, то используют методы собственно факторного анализа.

Вклад вносимый каждым из факторов при воздействии на предмет, неодинаков, как правило, наиболее существенными являются независимые признаки (т.е. некоррелированные). В математическом смысле основной задачей факторного анализа является представление наблюдаемых признаков в виде линейных комбинаций относительно независимых факторов при минимальной потере информации.

В общем случае факторная модель для произвольного признака может быть представлена в виде:

$x_j = a_{j1}F_1 + a_{j2}F_2 + a_{j3}F_3 + \ldots + a_{jk}F_k + \ldots + a_{jt}F_t + b_jS_j + e_jp_j$

Математическая модель **метода главных компонент**

$x_j = a_{j1}F_1 + a_{j2}F_2 + a_{j3}F_3 + \ldots + a_{jk}F_k + \ldots + a_{jl}F_l$

где наблюдаемый компонент x_j линейно зависит от некоррелированных между собой компонент (факторов F). С помощью модели делается попытка объяснить величину дисперсии только влиянием факторов F, не занимаясь анализом других факторов.

Вычислительные процедуры факторного анализа позволяют определять значения a_{jk} и F_k и на основе этого вычислить все составляющие для x_j в формулах. Иными словами с помощью факторного анализа возможно решение как прямой – нахождение числа факторов, оценка их влияния и значимости, идентификация и определение непосредственно самих значений факторов, так и обратной задачи – восстановление для каждого признака составляющих, обусловленных действием как отдельно взятого фактора, так и любого их сочетания.

Исходным материалом для **МГК** обычно является корреляционная матрица, характеризующая силу линейных связей между признаками. Задачей МГК является попытка приемлемого объяснения полной дисперсии признаков под воздействием общих факторов. Недостатком МГК является отсутствие влияния фактора погрешности наблюдения. МГК не требует никаких предположений о виде распределения исходных признаков.

МГФ эффективен только в условиях многомерного нормального распределения, представительности выборочных данных, линейности связи признаков с факторами и отсутствии автокорреляции в исходных наблюдениях.

Совокупность задач решаемых с использованием МГК и МГФ можно классифицировать по следующим типам:

Оптимальное описание объектов.

Факторный анализ позволяет большие массивы данных представлять в сокращенной форме без потери информации за счет преобразования признаков. МГК позволяет получить наивысший коэффициент сжатия. Однако, если данные измерены с существенными ошибками и коррелированы между собой рекомендуется МГФ.

Классификация

В связи с тем, что факторы характеризуют объекты со стороны принадлежности к определенным классам, использование факторов вместо признаков при решении задач классификации более оправдано.

Причинный анализ взаимосвязей между признаками.

Выявление, идентефикация и изучение факторов позволяют проверить и обосновать различные гипотезы относительно механизма генерирования признаков и объяснения связей между ними.

Прогнозирование

Регрессионный анализ является одним из эффективных методов предсказания наиболее вероятных значений исследуемой величины по совокупности известных значений сопряженных с ней переменных. На практике, часто сопряженные переменные оказываются коррелированы между собой и измеряются с существенными ошибками, что приводит к некорректному определению коэффициентов регрессии. Построение регрессии на факторах позволяет получить некоррелированные переменные и снизить размерность задачи (уменьшить число x_j), что дает более надежные оценки коэффициентов регрессии.

В приложении к геологии решение перечисленных задач позволяет осуществлять расчленение неоднородного геологического пространства, выделение комплексных геолого-геофизических аномалий, классификацию и типизацию геологических объектов, выявление периодичности геологических процессов, прогнозирование месторождений полезных ископаемых

Рекомендуемая литература

1. Поротов Г.С. Математические методы моделирования в геологии: Учебник. СПб. 2006. 223 с.
2. Каждан А.Б., Гуськов О.И. Математические методы в геологии: Учебник для вузов. М.: Недра. 1990. 251 с.
3. Давид М. Геостатистические методы при оценке запасов руд. Л.: Недра. 1980. 360 с.
4. Дж. С. Дэвис. Статистический анализ данных в геологии. М.: Недра.1990. Кн.1-319 с., Кн.2-427с.
5. Мягков В.Ф. Геохимический метод парагенетического анализа руд. М.: Недра.1984.126 с.
6. Панов Ю.К., Петруха Л.М. Методическая разработка к лабораторным занятиям по разделу «Статистические оценки параметров генеральной совокупности при решении геологоразведочных задач» курса «Математические методы в геологии» для студентов специальности «Геологическая съёмка, поиски и разведка». Выпуск 5,6. Издание СГИ. 1991. 29 с., 21 с.
7. Справочник по математическим методам в геологии/Родионов Д.А., Коган Р.И., Голубева В.А. и др. М.: Недра.1987.335 с.
8. Шестаков Ю.Г. Математические методы в геологии: Учеб. пособие. Красноярск. Изд-во Красноярск. ун-та. 1988. 208 с.

Вопросы для самопроверки

1. Какова роль математических методов в решении геологических задач?
2. Что такое выборка?
3. Какие требования предъявляются к выборочным данным?
4. Что такое вероятность случайного события?
5. Что такое закон распределения случайной величины?
6. Какие законы распределения обычно используются при моделировании геологических объектов и явлений?
7. Свойства нормального закона распределения.
8. Как определить вероятность попадания случайной величины в заданный интервал значений?
9. Что называется оценкой параметра распределения?
10. Что такое точечная оценка параметров распределения?
11. Как вычисляются оценки математического ожидания и дисперсии при логнормальном законе распределения?
12. Как вычисляется оценка асимметрии при биномиальном распределении?
13. Как вычисляются интервальные оценки среднего и дисперсии при нормальном законе распределения?
14. В чем заключается необходимость использования стиатистических гипотез при моделировании свойств геологических объектов?
15. Что такое ошибки 1-го и 2-го рода при принятии гипотез?
16. Что такое доверительная и критическая области критерия?
17. Как выбирается уровень значимости критерия?

18. Как можно проверить гипотезу о соответствии эмпирического распределения одному из теоретических законов?
19. Как проверить гипотезу о равенстве двух неизвестных средних, если распределение не соответствует нормальному закону?
20. Как проверить гипотезу о равенстве двух неизвестных дисперсий, если распределение не соответствует нормальному закону?
21. Как можно графически оценить однородность выборки?
22. В чем сущность дисперсионного анализа?
23. В чем отличие корреляционной связи от функциональной?
24. Какие показатели характеризуют форму и тесноту корреляционной связи?
25. Как определить тесноту связи, если закон распределения неизвестен?
26. Как проверить гипотезу о линейности корреляционной связи?
27. В чем отличие корреляционной и ковариационной матриц?
28. Методы исследования структуры корреляционных матриц.
29. Как разделить закономерную и случайную составляющие пространственной изменчивости?
30. Что такое тренд-анализ?
31. Как можно выявить наличие тренда в серии наблюдений?

МИНОБРНАУКИ РФ

ФГБОУ ВО «Уральский государственный горный университет»

УТВЕРЖДАЮ

Проректор по учебно-методическому комплексу

_____ С.А. Упоров

МЕТОДИЧЕСКИЕ РЕКОМЕНДАЦИИ К ВЫПОЛНЕНИЮ КУРСОВОГО ПРОЕКТА ПО ДИСЦИПЛИНЕ

Б1.В.09 ТЕОРЕТИЧЕСКИЕ ОСНОВЫ ПОИСКОВ И РАЗВЕДКИ НЕФТИ И ГАЗА

Специальность:
21.05.02 Прикладная геология

Специализация:
Геология месторождений нефти и газа

форма обучения: очная

Автор: Ворожев Е.С., к.г.-м.н.

Одобрены на заседании кафедры
Литологии и геологии горючих ископаемых
(название кафедры)

Зав. кафедрой _____
(подпись)

к.г.-м.н., доц. Рыльков С.А.
(Фамилия И.О.)

Протокол № 2 от 06.10.2020
(Дата)

Рассмотрены методической комиссией
факультета геологии и геофизики
(название факультета)

Председатель _____
(подпись)

д.г.-м.н., проф. Бондарев В.И.
(Фамилия И.О.)

Протокол № 2 от 13.10.2020
(Дата)

Екатеринбург

ОГЛАВЛЕНИЕ

1. **ЦЕЛИ И ЗАДАЧИ КУРСОВОЙ РАБОТЫ** 4
2. **СТРУКТУРА КУРСОВОЙ РАБОТЫ, ТРЕБОВАНИЯ К ЕЕ ОФОРМЛЕНИЮ** 6
3. **СОДЕРЖАНИЕ КУРСОВОЙ РАБОТЫ** 7
   - 3.1. Введение 7
   - 3.2. Общие сведения об объекте (участке, месторождении) 7
   - 3.3. Геологическое описание района и месторождения 7
   - 3.4. Методика и объемы проектируемых работ 7
   - 3.5. Подсчет запасов 10
   - 3.6. Заключение с краткой геолого-экономической оценкой 10
4. **ГРАФИЧЕСКИЕ ПРИЛОЖЕНИЯ** 11

СПИСОК ЛИТЕРАТУРЫ 12

ПРИЛОЖЕНИЕ 1. Пример оформления титульного листа 13

ПРИЛОЖЕНИЕ 2. Пример выполнения штампа 14

1. ЦЕЛИ И ЗАДАЧИ КУРСОЙ РАБОТЫ

Целью курсовой работы является приобретение студентами необходимых навыков в составлении проекта на геологоразведочные работы. В ходе выполнения курсовой работы студент должен самостоятельно решить следующие инженерные задачи:

- осветить степень геологической изученности, разведанности оцениваемого объекта (месторождения, участка); дать оценку достоверности ранее выполненных работ;
- обосновать целевое геологическое задание для следующей стадии геологоразведочных работ;
- выбрать и обосновать комплекс методов для эффективного выполнения целевого задания с учетом геологических особенностей объекта;
- дать оценку проектных запасов (прогнозных ресурсов) по объекту работ, произвести геолого-экономическую оценку ожидаемых результатов.

Курсовая работа выполняется студентом по материалам, собранным им в геологоразведочной партии, на месторождении, в процессе прохождения производственной практики. При выполнении работы должны быть обязательно использованы личные наблюдения.

Основным содержанием курсовой работы должно явиться обоснование методики геологоразведочных работ на определенном этапе поисков или разведки. Во всех случаях тема работы должна отвечать документу - Приказ МПР России № 126 от 07.02.2001 г. «Об утверждении временных положений и классификаций», где утверждены «Временные положения об этапах и стадиях геологоразведочных работ на нефть и газ».

При наличии у студентов достаточно представительных материалов по тем или иным вопросам методики оценки изучаемого объекта, в курсовой работе может быть помещен соответствующий раздел.

Темой курсовой работы может быть:

- оценка зон нефтегазонакопления;
- поиски в пределах конкретной площади или структуры;
- поисково-оценочные работы на участке конкретного нефте- или газопроявления или в пределах геохимической (геофизической) аномалии;
- разведка нефтяной или газовой залежи, а также флангов или глубоких горизонтов месторождения.

В курсовой работе, независимо от выбранной темы, производится самостоятельная углубленная разработка специального методического вопроса. В соответствии с его содержанием, спецвопрос излагается в определенном разделе работы (геологическом или методическом).

Рекомендуются следующие темы специальных вопросов:

- поисковые критерии и признаки локализации углеводородов на

изучаемой площади;
- разработка прогнозно-поискового комплекса на углеводороды на конкретной площади работ;
- анализ контролирующих факторов и поисковых признаков для обоснования рационального комплекса поисковых методов;
- комплексный анализ геологических, геохимических и геофизических полей, аномалий с целью выбора объектов для постановки дальнейших работ;
- исследование состава и строения пород коллекторов и флюидоупоров с целью обоснования перспектив изучаемой территории;
- изучение состава и зональности первичных геохимических ореолов с целью оценки перспектив глубоких горизонтов;
- установление мест заложения поисковых скважин;
- анализ изменчивости мощности нефтенасыщенной части методами геометризации и математической статистики с целью определения основных параметров подсчета;
- исследование корреляционных зависимостей между различными характеристиками ФЕС;
- исследование пространственного положения ГНК, ВНК;
- системы размещения скважин при поисково-оценочных и разведочных работах;
- получение и обработка данных промыслово-геофизических наблюдений;
- выбор рационального комплекса ГИС при поисковом и разведочном бурении;
- геолого-технологические особенности строительства поисковой (разведочной) скважины;
- исследование в открытом стволе и в колонне продуктивных объектов;
- методы усиления нефтеотдачи (МУН) при эксплуатации месторождений на завершающей стадии разработки;
- сопоставление данных разведки и опытно-промышленной эксплуатации для совершенствования техсхемы разработки месторождения.

Основанием для начала работы над курсовой работой является задание, выдаваемое преподавателем после собеседования со студентом. В задании формулируется название работы, пространственные границы оцениваемой площади, срок представления работы. По специальному вопросу руководитель помогает студенту составить план работы, рекомендует необходимую литературу.

В процессе проектирования преподаватель проводит групповые и индивидуальные консультации. На выполненную работу подготавливается рецензия. Окончательная оценка выставляется после защиты работы.

2. СТРУКТУРА КУРСОВОЙ РАБОТЫ, ТРЕБОВАНИЯ К ЕЕ ОФОРМЛЕНИЮ

Курсовая работа состоит из текстовой части и графических приложений. Текст работы включает в себя:

- титульный лист;
- содержание;
- введение (1 - 2 с.);
- геологическая часть (8 - 10 с.);
- методическая часть (15 – 20 с.)
- заключение с краткой геолого-экономической оценкой (3 - 5 с.);
- список использованной литературы;
- список графических приложений.

Титульный лист курсовой работы изготавливается из ватмана и является обложкой (прил. 1). Допускается компоновка курсовой работы в скоросшиватель – в этом случае титульный лист печатается на бумаге формата А4. Объем текстовой части работы составляет примерно 25 - 35 страниц текста на одной стороне бумаги формата А4 (210х297 мм) с полями: слева – 30 мм, справа - 10 мм, сверху - 15 мм, снизу - 20 мм (ГОСТ 7.32-81). Текст иллюстрируется зарисовками, схемами, фотографиями. Желательно выполнение работы в пакете прикладной программы Microsoft Word (величина шрифта – 14, расположение строк через интервал 1,5). Текстовые иллюстрации выполняются на отдельных листах, по возможности того же формата, белой бумаги, миллиметровки или кальки. Фотографии наклеиваются на отдельные листы. Все текстовые иллюстрации должны иметь номер рисунка, его наименование, масштаб, условные обозначения. Допускается выполнение текстовых иллюстраций на ПК.

Кроме того, работа сопровождается графическими приложениями на одном, реже на двух листах ватмана формата А1, на которых должна быть представлена геологическая карта с планом подсчетов запасов, два или три типичных разреза (в том числе, один проектный). На указанной графике показываются пройденные и проектные геологоразведочные выработки. Графические приложения выполняются тушью, или на компьютере. Они складываются по формату текста.

3. СОДЕРЖАНИЕ КУРСОВОЙ РАБОТЫ

3.1. Введение

Указывается место работы, выполнявшиеся студентом производственные задания. Связь планируемых работ с задачами в области развития минерально-сырьевой базы региона в свете утвержденной Правительством России программы "Энергетическая стратегия России на период до 2020 года», или с задачами конкретного недропользователя на ближайший период. Геологические материалы, на основе которых составлена курсовая работа.

3.2. Общие сведения об объекте (участке, месторождении)

Местоположение объекта (месторождения): расстояние от ближайшего районного центра, от ближайшей железнодорожной станции. Инфраструктура района (дороги, линии электропередач, магистральные нефте- газопроводы), население, рынок труда. Краткие сведения об орогидрографии, климате, экономике (положение месторождения показывается на прилагаемой в тексте обзорной карте). Краткий обзор геологических и геофизических работ, проведенных ранее; их основные результаты. Обзор дается в хронологическом порядке.

3.3. Геологическое описание района и месторождения

3.3.1. Геологическое строение района. В сжатой форме излагаются данные по стратиграфии, магматизму, тектонике, геологической истории развития, гидрогеологии, газо-нефтяным комплексам района и другим полезным ископаемым, особенно общераспространенным.

3.3.2. Геология месторождения (участка или залежи при поисках). Позиция месторождения (участка, залежи) в геологической структуре района. Стратиграфия, литология, фациальный анализ. Структура месторождения: породы-коллекторы, породы-флюидоупоры. Пликативная и дизъюнктивная тектоника и ее влияние на формирование ловушки локализации залежи УВ. Гидрогеологическая характеристика, инженерно-геологические свойства пород.

3.4. Методика и объемы проектируемых работ

3.4.1. Анализ разведанности и выбор направления для дальнейших работ. Приводится анализ результатов предыдущих геологоразведочных работ, на основе которых выбираются участки для дальнейших поисков или разведки, производится обоснование необходимости постановки работ следующей стадии. При этом необходимо, в первую очередь,

обращать внимание на те вопросы, которые не были решены в предшествующий период.

Перспективы объекта на основе анализа контролирующих факторов и поисковых признаков, возможные параметры залежей по простиранию и на глубину. Степень разведанности объекта, изученность вещественного состава с точки зрения комплексного использования полезных ископаемых, (попутный газ нефтяных месторождений, металлы, сопутствующие залежам нефти, – ванадий и т. п.), горнотехнические и гидрогеологические условия. Возможные перспективы продолжения залежи по латерали, возможность встречи новых залежей. На основе проведенного анализа формулируются конкретные задачи дальнейших работ.

2.2.2

3.4.2. Методика разведки (поисков) и объемы работ. На основании анализа особенностей структуры участка, формы, размеров и условий залегания залежей УВ, изменчивости параметров (мощности коллектора, его ФЕС, нефтегазонасыщенности) выбирается комплекс геологоразведочных работ и исследований, необходимый для выполнения геологического задания [2, 3, 4].

В порядке значимости для решения целевого задания описываются виды геологоразведочных работ с обоснованием назначения, способа выполнения, плотности сети наблюдений, объемов проектируемого вида работ.

Так, при проектировании разведочных работ, рекомендуется следующая примерная структура изложения материала:

- обоснование группы сложности месторождения в соответствии с классификацией ГКЗ;
- требования ГКЗ к степени разведанности;
- перечень основных видов работ, необходимых для решения задач данной стадии;
- обоснование системы геологоразведочных работ и технических средств для ее реализации;
- расположение геофизических профилей (разведочных скважин), порядок их проходки (строительства).

Обоснование плотности разведочной сети производится, в зависимости от величины месторождения, по запасам, занимаемой площади, толщины продуктивного пласта, методами аналогии, математических, экономических и других расчетов. Каждый вид работ завершается расчётом проектируемых объемов.

При проектировании поисков по каждому виду работ необходимо осветить целевое назначение, методику проведения, плотность сети наблюдений, объем работ. Например, при обосновании геохимических поисков по газовым эманациям необходимо указать площадь работ, глубину отбора проб, вес пробы, ее полевую обработку, проектируемую сеть отбора, общее количество проб.

При проектировании поисков и разведки особое внимание следует уделить проектированию строительства буровой скважины. Следует отметить, что для геолога специальности ГН вопрос проектирования строительства глубокой скважины является основным при подготовке к дипломному проектированию. При проектировании строительства буровой скважины, в подразделе, посвященном буровым работам, должны быть рассмотрены следующие вопросы:

- выбор точек заложения проектных скважин, их глубина;
- сводный геологический разрез, распределение вскрываемых скважиной горных пород по категории буримости;
- ожидаемые осложнения при проходке скважин;
- интервалы опробования в открытом стволе;
- рациональный комплекс ГИС;
- интервалы отбора керна.

2.2.3

3.4.3. Геофизические работы. Анализ предпосылок для применения геофизических методов. Выбор наиболее эффективных методов, их краткая характеристика.

2.2.4

3.4.4. Опробование и аналитические работы. Сведения о применяемых на месторождении (участке) видах опробования; возможности использования геофизических методов при опробовании. Обоснование способов отбора проб, необходимых для решения поставленных задач. Специфика отбора проб из керна продуктивных пластов и флюидоупоров. Количество проб по каждому пласту с учетом характера их исследования. Опробование пластов с помощью боковых стреляющих грунтоносов. Их представительность. Подготовка проб для испытания. Геохимическое опробование скважин. Методика и плотность сети отбора проб, их подготовка для анализа. Схемы обработки проб. Возможности механизации, автоматизации обработки проб.

Изучение качества нефтей (фракционный, элементарный и другие анализы).

Литолого-петрографические и петрофизические исследования (определение объемной массы, влажности, пористости, проницаемости, остаточной водонасыщенности, нефтенасыщенности, и т. д.). Моделирование пластовых условий при проведении специфических видов исследования керна.

Обоснование объемов исследований с учетом контрольных определений (внутреннего и внешнего контроля). Возможности сокращения числа определений за счет использования корреляционных связей по уравнениям регрессии.

2.2.5

3.4.5. Прочие виды работ. Топо-геодезические, инженерно-геологические и гидрогеологические исследования, выполнение которых необходимо: для технического обеспечения основных видов работ, с одной

стороны, и для комплексной геолого-экономической оценки объекта, с другой. Указывается их назначение, методика проведения и объемы. В заключении дается сводная таблица объемов разведочных и аналитических работ.

2.3

3.5. Подсчет запасов

В данном разделе необходимо осветить следующие вопросы:

Дать характеристику как ранее разведанных запасов, так и прогнозных ресурсов. Указать кондиции, принятые для оконтуривания залежей и подсчета блоков. Привести данные о цифрах запасов различных категорий и их соотношениях. Отметить, какие способности подсчета запасов были приняты, их обоснованность. Методы определения параметров при подсчёте запасов. Указать степень обеспеченности действующего предприятия разведанными запасами, перспективы их дальнейшего увеличения [5, 6].

Изложить методику подсчета прогнозных ресурсов на основании проектируемых работ. Изложить принципы выделения категории запасов по степени разведанности (плотности разведочной сети) и изученности (выхода керна, изученности вещественного состава, технологических, горнотехнических и гидрогеологических условий) для месторождений различных групп по инструкции ГКЗ. Раскрыть принципы выделения подсчетных блоков, их границ на флангах. Обосновать параметры подсчета запасов, методику их расчета (площади подсчетных блоков, мощности, среднее содержание, объемная масса). Произвести подсчет запасов по одному из блоков. Привести сводный формуляр подсчета общих проектных запасов по категориям.

Контуры категорий запасов, выделенных на основании проектируемых работ, подлежат закраске следующими цветами:

- нефть: категория А – густой коричневый, кат. В – коричневый средней интенсивности, кат. C_1 - слабокоричневый, кат. C_2 - бледнокоричневый;
- газ: та же интенсивность цветов, только желтого цвета;
- прогнозные ресурсы – серый;
- вода – голубой.

2.4

3.6. Заключение с краткой геолого-экономической оценкой

Геолого-экономическая оценка разведанных месторождений должна проводиться по общепринятой методике, с привлечением конкретного цифрового материала и с использованием разработок, имеющихся на кафедре. В этом случае конечным итогом оценки должно явиться определение рентабельности месторождения при вовлечении его в промышленное освоение. В данном разделе рассчитывается также эффективность запроектированных геологоразведочных работ: стоимость разведки 1 т запасов нефти, конденсата (1000 куб. м свободного газа), а также

попутных металлов по категориям запасов [1].

В заключении делается вывод о хозяйственной значимости месторождения. Даются рекомендации о постановке дальнейших геологоразведочных работ или ставится вопрос о прекращении разведки и консервации месторождения до более благоприятного времени.

Завершенная работа подписывается исполнителем и представляется на кафедру. За текстом работы помещается список использованной литературы (в алфавитном порядке). В тексте ссылки даются указанием порядкового номера.

4. ГРАФИЧЕСКИЕ ПРИЛОЖЕНИЯ

Графическими иллюстрациями в тексте являются: обзорная географическая карта (с указанием объекта работ), тектоническая (или геолого-структурная) карта, схема обработки проб.

На отдельном листе ватмана формата А1 представляется геологическая карта, 2 - 3 типичных разреза (один обязательно проектный), план подсчета запасов или продольная вертикальная проекция залежи.

При оформлении работы по разведке месторождения (залежи) план подсчета запасов по одному из пластов может быть выполнен на кальке. На всех указанных видах графики обязательно показываются пройденные (черной тушью) и проектные (красной) сейсмические профили и скважины. В правом нижнем углу листа располагается штамп установленного образца (прил.2). Графические приложения складываются по формату текста.

СПИСОК ЛИТЕРАТУРЫ

1. *Дворник Г. П., Угрюмов А. Н.* Геолого-экономическая оценка месторождений полезных ископаемых и техногенного сырья: Учебное пособие. Екатеринбург: Изд-во УГГГА, 2004. 220 с.

2. *Мясникова Г. П., Шпильман В. И.* Методы выявления перспективных зон и месторождений нефти и газа: Учебное пособие. Тюмень: ТюмГНГУ, 1995. 125 с.

3. *Нестеров И. И., Васильев В. Б.* Теория и практика нефтегазоразведочных работ: Учебное пособие .– М.: Недра, 1993. 330 с.

4. *Основы методики геологоразведочных работ на нефть и газ*: Учеб. пособие. / Под ред. Э. А. Бакирова. М.: Недра, 1991. 159 с.

5. *Подсчет запасов нефти, газа, конденсата и содержащихся в них компонентов:* Справочник / И. Д. Амелин, В. А. Бадьянов, Б. Ю. Вендельштейн и др.: Под ред. В. В. Стасенкова. М.: Недра, 1989. 270 с.

6. *Сырьевая база и добыча газа в России в XXI веке* / А. И. Гриценко, В. А. Пономарев, Н. А. Крылов и др. М.: ООО «Недра-Бизнесцентр», 2000. 148 с.

МИНОБРНАУКИ РФ

ФГБОУ ВО «Уральский государственный горный университет»

УТВЕРЖДАЮ
Проректор по учебно-методическому комплексу
_____ С.А.Упоров

МЕТОДИЧЕСКИЕ РЕКОМЕНДАЦИИ К САМОСТОЯТЕЛЬНОЙ РАБОТЕ ПО ДИСЦИПЛИНЕ

Б1.В.09 ТЕОРЕТИЧЕСКИЕ ОСНОВЫ ПОИСКОВ И РАЗВЕДКИ НЕФТИ И ГАЗА

Специальность:
21.05.02 Прикладная геология

Специализация:
Геология месторождений нефти и газа

форма обучения: очная

Автор: Ворожев Е.С., к.г.-м.н.

Одобрены на заседании кафедры
Литологии и геологии горючих ископаемых
(название кафедры)
Зав. кафедрой _____
(подпись)
к.г.-м.н., доц. Рыльков С.А.
(Фамилия И.О.)
Протокол № 2 от 06.10.2020
(Дата)

Рассмотрены методической комиссией
факультета геологии и геофизики
(название факультета)
Председатель _____
(подпись)
д.г.-м.н., проф. Бондарев В.И.
(Фамилия И.О.)
Протокол № 2 от 13.10.2020
(Дата)

Екатеринбург

Введение

Самостоятельная работа студента является важнейшей составной частью образовательной программы подготовки дипломированного специалиста. По курсу «Теоретические основы поисков и разведки нефти и газа» обязательная самостоятельная работа студента осуществляется в следующих направлениях:

- ✓ выполнение домашних заданий;
- ✓ освоение материалов по отдельным темам, входящим в Рабочую программу дисциплины [4];
- ✓ подготовка к экзамену;

Самостоятельная работа студентов направлена на развитие интеллектуальных умений, повышение творческого потенциала студентов и заключается в:

– поиске, анализе, структурировании и презентации информации, анализе научных публикаций по вопросам методики геологоразведочных работ;

– исследовательской работе и участии в научных студенческих конференциях, семинарах и олимпиадах.

Оценка результатов самостоятельной работы организуется как единство двух форм: самоконтроль и контроль со стороны преподавателей.

Данные методические указания предназначены для организации самостоятельной работы студентов при освоении отдельных тем дисциплины.

Методические указания к самостоятельной работе студента

В последующем разделе пособия приведена развернутая программа дисциплины «Теоретические основы поисков и разведки нефти и газа». Здесь указаны наименование и содержание лекционных тем в соответствии с рабочей программой дисциплины [4]. Каждая тема является основой вопросов в экзаменационном билете. При чтении лекций по курсу преподаватель указывает те темы дисциплины, которые выносятся на самостоятельную проработку студентами. Основной объем информации по каждой теме содержится в учебнике по курсу [1]. Для углубленного освоения темы рекомендуется дополнительная литература [2, 3, 4]. Для самоконтроля и приобретения навыков решения задач по отдельным разделам дисциплины в последнем разделе приведены контрольные вопросы и упражнения, которые являются основой подготовки к экзамену.

При освоении указанных ниже тем рекомендуется следующий порядок самостоятельной работы студента.

1. Ознакомьтесь со структурой темы.
2. По учебнику [1] освойте каждый структурный элемент темы. Во всех темах указаны разделы и страницы учебника, содержащие данный материал.
3. При необходимости используйте указанную дополнительную литературу. Консультацию по использованию дополнительной литературы Вы можете получить у преподавателя.
4. Ответьте на контрольные вопросы и выполните рекомендованные упражнения. При затруднениях в ответах на вопросы вернитесь к изучению рекомендованной литературы.
5. Законспектируйте материал. При этом конспект может быть написан в виде ответов на контрольные вопросы и упражнения.

При самостоятельной работе над указанными темами рекомендуется вести записи в конспектах, формируемых на лекционных занятиях по курсу, и в том порядке, в котором данные темы следуют по учебной программе.

Данное учебно-методическое пособие может быть использовано при подготовке ответов на вопросы во время экзамена.

Содержание курса

Тема № 1 Общие сведения о нефти. История ее изучения. Добыча нефти. Добыча газа. Место России в мировой нефтедобыче. Зависимость энергетики от добычи углеводородов [3].

Дополнительная литература: [2, 4].

Контрольные вопросы и упражнения:

1. Мировые тенденции добычи нефти и газа в мире.
2. Место России в мировой нефтедобыче.

Тема № 2: Современное состояние геологоразведочных работ на нефть и газ. Основные территории – Западно-Сибирская и Волго-Уральская нефтегазоносные провинции. Развитие геологоразведочных работ на этих территориях [3], с.

Дополнительная литература: [2, 4].

Контрольные вопросы и упражнения:

1. Современное направление геологразведочных работ в Западной Сибири.
2. Современное направление геологразведочных работ в Волго-Уральской НГП.

Тема №3: Методика системного решения задач нефтяной геологии. Системный подход – методология специального научного познания. Концепция возникновения материального мира. Гипотезы нафтидогенеза [3], с. 36-54.

Дополнительная литература: [2, 3, 4].

Контрольные вопросы и упражнения:

1. Поясните сущность разработки многопластового месторождения.
2. Что дает гидропрослушивание?

Тема №4: Основные объекты нефтегазовой геологии. Основные понятия и принципы в выделении залежей углеводородов. Объекты геологоразведочных работ. Понятие о запасах и ресурсах их классификация, Временная Классификация (2001 г.) Действующая Классификация запасов и ресурсов (2013 г.) [3], с.

Дополнительная литература: [2, 4].

Контрольные вопросы и упражнения:

1. Определение системы локальных поднятий..
2. Какие классификационные признаки положены в основу классификации систем разработки месторождений?

Тема № 5: Буровые скважины для геологоразведочных работ на нефть и газ. История развития буровых работ.. Основные типы скважин на нефть и газ: опорные, параметрические, структурные, поисково-оценочные, разведочные, эксплуатационные, специальные [3], с.

Дополнительная литература: [2, 4].

Контрольные вопросы и упражнения:

1. Какие буровые установки применяются для поиска и разведки залежей нефти и газа?

2. Как можно выделить слои на многопластовом месторождении? Нарисуйте принципиальные схемы выделения слоев?.

3. Как определяется вес на крюке?

4. Как определяется давление бурового раствора на стояке манифольда?

5. Основные технологические задачи решаемые отрядом ГТИ.

6. Как можно выделить слои на многопластовом месторождении? Нарисуйте принципиальные схемы выделения слоев?.

7. Поясните сущность разработки многопластового месторождения.

8. Что дает гидропрослушивание?

9. Установка дебита флюида.

10. Значение изучения удельного электрического сопротивления раствора.

11. Вторичное вскрытие пласта.

12. Отбор образцов стреляющими и сверлящими грунтоносами.

13. Отбор проб флюидов.

14. Для чего проводится геофизическое изучение всего разреза скважины?

15. Опробование пласта.

16. Метод заложения скважин «Шаг поискового бурения».

17. Метод заложения поисковых скважин на литологически экранированных ловушках.

Тема № 6: Общие положения о стадийности работ. Региональный этап. Стадия прогноза нефти и газа. Стадия оценки зон нефтегазонакоплений. Качественная и количественная оценка нефтегазоносности. Поисково-оценочный этап. Разведочный этап. Лабораторные работы. Подсчет запасов нефти, газа, конденсата [], с.

Дополнительная литература: [2, 3, 4].

Контрольные вопросы и упражнения:

1. Стадийность геологоразведочных работ на нефть и газ.

2. Формула подсчета геологических запасов газа.

3. Формула подсчета геологических запасов нефти.

Тема № 7: Государственная экологическая политика при поисках и разведке нефти и газа. Экологические проблемы геологоразведочных работ на нефть и газ. Охрана недр и окружающей природной среды Природоохранные мероприятия. Рациональное использование недр [2], с.

Дополнительная литература: [3, 4].

Контрольные вопросы и упражнения:

1. Кто сегодня занимается экологическими вопросами?

2. Основной документ, определяющий требования в области охраны недр

3. Позиции определяющие воздействие на окружающую среду при геофизических работах.

4. Позиции определяющие воздействие на окружающую среду при бурении поисковых и разведочных скважин.

5. Выбросы вредных веществ в атмосферный воздух.

6. Воздействие на окружающую среду при проведении региональных работ.

7. Воздействие на окружающую среду при проведении поисково-оценочных работ.

8. Воздействие на окружающую среду при проведении разведочных работ.

9. Аварийные ситуации. Последствия.

10. Воздействие на окружающую среду при проведении строительно-монтажных работ.

11. Воздействие на окружающую среду при бурении и креплении скважин.

12. Воздействие на окружающую среду при порыве трубопроводов

13. Охрана поверхностных и подземных вод.

14. Охрана растительного и животного мира.

15. Охрана атмосферного воздуха

16. Основные природоохранные мероприятия.

17. Воздействие на природно-ландшафтные комплексы окружающей среды.

18. Гидрологическое воздействие.

19. Экологическая безопасность - важнейшая составная часть национальной безопасности

20. Принятые в конце нулевых годов нормативные кодексы

Вопросы
к экзамену по курсу «Теоретические основы поисков и разведки нефти и газа»

1. Системный подход в естественных науках.

2. Основные отличия Классификации запасов и ресурсов нефти и газа России 2001 г. от Классификации запасов и ресурсов нефти и газа России 2013г.

3. Стадийность геологоразведочных работ на нефть и газ (приказ МПР РФ от 07.02.2001 г. № 126)

3. Методика поиска нефти в начале XX столетия и во второй половине XX столетия.

4. Ресурсы категории C_3 (по Классификации 2001 г.), D_0 (по Классификации 2013 г). Где и на какой стадии геологоразведочных работ выделяются.

5. Скважины опорного бурения.

6. Вакуумная концепция строения природных систем.

7. Стадия оценки зон нефтегазонакоплений.

8. Скважины параметрические.

9. Существующие гипотезы образования нефти и связь их с геологоразведочными работами.

10. Стадия выявления объектов поискового бурения.

11. Сверхглубокие скважины.

12.Роль моделирования природных систем в геологоразведочном процессе.

13. Стадия подготовки объектов к поисковому бурению.

14. Скважины поисковые.
Характеристика природной системы.

15. Стадия поиска и оценки месторождений (залежей) .

16. Скважины разведочные.

17. Уровни добычи нефти в России на рубеже XIX и XX века и на рубеже XX и XXI века. Добыча нефти в Уральском федеральном округе .

18. Разведочный этап.

19. Скважины эксплуатационные, специальные.

20. Основные методы геологоразведочных работ на нефть и газ в настоящее время и динамика их развития.

21. Региональный этап геологоразведочных работ.

22. Опробование скважины.

23. Финансирование геологоразведочных работ на нефть и газ в России в XXI веке.

24. Основные принципы производства геологоразведочных работ.

25. Определение ГВК методом В.П. Савченко.

26. Роль Классификации запасов и ресурсов. Отечественная и зарубежные Классификации.

27. Лабораторные работы на образцах керна скважин.

28. Количественная оценка ресурсов.

29. Ожидаемое воздействие на окружающую среду при производстве ГРР на нефть и газ.

30. Понятие о государственной экспертизе запасов. Государственный баланс.

31. Развитие буровых работ (XIX –XXI век).

32. Методы размещения поисковых скважин (шаг поискового бурения, по радиальным профилям, метод клина, заложение на антиклинальных ловушках).

33. Проект геологоразведочных работ (основные разделы) .

Рекомендуемая литература

1. Гайворонский И.Н. Коллекторы нефти и газа Западной Сибири. Их вскрытие и опробование [Электронный ресурс] / И.Н. Гайворонский, Г.Н. Леоненко, В.С. Замахаев. — Электрон. текстовые данные. — М. : Геоинформцентр, Геоинформ, 2003. — 364 c. — 5-900357-91-0. — Режим доступа: http://www.iprbookshop.ru/17093.html

2. Геология нефти и газа. Электрон. текстовые данные. — М. : Геоинформмарк, 2010-2014. - Режим доступа: http: http://www.iprbookshop.ru/17107.html

3. Теоретические основы поисков и разведки нефти и газа : учебник : в двух книгах / А. А. Бакиров [и др.] ; под ред.: Э. А. Бакирова, В. Ю. Керимова. - Москва : Недра. - ISBN 978-5-8365-0379-6. Книга 2 : Методика поисков и разведки скоплений нефти и газа. - [4-е изд., перераб. и доп.]. - 2012. - 416 с. : рис., фот., табл. - Библиогр.: с. 413. - ISBN 978-5-8365-0386-4

4. Теоретические основы поисков и разведки нефти и газа: рабочая программа дисциплины для студентов специальности 21.05.02 Прикладная геология специализация № 3 Геология месторождений нефти и газа / Е.С. Ворожев. Екатеринбург: УГГУ, 2020. 81 с.

МИНОБРНАУКИ РФ

ФГБОУ ВО «Уральский государственный горный университет»

УТВЕРЖДАЮ

Проректор по учебно-методическому комплексу

_____ С.А.Упоров

МЕТОДИЧЕСКИЕ РЕКОМЕНДАЦИИ К КОНТРОЛЬНОЙ РАБОТЕ ПО ДИСЦИПЛИНЕ

Б1.В.10 ГЕОХИМИЯ ОСАДОЧНЫХ ПОРОД

Специальность:
21.05.02 Прикладная геология

Специализация:
Геология месторождений нефти и газа

форма обучения: очная

Автор: Дуб С.А.

Одобрены на заседании кафедры
Литологии и геологии горючих ископаемых
(название кафедры)

Зав. кафедрой _____
(подпись)

к.г.-м.н., доц. Рыльков С.А.
(Фамилия И.О.)

Протокол № 2 от 06.10.2020
(Дата)

Рассмотрены методической комиссией
факультета геологии и геофизики
(название факультета)

Председатель _____
(подпись)

д.г.-м.н., проф. Бондарев В.И.
(Фамилия И.О.)

Протокол № 2 от 13.10.2020
(Дата)

Екатеринбург

Введение

Учебным планом специальности 21.05.02 Прикладная геология по дисциплине «Геохимия осадочных пород» предусматривается написание контрольной работы на тему «Установление типа/типов пород-источников сноса по геохимическим данным для конкретной нефтегазоносной территории». Этосамостоятельный труд студента, который способствует углублённому изучению пройденного материала.

Задания контрольной работы направлены на оценку уровня умений и навыков, формирующих компетенцию:

профессиональные

- способен выделять породы-коллекторы и флюидоупоры во вскрытых скважинами разрезах, на сейсмопрофилях, картировать природные резервуары и ловушки нефти и газа (ПК-5).

Результаты обучения, достижение которых свидетельствует об освоении компетенции:

*Знания:*методические основы и область применения на практике базовых и общепрофессиональных знаний в области геохимии осадочных пород и процессов, и иметь представление об особенностях использования их при решении практических/производственных задач.

*Умения:*использовать на практике базовые и общепрофессиональные знания и навыки геохимических работ при решении практических/производственных задач.

*Владения:*навыками применения на практике базовых и общепрофессиональных знаний, полученных при знакомстве с комплексом геохимических методов и подходов, используемых при решении практических/производственных задач.

Цель выполняемой работы:получить специальные знания по заданной теме.

Основные задачи выполняемой работы:

1) закрепление полученных ранее теоретических знаний;
2) выработка навыков самостоятельной работы;
3) оценка уровня подготовленности студента к будущей практической работе.

Задания к контрольной работе

На основе известных данных по содержанию породообразующих оксидов, редких и рассеянных элементов в песчаниках и глинистых породах установить состав пород питающих провинций и вероятный тектонический режим времени седиментации.

Вариант 1

1) для юрских терригенных отложений Шаимского НГР.

Исходные данные для выполнения задания: сведения о содержании породообразующих оксидов (данные РФА), редких и рассеянных элементов (данные ИСП-МС) в песчаниках и глинистых породах.

Вариант 2

1) для территории Покачевского месторождения (Западная Сибирь).

Исходные данные для выполнения задания: сведения о содержании породообразующих оксидов (данные РФА), редких и рассеянных элементов (данные ИСП-МС) в песчаниках и глинистых породах

Вариант 3

1) для нижнерифейских отложений западного склона Южного Урала.
Исходные данные для выполнения задания: сведения о содержании породообразующих оксидов (данные РФА), редких и рассеянных элементов (данные ИСП-МС) в песчаниках и глинистых породах

Вариант 4
1) для среднерифейских отложений западного склона Южного Урала.
Исходные данные для выполнения задания: сведения о содержании породообразующих оксидов (данные РФА), редких и рассеянных элементов (данные ИСП-МС) в песчаниках и глинистых породах

Вариант 5
1) для верхнерифейских отложений западного склона Южного Урала.
Исходные данные для выполнения задания: сведения о содержании породообразующих оксидов (данные РФА), редких и рассеянных элементов (данные ИСП-МС) в песчаниках и глинистых породах

Вариант 6
1) для нижневендских отложений западного склона Среднего Урала.
Исходные данные для выполнения задания: сведения о содержании породообразующих оксидов (данные РФА), редких и рассеянных элементов (данные ИСП-МС) в песчаниках и глинистых породах

Вариант 7
1) для верхневендских отложений западного склона Среднего Урала.
Исходные данные для выполнения задания: сведения о содержании породообразующих оксидов (данные РФА), редких и рассеянных элементов (данные ИСП-МС) в песчаниках и глинистых породах

Вариант 8
1) для нижнерифейских отложений Юдомо-Майского прогиба.
Исходные данные для выполнения задания: сведения о содержании породообразующих оксидов (данные РФА), редких и рассеянных элементов (данные ИСП-МС) в песчаниках и глинистых породах

Вариант 9
1) для среднерифейских отложений Учуро-Майского района.
Исходные данные для выполнения задания: сведения о содержании породообразующих оксидов (данные РФА), редких и рассеянных элементов (данные ИСП-МС) в песчаниках и глинистых породах

Вариант 10
1) для нижнее и среднерифейских отложений Камско-Бельского авлакогена.
Исходные данные для выполнения задания: сведения о содержании породообразующих оксидов (данные РФА), редких и рассеянных элементов (данные ИСП-МС) в песчаниках и глинистых породах

Вариант 11
1) для верхнерифейских и вендских отложений Камско-Бельского авлакогена.
Исходные данные для выполнения задания: сведения о содержании породообразующих оксидов (данные РФА).редких и рассеянных элементов (данные ИСП-МС) в песчаниках и глинистых породах

Вариант 12
1) для вендских отложений Юго-Восточного Беломорья.
Исходные данные для выполнения задания: сведения о содержании породообразующих оксидов (данные РФА), редких и рассеянных элементов (данные ИСП-МС) в песчаниках и глинистых породах

Вариант 13
1) для вендских отложений Вычегодского прогиба.
Исходные данные для выполнения задания: сведения о содержании породообразующих оксидов (данные РФА), редких и рассеянных элементов (данные ИСП-МС) в песчаниках и глинистых породах

Вариант 14
1) для вендских отложений юго-восточного склона Балтийского щита.
Исходные данные для выполнения задания: сведения о содержании породообразующих оксидов (данные РФА), редких и рассеянных элементов (данные ИСП-МС) в песчаниках и глинистых породах

Вариант 15
1) для нижнепермских отложений Бельской впадины.
Исходные данные для выполнения задания: сведения о содержании породообразующих оксидов (данные РФА), редких и рассеянных элементов (данные ИСП-МС) в песчаниках и глинистых породах

Порядок выполнения контрольной работы

Подготовку контрольной работы следует начинать с повторения соответствующего раздела учебника, учебных пособий по данной теме и конспектов лекций прочитанных ранее. Приступать к выполнению работы без изучения основных положений и понятий науки, не следует, так как в этом случае студент, как правило, плохо ориентируется в материале, не может отграничить смежные вопросы и сосредоточить внимание на основных, первостепенных проблемах рассматриваемой темы.

После выбора темы необходимо внимательно изучить методические рекомендации по подготовке контрольной работы, составить план работы, который должен включать основные вопросы, охватывающие в целом всю прорабатываемую тему.

Результат выполнения контрольной работы представляет собой пояснительную записку, выполненную в рукописном варианте, согласно представленному в задании плану.

Текст работы должен демонстрировать:

- знакомство автора с особенностями использования геохимических данных при решении практических/производственных задач;
- умение использовать геохимические данные для решения геологических задач;
- владение применения на практике базовых и общепрофессиональных знаний, полученных при знакомстве с комплексом геохимических методов и подходов, используемых при решении практических/производственных задач;
- приемлемый уровень языковой грамотности, включая владение функциональным стилем научного изложения.

Общий объем контрольной работы не должен превышать 3-5 страниц.

Оценивание результатов контрольной работы

Оценивание результатов контрольной работы должно быть проведено до начала промежуточной аттестации и проводится по традиционной шкале: «зачтено», «не зачтено».

Решение об оценке контрольной работы принимается по результатам проверки предъявленной работы и ответов студента на вопросы в случае неполного ее выполнения.

Критерии оценки контрольной работы	*Количество баллов*
Правильность отнесения терригенных пород конкретной нефтегазоносной территории к различным классификационным типам на основе валовых химических анализов	0-1
Правильность установления источников обломочного материала для песчаников конкретной нефтегазоносной территории на основе анализа соотношений основных породообразующих оксидов	0-1
Правильность установления источников тонкой силикокластики для глинистых пород конкретной нефтегазоносной территории на основе анализа соотношений основных породообразующих оксидов	0-1
Правильность установления источников обломочного материала для песчаников конкретной нефтегазоносной территории на основе анализа соотношений ряда индикаторных отношений редких и рассеянных элементов	0-1
Правильность установления источников тонкой силиколкастики для глинистых пород конкретной нефтегазоносной территории на основе анализа соотношений ряда индикаторных отношений редких и рассеянных элементов	0-1
Итого	0-5

3-5 баллов (50-100%) - оценка «зачтено»
0-2 балла (0-49%) - оценка «не зачтено»

Критерии оценивания:

правильность отнесения терригенных пород конкретной нефтегазоносной территории к различным классификационным типам на основе валовых химических анализов – 1 балл; правильность установления источников обломочного материала для песчаников конкретной нефтегазоносной территории на основе анализа соотношений основных породообразующих оксидов – 1 балл; правильность установления источников тонкой силикокластики для глинистых пород конкретной нефтегазоносной территории на основе анализа соотношений основных породообразующих оксидов – 1 балл; правильность установления источников обломочного материала для песчаников конкретной нефтегазоносной территории на основе анализа соотношений ряда индикаторных отношений редких и рассеянных элементов – 1 балл, правильность установления источников тонкой силиколкастики для глинистых пород конкретной нефтегазоносной территории на основе анализа соотношений ряда индикаторных отношений редких и рассеянных элементов – 1 балл, итого – 5 баллов.

Критерии оценки:

Оценка «зачтено» выставляется обучающемуся, если:

- работа выполнена без ошибок или с незначительными замечаниями, исправляемыми самостоятельно – 5 баллов.

- задание выполнено в полном объеме, но с некоторыми погрешностями, обучающийся ошибся и не смог обосновать выбор отдельных позиций работы – 4 балла.

- задание выполнено с ошибками, ответы неполные, аргументация выбора отдельных позиций работы ошибочна – 3 балла.

Оценка «не зачтено» выставляется обучающемуся, если задание не выполнено или выполнено неверно, выбор позиции не аргументирован – 0-2 балла.

МИНОБРНАУКИ РОССИИ

ФГБОУ ВО «Уральский государственный горный университет»

УТВЕРЖДАЮ
Проректор по учебно-методическому комплексу _____ С.А. Упоров

МЕТОДИЧЕСКИЕ РЕКОМЕНДАЦИИ К САМОСТОЯТЕЛЬНОЙ РАБОТЕ ПО ДИСЦИПЛИНЕ

Б1.В.10 ГЕОХИМИЯ ОСАДОЧНЫХ ПОРОД

Специальность:
21.05.02 Прикладная геология

Специализация:
Геология месторождений нефти и газа

форма обучения: очная

Автор: Дуб С.А.

Одобрены на заседании кафедры
Литологии и геологии горючих ископаемых
(название кафедры)
Зав. кафедрой _____
(подпись)
к.г.-м.н., доц. Рыльков С.А.
(Фамилия И.О.)
Протокол № 2 от 06.10.2020
(Дата)

Рассмотрены методической комиссией
факультета геологии и геофизики
(название факультета)
Председатель _____
(подпись)
д.г.-м.н., проф. Бондарев В.И.
(Фамилия И.О.)
Протокол № 2 от 13.10.2020
(Дата)

Екатеринбург

Введение

Самостоятельная работа студента является важнейшей составной частью образовательной программы подготовки дипломированного специалиста. По курсу «Геохимия осадочных пород» обязательная самостоятельная работа студента осуществляется в следующих направлениях:

- ✓ выполнение домашних заданий;
- ✓ освоение материалов по отдельным темам, входящим в Рабочую программу дисциплины [3];
- ✓ подготовка к экзамену;

Самостоятельная работа студентовнаправлена на развитие интеллектуальных умений, повышение творческого потенциала студентов и заключается в:

– поиске, анализе, структурировании и презентации информации, анализе научных публикаций по вопросам геохимических особенностей осадочных пород;

– исследовательской работе и участии в научных студенческих конференциях, семинарах и олимпиадах.

Оценка результатов самостоятельной работы организуется как единство двух форм: самоконтроль и контроль со стороны преподавателей.

Данные методические указания предназначены для организации самостоятельной работы студентов при освоении отдельных тем дисциплины.

Методические указания к самостоятельной работе студента

В последующем разделе пособия приведена развернутая программа дисциплины «Геохимия осадочных пород». Здесь указаны наименование и содержание лекционных тем в соответствии с рабочей программой дисциплины [3]. Каждая тема является основой вопросов в экзаменационном билете. При чтении лекций по курсу преподаватель указывает те темы дисциплины, которые выносятся на самостоятельную проработку студентами. Основной объем информации по каждой теме содержится в учебнике по курсу [1]. Для углубленного освоения темы рекомендуется дополнительная литература [2]. Для самоконтроля и приобретения навыков решения задач по отдельным разделам дисциплины в последнем разделе приведены контрольные вопросы и упражнения, которые являются основой подготовки к экзамену.

При освоении указанных ниже тем рекомендуется следующий порядок самостоятельной работы студента.

1. Ознакомьтесь со структурой темы.
2. По учебнику [1] освойте каждый структурный элемент темы. Во всех темах указаны разделы и страницы учебника, содержащие данный материал.
3. При необходимости используйте указанную дополнительную литературу. Консультацию по использованию дополнительной литературы Вы можете получить у преподавателя.
4. Ответьте на контрольные вопросы и выполните рекомендованные упражнения. При затруднениях в ответах на вопросы вернитесь к изучению рекомендованной литературы.
5. Законспектируйте материал. При этом конспект может быть написан в виде ответов на контрольные вопросы и упражнения.

При самостоятельной работе над указанными темами рекомендуется вести записи в конспектах, формируемых на лекционных занятиях по курсу, и в том порядке, в котором данные темы следуют по учебной программе.

Данное учебно-методическое пособие может быть использовано при подготовке ответов на вопросы во время экзамена.

Содержание курса

Тема 1: Строение и химический состав внешних оболочек Земли. [1]

Осадочная оболочка Земли (стратисфера). Средний химический состав стратисферы и его отличие от среднего состава земной коры. Гидросфера. Масса гидросферы. Химический состав морской воды, контролирующие его физико-химические факторы. Определяющая роль взаимодействия вод с породами земной коры и атмосферой. Воды континентов, закономерности их состава и контролирующие его факторы. Сопоставление состава морских и континентальных вод. Океан как динамическая система. Соотношение процессов поступления материала в океан и вывода из него (осадконакопления). Круговорот воды. Понятие среднего времени пребывания элемента в океане. Величины времени пребывания для разных групп элементов. Источник вещества гидросферы. Происхождение анионного и катионного состава морской воды. Атмосфера. Внешние границы, состав. Строение атмосферы, распределение ее компонентов по высоте. Факторы, контролирующие химический состав атмосферы. Происхождение важнейших газов атмосферы. Вулканические газы и гипотезы "первичной" атмосферы. Биосфера. Современные представления о биосфере и живом веществе. Химический состав живого вещества, биофильные элементы. Понятие о биогеохимических процессах. Геохимические функции живого вещества и его роль в процессах литогенеза. Живое вещество как мощный геологический фактор в истории земной коры. Органическое вещество осадков и осадочных пород. Ассоциация элементов, накапливающихся с органическим веществом.

Дополнительная литература: [2].

Контрольные вопросы и упражнения:

1. Средний химический состав стратисферы и его отличие от среднего состава земной коры.
2. Гидросфера. Масса гидросферы. Химический состав морской воды, контролирующие его физико-химические факторы.
3. Определяющая роль взаимодействия вод с породами земной коры и атмосферой.
4. Воды континентов, закономерности их состава и контролирующие его факторы. Сопоставление состава морских и континентальных вод.
5. Соотношение процессов поступления материала в океан и вывода из него (осадконакопления).
6. Источник вещества гидросферы. Происхождение анионного и катионного состава морской воды.

Тема 2: Общие сведения об осадочных породах.[1]

Минеральный состав осадочных пород (терригенные и аутигенные минералы. Характерные минеральные ассоциации. Терригенно-минералогические провинции. Глинистые минералы, условия их образования и ассоциации). Химический состав основных типов осадочных пород (основные породообразующие оксиды, редкие и рассеянные элементы).

Дополнительная литература: [2].

Контрольные вопросы и упражнения:

1. Минеральный состав осадочных пород (терригенные и аутигенные минералы).
2. Характерные минеральные ассоциации.

3. Терригенно-минералогические провинции.

4. Глинистые минералы, условия их образования и ассоциации).

5. Химический состав основных типов осадочных пород (основные породообразующие оксиды, редкие и рассеянные элементы).

Тема 3: Геохимическая классификация осадочных пород. [1]

Остаточные породы. Гидролизаты. Окисленные породы. Восстановленные породы. Карбонаты. Соли. Биогенные осадки.

Дополнительная литература: [2].

Контрольные вопросы и упражнения:

1. Остаточные породы.
2. Гидролизаты.
3. Окисленные породы.
4. Карбонаты.
5. Биогенные осадки.

Тема 4: Основные геохимические факторы поверхностных процессов. [1]

Характеристика среды выветривания. Минеральные равновесия при низких температурах и давлениях. Роль кислотности и щелочности среды (pH), интервалы их изменений в главных типах природных обстановок. Влияние окислительно-восстановительных процессов (Eh). Интервалы изменений значений Ehв главных типах природных обстановок. Значение биогеохимических факторов. Роль кристаллохимических свойств элементов. Физико-химические условия выветривания в различных климатических зонах. Профили выветривания основных и кислых кристаллических: пород. Типы химических реакций при процессах выветривания.

Дополнительная литература: [2].

Контрольные вопросы и упражнения:

1. Роль кислотности и щелочности среды (pH), интервалы их изменений в главных типах природных обстановок.
2. Влияние окислительно-восстановительных процессов (Eh).
3. Интервалы изменений значений Ehв главных типах природных обстановок.
4. Значение биогеохимических факторов.

Тема 5. Процессы современной седиментации. [1]

Питающие провинции и поставка осадочного материала в океаны. Роль физического и химического выветривания. Растворенный и взвешенный сток (их химический состав). Барьерные зоны. Эоловый материал и его вклад в океанскую седиментацию. Роль айсбергового и ледового материала в океанской седиментации. Особенности геохимии терригенного (алевро-песчаного и глинистого) материала океанских осадков. Особенности геохимии биогенной (карбонатной и кремнистой) седиментации в океанах. Вулканогенные осадки океанов и влияние вулканизма на состав океанских осадков. Металлоносные осадки. Циркумконтинентальная и климатическая зональность в океанах и их влияние на распределение элементов в осадках.

Дополнительная литература: [2].

Контрольные вопросы и упражнения:

1. Растворенный и взвешенный сток (их химический состав).
2. Эоловый материал и его вклад в океанскую седиментацию.
3. Роль айсбергового и ледового материала в океанской седиментации.
4. Особенности геохимии биогенной (карбонатной и кремнистой) седиментации в океанах.

Тема 6. Геохимические условия среды осадконакопления. [1]

Влияние внешних факторов среды (соленость, газовый режим, температура, pH и Eh) на образование осадков в морских, лагунных и континентальных бассейнах в условиях аридного, гумидного и ледового климатов. Типы важнейших химических реакций, контролирующих минеральный состав осадков в бассейнах седиментации. Геохимические фации. Механическая и химическая дифференциации. Зональность в распределении минералов и элементов в: осадках на площади современных и древних бассейнов седиментации, ее зависимость от климата и тектонического режима, различия в составе платформенных осадочных пород и осадочных пород подвижных поясов.

Дополнительная литература: [2].

Контрольные вопросы и упражнения:

1. Типы важнейших химических реакций, контролирующих минеральный состав осадков в бассейнах седиментации.
2. Геохимические фации.
3. Механическая и химическая дифференциации.
4. Зональность в распределении минералов и элементов в осадках на площади современных и древних бассейнов седиментации, ее зависимость от климата и тектонического режима, различия в составе платформенных осадочных пород и осадочных пород подвижных поясов.

Тема 7. Геохимические преобразования осадков в стадию диагенеза и катагенеза. [1]

Перераспределение элементов в процессе уплотнения осадков. Влияние органического углерода на подвижность элементов. Особенности восстановительного и окислительного диагенеза Физико-химические условия и химические реакции на ранней и поздней стадиях диагенеза. Проблема привноса и выноса элементов. Формирование состава пластовых вод. Диагенетические преобразования осадков и важнейших типов осадочных пород. Минеральные новообразования и конкреции.

Дополнительная литература: [2].

Контрольные вопросы и упражнения:

1. Особенности восстановительного и окислительного диагенеза.

Физико-химические условия и химические реакции на ранней и поздней стадиях диагенеза.

Тема 8. Биогеохимические процессы. [1]

Представления о биогеохимических процессах. Учение о биогеохимических провинциях. Связь условий жизнедеятельности организмов с химическим составом среды. Факторы формирования биогеохимических провинций. Значение биогеохимических провинций в хозяйственной деятельности человека. Роль биогеохимических процессов в концентрации химических элементов. Геохимические условия образования месторождений горючих газов, углей. Биогеохимические методы поисков месторождений полезных ископаемых. Биогеохимические циклы элементов. Их нарушение в результате деятельности человека.

Дополнительная литература: [2].

Контрольные вопросы и упражнения:

1. Представления о биогеохимических процессах.
2. Учение о биогеохимических провинциях.
3. Связь условий жизнедеятельности организмов с химическим составом среды.
4. Факторы формирования биогеохимических провинций.

Тема 9. Геохимия отдельных элементов в осадочном цикле. [1]

Основные черты геохимии в осадочном цикле главных и редких элементов (щелочных, щелочноземельных, элементов-гидролизатов, редкоземельных элементов).

Дополнительная литература: [2].

Контрольные вопросы и упражнения:

1. Основные черты геохимии в осадочном цикле главных и редких элементов (щелочных, щелочноземельных, элементов-гидролизатов, редкоземельных элементов).

Тема 10. Эволюция химического состава атмосферы, гидросферы и важнейших типов осадочных и вулканических пород. [1]

Эволюция химического и изотопного состава атмосферы и гидросферы Земли в геологической истории. Модели изменения состава атмосферы. Факты, свидетельствующие об эволюции; факторы, вызывающие эволюцию, и факторы, стабилизирующие состав океана. Гипотезы о составе древнейшей гидросферы. Вулканические газы и гипотезы о так называемой "первичной" атмосфере; факторы эволюции атмосферы. Эволюция химического состава пород осадочной оболочки и земной коры. Общие тенденции геохимической эволюции осадочных и вулканических пород. Значение состава осадочных пород для оценки среднего состава "верхней" земной коры. Эволюция процессов осадкообразования в истории Земли. Основные тренды изменения во времени химического и изотопного состава пород и их вероятные причины.

Дополнительная литература: [2].

Контрольные вопросы и упражнения:

. Гипотезы о составе древнейшей гидросферы.

2. Вулканические газы и гипотезы о так называемой "первичной" атмосфере; факторы эволюции атмосферы.

3. Эволюция химического состава пород осадочной оболочки и земной коры.

4. Общие тенденции геохимической эволюции осадочных и вулканических пород.

5. Значение состава осадочных пород для оценки среднего состава "верхней" земной коры.

6. Эволюция процессов осадкообразования в истории Земли.

Вопросы
к зачету по курсу «Геохимия осадочных пород»

1. Типы важнейших химических реакций, контролирующих минеральный состав осадков в бассейнах седиментации.

2. Геохимические условия образования месторождений горючих газов, углей.

3. Современные представления о биосфере и живом веществе.

4. Осадочная оболочка Земли (стратисфера). Средний химический состав стратисферы и его отличие от среднего состава земной коры.

5. Современные представления о биосфере и живом веществе. Химический состав живого вещества, биофильные элементы.

6. Физико-химические условия выветривания в различных климатических зонах. Профили выветривания основных и кислых кристаллических: пород.

7. Особенности геохимии биогенной (карбонатной и кремнистой) седиментации в океанах.

8.Циркумконтинентальная и климатическая зональность в океанах и их влияние на распределение элементов в осадках.

9. Роль биогеохимических процессов в концентрации химических элементов.

10. Биогеохимические циклы элементов. Их нарушение в результате деятельности человека.

11. Эволюция химического и изотопного состава атмосферы и гидросферы Земли в геологической истории.

12. Учение о биогеохимических провинциях.

13.Вулканогенные осадки океанов и влияние вулканизма на состав океанских осадков. Металлоносные осадки.

14. Геохимические функции живого вещества и его роль в процессах литогенеза. Живое вещество как мощный геологический фактор в истории земной коры.

15. Строение атмосферы, распределение ее компонентов по высоте. Факторы, контролирующие химический состав атмосферы. Происхождение важнейших газов атмосферы

Рекомендуемая литература

1 Геология и геохимия нефти и газа [Электронный ресурс] : учебник / О.К. Баженова [и др.]. — Электрон.дан. — Москва : МГУ имени М.В.Ломоносова, 2012. — 432 с. — Режим доступа: https://e.lanbook.com/book/114581.

1 Стерленко, З. В. Общая геохимия [Электронный ресурс] : практикум / З. В. Стерленко, А. А. Рожнова. — Электрон.текстовые данные. — Ставрополь : Северо-Кавказский федеральный университет, 2016. — 148 c. — 2227-8397. — Режим доступа: http://www.iprbookshop.ru/66070.html

3. Геохимия осадочных пород: рабочая программа дисциплины для студентов специальности 21.05.02 Прикладная геология специализация № 3 Геология месторождений нефти и газа / С.А. Дуб. Екатеринбург: УГГУ, 2020. 10 с.



МИНОБРНАУКИ РОССИИ

Федеральное государственное бюджетное образовательное учреждение высшего образования
«Уральский государственный горный университет»

Н. В. Блинкова, Н. С. Земцов

ГЕОФИЗИЧЕСКИЕ МЕТОДЫ ИССЛЕДОВАНИЯ ГОРИЗОНТАЛЬНЫХ СКВАЖИН

Методические указания
к лабораторным и практическим работам по дисциплине «Геофизические методы исследования горизонтальных скважин» для студентов специальности 21.05.02 *ПРИКЛАДНАЯ ГЕОЛОГИЯ*

Екатеринбург
2020

Федеральное государственное бюджетное образовательное учреждение
высшего образования
«Уральский государственный горный университет»

ОДОБРЕНО:
Методической комиссией
Факультета геологии и геофизики УГГУ
20 МАРТА 2020 г.
Председатель комиссии
_____ проф. Бондарев В. И.

Н. В. Блинкова, Н. С. Земцов

ГЕОФИЗИЧЕСКИЕ МЕТОДЫ ИССЛЕДОВАНИЯ ГОРИЗОНТАЛЬНЫХ СКВАЖИН

Методические указания
к лабораторным и практическим работам
по дисциплине «Геофизические методы
исследования горизонтальных скважин»

Издание УГГУ Екатеринбург, 2020

Б 69

Рецензенты: *Иголкина Г. В.*, д-р геол.-мин. наук, зав. лабораторией промысловой геофизики (Институт геофизики УрО РАН);
Скобелев А. Н., канд. техн. наук, главный геолог, (группа компаний «НЕДРА»).

Методические указания рассмотрены на заседании кафедры геофизики 5 МАРТА 2020 г. (протокол № 12) и рекомендованы для издания в УГГУ.

Блнкова Н. В., Земцов Н. С.

Б 69 ГЕОФИЗИЧЕСКИЕ МЕТОДЫ ИССЛЕДОВАНИЯ ГОРИЗОНТАЛЬНЫХ СКВАЖИН: методические указания / Н. В. Блинкова, Н. С. Земцов; Урал. гос. горный ун-т. – Екатеринбург: Изд-во УГГУ, 2020. – 71 с.

Методические указания содержат семь практических работ. В каждой работе имеется описание геофизической аппаратуры для исследования горизонтальных скважин в процессе бурения и на этапе их исследования после бурения. В работах приводятся планы заданий для анализа полевых материалов (каротажных диаграмм), полученных с этой аппаратурой (АМК «ГОРИЗОНТ», АК «АЛМАЗ-2И», АМАК «Обь», СБК «АМАК», АМК «Горизонталь»). Две работы включают в себя интерпретацию данных метода инклинометрии в горизонтальных скважинах с использованием программного обеспечения станции геолого-технологических исследований «Мега АМТ» и построения этих скважин в трехмерном пространстве, а также построение корреляционного разреза по одному из месторождений Западной Сибири с использованием геофизических данных горизонтальных скважин.

Выполнение этих работ позволит подготовиться студентам к производственной и преддипломной практикам, которые они проходят, в основном, на месторождениях Западно-Сибирской нефтегазовой провинции.

.

© Блинкова Н. В., Земцов Н. С., 2020
© Уральский государственный горный университет, 2020

ОГЛАВЛЕНИЕ

ВВЕДЕНИЕ 5
Работа 1. АППАРАТУРНО-МЕТОДИЧЕСКИЙ КОМПЛЕКС «ГОРИЗОНТ-90» 6
1. Состав и краткое описание 6
2. Основные технические характеристики 6
3. Автономный скважинный прибор 8
4. Прочие конструктивные особенности комплекса 14
Задание 15
Контрольные вопросы 15
Работа 2. АВТОНОМНЫЙ КОМПЛЕКС «АЛМАЗ-2И» 16
1. Состав и краткое описание 16
2. Основные технические характеристики 18
3. Устройство и работа комплекса 21
Задание 25
Контрольные вопросы 25
Работа 3. АППАРАТУРНО-МЕТОДИЧЕСКИЙ АВТОНОМНЫЙ КОМПЛЕКС «ОБЬ» 26
1. Состав и краткое описание 26
2. Основные технические характеристики 26
3. Устройство и работа комплекса 27
4. Прочие особенности комплекса 33
Задание 34
Контрольные вопросы 35
Работа 4. СТАНЦИЯ БЕЗКАБЕЛЬНОГО КАРОТАЖА СБК «АМАК» 36
1. Состав и краткое описание 36
2. Геохимическая подсистема, предназначенная для проведения газового каротажа 37
3. Прочие компоненты комплекса 40
Задание 42
Контрольные вопросы 43
Работа 5. АВТОНОМНАЯ ГЕОФИЗИЧЕСКАЯ СИСТЕМА «ГОРИЗОНТАЛЬ» 44
1. Состав и краткое описание 44
2. Основные технические характеристики 46
3. Устройство и работа комплекса 49
4. Проведение геофизических исследований скважин (ГИС) 56
Задание 57
Контрольные вопросы 57

Работа 6. ИНТЕРПРЕТАЦИЯ ДАННЫХ ИНКЛИНОМЕТРИИ
В ГОРИЗОНТАЛЬНЫХ СКВАЖИНАХ 58
1. Краткое описание 58
Задание 63
Контрольные вопросы 63
Работа 7. ПОСТРОЕНИЕ КОРРЕЛЯЦИОННОГО РАЗРЕЗА
ПО ДИАГРАММАМ АМК «ГОРИЗОНТ» 64
1. Краткое описание 64
Задание 68
Контрольные вопросы 68
СПИСОК ЛИТЕРАТУРЫ 69

ВВЕДЕНИЕ

Наиболее эффективными и прогрессивными технологиями в нефтедобывающей отрасли в настоящее время является переход от бурения одиночных скважин к бурению и широкомасштабному промышленному освоению горизонтальных, разветвленно-горизонталь-ных, многозабойных горизонтальных скважин, а также боковых стволов из старого фонда скважин. За последние годы в горизонтальных скважинах опробован целый ряд технологий бурения забойными телеметрическими системами с гидравлическим, электромагнитным и комбинированным каналами связи, а также исследования скважин на этапе «после бурения» применение аппаратурно-методических комплексов с различными способами доставки аппаратуры на забой. Такими способами является доставка с помощью бурильных труб, гибких пластиковых труб «COILED TUBING» (в переводе с англ. – гибкая труба), жёсткого геофизического кабеля и др. [2, 11, 12, 15, 16, 17]. В методических указаниях описываются примеры такой аппаратуры, как аппаратурно-методический комплекс (АМК) «ГОРИЗОНТ-90», автономный комплекс (АК) «АЛМАЗ-2И», аппаратурно-методический автономный комплекс (АМАК) «Обь», станция бескабельного каротажа (СБК) «АМАК», аппаратурно-методический комплекс (АГС) «Горизонталь».

В методических указаниях содержатся семь работ, пять из которых по аппаратуре, шестая по интерпретации данных инклинометрии в горизонтальных скважинах, седьмая – по построению корреляционного разреза по диаграммам АМК «ГОРИЗОНТ».

Работа 1. АППАРАТУРНО-МЕТОДИЧЕСКИЙ КОМПЛЕКС «ГОРИЗОНТ-90»

1. Состав и краткое описание

АМК «ГОРИЗОНТ-90» содержит в своем составе скважинный прибор ПСК-3, устройство сопряжения, персональный компьютер 386, 486 или Pentium, термоплоттер KST-216-8MP01-KICC, программное и методическое обеспечение, глубиномер, индикатор нагрузки талевого каната буровой лебедки, вспомогательное оборудование [3, 4, 5, 7, 8, 9, 10].

2. Основные технические характеристики

АМК «ГОРИЗОНТ-90» обеспечивает измерение и обработку следующих параметров: кажущееся электрическое сопротивление (КС) – 0–2000 Ом·м; потенциал собственной поляризации (ПС) – ±0,5 В; уровень естественного гамма-излучения (ГК) – 0–50 мкР/ч; поток нейтронов (НК1, НК2) – до 250000 имп/мин; уровень радиационного гамма-излучения (НГК) – 0–200 мкР/ч; зенитный угол наклона скважины, град. – (0–180)±0,2; азимут наклона скважины, град. – (0–360)±1.

Конструктивные данные скважинного прибора: длина – 7720±100 мм; диаметр – 90 мм; присоединительная резьба для бурового инструмента – З-76; диаметр проточки под элеватор – 73 мм; промывка скважины через переводник в верхней части скважинного прибора.

Условия эксплуатации скважинных приборов: диаметр исследуемых скважин – не менее 110 мм; давление на забое – не более 60 МПа; температура окружающей среды – не более 80 °С; конструкция скважинного прибора выдерживает осевую сжимающую и растягивающую нагрузку 5-8 тонн; радиус искривления скважины – не менее 40 м; для получения качественных материалов измерения в скважине рекомендуется проводить на аварийном приводе буровой лебедки при скорости 90, 180 или 360 м/ч.

При использовании АМК «ГОРИЗОНТ-90» геофизические измерения в скважине могут проводиться в широком диапазоне изменения удельного сопротивления промывочной жидкости (0,05–5 Ом·м).

В целях безопасности работы с источником нейтронов предусмотрена возможность его извлечения из скважины в случае аварии. Для этого источник устанавливается в специальном контейнере в верхней части скважинного прибора.

Непрерывное время работы скважинного прибора в режиме измерений – не менее 7 часов. Дискретность измерения и регистрации в блоке памяти всех параметров в цифровой форме – 2 сек. В связи с ограниченной емкостью источников питания и блока хранения информации в скважинном приборе предусмотрено включение измерительной схемы с задержкой до 19 часов на время спуска до интервала исследований. Дискретность установки времени задержки – 4,5 мин.

Глубиномер и датчик нагрузки рассчитаны для работы с талевым канатом буровой лебедки диаметром 25–28 мм. Погрешность измерения глубины в интервале каротажа не более 0,1 %. Дискретность измерения перемещения бурового инструмента – не более 4 мм.

3. Автономный скважинный прибор

Общий вид скважинного прибора показан на рис. 1.1. Корпус скважинного прибора выполнен из немагнитного сплава. На его наружную поверхность до диаметра 90 мм нанесено изоляционное покрытие, на котором установлены токовые и измерительные кольцевые электроды. Эти электроды с помощью проводов, проложенных в теле изоляционного покрытия, электровводов и разъема в нижней части прибора соединяются с измерительной схемой электрического каротажа. В верхней части корпуса прибора имеется стальной переводник, предназначенный для соединения с колонной бурильных труб с помощью замковой резьбы З-76. Переводник имеет отверстия для прохождения промывочной жидкости. Внутри переводника устанавливается герметичный контейнер с радиоактивным источником, который в аварийной ситуации может быть извлечен из скважины.



Рис. 1.1. Общий вид скважинного прибора

Внутри охранного корпуса установлены шасси с электронной измерительной схемой, выполненной в виде конструктивно законченных модулей. Модули между собой соединены с помощью разъемов и накидных гаек. С целью предотвращения повреждений измерительных схем каждый модуль закрыт цилиндрическим защитным кожухом.

Прибор содержит шесть модулей: модуль НК, батарея питания, модуль центрального процессора, модуль ГК, модуль инклинометра и модуль электрического каротажа.

Структурная схема, приведенная на рис. 1.2, дает общее представление о принципе работы скважинного прибора. В модуле центрального процессора (МЦП) напряжение батареи питания, состоящей из химических источников тока, преобразуется в ряд напряжений, необходимых для работы электронных схем. Нормальное функционирование скважинного прибора осуществляется под управлением процессора, выполненного на базе однокристальной микро-ЭВМ К1816ВЕ39. МЦП по шине управления формирует сигналы, обеспечивающие синхронную работу остальных модулей прибора. Обмен данными МЦП со всеми модулями производится по 8-разрядной шине данных. По командам, вырабатываемым в МЦП, периодически через две секунды производится опрос датчиков и измерение всех параметров. В модуле электрического каротажа (МЭК) за счет коммутации токовых и измерительных электродов обеспечивается измерение кажущегося сопротивления (КС) тремя симметричными градиент-зондами, тока зондирования и потенциала собственной поляризации (ПС). Значения измеренных параметров передаются по шине данных в МЦП. В модулях ГК (МГК) и НК (МНК), сформированные из гамма-квантов радиоактивного излучения, электрические импульсы накапливаются в счетчиках в течение двух секунд и считываются в МЦП. В модуле инклинометра (ИНКЛ) через каждые две секунды регистрируются три составляющие магнитного поля Земли и поля силы тяжести, по которым затем вычисляются зенитный угол и азимут наклона скважины. В МЦП измеренная информация дополнительно обрабатывается, а затем записывается в память блока регистрации информации (МРИ), емкость которого составляет 512 Кбайт.

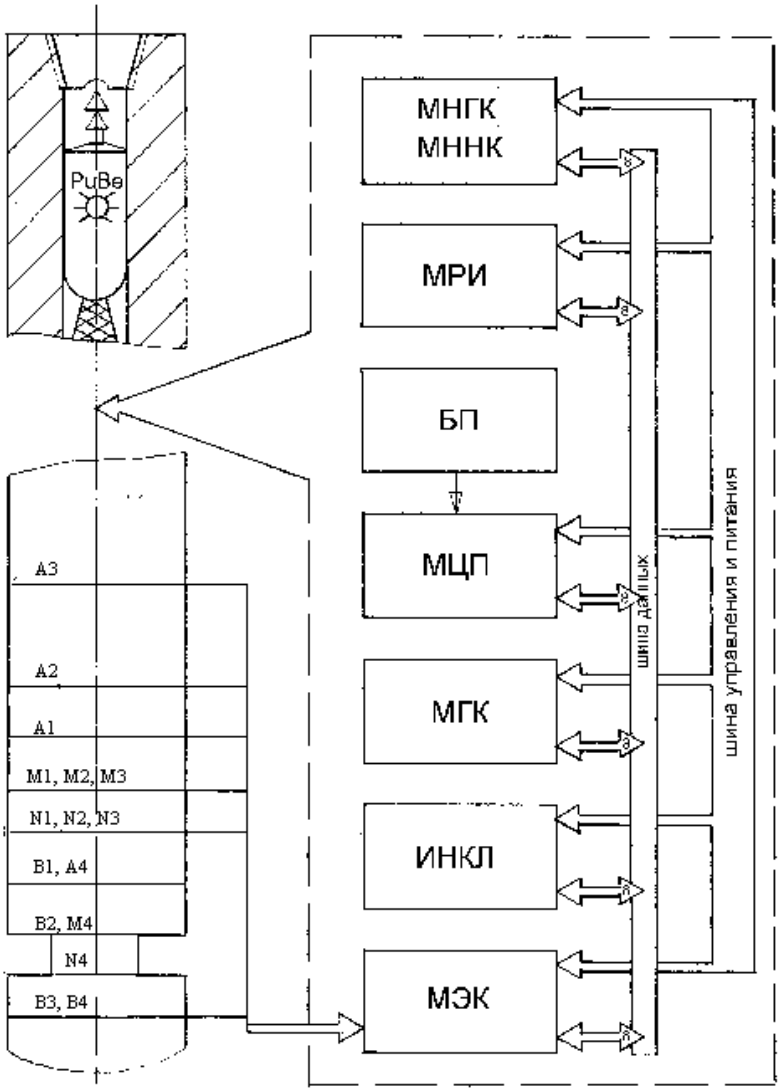

Рис. 1.2. Структурная схема скважинного прибора

Этой емкости достаточно для регистрации информации скважинным прибором в течение семи часов. МРИ в отличие от предыдущих модификаций АМК «ГОРИЗОНТ» размещен в МЦП. После заполнения МРИ происходит автоматическое выключение скважинного прибора.

Вышеуказанные модули можно охарактеризовать следующими параметрами:

• *Модуль центрального процессора* (*МЦП*)

МЦП выполнен на базе ОЭВМ серии К1816ВЕ39. Предназначен для управления работой остальных модулей скважинного прибора, регистрации информации в блоке памяти (512 кбайт) и обмена информацией с наземной частью АМК «ГОРИЗОНТ-90».

• *Модуль ГК и НК*

Радиоактивный каротаж в скважинном приборе осуществляется двумя идентичными модулями: модуль гамма-каротажа (МГК), модуль нейтронного каротажа (МНК).

Модуль ГК предназначен для измерения естественного гамма-излучения горных пород. Он выполнен на базе фотоумножителя ФЭУ-74 и сцинтилляционного детектора NaJ(Tl), размером 30×70 мм. Электрические импульсы с выхода фотоумножителя после усиления и ограничения поступают на вход счетчика, где преобразуются в двоичный код. Через каждые две секунды центральный процессор обращается к модулю и считывает 16-разрядное слово с двоичного счетчика, после чего счетчик обнуляется и начинается накопление импульсов в течение следующих двух секунд, далее цикл повторяется.

Для нормальной работы фотоэлектронного умножителя необходимо стабильное напряжение около 1800 В, которое формируется с помощью высоковольтного преобразователя напряжения и стабилизатора напряжения.

Модуль нейтронного каротажа предназначен для измерения потока нейтронов двумя зондовыми установками ННК (20 и 40 см) и радиационного гамма-излучения НГК (60 см), возникающего при облучении породы потоком нейтронов.

Для регистрации потока нейтронов используются нейтронные трубки СНМ-56, а для регистрации гамма-излучения – ФЭУ-74 и сцинтилляционный детектор NaJ(Tl), размером 30×40 мм. Для защиты сцинтилляционного детектора от потока тепловых нейтронов используется экран из кадмия и бора. В остальном работа модуля НК аналогична работе модуля ГК.

• *Модуль электрического каротажа*

Для электрического каротажа в скважинном приборе используются четыре четырехэлектродных симметричных градиент-зонда:

– *A*1 0,5 *M*1 0,25 *N*1 0,5 *B*1, диаметром 90 мм;

– *A*2 0,5 *M*2 0,25 *N*2 0,5 *B*2, диаметром 75 мм;

– *A*3 1,0 *M*1 0,25 *N*1 1,0 *B*3, диаметром 90 мм;

– *A*4 1,75 *M*1 0,25 *N*1 1,74 *B*3, диаметром 90 мм.

При измерении одноименные токовые электроды *A* и *B* через коммутатор тока подключаются к генератору зондирующего тока, а соответствующие измерительные электроды *M* и *N* через коммутатор напряжения к измерительному усилителю с программно изменяющимся коэффициентом усиления.

При измерении параметра кажущегося удельного сопротивления (КС) ток зондирования, протекая по породе между токовыми электродами *A* и *B*, создает между измерительными электродами *M* и *N* переменное напряжение прямоугольной формы, амплитуда которого пропорциональна измеряемому кажущемуся удельному сопротивлению породы. Это напряжение после усиления преобразуется синхронным детектором в напряжение постоянного тока, которое через аналоговый коммутатор поступает на вход

интегрирующего аналого-цифрового преобразователя (АЦП). Преобразованное в двоичный код измеряемое напряжение считывается центральным процессором с двоичного реверсивного счетчика и записывается в блок ОЗУ.

• *Модуль инклинометра*

Модуль инклинометра предназначен для одновременного измерения трех взаимно ортогональных составляющих величины магнитного поля Земли, и трех взаимно ортогональных составляющих вектора поля силы тяжести, по которым определяются зенитный угол и азимут наклона скважины. В модуле используются феррозондовые датчики магнитометра и акселерометра.

С выходов датчика акселерометра электрические сигналы, пропорциональные составляющим вектора силы тяжести, поступают через аналоговый коммутатор (АК) на вход аналого-цифрового преобразователя (АЦП), на выходе которого формируются цифровые коды, пропорциональные выходным напряжениям акселерометра.

С выходов датчика магнитометра электрические сигналы, пропорциональные составляющим величины магнитного поля Земли, поступают на вход времяимпульсного преобразователя (ВрИП), на выходе которого формируются цифровые коды, пропорциональные измеряемому магнитному полю. Полученные коды через магистральные приёмопередатчики (МПП) пересылаются в ЦП. После обработки считанной информации ЦП пересылает результат в модуль регистрации информации.

4. Прочие конструктивные особенности комплекса

Глубиномер

Глубиномер предназначен для измерения приращений глубины в процессе каротажа скважин. Состоит из головки, в которой размещен индукционный датчик, демпфирующего устройства, зажимного хомута, стойки, узла крепления и 4-контактного разъема.

Конструктивно головка датчика выполнена в виде двух «ш»-образных магнитопроводов, разнесенных между собой на расстояние несколько меньше шага навивки талевого каната. На магнитопроводах размещены питающая и измерительная обмотки. Вся система залита эпоксидной смолой в дюралюминиевом корпусе.

Датчик нагрузки талевого каната буровой лебедки

Датчик нагрузки предназначен для отключения счетчика глубиномера во время каротажа при отсутствии нагрузки на крюке буровой лебедки. Состоит из жесткого основания в виде балки, на концах которой закреплены два неподвижных упора для талевого

каната и один подвижный в центре, узла регулировки жесткости упорной пружины, концевого переключателя, индикатора нагрузки, 4-контактного разъе-ма и защитного кожуха.

Задание

1. Изучить технические характеристики аппаратурно-методичес-кого комплекса «ГОРИЗОНТ-90».

2. Изучить устройство скважинного прибора АМК «ГОРИЗОНТ-90» на уровне блок-схемы.

3. Проанализировать комплекс каротажных диаграмм, полученных с помощью АМК «ГОРИЗОНТ-90», и описать возможности литологического расчленения разреза этим комплексом.

4. Составить пояснительную записку.

Контрольные вопросы

1. Из каких основных блоков состоит АМК «ГОРИЗОНТ-90»?
2. Какие основные параметры измеряет и обрабатывает АМК «ГОРИЗОНТ-90»?
3. Каковы условия эксплуатации скважинных приборов?
4. Из каких устройств состоит функциональная схема модуля центрального процессора?
5. Изобразите функциональную схему модулей ГК и НК.
6. Расскажите принцип работы модуля инклинометра.
7. Изобразите функциональную схему модуля электрического каротажа.
8. Изобразите функциональную схему модуля инклинометра
9. Каков принцип работы датчика нагрузки талевого каната буровой лебедки?
10. Каково назначение устройства сопряжения?

Работа 2. АВТОНОМНЫЙ КОМПЛЕКС «АЛМАЗ-2И»

1. Состав и краткое описание

Автономный комплекс «АЛМАЗ-2И» (далее комплекс) предназначен для геофизических исследований открытых стволов наклонных скважин и скважин с горизонтальным завершением, в том числе боковых стволов, диаметром 124–144 мм, бурящихся на нефть и газ [18]. Комплекс позволяет за одну спускоподъёмную операцию произвести измерение и регистрацию следующих геофизических параметров: кажущегося удельного электрического сопротивления девятью индукционными зондами разной глубинности, потенциала естественной поляризации скважины (ПС), азимут скважины, зенитный угол скважины, угол отклонителя (угол вращения прибора), естественной гамма-активности пород (ГК), удельного электрического сопротивления (УЭС) бурового раствора, температуры бурового раствора.

Автономная скважинная система комплекса «АЛМАЗ-2И» предназначена для доставки на забой буровым инструментом. Этот способ доставки обеспечивает возможность проведения каротажа протяжённых горизонтальных участков обследуемых скважин.

Комплекс состоит из следующих систем: скважинной автономной системы, средства доставки в скважину, наземной системы определения глубины, системы программных модулей RealDepth v4.x.x.

Автономная скважинная система предназначена для измерения и записи геофизических и технологических параметров различного назначения. Автономная скважинная система состоит из трёх модулей: модуль памяти и питания (МПП), измерительный модуль ВЭМКЗ, измерительный модуль интегрального ГК и резистивиметра (МГКР).

Средство доставки состоит из рассекателя и муфты переходной с конической замковой резьбой З-86.

Наземная система определения глубины автономного измерительного комплекса предназначена для измерения перемещений талевого блока (крюка) во время проведения каротажа с учётом нагрузки и разгрузки крюка и вычисления перемещения буровой колонны.

Наземная система определения глубины включает: преобразователь линейных перемещений (ПЛП) талевого блока, преобразователь натяжения троса (ПНТ), блок интерфейса (БИ), компьютер, источник бесперебойного питания (Back-UPS), комплект соединительных кабелей.

Система программных модулей RealDepth v4.x.x предназначена для сбора информации об измерениях со скважинной и наземной измерительных систем, и взаимной увязки данных на основе записи точного времени событий.

Система также осуществляет автоматическую пакетную интерпретацию данных измерений, все необходимые операции по документированию и преобразованию данных в распространённые форматы представления геофизических данных (*.las, *.rtx).

Использование программы МФС ВИКИЗ для дальнейшей интерпретации данных каротажа скважин позволяет представить их в виде удельного электрического сопротивления пород с нормированными погрешностями измерения.

2. Основные технические характеристики

Перечень параметров с нормированной погрешностью (геофизических и технологических), измеряемых комплексом, приведён в табл. 2.1. В таблице также приведены число каналов измерения комплекса, единицы измерения, диапазон, основная погрешность и дополнительная температурная погрешность.

Таблица 2.1

Перечень метрологических характеристик комплекса «АЛМАЗ-2И»

Измеряемый параметр	Число каналов	Единица измерения	Диапазон	Дискрет-ность	Основная погрешность
УЭС породы		Ом·м	1÷200	–	(5+20·к/в) %
ПС		мВ	+/-1250	1	+/-0,6мВ
Уровень интегральной гамма активности породы		мкР/час	0÷250	0,1	15 %
УЭС бурового раствора		Ом·м	0,02÷10	0,00015	(3+20·к/в) %
Температура бурового раствора		град	5÷85	0,01	+/-0,5
Магнитный азимут		угл. град.	0÷360°	0,1°	±1,5°÷3°
Зенитный угол		угл. град.	0÷180°	0,05°	±0,25°
Угол отклонителя		угл. град.	0÷360°	0,1°	±3°

Примечание: к – измеряемое значение; в – верхний предел измерения.

В зондовой скважинной системе точки записи смещены относительно нижнего окончания модуля ВЭМКЗ. Значения смещений приведены в табл. 2.2.

Перечень доступных для контроля технологических измеряемых величин приведён в табл. 2.3.

Таблица 2.2

Расположение точек записи ВЭМКЗ

Наименование параметра	Обозначение	Частота	Длина зонда	Смещение точки записи
Гамма 2	MGKR_GK2			**8,268**
Гамма 1	MGKR_GK1			**7,808**
Температура бурового раствора	MGKR_T			**7,305**
УЭС бурового раствора	MGKR_R			**7,303**
Модуль ВЭМКЗ 7**,067**				
Разность фаз зонда **0,5**	DF5	14,00 МГц	0,500	**5,1**
Разность фаз зонда **0,6**	DF6	7,0 МГц	0,566	**5,1**
Разность фаз зонда **0,7**	DF7	7,00 МГц	0,707	**4,959**
Разность фаз зонда **0,8**	DF8	3,50 МГц	0,800	**4,959**
Разность фаз зонда **1,0**	DF10	3,50 МГц	1,000	**4,759**
Разность фаз зонда **1,1**	DF11	1,75 МГц	1,131	**4,759**
Разность фаз зонда **1,4**	DF14	1,75 МГц	1,414	**4,471**
Разность фаз зонда **1,6**	DF16	0,875 МГц	1,600	**4,471**
Разность фаз зонда **2,0**	DF20	0,875 МГц	2,000	**4,071**
Потенциал скважины	PS			**3,52**
Инклинометр **3,42**				
Зенит	Zenith_Angle			**0,5**
Вращение	Standoff_Angle			**0,5**
Азимут	Azimuth_Angle			**0,5**

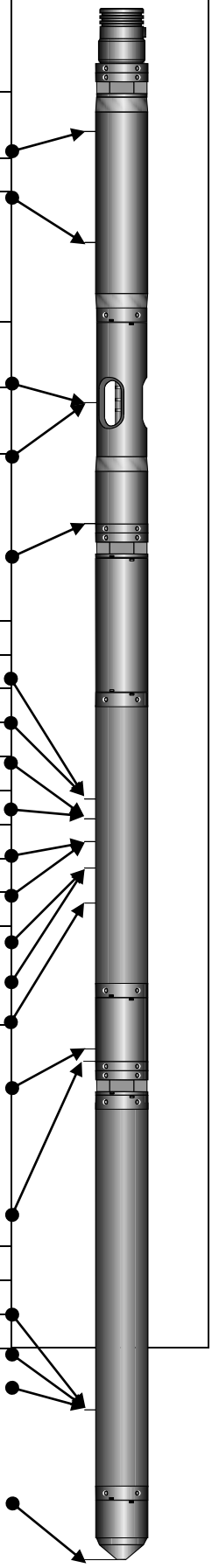

Точка отсчёта смещений	

Таблица 2.3

Технологические измеряемые величины

Наименование параметра	Число каналов	Единица измерения	Диапазон	Дискретность
Вес на крюке	1	у.е.	0…4095	1 у.е.
Ход талевого блока	1	м	0…25	±5 мм
Скорость каротажа	1	м/ч	0…700	
Глубина	1	м	5000	±5 мм
Текущее время	1	час, мин, сек	00:00:01 23:59:59	0,01 сек
Температура в МПП	1	град.	-10÷85	±0,5 град.
Напряжение батареи МПП	1 (или 8)	Вольт	14…17,5	±0,2 В
Ускорение при ударах МПП	3 по *x*, *y*, *z*	g	0…50	0,5 g

Рабочие условия наземной аппаратуры:

диапазон температур окружающего воздуха, °С +10...+45;

относительная влажность окружающего воздуха при 30 °С, % 5-90;

конденсация влаги на элементах не допустима.

Рабочие условия скважинной аппаратуры

При каротаже автономная скважинная система может выдерживать следующие рабочие условия:

максимальное гидростатическое давление, МПа не более 60;

диапазон рабочих температур, °С от +10 до +85;

виброударные нагрузки по ГОСТ 26116-84, группа МС2-3 не более 15g;

радиус кривизны скважины, м не менее 60;

осевая нагрузка сжатие, т не более 10;

осевая нагрузка на разрыв, т не более 30;

скорость спуско-подъёма, м/ч не более 2000;

скорость спуско-подъёма в интервале зарезки, м/ч не более 200;

скорость каротажа, м/ч не более 800.

3. Устройство и работа комплекса

Комплекс регистрирует и интерпретирует геофизическую и технологическую информацию от наземных и скважинных модулей, благодаря взаимодействию нескольких систем:

– автономной скважинной системы;

– системы определения глубины;

– системы сбора информации и интерпретации RealDepth.

Автономная скважинная система производит сбор геофизической и технологической информации в скважине и записывает эту информацию в энергонезависимую память. В зондовой части располагаются часы реального времени (ЧРВ) модуля памяти и питания, текущие показания которых записываются в память. Автономная скважинная аппаратура производит запись геофизической и технологической информации (рис. 2.1).

Синхронизация часов МПП производится во время подготовки зондовой системы к спуску в скважину с часами компьютера. Вторые ЧРВ располагаются в интерфейсном блоке. Синхронизация двух часов происходит в момент переведения зондирующей системы в автономный режим. Данная операция производится непосредственно на скважине после сборки зондирующей системы и подключения её к компьютеру через интерфейсный блок. Значение текущего времени компьютера одновременно заносится в часы реального времени БИ и часы реального времени МПП, после чего автономная скважинная система готова к самостоятельной работе.

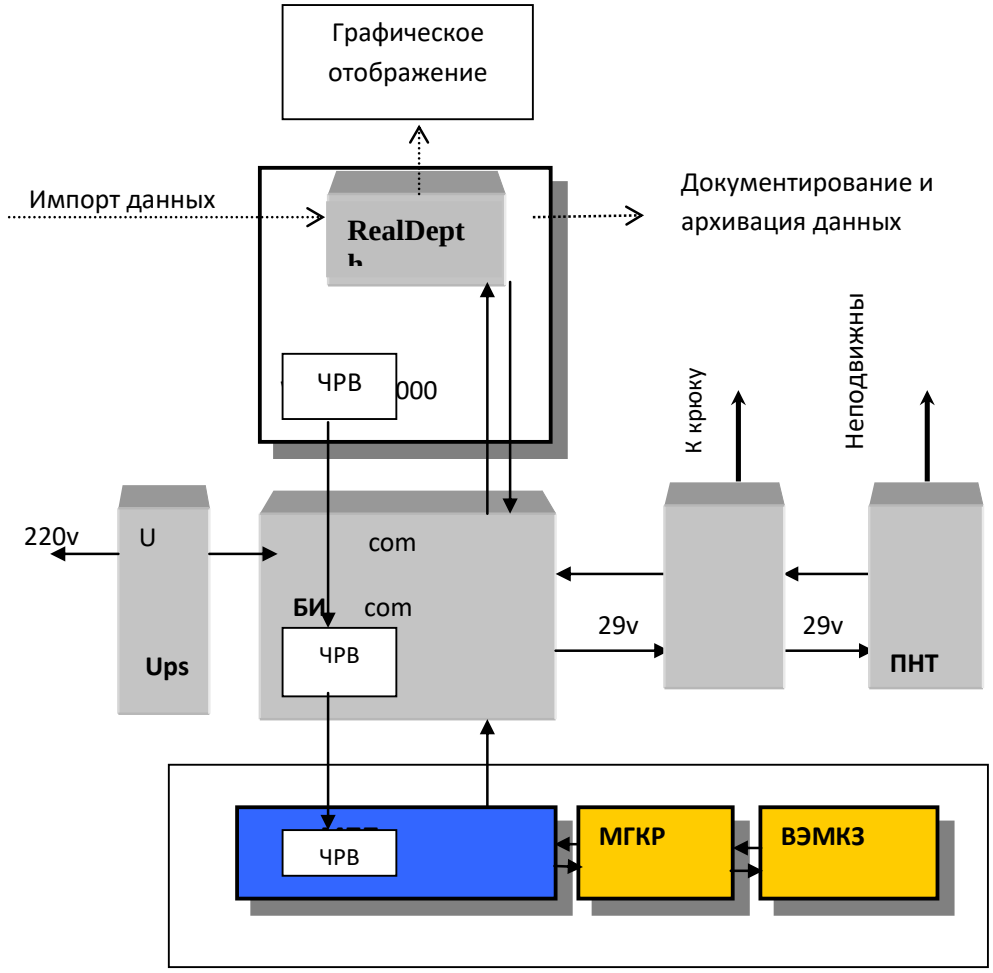

Рис. 2.1. Взаимодействие систем комплекса «АЛМАЗ-2И»

Значение времени в обоих ЧРВ после операции синхронизации будет одинаковым, допустимый уход не более чем 1 сек за 12 часов при условии, если обе части не обесточивались.

Если данное условие не выполняется и происходит отключение часов реального времени, расположенных в блоке интерфейса на длительное время, произойдёт утеря исходных установок времени, что затруднит восстановление информации о глубине. Чтобы восстановить установки времени в часах интерфейсного блока необходимо снова провести операцию синхронизации часов от компьютера. При этом возможна ошибка синхронизации между скважинной и наземной частями системы на несколько секунд из-за ухода часов компьютера. Не следует забывать, что компьютер может самостоятельно переводить поясное время на час вперёд или назад, учитывая зимнее и летнее время, вследствие чего возможно скачкообразное смещение данных глубины на час. Для увеличения надёжности системы синхронизации применяются источники бесперебойного питания для блока интерфейса (в

экстремальных ситуациях для увеличения времени работы часов в отсутствии сетевого питания рекомендуется отключать ПЛП от интерфейсного блока и подключать при возобновлении сетевого питания). Наземная система определения глубины работает непосредственно с компьютером через интерфейсный блок под управлением оболочки RealDepth и использует часы БИ, преобразователи перемещения талевого блока (ПЛП) и натяжения троса (ПНТ). Информация с преобразователя натяжения троса под управлением оболочки RealDepth записывается в файл глубины и в дальнейшем используется для вырезания моментов разгрузки талевого блока, так как в эти моменты движения зондовой системы не производится. Измеренные перемещения талевого блока во время каротажа аналогично записываются и используются в дальнейшем для вычисления глубины зондирующей системы (с учётом смещения её точек записи). Для привязки глубин регистрируемой информации, необходимо указать глубину, на которую произведён спуск зондирующей системы, а затем относительно этой величины будут определены все остальные отсчёты глубины с учётом направления перемещения зондовой системы.

После проведения каротажа производится чтение геофизической и технологической информации из памяти МПП зондовой системы и сохраняется в файл *.mpp.

RealDepth осуществляет увязку глубин, используя данные системы определения глубины и системы синхронизации времени. Вся зарегистрированная информация приводится к стандартному шагу по глубине – 0,1 м, отсутствующие отсчёты восстанавливаются путём интерполяции по соседним точкам, а лишние отсчёты усредняются. Далее данные преобразовываются в удобный для отображения вид в единицах физических величин.

RealDepth также используется для документирования результатов каротажа различными способами и форматами (*.las, *.rtx); анализа данных каротажей, произведённых ранее, или другими аналогичными комплексами; контроля функционирования скважинных модулей и преобразователей в интерактивном режиме; калибровки измерительных модулей и преобразователей.

Для проведения каротажа требуется: заблаговременно запрограммировать зондовую систему на расчётное время достижения забоя и самостоятельное включение; спустить зондовую систему на буровых трубах в точку начала каротажа к расчётному времени; включить систему определения глубины на запись файла глубины; после достижения времени включения осуществить подъём (спуск) зондовой системы с допустимой скоростью каротажа; поднять зондовую систему на поверхность и извлечь из скважины; отсоединить МПП и произвести чтение информации из памяти; произвести увязку глубин.

Задание

1. Изучить технические характеристики автономного комплекса «Алмаз-2И».

2. Изучить устройство скважинного прибора АК «Алмаз-2И».

3. Проанализировать комплекс каротажных диаграмм, полученных с помощью АК «Алмаз-2И», и описать возможности литологического расчленения разреза этим комплексом.

4. Составить пояснительную записку.

Контрольные вопросы

1. Для чего предназначен автономный комплекс «АЛМАЗ-2И»?

2. Какие параметры измеряются с помощью комплекса «АЛМАЗ-2И»?

3. Назовите максимальный диаметр скважинного комплекса «АЛМАЗ-2И».

4. При каком максимальном гидростатическом давлении возможна работа с данным комплексом?

5. Расшифруйте аббревиатуру модуля – МПП.

6. Какие параметры измеряются с помощью модуля МГКР?

7. Каков диапазон регистрации естественной интегральной гамма-активности пород в модуле МГКР?

8. Для чего предназначен программный комплекс RealDepth?

9. В каком формате документируются результаты каротажа?

10. Назовите массу системы привязки по глубине.

Работа 3. АППАРАТУРНО-МЕТОДИЧЕСКИЙ АВТОНОМНЫЙ КОМПЛЕКС «ОБЬ»

1. Состав и краткое описание

АМАК «Обь» предназначен для проведения комплекса ГИС на буровом инструменте в открытом стволе скважин, бурящихся диаметром 190, 215,9 и 243 мм, и имеющих горизонтальное или пологое (более 450 м) окончание [6].

Отдельные модули АМАК «Обь» (модуль РК, акустический модуль) могут быть спущены и в обсаженную часть ГС и ПС на буровом инструменте малого диаметра или НКТ для проведения радиоактивного каротажа и акустической цементометрии в обсадной колонне (и хвостовиках) диаметром 4, 5 и 6 дюйма.

2. Основные технические характеристики

Диаметр защитных кожухов модулей АМАК «Обь» – 73 мм, длина нерасчлененной части одного модуля не превышает 4 м.

Условия эксплуатации АМАК «Обь»:

температура в скважине	не выше 90 °С;
давление в скважине	не выше 600 МПа;
скорость подъема при каротаже	не более 800 м/ч (на первой скорости лебедки);
скорость спуска и подъема без записи	не более 3000 м/ч;
продолжительность записи	не более 10 ч;

количество модулей в сборке не ограничивается, однако на первом этапе внедрения общая длина сборки рекомендуется до 25 м;

расход промывочной жидкости при выталкивании сборки из инструмента и промывке скважины	28–42 л/сек;
наружная температура воздуха, при которой возможна работа с АМАК «Обь» (сборка, разборка, считывание информации и т. п.)	от –50 °С до +50 °С.

3. Устройство и работа комплекса

Аппаратурно-методический автономный комплекс содержит автономные модули различных методов исследований, соединенные между собой в сборку, к верхней части которой присоединяется устройство для удержания сборки внутри бурильной колонны на замковом соединении в процессе спуска бурильной колонны на забой горизонтальной скважины и выталкивания сборки из бурильной колонны в открытый ствол циркуляцией бурового раствора. Удерживающее и выталкивающее устройство соединены со штоком обратного хода, длина которого превышает величину обратного хода бурового инструмента при посадке его на клинья для отворота очередной свечи.

Выталкивание сборки из бурильной колонны и приведение модулей в рабочее положение происходит только при сбросе в буровую колонну специального запорного приспособления и продавливания его циркуляцией бурового раствора до посадки на гнездо выталкивающего устройства. Нижняя часть бурильной колонны заканчивается специальным обтекателем, имеющим посадочное седло, на которое садится нижняя часть выталкивающего устройства и циркуляционные отверстия, обеспечивающие циркуляцию бурового раствора. Автономные модули соединены со штоком обратного хода и между собой шарнирными соединениями с регулируемым углом перекоса. Включение каждого автономного модуля происходит при его выходе из обтекателя за счет изменения сигнала на феррозондовом датчике, помещенном в диамагнитном корпусе автономного модуля, а выключение при подъеме бурильной колонны – при обратном изменении сигнала на феррозондовом датчике при вхождении автономного модуля в башмак ранее спущенной обсадной колонны. Все автономные модули дополнительно содержат автономные блоки питания, блоки преобразования сигналов и памяти.

На рис. 3.1 представлена схема компоновки модулей в бурильной трубе во время спуска в скважину.

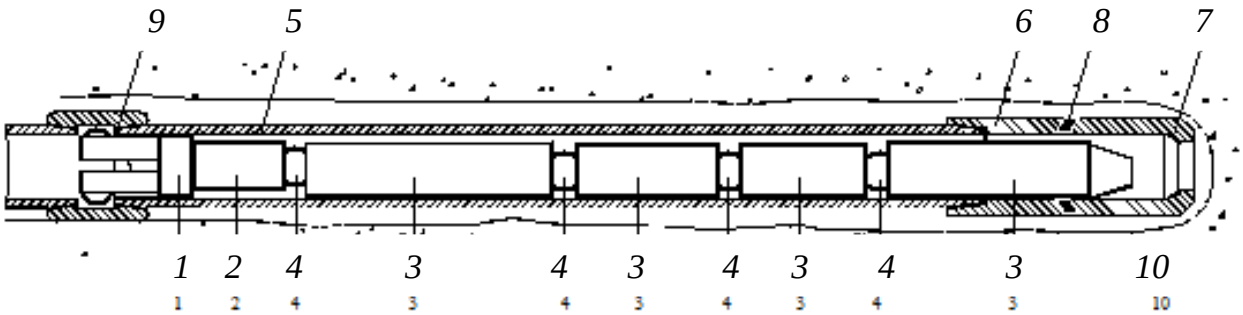

Рис. 3.1. Аппаратурно-методический комплекс

для каротажа горизонтальных скважин на бурильных трубах

Верхняя часть сборки содержит удерживающее и выталкивающее устройство *1*, шток обратного хода *2*, набор функциональных модулей *3*, соединенных между собой шарнирными соединениями *4*.

Бурильная труба *5*, в которой размещена сборка автономных модулей, заканчивается обтекателем *6* с посадочным седлом *7* и промывочными (циркуляционными) отверстиями *8*. Удерживающее и выталкивающее устройство *1* садится на замковое соединение *9* и опускается в скважину *10*.

На рис. 3.2 представлена схема расположения сборки модулей в открытом стволе горизонтальной скважины *10* после ее выталкивания из бурового инструмента *5* (рабочее положение) за счет повышения перепада давления при посадке специального запорного приспособления *11* на посадочное гнездо *12* выталкивающего устройства *1*.

Рис. 3.2. Аппаратурно-методический комплекс
для каротажа в открытом стволе горизонтальных скважин

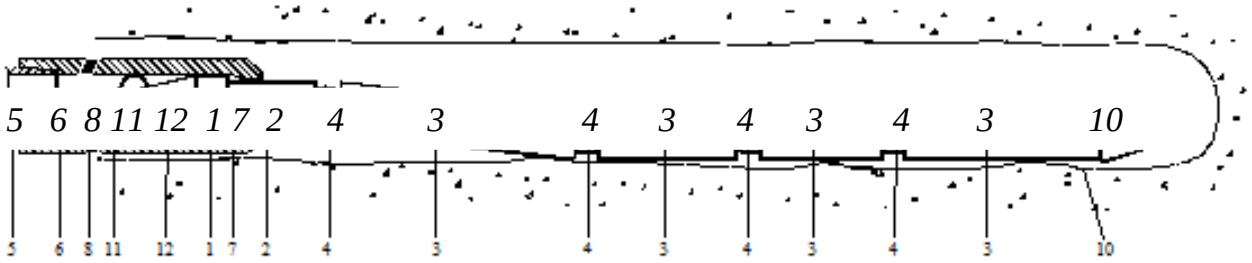

Аппаратурно-методический автономный комплекс работает следующим образом.

На мостках буровой производится сборка автономных скважинных приборов, реализующая необходимый комплекс ГИС. К верхней части сборки подсоединяется удерживающее и выталкивающее устройства *1* и шток обратного хода *2*. В скважину опускается свеча (25 м) бурового инструмента, на конце которой имеется обтекатель *6*. После этого сборка поднимается вспомогательной лебедкой над устьем скважины и медленно опускается в бурильные трубы *5* до посадки на замковое соединение *9*. Далее производится наращивание очередной свечи бурового инструмента и осуществляется обычный спуск бурового инструмента на забой горизонтальной скважины. В случае необходимости может осуществляться промывка скважины, а также вращение бурового инструмента ротором, при этом сборка скважинных приборов остается на месте, надежно зафиксированная удерживающим устройством. Процесс спуска аппаратурно-методического комплекса на

забой горизонтальной скважины, его выталкивание из бурового инструмента и каротаж сопровождаются записью в компьютер (с отображением на экране монитора) информации от наземных датчиков: глубины, веса инструмента, давления, положения клиньев ротора. При достижении забоя горизонтальной скважины, что фиксируется по глубиномеру и разгрузке инструмента через датчик веса, инструмент поднимается из скважины на длину сборки и устанавливается на клинья ротора, после чего внутрь бурового инструмента сбрасывается специальное запорное приспособление *11*, на верхнюю часть инструмента наворачивается квадрат и дается циркуляция. При посадке специального запорного приспособления *11* на гнездо *12* происходит частичное перекрытие проходного сечения в удерживающем и выталкивающем устройстве *1*, что приводит к повышению перепада давления на нем и к срыву удерживающего устройства *1* с замкового соединения *9* бурильной трубы *5*. Сборка под перепадом давления начинает двигаться вдоль бурильной трубы *5* и выходит из обтекателя *6*. После прохождения выталкивающего устройства *1* мимо циркуляционных отверстий 8 и посадки его на седло *7* происходит падение давления, что является сигналом о выходе сборки из бурильной трубы *5* в открытый ствол скважины *10* и готовности ее модулей *3* к работе. Включение питания модулей *3* происходит поочередно при выходе из обтекателя *6* по сигналу феррозондовых датчиков, устанавливаемых в диамагнитных корпусах модулей *3*. Питание самих феррозондовых датчиков подключается заранее при программировании работы модулей *3* через специальный персональный компьютер (дежурный режим с минимальным потреблением энергии).

Далее начинается подъем бурового инструмента и каротаж спущенным комплексом. В горизонтальной части ствола скважины *10* и в интервале выхода на горизонталь до углов 40–450 сборка будет лежать на нижней стенке ствола скважины, так как модули соединены между собой шарнирными соединениями с регулируемым углом перекоса, позволяющим автономным модулям *3* свободно вращаться относительно друг друга.

При подъеме и отвинчивании очередной свечи буровой инструмент сажают на клинья ротора. При этом происходит движение инструмента вниз в диапазоне 0,5–1,0 м. В заявляемом комплексе движение инструмента вниз при посадке на клинья ротора не приводит к обратному движению сборки модулей, так как при этом происходит перемещение обтекателя *6* относительно штока обратного хода *2*, а сборка остается на месте. Этим достигается исключение повторной записи измеряемых параметров, которые являются излишними и требуют корректного устранения при обработке полученного материала. Таким образом, при наличии штока обратного хода запись геофизической информации будет осуществляться только при движении сборки снизу вверх. Отключение питания модулей *3* (перевод их в дежурный режим) осуществляется при вхождении

модулей *3* в башмак ранее спущенной колонны (технической или кондуктора) по сигналу феррозондовых датчиков, экранируемых стальной колонной. В качестве дополнительного варианта предусматривается включение и выключение модулей по заранее установленному времени.

После выхода из интервала исследований скорость подъема инструмента может быть увеличена до 1500–2000 м/ч. После извлечения сборки из скважины ее опускают на мостки для разборки. Зарегистрированная информация из автономных приборов через считывающее устройство переписывается в компьютер, в который ранее записывалась информация в функции времени: давление на насосах, вес на крюке, положение клиньев, глубина нахождения обтекателя, положение талевого блока. Совмещение информации от наземных датчиков, зарегистрированной на компьютере во время подъема инструмента с забойной информацией от сборки, переписанной в компьютер после ее подъема на дневную поверхность, осуществляется путем совмещения шкалы времени в хронометрах компьютера и автономных приборов. Таким образом, вся геофизическая информация оказывается зарегистрированной в функции глубин, как и при обычном каротаже. После перенесения зарегистрированной информации из сборки в компьютер осуществляется просмотр и редактирование полученной информации, а затем отредактированная информация в виде каротажных диаграмм выводится через принтер/плоттер для передачи Заказчику непосредственно на скважине. В случае необходимости на скважине может быть выдано и предварительное заключение. Информация по радиомодемной связи может быть также передана на базу для глубокой интерпретации.

Так как все наземное оборудование, необходимое для реализации технологии проведение ГИС в горизонтальных скважинах с помощью аппаратурно-методического автономного комплекса, входит в комплект компьютеризированных станций геолого-технологических исследований, устанавливаемых на всех бурящихся горизонтальных скважинах, на скважину требуется транспортировать только забойную часть комплекса в разобранном виде (скважинные приборы + оснастка).

В настоящее время максимальная длина сборки АМАК «Обь» может содержать следующие модули:

- модуль ВИКИЗ;
- модуль инклинометра 1;
- модуль инклинометра 2;
- модуль 4-зондовой аппаратуры индукционного каротажа;
- модуль РК (ГК + 2ННК).

Сборка (разборка) модулей может осуществляться как на мостках буровой, так и поэлементным спуском (подъемом) отдельных модулей на устье скважины с использованием подкладной вилки и специального приспособления для подъема (спуска) модулей.

4. Прочие особенности комплекса

Прикладное программное обеспечение (ПО) предназначено для поддержки полного технологического цикла проведения геофизических исследований скважин (ГИС) автономным прибором АМАК «Обь» и обеспечивает: тестирование отдельных модулей АМАК «Обь»; проведение базовых калибровок приборов с записью калибровочных данных на жесткий диск; настройку модулей перед регистрацией данных ГИС; считывание и контроль записанной информации; формирование базового файла ВРЕМЯ и ГЛУБИНА в формате LAS по данным станции ГТИ; первичное редактирование данных каротажа с привязкой к глубине по данным станции ГТИ и совмещением точек записи по глубине; выдачу первичных материалов каротажа на твердую копию; просмотр и редактирование материалов каротажа; первичную обработку каротажных данных с вводом поправок за геолого-технические условия проведения измерений; выдачу результатов обработки на твердую копию.

Прикладное ПО обеспечивает выполнение этих функций в полном объеме при проведении каротажных работ с аппаратурой радиоактивного каротажа (СРК-73Г), электромагнитного (ВИКИЗ), индукционного (ИК-4Г) и инклинометром.

Задание

1. Изучить технические характеристики автономного комплекса АМАК «Обь».
2. Изучить устройство скважинного прибора АМАК «Обь».
3. Проанализировать комплекс каротажных диаграмм, полученных с помощью АМАК «Обь», и описать возможности литологического расчленения разреза этим комплексом.
4. Составить пояснительную записку.

Контрольные вопросы

1. Какие датчики работают в дежурном режиме?
2. Какая компания осваивала технологию АМАК «Обь»?

3. Какую предшествующую технологию должен заменить комплекс АМАК «Обь»?

4. Каким образом осуществляется привязка данных по глубине в технологии АМАК «Обь»?

5. Какой комплекс методов применяется в технологии АМАК «Обь» на сегодняшний день?

6. Назовите способ осуществления записи геофизической информации (при спуске, подъеме, не имеет значения).

7. На каком этапе исследования ГС применяется аппаратура АМАК «Обь»?

8. Какое наземное оборудование необходимо иметь в комплексе АМАК «Обь»?

9. Из каких основных блоков состоит аппаратура АМАК «Обь»?

10. Каким образом осуществляется доставка скважинных приборов, входящих в состав комплекса АМАК «Обь», на забой скважины?

Работа 4. СТАНЦИЯ БЕЗКАБЕЛЬНОГО КАРОТАЖА СБК «АМАК»

1. Состав и краткое описание

Станция бескабельного каротажа (СБК «АМАК») предназначена для проведения геофизических, геолого-технологических и геохимических исследований наклонных и горизонтальных скважин, бурящихся из старого фонда, и включает в себя следующие подсистемы: лаборатория, размещенная на базе полноприводного трехосного шасси КамАЗ; аппаратура скважинная автономная геофизическая; контейнеры бурового инструмента для размещения скважинной аппаратуры; газоаналитическая аппаратура; комплект датчиков технологических; система сбора информации; компьютерное оборудование; комплект инструментов и приборов технического обслуживания и калибровки аппаратуры [14].

Аппаратурный методический автономный комплекс «АМАК-45» предназначен для геофизических исследований скважин следующими методами: радиоактивного каротажа (ГК, ННК), инклинометрии и ПС, индукционного каротажа (3 ИК-45, имеется возможность работы с ВЭМКЗ-9А), двойного микробокового сканирующего каротажа.

Геолого-технологическая подсистема предназначена для проведения детально-механического каротажа, измерения глубины забоя для привязки геофизической и геохимической информации, раннего обнаружения газонефтеводопроявлений и поглощений при бурении, оптимизации процесса углубления скважины с контролем отработки долот, диагностики предаварийных ситуаций в реальном масштабе времени.

2. Геохимическая подсистема, предназначенная для проведения газового каротажа

Основные технические характеристики СБК «АМАК»

Аппаратурный методический автономный комплекс «АМАК-45» предназначен для проведения ГИС на буровом инструменте в открытом стволе крутонаклонных и горизонтальных скважин, диаметром 127-160 мм, с записью информации в память без применения бронированного геофизического кабеля.

Модульное построение комплекса позволяет в любой момент дополнять комплекс новыми приборами по мере окончания их разработки.

Доставка комплекса в горизонтальный ствол осуществляется путем навинчивания приборных контейнеров на конец колонны бурильных труб.

Область применения комплекса: эксплуатационные нефтяные и газовые скважины с горизонтальными и крутонаклонными положениями, радиусом искривления более 40 м.

Рабочие условия применения для скважинных модулей комплекса:

температура рабочей среды	от 0 до +125 °С;
гидростатическое давление	до 60 МПа;
диаметр защитных кожухов модулей АМАК-45	45 мм;
допустимая растягивающая и сжимающая нагрузка на стеклопластиковый контейнер	до 30000 кг;
допустимый крутящий момент	1000 кг·м;
внутренний диаметр контейнера	60 мм.

Общий вид комплекса представлен на рис. 4.1. Комплекс состоит из модулей: ДМБК, 3 ИК, инклинометра, СРК-45, МПП. Модули устанавливаются в контейнеры,



соответствующие каждому виду аппаратуры: 3 ИК в стеклопластиковый контейнер длиной 4550 мм; СРК-45 в контейнер из сплава В95 длиной 4600 мм; инклинометр вкручивается в контактное устройство стеклопластикового контейнера.

Рис. 4.1. Общий вид комплекса

ДМБК выполнен в силовом несущем корпусе и устанавливается оконечным модулем длиной 4100 мм.

Контейнеры предназначены для доставки в интервал исследований и предохранения от механических повреждений скважинных приборов, установленных в них. Оканчиваются контейнеры замковыми соединениями с резьбой З-88 из сплава Д16Т.

Основные модули прибора

Модуль питания и памяти (МПП) предназначен для совместной работы со скважинной аппаратурой, имеющей напряжение 12 В и ТТ1, совместимые интерфейсные сигналы. МПП обеспечивает питание, прием регистрируемых данных и хранение их в энергонезависимой памяти. Питание приборов осуществляется от встроенных аккумуляторных батарей номинальным напряжением 12 В и емкостью 4500 мА·час. Объем памяти 2 МБ или 4 МБ с использованием процедуры упаковки и привязки по времени.

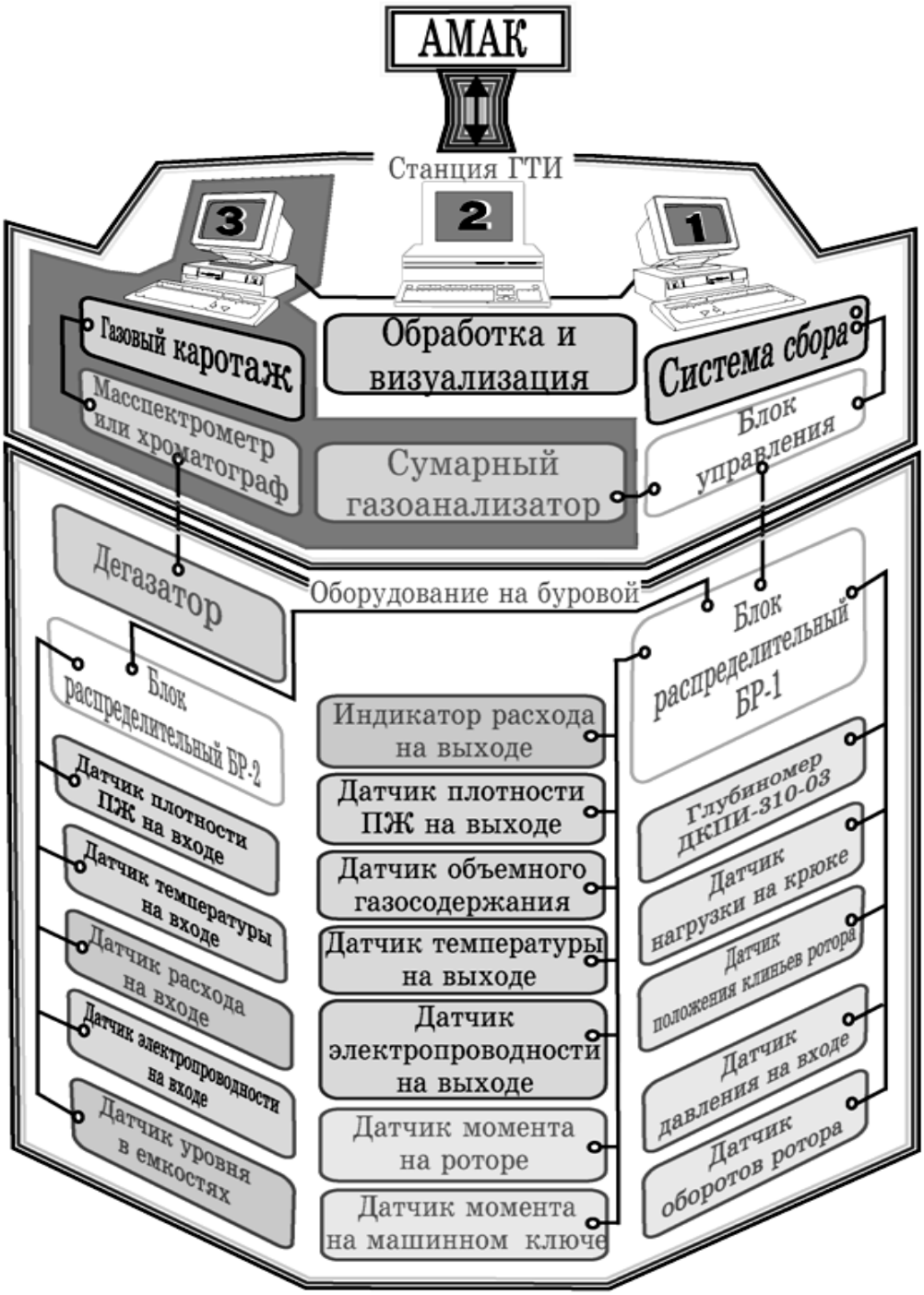

Рис. 4.2. Схема обмена данных СБК «АМАК»

Модуль радиоактивного каротажа предназначен для измерения мощности экспозиционной дозы (МЭД) естественного гамма-излу-чения (гамма-каротаж – ГК) и водонасыщенной пористости пород (компенсированный нейтрон-нейтронный каротаж по тепловым нейтронам – 2 ННКт), применяется для исследования открытых и обсаженных нефтяных и газовых скважин, заполненных любой промывочной жидкостью с доставкой к

забою через инструмент. Детекторы нейтронов расположены на двух различных расстояниях от источника – ближнем и дальнем. Параметры и конструкция зондов выбраны так, чтобы максимально ослабить влияние скважинных условий на вычисляемую водонасыщенную пористость горных пород.

Общая схема обмена данных комплекса представлена на рис. 4.2.

3. Прочие компоненты комплекса

Глубиномер. Датчик ДКПИ-310-03 предназначен для измерения параметров перемещения талевого блока и рабочего инструмента вдоль ствола скважины (табл. 4.1).

Датчик усилия натяжения каната. Датчик предназначен для измерения усилия натяжения неподвижной ветви талевого каната, что позволяет рассчитать вес бурового инструмента и контроля нагрузки на долото в процессе бурения, а также для измерения веса на крюке буровой установки в процессе различных технологических операций при строительстве скважин.

Таблица 4.1

Основные параметры датчиков

Датчик	Контролируемые параметры	Пределы измерения
Датчик контроля перемещения инструмента (глубиномер)	Положение талевого блока, м	0-50
	Глубина забоя, м	0-10000
	Положение долота над забоем, м	0-10000
	Мгновенная скорость перемещения талевого блока, м/с	0-10
Датчик усилия натяжения каната измерительный	Натяжение неподвижной ветви каната талевой системы, тс	0-40
Датчик давления	Давление на входе в скважину, МПа	25, 40, 60, 100
Датчик давления в привода клиньев ротора	Давление в пневмосистеме, МПа	0-0,6
Датчик оборотов ротора	Число оборотов ротора в минуту	30-650
	Суммарное число оборотов ротора	
Датчик крутящего момента на роторе	Сила переменного тока электропривода ротора, А	0-500

	Механический момент на роторе (реактивный момент стола ротора относительно станины), кН-м	0-30
	Механический момент на роторе (для карданного привода), кН·м	0-30
Ультразвуковой датчик уровня	Диапазоны измерения уровня	0-3
Расходомер ультразвуковой доплеровский	Скорость потока жидкости, м/с	0,5-10
Датчик температуры	Температура раствора на выходе из скважины, °С	0-85
	Температура раствора на входе в скважину, °С	0-85
Датчик плотности бурового раствора	Плотность промывочной жидкости в емкости, т/м^3	0,8-2,5
Датчик электро-проводности бурового раствора	Электропроводность промывочной жидкости в емкости, См/м	0,05-100

Датчик давления. Датчик может использоваться в условиях, где необходимо непрерывное измерение давления жидкости от 25 до 100 МПа. Датчик применяется для измерения давления бурового раствора в нагнетательной линии, давления скважины в линии под превентором, давления на цементировочном агрегате, момента на роторе в буровых установках с гидравлическим приводом ротора, момента на машинном ключе для конструкций с гидроприводом.

Датчик приближения магнита. Датчик предназначен для измерения частоты и общего количества циклических перемещений различных механизмов, например, частоты вращения вала и т. п. На буровых установках датчик применяется для измерения частоты вращения бурильной колонны при роторном бурении и измерения частоты ходов поршня буровых насосов. Датчик срабатывает при приближении к нему постоянного магнита, измеряет частоту срабатываний и считает общее их количество. Передаёт результаты измерений по однопроводной цифровой линии связи. Кроме цифрового выхода имеется логический: магнит есть/магнита нет.

Датчик плотности бурового раствора. Датчик предназначен для непрерывного измерения плотности промывочной жидкости (ПЖ) в рабочих емкостях буровой установки, а также плотности в любых технологических емкостях.

Задание

1. Изучить технические характеристики автономного комплекса СБК «АМАК».

2. Изучить устройство скважинного прибора СБК «АМАК».

3. Проанализировать комплекс каротажных диаграмм, полученных с помощью СБК «АМАК», и описать возможности литологического расчленения разреза этим комплексом.

4. Составить пояснительную записку.

Контрольные вопросы

1. Для каких исследований предназначена система СБК «АМАК»?

2. В каких скважинах применяется комплекс СБК «АМАК»?

3. Какие блоки входят в станцию СБК «АМАК»?

4. Какой комплекс методов содержит станция СБК «АМАК»?

5. Из чего состоит геолого-технологический комплекс?

6. В скважинах какого диаметра возможно проведение ГИС с помощью СБК «АМАК»?

7. Назовите способ доставки системы СБК «АМАК» на забой.

8. Какие рабочие условия для СБК «АМАК»?

9. Каково назначение модуля НК в сборке СБК «АМАК»?

10. При каких скважинных условиях возможна работа модуля инклинометра в сборке СБК «АМАК»?

Работа 5. АВТОНОМНАЯ ГЕОФИЗИЧЕСКАЯ СИСТЕМА «ГОРИЗОНТАЛЬ»

1. Состав и краткое описание

Автономная геофизическая система «Горизонталь» предназначена для проведения ГИС на буровом инструменте с записью информации в память без применения геофизического кабеля. Комплекс может эксплуатироваться совместно со станцией ГТИ или специальной передвижной лабораторией и состоит из приборов: гамма-каро-тажа (ГК), радиоактивного каротажа (РК-42), электрического и индукционного каротажа (ЭКМ-45А), инклинометрии (ИМА-42) [1]. Время работы в автономном режиме до 8 часов. Допустимые осевые растягивающая и сжимающая нагрузки на стеклопластиковый контейнер до 20000 кг.

Самая главная особенность проведения исследований с применением автономной аппаратуры – отсутствие возможности регистрации данных измерений в режиме реального времени. Поэтому информация записывается на физические носители, не имеющие связи между собой, в автономном режиме. В скважинном приборе информация с геофизических датчиков измеряется и записывается в автономном блоке памяти, в компьютере наземной станции регистрируются данные о перемещении прибора в скважине.

Для реализации технологии исследования горизонтальных скважин в составе АГС «Горизонталь» имеются автономный скважинный прибор, датчик глубины, датчик нагрузки на крюке и наземный обрабатывающий комплекс.

С помощью датчика глубины (датчик оборотов вала буровой лебедки), установленного на станине буровой лебедки, измеряют и регистрируют в компьютере все перемещения бурового инструмента в процессе измерений в скважине.

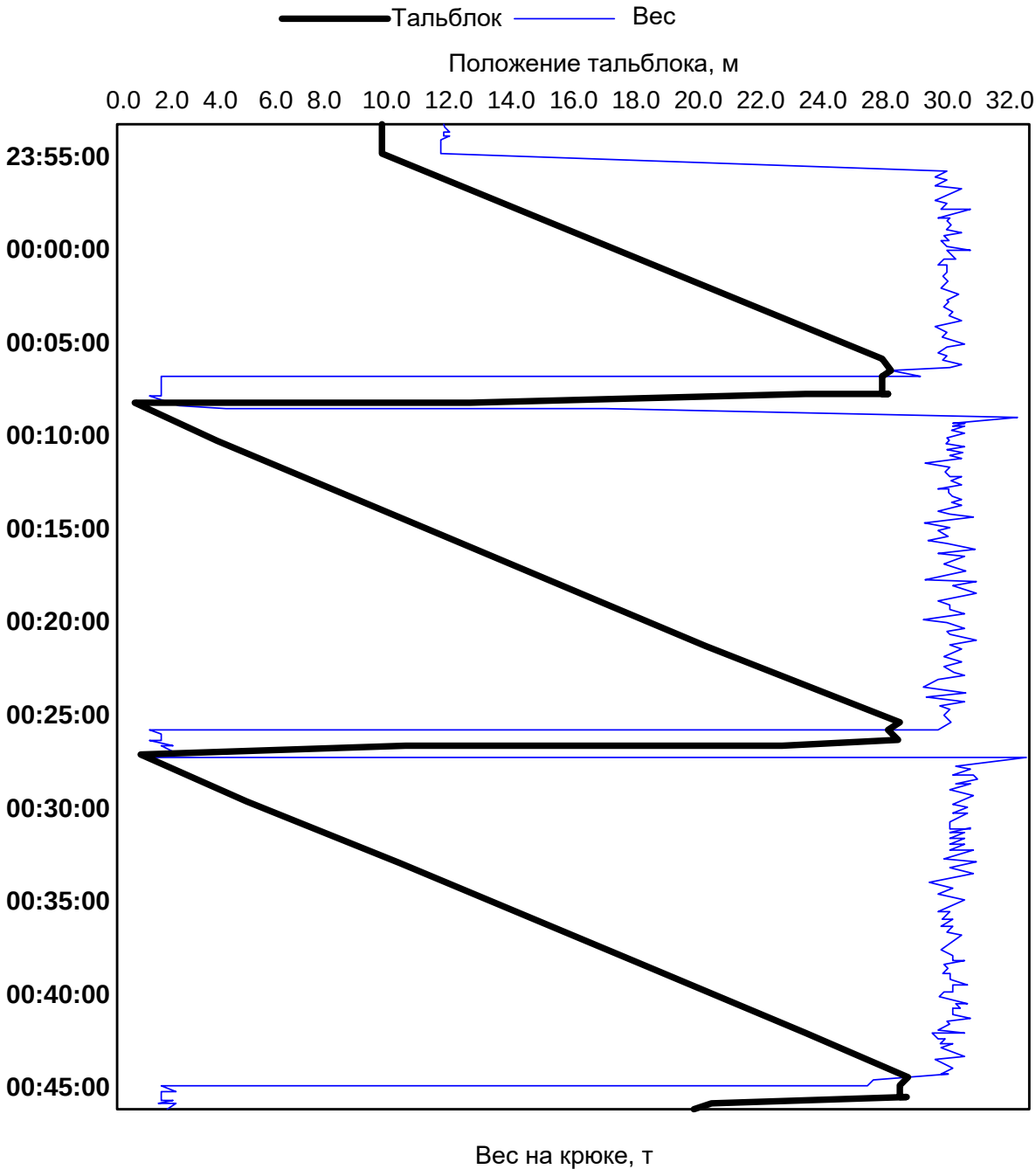

Рис. 5.1. Изображение положения талевого блока и веса на крюке на диаграмме

Датчик нагрузки на крюке талевого каната буровой лебедки предназначен для устранения холостых пробегов талевого блока буровой лебедки при наращивании бурового инструмента, устанавливается на неподвижном конце талевого каната буровой лебедки. Наземный обрабатывающий комплекс содержит персональный компьютер с программным обеспечением, устройство сопряжения (УСО), принтер (термоплоттер). Комплекс предназначен для ввода в компьютер информации со скважинных приборов, с датчика глубины и датчика нагрузки, обработки и вывода информации в виде диаграмм (рис. 5.1).

Типовые условия применения:

– необсаженные горизонтальные и крутонаклонные скважины с радиусом искривления более 40 м, диаметром более 127 мм, заполненные любым флюидом;

– температура рабочей среды до 120 °С, гидростатическое давление – до 60 МПа.

2. Основные технические характеристики

***Модуль ЭКМ-45А*:**

• содержит два фокусированных зонда индукционного каротажа ЗИ 1,0 и ЗИ 0,5 (табл. 5.1):

– индукционный резистивиметр с рабочим диапазоном 0,02-10 Ом·м;

– канал ПС с диапазоном изменения потенциалов самопроизвольной поляризации ± 250 мВ;

– симметричный потенциал-зонд (*AM* 0,5 *NB*);

– симметричный градиент-зонд (*A* 0,45 *M* 0,5 *N* 0,45 *B*);

• диапазон изменения:

– градиент-зонд 5-1000 См/м;

– потенциал-зонд 5-1000 См/м.

Таблица 5.1

Характеристики индукционных зондов

Шифр зонда	Глубина исследования, м	Диапазон измерения УЭС, Ом·м	Рабочая частота генераторов, кГц
ЗИ 1,0	1,4	0,5-200	50
ЗИ 0,5	0,7	0,5-200	100

Примечание. Диапазон измерений УЭС с учетом поправки за скин-эффект.

***Модуль РК-42*:**

• регистрация гамма-каротажа и компенсированного нейтрон-нейтронного каротажа по тепловым нейтронам;

• диапазон измерения:

– гамма-излучение 0-250 мкР/ч;

– водонасыщенная пористость 0-40 %.

***Модуль ГК*:**

• эксплуатируется в связке с инклинометром ИМА-42;

• диапазон измерения:

– гамма-излучение 1-250 мкР/ч.

***Модуль ИМА-42*:**

• эксплуатируется в связке с ГК;

• диапазон измерения:

– азимут 0-360°;

– зенитный угол 0-180° ± 0,2°;

• допускаемая основная погрешность измерения азимута:

– в диапазоне зенитных углов 3-6° и 174-177° ±2°;

– в диапазоне зенитных углов 6-174° ±1°.

Применяется для решения следующих задач:

• литологическое расчленение продуктивного пласта на горизонтальном участке;

• определение характера насыщения коллекторов;

• определение удельного электрического сопротивления пласта, параметров зоны проникновения;

• определение траектории горизонтального участка;

• представление данных ГИС в абсолютных глубинах.

Таблица 5.2

Сборка АГС «Горизонталь»

Название модуля	Длина	Диаметр внутренний	Диаметр наружный	Масса, кг
Контейнер из сплава Д16 для прибора ГК+2ННК-Т	4 924	60	90	55
Стеклопластиковый контейнер для прибора ИК+РЕЗ+ПС	5145	60	90	55
Контейнер из сплава Д16 для прибора ГК + инклинометр	4970	60	90	50
Прибор РК (ГК+2ННК-Т)	2225		45	15
Прибор ИК+РЕЗ+ПС	3150		45	13
Прибор ГК + инклинометр	2580		45	10
Блок батарей и регистрации ББР для РК	1675		45	8
ББР для ИК	1675		45	8
ББР для ГК + инклинометр	1675		45	8

Диаметр защитных кожухов приборов АГС «Горизонталь» – 45 мм; осевые растягивающая и сжимающая нагрузки на стеклоплас-тиковый контейнер – до 20000 кГ; габаритные размеры и массы составных частей комплекса с применением специальных контейнеров приведены в табл. 5.2.

3. Устройство и работа комплекса

Контейнеры предназначены для доставки в интервал исследований и предохранения от механических повреждений скважинных приборов, установленных в них. На концах контейнеры имеют замковые соединения с резьбой МК76.

Скважинные приборы устанавливаются в контейнеры, соответствующие каждому виду аппаратуры:

– РК в контейнер из сплава Д16 на посадочное седло, диаметром 70 мм, расположенное на муфте контейнера;

– ИК в стеклопластиковый контейнер на посадочное седло, диаметром 70 мм, расположенное на муфте контейнера;

– ГК + инклинометр в контейнер из сплава Д16 на посадочное седло, диаметром 70 мм, расположенное на муфте контейнера.

Общие виды приборов представлены на рис. 5.2 – 5.4.

Настоящий регламент разработан на технологию проведения промыслово-геофизических исследований (далее по тексту ГИС) бескабельной линии связи, проводимых в крутонаклонных (свыше 55°) и горизонтальных частях скважин, бурящихся из старых стволов, с доставкой геофизических приборов на бурильных трубах с применением специальных контейнеров.

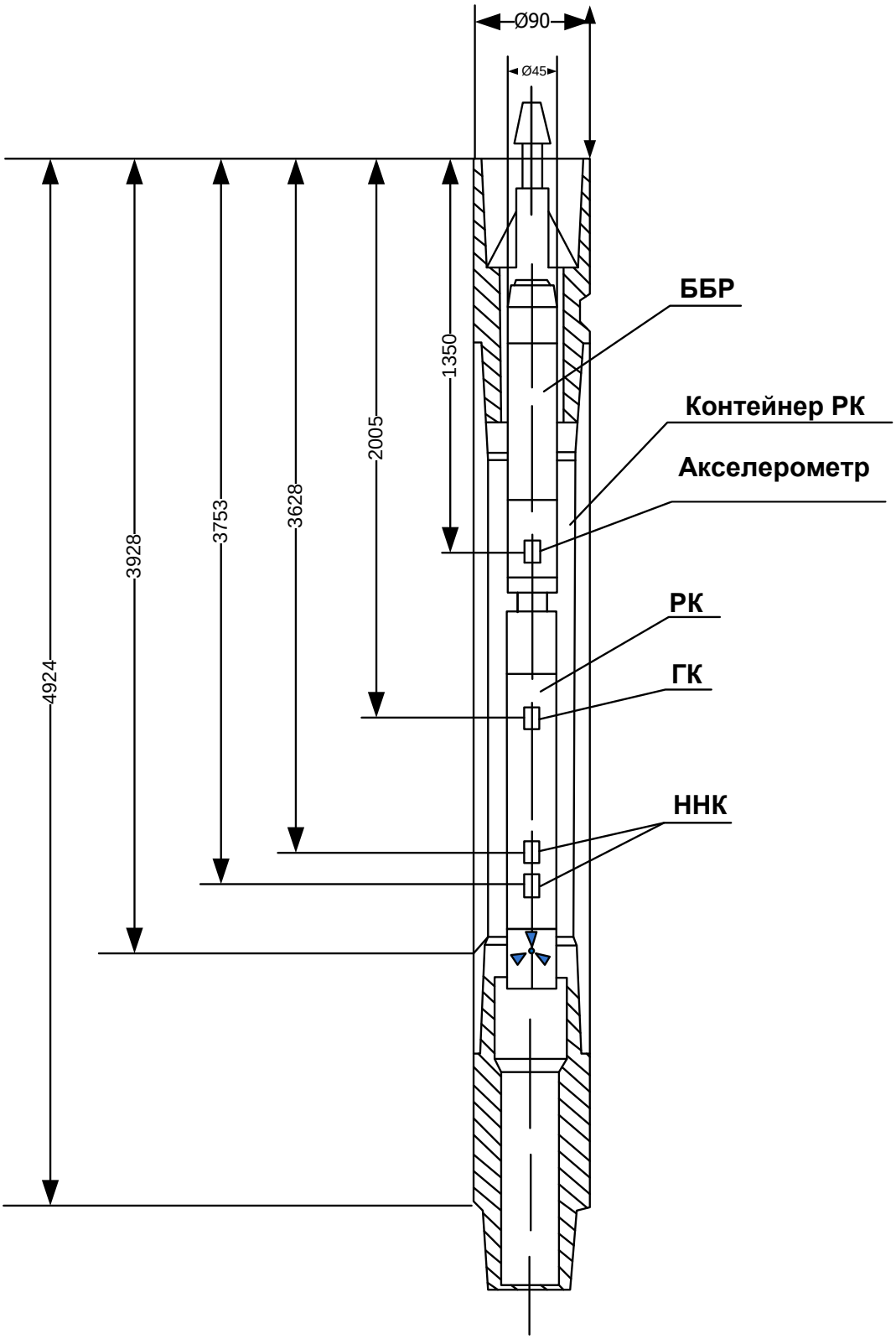

Рис. 5.2. Прибор РК

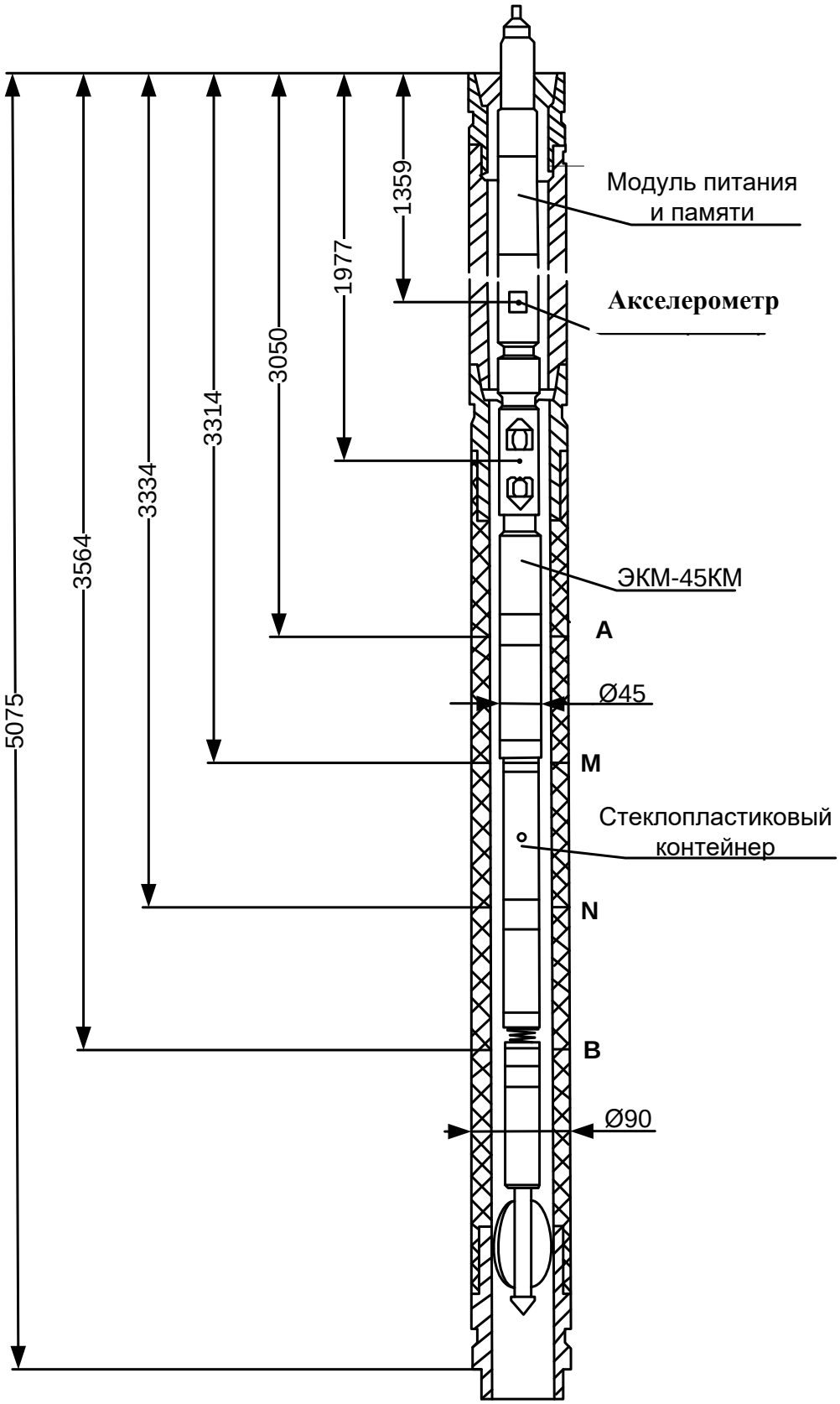

Рис. 5.3. Прибор ЭКМ-45А

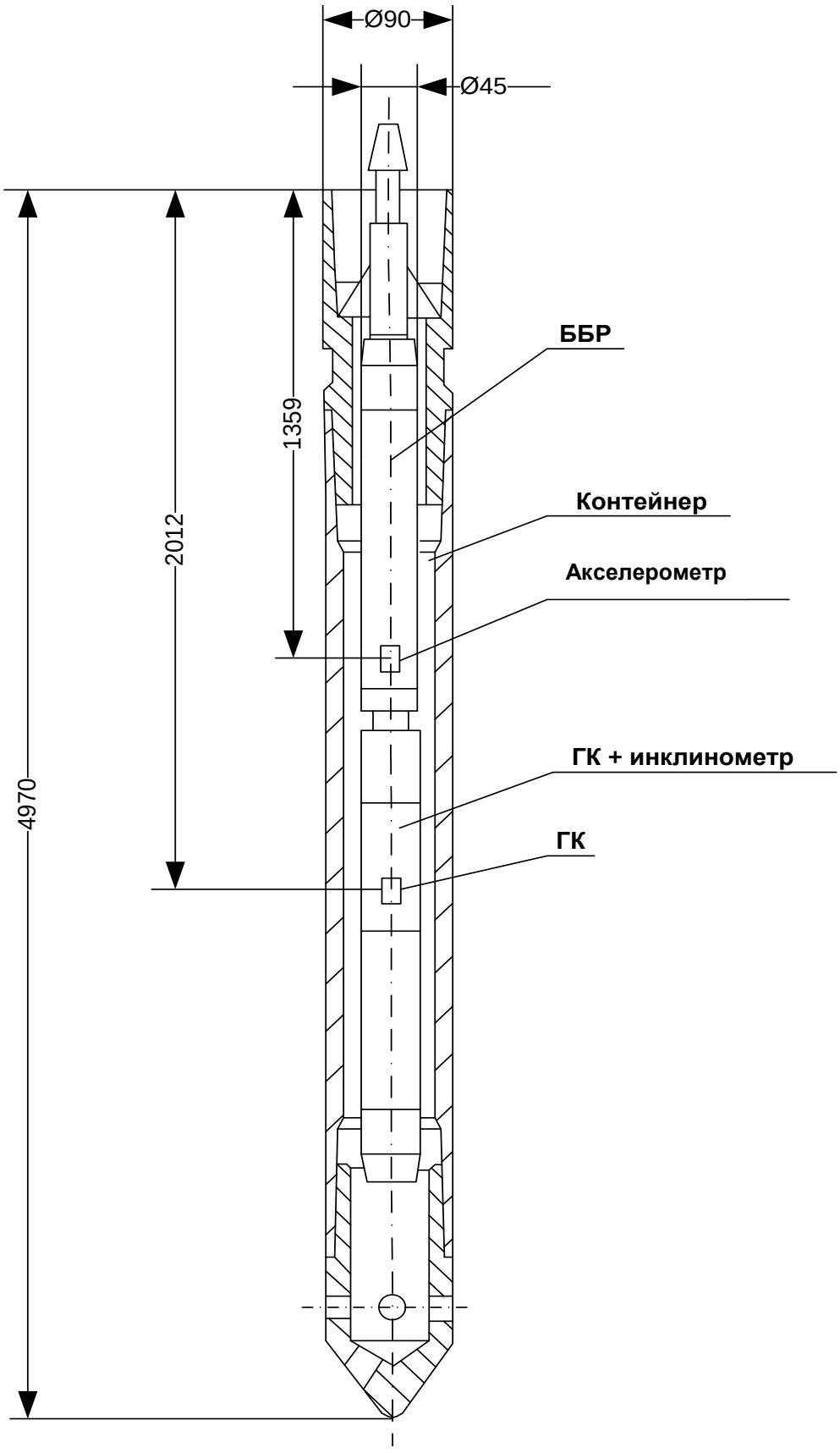

Рис. 5.4. Прибор ГК + инклинометр

Регламент разработан на основании опыта проведения ГИС с применением комплексов АГС «Горизонталь» и АМАК «Обь» в горизонтальных скважинах различной конструкции, пробуренных структурными подразделениями ОАО «Сургутнефтегаз».

Регламент является основным документом на бескабельную технологию в процессе производства ГИС и направлен на организацию и координацию действий исполнителей работ буровых бригад и геофизических партий.

Соблюдение требований, изложенных в настоящем регламенте, обязательно для всех подразделений, выполняющих ГИС с технологическим бескабельным комплексом АГС «Горизонталь».

Настоящий регламент действует на время испытания и внедрения комплекса АГС «Горизонталь». По мере освоения АГС «Горизонталь» и расширения комплекса исследований регламент будет соответствующим образом дополняться и уточняться.

Подготовительные работы буровой бригады

Перед проведением ГИС составляется акт на готовность скважины для проведения геофизических исследований в скважине согласно НРБ.

Перед началом ГИС провести инструктаж, с отметкой в журнале, членам буровой бригады (с каждой вахтой) по технологии проведения СПО при производстве ГИС в горизонтальных скважинах с комплексом АГС «Горизонталь». Ответственный – технолог бригады.

Подготовительные работы геофизической партии:

1. При получении заявки с указанием комплекса и интервала геофизических исследований начальник партии обязан проверить работоспособность скважинных приборов и наземного оборудования. На основании заказанного комплекса работ определяется перечень необходимой геофизической аппаратуры. Ответственный – начальник геофизической партии.

2. Прибыв на скважину, и установив спецтехнику, начальник геофизической партии проверяет готовность скважины к проведению ГИС согласно акту готовности скважины. При этом кроме акта на готовность скважины заполняется технико-технологический паспорт на подготовку и проведение ГИС в горизонтальной скважине.

3. Организовать оперативную связь: начальник партии – бурильщик. Ответственный – начальник геофизической партии.

4. Производится установка датчика веса на крюке согласно руководству по эксплуатации на модуль измерения глубины. Ответственный – буровой мастер, начальник партии.

5. Производится установка и проверка на работоспособность датчика оборотов лебедки (ДОЛ) согласно руководству по эксплуатации на модуль измерения глубины. Ответственный – буровой мастер, начальник партии.

6. Производится монтаж соединительных кабелей и проверка работоспособности модуля измерения глубины согласно руководству по эксплуатации на модуль измерения глубины. Ответственный – буровой мастер, начальник партии.

7. Производится проверка работоспособности модулей, синхронизация системного времени компьютера и часов модуля памяти, программирование ББР на время включения согласно руководствам по эксплуатации на модули. Ответственный – начальник геофизической партии. Сборка комплекса АГС «Горизонталь».

8. Подготовленные к работе контейнеры с приборами переносятся на мостки буровой.

9. На контейнере с прибором ГК+инклинометр в пазы муфты вставляется вилка-подвеска. Затем переводник закрывается планкой и фиксируется болтом. Собранный контейнер с установленной в нем аппаратурой спускается в скважину и удерживается на клиньях. При этом необходимо снять дужку с вилки-подвески.

Так же готовится следующий контейнер с прибором ИК, который скручивается с первым с помощью двух вилок-подвесок. Общая связка приподнимается и снимается нижняя вилка-подвеска. Оба контейнера опускаются в скважину и удерживаются на клиньях. При этом необходимо снять дужку с вилки-подвески. Вилка-подвеска, установленная на накручиваемом контейнере, не снимается! Ответственный – буровой мастер.

Установка контейнера для прибора РК производится аналогично установке второго контейнера, но без прибора РК. РК с радиоактивным источником устанавливается на седло муфты контейнера после его накручивания на предыдущие контейнеры. Для установки РК используется специальная подвеска грузозахватная. Ответственные – буровой мастер и начальник геофизической партии.

4. Проведение геофизических исследований скважин (ГИС)

Бурова бригада, наращивая свечи бурового инструмента, производит спуск инструмента на забой скважины. Спуск инструмента производится со скоростью не более 1500 м/ч. При подходе к окну врезки и забою скважины скорость спуска должна быть

снижена до 500 м/ч. При необходимости осуществляется промер свечей, спускаемых в скважину. Ответственный – буровой мастер.

В случае посадки при спуске инструмента произвести подъем АГС «Горизонталь», ствол скважины проработать компоновкой согласно регламенту данного вида скважин.

При достижении забоя инструмент расхаживают в ожидании времени каротажа. Допустима циркуляция с расходом до 15 л/с (буровой инструмент разгружают не более чем на 15000 кг).

Буровая бригада, в согласованное с начальником геофизической партии время, начинает подъем инструмента от забоя со скоростью не более 400 м/ч в интервале исследования скважины. При этом аппаратура в автономном режиме производит запись информации. После прохождения интервала каротажа производится вновь спуск трех свечей для повторной записи ГИС в интервале исследования со скоростью не более 400 м/ч. Скорость подъема инструмента после выхода из интервала исследований может быть увеличена до 1500 м/ч. После подъема инструмента и отворота последней свечи от транспортного контейнера прибор РК вынимается из контейнера лебедкой и укладывается на мостки буровой.

Разборка осуществляется в обратной последовательности, описанной выше сборки АГС «Горизонталь». С резьбовых соединений контейнеров и с аппаратуры должна быть удалена грязь. Приборы переносятся на станцию, где с них считывается информация.

Задание

1. Изучить технические характеристики АГС « Горизонталь».
2. Изучить принцип действия каждого датчика АГС «Горизонталь».
3. Проанализировать комплекс каротажных кривых, полученных с помощью АГС «Горизонталь», и описать возможности литологического расчленения разреза этим комплексом.
4. Написать пояснительную записку.

Контрольные вопросы

1. Для чего предназначена система «Горизонталь»?
2. Назовите рабочие условия системы без использования аккумуляторов.
3. Каково время работы системы в автономном режиме?

4. Чему равна допустимая растягивающая и сжимающая нагрузки?

5. Из каких измерительных приборов состоит автономная система «Горизонталь»?

6. Какие компоненты входят в состав АГС «Горизонталь»?

7. Назовите максимальную скорость спуска инструмента.

8. Назовите минимальный диаметр скважины.

9. Каково максимальное допустимое гидростатическое давление?

10. Каков максимальный радиус искривления?

Работа 6. ИНТЕРПРЕТАЦИЯ ДАННЫХ ИНКЛИНОМЕТРИИ В ГОРИЗОНТАЛЬНЫХ СКВАЖИНАХ

1. Краткое описание

При исследовании горизонтальных скважин в процессе бурения, после бурения и в процессе эксплуатации меняется приоритет методов в комплексе ГИС. Метод инклинометрии становится самым важным, так как при бурении горизонтальных скважин увеличиваются требования к попаданию в горизонтальный круг.

В данной работе необходимо проинтерпретировать результаты инклинометрии по реальной горизонтальной скважине, используя программное обеспечение станции «АМТ МЕГА» [13, 19]:

– менеджер программ «АМТ МЕГА»;

– утилита администратора;

– настройка на объект;

– контроль бурения;

– настройка на цементирование;

– контроль цементирования;

– АРМ;

– редактор кривых;

– справочники;

– работа с архивом;

– выпуск документов.

Необходимо сначала войти в меню «Настройка на объект» менеджера программ «АМТ МЕГА», и создать скважину через меню «Скважина»/«Создать скважину», т. е. вводим площадь, номер куста и номер скважины – «Февральская», куст № 1, скважина № 214.

Далее выбираем созданную скважину «Февральская», куст № 1, скважина № 214 через меню «Скважина»/«Выбрать скважину».

Входим через меню «Настройки»/«Паспортные данные» и заполняем паспортные данные по скважине. Обязательное заполнение:

1. Местонахождение/координаты устья – альтитуда устья 8 м, альтитуда ротора – 46 м.

2. Общие сведения/категория и профиль – эксплуатационная, наклонная, радиус круга допуска – 50 м, магнитное склонение – 18 гр, допустимое сближение на кусте – 11 м.

3. Общие сведения/глубина и горизонт – проектная глубина 2400 м, фактическая глубина – 2388 м, проектная глубина по вертикали – 1670 м, фактическая глубина по вертикали – 1667 м, стратиграфический горизонт *Q*.

Остальные пункты можно заполнить потом.

Входим через меню «Настройки»/«Зоны осложнений» и заполняем таблицу по зонам осложнений по скважине (табл. 6.1).

Таблица 6.1

Зоны осложнений

Интервал, м		Технологический процесс	Название зоны осложнений
от	до		
1000	1050	Бурение	Поглощение

Для ввода данных по инклинометрии необходимо войти в меню «АРМ» менеджера программ «АМТ МЕГА». После запуска приложения выбираем скважину «Февральская», куст № 1, скважина № 214. В главном меню выбираем «Данные»/«фактические»/«профиль». Заполняем данные по скважине, т. е. вводим значения глубины, угла и азимута по скважине в табл. 6.2.

Таблица 6.2

Таблица ввода данных

Глубина, м	Зенитный угол, град.	Азимут, град.	Северные координаты, м	Восточные координаты, м	Вертикальные координаты, м	Удлинение ствола, м	Смещение забоя, м	Дирекционный угол, град.	Интенсивность, град./10 м	Абсолютные отметки, м
10,00	0,00	281,00	0,00	0,00	0,00	10,00	0,00	0,00	0,00	16,70
100,00	0,18	281,00	0,15	-0,24	90,00	10,00	0,28	56,94	0,02	-73,30
300,00	0,30	281,00	0,50	-0,76	290,00	10,00	0,91	56,94	0,02	-273,30
400,00	0,30	281,00	0,78	-1,20	390,00	10,00	1,43	56,94	0,00	-373,30
500,00	2,06	281,00	2,74	-4,22	489,93	10,07	5,03	56,94	0,18	-473,23
600,00	2,06	298,00	5,50	-6,52	589,87	10,13	8,53	49,86	0,06	-573,17
800,00	1,48	285,00	9,88	-10,63	789,77	10,23	14,52	47,10	0,07	-773,07
900,00	3,30	94,06	7,35	-5,46	889,61	10,39	9,16	36,64	0,19	-872,91
1000,00	10,30	186,12	-8,41	-13,91	988,00	12,00	16,25	58,83	0,98	-971,30
1100,00	23,48	170,00	-47,38	-22,23	1079,72	20,28	52,33	25,14	1,40	-1063,02
1200,00	24,24	168,54	-87,73	-29,78	1170,90	29,10	92,65	18,75	0,10	-1154,20
1400,00	25,00	166,48	-170,26	-41,15	1352,71	47,29	175,17	13,59	0,10	-1336,01
1500,00	27,48	168,36	-215,65	-49,49	1441,43	58,57	221,25	12,93	0,26	-1424,73
1600,00	39,06	165,00	-278,18	-57,24	1519,08	80,92	284,01	11,63	1,17	-1502,38
1700,00	43,18	162,24	-346,42	-62,37	1592,00	108,00	351,99	10,21	0,45	-1575,30
1900,00	42,00	160,06	-480,33	-68,57	1740,42	159,58	485,20	8,12	0,07	-1723,72
2000,00	43,36	157,36	-548,98	-67,88	1813,12	186,88	553,16	7,05	0,23	-1796,42
2100,00	47,54	156,42	-622,73	-65,92	1880,63	219,37	626,21	6,04	0,42	-1863,93

Окончание таблицы 6.2

Глубина, м	Зенитный угол, град.	Азимут, град.	Северные координаты, м	Восточные координаты, м	Вертикальные координаты, м	Удлинение ствола, м	Смещение забоя, м	Дирекционный угол, град.	Интенсивность, град./10 м	Абсолютные отметки, м
2200,00	49,54	157,36	-698,82	-65,15	1945,52	254,48	701,85	5,33	0,21	-1928,82
2400,00	54,24	158,24	-859,08	-66,24	2065,11	334,89	861,63	4,41	0,19	-2048,41
2500,00	59,36	156,06	-945,07	-63,41	2116,08	383,92	947,20	3,84	0,54	-2099,38
2600,00	62,48	156,48	-1033,73	-61,15	2162,28	437,72	1035,54	3,39	0,31	-2145,58
2700,00	65,18	154,24	-1124,30	-55,30	2204,26	495,74	1125,66	2,82	0,34	-2187,56
2900,00	67,24	160,42	-1308,47	-57,78	2282,02	617,98	1309,74	2,53	0,32	-2265,32
3000,00	76,12	166,24	-1404,53	-71,79	2306,01	693,99	1406,37	2,93	1,05	-2289,31
3100,00	81,42	165,54	-1502,54	-84,87	2320,93	779,07	1504,94	3,23	0,53	-2304,23
3190,00	86,24	165,00	-1591,67	-95,91	2326,83	863,17	1594,56	3,45	0,54	-2310,13

а

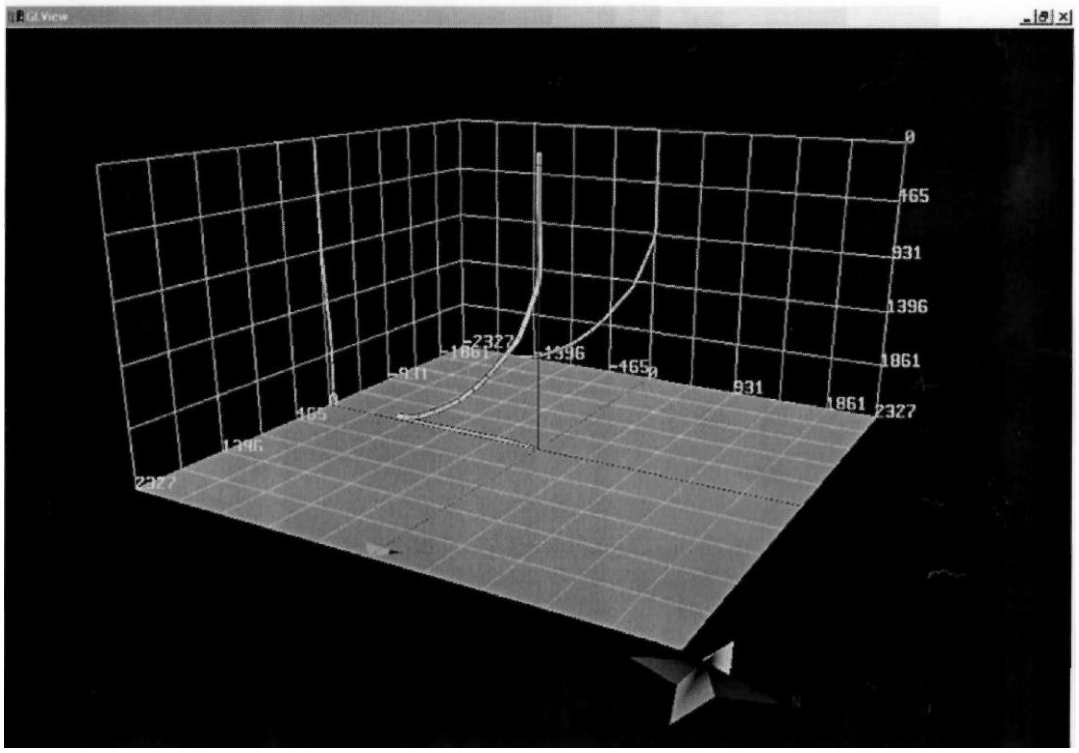

б

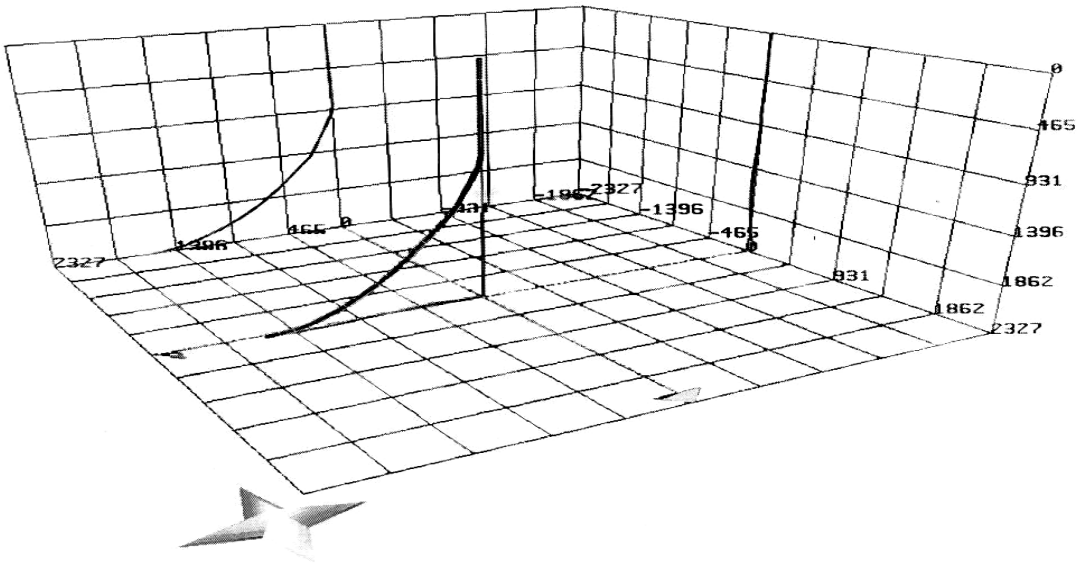

Рис. 6.1. Пространственное изображение горизонтальной скважины

После заполнения данных выбираем «Метод расчета профиля»/ «Метод осреднения углов». Можно выбрать и другой метод расчета, так как метод выбирается по согласованию с

Заказчиком. Программа рассчитывает по введенным значениям параметры согласно нижеприведенной табл. 6.2 и рис. 6.1.

Задание

1. Ввести данные инклинометрии в программу «АМТ МЕГА».
2. Провести интерпретацию по предложенной схеме.
3. Вывести изображение скважины на экран.
4. Проанализировать полученный результат.
5. Написать пояснительную записку.

Контрольные вопросы

1. Каков назначение метода инклинометрии?
2. Объясните принцип работы инклинометра-акселерометра.
3. Какие знаете принципы работы инклинометров?
4. Какие бывают зоны осложнений в процессе бурения?
5. Дайте определение зенитному и азимутальному углу скважин.
6. Каково допустимое сближение скважин на кусте?
7. Каково требование при бурении горизонтальных скважин к попаданию в горизонтальный круг?

Работа 7. ПОСТРОЕНИЕ КОРРЕЛЯЦИОННОГО РАЗРЕЗА ПО ДИАГРАММАМ АМК «ГОРИЗОНТ»

1. Краткое описание

Для наиболее точного представления о строении продуктивных пластов и месторождения в целом на месторождении Комсомольском предусматривается построение корреляционных разрезов с использованием данных геофизических исследований наклонных и горизонтальных скважин.

Исходя из ранее проведенных исследований, наиболее перспективными для доразведки и применения современных технологий горизонтального бурения считаются нефтеносные коллекторы, находящиеся в нижнемеловых отложениях Покурской свиты. К таким коллекторам относятся продуктивные пласты ПК18, ПК19 и ПК22. Наибольший интерес для нефтяников представляет продуктивный пласт ПК 18(1).

Для полного использования данных ГИС и правильной интерпретации необходимо проводить их тесную увязку со стратиграфическим расчленением, литологической характеристикой и структурной особенностью данного месторождения. Обработка многочисленных геофизических материалов ранее проводимых исследований позволила построить структурную карту по кровле продуктивного горизонта на Комсомольском месторождении нефти по пласту ПК18(1) (рис. 7.1). Данное месторождение достаточно хорошо изучено, особенно в центральной его части.

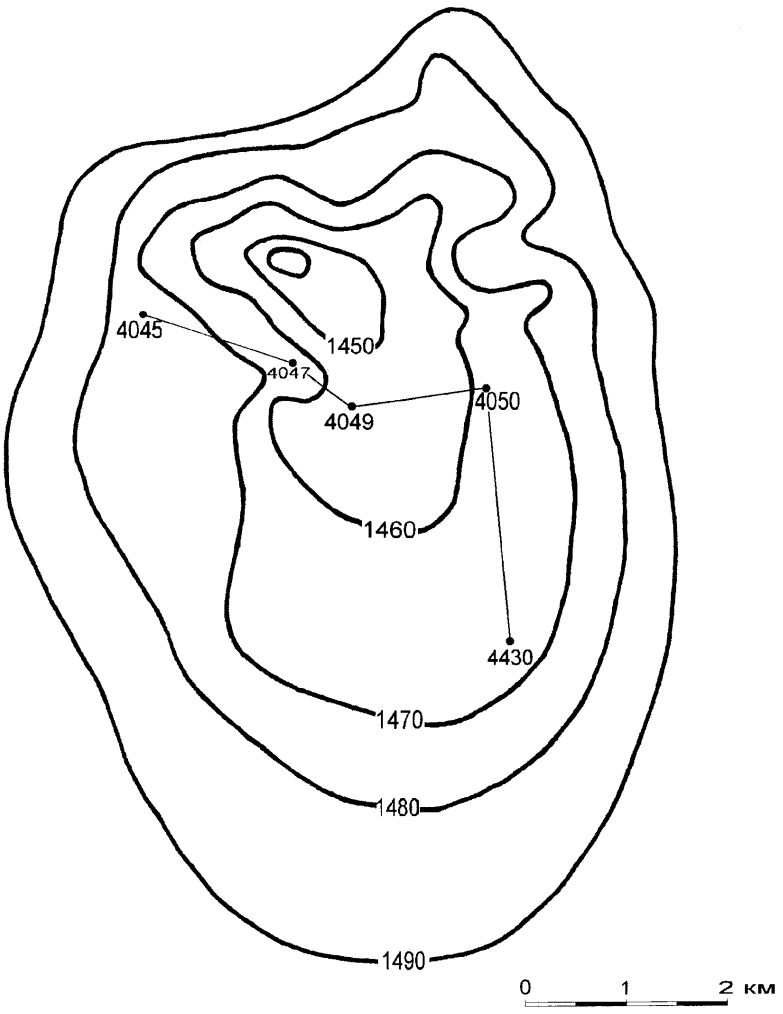

Рис. 7.1. Структурная карта по кровле пласта ПК18(1)
(по материалам ООО «Сургутнефтегаз»)

Для того чтобы проследить характер залегания продуктивного пласта ПК18(1) и его мощность, были проведены измерения в горизонтальных стволах аппаратурой АМК «ГОРИЗОНТ».

В скважинах № 4045, № 4049, № 4050 был проведен полный комплекс исследований, включающий методы КС, ПС, ГК, НГК и инклинометрии. Современные компьютерные технологии позволяют диаграммы по горизонтальной части ствола скважины привести к вертикали для удобства привязки к геологическому разрезу и между собой.

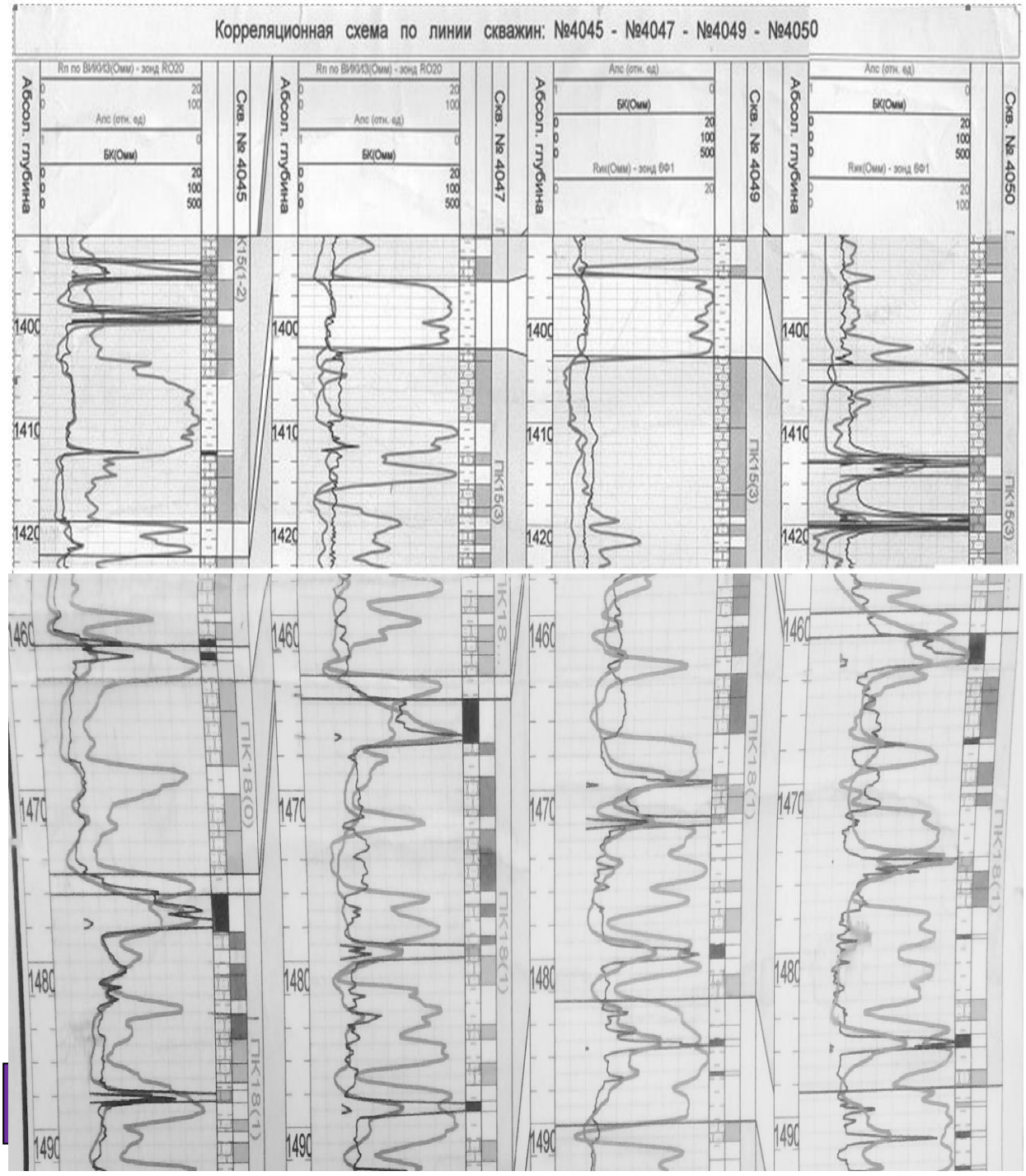

Рис. 7.2. Выбор геологического репера.

Условные обозначения:

$R_{ик}$ – кажущееся удельное электрическое сопротивление пласта по ИК, в Ом·м;

$R_{п}$ – удельное электрическое сопротивление пласта, Ом·м;

$A_{пс}$ – коэффициент снижения самопроизвольной поляризации ПС, отн. ед.;

БК – кажущееся удельное сопротивление по БК, Ом·м

скв. 4045 скв. 4047 скв. 4049 скв. 4050 скв. 4430

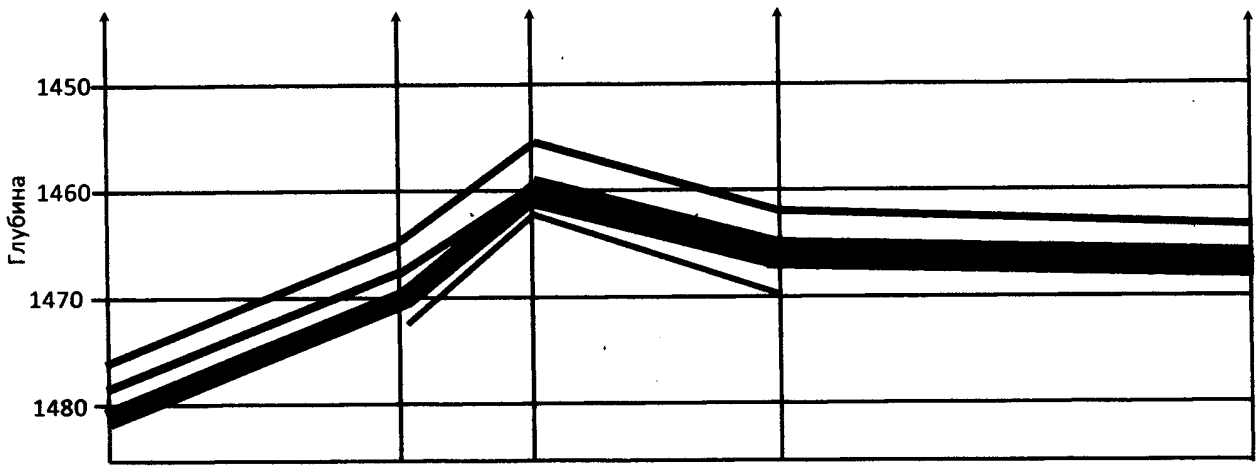

Рис. 7.3. Кореляционный разрез

Для наиболее полного представления о строении продуктивного пласта необходимы кривые каротажа по скважине № 4430.

Данные исследования обеспечивают выделение стратиграфических реперов и разделение разреза на литолого-стратиграфические комплексы и типы (терригенный, карбонатный, кристаллический и т. д.); идентификацию литолого-стратиграфических комплексов, к которым приурочены продуктивные и/или перспективные на нефть и газ отложения; расчленение разреза на пласты, их привязку по относительным и абсолютным отметкам глубины, внутри- и межплощадную корреляцию разрезов. В производственных условиях обработка материалов каротажа производится при помощи пакета геодезических программ «ГеоПоиск». Пример выбора геологического репера приводится на рис. 7.2. В результате проведенной интерпретации может быть получен корреляционный разрез (рис. 7.3).

Задание

1. Выбрать опорные пласты. Для этого использовать пласты глин, прослеживающиеся по всему разрезу (достаточно два опорных пласта глин).

2. Выделить угольный пласт, представляющий собой в данном разрезе покрышку нефтяного месторождения, использовать его так же, как опорный.

3. Выделить все нефтеносные пласты в разрезе, применяя каротажные диаграммы пяти скважин: 4045, 4049, 4047, 4050, 4430.

4. Построить корреляционный разрез. Рекомендуемый вертикальный масштаб 1:500, горизонтальный масштаб 1:4000. Проанализировать тип структуры, максимальное

возвышение относительно своих границ, строение месторождения по высоте, мощности нефтеносных пластов.

Контрольные вопросы

1. Что такое стратиграфический репер?
2. Что такое покрышка нефтяного месторождения?
3. Как определить размеры месторождения, используя структурную карту по одному из продуктивных пластов?

СПИСОК ЛИТЕРАТУРЫ

1. *Автономная геофизическая система* АГС «Горизонталь» / Рекламный проспект. ОАО НПФ «Геофизика». – Режим доступа: http://www.npf-geofizika.ru

2. *Акбулатов Т. О., Левинсон Л. М., Самигуллин В. Х.* Телеметрические системы для бурения направленных скважин. – 2-е изд. перераб. и доп. – Уфа: БашНИПИнефть, 2004. – 59 с.

3. *АМК «Горизонт»* / Рекламный проспект. – Октябрьский: ВНИИГИС.

4. *Геофизическая лаборатория* АМК «Горизонт» / Рекламный проспект. – Октябрьский: ВНИИГИС.

5. *Технология геофизических исследований* ГС автономной аппаратурой на бурильных трубах на примере использования АМК «Горизонт» / Л. Г. Леготин, С. В. Вячин, А. М. Султанов и др. // НТЖ АИС «Каротажник». – № 113. – 2003.

6. *Лукьянов Э. Е., Хаматдинов Р. Т.* Аппаратурно-методический комплекс для проведения ГИС в горизонтальных скважинах АМАК «Обь» // НТЖ АИС «Каротажник». – № 30. – 1997.

7. *Леготин Л. Г., Султанов А. М., Вячин С. В.* Применение АМК Горизонт для геофизических исследований ГС // НТЖ АИС «Каротажник». – № 36. – 1997. – С. 85-92.

8. *Леготин Л. Г., Султанов А. М., Вячин С. В.* АМК «Горизонт-100» для геофизических исследований скважин малого диаметра и боковых стволов // НТЖ АИС «Каротажник». – № 51. – 1998.

9. *Леготин Л. Г., Султанов А. М., Вячин С. В.* Аппаратурно-методический комплекс АМК «Горизонт-90» для исследования гори-

зонтальных скважин и боковых стволов // НТЖ АИС «Каротажник». – № 86. – 2001.

10. *АМК «Горизонт-ВАК-90»* для исследования горизонтальных стволов методов волнового акустического каротажа / Л. Г. Леготин, А. М. Султанов, В. Н. Еникеев, В. Г. Рафиков, И. В. Кузьмин // НТЖ АИС «Каротажник». – № 96. – 2002.

11. *Молчанов А. А., Лукъянов Э. Е., Рапин В. А.* Геофизические исследования горизонтальных нефтегазовых скважин: учебное пособие. – СПб.: МАНЭБ, 2001. – 298 с.

12. *Молчанов А.А., Абрамов Г. С.* Бескабельные измерительные системы для исследований нефтегазовых скважин: теория и практика / под общ. ред. А. А. Молчанова. – М.: ОАО «ВНИИОЭНГ», 2004. – 515 с.

13. *Рекламный проспект станции* геолого-технологического контроля бурения и исследования скважин «МЕГА АМТ». – Мегион: Изд-во «Тюменьпромгеофизика», 2002. − 18 с. – Руководство оператора по программе регистрации данных. – Уфа: Изд-во «Эликом», 2007. − 37 с. – Режим доступа: http://amt-s.spb.ru/amt121.html

14. *Станция бескабельного каротажа* СБК «АМАК» / Научно-производственное предприятие по геофизическим работам, строительству и заканчиванию скважин (ОАО НПП «ГЕРС»). – Тверь, 2003. – 33 с. – Режим доступа: http://www.gers.ru http://www.geo.oilru.ru/catalog/group/product/?2162

15. *Стрельченко В. В.* Геофизические исследования скважин: учебник. – М.: Недра-Бизнесцентр, 2008. – 551 с.

16. *Термогазохимическое воздействие* на малодебитные и осложнённые скважины / Г. А. Чазов, В. И. Азаматов, С. В. Якимов, А. И. Савич. – М.: Недра, 1986. – 153 с. – Режим доступа: http://www.twirpx.com/file/964637/

17. *Ярулин Р. К. Валиуллин Р. А.* Методические рекомендации по геофизическим исследования действующих горизонтальных скважин / Разработаны специалистами ООО НПР «ГЕОТЭК» (г. Уфа) в рамках выполнения ОМР по договору № БНФ/9/3 – 1/8/328/04/ПРУ.

18. *ЗАО Научно-производственное предприятие* геофизической аппаратуры «Луч». Продукция. – Новосибирск, 2013. – Режим доступа: http://looch.ru/products/index.html

19. *Рекламный проспект* станции геолого-технологического контроля бурения и исследования скважин «МЕГА АМТ». – Мегион: Изд-во «Тюменьпромгеофизика», 2002. – 18 с.Учебное издание

Надежда Владимировна БЛИНКОВА
Николай Сергеевич ЗЕМЦОВ

ГЕОФИЗИЧЕСКИЕ МЕТОДЫ ИССЛЕДОВАНИЯ ГОРИЗОНТАЛЬНЫХ СКВАЖИН

Методические указания
к лабораторным и практическим работам
по дисциплине «Геофизические методы
исследования горизонтальных скважин»
для студентов специальности
21.05.03 Технология геологической разведки,
специализации «Геофизические методы
исследования скважин (ГИС)»
всех форм обучения

Редактор *Н. Л. Сайгина*
Компьютерная вёрстка *Н. Л. Сайгиной*

Подписано в печать 04.05.2018 г.
Бумага писчая. Формат бумаги 60 × 84 1/16. Печать на ризографе.
Печ. л. 4,5. Уч.-изд. л. 2,4. Тираж 50 экз. Заказ №

Издательство УГГУ
620144, г. Екатеринбург, ул. Куйбышева, 30.
Отпечатано с оригинал-макета
в лаборатории множительной техники УГГУ

МИНОБРНАУКИ РФ

ФГБОУ ВО «Уральский государственный горный университет»

УТВЕРЖДАЮ

Проректор по учебно-методическому комплексу

_____ С.А. Упоров

МЕТОДИЧЕСКИЕ РЕКОМЕНДАЦИИ ПО ВЫПОЛНЕНИЮ КУРСОВОЙ РАБОТЫ ПО ДИСЦИПЛИНЕ

Б1.В.12 НЕФТЕГАЗОВАЯ ЛИТОЛОГИЯ

Специальность:
21.05.02 Прикладная геология

Специализация:
Геология месторождений нефти и газа

форма обучения: очная

Автор: Кривихин С.В., к.г.-м.н., доцент

Одобрены на заседании кафедры
Литологии и геологии горючих ископаемых
(название кафедры)

Зав. кафедрой _____
(подпись)

к.г.-м.н., доц. Рыльков С.А.
(Фамилия И.О.)

Протокол № 2 от 06.10.2020
(Дата)

Рассмотрены методической комиссией
факультета геологии и геофизики
(название факультета)

Председатель _____
(подпись)

д.г.-м.н., проф. Бондарев В.И.
(Фамилия И.О.)

Протокол № 2 от 13.10.2020
(Дата)

Екатеринбург

СОДЕРЖАНИЕ

1. Структура и примерный объем курсовой работы 3

2. Требования к оформлению курсовой работы (общие требования) 4

2.1 Правила оформления наименований и нумерации структурных элементов, глав и параграфов 4

2.2 Правила оформления сокращений и аббревиатур 5

2.3 Правила оформления перечислений 5

2.4 Правила оформления рисунков 5

2.5 Правила оформления таблиц 7

2.6 Правила оформления примечаний и ссылок 9

2.7 Правила оформления списка использованных источников 9

2.8 Правила оформления приложений 11

Приложение. Образец оформления титульного листа курсовой работы 13

Курсовая работа по дисциплине «Нефтегазовая литология» выполняется в рамках учебного плана специальности 21.05.02 Прикладная геология. Исходным материалом для курсовой работы служит керновый материал (2 образца), привезенный студентом с места прохождения производственной практики, либо выданный преподавателем изколлекции кафедры. Допускается выполнение курсовой работы двумя исполнителями, что влечет увеличение количества образцов (с 2-х до 4-х). В отдельных случаях изучению может быть подвержен один образец (например, уникальный контакт двух стратиграфических комплексов).

Защита курсовой работы проходит в виде публичного выступления с презентацией. Презентация структурируется по раскрываемым вопросам и обязательно должна содержать иллюстративный материал.

1. Структура и примерный объем курсовой работы

Текст курсовойработы включает в себя:

- титульный лист;
- реферат (аннотацию);
- содержание;
- введение;
- собственно содержательную часть;
- заключение;
- список литературы.

При необходимости работа сопровождается графическими и табличными рисунками и(или)приложениями.

Реферат в кратком виде отражает основное содержание работы, и примерно выглядит следующим образом.

КП 30 с., 4 рис., 2 табл., 10 источников

ТАЛЬНИКОВОЕ МЕСТОРОЖДЕНИЕ, ТЮМЕНСКАЯ СВИТА, КОЛЛЕКТОР $Ю_2$, … (8-12 ключевых слов)

Объект исследования – …

Цель работы – …

На основании рассмотрения … установлено …

Сделано заключение о …

Текст реферата приводится на русском и английском языках.

Реферат содержит ключевые слова, краткое изложение существа проекта, характер и цель работы, методику проведения работ, конкретные результаты работы и выводы. Ключевые слова (5-15), представляющие собой имена существительные или словосочетания в именительном падеже и отражающие основное содержание реферируемой работы (проекта), печатаются строчными буквами, в строку, через запятые. Оптимальный объем реферата – 1200 знаков.

Собственно **содержательная часть**, как правило, имеет трехчленную структуру.

1. **Геологическая** характеристика объекта, выполненная в предельно сжатой форме в общепринятой последовательности: стратиграфия – тектника – нефтегазоносность.

2. Собственно **рассматриваемый вопрос**, не регламентируемый в принцип. Можно лишь порекомендовать следующий порядок изложения сведений:

- состояние изученности вопроса (проблемы) – общее; для изучаемого объекта;
- результаты, полученные лично автором;
- обсуждение результатов.

3. **Резюме** (итоги) обычно оценивающее практическое значение полученных результатов.

В конце текста помещается список источников, которыми пользовался авторпри составлении данного проекта. Источники располагаются в алфавитном порядке. Ссылки в тексте на источники указывают порядковым номером по списку источников, выделенным двумя квадратными скобками – например, [2]. Фондовые источники даются в конце списка и отмечаются буквой «ф», например [14 ф].

2. Требования к оформлению курсовой работы (общие требования)

Оформление курсовой работы осуществляется в соответствии с требованиями государственных стандартов и университета.

Курсовая работа выполняется печатным способом с использованием компьютера.

Каждая страница текста, включая иллюстрации и приложения, нумеруется арабскими цифрами, кроме титульного листа и содержания, по порядку без пропусков и повторений. Номера страниц проставляются, начиная с введения (третья страница), в центре нижней части листа без точки.

Текст работы следует печатать, соблюдая следующие размеры полей: правое – 10 мм, верхнее и нижнее – 20 мм, левое – 30 мм.

Рекомендуемым типом шрифта является TimesNewRoman, размер которого 14 pt (пунктов) (на рисунках и в таблицах допускается применение более мелкого размера шрифта, но не менее 10 pt).

Текст печатается через 1,5-ый интервал, красная строка – 1,25 см.

Цвет шрифта должен быть черным, необходимо соблюдать равномерную плотность, контрастность и четкость изображения по всей работе. Разрешается использовать компьютерные возможности акцентирования внимания на определенных терминах и формулах, применяя курсив, полужирный шрифт не применяется.

2.1 Правила оформления наименований и нумерации структурных элементов, глав и параграфов

Текст курсовой работы должен включать следующие структурные элементы: титульный лист, содержание, введение, основной текст, заключение, приложения (является дополнительным элементом). Основной текст может быть разделен на разделы и параграфы.

Каждый структурный элемент работы (титульный лист, содержание, введение, заключение, приложение) и разделы необходимо начинать с новой страницы. Следующий параграф внутри одного раздела начинается через 2 межстрочных интервала на том же листе, где закончился предыдущий.

Расстояние между заголовком структурного элемента и текстом, заголовками главы и параграфа, заголовком параграфа и текстом составляет 2 межстрочных интервала.

Наименования структурных элементов письменной работы («СОДЕРЖАНИЕ», «ВВЕДЕНИЕ», «ЗАКЛЮЧЕНИЕ», «ПРИЛОЖЕНИЕ») служат заголовками структурных элементов. Данные наименования пишутся по центру страницы без точки в конце прописными (заглавными) буквами, не подчеркивая.

Разделы, параграфы должны иметь заголовки. Их следует нумеровать арабскими цифрами и записывать по центру страницы прописными (заглавными) буквами без точки в конце, не подчеркивая. Номер раздела указывается цифрой (например, 1, 2, 3), номер параграфа включает номер раздела и порядковый номер параграфа, разделенные точкой (например, 1.1, 2.1, 3.3). После номера раздела и параграфа в тексте точку не ставят. Если заголовок состоит из двух предложений, их разделяют точкой. Переносы слов в заголовках не допускаются. Не допускается писать заголовок параграфа на одном листе, а его текст – на другом.

В содержании работы наименования структурных элементов указываются с левого края страницы, при этом первая буква наименования является прописной (заглавной), остальные буквы являются строчными, например:

Введение

1 Краткая характеристика организации – места прохождения практики

2 Практический раздел – выполненные работы

Заключение

Приложения

2.2 Правила оформления сокращений и аббревиатур

Сокращение русских слов и словосочетаний допускается при условии соблюдения требований ГОСТ 7.12–93 «Система стандартов по информации, библиотечному и издательскому делу. Библиографическая запись. Сокращение слов на русском языке. Общие требования и правила».

В тексте письменной работы допускаются общепринятые сокращения и аббревиатуры, установленные правилами орфографии и соответствующими нормативными документами, например: год – г., годы – гг., и так далее – и т. д., метр – м, тысяч – тыс., миллион – млн, миллиард – млрд, триллион – трлн, страница – с., Российская Федерация – РФ, общество с ограниченной ответственностью – ООО.

При использовании авторской аббревиатуры необходимо при первом ее упоминании дать полную расшифровку, например: «… Уральский государственный горный университет (далее – УГГУ)…».

Не допускается использование сокращений и аббревиатур в заголовках письменной работы, глав и параграфов.

2.3 Правила оформления перечислений

При необходимости в тексте работы могут быть приведены перечисления. Перед каждым элементом перечисления следует ставить дефис (иные маркеры не допустимы). Например:

«….заключение содержит:

- краткие выводы;
- оценку решений;
- разработку рекомендаций.»

При необходимости ссылки в тексте работы на один из элементов перечисления вместо дефиса ставятся строчные буквы в порядке русского алфавита, начиная с буквы а (за исключением букв ё, з, й, о, ч, ъ, ы, ь). Для дальнейшей детализации перечислений необходимо использовать арабские цифры, после которых ставится скобка, а запись производится с абзацного отступа. Например:

а) …;

б) …;

1) …;

2) …;

в) …

2.4 Правила оформления рисунков

В письменной работе для наглядности, уменьшения физического объема сплошного текста следует использовать иллюстрации – графики, схемы, диаграммы, чертежи, рисунки и фотографии. Все иллюстрации именуются рисунками. Их количество зависит от содержания работы и должно быть достаточно для того, чтобы придать ей ясность и конкретность.

На все рисунки должны быть даны ссылки в тексте работы, например: «... в соответствии с рисунком 2 …» или «… тенденцию к снижению (рисунок 2)».

Рисунки следует располагать в работе непосредственно после текста, в котором они упоминаются впервые (при наличии достаточного пространства для помещения рисунка со всеми поясняющими данными), или на следующей странице. Если рисунок достаточно велик, его можно размещать на отдельном листе. Допускается поворот рисунка по часовой стрелке (если он выполнен на отдельном листе). Рисунки, размеры которых больше формата А4, учитывают как одну страницу и помещают в приложении.

Рисунки, за исключением рисунков в приложениях, следует нумеровать арабскими цифрами сквозной нумерацией по всей работе. Каждый рисунок (схема, график, диаграмма) обозначается словом «Рисунок», должен иметь заголовок и подписываться следующим образом – посередине строки без абзацного отступа, например:



Рисунок 1 – Структура администрации организации

Если на рисунке отражены показатели, то после заголовка рисунка через запятую указывается единица измерения, например:

Рисунок 1 – Структура добычи, %

Рисунки каждого приложения обозначают отдельной нумерацией арабскими цифрами с добавлением перед цифрой обозначения приложения (например, рисунок А.3).

Если рисунок взят из первичного источника без авторской переработки, следует сделать ссылку, например:

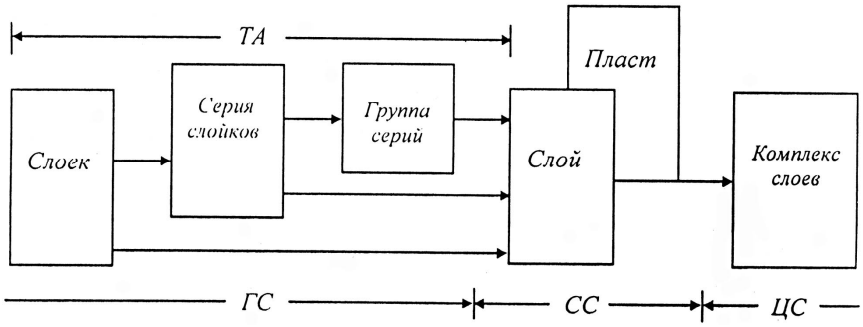

Рисунок 1 - Схема соотношения и соподчиненности слоевых элементов низших рангов в осадочных толщах[8, с. 46]

Если рисунок является авторской разработкой, необходимо после заголовка рисунка поставить знак сноски и указать в форме подстрочной сноски внизу страницы, на основании каких источников он составлен, например:

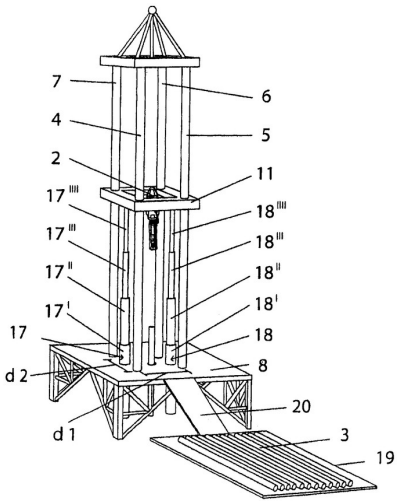

Рисунок 2 – Буровая установка,……[1]

При необходимости между рисунком и его заголовком помещаются поясняющие данные (подрисуночный текст), например, легенда.

2.5Правила оформления таблиц

В письменной работе фактический материал в обобщенном и систематизированном виде может быть представлен в виде таблицы для наглядности и удобства сравнения показателей.

На все таблицы должны быть ссылки в работе. При ссылке следует писать слово «таблица» с указанием ее номера, например: «…в таблице 2 представлены …» или «… характеризуется показателями (таблица 2)».

Таблицу следует располагать в работе непосредственно после текста, в котором она упоминается впервые, или на следующей странице.

Таблицы, за исключением таблиц в приложениях, следует нумеровать арабскими цифрами сквозной нумерацией по всей работе. Каждая таблица должна иметь заголовок, который должен отражать ее содержание, быть точным, кратким. Заголовок таблицы следует помещать над таблицей слева, без абзацного отступа в одну строку с ее номером через тире, например:

Таблица 3 – Количество тонн бокситов, добытого шахтами Свердловской области

Наименование организации	2017	2018
ПАО «Бокситы Севера»	58	59
Березниковская шахта	29	51

Если таблица взята из первичного источника без авторской переработки, следует сделать ссылку, например:

Таблица 2 – Динамика основных показателей развития шахтного строительства в России за 2015–2018 гг. [15, с. 35]

[1] Составлено автором по: [15, 23, 42].

	2015	2016	2017	2018
Объем строительства, млрд. руб.				
……				

Если таблица является авторской разработкой, необходимо после заголовка таблицы поставить знак сноски и указать в форме подстрочной сноски внизу страницы, на основании каких источников она составлена, например:

Таблица 3 – Количество оборудования[1]

Вид оборудования	2016	2017
Буровая машина	3	5
……	3	7

Располагают таблицы на странице обычно вертикально. Помещенные на отдельной странице таблицы могут быть расположены горизонтально, причем графа с наименованиями показателей должна размещаться в левой части страницы. Слева, справа и снизу таблицы ограничивают линиями.

Таблицу с большим числом строк допускается переносить на другую страницу. При переносе части таблицы на другую страницу слово «Таблица» указывают один раз слева над первой частью таблицы. На странице, на которую перенесена часть таблицы, слева пишут «Продолжение таблицы» или «Окончание таблицы» с указанием номера таблицы и повторением шапки таблицы.

Если таблица переносится, то на странице, где помещена первая часть таблицы, нижняя ограничительная линия таблицы не проводится. Это же относится к странице (страницам), где помещено продолжение (продолжения) таблицы. Нижняя ограничительная линия таблицы проводится только на странице, где помещено окончание таблицы.

Заголовки граф и строк таблицы следует писать с прописной буквы в единственном числе, а подзаголовки граф – со строчной буквы, если они составляют одно предложение с заголовком, или с прописной буквы, если они имеют самостоятельное значение. В конце заголовков и подзаголовков таблиц точки не ставят. Заголовки граф, как правило, записывают параллельно строкам таблицы. При необходимости допускается перпендикулярное расположение заголовков граф.

Примечания к таблице (подтабличные примечания) размещают непосредственно под таблицей в виде: а) общего примечания; б) сноски; в) отдельной графы или табличной строки с заголовком. Выделять примечание в отдельную графу или строку целесообразно лишь тогда, когда примечание относится к большинству строк или граф. Примечания к отдельным заголовкам граф или строк следует связывать с ними знаком сноски. Общее примечание ко всей таблице не связывают с ней знаком сноски, а помещают после заголовка «Примечание» или «Примечания», оформляют как внутритекстовое примечание.

Допускается применять размер шрифта в таблице меньший, чем в тексте работы, но не менее 10 pt.

Если все показатели, приведенные в графах таблицы, выражены в одной и той же единице измерения, то ее обозначение необходимо помещать над таблицей справа. Если показатели таблицы выражены в разных единицах измерения, то обозначение единицы

[1] Составлено автором по: [2, 7, 10]

измерения указывается после наименования показателя через запятую. Допускается при необходимости выносить в отдельную графу обозначения единиц измерения.

Текст, повторяющийся в строках одной и той же графы и состоящий из одиночных слов, чередующихся с цифрами, заменяют кавычками. Если повторяющийся текст состоит из двух или более слов, то при первом повторении его заменяют словами «То же», а далее – кавычками. Если предыдущая фраза является частью последующей, то допускается заменить ее словами «То же» и добавить дополнительные сведения. При наличии горизонтальных линий текст необходимо повторять. Если в ячейке таблицы приведен текст из нескольких предложений, то в последнем предложении точка не ставится.

Заменять кавычками повторяющиеся в таблице цифры, математические знаки, знаки процента и номера, обозначения нормативных материалов, марок материалов не допускается.

При отсутствии отдельных данных в таблице следует ставить прочерк (тире). Цифры в графах таблиц должны проставляться так, чтобы разряды чисел во всей графе были расположены один под другим, если они относятся к одному показателю. В одной графе должно быть соблюдено, как правило, одинаковое количество десятичных знаков для всех значений величин.

Если таблицы размещены в приложении, их нумерация имеет определенные особенности. Таблицы каждого приложения нумеруют отдельной нумерацией арабскими цифрами. При этом перед цифрой, обозначающей номер таблицы в приложении, ставится буква соответствующего приложения, например:

Таблица В.1.– Динамика показателей за 2016–2017 гг.

Если в документе одна таблица, то она должна быть обозначена «Таблица 1» или «Таблица В.1», если она приведена в приложении (допустим, В).

2.6Правила оформления примечаний и ссылок

При необходимости пояснить содержание текста, таблицы или иллюстрации в работе следует помещать примечания. Их размещают непосредственно в конце страницы, таблицы, иллюстрации, к которым они относятся, и печатают с прописной буквы с абзацного отступа после слова «Примечание» или «Примечания». Если примечание одно, то после слова «Примечание» ставится тире и примечание печатается с прописной буквы. Одно примечание не нумеруют. Если их несколько, то после слова «Примечания» ставят двоеточие и каждое примечание печатают с прописной буквы с новой строки с абзацного отступа, нумеруя их по порядку арабскими цифрами.

Цитаты, а также все заимствования из печати данные (нормативы, цифры и др.) должны иметь библиографическую ссылку на первичный источник. Ссылка ставится непосредственно после того слова, числа, предложения, по которому дается пояснение, в квадратных скобках. В квадратных скобках указывается порядковый номер источника в соответствии со списком использованных источников и номер страницы, с которой взята информация, например: [4, с. 32]. Это значит, использован четвертый источник из списка литературы со страницы 32. Если дается свободный пересказ принципиальных положений тех или иных авторов, то достаточно указать в скобках после изложения заимствованных положений номер источника по списку использованной литературы без указания номера страницы.

2.7Правила оформления списка использованных источников

Оформлению списка использованных источников, прилагаемого к отчету, следует уделять самое серьезное внимание.

Сведения об источниках приводятся в следующем порядке:

1) **нормативные правовые акты**: Нормативные правовые акты включаются в список в порядке убывания юридической силы в следующей очередности: международные нормативные правовые акты, Конституция Российской Федерации, федеральные конституционные законы, федеральные законы, акты Конституционного Суда Российской Федерации, решения других высших судебных органов, указы Президента Российской Федерации, постановления Правительства Российской Федерации, нормативные правовые акты федеральных органов исполнительной власти, законы субъектов Российской Федерации, подзаконные акты субъектов Российской Федерации, муниципальные правовые акты, акты организаций.

Нормативные правовые акты одного уровня располагаются в хронологическом порядке, от принятых в более ранние периоды к принятым в более поздние периоды.

Примеры оформления нормативных правовых актов и судебной практики:

1. Об общих принципах организации законодательных (представительных) и исполнительных органов власти субъектов Российской Федерации [Текст]: Федеральный закон от 06.10.1999 г. № 184-ФЗ // Собрание законодательства РФ. - 1999. - № 43.

2. О порядке разработки и утверждения административных регламентов исполнения государственных функций (предоставления государственных услуг) [Электронный ресурс]: Постановление Правительства РФ от 11.11.2005 г. № 679. - Доступ из справочно-правовой системы «КонсультантПлюс». – Режим доступа: http://www.consultant.ru.

3. О практике применения судами Закона Российской Федерации «О средствах массовой информации»[Электронный ресурс]: Постановление Пленума Верховного Суда РФ от 15.06.2010 № 16. - Доступ из справочно-правовой системы «КонсультантПлюс». – Режим доступа: http://www.consultant.ru.

4. Определение судебной коллегии по гражданским делам Верховного Суда Российской Федерации по иску Цирихова // Бюллетень Верховного Суда Российской Федерации. -1994. -№9. - С. 1-3.

2) **книги, статьи, материалы конференций и семинаров.** Располагаются по алфавиту фамилии автора или названию, если книга печатается под редакцией. Например:

5. Абрамова, А.А. Трудовое законодательство и права женщин [Текст] / А.А.Абрамова // Вестн. Моск. ун-та. Сер. 11, Право. - 2001. - № 5. - С. 23–25.

6. Витрянский, В.В. Договор банковского счета [Текст] / В.В. Витрянский // Хозяйство и право.- 2006.- № 4.- С. 19 – 25.

7. Двинянинова, Г.С. Комплимент: Коммуникативный статус или стратегия в дискурсе [Текст] / Г.С. Двинянинова // Социальная власть языка: сб. науч. тр. / Воронеж.межрегион. ин-т обществ. наук, Воронеж. гос. ун-т, Фак. романо-герман. истории. - Воронеж, 2001. - С. 101–106.

8. История России [Текст]: учеб.пособие для студентов всех специальностей / В.Н. Быков [и др.]; отв. ред. В.Н. Сухов; М-во образования Рос. Федерации, С.-Петерб. гос. лесотехн. акад. - 2-е изд., перераб. и доп. / при участии Т.А. Суховой. - СПб.: СПбЛТА, 2001. - 231 с.

9. Трудовое право России [Текст]: учебник / Под ред. Л.А.Сыроватской. - М.: Юристъ, 2006. - 280 с.

10. Семенов, В.В. Философия: итог тысячелетий. Философская психология [Текст] / В.В. Семенов; Рос.акад. наук, Пущин. науч. центр, Ин-т биофизики клетки, Акад. проблем сохранения жизни. - Пущино: ПНЦ РАН, 2000. - 64 с.

11. Черткова, Е.Л. Утопия как способ постижения социальной действительности [Электронный ресурс] / Е.Л. Черткова // Социемы: журнал Уральского гос. ун-та. - 2002. - N 8. – Режим доступа: http://www2/usu.ru/philosoph/chertkova.

12. Юридический советник [Электронный ресурс]. - 1 электрон.опт. диск (CD-ROM) : зв., цв. ; 12 см. - Прил.: Справочник пользователя [Текст] / сост. В.А. Быков. - 32 с.;

3) **статистические сборники, инструктивные материалы, методические рекомендации, реферативная информация, нормативно-справочные материалы.** Располагаются по алфавиту. Например:

13. Временные методические рекомендации по вопросам реструктуризации бюджетной сферы и повышения эффективности расходов региональных и местных бюджетов (Краткая концепция реструктуризации государственного и муниципального сектора и повышения эффективности бюджетных расходов на региональном и местном уровнях) [Текст]. - М.: ИЭПП, 2006. - 67 с.

14. Свердловская область в 1992-1996 годах [Текст]: Стат. сб. / Свердл. обл. комитет гос. статистики Госкомстата РФ. - Екатеринбург, 1997. - 115 с.

15. Социальное положение и уровень жизни населения России в 2010 г. [Текст]: Стат. сб. / Росстат. - М., 2002. - 320 с.

16. Социально-экономическое положение федеральных округов в 2010 г. [Электронный ресурс]. – Режим доступа: http://www.gks.ru

4) **книги и статьи на иностранных языках** в алфавитном порядке. Например:

17. An Interview with Douglass C. North [Text] // The Newsletter of The Cliometric Society. - 1993. - Vol. 8. - N 3. - P. 23–28.

18. Burkhead, J. The Budget and Democratic Government [Text] / Lyden F.J., Miller E.G. (Eds.) / Planning, Programming, Budgeting. Markham : Chicago, 1972. 218 p.

19. Miller, D. Strategy Making and Structure: Analysis and Implications for Performance [Text] // Academy of Management Journal. - 1987. - Vol. 30. - N 1. - P. 45–51;

20. Marry S.E. Legal Pluralism. – Law and Society Review. Vol 22.- 1998.- №5.- p. 22-27

5) **интернет-сайты**. Например:

21. Министерство финансов Российской Федерации: [Электронный ресурс]. – Режим доступа: http://www.minfin.ru

22. Российская книжная палата: [Электронный ресурс]. - Режим доступа: http://www.bookchamber.ru

В списке использованных источников применяется сквозная нумерация с применением арабского алфавита. Все объекты печатаются единым списком, группы объектов не выделяются, источники печатаются с абзацного отступа.

Объекты описания списка должны быть обозначены терминами в квадратных скобках[2]:

- [Видеозапись];
- [Мультимедиа];
- [Текст];
- [Электронный ресурс].

При занесении источников в список литературы следует придерживаться установленных правил их библиографического описания.

2.8Правила оформления приложений

В приложения рекомендовано включать материалы, которые по каким-либо причинам не могут быть включены в основную часть: материалы, дополняющие работу; таблицы вспомогательных цифровых данных; инструкции, методики, описания алгоритмов и программ задач, иллюстрации вспомогательного характера; нормативные

[2] Полный перечень см. в: Система стандартов по информации, библиотечному и издательскому делу. Библиографическая запись. Библиографическое описание. Общие требования и правила составления [Текст]: ГОСТ 7.1-2003.

правовые акты, например, должностные инструкции. В приложения также включают иллюстрации, таблицы и распечатки, выполненные на листах формата А3.

Приложения оформляют как продолжение данного документа на последующих его листах после списка использованных источников.

Приложения обозначают заглавными буквами русского алфавита, начиная с А, за исключением букв Ё, З, Й, О, Ч, Ь, Ы, Ъ (ПРИЛОЖЕНИЕ А, ПРИЛОЖЕНИЕ Б, ПРИЛОЖЕНИЕ В и т.д.). Допускается обозначение приложений буквами латинского алфавита, за исключением букв I и O. В случае полного использования букв русского и латинского алфавитов допускается обозначать приложения арабскими цифрами.

Само слово «ПРИЛОЖЕНИЕ» пишется прописными (заглавными) буквами.

Если в работе одно приложение, оно обозначается «ПРИЛОЖЕНИЕ А».

Каждое приложение следует начинать с новой страницы. При этом слово «ПРИЛОЖЕНИЕ» и его буквенное обозначение пишутся с абзацного отступа.

Приложение должно иметь заголовок, который записывают на следующей строке после слова «ПРИЛОЖЕНИЕ» с абзацного отступа. Заголовок пишется с прописной буквы.

В тексте работы на все приложения должны быть даны ссылки, например: «… в приложении Б…». Приложения располагают в порядке ссылок на них в тексте работы.

Текст каждого приложения, при необходимости, может быть разделен на разделы, подразделы, пункты, подпункты, которые нумеруют в пределах каждого приложения. Перед номером ставится обозначение этого приложения.

Приложения должны иметь общую с остальной частью документа сквозную нумерацию страниц.

ПРИЛОЖЕНИЕ

Образец оформления титульного листа курсовой работы

Федеральное государственное бюджетное образовательное учреждение
высшего образования
«Уральский государственный горный университет»
(ФГБОУ ВО «УГГУ»)
620144, г. Екатеринбург, ул. Куйбышева, 30

КУРСОВАЯ РАБОТА
по дисциплине Б1Б.2.13 – «Нефтегазовая литология» на тему:
Петрографический состав и гранулометрический анализ образцов керна викуловской свиты (апт, нижний мел) Каменного месторождения (ХМАО)

Направление: 21.05.02
ПРИКЛАДНАЯ ГЕОЛОГИЯ

Специализация:
ГЕОЛОГИЯ НЕФТИ И ГАЗА

Студент: Христофоров В.Б.
Группа: ГН-12

Руководитель курсовой работы:
Алексеев В.П.

Оценка _____

Подпись _____

МИНОБРНАУКИ РФ

ФГБОУ ВО «Уральский государственный горный университет»

УТВЕРЖДАЮ
Проректор по учебно-
методическому комплексу
_____ С.А. Упоров

МЕТОДИЧЕСКИЕ РЕКОМЕНДАЦИИ К САМОСТОЯТЕЛЬНОЙ РАБОТЕ ПО ДИСЦИПЛИНЕ

Б1.В.12 НЕФТЕГАЗОВАЯ ЛИТОЛОГИЯ

Специальность:
21.05.02 Прикладная геология

Специализация:
Геология месторождений нефти и газа

форма обучения: очная

Автор: Кривихин С.В., к.г.-м.н., доцент

Одобрены на заседании кафедры
Литологии и геологии горючих ископаемых
(название кафедры)

Зав. кафедрой _____
(подпись)

к.г.-м.н., доц. Рыльков С.А.
(Фамилия И.О.)

Протокол № 2 от 06.10.2020
(Дата)

Рассмотрены методической комиссией
факультета геологии и геофизики
(название факультета)

Председатель _____
(подпись)

д.г.-м.н., проф. Бондарев В.И.
(Фамилия И.О.)

Протокол № 2 от 13.10.2020
(Дата)

Екатеринбург

ОГЛАВЛЕНИЕ

ВВЕДЕНИЕ 4

Раздел 1. ПОЛЕВЫЕ НАБЛЮДЕНИЯ 5
1. Выделение слоев 5
2. Вещественный и генетический подходы к изучению осадочных комплексов 7
3. Терригенные и карбонатные породы 9
4.Текстурный анализ 13
5. Ихнофоссилии, карбонатность и др. признаки 15
6. Комплексирование диагностических признаков; контакты и перерывы 17

Раздел 2. ЛАБОРАТОРНЫЕ ИССЛЕДОВАНИЯ 19
7. Гранулометрический анализ 19
8.Минералогический анализ 23
9. Стадиальный анализ 26

Раздел 3. ФИЗИКО-ХИМИЧЕСКИЕ МЕТОДЫ 28
10. Химический анализ (литохимия) 28
11. Геохимия микроэлементов 30
12.Термический, рентгеноструктурный, люминесцентный, электронно-микроскопический методы 32
13.Фильтрационно-емкостные свойства (ФЕС) 35
14.Комплексирование методов 38

Раздел 4. ОБРАБОТКА РЕЗУЛЬТАТОВ ИССЛЕДОВАНИЙ И РЕШЕНИЕ ГЕОЛОГИЧЕСКИХ ЗАДАЧ 40
15. Отбор проб и обработка результатов исследований 40
16. Строение толщ и корреляция разрезов 42
17. Решение геологических задач 44

ЗАКЛЮЧЕНИЕ 46

СПИСОК ЛИТЕРАТУРЫ 47

Приложение. ГРАНУЛОМЕТРИЧЕСКИЙ АНАЛИЗ В ШЛИФАХ 50

ВВЕДЕНИЕ

Осадочные породы пользуются широким распространением, содержат более 90 % полезных ископаемых, используемых человеком, поэтому их всестороннему изучению уделяется пристальное внимание. Во второй половине XX столетия опубликован ряд руководств по исследованию осадочных пород, имеющих комплексный характер. Среди них особенно выделяется двухтомник «Методы изучения осадочных пород» (1957), изданный по инициативе и под редакцией выдающегося советского литолога, академика Николая Михайловича СТРАХОВА. По ряду позиций это издание сохраняет свою актуальность, хотя лабораторное оборудование за прошедшие полвека, естественно, неузнаваемо изменилось.

Вплоть до начала 90-х гг. XX в. в отечественной литературе публиковалось большое количество различных руководств по методам изучения осадочных пород широкого диапазона (какотносительно методов, так и самих пород). Однако, известные события последних двадцати лет показали существенную стагнацию в данном вопросе. В итоге получилось так, что издания прошлых лет либо стали труднодоступны, либо устарели по своей сути.

Создавшуюся лакуну частично заполнило учебное пособие А. В. Маслова «Осадочные породы: методы изучения и интерпретации полученных данных» (2005). В нем впервые в довольно исчерпывающем (хотя и сжатом) виде рассмотрены актуальные вопросы, касающиеся получения и обработки сведений, изложенных во многих работах иностранных исследователей, далеко продвинувшихся вперед за упомянутые выше двадцать лет стагнации российской геологии.

Представленное пособие не претендует на разрешение обозначенных выше проблем. В нем приводятся очень сжатые сведения по основным приемам и способам получения и обработки информации, касающейся свойств и параметров осадочных пород. Отличительной особенностью представленной сводки является ее предельно минимизированный объем, что достигнуто изложением сведений почти исключительно в графическом виде. На каждую из 17 тем отведено, как правило, два листа, каждый из которых содержит (в основном) по 3-5 рисунков. Если учесть известное положение о том, что грамотно выполненный рисунок адекватен двум-трем страницам машинописного текста (естественно, такое соотношение условно), то представленные 35 страниц основной части могут быть соотнесены с 250 – 300 страницами «обычного» учебного пособия. «Развернуть» же познание того или иного кратко обозначенного вопроса или метода можно с помощью литературы, которая приведена в конце пособия.

Основная часть пособия составлена В. П. Алексеевым. Н. С. Носовой написано Приложение (Гранулометрический анализ в шлифах).

Раздел 1. **ПОЛЕВЫЕ НАБЛЮДЕНИЯ**

1. Выделение слоев

Таблица 1.1

Ранговая шкала геологических тел в нефтегазовой литологии

Уровни организации		Объекты (геологические тела)	Инварианты седиментогенеза (СГ)	Коллекторы (уровни см. на рис. 1.3)	Эмерджентное свойство (свойствоцелого, не сводимое к сумме свойств слагающих элементов)
Группа	Ранг				
Структурно-формационная	6	Формационные комплексы; осадочные бассейны	–	–	–
	5	Формации			Единство геотектонических условий и палеогеографической обстановки
	4	Наборы пород: литоциклы (циклиты)	ЦиклоСГ	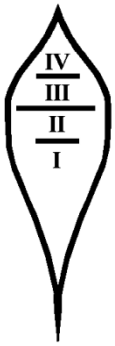	Направленность смены типов пород и их комплексов
Минерально-петрографическая	3	Породы; слои ≈ пласты; литоритмы (ритмиты)	СтратоСГ		Устойчивое сочетание минералов; простая повторяемость ограниченного набора слойков и слоев
			ГранулоСГ		
	2	Минералы	–		–
	1*	Молекулы			

*Справочно, поскольку собственно геологическими телами они не являются

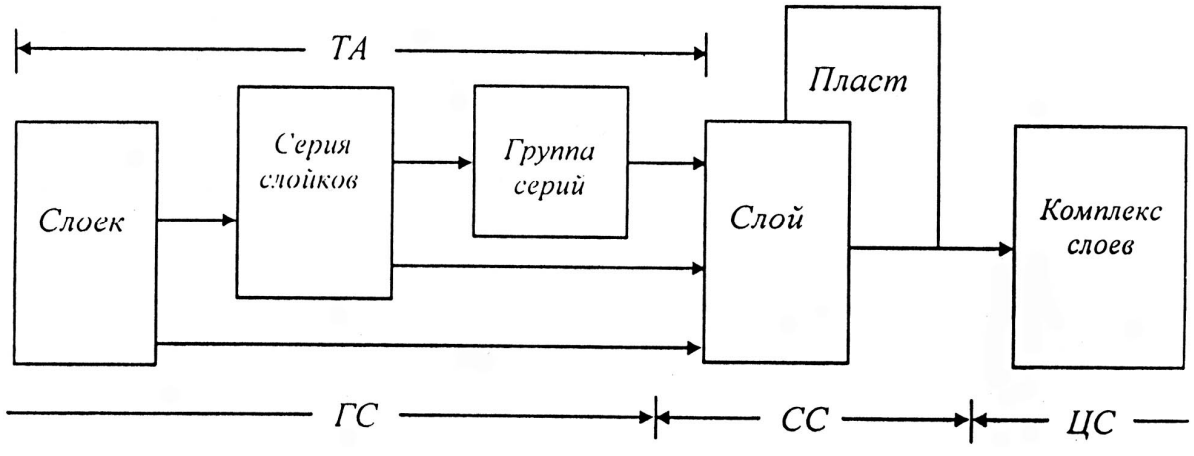

Рис. 1.1. Схема соотношения и соподчиненности слоевых элементов низших рангов в осадочных толщах (по Л. Н. Ботвинкиной, 1962; с дополнениями):
вверху: *ТА* – текстурный анализ; внизу: структурные инварианты седиментогенеза: *ГС* – гранулоседиментогенез, *СС*–стратоседиментогенез, *ЦС* – циклоседиментогенез (по С. И. Романовскому, 1985)

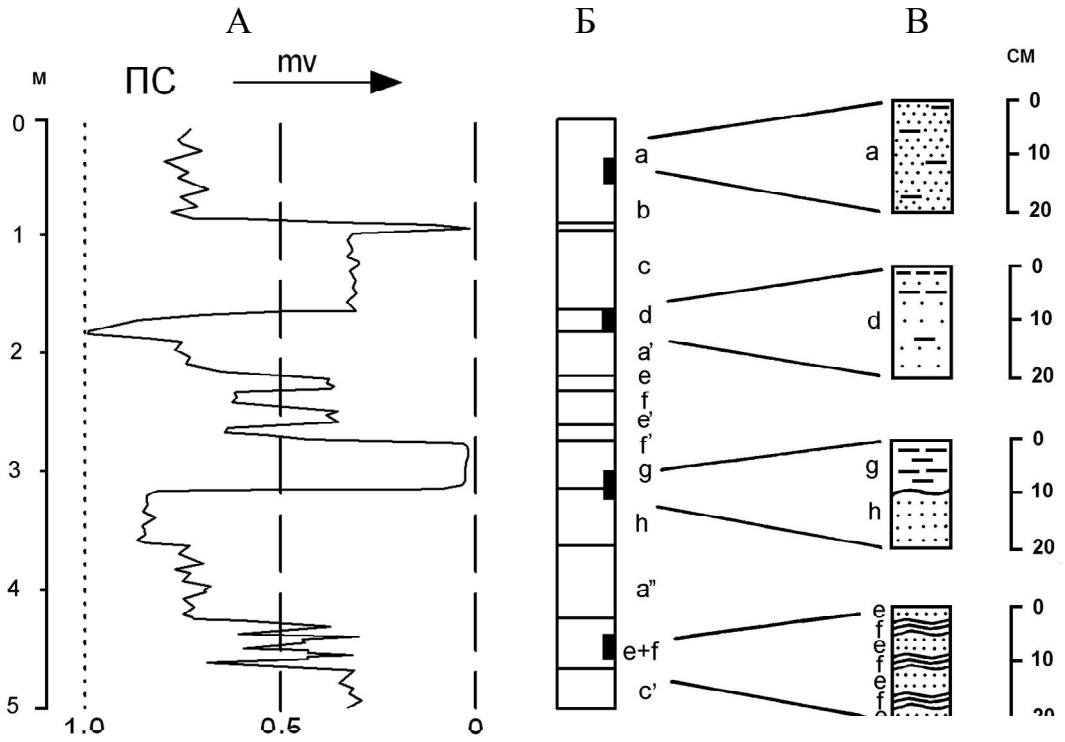

Рис. 1.2. Принципиальная схема выделения слоев:

А – кривая метода потенциалов собственной поляризации (ПС): точками обозначена линия «чистых песков»; штрихами справа – линия «чистых глин»; 0 – 1,0 – интенсивность аномалий в условных единицах;

Б – выделяемые слои (*a*, *b*, …, *h*); при этом знаки ’, ” показывают, что данные слои тождественны предыдущим, имеющим то же буквенное обозначение; зачернены интервалы, соответствующие образцам на колонке В;

В – образцы (сверху вниз): из однородного слоя а; слоя с направленно изменяющимися признаками *d*; контакта слоев *g* и *h*; тонкого чередования слоев (слойков, серий слойков) *e* и *f*

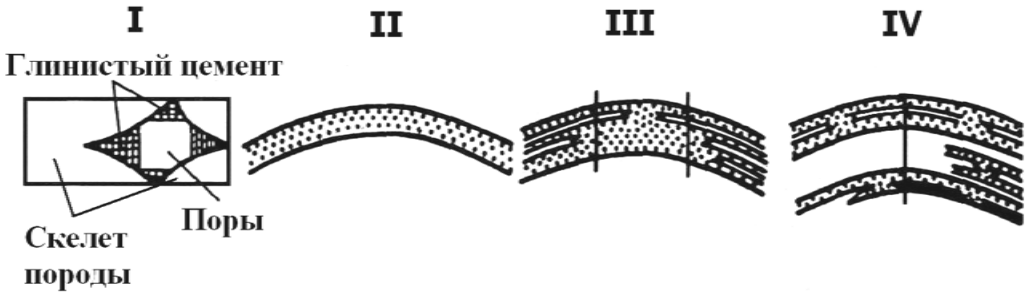

Рис. 1.3. Схема выделения структурных условий геологической неоднородности (В. Г. Каналини др., 2006). Уровни I и II соответствуют горно-породному уровню 3 в табл., а уровни III и IV – надгорнопородному, или циклическому уровню 4 в той же таблице:

I – уровень элементарного объема породы с оценкой минерального состава скелета и количества цементирующего вещества;

II – уровень геологических тел, сложенных единым литологическим типом пород,в данном случае уровень песчаных пропластков;

III – уровень геологических тел, представляющих систему гидродинамически связанных пропластков;

IV – уровень геологических тел, представляющих систему гидродинамически не связанных пластов, каждый из которых в общем случае представляет систему гидродинамически связанных пропластков

2. Вещественный и генетический подходы к изучению осадочных комплексов

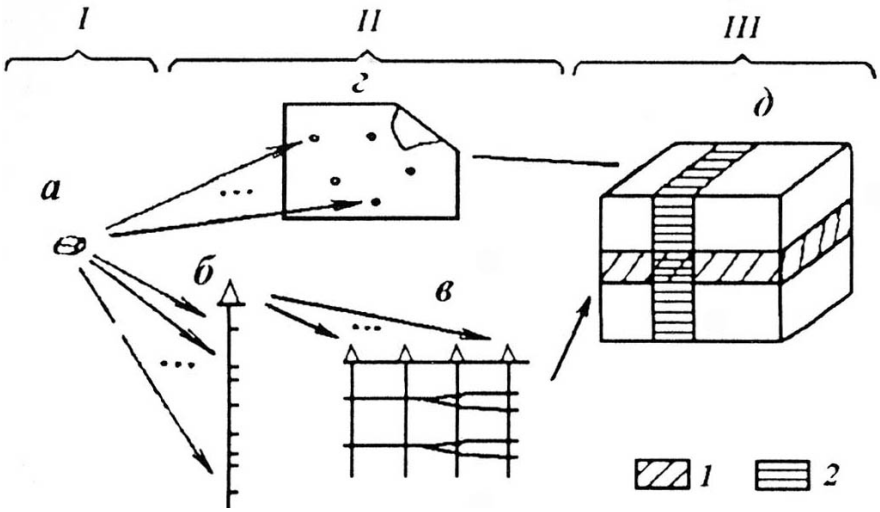

Рис. 2.1. Последовательность литолого-фациальных формационных исследований:
1 – подформации, 2 – градации

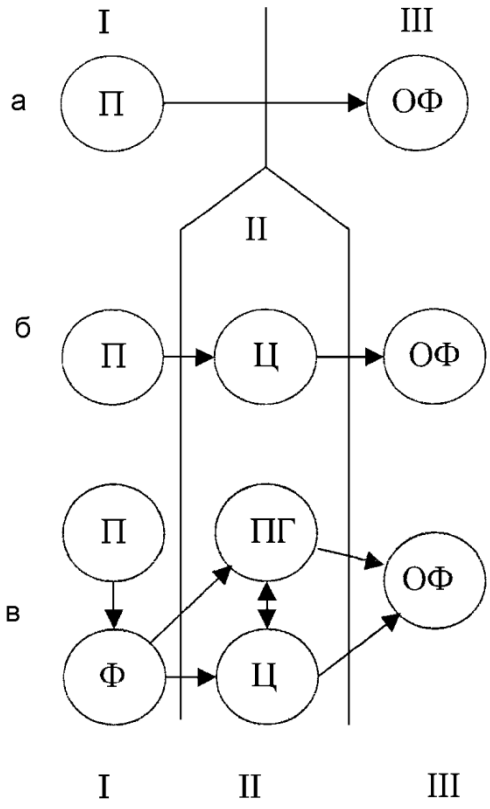

Рис. 2.2. Последовательность литологических работ:
Направления: П – структурное (породное, петрографическое); Ф – фациальное (генетическое); Ц – учение о цикличности; ПГ – палеогеография; ОФ – осадочные формации; а – выделение формаций как парагенезиса горных пород (по Н. С. Шатскому, Н. П. Хераскову), б – структурно-вещественный анализ (Шванов, 1992): вещество – первая субстанция, строение – вторая субстанция осадочных формаций, в – литолого-фациальный – фациально-циклический – формационный анализы в понимании Ю. А. Жемчужникова – П. П. Тимофеева

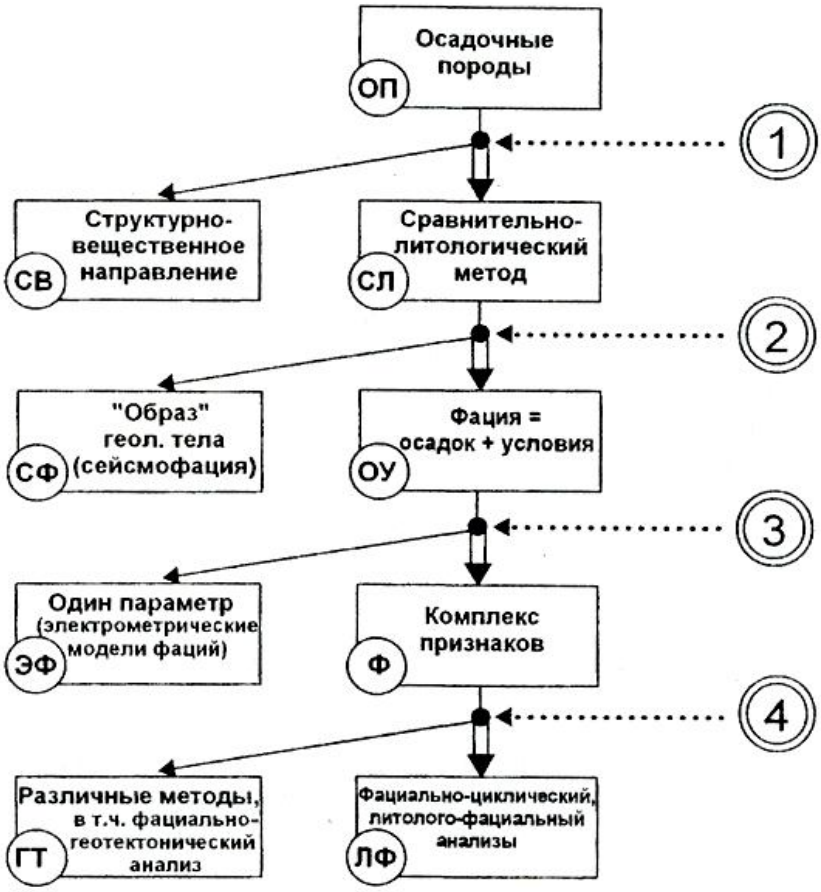

Рис.2.3. Последовательность выбора использованной методики исследований: цифры в двойных кружках – итерации (все пояснения в тексте)

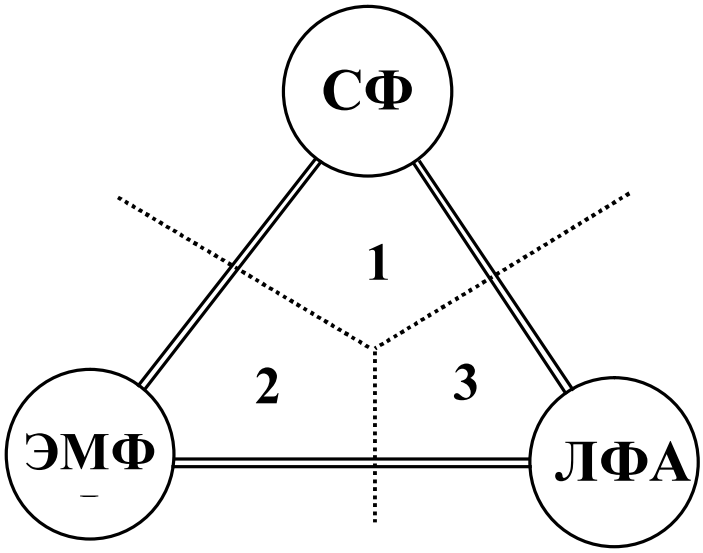

Рис. 2.4. Соотношение основных фациальных понятий, используемых в нефтегазовой геологии: СФ – сейсмофация; ЭМФ – электрометрическая модель фации; ЛФА – литолого-фациальный анализ; поля: *1* – «образ»; *2* – установление фации по одному параметру; *3* – то же, по комплексу признаков

3.Терригенные и карбонатные породы



Рис.3.1. Классификация песчано-алевритовых пород по их минерально-петрографическому составу(по В. Н. Шванову, 1987).
Стрелками показаны направления «созревания» обломочного материала в зоне седиментогенеза

Таблица 3.1

Типы пород по их гранулометрической размерности

Линейный размер частиц *S*, мм			Шкала φ («фи») $Ф=-\log_2 S$	Породы			Названия в англ. литературе		Преобладающий способ перемещения частиц
	2	2,00	-1	Гравий, гравелит			Granule	Gravel	Волочением, качением
1,0	1	1,00	0	Пески, песчаники	грубозернистый		Very coarse	Sand	Сальтацией
	1/2	0,50	1		крупнозернистый		Coarse		
	1/4	0,25	2		среднезернистый		Medium		
	1/8	0,125	3		мелкозернистый		Fine		
0,1	1/16	0,0625	4		тонкозернистый		Very fine		
	1/32	0,0312	5	Алевриты, алевролиты	крупнозернистый		Coarse	Silt	Во взвешенном состоянии
	1/64	0,0156	6		средне-зернистый	визуально трудно различимы: описываются как мелкозернистый	Medium		
0,01	1/128	0,0078	7		мелко-зернистый		Fine		
	1/256	0,0039	8		тонко-зернистый		Very fine		
	…	…	…	Глина, аргиллит			Clay		Коллоидная суспензия

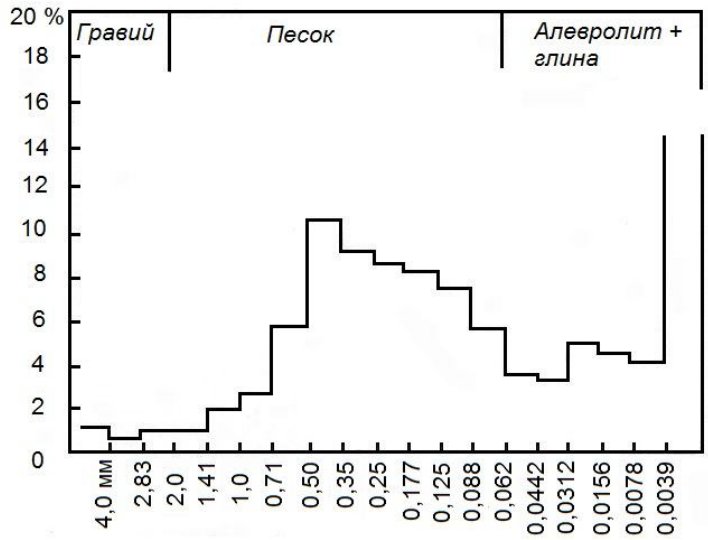

Рис. 3.2. Дефицит фракций (С. И. Романовский, 1977):
гистограмма, составленная Р. Вольфом (1914) по данным 930 гранулометрических анализов. Устойчивый дефицит на рубеже ~ 0,05 мм

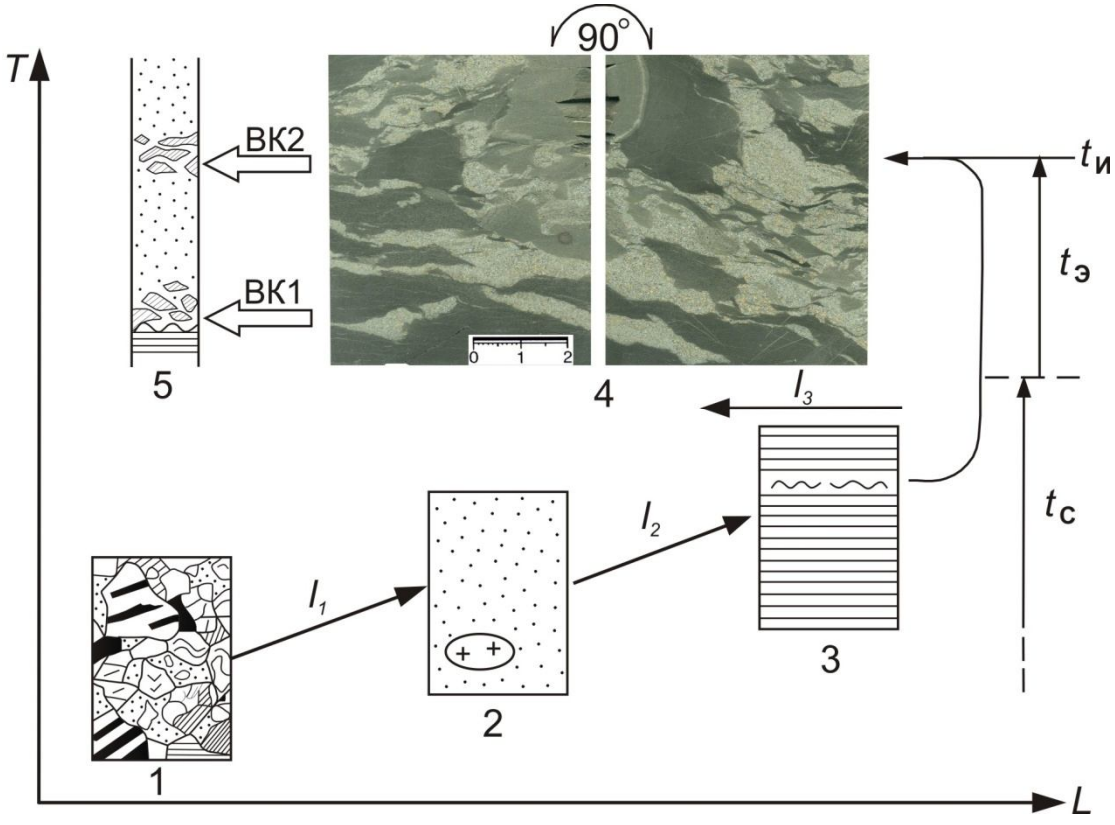

Рис. 3.3. Модель переноса и переотложения осадочного материала:
L – расстояние транспортировки; *T* – геологическое время, ВК – внутриформационные конгломераты

Таблица 3.2

Классификация известково-доломитовых пород по химико-минералогическому составу (С. Г. Вишняков и др.)

Порода	Содержание, %		CaO/MgO
	$CaCO_3$	$CaMg(CO_3)_2$	
Известняк	90 – 100	10 – 0	24,6 и более
Известняк доломитистый	75 – 90	25 – 10	9,1 – 24,6
Известняк доломитовый	50 – 75	50 – 25	4,0 – 9,1
Доломит известковый	25 – 50	75 – 50	2,3 – 4,0
Доломит известковистый	10 – 25	90 – 75	1,7 – 2,3
Доломит	0 – 10	100 – 90	1,4 – 1,7

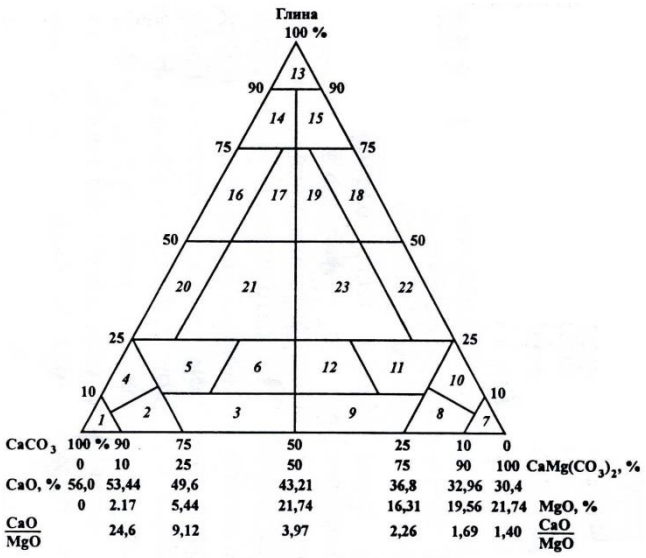

Рис. 3.4. Схема классификации глинисто-карбонатных пород (Систематика…, 1998):

Поля: 1– 6 – известняки; 7 – 12 – доломиты; 13 – 75 – глины; 16 – 23 – мергели;1 – известняк; 2 – известняк доломитистый; 3 – известняк доломитовый; 4 – известняк глинистый; 5 – известняк глинистый доломитистый; 6 – известняк глинистый доломитовый; 7 – доломит; 8 – доломит известковистый; 9 – доломит известковый; 10 – доломит глинистый; 11 – доломит глинистый известковистый; 12 – доломит глинистый известковый; 13 – глина; 14 – глина известковистая; 15 – глина доломитистая; 16 – мергель глинистый (глина известковая); 17 – мергель глинистый доломитистый (глина известковая доломитистая); 18 – мергель глинистый доломитовый (глина доломитовая или сильно доломитистая); 19 – мергель глинистый известковистый доломитовый (глина известковистая сильно доломитистая); 20 – мергель; 21 – мергель доломитистый; 22 – мергель доломитовый (домерит); 23 – мергель доломитовый известковистый (домерит известковистый)

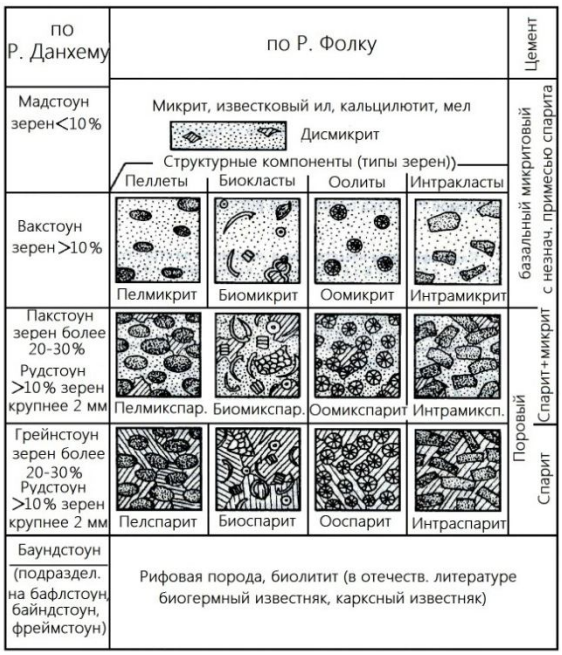

Рис. 3.5. Типизация известняков по Р. Фолку (1959) и Р. Данхему (1962) по (Мизенс, 2006)

Таблица 3.3

Принципиальная схема подразделения карбонатных пород по их структуре (Кузнецов В.Г., 2007)

Структуры	Биоморфные (состоящие из целых остатков организмов в положении роста)				Зернистые (граноморфные)			Кристаллические (кристалломорфные, кристаллитовые)		Обломочные (кластоморфные, кластолитовые)
	Биогермные (зоо- и фитобиогермные)			Цельнораковинные	Скелетные		Нескелетные (форменные)	Равнозернистые (равнокристаллические, гомеомерные, гомеометрические, гомеометрически-зернистые)	Разнозернистые (разнокристаллические, гетероморфные, гетерометрические, гетерометрически-зернистые)	По размеру и частично по окатанности карбонатных обломков
	Ветвистые	Пластинчатые	Обволакивающие (и цементирующие)							
Примеры пород – известняков (доломитов)	Коралловые, мшанковые, строматопоровые, эпифитоновые, серпулоновые и др.	Палеоаплизиновые и др.	Строматолитовые и т.д.	Ракушняки: фораминиферовые, устричные птероподовые, гастроподовые, тектакулитовые сферовые и т.д.	Органогенно-обломочные (детритовые): состоят из определимых обломков органических остатков размером обычно более 0,1 мм	Шламовые: состоят из неопределимых обломков органических остатков размером обычно менее 0,1 мм	Пизолитовые, оолитовые, псевдооолитовые, онколитовые, комковатые, сгустковые, пелоидные, пеллетовые, сферолитовые, копролитовые, желваковые и т.д.	Пелитоморфные < 0,005 мм Микрозернистые (кристаллические) 0,005 – 0,05 мм Тонкозернистые (кристаллические) 0,05 – 0,1 мм Мелкозернистые (кристаллические) 0,1– 0,25 мм Среднезернистые (кристаллические) 0,25 – 0,5 мм Крупнозернистые (кристаллические) 0,5 –1,0 мм Грубозернистые (кристаллические) 1,0 – 2,0 мм Гигантозернистые (кристаллические) > 2,0 мм	Разнозернистые, в том числе порфировидные и др.	Известняковые (доломитовые) брекчии, конгломераты, гравелиты, песчаники, алевролиты
	Полибиогермные, полифитовые				Включая мел			Включая туфы и травертины, имеющие крустификационную структуру (точнее, текстуру, так как она характеризуется взаимным расположением кристаллов в пространстве)		

4.Текстурный анализ

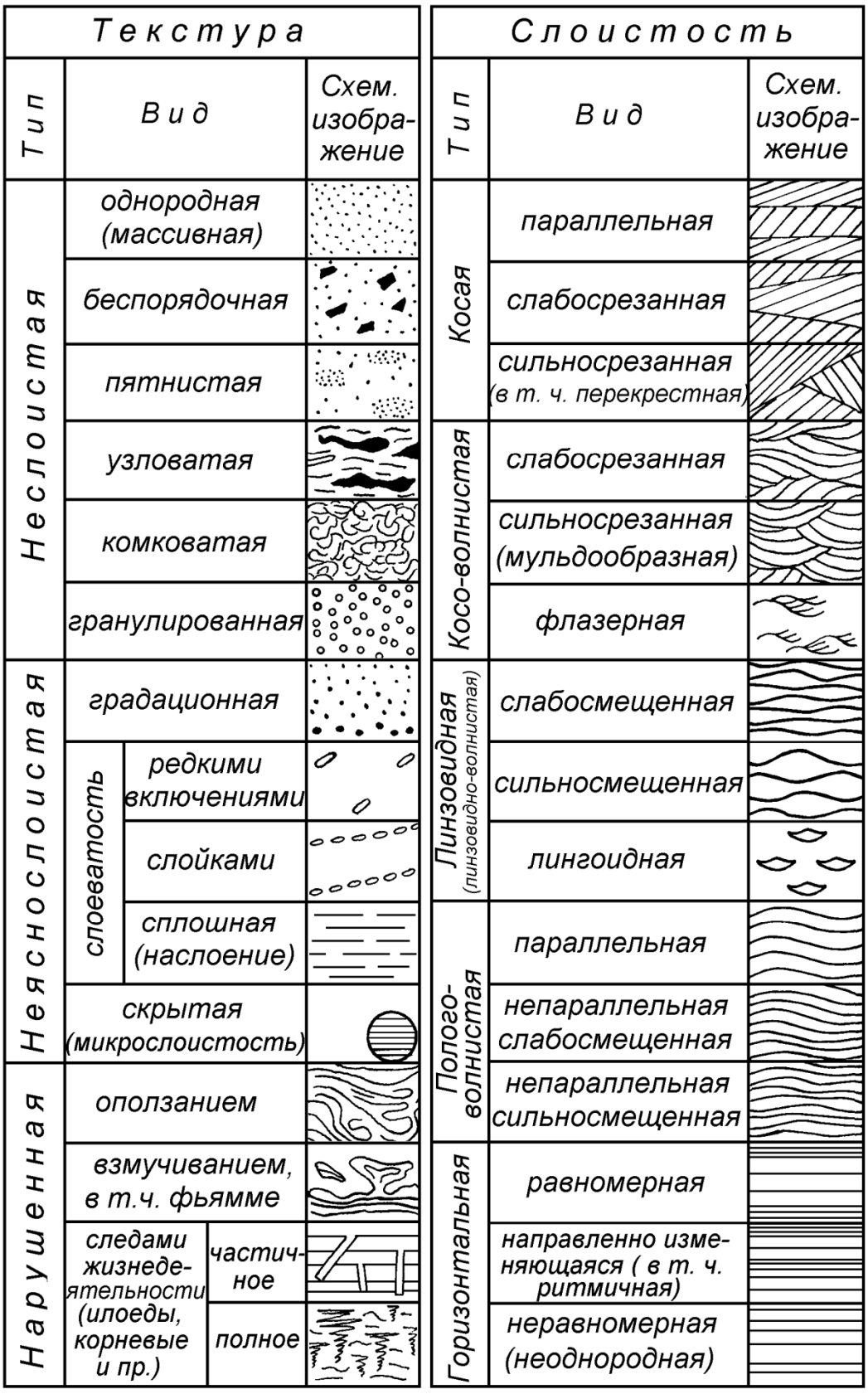

Рис. 4.1. Классификация текстур (по Л. Н. Ботвинкиной, 1962, 1965)

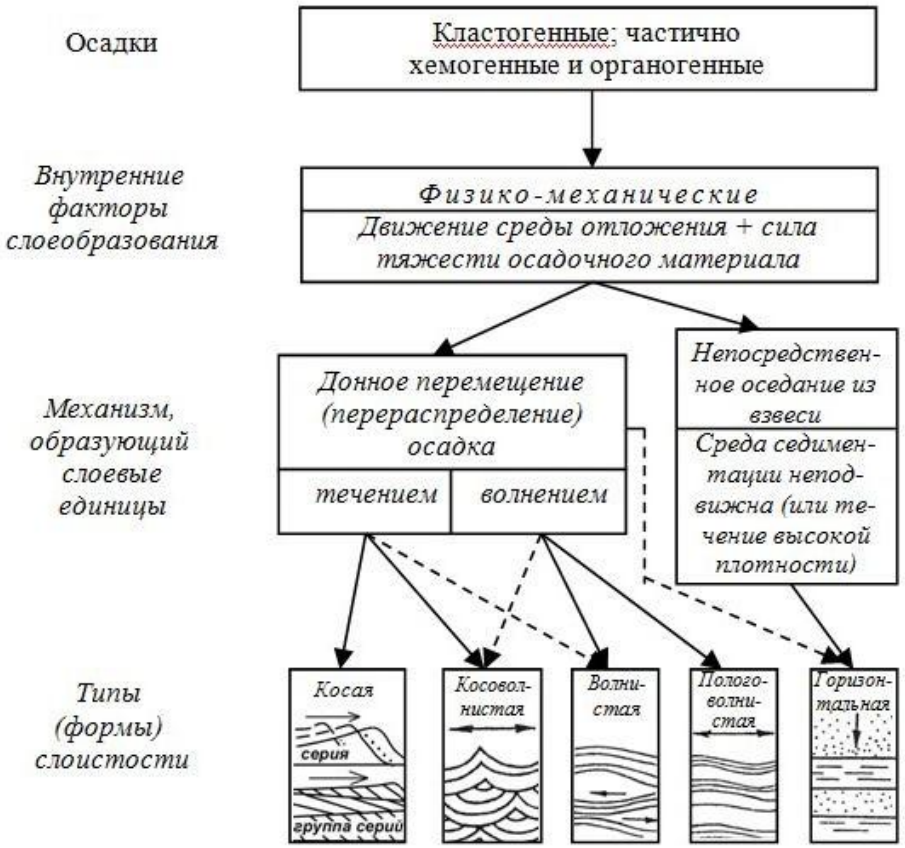

Рис. 4.2. Зависимость типа (формы) слоистости от факторов и механизма слоеобразования (по Л. Н. Ботвинкиной, 1962, с изменениями)

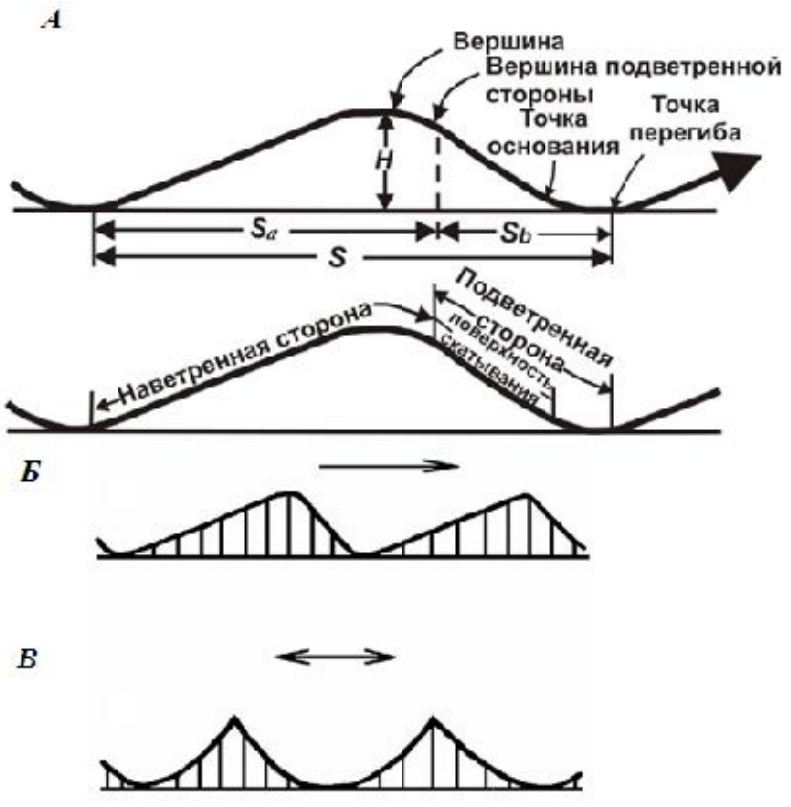

Рис. 4.3. Рябь в осадочных текстурах:
А – схематический разрез знака ряби: вверху – параллельный течению и внизу – перпендикулярный вытянутости гребней (*S* – длина или интервал между знаками, в т. ч. S_a – пологого склона и S_b – крутого склона; *H* – высота); *Б* – рябь течения (стрелкой показано направление течения); *В* – рябь волнения (стрелкой показано меняющееся направление волн)

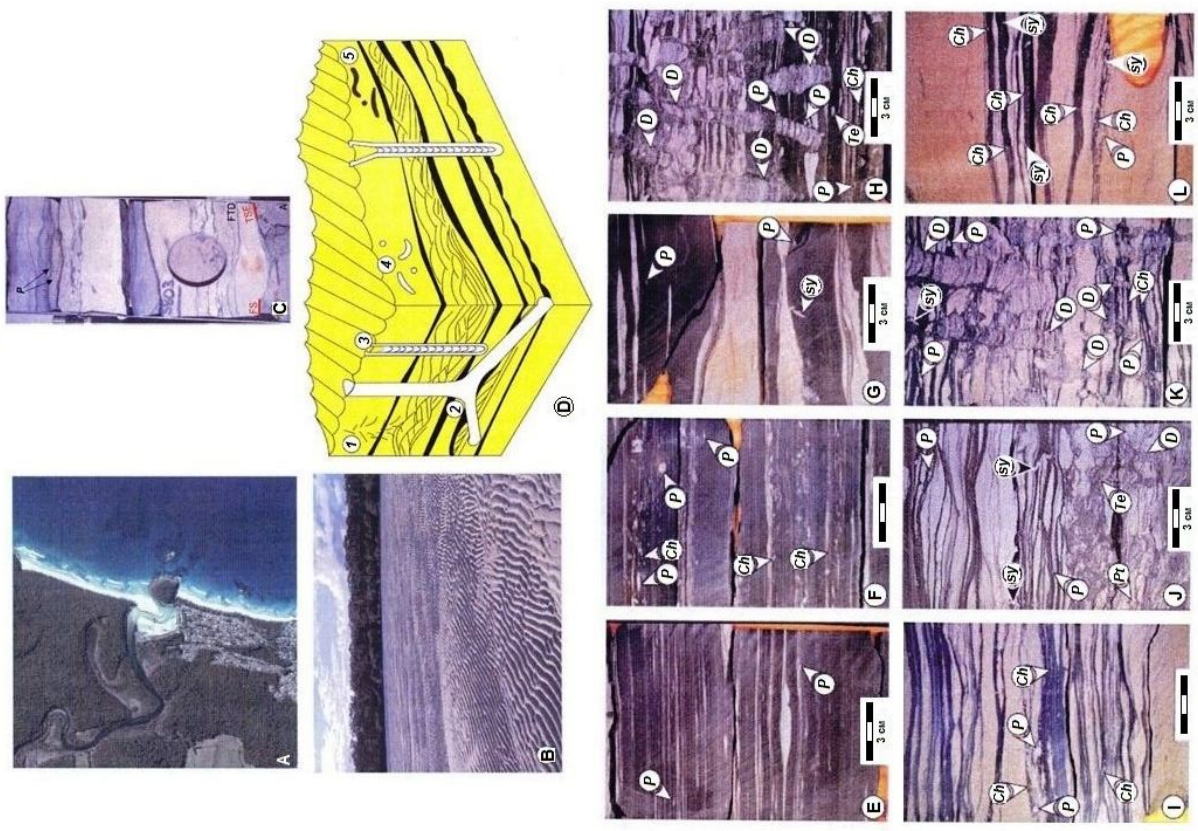

Рис. 5.1. Ихнофоссилии в дельтовом комплексе (из: Чернова О. С., 2007):

A, B – современный аналог активной приливной дельты в Новом Южном Уэльсе, протока Narrawallee (Австралия). Поверхность затопления (FS), трансгрессивно перекрывающая поверхность эрозии (TSE) с Palaeophycus.

C – ихнофации, характеризующие приливно-отливную дельту, представленные комплексами Cruziana/Skolithos, предпочитающими типичные жесткие воды, с изменчивым влиянием приливно-отливной энергии и морской среды: (1) следы бегства, (2) Thalassinoides, (3) Diplocraterion, (4) Palaeophycus, (5) Planolites.

F– линзовидно-слоистые аргиллиты – продельтыс изолированными знаками ряби содержат редкие Planolites (P), Chondites (Ch).

G –керн с дистальной части фронта дельты – аргиллиты полосчатые со знаками нагрузки и трещинами синерезиса (sy), средкими Planolites (P).

H – волнисто- и линзовидно-слоистое переслаиваниес дистальной части фронта дельты (переход к продельте): Diplocraterion (D), Planolites (P), Teichichnus (Te), Chondrites (Ch).

I –волнистое переслаиваниес удаленных частей фронта дельты с запечатанными знаками ряби (Planolites (P) и Chondrites (Ch)).

J –отложения дистальной части фронта дельты в нижней части образца интенсивно биотурбированные, характеризующие медленную и непрерывную скорость седиментации. СодержатходыDiplocraterion (D), Teichichnus (Te), Planolites (P), and Palaeophycustubularis (Pt). В верхней части образца видны запечатанные знаки ряби с илистыми драпировками, содержащие трещины синерезиса (sy) u Planolites (P);

K–отложения дистальных частей фронта дельты, характеризующие медленную скорость осадконакопления, на что указывают возросшая интенсивность биотурбаций и удлиненные норы Diplocraterion (D), с Planolites (P) и Chondrites (Ch). Обратите внимание на трещины синерезиса (sy) в верхней части керна.;

L – отложения фронта дельты, волнисто-слоистые, с трещинами синерезиса (sy) и темными илистыми драпировками включают: Chondrites (Ch) и Planolites (P), по (Пембертон, 2004)

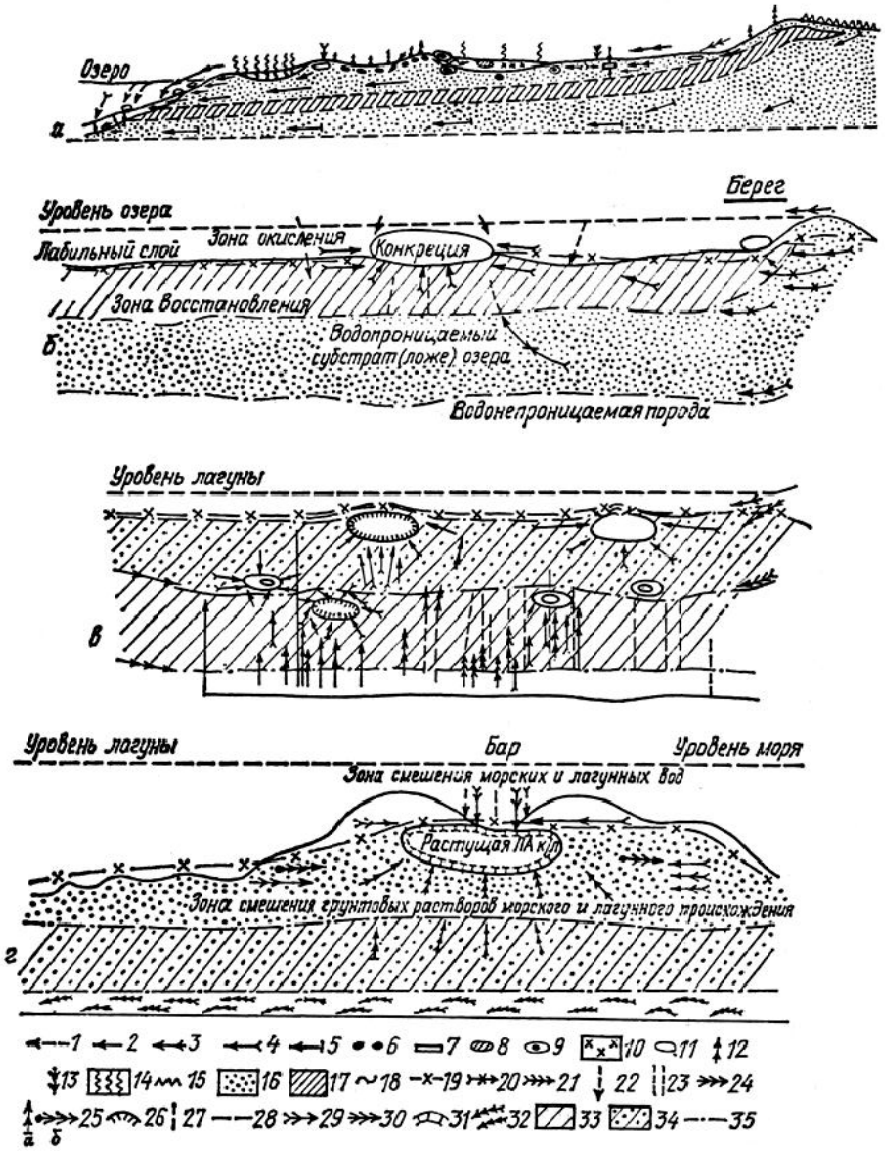

Рис. 5.2. Схемы образования конкреций в современных гумидных фациях и в некоторых древних водоемах (Атлас конкреций, 1988): *а* – схема расположения озерных, болотных и почвенных конкреций лесной зоны и путей миграции конкрециеобразователей; *б* – предполагаемая схема некоторых условий роста современных озерных железистых конкреций; *в* – схема одного из этапов образования конкреций в глинистых донных илах Воркутской лагуны; *г* – предполагаемая схема формирования песчано-анкеритовых конкреционных линз и конкреций в баровом песке Воркутской лагуны в фазу перерыва седиментации в опресненно-лагунном цикле;*1* – направления садки солей железа из наддонной воды; *2* – пути инфильтрации грунтовых вод, относительно богатых Fe, CO_2 и HCO_3; *3* –пути потоков поверхностных вод; *4* – господствующие направления диффузии конкрециеобразователей (на *б* и *в* – Fe, на *г* – Ca, Mn, Fe); *5* – инфильтрация грунтовых болотных вод, богатых гумусом и CO_2, но бедных Fe; *6* – ортштейны; *7* –ортзанды; *8* –болотный сидерит; *9* –болотный бурый железняк; *10* –вивианит; *11* – озерные железистые конкреции; *12* – суглинки и супеси с еловым лесом; *13* –лес на песчаных, но слабодренированных почвах; *14* – низинный торфяник; *15* –верховой торфяник; *16* – водопроницаемый песчаный грунт; *17* – водонепроницаемый или слабоводопроницаемый грунт; *18* – поверхность осадка; *19* – господствующее положение окислительно-восстановительной границы;*20* – направления инфильтрации грунтовых вод через водопроницаемое ложе; *21* – направление грунтового потока в иле по уклону ложа; *22* – инфильтрация наддонных вод; *23* –корневые системы в иле, облегчающие инфильтрацию; *24* – направление диффузии и движения грунтовых вод; *25* –направление движения CO_2 и H_2S (а) и боковая инфильтрация грунтовых вод с ионами Fe, Mg и Ca (б);*26* – концентрическая зона превращения бикарбоната в карбонат и осаждения карбоната; *27* – начало образования диагенетических трещин; *28* – наддонная вода (уровень); *29* – инфильтрация смешанных лагунных и морских вод; *30* –направления инфильтрации опресненно-лагунных вод в баровые пески и диффузии иона Fe; *31* – зона выпадения конкрециеобразователя; *32* – погребенный торфяник; *33* – глинистые осадки; *34* – алеврито-глинистые осадки;*35* – контакты слоев. *Пак/л* –песчано-анкеритовая конкреционная линза (мегаконкреция)

Таблица 6.1

Признаки пород

Группа	Признаки		Методы исследования*		
	название	характеристика	П	Л	К
«Внутренние»	1. Состав	Минеральный, химический, количественное соотношение компонентов	+	++	
	2. Цвет, внешний вид	Плотность, трещиноватость и пр.	++	+	
	3. Структура	Составные структурные компоненты породы, их размер, форма, окатанность, сортировка, количественное соотношение, примеси, степень сохранности	++	+	
	4. Текстура	Морфологическое определение внутренней текстуры породы (для слоистой – ее тип, подтип и т. д.; для ритмично построенной – характер строения ритма и слоя в целом	++	+	
	5.Органические остатки (флора и фауна)	Состав, степень сохранности, характер остатков (стебли, листья, споры и т. д.), условия захоронения	++	Спец. исследования	
	6. Неорганические включения	Различные, в первую очередь – конкреции	++	То же	
«Внешние»	7. Контакты с соседними слоями	Характер верхнего и нижнего контактов (размыв, срезание, резкая граница, отчетливая граница, постепенный переход и т. д.)	++		+
	8. Парагенезис	Соотношение с другими типами отложений	+		++
Общегеологические	9. Объемная характеристика тел	Площадь, объем, мощность, форма тел, характер залегания	+		++
	10. Общая характеристика толщи	Строение толщи, соотношение в ней слоев пород; строение слоев, ритмов, циклов; соотношение с соседними толщами			++

* П – полевые, Л – лабораторные, К –камеральные;
++ – решающее значение, + – предварительные или дополнительные сведения.

Таблица 6.2

Обработка сведений

а

Кодирование признаков

Признак	Индекс	Метризуемый параметр (по увеличению значений кодов)	Примеры
Гранулометрический состав	S_1	Средний размер частиц (увеличение)	1 – уголь . 8 – мелкозернистый песчаник. ...12 – гравелит
Сортированность	S_2	Соотношение различных фракций (уменьшение дисперсии)	1 – очень плохая,..., 5 – средняя, ..., 8 – очень хорошая
Текстура (слоистость)	S_3	Интенсивность гидродинамики (увеличение)	1 – массивная, ...8 – косо-волнистая, 13 – узловатая (беспорядочное наслоение)
Органический (растительный) материал	S_4	Степень сохранности (повышение)	1 – отсутствует (полностью дезинтегрирован), ..., 3 – детрит, ..., 6 – присутствуют все формы
	S_5	Количество (увеличение)	1 – отсутствует, ...5 – среднее, ..., 8 – обилие (до угля)
Условия формирования	S_6	Удаленность от области сноса (увеличение)	1 – аллювий горных рек, ..., 5 – застойные озерные водоемы, ..., 8 – открытое мелководье приемных водоемов

б

Факторный анализ

Признаки		А		Б	
		F1	F2	F1	F2
Гранулометрический состав		0,94•	0,13	0,84 •	0,27
Сортированность частиц		0,75	0.50	0,61	0,34
Текстура (тип слоистости)		0,91 •	0,14	0,82 •	0,02
Растительный материал	количество	0,48	0.61	0.22	0,89 •
	степень сохранности	0,69	0,61	0,05	0,92 •
Фациальный состав		0,45	0.50	0,55	0,09
Показатели, снимаемые с каротажных кривых	КС, Ом м.	0,27	0,75 •	0,66	0,39
	ГГК-П, имп./мин.	0,46	0.39	0,54	0.28
	ГК, мкр/ч	0,52	0,24	0,61	038
Мощность слоя		0,23	0.14	0,34	0,30
Дисперсии		37,72	20,95	34,07	20,75

Примечание. А, Б – выборки; F1, F2 – факторы.

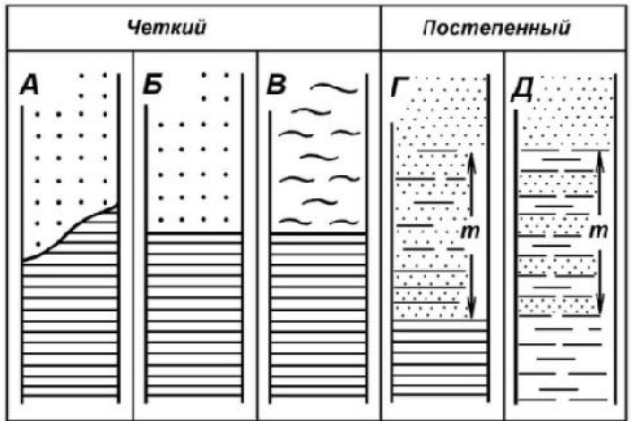

Рис. 6.3.Характеристика основных видов контактов, показанных разными знаками (условно: точки – песчаники, линии – алевролиты и аргиллиты) (см. также рис. 1.3):
А – резкий, между совершенно разными типами пород (при налегании грубозернистых осадков на тонкозернистые фиксирует эрозию);
Б – резкий, между существенно отличающимися типами пород, но без явно выраженных следов перерыва; В – отчетливый, между близкими типами пород (часто по изменению текстуры в одном гранулометрическом типе); Г – постепенный, при плавном переходе близких типов в интервале *m*; Д – через переслаивание разных типов в интервале *m* (для породы – ритмит)

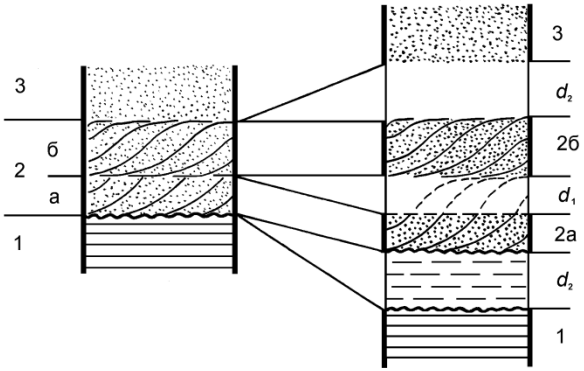

Рис. 6.4. Схематическое изображение соотношения слоев и разделяющих их перерывов (диастем):
слева: чередование слоев: 1 – горизонтальнослоистый алевролит; 2 – косослоистый песчаник с двумя сериями слойков (а, б); 3 – массивный песчаник; справа: «развертка» во времени последовательности накопления осадков; d_1 – внутрислоеваядиастема, показанная посредством «реставрации» серии косых слойков 2а в конфигурацию, аналогичной серии 2б («подбривание голов», по выражению Ю. А. Жемчужникова); d_2 – межслоевые диастемы, обусловленные размывом накопившихся перед этим слойков (контакт слоев 1 и 2; размытые слойки – штрихи на правой колонке) и отсутствием осадконакопления (контакт слоев 2 и 3)

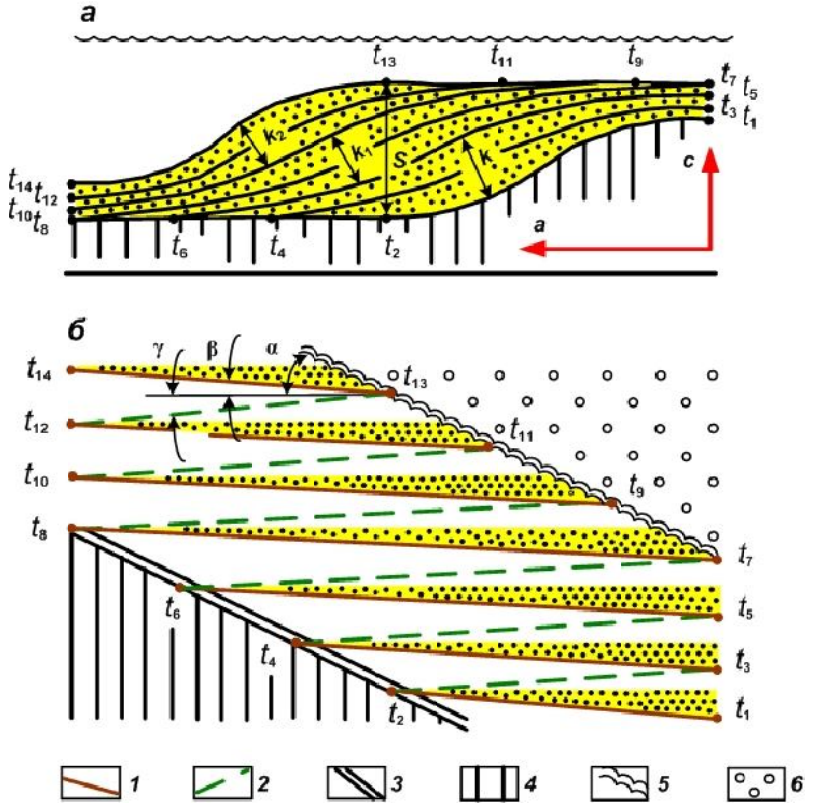

Рис. 6.4. Скольжение слоев:
а– схема соотношения между «геологической» или седиментологической ($\kappa + \kappa_1 + + \kappa_2$) и наблюдаемой или «видимой» мощностью (*s*) осадков: по Т. Чемберлену (Chamberlin, 1914); a – c – латеральное и временно́е смещение слоев;
б–временна́я развертка верхней части рисунка (а) по последовательным отсчетам времени t_1– t_{14}:
1– трансгрессивное налегание слоев; *2*– регрессивный возврат в исходную (на чертеже) точку; *3*– общее трансгрессивное (либо ингрессивное) налегание комплекса с перерывом или размывом ранее сформированных отложений (*4*); *5*– завершение накопления комплекса, с последующим перерывом или новым этапом осадконакопления (*6*); пояснения к показанным углам (α, β, γ) см. в тексте

Раздел 2. **ЛАБОРАТОРНЫЕ ИССЛЕДОВАНИЯ**

7. Гранулометрический анализ

Таблица 7.1

Сопоставление разных шкал размерностей частиц и выделяемых типов пород

<table>
<tr><th colspan="3" rowspan="2">Породы по «десятичной» шкале</th><th colspan="2">Шкала Батурина $\gamma = -10\log_{10}\frac{d}{d_0}$</th><th colspan="3">$\Phi$-шкала: $\varphi = -\log_2\frac{d}{d_0}$</th></tr>
<tr><th>«простой»</th><th>с уточнением</th><th>мм</th><th>γ</th><th>мм</th><th>Φ</th><th>¼ Φ</th><th>породы</th></tr>
<tr><td colspan="3" rowspan="2">Гравий (гравелит)</td><td></td><td>–</td><td>16
4</td><td>4</td><td>-4
-2</td><td>Галька (конгломерат)</td></tr>
<tr><td>2,00</td><td>-3</td><td>3,36
2,83
2,38
2,00</td><td>2</td><td>-1,75
-1,5
-1,25
-1,0</td><td>Гравий (гравелит)</td></tr>
<tr><td rowspan="15">Пески (песчаники)</td><td rowspan="3">крупно-зернистый</td><td rowspan="3">крупно-зернистый</td><td>1,6</td><td>-2</td><td rowspan="3">1,68
1,41
1,19
1,00</td><td rowspan="3">1</td><td rowspan="3">-0,75
-0,5
0,25
0,0</td><td rowspan="3">Грубозернистый песок (песчаник)</td></tr>
<tr><td>1,25</td><td>-1</td></tr>
<tr><td>1,000</td><td>0</td></tr>
<tr><td rowspan="3">средне-зернистый</td><td rowspan="3">средне-зернистый</td><td>0,800</td><td>1</td><td rowspan="3">0,84
0,71
0,59
0,50</td><td rowspan="3">1/2</td><td rowspan="3">0,25
0,5
0,75
1,0</td><td rowspan="3">Крупнозернистый песок (песчаник)</td></tr>
<tr><td>0,630</td><td>2</td></tr>
<tr><td>0,500</td><td>3</td></tr>
<tr><td rowspan="3">мелко-зернистый</td><td rowspan="3">мелко-зернистый</td><td>0,400</td><td>4</td><td rowspan="3">0,42
0,35
0,30
0,25</td><td rowspan="3">1/4</td><td rowspan="3">1,25
1,5
1,75
2,0</td><td rowspan="3">Среднезернистый песок (песчаник)</td></tr>
<tr><td>0,315</td><td>5</td></tr>
<tr><td>0,250</td><td>6</td></tr>
<tr><td rowspan="3">крупно-зернистый</td><td rowspan="3">мелко-зернистый</td><td>0,200</td><td>7</td><td rowspan="3">0,10
0,177
0,149
0,125</td><td rowspan="3">1/8</td><td rowspan="3">2,25
2,5
2,75
3,0</td><td rowspan="3">Мелкозернистый песок (песчаник)</td></tr>
<tr><td>0,160</td><td>8</td></tr>
<tr><td>0,125</td><td>9</td></tr>
<tr><td rowspan="2">мелко-зернистый</td><td rowspan="2">тонко-зернистый</td><td>0,100</td><td>10</td><td rowspan="2">0,105
0,088
0,074
0,0625</td><td rowspan="2">1/16</td><td rowspan="2">3,25
3,5
3,75
4,0</td><td rowspan="2">Тонкозернистый песок (песчаник)</td></tr>
<tr><td>0,080</td><td>11</td></tr>
<tr><td rowspan="15">Алеврит (алевролит)</td><td rowspan="3">крупно-зернистый</td><td rowspan="3">0,063</td><td rowspan="3">12</td><td rowspan="3">0,053
0,044
0,037
0,031</td><td rowspan="3">1/32</td><td rowspan="3">4,25
4,5
4,75
5,0</td><td rowspan="3">Крупнозернистый алеврит (алевролит)</td></tr>
<tr></tr>
<tr></tr>
<tr><td rowspan="3">мелко-зернистый</td><td>0,050</td><td>13</td></tr>
<tr><td>0,040</td><td>14</td></tr>
<tr><td>0,031</td><td>15</td></tr>
<tr><td>0,025</td><td>16</td><td rowspan="3">0,0156</td><td rowspan="3">1/64</td><td rowspan="3">6,0</td><td rowspan="3">Среднезернистый алеврит (алевролит)</td><td rowspan="6">Мелкозернистый алеврит (алевролит)</td></tr>
<tr><td>0,020</td><td>17</td></tr>
<tr><td>0,016</td><td>18</td></tr>
<tr><td>0,012</td><td>19</td><td rowspan="3">0,0078</td><td rowspan="3">1/128</td><td rowspan="3">7,0</td><td rowspan="3">Мелкозернистый алеврит (алевролит)</td></tr>
<tr><td>0,010</td><td>20</td></tr>
<tr><td>0,0008</td><td>21</td></tr>
<tr><td colspan="3" rowspan="2">Глина (аргиллит)</td><td rowspan="2">–</td><td rowspan="2">–</td><td>0,0039</td><td>1/256</td><td>8,0</td><td>Тонкозернистый алеврит (алевролит)</td></tr>
<tr><td>0,0020
0,00098
0,00049
0,00024
0,00012
0,00006</td><td></td><td>9,0
10,0
11,0
12,0
13,0
14,0</td><td>Глина (аргиллит)</td></tr>
</table>

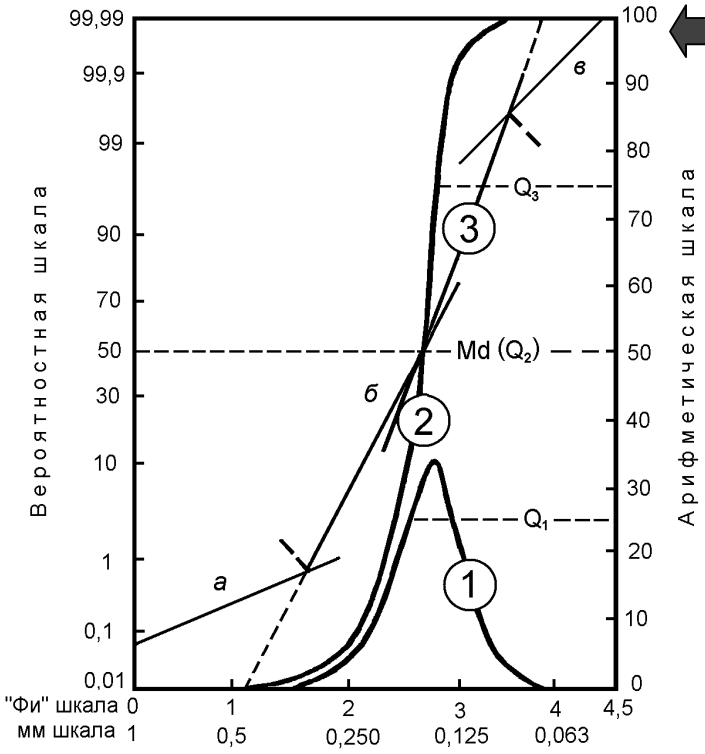

Рис. 7.1. Наиболее распространенные типы кривых распределения фракций, по Дж. Вишеру (Visher, 1969), с дополнениями:

• кривые: 1 – частотная, 2 – кумулятивная (наносятся по арифметической шкале, 3 – логвероятностная (наносится по вероятностной шкале);

• отрезки логвероятностной кривой, соответствующие популяциям: а – волочения, б – сальтации, в – суспензии (взвеси); квартили: Q_1 = 25 %, Q_2 = 50 % (медиана), Q_3 = 75 %

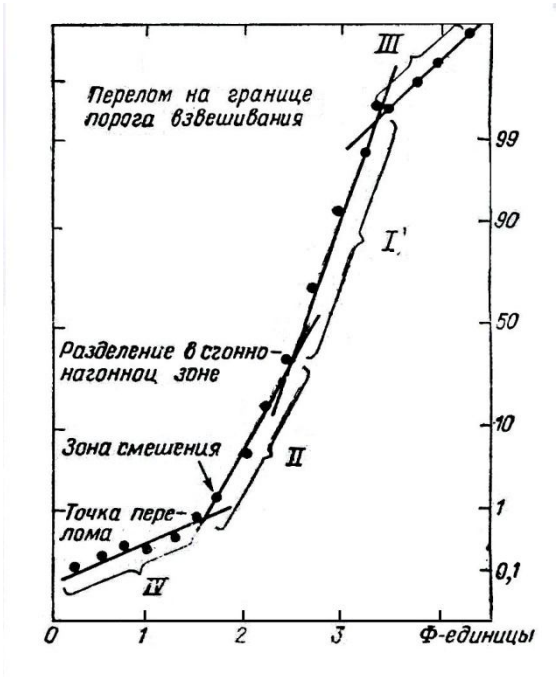

Популяции: I -II–сальтационная, III – суспензионная**;** IV– волочения

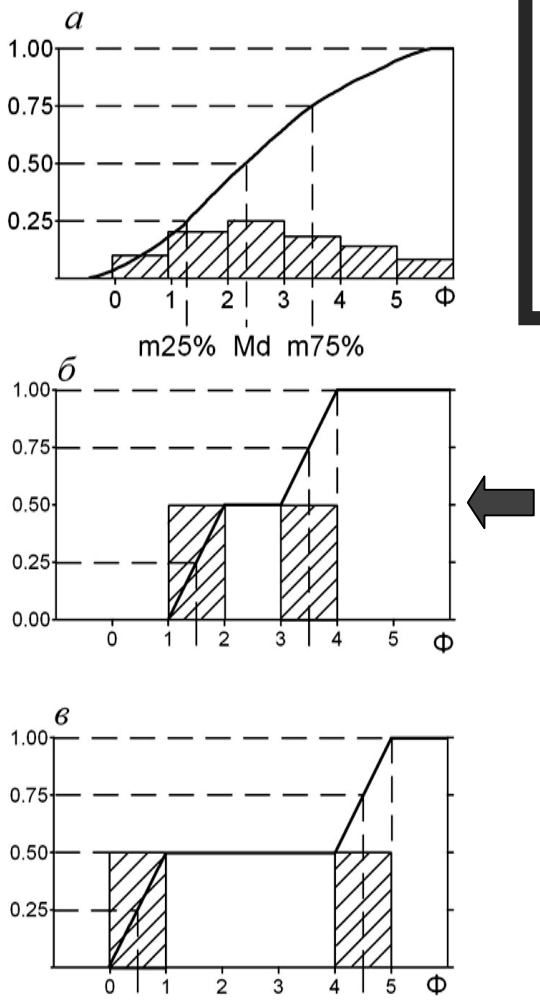

Рис. 7.2. Различное распределение частиц по фракциям, приводящее к неверной оценке сортировки осадка с помощью коэффициента Траска:

а – одномодальное распределение плохо сортированного песчаника (σ = 3);

б – наличие в породе двух, близких по размеру фракций разных популяций. При их идеальной сортировке по отдельности значение σ примерно соответствует случаю «*а*» (σ ~ 3);

в – то же, что и в случае «*б*», но с явно не оправданным завышением коэффициента Траска (σ ~ 15)

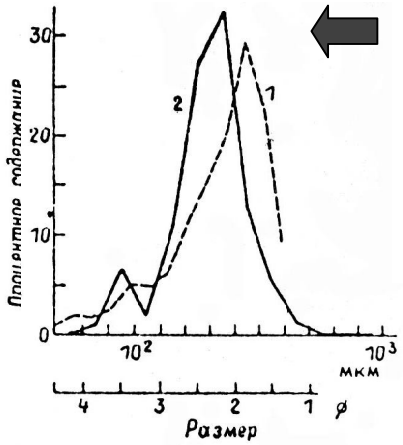

Рис. 7.3. Эмпирические полигоны распределения гранулометрического состава осадков (ЭПР) по Б.Н. Котельникову (1989):
1 – бескварцевый лититовый песок нижнего течения р. Муса, о. Новая Гвинея; 2 – полевошпато-кварцевый песок из террасы р. Лены (близ г. Олекминска)

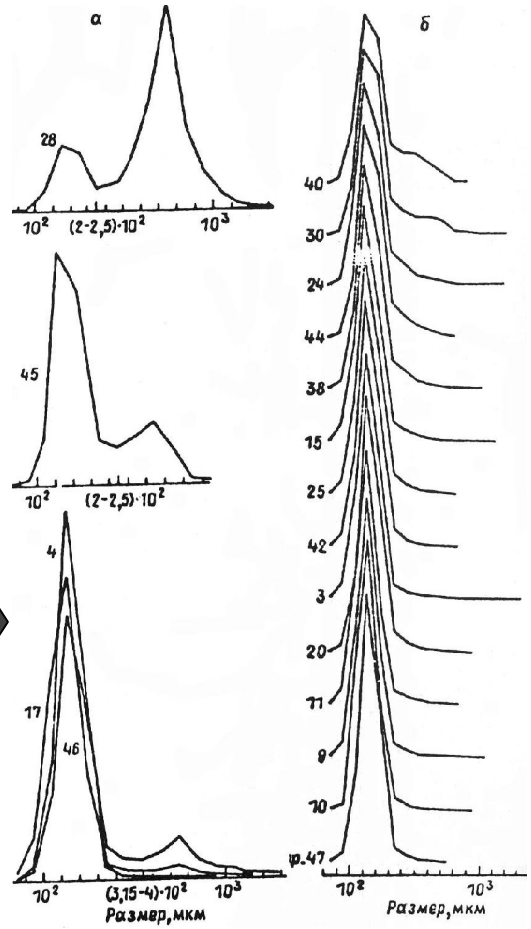

Рис. 7.4.ЭПР песков пляжа Нарвского залива:
а – бимодальные распределения, отличающиеся размерностью грубозернистой моды; *б* – одновершинные распределения песков, чередующихся в разрезе канавы с бимодальными

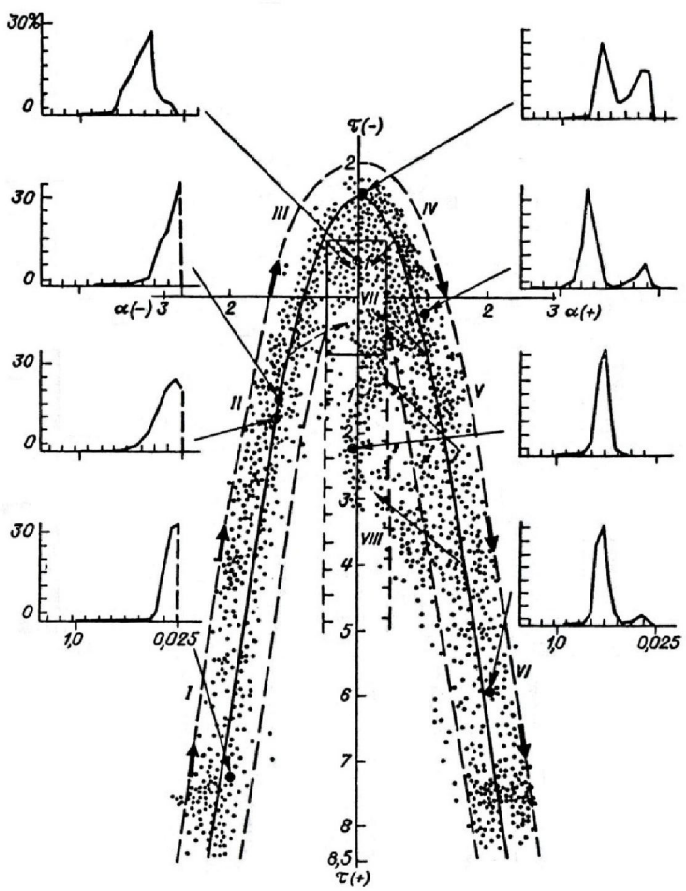

Рис. 7.5. Динамогенетическая диаграмма Г. Ф. Рожкова (1968, 1978):
распределение точек-проб современных осадков различных фаций по значениям асимметрии и эксцесса по косвенному счету зерен:
I – застойные донные участки; II – донные течения или мутьевые потоки; III – континентальные речные фации; IV – сильные речные или вдольбереговые течения; V– выход волн на мелководье, накат; VI – побережье, сильный накат; VII – эоловая переработка речных осадков; VIII – выход волн на мелководье; α – асимметрия; τ – эксцесс

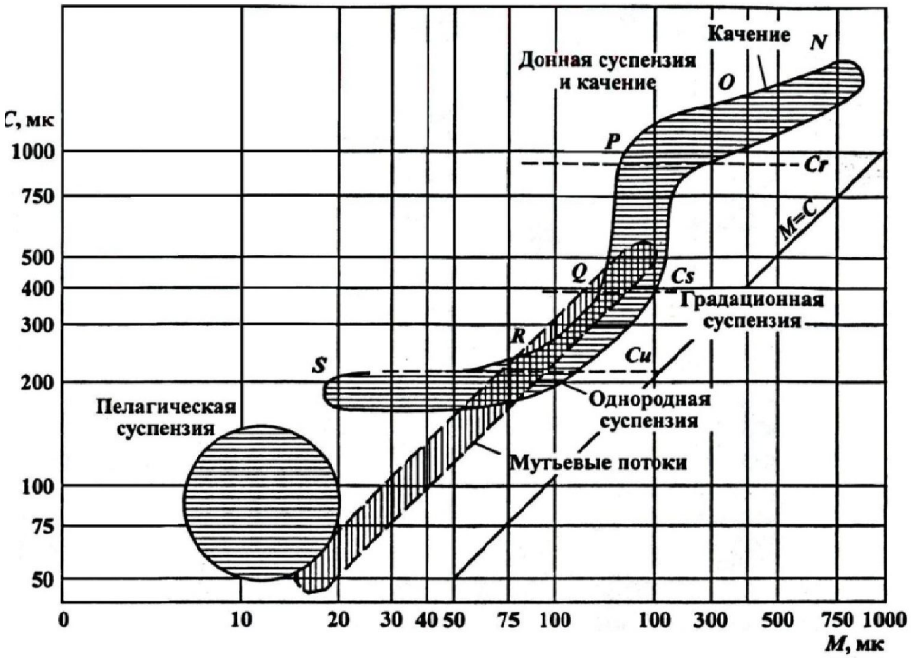

Диаграмма *CM* Р. Пассега для определения способа переноса осадков в водной среде

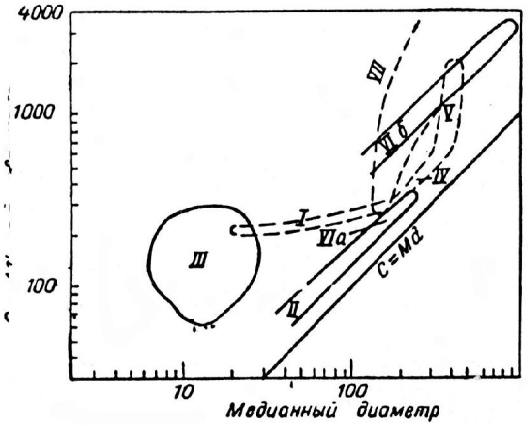

Рис. 7.6. Интерпретация режимов осадконакопления (Романовский, 1977):
I, IV, V – реки, донные течения; II, VI – мутьевые потоки; III – осадки «спокойной» седиментации; VII– пляжи

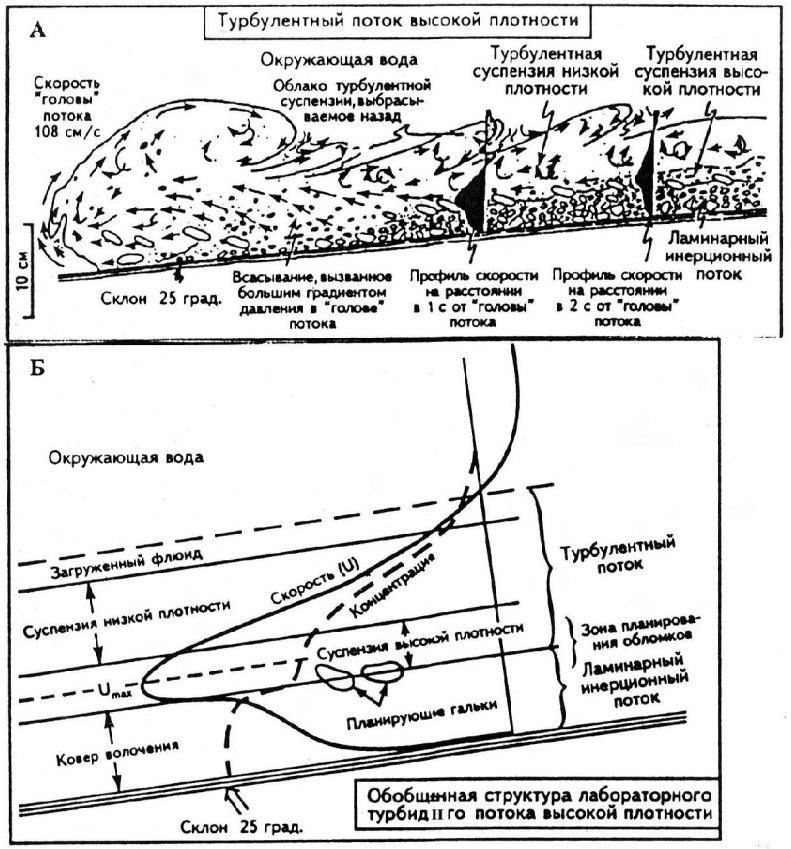

Рис. 7.7. Турбидный поток высокой плотности:
А. – диаграмма быстрого изображения экспериментального турбидного течения высокой плотности,показывающая нижний нетурбулентный (инерционный поток) и верхний турбулентный слой; Б –обобщенная схема распределения скорости и концентрации частиц в элементарном турбидном потоке высокой плотности (Постма Г. и др., 1988: из: Поляков, 2001)

8. Минералогический анализ

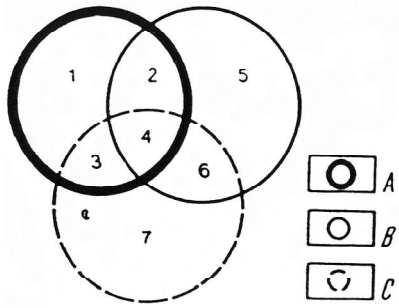

Рис. 8.1. Схема соотношения объемов понятий: терригенные минералы, тяжелые минералы и акцессорные минералы (М. Бергер, 2009):
минералы: *A*– терригенные; *B* – тяжелые, *C* – акцессорные;*1* – породообразующие терригенные минералы легкой фракции; *2* – породообразующие терригенные минералы тяжелой фракции; *3* – акцессорные терригенные минералы легкой фракции; *4* – акцессорные терригенные минералы тяжелой фракции; *5* – породообразующие аутигенные минералы тяжелой фракции; *6*– акцессорные аутигенные минералы тяжелой фракции; *7*– акцессорные аутигенные минералы легкой фракции

Таблица 8.1

Классификация терригенных минералов тяжелой фракции (М. Бергер, 2009)

Химическая устойчивость (в условиях поверхностного выветривания)	Гидроаэродинамическая устойчивость		
	высокая	средняя	низкая
Высокая	I группа Циркон Рутил Ильменит+ +лейкоксен (частично) Хромит (хромшпинелиды) Монацит Ксенотим	II группа Лейкоксен (частично) Анатаз Брукит Шпинель (алюмошпинели) Ставролит Кианит	III группа Турмалин Силлиманит Андалузит
Средняя	IV группа Альмандин	V группа Пироп Титанит (частично)	VI группа Титанит (частично) Эпидот Цоизит Клиноцоизит Апатит (?)
Низкая	VII группа Магнетит	VIII группа Гранаты-уграндиты Некоторые пироксены (существенно железистые ортопироксены и др.)	IX группа Биотит Амфиболы Большинство пироксенов (диопсид, авгит, энстатит и др.) Оливин (основная часть)

Таблица 8.2

Зависимость ассоциаций минералов в осадочных породах от состава пород в областях сноса (М. Бергер, 2009)

Породы питающих провинций	Характерные ассоциации минералов осадочных пород	
	Породообразующие минералы	Акцессорные минералы
Магматические кислого состава (граниты, гранодиориты)	Кварц, полевые шпаты (микроклин, ортоклаз, кислый плагиоклаз), мусковит	Циркон, турмалин, апатит, монацит, биотит
Магматические основного состава (габбро, диабазы, базальты)	Обломки пород, основные плагиоклазы	Ильменит, лейкоксен, сфен, рутил, пироксены, амфиболы, минералы группы эпидота
Магматические ультраосновные (пироксениты, перидотиты, дуниты)	То же	Ильменит, магнетит, лейкоксен, пироксены, амфиболы, сфен, пикотит, хромит
Метаморфические (гнейсы, кристаллические сланцы)	Кварц, значительная часть которого имеет волнистое погасание и мозаичное строение	Дистен, ставролит, силлиманит, андалузит, гранаты, хлорит
Осадочные (древние или формировавшиеся в обстановке интенсивного выветривания)	Преимущественно кварц, в основном хорошо окатанный	Циркон, турмалин, рутил (зерна в основном хорошо окатанные)

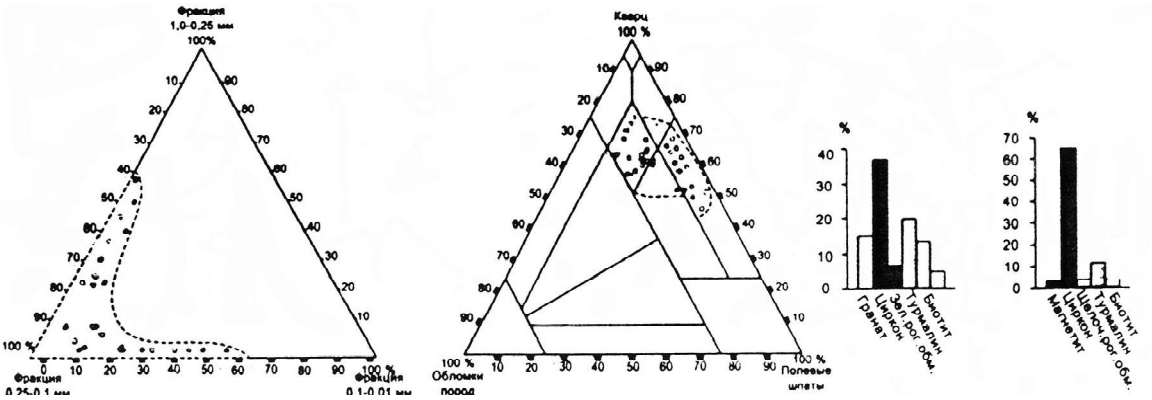

Рис. 8.1. Гранулометрический, вещественный и минералогический состав палеоруслових отложений пласта $ЮС_1^3$. Парабельскиймегавал (Л. С. Чернова и др., 2004)

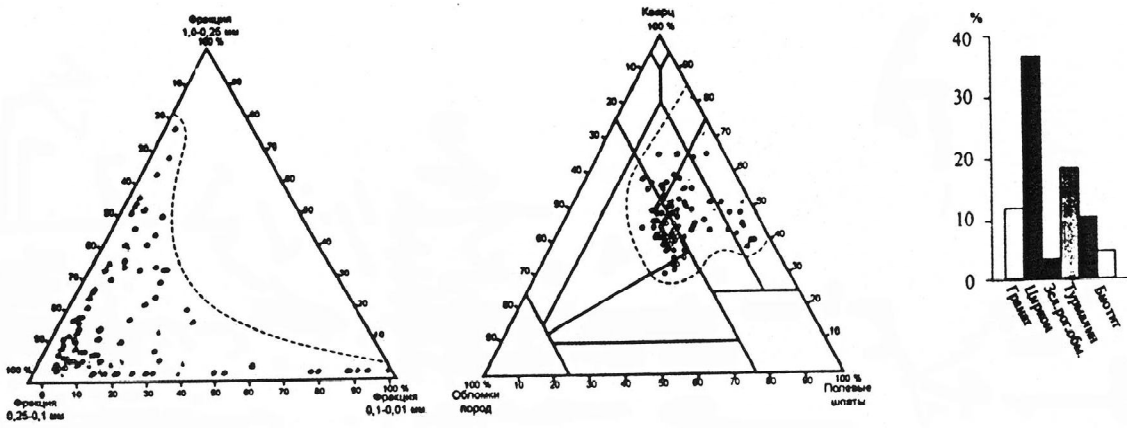

Рис. 8.2. Гранулометрический, вещественный и минералогический состав пород пласта $ЮС_1^3$ аллювиально-дельтового комплекса. Средневасюганскиймегавал (Л. С. Чернова и др., 2004)

При изучении минерального состава пород пярнуской серии Прибалтики мы использовали три группы коэффициентов. Во-первых, это *коэффициенты источников сноса* (петрофондовые по М. Г. Бергеру и др. [1979]), к которым были отнесены отношения циркон : рутил (1), циркон : гранаты (2), циркон : турмалин (3), турмалин : рутил (4), циркон : (дистен + ставролит) (5). Это отношения минералов, характерных для кристаллических пород разного происхождения: если циркон чаще связан с гранитоидными изверженными породами, то гранаты, дистен, ставролит имеют метаморфическое происхождение. Кроме того, в различных комплексах изверженных пород могут встречаться различные соотношения акцессорных минералов, которые отражаются в продуктах их разрушения. Коэффициенты источников сноса указывают на разные комплексы пород, размывавшихся в областях сноса. Поэтому коэффициенты 1 – 5 позволяют выделять минералогические комплексы, связанные с разными областями сноса.

Вторая группа коэффициентов – тектонических – включает соотношения пар минералов с различной плотностью. Тектоническими они называются потому, что вследствие механической дифференциации, согласно данным Г. А. Каледы [1969], на вершинах конседиментационных структур концентрируются более тяжелые минералы, а на их склонах – более легкие. Поэтому изучение соотношений пар минералов с различной плотностью может дать указания на местоположение конседиментационных структур. К тектоническим коэффициентам можно отнести отношения таких пар минералов, как циркон : апатит (6), циркон : слюды (7), рудные минералы : турмалин (8), рудные минералы : слюды (9), кварц : слюды (10).

Третья группа коэффициентов –седиментационных– отражает условия отложения осадков, дальность их переноса и степень зрелости. Для этого сопоставляются пары устойчивых и неустойчивых в процессе химического выветривания, переноса и переотложения минералов. Такие коэффициенты представлены отношениями циркон : (пироксены + амфиболы + эпидот) (11), кварц : полевые шпаты (12). Чем выше зрелость и переработанность осадков, тем выше значения этих коэффициентов.

В распределении значений коэффициента циркон : гранаты в пярнуских отложениях Прибалтики наблюдается ярко выраженная закономерность: в западной части они всегда выше 1 и достигают 109, т. е. содержание циркона всегда выше, чем гранатов.

[Методы палеогеографических…, 1984]

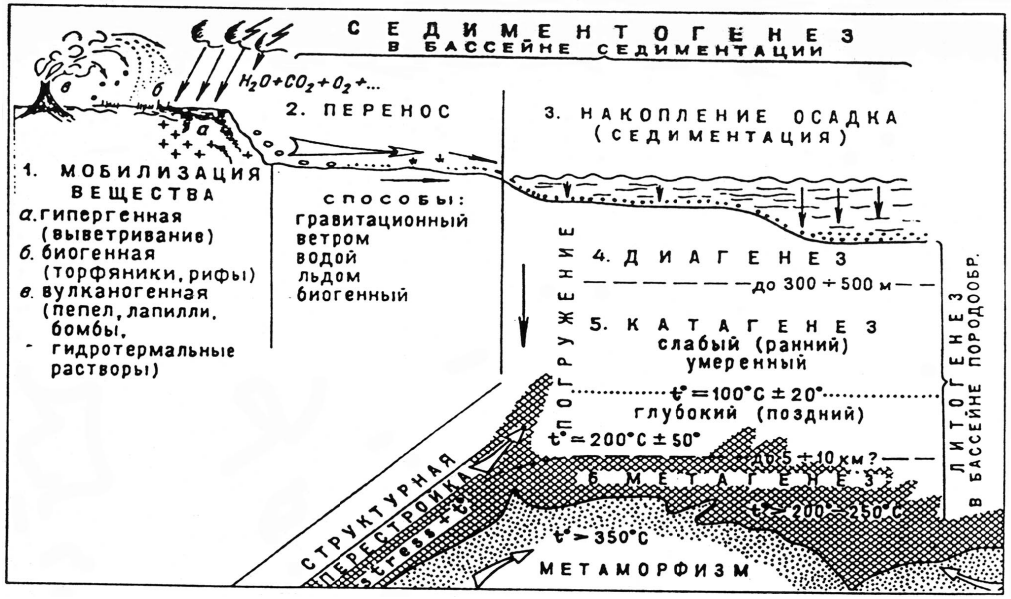

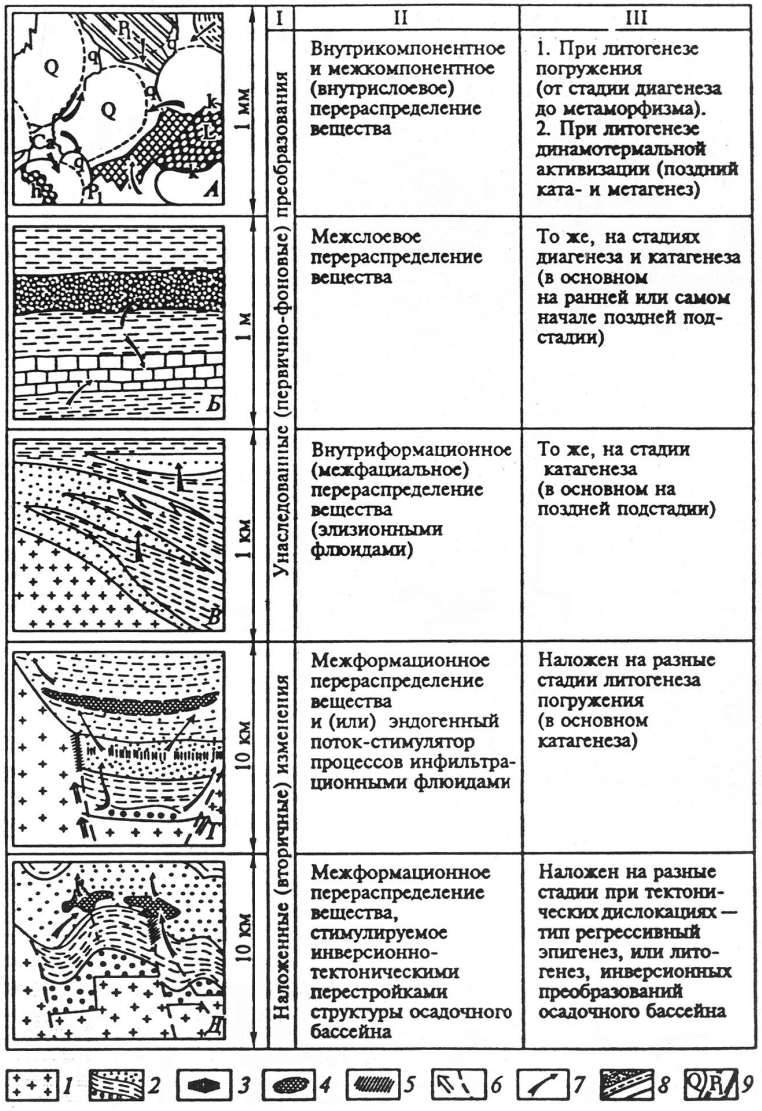

Рис. 9.1. Стадии осадочного процесса и их главнейшие параметры (О. В. Япаскурт, 2008):

схема ранжирования литогенетических преобразований и изменений осадочных пород и их комплексов: слева – схематические модели различных категорий преобразований, унаследованных от состава исходных осадков (*А – В*) и наложенных изменений (*Г – Д*). Справа: I – названия выделенных категорий; II – их масштабность применительно к способам перераспределения вещества; III – стадии и типы литогенеза, которые свойственны категории *А-Д*; *1* – фундамент ОБ; *2* – различные комплексы осадочных пород; *3* – зоны децементации и возникновения вторичной пористости; *4* – вторичная карбонатизация; *5* – вторичная каолинитизация, цеолитизация и др.новообразования; *6* – потоки флюидов и тепловой энергии (стрелки) вдоль разломов (пунктир); *7* – потоки флюидов, возникших вследствие трансформации осадочных минеральных и органических компонентов; *8* – различные литотипы; *9* – кластогенные компоненты в песчанике (состав обломков: кварц, плагиоклаз, биотит, литокласты; аутигенные образования: кварц, альбит, хлорит, кальцит, коррозионные микроструктуры)

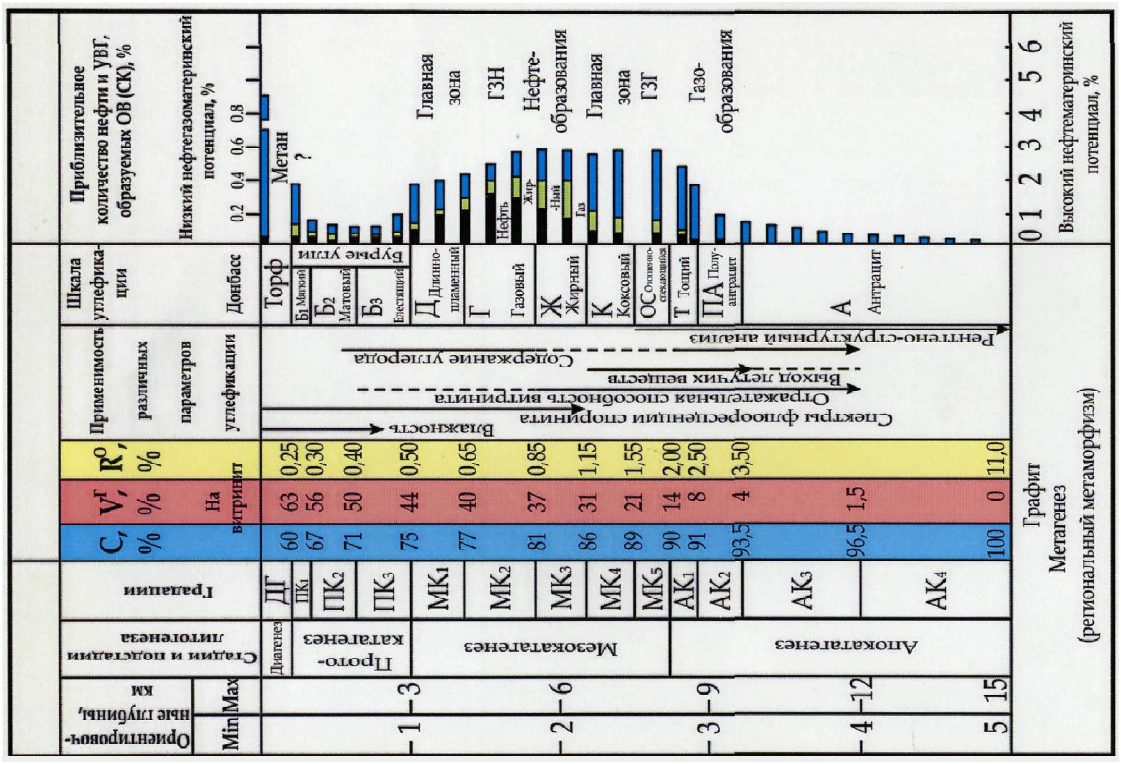

Рис. 9.2. Шкала метаморфизма

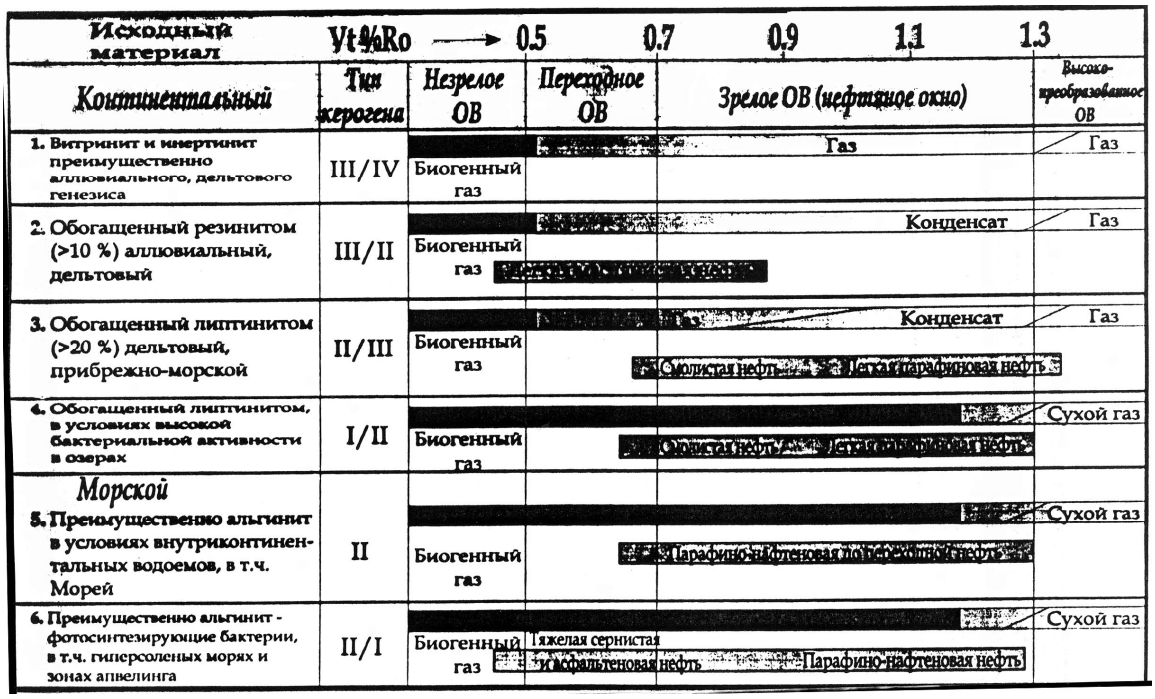

Рис. 9.3. Показатель отражения витринита: ключ к моделированию и установлению значений для газово-нефтяного окна

Раздел 3.ФИЗИКО-ХИМИЧЕСКИЕ МЕТОДЫ

10. Химический анализ (литохимия)

Система литохимических модулей (отношений петрогенных окислов)

Я. Э.Юдович, М. П. Кетрис, (2000 и др.)

Применение при исследовании терригенных пород системы литохимических модулей дает возможность более точно проводить их классификацию, реконструировать состав и особенности преобразования пород в источниках сноса, расшифровывать физико-химические и геодинамические особенности обстановок осадконакопления. Данный подход может быть использован как при исследовании рыхлых несцементированных осадков, так и метаморфизованных осадочных пород. Однако для изучения карбонатных и кремнистых отложений этот метод практически неэффективен, так как содержания большинства петрогенных окислов в названных типах осадочных образований невелики, а набор их ограничен.

Расчет литохимических модулей производится непосредственно по данным классического силикатного (так называемая «мокрая химия») или рентген-флуоресцентного анализов породы, выраженным в массовых процентах. Наиболее часто используемыми и, следовательно, наиболее информативными модулями являются гидролизатный, алюмо-кремниевый, титановый, фемический, натриевый, калиевый, щелочной, модуль общей нормативной щелочности и железный.

Гидролизатный модуль ГМ = $(Al_2O_3 + TiO_2 + Fe_2O_3 + FeO + MnO)/SiO_2$

Гидролизатный модуль используется при изучении как обломочных, так и глинистых отложений и позволяет разделять породы, содержащие продукты гидролиза (каолинит, оксиды алюминия, железа, марганца) от пород, в которых преобладает кремнезем. Чем выше величина этих модулей в глинистых породах или песчаниках, тем более сильное выветривание претерпели исходные комплексы в областях размыва и тем выше зрелость осадочных пород. По величине ГМ терригенные и кремнистые породы могут быть разделены на: 1) силициты (кремни, фтаниты, яшмы, лидиты и пр.), мономиктовые кварцевые песчаники и кварциты, ГМ < 0,10; 2) слабоглинистые силициты (глинисто-кремнистые сланцы), олигомиктовые кварцевые песчаники и алевролиты, ГМ = 0,10 – 0,20; 3) глинистые силициты (кремнисто-глинистые сланцы), мезомиктовые и полимиктовые кварцевые песчаники и алевролиты, ГМ = 0,20 – 0,30; 4) глинистые породы, некоторые основные граувакки, ГМ = 0,30 – 0,50; 5) гидролизатные глинистые породы, содержащие каолинит либо свободные оксиды алюминия, железа и марганца, ГМ > 0,50.

Алюмокремниевый модуль АМ = $A1_2O/SiO_2$

Алюмокремниевый модуль в значительной мере дублирует гидролизатный модуль и указывает на степень химического выветривания пород. Однако иногда такие типичные продукты гидролиза как некоторые железные руды, могут быть бедны $Al_2Oз$, но обогащены железом. Из сказанного следует, что ГМ имеет более универсальное, нежели АМ, значение при изучении алюмосиликокластических образований. В терригенных породах для модулей АМ и ГМ обычно характерна хорошо выраженная положительная корреляция. Ее отсутствие иногда дает возможность установить присутствие в породах чуждых примесей. Так, низкие значения АМ при высоких величинах ГМ могут являться индикатором присутствия в породах железистого вулканогенного материала.

Кварцевые песчаники и кремнистые породы имеют величину АМ < 0,10. В «обычных» песчаниках значение АМ находится, как правило, между 0,10 и 0,22. Для глинистых пород типичны значения АМ, находящиеся в интервале 0,22 – 0,35. Наконец, при величине АМ > 0,35 мы имеем дело с породами, испытавшими значительное влияние процессов гидролиза, т. е. сформированными за счет разрушения кор выветривания.

Фемический модуль FM= $(FeO + Fe_2Oз + MgO)/SiO_2$

Рассматриваемый модуль обычно применяется при разделении граувакк и др. типов песчаников. Так как для граувакк характерно достаточно большое количество темноцветных минералов, они нередко весьма схожи по величине ФМ с собственно глинистыми породами. Модуль ФМ имеет важное значение, и при распознавании петро- и пирогенных (вулканогенных) отложений такие породы практически всегда характеризуются значениями ФМ > 0,10.

Фемический модуль нельзя применять при исследовании пород, в состав которых входит доломит.

Титановый модуль ТМ = $TiO_2/Al_2Oз$

На величину титанового модуля в осадочных породах влияют содержание TiO_2 в осадке и степень механической сортировки кластики. Исходя из этого, максимальные значения ТМ характерны для зрелых осадочных пород (кварциты и кварцевые песчаники из зон с максимальной подвижностью среды осадконакопления), а минимальные наблюдаются в аргиллитах флиша. Песчаные и глинистые породы, сформированные в различных фациальных и климатических обстановках, имеют различные значения ТМ.

Натриевый модуль НМ = Na_2O/Al_2O_3

Натриевый модуль, как и ряд других модулей, характеризует особенности процессов химического выветривания и созревания поступающей в бассейн кластики. Чем меньше величина НМ, тем меньше плагиоклазов поступило в область осадконакопления из питающей провинции и, тем самым, НМ выступает в определенной мере показателем типа климата, доминирующего на палеоводосборах. Максимальные значения НМ характерны для граувакковых песчаников. По величине НМ терригенные и кремнистые породы подразделяются на гидролизатные отложения (НМ < 0,010), собственно кремнистые породы (НМ – 0,010 – 0,050) и граувакки (НМ > 0,20). В обычных терригенных породах величина НМ варьирует от 0,050 до 0,20 (в песчаниках НМ, как правило, выше, чем в аргиллитах).

Щелочной модуль ЩМ = Na_2O/K_2O

Данный модуль при совместном использовании с НМ и калиевым модулем (КМ = K_2O/Al_2O_3) позволяет оценить присутствие в породе Na-содержащих минералов (главным образом породообразующих – высокие значения ЩМ характерны для пород с доминированием кислых плагиоклазов, значительным количеством слюды и калиевых полевых шпатов.

Общая нормативная щелочность ОНЩ = $(Na_2O + K_2O)/Al_2O_3$

Модуль общей нормативной щелочности (или иначе – «полевошпатовый индикатор») позволяет диагностировать присутствие в осадочных породах камуфлированной пирокластики даже в тех случаях, когда обычными петрографическими методами она не фиксируется. Повышенные значения модуля ОНЩ могут возникать при увеличении количества полевых шпатов в породе и присутствии низкоглиноземистых силикатов (щелочных амфиболов, железистых гидрослюд), в состав которых обычно входят щелочи. Как правило, высокие значения модуля ОНЩ характерны для пород, содержащих примесь вулканогенного материала основного состава.

По значениям модуля ОНЩ терригенные и кремнистые породы могут быть отнесены к следующим классам: 1) < 0,20 –низкощелочные; 2) 0,20 – 0,40 - нормально-щелочные; 3) 0,40-0,70 – повышеннощелочные; 4) 0,70 – 1,00 –высокощелочные; и 5) > 1,00 – гиперщелочные.

Железный модуль ЖМ= $(FeO + Fe_2O_3+MnO)/(Al_2O_3 + TiO_2)$

Железный модуль чаще всего используют в паре с гидролизатным, что позволяет получить подробную информацию о тонкозернистых продуктах гидролиза. По величине ЖМ среди терригенных и кремнистых пород выделяются следующие классы: 1) < 0,20 –низкожелезистые; 2) 0,20-0,60 - нормально-железистые; 3) 0,60 – 1,00 – повышенно-железистые; 3) 1,00-3,00 – высоко-железистые; и 4) > 3,00 –гипержелезистые. Большинство обломочных пород характеризуется величиной ЖМ, варьирующей от 0,20 до 0,60. Для Al-пелитов характерны значения ЖМ < 0,20, а ЖМ > 0,60 типичны для Fe-пелитов. Однако высокие значения ЖМ не всегда соответствуют первичной железистостипелитового вещества, так как они подвержены влиянию диа- и эпигенетических процессов.

Диаграмма в координатах ТМ – TiO_2

Эта диаграмма позволяет провести достаточно дробное разделение и псаммитов, и пелитов. Кроме осадочных пород указанная диаграмма может быть использована и при анализе пород метаморфических, так как Ti при процессах регионального метаморфизма в большинстве случаев является инертным. Граувакки и туфы основного состава, характеризующиеся максимальными содержаниями TiO_2 и высокими значениями титанового модуля, занимают на диаграмме ТМ – TiO_2 принципиально иное поле, нежели аркозы и кварц-полевошпатовые песчаники, для которых типичны наименьшая титанистость и самые низкие значения ТМ (рис. 10.1). Особое место на данной диаграмме занимают кварцевые песчаники, в которых содержания TiO_2 сопоставимы с теми, что типичны для аркозов, тогда как величина титанового модуля существенно выше, что обусловлено разделением Al и Ti в процессе интенсивного химического выветривания, ведущего к формированию кварцевых аренитов.

Диаграмма ТМ-TiO_2 дает также возможность классифицировать по минеральному составу глинистые породы, так как наиболее высокие содержания TiO_2 и высокие значения ТМ характерны для каолинитовых глин, минимальные значения указанных параметров типичны для монтмориллонитовых глин, а гидрослюдистые и гидрослюдисто-хлоритовые глины занимают промежуточное между ними положение (рис. 10.2).

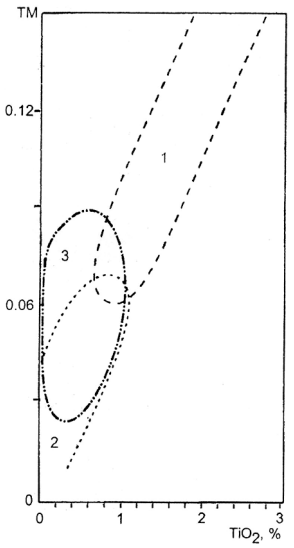

Рис. 10.1. Диаграмма ТМ-TiO_2 для песчаников:
поля: 1 – граувакк; 2 – аркозов; 3 – кварцевых песчаников

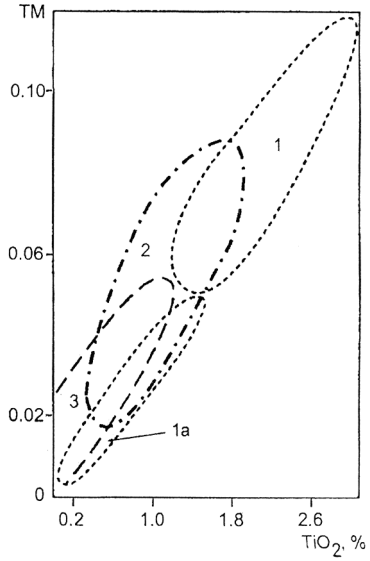

Рис. 10.2. Диаграмма ТМ-TiO_2 для глинистых пород:
поля: 1 – каолинитовых глин; 1а – низкомодульных каолинитовых глин - продуктов катагенетических преобразований монтмориллонитового или каолинитового субстрата; 2 – существенно гидрослюдистых глин; 3 – существенно монтмориллонитовых глин

11. Геохимия микроэлементов

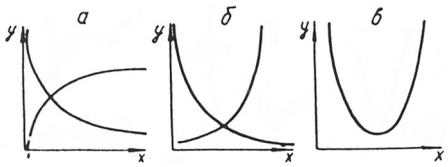

Рис. 11.1. Виды зависимостей:
а – логарифмическая, *б* – степенная, *в*– параболическая

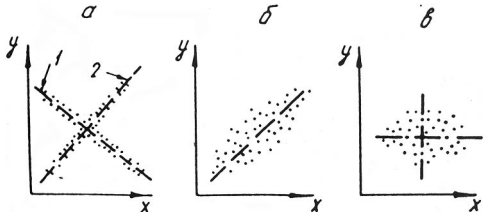

Рис. 11.2. Линейная зависимость:
а – тесная (1 – отрицательная, 2 – положительная), *б* – слабая, *в*– отсутствует

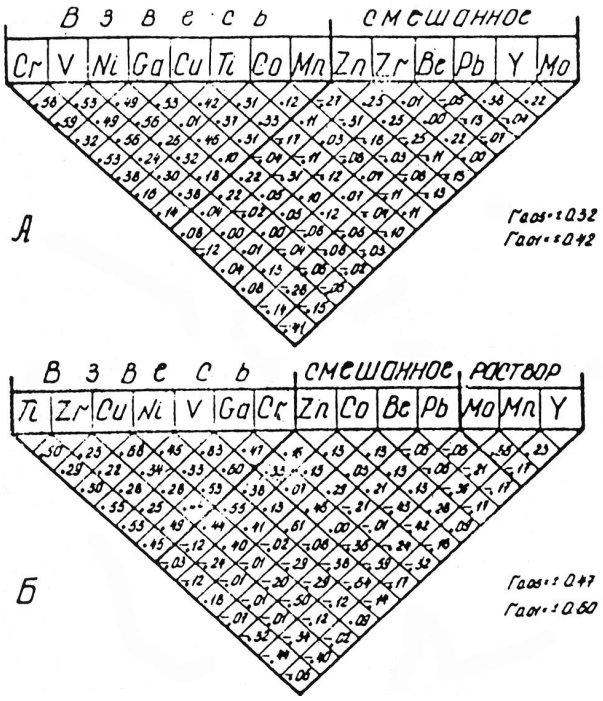

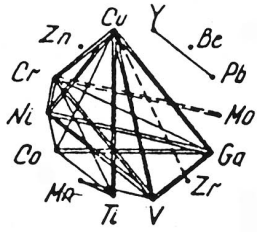

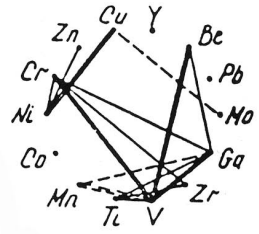

Рис. 11.3. Ряды подвижности (слева) и графы связей (справа) по русловым (А) и пойменным (Б) отложениям. Тольинская свита Северо-Сосьвинского района

Таблица. 11.1

Критические значения для выборочного коэффициента корреляции (принимать значения для *f*= *n*– 2)

f	*α*		*f*	*α*		*f*	*α*	
	0,05	0,01		0,05	0,01		0,05	0,01
1	0,997	1,000	16	0,468	0,590	110	0,186	0,242
2	0,950	0,990	17	0,456	0,575	120	0,178	0,232
3	0,878	0,959	18	0,444	0,561	130	0,171	0,223
4	0,811	0,917	19	0,433	0,549	140	0,165	0,215
5	0,754	0,875	20	0,423	0,537	150	0,160	0,210
6	0,707	0,834	25	0,381	0,487	200	0,139	0,182
7	0,666	0,798	30	0,349	0,449	300	0,113	0,148
8	0,632	0,765	35	0,325	0,418	400	0,098	0,129
9	0,602	0,735	40	0,304	0,393	500	0,088	0,115
10	0,576	0,708	50	0,273	0,354	600	0,080	0,105
11	0,553	0,684	60	0,250	0,325	700	0,074	0,097
12	0,532	0,661	70	0,232	0,302	800	0,069	0,091
13	0,514	0,641	80	0,217	0,283	900	0,065	0,086
14	0,497	0,623	90	0,205	0,267	1000	0,062	0,081
15	0,482	0,606	100	0,195	0,254			

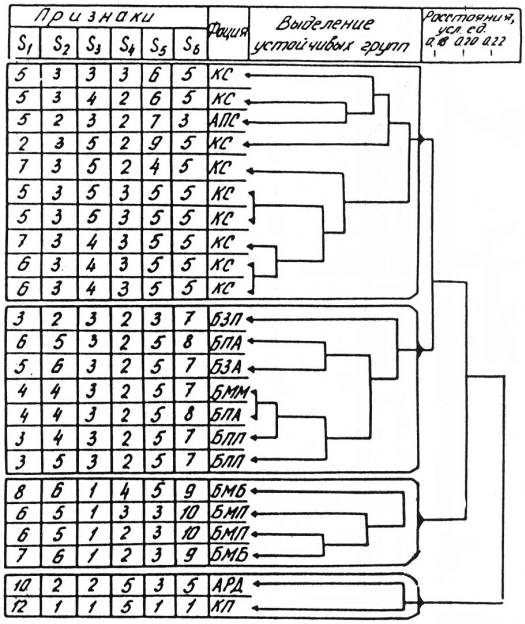

Рис. 11.4. Кластерная диаграмма объектов (слоев) по их диагностическим признакам

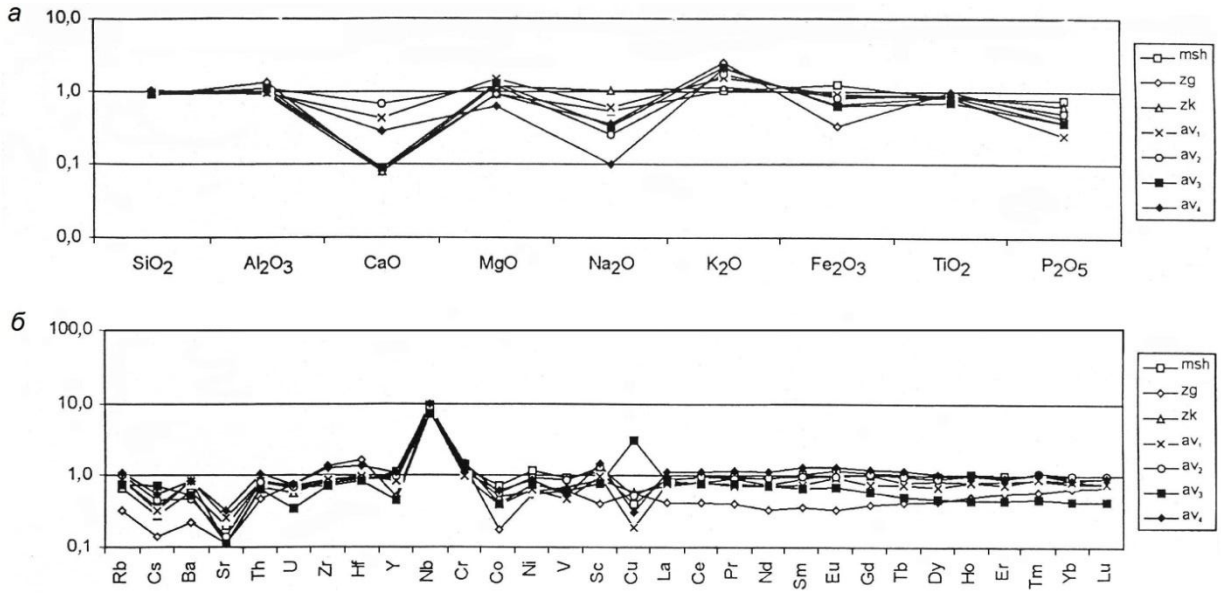

Рис. 11.5. Спайдер-диаграмма нормированных на *PAAS* содержаний петрогенных окислов (а) и малых элементов (б) в глинистых сланцах основных литостратиграфических подразделений юрматинской серии среднего рифея Башкирского мегантиклинория (Маслов и др., 2004): *msh*– машакская свита; *zg* – зигальгинская свита; *zk* – зигазино-комаровская свита; авзянская свита: av_1 – катаскинская подсвита, av_2 – малоинзерская подсвита, av_3 – ушаковская подсвита, av_4 – куткурская подсвита

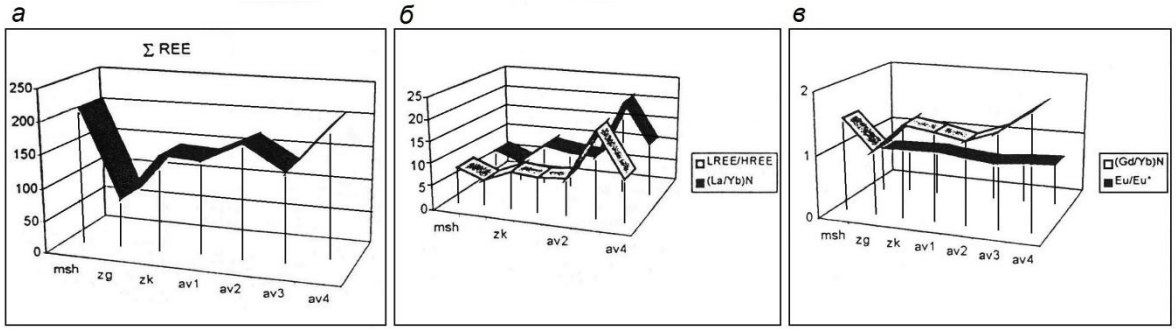

Рис. 11.6. Особенности изменения суммы РЗЭ (а), отношений *LREE/HREE*, La_N/Yb_N (б) и отношений Gd_N/Yb_N и *Eu/Eu (в) в глинистых сланцах юрматинской серии среднего рифея Башкирского мегантиклинория (Маслов и др., 2004):** *msh* – машакская свита; *zg* – зигальгинская свита; zk – зигазино-комаровская свита; авзянская свита: av_1 – катаскинская подсвита, av_2 – малоинзерская подсвита, av_3 – ушаковская подсвита, av_4 – куткурская подсвита

12.Термический, рентгеноструктурный, люминисцентный, электронно-микроскопический методы



Рис. 12.1. Методы изучения глинистых пород (по М. Ф. Викуловой): 1 – полевое изучение; 2 – петрографическое изучение шлифа; 3 – гранулометрический анализ; 4 – химический анализ; 5 – термический анализ; 6 – спектральный анализ; 7 – изучение оптических свойств агрегатов ориентированных частиц глинистых минералов размером менее 0.001 мм; 8 – электронная микроскопия; 9 – электронографический анализ; 10 – рентгеновский; 11 – спектрофотометрический анализ; 12 – изучение инфракрасных спектров поглощения; 13 – минералогический анализ неглинистых минералов; 14 – изучение органического вещества; 15 – органические остатки - палеонтологические определения; 16 – изучение поглощенного комплекса катионов; 17 – определение водорастворимых солей; 18 – диализ и электродиализ; 19 – определение pH; 20 – определение Eh

Термический метод

В процессе нагревания в минералах происходят различные изменения: обезвоживание (потеря воды с разрушением решетки и без разрушения в зависимости от типа воды), диссоциация – распад с выделением газовой фазы, плавление, полиморфные превращения, окисление, раскристаллизация, перекристаллизация и т. д. Реакции обезвоживания, диссоциации, плавления и полиморфные превращения происходят с поглощением тепла, являются эндотермическими. Реакции окисления, кристаллизации и перекристаллизации протекают с выделением тепла и называются экзотермическими.

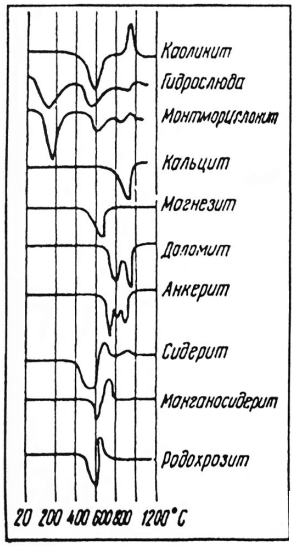

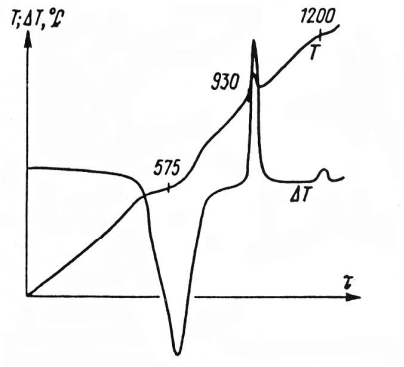

Кривые нагревания каолинитовых глин.

$T(\tau)$ — температурная кривая; $\Delta T(\tau)$ — дифференциальная кривая [Фролов В. Т., 1964].

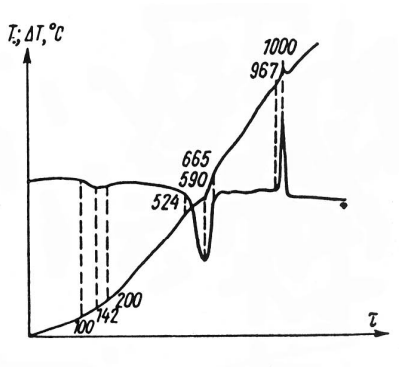

Кривые нагревания галлуазитовых глин.

Рис.12.2. Типовые кривые нагревания глинистых и карбонатных минералов

Рентгеновский метод

Рентгеновский метод основан на анализе особенностей дифракции рентгеновских лучей при облучении кристаллов, что упрощенно можно рассматривать как отражение лучей от плоских сеток пространственной решетки. С помощью этого метода можно установить величину межплоскостного расстояния в кристаллах, определить симметрию, размеры элементарной ячейки и по этим данным определить минерал.

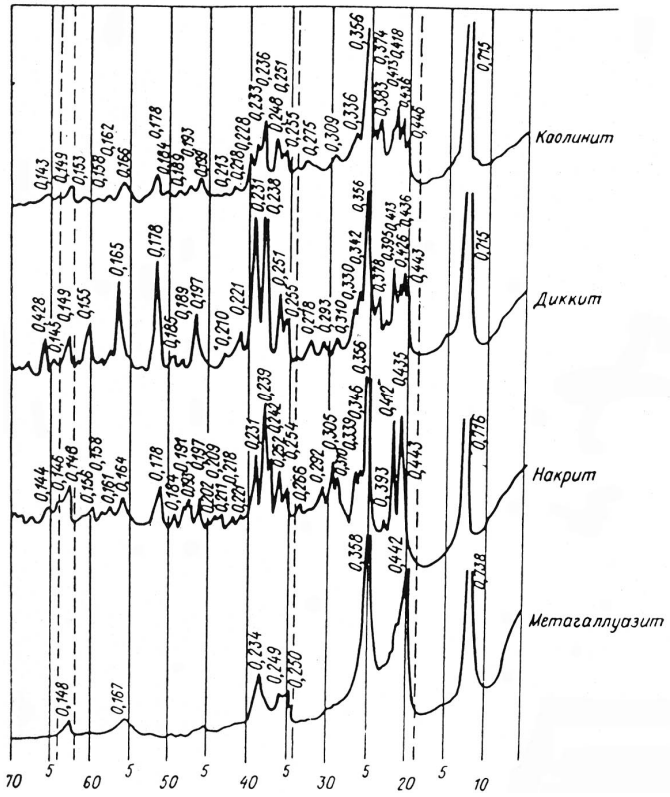

Рис. 12.3. Дифрактограмма каолинита и его производных
(Котельникова Е. Н., 1984)

Люминесцентный метод

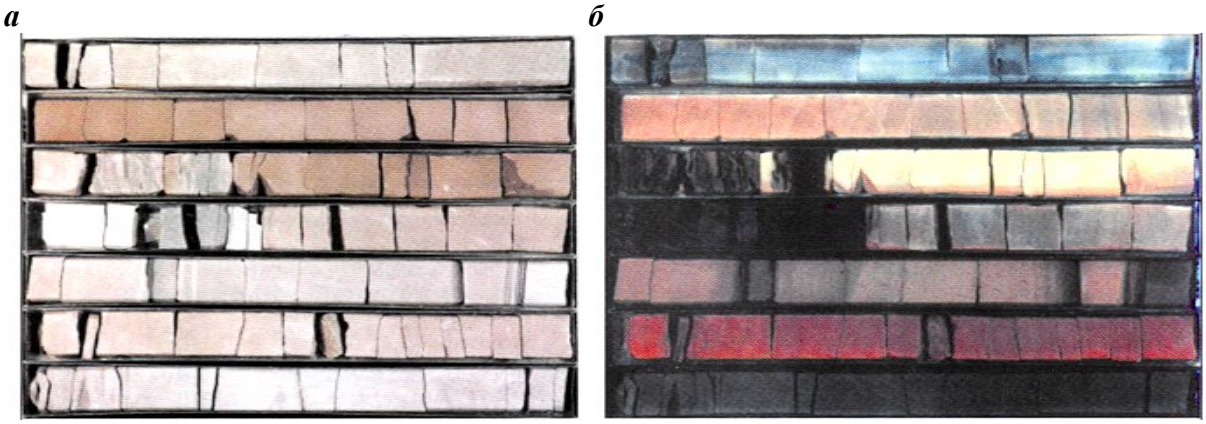

Рис. 12.4. Фотографии нефтенасыщенного керна в дневном (*а*) и ультрафиолетовом (*b*) свете
(Усманов И. Ш. и др, 2003):
1 – Назаргалеевское, скв.3219; 2 – Западно-Айпимское, скв.7058; 3 – Айпимское, скв.4042; 4 – Маслиховское, скв.3280; 5 – Посткарпаманская площадь, скв.7071; Ульяновское, скв.3306; 7 – Западно-Айпимское, скв.554

Электронная микроскопия

Единицы длины	м	мм	мкм (мк)	нм (ммк)
Метр, м	1	10^3	10^6	10^9
Миллиметр, мм	10^{-3}	1	10^3	10^6
Микрометр, мкм (устар. микрон, мк)	10^{-6}	10^{-3}	1	10^3
Нанометр, нм (устар. миллимикрон, ммк)	10^{-9}	10^{-6}	10^{-3}	1

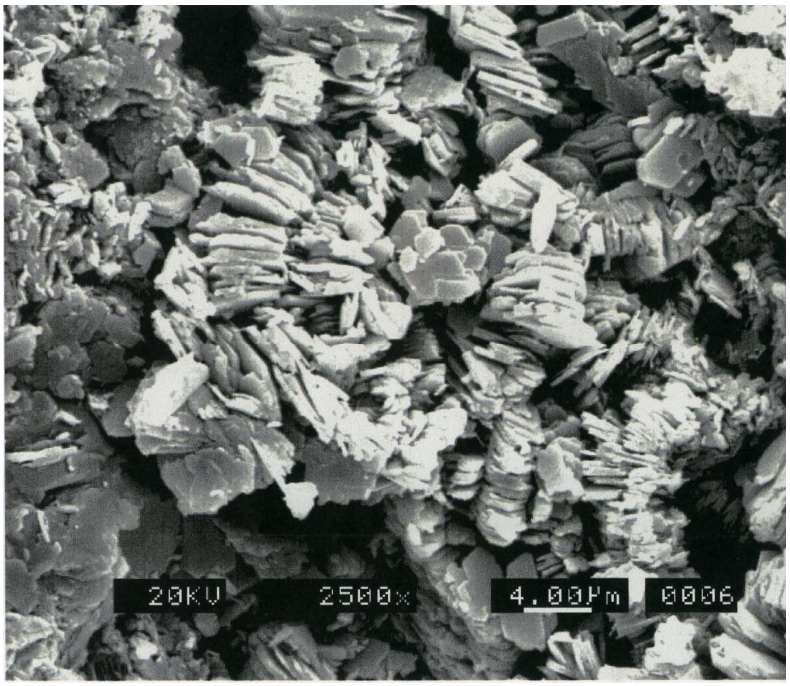

Рис. 12.5.Массивные и вермикулитообразные скопления хорошо образованных мелкотаблитчатых кристаллов каолинита, выполняющие межзерновое пространство с образованием микропор. Сечение кристаллов 2-4мкм, пор- 4-6мкм

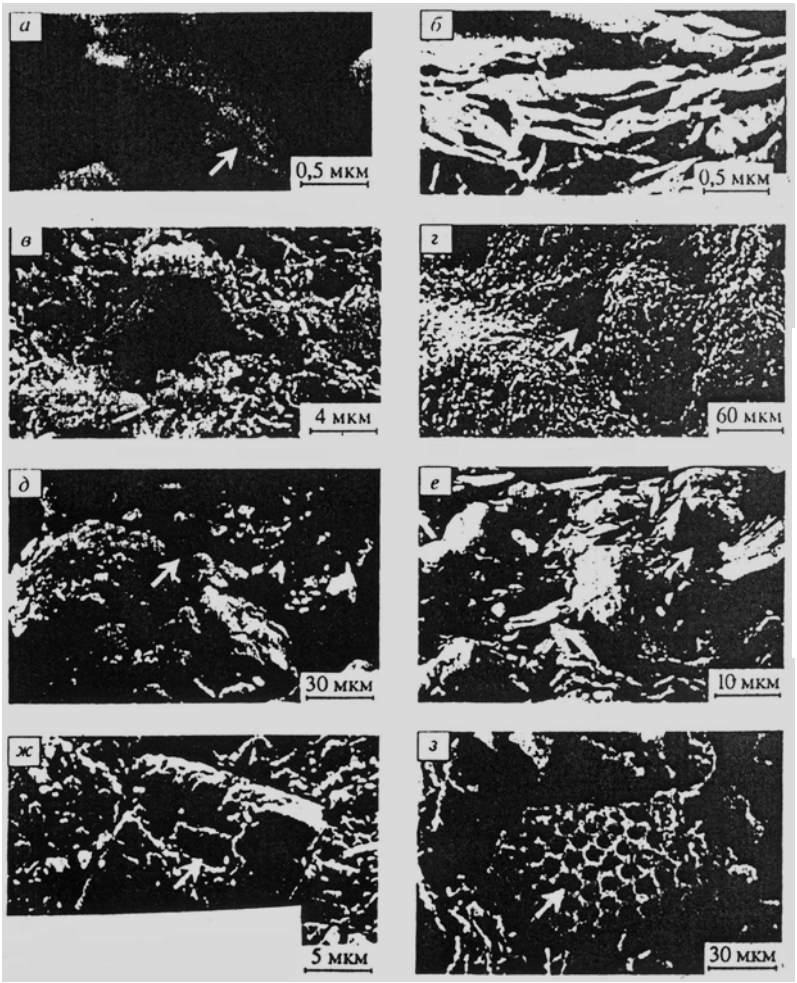

Рис. 12.6. Типы пор в глинистых породах (Осипов и др., 2001): *а* – межчастичные; *б* – межультрамикроагрегатные; *в* – межмикроагрегатные; *г* – межагрегатные; *д* – межзернистые; *е* – межмикроагрегатно-зернистые; *ж* – внутризерновые; *з* – поры биогенного происхождения

13. Фильтрационно-емкостные свойства (ФЕС)

Таблица 13.1

Физические свойства пород(Ломтадзе В. Д., 1990)

Параметр	Определение	Единица измерения	
		СГС	СИ
Плотность	Физическая характеристика тела, вещества, горных пород, численно равная массе единицы объема тела, т. е. отношение массы твердой, жидкой и газовой фаз к его объему	г/см^3	кг/м^3
Минеральная плотность	Отношение массы твердой фазы горной породы (минерала) к объему твердой фазы	г/см^3	кг/м^3
Вес удельный	Параметр, определяющий притяжение горных пород и характер создаваемого ими аномального гравитационного поля. Отношение веса горной породы (минерала) к объему породы (минерала)	дин/см^3	Н/м^3
Пористость общая	Совокупность всех сообщающихся и изолированных пустот в минеральном скелете породы	%	%
Пористость открытая	Совокупность пустот в минеральном скелете породы, сообщающихся между собой и с атмосферой	%	%
Пористость эффективная	Часть порового пространства, заполненного двигающимся по нему флюидом	%	%
Коэффициент пористости	Отношение объема пор к объему породы	–	–
Остаточная вода	Содержание рыхло и крепко связанной воды, занимающей часть полезного объема открытой пористости	% к объему	%
Проницаемость	Способность пород пропускать через себя жидкости и газ. Физический смысл размерности (м^2) заключается в том, что проницаемость как бы характеризует величину площади сечения каналов пористой среды, по которым в основном происходит фильтрация	миллидарси	1,02·10^{-4} м^2

Проницаемость ранее измерялась в Дарси по имени Анри Дарси, предложившего в 1856 г. уравнение для определения фильтрации $Q = (KS/M)\cdot(dp/dx)$, где Q – объемный расход жидкости в единицу времени; K – постоянная проницаемости; S – площадь поперечного сечения; M – вязкость жидкости; dp/dx – гидравлический градиент, или разница в давлении в направлении течения x.

Это уравнение дано для ламинарного течения флюидов в пористых средах; при заданном значении K скорость фильтрации через породы прямо пропорциональна перепаду давления. 1 Ларси равно 1·10^{-12}м^2.

Таблица 13.2

Оценочная классификация песчано-алевритовых коллекторов нефти и газа с межзерновой пористостью (по А. А. Ханину, 1956, 1969, 1973)

Класс коллектора	Название породы	Пористость эффективная (полезная емкость), %	Проницаемость по газу, миллидарси	Характеристика коллектора по проницаемости
I	Песчаник среднезернистый Песчаник мелкозернистый Алевролит крупнозернистый Алевролит мелкозернистый	≥ 16,5 ≥ 20 ≥ 23,5 ≥ 29	≥ 1000	Очень высокая
II	Песчаник среднезернистый Песчаник мелкозернистый Алевролит крупнозернистый Алевролит мелкозернистый	15 – 16,5 18 – 20 21,5 – 23,5 26,5 – 29	500 – 1000	Высокая
III	Песчаник среднезернистый Песчаник мелкозернистый Алевролит крупнозернистый Алевролит мелкозернистый	11 – 15 14 – 18 16,8 – 21,5 20,5 – 26,5	100 – 500	Средняя
IV	Песчаник среднезернистый Песчаник мелкозернистый Алевролит крупнозернистый Алевролит мелкозернистый	5,8 – 11 8 – 14 10 – 16,8 12 – 20,5	10 – 100	Пониженная
V	Песчаник среднезернистый Песчаник мелкозернистый Алевролит крупнозернистый Алевролит мелкозернистый	0,5 – 5,8 2 – 8 3,3 – 10 3,6 – 12	1 –10	Низкая
VI	Песчаник среднезернистый Песчаник мелкозернистый Алевролит крупнозернистый Алевролит мелкозернистый	<0,5 < 2 < 3,3 < 3,6	<1	Обычноне имеет промышленного значения

Примечание. Диаметр частиц, мм: песчаник среднезернистый, 0,50 – 0,25, песчаник мелкозернистый 0,25 – 0,10, алевролит крупнозернистый 0,10 – 0,05, алевролит мелкозернистый0,05 – 0,01.

Таблица 13.3

Оценочная шкала экранирующей способности глинистых пород (Ханин, 1969)

Группа	Максимальный диаметр пор, мкм	Абсолютная проницаемость по газу, мД	Давление прорыва газа, МПа	Экранирующая способность
А	≤ 0,01	10^{-6}	≥ 12,0	Весьма высокая
В	0,05	10^{-5}	8,0	Высокая
С	0,30	10^{-4}	5,5	Средняя
Д	2,00	10^{-3}	3,3	Пониженная
Е	10,00	10^{-2}	< 0,5	Низкая

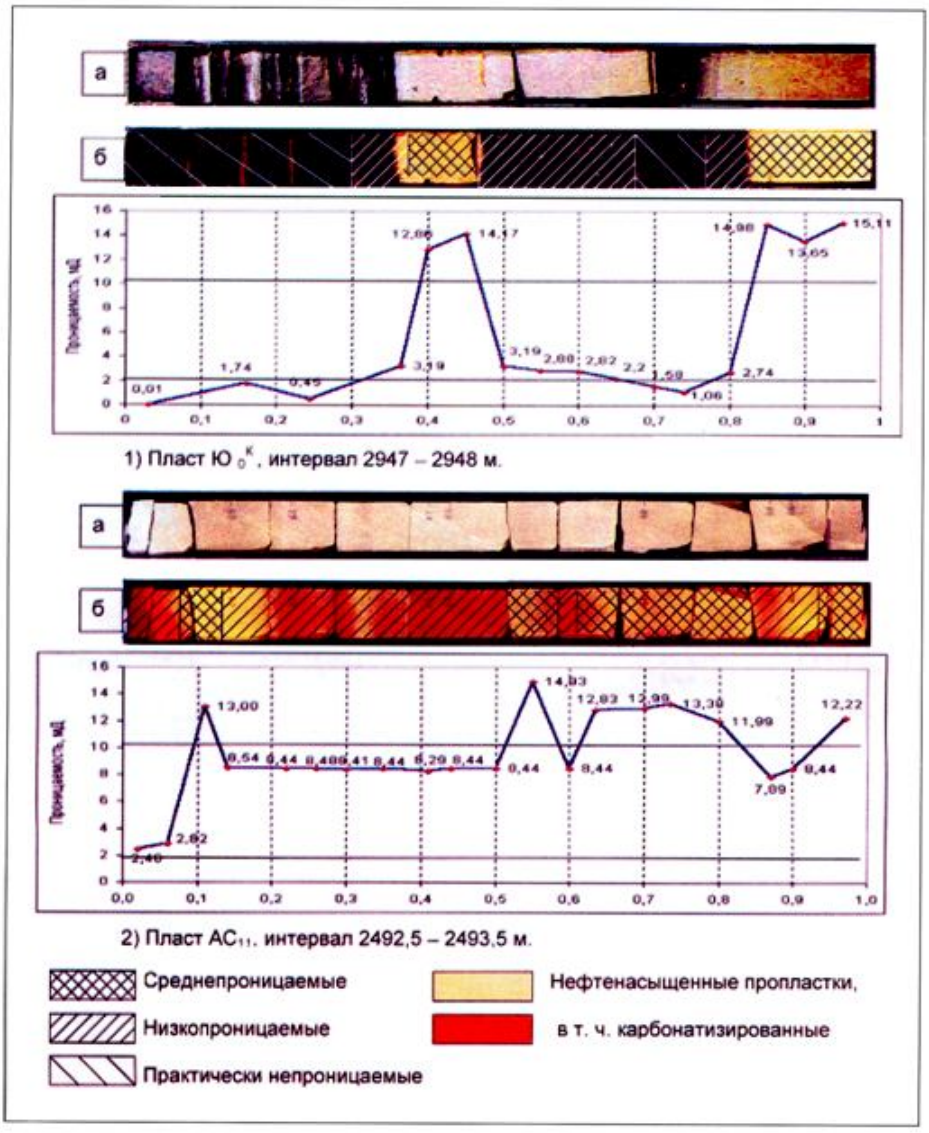

Рис.13.1. Изображение в дневном (*а*) и ультрафиолетовом (*б*) свете и проницаемость керна скв. 4453 Восточно-Тромъеганского (1) и 554 Западно-Айпимского (2) месторождений (Усманов И. Ш. и др., 2002)

FZI – индикатор гидравлического типа коллектора (FlowZoneIndicator), являющийся трансформантом из уравнения Кармена-Казени и вычисляемый по формуле $\frac{0{,}0314\sqrt{k/\varphi}}{\varphi/(1-\varphi)}$, где k – проницаемость (permeability), φ – пористость (porosity).

HFU или HU – гидравлическая единица потока (HydraulicFlowUnit), определяемая как «представительный элементарный объем породы, внутри которого геологические и петрофизические свойства, влияющие на течение жидкости, взаимно согласованы и предсказуемо отличимы от других пород».

RQI – индекс качества коллектора (ReservoirQualityIndex) = $0{,}0314\sqrt{\frac{k}{\varphi}}$.

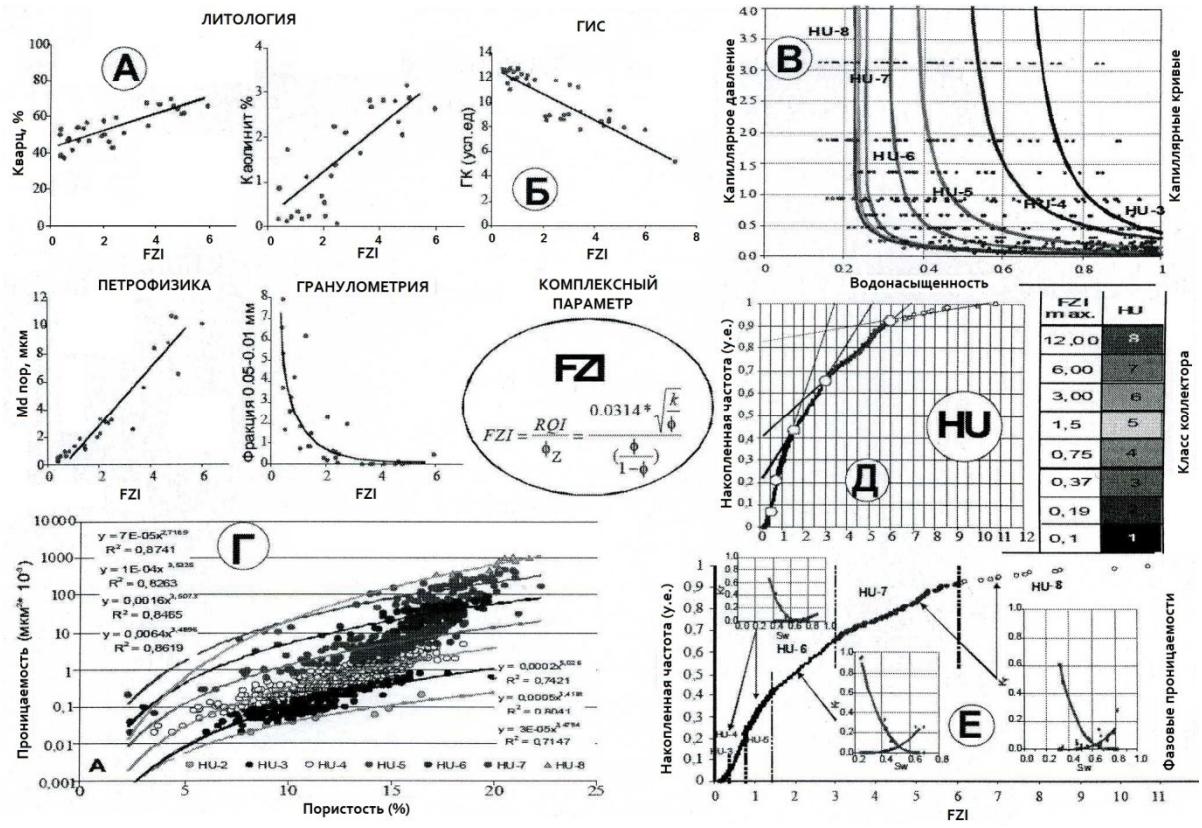

Рис. 13.2. Выделение классов коллектора на примере пласта Ю\[3] Крапивинского месторождения (Кошовкин, Белозеров, 2007):

А, Б – корреляционные зависимости FZI с различными свойствами пород;
В – классы коллекторов, выделяемые по гидродинамическим параметрам;
Г – положение классов коллекторов в координатах «пористость – проницаемость»;
Д – систематизация классов коллекторов в единицах FZI;
Е – гидродинамические характеристики выделенных классов

14. Комплексирование методов

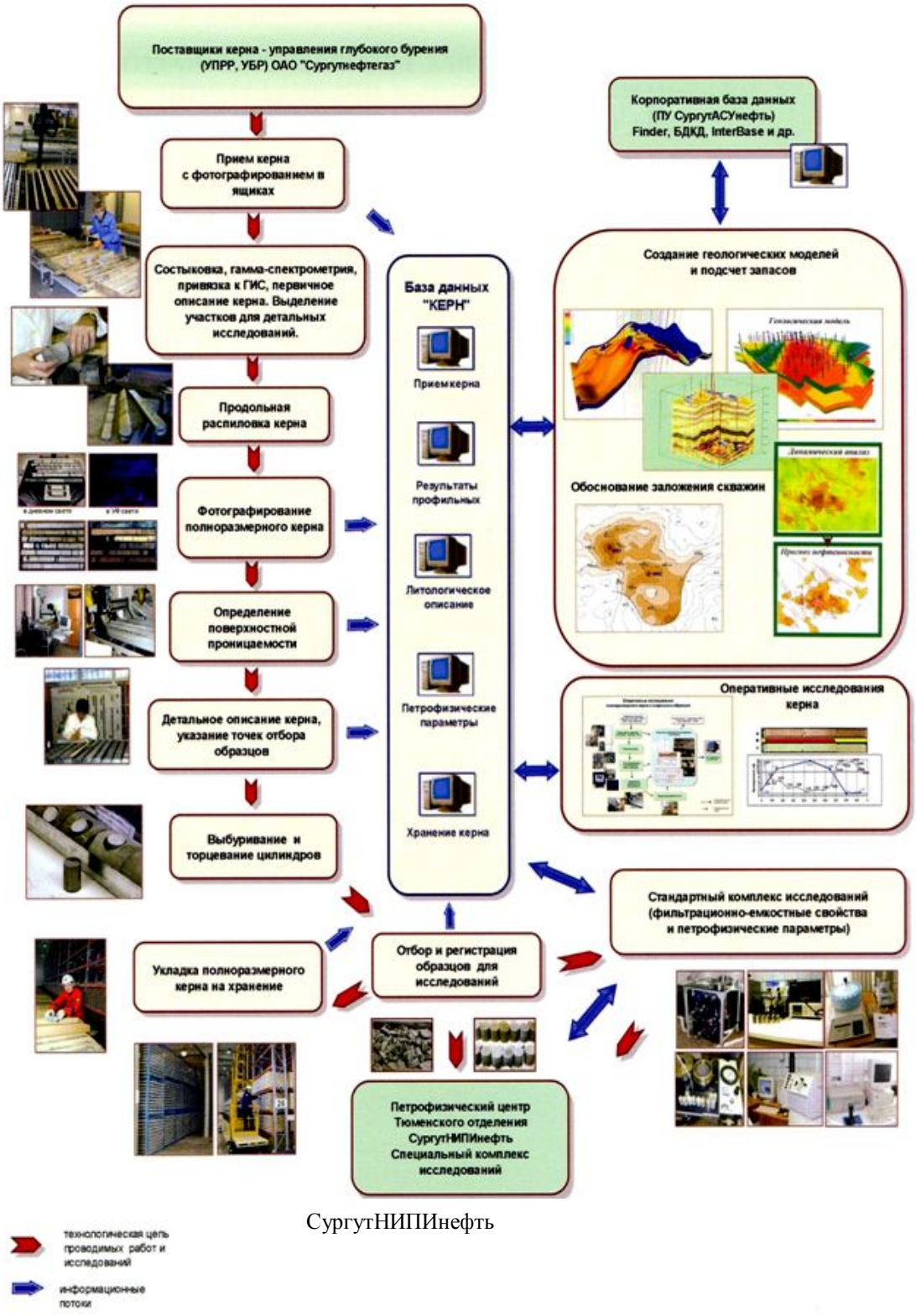

СургутНИПИнефть

Рис.14.1. Основные этапы базового комплекса исследования керна

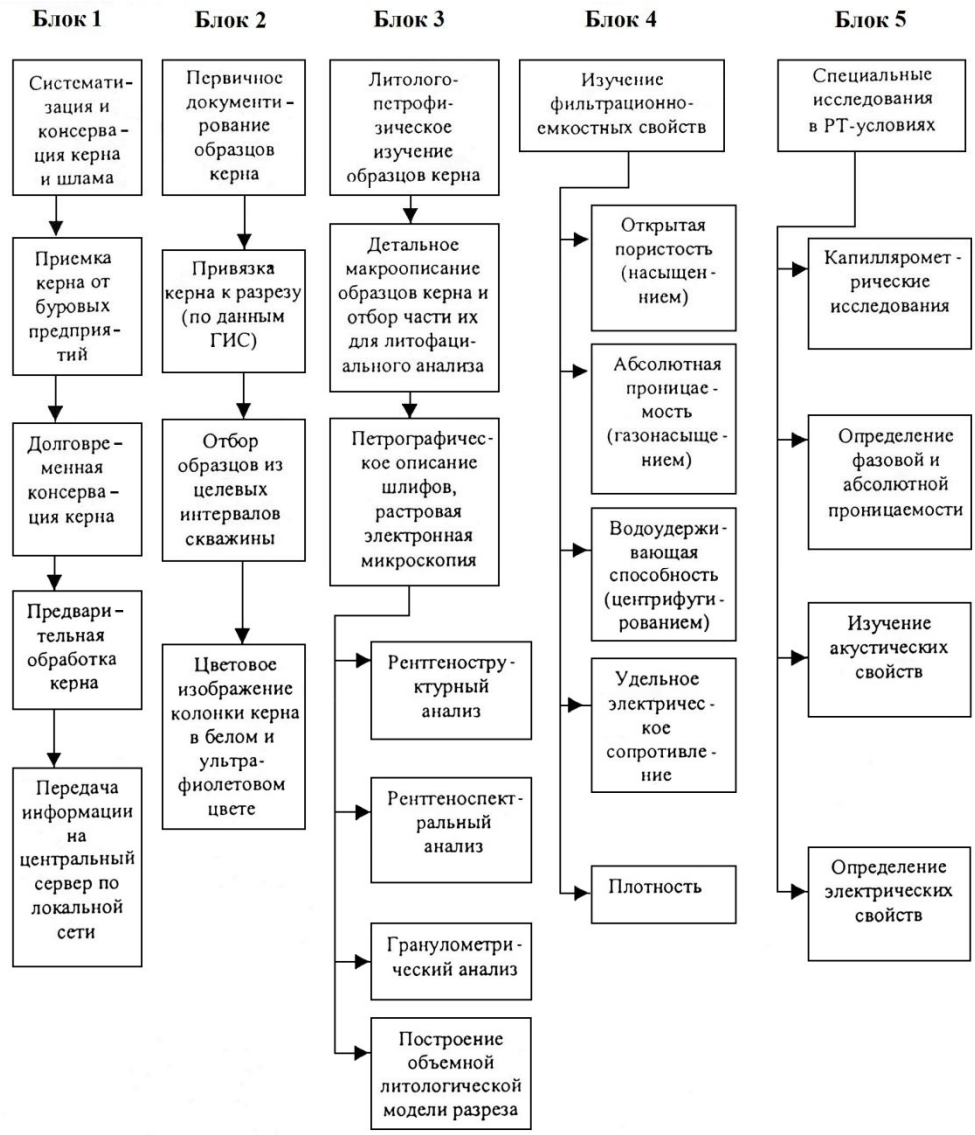

Рис.14.2. Схема обеспечения долговременного хранения и комплексного исследования образцов керна в «КогалымНИПИнефть»

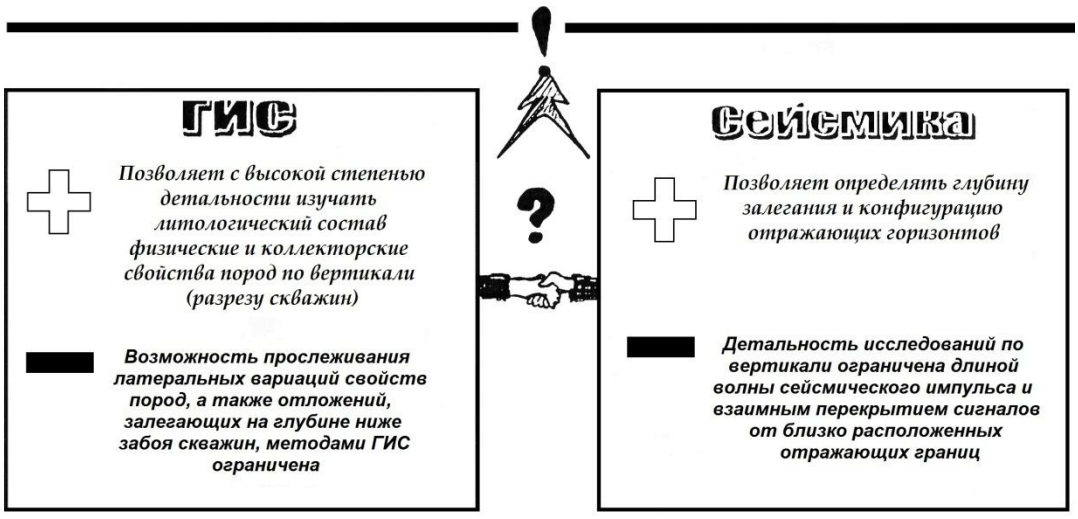

Рис.14.3. Соотношение дистанционных методов (по Е. О. Белякову)

Раздел 4.ОБРАБОТКА РЕЗУЛЬТАТОВ ИССЛЕДОВАНИЙ И РЕШЕНИЕ ГЕОЛОГИЧЕСКИХ ЗАДАЧ

15. Отбор проб и обработка результатов исследований

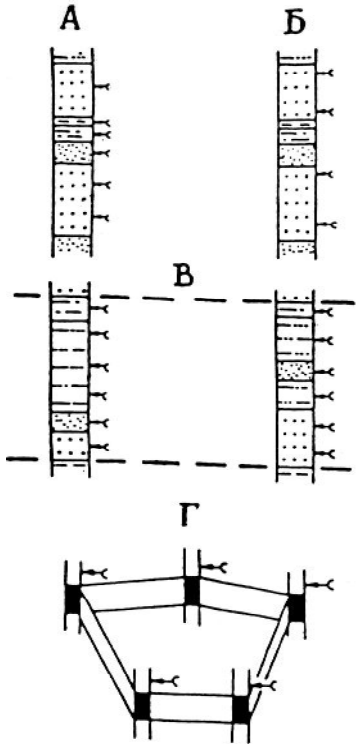

Рис. 15.1. Принципы отбора проб (стрелками показаны места их взятия):

Вариант А – послойное опробование. При мощности слоя больше некоторого заданного граничного значения пробы отбираются также через заранее заданный интервал. Например, при мощности слоя более 2 м пробы берутся не реже чем через 2 м, и тогда из 7-метрового слоя нужно взять 3 пробы.

Вариант Б– равномерный отбор проб из одного типа пород по заданному интервалу между точками отбора. При этом необходимо стремиться к наиболее близким по значению промежуткам между пробами (что, скорее всего, никогда не будет достигнуто).

Вариант В – равномерное (желательно послойное) опробование уверенно увязанного горизонта по двум или более скважинам.

Вариант Г – отбор единичных проб из одного слоя или горизонта по некоторой, желательно равномерной, сети выработок.

Очевидно, что отбор проб по вариантам А и Б нацелен на выявление вопросов закономерностей в строении толщ (прежде всего повторяемости и направленности изменений показателей свойств); вариант В – на решение проблем корреляции и Г – для площадных (палеогеографических) реконструкций

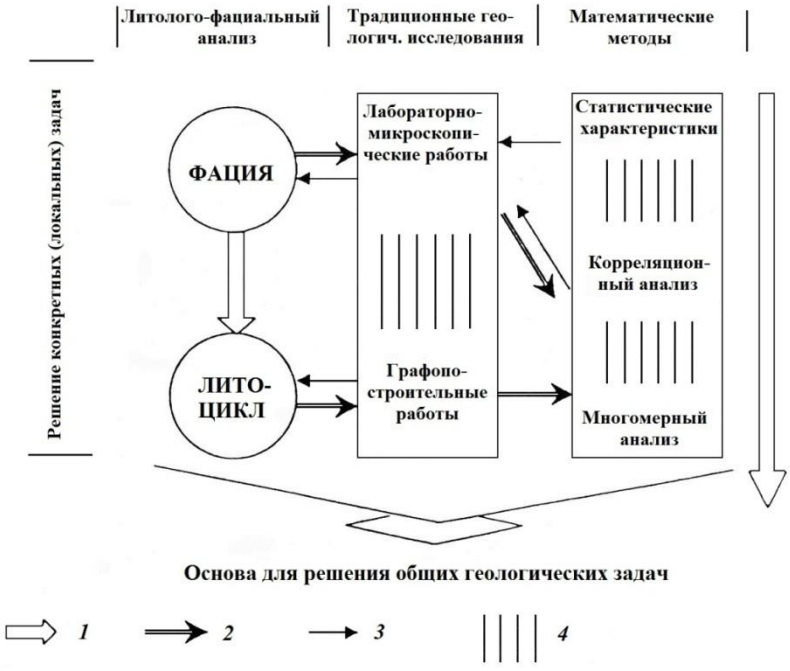

Рис. 15.2. **Соотношение основных видов исследований (применительно к литолого-фациальному анализу):**

1 – основное направление в выполнении работ (от частного – к общему); *2* – получение новой информации; *3* – «заверка» и (или) способ получения результатов; *4* – интервалы интенсивного взаимопроникновения и взаимосвязи методов и методик

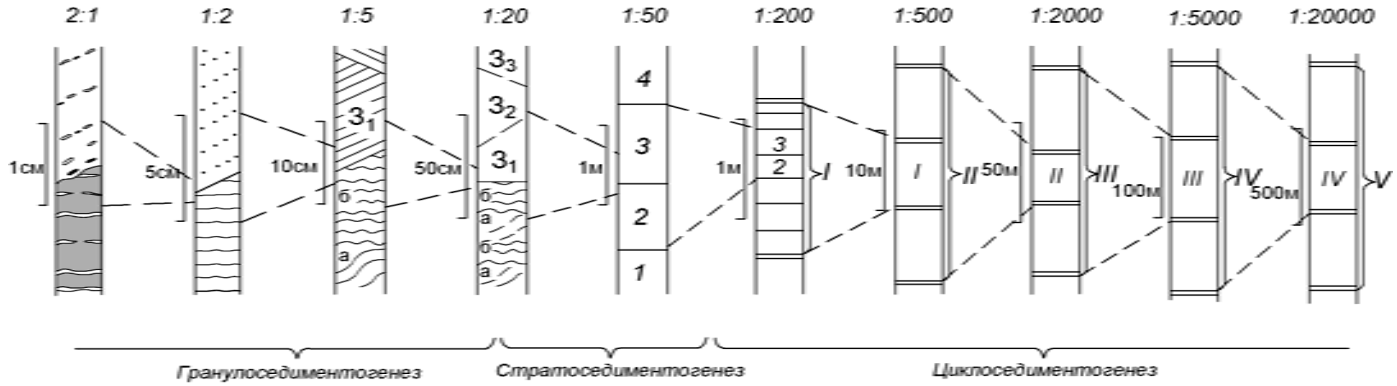

Рис. 15.3. Соподчиненность повторяемости единиц разреза (уровни седиментогенеза (по С. И. Романовскому, 1985, 1988): основной является колонка, на которой выделены с л о и (*1*, …, *4*), для терригенных толщ, имеющих среднюю толщину 1– 2 м. Слева от нее показаны серии косой слоистости в слое *3* (3_1 – 3_3) и ритмичное чередование типов «а» и «б» в слое *2*, вплоть до визуальной характеристики пород (крайняя слева колонка). Справа – литоциклы от 1-го (I) до 5-го (V) порядков

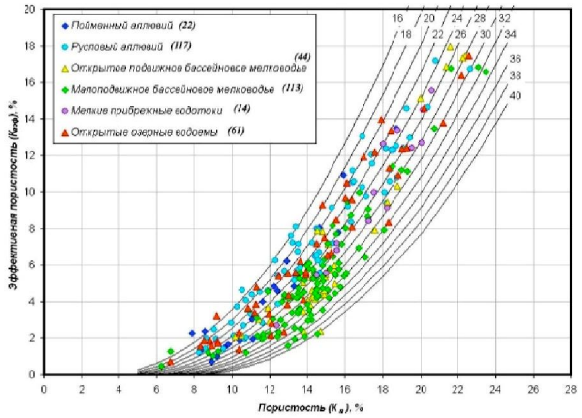

Сопоставление величин $К_п$ и $К_{пэф}$ между собой для различных типов отложений тюменской свиты Ловинского месторождения (в скобках – количество образцов)

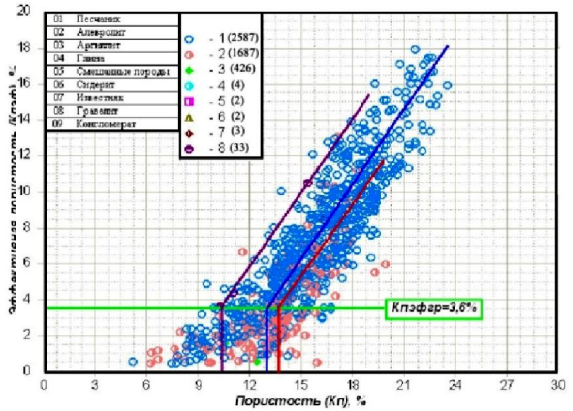

Сопоставление петрофизической модели $К_{пэф}=f(К_{пск}, К_п)$ с оценкамифациальной принадлежности образцов керна, (в скобках– количество определений)

Рис. 15.4. Пример обработки результатов ФЕС с учетом фациального состава отложений

16. Строение толщ и корреляция разрезов

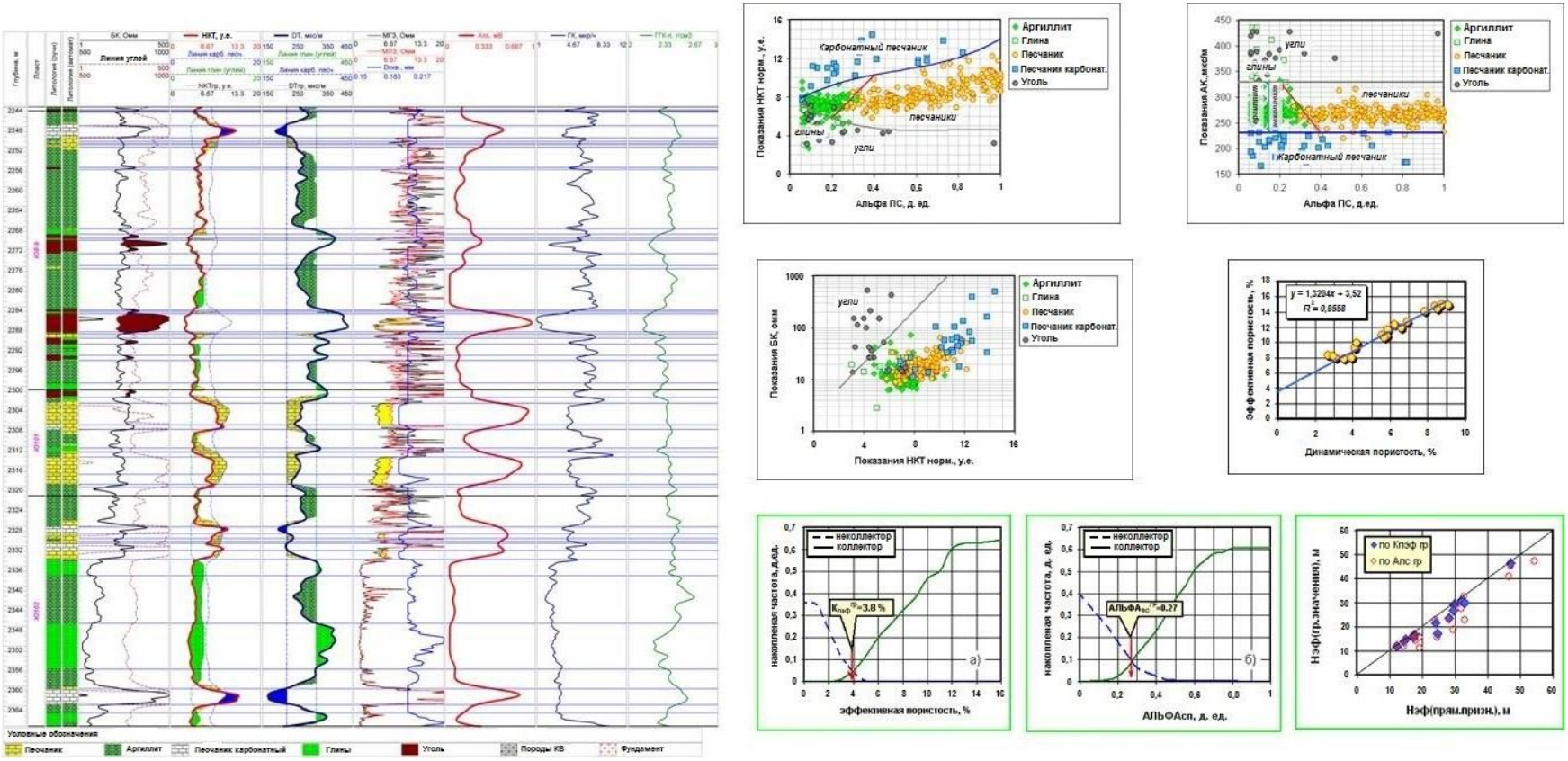

Рис. 16.1. Литологическое расчленение разреза и выделение коллекторов.

Особенности интеграции данных ГИС при сопровождении сейсмогеологического картирования (Департамент геофизического сопровождения сейсмогеологического моделирования текущих проектов ИЦ ТФ «КогалымНИПИнефть» Е. О. Беляков, Р. К. Пичугин

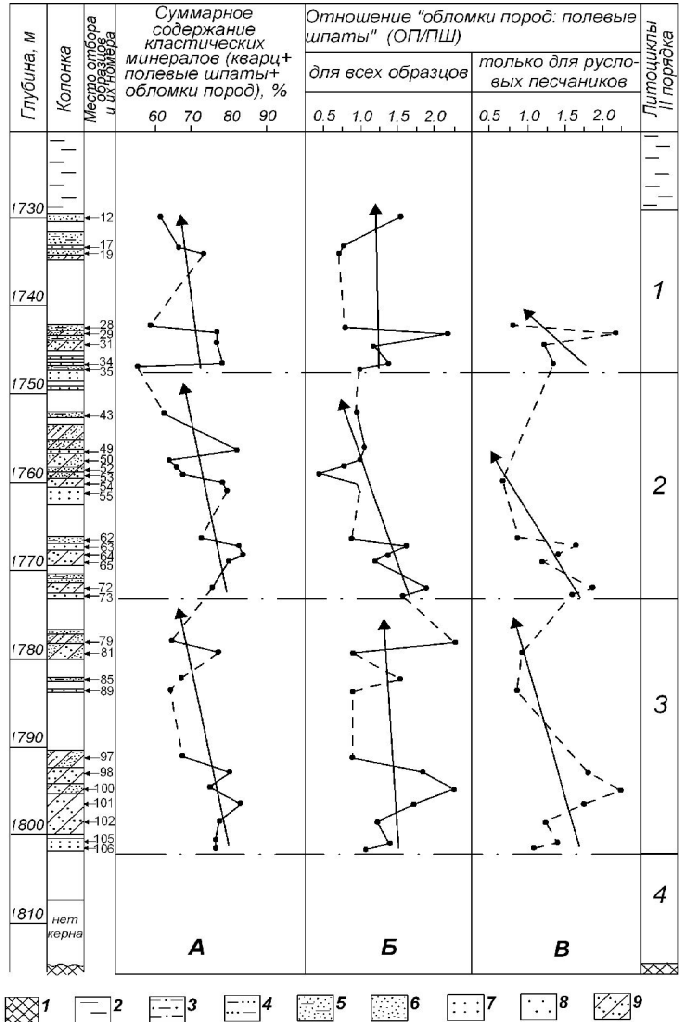

Рис. 16.2. Песчаники в разрезе тюменской свиты по скв.10320 Тальникового месторождения:

1 – подстилающие породы фундамента; *2* – перекрывающие отложения абалакской свиты; *3* – мелко- и *4* – крупнозернистые алевролиты; *5* – тонко-, *6* – мелко-, *7* – средне- и *8* – крупнозернистые песчаники; *9* - переслаивание разных гранулометрических типов слоями менее 0,4 м

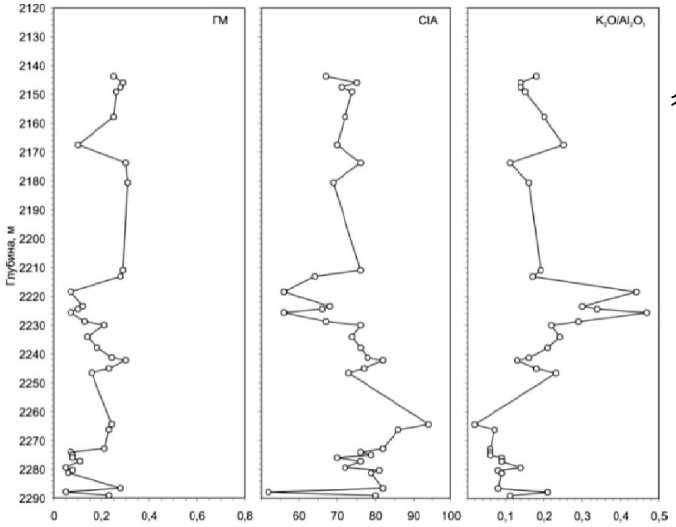

смена палеоландшафтов

Рис. 16.3. Вариации ГМ, CIA и K_2O/Al_2O_3 в песчаниках тюменской свиты в разрезе скв.10628 (Ловинское месторождение)

Таблица 16.1

Применение различных методов корреляции и соответствующих признаков при изучении сложнопостроенных внутриконтинентальных терригенных толщ (Методы, 1968; с существенными изменениями)

Метод, группа методов	Признаки	Стадия изучения	
		поисковая	разведочная
Биостратиграфические	Фаунистические	При наличии	–
	Флористические	+	–
	Палинологические	+ + +	–
Вещественно-литостратиграфические	Минералого-петрографические	+	+
	Геохимические	+ +	+
	Специальные	Нуждаются в конкретном обосновании	
Структурно-геометрические	Толщины слоев, горизонтов, анализ изопахит и др.	+	+ +
	Прослеживание индикаторов (реперов)	+	+ +
Геофизические (дистанционные)	Сейсморазведка	+ + +	+
	Геофизические исследования скважин (ГИС)	+ +	+ + +

Примечание. (–) – практической роли не играет; (+) – целесообразен к использованию как подсобный; (+ +) – наиболее пригодный к использованию; (+ + +) – ведущий, главный метод

17.Решение геологических задач

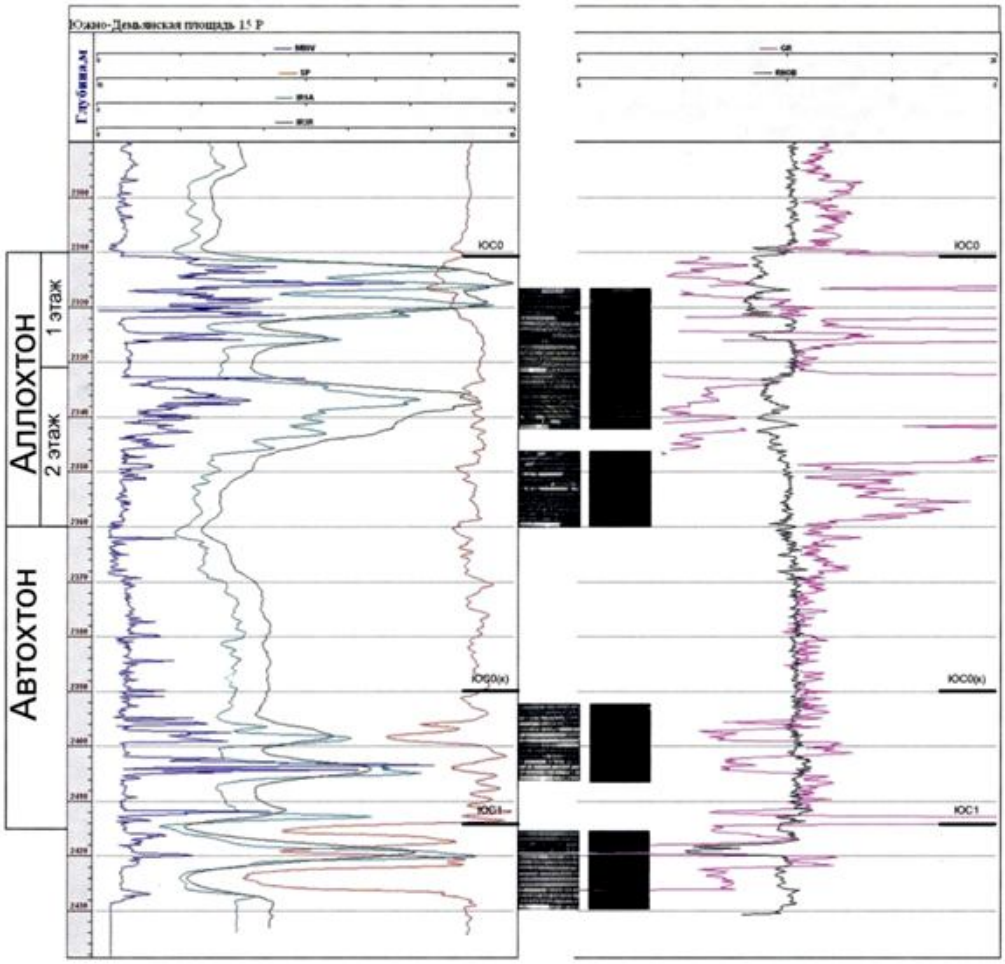

Рис. 17.1. Сводный геолого-геофизический фоторазрез нижнемеловых-верхнеюрских отложений.Южно-Демьянская площадь, скважина 15(по материалам «СургутНИПИнефть»)

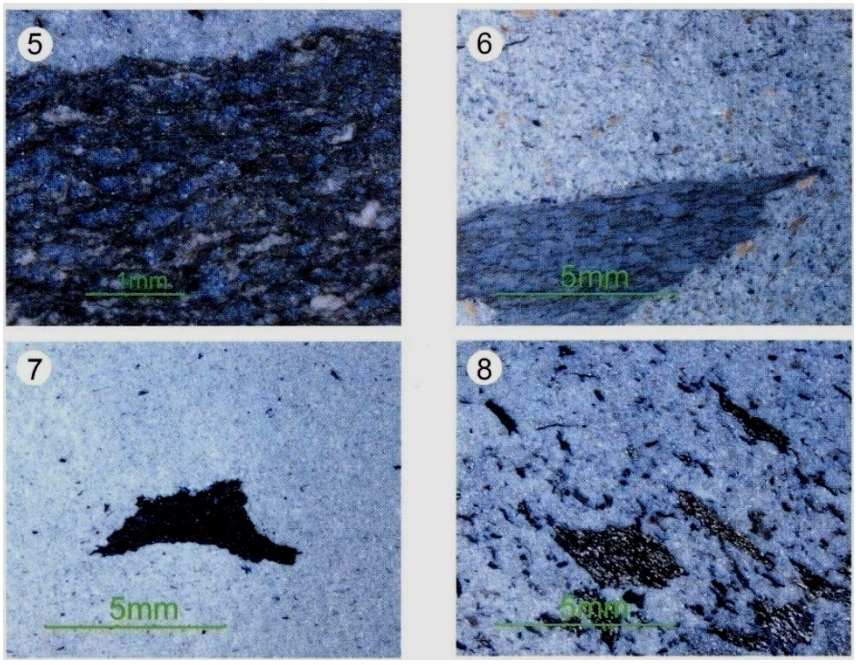

Рис. 17.2. Микротекстурные особенности пород пласта $ЮС_0$ в фронтальной зоне надвига(Осипов В. С. и др., 2001):
5 –кливажная зона на контакте баженовита и инъекции песчаного материала; 6 – останец милонитизированногобаженовита в дилатационно«разжиженной» песчаной массе; 7 – останец и тонкодисперсная взвесь глинистого баженовита в массе милонита; 8 – останцы и тонкодисперсная взвесь глинистого баженовита в дилатационно «разжиженной песчаной массе»

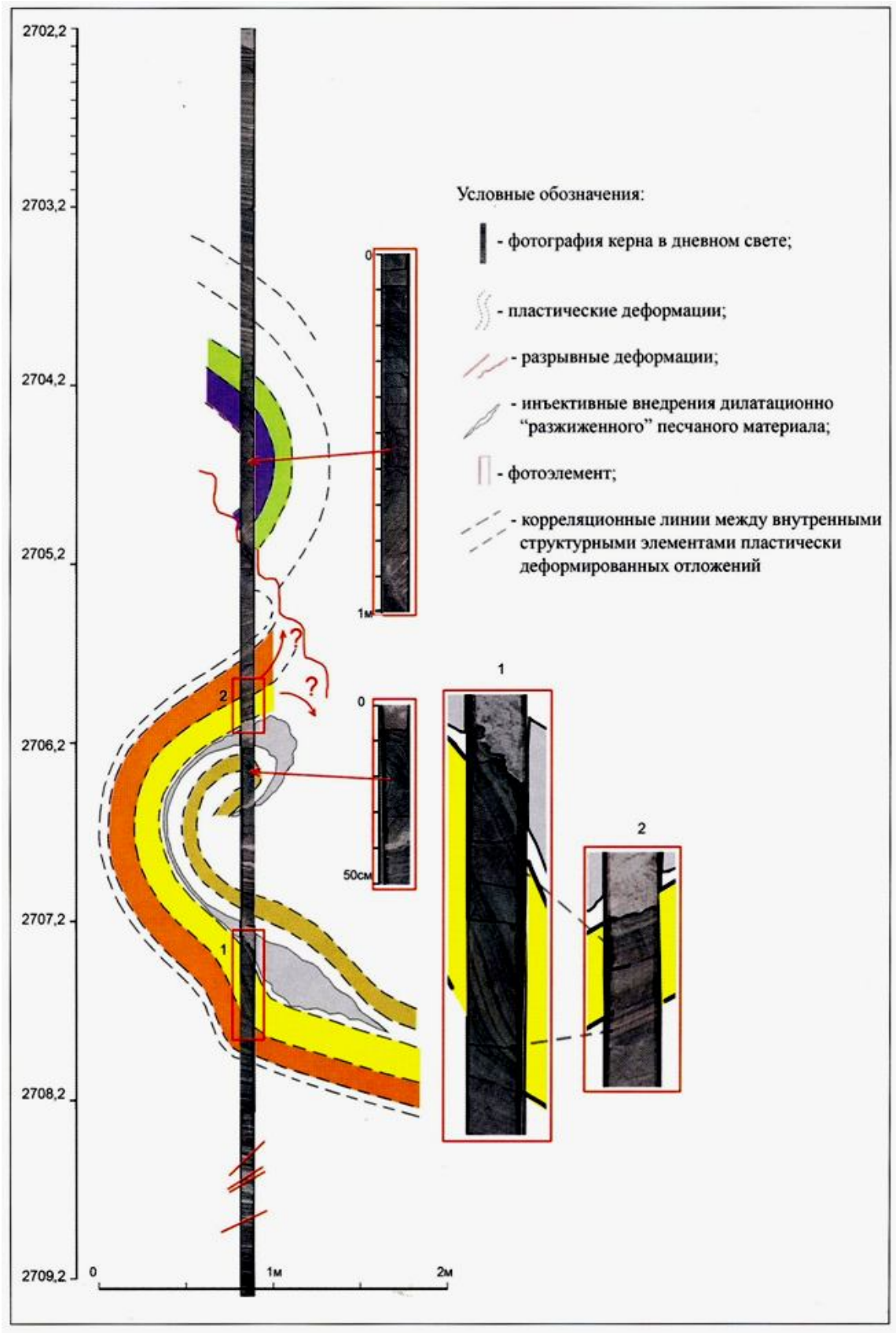

Рис. 17.3. Структурная реконструкция деформаций отложений.
Восточно-Мытаяхинское месторождение, скважина 7538р, интервал 2702,2 – 2709,2 м.
Е. Т. Трофимова и др., 2008 («Сургутнефтегаз»)

ЗАКЛЮЧЕНИЕ

Практика изучения осадочных пород, особенно в нефтегазовой литологии, показывает особенную важность **комплексирования** различных методов и методик. При этом важны как апробированные и традиционные исследования (изучение пород в шлифах, определение физических свойств), так и новые методики (РЭМ, *ICP-MS*). Зачастую методы, ранее применявшиеся редко, становятся «рутинными», входя в обязательный комплекс исследований (люминесцентное просвечивание керна). Нередко известные традиционные методы получают новое звучание благодаря нетрадиционной обработке результатов (минералогический анализ → ТМК М. Г. Бергера; химический анализ → литохимия по Я. Э. Юдовичу). В какой-то степени это показано в предложенныхметодических указаниях.

Использовать представленную информацию можно в любом их трех направлений (векторов):

- как справочный материал, необходимый и достаточный для общего ознакомления с обозначенным предметом;
- как отправную точку в углубленном изучении осадочных пород – увлекательного объекта для глубокого и вдумчивого исследования;
- для выбора какого-то конкретного метода, который может быть положен в основу детальных исследований на конкретном объекте.

По-видимому, именно последний вектор наиболее продуктивен для конкретного студента, будучи положенным им в основу определения темы, сбора материалов и выполнения курсовой или выпускной квалификационной работы. Именно для этого каждая из тем и сопровождена кратким перечнем литературных источников. Поиски изданий более позднего времени целесообразно вести, пользуясь Internet-ресурсами, а также периодическими изданиями.

СПИСОК ЛИТЕРАТУРЫ

Основная

Кузнецов В. Г. Литология. Осадочные породы и их изучение: уч. пособие для вузов. М.: ООО «Недра-Бизнесцентр», 2007. 511 с.

Маслов А. В. Осадочные породы: методы изучения и интерпретации полученных данных. Екатеринбург: Изд-во УГГУ, 2005. 289 с.

Справочник по литологии. М.: Недра, 1983. 509 с.

Дополнительная

Общего характера

Логвиненко Н. В., Сергеева Э. И. Методы определения осадочных пород. М.: Недра, 1986. 240 с.

Методы изучения осадочных пород. М.: Геолтехиздат, 1957. Т. I. 612 с.

Справочное руководство по петрографииосадочных пород. Л.: Гостоптехиздат, 1958. Т. 1. 486 с. Т. 2. 520 с.

К теме 1 «Выделение слоев»

Алексеев В. П. Литолого-фациальный анализ. Екатеринбург: Изд-во УГГГА, 2002. 147 с.

Романовский С. И. Физическая седиментология. Л.: Недра, 1988. 240 с.

Шванов В. Н. Структурно-вещественный анализ осадочных формаций (начала литомографии). СПб.: Недра, 1992. 230 с.

К теме 2 «Вещественный и генетический подходы к изучению осадочных комплексов»

Алексеев В. П. Литологические этюды. Екатеринбург: Изд-во УГГУ, 2006. 149 с.

Казанский Ю. П. Введение в теорию осадконакопления. Новосибирск: Наука, 1983. 223 с.

*Лидер М.*Седиментология. Процессы и продукты / пер. с англ. М.: Мир, 1986. 439 с.

К теме 3 «Карбонатные и терригенные породы»

*Погромская О. Э.*Микропалеонтологические аспекты литологии. Екатеринбург: Изд-во УГГУ, 2004. 116 с.

*Ссистематика*и классификация осадочных пород и их аналогов. СПб.: Недра, 1998. 352 с.

Шванов В. Н. Песчаные породы и методы их изучения. Л.: Недра, 1969. 248 с.

К теме 4 «Текстурный анализ»

Ботвинкина Л. Н. Слоистость осадочных пород. М.: Изд-во АН СССР, 1962. 542 с. (Тр. ГИН АН СССР, вып. 59).

*Осипов Ю. Б., Пономарев В. В., Соколов Б. А.*Текстурный анализ глин. М.: Недра, 1989. 120 с.

Чернова О. С. Схема классификации текстур осадочных горных пород // Литология и геология горючих ископаемых. Екатеринбург: Изд-во УГГУ, 2012. Вып. VI (22). С. 27 – 45.

К теме 5 «Ихнофоссилии, карбонатность и другие признаки»

Атлас конкреций. Л.: Недра, 1988. 323 с. (Тр. ВСЕГЕИ, нов. сер., т. 340).

Ошуркова М. В. Детальное расчленение угленосных отложений пофитологическим данным: методические рекомендации. Л.: Изд-во ВСЕГЕИ, 1981. 40 с.

Чернова О. С. Литолого-фациальный и формационный анализ нефтегазоносных толщ. Томск: Изд-во ЦППС НД, 2007. 258 с.

К теме 6 «Комплексирование диагностических признаков; контакты и перерывы»

Алексеев В. П. Атлас фаций юрских терригенных отложений (угленосные толщи Северной Евразии). Екатеринбург: Изд-во УГГУ, 2007. 209 с.

Атлас литогенетических типов угленосных отложений среднего карбона Донецкого бассейна. М.: Изд-во АН СССР, 1956. 368 с.

Изучение стратиграфических перерывов при производстве геологической съемки: методические рекомендации / Е. Ю. Барабошкин[и др.]. М.: Изд-во МГУ, 2002. 169 с.

К теме 7 «Гранулометрический анализ»

Гранулометрический анализ в геологии. М., 1978. 165 с.

Котельников Б. Н. Реконструкция генезиса песков. Л.: Изд-во ЛГУ, 1989.

Поляков А. С. Гранулированные среды и седиментогенез. М.: Геоинформмарк, 2001. 58 с.

К теме 8 «Минералогический анализ»

*Бергер М. Г.*Седиментологическая система минералов и фундаментальные основы терригенной минералогии. М.: ЛЕНАНД, 2009. 272 с.

Геологическое строение и нефтегазоносность нижней – средней юры Западно-Сибирской провинции / Ф. Г. Гурари[и др.]. Новосибирск: Наука, 2005. 156 с.

Петрова В. В. Низкотемпературные вторичные минералы и их роль в литогенезе (силикаты, алюмосиликаты, гидрослюды). М.: ГЕОС, 2005. 239 с. (Тр. ГИН РАН. Вып. 525).

К теме 9 «Стадиальный анализ»

Гаррелс Р., Маккензи Ф. Эволюция осадочных пород /пер. с. англ. М.: Мир, 1974. 272 с.

Петрология органических веществ в геологии горючих ископаемых / И. И. Аммосов[и др.]. М.: Наука, 1987. 333 с.

Япаскурт О. В. Генетическая минералогия и стадиальный анализ процессов осадочного породо- и рудообразования: уч. пособие. М.: ЭСЛАН, 2008. 356 с.

К теме 10 «Химический анализ (литохимия)»

Ефремова С. В., Стафеев К. Г. Петрохимические методы исследования горных пород. М.: Недра, 1985. 511 с.

Юдович Я. Э. Региональная геохимия осадочных толщ. Л.: Наука, 1981. 276 с.

Юдович Я. Э., Кетрис М. П. Основы литохимии. СПб.: Наука, 2000. 479 с.

К теме 11 «Геохимия микроэлементов»

Введение в металлогению горючих ископаемых и углесодержащих пород: уч. пособие / В. Н. Волков [и др.]. СПб: Изд-во СПбГУ, 1997. 248 с.

Металлы в осадочных толщах. М.: Наука. Ч. 1, 1964. 446 с. Ч. 2, 1965. 392 с. Ч. 3, 1966. 326 с.

Тейлор С. Р., МакЛеннан С. М. Континентальная кора: ее состав и эволюция: Пер. с. англ. М.: Мир, 1988. 384 с.

К теме 12 «Рентгеноструктурный, люминесцентный, электронно-микроскопический методы»

Котельников Д. Д., Конюхов А. И. Глинистые минералы осадочных пород. М.: Недра, 1986. 247 с.

Логвиненко Н. В., Орлова Л. В. Образование и изменение осадочных пород на континенте и в океане. Л.: Недра, 1987. 237 с.

Фор Г. Основы изотопной геологии /пер. с англ. М.: Мир, 1989. 590 с.

К теме 13 «Фильтрационно-емкостные свойства (ФЕС)»

Кошовкин И. Н., Белозеров В. Б. Отображение неоднородностей терригенных коллекторов при построении геологических моделей нефтяных месторождений // Известия ТПУ, 2007. Т. 310. № 2. С. 26-32.

Ломтадзе В. Д. Физико-механические свойства горных пород. Методы лабораторных исследований. Л.: Недра, 1990. 327 с.

Чернова О. С., Клименко А. В. Модерирование литолого-петрофизической зональности Двуреченско-Крапивинской зоны нефтегазонакопления // Литология и геология горючих ископаемых.Екатеринбург: Изд-во УГГУ, 2009. Вып. III (19). С.99-110..

К теме 14 «Комплексирование методов»

Крашенинников Г. Ф., Волкова А. Н., Иванова Н. В. Учение о фациях с основами литологии. М.: Изд-во МГУ, 1988. 214 с.

Методика литолого-фациальных исследований угленосных отложений (на примере триас-юрских угленосных формаций азиатской части СССР): Препринт. Свердловск: УНЦ АН СССР, 1986. 63 с.

Петтиджон Ф., Поттер П., Сивер Р. Пески и песчаники /пер. с англ. М.: Мир, 1976. 536 с.

К теме 15 «Отбор проб и обработка результатов исследований»

Алексеев В. П., Печинина Е. Б. Обработка результатов полевых и лабораторных исследований (с использованием вероятностно-статистических методов). Свердловск: Издание СГИ, 1989. 76 с.

Гриффитс Дж. Научные методы исследования осадочных пород /пер. с англ. М.: Мир, 1971. 420 с.

Харбух Дж., Бонэм-Картер Г. Моделирование на ЭВМ в геологии /пер. с англ. М.: Мир, 1974. 246 с.

К теме 16 «Строение толщ и корреляция разрезов»

Методы корреляции угленосных толщ и синонимики угольных пластов. Л.: Наука, 1968. 381 с.

Периодические процессы в геологии. Л. Недра, 1976. 264 с.

Строение и корреляция отложений тюменской свиты Шаимского нефтегазоносного района (Западная Сибирь). Екатеринбург: Изд-во УГГУ, 2009. 227 с.

К теме 17 «Решение геологических задач»

Литогеодинамика и минерагения осадочных бассейнов. СПб.: Изд-во ВСЕГЕИ, 1998. 480 с.

Методы палеогеографических реконструкций при поисках залежей нефти и газа / В. А. Гроссгейм[и др.]. Л.: Недра, 1984. 271 с.

Состав и генезис отложений тюменской свиты Шаимского нефтегазоносного района (Западная Сибирь). Екатеринбург: Изд-во УГГУ, 2007. 209 с.

Приложение

ГРАНУЛОМЕТРИЧЕСКИЙ АНАЛИЗ В ШЛИФАХ

Введение

Гранулометрический анализ – один из методов изучения обломочных пород путем разделения зерен по фракциям.

Он проводится:

1) в классификационных целях – для правильного определения и названия породы;

2) для выявления генетических признаков, необходимых при палеогеографических реконструкциях (способы и дальность переноса, пути миграции обломков, условия отложения и т. п.), для определения генетического типа отложений;

3) для оценки пород как коллекторов нефти, газа, воды, т. е. для решения прикладных задач геологии;

4) как подготовительная стадия для минералогического анализа.

В настоящее время существует несколько способов гранулометрического анализа терригенных отложений:

1) седиментометрические способы, основанные на различной скорости осаждения частиц разной крупности в воде;

2) ситовый анализ, заключающийся в просеивании зерен через набор сит с постепенно уменьшающимися отверстиями;

3) измерение размера зерен в шлифах;

4) использование лазерного дифракционного микроанализатора для автоматического гранулометрического экспресс-анализа материала в сухом состоянии или в суспензии на основе дифракции сходящегося лазерного луча.

В данном приложении описан метод гранулометрического анализа в шлифах, детально охарактеризованный в работах В. П. Батурина (1947), С. И. Романовского (1977), В. Н. Шванова (1969), а также многочисленных трудах российских и зарубежных исследователей.

Определение цены деления окуляр-микрометра

Для измерения величины обломков под микроскопом пользуются окуляром, снабженным линейной шкалой – линейным окуляр-микрометром. Его цена деления вычисляется с помощью объект-микрометра.

Объект-микрометр – это стеклянная пластина со шкалой длиной 1 мм, разделенной на 100 частей. Таким образом, цена одного деления объект-микрометра 0,01 мм (рис. П.1).



Рис. П.1. Объект-микрометр

Объект-микрометр помещается вместо шлифа на столик микроскопа. Фокусируют так, чтобы было ясно видно обе шкалы: окуляр-микрометра и объект-микрометра.

Располагают объект-микрометр на столике таким образом, чтобы обе шкалы находились горизонтально рядом, т. е. были параллельны друг другу.

При сильных и средних объективах в поле зрения попадает только часть шкалы объект-микрометра. В этом случае смотрят сколько ее делений (то есть сотых долей мм) соответствует всей шкале окуляр-микрометра (рис. П.2). Определенную таким образом длину делят на 100 (число делений окулярной шкалы) и получают цену одного деления окуляр-микрометра при данном объективе.

При небольших увеличениях вся шкала объект-микрометра помещается в поле зрения и оказывается короче окулярной шкалы. В этом случае смотрят сколько делений окулярной шкалы соответствует всей шкале объект-микрометра. Разделив длину шкалы объект-микрометра (1 мм) на отвечающее ей число окулярных делений, получают цену одного деления окуляр-микрометра.

В общем случае цену деления определяют по формуле (1):

$$n_{\text{ок}} = \frac{a \cdot 0{,}01}{b}, \tag{1}$$

где $n_{\text{ок}}$– цена деления окуляр-микрометра;

a– количество делений объект-микрометра;

b– количество соответствующих делений окуляр-микрометра.

На рис. П.2 $n_{\text{ок}} = \frac{48 \cdot 0{,}01}{100} = 0{,}0048$ мм.

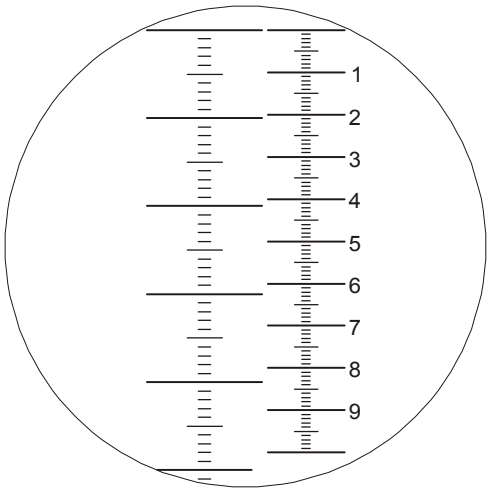

Рис. П.2. Определение цены деления окуляр-микрометра при помощи объект-микрометра

Выбор шкалы и подготовка формуляров для подсчета измеренных зерен

Прежде, чем начинать подсчет зерен в шлифах, необходимо выбрать размерную шкалу, в которой и будет производиться этот подсчет.

В настоящее время существует несколько шкал, сопоставление которых было приведено в табл. 7.1 основного текста.

Шкала φ, предложенная У. Адденом в 1898 г., преобразована в 1922 г. С. К. Уэнтвортом, а в 1934 г. в современном виде – У. Крамбейном.

Для перехода от метрической шкалы в φ используют формулу

$$\varphi = -\log_2 \frac{S}{S_0}, \tag{2}$$

где S – размер зерен в мм;S_0 – размер частицы, равный 1 мм.

Обратный перевод из φ-единиц в метрическую шкалу:

$$S = 2^{-\varphi}. \tag{3}$$

Единицы меш (mesh) – соответствуют числу отверстий сит на единицу длины (в США и Великобритании – 1 дюйм). Часто употребляемое значение 200 меш соответствует диаметру частиц, проходящих через отверстие 3,75φ или 0,074 мм.

В нефтяной геологии часто используется сокращенная десятичная шкала, где глинистая фракция считается < 0,01 мм, алеврит – от 0,01 до 0,1 мм, а песчаная фракция начинается с границы 0,05 или 0,1 мм и заканчивается 1 или 2 мм. Стоит отметить, что размеры интервалов десятичной шкалы неравномерны и зачастую слишком велики,что не позволяет выявить детали механического состава пород.

В. П. Батурин предложил в 1943 г. шкалу γ, которая не идет в разрез с десятичной классификацией, но лишена ее недостатков – неравномерности интервалов и недостаточной дробности.

Перевод из масштаба линейных единиц в ней реализуется по формуле (4)

$$\gamma = -10 \log_{10} S, \qquad (4)$$

где S – размер зерен в мм.

Обратный перевод из γ-единиц в метрическую шкалу: $S=10^{\gamma/-10}$. На рис. П.3 приведена линейка для сравнения размерности в разных шкалах.

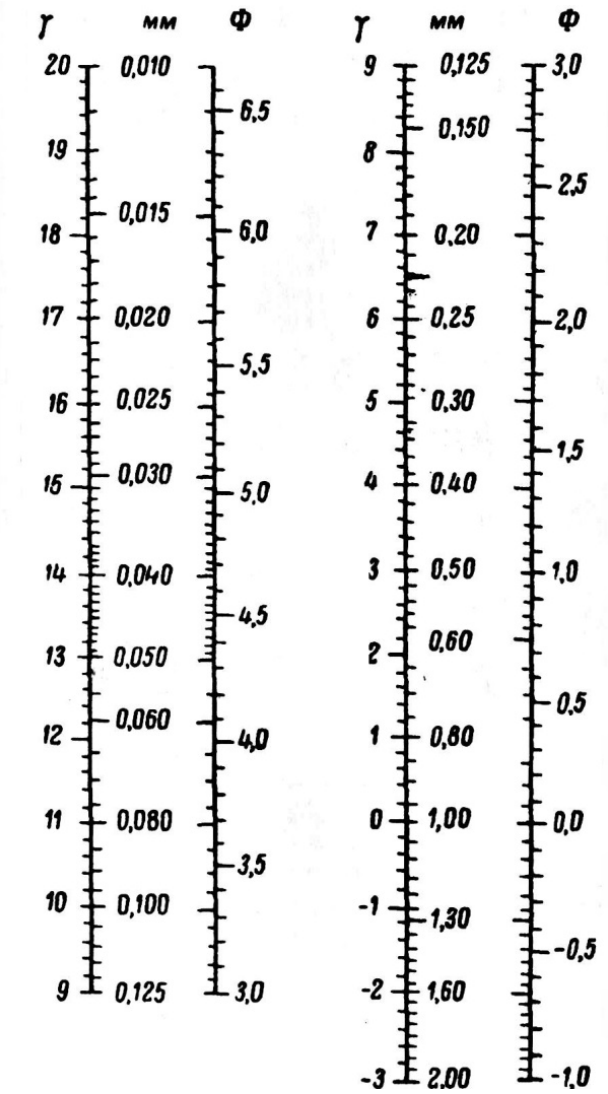

Рис. П.3. Линейка для перевода линейных размеров (в мм) в значения шкалы γ и φ
(В. Н. Шванов, 1969)

Проведение гранулометрического анализа в шлифах

Гранулометрический анализ в шлифах производится путем непосредственного массового измерения поперечников зерен или площадей, занимаемых ими в поле зрения микроскопа, и посредством статистической обработки результатов измерений.

Для гранулометрического анализа изготавливаются шлифы, ориентированные параллельно слоистости.Они имеют толщину 0,02 мм, что по сути является минимальным граничным размером, которое возможно подсчитать.

Для измерения зерен в шлифах удобней на столике микроскопа закрепить препаратоводитель, с помощью которого шлиф можно перемещать лишь строго по одной линии. Передвигая шлиф вдоль линий, измеряют все зерна, попавшие на них (рис. П.4).

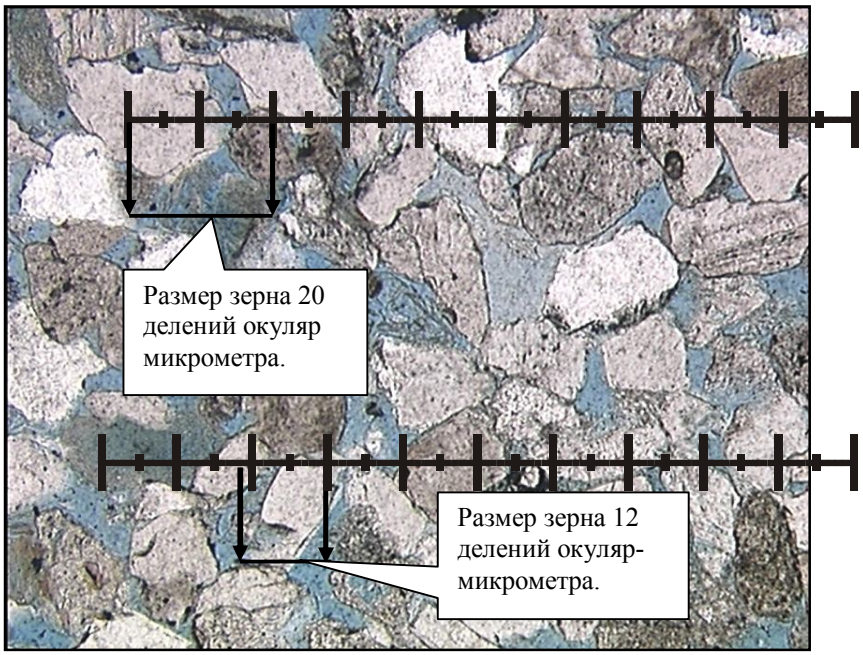

Рис. П.4. Песчаник мелкозернистый алевритистыйаркозовый с глинистым цементом. Поры преимущественно остаются свободными. Вид в проходящем свете. Увеличение 100×

Измерив 300 – 500 зерен, распределяют их по отдельным фракциям и затем высчитывают процентное содержание этих фракций, допуская подобное распределение во всей породе. Для обработки измерений используется формуляр (см. табл. П. 1):

Недостатки метода:

1. Пересечение породы плоскостью шлифа приводит к появлению случайных сечений обломочных зерен, диаметры которых, в общем случае, меньше их максимальных поперечников. Поэтому содержание мелких фракций при измерении зерен в шлифах всегда преувеличено по сравнению с действительным, и для установления последнего необходимо ввести поправки, устраняющие эффект срезания.

2. Толщина шлифа позволяет исследовать только песчаную и алевритовую фракцию.

3. Низкая представительность пробы и трудоемкость анализа.

Эффект срезания зерен при подсчете гранулометрического состава в шлифах

Длярешения проблемы эффекта срезания необходимо провести полный пересчет видимого гранулометрического состава на истинный.

Для шкалы с шагом $\sqrt[10]{10}$ методику полного пересчета применил А. А. Шантарв 1964 г. Поправочные коэффициенты равны соответственно 51; 21; 10; 7,5; 3,7; 2,8; 1,5; 1. Пересчет производится по формулам (6) – (9):

$$Q_1 = \frac{1}{0{,}51} F_1 = 1{,}96 F_1, \quad (7)$$

$$Q_2 = 1{,}96(F_2 - Q_1 \cdot 0{,}21), \quad (6)$$

$$Q_3 = 1{,}96 \cdot \left(F_3 - (Q_2 \times 0{,}21 + Q_1 \cdot 0{,}10)\right). \quad (8)$$

$$Q_k = 1{,}96\big(F_k - (Q_{k-1} \cdot 0{,}21 + Q_{k-2} \cdot 0{,}10 + Q_{k-3} \cdot 0{,}075 + Q_{k-4} \cdot 0{,}037 + + Q_{k-5} \cdot 0{,}028 + Q_{k-6} \cdot 0{,}015 + Q_{k-7} \cdot 0{,}010)\big). \quad (9)$$

Более детально данная методика описана Л. Б. Рухиным. Обычно для упрощения расчетов применятся коэффициент 1,27.

Таким образом, для нахождения истинного размера зерна используем формулу (10):

$$x_{\text{ист}} = x_{\text{изм}} \cdot 1{,}27, \quad (10)$$

где $x_{\text{ист}}$– истинное значение диаметра зерна; $x_{\text{изм}}$– непосредственно измеренный диаметр зерна в шлифах.

Пример заполнения формуляра для обработки измерений приведен в табл. П.1.

Таблица П.1
Формуляр для обработки измерений

Классы	Размеры фракций, мм	Шкала γ	Размеры фракций, деления окуляр-микрометра	Количество зерен изм., *m*
Песчаник	2 – 1,6	-3 – -2		
	1,6 – 1,25	-2–-1		
	1,25 – 1	-1 – 0		
	1– 0,8	0 – 1		
	0,8 – 0,63	1 – 2		
	0,63 – 0,5	2 – 3		
	0,5 – 0,4	3 – 4		
	0,4 – 0,315	4 – 5		
	0,315 – 0,25	5 – 6		
	0,25 – 0,2	6 – 7		
	0,2 – 0,16	7 – 8		
	0,16 – 0,125	8 – 9		
	0,125-0,1	9 – 10		
	0,1 – 0,08	10 –11		
	0,08 – 0,063	11 – 12		
Алевролит	0,063 – 0,05	12 – 13		
	0,05 – 0,04	13 – 14		
	0,04 – 0,031	14 – 15		
	0,031 – 0,025	15 – 16		
	0,025 – 0,02	16 – 17		
	0,02 – 0,016	17 – 18	Не определяются	Не определяются
	0,016 – 0,012	18 – 19	То же	То же
	0,012 – 0,01	19 - 20	– // –	– // –
	0,01 – 0,005	20 - 21	– // –	– // –
	<0,005		– // –	– // –

Изображение результатов

Наиболее простым и наглядным способом представления результатов гранулометрического анализа является гистограмма или график распределения массовых долей в процентах по фракциям, где по оси абсцисс откладываются средние значения размерности каждой фракции в миллиметрах (в логарифмической шкале), либо в единицах гамма (γ) или фи (φ) (т. е. в единицах, приведенных к логарифмической шкале); по оси ординат – процентное содержание каждой фракции. Обязательным условием репрезентативности данных анализа является равномерность шага границ фракций логарифмической шкалы. Как правило, оно выполняется при использовании шкал гамма или фи. Кумулятивная кривая представляет собой накопленные проценты по фракциям (рис.П.5).

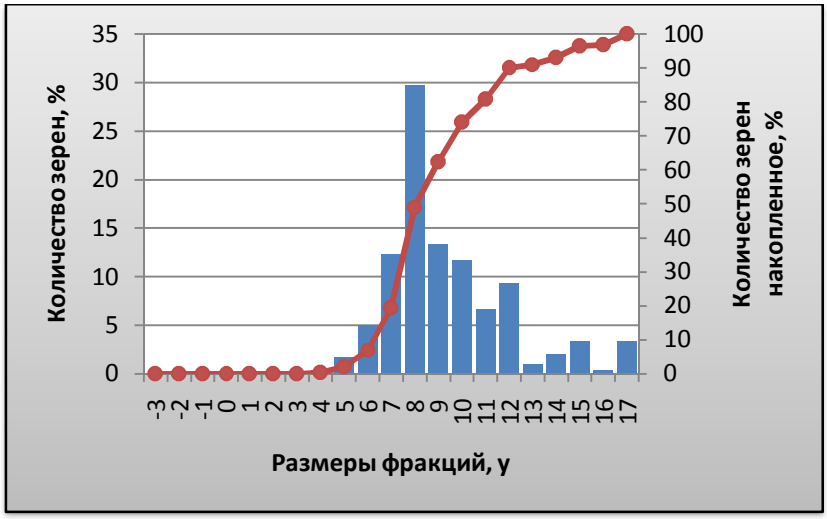

Рис. П.5. Гистограмма распределения зерен по фракциям и кумулятивная кривая

Базовые величины интерпретации

Основными определяемыми величинами являются следующие.

• $x_{ср}$ – средний размер частиц, являющийся важнейшим гранулометрическим параметром. Он хорошо фиксирует положение эмпирического распределения состава на шкале размерностей и характеризует гидродинамический уровень среды седиментации. В качестве $x_{ср}$ обычно выбирается медиана.

Md – медиана, делящая совокупность пополам;

Mo (мода) – это средняя точка наиболее распространенного гранулометрического класса.

• σ – коэффициент сортировки, характеризующий однородность материала (чем меньше значение σ, тем лучше сортированность породы.

Для оценки сортировки частиц по фракциям применяются также: стандартное отклонение, квантильные коэффициенты (S_o), коэффициент вариации (V) и относительная энтропия (H_r).

• A – коэффициент асимметрии.

Параметр асимметрии дает информацию о результатах взаимодействия процессов дифференциации и интеграции различных ассоциаций обломочных частиц песчано-алевритовой размерности.

Положительные значения асимметрии показывают, что модальный размер в эмпирическом распределении больше среднего размера гранулометрического состава. В таких распределениях преобладают классы с большой размерностью частиц, а тонкозернистые составляют так называемые «хвосты» распределений. В случае отрицательной асимметрии модальный размер меньше среднего размера гранулометрического состава. При таком распределении преобладают тонкозернистые классы, а более крупнозернистые составляют его «хвост». В симметричных распределениях модальный и средний размеры равны. Чем больше абсолютное значение отрицательной асимметрии, тем лучше отсортированы тонкозернистые классы по сравнению с более крупнозернистыми. Наоборот, чем больше абсолютное значение величины положительной асимметрии, тем лучше отсортирован крупнозернистый материал.

• E – эксцесс, мера остроконечности графика.

Мера эксцесса характеризуется степенью выпуклости кривой распределения. При эксцессе, равном нулю, кривая распределения совпадает с логнормальной кривой. Пикообразность кривой свидетельствует о том, что модальный и смежные классы характеризуются повышенным процентным содержанием материала. Положительные значения эксцесса указывают на стабильность переработки и пересортировки обломочного материала на относительном уровне, определяющимся средним размером диаметра зерен. Значительный по величине положительный эксцесс указывает, что либо в короткий период времени действовали эоловые или гидродинамические процессы, либо слабые процессы действовали в течение длительного периода. В любом случае, скорость динамической обработки (сортировки) привносимого обломочного материала превышала интенсивность его привноса.

Отрицательные значения эксцесса указывают на то, что привнос обломочного материала значительно превышает интенсивность его динамической переработки.

Если интенсивность привноса обломочного материала и скорость динамической переработки были в равновесном состоянии, то эксцесс характеризуется *нулевыми значениями.*

Сортировка частиц (с учетом дефицита некоторых размерных фракций)

На гистограммах, иллюстрирующих фракционный состав песчано-алевритовых пород, часто отмечаются локальные минимумы – обычно на границе частиц песчаной и алевритовой размерности (~0,05 мм), а также на границе «песчаник-гравелит» (~2 мм) (см. рис. 3.3). Этот эффект, часто называемый дефицитом частиц, на рис. П.5 четко виден для класса 12 – 13 и намечается для класса 10 – 11. По поводу природы данных дефицитов существует две гипотезы:

1. Первично-магматическая – дефицит закладывается на стадии разрушения магматических пород и связан с особенностями дезинтеграции обломочного материала (Ф. Петтиджон, В. Г. Чистяков).

2. Вторая гипотеза – дефицит формируется на рубеже частиц, отграничивающих разные режимы перемещения кластического материала водными потоками: транспортировка во взвешанном состоянии и сальтация, сальтация и волочение и т. д. (Л. Б. Рухин, В. Н. Шванов, Л. С. Смирнов, О. В. Колобзаров, Г. Ф. Рожков, С. И. Романовский и др.).

Наличие подобного дефицита ставит под сомнение использование для оценки сортировки метода Траска, что было проиллюстрировано рис. 7.3.

Метод П. Траска, или метод квантилей

Метод квантилей разработан с целью приближенной графической оценки требуемых статистических характеристик.

Для получения квантилей предварительно строится кумулятивная кривая, а затем через ординаты, отвечающие 25, 50 и 75 %, проводят горизонтальные линии до пересечения их с кумулятивной кривой. Абсциссы полученных точек пересечения и являются исходными для расчета гранулометрических коэффициентов (рис. П.6).



Рис. П.6. Пример нахождения квантилей по графику распределения гранулометрического состава

Распределение по методу П. Траска оценивается тремя параметрами – медианой (*Md*), коэффициентом сортировки (S_o) и коэффициентом асимметрии (S_k).

Для вычисления данных параметров используются формулы (11) – (13):

$$S_o = \sqrt{\frac{Q_{25}}{Q_{75}}}, \qquad (11)$$

где Q_{25} – 25 %-й квантиль, соответствующий зоне больших размеров, Q_{75} – 75%-й квантиль, лежащий в диапазоне частиц меньшей размерности.

Осадок считается идеально отсортированным, если $Q_{25} = Q_{75}$, что возможно только в том случае, когда все частицы имеют размер какой-то одной фракции, S_o при этом равняется 1, а во всех остальных случаях $S_o>1$. Коэффициент Траска– это ненормированная величина, изменяющаяся в широком диапазоне – от первых единиц до первых десятков. По результатам расчета коэффициента сортировки Траска можно выделить хорошо отсортированные осадки ($S_o<2$), среднеотсортированные ($S_o=2-3$) и плохо отсортированные ($S_o>3$).

$$S_k = \frac{Q_{25} \cdot Q_{75}}{Md^2} \qquad (12)$$

где Md – медиана.

Этот коэффициент показывает положение максимальной ординаты, соответствующей преобладающей размерности, называемой модой (Mo) к среднему диаметру или медиане (*Md*). Если в осадке преобладает мелкая фракция, т. е. мода расположена в тонкозернистой части осадка, то $S_k>0$. Если $S_k<0$, то мода расположена в крупнозернистой части осадка и, следовательно, преобладает крупная фракция.

$$Md=Q_{50}, \qquad (13)$$

где Q_{50} – квантиль, равный 50 %.

При методе квантилей можно не делать полный пересчет каждой фракции на ее истинное содержание, для этого вводят поправки в квантильные коэффициенты. *Md* умножается на 1,15, большая квантиль Q_{25} на 1,12, а меньшая Q_{75}– на 1,18.

По графику (см. рис. П.6) находим значения квантилей и переводим их из шкалы γ в метрическую по формуле (14):

$$d = 10^{\gamma/-10}, \tag{14}$$

$$Q_{25} = 8{,}5 = 0{,}141 \cdot 1{,}12 = 0{,}158 \text{ мм}, \tag{15}$$

$$Q_{50} = \text{Md} = 9{,}9 = 0{,}102 \cdot 1{,}15 = 0{,}117 \text{ мм}, \tag{16}$$

$$Q_{75} = 11 = 0{,}079 \cdot 1{,}18 = 0{,}093 \text{ мм}. \tag{17}$$

Далее по выше приведенным формулам рассчитываем интересующие нас характеристики.

$$S_o = \sqrt{\frac{0{,}158}{0{,}093}} = 1{,}3, \tag{18}$$

– порода хорошо сортированная

$$S_k = \frac{0{,}158 \cdot 0{,}093}{0{,}117^2} = \frac{0{,}015}{0{,}014} = 1{,}071. \tag{19}$$

В осадке преобладает мелкая фракция, т. е. мода расположена в тонкозернистой части осадка (S_k>0).

Метод моментов

Метод моментов базируется на строгой вероятностной теории оценивания статистических характеристик.

Для исходных данных, где границы фракций указаны в логарифмических единицах (гамма), используются следующие формулы вычисления среднего, асимметрии и эксцесса.

$$l_i = \frac{(x_i - x_0)}{c}, \tag{20}$$

где x_i – средний диаметр каждой фракции, в ед. γ;x_0 – средний диаметр нулевой фракции, в ед. γ (обычно с наиболее высоким содержанием, выбирается произвольно);c – диапазон фракции (обычно равен 1).

$$M_1 = \frac{\sum m_i \cdot l_i}{\sum m_i} \tag{21}$$

,

$$M_2 = \frac{\sum m_i \cdot l_i^2}{\sum m_i}, \tag{22}$$

$$M_3 = \frac{\sum m_i \cdot l_i^3}{\sum m_i}, \tag{23}$$

$$M_4 = \frac{\sum m_i \cdot l_i^4}{\sum m_i}, \tag{24}$$

где M_1– M_4 – первый, второй, третий и четвертый моменты соответственно;m_i – количество зерен *i*-й фракции;l_i– границы *i*-й фракции, указанные в логарифмических единицах (гамма).

Дисперсия составляет

$$D = M_2 - M_1^2. \tag{25}$$

Стандартное отклонение (коэффициент сортировки)

$$\sigma = \sqrt{D}. \tag{26}$$

А – коэффициент асимметрии

$$A = \frac{M_3 - 3 \cdot M_1 \cdot M_2 + 2 \cdot M_1^3}{\sigma^3}. \tag{27}$$

Е – эксцесс

$$E = \frac{M_4 - 4 \cdot M_3 \cdot M_1 + 6 \cdot M_2 \cdot M_1^2 - 3 \cdot M_1^4}{\sigma^4} - 3. \tag{28}$$

$x_{ср}$ – средний размер частиц

$$x_{ср} = \bar{x}_0 + M_1, \tag{29}$$

где $\bar{x}_0$ – средней размер нулевой фракции (с наиболее высоким содержанием).

По данным, рассчитанным в таблице П. 2, находим коэффициенты по формулам (21) – (29):

$$M_1 = \frac{414}{300} = 1{,}38, \tag{30}$$

$$M_2 = \frac{2610}{300} = 8{,}7, \tag{31}$$

$$M_3 = \frac{15108}{300} = 50{,}36, \tag{32}$$

$$M_4 = \frac{113022}{300} = 376{,}74, \tag{33}$$

$$D = 8{,}7 - 1{,}38^2 = 6{,}7956, \tag{34}$$

$$\sigma = \sqrt{6{,}7956} = 2{,}61, \tag{35}$$

$$A = \frac{50{,}36 - 3 \cdot 1{,}38 \cdot 8{,}7 + 2 \cdot 1{,}38^3}{2{,}61^3} = 1{,}1, \tag{36}$$

$$E = \frac{376{,}74 - 4 \cdot 50{,}36 \cdot 1{,}38 + 6 \cdot 8{,}7 \cdot 1{,}38^2 - 3 \cdot 1{,}38^4}{2{,}61^4} - 3 = 1{,}0, \tag{37}$$

$$x_{ср} = 7{,}5 + 1{,}38 = 8{,}88\gamma, \tag{38}$$

$$x_{ср} = 10^{\gamma/-10} = 10^{\frac{8{,}88}{-10}} = 0{,}129 \text{ мм}. \tag{39}$$

Таблица П.3

Расчетная таблица

Классы	Шкала γ	Размеры фракций, мм (в десятичной шкале)	Количество зерен, m	l	ml	l^2	ml^2	l^3	ml^3	l^4	ml^4
Песчаник	-3	2,0	0	-11	0	121	0	-1331	0	14641	0
	-2	1,6	0	-10	0	100	0	-1000	0	10000	0
	-1	1,25	0	-9	0	81	0	-729	0	6561	0
	0	1,0	0	-8	0	64	0	-512	0	4096	0
	1	0,8	0	-7	0	49	0	-343	0	2401	0
	2	0,63	0	-6	0	36	0	-216	0	1296	0
	3	0,5	0	-5	0	25	0	-125	0	625	0
	4	0,4	1	-4	-4	16	16	-64	-64	256	256
	5	0,315	5	-3	-15	9	45	-27	-135	81	405
Песчаник	6	0,25	15	-2	-30	4	60	-8	-120	16	240
	7	0,2	37	-1	-37	1	37	-1	-37	1	37
	8	0,16	89	0	0	0	0	0	0	0	0
	9	0,125	40	1	40	1	40	1	40	1	40
	10	0,1	35	2	70	4	140	8	280	16	560
	11	0,08	20	3	60	9	180	27	540	81	1620
	12	0,063	28	4	112	16	448	64	1792	256	7168
	13	0,05	4	5	20	25	100	125	500	625	2500
Алевролит	14	0,04	5	6	30	36	180	216	1080	1296	6480
	15	0,031	10	7	70	49	490	343	3430	2401	24010
	16	0,025	1	8	8	64	64	512	512	4096	4096
	17	0,02	10	9	90	81	810	729	7290	6561	65610
Сумма:			300	-21	414	791	2610	-2331	15108	55307	113022

Нормированный энтропийный коэффициент сортировки

Квантильным и моментным мерам сортировки может быть придан «реальный» смысл только для унимодальных кривых, для которых определены статистические приемы оценки значимости стандартного отклонения от среднего. Для бимодальных, а тем более для полимодальных кривых, данные меры сортировки оказываются практически неприемлемыми. Коэффициентом, применимым для оценки би- и полимодальных распределений, является нормированная (или относительная) энтропия, зависящая только от дробности гранулометрического анализа и выбранной масштабной шкалы. Благодаря использованию нормированной энтропии, в этой классификации возможно выделение крайних членов – идеально сортированный осадок ($Hr = 0$) и абсолютно несортированный осадок ($Hr = 1$).

Остальные подразделения достаточно условны, поэтому для них принята равномерная шкала – классификация осадков по степени сортировки.

Степень сортировки осадка	$-H_r$
Идеально сортированный	– 0 – 0,1
Хорошо	– 0,1– 0,25
Умеренно	– 0,25 – 0,5
Плохо	– 0,5 – 0,75
Несортированный	– 0,75 – 0,90
Абсолютно несортированный	– 0,9 – 1

Так как гранулометрический анализ выполнен в числе зерен, то дифференциальная энтропия этого распределения может быть вычислена по формуле (40):

$$h_r = \ln N - \frac{1}{N}\sum_{i=1}^{n} m_i \cdot \ln m_i, \quad (40)$$

где N – общее число зерен;m_i – число зерен, приходящееся на i-ю фракцию;n – число интервалов группирования (число фракций в анализе).

Для вычисления энтропийной меры сортировки справедлива формула 41:

$$H_r = \frac{h_r}{h_{r\max}}, \quad (41)$$

где h_r– дифференциальная энтропия;$h_{r\max}$ – максимально возможное значение дифференциальной энтропии:

$$h_{r\max} = \ln n. \quad (42)$$

Исходя из данных, приведенных в таблице и формул, мы можем рассчитать энтропийную меру сортировки:

$$h_r = \ln N - \frac{1}{N}\sum_{i=1}^{n} m_i \cdot \ln m_i = \ln 300 - \frac{1}{300} \cdot 1067{,}07 = \\ = 5{,}704 - 3{,}56 = 2{,}144, \quad (43)$$

$$H_r = \frac{h_r}{h_{r\max}} = \frac{2{,}144}{2{,}996} = 0{,}72, \quad (44)$$

где n(в нашем случае) равно 20, тогда $\ln n = \ln 20 = 2{,}996; H_r = 0{,}72$– плохо сортированный осадок.

Обработка данных гранулометрического анализа в программе EXCEL

Наиболее простым и доступным средством для работы с данными, полученными при проведении подсчета гранулометрического состава пород, выступает программа MicrosoftOfficeExcel. Он позволяет не только произвести необходимые расчеты, но и визуализировать полученные данные. Кратко осветить некоторые аспекты работы с этой программой.

Для начала создаем новый файл, присваиваем ему имя, создаем таблицу (пример см. на рисунке П. 7).

Для удобной работы с данными необходимо расставить размеры фракции как в шкале «γ», так и в метрической шкале. Занести количество зерен, которое попадает в определенную фракцию. Программа также позволяет производить расчеты, поэтому в столбцах E : L заносим необходимые формулы, как показано на рис. П.7. Таким образом, мы получаем набор промежуточных данных, которые нам пригодятся при определении базовых величин. Готовая таблица приведена на рис. П.8.

Расчет базовых величин производим согласно формулам, указанным выше в разделе «метод моментов». Пример вводимых формул приведен на рис. П.9, полученные цифровые результаты – на рис. П.10.

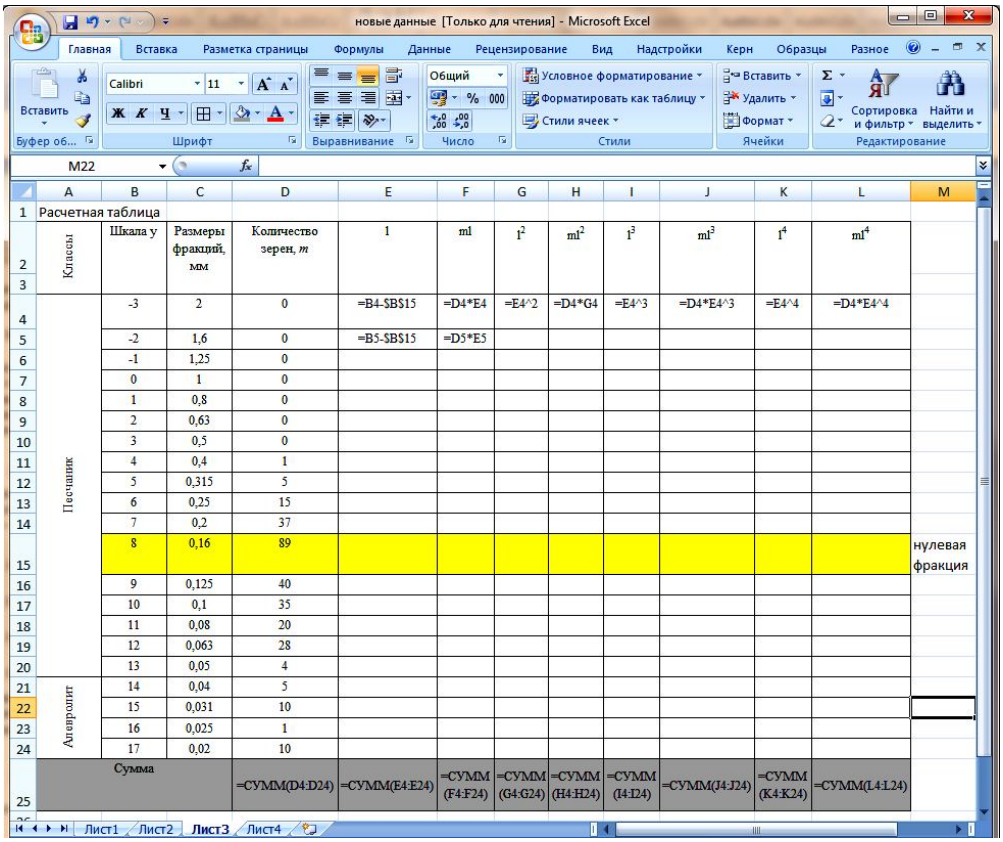

	A	B	C	D	E	F	G	H	I	J	K	L	M
1	Расчетная таблица												
2	Классы	Шкала у	Размеры фракций, мм	Количество зерен, *m*	1	ml	l^2	ml^2	l^3	ml^3	l^4	ml^4	
3													
4	Песчаник	-3	2	0	=B4-B15	=D4*E4	=E4^2	=D4*G4	=E4^3	=D4*E4^3	=E4^4	=D4*E4^4	
5		-2	1,6	0	=B5-B15	=D5*E5							
6		-1	1,25	0									
7		0	1	0									
8		1	0,8	0									
9		2	0,63	0									
10		3	0,5	0									
11		4	0,4	1									
12		5	0,315	5									
13		6	0,25	15									
14		7	0,2	37									
15		8	0,16	89									нулевая фракция
16		9	0,125	40									
17		10	0,1	35									
18		11	0,08	20									
19		12	0,063	28									
20		13	0,05	4									
21	Алевролит	14	0,04	5									
22		15	0,031	10									
23		16	0,025	1									
24		17	0,02	10									
25	Сумма			=СУММ(D4:D24)	=СУММ(E4:E24)	=СУММ(F4:F24)	=СУММ(G4:G24)	=СУММ(H4:H24)	=СУММ(I4:I24)	=СУММ(J4:J24)	=СУММ(K4:K24)	=СУММ(L4:L24)	

Рис. П.7. Пример составления таблицы и написания формул, которые необходимы для определения расчетных параметров

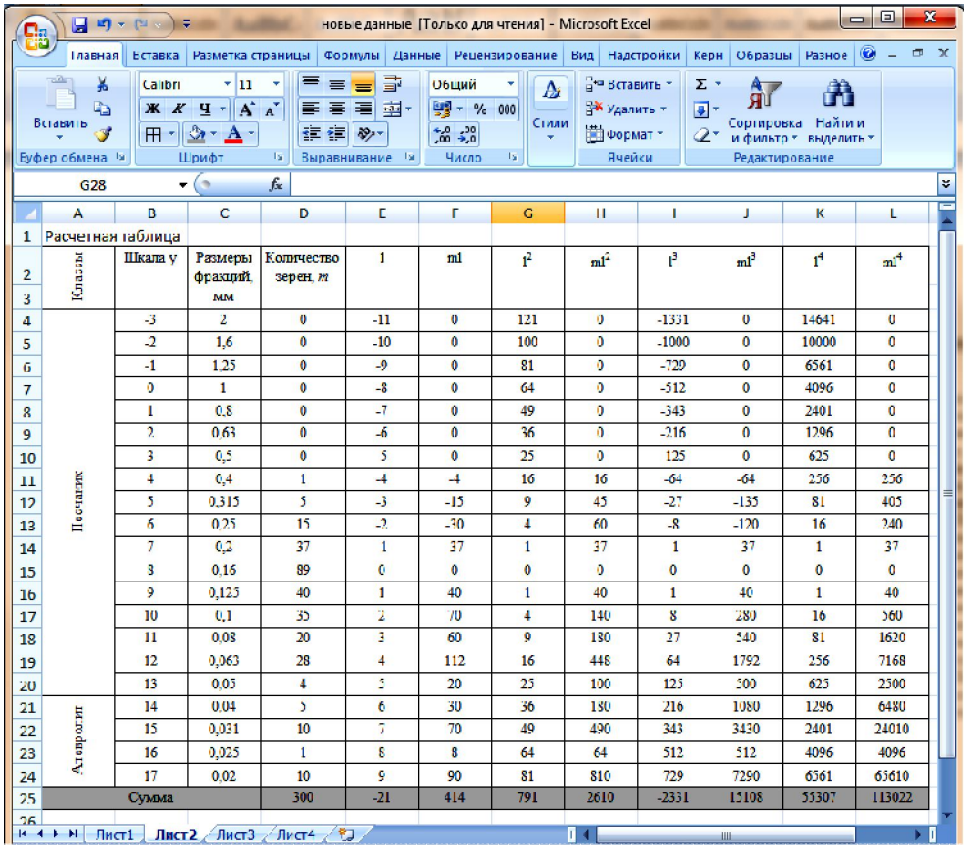

	A	B	C	D	E	F	G	H	I	J	K	L
1	Расчетная таблица											
2	Классы	Шкала у	Размеры фракций, мм	Количество зерен, *m*	1	ml	l^2	ml^2	l^3	ml^3	l^4	ml^4
3												
4	Песчаник	-3	2	0	-11	0	121	0	-1331	0	14641	0
5		-2	1,6	0	-10	0	100	0	-1000	0	10000	0
6		-1	1,25	0	-9	0	81	0	-729	0	6561	0
7		0	1	0	-8	0	64	0	-512	0	4096	0
8		1	0,8	0	-7	0	49	0	-343	0	2401	0
9		2	0,63	0	-6	0	36	0	-216	0	1296	0
10		3	0,5	0	-5	0	25	0	-125	0	625	0
11		4	0,4	1	-4	-4	16	16	-64	-64	256	256
12		5	0,315	5	-3	-15	9	45	-27	-135	81	405
13		6	0,25	15	-2	-30	4	60	-8	-120	16	240
14		7	0,2	37	1	37	1	37	1	37	1	37
15		8	0,16	89	0	0	0	0	0	0	0	0
16		9	0,125	40	1	40	1	40	1	40	1	40
17		10	0,1	35	2	70	4	140	8	280	16	560
18		11	0,08	20	3	60	9	180	27	540	81	1620
19		12	0,063	28	4	112	16	448	64	1792	256	7168
20		13	0,05	4	5	20	25	100	125	500	625	2500
21	Алевролит	14	0,04	5	6	30	36	180	216	1080	1296	6480
22		15	0,031	10	7	70	49	490	343	3430	2401	24010
23		16	0,025	1	8	8	64	64	512	512	4096	4096
24		17	0,02	10	9	90	81	810	729	7290	6561	65610
25	Сумма			300	-21	414	791	2610	-2331	15108	55307	113022

Рис. П.8. Пример готовой таблицы, в которой приведены все необходимые промежуточные значения

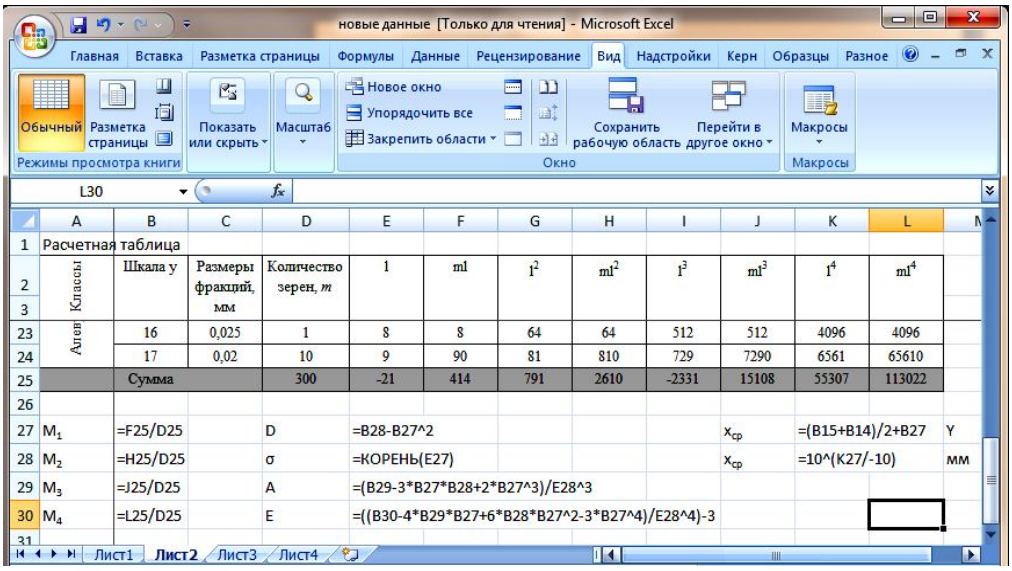

Рис. П.9. Пример расчетных формул для определения базовых величин

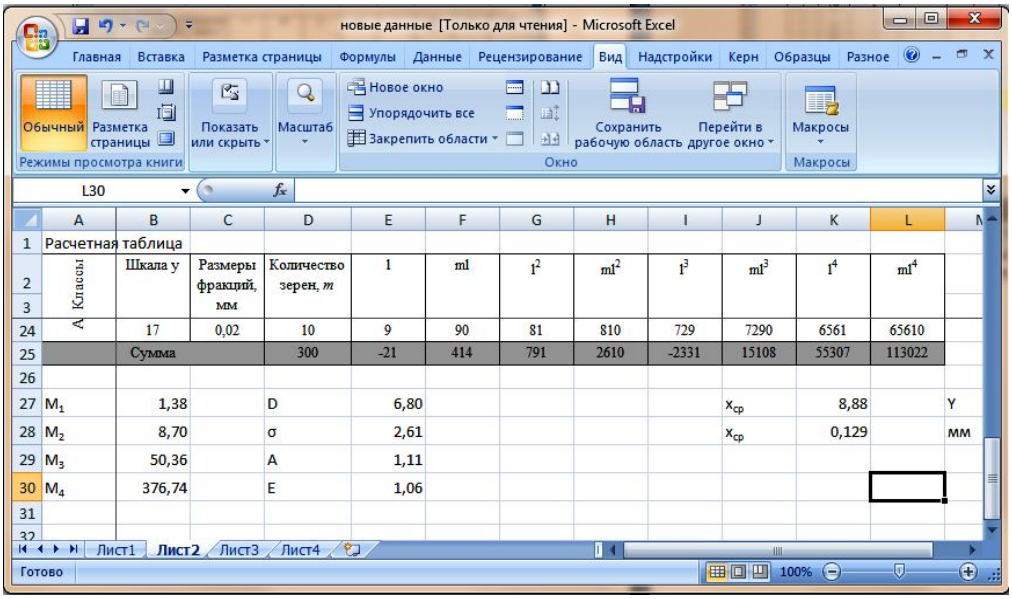

Рис. П.10. Числовые данные базовых величин

Для построения гистограммы и кумулятивной кривой необходимо добавить два столбца с % содержанием зерен и подсчитать накопленные проценты по фракциям, как показано на рис. П.11. Далее выполняем вставку «диаграмма»: тип диаграммы – гистограмма с группировкой; для кумулятивной кривой выбираем график с маркерами (рис. П.12).

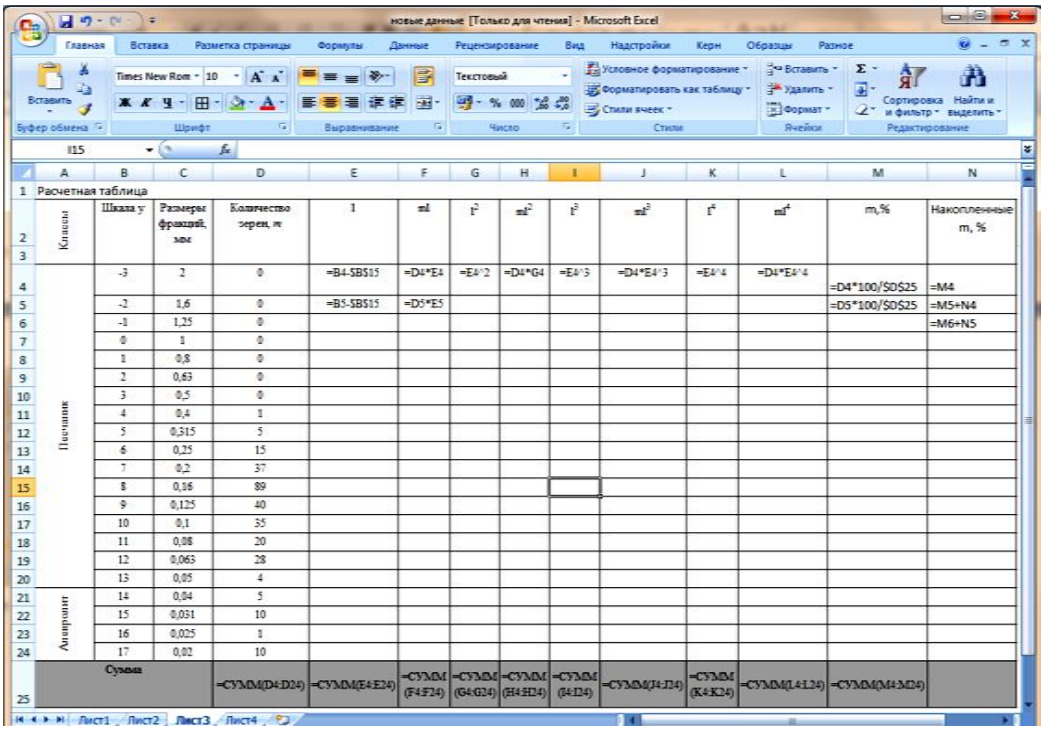

Рис. П.11. Формулы для расчета % содержания зерен и накопленных % по каждой фракции

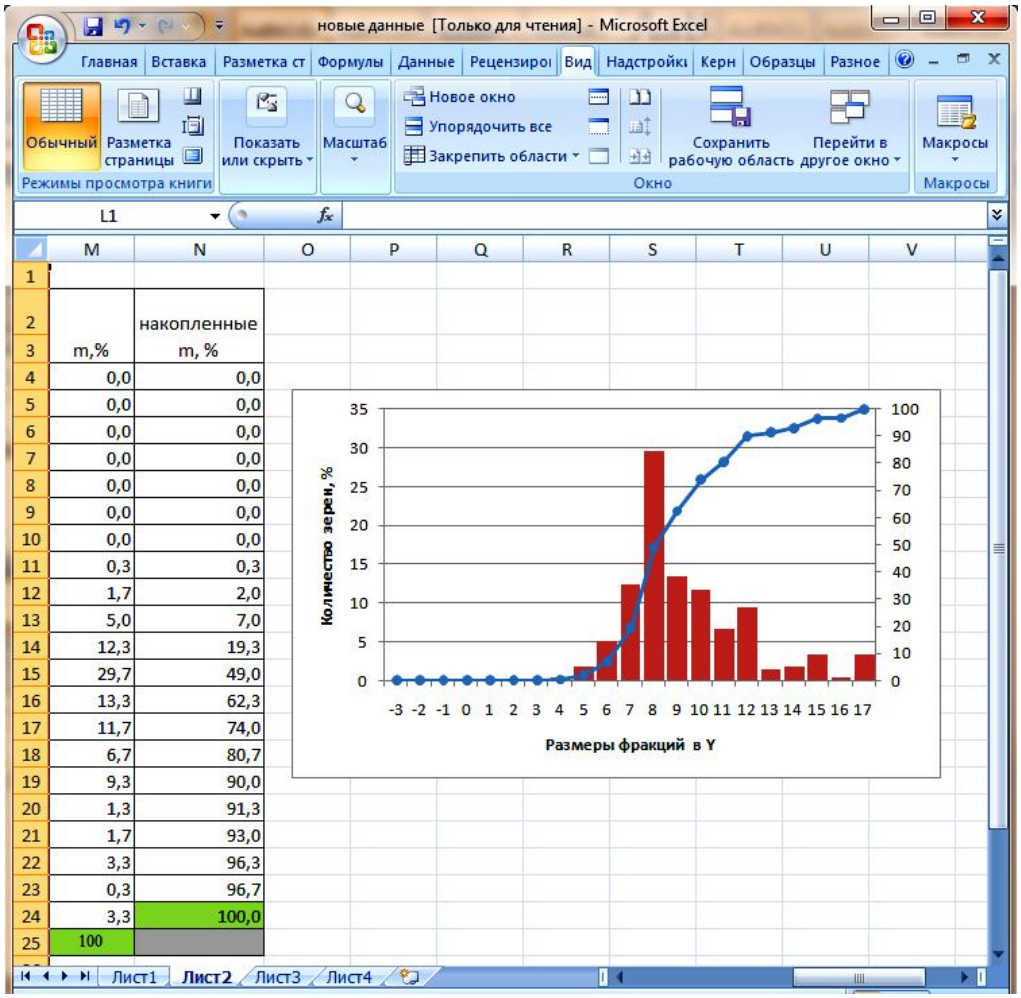

Рис. П.12. Пример построения гистограммы и кумулятивной кривой

Гранулометрический анализ сцементированных обломочных пород лазерной дифракцией

Помимо подсчета зерен в шлифах довольно часто используется метод лазерной дифракции.

Суть этого метода определения размеров частиц основывается на том, что регистрируются не сами частицы, а рассеянный свет от этих частиц (или дифракционная картинка), и угол рассеяния света универсально пропорционален размеру частиц.

Рассеянное частицами излучение регистрируется под разными углами с помощью высокочувствительного многоэлементного кремниевого детектора – фотодиодной матрицы. Излучение полупроводниковых лазеров с помощью линзы фокусируются в плоскость детектора, проходя при этом через измерительную кювету, в которой осуществляется проток анализируемой суспензии, эмульсии или сухого порошкообразного материала и затем анализируется микрокомпьютером, который рассчитывает распределение частиц в потоке образца с образованием многоканальных гистограмм.

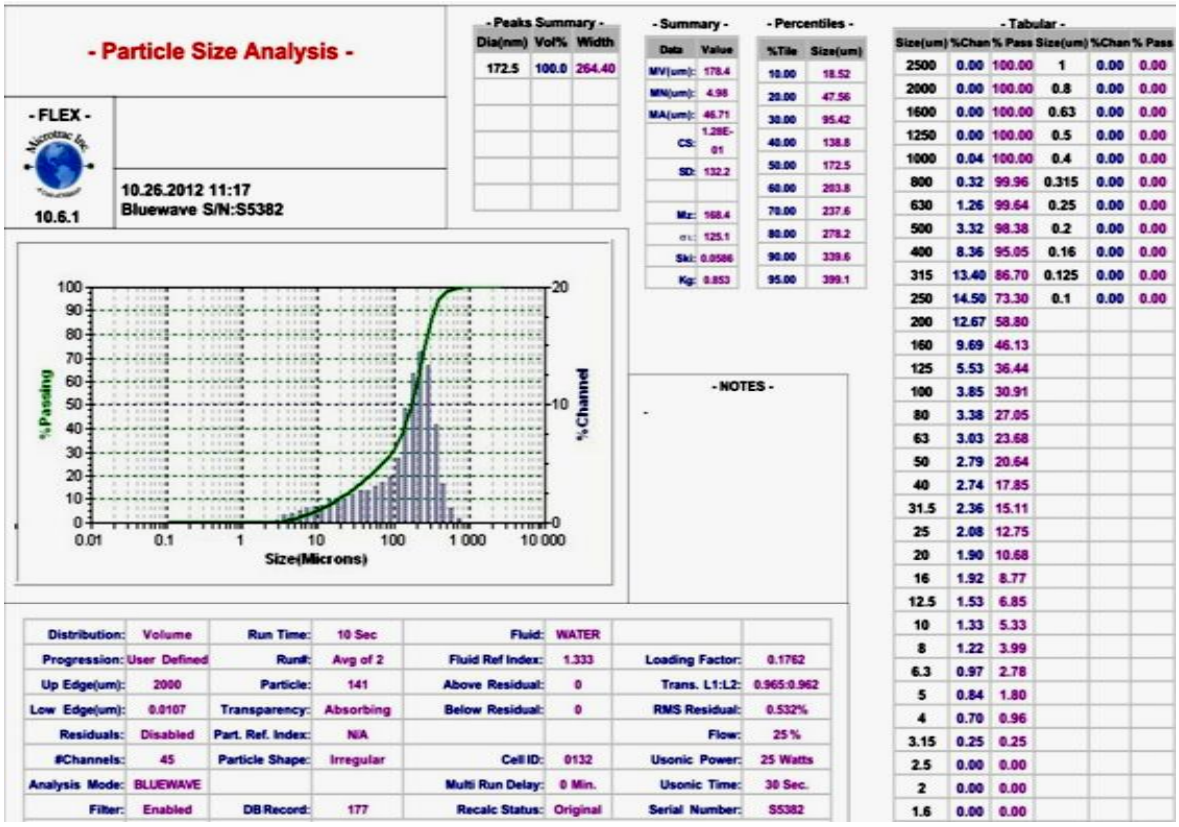

Рис. П.13. Пример протокола результатов Microtrac

Недостатки метода:

1. При расчете диаметра условно принимается, что все частицы имеют сферическую форму, т. е. диаметр усредняется при сканировании лазером под разными углами. В таком случае зерна, имеющие плоскую форму, оказываются больше, чем сферические того же объема. В частности, слюды имеют плоскую форму, они воспринимаются лазером, как крупные зерна.

2. Очень мелкие частицы дают очень большой угол преломления луча лазера, который может выйти за область, контролируемую датчиками.

3. Минералогия частиц (прозрачность, цвет) влияет на индекс преломления луча света, что сказывается на результатах расчета их диаметра.

4. Пробоподготовка образцов осуществляется способом, аналогичным подготовке к ситовому методу: сцементированные породы дезинтегрируются, подвергаются кислотной обработке и растираются в ступке. Вся эта процедура несет с собой и все недостатки, которые связаны с пробоподготовкой. Метод выигрывает большей частью тем, что размеры зерен возможно представить в виде любой размерной шкалы.

Прибор лазерной дифракции сопровождается представленным программным обеспечением, которое выдает протокол измерений, выглядящий следующим образом (рис. П.13).

Приведенные данные иллюстрируют высокую значимость данного метода. Совместное использование подсчета зерен в шлифах и метода лазерной дифракции дает исчерпывающую характеристику состава изученных пород.

МИНОБРНАУКИ РФ

ФГБОУ ВО «Уральский государственный горный университет»

УТВЕРЖДАЮ

Проректор по учебно-методическому комплексу

_____ С.А. Упоров

МЕТОДИЧЕСКИЕ РЕКОМЕНДАЦИИ К КОНТРОЛЬНОЙ РАБОТЕ ПО ДИСЦИПЛИНЕ

Б1.В.13 МИКРОПАЛЕОНТОЛОГИЯ

Специальность:
21.05.02 Прикладная геология

Специализация:
Геология месторождений нефти и газа

форма обучения: очная

Автор: Погромская О.Э., к.г.-м.н.

Одобрены на заседании кафедры
Литологии и геологии горючих ископаемых
(название кафедры)

Зав. кафедрой _____
(подпись)

к.г.-м.н., доц. Рыльков С.А.
(Фамилия И.О.)

Протокол № 2 от 06.10.2020
(Дата)

Рассмотрены методической комиссией
факультета геологии и геофизики
(название факультета)

Председатель _____
(подпись)

д.г.-м.н., проф. Бондарев В.И.
(Фамилия И.О.)

Протокол № 2 от 13.10.2020
(Дата)

Екатеринбург

Введение

Учебным планом специальности 21.05.02 Прикладная геология по дисциплине «Микропалеонтология» предусматривается написание контрольной работы на тему «Определение микрофоссилий в шлифах». Этосамостоятельный труд студента, который способствует углублённому изучению пройденного материала.

Задания контрольной работы, направлены на оценку уровня умений и навыков, формирующих компетенции:

профессиональные

- способен использовать теоретические знания при выполнении производственных, технологических и инженерных исследований в соответствии со специализацией (ПК-1).

Результат изучения дисциплины:

Знать:

- морфологию ископаемых микроорганизмов;
- основы систематики, образ жизни и геологическое значение различных групп микроорганизмов;
- основные методы использования микроскопических остатков для целей детальной стратиграфии.

Уметь:

- выделять, диагностировать и анализировать микрофоссилии;
- использовать данные микропалеонтологии при корреляции разрезов и определения стратиграфического положения стратонов;
- использовать данные микропалеонтологии для определения палеогеографических условий накопления осадков.

Владеть:

- навыками работы с препаратами микрофоссилий;
- представлениями об основных зональных стратиграфических шкалах фанерозоя, основанных на последовательностях микроорганизмов;
- профессиональной терминологией.

Цель выполняемой работы:получить специальные знания по заданной теме.

Основные задачи выполняемой работы:

1) закрепление полученных ранее теоретических знаний;
2) выработка навыков самостоятельной работы;
3) оценка уровня подготовленности студента к будущей практической работе.

Задания к контрольной работе

Пользуясь литературой,определить систематическую принадлежность микрофоссилий, в полученном шлифе. Опишите основные морфологические признаки. Проанализируйте условия обитания и установите геологическое значение исследуемыхмикрофоссилий.

1. Амон Э.О.. Палеонтология микрофоссилий (микропалеонтология) : учебное пособие / Э. О Амон ; Уральский государственный горный университет. - Екатеринбург : УГГУ, 2011. - 520 с. - Библиогр.: с. 506-508.

2. Погромская, Ольга Эдуардовна. Микропалеонтологические аспекты литологии : учебно-методическое пособие / Уральский государственный горный университет. - Екатеринбург : УГГУ, 2004. - 116 с. - Библиогр.: с. 113-116. 10

Каждый вариант контрольной работы состоит из прозрачного шлифа осадочных пород с остатками микрофоссилий.

Порядок выполнения контрольной работы

Подготовку контрольной работы следует начинать с повторения соответствующего раздела учебника, учебных пособий по данной теме и конспектов лекций прочитанных ранее. Приступать к выполнению работы без изучения основных положений и понятий науки, не следует, так как в этом случае студент, как правило, плохо ориентируется в материале, не может отграничить смежные вопросы и сосредоточить внимание на основных, первостепенных проблемах рассматриваемой темы.

После выбора темы необходимо внимательно изучить методические рекомендации по подготовке контрольной работы, составить план работы, который должен включать основные вопросы, охватывающие в целом всю прорабатываемую тему.

Порядок описания микрофоссилий

1. Определение степени сохранности ископаемых остатков.
2. Общие закономерности строения микрофоссилий
3. Сделать фото, указав линейный масштаб. Выделить стрелками и подписать названия всех выявленных элементов микрофоссилий.
4. Определить и доказатьсистематическую принадлежность микрофоссилий.
5. Определить условия обитания и образ жизни представителей определенного таксона.
6. Охарактеризовать геологическое значение таксона.

Оценивание результатов контрольной работы

Оценивание результатов контрольной работы должно быть проведено до начала промежуточной аттестации и проводится по традиционной шкале: «зачтено», «не зачтено. Решение об оценке контрольной работы принимается по результатам проверки предъявленной работы и ответов студента на вопросы в случае неполного описания микрофоссилий.

Критерии оценивания контрольной работы	*Количество баллов*
Правильность определения систематической принадлежности микрофоссилий	0-1
Полнота описания морфологического строения микрофоссилий	0-2
Логичность и аргументированность выводов по работе	0-1
Использование профессиональной терминологии	0-1
Итого	0-5

5 баллов (90-100%) - оценка «зачтено»
4 балла (70-89%) - оценка «зачтено»
3 балла (50-69%) - оценка «зачтено»
0-2 балла (0-49%) - оценка «не зачтено».

Критерии оценки:

Оценка «зачтено» выставляется обучающемуся:

- если правильно определена систематическая принадлежность; дано полное описание морфологического строения; выводы по работе логичные и аргументированные, материал изложен профессиональным языком;

- если правильно определена систематическая принадлежность; дано полное описание морфологического строения; имеется вывод по работе или его нет, материал изложен профессиональным языком;

- если правильно определена систематическая принадлежность; описание морфологического строения с существенными замечаниями; выводы по работе нелогичны или отсутствуют, материал изложен без использования профессиональной терминологии;

Оценка «не зачтено» выставляется обучающемуся, если правильно определена систематическая принадлежность или не определена; описание морфологического строения неполно или неверно; выводы по работе нелогичны или отсутствуют, материал изложен без использования профессиональной терминологии.

МИНОБРНАУКИ РФ

ФГБОУ ВО «Уральский государственный горный университет»

УТВЕРЖДАЮ

Проректор по учебно-методическому комплексу

_____ С.А.Упоров

МЕТОДИЧЕСКИЕ РЕКОМЕНДАЦИИ К САМОСТОЯТЕЛЬНОЙ РАБОТЕ ПО ДИСЦИПЛИНЕ

Б1.В.13 МИКРОПАЛЕОНТОЛОГИЯ

Специальность:
21.05.02 Прикладная геология

Специализация:
Геология месторождений нефти и газа

форма обучения: очная

Автор: Погромская О.Э., к.г.-м.н.

Одобрены на заседании кафедры
Литологии и геологии горючих ископаемых
(название кафедры)

Зав. кафедрой _____
(подпись)

к.г.-м.н., доц. Рыльков С.А.
(Фамилия И.О.)

Протокол № 2 от 06.10.2020
(Дата)

Рассмотрены методической комиссией
факультета геологии и геофизики
(название факультета)

Председатель _____
(подпись)

д.г.-м.н., проф. Бондарев В.И.
(Фамилия И.О.)

Протокол № 2 от 13.10.2020
(Дата)

Екатеринбург

Введение

Самостоятельная работа студента является важнейшей составной частью образовательной программы подготовки дипломированного специалиста. По курсу «Микропалеонтология» обязательная самостоятельная работа студента осуществляется в следующих направлениях:

- ✓ выполнение домашних заданий;
- ✓ освоение материалов по отдельным темам, входящим в Рабочую программу дисциплины [8];
- ✓ подготовка к экзамену;

Самостоятельная работа студентов направлена на развитие интеллектуальных умений, повышение творческого потенциала студентов и заключается в:

– поиске, анализе, структурировании и презентации информации, анализе научных публикаций по вопросам исследования микрофоссилий;

– исследовательской работе и участии в научных студенческих конференциях, семинарах и олимпиадах.

Оценка результатов самостоятельной работы организуется как единство двух форм: самоконтроль и контроль со стороны преподавателей.

Данные методические указания предназначены для организации самостоятельной работы студентов при освоении отдельных тем дисциплины.

Методические указания к самостоятельной работе студента

В последующем разделе пособия приведена развернутая программа дисциплины «Микропалеонтология». Здесь указаны наименование и содержание лекционных тем в соответствии с Учебной программой курса [8]. Каждая тема является основой вопросов в экзаменационном билете. При чтении лекций по курсу преподаватель указывает те темы дисциплины, которые выносятся на самостоятельную проработку студентами. Основной объем информации по каждой теме содержится в учебниках по курсу [1, 2, 3]. Для углубленного освоения темы рекомендуется дополнительная литература [4-8]. Для самоконтроля и приобретения навыков решения задач по отдельным разделам дисциплины в последнем разделе приведены контрольные вопросы и упражнения, которые являются основой подготовки к экзамену.

При освоении указанных ниже тем рекомендуется следующий порядок самостоятельной работы студента.

1. Ознакомьтесь со структурой темы.
2. По учебникам [1, 2, 3] освойте каждый структурный элемент темы. Во всех темах указаны разделы и страницы учебника, содержащие данный материал.
3. При необходимости используйте указанную дополнительную литературу. Консультацию по использованию дополнительной литературы Вы можете получить у преподавателя.
4. Ответьте на контрольные вопросы и выполните рекомендованные упражнения. При затруднениях в ответах на вопросы вернитесь к изучению рекомендованной литературы.
5. Законспектируйте материал. При этом конспект может быть написан в виде ответов на контрольные вопросы и упражнения.

При самостоятельной работе над указанными темами рекомендуется вести записи в конспектах, формируемых на лекционных занятиях по курсу, и в том порядке, в котором данные темы следуют по учебной программе.

Данное учебно-методическое пособие может быть использовано при подготовке ответов на вопросы во время экзамена.

Содержание курса

Тема 1: Введение в курс, методы изучения микрообъектов. [1-3]

Задачи микропалеонтологии и объекты исследования. Современные направления микропалеонтологии. Значение микропалеонтологии при разработке зональных стратиграфических схем и изучении палеоэкологии.

Дополнительная литература: [4-8].

Контрольные вопросы и упражнения:

1. Дайте краткую характеристику микропалеонтологии как науки.
2. Охарактеризуйте правила микропалеонтологической терминологии.
3. Опишите абиотические условия распределения организмов.
4. Перечислите основные объекты микропалеонтологии

Тема 2: Надцарство Eucariota. Тип саркодовые, Класс Фораминиферы. [1-3]

Методика изучения. Класс Фораминиферы. Морфология и состав скелета, главнейшие морфологические признаки и их диагностика в шлифах. Характеристика основных надсемейств. Биономические зоны обитания. Экология и условия захоронения. Ориктоценозы в разрезах, вскрытых глубокими скважинами. Этапы развития фораминифер в фанерозое. Стратиграфическое значение.

Дополнительная литература: [4-8].

Контрольные вопросы и упражнения:

1. Дайте краткую характеристику фораминифер.
2. Охарактеризуйте типы раковин фораминифер.
3. Каково геологическое и стратиграфическое значение фораминифер

Тема 3: Тип саркодовые, Класс Радиолярии. [1-3]

Методика изучения. Морфология и состав скелета. Характеристика подклассов. Отряды Полицистин. Экология и условия захоронения радиолярий. Этапы развития радиолярий в фанерозое. Стратиграфическое значение.

Дополнительная литература: [4-8].

Контрольные вопросы и упражнения:

1. Охарактеризуйте строение мягкого тела радиолярий.
2. Перечислите основные структурные элементы строения минерального скелета.
3. Назовите этапы в историческом развитии радиолярий.

Тема 4: Тип инфузории, Класс Силиаты, отряд Тинтинниды. [1-3]

Методика изучения Тинтиннид. Морфология и состав скелета. Основы систематики и экология тинтиннид. Стратиграфическое значение.

Дополнительная литература: [4-8].

Контрольные вопросы и упражнения:

1. Назовите особенности морфологии отряда Тинтиннид.

Тема 5: Низшие ракообразные, Класс Остракоды. [1-3]

Методы изучения. Общая характеристика, строение и морфология раковины; половой диморфизм. Основы систематики остракод, палеокопоморфы, подокопоморфы и миокопоморфы. Эколого-фациальные типы остракод. Тафономия остракод. Этапы развития остракод в фанерозое. Стратиграфическое значение.

Дополнительная литература: [4-8].

Контрольные вопросы и упражнения:

1. Составьте сравнительную таблицу признаков подклассов класса Ostracodoides.
2. Составьте сравнительную таблицу признаков отрядов подкласса Cypridiones.
3. Составьте сравнительную таблицу признаков подотрядов отряда Beyrichiida.
4. Сгруппируйте подотряды по образу жизни входящих в них представителей.
5. На основании приведенных сведений предложите свой вариант филогенетических взаимоотношений основных групп остракод.
6. Опишите экологию остракод.
7. В чем состоит стратиграфическое значение остракод?
8. Расскажите о методике изучения остракод.

Тема 6: Тип хордовые, Класс Конодонты. [1-3]

Общая характеристика класса. Строение конодонтовых элементов и аппаратов. Простые, стержневые, листовидные и платформенные конодонты. Систематика конодонтов. Подклассы Параконодонта и Конодонтата. Методика изучения. Экология. Стратиграфическое значение.

Дополнительная литература: [4-8].

Контрольные вопросы и упражнения:

1. Составьте сравнительную таблицу признаков морфологических групп изолированных элементов конодонтов.
2. На основе полученных сведений о морфологии изолированных элементов конодонтов постройте схему развития от простых конических элементов через сложные рамиформные элементы к пектиниформным.
3. Составьте сравнительную таблицу биологических особенностей строения конодонтов и других сходных организмов.
4. Приведите диагноз класса Conodonta.
5. Перечислите отряды класса Conodonta.
6. Охарактеризуйте основные этапы эволюции конодонтов во времени.
7. Расскажите о стратиграфическом значении конодонтов.
8. Опишите особенности методики изучения конодонтов.

Тема 7: Одноклеточные водоросли: кокколитофориды, дино- и силикофлагелляты. [1-3]

Общая характеристика. Основы систематики. Типы и состав скелета. Методика изучения. Экология и географическое распространение. Стратиграфическое значение.

Дополнительная литература: [4-8].

Контрольные вопросы и упражнения:

1. Что представляют собой динофлагелляты?
2. Какова морфология цист динофлагеллят?
3. В чем состоит значение динофлагеллят в морских бассейнах?

Тема 8: Диатомовые водоросли. [1-3]

Общая характеристика, строение панциря. Пеннатный и центрический типы панциря. Зависимость от окружающей среды. Методика изучения. Стратиграфическое значение.

Дополнительная литература: [4-8].

Контрольные вопросы и упражнения:

1. Дайте общую характеристику морфологии диатомовых водорослей.

2. Укажите распространение диатомей в отложениях различного геологического возраста.

3. Охарактеризуйте тафономию, экологию и породобразующее значение диатомей.

Тема 9: Надцарство Procariota. Царство Бактерии, Цианобионты, Строматолиты. [1-3]

Особенности строения и принципы классификации ископаемых бактерий и цианобионтов. Циано-бактериальные сообщества (маты, пленки). Роль бактерий в истории осадконакопления. Циано-бактериальные сообщества. Строматолиты и онколиты. Основы классификации. Методика изучения в шлифах и пришлифовках, стратиграфическое значение.

Дополнительная литература: [4-8].

Контрольные вопросы и упражнения:

1. Опишите морфологию строматолитов.
2. Геологическое значение строматолитов.

Тема 10: Споры и пыльца растений, спорово-пыльцевой анализ. [1-3]

Основы классификации спор и пыльцы. Морфологические особенности спор. Морфологические типы пыльцы семенных растений. Методика извлечения спор и пыльцы. Стратиграфическое применение палинологии.

Дополнительная литература: [4-8].

Контрольные вопросы и упражнения:

1. Что представляет собой палеопалинология?
2. Расскажите о жизненном цикле папоротника.
3. Что представляют собой споры?
4. Что представляет собой пыльца?
5. В чем состоит различие между надотделами Sporophyta (споровые) и Spermatophyta (семенные) в подцарстве высших растений?
6. Назовите и кратко охарактеризуйте все пять отделов споровых растений.
7. Назовите и кратко охарактеризуйте отделы семенных растений.
8. Кратко охарактеризуйте класс однодольных растений.
9. Кратко охарактеризуйте класс двудольных растений.
10. Опишите морфологию спор.

Вопросы к зачету по курсу «Микропалеонтология»

1. Способы изучения микрофауны.
2. Характеристика grain-supported class классификации Данхема
3. Характеристика зон бассейнов.
4. Характеристика mud-supported class классификации Данхема.
5. Основные способы сбора методы обработки ископаемых остатков организмов.
6. Радиолярии: морфология скелета, характеристика высших таксонов, геологическое значение.
7. Фораминиферы: морфология скелета, характеристика высших таксонов, геологическое значение.
8. Конодонты: морфология скелета, характеристика высших таксонов, геологическое значение.
9. Кокколитофориды: морфология скелета, характеристика высших таксонов, геологическое значение.
10. Палеопалинология в практической стратиграфии.

Рекомендуемая литература

1. Амон Э.О.. Палеонтология микрофоссилий (микропалеонтология) : учебное пособие / Э. О Амон ; Уральский государственный горный университет. - Екатеринбург : УГГУ, 2011. - 520 с. - Библиогр.: с. 506-508.

2. Погромская, Ольга Эдуардовна. Микропалеонтологические аспекты литологии : учебно-методическое пособие / Уральский государственный горный университет. - Екатеринбург : УГГУ, 2004. - 116 с. - Библиогр.: с. 113-116. 10

3. Михайлова И.А. Палеонтология [Электронный ресурс] : учебник / И.А. Михайлова, О.Б. Бондаренко. — Электрон. текстовые данные. — М. : Московский государственный университет имени М.В. Ломоносова, 2006. — 592 c. — 5-211-04887-3. — Режим доступа: http://www.iprbookshop.ru/13102.html

4. Палеонтология : учебник : в 2-х т. / О. Б. Бондаренко, И. А. Михайлова. - 3-е изд., перераб. и доп. - Москва : Академия. - ISBN 978-5-7695-7433-7. Т. 1. - 2011. - 208 с. - (Высшее профессиональное образование. Бакалавриат). - Библиогр.: с.187-191. - ISBN 978-5-7695-77432-0 : 629.20 р. 2

5. Подобина В.М. Фораминиферы и зональная стратиграфия верхнего мела Западной Сибири [Текст] : научное издание / В. М. Подобина ; Томский государственный университет. - Томск : Издательство Томского университета, 1989. - 232 с. : вкл. л., рис., табл. - ISBN 5-7511-0237-1

6. Споры и пыльца в нефтях и породах нефтегазоносных областей СССР [Текст] : научное издание / Академия наук СССР, Министерство нефтяной промышленности СССР, Институт геологии и разработки горючих ископаемых . Международная палинологическая конференция (3 ; 1971 ; Новосибирск) ; ред.: М. М. Алиев, К. Р. Чепиков. - Москва : Наука, 1971. - 116 с. : ил.

7. Методические рекомендации к технике обработки осадочных пород при спорово-пыльцевом анализе : методические рекомендации / Министерство геологии СССР, Всесоюзный научно-исследовательский геологический институт ; сост.: И. В. Петрова, О. П. Кондратене, Г. С. Дедович. - Ленинград : ВСЕГЕИ, 1986. - 77 с. - Библиогр.: с. 71-75.

8. Микропалеонтология: рабочая программа дисциплины для студентов специальности 21.05.02 Прикладная геология специализация № 3 Геология месторождений нефти и газа / О.Э. Погромская. Екатеринбург: УГГУ, 2020. 93 с.

МИНОБРНАУКИ РФ

ФГБОУ ВО «Уральский государственный горный университет»

УТВЕРЖДАЮ
Проректор по учебно-методическому комплексу
_____ С.А.Упоров

МЕТОДИЧЕСКИЕ РЕКОМЕНДАЦИИ ПО ВЫПОЛНЕНИЮ КУРСОВОГОПРОЕКТА ПО ДИСЦИПЛИНЕ

Б1.В.14 ГЕОФИЗИЧЕСКИЕ ИССЛЕДОВАНИЯ СКВАЖИН, ЧАСТЬ 2

Специальность:
21.05.02 Прикладная геология

Специализация
Геология месторождений нефти и газа

Автор: Третьякова Л.И.

Одобрены на заседании кафедры
Литологии и геологии горючих ископаемых
(название кафедры)
Зав. кафедрой _____
(подпись)
к.г.-м.н., доц. Рыльков С.А.
(Фамилия И.О.)
Протокол № 2 от 06.10.2020
(Дата)

Рассмотрены методической комиссией
факультета геологии и геофизики
(название факультета)
Председатель _____
(подпись)
д.г.-м.н., проф. Бондарев В.И.
(Фамилия И.О.)
Протокол № 2 от 13.10.2020
(Дата)

Екатеринбург

СОДЕРЖАНИЕ

1. Структура и примерный объем 3

2. Требования к оформлению (общие требования) 4

2.1 Правила оформления наименований и нумерации структурных элементов, глав и параграфов 4

2.2 Правила оформления сокращений и аббревиатур 5

2.3 Правила оформления перечислений 5

2.4 Правила оформления рисунков 5

2.5 Правила оформления таблиц 7

2.6 Правила оформления примечаний и ссылок 9

2.7 Правила оформления списка использованных источников 9

2.8 Правила оформления приложений 11

Приложение. Образец оформления титульного листа 13

Курсовой проект по дисциплине «Геофизические исследования скважин, часть 2» выполняется в рамках учебного плана специальности 21.05.02 Прикладная геология. Исходным материалом служат геологические материалы, привезенные студентом с места прохождения производственной практики.

Защита проходит в виде публичной защиты с презентацией. Презентация структурируется по раскрываемым вопросам и обязательно должна содержать иллюстративный материал.

1. Структура и примерный объем курсового проекта

Текст включает в себя:

- титульный лист;
- содержание;
- введение;
- собственно содержательную часть;
- заключение;
- список литературы.

При необходимости работа сопровождается графическими и табличными рисунками и(или)приложениями.

Реферат в кратком виде отражает основное содержание проекта, и примерно выглядит следующим образом.

КП 40 с., 6 рис., 6 табл., 15 источников

ГИС, РАСХОДОМЕТРИЯ, БАЖЕНОВСКАЯ СВИТА, КОЛЛЕКТОР $Ю_2$, … (8-12 ключевых слов)

Объект исследования – …

Цель работы – …

На основании рассмотрения … установлено …

Сделано заключение о …

Собственно **содержательная часть**, как правило, имеет трехчленную структуру.

1. **Геологическая** характеристика объекта, выполненная в предельно сжатой форме в общепринятой последовательности: стратиграфия – тектоника – нефтегазоносность.
2. **Обоснование выбора комплекса геофизических методов** оптимально позволяющих решить задачу, определенную темой курсового проекта
   - состояние изученности вопроса (проблемы) – общее; для изучаемого объекта;
   - результаты, полученные лично автором;
   -обсуждение результатов.
3. **Резюме** (итоги) обычно оценивающее практическое значение полученных результатов.

В конце текста помещается список источников, которыми пользовался автор при составлении данного проекта. Источники располагаются в алфавитном порядке. Ссылки в тексте на источники указывают порядковым номером по списку источников, выделенным двумя квадратными скобками – например, [2]. Фондовые источники даются в конце списка и отмечаются буквой «ф», например [14 ф].

2. Требования к оформлению курсового проекта (общие требования)

Оформление курсового проекта осуществляется в соответствии с требованиями государственных стандартов и университета.

Курсовой проект выполняется печатным способом с использованием компьютера.

Каждая страница текста, включая иллюстрации и приложения, нумеруется арабскими цифрами, кроме титульного листа и содержания, по порядку без пропусков и повторений. Номера страниц проставляются, начиная с введения (третья страница), в центре нижней части листа без точки.

Текст работы следует печатать, соблюдая следующие размеры полей: правое – 10 мм, верхнее и нижнее – 20 мм, левое – 30 мм.

Рекомендуемым типом шрифта является TimesNewRoman, размер которого 14 pt (пунктов) (на рисунках и в таблицах допускается применение более мелкого размера шрифта, но не менее 10 pt).

Текст печатается через 1,5-ый интервал, красная строка – 1,25 см.

Цвет шрифта должен быть черным, необходимо соблюдать равномерную плотность, контрастность и четкость изображения по всей работе. Разрешается использовать компьютерные возможности акцентирования внимания на определенных терминах и формулах, применяя курсив, полужирный шрифт не применяется.

2.1 Правила оформления наименований и нумерации структурных элементов, глав и параграфов

Текст курсовогопроекта должен включать следующие структурные элементы: титульный лист, содержание, введение, основной текст, заключение, приложения (является дополнительным элементом). Основной текст может быть разделен на разделы и параграфы.

Каждый структурный элемент работы (титульный лист, содержание, введение, заключение, приложение) и разделы необходимо начинать с новой страницы. Следующий параграф внутри одного раздела начинается через 2 межстрочных интервала на том же листе, где закончился предыдущий.

Расстояние между заголовком структурного элемента и текстом, заголовками главы и параграфа, заголовком параграфа и текстом составляет 2 межстрочных интервала.

Наименования структурных элементов письменной работы («СОДЕРЖАНИЕ», «ВВЕДЕНИЕ», «ЗАКЛЮЧЕНИЕ», «ПРИЛОЖЕНИЕ») служат заголовками структурных элементов. Данные наименования пишутся по центру страницы без точки в конце прописными (заглавными) буквами, не подчеркивая.

Разделы, параграфы должны иметь заголовки. Их следует нумеровать арабскими цифрами и записывать по центру страницы прописными (заглавными) буквами без точки в конце, не подчеркивая. Номер раздела указывается цифрой (например, 1, 2, 3), номер параграфа включает номер раздела и порядковый номер параграфа, разделенные точкой (например, 1.1, 2.1, 3.3). После номера раздела и параграфа в тексте точку не ставят. Если заголовок состоит из двух предложений, их разделяют точкой. Переносы слов в заголовках не допускаются. Не допускается писать заголовок параграфа на одном листе, а его текст – на другом.

В содержании работы наименования структурных элементов указываются с левого края страницы, при этом первая буква наименования является прописной (заглавной), остальные буквы являются строчными, например:

Введение

1 Краткая характеристика организации – места прохождения практики

2 Практический раздел – выполненные работы

Заключение

Приложения

2.2 Правила оформления сокращений и аббревиатур

Сокращение русских слов и словосочетаний допускается при условии соблюдения требований ГОСТ 7.12–93 «Система стандартов по информации, библиотечному и издательскому делу. Библиографическая запись. Сокращение слов на русском языке. Общие требования и правила».

В тексте письменной работы допускаются общепринятые сокращения и аббревиатуры, установленные правилами орфографии и соответствующими нормативными документами, например: год – г., годы – гг., и так далее – и т. д., метр – м, тысяч – тыс., миллион – млн, миллиард – млрд, триллион – трлн, страница – с., Российская Федерация – РФ, общество с ограниченной ответственностью – ООО.

При использовании авторской аббревиатуры необходимо при первом ее упоминании дать полную расшифровку, например: «… Уральский государственный горный университет (далее – УГГУ)…».

Не допускается использование сокращений и аббревиатур в заголовках письменной работы, глав и параграфов.

2.3 Правила оформления перечислений

При необходимости в тексте работы могут быть приведены перечисления. Перед каждым элементом перечисления следует ставить дефис (иные маркеры не допустимы). Например:

«….заключение содержит:

- краткие выводы;
- оценку решений;
- разработку рекомендаций.»

При необходимости ссылки в тексте работы на один из элементов перечисления вместо дефиса ставятся строчные буквы в порядке русского алфавита, начиная с буквы а (за исключением букв ё, з, й, о, ч, ъ, ы, ь). Для дальнейшей детализации перечислений необходимо использовать арабские цифры, после которых ставится скобка, а запись производится с абзацного отступа. Например:

а) …;
б) …;
1) …;
2) …;
в) …

2.4 Правила оформления рисунков

В письменной работе для наглядности, уменьшения физического объема сплошного текста следует использовать иллюстрации – графики, схемы, диаграммы, чертежи, рисунки и фотографии. Все иллюстрации именуются рисунками. Их количество зависит от содержания работы и должно быть достаточно для того, чтобы придать ей ясность и конкретность.

На все рисунки должны быть даны ссылки в тексте работы, например: «... в соответствии с рисунком 2 …» или «… тенденцию к снижению (рисунок 2)».

Рисунки следует располагать в работе непосредственно после текста, в котором они упоминаются впервые (при наличии достаточного пространства для помещения рисунка со всеми поясняющими данными), или на следующей странице. Если рисунок достаточно велик, его можно размещать на отдельном листе. Допускается поворот рисунка по часовой стрелке (если он выполнен на отдельном листе). Рисунки, размеры которых больше формата А4, учитывают как одну страницу и помещают в приложении.

Рисунки, за исключением рисунков в приложениях, следует нумеровать арабскими цифрами сквозной нумерацией по всей работе. Каждый рисунок (схема, график, диаграмма) обозначается словом «Рисунок», должен иметь заголовок и подписываться следующим образом – посередине строки без абзацного отступа, например:



Рисунок 1 – Структура администрации организации

Если на рисунке отражены показатели, то после заголовка рисунка через запятую указывается единица измерения, например:

Рисунок 1 – Структура добычи, %

Рисунки каждого приложения обозначают отдельной нумерацией арабскими цифрами с добавлением перед цифрой обозначения приложения (например, рисунок А.3).

Если рисунок взят из первичного источника без авторской переработки, следует сделать ссылку, например:

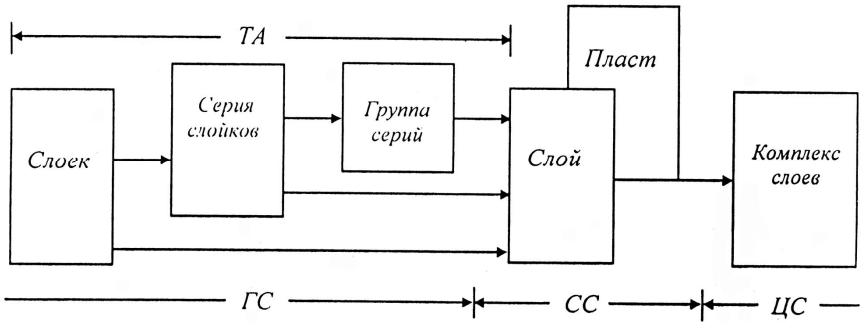

Рисунок 1 - Схема соотношения и соподчиненности слоевых элементов низших рангов в осадочных толщах[8, с. 46]

Если рисунок является авторской разработкой, необходимо после заголовка рисунка поставить знак сноски и указать в форме подстрочной сноски внизу страницы, на основании каких источников он составлен, например:

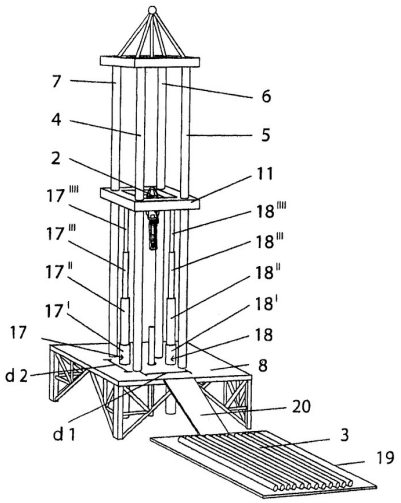

Рисунок 2 – Буровая установка,……[1]

При необходимости между рисунком и его заголовком помещаются поясняющие данные (подрисуночный текст), например, легенда.

2.5Правила оформления таблиц

В письменной работе фактический материал в обобщенном и систематизированном виде может быть представлен в виде таблицы для наглядности и удобства сравнения показателей.

На все таблицы должны быть ссылки в работе. При ссылке следует писать слово «таблица» с указанием ее номера, например: «…в таблице 2 представлены …» или «… характеризуется показателями (таблица 2)».

Таблицу следует располагать в работе непосредственно после текста, в котором она упоминается впервые, или на следующей странице.

Таблицы, за исключением таблиц в приложениях, следует нумеровать арабскими цифрами сквозной нумерацией по всей работе. Каждая таблица должна иметь заголовок, который должен отражать ее содержание, быть точным, кратким. Заголовок таблицы следует помещать над таблицей слева, без абзацного отступа в одну строку с ее номером через тире, например:

Таблица 3 – Количество тонн бокситов, добытого шахтами Свердловской области

Наименование организации	2017	2018
ПАО «Бокситы Севера»	58	59
Березниковская шахта	29	51

Если таблица взята из первичного источника без авторской переработки, следует сделать ссылку, например:

Таблица 2 – Динамика основных показателей развития шахтного строительства в России за 2015–2018 гг. [15, с. 35]

[1] Составлено автором по: [15, 23, 42].

	2015	2016	2017	2018
Объем строительства, млрд. руб.				
……				

Если таблица является авторской разработкой, необходимо после заголовка таблицы поставить знак сноски и указать в форме подстрочной сноски внизу страницы, на основании каких источников она составлена, например:

Таблица 3 – Количество оборудования[1]

Вид оборудования	2016	2017
Буровая машина	3	5
……	3	7

Располагают таблицы на странице обычно вертикально. Помещенные на отдельной странице таблицы могут быть расположены горизонтально, причем графа с наименованиями показателей должна размещаться в левой части страницы. Слева, справа и снизу таблицы ограничивают линиями.

Таблицу с большим числом строк допускается переносить на другую страницу. При переносе части таблицы на другую страницу слово «Таблица» указывают один раз слева над первой частью таблицы. На странице, на которую перенесена часть таблицы, слева пишут «Продолжение таблицы» или «Окончание таблицы» с указанием номера таблицы и повторением шапки таблицы.

Если таблица переносится, то на странице, где помещена первая часть таблицы, нижняя ограничительная линия таблицы не проводится. Это же относится к странице (страницам), где помещено продолжение (продолжения) таблицы. Нижняя ограничительная линия таблицы проводится только на странице, где помещено окончание таблицы.

Заголовки граф и строк таблицы следует писать с прописной буквы в единственном числе, а подзаголовки граф – со строчной буквы, если они составляют одно предложение с заголовком, или с прописной буквы, если они имеют самостоятельное значение. В конце заголовков и подзаголовков таблиц точки не ставят. Заголовки граф, как правило, записывают параллельно строкам таблицы. При необходимости допускается перпендикулярное расположение заголовков граф.

Примечания к таблице (подтабличные примечания) размещают непосредственно под таблицей в виде: а) общего примечания; б) сноски; в) отдельной графы или табличной строки с заголовком. Выделять примечание в отдельную графу или строку целесообразно лишь тогда, когда примечание относится к большинству строк или граф. Примечания к отдельным заголовкам граф или строк следует связывать с ними знаком сноски. Общее примечание ко всей таблице не связывают с ней знаком сноски, а помещают после заголовка «Примечание» или «Примечания», оформляют как внутритекстовое примечание.

Допускается применять размер шрифта в таблице меньший, чем в тексте работы, но не менее 10 pt.

Если все показатели, приведенные в графах таблицы, выражены в одной и той же единице измерения, то ее обозначение необходимо помещать над таблицей справа. Если показатели таблицы выражены в разных единицах измерения, то обозначение единицы

[1] Составлено автором по: [2, 7, 10]

измерения указывается после наименования показателя через запятую. Допускается при необходимости выносить в отдельную графу обозначения единиц измерения.

Текст, повторяющийся в строках одной и той же графы и состоящий из одиночных слов, чередующихся с цифрами, заменяют кавычками. Если повторяющийся текст состоит из двух или более слов, то при первом повторении его заменяют словами «То же», а далее – кавычками. Если предыдущая фраза является частью последующей, то допускается заменить ее словами «То же» и добавить дополнительные сведения. При наличии горизонтальных линий текст необходимо повторять. Если в ячейке таблицы приведен текст из нескольких предложений, то в последнем предложении точка не ставится.

Заменять кавычками повторяющиеся в таблице цифры, математические знаки, знаки процента и номера, обозначения нормативных материалов, марок материалов не допускается.

При отсутствии отдельных данных в таблице следует ставить прочерк (тире). Цифры в графах таблиц должны проставляться так, чтобы разряды чисел во всей графе были расположены один под другим, если они относятся к одному показателю. В одной графе должно быть соблюдено, как правило, одинаковое количество десятичных знаков для всех значений величин.

Если таблицы размещены в приложении, их нумерация имеет определенные особенности. Таблицы каждого приложения нумеруют отдельной нумерацией арабскими цифрами. При этом перед цифрой, обозначающей номер таблицы в приложении, ставится буква соответствующего приложения, например:

Таблица В.1.– Динамика показателей за 2016–2017 гг.

Если в документе одна таблица, то она должна быть обозначена «Таблица 1» или «Таблица В.1», если она приведена в приложении (допустим, В).

2.6Правила оформления примечаний и ссылок

При необходимости пояснить содержание текста, таблицы или иллюстрации в работе следует помещать примечания. Их размещают непосредственно в конце страницы, таблицы, иллюстрации, к которым они относятся, и печатают с прописной буквы с абзацного отступа после слова «Примечание» или «Примечания». Если примечание одно, то после слова «Примечание» ставится тире и примечание печатается с прописной буквы. Одно примечание не нумеруют. Если их несколько, то после слова «Примечания» ставят двоеточие и каждое примечание печатают с прописной буквы с новой строки с абзацного отступа, нумеруя их по порядку арабскими цифрами.

Цитаты, а также все заимствования из печати данные (нормативы, цифры и др.) должны иметь библиографическую ссылку на первичный источник. Ссылка ставится непосредственно после того слова, числа, предложения, по которому дается пояснение, в квадратных скобках. В квадратных скобках указывается порядковый номер источника в соответствии со списком использованных источников и номер страницы, с которой взята информация, например: [4, с. 32]. Это значит, использован четвертый источник из списка литературы со страницы 32. Если дается свободный пересказ принципиальных положений тех или иных авторов, то достаточно указать в скобках после изложения заимствованных положений номер источника по списку использованной литературы без указания номера страницы.

2.7Правила оформления списка использованных источников

Оформлению списка использованных источников, прилагаемого к отчету, следует уделять самое серьезное внимание.

Сведения об источниках приводятся в следующем порядке:

1) **нормативные правовые акты**: Нормативные правовые акты включаются в список в порядке убывания юридической силы в следующей очередности: международные нормативные правовые акты, Конституция Российской Федерации, федеральные конституционные законы, федеральные законы, акты Конституционного Суда Российской Федерации, решения других высших судебных органов, указы Президента Российской Федерации, постановления Правительства Российской Федерации, нормативные правовые акты федеральных органов исполнительной власти, законы субъектов Российской Федерации, подзаконные акты субъектов Российской Федерации, муниципальные правовые акты, акты организаций.

Нормативные правовые акты одного уровня располагаются в хронологическом порядке, от принятых в более ранние периоды к принятым в более поздние периоды.

Примеры оформления нормативных правовых актов и судебной практики:

1. Об общих принципах организации законодательных (представительных) и исполнительных органов власти субъектов Российской Федерации [Текст]: Федеральный закон от 06.10.1999 г. № 184-ФЗ // Собрание законодательства РФ. - 1999. - № 43.

2. О порядке разработки и утверждения административных регламентов исполнения государственных функций (предоставления государственных услуг) [Электронный ресурс]: Постановление Правительства РФ от 11.11.2005 г. № 679. - Доступ из справочно-правовой системы «КонсультантПлюс». – Режим доступа: http://www.consultant.ru.

3. О практике применения судами Закона Российской Федерации «О средствах массовой информации»[Электронный ресурс]: Постановление Пленума Верховного Суда РФ от 15.06.2010 № 16. - Доступ из справочно-правовой системы «КонсультантПлюс». – Режим доступа: http://www.consultant.ru.

4. Определение судебной коллегии по гражданским делам Верховного Суда Российской Федерации по иску Цирихова // Бюллетень Верховного Суда Российской Федерации. -1994. -№9. - С. 1-3.

2) **книги, статьи, материалы конференций и семинаров.** Располагаются по алфавиту фамилии автора или названию, если книга печатается под редакцией. Например:

5. Абрамова, А.А. Трудовое законодательство и права женщин [Текст] / А.А.Абрамова // Вестн. Моск. ун-та. Сер. 11, Право. - 2001. - № 5. - С. 23–25.

6. Витрянский, В.В. Договор банковского счета [Текст] / В.В. Витрянский // Хозяйство и право.- 2006.- № 4.- С. 19 – 25.

7. Двинянинова, Г.С. Комплимент: Коммуникативный статус или стратегия в дискурсе [Текст] / Г.С. Двинянинова // Социальная власть языка: сб. науч. тр. / Воронеж.межрегион. ин-т обществ. наук, Воронеж. гос. ун-т, Фак. романо-герман. истории. - Воронеж, 2001. - С. 101–106.

8. История России [Текст]: учеб.пособие для студентов всех специальностей / В.Н. Быков [и др.]; отв. ред. В.Н. Сухов; М-во образования Рос. Федерации, С.-Петерб. гос. лесотехн. акад. - 2-е изд., перераб. и доп. / при участии Т.А. Суховой. - СПб.: СПбЛТА, 2001. - 231 с.

9. Трудовое право России [Текст]: учебник / Под ред. Л.А.Сыроватской. - М.: Юристъ, 2006. - 280 с.

10. Семенов, В.В. Философия: итог тысячелетий. Философская психология [Текст] / В.В. Семенов; Рос.акад. наук, Пущин. науч. центр, Ин-т биофизики клетки, Акад. проблем сохранения жизни. - Пущино: ПНЦ РАН, 2000. - 64 с.

11. Черткова, Е.Л. Утопия как способ постижения социальной действительности [Электронный ресурс] / Е.Л. Черткова // Социемы: журнал Уральского гос. ун-та. - 2002. - N 8. – Режим доступа: http://www2/usu.ru/philosoph/chertkova.

12. Юридический советник [Электронный ресурс]. - 1 электрон.опт. диск (CD-ROM) : зв., цв. ; 12 см. - Прил.: Справочник пользователя [Текст] / сост. В.А. Быков. - 32 с.;

3) **статистические сборники, инструктивные материалы, методические рекомендации, реферативная информация, нормативно-справочные материалы.** Располагаются по алфавиту. Например:

13. Временные методические рекомендации по вопросам реструктуризации бюджетной сферы и повышения эффективности расходов региональных и местных бюджетов (Краткая концепция реструктуризации государственного и муниципального сектора и повышения эффективности бюджетных расходов на региональном и местном уровнях) [Текст]. - М.: ИЭПП, 2006. - 67 с.

14. Свердловская область в 1992-1996 годах [Текст]: Стат. сб. / Свердл. обл. комитет гос. статистики Госкомстата РФ. - Екатеринбург, 1997. - 115 с.

15. Социальное положение и уровень жизни населения России в 2010 г. [Текст]: Стат. сб. / Росстат. - М., 2002. - 320 с.

16. Социально-экономическое положение федеральных округов в 2010 г. [Электронный ресурс]. – Режим доступа: http://www.gks.ru

4) **книги и статьи на иностранных языках** в алфавитном порядке. Например:

17. An Interview with Douglass C. North [Text] // The Newsletter of The Cliometric Society. - 1993. - Vol. 8. - N 3. - P. 23–28.

18. Burkhead, J. The Budget and Democratic Government [Text] / Lyden F.J., Miller E.G. (Eds.) / Planning, Programming, Budgeting. Markham : Chicago, 1972. 218 p.

19. Miller, D. Strategy Making and Structure: Analysis and Implications for Performance [Text] // Academy of Management Journal. - 1987. - Vol. 30. - N 1. - P. 45–51;

20. Marry S.E. Legal Pluralism. – Law and Society Review. Vol 22.- 1998.- №5.- p. 22-27

5) **интернет-сайты**. Например:

21. Министерство финансов Российской Федерации: [Электронный ресурс]. – Режим доступа: http://www.minfin.ru

22. Российская книжная палата: [Электронный ресурс]. - Режим доступа: http://www.bookchamber.ru

В списке использованных источников применяется сквозная нумерация с применением арабского алфавита. Все объекты печатаются единым списком, группы объектов не выделяются, источники печатаются с абзацного отступа.

Объекты описания списка должны быть обозначены терминами в квадратных скобках[2]:

- [Видеозапись];
- [Мультимедиа];
- [Текст];
- [Электронный ресурс].

При занесении источников в список литературы следует придерживаться установленных правил их библиографического описания.

2.8Правила оформления приложений

В приложения рекомендовано включать материалы, которые по каким-либо причинам не могут быть включены в основную часть: материалы, дополняющие работу; таблицы вспомогательных цифровых данных; инструкции, методики, описания алгоритмов и программ задач, иллюстрации вспомогательного характера; нормативные

[2] Полный перечень см. в: Система стандартов по информации, библиотечному и издательскому делу. Библиографическая запись. Библиографическое описание. Общие требования и правила составления [Текст]: ГОСТ 7.1-2003.

правовые акты, например, должностные инструкции. В приложения также включают иллюстрации, таблицы и распечатки, выполненные на листах формата А3.

Приложения оформляют как продолжение данного документа на последующих его листах после списка использованных источников.

Приложения обозначают заглавными буквами русского алфавита, начиная с А, за исключением букв Ё, З, Й, О, Ч, Ь, Ы, Ъ (ПРИЛОЖЕНИЕ А, ПРИЛОЖЕНИЕ Б, ПРИЛОЖЕНИЕ В и т.д.). Допускается обозначение приложений буквами латинского алфавита, за исключением букв I и O. В случае полного использования букв русского и латинского алфавитов допускается обозначать приложения арабскими цифрами.

Само слово «ПРИЛОЖЕНИЕ» пишется прописными (заглавными) буквами.

Если в работе одно приложение, оно обозначается «ПРИЛОЖЕНИЕ А».

Каждое приложение следует начинать с новой страницы. При этом слово «ПРИЛОЖЕНИЕ» и его буквенное обозначение пишутся с абзацного отступа.

Приложение должно иметь заголовок, который записывают на следующей строке после слова «ПРИЛОЖЕНИЕ» с абзацного отступа. Заголовок пишется с прописной буквы.

В тексте работы на все приложения должны быть даны ссылки, например: «… в приложении Б…». Приложения располагают в порядке ссылок на них в тексте работы.

Текст каждого приложения, при необходимости, может быть разделен на разделы, подразделы, пункты, подпункты, которые нумеруют в пределах каждого приложения. Перед номером ставится обозначение этого приложения.

Приложения должны иметь общую с остальной частью документа сквозную нумерацию страниц.

ПРИЛОЖЕНИЕ

Образец оформления титульного листа курсового проекта



Федеральное государственное бюджетное образовательное учреждение
высшего образования
«Уральский государственный горный университет»
(ФГБОУ ВО «УГГУ»)
620144, г. Екатеринбург, ул. Куйбышева, 30

КУРСОВОЙ ПРОЕКТ
на тему:

_____

Направление: 21.05.02
ПРИКЛАДНАЯ ГЕОЛОГИЯ

Специализация:
ГЕОЛОГИЯ МЕСТОРОЖДЕНИЙ НЕФТИ И ГАЗА

Студент: Христофоров В.Б.
Группа: ГН-21

Руководитель курсового проекта:
Третьякова Л.И.

Оценка _____

Подпись _____

МИНОБРНАУКИ РФ

ФГБОУ ВО «Уральский государственный горный университет»

УТВЕРЖДАЮ

Проректор по учебно-методическому комплексу

_____С.А.Упоров

МЕТОДИЧЕСКИЕ РЕКОМЕНДАЦИИ К САМОСТОЯТЕЛЬНОЙ РАБОТЕ ПО ДИСЦИПЛИНЕ

Б1.В.14 ГЕОФИЗИЧЕСКИЕ ИССЛЕДОВАНИЯ СКВАЖИН, ЧАСТЬ 2

Специальность:
21.05.02 Прикладная геология

Специализация:
Геология месторождений нефти и газа

форма обучения: очная

Автор: Третьякова Л.И.

Одобрены на заседании кафедры
Литологии и геологии горючих ископаемых
(название кафедры)

Зав.кафедрой _____
(подпись)

к.г.-м.н., доц. Рыльков С.А.
(Фамилия И.О.)

Протокол № 2 от 06.10.2020
(Дата)

Рассмотрены методической комиссией
факультета геологии и геофизики
(название факультета)

Председатель _____
(подпись)

д.г.-м.н., проф. Бондарев В.И.
(Фамилия И.О.)

Протокол № 2 от 13.10.2020
(Дата)

Екатеринбург

ОГЛАВЛЕНИЕ

ВВЕДЕНИЕ 4
1. Метод высокочастотного электромагнитного каротажа (ВЭМК) 5
2. ВИКИЗ - ОБОСНОВАНИЕ И ИНТЕРПРЕТАЦИЯ 6
2.1.Вопросы обоснования и разработки аппаратуры ВИКИЗ и интерпретации 6
2.2. Вопросы интерпретации ВИКИЗ 11
2.2.1. Интерпретация ВИКИЗ в вертикальных скважинах 13
2.2.2. ИнтерпретацияВИКИЗ в горизонтальных скважинах 15
2.3. Об ограниченности ВИКИЗ в глубинности исследования 17
2.4.О преимуществах ВИКИЗ 18
3. ОБЩЕТЕОРЕТИЧЕСКИЕ ОСНОВЫ И РАЗРАБОТКА НОВЫХ МЕТОДИК 18
3.1. Геологические модели нефтегазовых залежей Западной Сибири . . . 18
4. ОСОБЕННОСТИ ВИКИЗ В СЛОЖНОПОСТРОЕННЫХ СРЕДАХ . . . 20
4.1. Синтетические диаграммы ВИКИЗ в трехмерных моделях: анализ и основные особенности 20
4.2. Численное исследование высокочастотных сигналов в моделях горизонтальных скважин 25
4.2.1. Метод моделирования 26
4.2.2. Численные результаты 27
4.3. Приближенные решения двумерных задач 28
5. РАЗВИТИЕ ИНТЕРПРЕТАЦИОННОЙ БАЗЫ ВИКИЗ 32
5.1. Экспресс-интерпретация данных ВИКИЗ, полученных в наклонно-горизонтальных скважинах 32
5.2. Автоматизированная оценка радиального распределения электропроводности в пластах-коллекторах по данным высокочастотных индукционных каротажных зондирований 34
6. ОЦЕНКА ПАРАМЕТРОВ МАКРОАНИЗОТРОПИИ ТОНКОСЛОИСТЫХ КОЛЛЕКТОРОВ ПО ДАННЫМ ВИКИЗ В ГОРИЗОНТАЛЬНЫХ СКВАЖИНАХ 37
ВОПРОСЫ ДЛЯ САМОПРОВЕРКИ 41
СПИСОК ИСПОЛЬЗОВАННОЙ ЛИТЕРАТУРЫ 42

ВВЕДЕНИЕ

Повышение требований к информативности, достоверности и точности результатов ГИС при изучении широкого спектра нефтегазовых месторождений обусловливает необходимость развития всего комплекса электрических и электромагнитных методов. В настоящее время наиболее широкое распространение имеют методы постоянного тока и низкочастотного (10-300 кГц) индукционного каротажа (ИК).

История развития ИК насчитывает около полувека. Теория геометрического фактора, являющаяся основой ИК, позволила обосновать и эффективно использовать многокатушечные фокусирующие системы, частично исключающие влияние скважины и прилегающей к ней измененной зоны. По мере развития компьютерной техники, элементной базы и вычислительных технологий фокусирующие зонды уступили место многокатушечным системам с измерением реальных и мнимых составляющих сигналов на различных частотах и при разных расстояниях между генераторными и измерительными элементами. Быстрый прогресс в создании программных средств инверсии всего комплекса измеренных данных позволил добиться практически полного извлечения содержащейся в них информации о распределении геоэлектрических характеристик разрезов, вскрытых скважинами. Таким образом, во многом достигнут предел дальнейшего расширения области применимости ИК.

Дальнейшее развитие методов низкочастотного индукционного каротажа будет, вероятно, происходить за счет *технологических усовершенствований и, частично, - за счет усложнения интерпретационной модельной базы.* Возможны варианты совместной интерпретацией комплекса данных по постоянному току и низкочастотной индукции (например, БКЗ+ИК или БКЗ+БК+ИК). Однако на этом направлении существует целая область нерешенных теоретических проблем, связанных с учетом микростроения геологических отложений и неоднородностей пространственного распределения физических характеристик. Вследствие этих причин единая петрофизическая модель флюидонасыщенных осадочных пород может трансформироваться в разные и даже несовместимые по удельному электрическому сопротивлению (УЭС) эффективные геоэлектрические модели для постоянного и низкочастотного переменного токов. Такого рода эффекты могут быть обусловлены как различием масштабов пространственного осреднения, так и разными механизмами генерации постоянного электрического и переменного магнитного полей.

Существенно более скромные практические результаты получены с использованием электромагнитных сигналов другой крайней области частотного (выше нескольких десятков мегагерц) диапазона - диэлектрического каротажа.

Как известно, *глубина проникновения* электромагнитных волн *сильно зависит от электропроводности* горных пород и в терригенном разрезе (с сопротивлением единицы-десятки Ом·м) *не превышает нескольких сантиметров.* Следовательно, в этих случаях может идти речь об изучении либо глинистой корки, либо прилегающих к скважине областей зоны проникновения. Несомненно, одним из факторов, сдерживающих развитие диэлектрического каротажа, является сложность расчетов электромагнитных откликов и построения инверсионных процедур для полной системы уравнений Максвелла. Вместе с тем отметим, что в отличие от низкочастотной области, где может быть измерена и изучается только реальная часть электропроводности, в волновой области электропроводность носит комплексный характер

1. Метод высокочастотного электромагнитного каротажа (ВЭМК)

ВИКИЗ – это метод высокочастотного индукционного каротажногоизопараметрического зондирования. Метод разработан в Институте геологии и геофизики Сибирского отделения РАН под руководством проф. Ю.Н.Антонова. ВИКИЗ - одна из модификаций ВЭМК, использует промежуточный (междуИК и ДК) частотный диапазон (от 800кГц до 40 МГц). Этим обстоятельством определяются как его возможности, так и принципы построения зондов. Аналогично индукционному каротажу в ВЭМК используется принцип частотно-геометрических зондирований. Как и в диэлектрическом каротаже, в ВЭМК измеряются приращения относительных характеристик (фаз и относительных амплитуд между двумя сближенными приемными катушками). Сочетание высокочастотного возбуждения и измерения приращений относительных характеристик позволяет оптимально согласовать повышение вертикального разрешения при сохранении приемлемой радиальной глубинности. ***Действительно, повышение в 5-10 раз частот по сравнению с ИК обеспечивает значительное (до 3 раз) улучшение пространственного разрешения.*** Измерение относительных сигналов позволяет ***существенно подавить влияние скважины*** в этом сравнительно высокочастотном диапазоне. К настоящему времени остаются нереализованными многие возможности ВЭМК. Очевидна технологическая линия развития - увеличение количества измеряемых характеристик на большом числе частот и зондов. Наибольшего эффекта можно ожидать при переходе от оценки УЭС к определению реальной и мнимой частей комплексной электропроводности горных пород. Вероятно, в этом случае удастся значительно уточнить критерии для оценки типа флюидонасыщения, разделения глинистых нефтесодержащих и водонасыщенных коллекторов, а также решить некоторые другие за-

дачи. Успех в этой области будет во многом связан с петрофизическим обоснованием и постановкой достаточно точных измерений комплексной электропроводности на представительных выборках кернового материала. В настоящее время разработаны высокоэффективные алгоритмы имитации высокочастотных электромагнитных полей и их инверсии, основанные на синтезе приближений Борна и Рытова, а также программы двумерного и трехмерного моделирования диаграмм ВИКИЗ в реальных ситуациях. Таким образом, существуют все предпосылки для быстрого развития и резкого повышения геологической эффективности ВЭМК как в вертикальных, так и в наклоннонаправленных скважинах.

Вместе с тем существует ряд весьма актуальных задач, для решения которых целесообразно объединить ВЭМК с другими методами.

Так, для целей каротажа в процессе бурения весьма информативным будет комплекс высокочастотного электромагнитного и диэлектрического зондов. Действительно, *в первые моменты* времени после вскрытия пласта скважиной *практически отсутствует зона проникновения* и становится возможной оценка удельного электрического сопротивления и диэлектрической постоянной отложений, слагающих пласт-коллектор.

В связи с необходимостью детального изучения трещиноватых коллекторов *большой интерес вызывает оценка азимутальной анизотропии*. Как известно, электромагнитные системы имеют слабо зависящие от азимутального угла диаграммы направленности и не могут отдельно использоваться для решения этой задачи. Представляется весьма перспективным использование комплекса ВЭМК и разноглубинного бокового каротажа с азимутальной фокусировкой. В этом случае *удастся сочетать высокое вертикально-радиальное разрешение ВЭМК и вертикально-азимутальное БК.*

В настоящее время эти и многие другие из направлений развития ВЭМК находятся на стадиях экспериментальной проверки в Институте геофизики СО РАН и фирме «Луч».

2. ВИКИЗ - ОБОСНОВАНИЕ И ИНТЕРПРЕТАЦИЯ

2.1.Вопросы обоснования и разработки аппаратуры ВИКИЗ и интерпретации

Вертикальные и радиальные электрические неоднородности горных пород с наибольшей достоверностью отражаются теми методами ГИС, в которых заложены *принципы зондирования с высокой разрешающей способностью.*

Метод ВИКИЗ отличается от всех методов индукционного каротажа *вы-*

сокой локальностью откликов, которая обеспечивается не только размерами зондов (от 0,5 до 2 м), но и высокими частотами (от 14 до 0,875 МГц). Особенно важными условиями также являются:

• измерение относительных характеристик магнитных полей;

• применение подобных зондов и размещение зондовых элементов в соответствии с коэффициентом геометрического подобия;

• использование частот зондов с последовательным их уменьшением по мере увеличения их длин (принцип частотно-геометрического подобия).

Огромные по масштабам нефтепромысловые работы в Западной Сибири, выполненные к концу 70-х годов, дали обширный материал, на основе которого были *созданы соответствующие геологические модели*. По результатам ГИС и петрофизическим измерениям были установлены основные закономерности и диапазоны физических величин, характеризующих осадочные породы по их пористости, проницаемости, насыщению и другим параметрам.

На рис. 2.1 приведена схема обоснования и интерпретации ВИКИЗ, исходным пунктом которой являются геологические модели и физические свойства пород. Для обоснования основных параметров ВИКИЗ были использованы известные к тому времени геолого-геофизические и петрофизические сведения по моделям электрического каротажа и лабораторным измерениям [1].

Скоростное бурение скважин в районах Сургутского свода требовало значительных усилий от геофизических служб. Все большее усложнение геоэлектрических разрезов, связанное с необходимостью вовлечения в разработку продуктивных пластов малой мощности, и широкое развитие наклонно-вертикального бурения требовали новых более технологичных и экономически эффективных средств измерений электрических свойств пород. Новые технические решения, реализованные в методе ВИКИЗ, в какой-то мере базировались на предшествующих разработках диэлектрического и высокочастотного индукционных методов [2-4]. Уже первые опытные работы с макетами аппаратуры **ВИКИЗ** показали, что данный метод ***может решать задачи электрокаротажа в сложных геоэлектрических условиях за одну спускоподъемную операцию.***

Безусловным ядром разработки ВИКИЗ явились *исследования по теоретическому обоснованию метода* (см. рис.2.1). Математическим моделированием были исследованы не только традиционные вертикальные и радиальные характеристики ВИКИЗ. На основе этих работ были оптимизированы конструктивные параметры зондового комплекса (изопараметры) с ориентацией на геоэлектрические условия Среднего Приобья. *На первом этапе* работ на основе математического моделирования были *разработаны методические рекомендации* по интерпретации данных ВИКИЗ (палетки). С появлением компьютерных технологий создана специализированная система обработки и интерпретации

данных **ВИКИЗ (ЭРА-ВИКИЗ и ЭРА-ВИКИЗ-ПЛЮС).**

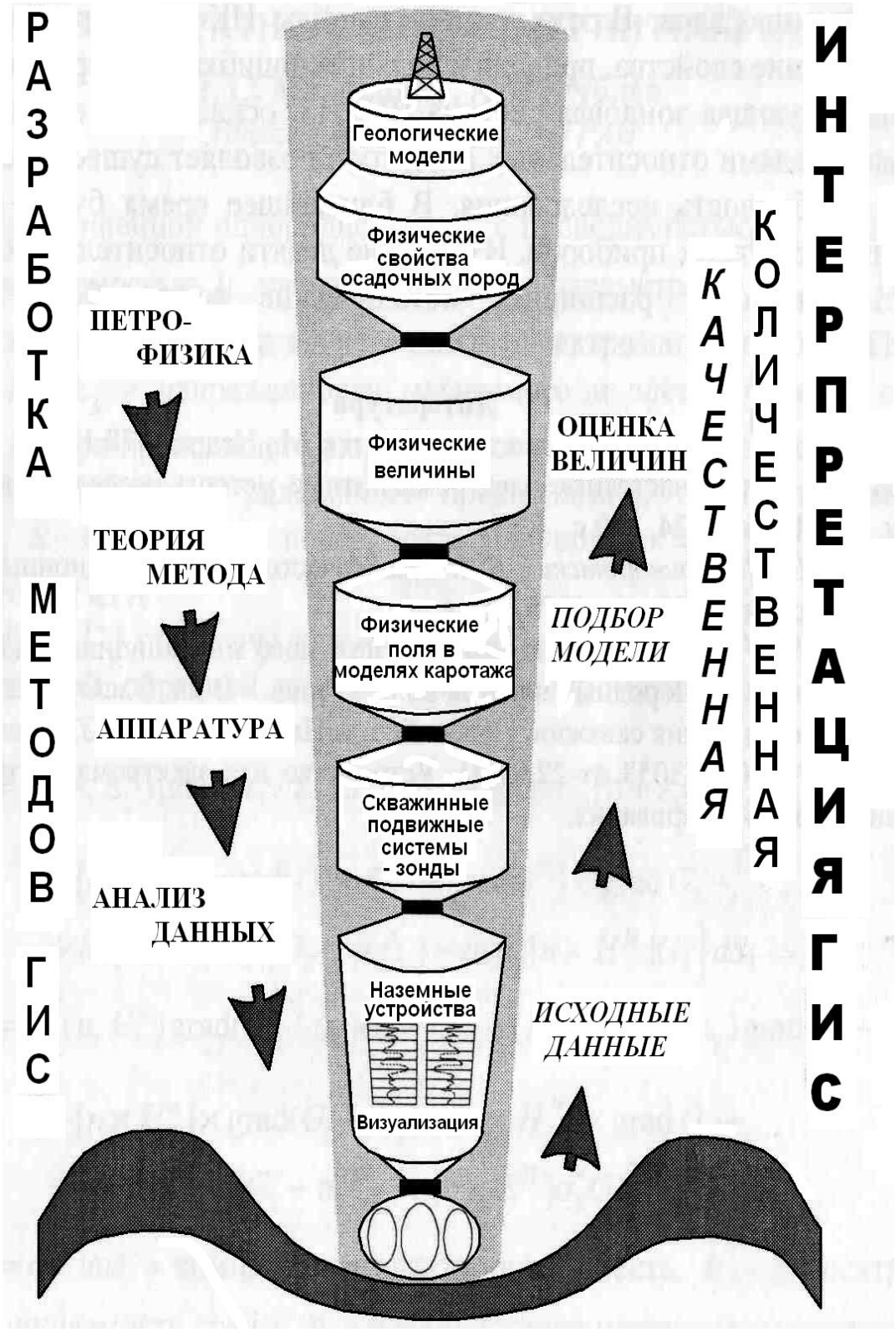

Рис. 2.1. Схема обоснования и интерпретации ГИС

Возвращаясь к схеме (см. рис. 2.1), отметим **один из самых важных**

блоков в разработке метода - **это подвижные скважинные устройства – зонды**. Отметим некоторые их особенности. Измерительные катушки зондов размещены в нижней части скважинного прибора, а генераторные – вверху, ближе к электронному блоку. Все генераторные и измерительные элементы (катушки индуктивности) размещены внутри длинного двухметрового зонда. Время работы каждого зонда в одном цикле переключения всех пяти зондов составляет 1/50 секунды. Это позволяет одну и ту же катушку измерительной пары зонда меньшей длины (наиболее удаленную в зонде) использовать в зонде последовательно большей длины в качестве ближней. Такое дублирование измерительных элементов позволило упростить конструкцию зонда - вместо десяти измерительных катушек применено шесть. Наиболее важным элементом зондовой системы является М-индуктивный фильтр. Здесь М – число транзитных проводов, проходящих от электронного блока через генераторные катушки к измерительным системам. В зондовой системе, непосредственно около катушек, размещаются электронные блоки и соответствующие переключающие устройства.

Измеренные сигналы в цифровом коде передаются на поверхность и регистрируются в каротажных устройствах. Последний блок на рис.2.1 соответствует этому этапу.

По своей сути ВИКИЗ является вариантом боковых каротажных зондирований БКЗ в индукционном исполнении. В методе используется принцип частотно-геометрического зондирования, в котором увеличение глубины исследования достигается, во-первых, за счет увеличения длины зонда и, во-вторых, за счет уменьшения частоты электромагнитного поля.

Аппаратура ВИКИЗ содержит 5 трехкатушечных зондов разной длины, работающих каждый на своей частоте, которые поочередно подключаются к измерительной линии. Измеряемой величиной является разность фаз сигнала в двух приемных катушках, которая передается на поверхность в виде цифрового кода.

Применение двух измерительных катушек позволяет минимизировать влияние на результаты измерений самой скважины.

Изопараметричность понимается как сохранение одинаковых показаний всех зондов в одной и той же однородной среде с постоянным значением электропроводности.

Для достижения изопараметричности выполняются два условия:

1) $L \cdot \sqrt{f} = \text{const}_1$;

2)$\frac{\Delta L}{L} = \text{const}_2$, где L – длина;ΔL – база зонда;f – частота поля.

Если показания разных зондов не совпадают между собой, это свидетель-

ствует о радиальной неоднородности удельного электрического сопротивления (УЭС).

Так как все зонды имеют разную длину и разную частоту электромагнитного поля, то основной вклад в измеряемый сигнал вносят цилиндрические зоны, неодинаково удаленные от оси зонда. Чем меньше частота и чем больше длина зонда, тем больше удалена от оси зонда область, влияющая на его показания.

По этой причине показания малых зондов характеризуют УЭС зоны проникновения, а больших – неизмененной части пласта.

Аппаратура ВИКИЗ

Аппаратура ВИКИЗ обеспечивает измерение разности фаз $\Delta\varphi$ между ЭДС, индуцируемыми в измерительных катушках 5 трехкатушечных зондов. Соответственно в процессе каротажа регистрируются 5 кривых, характеризующих кажущееся сопротивление среды на разном удалении от оси скважины. Для упрощения конструкции зонда одна и та же приемная катушка используется в двух соседних зондах.

Предусмотрена возможность регистрации только одной диаграммы индукционного каротажа с зондом, который может быть выбран с поверхности. Скважинный снаряд ВИКИЗ имеет специальный электрод для записи ПС.

На рис. 2.2 показано расположение генераторных и измерительных катушек в скважинном приборе ВИКИЗ, а в табл. 2.1 приведены частотно-геометрические характеристики всех зондов.

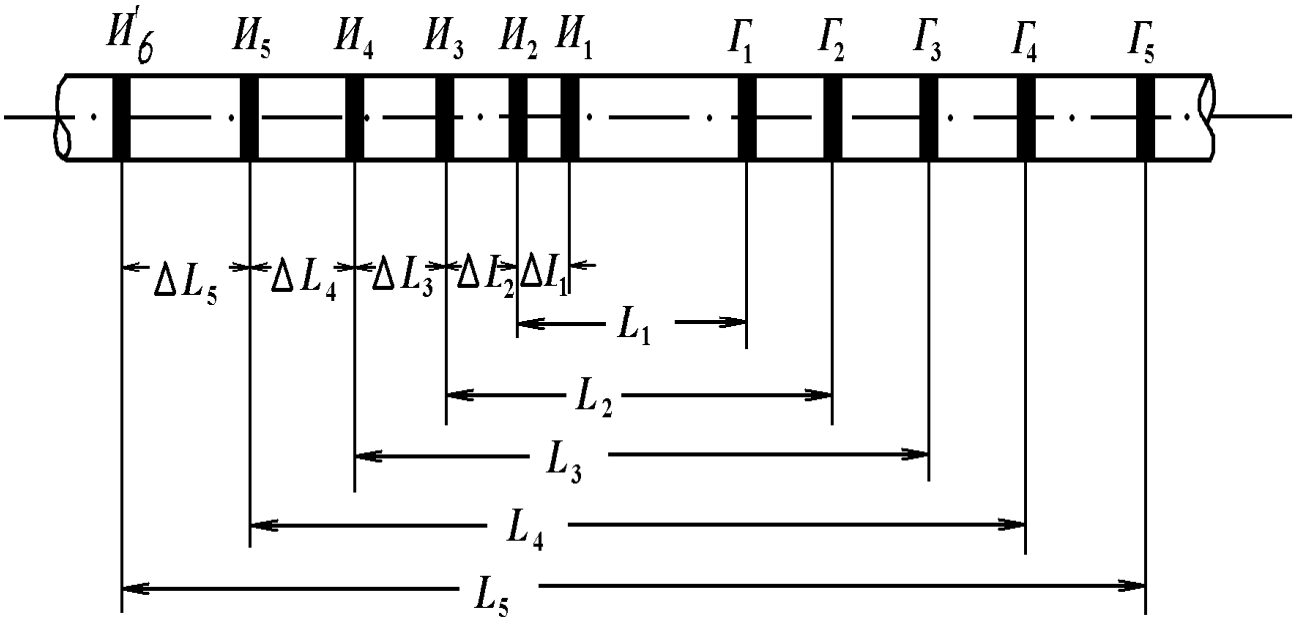

Рис. 2.2. Конструкция многокатушечного зонда ВИКИЗ

Таблица 2.1

Частотно-геометрические характеристики зондов ВИКИЗ

Символ зонда	Длина зонда L, м	База зонда ΔL, м	Частота /, МГц
$И_20{,}1И_10{,}40Г_1$	0,50	0,10	20,0
$И_30{,}14И_20{,}57Г_2$	0,71	0,14	8,0
$И_40{,}20И_30{,}80Гз$	1,00	0,20	4,0
$И_50{,}28И_41{,}13Г_4$	1,41	0,28	2,0
$И_60{,}40И_51{,}60Г_5$	2,00	0,40	0,8

Вертикальные и радиальные исследовательские характеристики зондов ВИКИЗ оптимизированы для геолого-технологических условий нефтегазовых месторождений.

2.2. Вопросы интерпретации ВИКИЗ

Результатом каротажа по методу ВИКИЗ являются кривые, отражающие изменение кажущегося удельного сопротивления по разрезу скважины.

Кривые зондов ВИКИЗ обычно совмещаются на одной дорожке бумажной копии и имеют общий масштаб измеряемого параметра (разности фаз). При этом шкалу можно представлять либо в градусах (линейная), либо в Ом·м (логарифмическая). Шкала градусов линейная, логарифмическая шкала сжата в области высоких значений и значительно расширена для средних (5-20 Ом·м) и малых (меньше 5 Ом·м) величин.

При интерпретации результатов ВИКИЗ выделяют в разрезе интервалы, где наблюдается расхождение диаграмм зондов разной длины с превышением показаний малых зондов над показаниями больших. Эти интервалы соответствуют пластам-коллекторам с повышающим проникновением бурового раствора.

Далее осредняют диаграмму каждого зонда в пределах пласта и строят кривую зондирования: $\rho_к = f(L)$. Если пласты имеют достаточно большую мощность и на результаты измерений мало влияют вмещающие породы, кривые получаются близкими к теоретическим.

Для теоретических расчетов используются цилиндрически слоистые модели (как для БКЗ).

Примеры кривых зондирования для пластов разной литологии приведены на рис. 2.3.

На рис. 2.3, *а* представлена кривая, полученная для нефтенасыщенного коллектора с повышающим проникновением без окаймляющей водной оторочки. Кажущееся сопротивление малого зонда приблизительно равно сопро-

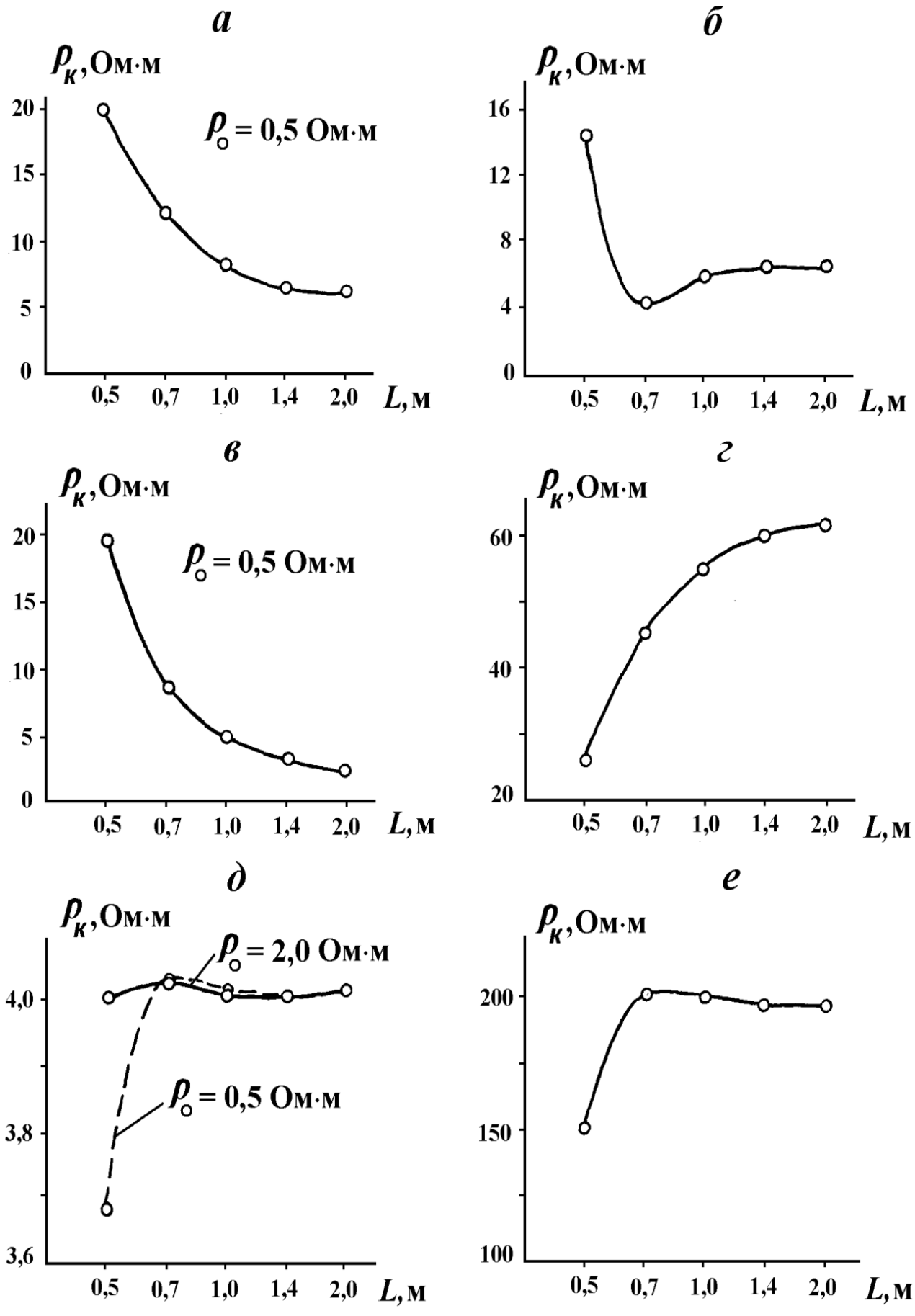

Рис. 2.3. Кривые зондирования над пластами различной литологии и разного насыщения

тивлению зоны проникновения ($\rho_к^{0,5} \approx \rho' = 20$ Ом·м), КС большого зонда приближается к сопротивлению неизмененной части пласта ($\rho_к^{2,0} \rightarrow \rho_{нг} = 6{,}50$ Ом·м).

На рис. 2.3, *б* – аналогичная зависимость для нефтенасыщенного пласта, зона проникновения фильтрата в котором имеет водную оторочку. Кривая зондирования имеет явно выраженный минимум между КС 1-метрового и 0,5-метрового зондов. КС зонда 0,7 м соответствует сопротивлению водной оторочки. КС большого 2-метрового зонда характеризует сопротивление неизмененной части пласта $\rho_{нг} = 6{,}50$ Ом·м, а КС малого 0,5-метрового зонда – сопротивление зоны проникновения вблизи стенки скважины $\rho' = 14$ Ом·м.

На рис. 2.3, *в* приведена кривая зондирования для водонасыщенного коллектора с повышающим проникновением. КС на ней уменьшается с увеличением длины зонда. Показания больших зондов различаются между собой ($\rho_к^{1,4} > \rho_к^{2,0}$), что свидетельствует о большом диаметре зоны проникновения; $\rho_{вп} = 2{,}50$ Ом·м.

На рис. 2.3, *г* приведена кривая зондирования для газоносного пласта с понижающим проникновением бурового раствора. Сопротивление пласта $\rho_{нг} = 60$ Ом·м, зоны проникновения $\rho' = 22$ Ом·м.

На рис. 2.3, *д* – кривая зондирования для пласта глин. Кривая $\rho_к = f(L)$ ставится прямолинейной начиная с зонда $L = 0{,}7$ м, на уровне невысоких показаний $\rho_{пл} = 4{,}0$ Ом·м.

Понижение КС на малом 0,5 м зонде при $\rho_0 = 0{,}5$ Ом·м объясняется неглубоким проникновением раствора в пласт в связи с техногенной трещиноватостью.

На рис. 2.3, *е* – кривая зондирования над уплотненным непроницаемым пластом.

Показания на больших зондах, начиная с $L = 0{,}7$ м, примерно одинаковы и идут на высоком уровне: они характеризуют УЭС этого пласта ($\rho_{пл} = 200$ Ом·м). Уменьшение показаний на малом зонде $L = 0{,}5$ м объясняется влиянием скважины.

Для интерпретации результатов ВИКИЗ разработано программное обеспечение, которое посредством подбора кривых зондирования позволяет определить для каждой радиальной зоны, включая водную оторочку, ее УЭС и толщину (Эпов, Антонов, 2000).

2.2.1.Интерпретация ВИКИЗ в вертикальных скважинах

Учитывая геоэлектрические условия в Западной Сибири и высокую разрешающую способность зондирования зондов ВИКИЗ, можно уже на качественном уровне интерпретации данных получить достаточно убедительные и достоверные сведения о геологическом разрезе. Вопросам количественной интерпретации будут посвящены отдельные сообщения. Мы же остановимся на некоторых важных вопросах качественного анализа и интерпретации ВИКИЗ.

Как известно, зонды ВИКИЗ практически исключают параметры скважины и прилегающие к ней области. Поэтому результаты измерений каждого зонда отражают электрические свойства на различных расстояниях от скважины. Зонды малой длины в большей мере отмечают условия замещения пластовых флюидов фильтратом промывочной жидкости, чем зонды средней и большой длины. В отличие от зондов ИК малой длины, основанных на измерении активных компонент поля и имеющих низкий уровень отношения полезного сигнала к прямому полю, аналогичные по длине зонды ВИКИЗ исследуют ближнюю зону более точно. По результатам зондирования достаточно просто выделяются глина и песчаник. Уверенно выделяются водоносные пласты-коллекторы при контрастной минерализации фильтрата и пластовой воды. Продуктивные коллекторы часто имеют характерные последовательности показаний кажущихся удельных сопротивлений при наличии подвижной пластовой воды. Их распознавание улучшается при совместном анализе с ПС. Плотные непроницаемые пласты, как правило, малой мощности, хорошо выделяются совместно с НГК, а при определенном навыке - и по данным ВИКИЗ. Радиальные характеристики зондов ВИКИЗ практически не зависят от типа проникновения. В целом зонды ВИКИЗ чувствительны к удаленным неоднородностям и сохраняют чувствительность до глубин, примерно равных длине зонда. Этот вывод справедлив как для цилиндрически слоистых сред (скважина вертикальная), так и для плоских границ двух сред, в одной из которых скважина горизонтальная и зонды ВИКИЗ расположены параллельно границе.

Интерпретация кривых с признаками проводящей окаймляющей зоны (когда каротажные кривые инвертируют относительно показаний зондов промежуточной длины) требует определенной осторожности. Поскольку число измерений совпадает с количеством неизвестных модельных параметров, то на параметры окаймляющей зоны следует вводить априорные физически обоснованные ограничения. Расчеты показывают, что радиальная толщина окаймляющей зоны может быть в пределах 10-20 % от радиального размера зоны проникновения, а ее УЭС не может быть меньше, чем у водоносных пластов примерно той же пористости. Такая априорная информация позволяет корректно определить параметры зоны проникновения. Опыт показывает, что истинное УЭС нефтесодержащего пласта определяется с высокой точностью, независимо от введения априорных данных для окаймляющей зоны.

Достоверность результатов радиального зондирования в пластах-коллекторах зависит от влияния вмещающих пласт пород. Моделированием установлено, что изопараметрические зонды начинают отмечать границу между пластами на расстоянии, равном приблизительно 0,9 от длины зонда. При этом генераторная катушка находится на границе пластов. Резкое изменение кривой начи-

нается с момента перехода измерительных катушек через границу. Когда зонд полностью находится в пласте, экстремум соответствует значению УЭС пласта.

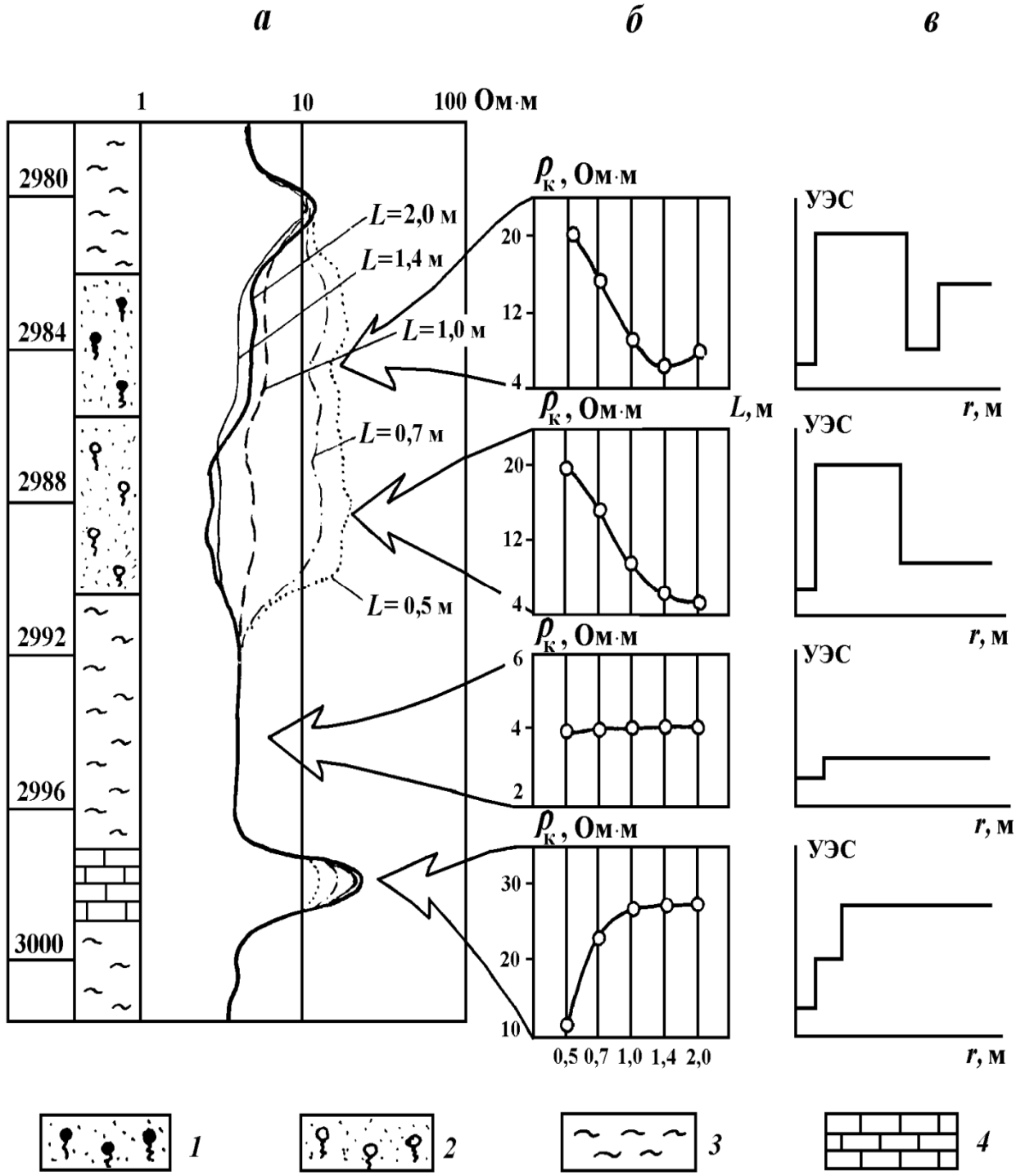

Рис.2.4. Диаграммы ВИКИЗ (*а*), кривые зондирования (*б*), результаты машинной интерпретации (*в*) в одной из нефтеразведочных скважин:
1 – песчаник нефтенасыщенный; *2* – песчаник водонасыщенный; *3* – глина; *4* – известняк

Таким образом, если толщина пласта равна или больше 1,4 длины зонда, то экстремальные показания в пласте соответствуют его удельному сопротивлению. Интерпретировать чередование тонких пластов различного удельного

сопротивления позволяет компьютерная программа, учитывающая всю совокупность взаимного влияния вертикальных и радиальных неоднородностей на зонды ВИКИЗ.

На рис. 2.4 приведен фрагмент геологического разреза одной из скважин в Тюменской области с диаграммами ВИКИЗ (*а*), кривыми зондирования для нескольких пластов (*б*) и результатами их машинной интерпретации (*в*).

Сопоставление результатов ВИКИЗ и БКЗ показывает, что по величине сопротивления пласта оба метода дают очень близкие показания, а вот по сопротивлению и диаметру зоны проникновения имеются большие расхождения. При этом ВИКИЗ позволяет более детально изучить строение зоны проникновения и определить УЭС ее различных частей, включая полностью промытые породы и окаймляющую зону «водной оторочки» в нефтенасыщенных коллекторах.

Неблагоприятными условиями для метода ВИКИЗ являются наличие высокоомных пород и сочетание низкоомного бурового раствора ($\rho_0 < 0{,}01$ Ом·м) и его глубокого понижающего проникновения.

2.2.2. Интерпретация ВИКИЗ в горизонтальных скважинах

Полученные в горизонтальных скважинах данные удовлетворительно интерпретируются с использованием программ для скважин вертикально-наклонного бурения.

Вместе с тем слоистость формации создает макроанизотропию удельного сопротивления продуктивного пласта. При малых углах встречи со слоистыми структурами малый зонд ВИКИЗ отмечает такого рода чередование пропластков.

Формирование асимметричных зон проникновения не оказывает заметного влияния на диаграммы. Соответствующее математическое моделирование подтверждает этот факт.

Характерные изменения формы кривых ВИКИЗ наблюдаются при приближении скважины к границам *латеральных неоднородностей внутри пласта* и при пересечении скважиной *субвертикальныхвысокоомных уплотнений.* Эти два типа неоднородностей по-разному отражаются на кривых зондирований.

Если скважина пересекает латеральное уплотнение под малым углом, то кривые существенно расширяются от короткого зонда к длинному, *поскольку длинные зонды обнаруживают неоднородность в первую очередь.*

При пересечении скважиной субвертикальных неоднородностей (типа «залеченный разлом» внутри пласта) *формакривых отличается крутыми фронтами* и в ряде случаев одинаковыми показаниями УЭС для всех зондов (если мощность неоднородности превышает длину самого большого зонда). Не исключено, что эти уплотнения могут быть весьма протяженными внутри залежи.

Оба этих вывода подтверждаются соответствующим математическим моделированием.

Другой пример особого поведения кривых зондирования в горизонтальных скважинах связан с инверсией показаний длинного зонда (или нескольких зондов) в зависимости от расстояния скважины до границы пласта более высокого удельного сопротивления. Отмечаемые аномалии могут прослеживаться на довольно больших интервалах (сотни метров).

Трактовать и интерпретировать такие аномалии можно двояко.

В первом случае инверсия кривых - ***признак окаймляющей зоны*** (скважина находится в нефтеносном пласте), во втором - ***как признак приближения скважины к латеральной границе пласта более высокого удельного сопротивления*** (газоносный или уплотненный). Во втором случае ***может помочь анализ временных замеров***. Обычно показания длинного зонда при временных измерениях остаются неизменными, а показания малых зондов изменяются (на одном и том же интервале), поскольку возможно продолжение фильтрации промывочной жидкости в пласт. Однако следует учитывать и внимательно сопоставлять ранние замеры с поздними. В сериях повторных измерений ***нефтеносные интервалы слабо реагируют на фильтрацию из скважины, в отличие от водоносных.*** При этом показания длинного зонда не изменяются. ***Расчетами показано, что для двух сред, в одной из которых скважина и зонды ВИКИЗ расположены параллельно границе, чувствительность зондов к латеральным границам проявляется на расстояниях, равных длине зонда.***

2.3. Об ограниченности ВИКИЗ в глубинности исследования

Этот вопрос обсуждается и в профессиональной печати, когда сопоставляют методы низкочастотного каротажного зондирования, и в устных беседах, при обсуждении методов электрометрии.

При исследовании скважин эксплуатационного бурения имелась большая потребность в новейших приборах для электромагнитного зондирования. Разработчики ВИКИЗ учитывали специфические геоэлектрические условия основных нефтедобывающих регионов Западной Сибири. *Уже первые испытания макетов аппаратуры подтвердили его лучшие характеристики по сравнению с другими методами зондирования*. Однако глубина исследования самого длинного двухметрового зонда ВИКИЗ соизмерима с аналогичным по длине градиент-зондом, а также уступает более длинным зондам БКЗ и низкочастотным индукционным зондам с высокой степенью фокусировки (8И1.4) при повышающем проникновении.

Однако в каких условиях эти глубинные зонды проигрывают ВИКИЗ?

Безусловно, при исследовании неоднородных пластов относительно малой мощности. При всех типах проникновения зонды ВИКИЗ мало изменяют свои радиальные характеристики, в отличие от традиционных зондов ИК.

2.4.О преимуществах ВИКИЗ

Изначальное противоречие между глубиной исследования и вертикальной разрешающей способностью - это известная в каротаже проблема. Преодоление этих противоречий требует ***компромиссного поиска для оптимального решения. Такое оптимальное сочетание вертикальных и радиальных характеристик найдено и реализовано в методе ВИКИЗ.***

Необходимо отметить, что бурение на хорошо изученных площадях ведется ускоренными темпами, и технология обычно не требует смены режимов при бурении. Поэтому, при соблюдении согласованных с геофизиками требований к промывочным жидкостям, глубокого проникновения фильтрата в пласты-коллекторы не наблюдается. *Количество методов ГИС при эксплуатационном бурении ограничено требованиями заказчика. ВИКИЗ, с учетом его удачно сочетающихся характеристик, может быть инструментом для решения задач, возникающих при эксплуатационном бурении.*

Метод ВИКИЗ рекомендован Государственным комитетом по запасам МПР РФ для широкого применения.

ВИКИЗ обладает преимуществами перед низкочастотными методами индукционного каротажа, когда буровой раствор утяжелен железорудным концентратом с большим количеством магнетита и ему подобных минералов. *В этих условиях зонды ИК не сохраняют свои фокусирующие свойства, приводя к большим ошибкам измерения.*

Существующая зондовая система ВИКИЗ, оснащенная специальными измерителями относительных амплитуд, позволяет существенно увеличить глубинность исследования. В ближайшее время будут начаты испытания опытных приборов. ***Измерение девяти относительных характеристик позволит расширить методические возможности метода ВИКИЗ.***

3. ОБЩЕТЕОРЕТИЧЕСКИЕ ОСНОВЫ И РАЗРАБОТКА НОВЫХ МЕТОДИК

3.1. Геологические модели нефтегазовых залежей Западной Сибири

К настоящему времени в Западной Сибири открыто 600 месторождений нефти и газа (около 1600 залежей). Значительная часть месторождений разраба-

тывается более 25 лет. Первоначальные геологические модели ограничивались представлением о чрезвычайно простом строении западносибирских месторождений с набором стандартных параметров. Эти модели отражены во многих публикациях, книгах, отчетах.

Геологические и геофизические параметры отражали сугубо статические модели и недостаточно характеризовали залежь как динамическую открытую систему с анизотропией всех ее свойств. В период разработки эта система «возмущена» техногенным воздействием и становится то **квазистабильной,** то **хаотической**. Резко изменяются многие свойства системы, в том числе и геофизические поля. Меняются минеральный состав, параметры коллекторов и насыщающие их флюиды.

Последующие исследования доказали, что палеозойские, юрские и даже меловые отложения во многих районах Западной Сибири подвержены глубокой флюидной переработке. Вследствие этого продуктивные резервуары представлены трещиноватыми и кавернозными породами.

Выявлен ***сложный нестационарный геотермический режим*** базальных отложений с резкими взаимопереходами, что отражается в контрастных значениях катагенетической преобразованности органического вещества (от протокатагенеза $ПК_3$ до апокатагенезаА$К_1$). Это особенно характерно для трещиноватых песчаников с вторичной пористостью и ярко выраженной гидротермальной минерализацией. Колебания показателей углефикации (катагенеза) определяются не глубиной залегания пород, а интенсивностью наложенной флюидной переработки.

Высокодебитные притоки нефти наблюдаются в скважинах, наиболее приближенных к зонам (очагам) субвертикальнойтрещиноватости или находящихся в пределах этих зон.

Флюидодинамическая активность носит, как правило, очаговый характер, сопровождается физико-химическими процессами и образованием новых минеральных ассоциаций. Это создает вещественную, геохимическую и геофизическую мозаику, часто осложняет палеореконструкции и предопределяет неуверенность в структурном картировании, особенно поверхности палеозоя (акустический хаос). «Возмущенная» система обладает всеми признаками неупорядоченности (хаоса). ***Например, соотношение температуры, давления и объёма, особенно изменчивое в зонах деструкции (разуплотнения пород), характеризует состояние системы.***

Обозначились новые направления в изучении нефтенасыщенных объектов как открытых динамических систем с быстро меняющимся состоянием, то резко "возбужденным", то близким к стабильному, что особенно характерно в период наложенных техногенных процессов (разведка и разработка).

При изучении таких систем можно использовать фрактальный аппарат как инструмент для познания скрытого порядка в «беспорядочных» анизотропных системах, каковыми являются залежи нефти. Известно, что многие вещества ведут себя как системы с фрактальной структурой. Фрактальные представления упрощают анализ турбулентного движения жидкости или газа, а также процесса протекания, что важно для технологии разработки месторождений.

При моделировании (по Н. П. Запивалову ИНГГ СО РАН) предполагается, что мозаичная (очаговая) продуктивность имеет фрактальную («рваную») структуру. Анализ данных по пластовым и горным давлениям с использованием кривых восстановления давления (КВД) в пластах с крупномасштабной фрактальной структурой является необходимым условием получения информации для ***моделирования напряженно-деформированного состояния геосистемы.***

Проблема определения структурности фракталов, представленных неупорядоченными упругими средами, решается путем измерения фрактальной размерности сейсмоакустических сигналов. Результаты изучения связи между фрактонным спектром и фрактальными характеристиками упругих сред могут быть использованы для развития методов геологоразведки и геофизического мониторинга. Разрабатываемые в настоящее время на основе современных достижений физики фракталов, геофизики и математической физики принципиально новые методы комплексного анализа нефтегеологических систем позволяют конкретизировать информацию о них с учетом сложной топологии нефтяных коллекторов, пористой структуры нефтеносных слоев, изменения состояния месторождений в процессе их разработки.

С позиций фрактальной геофлюидодинамики можно предложить новое определение: залежь нефти - это открытая флюидодинамическая система, ограниченная порогом протекания и массо-энергопереносом, за пределами которого распространяется другая система (среда).

4. ОСОБЕННОСТИ ВИКИЗ В СЛОЖНОПОСТРОЕННЫХ СРЕДАХ

4.1. Синтетические диаграммы ВИКИЗ в трехмерных моделях: анализ и основные особенности

Детальный анализ диаграмм ***ВИКИЗ в скважинах наклонно-направленного бурения должен базироваться на трехмерном моделировании.*** Решения одномерных или осесимметричных двумерных задач могут быть использованы при инверсии только при оценке области их применимости. А такие ситуации, как ***пересечение пласта неизометричной скважиной, наличие зоны проникновения сложной формы, расположение прибора на***

стенке скважины, могут быть адекватно промоделированы лишь при помощи алгоритмов, дающих решения существенно трехмерных задач.

Метод решения. Электромагнитное поле в трехмерной среде не допускает разделения на индукционную и гальваническую моды и редукции задачи к одному уравнению для потенциала (или одной из компонент поля). Поэтому для моделирования поля в произвольной среде использовали непосредственно систему уравнений Максвелла. Учитывая диапазон частот ВИКИЗ и характер убывания поля с удалением от генератора, ограничили расчетную область и поставили на ее границах условия равенства нулю всех компонент поля. Уравнения поля на неравномерной сетке аппроксимируются разностной противопотоковой схемой второго порядка. Для решения системы разностных уравнений применен итерационный метод установления. Разностный оператор, стоящий в левой части построенной неявной разностной схемы, факторизуется на два треугольных оператора, которые допускают обращение по схеме бегущего счета.

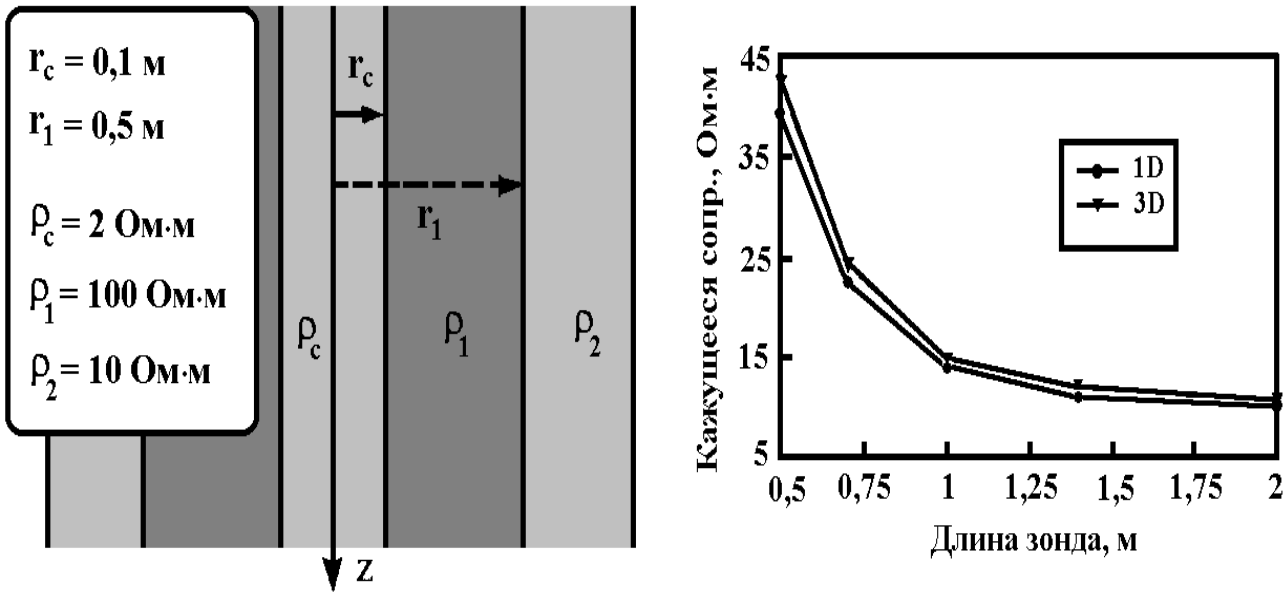

Рис. 4.1. Сравнение результатов расчетов для одномерной модели среды

Тестирование. Для подтверждения достоверности результатов моделирования в трехмерных средах было проведено сравнение рассчитанных компонент полей (и других характеристик) по указанному выше алгоритму и по независимым программам моделирования полей в одномерных и двумерных средах.

На рис. 4.1 приведены кривые зондирования ВИКИЗ для одномерной цилиндрически-слоистой среды. Конечно-разностное решение вычислено по программе трехмерного моделирования (кривая 3D), «точное» решение (ID) - через интегральные представления полей в цилиндрически-слоистой среде [6].

Результаты расчетов для двумерной осесимметрической модели скважины,

пересекающей границу раздела двух полупространств, приведены на рис. 4.2 (при а = 90°). Прямые ID показывают асимптотические значения кажущегося сопротивления в моделях «скважина – пласт» вдали от границы, полученные как решение одномерной задачи. Линии, обозначенные 2D, есть кривые профилирования, рассчитанные по программе двумерного моделированияв осесимметрической среде. Кривые 3D рассчитаны по программе трехмерного моделирования при α = 90°. Результаты расчетов для всех зондов ВИКИЗ совпадают с практической точностью (до 5 %). Максимальное отклонение кривых приходится на области с большим контрастом сопротивлений, причем форма кривых повторяется.

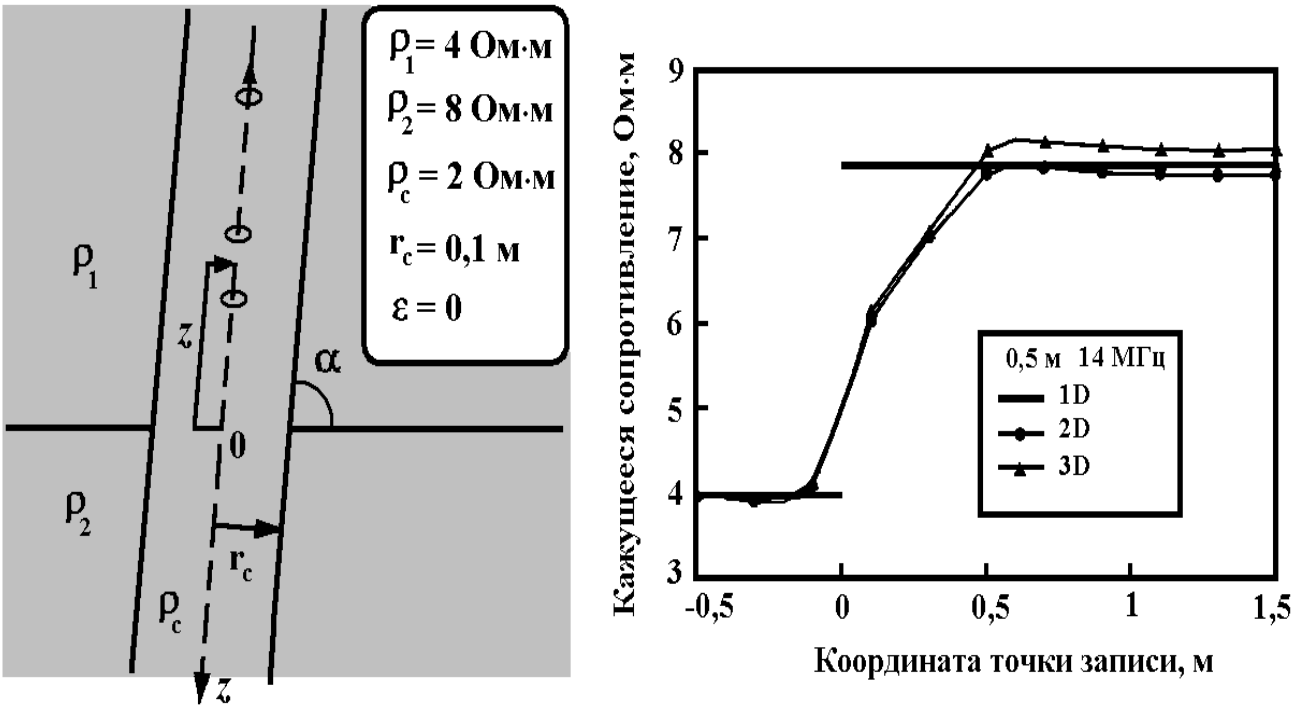

Рис. 4.2. Сравнение результатов расчетов для двумерной модели

Эта погрешность в областях с высокими значениями сопротивления вызвана недостаточным размахом и подробностью сетки, обусловленными имеющейся мощностью вычислительной техники. Расчеты на сетке из 45x45x61 узлов требуют около 30 мегабайт оперативной памяти и час-полтора времени счета на компьютере (например,Pentium/266).

Результаты моделирования. Одной из наиболее важных с точки зрения инверсии является задача выделения интервалов пересечения наклонной скважиной кровли и подошвы изучаемого коллектора, а также водонефтяного контакта. Анализ результатов одномерного моделирования (пересечение зондом плоских границ коллектора) и их сравнение с реальными диаграммами показывают хорошее совпадение модельных и экспериментальных данных вдали от области пересечения. Причем область резкого различия одномерных модельных и скважинных диаграмм зависит от контраста сопротивлений, мощности

коллектора и более всего - от зенитного угла встречи. На рис. 4.3 изображены синтетические кривые профилирования зондов ВИКИЗ для тестовой модели,

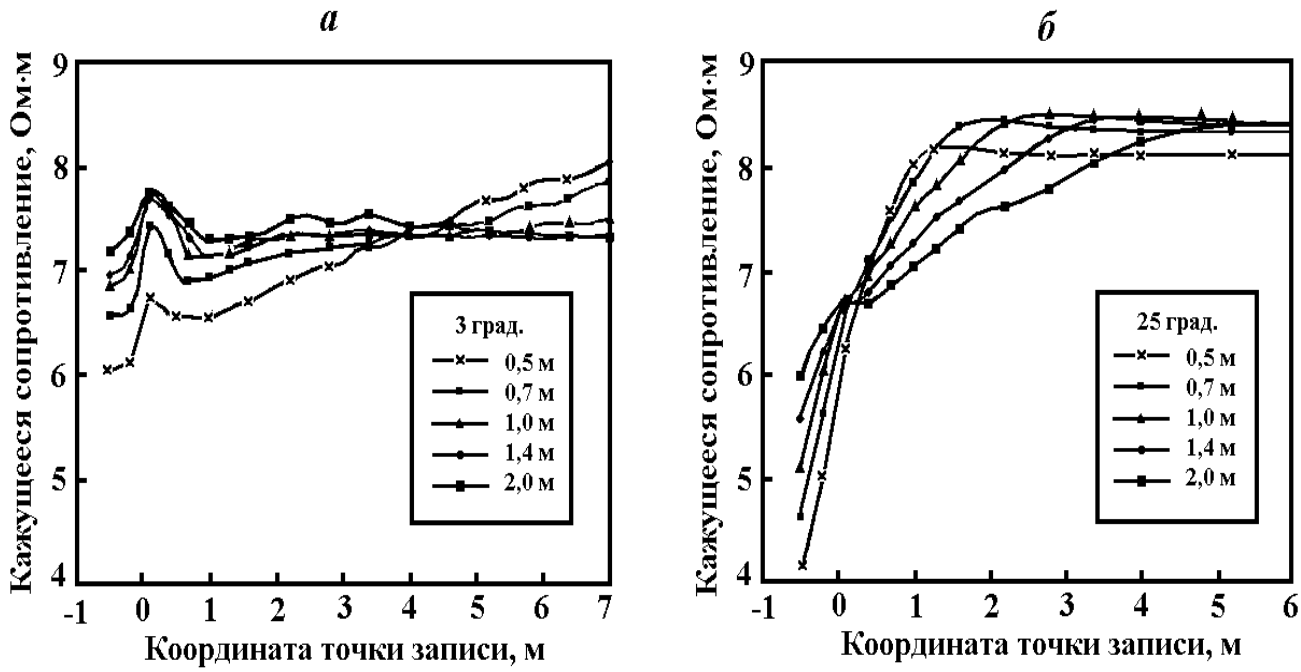

Рис. 4.3. Синтетические диаграммы ВИКИЗ. Зенитный угол 3°(*а*) и 25° (*б*)

когда наклонная скважина пересекает горизонтальную границу раздела двух сред под различными углами (см. рис. 4.2). Характерной особенностью формы

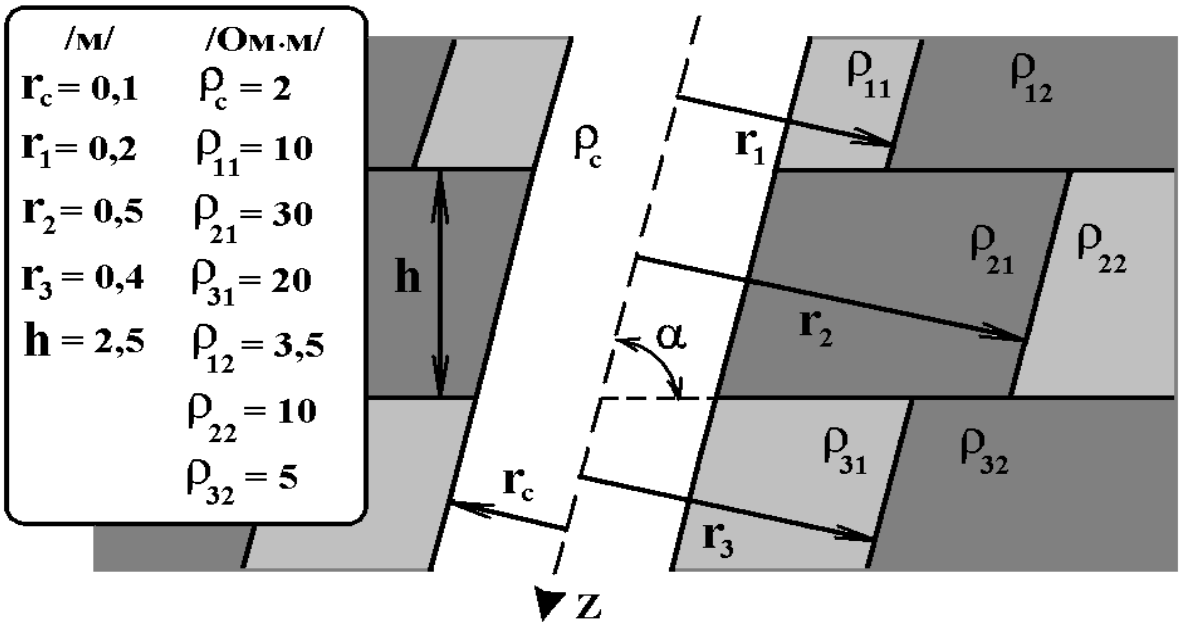

Рис. 4.4. Реальная трехмерная модель среды

кривых является наличие локальных экстремумов в окрестности границы при малых углах наклона. Следует отметить, что наличие скважины существенно сглаживает величину экстремумов, имеющих ярко выраженный характер в ее отсутствие. По-видимому, наличие зоны проникновения повлечет полное исчезновение экстремумов, что соответствует виду каротажных диаграмм.

Следующая модель (рис. 4.4), с характерными реальными значениями параметров была рассмотрена для того, чтобы исследовать, какие погрешности вносятся при замене слабонаклонной скважины вертикальной. Приведенные на рис. 4.5 результаты расчетов для двух зондов ВИКИЗ показывают, что отклонение скважины от вертикали до 10º не оказывает существенного влияния на кривые профилирования. Изменения, вносимые малыми углами наклона, вызваны лишь некоторым увеличением эффективной мощности пласта.

В настоящее время *конечно-разностным методом* решена задача моделирования сигналов ВИКИЗ в широком диапазоне трехмерных сред. Это дает возможность проводить анализ диаграмм ВИКИЗ в наклонных и горизонтальных скважинах.

4.2. Численное исследование высокочастотных сигналов в моделях горизонтальных скважин

Значительный рост числа скважин с субгоризонтальным завершением, предназначенных для увеличения ореола сбора нефти, побуждает к совершенствованию геофизических каротажных технологий. Приток углеводородов в горизонтальных стволах по сравнению с вертикальными возрастает от 4 до 20 раз.

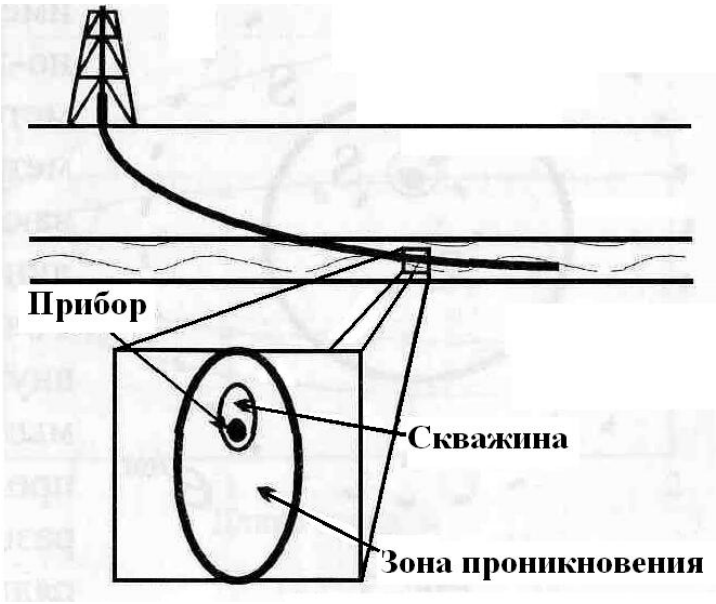

Рис.4.6. Асимметричность скаважинного пространства

Особые условия, связанные с направленным бурением и процессом измерений (***асимметричность скважинного пространства, зоны проникновения и глинистой корки, совместное влияние плоских и квазицилиндрических границ, анизотропия, смещение зондов с оси скважины)***, не позволяют использовать в полной мере уже разработанные интерпретационные подходы (рис. 4.6).

Содержание работы связано с моделированием электромагнитного поля применительно к аппаратурному комплексу высокочастотного индукционного зондирования (ВИКИЗ). На основе эвристических заключений, литературных данных, анализа практических диаграмм и непосредственного производственного опыта выполнена типизация геоэлектрических моделей [7, 8 и др.]. Неоднородная структура околоскважинного пространства формируется под воздействием двух основных факторов – гравитационного (*а*) и капиллярного (*б*) (рис. 4.7).

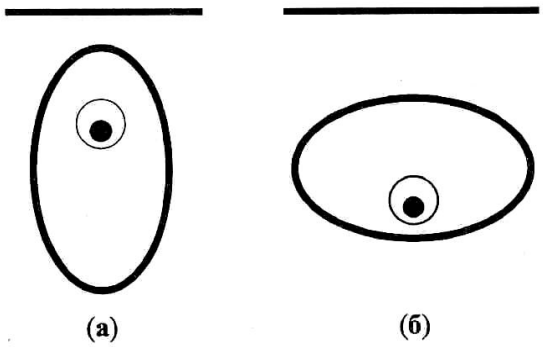

Рис. 4.7. Факторы неоднородности структуры околоскважинного пространства

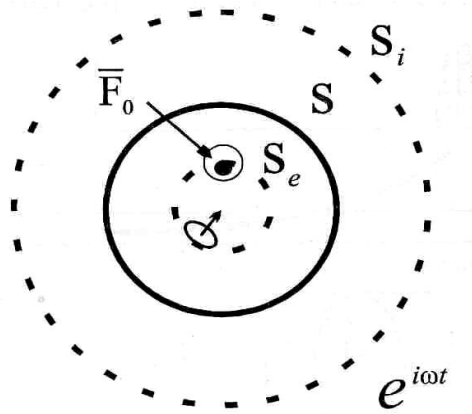

Рис. 4.8. Структура вспомогательных источников

Зенитный угол встречи с границами вскрытого пласта, трещиноватость коллектора и наличие контролирующих плотных пропластков определяют динамику развития вторичных зон (промытой, переходной и, как правило, окаймляющей).

4.2.1. Метод моделирования

Численное моделирование высокочастотных откликов основано на использовании метода поверхностных интегральных уравнений. Непрерывность касательных компонент электромагнитного поля на поверхностях скачкообразного изменения свойств определяет плотности аномальных токов и зарядов. Согласно принципу эквивалентности мы можем определитьструктуру вспомогательных источников на фиктивных поверхностях (рис. 4.8) и найти величины

ихамплитудно-фазовых плотностей [9, 10]. Дискретный аналог соответствующей системы интегральных уравнений имеет вид неособенной матрицы блочно-диагонального типа и разрешаетсяметодом наименьших квадратов. Параметры пространственных сеток оказывают главное влияние на регуляризацию линейной алгебраической системы. Точность решения контролируется как внутренними тестами, так и независимыми результатами, полученными по программам, использующим конечные разности и разложения в гармонические ряды.

4.2.2. Численные результаты

Рассмотрена последовательность двумерных моделей околоскважинного пространства для изучения раздельного и совместного количественного вклада присутствия различных факторов. Представлены синтетические примеры диаграмм ВИКИЗ для следующих случаев.

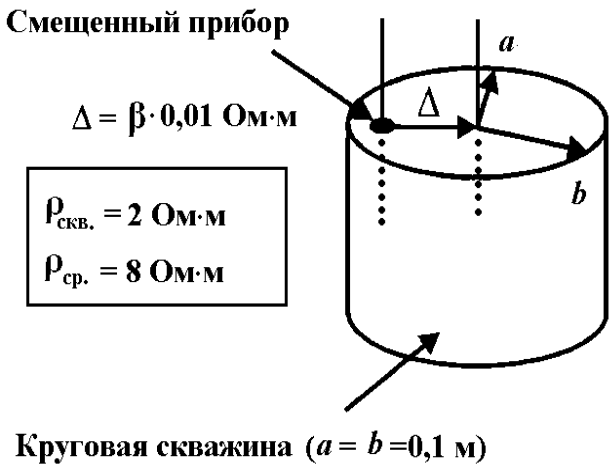

Рис. 4.9. Схема смещения зондирующей системы

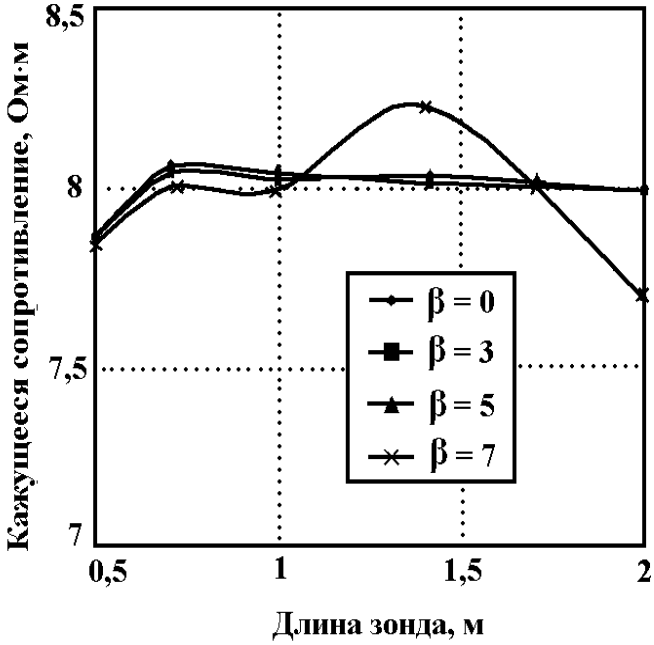

Рис. 4.10. Сопротивление пласта

1. Смещение зондирующей системы с оси скважины (рис.4.9). Для смещений 0-0,06 м кривые зондирования полностью выходят на асимптоту (сопротивление пласта), начиная со второго зонда (рис. 4.10). Для смещения более 0,07 мрезультат становится неустойчивым, и требуется переход к локально-неравномер-ной организации сеток. Отклонения от асимптоты не превышают 3 %.

2. Вариация контраста для эллиптической зоны проникновения (рис.4.11). Положение зондов – центральное. Все кажущиеся сопротивления монотонно изменяются с увеличением длины зонда. Значения для первого зонда примерно

соответствуют сопротивлению зоны проникновения, а значения на длинных зондах выходят на сопротивление пласта.

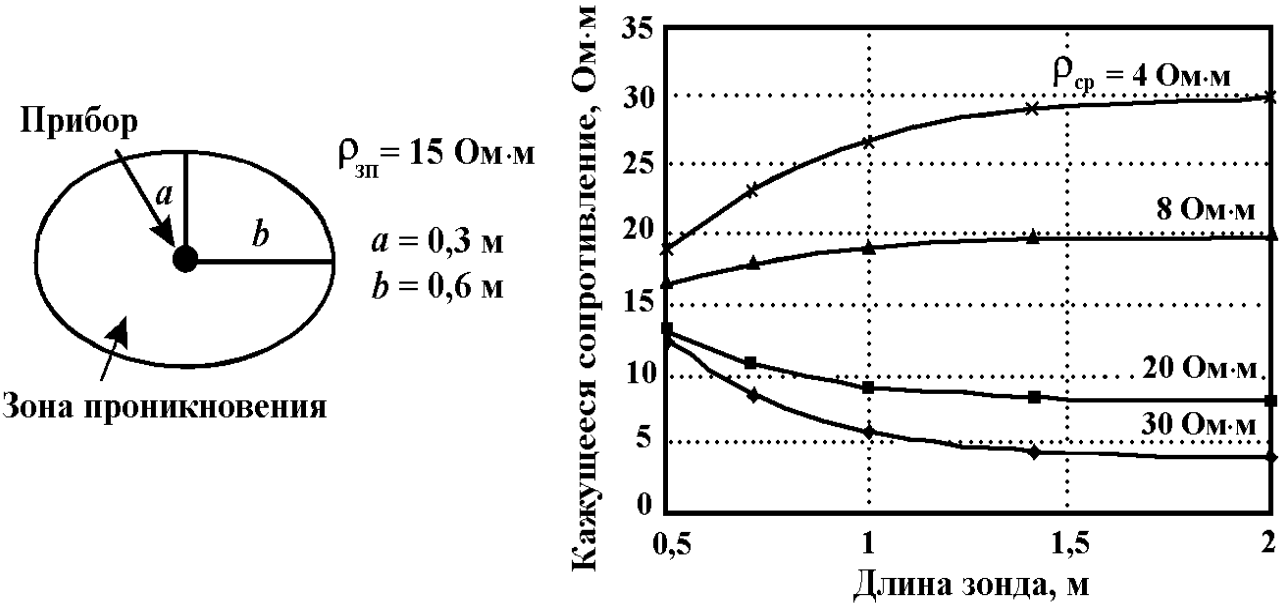

Рис. 4.11. Пример центрального положения зондов (эллиптическая зона проникновения)

3. Субгоризонтальный профиль через контакт двух слоев с учетом скважины и зоны проникновения (рис.4.12). На рис. 4.12 не рассматривается участок шириной, равной диаметру зоны проникновения, поскольку используемый нами алгоритм не позволяет рассчитывать модели с взаимным пересечением горизонтальной и цилиндрической границ. При переходе через плоскую границу функции кажущегося сопротивления для разных зондов переворачиваются, пересекаясь во внутренних точках профиля.

В целом в ходе численных экспериментов проведен обширный анализ синтетических сигналов ВИКИЗ, выявлены типы характерного поведения диаграмм в осложненных ситуациях. Так, для случаев, когда влияние гальванической моды становится сравнимым с вкладом вихревых токов, кажущиеся сопротивления по однородной среде не отражают истинного сопротивления и приводят к большим ошибкам в оценках распределения электрических свойств.

4.3. Приближенные решения двумерных задач

Переход к изучению и эксплуатационной разработке маломощных нефтегазоносных пластов (до 0,5 м) усиливает практический интерес к двумерному моделированию и требует увеличения доли двумерной инверсии в интерпретационном комплексе каротажных методов. Традиционно при одномерной инверсии совместное влияние нескольких границ, находящихся в зоне чувствитель-

ности зондовой системы, ограничивает возможности корректной оценки параметров зоны проникновения и пласта.

Развитие численного анализа для двумерных задач связано с переходом к новой параметризации среды. Базовая двумерная модель является объединением двух одномерных слоистых моделей с цилиндрическими и плоскопараллельными горизонтальными границами. Численные решения дву- и трехмерных задач требуют значительных вычислительных ресурсов. Эффективным подходом к решению многомерных задач высокочастотного зондирования, по нашему мнению, является использование сеточных и приближенных методов.

Концептуальный подход. Исходная идея подхода приближенных решений состоит в описании электромагнитного поля обобщенным разложением Неймана (ряд последовательных уточнений). На первом этапе нами выполнены численные расчеты и сравнение результатов моделирования с использованием линейных (первых) приближений Борна и Рытова (рис. 4.13). Применительно к методу высокочастотного индукционного зондирования (диапазон частот 0,5-40 МГц, относительные фазовые измерения) показана большая адекватность приближения Рытова как способа коррекции фазовой функции [11].

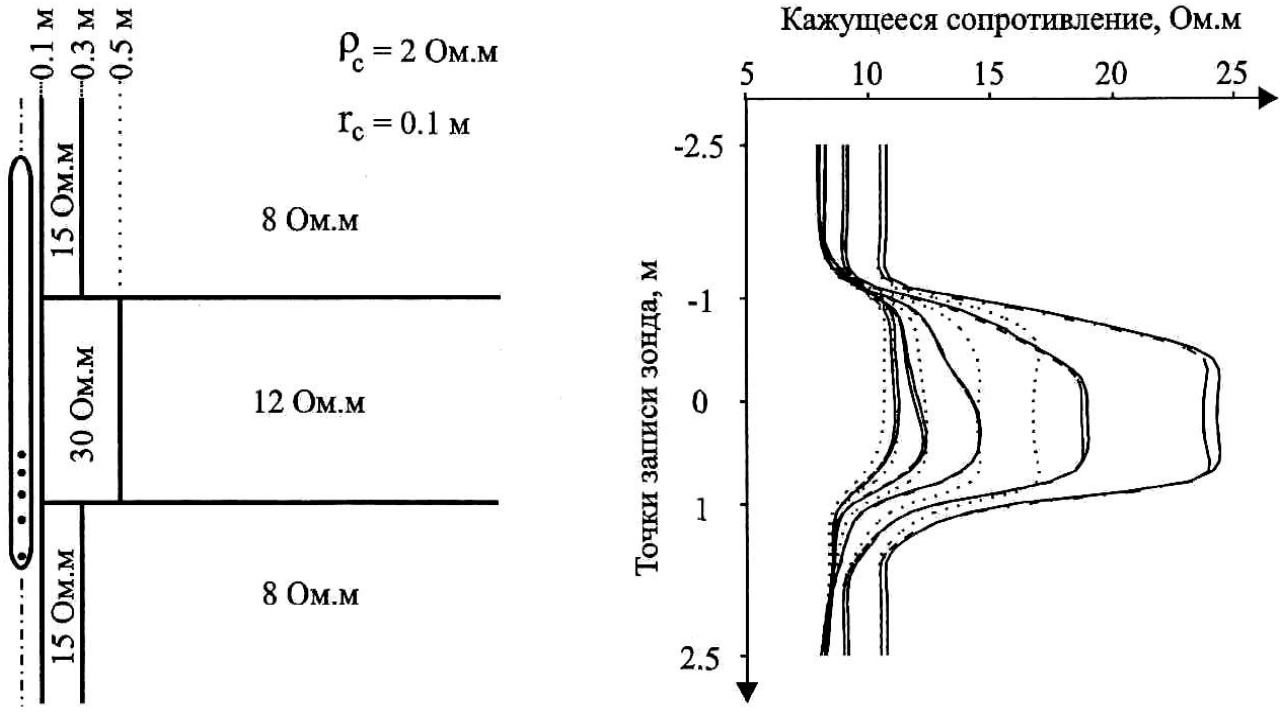

Рис.4.13. Сравнительная характеристика результатов моделирования и первых приближений Борна и Рытова

Точность линейного представления зависит от выбора модели фоновой среды, размера и относительного контраста областей с возмущенными функ-

циями электрического сопротивления и диэлектрической проницаемости. В частности, в аксиальных моделях с присутствием только индукционной моды результат устойчив (с погрешностью не более 5 %) в диапазоне 4-кратного контраста сопротивлений относительно однородной фоновой среды. Оценка параметров фоновой среды строится по эффективным кажущимся величинам и является функцией профильного окна. Большая точность может быть достигнута либо усложнением фоновой среды и, соответственно, функции Грина, либо использованием нелинейного подхода в рамках однородной фоновой среды. Это позволяет точно учесть влияние скважины при экстремально низком сопротивлении бурового раствора или горизонтально-слоистую структуру пласта при резком ее преобладании над радиальным изменением в переходной зоне. На этом пути созданы программы для экспресс-расчета диаграмм модифицированного прибора ВИКИЗ в многослойном разрезе с развитыми зонами проникновения. Построены два варианта исполнения для кусочно-постоянного и непрерывного распределения сопротивления. Здесь приведены синтетические диаграммы для модели нефтеносного пласта с гладкой радиальной функцией сопротивления переходной зоны и присутствием окаймляющей зоны, сформированной оттесненной пластовой водой (рис. 4.14). Пунктирными линиями показаны диаграммы для эквивалентного кусочно-постоянного радиального распределения сопротивления.

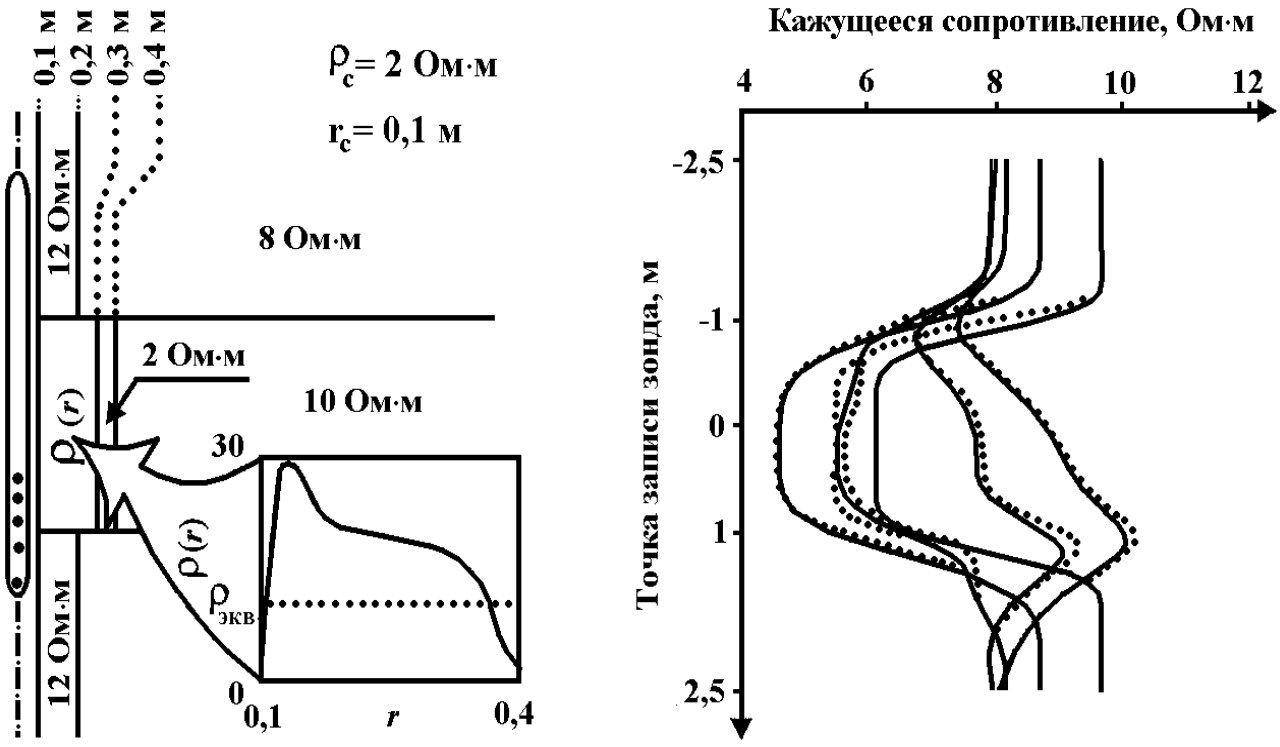

Рис.4.14.Сравнительная характеристика непрерывного и кусочно-постоянного распределения сопротивления

Нелинейная аппроксимация состоит не в ограничении числа членов разложения Неймана, а в построении тензора рассеяния на основе локально-нелинейного представления полей внутри аномальных областей. Вычисление тензора рассеяния сводится к численно-аналитическому решению интегрального уравнения с логарифмической особенностью в ядре. Результаты вычисленных экспериментов позволяют надеяться на существенное увеличение точности для контрастных моделей, особенно при наличии в сигнале гальванической моды. Ресурсные затраты резко сокращаются при использовании асимптотических разложений, техники адаптивных сеток и двумерной интерполяции.

5. РАЗВИТИЕ ИНТЕРПРЕТАЦИОННОЙ БАЗЫ ВИКИЗ

5.1. Экспресс-интерпретация данных ВИКИЗ, полученных в наклонно-горизонтальных скважинах

В лаборатории электромагнитных полей Института геофизики СО РАН разработана многофункциональная система обработки и интерпретации данных ВИКИЗ, полученных в скважинах ***с горизонтальным завершением.***

Инверсия данных основана на базовой модели среды с плоскопараллельными границами, в которой зонды ВИКИЗ расположены наклонно. В результате инверсии определяются удельные сопротивления пластов и вмещающих пород, положение границ, а также оцениваются зенитные углы наклона.

Недостаточно высокая скорость обработки практических диаграмм, а также невозможность в рамках существующей версии проводить непрерывную интерпретацию выбранных интервалов обусловили необходимость создания быстрых алгоритмов и программ поточечной интерпретации, где переход от одного отсчета к следующему происходит автоматически.

Созданная быстрая прямая задача для модели среды с одной и двумя границами основана на линеаризации сигнала в пространстве модельных параметров. Коэффициенты линейной функции (производные по соответствующим параметрам) вычисляются с помощью рассчитанных в узлах некоторой сетки значений разности фаз. Точность расчета как сигнала, так и его производных составляет в среднем 0,5 %, время – миллисекунды.

Целенаправленный подбор параметров модели осуществляется с помощью метода сингулярного разложения. Для каждого шага интерпретации выбирается окно шириной от 5 до 10 дискретов по показаниям двух длинных (1,4 и 2 м) зондов, в значительной степени свободных от влияния скважины и зоны проникновения. Полученный результат (сопротивления и положения границ) служит начальным приближением при интерпретации в следующем окне,

сдвинутом по сравнению с предыдущим на 1-2 отсчета. Таким образом, достигаются плавность изменения параметров среды при движении зонда вдоль скважины и постепенное улучшение соответствия теоретической и экспериментальной кривых, если стартовая модель была задана с большими погрешностями.

В качестве исходных данных используются разности фаз для заданного интервала зондирований, данные инклинометрии, начальные значения для сопротивлений пластов и примерное расположение границ.

Результатом интерпретации диаграмм на интервале скважины является информация о распределении сопротивления пластов, пересекаемых скважиной, координаты их границ (может быть наклонных), а также построение доверительных интервалов изменения параметров модели.

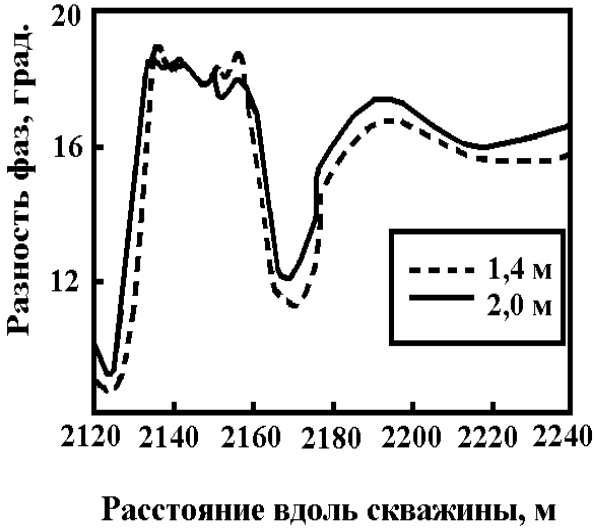

Рис. 5.1. Экспериментальные данные

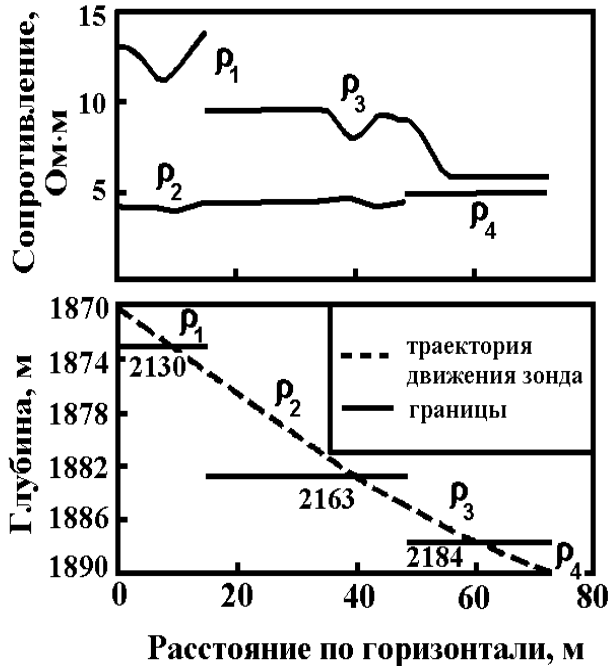

Рис.5.2. Результаты интерпретации

На рис.5.1 показан участок скважины № 5141 Федоровского месторождения; на рис. 5.2– результаты инверсии данных.

Разработанная система экспресс-интерпретации является удобным инструментом быстрой инверсии данных ВИКИЗ в наклонно-горизонтальных скважинах. Разработчиками решены также не менее важные задачи:

• **предварительная обработка экспериментальных кривых** (***разбивка на пласты, сглаживание, построение стартовой модели);***

• **внесение поправок в теоретические кривые при пересечении границ слабонаклонной скважиной.**

5.2. Автоматизированная оценка радиального распределения электропроводности в пластах-коллекторах по данным высокочастотных индукционных каротажных зондирований

Высокочастотное индукционное каротажное изопараметрическое зондирование (ВИКИЗ) в последние годы заняло прочные позиции в комплексе электрических методов каротажа разведочных скважин в терригенных разрезах Западной Сибири и в районах с аналогичным геологическим строением. Одними из основных составляющих успеха ВИКИЗ на насыщенном рынке геофизических исследований скважин (ГИС) являются безусловные технологические преимущества нового метода и его интерпретационной базы. Разработчики уделили внимание теоретическим и методическим аспектам выделения пластов-коллекторов по данным ВИКИЗ и количественной оценке электропроводности радиальных зон проникновения фильтрата буровой жидкости и неизмененных частей пластов с целью прогноза флюидонасыщения. Результатом выполненных исследований является технология *автоматизированной интерпретации каротажных диаграмм*, которая включает этапы препроцессинга и визуализации, выделения и идентификации пластов, построения приближенной стартовой модели, инверсии на выделенных интервалах, синтезирования геоэлектрического разреза околоскважинного пространства.

Для выделения и идентификации пластов-коллекторов построено решение прямой задачи ВИКИЗ для **горизонтально-слоистой модели**: «*пласт-коллектор между надопорным и подстилающим слоями»*. Получено частное решение для одной границы. На основе математического моделирования проанализировано влияние границ на поведение каротажных диаграмм ВИКИЗ в типичных геоэлектрических моделях. Выработаны формальные критерии определения минимально допустимых мощностей пластов для применяющейся в настоящее время модификации пятизондовой системы измерений. Опробованы дифференциальный и интегральный подход к определению местоположения границ геологических пластов. Построены численные алгоритмы попластовой разбивки.

Адекватная оценка параметров радиальных зон вокруг скважины осложняется неоднородностью выделенных пластов по вертикали и влиянием вмещающих пород. Для уменьшения искажающего влияния перечисленных факторов был разработан специальный алгоритм снятия характерных значений.

Тестирование алгоритмов выделения пластов и снятие характерных значений проводилось на синтетических каротажных диаграммах, полученных математическим моделированием сигналов ВИКИЗ для двумерных моделей сред (рис. 5.3). Параметры двумерных моделей для расчета синтетических диаграмм выбирались на основе результатов количественной интерпретации экспери-

ментальных данных зондирований на скважинах Федоровского месторождения.

Рассматривались фрагменты разрезов скважин, содержащих до пятнадцати пластов различной контрастности по электрическому сопротивлению, достигающей двух порядков, мощностью от 1,0 до 4 м. Число радиальных границ составляло от одной (на непроницаемых участках) до трех (на интервалах с выраженной окаймляющей зоной). Тестирование показало хорошее восстановление реальных параметров моделей в подавляющем большинстве численных экспериментов. Исключение составили пласты очень высокого сопротивления (более 100 Ом·м), выделение которых затруднено в рамках данной системы измерений.

Пример применения созданной технологии для интерпретации практических каротажных диаграмм ВИКИЗ на нефтяных месторождениях Западной Сибири (рис. 5.4).

6. ОЦЕНКА ПАРАМЕТРОВ МАКРОАНИЗОТРОПИИТОНКОСЛОИСТЫХ КОЛЛЕКТОРОВ ПО ДАННЫМ ВИКИЗ ВГОРИЗОНТАЛЬНЫХ СКВАЖИНАХ

На каротажных диаграммах ВИКИЗ в ***слабонаклонных интервалах хорошо выявляются участки развития тонкослоистого коллектора.*** Отличительными признаками в этом случае являются короткопериодные вариации показаний высокочастотных коротких зондов, в то время как *показания длинных зондов изменяются более плавно*. Один из теоретически обоснованных подходов к оценке соотношения суммарной мощности прослоев разных сопротивлений в пределах одной тонкослоистой пачки базируется на эквивалентности электромагнитных полей в тонкослоистых и электрически макроанизотропных средах. Ранее подобная методика была обоснована для низкочастотного индукционного каротажа с поперечными датчиками в вертикальных скважинах .

При понижении частоты и увеличении расстояния между источником и приемником магнитное поле в тонкослоистой среде становится эквивалентным магнитному полю в однородном макроанизотропном пространстве. Основные критерии эквивалентности электромагнитных сигналов в тонкослоистой и макроанизотропной средах:

$$\delta/h>5, \qquad L/h>15, \quad (6.1)$$

здесь S– толщина скин-слоя в соответствующем пропластке мощности h;L – расстояние между источником и приемником (длина зонда). При среднем сопротивлении ρ ≈ 4-5 Ом·м и средней мощностиh ≈ 0,05 м прослоев для зонда 0,5 м критерии (6.1) не выполняются и измеряемый сигнал соответствует сигналу в тонкослоистой среде. Для зонда 2,0 м критерии (6.1) выполнены и изме-

ряемый сигнал соответствует сигналу в макроанизотропном пространстве.

Таким образом, сигналы, измеряемые разными зондами ВИКИЗ, можно описать в рамках двух геоэлектрических моделей – тонкослоистой и макроанизотропной.

Оценка параметров тонкослоистого разреза. Слоистая пачка, представленная ритмичным переслаиванием тонких пропластков двух разных пород, может быть охарактеризована четырьмя параметрами *(*ρ_1 и ρ_2– удельные электрические сопротивления пропластков;h_1, h_2 – их мощности). Свойства эквивалентной макроанизотропной среды могут быть параметризованы двумя величинами *(*ρ_i - сопротивление в горизонтальной плоскости, ρ_n - в вертикальном направлении).

При выполнении условий (6.1) существует связь между микропараметрами тонкослоистой модели и макропараметрами анизотропного пространства

$$\rho_t = \frac{h_1+h_2}{h_1/\rho_1 + h_2/\rho_2}, \rho_n = \frac{\rho_1 h_1+\rho_2 h_2}{h_1+h_2}. \quad (6.2)$$

Введем безразмерные коэффициенты $k_\rho=\rho_2/\rho_1$, $k_h=h_2/h_1$.

Учитывая соотношения (2), можно записать

$$k_n = \frac{(\rho_n-\rho_1)(\rho_t-\rho_1)}{\rho_1(\rho_n-\rho_t)}, \qquad k_\rho = \frac{\rho_n-\rho_1\rho_t}{\rho_t-\rho_1\rho_1}. \qquad (6.3)$$

В периодической среде величина k_h характеризует относительную долю суммарной мощности, занимаемую каждым из прослоев.

Относительные доли мощности пласта, занимаемые пропластками с сопротивлениями ρ_1,ρ_2:$\Delta_{h_i} = \frac{1}{1+k_h}$, $\Delta_{h_i} = \frac{k_h}{1+k_h}$ (6.4)

Из соотношений (6.2)-(6.4) следует, что по оценкам горизонтального и вертикального сопротивлений можно установить сопротивления прослоев в тонкослоистой среде и соотношение их суммарных мощностей. В частности, в пластах, представленных песчано-глинистым переслаиванием, можно определить эффективную мощность песчанистого коллектора и его сопротивление (а, следовательно, и характер флюидонасыщения).

О возможности оценки параметров электрической макроанизотропии. Для анализа возможностей оценки параметров анизотропии по показаниям зондов в слабонаклонных интервалах рассмотрим типичную геоэлектрическую модель: сопротивление вмещающих пород $\rho_1=\rho_3=$ 3 Ом·м,горизонтальное сопротивление пласта ρ_{2t}=8 Ом·м, мощность пласта h=1,0 м, коэффициент анизотропии Λ =1,05-1,20. Зенитный угол встречи скважины с границей φ = 80-89°. Составляющие модель породы слабомагнитны, влияние скважины и зоны проникновения считается достаточно малым.

Для изучения степени зависимости показаний зонда (разности фаз $\Delta\varphi$*)* к

модельному параметру ρ используются функции чувствительности [13]

$$\eta_\rho = \frac{\partial ln \Delta\varphi}{\partial ln \rho}.$$

Условием успешной оценки параметра является превышение функцией чувствительности порогового значения 0,15, при котором относительная ошибка определения параметра примерно в 6,5 раз больше относительной ошибки измерения.

На рис.6.1 представлены расчетная диаграмма ВИКИЗ (вверху, шифр кривых - длины зондов) и функции чувствительности сигнала длинного зонда к сопротивлениям слоя (внизу, *t* - к горизонтальному, *n* - к вертикальному) при Λ =1,1, φ = 80°. По горизонтальной оси отложено расстояние по скважине *s*относительно верхней границы слоя. Подошва пласта пересекается в точке *s* = 5,76 м.

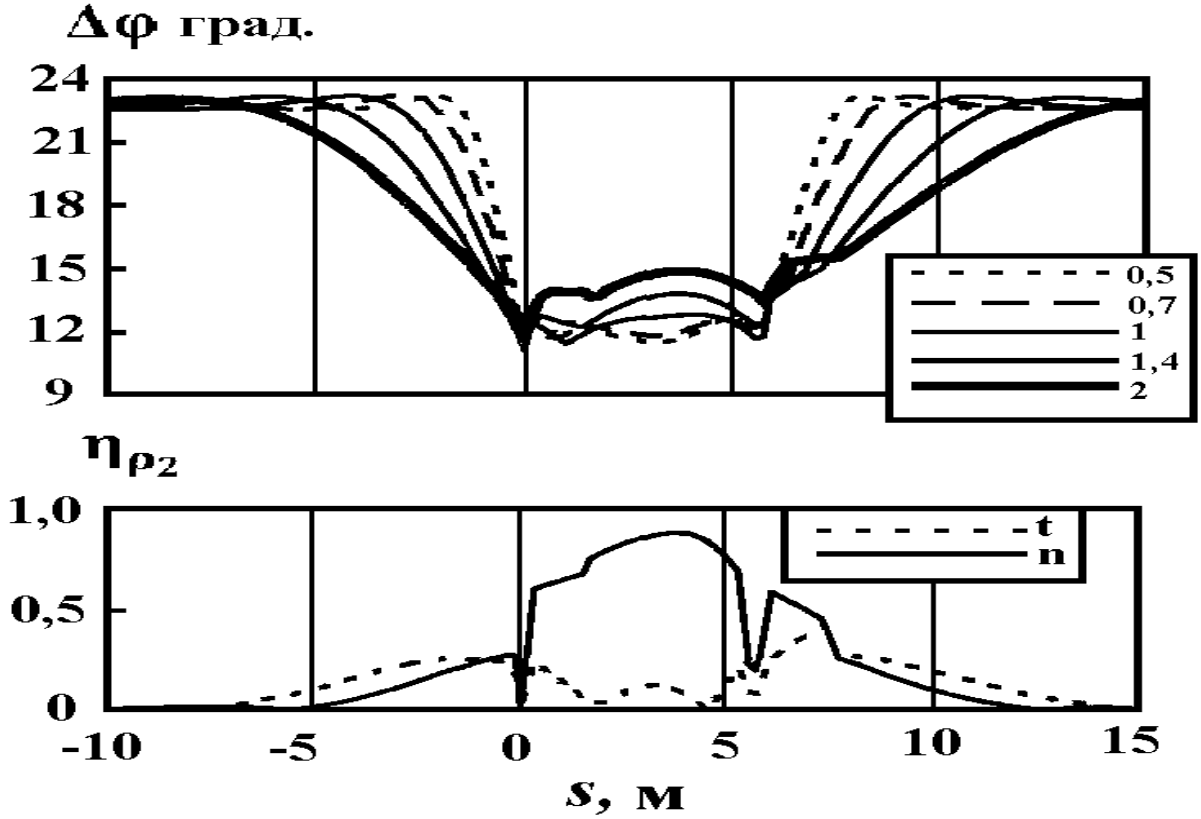

Рис.6.1. Расчетная диаграмма ВИКИЗ и функции чувствительности сигнала

Чувствительность к горизонтальному сопротивлению пласта значительна (выше 0,15) в области границ и когда зонд находится во вмещающих породах. Чувствительность к вертикальному сопротивлению во много раз превосходит пороговое значение. Это свидетельствует о хороших возможностях оценки степени электрической анизотропии пласта. То же самое отмечается и при субгоризонтальном расположении зонда (φ ≈ 89°).

Оценка параметров тонкослоистых коллекторов по характеристикам макроанизотропии. Предлагаемая методика оценки состоит из нескольких

взаимосвязанных этапов:

- по каротажным диаграммам двух коротких зондов визуально выделяются интервалы «высокочастотных» изменений небольшой амплитуды;
- по измерениям видимой мощности тонких прослоев и данным инклинометрии оцениваются их мощности и соотношение кажущихся сопротивлений;
- выполняется автоматическая инверсия каротажной диаграммы длинного зонда с оценкой горизонтального и вертикального сопротивлений макроанизотропного пласта;
- в соответствии с соотношениями (6.4)-(6.6) сопротивления макроанизотропного пласта пересчитываются в параметры тонкослоистой пачки.

На рис.6.2 показан фрагмент практической диаграммы, полученной на одном из месторождений Сургутского региона (вверху, шифр кривых – длины зондов). В диапазоне 2240-2258 м отмечаются «высокочастотные» изменения показаний двух коротких зондов, с периодом около 3,3 м и амплитудой сигнала 1-1,5 градуса. Этот интервал выделяется визуально по критериям периодичности, превышения периода колебаний над шагом измерений, а амплитуды - над погрешностью измерений.

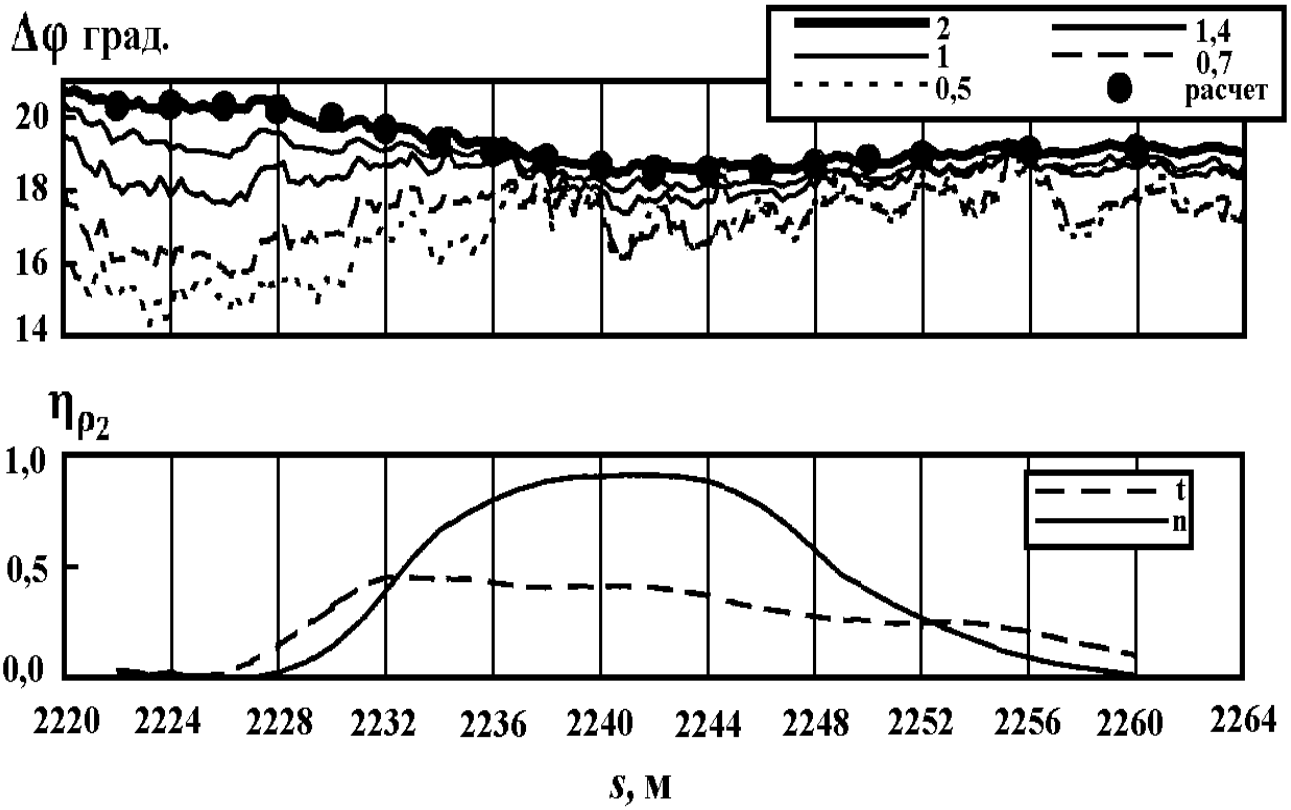

Рис. 6.2.Результаты инверсии длинного зонда

На спектральных амплитудах, подвергнутых быстрому преобразованию Фурье сигналов коротких зондов, наблюдается экстремум при пространственной

частоте около 0,3 м. Это соответствует периоду 3,33 м по скважине и составляет 0,3 м по нормали к пласту (при среднем на интервале зенитном угле φ= 85°). Следовательно, мощность одного элемента, состоящего из двух пропластков разного сопротивления, равна h_k= 0,29м.

Далее выполняется инверсия каротажной диаграммы длинного зонда путем минимизации функции невязки. На рис. 6.2 (вверху) точками нанесены результаты численного расчета в модели, полученной в результате инверсии. Графики чувствительности к сопротивлениям слоя (внизу) показывают, что практически весь интервал содержит информацию для оценивания параметров макроанизотропии.

В результате инверсии получены следующие оценки параметров:ρ_1=3,63 Ом·м; ρ_{2t}=3,90 Ом·м;ρ_{2n}= 4,55 Ом·м;h=1,4 м, Λ =1,08; ρ_3 = 4,03 Ом·м. Если предположить, что один из чередующихся прослоев является глиной, то можно принять его сопротивление ρ_{21} = 3,4Ом·м. Используя формулы (6.4)-(6. 6) пересчета характеристик макроанизотропии в параметры тонкослоистой среды, получаем: k_h=0,26, k_ρ=2,63.Следовательно, $\rho_{22} \approx 9{,}0$Ом·м, $h_{22} \approx k_h \cdot h_K$= 0,08 м.

Таким образом, эффективная относительная мощность песчанистых прослоев на указанном интервале составляет около 26 % (0,36 м), а по величине удельного электрического сопротивления можно предположить, что они являются нефтенасыщенными.

ВОПРОСЫ ДЛЯ САМОПРОВЕРКИ

1. Как расшифровывается метод ВИКИЗ?
2. Является ли ВИКИЗ вариантом БКЗ в индукционном исполнении?
3. Каков диапазон частот, применяемых при регистрации метода?
4. Как толкуется изопараметричность авторами метода?
5. Что даёт увеличение уровня частот (в 5-10 раз) в методе ВИКИЗ по сравнению с ИК?
6. Количество зондов, размер и частота метода ВИКИЗ?
7. Какие специализированные программы разработаны для интерпретации материалов регистрации ВИКИЗ?
8. Каково расположение генераторных и измерительных катушек в скважинном приборе ВИКИЗ?
9. Дайте частотно-геометрические характеристики всех зондов ВИКИЗ?
10. Изменение какого параметра является результатом регистрации каротажа по методу ВИКИЗ?
11. Какую шкалу регистрации имеют диаграммы ВИКИЗ (логарифмическую или линейную)?

12. В чем преимущество метода ВИКИЗ перед другими методами каротажа?
13. Оказывает ли влияние на диаграммы регистрации ВИКИЗ формирование асимметричных зон проникновения?
14. Когда наблюдаются характерные изменения формы кривых ВИКИЗ?
15. Перечислите задачи, решаемые методом ВИКИЗ?

СПИСОК ИСПОЛЬЗОВАННОЙ ЛИТЕРАТУРЫ

1. *Леонтьев*, *Е. И.* Моделирование в петрофизике/Е. И Леонтьев. –М.: Недра, 1978. – 125 с.

2.*Даев*, *Д. С.* Высокочастотные электромагнитные методы исследования скважин /Д. С. Даев. – М.: Недра, 1974.– 190 с.

3. *Антонов*, *Ю. Н.* Высокочастотный индукционный каротаж / Ю. Н. Антонов, Б. И. Приворотский. – Новосибирск: Наука, 1975.– 260 с.

4. *Антонов*, *Ю. Н.* К обоснованию высокочастотного индукционного каротажа для изучения неоднородных пластов-коллекторов / Ю. Н. Антонов // Электромагнитные методы исследования скважин. – Новосибирск: Наука, 1979. – С. 3-33.

5. *Мартышко*, *П. С.* Интегродифференциальные уравнения обратных задач для переменных электромагнитных полей / П. С. Мартышко// Изв. АН СССР. Физика Земли. –1991. – № 5. – С. 55-62.

6. *Табаровский*, *Л. А.,* Электромагнитные поля гармонических источников в слоистых анизотропных средах / Л. А. Табаровский, М. М. Эпов// Геология и геофизика.– 1977. – № 1.– С. 101-109.

7.*Вержбицкий*, *В. Г.* Прямые задачи электрокаротажа горизонтальных скважин / В. Г. Вержбицкий // Физика Земли. – 1997. – № 3. – С. 71-74.

8.*Swindell,G. S.* HorizontalWellsShowVariedProductionPerformance/G. S.Swindell// O.G.J. – 1996. № 25. – Pp. 66-69.

9.*Табаровский*, *Л. А.,* Математическое моделирование электромагнитного поля для анизотропных неоднородных сред / Л. А. Табаровский, А. Б. Черяука// Геология и геофизика. – 1989. – № 3. – С. 84-89.

10.*Zolla,F.*Electromagnetictheoryofdiffractionbyasystemofparallelrods / F. Zolla, R. Petit, M. Cadilhak//J. Opt. Soc. Am. – 1994. – Vol.11. – № 3. – Pp. 1087-1096.

11.*Cheryauka*, *A. B.*Near-Borehole Studies by High Frequency Induction Logging for Horizontal Wells / A. B.Cheryauka, M. I. Epov, A. V. Gribenko// Proc. 60th EAGE Conf, Leipzig, Germany, 1998. – Paper P-102.

12. *Рытов*,*С. М.* Электромагнитные свойства мелкослоистой среды / С. М. Рытов// ЖЭТФ. – 1955. – Т. 29. Вып. 5. – С. 605-616.

13.*Табаровский*, *Л. А.* Оценка разрешающей способности электромагнитных методов и подавление помех в системах многократного наблюдения (теория, алгоритмы, программы) /Л. А. Табаровский, М. И. Эпов, О. Т.Сосунов. – Новосибирск, 1985. – 48с.

14. *Табаровский*, *Л. А.* Геометрическая и частотная фокусировка при изучении анизотропных пластов / Л. А. Табаровский, М. И. Эпов// Электромагнитные методы исследования скважин.– Новосибирск: Наука, 1979. – С. 67-129.

МИНОБРНАУКИ РФ

ФГБОУ ВО «Уральский государственный горный университет»

УТВЕРЖДАЮ

Проректор по учебно-методическому комплексу

_____ С.А.Упоров

МЕТОДИЧЕСКИЕ РЕКОМЕНДАЦИИ К САМОСТОЯТЕЛЬНОЙ РАБОТЕ ПО ДИСЦИПЛИНЕ

Б1.В.15 СПЕЦИАЛЬНЫЕ МЕТОДЫ СТРАТИГРАФИИ

Специальность:

21.05.02 Прикладная геология

Специализация:

Геология месторождений нефти и газа

форма обучения: очная

Автор: Устьянцева Н.В.

Одобрены на заседании кафедры

Литологии и геологии горючих ископаемых

(название кафедры)

Зав. кафедрой _____

(подпись)

к.г.-м.н., доц. Рыльков С.А.

(Фамилия И.О.)

Протокол № 2 от 06.10.2020

(Дата)

Рассмотрены методической комиссией

факультета геологии и геофизики

(название факультета)

Председатель _____

(подпись)

д.г.-м.н., проф. Бондарев В.И.

(Фамилия И.О.)

Протокол № 2 от 13.10.2020

(Дата)

Екатеринбург

Введение

Самостоятельная работа студента является важнейшей составной частью образовательной программы подготовки дипломированного специалиста. По курсу «Специальные методы стратиграфии» обязательная самостоятельная работа студента осуществляется в следующих направлениях:

- ✓ выполнение домашних заданий;
- ✓ освоение материалов по отдельным темам, входящим в Рабочую программу дисциплины [5];
- ✓ подготовка к экзамену;

Самостоятельная работа студентов направлена на развитие интеллектуальных умений, повышение творческого потенциала студентов и заключается в:

– поиске, анализе, структурировании и презентации информации, анализе научных публикаций по вопросам применения специальных стратиграфических методов в нефтегазовой геологии;

– исследовательской работе и участии в научных студенческих конференциях, семинарах и олимпиадах.

Оценка результатов самостоятельной работы организуется как единство двух форм: самоконтроль и контроль со стороны преподавателей.

Данные методические указания предназначены для организации самостоятельной работы студентов при освоении отдельных тем дисциплины.

Методические указания к самостоятельной работе студента

В последующем разделе пособия приведена развернутая программа дисциплины «Специальные методы стратиграфии». Здесь указаны наименование и содержание лекционных тем в соответствии с рабочей программой дисциплины [5]. Каждая тема является основой вопросов в зачетном билете. При чтении лекций по курсу преподаватель указывает те темы дисциплины, которые выносятся на самостоятельную проработку студентами. Основной объем информации по каждой теме содержится в учебнике по курсу [1, 4]. Для углубленного освоения темы рекомендуется дополнительная литература [2, 3, 5]. Для самоконтроля и приобретения навыков решения задач по отдельным разделам дисциплины в последнем разделе приведены контрольные вопросы и упражнения, которые являются основой подготовки к зачету.

При освоении указанных ниже тем рекомендуется следующий порядок самостоятельной работы студента.

1. Ознакомьтесь со структурой темы.
2. По учебным пособиям [1, 4] освойте каждый структурный элемент темы. Во всех темах указаны разделы и страницы учебника, содержащие данный материал.
3. При необходимости используйте указанную дополнительную литературу. Консультацию по использованию дополнительной литературы Вы можете получить у преподавателя.
4. Ответьте на контрольные вопросы и выполните рекомендованные упражнения. При затруднениях в ответах на вопросы вернитесь к изучению рекомендованной литературы.

5. Законспектируйте материал. При этом конспект может быть написан в виде ответов на контрольные вопросы и упражнения.

При самостоятельной работе над указанными темами рекомендуется вести записи в конспектах, формируемых на лекционных занятиях по курсу, и в том порядке, в котором данные темы следуют по учебной программе.

Данное учебно-методическое пособие может быть использовано при подготовке ответов на вопросы во время экзамена.

Содержание курса

Тема 1: Обзор методов стратиграфических исследований. [1, 4]

Задачи стратиграфических исследований в XXI веке. Палеонтологические и непалеонтологические методы стратиграфии.

Дополнительная литература: [2, 3, 5].

Контрольные вопросы и упражнения:

1. Какой метод стратиграфических исследований считается основным в стратиграфии?
2. В чем состоит сущность биостратиграфического метода?
3. В чем заключается диахронность литологических и стратиграфических границ?
4. Назовите примеры использования геофизических методов в стратиграфии.
5. Стратиграфические методы определения абсолютного и относительного возраста горных пород.

Тема 2: Событийная стратиграфия. [1, 4].

Методы реконструкции геологических событий. Глобальные события (биотические и абиотические) и методы их реконструкции. Основные событийные уровни фанерозоя.

Дополнительная литература: [3, 4, 5].

Контрольные вопросы и упражнения:

1. Сущность, цели, история событийно-стратиграфической методики.
2. Событие (определение и виды), событийная стратиграфия (определение, сущность метода).
3. Какие глобальные события используют в качестве реперов межконтинентальных корреляций?
4. Что представляют собой глобальные абиотические события (определение, виды, примеры)?
5. Что представляют собой глобальные биотические и биологические события (определение, виды, примеры)?
6. Что представляют собой региональные события?
7. Назовите примеры использования региональных событий в стратиграфии.
8. Назовите основные событийные уровни фанерозоя.

Тема 3: Секвенс-стратиграфический анализ. [1, 4].

Секвенция и парасеквенция. Основные типы несогласий в СС. Поверхности морского затопления. Пакет парасеквенций (parasequence set) и типы напластований внутри пакета парасеквенций: проградационный, аградационный или ретроградационный. Границы и строение осадочных секвенций 1-го и 2-го типа. Тракт низкого стояния (ТНС) (lowstand systems tract). Окраинно-шельфовый тракт (shelf-margin systems tract) ТСС. Тракт высокого стояния (ТВС) (highstand systems tract). Идеализированное строение осадочных секвенций.

Дополнительная литература: [3, 4, 5].

Контрольные вопросы и упражнения:

1. Классификация стратиграфических перерывов.
2. Что такое парасеквенс?
3. Что представляет собой проградационный пакет парасеквенсов?
4. Что представляет собой аггрдационный пакет парасеквенсов?
5. Что представляет собой ретроградационный пакет парасеквенсов?
6. Эвстатические и тектонические причины колебания уровня моря.
7. Какие факторы влияют на степень выраженности осадочной секвенции?
8. В чем состоит отличие секвенций первого и второго рода?
9. Какие системные тракты выделяются в осадочной секвенции?
10. При каком режиме формируется тракт низкого стояния?
11. Что представляют собой трансгрессивная и регрессивная серии осадков?
12. Каковы углы седиментационных наклонов слоев клиноформ крупных платформенных бассейнов?
13. Какую форму имеют секвенции?
14. Какова продолжительность стратиграфической единицы – суперсеквенса?
15. Что представляют собой эпейрогенические движения земной коры, оказывают они влияние на строение секвенций?

Вопросы к зачету по курсу «Специальные методы стратиграфии»

1. Сейсмостратиграфический метод исследования: сущность метода, области применения
2. Магнитостратиграфический метод исследования: сущность метода, области применения.
3. Радиологические методы определения абсолютного возраста.
4. Событийная стратиграфия: определение, сущность метода, области применения.
5. Глобальные абиотические события: определение, виды, примеры.
6. Глобальные биотические и биологические события: определение, виды, примеры.
7. Региональные события: определение, виды, примеры.
8. Секвенс-стратиграфия карбонатных комплексов.
9. Секвенс-стратиграфия терригенных комплексов.
10. Терминология и основные понятия секвенсстратиграфии.
11. Секвенс-стратиграфический метод: суть метода, области применения.
12. Два типа секвенсов: две седиментационные модели.
13. Значение секвенсстратиграфического метода для бассейнового анализа.
14. Парасеквенс: определение, типы пакетов.
15. Тектоно-эвстатический анализ: методика, область применения.

Рекомендуемая литература

1 Зорина С.О. Секвенс-стратиграфия нижнемеловых отложений востока Русской плиты [Электронный ресурс] // Геология и геофизика – Электрон. дан. –2009 – №5(т.50).– С. 566-575 – Режим доступа: https://e.lanbook.com/journal/issue/291571. — Загл. с экрана. Электронный ресурс

2 Леонтьева Т.В. Основы палеонтологии и общая стратиграфия [Электронный ресурс] : методические указания / Т.В. Леонтьева, И.В. Куделина, М.В. Фатюнина. — Электрон. текстовые данные. — Оренбург: Оренбургский государственный университет, ЭБС АСВ, 2013. — 108 с. — 2227-8397. — Режим доступа: http://www.iprbookshop.ru/30068.html Электронный ресурс

3 Словарь терминов по исторической геологии, основам стратиграфии и палеонтологии [Электронный ресурс] : учебное пособие / . — Электрон. текстовые данные. — Томск: Томский политехнический университет, 2012. — 140 c. — 2227-8397. — Режим доступа: http://www.iprbookshop.ru/55209.html Электронный ресурс

4. Черных В.В. Общая стратиграфия: конспект лекций по дисциплине "Основы палеонтологии и общая стратиграфия": для студентов специальности 21.05.02 / В. В. Черных; Министерство образования и науки РФ, Уральский государственный горный университет. - Екатеринбург : УГГУ, 2016. - 79 с. : ил. - Библиогр.: с. 72. 10

5. Специальные методы стратиграфии: рабочая программа дисциплины для студентов специальности 21.05.02 Прикладная геология специализация № 3 Геология месторождений нефти и газа / Н.В. Устьянцева. Екатеринбург: УГГУ, 2020. 7 с.

МИНОБРНАУКИ РФ

ФГБОУ ВО «Уральский государственный горный университет»

УТВЕРЖДАЮ

Проректор по учебно-методическому комплексу

_____ С.А.Упоров

МЕТОДИЧЕСКИЕ РЕКОМЕНДАЦИИ К САМОСТОЯТЕЛЬНОЙ РАБОТЕ ПО ДИСЦИПЛИНЕ

Б1.В.16 ПОДЗЕМНАЯ ГИДРОМЕХАНИКА

Специальность:
21.05.02 Прикладная геология

Специализация:
Геология месторождений нефти и газа

форма обучения: очная

Автор: Тагильцев С.Н., д.г.-м.н.

Одобрены на заседании кафедры
Гидрогеологии, инженерной геологии и геоэкологии
(название кафедры)

Зав. кафедрой _____
(подпись)

д.г.-м.н., проф. Тагильцев С.Н.
(Фамилия И.О.)

Протокол № 21 от 17.09.2020
(Дата)

Рассмотрены методической комиссией
факультета геологии и геофизики
(название факультета)

Председатель _____
(подпись)

д.г.-м.н., проф. Бондарев В.И.
(Фамилия И.О.)

Протокол № 2 от 13.10.2020
(Дата)

Екатеринбург

Методические указания по дисциплине согласованы с выпускающей кафедрой литологии и геологии горючих ископаемых

Заведующий кафедрой ЛГГИ _____ к.г.-м.н., С.А. Рыльков____
подпись *И.О. Фамилия*

ОГЛАВЛЕНИЕ

	Введение	4
1.	Общие положения	5
2.	Самостоятельная работа студентов, обеспечивающая подготовку к аудиторным занятиям	8
	2.1. Повторение материала лекций	8
	2.2. Самостоятельное изучение тем курса	9
	2.3. Подготовка к практическим и лабораторным работам	9
3.	Другие виды самостоятельной работы	9
	3.1. Подготовка к экзамену	9

Введение

Самостоятельная работа в современном образовательном процессе рассматривается как форма организации обучения, которая способна обеспечивать самостоятельный поиск необходимой информации, творческое восприятие и осмысление учебного материала в ходе аудиторных занятий, разнообразные формы познавательной деятельности студентов на занятиях и во внеаудиторное время, развитие аналитических способностей, навыков контроля и планирования учебного времени, выработку умений и навыков рациональной организации учебного труда.

Таким образом, самостоятельная работа – форма организации образовательного процесса, стимулирующая активность, самостоятельность, познавательный интерес студентов.

В методических указаниях рассматриваются вопросы организации самостоятельной работы для студентов Уральского государственного горного университета.

Методическое указание включает три главы, которые логически связаны друг с другом. Первая глава знакомит читателя с теоретическими основами самостоятельной работы студентов и особенностями подготовки к ней в вузе. Во второй и третьей главах представлен материал, который содержит информацию о видах самостоятельной работы по данной дисциплине, а также об источниках информации для осуществления самостоятельной работы. Эмпирической основой разработки системы критериев и показателей оценки форм самостоятельной работы стал практический опыт работы преподавателей кафедры геодезии и кадастров.

1. ОБЩИЕ ПОЛОЖЕНИЯ

Самостоятельная работа студентов всех форм и видов обучения является одним из обязательных видов образовательной деятельности, обеспечивающей реализацию требований Федеральных государственных стандартов высшего образования (ФГОС), созданных на основе Федерального закона от 29.12.2012 г. № 273-ФЗ «Об образовании в Российской Федерации».

Конкретные требования к самостоятельной работе студентов определяются в Федеральных государственных образовательных стандартах высшего образования по направлению.

Нормативные требования к самостоятельной работе студентов дополняются документами локального характера: Уставом Уральского государственного горного университета, рабочей программой дисциплины.

Согласно требованиям нормативных документов, самостоятельная работа студентов является обязательным компонентом образовательного процесса, так как она обеспечивает закрепление получаемых на лекционных занятиях знаний путем приобретения навыков осмысления и расширения их содержания, навыков решения актуальных проблем формирования общекультурных и профессиональных компетенций, подготовки к практическим занятиям, сдаче зачета и экзамена.

Самостоятельная работа студентов представляет собой совокупность внеаудиторных занятий и работ, обеспечивающих успешное освоение образовательной программы высшего образования в соответствии с требованиями ФГОС.

Навыки самостоятельной работы по освоению каких-либо знаний приобретаются человеком с раннего детства и развиваются в течение всей жизни. К началу обучения в вузе каждый студент имеет личный опыт и навыки организации собственных действий, полученные в процессе обучения в школе, учреждениях дополнительного образования, во время внешкольных занятий и в

быту. Однако при обучении в вузе требования к организации самостоятельной работы существенно возрастают, так как они связаны с освоением сложных общекультурных и профессиональных компетенций.

Практика показывает, что студенты различаются по уровню готовности к реализации требований к самостоятельной работе. Выделяются две основные группы студентов. Первая характеризуется тем, что ее представители ориентированы на выполнение заданий самостоятельной работы и обладают универсальными учебными компетенциями, позволяющими успешно справиться с требованиями к ее выполнению (умением понимать и запоминать приобретаемую информацию, логически мыслить, воспроизводить материал письменно и устно, проводить измерения, вычисления, проектировать и т. д.). Студенты второй группы не имеют устойчивой ориентации на постоянное выполнение самостоятельной работы при освоении учебного материала и отличаются низким уровнем развития универсальных учебных компетенций и навыков самоорганизации.

Самостоятельная работа в рамках образовательного процесса в вузе решает следующие *задачи:*

- закрепление и расширение знаний, умений, полученных студентами во время аудиторных и внеаудиторных занятий, превращение их в стереотипы умственной и физической деятельности;

- приобретение дополнительных знаний и навыков по дисциплинам учебного плана;

- формирование и развитие знаний и навыков, связанных с научно-исследовательской деятельностью;

- развитие ориентации и установки на качественное освоение образовательной программы;

- развитие навыков самоорганизации;

- формирование самостоятельности мышления, способности к саморазвитию, самосовершенствованию и самореализации;

- выработка навыков эффективной самостоятельной профессиональной теоретической, практической и учебно-исследовательской деятельности.

Для реализации задач самостоятельной работы студентов и ее осуществления необходим *ряд условий*, которые обеспечивает университет:

- наличие материально-технической базы;

- наличие необходимого фонда информации для самостоятельной работы студентов и возможности работы с ним в аудиторное и внеаудиторное время;

- наличие помещений для выполнения конкретных заданий, входящих в самостоятельную работу студентов;

- обоснованность содержания заданий, входящих в самостоятельную работу студентов;

- связь самостоятельной работы с рабочими программами дисциплин, расчетом необходимого времени для самостоятельной работы;

- развитие преподавателями у студентов навыков самоорганизации, универсальных учебных компетенций;

- сопровождение преподавателями всех этапов выполнения самостоятельной работы студентов, текущий и конечный контроль ее результатов.

Специфическими *принципами организации* самостоятельной работы в рамках современного образовательного процесса являются:

- принцип интерактивности обучения (обеспечение интерактивного диалога и обратной связи, которая позволяет осуществлять контроль и коррекцию действий студента);

- принцип развития интеллектуального потенциала студента (формирование алгоритмического, наглядно-образного, теоретического стилей мышления, умений принимать оптимальные или вариативные решения в сложной ситуации, умений обрабатывать информацию);

- принцип обеспечения целостности и непрерывности дидактического цикла обучения (предоставление возможности выполнения всех звеньев дидактического цикла в пределах темы, раздела, модуля).

Самостоятельная работа студентов планируется преподавателем в рабочей программе дисциплины.

Объем времени, отведенный на внеаудиторную самостоятельную работу, находит отражение: в учебном плане в целом по теоретическому обучению, по каждому из циклов дисциплин, по каждой дисциплине; в рабочих программах учебных дисциплин с ориентировочным распределением по разделам или конкретным темам.

Самостоятельная работа студентов классифицируется: по месту организации (аудиторная и внеаудиторная); по целям организации (цели дисциплины, сформулированные и обоснованные в рабочей программе); по способу организации (индивидуальная, групповая).

Выбор формы организации самостоятельной работы студентов (индивидуальная или групповая) определяется содержанием учебной дисциплины и формой организации обучения (лекция, семинар, практическое занятие, контрольное занятие и др.).

В зависимости от формы промежуточной аттестации виды самостоятельной работы дополняются подготовкой к экзамену, зачету и процедурами текущей аттестации.

2. САМОСТОЯТЕЛЬНАЯ РАБОТА СТУДЕНТОВ, ОБЕСПЕЧИВАЮЩАЯ ПОДГОТОВКУ К АУДИТОРНЫМ ЗАНЯТИЯМ

Повторение материала лекций

Источники информации по теме лекции:

1) раздаточный материал, который предоставляется студенту в электронном виде перед каждым лекционным занятием;

2) конспект лекции, который студент пишет во время проведения лекционного занятия;

3) учебная литература, которая указана в рабочей программе дисциплины.

Самостоятельное изучение тем курса

Самостоятельное изучение тем осуществляется при обучении на заочной форме обучения.

Источники информации для самостоятельного изучения тем:

1) раздаточный материал, который предоставляется студенту в электронном виде перед сессией;

2) учебная литература, которая указана в рабочей программе дисциплины.

Подготовка к практическим и лабораторным занятиям

Типовые задания (примеры) работ, выполняемые на практических занятиях представлены в комплекте оценочных материалов.

Принципы работы на практических занятиях озвучиваются преподавателем на соответствующих лекционных занятиях.

Источники информации для подготовки к практическим занятиям:

1) раздаточный материал, который предоставляется студенту в электронном виде перед каждым лекционным занятием либо в начале сессии;

2) конспект лекции, который студент пишет во время проведения практического или лабораторного занятия (при наличии);

3) учебная литература, которая указана в рабочей программе дисциплины;

4) методические указания по выполнению практических и лабораторных занятий.

3. ДРУГИЕ ВИДЫ САМОСТОЯТЕЛЬНОЙ РАБОТЫ

3.1 Подготовка к экзамену

В комплекте оценочных средств представлен перечень теоретических вопросов и практико-ориентированных заданий, которые входят в состав билетов.

Источники информации для подготовки к экзамену:

1) раздаточный материал, который предоставляется студенту в электронном виде перед каждым лекционным занятием либо в начале сессии;

2) конспект лекции, который студент пишет во время проведения лекционного занятия (при наличии);

3) учебная литература, которая указана в рабочей программе дисциплины.

МИНОБРНАУКИ РФ

ФГБОУ ВО «Уральский государственный горный университет»

УТВЕРЖДАЮ

Проректор по учебно-методическому комплексу

_____ С.А.Упоров

МЕТОДИЧЕСКИЕ РЕКОМЕНДАЦИИ К САМОСТОЯТЕЛЬНОЙ РАБОТЕ ПО ДИСЦИПЛИНЕ

Б1.В.17 НЕФТЕГАЗОПРОМЫСЛОВАЯ ГЕОЛОГИЯ

Специальность:
21.05.02 Прикладная геология

Специализация:
Геология месторождений нефти и газа

форма обучения: очная

Автор: Липаев А.А., д.г.-м.н.

Одобрены на заседании кафедры
Литологии и геологии горючих ископаемых
(название кафедры)

Зав. кафедрой _____
(подпись)

к.г.-м.н., доц. Рыльков С.А.
(Фамилия И.О.)

Протокол № 2 от 06.10.2020
(Дата)

Рассмотрены методической комиссией
факультета геологии и геофизики
(название факультета)

Председатель _____
(подпись)

д.г.-м.н., проф. Бондарев В.И.
(Фамилия И.О.)

Протокол № 2 от 13.10.2020
(Дата)

Екатеринбург

Введение

Самостоятельная работа студента является важнейшей составной частью образовательной программы подготовки дипломированного специалиста. По курсу «Нефтегазопромысловая геология» обязательная самостоятельная работа студента осуществляется в следующих направлениях:

- ✓ выполнение домашних заданий;
- ✓ освоение материалов по отдельным темам, входящим в Рабочую программу дисциплины [5];
- ✓ подготовка к экзамену;

Самостоятельная работа студентов направлена на развитие интеллектуальных умений, повышение творческого потенциала студентов и заключается в:

– поиске, анализе, структурировании и презентации информации, анализе научных публикаций по вопросам геологического сопровождения нефтегазопромысловых исследований;

– исследовательской работе и участии в научных студенческих конференциях, семинарах и олимпиадах.

Оценка результатов самостоятельной работы организуется как единство двух форм: самоконтроль и контроль со стороны преподавателей.

Данные методические указания предназначены для организации самостоятельной работы студентов при освоении отдельных тем дисциплины.

Методические указания к самостоятельной работе студента

В последующем разделе пособия приведена развернутая программа дисциплины «Нефтегазопромысловая геология». Здесь указаны наименование и содержание лекционных тем в соответствии с рабочей программой дисциплины [5]. Каждая тема является основой вопросов в экзаменационном билете. При чтении лекций по курсу преподаватель указывает те темы дисциплины, которые выносятся на самостоятельную проработку студентами. Основной объем информации по каждой теме содержится в учебнике по курсу [1, 3]. Для углубленного освоения темы рекомендуется дополнительная литература [2, 4, 5]. Для самоконтроля и приобретения навыков решения задач по отдельным разделам дисциплины в последнем разделе приведены контрольные вопросы и упражнения, которые являются основой подготовки к экзамену.

При освоении указанных ниже тем рекомендуется следующий порядок самостоятельной работы студента.

1. Ознакомьтесь со структурой темы.
2. По учебным пособиям [1, 3] освойте каждый структурный элемент темы. Во всех темах указаны разделы и страницы учебника, содержащие данный материал.
3. При необходимости используйте указанную дополнительную литературу. Консультацию по использованию дополнительной литературы Вы можете получить у преподавателя.
4. Ответьте на контрольные вопросы и выполните рекомендованные упражнения. При затруднениях в ответах на вопросы вернитесь к изучению рекомендованной литературы.

5. Законспектируйте материал. При этом конспект может быть написан в виде ответов на контрольные вопросы и упражнения.

При самостоятельной работе над указанными темами рекомендуется вести записи в конспектах, формируемых на лекционных занятиях по курсу, и в том порядке, в котором данные темы следуют по учебной программе.

Данное учебно-методическое пособие может быть использовано при подготовке ответов на вопросы во время экзамена.

Содержание курса

Тема 1: Нефтегазопромысловая геология как наука. [1, 3]

Предмет дисциплины и ее значение для нефтегазопромысловой отрасли. Два подхода (статический и динамический) нефтегазопромысловой геологии к изучению месторождений углеводородов. Особенности дисциплины и ее связь с другими геологическими и смежными науками. Основные периоды развития нефтегазопромысловой геологии. Цели и задачи нефтегазопромысловой геологии. Методы получения промыслово-геологической информации. Средства получения информации. Методы комплексного анализа и обобщения исходной информации. Метод моделирования.

Дополнительная литература: [2, 4, 5].

Контрольные вопросы и упражнения:

1. Предмет дисциплины и ее значение для нефтегазопромысловой отрасли.
2. Цели и задачи нефтегазопромысловой геологии.
3. Особенности дисциплины и ее связь с другими геологическими и смежными науками.
4. Основные периоды развития нефтегазопромысловой геологии.
5. Методы получения промыслово-геологической информации.
6. Средства получения промыслово-геологической информации.
7. Методы комплексного анализа и обобщения промыслово-геологической информации. Метод моделирования.
8. Промыслово-геологические модели залежей (статические и динамические).

Тема 2: Изучение залежей углеводородов в природном состоянии. [1, 3]

Изучение залежей углеводородов в природном состоянии. Системный подход к изучению залежей углеводородов. Возможные представления и типы систем в геологии. Роль системного подхода при изучении залежей. Породы коллекторы и неколлекторы. Емкостные свойства пород-коллекторов. Типы пустотности, пористость и строение порового пространства. Кавернозность, трещиноватость. Фильтрационные свойства пород-коллекторов. Проницаемость. Нефте-, газо-, водонасыщенность пород-коллекторов. Пластовые флюиды. Классификация нефтей. Основные свойства нефтей в пластовых условиях и определяющие их природные факторы, диапазон изменения по разным залежам. Физические свойства нефти и газа при различных условиях в залежи. Изменчивость свойств нефти в процессе разработки залежи. Индикаторные свойства нефти, используемые для контроля за разработкой залежи. Основные свойства природного газа. Газоконденсат. Гидраты газов. Пластовые воды нефтяных и газовых месторождений. Формы залегания воды в породах. Виды вод нефтяных и газовых месторождений. Химическая классификация подземных вод. Физические свойства пластовых вод. Изучение внутреннего строения залежи. Геофизические методы изучения разрезов скважин. Расчленение продуктивной части разреза скважины. Детальная корреляция разрезов скважин. Основные положения, учитываемые при детальной корреляции. Изучение формы залежей. Геофизические методы. Залежи, месторождения. Изучение структурных поверхностей и дизъюнктивных нарушений. Понятие и виды геологических границ. Формы залегания осадочных пород.

Изучение водонефтяного и газонефтяного контактов. Геологическая неоднородность нефтегазоносных пластов. Энергетическая характеристика залежей нефти и газа. Начальное пластовое давление. Залежи с начальным пластовым давлением, соответствующим гидростатическому. Залежи с начальным пластовым давлением, отличающимся от гидростатического. Температура в недрах нефтяных и газовых месторождений.

Дополнительная литература: [2, 4, 5].

Контрольные вопросы и упражнения:

1. Системный подход к изучению залежей углеводородов.
2. Породы коллекторы и неколлекторы.
3. Емкостно-фильтрационные свойства пород-коллекторов.
4. Нефтегазоводонасыщенность пород-коллекторов.
5. Пластовые воды нефтяных и газовых месторождений.
6. Изучение внутреннего строения залежи.
7. Геофизические методы изучения разрезов скважин.
8. Расчленение продуктивной части разреза скважин.
9. Детальная корреляция разрезов скважин.
10. Залежи, месторождения. Изучение структуры поверхностей залежи.
11. Геологическая неоднородность нефтегазоносных пластов.
12. Залежи с начальным пластовым давлением, соответствующим гидростатическому и отличающемуся от гидростатического.
13. Температура в недрах нефтяных и газовых месторождений.

Тема 3: Системы разработки и их экономическое обоснование. Геологические данные для их проектирования. [1, 3]

Понятие «система разработки». Классификация систем разработки и их экономическое обоснование. Природные режимы разработки залежей нефти и газа. Нефтяные залежи: водонапорный режим, упруговодонапорный режим. Газонапорный режим, режим растворенного газа, гравитационный режим. Газовые и газоконденсатные залежи: газовый режим, упруговодонапорный режим. Смешанные природные режимы залежей. Системы разработки: геологические данные для их проектирования. Системы разработки нефтяных и газонефтяных залежей при естественных режимах и геологические условия их применения. Традиционный метод заводнения нефтяных пластов. Эксплуатационные объекты. Факторы для выделения эксплуатационных объектов: геологопромысловые, гидродинамические, технические, технологические, экономические. Коэффициенты извлечения нефти, газа, конденсата. Фонд скважин при разработке месторождений. Скважины различного назначения. Сетка скважин нефтяного эксплуатационного объекта. Скважины нефтяного эксплуатационного объекта. Скважины с разной очередностью бурения и изменение в фонде скважин. Геологическое обоснование выбора вида заводнения. Методы увеличения нефтеизвлечения из пластов (МУН) и геологические условия их применения.

Дополнительная литература: [2, 4, 5].

Контрольные вопросы и упражнения:

1. Понятие «система разработки». Классификация систем разработки и их экономическое обоснование.
2. Природные режимы разработки залежей нефти.
3. Природные режимы газовых и газоконденсатных залежей.
4. Системы разработки. Геологические данные для их проектирования.
5. Системы разработки нефтяных и газонефтяных залежей при естественных режимах и геологические условия их применения.
6. Традиционный метод заводнения нефтяных пластов.
7. Эксплуатационные объекты. Факторы для их выделения.
8. Коэффициенты извлечения нефти, газа, конденсата.

9. Фонд скважин при разработке месторождений. Сетка скважин нефтяного эксплуатационного объекта.

10. Геологическое обоснование выбора вида заводнения.

11. Методы увеличения нефтеизвлечения из пластов (МУН) и геологические условия их применения.

12. Нетрадиционные методы разработки нефтяных залежей и геологические условия их применения.

Тема 4: Геолого-промысловый контроль при разработке залежей. [1, 3]

Контроль за дебитом и приемистостью скважин, обводненностью продукции, газовым фактором. Учет показателей работы скважин. Документация. Геолого-промысловая документация по объектам разработки в целом. Контроль эксплуатационного процесса. Исходные данные для построения карты охвата вытеснением однопластового объекта. Контроль заовднения продуктивных пластов. Вытеснение нефти водой в разных геолого-физических условиях. Геологические основы управления процессами разработки. Комплексы методов контроля разработки. Промыслово-геологический анализ разработки.

Дополнительная литература: [2, 4, 5].

Контрольные вопросы и упражнения:

1. Контроль за дебитом и приемистостью скважин, обводненностью продукции, газовым фактором.

2. Учет показателей работы скважин. Документация.

3. Геолого-промысловая документация по объектам разработки в целом.

4. Контроль эксплуатационного процесса.

5. Исходные данные для построения карты охвата вытеснением однопластового объекта.

6. Контроль заводнения продуктивных пластов. Вытеснение нефти водой в разных геолого-физических условиях.

7. Геологические основы управления процессами разработки.

8. Комплексы методов контроля разработки.

9. Промыслово-геологический анализ разработки.

Тема 5: Запасы нефти, газа, газоконденсата. [1, 3]

Категории запасов, перспективных и прогнозных ресурсов нефти и газа и их назначение. Группы запасов нефти и газа и основные принципы их подсчета. Методы подсчета запасов нефти и газа. Объемный метод подсчета запасов нефти и газа. Объемный метод подсчета запасов свободного газа. Метод подсчета запасов свободного газа по падению давления. Подсчет запасов газа, растворенного в нефти.

Дополнительная литература: [2, 4, 5].

Контрольные вопросы и упражнения:

1. Общие сведения о запасах нефти, газа, конденсата.

2. Категории запасов, перспективных и прогнозных ресурсов нефти и газа и их назначение.

3. Группы запасов нефти и газа и основные принципы их подсчета.

4. Методы подсчета запасов нефти и газа.

5. Объемный метод подсчета запасов нефти и растворенного в ней газа.

6. Объемный метод подсчета запасов свободного газа.

7. Метод подсчета запасов свободного газа по падению давления.

8. Подсчет запасов газа, растворенного в нефти.

Тема 6: Охрана недр и окружающей природной среды при разведке и разработке месторождений углеводородов. [1,3]

Правила охраны недр при разведке и разработке месторождений углеводородов. Условия разработки, необходимые для выполнения требований по охране недр.

Дополнительная литература: [2, 4, 5].

Контрольные вопросы и упражнения:

1. Правила охраны недр при разведке и разработке месторождений углеводородов.
2. Условия разработки, необходимые для выполнения требований по охране недр.
3. Основные мероприятия по охране недр при разработке газовых месторождений.

Вопросы к экзамену по курсу «Нефтегазопромысловая геология»

1. Микронеоднородность нефтегазоносных пластов
2. Общие сведения о запасах нефти, газа и конденсата
3. Макронеоднородность нефтегазоносных пластов
4. Коэффициенты извлечения нефти, газа, конденсата. Методы увеличения нефтеизвлечения
5. Геологическая неоднородность нефтегазоносных пластов
6. Геологическое обоснование выбора вида заводнения
7. Изучение структуры поверхностей залежи. Понятие и виды геологических границ
8. Контроль за дебитами и приемистостью скважин, обводненностью продукции, газовым фактором
9. Детальная корреляция разрезов скважин
10. Эксплуатационные объекты
11. Расчленение продуктивной части разреза скважины
12. Системы разработки нефтяных и газонефтяных залежей при естественных режимах и геологические условия их применения
13. Геофизические методы изучения разрезов скважин
14. Геологические модели нефтяных месторождений
15. Пластовые воды нефтяных и газовых месторождений
16. Системы разработки. Геолого-промысловое обоснование технологических решений
17. Нефте-, газо-, водонасыщенность пород-коллекторов
18. Природные режимы газовых и газоконденсатных залежей
19. Емкостно-фильтрационные свойства пород-коллекторов
20. Природные режимы залежей нефти и газа
21. Методы комплексного анализа и обобщения промыслово-геологической информации
22. Температура в недрах нефтяных и газовых месторождении
23. Методы и средства получения промыслово-геологической информации
24. Начальное пластовое давление
25. Цели и задачи нефтегазопромысловой геологии
26. Энергетическая характеристика залежей нефти и газа
27. Геологические и геофизические методы поисков и разведки нефтяных и газовых залежей.
28. Принципиальные схемы разработки нефтяных и газовых месторождений.
29. Геологическое и экономическое обоснование методов и систем разработки нефтяных, газовых и газоконденсатных залежей.
30. Методы увеличения нефтеизвлечения и их экономическая эффективность.
31. Геолого-промысловый контроль за добычей нефти и газа, обводненность продукции скважин.

32. Федеральное законодательство, посвященное охране недр и окружающей природной среды.

Рекомендуемая литература

1. Гридин В.А. Нефтегазопромысловая геология [Электронный ресурс]: учебное пособие (курс лекций) / В.А. Гридин, Н.В. Еремина, О.О. Луценко. — Электрон. текстовые данные. — Ставрополь: Северо-Кавказский федеральный университет, 2016. — 249 с. — 2227-8397. — Режим доступа: http://www.iprbookshop.ru/66032.html

2. Каналин В.Г. Справочник геолога нефтегазоразведки. Нефтегазопромысловая геология и гидрогеология [Электронный ресурс] : учебно-практическое пособие / В.Г. Каналин. — Электрон. текстовые данные. — М. : Инфра-Инженерия, 2015. — 416 с. — 5-9729-0001-7. — Режим доступа: http://www.iprbookshop.ru/5066.html

3. Нефтегазопромысловая геология [Электронный ресурс] : лабораторный практикум / . — Электрон. текстовые данные. — Ставрополь: Северо-Кавказский федеральный университет, 2015. — 144 с. — 2227-8397. — Режим доступа: http://www.iprbookshop.ru/63105.html

4. Трофимов Д.М. Методы дистанционного зондирования при разведке и разработке месторождений нефти и газа [Электронный ресурс] / Д.М. Трофимов, М.Д. Каргер, М.К. Шуваева. — Электрон. текстовые данные. — М. : Инфра-Инженерия, 2015. — 80 с. — 978-5-9729-0090-9. — Режим доступа: http://www.iprbookshop.ru/40233.html Электронный ресурс

5. Нефтегазопромысловая геология: рабочая программа дисциплины для студентов специальности 21.05.02 Прикладная геология специализация № 3 Геология месторождений нефти и газа / А.А. Липаев. Екатеринбург: УГГУ, 2020. 10 с.

МИНОБРНАУКИ РФ

ФГБОУ ВО «Уральский государственный горный университет»

УТВЕРЖДАЮ

Проректор по учебно-методическому комплексу

_____ С.А.Уторов

МЕТОДИЧЕСКИЕ РЕКОМЕНДАЦИИ К САМОСТОЯТЕЛЬНОЙ РАБОТЕ ПО ДИСЦИПЛИНЕ

Б1.В.18 ФОРМАЦИОННЫЙ АНАЛИЗ

Специальность:
21.05.02 Прикладная геология

Специализация:
Геология месторождений нефти и газа

форма обучения: очная

Автор: Мухаметшин Р.З., д.г.-м.н.

Одобрены на заседании кафедры
Литологии и геологии горючих ископаемых
(название кафедры)

Зав. кафедрой _____
(подпись)

к.г.-м.н., доц. Рыльков С.А.
(Фамилия И.О.)

Протокол № 2 от 06.10.2020
(Дата)

Рассмотрены методической комиссией
факультета геологии и геофизики
(название факультета)

Председатель _____
(подпись)

д.г.-м.н., проф. Бондарев В.И.
(Фамилия И.О.)

Протокол № 2 от 13.10.2020
(Дата)

Екатеринбург

Введение

Самостоятельная работа студента является важнейшей составной частью образовательной программы подготовки дипломированного специалиста. По курсу «Формационный анализ» обязательная самостоятельная работа студента осуществляется в следующих направлениях:

- ✓ выполнение домашних заданий;
- ✓ освоение материалов по отдельным темам, входящим в Рабочую программу дисциплины [4];
- ✓ подготовка к экзамену;

Самостоятельная работа студентов направлена на развитие интеллектуальных умений, повышение творческого потенциала студентов и заключается в:

– поиске, анализе, структурировании и презентации информации, анализе научных публикаций по методам формационного анализа осадочных толщ;

– исследовательской работе и участии в научных студенческих конференциях, семинарах и олимпиадах.

Оценка результатов самостоятельной работы организуется как единство двух форм: самоконтроль и контроль со стороны преподавателей.

Данные методические указания предназначены для организации самостоятельной работы студентов при освоении отдельных тем дисциплины.

Методические указания к самостоятельной работе студента

В данном пособии приведена развернутая программа дисциплины «Формационный анализ». Здесь указаны наименование и содержание лекционных тем в соответствии с рабочей программой курса [4]. Каждая тема является основой вопросов в экзаменационном билете. При чтении лекций по курсу преподаватель указывает те темы дисциплины, которые выносятся на самостоятельную проработку студентами. Основной объем информации по каждой теме содержится в учебнике по курсу [1]. Для углубленного освоения темы рекомендуется дополнительная литература [2, 3, 4]. Для самоконтроля и приобретения навыков решения задач по отдельным разделам дисциплины в предложенном пособии приведены контрольные вопросы и упражнения, которые являются основой подготовки к экзамену.

При освоении указанных ниже тем рекомендуется следующий порядок самостоятельной работы студента.

1. Ознакомьтесь со структурой темы.
2. По учебнику [1] освойте каждый структурный элемент темы. Во всех темах указаны разделы и страницы учебника, содержащие данный материал.
3. Законспектируйте материал. При этом конспект может быть написан в виде ответов на контрольные вопросы и упражнения.
4. При необходимости используйте указанную дополнительную литературу. Консультацию по использованию дополнительной литературы Вы можете получить у преподавателя.
5. Ответьте на контрольные вопросы и выполните рекомендованные упражнения. При затруднениях в ответах на вопросы вернитесь к изучению рекомендованной литературы.

При самостоятельной работе над указанными темами рекомендуется вести записи в конспектах, формируемых на лекционных занятиях по курсу, и в том порядке, в котором данные темы следуют по учебной программе.

Данное учебно-методическое пособие может быть использовано при подготовке ответов на вопросы во время экзамена.

Содержание курса

Тема 1: Общие представления о формационном анализе. [1]

Иерархия геологических объектов. Специфика изучения осадочных формаций с самостоятельным, надгорнопородным уровнем (рангом). Генетическое и агенетическое направления исследований.

Дополнительная литература: [2, 3].

Контрольные вопросы и упражнения:

1. Назовите основные уровни организации геологических тел.
2. Что такое "формация"? Ее место в иерархии геологических тел.
3. Перечислите основные направления в изучении формаций.
4. Что понимается под осадочной формацией?
5. В чем заключается последовательность операций при формационном анализе?

Тема 2: Вещество – первая субстанция осадочных формаций. [1]

Закрепление знаний из предыдущих курсов «Литология», «Нефтегазовая литология», их расширенное понимание в контексте вещества (состава пород) как первого конститутивного признака осадочных формаций.

Дополнительная литература: [2, 3].

Контрольные вопросы и упражнения:

1. Основные типы классификации осадочных пород их соотношение с видами дифференциации материала при переносе.
2. Что такое фация? Неоднозначность в понятии термина.
3. Основные палеоландшафты в геологической истории.
4. Коэффициенты уплотнения горных пород в процессе эпигенеза (песчаник – глина – уголь).
5. Основные принципы и методы стадиального анализа.

Тема 3: Индикативные признаки осадочных формаций. [1]

Скорость осадконакопления: современная и закрепленных отложений. Уплотнение различно компетентных пород. Диа- и эпигенетические преобразования в ходе эволюции.

Дополнительная литература: [2, 3].

Контрольные вопросы и упражнения:

1. Коэффициенты уплотнения горных пород в процессе эпигенеза (песчаник – глина – уголь).

Тема 4: Строение – вторая субстанция осадочных формаций. [1]

Понятия «ритмичность», «цикличность», их валидность в окружающем мире. Ритмиты – литоритмы – литоциклы. Циклиты (механизированная цикличность). Ретроградационная и проградационная цикличность, основы элементов парасевенсов.

Дополнительная литература: [2, 3].

Контрольные вопросы и упражнения:

1. Укажите наиболее приемлемую схему расчленения сероцветных терригенных осадочных формаций гумидных областей.
2. Как проявляется цикличность в строении красноцветных осадочных формаций?
3. Перечислите наиболее важные типы карбонатных осадочных формаций.

4. Какая ритмичность (цикличность) характерна для кремнистых (силицитовых) осадочных формаций?
5. Какие Вам известны эпохи максимального развития галогенного осадконакопления?

Тема 5: Фациальный анализ. [1]

Понятие «фация» в разных ракурсах. Генетические исследования и фациальный анализ в разных модификациях. Использование дистанционных методов и математической обработки параметров при определении (диагностике) фаций.

Дополнительная литература: [2, 3].

Контрольные вопросы и упражнения:

1. Что такое фация? Неоднозначность в понятии термина.
2. Основные палеоландшафты в геологической истории.
3. Основные принципы и методы стадиального анализа.

Тема 6: Диахронность слоенакопления. [1]

Закон Головкинского-Вальтера. Скольжение геологических границ во времени, его значение для корреляции отложений. Кризис бассейновой стратиграфии на примере неокома Западной Сибири.

Дополнительная литература: [2, 3].

Контрольные вопросы и упражнения:

1. Закон Н.А. Головкинского (И. Вальтера): смысл и формулировка.
2. Зубчатость слоевых единиц (вдоль и вкрест простирания береговой линии).
3. Диастемы и гиатусы: значимость и соответствие иерархии слоевых тел.
4. Скорости современного и древнего осадконакопления. Чем обусловлено их различие.
5. Ленточная слоистость и ритмиты. Их примеры.

Тема 7: Формационный анализ - основа изучения осадочных бассейнов. [1]

Общая последовательность литолого-фациальных – фациально-циклических – формационных исследований. Необходимость последовательного индуктивного оперирования получаемыми сведениями. Использование Z-системы с постоянной верификации построений.

Дополнительная литература: [2, 3].

Контрольные вопросы и упражнения:

1 Кризис в бассейновой стратиграфии: причины и пути преодоления.

2.Структурный подход в изучении цикличности.

Тема 8: Перспективы формационных исследований. [1]

Изучение осадочных формаций как базы для бассейнового анализа. Создание 3D-моделей осадочных комплексов, как необходимой основы для оценки размещения нефтегазоносных ресурсов и участков с наибольшей перспективностью.

Дополнительная литература: [2, 3].

Контрольные вопросы и упражнения:

1. Каковы перспективы формационных исследований?
2. Соотношения фациального и формационного анализов.

Вопросы

к экзамену по курсу «Формационный анализ»

1.Формационный анализ с позиций системных исследований (иерархия, эмерджентность etc.) – общий подход, конкретные примеры.

2. Кластолиты – основные метрические и петрографические характеристики.

3. Классификация осадочных формаций (принципы, примеры).

4. Гравититы (s.lato), уровни локализации в профиле сноса и на площади.

5. Методология формационных исследований (модельный подход, Z-система, …).

6. Шкалы размерности кластолитов; характер и обусловленность границ между классами пород.

7. Структурно-вещественное и генетическое направления - в геологии вообще и формационных исследованиях – в частности.

8. Скольжение слоев (коллекторов) и зубчатость их границ: причины, механизм.

9. Генетическое и агенетическое представления об изучении геологических тел на разных уровнях их организации.

10. «Псевдотектоника», формирующаяся при уплотнении пород.

11. Реализация циклоседиментогенеза на разных иерархических уровнях организации геологических тел.

12. Схемы фациального расчленения отложений (внутриконтинентальный сегмент).

13. Скорости накопления и закрепления в разрезе осадков.

14. Дистанционные методы в фациальных исследованиях (ГИС, сейсморазведка).

15. Перерывы в осадконакоплении и их классификация. Схема Баррелла.

16. Цикличность и фракталы. Автомодельность геологических процессов.

17. Уровни лавинной седиментации. Их место в разрезе Западно-Сибирского ОМБ.

18. Выделение циклитов (литоциклов) в колонке скважины.

19. осадочные формации и полезные ископаемые.

20. Фациальная кривая: история, разные варианты.

21. Различные направления формационных исследований и их оценка (положительные и отрицательные стороны).

22. Сиквенсы, их характеристика (типы, тракты).

23. Вещество – первая субстанция осадочных формаций (классификации, состав, направления изучения).

24. Формационные исследования в Западно-Сибирском ОМБ.

25. Стадиальный анализ в нефтегазовой литологии. Градации катагенеза, значения R_0, углемарочная шкала.

26. Инверсия циклитов при корреляции разрезов, ее причины.

27. Эвстатическая кривая (Вейла), границы ее использования.

28. Стадии и показатели эпигенеза осадочных толщ.

29. Генетический подход в изучении цикличности.

30. Векторы в изучении Западно-Сибирского ОМБ с позиций формационных исследований.

31. Соотношения фациального и формационного анализов.

32. Вейлиты и клиноформы.

33. Тектонические классификации осадочных формаций: фиксистский и мобилистский варианты.

34. Методы корреляции осадочных толщ.

35. Строение – вторая субстанция осадочных формаций (циклоседиментогенез).

36. Кризис в бассейновой стратиграфии: причины и пути преодоления.

37.Структурный подход в изучении цикличности.

38. Масштабирование геологических разрезов. Ключевые приемы в их построении для целей корреляции.

39. Литогеодинамика осадочных бассейнов и ее соотношение с формационным анализом осадочных толщ.

40. Комплексирование методов при корреляции осадочных толщ.

41. Слоевые единицы и инварианты седименто- и литогенеза.

42. Латеральное расчленение осадочных формаций (палеогеографическая составляющая).

Рекомендуемая литература

1. Алексеев В.П. Формационный анализ: курс графолекций по дисциплине. Екатеринбург: Изд-во УГГУ, 2013. 67 с. 12

2. Геологические формации и закономерности размещения полезных ископаемых : сборник научных трудов / Академия наук СССР, Междуведомственный тектонический комитет; отв. ред.: А. Л. Яншин, В. М. Цейслер, В. И. Драгунов. - Москва : Наука, 1990. - 208 с. : ил., табл. - ISBN 5-02-003444-4 2

3. Максимов Е.М. Тктоника и геологические формации Западно-Сибирского нефтегазоносного бассейна [Электронный ресурс]: монография/Е.М. Максимов. – Электрон. дан. – Тюмень: ТюмГНГУ, 2014. – 370 с. – Режим доступа: http:e.lanbook.com/book/64506 электронный ресурс.

4. Формационный анализ: рабочая программа дисциплины для студентов специальности 21.05.02 Прикладная геология специализация № 3 Геология месторождений нефти и газа / Р.З. Мухаметшин. Екатеринбург: УГГУ, 2020. 8 с.

МИНОБРНАУКИ РФ

ФГБОУ ВО «Уральский государственный горный университет»

УТВЕРЖДАЮ
Проректор по учебно-методическому комплексу
_____ С.А.Упоров

МЕТОДИЧЕСКИЕ РЕКОМЕНДАЦИИ ПО ВЫПОЛНЕНИЮ КУРСОВОГОПРОЕКТА ПО ДИСЦИПЛИНЕ

Б1.В.19 ПОДСЧЕТ ЗАПАСОВ И ОЦЕНКА РЕСУРСОВ НЕФТИ И ГАЗА

Специальность:
21.05.02 Прикладная геология

Специализация:
Геология месторождений нефти и газа

форма обучения: очная

Автор: Рыльков С.А., к.г.-м.н.

Одобрены на заседании кафедры
Литологии и геологии горючих ископаемых
(название кафедры)
Зав. кафедрой _____
(подпись)
к.г.-м.н., доц. Рыльков С.А.
(Фамилия И.О.)
Протокол № 2 от 06.10.2020
(Дата)

Рассмотрены методической комиссией
факультета геологии и геофизики
(название факультета)
Председатель _____
(подпись)
д.г.-м.н., проф. Бондарев В.И.
(Фамилия И.О.)
Протокол № 2 от 13.10.2020
(Дата)

Екатеринбург

СОДЕРЖАНИЕ

1. Структура и примерный объем 3

2. Требования к оформлению (общие требования) 4

2.1 Правила оформления наименований и нумерации структурных элементов, глав и параграфов 4

2.2 Правила оформления сокращений и аббревиатур 5

2.3 Правила оформления перечислений 5

2.4 Правила оформления рисунков 5

2.5 Правила оформления таблиц 7

2.6 Правила оформления примечаний и ссылок 9

2.7 Правила оформления списка использованных источников 9

2.8 Правила оформления приложений 11

Приложение. Образец оформления титульного листа 13

Курсовой проект по дисциплине «Подсчет запасов и оценка ресурсов нефти и газа» выполняется в рамках учебного плана специальности 21.05.02 Прикладная геология. Исходным материалом для служат геологические материалы, привезенные студентом с места прохождения производственной практики.

Защита проходит в виде публичного выступления с презентацией. Презентация структурируется по раскрываемым вопросам и обязательно должна содержать иллюстративный материал.

1. Структура и примерный объем курсового проекта

Текст включает в себя:

- титульный лист;
- содержание;
- введение;
- собственно содержательную часть;
- заключение;
- список литературы.

При необходимости работа сопровождается графическими и табличными рисунками и(или)приложениями.

Реферат в кратком виде отражает основное содержание проекта, и примерно выглядит следующим образом.

КП 30 с., 4 рис., 2 табл., 10 источников

ТАЛЬНИКОВОЕ МЕСТОРОЖДЕНИЕ, ТЮМЕНСКАЯ СВИТА, КОЛЛЕКТОР $Ю_2$, … (8-12 ключевых слов)

Объект исследования – …

Цель работы – …

На основании рассмотрения … установлено …

Сделано заключение о …

Собственно **содержательная часть**, как правило, имеет трехчленную структуру.

1. **Геологическая** характеристика объекта, выполненная в предельно сжатой форме в общепринятой последовательности: стратиграфия – тектоника – нефтегазоносность.

2. **Обоснование категорийности** запасов нефти и газа в скважинах

- состояние изученности вопроса (проблемы) – общее; для изучаемого объекта;
- результаты, полученные лично автором;
- обсуждение результатов.

3. Подсчет запасов нефти и растворенного газа.

4. **Резюме** (итоги) обычно оценивающее практическое значение полученных результатов.

В конце текста помещается список источников, которыми пользовался автор при составлении данного проекта. Источники располагаются в алфавитном порядке. Ссылки в тексте на источники указывают порядковым номером по списку источников, выделенным двумя квадратными скобками – например, [2]. Фондовые источники даются в конце списка и отмечаются буквой «ф», например [14 ф].

2. Требования к оформлению курсового проекта (общие требования)

Оформление курсового проекта осуществляется в соответствии с требованиями государственных стандартов и университета.

Курсовой проект выполняется печатным способом с использованием компьютера.

Каждая страница текста, включая иллюстрации и приложения, нумеруется арабскими цифрами, кроме титульного листа и содержания, по порядку без пропусков и повторений. Номера страниц проставляются, начиная с введения (третья страница), в центре нижней части листа без точки.

Текст работы следует печатать, соблюдая следующие размеры полей: правое – 10 мм, верхнее и нижнее – 20 мм, левое – 30 мм.

Рекомендуемым типом шрифта является TimesNewRoman, размер которого 14 pt (пунктов) (на рисунках и в таблицах допускается применение более мелкого размера шрифта, но не менее 10 pt).

Текст печатается через 1,5-ый интервал, красная строка – 1,25 см.

Цвет шрифта должен быть черным, необходимо соблюдать равномерную плотность, контрастность и четкость изображения по всей работе. Разрешается использовать компьютерные возможности акцентирования внимания на определенных терминах и формулах, применяя курсив, полужирный шрифт не применяется.

2.1 Правила оформления наименований и нумерации структурных элементов, глав и параграфов

Текст курсовогопроекта должен включать следующие структурные элементы: титульный лист, содержание, введение, основной текст, заключение, приложения (является дополнительным элементом). Основной текст может быть разделен на разделы и параграфы.

Каждый структурный элемент работы (титульный лист, содержание, введение, заключение, приложение) и разделы необходимо начинать с новой страницы. Следующий параграф внутри одного раздела начинается через 2 межстрочных интервала на том же листе, где закончился предыдущий.

Расстояние между заголовком структурного элемента и текстом, заголовками главы и параграфа, заголовком параграфа и текстом составляет 2 межстрочных интервала.

Наименования структурных элементов письменной работы («СОДЕРЖАНИЕ», «ВВЕДЕНИЕ», «ЗАКЛЮЧЕНИЕ», «ПРИЛОЖЕНИЕ») служат заголовками структурных элементов. Данные наименования пишутся по центру страницы без точки в конце прописными (заглавными) буквами, не подчеркивая.

Разделы, параграфы должны иметь заголовки. Их следует нумеровать арабскими цифрами и записывать по центру страницы прописными (заглавными) буквами без точки в конце, не подчеркивая. Номер раздела указывается цифрой (например, 1, 2, 3), номер параграфа включает номер раздела и порядковый номер параграфа, разделенные точкой (например, 1.1, 2.1, 3.3). После номера раздела и параграфа в тексте точку не ставят. Если заголовок состоит из двух предложений, их разделяют точкой. Переносы слов в заголовках не допускаются. Не допускается писать заголовок параграфа на одном листе, а его текст – на другом.

В содержании работы наименования структурных элементов указываются с левого края страницы, при этом первая буква наименования является прописной (заглавной), остальные буквы являются строчными, например:

Введение

1 Краткая характеристика организации – места прохождения практики

2 Практический раздел – выполненные работы

Заключение

Приложения

2.2 Правила оформления сокращений и аббревиатур

Сокращение русских слов и словосочетаний допускается при условии соблюдения требований ГОСТ 7.12–93 «Система стандартов по информации, библиотечному и издательскому делу. Библиографическая запись. Сокращение слов на русском языке. Общие требования и правила».

В тексте письменной работы допускаются общепринятые сокращения и аббревиатуры, установленные правилами орфографии и соответствующими нормативными документами, например: год – г., годы – гг., и так далее – и т. д., метр – м, тысяч – тыс., миллион – млн, миллиард – млрд, триллион – трлн, страница – с., Российская Федерация – РФ, общество с ограниченной ответственностью – ООО.

При использовании авторской аббревиатуры необходимо при первом ее упоминании дать полную расшифровку, например: «… Уральский государственный горный университет (далее – УГГУ)…».

Не допускается использование сокращений и аббревиатур в заголовках письменной работы, глав и параграфов.

2.3 Правила оформления перечислений

При необходимости в тексте работы могут быть приведены перечисления. Перед каждым элементом перечисления следует ставить дефис (иные маркеры не допустимы). Например:

«….заключение содержит:

- краткие выводы;
- оценку решений;
- разработку рекомендаций.»

При необходимости ссылки в тексте работы на один из элементов перечисления вместо дефиса ставятся строчные буквы в порядке русского алфавита, начиная с буквы а (за исключением букв ё, з, й, о, ч, ъ, ы, ь). Для дальнейшей детализации перечислений необходимо использовать арабские цифры, после которых ставится скобка, а запись производится с абзацного отступа. Например:

а) …;
б) …;
1) …;
2) …;
в) …

2.4 Правила оформления рисунков

В письменной работе для наглядности, уменьшения физического объема сплошного текста следует использовать иллюстрации – графики, схемы, диаграммы, чертежи, рисунки и фотографии. Все иллюстрации именуются рисунками. Их количество зависит от содержания работы и должно быть достаточно для того, чтобы придать ей ясность и конкретность.

На все рисунки должны быть даны ссылки в тексте работы, например: «... в соответствии с рисунком 2 …» или «… тенденцию к снижению (рисунок 2)».

Рисунки следует располагать в работе непосредственно после текста, в котором они упоминаются впервые (при наличии достаточного пространства для помещения рисунка со всеми поясняющими данными), или на следующей странице. Если рисунок достаточно велик, его можно размещать на отдельном листе. Допускается поворот рисунка по часовой стрелке (если он выполнен на отдельном листе). Рисунки, размеры которых больше формата А4, учитывают как одну страницу и помещают в приложении.

Рисунки, за исключением рисунков в приложениях, следует нумеровать арабскими цифрами сквозной нумерацией по всей работе. Каждый рисунок (схема, график, диаграмма) обозначается словом «Рисунок», должен иметь заголовок и подписываться следующим образом – посередине строки без абзацного отступа, например:



Рисунок 1 – Структура администрации организации

Если на рисунке отражены показатели, то после заголовка рисунка через запятую указывается единица измерения, например:

Рисунок 1 – Структура добычи, %

Рисунки каждого приложения обозначают отдельной нумерацией арабскими цифрами с добавлением перед цифрой обозначения приложения (например, рисунок А.3).

Если рисунок взят из первичного источника без авторской переработки, следует сделать ссылку, например:

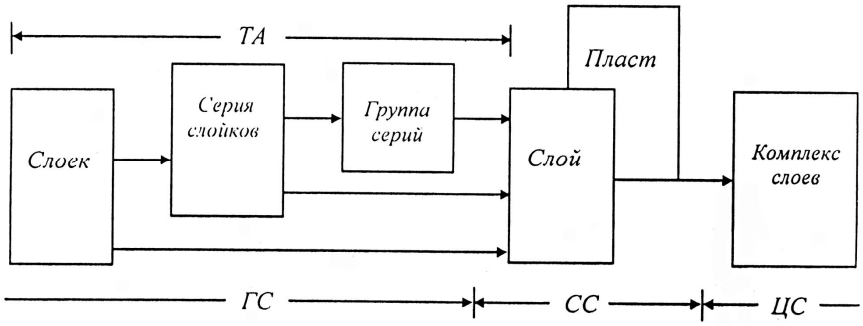

Рисунок 1 - Схема соотношения и соподчиненности слоевых элементов низших рангов в осадочных толщах[8, с. 46]

Если рисунок является авторской разработкой, необходимо после заголовка рисунка поставить знак сноски и указать в форме подстрочной сноски внизу страницы, на основании каких источников он составлен, например:

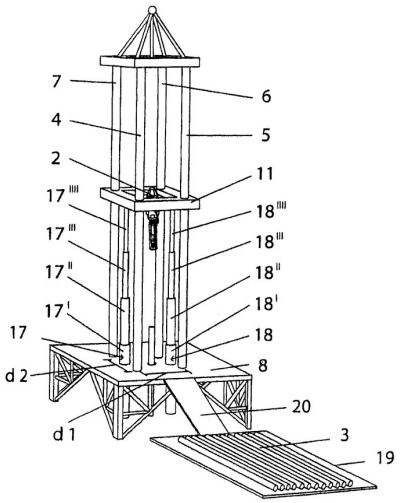

Рисунок 2 – Буровая установка,……[1]

При необходимости между рисунком и его заголовком помещаются поясняющие данные (подрисуночный текст), например, легенда.

2.5Правила оформления таблиц

В письменной работе фактический материал в обобщенном и систематизированном виде может быть представлен в виде таблицы для наглядности и удобства сравнения показателей.

На все таблицы должны быть ссылки в работе. При ссылке следует писать слово «таблица» с указанием ее номера, например: «…в таблице 2 представлены …» или «… характеризуется показателями (таблица 2)».

Таблицу следует располагать в работе непосредственно после текста, в котором она упоминается впервые, или на следующей странице.

Таблицы, за исключением таблиц в приложениях, следует нумеровать арабскими цифрами сквозной нумерацией по всей работе. Каждая таблица должна иметь заголовок, который должен отражать ее содержание, быть точным, кратким. Заголовок таблицы следует помещать над таблицей слева, без абзацного отступа в одну строку с ее номером через тире, например:

Таблица 3 – Количество тонн бокситов, добытого шахтами Свердловской области

Наименование организации	2017	2018
ПАО «Бокситы Севера»	58	59
Березниковская шахта	29	51

Если таблица взята из первичного источника без авторской переработки, следует сделать ссылку, например:

Таблица 2 – Динамика основных показателей развития шахтного строительства в России за 2015–2018 гг. [15, с. 35]

[1] Составлено автором по: [15, 23, 42].

	2015	2016	2017	2018
Объем строительства, млрд. руб.				
……				

Если таблица является авторской разработкой, необходимо после заголовка таблицы поставить знак сноски и указать в форме подстрочной сноски внизу страницы, на основании каких источников она составлена, например:

Таблица 3 – Количество оборудования[1]

Вид оборудования	2016	2017
Буровая машина	3	5
……	3	7

Располагают таблицы на странице обычно вертикально. Помещенные на отдельной странице таблицы могут быть расположены горизонтально, причем графа с наименованиями показателей должна размещаться в левой части страницы. Слева, справа и снизу таблицы ограничивают линиями.

Таблицу с большим числом строк допускается переносить на другую страницу. При переносе части таблицы на другую страницу слово «Таблица» указывают один раз слева над первой частью таблицы. На странице, на которую перенесена часть таблицы, слева пишут «Продолжение таблицы» или «Окончание таблицы» с указанием номера таблицы и повторением шапки таблицы.

Если таблица переносится, то на странице, где помещена первая часть таблицы, нижняя ограничительная линия таблицы не проводится. Это же относится к странице (страницам), где помещено продолжение (продолжения) таблицы. Нижняя ограничительная линия таблицы проводится только на странице, где помещено окончание таблицы.

Заголовки граф и строк таблицы следует писать с прописной буквы в единственном числе, а подзаголовки граф – со строчной буквы, если они составляют одно предложение с заголовком, или с прописной буквы, если они имеют самостоятельное значение. В конце заголовков и подзаголовков таблиц точки не ставят. Заголовки граф, как правило, записывают параллельно строкам таблицы. При необходимости допускается перпендикулярное расположение заголовков граф.

Примечания к таблице (подтабличные примечания) размещают непосредственно под таблицей в виде: а) общего примечания; б) сноски; в) отдельной графы или табличной строки с заголовком. Выделять примечание в отдельную графу или строку целесообразно лишь тогда, когда примечание относится к большинству строк или граф. Примечания к отдельным заголовкам граф или строк следует связывать с ними знаком сноски. Общее примечание ко всей таблице не связывают с ней знаком сноски, а помещают после заголовка «Примечание» или «Примечания», оформляют как внутритекстовое примечание.

Допускается применять размер шрифта в таблице меньший, чем в тексте работы, но не менее 10 pt.

Если все показатели, приведенные в графах таблицы, выражены в одной и той же единице измерения, то ее обозначение необходимо помещать над таблицей справа. Если показатели таблицы выражены в разных единицах измерения, то обозначение единицы

[1] Составлено автором по: [2, 7, 10]

измерения указывается после наименования показателя через запятую. Допускается при необходимости выносить в отдельную графу обозначения единиц измерения.

Текст, повторяющийся в строках одной и той же графы и состоящий из одиночных слов, чередующихся с цифрами, заменяют кавычками. Если повторяющийся текст состоит из двух или более слов, то при первом повторении его заменяют словами «То же», а далее – кавычками. Если предыдущая фраза является частью последующей, то допускается заменить ее словами «То же» и добавить дополнительные сведения. При наличии горизонтальных линий текст необходимо повторять. Если в ячейке таблицы приведен текст из нескольких предложений, то в последнем предложении точка не ставится.

Заменять кавычками повторяющиеся в таблице цифры, математические знаки, знаки процента и номера, обозначения нормативных материалов, марок материалов не допускается.

При отсутствии отдельных данных в таблице следует ставить прочерк (тире). Цифры в графах таблиц должны проставляться так, чтобы разряды чисел во всей графе были расположены один под другим, если они относятся к одному показателю. В одной графе должно быть соблюдено, как правило, одинаковое количество десятичных знаков для всех значений величин.

Если таблицы размещены в приложении, их нумерация имеет определенные особенности. Таблицы каждого приложения нумеруют отдельной нумерацией арабскими цифрами. При этом перед цифрой, обозначающей номер таблицы в приложении, ставится буква соответствующего приложения, например:

Таблица В.1.– Динамика показателей за 2016–2017 гг.

Если в документе одна таблица, то она должна быть обозначена «Таблица 1» или «Таблица В.1», если она приведена в приложении (допустим, В).

2.6Правила оформления примечаний и ссылок

При необходимости пояснить содержание текста, таблицы или иллюстрации в работе следует помещать примечания. Их размещают непосредственно в конце страницы, таблицы, иллюстрации, к которым они относятся, и печатают с прописной буквы с абзацного отступа после слова «Примечание» или «Примечания». Если примечание одно, то после слова «Примечание» ставится тире и примечание печатается с прописной буквы. Одно примечание не нумеруют. Если их несколько, то после слова «Примечания» ставят двоеточие и каждое примечание печатают с прописной буквы с новой строки с абзацного отступа, нумеруя их по порядку арабскими цифрами.

Цитаты, а также все заимствования из печати данные (нормативы, цифры и др.) должны иметь библиографическую ссылку на первичный источник. Ссылка ставится непосредственно после того слова, числа, предложения, по которому дается пояснение, в квадратных скобках. В квадратных скобках указывается порядковый номер источника в соответствии со списком использованных источников и номер страницы, с которой взята информация, например: [4, с. 32]. Это значит, использован четвертый источник из списка литературы со страницы 32. Если дается свободный пересказ принципиальных положений тех или иных авторов, то достаточно указать в скобках после изложения заимствованных положений номер источника по списку использованной литературы без указания номера страницы.

2.7Правила оформления списка использованных источников

Оформлению списка использованных источников, прилагаемого к отчету, следует уделять самое серьезное внимание.

Сведения об источниках приводятся в следующем порядке:

1) **нормативные правовые акты**: Нормативные правовые акты включаются в список в порядке убывания юридической силы в следующей очередности: международные нормативные правовые акты, Конституция Российской Федерации, федеральные конституционные законы, федеральные законы, акты Конституционного Суда Российской Федерации, решения других высших судебных органов, указы Президента Российской Федерации, постановления Правительства Российской Федерации, нормативные правовые акты федеральных органов исполнительной власти, законы субъектов Российской Федерации, подзаконные акты субъектов Российской Федерации, муниципальные правовые акты, акты организаций.

Нормативные правовые акты одного уровня располагаются в хронологическом порядке, от принятых в более ранние периоды к принятым в более поздние периоды.

Примеры оформления нормативных правовых актов и судебной практики:

1. Об общих принципах организации законодательных (представительных) и исполнительных органов власти субъектов Российской Федерации [Текст]: Федеральный закон от 06.10.1999 г. № 184-ФЗ // Собрание законодательства РФ. - 1999. - № 43.

2. О порядке разработки и утверждения административных регламентов исполнения государственных функций (предоставления государственных услуг) [Электронный ресурс]: Постановление Правительства РФ от 11.11.2005 г. № 679. - Доступ из справочно-правовой системы «КонсультантПлюс». – Режим доступа: http://www.consultant.ru.

3. О практике применения судами Закона Российской Федерации «О средствах массовой информации»[Электронный ресурс]: Постановление Пленума Верховного Суда РФ от 15.06.2010 № 16. - Доступ из справочно-правовой системы «КонсультантПлюс». – Режим доступа: http://www.consultant.ru.

4. Определение судебной коллегии по гражданским делам Верховного Суда Российской Федерации по иску Цирихова // Бюллетень Верховного Суда Российской Федерации. -1994. -№9. - С. 1-3.

2) **книги, статьи, материалы конференций и семинаров.** Располагаются по алфавиту фамилии автора или названию, если книга печатается под редакцией. Например:

5. Абрамова, А.А. Трудовое законодательство и права женщин [Текст] / А.А.Абрамова // Вестн. Моск. ун-та. Сер. 11, Право. - 2001. - № 5. - С. 23–25.

6. Витрянский, В.В. Договор банковского счета [Текст] / В.В. Витрянский // Хозяйство и право.- 2006.- № 4.- С. 19 – 25.

7. Двинянинова, Г.С. Комплимент: Коммуникативный статус или стратегия в дискурсе [Текст] / Г.С. Двинянинова // Социальная власть языка: сб. науч. тр. / Воронеж.межрегион. ин-т обществ. наук, Воронеж. гос. ун-т, Фак. романо-герман. истории. - Воронеж, 2001. - С. 101–106.

8. История России [Текст]: учеб.пособие для студентов всех специальностей / В.Н. Быков [и др.]; отв. ред. В.Н. Сухов; М-во образования Рос. Федерации, С.-Петерб. гос. лесотехн. акад. - 2-е изд., перераб. и доп. / при участии Т.А. Суховой. - СПб.: СПбЛТА, 2001. - 231 с.

9. Трудовое право России [Текст]: учебник / Под ред. Л.А.Сыроватской. - М.: Юристъ, 2006. - 280 с.

10. Семенов, В.В. Философия: итог тысячелетий. Философская психология [Текст] / В.В. Семенов; Рос.акад. наук, Пущин. науч. центр, Ин-т биофизики клетки, Акад. проблем сохранения жизни. - Пущино: ПНЦ РАН, 2000. - 64 с.

11. Черткова, Е.Л. Утопия как способ постижения социальной действительности [Электронный ресурс] / Е.Л. Черткова // Социемы: журнал Уральского гос. ун-та. - 2002. - N 8. – Режим доступа: http://www2/usu.ru/philosoph/chertkova.

12. Юридический советник [Электронный ресурс]. - 1 электрон.опт. диск (CD-ROM) : зв., цв. ; 12 см. - Прил.: Справочник пользователя [Текст] / сост. В.А. Быков. - 32 с.;

3) **статистические сборники, инструктивные материалы, методические рекомендации, реферативная информация, нормативно-справочные материалы.** Располагаются по алфавиту. Например:

13. Временные методические рекомендации по вопросам реструктуризации бюджетной сферы и повышения эффективности расходов региональных и местных бюджетов (Краткая концепция реструктуризации государственного и муниципального сектора и повышения эффективности бюджетных расходов на региональном и местном уровнях) [Текст]. - М.: ИЭПП, 2006. - 67 с.

14. Свердловская область в 1992-1996 годах [Текст]: Стат. сб. / Свердл. обл. комитет гос. статистики Госкомстата РФ. - Екатеринбург, 1997. - 115 с.

15. Социальное положение и уровень жизни населения России в 2010 г. [Текст]: Стат. сб. / Росстат. - М., 2002. - 320 с.

16. Социально-экономическое положение федеральных округов в 2010 г. [Электронный ресурс]. – Режим доступа: http://www.gks.ru

4) **книги и статьи на иностранных языках** в алфавитном порядке. Например:

17. An Interview with Douglass C. North [Text] // The Newsletter of The Cliometric Society. - 1993. - Vol. 8. - N 3. - P. 23–28.

18. Burkhead, J. The Budget and Democratic Government [Text] / Lyden F.J., Miller E.G. (Eds.) / Planning, Programming, Budgeting. Markham : Chicago, 1972. 218 p.

19. Miller, D. Strategy Making and Structure: Analysis and Implications for Performance [Text] // Academy of Management Journal. - 1987. - Vol. 30. - N 1. - P. 45–51;

20. Marry S.E. Legal Pluralism. – Law and Society Review. Vol 22.- 1998.- №5.- p. 22-27

5) **интернет-сайты**. Например:

21. Министерство финансов Российской Федерации: [Электронный ресурс]. – Режим доступа: http://www.minfin.ru

22. Российская книжная палата: [Электронный ресурс]. - Режим доступа: http://www.bookchamber.ru

В списке использованных источников применяется сквозная нумерация с применением арабского алфавита. Все объекты печатаются единым списком, группы объектов не выделяются, источники печатаются с абзацного отступа.

Объекты описания списка должны быть обозначены терминами в квадратных скобках[2]:

- [Видеозапись];
- [Мультимедиа];
- [Текст];
- [Электронный ресурс].

При занесении источников в список литературы следует придерживаться установленных правил их библиографического описания.

2.8Правила оформления приложений

В приложения рекомендовано включать материалы, которые по каким-либо причинам не могут быть включены в основную часть: материалы, дополняющие работу; таблицы вспомогательных цифровых данных; инструкции, методики, описания алгоритмов и программ задач, иллюстрации вспомогательного характера; нормативные

[2] Полный перечень см. в: Система стандартов по информации, библиотечному и издательскому делу. Библиографическая запись. Библиографическое описание. Общие требования и правила составления [Текст]: ГОСТ 7.1-2003.

правовые акты, например, должностные инструкции. В приложения также включают иллюстрации, таблицы и распечатки, выполненные на листах формата А3.

Приложения оформляют как продолжение данного документа на последующих его листах после списка использованных источников.

Приложения обозначают заглавными буквами русского алфавита, начиная с А, за исключением букв Ё, З, Й, О, Ч, Ь, Ы, Ъ (ПРИЛОЖЕНИЕ А, ПРИЛОЖЕНИЕ Б, ПРИЛОЖЕНИЕ В и т.д.). Допускается обозначение приложений буквами латинского алфавита, за исключением букв I и O. В случае полного использования букв русского и латинского алфавитов допускается обозначать приложения арабскими цифрами.

Само слово «ПРИЛОЖЕНИЕ» пишется прописными (заглавными) буквами.

Если в работе одно приложение, оно обозначается «ПРИЛОЖЕНИЕ А».

Каждое приложение следует начинать с новой страницы. При этом слово «ПРИЛОЖЕНИЕ» и его буквенное обозначение пишутся с абзацного отступа.

Приложение должно иметь заголовок, который записывают на следующей строке после слова «ПРИЛОЖЕНИЕ» с абзацного отступа. Заголовок пишется с прописной буквы.

В тексте работы на все приложения должны быть даны ссылки, например: «… в приложении Б…». Приложения располагают в порядке ссылок на них в тексте работы.

Текст каждого приложения, при необходимости, может быть разделен на разделы, подразделы, пункты, подпункты, которые нумеруют в пределах каждого приложения. Перед номером ставится обозначение этого приложения.

Приложения должны иметь общую с остальной частью документа сквозную нумерацию страниц.

ПРИЛОЖЕНИЕ

Образец оформления титульного листа курсовой работы

Федеральное государственное бюджетное образовательное учреждение
высшего образования
«Уральский государственный горный университет»
(ФГБОУ ВО «УГГУ»)
620144, г. Екатеринбург, ул. Куйбышева, 30

КУРСОВОЙ ПРОЕКТ
по дисциплине Б1.В.19 – «Подсчет запасов и оценка ресурсов нефти и газа» на тему: Постановка разведочного бурения на северо-западном участке Восточно-Сургутского месторождения (Западная Сибирь), оценка и подсчет запасов пласта

Направление: 21.05.02
ПРИКЛАДНАЯ ГЕОЛОГИЯ

Специализация:
ГЕОЛОГИЯ МЕСТОРОЖДЕНИЙ НЕФТИ И ГАЗА

Студент: Христофоров В.Б.
Группа: ГН-21

Руководитель курсового проекта:
Рыльков С.А.

Оценка _____

Подпись _____

МИНОБРНАУКИ РФ

ФГБОУ ВО «Уральский государственный горный университет»

УТВЕРЖДАЮ

Проректор по учебно-методическому комплексу

_____С.А.Упоров

МЕТОДИЧЕСКИЕ РЕКОМЕНДАЦИИ К САМОСТОЯТЕЛЬНОЙ РАБОТЕ ПО ДИСЦИПЛИНЕ

Б1.В.19 ПОДСЧЕТ ЗАПАСОВ И ОЦЕНКА РЕСУРСОВ НЕФТИ И ГАЗА

Специальность:
21.05.02 Прикладная геология

Специализация:
Геология месторождений нефти и газа

форма обучения: очная

Автор: Рыльков С.А., к.г.-м.н.

Одобрены на заседании кафедры
Литологии и геологии горючих ископаемых
(название кафедры)

Зав. кафедрой _____
(подпись)

к.г.-м.н., доц. Рыльков С.А.
(Фамилия И.О.)

Протокол № 2 от 06.10.2020
(Дата)

Рассмотрены методической комиссией
факультета геологии и геофизики
(название факультета)

Председатель _____
(подпись)

д.г.-м.н., проф. Бондарев В.И.
(Фамилия И.О.)

Протокол № 2 от 13.10.2020
(Дата)

Екатеринбург

Введение

Самостоятельная работа студента является важнейшей составной частью образовательной программы подготовки дипломированного специалиста. По курсу «Подсчет запасов и оценка ресурсов нефти и газа» обязательная самостоятельная работа студента осуществляется в следующих направлениях:

- ✓ выполнение домашних заданий;
- ✓ освоение материалов по отдельным темам, входящим в Рабочую программу дисциплины [4];
- ✓ подготовка к экзамену;

Самостоятельная работа студентовнаправлена на развитие интеллектуальных умений, повышение творческого потенциала студентов и заключается в:

– поиске, анализе, структурировании и презентации информации, анализе научных публикаций по вопросам подсчета запасов нефти и газа;

– исследовательской работе и участии в научных студенческих конференциях, семинарах и олимпиадах.

Оценка результатов самостоятельной работы организуется как единство двух форм: самоконтроль и контроль со стороны преподавателей.

Данныеметодические указания предназначены для организации самостоятельной работы студентов при освоении отдельных тем дисциплины.

Методические указания к самостоятельной работе студента

В данном пособии приведена развернутая программа дисциплины «Подсчет запасов и оценка ресурсов нефти и газа». Здесь указаны наименование и содержание лекционных тем в соответствии с Рабочей программой дисциплины [4]. Каждая тема является основой вопросов в экзаменационном билете. При чтении лекций по курсу преподаватель указывает те темы дисциплины, которые выносятся на самостоятельную проработку студентами. Основной объем информации по каждой теме содержится в учебнике по курсу [1]. Для углубленного освоения темы рекомендуется дополнительная литература [2, 3, 4]. Для самоконтроля и приобретения навыков решения задач по отдельным разделам дисциплины в последнем разделе приведены контрольные вопросы и упражнения, которые являются основой подготовки к экзамену.

При освоении указанных ниже тем рекомендуется следующий порядок самостоятельной работы студента.

1. Ознакомьтесь со структурой темы.
2. По учебнику [1] освойте каждый структурный элемент темы. Во всех темах указаны разделы и страницы учебника, содержащие данный материал.
3. При необходимости используйте указанную дополнительную литературу. Консультацию по использованию дополнительной литературы Вы можете получить у преподавателя.
4. Ответьте на контрольные вопросы и выполните рекомендованные упражнения. При затруднениях в ответах на вопросы вернитесь к изучению рекомендованной литературы.
5. Законспектируйте материал. При этом конспект может быть написан в виде ответов на контрольные вопросы и упражнения.

При самостоятельной работе над указанными темами рекомендуется вести записи в конспектах, формируемых на лекционных занятиях по курсу, и в том порядке, в котором данные темы следуют по учебной программе.

Данное учебно-методическое пособие может быть использовано при подготовке ответов на вопросы во время экзамена.

Содержание курса

Тема 1. **Запасы и ресурсы**

Основные положения классификации запасов месторождений, перспективных прогнозных ресурсов нефти и горючих газов. Категории запасов, перспективных прогнозных ресурсов. Группы запасов нефти и газа. Определение подготовленности месторождений (залежей) для промышленного освоения [1], с. 5-42.

Дополнительная литература: [2, 3, 4].

Контрольные вопросы и упражнения:

1. Перечислите категории запасов, перспективных прогнозных ресурсов нефти и газа.
2. Назовите группы запасов нефти и газа.
3. Как определяется готовность месторождения к промышленному освоению?
4. Каким образом оцениваются перспективные и прогнозные ресурсы нефти и газа?

Тема 2. **Стадийность геологоразведочных работ**

Региональный этап. Поисково-оценочный этап. Разведочный этап [1], 20.

Дополнительная литература: [2, 3, 4].

Контрольные вопросы и упражнения:

1. С какой целью производится деление геологоразведочного процесса на этапы и стадии?
2. Назовите объекты проведения работ на стадии прогноза нефтегазоносности регионального этапа.
3. Перечислите объекты исследования на стадии выявления объектов поискового бурения поисково-оценочного этапа.
4. Назовите объекты проведения работ на стадии поиска и оценки месторождений (залежей) поисково-оценочного этапа.
5. Сформулируйте основные цели проведения поисково-оценочных работ на различных стадиях

Тема 3. **Подсчет запасов**.

Подсчет запасов объемным методом. Подсчет запасов свободного газа по падению давления. Подсчет запасов растворенных в нефти газа, конденсата, этана, пропана, бутанов и других полезных компонентов. Метод материального баланса [1], 25-43.

Дополнительная литература: [2, 3, 4].

Контрольные вопросы и упражнения:

1. Какие категории относятся к запасам, а какие — к ресурсам?
2. В чем состоит отличие геологических запасов от извлекаемых?
3. На основе какой карты составляется подсчетный план?
4. Какие данные необходимо нанести на подсчетный план при пересчете запасов?
5. В чем заключается сущность объемного метола подсчета запасов нефти и свободного газа?
6. В чем заключается сущность подсчета запасов нефти и свободного газа по завершении стадии поиска и опенки в залежах различного типа?

7. Назовите особенности подсчета запасов нефти и свободного газа в сложнопостроенных коллекторах.

Тема 4. **Определение параметров подсчета**

Понятия о среднем значении. Геометризация залежей нефти и газа. Определение коэффициента пустотности коллектора (пористости, кавернозности, трещиноватости, Кп,Ккав, Ктр). Определение коэффициентов нефтегазонасыщености. Определение объемного коэффициента пластового флюида. Определение коэффициента сжимаемости газа. Применение компьютерной техники при геометризации объектов подсчета запасов и обработки остальных параметров подсчета [1], 44-67.

Дополнительная литература: [2, 3, 4].

Контрольные вопросы и упражнения:

1. Каким образом оценивается характер насыщенности поданным анализа градиентов давления?
2. Какие петрофизические зависимости применяются для определения коэффициентов пористости.
3. Назовите методы определения коэффициентов нефтегазонасыщенности но данным исследования керна
4. Какие методы ГИС используются при определении нефтегазонасыщенности?
5. Какими методами ГИС определяется проницаемость? Каким образом определяется проницаемость по результатам испытаний?
6. Перечислите физико-химические свойства нефтей. Как определяются физико- химические свойства и параметры нефти?
7. В чем сущность методики построения карт коэффициентов пористости и нефгегазонасыщенности? Назовите компьютерные комплексы, которые могут быть использованы для создания геологических моделей залежей.

Тема 5. **Общие требования к материалам подсчета**[1], 67-69.

Дополнительная литература: [2, 3, 4].

Контрольные вопросы и упражнения:

1.На основании каких документов и параметров производится учет запасов нефти и газа?

2. Какие части включают в себя материалы по подсчету запасов?

Вопросы

к экзамену по курсу

«Подсчет запасов нефти и газа»

1.Подсчет запасов свободного газа по падению давления.

2. Применение компьютерных технологий при геометризации объектов подсчета запасов и обработки остальных параметров подсчета.

3. Основные параметры подсчета запасов (объем залежи).

4. Определение коэффициентов нефтегазонасыщенности по данным керна.

5. Новая классификация запасов и ресурсов (2005 г.).

6. Определение параметров подсчета (понятие о среднем значении).

7. Стадийность геологразведочных работ. Разведочный этап.

8. Определение коэффициента пустотности коллектора по данным анализа керна.

9. Основные параметры подсчета запасов (коэффициент нефтенасыщенности).

10. Определение объемного коэффициента пластового флюида.

11. Стадийность геологоразведочных работ. Региональный этап.

12. Цель геометризации залежей нефти и газа. Принцип геометризации.

31. Последовательность подсчета запасов объемным методом. Выделение пород-коллекторов.

14. Определение коэффициента пустотности коллектора по данным ГИС.

15. Общие моментыи различия между классификацией запасов и ресурсов углеводородов России (1983 г.) и «Временной классификацией» (2001 г.).

16. Метод материального баланса.

17. Основные параметры подсчета (коэффициент пористости).

18. Определение коэффициентов нефтегазонасыщенности по диаграммам ГИС.

19. Стадийность геологоразведочных работ. Поисково-оценочный этап.

20. Цель геометризации залежей нефти и газа. Принцип геометризации для литологически ограниченных залежей.

21. Характеристика «Временной классификации запасов месторождений, перспективных и прогнозных ресурсов нефти и горючих газов».

22. Подсчет запасов растворенных в нефти газа, конденсата, этана, пропана, бутанов и других полезных компонентов.

23. Коэффициент извлечения нефти и газа.

24. Определение объемного коэффициента сжимаемости газа.

Рекомендуемая литература

1. Подсчетзапасов нефти, газа, конденсата: учебное пособие. / С. А. Рыльков, Е. С. Ворожев Екатеринбург: Изд-во УГГУ, 2020. 78 с.

2. Геология нефти и газа. Геоинформмарк. ISSN: 0016-7894 (online). Доступный архив: 2010-2014.

3. Подсчет запасов нефти,газа, конденсата и содержащихся в них компонентов [Текст] : справочник / И. Д. Амелин [и др.] ; под ред.: В. В. Стасенкова, И. С. Гутмана. - Москва: Недра, 1989. - 270 с. : ил. - Библиогр.: с. 262-263. - Предм. указ.: с. 264-267.

4**.** Подсчет запасов и оценка ресурсов нефти и газа: рабочая программа по дисциплине для студентов специальности 21.05.02 Прикладная геология специализация № 3 Геология месторождений нефти и газа / С.А. Рыльков. Екатеринбург: УГГУ, 2020. 8 с.

МИНОБРНАУКИ РФ

ФГБОУ ВО «Уральский государственный горный университет»

УТВЕРЖДАЮ
Проректор по учебно-методическому комплексу
_____ С.А. Упоров

МЕТОДИЧЕСКИЕ РЕКОМЕНДАЦИИ К КОНТРОЛЬНОЙ РАБОТЕ ПО ДИСЦИПЛИНЕ

Б1.В.20 РАЗРАБОТКА МЕСТОРОЖДЕНИЙ НЕФТИ И ГАЗА

Специальность:
21.05.02 Прикладная геология

Специализация:
Геология месторождений нефти и газа

форма обучения: очная

Автор: Липаев А.А., д.т.н.

Одобрены на заседании кафедры
Литологии и геологии горючих ископаемых
(название кафедры)
Зав. кафедрой _____
(подпись)
к.г.-м.н., доц. Рыльков С.А.
(Фамилия И.О.)
Протокол № 2 от 06.10.2020
(Дата)

Рассмотрены методической комиссией
факультета геологии и геофизики
(название факультета)
Председатель _____
(подпись)
д.г.-м.н., проф. Бондарев В.И.
(Фамилия И.О.)
Протокол № 2 от 13.10.2020
(Дата)

Екатеринбург

Введение

Учебным планом специальности 21.05.02 Прикладная геология по дисциплине «Разработка месторождений нефти и газа» предусматривается написание контрольной работы на тему «Режимы работы пластов. Основы проектирования разработки нефтяных месторождений».Этосамостоятельный труд студента, который способствует углублённому изучению пройденного материала.

Задания контрольной работы направлены на оценку уровня умений и навыков, формирующих компетенции:

профессиональные

- способен осуществлять геологическое сопровождение разработки месторождений нефти и газа (ПК-7).

Результаты обучения, достижение которых свидетельствует об освоении компетенции:

Знать:

- перечень основных технологических процессов добычи нефти и газа и их специфические особенности;
- подходы к рациональному выделению эксплуатационных объектов и стадийности их ввода в разработку;
- технологические показатели разработки нефтяных и газовых месторождений;
- стадии разработки месторождений и их характеристики;
- системы разработки, признаки их оптимальности и рациональности, условия эффективного применения;
- принципы выполнения анализа разработки месторождений;
- перечень проектных документов, составляемых на разработку нефтяных и газовых месторождений;
- этапность составления и содержания проектных документов;
- стандарты, руководящие документы и другие нормативные документы, регулирующие процесс разработки залежей УВ;
- содержание и классификацию негативных воздействий на экологию районов производства поисков, разведки, разработки нефтяных, газовых, газоконденсатных месторождений;
-перечень мероприятий по защите окружающей среды при разработке нефтяных и газовых месторождений;
- состояние экологии в регионах поисков, разведки, разработки УВ;
- методы прогноза экологического ущерба в результате производства поисков, разведки, разработки нефти и газа;
- основные требования, предъявляемые к технической документации при экологической экспертизе действий, работ и проектов.

Уметь:

- оценивать текущее состояние разработки нефтяных и газовых месторождений;
- использовать проектный документ, как источник получения информации о разработке нефтяных и газовых месторождений;
- ориентироваться в проблематике разработки нефтяных и газовых месторождений;
- вычислять показатели разработки нефтяных месторождений при различных режимах их эксплуатации;
- собирать и обобщать материалы о геологическом строении нефтяных и газовых месторождений;
- вычислять основные технологические показатели разработки для различных гидродинамических режимов;
- строить и анализировать различные виды характеристик вытеснения;

- включать меры по охране окружающей среды;

- анализировать виды и объёмы экологического ущерба на нефтегазодобывающих предприятиях, при транспортировке различных видов УВ;

- рассчитать экономическую составляющую экологического ущерба.

Владеть:

- навыками анализа состояния и расчета технологических показателей разработки нефтяных и газовых месторождений;

- навыками работы с проектными документами на разработку нефтяных и газовых месторождений;

- навыками выработки решений по рационализации процессов разработки нефтяных и газовых месторождений;

- навыками подготовки геологической информации для ее использования в качестве исходных данных при составлении проектных документов;

- навыками экспресс-оценки начальных извлекаемых (подвижных) запасов нефти с применением характеристик вытеснения;

- методами выполнения экологической экспертизы проектов разработки залежей нефти и газа;

- методами составления экологических паспортов на объекты нефтегазового комплекса;

- методами предотвращения и ликвидации последствий негативного воздействия на окружающую среду поисков, разведки и разработки залежей и месторождений УВ.

Цель выполняемой работы: получить специальные знания по заданной теме.

Основные задачи выполняемой работы:

1) закрепление полученных ранее теоретических знаний;

2) выработка навыков самостоятельной работы;

3) оценка уровня подготовленности студента к будущей практической работе.

Задания к контрольной работе

Состоит из 2-х задач и одного теоретического вопроса

1. Для площади, по которой данные о пористости, плотности пород и насыщающих их жидкостей приведены в табл. 17.1

Интервал	Толщина, м	Пористость, %	Средняя плотность, кг/м^3	
			скелета породы	пластовой жидкости
0-200	200	36	2620	1100
200-400	200	33	2700	1010
400-600	200	30	2660	1040
600-800	200	27	2700	1060
800-1000	200	24	2700	1100
1000-1200	200	24	2660	1100
1200-1400	200	26	2660	1100
1400-1600	200	29	2700	930
1600-1800	200	33	2700	750
1800-2000	200	36	2700	680
2000-2200	200	33	2660	680
2200-2900	700	28	2700	920

2900-3000	100	32	2700	730
3000-3200	200	36	2700	680
3200-34O0	200	28	2700	680
3400-3700	300	25	2720	680
3700-3900	200	22	2720	700
3900-4100	200	19	2660	700
4100-4400	300	16	2720	710
4400-4600	200	12	2680	710

1) Оценить значение геостатического давления и объемной плотности толщи горных пород на глубине H;

2) В расположенных на глубине H объектах закрытой скважины при избыточном давлении на ее устье P = 12 МПа определить:

а) пластовое давление

б) коэффициент аномальности

в) относительное давление по воде на глубине L

г) давление на обсадную колонну на глубине L

д) индекс геостатического давления

ж) температуру, если известно, что на глубине 1400 м температура равна 62 °С, а средний геотермический градиент 0,038 К/м.

Варианты:

	1	2	3	4	5	6	7	8	9	10	11	12	13	14	15
H, м	1700	1800	1900	2000	2200	2400	2600	2800	3000	3100	3300	3500	3700	4000	4500
L, м	1200	1300	1400	1600	1650	1700	1730	1760	1800	2000	2100	2300	2500	3000	3200

2. Определение нефтеотдачи пласта при водонапорном режиме.

Параметры нефтяной залежи с водонапорным режимом определены в результате исследования образцов кернов и геофизическими методами. При этом установлено, что среднее количество связанной (погребенной) воды и нефтенасыщенность в начальный период эксплуатации соответственно равны $S_в$ = 15 % и $S_н$= 85 %. В ходе эксплуатации залежи средняя водонасыщенность стала увеличиваться. Через 5 лет она была равна $S_в$=50 %, а через 10 лет – 70 %.

Требуется определить средний процент нефтеотдачи для указанных периодов времени.

Варианты исходных данных:

Вариант	1	2	3	4	5	6	7	8	9	10	11	12	13	14	15
$S_н$, %	60	65	70	75	62	64	66	68	72	74	61	63	67	69	73
$S_в$, %	40	35	30	25	38	36	34	32	28	26	39	37	33	31	27

3. Ответить на нижеизложенные вопросы

Вариант 1

Классификация и типы залежей углеводородного сырья

Вариант 2

Физико-химические свойства пластовых флюидов и пород-коллекторов

Вариант 3

Основы проектирования разработки нефтяных и газовых месторождений

Вариант 4

Объект разработки и критерии его выбора

Вариант 5

Классификация систем разработки

Вариант 6

Разработка газовых и газоконденсатных месторождений

Вариант 7

Основные показатели разработки

Вариант 8

Стадии разработки месторождения

Вариант 9

Разработка месторождений на естественном режиме и с поддержанием пластового давления

Вариант 10

Гидродинамические методы повышения нефтеизвлечения из пластов

Вариант 11

Методы увеличения нефтеизвлечения из пластов

Вариант 12

Методы воздействия на призабойную зону скважин

Вариант 13

Способы эксплуатации нефтяных скважин

Вариант 14

Исследование скважин

Вариант 15

Сбор и подготовка скважинной продукции

Порядок выполнения контрольной работы

Подготовку контрольной работы следует начинать с повторения соответствующего раздела учебника, учебных пособий по данной теме и конспектов лекций прочитанных ранее. Приступать к выполнению работы без изучения основных положений и понятий науки, не следует, так как в этом случае студент, как правило, плохо ориентируется в материале, не может отграничить смежные вопросы и сосредоточить внимание на основных, первостепенных проблемах рассматриваемой темы.

После выбора темы необходимо внимательно изучить методические рекомендации по подготовке контрольной работы, составить план работы, который должен включать основные вопросы, охватывающие в целом всю прорабатываемую тему.

Результат выполнения контрольной работы представляет собой решение задачи, выполненное в рукописном варианте, согласно представленному в задании плану.

Текст работы должен демонстрировать:

- знакомство автора с основными технологическими процессами добычи нефти и газа и их специфическими особенностями;
- умение оценивать текущее состояние разработки нефтяных и газовых месторождений;
- владение навыками анализа состояния и расчета технологических показателей разработки нефтяных и газовых месторождений;
- приемлемый уровень языковой грамотности, включая владение функциональным стилем научного изложения.

Общий объем контрольной работы не должен превышать 3-5 страниц.

Оценивание результатов контрольной работы

Оценивание результатов контрольной работы должно быть проведено до начала промежуточной аттестации и проводится по традиционной шкале: «зачтено», «не зачтено».

Решение об оценке контрольной работы принимается по результатам проверки предъявленной работы и ответов студента на вопросы в случае неполного ее выполнения.

Критерии оценки контрольной работы	*Количество баллов*
Оформление работы в соответствии с предъявляемыми требованиями	0-1
Обоснование выбора методики решения задачи	0-1
Логичность изложения материала	0-1
Наличие вывода	0-1
Использование профессиональной терминологии	0-1
Итого	0-5

3-5 баллов (50-100%) - «зачтено»
0-2 балла (0-49%) - «не зачтено».

Критерии оценки:

Оценка «зачтено» выставляется обучающемуся, если:

- работа оформлена аккуратно, в соответствии с требованиями; методика решения задач правильная и все действия обоснованы; все расчеты выполнены верно; ответ полный, имеется вывод по задаче, материал изложен профессиональным языком, логично – 7-8 баллов.

работа оформлена аккуратно, с незначительными замечаниями (отступлениями от требований); методика решения задач правильная и все действия обоснованы; в расчетах имеются ошибки; ответ полный, имеется, вывод по задаче или его нет, материал изложен профессиональным языком, логично – 5-6 баллов.

работа оформлена с существенными замечаниями (отступлениями от установленных требований); методика решения задач правильная, однако действия не обоснованы; в расчетах имеются ошибки; ответ неполный, не имеет вывода по задаче, материал изложен без использования профессиональной терминологии, логично – 3-4 балла.

Оценка «не зачтено» выставляется обучающемуся, если работа оформлена неаккуратно, со значительными отступлениями от требований; методика решения задач не правильная и (или) действия не обоснованы; ответ полный или неполный, нет вывода по задаче, материал изложен без использования профессиональной терминологии, нелогично – 0-2 балла.

МИНОБРНАУКИ РФ

ФГБОУ ВО «Уральский государственный горный университет»

УТВЕРЖДАЮ
Проректор по учебно-методическому комплексу
_____ С.А.Упоров

МЕТОДИЧЕСКИЕ РЕКОМЕНДАЦИИ К САМОСТОЯТЕЛЬНОЙ РАБОТЕ ПО ДИСЦИПЛИНЕ

Б1.В.20 РАЗРАБОТКА МЕСТОРОЖДЕНИЙ НЕФТИ И ГАЗА

Специальность:
21.05.02 Прикладная геология

Специализация:
Геология месторождений нефти и газа

Автор: Липаев А.А., д.т.н.

Одобрены на заседании кафедры
Литологии и геологии горючих ископаемых
(название кафедры)
Зав. кафедрой _____
(подпись)
к.г.-м.н., доц. Рыльков С.А.
(Фамилия И.О.)
Протокол № 2 от 06.10.2020
(Дата)

Рассмотрены методической комиссией
факультета геологии и геофизики
(название факультета)
Председатель _____
(подпись)
д.г.-м.н., проф. Бондарев В.И.
(Фамилия И.О.)
Протокол № 2 от 13.10.2020
(Дата)

Екатеринбург

Введение

Самостоятельная работа студента является важнейшей составной частью образовательной программы подготовки дипломированного специалиста. По курсу «Разработка месторождений нефти и газа» обязательная самостоятельная работа студента осуществляется в следующих направлениях:

- ✓ выполнение домашних заданий;
- ✓ освоение материалов по отдельным темам, входящим в Рабочую программу дисциплины [4];
- ✓ подготовка к экзамену;

Самостоятельная работа студентов направлена на развитие интеллектуальных умений, повышение творческого потенциала студентов и заключается в:

– поиске, анализе, структурировании и презентации информации, анализе научных публикаций по вопросам геологического сопровождения разработки месторождений нефти и газа;

– исследовательской работе и участии в научных студенческих конференциях, семинарах и олимпиадах.

Оценка результатов самостоятельной работы организуется как единство двух форм: самоконтроль и контроль со стороны преподавателей.

Данные методические указания предназначены для организации самостоятельной работы студентов при освоении отдельных тем дисциплины.

Методические указания к самостоятельной работе студента

В последующем разделе пособия приведена развернутая программа дисциплины «Разработка месторождений нефти и газа». Здесь указаны наименование и содержание лекционных тем в соответствии с рабочей программой дисциплины [4]. Каждая тема является основой вопросов в экзаменационном билете. При чтении лекций по курсу преподаватель указывает те темы дисциплины, которые выносятся на самостоятельную проработку студентами. Основной объем информации по каждой теме содержится в учебнике по курсу [2, 3]. Для углубленного освоения темы рекомендуется дополнительная литература [1, 4, 5]. Для самоконтроля и приобретения навыков решения задач по отдельным разделам дисциплины в последнем разделе приведены контрольные вопросы и упражнения, которые являются основой подготовки к экзамену.

При освоении указанных ниже тем рекомендуется следующий порядок самостоятельной работы студента.

1. Ознакомьтесь со структурой темы.
2. По учебным пособиям [2, 3 освойте каждый структурный элемент темы. Во всех темах указаны разделы и страницы учебника, содержащие данный материал.
3. При необходимости используйте указанную дополнительную литературу. Консультацию по использованию дополнительной литературы Вы можете получить у преподавателя.
4. Ответьте на контрольные вопросы и выполните рекомендованные упражнения. При затруднениях в ответах на вопросы вернитесь к изучению рекомендованной литературы.

5. Законспектируйте материал. При этом конспект может быть написан в виде ответов на контрольные вопросы и упражнения.

При самостоятельной работе над указанными темами рекомендуется вести записи в конспектах, формируемых на лекционных занятиях по курсу, и в том порядке, в котором данные темы следуют по учебной программе.

Данное учебно-методическое пособие может быть использовано при подготовке ответов на вопросы во время экзамена.

Содержание курса

Тема 1: Основы нефтегазопромыслового дела. [2, 3]

Роль нефти и газа в жизни человека. Краткая история развития нефтегазодобычи. Этапы добычи нефти и газа. Предмет: «Разработка нефтяных и газовых месторождений». Роль нефтегазопромысловой геологии. Геолого-физическая характеристика нефтяных и газовых залежей. Условия залегания нефти, газа и воды в продуктивных пластах. Источники пластовой энергии. Вскрытие пластов. Вызов притока нефти и газа в скважины. Экологические проблемы при добыче углеводородов.

Дополнительная литература: [1, 4, 5].

Контрольные вопросы и упражнения:

1. Роль запасов углеводородного сырья в мировой экономике, их распределение и классификация
2. Нефть и газ – ценное сырье для переработки
3. Расскажите о развитии нефтяной и газовой промышленности России
4. Какой состав (элементный, фракционный и групповой) нефти и газа?
5. Геолого-промысловая характеристика продуктивных пластов
6. Условия залегания нефти, газа и воды в продуктивных пластах
7. Расскажите об условиях притока нефти и газа
8. Каковы этапы добычи нефти и газа
9. Дайте определение системы разработки месторождений углеводородов
10. Классификация способов эксплуатации нефтяных и газовых скважин
11. Сбор и подготовка скважинной продукции
12. Система подготовки и закачки воды в продуктивные пласты

Тема 2: Разработка нефтяных месторождений. [2, 3]

Объект, система и технология разработки. Классификация систем разработки месторождений нефти. Показатели разработки. Этапы разработки. Разработка нефтяных месторождений без воздействия на пласт. Разработка нефтяных месторождений с воздействием на пласт. Системы заводнения. Модели пласта и процессы вытеснения нефти. Опыт и проблемы разработки месторождений с применением заводнения. Основы проектирования разработки нефтяных месторождений.

Дополнительная литература: [1, 4, 5].

Контрольные вопросы и упражнения:

1. Что такое объект разработки и каковы критерии его выделения?
2. Дайте классификацию систем разработки нефтяных месторождений
3. Разработка месторождений на естественном режиме и с поддержанием пластового давления
4. Дате классификацию и схемы размещения скважин систем разработки месторождений с искусственным поддержанием пластового давления
5. Расскажите об основных технологических показателях разработки
6. Каковы стадии разработки нефтяных месторождений?
7. Расскажите о моделях пласта и процессах вытеснения нефти
8. Особенности разработки месторождений с трудноизвлекаемыми запасами нефти

9. Расскажите о видах и системах заводнения

10. Каковы проблемы разработки месторождений с применением заводнения?

11. Расскажите об основах проектирования разработки нефтяных месторождений

Тема 3: Разработка газовых и газоконденсатных месторождений. [2, 3]

Основные положения и принципы разработки. Разработка газовой залежи при газовом и водонапорном режимах. Разработка газоконденсатных месторождений.

Дополнительная литература: [1, 4, 5].

Контрольные вопросы и упражнения:

1. Расскажите об основных положениях и принципах разработки газовых и газоконденсатных месторождений

2. Разработка газовых залежей при газовом режиме

3. Разработка газовой залежи при водонапорном режиме

4. Расскажите об особенностях разработки газоконденсатных месторождений

5. Расскажите о конструкции и режиме эксплуатации газовых скважин

6. Экономика разработки газовых месторождений

7. Прогноз добычи и запасы газа

Тема 4: Методы повышения нефте-, газо-, конденсатоотдачи пластов. [2, 3]

Факторы, влияющие на нефтеизвлечение. Понятие и классификация МУН. Методы повышения нефтеизвлечения: гидродинамические, химические, газовые, тепловые, микробиологические, физические. Выбор МУН для применения на объекте разработки.

Дополнительная литература: [1, 4, 5].

Контрольные вопросы и упражнения:

1. Дайте понятие МУН, расскажите об их особенностях, критериях выбора и технологической эффективности применения

2. Расскажите о классификации методов повышения нефтеизвлечения из пластов

3. Расскажите о выборе МУН для применения на объекте разработки

4. Что представляют собой гидродинамические методы повышения нефтеизвлечения из пластов

5. Расскажите о химических методах повышения нефтеизвлечения из пластов

6. Дайте общие сведения об использовании газовых МУН

7. Каковы основные предпосылки применения тепловых МУН

8. Расскажите о технологии SAGD

9. Расскажите об опыте применения технологий внутрипластового горения

10. Что представляют собой микобиологические методы увеличения нефтеизвлечения?

Тема 5: Эксплуатация нефтяных и газовых скважин. [2, 3]

Способы эксплуатации скважин. Фонтанная и газлифтная эксплуатация скважин. Эксплуатация скважин глубинно-насосными установками. Эксплуатация скважин погружными центробежными электронасосами. Методы воздействия на призабойную зону пласта. Ремонт скважин.

Дополнительная литература: [1, 4, 5].

Контрольные вопросы и упражнения:

1. Расскажите о фонтанной и газлифтной эксплуатации скважин

2. Эксплуатация скважин глубинно-насосными установками

3. Эксплуатация скважин погружными центробежными электронасосами

4. Дайте классификацию методов воздействия на призабойную зону пласта

5. Расскажите о кислотной обработке пласта

6. Расскажите о гидравлическом разрыве пластов

7. Что представляет собой гидропескоструйная перфорация?

8. Расскажите о теплофизических методах воздействия на призабойную зону скважин

9. Как осуществляют текущий и капитальный ремонт скважин

10. Как осуществляют борьбу с осложнениями при эксплуатации нефтяных и газовых скважин

Тема 6: Управление разработкой нефтяных и газовых месторождений. [2, 3]

Система контроля за разработкой нефтяных месторождений. Геолого-промысловые методы. Гидродинамические методы. Промыслово-геофизические методы. Регистрация и анализ показателей разработки (геолого-промысловая документация). Компьютерное воспроизведения и постоянно действующие модели разработки нефтяных месторождений. Регулирование разработки нефтяных месторождений. Цели регулирования разработки. Классификация и характеристики методов регулирования. Регулирование без изменения запроектированной системы разработки. Регулирование путем совершенствования и частичного изменения системы разработки.

Дополнительная литература: [1, 4, 5].

Контрольные вопросы и упражнения:

1. Расскажите о необходимости управления разработкой нефтяных месторождений

2. Что представляют собой геолого-промысловые методы контроля за разработкой нефтяных и газовых месторождений

3. Расскажите об исследовании скважин при установившемся режиме их эксплуатации

4. Исследования при неустановившемся режиме работы скважин

5. Какие задачи решаются с помощью промыслово-геофизических методов?

6. Что представляют собой постоянно действующие модели разработки нефтяных месторождений?

7. Каковы цели регулирования разработки нефтяных месторождений?

8. Расскажите о регулировании без изменения запроектированной системы разработки

9. Расскажите и регулировании путем совершенствования и частичного изменения системы разработки

10. Каковы особенности контроля и регулирования тепловых процессов в нефтяном пласте

Вопросы
к зачету по курсу «Разработка месторождений нефти и газа»

1. Понятие о науке РНМ и ее связь с дисциплинами «Физика пласта», «Подземная гидромеханика» и «Нефтегазопромысловая геология»
2. Виды пластовой энергии. Режимы работы пластов
3. Объект разработки. Выделение объектов разработки. Примеры.
4. Внутриконтурное заводнение. Примеры применения
5. Геолого-физические условия применения методов увеличения нефтеизвлечения из пластов
6. Проектные документы, составляемые на разработку нефтяных и газовых месторождений
7. Содержание и классификация негативных воздействий на экологию районов производства поисков, разведки, разработки нефтяных, газовых, газоконденсатных месторождений
8. Перечень мероприятий по защите окружающей среды при разработке нефтяных и газовых месторождений

9. Состояние экологии в регионах поисков, разведки, разработки месторождений углеводородов
10. Методы прогноза экологического ущерба в результате производства поисков, разведки, разработки месторождений нефти и газа
11. Основные требования, предъявляемые к технической экспертизе действий, работ и процессов

Рекомендуемая литература

1 Каналин В.Г. Справочник геолога нефтегазоразведки. Нефтегазопромысловая геология и гидрогеология [Электронный ресурс] : учебно-практическое пособие / В.Г. Каналин. — Электрон. текстовые данные. — М. : Инфра-Инженерия, 2015. — 416 c. — 5-9729-0001-7. — Режим доступа: http://www.iprbookshop.ru/5066.html Электронный ресурс

2. Липаев, А. А. Разработка месторождений тяжелых нефтей и природных битумов / А. А. Липаев. — Москва, Ижевск : Регулярная и хаотическая динамика, Ижевский институт компьютерных исследований, 2013. — 484 c. — ISBN 978-5-4344-0127-2. — Текст : электронный // Электронно-библиотечная система IPR BOOKS : [сайт]. — URL: http://www.iprbookshop.ru/28912.html

3. Разработка нефтяных месторождений [Текст] : учебное пособие / М. М. Мусин, А. А. Липаев, Р. С. Хисамов ; под ред. А. А. Липаева. - 2-е изд., перераб. и доп. - Москва ; Вологда : Инфра-Инженерия, 2019. - 328 с.

4. Разработка месторождений нефти и газа: рабочая программа дисциплины для студентов специальности 21.05.02 Прикладная геология специализация № 3 Геология месторождений нефти и газа / А.А. Липаев. Екатеринбург: УГГУ, 2020. 12 с.

5. Трофимов Д.М. Методы дистанционного зондирования при разведке и разработке месторождений нефти и газа [Электронный ресурс] / Д.М. Трофимов, М.Д. Каргер, М.К. Шуваева. — Электрон. текстовые данные. — М. : Инфра-Инженерия, 2015. — 80 c. — 978-5-9729-0090-9. — Режим доступа: http://www.iprbookshop.ru/40233.html Электронный ресурс

МИНОБРНАУКИ РФ

ФГБОУ ВО «Уральский государственный горный университет»

УТВЕРЖДАЮ

Проректор по учебно-методическому комплексу

_____ С.А. Упоров

МЕТОДИЧЕСКИЕ РЕКОМЕНДАЦИИ К КОНТРОЛЬНОЙ РАБОТЕ ПО ДИСЦИПЛИНЕ

Б1.В.21 МИГРАЦИЯ УГЛЕВОДОРОДОВ И ДЕГАЗАЦИЯ ЗЕМЛИ

Специальность:
21.05.02 Прикладная геология

Специализация:
Геология месторождений нефти и газа

форма обучения: очная

Автор: Мухаметшин Р.З., д.г.-м.н.

Одобрены на заседании кафедры
Литологии и геологии горючих ископаемых
(название кафедры)

Зав. кафедрой _____
(подпись)

к.г.-м.н., доц. Рыльков С.А.
(Фамилия И.О.)

Протокол № 2 от 06.10.2020
(Дата)

Рассмотрены методической комиссией
факультета геологии и геофизики
(название факультета)

Председатель _____
(подпись)

д.г.-м.н., проф. Бондарев В.И.
(Фамилия И.О.)

Протокол № 2 от 13.10.2020
(Дата)

Екатеринбург

Введение

Учебным планом специальности 21.05.02 Прикладная геология по дисциплине «Миграция углеводородов и дегазация Земли» предусматривается написание контрольной работы на тему «Анализ проблематики гипотез формирования местоскоплений углеводородов».Этосамостоятельный труд студента, который способствует углублённому изучению пройденного материала.

Задания контрольной работы направлены на оценку уровня умений и навыков, формирующих компетенции:

профессиональные

- способен использовать теоретические знания при выполнении производственных, технологических и инженерных исследований в соответствии со специализацией (ПК-1).

Результат изучения дисциплины:

Знать:

– основные этапы миграции (перемещения) подвижных флюидов в исходных и конечных вместилищах. Иметь представления о первичной (исходной) и вторичной миграциях углеводородов;

– основные современные позиции о глубинных флюидах как продуцентах дегазации Земли. Выработать собственный взгляд на соотношение углеводородов органического и неорганического происхождения.

Уметь:

– выделять пути вторичной миграции углеводородных флюидов, с учетом структурно-тектонических, стратиграфических несогласий и литологических неоднородностей в пределах изучаемого объекта

– различать латеральную, вертикальную восходящую и вертикальную нисходящую миграции флюидов;

– различать геодинамическую составляющую во вторичной миграции углеводородов.

Владеть:

– современными представлениями о соотношении взглядов на природу и значимость процессов перемещения углеводородных флюидов в рамках оптической и неорганической концепций;

– навыками для разграничения внутрирезервуарной миграции углеводородов от внерезервуарной.

Цель выполняемой работы:получить специальные знания по заданной теме.

Основные задачи выполняемой работы:

1) закрепление полученных ранее теоретических знаний;
2) выработка навыков самостоятельной работы;
3) оценка уровня подготовленности студента к будущей практической работе.

Задания к контрольной работе

Проработав современные статьи о проблемах миграции углеводородов и дегазации Земли, провести анализ гипотез формирования местоскоплений углеводородов, приведя аргументы «за» и «против» сторонников основных гипотез.

Контрольная работа излагается логически последовательно, грамотно и разборчиво. Она обязательно должна иметь титульный лист. Он содержит название высшего учебного заведения, название темы, фамилию, инициалы, учёное звание и степень научного руководителя, фамилию, инициалы автора, номер группы.

На следующем листе приводится содержание контрольной работы. Оно включает в себя: введение, название вопросов, заключение, список литературы.

Введение должно быть кратким, не более 0,5 страницы. В нём необходимо отметить актуальность темы, степень ее научной разработанности, предмет исследования, цель и задачи, которые ставятся в работе. Изложение вопроса необходимо начать с написания заголовка, который должен отражать содержание текста. Заголовки от текста следует отделять интервалами.

Каждый новый смысловой абзац необходимо начинать с красной строки. Закончить изложение вопроса следует выводами, итогом по содержанию данного раздела.

Страницы контрольной работы должны иметь нумерацию (сквозной). Номер страницы ставится вверху в правом углу. На титульном листе номер страницы не ставится. Оптимальный объём контрольной работы до 10 страниц машинописного текста (размер шрифта 14) через полуторный интервал на стандартных листах формата А-4, поля: верхнее –20 мм, нижнее –20 мм, левое –25мм, правое –10мм.

В тексте контрольной работы не допускается произвольное сокращение слов (кроме общепринятых).

Порядок выполнения контрольной работы

Подготовку контрольной работы следует начинать с повторения соответствующего раздела учебника, учебных пособий по данной теме и конспектов лекций прочитанных ранее. Приступать к выполнению работы без изучения основных положений и понятий науки, не следует, так как в этом случае студент, как правило, плохо ориентируется в материале, не может отграничить смежные вопросы и сосредоточить внимание на основных, первостепенных проблемах рассматриваемой темы.

После выбора темы необходимо внимательно изучить методические рекомендации по подготовке контрольной работы, составить план работы, который должен включать основные вопросы, охватывающие в целом всю прорабатываемую тему.

Результат выполнения контрольной работы представляет собой решение задачи, выполненное в рукописном варианте, согласно представленному в задании плану.

Текст работы должен демонстрировать:

- знакомство автора механизмом миграции углеводородов;
- умение оценивать основные пути миграции углеводородов;
- владение навыками оценки гипотез формирования углеводородов и их путей миграции.;
- приемлемый уровень языковой грамотности, включая владение функциональным стилем научного изложения.

Общий объем контрольной работы не должен превышать 3-5 страниц.

Оценивание результатов контрольной работы

Оценивание результатов контрольной работы должно быть проведено до начала промежуточной аттестации и проводится традиционной четырехбалльной шкале: «отлично», «хорошо», «удовлетворительно», «неудовлетворительно».

Решение об оценке контрольной работы принимается по результатам проверки предъявленной работы и ответов студента на вопросы в случае неполного ее выполнения.

Критерии оценивания контрольной работы	*Количество баллов*
Правильность определения ключевых вопросов проблематики гипотез	0-2
Полнота аргументации разных точек зрения на проблему	0-2
Полнота и правильность выводов по работе	0-1

Итого	0-5

5 баллов (90-100%) - оценка «отлично»
4 балла (70-89%)- оценка «хорошо»
3 балла (50-69%) - оценка «удовлетворительно»
0-2 балла (0-49%) - оценка «неудовлетворительно».

МИНОБРНАУКИ РФ

ФГБОУ ВО «Уральский государственный горный университет»

УТВЕРЖДАЮ

Проректор по учебно-методическому комплексу

_____ С.А.Упоров

МЕТОДИЧЕСКИЕ РЕКОМЕНДАЦИИ К САМОСТОЯТЕЛЬНОЙ РАБОТЕ ПО ДИСЦИПЛИНЕ

Б1.В.21 МИГРАЦИЯ УГЛЕВОДОРОДОВ И ДЕГАЗАЦИЯ ЗЕМЛИ

Специальность:
21.05.02 Прикладная геология

Специализация:
Геология месторождений нефти и газа

форма обучения: очная

Автор: Мухаметшин Р.З., д.г.-м.н.

Одобрены на заседании кафедры
Литологии и геологии горючих ископаемых
(название кафедры)

Зав. кафедрой _____
(подпись)

к.г.-м.н., доц. Рыльков С.А.
(Фамилия И.О.)

Протокол № 2 от 06.10.2020
(Дата)

Рассмотрены методической комиссией
факультета геологии и геофизики
(название факультета)

Председатель _____
(подпись)

д.г.-м.н., проф. Бондарев В.И.
(Фамилия И.О.)

Протокол № 2 от 13.10.2020
(Дата)

Екатеринбург

Введение

Самостоятельная работа студента является важнейшей составной частью образовательной программы подготовки дипломированного специалиста. По курсу «Миграция углеводородов и дегазация Земли» обязательная самостоятельная работа студента осуществляется в следующих направлениях:

- ✓ выполнение домашних заданий;
- ✓ освоение материалов по отдельным темам, входящим в Рабочую программу дисциплины [4];
- ✓ подготовка к экзамену;

Самостоятельная работа студентов направлена на развитие интеллектуальных умений, повышение творческого потенциала студентов и заключается в:

– поиске, анализе, структурировании и презентации информации, анализе научных публикаций по вопросам механизмов миграции углеводородов;

– исследовательской работе и участии в научных студенческих конференциях, семинарах и олимпиадах.

Оценка результатов самостоятельной работы организуется как единство двух форм: самоконтроль и контроль со стороны преподавателей.

Данные методические указания предназначены для организации самостоятельной работы студентов при освоении отдельных тем дисциплины.

Методические указания к самостоятельной работе студента

В последующем разделе пособия приведена развернутая программа дисциплины «Миграция углеводородов и дегазация Земли». Здесь указаны наименование и содержание лекционных тем в соответствии с рабочей программой дисциплины [4]. Каждая тема является основой вопросов в экзаменационном билете. При чтении лекций по курсу преподаватель указывает те темы дисциплины, которые выносятся на самостоятельную проработку студентами. Основной объем информации по каждой теме содержится в учебнике по курсу [1]. Для углубленного освоения темы рекомендуется дополнительная литература [2, 3]. Для самоконтроля и приобретения навыков решения задач по отдельным разделам дисциплины в последнем разделе приведены контрольные вопросы и упражнения, которые являются основой подготовки к экзамену.

При освоении указанных ниже тем рекомендуется следующий порядок самостоятельной работы студента.

1. Ознакомьтесь со структурой темы.
2. По учебному пособию [1] освойте каждый структурный элемент темы. Во всех темах указаны разделы и страницы учебника, содержащие данный материал.
3. При необходимости используйте указанную дополнительную литературу. Консультацию по использованию дополнительной литературы Вы можете получить у преподавателя.
4. Ответьте на контрольные вопросы и выполните рекомендованные упражнения. При затруднениях в ответах на вопросы вернитесь к изучению рекомендованной литературы.
5. Законспектируйте материал. При этом конспект может быть написан в виде ответов на контрольные вопросы и упражнения.

При самостоятельной работе над указанными темами рекомендуется вести записи в конспектах, формируемых на лекционных занятиях по курсу, и в том порядке, в котором данные темы следуют по учебной программе.

Данное учебно-методическое пособие может быть использовано при подготовке ответов на вопросы во время экзамена.

Содержание курса

Тема 1: Виды миграции флюидов в недрах. Первичная миграция. [1, 4]

Процессы перемещения (миграции) подвижных веществ (флюидов) в верхних слоях земной коры. Первичная миграция углеводородов из материнских пород, их растворимость, переход в водные молекулярные растворы; перемещение собственно жидкой фазы; диффузия во вмещающих однородных породах и дифференциал на границе сред с разной проницаемостью.

Дополнительная литература: [2, 3, 5].

Контрольные вопросы и упражнения:

1. Формы миграции углеводородных флюидов
2. Первичная миграция
3. Механизм и движущая сила первичной миграции 40. Геологические и геохимические аспекты первичной миграции

Тема 2: Вторичная миграция и регулирующие ее факторы.

Вторичная миграция: перемещение флюидов из материнских пород в породы-коллекторы. Факторы, обусловливающие вторичную миграцию: гравитационный, гидравлический, воздействие капиллярных сил, диффузионный. Интеграционный региональный флюидодинамический режим формирования нефтегазовых залежей.

Дополнительная литература: [2, 3, 5].

Контрольные вопросы и упражнения:

1. Вторичная миграция
2. Движущие силы вторичной миграции
3. Направленность изменения состава нефти и газа в процессе миграции

Тема 3: Дегазация Земли: практические сведения и возможности реализации в нефтегазовом потенциале.

«Водородное дыхание Земли», его связь с зонами рифтогенеза, тектоническими разломами, «подпитка» при землетрясениях. Масштабы флюидомиграции углеводородов в атмосферу. Подпитка известных месторождений нефти и газа подводящими каналами.

Дополнительная литература: [2, 3, 5].

Контрольные вопросы и упражнения:

1. Связь дегазации Земли и генезиса углеводородов
2 . Масштабы дегазации
3. Происхождение нефти и газа
4. Возобновляемость ресурсов нефти

Тема 4: Антагонизм и(или) синтез в проблематике формирования местоскоплений нефти и газа.

Органическая и неорганическая (биогенная и абиогенная) концепции формирования местоскоплений углеводородов. Их сущностный антагонизм и возможности синтеза. Латеральная и вертикальная (восходящая и нисходящая) миграция флюидов; внутри- и внерезервуарная миграции. Флюидодинамическая модель Б.А. Соколова как возможный синергетический ответ на многие вопросы.

Дополнительная литература: [2, 3, 5].

Контрольные вопросы и упражнения:

1. Суть органической концепции формирования местоскопления углеводородов.
2. Суть неорганической концепции формирования местоскопления углеводородов.
3. В чем суть флюидодинамической модели Б.А. Соколова?

Вопросы
к экзамену по курсу «Миграция углеводородов и дегазация Земли»

1 Формы миграции углеводородных флюидов
2. Первичная миграция
3. Механизм и движущая сила первичной миграции
4. Геологические и геохимические аспекты первичной миграции
5. Вторичная миграция
6. Движущие силы вторичной миграции
7. Третичная миграция
8. Основные причины третичной миграции
9 Новейшие представления о движущих силах вторичной и третичной миграции – силы межфазовых взаимодействий
10. Направленность изменения состава нефти и газа в процессе миграции
11. Доказательства глубинного происхождения углеводородов
12. Связь дегазации Земли и генезиса углеводородов
13 . Масштабы дегазации
14. Происхождение нефти и газа
15. Возобновляемость ресурсов нефти.

.

Рекомендуемая литература

1. Петров, Н.А. Влияние макромира на процессы в нефтегазовых месторождениях / Н.А. Петров // Электронный научный журнал «Нефтегазовое дело». — 2015. — № 3. — С. 208-236. — ISSN 1813-503X. — Текст : электронный // Электронно-библиотечная система «Лань» : [сайт]. — URL: https://e.lanbook.com/journal/issue/298793— Режим доступа:

2. Кожевникова, Е.Е. Проблемы миграции углеводородов из нефтематеринских свит / Е.Е. Кожевникова, Т.В. Карасева // Нефтегазовое дело. — 2014. — № 1. — С. 25-29. — ISSN 2073-0128. — Текст : электронный // Электронно-библиотечная система «Лань» : [сайт]. — URL: https://e.lanbook.com/journal/issue/298743 Режим доступа: https://e.lanbook.com/reader/journalArticle/305036/#1

3 **Тетельмин В.В.** Нефтегазовое дело. Полный курс [Текст] : [учебное пособие] / В. В. Тетельмин, В. А. Язев. - 2-е изд. - Долгопрудный : Издательский Дом "Интеллект", 2014. - 800 с. : рис., табл. - (Нефтегазовая инженерия). - Библиогр.: с. 794-799. - **ISBN** 978-5-91559-063-8

4. Миграция углеводородов и дегазация Земли: рабочая программа дисциплины для студентов специальности 21.05.02 Прикладная геология специализация № 3 Геология нефти и газа / Р.З. Мухаметшин. Екатеринбург: УГГУ, 2020. 8 с.

МИНОБРНАУКИ РФ

ФГБОУ ВО «Уральский государственный горный университет»

УТВЕРЖДАЮ
Проректор по учебно-методическому комплексу
_____ С.А.Упоров

МЕТОДИЧЕСКИЕ РЕКОМЕНДАЦИИ К САМОСТОЯТЕЛЬНОЙ РАБОТЕ ПО ДИСЦИПЛИНЕ

Б1.В.22 НЕФТЕГАЗОНОСНЫЕ ПРОВИНЦИИ РОССИИ И ЗАРУБЕЖНЫХ СТРАН

Специальность:
21.05.02 Прикладная геология

Специализация:
Геология месторождений нефти и газа

форма обучения: очная

Автор: Устьянцева Н.В.

Одобрены на заседании кафедры
Литологии и геологии горючих ископаемых
(название кафедры)
Зав. кафедрой _____
(подпись)
к.г.-м.н., доц. Рыльков С.А.
(Фамилия И.О.)
Протокол № 2 от 06.10.2020
(Дата)

Рассмотрены методической комиссией
факультета геологии и геофизики
(название факультета)
Председатель _____
(подпись)
д.г.-м.н., проф. Бондарев В.И.
(Фамилия И.О.)
Протокол № 2 от 13.10.2020
(Дата)

Екатеринбург

Введение

Самостоятельная работа студента является важнейшей составной частью образовательной программы подготовки дипломированного специалиста. По курсу «Нефтегазоносные провинции России и зарубежных стран» обязательная самостоятельная работа студента осуществляется в следующих направлениях:

- ✓ выполнение домашних заданий;
- ✓ освоение материалов по отдельным темам, входящим в Рабочую программу дисциплины [6];
- ✓ подготовка к экзамену;

Самостоятельная работа студентовнаправлена на развитие интеллектуальных умений, повышение творческого потенциала студентов и заключается в:

– поиске, анализе, структурировании и презентации информации, анализе научных публикаций по вопросам нефтегазогеологического районирования;

– исследовательской работе и участии в научных студенческих конференциях, семинарах и олимпиадах.

Оценка результатов самостоятельной работы организуется как единство двух форм: самоконтроль и контроль со стороны преподавателей.

Данные методические указания предназначены для организации самостоятельной работы студентов при освоении отдельных тем дисциплины.

Методические указания к самостоятельной работе студента

В последующем разделе пособия приведена развернутая программа дисциплины «Нефтегазоносные провинции России и зарубежных стран». Здесь указаны наименование и содержание лекционных тем в соответствии с Учебной программой курса [6]. Каждая тема является основой вопросов в экзаменационном билете. При чтении лекций по курсу преподаватель указывает те темы дисциплины, которые выносятся на самостоятельную проработку студентами. Основной объем информации по каждой теме содержится в учебнике по курсу [1, 2]. Для углубленного освоения темы рекомендуется дополнительная литература [3, 4, 5]. Для самоконтроля и приобретения навыков решения задач по отдельным разделам дисциплины в последнем разделе приведены контрольные вопросы и упражнения, которые являются основой подготовки к экзамену.

При освоении указанных ниже тем рекомендуется следующий порядок самостоятельной работы студента.

1. Ознакомьтесь со структурой темы.
2. По учебникам [1, 2] освойте каждый структурный элемент темы. Во всех темах указаны разделы и страницы учебника, содержащие данный материал.
3. При необходимости используйте указанную дополнительную литературу. Консультацию по использованию дополнительной литературы Вы можете получить у преподавателя.
4. Ответьте на контрольные вопросы и выполните рекомендованные упражнения. При затруднениях в ответах на вопросы вернитесь к изучению рекомендованной литературы.
5. Законспектируйте материал. При этом конспект может быть написан в виде ответов на контрольные вопросы и упражнения.

При самостоятельной работе над указанными темами рекомендуется вести записи в конспектах, формируемых на лекционных занятиях по курсу, и в том порядке, в котором данные темы следуют по учебной программе.

Данное учебно-методическое пособие может быть использовано при подготовке ответов на вопросы во время экзамена.

Содержание курса

Тема 1: Нефтегазогеологическое районирование. [1, с. 12-22].

Основные структурные элементы поверхности фундамента и осадочного чехла провинций.Классификация нефтегазоносных территорий. Нефтегазогеологическое районирование территории России и зарубежных стран.

Дополнительная литература: [2, 3, 4, 5].

Контрольные вопросы и упражнения:

1. Каковы основные единицы нефтегазогеологического районирования?
2. Дайте определение нефтегазоносной провинции и нефтегазоносного бассейна.
3. Какие нефтегазоносные провинции находятся в пределах древних платформ?
4. К каким крупным геоструктурным элементам земной коры приурочены нефтегазоносные провинции молодых платформ?
5. К каким крупным геоструктурным элементам приурочены нефтегазоносные провинции переходных территорий?

Тема 2: Нефтегазоносные провинции России: древних и молодых платформ.[1, 2].

Нефтегазоносные провинции древних платформ. Восточно-Европейская и Сибирская платформы: стратиграфия, тектоника, нефтегазоносность. Нефтегазоносные провинции молодых платформ. Западно-Сибирская, Предкавказско-Крымская, Туранская платформы: стратиграфия, тектоника, нефтегазоносность.

Дополнительная литература: [3, 4, 5].

Контрольные вопросы и упражнения:

1. Назовите НГК и НГО Тимано-Печорской провинции.
2. Какие НГК Тимано-Печорской провинции имеют основное промышленное значение и в чем их различие?
3. Назовите НГК и НГО Волго-Уральской провинции.
4. Каковы особенности тектонического строения чехла Волго-Уральской провинции и как они влияют наегонефтегазоносность?
5. Каковы особенности строения подсолевого комплекса Прикаспийской НГП, благоприятствующие открытию в нем крупнейших месторождений УВ?
6. Каковы особенности геологического строения осадочного чехла Днепровско-Припятской НГП и зональность в распределении на ее площади УВ разного фазового состава?
7. В какой части разреза осадочного чехла Балтийской синеклизы выявлены основные ресурсы УВ? Каковы перспективы обнаружения новых месторождений в Балтийской НГП?
8. Какие главные особенности строения и развития территории Лено-Тунгусской НГП Вы можете отметить?
9. Каковы особенности размещения УВ разного фазового состава на площади и в разрезе Енисейско-Анабарской ГНП?
10. Какие особенности геологического развития Сибирской платформы повлияли на сохранность и переформирование залежей УВ в Лено-Тунгусской НГП?
11. Каковы особенности распространения и состава рифтогенного комплекса, залегающего в основании разреза Западно-Сибирской плиты?

12. Каковы особенности условий образования и строения неокомского комплекса Западно-Сибирской плиты?

13. Какую роль сыграл раннемезозойскийрифтогенез в строении Западно-Сибирского осадочно-породного бассейна?

14. Назовите нефтегазоносные комплексы в разрезе ЗСП. Какие из них являются основными по выявленным ресурсам нефти и газа?

15. Какие принципы положены в индексацию продуктивных пластов, развитых на большей части Западно-Сибирской НГМП?

16. Какие факторы способствовали образованию крупных газовых залежей в сеномане северных районов Западно-Сибирской НГМП?

17. Каковы главные отличия в строении осадочного чехла и фундамента молодых и древних платформ?

18. Каков стратиграфический диапазон нефтегазоносностиТуранской и Скифской плит?

19. Как оцениваются перспективы нефтегазоносности российского сектора акватории Каспийского моря?

20. Назовите основные НГК в геологическом разрезе Предкавказско-Крымской НГП.

Тема 3: Нефтегазоносные провинции России: переходных и складчатых территорий. [1, 2].

Нефтегазоносные провинции складчатых территорий. Закавказская, Охотская нефтегазоносные провинции: стратиграфия, тектоника, нефтегазоносность. Нефтегазоносные-субпровинции переходных территорий. Предуральская, Предкавказская и Верхоянская-нефтегазоносныесубпровинции: стратиграфия, тектоника, нефтегазоносность.

Дополнительная литература: [3, 4, 5].

Контрольные вопросы и упражнения:

1. К каким крупным структурам приурочены НГСП переходных территорий?

2. Какие общие особенности геологического строения имеют рассмотренные НГСП переходных территорий?

3. Приведите примеры зонального распределения УВ разного фазового состава на площади НГСП переходного типа.

4. Каковы перспективы нефтегазоносностиПредкавказской и Предуральской НГСП?

5. В пределах каких НГСП осуществляются поисковые и разведочные работы на нефть и газ на акваториях?

6. Какие особенности геологического развития характерны для провинций складчатых территорий?

7. В каких провинциях складчатых территорий отмечен грязевой вулканизм?

8. Каковы перспективы нефтегазоносности Южного Каспия?

9. Назовите основные нефтегазоносные комплексы Охотской НГП.

10С какими НГО о. Сахалин связаны основные выявленные запасы и добыча УВ-сырья?

11. Какие геологические структуры и типы залежей наиболее часто встречаются в провинциях складчатых территорий?

Тема 4: Нефтегазоносные провинции России: области шельфа. [1, 2].

континентального шельфа морей России. Нефтегазоносность шельфа Баренцева и Карского морей.

Дополнительная литература: [3, 4, 5].

Контрольные вопросы и упражнения:

1. Какие крупные структурные элементы (первого порядка и выше) различают в пределах Баренцевоморского шельфа?

2. Назовите основные продуктивные НГК в осадочном чехле Баренцевоморской плиты.

3. Назовите крупные (и уникальные) газовые и газоконденсатные месторождения в акватории Баренцева моря.

4. Каким образом изменяется стратиграфическое положение НГК в акваториальных бассейнах Западной Арктики?

Тема 5: Нефтегазоносные провинции зарубежных стран. [1, 2].

Нефтегазоносные бассейны зарубежных стран. Зарубежная Европа, Ближний и Средний Восток, Центральная, Восточная, Южная, Юго-Восточная Азия, Австралия и Океания. Африка, Северная, Центральная и Южная Америка.

Дополнительная литература: [3, 4, 5].

Контрольные вопросы и упражнения:

1. Какой из НГБ Африканского континента занимает здесь первое место по разведанным запасам нефти?

2. В каком НГБ Северной Америки пробурены самые глубокие поисковые скважины и выявлена самая глубокозалегающая газовая залежь?

3. Чем объясняют огромные скопления битумов на северо-востоке Западно-Канадского НГБ?

4. Чем объяснить высокую плотность запасов нефти в НГБ Лос-Анджелес?

5. Назовите характерную черту геологического строения континентальной части впадины Мексиканского залива – Галф-Коста.

6. В каком ареале ЗНГН Маракайбского бассейна наиболее высокая концентрация УВ?

7. Какие отложения являются коллекторами УВ на крупнейших подводных месторождениях Атлантического побережья Бразилии?

Вопросы

к экзамену по курсу

1. Нефтегазогеологическое районирование территории России и сопредельных стран. Порядки тектонических структур континентов.

2. Нефтегазогеологическое районирование провинций древних платформ: Тимано-Печорская нефтегазоносная провинция (стратиграфия, тектоника, нефтегазоносность). Юрубчено-Тохомское и Куюмбинское Волго-Уральская нефтегазоносная провинция нефтегазоносная провинция нефтегазоконденсатные месторождения (стратиграфия, тектоника, нефтегазоносность). Ромашкинское и Арланское нефтяные месторождения.

3. Нефтегазогеологическое районирование провинций древних платформ: Прикаспийская нефтегазоносная провинция (стратиграфия, тектоника, нефтегазоносность). Оренбургское и Карачаганакское нефтегазоконденсатные месторождения. Днепровско-Припятскаягазонефтеносная провинция (стратиграфия, тектоника, нефтегазоносность). Балтийская нефтегазоносная провинция (стратиграфия, тектоника, нефтегазоносность).

4. Нефтегазогеологическое районирование провинций древних платформ: Лено-Тунгусская нефтегазоносная провинция (стратиграфия, тектоника, нефтегазоносность). Среднеботуобинское нефтегазоконденсатное и Ковыктинское газоконденсатное месторождения. Лено-Вилюйская нефтегазоносная провинция (стратиграфия, тектоника, нефтегазоносность). Енисейско-Анабарскаягазонефтеносная провинция (стратиграфия, тектоника, нефтегазоносность).

5. Нефтегазогеологическое районирование провинций молодых платформ: Западно-Сибирская нефтегазоносная провинция (стратиграфия, нефтегазоносные комплексы,

нефтегазоносные области). Красноленинское, Уренгойское и Самотлорское месторождения.

6. Нефтегазогеологическое районирование провинций молодых платформ: Туранская нефтегазоносная провинция (стратиграфия, тектоника, нефтегазоносность). Предкавказско-Крымская (Скифская) нефтегазоносная провинция (стратиграфия, тектоника, нефтегазоносность).

7. Нефтегазогеологическое районирование субпровинций переходных территорий: Предкавказская нефтегазоносная субпровинция (стратиграфия, тектоника, нефтегазоносность). Предкарпатская нефтегазоносная субпровинция (стратиграфия, тектоника, нефтегазоносность).

8. Нефтегазогеологическое районирование субпровинций переходных территорий: Предуральская нефтегазоносная субпровинция (стратиграфия, тектоника, нефтегазоносность). Ишимбайское нефтегазовое и Вуктыльское газоконденсатное месторождения. Предверхоянская нефтегазоносная субпровинция (стратиграфия, тектоника, нефтегазоносность).

9. Нефтегазогеологическое районирование провинций складчатых территорий: Закавказская нефтегазоносная провинция (стратиграфия, тектоника, нефтегазоносность). Западно-Туркменская нефтегазоносная провинция (стратиграфия, тектоника, нефтегазоносность). Охотская нефтегазоносная провинция (стратиграфия, тектоника, нефтегазоносность).

10. Нефтегазоносное районирование и состояние изученности шельфов арктических морей. Баренцевоморская газонефтеносная провинция (стратиграфия, тектоника, нефтегазоносность). Штокмановское газоконденсатное месторождение, Мурманское газовое и Северо-Гуляевское нефтегазоконденсатные месторождения.

11. Нефтегазогеологическое и тектоническое районирование и нефтегазоносные провинции Северной и Южной Америки.

12. Нефтегазогеологическое и тектоническое районирование и нефтегазоносные провинции Африки.

13. Нефтегазогеологическое и тектоническое районирование и нефтегазоносные провинции Зарубежной Европы.

14. Нефтегазогеологическое и тектоническое районирование и нефтегазоносные провинции Азии.

15. Нефтегазогеологическое и тектоническое районирование и нефтегазоносные провинции Австралии и Океании.

Рекомендуемая литература

1 Каламкаров Л.В. Нефтегазоносные провинции и области России и сопредельных стран. Нефтегазоносные провинции и области России и зарубежных стран: учебник для вузов / Л. В. Каламкаров. - 2-е изд., испр. и доп. - Москва : Нефть и газ, 2005. - 576 с.50

2 Русский В.И. Нефтегазоносные провинции России и зарубежных стран / В. И. Русский; Уральский государственный горный университет. - Екатеринбург: УГГУ, 2010. - 514 с.25

3 Ступакова А.В. Развитие бассейнов Баренцевоморского шельфа и их нефтегазоносность. Геология, методы поисков, разведки и оценки месторождений топливно-энергетического сырья [Электронный ресурс] : обзор / А.В. Ступакова. — Электрон.текстовые данные. — М. :Геоинформмарк, Геоинформ, 1999. — 62 с. — 2227-8397. — Режим доступа: http://www.iprbookshop.ru/17083.html Электронный ресурс

4Шустер В.Л. Проблемы нефтегазоносности кристаллических пород фундамента. Геология, методы поисков, разведки и оценки месторождений топливно-энергетического сырья [Электронный ресурс] : обзор / В.Л. Шустер. — Электрон.текстовые данные. —

М.:Геоинформцентр, Геоинформ, 2003. — 48 c. — 2227-8397. — Режим доступа: http://www.iprbookshop.ru/17084.html Электронный ресурс

5 Нефтегазоносность протерозойских отложений древних платформ. Геология, методы поисков, разведки и оценки месторождений топливно-энергетического сырья. Обзор [Электронный ресурс] / А.К. Дертев [и др.]. — Электрон.текстовые данные. — М. :Геоинформмарк, Геоинформ, 1996. — 50 c. — 2227-8397. — Режим доступа: http://www.iprbookshop.ru/17090.htmlЭлектронный ресурс

6. Нефтегазоносные провинции России и зарубежных стран: рабочая программа дисциплины для студентов специальности 21.05.02 Прикладная геология специализация № 3 Геология месторождений нефти и газа / Н.В. Устьянцева. Екатеринбург: УГГУ, 2020. 12 с.

МИНОБРНАУКИ РФ

ФГБОУ ВО «Уральский государственный горный университет»

УТВЕРЖДАЮ
Проректор по учебно-методическому комплексу
_____ С.А.Упоров

МЕТОДИЧЕСКИЕ РЕКОМЕНДАЦИИ К КОНТРОЛЬНОЙ РАБОТЕ ПО ДИСЦИПЛИНЕ

Б1.В.22 НЕФТЕГАЗОНОСНЫЕ ПРОВИНЦИИ РОССИИ И ЗАРУБЕЖНЫХ СТРАН

Специальность:
21.05.02 Прикладная геология

Специализация:
Геология месторождений нефти и газа

форма обучения: очная

Автор: Устьянцева Н.В.

Одобрены на заседании кафедры
Литологии и геологии горючих ископаемых
(название кафедры)
Зав. кафедрой _____
(подпись)
к.г.-м.н., доц. Рыльков С.А.
(Фамилия И.О.)
Протокол № 2 от 06.10.2020
(Дата)

Рассмотрены методической комиссией
факультета геологии и геофизики
(название факультета)
Председатель _____
(подпись)
д.г.-м.н., проф. Бондарев В.И.
(Фамилия И.О.)
Протокол № 2 от 13.10.2020
(Дата)

Екатеринбург

Введение

Учебным планом специальности 21.05.02 Прикладная геология по дисциплине «Нефтегазоносные провинции России и зарубежных стран» предусматривается написание контрольной работы на тему «Описание конкретной нефтегазоносной территории». Это – самостоятельный труд студента, который способствует углублённому изучению пройденного материала.

Задания контрольной работы направлены на оценку уровня умений и навыков, формирующих компетенцию:

профессиональные

- способен осуществлять поиски и разведку месторождений нефти, газа, газового конденсата (ПК-2).

Результат изучения дисциплины:

Знать:

- принципы нефтегазогеологического районирования территории России и акватории ее шельфа;
- принципы нефтегазогеологического районирования территории зарубежных стран;
- классификацию нефтегазоносных территорий России и зарубежных стран;
- стратиграфию, тектонику и нефтегазоносность территории России и зарубежных стран;

Уметь:

- выявлять связи между геологическим строением и нефтегазоносностью отдельных регионов**,**
- использовать полученные знания для поисков и разведки месторождений нефти, газа, газового конденсата;
- выявлять закономерности размещения региональных и локальных скоплений углеводородов в пределах нефтегазоносных провинций России и зарубежных стран

Владеть:

- навыками проведения сравнительного анализа геологического строения и нефтегазоносности провинций и областей различного типа (платформенных, переходных и складчатых территорий) для осуществления поисков и разведки месторождений нефти, газа, газового конденсата;
- навыками анализа геологического строения и нефтегазоносности региональных и локальных скоплений углеводородов.

.

Цель выполняемой работы:получить специальные знания по заданной теме.

Основные задачи выполняемой работы:

1) закрепление полученных ранее теоретических знаний;
2) выработка навыков самостоятельной работы;
3) оценка уровня подготовленности студента к будущей практической работе.

Задания к контрольной работе

На основании изучения графических материалов по конкретной нефтегазоносной территории (геологические и структурные карты, стратиграфические колонки, тектонические схемы, геологические разрезы и др.) определить:

1. Структурные этажи (фундамент, чехол, ПСЭ);

2. Тектонические нарушения (пликативные, дизъюнктивные);

3. Региональные нефтегазоносные комплексы (количество, возраст, литология, формационная принадлежность);

4. Литологический состав коллекторов и покрышек;

5. Типы природных резервуаров, ловушек, залежей;

6. Тип месторождений (по физическому составу УВ и количеству залежей);

7. Тип нефтегазоносной провинции (платформенных, складчатых, переходных территорий).

8. Сделать выводы о перспективности территории.

Вариант 1. Куйбышевское Заволжье, комплект картматериалов:

а) Черкасский нефтегазоносный район, Мухановская и Похвистневская группа месторождений: сводный разрез Мухановской площади, схематическая структурная карта по кровле калиновской свиты, геологический профиль по оси поднятий: Дмитриевка - Лугань – Михайловка-Марьевка – Коханы;

б) Серноводск: сводный разрез, структурная карта по кровле тульского горизонта С, схематический разрез отложений тульского горизонта по линии 1-1;

в) Боровка: сводный разрез угленосной свиты, структурная карта по кровле угленосной свиты C_1^{2h}, схематический разрез отложений угленосной свиты по линии А-В;

г) Сергиевский нефтеносный район: сводный разрез, структурная карта по кровле швагеринового горизонта P_1s, геологический профиль по оси Малиновского, Радаевского, Студено-Ключевского и Боровского поднятий;

д) Байтуганское месторождение: нормальный разрез, структурная карта по кровле продуктивного пласта угленосной толщи визейского яруса, геологический профиль по линии скважин АБ, структурная карта по кровле артинского яруса.

Вариант 2. Арктика, комплект картматериалов:

а) Геологическая карта Нордвик-Хатангского района, сводный геологический разрез месторождения Илья;

б) геологическая карта п-ова Юрунг-Тумус (Нордвик), геологическая и структурная карта по кровле глин валанжина месторождения Илья, сопка Кожевникова;

в) условные обозначения.

Вариант 3. Западная Сибирь, комплект картматериалов:

а) геологический разрез Самотлорского месторождения;

б) геологический разрез верхнеюрско-неокомских отложений центральной части ШиротногоПриобья;

в) основные типы залежей нефти и газа Западно-Сибирской платформы;

г) геологический профиль отложений ШиротногоПриобья;

д) Схема строения Приобского месторождения, геологический разрез продуктивной части Малоичского Верх-Тарского местоорждений;

е) структурная карта и продуктивный разрез Уренгойского газоконденсатного месторождения.

Вариант 4. Северный Сахалин, комплект картматериалов:

а) П-ов Шмидта: тектоническая схема кайнозойских отложений, сопоставление нормальных разрезов кайнозойских отложений, сводный разрез меловых и кайнозойских отложений;

б) Северо-Западная часть: тектоническая схема кайнозойских отложений Лангерийского и Энгиз-Пальского районов, схема сопоставления кайнозойских отложений Западно-Эхпбинского месторождения и Лангерийского района, геологическая карта Лангерийского района;

в) Оха: схема структуры по кровле пласта III, схема структуры по кровле пласта XIII БИС, схема поперечного разреза, сводный разрез окобыкайской толщи.

Вариант 5. Терско-Сунженская область, комплект картматериалов:

а) Малгобек-Вознесенка: структурная карта, геологические профили;

б) г. Горская, Эльдарово, Ойсунур, Нойберды: структурная схема центральной части Терского хребта, геологические профили, структурная схема восточной части Гудермесского хребта;

в) Старогрозненский района и Таш-Кала: нормальный разрез продуктивной толщи, структурная карта, схематические поперечные профили;

г) Новогрозненский район (Октябрьский): структурные карты, геологические профили.

Вариант 6. Южная Эмба, комплект картматериалов:

а) Сагиз: структурная карта по подошве неокома, структурная карта по кровле I-го нефтяного пласта, геологические профили;

б) Мунайли: геолого-геофизическая карта, геологические профили, соотношение основных залежей нефти в плане,

в) Кулсары: геологическая карта, геологический профиль, структурные карты по кровле IV, VIII, XIX нефтяного горизонта;

г) Байчунас: геологическая карта, геологический профиль, структурные карты;

д) геолого-геофизическая карта Южной Эмбы;

е) Доссор, Тас-Кудук: структураня карта по кровле 11-го юрского горизонта, геологические разрезы.

Вариант 7. Западная Туркмения, комплект картматериалов:

а) Небит-Даг: геологические профили месторождений Западный Небит-Даг и Центральный Небит-Даг, геологическая и структурная карта;

б) нормальный геолого-геофизический разрез кайнозойских и верхнемеловых отложений Прибалхашской депрессии, геологическая карта месторождения Кум-Даг;

в) обзорная карта и тектоническая схема Западной Туркмении;

Вариант 8. Западная Туркмения, комплект картматериалов:

а) Боя-Даг, о. Челекен: схема геологического строения Боя-Дага, Небит-Дага и о. Челекен;

б) принципиальная схема сопоставления строения и нефтеносности месторождений Туркмении, тектоническая и геологическая схема Западной Туркмении.

Вариант 9. Апшеронский полуостров, комплект картматериалов:

а) Гюргяны-море: структурная карта по кровле пласта ПК, геологические профили, обзорная карта, геологическая карта, нормальный разрез месторождения;

б) Бузовны: обзорная схема, структурная карта по кровле пласта ПК, геологический профиль I-I;

в) Биби-Эйбат: структурные схемы, схема продольного и поперечного разрезов.

Вариант 10. Апшеронский архипелаг, комплект картматериалов:

а) Нефтяные Камни: геолого-структурная карта по кровле пласта ПК, геолого-структурная карта р-на Нефтяных Камней и о. Жилого, геологический профиль, обзорная карта;

б) О. Жилой: геологическая карта, геологические профили, обзорная карта.

Вариант 11. Самарская Лука, комплект картматериалов:

а) схематическая структурно-геологическая карта, продольный геологичекий профиль, структурно-тектоническая карта, литолого-стратиграфическая колонка;

б) Яблоновый Овраг: структурная карта, геологический профиль, сводная литолого-стратиграфическая колонка, сводный разрез, структурные карты по кровле пластов $Б_2$, D_{II};

в) Березовское месторождение: сводный разрез, структурная карта по кровле пласта $Б_2$, геологический профиль яснополянского подъяруса карбона.

г) Заборовское месторождение: сводный разрез, структурная карта по кровле пласта $Б_2$, геологические профили яснополянского подъяруса карбона;

д) Месторождения Жигулевское и Стрельный Овраг: сводный разрез Жигулевского месторождения, структурная карта Жигулевского месторождения, структурная карта месторождения Стрельный Овраг по кровле пласта $Б_2$, продольный профиль через месторождения Жигулевское и Стрельный Овраг;

е) МестоорждениеСтерльный Овраг: сводный разрез, структурные карты, продольный и поперечный геологические профили.

Вариант 12. Днепровско-Донецкая впадина, комплект картматериалов:

а) схемы региональных геологических разрезов, схема поверхности бучакского яруса $Р^{вк}$, схема поверхности юрских отложений, схема расположения структурных поднятий; стратиграфический разрез южной части ДДВ, карта структур ДДВ, геологические профили;

б) Ромны: схематические структурные карты, геологические профили;

в) Радченково: схема тектонического строения ДДВ. Структурные карты по поверхности верхнего ангидритового горизонта Шебелинки, по корвле структурного горизонта 4 КА, геологический профиль.

Вариант 13. Закавказье, комплект картматериалов:

а) Мирзааны: геолого-структурная карта, геологические профили;

б) Нафталан: структурная и пластовая карта, геологические профили;

в) Иори: геологическая карта, структурная карта по кровле эльдарской толщи, геологические профили;

г) обзорная карта нефтеносных площадей.

Вариант 14. Западная Украина, комплект картматериалов:

а) Дашава: нормальный разрез, структурная карта, схематический геологический профиль;

б) Борислав: нормальный разрез, структурная карта, схематический геологический профиль;

в) Опары: нормальный разрез, структурная карта, залежи газа в плане, схематический геологический профиль.

Вариант 15. Саратовский район, комплект картматериалов:

а) Елшано-Курдюмское месторождение: структурная карта, геологический профиль;

б) Песчаный Умет: сводный разрез, структурная карта по кровле намюрского яруса C_1^3, структурная карта по кровле турнейского яруса C_1^1, геологичесский профиль;

в) Соколовая гора: сводный разрез, структурная карта нижнещигровских слоев D_3^1, структурная карта по кровле верейского горизонта C_2^2, геологический профиль;

г) нормальный разрез, структурная карта, геологический профиль;

д) Хлебновское месторождение: нормальный разрез, структурная карта, геологический профиль.

Порядок выполнения контрольной работы

Подготовку контрольной работы следует начинать с повторения соответствующего раздела учебника, учебных пособий по данной теме и конспектов лекций прочитанных ранее. Приступать к выполнению работы без изучения основных положений и понятий науки, не следует, так как в этом случае студент, как правило, плохо ориентируется в материале, не может отграничить смежные вопросы и сосредоточить внимание на основных, первостепенных проблемах рассматриваемой темы.

После выбора темы необходимо внимательно изучить методические рекомендации по подготовке контрольной работы, составить план работы, который должен включать основные вопросы, охватывающие в целом всю прорабатываемую тему.

Результат выполнения контрольной работы представляет собой пояснительную записку, выполненную в рукописном варианте, согласно представленному в задании плану.

Текст работы должен демонстрировать:

знакомство автора со стратиграфией, тектоникой и нефтегазоносностью территории России и зарубежных стран.

- умение выявлять связи между геологическим строением и нефтегазоносностью отдельных регионов;
- владение навыками анализа геологического строения и нефтегазоносности региональных и локальных скоплений углеводородов
- приемлемый уровень языковой грамотности, включая владение функциональным стилем научного изложения.

Общий объем контрольной работы не должен превышать 2 страниц.

Оценивание результатов контрольной работы

Оценивание результатов контрольной работы должно быть проведено до начала промежуточной аттестации и проводится по традиционной четырехбалльной шкале: «отлично», «хорошо», «удовлетворительно», «неудовлетворительно».

Решение об оценке контрольной работы принимается по результатам проверки предъявленной работы и ответов студента на вопросы в случае неполного описания нефтегазоносной территории.

Критерии оценивания контрольной работы	*Количество баллов*
Правильность определения геологического и тектонического строения территории	0-1
Правильность выделения региональных нефтегазоносных комплексов	0-1
Правильность определения литологического состава коллекторов и покрышек	0-1
Правильность определения типов природных резервуаров, ловушек, залежей	0-1
Полнота и правильность выводов по работе	0-1
Итого	0-5

5 баллов (90-100%) - оценка «отлично»
4 балла (70-89%) - оценка «хорошо»
3 балла (50-69%) - оценка «удовлетворительно»
0-2 балла (0-49%) - оценка «неудовлетворительно».

Критерии оценки:

оценка «отлично» выставляется обучающемуся, если в работе правильно определено геологическое и тектоническое строение территории, правильно выделены региональные нефтегазоносные комплексы, верно определен литологический состав коллекторов и покрышек, правильно определен тип природных резервуаров и ловушек, выводы по работе полные и правильные (5 баллов);

оценка «хорошо» выставляется обучающемуся, если в работе в целом правильно определено геологическое и тектоническое строение территории, выделены региональные нефтегазоносные комплексы, верно определен литологический состав коллекторов и покрышек, правильно определен тип природных резервуаров и ловушек, выводы по работе в целом полные и правильные (4 балла);

оценка «удовлетворительно» выставляется обучающемуся, если в работе определено геологическое и тектоническое строение территории с ошибками, с замечаниями выделены региональные нефтегазоносные комплексы, неверно определен литологический состав коллекторов и покрышек, правильно определен тип природных резервуаров и ловушек, выводы по работе неполные и в целом правильные (3 балла);

оценка «неудовлетворительно» выставляется обучающемуся, если работе неправильно определено геологическое и тектоническое строение территории, не выделены региональные нефтегазоносные комплексы, неверно определен литологический состав коллекторов и покрышек, с ошибками определен тип природных резервуаров и ловушек, выводы по работе неправильные или отсутствуют (0-2 балла).

МИНОБРНАУКИ РФ

ФГБОУ ВО «Уральский государственный горный университет»

УТВЕРЖДАЮ

Проректор по учебно-методическому комплексу

_____ С.А.Упоров

МЕТОДИЧЕСКИЕ РЕКОМЕНДАЦИИ К САМОСТОЯТЕЛЬНОЙ РАБОТЕ ПО ДИСЦИПЛИНЕ

Б1.В.23 ТРУДНОИЗВЛЕКАЕМЫЕ ЗАПАСЫ НЕФТИ И ГАЗА И ОСНОВЫ ИХ РАЗРАБОТКИ

Специальность:
21.05.02 Прикладная геология

Специализация:
Геология месторождений нефти и газа

форма обучения: очная

Автор: Рыльков В.А.

Одобрены на заседании кафедры
Литологии и геологии горючих ископаемых
(название кафедры)

Зав. кафедрой _____
(подпись)

к.г.-м.н., доц. Рыльков С.А.
(Фамилия И.О.)

Протокол № 2 от 06.10.2020
(Дата)

Рассмотрены методической комиссией
факультета геологии и геофизики
(название факультета)

Председатель _____
(подпись)

д.г.-м.н., проф. Бондарев В.И.
(Фамилия И.О.)

Протокол № 2 от 13.10.2020
(Дата)

Екатеринбург

Введение

Самостоятельная работа студента является важнейшей составной частью образовательной программы подготовки дипломированного специалиста. По курсу «Трудноизвлекаемые запасы нефти и газа» обязательная самостоятельная работа студента осуществляется в следующих направлениях:

- ✓ выполнение домашних заданий;
- ✓ освоение материалов по отдельным темам, входящим в Рабочую программу дисциплины [5];
- ✓ подготовка к экзамену;

Самостоятельная работа студентов направлена на развитие интеллектуальных умений, повышение творческого потенциала студентов и заключается в:

– поиске, анализе, структурировании и презентации информации, анализе научных публикаций по гипотезам образования нефти и газа;

– исследовательской работе и участии в научных студенческих конференциях, семинарах и олимпиадах.

Оценка результатов самостоятельной работы организуется как единство двух форм: самоконтроль и контроль со стороны преподавателей.

Данные методические указания предназначены для организации самостоятельной работы студентов при освоении отдельных тем дисциплины.

Методические указания к самостоятельной работе студента

В последующем разделе пособия приведена развернутая программа дисциплины «Трудноизвлекаемые запасы нефти и газа». Здесь указаны наименование и содержание лекционных тем в соответствии с рабочей программой дисциплины [5]. Каждая тема является основой вопросов в экзаменационном билете. При чтении лекций по курсу преподаватель указывает те темы дисциплины, которые выносятся на самостоятельную проработку студентами. Основной объем информации по каждой теме содержится в учебнике по курсу [1, 2, 3]. Для углубленного освоения темы рекомендуется дополнительная литература [4]. Для самоконтроля и приобретения навыков решения задач по отдельным разделам дисциплины в последнем разделе приведены контрольные вопросы и упражнения, которые являются основой подготовки к экзамену.

При освоении указанных ниже тем рекомендуется следующий порядок самостоятельной работы студента.

1. Ознакомьтесь со структурой темы.
2. По учебным пособиям [1, 2, 3] освойте каждый структурный элемент темы. Во всех темах указаны разделы и страницы учебника, содержащие данный материал.
3. При необходимости используйте указанную дополнительную литературу. Консультацию по использованию дополнительной литературы Вы можете получить у преподавателя.
4. Ответьте на контрольные вопросы и выполните рекомендованные упражнения. При затруднениях в ответах на вопросы вернитесь к изучению рекомендованной литературы.
5. Законспектируйте материал. При этом конспект может быть написан в виде ответов на контрольные вопросы и упражнения.

При самостоятельной работе над указанными темами рекомендуется вести записи в конспектах, формируемых на лекционных занятиях по курсу, и в том порядке, в котором данные темы следуют по учебной программе.

Данное учебно-методическое пособие может быть использовано при подготовке ответов на вопросы во время экзамена.

Содержание курса

Тема 1: Общие представления о ТрИЗ; терминология. [1, 2, 3]

Понятие «трудноизвлекаемые запасы» (ТрИЗ) в традиционном аспекте. Их трансляция и соотношение с понятием «нетрадиционные ресурсы» (unconventional resourses). Принципиальное различие в традиционных и нетрадиционных коллекторах, основанное на принципиально различающихся технологических подходах.

Дополнительная литература: [4].

Контрольные вопросы и упражнения:

1. Какие категории запасов называют «трудноизвлекаемыми»?
2. Отличия традиционных и нетрадиционных коллекторов.

Тема 2: Сланцевый газ: геология и технология. [1, 2, 3]

Сланцевый газ. Тонкозернистая «жесткая» порода с неэмигрировавшим (находящимся in situ) газом в силу изначальной замкнутости системы. Технологические приемы разработки (гидроудар, деструкция реагентами).

Дополнительная литература: [4].

Контрольные вопросы и упражнения:

1. Что представляет собой сланцевый газ?
2. Технологические приемы разработки месторождений сланцевого газа.

Тема 3: Сланцевая нефть: геология и технология. [1, 2, 3]

Сланцевая нефть. Тонкозернистая либо массивная терригенная (карбонатная, кремнистая) порода с микронефтью, сформированной in situ (на месте) и не иммигрировавшей. Скрытая трещиноватость, разрушаемая технологическими способами (гидроразрыв, реагенты) и позволяющая осуществлять добычу, часто являющуюся кратковременной.

Дополнительная литература: [4].

Контрольные вопросы и упражнения:

1. Какую нефть называют сланцевой?
2. Технологические приемы разработки месторождений сланцевой нефти.

Тема 4: Угольный метан и газогидраты. [1, 2, 3]

Угольный метан. Газоугольные бассейны. Твердые растворы газа в угле (клатраты), энергетические затраты на их разъединение. Газогидраты, их обусловленность дегазацией недр и концентрация в глубинных океанических зонах (частично в подошве многолетнемерзлых пород).

Дополнительная литература: [4].

Контрольные вопросы и упражнения:

1. Что такое клатраты?
2. Перспективы промышленной добычи газогидратов.

Вопросы
к экзамену по курсу «Трудноизвлекаемые запасы нефти и газа»

1. Основные понятия в области трудноизвлекаемых и нетрадиционных ресурсов нефти и газа.

2. Отечественная и англоязычная терминология в области нетрадиционных ресурсов (сланцевые нефть и газ).

3. Основные подходы к изучению газа, содержащегося в малых и микроколичествах в «жестких» терригенных, карбонатных и кремнистых породах.

4. Основные представления о распределении нетрадиционных ресурсов сланцевого газа в конкретных геологических объектах, ограниченных тектоническими нарушениями и заведомо непродуктивными интервалами.

5. Трудноизвлекаемые запасы сланцевой нефти: пути повышения эффективности разработки.

6. Трудноизвлекаемые запасы сланцевого газаи: пути повышения эффективности разработки.

7. Низкопроницаемые коллекторы: пути повышения эффективности разработки.

8. Нерационально освоенные коллекторы: пути повышения эффективности разработки.

9. Низконапорный газ: пути повышения эффективности разработки.

10. Водорастворенные УВ-газы и газогидраты.

11. Высоковязкие нефти и битумы: пути повышения эффективности разработки.

12. Основные подходы к изучению микронефти, содержащейся in situ в терригенных, карбонатных, кремнистых и(или) смешанных породах.

13. Закономерности распределении нетрадиционных ресурсов сланцевой нефти в геологических объектах.

14. Основные понятия, связанные с угольным метаном и газоугольными месторождениями; клатраты.

15. Оценка ресурсов сланцевой нефти в конкретных геологических объектах.

Рекомендуемая литература

1 Сизов, В. Ф. Управление разработкой залежей нефти с трудноизвлекаемыми запасами [Электронный ресурс] : учебное пособие. Курс лекций / В. Ф. Сизов. — Электрон. текстовые данные. — Ставрополь : Северо-Кавказский федеральный университет, 2014. — 136 c. — 2227-8397. — Режим доступа: http://www.iprbookshop.ru/63148.html

2. Сажин, В.В. Трудноизвлекаемые запасы и «тяжелые нефти» России / В.В. Сажин, И. Селдинас, В.Б. Сажин // Успехи в химии и химической технологии. — 2008. — № 12(92) том 22. — С. 56-68. — ISSN 1506-2017. — Текст : электронный // Электронно-библиотечная система «Лань» : [сайт]. — URL: https://e.lanbook.com/journal/issue/292845

3. Багиров, Б.А. Перспективы разработки залежей с трудноизвлекаемыми запасами нефти / Б.А. Багиров // Известия высших учебных заведений. Горный журнал. — 2016. — № 6. — С. 9-14. — ISSN 0536-1028. — Текст : электронный // Электронно-библиотечная система «Лань» : [сайт]. — URL: https://e.lanbook.com/journal/issue/299212 (дата обращения: 11.09.2019). — Режим доступа: для авториз. пользователей.

4. Ященко, И.Г. Статистический анализ качества трудноизвлекаемых нефтей / И.Г. Ященко, Ю.М. Полищук // Известия Томского политехнического университета. Инжиниринг георесурсов. — 2015. — № 4. — С. 56-66. — ISSN 2500-1019. — Текст : электронный // Электронно-библиотечная система «Лань» : [сайт]. — URL: https://e.lanbook.com/journal/issue/295559

5. Трудноизвлекаемые запасы нефти и газа: рабочая программа дисциплины для студентов специальности 21.05.02 Прикладная геология специализация № 3 Геология месторождений нефти и газа / В.А. Рыльков. Екатеринбург: УГГУ, 2020. 8 с.

МИНОБРНАУКИ РФ

ФГБОУ ВО «Уральский государственный горный университет»

УТВЕРЖДАЮ
Проректор по учебно-методическому комплексу
_____ С.А.Упоров

МЕТОДИЧЕСКИЕ РЕКОМЕНДАЦИИ К САМОСТОЯТЕЛЬНОЙ РАБОТЕ ПО ДИСЦИПЛИНЕ

Б1.В.24 КОНЦЕПЦИИ ОБРАЗОВАНИЯ МЕСТОРОЖДЕНИЙ НЕФТИ И ГАЗА

Специальность:
21.05.02 Прикладная геология

Специализация:
Геология месторождений нефти и газа

форма обучения: очная

Автор: Мухаметшин Р.З., д.г.-м.н.

Одобрены на заседании кафедры
Литологии и геологии горючих ископаемых
(название кафедры)
Зав. кафедрой _____
(подпись)
к.г.-м.н., доц. Рыльков С.А.
(Фамилия И.О.)
Протокол № 2 от 06.10.2020
(Дата)

Рассмотрены методической комиссией
факультета геологии и геофизики
(название факультета)
Председатель _____
(подпись)
д.г.-м.н., проф. Бондарев В.И.
(Фамилия И.О.)
Протокол № 2 от 13.10.2020
(Дата)

Екатеринбург

Введение

Самостоятельная работа студента является важнейшей составной частью образовательной программы подготовки дипломированного специалиста. По курсу «Концепции образования месторождений нефти и газа» обязательная самостоятельная работа студента осуществляется в следующих направлениях:

- ✓ выполнение домашних заданий;
- ✓ освоение материалов по отдельным темам, входящим в Рабочую программу дисциплины [4];
- ✓ подготовка к экзамену;

Самостоятельная работа студентов направлена на развитие интеллектуальных умений, повышение творческого потенциала студентов и заключается в:

– поиске, анализе, структурировании и презентации информации, анализе научных публикаций по гипотезам образования нефти и газа;

– исследовательской работе и участии в научных студенческих конференциях, семинарах и олимпиадах.

Оценка результатов самостоятельной работы организуется как единство двух форм: самоконтроль и контроль со стороны преподавателей.

Данные методические указания предназначены для организации самостоятельной работы студентов при освоении отдельных тем дисциплины.

Методические указания к самостоятельной работе студента

В последующем разделе пособия приведена развернутая программа дисциплины «Концепции образования месторождений нефти и газа». Здесь указаны наименование и содержание лекционных тем в соответствии с рабочей программой дисциплины [4]. Каждая тема является основой вопросов в экзаменационном билете. При чтении лекций по курсу преподаватель указывает те темы дисциплины, которые выносятся на самостоятельную проработку студентами. Основной объем информации по каждой теме содержится в учебнике по курсу [1]. Для углубленного освоения темы рекомендуется дополнительная литература [2]. Для самоконтроля и приобретения навыков решения задач по отдельным разделам дисциплины в последнем разделе приведены контрольные вопросы и упражнения, которые являются основой подготовки к экзамену.

При освоении указанных ниже тем рекомендуется следующий порядок самостоятельной работы студента.

1. Ознакомьтесь со структурой темы.
2. По учебному пособию [1] освойте каждый структурный элемент темы. Во всех темах указаны разделы и страницы учебника, содержащие данный материал.
3. При необходимости используйте указанную дополнительную литературу. Консультацию по использованию дополнительной литературы Вы можете получить у преподавателя.
4. Ответьте на контрольные вопросы и выполните рекомендованные упражнения. При затруднениях в ответах на вопросы вернитесь к изучению рекомендованной литературы.
5. Законспектируйте материал. При этом конспект может быть написан в виде ответов на контрольные вопросы и упражнения.

При самостоятельной работе над указанными темами рекомендуется вести записи в конспектах, формируемых на лекционных занятиях по курсу, и в том порядке, в котором данные темы следуют по учебной программе.

Данное учебно-методическое пособие может быть использовано при подготовке ответов на вопросы во время экзамена.

Содержание курса

Тема 1: Две альтернативные концепции образования нефти и газа: история возникновения и современное состояние. [1]

Проблематика происхождения нефти и газа в историческом аспекте (Д.И. Менделеев – И.М. Губкин – Н.Б. Вассоевич – Н.А. Кудрявцев и мн. др.). Современное состояние вопроса: совершенствование органической теории и развитие неорганической концепции (Кудрявцевские чтения).

Дополнительная литература: [2, 3].

Контрольные вопросы и упражнения:

1. История образования месторождений нефти.
2. Исторический ракурс на образование углеводородов.

Тема 2: Органическая (биогенная) теория: главные выводы, практическое значение. [1]

Органическая или осадочно-миграционная теория. Представления о рассеянном в горных породах органическом веществе (РОВ). Генерация микронефти, ее вторичная миграция в коллекторы. Локализация залежей в «нефтяном окне» Н.Б. Вассоевича. Дополнительные факторы деструктуризации залежей на значительных глубинах.

Дополнительная литература: [2, 3].

Контрольные вопросы и упражнения:

1. Физико-химические процессы генерации нефти.
2. Физико-химические процессы восстановления и разрушения залежей углеводородов.

Тема 3: Неорганическая (биогенная) теория: главные выводы, современное состояние. [1]

Неорганическая концепция. Критика основных представлений органической теории нефтегазообразования. Абиогенный генезис углеводородов в глубинных мантийных очагах вследствие неорганического синтеза, без участия нефтематеринских пород. Связь местоскоплений нефти и газа с глубинными разломами и магматическими породами фундамента.

Дополнительная литература: [2, 3].

Контрольные вопросы и упражнения:

1. Физико-химические основы тектонических движений.
2. Образование энергии геосолитонов.
3. Геосолитонная модель процесса образования углеводородов и их месторождений.
4. Фрактальные системы залежей, контролируемых геосолитонной дегазацией Земли.

Тема 4: **Возможность vs невозможность синтеза двух методов**. [1]

Сохраняющийся антагонизм в реализации двух концепций и попытки сближения альтернативных взглядов. Признание определенной роли глубинных флюидных потоков как основы смешанного, неорганически-органического варианта происхождения газонефтяных углеводородов. Флюидально-динамическая модель Б.А. Соколова как один из вариантов реализации подобного синтеза взглядов.

Дополнительная литература: [2, 3].

Контрольные вопросы и упражнения:

1. Какая концепция образования нефти и газа, на Ваш взгляд, является истинной?
2. Решение вопросов противостояния сторонников биогенной и абиогенной гипотез.

Вопросы к экзамену по курсу «Концепции образования месторождений нефти и газа»

1. Биогенная концепция образования месторождений углеводородов.
2. Абиогенная концепция образования месторождений углеводородов
3. Генерация микронефти, ее вторичная миграция.
4. История образования месторождений нефти.
5. «Водородная» гипотеза формирования нефтегазовых залежей: плюсы и минусы.
6. Физико-химические процессы генерации нефти.
7. Процессы миграции и скопления нефти в виде залежей.
8. Физико-химические процессы восстановления и разрушения залежей углеводородов.
9. Физико-химические основы тектонических движений.
10. Геосолитонная модель процесса образования углеводородов и их месторождений.
11. Фрактальные системы залежей, контролируемых геосолитонной дегазацией Земли.
12. Физико-химический процесс зарождения геосолитонов во внутренних геосферах Земли.
13. Флюидодинамическая модель формирования месторождений углеводородов.
14. Возможность синтеза двух концепций формирования местоскоплений углеводородов.
15. Физико-химический процесс вертикальной миграции газов водорода, гелия и метана по трубам дегазации в модели П.Н. Кропоткина.

Рекомендуемая литература

1. Геология и геохимия нефти и газа [Электронный ресурс] : учебник / О. К. Баженова, Ю. К. Бурлин, Б. А. Соколов, В. Е. Хаин. — Электрон. текстовые данные. — М. : Московский государственный университет имени М.В. Ломоносова, 2012. — 432 c. — 978-5-211-05326-7. — Режим доступа: http://www.iprbookshop.ru/13049.html

2 Кучеров, В.Г. Метановый путь образования углеводородов при сверхвысоких параметрах состояния / В.Г. Кучеров, А.Ю. Колесников // Тонкие химические технологии. — 2009. — № 4. — С. 55-59. — ISSN 2410-6593. — Текст : электронный // Электронно-библиотечная система «Лань» : [сайт]. — URL: https://e.lanbook.com/journal/issue/291874 — Режим доступа: https://e.lanbook.com/reader/journalArticle/144548/#1

3 Захаренко, В.С. Роль эндогенной составляющей в формировании углеводородов в переходной зоне "континент - океан" Шпицбергенско-Баренцевской континентальной окраины / В.С. Захаренко, М.С. Радченко, В.А. Шлыкова // Вестник Мурманского государственного технического университета. — 2016. — № 1-2. — С. 176-183. — ISSN 1560-9278. — Текст : электронный // Электронно-библиотечная система «Лань» : [сайт]. — URL: https://e.lanbook.com/journal/issue/297842 — Режим доступа: https://e.lanbook.com/reader/journalArticle/284327/#1

4. Концепции образования месторождений нефти и газа: рабочая программа дисциплины для студентов специальности 21.05.02 Прикладная геология специализация № 3 Геология месторождений нефти и газа / Р.З. Мухаметшин. Екатеринбург: УГГУ, 2020. 8 с.

МИНОБРНАУКИ РОССИИ

ФГБОУ ВО «Уральский государственный горный университет»

УТВЕРЖДАЮ

Проректор по учебно-методическому комплексу _____ С.А. Упоров

МЕТОДИЧЕСКИЕ РЕКОМЕНДАЦИИ К САМОСТОЯТЕЛЬНОЙ РАБОТЕ ПО ДИСЦИПЛИНЕ

Б1.В.25 БАССЕЙНОВЫЙ АНАЛИЗ

Специальность:
21.05.02 Прикладная геология

Специализация № 3:
Геология месторождений нефти и газа

форма обучения: очная

Автор: Шардакова Г.Ю., к.г.-м. н.

Одобрены на заседании кафедры
Литологии и геологии горючих ископаемых
(название кафедры)

Зав. кафедрой _____
(подпись)

к.г.-м.н., доц. Рыльков С.А.
(Фамилия И.О.)

Протокол № 2 от 06.10.2020
(Дата)

Рассмотрены методической комиссией
факультета геологии и геофизики
(название факультета)

Председатель _____
(подпись)

д.г.-м.н., проф. Бондарев В.И.
(Фамилия И.О.)

Протокол № 2 от 13.10.2020
(Дата)

Екатеринбург

Введение

Самостоятельная работа студента является важнейшей составной частью образовательной программы подготовки дипломированного специалиста. По курсу «Бассейновый анализ» обязательная самостоятельная работа студента осуществляется в следующих направлениях:

- ✓ выполнение домашних заданий;
- ✓ освоение материалов по отдельным темам, входящим в Рабочую программу дисциплины [4];
- ✓ подготовка к экзамену;

Самостоятельная работа студентов направлена на развитие интеллектуальных умений, повышение творческого потенциала студентов и заключается в:

– поиске, анализе, структурировании и презентации информации, анализе научных публикаций по вопросам формирования осадочных толщ;

– исследовательской работе и участии в научных студенческих конференциях, семинарах и олимпиадах.

Оценка результатов самостоятельной работы организуется как единство двух форм: самоконтроль и контроль со стороны преподавателей.

Данные методические указания предназначены для организации самостоятельной работы студентов при освоении отдельных тем дисциплины.

Методические указания к самостоятельной работе студента

В последующем разделе пособия приведена развернутая программа дисциплины «Бассейновый анализ». Здесь указаны наименование и содержание лекционных тем в соответствии с рабочей программой дисциплины [4]. Каждая тема является основой вопросов в экзаменационном билете. При чтении лекций по курсу преподаватель указывает те темы дисциплины, которые выносятся на самостоятельную проработку студентами. Основной объем информации по каждой теме содержится в учебнике по курсу [1]. Для углубленного освоения темы рекомендуется дополнительная литература [2, 3, 4]. Для самоконтроля и приобретения навыков решения задач по отдельным разделам дисциплины в последнем разделе приведены контрольные вопросы и упражнения, которые являются основой подготовки к экзамену.

При освоении указанных ниже тем рекомендуется следующий порядок самостоятельной работы студента.

1. Ознакомьтесь со структурой темы.
2. По учебнику [1] освойте каждый структурный элемент темы. Во всех темах указаны разделы и страницы учебника, содержащие данный материал.
3. При необходимости используйте указанную дополнительную литературу. Консультацию по использованию дополнительной литературы Вы можете получить у преподавателя.
4. Ответьте на контрольные вопросы и выполните рекомендованные упражнения. При затруднениях в ответах на вопросы вернитесь к изучению рекомендованной литературы.
5. Законспектируйте материал. При этом конспект может быть написан в виде ответов на контрольные вопросы и упражнения.

При самостоятельной работе над указанными темами рекомендуется вести записи в конспектах, формируемых на лекционных занятиях по курсу, и в том порядке, в котором данные темы следуют по учебной программе.

Данное учебно-методическое пособие может быть использовано при подготовке ответов на вопросы во время экзамена.

Содержание курса

Тема 1. Базовые понятия об осадочных формациях и осадочных бассейнах [1], с. 5-12.

Дополнительная литература: [2, 3, 4].

Контрольные вопросы и упражнения:

1. Назовите основные уровни организации геологических тел.
2. Что такое “формация”? Ее место в иерархии геологических тел.
3. Перечислите основные направления в изучении формаций.
4. Что понимается под осадочной формацией?

Тема 2. Осадочные формации и осадочные бассейны. [1], с. 15-27.

Дополнительная литература: [2, 3, 4].

Контрольные вопросы и упражнения:

1. Перечислите основной перечень признаков, характеризующих осадочные толщи.
2. Какие основные параметры (показатели) лежат в основе выделения осадочных формаций?
3. Какие классификации осадочных формаций Вам известны? Наиболее общеприняты?
4. Как соотносятся между собой наиболее распространенные осадочные формации?

Вопросы

к экзамену по курсу «Бассейновый анализ»

1) Характерные особенности строения и основные черты формирования осадочного выполнения внутриконтинентальных рифтовых бассейнов.

2) Общие особенности процессов осадконакопления в сдвиговых бассейнах. Основные примеры подобного рода бассейнов.

3) Стадии развития Восточно-Африканской рифтовой зоны. Особенности формирования осадочных образований каждой стадии.

4) Цикл Уилсона, количество стадий и характерные для каждой геодинамические особенности и процессы осадконакопления.

5) Длительность формирования осадочных бассейнов внутриконтинентальных рифтовых зон и авлакогенов. Черты сходства и различия в формировании осадочного выполнения указанных структур.

6) Осадочные бассейны межкратонных рифтов: морфология, особенности формирования осадочного выполнения, примеры модельных объектов.

7) На какой стадии цикла Уилсона образуются осадочные бассейны внутриконтинентальных рифтов? Дайте общую характеристику данной стадии цикла Уилсона.

8) Основные области накопления осадочных ассоциаций пассивных континентальных окраин: типа осадочных ассоциаций, процессы, контролирующие их формирование.

9) Стадийность развития внутриконтинентальных рифтовых бассейнов. Геоморфология, процессы осадконакопления, строение осадочного выполнения.

10) Карбонатные платформы: определение, причины зарождения, условия существования и исчезновения, основные типы, примеры современные и древние.

11) Геодинамический режим формирования осадочных бассейнов пассивных континентальных окраин. Общая характеристика особенностей формирования осадочного выполнения этих бассейнов.

12) «Дельтовые осадочные бассейны»: определение, особенности строения, модельные примеры.

13) Пассивные континентальные окраины «атлантического типа»: строение, основные особенности формирования, модельные примеры.

14) Аккреционная призма преддугового осадочного бассейна: определение, место в бассейне и основные закономерности ее формирования.

15) Основные типы бассейнов, формирующиеся в пределах активных континентальных окраин: строение, особенности развития, модельные примеры.

16) С каким геодинамическим режимом связано формирование осадочных бассейнов внутриконтинентальных рифтовых зон?

17) Преддуговые, междуговые, задуговые бассейны и бассейны окраинных морей: строение, особенности формирования, общая характеристика процессов осадконакопления.

18) Для какого этапа/стадии развития спредингового океана характерна молассовая формация?

19) Осадочные бассейны, характерные для начальной стадии цикла Уилсона. Общая характеристика формирования осадочного выполнения, примеры модельных бассейнов.

20) Термин «осадочный бассейн»: эволюция взглядов исследователей. Наиболее приемлемое с Вашей точки зрения определение.

21) Какой принцип положен в основу большинства существующих в настоящее время классификаций осадочных бассейнов? Классификация осадочных бассейнов

22) Г.А. Беленицкой: принцип, режимы, обстановки, модельные типы осадочных бассейнов.

23) При каком условии глубоководные желоба почти полностью выполнены осадками? Можно ли встретить обратную ситуацию? Примеры.

24) Осадочные бассейны, характерные для второй стадии цикла Уилсона. Общая характеристика формирования осадочного выполнения, примеры модельных бассейнов.

25) Классический геосинклинальный цикл и цикл Уилсона: черты сходства и различия.

26) Дивергентная стадия цикла Уилсона: общая характеристика, типы осадочных бассейнов, примеры модельных бассейнов.

27) Для какого этапа/стадии развития океана характерны аспидная, флишевая и молассовая формации?

28) Геодинамический режим завершающей стадии цикла Уилсона. Основные типы осадочных бассейнов этой стадии. Модельные примеры.

29) Стадии развития авлакогенов. Модельные примеры подобного рода осадочных бассейнов.

30) Форландовый/предгорный/краевой осадочный бассейн: положение в складчатой области, основные особенности формирования осадочного заполнения. Модельные примеры.

31) Стадии развития бассейнов надрифтовых впадин. Модельные примеры.

32) Классификации осадочных бассейнов: ретроспектива эволюции принципов построения. Современная классификация осадочных бассейнов.

33) Межгорный осадочный бассейн: положение в складчатой области, основные особенности формирования осадочного заполнения. Модельные примеры.

34) Длительность формирования осадочных бассейнов внутриконтинентальных рифтовых зон и авлакогенов. Черты сходства и различия в формировании осадочного выполнения указанных структур.

35) Осадочные бассейны, характерные для завершающей стадии цикла Уилсона. Общие особенности формирования осадочного выполнения, примеры модельных бассейнов.

36) На каком этапе/стадии цикла Уилсона формируются бассейны предгорных прогибов? Краткая характеристика формирования осадочного выполнения указанных бассейнов.

37) Надрифтовые (платформенные) бассейны осадконакопления: стадии формирования, особенности строения осадочного выполнения, примеры модельных бассейнов.

Рекомендуемая литература

1. Маслов А.В., Алексеев В.П. Осадочные формации и осадочные бассейны. Учебное пособие. Екатеринбург: УГГГА, 2003. 203 с.

2. Дмитриевский, А. Н. Приоритетные направления поисков крупных и уникальных месторождений нефти и газа [Электронный ресурс] : сборник научных трудов / А. Н. Дмитриевский, И. Е. Баланюк, А. В. Каракин ; под ред. Л. И. Роенин, А. Э. Жонторович, В. М. Садовник. — Электрон. текстовые данные. — М. : Геоинформцентр, Геоинформ, 2004. — 224 c. — 2227-8397. — Режим доступа: http://www.iprbookshop.ru/17085.html3.

3. Труды Геологического института / Российская академия наук, Геологический институт, Российский фонд фундаментальных исследований. - Москва : Научный мир, 1932 - . - ISSN 0002-3272. Вып. 543 : Осадочные бассейны: методика изучения, строение и эволюция = Sedimentary basins: methods of research, structure and evolution / ред.: Ю. Г. Леонов, Ю. А. Волож. - 2004. - 526 с. : ил., цв. ил. - Библиогр.: с. 486-525. - ISBN 5-89176-217-X.

4. Геодинамика кайнозойских нефтегазоносных осадочных бассейнов активных континентальных окраин (на примере Дальневосточного сектора зоны перехода от Азиатского континента к Тихому океану) : научное издание / В. Г. Варнавский ; отв. ред. Ю. А. Косыгин ; Академия наук СССР, Дальневосточное отделение, Институт тектоники и геофизики. - Москва : Наука, 1994. - 207 с. : 1 вкл. л. - Библиогр.: с. 203-206. - ISBN 5-02-002310-8.

5. Бассейновый анализ: рабочая программа дисциплины для студентов специальности 21.05.02 Прикладная геология специализация № 3 Геология месторождений нефти и газа / Г.Ю. Шардакова. Екатеринбург: УГГУ, 2020. 10 с.

МИНОБРНАУКИ РФ

ФГБОУ ВО «Уральский государственный горный университет»

УТВЕРЖДАЮ

Проректор по учебно-методическому комплексу

_____ С.А.Упоров

МЕТОДИЧЕСКИЕ РЕКОМЕНДАЦИИ К САМОСТОЯТЕЛЬНОЙ РАБОТЕ ПО ДИСЦИПЛИНЕ

Б1.В.ДВ.01.02 СИНЕРГЕТИКА В ГЕОЛОГИИ НЕФТИ И ГАЗА

Специальность:
21.05.02 Прикладная геология

Специализация:
Геология месторождений нефти и газа

форма обучения: очная

Автор: Устьянцева Н.В.

Одобрены на заседании кафедры
Литологии и геологии горючих ископаемых
(название кафедры)

Зав. кафедрой _____
(подпись)

к.г.-м.н., доц. Рыльков С.А.
(Фамилия И.О.)

Протокол № 2 от 06.10.2020
(Дата)

Рассмотрены методической комиссией
факультета геологии и геофизики
(название факультета)

Председатель _____
(подпись)

д.г.-м.н., проф. Бондарев В.И.
(Фамилия И.О.)

Протокол № 2 от 13.10.2020
(Дата)

Екатеринбург

Введение

Самостоятельная работа студента является важнейшей составной частью образовательной программы подготовки дипломированного специалиста. По курсу «Синергетика в геологии нефти и газа» обязательная самостоятельная работа студента осуществляется в следующих направлениях:

- ✓ выполнение домашних заданий;
- ✓ освоение материалов по отдельным темам, входящим в Рабочую программу дисциплины [4];
- ✓ подготовка к экзамену;

Самостоятельная работа студентов направлена на развитие интеллектуальных умений, повышение творческого потенциала студентов и заключается в:

– поиске, анализе, структурировании и презентации информации, анализе научных публикаций по синергетике в геологии;

– исследовательской работе и участии в научных студенческих конференциях, семинарах и олимпиадах.

Оценка результатов самостоятельной работы организуется как единство двух форм: самоконтроль и контроль со стороны преподавателей.

Данные методические указания предназначены для организации самостоятельной работы студентов при освоении отдельных тем дисциплины.

Методические указания к самостоятельной работе студента

В данном пособии приведена развернутая программа дисциплины «Синергетика в геологии нефти и газа». Здесь указаны наименование и содержание лекционных тем в соответствии с рабочей программой курса [4]. Каждая тема является основой вопросов в экзаменационном билете. При чтении лекций по курсу преподаватель указывает те темы дисциплины, которые выносятся на самостоятельную проработку студентами. Основной объем информации по каждой теме содержится в учебнике по курсу [1]. Для углубленного освоения темы рекомендуется дополнительная литература [2, 3, 4]. Для самоконтроля и приобретения навыков решения задач по отдельным разделам дисциплины в предложенном пособии приведены контрольные вопросы и упражнения, которые являются основой подготовки к экзамену.

При освоении указанных ниже тем рекомендуется следующий порядок самостоятельной работы студента.

1. Ознакомьтесь со структурой темы.
2. По учебнику [1] освойте каждый структурный элемент темы. Во всех темах указаны разделы и страницы учебника, содержащие данный материал.
3. Законспектируйте материал. При этом конспект может быть написан в виде ответов на контрольные вопросы и упражнения.
4. При необходимости используйте указанную дополнительную литературу. Консультацию по использованию дополнительной литературы Вы можете получить у преподавателя.
5. Ответьте на контрольные вопросы и выполните рекомендованные упражнения. При затруднениях в ответах на вопросы вернитесь к изучению рекомендованной литературы.

При самостоятельной работе над указанными темами рекомендуется вести записи в конспектах, формируемых на лекционных занятиях по курсу, и в том порядке, в котором данные темы следуют по учебной программе.

Данное учебно-методическое пособие может быть использовано при подготовке ответов на вопросы во время экзамена.

Содержание курса

Тема 1: Базовые парадигмы, их смена на рубеже Миллениумов. [1, 2, 3]

Понятие о парадигмах, их неизбежная смена от классической («ньютоновской») к неклассической (человек в диалоге с природой). НБИКС-конвергенция как механизм познания в режиме меж- и трансдисциплинарных связей.

Дополнительная литература: [4].

Контрольные вопросы и упражнения:

1. Суть классической и неклассической парадигм.
2. Почему назрела смена парадигм?
3. Что такое НБИКС-конвергенция?

Тема 2: Синергетическое мировидение. [1, 2, 3]

Синергетика – мышление настоящего. «Порядок из хаоса» И.Р. Пригожина. Человек, конструирующий себя и познающий природу. Самоорганизованная критичность (СОК), аттракторы, теория катастроф (общие понятия)

Дополнительная литература: [4].

Контрольные вопросы и упражнения:

1. Что такое странный аттрактор?
2. Условия возникновения организации и самоорганизации?

Тема 3: Нелинейные представления в науках о Земле. [1, 2, 3]

Место наук о Земле в карте НБИКС. Нелинейность в тектонике и геофизике. Потенциал синергетики в геологических науках, в том числе в оценке взаимодействия живого и неживого.

Дополнительная литература: [4].

Контрольные вопросы и упражнения:

1.Устойчивость-неустойчивость в самоорганизующихся системах.
2. Как Вы представляете возникновение порядка из хаоса?
3. В чем состоит принцип производства минимума энтропии?

Тема 4: Синергетика в литологии и геологии нефти и газа: выделение пород-коллекторов и моделирование природных резервуаров. [1, 2, 3]

Нетрадиционное воззрение в рамках «нелинейной геологии», их трансляция, перспективы использования для нового взгляда на традиционные объекты внимания. Использование синергетических принципов при моделировании природных резервуаров.

Дополнительная литература: [4].

Контрольные вопросы и упражнения:

1. Каким образом применяется синергетика в геологии и литологии? Приведите примеры.

Вопросы
к зачету по курсу «Синергетика в геологии нефти и газа»

1. Что такое парадигма? Общенаучные парадигмы, их закономерная смена.

2. «Формулы» трех общенаучных парадигм.

3. Что такое синергетика, ее сущность и три составляющие?

4. Что представляет собой «синергетическое мировидение»?

5. Общие представления о нелинейности в окружающем мире.

6. Основные понятия теории катастроф применительно к геологии.

7. Новое звучание актуализма в геологии в рамках синергетики.

8. «Переломы» логарифмических шкал в седиментологии.

9. Основной фациальный закон как яркий пример синергетического подхода.

10. Основные принципы НБИКС-конвергенции, меж- и трансдисциплинарные подходы.

11. Самоорганизованная критичность (СОК), ее значимость для литологии.

12. Корреляция коллекторов с нелинейных позиций.

13. Местоположение коллекторов в надгорнопородных комплексах.

14. Инверсия циклов в ракурсе нелинейных представлений.

15. Цикличность осадочных толщ в рамках теории катастроф.

Рекомендуемая литература

1 Губарев В.В. Кибернетика, синергетика, информатика [Электронный ресурс] : учебное пособие / В.В. Губарев. — Электрон. текстовые данные. — Новосибирск: Сибирский государственный университет телекоммуникаций и информатики, 2009. — 38 c. — 2227-8397. — Режим доступа: http://www.iprbookshop.ru/54762.html

2 Каданцев В.Н. Устойчивость и эволюция динамических систем. Основы синергетики. Часть 1 [Электронный ресурс] : учебное пособие / В.Н. Каданцев. — 2-е изд. — Электрон. текстовые данные. — Саратов: Вузовское образование, 2019. — 205 c. — 978-5-4487-0448-2. — Режим доступа: http://www.iprbookshop.ru/79686.html

3 Каданцев В.Н. Устойчивость и эволюция динамических систем. Основы синергетики. Часть 2 [Электронный ресурс] : учебное пособие / В.Н. Каданцев. — 2-е изд. — Электрон. текстовые данные. — Саратов: Вузовское образование, 2019. — 210 c. — 978-5-4487-0449-9. — Режим доступа: http://www.iprbookshop.ru/79687.html

4 Летников, Ф. А. Синергетика геологических систем : научное издание / Ф. А. Летников; отв. ред. И. К. Карпов ; Институт земной коры СО РАН. - Новосибирск : Наука, 1992. - 232 с. : ил. - Библиогр.: с. 220-228. - ISBN 5-02-030040 2

5. Синергетика в геологии нефти и газа: рабочая программа дисциплины для студентов специальности 21.05.02 Прикладная геология специализация № 3 Геология месторождений нефти и газа / Н.В. Устьянцева. Екатеринбург: УГГУ, 2020. 8 с.

МИНОБРНАУКИ РФ

ФГБОУ ВО «Уральский государственный горный университет»

УТВЕРЖДАЮ

Проректор по учебно-методическому комплексу

_____ С.А.Упоров

МЕТОДИЧЕСКИЕ РЕКОМЕНДАЦИИ К САМОСТОЯТЕЛЬНОЙ РАБОТЕ ПО ДИСЦИПЛИНЕ

Б1.В.ДВ.02.01 ГЕОЛОГО-ЭКОНОМИЧЕСКАЯ ОЦЕНКА МЕСТОРОЖДЕНИЙ ГОРЮЧИХ ИСКОПАЕМЫХ

Специальность:
21.05.02 Прикладная геология

Специализация:
Геология месторождений нефти и газа

форма обучения: очная

Автор: Рыльков С.А., к.г.-м.н.

Одобрены на заседании кафедры
Литологии и геологии горючих ископаемых
(название кафедры)

Зав. кафедрой _____
(подпись)

к.г.-м.н., доц. Рыльков С.А.
(Фамилия И.О.)

Протокол № 2 от 06.10.2020
(Дата)

Рассмотрены методической комиссией
факультета геологии и геофизики
(название факультета)

Председатель _____
(подпись)

д.г.-м.н., проф. Бондарев В.И.
(Фамилия И.О.)

Протокол № 2 от 13.10.2020
(Дата)

Екатеринбург

Введение

Самостоятельная работа студента является важнейшей составной частью образовательной программы подготовки дипломированного специалиста. По курсу «Геолого-экономическая оценка месторождений полезных ископаемых» обязательная самостоятельная работа студента осуществляется в следующих направлениях:

- ✓ выполнение домашних заданий;
- ✓ освоение материалов по отдельным темам, входящим в Рабочую программу дисциплины [4];
- ✓ подготовка к экзамену;

Самостоятельная работа студентов направлена на развитие интеллектуальных умений, повышение творческого потенциала студентов и заключается в:

– поиске, анализе, структурировании и презентации информации, анализе научных публикаций по вопросам геолого-экономической оценки месторождений нефти и газа;

– исследовательской работе и участии в научных студенческих конференциях, семинарах и олимпиадах.

Оценка результатов самостоятельной работы организуется как единство двух форм: самоконтроль и контроль со стороны преподавателей.

Данные методические указания предназначены для организации самостоятельной работы студентов при освоении отдельных тем дисциплины.

Методические указания к самостоятельной работе студента

В последующем разделе пособия приведена развернутая программа дисциплины «Геолого-экономическая оценка месторождений полезных ископаемых». Здесь указаны наименование и содержание лекционных тем в соответствии с рабочей программой дисциплины [4]. Каждая тема является основой вопросов в экзаменационном билете. При чтении лекций по курсу преподаватель указывает те темы дисциплины, которые выносятся на самостоятельную проработку студентами. Основной объем информации по каждой теме содержится в учебнике по курсу [1]. Для углубленного освоения темы рекомендуется дополнительная литература [2, 3, 4]. Для самоконтроля и приобретения навыков решения задач по отдельным разделам дисциплины в последнем разделе приведены контрольные вопросы и упражнения, которые являются основой подготовки к экзамену.

При освоении указанных ниже тем рекомендуется следующий порядок самостоятельной работы студента.

1. Ознакомьтесь со структурой темы.
2. По учебнику [1] освойте каждый структурный элемент темы. Во всех темах указаны разделы и страницы учебника, содержащие данный материал.
3. При необходимости используйте указанную дополнительную литературу. Консультацию по использованию дополнительной литературы Вы можете получить у преподавателя.
4. Ответьте на контрольные вопросы и выполните рекомендованные упражнения. При затруднениях в ответах на вопросы вернитесь к изучению рекомендованной литературы.
5. Законспектируйте материал. При этом конспект может быть написан в виде ответов на контрольные вопросы и упражнения.

При самостоятельной работе над указанными темами рекомендуется вести записи в конспектах, формируемых на лекционных занятиях по курсу, и в том порядке, в котором данные темы следуют по учебной программе.

Данное учебно-методическое пособие может быть использовано при подготовке ответов на вопросы во время экзамена.

Содержание курса

Тема 1: Топливно-энергетический баланс (ТЭБ) России и Мира. [1]

Топливно-энергетический баланс (ТЭБ) Мира и России: динамика, сегодняшнее состояние, перспективы. Циклы в экономике: длинные циклы Кондратьева, сырьевые суперциклы. ТЭБ в проекции нового экономического уклада.

Дополнительная литература: [2, 3].

Контрольные вопросы и упражнения:

1. Что такое «топливно-энергетический баланс»?
2. Длинные циклы Кондратьева – что это?

Тема 2: Основные энергоносители, их ресурсы, запасы, перспективы использования. [1]

Связь нефтегазоносных провинций и угленосных бассейнов. Влияние и роль представлений об угольных объектах на развитие нефтегазовых представлений.

Дополнительная литература: [2, 3].

Контрольные вопросы и упражнения:

1. В чем заключается общность формирования нефтегазоносных провинций и угленосных бассейнов?

Тема 3: Традиционные запасы и ресурсы, их оценка. Динамика изменения цен. [1]

Уголь как сырье для энергетики и металлургии. Динамика добычи угля. Торговля углем в Мире и России. Нефтяные ресурсы, ОПЕК и торговля нефтью. Газовые ресурсы. Освоение шельфа.

Дополнительная литература: [2, 3].

Контрольные вопросы и упражнения:

1. Перспективы развития угольной отрасли России?
2. Перспективы освоения шельфа арктических и дальневосточных морей России?

Тема 4: Нетрадиционные виды ресурсов. Трудноизвлекаемые запасы. Потенциальные ресурсы). [1]

Сланцевый газ, сланцевая нефть. Новые подходы в добыче нефти и газа Пути освоения и перспективы трудноизвлекаемых ресурсов (ТрИЗ). Баженовская нефть Западной Сибири.

Дополнительная литература: [2, 3].

Контрольные вопросы и упражнения:

1. Какие типы трудноизвлекаемых ресурсов Вы знаете?
2. Добыча нефти из баженовской свиты Западной Сибири.

Тема 5: Вызовы XXI века. Газовые гидраты. Новые подходы в геолого-экономических оценках. [1]

Газоугольные месторождения, газогидраты («трехглавый метан»). Новые подходы в условиях окончания третьего сырьевого суперцикла (уголь – «легкая» нефть – нефть и газ).

Дополнительная литература: [2, 3].

Контрольные вопросы и упражнения:

1. Что такое газовые гидраты? Перспективы их освоения.

Тема 6: Экономическая динамика. Фьючерсы. Геология и экономика. [1]

Экономическая динамика в добыче и торговле горючими ископаемыми. Фьючерсная торговля энергетическими ресурсами. Динамика изменения цен на основные виды энергетических ресурсов, ее влияние на геополитические проблемы.

Дополнительная литература: [2, 3, 4].

Контрольные вопросы и упражнения:

1. Плюсы и минусы фьючерсной торговли энергетическими ресурсами.
2. Влияние энергетических ресурсов на геополитику.

Вопросы к экзамену по курсу «Геолого-экономическая оценка месторождений полезных ископаемых»

1. Структура топливно-энергетического баланса Мира, динамика его изменения в XX веке и на перспективу.
2. Структура топливно-энергетического баланса России, динамика его изменения в XX веке и на перспективу.
3. Горючие полезные ископаемые: ресурсы, добыча, роль в будущем.
4. Нефть и газ как энергоносители. Вклад в структуру ТЭБ. Перспективы первой половины XXI века.
5. Нефть и газ как продукт глубокой переработки.
6. Связь нефтегазоносных объектов и угольных бассейнов. Влияние и роль изучения угленосных отложений на нефтегазовую литологию.
7. Уголь как металлургическое и энергетическое сырье. Динамика угледобычи, ее перспективы.
8. Уголь как сырье для производства синтетического жидкого топлива (СЖТ). История, состояние и перспективы СЖТ.
9. Метан в трех «лицах». Природный метан, угольный метан как источники опасности и как объект добычи. Газоугольные месторождения.
10. Сланцевый газ. Источники, технология добычи, перспективы.
11. Сланцевая нефть. Источники, технология добычи, перспективы.
12. Трудноизвлекаемые запасы углеводородов.
13. Газовые гидраты. Клатраты. Перспективы освоения.
14. Динамика в добыче и торговле горючими ископаемыми. Экономика и политика в торговых отношениях.
15. Фьючерсная торговля энергетическими ресурсами.

Рекомендуемая литература

1. Лощинин В.П. Поиски, разведка и геолого-экономическая оценка месторождений полезных ископаемых [Электронный ресурс]: учебное пособие / В.П. Лощинин, Г.А. Пономарева. — Электрон. текстовые данные. — Оренбург: Оренбургский государственный университет, ЭБС АСВ, 2013. — 102 с. — 2227-8397. — Режим доступа: http://www.iprbookshop.ru/30074.html

2. Гарипов В.З. Минерально-сырьевая база топливно-энергетического комплекса России (тезисный вариант) [Электронный ресурс] / В.З. Гарипов, Е.А. Козловский, В.С.

Литвиненко. — Электрон. текстовые данные. — М. : Геоинформцентр, Институт геолого-экономических проблем РАЕН, Геоинформ, 2003. — 150 c. — 2227-8397. — Режим доступа: http://www.iprbookshop.ru/16855.html

3. Трайзе, В.В. Экономическое обоснование программы геолого-технических мероприятий нефтегазодобывающего предприятия [Электронный ресурс] : монография / В.В. Трайзе, А.В. Шалахметова, М.С. Юмсунов ; под ред. Пленкина В.В.. — Электрон. дан. — Тюмень : ТюмГНГУ, 2013. — 148 с. — Режим доступа: https://e.lanbook.com/book/55448. — Загл. с экрана.

4. Геолого-экономическая оценка месторождений полезных ископаемых: рабочая программа дисциплины для студентов специальности 21.05.02 Прикладная геология специализация № 3 Геология месторождений нефти и газа / С.А. Рыльков. Екатеринбург: УГГУ, 2020. 9 с.

МИНОБРНАУКИ РФ

ФГБОУ ВО «Уральский государственный горный университет»

УТВЕРЖДАЮ

Проректор по учебно-методическому комплексу

_____ С.А. Чернов

МЕТОДИЧЕСКИЕ РЕКОМЕНДАЦИИ К САМОСТОЯТЕЛЬНОЙ РАБОТЕ ПО ДИСЦИПЛИНЕ

Б1.В.ДВ.02.02 АЛЬТЕРНАТИВНЫЕ ИСТОЧНИКИ ЭНЕРГИИ

Специальность:
21.05.02 Прикладная геология

Специализация:
Геология месторождений нефти и газа

форма обучения: очная

Автор: Устьянцева Н.В.

Одобрены на заседании кафедры
Литологии и геологии горючих ископаемых
(название кафедры)

Зав. кафедрой _____
(подпись)

к.г.-м.н., доц. Рыльков С.А.
(Фамилия И.О.)

Протокол № 2 от 06.10.2020
(Дата)

Рассмотрены методической комиссией
факультета геологии и геофизики
(название факультета)

Председатель _____
(подпись)

д.г.-м.н., проф. Бондарев В.И.
(Фамилия И.О.)

Протокол № 2 от 13.10.2020
(Дата)

Екатеринбург

Введение

Самостоятельная работа студента является важнейшей составной частью образовательной программы подготовки дипломированного специалиста. По курсу «Альтернативные источники энергии» обязательная самостоятельная работа студента осуществляется в следующих направлениях:

- ✓ выполнение домашних заданий;
- ✓ освоение материалов по отдельным темам, входящим в Рабочую программу дисциплины [4];
- ✓ подготовка к экзамену;

Самостоятельная работа студентов направлена на развитие интеллектуальных умений, повышение творческого потенциала студентов и заключается в:

– поиске, анализе, структурировании и презентации информации, анализе научных публикаций по вопросам оценки альтернативных источников энергии;

– исследовательской работе и участии в научных студенческих конференциях, семинарах и олимпиадах.

Оценка результатов самостоятельной работы организуется как единство двух форм: самоконтроль и контроль со стороны преподавателей.

Данные методические указания предназначены для организации самостоятельной работы студентов при освоении отдельных тем дисциплины.

Методические указания к самостоятельной работе студента

В последующем разделе пособия приведена развернутая программа дисциплины «Альтернативные источники энергии». Здесь указаны наименование и содержание лекционных тем в соответствии с рабочей программой дисциплины [4]. Каждая тема является основой вопросов в экзаменационном билете. При чтении лекций по курсу преподаватель указывает те темы дисциплины, которые выносятся на самостоятельную проработку студентами. Основной объем информации по каждой теме содержится в учебнике по курсу [2]. Для углубленного освоения темы рекомендуется дополнительная литература [1, 3]. Для самоконтроля и приобретения навыков решения задач по отдельным разделам дисциплины в последнем разделе приведены контрольные вопросы и упражнения, которые являются основой подготовки к экзамену.

При освоении указанных ниже тем рекомендуется следующий порядок самостоятельной работы студента.

1. Ознакомьтесь со структурой темы.
2. По учебнику [2] освойте каждый структурный элемент темы. Во всех темах указаны разделы и страницы учебника, содержащие данный материал.
3. При необходимости используйте указанную дополнительную литературу. Консультацию по использованию дополнительной литературы Вы можете получить у преподавателя.
4. Ответьте на контрольные вопросы и выполните рекомендованные упражнения. При затруднениях в ответах на вопросы вернитесь к изучению рекомендованной литературы.
5. Законспектируйте материал. При этом конспект может быть написан в виде ответов на контрольные вопросы и упражнения.

При самостоятельной работе над указанными темами рекомендуется вести записи в конспектах, формируемых на лекционных занятиях по курсу, и в том порядке, в котором данные темы следуют по учебной программе.

Данное учебно-методическое пособие может быть использовано при подготовке ответов на вопросы во время экзамена.

Содержание курса

Тема 1: Топливно-энергетический баланс (ТЭБ) России и Мира. [2]

Горючие полезные ископаемые – определяющие составные части ТЭБ мира в целом и России. Сырьевые суперциклы в увязке с циклами Кондратьева. Переход к новому экономическому укладу, определяющий нестабильность энергетики и необходимость переоценки многих вопросов.

Дополнительная литература: [1, 3].

Контрольные вопросы и упражнения:

1. Что представляют собой суперциклы Кондратьева?

Тема 2: Традиционные источники энергии: горючие полезные ископаемые (нефть, газ, уголь). [2]

Понятие о традиционных энергетических ресурсах (нефть, газ, уголь), интенсификация их использования. Исчерпаемость этого вида сырья. Мировая торговля нефтью, газом, углем. Изменение ценообразования. Ресурсы и мировая политика. Горячие точки планеты. Гибридные угрозы.

Дополнительная литература: [1, 3].

Контрольные вопросы и упражнения:

1. Какие ресурсы называют традиционными, почему?
2. Перспективы использования традиционных ресурсов.

Тема 3: Альтернативные источники энергии, их роль в структуре ТЭБ. [2]

Происхождение понятия «альтернативные источники энергии». Ветро-, гидро-, гелио-, гидротермо-, приливно-отливные виды энергии. Биотопливаня, ядерная, космическая энергетики. Экологичность альтернативных источников энергии; повышение эффективности в новом экономическом укладе.

Дополнительная литература: [1, 3].

Контрольные вопросы и упражнения:

1. Что такое «альтернативные источники энергии»?
2. Виды альтернативных источников.

Тема 4: Нетрадиционные источники энергии в нетрадиционном аспекте геолого-экономической оценки и использования. [2]

Тесная взаимосвязь «альтернативных» и «нетрадиционных» источников энергии. Угольный метан. Сланцевая нефть. Сланцевый газ. Технологические прорывы в освоении нетрадиционных ресурсов.

Дополнительная литература: [1, 3].

Контрольные вопросы и упражнения:

1. Перспективы использования угольного метана.
2. Технологии извлечения сланцевого газа.

Тема 5: Геологические ответы на вызовы XXI столетия. [2]

Ближайшие и отдаленные перспективы в освоении альтернативных источников энергии. Газогидраты. Водородная и космическая энергетика. Экологическая проблематика. Задачи в ракурсе НБИКС-конвергенции, переоценка роли наук о Земле в контексте общих нелинейных представлений.

Дополнительная литература: [1, 3].

Контрольные вопросы и упражнения:

1. Что такое газовые гидраты? Перспективы их использования.

Тема 6: Проблематика конкретных природно-территориальных комплексов (ПТК). [2]

Изменения структуры топливно-энергетического баланса в традиционных сырьевых ПТК. Интенсификация в добыче традиционных видов топлива. Внедрение новых технологических способов, позволяющих увеличить сроки их добычи. Необходимость переоценки взглядов на традиционные подходы к извлечению невосполнимого сырья. Перспективы нефтегазо- и угледобычи в Мире и России, значение альтернативных источников энергии на этом фоне (попутный газ, угольный метан и др.).

Дополнительная литература: [1, 3].

Контрольные вопросы и упражнения:

1. Динамика структуры топливно-энергетического баланса в традиционных сырьевых ПТК.
2. Перспективы нефтегазо- и угледобычи в Мире и России.

Вопросы к экзамену по курсу «Альтернативные источники энергии»

1. Топливно-энергетический баланс России: динамика изменения, современное состояние, перспективы.
2. Топливно-энергетический баланс Мира динамика изменения, современное состояние, перспективы.
3. Традиционные источники энергии, динамика изменения в их соотношении.
4. Традиционные источники энергии: роль в топливно-энергетическом балансе, перспективы.
5. Альтернативные источники энергии: общие представления.
6. Гидроэнергетика: плюсы и минусы.
7. Атомная энергетика: плюсы и минусы.
8. Возобновляемые источники энергии: текущее использование и перспективы.
9. Газы в углях и угленосных толщах.
10. Газовые гидраты: перспективы использования.
11. Сланцевый газ: общие представления.
12. Взаимоотношение и перспективы сжиженного и трубопроводного газа.
13. Сланцевая нефть: общие представления.
14. Доманикиты России (Волго-Уральская НГП).
15. Баженовская нефть Западной Сибири.

Рекомендуемая литература

1. Удалов С.Н. Возобновляемые источники энергии [Электронный ресурс] : учебное пособие / С.Н. Удалов. — Электрон. текстовые данные. — Новосибирск: Новосибирский государственный технический университет, 2014. — 460 c. — 978-5-7782-2358-5. — Режим доступа: http://www.iprbookshop.ru/47686.html

2. Нетрадиционные и возобновляемые источники энергии [Электронный ресурс] : учебное пособие / . — Электрон. текстовые данные. — Липецк: Липецкий государственный технический университет, ЭБС АСВ, 2014. — 72 c. — 978-5-88247-672-3. — Режим доступа: http://www.iprbookshop.ru/55117.html

3. Сидорович В. Мировая энергетическая революция [Электронный ресурс] : как возобновляемые источники энергии изменят наш мир / В. Сидорович. — Электрон. текстовые данные. — М. : Альпина Паблишер, 2016. — 208 c. — 978-5-9614-5249-5. — Режим доступа: http://www.iprbookshop.ru/43701.html

4. Альтернативные источники энергии: рабочая программа дисциплины для студентов специальности 21.05.02 Прикладная геология специализация № 3 Геология месторождений нефти и газа / Н.В. Устьянцева. Екатеринбург: УГГУ, 2020. 8 с.

МИНОБРНАУКИ РФ

ФГБОУ ВО «Уральский государственный горный университет»

УТВЕРЖДАЮ

Проректор по учебно-методическому комплексу

_____ С.А.Упоров

МЕТОДИЧЕСКИЕ УКАЗАНИЯ К САМОСТОЯТЕЛЬНОЙ РАБОТЕ СТУДЕНТОВ

Б1.О.01 ФИЛОСОФИЯ

Специальность:
21.05.02 Прикладная геология

Специализация:
Геология месторождений нефти и газа

Автор: Гладкова И. В., доцент, канд. филос. н.

Одобрены на заседании кафедры
Философии и культурологии
(название кафедры)
Зав. кафедрой _____
(подпись)
к.ф.н., доц. Беляев В.П.
(Фамилия И.О.)
Протокол № 1 от 14.09.2020
(Дата)

Рассмотрены методической комиссией
факультета геологии и геофизики
(название факультета)
Председатель _____
(подпись)
д.г.-м.н., проф. Бондарев В.И.
(Фамилия И.О.)
Протокол № 2 от 13.10.2020
(Дата)

Екатеринбург

Методические указания по дисциплине «Философия» согласованы с выпускающей кафедрой литологии и геологии горючих ископаемых

Заведующий кафедрой ЛГГИ _____ к.г.-м.н., С.А. Рыльков____

подпись *И.О. Фамилия*

СОДЕРЖАНИЕ

	Введение	3
1	Методические рекомендации по работе с текстом лекций	5
2	Методические рекомендации по подготовке к опросу	8
3	Методические рекомендации по подготовке доклада(презентации)	9
4	Методические рекомендации по написанию эссе	11
5	Методические рекомендации по подготовке к семинарским занятиям	14
6	Методические рекомендации по подготовке к дискуссии	15
7	Методические рекомендации по подготовке к сдаче экзаменов и зачетов	17
	Заключение	20
	Список использованных источников	21

ВВЕДЕНИЕ

Инициативная самостоятельная работа студента есть неотъемлемая составная часть учебы в вузе. В современном формате высшего образования значительно возрастает роль самостоятельной работы студента.Правильно спланированная и организованная самостоятельная работа обеспечивает достижение высоких результатов в учебе.

Самостоятельная работа студента (СРС) -это планируемая учебная, учебно-исследовательская, научно-исследовательская работа студентов, выполняемая во внеаудиторное (аудиторное) время по заданию и при методическом руководстве преподавателя, но без его непосредственного участия, при сохранении ведущей роли студентов.

Целью СРС является овладение фундаментальными знаниями, профессиональными умениями и навыками по профилю будущей специальности, опытом творческой, исследовательской деятельности, развитие самостоятельности. Ответственности и организованности, творческого подхода к решению проблем учебного ипрофессионального уровней. Самостоятельная работа студента– важнейшая составная часть учебного процесса, обязательная для каждого студента, объем которой определяется учебным планом. Методологическую основу СРС составляет деятельностный подход, при котором цели обучения ориентированы на формирование умений решать типовые и нетиповые задачи, т. е. на реальные ситуации, в которых студентам надо проявить знание конкретной дисциплины. Предметно и содержательно СРС определяется государственным образовательным стандартом, действующими учебными планами и образовательными программами различных форм обучения, рабочими программами учебных дисциплин, средствами обеспечения СРС: учебниками, учебными пособиями и методическими руководствами, учебно-программными комплексами и т.д.

Самостоятельная работа студентов может рассматриваться как организационная форма обучения - система педагогических условий, обеспечивающих управление учебной деятельностью студентов по освоению знаний и умений в области учебной и научной деятельности без посторонней помощи.

Самостоятельная работа студентов проводится с целью:

- систематизации и закрепления полученных теоретических знаний и практических умений студентов;
- углубления и расширения теоретических знаний;
- формирования умений использовать нормативную, правовую, справочную документацию и специальную литературу;
- развития познавательных способностей и активности студентов: творческой инициативы, самостоятельности, ответственности и организованности;
- формирования самостоятельности мышления, способностей к саморазвитию, самосовершенствованию и самореализации;
- формирования практических (общеучебных и профессиональных) умений и навыков;
- развитияисследовательских умений;
- получения навыков эффективной самостоятельной профессиональной (практической и научно-теоретической) деятельности.

Самостоятельная работа студента - это особым образом организованная деятельность, включающая в свою структуру такие компоненты, как:

- уяснение цели и поставленной учебной задачи;
- четкое и системное планирование самостоятельной работы;
- поиск необходимой учебной и научной информации;
- освоение информации и ее логическая переработка;

- использование методов исследовательской, научно-исследовательской работы для решения поставленных задач;
- выработка собственной позиции по поводу полученной задачи;
- представление, обоснование и защита полученного решения;
- проведение самоанализа и самоконтроля.

В учебном процессе выделяют два вида самостоятельной работы:аудиторная и внеаудиторная.

Аудиторная самостоятельная работа по дисциплине выполняется на учебных занятиях под непосредственным руководством преподавателя и по его заданию: текущие консультации, коллоквиум, прием и разбор домашних заданий и другие.

Внеаудиторная самостоятельная работа - планируемая учебная, учебно-исследовательская, научно-исследовательская работа студентов, выполняемая во внеаудиторное время по заданию и при методическом руководстве преподавателя, но без его непосредственного участия: подготовка презентаций, составление глоссария, подготовка к практическим занятиям, подготовка рецензий, аннотаций на статью, подготовка к дискуссиям, круглым столам.

СРС может включать следующие формы работ:

- изучение лекционного материала;
- работа с источниками литературы: поиск, подбор и обзор литературы и электронных источников информации по заданной проблеме курса;
- выполнение домашних заданий, выдаваемых на практических занятиях:тестов, докладов, контрольных работ и других форм текущего контроля;
- изучение материала, вынесенного на самостоятельное изучение; подготовка к практическим занятиям;
- подготовка к контрольной работе или коллоквиуму;
- подготовка к зачету, экзамену, другим аттестациям;
- написание реферата, эссе по заданной проблем;
- выполнение расчетно-графической работы;
- выполнение выполнение курсовой работы или проекта;
- анализ научной публикации по определенной преподавателем теме, ее реферирование;
- исследовательская работа и участие в научных студенческих конференциях, семинарах иолимпиадах.

Особенностью организации самостоятельной работы студентов является необходимость не только подготовиться к сдаче зачета /экзамена, но и собрать, обобщить, систематизировать, проанализировать информацию по темам дисциплины.

Технология организации самостоятельной работы студентов включает использование информационных и материально-технических ресурсов образовательного учреждения.Для более эффективного выполнения самостоятельной работы по дисциплине преподаватель рекомендует студентам источники и учебно-методические пособия для работы, характеризует наиболее рациональную методику самостоятельной работы.

Самостоятельная работа может осуществляться индивидуально или группами студентов online и на занятиях в зависимости от цели, объема, конкретной тематики самостоятельной работы, уровня сложности, уровня умений студентов.

Подготовка к самостоятельная работа, не предусмотренная образовательной программой, учебным планом и учебно-методическими материалами, раскрывающими и конкретизирующими их содержание, осуществляется студентами инициативно, с целью реализации собственных учебных и научных интересов.

В качестве форм и методов контроля внеаудиторной самостоятельной работы студентов могут быть использованы обмен информационными файлами, семинарские занятия, тестирование, опрос, доклад, реферат, самоотчеты, контрольные работы, защита творческих работ и электронных презентаций и др.

.

1. Методические рекомендации по работе с текстом лекций

На лекционных занятиях необходимо конспектировать учебный материал. Обращать внимание на формулировки, определения, раскрывающие содержание тех или иных понятий, научные выводы и практические рекомендации, положительный опыт в ораторском мастерстве. Внимательное слушание и конспектирование лекций предполагает интенсивную умственную деятельность студента, и помогает усвоить учебный материал.

Желательно оставлять в рабочих конспектах поля, на которых делать пометки, дополняющие материал прослушанной лекции, а также подчеркивающие особую важность тех или иных теоретических положений, фиксировать вопросы, вызывающие личный интерес, варианты ответов на них, сомнения, проблемы, спорные положения. Рекомендуется вести записи на одной стороне листа, оставляя вторую сторону для размышлений, разборов, вопросов, ответов на них, для фиксирования деталей темы или связанных с ней фактов, которые припоминаются самим студентом в ходе слушания.

Слушание лекций - сложный вид интеллектуальной деятельности, успех которой обусловлен*умением слушать*, и стремлением воспринимать материал, нужное записывая в тетрадь. Запись лекции помогает сосредоточить внимание на главном, в ходе самой лекции продумать и осмыслить услышанное, осознать план и логику изложения материала преподавателем.

Такая работа нередко вызывает трудности у студентов: некоторые стремятся записывать все дословно, другие пишут отрывочно, хаотично. Чтобы избежать этих ошибок, целесообразно придерживаться ряда правил.

1. После записи ориентирующих и направляющих внимание данных (тема, цель, план лекции, рекомендованная литература) важно попытаться проследить, как они раскрываются в содержании, подкрепляются формулировками, доказательствами, а затем и выводами.

2. Записывать следует основные положения и доказывающие их аргументы, наиболее яркие примеры и факты, поставленные преподавателем вопросы для самостоятельной проработки.

3. Стремиться к четкости записи, ее последовательности, выделяя темы, подтемы, вопросы и подвопросы, используя цифровую и буквенную нумерацию (римские и арабские цифры, большие и малые буквы), красные строки, выделение абзацев, подчеркивание главного и т.д.

Форма записи материала может быть различной - в зависимости от специфики изучаемого предмета. Это может быть стиль учебной программы (назывные предложения), уместны и свои краткие пояснения к записям.

Студентам не следует подробно записывать на лекции «все подряд», но обязательно фиксировать то, что преподаватели диктуют – это базовый конспект, содержащий основные положения лекции: определения, выводы, параметры, критерии, аксиомы, постулаты, парадигмы, концепции, ситуации, а также мысли-маяки (ими часто являются афоризмы, цитаты, остроумные изречения). Запись лекции лучше вести в сжатой форме, короткими и четкими фразами. Каждому студенту полезно выработать свою систему сокращений, в которой он мог бы разобраться легко и безошибочно.

Даже отлично записанная лекция предполагает дальнейшую самостоятельную работу над ней (осмысление ее содержания, логической структуры, выводов). С целью доработки конспекта лекции необходимо в первую очередь прочитать записи, восстановить текст в памяти, а также исправить описки, расшифровать не принятые ранее сокращения, заполнить пропущенные места, понять текст, вникнуть в его смысл. Далее прочитать материал по рекомендуемой литературе, разрешая в ходе чтения возникшие ранее затруднения, вопросы, а также дополняя и исправляя свои записи. В ходе доработки конспекта углубляются, расширяются и закрепляются знания, а также дополняется, исправляется и совершенствуется конспект. Доработанный конспект и рекомендуемая

литература используется при подготовке к практическому занятию. Знание лекционного материала при подготовке к практическому занятию обязательно.

Особенно важно в процессе самостоятельной работы над лекцией выделить новый понятийный аппарат, уяснить суть новых понятий, при необходимости обратиться к словарям и другим источникам, заодно устранив неточности в записях. Главное - вести конспект аккуратно и регулярно, только в этом случае он сможет стать подспорьем в изучении дисциплины.

Работа над лекцией стимулирует самостоятельный поиск ответов на самые различные вопросы: над какими понятиями следует поработать, какие обобщения сделать, какой дополнительный материал привлечь.

Важным средством, направляющим самообразование, является выполнение различных заданий по тексту лекции, например, составление ее развернутого плана или тезисов; ответы на вопросы проблемного характера, (скажем, об основных тенденциях развития той или иной проблемы); составление проверочных тесты по проблеме, написание по ней реферата, составление графических схем.

По своим задачам лекции могут быть разных жанров: *установочная лекция* вводит в изучение курса, предмета, проблем (что и как изучать), а*обобщающая лекция* позволяет подвести итог (зачем изучать), выделить главное, усвоить законы развития знания, преемственности, новаторства, чтобы применить обобщенный позитивный опыт к решению современных практических задач. Обобщающая лекция ориентирует в истории и современном состоянии научной проблемы.

В процессе освоения материалов обобщающих лекций студенты могут выполнять задания разного уровня. Например: задания *репродуктивного* уровня (составить развернутый план обобщающей лекции, составить тезисы по материалам лекции); задания *продуктивного* уровня (ответить на вопросы проблемного характера, составить опорный конспект по схеме, выявить основные тенденции развития проблемы); задания *творческого* уровня (составить проверочные тесты по теме, защитить реферат и графические темы по данной проблеме).Обращение к ранее изученному материалу не только помогает восстановить в памяти известные положения, выводы, но и приводит разрозненные знания в систему, углубляет и расширяет их. Каждый возврат к старому материалу позволяет найти в нем что-то новое, переосмыслить его с иных позиций, определить для него наиболее подходящее место в уже имеющейся системе знаний.

.

2. Методические указания по подготовке к опросу

Самостоятельная работа обучающихся включает подготовку к устному или письменному опросу на семинарских занятиях. Для этого обучающийся изучает лекции, основную и дополнительную литературу, публикации, информацию из Интернет-ресурсов. Темы и вопросы к семинарским занятиям, вопросы для самоконтроля приведены в методических указаниях по разделам и доводятся до обучающихся заранее.

Письменный опрос

Письменный опрос является одной из форм текущего контроля успеваемости студента. При изучении материала студент должен убедиться, что хорошо понимает основную терминологию темы, умеет ее использовать в нужном контексте. Желательно составить краткий конспект ответа на предполагаемые вопросы письменной работы, чтобы убедиться в том, что студент владеет материалом и может аргументировано, логично и грамотно письменно изложить ответ на вопрос. Следует обратить особое внимание на написание профессиональных терминов, чтобы избегать грамматических ошибок в работе. При изучении новой для студента терминологии рекомендуется изготовить карточки, которые содержат новый термин и его расшифровку, что значительно облегчит работу над материалом.

Устный опрос

Целью устного собеседования являются обобщение и закрепление изученного курса. Студентам предлагаются дляосвещения сквозные концептуальные проблемы. При подготовке следует использовать лекционный материал и учебную литературу. Для более глубокого постижения курса и более основательной подготовки рекомендуется познакомиться с указанной дополнительной литературой. Готовясь к семинару, студент должен, прежде всего, ознакомиться с общим планом семинарского занятия. Следует внимательно прочесть свой конспект лекции по изучаемой теме и рекомендуемую к теме семинара литературу. С незнакомыми терминами и понятиями следует ознакомиться в предлагаемом глоссарии, словаре или энциклопедии[1].

Критерии качества устного ответа.

1. Правильность ответа по содержанию.
2. Полнота и глубина ответа.
3. Сознательность ответа (учитывается понимание излагаемого материала).
4. Логика изложения материала (учитывается умение строить целостный, последовательный рассказ, грамотно пользоваться профессиональной терминологией).
5. Рациональность использованных приемов и способов решения поставленной учебной задачи (учитывается умение использовать наиболее прогрессивные и эффективные способы достижения цели).
6. Своевременность и эффективность использования наглядных пособий и технических средств при ответе (учитывается грамотно и с пользой применять наглядность и демонстрационный опыт при устном ответе).
7. Использование дополнительного материала (приветствуется, но не обязательно для всех студентов).
8. Рациональность использования времени, отведенного на задание (не одобряется затянутость выполнения задания, устного ответа во времени, с учетом индивидуальных особенностей студентов)[2].

---

[1]Методические рекомендации для студентов [Электронный ресурс]: Режим доступа: http://lesgaft.spb.ru/sites/default/files/u57/metod.rekomendacii_dlya_studentov_21.pdf

[2]Методические рекомендации для студентов [Электронный ресурс]: http://priab.ru/images/metod_agro/Metod_Inostran_yazyk_35.03.04_Agro_15.01.2016.pdf

Ответ на каждый вопрос из плана семинарского занятия должен быть содержательным и аргументированным. Для этого следует использовать документы, монографическую, учебную и справочную литературу.

Для успешной подготовки к устному опросу, студент должен законспектировать рекомендуемую литературу, внимательно осмыслить лекционный материал и сделать выводы. Объем временинана подготовку к устному опросу зависимости от сложности темы и особенностей организации обучающимся своей самостоятельной работы.

3.Методические рекомендации по подготовке доклада (презентации)

Доклад – публичное сообщение по заданной теме, представляющее собой развернутое изложение на определенную тему, вид самостоятельной работы, который используется в учебных и внеаудиторных занятиях и способствует формированию навыков исследовательской работы, освоению методов научного познания, приобретению навыков публичного выступления, расширяет познавательные интересы, приучает критически мыслить.

При подготовке доклада используется дополнительная литература, систематизируется материал. Работа над докладом не только позволяет учащемуся приобрести новые знания, но и способствует формированию важных научно-исследовательских навыков самостоятельной работы с научной литературой, что повышает познавательный интерес к научному познанию.

Приветствуется использование мультимедийных технологий, подготовка докладов-презентаций.

Доклад должен соответствовать следующим требованиям:

- тема доклада должна быть согласованна с преподавателем и соответствовать теме занятия;

- иллюстрации (слайды в презентации) должны быть достаточными, но не чрезмерными;

- материалы, которыми пользуется студент приподготовке доклада-презентации, должны тсоответствовать научно-методическим требованиямВУЗа ибытьуказанывдокладе;

- необходимособлюдать регламент: 7-10 минут выступления.

Преподаватель может дать тему сразу нескольким студентам одной группы, по принципу: докладчик и оппонент. Студенты могут подготовить два выступления с противоположными точками зрения и устроить дискуссию по проблемной теме. Докладчики и содокладчики во многом определяют содержание, стиль, активность данного занятия, для этого необходимо:

- использовать технические средства;
- знать и хорошо ориентироваться в теме всей презентации (семинара);
- уметь дискутировать и быстро отвечать на вопросы;
- четко выполнять установленный регламент: докладчик - 7-10 мин.; содокладчик - 5 мин.; дискуссия - 10 мин;
- иметь представление о композиционной структуре доклада.

После выступления докладчик и содокладчик, должны ответить на вопросы слушателей.

В подготовке доклада выделяют следующие этапы:

1. Определение цели доклада: информировать, объяснить, обсудить что-то (проблему, решение, ситуацию и т.п.)

2. Подбор литературы, иллюстративных примеров.

3. Составление плана доклада, систематизация материала, композиционное оформление доклада в виде печатного /рукописного текста и электронной презентации.

Общая структура доклада

Построение доклада включает три части: вступление, основную часть и заключение.

Вступление.

Вступление должно содержать:

- название презентации (доклада);
- сообщение основной идеи;
- обоснование актуальности обсуждаемого вопроса;

- современнуюоценкупредмета изложения;
- краткоеперечислениерассматриваемых вопросов;
- живуюинтереснуюформуизложения;
- акцентированиеоригинальностиподхода.

Основная часть.

Основная частьсостоит из нескольких разделов, постепенно раскрывающих тему. Возможно использование иллюстрации (графики, диаграммы, фотографии, карты, рисунки) Если необходимо, для обоснования темы используется ссылка на источники с доказательствами, взятыми из литературы (цитирование авторов, указание цифр, фактов, определений). Изложение материала должно быть связным, последовательным, доказательным.

Задача основной части - представить достаточно данных для того, чтобы слушатели и заинтересовались темой и захотели ознакомиться с материалами. При этом логическая структура теоретического блока не должны даваться без наглядных пособий, аудио-визуальных и визуальных материалов.

Заключение.

Заключение - это ясное четкое обобщение, в котором подводятся итоги, формулируются главные выводы, подчеркивается значение рассмотренной проблемы, предлагаются самые важные практические рекомендации. Требования к оформлению доклада. Объем машинописного текста доклада должен быть рассчитан на произнесение доклада в течение 7 -10 минут (3-5 машинописных листа текста с докладом).

Доклад оценивается по следующим критериям:

Критерии оценки доклада, сообщения	*Количество баллов*
Содержательность, информационная насыщенность доклада	1
Наличие аргументов	1
Наличие выводов	1
Наличие презентации доклада	1
Владение профессиональной лексикой	1
Итого:	5

Электронные презентации выполняются в программе MS PowerPoint в виде слайдов в следующем порядке: • титульный лист с заголовком темы и автором исполнения презентации; • план презентации (5-6 пунктов - это максимум); • основная часть (не более 10 слайдов); • заключение (вывод). Общие требования к стилевому оформлению презентации: • дизайн должен быть простым и лаконичным; • основная цель - читаемость, а не субъективная красота; цветовая гамма должна состоять не более чем из двух-трех цветов; • всегда должно быть два типа слайдов: для титульных и для основного текста; • размер шрифта должен быть: 24–54 пункта (заголовок), 18–36 пунктов (обычный текст); • текст должен быть свернут до ключевых слов и фраз. Полные развернутые предложения на слайдах таких презентаций используются только при цитировании; каждый слайд должен иметь заголовок; • все слайды должны быть выдержаны в одном стиле; • на каждом слайде должно быть не более трех иллюстраций; • слайды должны быть пронумерованы с указанием общего количества слайдов

4.Методические рекомендации по написанию эссе

Эссе - это самостоятельная письменная работа на тему, предложенную преподавателем. Цель эссе состоит в развитии навыков самостоятельного творческого мышления и письменного изложения собственных мыслей. Писать эссе чрезвычайно полезно, поскольку это позволяет автору научиться четко и грамотно формулировать мысли, структурировать информацию, использовать основные категории анализа, выделять причинно-следственные связи, иллюстрировать понятия соответствующими примерами, аргументировать свои выводы; овладеть научным стилем речи.

Эссе должно содержать: четкое изложение сути поставленной проблемы, включать самостоятельно проведенный анализ этой проблемы с использованием концепций и аналитического инструментария, рассматриваемого в рамках дисциплины, выводы, обобщающие авторскую позицию по поставленной проблеме. В зависимости от специфики дисциплины формы эссе могут значительно дифференцироваться. В некоторых случаях это может быть анализ имеющихся статистических данных по изучаемой проблеме, анализ материалов из средств массовой информации и использованием изучаемых моделей, подробный разбор предложенной задачи с развернутыми мнениями, подбор и детальный анализ примеров, иллюстрирующих проблему и т.д.

Построение эссе - это ответ на вопрос или раскрытие темы, которое основано на классической системе доказательств.

Структура эссе

1. *Титульный лист* (заполняется по единой форме);

2. *Введение* - суть и обоснование выбора данной темы, состоит из ряда компонентов, связанных логически и стилистически.

На этом этапе очень важно правильно *сформулировать вопрос, на который вы собираетесь найти ответ в ходе своего исследования.*

3. *Основная часть* - теоретические основы выбранной проблемы и изложение основного вопроса.

Данная часть предполагает развитие аргументации и анализа, а также обоснование их, исходя из имеющихся данных, других аргументов и позиций по этому вопросу. В этом заключается основное содержание эссе и это представляет собой главную трудность. Поэтому важное значение имеют подзаголовки, на основе которых осуществляется структурирование аргументации; именно здесь необходимо обосновать (логически, используя данные или строгие рассуждения) предлагаемую аргументацию/анализ. Там, где это необходимо, в качестве аналитического инструмента можно использовать графики, диаграммы и таблицы.

В зависимости от поставленного вопроса анализ проводится на основе следующих категорий:

Причина - следствие, общее - особенное, форма - содержание, часть - целое, постоянство - изменчивость.

В процессе построения эссе необходимо помнить, что один параграф должен содержать только одно утверждение и соответствующее доказательство, подкрепленное графическим и иллюстративным материалом. Следовательно, наполняя содержанием разделы аргументацией (соответствующей подзаголовкам), необходимо в пределах параграфа ограничить себя рассмотрением одной главной мысли.

Хорошо проверенный (и для большинства — совершено необходимый) способ построения любого эссе - использование подзаголовков для обозначения ключевых моментов аргументированного изложения: это помогает посмотреть на то, что предполагается сделать (и ответить на вопрос, хорош ли замысел). Такой подход поможет следовать точно определенной цели в данном исследовании. Эффективное использование подзаголовков - не только обозначение основных пунктов, которые необходимо осветить.

Их последовательность может также свидетельствовать о наличии или отсутствии логичности в освещении темы.

4. *Заключение* - обобщения и аргументированные выводы по теме с указанием области ее применения и т.д. Подытоживает эссе или еще раз вносит пояснения, подкрепляет смысл и значение изложенного в основной части. Методы, рекомендуемые для составления заключения: повторение, иллюстрация, цитата, впечатляющее утверждение. Заключение может содержать такой очень важный, дополняющий эссе элемент, как указание на применение (импликацию) исследования, не исключая взаимосвязи с другими проблемами.

Структура аппарата доказательств, необходимых для написания эссе

Доказательство - это совокупность логических приемов обоснования истинности какого-либо суждения с помощью других истинных и связанных с ним суждений. Оно связано с убеждением, но не тождественно ему: аргументация или доказательство должны основываться на данных науки и общественно-исторической практики, убеждения же могут быть основаны на предрассудках, неосведомленности людей в вопросах экономики и политики, видимости доказательности. Другими словами, доказательство или аргументация - это рассуждение, использующее факты, истинные суждения, научные данные и убеждающее нас в истинности того, о чем идет речь.

Структура любого доказательства включает в себя три составляющие: тезис, аргументы и выводы или оценочные суждения.

Тезис - это положение (суждение), которое требуется доказать. *Аргументы* - это категории, которыми пользуются при доказательстве истинности тезиса. *Вывод* - это мнение, основанное на анализе фактов. *Оценочные суждения* - это мнения, основанные на наших убеждениях, верованиях или взглядах. *Аргументы* обычно делятся на следующие группы:

1. *Удостоверенные факты* — фактический материал (или статистические данные).
2. *Определения* в процессе аргументации используются как описание понятий, связанных с тезисом.
3. *Законы* науки и ранее доказанные теоремы тоже могут использоваться как аргументы доказательства.

Требования к фактическим данным и другим источникам

При написании эссе чрезвычайно важно то, как используются эмпирические данные и другие источники (особенно качество чтения). Все (фактические) данные соотносятся с конкретным временем и местом, поэтому прежде, чем их использовать, необходимо убедится в том, что они соответствуют необходимому для исследований времени и месту. Соответствующая спецификация данных по времени и месту — один из способов, который может предотвратить чрезмерное обобщение, результатом которого может, например, стать предположение о том, что все страны по некоторым важным аспектам одинаковы (если вы так полагаете, тогда это должно быть доказано, а не быть голословным утверждением).

Всегда можно избежать чрезмерного обобщения, если помнить, что в рамках эссе используемые данные являются иллюстративным материалом, а не заключительным актом, т.е. они подтверждают аргументы и рассуждения и свидетельствуют о том, что автор умеет использовать данные должным образом. Нельзя забывать также, что данные, касающиеся спорных вопросов, всегда подвергаются сомнению. От автора не ждут определенного или окончательного ответа. Необходимо понять сущность фактического материала, связанного с этим вопросом (соответствующие индикаторы? насколько надежны данные для построения таких индикаторов? к какому заключению можно прийти на основании имеющихся данных и индикаторов относительно причин и следствий? и т.д.), и продемонстрировать это в эссе. Нельзя ссылаться на работы, которые автор эссе не читал сам.

Как подготовить и написать эссе?

Качество любого эссе зависит от трех взаимосвязанных составляющих, такихкак:

1. Исходный материал, который будет использован (конспекты прочитанной литературы, лекций, записи результатов дискуссий, собственные соображения и накопленный опыт по данной проблеме).

2. Качество обработки имеющегося исходного материала (его организация, аргументация и доводы).

3. Аргументация (насколько точно она соотносится с поднятыми в эссе проблемами).

Процесс написания эссе можно разбить на несколько стадий: обдумывание - планирование - написание - проверка - правка.

Планирование - определение цели, основных идей, источников информации, сроков окончания и представления работы.

Цель должна определять действия.

Идеи, как и цели, могут быть конкретными и общими, более абстрактными. Мысли, чувства, взгляды и представления могут быть выражены в форме аналогий, ассоциации, предположений, рассуждений, суждений, аргументов, доводов и т.д.

Аналогии - выявление идеи и создание представлений, связь элементов значений.

Ассоциации - отражение взаимосвязей предметов и явлений действительности в форме закономерной связи между нервно - психическими явлениями (в ответ на тот или иной словесный стимул выдать «первую пришедшую в голову» реакцию).

Предположения - утверждение, не подтвержденное никакими доказательствами.

Рассуждения - формулировка и доказательство мнений.

Аргументация - ряд связанных между собой суждений, которые высказываются для того, чтобы убедить читателя (слушателя) в верности (истинности) тезиса, точки зрения, позиции.

Суждение - фраза или предложение, для которого имеет смысл вопрос: истинно или ложно?

Доводы - обоснование того, что заключение верно абсолютно или с какой-либо долей вероятности. В качестве доводов используются факты, ссылки на авторитеты, заведомо истинные суждения (законы, аксиомы и т.п.), доказательства (прямые, косвенные, «от противного», «методом исключения») и т.д.

Перечень, который получится в результате перечисления идей, поможет определить, какие из них нуждаются в особенной аргументации.

*Источники***.** Тема эссе подскажет, где искать нужный материал. Обычно пользуются библиотекой, Интернет-ресурсами, словарями, справочниками. Пересмотр означает редактирование текста с ориентацией на качество и эффективность.

Качество текста складывается из четырех основных компонентов: ясности мысли, внятности, грамотности и корректности.

Мысль - это содержание написанного. Необходимо четко и ясно формулировать идеи, которые хотите выразить, в противном случае вам не удастся донести эти идеи и сведения до окружающих.

Внятность - это доступность текста для понимания. Легче всего ее можно достичь, пользуясь логично и последовательно тщательно выбранными словами, фразами и взаимосвязанными абзацами, раскрывающими тему.

Грамотность отражает соблюдение норм грамматики и правописания. Если в чем-то сомневаетесь, загляните в учебник, справьтесь в словаре или руководстве по стилистике или дайте прочитать написанное человеку, чья манера писать вам нравится.

Корректность — это стиль написанного. Стиль определятся жанром, структурой работы, целями, которые ставит перед собой пишущий, читателями, к которым он обращается.

5. Методические рекомендации по подготовке семинарским занятиям

Семинар представляет собой комплексную форму и завершающее звено в изучении определенных тем, предусмотренных программой учебной дисциплины. Комплексность данной формы занятий определяется тем, что в ходе её проведения сочетаются выступления обучающихся и преподавателя: рассмотрение обсуждаемой проблемы и анализ различных, часто дискуссионных позиций; обсуждение мнений обучающихся и разъяснение (консультация) преподавателя; углубленное изучение теории и приобретение навыков умения ее использовать в практической работе.

По своему назначению семинар, в процессе которого обсуждается та или иная научная проблема, способствует:

- углубленному изучению определенного раздела учебной дисциплины, закреплению знаний;
- отработке методологии и методических приемов познания;
- выработке аналитических способностей, умения обобщения и формулирования выводов;
- приобретению навыков использования научных знаний в практической деятельности;
- выработке умения кратко, аргументированно и ясно излагать обсуждаемые вопросы;
- осуществлению контроля преподавателя за ходом обучения.

Семинары представляет собой *дискуссию* в пределах обсуждаемой темы (проблемы). Дискуссия помогает участникам семинара приобрести более совершенные знания, проникнуть в суть изучаемых проблем. Выработать методологию, овладеть методами анализа социально-экономических процессов. Обсуждение должно носить творческий характер с четкой и убедительной аргументацией.

По своей структуре семинар начинается со вступительного слова преподавателя, в котором кратко излагаются место и значение обсуждаемой темы (проблемы) в данной дисциплине, напоминаются порядок и направления ее обсуждения. Конкретизируется ранее известный обучающимся план проведения занятия. После этого начинается процесс обсуждения вопросов обучающимися. Завершается занятие подведением итогоа обсуждения, заключительным словом преподавателя.

Проведение семинарских занятий в рамках учебной группы (20 - 25 человек) позволяет обеспечить активное участие в обсуждении проблемы всех присутствующих.

По ходу обсуждения темы помните, что изучение теории должно быть связано с определением (выработкой) средств, путей применения теоретических положений в практической деятельности, например, при выполнении функций государственного служащего. В то же время важно не свести обсуждение научной проблемы только к пересказу случаев из практики работы, к критике имеющих место недостатков. Дискуссии имеют важное значение: учат дисциплине ума, умению выступать по существу, мыслить логически, выделяя главное, критически оценивать выступления участников семинара.

В процессе проведения семинара обучающиеся могут использовать разнообразные по своей форме и характеру пособия, демонстрируя фактический, в том числе статистический материал, убедительно подтверждающий теоретические выводы и положения. В завершение обсудите результаты работы семинара и сделайте выводы, что хорошо усвоено, а над чем следует дополнительно поработать.

В целях эффективности семинарских занятий необходима обстоятельная подготовка к их проведению. В начале семестра (учебного года) возьмите в библиотеке необходимые методические материалы для своевременной подготовки к семинарам. Готовясь к конкретной темезанятия следует ознакомиться с новыми официальными документами, статьями в периодических журналах, вновь вышедшими монографиями.

6. Методические рекомендации по подготовке к дискуссии

Современная практика предлагает широкий круг типов семинарских занятий. Среди них особое место занимает *семинар-дискуссия,* где в диалоге хорошо усваивается новая информация, видны убеждения студента, обсуждаются противоречия (явные и скрытые) и недостатки. Для обсуждения берутся конкретные актуальные вопросы, с которыми студенты предварительно ознакомлены. Дискуссия является одной из наиболее эффективных технологий группового взаимодействия, обладающей особыми возможностями в обучении, развитии и воспитании будущего специалиста.

Дискуссия (от лат. discussio - рассмотрение, исследование) - способ организации совместной деятельности с целью интенсификации процесса принятия решений в группе посредством обсуждения какого-либо вопроса или проблемы.

Дискуссия обеспечивает активное включение студентов в поиск истины; создает условия для открытого выражения ими своих мыслей, позиций, отношений к обсуждаемой теме и обладает особой возможностью воздействия на установки ее участников в процессе группового взаимодействия. Дискуссию можно рассматривать как *метод интерактивного обучения* и как особую технологию, включающую в себя другие методы и приемы обучения: «мозговой штурм», «анализ ситуаций» и т.д.

Обучающий эффект дискуссии определяется предоставляемой участнику возможностью получить разнообразную информацию от собеседников, продемонстрировать и повысить свою компетентность, проверить и уточнить свои представления и взгляды на обсуждаемую проблему, применить имеющиеся знания в процессе совместного решения учебных и профессиональных задач.

Развивающая функция дискуссии связана со стимулированием творчества обучающихся, развитием их способности к анализу информации и аргументированному, логически выстроенному доказательству своих идей и взглядов, с повышением коммуникативной активности студентов, их эмоциональной включенности в учебный процесс.

Влияние дискуссии на личностное становление студента обусловливается ее целостно - ориентирующей направленностью, созданием благоприятных условий для проявления индивидуальности, самоопределения в существующих точках зрения на определенную проблему, выбора своей позиции; для формирования умения взаимодействовать с другими, слушать и слышать окружающих, уважать чужие убеждения, принимать оппонента, находить точки соприкосновения, соотносить и согласовывать свою позицию с позициями других участников обсуждения.

Безусловно, наличие оппонентов, противоположных точек зрения всегда обостряет дискуссию, повышает ее продуктивность, позволяет создавать с их помощью конструктивный конфликт для более эффективного решения обсуждаемых проблем.

Существует несколько видов дискуссий, использование того или иного типа дискуссии зависит от характера обсуждаемой проблемы и целей дискуссии.

Дискуссия- диалог чаще всего применяется для совместного обсуждения учебных и производственных проблем, решение которых может быть достигнуто путем взаимодополнения, группового взаимодействия по принципу «индивидуальных вкладов» или на основе согласования различных точек зрения, достижения консенсуса.

Дискуссия - спор используется для всестороннего рассмотрения сложных проблем, не имеющих однозначного решения даже в науке, социальной, политической жизни, производственной практике и т.д. Она построена на принципе «позиционного противостояния» и ее цель - не столько решить проблему, сколько побудить участников дискуссии задуматься над проблемой, уточнить и определить свою позицию; научить аргументировано отстаивать свою точку зрения и в то же время осознать право других иметь свой взгляд на эту проблему, быть индивидуальностью.

Условия эффективного проведения дискуссии:

- информированность и подготовленность студентов к дискуссии,

- свободное владение материалом, привлечение различных источников для аргументации отстаиваемых положений;

- правильное употребление понятий, используемых в дискуссии, их единообразное понимание;

- корректность поведения, недопустимость высказываний, задевающих личность оппонента; установление регламента выступления участников;

- полная включенность группы в дискуссию, участие каждого студента в ней.

Подготовка студентов к дискуссии: если тема объявлена заранее, то следует ознакомиться с указанной литературой, необходимымисправочными материалами, продумать свою позицию, четко сформулировать аргументацию, выписать цитаты, мнения специалистов.

В проведении дискуссии выделяется несколько этапов.

Этап 1-й, введение в дискуссию: формулирование проблемы и целей дискуссии;

определение значимости проблемы, совместная выработка правил дискуссии; выяснение однозначности понимания темы дискуссии, используемых в ней терминов, понятий.

Этап 2-й, обсуждение проблемы: обмен участниками мнениями по каждому вопросу. Цель этапа - собрать максимум мнений, идей, предложений, соотнося их друг с другом.

Этап 3-й, подведение итогов обсуждения: выработка студентами согласованного мнения и принятие группового решения.

Далее подводятся итоги дискуссии, заслушиваются и защищаются проектные задания. После этого проводится "мозговой штурм" по нерешенным проблемам дискуссии, а также выявляются прикладные аспекты, которые можно рекомендовать для включения в курсовые и дипломные работы или в апробацию на практике.

Семинары-дискуссии проводятся с целью выявления мнения студентов по актуальным и проблемным вопросам.

7. Методические рекомендации по подготовке к сдаче экзаменов и зачетов

Экзамен - одна из важнейших частей учебного процесса, имеющая огромное значение.

Во-первых, готовясь к экзамену, студент приводит в систему знания, полученные на лекциях, семинарах, практических и лабораторных занятиях, разбирается в том, что осталось непонятным, и тогда изучаемая им дисциплина может быть воспринята в полном объеме с присущей ей строгостью и логичностью, ее практической направленностью. А это чрезвычайно важно для будущего специалиста.

Во-вторых, каждый хочет быть волевым и сообразительным., выдержанным и целеустремленным, иметь хорошую память, научиться быстро находить наиболее рациональное решение в трудных ситуациях. Очевидно, что все эти качества не только украшают человека, но и делают его наиболее действенным членом коллектива. Подготовка и сдача экзамена помогают студенту глубже усвоить изучаемые дисциплины, приобрести навыки и качества, необходимые хорошему специалисту.

Конечно, успех на экзамене во многом обусловлен тем, насколько систематически и глубоко работал студент в течение семестра. Совершенно очевидно, что серьезно продумать и усвоить содержание изучаемых дисциплин за несколько дней подготовки к экзамену просто невозможно даже для очень способного студента. И, кроме того, хорошо известно, что быстро выученные на память разделы учебной дисциплины так же быстро забываются после сдачи экзамена.

При подготовке к экзамену студенты не только повторяют и дорабатывают материал дисциплины, которую они изучали в течение семестра, они обобщают полученные знания, осмысливают методологию предмета, его систему, выделяют в нем основное и главное, воспроизводят общую картину с тем, чтобы яснее понять связь между отдельными элементами дисциплины. Вся эта обобщающая работа проходит в условиях напряжения воли и сознания, при значительном отвлечении от повседневной жизни, т. е. в условиях, благоприятствующих пониманию и запоминанию.

Подготовка к экзаменам состоит в приведении в порядок своих знаний. Даже самые способные студенты не в состоянии в короткий период зачетно-экзаменационной сессии усвоить материал целого семестра, если они над ним не работали в свое время. Для тех, кто мало занимался в семестре, экзамены принесут мало пользы: что быстро пройдено, то быстро и забудется. И хотя в некоторых случаях студент может «проскочить» через экзаменационный барьер, в его подготовке останется серьезный пробел, трудно восполняемый впоследствии.

Определив назначение и роль экзаменов в процессе обучения, попытаемся на этой основе пояснить, как лучше готовиться к ним.

Экзаменам, как правило, предшествует защита курсовых работ (проектов) и сдача зачетов. К экзаменам допускаются только студенты, защитившие все курсовые работы проекты) и сдавшие все зачеты. В вузе сдача зачетов организована так, что при систематической работе в течение семестра, своевременной и успешной сдаче всех текущих работ, предусмотренных графиком учебного процесса, большая часть зачетов не вызывает повышенной трудности у студента. Студенты, работавшие в семестре по плану, подходят к экзаменационной сессии без напряжения, без излишней затраты сил в последнюю, «зачетную» неделю.

Подготовку к экзамену следует начинать с первого дня изучения дисциплины. Как правило, на лекциях подчеркиваются наиболее важные и трудные вопросы или разделы дисциплины, требующие внимательного изучения и обдумывания. Нужно эти вопросы выделить и обязательно постараться разобраться в них, не дожидаясь экзамена, проработать их, готовясь к семинарам, практическим или лабораторным занятиям, попробовать самостоятельно решить несколько типовых задач. И если, несмотря на это, часть материала осталась неусвоенной, ни в коем случае нельзя успокаиваться, надеясь

на то, что это не попадется на экзамене. Факты говорят об обратном; если те или другие вопросы учебной дисциплины не вошли в экзаменационный билет, преподаватель может их задать (и часто задает) в виде дополнительных вопросов.

Точно такое же отношение должно быть выработано к вопросам и задачам, перечисленным в программе учебной дисциплины, выдаваемой студентам в начале семестра. Обычно эти же вопросы и аналогичные задачи содержатся в экзаменационных билетах. Не следует оставлять без внимания ни одного раздела дисциплины: если не удалось в чем-то разобраться самому, нужно обратиться к товарищам; если и это не помогло выяснить какой-либо вопрос до конца, нужно обязательно задать этот вопрос преподавателю на предэкзаменационной консультации. Чрезвычайно важно приучить себя к умению самостоятельно мыслить, учиться думать, понимать суть дела. Очень полезно после проработки каждого раздела восстановить в памяти содержание изученного материала. кратко записав это на листе бумаги. создать карту памяти (умственную карту), изобразить необходимые схемы и чертежи (логико-графические схемы), например, отобразить последовательность вывода теоремы или формулы. Если этого не сделать, то большая часть материала останется не понятой, а лишь формально заученной, и при первом же вопросе экзаменатора студент убедится в том, насколько поверхностно он усвоил материал.

В период экзаменационной сессии происходит резкое изменение режима работы, отсутствует посещение занятий по расписанию. При всяком изменении режима работы очень важно скорее приспособиться к новым условиям. Поэтому нужно сразу выбрать такой режим работы, который сохранился бы в течение всей сессии, т. е. почти на месяц. Необходимо составить для себя новый распорядок дня, чередуя занятия с отдыхом. Для того чтобы сократить потерю времени на включение в работу, рабочие периоды целесообразно делать длительными, разделив день примерно на три части: с утра до обеда, с обеда до ужина и от ужина до сна.

Каждый рабочий период дня надо заканчивать отдыхом. Наилучший отдых в период экзаменационной сессии - прогулка, кратковременная пробежка или какой-либо неутомительный физический труд.

При подготовке к экзаменам основное направление дают программа учебной дисциплины и студенческий конспект, которые указывают, что наиболее важно знать и уметь делать. Основной материал должен прорабатываться по учебнику (если такой имеется) и учебным пособиям, так как конспекта далеко недостаточно для изучения дисциплины. Учебник должен быть изучен в течение семестра, а перед экзаменом сосредоточьте внимание на основных, наиболее сложных разделах. Подготовку по каждому разделу следует заканчивать восстановлением по памяти его краткого содержания в логической последовательности.

За один - два дня до экзамена назначается консультация. Если ее правильно использовать, она принесет большую пользу. Во время консультации студент имеет полную возможность получить ответ на нее ни ясные ему вопросы. А для этого он должен проработать до консультации все темы дисциплины. Кроме того, преподаватель будет отвечать на вопросы других студентов, что будет для вас повторением и закреплением знаний. И еще очень важное обстоятельство: преподаватель на консультации, как правило, обращает внимание на те вопросы, по которым на предыдущих экзаменах ответы были неудовлетворительными, а также фиксирует внимание на наиболее трудных темах дисциплины. Некоторые студенты не приходят на консультации либо потому, что считают, что у них нет вопросов к преподавателю, либо полагают, что у них и так мало времени и лучше самому прочитать материал в конспекте или и учебнике. Это глубокое заблуждение. Никакая другая работа не сможет принести столь значительного эффекта накануне экзамена, как консультация преподавателя.

Но консультация не может возместить отсутствия длительной работы в течение семестра и помочь за несколько часов освоить материал, требующийся к экзамену. На

консультации студент получает ответы на трудные или оставшиеся неясными вопросы и, следовательно, дорабатывается материал. Консультации рекомендуется посещать, подготовив к ним все вопросы, вызывающие сомнения. Если студент придет на консультацию, не проработав всего материала, польза от такой консультации будет невелика.

Итак, *основные советы* для подготовки к сдаче зачетов и экзаменов состоят в следующем:

- лучшая подготовка к зачетам и экзаменам - равномерная работа в течение всего семестра;
- используйте программы учебных дисциплин - это организует вашу подготовку к зачетам и экзаменам;
- учитывайте, что для полноценного изучения учебной дисциплины необходимо время;
- составляйте планы работы во времени;
- работайте равномерно и ритмично;
- курсовые работы (проекты) желательно защищать за одну - две недели до начала зачетно-экзаменационной сессии;
- все зачеты необходимо сдавать до начала экзаменационной сессии;
- помните, что конспект не заменяет учебник и учебные пособия, а помогает выбрать из него основные вопросы и ответы;
- при подготовке наибольшее внимание и время уделяйте трудным и непонятным вопросам учебной дисциплины;
- грамотно используйте консультации;
- соблюдайте правильный режим труда и отдыха во время сессии, это сохранит работоспособность и даст хорошие результаты;
- учитесь владеть собой на зачете и экзамене;
- учитесь точно и кратко передавать свои мысли, поясняя их, если нужно, логико-графическими схемами.

Очень важным условием для правильного режима работы в период экзаменационной сессии является нормальный сон, иначе в день экзамена не будет чувства бодрости и уверенности.

ЗАКЛЮЧЕНИЕ

Методические указания по выполнению самостоятельной работы обучающихся являются неотъемлемой частью процесса обучения в вузе. Правильнаяорганизация самостоятельной работы позволяет обучающимся развивать умения и навыки в усвоении и систематизации приобретаемых знаний, обеспечивает высокий уровень успеваемости в период обучения, способствует формированию навыков совершенствования профессионального мастерства. Также внеаудиторное время включает в себя подготовку к аудиторным занятиям и изучение отдельных тем, расширяющих и углубляющих представления обучающихся по разделам изучаемой дисциплины.

Таким образом, обучающийся используя методические указания может в достаточном объеме усвоить и успешно реализовать конкретные знания, умения, навыки и получить опыт при выполнении следующих условий:

1) систематическаясамостоятельная работа по закреплению полученных знаний и навыков;

2) добросовестноевыполнение заданий;

3) выяснениеи уточнение отдельных предпосылок, умозаключений и выводов, содержащихся в учебном курсе;

4) сопоставление точек зрения различных авторов по затрагиваемым в учебном курсе проблемам; выявление неточностей и некорректного изложения материала в периодической и специальной литературе;

5) периодическое ознакомление с последними теоретическими и практическими достижениями в области управления персоналом;

6) проведение собственных научных и практических исследований по одной или нескольким актуальным проблемам для *HR*;

7) подготовка научных статей для опубликования в периодической печати, выступление на научно-практических конференциях, участие в работе студенческих научных обществ, круглых столах и диспутах по проблемам управления персоналом.

Контроль результатов внеаудиторной самостоятельной работы студентов осуществляется в пределах времени, отведенного на обязательные учебные занятия по дисциплине

СПИСОК ИСПОЛЬЗОВАННЫХ ИСТОЧНИКОВ

1. Долгоруков А. Метод case-study как современная технология профессионально - ориентированного обучения [Электронный ресурс]. Режим доступа: //http://evolkov.net/case/case.study.html/

2. Методические рекомендации по написанию реферата. [Электронный ресурс]. Режим доступа: http://www.hse.spb.ru/edu/recommendations/method-referat-2005.phtml

3. Фролова Н. А. Реферирование и аннотирование текстов по специальности (на материале немецкого языка): Учеб. пособие / ВолгГТУ, Волгоград, 2006. - С.5.

МИНОБРНАУКИ РФ

ФГБОУ ВО «Уральский государственный горный университет»

УТВЕРЖДАЮ
Проректор по учебно-методическому комплексу
_____ С.А.Упоров

МЕТОДИЧЕСКИЕ УКАЗАНИЯ ПО САМОСТОЯТЕЛЬНОЙ РАБОТЕ СТУДЕНТОВ

Б1.О.02 ВСЕОБЩАЯ ИСТОРИЯ

Специальность:
21.05.02 Прикладная геология

Специализация:
Геология месторождений нефти и газа

форма обучения: очная

год набора: 2021

Автор: Абрамов С. М., к.педаг.н., доцент

Одобрены на заседании кафедры
Управления персоналом
(название кафедры)
Зав. кафедрой _____
(подпись)
Ветошкина Т.А.
(Фамилия И.О.)
Протокол № 1 от 09.09.2020
(Дата)

Рассмотрены методической комиссией
факультета геологии и геофизики
(название факультета)
Председатель _____
(подпись)
д.г.-м.н., проф. Бондарев В.И.
(Фамилия И.О.)
Протокол № 2 от 13.10.2020
(Дата)

Екатеринбург

Методические указания по дисциплине согласованы с выпускающей кафедрой литологии и геологии горючих ископаемых

Заведующий кафедрой ЛГГИ _____ к.г.-м.н., С.А. Рыльков____

подпись *И.О. Фамилия*

СОДЕРЖАНИЕ

	Введение	3
1	Методические рекомендации по решению практико-ориентированных заданий	4
2	Методические указания по подготовке к опросу	8
3	Методические рекомендации по подготовке к практическим занятиям	9
4	Методические рекомендации по подготовке семинарским занятиям	10
5	Методические рекомендации по подготовке к сдаче экзаменов и зачетов	11
	Заключение	14
	Список использованных источников	15

ВВЕДЕНИЕ

Самостоятельная работа студентов может рассматриваться как организационная форма обучения - система педагогических условий, обеспечивающих управление учебной деятельностью студентов по освоению знаний и умений в области учебной и научной деятельности без посторонней помощи.

Самостоятельная работа студентов проводится с целью:

- систематизации и закрепления полученных теоретических знаний и практических умений студентов;
- углубления и расширения теоретических знаний;
- формирования умений использовать нормативную, правовую, справочную документацию и специальную литературу;
- развития познавательных способностей и активности студентов: творческой инициативы, самостоятельности, ответственности и организованности;
- формирования самостоятельности мышления, способностей к саморазвитию, самосовершенствованию и самореализации;
- формирования практических (общеучебных и профессиональных) умений и навыков;
- развитияисследовательских умений;
- получения навыков эффективной самостоятельной профессиональной (практической и научно-теоретической) деятельности.

В учебном процессе выделяют два вида самостоятельной работы:

- аудиторная;
- внеаудиторная.

Аудиторная самостоятельная работа по дисциплине выполняется на учебных занятиях под непосредственным руководством преподавателя и по его заданию.

Внеаудиторная самостоятельная работа - планируемая учебная, учебно-исследовательская, научно-исследовательская работа студентов, выполняемая во внеаудиторное время по заданию и при методическом руководстве преподавателя, но без его непосредственного участия.

Самостоятельная работа, не предусмотренная образовательной программой, учебным планом и учебно-методическими материалами, раскрывающими и конкретизирующими их содержание, осуществляется студентами инициативно, с целью реализации собственных учебных и научных интересов.

Для более эффективного выполнения самостоятельной работы по дисциплине преподаватель рекомендует студентам источники и учебно-методические пособия для работы, характеризует наиболее рациональную методику самостоятельной работы, демонстрирует ранее выполненные студентами работы и т. п.

Подразумевается несколько категорий видов самостоятельной работы студентов, значительная часть которых нашла отражения в данных методических рекомендациях:

- работа с источниками литературы и официальными документами (*использование библиотечно-информационной системы*);
- выполнение заданий для самостоятельной работы в рамках учебных дисциплин (*рефераты, эссе, домашние задания, решения практико-ориентированных заданий*);

- реализация элементов научно-педагогической практики (*разработка методических материалов, тестов, тематических портфолио*);
- реализация элементов научно-исследовательской практики (*подготовка текстов докладов, участие в исследованиях*).

Особенностью организации самостоятельной работы студентов является необходимость не только подготовиться к сдаче зачета, но и собрать, обобщить, систематизировать, проанализировать информацию по темам дисциплины.

Технология организации самостоятельной работы студентов включает использование информационных и материально-технических ресурсов образовательного учреждения.

Самостоятельная работа может осуществляться индивидуально или группами студентовonline и на занятиях в зависимости от цели, объема, конкретной тематики самостоятельной работы, уровня сложности, уровня умений студентов.

В качестве форм и методов контроля внеаудиторной самостоятельной работы студентов могут быть использованы обмен информационными файлами, семинарские занятия, тестирование, опрос, доклад, реферат, самоотчеты, контрольные работы, защита творческих работ и электронных презентаций и др.

Контроль результатов внеаудиторной самостоятельной работы студентов осуществляется в пределах времени, отведенного на обязательные учебные занятия по дисциплине.

1. Методические рекомендации по решению практико-ориентированных заданий

Практико-ориентированные задания - метод анализа ситуаций. Суть его заключается в том, что студентам предлагают осмыслить реальную жизненную ситуацию, описание которой одновременно отражает не только какую-либо практическую проблему, но и актуализирует определенный комплекс знаний, который необходимо усвоить при разрешении данной проблемы. При этом сама проблема не имеет однозначных решений.

Использование метода практико-ориентированного задания как образовательной технологии профессионально-ориентированного обучения представляет собой сложный процесс, плохо поддающийся алгоритмизации [1] . Формально можновыделить следующиеэтапы:

- ознакомление студентовс текстом;
- анализ практико-ориентированного задания;
- организация обсуждения практико-ориентированного задания, дискуссии, презентации;
- оценивание участников дискуссии;
- подведение итогов дискуссии.

Ознакомление студентов с текстом практико-ориентированного задания и последующий анализ практико-ориентированного задания чаще всего осуществляются за несколько дней до его обсуждения и реализуются как самостоятельная работа студентов; при этом время, отводимое на подготовку, определяется видом практико-ориентированного задания, его объемом и сложностью.

Общая схема работы с практико-ориентированное заданием на данном этапе может быть представлена следующим образом: в первую очередь следует выявить ключевые проблемы практико-ориентированного задания и понять, какие именно из представленных данных важны для решения; войти в ситуационный контекст практико-ориентированного задания, определить, кто его главные действующие лица, отобрать факты и понятия,

[1] Долгоруков А. Метод case-study как современная технология профессионально -ориентированного обучения [Электронный ресурс]. Режим доступа: //http://evolkov.net/case/case.study.html/

необходимые для анализа, понять, какие трудности могут возникнуть при решении задачи; следующим этапом является выбор метода исследования.

Знакомство с небольшими практико-ориентированного заданиями и их обсуждение может быть организовано непосредственно на занятиях. Принципиально важным в этом случае является то, чтобы часть теоретического курса, на которой базируется практико-ориентированное задание, была бы прочитана и проработана студентами.

Максимальная польза из работы над практико-ориентированного заданиями будет извлечена в том случае, если аспиранты при предварительном знакомстве с ними будут придерживаться систематического подхода к их анализу, основные шаги которого представлены ниже:

1. Выпишите из соответствующих разделов учебной дисциплины ключевые идеи, для того, чтобы освежить в памяти теоретические концепции и подходы, которые Вам предстоит использовать при анализе практико-ориентированного задания.
2. Бегло прочтите практико-ориентированное задание, чтобы составить о нем общее представление.
3. Внимательно прочтите вопросы к практико-ориентированное задание и убедитесь в том, что Вы хорошо поняли, что Вас просят сделать.
4. Вновь прочтите текст практико-ориентированного задания, внимательно фиксируя все факторы или проблемы, имеющие отношение к поставленным вопросам.
5. Прикиньте, какие идеи и концепции соотносятся с проблемами, которые Вам предлагается рассмотреть при работе с практико-ориентированное заданием.

Организация обсуждения практико-ориентированного задания предполагает формулирование перед студентами вопросов, включение их в дискуссию. Вопросы обычно подготавливают заранее и предлагают студентам вместе с текстом практико-ориентированного задания. При разборе учебной ситуации преподаватель может занимать активную или пассивную позицию, иногда он «дирижирует» разбором, а иногда ограничивается подведением итогов дискуссии.

Организация обсуждения практико-ориентированных заданий обычно основывается на двух методах. Первый из них носит название традиционного Гарвардского метода - открытая дискуссия. Альтернативным методом является метод, связанный с индивидуальным или групповым опросом, в ходе которого аспиранты делают формальную устную оценку ситуации и предлагают анализ представленного практико-ориентированного задания, свои решения и рекомендации, т.е. делают презентацию. Этот метод позволяет некоторым студентам минимизировать их учебные усилия, поскольку каждый аспирант опрашивается один- два раза за занятие. Метод развивает у студентов коммуникативные навыки, учит их четко выражать свои мысли. Однако, этот метод менее динамичен, чем Гарвардский метод. В открытой дискуссии организация и контроль участников более сложен.

Дискуссия занимает центральное место в методе. Ее целесообразно использовать в том случае, когда аспиранты обладают значительной степенью зрелости и самостоятельности мышления, умеют аргументировать, доказывать и обосновывать свою точку зрения. Важнейшей характеристикой дискуссии является уровень ее компетентности, который складывается из компетентности ее участников. Неподготовленность студентов к дискуссии делает ее формальной, превращает в процесс вытаскивания ими информации у преподавателя, а не самостоятельное ее добывание.

Особое место в организации дискуссии при обсуждении и анализе практико-ориентированного задания принадлежит использованию метода генерации идей, получившего название «мозговой атаки» или «мозгового штурма».

Метод «мозговой атаки» или «мозгового штурма» был предложен в 30-х годах прошлого столетия А. Осборном как групповой метод решения проблем. К концу XX столетия этот метод приобрел особую популярность в практике управления и обучения не только как самостоятельный метод, но и как использование в процессе деятельности с целью усиления ее продуктивности. В процессе обучения «мозговая атака» выступает в

качестве важнейшего средства развития творческой активности студентов. «Мозговая атака» включает в себя три фазы.

Первая фаза представляет собой вхождение в психологическую раскованность, отказ от стереотипности, страха показаться смешным и неудачником; достигается созданием благоприятной психологической обстановки и взаимного доверия, когда идеи теряют авторство, становятся общими. Основная задача этой фазы - успокоиться и расковаться.

Вторая фаза - это собственно атака; задача этой фазы - породить поток, лавину идей. «Мозговая атака» в этой фазе осуществляется по следующим принципам:

- есть идея, - говорю, нет идеи, - не молчу;
- поощряется самое необузданное ассоциирование, чем более дикой покажется идея, тем лучше;
- количество предложенных идей должно быть как можно большим;
- высказанные идеи разрешается заимствовать и как угодно комбинировать, а также видоизменять и улучшать;
- исключается критика, можно высказывать любые мысли без боязни, что их признают плохими, критикующих лишают слова;
- не имеют никакого значения социальные статусы участников; это абсолютная демократия и одновременно авторитаризм сумасшедшей идеи;
- все идеи записываются в протокольный список идей;
- время высказываний - не более 1-2 минут.

Третья фаза представляет собой творческий анализ идей с целью поиска конструктивного решения проблемы по следующим правилам:

- анализировать все идеи без дискриминации какой-либо из них;
- найти место идее в системе и найти систему под идею;
- не умножать сущностей без надобности;
- не должна нарушаться красота и изящество полученного результата;
- должно быть принципиально новое видение;
- ищи «жемчужину в навозе».

В методе мозговая атака применяется при возникновении у группы реальных затруднений в осмыслении ситуации, является средством повышения активности студентов. В этом смысле мозговая атака представляется не как инструмент поиска новых решений, хотя и такая ее роль не исключена, а как своеобразное «подталкивание» к познавательной активности.

Презентация, или представление результатов анализа практико-ориентированного задания, выступает очень важным аспектом метода ***case-study***. Умение публично представить интеллектуальный продукт, хорошо его рекламировать, показать его достоинства и возможные направления эффективного использования, а также выстоять под шквалом критики, является очень ценным интегральным качеством современного специалиста. Презентация оттачивает многие глубинные качества личности: волю, убежденность, целенаправленность, достоинство и т.п.; она вырабатывает навыки публичного общения, формирования своего собственного имиджа.

Публичная (устная) презентация предполагает представление решений практико-ориентированного задания группе, она максимально вырабатывает навыки публичной деятельности и участия в дискуссии. Устная презентация обладает свойством кратковременного воздействия на студентов и, поэтому, трудна для восприятия и запоминания. Степень подготовленности выступающего проявляется в спровоцированной им дискуссии: для этого необязательно делать все заявления очевидными и неопровержимыми. Такая подача материала при анализе практико-ориентированного задания может послужить началом дискуссии. При устной презентации необходимо учитывать эмоциональный настрой выступающего: отношение и эмоции говорящего вносят существенный вклад в сообщение. Одним из преимуществ публичной (устной) презентации является ее гибкость. Оратор может откликаться на изменения окружающей обстановки, адаптировать свой стиль и материал, чувствуя настроение аудитории.

Непубличная презентация менее эффектна, но обучающая роль ее весьма велика. Чаще всего непубличная презентация выступает в виде подготовки отчета по выполнению задания, при этом стимулируются такие качества, как умение подготовить текст, точно и аккуратно составить отчет, не допустить ошибки в расчетах и т.д. Подготовка письменного анализа практико-ориентированного задания аналогична подготовке устного, с той разницей, что письменные отчеты-презентации обычно более структурированы и детализированы. Основное правило письменного анализа практико-ориентированного задания заключается в том, чтобы избегать простого повторения информации из текста, информация должна быть представлена в переработанном виде. Самым важным при этом является собственный анализ представленного материала, его соответствующая интерпретация и сделанные предложения. Письменный отчет - презентация может сдаваться по истечении некоторого времени после устной презентации, что позволяет студентам более тщательно проанализировать всю информацию, полученную в ходе дискуссии.

Как письменная, так и устная презентация результатов анализа практико-ориентированного задания может быть групповая и индивидуальная. Отчет может быть индивидуальным или групповым в зависимости от сложности и объема задания. Индивидуальная презентация формирует ответственность, собранность, волю; групповая - аналитические способности, умение обобщать материал, системно видеть проект.

Оценивание участников дискуссии является важнейшей проблемой обучения посредством метода практико-ориентированного задания. При этом выделяются следующие требования к оцениванию:

- объективность - создание условий, в которых бы максимально точно выявлялись знания обучаемых, предъявление к ним единых требований, справедливое отношение к каждому;
- обоснованность оценок - их аргументация;
- систематичность - важнейший психологический фактор, организующий и дисциплинирующий студентов, формирующий настойчивость и устремленность в достижении цели;
- всесторонность и оптимальность.

Оценивание участников дискуссии предполагает оценивание не столько набора определенных знаний, сколько умения студентов анализировать конкретную ситуацию, принимать решение, логически мыслить.

Следует отметить, что оценивается содержательная активность студента в дискуссии или публичной (устной) презентации, которая включает в себя следующие составляющие:

- выступление, которое характеризует попытку серьезного предварительного
- анализа (правильность предложений, подготовленность,
- аргументированность и т.д.);
- обращение внимания на определенный круг вопросов, которые требуют углубленного обсуждения;
- владение категориальным аппаратом, стремление давать определения, выявлять содержание понятий;
- демонстрация умения логически мыслить, если точки зрения, высказанные раньше, подытоживаются и приводят к логическим выводам;
- предложение альтернатив, которые раньше оставались без внимания;
- предложение определенного плана действий или плана воплощения решения;
- определение существенных элементов, которые должны учитываться при анализе практико-ориентированного задания;
- заметное участие в обработке количественных данных, проведении расчетов;
- подведение итогов обсуждения.

При оценивании анализа практико-ориентированного задания, данного студентами при непубличной (письменной) презентации учитывается:

- формулировка и анализ большинства проблем, имеющихся в практико-ориентированное задание;
- формулировка собственных выводов на основании информации о практико-ориентированное задание, которые отличаются от выводов других студентов;
- демонстрация адекватных аналитических методов для обработки информации;
- соответствие приведенных в итоге анализа аргументов ранее выявленным проблемам, сделанным выводам, оценкам и использованным аналитическим метода

2. Методические указанияпо подготовке к опросу

Самостоятельная работа обучающихся включает подготовку к устному или письменному опросу на семинарских занятиях. Для этого обучающийся изучает лекции, основную и дополнительную литературу, публикации, информацию из Интернет-ресурсов. Темы и вопросы к семинарским занятиям, вопросы для самоконтроля приведены в методических указаниях по разделам и доводятся до обучающихся заранее.

Письменный опрос

В соответствии с технологической картой письменный опрос является одной из форм текущего контроля успеваемости студента по данной дисциплине. При подготовке к письменному опросу студент должен внимательно изучает лекции, основную и дополнительную литературу, публикации, информацию из Интернет-ресурсов. Темы и вопросы к семинарским занятиям, вопросы для самоконтроля приведены в методических указаниях по разделам и доводятся до обучающихся заранее.

При изучении материала студент должен убедиться, что хорошо понимает основную терминологию темы, умеет ее использовать в нужном контексте. Желательно составить краткий конспект ответа на предполагаемые вопросы письменной работы, чтобы убедиться в том, что студент владеет материалом и может аргументировано, логично и грамотно письменно изложить ответ на вопрос. Следует обратить особое внимание на написание профессиональных терминов, чтобы избегать грамматических ошибок в работе. При изучении новой для студента терминологии рекомендуется изготовить карточки, которые содержат новый термин и его расшифровку, что значительно облегчит работу над материалом.

Устный опрос

Целью устного собеседования являются обобщение и закрепление изученного курса. Студентам предлагаются дляосвещения сквозные концептуальные проблемы. При подготовке следует использовать лекционный материал и учебную литературу. Для более глубокого постижения курса и более основательной подготовки рекомендуется познакомиться с указанной дополнительной литературой. Готовясь к семинару, студент должен, прежде всего, ознакомиться с общим планом семинарского занятия. Следует внимательно прочесть свой конспект лекции по изучаемой теме и рекомендуемую к теме семинара литературу. С незнакомыми терминами и понятиями следует ознакомиться в предлагаемом глоссарии, словаре или энциклопедии[2].

Критерии качества устного ответа.

1. Правильность ответа по содержанию.
2. Полнота и глубинаответа.
3. Сознательность ответа(учитывается понимание излагаемого материала).
4. Логика изложенияматериала (учитывается умение строить целостный, последовательный рассказ, грамотно пользоваться профессиональной терминологией).

[2]Методические рекомендации для студентов [Электронный ресурс]: Режим доступа: http://lesgaft.spb.ru/sites/default/files/u57/metod.rekomendacii_dlya_studentov_21.pdf

5. Рациональность использованных приемов и способов решения поставленной учебной задачи (учитывается умение использовать наиболее прогрессивные и эффективные способы достижения цели).

6. Своевременностьи эффективность использования наглядных пособий и технических средств при ответе (учитывается грамотно и с пользой применять наглядность и демонстрационный опыт при устном ответе).

7. Использованиедополнительного материала (приветствуется, но не обязательно для всех студентов).

8. Рациональность использования времени, отведенного на задание (не одобряется затянутость выполнения задания, устного ответа во времени, с учетом индивидуальных особенностей студентов)[3].

Ответ на каждый вопрос из плана семинарского занятия должен быть содержательным и аргументированным. Для этого следует использовать документы, монографическую, учебную и справочную литературу.

Для успешной подготовки к устному опросу, студент должен законспектировать рекомендуемую литературу, внимательно осмыслить лекционный материал и сделать выводы. В среднем, подготовка к устному опросу по одному семинарскому занятию занимает от 2 до 4 часов в зависимости от сложности темы и особенностей организации обучающимся своей самостоятельной работы.

3.Методические рекомендации по подготовке к практическим занятиям

На практических занятиях необходимо стремиться к самостоятельному решению задач, находя для этого более эффективные методы. При этом студентам надо приучить себя доводить решения задач до конечного «идеального» ответа. Это очень важно для будущих специалистов. Практические занятия вырабатывают навыки самостоятельной творческой работы, развивают мыслительные способности.

Практическое занятие – активная форма учебного процесса, дополняющая теоретический курс или лекционную часть учебной дисциплины и призванная помощь обучающимся освоиться в «пространстве» (тематике) дисциплины, самостоятельно прооперировать теоретическими знаниями на конкретном учебном материале.

Продолжительность одного практического занятия – от 2 до 4 академических часов. Общая доля практических занятий в учебном времени на дисциплину – от 10 до 20 процентов (при условии, что все активные формы займут в учебном времени на дисциплину от 40 до 60 процентов).

Для практического занятия в качестве темы выбирается обычно такая учебная задача, которая предполагает не существенные эвристические и аналитические напряжения и продвижения, а потребность обучающегося «потрогать» материал, опознать в конкретном то общее, о чем говорилось в лекции. Например, при рассмотрении вопросов оплаты труда, мотивации труда и проблем безработицы в России имеет смысл провести практические занятия со следующими сюжетами заданий: «Расчет заработной платы работников предприятия». «Разработка механизма мотивации труда на предприятии N». «В чем причины и особенности безработицы в России?». Последняя тема предполагает уже некоторую аналитическую составляющую. Основная задача первой из этих тем - самим посчитать заработную плату для различных групп работников на примере заданных параметров для конкретного предприятия, т. е. сделать расчеты «как на практике»; второй – дать собственный вариант мотивационной политики для предприятия, учитывая особенности данного объекта, отрасли и т.д.; третьей – опираясь на теоретические знания в области проблем занятости и безработицы, а также статистические материалы, сделать

[3]Методические рекомендации для студентов [Электронный ресурс]: http://priab.ru/images/metod_agro/Metod_Inostran_yazyk_35.03.04_Agro_15.01.2016.pdf

авторские выводы о видах безработицы, характерных для России, и их причинах, а также предложить меры по минимизации безработицы.

Перед проведением занятия должен быть подготовлен специальный материал – тот объект, которым обучающиеся станут оперировать, активизируя свои теоретические (общие) знания и тем самым, приобретая навыки выработки уверенных суждений и осуществления конкретных действий.

Дополнительный материал для практического занятия лучше получить у преподавателя заранее, чтобы у студентов была возможность просмотреть его и подготовить вопросы.

Условия должны быть такими, чтобы каждый мог работать самостоятельно от начала до конца. В аудитории должны быть «под рукой» необходимые справочники и тексты законов и нормативных актов по тематике занятия. Чтобы сделать практическое занятие максимально эффективным, надо заранее подготовить и изучить материал по наиболее интересным и практически важным темам.

Особенности практического занятия с использованием компьютера

Для того чтобы повысить эффективность проведения практического занятия, может использоваться компьютер по следующим направлениям:

- поиск информации в Интернете по поставленной проблеме: в этом случае преподаватель представляет обучающимся перечень рекомендуемых для посещения Интернет-сайтов;
- использование прикладных обучающих программ;
- выполнение заданий с использованием обучающимися заранее установленных преподавателем программ;
- использование программного обеспечения при проведении занятий, связанных с моделированием социально-экономических процессов.

4.Методические рекомендации по подготовке семинарским занятиям

Семинар представляет собой комплексную форму и завершающее звено в изучении определенных тем, предусмотренных программой учебной дисциплины. Комплексность данной формы занятий определяется тем, что в ходе её проведения сочетаются выступления обучающихся и преподавателя: рассмотрение обсуждаемой проблемы и анализ различных, часто дискуссионных позиций; обсуждение мнений обучающихся и разъяснение (консультация) преподавателя; углубленное изучение теории и приобретение навыков умения ее использовать в практической работе.

По своему назначению семинар, в процессе которого обсуждается та или иная научная проблема, способствует:

- углубленному изучению определенного раздела учебной дисциплины, закреплению знаний;
- отработке методологии и методических приемов познания;
- выработке аналитических способностей, умения обобщения и формулирования выводов;
- приобретению навыков использования научных знаний в практической деятельности;
- выработке умения кратко, аргументированно и ясно излагать обсуждаемые вопросы;
- осуществлению контроля преподавателя за ходом обучения.

Семинары представляет собой дискуссию в пределах обсуждаемой темы (проблемы). Дискуссия помогает участникам семинара приобрести более совершенные знания, проникнуть в суть изучаемых проблем. Выработать методологию, овладеть методами анализа социально-экономических процессов. Обсуждение должно носить творческий характер с четкой и убедительной аргументацией.

По своей структуре семинар начинается со вступительного слова преподавателя, в котором кратко излагаются место и значение обсуждаемой темы (проблемы) в данной

дисциплине, напоминаются порядок и направления ее обсуждения. Конкретизируется ранее известный обучающимся план проведения занятия. После этого начинается процесс обсуждения вопросов обучающимися. Завершается занятие заключительным словом преподавателя.

Проведение семинарских занятий в рамках учебной группы (20 - 25 человек) позволяет обеспечить активное участие в обсуждении проблемы всех присутствующих.

По ходу обсуждения темы помните, что изучение теории должно быть связано с определением (выработкой) средств, путей применения теоретических положений в практической деятельности, например, при выполнении функций государственного служащего. В то же время важно не свести обсуждение научной проблемы только к пересказу случаев из практики работы, к критике имеющих место недостатков. Дискуссии имеют важное значение: учат дисциплине ума, умению выступать по существу, мыслить логически, выделяя главное, критически оценивать выступления участников семинара.

В процессе проведения семинара обучающиеся могут использовать разнообразные по своей форме и характеру пособия (от доски смелом до самых современных технических средств), демонстрируя фактический, в том числе статистический материал, убедительно подтверждающий теоретические выводы и положения. В завершение обсудите результаты работы семинара и сделайте выводы, что хорошо усвоено, а над чем следует дополнительно поработать.

В целях эффективности семинарских занятий необходима обстоятельная подготовка к их проведению. В начале семестра (учебного года) возьмите в библиотеке необходимые методические материалы для своевременной подготовки к семинарам. Во время лекций, связанных с темой семинарского занятия, следует обращать внимание на то, что необходимо дополнительно изучить при подготовке к семинару (новые официальные документы, статьи в периодических журналах, вновь вышедшие монографии и т.д.).

5.Методические рекомендации по подготовке к сдаче экзаменов и зачетов

Экзамен - одна из важнейших частей учебного процесса, имеющая огромное значение.

Во-первых, готовясь к экзамену, студент приводит в систему знания, полученные на лекциях, семинарах, практических и лабораторных занятиях, разбирается в том, что осталось непонятным, и тогда изучаемая им дисциплина может быть воспринята в полном объеме с присущей ей строгостью и логичностью, ее практической направленностью. А это чрезвычайно важно для будущего специалиста.

Во-вторых, каждый хочет быть волевым и сообразительным., выдержанным и целеустремленным, иметь хорошую память, научиться быстро находить наиболее рациональное решение в трудных ситуациях. Очевидно, что все эти качества не только украшают человека, но и делают его наиболее действенным членом коллектива. Подготовка и сдача экзамена помогают студенту глубже усвоить изучаемые дисциплины, приобрести навыки и качества, необходимые хорошему специалисту.

Конечно, успех на экзамене во многом обусловлен тем, насколько систематически и глубоко работал студент в течение семестра. Совершенно очевидно, что серьезно продумать и усвоить содержание изучаемых дисциплин за несколько дней подготовки к экзамену просто невозможно даже для очень способного студента. И, кроме того, хорошо известно, что быстро выученные на память разделы учебной дисциплины так же быстро забываются после сдачи экзамена.

При подготовке к экзамену студенты не только повторяют и дорабатывают материал дисциплины, которую они изучали в течение семестра, они обобщают полученные знания, осмысливают методологию предмета, его систему, выделяют в нем основное и главное, воспроизводят общую картину с тем, чтобы яснее понять связь между отдельными элементами дисциплины. Вся эта обобщающая работа проходит в условиях напряжения

воли и сознания, при значительном отвлечении от повседневной жизни, т. е. в условиях, благоприятствующих пониманию и запоминанию.

Подготовка к экзаменам состоит в приведении в порядок своих знаний. Даже самые способные студенты не в состоянии в короткий период зачетно-экзаменационной сессии усвоить материал целого семестра, если они над ним не работали в свое время. Для тех, кто мало занимался в семестре, экзамены принесут мало пользы: что быстро пройдено, то быстро и забудется. И хотя в некоторых случаях студент может «проскочить» через экзаменационный барьер, в его подготовке останется серьезный пробел, трудно восполняемый впоследствии.

Определив назначение и роль экзаменов в процессе обучения, попытаемся на этой основе пояснить, как лучше готовиться к ним.

Экзаменам, как правило, предшествует защита курсовых работ (проектов) и сдача зачетов. К экзаменам допускаются только студенты, защитившие все курсовые работы проекты) и сдавшие все зачеты. В вузе сдача зачетов организована так, что при систематической работе в течение семестра, своевременной и успешной сдаче всех текущих работ, предусмотренных графиком учебного процесса, большая часть зачетов не вызывает повышенной трудности у студента. Студенты, работавшие в семестре по плану, подходят к экзаменационной сессии без напряжения, без излишней затраты сил в последнюю, «зачетную» неделю.

Подготовку к экзамену следует начинать с первого дня изучения дисциплины. Как правило, на лекциях подчеркиваются наиболее важные и трудные вопросы или разделы дисциплины, требующие внимательного изучения и обдумывания. Нужно эти вопросы выделить и обязательно постараться разобраться в них, не дожидаясь экзамена, проработать их, готовясь к семинарам, практическим или лабораторным занятиям, попробовать самостоятельно решить несколько типовых задач. И если, несмотря на это, часть материала осталась неусвоенной, ни в коем случае нельзя успокаиваться, надеясь на то, что это не попадется на экзамене. Факты говорят об обратном; если те или другие вопросы учебной дисциплины не вошли в экзаменационный билет, преподаватель может их задать (и часто задает) в виде дополнительных вопросов.

Точно такое же отношение должно быть выработано к вопросам и задачам, перечисленным в программе учебной дисциплины, выдаваемой студентам в начале семестра. Обычно эти же вопросы и аналогичные задачи содержатся в экзаменационных билетах. Не следует оставлять без внимания ни одного раздела дисциплины: если не удалось в чем-то разобраться самому, нужно обратиться к товарищам; если и это не помогло выяснить какой-либо вопрос до конца, нужно обязательно задать этот вопрос преподавателю на предэкзаменационной консультации. Чрезвычайно важно приучить себя к умению самостоятельно мыслить, учиться думать, понимать суть дела. Очень полезно после проработки каждого раздела восстановить в памяти содержание изученного материала. кратко записав это на листе бумаги. создать карту памяти (умственную карту), изобразить необходимые схемы и чертежи (логико-графические схемы), например, отобразить последовательность вывода теоремы или формулы. Если этого не сделать, то большая часть материала останется не понятой, а лишь формально заученной, и при первом же вопросе экзаменатора студент убедится в том, насколько поверхностно он усвоил материал.

В период экзаменационной сессии происходит резкое изменение режима работы, отсутствует посещение занятий по расписанию. При всяком изменении режима работы очень важно скорее приспособиться к новым условиям. Поэтому нужно сразу выбрать такой режим работы, который сохранился бы в течение всей сессии, т. е. почти на месяц. Необходимо составить для себя новый распорядок дня, чередуя занятия с отдыхом. Для того чтобы сократить потерю времени на включение в работу, рабочие периоды целесообразно делать длительными, разделив день примерно на три части: с утра до обеда, с обеда до ужина и от ужина до сна.

Каждый рабочий период дня надо заканчивать отдыхом. Наилучший отдых в период экзаменационной сессии - прогулка, кратковременная пробежка или какой-либо неутомительный физический труд.

При подготовке к экзаменам основное направление дают программа учебной дисциплины и студенческий конспект, которые указывают, что наиболее важно знать и уметь делать. Основной материал должен прорабатываться по учебнику (если такой имеется) и учебным пособиям, так как конспекта далеко недостаточно для изучения дисциплины, Учебник должен быть изучен в течение семестра, а перед экзаменом сосредоточьте внимание на основных, наиболее сложных разделах. Подготовку по каждому разделу следует заканчивать восстановлением по памяти его краткого содержания в логической последовательности.

За один - два дня до экзамена назначается консультация. Если ее правильно использовать, она принесет большую пользу. Во время консультации студент имеет полную возможность получить ответ на нее ни ясные ему вопросы. А для этого он должен проработать до консультации все темы дисциплины. Кроме того, преподаватель будет отвечать на вопросы других студентов, что будет для вас повторением и закреплением знаний. И еще очень важное обстоятельство: преподаватель на консультации, как правило, обращает внимание на те вопросы, по которым на предыдущих экзаменах ответы были неудовлетворительными, а также фиксирует внимание на наиболее трудных темах дисциплины. Некоторые студенты не приходят на консультации либо потому, что считают, что у них нет вопросов к преподавателю, либо полагают, что у них и так мало времени и лучше самому прочитать материал в конспекте или и учебнике. Это глубокое заблуждение. Никакая другая работа не сможет принести столь значительного эффекта накануне экзамена, как консультация преподавателя.

Но консультация не может возместить отсутствия длительной работы в течение семестра и помочь за несколько часов освоить материал, требующийся к экзамену. На консультации студент получает ответы на трудные или оставшиеся неясными вопросы и, следовательно, дорабатывается материал. Консультации рекомендуется посещать, подготовив к ним все вопросы, вызывающие сомнения. Если студент придет на консультацию, не проработав всего материала, польза от такой консультации будет невелика.

Очень важным условием для правильного режима работы в период экзаменационной сессии является нормальным сон. Подготовка к экзамену не должна идти в ущерб сну, иначе в день экзамена не будет чувства свежести и бодрости, необходимых для хороших ответов. Вечер накануне экзамена рекомендуем закончить небольшой прогулкой.

Итак, *основные советы* для подготовки к сдаче зачетов и экзаменов состоят в следующем:

- лучшая подготовка к зачетам и экзаменам - равномерная работа в течение всего семестра;
- используйте программы учебных дисциплин - это организует вашу подготовку к зачетам и экзаменам;
- учитывайте, что для полноценного изучения учебной дисциплины необходимо время;
- составляйте планы работы во времени;
- работайте равномерно и ритмично;
- курсовые работы (проекты) желательно защищать за одну - две недели до начала зачетно-экзаменационной сессии;
- все зачеты необходимо сдавать до начала экзаменационной сессии;
- помните, что конспект не заменяет учебник и учебные пособия, а помогает выбрать из него основные вопросы и ответы;
- при подготовке наибольшее внимание и время уделяйте трудным и непонятным вопросам учебной дисциплины;
- грамотно используйте консультации;

- соблюдайте правильный режим труда и отдыха во время сессии, это сохранит работоспособность и даст хорошие результаты;
- учитесь владеть собой на зачете и экзамене;
- учитесь точно и кратко передавать свои мысли, поясняя их, если нужно, логико-графическими схемами.

ЗАКЛЮЧЕНИЕ

Методические указания по выполнению самостоятельной работы обучающихся являются неотъемлемой частью процесса обучения в вузе. Правильнаяорганизация самостоятельной работы позволяет обучающимся развивать умения и навыки в усвоении и систематизации приобретаемых знаний, обеспечивает высокий уровень успеваемости в период обучения, способствует формированию навыков совершенствования профессионального мастерства. Также внеаудиторное время включает в себя подготовку к аудиторным занятиям и изучение отдельных тем, расширяющих и углубляющих представления обучающихся по разделам изучаемой дисциплины.

Таким образом, обучающийся используя методические указания может в достаточном объеме усвоить и успешно реализовать конкретные знания, умения, навыки и получить опыт при выполнении следующих условий:

1) систематическаясамостоятельная работа по закреплению полученных знаний и навыков;

2) добросовестноевыполнение заданий;

3) выяснениеи уточнение отдельных предпосылок, умозаключений и выводов, содержащихся в учебном курсе;

4) сопоставление точек зрения различных авторов по затрагиваемым в учебном курсе проблемам; выявление неточностей и некорректного изложения материала в периодической и специальной литературе;

5) периодическое ознакомление с последними теоретическими и практическими достижениями в области управления персоналом;

6) проведение собственных научных и практических исследований по одной или нескольким актуальным проблемам для *HR*;

7) подготовка научных статей для опубликования в периодической печати, выступление на научно-практических конференциях, участие в работе студенческих научных обществ, круглых столах и диспутах по проблемам управления персоналом.

СПИСОК ЛИТЕРАТУРЫ

1. Брандес М. П. Немецкий язык. Переводческое реферирование: практикум. М.: КДУ, 2008. – 368с.

2. Долгоруков А. Метод case-study как современная технология профессионально -ориентированного обучения [Электронный ресурс]. Режим доступа: //http://evolkov.net/case/case.study.html/

3. Методические рекомендации по написанию реферата. [Электронный ресурс]. Режим доступа: http://www.hse.spb.ru/edu/recommendations/method-referat-2005.phtml

4. Фролова Н. А. Реферирование и аннотирование текстов по специальности: Учеб. пособие / ВолгГТУ, Волгоград, 2006. - С.5.

5. Методические рекомендации для студентов [Электронный ресурс]: Режим доступа:http://lesgaft.spb.ru/sites/default/files/u57/metod.rekomendacii_dlya_studentov_21.pdf

МИНОБРНАУКИ РФ

ФГБОУ ВО «Уральский государственный горный университет»

УТВЕРЖДАЮ
Проректор по учебно-методическому комплексу
_____ С.А.Упоров

МЕТОДИЧЕСКИЕ УКАЗАНИЯ ПО САМОСТОЯТЕЛЬНОЙ РАБОТЕ СТУДЕНТОВ

Б1.О.03 ИСТОРИЯ РОССИИ

Специальность:
21.05.02 Прикладная геология

Специализация:
Геология месторождений нефти и газа

форма обучения: очная

год набора: 2021

Автор: Абрамов С. М.,к.педаг.н., доцент

Одобрены на заседании кафедры
Управления персоналом
(название кафедры)
Зав. кафедрой _____
(подпись)
Ветошкина Т.А.
(Фамилия И.О.)
Протокол № 1 от 09.09.2020
(Дата)

Рассмотрены методической комиссией
факультета геологии и геофизики
(название факультета)
Председатель _____
(подпись)
д.г.-м.н., проф. Бондарев В.И.
(Фамилия И.О.)
Протокол № 2 от 13.10.2020
(Дата)

Екатеринбург

Методические указания по дисциплине согласованы с выпускающей кафедрой литологии и геологии горючих ископаемых

Заведующий кафедрой ЛГГИ _____ к.г.-м.н., С.А. Рыльков____

подпись *И.О. Фамилия*

СОДЕРЖАНИЕ

	Введение	3
1	Методические рекомендации по решению практико-ориентированных заданий	4
2	Методические указания по подготовке к опросу	8
3	Методические рекомендации по подготовке к практическим занятиям	9
4	Методические рекомендации по подготовке семинарским занятиям	10
5	Методические рекомендации по подготовке к сдаче экзаменов и зачетов	11
	Заключение	14
	Список использованных источников	15

ВВЕДЕНИЕ

Самостоятельная работа студентов может рассматриваться как организационная форма обучения - система педагогических условий, обеспечивающих управление учебной деятельностью студентов по освоению знаний и умений в области учебной и научной деятельности без посторонней помощи.

Самостоятельная работа студентов проводится с целью:

- систематизации и закрепления полученных теоретических знаний и практических умений студентов;
- углубления и расширения теоретических знаний;
- формирования умений использовать нормативную, правовую, справочную документацию и специальную литературу;
- развития познавательных способностей и активности студентов: творческой инициативы, самостоятельности, ответственности и организованности;
- формирования самостоятельности мышления, способностей к саморазвитию, самосовершенствованию и самореализации;
- формирования практических (общеучебных и профессиональных) умений и навыков;
- развитияисследовательских умений;
- получения навыков эффективной самостоятельной профессиональной (практической и научно-теоретической) деятельности.

В учебном процессе выделяют два вида самостоятельной работы:

- аудиторная;
- внеаудиторная.

Аудиторная самостоятельная работа по дисциплине выполняется на учебных занятиях под непосредственным руководством преподавателя и по его заданию.

Внеаудиторная самостоятельная работа - планируемая учебная, учебно-исследовательская, научно-исследовательская работа студентов, выполняемая во внеаудиторное время по заданию и при методическом руководстве преподавателя, но без его непосредственного участия.

Самостоятельная работа, не предусмотренная образовательной программой, учебным планом и учебно-методическими материалами, раскрывающими и конкретизирующими их содержание, осуществляется студентами инициативно, с целью реализации собственных учебных и научных интересов.

Для более эффективного выполнения самостоятельной работы по дисциплине преподаватель рекомендует студентам источники и учебно-методические пособия для работы, характеризует наиболее рациональную методику самостоятельной работы, демонстрирует ранее выполненные студентами работы и т. п.

Подразумевается несколько категорий видов самостоятельной работы студентов, значительная часть которых нашла отражения в данных методических рекомендациях:

- работа с источниками литературы и официальными документами (*использование библиотечно-информационной системы*);
- выполнение заданий для самостоятельной работы в рамках учебных дисциплин (*рефераты, эссе, домашние задания, решения практико-ориентированных заданий*);

- реализация элементов научно-педагогической практики (*разработка методических материалов, тестов, тематических портфолио*);
- реализация элементов научно-исследовательской практики (*подготовка текстов докладов, участие в исследованиях*).

Особенностью организации самостоятельной работы студентов является необходимость не только подготовиться к сдаче зачета, но и собрать, обобщить, систематизировать, проанализировать информацию по темам дисциплины.

Технология организации самостоятельной работы студентов включает использование информационных и материально-технических ресурсов образовательного учреждения.

Самостоятельная работа может осуществляться индивидуально или группами студентовonline и на занятиях в зависимости от цели, объема, конкретной тематики самостоятельной работы, уровня сложности, уровня умений студентов.

В качестве форм и методов контроля внеаудиторной самостоятельной работы студентов могут быть использованы обмен информационными файлами, семинарские занятия, тестирование, опрос, доклад, реферат, самоотчеты, контрольные работы, защита творческих работ и электронных презентаций и др.

Контроль результатов внеаудиторной самостоятельной работы студентов осуществляется в пределах времени, отведенного на обязательные учебные занятия по дисциплине.

1. Методические рекомендации по решению практико-ориентированных заданий

Практико-ориентированные задания - метод анализа ситуаций. Суть его заключается в том, что студентам предлагают осмыслить реальную жизненную ситуацию, описание которой одновременно отражает не только какую-либо практическую проблему, но и актуализирует определенный комплекс знаний, который необходимо усвоить при разрешении данной проблемы. При этом сама проблема не имеет однозначных решений.

Использование метода практико-ориентированного задания как образовательной технологии профессионально-ориентированного обучения представляет собой сложный процесс, плохо поддающийся алгоритмизации [1] . Формально можновыделить следующиеэтапы:

- ознакомление студентовс текстом;
- анализ практико-ориентированного задания;
- организация обсуждения практико-ориентированного задания, дискуссии, презентации;
- оценивание участников дискуссии;
- подведение итогов дискуссии.

Ознакомление студентов с текстом практико-ориентированного задания и последующий анализ практико-ориентированного задания чаще всего осуществляются за несколько дней до его обсуждения и реализуются как самостоятельная работа студентов; при этом время, отводимое на подготовку, определяется видом практико-ориентированного задания, его объемом и сложностью.

Общая схема работы с практико-ориентированное заданием на данном этапе может быть представлена следующим образом: в первую очередь следует выявить ключевые проблемы практико-ориентированного задания и понять, какие именно из представленных данных важны для решения; войти в ситуационный контекст практико-ориентированного задания, определить, кто его главные действующие лица, отобрать факты и понятия,

[1] Долгоруков А. Метод case-study как современная технология профессионально -ориентированного обучения [Электронный ресурс]. Режим доступа: //http://evolkov.net/case/case.study.html/

необходимые для анализа, понять, какие трудности могут возникнуть при решении задачи; следующим этапом является выбор метода исследования.

Знакомство с небольшими практико-ориентированного заданиями и их обсуждение может быть организовано непосредственно на занятиях. Принципиально важным в этом случае является то, чтобы часть теоретического курса, на которой базируется практико-ориентированное задание, была бы прочитана и проработана студентами.

Максимальная польза из работы над практико-ориентированного заданиями будет извлечена в том случае, если аспиранты при предварительном знакомстве с ними будут придерживаться систематического подхода к их анализу, основные шаги которого представлены ниже:

1. Выпишите из соответствующих разделов учебной дисциплины ключевые идеи, для того, чтобы освежить в памяти теоретические концепции и подходы, которые Вам предстоит использовать при анализе практико-ориентированного задания.
2. Бегло прочтите практико-ориентированное задание, чтобы составить о нем общее представление.
3. Внимательно прочтите вопросы к практико-ориентированное задание и убедитесь в том, что Вы хорошо поняли, что Вас просят сделать.
4. Вновь прочтите текст практико-ориентированного задания, внимательно фиксируя все факторы или проблемы, имеющие отношение к поставленным вопросам.
5. Прикиньте, какие идеи и концепции соотносятся с проблемами, которые Вам предлагается рассмотреть при работе с практико-ориентированное заданием.

Организация обсуждения практико-ориентированного задания предполагает формулирование перед студентами вопросов, включение их в дискуссию. Вопросы обычно подготавливают заранее и предлагают студентам вместе с текстом практико-ориентированного задания. При разборе учебной ситуации преподаватель может занимать активную или пассивную позицию, иногда он «дирижирует» разбором, а иногда ограничивается подведением итогов дискуссии.

Организация обсуждения практико-ориентированных заданий обычно основывается на двух методах. Первый из них носит название традиционного Гарвардского метода - открытая дискуссия. Альтернативным методом является метод, связанный с индивидуальным или групповым опросом, в ходе которого аспиранты делают формальную устную оценку ситуации и предлагают анализ представленного практико-ориентированного задания, свои решения и рекомендации, т.е. делают презентацию. Этот метод позволяет некоторым студентам минимизировать их учебные усилия, поскольку каждый аспирант опрашивается один- два раза за занятие. Метод развивает у студентов коммуникативные навыки, учит их четко выражать свои мысли. Однако, этот метод менее динамичен, чем Гарвардский метод. В открытой дискуссии организация и контроль участников более сложен.

Дискуссия занимает центральное место в методе. Ее целесообразно использовать в том случае, когда аспиранты обладают значительной степенью зрелости и самостоятельности мышления, умеют аргументировать, доказывать и обосновывать свою точку зрения. Важнейшей характеристикой дискуссии является уровень ее компетентности, который складывается из компетентности ее участников. Неподготовленность студентов к дискуссии делает ее формальной, превращает в процесс вытаскивания ими информации у преподавателя, а не самостоятельное ее добывание.

Особое место в организации дискуссии при обсуждении и анализе практико-ориентированного задания принадлежит использованию метода генерации идей, получившего название «мозговой атаки» или «мозгового штурма».

Метод «мозговой атаки» или «мозгового штурма» был предложен в 30-х годах прошлого столетия А. Осборном как групповой метод решения проблем. К концу XX столетия этот метод приобрел особую популярность в практике управления и обучения не только как самостоятельный метод, но и как использование в процессе деятельности с целью усиления ее продуктивности. В процессе обучения «мозговая атака» выступает в

качестве важнейшего средства развития творческой активности студентов. «Мозговая атака» включает в себя три фазы.

Первая фаза представляет собой вхождение в психологическую раскованность, отказ от стереотипности, страха показаться смешным и неудачником; достигается созданием благоприятной психологической обстановки и взаимного доверия, когда идеи теряют авторство, становятся общими. Основная задача этой фазы - успокоиться и расковаться.

Вторая фаза - это собственно атака; задача этой фазы - породить поток, лавину идей. «Мозговая атака» в этой фазе осуществляется по следующим принципам:

- есть идея, - говорю, нет идеи, - не молчу;
- поощряется самое необузданное ассоциирование, чем более дикой покажется идея, тем лучше;
- количество предложенных идей должно быть как можно большим;
- высказанные идеи разрешается заимствовать и как угодно комбинировать, а также видоизменять и улучшать;
- исключается критика, можно высказывать любые мысли без боязни, что их признают плохими, критикующих лишают слова;
- не имеют никакого значения социальные статусы участников; это абсолютная демократия и одновременно авторитаризм сумасшедшей идеи;
- все идеи записываются в протокольный список идей;
- время высказываний - не более 1-2 минут.

Третья фаза представляет собой творческий анализ идей с целью поиска конструктивного решения проблемы по следующим правилам:

- анализировать все идеи без дискриминации какой-либо из них;
- найти место идее в системе и найти систему под идею;
- не умножать сущностей без надобности;
- не должна нарушаться красота и изящество полученного результата;
- должно быть принципиально новое видение;
- ищи «жемчужину в навозе».

В методе мозговая атака применяется при возникновении у группы реальных затруднений в осмыслении ситуации, является средством повышения активности студентов. В этом смысле мозговая атака представляется не как инструмент поиска новых решений, хотя и такая ее роль не исключена, а как своеобразное «подталкивание» к познавательной активности.

Презентация, или представление результатов анализа практико-ориентированного задания, выступает очень важным аспектом метода ***case-study***. Умение публично представить интеллектуальный продукт, хорошо его рекламировать, показать его достоинства и возможные направления эффективного использования, а также выстоять под шквалом критики, является очень ценным интегральным качеством современного специалиста. Презентация оттачивает многие глубинные качества личности: волю, убежденность, целенаправленность, достоинство и т.п.; она вырабатывает навыки публичного общения, формирования своего собственного имиджа.

Публичная (устная) презентация предполагает представление решений практико-ориентированного задания группе, она максимально вырабатывает навыки публичной деятельности и участия в дискуссии. Устная презентация обладает свойством кратковременного воздействия на студентов и, поэтому, трудна для восприятия и запоминания. Степень подготовленности выступающего проявляется в спровоцированной им дискуссии: для этого необязательно делать все заявления очевидными и неопровержимыми. Такая подача материала при анализе практико-ориентированного задания может послужить началом дискуссии. При устной презентации необходимо учитывать эмоциональный настрой выступающего: отношение и эмоции говорящего вносят существенный вклад в сообщение. Одним из преимуществ публичной (устной) презентации является ее гибкость. Оратор может откликаться на изменения окружающей обстановки, адаптировать свой стиль и материал, чувствуя настроение аудитории.

Непубличная презентация менее эффектна, но обучающая роль ее весьма велика. Чаще всего непубличная презентация выступает в виде подготовки отчета по выполнению задания, при этом стимулируются такие качества, как умение подготовить текст, точно и аккуратно составить отчет, не допустить ошибки в расчетах и т.д. Подготовка письменного анализа практико-ориентированного задания аналогична подготовке устного, с той разницей, что письменные отчеты-презентации обычно более структурированы и детализированы. Основное правило письменного анализа практико-ориентированного задания заключается в том, чтобы избегать простого повторения информации из текста, информация должна быть представлена в переработанном виде. Самым важным при этом является собственный анализ представленного материала, его соответствующая интерпретация и сделанные предложения. Письменный отчет - презентация может сдаваться по истечении некоторого времени после устной презентации, что позволяет студентам более тщательно проанализировать всю информацию, полученную в ходе дискуссии.

Как письменная, так и устная презентация результатов анализа практико-ориентированного задания может быть групповая и индивидуальная. Отчет может быть индивидуальным или групповым в зависимости от сложности и объема задания. Индивидуальная презентация формирует ответственность, собранность, волю; групповая - аналитические способности, умение обобщать материал, системно видеть проект.

Оценивание участников дискуссии является важнейшей проблемой обучения посредством метода практико-ориентированного задания. При этом выделяются следующие требования к оцениванию:

- объективность - создание условий, в которых бы максимально точно выявлялись знания обучаемых, предъявление к ним единых требований, справедливое отношение к каждому;
- обоснованность оценок - их аргументация;
- систематичность - важнейший психологический фактор, организующий и дисциплинирующий студентов, формирующий настойчивость и устремленность в достижении цели;
- всесторонность и оптимальность.

Оценивание участников дискуссии предполагает оценивание не столько набора определенных знаний, сколько умения студентов анализировать конкретную ситуацию, принимать решение, логически мыслить.

Следует отметить, что оценивается содержательная активность студента в дискуссии или публичной (устной) презентации, которая включает в себя следующие составляющие:

- выступление, которое характеризует попытку серьезного предварительного
- анализа (правильность предложений, подготовленность,
- аргументированность и т.д.);
- обращение внимания на определенный круг вопросов, которые требуют углубленного обсуждения;
- владение категориальным аппаратом, стремление давать определения, выявлять содержание понятий;
- демонстрация умения логически мыслить, если точки зрения, высказанные раньше, подытоживаются и приводят к логическим выводам;
- предложение альтернатив, которые раньше оставались без внимания;
- предложение определенного плана действий или плана воплощения решения;
- определение существенных элементов, которые должны учитываться при анализе практико-ориентированного задания;
- заметное участие в обработке количественных данных, проведении расчетов;
- подведение итогов обсуждения.

При оценивании анализа практико-ориентированного задания, данного студентами при непубличной (письменной) презентации учитывается:

- формулировка и анализ большинства проблем, имеющихся в практико-ориентированное задание;
- формулировка собственных выводов на основании информации о практико-ориентированное задание, которые отличаются от выводов других студентов;
- демонстрация адекватных аналитических методов для обработки информации;
- соответствие приведенных в итоге анализа аргументов ранее выявленным проблемам, сделанным выводам, оценкам и использованным аналитическим метода

2. Методические указанияпо подготовке к опросу

Самостоятельная работа обучающихся включает подготовку к устному или письменному опросу на семинарских занятиях. Для этого обучающийся изучает лекции, основную и дополнительную литературу, публикации, информацию из Интернет-ресурсов. Темы и вопросы к семинарским занятиям, вопросы для самоконтроля приведены в методических указаниях по разделам и доводятся до обучающихся заранее.

Письменный опрос

В соответствии с технологической картой письменный опрос является одной из форм текущего контроля успеваемости студента по данной дисциплине. При подготовке к письменному опросу студент должен внимательно изучает лекции, основную и дополнительную литературу, публикации, информацию из Интернет-ресурсов. Темы и вопросы к семинарским занятиям, вопросы для самоконтроля приведены в методических указаниях по разделам и доводятся до обучающихся заранее.

При изучении материала студент должен убедиться, что хорошо понимает основную терминологию темы, умеет ее использовать в нужном контексте. Желательно составить краткий конспект ответа на предполагаемые вопросы письменной работы, чтобы убедиться в том, что студент владеет материалом и может аргументировано, логично и грамотно письменно изложить ответ на вопрос. Следует обратить особое внимание на написание профессиональных терминов, чтобы избегать грамматических ошибок в работе. При изучении новой для студента терминологии рекомендуется изготовить карточки, которые содержат новый термин и его расшифровку, что значительно облегчит работу над материалом.

Устный опрос

Целью устного собеседования являются обобщение и закрепление изученного курса. Студентам предлагаются дляосвещения сквозные концептуальные проблемы. При подготовке следует использовать лекционный материал и учебную литературу. Для более глубокого постижения курса и более основательной подготовки рекомендуется познакомиться с указанной дополнительной литературой. Готовясь к семинару, студент должен, прежде всего, ознакомиться с общим планом семинарского занятия. Следует внимательно прочесть свой конспект лекции по изучаемой теме и рекомендуемую к теме семинара литературу. С незнакомыми терминами и понятиями следует ознакомиться в предлагаемом глоссарии, словаре или энциклопедии[2].

Критерии качества устного ответа.

1. Правильность ответа по содержанию.
2. Полнота и глубинаответа.
3. Сознательность ответа(учитывается понимание излагаемого материала).
4. Логика изложенияматериала (учитывается умение строить целостный, последовательный рассказ, грамотно пользоваться профессиональной терминологией).

[2]Методические рекомендации для студентов [Электронный ресурс]: Режим доступа: http://lesgaft.spb.ru/sites/default/files/u57/metod.rekomendacii_dlya_studentov_21.pdf

5. Рациональность использованных приемов и способов решения поставленной учебной задачи (учитывается умение использовать наиболее прогрессивные и эффективные способы достижения цели).

6. Своевременностьи эффективность использования наглядных пособий и технических средств при ответе (учитывается грамотно и с пользой применять наглядность и демонстрационный опыт при устном ответе).

7. Использованиедополнительного материала (приветствуется, но не обязательно для всех студентов).

8. Рациональность использования времени, отведенного на задание (не одобряется затянутость выполнения задания, устного ответа во времени, с учетом индивидуальных особенностей студентов)[3].

Ответ на каждый вопрос из плана семинарского занятия должен быть содержательным и аргументированным. Для этого следует использовать документы, монографическую, учебную и справочную литературу.

Для успешной подготовки к устному опросу, студент должен законспектировать рекомендуемую литературу, внимательно осмыслить лекционный материал и сделать выводы. В среднем, подготовка к устному опросу по одному семинарскому занятию занимает от 2 до 4 часов в зависимости от сложности темы и особенностей организации обучающимся своей самостоятельной работы.

3.Методические рекомендации по подготовке к практическим занятиям

На практических занятиях необходимо стремиться к самостоятельному решению задач, находя для этого более эффективные методы. При этом студентам надо приучить себя доводить решения задач до конечного «идеального» ответа. Это очень важно для будущих специалистов. Практические занятия вырабатывают навыки самостоятельной творческой работы, развивают мыслительные способности.

Практическое занятие – активная форма учебного процесса, дополняющая теоретический курс или лекционную часть учебной дисциплины и призванная помощь обучающимся освоиться в «пространстве» (тематике) дисциплины, самостоятельно прооперировать теоретическими знаниями на конкретном учебном материале.

Продолжительность одного практического занятия – от 2 до 4 академических часов. Общая доля практических занятий в учебном времени на дисциплину – от 10 до 20 процентов (при условии, что все активные формы займут в учебном времени на дисциплину от 40 до 60 процентов).

Для практического занятия в качестве темы выбирается обычно такая учебная задача, которая предполагает не существенные эвристические и аналитические напряжения и продвижения, а потребность обучающегося «потрогать» материал, опознать в конкретном то общее, о чем говорилось в лекции. Например, при рассмотрении вопросов оплаты труда, мотивации труда и проблем безработицы в России имеет смысл провести практические занятия со следующими сюжетами заданий: «Расчет заработной платы работников предприятия». «Разработка механизма мотивации труда на предприятии N». «В чем причины и особенности безработицы в России?». Последняя тема предполагает уже некоторую аналитическую составляющую. Основная задача первой из этих тем - самим посчитать заработную плату для различных групп работников на примере заданных параметров для конкретного предприятия, т. е. сделать расчеты «как на практике»; второй – дать собственный вариант мотивационной политики для предприятия, учитывая особенности данного объекта, отрасли и т.д.; третьей – опираясь на теоретические знания в области проблем занятости и безработицы, а также статистические материалы, сделать

[3]Методические рекомендации для студентов [Электронный ресурс]: http://priab.ru/images/metod_agro/Metod_Inostran_yazyk_35.03.04_Agro_15.01.2016.pdf

авторские выводы о видах безработицы, характерных для России, и их причинах, а также предложить меры по минимизации безработицы.

Перед проведением занятия должен быть подготовлен специальный материал – тот объект, которым обучающиеся станут оперировать, активизируя свои теоретические (общие) знания и тем самым, приобретая навыки выработки уверенных суждений и осуществления конкретных действий.

Дополнительный материал для практического занятия лучше получить у преподавателя заранее, чтобы у студентов была возможность просмотреть его и подготовить вопросы.

Условия должны быть такими, чтобы каждый мог работать самостоятельно от начала до конца. В аудитории должны быть «под рукой» необходимые справочники и тексты законов и нормативных актов по тематике занятия. Чтобы сделать практическое занятие максимально эффективным, надо заранее подготовить и изучить материал по наиболее интересным и практически важным темам.

Особенности практического занятия с использованием компьютера

Для того чтобы повысить эффективность проведения практического занятия, может использоваться компьютер по следующим направлениям:

- поиск информации в Интернете по поставленной проблеме: в этом случае преподаватель представляет обучающимся перечень рекомендуемых для посещения Интернет-сайтов;
- использование прикладных обучающих программ;
- выполнение заданий с использованием обучающимися заранее установленных преподавателем программ;
- использование программного обеспечения при проведении занятий, связанных с моделированием социально-экономических процессов.

4.Методические рекомендации по подготовке семинарским занятиям

Семинар представляет собой комплексную форму и завершающее звено в изучении определенных тем, предусмотренных программой учебной дисциплины. Комплексность данной формы занятий определяется тем, что в ходе её проведения сочетаются выступления обучающихся и преподавателя: рассмотрение обсуждаемой проблемы и анализ различных, часто дискуссионных позиций; обсуждение мнений обучающихся и разъяснение (консультация) преподавателя; углубленное изучение теории и приобретение навыков умения ее использовать в практической работе.

По своему назначению семинар, в процессе которого обсуждается та или иная научная проблема, способствует:

- углубленному изучению определенного раздела учебной дисциплины, закреплению знаний;
- отработке методологии и методических приемов познания;
- выработке аналитических способностей, умения обобщения и формулирования выводов;
- приобретению навыков использования научных знаний в практической деятельности;
- выработке умения кратко, аргументированно и ясно излагать обсуждаемые вопросы;
- осуществлению контроля преподавателя за ходом обучения.

Семинары представляет собой дискуссию в пределах обсуждаемой темы (проблемы). Дискуссия помогает участникам семинара приобрести более совершенные знания, проникнуть в суть изучаемых проблем. Выработать методологию, овладеть методами анализа социально-экономических процессов. Обсуждение должно носить творческий характер с четкой и убедительной аргументацией.

По своей структуре семинар начинается со вступительного слова преподавателя, в котором кратко излагаются место и значение обсуждаемой темы (проблемы) в данной

дисциплине, напоминаются порядок и направления ее обсуждения. Конкретизируется ранее известный обучающимся план проведения занятия. После этого начинается процесс обсуждения вопросов обучающимися. Завершается занятие заключительным словом преподавателя.

Проведение семинарских занятий в рамках учебной группы (20 - 25 человек) позволяет обеспечить активное участие в обсуждении проблемы всех присутствующих.

По ходу обсуждения темы помните, что изучение теории должно быть связано с определением (выработкой) средств, путей применения теоретических положений в практической деятельности, например, при выполнении функций государственного служащего. В то же время важно не свести обсуждение научной проблемы только к пересказу случаев из практики работы, к критике имеющих место недостатков. Дискуссии имеют важное значение: учат дисциплине ума, умению выступать по существу, мыслить логически, выделяя главное, критически оценивать выступления участников семинара.

В процессе проведения семинара обучающиеся могут использовать разнообразные по своей форме и характеру пособия (от доски смелом до самых современных технических средств), демонстрируя фактический, в том числе статистический материал, убедительно подтверждающий теоретические выводы и положения. В завершение обсудите результаты работы семинара и сделайте выводы, что хорошо усвоено, а над чем следует дополнительно поработать.

В целях эффективности семинарских занятий необходима обстоятельная подготовка к их проведению. В начале семестра (учебного года) возьмите в библиотеке необходимые методические материалы для своевременной подготовки к семинарам. Во время лекций, связанных с темой семинарского занятия, следует обращать внимание на то, что необходимо дополнительно изучить при подготовке к семинару (новые официальные документы, статьи в периодических журналах, вновь вышедшие монографии и т.д.).

5.Методические рекомендации по подготовке к сдаче экзаменов и зачетов

Экзамен - одна из важнейших частей учебного процесса, имеющая огромное значение.

Во-первых, готовясь к экзамену, студент приводит в систему знания, полученные на лекциях, семинарах, практических и лабораторных занятиях, разбирается в том, что осталось непонятным, и тогда изучаемая им дисциплина может быть воспринята в полном объеме с присущей ей строгостью и логичностью, ее практической направленностью. А это чрезвычайно важно для будущего специалиста.

Во-вторых, каждый хочет быть волевым и сообразительным., выдержанным и целеустремленным, иметь хорошую память, научиться быстро находить наиболее рациональное решение в трудных ситуациях. Очевидно, что все эти качества не только украшают человека, но и делают его наиболее действенным членом коллектива. Подготовка и сдача экзамена помогают студенту глубже усвоить изучаемые дисциплины, приобрести навыки и качества, необходимые хорошему специалисту.

Конечно, успех на экзамене во многом обусловлен тем, насколько систематически и глубоко работал студент в течение семестра. Совершенно очевидно, что серьезно продумать и усвоить содержание изучаемых дисциплин за несколько дней подготовки к экзамену просто невозможно даже для очень способного студента. И, кроме того, хорошо известно, что быстро выученные на память разделы учебной дисциплины так же быстро забываются после сдачи экзамена.

При подготовке к экзамену студенты не только повторяют и дорабатывают материал дисциплины, которую они изучали в течение семестра, они обобщают полученные знания, осмысливают методологию предмета, его систему, выделяют в нем основное и главное, воспроизводят общую картину с тем, чтобы яснее понять связь между отдельными элементами дисциплины. Вся эта обобщающая работа проходит в условиях напряжения

воли и сознания, при значительном отвлечении от повседневной жизни, т. е. в условиях, благоприятствующих пониманию и запоминанию.

Подготовка к экзаменам состоит в приведении в порядок своих знаний. Даже самые способные студенты не в состоянии в короткий период зачетно-экзаменационной сессии усвоить материал целого семестра, если они над ним не работали в свое время. Для тех, кто мало занимался в семестре, экзамены принесут мало пользы: что быстро пройдено, то быстро и забудется. И хотя в некоторых случаях студент может «проскочить» через экзаменационный барьер, в его подготовке останется серьезный пробел, трудно восполняемый впоследствии.

Определив назначение и роль экзаменов в процессе обучения, попытаемся на этой основе пояснить, как лучше готовиться к ним.

Экзаменам, как правило, предшествует защита курсовых работ (проектов) и сдача зачетов. К экзаменам допускаются только студенты, защитившие все курсовые работы проекты) и сдавшие все зачеты. В вузе сдача зачетов организована так, что при систематической работе в течение семестра, своевременной и успешной сдаче всех текущих работ, предусмотренных графиком учебного процесса, большая часть зачетов не вызывает повышенной трудности у студента. Студенты, работавшие в семестре по плану, подходят к экзаменационной сессии без напряжения, без излишней затраты сил в последнюю, «зачетную» неделю.

Подготовку к экзамену следует начинать с первого дня изучения дисциплины. Как правило, на лекциях подчеркиваются наиболее важные и трудные вопросы или разделы дисциплины, требующие внимательного изучения и обдумывания. Нужно эти вопросы выделить и обязательно постараться разобраться в них, не дожидаясь экзамена, проработать их, готовясь к семинарам, практическим или лабораторным занятиям, попробовать самостоятельно решить несколько типовых задач. И если, несмотря на это, часть материала осталась неусвоенной, ни в коем случае нельзя успокаиваться, надеясь на то, что это не попадется на экзамене. Факты говорят об обратном; если те или другие вопросы учебной дисциплины не вошли в экзаменационный билет, преподаватель может их задать (и часто задает) в виде дополнительных вопросов.

Точно такое же отношение должно быть выработано к вопросам и задачам, перечисленным в программе учебной дисциплины, выдаваемой студентам в начале семестра. Обычно эти же вопросы и аналогичные задачи содержатся в экзаменационных билетах. Не следует оставлять без внимания ни одного раздела дисциплины: если не удалось в чем-то разобраться самому, нужно обратиться к товарищам; если и это не помогло выяснить какой-либо вопрос до конца, нужно обязательно задать этот вопрос преподавателю на предэкзаменационной консультации. Чрезвычайно важно приучить себя к умению самостоятельно мыслить, учиться думать, понимать суть дела. Очень полезно после проработки каждого раздела восстановить в памяти содержание изученного материала. кратко записав это на листе бумаги. создать карту памяти (умственную карту), изобразить необходимые схемы и чертежи (логико-графические схемы), например, отобразить последовательность вывода теоремы или формулы. Если этого не сделать, то большая часть материала останется не понятой, а лишь формально заученной, и при первом же вопросе экзаменатора студент убедится в том, насколько поверхностно он усвоил материал.

В период экзаменационной сессии происходит резкое изменение режима работы, отсутствует посещение занятий по расписанию. При всяком изменении режима работы очень важно скорее приспособиться к новым условиям. Поэтому нужно сразу выбрать такой режим работы, который сохранился бы в течение всей сессии, т. е. почти на месяц. Необходимо составить для себя новый распорядок дня, чередуя занятия с отдыхом. Для того чтобы сократить потерю времени на включение в работу, рабочие периоды целесообразно делать длительными, разделив день примерно на три части: с утра до обеда, с обеда до ужина и от ужина до сна.

Каждый рабочий период дня надо заканчивать отдыхом. Наилучший отдых в период экзаменационной сессии - прогулка, кратковременная пробежка или какой-либо неутомительный физический труд.

При подготовке к экзаменам основное направление дают программа учебной дисциплины и студенческий конспект, которые указывают, что наиболее важно знать и уметь делать. Основной материал должен прорабатываться по учебнику (если такой имеется) и учебным пособиям, так как конспекта далеко недостаточно для изучения дисциплины, Учебник должен быть изучен в течение семестра, а перед экзаменом сосредоточьте внимание на основных, наиболее сложных разделах. Подготовку по каждому разделу следует заканчивать восстановлением по памяти его краткого содержания в логической последовательности.

За один - два дня до экзамена назначается консультация. Если ее правильно использовать, она принесет большую пользу. Во время консультации студент имеет полную возможность получить ответ на нее ни ясные ему вопросы. А для этого он должен проработать до консультации все темы дисциплины. Кроме того, преподаватель будет отвечать на вопросы других студентов, что будет для вас повторением и закреплением знаний. И еще очень важное обстоятельство: преподаватель на консультации, как правило, обращает внимание на те вопросы, по которым на предыдущих экзаменах ответы были неудовлетворительными, а также фиксирует внимание на наиболее трудных темах дисциплины. Некоторые студенты не приходят на консультации либо потому, что считают, что у них нет вопросов к преподавателю, либо полагают, что у них и так мало времени и лучше самому прочитать материал в конспекте или и учебнике. Это глубокое заблуждение. Никакая другая работа не сможет принести столь значительного эффекта накануне экзамена, как консультация преподавателя.

Но консультация не может возместить отсутствия длительной работы в течение семестра и помочь за несколько часов освоить материал, требующийся к экзамену. На консультации студент получает ответы на трудные или оставшиеся неясными вопросы и, следовательно, дорабатывается материал. Консультации рекомендуется посещать, подготовив к ним все вопросы, вызывающие сомнения. Если студент придет на консультацию, не проработав всего материала, польза от такой консультации будет невелика.

Очень важным условием для правильного режима работы в период экзаменационной сессии является нормальным сон. Подготовка к экзамену не должна идти в ущерб сну, иначе в день экзамена не будет чувства свежести и бодрости, необходимых для хороших ответов. Вечер накануне экзамена рекомендуем закончить небольшой прогулкой.

Итак, *основные советы* для подготовки к сдаче зачетов и экзаменов состоят в следующем:

- лучшая подготовка к зачетам и экзаменам - равномерная работа в течение всего семестра;
- используйте программы учебных дисциплин - это организует вашу подготовку к зачетам и экзаменам;
- учитывайте, что для полноценного изучения учебной дисциплины необходимо время;
- составляйте планы работы во времени;
- работайте равномерно и ритмично;
- курсовые работы (проекты) желательно защищать за одну - две недели до начала зачетно-экзаменационной сессии;
- все зачеты необходимо сдавать до начала экзаменационной сессии;
- помните, что конспект не заменяет учебник и учебные пособия, а помогает выбрать из него основные вопросы и ответы;
- при подготовке наибольшее внимание и время уделяйте трудным и непонятным вопросам учебной дисциплины;
- грамотно используйте консультации;

- соблюдайте правильный режим труда и отдыха во время сессии, это сохранит работоспособность и даст хорошие результаты;
- учитесь владеть собой на зачете и экзамене;
- учитесь точно и кратко передавать свои мысли, поясняя их, если нужно, логико-графическими схемами.

ЗАКЛЮЧЕНИЕ

Методические указания по выполнению самостоятельной работы обучающихся являются неотъемлемой частью процесса обучения в вузе. Правильнаяорганизация самостоятельной работы позволяет обучающимся развивать умения и навыки в усвоении и систематизации приобретаемых знаний, обеспечивает высокий уровень успеваемости в период обучения, способствует формированию навыков совершенствования профессионального мастерства. Также внеаудиторное время включает в себя подготовку к аудиторным занятиям и изучение отдельных тем, расширяющих и углубляющих представления обучающихся по разделам изучаемой дисциплины.

Таким образом, обучающийся используя методические указания может в достаточном объеме усвоить и успешно реализовать конкретные знания, умения, навыки и получить опыт при выполнении следующих условий:

1) систематическаясамостоятельная работа по закреплению полученных знаний и навыков;

2) добросовестноевыполнение заданий;

3) выяснениеи уточнение отдельных предпосылок, умозаключений и выводов, содержащихся в учебном курсе;

4) сопоставление точек зрения различных авторов по затрагиваемым в учебном курсе проблемам; выявление неточностей и некорректного изложения материала в периодической и специальной литературе;

5) периодическое ознакомление с последними теоретическими и практическими достижениями в области управления персоналом;

6) проведение собственных научных и практических исследований по одной или нескольким актуальным проблемам для *HR*;

7) подготовка научных статей для опубликования в периодической печати, выступление на научно-практических конференциях, участие в работе студенческих научных обществ, круглых столах и диспутах по проблемам управления персоналом.

СПИСОК ЛИТЕРАТУРЫ

1. Брандес М. П. Немецкий язык. Переводческое реферирование: практикум. М.: КДУ, 2008. – 368с.

2. Долгоруков А. Метод case-study как современная технология профессионально -ориентированного обучения [Электронный ресурс]. Режим доступа: //http://evolkov.net/case/case.study.html/

3. Методические рекомендации по написанию реферата. [Электронный ресурс]. Режим доступа: http://www.hse.spb.ru/edu/recommendations/method-referat-2005.phtml

4. Фролова Н. А. Реферирование и аннотирование текстов по специальности: Учеб. пособие / ВолгГТУ, Волгоград, 2006. - С.5.

5. Методические рекомендации для студентов [Электронный ресурс]: Режим доступа:http://lesgaft.spb.ru/sites/default/files/u57/metod.rekomendacii_dlya_studentov_21.pdf

МИНОБРНАУКИ РФ

ФГБОУ ВО «Уральский государственный горный университет»

УТВЕРЖДАЮ

Проректор по учебно-методическому комплексу

_____ С.А.Упоров

МЕТОДИЧЕСКИЕ УКАЗАНИЯ ПО ВЫПОЛНЕНИЮ КОНТРОЛЬНОЙ РАБОТЫ ПО ДИСЦИПЛИНЕ

Б1.О.04 ИНОСТРАННЫЙ ЯЗЫК

Специальность:

21.05.02 Прикладная геология

Специализация:

Геология месторождений нефти и газа

Автор: Безбородова С. А., к.п.н.

Одобрены на заседании кафедры

Иностранных языков и деловой коммуникации

(название кафедры)

Зав. кафедрой _____

(подпись)

к.п.н., доц. Юсупова Л. Г.

(Фамилия И.О.)

Протокол № 1 от 22.09.2020

(Дата)

Рассмотрены методической комиссией

факультета геологии и геофизики

(название факультета)

Председатель _____

(подпись)

д.г.-м.н., проф. Бондарев В.И.

(Фамилия И.О.)

Протокол № 2 от 13.10.2020

(Дата)

Екатеринбург

Методические указания по дисциплине согласованы с выпускающей кафедрой литологии и геологии горючих ископаемых

Заведующий кафедрой ЛГГИ _____к.г.-м.н., С.А. Рыльков____

подпись *И.О. Фамилия*

Содержание

Цели и задачи дисциплины …….…….....3
Требования к оформлению контрольной работы ……..……..4
Содержание контрольной работы…….....4
Выполнение работы над ошибками……...…8
Критерии оценивания контрольной работы ……9
Образец титульного листа ……..…10

Цель и задачи дисциплины

Цель дисциплины: повышение исходного уровня владения иностранным языком, достигнутого на предыдущей ступени образования, и достижение уровня иноязычной коммуникативной компетенции достаточного для общения в социально-бытовой, культурной и профессиональной сферах, а также для дальнейшего самообразования.

Компетенции, формируемые в процессе изучения дисциплины:

общекультурные:

- способностью к коммуникации в устной и письменной формах на русском и иностранном языках для решения задач межличностного и межкультурного взаимодействия (ОК-6);

общепрофессиональные:

- готовностью к коммуникации в устной и письменной формах на русском и иностранном языках для решения задач профессиональной деятельности (ОПК-2).

Для достижения указанной цели необходимо (задачи курса):

- владение иностранным языком как средством коммуникации в социально-бытовой, культурной и профессиональной сферах;
- развитие когнитивных и исследовательских умений с использованием ресурсов на иностранном языке;
- развитие информационной культуры;
- расширение кругозора и повышение общей гуманитарной культуры студентов;
- воспитание толерантности и уважения к духовным ценностям разных стран и народов.

Методические указания по выполнению контрольной работы предназначены для студентов очной и заочной формы обучения, обучающихся по специальности *21.05.02 Прикладная геология.*

Письменная контрольная работа является обязательной формой *промежуточной аттестации.* Она отражает степень освоения студентом учебного материала по дисциплине Б1.Б.1.03 Иностранный язык. А именно, в результате освоения дисциплины студент должен:

Знать:

- особенности фонетического строя иностранного языка;
- лексические единицы социально-бытовой и академической тематики, основы терминосистемы соответствующего направления подготовки;
- основные правила грамматической системы иностранного языка;
- особенности построения устных высказываний и письменных текстов разных стилей речи;
- правила речевого этикета в соответствии с ситуациями межличностного и межкультурного общения в социально-бытовой, академической и деловой сферах;
- основную страноведческую информацию о странах изучаемого языка;
- лексико-грамматические явления иностранного языка профессиональной сферы для решения задач профессиональной деятельности;

Уметь:

- вести диалог/полилог и строить монологическое высказывание в пределах изученных тем;
- понимать на слух иноязычные тексты монологического и диалогического характера с различной степенью понимания в зависимости от коммуникативной задачи;
- читать аутентичные тексты прагматического, публицистического, художественного и научного характера с целью получения значимой информации;
- передавать основное содержание прослушанного/прочитанного текста;

- записывать тезисы устного сообщения, писать эссе по изученной тематике, составлять аннотации текстов, вести личную и деловую переписку;

- использовать компенсаторные умения в процессе общения на иностранном языке;

- пользоваться иностранным языком в устной и письменной формах, как средством профессионального общения;

Владеть:

- основными приёмами организации самостоятельной работы с языковым материалом с использованием учебной и справочной литературы, электронных ресурсов;

- навыками выполнения проектных заданий на иностранном языке в соответствии с уровнем языковой подготовки;

- умением применять полученные знания иностранного языка в своей будущей профессиональной деятельности.

Требования к оформлению контрольной работы

Контрольные задания выполняются на листах формата А4 в рукописном виде, кроме титульного листа. На титульном листе (см. образец оформления титульного листа в печатном виде) указывается фамилия студента, номер группы, номер контрольной работы и фамилия преподавателя, у которого занимается обучающийся.

В конце работы должна быть поставлена подпись студента и дата выполнения заданий.

Контрольные задания должны быть выполнены в той последовательности, в которой они даны в контрольной работе.

Выполненную контрольную работу необходимо сдать преподавателю для проверки в установленные сроки.

Если контрольная работа выполнена без соблюдения изложенных выше требований, она возвращается студенту для повторного выполнения.

По дисциплине «Иностранный язык (английский)» представлено три варианта контрольной работы.

Номер варианта контрольной работы определяется для студентов в соответствии с начальными буквами их фамилий в алфавитном порядке. Например, студенты, у которых фамилии начинаются с букв А, выполняют контрольную работу № 1 и т.д. (см. таблицу №1).

Таблица №1

начальная буква фамилии студента	***№ варианта контрольной работы***
А, Г, Ж, К, Н, Р, У, Ц, Щ	№1
Б, Д, З, Л, О, С, Ф, Ч, Э, Я	№2
В, Е, И, М, П, Т, Х, Ш, Ю	№3

Содержание контрольной работы

Контрольная работа проводится по теме *1. Бытовая сфера общения (Я и моя семья)* и *теме 2. Учебно-познавательная сфера общения (Я и мое образование)* и направлена на проверку сформированности лексического навыка в рамках заданных тем.

Контрольная работа также направлена на проверку сформированности грамматического навыка в рамках тем: порядок слов в повествовательном и побудительном предложениях, порядок слов в вопросительном предложении, безличные предложения, местоимения (указательные, личные, возвратно-усилительные, вопросительные, относительные, неопределенные), имя существительное, артикли (определенный, неопределенный, нулевой), функции и спряжение глаголов *to be* и *to have, о*борот *there+be,* имя прилагательное и наречие, степени сравнения, сравнительные конструкции, имя числительное (количественные и порядковые; чтение дат), образование видовременных форм глагола в активном залоге.

Распределение выше указанных тем в учебнике:

- Агабекян И. П. Английский язык для бакалавров: учебное пособие для студентов вузов / И. П. Агабекян. - Ростов-на-Дону: Феникс, 2017. - 384 с.: ил. - (Высшее образование) (200 экз. в библиотеке УГГУ) и учебнике:

- Журавлева Р.И. Английский язык: учебник: для студентов горно-геологических специальностей вузов / Р. И. Журавлева. - Ростов-на-Дону: Феникс, 2013. - 508 с. - (Высшее образование). - Библиогр.: с. 502 (192 экз. в библиотеке УГГУ) представлено в таблице №2:

Таблица №2

Название темы	***Страницы учебников***	
	Агабекян И. П.	*Журавлева Р.И.*
Порядок слов в повествовательном и побудительном предложениях	148	9
Порядок слов в вопросительном предложении	163-170	10, 24
Безличные предложения	149	440
Местоимения (указательные, личные, возвратно-усилительные, вопросительные, относительные, неопределенные)	41-55	101, 439
Имя существительное	66-78	435
Артикли (определенный, неопределенный, нулевой)	78-84	433
Функции и спряжение глаголов *to be* и *to have*	102-104	6-8
Оборот *there+be*	105-107	100
Имя прилагательное и наречие	115	83
Степени сравнения, сравнительные конструкции	115-121	143
Имя числительное (количественные и порядковые; чтение дат)	261-271	-
Образование видовременных форм глагола в активном залоге	193-209	10, 36, 69

АНГЛИЙСКИЙ ЯЗЫК

Вариант №1

Задание 1. Заполните пропуски в предложениях, выбрав один ответ.

Пример: Michael _____ everyone he meets because he is very sociable and easygoing. He has five brothers and two sisters, so that probably helped him learn how to deal with people.

A. gets divorced; **B. gets along well with;** C. gets married;

Задание 1 направлено на проверку сформированности лексического навыка в рамках заданных тем.

Задание 2. Заполните пропуски местоимениями some, any, no или их производными.

Пример: A: Is ***anything*** the matter with Dawn? She looks upset.

B: She had an argument with her friend today.

Задание 2 направлено на проверку сформированности грамматического навыка по теме «неопределённые местоимения».

Задание 3. Заполните пропуски личными местоимениями (I, we, you, he, she, it, they, me, us, him, her, them).

Пример: My teacher is very nice. I like … . – I like **him**.

Задание 3 направлено на проверку сформированности грамматического навыка по теме «личные и притяжательные местоимения».

Задание 4. Поставьте в правильную форму глагол, представленный в скобках, обращая при этом внимание на использованные в предложениях маркеры.

Пример: Every morning George **eats** (to eat) cereals, and his wife only **drinks** (to drink) a cup of coffee.

Задание 4 направлено на проверку сформированности грамматического навыка по теме «образование видовременных форм глагола в активном залоге».

Задание 5. Составьте вопросительные предложения и дайте краткие ответы на них.

Пример: Paul was tired when he got home. – ***Was Paul tired when he got home? Yes, he was.***

Задание 5 направлено на проверку сформированности грамматического навыка по теме «порядок слов в вопросительном предложении».

Контрольная работа
Вариант №2

Задание 1. Заполните пропуск, выбрав один вариант ответа.

Пример: A British university year is divided into three _____.

1) conferences; 2) sessions; **3) terms**; 4) periods;

Задание 1 направлено на проверку сформированности лексического навыка в рамках заданных тем.

Задание 2. Выберите правильную форму глагола.

Пример: A: I have a Physics exam tomorrow.
B: Oh dear. Physics **is**/are a very difficult subject.

Задание 2 направлено на проверку сформированности грамматического навыка по теме «имя существительное, функции и спряжение глаголов to be и to have».

Задание 3. Раскройте скобки, употребив глагол в форме Present Continuous, Past Continuous или Future Continuous.

Пример: I **shall be studying** (study) Japanese online from 5 till 6 tomorrow evening.

Задание 3 направлено на проверку сформированности грамматического навыка по теме «образование видовременных форм глагола в активном залоге».

Задание 4. Составьте вопросы к словам, выделенным жирным шрифтом.

Пример: **The Petersons** have bought a dog. – *Who has bought a dog?*
The Petersons have bought **a dog. –** *What have the Petersons bought?*

Задание 4 направлено на проверку сформированности грамматического навыка по теме «порядок слов в вопросительном предложении».

Задание 5. Подчеркните правильный вариант ответа.

Пример: A: You haven't seen my bag anywhere, haven't you/**have you**?
B: No. You didn't leave it in the car, **did you**/didn't you?

Задание 5 направлено на проверку сформированности грамматического навыка по теме «порядок слов в вопросительном предложении».

Контрольная работа
Вариант № 3

Задание 1. Заполните пропуски, выбрав один вариант ответа.

Пример: The University accepts around 2000 new ____ every year.

1) students; 2) teachers; 3) pupils; 4) groups;

Задание 1 направлено на проверку сформированности лексического навыка в рамках

заданных тем.

Задание 2. Поставьте в предложения подходящие по смыслу фразы:

as red as a beet (свекла), as slow as a turtle, as sweet as honey, as busy as a bee, as clumsy as a bear (неуклюжий), as black as coal, as cold as ice, as slippery as an eel (изворотливый как угорь), as free as a bird, as smooth as silk (гладкий)

Пример: Your friend is so unemotional, he is **as cold as ice**.

Задание 2 направлено на проверку сформированности грамматического навыка по теме «имя прилагательное и наречие».

Задание 3. Переведите следующие предложения на английский язык.

Пример: Это самая ценная картина в Русском музее. **This is the most valuable picture in Russian Museum.**

Задание 3 направлено на проверку сформированности грамматического навыка по теме «степени сравнения имени прилагательного и наречий».

Задание 4. Раскройте скобки, употребив глагол в форме Present Perfect, Past Perfect или Future Perfect.

Пример: Sam **has lost** (lose) his keys. So he can't open the door.

Задание 4 направлено на проверку сформированности грамматического навыка по теме «образование видовременных форм глагола в активном залоге».

Задание 5. Задайте вопросы к предложениям.

Пример: There are two books. The one on the table is Sue's.

a) 'Which *book is Sue's*?' 'The one on the table.'

b) 'Whose *book is on the table*?' 'Sue's.'

Задание 5 направлено на проверку сформированности грамматического навыка по теме «порядок слов в вопросительном предложении».

НЕМЕЦКИЙ ЯЗЫК

Задание 1. Заполните пропуски в предложениях, выбрав один ответ.

Пример: Mein Bruder ... Arzt geworden

A. hat; **B. ist**; C. wird;

Задание 1 направлено на проверку сформированности грамматического навыка по теме «Пассивный залог».

Задание 2. Вставьте подходящее вопросительное слово.

Пример: **Was** machen Sie am Wochenende?

Задание 2 направлено на проверку сформированности грамматического навыка по теме «Вопросительные местоимения».

Задание 3. Заполните пропуски возвратными местоимениями в нужной форме.

Пример: Wo wohnen d**eine** Eltern?

Задание 3 направлено на проверку сформированности грамматического навыка по теме «Притяжательные местоимения».

Задание 4. Поставьте в правильную форму глагол, представленный в скобках.

Пример: **Kannst** du mir bitte die Marmelade geben? (können)

Задание 4 направлено на проверку сформированности грамматического навыка по теме «Модальные глаголы».

Задание 5. Составьте вопросительные предложения и дайте краткие ответы на них.

Пример: Sie wohnen in Berlin.

Ответ: Wo wohnen Sie? Wer wohnt in Berlin?

Задание 5 направлено на проверку сформированности грамматического навыка по теме «Вопросительные предложения».

ФРАНЦУЗСКИЙ ЯЗЫК

Задание 1. Заполните пропуски в предложениях следующими предлогами: de, à, chez, dans, pour, depuis. vers, avec, devant. en.

Пример: **Monsieur Dupont est en mission**.

Задание 1 направлено на проверку сформированности грамматического навыка по теме «Предлоги».

Задание 2. Заполните пропуски, ***выберите правильно указательное прилагательное:***

Пример: **Peux-tu me passer ces dictionnaires?**

Задание 2 направлено на проверку сформированности грамматического навыка по теме «Указательные прилагательные».

Задание 3. Поставьте нужный артикль или предлог там, где это необходимо:

Пример: **C'est la salle des études**.

Задание 3 направлено на проверку сформированности грамматического навыка по теме «Употребление слитного артикля».

Задание 4. Выберите правильную форму глагола:

Пример: **Tous les matins, il s'est levé à 7 heures depuis un an.**

Задание 4 направлено на проверку сформированности грамматического навыка по теме «Спряжение глаголов 1,2,3 группы в Présent».

Задание 5. Ответьте на следующие вопросы:

Пример: **Où passez-vous vos vacances d'été? - Je les passe en Crimée.**

Задание 5 направлено на проверку сформированности грамматического навыка по теме «Личные местоимения le, la, les».

Проблемные и сложные вопросы, возникающие в процессе изучения курса и выполнения контрольной работы, необходимо решать с преподавателем на консультациях.

Выполнению контрольной работы должно предшествовать самостоятельное изучение студентом рекомендованной литературы.

Студент получает проверенную контрольную работу с исправлениями в тексте и замечаниями. В конце работы выставляется оценка «отлично», «хорошо», «удовлетворительно» или «неудовлетворительно». Работа с оценкой «неудовлетворительно» должна быть доработана и представлена на повторную проверку.

Выполнение работы над ошибками

При получении проверенной контрольной работы необходимо проанализировать отмеченные ошибки. Все задания, в которых были сделаны ошибки или допущены неточности, следует еще раз выполнить в конце данной контрольной работы. Контрольные работы являются учебными документами, которые хранятся на кафедре до конца учебного года.

Критерии оценивания контрольной работы

Оценка за контрольную работу определяется простым суммированием баллов за правильные ответы на вопросы: 1 правильный ответ = 1 балл. Максимум 44 балла.

Результат контрольной работы

Контрольная работа оценивается на «отлично», «хорошо», «удовлетворительно», «неудовлетворительно»:

40-44 балла (90-100%) - оценка «отлично»;

31-39 балла (70-89%) - оценка «хорошо»;

22-30 баллов (50-69%) - оценка «удовлетворительно»;

0-21 балла (0-49%) - оценка «неудовлетворительно».

Образец оформления титульного листа



Министерство науки и высшего образования РФ
ФГБОУ ВО
«Уральский государственный горный университет»

Кафедра иностранных языков и деловой коммуникации

КОНТРОЛЬНАЯ РАБОТА №1

по дисциплине
ИНОСТРАННЫЙ ЯЗЫК

Специальность:
21.05.02 Прикладная геология

Специализация № 3:
Геология нефти и газа

формы обучения: очная

Выполнил: Иванов Иван Иванович
Группа ГН-19

Преподаватель: Петров Петр Петрович,
к.т.н, доцент

Екатеринбург
2019

МИНОБРНАУКИ РФ

ФГБОУ ВО «Уральский государственный горный университет»

УТВЕРЖДАЮ

Проректор по учебно-методическому комплексу

_____ С.А.Упоров

МЕТОДИЧЕСКИЕ УКАЗАНИЯ ПО ОРГАНИЗАЦИИ САМОСТОЯТЕЛЬНОЙ РАБОТЫ СТУДЕНТОВ

Б1.О.04 ИНОСТРАННЫЙ ЯЗЫК

Специальность:
21.05.02 Прикладная геология

Специализация:
Геология месторождений нефти и газа

форма обучения: очная

Автор: Безбородова С. А., к.п.н.

Одобрены на заседании кафедры
Иностранных языков и деловой коммуникации
(название кафедры)

Зав. кафедрой _____
(подпись)
к.п.н., доц. Юсупова Л.Т.
(Фамилия И.О.)

Протокол № 1 от 22.09.2020
(Дата)

Рассмотрены методической комиссией
факультета геологии и геофизики
(название факультета)

Председатель _____
(подпись)
д.г.-м.н., проф. Бондарев В.И.
(Фамилия И.О.)

Протокол № 2 от 13.10.2020
(Дата)

Екатеринбург

Методические указания по дисциплине согласованы с выпускающей кафедрой литологии и геологии горючих ископаемых

Заведующий кафедрой ЛГГИ _____ к.г.-м.н., С.А. Рыльков____

подпись *И.О. Фамилия*

СОДЕРЖАНИЕ

I. Самостоятельная работа, обеспечивающая подготовку к аудиторным занятиям……... 4
1.1 Повторение материала практических занятий……..... 4
1.2 Чтение и перевод учебных текстов……. 43
1.3 Подготовка к практическим занятиям (запоминание иноязычных лексических единиц и грамматических конструкций) ……..... 61
1.4 Самостоятельное изучение тем курса (для заочной формы обучения) ……. 74
1.5 Подготовка к контрольной работе 74

II. Другие виды самостоятельной работы……. 74
2.1 Выполнение самостоятельного письменного домашнего задания:
2.1.1 Подготовка к ролевой игре……..... 74
2.1.2 Подготовка к практико-ориентированному заданию ……..... 75
2.1.3 Подготовка к опросу ……..... 76
2.2 Дополнительное чтение профессионально ориентированных текстов и выполнение заданий на проверку понимания прочитанного……. 76
2.3 Подготовка доклада…….. 95
2.4 Подготовка к тесту……..... 96
2.5 Подготовка к экзамену…….. 100

I. Самостоятельная работа, обеспечивающая подготовку к аудиторным занятиям

1. Повторение материала практических занятий

Практические занятия направлены на развитие умений иноязычного говорения в рамках заданных РПД тем: бытовая сфера общения (Я и моя семья); учебно-познавательная сфера общения (Я и мое образование); социально-культурная сфера общения (Я и моя страна. Я и мир); профессиональная сфера общения (Я и моя будущая специальность).

Подготовьте устный рассказ по теме на основе предложенного:

My family

My name is Vladimir Petrov. I am … years old. I was born in 19… in Nizhniy Tagil. I went to school when I was 7. In 20… I finished school number 10 in Ekaterinburg. This year I entered the Ural State Mining University. In five years I shall graduate from this University.

I live in the center of Ekaterinburg. I work at the Ministry of Foreign Trade. I'm an engineer & I am also a student. Many engineers in our Ministry learn foreign languages.

My family is not large. I have a wife & two children. My wife's name is Ann & children's names are Nick & Natalie.

My wife is an economist. My wife is a young woman. She is twenty – nine years old. She works at the Ministry of Foreign Trade, too. She goes to the office every day. My wife doesn't learn English. She already knows English very well. She reads many English books, magazines & newspapers. My wife is also a student. She learns German. She likes languages very much & is going to learn French next year.

My daughter is a girl of ten. She goes to school. She has a lot of subjects at school. She also learns English. She also helps her mother at home.

My son is a little boy. He was born five years ago. I take him to the kindergarten every morning.

My parents are not old. My father is 53. He is an engineer. He graduated from The Ural Polytechnical Institute. He works at a big plant. My mother is 51. She is a teacher. She teaches Russian at school. She graduated from the Leningrad Teachers' Training University.

My sister's name is Katya. She works at an office. Besides she studies at an Evening Department. She is married. Her husband is a doctor. He works at a hospital. They have a little son. He is only six months old.

My elder brother, Boris by name, does not stay with us. He lives in Gorky in a large two-roomed flat. He is a designer. He has also a family of his own. He has a wife & two children: a boy & a girl. Their son is already a pupil. My brother & his family often come to see us. We also visit them sometimes.

I also have a grandfather & a grandmother. They are pensioners. My grandmother looks after the house & does the cooking. We usually take our children to the country in summer to stay with their grandparents. They love their grandchildren very much.

Подготовьте устный рассказ по теме на основе предложенного:

My student's life

I'm a student of The Ural State Mining University. I have been a student only one month. I can't speak English very well yet. I am just a beginner. I live in a hostel. It is rather a long way from the University. In fact, it takes me about an hour to get to the University. But it gives me no trouble at all, as I like to get up early. I don't need an alarm-clock to wake me up. I am an early - riser.

Though the hostel is far from the University it is very comfortable & has all modern conveniences.

As a rule I get up at 6.30, do morning exercises & have shower. I don't have a bath in the morning; I have a bath before I go to bed.

For breakfast I have a boiled egg & a cup of coffee in order not to waste the time. At about 7.30 I am quite ready to go. It is about 5 minutes walk from the hostel to the stop. I usually take the 7.40. bus. I walk to the stop as I have plenty of time to catch my bus.

I come to the University 5 minutes before the lesson begins. So I can have a chat with my friends. The majority of my group mates are from Ekaterinburg the others either come from different towns of our country. We usually have a lot of things to talk about.

We don't go out to the lunch. There is a good canteen at the University. It is on the ground floor. But I should say that you have to stand in a queue to have lunch.

I come to the hostel from the University at about 3 o'clock. I live in a single room & have nobody to speak with. In the evening I sometimes go out with my friends. We go to the cinema if there is something new or to the club if there is a dancing party there. But often I stay in, watch TV programs or listen to the music. Then I read a book for half an hour or so & go to sleep. That doesn't take me long, as a rule.

Подготовьте устный рассказ по теме на основе предложенного:

Ekaterinburg – an Industrial Centre

Ekaterinburg is one of the leading industrial centres of Russia. There are over 200 industrial enterprises of all-Russia importance in it. The key industry is machine-building. The plants of our city produce walking excavators, electric motors, turbines, various equipment for industrial enterprises.

During the Great Patriotic War Sverdlovsk plants supplied the front with arms and munitions and delivered various machinery for restoration of Donbass collieries and industrial enterprises of the Ukraine.

The biggest plants of our city are the Urals Heavy Machine Building Plant (the Uralmash), the Urals Electrical Engineering Plant (Uralelectrotyazhmash), the Torbomotorny Works (TMZ), the Chemical Machinery Building Works (Chimmash), the Verkh Iset Metallurgical Works (VIZ) and many others.

The Urals Heavy Machinery Building Plant was built in the years of the first five-year plan period. It has begun to turn out production in 1933. The machines and equipment produced by the Uralmash have laid the foundation for the home iron and steel, mining and oil industries. The plant produces walking excavators and draglines, drilling rigs for boring super-deep holes, crushing and milling equipment for concentrators. The plant also produces rolling-mills, highly efficient equipment for blast furnaces, powerful hydraulic presses and other machines. The trade mark of the Uralmash is well-known all over the world.

The Electrical Engineering plant was put into operation in 1934. At the present time it is a great complex of heavy electrical machine-building. It produces powerful hydrogenerators, transformers, air and oil switches, rectifiers & other electrical equipment. Besides, it is one of the main producers of high-voltage machinery.

The Turbo-Motorny Works produces turbines & diesel motors for powerful trucks. The turbines manufactured by this plant are widely known not only in our country, but also abroad. The plant turned out its first turbines in 1941.

The Urals Chemical Works, the greatest plant in the country, produces machinery for the chemical industry. It also produces vacuum- filters used in different branches of oil industry.

The Verkh-Iset Metallurgical Works the oldest industrial enterprise in Ekaterinburg is now the chief producer of high grade transformer steel in the country.

Now complex mechanization & automation of production processes are being used at all industrial enterprises of Ekaterinburg. Its plants make great contribution to the development of our country's national economy.

Подготовьте устный рассказ по теме на основе предложенного:

The United Kingdom of Great Britain and Northern Ireland

The United Kingdom of Great Britain and Northern Ireland (the UK) occupies most of the territory of the British Isles. It consists of four main parts: England, Scotland, Wales and Northern

Ireland. London is the capital of England. Edinburgh is the capital of Scotland, Cardiff— of Wales and Belfast — of Northern Ireland. The UK is a small country with an area of some 244,100 square kilometres. It occupies only 0.2 per cent of the world's land surface. It is washed by the Atlantic Ocean in the north-west, north and south-west and separated from Europe by the Severn, but the most important waterway is the Thames.

The climate is moderate and mild. But the weather is very changeable. The population of the United Kingdom is over 57 million people. Foreigners often call British people "English", but the Scots, the Irish and the Welsh do not consider themselves to be English. The English are Anglo-Saxon in origin, but the Welsh, the Scots and the Irish are Celts, descendants of the ancient people, who crossed over from Europe centuries before the Norman Invasion. It was this people, whom the Germanic Angles and Saxons conquered in the 5th and 6th centuries AD. These Germanic conquerors gave England its name — "Angle" land. They were conquered in their turn by the Norman French, when William the Conqueror of Normandy landed near Hastings in 1066. It was from the union of Norman conquerors and the defeated Anglo-Saxons that the English people and the English language were born. The official language of the United Kingdom is English. But in western Scotland some people still speak Gaelic, and in northern and central parts of Wales people often speak Welsh.

The UK is a highly developed industrial country. It is known as one of the world's largest producers and exporters of machinery, electronics, textile, aircraft, and navigation equipment. One of the chief industries of the country is shipbuilding.

The UK is a constitutional monarchy. In law, Head of the State is Queen. In practice, the country is ruled by the elected government with the Prime Minister at the head. The British Parliament consists of two chambers: the House of Lords and the House of Commons. There are three main political parties in Great Britain: the Labour, the Conservative and the Liberal parties. The flag of the United Kingdom, known as the Union Jack, is made up of three crosses. The big red cross is the cross of Saint George, the patron saint of England. The white cross is the cross of Saint Andrew, the patron saint of Scotland. The red diagonal cross is the cross of Saint Patrick, the patron saint of Ireland.

The United Kingdom has a long and exciting history and a lot of traditions and customs. The favorite topic of conversation is weather. The English like to drink tea at 5 o'clock. There are a lot of high daysin Great Britain. They celebrate Good Friday, Christmastide, Christmas, Valentine`s day and many others. It is considered this nation is the most conservative in Europe because people attach greater importance to traditions; they are proud of them and keep them up. The best examples are their money system, queen, their measures and weights. The English never throw away old things and don't like to have changes.

Great Britain is a country of strong attraction for tourists. There are both ancient and modern monuments. For example: Hadrian Wall and Stonehenge, York Cathedral and Durham castle. It is no doubt London is the most popular place for visiting because there are a lot of sightseeing like the Houses of Parliament, Buckingham Palace, London Bridge, St Paul's Cathedral, Westminster Abbey, the Tower of London. Also you can see the famous Tower Clock Big Ben which is considered to be the symbol of London. Big Ben strikes every quarter of an hour. You will definitely admire Buckingham Palace. It's the residence of the royal family. The capital is famous for its beautiful parks: Hyde Park, Regent's Park. The last one is the home of London Zoo.

Подготовьте устный рассказ по теме на основе предложенного:

My speciality is Geology

I am a first year student of the Ural State Mining University. I study at the geological faculty. The geological faculty trains geologic engineers in three specialities: mineral prospecting and exploration, hydrogeology and engineering geology, drilling technology.

Geology is the science which deals with the lithosphere of our planet. Geology studies the composition of the Earth's crust, its history, the origin of rocks, their distribution and many other problems.

That is why the science of geology is commonly divided into several branches, such as:

1. General Geology which deals with the composition arid the structure of the Earth and with various geological processes going on below the Earth's surface and on its surface.

2. Petrology which studies the rocks of the Earth.

3. Mineralogy which investigates the natural chemical compounds of the lithosphere.

4. Paleontology which deals with fossil remains of ancient animals and plants found in rocks.

5. Historic Geology which treats of the Earth's history.

6. Structural Geology which deals with the arrangement of rocks due to the Earth's movements.

7. Economic Geology which deals with occurrence, origin and distribution of mineral deposits valuable to man.

All these branches of geology are closely related to each other.

Geology is of great practical importance because .it supplies industry with all kinds of raw materials, such as ore, coal, oil, building materials, etc.

Geology deals with the vital problem of water supply. Besides, many engineering projects, such as tunnels, canals, dams, irrigation systems, bridges etc. need geological knowledge in choosing construction sites and materials.

The practical importance of geology has greatly increased nowadays. It is necessary to provide a rapid growth of prospecting mineral deposits, such as ores of iron, copper, lead, uranium and others, as well as water and fossil fuels (oil, gas and coal). They are badly needed for further development of all the branches of the national Economy of our country and for creating a powerful economic foundation of the society. The graduates of the geological faculty of the Ural State Mining University work all over the country in mines, geological teams and expeditions of the Urals, Siberia, Kasakhstan, in the North and Far East, etc. as well as abroad.

Very often geologists have to work under hard climatic and geological conditions. They must be courageous, strong and purposeful people, ready to overcome any hardships which nature has put in their way to its underground treasure-house.

Практические занятия направлены также на формирование грамматического навыка по темам: порядок слов в повествовательном и побудительном предложениях, порядок слов в вопросительном предложении, безличные предложения, местоимения (указательные, личные, возвратно-усилительные, вопросительные, относительные, неопределенные), имя существительное, артикли (определенный, неопределенный, нулевой), функции и спряжение глаголов *to be* и *to have, о*борот *there+be,* имя прилагательное и наречие, степени сравнения, сравнительные конструкции, имя числительное (количественные и порядковые; чтение дат), образование видовременных форм глагола в активном залоге.

Распределение выше указанных тем в учебнике:

- Агабекян И. П. Английский язык для бакалавров: учебное пособие для студентов вузов / И. П. Агабекян. - Ростов-на-Дону: Феникс, 2017. - 384 с.: ил. - (Высшее образование) (200 экз. в библиотеке УГГУ) и учебнике:

- Журавлева Р.И. Английский язык: учебник: для студентов горно-геологических специальностей вузов / Р. И. Журавлева. - Ростов-на-Дону: Феникс, 2013. - 508 с. - (Высшее образование). - Библиогр.: с. 502 (192 экз. в библиотеке УГГУ) представлено в таблице №1:

Таблица №1

Название темы	***Страницы учебников***	
	Агабекян И. П.	*Журавлева Р.И.*
Порядок слов в повествовательном и побудительном предложениях	148	9
Порядок слов в вопросительном предложении	163-170	10, 24
Безличные предложения	149	440
Местоимения (указательные, личные, возвратно-усилительные, вопросительные, относительные, неопределенные)	41-55	101, 439
Имя существительное	66-78	435

Артикли (определенный, неопределенный, нулевой)	78-84	433
Функции и спряжение глаголов *to be* и *to have*	102-104	6-8
Оборот *there+be*	105-107	100
Имя прилагательное и наречие	115	83
Степени сравнения, сравнительные конструкции	115-121	143
Имя числительное (количественные и порядковые; чтение дат)	261-271	-
Образование видовременных форм глагола в активном залоге	193-209	10, 36, 69

Повторите материал практических занятий!

Порядок слов в английском предложении

В русском языке, благодаря наличию падёжных окончаний, мы можем переставлять члены предложения, не меняя основного смысла высказывания. Например, предложения Студенты изучают эти планы и Эти планы изучают студенты совпадают по своему основному смыслу. Подлежащее в обоих случаях - студенты, хотя в первом предложении это слово стоит на первом месте, а во втором предложении - на последнем.

По-английски такие перестановки невозможны. Возьмём предложение The students study these plans Студенты изучают эти планы. Если подлежащее и дополнение поменяются местами, то получится бессмыслица: These plans study the students Эти планы изучают студентов. Произошло это потому, что слово plans, попав на первое место, стало подлежащим.

Английское предложение имеет твёрдый порядок слов.

Порядок слов в английском предложении показан в этой таблице:

I	**II**	**III Дополнение**			**IV Обстоятельство**
Подлежащее	**Сказуемое**	**Косвенное без предлога**	**Прямое**	**Косвенное с предлогом**	
We Мы	study изучаем		math математику		
He Он	gives дает	us нам	lessons уроки		in this room. в этой комнате
She Она	reads читает		her notes свои заметки	to Peter Петру	every day. каждый день

Вопросительное предложение

Общее правило построения вопросов в английском языке таково: Все вопросы (кроме специальных вопросов к подлежащему предложения) строятся путем инверсии. Инверсией называется нарушение обычного порядка слов в английском предложении, когда сказуемое следует за подлежащим.

В тех случаях, когда сказуемое предложения образовано без вспомогательных глаголов (в Present и Past Indefinite) используется вспомогательный глагол to do в требуемой форме - do/does/did.

Общие вопросы

Общий вопрос задается с целью получить подтверждение или отрицание высказанной в вопросе мысли. На общий вопрос обычно дается краткий ответ: "да" или "нет".

Для построения общего вопроса вспомогательный или модальный глагол, входящий в состав сказуемого, ставится в начале предложения перед подлежащим.

а) Примеры сказуемого с одним вспомогательным глаголом: Is he speaking to the teacher? - Он говорит с учителем?

б) Примеры сказуемого с несколькими вспомогательными глаголами:

You will be writing letters to us. – Ты будешь писать нам письма.
Will you be writing letters to us? – Будешь ли ты писать нам письма?
Примеры с модальными глаголами:
She can drive a car. – Она умеет водить машину.
Can she drive a car? - Она умеет водить машину? (Yes, she can.; No, she cannot)

Когда в составе сказуемого нет вспомогательного глагола (т.е. когда сказуемое выражено глаголом в Present или Past Indefinite), то перед подлежащим ставятся соответственно формы do / does или did; смысловой же глагол ставится в форме инфинитива без to (словарная форма) после подлежащего.

С появлением вспомогательного глагола do на него переходит вся грамматическая нагрузка - время, лицо, число: в Present Indefinite в 3-м лице ед. числа окончание -s, -es смыслового глагола переходит на глагол do, превращая его в does; а в Past Indefinite окончание прошедшего времени -ed переходит на do, превращая его в did.
Do you go to school? – Ходишь ли ты в школу?
Do you speak English well? - Ты хорошо говоришь по-английски?

Ответы на общие вопросы

Общий вопрос требует краткого ответа "да" или "нет", которые в английском языке образуются следующим образом:

а) Положительный состоит из слова Yes за которым (после запятой) идет подлежащее, выраженное личным местоимением в им. падеже (никогда не используется существительное) и тот вспомогательный или модальный глагол, который использовался в вопросе (вспомогательный глагол согласуется с местоимением ответа);

б) Отрицательный ответ состоит из слова No, личного местоимения и вспомогательного (или модального) глагола с последующей частицей not
Например: Are you a student? - Ты студент?
Yes, I am. - Да.; No, I am not. - Нет.
Do you know him? – Ты знаешь его?
Yes, I do. – Да (знаю).; No, I don't. – Нет (не знаю).

Специальные вопросы

Специальный вопрос начинается с вопросительного слова и задается с целью получения более подробной уточняющей информации. Вопросительное слово в специальном вопросе заменяет член предложения, к которому ставится вопрос.
Специальные вопросы могут начинаться словами:
who? – кто? whom? – кого? whose? - чей? what? – что? какой? which? – который?
when? – когда? where? – где? куда? why? – почему? how? – как?
how much? – сколько? how many? – сколько? how long? – как долго? сколько времени?
how often? – как часто?

Построение специальных вопросов:

1) Специальные вопросы ко всем членам предложения, кроме подлежащего (и его определения) строятся так же, как и общие вопросы – посредством инверсии, когда вспомогательный или модальный глагол ставится перед подлежащим.

Специальный вопрос (кроме вопроса к подлежащему) начинается с вопросительного слова или группы слов за которым следуют вспомогательный или модальный глагол, подлежащее и смысловой глагол (сохраняется структура общего вопроса).

Вопрос к прямому дополнению:
What are you reading? Что ты читаешь?
What do you want to show us? Что вы хотите показать нам?

Вопрос к обстоятельству

Обстоятельства бывают разного типа: времени, места, причины, условия, образа действия и др.

He will come back tomorrow. – Он вернется завтра.
When will he come back? – Когда он вернется?
What did he do it for? Зачем он это сделал?
Where are you from?

Вопрос к определению

Вопрос к определению начинается с вопросительных слов what какой, which (of) который (из), whose чей, how much сколько (с неисчисляемыми существительными), how many сколько (с исчисляемыми существительными). Они ставятся непосредственно перед определяемым существительным (или перед другим определением к этому существительному), а затем уже идет вспомогательный или модальный глагол.

What books do you like to read? Какие книги вы любите читать?
Which books will you take? Какие книги (из имеющихся) вы возьмете?

Вопрос к сказуемому

Вопрос к сказуемому является типовым ко всем предложениям: ”Что он (она, оно, они, это) делает (делал, будет делать)?”, например:
What does he do? Что он делает?

Специальные вопросы к подлежащему

Вопрос к подлежащему (как и к определению подлежащего) не требует изменения прямого порядка слов, характерного для повествовательного предложения. Просто подлежащее (со всеми его определениями) заменяется вопросительным местоимением, которое исполняет в вопросе роль подлежащего. Вопросы к подлежащему начинаются с вопросительных местоимений:

who – кто (для одушевленных существительных)
what - что (для неодушевленных существительных)
The teacher read an interesting story to the students yesterday.
Who read an interesting story to the students yesterday?

Сказуемое в таких вопросах (после who, what в роли подлежащего) всегда выражается глаголом в 3-м лице единственного числа (не забудьте про окончание -s в 3-м лице ед. числа в Present Indefinite. Правила образования -s форм см. здесь.):

Who is reading this book? Кто читает эту книгу?
Who goes to school?

Альтернативные вопросы

Альтернативный вопрос задается тогда, когда предлагается сделать выбор, отдать чему-либо предпочтение.

Альтернативный вопрос может начинаться со вспомогательного или модального глагола (как общий вопрос) или с вопросительного слова (как специальный вопрос) и должен обязательно содержать союз or - или. Часть вопроса до союза or произносится с повышающейся интонацией, после союза or - с понижением голоса в конце предложения.

Например вопрос, представляющий собой два общих вопроса, соединенных союзом or:
Is he reading or is he writing?
Did he pass the exam or did he fail?

Вторая часть вопроса, как правило, имеет усеченную форму, в которой остается (называется) только та часть, которая обозначает выбор (альтернативу):
Is he reading or writing?

Разделительные вопросы

Основными функциями разделительных вопросов являются: проверка предположения, запрос о согласии собеседника с говорящим, поиски подтверждения своей мысли, выражение сомнения.

Разделительный (или расчлененный) вопрос состоит из двух частей: повествовательной и вопросительной.

Первая часть - повествовательное утвердительное или отрицательное предложение с прямым порядком слов.

Вторая часть, присоединяемая через запятую, представляет собой краткий общий вопрос, состоящий из местоимения, заменяющего подлежащее, и вспомогательного или модального глагола. Повторяется тот вспомогательный или модальный глагол, который входит в состав сказуемого первой части. А в Present и Past Indefinite, где нет вспомогательного глагола, употребляются соответствующие формы do/ does/ did.

В второй части употребляется обратный порядок слов, и она может переводится на русский язык: не правда ли?, не так ли?, верно ведь?

1. Если первая часть вопроса утвердительная, то глагол во второй части стоит в отрицательной форме, например:

You speak French, don't you? You are looking for something, aren't you? Pete works at a plant, doesn't he?

2. Если первая часть отрицательная, то во второй части употребляется утвердительная форма, например:

It is not very warm today, is it? John doesn't live in London, does he?

Безличные предложения

Поскольку в английском языке подлежащее является обязательным элементом предложения, в безличных предложениях употребляется формальное подлежащее, выраженное местоимением it. Оно не имеет лексического значения и на русский язык не переводится.

Безличные предложения используются для выражения:

1. Явлений природы, состояния погоды: It is/(was) winter. (Была) Зима. It often rains in autumn. Осенью часто идет дождь. It was getting dark. Темнело. It is cold. Холодно. It snows. Идет снег.

2. Времени, расстояния, температуры: It is early morning. Ранее утро. It is five o'clock. Пять часов. It is two miles to the lake. До озера две мили. It is late. Поздно.

3. Оценки ситуации в предложениях с составным именным (иногда глагольным) сказуемым, за которым следует подлежащее предложения, выраженное инфинитивом, герундием или придаточным предложением: It was easy to do this. Было легко сделать это.
It was clear that he would not come. Было ясно, что он не придет.

4. С некоторыми глаголами в страдательном залоге в оборотах, соответствующих русским неопределенно-личным оборотам: It is said he will come. Говорят, он придет.

Местоимение. The Pronoun.
Классификации местоимений.

1	**personal**	личные
2	**possessive**	притяжательные
3	**demonstrative**	указательные
4	**indefinite and negative**	неопределенные и отрицательные
5	**quantifiers**	количественные
6	**reflexive**	возвратные
7	**reciprocal**	взаимные
8	**relative**	относительные
9	**defining**	определительные
10	**interrogative**	вопросительные

I. Личные (personal) местоимения

Общий падеж		**Объектный падеж**	
I	я	**me**	мне, меня
he	он	**him**	его, ему
she	она	**her**	ей, о ней
it	оно, это	**it**	ей, ему, этому
we	мы	**us**	нам, нас

they	они	**them**	им, их
you	ты, вы	**you**	тебе, вам

Внимание! He (он) и **she (она)** в английском языке можно говорить только про людей. Все остальные английские существительные (предметы, животные, явления природы, чувства и т. д.) - обозначаются – it (оно, это).

he	**she**	**it**
a boy – мальчик **a man –** мужчина **brother –** брат **father –** отец **Nick –** Николай **Mr Grey –** мистер Грей	**a girl –** девочка **a woman –** женщина **sister – с**естра **motherч–** мама **Kate –** Катя **Mrs Grey –** миссис Грей	**a cat –** кот **a wall –** стена **rain –** дождь **love –** любовь **a hand –** рука **an apple -** яблоко

Англичане говорят <u>It's me</u>, а не It's I (это я).

II. Притяжательные (possessive) местоимения

Притяжательные местоимения выражают принадлежность и имеют в английском языке **две формы - основную** (после этой формы обязательно требуется существительное).
Whose pen is it? - *Чья это ручка?* - **It's my pen**. - *Это моя ручка*.
И **абсолютную** (существует самостоятельно, без существительного) - **It's mine.** - *Это моя.*

Личное местоимение	**Основная форма**	**Абсолютная форма**
I – я **he –** он **she –** она **it – оно,** это **we –** мы **you –** ты, вы **they -** они	**my (toy) -** моя (игрушка) **his (toy) -** его (игрушка) **her (toy) -** ее (игрушка) **its (toy) -** его (не о человеке) **our (toy) -** наша (игрушка) **your (toy) -** ваша, твоя (игрушка) **their (toy) -** их (игрушка)	**his -** его **hers -** ее **its -** его (этого) **ours -** наша **yours -** ваша, твоя **theirs -** их

III. Указательные (demonstrative) местоимения

this (это, эта, этот) **– these** (эти) **that** (то, та, тот) **- those** (те)

IV. Неопределенные (indefinite) и отрицательные (negative) местоимения

Местоимения some, any, every, и их производные

• Если у вас есть, например, яблоки и вы знаете, сколько их, вы говорите:
I have/l have got three apples. *У меня есть 3 яблока,*
• Если вы не знаете точное количество, то используйте неопределенное местоимение **some: I have/1 have got apples.** *У меня есть несколько яблок (некоторое количество).*

Производные от неопределенных местоимений

Слово **"think"** обозначает **"вещь"** (не обязательно материальная).
Слово **"body"** обозначает **"тело".** Эти слова являются основой для целого ряда словообразований.

Thing используется для неодушевленных (что-то):

some	**something –** *что-то, что-нибудь*
any	**anything -** *что-то, что-нибудь*
thing	
no	**nothing -** *ничего, ничто*

every	**everything -** *все*
Body/one - для одушевленных (кто-то):	
some	**somebody/someone –** *кто-то, кто-нибудь*
any	**anybody/anyone -** *кто-то, кто-нибудь*
body/one	
no	**nobody / no one -** *никого, никто*
every	**everybody /everyone –** *все, каждый*
Местоимение **some** и основа **body** должны произноситься и писаться слитно, в противном случае вместо **somebody** – *кто-то*, получится **some body** - *какое-то тело*, **Something/somebody/someone** - в утвердительных предложениях, **anything/anybody/anyone** - в отрицательных и вопросительных предложениях**, nothing/nobody/no one** – в отрицательных. **Anything/anybody/anyone** - также используются в утвердительных предложениях, но в значении *что угодно/кто угодно*	

somewhere - *где-нибудь, куда-нибудь*	**anywhere -** *где угодно*
nowhere - *нигде*	**everywhere -** *везде*

V. Количественные (quantifiers) местоимения

Many и much - оба слова обозначают **" много"**, С **исчисляемыми** существительными (теми, которые можно посчитать, можно образовать множественное число) используется слово **many**, а с **неисчисляемыми** - слово **much**.	
many girls - *много девочек* **many boys -** *много мальчиков* **many books -** *много книжек*	**much snow -** *много снега* **much money -** *много денег* **much time -** *много времени*
How many? } **сколько?** **How much?** } **сколько?**	**How many girls? -** *Сколько девочек?* **How much sugar? -** *Сколько сахара?* **How much sugar? -** *Сколько сахара?*
a lot of... - много - используется и с исчисляемыми, и с неисчисляемыми существительными a lot без (of) используется и без существительного. **Сравните**: He writes **a lot** of funny stories**.** *Он пишет много забавных рассказов.* He writes **a lot.** *Он много пишет.*	girls – много девочек **a lot of** sugar - много сахара
В утвердительных предложениях используйте **a lot of.** В отрицательных и в вопросительных **many/much,** **Сравните:** (+) My grandmother often cooks **a lot of** tasty things. *Моя бабушка часто готовит много вкусного*. (-) But we don't eat **much.** *Но мы не едим много*. (?) Do you eat much? *Вы много едите?* Иногда слова **much** и **a lot** являются синонимами слова **"часто":** Do you ski **much**? *Вы много (часто) катаетесь на лыжах?* No, not much (= not often).Нет, не часто.	

Few, little, a few, a little
С неисчисляемыми существительными используйте слово little (мало),
а с исчисляемыми - few (мало).

few books - мало книг **few girls -** мало девочек **few boys -** мало мальчиков	**little time -** мало времени **little money -** мало денег **little snow -** мало снега
little } **мало (т.е. надо еще)** **few** } **мало (т.е. надо еще)**	**a little** } **немного (т.е. пока хватает)** **a few** } **немного (т.е. пока хватает)**

VI. Возвратные (reflexive) местоимения

Возвратные местоимения образуются от личных местоимений в объектном падеже и притяжательных местоимений прибавлением **- self** в единственном числе и **- selves** во множественном числе. Возвратные местоимения используются для того, чтобы показать, что объект, названный подлежащим предложения сам совершает действие.

Личное местоимение	**Возвратное местоимение**	**Пример**	**Перевод**
I	myself	I did it myself.	Я сделал это сам
he	himself	He did it himself.	Он сделал это сам.
she	herself	She did it herself.	Она сделала это сама
you	yourself	You did it yourself.	Вы сделали это сами.
they	themselves	They did it themselves.	Они сделали это сами.
we	ourselves	We did it ourselves.	Мы сделали это сами.

VII. Взаимные (reciprocal) местоимения

Each other - друг друга (относится к двум лицам или предметам).
One another - друг друга (относится к большему количеству лиц или предметов).
They spoke to <u>each other</u> rather friendly. *Они разговаривали друг с другом довольно дружелюбно.*
They always help <u>one another</u>. *Они всегда помогают друг другу.*

VIII. Относительные (relative) местоимения

Who (whom), whose, which, that

who	**Именительный падеж <u>who</u> (подлежащее)** **The girl <u>who</u> is playing the piano is my sister.** *Девочка, которая играет на пианино, - моя сестра.*
	Объектный падеж <u>whom</u> (дополнение) **The man <u>whom</u> I love the best is your brother.** *Человек, которого я люблю больше всех, - твой брат.*
which	**Для неодушевленных предметов и животных** **The flowers <u>which</u> you brought me were pretty nice.** *Цветы, которые ты мне принес, очень милые.*
whose	**Для одушевленных существительных** **This is the man <u>whose</u> book we read yesterday.** *Это человек, книгу которого мы читали вчера.*
	Для неодушевленных существительных **We saw the tree <u>whose</u> leaves were absolutely yellow.** *Мы увидели дерево, листья которого были абсолютно желтыми.*
that	**Для одушевленных существительных** **This is the man <u>that</u> we saw yesterday.** *Это мужчина, которого мы видели вчера.*
	Для неодушевленных существительных **This is the film <u>that</u> we saw yesterday.** *Это фильм, который мы видели вчера.*

IX. Определительные (defining) местоимения

all

Употребление	**Примеры**	**Перевод**
определяет неисчисляемые	He spent **all his** time fishing on the	Он провел все свое время,

существительные	lake**.**	ловя рыбу на озере.
определяет исчисляемые существительные	**All the** boys like football. **(the после all!)**	Все мальчишки любят футбол.
all = everything	I know **all/everything.**	Я знаю всё.
all = everybody	**All** were hungry. **Everybody** was hungry.	Все были голодны. Все были голодны.
we all = ail of us you all = all of you they all = ail of them	We **all** love you very much = **All** of us love you very much.	Мы все тебя очень любим

both

Употребление	Примеры	Перевод
определяет существительные	**Both (the/my) friends like football.**	Оба моих друга любят футбол
допускается использование артикля вместо указательных местоимений после both	**Both these/the men are Russian.**	Оба (эти) мужчины - русские.
употребляется вместо существительного	**He gave me two apples. Both were sweet.**	Он дал мне два яблока. Оба были сладкими.
they both = both of them you both = both of you we both = both of us	**They both (both of them) came to visit us.**	Они оба пришли навестить нас.
в устойчивой конструкции **both...and.**	**Both mother father were at home**	И мама, и папа были дома.
в отрицательных предложениях **вместо both** используется **neither**	**Both of them know English. Neither of them know English.**	Они оба знают английский. Ни один из них не знает английского.

either/neither

	Употребление	Примеры	Перевод
either	любой из двух (артикль не ставится)	**I've got 2 cakes. Take either cake.**	У меня 2 пирожных. Возьми любое.
	каждый, оба, и тот, и другой	**There are windows on either side of the house.**	С обеих сторон дома есть окна.
	заменяет существительное (глагол в ед. числе)	**Either of dogs is always hungry.**	Любая из собак вечно голодная.
neither	отрицательное местоимение-определение (ни тот, ни другой)	**Neither of examples is correct.**	Ни один из примеров не верен.
	в констр. neither.. .nor (ни.. .ни)	**I like neither tea, nor coffee.**	Я не люблю ни чай, ни кофе.

other, another, the other, the others (другой, другие)

	Употребление	Примеры	Перевод
the other	другой (второй), другой из двух	**You've got 2 balls: one and the other.**	У тебя 2 мяча: один и другой.
another	другой из многих, еще один	**Take another ball.**	Возьми другой мяч. (Любой, но не этот.)
other	другие (любые), не последние	**Take other 2 balls.**	Возьми другие 2 мяча. (Из многих.)

the others	другие (определенные)	**There are 4 balls: 2 balls are red and the others are blue.**	Есть 4 мяча: 2 красных, а другие 2 - синие.

X. Вопросительные (interrogative) местоимения

what	что	**What's this?**	Что это?
which	который	**Which of them?**	Который из них?
who	кто, кого	**Who was that?**	Кто это был?
whom	кого	**Whom did you meet?**	Кого ты встретил?
whose	чей	**Whose book is it?**	Чья это книга?

Имя существительное. The Noun

Категории	Существительное в русском языке	Существительное в английском языке
Число	**Изменяется**	**Изменяется**
Падеж	**Изменяется**	**Не изменяется**

The Plural Form of Nouns

Образование множественного числа у английских существительных

Способ образования	Примеры	Перевод
после глухих согласных	**a book - books** **a cup - cups**	**книга - книги** **чашка - чашки**
после звонких согласных и гласных -	a name - names a girl - girls	**имя - имена** **девочка - девочки**
после шипящих, свистящих звуков -ch, -sh, -x, -s, -z: -es	a palace - palaces a bush - bushes a box - boxes a church - churches	дворец - дворцы куст - кусты коробка - коробки церковь - церкви
слово заканчивается на -y: 1) гласная +y	**a toy - toys** **a boy - boys**	игрушка - игрушки мальчик - мальчики
2) согласная + y	**a family - families** **a story - stories**	**семья - семьи** **история - истории**
слово заканчивается на *-file*	**a leaf - leaves** **a shelf - shelves**	лист - листья полка - полки

Особые случаи образования множественного числа

Ед. число	**Мн. число**	**Перевод**
man	men	мужчина - мужчины
woman	women	женщина - женщины
foot	feet	нога (стопа) - ноги (стопы)
child	children	ребенок - дети
goose	geese	гусь - гуси
mouse	mice	мышь - мыши
ox	oxen	**бык - быки**
tooth	teeth	**зуб - зубы**

Слова - заместители существительных **Substitutions: one/ones**

При повторном использовании одного и того же существительного в одном предложении, вместо него следует использовать one (в единственном числе) и ones (во множественном числе):

This table is bigger that that one - Этот стол больше, чем тот (стол).
These table are bigger than those ones. - Эти столы больше, чем те (столы).

Со словами one/ones **может быть использован артикль, если перед ними стоит прилагательное.**	
What apple do you want? **Какое ты хочешь яблоко?** **The red one. Красное.**	**What apples do you want?** **Какие яблоки ты хочешь?** **The red ones. Красные.**

Английские существительные не имеют падежных окончаний традиционно выделяют два падежа -общий и притяжательный.

Общий падеж

И. п. Эта девочка хорошо говорит по-английски.	This girl speaks English well.
Р. п. Это собака той девочки.	It's a dog of that girl.
Д. п. Я дал яблоко той девочке. .	I gave an apple to that girl.
В. п. Я вижу маленькую девочку. .	1 can see a little girl.
Т. п. Я люблю гулять с этой девочкой.	1 like to play with this girl.
П. п. Я часто думаю об этой девочке.	1 often think about this girl.

Притяжательный падеж. The Possessive Case
Образование притяжательного падежа

	Образование	**Примеры**	**Перевод**
существительные в единственном числе	**'s**	**bird's house** **child's ball**	домик птички мячик ребенка
существительные во множественном числе (группа исключений}	**'s**	**children's bail** **women's rights**	мячик детей права женщин
существительное во множественном числе	**'**	**girls' toy** **birds' house**	игрушка девочек домик птичек

Формула притяжательного падежа обычно имеют лишь одушевленные существительные, обозначающие живое существо, которому что-то принадлежит,

my mother's book - мамина книга,

this girl's bail - мячик девочки,

the bird's house - домик птички

Для того, чтобы показать принадлежность объекта неодушевленному предмету, используется предлог of:

the handle of the door (ручка (от) двери), но чаще образуется составное существительное door-handle,

Артикль. The Article

1. Неопределенный a/an (используется перед исчисляемыми существительными в единственном числе)

a cat –кот a dog –собака a boy – мальчик a girl -девочка
a teacher - учитель

2. Определенный the (может использоваться с любыми существительными)

the cat -кот the houses –дома the water -вода the weather –погода
the flowers - цветы

Если слово начинается с гласной буквы, к артиклю "a" добавляется буква "n", для того, чтобы две гласные не сливались: an apple (яблоко), an orange (апельсин), an author (автор) и т, д. Слово "an hour" (час) начинается с согласной буквы "h", но в слове эта буква не читается, т.е. слово начинается с гласного звука, поэтому к артиклю "a" также добавляется n = an

Упоминая объект впервые, перед ним ставят неопределенный артикль a/an при вторичном с упоминании того же самого объекта, перед ним ставят определенный артикль the

I see a cat, Я вижу кота (одного). The cat is black. (этот) Кот – черный.

This is a kitten. Это - котенок. (Один из многих) The kitten is hungry. (этот) Котенок - голодный.

I have a book- У меня есть книга. The book is interesting. (эта) Книга - интересная.

Неопределенный артикль a/an опускается перед исчисляемыми существительными и существительными во множественном числе.

a pen - pens (ручка - ручки) a dog - dogs (собака - собаки) a book - books (книга -книги)

- water (вода) - snow (снег) - meat (мясо)

Использование неопределенного артикля a

один из множества (любой)	This is a cat.
первое упоминание в тексте	I see a bird.
при упоминании профессии	My brother is a pilot.
в восклицательных предложениях	What a good girl! What a surprise! Such a fine room!
вместо слова один	She is coming for a weak.
в определенных конструкциях there is a... I have a… he has a... I see a... this is a... that is a… It is a... Iama… he/she is a…	There is a book here. I have got a nice coat. He has a kind smile. I see a wolf. This is a dog. That is a doctor. It is a red pen. I am a good swimmer. He/she is a tourist
в ряде устойчивых словосочетаний at a quarter.., in a loud, (a low, an angry voice) to have a good time a lot of to go for a walk such a... after a while in a day (a month, a week, a year)	Come at a quarter to 8. Don't speak to him in an angry voice. We had a good time in the country. She has got a lot of presents. Let's go for a walk. He is such a clever boy. You'll see them after a while. We are living in a day.

Использование определенного артикля the

если речь идет о конкретном лице или предмете	The pen is on the table.
при повторном упоминании того же самого объекта	I see a cat. The cat is black.
если слово обозначает нечто, существующее в единственном лице, с частями света	the sun, the moon, the Earth
со словами: only (только), main (главный), central (центральный), left (левый), right (правый), wrong (неправильный), next (следующий), last (последний), final (заключительный)	The only man I love the main road to the left, to the right It was the right answer. the final test
с порядковыми числительными	the first, the tenth

с прилагательными в превосходной степени	the kindest, the most interesting the best
с музыкальными инструментами и танцами	to play the piano, to dance the tango
с обобщающими существительными (класс людей» животных, термины, жанры)	The Britons keep their traditions.
с названиями музеев, кинотеатров, кораблей, галерей, газет, журналов	the Hermitage the Tretyakov Gallery the Avrora the Seasame Street
с названиями океанов, рек, морей, каналов, пустынь, групп, островов, штатов, горных массивов, наименований с of	the Atlantic ocean the Neva river the Black sea Changing of the Guard

Использование определенного артикля в ряде устойчивых словосочетаний

in the middle, in the corner	The table is in the middle of the room.
in the morning, In the evening, in the afternoon	I never drink coffee in the evening.
what's the use?	What's the use of going there so late?
to the cinema, to the theatre, to the shop, to the market	Do you like going to the theatre? He works at the shop.
at the cinema, at the theatre, at the shop, at the market	The fact is that I have no money at all.
the fact is (was) that...	Where is the doctor?
where is the…?	We always spend summer in the country.
in the country, to the country	

Сколько бы прилагательных-определений ни стояло перед существительным, все эти определения ставятся между артиклем и существительным: A big, black, fat cat большой, черный, толстый кот.

Случаи, когда артикль не употребляется

если, перед существительным стоит притяжательное местоимение	a pen - my pen a dog - his dog the teacher - our teacher the apple - her apple
если перед существительным стоит указательное местоимение	the cats - those cats the books - these books a mouse - this mouse
если стоит другое существительное в притяжательном падеже	a car - father's car the horse - farmer's horse a bike - brother's bike the doll - sister's doll
если перед существительным стоит, количественное числительное	5 balls, 7 bananas, 2 cats
если перед существительным стоит отрицание "no"	She has no children. I see no birds.
перед именами	Mike, Kate, Jim, etc
с названиями дней недели	Sunday, Monday, etc.
с названиями месяцев	May, December, etc.
с названиями времен года	in spring, in winter
с названиями цветов	white, etc. I like green
с названиями спортивных игр	football, chess, etc.
с названиями блюд, напитков	tea, coffee, soup, etc,
с названиями праздников	Easter, Christmas, etc.

с названиями языков, если нет слова (язык). Если есть, нужен артикль the	English, etc. I learn English, the English language
с названиями стран	Russia, France, etc HO: the USA, the United Kingdom of Great Britain and Northern Ireland, the Netheriands, the Ukraine, the Congo
с названиями городов	Moscow, Paris, etc.
с названиями улиц, площадей	Trafalgar Square
с названиями парков	St James' Park, Hyde Park
с названиями мостов	Tower Bridge
с названиями одиночных гор	Kilimanjaro
с названиями озер	Loch Ness
с названиями континентов	Asia, Australia, etc.
с названиями одиночных островов	Cyprus
если перед существительными стоит вопросительное или отрицательное местоимение	what animals can swim? I know what thing you have lost!

ГЛАГОЛ (THE VERB)

Глаголом называется часть речи, обозначающая действие или состояние предмета или лица.

В английском языке признаком глагола в неопределенной форме (инфинитиве) является частица to.

По своей структуре глаголы делятся на:

1. Простые, состоящие только из одного корня:

to fire - стрелять; зажигать
to order - приказывать
to read - читать
to play - играть

2. Производные, состоящие из корня и префикса, из корня и суффикса или из корня, префикса и суффикса:

to unpack - распаковывать
to dismiss - увольнять, отпускать
to realize - представлять себе
to shorten - укорачивать (ся)
to encounter - встречать (ся), наталкивать (ся)
to regenerate - перерождаться, возрождаться

3. Сложные, состоящие из двух основ (чаще всего основы существительного или прилагательного и основы глагола):

to broadcast (broad + cast) - передавать по радио
to whitewash (white + wash) - белить

4. Составные, состоящие из глагольной основы и наречия или предлога:

to carry out - выполнять
to sit down - садиться

По значению глаголы делятся на смысловые и служебные.

1. Смысловые глаголы имеют самостоятельное значение, выражают действие или состояние: Lomonosov as a poet and scientist played a great role in the formation of the Russian literary language. Как поэт и ученый Ломоносов сыграл огромную роль в создании русского литературного языка.

2. Служебные глаголы не имеют самостоятельного значения и употребляются для образования сложных форм глагола или составного сказуемого. Они являются спрягаемым элементом сказуемого и в его формах выражается лицо, число и время. К ним относятся:

1. Глаголы-связки to be быть, to become становиться, to remain оставаться, to grow становиться, to get, to turn становиться, to look выглядеть, to keep сохраняться.

Every man is the maker of his own fortune. Каждый человек-творец своей судьбы.

2. Вспомогательные глаголы to be, to do, to have, to let, shall, will (should, would):

The kitchen was supplied with every convenience, and there was even a bath-room, a luxury the Gerhardts had never enjoyed before. На кухне имелись все удобства; была даже ванная комната- роскошь, какой Герхардты никогда до сих пор не обладали.

3. Модальные глаголы can, may, must, ought, need: He that would eat the fruit must climb the tree. Кто любит фрукты, должен влезть на дерево (чтобы сорвать). (Любишь кататься-люби и саночки возить.)

Все формы глагола в английском языке делятся на личные и неличные.

Личные формы глагола выражают время, лицо, число, наклонение. Они выполняют в предложении функцию сказуемого. К личным формам относятся все формы времен действительного и страдательного залога (изъявительного и сослагательного наклонения):

As you leave the Kremlin by Spassky Gate you come out on the Red Square. Если вы выходите из Кремля мимо Спасских Ворот, вы оказываетесь на Красной площади.

Неличные формы глагола не различаются по лицам и числам. Они не могут самостоятельно выполнять в предложении функцию сказуемого, но могут входить в его состав. К неличным формам относятся: инфинитив, причастие и герундий. Every step towards eliminating nuclear weapons is in the interests of every nation. Любой шаг в направлении уничтожения ядерного оружия служит интересам каждого государства.

Личные формы глагола в английском языке имеют три наклонения: изъявительное (the Indicative Mood), повелительное (the Imperative Mood) и сослагательное (the Subjunctive Mood).

Глаголы в изъявительном наклонении выражают реальное действие, передают факты:

His son goes to school. Его сын учится в школе.

She has written an interesting article. Она написала интересную статью.

A new building of the theatre was built in this street. На этой улице построили новое здание театра.

Глаголы в повелительном наклонении выражают приказание, просьбу, совет, запрещение, команду:

"Don't buy them", warned our cautious driver. "Не покупайте их", - предупредил наш осторожный шофер.

Undertake not what you cannot perform but be careful to keep your promise. Не беритесь за то, что не сможете выполнить, но старайтесь сдержать обещание.

Глаголы в сослагательном наклонении выражают действие не реальное, а желательное или предполагаемое: If there were no bad people, there would be no good lawyers. Если бы не было плохих людей, не было бы хороших адвокатов.

Как личные, так и неличные формы глагола имеют **два залога**: действительный (the Active Voice) и страдательный (the Passive Voice).

Глаголы в действительном залоге выражают действие, которое производится подлежащим: I inform you that I have carried out the mission. Сообщаю, что я выполнил задание.

Глаголы в страдательном залоге выражают действие, которое испытывает на себе подлежащее: I was informed that the mission had been carried out. Мне сообщили, что задание было выполнено.

Формы глагола могут выражать отношение между действием и временем. В русском языке бывают глаголы **совершенного и несовершенного вида**. **Глаголы совершенного вида** обозначают действие, которое закончено, и есть его результат:

Он прочитал эту статью с интересом.

Глаголы несовершенного вида обозначают действие, указывая на его повторяемость, длительность, незаконченность: Вчера он читал эту статью с интересом. (Но он мог и не прочитать ее).

Вид глагола в русском языке выражается либо изменением его формы, либо с помощью суффиксов и приставок. Видовые значения глагола в английском языке выражаются сочетанием вспомогательного глагола с причастием настоящего или прошедшего времени смыслового глагола.

В английском языке четыре видо-временных группы глагола: неопределенные времена (Indefinite Tenses), продолженные времена (Continuous Tenses), совершенные времена (Perfect Tenses), и совершенные продолженные времена (Perfect Continuous Tenses). В каждой временной группе три времени: настоящее (Present), прошедшее (Past), будущее (Future).

Глагол “to be”

A: Are you from England?
B: No, we aren't. We're from China.

He's Tom and she's Helen. They are friends.

Утверждение		Отрицание		Вопрос
Полная форма	Краткая форма	Полная форма	Краткая форма	Am I?
I am	I'm	I am not	I'm not	Are you?
You are	You're	You are not	You aren't	Is he?
He is	He's	He is not	He isn't	Is she?
She is	She's	She is not	She isn't	Is it?
It is	It's	It is not	It isn't	Are we?
We are	We're	We are not	We aren't	Are you?
You are	You're	You are not	You aren't	Are they?
They are	They're	They are not	They aren't	

Краткими ответами называются ответы на вопросы, начинающиеся с глагольной формы is /are; в кратком ответе содержание вопроса не повторяется. Употребляется только Yes или No, далее личное местоимение в именительном падеже и глагольная форма is (isn't) / are (aren't). Например: Are you British? No, I'm not.
Yes, I am /we are. No, I'm not/we aren't.
Yes, he/she/it is. No, he/she/it isn't.
Yes, they are. No, they aren't.

WAS/WERE

Bob is eighty. He's old and weak.
Mary, his wife is seventy-nine. She's old too.
Fifty years ago they were young. Bob was strong. He wasn't weak. Mary was beautiful. She wasn't old.
В прошедшем простом времени (past simple) глагол "to be" с личными местоимениями в именительном падеже имеет следующие формы: was для I, he, she, it и –were для –we, you, they. В вопросахwas/were ставятся перед личным местоимением в именительном падеже (I, you, he и т.д.) или существительным. Например: She was ill yesterday. -> Was she ill yesterday? Отрицания образуются путем постановки not после was/were. Например: She was not ill yesterday. She wasn't ill yesterday.

Утверждение	Отрицание		Вопрос
	Полная форма	Краткая форма	
I was	I was not	I wasn’t	Was I?
You were	You were not	You weren’t	Were you?
He was	He was not	He wasn’t	Was he?

She was	She was not	She wasn’t	Was she?
It was	It was not	It wasn’t	Was it?
We were	We were not	We weren’t	Were we?
You were	You were not	You weren’t	Were you?
They were	They were not	They weren’t	Were they?

ОБОРОТ THERE IS/THERE ARE

There is a sofa in the room. There are two pictures on the wall. There isn't a TV in the room. What else is there in the room?

Мы употребляем конструкцию there is/there are, чтобы сказать, что кто-то или что-то существует или находится в определенном месте. Краткая форма there is – there’s. There are не имеет краткой формы. Например: There is (There's) a sofa in the room. There are four children in the garden.

Вопросительная форма: Is there? Are there? Например: Is there a restaurant in the town? Are there any apples in the basket?

Отрицательная форма: There isn’t …/There aren’t … Например: There is not / isn't a man in the room. There are not/aren't any cars in the street.

Краткие ответы строятся с помощью Yes, there is/are или No, there isn't / aren't. Содержание вопроса не повторяется.

Yes, there is. No, there isn't.

Yes, there are. No, there aren't.

Мы употребляем there is / there are, чтобы сказать, что что-то существует или находится в определенном месте, it is / they are - когда уже упоминали об этом. Например: There is a house in the picture.

It is a big house. (Но не: It's a house in the picture.)

There are three books on the desk.

They are history books. (Но не: They are three books on the desk.)

Конструкция There was/There were

This is a modern town today.

There are a lot of tall buildings and shops. There are cars and there isn't much peace and quiet.

This is the same town fifty years ago.

There weren't any tall buildings. There were some old houses. There weren't many cars and there wasn't much noise.

Конструкция There was/There were - это There is / There are в форме past simple. There was употребляется с существительными в единственном числе. Например: There was a post office in the street thirty years ago. There were употребляется с существительными во множественном числе. Например: There were a few houses in the street thirty years ago.

В вопросах was/were ставятся перед there. Например: Was there a post office in the street thirty years ago? Were there any houses in the street thirty years ago?

Отрицания строятся путем постановки not после was / were. Например: There was not / wasn't a post office in the street thirty years ago. There were not / weren't any houses in the street thirty years ago.

Утверждение	Отрицание		Вопрос
	Полная форма	Краткая форма	
There was	There was not	There wasn't	Was there?
There were	There were not	There weren't	Were there?

Краткие ответы строятся с помощью Yes или No и there was/there were. Содержание вопроса не повторяется.

Was there a book on the desk? Yes, there was. No, there wasn't.

Were there any people in the shop? Yes, there were. No, there weren't.

Глагол Have got

A bird has got a beak, a tail and wings.
Has she got long hair? No, she hasn't. She's got short hair.
What have they got? They've got roller blades. They haven't got skateboards.
She has got a headache.

Have (got) используется:

а) чтобы показать, что что-то принадлежит кому-то. Например: He's got a ball.

б) при описании людей, животных или предметов. Например: She's got blue eyes.

в) в следующих высказываниях: I've got a headache. I've got a temperature. I've got a cough, I've got a toothache, I've got a cold, I've got a problem.

Утверждение		Отрицание		Вопрос
Полная форма	Краткая форма	Полная форма	Краткая форма	Have I (got)?
I have (got)	I've (got)	I have not (got)	I haven't (got)	Have you (got)?
You have (got)	You've (got)	You have not (got)	You haven't (got)	Has he (got)?
He has (got)	He's (got)	He has not (got)	He hasn't (got)	Has she (got)?
She has (got)	She's (got)	She has not (got)	She hasn't (got)	Has it (got)?
It has (got)	It's (got)	It has not (got)	It hasn't (got)	Have we (got)?
We have (got)	We've (got)	We have not (got)	We haven't (got)	Have you (got)?
You have (got)	You've (got)	You have not (got)	You haven't (got)	Have they (got)?
They have (got)	They've (got)	They have not (got)	They haven't (got)	

Had

Grandpa, did you have a TV when you were five?
No, I didn't. People didn't have TV's then. They had radios.

Have (had) в past simple имеет форму Had для всех лиц.

Вопросы строятся с помощью вспомогательного глагола did, личного местоимения в именительном падеже и глагола - have. Например: Did you have many toys when you were a child? Отрицания строятся с помощью did not и have. Например: I did not / didn't have many toys when I was a child.

Утверждение	Отрицание		Вопрос
	Полная форма	Краткая форма	
I had	I did not have	I didn't have	Did I have?
You had	You did not have	You didn't have	Did you have?
He had	He did not have	He didn't have	Did he have?
She had	She did not have	She didn't have	Did she have?
It had	It did not have	It didn't have	Did it have?
We had	We did not have	We didn't have	Did we have?
You had	You did not have	You didn't have	Did you have?
They had	They did not have	They didn't have	Did they have?

Имя прилагательное. The Adjective

Категории	**Прилагательное в русском языке**	**Прилагательное в английском языке**
Число	изменяется	не изменяется
Род	изменяется	не изменяется
Падеж	изменяется	не изменяется

Образование имен прилагательных

Имена прилагательные бывают: **простые и производные**

К **простым** именам прилагательным относятся прилагательные, не имеющие в своем составе

ни приставок, ни суффиксов: small - *маленький***, long -** *длинный***, white -** *белый***.**
К **производным** именам прилагательным относятся прилагательные, имеющие в своем составе **суффиксы** или **приставки**, или одновременно и те, и другие.

Суффиксальное образование имен прилагательных

Суффикс	Пример	Перевод
- ful	use**ful** doubt**ful**	**полезный** **сомневающийся**
- less	help**less** use**less**	**беспомощный** **бесполезный**
- ous	fam**ous** danger**ous**	**известный** **опасный**
- al	form**al** centr**al**	**формальный** **центральный**
- able	eat**able** cap**able**	**съедобный** **способный**

Приставочный способ образования имен прилагательных

Приставка	Пример	Перевод
un -	**un**cooked **un**imaginable	**невареный** **невообразимый**
in -	**in**capable **in**human	**неспособный** **негуманный**
il -	**il**legal **il**liberal	**нелегальный** **необразованный**
im -	**im**possible **im**practical	**невозможный** **непрактичный**
dis -	**dis**honest **dis**agreeble	**бесчестный** **неприятный**
ir -	**ir**regular **ir**responsible	**неправильный** **безответственный**
Некоторые имена прилагательные являются составными и образуются из двух слов, составляющих одно понятие: **light-haired –** светловолосый, **snow-white –** белоснежный.		

Прилагательные, оканчивающиеся на – ed и на - ing

- ed	**- ing**
Описывают чувства и состояния	**Описывают предметы, вещи, занятия, вызывающие эти чувства**
interested – интересующийся, заинтересованный	**interesting -** интересный
bored - скучающий	**boring -** скучный
surprised - удивленный	**surprising -** удивительный

Степени сравнения прилагательных

Английские прилагательные не изменяются ни по числам, ни по родам, но у них есть **формы степеней сравнения.**
Имя прилагательное в английском языке имеет **три формы** степеней сравнения:
- положительная степень сравнения **(Positive Degree);**
- сравнительная степень сравнения **(Comparative Degree);**
- превосходная степень сравнения **(Superlative Degree).**

Основная форма прилагательного - положительная степень. Форма сравнительной и

превосходной степеней обычно образуется от формы положительной степени одним из следующих способов:

1. -er. -est

Односложные прилагательные образуют **сравнительную степень** путем прибавления **к форме прилагательного в положительной степени** суффикса **- er.** Примерно, тоже самое мы делаем и в русском языке **-** добавляем "е" (большой - больше, холодный - холоднее).

Превосходная степень образуется путем прибавления суффикса **- est. Артикль the обязателен!!!**

Положительная степень	Сравнительная степень	Превосходная степень
cold - холодный	cold**er -** холоднее	the cold**est -** самый холодный
big - большой	bigg**er -** больше	the bigg**est -** самый большой
kind - добрый	kind**er -** добрее	the kind**est -** самый добрый

По этому же способу образуются степени сравнения двусложных прилагательных оканчивающихся на **-y, -er, -ow, -ble:**

Положительная степень	Сравнительная степень	Превосходная степень
clever — умный	clever**er - умнее**	**the** clever**est - самый умный**
easy - простой	eas**ier - проще**	**the** eas**iest - самый простой**
able - способный	abl**er - способнее**	**the** abl**est - самый способный**
busy - занятой	bus**ier - более занятой**	**the** bus**iest - самый занятой**

При образовании степеней сравнения посредством суффиксов **– er и – est** соблюдаются следующие **правила орфографии:**

Если прилагательное заканчивается на немое **"e" ,** то при прибавлении **– er и – est немое "e" опускается:**

large **–** larg**er - the** larg**est** / большой – больше – самый большой

brav**e** **–** brav**er – the** brav**est** / смелый – смелее – самый смелый

Если прилагательное заканчивается **на согласную с предшествующим кратким гласным звуком,** то в сравнительной и превосходной степени **конечная согласная буква удваивается:**

big – bigg**er –** bigg**est** / большой – больше – самый большой

hot – hott**er –** hott**est** / горячий – горячее – самый горячий

thin – thinn**er –** thinn**est** / тонкий – тоньше – самый тонкий

Если прилагательное **заканчивается на "y" с предшествующей согласной,** то в сравнительной и превосходной степени **"y" переходит в "i":**

busy – bus**ier – bus**iest** / **занятой – более занятой – самый занятой**

easy – eas**ier –** eas**iest** / **простой – проще – самый простой**

2. more, the most

Большинство двусложных прилагательных и прилагательных, состоящих из трех и более слогов, образуют сравнительную степень при помощи слова **more**, а **превосходную** – при помощи слова **most**.

Эти слова ставятся перед именами прилагательными в положительной степени:

Положительная степень	Сравнительная степень	Превосходная степень
beautiful - красивый	**more beautiful -** красивее	**the most beautiful** - самый красивый
interesting – интересный	**more interesting -** интереснее	**the most interesting** - самый интересный
important - важный	**more important -** важнее	**the most important** - самый важный

Особые формы

Положительная степень	Сравнительная степень	Превосходная степень

good - хороший **bad -** плохой **little -** маленький **much/many -** много **far -** далекий/далеко **old -** старый	**better -** лучше **worse -** хуже **less -** меньше **more -** больше **farther/further -** дальше **older/elder -** старше	**the best -** самый лучший **the worst -** самый плохой **the least -** самый маленький, меньше всего **the most -** больше всего **the farthest/furthest -** самый дальний **the oldest/eldest -** самый старый

3. less. the least

Для выражения **меньшей** или **самой низкой степени** качества предмета по сравнению с другими предметами употребляются соответствующие слова **less** – менее и **the least** – наименее, которые ставятся перед прилагательными в форме положительной степени.

Положительная степень	Сравнительная степень	Превосходная степень
beautiful – красивый **interesting -** интересный **important -** важный	**less beautiful -** менее красивый **less interesting –** менее интересный **less important -** менее важный	**the least beautiful –** самый некрасивый **the least interesting –** самый неинтересный **the least important –** самый неважный

Другие средства сравнения двух предметов или лиц

Конструкция	Комментарий	Примеры
As…as (такой же, так же)	**Для сравнения двух объектов одинакового качества**	He is **as** a strong **as** a lion Он такой же сильный, как лев. She is **as** clever **as** an owl**.** Она такая же умная, как сова.
Not so…as (не такой, как)	**в отрицательных предложениях**	He is **not so** strong **as** a lion. Он не такой сильный, как лев**.** She is **not so** clever **as** an owl. Она не такая умная, как сова.
The…the (с двумя сравнительными степенями)	**показывает зависимость одного действия от другого**	**The more** we are together **the happier** we are. Чем больше времени мы проводим вместе, тем счастливее мы становимся. **The more** I learn this rule **the less** I understand it. Чем больше я учу это правило, тем меньше я его понимаю.

Особые замечания об употреблении сравнительных и превосходных степеней имен прилагательных:

- Сравнительная степень может быть усилена употреблением перед ней слов со значением **«гораздо, значительно»:**

His new book is **much more** interesting than previous one. *Его новая книга гораздо более интересная, чем предыдущая.*

This table **is more** comfortable than **that one**. *Этот стол более удобный чем тот.*

- После союзов **than** и **as** используются либо личное местоимение в именительном падеже с глаголом, либо личное местоимение в объектном падеже:

I can run **as** fast **as** him **(as he can).** *Я могу бегать так же быстро, как он.*

Числительное. The numeral

Перед **сотнями, тысячами, миллионами** обязательно называть их количество, даже если всего одна сотня или одна тысяча:

126 – one hundred twenty six

1139 – one thousand one hundred and thirty nine

В составе числительных – сотни, тысячи и миллионы не имеют окончания множественного числа: **two hundred – 200, three thousand – 3000, и т.д.**

НО: окончание множественного числа добавляется hundred, thousand, million, когда они выражают неопределенное количество сотен, тысяч, миллионов. В этом случае после них употребляется существительное с предлогом **"of":**

hundreds of children – сотни детей

thousands of birds- тысячи птиц

millions of insects – миллионы насекомых

Начиная с 21, числительные образуются так же как в русском языке:

20+1=21 (twenty + one = **twenty one**)

60+7=67 (sixty + seven = **sixty seven**) и т.д.

Как читать даты

1043	ten forty-three
1956	nineteen fifty-six
1601	sixteen o one
2003	two thousand three
В 2003 году	in two thousand three
1 сентября	the first of September
23 февраля	the twenty-third of February

ДРОБНЫЕ ЧИСЛИТЕЛЬНЫЕ (FRACTIONAL NUMERALS)

В простых дробях (Common Fractions) числитель выражается количественным числительным, а знаменатель порядковым:

1/7- one seventh одна седьмая

При чтении простых дробей, если числитель их больше единицы, к знаменателю прибавляется окончание множественного числа -s:

2/4 - two fourths - две четвертых

2/3 -two thirds - две третьих

3 1/5 - three and one fifth - три целых и одна пятая

1/2 - one second, a second, one half, a half - одна вторая, половина

1/4 -one fourth, a fourth, one quarter, a quarter - одна четвертая, четверть

В десятичных дробях (Decimal Fractions) целое число отделяется точкой, и каждая цифра читается отдельно. Нуль читается nought [no:t] (в США - zero ['zierou]).

4.25 four point twenty-five; four point two five

0.43 nought point forty-three; nought point four three

Существительные, следующие за дробью, имеют форму единственного числа, и перед ними при чтении ставится предлог -of:

2/3 metre- two thirds of a metre

две третьих метра

0.05 ton - nought point nought five of a ton

ноль целых пять сотых тонны

Существительные, следующие за смешанным числом, имеют форму множественного числа и читаются без предлога of:

35 1 /9 tons -thirty-five and one ninth tons

14.65 metres -one four (или fourteen) point six five (или sixty-five) metres

В обозначениях номеров телефонов каждая цифра читается отдельно, нуль здесь читается [ou]:
224-58-06 ['tu:'tu:'fo:'faiv'eit'ou'siks]

Образование видовременных форм глагола в активном залоге

Present Simple употребляется для выражения:

1. постоянных состояний,

2. повторяющихся и повседневных действий (часто со следующими наречиями: always, never, usually и т.д.). Mr Gibson is a businessman. He lives in New York, (постоянное состояние) He usually starts work at 9 am. (повседневное действие) He often stays at the office until late in the evening, (повседневное действие)

3. непреложных истин и законов природы, The moon moves round the earth.

4. действий, происходящих по программе или по расписанию (движение поездов, автобусов и т.д.). The bus leaves in ten minutes.

Маркерами present simple являются: usually, always и т.п., every day / week / month / year и т.д., on Mondays I Tuesdays и т.д., in the morning / afternoon / evening, at night / the weekend и т.д.

Present Continuous употребляется для выражения:

1. действий, происходящих в момент речи He is reading a book right now.

2. временных действий, происходящих в настоящий период времени, но не обязательно в момент речи She is practising for a concert these days. (В данный момент она не играет. Она отдыхает.)

3. действий, происходящих слишком часто и по поводу которых мы хотим высказать раздражение или критику (обычно со словом "always") "You're always interrupting me!"(раздражение)

4. действии, заранее запланированных на будущее. He is flying to Milan in an hour. (Это запланировано.)

Маркерами present continuous являются: now, at the moment, these days, at present, always, tonight, still и т.д.

Во временах **группы Continuous** обычно **не употребляются** глаголы:

1. выражающие восприятия, ощущения (see, hear, feel, taste, smell), Например: This cake tastes delicious. (Но не: This cake is tasting delicious)

2. выражающие мыслительную деятельность [know, think, remember, forget, recognize(ze), believe, understand, notice, realise(ze), seem, sound и др.],
Например: I don't know his name.

3. выражающие эмоции, желания (love, prefer, like, hate, dislike, want и др.), Например: Shirley loves jazz music.

4. include, matter, need, belong, cost, mean, own, appear, have (когда выражает принадлежность) и т.д. Например: That jacket costs a tot of money. (Но не: That jacket is costing a lot of money.)

Present perfect употребляется для выражения:

1. действий, которые произошли в прошлом в неопределенное время. Конкретное время действия не важно, важен результат, Kim has bought a new mobile phone. (Когда она его купила? Мы это не уточняем, поскольку это не важно. Важного, что у нее есть новый мобильный телефон.)

2. действий, которые начались в прошлом и все еще продолжаются в настоящем, We has been a car salesman since /990. (Он стал продавцом автомобилей в 1990 году и до сих пор им является.)

3. действий, которые завершились совсем недавно и их результаты все еще ощущаются в настоящем. They have done their shopping. (Мы видим, что они только что сделали покупки, поскольку они выходят из супермаркета с полной тележкой.)

4. Present perfect simple употребляется также со словами "today", "this morning / afternoon" и т.д., когда обозначенное ими время в момент речи еще не истекло. He has made ten photos this morning. (Сейчас утро. Указанное время не истекло.)

К маркерам present perfect относятся: for, since, already, just, always, recently, ever, how long, yet, lately, never, so far, today, this morning/ afternoon / week / month / year и т.д.

Present perfect continuous употребляется для выражения:

1. действий, которые начались в прошлом и продолжаются в настоящее время He has been painting the house for three days. (Он начал красить дом три дня назад и красит его до сих пор.)

2. действий, которые завершились недавно и их результаты заметны (очевидны) сейчас. They're tired. They have been painting the garage door all morning. (Они только что закончили красить. Результат их действий очевиден. Краска на дверях еще не высохла, люди выглядят усталыми.)

Примечание.

1. С глаголами, не имеющими форм группы Continuous, вместо present perfect continuous употребляется present perfect simple. Например: I've known Sharon since we were at school together. (А не: I've been knowing Sharon since we were at school together.)

2. С глаголами live, feel и work можно употреблять как present perfect continuous, так и present perfect simple, при этом смысл предложения почти не изменяется.

Например: He has been living/has lived here since 1994.

К маркерам present perfect continuous относятся: for. since. all morning/afternoon/week/day и т.д., how long (в вопросах).

Past simple употребляется для выражения:

1. действий, произошедших в прошлом в определенное указанное время, то есть нам известно, когда эти действия произошли, They graduated four years ago. (Когда они закончили университет? Четыре года назад. Мы знаем время.)

2. повторяющихся в прошлом действий, которые более не происходят. В этом случае могут использоваться наречия частоты (always, often, usually и т.д.), He often played football with his dad when he was five. (Но теперь он уже не играет в футбол со своим отцом.) Then they ate with their friends.

3. действий, следовавших непосредственно одно за другим в прошлом.

They cooked the meal first.

4. Past simple употребляется также, когда речь идет о людях, которых уже нет в живых. Princess Diana visited a lot of schools.

Маркерами past simple являются: yesterday, last night / week / month / year I Monday и т.д., two days I weeks I months I years ago, then, when, in 1992 и т.д.

People used to dress differently in the past. Women used to wear long dresses. Did they use to carry parasols with them? Yes, they did. They didn't use to go out alone at night.

• **Used to** (+ основная форма глагола) употребляется для выражения привычных, повторявшихся в прошлом действий, которые сейчас уже не происходят. Эта конструкция не изменяется по лицам и числам. Например: Peter used to eat a lot of sweets. (= Peter doesn't eat many sweets any more.) Вопросы и отрицания строятся с помощью did / did not (didn't), подлежащего и глагола "use" без -d.

Например: Did Peter use to eat many sweets? Mary didn't use to stay out late.

Вместо "used to" можно употреблять past simple, при этом смысл высказывания не изменяется. Например: She used to live in the countryside. = She lived in the countryside.

Отрицательные и вопросительные формы употребляются редко.

Past continuous употребляется для выражения:

1. временного действия, продолжавшегося в прошлом в момент, о котором мы говорим. Мы не знаем, когда началось и когда закончилось это действие, At three o'clock yesterday

afternoon Mike and his son were washing the dog. (Мы не знаем, когда они начали и когда закончили мыть собаку.)

2. временного действия, продолжавшегося в прошлом (longer action) в момент, когда произошло другое действие (shorter action). Для выражения второго действия (snorter action) мы употребляем past simple, He was reading a newspaper when his wife came, (was reading = longer action: came = shorter action)

3. двух и более временных действий, одновременно продолжавшихся в прошлом. The people were watching while the cowboy was riding the bull.

4. Past continuous употребляется также для описания обстановки, на фоне которой происходили события рассказа (повествования). The sun was shining and the birds were singing. Tom was driving his old truck through the forest.

Маркерами past continuous являются: while, when, as, all day / night / morning и т.д.
when/while/as + past continuous (longer action) when + past simple (shorter action)

Past perfect употребляется:

1. для того, чтобы показать, что одно действие произошло раньше другого в прошлом. При этом то действие, которое произошло раньше, выражается past perfect simple, а случившееся позже - past simple,
They had done their homework before they went out to ptay yesterday afternoon. (=They did their homework first and then they went out to ptay.)

2. для выражения действий, которые произошли до указанного момента в прошлом,
She had watered all the flowers by five o'clock in the afternoon.
(=She had finished watering the flowers before five o'clock.)

3. как эквивалент present perfect simple в прошлом. То есть, past perfect simple употребляется для выражения действия, которое началось и закончилось в прошлом, а present perfect simple - для действия, которое началось в прошлом и продолжается (или только что закончилось) в настоящем. Например: Jill wasn't at home. She had gone out. (Тогда ее не было дома.) ЛИ isn 't at home. She has gone out. (Сечас ее нет дома.)

К маркерам past perfect simple относятся: before, after, already, just, till/until, when, by, by the time и т.д.

Future simple употребляется:

1. для обозначения будущих действий, которые, возможно, произойдут, а возможно, и нет, We'll visit Disney World one day.

2. для предсказаний будущих событий (predictions), Life will be better fifty years from now.

3. для выражения угроз или предупреждений (threats / warnings), Stop or I'll shoot.

4. для выражения обещаний (promises) и решений, принятых в момент речи (on-the-spot decisions), I'll help you with your homework.

5. с глаголами hope, think, believe, expect и т.п., с выражениями I'm sure, I'm afraid и т.п., а также с наречиями probably, perhaps и т.п. / think he will support me. He will probably go to work.

К маркерам future simple относятся: tomorrow, the day after tomorrow, next week I month / year, tonight, soon, in a week / month year и т.д.

ПРИМЕЧАНИЕ

Future simple не употребляется после слов while, before, until, as soon as, after, if и when в придаточных предложениях условия и времени. В таких случаях используется present simple. Например: I'll make a phone call while I wait for you. (А не:... whilo I will wait for you.) Please phone me when you finish work.

В дополнительных придаточных предложениях после "when" и "if" возможно употребление future simple. Например: I don't know when I if Helen will be back.

He is going to throw the ball.

Be going to употребляется для:

1. выражения заранее принятых планов и намерений на будущее,
Например: Bob is going to drive to Manchester tomorrow morning.

2. предсказаний, когда уже есть доказательства того, что они сбудутся в близком будущем. Например: Look at that tree. It is going to fall down.

We use the **future continuous**:

a) for an action which will be in progress at a stated for an action which will be future time. *This time next week, we'll be cruising round the islands.*

b) for an action which will definitely happen in the future as the result of a routine or arrangement. *Don't call Julie. I'll be seeing her later, so I'll pass the message on.*

c) when we ask politely about someone's plans for the near future (what we want to know is if our wishes fit in with their plans.) *Will you be using the photocopier for long?*
No. Why?
I need to make some photocopies.

We use the **future perfect**:

1. For an action which will be finished before a stated future time. *She will have delivered all the newspapers by 8 o'clock.*

2. The future perfect is used with the following time expressions: before, by, by then, by the time, until/till.

We use the **future perfect continuous**:

1. to emphasize the duration of an action up to a certain time in the future. *By the end of next month, she will have been teaching for twenty years.*

The future perfect continuous is used with: by... for.

Практическая работа также направлена на проверку сформированности грамматического навыка в рамках тем: модальные глаголы и их эквиваленты, образование видовременных форм глагола в пассивном залоге, основные сведения о согласовании времён, прямая и косвенная речь, неличные формы глагола: инфинитив, причастия, герундий, основные сведения о сослагательном наклонении.

Распределение выше указанных тем в учебнике:

- Агабекян И. П. Английский язык для бакалавров: учебное пособие для студентов вузов / И. П. Агабекян. - Ростов-на-Дону: Феникс, 2017. - 384 с.: ил. - (Высшее образование) (200 экз. в библиотеке УГГУ) и учебнике:

- Журавлева Р.И. Английский язык: учебник: для студентов горно-геологических специальностей вузов / Р. И. Журавлева. - Ростов-на-Дону: Феникс, 2013. - 508 с. - (Высшее образование). - Библиогр.: с. 502 (192 экз. в библиотеке УГГУ) представлено в таблице:

Название темы	***Страницы учебников***	
	Агабекян И. П.	*Журавлева Р.И.*
Модальные глаголы и их эквиваленты	295	47
Образование видовременных форм глагола в пассивном залоге	236	71, 115
Основные сведения о согласовании времён	323-328	269
Прямая и косвенная речь	324	268
Неличные формы глагола: инфинитив, причастия, герундий	311-322	132, 162, 173, 192, 193
Основные сведения о сослагательном наклонении	329	224

Модальные глаголы

Глаголы	**Значение**	**Примеры**
CAN	физическая или умственная возможность/умение	I can swim very well. – Я очень хорошо умею плавать.
	возможность	You can go now. — Ты можешь идти сейчас.You cannot play

		football in the street. – На улице нельзя играть в футбол.
	вероятность	They can arrive any time. – Они могут приехать в любой момент.
	удивление	Can he have said that? – Неужели он это сказал?
	сомнение, недоверчивость	She can't be waiting for us now. – Не может быть, чтобы она сейчас нас ждала.
	разрешение	Can we go home? — Нам можно пойти домой?
	вежливая просьба	Could you tell me what time it is now? – Не могли бы вы подсказать, который сейчас час?
MAY	разрешение	May I borrow your book? – Я могу одолжить у тебя книгу?
	предположение	She may not come. – Она, возможно, не придет.
	возможность	In the museum you may see many interesting things. – В музее вы можете увидеть много интересных вещей.
	упрек – только **MIGHT (+ perfect infinitive)**	You might have told me that. – Ты мог бы мне это сказать.
MUST	обязательство, необходимость	He must work. He must earn money. – Он должен работать. Он должен зарабатывать деньги.
	вероятность (сильная степень)	He must be sick. — Он, должно быть, заболел.
	запрет	Tourists must not feed animals in the zoo. — Туристы не должны кормить животных в зоопарке.
SHOULD OUGHT TO	моральное долженствование	You ought to be polite. – Вы должны быть любезными.
	совет	You should see a doctor. – Вам следует сходить к врачу.
	упрек, запрет	You should have taken the umbrella. – Тебе следовало взять с собой зонт.
SHALL	указ, обязанность	These rules shall apply in all circumstances. – Эти правила будут действовать при любых обстоятельствах.
	угроза	You shall suffer. — Ты будешь страдать.
	просьба об указании	Shall I open the window? – Мне открыть окно?
WILL	готовность, нежелание/отказ	The door won't open. — Дверь не открывается.
	вежливая просьба	Will you go with me? – Ты сможешь пойти со мной?
WOULD	готовность, нежелание/отказ	He would not answer this question. – Он не будет отвечать на этот вопрос.
	вежливая просьба	Would you please come with me? — Не могли бы вы пройти со мной.
	повторяющееся/привычное действие	We would talk for hours. – Мы беседовали часами.
NEED	необходимость	Do you need to work so hard? – Тебе надо столько работать?
NEEDN'T	отсутствие необходимости	She needn't go there. — Ей не нужно туда идти.
DARE	Посметь	How dare you say that? – Как ты смеешь такое говорить?

Модальные единицы эквивалентного типа		
to be able (to) = can	Возможность соверш-я конкрет-го дей-ия в опред. момент	She **was able** to change the situation then. (Она тогда была в состоянии (могла) изменить ситуацию).
to be allowed (to) = may	Возмож-ть совер-ия дей-ия в наст.-м, прош-ом или буд-ем + оттенок разрешения	My sister **is allowed to** play outdoors. (Моей сестре разрешается играть на улице).
to have (to)= ought, must, should	Необходимость совер-я дей-я в наст.-м, прош-ом или буд-ем при опред-х об-вах	They **will have to** set up in business soon. (Им вскоре придется открыть свое дело).
to be (to)= ought, must, should	Необходимость совер-я дей-я в наст.-м, прош-ом при наличии опред. планов, распис-ий и т.д.	We **are to** send Nick about his business. (Мы должны (= планируем) выпроводить Ника)

Страдательный залог (Passive Voice)

образуется при помощи вспомогательного глагола to be в соответствующем времени, лице и числе и причастия прошедшего времени смысл. глагола – Participle II (III –я форма или ed-форма).

В страдательном залоге не употребляются:

1) Непереходные глаголы, т.к. при них нет объекта, который испытывал бы воздействие, то есть нет прямых дополнений которые могли бы стать подлежащими при глаголе в форме Passive.

Переходными в англ. языке называются глаголы, после которых в действительном залоге следует прямое дополнение; в русском языке это дополнение, отвечающее на вопросы винительного падежа – кого? что?: to build строить, to see видеть, to take брать, to open открывать и т.п.

Непереходными глаголами называются такие глаголы, которые не требуют после себя прямого дополнения: to live жить, to come приходить, to fly летать, cry плакать и др.

2) Глаголы-связки: be – быть, become – становиться/стать.

3) Модальные глаголы.

4) Некоторые переходные глаголы не могут использоваться в страдательном залоге. В большинстве случаев это глаголы состояния, такие как:

to fit годиться, быть впору to have иметь to lack не хватать, недоставать to like нравиться
to resemble напоминать, быть похожим to suit годиться, подходить и др.

При изменении глагола из действительного в страдательный залог меняется вся конструкция предложения:

- дополнение предложения в Active становится подлежащим предложения в Passive;
- подлежащее предложения в Active становится предложным дополнением, которое вводится предлогом by или вовсе опускается;
- сказуемое в форме Active становится сказуемым в форме Passive.

Особенности употребления форм Passive:

1. Форма Future Continuous не употребляется в Passive, вместо нее употребляется Future Indefinite:

At ten o'clock this morning Nick will be writing the letter. –At ten o'clock this morning the letter will be written by Nick.

2. В Passive нет форм Perfect Continuous, поэтому в тех случаях, когда нужно передать в Passive действие, начавшееся до какого-то момента и продолжающееся вплоть до этого момента, употребляются формы Perfect:

He has been writing the story for three months. The story has been written by him for three months.

3. Для краткости, во избежание сложных форм, формы Indefinite (Present, Past, Future) часто употребляются вместо форм Perfect и Continuous, как в повседневной речи так и в художественной литературе. Формы Perfect и Continuous чаще употребляются в научной литературе и технический инструкциях.

This letter has been written by Bill. (Present Perfect)
This letter is written by Bill. (Present Indefinite – более употребительно)
Apples are being sold in this shop. (Present Continuous)
Apples are sold in this shop. (Present Indefinite – более употребительно)

4. Если несколько однотипных действий относятся к одному подлежащему, то вспомогательные глаголы обычно употребляются только перед первым действием, например: The new course will be sold in shops and ordered by post.

Прямой пассив (The Direct Passive)

Это конструкция, в которой подлежащее предложения в Passive соответствует прямому дополнению предложения в Active. Прямой пассив образуется от большинства переходных глаголов.

I gave him a book. Я дал ему книгу. A book was given to him. Ему дали книгу. (или Книга была дана ему)

The thief stole my watch yesterday. Вор украл мои часы вчера.
My watch was stolen yesterday. Мои часы были украдены вчера.

В английском языке имеется ряд переходных глаголов, которые соответствуют непереходным глаголам в русском языке. В английском они могут употребляться в прямом пассиве, а в русском – нет. Это:to answer отвечать кому-л.
to believe верить кому-л. to enter входить (в) to follow следовать (за) to help помогать кому-л.
to influence влиять (на) to join присоединяться to need нуждаться to watch наблюдать (за)

Так как соответствующие русские глаголы, являясь непереходными, не могут употребляться в страдательном залоге, то они переводятся на русский язык глаголами в действительном залоге:
Winter is followed by spring.

А при отсутствии дополнения с предлогом by переводятся неопределенно-личными предложениями: Your help is needed.

Косвенный пассив (The Indirect Passive)

Это конструкция, в которой подлежащее предложения в Passive соответствует косвенному дополнению предложения в Active. Она возможна только с глаголами, которые могут иметь и прямое и косвенное дополнения в действительном залоге. Прямое дополнение обычно означает предмет (что?), а косвенное – лицо (кому?).

С такими глаголами в действительном залоге можно образовать две конструкции:

а) глагол + косвенное дополнение + прямое дополнение;

б) глагол + прямое дополнение + предлог + косвенное дополнение:

а) They sent Ann an invitation.- Они послали Анне приглашение.
б) They sent an invitation to Ann. - Они послали приглашение Анне.

В страдательном залоге с ними также можно образовать две конструкции – прямой и косвенный пассив, в зависимости от того, какое дополнение становится подлежащим предложения в Passive. К этим глаголам относятся:to bring приносить
to buy покупать to give давать to invite приглашать to leave оставлять
to lend одалживать to offer предлагать to order приказывать to pay платить
to promise обещать to sell продавать to send посылать to show показывать
to teach учить to tell сказать и др.
Например: Tom gave Mary a book. Том дал Мэри книгу.
Mary was given a book. Мэри дали книгу. (косвенный пассив – более употребителен)
A book was given to Mary. Книгу дали Мэри. (прямой пассив – менее употребителен)

Выбор между прямым или косвенным пассивом зависит от смыслового акцента, вкладываемого в последние, наиболее значимые, слова фразы:
John was offered a good job. (косвенный пассив) Джону предложили хорошую работу.
The job was offered to John. (прямой пассив) Работу предложили Джону.

Глагол to ask спрашивать образует только одну пассивную конструкцию – ту, в которой подлежащим является дополнение, обозначающее лицо (косвенный пассив):
He was asked a lot of questions. Ему задали много вопросов.

Косвенный пассив невозможен с некоторыми глаголами, требующими косвенного дополнения (кому?) с предлогом to. Такое косвенное дополнение не может быть подлежащим в Passive, поэтому в страдательном залоге возможна только одна конструкция – прямой пассив, то есть вариант: Что? объяснили, предложили, повторили…Кому? Это глаголы:to address адресовать
to describe описывать to dictate диктовать to explain объяснять to mention упоминать
to propose предлагать to repeat повторять to suggest предлагать to write писать и др.

Например: The teacher explained the rule to the pupils. – Учитель объяснил правило ученикам. The rule was explained to the pupils. – Правило объяснили ученикам. (Not: The pupils was explained…)

Употребление Страдательного залога

В английском языке, как и в русском, страдательный залог употр. для того чтобы:

1. Обойтись без упоминания исполнителя действия (70% случаев употребления Passive) в тех случаях когда:

а) Исполнитель неизвестен или его не хотят упоминать:
He was killed in the war. Он был убит на войне.

б) Исполнитель не важен, а интерес представляет лишь объект воздействия и сопутствующие обстоятельства:
The window was broken last night. Окно было разбито прошлой ночью.

в) Исполнитель действия не называется, поскольку он ясен из ситуации или контекста:
The boy was operated on the next day. Мальчика оперировали на следующий день.

г) Безличные пассивные конструкции постоянно используются в научной и учебной литературе, в различных руководствах: The contents of the container should be kept in a cool dry place. Содержимое упаковки следует хранить в сухом прохладном месте.

2. Для того, чтобы специально привлечь внимание к тому, кем или чем осуществлялось действие. В этом случае существительное (одушевленное или неодушевленное.) или местоимение (в объектном падеже) вводится предлогом by после сказуемого в Passive.

В английском языке, как и в русском, смысловой акцент приходится на последнюю часть фразы. He quickly dressed. Он быстро оделся.

Поэтому, если нужно подчеркнуть исполнителя действия, то о нем следует сказать в конце предложения. Из-за строгого порядка слов английского предложения это можно осуществить лишь прибегнув к страдательному залогу. Сравните:
The flood broke the dam. (Active) Наводнение разрушило плотину. (Наводнение разрушило что? – плотину)
The dam was broken by the flood. (Passive) Плотина была разрушена наводнением. (Плотина разрушена чем? – наводнением)

Чаще всего используется, когда речь идет об авторстве:
The letter was written by my brother. Это письмо было написано моим братом.

И когда исполнитель действия является причиной последующего состояния:
The house was damaged by a storm. Дом был поврежден грозой.

Примечание: Если действие совершается с помощью какого-то предмета, то употребляется предлог with, например:
He was shot with a revolver. Он был убит из револьвера.

Перевод глаголов в форме Passive

В русском языке есть три способа выражения страдательного залога:

1. При помощи глагола "быть" и краткой формы страдательного причастия, причем в настоящем времени "быть" опускается:
I am invited to a party.
Я приглашён на вечеринку.

Иногда при переводе используется обратный порядок слов, когда русское предложение начинается со сказуемого: New technique has been developed. Была разработана новая методика.

2. Глагол в страдательном залоге переводится русским глаголом, оканчивающимся на –ся(-сь):
Bread is made from flour. Хлеб делается из муки.
Answers are given in the written form. Ответы даются в письменном виде.

3. Неопределенно-личным предложением (подлежащее в переводе отсутствует; сказуемое стоит в 3-м лице множественного числа действительного залога). Этот способ перевода возможен только при отсутствии дополнения с предлогом by (производитель действия не упомянут):

The book is much spoken about. Об этой книге много говорят.
I was told that you're ill. Мне сказали, что ты болен.

4. Если в предложении указан субъект действия, то его можно перевести личным предложением с глаголом в действительном залоге (дополнение с by при переводе становится подлежащим). Выбор того или иного способа перевода зависит от значения глагола и всего предложения в целом (от контекста):
They were invited by my friend. Их пригласил мой друг.(или Они были приглашены моим другом.)

Примечание 1: Иногда страдательный оборот можно перевести двумя или даже тремя способами, в зависимости от соответствующего русского глагола и контекста:
The experiments were made last year.
1) Опыты были проведены в прошлом году.
2) Опыты проводились в прошлом году.
3) Опыты проводили в прошлом году.

Примечание 2: При переводе нужно учитывать, что в английском языке, в отличие от русского, при изменении залога не происходит изменение падежа слова, стоящего перед глаголом (например в английском she и she, а переводим на русский - она и ей):

Примечание 3: Обороты, состоящие из местоимения it с глаголом в страдательном залоге переводятся неопределенно-личными оборотами:
It is said… Говорят… It was said… Говорили…
It is known… Известно… It was thought…Думали, полагали…
It is reported… Сообщают… It was reported…Сообщали…и т.п.

В таких оборотах it играет роль формального подлежащего и не имеет самостоятельного значения: It was expected that he would return soon. Ожидали, что он скоро вернется.

Согласование времен (Sequence of Tenses)

Если в главном предложении сказуемое выражено глаголом в одной из форм прошедшего времени, то в придаточном предложении употребление времен ограничено. Правило, которому в этом случае подчиняется употребление времен в придаточном предложении, называется согласованием времен.

Правило 1: Если глагол главного предложения имеет форму настоящего или будущего времени, то глагол придаточного предложения будет иметь любую форму, которая требуется смыслом предложения. То есть никаких изменений не произойдет, согласование времен здесь в силу не вступает.

Правило 2: Если глагол главного предложения имеет форму прошедшего времени (обычно Past Simple), то глагол придаточного предложения должен быть в форме одного из прошедших времен. То есть в данном случае время придаточного предложения изменится. Все эти изменения отражены в нижеследующей таблице:

Переход из одного времени в другое	Примеры	
Present Simple » Past Simple	He **can speak** French – Он говорит по-французски.	Boris said that he **could speak** French – Борис сказал, что он говорит по-французски.
Present Continuous » Past Continuous	They **are listening** to him – Они слушают его	I **thought** they **were listening** to him – Я думал, они слушают его.
Present Perfect » Past Perfect	Our teacher **has asked** my parents to help him – Наш учитель попросил моих родителей помочь ему.	Mary **told** me that our teacher **had asked** my parents to help him – Мария сказала мне, что наш учитель попросил моих родителей помочь ему.
Past Simple » Past Perfect	I **invited** her – Я пригласил ее.	Peter **didn't know** that I **had invited** her – Петр не знал, что я

		пригласил ее.
Past Continuous » Past Perfect Continuous	She **was crying** – Она плакала	John **said** that she **had been crying** – Джон сказал, что она плакала.
Present Perfect Continuous » Past Perfect Continuous	It **has been raining** for an hour – Дождь идет уже час.	He **said** that it **had been raining** for an hour – Он сказал, что уже час шел дождь.
Future Simple » Future in the Past	She **will show** us the map – Она покажет нам карту.	I **didn't expect** she **would show** us the map – Я не ожидал, что она покажет нам карту.

Изменение обстоятельств времени и места при согласовании времен.

Следует запомнить, что при согласовании времен изменяются также некоторые слова (обстоятельства времени и места).

this » that
these » those
here » there
now » then
yesterday » the day before
today » that day
tomorrow » the next (following) day
last week (year) » the previous week (year)
ago » before
next week (year) » the following week (year)

Перевод прямой речи в косвенную в английском языке

Для того чтобы перевести прямую речь в косвенную, нужно сделать определенные действия. Итак, чтобы передать чьи-то слова в английском языке (то есть перевести прямую речь в косвенную), мы:

1. ***Убираем кавычки и ставим слово that***

Например, у нас есть предложение:

She said, “I will buy a dress”. Она сказала: «Я куплю платье».

Чтобы передать кому-то эти слова, так же как и в русском, мы убираем кавычки и ставим слово that – «что».

She said that ….. Она сказала, что….

2. ***Меняем действующее лицо***

В прямой речи обычно человек говорит от своего лица. Но в косвенной речи мы не может говорить от лица этого человека. Поэтому мы меняем «я» на другое действующее лицо. Вернемся к нашему предложению:

She said, “I will buy a dress”. Она сказала: «Я куплю платье».

Так как мы передаем слова девушки, вместо «я» ставим «она»:

She said that she ….. Она сказала, что она….

3. Согласовываем время

В английском языке мы не можем использовать в одном предложении прошедшее время с настоящим или будущим. Поэтому, если мы говорим «сказал» (то есть используем прошедшее время), то следующую часть предложения нужно согласовать с этим прошедшем временем. Возьмем наше предложение:

She said, “I will buy a dress”. Она сказала: «Я куплю платье».

Чтобы согласовать первую и вторую части предложения, меняем will на would. *см. таблицу выше.*

She said that she would buy a dress. Она сказала, что она купит платье.

4. Меняем некоторые слова

В некоторых случаях мы должны согласовать не только времена, но и отдельные слова. Что это за слова? Давайте рассмотрим небольшой пример.

She said, “I am driving now”. Она сказала: «Я за рулем сейчас».

То есть она в данный момент за рулем. Однако, когда мы будем передавать ее слова, мы будем говорить не про данный момент (тот, когда мы говорим сейчас), а про момент времени в прошлом (тот, когда она была за рулем). Поэтому мы меняем now (сейчас) на then (тогда) *см. таблицу выше.*

She said that she was driving then. Она сказала, что она была за рулем тогда.

Вопросы в косвенной речи в английском языке

Вопросы в косвенной речи, по сути, не являются вопросами, так как порядок слов в них такой же, как в утвердительном предложении. Мы не используем вспомогательные глаголы (do, does, did) в таких предложениях.

He asked, “Do you like this cafe?” Он спросил: «Тебе нравится это кафе?»

Чтобы задать вопрос в косвенной речи, мы убираем кавычки и ставим if, которые переводятся как «ли». Согласование времен происходит так же, как и в обычных предложениях. Наше предложение будет выглядеть так:

He asked if I liked that cafe. Он спросил, нравится ли мне то кафе.

Давайте рассмотрим еще один пример:

She said, “Will he call back?” Она сказала: «Он перезвонит?»

She said if he would call back. Она сказала, перезвонит ли он.

Специальные вопросы в косвенной речи

Специальные вопросы задаются со следующими вопросительными словами: what – что when – когда how – как why - почему where – где which – который

При переводе таких вопросов в косвенную речь мы оставляем прямой порядок слов (как в утвердительных предложениях), а на место if ставим вопросительное слово.

Например, у нас есть вопрос в прямой речи:

She said, “When will you come?”. Она сказала: «Когда ты придешь?»

В косвенной речи такой вопрос будет выглядеть так:

She said when I would come. Она сказала, когда я приду.

He asked, “Where does she work?” Он спросил: «Где она работает?»

He asked where she worked. Он спросил, где она работает.

Инфинитив. The Infinitive

Инфинитив - это неличная глагольная форма, которая только называет действие и выполняет функции как глагола, так и существительного. Инфинитив отвечает на вопрос что делать?, что сделать?

Формальным признаком инфинитива является частица **to**, которая стоит перед ним, хотя в некоторых случаях она опускается. Отрицательная форма инфинитива образуется при помощи частицы not, которая ставится перед ним: It was difficult not to speak. *Было трудно не говорить.*

Формы инфинитива

	Active Voice	Passive Voice
Simple	to write	to be written
Continuous	to be writing	
Perfect	to have written	to have been written
Perfect Continuous	to have been writing	

Глаголы, после которых используется инфинитив:

to agree - соглашаться
to arrange - договариваться
to ask – (по)просить
to begin – начинать
to continue – продолжать

to decide – решать
to demand - требовать
to desire – желать
to expect – надеяться
to fail – не суметь
to forget – забывать
to hate - ненавидеть
to hesitate – не решаться
to hope - надеяться
to intend – намереваться
to like – любить, нравиться
to love – любить, желать
to manage - удаваться
to mean - намереваться
to prefer - предпочитать
to promise - обещать
to remember – помнить
to seem - казаться
to try – стараться, пытаться
to want – хотеть
Например:
He asked to change the ticket. *Он попросил поменять билет.*
She began to talk. *Она начала говорить.*

Значение разных форм инфинитива в таблице

Формы инфинитива	**Чему я рад?**	
Simple	I am glad **to speak** to you.	Рад поговорить с вами. (Всегда радуюсь, когда говорю с вами).
Continuous	I am glad **to be speaking** to you.	Рад, что сейчас разговариваю с вами.
Perfect	I am glad **to have spoken** to you.	Рад, что поговорил с вами.
Perfect Continuous	I am glad **to have been speaking** to you.	Рад, что уже давно (все это время) разговариваю с вами.
Simple Passive	I am (always) glad **to be told** the news.	Всегда рад, когда мне рассказывают новости.
Perfect Passive	I am glad **to have been told** the news.	Рад, что мне рассказали новости.

Причастие. Participle

В английском языке причастие — это неличная форма глагола, которая сочетает в себе признаки глагола, прилагательного и наречия.

Формы причастия

		Active (Активный залог)	Passive (Пассивный залог)
Participle I (Present Participle)	Simple	**writing**	**being written**
	Perfect	**having written**	**having been written**
Participle II (Past Participle)			**written**

Отрицательные формы причастия образуются с помощью частицы **not**, которая ставится перед причастием: not asking — не спрашивая,not broken — не разбитый.

Как переводить разные формы причастия на русский язык

Формы причастия	причастием	деепричастием
reading	читающий	читая

having read		прочитав
being read	читаемый	будучи читаемым
having been read		будучи прочитанным
read	прочитанный	
building	строящий	строя
having built		построив
being built	строящийся	будучи строящимся
having been built		будучи построенным
built	построенный	

Герундий. Gerund

Герундий — это неличная форма глагола, которая выражает название действия и сочетает в себе признаки глагола и существительного. Соответственно, на русский язык герундий обычно переводится существительным или глаголом (чаще неопределенной формой глагола). Формы, подобной английскому герундию, в русском языке нет.

My favourite occupation is reading. *Мое любимое занятие — чтение.*

Формы герундия

	Active (Активный залог)	Passive (Пассивный залог)
Simple	**writing**	**being written**
Perfect	**having written**	**having been written**

Запомните глаголы, после которых употребляется только герундий!

admit (признавать), advise (советовать), avoid (избегать),
burst out (разразиться), delay (задерживать), deny (отрицать),
dislike (не нравиться), enjoy (получать удовольствие), escape (вырваться, избавиться),
finish (закончить), forgive (прощать), give up (отказываться, бросать),
keep on (продолжать), mention (упоминать), mind (возражать - только в “?”и “-“),
miss (скучать), put off (отложить), postpone (откладывать),
recommend (рекомендовать), suggest (предлагать), understand (понимать).

Герундий после глаголов с предлогами

accuse of (обвинять в), agree to (соглашаться с), blame for (винить за),
complain of (жаловаться на), consist in (заключаться в), count on /upon (рассчитывать на),
congratulate on (поздравлять с), depend on (зависеть от), dream of (мечтать о),
feel like (хотеть, собираться), hear of (слышать о), insist on (настаивать на),
keep from (удерживать(ся) от), look forward to (с нетерпением ждать, предвкушать),
look like (выглядеть как), object to (возражать против),
persist in (упорно продолжать), praise for (хвалить за), prevent from (предотвращать от),
rely on (полагаться на), result in (приводить к), speak of, succeed in (преуспевать в),
suspect of (подозревать в), thank for (благодарить за), think of (думать о)

He has always dreamt of visiting other countries. — *Он всегда мечтал о том, чтобы побывать в других странах.*

to be + прилагательное / причастие + герундий

be afraid of (бояться чего-либо), be ashamed of (стыдиться чего-либо),
be engaged in (быть занятым чем-либо), be fond of (любить что-либо, увлекаться чем-либо),
be good at (быть способным к), be interested in (интересоваться чем-либо),
be pleased at (быть довольным), be proud of (гордиться чем-либо),
be responsible for (быть ответственным за), be sorry for (сожалеть о чем-либо),
be surprised at (удивляться чему-либо), be tired of (уставать от чего-либо),
be used to (привыкать к).

I’m tired of waiting. — *Я устал ждать.*

Основные сведения о сослагательном наклонении

Conditionals are clauses introduced with if. There are three types of conditional clause: Type 1, Type 2 and Type 3. There is also another common type, Type 0.

Type 0 Conditionals: They are used to express something which is always true. We can use when (whenever) instead of it. *If/When the sun shines, snow melts.*

Type 1 Conditionals: They are used to express real or very probable situations in the present or future. *If he doesn't study hard, he won't pass his exam.*

Type 2 Conditionals: They are used to express imaginary situations which are contrary to facts in the present and, therefore, are unlikely to happen in the present or future. *Bob is daydreaming. If I won the lottery, I would buy an expensive car and I would go on holiday to a tropical island next summer.*

Type 3 Conditionals: They are used to express imaginary situations which are contrary to facts in the past. They are also used to express regrets or criticism. *John got up late, so he missed the bus. If John hadn't got up late, he wouldn't have missed the bus.*

	If-clause (hypothesis)	Main clause (result)	Use
Type 0 general truth	if + present simple	present simple	something which is always true
	If the temperature falls below 0 °C, water turns into ice.		
Type 1 real present	if + present simple, present continuous, present perfect or present perfect continuous	future/imperative can/may/might/must/should/ could + bare infinitive	real - likely to happen in the present or future
	If he doesn't pay the fine, he will go to prison. If you need help, come and see me. If you have finished your work, we can have a break. If you're ever in the area, you should come and visit us.		
Type 2 unreal present	if + past simple or past continuous	would/could/might + bare infinitive	imaginary situation contrary to facts in the present; also used to give advice
	If I had time, I would take up a sport. (but I don't have time - untrue in the present) If I were you, I would talk to my parents about it. (giving advice)		
Type 3 unreal past	if + past perfect or past perfect continuous	would/could/might + have + past participle	imaginary situation contrary to facts in the past; also used to express regrets or criticism
	If she had studied harder, she would have passed the test. If he hadn't been acting so foolishly, he wouldn't have been punished.		

Conditional clauses consist of two parts: the if -clause (hypothesis) and the main clause (result). When the if - clause comes before the main clause, the two clauses are separated with a comma. When the main clause comes before the if - clause, then no comma is necessary.

e.g. a) If I see Tim, I'll give him his book.

b) I'll give Tim his book if I see him.

We do not normally use will, would or should in an if - clause. However, we can use will or would after if to make a polite request or express insistence or uncertainty (usually with expressions such as / don't know, I doubt, I wonder, etc.).

We can use should after if to talk about something which is possible, but not very likely to happen.

e.g. a) If the weather is fine tomorrow, will go camping. (NOT: If the weather will be fine...)

b) If you will fill in this form, I'll process your application. (Will you please fill in... - polite request)

c) If you will not stop shouting, you'll have to leave. (If you insist on shouting... - insistence)

d) I don't know if he will pass his exams, (uncertainty)

e) If Tom should call, tell him I'll be late. (We do not think that Tom is very likely to call.)

We can use unless instead of if... not in the if -clause of Type 1 conditionals. The verb is always in the affirmative after unless.

e.g. Unless you leave now, you'll miss the bus. (If you don't leave now, you'll miss the bus.) (NOT: Unless you don't leave now, ...)

We can use were instead of was for all persons in the if - clause of Type 2 conditionals.

e.g. If Rick was/were here, we could have a party.

We use If I were you ... when we want to give advice.

e.g. If I were you, I wouldn't complain about it.

The following expressions can be used instead of if: provided/providing that, as long as, suppose/supposing, etc.

e.g. a) You can see Mr. Carter provided you have an appointment. (If you have an appointment...)

b) We will all have dinner together providing Mary comes on time. (... if Mary comes ...)

c) Suppose/Supposing the boss came now, …

We can omit if in the if - clause. When if is omitted, should (Type 1), were (Type 2), had (Type 3) and the subject are inverted.

e.g. a) Should Peter come, tell him to wait. (If Peter should come,...)

b) Were I you, I wouldn't trust him. (If I were you, ...)

c) Had he known, he would have called. (If he had known, ...)

2. Чтение и перевод учебных текстов (по 2 текста на тему)

№1

Запомните слова и выражения, необходимые для понимания текста:

appear - v появляться; казаться; *ant* **disappear -** исчезать

bed - *n* пласт, слой, подстилающие породы; *syn* **layer, seam; bedded -** *a* пластовый

call for - v требовать; *syn* **demand, require**

carry out - v проводить *(исследование, эксперимент);* выполнять *(план);* завершать; *syn* **conduct, make**

colliery - каменноугольная шахта

concentration (dressing) plant - обогатительная фабрика, обогатительная установка

department - *n* отделение, факультет, кафедра; *syn* **faculty**

direct - v руководить; направлять; управлять; *a* прямой, точный; **directly -** *adv* прямо, непосредственно

education - *n* образование; просвещение; **get an education** получать образование

establish - v основывать, создавать, учреждать; *syn* **found, set up**

ferrous metals - чёрные металлы **(non-ferrous metals** цветные металлы)

iron - *n* железо; **pig iron** чугун; **cast iron** чугун, чугунная отливка

open-cast mines - открытые разработки

ore - *n* руда; **iron ore -** железная руда; **ore mining –** разработка рудных месторождений

process - v обрабатывать; *syn* **work, treat; processing -** n обработка; разделение минералов

rapid - *a* быстрый

research - *n* научное исследование

technique - *n* техника, способ, метод, технический прием; **mining technique -** горная техника, методы ведения горных работ

train - v обучать, готовить *(к чему-л.);* **training** - обучение; подготовка

to be in need of - нуждаться в

to take part in - участвовать в

Прочитайте и переведите текст, выполните упражнения на проверку понимания прочитанного:

TEXT 1: The First Mining School in Russia

The Moscow Mining Academy was established in 1918. The main task of the Academy was to train mining engineers and technicians, to popularize technological achievements among miners, to work on important problems of mining and metallurgical engineering arid to direct scientific research.

There were three departments in the Academy: mining, geological prospecting and metallurgy. The Moscow Mining Academy introduced a new course in coal mining mechanization which provided the basis for the development of mining engineering. The two scientists A.M. Terpigorev and M.M. Protodyakonov wrote the first textbook on machinery for mining bedded deposits.

Much credit for the establishment of the Moscow Mining Academy and the development of co-operation among outstanding scientists and educators is due to Academician I.M. Gubkin, a prominent geologist and oil expert.

In 1925 the Moscow Mining Academy was one of the best-known educational institutions in Russia. It had well-equipped laboratories, demonstration rooms and a library which had many volumes of Russian and foreign scientific books and journals.

The Academy established close contacts with the coal and ore mining industries. The scientists carried out scientific research and worked on important mining problems.

The rapid growth of the mining industry called for the training of more highly-qualified specialists and the establishment of new educational institutions.

New collieries and open-cast mines, concentration plants, metallurgical works and metal-working factories for processing non-ferrous and ferrous metals appeared in the country. The people took an active part in the construction of new industrial enterprises.

The Academy alone could not cope with the problem of training specialists. In 1930 the Moscow Mining Academy was transformed into six independent institutes. Among the new colleges which grew out of the Academy's departments were the Moscow Mining Institute and the Moscow Institute of Geological Prospecting. Later, the scientific research Institute of Mining appeared near Moscow.

1. Укажите, какие предложения соответствуют содержанию текста. Подтвердите свои ответы фактами из текста.

1. There were four departments in the Academy.
2. The Academy introduced a new course in coal mining mechanization.
3. In 1925 the Academy had only several well-equipped laboratories, demonstration rooms and a library which had many volumes of books.
4. The Academy established close contacts with the coal industry.
5. In 1930 the Academy was transformed into six independent institutes.
6. The Moscow Mining Institute and the Moscow Institute of Geological Prospecting were among the new colleges which grew out of the Academy's departments.

2. Ответьте на следующие вопросы:

1. What was the main task of the Academy?
2. What new course did the Academy introduce?
3. Were there three or four departments at the Academy?
4. What industries did the Academy establish contacts with?
5. Who wrote the first textbook on machinery' for mining bedded deposits?
6. Why was the Academy transformed into six independent institutes?
7. Why was the Academy transformed?

3. Переведите следующие сочетания слов.

а) обогатительная фабрика
б) подготовка горных инженеров
в) разведка нефти
г) обработка цветных металлов

д) техническое образование
е) новый (учебный) курс по
ж) принимать активное участие
з) проводить исследования
и) направлять научную деятельность
к) горное оборудование
л) пластовые месторождения

№2

Запомните слова и выражения, необходимые для понимания текста:

change - v изменяться, менять(ся); *syn.* **transform, alter;** *n* изменение, перемена; превращение

determine - v определить, устанавливать

engineering - *n* техника; технология; машиностроение**;** *syn.* **technics, technology, technique; machinery**

composition - *n* структура, состав

connect - v соединяться; *syn* **combine, link**

enterprise - *n* предприятие; предприимчивость

deal (dealt) v **(with) -** иметь дело с; рассматривать

environment - *n* окружающая обстановка**,** среда

demand - *n* спрос

field - *n* область, сфера деятельности; поле, участок, месторождение; бассейн; *syn* **basin, branch**

design - *n* проект; план, чертеж; конструкция; v проектировать, планировать; конструировать

graduate - v окончить (высшее учебное заведение), *амер.* окончить любое учебное заведение; *n* лицо, окончившее высшее учебное заведение; **undergraduate (student) -** студент последнего курса; **postgraduate (student) -** аспирант; **graduation paper -** дипломная работа

hardware - *n* аппаратура, (аппаратное) оборудование, аппаратные средства; техническое обеспечение

hydraulic - *a* гидравлический, гидротехнический

introduction - *n* введение, вступление

management - *n* управление, заведование; *syn.* **administration; direction**

offer - *v* предлагать *(помощь, работу);* предоставлять; *n* предложение

property - *n* свойство

protection - *n* защита, охрана

range - *n* область, сфера; предел; диапазон; радиус действия; ряд; серия

recreation - *n* отдых, восстановление сил; развлечение

reveal - v показывать, обнаруживать

rock - *n* горная порода

shape - *n* форма

software - *n* программное обеспечение; программные средства

skill - *n* мастерство; умение; **skilled -** *a* квалифицированный; опытный; умелый

survey - *n* съемка, маркшейдерская съемка; v производить маркшейдерскую или топографическую съемку, производить изыскания; *n* **surveying** съемка, маркшейдерские работы

value - *n* ценность, стоимость; величина; v ценить, оценивать; **valuable** *a* ценный

workshop - *n* мастерская, цех; семинар

to be of importance - иметь значение

to give an opportunity of - дать возможность

to meet the requirements - удовлетворять требованиям (потребности)

Прочитайте и переведите текст, выполните упражнения на проверку понимания прочитанного:

TEXT 2: Mining and Geological Higher Education in Russia

In Russia young people get mining education at special institutes which train geologists and mining engineers for coal and ore mining. The total number of students of an institute includes full-time students, part-time students and postgraduate students.

Russian higher educational establishments offer different specializations for the students. Thus, at the geological institutes, the students specialize in geology, the science which deals with different problems connected with the Earth, its history, the study of rocks, their physical and chemical properties. One of the main tasks of geology is to prospect, discover and study the deposits of useful minerals.

Geology is both a theoretical and an applied science. Mining geology is of great importance to the mining engineer. As a rule, mining geology includes economic geology.

The outstanding Russian geologist V.A. Obruchev says that geology is the science of the Earth which reveals to us how the Earth took shape, its composition and its changes. Geology helps prospect for ores, coal, oil, salt and other useful minerals.

Higher mining schools (universities, academies, institutes and colleges) develop a wide range of courses and programmes that meet the requirements of the society .They offer courses in mining technology, machinery and transport, hydraulic engineering, electrical engineering, industrial electronics, automation, surveying, geodesy, information technology, etc.

The main trend in the development of higher mining education is the introduction of courses in environmental protection, management (environmental human resources), economics and management of mining enterprises, marketing studies, computer-aided design (CAD) and others.

Computer science is also of great importance. The course aims at providing students with understanding how software and hardware technology helps solving problems.

Laboratory work is an important part in training specialists. Experiments in laboratories and workshops will help students to develop their practical skills. They have a short period of field work to gain working experience.

The students go through practical training at mines, plants and other industrial enterprises.. They become familiar with all stages of production and every job from worker to engineer. Here they get practical knowledge and experience necessary for their diploma (graduation) papers.

A lot of students belong to students' scientific groups. They take part in the research projects which their departments usually conduct. Postgraduates carry out research in different fields of science and engineering.

Sport centres give the students opportunities to play different sports such as tennis, football, basketball, volleyball, swimming, ' skiing, water polo, boxing, wrestling and others.

Students graduate from mining and geological higher schools as mining engineers, mining mechanical engineers, ecologists, mining electrical engineers, geologists, economists and managers for mining industry.

1. Переведите следующие сочетания слов.

а) широкий круг проблем
б) денные месторождения полезных ископаемых
в) горный инженер-механик
г) вести научно-исследовательскую работу
д) принимать форму
е) техническое и программное обеспечение
ж) студенты (последнего курса)
з) дипломная работа
и) физические и химические свойства
к) месторождение полезных ископаемых

1. оканчивать институт
2. поступать в университет
3. получать образование

4. готовить геологов и горних инженеров
5. высшие горные учебные заведения
6. приобретать опыт
7. студенческие научные общества
8. заниматься различными видами спорта

№3

Запомните слова и выражения, необходимые для понимания текста:

accurate - *a* точный, правильный; **accuracy -** *n* точность

archive - *n* архив

attend - v посещать *(лекции, практические занятия, собрания)*

comprehensive - *a* всесторонний, исчерпывающий

concern - v касаться, относиться; иметь отношение к чему-л.; *n* дело, отношение; важность; **concerning** *prep* относительно, касательно

consider - v рассматривать; считать; **considerable -** значительный, важный; **consideration -** *n* рассмотрение; обсуждение

draw (drew, **drawn**) - v *зд,* чертить, рисовать; **draw the conclusion** делать вывод; *syn* **come to the conclusion**

employ - v применять, использовать; предоставлять *(работу); syn* **use, utilize, apply; employment -** *n* служба; занятие; применение, использование

familiarize - v знакомить; осваивать

fundamental - *n pl* основы *(наук)*

levelling - *n* нивелирование, сглаживание *(различий);* выравнивание

number - *n* число, количество, большое количество; *(порядковый)* номер, ряд

observe - v наблюдать, следить *(за чём-л.),* соблюдать *(правило, обычаи)*

obtain - v получать; достигать; добывать; *syn* **get, receive**

present - v преподносить, дарить; подавать, представлять; **presentation -** *n* изложение; предъявление

proximity - *n* близость, соседство; **in proximity to** поблизости, вблизи от *(чего-л.)*

require - v требовать; *syn* **call for; demand; meet the requirements** удовлетворять требованиям

traversing - *n* горизонтальная съемка

to keep in close touch with - поддерживать связь с

to touch upon (on) затрагивать, касаться вкратце *(вопроса)*

Прочитайте и переведите текст, выполните упражнения на проверку понимания прочитанного:

TEXT 3: Mining Education in Great Britain

In Great Britain the students get mining education at special colleges and at mining departments of universities.

For example, the Mining Department at the University of Nottingham ranks as one of the foremost teaching and research mining schools in Great Britain. The students come to the University from all parts of the country and from abroad. The close proximity of Nottingham to mines extracting coal and different metals makes it possible for the University to keep in close touch with new achievements in mining.

The aim of training at the University is to give the student an understanding of applied science based on lectures, tutorial system, laboratory work and design classes. The laboratory work trains the student in accurate recording of observations, drawing of logical conclusions and presentation of scientific reports. Besides, it gives the student an understanding of experimental methods and familiarizes him (or her) with the characteristics of engineering materials, equipment and machines.

At Nottingham there are two types of laboratories, general and Specialized. General laboratories deal with the fundamentals of engineering science and specialized ones1 study the more specialized problems in different branches of engineering.

During the final two years of his course the student gets a comprehensive training in surveying. Practical work both in the field and in drawing classes forms an important part of this course. Besides, the students have practical work in survey camps during two weeks. The equipment available for carrying out traversing, levelling, tacheometric and astronomical surveying is of the latest design.

The practical and laboratory work throughout the three or four years of study forms a very important part of the course, so the students obtain the required standard in their laboratory course work before they graduate.

British educational system is fee-paying. The annual fee includes registration, tuition, examination, graduation and, in the case of full-time students, membership of the Union of Students.

Students from all over the world (nearly 100 countries) study at the University of Nottingham. For many years the University has had a thriving community of international students.

The University pays much attention to learning foreign languages. For individual study there is a 16-place self-access tape library with a tape archive of 3,000 tapes in 30 languages. There are also 16 video work stations where the students play back video tapes or watch TV broadcasts in a variety of languages.

1. Определите, какие предложения соответствуют содержанию текста. Подтвердите свои ответы фактами из текста.

1. In Great Britain the students can get mining education only at special colleges.
2. The training at universities is based on tutorial system.
3. The laboratory work familiarizes the student with modern equipment.
4. There are three types of laboratories at the University of Nottingham.
5. When the students study surveying, they have practical work both in the field and in drawing classes.
6. The students from abroad don't study at Nottingham.

2. Ответьте на следующие вопросы:

1. Where can one get mining education in Great Britain?
2. Is the Mining Department at the University of Nottingham one of the foremost research mining schools in Great Britain?
3. What makes it possible for the University to keep in close touch with the, achievements in mining?
4. What are the students supposed to do in the laboratories?
5. Will the students have practical work in survey camps or in the laboratories?
6. What do the students use surveying equipment for?
7. What can you say about studying foreign languages at the University?

№4

Запомните слова и выражения, необходимые для понимания текста:

advance - *n* прогресс, успех; продвижение вперед; v делать успехи, развиваться, продвигаться вперед; **advanced courses** курсы по расширенной программе

authority - *n* администрация; начальство

differ - v (from) отличаться (от); **difference** *n* различие; разница; **different** *a* различный; *syn* **various**

excavate - v добывать *(уголь);* вырабатывать полезное ископаемое открытым способом; вынимать *(грунт);* **excavation** - *n* открытая разработка карьером; разрез, карьер; **surface excavation** открытая разработка; *syn* **open-cast (opencast)**

experience - *n* жизненный опыт; опыт работы; стаж

found - v основывать**; *syn* establish, set up; foundation -** *n* основание; учреждение; основа; **lay the foundation** положить начало чему-л , заложить основу чего-л.

manage - v управлять, заведовать, справляться, уметь обращаться; **management -** *n* управление, заведование; правление, дирекция; **management studies -** наука об управлении

mean (meant) - *v* значить, иметь значение, подразумевать; намереваться, иметь в виду; **means -** *n, pl* средства, **meaning -** *n* значение, **by means of** посредством (чего-л)

metalliferous – *a* содержащий металл, рудоносный

preliminary - *a* предварительный**; preliminary course** подготовительные курсы

realize - v представлять, себе; понимать *(во всех деталях); **syn* understand**

recognize - *v* признавать; узнавать

work out -v разрабатывать *(план);* решать задачу

Прочитайте и переведите текст, выполните упражнения на проверку понимания прочитанного:

TEXT 4: Mining Education in Great Britain (continued)

At present in Great Britain there are a number of universities and colleges which give instruction in mechanical engineering, mining, metallurgy, etc. These institutions provide full-time and part-time education. It should be noted that technical colleges confer diplomas' on college graduates.

A university graduate leaves with the degree of Bachelor of Arts or Bachelor of Science, which is an academic qualification awarded by universities.

For example, the University in Cardiff has become one of the largest in Wales. It is one of the four colleges which together with the Welsh National School of Medicine form the University of Wales. There is the Mining Engineering Department in the University of Wales. The Department deals with the whole range of extractive industries such as coal and metalliferous mining, quarrying and oil technology.

After graduating from the college a student can be recommended for entry to the university by a college authority and he can apply for admission to the university.

At the Mining Department students may take several courses such as geology, mining engineering, mine surveying, quarrying, management studies and others. It has become a tradition that the courses are based on an intensive tutorial system. It means that students are allotted to members of the teaching staff for individual tuition separately in mining, in quarrying and in mine surveying. The system is founded on that of the older universities of Great Britain.

At the Department of Mining Engineering of the Newcastle University mining has now become a technically advanced profession. The Department of Mining Engineering trains industrially experienced engineers through various advanced courses in rock mechanics and surface excavation. For many years the Mining Engineering Department at Newcastle has recognized the need for highly-qualified engineers and realized that the courses in rock mechanics and surface excavation are of great importance for mining engineers.

At the University a student studies for three or four years. The organization of the academic year is based on a three-term system which usually runs from about the beginning of October to the middle of December, from the middle of January to the end of March and from the middle of April to the end of June or the beginning of July.

Students course is designed on a modular basis. Modules are self-contained 'units' of study, which are taught and assessed independently of each other. When a student passes a module, he (she) gains a credit. All modules carry a number of credits. At the end of the term, the number of credits a student gets, determines the award he (she) receives. Each module is continuously assessed by coursework and/or end-of-term examinations.

Admission to the British universities is by examination and selection. The minimum age for admission to the four-year course is normally 18 years. Departments usually interview all the candidates. The aim of the interview is to select better candidates.

Just over half of all university students live in colleges, halls of residence, or other accommodation provided by their university, another third lives in lodgings or privately rented accommodation; and the rest live at home.

1. Определите, какие предложения соответствуют содержанию текста. Подтвердите свои ответы фактами из текста.

1. At present there are about a hundred technical institutions in Great Britain.
2. It should be noted that British colleges confer degrees.
3. As a rule a college authority recommends the graduates for entry to the university.
4. At the Mining Engineering Department of the University of Wales the students study only metalliferous mining.
5. At the Mining Engineering Department the courses are based on an intensive tutorial system.
6. The Mining Engineering Department at the Newcastle University has recognized the importance of teaching rock mechanics and surface excavation (open-cast mining).

2. Ответьте на следующие вопросы:

1. Are there many technical institutions in Great Britain?
2. What is the difference between colleges and universities?
3. Is the Mining Engineering Department the only one in the University of Wales?
4. Does the Mining Engineering Department deal only with metalliferous mining?
5. Can a student enter the university after he has graduated from the college?
6. What courses are of special importance for mining engineers?
7. What do you know about the organization of the academic year at British universities?
8. When do the students take their examinations?

3. Переведите следующие сочетания слов.

а) курсы по расширенной программе
б) рудоносные отложения
в) средства производства
г) горный факультет
д) открытые горные работы
е) опытный инженер
ж) администрация колледжа
з) поощрять студентов
и) отвечать требованиям университета
к) наука об управлении

1. зависеть от условий
2. значить, означать
3. признать необходимость (чего-л.)
4. ежегодная производительность (шахты)
5. начальник шахты
6. добывающая промышленность
7. представлять особую важность
8. механика горных пород
9. единственный карьер
10. основывать факультет (школу, систему и т.д.)

№5

Запомните слова и выражения, необходимые для понимания текста:

abyssal - *a* абиссальный, глубинный; **hypabissal** - *a* гипабиссальный
adjacent - *a* смежный, примыкающий
ash - *n* зола
belt - *n* пояс; лента; ремень
body - *n* тело, вещество; **solid (liquid, gaseous) bodies** твердые (жидкие, газообразные) вещества; породная масса; массив; месторождение; пласты
common - *a* обычный; общий; *syn* **general;** *ant* **uncommon**
cool - v охлаждать(ся); остывать; прохладный; *ant* **heat** нагревать(ся)

dimension - *n* измерение; *pl* размеры; величина; *syn* **measurement, size**
dust - *n* пыль
dyke – *n* дайка
extrusion - *n* вытеснение; выталкивание; *ant* **intrusion** вторжение; *геол.* интрузия *(внедрение в породу изверженной массы)*
fine - *a* тонкий, мелкий; мелкозернистый; высококачественный; тонкий; прекрасный, ясный (о *погоде);* изящный; **fine-graded (fine-grained)** мелкозернистый, тонкозернистый; **fines -** *n pl* мелочь; мелкий уголь
flow - v течь; литься; *n* течение; поток; **flow of lava** поток лавы
fragmentary - *a* обломочный, пластический
glass - *n* стекло; **glassy** - *a* гладкий, зеркальный; стеклянный
gold - *n* золото
inclined - *a* наклонный
mica - *n* слюда
permit - *v* позволять, разрешать; *syn* **allow, let; make possible**
probably - *adv* вероятно; *syn* **perhaps, maybe**
shallow - *a* мелкий; поверхностный; *ant* **deep** глубокий
sill - *n* силь, пластовая интрузия
stock - *n* шток, небольшой батолит
vein - *n* жила, прожилок, пропласток

Прочитайте и переведите текст, выполните упражнения на проверку понимания прочитанного:

TEXT 5: Igneous Rocks

Igneous rocks have crystallized from solidified magma.

Igneous rocks can be classified in a number of ways and one of (hem is based on mode of occurrence. They occur either as intrusive (below the surface) bodies or as extrusive masses solidified at the Earth's surface. The terms "intrusive" and "extrusive" refer to the place where rocks solidified.

The grain size of igneous rocks depends on their occurrence. The intrusive rocks generally cool more slowly than the extrusive rocks and crystallize to a larger grain size. The coarser-grained intrusive rocks with grain size of more than 0.5 mm called plutonic or abyssal are referred to as intrusive igneous rocks because they are intruded into older pre-existing rocks. Extrusive or volcanic rocks have even finer grains, less than 0.05 mm and are glassy.

Exposed igneous rocks are most numerous in mountain zones for two reasons. First, the mountain belts have been zones of major deformation. Second, uplifts in mountain belts have permitted plutonic masses to be formed.

The largest bodies of igneous rocks are called batholiths. Batholiths cooled very slowly. This slow cooling permitted large mineral grains to form. It is not surprising that batholiths are composed mainly of granitic rocks with large crystals called plutons. As is known, granites and diorites belong to the group of intrusive or plutonic rocks formed by solidification of igneous mass under the Earth's crust. Granites sometimes form smaller masses called stocks, when the occurrence has an irregular shape but smaller dimensions than the batholiths.

Laccoliths and sills, which are very similar, are intruded between sedimentary rocks. Sills are thin and they may be horizontal, inclined or vertical. Laccoliths are thicker bodies and in some cases they form mountains.

Dykes are also intrusive bodies. They range in thickness from a few inches to several thousand feet. Dykes are generally much longer than they are wide. Most dykes occupy cracks and have straight parallel walls. These bodies cool much more rapidly and are commonly fine-grained. For example, granite may occur in dykes that cut older rocks.

Pegmatites (quartz, orthoclase and mica) also belong to the group of plutonic or intrusive rocks. They occur in numerous veins which usually cut through other plutonites, most often granite, or adjacent rocks.

Extrusive igneous rocks have been formed from lava flows which come from fissures to the surface and form fields of volcanic rocks such as rhyolite, andesite, basalt, as well as volcanic ashes and dust, tuff, etc. As a rule, these rocks of volcanic origin cool rapidly and are fine-grained. It is interesting to note that basalt is the most abundant of all lavatypes. It is the principal rock type of the ocean floor.

Igneous rocks are rich in minerals that are important economically or have great scientific value. Igneous rocks and their veins are rich in iron, gold, zinc, nickel and other ferrous metals.

1). Укажите, какие предложения соответствуют содержанию текста. Подтвердите свои ответы фактами из текста.

1. Igneous rocks have been formed by sedimentation.
2. Intrusive rocks have been formed by the cooling of rocks of the Earth's crust.
3. Extrusive rocks have been formed the same way.
4. The grain size of igneous rocks depends on mode of occurrence.
5. Exposed igneous rocks are numerous in mountain zones.
6. Granites and diorites belong to the group of extrusive rocks.
7. As a rule, granite may occur in dykes.
8. Pegmatites do not belong to the group of plutonic or intrusive rocks.

2). Ответьте на вопросы:

1. Have igneous rocks crystallized from magma or have they been formed by sedimentation?
2. Which types of igneous rocks do you know?
3. What does the grain size of igneous rocks depend on?
4. Can you give an example of intrusive or plutonic rocks?
5. Are diorites intrusive or extrusive formations?
6. What do you know about batholiths?
7. Do pegmatites belong to the group of plutonic or volcanic rocks?
8. How do pegmatites occur?
9. What minerals are igneous rocks rich in?

3. а) Найдите в правой колонке русские эквиваленты следующих слов в сочетаний слов:

1.	adjacent layers	а) способ залегания
2.	abyssal rocks	б) крупнозернистый
3.	dimensions of crystals	в) зоны крупных нарушений
4.	valuable minerals	г) абиссальные (глубинные) породы
5.	shape and size of grains	д) смежные пласты (слои)
6.	mode of occurrence	е) размеры кристаллов
7.	coarse-grained	ж) взбросы
8.	uplifts	з) форма и размер зерен
9.	zones of major deformation	и) ценные минералы

б) Найдите в правой колонке английские эквиваленты следующих сочетаний слов:

1.	затвердевшие массы	а) irregular shape
2.	обломочные породы	б) at a certain depth
3.	медленно остывать	в) economically important
4.	мелкозернистый	г) solidified masses
5.	многочисленные трещины	д) scientific value
6.	неправильная форма	е) to cool slowly
7.	на определенной глубине	ж) existing types of rocks
8.	экономически важный	з) fine-grained
9.	научная ценность	и) fragmentary rocks

10. существующие типы пород к) numerous cracks or fissures

№6

Запомните слова и выражения, необходимые для понимания текста:

band - *n* слой; полоса; прослоек *(породы); syn* **layer**
cleave - *v* расщепляться; трескаться, отделяться по кливажу; **cleavage** *n* кливаж
constituent - *n* составная часть, компонент
define - *v* определять, давать определение
distribute - v **(among)** распределять (между); раздавать;
disturb - *v* нарушать; смещать
excess - *n* избыток, излишек; *ant* **deficiency**
flaky - *a* слоистый; похожий на хлопья
fluid - *n* жидкость; жидкая или газообразная среда
foliate - *v* расщепляться на тонкие слои; **foliated -** *a* листоватый, тонкослоистый; *syn* **flaky**
marble - *n* мрамор
mention - *v* упоминать, ссылаться; *n* упоминание
plate - *n* пластина; полоса *(металла)*
pressure - *n* давление; **rock pressure (underground pressure)** горное давление, давление горных пород
relate - *v* относиться; иметь отношение; **related** *a* родственный; **relation -** *n* отношение; **relationship -** *n* родство; свойство; **relative -** *a* относительный; соответственный
run (ran, run) - *v* бегать, двигаться; течь; работать (о *машине);* тянуться, простираться; управлять *(машиной);* вести *(дело, предприятие)*
schistose - *a* сланцеватый; слоистый
sheet - *n* полоса
slate - *n* сланец; *syn* **shale**
split (split) - *v* раскалываться, расщепляться, трескаться; *syn* **cleave**
trace - *n* след; **tracing –** *n* прослеживание
at least по крайней мере
to give an opportunity (of) давать возможность *(кому-л., чему-л.)*

Прочитайте и переведите текст, выполните упражнения на проверку понимания прочитанного:

TEXT 6: Metamorphic Rocks

The problem discussed concerns metamorphic rocks which compose the third large family of rocks. "Metamorphic" means "changed from". It shows that the original rock has been changed from its primary form to a new one. Being subjected to pressure, heat and chemically active fluids beneath the Earth's surface, various rocks in the Earth's crust undergo changes in texture, in mineral composition and structure and are transformed into metamorphic rocks. The process described is called metamorphism.

As is known, metamorphic rocks have been developed from earlier igneous and sedimentary rocks by the action of heat and pressure.

Gneisses, mica schists, phyllites, marbles, slate, quartz, etc. belong to the same group of rocks. Having the same mineral composition as granite, gneisses consist chiefly of quartz, orthoclase and mica. However unlike granite, they have a schistose structure. It means that their constituents are distributed in bands or layers and run parallel to each other in one direction. If disturbed the rock cleaves easily into separate plates.

The role of water in metamorphism is determined by at least four variable geologically related parameters: rock pressure, temperature, water pressure, and the amount of water present.

During a normal progressive metamorphism rock pressure and temperature are interdependent, and the amount of water and the pressure of water are related to the sediments and to the degree of metamorphism in such a way that, generally speaking, the low-grade metamorphic rocks are

characterized by the excess of water. The medium-grade rocks defined by some deficiency of water and the high-grade metamorphic rocks are characterized by the absence of water.

Many of the metamorphic rocks mentioned above consist of flaky materials such as mica and chlorite. These minerals cause the rock to split into thin sheets, and rocks become foliated.

Slate, phyllite, schist and gneiss belong to the group of foliated metamorphic rocks. Marble and quartzite are non-foliated metamorphic rocks.

The structure of metamorphic rocks is of importance because it shows the nature of pre-existing rocks and the mechanism of metamorphic deformation. Every trace of original structure is of great importance to geologists. It gives an opportunity of analysing the causes of its metamorphism.

Being often called crystalline schists, metamorphic rocks such as gneisses and mica have a schistose structure. Metamorphic rocks represent the oldest portion of the Earth's crust. They are mostly found in the regions of mountain belts where great dislocations on the Earth once took place.

1). Укажите, какие предложения соответствуют содержанию текста. Подтвердите свои ответы фактами из текста.

1. Generally speaking, metamorphic rocks have been developed from ores.
2. Marble, slate and phyllite belong to the group of metamorphic rocks.
3. As is known, unlike granite metamorphic rocks have a schistose structure.
4. It is quite obvious that the role of water in metamorphism is great.
5. As a rule, low-grade metamorphic rocks are characterized by the absence of water.
6. Flaky materials cause the rock to split into thin sheets.
7. It should be noted that marble and quartzite are foliated metamorphic rocks.
8. The structure of metamorphic rocks shows the nature of older preexisting rocks and the mechanism of metamorphic deformation as well.
9. All metamorphic rocks are non-foliated.

2). Ответьте на вопросы:

1. Do you know how metamorphic rocks have been formed?
2. Which rocks belong to the group of metamorphic?
3. Does gneiss have the same structure as granite?
4. Is the role of water great in metamorphism?
5. What rocks do we call foliated? What can you say about non-foliated metamorphic rocks?
6. How can geologists trace the original structure of metamorphic rocks?
7. Why are metamorphic rocks often called crystalline schists?

3. а) Найдите в правой колонке русские эквиваленты следующих слов и сочетаний слов:

1. as a result of the chemical and physical changes
2. constituents of rocks
3. to be subjected to constant development
4. to undergo changes
5. excess of water
6. low-grade ores
7. coal band
8. to cleave into separate layers
9. traces of original structure
10. generally speaking

а) полоса (или прослоек) угля
б) составляющие пород
в) расщепляться на отдельные слои
г) вообще говоря

д) в результате химических и физических изменений
е) избыток воды
ж) изменяться
з) находиться в постоянном развитии
и) низкосортные руды
к) следы первоначальной структуры

б) Найдите в правой колонке английские эквиваленты следующих слов и сочетаний слов:

1. иметь значение
2. упомянутые выше
3. сланцеватая структура
4. в отличие от гранита
5. недостаток воды
6. существовавшие ранее породы
7. слоистые породы
8. мрамор и сланец
9. гнейс
10. давать возможность
11. определять структуру

а) unlike granite
б) to be of importance
в) pre-existing rocks
г) mentioned above
д) schistose structure
е) to give an opportunity (of doing smth)
ж) to define (determine) rock texture
з) deficiency of water
и) flaky rocks
к) marble and slate
л) gneiss

№7

Запомните слова и выражения, необходимые для понимания текста:

aerial - *a* воздушный; надземный

certain - *a* определенный; некоторый; **certainly** *adv* конечно

cost - (cost) v стоить; *n* цена; стоимость

crop - v (out) обнажать(ся), выходить на поверхность *(о пласте, породе); syn* **expose;** засевать, собирать урожай

dredging - *n* выемка грунта; драгирование

drill - v бурить, сверлить; *n* бурение, сверление; бурильный молоток; **drilling -** *n* бурение, сверление; **core-drilling** колонковое (керновое) бурение

drive (drore, **driven**) - v проходить *(горизонтальную выработку);* приводить в движение; управлять *(машиной); n* горизонтальная выработка; привод; передача

evidence – *n* основание; признак(и); свидетельства

expect - v ожидать; рассчитывать; думать; предлагать

explore - v разведывать месторождение полезного ископаемого с попутной добычей; **exploratory -** *a* разведочный; **exploration -** *n* детальная разведка; разведочные горные работы по месторождению

galena - *n* галенит, свинцовый блеск

indicate - v указывать, показывать; служить признаком; означать

lead - *n* свинец

look for - v искать

open up - v вскрывать *(месторождение);* нарезать *(новую лаву, забой);* **opening -** *n* горная выработка; подготовительная выработка; вскрытие месторождения

panning - *n* промывка *(золотоносного песка в лотке)*

processing - *n* обработка; - **industry** обрабатывающая промышленность

prove - v разведывать *(характер месторождения или залегания);* доказывать; испытывать, пробовать; **proved -** *a* разведанный, достоверный; **proving -** *n* опробование, предварительная разведка

search - v исследовать; (for) искать *(месторождение); n* поиск; *syn* **prospecting**

sign - *n* знак, символ; признак, примета

store - v хранить, накапливать *(о запасах)*

work - v работать; вынимать, извлекать *(уголь, руду);* вырабатывать; **workable -** *a* подходящий для работы, пригодный для разработки, рабочий *(о пласте);* рентабельный; **working -** *n* разработка, горная выработка

country rock коренная (основная) порода

distinctive properties отличительные свойства

malleable metal ковкий металл

Прочитайте и переведите текст, выполните упражнения на проверку понимания прочитанного:

TEXT 7: Prospecting

Mining activities include prospecting and exploration for a mineral deposit through finding, proving, developing, extracting and processing the ore. That is why it is possible to divide the mining activity into three major phases: 1) before mining which involves prospecting and exploration required to locate, characterize and prove a potential ore body; 2) mining which refers to actual coal or ore extraction. Extraction processes include underground or surface mining and dredging; 3) after mining which involves processing and preparing the raw ore for the end product.

As has already been said, before a mineral deposit can be worked, that is, before it can be extracted from the Earth for use by man, it must first be found. The search for economically useful mineral deposits is called prospecting. To establish the quality and quantity of a mineral deposit, the type of country rock, etc. means to prove it and this process is called proving. Prospecting and proving are only two different stages of mining geological exploration, the latter includes drilling and driving of openings.

Last century prospectors looked for visible evidence of mineralization on the surface of the Earth. To recognize valuable minerals it was necessary to know their various distinctive physical properties. For example, gold occurs in nature as a heavy malleable yellow metal. -Galena, the most important mineral containing lead, is dark grey, heavy and lustrous. The first ores of iron to be mined were deposits of magnetite, a black heavy mineral capable of attracting a piece of iron.

As the deposits of mineral that cropped out at the surface were mined, the search for additional supplies of minerals took place. The science of geology was used to explain the occurrence of ore deposits.

The aim of geological prospecting is to provide information on a preliminary estimation of the deposit and the costs of the geological investigations to be made. It also indicates whether it is available to continue the exploration or not.

Prospecting work includes three stages: 1) finding signs of the mineral; 2) finding the deposit; 3) exploring the deposit.

General indications of the possibility of exposing this or that mineral in a locality can be obtained by studying its general topographical relief, the type of ground and its general natural conditions. Thus, in mountainous regions where fissures were formed during the process of mountain formation, ore minerals could be expected in the fissure fillings. In hilly regions, sedimentary deposits would be expected.

Certain deposits are found only in a particular type of ground. Coal seams, for example, are found in sedimentary formations mainly consisting of sandstones and shales. Veins, on the other hand,

are found in crystalline (igneous) rocks, and the type of country rock usually determines the type of minerals.

At present, prospecting methods to be used are as follows:

1. Surface geological and mineralogical prospecting such as panning.
2. Geophysical, geochemical, geobotanical prospecting.
3. Aerial photography with geological interpretation of the data to be obtained is highly effective from aircraft or helicopter. Besides, successful development of space research has made it possible to explore the Earth's resources from space by satellites.

In modern prospecting the methods mentioned above are used together with the study of geological maps.

1. Укажите, какие предложения соответствуют содержанию текста. Подтвердите свои ответы фактами из текста.

1. The search for economically useful mineral deposits is called proving.
2. Last century prospectors looked for visible evidence of mineral deposits.
3. The first ores of iron to be mined were deposits of galena.
4. The science of geology can explain the mode of occurrence of ore deposits.
5. As a rule prospecting includes four stages.
6. The study of general topographical relief and the type of ground makes it possible to expose this or that deposit.
7. Geologists know that certain deposits are only found in a particular type of ground.
8. As is known, veins are found in metamorphic rocks.

2. Ответьте на следующие вопросы:

1. What is prospecting?
2. What is proving?
3. How did prospectors find mineral deposits in the 19th century?
4. Does gold occur in nature as a heavy malleable yellow metal or as a heavy dark-grey one?
5. What metal is capable of attracting a piece of iron?
6. What does prospecting work provide?
7. What are the three main stages of prospecting?
8. Is it enough to know only the topographical relief of a locality for exposing this or that mineral?
9. What methods of prospecting do you know?
10. What are the most effective aerial methods of prospecting now?

3. а) Найдите в правой колонке русские эквиваленты следующих слов и сочетаний слов:

1.	country rock	а) залегание рудных месторождений
2.	panning	б) блестящий металл
3.	the search for commercially useful deposits	в) коренная (основная) порода
4.	geological exploration	г) дополнительные запасы минералов
5.	to look for evidence of mineralization	д) промывка (золотоносного песка в лотке)
6.	distinctive properties	е) геологическая разведка (с попутной добычей)
7.	lustrous metal	ж) искать доказательства наличия месторождения
8.	capable of attracting a piece of iron	з) отличительные свойства
9.	additional supplies of minerals	и) поиски экономически полезных месторождений
10.	the occurrence of ore deposits	к) способный притягивать кусок металла

б) Найдите в правой колонке английские эквиваленты следующих слов и сочетаний слов:

1.	стоимость геологических исследований	а) the data obtained
2.	выходить на поверхность (обнажаться)	б) galena, sandstones and shales
3.	произвести предварительную оценку (месторождения)	в) the cost of geological investigations
4.	визуальные наблюдения с воздуха	г) to crop out
5.	полученные данные	д) certain ore deposits
6.	галенит, песчаники и сланцы	е) to make a preliminary estimation (of a deposit)
7.	общие показания	ж) visual aerial observations
8.	находить признаки месторождения	з) to find the signs of a deposit
9.	определенные рудные месторождения	и) general indications

№8

Запомните слова и выражения, необходимые для понимания текста:

adit - *n* горизонтальная подземная выработка, штольня

angle - *n* угол

approximate - *a* приблизительный

bit - *n* режущий инструмент; буровая коронка, коронка для алмазного бурения; головка бура, сверло; **carbide bit** армированная коронка, армированный бур; **diamond bit -** алмазная буровая коронка

borehole - *n* скважина, буровая скважина

crosscut - *n* квершлаг

dip - *n* падение *(залежи);* уклон, откос; v падать

enable - v давать возможность или право *(что-л. сделать)*

exploit - v разрабатывать *(месторождение);* эксплуатировать; **exploitation** - *n* разработка; эксплуатация

measure - *n* мера; мерка; критерий; степень; *pl* свита, пласты; v измерять

overburden - *n* покрывающие породы, перекрывающие породы; верхние отложения, наносы; вскрыша

pit - *n* шахта; карьер, разрез; шурф

reliable - *a* надежный; достоверный

rig - *n* буровой станок, буровая вышка; буровая каретка; буровое оборудование

sample - *n* образец; проба; v отбирать образцы; опробовать, испытывать

section - *n* участок, секция, отделение, отрезок, разрез, профиль, поперечное сечение; **geological** ~ геологический разрез *(пород)*

sequence - *n* последовательность; порядок следования; ряд

sink (sank, sunk) - v проходить *(шахтный ствол, вертикальную выработку);* углублять*;* погружать; опускать; **sinking** - *n* проходка *(вертикальных или наклонных выработок);* **shaft sinking -** проходка ствола

slope - *n* наклон; склон; бремсберг; уклон; v клониться, иметь наклон; **sloping -** *a* наклонный; **gently sloping -** с небольшим наклоном

steep - *a* крутой, крутопадающий, наклонный

strike - *n зд.* простирание; v простираться; **across the strike -** вкрест простирания; **along (on) the strike** по простиранию

trench - *n* траншея, канава; котлован; v копать, рыть, шурфовать

to make use (of) использовать, применять

to take into consideration принимать во внимание; *syn* **take into account**

Прочитайте и переведите текст, выполните упражнения на проверку понимания прочитанного:

TEXT 8: Exploration of Mineral Deposits

Exploration is known to include a whole complex of investigations carried out for determining the industrial importance of a deposit. The main task is to determine the quality and quantity of mineral and the natural and economic conditions in which it occurs. The exploration of the deposit is divided into three stages, namely preliminary exploration, detailed exploration and exploitation exploration.

The aim of preliminary exploration is to establish the general size of a deposit and to obtain an approximate idea of its shape, dimensions and quality. At this stage the geological map of the deposit is corrected and a detailed survey of its surface is completed.

The information on the preliminary exploration is expected to give an all-round description of the deposit which will enable the cost of its detailed exploration to be estimated.

The following points should be taken into consideration: 1) the shape and area of the deposit; 2) its depth and angles of dip and strike; 3) its thickness; 4) the properties of the surrounding rock and overburden; 5) the degree of uniformity of distribution of the mineral within the deposit and the country rock, etc.

Preliminary explorations can make use of exploratory openings such as trenches, prospecting pits, adits, crosscuts and boreholes. They are planned according to a definite system, and some are driven to a great depth.

All the exploratory workings are plotted on the plan. These data allow the geologist to establish the vertical section of the deposit.

The quality of the mineral deposit is determined on the basis of analyses and tests of samples taken from exploratory workings.

The method of exploration to be chosen in any particular case depends on the thickness of overburden, the angle of dip, the surface relief, the ground water conditions and the shape of the mineral deposit.

The task of the detailed exploration is to obtain reliable information on the mineral reserves, their grades and distribution in the different sectors of the deposit. Detailed exploration data provide a much more exact estimate of the mineral reserves.

Mine or exploitation exploration is known to begin as soon as mining operations start. It provides data for detailed estimates of the ore reserves of individual sections. It facilitates the planning of current production and calculating the balance of reserves and ore mined.

The searching and discovering of new mineralized areas are based on geological survey and regional geophysical prospecting. The results of these investigations provide data on iron-bearing formations and new deposits for commercial extraction.

In detailed exploration both underground workings and borehole survey are used. Core drilling with diamond and carbide bits is widely used. Non-core drilling is also used in loose rocks in combination with borehole geophysical survey.

One of the main methods to explore coal deposits is also core-drilling. Modern drilling equipment makes it possible to accurately measure bed thickness and determine structure of beds, faults and folds. Recording control instruments are attached to drilling rigs which allow the geologists to get reliable samples good for nearly all parameters of coal quality to be determined.

1. Укажите, какие предложения соответствуют содержанию текста. Подтвердите свои ответы фактами из текста.

1. The purpose of preliminary exploration is to determine the mineral reserves and their distribution in the different sectors of the deposit.
2. The properties of the surrounding rock and overburden should be taken into consideration during the preliminary exploration.
3. The purpose of the detailed exploration is to find out the quantity (reserves) of the deposit.
4. Exploitation exploration facilitates the planning of current production.
5. Both core drilling and non-core drilling are widely used.

6. Recording control instruments allow geologists to get reliable ore samples.

2. Ответьте на следующие вопросы:

1. What stages does exploration include?
2. What is the main purpose of preliminary exploration?
3. What should be taken into consideration by geologists during preliminary exploration?
4. What exploratory openings do you know?
5. Do you know how the quality of the mineral deposit is determined?
6. What is the aim of a detailed exploration?
7. Is core drilling used in prospecting for loose rocks?
8. What is drilling equipment used for?

3. а) Найдите в правой колонке русские эквиваленты следующих сочетаний слов:

1. bedded deposits
2. core drilling
3. the angle of dip of the seam
4. the thickness of overburden
5. exploratory workings
6. composition of minerals
7. pits and crosscuts
8. to exploit new oil deposits
9. sampling
10. geological section

а) мощность наносов
б) разрабатывать новые месторождения нефти
в) шурфы и квершлаги
г) пластовые месторождения
д) опробование (отбор) образцов
е) угол падения пласта
ж) колонковое бурение
з) геологический разрез (пород)
и) состав минералов
к) разведочные выработки

б) Найдите в правой колонке английские эквиваленты следующих сочетаний слов:

1. буровые скважины
2. по простиранию пласта
3. равномерность распределения минерала в залежи
4. водоносность пород
5. карбидные и алмазные коронки
6. детальная разведка
7. использовать новые поисковые методы
8. проникать в залежь
9. коренная порода
10. свойства окружающих пород

а) ground water conditions
б) detailed exploration
в) boreholes
г) along the strike of the bed (seam)
д) carbide and diamond bits
е) the uniformity of mineral distribution in the deposit
ж) the properties of surrounding rocks
з) to make use of new prospecting methods
и) country rock
к) to penetrate into the deposit

3. Подготовка к практическим занятиям (запоминание иноязычных лексических единиц и грамматических конструкций)

Грамматические конструкции представлены на стр. 6 – 40.

Запомните слова и выражения, необходимые для освоения тем курса:

Семья. Family

родственник relative, relation
родители parents
мать (мама) mother (mom, mum, mama, mamma, mummy, ma)
отец (папа) father (dad, daddy, papa, pa)
жена wife
муж husband
супруг(а) spouse
ребенок, дети child, children
дочь daughter
сын son
сестра sister
брат brother
единственный ребенок only child
близнец twin
близнецы, двойняшки twins
брат-близнец twin brother
сестра-близнец twin sister
однояйцевые близнецы identical twins
тройняшки triplets
бабушка и дедушка grandparents
бабушка grandmother (grandma, granny, grandmamma)
дедушка grandfather (grandpa, granddad, grandpapa, grandad)
внуки grandchildren
внучка granddaughter
внук grandson
прабабушка great-grandmother
прадедушка great-grandfather
прабабушка и прадедушка great-grandparents
правнуки great-grandchildren
тётя aunt
дядя uncle
крестный (отец) godfather
крестная (мать) godmother
отчим, приемный отец stepfather
мачеха, приемная мать stepmother
сводный брат stepbrother
сводная сестра stepsister
брат по одному из родителей half-brother
сестра по одному из родителей half-sister
приемный, усыновленный сын adopted son
приемная, удочеренная дочь adopted daughter
приемный ребенок adopted child
патронатная семья, приемная семья foster family
приемный отец foster father
приемная мать foster mother
приемные родители foster parents

приемный сын foster son
приемная дочь foster daughter
приемный ребенок foster child
неполная семья (с одним родителем) single-parent family
родня the kin, the folks
племянница niece
племянник nephew
двоюродный брат cousin (male)
двоюродная сестра cousin (female)
двоюродный брат (сестра), кузен (кузина) first cousin
троюродный брат (сестра) second cousin
четвероюродный брат (сестра) third cousin
родня со стороны мужа или жены in-laws
свекровь mother-in-law (husband's mother)
свёкор father-in-law (husband's father)
тёща mother-in-law (wife's mother)
тесть father-in-law (wife's father)
невестка, сноха daughter-in-law
зять son-in-law
шурин, свояк, зять, деверь brother-in-law
свояченица, золовка, невестка sister-in-law
семейное положение marital status
холостой, неженатый, незамужняя single
женатый, замужняя married
брак marriage
помолвка engagement
помолвленный, обрученный engaged
развод divorce
разведенный divorced
бывший муж ex-husband
бывшая жена ex-wife
расставшиеся, не разведенные, но не проживающие одной семьей separated
вдова widow
вдовец widower
подружка, невеста girlfriend
друг, парень, ухажер boyfriend
любовник, любовница lover
ухажер, жених, подружка, невеста, обрученный fiance
свадьба wedding
невеста на свадьбе bride
жених на свадьбе (bride)groom
медовый месяц honeymoon

Запомните слова и выражения, необходимые для освоения тем курса:

The Ural State Mining University

Mining University – Горный университет; **higher educational institution** - высшее учебное заведение; **to provide** - зд. Предоставлять; **full-time education** - очное образование; **extramural education** - заочное	**scientific research centre** - центр научных исследований; **master of science** - кандидат наук; **capable** – способный; **to take part in** - принимать участие; **graduate** – выпускник; **to dedicate** – посвящать;

образование; **to award** – награждать; **post-graduate courses** – аспирантура;	**to carry out scientific work** - выполнять научную работу;

Faculty of Mining Technology - горно – технологический; **Faculty of Engineering and Economics** - инженерно-экономический; **Institute of World Economics** – Институт мировой экономики; **Faculty of Mining Mechanics** - горно-механический; **Faculty of Civil Protection** – гражданской защиты; **Faculty of City Economy** – городского хозяйства;	**Faculty of Geology & Geophysics** – геологии и геофизики; **Faculty of extramural education** – заочный; **department** – кафедра; **dean** – декан; **to train specialists in** - готовить специалистов; **to consist of** - состоять из; **preparatory** – подготовительный; **additional** – дополнительный; **to offer** – предлагать;

to house - размещать /ся/; **building** – здание; **Rector's office** – ректорат; **Dean's office** – деканат; **department** – кафедра; **library** – библиотека; **reading hall** - читальный зал; **assembly hall** - актовый зал; **layout** - расположение, план; **administrative offices** - административные отделы;	**computation centre** - вычислительный центр; **canteen** – столовая; **to have meals** – питаться; **hostel** – общежитие; **to go in for sports** - заниматься спортом; **wrestling** – борьба; **weight lifting** - тяжелая атлетика; **skiing** - катание на лыжах; **skating** - катание на коньках; **chess** – шахматы;

academic work - учебный процесс; **academic year** - учебный год; **to consist of** - состоять из; **bachelor's degree** - степень бакалавра; **course of studies** - курс обучения; **to last** - длиться; **term** - семестр; **to attend lectures and classes** - посещать лекции и занятия; **period** - пара, 2 – х часовое занятие; **break** - перерыв; **subject** - предмет; **descriptive geometry** - начертательная геометрия;	**general geology** - общая геология; **foreign language** - иностранный язык; **to operate a computer** - работать на компьютере; **to take a test (an exam)** - сдавать зачет, экзамен; **to pass a test (an exam)** - сдать зачет, экзамен; **to fail a test (an exam)** - не сдать зачет, экзамен; **to fail in chemistry** - не сдать химию; **holidays, vacations** - каникулы; **to present graduation paper** - представлять дипломные работы; **for approval** - к защите;

The Faculty of Mining Technology trains specialists in: mine surveying - маркшейдерская съемка; underground mining of mineral deposits - подземная разработка месторождений полезных ископаемых; mine and underground construction - шахтное и подземное строительство; surface mining (open-cut mining) - открытые горные работы; physical processes of mining, oil and gas production - физические процессы горного и нефтегазового производства; placer mining - разработка россыпных месторождений; town cadastre - городской кадастр.

The Institute of World Economics trains specialists in: land improvement, recultivation and soil protection - мелиорация, рекультивация и охрана земель; engineer protection of environment in mining - инженерная защита окружающей среды в горном деле; computer systems of information processing and control - автоматизированные системы обработки информации и управления; economics and management at mining enterprises - экономика и управление на предприятиях горной промышленности.

The Faculty of Mining Mechanics trains specialists in: electromechanical equipment of mining enterprises - электромеханическое оборудование горных предприятий; designing & production of mining, oil and gas machinery - конструирование и производство горных и нефтегазопромысловых машин; technological and service systems of exploitation and maintenance of machines and equipment - технологические и сервисные системы эксплуатации и ремонта машин и оборудования; motorcars and self-propelled mining equipment - автомобили и самоходное горное оборудование; electric drive and automation or industrial units and technological complexes - электопривод и автоматика промышленных установок и технологических комплексов; automation of technological processes and industries - автоматизация технологических процессов и производств; mineral dressing - обогащение полезных ископаемых.

The Faculty of Geology & Geophysics trains specialists in: geophysical methods of prospecting and exploring mineral deposits - геофизические мет оды поисков и разведки месторождений полезных ископаемых; according to some specializations: geoinformatics – геоинформатика; applied geophysics - прикладная геофизика; structural geophysics - структурная геофизика; geological surveying and exploration or mineral deposits - геологическая съемка и поиски МПИ; geology and mineral exploration - геология и разведка МПИ; prospecting and exploration or underground waters and engineering - geological prospecting - поиски и разведка подземных вод и инженерно-геологические изыскания; applied geochemistry, petrology and mineralogy - прикладная геохимия, петро логия и минералогия; drilling technology - технология и техника разведки МПИ.

Запомните слова и выражения, необходимые для освоения тем курса:

My town

a building – здание
downtown – деловой центр города
town outskirts – окраина города
a road – дорога
an avenue – проспект
a pavement/a sidewalk - тротуар
a pedestrian – пешеход
a pedestrian crossing – пешеходный переход
traffic lights – светофор
a road sign – дорожный знак
a corner – угол
a school - школа
a kindergarten – детский сад
a university - университет
an institute – институт
an embassy - посольство
a hospital - больница
a shop/a store/a shopping centre/a supermarket – магазин, супермаркет
a department store – универмаг
a shopping mall/centre – торговый центр
a food market – продуктовый рынок
a greengrocery – фруктово-овощной магазин
a chemist's/a pharmacy/a drugstore - аптека

a beauty salon – салон красоты
a hairdressing salon/a hairdresser's - парикмахерская
a dental clinic/a dentist's – стоматологическая клиника
a vet clinic – ветеринарная клиника
a laundry – прачечная
a dry-cleaner's – химчистка
a post-office – почтовое отделение
a bank – банк
a cash machine/a cash dispenser - банкомат
a library – библиотека
a sight/a place of interest - достопримечательность
a museum – музей
a picture gallery – картинная галерея
a park – парк
a fountain – фонтан
a square – площадь
a monument/a statue – памятник/статуя
a river bank – набережная реки
a beach – пляж
a bay - залив
a café – кафе
a restaurant – ресторан
a nightclub – ночной клуб
a zoo - зоопарк
a cinema/a movie theatre - кинотеатр
a theatre – театр
a circus - цирк
a castle - замок
a church – церковь
a cathedral – собор
a mosque - мечеть
a hotel – отель, гостиница
a newsagent's – газетный киоск
a railway station – железнодорожный вокзал
a bus station - автовокзал
a bus stop – автобусная остановка
an underground (metro, subway, tube) station – станция метро
a stadium – стадион
a swimming-pool – плавательный бассейн
a health club/a fitness club/a gym – тренажерный зал, фитнесс клуб
a playground – игровая детская площадка
a plant/a factory – завод/фабрика
a police station – полицейский участок
a gas station/a petrol station – заправочная автостанция, бензоколонка
a car park/a parking lot - автостоянка
an airport - аэропорт
a block of flats – многоквартирный дом
an office block – офисное здание
a skyscraper - небоскреб
a bridge – мост
an arch – арка
a litter bin/a trash can – урна

a public toilet – общественный туалет
a bench - скамья

Запомните слова и выражения, необходимые для освоения тем курса:

My speciality

The Earth's Crust and Useful Minerals

cause - v заставлять; вызывать; влиять; причинять; *n* причина, основание; дело; общее дело; *syn* **reason**

clay - *n* глина; глинозем

consolidate - v твердеть, затвердевать, уплотнять(ся); укреплять; *syn* **solidify**

crust - *n* кора; *геол.* земная кора

decay - v гнить, разлагаться; *n* выветривание *(пород);* распад, разложение

derive - v (from) происходить, вести свое происхождение *(от);* наследовать

destroy - v разрушать; уничтожать; **destructive** *a* разрушительный

dissolve v растворять

expose - v выходить *(на поверхность);* обнажаться; **exposure -** *n* обнажение

external - *a* внешний

extrusive - *a* эффузивный, излившийся *(о горной породе)*

force - v заставлять, принуждать; ускорять движение; *n* сила; усилие

glacier - *n* ледник, глетчер

grain - *n* зерно; **angular grains -** угловатые зерна *(минералов);* **grained -** *a* зернистый

gravel - *n* гравий, крупный песок

internal - *a* внутренний

intrusive - *a* интрузивный, плутонический

iron - *n* железо

layer - *n* пласт

like - *a* похожий, подобный; *syn* **similar;** *ant* **unlike;** *adv* подобно

lime - *n* известь; **limestone -** *n* известняк

loose - *a* несвязанный, свободный; рыхлый

make up - v составлять; *n* состав *(вещества)*

particle - *n* частица; включение

peat - *n* торф; торфяник

represent - v представлять собою; означать; быть представителем; **representative** - представитель; **representative -** *a* характерный, типичный

rock – *n* горная порода; **igneous** - изверженная порода; **sedimentary** - осадочная порода

sand - *n* песок

sandstone - *n* песчаник; **fine-grained (medium-grained, coarse-grained)** - мелкозернистый (среднезернистый, грубозернистый) песчаник

sediment - *n* отложение; осадочная порода; **sedimentary -** *a* осадочный; **sedimentation -** *n* образование осадочных пород

schist - *n (кристаллический)* сланец; **schistose -** *a* сланцеватый, слоистый

shale - *n* сланец, сланцевая глина, глинистый сланец; **clay -** глинистый сланец; **combustible …**, **oil …** - горючий сланец

siltstone - *n* алеврит

stratification - *n* напластование, залегание

stratify - v напластовываться; отлагаться пластами; **stratified** *a* пластовый; *syn* **layered, bedded**

substance - *n* вещество, материал; сущность

thickness - *n* толщина, мощность

value - *n* ценность; важность; величина; значение; **valuable -** *a* ценный *(о руде)*

vary - v изменять(ся); отличать(ся); *syn* **differ, change (from); variable -** *a* переменный; непостоянный; **various** *a* различный; *syn* **different**

contain - v содержать *(в себе),* вмещать

crack - *n* трещина; щель; v давать трещину; трескаться, раскалываться

contract - v сжиматься; сокращаться

dust - *n* пыль

expand - v расширяться); увеличивать(ся) в объеме; **expansion** *n* расширение; *ant* **contract**

fissure - *n* трещина *(в породе, угле);* расщелина; щель

fracture - *n* трещина; излом; разрыв; v ломать(ся); раздроблять *(породу)*

freeze - *v* замерзать; замораживать; застывать

gradual - *a* постепенный; **gradually** *adv* постепенно

hard - *a* твердый, жесткий; *ant* **soft;** тяжелый (о *работе); adv* сильно, упорно; **hardly** *adv* едва, с трудом

hole - *n* отверстие; скважина; шпур; шурф

influence - *n* влияние; v **(on, upon)** влиять (не *что-л.)*

lateral - *a* боковой

occur - *v* залегать; случаться; происходить; *syn* **take place, happen; occurrence -** *n* залегание; **mode of occurrence -** условия залегания

penetrate - *v* проникать *(внутрь),* проходить через *(что-л.)*

phenomenon - *n* явление; *pi* **phenomena**

pressure - *n* давление; **lateral pressure** боковое *(горизонтальное)* давление; **rock pressure** горное давление, давление породы

rate - *n* степень, темп; скорость, норма; производительность; сорт; *syn* **speed, velocity**

refer - v (to) ссылаться *(на что-л.);* относиться *(к периоду, классу)*

resist - *v* сопротивляться; противостоять; противодействовать; **resistance** - *n* сопротивление; **resistant -** *a* стойкий; прочный; сопротивляющийся

size - *n* размер; величина; класс *(угля)*

solution – *n* раствор; **soluble -** *a* растворимый; **solvent -** растворитель; *a* растворяющий

succession – *n* последовательность, непрерывный ряд; **in succession** последовательно

undergo (underwent, undergone) - *v* испытывать *(что-л.),* подвергаться *(чему-л.)*

uniform – *a* однородный; одинаковый

weathering - *n* выветривание; эрозия *(воздействию, влиянию и т.д.)*

to be subjected to подвергаться

Rocks of Earth's Crust

abyssal - *a* абиссальный, глубинный; **hypabissal** - *a* гипабиссальный

adjacent - *a* смежный, примыкающий

ash - *n* зола

belt - *n* пояс; лента; ремень

body - *n* тело, вещество; **solid (liquid, gaseous) bodies** твердые (жидкие, газообразные) вещества; породная масса; массив; месторождение; пласты

common - *a* обычный; общий; *syn* **general;** *ant* **uncommon**

cool - v охлаждать(ся); остывать; прохладный; *ant* **heat** нагревать(ся)

dimension - *n* измерение; *pl* размеры; величина; *syn* **measurement, size**

dust - *n* пыль

dyke – *n* дайка

extrusion - *n* вытеснение; выталкивание; *ant* **intrusion** вторжение; *геол.* интрузия *(внедрение в породу изверженной массы)*

fine - *a* тонкий, мелкий; мелкозернистый; высококачественный; тонкий; прекрасный, ясный (о *погоде);* изящный; **fine-graded (fine-grained)** мелкозернистый, тонкозернистый; **fines -** *n pl* мелочь; мелкий уголь

flow - v течь; литься; *n* течение; поток; **flow of lava** поток лавы

fragmentary - *a* обломочный, пластический

glass - *n* стекло; **glassy** - *a* гладкий, зеркальный; стеклянный
gold - *n* золото
inclined - *a* наклонный
mica - *n* слюда
permit - *v* позволять, разрешать; *syn* **allow, let; make possible**
probably - *adv* вероятно; *syn* **perhaps, maybe**
shallow - *a* мелкий; поверхностный; *ant* **deep** глубокий
sill - *n* силь, пластовая интрузия
stock - *n* шток, небольшой батолит
vein - *n* жила, прожилок, пропласток
band - *n* слой; полоса; прослоек *(породы); syn* **layer**
cleave - *v* расщепляться; трескаться, отделяться по кливажу; **cleavage** *n* кливаж
constituent - *n* составная часть, компонент
define - *v* определять, давать определение
distribute - v **(among)** распределять (между); раздавать;
disturb - *v* нарушать; смещать
excess - *n* избыток, излишек; *ant* **deficiency**
flaky - *a* слоистый; похожий на хлопья
fluid - *n* жидкость; жидкая или газообразная среда
foliate - *v* расщепляться на тонкие слои; **foliated -** *a* листоватый, тонкослоистый; *syn* **flaky**
marble - *n* мрамор
mention - *v* упоминать, ссылаться; *n* упоминание
plate - *n* пластина; полоса *(металла)*
pressure - *n* давление; **rock pressure (underground pressure)** горное давление, давление горных пород
relate - *v* относиться; иметь отношение; **related** *a* родственный; **relation -** *n* отношение; **relationship -** *n* родство; свойство; **relative -** *a* относительный; соответственный
run (ran, run) - *v* бегать, двигаться; течь; работать (о *машине);* тянуться, простираться; управлять *(машиной);* вести *(дело, предприятие)*
schistose - *a* сланцеватый; слоистый
sheet - *n* полоса
slate - *n* сланец; *syn* **shale**
split (split) - *v* раскалываться, расщепляться, трескаться; *syn* **cleave**
trace - *n* след; **tracing –** *n* прослеживание
at least по крайней мере
to give an opportunity (of) давать возможность *(кому-л., чему-л.)*
in such a way таким образом

Fossil Fuels

accumulate - v накапливать; скопляться
ancient - *a* древний, старинный; *ant* **modern**
associate - v связывать, соединять, ассоциироваться; *syn* **connect, link**
burn (burnt) - v сжигать; гореть; жечь
charcoal - *n* древесный уголь
convenient - *a* удобный, подходящий
crude - *a* сырой, неочищенный
dig (dug) - v добывать; копать; **digger -** n угольный экскаватор; землеройная машина
divide - v делить; (from) отделять; разделять
evidence - *n* доказательство; очевидность; признак(и)
fossil - *a* окаменелый, ископаемый; *n* ископаемое *(органического происхождения);* окаменелость
heat - v нагревать; *n* теплота
liquid - *a* жидкий; n жидкость; *ant* **solid**

manufacture - *v* изготовлять, производить; *syn* **produce**

mudstone - *n* аргиллит

purpose - *n* цель; намерение; *syn* **aim, goal**

shale - *n* глинистый сланец

the former … the latter - первый *(из вышеупомянутых)* последний *(из двух названных)*

bench - *n* слой, пачка *(пласта)*

blend - v смешивать(ся); вклинивать(ся)

combustion - *n* горение, сгорание; **spontaneous combustion** самовоспламенение, самовозгорание

continuity - *n* непрерывность, неразрывность

domestic - *a* внутренний; отечественный

estimate - v оценивать; *n* оценка; смета

fault - *n* разлом, сдвиг *(породы);* сброс; **faulting** *n* образование разрывов или сбросов

fold - *n* изгиб, складка, флексура; **foulding -** *n* складчатость, смешение *(пласта)* без разрыва

inflame - v воспламеняться; загорать(ся); **inflammable** - *a* воспламеняющийся, горючий, огнеопасный; **flame** - *n* пламя

intermediate - *a* промежуточный; вспомогательный

liable - *a* (to) подверженный; подлежащий *(чему-л.)*

luster - *n* блеск *(угля, металла);* **lustrous -** *a* блестящий

matter - *n* вещество; материя

moisture - *n* влажность, сырость; влага

parting - *n* прослоек

plane - *n* плоскость; **bedding plane** плоскость напластования

rank - *n* класс, тип; **coal rank** группа угля, тип угля

regular - *a* правильный; непрерывный; *ant* **irregular** неправильный; неравномерный; **regularity** *n* непрерывность; правильность

similar - *a* похожий, сходный; подобный; *syn* **alike, the same as**

smelt - v плавить *(руду);* выплавлять *(металл)*

store - v запасать, хранить на складе; вмещать

strata - *n pl от* **stratum** пласты породы; свита *(пластов);* формация, напластования породы; *syn* **measures**

thickness - *n* мощность *(пласта, жилы)*

uniform - *a* однородный; равномерный; **uniformity** *n* однородность; единообразие

utilize - v использовать; *syn* **use, apply, employ**

volatile - *a* летучий, быстро испаряющийся

Prospecting and Exploration

aerial - *a* воздушный; надземный

certain - *a* определенный; некоторый; **certainly** *adv* конечно

cost - (cost) v стоить; *n* цена; стоимость

crop - v (out) обнажать(ся), выходить на поверхность *(о пласте, породе); syn* **expose;** засевать, собирать урожай

dredging - *n* выемка грунта; драгирование

drill - v бурить, сверлить; *n* бурение, сверление; бурильный молоток; **drilling -** *n* бурение, сверление; **core-drilling** колонковое (керновое) бурение

drive (drore, **driven**) - v проходить *(горизонтальную выработку);* приводить в движение; управлять *(машиной); n* горизонтальная выработка; привод; передача

evidence – *n* основание; признак(и); свидетельства

expect - v ожидать; рассчитывать; думать; предлагать

explore - v разведывать месторождение полезного ископаемого с попутной добычей; **exploratory -** *a* разведочный; **exploration -** *n* детальная разведка; разведочные горные работы по месторождению

galena - *n* галенит, свинцовый блеск

indicate - v указывать, показывать; служить признаком; означать

lead - *n* свинец

look for - v искать

open up - v вскрывать *(месторождение);* нарезать *(новую лаву, забой);* **opening -** *n* горная выработка; подготовительная выработка; вскрытие месторождения

panning - *n* промывка *(золотоносного песка в лотке)*

processing - *n* обработка; - **industry** обрабатывающая промышленность

prove - v разведывать *(характер месторождения или залегания);* доказывать; испытывать, пробовать; **proved -** *a* разведанный, достоверный; **proving -** *n* опробование, предварительная разведка

search - v исследовать; (for) искать *(месторождение); n* поиск; *syn* **prospecting**

sign - *n* знак, символ; признак, примета

store - v хранить, накапливать *(о запасах)*

work - v работать; вынимать, извлекать *(уголь, руду);* вырабатывать; **workable -** *a* подходящий для работы, пригодный для разработки, рабочий *(о пласте);* рентабельный; **working -** *n* разработка, горная выработка

adit - *n* горизонтальная подземная выработка, штольня

angle - *n* угол

approximate - *a* приблизительный

bit - *n* режущий инструмент; буровая коронка, коронка для алмазного бурения; головка бура, сверло; **carbide bit** армированная коронка, армированный бур; **diamond bit -** алмазная буровая коронка

borehole - *n* скважина, буровая скважина

crosscut - *n* квершлаг

dip - *n* падение *(залежи);* уклон, откос; v падать

enable - v давать возможность или право *(что-л. сделать)*

exploit - v разрабатывать *(месторождение);* эксплуатировать; **exploitation** - *n* разработка; эксплуатация

measure - *n* мера; мерка; критерий; степень; *pl* свита, пласты; v измерять

overburden - *n* покрывающие породы, перекрывающие породы; верхние отложения, наносы; вскрыша

pit - *n* шахта; карьер, разрез; шурф

reliable - *a* надежный; достоверный

rig - *n* буровой станок, буровая вышка; буровая каретка; буровое оборудование

sample - *n* образец; проба; v отбирать образцы; опробовать, испытывать

section - *n* участок, секция, отделение, отрезок, разрез, профиль, поперечное сечение; **geological** ~ геологический разрез *(пород)*

sequence - *n* последовательность; порядок следования; ряд

sink (sank, sunk) - v проходить *(шахтный ствол, вертикальную выработку);* углублять; погружать; опускать; **sinking** - *n* проходка *(вертикальных или наклонных выработок);* **shaft sinking -** проходка ствола

slope - *n* наклон; склон; бремсберг; уклон; v клониться, иметь наклон; **sloping -** *a* наклонный; **gently sloping -** с небольшим наклоном

steep - *a* крутой, крутопадающий, наклонный

strike - *n зд.* простирание; v простираться; **across the strike -** вкрест простирания; **along (on) the strike** по простиранию

trench - *n* траншея, канава; котлован; v копать, рыть, шурфовать

to make use (of) использовать, применять

to take into consideration принимать во внимание; *syn* **take into account**

General Information on Mining

access - *n* доступ

affect - v воздействовать *(на что-л.);* влиять; *syn* **influence**

barren - *a* непродуктивный; пустой *(о породе)*

chute - *n* скат, спуск; углеспускная выработка; жёлоб

compare - v (with) сравнивать, проводить параллель

contribute - v способствовать, содействовать; делать вклад *(в науку);* **make a (one's) ~ to smth.** сделать вклад во что-л.

cross-section - *n* поперечное сечение, поперечный разрез, профиль

develop - v разрабатывать *(месторождение);* развивать *(добычу);* производить подготовительные работы; **development -** *n* подготовительные работы; развитие добычи; развитие

drift - *n* штрек, горизонтальная выработка

ensure - v обеспечивать, гарантировать; *syn* **guarantee**

face - *n* забой; лава

floor - л почва горной выработки, почва пласта (жилы); **quarry** ~ подошва карьера; пол, настил

govern - v править, управлять; руководить; определять, обусловливать

inclination - *n* уклон, скат, наклон *(пластов);* наклонение; **seam** ~ падение *(пласта);* наклон *(пласта)*

incline - *n* уклон, бремсберг, скат; наклонный ствол; **gravity** ~ бремсберг

inclined - *a* наклонный; **flatly** ~ слабо наклонный; **gently** ~ наклонного падения; **medium** ~ умеренно наклонный *(о пластах);* **steeply** ~ крутопадающий

level - *n* этаж, горизонт, горизонтальная горная выработка; штольня; уровень *(инструмент);* нивелир; ватерпас; горизонтальная поверхность

recover - v извлекать *(целики);* выбирать, очищать; добывать *(уголь и т.п.);* восстанавливать

remove - v удалять; убирать; устранять; перемещать; **removal -** *n* вскрыша; выемка; уборка *(породы);* извлечение *(крепи);* перемещение; **overburden** - удаление вскрыши

rib - *n* ребро; выступ; узкий целик, предохранительный целик; грудь забоя

roof - *n* крыша; кровля выработки; кровля пласта *(или* жилы); перекрытие; ~ **support -** крепление кровли

shaft - *n* шахтный ствол; **auxiliary** ~ вспомогательный ствол; **hoisting** ~ подъемный ствол; главный шахтный ствол

tabular - *a* пластовый (о *месторождении);* пластообразный; плоский; линзообразный; *syn* **bedded, layered**

waste - *n* пустая порода; отходы; *syn* **barren rock**

well - *n* буровая скважина; колодец, источник; водоем; зумф

capital investment - капитальные вложения

gate road - промежуточный штрек

in bulk - навалом, в виде крупных кусков

metal-bearing - содержащий металл

production face/working - очистной забой

productive mining - эксплуатационные работы

in view of - ввиду чего-л., принимая во внимание что-л.

with a view to - с целью

advantage - *n* преимущество; превосходство; выгода; польза; **advantageous** - *a* выгодный; благоприятный, полезный; **to take advantage of smth** воспользоваться чём-л.

caving - *n* обрушение *(кровли);* разработка с обрушением

deliver - v доставлять, подавать; питать; нагнетать; произносить *(речь);* читать *(лекцию)*

entry - *n* штрек; выработка горизонтальная; *pl* подготовительные выработки; нарезные выработки; штреки

giant - *n* гидромонитор

gravity - *n* сила тяжести; вес, тяжесть; **by ~** самотеком, под действием собственного веса

haul - v доставлять; откатывать; подкатывать; перевозить; **haulage** - *n* откатка; доставка; транспортировка *(по горизонтали)*

longwall - *n* лава; выемка лавами; сплошной забой, сплошная или столбовая система разработки; *syn* **continuous mining; ~ advancing on the strike** выемка лавами прямым ходом по простиранию; сплошная система разработки по простиранию; **~ advancing to the rise** сплошная система разработки с выемкой по восстанию; ~ to **the dip** сплошная система разработки с выемкой по падению; ~ **retreating** выемка лавами обратным ходом; столбовая система разработки лавами

lose (lost) - v терять; **loss -** *n* потеря, убыток

pillar - *n* целик; столб; **shaft** ~ околоствольный целик; ~ **method** столбовая система разработки; ~ **mining** выемка целиков

predominate - v преобладать, превалировать; превосходить; господствовать, доминировать

protect - v охранять, защищать

reach - v простираться, доходить до; добиваться, достигать

satisfy - v удовлетворятъ(ся)

shield - *n* щит; ~ **method** щитовой метод проходки, щитовой способ

room - *n* камера; очистная камера; **room-and-pillar method** камерно-столбовая система разработки

stowing - *n* закладка *(выработанного пространства)*

method of working система разработки

the sequence of working the seams - последовательность отработки пластов

goaf — завал; обрушенное пространство

double-ended drum bearer — комбайн с двойным барабаном

to identify — опознавать

appraisal — оценка

susceptibility — чувствительность

concealed — скрытый, не выходящий на поверхность

crusher — дробилка

concentration — обогащение

blending — смешивание; составление шихты

screen — сортировать (обыден. уголь); просеивать

froth floatation — пенная флотация

core drilling — колонковое бурение

to delineate — обрисовывать, описывать

lender — заимодавец

feasibility — возможность

in situ mining — повторная разработка месторождения в массиве

screening — просеивание; грохочение

processing — обработка, разделение минералов

Mining and Environment

break v **(broke**, **broken**) отбивать *(уголь или породу),* обрушивать кровлю; разбивать; ломать; л отбойка, обрушение; **break out** отбивать, производить выемку

(руды .или породы); расширять забой; **breakage** л разрыхление, дробление

drill - *n* бур; .перфоратор; бурильный молоток; сверло; v бурить; car ~ буровая тележка; **mounted** ~ перфоратор на колонке; колонковый бурильный молоток; **drilling -** *n* бурение

dump -*n* отвал *(породы);* склад угля; опрокид; **external** ~ внешний отвал; **internal** ~ внутренний отвал; v сваливать (в *отвал);* разгружать; отваливать; опрокидывать *(вагонетку);*

dumper опрокид; самосвал; отвалообразователь; **dumping** л опрокидывание; опорожнение; опрокид; *syn* **tip**

environment - *n* окружение; окружающая обстановка/среда

explode - v взрывать, подрывать; **explosion** - *n* взрыв; **explosive -** *n* взрывчатое вещество; *a* взрывчатый

friable - *a* рыхлый; хрупкий; рассыпчатый; слабый (о *кровле)*

handle - v перегружать; доставлять; транспортировать; управлять машиной; *n* ручка; рукоять; скоба; **handling** - *n* подача; погрузка; перекидка, доставка; транспортировка; обращение с машиной

heap - v наваливать; нагребать; *n* породный отвал, терриконик; *syn* **spoil ~, waste ~**

hydraulicklng - *n* гидродобыча; гидромеханизированная разработка

load - v нагружать, грузить, наваливать; *n* груз; нагрузка; **loader -** *n* погрузочная машина, навалочная машина, перегружатель; грузчик; **cutter-loader -** комбайн, комбинированная горная машина

lorry - *n* грузовик; платформа; *syn* **truck**

mention - v упоминать

overcasting - *n* перелопачивание *(породы)*

pump - *n* насос; **gravel** ~ песковый насос; **sludge** ~ шламовый насос; v качать; накачивать; откачивать

reclamation - *n* восстановление; осушение; извлечение крепи; ~ **of land** восстановление участка *(после открытых работ)*

sidecastiag - *n* внешнее отвалообразование

site - *n* участок, место; **building** ~ строительная площадка

slice - *n* слой; **slicing -** *n* выемка слоями, разработка слоями

strip - v производить вскрышные работы; разрабатывать; очищать *(лаву);* вынимать породу или руду; *n* полоса; **stripper -** *n* забойщик; вскрышной экскаватор; **stripping -** *n* открытая разработка, открытые горные работы; вскрыша; вскрытие наносов

unit - *n* агрегат; установка; устройство; прибор; узел; секция; деталь; машина; механизм; единица измерения; участок

washery - *n* углемойка; рудомойка; моечный цех

to attract smb's attention привлекать чье-л. внимание

backhoe - *n* обратная лопата

blast - *n* взрыв; v взрывать; дуть; продувать; **blasting** - *n* взрывание; взрывные работы; взрывная отбойка

block out - v нарезать залежь на блоки; нарезать столбы

clearing - *n* выравнивание почвы; планировка грунта

crash - v дробить; разрушать; обрушать(ся)

earth-mover - *n* землеройное оборудование; *syn* **excavator**

excavator - *n* экскаватор; **bucket-wheel** - роторный экскаватор; **multi-bucket** ~ многочерпаковый экскаватор; **single-bucket** - одночерпаковый экскаватор

grab - *n* грейфер, ковш, черпак; экскаватор; v захватывать;

grabbing - погрузка грейфером; захватывание

hoist - *n* подъемное установка (машина); подъемник; лебедка; v поднимать; **hoisting** шахтный подъем

plough - *n* струг

power shovel - *n* механическая лопата; экскаватор типа механической лопаты

range - *n* колебание в определенных пределах

rate - *n* норма; скорость, темп; коэффициент; степень; разрез; сорт; мощность; расход *(воды)*

remote - *a* отдаленный; ~ **control** дистанционное управление

result - v (in) приводить (к); иметь своим результатом; (from) следовать (из), происходить в результате

safety - *n* безопасность; техника безопасности

slope - *n* забой, сплошной забой, очистной забой; v очищать забой, вынимать породу, уголь; *syn* **face; sloping** очистные работы; очистная выемка; **open sloping** выемка с открытым забоем; **shrinkage sloping** выемка системой с магазинированием *(руды)*

support - v крепить; поддерживать; подпирать; *n* стойка; опора; поддержание; крепление; *syn* **timbering; powered roof** - механизированная крепь; **self-advancing powered roof** - передвижная механизированная крепь

1.4 Самостоятельное изучение тем курса (для заочной формы обучения)

Самостоятельное изучение тем курса предполагает изучение тем практических занятий, представленных в разделе 1, 2, 3 данных методических указаний студентами заочной формы обучения в межсессионный период.

1.5 Подготовка к контрольной работе и 1.6 Написание контрольной работы

Для выполнения контрольной работы студентами кафедрой подготовлены *Методические рекомендации и задания к контрольной работе для студентов данной специальности.*

II. Другие виды самостоятельной работы

2.1 Выполнение самостоятельного письменного домашнего задания (Подготовка к ролевой игре, к практико-ориентированным заданиям, опросу)

2.1.1 Подготовка к ролевой игре

Студенты получают ролевые карточки. Им необходимо обдумать свою роль, стратегию своей роли, вопросы и ответы.

Role card 1

Sasha

The worst thing about your house is lack of privacy. You share your room with a younger sister. You think she goes through all your stuff. She asks you ambarrassing questions about boys, makes little nasty comments about you.

Your parents treat you like a baby. Your father is too much interested in your studying and homework. Your mother makes you do the work about the house alone. You are going to leave home as soon as you are old enough.

- Collect all the arguments to explain your attitude to your family.
- Listen to what the members of your family are saying.
- Don't interrupt them.
- Don't forget that both parents and children are to blame in conflict situations.
- Be polite and friendly

Role card 2

Mother

Your daughter has written a letter of complaint to the youth magazine. She is not satisfied with your attitude to her. You have read this letter. You are worried about the situation in the family and have decided to discuss the problems with a family therapist.

- Say why you have invited the therapist
- Try to explain Sasha's attitude to you and the whole family.
- Think of your questions to Sasha
- Be objective to her problems – you might have never taken them seriously!
- Try to analyse the situation, don't criticize Sasha

- Follow the therapist's advice
- Be polite and friendly

Role card 3

Father

Your daughter is complaining that you treat her like a baby. You don't let her out at night during the week. You always ask her about the boys. You don't believe her when she says she doesn't have any homework to do. Your wife has invited a family therapist to discuss the problems of your family.

- Say what your attitude to the problem is
- Try to explain Sasha's attitude to you and the whole family.
- Think of your questions to Sasha
- Be objective to her problems – you might have never taken them seriously!
- Try to analyse the situation, don't criticize Sasha
- Follow the therapist's advice
- Be polite and friendly

Role card 4

Sister

Sasha is complaining that you don't help her with the work about the house. She also says that she can't keep anything secret in her room, you go through all her stuff. She is irritated by your behaviour. She is going to leave your home as soon as she is old enough.

- Say what your attitude to the problem is
- Try to explain Sasha's attitude to you and the whole family.
- Think of your questions to Sasha
- Be objective to her problems – you might have never taken them seriously!
- Try to analyse the situation, don't criticize Sasha
- Follow the therapist's advice
- Be polite and friendly

Role card 5

Family therapist

- Encourage all the members of the family to speak
- Take notes
- Ask questions
- Summarize what you have heard from all the members of the family
- Try to analyse the situation in a short report

2.1.2 Подготовка к практико-ориентированному заданию

Подготовьте устные высказывания по темам:

1. From the history of the Ural State Mining University.
2. Faculties and specialities of the University.
3. The layout of the Ural State Mining University.
4. Student's academic work.

Подготовьте письменные ответы на вопросы:

1. Where do you study?
2. What faculty do you study at?
3. How many faculties are there at the Ural State Mining University?
4. What year are you in?
5. What is your future speciality?
6. What specialities are there at your faculty?
7. When did you enter the University?

8. When was the Sverdlovsk Mining Institute founded?
9. When was it reorganized into the University?
10. In how many buildings is the Ural State Mining University housed?
11. In what building is your faculty housed?
12. Who is the dean of your faculty?
13. What books do you take from the library?
14. Where do you live?
15. Where do you usually have your meals?
16. How long does the course of studies for a bachelor's degree last?
17. How long do the students study for a Diplomate Engineer's course and a Magister's degree?
18. What subjects do you study this term?
19. What lectures and practical classes do you like to attend?
20. Where do the students have their practical work?
21. When do the students present their graduation papers for approval?
22. What graduates can enter the post-graduate courses?
23. What kind of sport do yon like?
24. Where do you go in for sports?

2.1.3 Подготовка к опросу

Ответьте на вопросы на иностранном языке:

1. What specialities does the geological faculty train geologic engineers in?
2. What problems does Geology study?
3. What branches is Geology divided into?
4. What does Economic Geology deal with?
5. What does mineralogy investigate?
6. What does paleontology deal with?
7. What is the practical importance of Geology?
8. Where do graduates of the geological faculty of the Mining University work?
9. What is your future speciality?
10. What kind of work do geologists-prospectors conduct?
11. What do geologists explore during the early stages of geological exploration?
12. What work do geologists conduct while working in. the field?
13. When do geologists start exploratory work?
14. What is the purpose of the exploratory work?
15. How is exploratory work conducted?
16. What contribution do geologists make to the development of the National Economy of our country?
17. What does hydrogeology deal with?
18. Where are ground waters used?
19. Where is thermal (hot) water used?
20. What must hydrogeologists do with ground waters which complicate construction work or mineral extraction?

2.2 Дополнительное чтение профессионально ориентированных текстов и выполнение заданий на проверку понимания прочитанного (по 2 текста на тему)

Text 1: A.M. Terpigorev (1873-1959)

Запомните слова и выражения, необходимые для понимания текста:

to defend graduation paper (thesis) - защищать дипломную работу (диссертацию)

to pass an entrance examination - сдать вступительный экзамен

to get a higher education - получить высшее образование

to do one's best (one's utmost, all one can, everything in one's power) - сделать все возможное, не жалеть сил

to make contribution (to) - вносить вклад в *(науку, технику* и т.д.)

choose (chose, **chosen**) - v выбирать; **choice -** *n* выбор

collect - v собирать, коллекционировать

dangerous - *a* опасный

deposit - *n* месторождение, залежь; **bedded deposits -** пластовые месторождения

describe - v описывать, изображать; **description -** *n* описание; **descriptive -** *a* описательный

facility - *n (pl* **facilities)** средства; возможности; оборудование; устройства

fire damp - *n* рудничный газ, метан

harm - *n* вред; *v* вредить; **harmful -** *a* вредный

relate - v относиться, иметь отношение

safety - *n* безопасность; **mine safety** безопасность труда при горных работах; техника безопасности; **safety measures** меры безопасности; **safe -** *a* безопасный; надежный

seam - *n* пласт *(угля); syn* **bed, layer; flat seam** горизонтальный, пологопадающий пласт; **inclined seam** наклонный пласт; **steep seam** крутопадающий пласт; **thick seam** мощный пласт; **thin seam** тонкий пласт

state - *n* состояние; государство; штат; *a* государственный; v заявлять; констатировать; излагать

success - *v* успех; удача; **be a success** иметь успех; **successful** *a* успешный

Прочитайте и переведите текст, выполните упражнения на проверку понимания прочитанного:

Academician A.M. Terpigorev is a well-known mining engineer who successfully combined his practical experience with scientific research. He was bom in 1873 in Tambov. In 1892 he finished school with honours1 and decided to get a higher education. He chose the Mining Institute in St. Petersburg, passed all the entrance examinations successfully and became a student of the Mining Institute.

At the Institute he studied the full range of subjects2 relating to metallurgy, mining and mining mechanics.

At that time students' specialization was based on descriptive courses and elementary practical training. One of the best lecturers was A. P. Karpinsky. His lectures on historical geology were very popular.

During his practical training Terpigorev visited mines and saw that the miners' work was very difficult. While he was working in the Donbas he collected material for his graduation paper which he soon defended. The Mining of flat seams in the Donbas was carefully studied and described in it.

In 1897 Terpigorev graduated from the Institute with a first-class diploma of a mining engineer.

His first job as a mining engineer was at the Sulin mines where he worked for more than three years first as Assistant Manager and later as Manager.

From 1900 till 1922 Terpigorev worked at the Yekaterinoslav Mining Institute (now the Mining Institute in Dnepropetrovsk).

In 1922 he accepted an offer to take charge of the mining chair at the Moscow Mining Academy and moved to Moscow. From 1930 he headed the chairs5 of Mining Transport and Mining of Bedded Deposits at the Moscow Mining Institute.

Academician Terpigorev took a particular interest in mine safety. As a result of his investigations a series of safety measures in gassy collieries was worked out. For some time he was working on the problem of fire damp, the most harmful and dangerous of all the gases in mines.

His two-volume work Coal Mining and Mine Transport Facilities is a full description of the state of mechanization and the economy of the Donbas. His other works are about mining transport facilities, mechanization of coal mining and mining machinery. He is one of the pioneers in scientific methods of coal gasification.

1. Укажите, какие предложения соответствуют содержанию текста. Подтвердите свои ответы фактами из текста.

1. After school Terpigorev decided to work in a mine.
2. Terpigorev collected material for his graduation paper which dealt with mining thick seams in the Donbas.
3. For more than three years Terpigorev worked at the Sulin mines.
4. In 1922 Terpigorev accepted an offer to take charge of the mining chair at the Moscow Mining Institute.
5. He investigated the problems of mine safety.
6. He was one of the first to work on the problem of gasification of coal.

2. Ответьте на следующие вопросы:

1. When and where was Terpigorev born?
2. What institute did he graduate from?
3. What material did he collect while he was working in the Donbas?
4. Where did Terpigorev work from 1900 till 1922?
5. At what institute did Terpigorev head the chair of Mining Bedded Deposits?
6. What did Terpigorev take a particular interest in?
7. What works by Terpigorev do you know?
8. What problems do Terpigorev's works deal with?
9. What was the result of his investigations on mine safety?

3. Переведите следующие сочетания слов.

а) охрана труда в шахтах
б) подтверждать
в) добыча угля
г) эксплуатация месторождений
д) метан
е) принять предложение
ж) выполнить задачу, задание
з) горизонтальный пласт
и) собирать материал

1. поступить в институт
2. решать важные проблемы
3. выдающиеся исследователи
4. успешно провести эксперименты
5. выбрать профессию
6. описательный курс
7. происхождение железной руды
8. начальник шахты
9. мероприятия по охране труда

Text 2: A.P. Karpinsky (1847-1936)

Запомните слова и выражения, необходимые для понимания текста:

abroad - *adv* за рубежом
confirm - v подтверждать; утверждать
consider - v считать, полагать, рассматривать
contribute - v вносить вклад; **contribution** вклад
crust - *n* земная кора
detailed - a подробный, детальный
elect - v избирать, выбирать *(голосованием);* назначать *(на должность)*
embrace - v охватывать; обнимать
entire - *a* весь, целый; полный; *syn* **whole**
exist – *v* существовать, быть, жить
foreign - *a* иностранный
former - *a* прежний

investigate - v исследовать; изучать

prominent - *a* знаменитый, выдающийся, известный; *syn* **remarkable, outstanding**

regularity - *n* закономерность

significant - *a* значительный; **significance -** *n* значение, важность; **exhaust the significance** исчерпывать значение

society – *n* общество

staff - *n* персонал; личный состав; штат

various - *a* различный, разный, разнообразный

to advance the view - высказывать мнение *(точку зрения)*

to be interested in - быть заинтересованным *(чём-л.),* интересоваться

to take (an) interest in - заинтересоваться *(чём-л.)*

Прочитайте и переведите текст, выполните упражнения на проверку понимания прочитанного:

V.A. Obruchev, I.M. Gubkin, A.Y. Fersman, V.I. Vernadsky and A. P. Karpinsky were the prominent Russian scientists who laid the foundation1 of the Russian school of geology and mining.

An entire epoch in the history of Russian geology is connected with Karpinsky's name. One of the greatest Russian geologists, he was a member and for some time President of the Academy of Sciences of the former USSR and a member of several Academies abroad. The Geological Society of London elected him a foreign member in 1901. His greatest contribution to geology was a new detailed geological map of the European part of Russia and the Urals.

For many years he headed the Russian Geological Committee the staff of which was made up of his pupils. He was one of those geologists who embraced the whole of geological science. He created the new stratigraphy of Russia. He studied the geological systems in various regions of the country and was the first to establish3 the regularity of the Earth's crust movement. His paleontological studies are of no less importance, especially those on palaeozoic ammonoids. He also took an interest in deposits of useful minerals and gave a classification of volcanic rocks. He advanced the view that petroleum deposits existed in Russian, which was confirmed later. He studied some ore and platinum deposits and may be justly considered5 the founder of practical geology of the Urals. He was the first Russian scientist who introduced microscope in the study of petrographic slides.

Karpinsky was a prominent scientist, an excellent man and citizen. He was one of the best lecturers at the Mining Institute in his time. He was also one of the greatest Russian scientists who later became the first elected President of the Academy of Sciences of the USSR. Students were attracted to him not only because he was a great scientist but also because of his charming personality and gentle manner.

Every geologist and every geology student knows very well Karpinsky's most significant work An Outline of the Physical and Geographical Conditions in European Russia in Past Geological Periods.

1. Укажите, какие предложения соответствуют содержанию текста. Подтвердите свои ответы фактами из текста.

1. Karpinsky was the first President of the Academy of Sciences.
2. He worked at the Mining Institute in St.Petersburg.
3. Karpinsky was a member of many Academies abroad.
4. Karpinsky made up a detailed map of the Asian part of our country.
5. He headed the Russian Geological Committee.
6. Karpinsky created a new branch of geology, namely stratigraphy.
7. He only tried to establish the regularity of the Earth's crust movement.
8. Karpinsky may be justly considered the founder of the practical geology of the Urals.

2. Ответьте на следующие вопросы:

1. What society elected Karpinsky a foreign member and when?
2. Did he head the Russian Geological Committee or was he a member of that Committee?

3. Did Karpinsky investigate various regions of the Russian territory?
4. Which of his works are the most remarkable?
5. What can you say about Karpinsky's investigations in petrology?

3. Переведите следующие сочетания слов.

а) земная кора
б) составить подробную карту
в) замечательные работы
г) выдающийся ученый
д) залежи полезных ископаемых
е) научное общество
ж) избирать председателя (президента)
з) заложить основы школы
и) интересоваться геологией
к) высказать точку зрения
л) возглавлять комитет

Text 3: Sedimentary Rocks

Запомните слова и выражения, необходимые для понимания текста:

cause - v заставлять; вызывать; влиять; причинять; *n* причина, основание; дело; общее дело; *syn* **reason**
clay - *n* глина; глинозем
consolidate - v твердеть, затвердевать, уплотнять(ся); укреплять; *syn* **solidify**
crust - *n* кора; *геол.* земная кора
decay - v гнить, разлагаться; *n* выветривание *(пород);* распад, разложение
derive - v (from) происходить, вести свое происхождение *(от);* наследовать
destroy - v разрушать; уничтожать; **destructive** *a* разрушительный
dissolve v растворять
expose - v выходить *(на поверхность);* обнажаться; **exposure -** *n* обнажение
external - *a* внешний
extrusive - *a* эффузивный, излившийся *(о горной породе)*
force - v заставлять, принуждать; ускорять движение; *n* сила; усилие
glacier - *n* ледник, глетчер
grain - *n* зерно; **angular grains -** угловатые зерна *(минералов);* **grained -** *a* зернистый
gravel - *n* гравий, крупный песок
internal - *a* внутренний
intrusive - *a* интрузивный, плутонический
iron - *n* железо
layer - *n* пласт
like - *a* похожий, подобный; *syn* **similar;** *ant* **unlike;** *adv* подобно
lime - *n* известь; **limestone -** *n* известняк
loose - *a* несвязанный, свободный; рыхлый
make up - v составлять; *n* состав *(вещества)*
particle - *n* частица; включение
peat - *n* торф; торфяник
represent - v представлять собою; означать; быть представителем; **representative** - представитель; **representative -** *a* характерный, типичный
rock – *n* горная порода; **igneous** - изверженная порода; **sedimentary** - осадочная порода
sand - *n* песок
sandstone - *n* песчаник; **fine-grained (medium-grained, coarse-grained)** - мелкозернистый (среднезернистый, грубозернистый) песчаник
sediment - *n* отложение; осадочная порода; **sedimentary -** *a* осадочный; **sedimentation -** *n* образование осадочных пород

schist - *n (кристаллический)* сланец; **schistose -** *a* сланцеватый, слоистый
shale - *n* сланец, сланцевая глина, глинистый сланец; **clay -** глинистый сланец; **combustible …**, **oil …** - горючий сланец
siltstone - *n* алеврит
stratification - *n* напластование, залегание
stratify - v напластовываться; отлагаться пластами; **stratified** *a* пластовый; *syn* **layered, bedded**
substance - *n* вещество, материал; сущность
thickness - *n* толщина, мощность
value - *n* ценность; важность; величина; значение; **valuable -** *a* ценный *(о руде)*
vary - v изменять(ся); отличать(ся); *syn* **differ, change (from); variable -** *a* переменный; непостоянный; **various** *a* различный; *syn* **different**

Прочитайте и переведите текст, выполните упражнения на проверку понимания прочитанного:

The rocks of the Earth's crust are divided into three main groups: sedimentary rocks, which consist of fragments or particles of pre-existing rocks; igneous rocks which have solidified from magma and metamorphic rocks. Metamorphic rocks have been derived from either igneous or sedimentary rocks.

Sedimentary rocks represent one of the three major groups of rocks that make up the crust of the Earth. Most sedimentary rocks have originated by sedimentation. They are layered or stratified. Thus, stratification is the most important characteristic of sediments and sedimentary rocks. It is necessary to note that the processes which lead to the formation of sedimentary rocks are going on around us.

Sediments are formed at or very near the surface of the Earth by the action of heat, water (rivers, glaciers, seas and lakes) and organisms.

It should be noted that 95 per cent of the Earth's crust is made up of igneous rocks and that only 5 per cent is sedimentary. In contrast, the amount of sedimentary rocks on the Earth's surface is three times that of igneous rocks.

Strictly speaking, sedimentary rocks form a very small proportion by volume of the rocks of the Earth's crust. On the contrary, about three quarters of the Earth's surface is occupied by sedimentary rocks. It means that most of sedimentary rocks are formed by sediments, accumulations of solid material on the Earth's surface.

The thickness of the layers of sedimentary rocks can vary greatly from place to place. They can be formed by the mechanical action of water, wind, frost and organic decay. Such sediments as gravel, sand and clay can be transformed into conglomerates, sandstones and clay schists as a result of the accumulation of materials achieved by the destructive mechanical action of water and wind.

Mechanical sediments can be unconsolidated and consolidated. For example, gravel, sand and clay form the group of unconsolidated mechanical sediments, because they consist of loose uncemented particles (grains).

On the Earth's surface we also find consolidated rocks, which are very similar to the loose sediments whose particles are firmly cemented to one another by some substance. The usual cementing substances are sand, clay, calcium carbonate and others. Thus sandstones are consolidated rocks composed of round or angular sand grains, more or less firmly consolidated. Like sand, sandstones can be divided into fine-grained, medium-grained and coarse-grained.

On the other hand, chemical sediments are the result of deposits or accumulations of substances achieved by the destructive chemical action of water. The minerals such as rock salt, gypsum and others are formed through sedimentation of mineral substances that are dissolved in water.

Sediments can also be formed by the decay of the remains of organisms, by the accumulation of plant relics.1 They are called organic sediments. Limestones, peat, coal, mineral oil and other sediments may serve as an example of organic sediments.

The most principal kinds of sedimentary rocks are conglomerate, sandstone, siltstone, shale, limestone and dolomite. Many other kinds with large practical value include common salt, gypsum, phosphate, iron oxide and coal.

As is known, water, wind and organisms are called external forces, because their action depends on the energy which our planet receives from the Sun.

1). Укажите, какие предложения соответствуют содержанию текста. Подтвердите свои ответы фактами из текста.

1. The rocks of the Earth's crust are divided into two main groups.
2. Igneous rocks are composed of particles of pre-existing rocks.
3. Sedimentary rocks are stratified.
4. Sediments are formed by the action of glaciers.
5. Igneous rocks make up 75 per cent of exposed rocks.
6. Conglomerates are formed as a result of the accumulation of materials caused by the destructive mechanical action of water.
7. Sandstones are consolidated rocks.
8. Clays are unconsolidated mechanical sediments.
9. Chemical sediments are formed by the destructive chemical action of water.
10. Peat and coal are the organic sediments which are of great practical value.
11. Clay schist was formed at the beginning of the sedimentation period and clay was formed later.

2). Ответьте на вопросы:

1. What main groups of rocks do you know?
2. Do sedimentary rocks consist of particles of pre-existing rocks?
3. How were igneous rocks formed?
4. Do you know how sedimentary rocks have originated?
5. What is the most important characteristic feature of sediments?
6. Do sedimentary rocks account for 10 per cent of the Earth's crust?
7. Is gravel consolidated mechanical sediment? And what about sand and clay?
8. What are cementing substances? Can calcium carbonate be used as a cementing substance?
9. Are there only fine-grained sandstones?
10. What can you say about chemical sediments?
11. Can you give an example of organic sediments? How are they formed?

3) Найдите в правой колонке английские эквиваленты следующих слов и сочетаний слов.

1.	земная кора	а) sandstone
2.	растворяться в воде	б) fine-grained sand
3.	песчаник	в) the Earth's crust
4.	уплотненные осадки	г) exposed rocks
5.	изверженные породы	д) to dissolve in water
6.	мелкозернистый песок	е) like gypsum
7.	затвердевать	ж) consolidated sediments
8.	подобно гипсу	з) igneous rocks
9.	обнаженные породы	и) to solidify, to consolidate

б) Найдите в правой колонке русские эквиваленты следующих сочетаний слов.

1.	coarse-grained sand	а) разрушительная сила воды
2.	siltstone and shale	б) пластовые месторождения
3.	the destructive action of water	в) доледниковый период

4.	existing rocks	г) крупнозернистый (грубо- зернистый) песок
5.	chemical decay	д) частицы вещества
6.	sedimentary rocks	е) алеврит и сланец
7.	stratified deposits	ж) существующие породы
8.	pre-glacial period	з) осадочные породы
9.	particles of a substance	и) химический распад

Text 4: Weathering of Rocks

Запомните слова и выражения, необходимые для понимания текста:

contain - v содержать *(в себе),* вмещать
crack - *n* трещина; щель; v давать трещину; трескаться, раскалываться
contract - v сжиматься; сокращаться
dust - *n* пыль
expand - v расширяться); увеличивать(ся) в объеме; **expansion** *n* расширение; *ant* **contract**
fissure - *n* трещина *(в породе, угле);* расщелина; щель
fracture - *n* трещина; излом; разрыв; v ломать(ся); раздроблять *(породу)*
freeze - *v* замерзать; замораживать; застывать
gradual - *a* постепенный; **gradually** *adv* постепенно
hard - *a* твердый, жесткий; *ant* **soft;** тяжелый (о *работе); adv* сильно, упорно; **hardly** *adv* едва, с трудом
hole - *n* отверстие; скважина; шпур; шурф
influence - *n* влияние; v **(on, upon)** влиять (не *что-л.)*
lateral - *a* боковой
occur - *v* залегать; случаться; происходить; *syn* **take place, happen; occurrence -** *n* залегание; **mode of occurrence -** условия залегания
penetrate - *v* проникать *(внутрь),* проходить через *(что-л.)*
phenomenon - *n* явление; *pi* **phenomena**
pressure - *n* давление; **lateral pressure** боковое *(горизонтальное)* давление; **rock pressure** горное давление, давление породы
rate - *n* степень, темп; скорость, норма; производительность; сорт; *syn* **speed, velocity**
refer - v (to) ссылаться *(на что-л.);* относиться *(к периоду, классу)*
resist - *v* сопротивляться; противостоять; противодействовать; **resistance** - *n* сопротивление; **resistant -** *a* стойкий; прочный; сопротивляющийся
size - *n* размер; величина; класс *(угля)*
solution – *n* раствор; **soluble -** *a* растворимый; **solvent -** растворитель; *a* растворяющий
succession – *n* последовательность, непрерывный ряд; **in succession** последовательно
undergo (underwent, undergone) - *v* испытывать *(что-л.),* подвергаться *(чему-л.)*
uniform – *a* однородный; одинаковый
weathering - *n* выветривание; эрозия *(воздействию, влиянию и т.д.)*
to be subjected to подвергаться

Прочитайте и переведите текст, выполните упражнения на проверку понимания прочитанного:

All rocks which are exposed on the Earth's surface (high mountain peaks, deserts) are decomposed to a certain degree. The process of rock disintegration by the direct influence of local atmospheric conditions on the Earth's surface is called weathering. This phenomenon is often referred to in geology because weathering is an active process. It takes place in the upper layers of the Earth's crust.

The main cause of physical weathering is the change in temperature that takes place with the succession of day and night. This phenomenon can best be observed in the deserts and high mountains where the changes in temperature are common.

During the day under the influence of heat, rocks expand whereas at night they begin to contract. As rocks are generally composed of different minerals, their expansion and contraction do not occur uniformly. As a result of this rocks crack. At the beginning these cracks or fissures are hardly noticeable but gradually they become wider and deeper until the whole surface of rock is finally transformed into gravel, sand or dust.

In the regions of a moderate or cold climate, where the temperature in winter goes down to below 0 (zero), the decomposition of rocks is greatly facilitated by the action of water. When water freezes it increases in volume and develops enormous lateral pressure. Under the action of water, rocks decompose to pieces of varied forms and sizes.

The decomposition of rocks under the direct influence of heat and cold is called physical weathering.

Rocks are subjected not only to physical decomposition but also to chemical weathering, i.e. to the action of chemical agents, such as water, carbon dioxide and oxygen. In a general way, chemical weathering is an acid attack on the rocks of the Earth's crust, in particular an attack on the most abundant minerals — quartz (sand) and aluminosilicates (clays). Only few minerals and rocks are resistant to the action of natural waters. The solvent action of water is stronger when it contains carbon dioxide. Water causes more complex and varied changes. With the participation of oxygen and carbon dioxide up to 90 per cent of rocks is transformed into soluble minerals, which are carried away by the waters.

Organisms and plants also take part in the disintegration of rocks. Certain marine organisms accelerate the destruction of rocks by making holes in them to live in. The action of plants can often be even more destructive. Their roots penetrate into the fissures of rocks and develop the lateral pressure which fractures and destroys rocks.

1. Укажите, какие предложены соответствуют содержанию текста. Подтвердите свои ответы фактами из текста.

1. The process of sedimentation is called weathering.
2. The change in temperature causes physical weathering.
3. As a rule during the night rocks expand.
4. When freezing water decreases in volume and develops enormous lateral pressure.
5. The decomposition of rocks is due to the influence of heat and cold.
6. As a rule water contains dissolved mineral substances.
7. The solvent action of water is stronger when it does not contain carbon dioxide.
8. It should be noticed that the action of organisms and plants is destructive.
9. Certain marine organisms accelerate the destruction of rocks.

2. Ответьте на следующие вопросы:

1. What process is called weathering?
2. What process is called physical weathering?
3. Where can the phenomenon of physical weathering be best observed?
4. What process is called chemical weathering?
5. What substances can act as solvents?
6. Are all minerals and rocks resistant to the action of natural waters or only few minerals and rocks can resist the action of water?
7. How do organisms act on the destruction of rocks?

3. а) Найдите в правой колонке русские эквиваленты следующих слов и сочетаний слов:

1. the Earth's surface
2. to be composed of different minerals
3. the expansion of rocks
4. changes in temperature

5. under the influence of heat
6. weathering
7. destructive forces
8. a great number of fractures
9. to penetrate into fissures

а) под влиянием тепла
б) разрушительные силы
в) выветривание
г) большое количество трещин
д) состоять из различных минералов
е) расширение пород
ж) проникать в трещины
з) изменения температуры
и) поверхность земли

б) Найдите в правой колонке английские эквиваленты следующих слов и сочетаний слов:

1. увеличиваться в объеме
2. развивать боковое давление
3. способствовать разрушению пород
4. подвергаться гниению
5. растворять вещества
6. сопротивляться (чему-л.)
7. некоторые органические вещества
8. ускорять процесс выветривания
9. куски породы различных размеров

а) to facilitate the decomposition of rocks
б) to increase in volume
в) to resist (smth)
г) rock pieces of varied (different) sizes
д) to accelerate the process of weathering
е) to be subjected to decay
ж) to dissolve substances
з) to develop lateral pressure
и) certain organic substances

Text 5: Fossil Fuels

Запомните слова и выражения, необходимые для понимания текста:

accumulate - v накапливать; скопляться
ancient - *a* древний, старинный; *ant* **modern**
associate - v связывать, соединять, ассоциироваться; *syn* **connect, link**
burn (burnt) - v сжигать; гореть; жечь
charcoal - *n* древесный уголь
convenient - *a* удобный, подходящий
crude - *a* сырой, неочищенный
dig (dug) - v добывать; копать; **digger -** n угольный экскаватор; землеройная машина
divide - v делить; (from) отделять; разделять
evidence - *n* доказательство; очевидность; признак(и)
fossil - *a* окаменелый, ископаемый; *n* ископаемое *(органического происхождения);* окаменелость
heat - v нагревать; *n* теплота
liquid - *a* жидкий; n жидкость; *ant* **solid**

manufacture - *v* изготовлять, производить; *syn* **produce**
mudstone - *n* аргиллит
purpose - *n* цель; намерение; *syn* **aim, goal**
shale - *n* глинистый сланец
the former … the latter - первый *(из вышеупомянутых)* последний *(из двух названных)*

Прочитайте и переведите текст, выполните упражнения на проверку понимания прочитанного:

The chief sources of energy available to man today are oil, natural gas, coal, water power and atomic energy. Coal, gas and oil represent energy that has been concentrated by the decay of organic materials (plants and animals) accumulated in the geologic past. These fuels-are often referred to as fossil fuels.

The word fossil (derived from the Latin fodere "to dig up") originally referred to anything that was dug from the ground, particularly a mineral. Today the term fossil generally means any direct evidence of past life, for example, the footprints of ancient animals. Fossils are usually found in sedimentary rocks, although sometimes they may be found in igneous and metamorphic rocks as well. They are most abundant in mudstone, shale and limestone, but fossils are also found in sandstone, dolomite and conglomerate.

Most fuels are carbon-containing substances that are burned in air. In burning fuels give off heat which is used for different purposes.

Fuels may be solid, liquid and gaseous. Solid fuels may be divided into two main groups, natural and manufactured. The former category includes coal, wood, peat and other plant products. The latter category includes coke and charcoal obtained by heating coal in the absence of air.

Liquid fuels are derived almost from petroleum. In general, natural petroleum, or crude oil, as it is widely known, is the basis of practically all industrial fuels. Petroleum is a mixture of hundreds of different hydrocarbons — compounds composed of hydrogen and carbon — together with the small amount of other elements such as sulphur, oxygen and nitrogen. Petroleum is usually associated with water and natural gas. It is found in porous sedimentary rocks where the geological formation allowed the oil to collect from a wide area. Petroleum is one of the most efficient fuels and raw materials.

Of gaseous fuels the most important are those derived from natural gas, chiefly methane or petroleum. Using gaseous fuels makes it possible to obtain high thermal efficiency, ease of distribution and control. Gas is the most economical and convenient type of fuels. Today gas is widely utilized in the home and as a raw material for producing synthetics.

Scientists consider that a most promising source of natural resources may be the floor of the sea, a subject which now has become an important field of research.

Generally speaking, all types of fossil fuels described in the text are of great economic importance as they represent the sources of energy the man uses today.

1. Укажете, какие предложения соответствуют содержанию текста. Подтвердите свои ответы фактами из текста.

1. Coal, water power and atomic energy are the only sources of energy available to man today.
2. Coal, wood and peat represent natural group of solid fuels.
3. As a rule fossil fuels are found in sedimentary rocks.
4. Crude oil is widely used for producing solid fuels.
5. Petroleum can be found in porous sedimentary rocks.
6. Gas is used to produce synthetic materials.
7. Not all types of fossil fuels burn.

2. Ответьте на следующие вопросы:

1. What fuels are often referred to as fossil fuels?
2. What does the word fossil mean?
3. What rocks are most abundant hi fossil fuels?

4. What types of fossil fuels do you know?
5. Is coke a natural or manufactured solid fuel? And what can you say about coal and peat?
6. How are coke and charcoal produced?
7. What rocks is petroleum usually associated with?
8. What are the advantages of gaseous fuels?

3. а) Найдите в правой колонке русские эквиваленты следующих слов сочетаний слов.

1.	fossil fuel	а) дерево и торф
2.	raw material	б) небольшое количество аргиллита
3.	crude oil	в) органическое топливо
4.	the chief sources of energy	г) сланец и известняк
5.	to refer to	д) сырье
6.	any direct or indirect evidence of the deposit	е) материалы, содержащие углерод
7.	shale and limestone	ж) главные источники энергии
8.	carbon-containing materials	з) любые прямые или косвенные признаки месторождения
9.	wood and peat	и) сырая (неочищенная) нефть
10.	the small amount of mudstone	к) относиться к (чему-л.); ссылаться на (что-л.)

б) Найдите в правой колонке английские эквиваленты следующих слов и сочетаний слов.

1.	древесный уголь и кокс	а) to collect data
2.	жидкое топливо	б) charcoal and coke
3.	накапливать	в) to be composed of limestones
4.	собирать данные	г) liquid fuel
5.	происходить от	д) to accumulate
6.	получать хорошие результаты	е) to derive from
7.	богатый горючими сланцами	ж) to obtain good results
8.	состоять из известняков	з) abundant in oil shales

Text 6: Coal and Its Classification

Запомните слова и выражения, необходимые для понимания текста:

bench - *n* слой, пачка *(пласта)*
blend - v смешивать(ся); вклинивать(ся)
combustion - *n* горение, сгорание; **spontaneous combustion** самовоспламенение, самовозгорание
continuity - *n* непрерывность, неразрывность
domestic - *a* внутренний; отечественный
estimate - v оценивать; *n* оценка; смета
fault - *n* разлом, сдвиг *(породы);* сброс; **faulting** *n* образование разрывов или сбросов
fold - *n* изгиб, складка, флексура; **foulding -** *n* складчатость, смешение *(пласта)* без разрыва
inflame - v воспламеняться; загорать(ся); **inflammable** - *a* воспламеняющийся, горючий, огнеопасный; **flame** - *n* пламя
intermediate - *a* промежуточный; вспомогательный
liable - *a* (to) подверженный; подлежащий *(чему-л.)*
luster - *n* блеск *(угля, металла);* **lustrous -** *a* блестящий
matter - *n* вещество; материя
moisture - *n* влажность, сырость; влага
parting - *n* прослоек
plane - *n* плоскость; **bedding plane** плоскость напластования
rank - *n* класс, тип; **coal rank** группа угля, тип угля
regular - *a* правильный; непрерывный; *ant* **irregular** неправильный; неравномерный; **regularity** *n* непрерывность; правильность

similar - *a* похожий, сходный; подобный; *syn* **alike, the same as**
smelt - v плавить *(руду);* выплавлять *(металл)*
store - v запасать, хранить на складе; вмещать
strata - *n pl от* **stratum** пласты породы; свита *(пластов);* формация, напластования породы; *syn* **measures**
thickness - *n* мощность *(пласта, жилы)*
uniform - *a* однородный; равномерный; **uniformity** *n* однородность; единообразие
utilize - v использовать; *syn* **use, apply, employ**
volatile - *a* летучий, быстро испаряющийся

Прочитайте и переведите текст, выполните упражнения на проверку понимания прочитанного:

Coal is the product of vegetable matter that has been formed by the action of decay, weathering, the effects of pressure, temperature and time millions of years ago.

Although coal is not a true mineral, its formation processes are similar to those of sedimentary rocks.

Structurally coal beds are geological strata characterized by the same irregularities in thickness, uniformity and continuity as other strata of sedimentary origin. Coal beds may consist of essentially uniform continuous strata or like other sedimentary deposits may be made up of different bands or benches of varying thickness.

You can see a seam limited by two more or less parallel planes, a shape which is typical of sedimentary rocks. The benches may be separated by thin layers, of clay, shale, pyrite or other mineral matter, commonly called partings. Like other sedimentary rocks coal beds may be structurally disturbed by folding and faulting.

According to the amount of carbon coals are classified into: brown coals, bituminous coals and anthracite. Brown coals are in their turn subdivided into lignite and common brown coal. Although carbon is the most important element in coal, as many as 72 elements have been found in some coal deposits, including lithium, chromium, cobalt, copper, nickel, tungsten and others.

Lignite is intermediate in properties between peat and bituminous coal, containing when dry about 60 to 75 per cent of carbon and a variable proportion of ash. Lignite is a low-rank brown-to-black coal containing 30 to 40 per cent of moisture. Developing heat it gives from 2,500 to 4,500 calories. It is easily inflammable but burns with a smoky flame. Lignite is liable to spontaneous combustion. It has been estimated that about 50 per cent of the world's total coal reserves are lignitic.

Brown coal is harder than lignite, containing from 60 to 65 per cent of carbon and developing greater heat than lignite (4,000-7,000 calories). It is very combustible and gives a brown powder. Bituminous coal is the most abundant variety, varying from medium to high rank. It is a soft, black, usually banded coal. It gives a black powder and contains 75 to 90 per cent of carbon. It weathers only slightly and may be kept in open piles with little danger of spontaneous combustion if properly stored. Medium-to-low volatile bituminous coals may be of coking quality. Coal is used intensively in blast furnaces for smelting iron ore. There are non-coking varieties of coal.

As for the thickness, the beds of this kind of coal are not very thick (1-1.5 meters). The great quantities of bituminous coal are found in the Russian Federation.

Anthracite or "hard" coal has a brilliant lustre containing more than 90 per cent of carbon and low percentage of volatile matter. It is used primarily as a domestic fuel, although it can sometimes be blended with bituminous grades of coal to produce a mixture with improved coking qualities. The largest beds of anthracite are found in Russia, the USA and Great Britain.

Coal is still of great importance for the development of modern industry. It may be used for domestic and industrial purposes. Being the main source of coke, coal is widely used in the iron and steel industry. Lignite, for example either in the raw state or in briquetted form, is a source of industrial carbon and industrial gases.

There is a strong tendency now for increased research into new technologies to utilize coal. No doubt, coal will be used as a raw material for the chemical industry and petrochemical processes. All

these processes involve coal conversion which include gasification designed to produce synthetic gas from coal as the basis for hydrogen manufacture, liquefaction (разжижение) for making liquid fuel from coal and other processes.

1. Укажите, какие предложения соответствуют содержанию текста. Подтвердите свои ответы фактами из текста.

1. Anthracite coals may be divided into lignite and common brown coal.
2. Coals are ranked according to the percentage of carbon they contain.
3. Peat, with the least amount of carbon is the lowest rank, then comes lignite or brown coal.
4. Brown coal is hard and it is not liable to spontaneous combustion.
5. Bituminous coal weathers rapidly and one cannot keep it in open piles.
6. Being intensively used in the iron and steel industry bituminous coal varies from medium to high rank.
7. Anthracite or hard coal, the highest in percentage of carbon, can be blended with bituminous grades of coal.

2. Ответьте на следующие вопросы:

1. What is the classification of coal based on?
2. Is carbon the only element in coal? (Prove it.)
3. Is lignite intermediate in properties between peat and bituminous coal?
4. What heat value does lignite develop when burnt?
5. What coals are liable to spontaneous combustion?
6. What is the difference between lignite and brown coal?
7. Is bituminous coal high- or low-volatile?
8. Does anthracite contain 90 per cent of carbon?
9. Where are the largest deposits of anthracite found? And what can you say about bituminous coal?
10. What do you know about the utilization of coal?

3. а) Найдите в правой колонке русские эквиваленты следующих слов и сочетаний слов:

1.	spontaneous combustion	а) легковоспламеняющийся газ
2.	moisture and ash content	б) высокосортный уголь
3.	the most abundant variety	в) плавить железную руду
4.	in its turn	г) самовозгорание
5.	the amount of volatile matter	д) содержание влаги и золы
6.	easily inflammable gas	е) дымное пламя
7.	brilliant lustre	ж) наиболее широко распространенные угли
8.	to smelt iron ore	з) яркий блеск
9.	high-rank coal	и) в свою очередь
10.	a smoky flame	к) количество летучих веществ

б) Найдите в правой колонке английские эквиваленты следующих слов н сочетаний слов:

1.	тип угля	а) heat value
2.	некоксующийся уголь	б) amount of carbon
3.	доменная печь	в) coal rank
4.	содержание углерода	г) to store coal
5.	смешиваться с другими углями	д) to weather rapidly
6.	улучшенного качества	е) non-coking coal
7.	складировать уголь	ж) blast furnace
8.	теплотворная способность	з) of improved quality
9.	быстро выветриваться	и) to blend with other coals

Text 7: General Information on Mining

Запомните слова и выражения, необходимые для понимания текста:

access - *n* доступ

affect - v воздействовать *(на что-л.);* влиять; *syn* **influence**

barren - *a* непродуктивный; пустой *(о породе)*

chute - *n* скат, спуск; углеспускная выработка; жёлоб

compare - v (with) сравнивать, проводить параллель

contribute - v способствовать, содействовать; делать вклад *(в науку);* **make a (one's) ~ to smth.** сделать вклад во что-л.

cross-section - *n* поперечное сечение, поперечный разрез, профиль

develop - v разрабатывать *(месторождение);* развивать *(добычу);* производить подготовительные работы; **development -** *n* подготовительные работы; развитие добычи; развитие

drift - *n* штрек, горизонтальная выработка

ensure - v обеспечивать, гарантировать; *syn* **guarantee**

face - *n* забой; лава

floor - л почва горной выработки, почва пласта (жилы); **quarry** ~ подошва карьера; пол, настил

govern - v править, управлять; руководить; определять, обусловливать

inclination - *n* уклон, скат, наклон *(пластов);* наклонение; **seam** ~ падение *(пласта);* наклон *(пласта)*

incline - *n* уклон, бремсберг, скат; наклонный ствол; **gravity** ~ бремсберг

inclined - *a* наклонный; **flatly** ~ слабо наклонный; **gently ~** наклонного падения; **medium** ~ умеренно наклонный *(о пластах);* **steeply** ~ крутопадающий

level - *n* этаж, горизонт, горизонтальная горная выработка; штольня; уровень *(инструмент);* нивелир; ватерпас; горизонтальная поверхность

recover - v извлекать *(целики);* выбирать, очищать; добывать *(уголь и т.п.);* восстанавливать

remove - v удалять; убирать; устранять; перемещать; **removal -** *n* вскрыша; выемка; уборка *(породы);* извлечение *(крепи);* перемещение; **overburden** - удаление вскрыши

rib - *n* ребро; выступ; узкий целик, предохранительный целик; грудь забоя

roof - *n* крыша; кровля выработки; кровля пласта *(или* жилы); перекрытие; ~ **support -** крепление кровли

shaft - *n* шахтный ствол; **auxiliary** ~ вспомогательный ствол; **hoisting** ~ подъемный ствол; главный шахтный ствол

tabular - *a* пластовый (о *месторождении);* пластообразный; плоский; линзообразный; *syn* **bedded, layered**

waste - *n* пустая порода; отходы; *syn* **barren rock**

well - *n* буровая скважина; колодец, источник; водоем; зумф

capital investment - капитальные вложения

gate road - промежуточный штрек

in bulk - навалом, в виде крупных кусков

metal-bearing - содержащий металл

production face/working - очистной забой

productive mining - эксплуатационные работы

in view of - ввиду чего-л., принимая во внимание что-л.

with a view to - с целью

Прочитайте и переведите текст, выполните упражнения на проверку понимания прочитанного:

As has been said, mining refers to actual ore extraction. Broadly speaking, mining is the industrial process of removing a mineral-bearing substance from the place of its natural occurrence in the Earth's crust. The term "mining" includes the recovery of oil and gas from wells; metal, non-metallic minerals, coal, peat, oil shale and other hydrocarbons from the earth. In other words, the work done to extract mineral, or to prepare for its extraction is called mining.

The tendency in mining has been towards the increased use of mining machinery so that modern mines are characterized by tremendous capacities. This has contributed to: 1) improving working conditions and raising labour productivity; 2) the exploitation of lower-grade metal-bearing substances and 3) the building of mines of great dimensions.

Mining can be done either as a surface operation (quarries, opencasts or open pits) or by an underground method. The mode of occurrence of the sought-for metallic substance governs to a large degree the type of mining that is practised. The problem of depth also affects the mining method. If the rock containing the metallic substance is at a shallow site and is massive, it may be economically excavated by a pit or quarry-like opening on the surface. If the metal-bearing mass is tabular, as a bed or vein, and goes to a great distance beneath the surface, then it will be worked by some method of underground mining.

Working or exploiting the deposit means the extraction of mineral. With this point in view a number of underground workings is driven in barren (waste) rock and in mineral. Mine workings vary in shape, dimensions, location and function.

Depending on their function mine workings are described as exploratory, if they are driven with a view to finding or proving mineral, and as productive if they are used for the immediate extraction of useful mineral. Productive mining can be divided into capital investment work, development work, and face or production work. Investment work aims at ensuring access to the deposit from the surface. Development work prepares for the face work, and mineral is extracted (or produced) in bulk.

The rock surfaces at the sides of workings are called the sides, or hi coal, the ribs. The surface above the workings is the roof in coal mining while in metal mining it is called the back. The surface below is called the floor.

The factors such as function, direct access to the surface, driving in mineral or in barren rock can be used for classifying mine workings:

I. Underground workings:

a) Long or deep by comparison with their cross-section may be: 1) vertical (shaft, blind pit); 2) sloping (slopes, sloping drifts, inclines); 3) horizontal (drifts, levels, drives, gate roads, adits, crosscuts).

b) Large openings having cross dimensions comparable with their length.

c) Production faces, whose dimensions depend on the thick ness of the deposit being worked, and on the method of mining it.

1. Укажите, какие предложения соответствуют содержанию текста. Подтвердите свои ответы фактами из текста.

1. As a rule, the term "mining" includes the recovery of oil and gas from wells as well as coal, iron ores and other useful minerals from the earth.
2. The increased use of mining machinery has greatly contributed to raising labour productivity and improving working conditions.
3. It is quite obvious that the problem of depth is not always taken into consideration in choosing the mining method.
4. Productive workings are usually used for the immediate extraction of useful mineral.
5. Underground workings are driven in barren rock or in mineral.
6. A shaft is a vertical underground working which is long and deep in comparison with its cross-section.
7. The surface above the mine working is usually called the floor.
8. The rock surfaces at the sides of mine workings arc called the ribs.

2. Ответьте на следующие вопросы:

1. What is mining?
2. What has contributed to the better working conditions of the miners?
3. What factors influence the choice of the mining method?
4. In what case is useful mineral worked by open pits?
5. Are exploratory workings driven with a view to finding and proving mineral or are they driven for immediate extraction of mineral?
6. What is the difference between development and production work?
7. What main factors are used for classifying mine workings?
8. What do the dimensions of production faces depend on?

3. а) Найдите в правой колонке русские эквиваленты следующих слов и сочетаний слов:

1. direct access to the surface
2. open-cast mining
3. tabular (or bedded) deposits
4. oil well
5. underground workings
6. cross-section of a working
7. production face
8. the roof of the mine working
9. to drive mine workings in barren rock
10. to affect the mining method

а) нефтяная скважина
б) проходить горные выработки по пустой породе
в) влиять на метод разработки
г) прямой доступ к поверхности
д) пластовые месторождения
е) открытая разработка
ж) поперечное сечение выработки
з) подземные выработки
и) очистной забой
к) кровля горной выработки

б) Найдите в правой колонке английские эквиваленты следующих слов сочетаний слов:

1. способствовать чему-л.
2. размер ствола
3. извлекать, добывать (уголь)
4. штреки и квершлаги
5. пустая порода
6. вообще говоря
7. удалять, перемещать (крепь, вскрышу и др.)
8. с целью ...
9. подготовительные работы
10. мощность пласта

а) thickness of a seam
б) shaft dimension
в) with a view to
г) to contribute to smth.
д) development work
е) to remove (timber, overburden, etc.)
ж) drifts (gate roads) and crosscuts
з) generally speaking

и) to recover (coal)
к) waste (barren) rock

Text 8: Methods of Working Bedded Deposits Underground

Запомните слова и выражения, необходимые для понимания текста:

advantage - *n* преимущество; превосходство; выгода; польза; **advantageous** - *a* выгодный; благоприятный, полезный; **to take advantage of smth** воспользоваться чём-л.

caving - *n* обрушение *(кровли);* разработка с обрушением

deliver - v доставлять, подавать; питать; нагнетать; произносить *(речь);* читать *(лекцию)*

entry - *n* штрек; выработка горизонтальная; *pl* подготовительные выработки; нарезные выработки; штреки

giant - *n* гидромонитор

gravity - *n* сила тяжести; вес, тяжесть; **by ~** самотеком, под действием собственного веса

haul - v доставлять; откатывать; подкатывать; перевозить; **haulage** - *n* откатка; доставка; транспортировка *(по горизонтали)*

longwall - *n* лава; выемка лавами; сплошной забой, сплошная или столбовая система разработки; *syn* **continuous mining; ~ advancing on the strike** выемка лавами прямым ходом по простиранию; сплошная система разработки по простиранию; **~ advancing to the rise** сплошная система разработки с выемкой по восстанию; ~ to **the dip** сплошная система разработки с выемкой по падению; ~ **retreating** выемка лавами обратным ходом; столбовая система разработки лавами

lose (lost) - v терять; **loss -** *n* потеря, убыток

pillar - *n* целик; столб; **shaft** ~ околоствольный целик; ~ **method** столбовая система разработки; ~ **mining** выемка целиков

predominate - v преобладать, превалировать; превосходить; господствовать, доминировать

protect - v охранять, защищать

reach - v простираться, доходить до; добиваться, достигать

satisfy - v удовлетворятъ(ся)

shield - *n* щит; ~ **method** щитовой метод проходки, щитовой способ

room - *n* камера; очистная камера; **room-and-pillar method** камерно-столбовая система разработки

stowing - *n* закладка *(выработанного пространства)*

method of working система разработки

the sequence of working the seams - последовательность отработки пластов

Прочитайте и переведите текст, выполните упражнения на проверку понимания прочитанного:

The method of working (or method of mining) includes a definite sequence and organization of development work of a deposit, its openings and its face work in certain geological conditions. It depends on the mining plan and machines and develops with their improvements. A rational method of working should satisfy the following requirements in any particular conditions: 1) safety of the man; 2) maximum output of mineral; 3) minimum development work (per 1,000 tons output); 4) minimum production cost and 5) minimum losses of mineral.

Notwithstanding the considerable number of mining methods in existence, they can be reduced to the following main types: 1. Methods of working with long faces (continuous mining); 2. Methods of working with short faces (room-and-pillar). The characteristic feature of the continuous mining is the absence of any development openings made in advance of production faces. The main advantage of long continuous faces is that they yield more mineral. Besides, they allow the maximum use of combines (shearers), cutting machines, powered supports and conveyers. The longwall method permits an almost 100 per cent recovery of mineral instead of 50 to 80 per cent obtainable in room-and-pillar methods.

The basic principle of room-and-pillar method is that rooms from 4 to 12 meters wide (usually 6-7) are driven from the entries, each room is separated from each other by a rib pillar. Rib pillars are recovered or robbed after the rooms are excavated. The main disadvantage of shortwall work is a considerable loss of mineral and the difficulty of ventilation. In working bedded deposits methods of mining mentioned above may be used either with stowing or with caving.

In Russia, Germany (the Ruhr coal-field), France and Belgium nearly all the faces are now long ones. In Britain longwall faces predominate.

The USA, Canada, Australia and to some extent India are developing shortwall faces and creating the machines for them. In these countries shortwall faces are widely used.

In Russia the thick seams are taken out to full thickness up to 4.5 m thick if they are steep, and up to 3.5 m thick if they are gently sloping or inclined. In the Kuznetsk coal-field long faces are worked to the dip with ashield protection, using a method proposed by N.Chinakal. In shield mining coal is delivered to the lower working by gravity so that additional haulage is not required.

It should also be noted that in Russia hydraulic mining is widely used as it is one of the most economic and advantageous methods of coal getting. New hydraulic mines are coming into use in a number of coal-fields. Hydraulic mining is developing in other countries as well.

The aim of hydraulic mining is to remove coal by the monitors (or giants) which win coal and transport it hydraulically from the place of work right to the surface. It is quite obvious that the choice of the method of mining will primarily depend on the depth and the shape and the general type of the deposit.

1. Укажите, какие предложения соответствуют содержанию текста. Подтвердите свои ответы фактами из текста.

1. A definite sequence and organization of development work is called mining.
2. Mining methods in existence can be reduced to the two main types.
3. The depth and the shape of the deposit influence the choice of the method of working.
4. As is known, in Belgium all the faces are short now, in Great Britain they amount to 84 per cent.
5. In Australian collieries shortwall faces are widely used.
6. The room-and-pillar method is characterized by the absence of any development openings.
7. High-capacity monitors win coal and transport it hydraulically right to the surface.

2. Ответьте на следующие вопросы:

1. What factors does mining depend on?
2. What is mining?
3. What are the most important factors which affect the choice of the method of working?
4. Do short faces or long faces predominate in Russia? What can you say about the Ruhr coal-field?
5. Is Canada developing shortwall faces or longwall faces?
6. What are the main disadvantages of shortwall faces?
7. What are the two main methods of working?
8. What is the main advantage of long continuous faces?
9. What methods of mining long faces do you know?
10. What method of mining is characterized by the absence of development openings?

3. а) Найдите в правой колонке русские эквиваленты следующих слов в сочетаний слов:

1.	development face	а) сплошная система разработки
2.	great losses	б) выемка целиков
3.	shield method of mining	в) подготовительный забой
4.	continuous mining	г) большие потери
5.	longwall advancing to the dip	д) удовлетворять требованиям
6.	the room-and-pillar method of mining	е) зависеть от геологических условий
7.	to open up a deposit	ж) выемка лавами прямым ходом по падению

8. pillar mining з) щитовая система разработки
9. to satisfy the requirements и) вскрывать месторождение
10. to depend upon the geological conditions к) камерно-столбовая система разработки

б) Найдите в правой колонке английские эквиваленты следующих слов и сочетаний слов:

1. включать (в себя) а) safety
2. выемка лавами обратным ходом б) annual output
3. достигать 50% в) to involve
4. превышать 60% г) to propose a new method of mining
5. безопасность д) long wall retreating
6. годовая добыча е) in connection with difficulties
7. основной недостаток системы разработки ж) to exceed 60 per cent
8. под-этаж з) notwithstanding (in spite of)
9. крутопадающий пласт и) to reach 50 per cent
10. щитовая система разработки к) the main disadvantage of the method of mining
11. предложить новый способ разработки л) sublevel
12. в связи с трудностями м) the shield method of mining
13. несмотря на н) open up a deposit
14. вскрывать месторождение о) steep seam

2.3 Подготовка доклада

Подготовьте доклад по одной из предложенных тем.

1. Inigo Jones (1573-1652)
2. Christopher Wren (1632-1723)
3. Geoffrey Chaucer (1340-1400)
4. Samuel Johnson (1709-1784)
5. Alfred Tennyson (1809-1892)
6. Thomas Hardy (1840-1928)
7. John Milton (1608-1674)
8. William Makepeace Thackeray (1811-1863)
9. Henry Wadsworth Longfellow (1807 – 1882)
10. Joshua Reynolds (1723-1792)
11. Thomas More (1478 – 1535)
12. J.M.W. Turner (1775-1851)
13. Thomas Gainsborough (1727 – 1788)
14. Henry Moor (1898-1986)
15. Henry Irving (1838-1905)
16. William Gilbert (1836-1911)
17. Arthur Sullivan (1842-1900)
18. James Watt (1736 - 1819)
19. Thomas Telford (1757 - 1834)
20. Isambard Kingdom Brunel (1806 – 1859)
21. George Stephenson (1781 – 1848)
22. David Livingstone (1813 – 1873)
23. Tony Blair (1953)
24. Winston Churchill (1874 - 1965)
25. Margaret Hilda Thatcher (1925)
26. Sir Isaac Newton (1642 – 1727
27. Alexander Graham Bell (1847 - 1922)

28. Robert Burns (1759 – 1796)

Правила предоставления информации в докладе

Размер	**А4**
Шрифт	Текстовый редактор Microsoft Word, шрифт Times New Roman 12
Поля	слева – 2 см., сверху и справа – 1 см., снизу – 1
Абзацный отступ	1 см устанавливается автоматически
Стиль	Примеры выделяются курсивом
Интервал	межстрочный интервал – 1
Объем	1 -2 страницы (до 7 минут устного выступления)
Шапка доклада	***Иванова Мария Ивановна*** Екатеринбург, Россия ФГБОУ ВПО УГГУ, МД-13 НАЗВАНИЕ ДОКЛАДА
	Список использованной литературы

Краткое содержание статьи должно быть представлено на 7-10 слайдах, выполненных в PowerPoint.

2.4 Подготовка к тесту

Тест направлен на проверку страноведческих знаний и знаний межкультурной коммуникации. Для этого студентам необходимо повторить материал, представленный в *Социально-культурной сфере общения* по теме «Страны изучаемого языка» (Я и мир). Для успешного написания теста изучите следующий материал:

THE GEOGRAPHICAL POSITION OF GREAT BRITAIN

The United Kingdom of Great Britain and Northern Ireland covers an area of some 244 thousand square miles. It is situated on the British Isles. The British Isles are separated from Europe by the Strait of Dover and the English Channel. The British Isles are washed by the North Sea in the east and the Atlantic Ocean in the west.

England is in the southern and central part of Great Britain. Scotland is in the north of the island. Wales is in the west. Northern Ireland is situated in the north-eastern part of Ireland.

England is the richest, the most fertile and most populated part in the country. There are mountains in the north and in the west of England, but all the rest of the territory is a vast plain. In the northwestern part of England there are many beautiful lakes. This part of the country is called Lake District.

Scotland is a land of mountains. The Highlands of Scotland are among the oldest mountains in the world. The highest mountain of Great Britain is in Scotland too. The chain of mountains in Scotland is called the Grampians. Its highest peak is Ben Nevis. It is the highest peak not only in Scotland but in the whole Great Britain as well. In England there is the Pennine Chain. In Wales there are the Cumbrian Mountains.

There are no great forests on the British Isles today. Historically, the most famous forest is Sherwood Forest in the east of England, to the north of London. It was the home of Robin Hood, the famous hero of a number of legends.

The British Isles have many rivers but they are not very long. The longest of the English rivers is the Severn. It flows into the Irish Sea. The most important river of Scotland is the Clyde. Glasgow stands on it. Many of the English and Scottish rivers are joined by canals, so that it is possible to travel by water from one end of Great Britain to the other.

The Thames is over 200 miles long. It flows through the rich agricultural and industrial districts of the country. London, the capital of Great Britain, stands on it. The Thames has a wide mouth, that's

why the big ocean liners can go up to the London port. Geographical position of Great Britain is rather good as the country lies on the crossways of the see routes from Europe to other parts of the world. The sea connects Britain with most European countries such as Belgium, Holland, Denmark, Norway and some other countries. The main sea route from Europe to America also passes through the English Channel.

United Kingdom of Great Britain and Northern Ireland occupies the territory of the British Isles. They lie to the north-west of Europe.

Once upon a time the British Isles were an integral part of the mainland. As a result of sinking of the land surface they became segregated. Great Britain is separated from the continent by the English Channel. The country is washed by the waters of the Atlantic Ocean. Great Britain is separated from Belgium and Holland by the North Sea, and from Ireland — by the Irish Sea.

There are several islands along the coasts. The total area of the British Isles is 325 000 km2. The main islands are Great Britain and Ireland.

The surface of the country is much varied. Great Britain is the country of valleys and plains.

The insular geographical position of Great Britain promoted the development of shipbuilding, different trading contacts with other countries. It has also allowed the country to stay independent for quite a long period of time.

THE BRITISH PARLIAMENT

The British Parliament is the oldest in the world. It originated in the 12th century as Witenagemot, the body of wise councillors whom the King needed to consult pursuing his policy. The British Parliament consists of the House of Lords and the House of Commons and the Queen as its head.

The House of Commons plays the major role in law-making. It consists of Members of Parliament (called MPs for short). Each of them represents an area in England, Scotland, Wales and Ireland.

MPs are elected either at a general election or at a by-election following the death or retirement. Parliamentary elections are held every 5 years and it is the Prime Minister who decides on the exact day of the election. The minimum voting age is 18. And the voting is taken by secret ballot.

The election campaign lasts about 3 weeks, The British parliamentary system depends on political parties.

The party which wins the majority of seats forms the government and its leader usually becomes Prime Minister. The Prime Minister chooses about 20 MPs from his party to become the cabinet of ministers. Each minister is responsible for a particular area in the government. The second largest party becomes the official opposition with its own leader and «shadow cabinet». The leader of the opposition is a recognized post in the House of Commons.

The parliament and the monarch have different roles in the government and they only meet together on symbolic occasions, such as coronation of a new monarch or the opening of the parliament. In reality, the House of Commons is the one of three which has true power.

The House of Commons is made up of six hundred and fifty elected members, it is presided over by the speaker, a member acceptable to the whole house. MPs sit on two sides of the hall, one side for the governing party and the other for the opposition. The first 2 rows of seats are occupied by the leading members of both parties (called «front benches»). The back benches belong to the rank-and-life MPs.

Each session of the House of Commons lasts for 160-175 days. Parliament has intervals during his work. MPs are paid for their parliamentary work and have to attend the sittings.

As mention above, the House of Commons plays the major role in law making. The procedure is the following: a proposed law («a bill») has to go through three stages in order to become an act of Parliament; these are called «readings».

The first reading is a formality and is simply the publication of the proposal. The second reading involves debate on the principles of the bill; it is examination by parliamentary committee.

And the third reading is a report stage, when the work of the committee is reported on to the house. This is usually the most important stage in the process.

When the bill passes through the House of Commons, it is sent to the House of Lords for discussion, when the Lords agree it, the bill is taken to the Queen for royal assent, when the Queen sings the bill, it becomes act of the Parliament and the Law of the Land.

The House of Lords has more than 1000 members, although only about 250 take an active part in the work in the house. Members of this Upper House are not elected; they sit there because of their rank. The chairman of the House of Lords is the Lord Chancellor. And he sits on a special seat, called «Woolsack».

The members of the House of Lords debate the bill after it has been passed by the House of Commons. Some changes may be recommended and the agreement between the two houses is reached by negotiations.

BRITISH TRADITIONS AND CUSTOMS

British nation is considered to be the most conservative in Europe. It is not a secret that every nation and every country has its own customs and traditions. In Great Britain people attach greater importance to traditions and customs than in other European countries. Englishmen are proud of their traditions and carefully keep them up. The best examples are their queen, money system, their weights and measures.

There are many customs and some of them are very old. There is, for example, the Marble Championship, where the British Champion is crowned; he wins a silver cup known among folk dancers as Morris Dancing. Morris Dancing is an event where people, worn in beautiful clothes with ribbons and bells, dance with handkerchiefs or big sticks in their hands, while traditional music-sounds.

Another example is the Boat Race, which takes place on the river Thames, often on Easter Sunday. A boat with a team from Oxford University and one with a team from Cambridge University hold a race.

British people think that the Grand National horse race is the most exciting horse race in the world. It takes place near Liverpool every year. Sometimes it happens the same day as the Boat Race takes place, sometimes a week later. Amateur riders as well as professional jockeys can participate. It is a very famous event.

There are many celebrations in May, especially in the countryside.

Halloween is a day on which many children dress up in unusual costumes. In fact, this holiday has a Celtic origin. The day was originally called All Halloween's Eve, because it happens on October 31, the eve of all Saint's Day. The name was later shortened to Halloween. The Celts celebrated the coming of New Year on that day.

Another tradition is the holiday called Bonfire Night. On November 5, 1605, a man called Guy Fawkes planned to blow up the Houses of Parliament where the king James 1st was to open Parliament on that day. But Guy Fawkes was unable to realize his plan and was caught and later, hanged. The British still remember that Guy Fawkes' Night. It is another name for this holiday. This day one can see children with figures, made of sacks and straw and dressed in old clothes. On November 5th, children put their figures on the bonfire, burn them, and light their fireworks.

In the end of the year, there is the most famous New Year celebration. In London, many people go to Trafalgar Square on New Year's Eve. There is singing and dancing at 12 o'clock on December 31st.

A popular Scottish event is the Edinburgh Festival of music and drama, which takes place every year. A truly Welsh event is the Eisteddfod, a national festival of traditional poetry and music, with a competition for the best new poem in Welsh. If we look at English weights and measures, we can be convinced that the British are very conservative people. They do not use the internationally accepted measurements. They have conserved their old measures. There are nine essential measures. For general use, the smallest weight is one ounce, then 16 ounce is equal to a pound. Fourteen pounds is one stone.

The English always give people's weight in pounds and stones. Liquids they measure in pints, quarts and gallons. There are two pints in a quart and four quarts or eight pints are in one gallon. For length, they have inches: foot, yards and miles.

LONDON

As well as being the capital of England, London is the capital of the United Kingdom. London was founded by the Romans in 43 A.D. and was called Londinium. In 61 A.D. the town was burnt down and when it was rebuilt by the Romans it was surrounded by a wall. That area within the wall is now called the City of London. It is London's commercial and business centre. It contains the Bank of England, the Stock Exchange and the head offices of numerous companies and corporations. Here is situated the Tower of London.

The Tower was built by William the Conqueror who conquered England in 1066. He was crowned at Westminster Abbey. Now most of the Government buildings are located there.

During the Tudor period (16th century) London became an important economic and financial centre. The Londoners of the Elizabethan period built the first theatres. Nowadays the theatre land is stretched around Piccadilly Circus. Not far from it one can see the British Museum and the «Covent Garden» Opera House.

During the Victorian period (19th century) London was one of the most important centers of the Industrial Revolution and the centre of the British Empire. Today London is a great political centre, a great commercial centre, a paradise for theatre-goers and tourists, but it is also a very quiet place with its parks and its ancient buildings, museums and libraries.

LONDON

London is the capital of Great Britain, its political, economic and commercial center. It`s one of the largest cities in the world and the largest city in Europe. Its population is about 9 million. London is one of the oldest and most interesting cities in the world. Traditionally it`s divided into several parts: the City, Westminster, the West End and the East End.

They are very different from each other and seem to belong to different towns and epochs. The heart of London is the City, its financial and business center. Numerous banks, offices and firms are situated there, including the Bank of England, the Stock Exchange and the Old Bailey. Few people live here, but over a million people come to the City to work. There are some famous ancient buildings within the City. Perhaps the most striking of them in St. Paul`s Cathedral, the greatest of British churches. St. Paul`s Cathedral has always dominated the center of London. It stands on the site of former Saxon and Norman churches. They latter were destroyed in the Great Fire and the present building, completed in 1710, is the work of the eminent architect Sir Christopher Wren. It is an architectural masterpiece.

Londoners have a particular affection for St. Paul`s, which is the largest Protestant Church in England. Its high dome, containing the remarkable Whispering Gallery, is a prominent landmark towering above the multistoried buildings which line the river-bank.

The Tower of London was one of the first and most impressive castles built after the Norman invasion of England in 1066. Since the times of William I various kings have built and extended the Tower of London and used it for many purposes. The Tower has been used as a royal palace, an observatory, an arsenal, a state prison, and many famous and infamous people have been executed within its walls. It is now a museum. For many visitors the principal attraction is the Crown Jewels, the finest precious stones of the nation. A fine collection of armour is exhibited in the keep. The security of the Tower is ensured by a military garnison and by the Yeoman Warders or Beefeaters, who still wear their picturesque Tudor uniform.

Westminster is the historic, the governmental part of London. Westminster Abbey is a national shrine where the kings and queens are crowned and famous people are buried. Founded by Edward the Confessor in 1050, the Abbey was a monastery for along time. The present building dates largely from the times of Henry 3, who began to rebuild the church, a task which lasted nearly 300 years. The West towers were added in the eighteenth century. Since William I almost every English monarch has been

crowned in this great church, which contains the tombs and memorials of many of Britain`s most eminent citizens: Newton, Darwin, Chaucer, Dickens, Tennyson, Kipling and etc. One of the greatest treasures of the Abbey is the oaken Coronation Chair made in 1300. The Abbey is also known for its Poet`s Corner. Graves and memorials to many English poets and writers are clustered round about.

Across the road from Westminster Abbey is Westminster Palace, or the Houses of Parliament, the seat of the British Parliament. The Parliament of Great Britain and Northern Ireland consists of the House of Lords and the House of Commons. The House of Lords consists of just over 1,000 members of the different grades of nobility — dukes, marquises, earls, viscounts and barons.

The House of Commons consists of 650 members. They are elected by secret ballot by men and women aged 18 and over. Every Parliament is divided into Sessions. Each of these may last a year and usually begins early in November. The Clock Tower, which contains the hour-bell called Big Ben, is known over the world. The bell is named after Sir Benjamin Hall.

Buckingham Palace is the official residence of the Queen. The West End is the richest and most beautiful part of London. It is the symbol of wealth and luxury. The best hotels, shops, restaurants, clubs, and theatres are situated there. There are splendid houses and lovely gardens belonging to wealthy people.

Trafalgar Square is the geographical center of London. It was named in memory of Admiral Nelson`s victory in the battle of Trafalgar in 1805. The tall Nelson`s Column stands in the middle of the square. On the north side of Trafalgar Square is the National Gallery and the National Portrait Gallery.

Not far away is the British Museum — the biggest museum in London. It contains a priceless collection of ancient manuscripts, coins, sculptures, est., and is famous for its library.

The East End is the poorest district of London. There are a lot of factories, workshops and docks here. The streets are narrow, the buildings are unimpressive. The East End is densely populated by working class families.

PLACES OF INTERESTS IN GREAT BRITAIN

Britain is rich in its historic places which link the present with the past. The oldest part of London is Lud Hill, where the city is originated. About a mile west of it there is Westminster Palace, where the king lived and the Parliament met, and there is also Westminster Abby, the coronation church. Liverpool, the «city of ships», is England’s second greatest port, ranking after London. The most interesting sight in the Liverpool is the docks. They occupy a river frontage of seven miles.

The University of Liverpool, established in 1903, is noted for its School of Tropical Medicine. And in the music world Liverpool is a well-known name, for it’s the home town of «The Beatles».

Stratford-on-Avon lies 93 miles north-west of London. Shakespeare was born here in 1564, and here he died in 1616.

Cambridge and Oxford Universities are famous centers of learning. Stonehenge is a prehistoric monument, presumably built by Druids, members of an order of priests in ancient Britain. Tintagel Castle is King Arthur’s reputed birthplace. Canterbury Cathedral is the seat of the Archbishop of Canterbury, head of the Church of England.

The British Museum is the largest and richest museum in the world. It was founded in 1753 and contains one of the world’s richest collections of antiquities. The Egyptian Galleries contain human and animal mummies. Some parts of Athens’ Parthenon are in the Greek section.

Madam Tussaud’s Museum is an exhibition of hundreds of life-size wax models of famous people of yesterday and today. The collection was started by Madam Tussaud, a French modeller in wax, in the 18th century. Here you can meet Marilyn Monroe, Elton John, Picasso, the Royal Family, the Beatles and many others: writers, movie stars, singers, politicians, sportsmen, etc.

5. Подготовка к экзамену

Подготовка к экзамену включает в себя повторение всех изученных тем курса.

Билет на экзамен включает в себя тест и практико-ориентированное задание.

Наименование оценочного средства	*Характеристика оценочного средства*	*Методика применения оценочного средства*	*Наполнение оценочного средства в КОС*	*Составляющая компетенции, подлежащая оцениванию*
Экзамен:				
Тест	Система стандартизированных заданий, позволяющая автоматизировать процедуру измерения уровня знаний и умений обучающегося.	Тест состоит из 20 вопросов.	КОС - тестовые задания	Оценивание уровня знаний, умений, владений
Практико-ориентированное задание	Задание, в котором обучающемуся предлагают осмыслить реальную профессионально-ориентированную ситуацию	Количество заданий в билете – 1. Предлагаются задания по изученным темам в виде практических ситуаций.	КОС- Комплект заданий	Оценивание уровня знаний, умений и навыков

Министерство образования и науки РФ
ФГБОУ ВПО
«Уральский государственный горный университет»

Е. М. Суднева

БЕЗОПАСНОСТЬ ЖИЗНЕДЕЯТЕЛЬНОСТИ

Сборник заданий к практическим и самостоятельным работам

по курсу «Безопасность жизнедеятельности»
для студентов направления 130300
«Прикладная геология»

Екатеринбург
2013

УДК 796.00
С 89

Рецензент. *А.В. Морозова*, доцент кафедры Геологии Уральского государственного горного университета

Сборник заданий рассмотрен на заседании кафедры геологии и защиты в чрезвычайных ситуациях 29 апреля 2013 г. (протокол № 8) и рекомендован для издания в УГГУ.

Суднева Е.М.

С 89

Безопасность жизнедеятельности: сборник заданий к практическим и самостоятельным работам по курсу «Безопасность жизнедеятельности» / Е. М. Суднева. – Екатеринбург: Изд-во УГГУ, 2013. – 35 с.

Данный сборник составлен в полном соответствии с Государственным образовательным стандартом высшего профессионального образования с учетом особенностей профессиональной деятельности будущих специалистов.

Сборник включает в себя задания для самостоятельной подготовки студентов к лабораторным и практическим работам.

Данный сборник поможет студентам освоить материал изучаемой дисциплины, необходимый для успешной работы в любой области их деятельности.

Для студентов всех специальностей направления 130300 – «Прикладная геология».

© Суднева Е. М., 2013

© Уральский государственный горный университет, 2013

ОГЛАВЛЕНИЕ

Практикум по теме: Здоровье и окружающая среда 6
Практикум по теме: Чрезвычайные ситуации 17
Практикум по теме: Поведенческие реакции человека
в экстремальных ситуациях 25
Акт обследования объекта и предписание 26
Образец оформления рабочей тетради по БЖД 28
Темы рефератов 29
Приложение 31

1. Практикум по теме: Здоровье и окружающая среда

В *Уставе Всемирной организации здравоохранения* говорится о высшем уровне здоровья как об одном из основных прав человека. Не менее важно право человека на информацию о тех факторах, которые определяют здоровье человека или являются факторами риска, то есть их воздействие может привести к развитию болезни.

Здоровье – это первая и важнейшая потребность человека, определяющая способность его к труду и обеспечивающая гармоническое развитие личности. Оно является важнейшей предпосылкой к познанию окружающего мира, к самоутверждению и счастью человека. Активная долгая жизнь – это важное слагаемое человеческого фактора.

Здоровье – такое состояние организма человека, когда функции всех его органов и систем уравновешены с внешней средой и отсутствуют какие-либо болезненные изменения.

Само понятие *«здоровье»* является условным и объективно устанавливается на основе антропометрических, клинических, физиологических и биохимических показателей.

По определению Всемирной организации здравоохранения (ВОЗ) "*здоровье* – это состояние физического, духовного и социального благополучия, а не только отсутствие болезней и физических дефектов".

Вообще, можно говорить о трех видах здоровья: о здоровье физическом, психическом и нравственном (социальном):

Физическое здоровье - это естественное состояние организма, обусловленное нормальным функционированием всех его органов и систем. Если хорошо работают все органы и системы, то и весь организм человека (система саморегулирующаяся) правильно функционирует и развивается.

Психическое здоровье зависит от состояния головного мозга, оно характеризуется уровнем и качеством мышления, развитием внимания и памяти, степенью эмоциональной устойчивости, развитием волевых качеств.

Нравственное здоровье определяется теми моральными принципами, которые являются основой социальной жизни человека, т.е. жизни в определенном человеческом обществе. Отличительными признаками нравственного здоровья человека являются, прежде

всего, сознательное отношение к труду, овладение сокровищами культуры, активное неприятие нравов и привычек, противоречащих нормальному образу жизни. Физически и психически здоровый человек может быть нравственным уродом, если он пренебрегает нормами морали. Поэтому социальное здоровье считается высшей мерой человеческого здоровья. Нравственно здоровым людям присущ ряд общечеловеческих качеств, которые и делают их настоящими гражданами.

Целостность человеческой личности проявляется, прежде всего, во взаимосвязи и взаимодействии психических и физических сил организма.

Состояние здоровья определяется функцией физиологических систем организма с учётом их возрастных и половых факторов, а также зависит от географических и климатических условий.

На основе этих критериев даётся формальное заключение о состоянии здоровья при наборе в армию, приёме на работу и в учебные заведения.

Состояние здоровья не исключает уже имеющегося в организме, но ещё не обнаруженного болезнетворного начала; оно не исключает также колебаний в самочувствии человека. Следовательно, хотя понятие «здоровье» и противопоставлено понятию «болезнь», но может быть связано с ним многочисленными переходными состояниями

Динамические наблюдения и периодические обследования могут констатировать границы здоровья и болезни в стартовых условиях, когда явная патология отсутствует.

Отсюда возникают понятия об объективном и субъективном здоровье, когда, с одной стороны, при плохом самочувствии отсутствуют объективные подтверждающие его данные, с другой – когда эти данные отличаются, а самочувствие остаётся до определённого времени хорошим.

Отсюда также возникает понятие *«практически здоровый человек»* – состояние, при котором объективно имеются патологические изменения, не отражающиеся на жизненном восприятии и работоспособности человека.

В понятие здоровья вкладываются не только абсолютные качественные, но и количественные признаки, т.к. существует понятие степени здоровья.

Степень здоровья – широта адаптивных возможностей организма, определяемая социальной средой, физической тренировкой, перенесёнными заболеваниями, трудовым навыком и т.д.

Важную роль в понятии здоровья играют и *социальные факторы*, т.к. в него входят и социальная полноценность человека. Однако социальный фактор не следует считать абсолютным, потому что социальная полноценность и общественная значимость человека далеко не всегда являются тождественными понятиями.

Индивидуальное здоровье не является точно детерминируемым, что связано с большой широтой индивидуальных колебаний важнейших показателей жизнедеятельности организма, а также с многообразием факторов, влияющих на него.

Здоровье населения – статистическое понятие, характеризующееся комплексом демографических показателей: рождаемость, смертность, детская смертность, уровень физического развития, заболеваемость, средняя продолжительность жизни и др.

Здоровье населения обеспечивает условия для роста производительности труда, улучшает качественные характеристики воспроизводства населения и трудовых ресурсов. В то же время имеет место и обратное влияние – прогресс в области экономики, науки и культуры способствует улучшению здоровья населения и страны.

Большое значение для сохранения жизни и здоровья населения имеет повышение качества оказания *медицинской помощи*. В этих целях проводится укрупнение и развитие больниц и поликлиник, совершенствование профилактических форм работы.

Одной из важных форм профилактики является *диспансеризация* населения. Это активный метод

систематического наблюдения за состоянием здоровья как практически здорового населения, так и больных, страдающих длительно протекающими хроническими заболеваниями, составляющий основу профилактического направления отечественного здравоохранения.

Одним из важнейших приобретенных по наследству свойств здорового организма является постоянство внутренней среды. Это понятие ввел французский ученый *Клод Бернар* (1813 – 1878), считавший постоянство внутренней среды условием свободной и независимой жизни человека. Внутренняя среда образовалась в процессе эволюции. Она определяется в первую очередь составом и свойствами крови и лимфы.

Постоянство внутренней среды – замечательное свойство организма, которое в какой-то мере освободило его от физических и химических влияний внешней среды. Однако это постоянство – оно называется гомеостазом – имеет свои границы, определяемые наследственностью. А потому, наследственность является одним из важнейших факторов здоровья.

Организм человека приспособлен к определенным физическим (температура, влажность, атмосферное давление), химическим (состав воздуха, воды, пищи), биологическим (разнообразные живые существа) показателям окружающей среды.

Если человек длительно находится в условиях, значительно отличающихся от тех, к которым он приспособлен, нарушается постоянство внутренней среды организма, что может повлиять на здоровье и нормальную жизнь.

В наш век человек, как и все живые организмы, подвержен внешним воздействиям, которые приводят к изменениям наследственных свойств. Эти изменения называются мутационными (мутациями). Особенно возросло количество мутаций за последнее время. Отклонения от определенных, привычных свойств окружающей среды можно отнести к факторам риска заболевания. Итак, заболеваемость и смертность связаны, прежде всего, с условиями среды и образом жизни людей.

Здоровье и окружающая среда.

Немаловажное значение оказывает на здоровье и состояние

окружающей среды. Каждый из нас имеет право знать обо всех экологических изменениях, происходящих и в местности, где он живет, и во всей стране. Мы должны знать все о пище, которую употребляем, о состоянии воды, которую пьем, а медики обязаны объяснить опасность жизни в зонах, зараженных радиацией.

Вмешательство человека в регулирование природных процессов не всегда приносит желаемые положительные результаты. Нарушение хотя бы одного из природных компонентов приводит, в силу существующих между ними взаимосвязей, к перестройке сложившейся структуры природно-территориальных компонентов. Загрязнение поверхности суши, гидросферы, атмосферы и Мирового океана, в свою очередь, сказывается на состоянии здоровья людей, эффект "озоновой дыры" влияет на образование злокачественных опухолей, загрязнение атмосферы на состояние дыхательных путей, а загрязнение вод – на пищеварение, резко ухудшает общее состояние здоровья человечества, снижает продолжительность жизни.

В настоящее время хозяйственная деятельность человека все чаще становится основным источником загрязнения биосферы. В природную среду во все больших количествах попадают газообразные, жидкие и твердые отходы производств. Различные химические вещества, находящиеся в отходах, попадая в почву, воздух или воду, переходят по экологическим звеньям из одной цепи в другую, попадая, в конце концов, в организм человека.

На земном шаре практически невозможно найти место, где бы не присутствовали в той или иной концентрации загрязняющие вещества. Даже во льдах Антарктиды, где нет никаких промышленных производств, а люди живут только на небольших научных станциях, ученые обнаружили различные токсичные (ядовитые) вещества современных производств. Они заносятся сюда потоками атмосферы с других континентов.

Вещества, загрязняющие природную среду, очень разнообразны. В зависимости от своей природы, концентрации, времени действия на организм человека они могут вызвать различные неблагоприятные последствия. Кратковременное воздействие небольших концентраций таких веществ может вызвать головокружение, тошноту, першение в горле, кашель. Попадание в организм человека больших концентраций токсических веществ может привести к потере

сознания, острому отравлению и даже смерти. Примером подобного действия могут являться смоги, образующиеся в крупных городах в безветренную погоду, или аварийные выбросы токсичных веществ промышленными предприятиями в атмосферу.

Реакции организма на загрязнения зависят от индивидуальных особенностей: возраста, пола, состояния здоровья. Как правило, более уязвимы дети, пожилые и престарелые, больные люди.

Кроме химических загрязнителей в природной среде встречаются и биологические, вызывающие у человека различные заболевания. Это болезнетворные микроорганизмы, вирусы, гельминты, простейшие. Они могут находиться в атмосфере, воде, почве, в теле других живых организмов, в том числе и в самом человеке.

Специфика среды обитания человека заключается в сложнейшем переплетении социальных и природных факторов. На заре человеческой истории природные факторы играли решающую роль в эволюции человека. На современного человека воздействие природных факторов в значительной степени нейтрализуется социальными факторами. В новых природных и производственных условиях человек в настоящее время нередко испытывает влияние весьма необычных, а иногда чрезмерных и жестких факторов среды, к которым эволюционно он еще не готов.

Человек, как и другие виды живых организмов, способен адаптироваться, то есть приспосабливаться к условиям окружающей среды. Адаптацию человека к новым природным и производственным условиям можно охарактеризовать как совокупность социально-биологических свойств и особенностей, необходимых для устойчивого существования организма в конкретной экологической среде.

В настоящее время значительная часть болезней человека связана с ухудшением экологической обстановки в нашей среде обитания: загрязнением атмосферы, воды и почвы, недоброкачественными продуктами питания, возрастанием шума.

Приспосабливаясь к неблагоприятным экологическим условиям, организм человека испытывает состояние напряжения, утомления.

Напряжение – мобилизация всех механизмов, обеспечивающих определенную деятельность организма человека. В зависимости от величины нагрузки, степени подготовки организма, его функционально-структурных и энергетических ресурсов снижается возможность функционирования организма на заданном уровне, то есть наступает утомление.

Кроме этого, необходимо учитывать еще объективный фактор воздействия на здоровье – *наследственность*. Это присущее всем организмам свойство повторять в ряду поколений одинаковые признаки и особенности развития, способность передавать от одного поколения к другому материальные структуры клетки, содержащие программы развития из них новых особей.

Влияют на наше здоровье и биологические ритмы. Одной из важнейших особенностей процессов, протекающих в живом организме, является их ритмический характер.

В настоящее время установлено, что свыше трехсот процессов, протекающих в организме человека, подчинены суточному ритму.

Наследственные болезни, вызванные плохой экологической обстановкой:

Влияние солей тяжелых металлов на наследственность.

Тяжелые металлы – высокотоксичные вещества, долго сохраняющие свои ядовитые свойства. По данным Всемирной Организацией Здравоохранения, они уже сейчас занимают второе место по степени опасности, уступая пестицидам и значительно опережая такие широко известные загрязнители, как двуокись углерода и серы. В прогнозе же они должны стать самыми опасными, более опасными, чем отходы АЭС (второе место) и твердые отходы (третье место).

Отравление солями тяжелых металлов начинается еще до рождения человека. Соли тяжелых металлов проходят через плаценту, которая вместо того, чтобы оберегать плод, день за днем его отравляет. Нередко концентрация вредных веществ у плода даже выше, чем у матери. Младенцы появляются на свет с пороками развития мочеполовой системы, до 25 процентов малышей – с

отклонениями от нормы при формировании почек. Зачатки внутренних органов появляются уже на пятой неделе беременности и с этого момента испытывают на себе влияние солей тяжелых металлов, а поскольку они влияют и на организм матери, выводя из строя почки, печень, нервную систему, не стоит удивляться, что сейчас практически не встретишь нормальных физиологических родов, а малыши приходят в эту жизнь с недостатком веса, с физическими и психическими пороками развития.

И с каждым годом жизни соли тяжелых металлов, растворенные в воде, прибавляют им болезней или усугубляют врожденные заболевания, прежде всего органов пищеварения и почек. Нередко у одного ребенка страдают 4-6 систем в организме. Мочекаменная и желчекаменная болезни – своего рода индикатор неблагополучия, а они теперь встречаются даже у дошколят. Есть и другие тревожные сигналы. Так, превышение уровня свинца приводит к снижению интеллекта. Психологическое обследование показало, что таких детей у нас до 12 процентов.

Какие же мероприятия должны обеспечить сегодня охрану здоровья человека и среды его обитания от вредного влияния техногенных металлов? Можно обозначить два основных пути: санитарно-технический – уменьшение содержания металлов в объектах внешней среды до предельно допустимых (безопасных) уровней путем внедрения архитектурно-планировочных, технологических, технических и других мероприятий; гигиенический – научная разработка допустимых уровней содержания их во внешней среде, требований и рекомендаций в сочетании с постоянным контролем состояния и качества этой среды.

Профилактика хронических интоксикаций металлами и их соединениями должна обеспечиваться прежде всего их заменой, где это возможно, на безвредные или менее токсичные вещества. В случаях же, когда не представляется реальным исключить их применение, необходима разработка таких технологических схем и конструкций, которые бы резко ограничивали возможность загрязнения ими воздуха производственных помещений и наружной атмосферы. В отношении транспорта, являющегося, как об этом было сказано выше, одним из значительных источников выброса свинца в атмосферу, следует повсеместно внедрять экологически чистое

горючее. Весьма радикальным средством является создание безотходных или малоотходных технологий.

Наряду с указанными выше мероприятиями необходимо постоянное осуществление эффективного контроля над уровнем содержания металлов в организме. С этой целью при медицинском обследовании работающих и населения в случаях их контакта с техногенными металлами должно проводиться определение их в биологических средах организма крови, моче, волосах.

Краткая характеристика экологической обстановки в России

Из всех предприятий России, выбрасывающих вредные вещества в атмосферу и водоемы – 33% дают предприятия металлургии, 29% – энергетические объекты, 7% – химические, 8% – угольной промышленности. Более половины выбросов приходится на транспорт. Особенно тяжелая обстановка складывается в городах, где велика концентрация населения. В России определены 55 городов, в которых уровень загрязнения очень велик. Ежегодно в нашей стране улавливается и обезвреживается лишь около 76 % общего количества вредных веществ, выбрасываемых в атмосферу. Значительно хуже дело обстоит с очисткой сточных вод: 82% сбрасываемых вод не подвергается очистке. Реки Волга, Дон, Енисей, Лена, Кубань, Печора загрязнены органикой, соединениями азота, тяжелыми металлами, фенолами, нефтепродуктами. В настоящее время свыше 70 миллионов человек дышат воздухом, насыщенным опасными для здоровья веществами, в пять и более раз превышающими предельно допустимые концентрации (ПДК). В окружающую среду человеком введено около 4 миллионов химических соединений, из которых лишь немногие изучены на токсическое воздействие.

В России имеется около 30 тысяч предприятий и объектов, использующих радиоактивные вещества и изделия на их основе.

Большой урон экосистемам на территории России нанесен ядерными испытаниями. На полигонах Новой Земли произвели 118 поверхностных и подземных ядерных взрывов – их последствия выяснены не до конца.

Санитарно-эпидемиологическая обстановка в РФ

XX век породил неоправданный оптимизм в отношении того,

что с инфекционными болезнями в скором времени будет покончено. Однако события последних десятилетий показали, что в мире резко активизировались такие инфекции, как туберкулёз, малярия, которые становятся основной причиной смертности; как в России, так и в других странах вновь заявляет о себе дифтерия.

Эпидемиологическая ситуация, сложившаяся в последние годы, остаётся напряжённой. Ежегодно в РФ регистрируется от 33 до 44 миллионов случаев инфекционных заболеваний.

Одной из самых актуальных медицинских и социально-экономических проблем остаётся грипп и ОРВИ.

В РФ (в отличие от ведущих стран мира) до настоящего времени отсутствует производство отечественной вакцины против краснухи. В этих условиях краснуха остаётся неуправляемой инфекцией с возникновением каждые 10 - 12 лет эпидемий. Во время эпидемий краснуха может стать причиной уродств более чем у 2% детей, родившихся живыми.

Динамика заболеваемости почти по всей группе кишечных инфекций в истекшем году имела тенденцию к снижению. Стабилизировалась заболеваемость сальмонеллёзом, острой кишечной инфекцией неустановленной этиологии, ротовирусным инфекционным кампиллобактериозом. Однако ежегодно в стране регистрируется до 100 вспышек кишечных инфекций пищевого и водного характера.

Серьёзной проблемой здравоохранения продолжают оставаться вирусные гепатиты, наносящие ущерб как здоровью населения, так и экономике страны.

Особенно тяжёлое положение складывается по социально обусловленным заболеваниям. Стремительность нарастания масштабов пандемии заболевания, вызываемого вирусом иммунодефицита человека (ВИЧ-инфекции), в мире, отсутствие надёжных средств профилактики и лечения позволяет отнести эту проблему к одной из самых острых

Состояние здоровья детей, проживающих в городах и населённых пунктах с высоким уровнем загрязнения

атмосферного воздуха (Подольск, Ярославль, Воскресенск, Новокузнецк, Салават, Пермь, Казань, Мончегорск) характеризуется значительным снижением неспецифической сопротивляемости организма к развитию инфекционных и других заболеваний.

Проблема многих населенных пунктов – наличие многочисленных мобильных и стационарных источников шума. Более 30% жителей городов РФ подвержены действию сверхнормативных уровней шума и вибрации.

Безопасность и качество пищевых продуктов и продовольственного сырья является одним из основных факторов, определяющих здоровье населения и сохранение его генофонда. Более 5% продукции не отвечает гигиеническим требованиям по содержанию антибиотиков, что влияет также на аллергизацию населения, прежде всего детей.

Негативное влияние на состояние здоровья оказывают также неблагоприятные условия труда, повышающие риск появления профессиональной патологии.

ЗАДАНИЕ ДЛЯ ДОКЛАДА:

Здоровье населения России.

Здоровье населения Свердловской области.

Здоровье жителей города Екатеринбурга.

План:

1.Месторасположение населенного пункта

2. Демография

3. Состояние техносферной, природной, социальной среды области (города)

4. Здравоохранение (заболеваемость взрослых и детей)

2. Практикум по теме: Чрезвычайные ситуации

Чрезвычайная ситуация (ЧС) – обстановка на определенной

территории, акватории, сложившаяся в результате аварии, катастрофы, стихийного бедствия, эпидемии, эпизоотии, эпифитотии, которая может повлечь или повлекла за собой человеческие жертвы, ущерб здоровью людей или окружающей среде, значительные материальные потери и нарушение жизнедеятельности людей.

Эпидемия – распространение какой-либо инфекционной болезни человека, значительно превышающее уровень обычной (спорадической) заболеваемости на данной территории.

Эпизоо́тия – широкомасштабное распространение инфекционной болезни среди одного или многих видов животных на определённой территории, значительно превышающее уровень заболеваемости, обычно регистрируемый на данной территории.

Эпифитотия – массовое развитие инфекционной болезни растений на значительной территории в определённый период.

«О классификации чрезвычайных ситуаций природного и техногенного характера» от 21 мая 2007 года № 304 г. Москва.

Во исполнение Федерального закона «О защите населения и территорий от чрезвычайных ситуаций природного и техногенного характера» Правительство Российской Федерации постановляет:

1. Установить, что чрезвычайные ситуации природного и техногенного характера подразделяются на:

а) чрезвычайную ситуацию локального характера, в результате которой территория, на которой сложилась чрезвычайная ситуация и нарушены условия жизнедеятельности людей (далее – *зона чрезвычайной ситуации*), не выходит за пределы территории объекта, при этом количество людей, погибших или получивших ущерб здоровью (далее – *количество пострадавших*), составляет не более 10 человек, либо размер ущерба окружающей природной среде и материальных потерь (далее – *размер материального ущерба*) составляет не более 100 тыс. рублей;

б) чрезвычайную ситуацию муниципального характера, в результате которой зона чрезвычайной ситуации не выходит за пределы территории одного поселения или внутригородской территории города федерального значения, при этом количество

пострадавших составляет не более 50 человек либо размер материального ущерба составляет не более 5 млн. рублей, а также данная чрезвычайная ситуация не может быть отнесена к чрезвычайной ситуации локального характера;

в) чрезвычайную ситуацию межмуниципального характера, в результате которой зона чрезвычайной ситуации затрагивает территорию двух и более поселений, внутригородских территорий города федерального значения или межселенную территорию, при этом количество пострадавших составляет не более 50 человек либо размер материального ущерба составляет не более 5 млн. рублей;

г) чрезвычайную ситуацию регионального характера, в результате которой зона чрезвычайной ситуации не выходит за пределы территории одного субъекта Российской Федерации, при этом количество пострадавших составляет свыше 50 человек, но не более 500 человек либо размер материального ущерба составляет свыше 5 млн. рублей, но не более 500 млн. рублей;

д) чрезвычайную ситуацию межрегионального характера, в результате которой зона чрезвычайной ситуации затрагивает территорию двух и более субъектов Российской Федерации, при этом количество пострадавших составляет свыше 50 человек, но не более 500 человек либо размер материального ущерба составляет свыше 5 млн. рублей, но не более 500 млн. рублей;

е) чрезвычайную ситуацию федерального характера, в результате которой количество пострадавших составляет свыше 500 человек либо размер материального ущерба составляет свыше 500 млн. рублей».

Задание: выбрать чрезвычайную ситуацию техногенного, природного или биолого-социального характера, данные внести в таблицу № 1. Код ЧС смотреть приложении № 1.

Таблица № 1

Формы статистического учета данных о чрезвычайных ситуациях.

Техногенные чрезвычайные ситуации (форма № 7/ЧС)

№ п/п	Наименование показателей	Показатели
1	Классификация ЧС	
2	Код ЧС	
3	Дата возникновения ЧС	
	Дата ликвидации ЧС	
4	Время возникновения ЧС:	
	московское (час, мин.)	
	местное (час, мин.)	
5	Место: страна	
	субъект Федерации	
	город	
	населенный пункт	
6	Общая площадь зоны ЧС (кв.км.)	
7	Объект экономики (наименование)	
	отрасль	
	министерство (ведомство)	
	форма собственности	
8	Номер лицензии, дата и кем выдана	
	Дата утверждения декларации, кем утверждена	
	Номер страхового документа, дата, кем выдан	
9	Метеоданные: температура (град)	
	направление и скорость ветра (м/с)	
	влажность (%)	
	осадки (вид, количество)	
10	Причины возникновения ЧС	
11	Поражающие факторы источника ЧС	
12	Основные характеристики ЧС	
13	Мероприятия по ликивдации ЧС:	
	аварийно-спасательные работы (перечень/длительность, час)	
	аварийно-восстановительные работы (перечень/длительность час)	
14	Силы и средства, задействованные в ликвидации ЧС:	
	личный состав РСЧС наименование/количество чел.	
	техника наименование/количество ед.	
	материальные ресурсы перечень/количество	
15	Работы по организации защиты населения:	
	инженерная защита:	
	укрытие в защитных сооружениях различных типов, (чел.)	
	радиационно-химическая защита:	
	выдано средств индивидуальной защиты (чел.)	
	медицинская защита:	

	население которому была оказана медицинская помощь (чел.)	
	госпитализировано (чел.)	
	в т.ч. детей до 14 лет, (чел.)	
	эвакуационные мероприятия:	
	всего эвакуировано из зоны ЧС, (чел.)	
	в том числе:	
	автомобильным транс-ом (чел.)	
	железнодорожным транс-ом (чел.)	
	авиационным транс-ом (чел.)	
	морским (речным) транс-ом (чел.)	
	транспортные средства эвакуации, кол-во единиц, по видам	
	расчетное время на проведение эвакуации (час, мин.)	
	районы размещения эвакуируемого населения	
16	Состояние зданий и сооружений, ед.:	
	разрушено всего	
	повреждено всего	
	уничтожено всего	
17	Нанесенный материальный ущерб, (тыс. (млн.) руб.)	
18	Потери, чел. пострадавшие/пораженные/погибшие	
	население:	
	дети до 14 лет	
	взрослые от 14 до 60 лет	
	старше 60 лет	
	промперсонал	
	личный состав сил РСЧС	
19	Дополнительная текстовая информация	
20	Мероприятия по предупреждению ЧС	

«_____»_____20____ г._____
_____

(фамилия, И.**О**. № телефона и и подпись исполнителя)

(фамилия, И., О., № телефона и подпись руководителя)

Природные чрезвычайные ситуации (форма № 8/ЧС)

№ п/п	Наименование показателей	Показатели
1	Классификация ЧС	
2	Код ЧС	
3	Дата возникновения ЧС	
	Дата ликвидации ЧС	
4	Время возникновения ЧС:	
	московское (час, мин.)	
	местное (час, мин.)	
5	Место: страна	
	субъект Федерации	
	город	
	населенный пункт	
6	Общая площадь зоны ЧС (кв.км.)	
7	Метеоданные: температура (град)	
	направление и скорость ветра (м/с)	
	влажность (%)	
	осадки (вид, количество)	
8	Причины возникновения ЧС	
9	Поражающие факторы источника ЧС	
10	Основные характеристики ЧС	
11	Мероприятия по ликвидации ЧС:	
	аварийно-спасательные работы (перечень/длительность, час)	
	аварийно-восстановительные работы (перечень/длительность час)	
12	Силы и средства, задействованные в ликвидации ЧС:	
	личный состав РСЧС (наименование/количество чел.)	
	техника (наименование/количество ед.)	
	расход материальных ресурсов (перечень/количество израсходованных)	
13	Работы по организации защиты населения:	
	инженерная защита:	
	укрытие в защитных сооружениях различных типов, (чел.)	
	радиационно-химическая защита:	
	выдано средств индивидуальной защиты чел.)	
	медицинская защита:	
	население которому была оказана медицинская помощь (чел.)	
	госпитализировано (чел.)	

	в т.ч. детей до 14 лет, (чел.)	
	эвакуационные мероприятия:	
	всего эвакуировано из зоны ЧС, (чел.)	
	в том числе:	
	автомобильным транспортом (чел.)	
	железнодорожным транспортом (чел.)	
	авиационным транспортом (чел.)	
	морским (речным) транспортом (чел.)	
	транспортные средства эвакуации, кол-во единиц, по видам	
	расчетное время на проведение эвакуации (час, мин.)	
	районы размещения эвакуируемого населения	
14	Состояние зданий и сооружений, ед.:	
	разрушено всего	
	повреждено всего	
	уничтожено огнем всего	
15	Нанесенный материальный ущерб, (тыс. (млн.) руб.)	
16	Потери, чел. пострадавшие/пораженные/погибшие	
	население:	
	дети до 14 лет	
	взрослые от 14 до 60 лет	
	старше 60 лет	
	промперсонал	
	личный состав сил РСЧС	
17	Сельскохозяйственные животные:	
	погибло (тыс. голов)	
	эвакуировано из опасных зон (тыс. голов)	
	вынужденный забой (тыс. голов)	
18	Уничтожено сельскохозяйственных угодий (тыс.га)	
19	Дополнительная текстовая информация	
20	Мероприятия по предупреждению ЧС	

«_____»_____200____ г.

_____ _____

(фамилия, И. О., № телефона и и подпись исполнителя)

(фамилия, И. О., № телефона и подпись руководителя)

Биолого-социальные чрезвычайные ситуации (форма № 9 ЧС)

№ п/п	Наименование показателей	Показатели
1	Классификация ЧС	
2	Код ЧС	
3	Дата возникновения ЧС	
	Дата ликвидации ЧС	
4	Место, страна	
	субъект Федерации	
	город	
	населенный пункт	
5	Общая площадь зоны ЧС (кв. км.)	
6	Метеоданные: температура (град)	
	направление и скорость ветра (м/с)	
	влажность (%)	
	осадки (вид, количество)	
7	Причины возникновения ЧС	
8	Вид бактериального средства, возбудитель	
9	Основные характеристики ЧС:	
9.1	эпидемия:	
	выявлено заболевших (чел.)	
	в том числе детей до 14 лет	
	госпитализировано (чел.)	
	в том числе детей до 14 лет	
	умерло (чел.)	
	в том числе детей до 14 лет	
9.2	эпизоотия:	
	всего по учету (тыс.голов)	
	выявлено заболевших (тыс. голов)	
	из них погибло (тыс. голов)	
9.3	эпифитотия:	
	всего по учету (тыс. га)	
	потери всего (тыс. га)	
10	Мероприятия по ликвидации ЧС:	
10.1	противоэпидемические:	
	эвакуировано из опасных зон (чел.)	
	организована обсервация	
	введен карантин	
10.2	противоэпизоотические:	
	эвакуировано из опасных зон (тыс. голов)	
	оказана ветеринарная помощь (тыс. голов)	
10.3	противоэпифитотические:	
	обработано зараженных с/х культур (мест скопления вредителей) (тыс. га)	
11	Силы и средства, участвовавшие в ликвидации ЧС:	
	личный состав РСЧС наименование/количество чел.)	

	техника (наименование количество ед.)	
	расход материальных ресурсов (перечень/количество израсходованных)	
12	Нанесенный материальный ущерб, (тыс. млн.) руб.)	
13	Дополнительная текстовая информация	
14	Мероприятия по предупреждению ЧС	

«_____»_____200____ г.

_____ _____

(фамилия, И., О., № телефона и и подпись исполнителя)

(фамилия, И., О., № телефона и подпись руководителя)

3. Практикум по теме: Поведенческие реакции человека в экстремальных ситуациях

Экстремальная ситуация – это такое усложнение условий жизни и деятельности, которое приобрело для личности, группы особую значимость. Любая ситуация предполагает включенность в нее субъекта. Поэтому экстремальная ситуация воплощает в себе единство объективного и субъективного. Объективное — это крайне усложненные внешние условия и процесс деятельности; субъективное — психологическое состояние, установки, способы действий в резко изменившихся обстоятельствах. Экстремальная ситуация может иметь разные формы проявления: а) понижение организованности поведения; б) – торможение действий и движения; в) повышение эффективности деятельности. Экстремальная ситуация может быть скоропреходящей или длительной. При определении пригодности человека к той или иной профессии необходимо определить и учитывать, наряду с особенностями психических процессов и свойств личности, его потенциальную возможность вырабатывать и сохранять готовность к активным действиям в экстремальных ситуациях.

Задание по Экстремальной ситуации:

План (на примере прохождения практики в окрестностях города Сухой Лог):

1. Инструктаж по технике безопасности.
2. Адаптационный синдром (место, условия проживания).
3. Воздействие окружающей среды на биохимическое состояние человека.
4. Физиологическое состояние (заболевание индивида и окружающих, какое было заболевание, чем лечились, какова была реакция на укус клеща).
5. Умственная и физическая работоспособность.
6. Отъезд.

4. Акт обследования объекта и предписание

Образец

Акт-предписание N _____

_____
(наименование проверяемой организации
или индивидуального предпринимателя и
вышестоящей организации)

_____

_____
(должность, Ф.И.О. представителя
юридического лица или представителя
индивидуального предпринимателя)

Мною, государственным инспектором по энергетическому надзору Управления государственного энергетического надзора _____комиссией в составе:_____
(фамилия, имя, отчество, должность)

_____

_____

на основании распоряжения (приказа) органа государственного энергетического надзора
_____ от_____ 20__ г N _____

_____

в присутствии_____
(должность, фамилия, имя, отчество)

в период с _____ по _____200 г. проведена проверка

_____
(вид проверки)

_____
(наименование проверяемой организации)

по теме_____

Краткая характеристика установленного оборудования, характеристика сетей:

_____

_____

В результате проведенной проверки установлено:
1._____
2._____
3._____

Предписание

В порядке государственного энергетического надзора предлагается выполнить
следующие мероприятия по устранению выявленных нарушений:

_____
_____

Срок исполнения———————————————————

Выводы:

1._____
2._____

Информацию о выполнении настоящего акта-предписания представлять

_____
(Куда, кому, срок и порядок представления)

Инспектор
(старший группы, председатель комиссии,
члены комиссии)
(личный штамп) _____
_____
(подпись) (Ф.И.О.)

При проверке присутствовали:

_____ _____
(должность) (подпись) (Ф.И.О.)

Акт-предписание (_____ экз.) для исполнения получил:

_____ _____ _____
(руководитель проверяемой организации) (подпись) (Ф.И.О.)

Рег. N _____

5. Образец оформления титульного листа рабочей тетради по БЖД

Практика:

ЧС	тэс	коп	Риск р	Риск п	Отравления	Термические поражения	Десмургия	пмп	Акт обследования	ГОЧС	отчеты				реферат
											город	чс	эс		

Теория:

Медицина, БЖД	ЧС	Риск, несчастные случаи, ошибки	Техногенные опасности	Природные опасности

ТЕМЫ РЕФЕРАТОВ

1. Автономное выживание человека в природной среде
2. Обеспечение безопасности в геологии
3. Обеспечение безопасности на предприятии горно-добывающей промышленности
4. Обеспечение безопасности на промышленно опасных объектах
5. Психология поведения людей в мультипликативных ЧС (на примере природных и техногенных ЧС)
6. Методы психофизиологической коррекции пострадавших в ЧС
7. Поведенческие реакции человека в ЧС (на примере стихийных бедствий)
8. Психология выживания в ЧС (на примере природных и техногенных ЧС)
9. Обеспечение безопасности жизнедеятельности на предприятии по обогащению урана
10. Научно-технический прогресс и безопасность труда
11. Производственный травматизм в России
12. Радиоактивные излучения как источник информации о предприятиях атомной промышленности и их продукции
13. Расследование и учет нарушений при обращении с радиационными источниками и радиоактивными веществами в России
14. Влияние электромагнитных излучений на организм человека и способы борьбы с ними
15. Вопросы совершенствования оценки травмобезопасности рабочих мест при их аттестации по условиям труда
16. Обеспечение пожарной безопасности на производственном объекте
17. Обеспечение пожарной безопасности на геологическом предприятии
18. Назначение и классификация защитных сооружений
19. Влияние изменений окружающей среды на здоровье человека
20. Обеспечение безопасности Жизнедеятельности на ЖД транспорте

21. Безопасность жизнедеятельности на предприятиях повышенной опасности
22. Инженерная психология
23. Защита окружающей среды от подвижных источников выбросов
24. Выживание в экстремальных ситуациях
25. Разработка стандарта рабочего места
26. Поведение человека в аварийных ситуациях
27. Обеспечение безопасности жизнедеятельности при эпизоотии, эпидемии, эпифитотии
28. Последствия техногенного последствия на биосферу
29. Воздействие производственных вибрации и шума на организм человека
30. Законодательное и нормативно-правовое обеспечение безопасности жизнедеятельности
31. Информационно- психологическая безопасность
32. Основные угрозы экономической безопасности РФ
33. Психологические свойства личности и воздействие различных видов трудовой деятельности на исполнителей

Приложение 1

Перечень чрезвычайных ситуаций, подлежащих государственному статистическому учету

Наименование источника ЧС	Код ЧС
I.Техногенные чрезвычайные ситуации	10000
1.1. Транспортные аварии (катастрофы)	10100
1.1.1. Аварии грузовых поездов	10101
1.1.2. Аварии пассажирских поездов и поездов метрополитена	10102
1.1.3. Аварии грузовых судов и флота рыбной промышленности	10103
1.1.4 Аварии (катастрофы) пассажирских судов	10104
1.1.5. Авиационные катастрофы в аэропортах и населенных пунктах	10105
1.1.6. Авиационные катастрофы вне аэропортов и населенных пунктов	10106
1.1.7 Аварии (катастрофы) на автодорогах (крупные автомобильные катастрофы)	10107
1.1.8. Аварии транспорта на мостах, в тоннелях, горных выработках, на железнодорожных переездах.	10108
1.1.9. Аварии на магистральных трубопроводах	10109
1.1.10. Аварии на внутрипромысловых нефтепроводах	10110
1.1.11. Аварии с плавучими буровыми установками и буровыми судами	10111
1.2. Пожары и взрывы (с возможным последующим горением)	10200
1.2.1. Пожары (взрывы) в зданиях, на коммуникациях и технологическом оборудовании промышленных объектов	10201
1.2.2. Пожары (взрывы) на объектах добычи, переработки и хранения легковоспламеняющихся, горючих и взрывчатых веществ.	10202
1.2.3. Пожары (взрывы) на транспорте и судах рыбной промышленности	10203
1.2.4. Пожары (взрывы) в шахтах, подземных и горных выработках, метрополитенах.	10204
1.2.5. Пожары (взрывы) в зданиях и сооружениях жилого, социально-бытового, культурного назначения.	10205
1.2.6. Обнаружение неразорвавшихся боеприпасов	10206
1.2.7. Обнаружение, утрата взрывчатых веществ (боеприпасов)	10207
1.2.8. Пожары (взрывы) на магистральных газонефтепродуктопроводах	10208

1.3. Аварии с выбросом (угрозой выброса (аварийно химически опасных веществ (АХОВ)	10300
1.3.1. Аварии с выбросом (угрозой выброса) АХОВ при их производстве, переработке или хранении (захоронении)	10301
1.3.2. Аварии на транспорте с выбросом (угрозой выброса) АХОВ	10302
1.3.3. Образование и распространение АХОВ в процессе химических реакций, начавшихся в результате аварии	10303
1.3.4. Аварии с боевыми отравляющими веществами	10304
1.3.5. Обнаружение (утрата) источников АХОВ	10305
1.3.6. Внезапные выбросы метана, углекислого газа и других ядовитых веществ и газов	10306
1.3.7. Выбросы на нефтяных и газовых месторождениях (открытые фонтаны нефти и газа)	10307
1.4. Аварии с выбросом (угрозой выброса) радиоактивных веществ (РВ)	10400
1.4.1. Аварии на АЭС, атомных энергетических установках производственного и научно-исследовательского назначения с выбросом (угрозой выброса) РВ	10401
1.4.2. Аварии с выбросом (угрозой выброса) РВ на предприятиях ядерно-топливного цикла	10402
1.4.3. Аварии транспортных средств и космических аппаратов с ядерными установками или грузом РВ на борту	10403
1.4.4. Аварии при промышленных и испытательных ядерных взрывах с выбросом (угрозой выброса) РВ	10404
1.4.5. Аварии с ядерными боеприпасами в местах их хранения, эксплуатации, уничтожения или при транспортировке.	10405
1.4.6. Обнаружение (утрата) источников ионизирующих излучений	10406
1.5.Аварии с выбросом (угрозой выброса) опасных биологических веществ (ОБВ)	10500
1.5.1. Аварии с выбросом (угрозой выброса) ОБВ на предприятиях и в научно-исследовательских учреждениях (лабораториях)	10501
1.5.2. Аварии на транспорте с выбросом (угрозой выброса) ОБВ	10502
1.5.3. Обнаружение (утрата) ОБВ	10503
1.6. Внезапное обрушение зданий, сооружений, пород	10600
1.6.1.Обрушение элементов транспортных коммуникаций	10601
1.6.2. Обрушение производственных зданий и сооружений	10602
1.6.3. Обрушение зданий и сооружений жилого, социально-бытового и культурного назначения	10603
1.6.4. Обрушение пород и полезных ископаемых в горных выработках, включая карьеры.	10604

1.6.5. Авария на подземном сооружении	10605
1.7. Аварии в электроэнергетических системах	10700
1.7.1. Аварии на автономных электростанциях с долговременным перерывом электроснабжения потребителей	10701
1.7.2. Аварии в электроэнергетических системах (сетях) с долговременным перерывом электроснабжения основных потребителей или обширных территорий	10702
1.7.3. Выход из строя транспортных электрических контактных сетей	10703
1.8. Аварии на коммунальных системах жизнеобеспечения	10800
1.8.1. Аварии на канализационных системах с массовым выбросом загрязняющих веществ	10801
1.8.2. Аварии в системах снабжения населения питьевой водой	10802
1.8.3. Аварии на тепловых сетях (системах горячего водоснабжения) в холодное время года	10803
1.8.4. Аварии на коммунальных газопроводах	10804
1.9. Аварии на очистных сооружениях	10900
1.9.1. Аварии на очистных сооружениях сточных вод промышленных предприятий с массовым выбросом загрязняющих веществ	10901
1.9.2. Аварии на промышленных установках по очистке газов (массовый выброс загрязняющих веществ)	10902
1.10. Гидродинамические аварии	11000
1.10.1. Прорывы плотин (дамб, шлюзов, перемычек, др) с образованием волн прорыва и катастрофических затоплений	11001
1.10.2. Прорывы плотин (дамб, шлюзов, перемычек и др) с образованием прорывного паводка	11002
1.10.3. Прорывы плотин (дамб, шлюзов, перемычек и др), повлекшие смыв плодородных почв или отложение наносов на обширных территориях	11003
1.10.4. Прорывы плывунов, пульпы и глинистой массы, а также затопление водой действующих горных выработок при разработке полезных ископаемых	11004
1.10.5. Размыв береговой полосы штормовыми нагонами	11005
2.Природные чрезвычайные ситуации	20000
2.1. Опасные геофизические явления	20100
2.1.1. Землетрясения	20101
2.1.2. Извержения вулканов	20102
2.2. Опасные геологические явления	20103
2.2.1. Оползни	20201
2.2.2. Сели	20202
2.2.3. Обвалы,осыпи	20203
2.2.4. Склоновой смыв	20204

2.2.5. Просадка лессовых пород	20205
2.2.6. Каретовая просадка (провал) земной поверх-ности	20206
2.2.7. Абразия, эрозия	20207
2.2.8. Лурумы	20208
2.2.9. Повышение уровня грунтовых вод	20209
2.3. Опасные метеорологические (агрометеороло-гические) явления	20300
2.3.1. Бури (9-11 баллов)	20301
2.3.2. Ураганы (12-15 баллов)	20302
2.3.3. Смерчи, торнадо	20303
2.3.4. Шквалы	20304
2.3.5. Вертикальные вихри	20305
2.3.6. Крупный град	20306
2.3.7. Сильный дождь (ливень)	20307
2.3.8. Сильный снегопад	20308
2.3.9. Сильный гололед	20309
2.3.10. Сильный мороз	20310
2.3.11. Сильная метель	20311
2.3.12. Сильная жара	20312
2.3.13. Сильный туман	20313
2.3.14. Засуха	20314
2.3.15. Суховей	20315
2.3.16. Заморозки	20316
2.3.17. Лавины	20317
2.3.18. Пыльные бури	20318
2.4. Морские опасные гидрологические явления	20400
2.4.1. Тропические циклоны (тайфуны)	20401
2.4.2. Цунами	20402
2.4.3. Сильное волнение (5 балов и более)	20403
2.4.4. Сильное колебание уровня моря	20404
2.4.5. Сильный тягун в портах	20405
2.4.6. Ранний ледяной покров и припай	20406
2.4.7. Напор льдов, интенсивный дрейф льдов	20407
2.4.8. Непроходимый (труднопроходимый) лед	20408
2.4.9. Обледенение судов и портовых сооружений	20409
2.4.10. Отрыв прибрежных льдов	20410
2.4.11. Затирание плавсредств и их гибель напором льда	20411
2.5. Опасные гидрологические явления	20500
2.5.1. Высокие уровни воды (наводнения, половодье, дождевые паводки, заторы, ветровые нагоны)	20501
2.5.2. Низкие уровни вод	20502
2.5.3. Ранний ледостав	20503
2.6. Природные пожары	20600

2.6.1. Лесные пожары	20601
2.6.2. Пожары степных и хлебных массивов	20602
2.6.3. Торфяные пожары	20603
2.6.4. Подземные пожары горючих ископаемых	20604
3. Биолого-социальные чрезвычайные ситуации	30000
3.1. Инфекционная заболеваемость людей	30100
3.1.1. Единичные случаи экзотических и особо опасных инфекционных заболеваний	30101
3.1.2. Групповые случаи опасных инфекционных заболеваний	30102
3.1.3. Эпидемическая вспышка особо опасных инфекционных заболеваний	30103
3.1.4.Эпидемия	30104
3.1.5.Пандемия	30105
3.1.6.Инфекционные заболевания людей невыявленной этиологии	30106
3.2.Инфекционная заболеваемость сельскохозяйственных животных	30200
3.2.1.Единичные случаи экзотических и особо опасных инфекционных заболеваний	30201
3.2.2.Энзоотия	30202
3.2.3.Эпизоотии	30203
3.2.4.Панзоотии	30204
3.2.5.Инфекционные заболевания сельскохозяйственных животных и водных организмов (гидробионтов) невыявленной этиологии	30205
3.2.6.Инфекционные заболевания водных животных и гидробионтов	30206
3.3.Поражение сельскохозяйственных растений болезнями и вредителями	30300
3.3.1.Прогрессирующая эпифитотия	30301
3.3.2.Панфитотия	30302
3.3.3.Болезни сельскохозяйственных растений невыявленной этиологии	30303
3.3.4.Массовое распространение вредителей растений	30304

МИНОБРНАУКИ РФ

ФГБОУ ВО «Уральский государственный горный университет»

УТВЕРЖДАЮ
Проректор по учебно-методическому комплексу
_____ С.А.Упоров

МЕТОДИЧЕСКИЕ УКАЗАНИЯ ПО ВЫПОЛНЕНИЮ КОНТРОЛЬНОЙ РАБОТЫ ПО ДИСЦИПЛИНЕ

Б1.О.06.01 ФИЗИЧЕСКАЯ КУЛЬТУРА И СПОРТ

Специальность:
21.05.02 Прикладная геология

Специализация:
Геология месторождений нефти и газа

Автор: Шулиманов Д.Ф.

Одобрены на заседании кафедры
Физической культуры
(название кафедры)
Зав. кафедрой _____
(подпись)
Шулиманов Д.Ф.
(Фамилия И.О.)
Протокол № 2 от 18.09.2020
(Дата)

Рассмотрены методической комиссией
факультета геологии и геофизики
(название факультета)
Председатель _____
(подпись)
д.г.-м.н., проф. Бондарев В.И.
(Фамилия И.О.)
Протокол № 2 от 13.10.2020
(Дата)

Екатеринбург

Методические указания по дисциплине согласованы с выпускающей кафедрой литологии и геологии горючих ископаемых

Заведующий кафедрой ЛГГИ _____к.г.-м.н., С.А. Рыльков____

подпись *И.О. Фамилия*

СОДЕРЖАНИЕ

Цели и задачи дисциплины ……......4
Место дисциплины в структуре основной образовательной программы 4
Требования к оформлению контрольной работы 4
Содержание контрольной работы…….....4
Выполнение работы над ошибками.....10
Критерии оценивания контрольной работы 10
Образец титульного листа 11

1. Цели и задачи дисциплины

Цель: формирование физической культуры личности и способности направленного использования разнообразных средств физической культуры, спорта и туризма для сохранения и укрепления здоровья, психофизической подготовки и самоподготовки к будущей жизни и профессиональной деятельности.

Задачи:

- формирование осознания социальной значимости физической культуры и её роли в развитии личности и подготовке к профессиональной деятельности;
- изучение научно-биологических, педагогических и практических основ физической культуры и здорового образа жизни;
- формирование мотивационно-ценностного отношения к физической культуре, установки на здоровый стиль жизни, физическое совершенствование и самовоспитание привычки к регулярным занятиям физическими упражнениями и спортом;

2. Место дисциплины в структуре основной образовательной программы

Дисциплина «Физическая культура и спорт» относится к разделу «Блок 1. Базовая часть».

3. Требования к оформлению контрольной работы

Контрольные задания выполняются на листах формата А4 в рукописном виде, кроме титульного листа. На титульном листе (см. образец оформления титульного листа в печатном виде) указывается фамилия студента, номер группы, номер контрольной работы и фамилия преподавателя, у которого занимается обучающийся.

В конце работы должна быть поставлена подпись студента и дата выполнения заданий.

Контрольные задания должны быть выполнены в той последовательности, в которой они даны в контрольной работе.

Выполненную контрольную работу необходимо сдать преподавателю для проверки в установленные сроки.

Если контрольная работа выполнена без соблюдения изложенных выше требований, она возвращается студенту для повторного выполнения.

По дисциплине «физическая культура и спорт» представлен 1 вариант контрольной работы.

Содержание контрольной работы

№ п/п	Вопросы	Варианты ответов
1	Физическая культура представляет собой:	А) учебный предмет в школе Б) выполнение физических упражнений В) процесс совершенствования возможностей человека Г) часть общей культуры общества
2	Физическая подготовленность, приобретаемая в процессе физической подготовки к трудовой или иной деятельности, характеризуется:	А) высокой устойчивостью к стрессовым ситуациям, воздействию неблагоприятных условий внешней среды и различным заболеваниям Б) уровнем работоспособности и запасом двигательных умений и навыков В) хорошим развитием систем дыхания, кровообращением, достаточным запасом надежности, эффективности и экономичности Г) высокими результатами в учебной, трудовой и спортивной деятельности
3	Под физическим развитием понимается:	А) процесс изменения морфофункциональных свойств организма на протяжении жизни

		Б) размеры мускулатуры, формы тела, функциональные возможности дыхания и кровообращения, физическая работоспособность В) процесс совершенствования физических качеств при выполнении физических упражнений Г) уровень, обусловленный наследственностью и регулярностью занятий физической культурой и спортом
4	Физическая культура ориентирована на совершенствование	А) физических и психических качеств людей Б) техники двигательных действий В) работоспособности человека Г) природных физических свойств человека
5	Отличительным признаком физической культуры является:	А) развитие физических качеств и обучение двигательным действиям Б) физическое совершенство В) выполнение физических упражнений Г) занятия в форме уроков
6	В иерархии принципов в системе физического воспитания принцип всестороннего развития личности следует отнести к:	А) общим социальным принципам воспитательной стратегии общества Б) общим принципам образования и воспитания В) принципам, регламентирующим процесс физического воспитания Г) принципам обучения
7	Физическими упражнениями называются:	А) двигательные действия, с помощью которых развивают физические качества и укрепляют здоровье Б) двигательные действия, дозируемые по величине нагрузки и продолжительности выполнения В) движения, выполняемые на уроках физической культуры и во время утренней гимнастики Г) формы двигательных действий, способствующие решению задач физического воспитания
8	Нагрузка физических упражнений характеризуется:	А) подготовленностью занимающихся в соответствии с их возрастом, состоянием здоровья, самочувствием во время занятия Б) величиной их воздействия на организм В) временем и количеством повторений двигательных действий Г) напряжением отдельных мышечных групп
9	Величина нагрузки физических упражнений обусловлена:	А) сочетанием объема и интенсивности двигательных действий Б) степенью преодолеваемых при их выполнении трудностей В) утомлением, возникающим при их выполнении Г) частотой сердечных сокращений
10	Если ЧСС после выполнения упражнения восстанавливается за 60 сек до уровня, который был в начале урока, то это свидетельствует о том, что нагрузка	А) мала и ее следует увеличить Б) переносится организмом относительно легко В) достаточно большая и ее можно повторить Г) чрезмерная и ее нужно уменьшить
11	Интенсивность выполнения упражнений можно определить по ЧСС. Укажите, какую частоту пульса вызывает большая интенсивность упражнений	А) 120-130 уд/мин Б) 130-140 уд/мин В) 140-150 уд/мин Г) свыше 150 уд/мин
12	Регулярные занятия физическими упражнениями способствуют повышению работоспособности, потому	А) во время занятий выполняются двигательные действия, содействующие развитию силы и выносливости Б) достигаемое при этом утомление активизирует

	что:	процессы восстановления и адаптации В) в результате повышается эффективность и экономичность дыхания и кровообращения. Г) человек, занимающийся физическими упражнениями, способен выполнить большой объем физической работы за отведенный отрезок времени.
13	Что понимают под закаливанием:	А) купание в холодной воде и хождение босиком Б) приспособление организма к воздействию внешней среды В) сочетание воздушных и солнечных ванн с гимнастикой и подвижными играми Г) укрепление здоровья
14	Во время индивидуальных занятий закаливающими процедурами следует соблюдать ряд правил. Укажите, какой из перечисленных ниже рекомендаций придерживаться не стоит:	А) чем ниже температура воздуха, тем интенсивней надо выполнять упражнение, т.к. нельзя допускать переохлаждения Б) чем выше температура воздуха, тем короче должны быть занятия, т.к. нельзя допускать перегревания организма В) не рекомендуется тренироваться при активном солнечном излучении Г) после занятия надо принять холодный душ
15	Правильное дыхание характеризуется:	А) более продолжительным выдохом Б) более продолжительным вдохом В) вдохом через нос и выдохом через рот Г) ровной продолжительностью вдоха и выдоха
16	При выполнении упражнений вдох не следует делать во время:	А) вращений и поворотов тела Б) наклонах туловища назад В) возвращение в исходное положение после наклона Г) дыхание во время упражнений должно быть свободным, рекомендации относительно времени вдоха и выдоха не нужны
17	Что называется осанкой?	А) качество позвоночника, обеспечивающее хорошее самочувствие и настроение Б) пружинные характеристики позвоночника и стоп В) привычная поза человека в вертикальном положении Г) силуэт человека
18	Правильной осанкой можно считать, если вы, стоя у стены, касаетесь ее:	А) затылком, ягодицами, пятками Б) лопатками, ягодицами, пятками В) затылком, спиной, пятками Г) затылком, лопатками, ягодицами, пятками
19	Соблюдение режима дня способствует укреплению здоровья, потому, что:	А) он обеспечивает ритмичность работы организма Б) он позволяет правильно планировать дела в течение дня В) распределение основных дел осуществляется более или менее стандартно в течение каждого дня Г) он позволяет избегать неоправданных физических напряжений
20	Замена одних видов деятельности другими, регулируема режимом дня, позволяет поддержать работоспособность в течение дня, потому что:	А) это положительно сказывается на физическом и психическом состоянии человека Б) снимает утомление нервных клеток организма В) ритмическое чередование работы с отдыхом предупреждает возникновение перенапряжения Г) притупляется чувство общей усталости и повышает

		тонус организма
21	Систематические и грамотно организованные занятия физическими упражнениями укрепляют здоровье, так как	А) хорошая циркуляция крови во время упражнений обеспечивает поступление питательных веществ к органам и системам организма Б) повышается возможность дыхательной системы, благодаря чему в организм поступает большее количество кислорода, необходимого для образования энергии В) занятия способствуют повышению резервных возможностей организма Г) при достаточном энергообеспечении организм легче противостоит простудным и инфекционным заболеваниям
22	Почему на уроках физической культуры выделяют подготовительную, основную и заключительную части?	А) так учителю удобнее распределять различные по характеру упражнения Б) это обусловлено необходимость управлять динамикой работоспособности занимающихся. В) выделение частей в уроке требует Министерство образовании России Г) потому, что перед уроком, как правило, ставятся задачи, и каждая часть урока предназначена для решения одной из них
23	Укажите, в какой последовательности должны выполняться в комплексе утренней гимнастикой перечисленные упражнения: 1. Дыхательные. 2. На укрепление мышц и повышение гибкости. 3. Потягивания. 4 бег с переходом на ходьбу. 5. Ходьба с постепенным повышение частоты шагов. 6. Прыжки. 7.Поочередное напряжение и расслабление мышц. 8. Бег в спокойном темпе.	А) 1, 2, 3, 4, 5, 6, 7, 8 Б) 7, 5, 8, 6, 2, 3, 2, 1, 4 В) 3, 7, 5, 8, 1, 2, 6, 4 Г) 3, 1, 2, 4, 7, 6, 8, 4
24	Под силой как физическим качеством понимается:	А) способность поднимать тяжелые предметы Б) свойство человека противодействовать внешним силам за счет мышечных напряжений В) свойство человека воздействовать на внешние силы за счет внешних сопротивлений Г) комплекс свойств организма, позволяющих преодолевать внешнее сопротивление либо противодействовать ему.
25	Выберите правильное распределение перечисленных ниже упражнений в занятии по общей физической подготовке. 1. Ходьба или спокойный бег в чередовании с дыхательными упражнениями. 2. Упражнения, постепенно включающие в работу все большее количество мышечных групп. 3. Упражнения на развитие выносливости. 4. Упражнения на развитие быстроты и гибкости. 5. упражнения на развитие силы. 6. Дыхательные упражнения.	А) 1, 2, 5, 4, 3, 6 Б) 6, 2, 3, 1, 4, 5 В) 2, 6, 4, 5, 3, 1 Г) 2,1, 3, 4, 5, 6
26	Основная часть урока по общей физической подготовке отводится развитию физических качеств. Укажите, какая последовательность воздействий на физические качества наиболее	А) 1, 2, 3, 4 Б) 2,3,1,4 В) 3, 2, 4, 1 Г) 4,2 ,3, 1

	эффективна. 1. Выносливость. 2. Гибкость. 3. быстрота. 4. Сила.	
27	Какие упражнения неэффективны при формировании телосложения	А) упражнения, способствующие увеличению мышечной массы Б) упражнения, способствующие снижению массы тела В) упражнения, объединенные в форме круговой тренировки Г) упражнения, способствующие повышению быстроты движений
28	И для увеличения мышечной массы, и для снижения веса тела можно применять упражнения с отягощением. Но при составлении комплексов упражнений для увеличения мышечной массы рекомендуется:	А) полностью проработать одну группу мышц и только затем переходит к упражнениям, нагружающим другую группу мышц Б) чередовать серии упражнений, включающие в работу разные мышечные группы В) использовать упражнения с относительно небольшим отягощением и большим количеством повторений Г) планировать большое количество подходов и ограничивать количество повторений в одном подходе
29	Под быстротой как физическим качеством понимается:	А) комплекс свойств, позволяющих передвигаться с большой скоростью Б) комплекс свойств, позволяющий выполнять работу в минимальный отрезок времени В) способность быстро набирать скорость Г) комплекс свойств, позволяющий быстро реагировать на сигналы и выполнять движения с большой частотой
30	Для развития быстроты используют:	А) подвижные и спортивные игры Б) упражнения в беге с максимальной скоростью на короткие дистанции В) упражнения на быстроту реакции и частоту движений Г) двигательные действия, выполняемые с максимальной скоростью
31	Лучшие условия для развития быстроты реакции создаются во время:	А) подвижных и спортивных игр Б) челночного бега В) прыжков в высоту Г) метаний
32	Под гибкостью как физическим качеством понимается:	А) комплекс морфофункциональных свойств опорно-двигательного аппарата, определяющий глубину наклона Б) способность выполнять упражнения с большой амплитудой за счет мышечных сокращений. В) комплекс свойств двигательного аппарата, определяющих подвижность его звеньев Г) эластичность мышц и связок
33	Как дозируются упражнения на развитие гибкости, т.е. сколько движений следует делать в одной серии:	А) Упражнение выполняется до тех пор, пока не начнет уменьшаться амплитуда движений Б) выполняются 12-16 циклов движения В) упражнения выполняются до появления пота Г) упражнения выполняются до появления болевых ощущений
34	Для повышения скорости бега в самостоятельном занятии после	А) 1, 2, 3, 4, 5, 6, 7 Б) 7, 5, 4, 3, 2, 6, 1

	разминки рекомендуется выполнять перечисленные ниже упражнения. Укажите их целесообразную последовательность: 1. Дыхательные упражнения. 2. Легкий продолжительный бег. 3. Прыжковые упражнения с отягощением и без них. 4. дыхательные упражнения в интервалах отдыха. 5. Повторный бег на короткие дистанции. 6.Ходьба. 7. Упражнения на частоту движений.	В) 2, 1, 3, 7, 4, 5, 6 Г) 3, 6, 2, 7, 5, 4, 1
35	При развитии гибкости следует стремиться	А) гармоничному увеличению подвижности в основных суставах Б) достижению максимальной амплитуды движений в основных суставах В) оптимальной амплитуде движений в плечевом, тазобедренном, коленом суставах Г) восстановлению нормальной амплитуды движений суставов
36	Под выносливостью как физическим качеством понимается:	А) комплекс свойств, обуславливающий возможность выполнять разнообразные физические нагрузки Б) комплекс свойств, определяющих способность противостоять утомлению В) способность длительно совершать физическую работу, практически не утомляясь Г) способность сохранять заданные параметры работы
37	Выносливость человека не зависит от:	А) функциональных возможностей систем энергообеспечения Б) быстроты двигательной реакции В) настойчивости, выдержки, мужественности, умения терпеть Г) силы мышц
38	При развитии выносливости не применяются упражнения, характерными признаками которых являются:	А) максимальная активность систем энергообеспечения Б) умеренная интенсивность В) максимальная интенсивность Г) активная работа большинства звеньев опорно-двигательного аппарата
39	Техникой физических упражнений принято называть	А) способ целесообразного решения двигательной задачи Б) способ организации движений при выполнении упражнений В) состав и последовательность движений при выполнении упражнений Г) рациональную организацию двигательных действий
40	При анализе техники принято выделять основу, ведущее звено и детали техники. Что понимают под основой (ведущим звеном и деталями техники).	А) набор элементов, характеризующий индивидуальные особенности выполнения целостного двигательного действия Б) состав и последовательность элементов, входящих в двигательное действие В) совокупность элементов, необходимых для решения двигательной задачи Г) наиболее важная часть определенного способа решения двигательной задачи
41	В процессе обучения двигательным	А) возможности расчленения двигательного действия

	действиям используют методы целостного или расчлененного упражнения. Выбор метода зависит от	на относительно самостоятельные элементы Б) сложности основы техники В) количества элементов, составляющих двигательное действие Г) предпочтения учителя
42	Процесс обучения двигательному действию рекомендуется начинать с освоения	А) основы техники Б) ведущего звена техники В) подводящих упражнений Г) исходного положения
43	Физкультминутку, как одну из форм занятий физическими упражнениями следует отнести к:	А) урочным формам занятий физическими упражнениями Б) «малым» неурочным формам В) «крупным» неурочным формам Г) соревновательным формам
44	Какой раздел комплексной программы по физическому воспитанию для общеобразовательных школ не является типовым?	А) уроки физической культуры Б) внеклассная работа В) физкультурно-массовые и спортивные мероприятия Г) содержание и организация педагогической практики
45	Измерение ЧСС сразу после пробегания отрезка дистанции следует отнести к одному из видов контроля:	А) оперативному Б) текущему В) предварительному Г) итоговому

Проблемные и сложные вопросы, возникающие в процессе изучения курса и выполнения контрольной работы, необходимо решать с преподавателем на консультациях.

Выполнению контрольной работы должно предшествовать самостоятельное изучение студентом рекомендованной литературы.

Студент получает проверенную контрольную работу с исправлениями в тексте и замечаниями. В конце работы выставляется оценка «зачтено», «не зачтено». Работа с оценкой «не зачтено» должна быть доработана и представлена на повторную проверку.

Выполнение работы над ошибками

При получении проверенной контрольной работы необходимо проанализировать отмеченные ошибки. Все задания, в которых были сделаны ошибки или допущены неточности, следует еще раз выполнить в конце данной контрольной работы. Контрольные работы являются учебными документами, которые хранятся на кафедре до конца учебного года.

Критерии оценивания контрольной работы

Оценка за контрольную работу определяется простым суммированием баллов за правильные ответы на вопросы: 1 правильный ответ = 2 балл. Максимум 90 баллов.

Результат контрольной работы

Контрольная работа оценивается на «зачтено», «не зачтено»:
46-90 балла (50-100%) - оценка «зачтено»;
0-44 балла (0-49%) - оценка «не зачтено».

Образец оформления титульного листа



Министерство науки и высшего образования РФ
ФГБОУ ВО
«Уральский государственный горный университет»

Кафедра физической культуры

КОНТРОЛЬНАЯ РАБОТА

по дисциплине

ФИЗИЧЕСКАЯ КУЛЬТУРА И СПОРТ

Выполнил: Иванов Иван Иванович
Группа _____

Преподаватель: Петров Петр Петрович

Екатеринбург
2019

МИНОБРНАУКИ РФ

ФГБОУ ВО «Уральский государственный горный университет»

УТВЕРЖДАЮ

Проректор по учебно-методическому комплексу

_____С.А.Упоров

МЕТОДИЧЕСКИЕ УКАЗАНИЯ ПО ОРГАНИЗАЦИИ САМОСТОЯТЕЛЬНОЙ РАБОТЫ СТУДЕНТОВ

Б1.О.06.01 ФИЗИЧЕСКАЯ КУЛЬТУРА И СПОРТ

Специальность:
21.05.02 Прикладная геология

Специализация:
Геология месторождений нефти и газа

Автор: Шулиманов Д.Ф.

Одобрены на заседании кафедры
Физической культуры
(название кафедры)

Зав. кафедрой _____
(подпись)
Шулиманов Д.Ф.
(Фамилия И.О.)

Протокол № 2 от 18.09.2020
(Дата)

Рассмотрены методической комиссией
факультета геологии и геофизики
(название факультета)

Председатель _____
(подпись)
д.г.-м.н., проф. Бондарев В.И.
(Фамилия И.О.)

Протокол № 2 от 13.10.2020
(Дата)

Екатеринбург

Методические указания по дисциплине согласованы с выпускающей кафедрой литологии и геологии горючих ископаемых

Заведующий кафедрой ЛГГИ _____ к.г.-м.н., С.А. Рыльков____

подпись *И.О. Фамилия*

СОДЕРЖАНИЕ

Цели и задачи дисциплины …….....4
Место дисциплины в структуре основной образовательной программы ……...……4
Требования к оформлению теста ……..…….....4
Содержание теста…….....4
Содержание опроса…….....10
Выполнение работы над ошибками.....……....12

Цели и задачи дисциплины

Цель: формирование физической культуры личности и способности направленного использования разнообразных средств физической культуры, спорта и туризма для сохранения и укрепления здоровья, психофизической подготовки и самоподготовки к будущей жизни и профессиональной деятельности.

Задачи:

- формирование осознания социальной значимости физической культуры и её роли в развитии личности и подготовке к профессиональной деятельности;
- изучение научно-биологических, педагогических и практических основ физической культуры и здорового образа жизни;
- формирование мотивационно-ценностного отношения к физической культуре, установки на здоровый стиль жизни, физическое совершенствование и самовоспитание привычки к регулярным занятиям физическими упражнениями и спортом;

Место дисциплины в структуре основной образовательной программы

Дисциплина «Физическая культура и спорт» относится к разделу «Блок 1. Базоваячасть».

Требования к оформлению теста

Задания выполняются на листах формата А4 в рукописном виде, кроме титульного листа. На титульном листе (см. образец оформления титульного листа в печатном виде) указывается фамилия студента, номер группы, фамилия преподавателя, у которого занимается обучающийся.

В конце работы должна быть поставлена подпись студента и дата выполнения заданий.

Задания должны быть выполнены в той последовательности, в которой они даны в тесте.

Выполненный тест необходимо сдать преподавателю для проверки в установленные сроки.

Если тест выполнен без соблюдения изложенных выше требований, она возвращается студенту для повторного выполнения.

По дисциплине «физическая культура и спорт» представлен, тест, вопросы для проведения опроса.

Содержание теста

№ п/п	Вопросы	Варианты ответов
1	Физическая культура представляет собой:	А) учебный предмет в школе Б) выполнение физических упражнений В) процесс совершенствования возможностей человека Г) часть общей культуры общества
2	Физическая подготовленность, приобретаемая в процессе физической подготовки к трудовой или иной деятельности, характеризуется:	А) высокой устойчивостью к стрессовым ситуациям, воздействию неблагоприятных условий внешней среды и различным заболеваниям Б) уровнем работоспособности и запасом двигательных умений и навыков В) хорошим развитием систем дыхания, кровообращением, достаточным запасом надежности, эффективности и экономичности Г) высокими результатами в учебной, трудовой и спортивной деятельности
3	Под физическим развитием понимается:	А) процесс изменения морфофункциональных свойств организма на протяжении жизни

		Б) размеры мускулатуры, формы тела, функциональные возможности дыхания и кровообращения, физическая работоспособность В) процесс совершенствования физических качеств при выполнении физических упражнений Г) уровень, обусловленный наследственностью и регулярностью занятий физической культурой и спортом
4	Физическая культура ориентирована на совершенствование	А) физических и психических качеств людей Б) техники двигательных действий В) работоспособности человека Г) природных физических свойств человека
5	Отличительным признаком физической культуры является:	А) развитие физических качеств и обучение двигательным действиям Б) физическое совершенство В) выполнение физических упражнений Г) занятия в форме уроков
6	В иерархии принципов в системе физического воспитания принцип всестороннего развития личности следует отнести к:	А) общим социальным принципам воспитательной стратегии общества Б) общим принципам образования и воспитания В) принципам, регламентирующим процесс физического воспитания Г) принципам обучения
7	Физическими упражнениями называются:	А) двигательные действия, с помощью которых развивают физические качества и укрепляют здоровье Б) двигательные действия, дозируемые по величине нагрузки и продолжительности выполнения В) движения, выполняемые на уроках физической культуры и во время утренней гимнастики Г) формы двигательных действий, способствующие решению задач физического воспитания
8	Нагрузка физических упражнений характеризуется:	А) подготовленностью занимающихся в соответствии с их возрастом, состоянием здоровья, самочувствием во время занятия Б) величиной их воздействия на организм В) временем и количеством повторений двигательных действий Г) напряжением отдельных мышечных групп
9	Величина нагрузки физических упражнений обусловлена:	А) сочетанием объема и интенсивности двигательных действий Б) степенью преодолеваемых при их выполнении трудностей В) утомлением, возникающим при их выполнении Г) частотой сердечных сокращений
10	Если ЧСС после выполнения упражнения восстанавливается за 60 сек до уровня, который был в начале урока, то это свидетельствует о том, что нагрузка	А) мала и ее следует увеличить Б) переносится организмом относительно легко В) достаточно большая и ее можно повторить Г) чрезмерная и ее нужно уменьшить
11	Интенсивность выполнения упражнений можно определить по ЧСС. Укажите, какую частоту пульса вызывает большая интенсивность упражнений	А) 120-130 уд/мин Б) 130-140 уд/мин В) 140-150 уд/мин Г) свыше 150 уд/мин
12	Регулярные занятия физическими упражнениями способствуют повышению работоспособности, потому	А) во время занятий выполняются двигательные действия, содействующие развитию силы и выносливости Б) достигаемое при этом утомление активизирует

	что:	процессы восстановления и адаптации В) в результате повышается эффективность и экономичность дыхания и кровообращения. Г) человек, занимающийся физическими упражнениями, способен выполнить большой объем физической работы за отведенный отрезок времени.
13	Что понимают под закаливанием:	А) купание в холодной воде и хождение босиком Б) приспособление организма к воздействию внешней среды В) сочетание воздушных и солнечных ванн с гимнастикой и подвижными играми Г) укрепление здоровья
14	Во время индивидуальных занятий закаливающими процедурами следует соблюдать ряд правил. Укажите, какой из перечисленных ниже рекомендаций придерживаться не стоит:	А) чем ниже температура воздуха, тем интенсивней надо выполнять упражнение, т.к. нельзя допускать переохлаждения Б) чем выше температура воздуха, тем короче должны быть занятия, т.к. нельзя допускать перегревания организма В) не рекомендуется тренироваться при активном солнечном излучении Г) после занятия надо принять холодный душ
15	Правильное дыхание характеризуется:	А) более продолжительным выдохом Б) более продолжительным вдохом В) вдохом через нос и выдохом через рот Г) ровной продолжительностью вдоха и выдоха
16	При выполнении упражнений вдох не следует делать во время:	А) вращений и поворотов тела Б) наклонах туловища назад В) возвращение в исходное положение после наклона Г) дыхание во время упражнений должно быть свободным, рекомендации относительно времени вдоха и выдоха не нужны
17	Что называется осанкой?	А) качество позвоночника, обеспечивающее хорошее самочувствие и настроение Б) пружинные характеристики позвоночника и стоп В) привычная поза человека в вертикальном положении Г) силуэт человека
18	Правильной осанкой можно считать, если вы, стоя у стены, касаетесь ее:	А) затылком, ягодицами, пятками Б) лопатками, ягодицами, пятками В) затылком, спиной, пятками Г) затылком, лопатками, ягодицами, пятками
19	Соблюдение режима дня способствует укреплению здоровья, потому, что:	А) он обеспечивает ритмичность работы организма Б) он позволяет правильно планировать дела в течение дня В) распределение основных дел осуществляется более или менее стандартно в течение каждого дня Г) он позволяет избегать неоправданных физических напряжений
20	Замена одних видов деятельности другими, регулируема режимом дня, позволяет поддержать работоспособность в течение дня, потому что:	А) это положительно сказывается на физическом и психическом состоянии человека Б) снимает утомление нервных клеток организма В) ритмическое чередование работы с отдыхом предупреждает возникновение перенапряжения Г) притупляется чувство общей усталости и повышает

		тонус организма
21	Систематические и грамотно организованные занятия физическими упражнениями укрепляют здоровье, так как	А) хорошая циркуляция крови во время упражнений обеспечивает поступление питательных веществ к органам и системам организма Б) повышается возможность дыхательной системы, благодаря чему в организм поступает большее количество кислорода, необходимого для образования энергии В) занятия способствуют повышению резервных возможностей организма Г) при достаточном энергообеспечении организм легче противостоит простудным и инфекционным заболеваниям
22	Почему на уроках физической культуры выделяют подготовительную, основную и заключительную части?	А) так учителю удобнее распределять различные по характеру упражнения Б) это обусловлено необходимость управлять динамикой работоспособности занимающихся. В) выделение частей в уроке требует Министерство образовании России Г) потому, что перед уроком, как правило, ставятся задачи, и каждая часть урока предназначена для решения одной из них
23	Укажите, в какой последовательности должны выполняться в комплексе утренней гимнастикой перечисленные упражнения: 1. Дыхательные. 2. На укрепление мышц и повышение гибкости. 3. Потягивания. 4 бег с переходом на ходьбу. 5. Ходьба с постепенным повышение частоты шагов. 6. Прыжки. 7.Поочередное напряжение и расслабление мышц. 8. Бег в спокойном темпе.	А) 1, 2, 3, 4, 5, 6, 7, 8 Б) 7, 5, 8, 6, 2, 3, 2, 1, 4 В) 3, 7, 5, 8, 1, 2, 6, 4 Г) 3, 1, 2, 4, 7, 6, 8, 4
24	Под силой как физическим качеством понимается:	А) способность поднимать тяжелые предметы Б) свойство человека противодействовать внешним силам за счет мышечных напряжений В) свойство человека воздействовать на внешние силы за счет внешних сопротивлений Г) комплекс свойств организма, позволяющих преодолевать внешнее сопротивление либо противодействовать ему.
25	Выберите правильное распределение перечисленных ниже упражнений в занятии по общей физической подготовке. 1. Ходьба или спокойный бег в чередовании с дыхательными упражнениями. 2. Упражнения, постепенно включающие в работу все большее количество мышечных групп. 3. Упражнения на развитие выносливости. 4. Упражнения на развитие быстроты и гибкости. 5. упражнения на развитие силы. 6. Дыхательные упражнения.	А) 1, 2, 5, 4, 3, 6 Б) 6, 2, 3, 1, 4, 5 В) 2, 6, 4, 5, 3, 1 Г) 2,1, 3, 4, 5, 6
26	Основная часть урока по общей физической подготовке отводится развитию физических качеств. Укажите, какая последовательность воздействий на физические качества наиболее	А) 1, 2, 3, 4 Б) 2,3,1,4 В) 3, 2, 4, 1 Г) 4,2 ,3, 1

	эффективна. 1. Выносливость. 2. Гибкость. 3. быстрота. 4. Сила.	
27	Какие упражнения неэффективны при формировании телосложения	А) упражнения, способствующие увеличению мышечной массы Б) упражнения, способствующие снижению массы тела В) упражнения, объединенные в форме круговой тренировки Г) упражнения, способствующие повышению быстроты движений
28	И для увеличения мышечной массы, и для снижения веса тела можно применять упражнения с отягощением. Но при составлении комплексов упражнений для увеличения мышечной массы рекомендуется:	А) полностью проработать одну группу мышц и только затем переходит к упражнениям, нагружающим другую группу мышц Б) чередовать серии упражнений, включающие в работу разные мышечные группы В) использовать упражнения с относительно небольшим отягощением и большим количеством повторений Г) планировать большое количество подходов и ограничивать количество повторений в одном подходе
29	Под быстротой как физическим качеством понимается:	А) комплекс свойств, позволяющих передвигаться с большой скоростью Б) комплекс свойств, позволяющий выполнять работу в минимальный отрезок времени В) способность быстро набирать скорость Г) комплекс свойств, позволяющий быстро реагировать на сигналы и выполнять движения с большой частотой
30	Для развития быстроты используют:	А) подвижные и спортивные игры Б) упражнения в беге с максимальной скоростью на короткие дистанции В) упражнения на быстроту реакции и частоту движений Г) двигательные действия, выполняемые с максимальной скоростью
31	Лучшие условия для развития быстроты реакции создаются во время:	А) подвижных и спортивных игр Б) челночного бега В) прыжков в высоту Г) метаний
32	Под гибкостью как физическим качеством понимается:	А) комплекс морфофункциональных свойств опорно-двигательного аппарата, определяющий глубину наклона Б) способность выполнять упражнения с большой амплитудой за счет мышечных сокращений. В) комплекс свойств двигательного аппарата, определяющих подвижность его звеньев Г) эластичность мышц и связок
33	Как дозируются упражнения на развитие гибкости, т.е. сколько движений следует делать в одной серии:	А) Упражнение выполняется до тех пор, пока не начнет уменьшаться амплитуда движений Б) выполняются 12-16 циклов движения В) упражнения выполняются до появления пота Г) упражнения выполняются до появления болевых ощущений
34	Для повышения скорости бега в самостоятельном занятии после	А) 1, 2, 3, 4, 5, 6, 7 Б) 7, 5, 4, 3, 2, 6, 1

	разминки рекомендуется выполнять перечисленные ниже упражнения. Укажите их целесообразную последовательность: 1. Дыхательные упражнения. 2. Легкий продолжительный бег. 3. Прыжковые упражнения с отягощением и без них. 4. дыхательные упражнения в интервалах отдыха. 5. Повторный бег на короткие дистанции. 6.Ходьба. 7. Упражнения на частоту движений.	В) 2, 1, 3, 7, 4, 5, 6 Г) 3, 6, 2, 7, 5, 4, 1
35	При развитии гибкости следует стремиться	А) гармоничному увеличению подвижности в основных суставах Б) достижению максимальной амплитуды движений в основных суставах В) оптимальной амплитуде движений в плечевом, тазобедренном, коленом суставах Г) восстановлению нормальной амплитуды движений суставов
36	Под выносливостью как физическим качеством понимается:	А) комплекс свойств, обуславливающий возможность выполнять разнообразные физические нагрузки Б) комплекс свойств, определяющих способность противостоять утомлению В) способность длительно совершать физическую работу, практически не утомляясь Г) способность сохранять заданные параметры работы
37	Выносливость человека не зависит от:	А) функциональных возможностей систем энергообеспечения Б) быстроты двигательной реакции В) настойчивости, выдержки, мужественности, умения терпеть Г) силы мышц
38	При развитии выносливости не применяются упражнения, характерными признаками которых являются:	А) максимальная активность систем энергообеспечения Б) умеренная интенсивность В) максимальная интенсивность Г) активная работа большинства звеньев опорно-двигательного аппарата
39	Техникой физических упражнений принято называть	А) способ целесообразного решения двигательной задачи Б) способ организации движений при выполнении упражнений В) состав и последовательность движений при выполнении упражнений Г) рациональную организацию двигательных действий
40	При анализе техники принято выделять основу, ведущее звено и детали техники. Что понимают под основой (ведущим звеном и деталями техники).	А) набор элементов, характеризующий индивидуальные особенности выполнения целостного двигательного действия Б) состав и последовательность элементов, входящих в двигательное действие В) совокупность элементов, необходимых для решения двигательной задачи Г) наиболее важная часть определенного способа решения двигательной задачи
41	В процессе обучения двигательным	А) возможности расчленения двигательного действия

	действиям используют методы целостного или расчлененного упражнения. Выбор метода зависит от	на относительно самостоятельные элементы Б) сложности основы техники В) количества элементов, составляющих двигательное действие Г) предпочтения учителя
42	Процесс обучения двигательному действию рекомендуется начинать с освоения	А) основы техники Б) ведущего звена техники В) подводящих упражнений Г) исходного положения
43	Физкультминутку, как одну из форм занятий физическими упражнениями следует отнести к:	А) урочным формам занятий физическими упражнениями Б) «малым» неурочным формам В) «крупным» неурочным формам Г) соревновательным формам
44	Какой раздел комплексной программы по физическому воспитанию для общеобразовательных школ не является типовым?	А) уроки физической культуры Б) внеклассная работа В) физкультурно-массовые и спортивные мероприятия Г) содержание и организация педагогической практики
45	Измерение ЧСС сразу после пробегания отрезка дистанции следует отнести к одному из видов контроля:	А) оперативному Б) текущему В) предварительному Г) итоговому

Критерии оценивания теста

Оценка за тест определяется простым суммированием баллов за правильные ответы на вопросы: 1 правильный ответ = 2 балл. Максимум 90 баллов.

Результат теста

Тест оценивается на «зачтено», «не зачтено»:
46-90 балла (50-100%) - оценка «зачтено»;
0-44 балла (0-49%) - оценка «не зачтено»;

ВОПРОСЫ ДЛЯ ПРОВЕДЕНИЯ ОПРОСА

1. Определение понятий в области физической культуры
2. Понятие «здоровье»иосновныеегокомпоненты
3. Факторы,определяющиездоровьечеловека.
4. Образ жизниегосоставляющие.
5. Разумное чередование труда и отдыха, как компонент ЗОЖ.
6. Рациональноепитаниеи ЗОЖ.
7. Отказотвредныхпривычекисоблюдениеправилличнойиобщественнойгигиены.
8. Двигательнаяактивность—как компонент ЗОЖ.
9. Выполнениемероприятийпозакаливаниюорганизма.
10. Физическоесамовоспитаниеисамосовершенствованиекакнеобходимоеусловиереализации мероприятий ЗОЖ.

11. Врачебныйконтролькакобязательнаяпроцедурадлязанимающихся физической культурой.
12. Самоконтроль—необходимаяформаконтролячеловеказафизическимсостоянием.
13. Методикасамоконтроляфизическогоразвития.
14. Самостоятельноеизмерениеартериальногодавленияичастотысердечныхсокращений.
15. Проведениефункциональныхпробдляоценкидеятельностисердечно-сосудистой системы.
16. Проведениефункциональныхпробдляоценкидеятельностидыхательнойсистемы.
17. Самоконтрольуровняразвитияфизическихкачеств:быстроты,гибкости, ловкости, силы и выносливости
18. Ведение дневника самоконтроля.
19. Цельизадачифизического воспитания в вузе.
20. Специфические функциифизическойкультуры.
21. Социальнаярольизначениеспорта.
22. Этапыстановленияфизическойкультурыличности студента.
23. Понятияфизическаякультура,физическоевоспитание,физическоеразвитие, физическое совершенство.
24. Реабилитационнаяфизическаякультура,виды,краткаяхарактеристика.
25. Разделы учебнойпрограммы дисциплины «Физическая культура».
26. Комплектованиеучебныхотделенийстудентовдляорганизациии проведения занятий пофизическомувоспитанию.
27. Преимуществаспортивно-ориентированнойпрограммыдисциплины «Физическаякультура» для студентов.
28. Особенностикомплектованиястудентовсразличнымхарактеромзаболеванийвспециальном учебном отделении.
29. Зачетныетребованияпоучебнойдисциплине«Физическаякультура».
30. Формирование двигательногонавыка.
31. Устойчивость организма к воздействию неблагоприятныхфакторов.
32. Мотивацияинаправленность самостоятельных занятий.
33. Утренняягигиеническая гимнастика.
34. Мотивациявыборавидовспортаилисистемфизическихупражнений.
35. Самостоятельные занятия оздоровительным бегом.
36. Самостоятельныезанятияатлетическойгимнастикой.
37. Особенностисамостоятельныхзанятийженщин.
38. Мотивацияинаправленность самостоятельных занятий. Утренняягигиеническая гимнастика.
39. Физическиеупражнениявтечениеучебногодня:физкультминутки, физкультпаузы.
40. Самостоятельныетренировочныезанятия:структура,требованиякорганизации и проведению.
41. Мотивациявыборавидовспортаилисистемфизическихупражнений.
42. Самостоятельные занятия оздоровительным бегом.
43. Самостоятельныезанятияатлетическойгимнастикой.
44. Особенностисамостоятельныхзанятийженщин.
45. Рольфизическойкультурывпрофессиональнойдеятельностибакалавраиспециалиста.
46. Производственнаяфизическаякультура, ее цели и задачи.
47. Методическиеосновыпроизводственнойфизическойкультуры.
48. Производственнаяфизическаякультура в рабочее время.
49. Физическая культура и спорт в свободноевремя.
50. Профилактикапрофессиональныхзаболеванийитравматизмасредствамифизической культуры.
51. Понятие ППФП, её цель,задачи. Прикладные знания, уменияинавыки.
52. Прикладные психическиекачества.
53. Прикладные специальные качества.
54. Факторы,определяющиесодержаниеППФП:формытруда,условия труда.
55. Факторы,определяющиесодержаниеППФП:характертруда,режим труда иотдыха.
56. Дополнительныефакторы,определяющиесодержание ППФП.

57. СредстваППФП.
58. Организация и формыППФПввузе.
59. Понятия общей испециальнойфизическойподготовки.
60. Отличия понятийспортивнаяподготовка и спортивная тренировка.
61. Стороныподготовкиспортсмена.
62. Средстваспортивнойподготовки.
63. Структура отдельного тренировочного занятия.
64. Роль подготовительной части занятиявтренировочномпроцессе.
65. Понятие «физическая нагрузка», эффект ее воздействия на организм.
66. Внешниепризнакиутомления.
67. Видыипараметрыфизическихнагрузок.
68. Интенсивностьфизическихнагрузок.
69. Психофизиологическаяхарактеристикаумственной деятельности.
70. Работоспособность:понятие,факторы,периоды
71. Физические упражнениявтечениеучебногоднядляподдержанияработоспособности.
72. Бегкаксамоеэффективноесредствовосстановленияиповышенияработоспособности.
73. Плаваниеиработоспособность.
74. Методическиепринципыфизическоговоспитания,сущностьизначение.
75. Принципысознательностииактивности,наглядностивпроцессефизического воспитания.
76. Принципыдоступностиииндивидуализации,систематичностиидинамичности.
77. Средствафизическойкультуры.
78. Общепедагогические методыфизическоговоспитания.
79. Методыобучениятехникедвигательногодействия.
80. Этапы обучения двигательного действия.
81. Методыразвитияфизическихкачеств:равномерный,повторный,интервальный.
82. Методкруговойтренировки, игровойисоревновательныйметоды.
83. Силакакфизическоекачество,общаяхарактеристикасиловыхупражнений.
84. Методыразвития силы.
85. Выносливость—видывыносливости,особенностиразвитиявыносливости.
86. Развитиефизическихкачеств:быстроты,гибкости,ловкости.
87. Понятие«спорт».Егопринципиальноеотличиеотдругихвидовзанятийфизическими упражнениями.
88. Массовый спорт:понятие, цель,задачи.
89. Спортвысшихдостижений: понятие,цель, задачи.
90. Студенческий спорт, егоорганизационныеособенности.
91. Студенческие спортивные соревнования.
92. Студенческие спортивные организации.
93. Всероссийский физкультурно-спортивный комплекс «ГТО» (Готов к труду и обороне).

Выполнение работы над ошибками

При получении проверенного теста необходимо проанализировать отмеченные ошибки. Все задания, в которых были сделаны ошибки или допущены неточности, следует еще раз выполнить в конце данноготеста.Тесты, тесты являются учебными документами, которые хранятся на кафедре до конца учебного года.

МИНОБРНАУКИ РФ

ФГБОУ ВО «Уральский государственный горный университет»

УТВЕРЖДАЮ

Проректор по учебно-методическому комплексу

_____С.А.Упоров

МЕТОДИЧЕСКИЕ УКАЗАНИЯ ПО ВЫПОЛНЕНИЮ КОНТРОЛЬНОЙ РАБОТЫ ПО ДИСЦИПЛИНЕ

Б1.О.06.02 ЭЛЕКТИВНЫЕ КУРСЫ ПО ФИЗИЧЕСКОЙ КУЛЬТУРЕ И СПОРТУ

Специальность:

21.05.02 Прикладная геология

Специализация:

Геология месторождений нефти и газа

Автор: Шулиманов Д.Ф.

Одобрены на заседании кафедры

Физической культуры

(название кафедры)

Зав. кафедрой _____

(подпись)

Шулиманов Д.Ф.

(Фамилия И.О.)

Протокол № 2 от 18.09.2020

(Дата)

Рассмотрены методической комиссией

факультета геологии и геофизики

(название факультета)

Председатель _____

(подпись)

д.г.-м.н., проф. Бондарев В.И.

(Фамилия И.О.)

Протокол № 2 от 13.10.2020

(Дата)

Екатеринбург

Методические указания по дисциплине согласованы с выпускающей кафедрой литологии и геологии горючих ископаемых

Заведующий кафедрой ЛГГИ _____ к.г.-м.н., С.А. Рыльков____

подпись *И.О. Фамилия*

СОДЕРЖАНИЕ

Цели и задачи дисциплины ……4
Место дисциплины в структуре основной образовательной программы ……4
Требования к оформлению контрольной работы ……4
Содержание контрольной работы……4
Выполнение работы над ошибками……11
Критерии оценивания контрольной работы ……11
Образец оформления титульного листа ……12

1. Цели и задачи дисциплины

Цель: формирование физической культуры личности и способности направленного использования разнообразных средств физической культуры, спорта и туризма для сохранения и укрепления здоровья, психофизической подготовки и самоподготовки к будущей жизни и профессиональной деятельности.

Задачи:

- формирование осознания социальной значимости физической культуры и её роли в развитии личности и подготовке к профессиональной деятельности;
- изучение научно-биологических, педагогических и практических основ физической культуры и здорового образа жизни;
- формирование мотивационно-ценностного отношения к физической культуре, установки на здоровый стиль жизни, физическое совершенствование и самовоспитание привычки к регулярным занятиям физическими упражнениями и спортом;

2. Место дисциплины в структуре основной образовательной программы

Дисциплина «Элективные курсы по физической культуре и спорту» относится к разделу «Блок 1. Базоваячасть».

3. Требования к оформлению контрольной работы

Контрольные задания выполняются на листах формата А4 в рукописном виде, кроме титульного листа. На титульном листе (см. образец оформления титульного листа в печатном виде) указывается фамилия студента, номер группы, номер контрольной работы и фамилия преподавателя, у которого занимается обучающийся.

В конце работы должна быть поставлена подпись студента и дата выполнения заданий.

Контрольные задания должны быть выполнены в той последовательности, в которой они даны в контрольной работе.

Выполненную контрольную работу необходимо сдать преподавателю для проверки в установленные сроки.

Если контрольная работа выполнена без соблюдения изложенных выше требований, она возвращается студенту для повторного выполнения.

По дисциплине «элективные курсы по физическойкультуре и спорту» представлено 2 варианта контрольной работы.

Содержание контрольной работы

Вопросы для групповой дискуссии

1 .Что можно отнести к средствам физического воспитания?
2. Влияние климатогеографического фактора на здоровье и работоспособность человека
3. Чем отличается спорт от физической культуры?
4. Что мы относим к материальным ценностям физической культуры, а что – к духовным?
5. В чем состоит взаимосвязь физической и умственной деятельности человека?
6. Причины возникновения таких явлений как гипокинезия и гиподинамия
7. Для чего нужна адаптивная физическая культура?
8. При выборе вида спорта на какие аспекты и характеристики необходимо обратить основное внимание.

Контрольная работа №1

Вариант 1

ДЕ-1: Физическая культура в общекультурной и профессиональной подготовке обучающихся.

1. Часть общечеловеческой культуры, специфический процесс и результат человеческой деятельности, средство и способ физического совершенствования личности – это:

а) физическая культура; б) спорт; в) туризм; г) физическое развитие.

2. Физическое воспитание – это:

а) педагогический процесс, направленный на формирование физической культуры личности в результате педагогического воздействия и самовоспитания;
б) приобщение человека к физической культуре;
в) биологический процесс становления, изменения естественных морфологических и функциональных свойств организма в течение жизни человека;
г) процесс формирования определенных физических и психических качеств.

3. Чем спорт отличается от физической культуры:

а) наличием специального оборудования; б) присутствием зрителей; в) наличием соревновательного момента; г) большой физической нагрузкой.

4 Какой из ниже перечисленных принципов не относится к основным принципам физического воспитания:

а) сознательности и активности; б) наглядности; в) последовательности;
г) систематичности;

5 Под физическим развитием понимается:

а) процесс изменения морфофункциональных свойств организма на протяжении жизни;
б) размеры мускулатуры, форма тела, функциональные возможности дыхания и кровообращения, физическая работоспособность;
в) процесс совершенствования физических качеств, при выполнении физических упражнений;
г) уровень, обусловленный наследственностью и регулярностью занятий физической культурой и спортом.

ДЕ-2: Основы здорового образа жизни обучающегося.

1. Определение понятия «Здоровье» Всемирной организации здравоохранения. Здоровье это:

а) естественное состояние организма без болезней и недомоганий;
б) состояние полного физического, умственного и социального благополучия;
в) состояние отсутствия каких-либо заболеваний;
г) все перечисленное.

2. Состояние здоровья обусловлено:

а) резервными возможностями организма; б) образом жизни;
в) уровнем здравоохранения; г) отсутствием болезней.

3. Что не относятся к внешним факторам, влияющим на человека:

а) природные факторы; б) факторы социальной среды; в) генетические факторы;
г) биологические факторы.

4. Сколько времени необходимо нормальному человеку для ночного сна:

а) 5 – 6 часов; б) 6 – 7 часов; в) 7 – 8 часов; г) 8 – 9 часов.

5. К активному отдыху относится:

а) сон; б) отдых сидя; в) занятия двигательной деятельностью; г) умственная деятельность.

ДЕ-3: Средства и методы физической культуры.

1. Физическими упражнениями называются:

а) двигательные действия, используемые для формирования техники движений;
б) двигательные действия, используемые для развития физических качеств и укрепления здоровья;
в) двигательные действия, выполняемые на занятиях по физической культуре и самостоятельно;
г) двигательные действия, направленные на реализацию задач физического воспитания.

2. Занятия физическими упражнениями отличаются от трудовых действий:
а) интенсивностью; б) задачами; в) местом проведения; г) все ответы верны.
3. Физические упражнения являются:
а) принципом физического воспитания; б) методом физического воспитания;
в) средством физического воспитания; г) функцией физического воспитания.
4. Что не относится к методам физического воспитания:
а) игровой; б) регламентированного упражнения; в) словесный и сенсорный;
г) самостоятельный.
5. Метод в физической культуре – это
а) основное положение, определяющее содержание учебного процесса по физической культуре;
б) руководящее положение, раскрывающее принципы физической культуры;
в) конкретная причина, заставляющая человека выполнять физические упражнения;
г) способ применения физических упражнений.

ДЕ-4: Общая физическая и специальная подготовка в системе физического воспитания.

1. Физическая подготовка – это:
а) педагогический процесс, направленный на формирование физической культуры личности в результате педагогического воздействия и самовоспитания;
б) приобщение человека к физической культуре, в процессе которой он овладевает системой знаний, ценностей, позволяющих ему осознанно и творчески развивать физические способности;
в) биологический процесс становления, изменения естественных морфологических и функциональных свойств организма в течение жизни человека;
г) процесс формирования определенных физических и психических качеств, умений и навыков человека посредством направленных занятий с применением средств физической культуры.
2. К основным физическим качествам относятся:
а) рост, вес, объем бицепсов, становая сила; б) бег, прыжки, метания, лазания;
в) сила, выносливость, быстрота, ловкость, гибкость; г) взрывная сила, прыгучесть, меткость.
3. Различают гибкость:
а) абсолютную и относительную; б) общую и специальную; в) активную и пассивную;
г) простую и сложную.
4. Какие виды спорта развивают преимущественно выносливость:
а) спортивные единоборства; б) циклические; в) спортивные игры; г) ациклические.
5. Скоростно-силовые качества преимущественно развиваются:
а) в тяжелой атлетике; б) в акробатике; в) в конькобежном спорте; г) в лыжном спорте.

Вариант 2

ДЕ-1: Физическая культура в общекультурной и профессиональной подготовке обучающихся.

1. На что преимущественно влияют занятия по физической культуре:
а) на интеллектуальные способности;
б) на удовлетворение социальных потребностей;
в) на воспитание лидерских качеств;
г) на полноценное физическое развитие.
2.Физическая культура – это:
а) часть общечеловеческой культуры, специфический процесс и результат человеческой деятельности, средство и способ физического совершенствования личности;
б) часть наука о природе двигательной деятельности человека
в) вид воспитательного процесса, специфика которого заключена в обучении двигательным актам и управлением развитием и совершенствованием физических качеств человека;
г) процесс физического образования и воспитания, выражающий высокую степень развития индивидуальных физических способностей.

3. Что не относиться к компонентам физической культуры:
а) физическое развитие; б) спорт высших достижений; в) оздоровительно-реабилитационная физическая культура; г) гигиеническая физическая культура.
4. Выбрать правильное определение термина «Физическое развитие»:
а) физическое развитие – это педагогический процесс, направленный на формирование физической культуры личности в результате педагогического воздействия и самовоспитания;
б) физическое развитие – это приобщение человека к физической культуре, в процессе которой он овладевает системой знаний, ценностей, позволяющих ему осознанно и творчески развивать физические способности;
в) физическое развитие – это биологический процесс становления, изменения естественных морфологических и функциональных свойств организма в течение жизни человека;
г) физическое развитие – это процесс формирования определенных физических и психических качеств, умений и навыков человека посредством направленных занятий с применением средств физической культуры.
5. Теоретический материал учебного предмета «Физическая культура и спорт» в высших учебных заведениях включает в себя:
а) фундаментальные знания общетеоретического характера;
б) инструктивно-методические знания;
в) знания о правилах выполнения двигательных действий;
г) все вышеперечисленное.

ДЕ-2: Основы здорового образа жизни обучающегося.

1. Что понимается под закаливанием:

а) купание в холодной воде и хождение босиком;
б) приспособление организма к воздействиям внешней среды;
в) сочетание воздушных и солнечных ванн с гимнастикой и подвижными играми;
г) укрепление здоровья.

2. Определение понятия «Здоровье» Всемирной организации здравоохранения. Здоровье это:

а) естественное состояние организма без болезней и недомоганий;
б) состояние полного физического, умственного и социального благополучия;
в) состояние отсутствия каких-либо заболеваний;
г) все перечисленное.

3. Какое понятие не относится к двигательной активности человека:

а) гипоксия; б) гиподинамия; в) гипокинезия; г) гипердинамия.

4. Какая из перечисленных функций не относится к функции кожи:

а) защита внутренней среды организма; б) теплорегуляция; в) выделение из организма продуктов обмена веществ; г) звукоизоляция.

5. Соблюдение режима дня способствует укреплению здоровья, потому что:

а) обеспечивает ритмичность работы организма;
б) позволяет правильно планировать дела в течение дня;
в) распределение основных дел осуществляется более или менее стандартно в течение каждого дня;
г) позволяет избегать неоправданных физических напряжений.

ДЕ-3: Средства и методы физической культуры.

1. Физическое упражнение - это:

а) двигательные действия, используемые для формирования техники движений;
б) двигательные действия, используемые для развития физических качеств и укрепления здоровья;
в) двигательные действия, выполняемые на занятиях по физической культуре и самостоятельно;
г) двигательные действия, направленные на реализацию задач физического воспитания.

2. Положительное влияние физических упражнений на развитие функциональных возможностей организма будет зависеть:

а) от технической и физической подготовленности занимающихся;
б) от особенностей реакций систем организма в ответ на выполняемые упражнения;
г) от состояния здоровья и самочувствия занимающихся во время выполнения упражнений;
г) от величины физической нагрузки и степени напряжения в работе определенных мышечных групп.

3. Что не относиться к средствам физического воспитания:

а) физические упражнения;
б) подвижные игры;
в) соревнования;
в) спортивные игры.

4. Что относится к методическим принципам физического воспитания:

а) сознательность и активность;
б) наглядность и доступность;
в) систематичность и динамичность;
г) все вышеперечисленное.

5. Регулярные занятия физическими упражнениями способствует повышению работоспособности, потому что:

а) во время занятий выполняются двигательные действия, содействующие развитию силы и выносливости;
б) достигаемое при этом утомление активизирует процессы восстановления и адаптации;
в) в результате повышается эффективность и экономичность дыхания и кровообращения;
г) человек, занимающийся физическими упражнениями, способен выполнять больший объем физической работы за отведенный отрезок времени.

ДЕ-4: Общая физическая и специальная подготовка в системе физического воспитания.

1. Степень владения техникой действий, при которой повышена концентрация внимания на составные операции (части), наблюдается нестабильное решение двигательной задачи – это

а) двигательное умение; в) массовый спорт; в) двигательный навык;
г) спорт высших достижений.

2. Для воспитания быстроты используются:

а) упражнения в беге с максимальной скоростью на короткие дистанции;
б) подвижные и спортивные игры;
в) упражнения на быстроту реакции и частоту движений;
г) двигательные упражнения, выполняемые с максимальной скоростью.

3. Различают два вида выносливости:

а) абсолютная и относительная; б) общая и специальная; в) активная и пассивная;
г) динамическую и статическую.

4. Процесс воспитания физических качеств, обеспечивающих преимущественное развитие тех двигательных способностей, которые необходимы для конкретной спортивной дисциплины - это

а) общая физическая подготовка; б) двигательное умение; в) специальная физическая подготовка; г) двигательный навык.

5. Различают силу:

а) абсолютную и относительную; б) общую и специальную; в) активную и пассивную;
г) статическую и динамическую.

Контрольная работа №2

Вариант 1

ДЕ-1: Основы методики самостоятельных занятий физическими упражнениями.

1. В комплекс утренней гимнастики следует включать:

а) упражнения с отягощением; б) упражнения статического характера;
в) упражнения на гибкость и дыхательные упражнения; г) упражнения на выносливость.

2. К объективным показателям самоконтроля относится:

а) частота сердечных сокращений; б) самочувствие; в) аппетит; г) сон.

3. При нагрузке интенсивности выше средней частота пульса достигает:

а) 100 – 130 уд/мин; б) 130 – 150 уд/мин; в) 150 – 170 уд/мин; г) более 170 уд/мин.

4. Самостоятельные тренировочные занятия рекомендуется выполнять:

а) после приема пищи; б) после сна натощак; в) во второй половине дня, через 2-3 часа после обеда; г) перед сном.

ДЕ-2: Спорт. Индивидуальный выбор видов спорта или систем физических упражнений.

1. Регулярные занятия доступным видом спорта, участия в соревнованиях с целью укрепления здоровья, коррекции физического развития и телосложения, активного отдыха, достижение физического совершенствования – это:

а) спорт высших достижений;
б) лечебная физическая культура;
в) профессионально-прикладная физическая культура;
в) массовый спорт.

2. Какой вид спорта наиболее эффективно развивает гибкость и ловкость:

а) фехтование;
б) баскетбол;
в) фигурное катание;
г) художественная гимнастика.

3. Количество игроков одной команды в волейболе на площадке:

а) 7; б) 6; в) 5; г) 8.

4. Как осуществляется контроль за влиянием физических нагрузок на организм во время занятий физическими упражнениями:

а) по частоте дыхания;
б) по частоте сердечно-сосудистых сокращений;
в) по объему выполненной работы.

ДЕ-3: Особенности занятий избранным видом спорта или системой физических упражнений.

1. Степень владения техникой действия, при которой управление движением происходит автоматически, и действия отличаются надежностью – это:

а) двигательное умение;
б) массовый спорт;
в) двигательный навык;
г) спорт высших достижений.

2. Как дозируются упражнения на гибкость:

а) до появления пота;
б) до снижения амплитуды движений;
в) по 12-16 циклов движений;
г) до появления болевых ощущений.

3. При воспитании силы применяются специальные упражнения с отягощениями. Их отличительная особенность заключается в том, что:

а) в качестве отягощения используется собственный вес человека;
б) они выполняются до утомления;
в) они вызывают значительное напряжение мышц;
г) они выполняются медленно.

4. В каком из перечисленных видов спорта преимущественно развивается выносливость:
а) в фигурном катании;
б) в пауэрлифтинге;
в) в художественной гимнастике;
г) в лыжном спорте.

ДЕ-4: Самоконтроль занимающихся физическими упражнениями и спортом.

1. Регулярные занятия физическими упражнениями способствуют повышению работоспособности, потому что:

а) обеспечивают усиленную работу мышц;
б) обеспечивают выполнение большого объема мышечной работы с разной интенсивностью;
в) обеспечивают усиленную работу систем дыхания и кровообращения;
г) обеспечивают усиленную работу системы энергообеспечения.

2. Меры профилактики переутомления:

а) посидеть 3-4 минуты;
б) сменить вид деятельности;
в) прекратить выполнение действий, пройти обследование у врачей, выполнить их рекомендации;
г) достаточно 2 дней полноценного отдыха для восстановления.

3. При нагрузке средней интенсивности частота пульса достигает:

а) 100 – 130 уд/мин;
б) 130 – 150 уд/мин;
в) 150 – 170 уд/мин;
г) более 170 уд/мин

4. Что называется «разминкой», проводимой в подготовительной части занятия:

а) чередование легких и трудных общеразвивающих упражнений;
б) чередование беговых и общеразвивающих упражнений;
в) подготовка организма к предстоящей работе;
г) чередование беговых упражнений и ходьбы.

ДЕ-5: Профессионально-прикладная физическая подготовка (ППФП) обучающихся.

Специально направленное и избирательное использование средств физической культуры и спорта для подготовки человека к определенной профессиональной деятельности – это:
а) спорт высших достижений;
б) лечебная физическая культура;
в) производственная физическая культура;
г) массовый спорт.

1. ППФП строится на основе и в единстве с:

а) физической подготовкой; б) технической подготовкой; в) тактической подготовкой;
г) психологической подготовкой.

3. Какая из нижеперечисленных задач не является задачей ППФП:

а) развитие физических способностей, специфических для данной профессии;
б) формирование профессионально-прикладных сенсорных умений и навыков;
в) сообщение специальных знаний для успешного освоения практических навыков трудовой деятельности;
г) повышение функциональной устойчивости организма к неблагоприятному воздействию факторов окружающей среды.

4. Что не является формой занятий по ППФП:

а) спортивно-прикладные соревнования; б) учебные занятия; в) занятия в период учебной практики; г) рекреационные занятия.

Вариант 2

ДЕ-1: Основы методики самостоятельных занятий физическими упражнениями.

1. Определение повседневных изменений в подготовке занимающихся – это:

а) педагогический поэтапный контроль;
б) педагогический текущий контроль;
в) педагогический оперативный контроль;
г) педагогический двигательный контроль.

1. В комплекс утренней гимнастики не рекомендуется включать:

а) упражнения на гибкость;
б) дыхательные упражнения;
в) упражнения с отягощением;
г) упражнения для всех групп мышц.

2. Самостоятельные тренировочные занятия не рекомендуется выполнять:

а) за час до приема пищи;
б) после сна натощак;
в) во второй половине дня, через 2-3 часа после обеда;
г) за 3 часа до отхода ко сну.

4. Дневник самоконтроля нужен для:

а) коррекции содержания и методики занятий физическими упражнениями;
б) контроля родителей;
в) лично спортсмену;
г) лично тренеру.

ДЕ-2: Спорт. Индивидуальный выбор видов спорта или систем физических упражнений.

1. К циклическим видам спорта не относится:

а) волейбол;
б) стайерский бег;
в) плавание;
г) спортивная ходьба.

2. Какой из перечисленных видов спорта преимущественно развивает координацию движений:

а) спортивная гимнастика;
б) лыжный спорт;
в) триатлон;
г) атлетическая гимнастика.

3. Систематическая плановая многолетняя подготовка и участие в соревнованиях в избранном виде спорта с целью достижения максимальных спортивных результатов – это:

а) спорт высших достижений;
б) лечебная физическая культура;
в) профессионально-прикладная физическая культура;
в) массовый спорт.

4. Какие упражнения включаются в разминку почти во всех видах спорта:

а) упражнения на развитие выносливости;
б) упражнения на развитие гибкости и координации движений;
в) бег и общеразвивающие упражнения.

ДЕ-3: Особенности занятий избранным видом спорта или системой физических упражнений.

1. Какая из представленных способностей не относится к группе координационных:

а) способность сохранять равновесие;
б) способность точно дозировать величину мышечных усилий;
в) способность быстро реагировать на стартовый сигнал;
г) способность точно воспроизводить движения в пространстве.

2. Почему на занятиях по «физической культуре» выделяют подготовительную, основную и заключительную части:

а) так удобнее распределять различные по характеру упражнения;
б) выделение частей занятий связано с необходимостью управлять динамикой работоспособности занимающихся;
в) выделение частей в занятии требует Министерство науки и образования;
г) перед занятием, как правило, ставятся 3 задачи, и каждая часть предназначена для них.

3. Величина нагрузки физических упражнений обусловлена:

а) сочетанием объема и интенсивности двигательных действий;
б) степень преодолеваемых при их выполнении трудностей;
в) утомлением, возникающим в результате их выполнения;
г) частотой сердечных сокращений.

4. Назовите количество игроков на волейбольной площадке:

а) 4; б) 5; в) 6; г) 7.

ДЕ-4: Самоконтроль занимающихся физическими упражнениями и спортом.

1. К объективным показателям самоконтроля относится:

а) частота сердечных сокращений; б) самочувствие; в) аппетит; г) сон.

2. При нагрузке интенсивности выше средней частота пульса достигает:

а) 100 – 130 уд/мин; б) 130 – 150 уд/мин; в) 150 – 170 уд/мин; г) более 170 уд/мин.

3. Самостоятельные тренировочные занятия рекомендуется выполнять:

а) после приема пищи; б) после сна натощак; в) во второй половине дня, через 2-3 часа после обеда; г) перед сном.

4. Меры профилактики переутомления:

а) посидеть 3-4 минуты;
б) сменить вид деятельности;
в) прекратить выполнение действий, пройти обследование у врачей, выполнить их рекомендации;
г) достаточно 2 дней полноценного отдыха для восстановления.

ДЕ-5: Профессионально-прикладная физическая подготовка (ППФП) обучающихся.

1. Система методически обоснованных физических упражнений, физкультурно-оздоровительных и спортивных мероприятий, направленных на повышение и сохранение устойчивой и профессиональной дееспособности – это:

а) физкультурная пауза;
б) производственная физическая культура;
в) спорт высших достижений;
г) массовый спорт.

2. Профессионально-прикладная физическая подготовка - это

а) специализированный вид физического воспитания, осуществляемый в соответствии с особенностями и требованиями данной профессии;
б) система профессиональных мероприятий, осуществляемая в соответствии с особенностями данной профессии;
в) процесс формирования специализированных знаний, умений и навыков;
г) целенаправленное воздействие на развитие физических качеств человека посредством нормированных нагрузок.

3. Какой вид спорта наиболее эффективно развивает координационные способности монтажников-высотников:

а) фехтование; б) баскетбол; в) мото-спорт; г) гимнастика.

4. Что не является формой занятий по ППФП:

а) спортивно-прикладные соревнования; б) учебные занятия; в) занятия в период учебной практики; г) рекреационные занятия.

Проблемные и сложные вопросы, возникающие в процессе изучения курса и выполнения контрольной работы, необходимо решать с преподавателем на консультациях.

Выполнению контрольной работы должно предшествовать самостоятельное изучение студентом рекомендованной литературы.

Студент получает проверенную контрольную работу с исправлениями в тексте и замечаниями. В конце работы выставляется оценка «зачтено», «не зачтено». Работа с оценкой «не зачтено» должна быть доработана и представлена на повторную проверку.

Выполнение работы над ошибками

При получении проверенной контрольной работы необходимо проанализировать отмеченные ошибки. Все задания, в которых были сделаны ошибки или допущены неточности, следует еще раз выполнить в конце данной контрольной работы. Контрольные работы являются учебными документами, которые хранятся на кафедре до конца учебного года.

Критерии оценивания контрольной работы

Оценка за контрольную работу определяется простым суммированием баллов за правильные ответы на вопросы: 1 правильный ответ = 2 балл. Максимум 40 баллов.

Результат контрольной работы

Контрольная работа оценивается на «зачтено», «не зачтено»:
20-40 балла (50-100%) - оценка «зачтено»;
0-19 балла (0-49%) - оценка «не зачтено».

Образец оформления титульного листа



Министерство науки и высшего образования РФ
ФГБОУ ВО
«Уральский государственный горный университет»

Кафедра физической культуры

КОНТРОЛЬНАЯ РАБОТА

по дисциплине

ЭЛЕКТИВНЫЕ КУРСЫ ПО ФИЗИЧЕСКОЙ КУЛЬТУРЕ И СПОРТУ

Выполнил: Иванов Иван Иванович
Группа _____

Преподаватель: Петров Петр Петрович

Екатеринбург
2018

МИНОБРНАУКИ РФ

ФГБОУ ВО «Уральский государственный горный университет»

УТВЕРЖДАЮ

Проректор по учебно-методическому комплексу

_____С.А.Упоров

МЕТОДИЧЕСКИЕ УКАЗАНИЯ ПО ОРГАНИЗАЦИИ САМОСТОЯТЕЛЬНОЙ РАБОТЫ СТУДЕНТОВ

Б1.О.06.02 ЭЛЕКТИВНЫЕ КУРСЫ ПО ФИЗИЧЕСКОЙ КУЛЬТУРЕ И СПОРТУ

Специальность:

21.05.02 Прикладная геология

Специализация:

Геология месторождений нефти и газа

Автор: Шулиманов Д.Ф.

Одобрены на заседании кафедры

Физической культуры

(название кафедры)

Зав. кафедрой _____

(подпись)

Шулиманов Д.Ф.

(Фамилия И.О.)

Протокол № 2 от 18.09.2020

(Дата)

Рассмотрены методической комиссией

факультета геологии и геофизики

(название факультета)

Председатель _____

(подпись)

д.г.-м.н., проф. Бондарев В.И.

(Фамилия И.О.)

Протокол № 2 от 13.10.2020

(Дата)

Екатеринбург

Методические указания по дисциплине согласованы с выпускающей кафедрой литологии и геологии горючих ископаемых

Заведующий кафедрой ЛГГИ _____к.г.-м.н., С.А. Рыльков_____

подпись *И.О. Фамилия*

СОДЕРЖАНИЕ

1. Самостоятельнаяработа,обеспечивающая подготовку к практическим занятиям физической культурой и спортом ……..……..4
1.1. Планирование, формы и организация самостоятельных занятий ……..4
1.1.1. Утренняя физическая гимнастика……4
1.1.2. Упражнения в течение учебного дня…… ……5
1.1.3. Самостоятельные тренировочные занятия……..5
1.1.4. Методика самостоятельных тренировочных занятий……6
1.1.5. Особенности самостоятельных занятий для женщин……7
1.2 Самоконтроль занимающихся за состоянием своего организма……..8
1.2.1 Оценка физического развития…… …...10
1.2.2. Оценка функционального состояния (подготовленности)..……11
2. Другие виды самостоятельной работы
2.1 Самостоятельная подготовка к сдаче обязательных тестов оценки общей физической подготовленности…….……13
2.1.1 Тест на скоростно-силовую подготовленность (бег на 100 м)…….13
2.1.2 Техника выполнения упражнения……...13
2.1.3 Методы самостоятельной тренировки……..... 14
2.1.4. Средства тренировки быстроты……14
2.1.5. Подготовка и сдача контрольного норматива……..15
2.2. Тест на силовую подготовленность для женщин …….……...16
2.2.1. Техника выполнения упражнения……16
2.3. Тест на силовую подготовленность для мужчин……..……..16
2.3.1. Техника выполнения упражнения……16
2.3.2. Методы развития силы……17
2.4. Тест на общую выносливость (бег 2000 и 3000 м)……...18
2.4.1. Техника бега на длинные дистанции……..18
2.4.3. Возможные ошибки и осложнения в ходе проведения Самостоятельных тренировок……..19
3.Актуальность задачи повышения уровня готовности обучающихся к зачетным занятиям, на основе управляемой адаптации к смене видов учебно-познавательной деятельности……...……..….....22

1. Самостоятельная работа,обеспечивающая подготовку к практическим занятиям физической культурой и спортом

1.1. Планирование, формы и организациясамостоятельных занятий

Планирование самостоятельных занятий осуществляется студентами при консультации преподавателей и должно быть направлено на достижение единой цели – сохранение хорошего здоровья, поддержание высокого уровня физической и умственной работоспособности, достижение поставленной задачи.

Существуют три формы самостоятельных занятий:

1. Утренняя физическая гимнастика (УФГ).

2. Упражнения в течение учебного (рабочего) дня.

3. Самостоятельные тренировочные занятия.

1.1.1. Утренняя физическая гимнастика

Выполняется ежедневно. В комплекс УФГ следует включать упражнения для всех групп мышц, упражнения на гибкость и дыхание, бег, бег (прыжковые упражнения).

Не рекомендуется выполнять:

- упражнения статического характера;

- со значительными отягощениями;

- упражнения на выносливость.

При выполнении УФГ рекомендуется придерживаться определенной последовательности выполнения упражнений:

- медленный бег, ходьба (2-3 мин.);

- потягивающие упражнения в сочетании с глубоким дыханием;

- упражнение на гибкость и подвижность для мышц рук, шеи, туловища и ног;

- силовые упражнения без отягощений или с небольшими отягощениями для рук, туловища, ног (сгибание-разгибание рук в упоре лежа, упражнения с легкими гантелями, с эспандерами);

- различные наклоны в положении стоя, сидя, лежа, приседания на од-ной и двух ногах и др.;

- легкие прыжки или подскоки (например, со скалкой) – 20-30 с.;

- упражнения на расслабление с глубоким дыханием.

При составлении комплексов УФГ рекомендуется физиологическую нагрузку на организм повышать постепенно, с максимумом во второй половине комплекса. К концу выполнения комплекса нагрузка снижается и организм приводится в спокойное состояние.

Между сериями из 2-3 упражнений (а при силовых – после каждого) выполняется упражнение на расслабление или медленный бег (20-30с.).

УФГ должна сочетаться с самомассажем и закаливанием организма. Сразу же после выполнения комплекса УФГ рекомендуется сделать самомассаж основных мышечных групп ног, туловища, рук (5-7 мин.) и выполнить водные процедуры с учетом правил и принципов закаливания.

1.1.2. Упражнения в течение учебного дня

Выполняются в перерывах между учебными и самостоятельными занятиями.

Они обеспечивают предупреждение наступающего утомления, способствуют поддержанию высокой работоспособности на длительное время без перенапряжения.

При выполнении этих упражнений следует придерживаться следующих правил:

1. Проводить в хорошо проветренных помещениях или на открытом воздухе.

2. Растягивать и расслаблять мышцы, испытывающие статическую нагрузку.

3. Нагружать неработающие мышцы.

1.1.3. Самостоятельные тренировочные занятия

Можно проводить индивидуально или в группе из 3-5 человек и более. Групповая тренировка более эффективна, чем индивидуальная. Заниматься рекомендуется 3-4 раза в неделю по 1,5 -2 часа. Заниматься менее двух раз в неделю нецелесообразно, т.к. это не способствует повышению уровня тренированности организма. Тренировочные занятия должны носить комплексный характер, т.е. способствовать развитию всего комплекса физических качеств, а также укреплению здоровья и повышению общей работоспособности организма.

Каждое самостоятельное тренировочное занятие состоит из трех частей:

1. Подготовительная часть (разминка) (15-20 мин. для одночасового занятия): ходьба (2-3 мин.), медленный бег (8-10 мин.), общеразвивающие упражнения на все группы мышц, соблюдая последовательность «сверху вниз», затем выполняются специально-подготовительные упражнения, выбор которых зависит от содержания основной части.

2. В основной части (30-40 мин.) изучаются спортивная техника и тактика, осуществляется тренировка развития физических, волевых качеств. При выполнении упражнений в основной части занятия необходимо придерживаться следующей последовательности:

После разминки выполняются упражнения, направленные на изучение и совершенствование техники, и упражнения на быстроту, затем упражнения для развития силы и в конце основной части занятия – для развития выносливости.

3. В заключительной части (5-10 мин.) выполняются медленный бег (3-8 мин.), переходящий в ходьбу (2-6 мин.), упражнения на расслабление в сочетании с глубоким

дыханием, которые обеспечивают постепенное снижение тренировочной нагрузки и приведение организма в сравнительно спокойное состояние.

1.1.4. Методика самостоятельных тренировочных занятий

Методические принципы, которыми необходимо руководствоваться при проведении самостоятельных тренировочных занятий, следующие:

- принцип сознательности и активности предполагает углубленное изучение занимающимися теории и методики спортивной тренировки, осознанное отношение к тренировочному процессу, понимание целей и задач занятий, рациональное применение средств и методов тренировки в каждом занятии, учет объема и интенсивности выполняемых упражнений и физических нагрузок, умение анализировать и оценивать итоги тренировочных занятий;

- принцип систематичности требует непрерывности тренировочного процесса, рационального чередования физических нагрузок и отдыха, преемственности и последовательности тренировочных нагрузок от занятия к занятию. Эпизодические занятия или занятия с большими перерывами (более 4-5 дней) неэффективны и приводят к снижению достигнутого уровня тренированности;

- принцип доступности и индивидуализации обязывает планировать и включать в каждое тренировочное занятие физические упражнения, по своей сложности и интенсивности доступные для выполнения занимающимися. При определении содержания тренировочных занятий необходимо соблюдать правила: от простого – к сложному, от легкого – к трудному, от известного – к неизвестному, а также осуществлять учет индивидуальных особенностей занимающихся: пол, возраст, физическую подготовленность, уровень здоровья, волевые качества, трудолюбие, тип высшей нервной деятельности и т.п. Подбор упражнений, объем и интенсивность тренировочных нагрузок нужно осуществлять в соответствии с силами и возможностями организма занимающихся;

- принцип динамичности и постепенности определяет необходимость повышения требований к занимающимся, применение новых, более сложных физических упражнений, увеличение тренировочных нагрузок по объему и интенсивности. Переход к более высоким тренировочным нагрузкам должен проходить постепенно с учетом функциональных возможностей и индивидуальных особенностей занимающихся.

Если в тренировочных занятиях был перерыв по причине болезни, то начинать занятия следует после разрешения врача при строгом соблюдении принципа постепенности. Вначале тренировочные нагрузки значительно снижаются и постепенно доводятся до занимающегося в тренировочном плане уровня.

Все выше перечисленные принципы находятся в тесной взаимосвязи. Это различные стороны единого, целостного повышения функциональных возможностей занимающихся.

1.1.5. Особенности самостоятельных занятий для женщин

Организм женщины имеет анатомо-физиологические особенности, которые необходимо учитывать при проведении самостоятельных занятий физическими упражнениями или спортивной тренировки. В отличие от мужского, у женского организма менее прочное строение костей, ниже общее развитие мускулатуры тела, более широкий тазовый пояс и мощнее мускулатура тазового дна. Для здоровья женщины большое значение имеет развитие мышц брюшного пресса, спины и тазового дна. От их развития зависит нормальное положение внутренних органов. Особенно важно развитие мышц тазового дна.

Одной из причин недостаточного развития этих мышц у студенток и работниц умственного труда является малоподвижный образ жизни. При положении сидя мышцы тазового дна не противодействуют внутрибрюшному давлению и растягиваются от тяжести лежащих над ними органов. В связи с этим мышцы теряют свою эластичность и прочность, что может привести к нежелательным изменениям положения внутренних органов и к ухудшению их функциональной деятельности.

Ряд характерных для организма женщины особенностей имеется и в деятельности сердечно-сосудистой, дыхательной, нервной и других систем. Все это выражается более продолжительным периодом восстановления организма после физической нагрузки, а также более быстрой потерей состояния тренированности при прекращении тренировок.

Особенности женского организма должны строго учитываться в организации, содержании, методике проведения самостоятельных занятий. Подбор физических упражнений, их характер и интенсивность должны соответствовать физической подготовленности, возрасту, индивидуальным возможностям студенток. Необходимо исключать случаи форсирования тренировок для того, чтобы быстро достичь высоких результатов. Разминку следует проводить более тщательно и более продолжительно, чем при занятиях мужчин. Рекомендуется остерегаться резких сотрясений, мгновенных напряжений и усилий, например, при занятиях прыжками и в упражнениях с отягощением. Полезны упражнения, в положении сидя, и лежа на спине с подниманием, отведением, приведением и круговыми движениями ног, с подниманием ног и таза до положения «березка», различного рода приседания.

Даже для хорошо физически подготовленных студенток рекомендуется исключить упражнения, вызывающие повышение внутрибрюшного давления и затрудняющие деятельность органов брюшной полости и малого таза. К таким упражнениям относятся

прыжки в глубину, поднимание больших тяжестей и другие, сопровождающиеся задержкой дыхания и натуживанием.

При выполнении упражнений на силу и быстроту движений следует более постепенно увеличивать тренировочную нагрузку, более плавно доводить ее до оптимальных пределов, чем при занятиях мужчин.

Упражнения с отягощениями применяются с небольшими весами, сериями по 8-12 движений с вовлечением в работу различных мышечных групп. В интервалах между сериями выполняются упражнения на расслабление с глубоким дыханием и другие упражнения, обеспечивающие активный отдых.

Функциональные возможности аппарата кровообращения и дыхания у девушек и женщин значительно ниже, чем у юношей и мужчин, поэтому нагрузка на выносливость для девушек и женщин должна быть меньше по объему и повышаться на более продолжительном отрезке времени.

Женщинам при занятиях физическими упражнениями и спортом следует особенно внимательно осуществлять самоконтроль. Необходимо наблюдать за влиянием занятий на течение овариально-менструального цикла и характер его изменения. Во всех случаях неблагоприятных отклонений необходимо обращаться к врачу.

Женщинам противопоказаны физические нагрузки, спортивная тренировка и участие в спортивных соревнованиях в период беременности. После родов к занятиям физическими упражнениями и спортом рекомендуется приступать не ранее чем через 8-10 месяцев.

1.2. Самоконтроль занимающихся за состоянием своего организма

Данные самоконтроля записываются в дневник, они помогают контролировать и регулировать правильность подбора средств, методику проведения учебно-тренировочных занятий. У отдельных занимающихся количество показателей самоконтроля в дневнике и порядок записи могут быть различными, но одинаково важно для всех правильно оценивать отдельные показатели, лаконично фиксировать их в дневнике.

В дневнике самоконтроля рекомендуется регулярно регистрировать:

- субъективные данные (самочувствие, сон, аппетит, болевые ощущения);

- объективные данные (частота сердечных сокращений (ЧСС), масса тела, тренировочные нагрузки, нарушения режима, спортивные результаты).

Субъективные данные:

Самочувствие - отмечается как хорошее, удовлетворительное или плохое. При плохом самочувствии фиксируется характер необычных ощущений.

Сон - отмечается продолжительность и глубина сна, его нарушения (трудное засыпание, беспокойный сон, бессонница, недосыпание и др.).

Аппетит - Отмечается как хороший, удовлетворительный, пониженный и плохой. Различные отклонения состояния здоровья быстро отражаются, поэтому его ухудшение, как правило, является результатом переутомления или заболевания.

Болевые ощущения - фиксируются по месту их локализации, характеру (острые, тупые, режущие и т.п.) и силе проявления.

Объективные данные:

ЧСС – важный показатель состояния организма. Его рекомендуется подсчитывать регулярно, в одно и то же время суток, в покое. Лучше всего утром, лежа, после пробуждения, а также до тренировки (за 3-5 мин) и сразу после спортивной тренировки.

Нормальными считаются следующие показатели ЧСС в покое:

- мужчины (тренированные/не тренированные) 50-60/70-80;

- женщины (тренированные/не тренированные) 60-70/75-85.

С увеличением тренированности ЧСС понижается.

Интенсивность физической нагрузки также определяться по ЧСС, которая измеряется сразу после выполнения упражнений.

При занятиях физическими упражнениями рекомендуется придерживаться следующей градации интенсивности:

- малая интенсивность – ЧСС до 130 уд/мин. При этой интенсивности эффективного воспитания выносливости не происходит, однако создаются предпосылки для этого, расширяется сеть кровеносных сосудов в скелетных мышцах и в сердечной мышце (целесообразно применять при выполнении разминки);

- средняя интенсивность от 130 до 150 уд/мин.;

- большая интенсивность – ЧСС от 150 до 180 уд/мин. В этой тренировочной зоне интенсивности к аэробным механизмам подключаются анаэробные механизмы энергообеспечения, когда энергия образуется при распаде энергетических веществ в условиях недостатка кислорода;

- предельная интенсивность – ЧСС 180 уд/мин. и больше. В этой зоне интенсивности совершенствуются анаэробные механизмы энергообеспечения.

Существенным моментом при использовании ЧСС для дозирования нагрузки является ее зависимость от возраста.

Известно, что по мере старения уменьшается возможность усиления сердечной деятельности за счет учащения сокращения сердца во время мышечной работы. Оптимальную ЧСС с учетом возраста при продолжительных упражнениях можно определить по формулам:

- для начинающих: ЧСС (оптимальная) = 170 – возраст (в годах)

- для занимающихся регулярно в течении 1-2 лет:

- ЧСС (оптимальная) = 180 – возраст (в годах)

Зависимость максимальной величины ЧСС от возраста при тренировке на выносливость можно определить по формуле:

- ЧСС (максимальная) = 220 – возраст (в годах)

Например, для занимающихся в возрасте 18 лет максимальная ЧСС будет равна 220-18=202 уд/мин.

Важным показателем приспособленности организма к нагрузкам является скорость восстановления ЧСС сразу после окончания нагрузки. Для этого определяется ЧСС в первые 10 секунд после окончания нагрузки, пересчитывается на 1 мин. и принимается за 100%. Хорошей реакцией восстановления считается:

- снижение через 1 мин. на 20%;

- через 3 мин. – на 30%;

- через 5 мин. – на 50%,

- через 10 мин. – на 70 – 75%. (отдых в виде медленной ходьбы).

Масса тела должна определяться периодически (1-2 раза в месяц) утром натощак, на одних и тех же весах. В первом периоде тренировки масса обычно снижается, а затем стабилизируется и в дальнейшем за счет прироста мышечной массы несколько увеличивается. При резком снижении массы тела следует обратиться к врачу.

Тренировочные нагрузки в дневник самоконтроля записываются коротко, вместе с другими показателями самоконтроля они дают возможность объяснить различные отклонения в состоянии организма.

Спортивные результаты показывают, правильно ли применяются средства и методы тренировочных занятий. Их анализ может выявить дополнительные резервы для роста физической подготовленности и спортивного мастерства.

В процессе занятий физическими упражнениями рекомендуется периодически оценивать уровень своего физического развития и физической (функциональной) подготовленности.

1.2.1. Оценка физического развития

Проводится с помощью антропометрических измерений: рост стоя и сидя, масса тела, окружность грудной клетки, жизненная емкость легких (ЖЁЛ) и сила кисти сильнейшей руки, которые дают возможность определить:

- уровень и особенности физического развития;

- степень его соответствия полу и возрасту;

- имеющиеся отклонения;

- улучшение физического развития под воздействием занятий физическими упражнениями.

Применяются следующие антропометрические индексы:

- Весо-ростовой показатель

- ВРП= масса тела (грамм.)/длина тела (см.)

Хорошая оценка:

- для женщин 360-405 г/см.;

- для мужчин 380-415 г/см.

Индекс Брока

Оптимальная масса тела для людей ростом от 155 до 165 см. равна длине тела в сантиметрах минус 100. При росте 165-175 см. вычитают 105, при росте более 175 см. – 110.

Силовой показатель (СП)

Показывает соотношение между массой тела и мышечной силой. Обычно, чем больше мышечная масса, тем больше сила. Силовой показатель определяется по формуле и выражается в процентах:

$$\frac{\text{сила (кг)}}{\text{общая масса тела (кг)}} \times 100$$

Для сильнейшей руки:

- для мужчин - 65-80%

- для женщин - 48-50%.

1.2.2. Оценка функционального состояния (подготовленности)

Определение резервных возможностей организма

Осуществляется с помощью физиологических проб сердечно-сосудистой (ССС) и дыхательной (ДС) систем.

Общее требования:

1. Проводить в одно и то же время суток.

2. Не ранее чем через 2 часа после приема пищи.

3. При температуре 18-20 градусов, влажности менее 60%.

Функциональная проба с приседанием

Проверяемый отдыхает стоя 3 мин., на 4-й мин. подсчитывается ЧСС за 15 с. с пересчетом на 1 мин. (исходная частота). Далее выполняется 20 приседаний за 40 с., поднимая руки вперед. Сразу после приседаний подсчитывается ЧСС в течение первых 15 с. с пересчетом на 1 мин. Определяется увеличение ЧСС после приседаний сравнительно с исходной в процентах.

Оценка:

- отлично – до 20%;

- хорошо – 20-40%;

- удовлетворительно – 40-65%;

- плохо – 66-75%;

- более 75%.

Ортостатическая проба

Применяется для оценки сосудистого тонуса.

Отдых 5 минут в положении лежа, подсчитывают ЧСС в положении лежа за 1 мин. (исходная ЧСС), после чего занимающийся встает, и снова подсчитывает пульс за 1 мин.

Оценка:

- «хорошо» - не более 11 ударов (чем меньше разница, тем лучше);

- «удовлетворительно» - от 12 до 18 ударов (потливость);

- «неудовлетворительно» - более 19 ударов (потливость, шум в ушах).

Проба Штанге (задержка дыхания на вдохе),

проба Генча (задержка дыхания на вдохе)

Оценивается устойчивость организма к недостатку кислорода, а также общий уровень тренированности.

После 5 мин. отдыха сидя, сделать 2-3 глубоких вдоха и выдоха, затем сделать полный вдох (выдох) и задержать дыхание. Отмечается время от момента задержания дыхания до ее прекращения.

Оценка	Юноши	Девушки
Отлично	90 сек	80 сек
Хорошо	80-89 сек	70-79 сек
Удовлетворительно	50-79 сек	40-69 сек
Неудовлетворительно	50 и ниже	40 и ниже

Проба Генча

Оценка	Юноши	Девушки
Отлично	45 сек	35 сек
Хорошо	40-44 сек	30-34 сек
Удовлетворительно	30-39 сек	20-29 сек
Неудовлетворительно	30 и ниже	20 и ниже

С нарастанием тренированности время задержания дыхания возрастает, при снижении или отсутствии тренированности – снижается.

Самоконтроль прививает занимающимся грамотное и осмысленное отношение к своему здоровью и к знаниям физической культурой и спортом, имеет большое воспитательное значение.

2. Другие виды самостоятельной работы

2.1. Самостоятельная подготовка к сдаче обязательных тестов оценки общей физической подготовленности

2.1.1 Тест на скоростно-силовую подготовленность (бег на 100 метров)

Нормативы:

- у студенток нормативы в беге на 100 метров следующие: 15.7 сек - 5 очков; 16,0 - 4; 17,0 -3; 17,9 - 2; 18,7 - 1.

- студенты должны показать результаты в следующих пределах: 13,2 сек - 5 очков; 13,8 - 4; 14,0 - 3; 14,3 - 2; 14,6 - 1.

2.1.2. Техника выполнения упражнения

При анализе бега на 100 м. принято выделять следующие основные фазы:

-старт и стартовый разгон;

- бег по дистанции;

- финиширование.

Старт и стартовый разгон

Существует два вида старта: низкий и высокий. Экспериментальные данные показывают, что новичкам и спортсменам 2-го разряда лучше применять высокий старт. Такая закономерность наблюдается до результата 11,4-11,6 с. и объясняется технической сложностью низкого старта. Поэтому следует ограничиться только овладением техникой высокого старта.

По команде «На старт» занимающийся подходит к стартовой линии, ставит сильнейшую (толчковую ногу) вплотную к линии, маховая нога располагается на 1,5-2 стопы назад на носок, расстояние между ними 15-20 см. Туловище выпрямлено, руки опущены, вес тела распределяется равномерно на обе ноги.

По команде «Внимание» вес тела переносится на впереди согнутую стоящую ногу, разноименная рука вперед. Проекция плеч находится за стартовой линией на расстоянии 5-8 см. Взгляд направлен вперед - вниз.

По команде «Марш» бегун мощно разгибает толчковую ногу и стремится максимально быстро вынести маховую ногу вперед с постановкой ее сверху вниз на дорожку. Руки работают максимально активно, плечевой пояс не закрепощен, кисти расслаблены. Стартовый разгон характеризуется постепенным увеличением длины шагов, уменьшением наклона туловища и приближением стоп к средней линии.

Бег по дистанции

Перед бегущим стоит задача удержать развитую горизонтальную скорость до финиша. Этому будет способствовать сохранение длины и частоты шагов.

Во время бега маховая нога ставится с носка спереди проекции общего центра тяжести тела (ОЦТТ) сверху вниз. Взаимодействие маховой ноги с грунтом называется передним толчком. Задний толчок выполняется мощным разгибанием бедра и сгибанием стопы. Голова держится прямо. Руки согнуты (угол сгибания в локтевых суставах примерно 90 град.).

При движении руки вперед кисть поднимается до уровня плеч. Назад рука отводится до «отказа» и угол сгибания в локтевом суставе увеличивается. Пальцы рук слегка согнуты.

Финиширование

Наклон туловища увеличивается. На последних метрах дистанции необходимо стремиться не потерятьсвободы движений и пробегать финиш без снижения скорости.

2.1.3. Методы самостоятельной тренировки

- Повторный метод - повторное выполнение упражнений с около-предельной и предельной скоростью. Отдых продолжается до восстановления. Упражнения повторяются до тех пор, пока скорость не начнет снижаться.

- Переменный метод - когда пробегаются дистанции, например, с варьированием скорости и ускорения. Цель - исключить стабилизацию скорости («скоростной барьер»).

- Соревновательный метод - предполагает выполнение упражнений на быстроту в условиях соревнований. Эмоциональный подъем на соревнованиях способствует мобилизации на максимальные проявления быстроты, позволяет выйти на новый рубеж скорости.

2.1.4. Средства тренировки быстроты

Частоту движений, а вместе с ней и быстроту циклических движений развивают с помощью упражнений, которые можно выполнять с максимальной скоростью, а также с помощью скоростно-силовых упражнений для ациклических движений. При этом упражнения должны отвечать следующим требованиям:

- техника упражнений должна обеспечивать выполнение движений на предельных скоростях;

- упражнения должны быть хорошо освоены, чтобы не требовалось волевого усилия для их выполнения;

- продолжительность упражнений должна быть такой, чтобы скорость не снижалась вследствие утомления - 20-22 с.

Основным средством отработки бега по дистанции является бег с максимальной скоростью. Такой бег выполняется 5-6 раз по 30-40 метров. В тренировке можно чередовать бег в обычных, облегченных (с горки, угол 4-5 град.) и затрудненных (в горку или с сопротивлением) условиях.

Для развития скоростной выносливости рекомендуется пробегать большую дистанцию (120-150 м), когда очередная пробежка начинается при пульсе 120 уд/мин.

Для тренировки в беге на 100 метров следует использовать кроссы (6 км, 30 мин), повторный бег на отрезках 200 м в 3/4 силы. Спортивные игры (баскетбол, футбол) также приносят пользу в развитии быстроты.

Можно рекомендовать и упрощенную методику, обеспечивающую минимально необходимый уровень подготовленности:

- повторный метод - в одном занятии 3-4 пробегания по 20-30 метров с максимальной скоростью и интервалами отдыха для восстановления пульса до 110-120 уд/мин;

- переменный метод - пробегание 2-х отрезков по 30 метров с максимальной скоростью и последующим переходом на спокойный бег 150--200 метров. Выполняется 3-4 подхода.

Для ощутимого сдвига в подготовленности такие тренировки рекомендуется проводить 3-4 раза в неделю.

2.1.5. Подготовка и сдача контрольного норматива

При подготовке к сдаче бега на 100 метров следует учитывать общие требования по питанию при занятиях физическими упражнениями:

1. По времени - прием пищи не менее чем за 2-3 часа.

2. По составу - не есть тяжелой пищи (мясо, яйца, масло, молочные продукты, жирную, долго перевариваемую пищу).

Не рекомендуется выходить на старт с переполненным желудком.

Непосредственно перед сдачей норматива необходимо провести разминку с использованием специальных упражнений:

1. Бег с высоким подниманием бедра.

2. Бег с «захлестыванием» голеней назад.

3. Семенящий бег.

4. Прыжки с ноги на ногу (шаги).

5. Бег в упоре стоя у гимнастической стенки.

6. Бег с ускорением с высокого старта с подачей стартовых команд (2-3 ускорения по 10-15 метров).

Разминка заканчивается за 10 минут до старта.

Непосредственно перед стартом нельзя отдыхать лежа, сидя, необходимо постоянно находиться в движении (прохаживаться, выполнять упражнения на растяжку). Частота сердечных сокращений непосредственно перед стартом должна быть 110 – 120 уд/мин.

Психологическая подготовка заключается в мысленном «прокручивании» в голове этапов преодоления дистанции: старта, стартового разбега, бега по дистанции, финиширования с концентрацией внимания на технике выполнения каждого этапа.

При выполнении теста не разрешается:

- наступать на линию старта (стартовая линия входит в дистанцию);

- перебегать на соседние дорожки.

2.2. Тест на силовую подготовленность для женщин

(поднимание (сед) и опускание туловища из положениялежа, ноги закреплены, руки за головой)

Нормативы: 60 раз - 5 очков, 50 - 4, 40 - 3, 30 - 2, 20 - 1.

Это упражнение используется для оценки развития мышц живота (брюшного пресса).

О мышцах брюшного пресса следует сказать особо. Эта группа мышц участвует в большинстве движений. Она создает хороший «мышечный корсет», охватывающий брюшную полость и способствующий нормальному функционированию внутренних органов, что положительно влияет на состояние здоровья.

2.2.1. Техника выполнения упражнения

И.п. (исходное положение) – лежа на спине, ноги согнуты в коленях, стопы прижаты к полу, руки в замок за головой, локти разведены.

Это силовое упражнение состоит из 4-х фаз:

- поднимание туловища;

- фиксация его в вертикальном положении;

- опускание;

- пауза в горизонтальном положении.

Голова держится прямо, локти в стороны, дыхание ритмично.

2.3. Тест на силовую подготовленность для мужчин (подтягивание на перекладине)

Учебной программой по физической культуре предусмотрено тестирование студентов для определения уровня их силового развития. Нормативы следующие: 15 раз - 5 очков, 12 - 4, 9 - 3, 7 - 2, 5 - 1;

2.3.1. Техника выполнения упражнения

Каждый цикл подтягивания в висе на перекладине включает:

- исходное положение - вис на вытянутых руках хватом сверху (большими пальцами внутрь);

- подъем до пересечения подбородком линии перекладины;

- опускание в исходное положение.

При выполнении теста разрешается сгибание, разведение ног, запрещаются рывковые движения туловищем и руками, хлестовые движения ногами. Выполнение засчитывается только при полном выпрямлении рук в локтевых суставах.

Наиболее экономично подтягивание при хвате рук на ширине плеч. Если кисти рук расположены ближе друг к другу, то положение тела становится менее устойчивым и отклонения придется компенсировать за счет дополнительных мышечных усилий, что будет увеличивать энерготраты и снижать результат. Возрастают энерготраты и при широком хвате (шире плеч). Это связано с тем, что для фиксации лопаток при широком хвате требуется большая, чем при хвате на ширине плеч, сила мышц, приближающих лопатки к позвоночному столбу.

Опускание в вис (в исходное положение) после подтягивания должно выполняться спокойно. Дыхание не задерживается.

2.3.2. Методы развития силы

На практике распространены следующие методы силовой подготовки:

- метод максимальных усилий;
- метод повторных усилий;
- метод динамических усилий.

Согласно методу максимальных усилий выполнение упражнений организуется таким образом, чтобы занимающийся смог подтянуться 1-3 раза в одном подходе (при условии, что он способен самостоятельно подтянуться как минимум 2-3 раза). Такое достигается за счет применения дополнительного внешнего отягощения. Делается 5-6 подходов с перерывами 2-4 минуты.

По методу повторных усилий подтягивания в одном подходе выполняются до «отказа». Если занимающийся имеет максимальный индивидуальный показатель 10-15 подтягиваний и более, то следует применять отягощение весом 30-70% от максимального. Например, занимающийся может подтянуться 1 раз с максимальным отягощением 10 кг. Значит, для тренировки по методу повторных усилий следует подобрать вес отягощения 3-7 кг. Выполняется 3-6 подходов с отдыхом между ними 2-4 мин.

Разнообразить упражнения можно, применяя метод динамических усилий. Если занимающийся легко выполняет 10-15 подтягиваний, то следует применять отягощения до 30% от максимального. В одном подходе 10-15 повторений. Темп - максимально быстрый. Всего 3-6 подходов. Во время отдыха следует добиваться наиболее полного восстановления, чтобы в следующем подходе выполнить упражнение без существенной потери скорости.

Сравнивая динамический и статический методы развития силы, необходимо отметить следующее:

- При динамическом режиме работы мышц происходит достаточное кровоснабжение. Мышца функционирует как насос - при расслаблении наполняется кровью и получает кислород и питательные вещества.

- Во время статического усилия мышца постоянно напряжена и непрерывно давит на кровеносные сосуды. В результате она не получает кислород и питательные вещества. Это ограничивает продолжительность работы мышц.

2.4. Тест на общую выносливость - бег 2000 и 3000 метров

Нормативы:

- студентки - бег 2000 метров - 10 мин.15 сек. - 5 очков; 10.50 - 4; 11.15 - 3; 11.50 - 2; 12.15 - 1;

- студенты - бег 3000 метров - 12.00 - 5; 12.35 - 4; 13.10 - 3; 13.50 - 2; 14.00 - 1.

2.4.1. Техника бега на длинные дистанции

Бег на средние и длинные дистанции начинается с высокого старта. По команде «На старт!» бегун ставит у линии более сильную ногу, а другую отставляет назад на носок (на 30 – 50 см), немного сгибает ноги, туловище наклоняет вперед и тяжесть тела переносит на впереди стоящую ногу. По команде «Марш!» бегун начинает бег, делая первые шаги в большом наклоне, который постепенно уменьшается. Длина шагов увеличивается, бег ускоряется, бегун набирает скорость и в короткое время переходит к свободному бегу на дистанции. Бег на дистанции. Во время бега на дистанции туловище вертикально или слегка наклонено вперед (5-7°). Небольшой наклон туловища вперед позволяет лучше использовать силы отталкивания и быстрее продвигаться вперед. Слишком большой наклон приводит к «падающему» бегу, при котором труднее выносить вперед согнутую ногу, в связи с чем уменьшается длина шага, а следовательно, и скорость бега. Кроме того, при большом наклоне постоянно напряжены мышцы, удерживающие туловище от увеличивающегося наклона. Отсутствие наклона ухудшает условия отталкивания, однако улучшает возможность выноса вперед согнутой в коленном суставе свободной ноги. При правильном положении туловища создаются благоприятные условия для работы мышц и внутренних органов. Наклон туловища у бегунов изменяется в пределах 2-3°: увеличивается к моменту отталкивания и уменьшается в полетной фазе. Положение головы существенно влияет на положение туловища. Надо держать голову прямо и смотреть вперед. В фазе отталкивания таз подается вперед, что является важной особенностью техники бега на длинные дистанции и позволяет полнее использовать силу реакции опоры. В технике бега на длинные дистанции важнее всего движения ног. Нога, немного согнутая, ставится на грунт упруго и эластично с передней части стопы, а затем касается его всей стопой. Постановка ноги на переднюю часть стопы позволяет эффективнее использовать эластические свойства мышц голени, активно участвующие в отталкивании.

Следы стопна дорожке у бегунов находятся на одной линии, носки почти не разворачиваются в стороны. Эффективное отталкивание характеризуется выпрямлением ноги во всех суставах. Угол отталкивания в беге на средние дистанции примерно равен 50-55°. При правильном отталкивании таз подан вперед, голень маховой согнутой ноги параллельна бедру толчковой ноги. Быстрый вынос маховой ноги вперед облегчает отталкивание. Бегуны на длинные дистанции меньше поднимают бедро маховой ноги вверх, чем бегуны на средние и короткие дистанции. Длина шага на длинные дистанции не постоянна даже у одних и тех же бегунов. Колебания зависят от наступившего утомления, неравномерности пробегания отдельных участков дистанции, качества беговой дорожки, ветра и состояния бегуна. Обычно шаг с сильнейшей ноги на несколько сантиметров больше, чем шаг со слабейшей ноги. Длина шага равна 160 – 215 см. Повышение скорости бега за счет увеличения длины шага ограничено, так как слишком длинный шаг требует очень больших затрат сил. Кроме того, длина шага в основном зависит от индивидуальных данных бегуна. Поэтому скорость бега повышают за счет увеличения частоты шагов, которая зависит от тренированности бегуна. Движения плечевого пояса и рук связаны с движениями ног. Выполнять их надо легко, ненапряженно. Это во многом зависит от умения расслаблять мышцы плечевого пояса. Движения рук помогают бегуну сохранять равновесие тела во время бега. Амплитуда движения рук зависит от скорости бега. Кисти при движении вперед не пересекают средней линии тела и поднимаются примерно до уровня ключицы. При движении рук назад кисти доходят до задней линии туловища (если смотреть на бегуна сбоку). Руки двигаютсямаятникообразно, пальцы рук свободно сложены, предплечья не напряжены, плечи не поднимаются вверх. При финишировании, длина которого зависит от дистанции и оставшихся сил бегуна, движения руками делаются быстрее, наклон тела увеличивается, а угол отталкивания уменьшается. Спортсмен переходит на скоростной бег, при котором скорость повышается главным образом за счет увеличения частоты шагов. К концу дистанции вследствие утомления некоторые бегуны наклоняют туловище назад. Такое положение туловища не способствует эффективности бега, так как усилия отталкивания направляются больше вверх. Техника бега на вираже имеет некоторые особенности: туловище немного наклонено влево, к бровке, правая рука движется несколько размашистей левой, причем правый локоть дальше отводится в сторону, а правая стопа ставится с некоторым поворотом внутрь. Ритм дыхания зависит от индивидуальных особенностей и скорости бега (с увеличением скорости бега увеличивается и частота дыхания). Бегун не должен задерживать дыхание. Дышать следует одновременно через нос и полуоткрытый рот, при этом важно следить за полным выдохом.

2.4.3. Возможные ошибки и осложнения в ходе проведения самостоятельных тренировок

В некоторых случаях тренировка может стать причиной различных осложнений, включая травмы опорно-двигательного аппарата.

Основная причина травматизма опорно-двигательного аппарата - перенапряжение. Слишком быстрое увеличение тренировочных нагрузок является чрезмерным для детренированных мышц, связок и суставов. К дополнительным факторам, способствующим повреждению опорно-двигательного аппарата, можно отнести:

- бег по твердому грунту;
- избыточную массу тела;
- обувь, не пригодную для бега;
-грубые ошибки в технике.

Следовательно, меры по профилактике травм должны быть направлены на устранение или ослабление воздействия этих факторов:

- Во время кроссового бега часто болит в правом боку (печень), либо в левом боку (селезенка). Печень важный орган в жизнедеятельности нашего организма (синтез жиров и углеводов, обмен белков и витаминов) является кровяным депо. Так вот в результате переполнения кровью печени возникают колики. Глубокое дыхание снижает приток крови к правому предсердию, уменьшает болевые ощущения. Бег не надо прекращать, необходимо снизить скорость передвижения и стараться дышать глубже.

- В процессе тренировок после значительного перерыва (отдыха) или при резком увеличении нагрузок могут появляться боли в мышцах, как правило, на другой день. Во время физической работы в организме образуются продукты распада, часть которых выводится из организма через мочевыделительную систему, а другая часть, в том числе, молочная кислота задерживается в мышечных тканях. Чтобы избавиться от нее, необходимо мышцу непосредственно после физической нагрузки заставить растянуться (с помощью упражнений на растяжение), а на следующий день выполнять какую-либо физическую работу, т.е. сокращаться. Эти меры помогут ускорить вывод молочной кислоты из мышц. Боли могут длиться несколько дней и если не предпринимать никаких мер, мышца теряет эластичность, становиться твердой. В этом случае могут помочь: массаж, банные процедуры, применение согревающих мазей и гелей.

- При выполнении напряженной физической работы длительное время, например, кроссовый бег, возникают такие состояния, которые получили название «мертвая точка» и «второе дыхание». Уже через некоторое время бега в организме начинаются изменения, которые заставляют нас прекратить мышечную деятельность. Такое временное снижение работоспособности получило название «мертвая точка». Механизм возникновения такого состояния недостаточно изучен. Предполагают, что он обусловлен временным нарушением

деятельности скелетных мышц и органов, обеспечивающих доставку кислорода в организм. Эти нарушения приводят к изменениям в работе нервных центров, что, в свою очередь, приводит к нарушениям в работе отдельных физиологических систем. Время возникновения и продолжительность этого состояния зависит от многих факторов, в частности от длительности и интенсивности физической нагрузки (например, при беге на 5-10 км и более возникает через 5-6 мин бега), от тренированности. Чем лучше тренирован человек, тем позже возникает это состояние и протекает менее тяжело (почти незаметно). Преодоление этого состояния требует значительного волевого усилия. В процессе проведения учебных и тренировочных занятий необходимо приучать себя преодолевать это неприятное ощущение, возникающее при кислородной недостаточности и накоплении продуктов кислотно-щелочного распада при обмене веществ. Наступлению «второго дыхания» способствуют усиленные дыхательные упражнения, глубокие выдохи, освобождающие организм от накопившейся углекислоты, что способствует наступлению кислотно-щелочного баланса в организме. Преодолеть состояние «мертвой точки» можно, если снизить интенсивность физической нагрузки, но это нежелательно, т.к. не будет адаптации организма ктакого рода деятельности.

- При занятиях физическими упражнениями могут возникнуть отклонения в деятельности сердца - учащенное сердцебиение. Оно может быть следствием стенокардии, ссоры, неурядицы в быту, семье, боязни, страха, дистрофий миокарда. Возникновение болей - сигнал опасности, в этих случаях необходимо прекратить занятия и обратиться к врачу.

- Существует состояние, называемое гравитационным шоком. Часто возникает при внезапной остановки после относительно интенсивного бега (чаще после финиша) в связи с прекращением действия «мышечного насоса». Большая масса крови застаивается в раскрытых капиллярах и венах мышц нижних конечностей, на периферии. Возникает анемия (обескровливание) мозга, недостаточное снабжение его кислородом. Появляется резкое побледнение, слабость, головокружение, тошнота, потеря сознания, исчезновение пульса. Пострадавшего необходимо уложить на спину, поднять вверх ноги (выше головы), обеспечив отток венозной крови к сердцу, улучшив снабжение головного мозга кислородом, поднести к носу ватку смоченную нашатырным спиртом. Основная профилактика гравитационного шока - исключение внезапной остановки, постепенное замедление бега.

- Гипогликемическое состояние - следствие недостаточного количества в организме сахара, нарушение углеводного обмена в результате длительной физической нагрузки. Ощущается сильный голод, головокружение, иногда потеря сознания. Профилактика – легко усваиваемые углеводы до начала длительной физической нагрузки (немного сахара, меда и т.п.) или специальные питательные смеси.

-Солнечный и тепловой удары - возникают при длительной работе под действием солнечных лучей на обнаженную голову или тело. Тепловой удар - остро развивающееся болезненное состояние, обусловленное перегреванием организма. Его признаками являются: усталость, головная боль, слабость, боли в ногах, спине, тошнота, шум в ушах, повышение температуры, потемнение в глазах, ухудшение дыхания (прерывистое), потеря сознания.

Первая помощь: пострадавшего поместить в прохладное место, снять одежду, приподнять голову, охладить область сердца (холодный компресс), напоить. Дать понюхать нашатырный спирт, сердечные средства. При нарушении дыхания сделать искусственное дыхание.

При обморожениях на охлажденном участке вначале чувствуется легкое пощипывание, затем чувствительность теряется. Особенно поддаются ему пальцы рук, ног, нос, уши. Если произошло обморожение нельзя растирать пораженные места снегом, это только повредит кожу. Необходимо поместить обмороженный участок в тепло не растирать, а согревать при комнатной температуре. Обмороженные места смазать жиром (вазелином).

3. Актуальность задачи повышения уровня готовности обучающихся к зачетным занятиям, на основе управляемой адаптации к смене видов учебно-познавательной деятельности

Выполнение контрольных нормативов требует от студента мобилизации всех своих сил и здесь следует принимать во внимание и учитывать все что может повлиять на конечный результат, в том числе характер учебно-познавательной деятельности предшествующий зачетному занятию.

В течение учебного дня, занимаясь то одним видом учебно-познавательной деятельности, то другим, обучающиеся должны переключаться с выполнения одного вида задач на другой, и каждый раз проходит какое-то время, пока будет достигнуто оптимальное соответствие состояния личности и организма обучающегося к условиям проведения определенного вида учебно-познавательной деятельности – период адаптации.

Можно говорить о том, что к каждому учебному занятию кроме практической и теоретической подготовленности, определенного уровня умений и навыков по предмету, от студентов требуется некоторая психофизиологическая и физическая готовность. В этом случае под ней подразумевается готовность психических, физиологических и обеспечивающих двигательные действия систем человека к выполнению определенного рода учебно-познавательной деятельности.

Многообразие видов учебно-познавательной деятельности определяет многообразие психофизиологических и физических состояний обучающихся. Под психофизиологическим и физическим состоянием предлагается понимать целостные психофизиологические и

физические реакции обучаемого на внешние и внутренние факторы, направленные на достижение полезного результата.

Параметром психофизиологического и физического состояния является величина, характеризующая какую-либо из реакций организма обучаемого на внешние или внутренние факторы.

Уровень психофизиологической и физической готовности к предстоящему занятию, зависит от индивидуальных особенностей личности обучаемого и определенных внешних факторов, воздействующих на него на предыдущем занятии. Эти факторы можно разделить на три вида:

- санитарно-гигиенические условия;
- временные условия;
- организация предыдущего вида учебно-познавательной деятельности.

К санитарно-гигиеническим условиям относятся температура и влажность воздуха, освещенность, содержание кислорода в воздухе, эргономичность учебных мест, запыленность, загазованность места проведения занятия. К временным условиям относятся: время дня, день недели, месяц семестра, время года, а также время, прошедшее после последнего приема пищи.

Вышеперечисленные факторы оказывают существенное влияние на психофизиологическую и физическую готовность. Второй фактор заставляет учитывать объективные закономерности колебания уровня работоспособности студентов в течение учебного дня, учебной недели, семестра. Как известно, в течение учебного дня объективно наблюдается два периода подъема работоспособности: один в первой половине дня, второй – в послеобеденное время. Каждому периоду характерны три фазы: врабатывание, повышенная работоспособность, снижение работоспособности. В течение недели те же фазы распределяются следующим образом: понедельник, вторник – врабатывание; среда, четверг – повышенная работоспособность; пятница, суббота – снижение работоспособности. Исследования показали, что и семестровый цикл разделяется на те же фазы.

Влияние фактора «организация предыдущего вида учебно-познавательной деятельности» в данном случае рассматривается, как влияние особенностей психофизиологической и физической деятельности обучаемых на предыдущем занятии на их психофизиологическую и физическую готовность к последующему виду учебно-познавательной деятельности, в нашем случае к зачету. Психофизиологическая деятельность характеризуется напряженностью и характером мыслительной деятельности, а также нервно-эмоциональной напряженностью учебной деятельности.

Физическая деятельность характеризуется интенсивностью, видом мышечных действий и работой обеспечивающих эту деятельность физиологических систем. Мышечные действия

могут носить статический и динамический характер: поддержание рабочей позы «сидя», «стоя», выполнение чертежной, письменной работы, настройка и обслуживание аппаратуры, выполнение гимнастических упражнений и т.п. При этом используются, в той или иной степени, основные физические качества: сила, быстрота, выносливость, ловкость.

Влияние всех вышеперечисленных факторов преломляется через индивидуальные особенности личности, такие как типологические свойства нервной системы и темперамента, возрастные, морфологические, биохимические особенности организма, уровень физической подготовленности, состояние здоровья и другие, выливаясь, в итоге, в психофизиологическую и физическую готовность студента к предстоящему виду учебно-познавательной деятельности.

Следует отметить, что особенно явно эти проблемы проявляются при чередовании занятий по общенаучным, общеинженерным и специальным дисциплинам с практическими занятиями по физической культуре. В этом случае происходит смена видов деятельности, в одном из которых доминирующую роль играет умственная работа с пониженной двигательной активностью и сохранением определенной рабочей позы, в другом – разнообразная активная двигательная деятельность с сопровождающей ее мыслительной работой.

Методика проведения занятий предусматривает проведение вводной (подготовительной) части для организации обучающихся, приведения их в состояние готовности к решению задач основной части, в нашем случае к сдаче контрольного норматива, и заключительной – для подведения итогов, приведения организма в относительно спокойное состояние (для занятий по физической культуре), но при проведении этих частей занятий, как правило, не учитывается характер предыдущей и последующей деятельности студентов. Неучтение этого факта отрицательно влияет на скорость адаптации к виду учебно-познавательной деятельности, что особенно наглядно проявляется при чередовании практических занятий по физической культуре с занятиями по общеинженерным и специальным дисциплинам.

Складывается противоречие между имеющим место в практике обучения несоответствием уровня психофизиологической и физической готовности обучающихся, объективно складывающейся в ходе проведения предшествующего занятия, видом учебно-познавательной деятельности последующего занятия и неучтениемэтого факта в общепринятых методиках проведения вводных (подготовительных) и заключительных частей занятий, в том числе, по дисциплине «физическая культура»

Это противоречие можно устранить, обеспечив управление процессом адаптации студентов к смене видов учебно-познавательной деятельности в ходе проведения вводных (подготовительных) и заключительных частей занятий.

Для каждой темы занятия по физической культуре в зависимости от педагогической ситуации, складывающейся из контекстной пары - вид предшествующего и вид последующего

занятия, можно установить наиболее предпочтительные адаптирующие, предметно-ориентированные варианты проведения подготовительной и заключительной частей, оперативно поддерживающие достаточно высокий уровень психофизиологической и физической готовности при чередовании этих занятий с занятиями по другим дисциплинам.

Видится актуальной задача управления процессом адаптации обучаемых к смене видов учебно-познавательной деятельности с целью сокращения времени врабатывания и повышения эффективности как занятий, так и сдачи контрольных нормативов. Для решения этой задачи представляется наиболее целесообразным использовать проведение подготовительной (разминки) и заключительной частей занятий с адаптирующим, предметно-ориентированным содержанием.

В этом случае под управлением адаптацией следует понимать процесс педагогического воздействия с целью установления оптимального соответствия личности обучаемого и условий осуществления учебной деятельности в ходе осуществления им познавательной деятельности, которое позволяет индивидууму более эффективно удовлетворять актуальные познавательные потребности, и реализовывать связанные с ними значимые цели.

МИНОБРНАУКИ РФ

ФГБОУ ВО «Уральский государственный горный университет»

УТВЕРЖДАЮ

Проректор по учебно-методическому комплексу

_____С.А.Упоров

МЕТОДИЧЕСКИЕ РЕКОМЕНДАЦИИ ПО ОРГАНИЗАЦИИ САМОСТОЯТЕЛЬНОЙРАБОТЫ

Б1.О.07 РУССКИЙ ЯЗЫК И ДЕЛОВЫЕ КОММУНИКАЦИИ

Специальность:
21.05.02 Прикладная геология

Специализация:
Геология месторождений нефти и газа

форма обучения: очная

Автор: Меленскова Е. С., к.ф.н.

Одобрены на заседании кафедры
Иностранных языков и деловой коммуникации
(название кафедры)

Зав. кафедрой _____
(подпись)

к.п.н., доц. Юсупова Л. Г.
(Фамилия И.О.)

Протокол № 1 от 22.09.2020
(Дата)

Рассмотрены методической комиссией
факультета геологии и геофизики
(название факультета)

Председатель _____
(подпись)

д.г.-м.н., проф. Бондарев В.И.
(Фамилия И.О.)

Протокол № 2 от 13.10.2020
(Дата)

Екатеринбург

Методические рекомендации к дисциплине согласованы с выпускающей кафедрой литологии и геологии горючих ископаемых

Заведующий кафедрой ЛГГИ _____к.г.-м.н., С.А. Рыльков____

подпись *И.О. Фамилия*

Самостоятельная работа обучающегося в образовательном процессе рассматривается как форма организации обучения, которая способна обеспечивать самостоятельный поиск необходимой информации, творческое восприятие и осмысление учебного материала в ходе аудиторных занятий, разнообразные формы познавательной деятельности студентов на занятиях и во внеаудиторное время, развитие аналитических способностей, навыков контроля и планирования учебного времени, выработку умений и навыков рациональной организации учебного труда.

Самостоятельная работа – форма организации образовательного процесса, стимулирующая активность, самостоятельность, познавательный интерес студентов.

Основные виды аудиторных занятий по дисциплине «Русский язык и культура речи» – лекция и практическое занятие.

Формы контроля самостоятельной работы студентов – опрос, дискуссия, проверка на практическом занятии, разноуровневые задания, зачет.

Обоснование затрат времени на самостоятельную работу обучающихся (СРО)

Суммарный объем часов на СРО очной формы обучения составляет 76 часов.

№ п/п	*Виды самостоятельной работы*	*Единица измерения*	*Норма времени, час*	*Расчетная трудоемкость СРО по нормам, час.*	*Принятая трудоемкость СРО, час.*
Самостоятельная работа, обеспечивающая подготовкук аудиторным занятиям					55
1	Повторение материала лекций	1 час	0,1-4,0	1,0 х 16	16
2	Самостоятельное изучение тем курса	1 тема	1,0-8,0	2,0 х 3	6
3	Ответы на вопросы для самопроверки (самоконтроля)	1 тема	0,5-1,0	1,0 х 13	13
4	Подготовка к практическим (семинарским) занятиям	1 занятие	0,3-2,0	2,0 х 8	16
5	Подготовка к дискуссии	1 занятие	1,0-4,0	4,0 х1	4
Другие виды самостоятельной работы					21
6	Выполнение самостоятельного письменного домашнего задания (разноуровневые задания)	1 задание	1,0-25,0	1,0 х 21	21
	Итого:				**76**

Подготовка к лекции и опросу

Необходимость самостоятельной работы по подготовке к лекции или опросу определяется тем, что изучение любой дисциплины строится по определенной логике освоения ее разделов, представленных в РУП данной дисциплины.

Перечень примерныхвопросовдля самоконтроля.

Раздел 1. Культура речи и деловое общение

1. Каковы основные отличия общения в официальной и неофициальной обстановке?
2. Какие функции общения реализуются в ситуации занятия? Каких функций необходимо избегать?
3. Какие основные требования предъявляются к деловому общению?
4. По каким аспектам мы оцениваем культуру речи каждого человека?

5. Почему наши тексты должны соответствовать коммуникативным качествам речи?

Раздел 2. Современный русский язык. Типология языковых норм

1. Как соотносятся понятия «язык» и «речь»?
2. Как можно охарактеризовать современный русский язык?
3. Какие разновидности выделяются в национальном русском языке?
4. Что такое литературный язык? Как это понятие соотносится с литературно-художественным стилем?
5. Перечислите типы языковых норм. Что такое императивная и диспозитивная норма?

Раздел 3. Стилистика русского языка. Официально-деловой стиль

1. Перечислите функциональные стили, которые выделяются в современном русском языке. Дайте им краткую характеристику.
2. Каковы основные стилевые и языковые особенности официально-делового стиля?
3. Какие требования предъявляются к оформлению документов?

Часть тем дается на самостоятельное изучение с опорой на список предложенной литературы. Перечень и тем их количество определяется формой обучения.

Очная форма

1. Общая характеристика функциональных стилей
2. Научный стиль русского языка
3. Стилевая, языковая и жанровая специфика научного стиля

Подготовка к практическому занятию

Подготовка к практическому занятию нередко требует подбора материала, с которым предстоит работа на занятии, или отработку навыков, проверка которых состоится непосредственно в аудитории (например, выполнение аналогичных, однотипных заданий). Здесь же можно отметить еще один вид СРО – это **выполнение самостоятельного письменного домашнего задания**.

К первому практическому занятию студенты самостоятельно готовят задания, посвященные лексикографии:

Меленскова Е. С. Культура речи и стилистика русского языка: учебное пособие для студентов специальностей 21.05.02 – «Прикладная геология», 21.05.03 –«Технология геологической разведки», 21.05.04 – «Горное дело».– Екатеринбург: Изд-во УГГУ, 2018. – С. 4-10.

Особое внимание при подготовке уделяется заданию 4, которое выполняется письменно.

К Разделу 2 по указанному выше пособию необходимо сделать следующие упражнения самостоятельно в качестве тренировки и отработки навыков владения нормами литературного русского языка:

Зад. 5-12 стр. 10-19 (орфографические и пунктуационные нормы)

Зад. 13-15 стр. 19-20 (акцентологические нормы)

Зад. 16-20 стр. 20-23 (орфоэпические нормы)

Зад. 21 стр. 23 (словообразовательные нормы)

Зад. 22-29 стр. 23-26 (лексические нормы)

Зад. 30-40 стр. 27-31 (морфологические нормы)

Зад. 41-44 стр. 31-34 (синтаксические нормы)

При выполнении заданий рекомендуется обращаться к словарям и справочникам. В указанном учебном пособии есть отсылки к необходимой литературе.

Часть этих упражнений преподаватель на свое усмотрение предлагает в качестве самостоятельного письменного домашнего задания.

К Разделу 3 по указанному пособию необходимо сделать следующую работу самостоятельно:

Стр. 35-37 – конспект

Зад. 45 стр. 38-40, зад. 47 стр. 41-47 (в качестве подготовки к тестированию)

Стр. 47-50 – конспект

Зад. 48 стр. 50-56 (по вариантам в сильных группах)

Стр. 77-82 – конспект

Зад. 53 стр. 82-83, зад. 54 стр. 83-84 (в качестве подготовки к разноуровневым заданиям).

Подготовка к дискуссии

Дискуссия – это целенаправленное обсуждение конкретного вопроса, сопровождающееся обменом мнениями, идеями между двумя и более лицами. Задача дискуссии – обнаружить различия в понимании вопроса и в споре попытаться установить истину. Обсуждение проблемы (нравственной, политической, научной, профессиональной и другой, которая не имеет общепринятого, однозначного решения) происходит в аудитории коллективно. Дискуссия позволяет включить обучающихся в процесс обсуждения спорного вопроса в рамках актуальной проблематики, оценить их умение формулировать и аргументировать собственную точку зрения.

При подготовке к дискуссии необходимо выбрать актуальную тему, разбиться на три группы 1) те, кто будет отстаивать точку зрения «ЗА», 2) те, кто будет приводить контраргументы и отстаивать позицию «ПРОТИВ», и 3) сторонние наблюдатели, которые будут оценивать происходящее и объяснять, почему они склоняются в итоге к мнению первой или второй команды. Первые две группы готовят тексты своих выступлений заранее. Также заранее можно сформулировать вопросы, которые будут корректироваться по ходу дискуссии.

Подготовка к зачету

Зачет является традиционной формой проверки знаний, умений и навыков, сформированных у студентов в процессе освоения всего содержания изучаемой дисциплины.

Самостоятельная подготовка к зачету должна осуществляться в течение всего семестра. Подготовка включает следующие действия: прежде всего нужно перечитать все лекции, конспекты, а также просмотреть материалы, которые самостоятельно готовились к лекциям или практическим занятиям. Поскольку зачет проходит в форме теста, можно предварительно потренироваться выполнять тестовые задания по дисциплине «Русский язык и культура речи».

Для подготовки к тесту рекомендуется использовать учебное пособие:

МеленсковаЕ.С. Культура речи и деловое общение: Тестовые задания для студентов всех специальностей очной и заочной формы обучения. Екатеринбург: Изд-во УГГУ, 2011.

Тестовые задания позволяют обобщить полученные теоретические знания (часть заданий нацелена на проверку знания теории курса) и практические навыки (часть тестовых заданий составлена с опорой на упражнения, которые студенты выполняют при подготовке к занятиям).

ПЕРЕЧЕНЬ ОСНОВНОЙ И ДОПОЛНИТЕЛЬНОЙ УЧЕБНОЙ ЛИТЕРАТУРЫ, НЕОБХОДИМОЙ ДЛЯ ОСВОЕНИЯ ДИСЦИПЛИНЫ

1. Основная литература

№ п/п	*Наименование*	*Кол-воэкз.*
1	*Голуб И.Б.* Русский язык и культура речи [Электронный ресурс]: учебное пособие / И. Б. Голуб. – Электрон.текстовые данные. – М.: Логос, 2014. – 432 с. – 978-5-98704-534-3. – Режим доступа: http://www.iprbookshop.ru/39711.html	Электронный ресурс
2	*Культура устной и письменной речи делового человека*: Справочник. Практикум. М.: Флинта: Наука, 2012 (и другие издания).	166
3	*Меленскова Е. С.* Культура речи и деловое общение: тестовые задания для студентов всех специальностей. Екатеринбург: Изд-во УГГУ, 2013. 78 с.	98
4	*Меленскова Е. С.* Русский язык делового общения: учебное пособие для студентов всех специальностей и направлений подготовки. Екатеринбург: УГГУ, 2018. 80 с.	101

2. Дополнительная литература

№ п/п	*Наименование*	*Кол-воэкз.*
1.	*Введенская Л. А., Павлова Л. Г., Кашаева Е. Ю.* Русский язык и культура речи: учебное пособие для вузов. Ростов-на-Дону: Феникс, 2004. – 544 с. (и другие стереотипные издания)	216
2.	*Введенская Л. А., Павлова Л. Г., Кашаева Е. Ю.* Русский язык и культура речи для инженеров: учебное пособие. Ростов-на-Дону: Феникс, 2003. 384 с.	19
3.	*Веселкова Т. В.* Культура устной и письменной коммуникации [Электронный ресурс]: учебное пособие / Т. В. Веселкова, И. С. Выходцева, Н. В. Любезнова. – Электрон.текстовые данные. – Саратов: Вузовское образование, 2016. – 268 с. – 2227-8397. – Режим доступа: http://www.iprbookshop.ru/54473.html	Электронный ресурс
4.	*Карякина М. В*. Русский язык и культура речи. Подготовка к контрольному тестированию. Екатеринбург: Изд-во УГГУ, 2011. 71 с.	40
5.	*Лапынина Н. Н.* Русский язык и культура речи [Электронный ресурс]: курс лекций / Н. Н. Лапынина. — Электрон.текстовые данные. – Воронеж: Воронежский государственный архитектурно-строительный университет, ЭБС АСВ, 2012. – 161 с. – 978-5-89040-431-2. – Режим доступа: http://www.iprbookshop.ru/22667.html	Электронный ресурс
6.	*Лыткина О. И.* Теоретический курс культуры речи [Электронный ресурс]: учебное пособие / О. И. Лыткина. – Электрон.текстовые данные. – М.: Московская государственная академия водного транспорта, 2009. – 105 с. – 2227-8397. – Режим доступа: http://www.iprbookshop.ru/46332.html	Электронный ресурс
7.	*Меленскова Е. С.* Русский язык и культура речи: учебное пособие с упражнениями и контрольными работами для студентов всех специальностей очной и заочной форм обучения. Екатеринбург: Изд-во УГГУ, 2011. 80 с.	38
8.	*Меленскова Е. С.* Стилистика русского языка: учебное пособие. Екатеринбург: Изд-во УГГУ, 2011. 86 с.	27
9.	*Миняева В. И.* Репетитор по русскому языку. Орфография. Пунктуация. Культура речи: учебное пособие. 5-е изд., испр. и доп. Екатеринбург: УГГУ, 2007. 239 с.	20
10.	*Петрова Ю. А.* Культура и стиль делового общения [Электронный ресурс]: учебное пособие / Ю. А. Петрова. – Электрон.текстовые данные. – М.: ГроссМедиа, 2007. –	Электронный ресурс

	190 с. – 5-476-003-476. – Режим доступа: http://www.iprbookshop.ru/1129.html	
11.	*Скворцов Л. И.* Большой толковый словарь правильной русской речи [Электронный ресурс]/ Скворцов Л. И. – Электрон.текстовые данные. – М.: Мир и Образование, Оникс, 2009. – 1104 с. – Режим доступа: http://www.iprbookshop.ru/14555.html. – ЭБС «IPRbooks».	Электронный ресурс
12.	*Усанова О. Г.* Культура профессионального речевого общения [Электронный ресурс]: учебно-методическое пособие / О. Г. Усанова. – Электрон.текстовые данные. – Челябинск: Челябинский государственный институт культуры, 2008. – 93 с. – 5-94839-062-4. – Режим доступа: http://www.iprbookshop.ru/56426.html	Электронный ресурс
13.	*Федосюк М. Ю., Ладыженская Т. А., Михайлова О. А., Николина Н. А.* Русский язык для студентов-нефилологов: учебное пособие. М.:Флинта: Наука, 2014 (и другие стереотипные издания)	169

ПЕРЕЧЕНЬ РЕСУРСОВ ИНФОРМАЦИОННО-ТЕЛЕКОММУНИКАЦИОННОЙ СЕТИ «ИНТЕРНЕТ», НЕОБХОДИМЫХ ДЛЯ ОСВОЕНИЯ ДИСЦИПЛИНЫ

1. *ГОСТ 6.30-2003.* «Унифицированные системы документации. Унифицированная система организационно-распорядительной документации. Требования к оформлению документов» (электронная публикацияhttp://docs.cntd.ru/document/1200031361).
2. *Грамота (сайт).* [Электронный ресурс] – Режим доступа: http://www.gramota.ru.
3. *Культура письменной речи (сайт)* [Электронный ресурс] – Режим доступа: http://www.gramma.ru.
4. *Русский язык*: *энциклопедия русского языка (сайт).* [Электронный ресурс] – Режим доступа: http://russkiyyazik.ru.
5. *Стилистический энциклопедический словарь русского языка(сайт).* [Электронный ресурс] – Режим доступа: http://stylistics.academic.ru.

МИНИСТЕРСТВО ВЫСШЕГО ОБРАЗОВАНИЯ И НАУКИ РОССИЙСКОЙ ФЕДЕРАЦИИ

Федеральное государственное бюджетное образовательное учреждение высшего образования

УРАЛЬСКИЙ ГОСУДАРСТВЕННЫЙ ГОРНЫЙ УНИВЕРСИТЕТ

Факультет геологии и геофизики

Кафедра “Математики”



ВЫСШАЯ МАТЕМАТИКА

МЕТОДИЧЕСКОЕ ПОСОБИЕ

Решебник задач по высшей математике

Екатеринбург 2019

ОГЛАВЛЕНИЕ

Часть 1. ЛИНЕЙНАЯ АЛГЕБРА С ЭЛЕМЕНТАМИ ОБЩЕЙ АЛГЕБРЫ **6**

1. ВВЕДЕНИЕ В ОБЩУЮ АЛГЕБРУ

Практическое занятие 1 6

Множества, операции, отношения 6

Практическое занятие 2 12

Комплексные числа 12

Задания для самостоятельной работы 15

2. ВЕКТОРНЫЕ ПРОСТРАНСТВА И ЛИНЕЙНЫЕ ОПЕРАТОРЫ 20

Практическое занятие 1 20

Метод координат, векторы 20

Практическое занятие 2 31

Векторное и смешанное произведения 31

Прямая линия и плоскость, взаимное расположение прямой линии и плоскости 33

Практическое занятие 3 37

Абстрактные векторные пространства 37

Практическое занятие 4 58

Операторы, матрицы, определители и СЛАУ 58

Практическое занятие 5 73

Ядро и ранг линейного оператора. Критерии совместности СЛАУ 73

Задания для самостоятельной работы 82

Векторная алгебра 82

Прямые линии и плоскости 84

Операторы, матрицы 85

Часть 2. ОПЕРАТОРЫ В ЕВКЛИДОВЫХ ПРОСТРАНСТВАХ 93

Практическое занятие 1 93

Собственные и инвариантные подпространства. Самосопряжённые и ортогональные операторы 93

Практическое занятие 2 114

Наклонная, перпендикуляр, проекция, оператор проектирования 114

Практическое занятие 3 121

Квадратичные формы. Поверхности второго порядка 121

Задания для самостоятельной работы 131

Собственные значения и собственные векторы 131

Инвариантные подпространства 132

Геометрия пространства E^n 134

ЧАСТЬ 3. МАТЕМАТИЧЕСКИЙ АНАЛИЗ ФУНКЦИЙ ОДНОГО И НЕСКОЛЬКИХ ПЕРЕМЕННЫХ 138

Практическое занятие 1 138

Определение предела последовательности 138

Вычисление предела последовательности 140

Непрерывность и предел функции 146

Практическое занятие 2 150

Дифференцируемость функции одного переменного 150

Логарифмическое дифференцирование 155

Дифференцирование функций, заданных неявно 156

Дифференцирование функций, заданных параметрически 158

Понятие дифференциала функции. Приближённые вычисления 159

Практическое занятие 3. Основные теоремы дифференциального исчисления 161

Теоремы Ферма, Ролля, Лагранжа, Коши 161

Правила Лопиталя 165

Формула Тейлора и формула Маклорена 166

Практическое занятие 4. Исследование функций одного переменного 170

Промежутки монотонности функции 170

Схема исследования функции на локальные экстремумы с помощью первой производной 172

Полное исследование функции 177

Практическое занятие 5. Интегрируемость функций одного переменного 178

Непосредственное интегрирование 178
Подведение под дифференциал 178
Методы подстановки (замены переменной интегрирования) и интегрирования по частям 180
Формула Ньютона-Лейбница, вычисление определённого интеграла мето дом замены переменной и интегрирования по частям 181
Практическое занятие 6. Дифференцируемость функций нескольких переменных 183
Первые частные производные функций нескольких переменных 183
Частные производные функций нескольких переменных высших порядков 189
Дифференцируемость функций нескольких переменных 191
Дифференциалы высших порядков 193
Производные сложных и неявно заданных функций 194
Практическое занятие 7 197
Градиент функции и производная по направлению 197
Экстремум функции двух переменных 198
Практическое занятие № 8 200
Непосредственное вычисление суммы числового ряда 200
Необходимый признак сходимости 201
Признак сравнения 202
Признак Даламбера 203
Знакопеременные ряды 204
Практическое занятие 9 206
Функциональные ряды 206
Ряд Тейлора (Маклорена) 210
Задания для самостоятельной работы 212
Предел и дифференцируемость функций одного переменного 212
Дифференцируемость функций нескольких переменных. 218
Интегрируемость функции одного переменного 218
Числовые ряды 225
Функциональные ряды 227

ЧАСТЬ 4. ТЕОРИЯ ПОЛЯ. ВЕКТОРНЫЙ АНАЛИЗ. ОБЫКНОВЕННЫЕ ДИФФЕРЕНЦИАЛЬНЫЕ УРАВНЕНИЯ 230

Практическое занятие 1 230

Базисные векторные поля 230

Практическое занятие 2 240

Вычисление криволинейных интегралов 240

Практическое занятие 3 243

Вычисление двойного интеграла в декартовых координатах 243

Вычисление площади, объёма и массы 245

Вычисление двойного интеграла в полярных координатах 246

Вычисление тройного интеграла в декартовых координатах 250

Вычисление тройного интеграла в цилиндрических и сферических координатах 251

Практическое занятие 4 253

Приложения криволинейных и кратных интегралов 253

Практическое занятие 5 259

Поверхностные интегралы первого и второго рода 259

Практическое занятие 6 262

Векторный анализ 262

Практическое занятие 7 271

Дифференциальные уравнения с разделяющимися переменными 271

Дифференциальные уравнения с однородной правой частью 273

Линейные дифференциальные уравнения первого порядка 274

Неполные обыкновенные дифференциальные уравнения второго порядка 276

Линейные однородные дифференциальные уравнения второго порядка 279

Линейные неоднородные дифференциальные уравнения второго порядка. Метод Лагранжа 281

Примеры из механики 283

Практическое занятие 8 286

Линейные системы ОДУ, методы Эйлера и Лагранжа 286

Задания для самостоятельной работы 293

Интегрирование и теория поля 293

Обыкновенные дифференциальные уравнения 298

ЧАСТЬ 1. Линейная алгебра с элементами общей алгебры

1. ВВЕДЕНИЕ В ОБЩУЮ АЛГЕБРУ

Практическое занятие 1

Множества, операции, отношения

Задача 1.1.1. Найти все подмножества множества $M = \{4, 7, 9\}$.

Р е ш е н и е. Подмножествами данного множества являются: пустое множество $\varnothing$; само множество M; одноэлементные множества $\{4\}, \{7\}, \{9\}$; двухэлементные множества $\{4, 7\}, \{4, 9\}, \{7, 9\}$. $\otimes$

Задача 1.1.2. Найти пересечение, объединение и разность множеств $A = \{a, b, c, d, e, f\}, B = \{b, e, f, k\}$.

Р е ш е н и е. Пересечение множеств $A \cap B$ содержит три элемента

$$A \cap B = \{b, e, f\},$$

объединение множеств содержит семь элементов

$$A \cup B = \{a, b, c, d, e, f, k\},$$

разность

$$A - B = \{a, c, d\}. \otimes$$

Задача 1.1.3. Найти пересечение множеств решений неравенств

$$2x - 3 > x + 1,\ 3x - 8 < 2x + 1,$$

полагая, что $x \in R^1$.

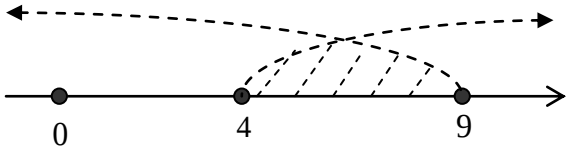

Рис. 1.

Р е ш е н и е. Решением первого неравенства является множество действительных чисел $x > 4$, решением второго неравенства является множество действительных чисел $x < 9$. Их пересечением (рисунок 1.1.1) является множество $M = \{x \in R^1 : 4 < x < 9\}$. $\otimes$

Задача 1.1.4. Найти произведение $A \times B$ множеств

$A = \{m, p\}, B = \{e, f, k\}$.

Р е ш е н и е. Составляем, согласно определению, всевозможные упорядоченные пары, первой компонентой которых является элемент множества A, а второй – элемент множества B:

$$A \times B = \{(m, e), (m, f), (m, k), (p, e), (p, f), (p, k)\}. \otimes$$

Задача 1.1.5. Изобразить на координатной плоскости произведение $A \times B$ множеств $A = \{1, 2, 3, 4\}$, $B = \{x \in R^1 : 2 \le y \le 4\}$.

Р е ш е н и е. Множество A конечно, а множество B – бесконечно, поэтому произведение множеств состоит из бесконечного множества упорядоченных пар, первым компонентом которых являются числа 1, 2, 3 или 4, а вторым – любое действительное число из замкнутого промежутка $[2, 4]$. Множество пар координатной плоскости изобразится

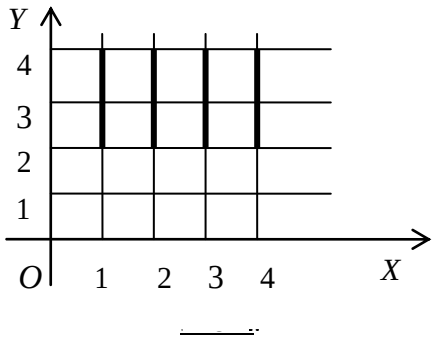

в виде четырёх отрезков, параллельных оси ординат (рисунок 2). $\otimes$

Задача 1.1.6. Доказать транзитивность отношения равенства для произвольных множеств.

Р е ш е н и е. Пусть X, Y и Z – произвольные множества. Покажем, что из $X = Y$ и $Y = Z \Rightarrow X = Z$.

Пусть $x \in X$. Тогда, так как $X = Y$, имеем $x \in Y$. Но так как $Y = Z$, получаем $x \in Z$. Обратно, из $x \in Z$ следует, что $x \in X$. По закону тождества получаем $X = Z$. $\otimes$

Задача 1.1.7. Доказать, что для произвольных множеств A, B и C справедливо равенство: $A \setminus (B \cap C) = (A \setminus B) \cup (A \setminus C)$.

Р е ш е н и е. Покажем, что

$$A \setminus (B \cap C) \subseteq (A \setminus B) \cup (A \setminus C).$$

Пусть $x \in A \setminus (B \cap C)$. Откуда следует, что $x \in A$ и $x \notin B \cap C$. То есть, $x \in A$ и $x \notin B$, или $x \in A$ и $x \notin C$. Поэтому

$$x \in A \setminus B, \text{ или } x \in A \setminus C,$$

то есть

$$x \in (A \setminus B) \cup (A \setminus C).$$

Следовательно, в соответствие с определением части множества включение

$$A \setminus (B \cap C) \subseteq (A \setminus B) \cup (A \setminus C)$$

доказано.

Включение $(A \setminus B) \cup (A \setminus C) \subseteq A \setminus (B \cap C)$ доказывается аналогично.

Из доказанных включений с учётом закона тождества получаем требуемое равенство $A \setminus (B \cap C) = (A \setminus B) \cup (A \setminus C)$. $\otimes$

Задача 1.1.8. Проверить непосредственно, что для множеств

$$X = \{5, 7\}, Y = \{7, 9\}, Z = \{0, 1\}$$

выполняется следующее равенство: $(X \cup Y) \times Z = (X \times Z) \cup (Y \times Z)$.

Р е ш е н и е. Для левой части равенства непосредственно получаем $X \cup Y = \{5, 7, 9\}$ и далее имеем:

$$(X \cup Y) \times Z = \{5, 7, 9\} \times \{0, 1\}$$

$$= \{(5, 0), (5, 0), (7, 0), (9, 0), (3, 1), (5, 1), (7, 1), (9, 1)\}$$

Для правой части получаем аналогично:

$$(X \times Z) \cup (Y \times Z) = \{5, 7\} \times \{0, 1\} \cup \{9, 7\} \times \{0, 1\}$$

$$= \{(5, 0), (5, 0), (7, 0), (3, 1), (5, 1), (7, 1)\} \cup \{(5, 0), (7, 1), (9, 0), (9, 1)\}$$

$$= \{(5, 0), (3, 1), (5, 1), (7, 0), (7, 1), (9, 0), (9, 1)\}$$

Сравнивая полученные равенства, видим, что оба множества состоят из одних и тех же элементов, то есть, равны друг другу. $\otimes$

Задача 1.1.9. Выяснить, является ли на подмножестве

$$R^+ = \{x \in R^1 : x > 0\}$$

множества действительных чисел R^1 алгебраической операция $x * y = x^2$ и указать, обладает ли эта операция свойствами коммутативности и ассоциативности.

Р е ш е н и е. Пусть x, y, z – любые элементы из R^+. Тогда, очевидно, $\forall x \in R^+ \; x^2 \in R^+$, то есть операция $*$ является бинарной алгебраической операцией. Так как по определению операции имеем

$$\forall x \neq y \; x * y = x^2 \neq y * x = y^2,$$

то операция $*$ не является коммутативной. Далее, так как

$$\forall x \neq y \neq z \in R^+ \; x * (y * z) = x^2 \neq (x * y) * z = (x * y)^2 = x^4,$$

то операция $*$ не является ассоциативной. $\otimes$

Задача 1.1.10. Ассоциативна ли на множестве действительных чисел R^1 операция $x * y = \sin x \cdot \sin y$.

Р е ш е н и е. Для определённой операции имеем:

$$\forall x, y, z \in R \; (x * y) * z = \sin(\sin x \cdot \sin y) \cdot \sin z,$$

$$x * (y * z) = \sin x \cdot \sin(\sin y \cdot \sin z).$$

Очевидно, что $(x * y) * z = x * (y * z)$ выполняется не для всех x, y, z, следовательно, операция $*$ свойством ассоциативности не обладает. $\otimes$

Задача 1.1.11. На множестве $M = \{2, 4, 6, 8\}$ задано отношение «***меньше***». Изобразить это отношение: 1) выписав все упорядоченные пары; 2) построив граф отношения.

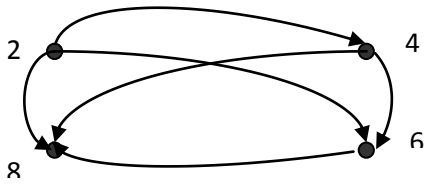

Рис. 1.8.3.

Р е ш е н и е. Отношение имеет вид:

$$2 < 4, 2 < 6, 2 < 8, 4 < 6, 4 < 8, 6 < 8.$$

Запишем отношение в виде подмножества $\Re \subset M \times M$ произведения множества M на себя, то есть в виде множества упорядоченных пар:

$$\{\langle 2, 4\rangle, \langle 2, 6\rangle, \langle 2, 8\rangle, \langle 4, 6\rangle, \langle 4, 8\rangle, \langle 6, 8\rangle\}.$$

Граф отношения приведён на рисунке 3. $\otimes$

Задача 1.1.12. Пусть $M = \{p, q\}$ и задано подмножество $\Re$ множества $M \times M$

$$\{(p, p), (p, q), (p, f), (f, f), (f, p), (f, q), (q, p), (q, q)\}.$$

Обладает ли определяемое этим подмножеством отношение свойствами рефлексивности, симметричности и транзитивности?

Р е ш е н и е. Очевидно, что для элементов множества $\Re$ истинны следующие высказывания:

$$1) \ (p, f) \in \Re;$$

$$2) \ (p, p) \in \Re, \ (f, p) \in \Re, \ (p, q) \in \Re, \ (f, f) \in \Re,$$
$$(f, q) \in \Re, \ (q, p) \in \Re;$$

$$3) \ (p, p) \in \Re \wedge (f, q) \in \Re \Rightarrow (p, q) \in \Re,$$
$$(p, q) \in \Re \wedge (q, p) \in \Re \Rightarrow (p, p) \in \Re,$$
$$(f, f) \in \Re \wedge (p, q) \in \Re \Rightarrow (f, q) \in \Re.$$

Поэтому отношение $\Re$ на множестве M, заданное множеством упорядоченных пар элементов M, рефлексивно, симметрично и транзитивно. $\otimes$

Задача 1.1.13. Показать, что отношение включения $\subset$ является отношением порядка.

Р е ш е н и е. 1) Пусть X – произвольное множество. Так как всегда $X \subset X$, то отношение $\subset$ рефлексивно. 2) Пусть X, Y, Z – произвольные множества, для которых выполняются включения $X \subset Y$ и $Y \subset Z$. Если $x \in X$, то в силу $X \subset Y$ имеем $x \in Y$, а так как $Y \subset Z$, то и $x \in Z$. Поэтому $(X \subset Y \wedge Y \subset Z) \Rightarrow X \subset Z$, то есть отношение $\subset$ транзитивно. 3) Так как по закону тождества имеем

$$(X \subset Y \wedge Y \subset X) \Leftrightarrow X = Y,$$

то отношение $\subset$ антисимметрично.

Отношение $\subset$ рефлексивно, транзитивно и антисимметрично и, следовательно, является отношением порядка. $\otimes$

Задача 1.1.14. Пусть функция $f : M_1 \to M_2$, где $M_1 \subset R^1$ и $M_2 \subset R^1$, задана формулой $y = \pm\sqrt{1 - x^2}$. Требуется: найти множество определения M_1 и множество значений M_2 этой функции; выяснить, является ли данная функция отображением или преобразованием; выяснить, является ли f инъективной, сюръективной или биективной.

Р е ш е н и е. Множеством определения функции f является множество $M_1 = \{x \in R^1 : -1 \le x \le 1\}$, а множеством значений – множество $M_2 = M_1$, следовательно f осуществляет отображение M_1 на M_1, то есть является преобразованием. Так как $(\exists x \in M_1) : f(x) = f(-x)$, то преобразование f не является инъективным, но очевидно, что f – сюръективно. Следовательно, отображение f не является биективным. $\otimes$

Задача 1.1.15. Доказать, что множество натуральных чисел N с операцией $(*) : x * y = \min\{x, y\}$ является полугруппой.

Р е ш е н и е. Исходя из определения полугруппы, нужно проверить, что операция $(*)$ является алгебраической и ассоциативной. Так как

$$(\forall x, y \in N) \; x * y = \min\{x, y\} \in N,$$

то операция $(*)$ является алгебраической. Проверим её на ассоциативность, имеем:

$$(\forall x, y, z \in N) \; (x * y) * z = \min\{\min\{x, y\}, z\} = \min\{x, \min\{y, z\}\}.$$

Операция $(*)$ ассоциативна. Поэтому $(N, *)$ – полугруппа. $\otimes$

Задача 1.1.16. Доказать, что множество положительных действительных чисел $R^+ = \{x \in R^1 : x > 0\}$, в котором операции «сложения» и «умножения на число» введены по правилам

$$(\forall x, y \in R^+ \wedge \forall \alpha \in R) \; x + y \overset{def}{=} x \cdot y \wedge \alpha \cdot x \overset{def}{=} x^{\alpha},$$

является векторным пространством.

Р е ш е н и е. Согласно определению векторного пространства, в множестве R^+ должны выполняться две группы аксиом.

Аксиомы сложения:

1) $(\forall x, y \in A) \; x + y = y + x$ (**коммутативность**);
2) $(\forall x, y, z \in A) \; (x + y) + z = x + (y + z)$ (**ассоциативность**);
3) $(\exists 0 \in A) : (\forall x \in A) \; x + 0 = x$ (существование нулевого элемента);
4) $(\forall x \in A)(\exists (-x) \in A) : x + (-x) = 0$ (существование противоположного элемента).

Аксиомы умножения на число:

5) $(\forall x \in A \wedge \forall \alpha, \beta \in R) \; (\alpha + \beta) \cdot x = \alpha \cdot x + \beta \cdot x$;
6) $(\forall x, y \in A \wedge \forall \alpha \in R) \; \alpha \cdot (x + y) = \alpha \cdot x + \alpha \cdot y$;
7) $(\forall x \in A) \; 1 \cdot x = x$;
8) $(\forall x \in A \wedge \forall \alpha, \beta \in R) \; (\alpha \cdot \beta) \cdot x = \alpha \cdot (\beta \cdot x)$.

Во множестве R^+ операция «сложения» является бинарной алгебраической операцией, а операция «умножения на число» является внешней бинарной операцией, так как

$$\forall x,\ y \in R^+ \wedge \forall \alpha \in R^1 \Rightarrow x \cdot y \in R^+ \wedge x^{\alpha} \in R^+.$$

Проверим выполнение аксиом.

1) Коммутативность операции «сложения» выполняется, так как

$$\forall x,\ y \in R^+ \Rightarrow x \cdot y = y \cdot x.$$

2) Ассоциативность операции «сложения» выполняется, так как

$$\forall x,\ y,\ z \in R^+ \Rightarrow (x \cdot y) \cdot z = x \cdot (y \cdot z).$$

3) В качестве нулевого элемента выбираем единицу, так как

$$\forall x \in R^+ \Rightarrow 1 \cdot x = x \cdot 1 = x.$$

4) Противоположный элемент

$$-x = \frac{1}{x},$$

так как $\forall x \in R^+ \Rightarrow x \cdot \frac{1}{x} = 1.$

5) Так как $x^{\alpha+\beta} = x^{\alpha} \cdot x^{\beta}$, то

$$(\alpha + \beta) \cdot x = \alpha \cdot x + \beta \cdot x.$$

6) Так как $(x \cdot y)^{\alpha} = x^{\alpha} \cdot y^{\alpha}$, то

$$\alpha \cdot (x + y) = \alpha \cdot x + \alpha \cdot y.$$

7) Так как $x^1 = x$, то

$$1 \cdot x = x.$$

8) Так как $x^{\alpha \cdot \beta} = (x^{\beta})^{\alpha}$, то

$$(\alpha \cdot \beta) \cdot x = \alpha \cdot (\beta \cdot x).$$

Все аксиомы векторного пространства выполняются, следовательно, множество R^+ с введёнными операциями является векторным пространством над полем действительных чисел R^1. ⊗

Практическое занятие 2

Комплексные числа

Задача 1.2.1. Построить точку, изображающую комплексное число $z = -3 - 4i$.

Р е ш е н и е. В данной задаче $z = a + bi = -3 - 4i$. Так как на комплексной плоскости $a = x$ и $b = y$, то точка, изображающая на комплексной плоскости число z, имеет координаты $x = -3$ и $y = -4$. ⊗

Задача 1.2.2. Найти модуль и аргумент комплексного числа $z = -4 - 4\sqrt{3}i$.

Р е ш е н и е. Модуль числа $|z| = \sqrt{(-4)^2 + (4\sqrt{3})^2} = 8$. Точка z лежит в третьей четверти, поэтому $\arg z = arctg\sqrt{3} = -\frac{2\pi}{3}$. $\otimes$

Задача 1.2.3. Выполнить указанные действия:

$$\frac{(3-4i)(2-i)}{2+i} - \frac{(3+4i)(2+i)}{2-i}.$$

Р е ш е н и е. Выполняем действия, раскрывая скобки и учитывая свойство мнимой единицы $i^2 = -1$. $\otimes$

Задача 1.2.4. Изобразить на комплексной плоскости множество точек, для которых выполнено условие: $-2 < \operatorname{Im} z \le 3$.

Р е ш е н и е. Так как на комплексной плоскости $\operatorname{Im} z = y$, то искомое множество точек является полосой, заключённой между прямыми линиями с уравнениями $y = -2$ и $y = 3$, причём точки первой прямой этому множеству не принадлежат, а точки второй прямой принадлежат. $\otimes$

Задача 1.2.5. Изобразить на комплексной плоскости множество точек, для которых выполнено условие: $|z-1| < 3$.

Р е ш е н и е. Положим $z = x + iy$. Тогда имеем $z - 1 = (x-1) + iy$, откуда получаем

$$|z-1| = \sqrt{(x-1)^2 + y^2} < 3,$$

или

$$(x-1)^2 + y^2 < 9.$$

Искомое множество точек комплексной плоскости является внутренностью круга радиуса 3 с центром в точке $(1; 0)$. $\otimes$

Задача 1.2.6. Изобразить на комплексной плоскости множество точек, для которых выполнено условие: $\log_3 |z - 3i| < 1$.

Р е ш е н и е. Положим $z = x + iy$. Тогда для числа $z - 3i$ имеем

$$z - 3i = x + i(y - 3),$$

откуда получаем

$$|z - 3i| = \sqrt{x^2 + (y-3)^2}.$$

Решая неравенство

$$\log_3 \sqrt{x^2 + (y-3)^2} < 1,$$

получаем $x^2 + (y-3)^2 < 9$. Искомое множество точек является внутренностью круга радиуса 3 с центром в точке с координатами $(0; 3)$. $\otimes$

Задача 1.2.7. Представить комплексное число

$$z = -\cos\vartheta + i\sin\vartheta$$

в тригонометрической форме.

Р е ш е н и е. Стандартная запись комплексного числа в тригонометрической форме имеет вид $z = r(\cos\varphi + i\sin\varphi)$. По формулам приведения имеем $-\cos\vartheta = \cos(\pi - \vartheta)$. Поэтому, полагая $r = 1$ и $\varphi = \pi - \vartheta$, получаем стандартную запись комплексного числа в тригонометрической форме

$$z = \cos(\pi - \vartheta) + i\sin(\pi - \vartheta). \otimes$$

Задача 1.2.8. Представить комплексное число $z = 4 - 4\sqrt{3}\cdot i$ в тригонометрической форме.

Р е ш е н и е. 1) Находим модуль: $|z| = \sqrt{4^2 + (-4\sqrt{3})^2} = 8.$

2) Находим аргумент. Так как $\cos\varphi = \frac{4}{8} = \frac{1}{2}$, $\sin\varphi = \frac{-4\sqrt{3}}{8} = -\frac{\sqrt{3}}{2}$, то $\varphi = -\frac{\pi}{3}$.

Следовательно, $z = 8\left[\cos\left(-\frac{\pi}{3}\right) + i\sin\left(-\frac{\pi}{3}\right)\right]. \otimes$

Задача 1.2.9. Выполнить умножение комплексных чисел:

$$8\left(\cos\frac{\pi}{3} + i\sin\frac{\pi}{3}\right)\cdot\frac{1}{16}\left(\cos\frac{\pi}{6} + i\sin\frac{\pi}{6}\right).$$

Р е ш е н и е. Используя формулу умножения, получаем:

$$8\cdot\frac{1}{16}\left(\cos\left(\frac{\pi}{3} + \frac{\pi}{6}\right) + i\sin\left(\frac{\pi}{3} + \frac{\pi}{6}\right)\right) = \frac{1}{2}\left(\cos\frac{\pi}{2} + i\sin\frac{\pi}{2}\right) = \frac{1}{2}i. \otimes$$

Задача 1.2.10. Выполнить деление комплексных чисел:

$$2\left(\cos\frac{2\pi}{3} + i\sin\frac{2\pi}{3}\right) : 4\left(\cos\frac{\pi}{2} + i\sin\frac{\pi}{2}\right).$$

Р е ш е н и е. Используем формулу деления комплексных чисел, получаем:

$$\frac{2}{4}\left(\cos\left(\frac{2\pi}{3} - \frac{\pi}{2}\right) + i\sin\left(\frac{2\pi}{3} - \frac{\pi}{2}\right)\right) = \frac{1}{2}\left(\cos\frac{\pi}{6} + i\sin\frac{\pi}{6}\right) = \frac{\sqrt{3}}{4} + \frac{1}{4}i. \otimes$$

Задача 1.2.11. Возвести комплексное $2\left(\cos\left(-\frac{3\pi}{4}\right) + i\sin\left(-\frac{3\pi}{4}\right)\right)$ число в седьмую степень.

Р е ш е н и е. По формуле возведения комплексного числа в степень имеем:

$$\left[2\left(\cos\left(-\frac{3\pi}{4}\right) + i\sin\left(-\frac{3\pi}{4}\right)\right)\right]^7 = 2^7\left(\cos\left(-\frac{21\pi}{4}\right) + i\sin\left(-\frac{21\pi}{4}\right)\right) =$$

$$= -64\sqrt{2} + 64\sqrt{2}\,i. \otimes$$

Задания для самостоятельной работы

1. Пусть $M = \{4, 8, 11, 22\}$. Образовать всевозможные подмножества этого множества и указать их число.

2. Пусть

$$X = \{1, 2, 3, 4, 5, 6\}, \quad Y = \{2, 4, 6, 8, 10\}.$$

Найти $X \cap Y$, $X \cup Y$, $X - Y$, $Y - X$.

3. Пусть $X = [1, 3) \cup (6, 7]$ и $Y = [2, 6]$. Найти $X \cap Y$, $X \cup Y$, $X - Y$, $Y - X$.

4. Найти пересечение и объединение множеств решений неравенств:

$$3x + 4 \geq 7x - 16, \quad |x - 3| < 1.$$

5. Изобразить на декартовой плоскости произведение множеств:

а) $X = \{x : 2 \leq x \leq 6\}, Y = \{y : 3 < y \leq 5\}$;

б) $X = R, Y = \{y : -2 < y \leq 3\}$;

в) $[0, 1] \times [0, 1]$;

г) $[1, 2] \times (-\infty, +\infty)$;

д) $(0, +\infty) \times [-2, -3]$.

6. Доказать, что для произвольных множеств X, Y, Z справедливы равенства:

а) $X \cup (X \cap Y) = X$;

б) $X \cap (X \cup Y) = X$

в) $(X \cup Y) \setminus (X \cap Y) = (X \setminus Y) \cup (Y \setminus X)$;

г) $(X \setminus Y) \setminus Z = (X \setminus Z) \setminus Y$;

д) $Y \cup (X \setminus Y) = X \cup Y$;

е) $(X \cup Y) \times Z = (X \times Z) \cup (Y \times Z)$;

ж) $(X \cap Y) \times Z = (X \times Z) \cap (Y \times Z)$;

з) $(X - Y) \times Z = (X \times Z) - (Y \times Z)$;

и) $X \cup Y \subset Z \Rightarrow X \times Y = (X \times Z) \cap (Z \times Y)$.

7. Слушатели потока в 100 человек изучают английский, немецкий и французский языки. Причём, 28 слушателей изучают английский язык, 30 - немецкий, 42 - французский, 8 - английский и немецкий, 10 - английский и французский, 5 - немецкий и французский. Сколько слушателей

изучают только один язык? (проиллюстрировать решение задачи геометрически, используя диаграммы Эйлера).

8. Истинны или ложны для любых X, Y, Z следующие высказывания:

а) $(X \subset Y \wedge Y \subset Z) \Rightarrow X \subset Z$;

б) $(X \neq Y \wedge Y \neq Z) \Rightarrow X \neq Z$.

9. Найти множество истинности предиката: $\left\langle \dfrac{x^2-5x+6}{x^3-1} < 0 \right\rangle$.

10. Найти множество истинности предиката:

$$\left\langle \begin{array}{c} \textit{Корни системы} \\ \textit{уравнений} \end{array} \begin{cases} x-y=m-1 & \textit{одновременно} \\ 2x-y=3-m & \textit{положительны.} \end{cases} \right\rangle$$

11. Найти множество истинности предиката: $\langle x \cdot (x-2) : (x+3) \geq 0 \rangle$.

12. Записать высказывания, используя логические символы:

1) «существует такое число x, что для любого числа y справедливо равенство $x+y=0$»;

2) «если число больше 6, то его квадрат больше 36».

13. Выяснить, являются ли алгебраическими операции сложения, вычитания, умножения и деления на указанных подмножествах множества R действительных чисел и указать, какие из алгебраических операций обладают свойствами коммутативности и ассоциативности:

а) N; б) $N_{2k} = \{2k : k \in N\}$; в) $N_{2k-1} = \{2k-1 : k \in N\}$;

г) Z; д) $Z_{2k} = \{2k : k \in Z\}$; е) R; ж) $R - \{0\}$;

з) $R^+ = \{x \in R : x > 0\}$; и) $R - Q$; к) $\{0, 1\}$.

14. Выяснить, являются ли алгебраическими указанные операции на подмножестве $R^+ = \{x \in R : x > 0\}$ множества действительных чисел R, и указать, какие из алгебраических операций обладают свойствами коммутативности и ассоциативности:

1) $x * y = \dfrac{x+y}{2}$; 2) $x * y = x + y - 1$; 3) $x * y = x^2 y$;

4) $x * y = \sqrt{xy}$; 5) $x * y = |x - y|$; 6) $x * y = x^y$;

7) $x * y = x^2 + y^2$; 8) $x * y = x \cdot y^{\frac{x}{|x|}}$.

15. На множестве $X = \{2, 4, 6, 8\}$ рассматриваются отношения «x равно y», «x кратно y» и «x больше y на 2». Какое из приведённых ниже подмножеств множества $X \times X$ задаёт соответствующее отношение?

а) $\{(2,2), (6,2), (8,2), (6,4), (8,4), (8,6), (2,2), (4,4), (6,6), (8,8)\}$;

б) $\{(2,2), (6,4), (8,6)\}$;

в) $\{(2,2), (4,4), (6,6), (8,8)\}$.

16. Доказать, что:

а) множество натуральных чисел N с операциями $(x; x * y = x)$ и $(x; x \circ y = 1)$ является полугруппой;

б) множества всех целых чисел Z, всех рациональных чисел Q и всех действительных чисел R являются аддитивными группами, если в качестве групповой операции выбрано сложение чисел.

17. Найти действительные числа x и y, если:

а) $\dfrac{5x + 2xi - 3y - 3yi}{3 + 4i} = 2$; б) $\dfrac{2u + 4i}{2x + y} - \dfrac{y}{x - i} = 0$.

18. Найти $\operatorname{Re} z$ и $\operatorname{Im} z$, если:

а) $z = \dfrac{(-2i)^3}{i} + 4i^{16}$; б) $z = \dfrac{3 - 2i}{1 - 4i} + i^9$;

в) $z = \dfrac{5i - 2}{3i + 1} + i + \dfrac{8i - 3}{2 - i}$; г) $z = \dfrac{1}{4}\left(\dfrac{17 + 31i}{7 + i} + \dfrac{12}{(+i)^4}\right) + i$.

19. Выполнить указанные действия:

1) $(+2i)^6$;

2) $(2 + 3i)(4 - 5i) + (2 - 3i)(4 + 5i)$;

3) $(x - 1 - i)(x - 1 + i)(x + 1 + i)(x + 1 - i)$;

4) $(+2i)^5 - (-2i)^5$;

5) $\left(-\dfrac{1}{2} + \dfrac{i \cdot \sqrt{3}}{2}\right)^2$;

6) $\dfrac{(-i)^5-1}{(+i)^5+1}$;

7) $\dfrac{(+2i)^2-(-i)^3}{(-i)^3+(+i)^2}$;

8) $\dfrac{(+2i)^3+(-2i)^3}{(-i)^2-(+i)^2}$;

9) $\dfrac{(3-4i)(-i)}{2+i}-\dfrac{(3+4i)(+i)}{2-i}$;

10) $\dfrac{5+12i}{8-6i}+\dfrac{(+2i)^2}{2+i}$;

11) $\left[\dfrac{1}{3}\left((-i)^4+\dfrac{7-24i}{4-3i}\right)+i\right]\dfrac{8}{(+i)^2}$.

20. Найти такие вещественные числа x и y, что следующие пары комплексных чисел будут комплексно-спряжёнными:

а) $z_1=y^2-2y+xy-x+y+(x+y)i$, $z_2=-y^2+2y+11-4i$;

б) $z_1=x+y^2+1+4i$, $z_2=ixy^2+iy^2-3$.

21. Решить уравнения:

1) $|z|+z=1+2i$;

2) $2|z|-4az+1+ai=0$ $(a\in R)$;

3) $|z|+z=2-i$;

4) $3z^2-(4-8i)z+8(-3i)=0$;

5) $2(-i)z^2+(-i)z+5(+i)=0$;

6) $(+4i)z^2+2z+6-6i=0$;

7) $z^4-12z^2+64=0$.

22. Решить систему уравнений:

1) $\begin{cases} (-i)x-(3+i)y=4, \\ 5x-(4+2i)y=4i; \end{cases}$ 2) $\begin{cases} (-i)x+3iy=5, \\ 2x-(3-3i)y=6. \end{cases}$

23. Построить точки, изображающие комплексные числа:

1) $z_1=-3+3i$; 2) $z_2=5-i$; 3) $z_3=2i$; 4) $z_4=-\sqrt{2}i$.

24. Найти модуль и аргумент комплексных чисел:

1) $z_1=-3+3i$; 2) $z_2=-2i$; 3) $z_3=5-\sqrt{2}$.

25. Найти множество точек комплексной плоскости, для которых:

1) $-\frac{\pi}{6}<\arg z<\frac{\pi}{4}$; 2) $1\le|z+1|<3$; 3) $|z+i|=1$;

4) $\frac{\pi}{4}\le\arg(-2+i)\le\pi$; 5) $\begin{cases} \frac{\pi}{4}<\arg z<\pi, \\ |1-2i-z|=2; \end{cases}$

6) $|z-1-i|\ge|z-2+i|$; 7) $|z-1+2i|\ge3$; 8) $|z-2i|+|z-i|=1$.

26. Представить комплексные числа в тригонометрической форме:

1) $z=16-16\sqrt{3}i$; 2) $z=-6\sqrt{3}-6i$; 3) $z=(\sqrt{5}-2i)$.

27. Представить комплексные числа в алгебраической форме:

1) $z=5\sqrt{2}\left(\cos\left(-\frac{\pi}{4}\right)+i\sin\left(-\frac{\pi}{4}\right)\right)$;

2) $z=4\left(\cos\left(-\frac{5\pi}{6}\right)+i\sin\left(-\frac{5\pi}{6}\right)\right)$.

28. Представив комплексные числа в тригонометрической форме, выполнить указанные действия:

$\left(\cos\left(-\frac{\pi}{12}\right)+i\sin\left(-\frac{\pi}{12}\right)\right)(-3+\sqrt{3}i)$;

$4\sqrt{3}\left(\cos\frac{\pi}{3}+i\sin\frac{\pi}{3}\right):(\sqrt{3}-i)$;

$\left(-\frac{\sqrt{3}}{3}-\frac{\sqrt{3}}{3}i\right)(+i)$; $(-\sqrt{5}+\sqrt{5}i)^3(+i)^2$; $\frac{2\sqrt{3}-2i}{(-1+i)(\sqrt{2}+\sqrt{6}i)}$.

29. Извлечь корни из комплексных чисел, предварительно представив их в тригонометрической форме:

1) $\sqrt{-6+6\sqrt{3}i}$;

2) $\sqrt[3]{-13{,}5\sqrt{2}--13{,}5\sqrt{2}i}$;

3) $\sqrt[4]{-8-8\sqrt{3}i}$.

30. Представив комплексные числа

$$z_1=-1-i,\ z_2=\sqrt{2}-\sqrt{2}i,\ z_3=1+\sqrt{3}i$$

в тригонометрической форме, вычислить выражение $\dfrac{z_1 z_3}{z_2}$.

2. ВЕКТОРНЫЕ ПРОСТРАНСТВА И ЛИНЕЙНЫЕ ОПЕРАТОРЫ

Практическое занятие 1

Метод координат, векторы

Пример 2.1.1. В декартовой системе координат задана точка $A(5;3)$. Найти координаты точки B, расположенной симметрично точке $A(5;3)$ относительно координатной плоскости X^1OX^2.

Р е ш е н и е. Координаты точки B по осям OX^1 и OX^2 такие же, как и уточки A, а координата по оси OX^3 имеет противоположный знак. Следовательно, $B(5;-3)$. ⊗

Пример 2.1.2. В декартовой системе координат своими разложениями по каноническому базису заданы векторы

$$\vec{x}=\vec{e}_1+3\vec{e}_2-2\vec{e}_3,\ \vec{y}=2\vec{e}_2+5\vec{e}_3,\ \vec{z}=3\vec{e}_1+13\vec{e}_2+4\vec{e}_3.$$

Найти значение линейной комбинации

$$\vec{u}=3\vec{x}+2\vec{y}-\vec{z}$$

этих векторов и сделать вывод о линейной зависимости, или линейной независимости системы $\left\{\vec{x},\ \vec{y},\ \vec{z}\right\}$ и взаимном расположении векторов.

Р е ш е н и е. Находим линейную комбинацию:

$$3\vec{x}+2\vec{y}-\vec{z}=$$

$$=3\left(\vec{e}_1+3\vec{e}_2-2\vec{e}_3\right)+2\left(2\vec{e}_2+5\vec{e}_3\right)-\left(3\vec{e}_1+13\vec{e}_2+4\vec{e}_3\right)=$$

$$=0\vec{e}_1+0\vec{e}_2+0\vec{e}_3=\vec{0}.$$

Значением линейной комбинации трёх векторов с ненулевыми коэффициентами является нуль-вектор. Поэтому система векторов линейно зависима. Так как векторы заданы в пространстве R^3, заключаем, что они компланарны, то есть лежат в одной плоскости. $\otimes$

Пример 2.1.3. В декартовой системе координат заданы векторы

$$\vec{x}=\vec{e}_1+2\vec{e}_2+3\vec{e}_3,\ \vec{y}=4\vec{e}_1+6\vec{e}_3.$$

Найти норму вектора $\vec{z}=2\vec{x}-5\vec{y}$.

Р е ш е н и е. Находим вектор

$$\vec{z}=2\vec{x}-5\vec{y}=2\left(\vec{e}_1+2\vec{e}_2+3\vec{e}_3\right)-5\left(4\vec{e}_1+6\vec{e}_3\right)=$$

$$=-18\vec{e}_1+4\vec{e}_2-24\vec{e}_3.$$

Находим норму вектора $\vec{z}$: $\left\|\vec{z}\right\|=\sqrt{(-18)^2+4^2+(-24)^2}=\sqrt{916}$. $\otimes$

Пример 2.1.4. На плоскости R^2 задан параллелограмм, три вершины которого имеют, соответственно, координаты $O(0;\ 0),\ B(-2;\ 2),\ D(6;\ 0)$ (рисунок 1.1). Найти:

1) координаты вершины C;

2) косинус угла между сторонами OB и OD;

3) длины диагоналей и косинус угла между ними.

Р е ш е н и е. 1) По определению координаты вершины C равны координатам вектора $\vec{OC}$ (рисунок 1.1), который равен сумме векторов

$$\vec{OC} = \vec{OB} + \vec{OD}.$$

Так как $\vec{OB} = \vec{e}_1 + 2\vec{e}_2$, а $\vec{OD} = 5\vec{e}_1$, то $\vec{OC} = 6\vec{e}_1 + 2\vec{e}_2$.

2) Вычисляем скалярное произведение векторов $\vec{OB}$ и $\vec{OD}$:

$$\left(\vec{OB}, \vec{OD}\right) = 5.$$

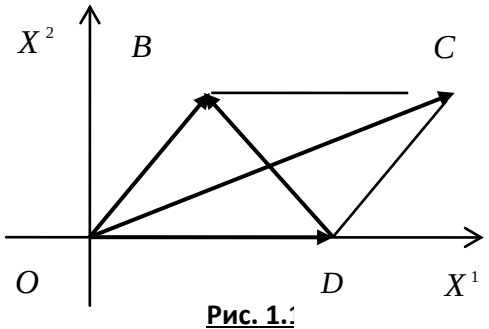

Рис. 1.1

3) Вычисляем длины векторов: $\vec{OB}$ и $\vec{OD}$:

$$\left\|\vec{OB}\right\| = \sqrt{1^2 + 2^2} = \sqrt{5} \approx 2{,}236;$$

$$\left\|\vec{OD}\right\| = \sqrt{5^2 + 0^2} = \sqrt{25} = 5.$$

4) Находим $\cos\left\{\vec{OB}, \vec{OD}\right\}$: $\cos\left\{\vec{OB}, \vec{OD}\right\} = \dfrac{5}{5 \cdot 2{,}236} \approx 0{,}447.$

5) Находим диагональ $\vec{DB}$:

$$\vec{DB} = \vec{OB} - \vec{OD} = \vec{e}_1 + 2\vec{e}_2 - 5\vec{e}_1 = -4\vec{e}_1 + 2\vec{e}_2.$$

6) Далее, $\left\|\vec{OC}\right\| = \sqrt{6^2 + 2^2} = 2\sqrt{10}$; $\left\|\vec{DB}\right\| = \sqrt{(-4)^2 + 2^2} = 2\sqrt{5}.$

7) Находим косинус угла между диагоналями:

$$\cos\left\{\vec{OC},\vec{DB}\right\}=\frac{\left(\vec{OC},\vec{DB}\right)}{\left\|\vec{OC}\right\|\cdot\left\|\vec{DB}\right\|}=\frac{4\cdot 6+2\cdot 2}{2\sqrt{10}\cdot 2\sqrt{5}}=-\frac{\sqrt{2}}{2}.\otimes$$

Пример 2.1.5. Даны радиус-векторы трёх последовательных вершин параллелограмма $ABCD$. Найти радиус-вектор четвёртой вершины и косинусы углов между диагоналями параллелограмма, если известно, что:

$$\vec{r}_A=\vec{e}_1+\vec{e}_2+\vec{e}_3,\ \vec{r}_B=\vec{e}_1+3\vec{e}_2+5\vec{e}_3,\ \vec{r}_C=-7\vec{e}_1+2\vec{e}_2-10\vec{e}_3;$$

Р е ш е н и е. Изобразим ситуацию на рисунке, не заботясь о точности изображения. Главное, чтобы рисунок отображал ситуацию качественно.

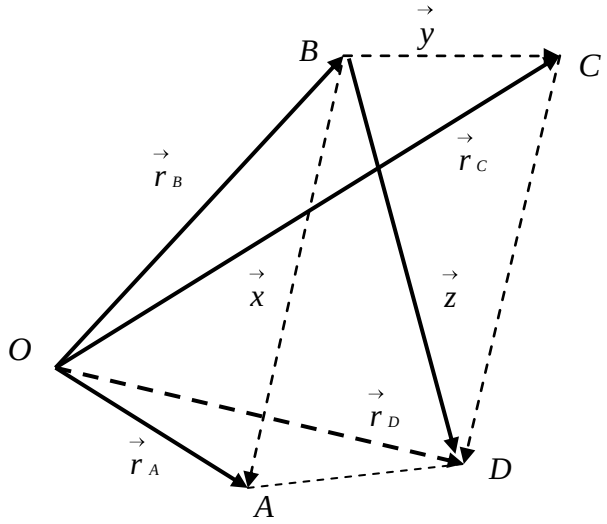

Из рисунка видно, что:

$$\vec{r}_A-\vec{r}_B=\vec{x},\ \vec{r}_C-\vec{r}_B=\vec{y},\ \vec{x}+\vec{y}=\vec{z},$$

$$\vec{r}_D=\vec{r}_B+\vec{z}=\vec{r}_B+\vec{r}_A-\vec{r}_B+\vec{r}_C-\vec{r}_B=\vec{r}_A+\vec{r}_C-\vec{r}_B.$$

Подставляя разложения векторов в полученную формулу, вычисляем все требуемые в задаче величины. $\otimes$

Пример 2.1.6. В пространстве R^2 своими координатами заданы векторы

$$\vec{x}=3\vec{e}_1+\sqrt{7}\,\vec{e}_2,\ \vec{y}=\vec{e}_1+\sqrt{24}\,\vec{e}_2.$$

Найти какой-либо вектор $\vec{z}$, направленный по биссектрисе угла $\left\{\vec{x},\vec{y}\right\}$.

Р е ш е н и е. 1) Находим длины векторов $\vec{x}$ и $\vec{y}$:

$$\left\|\vec{x}\right\| = \sqrt{3^2 + \left(\sqrt{7}\right)^2} = 4;$$

$$\left\|\vec{y}\right\| = \sqrt{1^2 + \left(\sqrt{24}\right)^2} = 5.$$

2) Находим орты векторов $\vec{x}$ и $\vec{y}$:

$$\vec{e}_{\vec{x}} = \frac{1}{\left\|\vec{x}\right\|} \cdot \vec{x} = \frac{3}{4}\vec{e}_1 + \frac{\sqrt{7}}{4}\vec{e}_2;\ \vec{e}_{\vec{y}} = \frac{1}{\left\|\vec{y}\right\|} \cdot \vec{y} = \frac{1}{5}\vec{e}_1 + \frac{\sqrt{24}}{5}\vec{e}_2.$$

3) Находим диагональ ромба, построенного на ортах $\vec{e}_x$ и $\vec{e}_y$:

$$\vec{z} = \vec{e}_x + \vec{e}_y = \frac{19}{20}\vec{e}_1 + \frac{5\sqrt{7} + 8\sqrt{6}}{20}\vec{e}_2.$$

Диагональ ромба направлена по биссектрисе угла, образованного его сторонами, поэтому найденный вектор $\vec{z}$ является искомым вектором. $\otimes$

Пример 2.1.7. В каноническом базисе декартовой системы координат пространства R^3 своими координатами задан вектор

$$\vec{x} = \vec{e}_1 - 2\vec{e}_2 + 4\vec{e}_3.$$

Найти направляющие косинусы данного вектора.

Р е ш е н и е. 1) Находим длину вектора:

$$\left\|\vec{x}\right\| = \sqrt{1^2 + \left(-2\right)^2 + 4^2} = \sqrt{21}.$$

2) Находим орт вектора: $\vec{e}_x = \frac{1}{\sqrt{21}}\vec{e}_1 + \frac{-2}{\sqrt{21}}\vec{e}_2 + \frac{4}{\sqrt{21}}\vec{e}_3.$

3) Направляющие косинусы вектора равны координатам его орта, поэтому имеем:

$$\cos\left\{\vec{x}, \vec{e}_1\right\} = \frac{1}{\sqrt{21}},\ \cos\left\{\vec{x}, \vec{e}_2\right\} = -\frac{2}{\sqrt{21}},\ \cos\left\{\vec{x}, \vec{e}_3\right\} = \frac{4}{\sqrt{21}}. \otimes$$

Пример 2.1.8. В каноническом базисе декартовой системы координат пространства R^3 своими координатами заданы векторы

$$\vec{x} = \vec{e}_1 - 2\vec{e}_2 + 4\vec{e}_3,\ \vec{y} = \vec{e}_1 + 4\vec{e}_2 - 2\vec{e}_3.$$

Найти скалярное произведение $\left(\vec{x} - 2\vec{y}, 3\vec{x} + \vec{y}\right)$ двумя способами.

Р е ш е н и е. 1. Находим линейные комбинации $\vec{x} - 2\vec{y}$ и $3\vec{x} + \vec{y}$:

$$\vec{x} - 2\vec{y} = \vec{e}_1 - 2\vec{e}_2 + 4\vec{e}_3 - 2\left(\vec{e}_1 + 4\vec{e}_2 - 2\vec{e}_3\right) = -\vec{e}_1 - 10\vec{e}_2 + 8\vec{e}_3,$$

$$3\vec{x} + \vec{y} = 3\left(\vec{e}_1 - 2\vec{e}_2 + 4\vec{e}_3\right) + \left(\vec{e}_1 + 4\vec{e}_2 - 2\vec{e}_3\right) = 4\vec{e}_1 - 2\vec{e}_2 + 10\vec{e}_3.$$

Находим скалярное произведение $\left(\vec{x} - 2\vec{y}, 3\vec{x} + \vec{y}\right)$:

$$\left(-\vec{e}_1 - 10\vec{e}_2 + 8\vec{e}_3, 4\vec{e}_1 - 2\vec{e}_2 + 10\vec{e}_3\right) =$$

$$= -4 + 20 + 80 = 96.$$

2. Используем свойства скалярного произведения:

$$\left(\vec{x} - 2\vec{y}, 3\vec{x} + \vec{y}\right) = \left(\vec{x}, 3\vec{x}\right) + \left(\vec{x}, \vec{y}\right) + \left(-2\vec{y}, 3\vec{x}\right) + \left(-2\vec{y}, \vec{y}\right) =$$

$$= 3\left(\vec{x}, \vec{x}\right) + \left(\vec{x}, \vec{y}\right) - 6\left(\vec{y}, \vec{x}\right) - 2\left(\vec{y}, \vec{y}\right) =$$

$$= 3\left\|\vec{x}\right\| - 5\left\|\vec{x}\right\|\left\|\vec{y}\right\|\cos\left\{\vec{x}, \vec{y}\right\} - 2\left\|\vec{y}\right\|.$$

Теперь можно произвести вычисления, используя данные задачи. $\otimes$

Пример 2.1.9. Дано: $\left\|\vec{x}\right\| = 3,\ \left\|\vec{y}\right\| = 2\sqrt{5},\ \left\{\vec{x}, \vec{y}\right\} = \frac{\pi}{4}$. Найти

$$\left(\vec{x} + 3\cdot\vec{y}, 3\cdot\vec{x} - \vec{y}\right).$$

Р е ш е н и е. Используя свойства скалярного произведения, получаем:

$$\left(\vec{x}+3\vec{y},\,3\vec{x}-\vec{y}\right)=3\left\|\vec{x}\right\|^2-\left(\vec{x},\,\vec{y}\right)+9\left(\vec{y},\,\vec{x}\right)-3\left\|\vec{y}\right\|^2=$$

$$=3\left\|\vec{x}\right\|^2+8\left\|\vec{x}\right\|\cdot\left\|\vec{y}\right\|\cos\left\{\vec{x},\,\vec{y}\right\}-3\left\|\vec{y}\right\|^2=-33+24\sqrt{10}\,.\otimes$$

Пример 2.1.10. В пространстве R^3 своими координатами относительно канонического базиса заданы три вектора:

$$\vec{a}_1=\vec{e}_1+2\vec{e}_2-3\vec{e}_3,\ \vec{a}_2=5\vec{e}_1-3\vec{e}_2+\vec{e}_3,\ \vec{a}_3=-2\vec{e}_1+4\vec{e}_2+\vec{e}_3.$$

1) Показать, что векторы $\left\{\vec{a}_1,\,\vec{a}_2,\,\vec{a}_3\right\}$ образуют новый базис в пространстве R^3.

2) Найти координаты вектора $\vec{x}=3\vec{e}_1+\vec{e}_2+6\vec{e}_3$ относительно базиса $\left\{\vec{a}_1,\,\vec{a}_2,\,\vec{a}_3\right\}$.

Р е ш е н и е. 1) Исходя из определения линейной независимости, составляем систему линейных алгебраических уравнений:

$$\begin{cases}\alpha_1+5\alpha_2-2\alpha_3=0,\\ 2\alpha_1-3\alpha_2+4\alpha_3=0,\\ -3\alpha_1+\alpha_2+\alpha_3=0.\end{cases}$$

Решая эту СЛАУ методом Гаусса, получаем $\alpha_1=\alpha_2=\alpha_3=0$. Следовательно, система векторов линейно независима и, так как число векторов совпадает с размерностью пространства, является одним из базисов в пространства R^3.

2) Для нахождения координат вектора $\vec{x}$ относительно нового базиса записываем разложение вектора $\vec{x}$ по векторам этого базиса и СЛАУ, следующую из этого разложения и инвариантности вектора как геометрического объекта:

$$\vec{x} = x^1 \vec{a}_1 + x^2 \vec{a}_2 + x^3 \vec{a}_3 \Rightarrow \begin{cases} x^1 + 5x^2 - 2x^3 = 3, \\ 2x^1 - 3x^2 + 4x^3 = 1, \\ -3x^1 + x^2 + x^3 = 6. \end{cases}$$

Решаем СЛАУ методом Гаусса.

1) Из первого уравнения $x^1 = 3 - 5x^2 + 2x^3$. Подставляя во второе и третье уравнения, получаем:

$$\begin{cases} x^1 + 5x^2 - 2x^3 = 3, \\ -13x^2 + 8x^3 = -5, \\ 16x^2 - 5x^3 = 15. \end{cases}$$

2) Из второго уравнения $x^2 = \frac{8}{13}x^3 + \frac{15}{13}$. Подставляя в третье уравнение, получаем:

$$\begin{cases} x^1 + 5x^2 - 2x^3 = 3, \\ -13x^2 + 8x^3 = -5, \\ 63x^3 = 115. \end{cases}$$

Обратный ход: из третьего уравнения

$$x^3 = \frac{115}{63}.$$

Подставляя во второе уравнение, находим

$$x^2 = \frac{95}{63}.$$

Подставляя найденные значения в первое уравнение, получаем

$$x^1 = -\frac{56}{63}. \otimes$$

Пример 2.1.11. В пространстве R^3 своими координатами относительно канонического базиса заданы радиус-векторы

$$\vec{x} = 2\vec{e}_1 + \vec{e}_2 - 3\vec{e}_3, \ \vec{y} = 10\vec{e}_1 - 3\vec{e}_2 - 4\vec{e}_3, \ \vec{z} = \vec{e}_1 + 2\vec{e}_2 + \vec{e}_3.$$

Найти расстояние между конечными точками векторов

$$\vec{u} = \left(\vec{x}, 2\vec{z}\right)\vec{x} + \vec{y},$$

$$\vec{v} = \vec{x} + \left(2\vec{x}, \vec{z}\right)\vec{y}.$$

Р е ш е н и е. 1) Находим скалярное произведение $\left(\vec{x}, 2\vec{z}\right)$:

$$\left(\vec{x}, 2\vec{z}\right) = \left(2\vec{e}_1 + \vec{e}_2 - 3\vec{e}_3,\ 2\left(\vec{e}_1 + 2\vec{e}_2 + \vec{e}_3\right)\right) = 2\cdot 2 + 1\cdot 4 + (-3)\cdot 2 = 2.$$

2) находим вектор $\vec{u} = \left(\vec{x}, 2\vec{z}\right)\vec{x} + \vec{y}$:

$$\vec{u} = \left(\vec{x}, 2\vec{z}\right)\vec{x} + \vec{y} = 2\left(2\vec{e}_1 + \vec{e}_2 - 3\vec{e}_3\right) + \left(10\vec{e}_1 - 3\vec{e}_2 - 4\vec{e}_3\right) =$$

$$= 14\vec{e}_1 - \vec{e}_2 - 10\vec{e}_3.$$

3) Находим скалярное произведение $\left(2\cdot\vec{x}, \vec{z}\right)$:

$$\left(2\cdot\vec{x}, \vec{z}\right) = \left(2\left(2\vec{e}_1 + \vec{e}_2 - 3\vec{e}_3\right), \left(\vec{e}_1 + 2\vec{e}_2 + \vec{e}_3\right)\right) =$$

$$= \left(2\vec{e}_1 + \vec{e}_2 - 3\vec{e}_3,\ \vec{e}_1 + 2\vec{e}_2 + \vec{e}_3\right) = 4 + 4 - 6 = 2.$$

4) Находим вектор $\vec{v} = \vec{x} + \left(2\vec{x}, \vec{z}\right)\vec{y}$:

$$\vec{v} = \vec{x} + \left(2\vec{x}, \vec{z}\right)\vec{y} = 2\vec{e}_1 + \vec{e}_2 - 3\vec{e}_3 + 2\left(10\vec{e}_1 - 3\vec{e}_2 - 4\vec{e}_3\right) =$$

$$= 22\vec{e}_1 - 5\vec{e}_2 - 11\vec{e}_3.$$

5) Находим расстояние между векторами $\vec{u}$ и $\vec{v}$:

$$\rho\left(\vec{u},\vec{v}\right)=\left\|\vec{u}-\vec{v}\right\|=\sqrt{(-8)^2+4^2+1^2}=\sqrt{81}=9.\otimes$$

Пример 2.1.12. В пространстве R^3 своими координатами относительно канонического базиса заданы три точки $A(-2;4;6)$, $B(-3;3;5)$, $C(0;2;3)$. Найти длины сторон треугольника ABC, косинусы углов при вершинах треугольника и проекцию вектора $\vec{AB}+\vec{AC}$ на направление вектора $\vec{z}=\vec{e}_1+2\vec{e}_2-5\vec{e}_3$.

Р е ш е н и е. 1) Находим векторы, определяющие стороны треугольника:

$$\vec{AB}=-\vec{e}_1-\vec{e}_2-\vec{e}_3;$$

$$\vec{AC}=-2\vec{e}_1-2\vec{e}_2-3\vec{e}_3;$$

$$\vec{BC}=-\vec{e}_1-\vec{e}_2-2\vec{e}_3.$$

2) Находим длины сторон треугольника ΔABC:

$$\left\|\vec{AB}\right\|=\sqrt{(-1)^2+(-1)^2+(-1)^2}=\sqrt{3};$$

$$\left\|\vec{AC}\right\|=\sqrt{(-2)^2+(-2)^2+(-3)^2}=\sqrt{17};$$

$$\left\|\vec{BC}\right\|=\sqrt{(-1)^2+(-1)^2+(-2)^2}=\sqrt{6}.$$

3) Находим косинусы углов при вершинах треугольника по формуле

$$\cos\vartheta=\frac{\left(\vec{x},\vec{y}\right)}{\left\|\vec{x}\right\|\cdot\left\|\vec{y}\right\|}=\frac{x^1y^1+x^2y^2+x^3y^3}{\sqrt{(x^1)^2+(x^2)^2+(x^3)^2}\sqrt{(y^1)^2+(y^2)^2+(y^3)^2}};$$

$$\cos\left\{\vec{AB},\vec{AC}\right\}=\frac{\left(\vec{AB},\vec{AC}\right)}{\left\|\vec{AB}\right\|\cdot\left\|\vec{AC}\right\|}=\frac{7}{\sqrt{3}\cdot\sqrt{17}}=\frac{7}{\sqrt{51}};$$

$$\cos\left\{\vec{BA},\ \vec{BC}\right\} = \frac{\left(\vec{BA},\ \vec{BC}\right)}{\left\|\vec{AB}\right\| \cdot \left\|\vec{BC}\right\|} = \frac{-4}{\sqrt{3}\cdot\sqrt{6}} = -\frac{4}{\sqrt{18}};$$

$$\cos\left\{\vec{CA},\ \vec{CB}\right\} = \frac{\left(\vec{CA},\ \vec{CB}\right)}{\left\|\vec{CA}\right\| \cdot \left\|\vec{CB}\right\|} = \frac{10}{\sqrt{17}\cdot\sqrt{6}} = \frac{10}{\sqrt{102}}.$$

4) Находим проекцию вектора $\vec{AB} + \vec{AC}$ на направление вектора $\vec{z} = \vec{e}_1 + 2\vec{e}_2 - 5\vec{e}_3$:

$$\Pr_{\vec{z}}\left\{\vec{AB} + \vec{AC}\right\} = \frac{(-3)\cdot 1 + (-3)\cdot 2 + (-4)\cdot(-5)}{\sqrt{1^2 + 2^2 + (-5)^2}} = \frac{11}{\sqrt{30}}. \otimes$$

Пример 2.1.13. Пусть на плоскости X^1OX^2 даны две точки $A_1(x_1^1;\ x_1^2)$ и $A_2(x_2^1;\ x_2^2)$. Найти координаты точки $A(x^1;\ x^2)$, делящей отрезок A_1A_2 в отношении $\dfrac{\lambda_1}{\lambda_2} = \lambda$.

Р е ш е н и е. Предположим, что отрезок A_1A_2 не параллелен оси OX^1. Точки A_1, A, A_2 спроектируем на оси OX^1, и OX^2 (рисунок).

Имеем по условию задачи

$$\frac{A_1A}{AA_2} = \frac{\overline{A_1A}}{\overline{AA_2}} = \frac{\lambda_1}{\lambda_2} = \lambda.$$

Далее получаем, что

$$\overline{A_1A} = \left|x_1^2 - x^2\right|,\ \overline{AA_2} = \left|x^2 - x_2^2\right|.$$

Откуда

$$\lambda = \frac{\lambda_1}{\lambda_2} = \frac{\left|x_1^2 - x^2\right|}{\left|x^2 - x_2^2\right|}.$$

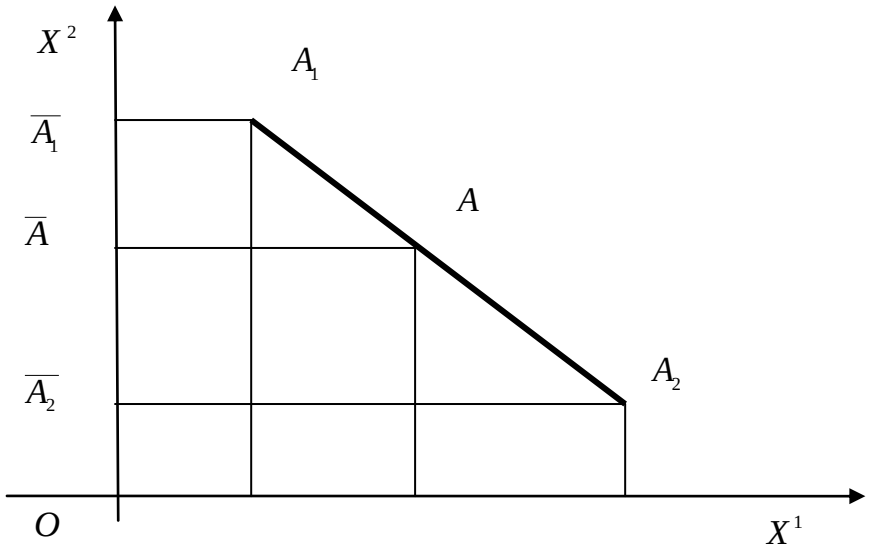

Точка $\overline{A}$ лежит между точками A_1 и A_2, поэтому

$$\lambda = \frac{\lambda_1}{\lambda_2} = \frac{\left|x_1^2 - x^2\right|}{\left|x^2 - x_2^2\right|} = \frac{x_1^2 - x^2}{x^2 - x_2^2}.$$

Из последнего равенства находим

$$x^2 = \frac{\lambda_2 x_1^2 + \lambda_1 x_2^2}{\lambda_1 + \lambda_2} = \frac{\lambda_2\left(x_1^2 + \dfrac{\lambda_1}{\lambda_2} x_2^2\right)}{\lambda_2\left(\dfrac{\lambda_1}{\lambda_2} + 1\right)} = \frac{x_1^2 + \lambda x_2^2}{\lambda + 1}.$$

Аналогично находим первую координату точки A:

$$x^1 = \frac{\lambda_2 x_1^1 + \lambda_1 x_2^1}{\lambda_1 + \lambda_2} = \frac{\lambda_2\left(x_1^1 + \dfrac{\lambda_1}{\lambda_2} x_2^1\right)}{\lambda_2\left(\dfrac{\lambda_1}{\lambda_2} + 1\right)} = \frac{x_1^1 + \lambda x_2^1}{\lambda + 1}. \otimes$$

Практическое занятие 2

Векторное и смешанное произведения

Пример 2.2.1. Вычислить площадь треугольника, построенного на приведённых к общему началу векторах

$$\vec{x} = 3\vec{e}_1 - 2\vec{e}_2 - \vec{e}_3,\ \vec{y} = -2\vec{e}_1 + \vec{e}_2 - 6\vec{e}_3.$$

Р е ш е н и е. Если в некоторой декартовой системе координат векторы $\vec{x}$ и $\vec{y}$ заданы своими разложениями

$$\vec{x} = x^1\vec{e}_1 + x^2\vec{e}_2 + x^3\vec{e}_3,\ \vec{y} = y^1\vec{e}_1 + y^2\vec{e}_2 + y^3\vec{e}_3,$$

то справедлива формула

$$\left[\vec{x}, \vec{y}\right] = \left(x^2y^3 - x^3y^2\right)\vec{e}_1 + \left(x^3y^1 - x^1y^3\right)\vec{e}_2 + \left(x^1y^2 - x^2y^1\right)\vec{e}_3.$$

Применим эту формулу для решения задачи.

1) Вычисляем векторное произведение:

$$\left[\vec{x}, \vec{y}\right] = \left(2\cdot(-6) - (-1)\cdot 1\right)\vec{e}_1 + \left((-1)\cdot(-2) - 3\cdot(-6)\right)\vec{e}_2 +$$

$$+ \left(3\cdot 1 - (-2)\cdot(-2)\right)\vec{e}_3 = 13\vec{e}_1 + 20\vec{e}_2 - \vec{e}_3.$$

2) Площадь треугольника

$$S = \frac{1}{2}\left\|\left[\vec{x}, \vec{y}\right]\right\|.$$

Вычисляем площадь треугольника:

$$S = \frac{1}{2}\left\|\left[\vec{x}, \vec{y}\right]\right\| = \frac{1}{2}\sqrt{13^2 + 20^2 + (-1)^2} = \frac{1}{2}\sqrt{169 + 400 + 1} = \frac{1}{2}\sqrt{570}. \otimes$$

Пример 2.2.2. Вычислить площадь параллелограмма, построенного на векторах

$$\vec{x} = \vec{a} + 3\vec{b},\ \vec{y} = 3\vec{a} + \vec{b},$$

если

$$\left\|\vec{a}\right\| = \left\|\vec{b}\right\| = 1 \text{ и } \left\{\vec{a}, \vec{b}\right\} = \frac{\pi}{6}.$$

Р е ш е н и е. Вычисляем векторное произведение, используя его свойства:

$$\left[\vec{x}, \vec{y}\right] = \left[\vec{a} + 3\vec{b}, 3\vec{a} + \vec{b}\right] = 3\left[\vec{a}, \vec{a}\right] + \left[\vec{a}, \vec{b}\right] +$$

$$+9\left[\vec{b},\vec{a}\right]+3\left[\vec{b},\vec{b}\right]=-8\left[\vec{a},\vec{b}\right].$$

По определению площадь параллелограмма равна:

$$S=\left\|\left[\vec{x},\vec{y}\right]\right\|=8\left\|\left[\vec{a},\vec{b}\right]\right\|=8\left\|\vec{a}\right\|\cdot\left\|\vec{b}\right\|\cdot\sin\left\{\vec{a},\vec{b}\right\}=8\cdot1\cdot1\cdot\frac{1}{2}=4.\otimes$$

Пример 2.2.3. Найти орт вектора, перпендикулярного векторам

$$\vec{x}=\vec{e}_1+\vec{e}_2+3\vec{e}_3,\ \vec{y}=4\vec{e}_1+\vec{e}_2+\vec{e}_3.$$

Р е ш е н и е. Предлагается решить задачу самостоятельно. $\otimes$

Прямая линия и плоскость, взаимное расположение прямой линии и плоскости

Пример 2.2.4. Получить уравнение плоскости $H^2\subset R^3$, проходящей через начало координат O и через две точки $M_1(4;-2;1)$, $M_2(2;4;-3)$.

Р е ш е н и е. Радиус-векторы точек M_1 и M_2

$$\vec{x}\equiv\vec{OM}_1=4\vec{e}_1-2\vec{e}_2+\vec{e}_3,\ \vec{y}\equiv\vec{OM}_2=2\vec{e}_1+4\vec{e}_2-3\vec{e}_3.$$

Нормальный вектор плоскости находим как векторное произведение, используя формулу

$$\vec{N}=\left[\vec{OM}_1,\vec{OM}_2\right]\equiv\left[\vec{x},\vec{y}\right]=$$

$$=(x^2y^3-x^3y^2)\vec{e}_1+(x^3y^1-x^1y^3)\vec{e}_2+(x^1y^2-x^2y^1)\vec{e}_3=:$$

$$=(-2)\cdot(-3)-1\cdot4\,\vec{e}_1+\left[1\cdot2-4\cdot(-3)\right]\vec{e}_2+\left[1\cdot4-(-2)\cdot2\right]\vec{e}_3=$$

$$=2\vec{e}_1+14\vec{e}_2+20\vec{e}_3.$$

Из условия ортогональности радиус-вектора

$$\vec{OM}=x^1\vec{e}_1+x^2\vec{e}_2+x^3\vec{e}_3$$

текущей точки M плоскости её нормальному вектору

$$\left(\vec{N}, \vec{OM}\right) = 0,$$

получаем уравнение плоскости в неявном виде:

$$x^1 + 7x^2 + 10x^3 = 0. \otimes$$

Пример 2.2.5. Найти угол между плоскостями, определяемыми уравнениями:

$$3x^1 - x^2 + 3 = 0,\ x^1 - 2x^2 + 5x^3 - 10 = 0.$$

Р е ш е н и е. Угол между плоскостями равен углу между их нормальными векторами

$$\vec{N}_1 = 3\vec{e}_1 - \vec{e}_2,\ \vec{N}_2 = \vec{e}_1 - 2\vec{e}_2 + 5\vec{e}_3.$$

Поэтому имеем:

$$\cos\left\{\vec{N}_1, \vec{N}_2\right\} = \frac{\left(\vec{N}_1, \vec{N}_2\right)}{\left\|\vec{N}_1\right\| \cdot \left\|\vec{N}_2\right\|} = \frac{3 \cdot 1 + (-1) \cdot (-2) + 0 \cdot 5}{\sqrt{3^2 + (-1)^2 + 0^2} \cdot \sqrt{1^2 + (-2)^2 + 5^2}} =$$

$$= \frac{5}{\sqrt{10} \cdot \sqrt{30}} = \frac{\sqrt{3}}{6}.$$

Следовательно, $\varphi = \arccos\frac{\sqrt{3}}{6}. \otimes$

Пример 2.2.6. Написать канонические уравнения прямой линии, заданной пересечением двух плоскостей с уравнениями

$$x^1 + x^2 + x^3 - 2 = 0,\ x^1 - x^2 - 3x^3 + 6 = 0.$$

Р е ш е н и е. Проверяем, что плоскости не параллельны (то есть их нормальные векторы не коллинеарны), для чего проверяем пропорциональны или нет координаты нормальных векторов:

$$\frac{1}{1} \neq \frac{1}{-1} \neq \frac{1}{-3}.$$

Координаты не пропорциональны, следовательно, нормальные векторы неколлинеарны, то есть плоскости не параллельны.

Так как прямая линия принадлежит обеим плоскостям, её направляющий вектор ортогонален нормальным векторам плоскостей, поэтому находим его как векторное произведение нормальных векторов плоскостей:

$$\vec{a} = \left[\vec{N}_1, \vec{N}_2\right] = \left(x^2y^3 - x^3y^2\right)\vec{e}_1 + \left(x^3y^1 - x^1y^3\right)\vec{e}_2 + \left(x^1y^2 - x^2y^1\right)\vec{e}_3 =$$

$$= \left[1\cdot(-3) - 1\cdot(-1)\right]\vec{e}_1 + \left[1\cdot 1 - 1\cdot(-3)\right]\vec{e}_2 + \left[1\cdot(-1) - 1\cdot 1\right]\vec{e}_3 =$$

$$= -2\vec{e}_1 + 4\vec{e}_2 - 2\vec{e}_3.$$

Направляющий вектор прямой не параллелен ни одной из координатных плоскостей, поэтому прямая линия пересекает все три координатные плоскости. Найдём, например, точку пересечения прямой и плоскости X^1OX^3, для чего решаем систему трёх уравнений

$$\begin{cases} x^1 + \quad x^3 = \quad 2, \\ x^1 - 3x^3 = -6 \\ \quad x^2 = 0. \end{cases}$$

Получаем решение $x_0^1 = 0,\ x_0^2 = 0,\ x_0^3 = 2$.

Подставляя найденные координаты направляющего вектора и точки в канонические уравнения прямой линии, получаем канонические уравнения

$$\frac{x^1}{-2} = \frac{x^2}{4} = \frac{x^3 - 2}{-2}. \otimes$$

Пример 2.2.7. Найти точку пересечения прямой линии с уравнениями

$$\frac{x^1 - 2}{1} = \frac{x^2 - 3}{1} = \frac{x^3 + 1}{-4},$$

и плоскости с уравнением $x^1 + x^2 + 2x^3 - 9 = 0$.

Р е ш е н и е. Проверяем, пересекается ли прямая линия с плоскостью, для чего находим скалярное произведение нормального вектора плоскости и направляющего вектора прямой линии:

$$\left(\vec{N}, \vec{l}\right) = \left(\vec{e}_1 + \vec{e}_2 + 2\vec{e}_3,\ \vec{e}_1 + \vec{e}_2 - 4\vec{e}_3\right) = -6 \neq 0.$$

Векторы не ортогональны, а следовательно, прямая линия и плоскость не параллельны. Параметрические уравнения прямой линии имеют вид:

$$\begin{cases} x^1 = 2 + t, \\ x^2 = 3 + t, \\ x^3 = -1 - 4t. \end{cases}$$

Найдём значение параметра t_0, соответствующее точке пересечения прямой линии и плоскости, для чего подставим x^1, x^2, x^3 из параметрических уравнений прямой линии в уравнение плоскости. Решая получившееся уравнение, найдём $t_0 = -1$. Подставляя найденное значение параметра в параметрические уравнения прямой линии, находим координаты точки пересечения:

$$x_0^1 = 1,\ x_0^2 = 2,\ x_0^3 = 3. \otimes$$

Пример 2.2.8. Найти расстояние от точки $M(0;0;1)$ до плоскости H^2 с уравнением $4x^1 + 6x^2 + 4x^3 - 25 = 0.$

Р е ш е н и е. Расстояние от точки M до плоскости – это длина вектора $\overrightarrow{M_0M}$ с начальной точкой M и конечной точкой M_0 – проекцией точки M на плоскость H^2.

Проекция точки на плоскость – это основание перпендикуляра, опущенного из данной точки на плоскость. Поэтому следует составить уравнение прямой линии, проходящей через точку $M(0;0;1)$ перпендикулярно плоскости с уравнением

$$4x^1 + 6x^2 + 4x^3 - 25 = 0,$$

и найти точку её пересечения с плоскостью.

Если в качестве направляющего вектора прямой линии выбрать нормальный вектор плоскости $\vec{l} = \vec{N} = 4\vec{e}_1 + 6\vec{e}_2 + 4\vec{e}_3$, то канонические уравнения прямой линии примут вид

$$\frac{x^1 - 1}{4} = \frac{x^2}{6} = \frac{x^3 - 1}{4},$$

откуда получаем параметрические уравнения

$$\begin{cases} x^1 = 1 + 4t, \\ x^2 = \quad 6t, \\ x^3 = 1 + 4t. \end{cases}$$

Подставляя общее выражение для координат текущей точки прямой линии из параметрических уравнений в уравнение плоскости, получаем уравнение для параметра, решение которого даёт для параметра значение

$$t_0 = \frac{1}{4},$$

соответствующее искомой точке пересечения прямой линии и плоскости.

Подставляя это значение параметра в параметрические уравнения прямой линии, получаем находим искомые координаты проекции M_0 точки $M(-1; 0; 1)$ на плоскость H^2:

$$x^1 = 2,\ x^2 = \frac{3}{2},\ x^3 = 2.$$

Вектор

$$\vec{M_0M} = (-1)\vec{e}_1 + \left(\frac{3}{2} - 0\right)\vec{e}_2 + (-1)\vec{e}_3 = \vec{e}_1 + \frac{3}{2}\vec{e}_2 + \vec{e}_3.$$

Расстояние

$$\rho(M, H^2) = \sqrt{1 + \frac{9}{4} + 1} = \frac{\sqrt{17}}{2}. \otimes$$

Практическое занятие 3

Абстрактные векторные пространства

Пример 2.3.1. Пусть P – числовое поле. На множестве объектов

$$P^n = \left\{ |a\rangle = \begin{pmatrix} a_1 \\ a_2 \\ \dots \\ a_n \end{pmatrix},\ a_k \in P \right\},$$

которые назовём вектор-столбцами, определим операции сложения вектор-столбцов и умножения вектора-столбца на числа из поля P:

1) $\forall |a\rangle, |b\rangle \in P^n \Rightarrow |a\rangle + |b\rangle = \begin{pmatrix} a_1 \\ a_2 \\ \dots \\ a_n \end{pmatrix} + \begin{pmatrix} b_1 \\ b_2 \\ \dots \\ b_n \end{pmatrix} = \begin{pmatrix} a_1 + b_1 \\ a_2 + b_2 \\ \dots \\ a_n + b_n \end{pmatrix} \in$

2) $\forall |a\rangle \in P^n$ и $\forall \alpha \in P \Rightarrow \alpha \cdot |a\rangle = \alpha \cdot \begin{pmatrix} a_1 \\ a_2 \\ \dots \\ a_n \end{pmatrix} = \begin{pmatrix} \alpha \cdot a_1 \\ \alpha \cdot a_2 \\ \dots \\ \alpha \cdot a_n \end{pmatrix}$.

Показать, что множество P^n является n-мерным векторным пространством.

Р е ш е н и е. Для доказательства требуется проверить выполнение всех аксиом векторного пространства и построить хотя бы один базис из вектор-столбцов.

Аксиомы сложения.

1) Аксиома ассоциативности выполняется в силу ассоциативности операции сложения в поле P, действительно

$$|a\rangle + |b\rangle + |c\rangle = \left[\begin{pmatrix} a_1 \\ a_2 \\ \dots \\ a_n \end{pmatrix} + \begin{pmatrix} b_1 \\ b_2 \\ \dots \\ b_n \end{pmatrix}\right] + \begin{pmatrix} c_1 \\ c_2 \\ \dots \\ c_n \end{pmatrix} = \begin{pmatrix} a_1 + b_1 \\ a_2 + b_2 \\ \dots \\ a_n + b_n \end{pmatrix} + \begin{pmatrix} c_1 \\ c_2 \\ \dots \\ c_n \end{pmatrix} = \begin{pmatrix} (a_1 + b_1) + c_1 \\ (a_2 + b_2) + c_2 \\ \dots \\ (a_n + b_n) + c_n \end{pmatrix} =$$

$$= \begin{pmatrix} a_1 + (b_1 + c_1) \\ a_2 + (b_2 + c_2) \\ \dots \\ a_n + (b_n + c_n) \end{pmatrix} = \begin{pmatrix} a_1 \\ a_2 \\ \dots \\ a_n \end{pmatrix} + \begin{pmatrix} b_1 + c_1 \\ b_2 + c_2 \\ \dots \\ b_n + c_n \end{pmatrix} = \begin{pmatrix} a_1 \\ a_2 \\ \dots \\ a_n \end{pmatrix} + \left[\begin{pmatrix} b_1 \\ b_2 \\ \dots \\ b_n \end{pmatrix} + \begin{pmatrix} c_1 \\ c_2 \\ \dots \\ c_n \end{pmatrix}\right] = |a\rangle + |b\rangle + |c\rangle$$

.

2) Аксиома коммутативности выполняется в силу коммутативности операции сложения в поле P, действительно

$$|a\rangle+|b\rangle=\begin{pmatrix}a_1\\a_2\\\cdots\\a_n\end{pmatrix}+\begin{pmatrix}b_1\\b_2\\\cdots\\b_n\end{pmatrix}=\begin{pmatrix}a_1+b_1\\a_2+b_2\\\cdots\\a_n+b_n\end{pmatrix}=\begin{pmatrix}b_1+a_1\\b_2+a_2\\\cdots\\b_n+a_n\end{pmatrix}=\begin{pmatrix}b_1\\b_2\\\cdots\\b_n\end{pmatrix}+\begin{pmatrix}a_1\\a_2\\\cdots\\a_n\end{pmatrix}=|b\rangle+|a\rangle.$$

3) Вектор-нуль определим так

$$|0\rangle=\begin{pmatrix}0\\0\\\cdots\\0\end{pmatrix}.$$

Очевидно, что аксиома о нейтральном элементе выполняется, действительно имеем:

$$\forall|a\rangle\in P^n\;|a\rangle+|0\rangle=\begin{pmatrix}a_1\\a_2\\\cdots\\a_n\end{pmatrix}+\begin{pmatrix}0\\0\\\cdots\\0\end{pmatrix}=\begin{pmatrix}a_1+0\\a_2+0\\\cdots\\a_n+0\end{pmatrix}=\begin{pmatrix}a_1\\a_2\\\cdots\\a_n\end{pmatrix}.$$

4) Противоположный вектор-столбец определим так

$$\forall|a\rangle\in P^n\;-|a\rangle=\begin{pmatrix}-a_1\\-a_2\\\cdots\\-a_n\end{pmatrix}.$$

Очевидно, что аксиома об обратном (противоположном элементе) выполняется, действительно имеем:

$$|a\rangle+(-|a\rangle)=\begin{pmatrix}a_1\\a_2\\\cdots\\a_n\end{pmatrix}+\begin{pmatrix}-a_1\\-a_2\\\cdots\\-a_n\end{pmatrix}=\begin{pmatrix}a_1-a_1\\a_2-a_2\\\cdots\\a_n-a_n\end{pmatrix}=\begin{pmatrix}0\\0\\\cdots\\0\end{pmatrix}.$$

Аксиомы умножения вектор-столбца на числа. Аналогично показывается, что выполняются аксиомы умножения вектор-столбца на числа:

1) $\forall|a\rangle\in P^n$ и $\forall\alpha\in P$

$$\alpha(|a\rangle + |b\rangle) = \alpha\left[\begin{pmatrix} a_1 \\ a_2 \\ \dots \\ a_n \end{pmatrix} + \begin{pmatrix} b_1 \\ b_2 \\ \dots \\ b_n \end{pmatrix}\right] = \begin{pmatrix} \alpha(a_1 + b_1) \\ \alpha(a_2 + b_2) \\ \dots \\ \alpha(a_n + b_n) \end{pmatrix} = \alpha\begin{pmatrix} a_1 \\ a_2 \\ \dots \\ a_n \end{pmatrix} + \alpha\begin{pmatrix} b_1 \\ b_2 \\ \dots \\ b_n \end{pmatrix};$$

2) $\forall \alpha, \beta \in P$

$$(\alpha + \beta)|a\rangle = (\alpha + \beta)\begin{pmatrix} a_1 \\ a_2 \\ \dots \\ a_n \end{pmatrix} = \begin{pmatrix} (\alpha + \beta)a_1 \\ (\alpha + \beta)a_2 \\ \dots \\ (\alpha + \beta)a_n \end{pmatrix} = \alpha\begin{pmatrix} a_1 \\ a_2 \\ \dots \\ a_n \end{pmatrix} + \beta\begin{pmatrix} a_1 \\ a_2 \\ \dots \\ a_n \end{pmatrix} = \alpha|a\rangle + \beta|b\rangle;$$

3) $1 \cdot \begin{pmatrix} a_1 \\ a_2 \\ \dots \\ a_n \end{pmatrix} = \begin{pmatrix} a_1 \\ a_2 \\ \dots \\ a_n \end{pmatrix};$

4) $(\alpha\beta)|a\rangle = (\alpha\beta)\begin{pmatrix} a_1 \\ a_2 \\ \dots \\ a_n \end{pmatrix} = \begin{pmatrix} (\alpha\beta)a_1 \\ (\alpha\beta)a_2 \\ \dots \\ (\alpha\beta)a_n \end{pmatrix} = \begin{pmatrix} \alpha(\beta a_1) \\ \alpha(\beta a_2) \\ \dots \\ \alpha(\beta a_n) \end{pmatrix} = \dots = \alpha(\beta|a\rangle),$

Таким образом, все аксиомы векторного пространства выполняются и, следовательно, множество P^n является векторным пространством.

Рассмотрим следующее тождественное преобразование:

$$|a\rangle = \begin{pmatrix} a_1 \\ a_2 \\ \dots \\ a_n \end{pmatrix} = \begin{pmatrix} a_1 \\ 0 \\ \dots \\ 0 \end{pmatrix} + \begin{pmatrix} 0 \\ a_2 \\ \dots \\ 0 \end{pmatrix} + \dots + \begin{pmatrix} 0 \\ 0 \\ \dots \\ 0 \end{pmatrix} = a_1\begin{pmatrix} 1 \\ 0 \\ \dots \\ 0 \end{pmatrix} + a_2\begin{pmatrix} 0 \\ 1 \\ \dots \\ 0 \end{pmatrix} + \dots + a_n\begin{pmatrix} 0 \\ 0 \\ \dots \\ 1 \end{pmatrix}.$$

Из этого разложения видно, что в силу произвольности вектор-столбца $|a\rangle$, он представлен разложением по вектор-столбцам специального вида

$$|e_1\rangle = \begin{pmatrix} 1 \\ 0 \\ \dots \\ 0 \end{pmatrix}, |e_2\rangle = \begin{pmatrix} 0 \\ 1 \\ \dots \\ 0 \end{pmatrix}, \dots, |e_n\rangle = \begin{pmatrix} 0 \\ 0 \\ \dots \\ 1 \end{pmatrix}.$$

Система этих вектор-столбцов образует простейший, или ***канонический*** базис в векторном пространстве P^n.

Теперь очевидно, что множество P^n является n-мерным векторным пространством. $\otimes$

Пример 2.3.2. Показать, что если система векторов $\left\{ \vec{x}_1, \vec{x}_2, \dots, \vec{x}_n \right\}$ линейно независима, то и любая её подсистема также линейно независима.

Р е ш е н и е. Пусть $\left\{ \vec{x}_1, \vec{x}_2, \dots, \vec{x}_m \right\}$ – подсистема данной системы, то есть $m < n$. Предположим, что условие задачи неверно, то есть подсистема $\left\{ \vec{x}_1, \vec{x}_2, \dots, \vec{x}_m \right\}$ линейно зависима. Тогда можно подобрать такие числа $\alpha_1, \alpha_2, \dots, \alpha_m$, не все равные нулю одновременно, что справедливо тождество

$$\alpha_1 \vec{x}_1 + \alpha_2 \vec{x}_2 + \dots + \alpha_m \vec{x}_m = \vec{0}.$$

Учитывая свойство нуль вектора

$$\left(\forall \vec{x} \in X \right) \vec{x} + \vec{0} = \vec{0} + \vec{x} = \vec{x},$$

добавим его в обе части последнего тождества, представив его в виде линейной комбинации оставшихся векторов исходной системы с нулевыми коэффициентами

$$\vec{0} = 0\,\vec{x}_{m+1} + \dots + 0\,\vec{x}_n.$$

Получаем

$$\alpha_1 \vec{x}_1 + \alpha_2 \vec{x}_2 + \dots + \alpha_m \vec{x}_m + 0\,\vec{x}_{m+1} + \dots + 0\,\vec{x}_n = \vec{0},$$

то есть линейная комбинация векторов исходной системы с коэффициентами, не все из которых равны нулю одновременно, даёт нулевой вектор. По определению это означает линейную зависимость векторов системы $\left\{ \vec{x}_1, \vec{x}_2, \ldots, \vec{x}_n \right\}$, что противоречит условию задачи.

Следовательно, предположение о линейной зависимости ***произвольной*** подсистемы $\left\{ \vec{x}_1, \vec{x}_2, \ldots, \vec{x}_m \right\}$ линейно независимой системы $\left\{ \vec{x}_1, \vec{x}_2, \ldots, \vec{x}_n \right\}$ не верно. $\otimes$

Пример 2.3.3. Показать, что система из двух векторов линейно зависима в том и только в том случае, если векторы коллинеарны.

Р е ш е н и е. *Необходимость.* Если из двух векторов $\left\{ \vec{x}, \vec{y} \right\}$ хотя бы один равен нуль вектору, то векторы коллинеарны. Поэтому предположим, что векторы $\vec{x} \neq \vec{0}$, $\vec{y} \neq \vec{0}$. Пусть система $\left\{ \vec{x}, \vec{y} \right\}$ линейно зависима. Покажем, что векторы коллинеарны. По определению найдутся такие числа $\alpha, \beta \in R$, что

$$\alpha \vec{x} + \beta \vec{y} = \vec{0},$$

причём эти числа неравны нулю одновременно.

Пусть $\beta \neq 0$. Тогда получаем:

$$\vec{y} = \left(-\frac{\alpha}{\beta} \right) \vec{x}.$$

Обозначая $\lambda = -\frac{\alpha}{\beta}$, получим

$$\vec{y} = \lambda \vec{x},$$

то есть по определению векторы $\vec{x}$ и $\vec{y}$ коллинеарны.

Достаточность. Пусть теперь векторы $\vec{x}$ и $\vec{y}$ коллинеарны, покажем, что система $\left\{\vec{x},\ \vec{y}\right\}$ линейно зависима. По определению коллинеарности имеем, например:

$$\vec{y} = \lambda \vec{x}.$$

Пусть $\nu \neq 0$, тогда можем записать

$$\vec{y} = \frac{\lambda}{\nu} \nu \vec{x},$$

откуда получаем

$$\nu \vec{y} = \lambda \nu \vec{x},$$

или

$$\mu \vec{x} + \nu \vec{y} = \vec{0},$$

где $\mu = -\lambda\nu$. Так как $\lambda \neq 0$ и $\nu \neq 0$, то система векторов $\left\{\vec{x},\ \vec{y}\right\}$ линейно зависима. $\otimes$

Пример 2.3.4. Показать, что система трёх векторов пространства R^3 линейно зависима в том и только в том случае, если векторы компланарны.

Р е ш е н и е. Предположим, что никакие два вектора из тройки векторов $\vec{x},\ \vec{y},\ \vec{z}$ не коллинеарны (в противном случае система векторов заведомо будет линейно зависимой).

Необходимость. Пусть система $\left\{\vec{x},\ \vec{y},\ \vec{z}\right\}$ линейно зависима, покажем, что векторы системы компланарны. В силу линейной зависимости системы, можно подобрать три неравных одновременно нулю числа $\alpha,\ \beta,\ \gamma \in R$ так, чтобы выполнялось равенство

$$\alpha \vec{x} + \beta \vec{y} + \gamma \vec{z} = \vec{0}.$$

Пусть, например, $\gamma \neq 0$. Тогда имеем:

$$\vec{z} = \left(-\frac{\alpha}{\gamma}\right)\vec{x} + \left(-\frac{\beta}{\gamma}\right)\vec{y}.$$

Приложив векторы $\vec{x}, \vec{y}, \vec{z}$ к общей точке O, легко видеть, что вектор $\vec{z}$ равен диагонали параллелограмма, построенного на векторах

$$\vec{a} = \left(-\frac{\alpha}{\gamma}\right)\vec{x},\ \vec{b} = \left(-\frac{\beta}{\gamma}\right)\vec{y},$$

а это и означает, что они лежат в одной плоскости, то есть компланарны.

Достаточность. Пусть векторы $\vec{x}, \vec{y}, \vec{z}$ компланарны, покажем, что система $\left\{\vec{x}, \vec{y}, \vec{z}\right\}$ линейно зависима. Доказательство почти очевидно. Действительно, компланарность векторов означает, что справедливо, например, равенство

$$\vec{x} = \mu\vec{y} + \lambda\vec{z}.$$

Следовательно, один из векторов системы линейно выражается через два других. Тогда из свойств линейно зависимых систем векторов следует линейная зависимость системы векторов $\left\{\vec{x}, \vec{y}, \vec{z}\right\}$.⊗

Пример 2.3.5. Выяснить вопрос о линейной зависимости или линейной независимости следующей системы вектор-столбцов:

$$|a_1\rangle = \begin{pmatrix}1\\1\\1\\1\end{pmatrix}, |a_2\rangle = \begin{pmatrix}0\\1\\1\\1\end{pmatrix}, |a_3\rangle = \begin{pmatrix}0\\0\\1\\1\end{pmatrix}, |a_4\rangle = \begin{pmatrix}0\\0\\0\\1\end{pmatrix}.$$

Р е ш е н и е. Составим линейную комбинацию векторов системы с произвольными коэффициентами и потребуем, чтобы её значением был нуль вектор-столбец:

$$\alpha_1|a_1\rangle + \alpha_2|a_2\rangle + \alpha_3|a_3\rangle + \alpha_4|a_4\rangle = |0\rangle \Rightarrow$$

$$\alpha_1\begin{pmatrix}1\\1\\1\\1\end{pmatrix} + \alpha_2\begin{pmatrix}0\\1\\1\\1\end{pmatrix} + \alpha_3\begin{pmatrix}0\\0\\1\\1\end{pmatrix} + \alpha_4\begin{pmatrix}0\\0\\0\\1\end{pmatrix} = \begin{pmatrix}0\\0\\0\\0\end{pmatrix}.$$

Используя правила выполнения операций с вектор-столбцами, получаем

$$\begin{pmatrix} \alpha_1 \\ \alpha_1+\alpha_2 \\ \alpha_1+\alpha_2+\alpha_3 \\ \alpha_1+\alpha_2+\alpha_3+\alpha_4 \end{pmatrix} = \begin{pmatrix} 0 \\ 0 \\ 0 \\ 0 \end{pmatrix} \Rightarrow \begin{cases} \alpha_1 = 0, \\ \alpha_1+\alpha_2 = 0, \\ \alpha_1+\alpha_2+\alpha_3 = 0, \\ \alpha_1+\alpha_2+\alpha_3+\alpha_4 = 0. \end{cases}$$

Совершая последовательные подстановки из первого уравнения во второе, из второго в третье и так далее, получаем, что

$$\alpha_1 = \alpha_2 = \alpha_3 = \alpha_4 = 0,$$

что и доказывает линейную независимость данной системы вектор-столбцов. $\otimes$

Пример 2.3.6. Пусть

$$\left\{ \vec{a}_1, \vec{a}_2, \ldots, \vec{a}_m, \vec{a}_{m+1}, \ldots, \vec{a}_{n-1}, \vec{a}_n \right\}$$

– некоторая система векторов векторного пространства и пусть

$$\left\{ \vec{a}_1, \vec{a}_2, \ldots, \vec{a}_m \right\},$$

– её максимальная по числу векторов линейно независимая подсистема.

Показать, что любой из векторов $\vec{a}_{m+1}, \ldots, \vec{a}_{n-1}, \vec{a}_n$ можно выразить в виде разложения по векторам подсистемы $\left\{ \vec{a}_1, \vec{a}_2, \ldots, \vec{a}_m \right\}$.

Р е ш е н и е. Так как подсистема $\left\{ \vec{a}_1, \vec{a}_2, \ldots, \vec{a}_m \right\}$ – максимальная по числу векторов линейно независимая система, то добавляя к ней любой из оставшихся векторов, например, вектор $\vec{a}_{m+1}$, получим уже линейно зависимую систему

$$\left\{ \vec{a}_1, \vec{a}_2, \ldots, \vec{a}_m, \vec{a}_{m+1} \right\}.$$

Следовательно, можно подобрать такие неравные одновременно нулю числа $\alpha_1, \alpha_2, \ldots, \alpha_m, \alpha_{m+1}$, что выполняется равенство

$$\alpha_1 \vec{a}_1 + \alpha_2 \vec{a}_2 + \ldots + \alpha_m \vec{a}_m + \alpha_{m+1} \vec{a}_{m+1} = \vec{0}.$$

В этом равенстве $\alpha_{m+1} \neq 0$ так как в противном случае имели бы равенство

$$\alpha_1 \vec{a}_1 + \alpha_2 \vec{a}_2 + \ldots + \alpha_m \vec{a}_m = \vec{0},$$

в котором не все коэффициенты $\alpha_1, \alpha_2, \ldots, \alpha_m$ одновременно равны нулю. Но тогда система векторов $\left\{ \vec{a}_1, \vec{a}_2, \ldots, \vec{a}_m \right\}$ будет линейно зависимой, что противоречит условию задачи.

Из равенства

$$\alpha_1 \vec{a}_1 + \alpha_2 \vec{a}_2 + \ldots + \alpha_m \vec{a}_m + \alpha_{m+1} \vec{a}_{m+1} = \vec{0}$$

следует, что

$$\vec{a}_{m+1} = -\frac{\alpha_1}{\alpha_{m+1}} \vec{a}_1 - \frac{\alpha_2}{\alpha_{m+1}} \vec{a}_2 - \ldots - \frac{\alpha_m}{\alpha_{m+1}} \vec{a}_m.$$

Вводя обозначения

$$\beta_1 = -\frac{\alpha_1}{\alpha_{m+1}}, \ \beta_2 = -\frac{\alpha_2}{\alpha_{m+1}}, \ \ldots, \ \beta_m = -\frac{\alpha_m}{\alpha_{m+1}},$$

получаем

$$\vec{a}_{m+1} = \beta_1 \vec{a}_1 + \beta_2 \vec{a}_2 + \ldots + \beta_m \vec{a}_m,$$

что и доказывает сформулированное утверждение. $\otimes$

Пример 2.3.7. Дана система функций

$$\left\{ e^t, e^{2t}, e^{3t} \right\}.$$

Показать, что эта система функций является линейно независимой в пространстве функций, непрерывных на промежутке $(-\infty, +\infty)$.

Р е ш е н и е. По определению линейной независимости условие

$$\alpha_1 e^t + \alpha_2 e^{2t} + \alpha_3 e^{3t} = 0 \ \ (\forall t \in (-\infty, +\infty))$$

влечёт за собой выполнение условия $\alpha_1 = \alpha_2 = \alpha_3 = 0.$

Составим СЛАУ для коэффициентов $\alpha_1, \alpha_2, \alpha_3$. Для этого положим в тождестве $t = 0$, получим

$$\alpha_1 + \alpha_2 + \alpha_3 = 0.$$

Дифференцируя тождество по t и полагая $t = 0$, получим

$$\alpha_1 + 2\alpha_2 + 3\alpha_3 = 0.$$

Дифференцируя тождество ещё раз и, снова полагая $t = 0$, получим

$$\alpha_1 + 4\alpha_2 + 9\alpha_3 = 0.$$

Объединяя полученные равенства в систему уравнений для неизвестных коэффициентов, получим

$$\begin{cases} \alpha_1 + \alpha_2 + \alpha_3 = 0, \\ \alpha_1 + 2\alpha_2 + 3\alpha_3 = 0, \\ \alpha_1 + 4\alpha_2 + 9\alpha_3 = 0. \end{cases}$$

Это однородная СЛАУ, применяя метод Гаусса, получаем единственное решение

$$\alpha_1 = \alpha_2 = \alpha_3 = 0.$$

Таким образом, система функций $\{e^t, e^{2t}, e^{3t}\}$ является базисом подмножества функций, непрерывных на промежутке $(-\infty, +\infty)$. Поэтому множество функций вида

$$f(t) = \alpha e^t + \beta e^{2t} + \lambda e^{3t}$$

образует подпространство в пространстве таких функций. $\otimes$

Пример 2.3.8. Используя процедуру ортогонализации Шмидта, ортонормировать систему векторов $\left\{\vec{g}_1, \vec{g}_2, \vec{g}_3\right\} \subset E^4$, заданных в некотором ортонормированном базисе $\left\{\vec{e}_1, \vec{e}_2, \vec{e}_3, \vec{e}_4\right\} \subset E^4$ своими разложениями:

$$\vec{g}_1 = \vec{e}_1 + \vec{e}_2 + \vec{e}_3 + \vec{e}_4,$$

$$\vec{g}_2 = \vec{e}_1 + \vec{e}_2 - 3\vec{e}_3 - 3\vec{e}_4,$$

$$\vec{g}_3 = 4\vec{e}_1 + 3\vec{e}_2 + 0\vec{e}_3 - \vec{e}_4.$$

Р е ш е н и е. Для ортогонализации системы векторов

$$\left\{\vec{g}_1, \vec{g}_2, \vec{g}_3\right\} \subset E^4$$

воспользуемся формулами процедуры ортогонализации Шмидта.

Для этого положим

$$\vec{a}_1 = \vec{g}_1,$$

то есть

$$\vec{a}_1 = \vec{e}_1 + \vec{e}_2 + \vec{e}_3 + \vec{e}_4.$$

Далее имеем:

$$\vec{a}_2 = \vec{g}_2 - \frac{\left(\vec{a}_1, \vec{g}_2\right)}{\left\|\vec{a}_1\right\|^2}\vec{a}_1 = \vec{e}_1 + \vec{e}_2 - 3\vec{e}_3 - 3\vec{e}_4 -$$

$$-\frac{1}{4}\cdot 4\left(\vec{e}_1 + \vec{e}_2 + \vec{e}_3 + \vec{e}_4\right) = 2\vec{e}_1 + 2\vec{e}_2 - 2\vec{e}_3 - 2\vec{e}_4;$$

$$\vec{a}_3 = \vec{g}_3 - \frac{\left(\vec{a}_1, \vec{g}_3\right)}{\left\|\vec{a}_1\right\|^2}\vec{a}_1 - \frac{\left(\vec{a}_2, \vec{g}_3\right)}{\left\|\vec{a}_2\right\|^2}\vec{a}_2 =$$

$$= 4\vec{e}_1 + 3\vec{e}_2 - \vec{e}_4 - \frac{3}{2}\left(\vec{e}_1 + \vec{e}_2 + \vec{e}_3 + \vec{e}_4\right) -$$

$$-\left(2\vec{e}_1 + 2\vec{e}_2 - 2\vec{e}_3 - 2\vec{e}_4\right) = \frac{1}{2}\vec{e}_1 - \frac{1}{2}\vec{e}_2 + \frac{1}{2}\vec{e}_3 - \frac{1}{2}\vec{e}_4.$$

Для получения ортонормированной системы, векторы системы нормируем:

$$\vec{e}_{a1} = \frac{1}{2}\left(\vec{e}_1 + \vec{e}_2 + \vec{e}_3 + \vec{e}_4\right);$$

$$\vec{e}_{a2} = \frac{1}{4}\left(2\vec{e}_1 + 2\vec{e}_2 - 2\vec{e}_3 - 2\vec{e}_4\right);$$

$$\vec{e}_{a3} = \frac{1}{2}\vec{e}_1 - \frac{1}{2}\vec{e}_2 + \frac{1}{2}\vec{e}_3 - \frac{1}{2}\vec{e}_4.$$

Прямой проверкой убеждаемся, что система векторов $\left\{\vec{e}_{a1},\ \vec{e}_{a2},\ \vec{e}_{a3}\right\}$ ортонормированная. $\otimes$

Пример 2.3.9. Показать, что линейная оболочка $L\left\{\vec{g}_1,\ \vec{g}_2\right\}$, где элементы L вычисляются по формулам

$$\vec{g}_1 = \alpha_1 \cdot \sin x + \beta_1 \cdot \cos x,\ \vec{g}_2 = \alpha_2 \cdot \sin x + \beta_2 \cdot \cos x,$$

а скалярное произведение определено формулой

$$\left(\vec{g}_1, \vec{g}_2\right) = \alpha_1 \cdot \alpha_2 + \beta_1 \cdot \beta_2 + \frac{1}{2} \cdot \left(\alpha_1 \cdot \beta_2 + \alpha_2 \cdot \beta_1\right),$$

является двумерным линейным многообразием с ортонормированным базисом

$$\vec{e}_1 = \frac{1}{\sqrt{3}} \cdot \sin x + \frac{1}{\sqrt{3}} \cdot \cos x,\ \vec{e}_2 = \sin x - \cos x.$$

Р е ш е н и е. Находим скалярное произведение и скалярные квадраты векторов предполагаемого базиса:

$$\left(\vec{e}_1, \vec{e}_1\right) = \frac{1}{3} + \frac{1}{3} + \frac{1}{3} = 1;$$

$$\left(\vec{e}_1, \vec{e}_2\right) = \frac{1}{\sqrt{3}} - \frac{1}{\sqrt{3}} + \frac{1}{2} \cdot \left(-\frac{1}{\sqrt{3}} + \frac{1}{\sqrt{3}}\right) = 0;$$

$$\left(\vec{e}_2, \vec{e}_2\right) = 1 + 1 + \frac{1}{2} \cdot \left(-1 - 1\right) = 2 - 1 = 1.$$

Видим, что система векторов $\left\{\vec{e}_1, \vec{e}_2\right\}$ является ортонормированной и, следовательно, её можно принять за один из базисов линейного многообразия L. $\otimes$

Пример 2.3.10. Пусть X – множество ведущих радиус-векторов точек прямой линии. Операции в этом множестве введены обычным образом. Выяснить, является ли это множество векторным подпространством евклидова пространства R^2.

Р е ш е н и е. 1) Пусть прямая не проходит через начало системы координат (рисунок 3.1).

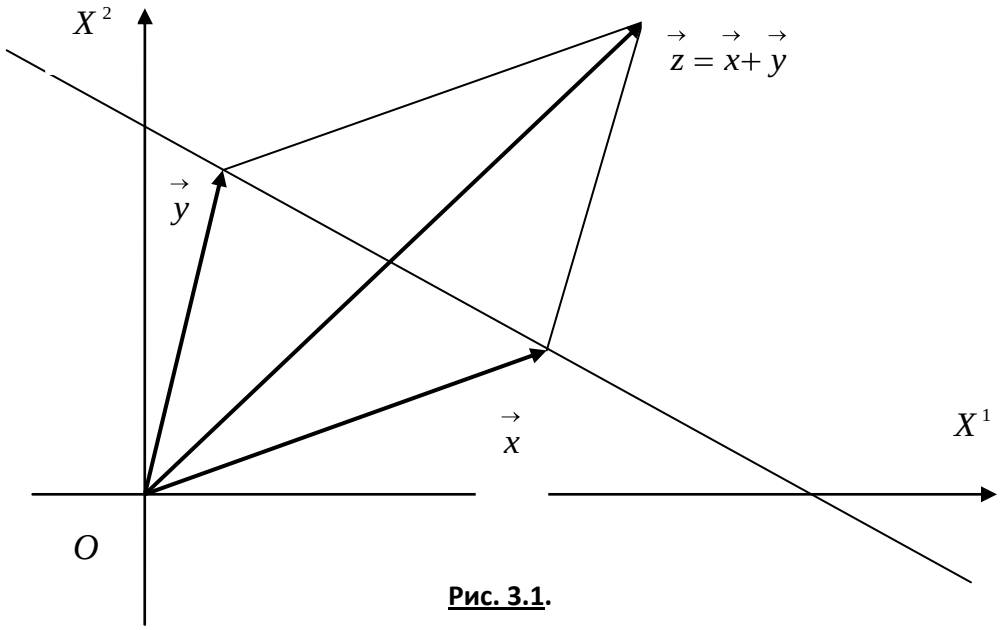

Рис. 3.1.

Очевидно, что сумма двух произвольных ведущих векторов точек прямой линии не принадлежит множеству X, так как конечная точка радиус-вектора их суммы не лежит на данной прямой линии. Следовательно, операция сложения векторов в данном случае не является алгебраической. Множество X не является векторным подпространством пространства R^2.

2) Если прямая линия проходит через начало системы координат, то очевидно, что сумма двух произвольных ведущих векторов точек прямой линии принадлежит множеству X и, следовательно, операция сложения векторов в данном случае является алгебраической. Множество X является векторным подпространством пространства R^2. $\otimes$

Пример 2.3.11. Дана система функций

$$\{\cos t, \sin t, \sin 2t\}.$$

Показать, что множество функций вида

$$f(t) = \alpha \cos t + \beta \sin t + \lambda \sin 2t,$$

где $\alpha, \beta, \lambda \in R^1$, является подпространством векторного пространства функций, непрерывных на промежутке $[-\pi, \pi]$.

Р е ш е н и е. Покажем сначала, что система функций

$$\{\cos t, \sin t, \sin 2t\}$$

является линейно независимой на промежутке $[-\pi, \pi]$.

В соответствие с определением линейной независимости потребуем выполнения условия

$$\alpha_1 \cos t + \alpha_2 \sin t + \alpha_3 \sin 2t = 0.$$

При различных значениях $t \in (-\pi, \pi)$ получаем бесконечное множество систем линейных алгебраических уравнений. Положим, например,

$$t = 0,\ t = \frac{\pi}{6},\ t = \frac{\pi}{4}.$$

Тогда имеем систему уравнений

$$\begin{cases} \alpha_1 = 0, \\ \frac{\sqrt{3}}{2}\alpha_1 + \frac{1}{2}\alpha_2 + \frac{\sqrt{3}}{2}\alpha_3 = 0, \\ \frac{\sqrt{2}}{2}\alpha_1 + \frac{\sqrt{2}}{2}\alpha_2 + \alpha_3 = 0. \end{cases}$$

Это однородная система уравнений. Решая СЛАУ методом Гаусса, получаем

$$\alpha_1 = \alpha_2 = \alpha_3 = 0.$$

Поэтому система функций $\{\cos t, \sin t, \sin 2t\}$ линейно независима на промежутке $(-\pi, \pi)$.

Легко видеть, что любая функция вида

$$f(t) = \alpha \cos t + \beta \sin t + \lambda \sin 2t$$

является линейной комбинацией функций системы $\{\cos t, \sin t, \sin 2t\}$, что и доказывает требуемой. $\otimes$

Пример 2.3.12. Показать, что система векторов

$$\left\{\vec{a}_1, \vec{a}_2\right\} \subset E^4,$$

заданных в некотором ортонормированном базисе евклидова пространства E^4

$$\left\{\vec{e}_1, \vec{e}_2, \vec{e}_3, \vec{e}_4\right\} \subset E^4$$

разложениями

$$\begin{aligned}\vec{a}_1 &= a_1^1\vec{e}_1 + a_1^2\vec{e}_2 + a_1^3\vec{e}_3 + a_1^4\vec{e}_4 = \vec{e}_1 - \vec{e}_2 + \vec{e}_3 - \vec{e}_4,\\ \vec{a}_2 &= a_2^1\vec{e}_1 + a_2^2\vec{e}_2 + a_2^3\vec{e}_3 + a_2^4\vec{e}_4 = \vec{e}_1 + \vec{e}_2 + \vec{e}_3 + \vec{e}_4,\end{aligned} \qquad (1)$$

линейно независима. Дополнить систему до ортонормированного базиса всего пространства E^4.

Р е ш е н и е. Находим значение скалярного произведения:

$$\left(\vec{a}_1, \vec{a}_2\right) = \left(\vec{e}_1 - \vec{e}_2 + \vec{e}_3 - \vec{e}_4, \vec{e}_1 + \vec{e}_2 + \vec{e}_3 + \vec{e}_4\right) = 0.$$

Следовательно, система векторов $\left\{\vec{a}_1, \vec{a}_2\right\}$ ортогональна.

Для того чтобы дополнить эту систему до ортогонального базиса пространства евклидова E^4, найдём векторы

$$\vec{x} = x^1\vec{e}_1 + x^2\vec{e}_2 + x^3\vec{e}_3 + x^4\vec{e}_4$$

такие, чтобы выполнялись условия

$$\begin{cases}\left(\vec{x}, \vec{a}_1\right) = 0,\\ \left(\vec{x}, \vec{a}_2\right) = 0.\end{cases} \qquad (2)$$

Из условий (2) получаем СЛАУ:

$$\begin{cases}x^1 - x^2 + x^3 - x^4 = 0,\\ x^1 + x^2 + x^3 + x^4 = 0.\end{cases} \qquad (3)$$

Решаем СЛАУ (3) методом Гаусса, принимая x^3 и x^4 за свободные неизвестные, то есть, например, полагая $x^3 = a$ и $x^4 = b$. Полученное решение СЛАУ (3) записывается в виде

$$|x\rangle = \begin{pmatrix}x^1\\ x^2\\ x^3\\ x^4\end{pmatrix} = \begin{pmatrix}-a\\ -b\\ a\\ b\end{pmatrix} = a\begin{pmatrix}-1\\ 0\\ 1\\ 0\end{pmatrix} + b\begin{pmatrix}0\\ -1\\ 0\\ 1\end{pmatrix}, \qquad (4)$$

или

$$\vec{x} = a\vec{a}_3 + b\vec{a}_4,$$

где векторы фундаментальной системы решений

$$\vec{a}_3 = -\vec{e}_1 + 0\vec{e}_2 + \vec{e}_3 + 0\vec{e}_4,$$

$$\vec{a}_4 = 0\vec{e}_1 - \vec{e}_2 + 0\vec{e}_3 + \vec{e}_4.$$

Легко проверяется, что фундаментальная система $\left\{\vec{a}_3, \vec{a}_4\right\}$ ортогональна и в совокупности с векторами $\left\{\vec{a}_1, \vec{a}_2\right\}$ также образует ортогональную систему $\left\{\vec{a}_1, \vec{a}_2, \vec{a}_3, \vec{a}_4\right\}$. Для получения ортонормированного базиса пространства E^4 нормируем векторы этой системы:

$$\vec{h}_1 = \frac{\vec{a}_1}{\left\|\vec{a}_1\right\|} = \frac{1}{2}\left(\vec{e}_1 - \vec{e}_2 + \vec{e}_3 - \vec{e}_4\right);$$

$$\vec{h}_2 = \frac{\vec{a}_2}{\left\|\vec{a}_2\right\|} = \frac{1}{2}\left(\vec{e}_1 + \vec{e}_2 + \vec{e}_3 + \vec{e}_4\right);$$

$$\vec{h}_3 = \frac{\vec{a}_3}{\left\|\vec{a}_3\right\|} = \frac{1}{\sqrt{2}}\left(-\vec{e}_1 + \vec{e}_3\right);$$

$$\vec{h}_4 = \frac{\vec{a}_4}{\left\|\vec{a}_4\right\|} = \frac{1}{\sqrt{2}}\left(-\vec{e}_2 + \vec{e}_4\right).$$

Прямой проверкой убеждаемся, что система векторов $\left\{\vec{h}_1, \vec{h}_2, \vec{h}_3, \vec{h}_4\right\}$ ортонормирована. $\otimes$

Пример 2.3.13. В евклидовом пространстве E^4 в некотором ортонормированном базисе

$$\left\{\vec{e}_1, \vec{e}_2, \vec{e}_3, \vec{e}_4\right\} \subset E^4$$

задана система векторов:

$$\vec{a}_1 = \vec{e}_1 + 2\vec{e}_2 - 3\vec{e}_3 + \vec{e}_4,\ \vec{a}_2 = -3\vec{e}_1 + 4\vec{e}_2 + 3\vec{e}_3 - 5\vec{e}_4.$$

1) Выяснить, можно ли на векторах этой системы как на направляющих векторах построить подпространство H^2 пространства E^4. Если это возможно, то написать параметрические уравнения подпространства H^2.

2) Найти базис $\left\{\vec{a}_3, \vec{a}_4\right\}$ и построить ортогональное дополнение $H^{2\perp}$ к подпространству H^2, записать параметрические уравнения ортогонального дополнения $H^{2\perp}$.

Р е ш е н и е. 1) Координаты векторов системы $\left\{\vec{a}_1, \vec{a}_2\right\}$ непропорциональны – векторы неколлинеарны. Следовательно, система векторов $\left\{\vec{a}_1, \vec{a}_2\right\}$ линейно независимая. Векторы системы могут служить одним из базисов (быть направляющими векторами) линейного двумерного многообразия. Векторное параметрическое уравнение такого многообразия в общем случае имеет вид

$$\vec{x} = \vec{x}_0 + t_1\vec{a}_1 + t_2\vec{a}_2,$$

где $\vec{x}_0$ – вектор сдвига многообразия. Если $\vec{x}_0 = \vec{0}$, то многообразие превращается в подпространство. В последнем случае ведущий вектор точек этого многообразия превращается в текущий вектор подпространства и представляется в виде:

$$\vec{x} = t_1\vec{a}_1 + t_2\vec{a}_2.$$

Откуда имеем параметрические уравнения подпространства:

$$\begin{cases} x^1 = t_1 - 3t_2, \\ x^2 = 2t_1 + 4t_2, \\ x^3 = -3t_1 + 3t_2, \\ x^4 = t_1 - 5t_2. \end{cases}$$

Таким образом, подпространство является, очевидно, двумерной плоскостью, проходящей через начало системы координат.

2) Пусть

$$\vec{x} = x^1 \vec{e}_1 + x^2 \vec{e}_2 + x^3 \vec{e}_3 + x^4 \vec{e}_4$$

– произвольный вектор из ортогонального дополнения $H^{\perp}$. Так как система $\left\{ \vec{a}_1, \vec{a}_2 \right\}$ – базис подпространства H, то должны выполняться условия

$$\begin{cases} \left(\vec{a}_1, \vec{x} \right) = 0, \\ \left(\vec{a}_2, \vec{x} \right) = 0. \end{cases}$$

Эти условия приводят к СЛАУ

$$\begin{cases} x^1 + 2x^2 - 3x^3 + x^4 = 0, \\ -3x^1 + 4x^2 + 3x^3 - 5x^4 = 0. \end{cases}$$

Применение метода Гаусса приводит к следующему результату: СЛАУ совместна и неопределённа, а множество её решений выражается следующей формулой

$$\begin{pmatrix} x^1 \\ x^2 \\ x^3 \\ x^4 \end{pmatrix} = \begin{pmatrix} \frac{9}{5}a - \frac{7}{5}b \\ \frac{3}{5}a + \frac{1}{5}b \\ a \\ b \end{pmatrix} = a \begin{pmatrix} \frac{9}{5} \\ \frac{3}{5} \\ 1 \\ 0 \end{pmatrix} + b \begin{pmatrix} -\frac{7}{5} \\ \frac{1}{5} \\ 0 \\ 1 \end{pmatrix},$$

где a и b – свободные неизвестные. Следовательно, имеем векторное подпространство с направляющими векторами

$$\vec{a}_3 = \frac{9}{5}\vec{e}_1 + \frac{3}{5}\vec{e}_2 + \vec{e}_3, \; \vec{a}_4 = -\frac{7}{5}\vec{e}_1 + \frac{1}{5}\vec{e}_2 + \vec{e}_4.$$

Нетрудно проверить, что полученные векторы $\left\{\vec{a}_3, \vec{a}_4\right\}$ образуют линейно независимую систему, а любая их линейная комбинация ортогональна любой линейной комбинации векторов $\left\{\vec{a}_1, \vec{a}_2\right\}$.

Следовательно, на этих векторах можно построить ортогональное дополнение $H^{2\perp}$, параметрические уравнения которого имеют вид, аналогичный параметрическим уравнениям подпространства H^2:

$$\begin{cases} x^1 = \frac{9}{5}\tau_1 - \frac{7}{5}\tau_2, \\ x^2 = \frac{3}{5}\tau_1 + \frac{1}{5}\tau_2, \otimes \\ x^3 = \tau_1, \\ x^4 = \tau_2. \end{cases}$$

Пример 2.3.14. В аффинном пространстве A^4 координатами относительно репера $\left\{O, \vec{e}_1, \vec{e}_2, \vec{e}_3, \vec{e}_4\right\}$ заданы четыре точки:

$$A_1(4; 2; 0), A_2(7; 3; 2), A_3(6; 3; -1), A_4(4; 5; 2).$$

Получить уравнения гиперплоскости, проходящей через заданные точки.

Р е ш е н и е. Обозначим точку A_1 через $O^* \equiv A_1$ и примем её за начало репера на гиперплоскости $H^3 \subset A^4$.

Рассмотрим векторы:

$$\begin{aligned} \vec{a}_1 &= \vec{O^*A_2} = 2\vec{e}_1 + 3\vec{e}_2 + \vec{e}_3 + 2\vec{e}_4, \\ \vec{a}_2 &= \vec{O^*A_3} = \vec{e}_1 + 2\vec{e}_2 + \vec{e}_3 - \vec{e}_4, \\ \vec{a}_3 &= \vec{O^*A_4} = 3\vec{e}_3 + 2\vec{e}_4. \end{aligned} \qquad (1)$$

Требуя, чтобы для линейной комбинации этих векторов выполнялось условие

$$\alpha_1 \vec{a}_1 + \alpha_2 \vec{a}_2 + \alpha_3 \vec{a}_3 = \vec{0},$$

решая вытекающую из этого условия СЛАУ для неопределённых коэффициентов $\alpha_1, \alpha_2, \alpha_3$ методом Гаусса, выясняем, что данное условие выполняется только при $\alpha_1 = \alpha_2 = \alpha_3 = 0$. Из этого результата заключаем, что система векторов $\left\{ \vec{a}_1, \vec{a}_2, \vec{a}_3 \right\}$ линейно независима и её можно выбрать в качестве базиса репера

$$\left\{ O^*, \vec{a}_1, \vec{a}_2, \vec{a}_3 \right\}$$

на гиперплоскости $H^3 \subset A^4$.

Пусть $M(x^1; x^2; x^3; x^4)$ – текущая точка гиперплоскости, координаты которой определены относительно репера $\left\{ O, \vec{e}_1, \vec{e}_2, \vec{e}_3, \vec{e}_4 \right\}$ вмещающего пространства A^4. Тогда её радиус-векторы $\vec{OM}$ относительно репера $\left\{ O, \vec{e}_1, \vec{e}_2, \vec{e}_3, \vec{e}_4 \right\}$ пространства A^4 и $\vec{O^*M}$ относительно репера $\left\{ O^*, \vec{a}_1, \vec{a}_2, \vec{a}_3 \right\}$ гиперплоскости $H^3 \subset A^4$ могут быть, соответственно, представлены в виде разложений:

$$\begin{aligned} &\vec{x} \equiv \vec{OM} = x^1 \vec{e}_1 + x^2 \vec{e}_2 + x^3 \vec{e}_3 + x^4 \vec{e}_4, \\ &\vec{O^*M} = t_1 \vec{a}_1 + t_1 \vec{a}_2 + t_1 \vec{a}_3. \end{aligned} \qquad (2)$$

Векторное уравнение гиперплоскости имеет вид:

$$\vec{x} = \vec{x}_0 + \vec{O^*M}, \qquad (3)$$

где

$$\vec{x}_0 \equiv \vec{OO^*} = \vec{e}_1 + 4\vec{e}_2 + 2\vec{e}_3. \qquad (4)$$

Подставляя (1), (2) и (4) в (3), получаем ***параметрические уравнения***

$$\begin{cases} x^1 = 1 + 2t_1 + t_2, \\ x^2 = 4 + 3t_1 + 2_2, \\ x^3 = 2 + t_1 + t_2 + 3t_3, \\ x^4 = 2t_1 - t_2 + 2t_3, \end{cases} \tag{5}$$

гиперплоскости $H^3 \subset A^4$. Для получения неявного уравнения гиперплоскости выразим три параметра t_1, t_2, t_3 из первых трёх уравнений (5), решая СЛАУ

$$\begin{cases} 2t_1 + t_2 = x^1 - 1, \\ 3t_1 + 2t_2 = x^2 - 4, \\ t_1 + t_2 + 3t_3 = x^3 - 2 \end{cases} \tag{6}$$

методом Гаусса, и подставим их в четвёртое уравнение. В процессе решения устанавливаем, что СЛАУ совместна и имеет единственное решение:

$$t_1 = 2x^1 - x^2 + 2;$$

$$t_2 = -3x^1 + 2x^2 - 5;$$

$$t_3 = \frac{1}{3}x^1 - \frac{1}{3}x^2 + \frac{1}{3}x^3 + \frac{1}{3}.$$

Подстановка в четвёртое из уравнений (5) приводит к неявному уравнению гиперплоскости $H^3 \subset A^4$, проходящей через заданные четыре точки:

$$23x^1 - 14x^2 + 2x^3 - 3x^4 + 29 = 0. \otimes$$

Практическое занятие 4

Операторы, матрицы, определители и СЛАУ

Пример 2.4.1. В пространстве R^3 оператор $\hat{P}$ действует по правилу

$$\left(\forall \vec{x} \in R^3 \right) \hat{P}\vec{x} = x^1 \vec{e}_1,$$

то есть ставит в соответствие произвольному вектору $\vec{x}$ его координатную проекцию на ось OX^1. Показать, что оператор линейный и найти его матрицу.

Р е ш е н и е. покажем, что оператор линейный. По определению для линейного оператора справедливо равенство:

$$\hat{P}\left(\alpha_1 \vec{x}_1+\alpha_2 \vec{x}_2\right)=\alpha_1 \hat{P}\vec{x}_1+\alpha_2 \hat{P}\vec{x}_2.$$

Проверим его выполнение для заданного оператора:

$$\hat{P}\left(\alpha_1 \vec{x}_1+\alpha_2 \vec{x}_2\right)=$$

$$=\hat{P}\left[\alpha_1\left(x_1^1 \vec{e}_1+x_1^2 \vec{e}_2+x_1^3 \vec{e}_3\right)+\alpha_2\left(x_2^1 \vec{e}_1+x_2^2 \vec{e}_2+x_2^3 \vec{e}_3\right)\right]=$$

$$=\hat{P}\left[\left(\alpha_1 x_1^1+\alpha_2 x_2^1\right)\vec{e}_1+\left(\alpha_1 x_1^2+\alpha_2 x_2^2\right)\vec{e}_2+\left(\alpha_1 x_1^3+\alpha_2 x_2^3\right)\vec{e}_3\right]=$$

$$=\left(\alpha_1 x_1^1+\alpha_2 x_2^1\right)\vec{e}_1=\alpha_1 x_1^1 \vec{e}_1+\alpha_2 x_2^1 \vec{e}_1=\alpha_1 \hat{P}\vec{x}_1+\alpha_2 \hat{P}\vec{x}_2.$$

Определение выполняется и оператор $\hat{P}$ линейный.

Действуя оператором $\hat{P}$ последовательно на базисные векторы, получаем:

$$\hat{P}\vec{e}_1=1\cdot\vec{e}_1=\vec{e}_1+0\cdot\vec{e}_2+0\cdot\vec{e}_3,$$

$$\hat{P}\vec{e}_2=0\cdot\vec{e}_1=0\cdot\vec{e}_1+0\cdot\vec{e}_2+0\cdot\vec{e}_3,$$

$$\hat{P}\vec{e}_3=0\cdot\vec{e}_1=0\cdot\vec{e}_1+0\cdot\vec{e}_2+0\cdot\vec{e}_3.$$

Теперь матрица оператора принимает следующий вид:

$$P=\begin{pmatrix}1 & 0 & 0\\ 0 & 0 & 0\\ 0 & 0 & 0\end{pmatrix}.$$

Оператор $\hat{P}$ называется ***оператором ортогонального проектирования на ось*** OX^1.

$\otimes$

Пример 2.4.2. Показать, что оператор $\hat{A}: R^3 \to R^3$, действующий по правилу

$$\left(\forall \vec{x} \in R^3\right) \hat{A}\vec{x} = \left[\vec{a}, \left[\vec{x}, \vec{b}\right]\right],$$

где фиксированные векторы $\vec{a}$ и $\vec{b}$ заданы своими разложениями

$$\vec{a} = 2\vec{e}_1 + 4\vec{e}_2 - \vec{e}_3,\ \vec{b} = \vec{e}_1 - \vec{e}_2 + \vec{e}_3$$

по каноническому базису, является линейным, и найти его матрицу.

Р е ш е н и е. Из свойств векторного произведения следует, что:

$$\hat{A}\left(\alpha\vec{x} + \beta\vec{y}\right) = \left[\vec{a}, \left[\alpha\vec{x} + \beta\vec{y}, \vec{b}\right]\right] = \left[\vec{a}, \alpha\left[\vec{x}, \vec{b}\right] + \beta\left[\vec{y}, \vec{b}\right]\right] =$$

$$= \alpha\left[\vec{a}, \left[\vec{x}, \vec{b}\right]\right] + \beta\left[\vec{a}, \left[\vec{y}, \vec{b}\right]\right] = \alpha\hat{A}\vec{x} + \beta\hat{A}\vec{y}.$$

Матрицу оператора определяем, находя образы базисных векторов. При этом возможны три варианта решения:

1) использовать свойства векторного произведения;

2) использовать формулу для вычисления векторного произведения;

3) использовать для двойного векторного произведения формулу

$$\left[\vec{A}, \left[\vec{B}, \vec{C}\right]\right] = \vec{B}\left(\vec{A}, \vec{C}\right) - \vec{C}\left(\vec{A}, \vec{B}\right).$$

Используем второй вариант решения, находя векторное произведение

$$\hat{A}\vec{e}_k = \left[\vec{a}, \left[\vec{e}_k, \vec{b}\right]\right]$$

по формуле

$$\left[\vec{x}, \vec{y}\right] = \left(x^2y^3 - x^3y^2\right)\vec{e}_1 + \left(x^3y^1 - x^1y^3\right)\vec{e}_2 + \left(x^1y^2 - x^2y^1\right)\vec{e}_3.$$

Пусть $k = 1$, тогда получаем:

$$\left[\vec{e}_1, \vec{b}\right] = \left(0\cdot 1 - 0\cdot(-1)\right)\vec{e}_1 + \left(0\cdot 1 - 1\cdot 1\right)\vec{e}_2 + \left(0\cdot(-1) - 0\cdot 1\right)\vec{e}_3 = -\vec{e}_2 - \vec{e}_3.$$

Далее имеем:

$$\hat{A}\vec{e}_1 = \left[\vec{a}, \left[\vec{e}_1, \vec{b}\right]\right] = -5\vec{e}_1 + 2\vec{e}_2 - 2\vec{e}_3.$$

Аналогично находим:

$$\hat{A}\vec{e}_2 = \left[\vec{a}, \left[\vec{e}_2, \vec{b}\right]\right] = -4\vec{e}_1 + \vec{e}_2 - 4\vec{e}_3,$$

$$\hat{A}\vec{e}_3 = \left[\vec{a}, \left[\vec{e}_3, \vec{b}\right]\right] = \vec{e}_1 - \vec{e}_2 - 2\vec{e}_3.$$

Матрица оператора имеет вид:

$$A = \begin{pmatrix} -5 & -4 & 1 \\ 2 & 1 & -1 \\ -2 & -4 & -2 \end{pmatrix}. \otimes$$

Пример 2.4.3. Показать, что если $\left\{\vec{x}_1, \vec{x}_2 \ldots, \vec{x}_m\right\} \subset X^n$ – линейно зависимая система векторов, то и система образов $\left\{\hat{A}\vec{x}_1, \hat{A}\vec{x}_2 \ldots, \hat{A}\vec{x}_m\right\} \subset X^n$ при действии линейного оператора $\hat{A}: X^n \to X^n$ также линейно зависимая.

Р е ш е н и е. Составим справедливое в силу линейной зависимости системы векторов равенство

$$\alpha_1\vec{x}_1 + \alpha_2\vec{x}_2 + \ldots + \alpha_m\vec{x}_m = \vec{0},$$

где не все коэффициенты $\alpha_1, \alpha_2, \ldots, \alpha_m$ равны нулю одновременно. Действуя на обе части последнего равенства оператором $\hat{A}$, в силу его линейности получаем:

$$\alpha_1\hat{A}\vec{x}_1 + \alpha_2\hat{A}\vec{x}_2 + \ldots + \alpha_m\hat{A}\vec{x}_m = \vec{0},$$

Так как среди коэффициентов $\alpha_1, \alpha_2, \ldots, \alpha_m$ есть ненулевые, то система образов

$$\left\{\hat{A}\vec{x}_1, \hat{A}\vec{x}_2 \ldots, \hat{A}\vec{x}_m\right\}$$

линейно зависима. $\otimes$

Пример 2.4.4. Показать, что если система

$$\left\{ \hat{A}\vec{x}_1,\ \hat{A}\vec{x}_2 \ldots,\ \hat{A}\vec{x}_m \right\} \subset X^n$$

образов векторов системы

$$\left\{ \vec{x}_1,\ \vec{x}_2 \ldots,\ \vec{x}_m \right\} \subset X^n$$

при действии оператора $\hat{A}: X^n \to X^n$ линейно независимая, то и сама система $\left\{ \vec{x}_1,\ \vec{x}_2 \ldots,\ \vec{x}_m \right\} \subset X^n$ также линейно независимая.

Р е ш е н и е. Для системы векторов $\left\{ \vec{x}_1,\ \vec{x}_2 \ldots,\ \vec{x}_m \right\}$ потребуем выполнения равенства нуль вектору линейной комбинации, предполагая, что не все коэффициенты её равны нулю одновременно

$$\alpha_1 \vec{x}_1 + \alpha_2 \vec{x}_2 + \ldots + \alpha_m \vec{x}_m = \vec{0},$$

то есть предположим, что система $\left\{ \vec{x}_1,\ \vec{x}_2 \ldots,\ \vec{x}_m \right\}$ линейно зависимая.

Действуя на обе части равенства оператором $\hat{A}$, получим

$$\alpha_1 \hat{A}\vec{x}_1 + \alpha_2 \hat{A}\vec{x}_2 + \ldots + \alpha_m \hat{A}\vec{x}_m = \vec{0},$$

где в силу линейной независимости системы образов векторов

$$\left\{ \hat{A}\vec{x}_1,\ \hat{A}\vec{x}_2 \ldots,\ \hat{A}\vec{x}_m \right\}$$

выполняется условие

$$\alpha_1 = \alpha_2 = \ldots = \alpha_m = 0.$$

Следовательно, предположение о линейной зависимости системы векторов

$$\left\{ \vec{x}_1,\ \vec{x}_2 \ldots,\ \vec{x}_m \right\}$$

неверное. Система линейно независимая. $\otimes$

Пример 2.4.5. Пусть $\vec{x} \in R^3$ – произвольный вектор. Вычислить коммутатор

$$\left[\hat{A}, \hat{B}\right]\vec{x} \equiv \left(\hat{A}\hat{B} - \hat{B}\hat{A}\right)\vec{x}$$

операторов $\hat{A}: R^3 \to R^3$ и $\hat{B}: R^3 \to R^3$, представленных в каноническом базисе пространства R^3 своими матрицами

$$A = \begin{pmatrix} 1 & 4 & 6 \\ 5 & 2 & 1 \\ 1 & 0 & 3 \end{pmatrix}, \; B = \begin{pmatrix} 0 & 2 & 4 \\ 2 & 2 & 3 \\ 4 & 2 & 0 \end{pmatrix}.$$

Р е ш е н и е. Коммутатор операторов – коммутатор их матриц, равен:

$$AB - BA = \begin{pmatrix} 1 & 4 & 6 \\ 5 & 2 & 1 \\ 1 & 0 & 3 \end{pmatrix}\begin{pmatrix} 0 & 2 & 4 \\ 2 & 2 & 3 \\ 4 & 2 & 0 \end{pmatrix} - \begin{pmatrix} 0 & 2 & 4 \\ 2 & 2 & 3 \\ 4 & 2 & 0 \end{pmatrix}\begin{pmatrix} 1 & 4 & 6 \\ 5 & 2 & 1 \\ 1 & 0 & 3 \end{pmatrix} =$$

$$= \begin{pmatrix} 32 & 22 & 16 \\ 8 & 16 & 26 \\ 12 & 8 & 4 \end{pmatrix} - \begin{pmatrix} 14 & 4 & 14 \\ 15 & 12 & 23 \\ 14 & 20 & 26 \end{pmatrix} = \begin{pmatrix} 18 & 18 & 2 \\ -7 & 4 & 3 \\ -2 & -12 & -22 \end{pmatrix}$$

Находим коммутатор операторов – результат воздействия оператора $\hat{A}\hat{B} - \hat{B}\hat{A}$ на произвольный вектор $\vec{x} \in R^3$, для чего находим координаты образа вектора:

$$\left(AB - BA\right)\vec{x}\rangle = \begin{pmatrix} 18 & 18 & 2 \\ -7 & 4 & 3 \\ -2 & -12 & -22 \end{pmatrix}\begin{pmatrix} x^1 \\ x^2 \\ x^3 \end{pmatrix} = \begin{pmatrix} 18x^1 + 18x^2 + 2x^3 \\ -7x^1 + 4x^2 + 3x^3 \\ -2x^1 - 12x^2 - 22x^3 \end{pmatrix}.$$

Теперь образ вектора равен:

$$\left[\hat{A}, \hat{B}\right]\vec{x} = \left(\hat{A}\hat{B} - \hat{B}\hat{A}\right)\vec{x} = \left(18x^1 + 18x^2 + 2x^3\right)\vec{e}_1 +$$

$$+ \left(-7x^1 + 4x^2 + 3x^3\right)\vec{e}_1 + \left(-2x^1 - 12x^2 - 22x^3\right)\vec{e}_1. \otimes$$

Пример 2.4.6. В каноническом базисе трёхмерного пространства R^3 действия операторов $\hat{A}: R^3 \to R^3$ и $\hat{B}: R^3 \to R^3$ на произвольный вектор $\vec{x} \in R^3$ заданы соотношениями:

$$A\begin{pmatrix} x_1 \\ x_2 \\ x_3 \end{pmatrix} = \begin{pmatrix} 2x_1 - 5x_2 - 3x_3 \\ x_2 + 3x_3 \\ 2x_1 - 5x_2 - 3x_3 \end{pmatrix}; \; B\begin{pmatrix} x_1 \\ x_2 \\ x_3 \end{pmatrix} = \begin{pmatrix} x_1 + x_2 - x_3 \\ x_2 + x_3 \\ x_3 \end{pmatrix}.$$

Найти координаты вектора $\left(2\hat{A} + \hat{A}\hat{B}\right)\vec{x}$.

Р е ш е н и е. Находим матрицы операторов, исходя из координатной формы записи действия оператора в фиксированном базисе:

$$A|x\rangle = \begin{pmatrix} a_1^1 & a_2^1 & a_3^1 \\ a_1^2 & a_2^2 & a_3^2 \\ a_1^3 & a_2^3 & a_3^3 \end{pmatrix}\begin{pmatrix} x^1 \\ x^2 \\ x^3 \end{pmatrix} = \begin{pmatrix} a_1^1 x^1 + a_2^1 x^2 + a_3^1 x^3 \\ a_1^2 x^1 + a_2^2 x^2 + a_3^2 x^3 \\ a_1^3 x^1 + a_2^3 x^2 + a_3^3 x^3 \end{pmatrix}.$$

Сравнивая данные условия задачи с координатной формулой действия оператора, находим их матрицы:

$$A = \begin{pmatrix} 2 & -5 & -3 \\ 0 & 1 & 3 \\ 2 & -5 & -3 \end{pmatrix}; \; B = \begin{pmatrix} 1 & 1 & -1 \\ 0 & 1 & 1 \\ 0 & 0 & 1 \end{pmatrix}.$$

Производим указанные в условии задачи действия с матрицами:

$$2A + AB = 2\begin{pmatrix} 2 & -5 & -3 \\ 0 & 1 & 3 \\ 2 & -5 & -3 \end{pmatrix} + \begin{pmatrix} 2 & -5 & -3 \\ 0 & 1 & 3 \\ 2 & -5 & -3 \end{pmatrix}\begin{pmatrix} 1 & 1 & -1 \\ 0 & 1 & 1 \\ 0 & 0 & 1 \end{pmatrix} =$$

$$= \begin{pmatrix} 4 & -10 & -6 \\ 0 & 2 & 6 \\ 4 & -10 & -6 \end{pmatrix} + \begin{pmatrix} 2 & -3 & -10 \\ 0 & 1 & 4 \\ 2 & -3 & -10 \end{pmatrix} = \begin{pmatrix} 6 & -13 & -16 \\ 0 & 3 & 10 \\ 6 & -13 & -16 \end{pmatrix}.$$

Находим координаты образа вектора $\vec{x}$, используя координатную форму записи:

$$\left(A+AB\right)\begin{pmatrix}x_1\\x_2\\x_3\end{pmatrix}=\begin{pmatrix}6&-13&-16\\0&3&10\\6&-13&-16\end{pmatrix}\begin{pmatrix}x_1\\x_2\\x_3\end{pmatrix}=\begin{pmatrix}6x_1-13x_2-16x_3\\3x_2+10x_3\\6x_1-13x_2-16x_3\end{pmatrix}.$$

Окончательно получаем:

$$\vec{x}=\left(6x_1-13x_2-16x_3\right)\vec{e}_1+\left(3x_2+10x_3\right)\vec{e}_2+\left(6x_1-13x_2-16x_3\right)\vec{e}_3.\otimes$$

Пример 2.4.7. Найти $\left(\hat{A}\vec{x}+\vec{y},\ \vec{x}+\hat{B}\vec{y}\right)$, если

$$\vec{x}=\vec{e}_1+3\vec{e}_2+6\vec{e}_3;\ \vec{y}=-3\vec{e}_1-\vec{e}_2-5\vec{e}_3;$$

$$A=\begin{pmatrix}1&2&3\\2&3&1\\3&1&2\end{pmatrix};B=\begin{pmatrix}3&1&2\\1&2&3\\2&3&1\end{pmatrix}.$$

Р е ш е н и е. 1) Находим вектор $\hat{A}\vec{x}+\vec{y}$ в координтаном представлении:

$$A\left|x\right\rangle+\left|y\right\rangle=\begin{pmatrix}1&2&3\\2&3&1\\3&1&2\end{pmatrix}\begin{pmatrix}1\\3\\6\end{pmatrix}+\begin{pmatrix}-3\\-1\\-5\end{pmatrix}=\begin{pmatrix}25\\17\\18\end{pmatrix}+\begin{pmatrix}-3\\-1\\-5\end{pmatrix}=\begin{pmatrix}22\\16\\13\end{pmatrix};$$

$$\hat{A}\vec{x}+\vec{y}=22\vec{e}_1+16\vec{e}_2+13\vec{e}_3.$$

2) Находим вектор $\vec{x}+\hat{B}\vec{y}$ в координтаном представлении:

$$\left|x\right\rangle+B\left|y\right\rangle=\begin{pmatrix}1\\3\\6\end{pmatrix}+\begin{pmatrix}3&1&2\\1&2&3\\2&3&1\end{pmatrix}\begin{pmatrix}-3\\-1\\-5\end{pmatrix}=\begin{pmatrix}1\\3\\6\end{pmatrix}+\begin{pmatrix}-20\\-20\\-14\end{pmatrix}=\begin{pmatrix}-19\\-17\\-8\end{pmatrix};$$

$$\vec{x}+\hat{B}\vec{y}=-19\vec{e}_1-17\vec{e}_2-8\vec{e}_3.$$

3) Находим указанное в условии скалярное произведение:

$$\left(\hat{A}\vec{x}+\vec{y},\ \vec{x}+\hat{B}\vec{y}\right)=22\cdot\left(-19\right)+16\cdot\left(-17\right)+13\cdot\left(-8\right)=-794.\otimes$$

Пример 2.4.8. Решить методом Гаусса СЛАУ

$$\begin{cases} 2x^1 - x^2 + x^3 - x^4 = 5, \\ x^1 + 2x^2 - 2x^3 + 3x^4 = -6, \\ 3x^1 + x^2 - x^3 + 2x^4 = -1. \end{cases} \quad (1)$$

Р е ш е н и е. 1) Удобно поменять местами первое и второе уравнения системы (1), так как у второго уравнения коэффициент при первом неизвестном равен 1:

$$\begin{cases} x^1 + 2x^2 - 2x^3 + 3x^4 = -6, \\ 2x^1 - x^2 + x^3 - x^4 = 5, \\ 3x^1 + x^2 - x^3 + 2x^4 = -1. \end{cases} \quad (2)$$

Выражаем из первого уравнения СЛАУ (2) неизвестное x^1 и подставляем результат в оставшиеся уравнения:

$$\begin{cases} x^1 + 2x^2 - 2x^3 + 3x^4 = -6, \\ -5x^2 + 5x^3 - 7x^4 = 17, \\ -5x^2 + 5x^3 - 7x^4 = 17. \end{cases} \quad (3)$$

Два последних уравнения в (3) одинаковы, поэтому одно уравнение можно отбросить:

$$\begin{cases} x^1 + 2x^2 - 2x^3 + 3x^4 = -6, \\ -5x^2 + 5x^3 - 7x^4 = 17. \end{cases} \quad (4)$$

Принимаем в (4) неизвестные x^3, x^4 за свободные неизвестные и, полагая $x^3 = a$ и $x^4 = b$, выражаем через них x^2, x^1, имеем общее решение СЛАУ:

$$x^2 = -\frac{17}{5} + a - \frac{7}{5}x^4,\ x^1 = \frac{4}{5} - \frac{1}{5}b,\ x^3 = a,\ x^4 = b.$$

2) Приведём матричную реализацию метода Гаусса. Перепишем систему уравнений в виде расширенной матрицы и поменяем местами первую и вторую строки матрицы:

$$\begin{pmatrix} 2 & -1 & 1 & -1 & 5 \\ 1 & 2 & -2 & 3 & -6 \\ 3 & 1 & -1 & 2 & -1 \end{pmatrix} \cong \begin{pmatrix} 1 & 2 & -2 & 3 & -6 \\ 2 & -1 & 1 & -1 & 5 \\ 3 & 1 & -1 & 2 & -1 \end{pmatrix}.$$

Умножая мысленно первую строку матрицы первый раз на 2, а второй раз на 3 и вычитая в реальности последовательно из второй и третьей строки (как вектор-строку), получаем:

$$\begin{pmatrix} 1 & 2 & -2 & 3 & -6 \\ 2 & -1 & 1 & -1 & 5 \\ 3 & 1 & -1 & 2 & -1 \end{pmatrix} \cong \begin{pmatrix} 1 & 2 & -2 & 3 & -6 \\ 0 & -5 & 5 & -7 & 17 \\ 0 & -5 & 5 & -7 & 17 \end{pmatrix}.$$

Вторая и третья строки матрицы идентичны, то есть второе и третье уравнения системы одинаковы. Отбрасывая третью строку, получаем:

$$\begin{pmatrix} 1 & 2 & -2 & 3 & -6 \\ 0 & -5 & 5 & -7 & 17 \\ 0 & -5 & 5 & -7 & 17 \end{pmatrix} \cong \begin{pmatrix} 1 & 2 & -2 & 3 & -6 \\ 0 & -5 & 5 & -7 & 17 \end{pmatrix}.$$

Эквивалентная система уравнений имеет вид (4):

$$\begin{cases} x^1 + 2x^2 - 2x^3 + 3x^4 = -6, \\ -5x^2 + 5x^3 - 7x^4 = 17. \end{cases}$$

Дальше решение повторяет выполненные в первом пункте операции.

Дадим интерпретацию полученного общего решения СЛАУ, для чего запишем вектор-столбец решения так

$$\begin{pmatrix} x^1 \\ x^2 \\ x^3 \\ x^4 \end{pmatrix} = \begin{pmatrix} \frac{4}{5} - \frac{1}{5}b \\ -\frac{17}{5} + a - \frac{7}{5}b \\ a \\ b \end{pmatrix} = \begin{pmatrix} 4/5 \\ -17/5 \\ 0 \\ 0 \end{pmatrix} + a\begin{pmatrix} 0 \\ 1 \\ 1 \\ 0 \end{pmatrix} + b\begin{pmatrix} -1/5 \\ -7/5 \\ 0 \\ 1 \end{pmatrix}.$$

Если теперь переписать полученный результат в символическом виде

$$|x\rangle = |x_0\rangle + a|a\rangle + b|b\rangle,$$

где

$$|x\rangle = \begin{pmatrix} x^1 \\ x^2 \\ x^3 \\ x^4 \end{pmatrix}, |x_0\rangle = \begin{pmatrix} 4/5 \\ -17/5 \\ 0 \\ 0 \end{pmatrix}, |a\rangle = \begin{pmatrix} 0 \\ 1 \\ 1 \\ 0 \end{pmatrix}, |b\rangle = \begin{pmatrix} -1/5 \\ -7/5 \\ 0 \\ 1 \end{pmatrix},$$

То становится очевидным, что общее решение системы уравнений с геометрической точки зрения представляет собой двумерное линейное многообразие проходящее через “точку” $\left|x_0\right\rangle$ и имеющее направляющие векторы $\left|a\right\rangle$ и $\left|b\right\rangle$. $\otimes$

Пример 2.4.9. Вычислить определитель

$$D=\begin{vmatrix}1 & 1 & 1\\ 2 & -3 & 1\\ 4 & -1 & -5\end{vmatrix}.$$

Р е ш е н и е. 1) Вычтем элементы первого столбца из соответствующих элементов второго и третьего столбцов, получим:

$$D=\begin{vmatrix}1 & 0 & 0\\ 2 & -5 & -1\\ 4 & -5 & -9\end{vmatrix}.$$

2) В полученном определителе в первой строке отличен от нуля только один первый элемент. Применяя формулу разложения определителя по элементам первой строки, получаем:

$$D=\begin{vmatrix}1 & 0 & 0\\ 2 & -5 & -1\\ 4 & -5 & -9\end{vmatrix}=1\cdot(-1)^{1+1}\begin{vmatrix}-5 & -1\\ -5 & -9\end{vmatrix}+0\cdot(-1)^{1+2}\begin{vmatrix}2 & -1\\ 4 & -9\end{vmatrix}+$$

$$+0\cdot(-1)^{1+3}\begin{vmatrix}2 & -5\\ 4 & -5\end{vmatrix}=\begin{vmatrix}-5 & -1\\ -5 & -9\end{vmatrix}=45-5=40.\ \otimes$$

Пример 2.4.10. Найти матрицу, обратную матрице

$$A=\begin{pmatrix}1 & -1 & 1\\ 2 & 1 & 1\\ 1 & 1 & 2\end{pmatrix}.$$

Р е ш е н и е. Определитель матрицы $\det A=5\neq 0$. Матрица A невырожденная, следовательно, обратная матрица A^{-1} существует.

Находим алгебраические дополнения элементов матрицы A:

$$A_1^1=1;\ A_2^1=-3;\ A_3^1=1$$

$$A_1^2=3;\ A_2^2=1;\ A_3^2=-2;$$

$$A_1^3 = -2;\ A_2^3 = 1;\ A_3^3 = 3.$$

Находим присоединённую матрицу:

$$adjA = \begin{pmatrix} 1 & -3 & 1 \\ 3 & 1 & -2 \\ -2 & 1 & 3 \end{pmatrix}^T = \begin{pmatrix} 1 & 3 & -2 \\ -3 & 1 & 1 \\ 1 & -2 & 3 \end{pmatrix}.$$

Находим обратную матрицу:

$$A^{-1} = \frac{1}{\det A} \cdot adjA = \frac{1}{5}\begin{pmatrix} 1 & 3 & -2 \\ -3 & 1 & 1 \\ 1 & -2 & 3 \end{pmatrix}.$$

Проверка по формулам $A \cdot A^{-1} = A^{-1} \cdot A = I$ подтверждает правильность расчёта. $\otimes$

Пример 2.4.11. Матричным методом решить СЛАУ

$$\begin{cases} x^1 + 3x^2 = 0, \\ 2x^1 + 4x^2 = 6. \end{cases}$$

Р е ш е н и е. 1) Проверяем условие невырожденности основной матрицы системы уравнений, для чего вычисляем определитель основной матрицы системы:

$$\det A = -2 \neq 0.$$

Обратная матрица существует.

2) Перепишем СЛАУ в матричном виде:

$$\begin{pmatrix} 1 & 3 \\ 2 & 4 \end{pmatrix}\begin{pmatrix} x^1 \\ x^2 \end{pmatrix} = \begin{pmatrix} 0 \\ 6 \end{pmatrix}.$$

3) Находим алгебраические дополнения элементов основной матрицы системы:

$$A_1^1 = 4,\ A_2^1 = -2,\ A_1^2 = -3,\ A_2^2 = 1.$$

4) Составляем матрицу алгебраических дополнений и, транспонируя её, находим присоединённую матрицу:

$$\begin{pmatrix} 4 & -2 \\ -3 & 1 \end{pmatrix} \Rightarrow adjA = \begin{pmatrix} 4 & -3 \\ -2 & 1 \end{pmatrix}.$$

5) Находим обратную матрицу:

$$A^{-1}=\frac{adjA}{\det A}=-\frac{1}{2}\cdot\begin{pmatrix}4 & -3\\ -2 & 1\end{pmatrix}=\begin{pmatrix}-2 & \frac{3}{2}\\ 1 & -\frac{1}{2}\end{pmatrix}.$$

6) Находим значения неизвестных:

$$\begin{pmatrix}x^1\\ x^2\end{pmatrix}=\begin{pmatrix}-2 & \frac{3}{2}\\ 1 & -\frac{1}{2}\end{pmatrix}\begin{pmatrix}0\\ 6\end{pmatrix}=\begin{pmatrix}9\\ -3\end{pmatrix}\Rightarrow x^1=9,\ x^2=-3.\otimes$$

Пример 2.4.12. Найти неизвестную матрицу X из уравнения

$$\begin{pmatrix}2 & 5\\ 1 & 3\end{pmatrix}X=\begin{pmatrix}4 & -6\\ 2 & 1\end{pmatrix}.$$

Р е ш е н и е. Имеем матричное уравнение вида $AX=B$, где

$$A=\begin{pmatrix}2 & 5\\ 1 & 3\end{pmatrix},\ B=\begin{pmatrix}4 & -6\\ 2 & 1\end{pmatrix}.$$

Чтобы его решить, нужно найти матрицу A^{-1} и умножить уравнение на неё слева. Тогда решение запишется в виде $X=A^{-1}B$.

1) Проверяем условие невырожденности. Определитель матрицы A равен:

$$\det A=\begin{vmatrix}2 & 5\\ 1 & 3\end{vmatrix}=6-5=1\neq 0.$$

Матрица невырождена, следовательно, обратная матрица существует.

2) Вычисляем алгебраические дополнения элементов матрицы A:

$$A_1^1=3,\ A_2^1=-1,\ A_1^2=-5,\ A_2^2=2.$$

Составляем союзную матрицу и находим обратную матрицу:

$$A^{-1}=\frac{1}{\det A}\begin{pmatrix}A_1^1 & A_2^1\\ A_1^2 & A_2^2\end{pmatrix}^T=\frac{1}{\det A}\begin{pmatrix}A_1^1 & A_1^2\\ A_2^1 & A_2^2\end{pmatrix}=\begin{pmatrix}3 & -5\\ -1 & 2\end{pmatrix}.$$

3) Умножаем данное матричное уравнение на матрицу A^{-1} слева:

$$\begin{pmatrix}3 & -5\\ -1 & 2\end{pmatrix}\begin{pmatrix}2 & 5\\ 1 & 3\end{pmatrix}X=\begin{pmatrix}3 & -5\\ -1 & 2\end{pmatrix}\begin{pmatrix}4 & -6\\ 2 & 1\end{pmatrix}\Rightarrow X=\begin{pmatrix}2 & -23\\ 0 & 8\end{pmatrix}.$$

Проверка правильности вычислений осуществляется путём подстановки в исходное уравнение. ⊗

Пример 2.4.13. Решить СЛАУ, используя формулы Крамера:

$$\begin{cases} 3x^1 + 2x^2 + x^3 = 5, \\ 2x^1 + 3x^2 + x^3 = 1, \\ 2x^1 + x^2 + 3x^3 = 11. \end{cases}$$

Р е ш е н и е. 1) Вычисляем определитель матрицы СЛАУ:

$$\det A = \begin{vmatrix} 3 & 2 & 1 \\ 2 & 3 & 1 \\ 2 & 1 & 3 \end{vmatrix} = 3\begin{vmatrix} 3 & 1 \\ 1 & 3 \end{vmatrix} - 2\begin{vmatrix} 2 & 1 \\ 1 & 3 \end{vmatrix} + 2\begin{vmatrix} 2 & 1 \\ 3 & 1 \end{vmatrix} = 12.$$

Так как $\det A \neq 0$, то система уравнений совместна и определённа.

2) Для нахождения её решения используем формулы Крамера:

$$x^1 = \frac{1}{12}\begin{vmatrix} 5 & 2 & 1 \\ 1 & 3 & 1 \\ 11 & 1 & 3 \end{vmatrix} = \frac{5}{12}\begin{vmatrix} 3 & 1 \\ 1 & 3 \end{vmatrix} - \frac{1}{12}\begin{vmatrix} 2 & 1 \\ 1 & 3 \end{vmatrix} + \frac{11}{12}\begin{vmatrix} 2 & 1 \\ 3 & 1 \end{vmatrix} =$$

$$= \frac{40}{12} - \frac{5}{12} - \frac{11}{12} = \frac{24}{12} = 2.$$

Аналогично находим x^2 и x^3:

$$x^2 = \frac{1}{12}\begin{vmatrix} 3 & 5 & 1 \\ 2 & 1 & 1 \\ 2 & 11 & 3 \end{vmatrix} = -2;\ x^3 = \frac{1}{12}\begin{vmatrix} 3 & 2 & 5 \\ 2 & 3 & 1 \\ 2 & 1 & 11 \end{vmatrix} = 3. \otimes$$

Пример 2.4.14. Пусть $\left\{ \vec{a}_1, \vec{a}_2, \vec{a}_3, \vec{a}_4 \right\} \subset X^4$ – некоторый (старый) базис пространства X^4 и

$$T = \begin{pmatrix} 1 & 2 & 0 & 1 \\ 3 & 0 & -1 & 2 \\ 2 & 5 & 3 & 1 \\ 1 & 2 & 1 & 3 \end{pmatrix}$$

– матрица линейного оператора $\hat{T}: X^4 \to X^4$ в этом базисе. Найти матрицу линейного оператора $\hat{T}$ в новом базисе

$$\left\{\vec{g}_1, \vec{g}_2, \vec{g}_3, \vec{g}_4\right\} \subset X^4,$$

если известно, что векторы нового базиса выражаются через векторы старого базиса разложениями:

$$\vec{g}_1 = \vec{a}_1, \vec{g}_2 = \vec{a}_1 + \vec{a}_2, \vec{g}_3 = \vec{a}_1 + \vec{a}_2 + \vec{a}_3, \vec{g}_4 = \vec{a}_1 + \vec{a}_2 + \vec{a}_3 + \vec{a}_4.$$

Р е ш е н и е. Матрица перехода от старого базиса к новому имеет вид

$$A = \begin{pmatrix} 1 & 0 & 0 & 0 \\ 1 & 1 & 0 & 0 \\ 1 & 1 & 1 & 0 \\ 1 & 1 & 1 & 1 \end{pmatrix}.$$

Матрица невырождена, так как $\det A = 1$. Следовательно, существует обратная матрица. Для нахождения обратной матрицы найдём сначала алгебраические дополнения элементов матрицы A:

$$\begin{array}{llll} A_1^1 = 1; & A_2^1 = -1; & A_3^1 = 0; & A_4^1 = 0; \\ A_1^2 = 0; & A_2^2 = 1; & A_3^2 = -1; & A_4^2 = 0; \\ A_1^3 = 0; & A_2^3 = 0; & A_3^3 = 1; & A_4^3 = -1; \\ A_1^4 = 0; & A_2^4 = 0; & A_3^4 = 0; & A_4^4 = 1. \end{array}$$

Теперь обратная матрица находится по формуле $\hat{A} = \dfrac{1}{\det A} adjA$ и имеет вид:

$$A^{-1} = \begin{pmatrix} 1 & -1 & 0 & 0 \\ 0 & 1 & -1 & 0 \\ 0 & 0 & 1 & -1 \\ 0 & 0 & 0 & 1 \end{pmatrix}^T = \begin{pmatrix} 1 & 0 & 0 & 0 \\ -1 & 1 & 0 & 0 \\ 0 & -1 & 1 & 0 \\ 0 & 0 & -1 & 1 \end{pmatrix}.$$

При переходе от старого базиса к новому базису матрица оператора T преобразуется по формуле $T' = A^{-1} T A^T$. Проводя вычисления, получаем матрицу T':

$$T'=\begin{pmatrix}1 & -1 & 0 & 0\\ 0 & 1 & -1 & 0\\ 0 & 0 & 1 & -1\\ 0 & 0 & 0 & 1\end{pmatrix}\begin{pmatrix}1 & 2 & 0 & 1\\ 3 & 0 & -1 & 2\\ 2 & 5 & 3 & 1\\ 1 & 2 & 1 & 3\end{pmatrix}\begin{pmatrix}1 & 1 & 1 & 1\\ 0 & 1 & 1 & 1\\ 0 & 0 & 1 & 1\\ 0 & 0 & 0 & 1\end{pmatrix}=$$

$$=\begin{pmatrix}-2 & 0 & 1 & 0\\ 1 & -4 & -8 & -7\\ 1 & 4 & 6 & 4\\ 1 & 3 & 4 & 7\end{pmatrix}.\otimes$$

Практическое занятие 5

Ядро и ранг линейного оператора. Критерии совместности СЛАУ

Пример 2.5.1. Найти ядро $K\left(\hat{A}\right)$ линейного оператора $\hat{A}: X^4 \to X^3$, заданного в некоторых базисах

$$\left\{\vec{e}_1, \vec{e}_2, \vec{e}_3, \vec{e}_4\right\} \subset X^4, \left\{\vec{a}_1, \vec{a}_2, \vec{a}_3\right\} \subset X^3$$

этих пространств матрицей

$$A=\begin{pmatrix}1 & 0 & 2 & 4\\ 0 & 3 & 1 & 2\\ 0 & -1 & -2 & 0\end{pmatrix}.$$

Р е ш е н и е. По определению ядро

$$K\left(\hat{A}\right)=\left\{\vec{x} \in X^4 : \hat{A}\vec{x}=\vec{0}\right\},$$

поэтому

$$\begin{pmatrix} 1 & 0 & 2 & 4 \\ 0 & 3 & 1 & 2 \\ 0 & -1 & -2 & 0 \end{pmatrix} \begin{pmatrix} x^1 \\ x^2 \\ x^3 \\ x^4 \end{pmatrix} = \begin{pmatrix} 0 \\ 0 \\ 0 \end{pmatrix},$$

откуда имеем СЛАУ вида

$$\begin{cases} x^1 + 2 \cdot x^3 + 4 \cdot x^4 = 0, \\ 3 \cdot x^2 + x^3 + 2 \cdot x^4 = 0, \\ -x^2 - 2 \cdot x^3 = 0. \end{cases}$$

Решая эту СЛАУ, например, метом Гаусса, получаем:

$$\left(\begin{array}{cccc|c} 1 & 0 & 2 & 4 & 0 \\ 0 & 3 & 1 & 2 & 0 \\ 0 & -1 & -2 & 0 & 0 \end{array}\right) \to \left(\begin{array}{cccc|c} 1 & 0 & 2 & 4 & 0 \\ 0 & -1 & -2 & 0 & 0 \\ 0 & 0 & -5 & 2 & 0 \end{array}\right).$$

Принимая неизвестное x^4 за свободное неизвестное и, полагая $x^4 = t$, где t может принимать произвольные значения из R, получаем:

$$x^3 = \frac{2}{5}t,\ x^2 = -\frac{4}{5}t,\ x^1 = -\frac{24}{5}t.$$

Откуда для ядра оператора имеем

$$K\left(\hat{A}\right) = \left\{\vec{x} \in X^4 : \vec{x} = t\,\vec{a}; t \in R\right\},$$

где

$$\vec{a} = -\frac{24}{5}\vec{e}_1 - \frac{4}{5}\vec{e}_2 + \frac{2}{5}\vec{e}_3 + \vec{e}_4.$$

Таким образом, ядро оператора является одномерным линейным многообразием $L\left\{\vec{a}\right\}$ с направляющим вектором $\vec{a}$. $\otimes$

Пример 2.5.2. Пусть Y – множество симметричных матриц 2-го порядка с обычными матричными операциями сложения матриц и умножения матрицы на число. Показать, что это множество является векторным подпространством векторного пространства всех квадратных матриц второго порядка.

Р е ш е н и е. Сначала покажем, что множество X квадратных матриц 2-го порядка вида

$$A=\begin{pmatrix} a_1^1 & a_2^1 \\ a_1^2 & a_2^2 \end{pmatrix},\ B=\begin{pmatrix} b_1^1 & b_2^1 \\ b_1^2 & b_2^2 \end{pmatrix},\ C=\begin{pmatrix} c_1^1 & c_2^1 \\ c_1^2 & c_2^2 \end{pmatrix}$$

является векторным пространством. Для этого надо показать, что операция сложения, являясь алгебраической, удовлетворяет четырём аксиомам для операции сложения векторного пространства.

То, что операция сложения во множестве X алгебраическая, очевидно. Легко видеть, что операция сложения ассоциативна и коммутативна, то есть

$$A+B=B+A;\ (A+B)+C=A+(B+C).$$

Во множестве X имеется нейтральный элемент

$$O=\begin{pmatrix} 0 & 0 \\ 0 & 0 \end{pmatrix}$$

и противоположный элемент

$$-A=\begin{pmatrix} -a_1^1 & -a_2^1 \\ -a_1^2 & -a_2^2 \end{pmatrix}.$$

Нетрудно проверить и выполнение аксиом для операции умножения на число.

Легко видеть, что во множестве X каноническим базисом является система матриц вида

$$\left\{\begin{pmatrix} 1 & 0 \\ 0 & 0 \end{pmatrix},\begin{pmatrix} 0 & 1 \\ 0 & 0 \end{pmatrix},\begin{pmatrix} 0 & 0 \\ 1 & 0 \end{pmatrix},\begin{pmatrix} 0 & 0 \\ 0 & 1 \end{pmatrix}\right\}.$$

Действительно, произвольная матрица может быть записана в виде разложения по матрицам этой системы:

$$\begin{pmatrix} a & b \\ c & d \end{pmatrix}=a\begin{pmatrix} 1 & 0 \\ 0 & 0 \end{pmatrix}+b\begin{pmatrix} 0 & 1 \\ 0 & 0 \end{pmatrix}+c\begin{pmatrix} 0 & 0 \\ 1 & 0 \end{pmatrix}+d\begin{pmatrix} 0 & 0 \\ 0 & 1 \end{pmatrix}.$$

Множество симметричных матриц Y вида

$$A=\begin{pmatrix} a_1^1 & a_2^1 \\ a_2^1 & a_2^2 \end{pmatrix},\ B=\begin{pmatrix} b_1^1 & b_2^1 \\ b_2^1 & b_2^2 \end{pmatrix}$$

является подпространством векторного пространства X. Действительно, симметрические матрицы образуют подмножество пространства X. Операции сложения и умножения на число не

нарушают свойства симметричности матрицы. Действительно, результат выполнения этих операций является, очевидно, снова симметричной матрицей:

$$A+B=\begin{pmatrix} a_1^1 & a_2^1 \\ a_2^1 & a_2^2 \end{pmatrix}+\begin{pmatrix} b_1^1 & b_2^1 \\ b_2^1 & b_2^2 \end{pmatrix}=\begin{pmatrix} a_1^1+b_1^1 & a_2^1+b_2^1 \\ a_2^1+b_2^1 & a_2^2+b_2^1 \end{pmatrix},$$

$$\alpha A=\alpha\cdot\begin{pmatrix} a_1^1 & a_2^1 \\ a_2^1 & a_2^2 \end{pmatrix}=\begin{pmatrix} \alpha\cdot a_1^1 & \alpha\cdot a_2^1 \\ \alpha\cdot a_2^1 & \alpha\cdot a_2^2 \end{pmatrix}.\otimes$$

Пример 2.5.3. Найти ранг матрицы

$$A=\begin{pmatrix} 1 & -2 & 1 & 3 \\ 1 & 3 & -1 & 1 \\ 3 & -1 & 1 & 7 \end{pmatrix}.$$

Р е ш е н и е. 1. ***Первый метод*** (элементарные преобразования матрицы). Ранг матрицы подчинён неравенству $r(A)\le\min(m,n)=3$ ($n-$число строк, $m-$число столбцов). Для нахождения ранга применим элементарные преобразования матрицы.

Вычтем первую строку матрицы из второй строки и, умножив её мысленно на 3, из третьей:

$$A=\begin{pmatrix} 1 & -2 & 1 & 3 \\ 1 & 3 & -1 & 1 \\ 3 & -1 & 1 & 7 \end{pmatrix}\cong\begin{pmatrix} 1 & -2 & 1 & 3 \\ 0 & 5 & -2 & -2 \\ 0 & 5 & -2 & -2 \end{pmatrix}.$$

Вычёркивая из матрицы третью строку, совпадающую со второй строкой, получаем

$$A\cong\begin{pmatrix} 1 & -2 & 1 & 3 \\ 0 & 5 & -2 & -2 \end{pmatrix}.$$

Здесь символ $\cong$ использован для обозначения эквивалентности матриц по рангу в процессе преобразований.

Видим, что наивысший порядок отличного от нуля минора равен 2 (левый угловой минор является треугольным). Таким образом, ранг матрицы $r=2$.

2. ***Второй метод*** (окаймляющих миноров). Минор

$$\begin{pmatrix} 1 & -2 \\ 1 & 3 \end{pmatrix}=5\ne 0.\ A=\begin{pmatrix} 1 & -2 & 1 & 3 \\ 1 & 3 & -1 & 1 \\ 3 & -1 & 1 & 7 \end{pmatrix}$$

Минор, окаймляющий первый минор

$$\begin{pmatrix} 1 & -2 & 1 \\ 1 & 3 & -1 \\ 3 & -1 & 1 \end{pmatrix} = \begin{vmatrix} 1 & -2 & 1 \\ 2 & 1 & 0 \\ 2 & 1 & 0 \end{vmatrix} = \begin{vmatrix} 2 & 1 \\ 2 & 1 \end{vmatrix} = 2-2=0.$$

Следующий окаймляющий минор

$$\begin{pmatrix} 1 & -2 & 3 \\ 1 & 3 & 1 \\ 3 & -1 & 7 \end{pmatrix} = \begin{pmatrix} 1 & -2 & 3 \\ 0 & 5 & -2 \\ 0 & 5 & -2 \end{pmatrix} = \begin{vmatrix} 5 & -2 \\ 5 & -2 \end{vmatrix} = 2-2=0.$$

Все окаймляющие миноры равны нулю, следовательно, ранг матрицы

$r(A) = 2.\otimes$

Пример 2.5.4. Найти ранг $r\left(\hat{A}\right)$, множество значений $\hat{A}(X^5)$ и дефект $d\left(\hat{A}\right)$ ли-

нейного оператора $\hat{A}: X^5 \to X^3$, если этот оператор в некоторых базисах пространств X^5 и X^3 имеет матрицу

$$A = \begin{pmatrix} 1 & 0 & -2 & 3 & 4 \\ 5 & 1 & 0 & 2 & 1 \\ 1 & 1 & -1 & -2 & -3 \end{pmatrix}.$$

Р е ш е н и е. Пусть отмечены базисы

$$\vec{e}_1, \vec{e}_2, \vec{e}_3, \vec{e}_4, \vec{e}_5 \subset X^5, \quad \vec{g}_1, \vec{g}_2, \vec{g}_3 \subset X^3,$$

в которых матрица оператора имеет указанный вид.

1) Находим ранг матрицы оператора:

$$\begin{pmatrix} 1 & 0 & -2 & 3 & 4 \\ 5 & 1 & 0 & 2 & 1 \\ 1 & 1 & -1 & -2 & -3 \end{pmatrix} \to \begin{pmatrix} 1 & 0 & -2 & 3 & 4 \\ 0 & 1 & 10 & -13 & -19 \\ 0 & 1 & 1 & -5 & -7 \end{pmatrix} \to$$

$$\begin{pmatrix} 1 & 0 & -2 & 3 & 4 \\ 0 & 1 & 10 & -13 & -19 \\ 0 & 0 & -9 & 8 & 12 \end{pmatrix}.$$

Угловой минор третьего порядка преобразованной матрицы

$$\begin{vmatrix} 1 & 0 & -2 \\ 0 & 1 & 10 \\ 0 & 0 & -9 \end{vmatrix} = -9 \neq 0,$$

следовательно, ранг матрицы $r(\hat{A}) = 3.$

2) Вектор-столбцы преобразованной матрицы, образующие её базисный минор, составлены из координат базисных векторов множества значений оператора, то есть базис множества значений имеет вид

$$|a\rangle_1 = \begin{pmatrix} 1 \\ 0 \\ 0 \end{pmatrix}, |a\rangle_2 = \begin{pmatrix} 0 \\ 1 \\ 0 \end{pmatrix}, |a\rangle_3 = \begin{pmatrix} -2 \\ 10 \\ -9 \end{pmatrix} \Rightarrow$$

$$\vec{a}_1 = \vec{g}_1,$$

$$\vec{a}_2 = \vec{g}_2,$$

$$\vec{a}_3 = -2\vec{g}_1 + 10\vec{g}_2 - 9\vec{g}_3.$$

Множеством значений оператора является линейная оболочка системы векторов $\vec{a}_1, \vec{a}_2, \vec{a}_3$:

$$\hat{A}\ X^5 = \vec{y} \in X^3 :\ \forall \alpha, \beta, \eta \in R^1\ \ \vec{y} = \alpha \cdot \vec{a}_1 + \beta \cdot \vec{a}_2 + \eta \cdot \vec{a}_3\ ,$$

3) По теореме о связи ранга и дефекта линейного оператора имеем

$$r\left(\hat{A}\right) + d\left(\hat{A}\right) = 5,$$

откуда получаем $d\left(\hat{A}\right) = 2$. Итак, $r\left(\hat{A}\right) = 3,\ d\left(\hat{A}\right) = 2.$ ⊗

Пример 2.5.5. Найти базисы суммы и пересечения подпространств

$$L_1\left\{\vec{a}_1, \vec{a}_2, \vec{a}_3\right\} = \left\{\alpha_1 \vec{a}_1 + \alpha_2 \vec{a}_2 + \alpha_3 \vec{a}_3\right\},$$

$$L_2\left\{\vec{b}_1,\ \vec{b}_2,\ \vec{b}_3\right\}=\left\{\beta_1\vec{b}_1+\beta_2\vec{b}_2+\beta_3\vec{b}_3\right\},$$

если $\alpha_k,\ \beta_k\in R^1$ и

$$\vec{a}_1=\vec{e}_1+2\vec{e}_2+\vec{e}_3,\ \vec{a}_2=\vec{e}_1+\vec{e}_2-\vec{e}_3,\ \vec{a}_3=\vec{e}_1+3\vec{e}_2+3\vec{e}_3;$$

$$\vec{b}_1=2\vec{e}_1+3\vec{e}_2-\vec{e}_3,\ \vec{b}_2=\vec{e}_1+2\vec{e}_2+2\vec{e}_3,\ \vec{b}_3=\vec{e}_1+\vec{e}_2-3\vec{e}_3.$$

Р е ш е н и е. Находим базисы подпространств:

$$\dim L_1=r\begin{pmatrix}1 & 1 & 1\\ 2 & 1 & 3\\ 1 & -1 & 3\end{pmatrix}=2,\ \text{базисный минор}\ \Delta_1=\begin{vmatrix}1 & 1\\ 2 & 1\end{vmatrix};$$

$$\dim L_2=r\begin{pmatrix}2 & 1 & 1\\ 3 & 2 & 1\\ -1 & 2 & -3\end{pmatrix}=2,\ \text{базисный минор}\ \Delta_1=\begin{vmatrix}2 & 1\\ 3 & 2\end{vmatrix}.$$

Базисом L_1 является подсистема

$$\vec{a}_1=\vec{e}_1+2\vec{e}_2+\vec{e}_3,$$

$$\vec{a}_2=\vec{e}_1+\vec{e}_2-\vec{e}_3,$$

а базисом L_2 подсистема

$$\vec{b}_1=2\vec{e}_1+3\vec{e}_2-\vec{e}_3,$$

$$\vec{b}_2=\vec{e}_1+2\vec{e}_2+2\vec{e}_3.$$

Чтобы найти базис подпространства L_1+L_2, вычислим ранг матрицы, столбцами которой являются векторы $\vec{a}_1,\ \vec{a}_2,\ \vec{b}_1,\ \vec{b}_2$:

$$r\begin{pmatrix}1 & 1 & 2 & 1\\ 2 & 1 & 3 & 2\\ 1 & -1 & -1 & 2\end{pmatrix}=3,\ \text{базисный минор}\ \begin{pmatrix}1 & 1 & 2\\ 2 & 1 & 3\\ 1 & -1 & -1\end{pmatrix}.$$

Таким образом, имеем

$$\dim(L_1 + L_2) = 3$$

и базис подпространства $L_1 + L_2$ есть система $\left\{\vec{a}_1, \vec{a}_2, \vec{b}_1\right\}$.

Теперь базис пересечения подпространств

$$\dim(L_1 \cap L_2) = \dim L_1 + \dim L_2 - \dim(L_1 + L_2) = 4 - 3 = 1.$$

Таким образом, базис $L_1 \cap L_2$ состоит из одного вектора.

Вектор $\vec{b}_2$ разложим по базису $\left\{\vec{a}_1, \vec{a}_2, \vec{b}_1\right\}$ подпространства $L_1 + L_2$:

$$\vec{b}_2 = \alpha_2^1 \vec{a}_1 + \alpha_2^2 \vec{a}_2 + \beta_2^1 \vec{b}_1.$$

Составляем систему уравнений, используя разложения векторов

$$\vec{a}_1 = \vec{e}_1 + 2\vec{e}_2 + \vec{e}_3,\ \vec{a}_2 = \vec{e}_1 + \vec{e}_2 - \vec{e}_3,$$

$$\vec{b}_1 = 2\vec{e}_1 + 3\vec{e}_2 - \vec{e}_3, \vec{b}_2 = \vec{e}_1 + 2\vec{e}_2 + 2\vec{e}_3.$$

Решение этой СЛАУ даёт:

$$\alpha_2^1 = 2,\ \alpha_2^2 = 1,\ \beta_2^1 = -1,$$

Таким образом,

$$\vec{b}_2 = 2\vec{a}_1 + \vec{a}_2 - \vec{b}_1,$$

Следовательно, вектор

$$\vec{c} = 2\vec{a}_1 + \vec{a}_2 = \vec{b}_1 + \vec{b}_2 = 3\vec{e}_1 + 5\vec{e}_2 + \vec{e}_3$$

является базисом подпространства $L_1 \cap L_2$. $\otimes$

Пример 2.5.6. Выяснить вопрос о совместности СЛАУ

$$\begin{cases} x^1 - 2x^2 + x^3 = 3, \\ x^1 + 3x^2 - x^3 = 1, \\ 3x^1 - x^2 + x^3 = 7. \end{cases}$$

Р е ш е н и е. Выписываем основную и расширенную матрицы СЛАУ:

$$A=\begin{pmatrix}1 & -2 & 1\\ 1 & 3 & -1\\ 3 & -1 & 1\end{pmatrix};\ B=\left(\begin{array}{ccc|c}1 & -2 & 1 & 3\\ 1 & 3 & -1 & 1\\ 3 & -1 & 1 & 7\end{array}\right).$$

Минор второго порядка в левом верхнем углу (см. предыдущий пример) равен $5\neq 0$. Все миноры третьего порядка, как у матрицы A, так и у матрицы B, равны нулю: ранги основной и расширенной матриц $r(A)=r(B)=2$. Следовательно, СЛАУ совместна. $\otimes$

Пример 2.5.7. Выяснить, при каких значениях параметра a СЛАУ с основной матрицей

$$A=\begin{pmatrix}1 & 1 & -1 & 1\\ -1 & 2 & 1 & -1\\ 1 & -3 & -1 & 1\end{pmatrix}$$

и столбцом правых частей $|b\rangle=(2\quad 1\quad a)^T$ является совместной.

Р е ш е н и е. Нетрудно видеть, что ранг матрицы A СЛАУ $r(A)=2$. Расширенная матрица имеет вид

$$B=\begin{pmatrix}1 & 1 & -1 & 1 & 2\\ -1 & 2 & 1 & -1 & 1\\ 1 & -3 & -1 & 1 & a\end{pmatrix}.$$

Вычеркнем в расширенной матрице третий и четвёртый столбцы. Так как ранг матрицы не изменится, то имеем

$$\det B=\det\begin{pmatrix}1 & 1 & 2\\ -1 & 2 & 1\\ 1 & -3 & a\end{pmatrix}=3a+6.$$

Если $a\neq -2$, то $\det B\neq 0$ и $r(B)=3\neq r(A)$ – СЛАУ несовместна. Если $a=-2$, то $\det B=0$. Так как у матрицы B имеются отличные от нуля миноры, то $r(B)=2=r(A)$. Поэтому при $a=-2$ СЛАУ совместна. $\otimes$

Задания для самостоятельной работы

Векторная алгебра

1. Даны векторы $\vec{x}$, $\vec{y}$, $\vec{z}$. Найти линейную комбинацию (вектор)

$$\vec{u} = \alpha\vec{x} + \beta\vec{y} + \gamma\vec{z}$$

и норму (длину) вектора $\vec{u}$:

1) $\vec{x} = -2\vec{e}_1 + 3\vec{e}_2 + \vec{e}_3$, $\vec{y} = \vec{e}_1 + 3\vec{e}_2$, $\vec{z} = \vec{e}_1 + 2\vec{e}_2 + \vec{e}_3$,
$\alpha = 4$, $\beta = -3$, $\gamma = 1$;

2) $\vec{x} = -3\vec{e}_1 - \vec{e}_2 + 4\vec{e}_3$, $\vec{y} = \vec{e}_1 + 3\vec{e}_2 + \vec{e}_3$, $\vec{z} = -\vec{e}_1 - 2\vec{e}_2 - \vec{e}_3$,
$\alpha = -4$, $\beta = 3$, $\gamma = -2$;

3) $\vec{x} = \vec{e}_1 - 6\vec{e}_2 + 3\vec{e}_3$, $\vec{y} = -3\vec{e}_1 - 3\vec{e}_2 - \vec{e}_3$, $\vec{z} = 2\vec{e}_1 - 3\vec{e}_2 + 4\vec{e}_3$,
$\alpha = 7$, $\beta = -5$, $\gamma = -1$.

2. Найти косинус угла между векторами $\vec{AB}$ и $\vec{AC}$, если:

1) $A(2; -2; 3)$, $B(3; -1; 2)$, $C(4; -4; 5)$;

2) $A(0; -2; 6)$, $B(12; -2; -3)$, $C(9; -2; -6)$;

3) $A(2; 3; -1)$, $B(4; 5; -2)$, $C(3; 1; 1)$.

3. На плоскости R^2 заданы своими координатами три вершины A, B и C параллелограмма. Найти:

1) координаты четвёртой вершины D;

2) косинус угла между сторонами AB и AC;

3) длины диагоналей и косинус угла между ними.

1) $A(-1; 2; -2)$, $B(3; 4; -5)$, $C(1; 1; 0)$;

2) $A(-2; -2; 0)$, $B(-1; -2; 4)$, $C(5; -2; 1)$;

3) $A(3; 3; -1)$, $B(3; 2; 0)$, $C(4; 4; -1)$.

4. В каноническом базисе декартовой системы координат пространства R^3 своими координатами заданы векторы $\vec{x}$ и $\vec{y}$. Найти $\left(\alpha\vec{x}+\beta\vec{y},\ \gamma\vec{x}+\lambda\vec{y}\right)$, если дано:

1) $\vec{x}=\vec{e}_1+5\vec{e}_2+\vec{e}_3,\ \vec{y}=\vec{e}_1+7\vec{e}_2+\vec{e}_3,$

$\alpha=4,\ \beta=-3,\ \gamma=1,\ \lambda=2;$

2) $\vec{x}=2\vec{e}_1+5\vec{e}_2+8\vec{e}_3,\ \vec{y}=\vec{e}_1-3\vec{e}_2-7\vec{e}_3,$

$\alpha=-2,\ \beta=-5,\ \gamma=-1,\ \lambda=-2;$

3) $\vec{x}=-2\vec{e}_1+4\vec{e}_2-8\vec{e}_3,\ \vec{y}=5\vec{e}_1+3\vec{e}_2+7\vec{e}_3,$

$\alpha=11,\ \beta=6,\ \gamma=2,\ \lambda=-7.$

5. Найти $\left(\vec{x}-4\vec{y},\ 6\vec{x}+\vec{y}\right)$, если дано:

1) $\left\|\vec{x}\right\|=4,\ \left\|\vec{y}\right\|=5,\ \left\{\vec{x}\overset{\wedge}{,}\vec{y}\right\}=\frac{\pi}{4};$

2) $\left\|\vec{x}\right\|=6,\ \left\|\vec{y}\right\|=1,\ \left\{\vec{x}\overset{\wedge}{,}\vec{y}\right\}=\frac{\pi}{3};$

3) $\left\|\vec{x}\right\|=2{,}5,\ \left\|\vec{y}\right\|=1{,}5,\ \left\{\vec{x}\overset{\wedge}{,}\vec{y}\right\}=\frac{\pi}{6}.$

6. В каноническом базисе декартовой системы координат пространства R^3 своими координатами задан вектор $\vec{x}$. Найти направляющие косинусы и орт данного вектора, если дано:

1) $\vec{x}=\vec{e}_1-2\vec{e}_2+4\vec{e}_3;$

2) $\vec{x}=-\vec{e}_1-3\vec{e}_2+5\vec{e}_3;$

3) $\vec{x}=5\vec{e}_1-\vec{e}_2-6\vec{e}_3.$

Прямые линии и плоскости

1. Вычислить объём параллелепипеда, построенного на векторах:

1) $\vec{x} = \vec{e}_1 + 3\vec{e}_2,\ \vec{y} = -\vec{e}_1 - \vec{e}_3,\ \vec{z} = \vec{e}_1 + 2\vec{e}_2 + \vec{e}_3;$

2) $\vec{x} = 3\vec{e}_1 + 2\vec{e}_2 + \vec{e}_3,\ \vec{y} = 5\vec{e}_1 + 5\vec{e}_2 + 5\vec{e}_3,\ \vec{z} = -\vec{e}_2 - 2\vec{e}_3;$

3) $\vec{x} = 6\vec{e}_2 + \vec{e}_3,\ \vec{y} = 2\vec{e}_2,\ \vec{z} = \vec{e}_1 + \vec{e}_2 + \vec{e}_3.$

2. Вычислить площадь параллелограмма, построенного на векторах $\vec{x}$ и $\vec{y}$, если дано:

1) $\vec{x} = \vec{a} + 3\vec{b},\ \vec{y} = 2\vec{a} - \vec{b},\ \left\|\vec{a}\right\| = 2,\ \left\|\vec{b}\right\| = 1,\ \left\{\vec{a}, \vec{b}\right\} = \frac{\pi}{6};$

2) $\vec{x} = 2\vec{a} + \vec{b},\ \vec{y} = \vec{a} - 3\vec{b},\ \left\|\vec{a}\right\| = 2,\ \left\|\vec{b}\right\| = 2,\ \left\{\vec{a}, \vec{b}\right\} = \frac{\pi}{4};$

3) $\vec{x} = \vec{a} - 2\vec{b},\ \vec{y} = \vec{a} + 3\vec{b},\ \left\|\vec{a}\right\| = 1,\ \left\|\vec{b}\right\| = 2,\ \left\{\vec{a}, \vec{b}\right\} = \frac{\pi}{2}.$

3. В пространстве R^3 получить уравнение плоскости, проходящей через точки $A(-2; 2; 3)$, $B(2; 3; 1)$, $C(3, 1, 2)$ и найти косинусы углов, образованных её нормальным вектором с осями координат. Построить эту плоскость.

4. Написать канонические уравнения прямой линии, заданной пересечением двух плоскостей, проходящих через точки $A_1(0; 0; 0)$; $B_1(3; 3; 0)$; $C_1(0; 3; 3)$ и $A_2(4; 5; 0)$; $B_2(-6; 6; 3)$; $C_2(2; 0; 7)$ соответственно.

5. В пространстве R^3 получить уравнение плоскости, проходящей через точку $A(7; 7; 3)$ и имеющей нормальный вектор, заданный точками $M_1(-2; -1; -8)$ и $M_2(2; 1; 8)$. Найти объём параллелепипеда, построенного на векторах $\vec{ON}_1$, $\vec{ON}_2$ и $\vec{ON}_3$, где N_1, N_2 и N_3 – точки пересечения данной плоскости и осей координат.

6. В пространстве R^3 найти угол между плоскостями, проходящими через точки M_1, M_2, M_3 и N_1, N_2, N_3:

1) $M_1(0;7;-4)$; $M_2(4;8;-1)$; $M_3(-2;1;3)$;

$N_1(2;3;1)$; $N_2(2;0;3)$; $N_3(-2;2;0)$;

2) $M_1(-2;2;2)$; $M_2(3;2;3)$; $M_3(8;0;6)$;

$N_1(0;3;5)$; $N_2(0;-1;3)$; $N_3(4;0;0)$.

7. Найти точку пересечения прямой линии и плоскости:

1) $\dfrac{x^1-2}{1}=\dfrac{x^2-3}{1}=\dfrac{x^3+1}{-4}$, $x^1+x^2+3x^3-10=0$;

2) $\dfrac{x^1+1}{2}=\dfrac{x^2-3}{-4}=\dfrac{x^3+1}{5}$, $x^1+2x^2-x^3+5=0$.

8. Найти координаты проекции точки M_0 на плоскость:

1) $M_0(0;-3;-2)$; $2x^1+10x^2+10x^3-1=0$;

2) $M_0(-2;0;-1)$; $2x^2+4x^3-1=0$.

9. В пространстве R^3 найти расстояние от точки M_0 до плоскости, проходящей через точки M_1, M_2 и M_3:

1) $M_1(0;7;-4)$, $M_2(4;8;-1)$, $M_3(-2;1;3)$, $M_0(-10;11;13)$;

2) $M_1(6;8;3)$, $M_2(0;5;6)$, $M_3(6;7;4)$, $M_0(7;17;14)$;

3) $M_1(-2;3;5)$, $M_2(-5;5;2)$, $M_3(7;-1;8)$, $M_0(0;0;0)$.

Операторы, матрицы

1. Пусть $\vec{a}\neq\vec{0}$ – некоторый фиксированный вектор из R^3, а операторы $\hat{A}: R^3\to R^3$ и $\hat{B}: R^3\to R^3$, действуют по правилам $\left(\forall\,\vec{x}\in R^3\right)$

1) $\hat{A}\vec{x}=\left(\vec{a},\vec{x}\right)\vec{a}$, 2) $\hat{A}\vec{x}=\left[\vec{a},\vec{x}\right]$.

Показать, что эти операторы линейные и найти их матрицы.

2. Показать, что операторы

$\hat{A}: R^3 \to R^3$, $\hat{B}: R^3 \to R^3$, $\hat{C}: R^3 \to R^3$,

действие которых задано координатными соотношениями

1) $\hat{A}\begin{pmatrix} x_1 \\ x_2 \\ x_3 \end{pmatrix} = \begin{pmatrix} 2x_1 - 3x_2 - 2x_3 \\ 2x_1 - 3x_3 \\ 2x_2 - 3x_3 \end{pmatrix}$,

2) $\hat{B}\begin{pmatrix} x_1 \\ x_2 \\ x_3 \end{pmatrix} = \begin{pmatrix} 2x_1 - 3x_2 - 2x_3 \\ 2x_1 - 2x_2 + 3x_3 \\ 2x_2 - 3 \end{pmatrix}$,

3) $\hat{C}\begin{pmatrix} x_1 \\ x_2 \\ x_3 \end{pmatrix} = \begin{pmatrix} x_1 - 2x_2 - x_3 \\ 3x_1 - 2x_2 \\ 3x_2 + x_3 \end{pmatrix}$,

являются линейными и записать их матрицы.

3. В каноническом базисе трёхмерного пространства R^3 действия операторов $\hat{A}: R^3 \to R^3$ и $\hat{B}: R^3 \to R^3$ на произвольный вектор $\vec{x} \in R^3$ заданы соотношениями:

$$\hat{A}\begin{pmatrix} x_1 \\ x_2 \\ x_3 \end{pmatrix} = \begin{pmatrix} 2x_1 - 3x_2 - 2x_3 \\ 2x_1 - 3x_3 \\ 2x_2 - 3x_3 \end{pmatrix}; \quad \hat{B}\begin{pmatrix} x_1 \\ x_2 \\ x_3 \end{pmatrix} = \begin{pmatrix} 3x_1 - x_2 - x_3 \\ 2x_1 \\ x_3 \end{pmatrix}.$$

Найти координаты вектора:

1) $\left(\hat{A}^2 + 2\hat{B}\right)\vec{x}$; 2) $\left(2\hat{A}^2 + 3\hat{B}^2\right)\vec{x}$; 3) $\left(\hat{A}\hat{B} - \hat{B}\hat{A}\right)\vec{x}$.

4. Найти матрицы, обратные данным матрицам:

а) $\begin{pmatrix} 1 & 2 & 3 \\ 2 & 3 & 1 \\ 3 & 1 & 2 \end{pmatrix}$; б) $\begin{pmatrix} 1 & 1 & 2 \\ 0 & 2 & 3 \\ 0 & 1 & 2 \end{pmatrix}$; в) $\begin{pmatrix} 1 & 3 & 0 \\ 1 & 2 & 0 \\ 2 & 1 & 1 \end{pmatrix}$.

5. Решить СЛАУ матричным методом и по формулам Крамера:

1) $\begin{cases} x_1 + 3x_2 - \quad x_3 = 2, \\ 2x_1 - 3x_2 + 2x_3 = 0, \\ 3x_1 - 2x_2 - \quad x_3 = 4; \end{cases}$ 2) $\begin{cases} x_1 + 3x_2 + \quad x_3 = -5, \\ 3x_1 - 4x_2 + 3x_3 = 11, \\ 2x_1 + 4x_2 - \quad x_3 = -9. \end{cases}$

6. Найти решение СЛАУ по формулам Крамера:

1) $\begin{cases} x_1 + 2x_2 + x_3 = 8, \\ -2x_1 + 3x_2 - 3x_3 = -5, \\ 3x_1 - 4x_2 + 5x_3 = 10; \end{cases}$ 2) $\begin{cases} 3x_1 + 2x_2 + x_3 = 5, \\ 2x_1 + 3x_2 + x_3 = 1, \\ 2x_1 + x_2 + 3x_3 = 11; \end{cases}$

3) $\begin{cases} x_1 + 2x_2 + 3x_3 - 2x_4 = 6, \\ 2x_1 - x_2 - 2x_3 - 3x_4 = 8, \\ 3x_1 + 2x_2 - x_3 + 2x_4 = 4, \\ 2x_1 - 3x_2 + 2x_3 + x_4 = -8. \end{cases}$

7. Разложить вектор $\vec{x}$ по системе векторов $\left\{ \vec{a}_1, \vec{a}_2, \vec{a}_3 \right\}$:

1) $\vec{a}_1 = -\vec{e}_2 + 2\vec{e}_3$, $\vec{a}_2 = \vec{e}_1 + \vec{e}_3$, $\vec{a}_3 = -\vec{e}_1 + 2\vec{e}_2 + 4\vec{e}_3$,

$\vec{x} = -2\vec{e}_1 + 9\vec{e}_3$.

2) $\vec{a}_1 = \vec{e}_1 - 3\vec{e}_2$, $\vec{a}_2 = \vec{e}_1 - \vec{e}_2 + \vec{e}_3$, $\vec{a}_3 = -\vec{e}_2 + 2\vec{e}_3$,

$\vec{x} = 5\vec{e}_1 - 12\vec{e}_2 - \vec{e}_3$.

3) $\vec{a}_1 = 3\vec{e}_1 + \vec{e}_2 - \vec{e}_3$, $\vec{a}_2 = -3\vec{e}_2 + \vec{e}_3$, $\vec{a}_3 = \vec{e}_1 + \vec{e}_2 + \vec{e}_3$,

$\vec{x} = 2\vec{e}_2 + 4\vec{e}_3$.

8. В каноническом базисе пространства R^3 дана линейно независимая система векторов

$\vec{x}_1 = 2\vec{e}_1 + 2\vec{e}_2$,

$\vec{x}_2 = 2\vec{e}_2 + 2\vec{e}_3$,

$\vec{x}_3 = 2\vec{e}_1 + 2\vec{e}_3$

и матрица

$$A=\begin{pmatrix}2 & 1 & 3\\ 1 & 2 & 3\\ 1 & 3 & 2\end{pmatrix}.$$

Будет ли линейно независимой система векторов $\hat{A}\vec{x}_1,\ 2\hat{A}\vec{x}_2,\ 3\hat{A}\vec{x}_3$?

9. Проверить, что $(AB)C = A(BC)$, если

$$A=\begin{pmatrix}5 & 8 & -4\\ 6 & 9 & -5\\ 4 & 7 & -3\end{pmatrix},\ B=\begin{pmatrix}3 & 2 & 5\\ 4 & -1 & 3\\ 9 & 6 & 5\end{pmatrix},\ C=\begin{pmatrix}1 & -1 & 0\\ 0 & 1 & -1\\ 1 & -1 & -1\end{pmatrix}.$$

10. Вычислить многочлен

$$P(X) = X^3 - 3X + 2$$

от матрицы

$$X=\begin{pmatrix}2 & 1 & 1\\ 1 & 2 & 1\\ 1 & 1 & 2\end{pmatrix}.$$

11. Найти матрицу X, удовлетворяющую условию:

а) $5A + 2X = 0$, если $A=\begin{pmatrix}4 & -2 & 6\\ 8 & 0 & 0\\ 0 & -4 & -2\end{pmatrix}$;

и) $(-1)A + 3X = 2B$, если $A=\begin{pmatrix}4 & 5\\ 1 & 3\end{pmatrix},\ B=\begin{pmatrix}1 & 5\\ 7 & 9\end{pmatrix}$.

12. Вычислить определители:

ф) $\begin{vmatrix}a & -a & a\\ a & a & -a\\ a & -a & -a\end{vmatrix}$;

б) $\begin{vmatrix} x^2 & x & 1 \\ y^2 & y & 1 \\ z^2 & z & 1 \end{vmatrix}$.

13. Решить уравнения:

а) $\begin{vmatrix} 1 & 3 & x \\ 4 & 5 & -1 \\ 2 & -1 & 5 \end{vmatrix} = 0$;

б) $\begin{vmatrix} 3 & x & -4 \\ 2 & -1 & 3 \\ x+10 & 1 & 1 \end{vmatrix} = 0$.

14. Решить неравенства:

а) $\begin{vmatrix} 3 & -2 & 1 \\ 1 & x & -2 \\ -1 & 2 & -1 \end{vmatrix} < 1$;

б) $\begin{vmatrix} 2 & x+2 & -1 \\ 1 & 1 & -2 \\ 5 & -3 & x \end{vmatrix} > 0$.

15. Вычислить определитель:

$\begin{vmatrix} 246 & 427 & 327 \\ 1014 & 543 & 443 \\ -342 & 721 & 621 \end{vmatrix}$.

16. Решить матричные уравнения:

а) $X\begin{pmatrix} 1 & 1 & -1 \\ 2 & 1 & 0 \\ 1 & -1 & 1 \end{pmatrix} = \begin{pmatrix} 1 & -1 & 3 \\ 4 & 3 & 2 \\ 1 & -2 & 5 \end{pmatrix}$;

б) $\begin{pmatrix} 2 & 1 \\ 3 & 2 \end{pmatrix} X \begin{pmatrix} -3 & 2 \\ 5 & -3 \end{pmatrix} = \begin{pmatrix} -2 & 4 \\ 3 & -1 \end{pmatrix}$.

17. Решить методом Гаусса СЛАУ:

а) $\begin{cases} 2x^1 - x^2 - x^3 = 4, \\ 3x^1 + 4x^2 - 2x^3 = 11, \\ 3x^1 - 2x^2 + 4x^3 = 11; \end{cases}$

б) $\begin{cases} 2x^1 + x^2 - 4x^3 = 0, \\ 3x^1 + 5x^2 - 7x^3 = 0, \\ 4x^1 - 5x^2 - 6x^3 = 0; \end{cases}$

в) $\begin{cases} x^1 + 2x^2 + 3x^3 - 2x^4 = 6, \\ 2x^1 - x^2 - 2x^3 - 3x^4 = 8, \\ 3x^1 + 2x^2 - x^3 + 2x^4 = 4, \\ 2x^1 - 3x^2 + 2x^3 + x^4 = -8. \end{cases}$

18. Пространство R^3 подвергается деформации под действием линейного оператора $\hat{A}$, заданного в каноническом базисе матрицей

$$A = \begin{pmatrix} 1 & 2 & 3 \\ 2 & 3 & 1 \\ 3 & 1 & 2 \end{pmatrix}.$$

Найти объём треугольной пирамиды с вершинами

$$A(0; 0; 0); \; B(3; 3; 0); \; C(0; 3; 3); \; D(3; 0; 3)$$

до и после деформации пространства.

19. Пусть $\left\{ \vec{a}_1, \vec{a}_2, \vec{a}_3, \vec{a}_4 \right\} \subset X^4$ – некоторый базис, а

$$T = \begin{pmatrix} 1 & 2 & 0 & 1 \\ 3 & 0 & -1 & 2 \\ 2 & 5 & 3 & 1 \\ 1 & 2 & 1 & 3 \end{pmatrix}$$

– матрица линейного оператора $\hat{T} : X^4 \to X^4$. Найти матрицу оператора в базисе $\left\{ \vec{g}_1, \vec{g}_2, \vec{g}_3, \vec{g}_4 \right\} \subset X^4$, если:

а) $\vec{g}_1 = 2\vec{a}_1 + \vec{a}_2 + \vec{a}_3 + \vec{a}_4$, $\vec{g}_2 = 3\vec{a}_1 + 2\vec{a}_2 + 3\vec{a}_3 + \vec{a}_4$,

$\vec{g}_3 = 4\vec{a}_1 + 3\vec{a}_2 + 2\vec{a}_3 + \vec{a}_4$, $\vec{g}_4 = 5\vec{a}_1 + 4\vec{a}_2 + 3\vec{a}_3 + 2\vec{a}_4$;

б) $\vec{g}_1 = 2\vec{a}_1 - \vec{a}_2 - 2\vec{a}_3 + 3\vec{a}_4$, $\vec{g}_2 = 3\vec{a}_1 - \vec{a}_2 - 2\vec{a}_3 + 2\vec{a}_4$,

$\vec{g}_3 = 2\vec{a}_1 - 2\vec{a}_3 + 2\vec{a}_4$, $\vec{g}_4 = 2\vec{a}_1 - \vec{a}_2 - \vec{a}_3 + 2\vec{a}_4$.

20. Используя понятие ранга матрицы и теоремы о совместности, выяснить вопрос о совместности следующих СЛАУ:

а) $\begin{cases} 2x^1 + x^2 - 4x^3 = 0, \\ 3x^1 + 5x^2 - 7x^3 = 0, \\ 4x^1 - 5x^2 - 6x^3 = 0; \end{cases}$

б) $\begin{cases} x^1 + x^2 + x^3 + x^4 = 0, \\ x^1 + 2x^2 + 3x^3 - x^4 = 0, \\ x^1 + 4x^2 + 5x^3 + 2x^4 = 0, \\ x^1 - x^3 + 3x^4 = 0. \end{cases}$

21. При каких значениях параметра a СЛАУ является совместной:

а) $\begin{cases} x^1 - 2x^2 + x^3 + x^4 = a, \\ x^1 - 2x^2 + x^3 - x^4 = -1, \\ x^1 - 2x^2 + x^3 + 5x^4 = 5; \end{cases}$

б) $\begin{cases} 3x^1 - 5x^2 + 2x^3 + 4x^4 = 2, \\ 7x^1 - 4x^2 + x^3 + 3x^4 = a, \\ 5x^1 + ax^2 - 4x^3 - 6x^4 = 3. \end{cases}$

22. Найти ядро оператора, заданного в пространстве R^3 своей матрицей

$$A = \begin{pmatrix} 1 & -1 & 0 \\ 1 & 1 & 1 \end{pmatrix}.$$

Дать геометрическую интерпретацию и получить параметрические уравнения ядра.

23. Найти ядро, дефект, ранг и множество значений линейного оператора $\hat{A}: R^m \to R^n$, заданного в некоторых базисах

$$\left\{\vec{e}_1, \vec{e}_2, \ldots, \vec{e}_m, \right\} \subset R^m, \left\{\vec{a}_1, \vec{a}_2, \ldots, \vec{a}_n, \right\} \subset R^n$$

своей матрицей:

а) $\begin{pmatrix} 2 & 0 & 1 \\ 0 & -1 & -2 \\ 2 & 1 & -2 \end{pmatrix}$; б) $\begin{pmatrix} 1 & 1 & 1 \\ -1 & 1 & 1 \\ -1 & -1 & 1 \end{pmatrix}$; в) $\begin{pmatrix} 2 & 1 & 0 & 0 \\ 3 & 2 & 0 & 0 \\ 1 & 1 & 3 & 4 \\ 2 & -1 & 2 & 3 \end{pmatrix}$;

г) $\begin{pmatrix} 1 & -1 & 1 \\ 2 & 1 & 3 \\ 1 & 2 & -1 \\ -1 & 2 & 0 \end{pmatrix}$; д) $\begin{pmatrix} 2 & -1 & 1 & 1 \\ -1 & 1 & -2 & 2 \\ 2 & 1 & -5 & 11 \end{pmatrix}$; е) $\begin{pmatrix} 1 & 2 & 1 & -1 \\ -1 & 1 & 2 & 2 \\ 1 & 3 & -1 & 0 \end{pmatrix}$.

Часть 2. ОПЕРАТОРЫ В ЕВКЛИДОВЫХ ПРОСТРАНСТВАХ

Практическое занятие 1

Собственные и инвариантные подпространства. Самосопряжённые и ортогональные операторы

Пример 2.1.1. В каноническом базисе $\left\{\vec{e}_1, \vec{e}_2\right\} \subset R^2$ оператор $\hat{T}$ задан матрицей

$$T = \begin{pmatrix} 3 & 1 \\ 2 & 4 \end{pmatrix}.$$

Найти собственные значения и собственные подпространства оператора $\hat{T}$.

Р е ш е н и е. 1. Составляем характеристическое уравнение:

$$\det\left(T - \mu \cdot I\right) = 0;\ \mu^2 - 7 \cdot \mu + 10 = 0.$$

Откуда получаем собственные значения оператора $\mu_1 = 2,\ \mu_2 = 5.$

2. Находим собственный вектор, соответствующий собственному значению $\mu_1 = 2$, для чего решаем СЛАУ

$$\begin{pmatrix} 1 & 1 \\ 2 & 2 \end{pmatrix}\begin{pmatrix} x_1^1 \\ x_1^2 \end{pmatrix} = \begin{pmatrix} 0 \\ 0 \end{pmatrix}.$$

Получаем решение в виде

$$x_1^1 = -1,\ x_1^2 = 1 \Rightarrow \left|x_1\right\rangle = c\left|a_1\right\rangle,\ c \in R^1 \Rightarrow \left|a_1\right\rangle = \begin{pmatrix} -1 \\ 1 \end{pmatrix}.$$

Решением является бесконечное множество векторов

$$\vec{x} = c\,\vec{a}_1$$

– одномерное линейное многообразие с базисным вектором

$$\vec{a}_1 = -\vec{e}_1 + \vec{e}_2.$$

3. Аналогично находим собственный вектор, соответствующий собственному значению $\mu_2 = 5$, решая СЛАУ

$$\begin{pmatrix} -2 & 1 \\ 2 & -1 \end{pmatrix}\begin{pmatrix} x_1^1 \\ x_1^2 \end{pmatrix} = \begin{pmatrix} 0 \\ 0 \end{pmatrix}.$$

Получаем решение в виде

$$x_2^1 = c/2,\ x_2^2 = c,\ c \in R^1 \Rightarrow |x_2\rangle = c|a_2\rangle \Rightarrow |a_2\rangle = \begin{pmatrix} 1/2 \\ 1 \end{pmatrix}.$$

Решением является бесконечное множество векторов

$$\vec{x} = c\vec{a}_2$$

– одномерное линейное многообразие с базисным вектором

$$\vec{a}_1 = \frac{1}{2}\vec{e}_1 + \vec{e}_2.$$

Оператор имеет два одномерных собственных подпространства

$$L\{\vec{a}_1\} = \{\vec{x} : \vec{x} = t\vec{a}_1;\ t \in R^1\}$$

и

$$L\{\vec{a}_2\} = \{\vec{x} : \vec{x} = t\vec{a}_2;\ t \in R^1\},$$

с образующими векторами

$$\vec{a}_1 = -\vec{e}_1 + \vec{e}_2,\ \vec{a}_2 = \frac{1}{2}\vec{e}_1 + \vec{e}_2. \otimes$$

Пример 2.1.2. Найти матрицу, собственные значения и собственные подпространства оператора (аффинора) зеркального отражения относительно координатной плоскости X^1OX^2 в пространства R^3.

Р е ш е н и е. Оператор зеркального отражения в пространстве R^3 относительно координатной плоскости X^1OX^2, очевидно, действует по правилу (рисунок 7.2.1)

$$\left(\forall \vec{x} \in R^3\right) \vec{y} = \hat{R}\vec{x} = x^1 \vec{e}_1 + x^2 \vec{e}_2 - x^3 \vec{e}_3.$$

Подействуем на базисные векторы оператором отражения:

$$\hat{R}\vec{e}_1 = \vec{e}_1;\ \hat{R}\vec{e}_2 = \vec{e}_2;\ \hat{R}\vec{e}_3 = -\vec{e}_3.$$

Следовательно, для матрицы оператора отражения относительно координатной плоскости X^1OX^2 получаем:

$$R = \begin{pmatrix} r_1^1 & r_2^1 & r_3^1 \\ r_1^2 & r_2^2 & r_3^2 \\ r_1^3 & r_2^3 & r_3^3 \end{pmatrix} = \begin{pmatrix} 1 & 0 & 0 \\ 0 & 1 & 0 \\ 0 & 0 & -1 \end{pmatrix}.$$

Характеристический многочлен оператора $\hat{R}$ имеет вид:

$$R(\mu) = \det\begin{pmatrix} 1-\mu & 0 & 0 \\ 0 & 1-\mu & 0 \\ 0 & 0 & -1-\mu \end{pmatrix} = (-\mu)\cdot(-\mu)\cdot(1-\mu).$$

Откуда видно, что многочлен имеет простой корень $\mu_1 = -1$ и двукратный корень $\mu_2 = 1$.

1) Для собственного значения $\mu_2 = -1$ имеем

$$\begin{pmatrix} 2 & 0 & 0 \\ 0 & 2 & 0 \\ 0 & 0 & 0 \end{pmatrix}\begin{pmatrix} x^1 \\ x^2 \\ x^3 \end{pmatrix} = \begin{pmatrix} 0 \\ 0 \\ 0 \end{pmatrix},$$

откуда

$$\begin{pmatrix} x^1 \\ x^2 \\ x^3 \end{pmatrix} = \begin{pmatrix} 0 \\ 0 \\ c \end{pmatrix},\ c \in R^1$$

– любое действительное число. Собственное подпространство, соответствующее собственному значению $\mu_1 = -1$, есть линейная оболочка вида

$$c\cdot\begin{pmatrix}0\\0\\1\end{pmatrix}\Rightarrow L\left\{\vec{e}_3\right\}=\left\{\vec{x}\in R^3:\vec{x}=c\cdot\vec{e}_3;\,c\in R^1\right\},$$

то есть ось OX^3.

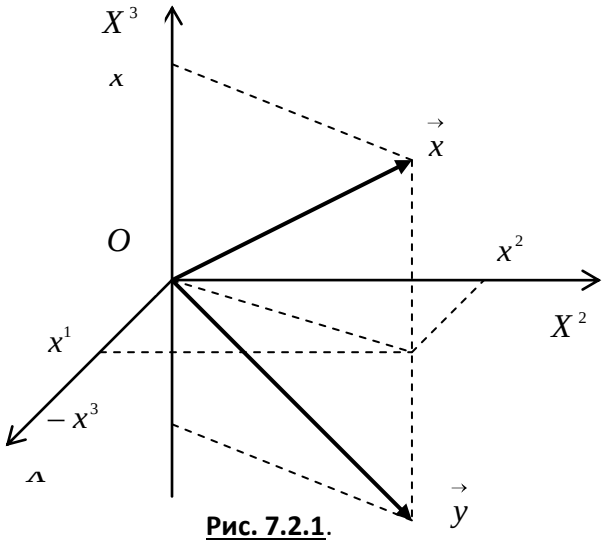

Рис. 7.2.1.

2) Для собственного значения $\mu_2=1$ имеем

$$\begin{pmatrix}0&0&0\\0&0&0\\0&0&-2\end{pmatrix}\begin{pmatrix}x^1\\x^2\\x^3\end{pmatrix}=\begin{pmatrix}0\\0\\0\end{pmatrix},$$

откуда

$$\left|x\right\rangle\equiv\begin{pmatrix}x^1\\x^2\\x^3\end{pmatrix}=\begin{pmatrix}a\\b\\0\end{pmatrix}=a\begin{pmatrix}1\\0\\0\end{pmatrix}+b\begin{pmatrix}0\\1\\0\end{pmatrix},$$

где $a,b\in R^1$ – любые действительные числа. Получаем собственное подпространство, соответствующее собственному значению $\mu_1=1$, являющееся линейной оболочкой вида

$$L\left\{\vec{e}_1,\vec{e}_2\right\}=\left\{\vec{x}\in R^3:\vec{x}=a\cdot\vec{e}_1+b\cdot\vec{e}_2;\,a,b\in R^1\right\},$$

то есть координатной плоскостью X^1OX^2. Это подпространство является прямой суммой двух собственных подпространств $OX^1 \oplus OX^2$. $\otimes$

Пример 2.1.3. В евклидовом пространстве E^3 в ортонормированном (каноническом) базисе $\left\{\vec{e}_1, \vec{e}_2, \vec{e}_3\right\}$ оператор $\hat{T}: E^3 \to E^3$ задан матрицей

$$T = \begin{pmatrix} 3 & 0 & 0 \\ 1 & 2 & -1 \\ 1 & -1 & 2 \end{pmatrix}.$$

Найти собственные значения и собственные подпространства оператора.

Р е ш е н и е. Составим характеристическое уравнение:

$$T = \begin{pmatrix} 3-\mu & 0 & 0 \\ 1 & 2-\mu & -1 \\ 1 & -1 & 2-\mu \end{pmatrix} \Rightarrow \begin{vmatrix} 3-\mu & & \\ & \mu^2-4\mu+3 & \\ & & \end{vmatrix} = 0.$$

Собственные значения $\mu_1 = 1,\ \mu_{2,3} = 3.$

Собственный вектор, соответствующий $\mu_1 = 1$ находится как решение системы уравнений

$$\begin{cases} 2x^1 + 0x^2 + 0x^3 = 0, \\ x^1 + x^2 - x^3 = 0, \\ x^1 - x^2 + x^3 = 0. \end{cases}$$

Решение имеет вид:

$$\left|a_1\right\rangle = \begin{pmatrix} a_1^1 \\ a_1^2 \\ a_1^3 \end{pmatrix} = \begin{pmatrix} 0 \\ 1 \\ 1 \end{pmatrix}.$$

Собственный вектор, соответствующий $\mu_{2,3} = 3$ находится как решение системы уравнений

$$\begin{cases} 0x^1 + 0^2 + 0x^3 = 0, \\ x^1 - x^2 - x^3 = 0, \\ x^1 - x^2 - x^3 = 0. \end{cases}$$

Решение имеет вид:

$$|a_2\rangle = \begin{pmatrix} a_2^1 \\ a_2^2 \\ a_2^3 \end{pmatrix} = \begin{pmatrix} 1 \\ 1 \\ 0 \end{pmatrix}; |x_3\rangle = \begin{pmatrix} a_3^1 \\ a_3^2 \\ a_3^3 \end{pmatrix} = \begin{pmatrix} 1 \\ 0 \\ 1 \end{pmatrix}.$$

Получаем два собственных подпространства:

$$X_1 = \{\vec{x} : \vec{x} = t\vec{a}_1; t \in R^1\}; \; X_2 = \{\vec{x} : \vec{x} = t\vec{a}_2 + \tau\vec{a}_3; t, \tau \in R^1\}. \otimes$$

Пример 2.1.4. Линейный оператор $\hat{T} : E^3 \to E^3$ в некотором ортонормированном базисе $\{\vec{e}_1, \vec{e}_2, \vec{e}_3\}$ задан матрицей

$$T_e = \begin{pmatrix} 11 & 2 & -8 \\ 2 & 2 & 10 \\ -8 & 10 & 5 \end{pmatrix}.$$

Построить в пространстве E^3 ортонормированный базис собственных векторов оператора $\hat{T}$ и записать матрицу оператора $\hat{T}$ в этом базисе.

Р е ш е н и е. Составим характеристический многочлен оператора $\hat{T}$:

$$T(\mu) = \begin{vmatrix} 11-\mu & 2 & -8 \\ 2 & 2-\mu & 10 \\ -8 & 10 & 5-\mu \end{vmatrix} = -\mu^3 + 18\mu^2 + 81\mu - 1458.$$

Откуда характеристическое уравнение

$$\mu^3 - 18\mu^2 - 81\mu + 1458 = 0 \Rightarrow (\mu - 18)(\mu^2 - 81) = 0,$$

или

$$(\mu - 18)(\mu - 9)(\mu + 9) = 0.$$

Откуда собственные значения оператора

$$\mu_1 = -9,\ \mu_2 = 9,\ \mu_3 = 18.$$

Оператор является симметрическим, то есть самосопряжённым. Поэтому все собственные значения оператора различны, а собственные векторы ортогональны. Найдём собственные векторы оператора $\hat{T}$ в базисе $\left\{\vec{e}_1, \vec{e}_2, \vec{e}_3\right\}$.

1) Для собственного значения $\mu_1 = -9$ имеем однородную СЛАУ:

$$\begin{pmatrix} 20 & 2 & -8 \\ 2 & 11 & 10 \\ -8 & 10 & 14 \end{pmatrix}\begin{pmatrix} x^1 \\ x^2 \\ x^3 \end{pmatrix} = \begin{pmatrix} 0 \\ 0 \\ 0 \end{pmatrix}.$$

Определитель

$$\begin{vmatrix} 20 & 2 & -8 \\ 2 & 11 & 10 \\ -8 & 10 & 14 \end{vmatrix} = 0$$

– СЛАУ нетривиально совместна. Базисный минор – угловой. Принимая третью координату за свободное неизвестное, решаем СЛАУ из первых двух уравнений по формулам Крамера:

$$\begin{cases} 10x^1 + x^2 = 4a, \\ 2x^1 + 11x^2 = -10a; \end{cases} \det A = 108 \neq 0; \begin{pmatrix} x^1 \\ x^2 \\ x^3 \end{pmatrix} = \begin{pmatrix} \frac{1}{2}a \\ -a \\ a \end{pmatrix} = a\begin{pmatrix} 1/2 \\ -1 \\ 1 \end{pmatrix}.$$

Итак, первое собственное подпространство оператора есть линейная оболочка вида

$$E^1 = L\left\{\vec{a}_1\right\},$$

где базисный вектор

$$\vec{a}_1 = \frac{1}{2}\vec{e}_1 - \vec{e}_2 + \vec{e}_3.$$

2) Для собственного значения $\mu_2 = 9$ имеем однородную СЛАУ:

$$\begin{pmatrix} 2 & 2 & -8 \\ 2 & -7 & 10 \\ -8 & 10 & -4 \end{pmatrix}\begin{pmatrix} x^1 \\ x^2 \\ x^3 \end{pmatrix} = \begin{pmatrix} 0 \\ 0 \\ 0 \end{pmatrix}.$$

Определитель

$$\begin{vmatrix} 2 & 2 & -8 \\ 2 & -7 & 10 \\ -8 & 10 & -4 \end{vmatrix} = 0$$

– СЛАУ нетривиально совместна. Базисный минор матрицы СЛАУ – угловой минор. Принимая третью координату за свободное неизвестное, решаем СЛАУ из первых двух уравнений по формулам Крамера:

$$\begin{cases} 2x^1 + 2x^2 = 8a, \\ 2x^1 - 7x^2 = -10a; \end{cases} \det A = -18 \neq 0; \begin{pmatrix} x^1 \\ x^2 \\ x^3 \end{pmatrix} = \begin{pmatrix} 2a \\ 2a \\ a \end{pmatrix} = a\begin{pmatrix} 2 \\ 2 \\ 1 \end{pmatrix}.$$

Итак, второе собственное подпространство оператора есть линейная оболочка вида

$$E^2 = L\left\{\vec{a}_2\right\},$$

где базисный вектор

$$\vec{a}_2 = 2\vec{e}_1 + 2\vec{e}_2 + \vec{e}_3.$$

3) Для собственного значения $\mu_3 = 18$ имеем однородную СЛАУ:

$$\begin{pmatrix} -7 & 2 & -8 \\ 2 & -16 & 10 \\ -8 & 10 & -13 \end{pmatrix}\begin{pmatrix} x^1 \\ x^2 \\ x^3 \end{pmatrix} = \begin{pmatrix} 0 \\ 0 \\ 0 \end{pmatrix}.$$

Для решения этой СЛАУ применим критерий нетривиальной совместности однородной СЛАУ.

Определитель СЛАУ

$$\begin{vmatrix} -7 & 2 & -8 \\ 2 & -16 & 10 \\ -8 & 10 & -13 \end{vmatrix} = 0,$$

следовательно, СЛАУ нетривиально совместна. Базисный минор матрицы СЛАУ – угловой минор

$$\begin{vmatrix} -7 & 2 \\ 2 & -16 \end{vmatrix} = 108.$$

Поэтому первые два уравнения СЛАУ линейно независимы. Принимая третью координату вектора за свободное неизвестное, то есть, полагая $x^3 = a$, где a – произвольное действительное число, решаем СЛАУ из первых двух уравнений по формулам Крамера:

$$\begin{cases} -7x^1 + 1x^2 = -5a, \\ 2x^1 - 16x^2 = -10a; \end{cases} \det A = -54 \neq 0; \begin{pmatrix} x^1 \\ x^2 \\ x^3 \end{pmatrix} = \begin{pmatrix} -a \\ \frac{1}{2}a \\ a \end{pmatrix} = a \begin{pmatrix} -1 \\ 1/2 \\ 1 \end{pmatrix}.$$

Итак, третье собственное подпространство оператора есть линейная оболочка вида

$$E^3 = L\left\{\vec{a}_3\right\},$$

где базисный вектор

$$\vec{a}_3 = -\vec{e}_1 + \frac{1}{2}\vec{e}_2 + \vec{e}_3.$$

4) Найденные собственные векторы ортогональны. Нормируем их:

$$\vec{h}_1 = \frac{\vec{a}_1}{\left\|\vec{x}_1\right\|} = \frac{1}{\sqrt{1+\frac{1}{4}+1}}\vec{a}_1 = -\frac{2}{3}\vec{e}_1 + \frac{1}{3}\vec{e}_2 + \frac{2}{3}\vec{e}_3;$$

$$\vec{h}_2 = \frac{\vec{a}_2}{\left\|\vec{x}_2\right\|} = \frac{1}{\sqrt{4+4+1}}\vec{a}_2 = \frac{2}{3}\vec{e}_1 + \frac{2}{3}\vec{e}_2 + \frac{1}{3}\vec{e}_3;$$

$$\vec{h}_3 = \frac{\vec{a}_3}{\left\|\vec{x}_3\right\|} = \frac{1}{\sqrt{\frac{1}{4}+1+1}}\vec{a}_3 = \frac{1}{3}\vec{e}_1 - \frac{2}{3}\vec{e}_2 + \frac{2}{3}\vec{e}_3.$$

5) Матрица перехода от старого базиса к новому базису

$$A:\left\{\vec{e}_1,\ \vec{e}_2,\ \vec{e}_3\right\}\to\left\{\vec{h}_1,\ \vec{h}_2,\ \vec{h}_3\right\}$$

имеет вид:

$$A=\frac{1}{3}\begin{pmatrix}-2 & 1 & 2\\ 2 & 2 & 1\\ 1 & -2 & 2\end{pmatrix};\ \det A=-1\neq 0;\ A^T=\frac{1}{3}\begin{pmatrix}-2 & 2 & 1\\ 1 & 2 & -2\\ 2 & 1 & 2\end{pmatrix}.$$

Обратная матрица к матрице перехода от старого базиса к новому базису и транспонированная к ней имеют вид:

$$A^{-1}=-\frac{1}{2}adgA=\frac{1}{3}\begin{pmatrix}-2 & 2 & 1\\ 1 & 2 & -2\\ 2 & 1 & 2\end{pmatrix};\ \left(A^{-1}\right)^T=\frac{1}{3}\begin{pmatrix}-2 & 1 & 2\\ 2 & 2 & 1\\ 1 & -2 & 2\end{pmatrix}.$$

Находим матрицу оператора в новом базисе $\left\{\vec{h}_1,\ \vec{h}_2,\ \vec{h}_3\right\}$:

$$T_a=\left(A^{-1}\right)^T T_e A^T=\frac{1}{9}\begin{pmatrix}-2 & 1 & 2\\ 2 & 2 & 1\\ 1 & -2 & 2\end{pmatrix}\begin{pmatrix}11 & 2 & -8\\ 2 & 2 & 10\\ -8 & 10 & 5\end{pmatrix}\begin{pmatrix}-2 & 2 & 1\\ 1 & 2 & -2\\ 2 & 1 & 2\end{pmatrix}=$$

$$=\begin{pmatrix}18 & 0 & 0\\ 0 & 9 & 0\\ 0 & 0 & -9\end{pmatrix}.\otimes$$

Пример 2.1.5. В евклидовом пространстве E^3 в ортонормированном (каноническом) базисе $\left\{\vec{e}_1,\ \vec{e}_2,\ \vec{e}_3\right\}$ оператор $\hat{T}:E^3\to E^3$ задан матрицей

$$\begin{pmatrix}t_1^1 & t_2^1 & t_3^1\\ t_1^2 & t_2^2 & t_3^2\\ t_1^3 & t_2^3 & t_3^3\end{pmatrix}=\begin{pmatrix}0 & 0 & 2\\ 1 & 0 & 0\\ 0 & 1 & 0\end{pmatrix}.$$

Найти матрицу оператора $\hat{T}^*$ в базисе

$$\vec{g}_1 = \vec{e}_1 + \vec{e}_2 + \vec{e}_3,\ \vec{g}_2 = \vec{e}_2 + \vec{e}_3,\ \vec{g}_3 = \vec{e}_2 - \vec{e}_3.$$

Р е ш е н и е. Находим матрицу сопряжённого оператора в старом (ортонормированном) базисе:

$$T_e^* = \begin{pmatrix} 0 & 0 & 2 \\ 1 & 0 & 0 \\ 0 & 1 & 0 \end{pmatrix}^T = \begin{pmatrix} 0 & 1 & 0 \\ 0 & 0 & 1 \\ 2 & 0 & 0 \end{pmatrix}.$$

Записываем матрицу перехода от старого базиса к новому базису и транспонируем её:

$$A = \begin{pmatrix} 1 & 1 & 1 \\ 0 & 1 & 1 \\ 0 & 1 & -1 \end{pmatrix};\ A^T = \begin{pmatrix} 1 & 0 & 0 \\ 1 & 1 & 1 \\ 1 & 1 & -1 \end{pmatrix}.$$

Находим матрицу, обратную к матрице перехода от старого базиса к новому базису. Определитель матрицы

$$\det A = -2.$$

Алгебраические дополнения

$$A_1^1 = -2,\ A_2^1 = 0,\ A_3^1 = 0,$$

$$A_1^2 = 2,\ A_2^2 = -1,\ A_3^2 = -1,$$

$$A_1^3 = 0,\ A_2^3 = -1,\ A_3^3 = 1;$$

$$adgA = \begin{pmatrix} -2 & 2 & 0 \\ 0 & -1 & -1 \\ 0 & -1 & 1 \end{pmatrix};\ A^{-1} = -\frac{1}{2}\begin{pmatrix} -2 & 2 & 0 \\ 0 & -1 & -1 \\ 0 & -1 & 1 \end{pmatrix}.$$

Находим матрицу оператора $\hat{T}^*$ в новом базисе:

$$T_g^* = \left(A^{-1}\right)^T T_e^* A^T = -\frac{1}{2}\cdot\begin{pmatrix} -2 & 2 & 0 \\ 0 & -1 & -1 \\ 0 & -1 & 1 \end{pmatrix}^T \begin{pmatrix} 0 & 1 & 0 \\ 0 & 0 & 1 \\ 2 & 0 & 0 \end{pmatrix}\begin{pmatrix} 1 & 0 & 0 \\ 1 & 1 & 1 \\ 1 & 1 & -1 \end{pmatrix} =$$

$$= -\frac{1}{2}\begin{pmatrix} -2 & -2 & -2 \\ -1 & 1 & 3 \\ 1 & -1 & 1 \end{pmatrix}. \otimes$$

Пример 2.1.6. Ранее показано, что линейная оболочка $L\left\{\vec{g}_1, \vec{g}_2\right\}$, где элементы L вычисляются по формулам

$$\vec{g}_1 = \alpha_1 \cdot \sin x + \beta_1 \cdot \cos x,\ \vec{g}_2 = \alpha_2 \cdot \sin x + \beta_2 \cdot \cos x,$$

а скалярное произведение определено формулой

$$\left(\vec{g}_1, \vec{g}_2\right) = \alpha_1 \cdot \alpha_2 + \beta_1 \cdot \beta_2 + \frac{1}{2}\cdot\left(\alpha_1 \cdot \beta_2 + \alpha_2 \cdot \beta_1\right),$$

является двумерным линейным многообразием с ортонормированным базисом

$$\vec{e}_1 = \frac{1}{\sqrt{3}}\cdot \sin x + \frac{1}{\sqrt{3}}\cdot \cos x,\ \vec{e}_2 = \sin x - \cos x.$$

1) Найти матрицу оператора дифференцирования $\hat{D}$ в базисе $\left\{\vec{e}_1, \vec{e}_2\right\}$ и матрицу сопряжённого оператора $\hat{D}^*$.

2) Выяснить, является ли оператор $\hat{D}$ симметрическим.

Р е ш е н и е. Находим матрицу оператора дифференцирования в базисе

$$\left\{\vec{e}_1, \vec{e}_2\right\} \subset R^2.$$

Для чего находим образы базисных векторов $\left\{\vec{e}_1, \vec{e}_2\right\}$:

$$\hat{D}\vec{e}_1 = \frac{d}{dx}\left(\frac{1}{3}\cdot\sin x + \frac{1}{\sqrt{3}}\cdot\cos x\right) = \frac{1}{\sqrt{3}}(\cos x - \sin x) =$$

$$= 0\cdot\vec{e}_1 - \frac{1}{\sqrt{3}}\cdot\vec{e}_2;$$

$$\hat{D}\vec{e}_2 = \frac{d}{dx}(\sin x - \cos x) = \cos x + \sin x = \sqrt{3}\cdot\vec{e}_1 + 0\cdot\vec{e}_2.$$

Следовательно, матрица оператора $\hat{D}$ в базисе $\left\{\vec{e}_1, \vec{e}_2\right\}$ имеет вид:

$$D = \begin{pmatrix} d_1^1 & d_2^1 \\ d_1^2 & d_2^2 \end{pmatrix} = \begin{pmatrix} 0 & \sqrt{3} \\ -\frac{1}{\sqrt{3}} & 0 \end{pmatrix}.$$

Данное многообразие является вещественным пространством, поэтому матрица сопряжённого оператора $\hat{D}^*$ равна транспонированной матрице оператора $\hat{D}$, то есть

$$D^* = \begin{pmatrix} d_1^1 & d_1^2 \\ d_2^1 & d_2^2 \end{pmatrix} = \begin{pmatrix} 0 & -\frac{1}{\sqrt{3}} \\ \sqrt{3} & 0 \end{pmatrix}.$$

Так как в базисе $\left\{\vec{e}_1, \vec{e}_2\right\}$ для матрицы оператора $\hat{D}$ имеем $d_2^1 \neq d_1^2$, оператор не является симметрическим. $\otimes$

Пример 2.1.7. В евклидовом пространстве E^3 линейный оператор $\hat{T}$ переводит систему векторов $\left\{\vec{a}_1, \vec{a}_2, \vec{a}_3\right\}$ в систему векторов $\left\{\vec{g}_1, \vec{g}_2, \vec{g}_3\right\}$. Является ли этот оператор самосопряжённым, если:

$$|a_1\rangle = \begin{pmatrix} 0 \\ 1 \\ 1 \end{pmatrix}; |a_2\rangle = \begin{pmatrix} 1 \\ 0 \\ 1 \end{pmatrix}; |a_3\rangle = \begin{pmatrix} 1 \\ 1 \\ 0 \end{pmatrix};$$

$$|g_1\rangle = \begin{pmatrix} 2 \\ 3 \\ 1 \end{pmatrix}; |g_2\rangle = \begin{pmatrix} -1 \\ 0 \\ 3 \end{pmatrix}; |g_3\rangle = \begin{pmatrix} -5 \\ 1 \\ 4 \end{pmatrix}.$$

Р е ш е н и е. По условию задачи имеем

$$\hat{T}\vec{a}_1 = \vec{g}_1, \hat{T}\vec{a}_2 = \vec{g}_2, \hat{T}\vec{a}_3 = \vec{g}_3,$$

откуда для векторов-столбцов из координат получаем:

$$\begin{pmatrix} t_1^1 & t_2^1 & t_3^1 \\ t_1^2 & t_2^2 & t_3^2 \\ t_1^3 & t_2^3 & t_3^3 \end{pmatrix}\begin{pmatrix} 0 \\ 1 \\ 1 \end{pmatrix} = \begin{pmatrix} 2 \\ 3 \\ 1 \end{pmatrix} \Rightarrow \begin{matrix} t_2^1 + t_3^1 = 2, \\ t_2^2 + t_3^2 = 3, \\ t_2^3 + t_3^3 = 1; \end{matrix}$$

$$\begin{pmatrix} t_1^1 & t_2^1 & t_3^1 \\ t_1^2 & t_2^2 & t_3^2 \\ t_1^3 & t_2^3 & t_3^3 \end{pmatrix}\begin{pmatrix} 1 \\ 0 \\ 1 \end{pmatrix} = \begin{pmatrix} -1 \\ 0 \\ 3 \end{pmatrix} \Rightarrow \begin{matrix} t_1^1 + t_3^1 = -1, \\ t_1^2 + t_3^2 = 0, \\ t_1^3 + t_3^3 = 3; \end{matrix}$$

$$\begin{pmatrix} t_1^1 & t_2^1 & t_3^1 \\ t_1^2 & t_2^2 & t_3^2 \\ t_1^3 & t_2^3 & t_3^3 \end{pmatrix}\begin{pmatrix} 1 \\ 1 \\ 0 \end{pmatrix} = \begin{pmatrix} -5 \\ 1 \\ 4 \end{pmatrix} \Rightarrow \begin{matrix} t_1^1 + t_2^1 = -5, \\ t_1^2 + t_2^2 = 1, \\ t_1^3 + t_2^3 = 4. \end{matrix}$$

Из последних равенств получаем три СЛАУ для элементов матрицы оператора:

для элементов первой строки

$$\begin{cases} t_2^1 + t_3^1 = 2, \\ t_1^1 + t_3^1 = -1, \\ t_1^1 + t_2^1 = -5; \end{cases}$$

для элементов второй строки

$$\begin{cases} t_2^2 + t_3^2 = 3, \\ t_1^2 + t_3^2 = 0, \\ t_1^2 + t_2^2 = 1; \end{cases}$$

для элементов третьей строки

$$\begin{cases} t_2^3 + t_3^3 = 1, \\ t_1^3 + t_3^3 = 3, \\ t_1^3 + t_2^3 = 4. \end{cases}$$

Решая эти СЛАУ по формулам Крамера, получаем матрицу оператора:

$$T = \begin{pmatrix} -4 & -1 & 3 \\ -1 & 2 & 1 \\ 3 & 1 & 0 \end{pmatrix}.$$

Видим, что $\forall i \neq j = 1, 2, 3 \; t_i^j = t_j^i$. Следовательно, оператор $\hat{T}$ является самосопряжённым. $\otimes$

Пример 2.1.8. Матрица линейного оператора $\hat{T} : E^3 \to E^3$ в базисе векторов $\left\{ \vec{a}_1, \vec{a}_2, \vec{a}_3 \right\} \subset E^3$ имеет вид:

$$T' = \begin{pmatrix} 2/3 & 1 & 0 \\ -1 & 0 & 0 \\ 2/3 & 0 & 1 \end{pmatrix}.$$

Выяснить, является ли оператор $\hat{T}$ ортогональным, если в ортонормированном базисе $\left\{ \vec{e}_1, \vec{e}_2, \vec{e}_3 \right\}$ имеют место разложения

$$\vec{a}_1 = \vec{e}_2 + \vec{e}_3, \; \vec{a}_2 = \vec{e}_1 + \vec{e}_3, \; \vec{a}_3 = \vec{e}_1 + \vec{e}_2.$$

Р е ш е н и е. 1) *Первый способ.* Проверим выполнение определения ортогональности, то есть выполнение условия

$$\left(\forall \vec{x}, \vec{y} \in E^n \right) \left(\hat{T}\vec{x}, \hat{T}\vec{y} \right) = \left(\vec{x}, \vec{y} \right).$$

Найдём скалярное произведение векторов $\vec{x}, \vec{y} \in E^3$ в произвольном базисе $\left\{\vec{a}_1, \vec{a}_2, \vec{a}_3\right\} \subset E^3$ по формуле

$$\left(\vec{x}, \vec{y}\right) = \sum_{i=1}^{3}\sum_{j=1}^{3} g_{ij} x^i y^j ,$$

где

$$\vec{x} = x^1 \vec{a}_1 + x^2 \vec{a}_2 + x^3 \vec{a}_3, \; \vec{y} = y^1 \vec{a}_1 + y^2 \vec{a}_2 + y^3 \vec{a}_3,$$

а матрица метрических коэффициентов имеет вид

$$G = \left(g_{ij}\right) = \begin{pmatrix} \left(\vec{a}_1, \vec{a}_1\right) & \left(\vec{a}_1, \vec{a}_2\right) & \left(\vec{a}_1, \vec{a}_3\right) \\ \left(\vec{a}_2, \vec{a}_1\right) & \left(\vec{a}_2, \vec{a}_2\right) & \left(\vec{a}_2, \vec{a}_3\right) \\ \left(\vec{a}_3, \vec{a}_1\right) & \left(\vec{a}_3, \vec{a}_2\right) & \left(\vec{a}_3, \vec{a}_3\right) \end{pmatrix}.$$

Несложные вычисления показывают, что

$$G = \left(g_{ij}\right) = \begin{pmatrix} 2 & 1 & 1 \\ 1 & 2 & 1 \\ 1 & 1 & 2 \end{pmatrix}.$$

Теперь получаем для скалярного произведения произвольных векторов $\vec{x}$ и $\vec{y}$ следующий результат:

$$\left(\vec{x}, \vec{y}\right) = \sum_{i=1}^{3}\sum_{j=1}^{3} g_{ij} x^i y^j = 2x^1y^1 + x^1y^2 + x^1y^3 +$$

$$+ x^2y^1 + 2x^2y^2 + x^2y^3 + x^3y^1 + x^3y^2 + 2x^3y^3.$$

Находим координаты образов векторов $\vec{x}$ и $\vec{y}$ при действии оператора $\hat{T}$:

$$\hat{T}\vec{x}=\vec{u}\Rightarrow T|x\rangle=\begin{pmatrix}u^1\\u^2\\u^3\end{pmatrix}=\begin{pmatrix}\frac{2}{3}&1&0\\-1&0&0\\\frac{2}{3}&0&1\end{pmatrix}\begin{pmatrix}x^1\\x^2\\x^3\end{pmatrix}=\begin{pmatrix}\frac{2}{3}x^1+x^2\\-x^1\\\frac{2}{3}x^1+x^3\end{pmatrix};$$

$$\hat{T}\vec{y}=\vec{v}\Rightarrow T|y\rangle=\begin{pmatrix}v^1\\v^2\\v^3\end{pmatrix}=\begin{pmatrix}\frac{2}{3}&1&0\\-1&0&0\\\frac{2}{3}&0&1\end{pmatrix}\begin{pmatrix}y^1\\y^2\\y^3\end{pmatrix}=\begin{pmatrix}\frac{2}{3}y^1+y^2\\-y^1\\\frac{2}{3}y^1+y^3\end{pmatrix}.$$

После подстановки найденных координат образов векторов $\vec{x}$, $\vec{y}$ и метрических коэффициентов g_{ij} в формулу для скалярного произведения

$$\left(\hat{T}\vec{x},\hat{T}\vec{y}\right)=\sum_{i=1}^{3}\sum_{j=1}^{3}g_{ij}u^iv^j$$

и сравнения с формулой для скалярного произведения прообразов, убеждаемся в справедливости равенства

$$\left(\hat{T}\vec{x},\hat{T}\vec{y}\right)=\left(\vec{x},\vec{y}\right).$$

2) *Второй способ.* Матрица перехода от старого (ортонормированного) базиса $\left\{\vec{e}_1,\vec{e}_2,\vec{e}_3\right\}$ к новому базису $\left\{\vec{a}_1,\vec{a}_2,\vec{a}_3\right\}$ и обратная к ней матрица имеют, соответственно, вид:

$$A=\begin{pmatrix}0&1&1\\1&0&1\\1&1&0\end{pmatrix};\ A^{-1}=\begin{pmatrix}-\frac{1}{2}&\frac{1}{2}&\frac{1}{2}\\\frac{1}{2}&-\frac{1}{2}&\frac{1}{2}\\\frac{1}{2}&\frac{1}{2}&-\frac{1}{2}\end{pmatrix}.$$

Так как формула преобразования матрицы оператора при переходе от старого базиса к новому базису имеет вид

$$T'=\left(A^{-1}\right)^TTA^T,$$

то для матрицы оператора в старом базисе $\left\{\vec{e}_1, \vec{e}_2, \vec{e}_3\right\}$ получаем:

$$T = A^T T' \left(A^{-1}\right)^T = \begin{pmatrix} 0 & 1 & 1 \\ 1 & 0 & 1 \\ 1 & 1 & 0 \end{pmatrix} \begin{pmatrix} 2/3 & 1 & 0 \\ -1 & 0 & 0 \\ 2/3 & 0 & 1 \end{pmatrix} \begin{pmatrix} -1/2 & 1/2 & 1/2 \\ 1/2 & -1/2 & 1/2 \\ 1/2 & 1/2 & -1/2 \end{pmatrix} =$$

$$= \begin{pmatrix} 2/3 & 1/3 & -2/3 \\ 1/3 & 2/3 & 2/3 \\ 2/3 & -2/3 & 1/3 \end{pmatrix}.$$

Убедиться в том, что полученная матрица является ортогональной, можно с помощью свойств ортогональных матриц. Например, умножая матрицу T на транспонированную матрицу T^T, получим

$$TT^T = T^T T = I.$$

Таким образом, выполняется свойство $T^T = T^{-1}$. Следовательно, оператор $\hat{T}$ и, соответственно, его матрица являются ортогональными. $\otimes$

Пример 2.1.9. Пусть $\hat{T} : X \to X$. Показать, что если $X_{inv}^{(1)}$, $X_{inv}^{(2)}$ – инвариантные подпространства оператора $\hat{T}$, то $X_{inv}^{(1)} \bigcap X_{inv}^{(2)}$ и $X_{inv}^{(1)} + X_{inv}^{(2)}$ также являются инвариантными подпространствами оператора $\hat{T}$.

Р е ш е н и е. Пусть $X_{inv}^{(1)}$, $X_{inv}^{(2)}$ – инвариантные подпространства оператора $\hat{T}$. Предположим, что вектор $\vec{x} \in X_{inv}^{(1)} \bigcap X_{inv}^{(2)}$. Но тогда вектор $\vec{x} \in X_{inv}^{(1)}$ и $\vec{x} \in X_{inv}^{(2)}$, следовательно, и его образ

$$\hat{T}\vec{x} \in X_{inv}^{(1)} \wedge \hat{T}\vec{x} \in X_{inv}^{(2)}.$$

Теперь очевидно, что образ вектора $\vec{x}$ принадлежит пересечению этих подпространств, то есть

$$\hat{T}\vec{x} \in X_{inv} \bigcap X_{inv}.$$

Пусть теперь

$$\vec{x} \in X_{inv} + X_{inv}.$$

Тогда, по определению суммы подпространств $\vec{x} = \vec{x}_1 + \vec{x}_2$, где $\vec{x}_1 \in X_{inv}$, $\vec{x}_2 \in X_{inv}$, откуда в силу того, что снова $\hat{T}\vec{x} \in X_{inv} \wedge \hat{T}\vec{x} \in X_{inv}$, получаем

$$\hat{T}\vec{x} = \hat{T}\vec{x}_1 + \hat{T}\vec{x}_2 \in X_{ivn} + X_{inv}. \otimes$$

Пример 2.1.10. Пусть $\hat{T} : X \to X$. Показать, что если оператор $\hat{T}$ биективный, то его инвариантное подпространство X_{inv} является инвариантным подпространством и для обратного оператора $\hat{T}^{-1}$.

Р е ш е н и е. Известно, что линейный оператор $\hat{T} : X \to X$ взаимно однозначен (биективен) в том и только в том случае, если он невырожденный.

Пусть

$$\left\{\vec{a}_1, \vec{a}_2, \ldots, \vec{a}_m\right\} \subset X_{inv}^m$$

– базис в X_{inv}^m, тогда система образов векторов исходной системы

$$\left\{\hat{T}\vec{a}_1, \hat{T}\vec{a}_2, \ldots, \hat{T}\vec{a}_m\right\}$$

принадлежат тому же инвариантному подпространству и образуют в нём другой базис.

Покажем сначала, что система образов линейно независима. Для этого составим линейную комбинацию образов векторов

$$\left\{\hat{T}\vec{a}_1, \hat{T}\vec{a}_2, \ldots, \hat{T}\vec{a}_m\right\}$$

и потребуем, чтобы

$$\alpha_1 \hat{T}\vec{a}_1+\alpha_2 \hat{T}\vec{a}_2+\ldots+\alpha_m \hat{T}\vec{a}_m=\vec{0}.$$

Далее получаем в силу линейности оператора $\hat{T}$

$$\hat{T}\left(\alpha_1 \vec{a}_1+\alpha_2 \vec{a}_2+\ldots+\alpha_m \vec{a}_m\right)=\vec{0}.$$

Так как оператор невырожденный, то

$$\alpha_1 \vec{a}_1+\alpha_2 \vec{a}_2+\ldots+\alpha_m \vec{a}_m=\vec{0}.$$

Последнее равенство, в силу линейной независимости системы

$$\left\{\vec{a}_1, \vec{a}_2, \ldots, \vec{a}_m\right\},$$

возможно только в случае одновременного обращения в нуль всех коэффициентов линейной комбинации. Что и доказывает линейную независимость системы образов.

Пусть теперь $\left(\forall \vec{x} \in X_{inv}^{m}\right)$. Разложим вектор $\vec{x}$ по базису из образов векторов исходного базиса подпространства X_{inv}^{m}, то есть представим вектор $\vec{x}$ в виде

$$\vec{x}=x^1 \hat{T}\vec{a}_1+x^2 \hat{T}\vec{a}_2+\ldots+x^m \hat{T}\vec{a}_m.$$

Так как для невырожденного линейного оператора обратный оператор снова линейный, то, действуя на обе части оператором $\hat{T}^{-1}$, получаем

$$\hat{T}^{-1}\vec{x}=x^1 \hat{T}^{-1}\hat{T}\vec{a}_1+x^2 \hat{T}^{-1}\hat{T}\vec{a}_2+\ldots+x^m \hat{T}^{-1}\hat{T}\vec{a}_m=$$

$$=x^1 \vec{a}_1+x^2 \vec{a}_2+\ldots+x^m \vec{a}_m,$$

причём

$$x^1 \vec{a}_1+x^2 \vec{a}_2+\ldots+x^m \vec{a}_m \in X_{inv}^{m},$$

так как он разложен по базису X_{inv}.

Итак, получили, что если $\vec{x} \in X_{inv}^{m}$, то $\hat{T}^{-1}\vec{x} \in X_{inv}^{m}$. $\otimes$

Напомним определение операторного многочлена: пусть $\hat{T}: X^n \to \hat{T}(X^n)$ и

$$F_m(x) = a_0 + a_1 x + a_2 x^2 + \ldots + a_m x^m \in C[x]$$

– некоторый многочлен. Тогда оператор

$$F_m\left(\hat{T}\right) = a_0 \hat{I} + a_1 \hat{T} + a_2 \hat{T}^2 + \ldots + a_m \hat{T}^m$$

называется многочленом от оператора $\hat{T}$ или ***операторным многочленом***.

Пример 2.1.11. Показать, что любое инвариантное подпространство оператора $\hat{T}: X^n \to X^n$ является инвариантным и для операторного многочлена

$$F_p\left(\hat{T}\right) = a_0 \hat{I} + a_1 \hat{T} + a_2 \hat{T}^2 + \ldots + a_p \hat{T}^p .$$

Р е ш е н и е. Пусть операторы $\hat{A}: X^n \to X^n$ и $\hat{B}: X^n \to X^n$ имеют одно и тоже инвариантное подпространство $Y^m \subset X^n$. Тогда

$$\left(\forall \vec{x} \in Y^m\right) \vec{y}_1 = \hat{A}\vec{x} \in Y^m \wedge \vec{y}_2 = \hat{B}\vec{x} \in Y^m .$$

Так как любые линейные комбинации векторов подпространства Y^m снова являются векторами этого же подпространства, то имеем

$$\alpha \cdot \vec{y}_1 + \beta \cdot \vec{y}_2 = \alpha \cdot \hat{A}\vec{x} + \beta \cdot \hat{B}\vec{x} = \left(\alpha \cdot \hat{A} + \beta \cdot \hat{B}\right)\vec{x} \in Y^m .$$

То есть подпространство $Y^m \subset X^n$, инвариантное относительно операторов $\hat{A}: X^n \to X^n$ и $\hat{B}: X^n \to X^n$, инвариантно и относительно оператора $\alpha \cdot \hat{A} + \beta \cdot \hat{B}$. Далее, из того, что подпространство $Y^m \subset X^n$ является инвариантным относительно оператора $\hat{A}: X^n \to X^n$, следует, что оно инвариантно и относительно степеней этого оператора $\hat{A}^k \ (k = 0, 1, \ldots, p)$.

Теперь очевидно, что любое инвариантное подпространство оператора $\hat{T}$ является инвариантным и относительно операторного многочлена

$$F_p\left(\hat{T}\right) = a_0\hat{I} + a_1\hat{T} + a_2\hat{T}^2 + \ldots + a_p\hat{T}^p . \otimes$$

Практическое занятие 2

Наклонная, перпендикуляр, проекция, оператор проектирования

Пример 2.2.1. Используя критерий Грама линейной зависимости системы векторов в евклидовом пространстве, выяснить вопрос о линейной зависимости системы векторов $\vec{x}_1, \vec{x}_2, \vec{x}_3 \subset R^3$, если имеют место разложения

$$\vec{x}_1 = \vec{e}_1 + 2\vec{e}_2 + 3\vec{e}_3,\ \vec{x}_2 = 2\vec{e}_1 + 5\vec{e}_2 + 7\vec{e}_3,\ \vec{x}_3 = 3\vec{e}_1 + 7\vec{e}_2 + 10\vec{e}_3.$$

Р е ш е н и е. Находим попарные скалярные произведения векторов системы:

$$\left(\vec{x}_1, \vec{x}_1\right) = 14,\ \left(\vec{x}_1, \vec{x}_2\right) = 33,\ \left(\vec{x}_1, \vec{x}_3\right) = 47.$$

$$\left(\vec{x}_2, \vec{x}_1\right) = 33,\ \left(\vec{x}_2, \vec{x}_2\right) = 78,\ \left(\vec{x}_2, \vec{x}_3\right) = 111,$$

$$\left(\vec{x}_3, \vec{x}_1\right) = 47,\ \left(\vec{x}_3, \vec{x}_2\right) = 111,\ \left(\vec{x}_3, \vec{x}_3\right) = 158.$$

Составляем определитель Грама и вычисляем его значение:

$$\begin{vmatrix} 14 & 33 & 47 \\ 33 & 78 & 111 \\ 47 & 111 & 158 \end{vmatrix} = 14 \cdot \begin{vmatrix} 78 & 111 \\ 111 & 158 \end{vmatrix} - 33 \cdot \begin{vmatrix} 33 & 111 \\ 47 & 158 \end{vmatrix} + 47 \cdot \begin{vmatrix} 33 & 78 \\ 47 & 111 \end{vmatrix} = 0.$$

В соответствие с критерием Грама система векторов $\vec{x}_1, \vec{x}_2, \vec{x}_3$ является линейно зависимой. $\otimes$

Пример 2.2.2. Радиус-вектор $\vec{x}$ в пространстве R^3 имеет разложение по стандартному базису (рисунок 1)

$$\vec{x} = 3\vec{e}_1 + 4\vec{e}_2 + 5\vec{e}_3.$$

Обозначим координатную плоскость X^1OX^2 как L^2.

Представить вектор $\vec{x}$ в виде разложения

$$\vec{x} = \vec{g}_L + \vec{h}^{\perp},$$

где $\vec{g}_L \in L^2$, $\vec{h}^{\perp} \in L^{2\perp}$.

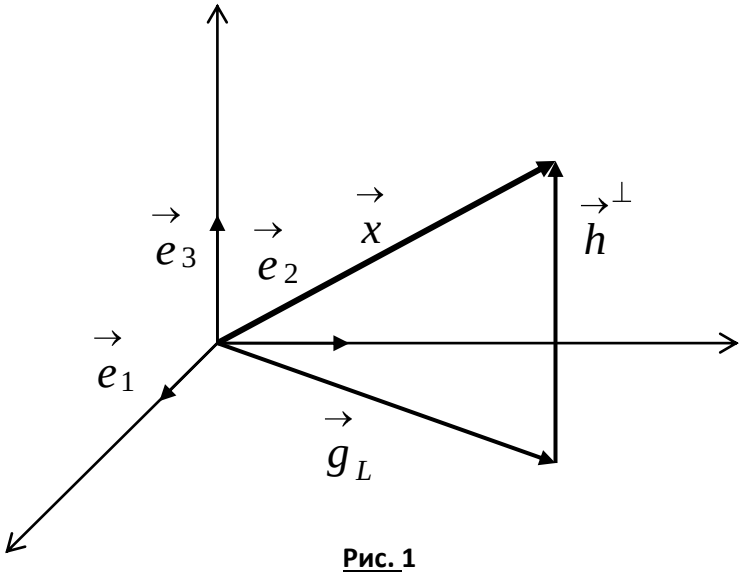

Рис. 1

Р е ш е н и е. Разложим вектор $\vec{g}_L$ по базису подпространства L^2:

$$\vec{g}_L = g^1 \vec{e}_1 + g^2 \vec{e}_2.$$

Вектор

$$\vec{h}^{\perp} = \vec{x} - \vec{g}_L \in L^{2\perp}.$$

Следовательно, он ортогонален базису подпространства L^2. Запишем условия ортогональности вектора $\vec{h}^{\perp}$ подпространству L^2, состоящие в том, что вектор $\vec{h}^{\perp}$ должен быть ортогонален всем векторам базиса $\left\{\vec{e}_1, \vec{e}_2\right\}$:

$$\left(\vec{h}^{\perp}, \vec{e}_1\right) = 0,$$

$$\left(\vec{h}^{\perp}, \vec{e}_2\right) = 0.$$

Получаем СЛАУ

$$\begin{cases} \left(\vec{x} - \vec{g}_L, \vec{e}_1\right) = 0, \\ \left(\vec{x} - \vec{g}_L, \vec{e}_2\right) = 0, \end{cases}$$

которую перепишем в виде

$$\begin{cases} \left(g^1 \vec{e}_1 + g^2 \vec{e}_2, \vec{e}_1\right) = \left(3\vec{e}_1 + 4\vec{e}_2 + 5\vec{e}_3, \vec{e}_1\right), \\ \left(g^1 \vec{e}_1 + g^2 \vec{e}_2, \vec{e}_2\right) = \left(3\vec{e}_1 + 4\vec{e}_2 + 5\vec{e}_3, \vec{e}_2\right). \end{cases}$$

После простых преобразований имеем

$$\begin{cases} g^1 = 3, \\ g^2 = 4. \end{cases}$$

Таким образом, получаем

$$\vec{g}_L = 3\vec{e}_1 + 4\vec{e}_2.$$

Далее имеем:

$$\vec{h}^{\perp} = \vec{x} - \vec{g}_L = \left(3\vec{e}_1 + 4\vec{e}_2 + 5\vec{e}_3\right) - \left(3\vec{e}_1 + 4\vec{e}_2\right) = 5\vec{e}_3.$$

Окончательно получаем

$$\vec{x} = \vec{g}_L + \vec{h}^{\perp} = 3\vec{e}_1 + 4\vec{e}_2 + 5\vec{e}_3. \otimes$$

Пример 2.2.3. В пространстве R^4 опустить перпендикуляр из точки $P\ (-1; 5; 3; 2)$ на гиперплоскость H^3, проходящую через заданные точки

$$A_1(-4; 2; 0), A_2(-3; 7; 3; 2), A_3(-2; 6; 3; -1), A_4(-4; 5; 2).$$

Р е ш е н и е. В пространстве R^4 все координаты точек заданы в ортонормированном базисе, который обозначим $\vec{e}_1, \vec{e}_2, \vec{e}_3, \vec{e}_4$. Неявное уравнение гиперплоскости получено выше в примере 3.14 и имеет вид

$$23x^1 - 14x^2 + 2x^3 - 3x^4 + 29 = 0.$$

Там же записаны направляющие векторы гиперплоскости:

$$\vec{a}_1 = 2\vec{e}_1 + 3\vec{e}_2 + \vec{e}_3 + 2\vec{e}_4,$$
$$\vec{a}_2 = \vec{e}_1 + 2\vec{e}_2 + \vec{e}_3 - \vec{e}_4,$$
$$\vec{a}_3 = 3\vec{e}_3 + 2\vec{e}_4.$$

Проверим, что точка $P\ -1; 5; 3; 2$ не лежит в плоскости, для чего подставим координаты точки в неявное уравнение плоскости:

$$23\cdot\ -1\ -14\cdot 5 + 2\cdot 3 - 3\cdot 2 + 29 = -64 \neq 0.$$

Точка плоскости не принадлежит.

Поставим в соответствие точке $P\ -1; 5; 3; 2$ её радиус-вектор

$$\vec{x} = -\vec{e}_1 + 5\vec{e}_2 + 3\vec{e}_3 + 2\vec{e}_4$$

– наклонную к плоскости. Представим наклонную в виде

$$\vec{x} = \vec{g}_L + \vec{h}^{\perp},$$

где вектор $\vec{g}_L \in H^3$, а вектор $\vec{h}^{\perp} \in H^{3\perp}$.

Вектор

$$\vec{h}^{\perp} = \vec{x} - \vec{g}_L \in H^{3\perp}.$$

Следовательно, он ортогонален локальному базису подпространства H^3. Запишем условия ортогональности вектора $\vec{h}^{\perp}$ подпространству H^3 (плоскость проходит через начало системы координат), состоящие в том, что вектор $\vec{h}^{\perp}$ должен быть ортогонален всем векторам базиса $\vec{a}_1, \vec{a}_2, \vec{a}_3$:

$$\left(\vec{h}^{\perp}, \vec{a}_1\right) = 0, \left(\vec{h}^{\perp}, \vec{a}_2\right) = 0, \left(\vec{h}^{\perp}, \vec{a}_3\right) = 0.$$

Получаем СЛАУ

$$\left(\vec{x} - \vec{g}_L, \vec{a}_1\right) = 0,$$
$$\left(\vec{x} - \vec{g}_L, \vec{a}_2\right) = 0,$$

$$\left(\vec{x}-\vec{g}_L,\vec{a}_3\right)=0.$$

Представляя наклонную $\vec{g}_L$ разложением по направляющим векторам плоскости (по локальному базису), перепишем СЛАУ в виде

$$\left(g^1\vec{a}_1+g^2\vec{a}_2+g^3\vec{a}_3,\vec{a}_1\right)=\left(\vec{x},\vec{a}_1\right),$$
$$\left(g^1\vec{a}_1+g^2\vec{a}_2+g^3\vec{a}_3,\vec{a}_2\right)=\left(\vec{x},\vec{a}_2\right),$$
$$\left(g^1\vec{a}_1+g^2\vec{a}_2+g^3\vec{a}_3,\vec{a}_3\right)=\left(\vec{x},\vec{a}_3\right),$$

или в виде

$$\left(\vec{a}_1,\vec{a}_1\right)g^1+\left(\vec{a}_2,\vec{a}_1\right)g^2+\left(\vec{a}_3,\vec{a}_1\right)g^3=\left(\vec{x},\vec{a}_1\right),$$
$$\left(\vec{a}_1,\vec{a}_2\right)g^1+\left(\vec{a}_2,\vec{a}_2\right)g^2+\left(\vec{a}_3,\vec{a}_2\right)g^3=\left(\vec{x},\vec{a}_2\right),$$
$$\left(\vec{a}_1,\vec{a}_3\right)g^1+\left(\vec{a}_2,\vec{a}_3\right)g^2+\left(\vec{a}_3,\vec{a}_3\right)g^3=\left(\vec{x},\vec{a}_3\right).$$

Далее, находим значения попарных скалярных произведений векторов локального базиса на плоскости

$$G^T=\begin{pmatrix}\left(\vec{a}_1,\vec{a}_1\right) & \left(\vec{a}_2,\vec{a}_1\right) & \left(\vec{a}_3,\vec{a}_1\right)\\ \left(\vec{a}_1,\vec{a}_2\right) & \left(\vec{a}_2,\vec{a}_2\right) & \left(\vec{a}_3,\vec{a}_2\right)\\ \left(\vec{a}_1,\vec{a}_3\right) & \left(\vec{a}_2,\vec{a}_3\right) & \left(\vec{a}_3,\vec{a}_3\right)\end{pmatrix}=\begin{pmatrix}18 & 7 & 7\\ 7 & 7 & 1\\ 7 & 1 & 13\end{pmatrix}$$

и записываем СЛАУ в окончательном виде:

$$\begin{cases}18g^1+7g^2+7g^3=20,\\ 7g^1+7g^2+g^3=10,\\ 7g^1+g^2+13g^3=13.\end{cases}$$

Решение Слау ищем по формулам Крамера.

1) Находим определитель основной матрицы:

$$\det\begin{pmatrix} 18 & 7 & 7 \\ 7 & 7 & 1 \\ 7 & 1 & 13 \end{pmatrix} = 738.$$

СЛАУ совместна и определённа.

2) Находим определители, соответствующие каждому неизвестному:

$$\Delta_1 = \det\begin{pmatrix} 20 & 7 & 7 \\ 10 & 7 & 1 \\ 13 & 1 & 13 \end{pmatrix} = -6306,$$

$$\Delta_2 = \det\begin{pmatrix} 18 & 20 & 7 \\ 7 & 10 & 1 \\ 7 & 13 & 13 \end{pmatrix} = 573,$$

$$\Delta_3 = \det\begin{pmatrix} 18 & 7 & 20 \\ 7 & 7 & 10 \\ 7 & 1 & 13 \end{pmatrix} = 471.$$

Записываем решение СЛАУ:

$$\begin{pmatrix} g^1 \\ g^2 \\ g^3 \end{pmatrix} = \begin{pmatrix} -6306/738 \\ 573/738 \\ 471/738 \end{pmatrix} = \begin{pmatrix} -1051/123 \\ 191/123 \\ 157/123 \end{pmatrix}.$$

Записываем разложение проекции $\vec{g}_L$ на плоскость по локальному базису:

$$\vec{g}_L = -\frac{1051}{123}\vec{a}_1 + \frac{191}{123}\vec{a}_2 + \frac{157}{123}\vec{a}_3.$$

Теперь находим перпендикуляр:

$$\vec{h}^{\perp} = \vec{x} - \vec{g}_L = -\vec{e}_1 + 5\vec{e}_2 + 3\vec{e}_3 + 2\vec{e}_4 - \left(-\frac{1051}{123}\vec{a}_1 + \frac{191}{123}\vec{a}_2 + \frac{157}{123}\vec{a}_3\right).$$

Если теперь подставить в последнее равенство разложения векторов $\vec{a}_1,\ \vec{a}_2,\ \vec{a}_3$ по векторам ортонормированного базиса $\vec{e}_1, \vec{e}_2, \vec{e}_3, \vec{e}_4$, то получим вектор $\vec{h}$ – перпендикуляр, опущенный из конца наклонной $\vec{g}_L$ на плоскость H^3. $\otimes$

Пример 2.2.4. Записать матрицу оператора $\hat{P}^{\perp}_{x^1ox^2}$ ортогонального проектирования на координатную плоскость X^1OX^2 в пространстве R^3.

Р е ш е н и е. Этот оператор любому вектору пространства R^3 ставит в соответствие его проекцию на координатную плоскость X^1OX^2 параллельно координатной оси OX^3. Согласно изложенной выше теории, оператор $\hat{P}^{\perp}_{x^1ox^2}$ является прямой суммой единичного оператора

$$\hat{I}_{x^1ox^2} : R^2_{x^1ox^2} \to R^2_{x^1ox^2}$$

и нулевого оператора

$$\hat{O}_{ox^3} : R^1_{ox^3} \to R^1_{ox^3}.$$

На главной диагонали его матрицы расположены 2×2 клетка вида

$$\begin{pmatrix} 1 & 0 \\ 0 & 1 \end{pmatrix}$$

и 1×1 клетка вида $\boxed{0}$. Остальные элементы равны нулю:

$$P^{\perp}_{x^1ox^2} = \begin{pmatrix} 1 & 0 & 0 \\ 0 & 1 & 0 \\ 0 & 0 & 0 \end{pmatrix}.$$

Легко видеть, что оператор $\hat{P}^{\perp}_{x^1ox^2}$ является самосопряжённым.

Найдём, например, проекцию вектора $\vec{x}$ из предыдущей задачи на координатную плоскость X^1OX^2. Запишем для этого образ вектора

$$\vec{x} = 3\vec{e}_1 + 4\vec{e}_2 + 5\vec{e}_3$$

при действии оператора $\hat{P}^{\perp}_{x^1ox^2}$ в координатной форме

$$P^{\perp}_{x^1 o x^2}\left|x\right\rangle = \begin{pmatrix} 1 & 0 & 0 \\ 0 & 1 & 0 \\ 0 & 0 & 0 \end{pmatrix}\begin{pmatrix} 3 \\ 4 \\ 5 \end{pmatrix} = \begin{pmatrix} 3 \\ 4 \\ 0 \end{pmatrix}.$$

Результат, очевидно, совпадает с результатом предыдущей задачи. $\otimes$

Практическое занятие 3

Квадратичные формы. Поверхности второго порядка

Пример 2.3.1. Привести квадратичную форму, имеющую в пространстве R^3 вид

$$\varphi\left(\vec{x},\vec{x}\right) = 3(x^2)^2 + 3(x^3)^2 + 4x^1x^2 + 4x^1x^3 - 2x^2x^3,$$

к каноническому виду ортогональным преобразованием.

Р е ш е н и е. Вид квадратичной формы задан в базисе

$$\vec{e}_1, \vec{e}_2, \vec{e}_3 \subset R^3.$$

Запишем симметричную матрицу квадратичной формы, для чего слагаемые с перекрёстными произведениями представим в виде суммы двух равных слагаемых:

$$\varphi\left(\vec{x},\vec{x}\right) =$$

$$= 3(x^2)^2 + 3(x^3)^2 + (x^1x^2 + 2x^2x^1) + (x^1x^3 + 2x^3x^1) - (x^2x^3 + x^3x^2) =$$

$$= 2x^1x^2 + 2x^1x^3 + 2x^2x^1 + 3(x^2)^2 - x^2x^3 + 2x^3x^1 - x^3x^2 + 3(x^3)^2.$$

Теперь матрица квадратичной формы принимает вид:

$$\Phi\left(\vec{x},\vec{x}\right) = \begin{pmatrix} 0 & 2 & 2 \\ 2 & 3 & -1 \\ 2 & -1 & 3 \end{pmatrix}.$$

Запишем характеристическое уравнение:

$$\begin{vmatrix} -\mu & 2 & 2 \\ 2 & 3-\mu & -1 \\ 2 & -1 & 3-\mu \end{vmatrix} = 0 \Rightarrow \mu^3 - 6\mu^2 + 32 = 0.$$

Корни характеристического уравнения $\mu_1 = -2,\ \mu_{2,3} = 4.$

Чтобы построить матрицу ортогонального преобразования найдём собственные векторы этого оператора. Для этого решим следующие системы линейных алгебраических уравнений.

1) Случай $\mu_1 = -2$. Система уравнений записывается в виде:

$$\begin{cases} 2x^1 + 2x^2 + 2x^3 = 0, \\ 2x^1 + 5x^2 - x^3 = 0, \\ 2x^1 - x^2 + 5x^3 = 0. \end{cases}$$

Решением этой системы уравнений является вектор-столбец

$$|x\rangle = \begin{pmatrix} -2a \\ a \\ a \end{pmatrix} = a \begin{pmatrix} -2 \\ 1 \\ 1 \end{pmatrix}.$$

Таким образом, первый собственный вектор

$$\vec{x}_1 = -2\vec{e}_1 + \vec{e}_2 + \vec{e}_3.$$

2) Случай $\mu_{2,3} = 4$. Система уравнений записывается в виде:

$$\begin{cases} -4x^1 + 2x^2 + 2x^3 = 0, \\ 2x^1 - x^2 - x^3 = 0, \\ 2x^1 - x^2 - x^3 = 0. \end{cases}$$

Решением этой системы уравнений является вектор-столбец

$$|x\rangle = \begin{pmatrix} \frac{a+b}{2} \\ a \\ b \end{pmatrix} = a \begin{pmatrix} 1/2 \\ 1 \\ 0 \end{pmatrix} + b \begin{pmatrix} 1/2 \\ 0 \\ 1 \end{pmatrix}.$$

Таким образом, второй и третий собственные векторы

$$\vec{x}_2 = \frac{1}{2}\vec{e}_1 + \vec{e}_2, \quad \vec{x}_3 = \frac{1}{2}\vec{e}_1 + \vec{e}_3.$$

Векторы $\vec{x}_2$ и $\vec{x}_3$ ортогональны вектору $\vec{x}_1$, но не ортогональны между собой. Для ортогонализации системы собственных векторов применим алгоритм ортогонализации Шмидта. Положим

$$\vec{g}_1 = \vec{x}_1, \quad \vec{g}_2 = \vec{x}_2, \quad \vec{g}_3 = \vec{x}_3 + \alpha \vec{x}_2.$$

Так как должно быть $\left(\vec{g}_2, \vec{g}_3\right) = 0$, то

$$\left(\vec{x}_2,\ \vec{x}_3+\alpha\,\vec{x}_2\right)=0,\ \left(\vec{x}_2,\ \vec{x}_3\right)+\alpha\left(\vec{x}_2,\ \vec{x}_2\right)=0.$$

Откуда

$$\frac{1}{4}+\frac{5}{4}\alpha=0,\ \alpha=-\frac{1}{5}.$$

Приходим к ортогональной системе собственных векторов ассоциированного оператора:

$$\vec{g}_1=-2\vec{e}_1+\vec{e}_2+\vec{e}_3,\ \vec{g}_2=\frac{1}{2}\vec{e}_1+\vec{e}_2,\ \vec{g}_3=\frac{2}{5}\vec{e}_1-\frac{1}{5}\vec{e}_2+\vec{e}_3,$$

$$\left\|\vec{g}_1\right\|=\sqrt{6},\ \left\|\vec{g}_2\right\|=\frac{\sqrt{5}}{2},\ \left\|\vec{g}_3\right\|=\frac{\sqrt{30}}{5}.$$

Нормируя эту систему, получаем:

$$\vec{h}_1=-\frac{2}{\sqrt{6}}\vec{e}_1+\frac{1}{\sqrt{6}}\vec{e}_2+\frac{1}{\sqrt{6}}\vec{e}_3,$$

$$\vec{h}_2=\frac{1}{\sqrt{5}}\vec{e}_1+\frac{2}{\sqrt{5}}\vec{e}_2,$$

$$\vec{h}_3=\frac{2}{\sqrt{30}}\vec{e}_1-\frac{1}{\sqrt{30}}\vec{e}_2+\frac{5}{\sqrt{30}}\vec{e}_3.$$

Матрица ортогонального преобразования

$$A=\begin{pmatrix}-\frac{2}{\sqrt{6}} & \frac{1}{\sqrt{6}} & \frac{1}{\sqrt{6}}\\ \frac{1}{\sqrt{5}} & \frac{2}{\sqrt{5}} & 0\\ \frac{2}{\sqrt{30}} & -\frac{1}{\sqrt{30}} & \frac{5}{\sqrt{30}}\end{pmatrix}$$

осуществляет переход между ортонормированными базисами

$$\vec{e}_1,\vec{e}_2,\vec{e}_3\ \Rightarrow\ \vec{h}_1,\vec{h}_2,\vec{h}_3$$

и, следовательно, является ортогональной. Учитывая, что для ортогональной матрицы выполняется условие

$$A^{-1}=A^T,$$

Запишем формулу преобразования матрицы квадратичной формы при переходе от старого базиса к новому базису:

$$\Phi' = \begin{pmatrix} -\frac{2}{\sqrt{6}} & \frac{1}{\sqrt{6}} & \frac{1}{\sqrt{6}} \\ \frac{1}{\sqrt{5}} & \frac{2}{\sqrt{5}} & 0 \\ \frac{2}{\sqrt{30}} & -\frac{1}{\sqrt{30}} & \frac{5}{\sqrt{30}} \end{pmatrix} \begin{pmatrix} 0 & 2 & 2 \\ 2 & 3 & -1 \\ 2 & -1 & 3 \end{pmatrix} \begin{pmatrix} -\frac{2}{\sqrt{6}} & \frac{1}{\sqrt{6}} & \frac{1}{\sqrt{6}} \\ \frac{1}{\sqrt{5}} & \frac{2}{\sqrt{5}} & 0 \\ \frac{2}{\sqrt{30}} & -\frac{1}{\sqrt{30}} & \frac{5}{\sqrt{30}} \end{pmatrix}^T.$$

Проводя вычисления, получаем

$$\Phi' = \begin{pmatrix} -2 & 0 & 0 \\ 0 & 4 & 0 \\ 0 & 0 & 4 \end{pmatrix}.$$

Обозначая координаты в базисе $\vec{h}_1, \vec{h}_2, \vec{h}_3$ как y^1, y^2, y^3, запишем канонический вид квадратичной формы

$$\phi\left(\vec{x}, \vec{x}\right) = -2\ y^{1\ 2} + 4\ y^{2\ 2} + 4\ y^{3\ 2}. \otimes$$

Пример 2.3.2. Найти значения параметра λ, при которых является положительно определённой квадратичная форма

$$\varphi\left(\vec{x}, \vec{x}\right) = 4\left(x^1\right)^2 + 2x^1x^2 + \left(x^2\right)^2 + 4x^1x^3 - 6x^2x^3 + \lambda\left(x^3\right)^2.$$

Р е ш е н и е. Выпишем матрицу квадратичной формы:

$$\Phi = \begin{pmatrix} 4 & 1 & 2 \\ 1 & 1 & -3 \\ 2 & -3 & \lambda \end{pmatrix}.$$

Находя её главные миноры и применяя критерий Сильвестра, имеем:

$$M_1 = \varphi_{11} = 4 > 0;$$

$$M_2 = \begin{vmatrix} 4 & 1 \\ 1 & 1 \end{vmatrix} = 3 > 0;$$

$$M_3 = \begin{vmatrix} 4 & 1 & 2 \\ 1 & 1 & -3 \\ 2 & -3 & \lambda \end{vmatrix} = 3\lambda - 52 > 0.$$

Следовательно, $\lambda > \frac{52}{3}$. $\otimes$

Пример 2.3.3. Выяснить, какую линию на плоскости описывает уравнение

$$x_1^2 + 2x_1 + x_2^2 - 4x_2 = 0.$$

Р е ш е н и е. Уравнение перепишем в виде

$$(x_1 + 1)^2 + (x_2 - 2)^2 = 5.$$

Вводим новые координаты по формулам

$$x_{1'} = x_1 + 1,\ x_{2'} = x_2 - 1.$$

Эти формулы описывают параллельный перенос начала системы координат в точку $O'(-1; 2)$, в которой уравнение принимает вида

$$x_{1'}^2 + x_{2'}^2 = 5.$$

Это уравнение, очевидно, описывает окружность с центром в точке $O'(-1; 2)$ радиуса $R = \sqrt{5}$. $\otimes$

Пример 2.3.4. Какую линию описывает уравнение

$$x_2 = 1 - \sqrt{11 - 4x_1 - x_1^2}\ .$$

Р е ш е н и е. Уравнение переписываем в виде

$$x_2 - 1 = -\sqrt{11 - 4x_1 - x_1^2}$$

и возводим обе части в квадрат (приобретаем новые корни)

$$(x_2 - 1)^2 = 11 - 4x_1 - x_1^2.$$

Преобразуем уравнение, выделяя полный квадрат:

$$x_1^2 + 4x_1 + 4 + (x_2 - 1)^2 = 15,$$

$$(x_1 + 2)^2 + (x_2 - 1)^2 = 15.$$

Это уравнение описывает часть окружности с центром в точке $O'(-2; 1)$ радиуса $R = \sqrt{15}$, лежащую ниже новой горизонтальной оси с уравнением $x_2 = 1$. $\otimes$

Пример 2.3.5. Какую линию на плоскости описывает уравнение

$$x_1^2 - 4x_1 + x_2^2 - 2x_2 + 5 = 0.$$

Р е ш е н и е. Уравнение запишем в виде

$$(x_1 - 2)^2 + (x_2 - 1)^2 = 0.$$

Это уравнение описывает точку $M(2; 1)$. $\otimes$

Пример 2.3.6. Какую линию на плоскости описывает уравнение

$$100x_1^2 + 25x_2^2 + 200x_1 - 100x_2 - 200 = 0.$$

Р е ш е н и е. Уравнение переписываем в виде

$$100(x_1 + 1)^2 + 25(x_2 - 2)^2 = 400$$

и делим обе части на 400:

$$\frac{(x_1+1)^2}{4}+\frac{(x_2-2)^2}{16}=1.$$

Это каноническое уравнение эллипса с центром в точке $O'(-1;2)$ и полуосями $a=2$ и $b=4$. $\otimes$

Пример 2.3.7. Какую линию на плоскости описывает уравнение

$$x_1=-2\sqrt{-5-6x_2-x_2^2}\,.$$

Р е ш е н и е. Уравнение преобразуем к виду

$$x_1^2+4(x_2+3)^2=16,$$

возводя обе части в квадрат. Делим обе части на 16:

$$\frac{x_1^2}{16}+\frac{(x_2+3)^2}{4}=1.$$

Уравнение описывает часть эллипса с центром в точке $O'(0;-3)$ и полуосями $a=4$ и $b=2$, лежащую слева относительно оси OX_2. $\otimes$

Пример 2.3.8. Линия второго порядка задана в каноническом (ортонормированном) базисе $\left\{\vec{e}_1,\vec{e}_2\right\}\subset R^2$ уравнением

$$11(x^1)^2-20x^1x^2-4(x^2)^2-20x^1-8x^2+1=0.$$

Привести уравнение линии к каноническому виду и определить её тип.

Р е ш е н и е. Рассмотрим квадратичную форму

$$\varphi\left(\vec{x},\vec{x}\right)=11(x^1)^2-20x^1x^2-4(x^2)^2=$$

$$=11(x^1)^2-10x^1x^2-10x^2x^1-4(x^2)^2$$

Матрица квадратичной формы имеет вид

$$\Phi=\begin{pmatrix}11 & -10\\ -10 & -4\end{pmatrix}.$$

Квадратичной форме $\varphi\left(\vec{x},\vec{x}\right)$ ставим в соответствие симметрический оператор $\hat{T}$ с матрицей $T=\Phi$ и записываем характеристическое уравнение:

$$\det\begin{pmatrix}t_1^1-\mu & t_2^1\\ t_1^2 & t_2^2-\mu\end{pmatrix}=0\Rightarrow\begin{vmatrix}11-\mu & -10\\ -10 & -4-\mu\end{vmatrix}=0\Rightarrow$$

$$\mu^2-7\cdot\mu-144=0.$$

Корни характеристического уравнения $\mu_1 = -9$ и $\mu_2 = 16$. Находим собственные векторы оператора $\hat{T}$, соответствующие собственным значениям $\mu_1 = -9$ и $\mu_2 = 16$, для чего решаем две однородные СЛАУ:

$$\begin{pmatrix} 20 & -10 \\ -10 & 5 \end{pmatrix}\begin{pmatrix} x^1 \\ x^2 \end{pmatrix} = \begin{pmatrix} 0 \\ 0 \end{pmatrix} \Rightarrow \begin{cases} 20x^1 - 10x^2 = 0, \\ -10x^1 + 5x^2 = 0, \end{cases}$$

$$\begin{pmatrix} -5 & -10 \\ -10 & -20 \end{pmatrix}\begin{pmatrix} x^1 \\ x^2 \end{pmatrix} = \begin{pmatrix} 0 \\ 0 \end{pmatrix} \Rightarrow \begin{cases} -5x^1 - 10x^2 = 0, \\ -10x^1 - 20x^2 = 0. \end{cases}$$

Фундаментальная система решений первой СЛАУ приводит к первому собственному вектору

$$\vec{x}_1 = \frac{1}{2}\vec{e}_1 + \vec{e}_2,$$

а фундаментальная система решений второй – ко второму собственному вектору

$$\vec{x}_2 = -2\vec{e}_1 + \vec{e}_2.$$

Эти векторы ортогональны, но не нормированы. Нормируем их:

$$\vec{a}_1 = \frac{1}{\left\|\vec{x}_1\right\|}\vec{x}_1 = \frac{2}{\sqrt{5}}\left(\frac{1}{2}\vec{e}_1 + \vec{e}_2\right) = \frac{1}{\sqrt{5}}\vec{e}_1 + \frac{2}{\sqrt{5}}\vec{e}_2;$$

$$\vec{a}_2 = \frac{1}{\left\|\vec{x}_2\right\|}\vec{x}_2 = \frac{1}{\sqrt{5}}\left(-2\vec{e}_1 + \vec{e}_2\right) = -\frac{2}{\sqrt{5}}\vec{e}_1 + \frac{1}{\sqrt{5}}\vec{e}_2.$$

Матрица перехода от старого базиса к новому базису имеет вид:

$$A = \begin{pmatrix} 1/\sqrt{5} & 2/\sqrt{5} \\ -2/\sqrt{5} & 1/\sqrt{5} \end{pmatrix}.$$

Преобразование от нового базиса к старому осуществляется при помощи обратной матрицы, которая в силу ортогональности матрицы A равна транспонированной к ней, то есть

$$A^{-1} = \begin{pmatrix} 1/\sqrt{5} & -2/\sqrt{5} \\ 2/\sqrt{5} & 1/\sqrt{5} \end{pmatrix}.$$

Координаты в новом базисе выражаются через координаты в старом базисе при помощи матрицы

$$\left(A^{-1}\right)^T = \left(A^T\right)^T = A,$$

обратный переход от новых координат к старым производится при помощи матрицы A^{-1}. Имеем:

$$\begin{pmatrix} y^1 \\ y^2 \end{pmatrix} = \begin{pmatrix} 1/\sqrt{5} & 2/\sqrt{5} \\ -2/\sqrt{5} & 1/\sqrt{5} \end{pmatrix} \begin{pmatrix} x^1 \\ x^2 \end{pmatrix}, \quad \begin{pmatrix} x^1 \\ x^2 \end{pmatrix} = \begin{pmatrix} 1/\sqrt{5} & -2/\sqrt{5} \\ 2/\sqrt{5} & 1/\sqrt{5} \end{pmatrix} \begin{pmatrix} y^1 \\ y^2 \end{pmatrix}.$$

В базисе $\left\{ \vec{a}_1, \vec{a}_2 \right\}$ квадратичная форма приводится к каноническому виду

$$\mu_1 (y^1)^2 + \mu_2 (y^2)^2 = -9(y^1)^2 + 16(y^2)^2.$$

Линейные слагаемые преобразуются так:

$$-20x^1 = -\frac{20}{\sqrt{5}} y^1 + \frac{40}{\sqrt{5}} y^2;$$

$$-8x^2 = -\frac{16}{\sqrt{5}} y^1 - \frac{8}{\sqrt{5}} y^2.$$

Подстановка в уравнение приводит его к виду:

$$-9(y^1)^2 + 16(y^2)^2 - \frac{36}{\sqrt{5}} y^1 + \frac{32}{\sqrt{5}} y^2 + 1 = 0.$$

Выделяя полный квадрат по y^1, y^2 и приводя подобные члены, получаем каноническое уравнение линии в виде

$$-9\left(y^1 + \frac{2}{\sqrt{5}} \right)^2 + 16\left(y^2 + \frac{1}{\sqrt{5}} \right)^2 + 5 = 0,$$

Откуда совершая параллельный перенос, то есть полагая

$$z^1 = y^1 + \frac{2}{\sqrt{5}}, \quad z^2 = y^2 + \frac{1}{\sqrt{5}},$$

окончательно имеем:

$$\frac{(z^1)^2}{5/9} - \frac{(z^2)^2}{5/16} = 1.$$

Получили каноническое уравнение линии второго порядка – гиперболы. Отметим, что матрица

$$A = \begin{pmatrix} 1/\sqrt{5} & 2/\sqrt{5} \\ -2/\sqrt{5} & 1/\sqrt{5} \end{pmatrix}$$

перехода от старого базиса к новому базису является матрицей оператора (аффинора) поворота системы координат на такой угол φ, что $\cos\varphi = 1/\sqrt{5}$ и $\sin\varphi = 2/\sqrt{5}$. Далее, в соответствии с формулами

$$z^1 = y^1 + \frac{2}{\sqrt{5}},\ z^2 = y^2 + \frac{1}{\sqrt{5}},$$

осуществляется параллельный перенос начала системы координат в новое положение – точку с координатами $O'\left(-\frac{2}{\sqrt{5}}, -\frac{1}{\sqrt{5}}\right)$. $\otimes$

Пример 2.3.9. Поверхность второго порядка задана в каноническом (ортонормированном) базисе $\left\{\vec{e}_1, \vec{e}_2, \vec{e}_3\right\} \subset R^3$ уравнением

$$3x_2^2 + 3x_3^2 + 4x_1x_2 + 4x_1x_3 - 2x_2x_3 - 12\sqrt{30}x_1 -$$
$$-14\sqrt{30}x_2 + 2\sqrt{30}x_3 + 506 = 0.$$

Привести уравнение поверхности к каноническому виду и определить её тип.

Р е ш е н и е. Рассмотрим квадратичную форму

$$\varphi\left(\vec{x}, \vec{x}\right) = 3x_2^2 + 3x_3^2 + 4x_1x_2 + 4x_1x_3 - 2x_2x_3.$$

Матрица квадратичной формы

$$\Phi = \begin{pmatrix} 0 & 2 & 2 \\ 2 & 3 & -1 \\ 2 & -1 & 3 \end{pmatrix}.$$

Собственные значения ассоциированного оператора $\mu_1 = -2,\ \mu_{2,3} = 4$. Собственные векторы

$$\vec{x}_1 = -\frac{2}{\sqrt{6}}\vec{e}_1 + \frac{1}{\sqrt{6}}\vec{e}_2 + \frac{1}{\sqrt{6}}\vec{e}_3,$$
$$\vec{x}_2 = \frac{1}{\sqrt{5}}\vec{e}_1 + \frac{2}{\sqrt{5}}\vec{e}_2 + 0\,\vec{e}_3,$$
$$\vec{x}_3 = \frac{2}{\sqrt{30}}\vec{e}_1 - \frac{1}{\sqrt{30}}\vec{e}_2 + \frac{5}{\sqrt{30}}\vec{e}_3.$$

Это ортонормированная система. Матрица перехода от старого базиса к новому базису получается непосредственно из приведённых разложений:

$$A=\begin{pmatrix} -2/\sqrt{6} & 1/\sqrt{6} & 1/\sqrt{6} \\ 1/\sqrt{5} & 2/\sqrt{5} & 0 \\ 2/\sqrt{30} & -1/\sqrt{30} & 5/\sqrt{30} \end{pmatrix}$$

и является ортогональной ($A^{-1}=A^{T}$).

Преобразование координат осуществляется с помощью матрицы A

$$\begin{pmatrix} x_1 \\ x_2 \\ x_3 \end{pmatrix}=\begin{pmatrix} -2/\sqrt{6} & 1/\sqrt{6} & 1/\sqrt{6} \\ 1/\sqrt{5} & 2/\sqrt{5} & 0 \\ 2/\sqrt{30} & -1/\sqrt{30} & 5/\sqrt{30} \end{pmatrix}\begin{pmatrix} x_{1'} \\ x_{2'} \\ x_{3'} \end{pmatrix}$$

и приводит квадратичную форму к виду

$$\varphi\left(\vec{x},\vec{x}\right)=4x_{1'}^2-2x_{2'}^2+4x_{3'}^2.$$

Линейные члены преобразуются так:

$$-12\sqrt{30}x_1-14\sqrt{30}x_2+2\sqrt{30}x_3=-40\sqrt{6}x_{1'}+12\sqrt{5}x_{2'}.$$

В новой системе координат уравнение поверхности принимает вид:

$$4x_{1'}^2-2x_{2'}^2+4x_{3'}^2-40\sqrt{6}x_{1'}+12\sqrt{5}x_{2'}+506=0.$$

Выделяя полные квадраты, приводим уравнение к виду

$$4\left(x_{1'}-5\sqrt{6}\right)^2-2\left(x_{2'}-3\sqrt{5}\right)^2+4x_{3'}^2-4=0.$$

Вводя обозначения $y_1=x_{1'}-5\sqrt{6}$, $y_2=x_{2'}-3\sqrt{5}$, $y_3=x_{3'}$, получаем следующий вид уравнения:

$$y_1^2-\frac{y_2^2}{2}+y_3^2=1.$$

Получили уравнение однополостного гиперболоида. ⊗

Задания для самостоятельной работы

Собственные значения и собственные векторы

1. Найти собственные значения и собственные подпространства линейного оператора

$$\hat{A}: R^3 \to R^3,$$

имеющего в каноническом базисе пространства $\left\{\vec{e}_1, \vec{e}_2, \vec{e}_3\right\} \subset R^3$ матрицу:

1) $A = \begin{pmatrix} -1 & -5 & 2 \\ -1 & -2 & -1 \\ 4 & 5 & 1 \end{pmatrix}$; 2) $B = \begin{pmatrix} 1 & 2 & 3 \\ 2 & 3 & 1 \\ 3 & 1 & 2 \end{pmatrix}$; $C = \begin{pmatrix} 1 & 3 & 0 \\ 3 & 1 & 4 \\ 0 & 4 & 1 \end{pmatrix}$.

2. Найти собственные значения и собственные подпространства линейного оператора $\hat{A}: R^3 \to R^3$, действие которого задано приведёнными ниже координатные равенства: $\left(\forall \vec{x} \in R^3\right)$

1) $A\begin{pmatrix} x^1 \\ x^2 \\ x^3 \end{pmatrix} = \begin{pmatrix} x^1 \\ 2x^2 \\ 3x^3 \end{pmatrix}$;

2) $A\begin{pmatrix} x^1 \\ x^2 \\ x^3 \end{pmatrix} = \begin{pmatrix} x^1 \\ x^1 + x^2 \\ x^1 + x^2 + x^3 \end{pmatrix}$;

3) $A\begin{pmatrix} x^1 \\ x^2 \\ x^3 \end{pmatrix} = \begin{pmatrix} x^1 - x^2 \\ 0 \\ x^1 + x^2 \end{pmatrix}$;

4) $A\begin{pmatrix} x^1 \\ x^2 \\ x^3 \end{pmatrix} = \begin{pmatrix} x^1 \\ 0 \\ 0 \end{pmatrix}$;

5) $A\begin{pmatrix} x^1 \\ x^2 \\ x^3 \end{pmatrix} = \begin{pmatrix} 0 \\ x^2 \\ x^3 \end{pmatrix}$;

6) $A\begin{pmatrix} x^1 \\ x^2 \\ x^3 \end{pmatrix} = \begin{pmatrix} x^1 \\ 0 \\ x^3 \end{pmatrix}$.

3. Линейный оператор $\hat{T} : E^3 \to E^3$ в некотором ортонормированном базисе $\left\{ \vec{e}_1, \vec{e}_2, \vec{e}_3 \right\}$ задан матрицей:

1) $T = \frac{1}{3}\begin{pmatrix} 2 & 2 & -1 \\ 2 & -1 & 2 \\ -1 & 2 & 2 \end{pmatrix}$; 2) $T = \begin{pmatrix} 17 & -8 & 4 \\ -8 & 17 & -4 \\ 4 & -4 & 11 \end{pmatrix}$;

3) $T = \begin{pmatrix} 1 & 2 & -4 \\ 2 & -2 & -2 \\ -4 & -2 & 1 \end{pmatrix}$; 4) $T = \begin{pmatrix} 5 & -2 & 4 \\ -2 & 8 & 2 \\ 4 & 2 & 5 \end{pmatrix}$.

Построить в пространстве E^3 ортонормированный базис собственных векторов оператора $\hat{T}$ и записать матрицу оператора $\hat{T}$ в этом базисе.

Инвариантные подпространства

1. Пусть в пространстве зафиксирован канонический базис

$$\left\{ \vec{e}_1, \vec{e}_2, \vec{e}_3 \right\} \subset R^3$$

и пусть дан некоторый линейный оператор $\hat{A} : R^3 \to R^3$. Показать, что линейные оболочки следующего вида

$$L\left\{ \vec{e}_1 \right\}, L\left\{ \vec{e}_2 \right\}, L\left\{ \vec{e}_3 \right\}, L\left\{ \vec{e}_1, \vec{e}_2 \right\}, L\left\{ \vec{e}_1, \vec{e}_3 \right\}, L\left\{ \vec{e}_2, \vec{e}_3 \right\}$$

являются инвариантными подпространствами относительно оператора $\hat{A}$.

2. Пусть подпространства $L_1 \subset X^n$ и $L_2 \subset X^n$ инвариантны относительно оператора

$$\hat{A}: X^n \to X^n.$$

Показать, что подпространства $L_1 + L_2$ и $L_1 \bigcap L_2$ также инвариантны относительно оператора $\hat{A}$.

3. Показать, что если $L \subset X^n$ – инвариантное подпространство оператора

$$\hat{A}: X^n \to X^n,$$

то L является инвариантным подпространством и относительно операторного многочлена

$$\hat{F}\left(\hat{A}\right) = a_0 \hat{I} + a_1 \hat{A} + a_2 \hat{A}^2 + \ldots + a_m \hat{A}^m.$$

4. Пусть $\hat{A}: X^n \to X^n$ – некоторый линейный оператор. Доказать, что если оператор $\hat{A}$ биективный, то его инвариантные подпространства являются инвариантными и относительно оператора $\hat{A}^{-1}$.

5. Пусть $\hat{T}: R^2 \to R^2$ имеет матрицу

$$T = \begin{pmatrix} t_1^1 & t_2^1 \\ t_1^2 & t_2^2 \end{pmatrix}.$$

Найти все инвариантные подпространства оператора $\hat{T}$, если

$$T = \begin{pmatrix} -1 & 2 \\ 3 & 1 \end{pmatrix}.$$

6. Пусть $\hat{T}: R^3 \to R^3$ имеет матрицу

$$T = \begin{pmatrix} t_1^1 & t_2^1 & t_3^1 \\ t_1^2 & t_2^2 & t_3^2 \\ t_1^3 & t_2^3 & t_3^3 \end{pmatrix}.$$

Найти все инвариантные подпространства оператора $\hat{T}$, если

1) $T = \begin{pmatrix} 2 & -1 & -1 \\ 0 & -1 & 0 \\ 0 & 2 & 1 \end{pmatrix}$; 2) $T = \begin{pmatrix} -1 & -2 & -2 \\ 0 & 1 & 0 \\ 0 & 0 & 1 \end{pmatrix}$.

7. Пусть $\hat{T}: R^4 \to R^4$ имеет матрицу

$$T = \begin{pmatrix} 1 & 0 & 2 & -1 \\ 0 & 1 & 4 & -2 \\ 2 & -1 & 0 & 1 \\ 2 & -1 & -1 & 2 \end{pmatrix}.$$

Найти все собственные значения и собственные подпространства оператора $\hat{T}$.

Показать, что линейная оболочка

$$L\left\{\vec{e}_1 + 2\vec{e}_2,\ \vec{e}_2 + \vec{e}_3 + 2\vec{e}_4\right\}$$

является инвариантным подпространством оператора $\hat{T}$.

Геометрия пространства E^n

Задание 1. Получить параметрические и неявные уравнения плоскости $H^m \subset R^n$, проходящей через заданные точки

$A_1(0; 6; 3; 5; 1)$, $A_2(-3; 2; 4; 1; 0)$,

$A_3(6; 1; 4; 3; 2)$, $A_4(-1; 3; -4; 2; -1)$.

Задание 2. Используя критерий Грама линейной зависимости системы векторов в евклидовом пространстве, выяснить вопрос о линейной зависимости системы векторов $\vec{x}_1, \vec{x}_2, \vec{x}_3 \subset R^3$:

1) $\vec{x}_1 = -3\vec{e}_1 + \vec{e}_2 + 5\vec{e}_3$,
$\vec{x}_2 = 6\vec{e}_1 - 2\vec{e}_2 + 5\vec{e}_3$\$

2) $\vec{x}_1 = \vec{e}_1 + 2\vec{e}_2 + 3\vec{e}_3$,
$\vec{x}_2 = 4\vec{e}_1 + 5\vec{e}_2 + 6\vec{e}_3$,
$\vec{x}_3 = 7\vec{e}_1 + 8\vec{e}_2 + 9\vec{e}_3$.

Задание 3. Используя критерий Грама линейной зависимости системы векторов в евклидовом пространстве, выяснить вопрос о линейной зависимости системы векторов $\vec{x}_1, \vec{x}_2, \vec{x}_3, \vec{x}_4 \subset R^4$:

$\vec{x}_1 = \vec{e}_1 + \vec{e}_2 + \vec{e}_3 + \vec{e}_4$,

$$\vec{x}_2 = \vec{e}_1 - \vec{e}_2 - \vec{e}_3 + \vec{e}_4,$$
$$\vec{x}_3 = \vec{e}_1 - \vec{e}_2 + \vec{e}_3 - \vec{e}_4,$$
$$\vec{x}_4 = \vec{e}_1 + \vec{e}_2 - \vec{e}_3 - \vec{e}_4.$$

Задание 4. Пусть $L^3\left\{\vec{a}_1, \vec{a}_2, \vec{a}_3\right\}$ – линейное многообразие в E^4, а $\vec{x}$ – наклонная к многообразию L^3. Найти наименьший угол между вектором $\vec{x}$ и многообразием L^3, если:

$$\vec{x} = 2\vec{e}_1 + 2\vec{e}_2 - \vec{e}_3 + 4\vec{e}_4,$$
$$\vec{a}_1 = \vec{e}_1 - \vec{e}_2 + \vec{e}_3 + \vec{e}_4,$$
$$\vec{a}_2 = -\vec{e}_1 + 2\vec{e}_2 + 3\vec{e}_3 + \vec{e}_4,$$
$$\vec{a}_3 = \vec{e}_1 + 5\vec{e}_2 + 3\vec{e}_4.$$

Задание 5. В ортонормированном базисе $\left\{\vec{e}_1, \vec{e}_2, \vec{e}_3, \vec{e}_4\right\}$ пространства E^4 задана система векторов

$$\vec{a}_1 = \vec{e}_1 - 2\vec{e}_4,$$
$$\vec{a}_2 = \vec{e}_1 + 2\vec{e}_2 + 2\vec{e}_3 + 4\vec{e}_4,$$
$$\vec{a}_3 = 3\vec{e}_1 - 6\vec{e}_3 - 13\vec{e}_4,$$
$$\vec{a}_4 = -\vec{e}_1 + 2\vec{e}_2 + 4\vec{e}_3 + 9\vec{e}_4.$$

1) Выяснить, является ли эта система векторов линейно независимой.
2) Найти объём параллелепипеда, построенного на тройке векторов $\left\{\vec{a}_1, \vec{a}_2, \vec{a}_3\right\}$.
3) Используя процесс ортогонализации Шмидта, построить на их основе новый ортонормированный базис пространства R^4.

Задание 6. В пространстве R^5 найти ортонормированный базис ортогонального дополнения линейной оболочки системы векторов:

1) $\vec{a}_1 = 5\vec{e}_1 + 3\vec{e}_2 + 2\vec{e}_4 + 2\vec{e}_5,$
$\vec{a}_2 = 9\vec{e}_1 + 5\vec{e}_2 + 6\vec{e}_3 - 4\vec{e}_4,$

$\vec{a}_3 = \vec{e}_1 + \vec{e}_2 - 6\vec{e}_3 - \vec{e}_5;$

2) $\vec{a}_1 = 4\vec{e}_1 + 10\vec{e}_2 - \vec{e}_3 + 4\vec{e}_4 - 2\vec{e}_5,$

$\vec{a}_2 = \vec{e}_1 + \vec{e}_2 - \vec{e}_3 - 2\vec{e}_4,$

$\vec{a}_3 = 2\vec{e}_1 + 4\vec{e}_2 - \vec{e}_3 + \vec{e}_5.$

Задание 7. Систему строк матрицы

$$\begin{pmatrix} 1 & 1 & 1 & 2 & 1 \\ 1 & 0 & 0 & 1 & -2 \\ 2 & 1 & -1 & 0 & 2 \end{pmatrix}$$

дополнить двумя строками так, чтобы вся система стала ортогональной.

Задание 8. В пространстве R^4 даны две плоскости H_1 и H_2 с направляющими векторами

$$\left\{\vec{a}_1, \vec{a}_2\right\} \subset H_1$$

и

$$\left\{\vec{b}_1, \vec{b}_2\right\} \subset H_2,$$

соответственно. Найти наименьший угол, образованный векторами первой плоскости с векторами второй плоскости, если:

1) $\vec{a}_1 = \vec{e}_1, \vec{a}_2 = \vec{e}_2,$

$\vec{b}_1 = \vec{e}_1 + \vec{e}_2 + \vec{e}_3 + \vec{e}_4, \vec{b}_2 = 2\vec{e}_1 - 2\vec{e}_2 + 5\vec{e}_3 + 2\vec{e}_4;$

2) $\vec{a}_1 = \vec{e}_1, \vec{a}_2 = \vec{e}_2,$

$\vec{b}_1 = \vec{e}_1 + \vec{e}_2 + \vec{e}_3 + \vec{e}_4, \vec{b}_2 = \vec{e}_1 - \vec{e}_2 + \vec{e}_3 - \vec{e}_4$

Задание 9. Выяснить, какую линию на плоскости описывает уравнение:

1) $x_2 = -1 - \frac{3}{5}\sqrt{26 - 2x_1 + x_1^2}$;

2) $x_1 = -4x_2^2 + 8x_2 - 1;$

3) $x_1 = 2 - \sqrt{3 - x_2}$.

Задание 10. Привести к каноническому виду уравнение линии второго порядка:

1) $17x_1^2 + 12x_1x_2 + 8x_2^2 - 80 = 0;$

2) $4x_1x_2 + 3x_2^2 + 16 = 0$.

Задание 11. Привести к каноническому виду уравнение поверхности второго порядка:

1) $2x_1^2 + x_2^2 - 4x_1x_2 - 4x_2x_3 + \frac{4}{3}x_1 - \frac{16}{3}x_2 + \frac{32}{3}x_3 + 10 = 0$;

2) $\alpha x_1 - 3\sqrt{2}x_2 + 2\sqrt{3}x_3 - 7 = 0$,

где $\alpha = 5$ или $\alpha = 0$.

ЧАСТЬ 3. МАТЕМАТИЧЕСКИЙ АНАЛИЗ ФУНКЦИЙ ОДНОГО И НЕСКОЛЬКИХ ПЕРЕМЕННЫХ

Практическое занятие 1. Понятие предела

Определение предела последовательности

Пример 3.1.1. Показать, что $\lim\limits_{n\to\infty}\dfrac{n+1}{n}=1.$

Р е ш е н и е. Действительно, для произвольного $\varepsilon>0$ имеем:

$$\left|\frac{n+1}{n}-1\right|<\varepsilon \Rightarrow \left|\frac{n+1}{n}-1\right|=\left|\frac{n+1-n}{n}\right|=\frac{1}{n}<\varepsilon\Rightarrow n>\frac{1}{\varepsilon}.$$

Таким образом, для любого наперёд заданного $\varepsilon>0$ мы нашли номер $n_0=\left[\dfrac{1}{\varepsilon}\right]+1$, такой, что $\forall\, n\ge n_0 \Rightarrow \left|\dfrac{n+1}{n}-1\right|<\varepsilon$, следовательно, 1 является пределом данной последовательности. $\otimes$

Пример 3.3.1.2. Доказать существование предела последовательности с общим членом

$$x_n=\frac{1}{2+1}+\frac{1}{2^2+1}+\frac{1}{2^3+1}+\ldots+\frac{1}{2^n+1}.$$

Р е ш е н и е. Покажем, что данная последовательность монотонна и ограничена. Из формулы общего члена последовательности имеем:

$$x_{n+1}=x_n+\frac{1}{2^{n+1}+1}\Rightarrow x_{n+1}>x_n,$$

то есть последовательность монотонно возрастает и ограничена снизу, например, первым элементом x_1. При любом n, очевидно, $\dfrac{1}{2^n+1}<\dfrac{1}{2^n}$. Последовательность ограничена сверху:

$$x_n=\frac{1}{2+1}+\frac{1}{2^2+1}+\frac{1}{2^3+1}+\ldots+\frac{1}{2^n+1}<\frac{1}{2}+\frac{1}{2^2}+\frac{1}{2^3}+\ldots+\frac{1}{2^n}=$$

$$=\frac{\cancel{1/}2-\cancel{1/}2^{n+1}}{1-\dfrac{1}{2}}=1-\frac{1}{2^n}<1.$$

Последовательность монотонна и ограничена, следовательно, по критерию сходимости имеет предел. ⊗

Пример 3.3.1.3. Доказать, что последовательность $\{x_n\}$ есть бесконечно малая последовательность, если

1) $x_n = \dfrac{(-1)^{n+1}}{n}$; 2) $x_n = \dfrac{2n}{n^3+1}$; 3) $x_n = \dfrac{1}{n!}$; 4) $x_n = (-1)^n \cdot 0{,}999^n$.

Составить для каждого случая таблицу следующего вида:

ε	0,1	0,001	0,0001	…
n_0				

Р е ш е н и е. 1) По определению

$$(\forall \varepsilon > 0)\ (\exists n_0 \in N)\ (\forall n \geq n_0)\ \left|\frac{(-1)^{n+1}}{n} - 0\right| < \varepsilon.$$

Решаем неравенство:

$$\left|\frac{(-1)^{n+1}}{n}\right| < \varepsilon \Rightarrow \frac{1}{n} < \varepsilon \Rightarrow n > \frac{1}{\varepsilon} \Rightarrow n > \left[\frac{1}{\varepsilon}\right] \Rightarrow n_0 = \left[\frac{1}{\varepsilon}\right] + 1.$$

Таким образом, по произвольному положительному числу ε мы нашли номер $n_0 = n_0(\varepsilon)$ такой, что начиная с этого номера, выполнено определение предела последовательности. Следовательно, последовательность имеет предел, который равен

$$\lim_{n\to\infty} x_n = \lim_{n\to\infty} \frac{(-1)^{n+1}}{n} = 0.$$

Таким образом, последовательность является бесконечно малой последовательностью.

Пусть, например, $\varepsilon = 0{,}1$. Тогда

$$n_0 = \left[\frac{1}{1/10}\right] + 1 = 11.$$

И так далее, для указанных в таблице значений ε. Искомая таблица принимает вид:

ε	0,1	0,001	0,0001	…
n_0	11	1001	10001	…

2) По определению

$$(\forall \varepsilon > 0)\ (\exists n_0 \in N)\ (\forall n \geq n_0)\ \left|\frac{2n}{n^3+1} - 0\right| < \varepsilon.$$

Решаем неравенство:

$$\left|\frac{2n}{n^3+1}\right| < \varepsilon \Rightarrow \frac{2n}{n^3} < \varepsilon \Rightarrow \frac{2}{n^2} < \varepsilon \Rightarrow \frac{n^2}{2} > \frac{1}{\varepsilon} \Rightarrow n > \sqrt{\frac{2}{\varepsilon}} \Rightarrow$$

$$n > \left[\sqrt{\frac{2}{\varepsilon}}\right] \Rightarrow n_0 = \left[\sqrt{\frac{2}{\varepsilon}}\right] + 1.$$

Таким образом, по произвольному положительному числу ε мы нашли номер $n_0 = n_0(\varepsilon)$ такой, что начиная с этого номера, выполнено определение предела последовательности. Следовательно, последовательность имеет предел, который равен

$$\lim_{n\to\infty} x_n = \lim_{n\to\infty} \frac{2n}{n^3+1} = 0.$$

Таким образом, последовательность является бесконечно малой последовательностью.

Пусть, например, $\varepsilon = 0{,}1$. Тогда

$$n_0 = \left[\sqrt{\frac{2}{1/10}}\right] + 1 \approx [4{,}472] + 1 = 5.$$

И так далее, для указанных в таблице значений ε. Искомая таблица принимает вид:

ε	0,1	0,001	0,0001	…
n_0	5	46	142	…

Остальные примеры решаются аналогично и предлагаются для самостоятельного решения. ⊗

Вычисление предела последовательности

Пример 3.3.1.4. Найти предел последовательности с общим членом

$$x_n = \frac{2n^2}{n^2-1}.$$

Р е ш е н и е. Преобразуем общий член последовательности:

$$x_n = \frac{2n^2}{n^2-1} = 2 \cdot \frac{n}{n-1} \cdot \frac{n}{n+1} = 2 \cdot \frac{1}{1-\frac{1}{n}} \cdot \frac{1}{1+\frac{1}{n}}.$$

Используя правила действий с пределами последовательностей, имеем:

$$\lim_{n\to\infty} x_n = \lim_{n\to\infty} \frac{2n^2}{n^2-1} = 2 \cdot \frac{1}{1-\lim\limits_{n\to\infty}\frac{1}{n}} \cdot \frac{1}{1+\lim\limits_{n\to\infty}\frac{1}{n}} = 2. \otimes$$

Пример 3.3.1.5. Вычислить предел последовательности с общим членом

$$x_n = \frac{(2n+1)\cdot(3n+1)}{n^2}.$$

Р е ш е н и е. Преобразуем общий член последовательности:

$$x_n = \frac{(2n+1)\cdot(3n+1)}{n^2} = \frac{2n+1}{n}\cdot\frac{3n+1}{n} = \left(2+\frac{1}{n}\right)\cdot\left(3+\frac{1}{n}\right).$$

Используя правила действий с пределами, имеем:

$$\lim_{n\to\infty} x_n = \lim_{n\to\infty}\frac{(2n+1)\cdot(3n+1)}{n^2} = \lim_{n\to\infty}\left(2+\frac{1}{n}\right)\cdot\lim_{n\to\infty}\left(3+\frac{1}{n}\right) = 2\cdot 3 = 6.\ \otimes$$

Пример 3.3.1.6. Найти предел последовательности с общим членом

$$x_n = \sqrt{n^2+n}-n.$$

Р е ш е н и е. Имеем неопределённость вида $[\infty-\infty]$. Преобразуем формулу для общего члена:

$$\sqrt{n^2+n}-n = \frac{(\sqrt{n^2+n}-n)(\sqrt{n^2+n}+n)}{\sqrt{n^2+n}+n} = \frac{n}{\sqrt{n^2+n}+n} = \frac{1}{\sqrt{1+\frac{1}{n}}+1}.$$

Вычисляем предел последовательности:

$$\lim_{n\to\infty}\frac{1}{\sqrt{1+\frac{1}{n}}+1} = \frac{1}{\lim\limits_{n\to\infty}\sqrt{1+\frac{1}{n}}+1} = \frac{1}{2}.\ \otimes$$

Пример 3.3.1.7. Вычислить предел последовательности с общим членом

$$x_n = \frac{1}{1\cdot 2}+\frac{1}{2\cdot 3}+\ldots+\frac{1}{n\cdot(n+1)}.$$

Р е ш е н и е. Преобразуем формулу для общего члена последовательности:

$$x_n = \frac{1}{1\cdot 2}+\frac{1}{2\cdot 3}+\ldots+\frac{1}{n\cdot(n+1)} = \left(1-\frac{1}{2}\right)+\left(\frac{1}{2}-\frac{1}{3}\right)+\ldots+\left(\frac{1}{n}-\frac{1}{n+1}\right) =$$

$$= 1-\frac{1}{n+1}.$$

Теперь

$$\lim_{n\to\infty} x_n = \lim_{n\to\infty}\left(\frac{1}{1\cdot 2}+\frac{1}{2\cdot 3}+\ldots+\frac{1}{n\cdot(n+1)}\right) = \lim_{n\to\infty}\left(1-\frac{1}{n+1}\right) = 1.\ \otimes$$

Пример 3.3.1.8 (неперово число e). Показать, что последовательность с общим членом

$$x_n = \left(1+\frac{1}{n}\right)^n$$

сходится, то есть, существует предел

$$\lim_{n\to\infty} x_n \equiv \lim_{n\to\infty}\left(1+\frac{1}{n}\right)^n = e.$$

Р е ш е н и е. Приведём значение этого числа, применяемое в обычных расчётах, не требующих слишком большой точности: $e = 2{,}71828\ldots$.

Приступим к строгому исследованию данного предела. Докажем сходимость последовательность $x_n = \left(1+\frac{1}{n}\right)^n$.

Покажем, что

$$(\forall b > -1) \wedge (\forall n \in N) \; (1+b)^n \geq 1+nb.$$

Для этого применим индукцию по n:

1) при $n=1$ имеем $1+b \geq 1+b$, что всегда выполняется;

2) предположим, что $(\forall n = k) \; (1+b)^k \geq 1+kb$;

3) покажем, что $(\forall b > -1) \wedge (n = k+1) \; (1+b)^{k+1} \geq 1+(k+1)b$.

Справедливость заключения следует из цепочки выкладок:

$$(1+b)^{k+1} = (1+b)^k (1+b) \geq (1+b)(1+kb) = 1+kb+b+kb^2 \geq 1+(k+1)b,$$

так как $kb^2 > 0$.

Так как неравенство справедливо при $n=1$, оно справедливо и при любом $n \in N$. Итак, $(\forall b > -1)$ и $(\forall n \in N)$

$$(1+b)^n \geq 1+nb. \qquad (1)$$

Рассмотрим последовательность с общим членом

$$y_n = \left(1+\frac{1}{n}\right)^{n+1}.$$

Для этой последовательности

$$\frac{y_{n-1}}{y_n} = \frac{\left(1+\frac{1}{n-1}\right)^n}{\left(1+\frac{1}{n}\right)^{n+1}} = \frac{n^{2n+1}\cdot(n-1)}{(n-1)^n\cdot(n+1)^{n+1}\cdot(n-1)} =$$

$$= \frac{(n^2)^{n+1}\cdot(n-1)}{(n^2-1)^{n+1}\cdot n} = \frac{(n^2-1+1)^{n+1}}{(n^2-1)^{n+1}}\cdot\frac{n-1}{n} =$$

$$= \left(\frac{n^2-1+1}{n^2-1}\right)^{n+1}\cdot\frac{n-1}{n} = \left(1+\frac{1}{n^2-1}\right)^{n+1}\cdot\frac{n-1}{n} \geq \text{ используем } (1)$$

$$\geq \left(1+(n+1)\frac{1}{n^2-1}\right)\cdot\frac{n-1}{n} = \left(1+\frac{1}{n-1}\right)\cdot\frac{n-1}{n} = 1.$$

Таким образом,

$$\forall n \in N \quad \frac{y_{n-1}}{y_n} \geq 1$$

а, следовательно, $y_n \leq y_{n-1}$, то есть, последовательность с общим членом

$$y_n = \left(1+\frac{1}{n}\right)^{n+1}$$

монотонно убывает. Так как

$$\left(1+\frac{1}{n}\right)^{n+1} > 1,$$

эта последовательность ограничена снизу. Но тогда по критерию сходимости ограниченной последовательности данная последовательность сходится.

Далее имеем:

$$\lim_{n\to\infty}\left(1+\frac{1}{n}\right)^{n} = \lim_{n\to\infty}\frac{\left(1+\frac{1}{n}\right)^{n+1}}{\left(1+\frac{1}{n}\right)} = \lim_{n\to\infty}\left(1+\frac{1}{n}\right)^{n+1},$$

где использовано, что

$$\lim_{n\to\infty}\left(1+\frac{1}{n}\right)=1.$$

Так как предел в правой части равенства существует

$$\lim_{n\to\infty}\left(1+\frac{1}{n}\right)^{n+1}=e,$$

то существует и предел левой части. Итак, предел существует и обозначается

$$e=\lim_{n\to\infty}\left(1+\frac{1}{n}\right)^{n}. \otimes$$

Пример 3.3.1.9. Доказать неравенство Бернулли:

$$(1+x_1)(1+x_2)\ldots(1+x_n)\geq 1+x_1+x_2+\ldots+x_n.$$

Р е ш е н и е. Неравенство справедливо при $n=1,\ 2$, что легко проверяется.

Например, для $n=2$ имеем:

$$(1+x_1)(1+x_2)=1+x_1+x_2+x_1x_2\geq 1+x_1+x_2.$$

Предположим, что неравенство справедливо при $n=k$, то есть

$$(1+x_1)(1+x_2)\ldots(1+x_k)\geq 1+x_1+x_2+\ldots+x_k$$

и покажем, что оно справедливо и при $n=k+1$. Имеем:

$$(1+x_1)(1+x_2)\ldots(1+x_k)(1+x_{k+1})\geq (1+x_1+x_2+\ldots+x_k)(1+x_{k+1})=$$
$$=1+x_1+x_2+\ldots+x_k+x_{k+1}+(1+x_1+x_2+\ldots+x_k+x_k)x_{k+1}\geq$$
$$\geq 1+x_1+x_2+\ldots+x_k+x_{k+1}.$$

По заключению индукции неравенство справедливо при любом $k=n$. $\otimes$

Пример 3.3.1.10. Показать, что если $x > -1$, то

$$(1+x)^n \geq 1+nx \quad (n>1),$$

причём знак равенства имеет место только при $x = 0$.

Р е ш е н и е. Полагая в неравенстве предыдущего примера

$$x_1 = x_2 = \ldots = x_n = x,$$

получаем требуемое неравенство. ⊗

Пример 3.3.1.11. Вычислить предел последовательности с общим членом

$$x_n = n\left[\ln(n+3) - \ln n\right].$$

Р е ш е н и е. Преобразуем формулу для общего члена:

$$x_n = n\left[\ln(n+3) - \ln n\right] = \ln\left(\frac{n+3}{n}\right)^n = 3\cdot\ln\left(1+\frac{1}{n/3}\right)^{n/3}.$$

Переходя к пределу, имеем:

$$\lim_{n\to\infty} x_n = 3\cdot\lim_{n\to\infty}\ln\left(1+\frac{1}{n/3}\right)^{n/3} = 3\cdot\ln e = 3. \otimes$$

Пример 3.3.1.12. Доказать, что последовательность (a^n) является:

1) бесконечно большой последовательностью при $|a| > 1$;

2) бесконечно малой последовательностью при $|a| < 1$.

Р е ш е н и е. 1) Пусть $|a| > 1$. Покажем, что последовательность (a^n) удовлетворяет определению бесконечно большой последовательности, то есть $(\forall A > 0)\ (\exists n_0 \in N)$: $(\forall n \geq n_0)$

$$|a|^n > A. \qquad (1)$$

Зададимся произвольным числом $A > 0$. Для нахождения номера n_0 решим неравенство (1) относительно номера. Получим

$$\log_{|a|}|a|^n > \log_{|a|} A \Rightarrow n > \log_{|a|} A \Rightarrow n > \left[\log_{|a|} A\right].$$

Следовательно, выполнение неравенства (1) начинается с номера

$$n_0 = \left[\log_{|a|} A\right] + 1.$$

Что и требовалось доказать.

2) Пусть $|a| < 1$. Если $a = 0$, то $(\forall n \in N)\ a^n = 0$ и, следовательно, последовательность (a^n) бесконечно малая. Пусть $a \neq 0$. Тогда

$$a^n = \left(\left(\frac{1}{a} \right)^n \right)^{-1}. \qquad (2)$$

Так в этом случае $\frac{1}{|a|} > 1$, то последовательность $\left(\frac{1}{a^n} \right)$ является бесконечно большой последовательностью, последовательность

$$a^n = \left(\left(\frac{1}{a} \right)^n \right)^{-1}$$

– бесконечно малой последовательностью. Поэтому в силу (2) при $|a| < 1$ последовательность (a^n) – бесконечно малая последовательность. $\otimes$

Пример 3.3.1.13. Показать, что если (x_n) – сходящаяся последовательность, а (y_n) – бесконечно большая последовательность, то последовательность

$$(z_n) = (x_n + y_n)$$

– бесконечно большая последовательность.

Р е ш е н и е. Покажем, что

$$(\forall A > 0)\ (\exists n_0 \in N)\ (\forall n \geq n_0)\ |x_n + y_n| > A.$$

В силу критерия сходимости последовательности сходящаяся последовательность (x_n) ограничена, то есть

$$(\exists M > 0)\ (\forall n \in N)\ |x_n| < M. \qquad (1)$$

Пусть задано произвольное $A > 0$. Так как последовательность (y_n) бесконечно большая, то для числа $A + M$

$$(\exists n_0 \in N)\ (\forall n \geq n_0)\ |y_n| > A + M. \qquad (2)$$

Из неравенств (1) и (2) получаем: $|x_n + y_n| \geq |y_n| - |x_n| > A + M - M = A.$

Что и требовалось доказать. $\otimes$

Пример 3.3.1.14. Вычислить предел последовательности с общим членом

$$x_n = \frac{\sqrt{n}}{n+1} \cos n. \qquad (1)$$

Р е ш е н и е. Так как $(\forall x \in R^1)\ |\cos x| < 1$, то последовательность $(\cos n)$ ограничена. Покажем, что последовательность $\left(\frac{\sqrt{n}}{n+1} \right)$ – бесконечно малая последовательность. Действительно,

$$\lim_{n\to\infty}\frac{\sqrt{n}}{n+1}=\lim_{n\to\infty}\frac{\frac{1}{\sqrt{n}}}{1+\frac{1}{n}}=\frac{\lim\limits_{n\to\infty}\frac{1}{\sqrt{n}}}{\lim\limits_{n\to\infty}\left(1+\frac{1}{n}\right)}=0.$$

По свойствам бесконечно малых последовательностей произведение ограниченной последовательности на бесконечно малую последовательность, то есть последовательность с общим членом (1), является бесконечно малой последовательностью и, следовательно,

$$\lim_{n\to\infty}x_n=\lim_{n\to\infty}\frac{\sqrt{n}}{n+1}\cos n=0.\otimes$$

Непрерывность и предел функции

Пример 3.3.1.15. Вычислить предел функции в точке: $\lim\limits_{x\to 1}\left(x^2+x+5\right)$.

Р е ш е н и е. Выбираем произвольную последовательность значений аргумента $\left(x_n\right)$, сходящуюся к 1, то есть такую, что $\lim\limits_{n\to\infty}x_n=1$. Используем определение по Гейне:

$$\lim_{x\to 1}\left(x^2+x+5\right)=\lim_{n\to\infty}\left(x_n^2+x_n+5\right)=$$

$$=3\lim_{n\to\infty}x_n^2+\lim_{n\to\infty}x_n+\lim_{n\to\infty}5=3+1+5=9.\otimes$$

Пример 3.3.1.16. Показать, что $\lim\limits_{x\to 6}\left(2x-5\right)=7$.

Р е ш е н и е. Выбираем произвольное $\varepsilon>0$. Найдём для него такое $\delta>0$, что из неравенства

$$\left|x-6\right|<\delta\ \Rightarrow\ 6-\delta<x<6+\delta. \qquad (1)$$

будет следовать неравенство

$$\left|\left(2x-5\right)-7\right|<\varepsilon.$$

Производя тождественные преобразования, получаем:

$$\left|\ 2x-5\ -7\right|<\varepsilon\Rightarrow\left|2x-12\right|<\varepsilon\Rightarrow 2\left|x-6\right|<\varepsilon\Rightarrow\left|x-6\right|<\frac{\varepsilon}{2}$$

$$\Rightarrow 6-\frac{\varepsilon}{2}<x<6+\frac{\varepsilon}{2}. \qquad (2)$$

Сравнивая (1) и (2), получаем, что

$$\delta=\frac{\varepsilon}{2}.$$

Последнее и доказывает, что $\lim\limits_{x\to 6}\left(2x-5\right)=7.\otimes$

Пример 3.3.1.17. Показать, что

$$\lim_{x\to 1/3}\frac{15x^2-2x-1}{x-\frac{1}{3}}=8.$$

Р е ш е н и е. По определению предела нужно чтобы выполнялось условие:

$$\forall\varepsilon>0\ \exists\delta>0:\ \left|x-\frac{1}{3}\right|<\delta\Rightarrow\left|\frac{15x^2-2x-1}{x-\frac{1}{3}}-8\right|<\varepsilon.$$

Решаем неравенство

$$\left|\frac{15x^2-2x-1}{x-\frac{1}{3}}-8\right|<\varepsilon\Leftrightarrow\left|\frac{15\left(x-\frac{1}{3}\right)\left(x+\frac{1}{5}\right)}{x-\frac{1}{3}}-8\right|<\varepsilon\Leftrightarrow$$

$$|15x-5|<\varepsilon\Leftrightarrow\frac{1}{3}-\frac{\varepsilon}{15}<x<\frac{1}{3}+\frac{\varepsilon}{15}.$$

Таким образом, как только

$$x\in\left(\frac{1}{3}-\frac{\varepsilon}{15},\frac{1}{3}\right)\cup\left(\frac{1}{3},\frac{1}{3}+\frac{\varepsilon}{15}\right),$$

так сразу

$$\left|\frac{15x^2-2x-1}{x-\frac{1}{3}}-8\right|<\varepsilon.$$

Из этого следует, что $\delta=\frac{\varepsilon}{15}$. Итак,

$$\forall\varepsilon>0\ \left|x-\frac{1}{3}\right|<\frac{\varepsilon}{15}\Rightarrow\left|\frac{15x^2-2x-1}{x-\frac{1}{3}}-8\right|<\varepsilon,$$

а значит $\lim\limits_{x\to 1/3}\dfrac{15x^2-2x-1}{x-\frac{1}{3}}=8.\otimes$

Пример 3.3.1.18. Найти предел функции в точке: $\lim\limits_{x\to 1}\dfrac{x^2-3x+2}{3x^2+x-4}$.

Р е ш е н и е. Непосредственно перейти к пределу в числителе и знаменателе нельзя, так как $\lim\limits_{x\to 1}\dfrac{x^2-3x+2}{3x^2+x-4}=\left[\dfrac{0}{0}\right]$, то есть получаем так называемую ***неопределённость вида*** $\dfrac{0}{0}$. Для «раскрытия» этой неопределённости разложим числитель и знаменатель на множители, предварительно приравняв их к нулю $(x^2-3x+2=0,\ 3x^2+x-4=0)$ и решив соответствующие квадратные уравнения. В результате получаем:

$$\frac{x^2-3x+2}{3x^2+x-4}=\frac{(x-2)(x-1)}{3(x-1)\left(x+\dfrac{4}{3}\right)}.$$

Так как $x\to 1$, но $x\neq 1$, то на множитель $(x-1)$, дающий в пределе $x\to 1$ нуль, можно сократить. В результате получаем:

$$\lim_{x\to 1}\frac{x^2-3x+2}{3x^2+x-4}=\lim_{x\to 1}\frac{(x-2)}{3\left(x+\dfrac{4}{3}\right)}=\frac{1}{3}\cdot\frac{\lim\limits_{x\to 1}(x-2)}{\lim\limits_{x\to 1}\left(x+\dfrac{4}{3}\right)}=-\frac{1}{7}.\ \otimes$$

Пример 3.3.1.19. Пользуясь определением непрерывности по Коши, показать, что функция $f(x)=5x^2+5$ непрерывна в точке $x_0=8$.

Р е ш е н и е. Значение функции в точке $x_0=8$ равно $f(8)=325$. По определению функция будет в точке $x_0=8$ непрерывной, если

$$(\forall\varepsilon>0)\ (\exists\delta>0):\ |x-8|<\delta\Rightarrow|5x^2+5-325|<\varepsilon.$$

Решаем последнее неравенство, чтобы найти промежуток числовой оси M такой, что как только $x\in M$, так сразу $|5x^2+5-325|<\varepsilon$. Имеем:

$$|5x^2+5-325|<\varepsilon\Rightarrow|5x^2-320|<\varepsilon\Rightarrow 64-\frac{\varepsilon}{5}<x^2<64+\frac{\varepsilon}{5}\Rightarrow$$

$$\sqrt{64-\frac{\varepsilon}{5}}<x<\sqrt{64+\frac{\varepsilon}{5}}.$$

Таким образом,

$$x\in\left(\sqrt{64-\frac{\varepsilon}{5}},\sqrt{64+\frac{\varepsilon}{5}}\right)\Rightarrow|(5x^2+5)-325|<\varepsilon,$$

а это и означает, что функция в точке $x_0=8$ непрерывна. $\otimes$

Пример 3.3.1.20. Найти и классифицировать точки разрыва функции

$$f(x)=\begin{cases}2-x, & x\le 0;\\ \cos x, & 0<x<\dfrac{\pi}{2};\\ 0, & x\ge\dfrac{\pi}{2}.\end{cases}$$

Р е ш е н и е. Функция непрерывна в промежутках

$$(-\infty,0),\left(0,\frac{\pi}{2}\right),\left[\frac{\pi}{2},+\infty\right).$$

Исследуем функцию в точках 0 и $\dfrac{\pi}{2}$.

Так как

$$\lim_{x\to 0-0} f(x)=\lim_{x\to 0-0}(2-x)=2,\ \lim_{x\to 0+0} f(x)=\lim_{x\to 0+0}\cos x=1,$$

то $x=0$ является точкой разрыва первого рода, в ней функция испытывает скачок

$$\lim_{x\to 0-0} f(x)-\lim_{x\to 0+0} f(x)=2.$$

Далее имеем:

$$\lim_{x\to\frac{\pi}{2}-0} f(x)=\lim_{x\to\frac{\pi}{2}-0}\cos x=0,\ \lim_{x\to\frac{\pi}{2}+0} f(x)=\lim_{x\to\frac{\pi}{2}+0}0=0.$$

Так как $f\left(\dfrac{\pi}{2}\right)=0$, то

$$\lim_{x\to\frac{\pi}{2}-0} f(x)=\lim_{x\to\frac{\pi}{2}+0} f(x)=f\left(\frac{\pi}{2}\right)$$

и функция в точке $x=\dfrac{\pi}{2}$ непрерывна. Таким образом, функция непрерывна на всей числовой оси R, кроме точки $x=0$, которая является точкой разрыва первого рода. $\otimes$

Пример 3.3.1.21. Найти точки разрыва функции, определённой формулой

$$f(x)=\begin{cases}\dfrac{1}{3x^2-9}, & x\ne 3,\\ 1, & x=3.\end{cases}$$

Если точки разрыва существуют, то дать их классификацию.

Р е ш е н и е. Вычислим односторонние пределы при $x\to 3$:

$$\lim_{x\to 3-0} f(x)=\lim_{x\to 3-0}\frac{1}{3x^2-9}=\frac{1}{18};$$

$$\lim_{x\to 3+0} f(x) = \lim_{x\to 3+0} \frac{1}{3x^2-9} = \frac{1}{18}.$$

Итак, пределы слева и справа существуют, равны, но не равны значению функции в точке $x = 3$:

$$\lim_{x\to 3-0} f(x) = \lim_{x\to 3+0} f(x) = \frac{1}{18} \neq 1.$$

Имеем точку разрыва первого рода, а именно, точку устранимого разрыва. $\otimes$

Пример 3.3.1.22. Вычислить предел

$$\lim_{x\to 0} \frac{2x\cdot \sin x}{1-\cos x}.$$

Р е ш е н и е. Непосредственно вычислить предел нельзя. Поэтому заметим, что

$$\lim_{x\to 0} (2x\cdot \sin x) = 0,\ \lim_{x\to 0} (1-\cos x) = 0.$$

Таким образом, функции в числителе и знаменателе при $x \to 0$ являются бесконечно малыми функциями.

Для нахождения предела их отношения заменим эти функции эквивалентными бесконечно малыми при $x \to 0$ функциями. Вспомним, что

$$\lim_{x\to 0} \frac{\sin x}{x} = 1,$$

то есть, $\sin x \approx x$ при $x \to 0$.

Далее, вспоминая, что $1-\cos x = 2\sin^2 \frac{x}{2}$ и заменяя $\sin \frac{x}{2} \approx \frac{x}{2}$, получим, что

$$1-\cos x = 2\sin^2 \frac{x}{2} \approx 2\frac{x^2}{4} = \frac{x^2}{2}.$$

Теперь предел легко находится как предел отношения эквивалентных бесконечно малых функций:

$$\lim_{x\to 0} \frac{2x\cdot \sin x}{1-\cos x} = \lim_{x\to 0} \frac{2x\cdot x}{x^2/2} = 4. \otimes$$

Практическое занятие 2. Дифференцируемость

Дифференцируемость функции одного переменного

Пример 3. 2.1. Найти производную функцию и дифференциал для функции, определённой формулой

$$f(x) = 4x^5 - 25x^{1/5} - 2\sqrt{x^3} + 7\sqrt[4]{x^{17}}\ .$$

Р е ш е н и е. Для решения задачи используем правило вычисления производной суммы (дифференцируемых) функций, правило вычисления производной функции на число, а также табличную производную $(x^{\alpha})' = \alpha \cdot x^{\alpha-1}$:

$$f'(x) = \left(4x^5 - 25x^{1/5} - 2\sqrt{x^3} + 7\sqrt[4]{x^{16}}\right)' =$$

$$= \left(4x^5 - 25x^{1/5} - 2x^{3/2} + 7x^4\right)' = 20x^4 - 5x^{-4/5} - 3x^{1/2} + \frac{119}{4}x^{\frac{13}{4}} =$$

$$= 20x^4 - \frac{5}{\sqrt[5]{x^4}} - 3\sqrt{x} + \frac{119}{4}\sqrt[4]{x^{13}}.$$

Так как дифференциал функции (в произвольной точке x) $df(x) = f'(x)dx$, то имеем:

$$df(x) = \left(20x^4 + 9x^2 - \frac{5}{\sqrt[5]{x^4}} - 3\sqrt{x} + \frac{119}{4}\sqrt[4]{x^{13}}\right)dx. \otimes$$

Пример 3. 2.2. Найти производную функцию для функции, определённой формулой

$$f(x) = \frac{g_1(x)}{g_2(x)} = \frac{x^2 - 2x + 3}{x^2 + 2x + 5}.$$

Р е ш е н и е. В этом примере следует воспользоваться правилом дифференцирования частного двух (дифференцируемых) функций

$$f'(x) = \left(\frac{g_1}{g_2}\right)'(x) = \frac{g_1'(x) \cdot g_2(x) - g_1(x) \cdot g_2'(x)}{\left[g_2(x)\right]^2},$$

для чего вычислим сначала производные числителя и знаменателя:

$$f'(x) = (x^2 - 2x + 3)' = 2x - 2,\ g'(x) = (x^2 + 2x + 5)' = 2x + 2$$

(здесь мы воспользовались тем, что согласно таблице производных производная постоянной равна нулю, а производная степенной функции вычисляется по формуле $(x^{\alpha})' = \alpha \cdot x^{\alpha-1}$).

Теперь используем правило дифференцирования частного:

$$f'(x) = \left[\frac{g_1(x)}{g_2(x)}\right]' = \frac{g_1'(x) \cdot g_2(x) - g_1(x) \cdot g_2'(x)}{\left[g_2(x)\right]^2} = \left[\frac{x^2 - 2x + 3}{x^2 + 2x + 5}\right]' =$$

$$= \frac{(2x-2)(x^2+2x+5) - (x^2-2x+3)(2x+2)}{(x^2+2x+5)^2} =$$

$$= \frac{4x^2+4x-16}{(x^2+2x+5)^2} = 4\frac{x^2+x-4}{(x^2+2x+5)^2}. \otimes$$

Пример 3. 2.3. Найти производную функцию для функции, определённой формулой

$$f(x) = a^2 \cdot (x-a)(x^2+ax+a^2) + x^2 - 2bx + b^2,$$

и вычислить $f'(6)$ при $a = 3,\ b = 10.$

Р е ш е н и е. Имеем:

$$f'(x) = \left[a^2 \cdot (x-a)(x^2+ax+a^2) + x^2 - 2bx + b^2\right]' =$$

$$= a^2(x^3 - a^3)' + (x^2 - 2bx + b^2)' = 3a^2x^2 + 2(x-b).$$

Далее получаем при $a = 3,\ b = 10$:

$$f'(6) = 3 \cdot 3^2 \cdot 5^2 + 2 \cdot (6-10) = 675 - 10 = 665. \otimes$$

Пример 3. 2.4. Найти производную функцию для функции, определённой формулой

$$f(x) = \frac{x^2 + 2\cos x}{\sin x}.$$

Р е ш е н и е. Используя правило дифференцирования частного двух функций и табличные производные для синуса и косинуса, имеем:

$$f'(x) = \frac{d}{dx}\left[\frac{x^2+2\cos x}{\sin x}\right] = \frac{(2x-2\sin x)\sin x - (x^2+2\cos x)\cos x}{\sin^2 x} =$$

$$= \frac{2x\sin x - x^2\cos x - 2(\sin^2 x + \cos^2 x)}{\sin^2 x} = \frac{2x\sin x - x^2\cos x - 2}{\sin^2 x} =$$

$$= \frac{2x}{\sin x} - x^2\frac{ctgx}{\sin x} - \frac{2}{\sin^2 x}. \otimes$$

Пример 3. 2.5. Найти производную функцию для функции, определённой формулой

$$f(x) = \frac{2x-1}{\sqrt{x^2+1}}.$$

Р е ш е н и е. Используя правило дифференцирования частного двух функций и формулу дифференцирования композиции функций

$$(g \circ f)'(x) = g'(f(x)) \cdot f'(x),$$

имеем:

$$f'(x) = \frac{(x-1)'\sqrt{x^2+1} - (\sqrt{x^2+1})'(x-1)}{(\sqrt{x^2+1})^2} =$$

$$= \frac{2\sqrt{x^2+1} - \frac{1}{2}\frac{1}{\sqrt{x^2+1}}(x^2+1)'(x-1)}{x^2+1} =$$

$$= \frac{2\sqrt{x^2+1} - \frac{1}{2}\frac{1}{\sqrt{x^2+1}}2x(x-1)}{x^2+1} = \frac{2x^2+2-2x^2+x}{(x^2+1)\sqrt{x^2+1}} =$$

$$= \frac{x+2}{(x^2+1)\sqrt{x^2+1}} = \frac{x+2}{(x^2+1)^{3/2}}. \otimes$$

Пример 3. 2.6. Найти производную функцию для функции, действие которой определённо формулой $f(x) = \ln(x+1+\sqrt{x^2+2x+3})$.

Р е ш е н и е. Используя правила рациональных операций с производными функций и табличную производную от логарифма, получаем:

$$f'(x) = \left[\ln(x+1+\sqrt{x^2+2x+3})\right]' =$$

$$= \frac{1}{x+1+\sqrt{x^2+2x+3}} \cdot (x+1+\sqrt{x^2+2x+3})' =$$

$$= \frac{1+\frac{1}{2}\cdot\frac{1}{\sqrt{x^2+2x+3}}\cdot 2\cdot(x+1)}{x+1+\sqrt{x^2+2x+3}} =$$

$$= \frac{x+1+\sqrt{x^2+2x+3}}{(x+1+\sqrt{x^2+2x+3})\cdot(\sqrt{x^2+2x+3})} =$$

$$= \frac{1}{\sqrt{x^2+2x+3}}. \otimes$$

Пример 3. 2.7. Найти производную функцию для функции, определённой формулой $f(x)=\frac{\ln x}{x}$, и вычислить производные $f'(e), f'\left(\frac{1}{e}\right), f'(e^2)$.

Р е ш е н и е. Сначала находим производную функцию:

$$f'(x)=\frac{d}{dx}\left(\frac{\ln x}{x}\right)'=\frac{\frac{1}{x}\cdot x-\ln x}{x^2}=\frac{1-\ln x}{x^2}.$$

Вычисляем производные в указанных точках:

$$f'(e)=\frac{1-\ln e}{e^2}=0;\ f'\left(\frac{1}{e}\right)=\frac{1-\ln\left(\frac{1}{e}\right)}{\left(\frac{1}{e}\right)^2}=\frac{1+1}{\frac{1}{e^2}}=2e^2;$$

$$f'(e^2)=\frac{1-2\ln e}{(e^2)^2}=\frac{1-2}{e^4}=-e^{-4}.\otimes$$

Пример 3. 2.8. Найти производную функцию $f''(x)$ для функции f, если $f(x)=e^{-x^2}$.

Р е ш е н и е. Используя формулу для нахождения производной сложной функции, имеем:

$$f'(x)=(e^{-x^2})'=e^{-x^2}\cdot(-1)\cdot 2x=-2x\cdot e^{-x^2},$$

$$f''(x)=(-2x\cdot e^{-x^2})'=-2\cdot e^{-x^2}-2x\cdot(-2x\cdot e^{-x^2})=(4x^2-2)\cdot e^{-x^2}=$$

$$=2\cdot(2x^2-1)\cdot e^{-x^2}.\otimes$$

Пример 3. 2.9*. Найти производную функцию $f'''(x)$ для функции f, если $f(x)=x^2\cdot\sin x$.

Р е ш е н и е. Используя формулу для нахождения производной сложной функции, имеем:

$$f'(x)=(x^2\cdot\sin x)'=2x\sin x+x^2\cos x;$$

$$f''(x)=2\sin x+4x\cos x-x^2\sin x;$$

$$f'''(x)=6\cos x-6x\sin x-x^2\cos x.\otimes$$

Логарифмическое дифференцирование

Рассмотрим случай мультипликативных функций, которые могут быть записаны в виде $\forall x \in M$

$$f(x) = g_1^{\alpha_1}(x) g_2^{\alpha_2}(x) \ldots g_m^{\alpha_m}(x),$$

где $M \subset R^1$ – общее множество определения для функций $g_k^{\alpha_k}(x)$, а числа α_k $(k = 1, 2, \ldots, m)$ – показатели степени. Предположим, что функция f удовлетворяет условию

$$\forall x \in M \; f(x) = g_1^{\alpha_1}(x) g_2^{\alpha_2}(x) \ldots g_m^{\alpha_m}(x) > 0.$$

Найти производную функции $f(x)$, очевидно, затруднительно даже для малых $(k = 1, 2, \ldots)$. Поступим следующим образом.

Введём новую функцию:

$$u(x) = \ln f(x) = \ln \left[g_1^{\alpha_1}(x) g_2^{\alpha_2}(x) \ldots g_m^{\alpha_m}(x) \right].$$

Нетрудно видеть, что эта функция имеет вид

$$u(x) = \ln f(x) = \ln \left[g_1^{\alpha_1}(x) g_2^{\alpha_2}(x) \ldots g_m^{\alpha_m}(x) \right] =$$
$$= \alpha_1 \ln g_1(x) + \alpha_2 \ln g_2(x) + \ldots + \alpha_m \ln g_m(x).$$

Дифференцируя функцию

$$u(x) = \ln f(x)$$

с учётом последнего равенства, получаем:

$$u'(x) = \frac{f'(x)}{f(x)} \Rightarrow f'(x) = f(x) u'(x);$$

$$u'(x) = \alpha_1 \frac{g_1'(x)}{g_1(x)} + \alpha_2 \frac{g_2'(x)}{g_2(x)} + \ldots + \alpha_m \frac{g_m'(x)}{g_m(x)}.$$

Из последних двух равенств следует, что

$$f'(x) = f(x) u'(x) =$$
$$= g_1^{\alpha_1}(x) g_2^{\alpha_2}(x) \ldots g_m^{\alpha_m}(x) \left[\alpha_1 \frac{g_1'(x)}{g_1(x)} + \alpha_2 \frac{g_2'(x)}{g_2(x)} + \ldots + \alpha_m \frac{g_m'(x)}{g_m(x)} \right].$$

Выражение

$$u' = (\ln f(x))' = \frac{f'(x)}{f(x)}$$

называется ***логарифмической производной функции*** $f(x)$.

Пример 3. 2.10. Найти производную функцию для функции

$$f(x) = \frac{x}{(x+1)\cdot(x+2)}.$$

Р е ш е н и е. Имеем:

$$u = \ln f = \ln x - \ln(x+1) - \ln(x+2).$$

Далее получаем:

$$u' = \frac{f'(x)}{f(x)} = \frac{1}{x} - \frac{1}{x+1} - \frac{1}{x+2} = \frac{-(x^2-2)}{x\cdot(x+1)\cdot(x+2)}.$$

Используя формулу для логарифмической производной, имеем

$$f'(x) = f(x)\cdot u'(x) =$$

$$= \frac{x}{(x+1)\cdot(x+2)}\cdot\frac{-(x^2-2)}{x\cdot(x+1)\cdot(x+2)} = \frac{-(x^2-2)}{(x+1)^2\cdot(x+2)^2}. \otimes$$

Пример 3. 2.11***.** Найти производную функцию для функции

$$f(x) = x^2\cdot\sqrt{\frac{2x-1}{x+1}}.$$

Р е ш е н и е. Логарифмируя имеем:

$$u(x) = \ln f(x) = 2\ln x + \frac{1}{2}\ln(2x-1) - \frac{1}{2}\ln(x+1).$$

Откуда получаем

$$u'(x) = \frac{f'(x)}{f(x)} = \frac{2}{x} + \frac{1}{2}\cdot\frac{2}{2x-1} - \frac{1}{2}\cdot\frac{1}{x+1} = \frac{8x^2+7x-4}{2\cdot x\cdot(x+1)\cdot(2x-1)},$$

$$f'(x) = x^2\sqrt{\frac{2x-1}{x+1}}\cdot\frac{8x^2+7x-4}{2\cdot x\cdot(x+1)\cdot(2x-1)} = \frac{x\cdot(8x^2+7x-4)}{2\cdot(x+1)\cdot(2x-1)}\sqrt{\frac{2x-1}{x+1}}. \otimes$$

Дифференцирование функций, заданных неявно

Если функция, определённая формулой $y = f(x)$, задана неявно, то есть посредством уравнения $F(x, y) = 0$, то для нахождения производной функции нужно продифференцировать это уравнение (то есть, обе его части) по x, помня, что $y = f(x)$, и разрешить уравнение относительно y'.

Пример 3. 2.12. Найти первую производную функцию для функции $y = f(x)$, заданной неявно уравнением

$$y = \cos(x + y).$$

Р е ш е н и е. Дифференцируем обе части уравнения

$$y = \cos(x + y),$$

помня, что $y = f(x)$, получаем :

$$y' = (\cos(x + y))' = -\sin(x + y) \cdot (1 + y'),$$

откуда имеем $y' = \dfrac{-\sin(x + y)}{1 + \sin(x + y)}$. ⊗

Пример 3. 2.13. Найти вторую производную функцию для функции $y = f(x)$, заданной неявно уравнением

$$y^3 - 3y + 3x = 1.$$

Р е ш е н и е. Дифференцируя по x обе части уравнения, имеем

$$3y^2 y' - 3y' + 3 = 0 \Rightarrow y^2 y' - y' + 1 = 0,$$

откуда

$$y' = \frac{1}{1 - y^2}.$$

Дифференцируя ещё раз, получаем

$$2yy'\, y' + y^2 y'' - y'' = 0,$$

откуда имеем

$$y'' = \frac{2y(y')^2}{1 - y^2}.$$

Заменяя y' полученным выше выражением, получаем окончательно:

$$y'' = \frac{2y(y')^2}{1-y^2} = \frac{2y}{(1-y^2)^3}. \otimes$$

Дифференцирование функций, заданных параметрически

Пусть функция $y = f(x)$ задана параметрически, то есть

$$\begin{cases} y = \psi(t), \\ x = \varphi(t). \end{cases}$$

Тогда

$$dy = \psi'(t)dt,\ dx = \varphi'(t)dt,$$

откуда имеем:

$$\frac{dy}{dx} = \frac{\psi'(t)}{\varphi'(t)}\ \frac{d^2y}{dx^2} = \frac{\frac{d}{dt}\left(\frac{dy}{dx}\right)}{\frac{dx}{dt}} = \frac{\frac{d}{dt}\left(\frac{\psi'(t)}{dx}\right)}{\varphi'(t)}.$$

Пример 3. 2.14. Найти первую и вторую производную функцию для функции y, заданной параметрически

$$\begin{cases} y = t^2 - 1, \\ x = t^3 + 5. \end{cases}$$

Р е ш е н и е. Непосредственно находим:

$$\frac{dy}{dx} = \frac{y'(t)}{x'(t)} = \frac{2}{3t^2};\ \frac{d^2y}{dx^2} = \frac{\frac{d}{dt}\left(\frac{dy}{dx}\right)}{\frac{dx}{dt}} = \frac{\frac{d}{dt}\left(\frac{2}{3t^2}\right)}{2t} = -\frac{2}{3t^2}.$$

Так как из второго уравнения для x имеем $t = \sqrt[3]{x-5}$, отсюда получаем:

$$y_x'' = \frac{d^2y}{dx^2} = -\frac{2}{3\cdot\sqrt[3]{(x-5)^2}}. \otimes$$

Пример 3. 2.15*. Найти первую производную функцию для функции y, заданной параметрически

$$\begin{cases} y = 3\sin t, \\ x = 3\cos t. \end{cases}$$

Р е ш е н и е. Имеем: $\dfrac{dy}{dx} = \dfrac{y'_t}{x'_t} = -\dfrac{3\cos t}{3\sin t} = -ctgt$. $\otimes$

Понятие дифференциала функции. Приближённые вычисления

Пример 3. 2.16. Найти дифференциал функции, определённой формулой

$$y(x) = \frac{3 \cdot \cos x}{2x+1}.$$

Р е ш е н и е. Находим дифференциал функции y, используя определение:

$$dy = y'(x)dx = -3\frac{2x\sin x + \sin x + 2\cos x}{(2x+1)^2}dx. \otimes$$

Пример 3. 2.17. Найти дифференциал функции, определённой формулой

$$y(x) = e^{x^3}.$$

Р е ш е н и е. Путём непосредственного дифференцирования получаем:

$$dy = y'(x)dx = \left(e^{x^3}\right)' = 3x^2 e^{x^3}dx. \otimes$$

Пример 3. 2.18. Найти дифференциалы первого, второго и третьего порядков функции, определённой формулой

$$y = f(x) = (x^2 - 3)^5.$$

Р е ш е н и е. Для первого дифференциала имеем:

$$df(x) = 5 \cdot (x^2 - 3)^4 \cdot 4x \cdot dx = 20x(x^2 - 3)^4 dx.$$

Аналогично, для второго и третьего дифференциалов получаем:

$$d^2 f(x) = \left|20x(x^2 - 3)^4\right|' (dx)^2 = 60 \cdot (x^2 - 3)^3 (6 \cdot x^2 - 1) \cdot (dx)^2;$$

$$d^3 f(x) = \left|12 \cdot x \cdot (x^2 - 3)^2 \cdot (6x^2 - 1) + 12 \cdot x \cdot (x^2 - 3)^3 \cdot (dx)^3\right| =$$

$$= 720x \cdot (x^2 - 3)^2 \cdot (x^2 - 4) \cdot (dx)^3 =$$

$$= 2880 \cdot x \cdot (x^2 - 3)^2 \cdot (x^2 - 1) \cdot (dx)^3. \otimes$$

Пример 3. 2.19. Вычислить приближённо $\sin 32^0$.

Р е ш е н и е. Используя приближённую формулу

$$f(x) \approx f(x_0) + f'(x_0)\cdot(x - x_0),$$

получаем:

$$f(x) \approx f(x_0) + \frac{df}{dx}(x_0)\cdot(x - x_0) = f(x_0) + df(x_0).$$

Определяя функцию f формулой $f(x) = \sin x$, видим, что нам нужно вычислить значение $f(x)$ в точке $x = 32^0$ при $x_0 = 30^0$, или в радианах $x = \frac{\pi}{180}\cdot 32$, $x_0 = \frac{\pi}{6}$. Учитывая, что $\frac{d\sin(x)}{dx} = \cos x$, имеем:

$$\sin x \approx \sin x_0 + \cos x_0 \cdot (x - x_0),$$

или

$$\sin 32^0 \approx \sin\frac{\pi}{6} + \cos\frac{\pi}{6}\cdot\left(\frac{32}{180}\cdot\pi - \frac{\pi}{6}\right) =$$

$$= \frac{1}{2} + \frac{\sqrt{3}}{2}\cdot\frac{\pi}{90} \approx 0{,}5 + \frac{1{,}73\cdot 3{,}14}{90} \approx 0{,}5 + 0{,}03 = 0{,}53.$$

Для сравнения табличное значение с точностью до четырёх знаков $\sin 32^0 = 0{,}5299$.

$\otimes$

Пример 3. 2.20*. Вывести приближённую формулу

$$\sqrt{a^2 + h} \approx a + \frac{h}{2a}.$$

Найти приближённо значения $\sqrt{101}$, $\sqrt{1{,}04}$.

Р е ш е н и е. Рассмотрим функцию f, определив её формулой $f(x) = \sqrt{x}$. По приближённой формуле

$$f(x) \approx f(x_0) + f'(x_0)\cdot(x - x_0)$$

имеем:

$$\sqrt{x_0+\Delta x}\approx\sqrt{x_0}+\frac{1}{2}\cdot\frac{1}{\sqrt{x_0}}\cdot\Delta x.$$

Полагая здесь $x_0=a^2$, $\Delta x=h$, получаем требуемую формулу:

$$\sqrt{a^2+h}\approx\sqrt{a^2}+\frac{1}{2}\cdot\frac{1}{\sqrt{a^2}}\cdot h=a+\frac{h}{2a}.$$

Вычислим $\sqrt{101}$ и $\sqrt{1{,}04}$:

$$\sqrt{101}=\sqrt{100+1}=\sqrt{10^2+1}\approx 10+\frac{1}{20}=10{,}05;$$

$$\sqrt{1{,}04}=\sqrt{1+0{,}04}\approx 1+\frac{0{,}04}{2}=1{,}02.\ \otimes$$

Пример 3. 2.21*. Найти приближённо приращение

$$\Delta f(x)=f(x)-f(x_0)$$

функции, определённой формулой $y=x^2$ при $x_0=2$, $\Delta x=x-x_0=0{,}01$.

Р е ш е н и е. Из приближённой формулы

$$f(x)\approx f(x_0)+f'(x_0)\cdot(x-x_0)$$

имеем

$$f(x)-f(x_0)\approx\frac{df}{dx}(x_0)\cdot(x-x_0)=df(x_0).$$

Подставляя в формулу $x_0=2$, $\Delta x=x-x_0=0{,}01$, получаем:

$$\Delta f(x)=f(x)-f(x_0)=(2+0{,}01)^2-2^2\approx 2\cdot 2\cdot 0{,}01=0{,}04.\ \otimes$$

Практическое занятие 3. Основные теоремы дифференциального исчисления

Теоремы Ферма, Ролля, Лагранжа, Коши

Пример 3.3.1. Выяснить, удовлетворяет ли функция, заданная формулой

$$f(x)=3-x^2$$

условиям теоремы Ферма на промежутке $(1,4)$.

Р е ш е н и е. Данная функция на промежутке $(0,4]$ монотонно убывает и, следовательно, достигает своего максимума в точке 1, а минимума в точке 4. Следовательно, в промежутке $(0, 4]$ не существует точки x_0 локального экстремума, в которой $f'(x_0) = 0$. Поэтому данная функция условиям теоремы Ферма на данном промежутке не удовлетворяет. $\otimes$

Пример 3.3.2. Выяснить, удовлетворяет ли функция, определённая формулой

$$f(x) = 3 + 2x - x^2,$$

на промежутке $[0,4]$ условиям теоремы Ферма. Если функция условиям теоремы Ферма удовлетворяет, найти точку $x_0 \in (0,4)$, в которой $f'(x_0) = 0$.

Р е ш е н и е. На промежутке $(0,4)$ функция дифференцируема, следовательно $(\exists x_0 \in (0,4)) f'(x_0) = 0$. Находим эту точку:

$$f'(x) = 2 - 2x \Rightarrow 2 - 2x_0 = 0 \Rightarrow x_0 = 1. \otimes$$

Пример 3.3.3. Выяснить, удовлетворяет ли функция, определённая формулой

$$f(x) = x^2 + 6x - 35,$$

на промежутке $[-5,-1]$ условиям теоремы Ролля. Если функция условиям теоремы Ролля удовлетворяет, найти точку $x_0 \in (-5,-1)$, в которой $f'(x_0) = 0$.

Р е ш е н и е. Функция представляет собой многочлен, который непрерывен и дифференцируем на всей числовой оси. Кроме этого, имеем

$$f(-5) = f(-1) = -40.$$

Поэтому условия теоремы Ролля для данной функции выполнены, следовательно точка $x_0 \in (-5,-1)$, в которой $f'(x_0) = 0$, существует. Найдём её:

$$f'(x_0) = 0 \Rightarrow 2x_0 + 6 = 0 \Rightarrow x_0 = -3. \otimes$$

Пример 3.3.4. На дуге кривой, определяемой уравнением

$$y = x^3 - 3x$$

найти точку, в которой касательная параллельна хорде, проходящей через точки $A(-1; 2)$ и $B(3; 18)$.

Р е ш е н и е. Функция определена на промежутке $[-1, 3]$, непрерывна на этом промежутке и дифференцируема на открытом промежутке $(-1, 3)$. Условия теоремы

Лагранжа выполнены. Следовательно, по теореме Лагранжа найдётся такая точка $x_0 \in (-1, 3)$, что

$$f'(x_0) = \frac{f(3) - f(-1)}{3 - (-1)} = 4.$$

Так как $f'(x) = (x^3 - 3x)' = 3x^2 - 3$, то имеем $3x^2 - 3 = 4$. Из этого уравнения находим $x_{01} = +\sqrt{\frac{7}{3}}$, $x_{02} = -\sqrt{\frac{7}{3}}$. Так как из этих двух точек $x_{01} \in [-1, 3]$, а $x_{02} \notin [-1, 3]$, то $x_0 = x_{01} = \sqrt{\frac{7}{3}}$. ⊗

Пример 3.3.5. В какой точке касательная к кривой, определённой уравнением

$$y = f(x) = x^2 - 8x,$$

параллельна хорде, стягивающей точки $A(-1; 9)$, $B(5; -15)$.

Р е ш е н и е. На промежутке $[-1, 5]$ функция удовлетворяет условиям теоремы Лагранжа. Поэтому имеем:

$$\frac{f(5) - f(-1)}{5 - (-1)} = \frac{-24}{6} = -4 \Rightarrow f'(x_0) = 2x_0 - 8 = -4 \Rightarrow x_0 = 2.$$

Подставляя это значение x в формулу для функции, получаем

$$y = f(2) = -12.$$

Таким образом, искомой является точка $C(2; -12)$. ⊗

Пример 3.3.6. Проверить справедливость теоремы Коши для функций, заданных формулами

$$f(x) = x^3,\ g(x) = x^2$$

на промежутке $[1, 2]$. Если теорема Коши справедлива, найти точку x_0, в которой выполняется равенство

$$\frac{f(b) - f(a)}{g(b) - g(a)} = \frac{f'(x_0)}{g'(x_0)}.$$

Р е ш е н и е. Обе функции непрерывны на промежутке $[1, 2]$ и дифференцируемы на промежутке $(a, b) = (1, 2)$, причём $\forall x \in (a, b)\ g'(x) \neq 0$. Поэтому условия теоремы Коши выполнены. Так как

$$f'(x) = 3x^2,\ g'(x) = 2x,$$

то из условия

$$\frac{f(b) - f(a)}{g(b) - g(a)} = \frac{f'(x_0)}{g'(x_0)} = \frac{7}{3}$$

находим

$$\frac{f'(x_0)}{g'(x_0)} = \frac{3x_0^2}{2x_0} = \frac{3}{2}x_0 = \frac{7}{3} \Rightarrow x_0 = \frac{14}{9}. \otimes$$

Пример 3.3.7. Проверить справедливость теоремы Коши для функций, заданных формулами

$$f(x) = x^2 - 2x + 3,\ g(x) = x^3 - 7x^2 + 20x - 5$$

на промежутке $[1, 4]$. Если теорема Коши справедлива, найти точку x_0, в которой выполняется равенство

$$\frac{f(b) - f(a)}{g(b) - g(a)} = \frac{f'(x_0)}{g'(x_0)}.$$

Р е ш е н и е. Обе функции на данном промежутке непрерывны и дифференцируемы. Производные функций, соответственно равны

$$f'(x) = 2x - 2,\ g'(x) = 3x^2 - 14x + 20.$$

Кроме этого, производная функции g в точках промежутка $(1, 4)$ не обращается в нуль, так как для дискриминанта уравнения $3x^2 - 14x + 20 = 0$ имеем $D = b^2 - 4ac = -44 < 0$ (график функции g не имеет точек пересечения с осью OX). Следовательно, теорема Коши для данных функций справедлива. Поэтому имеем:

$$\frac{f(4) - f(1)}{g(4) - g(1)} = \frac{11 - 2}{27 - 9} = \frac{1}{2} \Rightarrow \frac{2x_0 - 2}{3x_0^2 - 14x_0 + 20} = \frac{1}{2}.$$

Откуда получаем

$$x_0^2 - 6x_0 + 8 = 0 \Rightarrow x_{01} = 4,\ x_{02} = 2$$

Так как из этих двух точек промежутку $(0, 4)$ принадлежит только точка $x_{02} = 2$, то она и является искомой точкой. $\otimes$

Правила Лопиталя

Пример 3.3.8. Вычислить предел $\lim\limits_{x\to 0}\dfrac{e^x - e^{-x}}{\ln(1+x)}$.

Р е ш е н и е. Имеем неопределённость

$$\lim_{x\to 0}\frac{e^x - e^{-x}}{\ln(1+x)} = \left[\frac{0}{0}\right].$$

Применяя правило Лопиталя, получаем:

$$\lim_{x\to 0}\frac{e^x - e^{-x}}{\ln(1+x)} = \lim_{x\to 0}\frac{e^x + x^{-x}}{\dfrac{1}{1+x}} = \lim_{x\to 0}\left(e^x + x^{-x}\right)\cdot(1+x) = 2. \otimes$$

Пример 3.3.9. Вычислить предел $\lim\limits_{x\to\infty}\dfrac{x^3 + 2x^2 + x - 1}{3x^3 - x^2 - x + 3}$.

Р е ш е н и е. Имеем неопределённость

$$\lim_{x\to\infty}\frac{x^3 + 2x^2 + x - 1}{3x^3 - x^2 - x + 3} = \left[\frac{\infty}{\infty}\right].$$

Применяя правило Лопиталя, получаем:

$$\lim_{x\to\infty}\frac{x^3 + 2x^2 + x - 1}{3x^3 - x^2 - x + 3} = \lim_{x\to\infty}\frac{3x^2 + 4x + 1}{9x^2 - 2x - 1} = \lim_{x\to\infty}\frac{6x + 4}{18x - 2} = \lim_{x\to\infty}\frac{6}{18} = \frac{1}{3}. \otimes$$

Пример 3.3.10. Вычислить предел $\lim\limits_{x\to-\infty}\left(x^3\cdot e^x\right)$.

Р е ш е н и е. Имеем неопределённость вида $\lim\limits_{x\to-\infty}\left(x^3\cdot e^x\right) = [-\infty\cdot 0]$. Для раскрытия неопределённости заменим переменную:

$$\lim_{x\to-\infty}\left(x^3\cdot e^x\right) = \left\{x = -t\right\} = \lim_{t\to\infty}\left(-t^3\cdot e^{-t}\right) = -\lim_{t\to\infty}\frac{t^3}{e^t} = \left[\frac{\infty}{\infty}\right].$$

Применяя правило Лопиталя, получаем:

$$\lim_{x\to-\infty}\left(x^3\cdot e^x\right)=-\lim_{t\to\infty}\frac{t^3}{e^t}=-\lim_{t\to\infty}\frac{3t^2}{e^t}=-\lim_{t\to\infty}\frac{6t}{e^t}=-6\cdot\lim_{t\to\infty}\frac{1}{e^t}=0.\otimes$$

Пример 3.3.11. Найти предел $\lim\limits_{x\to1}\left(\dfrac{1}{\ln x}-\dfrac{1}{x-1}\right)$.

Р е ш е н и е. Имеем неопределённость вида $[\infty-\infty]$. Для раскрытия неопределённости приводим выражения, стоящие в скобках, к общему знаменателю:

$$\lim_{x\to1}\left(\frac{1}{\ln x}-\frac{1}{x-1}\right)=\lim_{x\to1}\left(\frac{x-1-\ln x}{x\cdot\ln x-\ln x}\right).$$

Получаем неопределённость вида $\left[\dfrac{0}{0}\right]$. Применяя правило Лопиталя два раза, имеем:

$$\lim_{x\to1}\left(\frac{1}{\ln x}-\frac{1}{x-1}\right)=\lim_{x\to1}\left(\frac{x-1-\ln x}{x\cdot\ln x-\ln x}\right)=\lim_{x\to1}\left(\frac{1-\frac{1}{x}}{\ln x+1-\frac{1}{x}}\right)=$$

$$=\lim_{x\to1}\frac{x-1}{x\cdot\ln x+1-1}=\lim_{x\to1}\frac{1}{\ln x+2}=\frac{1}{2}.\otimes$$

Формула Тейлора и формула Маклорена

Пример 3.3.12. Разложить многочлен

$$P(x)=x^5-2x^4+x^3-x^2+2x-1$$

по степеням $x-1$ по формуле Тейлора.

Р е ш е н и е. В нашем случае формула Тейлора имеет вид:

$$f(x)=\sum_{k=0}^{n}\frac{f^{(k)}(x_0)}{k!}\cdot(x-x_0)^k=f(x_0)+\frac{f'(x_0)}{1!}\cdot(x-x_0)+$$

$$+\frac{f''(x_0)}{2!}\cdot(x-x_0)^2+\ldots\frac{f^{(n)}(x_0)}{n!}\cdot(x-x_0)^n,$$

где $x_0=1$. Находим значение многочлена и его производных в точке $x_0=1$:

$$P(x) = x^5 - 2x^4 + x^3 - x^2 + 2x - 1, \quad P(1) = 0;$$
$$P'(x) = 5x^4 - 8x^3 + 3x^2 - 2x + 2, \quad P'(1) = 0;$$
$$P''(x) = 20x^3 - 24x^2 + 6x - 2, \quad P''(1) = 0;$$
$$P'''(x) = 60x^2 - 48x + 6, \quad P'''(1) = 18;$$
$$P^{(4)}(x) = 120x - 48, \quad P^{(4)}(1) = 72;$$
$$P^{(5)}(x) = 120, \quad P^{(5)}(1) = 120.$$

Подставляя найденные производные в формулу Тейлора, получаем:

$$P(x) = 3 \cdot (x-1)^3 + 3 \cdot (x-1)^4 + (x-1)^5. \otimes$$

Пример 3.3.13. Разложить многочлен

$$P(x) = x^4 + 2x^3 - 8x^2 + 4x + 4$$

по степеням $x+1$ по формуле Тейлора.

Р е ш е н и е. Вычисляя значение многочлена и его производных в точке $x_0 = -1$, получаем:

$$P(x) = x^4 + 2x^3 - 8x^2 + 4x + 4, \quad P(-1) = -9;$$
$$P'(x) = 4x^3 + 6x^2 - 16x + 4, \quad P'(-1) = 22;$$
$$P''(x) = 12x^2 + 12x - 16, \quad P''(-1) = -16;$$
$$P'''(x) = 24x + 12, \quad P'''(-1) = -12;$$
$$P^{(4)}(x) = 24, \quad P^{(4)}(-1) = 24.$$

Подставляя найденные производные в формулу Тейлора, получаем:

$$P(x) = -9 + \frac{22}{1!} \cdot (x+1) + \frac{-16}{2!} \cdot (x+1)^2 + \frac{-12}{3!} \cdot (x+1)^3 +$$
$$+ \frac{24}{4!} \cdot (x+1)^4 = -9 + 22 \cdot (x+1) - 8 \cdot (x+1)^2 -$$
$$- 2 \cdot (x+1)^3 + (x+1)^4. \quad \otimes$$

Пример 3.3.14. Представить функцию $f(x) = e^x$ в виде разложения по формуле Маклорена.

Р е ш е н и е. Формула Маклорена имеет вид:

$$f(x) = f(0) + \sum_{k=1}^{n} \frac{d^k f}{dx^k}(0) \frac{x^k}{k!} + \frac{d^{n+1} f}{dx^{n+1}}(\xi) \frac{x^{n+1}}{(n+1)!}.$$

Очевидно выполнение равенств: $\forall n \in N$

$$f(0) = \frac{df}{dx}(0) = \frac{d^2 f}{d^2 x}(0) = \ldots = \frac{d^n f}{d^n x}(0) = e^0 = 1.$$

Кроме этого, очевидно, что $\frac{d^{n+1} f}{d^{n+1} x}(x) = e^x$.

Тогда формула Маклорена с остаточным членом в форме Лагранжа принимает вид:

$$e^x = 1 + \sum_{k=1}^{n} \frac{x^k}{k!} + e^{\xi} \frac{x^{n+1}}{(n+1)!}.$$

В этой формуле можно положить $\xi = \theta \cdot x$, где $0 < \theta < 1$. $\otimes$

Приведём вид формулы Тейлора с **остаточным членом в форме Пеано**:

$$f(x) = f(x_0) + \frac{df}{dx}(x_0) \cdot \frac{x - x_0}{1!} + \frac{d^2 f}{dx^2}(x_0) \cdot \frac{(x - x_0)^2}{2!} + \ldots +$$

$$+ \frac{d^n f}{dx^n}(x_0) \cdot \frac{(x - x_0)^n}{n!} + \frac{d^{n+1} f}{dx^{n+1}}(x_0) \cdot \frac{(x - x_0)^{n+1}}{(n+1)!}.$$

Здесь многочлен Тейлора

$$T_n(x_0, x) = \sum_{k=0}^{n} \frac{d^k f}{dx^k}(x_0) \frac{(x - x_0)^k}{k!} = f(x_0) + \frac{df}{dx}(x_0) \frac{(x - x_0)^1}{1!} +$$

$$+ \frac{d^2 f}{dx^k}(x_0) \frac{(x - x_0)^2}{2!} + \ldots + \frac{d^n f}{dx^n}(x_0) \frac{(x - x_0)^n}{n!},$$

а остаточный член в форме Лагранжа

$$R_n(x, n) = f(x) - T_n(x_0, x) = f(x) - \sum_{k=0}^{n} \frac{d^k f}{dx^k}(x_0) \cdot \frac{(x - x_0)^k}{k!}.$$

При условии $\Delta x \to 0$ выполняется

$$R_n(x, n) = f(x) - T_n(x_0, x) = o((x - x_0)^n) = o(\Delta x^n).$$

Теперь формулу Тейлора можно записать в виде

$$f(x) = \sum_{k=0}^{n} \frac{d^k f}{dx^k}(x_0)\frac{(x - x_0)^k}{k!} + o(\Delta x^n).$$

Последняя форма записи называется ***формулой Тейлора с остаточным членом в форме Пеано***.

Пример 3.3.15. Разложить функцию $f(x) = \sin x$ по формуле Маклорена.

Р е ш е н и е. Рассмотрим производные функции $f(x) = \sin x$ в точке x:

$$\frac{d}{dx}\sin x = \cos x = \sin\left(x + \frac{\pi}{2}\right);$$

$$\frac{d^2}{dx^2}\sin x = \frac{d}{dx}\cos(x) = -\sin x = \sin(x + \pi) = \sin\left(x + 2\frac{\pi}{2}\right);$$

.....;

$$\frac{d^k}{dx^k}\sin x = \sin\left(x + k\frac{\pi}{2}\right).$$

Кроме этого, имеем

$$\frac{d^{2n+1}}{dx^{2n+1}}\sin(\theta x) = \sin\left(\theta x + (n+1)\frac{\pi}{2}\right) = (-1)^n \cos\theta x.$$

Действительно, видим, что

$$\sin\left((n+1)\frac{\pi}{2} + \theta x\right) = \sin\left(\pi n + \frac{\pi}{2} + \theta x\right) = (-1)^n \sin\left(\frac{\pi}{2} + \theta x\right) = (-1)^n \cos\theta x$$

.

Здесь мы положили $\xi = \theta x$, где $0 < \theta < 1$, $x \in (a, b)$.

Формула Маклорена принимает вид

$$\sin x = \sin 0 + \frac{1}{1!}x + 0 - \frac{x^3}{3!} + 0 + \frac{x^5}{5!} + 0 - \frac{x^7}{7!} + \ldots +$$

$$+ (-1)^{n-1}\frac{x^{2n-1}}{(n-1)!} + \alpha^{(n+1)}(x) =$$

$$= x - \frac{x^3}{3!} + \frac{x^5}{5!} - \frac{x^7}{7!} + \ldots + (-1)^{n-1}\frac{x^{2n-1}}{(n-1)!} + (-1)^n \frac{x^{2n+1}}{(n+1)!}\cos\theta x.$$

В виде разложения по формуле Маклорена с остаточным членом в форме Пеано это разложение записывается так:

$$\sin x = x - \frac{x^3}{3!} + \frac{x^5}{5!} - \frac{x^7}{7!} + \ldots + (-1)^{n-1} \frac{x^{2n-1}}{(2n-1)!} + o(x^{2n}). \otimes$$

Аналогично можно получить и разложение по формуле Маклорена функции $f(x) = \cos x$:

$$\cos x = 1 - \frac{x^2}{2!} + \frac{x^4}{4!} - \frac{x^6}{6!} + \ldots + (-1)^n \frac{x^{2n}}{(2n)!} + o(x^{2n+1})$$

Пример 3.3.16. Найти предел: $\lim\limits_{x \to 0} \dfrac{\sin x - x}{x^3}$.

Р е ш е н и е. Записываем для $\sin x$ разложение по формуле Маклорена

$$\sin x = x - \frac{x^3}{3!} + o(x^4).$$

Подставляя это разложение, имеем:

$$\lim_{x \to 0} \frac{\sin x - x}{x^3} = \lim_{x \to 0} \frac{x - \frac{x^3}{3!} - x + o(x^4)}{x^3} = -\frac{1}{3!} - \lim_{x \to 0} \frac{o(x^4)}{x^3} = -\frac{1}{6}. \otimes$$

Пример 3.3.17. Найти предел: $\lim\limits_{x \to 0} \dfrac{e^{-\frac{x^2}{2}} - \cos x}{x^3 \cdot \sin x}$.

Р е ш е н и е. Используем разложение для e^x, $\sin x$ и $\cos x$. Получаем:

$$\lim_{x \to 0} \frac{e^{-\frac{x^2}{2}} - \cos x}{x^3 \cdot \sin x} = \lim_{x \to 0} \frac{1 - \frac{x^2}{2} + \frac{x^4}{8} + o(x^4) - 1 + \frac{x^2}{2} - \frac{x^4}{24}}{x^3 \cdot (x + \alpha_1(x))} =$$

$$= \lim_{x \to 0} \frac{\frac{x^4}{8} - \frac{x^4}{24} + o(x^4)}{x^4 + o(x^5)} = \lim_{x \to 0} \frac{\frac{1}{8} - \frac{1}{24} + \frac{o(x^4)}{x^4}}{1 + \frac{o(x^5)}{x^4}} = \frac{1}{12}. \otimes$$

Практическое занятие 4. Исследование функций одного переменного

Промежутки монотонности функции

Пример 3.4.1. Найти промежутки монотонности функции, определённой формулой

$$f(x) = x^3 + 3x^2 - 9x - 2.$$

Р е ш е н и е. Множеством определения функции является вся числовая ось. Находим первую производную функции

$$f' = 3x^2 + 6x - 9 = 3(x^2 + 2x - 3) = 3(x+1)^2 - 12.$$

Поэтому имеем:

$$f' > 0 \Rightarrow x^2 + 2x - 3 > 0 \Rightarrow 3\cdot(x+1)^2 - 12 > 0;$$

$$f' < 0 \Rightarrow x^2 + 2x - 3 < 0 \Rightarrow 3\cdot(x+1)^2 - 12 < 0.$$

Корни уравнения

$$x^2 + 2x - 3 = 0$$

есть

$$x_1 = -3,\ x_2 = 1.$$

График функции – парабола, ветви которой направлены вверх, а вершина находится в точке с координатами $x_0 = -1,\ y_0 = -12$. Следовательно, неравенство $f'(x) > 0$ выполняется при $x < -3$ и $x > 1$, а неравенство $f'(x) < 0$ при $-3 < x < 1.$

На множестве $(-\infty, -3) \cup (1, +\infty)$ функция строго монотонно возрастает, а на множестве $(-3, 1)$ строго монотонно убывает. $\otimes$

Пример 3.4.2. Предприятие производит x единиц продукции в месяц. Зависимость финансовых накоплений предприятия от объёма выпуска выражается формулой

$$\Phi = -0{,}01\cdot x^3 + 300\cdot x - 500.$$

Определить количество единиц продукции, начиная с которого финансовые накопления предприятия начинают убывать.

Р е ш е н и е. Производная от Φ равна:

$$\Phi' = -0{,}03\cdot x^2 + 300.$$

Финансовые накопления убывают, если

$$\Phi' = -0{,}03\cdot x^2 + 300 < 0,$$

откуда имеем $x^2 - 10000 > 0$. Из последнего неравенства получаем: $x_1 > 100$, $x_2 < -100$. Имеет экономический смысл только неравенство $x_1 > 100$. Следовательно, при $x > 100$ финансовые накопления предприятия начинают убывать, то есть повышать выпуск продукции свыше 100 единиц становится экономически не выгодно. $\otimes$

Схема исследования функции на локальные экстремумы с помощью первой производной

Пример 3.4.3. Исследовать на наличие локальных экстремумов функцию, заданную формулой $f(x) = x^3 - 5x + 2$.

Р е ш е н и е. 1) Производная функция для функции f есть

$$f'(x) = 3x^2 - 5.$$

2) Находим критические точки функции, решая уравнение

$$3x^2 - 5 = 0.$$

Корни уравнения (критические точки) есть $x_1 = -\sqrt{\frac{5}{3}}, x_2 = +\sqrt{\frac{5}{3}}$.

3) Выясняем вопрос о наличии локальных экстремумов функции согласно теореме, для чего определяем знаки производной $f'(x)$ справа и слева от каждой критической точки, результаты заносим в таблицу:

x	$x < -\sqrt{\frac{5}{3}}$	$x_1 = -\sqrt{\frac{5}{3}}$	$-\sqrt{\frac{5}{3}} < x < \sqrt{\frac{5}{3}}$	$x_2 = \sqrt{\frac{5}{3}}$	$x > \sqrt{\frac{5}{3}}$
$f'(x)$	+	0	−	0	+
f		Максимум $f(x_1) = 6{,}3$		Минимум $f(x_2) = -2{,}3$	

4. Вычисляем значения функции в точках x_1, x_2 и результаты вычислений тоже заносим в таблицу.

Получаем следующий результат: функция имеет в точке $x_1 = -\sqrt{\frac{5}{3}}$ локальный максимум $f(x_1) = 6{,}3$, а в точке $x_2 = +\sqrt{\frac{5}{3}}$ – локальный минимуму $f(x_2) = -2{,}3$. ⊗

Пример 3.4.4. Найти экстремумы функции, определённой формулой

$$f(x) = \frac{1}{3}x^3 + \frac{5}{2}x^2 + 4x + 3.$$

Р е ш е н и е. Множеством определения функции является вся числовая ось R.

1) Находим производную функции:

$$f'(x) = x^2 + 5x + 4.$$

2) Находим критические точки функции, для чего решаем уравнение

$$x^2 + 5x + 4 = 0.$$

В результате решения имеем корни: $x_1 = -1,\ x_2 = -4$. Критические точки разбивают R^1 на промежутки

$$-\infty < x < -4,\ -4 < x < -1,\ -1 < x < \infty.$$

3) Исследуем поведение первой производной функции в полученных промежутках:

в промежутке $(-\infty, -4)$ имеем $y' > 0$;

в промежутке $(-4, -1)$ имеем $y' < 0$;

в промежутке $(-1, \infty)$ имеем $y' > 0$.

Следовательно, в точке -4 имеем **максимум**; в точке -1 имеем **минимум**.

4) Вычисляем экстремальные значения функции:

$$\max f(x) = f(-4) \approx 5{,}67;\ \min f(x) = f(-1) = 1{,}17.\ \otimes$$

Пример 3.4.5. Найти экстремумы функции, определённой формулой

$$f(x) = 3x^5 - 5x^3 + 10.$$

Р е ш е н и е. 1) Находим производную функции:

$$f'(x) = 15x^4 - 15x^2.$$

2) Находим критические точки функции, для чего решаем уравнение

$$15x^4 - 15x^2 = 0,\ x^4 - x^2 = 0,\ x^2 \cdot (x-1)(x+1) = 0.$$

Имеем три корня: $x_1 = 0,\ x_2 = 1,\ x_3 = -1.$

3) Находим вторую производную функцию:

$$f''(x) = 60 \cdot x^3 - 30 \cdot x.$$

4) Находим вторую производную в критических точках:

$$f''(0) = 0;\ f''(1) = 30;\ f''(-1) = -30.$$

В точке $x_2 = 1$ функция имеет **минимум**, а в точке $x_3 = -1$ - **максимум**. В точке $x_1 = 0$ функция экстремума не имеет, так как первая производная при переходе через эту точку не меняет своего знака. $\otimes$

Промежутки выпуклости и вогнутости и асимптоты графика функции

Пример 3.4.6. Найти промежутки выпуклости и вогнутости и точки перегиба графика функции, заданной формулой:

$$f(x) = (x^2 + 7x)\sqrt[3]{x} - 5x - 8.$$

Р е ш е н и е. Множество определения функции $M = R$. Преобразованная формула

$$f(x) = x^{\frac{7}{3}} + 7 \cdot x^{\frac{4}{3}} - 5x - 8.$$

1) Находим нули и точки разрыва второй производной функции, для чего находим $f''(x)$:

$$f'(x) = \frac{7}{3} \cdot x^{\frac{4}{3}} + \frac{28}{3} \cdot x^{\frac{1}{3}} - 5;$$

$$f''(x) = \frac{28}{9} \cdot x^{\frac{1}{3}} + \frac{28}{9} \cdot x^{-\frac{2}{3}} = \frac{28}{9} \cdot \frac{x+1}{\sqrt[3]{x^2}}.$$

Очевидно, что точка $x = -1$ является нулём второй производной $f''(x)$, а точка $x = 0$ является точкой разрыва второго рода второй производной $f''(x)$. Эти точки делят множество определения функции $f(x)$ на промежутки

$$(-\infty, -1),\ (-1, 0),\ (0, +\infty).$$

2) Определяем знак второй производной в полученных промежутках:

$$\forall x \in (-\infty, -1): f''(x) < 0;$$

$$\forall x \in (-1, 0): f''(x) > 0;$$

$$\forall x \in (0, +\infty): f''(x) > 0.$$

Следовательно: на $(-\infty, -1]$ график функции ***выпуклый***; на $[-1, 0] \cup [0, +\infty)$ график функции ***вогнутый***.

3) Так как функция в точке $x_0 = -1$ определена, а $f''(-1) = 0$, то в точке $x_0 = -1$ график функции испытывает перегиб, а точка

$$(x_0; f(x_0)) = (-1; 3)$$

является точкой перегиба графика функции. ⊗

Пример 3.4.7. Найти асимптоты графика функции, заданной формулой:

$$f(x) = \frac{-x^2 + 7x}{x - 3}.$$

Р е ш е н и е. 1) Точка $x = 3$ является точкой разрыва второго рода, следовательно, график функции имеет вертикальную асимптоту с уравнением $x = 3$.

2) По определению асимптоты, функция может быть представлена в виде

$$f(x) = (kx + b) + \alpha(x),$$

где $\alpha(x)$ – бесконечно малая функция при неограниченном удалении точки графика от начала системы координат более высокого порядка, чем x, то есть

$$\lim_{x \to \pm\infty} \frac{\alpha(x)}{x} = 0.$$

Чтобы записать функцию в указанном виде, разделим числитель на знаменатель с остатком:

$$\frac{-x^2 + 7x}{x - 3} = -x + 4 + \frac{12}{x - 3}.$$

Так как

$$\lim_{x \to \pm\infty} \frac{12}{x - 3} = 0,$$

график функции имеет наклонную асимптоту с уравнением $y = -x + 4$. ⊗

Пример 3.4.8. Найти асимптоты графика функции, заданной формулой:

$$f(x) = \sqrt{1+x^2} - 2x.$$

Р е ш е н и е. 1) Так как функция определена на всей числовой оси, вертикальных асимптот нет.

2) Из представления функции в виде

$$f(x) = (kx+b) + \alpha(x)$$

Следует, что для нахождения наклонных асимптот нужно найти правый и левый пределы, которые равны соответственно

$$k_+ = \lim_{x\to+\infty} \frac{f(x)}{x}, \; b_+ = \lim_{x\to+\infty} [f(x) - kx],$$

$$k_- = \lim_{x\to-\infty} \frac{f(x)}{x}, \; b_- = \lim_{x\to-\infty} [f(x) - kx].$$

Правый предел:

$$k_1 = \lim_{x\to+\infty} \frac{\sqrt{1+x^2} - 2x}{x} = \lim_{x\to+\infty} \left(\sqrt{\frac{1}{x^2} + 1} - 2 \right) = -1;$$

$$b_1 = \lim_{x\to+\infty} \left(\sqrt{1+x^2} - 2x + x \right) = \lim_{x\to+\infty} \left(\sqrt{1+x^2} - x \right) =$$

$$= \lim_{x\to+\infty} \frac{1}{\sqrt{1+x^2} + x} = 0.$$

Правая наклонная асимптота графика функции имеет уравнение

$$y = -x.$$

Левый предел:

$$k_2 = \lim_{x\to-\infty} \frac{\sqrt{1+x^2} - 2x}{x} = \{x = -z\} = \lim_{z\to+\infty} \frac{\sqrt{1+z^2} + 2z}{-z} =$$

$$= -\lim_{z\to+\infty} \left(\sqrt{\frac{1}{z^2} + 1} + 2 \right) = -3;$$

$$b_2 = \lim_{x\to-\infty} \left(\sqrt{1+x^2} - 2x + 3x \right) = \lim_{x\to-\infty} \left(\sqrt{1+x^2} + x \right) =$$

$$= \lim_{x\to-\infty} \frac{1}{\sqrt{1+x^2}-x} = 0.$$

Левая наклонная асимптота графика функции имеет уравнение

$$y = -3x. \otimes$$

Полное исследование функции

Пример 3.4.9. Исследовать функцию, заданную формулой $y(x) = x \cdot e^{-x}$.

Р е ш е н и е. 1) Множеством определения функции служит всё множество действительных чисел R.

2) Нуль функции – точка $x = 0$, причём $\lim\limits_{x\to 0} y(x) = 0$. Следовательно, функция в точке $x = 0$ асимптот не имеет.

3) Находим критические точки функции:

$$y'(x) = e^{-x} - x \cdot e^{-x} = e^{-x} \cdot (-x) \Rightarrow x = 1.$$

4) Имеем два промежутка $(-\infty, 1]$ и $[1, \infty)$. На этих промежутках

$$\forall x \in (-\infty, 1] \; y'(x) \geq 0,$$

$$\forall x \in [1, \infty) \; y'(x) \leq 0,$$

соответственно. Следовательно, при $x \in (-\infty, 1]$ функция строго монотонно возрастает, а при $x \in [1, \infty)$ функция строго убывает.

5) Вторая производная функции равна

$$y''(x) = -e^{-x} \cdot (-x) - e^{-x} = e^{-x} \cdot (x - 2).$$

Так как в точке $x = 1$ вторая производная равна

$$y''(1) = \frac{1-2}{e} = -\frac{1}{e} < 0,$$

то функция в этой точке имеет локальный максимум, равный $\frac{1}{e}$.

6) Вторая производная функции в точке $x = 2$ обращается в нуль, а при переходе через это точку меняет знак с минуса на плюс. Следовательно, график функции при $x = 2$ имеет

перегиб, причём при $x < 2$ график функции выпуклый, а при $x > 2$ – вогнутый. Значение функции в точке перегиба равно

$$y(2) = 2 \cdot e^{-2} = \frac{2}{e^2}. \otimes$$

Практическое занятие 5. Интегрируемость функций одного переменного

Непосредственное интегрирование

Пример 3.5.1. Найти неопределённый интеграл

$$I = \int \sqrt[3]{x^2}\, dx.$$

Р е ш е н и е. Непосредственно имеем:

$$\int \sqrt[3]{x^2}\, dx = \int x^{2/3} dx = \frac{x^{5/3}}{5/3} + C = \frac{3}{5}\sqrt[3]{x^5} + C. \otimes$$

Пример 3.5.2. Найти неопределённый интеграл

$$I = \int \left(6x^2 - 3\sqrt{x} + 5\right) dx.$$

Р е ш е н и е. Используя свойства неопределённого интеграла и таблицу первообразных, получаем:

$$\int \left(6x^2 - 3\sqrt{x} + 5\right) dx = 6\int x^2 dx - 3\int x^{\frac{1}{2}} dx + 5\int dx =$$

$$= 2x^3 - 2x^{3/2} + 5x + C = 2x^3 - 2\sqrt{x^3} + 5x + C,$$

где все постоянные интегрирования объедены в одну постоянную C. $\otimes$

Пример 3.5.3. Найти неопределённый интеграл

$$I = \int \left(5x^2 + 11 - 3\sin x + \frac{2}{x} - \frac{1}{\sin^2 x}\right) dx.$$

Р е ш е н и е. Используя свойства неопределённого интеграла и табличные первообразные, имеем:

$$\int \left(5x^2 + 11 - 3\sin x + \frac{2}{x} - \frac{1}{\sin^2 x}\right) dx =$$

$$= 5\int x^2 dx + 11\int dx - 3\int \sin x dx + 2\int \frac{dx}{x} - \int \frac{dx}{\sin^2 x} =$$

$$= \frac{5}{3}x^3 + 11x + 3\cos x + 2\ln|x| + ctgx + C. \otimes$$

Подведение под дифференциал

По определению логарифмической производной имеем:

$$y(x) = \ln(f(x)) \Rightarrow \frac{dy}{dx}(x) = \frac{d}{dx}(\ln(f(x))) = \frac{1}{f(x)} \cdot \frac{df}{dx}(x) \equiv \frac{f'(x)}{f(x)}.$$

Тогда по определению неопределённого интеграла имеем:

$$\int \ln f(x)\,'dx = \int \frac{f'(x)}{f(x)}dx = \int \frac{f'(x)\,dx}{f(x)} = \int \frac{df(x)}{f(x)} = \ln f(x) + C.$$

Этот метод нахождения неопределённого интеграла называется ***методом подведения под дифференциал***.

Пример 3.5.4. Найти неопределённый интеграл

$$I = \int \frac{dx}{x+1}.$$

Р е ш е н и е. Замечая, что $dx = d(x+1)$ и, используя табличную первообразную для функции $\frac{1}{x}$, в соответствии с формулой подведения под дифференциал получаем:

$$\int \frac{dx}{x+1} = \int \frac{d(x+1)}{x+1} = \ln|x+1| + C. \otimes$$

Пример 3.5.5. Найти неопределённый интеграл

$$I = \int \frac{dx}{ax+b}.$$

Р е ш е н и е. Замечая, что $dx = \frac{1}{a}d(ax+b)$, имеем:

$$\int \frac{dx}{ax+b} = \frac{1}{a}\int \frac{d(ax+b)}{ax+b} = \frac{1}{a}\ln|ax+b| + C. \otimes$$

Пример 3.5.6. Найти неопределённый интеграл

$$I = \int \frac{xdx}{1+x^2}.$$

Р е ш е н и е. Так как $xdx = \frac{1}{2} d\left(1+x^2\right)$, получаем:

$$\int \frac{xdx}{1+x^2} = \frac{1}{2}\int \frac{d\left(1+x^2\right)}{1+x^2} = \frac{1}{2}\ln\left(1+x^2\right) + C. \otimes$$

Пример 3.5.7. Найти неопределённый интеграл

$$I = \int \frac{3x+2}{x+5} dx.$$

Р е ш е н и е. Преобразуем подынтегральную функцию:

$$\frac{3x+2}{x+5} \equiv \frac{3x+15-13}{x+5} = \frac{3(x+5)}{x+5} - \frac{13}{x+5} = 3 - \frac{13}{x+5}.$$

Используя свойства неопределённого интеграла и табличные первообразные, получаем:

$$\int \frac{3x+2}{x+5} dx = \int\left(3 - \frac{13}{x+5}\right)dx = 3\int dx - 13\int \frac{1}{x+5} dx =$$

$$= 3x - 13\ln|x+5| + C. \otimes$$

Методы подстановки (замены переменной интегрирования)

и интегрирования по частям

Пример 3.5.8. Найти неопределённый интеграл

$$I = \int \sqrt{x+3} dx.$$

Р е ш е н и е. Заменяя переменную по формуле $t = x+3 \Rightarrow dx = dt$, получаем:

$$\int \sqrt{x+3} dx = \int \sqrt{t} dt = \int t^{1/2} dt = \frac{2}{3} t^{3/2} + C = \frac{2}{3}\sqrt{(x+3)^3} + C. \otimes$$

Пример 3.5.9. Найти неопределённый интеграл

$$I = \int \frac{x^2+1}{\left(x^3+3x+1\right)^4} dx.$$

Р е ш е н и е. Заменяя переменную

$$t = x^3 + 3x + 1 \Rightarrow dx = \frac{1}{3}\frac{dt}{x^2 + 1},$$

получаем:

$$\int \frac{x^2 + 1}{(x^3 + 3x + 1)^4} dx = \frac{1}{3}\int \frac{dt}{t^4} = -\frac{1}{9t^3} + C = -\frac{1}{9(x^3 + 3x + 1)^3} + C. \otimes$$

Пример 3.5.10. Найти неопределённый интеграл

$$I = \int x \cdot \cos x dx.$$

Р е ш е н и е. Замечая, что $\cos x dx = d(\sin x)$ и используя формулу интегрирования по частям, получаем:

$$\int x \cdot \cos x dx = \left\{ \begin{array}{cc} u = x, & du = dx, \\ dv = \cos x dx \equiv d(\sin x), & v = \sin x \end{array} \right\} =$$

$$= x \cdot \sin x - \int \sin x dx + C = x \cdot \sin x + \cos x + C. \otimes$$

Пример 3.5.11. Найти неопределённый интеграл

$$I = \int x \cdot \ln x dx.$$

Р е ш е н и е. Интегрируя по частям, получаем:

$$\int x \cdot \ln x dx = \left\{ \begin{array}{ll} u = \ln x, & du = \dfrac{dx}{x}, \\ dv = x dx, & v = \dfrac{x^2}{2} \end{array} \right\} = \frac{x^2}{2} \cdot \ln x - \frac{1}{2}\int x dx + C =$$

$$= \frac{x^2}{2} \cdot \ln x - \frac{x^2}{4} + C. \otimes$$

Формула Ньютона-Лейбница, вычисление определённого интеграла методом замены переменной и интегрирования по частям

Пример 3.5.12. Вычислить определённый интеграл

$$I = \int_0^1 x^2 dx$$

по формуле Ньютона-Лейбница, дать геометрическую интерпретацию.

Р е ш е н и е. Проводя непосредственное интегрирование и применяя формулу Ньютона-Лейбница, получаем: $\int_0^1 x^2 dx = \frac{x^3}{3}\Big|_0^1 = \frac{1}{3}$. Полученное число $\frac{1}{3}$ имеет смысл площади криволинейного треугольника с вершинами в точках

$O(0,0), A(1,0), B(0,0)$. $\otimes$

Пример 3.5.13. Вычислить определённый интеграл

$$I = \int_{\pi/6}^{\pi/4} \frac{dx}{\cos^2 x}.$$

Р е ш е н и е. Используя таблицу первообразных и формулу Ньютона-Лейбница, получаем:

$$\int_{\pi/6}^{\pi/4} \frac{dx}{\cos^2 x} = tgx\Big|_{\pi/6}^{\pi/4} = tg\frac{\pi}{4} - tg\frac{\pi}{6} = 1 - \frac{\sqrt{3}}{3}. \otimes$$

Пример 3.5.14. Вычислить определённый интеграл

$$I = \int_1^2 2^{3x-4} dx.$$

Р е ш е н и е. Используем методом “подведения под дифференциал”:

$$\int_1^2 2^{3x-4} dx = \left\{ dx = \frac{1}{3} d(3x-4) \right\} = \frac{1}{3}\int_1^2 2^{3x-4} d(3x-4) =$$

$$= \left\{ \int a^x dx = \frac{a^x}{\ln a} + C \right\} = \frac{1}{3} \cdot \frac{2^{3x-4}}{\ln 2}\Big|_1^2 = \frac{1}{3\ln 2}\left(4 - \frac{1}{2}\right) = \frac{7}{6\ln 2}. \otimes$$

Пример 3.5.15. Вычислить определённый интеграл

$$I = \int_0^1 x \cdot (2 - x^2)^5 dx.$$

Р е ш е н и е. Для решения воспользуемся методом замены переменной. Введём новую переменную $t = 2 - x^2$. Дифференциал новой переменной равен

$$dt = d(2 - x^2) = -2xdx \Rightarrow xdx = -\frac{1}{2}dt.$$

Пределы изменения новой переменной определяются так:

$$x=0\Rightarrow t=2;\ x=1\Rightarrow t=1.$$

Учитывая эти формулы, получаем:

$$\int_0^1 x\cdot\left(2-x^2\right)^5 dx=\left\{\begin{array}{l} dt=d\left(2-x^2\right)=-2xdx;\ xdx=-\dfrac{1}{2}dt;\\ x=0\Rightarrow t=2;\ x=1\Rightarrow t=1.\end{array}\right\}=$$

$$=-\frac{1}{2}\cdot\int_2^1 t^5dt=\frac{1}{2}\int_1^2 t^5dt=\frac{1}{2}\cdot\frac{1}{6}\cdot t^6\Big|_1^2=\frac{1}{12}\cdot\left(64-1\right)=\frac{63}{12}=\frac{21}{4}.\otimes$$

Пример 3.5.16. Вычислить определённый интеграл

$$I=\int_1^e\frac{\ln^2 x}{x}dx.$$

Р е ш е н и е. Используя замену переменной интегрирования $t=\ln x$, имеем:

$$\int_1^e\frac{\ln^2 x}{x}dx=\left\{\begin{array}{l|l} t=\ln x, & x=1\Rightarrow t=0,\\ dt=\dfrac{dx}{x}, & x=e\Rightarrow t=1.\end{array}\right\}=\int_0^1 t^2dt=\frac{t^3}{3}\Big|_0^1=\frac{1}{3}.\otimes$$

Пример 3.5.17. Вычислить определённый интеграл

$$I=\int_0^1 x\cdot e^{-x}dx.$$

Р е ш е н и е. Данный интеграл вычисляется методом «интегрирования по частям»:

$$\int_0^1 x\cdot e^{-x}dx=\left\{\begin{array}{ll} u=x, & du=dx,\\ dv=e^{-x}dx, & v=\int e^{-x}dx=-e^{-x}.\end{array}\right\}=$$

$$=x\cdot e^{-x}\Big|_0^1-\int_0^1 e^{-x}d\left(-x\right)=-x\cdot e^{-x}\Big|_0^1-e^{-x}\Big|_0^1=$$

$$=-e^{-1}-e^{-1}+1=1-2\cdot e^{-1}=1-2/e=e-2/e.\otimes$$

Практическое занятие 6. Дифференцируемость функций нескольких переменных

Первые частные производные функций нескольких переменных

Пример 3.6.1. Используя определение, найти первые частные производные функции двух переменных, заданной формулой

$$z(x, y) = x^2 y + 4x - 2y + 5,$$

в точке $M_0\ (5;1)$.

Р е ш е н и е. Для частной производной по переменной x имеем по определению:

$$\frac{\partial z}{\partial x} = \lim_{\Delta x \to 0} \frac{z(x_0 + \Delta x, y_0) - z(x_0, y_0)}{\Delta x}.$$

Фиксируя значение $y = y_0$, находим сужение функции $z(x, y)$ на прямую линию $y = y_0$, параллельную оси Ox. На этой прямой сужение

$$z(x, y_0) = y_0 x^2 + 4x - 2y_0 + 5$$

функции $z(x, y)$ является функцией одной переменной x. Используем схему нахождения производной функции одного переменного для сужения $z(x, y_0)$.

1) Придавая переменной x приращение Δx в точке $(x_0; y_0)$, получим:

$$z(x_0 + \Delta x, y_0) = x_0^2 y_0 + 2x_0 y_0 \cdot \Delta x + y_0 (\Delta x)^2 +$$
$$+ 4x_0 + 4 \cdot \Delta x - 2y_0 + 5.$$

2) Находим приращение функции $z(x, y_0)$ в точке $(x_0; y_0)$, придавая переменной x приращение Δx:

$$z(x_0 + \Delta x, y_0) - z(x_0, y_0) = 2x_0 y_0 \cdot \Delta x + y_0 (\Delta x)^2 + 4 \cdot \Delta x.$$

3) Находим предел конечно-разностного отношения:

$$\frac{\partial z}{\partial x} = \lim_{\Delta x \to 0} \frac{z(x_0 + \Delta x, y_0) - z(x_0, y_0)}{\Delta x} =$$

$$= \lim_{\Delta x \to 0} \frac{2x_0 y_0 \cdot \Delta x + y_0 (\Delta x)^2 + 4\Delta x}{\Delta x} = 2x_0 y_0 + 4.$$

4) Подставляя координаты точки $(x_0; y_0) = (5; 1)$, получаем:

$$\frac{\partial z}{\partial x}(5,1) = (2x_0 y_0 + 4)\Big|_{\substack{x_0=5 \\ y_0=1}} = 14.$$

Аналогично находим частную производную в точке $(x_0; y_0) = (5; 1)$ по второй переменной y:

$$\frac{\partial z}{\partial y}(5, 1) = (x_0^2 - 2)\Big|_{\substack{x_0=5 \\ y_0=1}} = 23. \otimes$$

Пример 3.6.2. Используя таблицу и правила рациональных операций с производными, найти частные производные функции двух переменных, заданной формулой

$$u(x, y) = x^3 + 3x^2 y - y^3.$$

Р е ш е н и е. Фиксируя переменные и используя формулу вычисления производной степенной функции, получаем:

$$\frac{\partial u}{\partial x}(x, y) = 3x^2 + 6xy; \frac{\partial u}{\partial y}(x, y) = 3x^2 - 3y^2. \otimes$$

Пример 3.6.3. Используя таблицу и правила рациональных операций с производными, найти частные производные функции двух переменных, заданной формулой

$$u(x, y) = \frac{xy}{x + y}.$$

Р е ш е н и е. Фиксируя переменные и используя формулы вычисления производной частного и произведения двух функций, получаем:

$$\frac{\partial u}{\partial x}(x, y) = \frac{\partial}{\partial x}\left(\frac{xy}{x+y}\right) = \frac{y^2}{(x+y)^2};$$

$$\frac{\partial u}{\partial y}(x, y) = \frac{\partial}{\partial y}\left(\frac{xy}{x+y}\right) = \frac{x^2}{(x+y)^2}. \otimes$$

Пример 3.6.4. Используя таблицу и правила рациональных операций с производными, найти частные производные функции двух переменных, заданной формулой

$$u(x, y) = (-x)^{y^2}.$$

Р е ш е н и е. Для вычисления частной производной по переменной x фиксируем переменную y и используем формулу для производной степенной функции:

$$\frac{\partial u}{\partial x}(x, y) = -y^2 (-x)^{y^2 - 1}.$$

Для вычисления частной производной по переменной y фиксируем переменную x и используем формулу $(a^u)' = a^u \ln a \cdot u'$, получаем:

$$\frac{\partial u}{\partial y}(x, y) = 2y \cdot (-x)^{y^2} \cdot \ln(-x). \otimes$$

Пример 3.6.5. Используя таблицу и правила рациональных операций с производными, найти частные производные функции двух переменных, заданной формулой

$$u(x, y) = x^3 y^2 + 2x \ln y + x^y.$$

Р е ш е н и е. Используя таблицу производных, получаем:

$$\frac{\partial u}{\partial x}(x, y) = 3x^2 y^2 + 2\ln y + yx^{y-1},$$

$$\frac{\partial u}{\partial y}(x, y) = 2x^3 y + \frac{2x}{y} + x^y \ln x. \otimes$$

Пример 3.6.6. Используя таблицу и правила рациональных операций с производными, найти частные производные функции двух переменных, заданной формулой

$$u(x, y) = (1 + xy)^y.$$

Р е ш е н и е. Фиксируя переменную y и используя формулу дифференцирования степенной функции, для частной производной по переменной x получаем:

$$\frac{\partial u}{\partial x}(x, y) = y(1 + xy)^{y-1} \cdot y = y^2 (1 + xy)^{y-1}.$$

Для вычисления частной производной по переменной y фиксируем переменную x и используем понятие логарифмической производной:

$$z = \ln u(x, y) = y \ln(1 + xy) \to z'_y = \ln(1 + xy) + \frac{xy}{1 + xy} \to$$

$$z' = \frac{u'}{u} \to \frac{\partial u}{\partial y}(x, y) = (1 + xy)^y \cdot \ln(1 + xy) + (1 + xy)^y \frac{xy}{1 + xy} =$$

$$= (1 + xy)^y \left[\ln(1 + xy) + \frac{x \cdot y}{(1 + xy)} \right]. \otimes$$

Пример 3.6.7. Найти частные производные первого порядка функции трёх переменных, заданной формулой

$$u(x_1, x_2, x_3) = \frac{1}{\sqrt{x_1^2 + x_2^2 + x_3^2}}$$

в точке $M_0\ 1; -1; -2$.

Р е ш е н и е. Для нахождения частных производных используем таблицу производных и правила дифференцирования функций:

$$\frac{\partial u}{\partial x_1} = -\frac{1}{2}\frac{2x_1}{(x_1^2 + x_2^2 + x_3^2)^{\frac{3}{2}}} = -\frac{x_1}{\sqrt{(x_1^2 + x_2^2 + x_3^2)^3}};$$

$$\frac{\partial u}{\partial x_2} = -\frac{1}{2}\frac{2x_2}{(x_1^2 + x_2^2 + x_3^2)^{\frac{3}{2}}} = -\frac{x_2}{\sqrt{(x_1^2 + x_2^2 + x_3^2)^3}};$$

$$\frac{\partial u}{\partial x_3} = -\frac{1}{2}\frac{2x_3}{(x_1^2 + x_2^2 + x_3^2)^{\frac{3}{2}}} = -\frac{x_3}{\sqrt{(x_1^2 + x_2^2 + x_3^2)^3}};$$

$$\frac{\partial u}{\partial x_1}\ 1; -1; -2\ = -\frac{1}{\sqrt{216}};$$

$$\frac{\partial u}{\partial x_2}\ 1; -1; -2\ = \frac{1}{\sqrt{216}};$$

$$\frac{\partial u}{\partial x_3}\ 1; -1; -2\ = -\frac{2}{\sqrt{216}}.\otimes$$

Пример 3.6.8. Найти частные производные первого порядка функции трёх переменных

$$u(x_1, x_2, x_3) = \exp(x_1^2 + x_2^2 + x_3^2) \equiv e^{x_1^2 + x_2^2 + x_3^2}$$

в точке $M(0; 1; 2)$.

Р е ш е н и е. Для нахождения частных производных, используя таблицу производных и правила дифференцирования функций, дифференцируем сужения функции на отрезки прямых, параллельных осям системы координат:

$$1)\ \frac{\partial u}{\partial x_1}(x_1, x_2, x_3) = \frac{\partial}{\partial x_1} e^{x_1^2 + x_2^2 + x_3^2} = e^{x_1^2 + x_2^2 + x_3^2}\ \frac{\partial}{\partial x_1}(x_1^2 + x_2^2 + x_3^2) =$$

$$= 2x_1 e^{x_1^2 + x_2^2 + x_3^2},$$

$$\frac{\partial u}{\partial x_1}(M) = 0;$$

2) $$\frac{\partial u}{\partial x_2}(x_1, x_2, x_3) = \frac{\partial}{\partial x_2} e^{x_1^2+x_2^2+x_3^2} = e^{x_1^2+x_2^2+x_3^2} \frac{\partial}{\partial x_2}(x_1^2 + x_2^2 + x_3^2) =$$

$$= 2x_2 e^{x_1^2+x_2^2+x_3^2},$$

$$\frac{\partial u}{\partial x_2}(M) = 2e^5;$$

3) $$\frac{\partial u}{\partial x_3}(x_1, x_2, x_3) = \frac{\partial}{\partial x_3} e^{x_1^2+x_2^2+x_3^2} = e^{x_1^2+x_2^2+x_3^2} \frac{\partial}{\partial x_3}(x_1^2 + x_2^2 + x_3^2) =$$

$$= 2x_3 e^{x_1^2+x_2^2+x_3^2},$$

$$\frac{\partial u}{\partial x_3}(M) = 4e^5. \otimes$$

Пример 3.6.9. Показать, что функция, заданная формулой

$$z = \ln(x^2 + y^2)$$

удовлетворяет уравнению

$$y\frac{\partial z}{\partial x} - x\frac{\partial z}{\partial y} = 0.$$

Р е ш е н и е. Находим частные производные функции в произвольной точке (x, y):

$$\frac{\partial z}{\partial x} = \frac{2x}{x^2+y^2}; \frac{\partial z}{\partial y} = \frac{2y}{x^2+y^2}.$$

Подставляя в правую часть уравнения, получаем

$$y\frac{\partial z}{\partial x} - x\frac{\partial z}{\partial y} = \frac{2xy}{x^2+y^2} - \frac{2xy}{x^2+y^2} = 0. \otimes$$

Пример 3.6.10. Показать, что функция

$$u(x_1, x_2) = x_2 \ln(x_1^2 - x_2^2)$$

удовлетворяет уравнению

$$\frac{1}{x_1}\frac{\partial u}{\partial x_1}+\frac{1}{x_2}\frac{\partial u}{\partial x_2}=\frac{u}{x_2^2}.$$

Р е ш е н и е. Находим частные производные данной функции:

$$\frac{\partial u}{\partial x_1}(x_1, x_2)=x_2\frac{\partial}{\partial x_1}\ln(x_1^2-x_2^2)=x_2\frac{1}{x_1^2-x_2^2}\frac{\partial}{\partial x_1}(x_1^2-x_2^2)=\frac{2x_1x_2}{x_1^2-x_2^2};$$

$$\frac{\partial u}{\partial x_2}(x_1, x_2)=\ln(x_1^2-x_2^2)+x_2\frac{\partial}{\partial x_2}\ln(x_1^2-x_2^2)=$$

$$=\ln(x_1^2-x_2^2)+x_2\frac{1}{x_1^2-x_2^2}\frac{\partial}{\partial x_2}(x_1^2-x_2^2)=\ln(x_1^2-x_2^2)-\frac{2x_2^2}{x_1^2-x_2^2}.$$

Полученные выражения подставим в левую часть уравнения:

$$\frac{1}{x_1}\frac{2x_1x_2}{x_1^2-x_2^2}+\frac{1}{x_2}\left[\ln(x_1^2-x_2^2)-\frac{2x_2^2}{x_1^2-x_2^2}\right]=$$

$$=\frac{2x_2}{x_1^2-x_2^2}-\frac{2x_2}{x_1^2-x_2^2}+\frac{\ln(x_1^2-x_2^2)}{x_2}=\frac{u(x_1, x_2)}{x_2^2}.$$

Таким образом, приходим к тождеству:

$$\frac{u(x_1, x_2)}{x_2^2}=\frac{u(x_1, x_2)}{x_2^2}.$$

То есть функция $u(x_1, x_2)=x_2\ln(x_1^2-x_2^2)$ удовлетворяет данному уравнению

$$\frac{1}{x_1}\frac{\partial u}{\partial x_1}+\frac{1}{x_2}\frac{\partial u}{\partial x_2}=\frac{u}{x_2^2}.\otimes$$

Частные производные функций нескольких переменных

высших порядков

Пример 3.6.11. Найти частные производные до второго порядка включительно функции двух переменных, заданной формулой:

$$u(x, y)=x^4+5x^2y^2+6xy+5.$$

Р е ш е н и е. Имеем:

$$\frac{\partial u}{\partial x}(x, y) = 4x^3 + 10xy^2 + 6y; \frac{\partial u}{\partial y}(x, y) = 10x^2 y + 6x;$$

$$\frac{\partial^2 u}{\partial x^2}(x, y) = 12x^2 + 10y^2; \frac{\partial^2 u}{\partial y^2}(x, y) = 10x^2;$$

$$\frac{\partial^2 u}{\partial x \partial y}(x, y) = \frac{\partial^2 u}{\partial y \partial x}(x, y) = 20xy + 6. \otimes$$

Пример 3.6.12. Найти частные производные до второго порядка включительно функции двух переменных

$$u(x, y) = e^x \ln y.$$

Р е ш е н и е. Имеем:

$$\frac{\partial u}{\partial x}(x, y) = e^x \ln y; \frac{\partial u}{\partial y}(x, y) = \frac{e^x}{y};$$

$$\frac{\partial^2 u}{\partial x^2}(x, y) = e^x \ln y; \frac{\partial^2 u}{\partial y^2}(x, y) = -\frac{e^x}{y^2};$$

$$\frac{\partial^2 u}{\partial x \partial y}(x, y) = \frac{e^x}{y}. \otimes$$

Пример 3.6.13. Найти частные производные до второго порядка включительно функции двух переменных $u(x, y) = \sin(x + y)$.

Р е ш е н и е. Имеем:

$$\frac{\partial u}{\partial x}(x, y) = \cos(x + y); \frac{\partial u}{\partial y}(x, y) = \cos(x + y);$$

$$\frac{\partial^2 u}{\partial x^2}(x, y) = -\sin(x + y); \frac{\partial^2 u}{\partial y^2}(x, y) = -\sin(x + y);$$

$$\frac{\partial^2 u}{\partial x \partial y}(x, y) = -\sin(x + y). \otimes$$

Пример 3.6.14. Найти частные производные до второго порядка включительно функции двух переменных

$$u(x_1, x_2) = x_1^{x_2}.$$

Р е ш е н и е. 1) Находим частные производные первого порядка:

$$\frac{\partial u}{\partial x_1} = x_2 x_1^{x_2-1}, \frac{\partial u}{\partial x_2} = x_1^{x_2} \ln x_1.$$

2) Находим частные производные второго порядка, дифференцируя частные производные первого порядка:

$$\frac{\partial^2 u}{\partial x_1^2} = x_2 (x_2 - 1) x_1^{x_2-2},$$

$$\frac{\partial^2 u}{\partial x_2 \partial x_1} = x_1^{x_2-1} + x_2 x_1^{x_2-1} \ln x_1 = x_1^{x_2-1} (1 + x_2 \ln x_1),$$

$$\frac{\partial^2 u}{\partial x_1 \partial x_2} = x_2 x_1^{x_2-1} \ln x_1 + x_1^{x_2} \frac{1}{x_1} = x_1^{x_2-1} (1 + x_2 \ln x_1),$$

$$\frac{\partial^2 u}{\partial x_2^2} = x_1^{x_2} (\ln x_1)^2. \otimes$$

Дифференцируемость функций нескольких переменных

Пример 3.6.15. Вычислить полный дифференциал функции двух переменных, заданной формулой

$$z = \frac{1}{\sqrt{x^2 + y^2}}$$

в точке $M_0\ 1; -1$.

Р е ш е н и е. Находим частные производные функции:

1) $$\frac{\partial z}{\partial x} = -\frac{1}{2} \frac{2x}{(x^2 + y^2)^{\frac{3}{2}}} = -\frac{x}{(x^2 + y^2)^{\frac{3}{2}}} = -\frac{x}{\sqrt{(x^2 + y^2)^3}},$$

$$\left.\frac{\partial z}{\partial x}\right|_{\substack{x=1 \\ y=-1}} = -\frac{1}{2^{\frac{3}{2}}} = -\frac{\sqrt{2}}{4};$$

2) $$\frac{\partial z}{\partial y} = -\frac{1}{2} \frac{2y}{(x^2 + y^2)^{\frac{3}{2}}} = -\frac{y}{(x^2 + y^2)^{\frac{3}{2}}} = -\frac{y}{\sqrt{(x^2 + y^2)^3}},$$

$$\left.\frac{\partial z}{\partial y}\right|_{\substack{x=1\\y=-1}} = \frac{1}{2^{\frac{3}{2}}} = \frac{\sqrt{2}}{4};$$

3) $dz\ (1,-1) = -\frac{\sqrt{2}}{4}dx + \frac{\sqrt{2}}{4}dy$. ⊗

Пример 3.6.16. Вычислить приближённо $(0{,}98)^{2{,}01}$.

Р е ш е н и е. Рассмотрим функцию $z = x^y$. В точке $(1; 2)$ значение функции $z(1; 2) = 1$. Вычислим значение функции в точке $(0{,}98; 2{,}01)$. Имеем $\Delta x = -0{,}02$, $\Delta y = 0{,}01$. Находим частные производные функции $z = x^y$ в точке $(1; 2)$:

$$\frac{\partial z}{\partial x} = yx^{y-1} \Rightarrow \left.\frac{\partial z}{\partial x}\right|_{\substack{x=1\\y=2}} = 2;$$

$$\frac{\partial z}{\partial y} = x^y \ln x \Rightarrow \left.\frac{\partial z}{\partial x}\right|_{\substack{x=1\\y=2}} = 0.$$

Получаем:

$$(0{,}98)^{2{,}01} = z(1; 2) + \left.\frac{\partial z}{\partial x}\right|_{\substack{x=1\\y=2}} \cdot \Delta x + \left.\frac{\partial z}{\partial y}\right|_{\substack{x=1\\y=2}} \cdot \Delta y = 1 - 0{,}04 = 0{,}96. \otimes$$

Пример 3.6.17. Найти дифференциал функции

$$f = f(x + y^2,\ y + x^2)$$

в точке $M(-1; 1)$.

Р е ш е н и е. Обозначим, например,

$$u = x + y^2,\ v = y + x^2.$$

Для нахождения дифференциала используем формулу дифференциала и правило нахождения производной композиции функций:

$$df(u, v) = \frac{\partial f}{\partial x}dx + \frac{\partial f}{\partial y}dy = \left(\frac{\partial f}{\partial u}\frac{\partial u}{\partial x} + \frac{\partial f}{\partial v}\frac{\partial v}{\partial x}\right)dx + \left(\frac{\partial f}{\partial u}\frac{\partial u}{\partial y} + \frac{\partial f}{\partial v}\frac{\partial v}{\partial y}\right)dy;$$

$$\frac{\partial f}{\partial x} = \frac{\partial f}{\partial u}\frac{\partial u}{\partial x} + \frac{\partial f}{\partial v}\frac{\partial v}{\partial x} = \frac{\partial f}{\partial u}\cdot 1 + \frac{\partial f}{\partial v}\cdot 2x;$$

$$\frac{\partial f}{\partial y}=\frac{\partial f}{\partial u}\frac{\partial u}{\partial y}+\frac{\partial f}{\partial v}\frac{\partial v}{\partial y}=\frac{\partial f}{\partial u}\cdot 2y+\frac{\partial f}{\partial v}\cdot 1;$$

$$\frac{\partial f}{\partial x}(M)=\frac{\partial f}{\partial u}(0;2)-\frac{\partial f}{\partial v}(0;2);$$

$$\frac{\partial f}{\partial y}(M)=\frac{\partial f}{\partial u}(0;2)+\frac{\partial f}{\partial v}(0;2).$$

Подставляя в выражение для полного дифференциала, получаем:

$$df(M)=\frac{\partial f}{\partial x}(M)dx+\frac{\partial f}{\partial y}(M)dy=$$

$$=\left[\frac{\partial f}{\partial u}(0;2)-2\frac{\partial f}{\partial v}(0;2)\right]dx+\left[2\frac{\partial f}{\partial u}(0;2)+\frac{\partial f}{\partial v}(0;2)\right]dy.\otimes$$

Дифференциалы высших порядков

Пример 3.6.18. Найти дифференциал второго порядка функции

$$f=f(x+y,\ xy).$$

Р е ш е н и е. Обозначим $u=x+y$, $v=xy$. Теперь находим:

$$\frac{\partial f}{\partial x}=$$

$$\frac{\partial f}{\partial y}=\frac{\partial f}{\partial u}(x+y,\ xy)+\frac{\partial f}{\partial v}(x+y,\ xy)\cdot y;$$

$$\frac{\partial^2 f}{\partial x^2}=\frac{\partial f}{\partial u}(x+y,\ xy)+\frac{\partial f}{\partial v}(x+y,\ xy)\cdot x;$$

$$\frac{\partial^2 f}{\partial x\partial y}=\frac{\partial^2 f}{\partial u^2}+\frac{\partial^2 f}{\partial v\partial u}\cdot x+\frac{\partial^2 f}{\partial u\partial v}\cdot y+\frac{\partial^2 f}{\partial v^2}\cdot xy+\frac{\partial f}{\partial v}=$$

$$=\frac{\partial^2 f}{\partial u^2}+(x+y)\frac{\partial^2 f}{\partial u\partial v}+xy\frac{\partial^2 f}{\partial v^2}+\frac{\partial f}{\partial v};$$

$$\frac{\partial^2 f}{\partial y^2}=\frac{\partial^2 f}{\partial u^2}+\frac{\partial^2 f}{\partial v\partial u}\cdot x+\frac{\partial^2 f}{\partial u\partial v}\cdot x+\frac{\partial^2 f}{\partial v^2}\cdot x^2=$$

$$= \frac{\partial^2 f}{\partial u^2} + 2x \frac{\partial^{f\,2}}{\partial u \partial v} + x^2 \frac{\partial^2 f}{\partial v^2}. \otimes$$

Производные сложных и неявно заданных функций

Пусть функция $u = f(x, y)$ задана ***параметрическим способом***, то есть, с помощью формул

$$x = \varphi(t),\ y = \psi(t).$$

Тогда функция u является функцией одного переменного t:

$$u = f(\varphi(t), \psi(t))$$

Пусть функции $x = \varphi(t)$ и $y = \psi(t)$ дифференцируемы в некоторой точке t, то есть, существуют производные

$$\lim_{\Delta t \to 0} \frac{\varphi(t + \Delta t) - \varphi(t)}{\Delta t} = \frac{d\varphi}{dt}(t),$$

$$\lim_{\Delta t \to 0} \frac{\psi(t + \Delta t) - \psi(t)}{\Delta t} = \frac{d\psi}{dt}(t).$$

Если функция $u = f(x, y)$ дифференцируема, то придавая переменной t приращение Δt, видим, что все функции получат соответствующие приращения Δx, Δy и Δu, причём по определению дифференцируемости

$$\Delta u = f(x + \Delta x, y + \Delta y) - f(x, y) =$$

$$= \frac{\partial f}{\partial x}(x, y)\Delta x + \frac{\partial f}{\partial y}(x, y)\Delta y + \alpha \cdot \Delta x + \beta \cdot \Delta y$$

где $\lim\limits_{\Delta t \to 0} \alpha = \lim\limits_{\Delta t \to 0} \beta = 0$. Из последнего равенства вытекает, что

$$\frac{du}{dt} = \lim_{\Delta t \to 0} \frac{\Delta u}{\Delta t} = \lim_{\Delta t \to 0} \left\{ \frac{\partial f}{\partial x}(x, y)\frac{\Delta x}{\Delta t} + \frac{\partial f}{\partial y}(x, y)\frac{\Delta y}{\Delta t} + \alpha \cdot \frac{\Delta x}{\Delta t} + \beta \cdot \frac{\Delta y}{\Delta t} \right\} =$$

$$= \frac{\partial f}{\partial x}(x, y)\frac{dx}{dt} + \frac{\partial f}{\partial y}(x, y)\frac{dy}{dt}.$$

Итак, имеем формулу:

$$\frac{du}{dt}=\frac{\partial f}{\partial x}\left(x,\,y\right)\frac{dx}{dt}+\frac{\partial f}{\partial y}\left(x,\,y\right)\frac{dy}{dt}.$$

Если $x=\varphi\left(t,\,s\right)$ и $y=\psi\left(t,\,s\right)$, то имеем две формулы:

$$\frac{\partial u}{\partial t}=\frac{\partial u}{\partial x}\frac{\partial x}{\partial t}+\frac{\partial u}{\partial y}\frac{\partial y}{\partial t},$$

$$\frac{\partial u}{\partial s}=\frac{\partial u}{\partial x}\frac{\partial x}{\partial s}+\frac{\partial u}{\partial y}\frac{\partial y}{\partial s}.$$

Пример 3.6.19. Найти $\frac{dz}{dt}$, если

$$z=x^3-x^2y,\;x=1-t^2,\;y=t^4.$$

Р е ш е н и е. Находим непосредственно:

$$\frac{dz}{dt}=\frac{\partial z}{\partial x}\frac{dx}{dt}+\frac{\partial z}{\partial y}\frac{dy}{dt}=\left(3x^2-2xy\right)\left(2t\right)+\left(-x^2\right)\left(4t^3\right)=$$

$$=4t^7+2t^6+8t^5+4t^4-4t^3-12t^2+2t.\otimes$$

Пример 3.6.20. Найти $\frac{du}{dt}$, если

$$u=\ln\frac{x_1-x_2+x_3}{x_1^2+x_2^2+x_3^2}+\sin\left(x_1+x_2+x_3\right),$$

$$x_1=a\sin t,\;x_2=b\cos t,\;x_3=ce^{-kt},$$

где $a,\,b,\,c,\,k$ – некоторые постоянные.

Пример 3.6.21. Найти $\frac{\partial z}{\partial t}$ и $\frac{\partial z}{\partial s}$ для функции $z=x^3e^y$, если

$$x=ts,\;y=t^2-s^2.$$

Р е ш е н и е.

$$1)\;\frac{\partial z}{\partial t}=\frac{\partial z}{\partial x}\frac{\partial x}{\partial t}+\frac{\partial z}{\partial y}\frac{\partial y}{\partial t}=e^{t^2-s^2}t^2s^3\left(3+2t^2\right).$$

$$2)\;\frac{\partial z}{\partial s}=\frac{\partial z}{\partial x}\frac{\partial x}{\partial s}+\frac{\partial z}{\partial y}\frac{\partial y}{\partial s}=e^{t^2-s^2}t^3s^2\left(3-2s^2\right).\otimes$$

Пусть функция $y = f(x)$ ***задана неявно посредством уравнения***

$$F(x, y) = 0,$$

тогда её производная находится с использованием правила дифференцирования сложной функции путём прямого дифференцирования уравнения, определяющего функцию:

$$\frac{\partial F}{\partial x}(x, y) + \frac{\partial F}{\partial y}(x, y)\frac{dy}{dx} = 0,$$

где учтено, что $\frac{dx}{dx} = 1$. Если $\frac{\partial F}{\partial y}(x, y) \neq 0$, то получаем

$$\frac{dy}{dx} = -\frac{\frac{\partial F}{\partial x}(x, y)}{\frac{\partial F}{\partial y}(x, y)}.$$

Пусть теперь уравнение

$$F(x, y, u) = 0$$

задаёт функцию двух переменных $u = \varphi(x, y)$. Тогда

$$\frac{\partial u}{\partial x} = -\frac{\frac{\partial F}{\partial x}}{\frac{\partial F}{\partial u}}, \frac{\partial u}{\partial y} = -\frac{\frac{\partial F}{\partial y}}{\frac{\partial F}{\partial u}}.$$

Пример 3.6.22. Найти частные производные функции $z = z(x, y)$, заданной неявно уравнением

$$x^2 + y^2 + z^2 + 2xy - 4y - 1 = 0.$$

Р е ш е н и е. Здесь

$$F(x, y, z) = x^2 + y^2 + z^2 + 2xy - 4y - 1,$$

следовательно, имеем:

$$\frac{\partial F}{\partial x} = 2x + 2y; \frac{\partial F}{\partial y} = 2x + 2y - 4; \frac{\partial F}{\partial z} = 2z.$$

Используя формулы дифференцирования неявно заданной функции, получаем:

$$\frac{\partial z}{\partial x} = -\frac{F'_x}{F'_z} = -\frac{x+y}{z};\ \frac{\partial z}{\partial y} = -\frac{F'_y}{F'_z} = \frac{2-x-y}{z}. \otimes$$

Практическое занятие 6

Градиент функции и производная по направлению

Пример 3.7.1. Найти $\vec{grad}\ f$ и $\left\| \vec{grad}\ f \right\|$ для функции, определённой формулой

$$f(x, y, z) = x^2 + y^2 - z^2$$

в точке $M_0(-1; 2)$.

Р е ш е н и е. Находим частные производные и их значение в указанной точке:

$$\frac{\partial f}{\partial x}(x, y, z) = 2x,\ \frac{\partial f}{\partial y}(x, y, z) = 2y,\ \frac{\partial f}{\partial z}(x, y, z) = -2z;$$

$$\frac{\partial f}{\partial x}(-1, 2) = 2,\ \frac{\partial f}{\partial y}(-1, 2) = -2,\ \frac{\partial f}{\partial z}(-1, 2) = -4.$$

Теперь имеем:

$$\vec{grad}\ f\ (M_0) = 2\vec{e}_1 - 2\vec{e}_2 - 4\vec{e}_3,$$

$$\left\| \vec{grad}\ f \right\| = \sqrt{4+4+16} = 2\sqrt{6}. \otimes$$

Пример 3.7.2. Найти производную функции, заданной формулой

$$u(x, y, z) = x^2 - 2xz + y^2$$

в точке $M_0(2; -1)$ по направлению вектора $\vec{M_0M}$, где $M(4; -3)$.

Р е ш е н и е. Находим вектор

$$\vec{M_0M} : \vec{M_0M} = \vec{e}_1 + 2\vec{e}_2 - 2\vec{e}_3.$$

Далее, находим градиент функции в произвольной точке и в точке $M_0(2; -1)$:

$$\vec{grad}\,u = \frac{\partial u}{\partial x}\vec{e}_1 + \frac{\partial u}{\partial y}\vec{e}_2 + \frac{\partial u}{\partial z}\vec{e}_3 = (x - 2z)\vec{e}_1 + 2y\,\vec{e}_2 - 2x\,\vec{e}_3,$$

$$\vec{grad}\,u\ \ M_0 = 4\vec{e}_1 + 4\vec{e}_2 - 2\vec{e}_3.$$

Находим производную по направлению вектора $\vec{M_0M}$:

$$\frac{\partial u}{\partial \vec{M_0M}}\ \ M_0 = \frac{\left(\vec{grad}\,u\Big|_M, \vec{M_0M}\right)}{\left\|\vec{M_0M}\right\|} = \frac{\begin{pmatrix}4 & 4 & -2\end{pmatrix}\begin{pmatrix}1\\2\\-2\end{pmatrix}}{\sqrt{1+4+4}} =$$

$$= \frac{4+8+4}{\sqrt{9}} = \frac{16}{3}. \otimes$$

Экстремум функции двух переменных

Пример 3.7.3. Исследовать на экстремум функцию, заданную формулой:

$$z(x, y) = x^2 + xy + y^2 - 2x - 3y.$$

Р е ш е н и е. 1) Находим критические точки:

$$\begin{cases} z'_x = 0, \\ z'_y = 0, \end{cases} \Rightarrow \begin{cases} 2x + y = 2, \\ x + 2y = 3. \end{cases}$$

Решение СЛАУ:

$$\begin{pmatrix} x \\ y \end{pmatrix} = \begin{pmatrix} 1/3 \\ 4/3 \end{pmatrix}.$$

Имеем одну критическую точку $M_0\left(\frac{1}{3}; \frac{4}{3}\right)$.

2) Вычисляем определитель:

$$D=\begin{vmatrix} \dfrac{\partial^2 z}{\partial x^2}(M_0) & \dfrac{\partial^2 z}{\partial x\partial y}(M_0) \\ \dfrac{\partial^2}{\partial x\partial y}(M_0) & \dfrac{\partial^2 z}{\partial y^2}(M_0) \end{vmatrix}=\begin{vmatrix} 2 & 1 \\ 1 & 2 \end{vmatrix}=3>0.$$

Точка $M\left(\frac{1}{3};\frac{4}{3}\right)$ является точкой экстремума. Так как

$$\frac{\partial^2 z}{\partial x^2}(M_0)>0,$$

то точка $M_0\left(\frac{1}{3};\frac{4}{3}\right)$ является точкой локального **минимума.**

3) Находим значение функции в точке локального минимума:

$$z(M_0)=\left(\frac{1}{3}\right)^2+\frac{1}{3}\cdot\frac{4}{3}+\left(\frac{4}{3}\right)^2-\frac{2}{3}-\frac{12}{3}=-\frac{7}{3}.\otimes$$

Пример 3.7.4. Исследовать на экстремуму функцию, заданную формулой:

$$z(x,y)=x^2+y^2+\frac{(x+2y-16)^2}{2}.$$

Р е ш е н и е. 1) Находим критические точки:

$$\begin{cases} z'_x=0, \\ z'_y=0, \end{cases}\Rightarrow\begin{cases} 3x+2y=16, \\ x+3y=16. \end{cases}$$

Эта СЛАУ имеет решение:

$$\begin{pmatrix} x \\ y \end{pmatrix}=\begin{pmatrix} 16/7 \\ 32/7 \end{pmatrix}.$$

Таким образом, имеем одну критическую точку $M_0\left(\frac{16}{7};\frac{32}{7}\right)$.

2) Вычисляем определитель:

$$D=\begin{vmatrix} \dfrac{\partial^2 z}{\partial x^2}(M_0) & \dfrac{\partial^2 z}{\partial x\partial y}(M_0) \\ \dfrac{\partial^2}{\partial x\partial y}(M_0) & \dfrac{\partial^2 z}{\partial y^2}(M_0) \end{vmatrix}=\begin{vmatrix} 3 & 2 \\ 2 & 6 \end{vmatrix}=14>0.$$

Точка $M_0\left(\frac{16}{7};\frac{32}{7}\right)$ является точкой локального экстремума. Так как

$$\frac{\partial^2 z}{\partial x^2}(M_0)>0,$$

то точка $M_0\left(\frac{16}{7};\frac{32}{7}\right)$ является точкой локального **минимума.**

3) Находим значение функции в точке локального минимума:

$$z(M_0)\approx 36{,}6.\otimes$$

Практическое занятие № 8

Непосредственное вычисление суммы числового ряда

Пример 3.8.1. Найти сумму ряда

$$\frac{1}{1\cdot 2}+\frac{1}{2\cdot 3}+\frac{1}{3\cdot 4}+\ldots+\frac{1}{n\cdot(n+1)}+\ldots.$$

Р е ш е н и е. Общий член ряда равен

$$a_n=\frac{1}{n\cdot(n+1)}=\frac{1}{n}-\frac{1}{n+1}.$$

Следовательно, для последовательности частичных сумм ряда имеем

$$s_n=\left(\frac{1}{1}-\frac{1}{2}\right)+\left(\frac{1}{2}-\frac{1}{3}\right)+\left(\frac{1}{3}-\frac{1}{4}\right)+\ldots+\left(\frac{1}{n}-\frac{1}{n+1}\right)\ldots=1-\frac{1}{n+1}.$$

Сумма ряда находится путём непосредственного предельного перехода:

$$\lim_{n\to\infty} s_n=\lim_{n\to\infty}\left(1-\frac{1}{n+1}\right)=1.\otimes$$

Пример 3.8.2. Найти сумму ряда $\sum_{n=1}^{\infty}\frac{1}{4n^2-1}$.

Р е ш е н и е. Общий член ряда можно представить в виде:

$$a_n=\frac{1}{4n^2-1}=\frac{1}{2}\cdot\left(\frac{1}{2n-1}-\frac{1}{2n+1}\right).$$

Записывая общий член последовательности частичных сумм ряда в виде

$$s_n=\frac{1}{2}\cdot\left(\frac{1}{1}-\frac{1}{3}\right)+\frac{1}{2}\cdot\left(\frac{1}{3}-\frac{1}{5}\right)+\ldots+\frac{1}{2}\cdot\left(\frac{1}{2n-1}-\frac{1}{2n+1}\right)=\frac{1}{2}-\frac{1}{2(2n+1)}$$

и переходя непосредственно к пределу, получаем:

$$\lim_{n\to\infty}s_n=\lim_{n\to\infty}\left[\frac{1}{2}-\frac{1}{2(2n+1)}\right]=\frac{1}{2}.\ \otimes$$

Пример 3.8.3. Найти сумму ряда

$$\sum_{n=1}^{\infty}\frac{1}{2^{n-1}}=1+\frac{1}{2}+\frac{1}{4}+\ldots+\frac{1}{2^{n-1}}+\ldots.$$

Р е ш е н и е. Имеем геометрическую прогрессию, которая в силу неравенства $q=\frac{1}{2}<1$ сходится и имеет сумму

$$S=\frac{1}{1-q}=2.\ \otimes$$

Необходимый признак сходимости

Пример 3.8.4. Проверить выполнение необходимого признака сходимости для ряда $\sum_{n=1}^{\infty}\frac{1}{2n-1}$.

Р е ш е н и е. Вычисляя предел последовательности членов ряда, имеем

$$\lim_{n\to\infty}\frac{1}{2n-1}=\lim_{n\to\infty}\frac{\frac{1}{n}}{2-\frac{1}{n}}=\frac{0}{2}=0.$$

Необходимый признак сходимости выполняется. $\otimes$

Пример 3.8.5. Проверить выполнение необходимого признака сходимости для ряда $\sum_{n=1}^{\infty}\frac{n}{n^2+1}$.

Р е ш е н и е. Вычисляя предел последовательности членов ряда, имеем

$$\lim_{n\to\infty}\frac{1}{n^2+1}=\lim_{n\to\infty}\frac{\frac{1}{n^2}}{1+\frac{1}{n^2}}=\frac{0}{1}=0.$$

Необходимый признак сходимости выполняется. ⊗

Признак сравнения

Пример 3.8.6. Исследовать сходимость ряда $\sum_{n=1}^{\infty}\frac{2^n}{1+2^{2n}}$.

Р е ш е н и е. Для почти всех n выполняется неравенство

$$\frac{2^n}{1+2^{2n}}<\frac{2^n}{2^{2n}}=\frac{1}{2^n}.$$

Следовательно, ряд $\sum_{n=1}^{\infty}\frac{2^n}{1+2^{2n}}$ является минорантой ряда геометрической прогрессии $\sum_{n=1}^{\infty}\frac{1}{2^n}$, который сходится, так как $q=\frac{1}{2}<1$.

Следовательно, ряд $\sum_{n=1}^{\infty}\frac{2^n}{1+2^{2n}}$ по признаку сравнения сходится. ⊗

Пример 3.8.7. Исследовать на сходимость ряд $\sum_{n=1}^{\infty}\frac{\sqrt{n^3+1}}{n^2(2+\sin n)}$.

Р е ш е н и е. Проверяем выполнение необходимого признака сходимости:

$$\lim_{n\to\infty}\frac{\sqrt{n^3+1}}{n^2(2+\sin n)}=0.$$

Необходимый признак сходимости выполняется.

Общий член ряда удовлетворяет следующим условиям: $\forall n\in N$

$$-1 \le \sin n \le 1;\ 1 < 2 + \sin n < 3;\ \sum_{n=1}^{\infty} \frac{\sqrt{n^3+1}}{n^2\left(2+\sin n\right)} > 0.$$

Имеем ряд с положительными членами, для которого можно применить признак сравнения.

Предположим, что ряд сходится, и попробуем подтвердить это предположение. Для этого заметим, что

$$\sqrt{n^3+1} < 2n^{3/2}.$$

Поэтому имеем:

$$\sum_{n=1}^{\infty} \frac{\sqrt{n^3+1}}{n^2\left(2+\sin n\right)} < \frac{2n^{3/2}}{n^2} = \frac{2}{n^{1/2}}.$$

Ряд $\sum_{n=1}^{\infty} \frac{2}{n^{1/2}}$ является так называемым обобщённым гармоническим рядом $\sum_{n=1}^{\infty} \frac{a}{n^{\alpha}}$, который при $0 < \alpha < 1$ расходится. Поэтому предположение о сходимости исходного ряда подтвердить не удалось.

Предположим, что ряд расходится, и попробуем подтвердить это предположение. Для этого заметим, что

$$\sqrt{n^3+1} > \sqrt{n^3}.$$

Поэтому имеем:

$$\sum_{n=1}^{\infty} \frac{\sqrt{n^3+1}}{n^2\left(2+\sin n\right)} > \frac{n^{3/2}}{3n^2} = \frac{1}{3n^{1/2}}.$$

Так как обобщённый гармонический ряд $\sum_{n=1}^{\infty} \frac{1}{3n^{1/2}}$ расходится, то и исходный ряд также расходится. ⊗

Признак Даламбера

Пример 3.8.8. Выяснить вопрос о сходимости ряда $\sum_{n=1}^{\infty} \frac{\sqrt{n}}{2^n}$.

Р е ш е н и е. Находя отношение $\frac{a_{n+1}}{a_n}$, получаем:

$$a_n = \frac{\sqrt{n}}{2^n}, a_{n+1} = \frac{\sqrt{n+1}}{2^{n+1}};$$

$$\frac{a_{n+1}}{a_n} = \frac{\sqrt{n+1}\cdot 2^n}{2^n \cdot 2 \cdot \sqrt{n}} = \frac{1}{2}\cdot\frac{\sqrt{n+1}}{\sqrt{n}} = \frac{1}{2}\cdot\sqrt{\frac{n+1}{n}} = \frac{1}{2}\cdot\sqrt{1+\frac{1}{n}}.$$

Очевидно, что для всех n выполняется неравенство $\frac{a_{n+1}}{a_n} < 1$. Поэтому ряд сходится по признаку Даламбера. ⊗

Пример 3.8.9. Выяснить вопрос о сходимости ряда $\sum_{n=1}^{\infty} \frac{n^n}{n!}$.

Р е ш е н и е. Находя отношение $\frac{a_{n+1}}{a_n}$, получаем:

$$a_n = \frac{n^n}{n!}, a_{n+1} = \frac{(n+1)^{n+1}}{(n+1)!};$$

$$\frac{a_{n+1}}{a_n} = \frac{(n+1)^{n+1}\cdot n!}{(n+1)!\cdot n^n} = \frac{(n+1)^n}{n^n} = \left(1+\frac{1}{n}\right)^n.$$

Очевидно, что для всех n выполняется неравенство

$$\frac{a_{n+1}}{a_n} = \left(1+\frac{1}{n}\right)^n > 1.$$

Поэтому ряд $\sum_{n=1}^{\infty} \frac{n^n}{n!}$ по признаку Даламбера расходится. ⊗

Знакопеременные ряды

Пример 3.8.10. Выяснить вопрос о сходимости знакочередующегося ряда

$$\sum_{n=1}^{\infty} (-1)^{n-1} \frac{1}{n}.$$

Р е ш е н и е. Члены ряда по абсолютной величине монотонно убывают:

$$1 > \frac{1}{2} > \frac{1}{3} > \frac{1}{4} > \ldots.$$

Последовательность абсолютных величин членов ряда сходится к нулю:

$$\lim_{n\to\infty}|a_n| = \lim_{n\to\infty}\left|(-1)^{n-1}\frac{1}{n}\right| = \lim_{n\to\infty}\frac{1}{n} = 0.$$

Поэтому ряд $\sum_{n=1}^{\infty}(-1)^{n-1}\frac{1}{n}$ по признаку Лейбница сходится. ⊗

Пример 3.8.11. Оценить ошибку, допускаемую при замене суммы ряда

$$\sum_{n=1}^{\infty}(-1)^{n-1}\frac{1}{n}$$

суммой четырёх его первых членов.

Р е ш е н и е. Ряд сходится (см. предыдущую задачу). Ошибка, получающаяся при замене суммы ряда суммой четырёх его первых членов, меньше абсолютной величины пятого члена: $\Delta < 0{,}2$. ⊗

Пример 3.8.12. Выяснить вопрос о типе сходимости ряда $\sum_{n=1}^{\infty}(-1)^{n-1}\frac{1}{n!}$.

Р е ш е н и е. Ряд сходится (см. задачу 8.11). Рассмотрим ряд, составленный из абсолютных величин членов данного ряда $\sum_{n=1}^{\infty}\frac{1}{n!}$. Вычисляем отношение

$$\frac{a_{n+1}}{a_n} = \frac{n!}{(n+1)!} = \frac{1}{n+1}.$$

Для всех n, очевидно, имеет место неравенство

$$\frac{a_{n+1}}{a_n} = \frac{1}{n+1} < 1.$$

Поэтому ряд сходится абсолютно. ⊗

Пример 3.8.13. Выяснить вопрос о типе сходимости ряда $\sum_{n=1}^{\infty}(-1)^{n-1}\frac{1}{\sqrt[3]{n}}$.

Р е ш е н и е. Ряд знакочередующийся, последовательность его членов монотонно убывает и сходится к нулю. Поэтому ряд сходится по признаку Лейбница.

Рассмотрим ряд, составленный из абсолютных величин его членов, то есть ряд $\sum_{n=1}^{\infty}\frac{1}{\sqrt[3]{n}}$.

Сравнивая его с гармоническим рядом, замечаем, что для почти всех n (начиная с $n=2$) каждый член этого ряда больше соответствующего члена гармонического ряда:

$$\frac{1}{\sqrt[3]{n}} > \frac{1}{n}.$$

Так как гармонический ряд расходится, то по признаку сравнения расходится и ряд $\sum_{n=1}^{\infty} \frac{1}{\sqrt[3]{n}}$. Поэтому ряд $\sum_{n=1}^{\infty} (-1)^{n-1} \frac{1}{\sqrt[3]{n}}$ не является абсолютно сходящимся, то есть сходится условно. ⊗

Практическое занятие 9

Функциональные ряды

Пример 3.9.1. Исследовать сходимость функционального ряда

$$\frac{4-x}{7x+2} + \frac{1}{3}\cdot\left(\frac{4-x}{7x+2}\right)^2 + \frac{1}{5}\cdot\left(\frac{4-x}{7x+2}\right)^3 + \ldots + \frac{1}{2n-1}\cdot\left(\frac{4-x}{7x+2}\right)^n + \ldots$$

в точках $x_1 = 0$ и $x_2 = 1$.

Р е ш е н и е. 1) В точке $x_1 = 0$ имеем

$$2 + \frac{1}{3}\cdot 2^2 + \frac{1}{5}\cdot 2^3 + \ldots + \frac{1}{2n-1}\cdot 2^n + \ldots.$$

Это ряд с положительными членами. Применим признак Даламбера:

$$u_n = \frac{2^n}{2n-1};\ u_{n+1} = \frac{2^{n+1}}{2n+1};$$

$$\frac{u_{n+1}}{u_n} = \frac{2^{n+1}}{2n+1}\cdot\frac{2n-1}{2^n} = 2\cdot\frac{2n-1}{2n+1} = 2\cdot\frac{2n+1-2}{2n+1} = 2\cdot\left(1-\frac{2}{2n+1}\right) > 1.$$

Поэтому в точке $x_1 = 0$ ряд расходится.

2) В точке $x_2 = 1$ имеем

$$\frac{1}{3} + \frac{1}{3}\cdot\frac{1}{3^2} + \frac{1}{5}\cdot\frac{1}{3^3} + \ldots + \frac{1}{2n-1}\cdot\frac{1}{3^n} + \ldots.$$

Применяем признак Даламбера:

$$u_n = \frac{1}{3^n\cdot(2n-1)};\ u_{n+1} = \frac{1}{(2n+1)\cdot 3^{n+1}};$$

$$\frac{u_{n+1}}{u_n}=\frac{(2n-1)\cdot 3^n}{(2n+1)\cdot 3^{n+1}}=\frac{1}{3}\cdot\frac{2n-1}{2n+1}=\frac{1}{3}\cdot\frac{2n+1-2}{2n+1}=\frac{1}{3}\cdot\left(1-\frac{2}{2n+1}\right)<1.$$

Поэтому в точке $x_2=1$ ряд сходится. $\otimes$

Пример 3.9.2. Найти промежуток сходимости и сумму ряда

$$1+e^{-x}+e^{-2x}+\ldots+e^{-(n-1)x}+\ldots.$$

Р е ш е н и е. В точке $x=0$ не выполняется необходимый признак сходимости и ряд, очевидно, расходится. Рассмотрим промежутки $(-\infty, 0)$ и $(0, \infty)$.

1) На промежутке $(-\infty, 0)$ имеем:

$$\lim_{n\to\infty}u_n=\lim_{n\to\infty}e^{-(n-1)x}=\lim_{n\to\infty}e^{(n-1)\cdot(-x)}=\left\{x=t\right\}=\lim_{n\to\infty}e^{(n-1)t},$$

где $t\in(0,\infty)$. Поэтому $\lim\limits_{n\to\infty}u_n=\lim\limits_{n\to\infty}e^{(n-1)t}\neq 0$. Снова не выполняется необходимый признак сходимости. Ряд на промежутке $(-\infty, 0)$ расходится.

2) На промежутке $(0, \infty)$ выполняется необходимый признак сходимости. Далее имеем:

$$\frac{u_{n+1}}{u_n}=\frac{e^{-nx}}{e^{-(n-1)x}}=\frac{e^{(n-1)x}}{e^{nx}}=e^{-x}=\frac{1}{e^x}.$$

На $(0, \infty)$ всегда $\dfrac{1}{e^x}<1$. Поэтому ряд сходится.

Перепишем ряд в виде:

$$1+\frac{1}{e^x}+\left(\frac{1}{e^x}\right)^2+\ldots+\left(\frac{1}{e^x}\right)^n+\ldots.$$

Имеем геометрическую прогрессию со знаменателем $q=\dfrac{1}{e^x}<1$. Поэтому сумма ряда равна

$$S=\frac{1}{1-q}=\frac{1}{1-\frac{1}{e^x}}=\frac{e^x}{e^x-1}.\otimes$$

Пример 3.9.3. Исследовать сходимость степенного ряда

$$x+\frac{1}{2}x^2+\frac{1}{3}x^3+\ldots+\frac{1}{n}x^n+\ldots.$$

Р е ш е н и е. Здесь

$$a_n=\frac{1}{n},\ a_{n+1}=\frac{1}{n+1}.$$

Радиус сходимости

$$R=\lim_{n\to\infty}\left|\frac{a_n}{a_{n+1}}\right|=\lim_{n\to\infty}\frac{n+1}{n}=1.$$

Ряд сходится в промежутке $-1<x<1.$

Если $x=1$, имеем гармонический ряд $\sum_{n=1}^{\infty}\frac{1}{n}$, который расходится.

Если $x=-1$, то получаем ряд

$$-1+\frac{1}{2}-\frac{1}{3}+\frac{1}{4}-\ldots.$$

Это ряд Лейбница и, следовательно, он сходится.

Таким образом, областью сходимости данного ряда является промежуток $x\in[-1,1)$, который можно задать двойным неравенством $-1\le x<1.\otimes$

Пример 3.9.4. Исследовать сходимость ряда

$$(x-2)+\frac{1}{2^2}(x-2)^2+\frac{1}{3^2}(x-2)^3+\ldots+\frac{1}{n^2}(x-2)^n+\ldots.$$

Р е ш е н и е. Коэффициенты ряда выражаются формулами:

$$a_n=\frac{1}{n^2};\ a_{n+1}=\frac{1}{(n+1)^2}.$$

Поэтому радиус сходимости

$$r=\lim_{n\to\infty}\frac{(n+1)^2}{n^2}=\lim_{n\to\infty}\left(1+\frac{1}{n}\right)^2=\lim_{n\to\infty}\left(1+\frac{2}{n}+\frac{1}{n^2}\right)=1.$$

Таким образом, ряд сходится, если

$$-1<x-2<1\Rightarrow 1<x<3.$$

На левом конце промежутка сходимости $x=1$ имеем ряд

$$-1+\frac{1}{2^2}-\frac{1}{3^2}+\frac{1}{4^2}-\ldots.$$

Это знакочередующийся ряд Лейбница, который сходится, так как сходится ряд из абсолютных величин его членов.

На правом конце промежутка сходимости $x=3$ имеем ряд

$$1+\frac{1}{2^2}+\frac{1}{3^2}+\frac{1}{4^2}+\ldots.$$

Этот ряд сходится, так как при $p>1$ сходится ряд

$$1+\frac{1}{2^p}+\frac{1}{3^p}+\frac{1}{4^p}+\ldots,$$

что является табличным фактом.

Степенной ряд сходится для значений x, удовлетворяющих двойному неравенству $1\le x\le 3.\otimes$

Пример 3.9.5. Исследовать сходимость ряда

$$1!(x-5)+2!(x-5)^2+3!(x-5)^3+\ldots+n!(x-5)^n+\ldots.$$

Р е ш е н и е. Коэффициенты ряда

$$a_n=n!;\ a_{n+1}=(n+1)!.$$

Поэтому радиус сходимости

$$r=\lim_{n\to\infty}\frac{n!}{(n+1)!}=\lim_{n\to\infty}\frac{1\cdot 2\cdot 3\cdot\ldots\cdot n}{1\cdot 2\cdot 3\cdot\ldots\cdot n\cdot(n+1)}=\lim_{n\to\infty}\frac{1}{n+1}=0.$$

Ряд сходится только при $x-5=0$, то есть в точке $x=5.\otimes$

Пример 3.9.6. Показать, что ряд $\sum\limits_{n=1}^{\infty}\frac{(-1)^n\cdot n}{x^4+n^2}$ сходится равномерно на промежутке $(-\infty,\infty)$.

Р е ш е н и е. Выпишем несколько первых членов ряда:

$$\sum_{n=1}^{\infty}\frac{(-1)^n\cdot n}{x^4+n^2}=-\frac{1}{x^4+1^2}+\frac{2}{x^4+2^2}-\frac{3}{x^4+3^2}+\ldots.$$

Имеем знакочередующийся ряд, причём

$$|u_1|=\frac{1}{x^4+1}>|u_2|=\frac{2}{x^4+4}>|u_3|=\frac{3}{x^4+9}>\ldots$$

Применим признак Лейбница:

$$\lim_{n\to\infty}\left|\frac{(-1)^n\cdot n}{x^4+n^2}\right| = \lim_{n\to\infty}\frac{\frac{1}{n}}{\left(\frac{x^2}{n}\right)^2+1} = 0.$$

Ряд сходится для любых $x \in (-\infty, \infty)$.

Для остатка ряда имеем

$$|r_n| = \left|\sum_{n=m+1}^{\infty}\frac{(-1)^n\cdot n}{x^4+n^2}\right| < |u_{m+1}| = \left|\frac{(-1)^{m+1}\cdot(m+1)}{x^4+(m+1)^2}\right| < \frac{1}{m+1},$$

так как $x^4 > 0$. Рассмотрим неравенство $\frac{1}{m+1} < \varepsilon$. Из этого неравенства получаем $m > \frac{1}{\varepsilon} - 1$. Если теперь мы выберем $m_0 = \left[\frac{1}{\varepsilon} - 1\right] + 1$, то $(\forall m \geq m_0)$ получаем $|r_m| < \frac{1}{m+1} < \varepsilon$. Таким образом, ряд сходится на $(-\infty, \infty)$ независимо от x, то есть равномерно по $x \in (-\infty, \infty)$. $\otimes$

Ряд Тейлора (Маклорена)

Пример 3.9.7. Разложить функцию

$$f(x) = \frac{3}{2-x-x^2}$$

по степеням x $(x_0 = 0)$ в ряд Тейлора.

Р е ш е н и е. Данную функцию разложим на элементарные дроби:

$$f(x) = \frac{3}{2-x-x^2} = \frac{1}{1-x} + \frac{1}{x+2}.$$

Теперь можно использовать готовое табличное разложение

$$\frac{1}{1-t} = 1+t+t^2+t^3+\ldots = \sum_{n=0}^{\infty} t^n,\ t \in (-1,1).$$

Применяя это разложение, получаем:

$$\frac{1}{1-x} = 1 + x + x^2 + x^3 + \ldots = \sum_{n=0}^{\infty} x^n;$$

$$\frac{1}{x+2} = \frac{1}{2} \cdot \frac{1}{1+\frac{x}{2}} = \frac{1}{2} \sum_{n=0}^{\infty} \frac{(-1)^n x^n}{2^n} = \sum_{n=0}^{\infty} \frac{(-1)^n x^n}{2^{n+1}}, \; x \in (-2, 2).$$

Получаем разложение для исходной функции:

$$f(x) = \frac{3}{2-x-x^2} = \sum_{n=0}^{\infty} \left(1 + \frac{(-1)^n}{2^{n+1}} \right) x^n.$$

Область сходимости данного ряда – пересечение указанных областей сходимости:

$$M = (-1, 1) \cap (-2, 2) = (-1, 1). \otimes$$

Пример 3.9.8. Разложить в ряд Маклорена функцию, определённую формулой $f(x) = \sin^2 x$.

Р е ш е н и е. Вычисляем производные данной функции:

$$f^{(0)}(x) = \sin^2 x;$$

$$f'(x) = 2 \cdot \sin x \cdot \cos x = \sin 2x;$$

$$f''(x) = 2 \cdot \cos 2x = 2 \cdot \sin\left(2x + \frac{\pi}{2} \right);$$

$$f'''(x) = -4 \cdot \sin 2x = 2^2 \cdot \sin\left(2x + 2\frac{\pi}{2} \right);$$

$$f^{(4)}(x) = -8 \cdot \cos 2x = 2^3 \cdot \sin\left(2x + 3\frac{\pi}{2} \right);$$

.....;

$$f^{(n)}(x) = 2^{n-1} \cdot \sin\left[2x + (n-1)\frac{\pi}{2} \right];$$

$$f^{(n+1)}(x) = 2^n \cdot \sin\left[2x + n \cdot \frac{\pi}{2} \right];$$

.....

Вычисляем производные в точке $x = 0$:

$$f^{(0)}(0) = 0;$$

$$f'(0) = 0;$$

$$f''(0) = 2;$$

$$f'''(0) = 0;$$

$$f^{(4)}(0) = 2^3;$$

$$f^{(5)}(0) = 0;$$

$$f^{(6)}(0) = 2^5;$$

……..

Остаточный член в форме Лагранжа имеет вид

$$r_n = \frac{f^{(n+1)}(\xi)}{(n+1)!} \cdot x^{n+1} = \frac{2^n \cdot \sin\left(2 \cdot \xi + \frac{n \cdot \pi}{2}\right)}{(n+1)!} \cdot x^{n+1} =$$

$$= \frac{1}{2} \cdot \frac{(2 \cdot x)^{n+1}}{(n+1)!} \cdot \sin\left(2 \cdot \xi + \frac{n \cdot \pi}{2}\right).$$

Так как

$$\lim_{n \to \infty} \frac{(2 \cdot x)^{n+1}}{(n+1)!} = 0, \left|\sin\left(2 \cdot \xi + \frac{n \cdot \pi}{2}\right)\right| \le 1,$$

получаем $\lim\limits_{n \to \infty} r_n = 0$. Поэтому функция $f(x) = \sin^2 x$ может быть разложена в ряд Маклорена

$$\sin^2 x = \frac{2}{2!} \cdot x^2 - \frac{2^3}{4!} \cdot x^4 + \frac{2^5}{6!} \cdot x^6 - \frac{2^7}{8!} \cdot x^8 + \ldots$$

на любом промежутке $[-b, b]$. ⊗

Задания для самостоятельной работы

Предел и дифференцируемость функций одного переменного

1. Выяснить тип монотонности последовательностей:

1) $\left(\frac{n}{2n+1}\right)$; 2) $\left(\frac{n}{5^n}\right)$; 3) $\left(\frac{n}{4n-3}\right)$; 4) $\left(\frac{n}{n+1}\right)$; 5) $\left(1+\frac{1}{2^n}\right)$.

2. Используя определение, показать, что $\lim\limits_{n\to\infty} x_n = x_0$, если:

1) $x_n = \frac{3n+1}{5n+2}$, $x_0 = \frac{3}{5}$;

2) $x_n = \frac{2n-2}{3n-1}$, $x_0 = \frac{2}{3}$;

3) $x_n = \frac{4n-2}{2n+3}$, $x_0 = 2$;

4) $x_n = \frac{4n^2+1}{n^2+2}$, $x_0 = 4$;

5) $x_n = \frac{3-n^3}{1+n^3}$, $x_0 = -1$;

6) $x_n = \frac{6n-2}{2n+1}$, $x_0 = 3$;

7) $x_n = \frac{3+8n^2}{1+4n^2}$, $x_0 = 2$;

8) $x_n = \frac{5n+2}{3n+1}$, $x_0 = \frac{5}{3}$.

3. Вычислить предел последовательности:

1) $\lim\limits_{n\to\infty} \frac{1-n}{n}$;

2) $\lim\limits_{n\to\infty} \frac{3n-2}{2n+5}$;

3) $\lim\limits_{n\to\infty} \frac{(6-n)^2+(6+n)^2}{(6-n)^2-(6+n)^2}$;

4) $\lim\limits_{n\to\infty} \frac{(4-n)^3-(2-n)^3}{(3-n)^2-(2+n)^4}$;

5) $\lim\limits_{n\to\infty}\dfrac{(3+n)^2-(2+n)^2}{(2+n)^2-(-n)^2}$;

6) $\lim\limits_{n\to\infty}\dfrac{(2+n)^3}{(n+2)^2-(n+1)^3}$;

7) $\lim\limits_{n\to\infty}\dfrac{(n+2)^2-(n+5)^3}{(3-n)^3}$;

8) $\lim\limits_{n\to\infty}\dfrac{n^2+\dfrac{n}{2^n}}{n^2-1}$;

9) $\lim\limits_{n\to\infty}\left(\dfrac{n^3}{n^2+1}-\dfrac{3n^2}{3n-1}\right)$;

10) $\lim\limits_{n\to\infty}\left(\sqrt{a^2n^2+bn}-an\right)$;

11) $\lim\limits_{n\to\infty}\dfrac{n\sqrt[3]{3n^2}+\sqrt[4]{4n^8+1}}{(n+\sqrt{n})\sqrt{7-n+n^2}}$;

12) $\lim\limits_{n\to\infty}\dfrac{\sqrt{n-1}-\sqrt{2n^2+3}}{\sqrt[3]{n^3+3}+\sqrt[4]{n^5+2}}$;

13) $\lim\limits_{n\to\infty}\dfrac{10n^3-\sqrt{n^3+2}}{\sqrt{4n^6+3}-n}$;

14) $\lim\limits_{n\to\infty}\dfrac{\sqrt{n+2}-\sqrt[3]{8n^3+3}}{\sqrt[4]{n+5}+n}$;

15) $\lim\limits_{n\to\infty}\dfrac{2^{n+1}+5^{n+1}}{2^n+5^n}$;

16) $\lim\limits_{n\to\infty}\left(2^{-n}\sin x\right)$;

17) $\lim\limits_{n\to\infty}\left(\dfrac{n+2}{n-1}\right)^n$;

18) $\lim\limits_{n\to\infty}\left(\dfrac{n^2+1}{n^2}\right)^{n^2}$;

19) $\lim\limits_{n\to\infty}\left(\dfrac{n^2+n+3}{n^2+n-1}\right)^{-n^2}$;

20) $\lim\limits_{n\to\infty}\left(\dfrac{2n^2+n+5}{2n^2+n+1}\right)^{3n^2}$;

21) $\lim\limits_{n\to\infty}\left(1+\dfrac{1}{n}\right)^{n+1}$;

22) $\lim\limits_{n\to\infty}\left(1-\dfrac{1}{3n}\right)^{n}$.

23. Найти множество определения M и множество значений $f(M)$ функции $f(x)=\lg x$.

24. Найти множество определения M следующих функций:

1) $f(x)=\dfrac{x^2-1}{x-1}$; 2) $f(x)=\dfrac{2x}{x^2-5x+4}$; 3) $f(x)=(x-2)\cdot\sqrt{\dfrac{x+1}{1-x}}$;

4) $f(x)=\lg(x-2)-\sqrt{\dfrac{x+2}{1-x}}$; 5) $f(x)=\dfrac{3x^2-5x+2}{2x^3-3x^2+x}$.

25. Выяснить, какие из данных функций являются чётными, а какие нечётными:

1) $f(x)=1-x$; 2) $f(x)=x^3+x$; 3) $f(x)=\sqrt{2x-x^2}$;

4) $f(x)=x^5-x^3+x$; 5) $f(x)=x^2+x-1$.

26. Выяснить, является ли данная функция периодической и если функция является периодической, то найти её период:

1) $f(x)=5$; 2) $f(x)=\sin(6x+3)$; 3) $f(x)=\cos x^2$;

4) $f(x)=2[x]+1$, где $[x]$ – целая часть x.

27. Используя определение непрерывности функции по Гейне, доказать, что функция $f(x) = x^2 + 3x + 3$ непрерывна в любой точке действительной числовой оси $(-\infty, +\infty)$.

28. Используя определение непрерывности по Коши показать, что следующие функции непрерывны в заданных точках x_0:

1) $f(x) = 3x - 5,\ x_0 = 2$; 2) $f(x) = 4x^2 - 1,\ x_0 = 2$;

3) $f(x) = -3x^2 + 8,\ x_0 = 4$; 4) $f(x) = 4x^2 + 1,\ x_0 = 8$;

5) $f(x) = \sin x - \cos 2x,\ x_0 = \dfrac{\pi}{2}$.

29. Решить неравенство $\dfrac{x^2 - 5x + 6}{x^3 - 1} < 0$.

30. Найти предел данной функции при $x \to x_0$:

1) $\lim\limits_{x\to 1} \dfrac{3x^2 - 5x + 2}{2x^3 - 3x^2 + x}$; 2) $\lim\limits_{x\to -1} \dfrac{x^3 + 3x^2 + 7x + 5}{x^2 - x - 2}$;

3) $\lim\limits_{x\to -1} \dfrac{x^3 + x^2 - x - 1}{x^3 - 3x - 2}$; 4) $\lim\limits_{x\to 1} \dfrac{x^4 - 1}{x^4 - x^3 + x - 1}$;

5) $\lim\limits_{x\to -1} \dfrac{x^3 - x^2 - x - 2}{x^3 - 2x^2 + x - 2}$ 6) $\lim\limits_{x\to a} \dfrac{x^4 - a^4}{x^3 - a^3}$; 7) $\lim\limits_{x\to \frac{\pi}{2}} \dfrac{1 + \sin x}{1 - \cos 2x}$;

8) $\lim\limits_{x\to 0} \dfrac{\ln(+\sin 2x)}{\sin 3x}$; 9) $\lim\limits_{x\to 0} \dfrac{1 - \cos 2x}{\cos 5x - \cos 3x}$; 10) $\lim\limits_{x\to 0} \left(\dfrac{1 + x3^x}{1 + x2^x} \right)^{\frac{1}{x^2}}$;

12) $\lim\limits_{x\to 0} (-\ln\cos x)^{\frac{1}{\sin^2 x}}$.

31. Используя свойства бесконечно малых и бесконечно больших функций, найти следующие пределы:

1) $\lim\limits_{x\to 5} \dfrac{3x + 5}{x - 5}$; 2) $\lim\limits_{x\to \infty} \dfrac{\sin x}{x}$; 3) $\lim\limits_{x\to 0} \left(x \cdot \cos \dfrac{1}{x} \right)$;

4) $\lim\limits_{x\to 1}\dfrac{2x^2-x-1}{(x-1)^2}$; 5) $\lim\limits_{x\to 2}\dfrac{\sqrt{x+2}-\sqrt{6-x}}{x^2-4}$;

6) $\lim\limits_{x\to\infty}\dfrac{3x^2+2}{4x^5+x+1}$; 7) $\lim\limits_{x\to\infty}\dfrac{2^{x+1}+3^{x+1}}{2^x+3^x}$;

8) $\lim\limits_{x\to\infty}\left(\sqrt{x^2+1}-\sqrt{x^2-1}\right)$; 9) $\lim\limits_{x\to 0}\dfrac{\sin 6x}{4x}$; 10) $\lim\limits_{x\to\infty}\left(1+\dfrac{5}{x}\right)^{3x}$.

32. Используя таблицу производных, найти первую производную функцию для заданной функции и, если требуется, её значение в заданных точках:

1) $f(x)=\ln\dfrac{5-4x^2}{3+7x^2}$, $x_0=3$; 2) $f(x)=\ln\dfrac{(1+x^2)\cdot(1-2x)^3}{(x^2-5)^2}$;

3) $f(x)=x\cdot\ln x$, $x=1$, $x=1x=e$, $x=\dfrac{1}{e}$, $x=\dfrac{1}{e^2}$;

4) $f(x)=\sqrt[8]{x^3}-4x^6+5\ln x-7\cos x+tg(3x^2+2)+ctg6x$;

5) $f(x)=\ln^2(1-\cos x)$; 6) $f(x)=\dfrac{3^x(\sin x+\cos x\cdot\ln 3)}{1+\ln^2 3}$;

7) $f(x)=\ln\sin 3-\dfrac{\cos^2 x}{\sin x}$; 8) $f(x)=\ln(1+\sqrt{thx})$.

33. Найти первую производную и дифференциал функции

$$f(x)=\frac{\ln x}{\sin x}+(1+x^2)\cdot ctgx.$$

34. Найти $f'(0)$ и $df(0)$, если $f(x)=\dfrac{1-10^x}{1+10^x}$.

35. Найти $f'(x)$ и $df(x)$, если $f(x)=\ln(e^x+7)$.

36. Пусть функции f и g, определённые на одном и том же множестве $M\subset R$, n-раз дифференцируемы на этом множестве. Показать, что сумма и произведение этих функций также n-раз дифференцируемы на M.

37. Найти производные указанных порядков для данных функций:

1) $f(x)=\ln(2x-3)$, $f''(x)=?$;

2) $f(x)=\sin 2x+\cos 3x,\ f'''(x)=?;$

3) $f(x)=\dfrac{x+1}{2x+3},\ f'''(x)=?;$

4) $f(x)=\ln(3x+1),\ f'''(x)=?;$

5) $f(x)=3^{2x+1},\ f'''(x)=?;$

6) $f(x)=x^2\cdot\sin x,\ f^{(8)}=?.$

38. Найти производные и дифференциалы указанных порядков:

1) $f(x)=\cos^2 x,\ f''(x)=?,\ d^2 f(x)=?;$

2) $f(x)=e^x\cos x,\ f^{(8)}(x)=?,\ d^{(8)}f(x)=?.$

Дифференцируемость функций нескольких переменных

Интегрируемость функций одного переменного

1. Найти частные производные первого порядка функций, заданных формулами:

1) $u(x,y)=x^3\sin y+y^4;$ 2) $u(x,y)=x^2\sqrt{\dfrac{x+y}{x-y}}.$

2. Найти частные производные в заданных точках:

1) $u(x,y)=\dfrac{1-xy}{1+xy},\ A(0;1);$

2) $u(x,y)=x\sqrt{y}+\dfrac{y}{\sqrt[3]{x}},\ A(1;1);$

3) $u(x,y)=\ln\sqrt{x^2+y^2},\ A(\sqrt{2};1).$

3. Найти полные дифференциалы следующих функций:

1) $u=\dfrac{x}{\sqrt{x^2+y^2}};$ 2) $u=\ln(x_1+\sqrt{x_1^2+x_2^2});$

3) $u=\ln\sin(x_1-2x_2);$ 4) $u=x^2yz^4;$ 5) $u=\ln(x^3-y^3+2z^3).$

4. Пусть функция задана формулой $f(x, y) = x^2 \sin^2 y$. Вычислить $df(x_0, y_0)$ в точке $(x_0, y_0) = \left(-1; \frac{\pi}{4}\right)$.

5. Вычислить значения полных дифференциалов функций, заданных формулами:

1) $u = \frac{x_2}{x_2 - x_1}$, $x_1 = 1$, $x_2 = 2$, $dx_1 = \frac{1}{2}$, $dx_2 = -\frac{1}{3}$;

2) $u = \frac{z}{\sqrt{x^2 + y^2}}$,

$x = 3$, $y = 4$, $z = 5$, $dx = -0{,}1$, $dy = 0{,}3$, $dz = 0{,}2$.

6. Вычислить приближённое значение выражения $(1{,}02)^3 \cdot (0{,}97)^2$.

7. Найти $\frac{du}{dt}$, если $u = e^{x-3y}$, $x = \sin t$, $y = t^2$.

8. Найти $\frac{\partial f}{\partial u}, \frac{\partial f}{\partial v}$, если $f = \ln(x^2 + y^2)$, $x = uv$, $y = \frac{u}{v}$.

9. Функция задана уравнением $e^u = \cos x \cos y$. Найти $\frac{\partial u}{\partial x}$ и $\frac{\partial u}{\partial y}$.

10. Проверить справедливость теоремы Ферма для функции $f(x) = 3x^2 - 1$ на промежутке $[-1, 2]$.

11. Проверить справедливость теоремы Ролля для функции $f(x) = x$ на промежутке $[0, 1]$.

12. Проверить справедливость первой теоремы о среднем для функции $f(x) = 2x - x^2$ на промежутке $[1, 3]$. Найти точку ξ, удовлетворяющую условию $\frac{f(b) - f(a)}{b - a} = f'(\xi)$.

13. Раскрыть неопределённости по правилам Лопиталя:

1) $\lim\limits_{x \to 0} \frac{\sin x}{x} = \left[\frac{0}{0}\right]$; 2) $\lim\limits_{x \to \infty} \frac{x^3 + 2x^2 + x - 1}{3x^3 - x^2 - x + 3} = \left[\frac{\infty}{\infty}\right]$;

3) $\lim\limits_{x \to 1} \left(\frac{1}{\ln x} - \frac{1}{x - 1}\right) = [\infty - \infty]$; 4) $\lim\limits_{x \to 0} \frac{1 - \cos x}{x^2} = \left[\frac{0}{0}\right]$;

5) $\lim\limits_{x\to 1}\dfrac{x^3-3x^2+2}{x^3-4x^2+3}=\left[\dfrac{0}{0}\right]$; 6) $\lim\limits_{x\to+\infty}\dfrac{e^x}{x^2}=\left[\dfrac{\infty}{\infty}\right]$.

14. Показать, что разложение функции $f(x)=\cos x$ по формуле Маклорена имеет вид:

$$\cos x=1-\frac{x^2}{2!}+\frac{x^4}{4!}-\ldots+(-1)^{k-1}\frac{x^{2k-2}}{(2k-2)!}+(-1)^k\frac{x^{2k}}{(2k)!}\cos\theta x.$$

15. Показать, что разложение функции $\ln(1+x)$ по формуле Маклорена имеет вид:

$$\ln(1+x)=x-\frac{x^2}{2}+\frac{x^3}{3}-\ldots+(-1)^{n-1}\frac{x^n}{n}+(-1)^n\frac{x^{n+1}}{n+1}\left(\frac{1}{1+\theta x}\right)^{n+1}.$$

16. Написать разложение для функции $f(x)=e^{\sin x}$ по формуле Маклорена до степени x^3 включительно.

17. Найти промежутки монотонности функции:

1) $f(x)=x^3+3x^2-9x-2$; 2) $f(x)=\dfrac{1}{x^2+1}$;

3) $f(x)=x(1+\sqrt{x})$; 4) $f(x)=x-2\sin x,\ (0\le x\le 2\pi)$.

18. Исследовать на экстремум функцию:

1) $f(x)=\dfrac{1}{3}\cdot x^3+\dfrac{5}{2}\cdot x^2+4x+3$;

2) $f(x)=(x-5)e^x$;

3) $f(x)=(x-1)^4$;

4) $f(x)=\dfrac{1}{x}+\ln x$.

19. Определить наименьшее и наибольшее значения функции на заданном промежутке:

1) $f(x)=3x^5-5x^3+10,\ [-1,2]$;

2) $f(x)=1-\sqrt[3]{x^2-2x},\ [0,2]$;

3) $f(x)=\dfrac{4x^2}{3+x^2},\ [-1,1]$;

4) $f(x)=2-12x^2-8x^3,\ [-2,0]$;

5) $f(x)=\dfrac{x^3-9x^2}{6x-5}$, $[0,4]$;

6) $f(x)=2-12x^2-8x^3$, $[-2,0]$.

20*. Из прямоугольного куска жести шириной 50 см. и длиной 80 см. делают ящики: в углах вырезают квадраты, закрывают выступающие края и запаивают кромки. Определить, какого размера квадраты следует вырезать, чтобы объём ящика был максимальным.

21*. Разложить число 20 на два слагаемых так, чтобы их произведение было наибольшим.

22. Имеет ли точки перегиба функция $f(x)=x^3-6x^2+2x-1$?

23. Показать, что график функции

$$f(x)=\frac{1}{30}x^6-\frac{13}{12}x^4+18x^2-7x-1$$

имеет точки перегиба графика в точках $x_{1,2}=\pm 2$, $x_{3,4}=\pm 3$ множества определения функции.

24. Найти промежутки, на которых график функции является выпуклым и выгнутым:

1) $f(x)=x^3-6x^2+12x+4$; 2) $f(x)=x^4+8x^2+16$.

25. Найти асимптоты графика функции:

1) $f(x)=\dfrac{x^3}{x^2+1}+2$; 2) $f(x)=\sqrt{x^2-4x+3}$;

3) $f(x)=\dfrac{-5x+3}{x+2}$; 4) $f(x)=\dfrac{-x^2+7x}{x-3}$;

5) $f(x)=\sqrt{1+x^2}-2x$.

26*. Исследовать функцию и построить её график:

1) $f(x)=\dfrac{x^3+2x^2+7x-3}{2x^2}$; 2) $f(x)=-\dfrac{1}{3}x^3+2x^2-1$;

3) $f(x)=2x-1+(x+1)^{-1}$; 4) $f(x)=x(-x^2)^{-2}$;

5) $f(x)=x^4(+x)^{-3}$; 6) $f(x)=x^2(-x)(+x)^{-2}$.

27. Найти градиент функции $u=\sqrt{4+x^2+y^2}$ в точке $M(2;1)$.

Ответ: $\frac{2}{3}\vec{e}_1+\frac{1}{3}\vec{e}_2$.

28. Найти производную функции

$$u = x^2 + y^2 - 3x + 2y$$

по направлению радиус-вектора точки $M(3; 4)$ в начале координат.

Ответ: $\frac{1}{5}$.

29. Найти производную функции, определённой формулой

$$u = \frac{x_1 x_2 x_3}{3},$$

в точке $M_0(1; 2; 3)$ по направлению вектора $\vec{M_0M}$, если $M(4; 1; 6)$.

30. Исследовать на экстремум функцию, заданную формулой:

$$f(x, y) = 3x_1 + 6x_2 - x_1^2 - x_1x_2 - x_2^2.$$

Ответ: функция в точке $M(0; 3)$ имеет локальный максимум $f(0; 3) = 9$.

31. Исследовать на экстремум функцию, заданную формулой:

$$f(x, y) = e^{\frac{x}{2}}(x + y^2).$$

Ответ: функция в точке $M(-2; 0)$ имеет локальный минимум: $f(-2; 0) = -\frac{2}{e}$.

32*. Исследовать на экстремум функцию, заданную формулой

$$z = x^2 + y^2$$

при условии, что $\frac{x}{4}+\frac{y}{3}=1$.

Ответ: функция в точке $M\left(\frac{36}{25}; \frac{48}{25}\right)$ имеет локальный минимум

$$f\left(\frac{36}{25}; \frac{48}{25}\right) = \frac{144}{25}.$$

33*. Найти наибольшее и наименьшее значения функции, заданной формулой

$$f(x, y) = xy$$

в круге $x^2 + y^2 \le 1.$

Ответ: $f_{\min} = -\frac{1}{2};\ f_{\max} = \frac{1}{2}.$

34. Найти неопределённые интегралы непосредственным интегрированием, используя свойства неопределённого интеграла и таблицу первообразных:

1) $\int (x^6 - 6x^5 + 40x^3 - 24x^2)\,dx$; 2) $\int \sqrt[3]{x^2}\,(\sqrt[3]{x} - 1)\,dx$;

3) $\int \frac{(4 - 3\sqrt{x})^2}{x^2}\,dx$; 4) $\int \frac{x+2}{x+3}\,dx$; 5) $\int \left(\sum_{k=0}^{n} a_k x^k \right) dx$;

6) $\int (2x^2 + 1)^3\,dx$; 7) $\int (1 + \sqrt{x})^4\,dx$; 8) $\int \frac{(x+1)\cdot(x^2 - 3)}{3x^2}\,dx$;

9) $\int \frac{(x - \sqrt{x})\cdot(1 + \sqrt{x})}{\sqrt[3]{x}}\,dx$; 10) $\int (e^x - 1)(e^{-x} + 1)\,dx$;

11) $\int \frac{x^2 + 3}{x^2 + 1}\,dx$; 12) $\int \frac{\cos 2x}{\cos^2 x}\,dx$; 13) $\int \frac{\sin 3x - \sin 5x}{\cos 4x}\,dx$;

14) $\int \frac{2^{x+1} - 5^{x-1}}{10^x}\,dx$; 15) $\int \frac{dx}{2 + 3x^2}\,dx.$

35. Найти неопределённые интегралы методом подведения под дифференциал:

1) $\int \frac{dx}{ax + b}$, где a, b – постоянные;

2) $I = \int \frac{x\,dx}{1 + x^2}$;

3) $\int \sqrt{x + 3}\,dx$ (***Указание:*** использовать подстановку $t = x + 3$);

4) $I = \int \frac{dx}{e^x + e^{-x}}$ (***Указание:*** использовать подстановку $t = e^x$);

5) $\int \frac{x^2 + 1}{(x^3 + 3x + 1)^4}\,dx$; 6) $\int \frac{dx}{x\sqrt{\ln x}}$;

7) $\int \frac{3\sqrt{x}+1}{2x\sqrt{x}+x}dx$; 8) $\int \frac{xdx}{\sqrt{1-x^4}}$;

9) $\int \frac{x\cos x+\sin x}{(x\sin x)^3}dx$; 10) $\int \frac{\sin 2x-\cos x}{(\cos^2 x+\sin x)^2}dx$.

36. Найти неопределённые интегралы методом подстановки:

1) $\int x\cdot e^{x^2}dx$ (***Указание:*** использовать подстановку $t=x^2$);

2) $\int \frac{\ln^3 x}{x}dx$; 3) $\int (2x-5)^7 dx$; 4) $\int e^{4-3x}dx$;

5) $\int 6^{5x+2}dx$; 6) $\int \frac{6x-5}{\sqrt{3x^2-5x+4}}dx$; 7) $\int \frac{e^x dx}{2e^x+7}$; 8) $\int \frac{dx}{x\ln x}$;

9) $\int \frac{\sqrt[6]{\ln^5 x}}{x}dx$; 10) $\int \frac{e^{5x}}{4-e^{10x}}dx$; 11) $\int \sin x\cos^2 xdx$;

12) $\int \frac{\cos x}{\sqrt[3]{\sin x}}dx$; 13) $\int \frac{\sin x}{\cos^2 x\sqrt{\cos x}}dx$;

14) $\int \frac{\sqrt{5tgx}}{\cos^2 x}dx$; 15) $\int e^{4\cos x-1}\sin xdx$.

37. Найти неопределённый интеграл методом интегрирования по частям:

1) $\int x^2\cdot\cos xdx$; 2) $\int x^2\cdot\sin xdx$; 3) $\int x\cdot e^x dx$;

4) $\int (x^2+2x+3)\cdot\cos xdx$; 5) $\int \frac{x}{\sin^2 x}dx$; 6) $\int e^{2x}\cos xdx$;

7) $\int x^2 e^x dx$; 8) $\int x\ln xdx$.

38. Найти определённый интеграл:

1) $\int_0^1 x\cdot e^{-x}dx$;

2) $\int_1^e \frac{\ln^2 x}{x}dx$ (***Указание:*** использовать подстановку $t=\ln x$);

3) $\int_0^r \sqrt{r^2 - x^2}\,dx$ (***Указание:*** использовать замену переменной интегрирования $x = r \cdot \sin t$ и формулу интегрирования по частям);

4) $\int_0^{\pi/4} \frac{\sin x - \cos x}{(\cos x + \sin x)^3}\,dx$; 5) $\int_1^e \frac{1 + \ln^3 x}{x}\,dx$; 6) $\int_{-2}^{5} \sqrt[3]{5x+2}\,dx$;

7) $\int_{0,5}^{0,5} \frac{3^x}{1+9^x}\,dx$; 8) $\int_0^{0,5} e^{\sin \pi x} \cos \pi x\,dx$; 9) $\int_0^1 xe^{-x}\,dx$;

10) $\int_0^{\pi} e^x \cos^2 x\,dx$; 11) $\int_0^{\pi} (\pi - x)\sin x\,dx$; 12) $\int_{-1}^{0} (2x+3)e^{-x}\,dx$;

13) $\int_{\pi/6}^{\pi/2} \frac{x\,dx}{\sin^2 x}$; 14) $\int_{\pi/3}^{\pi/2} \frac{\cos x}{3 + \cos x}\,dx$; 15) $\int_{\pi/4}^{\pi/2} \frac{\cos^2 x}{\sin^4 x}\,dx$; 16) $\int_{\pi/4}^{\pi/3} \frac{1 + tgx}{\sin 2x}\,dx$.

Числовые ряды

1. Выяснить вопрос о сходимости и найти суммы рядов:

1) $1 + \frac{1}{2} + \frac{1}{2^2} + \frac{1}{2^3} + \ldots$; 2) $1 - \frac{1}{3} + \frac{1}{9} - \frac{1}{27} + \ldots$;

3) $1 + \frac{1}{\sqrt[3]{2}} + \frac{1}{\sqrt[3]{4}} + \frac{1}{\sqrt[3]{8}} + \ldots$; 4) $\sum_{n=1}^{\infty} \frac{6}{n^2 + 5n + 6}$;

5) $\sum_{n=1}^{\infty} \frac{3}{n^2 - 5n + 6}$; 6) $\sum_{n=1}^{\infty} \frac{30}{25n^2 + 5n - 6}$;

7) $\sum_{n=1}^{\infty} \frac{90}{4n^2 + 8n - 5}$; 8) $\sum_{n=1}^{\infty} \frac{18}{n^2 + 3n}$; 9) $\sum_{n=1}^{\infty} \frac{3}{9n^2 - 3n - 2}$;

10) $\sum_{n=1}^{\infty} \frac{4}{4n^2 - 1}$; 11) $\sum_{n=1}^{\infty} \frac{16}{16n^2 - 8n - 3}$; 12) $\sum_{n=1}^{\infty} \frac{60}{(2n+1)(2n+3)(2n+5)}$.

2. Проверить, выполнение необходимого признака сходимости для рядов:

1) $\sum_{n=1}^{\infty} \frac{1}{2n-1}$; 2) $\sum_{n=1}^{\infty} \frac{n+1}{2n+1}$;

3) $\sum_{n=1}^{\infty}\frac{n}{n^2+1}$; 4) $\sum_{n=1}^{\infty}\frac{\sqrt{n^3+1}}{n^2(2+\sin n)}$;

5) $\sum_{n=1}^{\infty}\frac{(4-n^3)-(2-n^3)}{(-n^2)-(2+n^4)}$; 6) $\sum_{n=1}^{\infty}\frac{(3-n^3)-(2-n^3)}{(-n^3)-(1+n^3)}$.

3. Исследовать сходимость ряда, используя признак сравнения:

1) $\sum_{n=1}^{\infty}\frac{2^n}{1+2^{2n}}$; 2) $\sum_{n=1}^{\infty}\frac{2^n}{n\cdot(1+2^n)}$;

3) $\sum_{n=1}^{\infty}\frac{4-2\sin n}{n-\ln n}$; 4) $\sum_{n=1}^{\infty}\frac{2+\cos n}{n^2+3}$;

5) $\sum_{n=1}^{\infty}\frac{n^2\ln n}{n^3-2}$; 6) $\sum_{n=1}^{\infty}\frac{\ln n}{\sqrt[4]{n^9}}$;

7) $\sum_{n=1}^{\infty}\frac{\ln n}{\sqrt[3]{n+3}}$; 8) $\sum_{n=1}^{\infty}\frac{\cos^2 n}{n^2+1}$;

9) $\sum_{n=1}^{\infty}\ln\frac{n^3+6}{n^3+5}$; 10) $\sum_{n=1}^{\infty}n\ln\frac{n^4+3}{n^4+2}$;

11) $\sum_{n=1}^{\infty}n\ln\frac{3^n+n}{7^n+2n}$; 12) $\sum_{n=1}^{\infty}n^2\left(e^{\frac{1}{2n^3}}-1\right)$.

4. Исследовать сходимость ряда, используя признак Даламбера:

1) $\sum_{n=1}^{\infty}\frac{1}{n!}$; 2) $\sum_{n=1}^{\infty}\frac{5^n}{n^5}$; 3) $\sum_{n=1}^{\infty}\frac{5^n}{(n!)^3}$;

4) $\sum_{n=1}^{\infty}\frac{(3n+2)!}{2^n(2n+5)!}$; 5) $\sum_{n=1}^{\infty}\frac{2^n(5^5-1)}{n!}$; 6) $\sum_{n=1}^{\infty}\frac{5^n n!}{(2n)!}$;

7) $\sum_{n=1}^{\infty}\frac{2^n n!}{(2n)!}$; 8) $\sum_{n=1}^{\infty}\frac{2^n n!}{n^n}$.

5. Исследовать сходимость ряда, используя радикальный признак Коши:

1) $\sum_{n=1}^{\infty}\left(\frac{3n^2+1}{2n^2+1}\right)^{n^2}$; 2) $\sum_{n=1}^{\infty}\left(\frac{2n^3+n}{3n^3-1}\right)^{n^2}$;

3) $\sum_{n=1}^{\infty}\left(\frac{5n-3}{7n+1}\right)^{n^3}$; 4) $\sum_{n=1}^{\infty}\left(\frac{3n+1}{5n+3}\right)^{n}$;

5) $\sum_{n=1}^{\infty}\sqrt{n}\left(\frac{n}{2n+1}\right)^{2n}$; 6) $\sum_{n=1}^{\infty}\frac{n^2 3^n}{5^{n+1}}$.

6. Исследовать сходимость знакопеременного ряда и выяснить тип сходимости (абсолютная или условная):

1) $\sum_{n=1}^{\infty}(-1)^{n-1}\frac{3n-2}{3n-1}$; 2) $\sum_{n=1}^{\infty}(-1)^{n-1}\left(1+\frac{n}{10^n}\right)$;

3) $\sum_{n=1}^{\infty}(-1)^{n-1}\frac{n+1}{n^2+n+1}$.

Функциональные ряды

1. Исследовать сходимость функциональных рядов в указанных точках:

1) $\frac{3x+1}{x^2+x+1}+\left(\frac{3x+1}{x^2+x+1}\right)^2+\ldots+\left(\frac{3x+1}{x^2+x+1}\right)^n+\ldots,$

$x=1,\ x=2,\ x=3;$

2) $\frac{1!}{1}(x^2-4x+6)+\frac{2!}{2^2}(x^2-4x+6)^2+\ldots+\frac{n!}{n^2}(x^2-4x+6)^n+\ldots,$

$x=1,\ x=2,\ x=3.$

9. Найти область сходимости функционального ряда

1) $\frac{1}{1+x^2}+\frac{1}{2^2(1+x^2)^2}+\ldots+\frac{1}{n^2(1+x^2)^n}+\ldots;$

2) $1+\frac{1}{2^x}+\frac{1}{3^x}+\ldots+\frac{1}{n^x}+\ldots;$

3) $\sum_{n=1}^{\infty} \frac{2^n}{n\left(x^2-6x+10\right)^n}$;

4) $\sum_{n=1}^{\infty} \frac{3^n}{n\left(x^2-5x+9\right)^n}$;

5) $\sum_{n=1}^{\infty} \frac{4^n}{n^2\left(x^2+3\right)^n}$;

6) $\sum_{n=1}^{\infty} \frac{5^n}{n\left(x^2-4x+8\right)^n}$;

7) $\sum_{n=1}^{\infty} \frac{6^n}{n^2\left(x^2-2x+6\right)^n}$;

8) $\sum_{n=1}^{\infty} \frac{n^2}{\left(n+\sqrt{n}\right)^x}$.

3. Найти радиус и промежуток сходимости степенного ряда:

1) $\frac{x}{1!}+\frac{x^2}{2!}+\frac{x^3}{3!}+\ldots+\frac{x^n}{n!}+\ldots$;

2) $1+\frac{x^3}{10}+\frac{x^6}{10^2}+\ldots+\frac{x^{3(n-1)}}{10^{n-1}}+\ldots$;

3) $2x^5+\frac{4x^{10}}{3}+\frac{8x^{15}}{5}+\ldots+\frac{2^n x^{5n}}{2n-1}+\ldots$;

4) $\sum_{n=1}^{\infty} \frac{x^{n(n-1)/2}}{n!}$;

5) $\sum_{n=1}^{\infty} \frac{(x-2)^n}{n\cdot 9^n}$;

6) $\sum_{n=1}^{\infty} \frac{(x+5)^{2n}}{4^n}$;

7) $\sum_{n=1}^{\infty} \frac{(x+1)^n}{(n+1)2^n}$;

8) $\sum_{n=1}^{\infty} \frac{\sqrt{n}(x+3)^n}{n^2+1}$;

9) $\sum_{n=1}^{\infty} \frac{(x-3)^{2n-1}}{(n^3+3n)4^n}$;

10) $\sum_{n=1}^{\infty} \frac{n(x+2)^n}{(n+1)3^n}$.

4. Разложить данную функцию в ряд Тейлора в окрестности данной точки, или в ряд Маклорена в окрестности нуля;

1) $f(x) = \frac{x}{\sqrt{9+x^2}}$;

2) $f(x) = \frac{x}{3+2x}$;

3) $f(x) = \sqrt[4]{16+x}$;

4) $f(x) = 2^x$;

5) $f(x) = \cos^2 x$;

6) $f(x) = e^{-x^2}$;

7) $f(x) = \frac{1}{x}$ по степеням $x-2$;

8) $f(x) = 3^x$;

9) $f(x) = e^{-2x}$;

10) $f(x) = \sqrt{x+2}$.

ЧАСТЬ 4. ТЕОРИЯ ПОЛЯ. ВЕКТОРНЫЙ АНАЛИЗ. ОБЫКНОВЕННЫЕ ДИФФЕРЕНЦИАЛЬНЫЕ УРАВНЕНИЯ

Практическое занятие 1

Базисные векторные поля

Пример 4.1.1. Показать, что орты полярной системы координат связаны с ортами декартовой системы координат соотношениями

$$\vec{g}_{\langle r\rangle} = \cos\varphi\,\vec{e}_1 + \sin\varphi\,\vec{e}_2,\ \vec{g}_{\langle\varphi\rangle} = -\sin\varphi\,\vec{e}_1 + \cos\varphi\,\vec{e}_2. \qquad (1)$$

Р е ш е н и е. В полярной системе координат связь между старыми (декартовыми) и новыми (полярными) координатами даётся обратным отображением

$$x^1 = r\cos\varphi,\ x^2 = r\sin\varphi. \qquad (2)$$

Следовательно, для радиус-вектора получаем

$$\vec{r} = r\cos\varphi\cdot\vec{e}_1 + r\sin\varphi\cdot\vec{e}_2. \qquad (3)$$

Воспользуемся формулами связи базисных векторных полей:

$$\vec{g}_j \overset{def}{=} \frac{\partial\vec{x}}{\partial q^j} = \frac{\partial\vec{x}}{\partial x^i}\frac{\partial x^i}{\partial q^j} = \frac{\partial x^i}{\partial q^j}\vec{e}_i = A^{i\cdot}_{\cdot j}\vec{e}_i. \qquad (4)$$

Для базисного векторного поля $\vec{g}_r$ имеем:

$$\vec{g}_r = \frac{\partial\vec{r}}{\partial r} = \frac{\partial\vec{r}}{\partial x^i}\frac{\partial x^i}{\partial r} \equiv \frac{\partial\vec{r}}{\partial x^1}\frac{\partial x^1}{\partial r} + \frac{\partial\vec{r}}{\partial x^2}\frac{\partial x^2}{\partial r} =$$

$$= \frac{\partial}{\partial r}\left(\cos\varphi\right)\vec{e}_1 + \frac{\partial}{\partial r}\left(\sin\varphi\right)\vec{e}_2 = \cos\varphi\cdot\vec{e}_1 + \sin\varphi\cdot\vec{e}_2. \qquad (5)$$

Для базисного векторного поля $\vec{g}_\varphi$ имеем:

$$\vec{g}_{\varphi} = \frac{\partial \vec{r}}{\partial \varphi} = \frac{\partial \vec{r}}{\partial x^i}\frac{\partial x^i}{\partial \varphi} \equiv \frac{\partial \vec{r}}{\partial x^1}\frac{\partial x^1}{\partial \varphi} + \frac{\partial \vec{r}}{\partial x^2}\frac{\partial x^2}{\partial \varphi} =$$

$$= \frac{\partial}{\partial \varphi}(r\cos\varphi)\vec{e}_1 + \frac{\partial}{\partial \varphi}(r\sin\varphi)\vec{e}_2 =$$

$$= -r\sin\varphi \cdot \vec{e}_1 + r\cos\varphi \cdot \vec{e}_2. \qquad (6)$$

Так как

$$\left\|\vec{g}_r\right\| = \sqrt{\left(\vec{g}_r, \vec{g}_r\right)} = \sqrt{\cos^2\varphi + \sin^2\varphi} = 1,$$

то базисное векторное поля $\vec{g}_r$ нормировано и, следовательно, имеем

$$\vec{g}_{\langle r\rangle} \equiv \vec{g}_r = \cos\varphi \cdot \vec{e}_1 + \sin\varphi \cdot \vec{e}_2. \qquad (7)$$

Векторное поле $\vec{g}_{\varphi}$ не нормировано, а его норма

$$\left\|\vec{g}_{\varphi}\right\| = \sqrt{\left(\vec{g}_{\varphi}, \vec{g}_{\varphi}\right)} = \sqrt{(r\sin\varphi)^2 + (\cos\varphi)^2} = r. \qquad (8)$$

Орт векторного поля $\vec{g}_{\varphi}$ равен

$$\vec{g}_{\langle\varphi\rangle} = \frac{1}{\left\|\vec{g}_{\varphi}\right\|}\vec{g}_{\varphi} = \frac{1}{r}\left(-r\sin\varphi \cdot \vec{e}_1 + r\cos\varphi \cdot \vec{e}_2\right) =$$

$$= -\sin\varphi \cdot \vec{e}_1 + \cos\varphi \cdot \vec{e}_2. \qquad (9)$$

Формулы (7) и (9) решают поставленную задачу. $\otimes$

Пример 4.1.2. В полярной системе координат закон движения точки задан уравнениями

$$x^1(t) = r(t)\cos\varphi(t),\ x^2(t) = r(t)\sin\varphi(t), \qquad (1)$$

где t – время. Найти скорость и ускорение точки в декартовых и полярных координатах.

Р е ш е н и е. Векторная параметризация движения имеет вид

$$\vec{r} = r\cos\varphi \cdot \vec{e}_1 + r\sin\varphi \cdot \vec{e}_2. \qquad (2)$$

Вектор скорости

$$\vec{v} = \frac{d\vec{r}}{dt} = \frac{d}{dt}(r\cos\varphi)\cdot\vec{e}_1 + \frac{d}{dt}(r\sin\varphi)\cdot\vec{e}_2 =$$

$$= \left(\frac{dr}{dt}\cdot\cos\varphi + r\cdot\frac{d}{d\varphi}(\cos\varphi)\cdot\frac{d\varphi}{dt}\right)\cdot\vec{e}_1 +$$

$$+ \left(\frac{dr}{dt}\cdot\sin\varphi + r\cdot\frac{d}{d\varphi}(\sin\varphi)\cdot\frac{d\varphi}{dt}\right)\cdot\vec{e}_2 =$$

$$= \left(\frac{dr}{dt}\cdot\cos\varphi - r\cdot\sin\varphi\cdot\frac{d\varphi}{dt}\right)\cdot\vec{e}_1 + \left(\frac{dr}{dt}\cdot\sin\varphi + r\cdot\cos\varphi\cdot\frac{d\varphi}{dt}\right)\cdot\vec{e}_2. \qquad (3)$$

Найдём проекции вектора скорости на оси полярной системы координат. Для этого вычислим значения скалярных произведений вектора скорости и ортов полярной системы координат, найденных в предыдущей задаче (формулы (7) и (9)):

$$v_r \equiv \Pr_{\vec{e}_r}\vec{v} = \left(\vec{v}, \vec{g}_{\langle r\rangle}\right) =$$

$$= \left(\frac{dr}{dt}\cos\varphi - r\frac{d\varphi}{dt}\sin\varphi\right)\cos\varphi + \left(\frac{dr}{dt}\sin\varphi + r\frac{d\varphi}{dt}\cos\varphi\right)\sin\varphi = \frac{dr}{dt}, \qquad (4)$$

$$v_\varphi \equiv \Pr_{\vec{e}_\varphi}\vec{v} = \left(\vec{v}, \vec{g}_{\langle\varphi\rangle}\right) =$$

$$= \left(\frac{dr}{dt}\cos\varphi - r\frac{d\varphi}{dt}\sin\varphi\right)(-\sin\varphi) + \left(\frac{dr}{dt}\sin\varphi + r\frac{d\varphi}{dt}\cos\varphi\right)\cos\varphi =$$

$$= r\frac{d\varphi}{dt}. \qquad (5)$$

Таким образом, вектор скорости в полярной системе координат имеет вид

$$\vec{v} = \frac{dr}{dt}\vec{g}_{\langle r\rangle} + r\frac{d\varphi}{dt}\vec{g}_{\langle\varphi\rangle}. \qquad (6)$$

Найдём разложение вектора ускорения по ортам полярной системы координат. Для этого используем формулы (7) и (9) из предыдущей задачи и формулу (6) из этой задачи:

$$\vec{w} = \frac{d\vec{v}}{dt} = \frac{d^2r}{dt^2}\vec{g}_{\langle r\rangle} + \frac{dr}{dt}\frac{d\vec{g}_{\langle r\rangle}}{dt} + \frac{dr}{dt}\frac{d\varphi}{dt}\vec{g}_{\langle\varphi\rangle} + r\frac{d^2\varphi}{dt^2}\vec{g}_{\langle\varphi\rangle} + r\frac{d\varphi}{dt}\frac{d\vec{g}_{\langle\varphi\rangle}}{dt};$$

$$\frac{d\vec{g}_{\langle r\rangle}}{dt} = -\sin\varphi\frac{d\varphi}{dt}\vec{e}_1 + \cos\varphi\frac{d\varphi}{dt}\vec{e}_2;$$

$$\frac{d\vec{g}_{\langle\varphi\rangle}}{dt} = -\cos\varphi\frac{d\varphi}{dt}\vec{e}_1 - \sin\varphi\frac{d\varphi}{dt}\vec{e}_2;$$

$$\vec{w} = \frac{d\vec{v}}{dt} = \frac{d^2r}{dt^2}\vec{g}_{\langle r\rangle} + \frac{dr}{dt}\left(-\sin\varphi\frac{d\varphi}{dt}\vec{e}_1 + \cos\varphi\frac{d\varphi}{dt}\vec{e}_2\right) +$$

$$+\frac{dr}{dt}\frac{d\varphi}{dt}\vec{g}_{\langle\varphi\rangle} + r\frac{d^2\varphi}{dt^2}\vec{g}_{\langle\varphi\rangle} +$$

$$+r\frac{d\varphi}{dt}\left(-\cos\varphi\frac{d\varphi}{dt}\vec{e}_1 - \sin\varphi\frac{d\varphi}{dt}\vec{e}_2\right) =$$

$$=\left(\frac{d^2r}{dt^2} - r\left(\frac{d\varphi}{dt}\right)^2\right)\vec{g}_{\langle r\rangle} + \left(r\frac{d^2\varphi}{dt^2} + 2\frac{dr}{dt}\frac{d\varphi}{dt}\right)\vec{g}_{\langle\varphi\rangle}.$$

Итак, в полярной системе координат для ускорения получаем следующее выражение:

$$\vec{w} = \left(\frac{d^2r}{dt^2} - r\left(\frac{d\varphi}{dt}\right)^2\right)\vec{g}_{\langle r\rangle} + \left(r\frac{d^2\varphi}{dt^2} + 2\frac{dr}{dt}\frac{d\varphi}{dt}\right)\vec{g}_{\langle\varphi\rangle}. \otimes \qquad (7)$$

Пример 4.1.3. Закон движения точки в полярных координатах имеет вид:

$$\begin{cases} r = t\cdot\sin 3t, \\ \varphi = t^3. \end{cases} \qquad (1)$$

Найти скорость и ускорение точки в полярных и декартовых координатах в момент времени $t = 1\,c$. Радиус дан в метрах.

Р е ш е н и е. 1) Полярные координаты точки в заданный момент времени:

$$r(1) = \sin 3 = 0{,}141;\ \varphi(1) = 1.$$

2) Дифференцируя уравнения движения (1) по времени, получаем:

$$\begin{cases} \dot{r} = \sin 3t + 3t\cos 3t, \\ \dot{\varphi} = 3t^2. \end{cases} \qquad (2)$$

При $t = 1\,c$ имеем:

$$\dot{r}(1) = -2{,}829,\ \dot{\varphi}(1) = 3.$$

3) По формулам (4) и (5) предыдущей задачи находим компоненты скорости в полярных координатах:

$$v_r(1) = \dot{r}(1) = -2{,}829\ \frac{м}{c};\ v_\varphi(1) = r(1)\cdot\dot{\varphi}(1) = 0{,}423\ \frac{м}{c}.$$

4) Норма скорости:

$$v(1) = \sqrt{v_r^2(1) + v_\varphi^2(1)} = 2{,}860\ \frac{м}{c}.$$

5) Дифференцируя формулы связи полярных и декартовых координат по времени, находим компоненты скорости в декартовых координатах:

$$v^1 = \dot{x}^1 = \dot{r}\cos\varphi - r\dot{\varphi}\sin\varphi = v_r\cos\varphi - v_\varphi\sin\varphi;$$

$$v^2 = \dot{x}^2 = \dot{r}\sin\varphi + r\dot{\varphi}\cos\varphi = v_r\sin\varphi + v_\varphi\cos\varphi.$$

В заданный момент времени имеем:

$$v^1(1) = -1{,}883\ \frac{м}{c};\ v^2(1) = -2{,}148\ \frac{м}{c}.$$

Проверка правильности вычислений (норма вектора скорости в декартовых и полярных координатах должна быть одинаковой):

$$v = \sqrt{(v^1)^2 + (v^2)^2} = 2{,}85\ \frac{м}{c}.$$

6) Находим вторые производные, дифференцируя (2):

$$\ddot{r} = 6\cos 3t - 9t\sin 3t;\ \ddot{\varphi} = 6t.$$

При $t = 1$ имеем:

$$\ddot{r}(1) = -9{,}74;\ \ddot{\varphi}(1) = 6.$$

7) Находим компоненты ускорения в полярных координатах:

$$w_r(1) = \ddot{r}(1) - r(1)\dot{\varphi}^2(1) = -11{,}01\ \frac{м}{c^2};$$

$$w_\varphi(1) = r(1)\ddot{\varphi}(1) + 2\dot{r}(1)\dot{\varphi}(1) = -16{,}128\ \frac{м}{c^2}.$$

8) Норма ускорения

$$w = \sqrt{w_r^2 + w_\varphi^2} = 19{,}52\ \frac{м}{c^2}.$$

9) Компоненты ускорения в декартовых координатах находим двукратным дифференцированием формулы (2) по времени:

$$w^1 = \left(\ddot{r} - r\dot{\varphi}^2\right)\cos\varphi - \left(r\ddot{\varphi} + 2\dot{r}\dot{\varphi}\right)\sin\varphi \equiv w_r\cos\varphi - w_\varphi\sin\varphi;$$

$$w^2 = \left(\ddot{r} - r\dot{\varphi}^2\right)\sin\varphi + \left(r\ddot{\varphi} + 2\dot{r}\dot{\varphi}\right)\cos\varphi = w_r\sin\varphi + w_\varphi\cos\varphi.$$

При $t = 1$ имеем:

$$w^1(1) = 7{,}602;\ w^2(1) = -17{,}95.$$

Проверка:

$$w = \sqrt{(w^1)^2 + (w^2)^2} = 19{,}49. \otimes$$

Пример 4.1.4. Закон движения точки в полярных координатах имеет вид:

$$r = 22\cdot\frac{1-\dfrac{t^2}{121}}{t};\ \varphi = \arccos\left(\frac{t}{11}\right).$$

Найти скорость и ускорение точки в полярных и декартовых координатах в момент времени $t = 9\ c$. Радиус дан в метрах.

Ответ:

r	$\dot{r}$	φ	$\dot{\varphi}$	v_r	v_φ	v	v^1	v^2
м	м/с	рад	рад/сек			м/с		
0,81	-0,45	0,61	-0,16	-0,45	-0,13	0,47	-0,3	-0,37

Пример 4.1.5. Выразить базисные векторные поля цилиндрической системы координат в виде разложения по ортам декартовой системы координат.

Р е ш е н и е. Связь декартовых и цилиндрических координат имеет вид

$$\begin{cases} x^1 = r\cos\varphi, \\ x^2 = r\sin\varphi, \\ x^3 = h, \end{cases} \det\left(\frac{\partial(x^1, x^2, x^3)}{\partial(r, \varphi, h)}\right) = \begin{vmatrix} \cos\varphi & -r\sin\varphi & 0 \\ \sin\varphi & r\cos\varphi & 0 \\ 0 & 0 & 1 \end{vmatrix} = r,$$

где для цилиндрических координат принимаются следующие пределы изменения:

$$D = \{r, \varphi, h\} \subset R_2^3 : 0 \le r < +\infty, 0 \le \varphi < 2\pi, -\infty < h < +\infty .$$

Для радиус-вектора имеем

$$\vec{r} = r\cos\varphi\,\vec{e}_1 + r\sin\varphi\,\vec{e}_2 + h\,\vec{e}_3.$$

Дифференцируем разложение радиус-вектора последовательно по цилиндрическим координатам и используем формулу разложения базисных векторных полей по ортам декартовой системы координат

$$\vec{g}_j \overset{def}{=} \frac{\partial \vec{x}}{\partial q^j} = \frac{\partial \vec{x}}{\partial x^i}\frac{\partial x^i}{\partial q^j} = \frac{\partial x^i}{\partial q^j}\vec{e}_i = \frac{\partial x^1}{\partial q^j}\vec{e}_1 + \frac{\partial x^2}{\partial q^j}\vec{e}_2 + \frac{\partial x^3}{\partial q^j}\vec{e}_3.$$

Для базисного векторного поля $\vec{g}_r$ имеем:

$$\vec{g}_r = \frac{\partial \vec{r}}{\partial r} = \frac{\partial \vec{r}}{\partial x^i}\frac{\partial x^i}{\partial r} \equiv \frac{\partial \vec{r}}{\partial x^1}\frac{\partial x^1}{\partial r} + \frac{\partial \vec{r}}{\partial x^2}\frac{\partial x^2}{\partial r} + \frac{\partial \vec{r}}{\partial x^3}\frac{\partial x^3}{\partial r} =$$

$$= \frac{\partial}{\partial r}(\cos\varphi)\vec{e}_1 + \frac{\partial}{\partial r}(\sin\varphi)\vec{e}_2 + \frac{\partial}{\partial r}h\cdot\vec{e}_3 = \cos\varphi\cdot\vec{e}_1 + \sin\varphi\cdot\vec{e}_2.$$

Так как для векторного поля $\vec{g}_r$

$$\left\|\vec{g}_r\right\| = \sqrt{\left(\vec{g}_r, \vec{g}_r\right)} = \sqrt{\cos^2\varphi + \sin^2\varphi} = 1,$$

то базисное векторное поле $\vec{g}_r$ нормированное, то есть

$$\vec{g}_{\langle r\rangle} \equiv \vec{g}_r.$$

Для базисного векторного поля $\vec{g}_{\varphi}$ имеем:

$$\vec{g}_{\varphi} = \frac{\partial \vec{r}}{\partial \varphi} = \frac{\partial \vec{r}}{\partial x^i}\frac{\partial x^i}{\partial \varphi} \equiv \frac{\partial \vec{r}}{\partial x^1}\frac{\partial x^1}{\partial \varphi} + \frac{\partial \vec{r}}{\partial x^2}\frac{\partial x^2}{\partial \varphi} + \frac{\partial \vec{r}}{\partial x^3}\frac{\partial x^3}{\partial \varphi} =$$

$$= \frac{\partial}{\partial \varphi}\left(\cos\varphi\right)\vec{e}_1 + \frac{\partial}{\partial \varphi}\left(\sin\varphi\right)\vec{e}_2 + \frac{\partial}{\partial \varphi}h\cdot\vec{e}_3 =$$

$$= -r\sin\varphi\cdot\vec{e}_1 + r\cos\varphi\cdot\vec{e}_2.$$

Так как для векторного поля $\vec{g}_{\varphi}$

$$\left\|\vec{g}_{\varphi}\right\| = \sqrt{\left(\vec{g}_{\varphi}, \vec{g}_{\varphi}\right)} = \sqrt{\left(r\sin\varphi\right)^2 + \left(\cos\varphi\right)^2} = r,$$

то поле $\vec{g}_{\varphi}$ ненормированное. Находим орт поля:

$$\vec{g}_{\langle\varphi\rangle} = \frac{1}{\left\|\vec{g}_{\varphi}\right\|}\vec{g}_{\varphi} = \frac{1}{r}\left(-r\sin\varphi\cdot\vec{e}_1 + r\cos\varphi\cdot\vec{e}_2\right) =$$

$$= -\sin\varphi\cdot\vec{e}_1 + \cos\varphi\cdot\vec{e}_2.$$

Для базисного векторного поля $\vec{g}_h$ имеем:

$$\vec{g}_h = \frac{\partial \vec{r}}{\partial h} = \frac{\partial \vec{r}}{\partial x^i}\frac{\partial x^i}{\partial h} \equiv \frac{\partial \vec{r}}{\partial x^1}\frac{\partial x^1}{\partial h} + \frac{\partial \vec{r}}{\partial x^2}\frac{\partial x^2}{\partial h} + \frac{\partial \vec{r}}{\partial x^3}\frac{\partial x^3}{\partial h} =$$

$$= \frac{\partial}{\partial h}\left(\cos\varphi\right)\vec{e}_1 + \frac{\partial}{\partial h}\left(\sin\varphi\right)\vec{e}_2 + \frac{\partial}{\partial h}h\cdot\vec{e}_3 = \vec{e}_3.$$

Таким образом, базисное векторное поле $\vec{g}_h$ нормированное, то есть

$$\vec{g}_{\langle h\rangle} = \vec{e}_3. \otimes$$

Пример 4.1.6. Выразить базисные векторные поля сферической системы координат в виде разложения по ортам декартовой системы координат.

Р е ш е н и е. Связь декартовых и сферических координат имеет вид

$$\begin{cases} x^1 = r\sin\theta\cdot\cos\varphi, \\ x^2 = r\sin\theta\cdot\sin\varphi, \\ x^3 = r\cos\theta, \end{cases}$$

$$\det\left(\frac{\partial(x^1, x^2, x^3)}{\partial(r, \varphi, \theta)}\right) = \begin{vmatrix} \sin\theta\cos\varphi & -r\sin\theta\sin\varphi & r\cos\theta\cos\varphi \\ \sin\theta\sin\varphi & r\sin\theta\cos\varphi & r\cos\theta\sin\varphi \\ \cos\theta & 0 & -r\sin\theta \end{vmatrix} =$$

$$= -r^2\sin\theta,$$

где для сферических координат принимаются следующие пределы изменения:

$$D = \{\varphi, \vartheta\} \subset R_2^3 : 0 \le r < +\infty,\ 0 \le \varphi < 2\pi,\ 0 < \theta \le \pi\ .$$

Радиус-вектор имеет вид:

$$\vec{r} = r\sin\theta\cdot\cos\varphi\,\vec{e}_1 + r\sin\theta\cdot\sin\varphi\,\vec{e}_2 + r\cos\theta\,\vec{e}_3.$$

Дифференцируем разложение радиус-вектора последовательно по сферическим координатам и снова используем формулу разложения базисных векторных полей по ортам декартовой системы координат.

Для базисного векторного поля $\vec{g}_r$ имеем:

$$\vec{g}_r = \frac{\partial\vec{r}}{\partial r} = \frac{\partial\vec{r}}{\partial x^i}\frac{\partial x^i}{\partial r} \equiv \frac{\partial\vec{r}}{\partial x^1}\frac{\partial x^1}{\partial r} + \frac{\partial\vec{r}}{\partial x^2}\frac{\partial x^2}{\partial r} + \frac{\partial\vec{r}}{\partial x^3}\frac{\partial x^3}{\partial r} =$$

$$= \frac{\partial}{\partial r}(\sin\theta\cos\varphi)\,\vec{e}_1 + \frac{\partial}{\partial r}(\sin\theta\sin\varphi)\,\vec{e}_2 + \frac{\partial}{\partial r}(\cos\theta)\,\vec{e}_3 =$$

$$= \sin\theta\cos\varphi\cdot\vec{e}_1 + \sin\theta\sin\varphi\cdot\vec{e}_2 + \cos\theta\cdot\vec{e}_3.$$

Норма поля

$$\left\|\vec{g}_r\right\| = \sqrt{(\sin\theta\cos\varphi)^2 + (\sin\theta\sin\varphi)^2 + \cos^2\theta} = 1.$$

Поле нормированное. Следовательно, имеем:

$$\vec{g}_{\langle r\rangle} \equiv \vec{g}_r = \sin\theta\cos\varphi\cdot\vec{e}_1 + \sin\theta\sin\varphi\cdot\vec{e}_2 + \cos\theta\cdot\vec{e}_3.$$

Для базисного векторного поля $\vec{g}_\varphi$ имеем:

$$\vec{g}_\varphi = \frac{\partial \vec{r}}{\partial \varphi} = \frac{\partial \vec{r}}{\partial x^i}\frac{\partial x^i}{\partial \varphi} \equiv \frac{\partial \vec{r}}{\partial x^1}\frac{\partial x^1}{\partial \varphi} + \frac{\partial \vec{r}}{\partial x^2}\frac{\partial x^2}{\partial \varphi} + \frac{\partial \vec{r}}{\partial x^3}\frac{\partial x^3}{\partial \varphi} =$$

$$= \frac{\partial}{\partial \varphi}\left(\sin\theta\cos\varphi\right)\vec{e}_1 + \frac{\partial}{\partial \varphi}\left(\sin\theta\sin\varphi\right)\vec{e}_2 + \frac{\partial}{\partial \varphi}\left(\cos\theta\right)\vec{e}_3 =$$

$$= -r\sin\theta\sin\varphi\cdot\vec{e}_1 + r\sin\theta\cos\varphi\cdot\vec{e}_2.$$

Норма поля

$$\left\|\vec{g}_\varphi\right\| = \sqrt{\left(-r\sin\theta\sin\varphi\right)^2 + \left(r\sin\theta\cos\varphi\right)^2} = \sqrt{r^2\sin^2\theta} = r\sin\theta.$$

Поле ненормированное. Находим орт поля:

$$\vec{g}_{\langle\varphi\rangle} = \frac{1}{\left\|\vec{g}_\varphi\right\|}\vec{g}_\varphi = \frac{1}{r\sin\theta}\left(-r\sin\theta\sin\varphi\cdot\vec{e}_1 + r\sin\theta\cos\varphi\cdot\vec{e}_2\right) =$$

$$= -\sin\varphi\cdot\vec{e}_1 + \cos\varphi\cdot\vec{e}_2.$$

Для базисного векторного поля $\vec{g}_\theta$ имеем:

$$\vec{g}_\theta = \frac{\partial \vec{r}}{\partial \theta} = \frac{\partial \vec{r}}{\partial x^i}\frac{\partial x^i}{\partial \theta} \equiv \frac{\partial \vec{r}}{\partial x^1}\frac{\partial x^1}{\partial \theta} + \frac{\partial \vec{r}}{\partial x^2}\frac{\partial x^2}{\partial \theta} + \frac{\partial \vec{r}}{\partial x^3}\frac{\partial x^3}{\partial \theta} =$$

$$= \frac{\partial}{\partial \theta}\left(\sin\theta\cos\varphi\right)\vec{e}_1 + \frac{\partial}{\partial \theta}\left(\sin\theta\sin\varphi\right)\vec{e}_2 + \frac{\partial}{\partial \theta}\left(\cos\theta\right)\vec{e}_3 =$$

$$= r\cos\theta\cos\varphi\cdot\vec{e}_1 + r\cos\theta\sin\varphi\cdot\vec{e}_2 - r\sin\theta\cdot\vec{e}_3.$$

Норма поля

$$\left\|\vec{g}_\theta\right\| = \sqrt{\left(\cos\theta\cos\varphi\right)^2 + \left(\cos\theta\sin\varphi\right)^2 + \left(-r\sin\theta\right)^2} = r.$$

Поле ненормированное. Находим орт поля:

$$\vec{g}_{\langle\theta\rangle} = \frac{1}{\left\|\vec{g}_\theta\right\|}\vec{g}_\theta = \frac{1}{r}\left(r\cos\theta\cos\varphi\cdot\vec{e}_1 + r\cos\theta\sin\varphi\cdot\vec{e}_2 - r\sin\theta\cdot\vec{e}_3 \right) =$$

$$= \cos\theta\cos\varphi\cdot\vec{e}_1 + \cos\theta\sin\varphi\cdot\vec{e}_2 - \sin\theta\cdot\vec{e}_3 . \otimes$$

Практическое занятие 2

Вычисление криволинейных интегралов

Пример 4.2.1. Вычислить криволинейный интеграл первого рода

$$I = \int_L (x + y)\,dl$$

по меньшей части окружности

$$\begin{cases} x^2 + y^2 + z^2 = R^2, \\ y = x, \end{cases}$$

ограниченной точками $A(0, 0, R)$, $B\left(\frac{R}{2}, \frac{R}{2}, \frac{R}{\sqrt{2}}\right)$.

Р е ш е н и е. Параметризация окружности:

$$x = t,\ y = t,\ z = \sqrt{R^2 - 2t^2},\ 0 \le t \le \frac{R}{2},$$

$$\sqrt{\left[\frac{dx}{dt}\right]^2 + \left[\frac{dy}{dt}\right]^2 + \left[\frac{dz}{dt}\right]^2} = \frac{\sqrt{2}R}{\sqrt{R^2 - 2t^2}}.$$

Используем формулу

$$\int_L f(x, y, z)\,dl = \int_\alpha^\beta f(x(t), y(t), z(t))\sqrt{\left[\frac{dx}{dt}\right]^2 + \left[\frac{dy}{dt}\right]^2 + \left[\frac{dz}{dt}\right]^2}\,dt.$$

Получаем:

$$I = \int_L (x + y)\,dl = \int_0^{R/2} 2t\,\frac{\sqrt{2}R\,dt}{\sqrt{R^2 - 2t^2}} = R^2(\sqrt{2} - 1). \otimes$$

Пример 4.2.2. Найти массу $1/4$ окружности

$$x_1^2 + x_2^2 = R^2,$$

если $\rho(x_1, x_2) = x_2$ и $x_1 \geq 0,\ x_2 \geq 0.$

Р е ш е н и е. Воспользуемся формулой для случая плоского пути, заданного непрерывно дифференцируемой параметризацией. Параметрические уравнения окружности

$$\begin{cases} x_1 = R\cos t, \\ x_2 = R\sin t. \end{cases}$$

Поэтому имеем:

$$M = \int_W \rho(x_1, x_2)\,dl =$$

$$= \int_0^{\pi/2} R\sin t\sqrt{(-R\sin t)^2 + (R\cos t)^2}\,dt = R^2\int_0^{\pi/2}\sin t\,dt = R^2. \otimes$$

Пример 4.2.3. Вычислить криволинейный интеграл

$$I = \int_W (x + y)\,dx - x\,dy,$$

где путь W – отрезок прямой, соединяющий точки $M_0(0; 0)$ и $M_1(4; 2)$.

Р е ш е н и е. Используем формулу (10.1.18) для случая плоского пути. Здесь

$$\vec{M_0M_1} = \begin{pmatrix} 4 \\ 3 \end{pmatrix} = 4\vec{e}_1 + 3\vec{e}_2,\ \vec{M_0M} = x\vec{e}_1 + y\vec{e}_2,$$

$$\vec{M_0M} = t\cdot\vec{M_0M_1},\ \begin{cases} x = 4t, \\ y = 2t, \end{cases}\ y = \frac{1}{2}x,\ x \in [0, 4].$$

Имеем:

$$\int_W (x + y)\,dx - x\,dy = \int_0^4\left(\frac{3}{2}x - \frac{1}{2}x\right)dx = \int_0^4 x\,dx = \left.\frac{x^2}{2}\right|_0^4 = 8. \otimes$$

Пример 4.2.4. Вычислить криволинейный интеграл второго рода

$$\int_W x^2 y\,dx + y^2 x\,dy$$

по пути с параметризацией $x = t,\ y = t^3,\ t \in [0, 1]$.

Р е ш е н и е. Используем формулу с естественной параметризацией для случая плоского пути:

$$\int\limits_{W_{\alpha,\beta}} F_1\left(\vec{x}\right)dx_1 + F_2\left(\vec{x}\right)dx_2 =$$

$$= \int\limits_{\alpha}^{\beta}\left[F_1\left(x_1(t), x_2(t), x_3(t)\right)\frac{dx_1(t)}{dt} + F_2\left(x_1(t), x_2(t), x_3(t)\right)\frac{dx_2(t)}{dt}\right]dt$$

Получаем:

$$\int\limits_W x^2 y dx + y^2 x dy = \int\limits_0^1 \left(t^5 + 3t^9\right)dt = \left(\frac{t^6}{6} + 3\frac{t^{10}}{10}\right)\Bigg|_0^1 = \frac{7}{15}. \otimes$$

Пример 4.2.5. Вычислить криволинейный интеграл второго рода

$$\int\limits_{\hat{W}} \left(x_2^{\,2} - x_3^{\,2}\right)dx_1 + 2x_2x_3dx_2 - x_1^{\,2}dx_3$$

по замкнутому пути с параметризацией $x_1 = t,\ x_2 = t^2,\ x_3 = t^3$, начальной и конечными точками $M_0(0;0;0)$, $M_1(1;1;1)$ соответственно.

Р е ш е н и е. Для вычисления применим формулу:

$$I_{W_{a,b}} = \int\limits_{W_{a,b}} F_1\left(\vec{x}\right)dx_1 + F_2\left(\vec{x}\right)dx_2 + F_3\left(\vec{x}\right)dx_3 =$$

$$= \int\limits_{\alpha}^{\beta}\left[F_1\left(x_1(t), x_2(t), x_3(t)\right)\frac{dx_1(t)}{dt} + F_2\left(x_1(t), x_2(t), x_3(t)\right)\frac{dx_2(t)}{dt} + \right.$$

$$\left. + F_3\left(x_1(t), x_2(t), x_3(t)\right)\frac{dx_3(t)}{dt}\right]dt.$$

Пределы изменения параметра $t \in [0, 1]$, то есть $\alpha = 0,\ \beta = 1$. Подстановка данных задачи даёт:

$$\int\limits_{\hat{W}} \left(x_2^{\,2} - x_3^{\,2}\right)dx_1 + 2x_2x_3dx_2 - x_1^{\,2}dx_3 = \int\limits_0^1 \left[\left(t^4 - t^6\right) + 4t^6 - 3t^4\right]dt =$$

$$= \int\limits_0^1 \left(3t^6 - 2t^4\right)dt = \left(\frac{3}{7}t^7 - \frac{2}{5}t^5\right)\Bigg|_0^1 = \frac{1}{35}. \otimes$$

Пример 4.2.6. Вычислить криволинейный интеграл второго рода

$$\oint_W (x+y)\,dx+(x-y)\,dy,$$

где W – окружность с уравнением $(x-1)^2+(y-1)^2=4.$

Р е ш е н и е. Запишем параметризацию окружности:

$$\vec{x}(t)=(1+2\cos t)\,\vec{e}_1+(1+2\sin t)\,\vec{e}_2,$$

$$0\le t\le 2\pi.$$

Интеграл вычисляем, пользуясь формулой

$$\int_W F_1\left(\vec{x}\right)dx+F_2\left(\vec{x}\right)dy=\int_\alpha^\beta\left[F_1\left(\vec{x}(t)\right)\frac{dx(t)}{dt}+F_2\left(\vec{x}(t)\right)\frac{dy(t)}{dt}\right]dt$$

и тем, что

$$\frac{dx(t)}{dt}=-2\sin t,\ \frac{dy(t)}{dt}=2\cos t.$$

Имеем:

$$\oint_W (x+y)\,dx+(x-y)\,dy=$$

$$=\int_0^{2\pi}\left[(1+2\cos t+2\sin t)(-2\sin t)+(1+\cos t-2\sin t)2\cos t\right]dt=$$

$$=\int_0^{2\pi}(-4\sin t-8\sin t\cdot\cos t+4\cos 2t)\,dt=0.\ \otimes$$

Практическое занятие 3

Кратные интегралы

Вычисление двойного интеграла в декартовых координатах

Пример 4.3.1. Изменить порядок интегрирования в интеграле

$$\int_{-1}^{1}dx\int_{-\sqrt{1-x^2}}^{1-x^2}f(x,y)\,dy.$$

Р е ш е н и е. Область интегрирования D ограничена линиями

$$x=-1,\ x=1,\ y=-\sqrt{1-x^2}\ ,\ y=1-x^2.$$

Первые две линии – вертикальные прямые линии, третья линия – нижняя полуокружность радиуса 1, четвёртая линия – парабола с вершиной в точке $(0;1)$, ветви параболы направлены вниз. Область D представим объединением двух областей: области D_1, ограниченной ветвями параболы $x=\pm\sqrt{1-y}$ и прямыми линиями $y=0$, $y=1$; области D_2, ограниченной линиями $x=\pm\sqrt{1-y^2}$, $y=-1$, $y=0$. Тогда имеем:

$$\int\limits_{-1}^{1}dx\int\limits_{-\sqrt{1-x^2}}^{1-x^2}f(x,y)dy=\int\limits_{0}^{1}dy\int\limits_{-\sqrt{1-y}}^{+\sqrt{1-y}}f(x,y)dx+\int\limits_{-1}^{0}dy\int\limits_{-\sqrt{1-y^2}}^{+\sqrt{1-y^2}}f(x,y)dx.\otimes$$

Пример 4.3.2. Вычислить двойной интеграл

$$\iint\limits_D x\ln y\,dxdy,$$

где $D=\{(x,y):0\le x\le 4;1\le y\le e\}$.

Р е ш е н и е. Так как область D является прямоугольником, то интеграл вычисляется непосредственно по формуле

$$\iint\limits_D f(x,y)dxdy=\int\limits_a^b dx\int\limits_c^d f(x,y)dy.$$

Имеем:

$$\iint\limits_D x\ln y\,dxdy=\int\limits_0^4 xdx\int\limits_1^e\ln y\,dy=\left\{\begin{array}{ll}u=\ln y, & du=\dfrac{dy}{y},\\ dv=dy, & v=y.\end{array}\right\}=$$

$$=\int\limits_0^4 xdx\left\{y\ln y\Big|_1^e-\int\limits_1^e dy\right\}=\frac{x^2}{2}\Big|_0^4\cdot\left\{y\ln y\Big|_1^e-y\Big|_1^e\right\}=8\cdot(e-e+1)=8.\otimes$$

Пример 4.3.3. Вычислить двойной интеграл $\iint\limits_D(x+2y)dxdy$ по области D, ограниченной линиями $y=x$, $y=2x$, $x=2$, $x=3$.

Р е ш е н и е. Область D ограничена, соответственно, слева – вертикальной прямой линией $x=2$, справа – вертикальной прямой линией $x=3$, сверху – прямой линией $y=2x$,

снизу – прямой линией $y = x$. Область простая относительно оси OY, следовательно, вычисляем интеграл по формуле

$$\iint\limits_D f(x, y)\,dxdy = \int\limits_a^b dx \int\limits_{g_1(x)}^{g_2(x)} f(x, y)\,dy.$$

Имеем:

$$\iint\limits_D (x + 2y)\,dxdy = \int\limits_2^3 dx \int\limits_x^{2x} (x + 2y)\,dy = \int\limits_2^3 dx \left(xy + y^2\right)\Big|_{y=x}^{y=2x} =$$

$$= \int\limits_2^3 \left(x^2 + 4x^2 - x^2 - x^2\right)dx = 4\int\limits_2^3 x^2 dx = \frac{4}{3}x^3\Big|_2^3 = \frac{76}{3}. \otimes$$

Пример 4.3.4. Вычислить двойной интеграл $\iint\limits_D (x - y)\,dxdy$ по области D, ограниченной линиями $x = 1,\ x = 2,\ y = x,\ y = x^2$.

Р е ш е н и е. Пользуясь формулой вычисления двойного интеграла по простой области, получаем:

$$\iint\limits_D (x - y)\,dxdy = \int\limits_1^2 dx \int\limits_x^{x^2} (x - y)\,dy = \int\limits_1^2 dx \left(2xy - \frac{y^2}{2}\right)\Big|_{y=x}^{y=x^2} =$$

$$= \int\limits_1^2 \left(2x^3 - \frac{x^4}{2} - \frac{3}{2}x^2\right)dx = \left(\frac{x^4}{2} - \frac{x^5}{10} - \frac{x^3}{2}\right)\Big|_1^2 = \frac{9}{10}. \otimes$$

Вычисление площади, объёма и массы

Пример 4.3.5. Вычислить площадь фигуры, ограниченной линиями

$$x = 4y - y^2,\ x + y = 6.$$

Р е ш е н и е. Решая систему уравнений

$$\begin{cases} y^2 - 4y + x = 0, \\ x + y = 6, \end{cases}$$

находим точки пересечения линий: $A(-4; 2)$, $B(3; 3)$. Поэтому площадь фигуры равна

$$S \equiv \mu(D) = \iint\limits_D dxdy = \int\limits_2^3 dy \int\limits_{6-y}^{4y-y^2} dx = \int\limits_2^3 \left(x \Big|_{6-y}^{4y-y^2} \right) dy =$$

$$= \int\limits_2^3 \left(-y^2 + 5y - 6 \right) dy = \left(-\frac{1}{3}y^3 + \frac{5}{2}y^2 - 6y \right) \Big|_2^3 = \frac{1}{6}. \otimes$$

Пример 4.3.6. Найти массу пластины D с поверхностной плотностью

$$\sigma(x, y) = 16x + \frac{9}{2}y^2$$

и ограниченной линиями с уравнениями

$$x = \frac{1}{4},\ y = 0,\ y^2 = 16x,\ y \geq 0.$$

Р е ш е н и е. Так как

$$x = \frac{1}{16}y^2,$$

то $x \geq 0$. Поэтому область D можно задать неравенствами

$$0 \leq x \leq \frac{1}{4},\ 0 \leq y \leq 4\sqrt{x}.$$

Вычисляя двойной интеграл в декартовых координатах, получаем:

$$m(D) = \iint\limits_D \sigma(x, y)\, dxdy = \iint\limits_D \left(16x + \frac{9}{2}y^2 \right) dxdy =$$

$$= \int\limits_0^{1/4} dx \int\limits_0^{4\sqrt{x}} \left(16x + \frac{9}{2}y^2 \right) dy = \int\limits_0^{1/4} \left(16xy + \frac{3}{2}y^3 \right) \Big|_0^{4\sqrt{x}} dx = 160 \int\limits_0^{1/4} x^{3/2} dx = 2. \otimes$$

Вычисление двойного интеграла в полярных координатах

Пример 4.3.7. Вычислить двойной интеграл

$$\iint\limits_D \sqrt{x^2 + y^2}\, dxdy,$$

переходя к полярным координатам, где область D – 1-я четверть круга

$$x^2 + y^2 \leq a^2.$$

Р е ш е н и е. Так как $x = r\cos\varphi$, $y = r\sin\varphi$, то область в полярных координатах имеет вид

$$\Omega = \left\{ (r;\varphi) : 0 \le r \le a;\ 0 < \varphi \frac{\pi}{2} \right\}$$

и, применяя формулу перехода к полярной системе координат, получаем:

$$\iint\limits_D \sqrt{x^2+y^2}\,dxdy = \iint\limits_\Omega \sqrt{r^2\cos^2\varphi + r^2\sin^2\varphi}\,rdrd\varphi = \int\limits_0^{\pi/2} d\varphi \int\limits_0^a r^2 dr =$$

$$= \frac{1}{3}\int\limits_0^{\pi/2} r^3 \Big|_0^a d\varphi = \frac{a^3}{3}\int\limits_0^{\pi/2} d\varphi = \frac{\pi a^3}{6}. \otimes$$

Пример 4.3.8. Вычислить двойной интеграл $\iint\limits_D \ln(x^2+y^2)\,dxdy$, переходя к полярным координатам, если область D – кольцо, заключённое между окружностями $x^2+y^2 = e^2$ и $x^2+y^2 = e^4$.

Р е ш е н и е. Переходя к полярным координатам, имеем:

$$\iint\limits_D \ln(x^2+y^2)\,dxdy = \iint\limits_\Omega \ln r^2\, rdrd\varphi = 2\iint\limits_\Omega r\ln r\,drd\varphi =$$

$$= \left\{ \Omega : 0 \le \varphi \le 2\pi;\ e \le r \le e^2 \right\}$$

$$= 2\int\limits_0^{2\pi} d\varphi \int\limits_e^{e^2} r\ln r\,dr = \left\{ \begin{array}{ll} u = \ln r, & du = \dfrac{dr}{r}, \\ dv = rdr, & v = \dfrac{r^2}{2}. \end{array} \right\} =$$

$$= 2\int\limits_0^{2\pi} d\varphi \left\{ \frac{r^2}{2}\ln r \Big|_e^{e^2} - \frac{1}{2}\int\limits_e^{e^2} r dr \right\} = 2\int\limits_0^{2\pi} \left[\frac{1}{4}e^2(2e^2-1) \right] d\varphi = \pi e^2(2e^2-1). \otimes$$

Пример 4.3.9. Вычислить объём тела, ограниченного поверхностями

$$x^2+y^2 = 8,\ x = 0,\ y = 0,\ z = 0,\ x+y+z = 4.$$

Р е ш е н и е. Тело ограничено кругом на плоскости XOY с центром в начале системы координат, координатными плоскостями и плоскостью

$$\frac{x}{4}+\frac{y}{4}+\frac{z}{4}=1.$$

Поэтому в полярных координатах имеем

$$V=\iint\limits_D f(x,y)\,dxdy=\iint\limits_\Omega f(r\cos\varphi, r\sin\varphi)\,r\,drd\varphi=$$

$$=\int\limits_0^{\pi/2}d\varphi\int\limits_0^{2\sqrt{2}}f(r\cos\varphi, r\sin\varphi)\,r\,dr=$$

$$=\int\limits_0^{\pi/2}d\varphi\int\limits_0^{2\sqrt{2}}(4-r\cos\varphi-r\sin\varphi)\,r\,dr=16\int\limits_0^{\pi/2}\left[1-\frac{\sqrt{2}}{3}(\cos\varphi+\sin\varphi)\right]d\varphi=$$

$$=16\left[\varphi-\frac{\sqrt{2}}{3}(\sin\varphi-\cos\varphi)\right]\Big|_0^{\pi/2}=8\pi-\frac{32\sqrt{2}}{3}.\otimes$$

Пример 4.3.10. Вычислить двойной интеграл

$$\iint\limits_D xdxdy,$$

где область D ограничена линиями с уравнениями:

$$y^2-4y+x^2=0;\ y^2-8y+x^2=0;\ y=\frac{1}{\sqrt{3}}x;\ x=0.$$

Р е ш е н и е. Задаём область D неравенствами в декартовой системе координат, для чего выделяем полные квадраты в уравнениях окружностей:

$$(y-2)^2+x^2=4;\ (y-4)^2+x^2=16,$$

Центры обеих окружностей имеют координаты $(0;2)$ и $(0;4)$, а сами окружности касаются начала системы координат. Первая окружность имеет радиус 2 и лежит, следовательно, внутри второй окружности с радиусом 4. Область D лежит между окружностями и координаты её точек удовлетворяют неравенствам

$$(y-2)^2+x^2\ge 4;\ (y-4)^2+x^2\le 16.$$

Кроме этого, область D лежит между указанными прямыми линиями, проходящими через начало системы координат. Так как окружности лежат выше оси OX, то область D ле-

жит над прямой линией $y = \frac{1}{\sqrt{3}}x$ и справа от прямой линии $x = 0$. Поэтому координаты точек области D удовлетворяют неравенствам

$$y \geq \frac{x}{\sqrt{3}},\ x \geq 0.$$

Таким образом,

$$D = \begin{cases} (y-2)^2 + x^2 \geq 4, \\ (x;\ y):\ (y-4)^2 + x^2 \leq 16, \\ y \geq \frac{x}{\sqrt{3}},\ x \geq 0. \end{cases}$$

Для вычисления используем полярную систему координат:

$$x = r\cos\varphi,\ y = r\sin\varphi.$$

Формула вычисления двойного интеграла принимает вид

$$\iint\limits_D x\,dx\,dy = \iint\limits_\Omega r\cos\varphi\, r\,dr\,d\varphi.$$

В неравенствах, определяющих область интегрирования, производим замену $x = r\cos\varphi,\ y = r\sin\varphi$, получаем

$$\Omega = \begin{cases} (r\sin\varphi - 2)^2 + r^2\cos^2\varphi \geq 4, \\ (r;\ \varphi):\ (r\sin\varphi - 4)^2 + r^2\cos^2\varphi \leq 16, \\ r\sin\varphi \geq \frac{r\cos\varphi}{\sqrt{3}},\ r\cos\varphi \geq 0. \end{cases}$$

Решение этих неравенств относительно r и φ имеет вид

$$\Omega = \begin{cases} (r;\ \varphi):\ \frac{\pi}{6} \leq \varphi \leq \frac{\pi}{2}, \\ 4\sin\varphi \leq r \leq 8\sin\varphi. \end{cases}$$

Переход от двойного интеграла к повторному интегралу даёт:

$$\iint\limits_D x\,dx\,dy = \iint\limits_\Omega r\cos\varphi\, r\,dr\,d\varphi = \int\limits_{\frac{\pi}{6}}^{\frac{\pi}{2}} \cos\varphi\,d\varphi \int\limits_{4\sin\varphi}^{8\sin\varphi} r^2\,dr,$$

Интегрируя последовательно, получаем:

$$\int_{\frac{\pi}{6}}^{\frac{\pi}{2}} \cos\varphi d\varphi \int_{4\sin\varphi}^{8\sin\varphi} r^2 dr = 35. \otimes$$

Вычисление тройного интеграла в декартовых координатах

Пример 4.3.11. Вычислить тройной интеграл

$$I = \iiint_V (x - 2y + z)\,dxdydz,$$

где область V – параллелепипед, заданный неравенствами

$$-1 \le x \le 2,\ 1 \le y \le 3,\ 0 \le z \le 1.$$

Р е ш е н и е. Используя формулу (1.50)

$$\iiint_V f(x, y, z)\,dxdydz = \int_a^b dx \int_{y=g_1(x)}^{y=g_2(x)} dy \int_{z=u_1(x,y)}^{z=u_2(x,y)} f(x, y, z)\,dz,$$

получаем:

$$I = \iiint_V (x - 2y + z)\,dxdydz = \int_{-1}^{2} dx \int_{1}^{3} dy \int_{0}^{1} (x - 2y + z)\,dz = -18. \otimes$$

Пример 4.3.12. Вычислить тройной интеграл

$$I = \iiint_V (x + y + z)\,dxdydz,$$

где область V – пирамида, ограниченная плоскостями

$$x = 0,\ y = 0,\ z = 0,\ x + y + z = 2.$$

Р е ш е н и е. Запишем уравнение плоскости

$$z = 2 - x - y,$$

«ограничивающей пирамиду» сверху, в отрезках

$$\frac{x}{2} + \frac{y}{2} + \frac{z}{2} = 1.$$

Теперь можем изобразить пирамиду (рисунок 3.1).

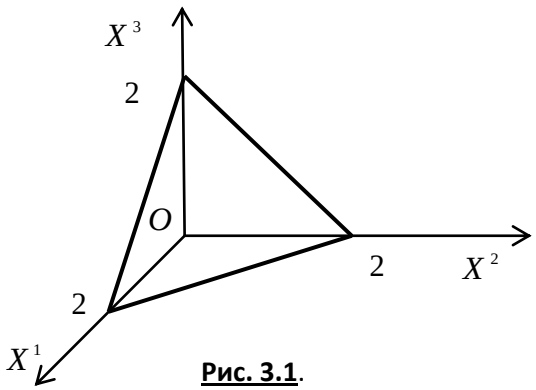

Рис. 3.1.

Применяем для решения формулу

$$\iiint_V f(x, y, z)\,dxdydz = \int_a^b dx \int_{y=g_1(x)}^{y=g_2(x)} dy \int_{z=u_1(x,y)}^{z=u_2(x,y)} f(x, y, z)\,dz,$$

расставляя пределы в соответствии с условиями задачи:

$$I = \iiint_V (x + y + z)\,dxdydz = \int_0^2 dx \int_0^{2-x} dy \int_0^{2-x-y} (x + y + z)\,dz =$$

$$= \int_0^2 dx \int_0^{2-x} \left[x \cdot z + y \cdot z + \frac{z^2}{2} \right]_0^{2-x-y} dy = \int_0^2 \left[2y - x \cdot \frac{y^2}{2} - y \cdot \frac{x^2}{2} - \frac{y^3}{6} \right]_0^{2-x} dx =$$

$$= \int_0^2 \left(\frac{8}{3} - 2x + \frac{x^3}{6} \right) dx = \left[\frac{8}{3}x - x^2 + \frac{x^4}{24} \right]_0^2 = 2. \otimes$$

Вычисление тройного интеграла в цилиндрических

и сферических координатах

Пример 4.3.13. Найти объём кругового цилиндра высоты H с радиусом основания R.

Р е ш е н и е. Формула для вычисления тройного интеграла в цилиндрической системе координат имеет вид:

цилиндрических координатах:

$$V_V = \iiint_V dxdydz = \int_0^{2\pi} d\varphi \int_0^R r dr \int_0^H dz = \pi R^2 H\,. \otimes$$

Пример 4.3.14. Найти объём шара радиуса R.

Р е ш е н и е. Для вычисления объёма шара используем формулу вычисления тройного интеграла в сферических координатах. Учитывая, что

$$f(x, y, z) = f(\sin\theta\cos\varphi, r\sin\theta\sin\varphi, r\cos\theta) \equiv 1,$$

получаем:

$$V_V = \iiint\limits_V dxdydz = \int\limits_0^{2\pi} d\varphi \int\limits_0^{\pi} \sin\theta d\theta \int\limits_0^{R} r^2 dr = \frac{4}{3}\pi R^3 . \otimes$$

Пример 4.3.15. Вычислить тройной интеграл

$$\iiint\limits_V \frac{x^2}{x^2+y^2} dxdydz,$$

где область V ограничена поверхностями

$$z = \frac{9}{2}\sqrt{x^2+y^2}$$ (конус),

$$z = \frac{11}{2} - x^2 - y^2$$ (эллиптический параболоид).

Р е ш е н и е. Область V – тело вращения вокруг оси OZ, поэтому переходим к цилиндрическим координатам:

$$\begin{cases} x = r\cos\varphi, \\ y = r\sin\varphi, \\ z = z. \end{cases}$$

Для искомого интеграла получаем:

$$\iiint\limits_V \frac{x^2}{x^2+y^2} dxdydz = \iiint\limits_\Omega \cos^2\varphi r dr d\varphi dz .$$

Задаём область Ω' неравенствами, заменяя в уравнениях поверхностей декартовы координаты цилиндрическими координатами:

$$x = r\cos\varphi,\ y = r\sin\varphi .$$

Получаем два двойных неравенства:

$$\frac{9}{2}r \le z \le \frac{11}{2} - r^2 \text{ и } \frac{11}{2} - r^2 \le z \le \frac{9}{2}r .$$

Для выбора верного неравенства решаем уравнение

$$\frac{9}{2}r = \frac{11}{2} - r^2.$$

Единственное положительное решение $r = 1$, следовательно, $0 \le r \le 1$. При этих значениях верное неравенство

$$\frac{9}{2}r \le z \le \frac{11}{2} - r^2.$$

Область

$$\Omega = \begin{cases} 0 \le r \le 1, \\ \frac{9}{2}r \le z \le \frac{11}{2} - r^2, \\ 0 \le \varphi \le 2\pi. \end{cases}$$

Переход к повторному интегралу даёт:

$$\iiint\limits_V \frac{x^2}{x^2 + y^2}\,dxdydz = \iiint\limits_\Omega \cos^2\varphi\, r dr d\varphi dz =$$

$$= \iiint\limits_{\Omega'} \frac{r^2\cos^2\varphi}{r^2\cos^2\varphi + r^2\sin^2\varphi}\, r dr d\varphi dz = \ldots = \pi\,. \otimes$$

Практическое занятие 4

Приложения криволинейных и кратных интегралов

Пример 4.4.1. Электрическое поле линейного непрерывно-распределённого электрического заряда вычисляется по формуле

$$\vec{E}\left(\vec{x}_0\right) = \int\limits_W \frac{\gamma\left(\vec{x}\right)\cdot\left(\vec{x}_0 - \vec{x}\right)}{4\pi\varepsilon\varepsilon_0\left\|\vec{x}_0 - \vec{x}\right\|^3} dl\,, \qquad (1)$$

где $\vec{x}_0$ – точка наблюдения, а линейная плотность заряда равна

$$\gamma\left(\vec{x}\right)=\frac{dQ\left(\vec{x}\right)}{dl}.$$

Найти напряжённость электрического поля однородно заряженной проволоки длиной L, имеющей форму дуги окружности радиуса r, в центре окружности, считая линейную плотность заряда постоянной.

Р е ш е н и е. Так как $\gamma\left(\vec{x}\right)=const$, то формула (1) принимает вид

$$\vec{E}\left(\vec{x}_0\right)=\frac{\gamma}{4\pi\varepsilon\varepsilon_0}\int_W\frac{\left(\vec{x}_0-\vec{x}\right)}{\left\|\vec{x}_0-\vec{x}\right\|^3}dl=$$

$$=\frac{\gamma}{4\pi\varepsilon\varepsilon_0}\left[\left(\int_W\frac{x_0-x}{\left\|\vec{x}_0-\vec{x}\right\|^3}dl\right)\vec{e}_1+\left(\int_W\frac{y_0-y}{\left\|\vec{x}_0-\vec{x}\right\|^3}dl\right)\vec{e}_2\right]. \qquad (2)$$

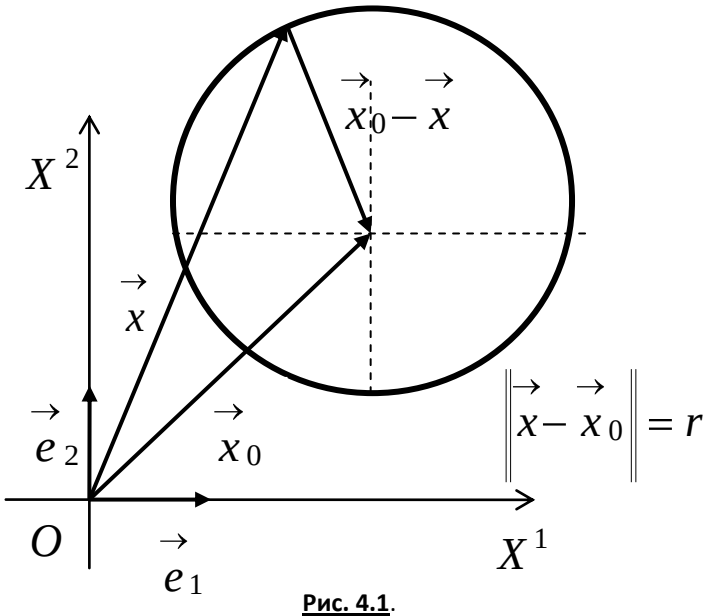

Рис. 4.1.

Вспомним параметрические уравнения окружности (рисунок 4.1):

$$\vec{x} = \vec{x}_0 + r\cos t \cdot \vec{e}_1 + r\sin t \cdot \vec{e}_2 \qquad (3)$$

– векторная форма;

$$\begin{cases} x = x_0 + r\cos t, \\ y = y_0 + r\sin t \end{cases} \qquad (4)$$

– скалярная форма.

Чтобы воспользоваться для вычисления интеграла формулой

$$\int_W f(x, y)\,dl = \int_\alpha^\beta f(x(t), y(t))\sqrt{\left[\frac{dx}{dt}(t)\right]^2 + \left[\frac{dy}{dt}(t)\right]^2}\,dt,$$

нам нужен дифференциал длины дуги кривой $dl = \left\|\frac{d\vec{x}}{dt}\right\| dt$. По формуле (3) имеем:

$$\frac{d\vec{x}}{dt} = -r\sin t \cdot \vec{e}_1 + r\cos t \cdot \vec{e}_2.$$

Отсюда для нормы вектора скорости получаем

$$\left\|\frac{d\vec{x}}{dt}\right\| = \sqrt{\left(\frac{dx}{dt}\right)^2 + \left(\frac{dy}{dt}\right)^2} = \sqrt{(-r\sin t)^2 + (r\cos t)^2} = r,$$

откуда имеем

$$dl = \left\|\frac{d\vec{x}}{dt}\right\| dt = r\,dt.$$

С учётом того, что в рассматриваемом случае точка наблюдения помещена в центр окружности, а точки источника поля находятся в точках самой окружности и очевидного равенства

$$\left\|\vec{x} - \vec{x}_0\right\| = \left\|\vec{x}_0 - \vec{x}\right\|,$$

дальнейшие вычисления напряжённости электрического поля в центре окружности проводятся так:

$$\vec{E}\left(\vec{x}_0\right)=\frac{\gamma}{4\pi\varepsilon\varepsilon_0}\left[\left(\int\limits_W\frac{x_0-x}{\left\|\vec{x}-\vec{x}_0\right\|^3}dl\right)\vec{e}_1+\left(\int\limits_W\frac{y_0-y}{\left\|\vec{x}-\vec{x}_0\right\|^3}dl\right)\vec{e}_2\right]=$$

$$=-\frac{\gamma}{4\pi\varepsilon\varepsilon_0}\left[\left(\int\limits_{-\alpha/2}^{\alpha/2}\frac{r\cos t}{r^3}rdt\right)\vec{e}_1+\left(\int\limits_{-\alpha/2}^{\alpha/2}\frac{r\sin t}{r^3}rdt\right)\vec{e}_2\right]=$$

$$=-\frac{\gamma}{4\pi\varepsilon\varepsilon_0}\left[\left(\int\limits_{-\alpha/2}^{\alpha/2}\frac{\cos t}{r}dt\right)\vec{e}_1+\left(\int\limits_{-\alpha/2}^{\alpha/2}\frac{\sin t}{r}dt\right)\vec{e}_2\right]=$$

$$=-\frac{\gamma}{4\pi\varepsilon\varepsilon_0 r}\left[\left(\int\limits_{-\alpha/2}^{\alpha/2}\cos t dt\right)\vec{e}_1+\left(\int\limits_{-\alpha/2}^{\alpha/2}\sin t dt\right)\vec{e}_2\right]=$$

$$=-\frac{\gamma}{4\pi\varepsilon\varepsilon_0 r}\left[\left(\sin t\Big|_{-\alpha/2}^{\alpha/2}\right)\vec{e}_1+\left(-\cos t\Big|_{-\alpha/2}^{\alpha/2}\right)\vec{e}_2\right]=$$

$$=-\frac{\gamma}{4\pi\varepsilon\varepsilon_0 r}\left[2\sin\frac{\alpha}{2}\vec{e}_1-\underbrace{\left(\cos\frac{\alpha}{2}-\cos\left(-\frac{\alpha}{2}\right)\right)}_{=0}\vec{e}_2\right]=-\frac{\gamma}{2\pi\varepsilon\varepsilon_0 r}\sin\frac{\alpha}{2}\vec{e}_1.$$

Получили следующую формулу для электрического поля, создаваемого в центре окружности линейным равномерным распределением заряда

$$\vec{E}\left(\vec{x}_0\right)=-\frac{\gamma}{2\pi\varepsilon\varepsilon_0 r}\sin\frac{\alpha}{2}\cdot\vec{e}_1. \qquad (6)$$

Из формулы (6) легко получаем формулу для нормы напряжённости электрического поля

$$E=\left\|\vec{E}\left(\vec{x}_0\right)\right\|=\frac{\gamma}{2\pi\varepsilon\varepsilon_0 r}\sin\frac{\alpha}{2}, \qquad (7)$$

из которой следует:

1) $E=\dfrac{\gamma}{2\pi\varepsilon\varepsilon_0 r}$ при $\alpha=\pi$;

2) $E=0$ при $\alpha=2\pi$. $\otimes$

Пример 4.4.2. Найти площадь фигуры, ограниченной линиями с уравнениями

$$y^2-4y+x^2=0,\ y^2-8y+x^2=0,\ y=\frac{x}{\sqrt{3}},\ x=0.$$

Р е ш е н и е. Область ограничена окружностями и прямыми, поэтому решаем задачу в полярных координатах:

$$x=r\cos\varphi\ ,\ y=r\sin\varphi.$$

При переходе к полярным координатам область D перейдёт в область D', ограниченную линиями

$$r=4\cos\varphi,\ r=8\cos\varphi,\ \frac{\pi}{6}\le\varphi\le\frac{\pi}{2}.$$

Искомая площадь равна $S=\iint\limits_{D'}r^2drd\varphi$. В полярных координатах область D' задаётся неравенствами

$$D'=\begin{cases}\dfrac{\pi}{6}\le\varphi\le\dfrac{\pi}{2},\\ 4\cos\varphi\le r\le 8\cos\varphi.\end{cases}$$

Переход от двойного интеграла к повторному интегралу даёт:

$$S=\iint\limits_{D'}r^2drd\varphi=\int\limits_{\frac{\pi}{6}}^{\frac{\pi}{2}}d\varphi\int\limits_{4\cos\varphi}^{8\cos\varphi}rdr.$$

Результат получается интегрированием:

$$S=\iint\limits_{D'}r^2drd\varphi=\int\limits_{\frac{\pi}{6}}^{\frac{\pi}{2}}d\varphi\int\limits_{4\cos\varphi}^{8\cos\varphi}rdr=24\int\limits_{\frac{\pi}{6}}^{\frac{\pi}{2}}\cos^2\varphi=\left\{\cos^2\varphi=\frac{1+\cos2\varphi}{2}\right\}=$$

$$=12\int\limits_{\frac{\pi}{6}}^{\frac{\pi}{2}}d\varphi+6\int\limits_{\frac{\pi}{6}}^{\frac{\pi}{2}}\cos2\varphi d(2\varphi)=8\pi-(6+3\sqrt{3}).\otimes$$

Пример 4.4.3. Применяя формулу Грина, вычислить криволинейный интеграл

$$\oint\limits_{\Gamma}-x^2ydx+xy^2dy,\qquad(1)$$

где Γ – окружность с уравнением $x^2 + y^2 = R^2$, причём обход окружности осуществляется против часовой стрелки.

Р е ш е н и е. Формула Грина имеет вид:

$$\iint\limits_{\Omega}\left(\frac{\partial Q}{\partial x} - \frac{\partial P}{\partial y}\right)(x, y)\,dxdy = \oint\limits_{\Gamma} P(x, y)\,dx + Q(x, y)\,dy.$$

Сравнивая с (1), видим, что $P(x, y) = -x^2 y$, $Q(x, y) = xy^2$. Поэтому

$$\left(\frac{\partial Q}{\partial x} - \frac{\partial P}{\partial y}\right)(x, y) = x^2 + y^2.$$

Следовательно, получаем

$$\oint\limits_{\Gamma} -x^2 y dx + xy^2 dy = \iint\limits_{\Omega}(x^2 + y^2)\,dxdy.$$

Вычисления проводим в полярных координатах:

$$x = R\cos\varphi,\ y = R\sin\varphi,\ 0 \le \varphi \le 2\pi,$$

$$\oint\limits_{\Gamma} -x^2 y dx + xy^2 dy = \iint r^2 r dr d\varphi = \int\limits_0^{2\pi} d\varphi \int\limits_0^R r^3 dr = \frac{1}{4}R^4 \int\limits_0^{2\pi} d\varphi = \frac{\pi R^4}{2}. \otimes$$

Пример 4.4.4. Применяя формулу Грина, вычислить площадь фигуры, ограниченной кривыми линиями с уравнениями

$$y = x^2,\ x = y^2,\ 8xy = 1,$$

примыкающей к началу системы координат.

Р е ш е н и е. Площадь плоской фигуры вычисляется по формуле:

$$S(\Omega) = \iint\limits_{\Omega} dxdy = \frac{1}{2}\oint\limits_{\Gamma} xdy - ydx.$$

Рассмотрим вид фигуры. Первая и вторая кривые линии – это стандартные параболы с осью OY и OX соответственно. Решая совместно уравнения кривых линий, найдём точки их пересечения:

$$A\left(\frac{1}{2}; \frac{1}{4}\right),\ B\left(\frac{1}{4}; \frac{1}{2}\right).$$

Применим формулу для вычисления площади плоской фигуры:

$$S(\Omega) = \frac{1}{2}\oint\limits_{\Gamma} xdy - ydx = \frac{1}{2}\int\limits_{OA} xdy - ydx + \frac{1}{2}\int\limits_{AB} xdy - ydx + \frac{1}{2}\int\limits_{BO} xdy - ydx =$$

$$= \frac{1}{2}\int_0^{1/2} x^2 dx - \frac{1}{8}\int_{1/2}^{1/4} \frac{dx}{x} - \frac{1}{4}\int_{1/4}^{0} \sqrt{x}\,dx = \frac{1+3\ln 2}{24} \approx 0{,}13. \otimes$$

Практическое занятие 5

Поверхностные интегралы первого и второго рода

Пример 4.5.1. Вычислить поверхностный интеграл первого рода

$$\iint_F (x^2 + y^2)\,dS,$$

где F – часть конической поверхности, заключённой между плоскостями с уравнениями $z = 0$ и $z = 1$.

Р е ш е н и е. Поверхностный интеграл первого рода вычисляется по формуле

$$\iint_F f(x, y, z)\,dS =$$

$$= \iint_{G^{12}} f(x, y, \varphi(x, y)) \sqrt{1 + \left[\frac{\partial \varphi}{\partial x}(x, y)\right]^2 + \left[\frac{\partial \varphi}{\partial y}(x, y)\right]^2}\,dxdy. \qquad (1)$$

В силу условий задачи выбираем верхнюю часть конической поверхности с уравнением

$$z = \varphi(x, y) = \sqrt{x^2 + y^2}.$$

Поэтому

$$\frac{\partial \varphi}{\partial x}(x, y) = \frac{x}{\sqrt{x^2 + y^2}}, \quad \frac{\partial \varphi}{\partial y}(x, y) = \frac{y}{\sqrt{x^2 + y^2}},$$

$$dS = \sqrt{1 + \left[\frac{\partial \varphi}{\partial x}(x, y)\right]^2 + \left[\frac{\partial \varphi}{\partial y}(x, y)\right]^2}\,dxdy =$$

$$= \sqrt{1 + \frac{x^2}{x^2 + y^2} + \frac{y^2}{x^2 + y^2}}\,dxdy = \sqrt{2}\,dxdy.$$

Искомый интеграл преобразуется в двойной интеграл по формуле (1):

$$\iint_F (x^2 + y^2)\,dS = \iint_{G^{12}} \sqrt{2} \cdot (x^2 + y^2)\,dxdy.$$

Так как область G^{12} – это круг, определённый неравенством $x^2 + y^2 \le 1$, то

$$\iint\limits_F (x^2 + y^2)\,dS = \iint\limits_{G^{12}} \sqrt{2}\cdot(x^2 + y^2)\,dxdy = 4\sqrt{2}\int\limits_0^{\pi/2} d\varphi \int\limits_0^1 r^3 dr = \frac{\sqrt{2}}{2}\cdot\pi\,. \otimes$$

Пример 4.5.2. Вычислить поверхностный интеграл первого рода

$$\iint\limits_F (\sqrt{a^2 - x^2} + z)\,ydS,$$

где F – поверхность цилиндра

$$x^2 + z^2 = a^2,$$

заключённая между плоскостями $y = b$ и $y = c$.

Р е ш е н и е. Из уравнения

$$x^2 + z^2 = a^2$$

следует

$$z = \varphi^3(x, y) = \pm\sqrt{a^2 - x^2}\,.$$

Поверхность F разбилась на две части: F_1 $(z \ge 0)$ и F_2 $(z \le 0)$. Определим элемент поверхности dS в соответствии с формулой вычисления поверхностного интеграла первого рода:

$$\frac{\partial\varphi(x, y)}{\partial x} = -\frac{x}{\sqrt{a^2 - x^2}};\ \frac{\partial\varphi(x, y)}{\partial y} = 0;$$

$$dS = \sqrt{1 + \left[\frac{\partial\varphi}{\partial x}(x, y)\right]^2 + \left[\frac{\partial\varphi}{\partial y}(x, y)\right]^2}\,dxdy = \frac{a\,dxdy}{\sqrt{a^2 - x^2}}.$$

Подставляя элемент поверхности в формулу для вычисления поверхностного интеграла первого рода

$$\iint\limits_F f(x, y, z)\,dS = \iint\limits_G f(x, y, \varphi(x, y))\sqrt{1 + \left[\frac{\partial\varphi}{\partial x}(x, y)\right]^2 + \left[\frac{\partial\varphi}{\partial y}(x, y)\right]^2}\,dxdy,$$

получим:

$$\iint\limits_F (\sqrt{a^2 - x^2} + z)\,ydS =$$

$$= \iint\limits_{F_1} \left(\sqrt{a^2 - x^2} + \sqrt{a^2 - x^2}\right) y dS + \iint\limits_{F_2} \left(\sqrt{a^2 - x^2} - \sqrt{a^2 - x^2}\right) y dS =$$

$$= \iint\limits_{G_1} 2\sqrt{a^2 - x^2}\, y \frac{a dx dy}{\sqrt{a^2 - x^2}} = 2a \iint\limits_{G_1} y dx dy =$$

$$= 2a \int\limits_{-a}^{a} dx \int\limits_{b}^{c} y dy = 2a^2 \left(c^2 - b^2\right). \otimes$$

Пример 4.5.3. Вычислить поверхностный интеграл второго рода

$$\iint\limits_F x^2 y^2 z dx dy$$

по верхней стороне верхней половины сферы с уравнением

$$x^2 + y^2 + z^2 = R^2.$$

Р е ш е н и е. Проекцией верхней полусферы на координатную плоскость XOY является круг, ограниченный окружностью

$$x^2 + y^2 = R^2.$$

Уравнение верхней полусферы

$$z = \varphi(x, y) = \sqrt{R^2 - x^2 - y^2}.$$

Следовательно, искомый интеграл преобразуется в двойной интеграл так:

$$\iint\limits_F x^2 y^2 z dx dy = \iint\limits_{G^{12}} x^2 y^2 \sqrt{R^2 - x^2 - y^2} dx dy.$$

Вычисления проводим в полярных координатах:

$$\iint\limits_{G^{12}} x^2 y^2 \sqrt{R^2 - x^2 - y^2} dx dy = \iint\limits_{G^{12}} r^5 \cos^2\varphi \cdot \sin^2\varphi \sqrt{R^2 - r^2} dr d\varphi =$$

$$= 4 \int\limits_0^{\pi/2} \cos^2\varphi \cdot \sin^2\varphi d\varphi \int\limits_0^R r^5 \sqrt{R^2 - r^2} dr =$$

$$= \left\{ \begin{array}{l} \sqrt{R^2 - r^2} = t;\ R^2 - r^2 = t^2; \\ r dr = -t dt;\ r^4 = \left(R^2 - t^2\right)^2. \end{array} \right\} == \int\limits_0^{\pi/2} \frac{1 - \cos 4\varphi}{2} d\varphi \int\limits_0^R \left(R^2 - t^2\right)^2 t^2 dt$$

$$= \frac{2}{105} \pi R^7. \otimes$$

Пример 4.5.4. Вычислить поверхностный интеграл второго рода

$$\iint\limits_F xdydz + ydzdx + zdxdy,$$

где F – верхняя сторона части плоскости с уравнением $x + z - 1 = 0$, отсечённая плоскостями с уравнениями $y = 0$, $y = 4$ и лежащая в первом октанте.

Р е ш е н и е. Заданная поверхность изображена на рисунке5.1. Для вычисления интеграла используем формулу вычисления общего поверхностного интеграла второго рода:

$$\iint\limits_F P(x, y, z)dydz + Q(x, y, z)dzdx + R(x, y, z)dxdy =$$

$$= \iint\limits_{G_{23}} P(\varphi(y, z), y, z)dydz + \iint\limits_{G_{13}} Q(x, \psi(x, z), z)dxdz +$$

$$+ \iint\limits_{G_{12}} R(x, y, \omega(x, y))dxdy.$$

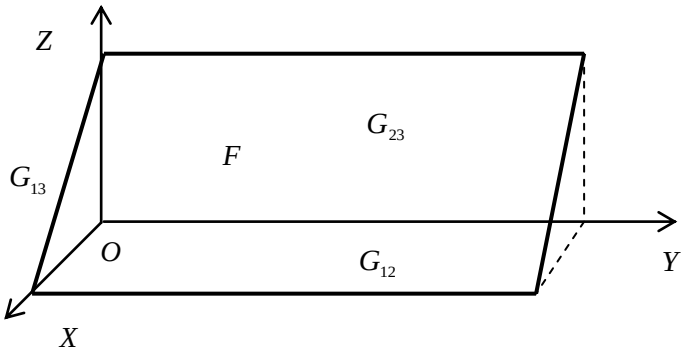

Рис. 5.1.

Так как плоскость параллельна оси OY, то

$$\iint\limits_{G_{13}} Q(x, \psi(x, z), z)dxdz = 0.$$

Получаем:

$$\iint\limits_F xdydz + ydzdx + zdxdy = \iint\limits_{G_{23}} (-z)dydz + \iint\limits_{G_{12}} (-x)dxdy = 4. \otimes$$

Практическое занятие 6

Векторный анализ

Пример 4.6.1. Найти градиент сферически-симметричного скалярного поля

$$u = \varphi(r),$$

где $r = \left\| \vec{r} \right\| = \sqrt{x^2 + y^2 + z^2}$.

Р е ш е н и е. По определению градиента имеем

$$\operatorname{grad} \varphi(r) = \frac{\partial}{\partial x}\varphi(r)\vec{e}_1 + \frac{\partial}{\partial y}\varphi(r)\vec{e}_2 + \frac{\partial}{\partial z}\varphi(r)\vec{e}_3 =$$

$$= \frac{d\varphi}{dr}\frac{x}{r}\vec{e}_1 + \frac{d\varphi}{dr}\frac{y}{r}\vec{e}_2 + \frac{d\varphi}{dr}\frac{z}{r}\vec{e}_3 = \frac{d\varphi}{dr}\cdot\frac{\vec{r}}{r}. \otimes$$

Отметим, что векторное поле, определяемое соотношением $\vec{a} = \operatorname{grad}\varphi$, называется ***потенциальным полем***, а скалярная функция φ называется ***потенциалом*** векторного поля $\vec{a}$. Само векторное поле $\vec{a} = \frac{d\varphi}{dr}\cdot\frac{\vec{r}}{r}$ называется ***потенциальным*** полем. Иногда потенциальное поле определяют соотношением $\vec{a} = -\operatorname{grad}\varphi$.

Пример 4.6.2. Найти дивергенцию сферически-симметричного векторного поля $\vec{a} = \varphi(r)\vec{r}$.

Р е ш е н и е. По определению дивергенции имеем:

$$\operatorname{div}\vec{a} = \left(\vec{\nabla}, \varphi(r)\vec{r}\right) = \frac{\partial}{\partial x}\left[\varphi(r)x\right] + \frac{\partial}{\partial y}\left[\varphi(r)y\right] + \frac{\partial}{\partial z}\left[\varphi(r)z\right] =$$

$$= \frac{d\varphi}{dr}\frac{x^2}{r} + \varphi(r) + \frac{d\varphi}{dr}\frac{y^2}{r} + \varphi(r) + \frac{d\varphi}{dr}\frac{z^2}{r} + \varphi(r) = \frac{d\varphi}{dr}\cdot r + 3\varphi(r). \otimes$$

Векторное поле называется ***соленоидальным***, если выполнено условие $div\,\vec{a} = 0$. $\otimes$

Пример 4.6.3. Найти условие соленоидальности векторного поля из предыдущего примера.

Р е ш е н и е. Условие соленоидальности $\operatorname{div}\vec{a} = 0$ для поля $\vec{a} = \varphi(r)\vec{r}$ приводит к обыкновенному дифференциальному уравнению

$$\frac{d\varphi}{dr}\cdot r + 3\varphi(r) = 0$$

С разделяющимися переменными. Разделяя переменные и учитывая, что в случае функций одного переменного производная $\frac{d\varphi}{dr}$ – это отношение двух дифференциалов, получаем:

$$\frac{d\varphi}{\varphi} = -3\frac{dr}{r}. \qquad (1)$$

Интегрируя уравнение (1), получаем $\ln|\varphi| = -3\ln r + C_1$. Записывая произвольную постоянную в логарифмическом виде $C_1 = \ln C$, где C – произвольная положительная постоянная, получаем $\varphi = \frac{C}{r^3}$. Здесь C уже произвольная (не обязательно положительная) постоянная. $\otimes$

Пример 4.6.4. Найти ротор сферически-симметричного векторного поля

$$\vec{a} = \varphi(r)\vec{r},$$

где $r = \left\|\vec{r}\right\| = \sqrt{x^2+y^2+z^2}$.

Р е ш е н и е. Записывая векторное поле в разложении по декартовому базису

$$\vec{a} = \varphi(r)\vec{r} = \varphi(r)x\vec{e}_1 + \varphi(r)y\vec{e}_2 + \varphi(r)z\vec{e}_3,$$

и используя определение ротора, получаем:

$$\operatorname{rot}\vec{a} = \left[\vec{\nabla}, \vec{a}\right] = \begin{vmatrix} \vec{e}_1 & \vec{e}_2 & \vec{e}_3 \\ \frac{\partial}{\partial x} & \frac{\partial}{\partial y} & \frac{\partial}{\partial z} \\ \varphi(r)x & \varphi(r)y & \varphi(r)z \end{vmatrix} =$$

$$= \left\{\frac{\partial}{\partial y}\left[\varphi(r)z\right] - \frac{\partial}{\partial z}\left[\varphi(r)y\right]\right\}\vec{e}_1 + \left\{\frac{\partial}{\partial z}\left[\varphi(r)x\right] - \frac{\partial}{\partial x}\left[\varphi(r)z\right]\right\}\vec{e}_2$$

$$+ \left\{\frac{\partial}{\partial x}\left[\varphi(r)y\right] - \frac{\partial}{\partial y}\left[\varphi(r)x\right]\right\}\vec{e}_3 = \frac{d\varphi(r)}{dr}\left(\frac{yz}{r} - \frac{zy}{r}\right)\vec{e}_1 +$$

$$+ \frac{d\varphi(r)}{dr}\left(\frac{zx}{r} - \frac{xz}{r}\right)\vec{e}_2 + \frac{d\varphi(r)}{dr}\left(\frac{xy}{r} - \frac{yx}{r}\right)\vec{e}_3 = \vec{0}. \otimes$$

Векторное поле, для которого выполнено соотношение $rot\,\vec{a} = \vec{0}$, называется ***безвихревым*** полем. Из предыдущей задачи следует, что сферически-симметричное векторное поле является безвихревым полем.

Пример 4.6.5. Доказать, что

$$\operatorname{div}\left[\vec{A}, \vec{B}\right] = \left(\vec{B}, \operatorname{rot}\vec{A}\right) - \left(\vec{A}, \operatorname{rot}\vec{B}\right). \qquad (1)$$

Р е ш е н и е. Для решения применим правило действия оператора $\vec{\nabla}$ на произведение функций

$$\vec{\nabla}\left(\varphi\cdot\omega\cdot\ldots\cdot\psi\right) =$$
$$= \vec{\nabla}\left(\overset{\vee}{\varphi}\cdot\omega\cdot\ldots\cdot\psi\right) + \vec{\nabla}\left(\varphi\cdot\overset{\vee}{\omega}\cdot\ldots\cdot\psi\right) + \ldots + \vec{\nabla}\left(\varphi\cdot\omega\cdot\ldots\cdot\overset{\vee}{\psi}\right), \qquad (2)$$

где символ $\vee$ над функцией устанавливает порядок действия оператора $\vec{\nabla}$ на соответствующую функцию. Для скалярных полей имеется в виду просто произведение функций, для векторных полей произведение может быть как скалярным, так и векторным.

Учитывая, что

$$\operatorname{div}\left[\vec{A}, \vec{B}\right] = \left(\vec{\nabla}, \left[\vec{A}, \vec{B}\right]\right),$$

в левой части (1) получаем:

$$\operatorname{div}\left[\vec{A}, \vec{B}\right] = \left(\vec{\nabla}, \left[\vec{A}, \vec{B}\right]\right) = \left(\vec{\nabla}, \left[\overset{\vee}{\vec{A}}, \vec{B}\right]\right) + \left(\vec{\nabla}, \left[\vec{A}, \overset{\vee}{\vec{B}}\right]\right),$$

Первое смешанное произведение в правой части последнего равенства преобразуется к виду:

$$\left(\vec{\nabla}, \left[\overset{\vee}{\vec{A}}, \vec{B}\right]\right) = \left(\left[\vec{\nabla}, \vec{A}\right], \vec{B}\right) = \left(\vec{B}, \left[\vec{\nabla}, \vec{A}\right]\right) = \left(\vec{B}, \operatorname{rot}\vec{A}\right). \qquad (3)$$

Аналогично, второе смешанное произведение в правой части того же равенства преобразуется к виду

$$\left(\vec{\nabla},\left[\vec{A},\overset{\vee}{\vec{B}}\right]\right)=-\left(\vec{\nabla},\left[\overset{\vee}{\vec{B}},\vec{A}\right]\right)=-\left(\vec{A},\left[\vec{\nabla},\vec{B}\right]\right)=-\left(\vec{A},\operatorname{rot}\vec{B}\right). \quad (4)$$

Складывая (3) и (4), получаем (1). ⊗

Пример 4.6.6. Доказать, что справедлива формула

$$\operatorname{rot}\left(u\cdot\vec{A}\right)=\left[\operatorname{grad}u,\vec{A}\right]+u\cdot\operatorname{rot}\vec{A},$$

где u – скалярное, а $\vec{A}$ – векторное поля.

Р е ш е н и е. Преобразуем левую часть:

$$\operatorname{rot}\left(u\cdot\vec{A}\right)=\left[\vec{\nabla},u\cdot\vec{A}\right]=\left[\vec{\nabla},\overset{\vee}{u}\cdot\vec{A}\right]+\left[\vec{\nabla},u\cdot\overset{\vee}{\vec{A}}\right]=$$

$$=\left[\vec{\nabla}u,\vec{A}\right]+u\cdot\left[\vec{\nabla},\vec{A}\right]=\left[\operatorname{grad}u,\vec{A}\right]+u\cdot\operatorname{rot}\vec{A}.\otimes$$

Пример 4.6.7. Доказать, что справедлива формула

$$\operatorname{rot}\ \operatorname{rot}\vec{A}=\operatorname{grad}\operatorname{div}\vec{A}-\Delta\vec{A},$$

где Δ – ***оператор Лапласа*** $\Delta=\left(\vec{\nabla},\vec{\nabla}\right)$.

Р е ш е н и е. Для доказательства используем формулу для двойного векторного произведения

$$\left[\vec{A},\left[\vec{B},\vec{C}\right]\right]=\vec{B}\left(\vec{A},\vec{C}\right)-\vec{C}\left(\vec{A},\vec{B}\right),$$

полагая $\vec{A}=\vec{B}=\nabla$, получим:

$$\operatorname{rot}\ \operatorname{rot}\vec{A}=\left[\vec{\nabla},\left[\vec{\nabla},\vec{A}\right]\right]=\vec{\nabla}\left(\vec{\nabla},\vec{A}\right)-\left(\vec{\nabla},\vec{\nabla}\right)\vec{A}=\operatorname{grad}\operatorname{div}\vec{A}-\Delta\vec{A}.\otimes$$

Пример 4.6.8. Найти циркуляцию векторного поля

$$\vec{A}=x^3\vec{e}_1-y^2\vec{e}_2+y\vec{e}_3$$

по замкнутому контуру $\Gamma \in [0, 2\pi]$, заданному уравнениями

$$x = \cos t,\ y = 3\sin t,\ z = \cos t - \sin t.$$

Р е ш е н и е. По определению циркуляция равна криволинейному интегралу второго рода

$$C = \oint_{\Gamma} \left(\vec{A}, d\vec{x} \right) = \oint_{\Gamma} x^3 dx - y^2 dy + y dz.$$

Криволинейный интеграл вычисляем, сводя его к определённому интегралу:

$$\oint_{\Gamma} x^3 dx - y^2 dx^2 + y dx^3 =$$

$$= \int_0^{2\pi} (-\cos^3 t \sin t - 27 \sin^2 t \cos t - 3\sin^2 t - 3\sin t \cos t)\, dt =$$

$$= -\int_0^{2\pi} \cos^3 t \sin t dt - 27 \int_0^{2\pi} \sin^2 t \cos t dt - 3 \int_0^{2\pi} \sin^2 t dt - 3 \int_0^{2\pi} \sin t \cos t dt =$$

$$= \int_0^{2\pi} \cos^3 t d(\cos t) - 27 \int_0^{2\pi} \sin^2 t d(\sin t) -$$

$$-\frac{3}{2} \int_0^{2\pi} \left(\frac{1}{2} - \frac{1}{2} \cos 2t \right) d(2t) - 3 \int_0^{2\pi} \sin t d(\sin t) = -3\pi. \otimes$$

Пример 4.6.9. Найти циркуляцию векторного поля

$$\vec{F} = -\omega x_2 \vec{e}_1 + \omega x_1 \vec{e}_2$$

по простому замкнутому контуру, представляющему собой окружность с центром в начале системы координат и радиусом R, в положительном направлении.

Р е ш е н и е. Параметризация окружности

$$x_1 = R\cos t,\ x_2 = R\sin t,$$

где $t \in [0, 2\pi]$. Поэтому по определению циркуляции получаем:

$$C = \oint_{\Gamma} \left(\vec{F}, d\vec{x} \right) = \oint_{\Gamma} -\omega x_2 dx_1 + \omega x_1 dx_2 =$$

$$= \omega \int_0^{2\pi} (R^2 \sin^2 t + R^2 \cos^2 t)\, dt = 2\pi R^2 \omega. \otimes$$

Пример 4.6.10. Найти циркуляцию векторного поля

$$\vec{F} = (x_1 + 3x_2 + 2x_3)\vec{e}_1 + (2x_1 + x_3)\vec{e}_2 + (x_1 - x_2)\vec{e}_3$$

по контуру треугольника ABC, если $A(2; 0; 0)$, $B(0; 3; 0)$, $C(0; 0; 1)$.

Р е ш е н и е. Для решения применим формулу Стокса, согласно которой

$$C = \oint_{\Gamma}\left(\vec{F}, d\vec{x}\right) = \iint_{S}\left(\vec{n}, rot\,\vec{F}\right)ds.$$

Уравнение плоскости, в которой лежит треугольник, имеет вид

$$\frac{x_1}{2} + \frac{x_2}{3} + \frac{x_3}{1} = 1,$$

или

$$3x_1 + 2x_2 + 6x_3 = 6.$$

Находим ротор векторного поля:

$$rot\,\vec{F} = \begin{vmatrix} \vec{e}_1 & \vec{e}_2 & \vec{e}_3 \\ \dfrac{\partial}{\partial x_1} & \dfrac{\partial}{\partial x_2} & \dfrac{\partial}{\partial x_3} \\ x_1 + 3x_2 + 2x_3 & 2x_1 + x_3 & x_1 - x_2 \end{vmatrix} =$$

$$= \left[\frac{\partial}{\partial x_2}(x_1 - x_2) - \frac{\partial}{\partial x_3}(2x_1 + x_3)\right]\vec{e}_1 -$$

$$-\left[\frac{\partial}{\partial x_1}(x_1 - x_2) - \frac{\partial}{\partial x_3}(x_1 + 3x_2 + 2x_3)\right]\vec{e}_2 +$$

$$-\left[\frac{\partial}{\partial x_1}(2x_1 + x_3) - \frac{\partial}{\partial x_2}(x_1 + 3x_2 + 2x_3)\right]\vec{e}_3 = -2\vec{e}_1 + \vec{e}_2 - \vec{e}_3.$$

Теперь циркуляция

$$C = \oint_{\Gamma}\left(\vec{F}, d\vec{x}\right) = \iint_{S}\left(\vec{n}, rot\,\vec{F}\right)ds =$$

$$= -2\iint_{G^{23}} dx_2 dx_3 + \iint_{G^{13}} dx_3 dx_1 - \iint_{G^{12}} dx_1 dx_2 =$$

$$= -2\int_0^3 dx_2 \int_0^{1-x_2/3} dx_3 + \int_0^1 dx_3 \int_0^{2-x_3} dx_1 - \int_0^2 dx_1 \int_0^{3-3x_1/2} dx_2 =$$

$$= -2\left[x_2 - \frac{1}{6}x_2^2 \right]_0^3 + \left[x_3 - x_3^2 \right]_0^1 - \left[3x_1 - \frac{3}{4}x_1^2 \right]_0^2 = -5. \otimes$$

Пример 4.6.11. Найти циркуляцию векторного поля

$$\vec{F} = x_2 \vec{e}_1 - x_1 \vec{e}_2 + a \vec{e}_3 \quad (a = const)$$

вдоль окружности с уравнением

$$x_1^2 + x_2^2 = 1,\ x_3 = 0$$

в положительном направлении двумя способами.

Р е ш е н и е. 1) Вычислим циркуляцию непосредственно, учитывая, что параметризация окружности имеет вид $(R = 1)$:

$$x_1 = \cos t,\ x_2 = \sin t.$$

Теперь имеем:

$$C = \oint_\Gamma \left(\vec{F}, d\vec{x} \right) = \oint_\Gamma F_1 dx_1 + F_2 dx_2 + F_3 dx_3 =$$

$$= \int_0^{2\pi} \left[\sin t \cdot (-\sin t) - \cos t \cos t \right] dt = -\int_0^{2\pi} \left(\sin^2 t + \cos^2 t \right) dt = -2\pi.$$

2) Вычислим циркуляцию по формуле Стокса. Сначала найдём ротор векторного поля:

$$rot\, \vec{F} = \begin{vmatrix} \vec{e}_1 & \vec{e}_2 & \vec{e}_3 \\ \dfrac{\partial}{\partial x_1} & \dfrac{\partial}{\partial x_2} & \dfrac{\partial}{\partial x_3} \\ x_2 & -x_1 & a \end{vmatrix} = -2\vec{e}_3.$$

Нормаль плоскости треугольника $\vec{n} = \vec{e}_3$. Следовательно, имеем

$$C = \oint_\Gamma \left(\vec{F}, d\vec{x} \right) = \iint_S \left(\vec{n}, rot\, \vec{F} \right) ds = -2 \iint_S \left(\vec{n}, \vec{e}_3 \right) ds = -2 \iint_S dx_1 dx_2 =$$

$$= -2 \int_0^{2\pi} d\varphi \int_0^2 r dr = -2 \cdot 2\pi \cdot \frac{1}{2} = -2\pi. \otimes$$

Пример 4.6.12. Найти поток радиус-вектора

$$\vec{r} = x\vec{e}_1 + y\vec{e}_2 + z\vec{e}_3$$

через произвольную гладкую замкнутую поверхность F, ограничивающую область Ω, имеющую объём V.

Р е ш е н и е. Находим дивергенцию поля радиус-вектора:

$$\operatorname{div}\vec{r} = 1+1+1 = 3.$$

Воспользуемся формулой Остроградского-Гаусса (10.10.13):

$$\oiint_F \left(\vec{r}, d\vec{s}\right) = \iiint_V \left(\vec{\nabla}, \vec{r}\right) dV = 3\iiint_V dV = 3V.$$

Из полученной формулы следует формула для вычисления объёма области Ω при помощи поверхностных интегралов

$$V = \frac{1}{3}\oiint_F \left(\vec{r}, \vec{n}\right) ds,$$

которая в декартовых координатах принимает вид

$$V = \frac{1}{3}\oiint_F \left(xn_1 + yn_2 + zn_3\right) ds = \frac{1}{3}\oiint_F \left(x\cos\alpha + y\cos\beta + z\cos\gamma\right) ds,$$

где $\cos\alpha$, $\cos\beta$, $\cos\gamma$ – координаты орта нормали $\vec{n}$. $\otimes$

Пример 4.6.13. Найти поток векторного поля радиус-вектора

$$\vec{r} = x\vec{e}_1 + y\vec{e}_2 + z\vec{e}_3$$

Через поверхность с уравнением

$$z = 1 - \sqrt{x^2 + y^2},\ z = 0\ \left(0 \le z \le 1\right).$$

Р е ш е н и е. Воспользуемся теоремой Остроградского-Гаусса:

$$\Phi = \oiint_S \left(\vec{F}, \vec{n}\right) ds = \iiint_V div\,\vec{F}\, dv.$$

Так как

$$\operatorname{div}\vec{r} = 1+1+1 = 3,$$

а поверхность – это конус с вершиной в точке $(0; 0; 1)$, ограниченный плоскостями с уравнениями $z = 0$ и $z = 1$, то переходя к цилиндрическим координатам, получаем:

$$\Phi = \oiint_S \left(\vec{r}, \vec{n}\right) ds = \iiint_V div\,\vec{r}\, dv = 3\iiint_V dv = 3\iiint_\Omega r\,d\varphi\,dr\,dz =$$

$$= 3\int_0^{2\pi} d\varphi \int_0^1 r dr \int_0^{1-r} dz = 3\int_0^{2\pi} d\varphi \int_0^1 r(1-r)\,dr = 3\cdot 2\pi\cdot\left(\frac{1}{2}-\frac{1}{3}\right) = \pi. \otimes$$

Пример 4.6.14. Найти поток поля

$$\vec{E} = \frac{1}{4\pi\varepsilon\varepsilon_0}\frac{q}{r^2}\frac{\vec{r}}{r}$$

точечного источника электрического поля через сферу с уравнением

$$x^2 + y^2 + z^2 = R^2.$$

Р е ш е н и е. Поток векторного поля через поверхность вычисляется по формуле

$$\Phi = \iint_S \left(\vec{F}, d\vec{s}\right) = \iint_S \left(\vec{F}, \vec{n}\right) ds = \frac{q}{4\pi\varepsilon\varepsilon_0}\iint_S \frac{1}{r^2}\left(\frac{\vec{r}}{r}, \vec{n}\right) ds.$$

Так как $r = R = const$ и скалярное произведение ортов

$$\left(\frac{\vec{r}}{r}, \vec{n}\right) = 1,$$

получаем:

$$\Phi = \frac{q}{4\pi\varepsilon\varepsilon_0}\iint_S \frac{1}{r^2}\left(\frac{\vec{r}}{r}, \vec{n}\right) ds = \frac{q}{4\pi\varepsilon\varepsilon_0 R^2}\iint_S ds = \frac{q4\pi R^2}{4\pi\varepsilon\varepsilon_0 R^2} = \frac{4\pi q}{4\pi\varepsilon\varepsilon_0}. \otimes$$

Практическое занятие 7

Дифференциальные уравнения,

интегрируемые в квадратурах

Дифференциальные уравнения с разделяющимися переменными

Пример 4.7.1. Найти интегральные кривые дифференциального уравнения

$$6xdx - 6ydy = 2x^2 ydy - 3xy^2 dx.$$

Р е ш е н и е. 1) Перепишем данное уравнение в виде

$$2y\ \ x^2+3\ \ dy=3x\ \ 2+y^2\ \ dx.$$

2) Замечаем, что $x^2+3>0,\ 2+y^2>0.$ Поэтому можно разделить переменные, деля обе части уравнения на $\left(x^2+3\right)\left(2+y^2\right)$:

$$\frac{2y}{2+y^2}dy=\frac{3x}{x^2+3}dx.$$

3) Используем формулу для нахождения решения:

$$\int\frac{2y}{2+y^2}dy+C_1=\int\frac{3x}{x^2+3}dx+C_2;$$

$$\ln\ \ 2+y^2\ \ =\frac{3}{2}\ln\ \ x^2+3\ \ +C;$$

$$C=C_2-C_1.$$

4) Преобразуем полученный интеграл:

$$2\ln\ \ 2+y^2\ \ -3\ln\ \ x^2+3\ \ =C;$$

$$\ln\frac{2+y^2\ \ ^2}{x^2+3\ \ ^3}=C.$$

Ответ: Интегральные кривые определяются уравнением

$$\ln\frac{2+y^2\ \ ^2}{x^2+3\ \ ^3}=C$$

при всевозможных значениях параметра C. $\otimes$

Пример 4.7.2. Найти частное решение уравнения

$$\left(+y^2\right)dx=xydy,$$

если $y=1$ при $x=2$.

Р е ш е н и е. 1) Разделяем переменные:

$$\frac{y}{1+y^2}dy=\frac{dx}{x}.$$

2) Интегрируем полученное уравнение:

$$\int \frac{y}{1+y^2}\,dy = \int \frac{dx}{x} + \ln C;$$

$$\frac{1}{2}\ln\left|1+y^2\right| = \ln|x| + \ln C;$$

$$1+y^2 = Cx^2.$$

Так как C – произвольная постоянная, то имеем

$$y^2 = Cx^2 - 1$$

3) Используем начальные условия:

$$4 = 2C;\ C = 2;\ x^2 = 2\left(+y^2\right).$$

4) Частный интеграл:

$$y = \sqrt{\frac{x^2}{2} - 1}.$$

Ответ: $y = \sqrt{\frac{x^2}{2} - 1}.\ \otimes$

Дифференциальные уравнения с однородной правой частью

Пример 4.7.3. Найти интегральные кривые дифференциального уравнения

$$\frac{dy}{dx} = \frac{x^2 + 2xy - 5y^2}{2x^2 - 6xy}.$$

Р е ш е н и е. Это уравнение с однородной правой частью.

1) Разделим числитель и знаменатель на x^2:

$$\frac{dy}{dx} = \frac{1 + 2\frac{y}{x} - 5\left(\frac{y}{x}\right)^2}{2 - 6\frac{y}{x}}.$$

2) Совершаем подстановку

$$u(x) = \frac{y}{x},$$

где $u(x)$ – новая искомая функция. Так как

$$y' = u + xu',$$

получаем новый вид уравнения:

$$u + x\frac{du}{dx} = \frac{1 + 2u - 5u^2}{2 - 6u}.$$

После простых преобразований получаем

$$\frac{du}{dx}x = \frac{1 + u^2}{2 - 6u}.$$

3) Разделяем переменные, предполагая, что $1 + u^2 \neq 0,\ x \neq 0$:

$$\frac{2 - 6u}{1 + u^2}du = \frac{dx}{x}.$$

4) Интегрируем:

$$2arctgu - 3\ln(1 + u^2) = \ln|x| + C.$$

Заменяя $u(x) = \frac{y}{x}$, получаем:

$$2arctg\frac{y}{x} - 3\ln\left(1 + \frac{y}{x^2}\right)^2 - \ln|x| = C.$$

Ответ: Интегральные кривые определяются уравнением

$$2arctg\frac{y}{x} - 3\ln\left(1 + \frac{y}{x^2}\right)^2 - \ln|x| = C. \otimes$$

Линейные дифференциальные уравнения первого порядка

Пример 4.7.4. Найти общее решение уравнения

$$\frac{dy}{dx} + 3y = e^{2x}.$$

Р е ш е н и е. Здесь $p(x) = 3,\ f(x) = e^{2x}$.

1) Сначала решаем однородное уравнение

$$\frac{dy}{dx} = -3y,$$

соответствующее данному неоднородному уравнению:

$$\frac{dy}{dx} = -3y;$$

$$\frac{dy}{y} = -3dx;$$

$$\ln|y| = -3x + \ln C_1;$$

$$|y| = C_1 e^{-3x};$$

$$y = C_2 e^{-3x}.$$

2) Ищем решение исходного уравнения в виде $z = C_2(x)e^{-3x}$. Подстановка в исходное уравнение даёт:

$$\frac{dC_2(x)}{dx} = e^{5x};$$

$$C_2(x) = \int e^{5x} dx + C;$$

$$C_2(x) = \frac{1}{5}e^{5x} + C.$$

3) Подставляем в решение:

$$z = \frac{1}{5}e^{2x} + Ce^{-3x}.$$

Ответ: общее решение имеет вид

$$z = \frac{1}{5}e^{2x} + Ce^{-3x}. \otimes$$

Пример 4.7.5. Найти решение задачи Коши для уравнения

$$\frac{dy}{dx} - \frac{1}{x}y = -\frac{2}{x^2}$$

с начальным условием $y(1) = 1$.

Р е ш е н и е. Воспользуемся формулой

$$y = e^{-\int p(x)dx}\left(\int q(x)e^{\int p(x)dx} + C\right),$$

следующей из метода вариации произвольной постоянной.

1) Находим общее решение:

$$z = e^{-\int p(x)dx}\left(\int q(x)e^{\int p(x)dx} + C\right) = e^{\int\frac{dx}{x}}\left(-2\int\frac{1}{x^2}e^{-\int\frac{1}{x}dx}\right) = \frac{1}{x} + Cx.$$

2) Используем начальное условие

$$\frac{1}{1^2} + C = 1,$$

откуда $C = 0$. Решение задачи Коши принимает вид:

$$z = \frac{1}{x}.$$

Ответ: $y = \frac{1}{x}.\otimes$

Неполные обыкновенные дифференциальные уравнения второго порядка

Пример 4.7.6. Найти частное решение ОДУ

$$\frac{d^2y}{dx^2} = xe^x,$$

удовлетворяющее начальным условиям $y\big|_{x=0} = 1,\ \frac{dy}{dx}\big|_{x=0} = 0.$

Р е ш е н и е. Интегрируем уравнение последовательно:

1) $$\frac{dy}{dx} = \int xe^x dx + C_1 = \begin{Bmatrix} u = x, & du = dx, \\ dv = e^x dx, & v = e^x. \end{Bmatrix} = xe^x - \int e^x dx + C_1 =$$

$$= (x-1)e^x + C_1;$$

2) $$y = \int (x-1)e^x dx + C_1 x + C_2 = \begin{Bmatrix} u = x-1, & du = dx, \\ dv = e^x dx, & v = e^x. \end{Bmatrix} =$$

$$= (x-2)e^x + C_1 x + C_2.$$

Так как в силу первого начального условия $\left.\frac{dy}{dx}\right|_{x=0} = 0$, получаем:

$$(-1)e^0 + C_1 = 0,\ C_1 = 1.$$

Так как в силу второго начального условия $y|_{x=0} = 1$, получаем:

$$(-2)e^0 + C_1 \cdot 0 + C_2 = 1,\ C_2 = 3.$$

Теперь частное решение, удовлетворяющее заданным условиям, принимает вид

$$y = (x-2)e^x + x + 3. \otimes$$

Пример 4.7.7. Найти общее решение ОДУ

$$\left(\frac{d^2y}{dx^2}\right)^2 - 3\frac{d^2y}{dx^2} + 2 = 0.$$

Р е ш е н и е. Решаем уравнение относительно $z = \frac{d^2y}{dx^2}$:

$$\frac{d^2y}{dx^2} = 1,\ \frac{d^2y}{dx^2} = 2.$$

Интегрируем получившиеся ОДУ последовательно:

1) $\frac{d^2y}{dx^2} = 1,\ \frac{dy}{dx} = x + C_1,\ y = \frac{1}{2}x^2 + C_1 x + C_2;$

2) $\frac{d^2y}{dx^2} = 2,\ \frac{dy}{dx} = 2x + C_3,\ y = x^2 + C_3 x + C_4.$

Совокупность этих решений образует общий интеграл ОДУ.

Так как квадратный трёхчлен имеет разложение

$$z^2 - 3z + 2 = (z - z_1)(z - z_2),$$

то общий интеграл ОДУ имеет вид:

$$\left(y - \frac{1}{2}x^2 - C_1 x - C_2\right) \cdot (y - x^2 - C_3 x - C_4) = 0. \otimes$$

Пример 4.7.8. Найти общее решение ОДУ

$$\frac{d^3y}{dx^3} = -\frac{1}{2}\left(\frac{d^2y}{dx^2}\right)^3.$$

Р е ш е н и е. Положим $\frac{d^2y}{dx^2} = z$, тогда из уравнения получаем

$$\frac{dz}{dx} = -\frac{1}{2}z^3.$$

Интегрируя получившееся уравнение, получаем

$$\frac{dz}{dx} = -\frac{1}{2}z^3,\ \frac{dz}{z^3} = -\frac{1}{2}dx,\ \frac{1}{z^2} = x + C_1,\ z^2 = \frac{1}{x + C_1}.$$

Заменяя $z = \frac{d^2y}{dx^2}$, получаем уравнение

$$\left(\frac{d^2y}{dx^2}\right)^2 = \frac{1}{x + C_1}.$$

Уравнение содержит только x и y. Разрешая его относительно $\frac{d^2y}{dx^2}$, получаем

$$\frac{d^2y}{dx^2} = \frac{\pm 1}{\sqrt{x + C_1}}.$$

Это уравнение интегрируем последовательно:

$$\frac{dy}{dx} = \pm\int\frac{dx}{\sqrt{x + C_1}} + C_2 = \left\{dx = d\left(x + C_1\right)\right\} =$$

$$= \pm\int \left(x + C_1\right)^{-1/2} d\left(x + C_1\right) + C_2 = \pm\left(x + C_1\right)^{1/2} + C_2$$

$$y_1 = \int \left(x + C_1\right)^{1/2} dx + C_2x + C^3 = \left(x + C_1\right)^{3/2} + C_2x + C^3,$$

$$y_2 = -\int \left(x + C_1\right)^{1/2} dx + C_2x + C^3 = -\left(x + C_1\right)^{3/2} + C_2x + C^3. \otimes$$

Линейные однородные дифференциальные уравнения

второго порядка

Пример 4.7.9. Найти общее решение линейного однородного дифференциального уравнения

$$\frac{d^2y}{dx^2}+\frac{dy}{dx}-2y=0.$$

Р е ш е н и е. Характеристическое уравнение

$$k^2+k-2=0.$$

Корни характеристического уравнения

$$k_1=-2,\ k_2=1.$$

Фундаментальная система решений

$$e^{-2x},\ e^{x}\ .$$

Общее решение имеет вид:

$$y(x)=C_1e^{-2x}+C_2e^{x}.\otimes$$

Пример 4.7.10. Найти общее решение линейного однородного дифференциального уравнения

$$\frac{d^2y}{dx^2}-2\frac{dy}{dx}+y=0.$$

Р е ш е н и е. Характеристическое уравнение

$$k^2-2k+1=0.$$

Корни характеристического уравнения

$$k_1=k_2=1.$$

Фундаментальная система решений

$$e^{x},\ xe^{x}\ .$$

Общее решение имеет вид:

$$y(x)=(C_1+C_2x)e^{x}.\otimes$$

Пример 4.7.11. Найти общее решение линейного однородного дифференциального уравнения

$$\frac{d^2y}{dx^2}-4\frac{dy}{dx}+13y=0.$$

Р е ш е н и е. Характеристическое уравнение

$$k^2-4k+13=0.$$

Корни характеристического уравнения

$$k_1=2+3i,\ k_2=2-3i.$$

Фундаментальная система решений

$$e^{2x}\cos 3x,\ e^{2x}\sin 3x\ .$$

Общее решение имеет вид:

$$y=e^{2x}\left(C_1\cos 3x+C_2\sin x\right).\otimes$$

Пример 4.7.12. Найти общее решение линейного однородного дифференциального уравнения

$$\frac{d^3y}{dx^3}-2\frac{d^2y}{dx^2}-\frac{dy}{dx}+2y=0.$$

Р е ш е н и е. Характеристическое уравнение

$$k^3-2k^2-k+2=0.$$

Преобразуем характеристическое уравнение:

$$\left(k^2-1\right)\left(k-2\right)=0.$$

Корни характеристического уравнения

$$k_1=-1,\ k_2=1,\ k_3=2.$$

Фундаментальная система решений

$$e^{-x},\ e^{x},\ e^{2x}\ .$$

Общее решение имеет вид:

$$y=C_1e^{-x}+C_2e^{x}+C_3e^{2x}.\otimes$$

Пример 4.7.13. Найти общее решение линейного однородного дифференциального уравнения

$$\frac{d^3y}{dx^3}-4\frac{d^2y}{dx^2}+6\frac{dy}{dx}-4y=0.$$

Р е ш е н и е. Характеристическое уравнение

$$k^3-4k^2+6k-4=0.$$

Корень ищем среди множителей свободного члена, это 2 и 4. Проверяем 2, для чего делим уголком:

$$k^3-4k^2+6k-4=(k-2)(k^2-2k+2).$$

Уравнение принимает вид:

$$(k-2)(k^2-2k+2)=0.$$

Находим оставшиеся корни характеристического уравнения

$$k_1=2,\ k_2=1+i,\ k_3=1-i.$$

Фундаментальная система решений

$$e^{2x},\ e^x\cos x,\ e^x\sin x\ .$$

Общее решение записывается в виде:

$$y(x)=C_1e^{2x}+e^x(C_2\cos x+C_3\sin x).\otimes$$

Линейные неоднородные дифференциальные уравнения

второго порядка. Метод Лагранжа

Пример 4.7.14. Найти общее решение линейного неоднородного дифференциального уравнения

$$\frac{d^2y}{dx^2}-y=x^2-x+1.$$

Р е ш е н и е. 1) Однородное уравнение

$$\frac{d^2y}{dx^2}-y=0.$$

Характеристическое уравнение

$$k^2-1=0.$$

Корни характеристического уравнения

$$k_1 = -1,\ k_2 = 1.$$

Фундаментальная система решений

$$e^{-x},\ e^{x}\ .$$

Общее решение имеет вид:

$$y(x) = C_1 e^{-x} + C_2 e^{x}.$$

2) Решение неоднородного уравнения ищем в виде

$$z(x) = C_1(x)e^{-x} + C_2(x)e^{x}.$$

Система линейных алгебраических уравнений для производных новых функций в общем виде

$$\begin{cases} y_1 \dfrac{dC_1}{dx} + y_2 \dfrac{dC_2}{dx} = 0, \\ \dfrac{dy_1}{dx}\dfrac{dC_1}{dx} + \dfrac{dy_2}{dx}\dfrac{dC_2}{dx} = f(x). \end{cases}$$

В нашем случае

$$\begin{cases} e^{-x} \dfrac{dC_1}{dx} + e^{x} \dfrac{dC_2}{dx} = 0, \\ -e^{-x} \dfrac{dC_1}{dx} + e^{x} \dfrac{dC_2}{dx} = x^2 - x + 1. \end{cases}$$

Решаем систему, например, по формулам Крамера, в результате получаем:

$$\frac{dC_1}{dx} = -\frac{1}{2}e^{x}(x^2 - x + 1);\ \frac{dC_2}{dx} = \frac{1}{2}e^{-x}(x^2 - x + 1).$$

3) Решение первого из уравнений:

$$C_1 = -\frac{1}{2}\int e^{x}(x^2 - x + 1)dx + A_1 = \ldots = \left(-\frac{1}{2}x^2 + \frac{3}{2}x - 2\right)e^{x} + A_1.$$

Решение второго уравнения:

$$C_2 = -\frac{1}{2}\int e^{-x}(x^2 - x + 1)dx + A_2 = \ldots = \left(-\frac{1}{2}x^2 - \frac{3}{2}x + 12\right)e^{-x} + A_2.$$

Общее решение неоднородного уравнения

$$z(x) = A_1 e^{-x} + A_2 e^{x} - x^2 + x - 1. \otimes$$

Примеры из механики

Пример 4.7.15. С аэростата, падающего с высоты H со скоростью v_0, сбросили балласт, после чего его падение замедлилось и через некоторое время сменилось подъёмом, так что через время t_0 аэростат поднялся на высоту, с которой сбросили балласт. Считая, что масса аэростата без балласта равна m, а сила сопротивления воздуха R и подъёмная сила аэростата T постоянны, определить, сколько времени после сброса балласта аэростат опускался.

Р е ш е н и е. Начало системы координат поместим в нижнюю точку траектории аэростата, ось OZ направим вертикально вверх (рисунок 1). По условию задачи силы, действующие на аэростат в течение всего времени движения остаются постоянными.

Уравнение второго закона динамики для опускающегося аэростата имеет вид:

$$m\ddot{z} = T + R - G, \qquad (1)$$

где $G = mg$ – сила тяжести. В начальный момент времени аэростат находился на высоте H, поэтому начальные условия запишутся в виде

$$z(0) = H,\ \dot{z}(0) = -v_0. \qquad (2)$$

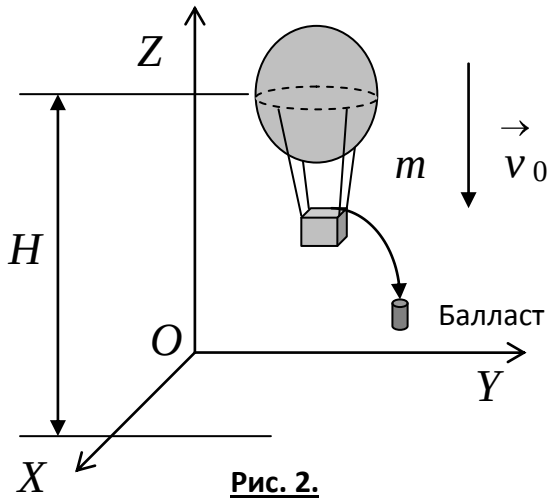

Рис. 2.

Уравнение (1) – это простейшее обыкновенное дифференциальное уравнение, не содержащее в правой части искомой функции и независимой переменной. Интегрируя два раза, получаем:

$$m\dot{z} = (T + R - G)t + C_1, \qquad (3)$$

$$mz = \frac{T+R-G}{2}t^2 + C_1 t + C_2 . \qquad (4)$$

Используя начальные условия (2), получаем для постоянных: $C_1 = -mv_0$, $C_2 = mH$. Теперь уравнения движения принимают вид:

$$\dot{z} = \frac{T+R-G}{m}t - v_0, \qquad (5)$$

$$z = \frac{T+R-G}{2m}t^2 - v_0 t + H . \qquad (6)$$

Для поднимающегося аэростата уравнение второго закона динамики и начальные условия имеют вид:

$$m\ddot{z} = T - R - G, \qquad (7)$$

$$z(0) = 0,\ \dot{z}(0) = 0. \qquad (8)$$

Интегрируя (7), получаем:

$$m\dot{z} = (T - R - G)t + C_1, \qquad (9)$$

$$mz = \frac{T-R-G}{2}t^2 + C_1 t + C_2 . \qquad (10)$$

Из начальных условий (8) для постоянных получаем $C_1 = 0$, $C_2 = 0$, откуда получаем уравнение движения:

$$z = \frac{T-R-G}{2m}t^2 . \qquad (11)$$

Обозначим время падения аэростата t_1, а время подъёма t_2. Из условия задачи $t_0 = t_1 + t_2$. Подставляя $t = t_1$, $\dot{z}(t_1) = 0$, $z(t_1) = 0$ в (5) и (6) и $t = t_2$, $z(t_2) = H$ в (11), получаем систему уравнений

$$\begin{cases} \dfrac{T+R-G}{m}t_1 - v_0 = 0, \\ \dfrac{T+R-G}{2m}t_1^2 - v_0 t_1 + H = 0, \\ \dfrac{T-R-G}{2m}t_2^2 = H. \end{cases} \qquad (12)$$

Исключая из уравнений системы (12) неизвестные H и v_0 с учётом того, что $t_2 = t_0 - t_1$, получаем:

$$t_1 = \frac{t_0}{1 + \frac{\sqrt{T+R-mg}}{T-R-mg}}. \otimes$$

Пример 4.7.16. Грузовик массой m имеет максимальную скорость $v_{\max}$ и разгоняется с места до скорости v_* за время t_*. Сила сопротивления пропорциональна скорости. Чему равняется средняя сила тяги двигателя грузовика?

Р е ш е н и е. Силы, действующие на грузовик, изображены на рисунке 2. При решении задачи предполагаем, что средняя сила тяги двигателя $\vec{F}$ постоянна.

После проектирования на оси системы координат дифференциальное уравнение движения имеет вид:

$$m\ddot{x} = F - R.$$

Здесь сила трения $\vec{R} = k\vec{v}$, где коэффициент динамического трения $k > 0$ неизвестен; $\vec{N}$ – сила реакции опоры (дороги); $\vec{G}$ – сила тяжести.

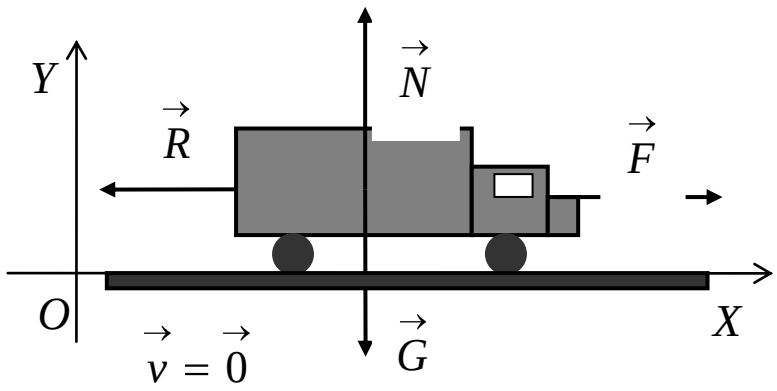

Рис. 2.

Обозначая $\dot{x} = v$, получаем:

$$m\dot{v} = F - kv \Rightarrow m\frac{dv}{dt} = F - kv \Rightarrow \frac{mdv}{F-kv} = dt \Rightarrow$$

$$-\frac{m}{k}\int\frac{d(F-kv)}{F-kv}=t+C \Rightarrow -\frac{m}{k}\ln(F-kv)=t+C.$$

Начальные условия $x(0)=0$ и $\dot{x}(0)=v(0)=0$. Из условия на скорость получаем, что $C=-\frac{m}{k}\ln F$. Подстановка даёт

$$t=-\frac{m}{k}\ln(F-kv)+\frac{m}{k}\ln F=-\frac{m}{k}\ln\frac{F-kv}{F} \Rightarrow t=-\frac{m}{k}\ln\left(1-\frac{kv}{F}\right). \quad (1)$$

Так как задана максимальная скорость $v_{\max}$, то из необходимого условия экстремума получаем:

$$\frac{dv}{dt}=0 \Rightarrow m\ddot{x}=F-kv_{\max}=0 \Rightarrow k=\frac{F}{v_{\max}}. \quad (2)$$

Подставляя (2) в (1), при $t=t_*$ и $v=v_*$, получаем:

$$t_*=-\frac{m}{F/v_{\max}}\ln\left(1-\frac{(F/v_{\max})v_*}{F}\right) \Rightarrow t_*=-\frac{mv_{\max}}{F}\ln\left(1-\frac{v_*}{v_{\max}}\right) \Rightarrow$$

$$F=-\frac{mv_{\max}}{t_*}\ln\frac{v_{\max}-v_*}{v_{\max}} \Rightarrow F=\frac{mv_{\max}}{t_*}\ln\frac{v_{\max}}{v_{\max}-v_*}. \otimes$$

Практическое занятие 8

Линейные системы ОДУ, методы Эйлера и Лагранжа

Пример 4.8.1. Дана система ОДУ

$$\begin{cases}\dfrac{dy^1}{dt}+y^1+2y^2=0,\\ \dfrac{dy^2}{dt}-3y^1-4y^2=0.\end{cases}$$

Найти общее решение этой системы.

Р е ш е н и е. Систему можно записать в матричном виде:

$$\begin{pmatrix}1 & 0\\ 0 & 1\end{pmatrix}\frac{d}{dt}\begin{pmatrix}y^1\\ y^2\end{pmatrix}+\begin{pmatrix}1 & 2\\ -3 & -4\end{pmatrix}\begin{pmatrix}y^1\\ y^2\end{pmatrix}=\begin{pmatrix}0\\ 0\end{pmatrix}.$$

Частное решение ищем в виде

$$y^1(t)=x^1e^{-\mu t},\ y^2(t)=x^2e^{-\mu t}.$$

Подставляя в систему уравнений частное решение и сокращая на неравный нулю множитель $e^{-\mu t}$, получаем

$$\begin{cases}(-\mu)x^1+2x^2=0,\\ -3x^1-(\mu+4)x^2=0.\end{cases}$$

Это однородная СЛАУ, характеристическое уравнение для неё имеет вид

$$\begin{vmatrix}1-\mu & 2\\ -3 & -\mu-4\end{vmatrix}=0,$$

или

$$\mu^2+3\mu+2=0.$$

Характеристические числа (собственные значения)

$$\mu_1=-2,\ \mu_2=-1.$$

1) Для $\mu_1=-2$ имеем СЛАУ

$$\begin{cases}3x^1+2x^2=0,\\ -3x^1-2x^2=0,\end{cases}$$

которая сводится к уравнению

$$3x^1+2x^2=0.$$

Решение этого уравнения, полагая $x^2=a\in R^1$, запишем в виде

$$\begin{pmatrix}x^1\\ x^2\end{pmatrix}=\begin{pmatrix}-\frac{2}{3}a\\ a\end{pmatrix}=a\begin{pmatrix}-\frac{2}{3}\\ 1\end{pmatrix},$$

Таким образом, имеем первый собственный вектор

$$\begin{pmatrix}x^1\\ x^2\end{pmatrix}=\begin{pmatrix}-\frac{2}{3}\\ 1\end{pmatrix}.$$

Частное решение, соответствующее первому собственному значению, имеет вид

$$\begin{pmatrix} y_1^1 \\ y_1^2 \end{pmatrix} = \begin{pmatrix} -\frac{2}{3}e^{2t} \\ e^{2t} \end{pmatrix}.$$

2) Для $\mu_1 = -2$ имеем СЛАУ

$$\begin{cases} 2x^1 + 2x^2 = 0, \\ -3x^1 - 3x^2 = 0, \end{cases}$$

которая сводится к одному уравнению

$$x^1 + x^2 = 0.$$

Полагая $x^2 = b \in R^1$, получим

$$\begin{pmatrix} x^1 \\ x^2 \end{pmatrix} = \begin{pmatrix} -b \\ b \end{pmatrix} = b\begin{pmatrix} -1 \\ 1 \end{pmatrix}.$$

Второй собственный вектор имеет вид

$$\begin{pmatrix} x^1 \\ x^2 \end{pmatrix} = \begin{pmatrix} -1 \\ 1 \end{pmatrix}.$$

Частное решение, соответствующее второму собственному вектору, имеет вид

$$\begin{pmatrix} y_2^1 \\ y_2^2 \end{pmatrix} = \begin{pmatrix} -e^t \\ e^t \end{pmatrix}.$$

3) Составляем фундаментальную матрицу:

$$Y(t) = \begin{pmatrix} y_1^1 & y_2^1 \\ y_1^2 & y_2^2 \end{pmatrix} = \begin{pmatrix} -\frac{2}{3}e^{2t} & -e^t \\ e^{2t} & e^t \end{pmatrix}.$$

Теперь общее решение находится по формуле

$$|y(t)\rangle = Y(t)|C\rangle.$$

Подставляя в эту формулу выражение для фундаментальной матрицы, получаем:

$$\begin{pmatrix} y^1 \\ y^2 \end{pmatrix} = \begin{pmatrix} -\frac{2}{3}e^{2t} & -e^t \\ e^{2t} & e^t \end{pmatrix}\begin{pmatrix} C_1 \\ C_2 \end{pmatrix} = \begin{pmatrix} -\frac{2}{3}C_1e^{2t} - C_2e^t \\ C_1e^{2t} + C_2e^t \end{pmatrix}. \otimes$$

Пример 4.8.2. Найти общее решение системы ОДУ

$$\begin{cases} \dfrac{dy_1}{dt} - y_2 - y_3 = 0, \\ \dfrac{dy_2}{dt} - y_1 - y_3 = 0, \\ \dfrac{dy_3}{dt} - y_1 - y_2 = 0. \end{cases} \qquad (1)$$

Р е ш е н и е. Решение ищем в виде

$$y_1 = x_1 e^{-\mu t},\ y_2 = x_2 e^{-\mu t},\ y_3 = x_3 e^{-\mu t}.$$

Подставляя в систему уравнений (1), получаем СЛАУ для определения собственных векторов

$$\begin{cases} -\mu x_1 - x_2 - x_3 = 0, \\ -x_1 - \mu x_2 - x_3 = 0, \\ -x_1 - x_2 - \mu x_3 = 0. \end{cases} \qquad (2)$$

Эта система уравнений нетривиально совместна, если выполнено условие

$$\begin{vmatrix} -\mu & -1 & -1 \\ -1 & -\mu & -1 \\ -1 & -1 & -\mu \end{vmatrix} = 0 \Rightarrow \mu_1 = -2,\ \mu_2 = \mu_3 = 1.$$

Корню $\mu_1 = -2$ соответствует система уравнений

$$\begin{cases} 2x_1 - x_2 - x_3 = 0, \\ -x_1 + 2x_2 - x_3 = 0, \\ -x_1 - x_2 + 2x_3 = 0. \end{cases}$$

Если решать данную систему методом Гаусса, то получим

$$\begin{pmatrix} x_1 \\ x_2 \\ x_3 \end{pmatrix} = a \begin{pmatrix} 1 \\ 1 \\ 1 \end{pmatrix}.$$

Получаем одно решение исходной системы уравнений

$$|y_1\rangle = a|a_1\rangle = e^{2t} \begin{pmatrix} 1 \\ 1 \\ 1 \end{pmatrix} = \begin{pmatrix} e^{2t} \\ e^{2t} \\ e^{2t} \end{pmatrix}.$$

Так как ранг матрицы СЛАУ (2) при $\mu_2 = \mu_3 = 1$ равен 1, то система уравнений сводится к одному уравнению

$$x_1 + x_2 + x_3 = 0.$$

Полагая $x_2 = a$, $x_3 = b$, получаем решение в виде

$$|x\rangle = a|a_2\rangle + b|a_3\rangle \Rightarrow \begin{pmatrix} x_1 \\ x_2 \\ x_3 \end{pmatrix} = b\begin{pmatrix} -1 \\ 1 \\ 0 \end{pmatrix} + c\begin{pmatrix} -1 \\ 0 \\ 1 \end{pmatrix}.$$

Каждому из базисных решений

$$|a_2\rangle = \begin{pmatrix} -1 \\ 1 \\ 0 \end{pmatrix} =, |a_3\rangle = \begin{pmatrix} -1 \\ 0 \\ 1 \end{pmatrix}$$

соответствует одно частное решение

$$|y_2\rangle = e^{-t}\begin{pmatrix} -1 \\ 1 \\ 0 \end{pmatrix} = \begin{pmatrix} -e^{-t} \\ e^{-t} \\ 0 \end{pmatrix}, |y_3\rangle = e^{-t}\begin{pmatrix} -1 \\ 0 \\ 1 \end{pmatrix} = \begin{pmatrix} -e^{-t} \\ 0 \\ e^{-t} \end{pmatrix}.$$

Определитель, составленный из этих решений

$$\begin{vmatrix} e^{2t} & -e^{-t} & -e^{-t} \\ e^{2t} & e^{-t} & 0 \\ e^{2t} & 0 & e^{-t} \end{vmatrix} = 1 \neq 0,$$

следовательно, найденные решения образуют линейно независимую систему, то есть фундаментальную систему решений исходной системы ОДУ. Составим фундаментальную матрицу

$$Y(t) = \begin{pmatrix} e^{2t} & -e^{-t} & -e^{-t} \\ e^{2t} & e^{-t} & 0 \\ e^{2t} & 0 & e^{-t} \end{pmatrix}.$$

Теперь общее решение запишем в виде

$$|y\rangle = \begin{pmatrix} e^{2t} & -e^{-t} & -e^{-t} \\ e^{2t} & e^{-t} & 0 \\ e^{2t} & 0 & e^{-t} \end{pmatrix} \cdot \begin{pmatrix} C_1 \\ C_2 \\ C_3 \end{pmatrix} = \begin{pmatrix} C_1 e^{2t} - C_2 e^{-t} - C_3 e^{-t} \\ C_1 e^{2t} + C_2 e^{-t} \\ C_1 e^{2t} + C_3 e^{-t} \end{pmatrix}. \otimes$$

Пример 4.8.3. Решить систему уравнений

$$\begin{cases} \dfrac{dy_1}{dt} - y_2 = 0, \\ \dfrac{dy_2}{dt} - y_1 = \dfrac{1}{t^2} + \ln t. \end{cases} \qquad (1)$$

Р е ш е н и е. Решаем систему методом Лагранжа. Для этого сначала находим общее решение соответствующей однородной системы

$$\begin{cases} \dfrac{dy_1}{dt} - y_2 = 0, \\ \dfrac{dy_2}{dt} - y_1 = 0. \end{cases} \qquad (2)$$

Подставляя $y_1 = x_1 e^{-\mu t}$ и $y_2 = x_2 e^{-\mu t}$, записываем характеристическое уравнение:

$$\begin{vmatrix} \mu & 1 \\ 1 & \mu \end{vmatrix} = 0 \Rightarrow \mu^2 - 1 = 0 : \mu_1 = -1;\ \mu_2 = 1.$$

Находим собственные векторы.

1) Для $\mu_1 = -1$ система сводится к уравнению

$$\begin{cases} -x_1 + x_2 = 0 \\ x_1 - x_2 = 0 \end{cases} \Rightarrow x_1 - x_2 = 0 \Rightarrow x_2 = a \Rightarrow x_1 = a.$$

Вектор решения принимает вид:

$$\begin{pmatrix} x_1 \\ x_2 \end{pmatrix} = a \begin{pmatrix} 1 \\ 1 \end{pmatrix}.$$

Первый собственный вектор

$$|x_1\rangle = \begin{pmatrix} 1 \\ 1 \end{pmatrix}.$$

2) Для $\mu_2 = 1$ система сводится к уравнению

$$\begin{cases} x_1 + x_2 = 0 \\ x_1 + x_2 = 0 \end{cases} \Rightarrow x_1 + x_2 = 0 \Rightarrow x_2 = b \Rightarrow x_1 = -b.$$

Второй собственный вектор

$$|x_2\rangle = \begin{pmatrix} -1 \\ 1 \end{pmatrix}.$$

Теперь частные решения имеют вид:

$$\mu_1 = -1 \Rightarrow |y_1\rangle = e^t \begin{pmatrix} 1 \\ 1 \end{pmatrix} = \begin{pmatrix} e^t \\ e^t \end{pmatrix};$$

$$\mu_2 = 1 \Rightarrow |y_2\rangle = e^{-t} \begin{pmatrix} 1 \\ 1 \end{pmatrix} = \begin{pmatrix} e^{-t} \\ e^{-t} \end{pmatrix}.$$

Общее решение системы (2) записывается так:

$$|y(t)\rangle = C_1|y_1\rangle + C_2|y_2\rangle = C_1 e^{-\mu_1 t} \begin{pmatrix} 1 \\ 1 \end{pmatrix} + C_2 e^{-\mu_2 t} \begin{pmatrix} 1 \\ -1 \end{pmatrix}?$$

откуда имеем

$$y_1(t) = C_1 e^t + C_2 e^{-t},\ y_2(t) = C_1 e^t - C_2 e^{-t}.$$

Общее решение неоднородной системы ищем в виде:

$$\begin{cases} z_1(t) = C_1(t) e^t + C_2(t) e^{-t}, \\ z_2(t) = C_1(t) e^t - C_2(t) e^{-t}. \end{cases} \qquad (3)$$

Подставляя в систему уравнений (1), получаем после дифференцирований и приведения подобных

$$\begin{cases} \dfrac{dC_1}{dt} e^t + \dfrac{dC_2}{dt} e^{-t} = 0, \\ \dfrac{dC_1}{dt} e^t - \dfrac{dC_2}{dt} e^{-t} = \dfrac{1}{t^2} + \ln t. \end{cases}$$

Определитель системы

$$\begin{vmatrix} e^t & e^{-t} \\ e^t & -e^{-t} \end{vmatrix} = -1 - 1 = -2.$$

Решение системы по формулам Крамера имеет вид:

$$\frac{dC_1}{dt}(t) = -\frac{1}{2}\begin{vmatrix} 0 & e^{-t} \\ \frac{1}{t^2}+\ln t & -e^{-t} \end{vmatrix} = \frac{1}{2}e^{-t}\left(\frac{1}{t^2}+\ln t\right),$$

$$\frac{dC_2}{dt}(t) = -\frac{1}{2}\begin{vmatrix} 0 & e^{-t} \\ \frac{1}{t^2}+\ln t & -e^{-t} \end{vmatrix} = \frac{1}{2}e^{t}\left(\frac{1}{t^2}+\ln t\right).$$

Откуда, после интегрирования получаем

$$C_1(t) = -\frac{1}{2}e^{-t}\left(\frac{1}{t}+\ln t\right)+A_1,\ C_2(t) = \frac{1}{2}e^{t}\left(\frac{1}{t}-\ln t\right)+A_2.$$

Подставляя в формулы (3), получаем общее решение неоднородной системы уравнений (1) в виде:

$$\begin{cases} z_1(t) = A_1e^{t} + A_2e^{-t} - \ln t, \\ z_2(t) = A_1e^{t} - A_2e^{-t} - \frac{1}{t}. \end{cases} \otimes$$

Задания для самостоятельной работы

Интегрирование и теория поля

1. Вычислить криволинейный интеграл первого рода

$$I = \int_W xydl,$$

где путь W – контур треугольника с вершинами: $A(-1;0)$, $B(0;0)$, $C(0;1)$.

2. Вычислить криволинейный интеграл второго рода

$$I = \int_W (x+y)dx - xdy,$$

где путь W – отрезок ломаной линии, соединяющий точки

$$A(0;0), B(2;0), C(4;2).$$

3. Вычислить криволинейный интеграл второго рода

$$I = \int_W xdy - ydx,$$

где $W-$ путь, заданный неявным уравнением $y=x^3$, соединяющий точки $A(0;0)$ и $B(2;8)$.

4. Вычислить криволинейный интеграл второго рода

$$I=\int\limits_W x^2dx+y^2dy,$$

где $W-$ путь, заданный неявным уравнением $y=\sqrt{x}$, соединяющий точки $A(0;0)$ и $B(1;1)$.

5. Вычислить двойной интеграл

$$I=\iint\limits_D (x^2y-2y^3)dxdy$$

по прямоугольнику $D=\{(x,y)\in R_2: 2\le x\le 5\wedge 1\le y\le 3\}$.

6. Вычислить двойной интеграл

$$I=\iint\limits_D (x^2+y)dxdy$$

по области, ограниченной параболами $y=x^2$ и $y^2=x$.

7. Вычислить двойные интегралы, переходя к полярным координатам:

а) $\iint\limits_D e^{x^2+y^2}dxdy$, где D – круг $x^2+y^2\le 1$;

б) $\iint\limits_D (x^2+y^2)dxdy$, где D – круг $x^2+y^2\le 4$;

в) $\iint\limits_D (x^2+y^2)dxdy$, где D – круг $x^2+y^2\le 2x$;

г) $\iint\limits_D \sqrt{1+x^2+y^2}dxdy$, где D – первая четверть круга $x^2+y^2\le 1$.

8. Вычислить площадь фигуры, ограниченной линиями с уравнениями:

а) $y=\ln x$, $x-y=1$, $y=-1$;

б) $y=x^2$, $4y=x^2$, $x=2$, $x=-2$.

9. Вычислить тройные интегралы:

а) $\iiint\limits_V \frac{dxdydz}{(1+x+y+z)^3}$, где область V ограничена плоскостями с уравнениями

$x=0,\ y=0, z=0,\ x+y+z=1;$

б) $\iiint\limits_V (x+y)\,dxdydz$, где область V ограничена плоскостями с уравнениями

$x=0,\ y=0, z=0,\ x=1,\ y=1,\ z=1.$

10. Переходя к цилиндрическим координатам, вычислить тройные интегралы:

а) $\iiint\limits_V (x^2+y^2)\,dxdydz$, где область V ограничена поверхностями с уравнениями

$x^2+y^2=1,\ z=2;$

б) $\iiint\limits_V z\,dxdydz$, где область V ограничена поверхностями с уравнениями

$x^2+y^2=1,\ z=0,\ z=a\ (a>0)$.

11. Переходя к сферическим координатам, вычислить тройные интегралы:

а) $\iiint\limits_V (x^2+y^2+z^2)\,dxdydz$, где область V – это шар $x^2+y^2+z^2\le R^2$;

б) $\iiint\limits_V (x^2+y^2)\,dxdydz$, где область V – это верхняя половина шара

$x^2+y^2+z^2\le R^2.$

12. Вычислить поверхностные интегралы первого рода:

а) $\iint\limits_F (x+18y+24z)\,ds$, где поверхность F задана неявным уравнением

$x+2y+3z=1,$

и неравенствами $x\ge 0,\ y\ge 0, z\ge 0;$

б) $\iint\limits_F (x^2+y^2)\,ds$, где поверхность F задана неявным уравнением

$x^2+y^2-z^2=0,$

и неравенствами $0\le z\le 1.$

13. Вычислить поверхностные интегралы второго рода:

а) $\iint\limits_F z\,dxdy$, где поверхность F – верхняя сторона верхней половины сферы

$x^2+y^2+z^2=9;$

б) $\iint\limits_F (x^2+y^2)\,dxdy$, где поверхность F – верхняя сторона части параболоида с уравнением

$$z=1-x^2-y^2,$$

отсечённая плоскостью $z=0$.

14. Найти производную скалярного поля $u=x^2+y^2-3x+2y$ по направлению радиуса-вектора точки $M(3;4)$ в начале координат.

15. Найти градиент плоского скалярного поля $u=\sqrt{4+x^2+y^2}$ в точке $M(2;1)$.

16. Найти производную функции, определённой формулой $u=\dfrac{xyz}{3}$, в точке $M_0(1;2;3)$ по направлению вектора $\overrightarrow{M_0M}$, если $M(4;1;6)$.

17. Доказать, что

а) $\operatorname{grad} r=\dfrac{\vec{r}}{r}$; б) $\operatorname{grad}\dfrac{1}{r}=-\dfrac{\vec{r}}{r^3}$.

18. Показать, что

$$\operatorname{grad} f(u,v)=\frac{\partial f}{\partial u}\operatorname{grad}u+\frac{\partial f}{\partial v}\operatorname{grad}v.$$

19. Найти

а) $\operatorname{div}\vec{r}$; б) $\operatorname{div}\left(r^4\vec{r}\right)$; в) $\operatorname{div}\left(\left(\vec{A},\vec{r}\right)\vec{B}\right)$.

20. Найти $\operatorname{div}\vec{A}$, если:

а) $\vec{A}=(x-y)(y-z)\vec{e}_1+(y-z)(z-x)\vec{e}_2+(z-x)(x-y)\vec{e}_3$;

б) $\vec{A}=(x^2+y^2)(y-z)\vec{e}_1+(y^2+z^2)(z-x)\vec{e}_2+(z^2+x^2)(x-y)\vec{e}_3$.

21. Найти ротор векторного поля $\vec{A}(M)$:

а) $\vec{A}=\dfrac{y}{x}\vec{e}_1+\dfrac{z}{y}\vec{e}_2+\dfrac{x}{z}\vec{e}_3$;

б) $\vec{A} = yz\,\vec{e}_1 + z(x + 2y)\,\vec{e}_2 + y(x + y)\,\vec{e}_3$.

22. Доказать двумя способами (в декартовых координатах и с помощью оператора Гамильтона), что для произвольного скалярного поля $\varphi(M)$ и для произвольных векторных полей $\vec{A}(M)$ и $\vec{B}(M)$ справедливы следующие формулы:

а) $\left(\vec{A}, \nabla\right)\varphi\vec{B} = \vec{B}\left(\vec{A}, \nabla\varphi\right) + \varphi\left(\vec{A}, \nabla\right)\vec{B}$;

б) $\vec{C}\cdot\nabla\left(\vec{A}, \vec{B}\right) = \vec{A}\cdot\left(\left(\vec{C}, \nabla\right), \vec{B}\right) + \vec{B}\cdot\left(\left(\vec{C}, \nabla\right), \vec{A}\right)$;

в) $\left(\vec{C}, \nabla\right)\left[\vec{A}, \vec{B}\right] = \left[\vec{A}, \left(\vec{C}, \nabla\right)\vec{B}\right] - \left[\vec{B}, \left(\vec{C}, \nabla\right)\vec{A}\right]$.

23. Найти результат действия векторных дифференциальных операций:

а) $\operatorname{div}(\operatorname{grad}\varphi)$;

б) $\operatorname{rot}(\operatorname{grad}\psi)$;

в) $\operatorname{rot}\left[\vec{A}, \operatorname{rot}\vec{B}\right]$.

24. Найти векторные линии векторных полей:

а) $\vec{A}\left(\vec{x}\right) = 2y\,\vec{e}_1 + 6x\,\vec{e}_2$;

б) $\vec{A}\left(\vec{x}\right) = 2x\,\vec{e}_1 + 3y\,\vec{e}_2$;

в) $\vec{A}\left(\vec{x}\right) = 2y\,\vec{e}_2 + 6z\,\vec{e}_3$.

25. Найти циркуляцию векторного поля $\vec{A}\left(\vec{x}\right)$ вдоль заданного замкнутого контура с заданной параметризацией:

а) $\vec{A}\left(\vec{x}\right) = y\,\vec{e}_1 - z\,\vec{e}_2 + x^2 y\,\vec{e}_3,$

$x = 2\cos t,\ y = \sin t,\ z = 1,\ t \in [0, 2\pi];$

б) $\vec{A}\left(\vec{x}\right) = z\,\vec{e}_1 - x\,\vec{e}_2 + yz\,\vec{e}_3,$

$x = 2\cos t,\ y = 6\sin t,\ z = 3,\ t \in [0, 2\pi];$

в) $\vec{A}\left(\vec{x}\right) = 4y\,\vec{e}_1 + x\,\vec{e}_2 + y\,\vec{e}_3,$

$x = \cos t,\ y = \sin t,\ z = 2 - \cos t - \sin t,\ t \in [0, 2\pi].$

Обыкновенные дифференциальные уравнения

1. Найти общее решение обыкновенного дифференциального уравнения с разделяющимися переменными.

1) Решить уравнение $(+y)dx - (-x)dy = 0.$

Ответ: $(+y)(-x) = C.$

2) Решить уравнение $(+e^x)yy' = e^x.$

Ответ: $\frac{y^2}{2} = \ln(+e^x) + C.$

3) Решить уравнение $x\sqrt{1+y^2} + yy'\sqrt{1+x^2} = 0.$

Ответ: $\sqrt{1+y^2} + \sqrt{1+x^2} = C.$

2. Найти общее решение уравнения с однородной правой частью.

1) Найти интегральные кривые уравнения $y' = e^{\frac{y}{x}} + \frac{y}{x}.$

Ответ: Интегральные кривые определяются уравнением $e^{-\frac{y}{x}} + \ln|x| = C.$

2) Найти интегральные кривые уравнения $y' = \frac{y}{x} - 1.$

Ответ: Интегральные кривые определяются уравнением $xe^{\frac{y}{x}} = C$.

3) Найти интегральные кривые уравнения

$$(x^2 + 2xy)dx + xydy = 0.$$

Ответ: Интегральные кривые определяются уравнением

$$\ln|x+y| + \frac{x}{x+y} = C.$$

3. Найти общее решение линейного дифференциального уравнения первого порядка. Если указаны начальные условия, то найти частное решение, удовлетворяющее начальному условию.

1) $(x+1)\frac{dy}{dx} = 4x + 2y.$

2) $\frac{dy}{dx} - \frac{y}{1-x^2} - 1 - x = 0,\ y(0) = 0.$

3) $x\frac{dy}{dx} + y - e^x = 0,\ y(a) = b.$

4) $\frac{dy}{dx}\cos^2 x + y = \operatorname{tg} x,\ y(0) = 0.$

5) $\frac{dy}{dx} - \frac{y}{x\ln x} = x\ln x,\ y(e) = \frac{e^2}{2}.$

6) $\frac{dy}{dx} - y\operatorname{tg} x = \cos x,\ y(0) = 0.$

7) $\frac{dy}{dx} + y\cos x = e^{\sin x},\ y(0) = 0.$

8) $x\frac{dy}{dx} + y = x^2.$

9) $x^2\frac{dy}{dx} - 2xy = 3.$

10) $x^2\frac{dy}{dx} - 2xy = 3y.$

11) $\frac{dy}{dx} - ay = e^{bx}$.

4. Найти общее решение линейного однородного обыкновенного дифференциального уравнения порядка выше второго.

1) $\frac{d^3y}{dx^3} - 8y = 0.$

2) $\frac{d^4y}{dx^3} - y = 0.$

3) $\frac{d^4y}{dx^4} - 5\frac{d^2y}{dx^2} + 4y = 0.$

4) $\frac{d^4y}{dx^4} + \frac{d^3y}{dx^3} + 8\frac{d^2y}{dx^2} + 8\frac{dy}{dx} + 4y = 0.$

5) $\frac{d^5y}{dx^5} - 6\frac{d^4y}{dx^4} + 9\frac{d^2y}{dx^2} = 0.$

5. Найти общее решение линейного неоднородного обыкновенного дифференциального уравнения.

1) $\frac{d^2y}{dx^2} - 4y = -12x^2 + 6x - 4.$

2) $\frac{d^2y}{dx^2} - 2\frac{dy}{dx} + y = 4e^x.$

3) $\frac{d^2y}{dx^2} - 2\frac{dy}{dx} - 3y = -4e^x + 3.$

4) $\frac{d^2y}{dx^2} + \frac{dy}{dx} = 6\sin 2x.$

5) $\frac{d^2y}{dx^2} - \frac{dy}{dx} + y = -13\sin 2x.$

6. Найти общее решение однородных систем ОДУ методом Эйлера и, если указано, выделить частное решение, удовлетворяющее поставленным начальным условиям.

1) $\begin{cases} \dfrac{dy^1}{dt} - 2y^1 + 3y^2 = 0, \\ \dfrac{dy^2}{dt} - 3y^1 - 2y^2 = 0. \end{cases}$

2) $\begin{cases} \dfrac{dy^1}{dt} - 2y^1 + 3y^2 = 0, \\ \dfrac{dy^2}{dt} - 3y^1 - 2y^2 = 0. \end{cases}$

3) $\begin{cases} \dfrac{dy_1}{dt} - 4y_1 + y_2 = 0, \\ \dfrac{dy_2}{dt} - 3y_1 - y_2 + y_3 = 0, \\ \dfrac{dy_3}{dt} - y_1 - y_3 = 0. \end{cases}$

4) $\begin{cases} \dfrac{dy_1}{dt} + y_1 - y_2 - y_3 = 0, \\ \dfrac{dy_2}{dt} - y_1 + y_2 - y_3 = 0, \\ \dfrac{dy_3}{dt} - y_1 - y_2 + y_3 = 0. \end{cases}$

5) $\dfrac{d}{dt}|y\rangle = A|y\rangle, |y\rangle = \begin{pmatrix} y_1 \\ y_2 \\ y_3 \end{pmatrix}, A = \begin{pmatrix} 1 & -1 & -1 \\ 1 & 1 & 0 \\ 3 & 0 & 1 \end{pmatrix}.$

6) $\dfrac{d}{dt}|y\rangle = A|y\rangle, |y\rangle = \begin{pmatrix} y_1 \\ y_2 \\ y_3 \end{pmatrix}, A = \begin{pmatrix} 0 & 1 & 1 \\ 1 & 1 & 0 \\ -1 & 0 & 1 \end{pmatrix}.$

7. Решить неоднородные системы ОДУ методом Лагранжа.

1) $\begin{cases} \dfrac{dy_1}{dt} - y_2 = \cos t, \\ \dfrac{dy_2}{dt} + y_1 = 1. \end{cases}$

2) $\begin{cases} \dfrac{dy_1}{dt} - 2y_1 + 4y_2 = 4e^{-2t}, \\ \dfrac{dy_2}{dt} - 2y_1 + 2y_2 = 0. \end{cases}$

3) $\begin{cases} \dfrac{dy_1}{dt} - 2y_1 - y_2 + 2y_3 = -t + 2, \\ \dfrac{dy_2}{dt} + y_1 = 1, \\ \dfrac{dy_3}{dt} - y_1 - y_2 + y_3 = -t + 1. \end{cases}$



МИНОБРНАУКИ РОССИИ

ФГБОУ ВО

«Уральский государственный горный университет»

О. В. Садырева, И. Г. Коршунов

Ф И З И К А

МЕТОДИЧЕСКИЕ УКАЗАНИЯ
ДЛЯ САМОСТОЯТЕЛЬНОЙ РАБОТЫ СТУДЕНТОВ ВСЕХ НАПРАВЛЕНИЙ ПОДГОТОВКИ

Екатеринбург

2019

МИНОБРНАУКИ РОССИИ
Федеральное государственное бюджетное образовательное учреждение
высшего образования
«Уральский государственный горный университет»

ОДОБРЕНО
Учебно-методическим советом УГГУ

Председатель совета
_____Упоров С.А.

ФИЗИКА

МЕТОДИЧЕСКИЕ УКАЗАНИЯ ДЛЯ САМОСТОЯТЕЛЬНОЙ РАБОТЫ
СТУДЕНТОВ ВСЕХ НАПРАВЛЕНИЙ ПОДГОТОВКИ

Екатеринбург, 2019

Методические указания рассмотрены на заседании кафедры физики 26 марта 2019 года (протокол № 19) и рекомендованы для издания в УГГУ

ФИЗИКА. Методические указания для самостоятельной работы студентов всех направлений подготовки/Садырева О.В., Коршунов И.Г.; Урал.гос. горный ун-т.– Екатеринбург, 2019.– 29 стр.

Методические указания составлены в соответствии с программами по курсу физики для студентов всех направлений подготовки в УГГУ. Они содержат условия задач для самостоятельной работы, при выполнении контрольных работ студентами по следующим темам курса физики: механика; молекулярная физика и термодинамика; электричество и магнетизм; механические и электромагнитные колебания и волны; волновая и квантовая оптика; квантовая физика и физика атома; элементы ядерной физики. Также в них содержатся методические указания к решению задач, их оформлению, список рекомендуемой литературы и справочные данные, необходимые для решения задач.

ОБЩИЕ МЕТОДИЧЕСКИЕ УКАЗАНИЯ К РЕШЕНИЮ ЗАДАЧ И ВЫПОЛНЕНИЮ ДОМАШНИХ КОНТРОЛЬНЫХ РАБОТ

1. Номера задач, которые студент должен включить в свою контрольную работу, определяются преподавателем в начале соответствующего семестра.
2. Контрольные работы нужно выполнять чернилами в школьной тетради, на обложке указывается фамилия и инициалы студента, номер группы.
3. Условия задач в контрольной работе необходимо переписать полностью без сокращений. Для замечаний преподавателя на страницах тетради нужно оставлять поля.
4. Если контрольная работа при рецензировании не зачтена, студент обязан представить ее на повторную рецензию, включив в нее те задачи, при решении которых допущены ошибки.
5. При решении задач необходимо пользоваться следующей схемой:

- Внимательно прочитать условие задачи.
- Выписать столбиком все величины, входящие в условие, и выразить их в одних единицах (преимущественно в Международной системе единиц СИ).
- Если это возможно, представить условие задачи в виде четкого рисунка. Правильно сделанный рисунок – это наполовину решенная задача.
- Уяснить физическую сущность задачи, установить основные законы и формулы, на которых базируется условие задачи.
- Если при решении задачи применяется формула, полученная для частного случая, не выражающая какой-нибудь физический закон или не являющаяся определением какой-нибудь физической величины, то ее следует вывести.
- Если равенства векторные, то их необходимо спроектировать но оси координат и записать в скалярной форме.
- Решить задачу сначала в общем виде, то есть, в буквенных обозначениях, заданных в условии задачи. При таком способе решения не производятся вычисления промежуточных величин.
- После получения расчетной формулы для проверки ее правильности следует подставить в правую часть формулы вместо символов величин их размерности, произвести с ними необходимые действия и убедиться в том, что полученная при этом единица соответствует искомой величине. Если такого соответствия нет, то это означает, что задача решена неверно.
- Подставить в конечную формулу числовые значения, выраженные в единицах СИ. В виде исключения допускается выражать в любых, но одинаковых единицах числовые значения однородных величин, стоящих в числителе и знаменателе дроби и имеющих одинаковые степени.

- При подстановке в расчетную формулу, а также при записи ответа числовые значения величин следует записывать как произведение десятичной дроби с одной значащей цифрой перед запятой на соответствующую степень десяти. Например, вместо 3520 надо записать $3{,}52 \cdot 10^3$, вместо 0,00129 записать $1{,}29 \cdot 10^{-3}$ и т. п.
- Вычисления по расчетной формуле надо проводить с соблюдением правил приближенных вычислений. Как правило, окончательный ответ следует записывать с тремя значащими цифрами. Это относится и к случаю, когда результат получен с применением калькулятора.
- Решение задачи должно сопровождаться краткими, но исчерпывающими пояснениями и комментариями.

1. МЕХАНИКА

1. Расстояние между двумя станциями метрополитена 1,5 км. Первую половину этого расстояния поезд проходит равноускоренно, вторую - равнозамедленно с тем же по модулю ускорением. Максимальная скорость поезда 50 км/ч. Найти ускорение и время движения поезда между станциями.

2. Шахтная клеть поднимается со скоростью 12 м/с. После выключения двигателя, двигаясь с отрицательным ускорением 1,2 м/с2 , останавливается у верхней приемной площадки. На каком расстоянии от нее находилась клеть в момент выключения двигателя и сколько времени двигалась до остановки?

3. С башни высотой 30 м в горизонтальном направлении брошено тело с начальной скоростью 10 м/с. Определить уравнение траектории тела, скорость тела в момент падения.

4. Для добывания руды открытым способом произвели взрыв породы. Подъем кусков породы, выброшенных вертикально вверх, длился 5 с. Определить их начальную скорость и высоту подъема.

5. При взрыве серии скважин камень, находящийся на уступе высотой 45 м, получил скорость 100 м/с в горизонтальном направлении. Какова дальность полета камня, сколько времени он будет падать, с какой скоростью упадет на землю?

6. Рассчитать скорость движения и полное ускорение шахтного электровоза в момент времени 5 с, если он движется по криволинейному участку радиусом 15 м. Закон движения электровоза выражается формулой $S = 800 + 8t - 0{,}5\,t^2$, м.

7. Во сколько раз тангенциальное ускорение точки, лежащей на ободе вращающегося колеса, больше ее нормального ускорения для того момента времени, когда вектор полного ускорения этой точки составляет угол 30° с вектором ее линейной скорости?

8. Под действием постоянной силы 118 Н вагонетка приобрела скорость 2 м/с, пройдя путь 10 м. Определить силу трения и коэффициент трения, если масса вагонетки 400 кг.

9. В шахте опускается равноускоренно лифт массой 280 кг, в первые 10 с он проходит 35 м. Найти натяжение каната, на котором висит лифт.

10. На горизонтальной платформе шахтной клети находится груз 60 кг. Определить силу давления груза на платформу: при равномерном подъеме и спуске, при подъеме и спуске с ускорением 3 м/^{2} , при спуске с ускорением 9,8 м/с^2.

11. Тело скользит по наклонной плоскости, образующей с горизонтом угол 45° . Пройдя путь 36,4 см, тело приобретает скорость 2 м/с. Найти коэффициент трения тела о плоскость.

12. Найти закон движения (зависимость пройденного расстояния от времени) куска антрацита при скольжении его с нулевой начальной скоростью по стальному желобу с углом наклона 30° . Коэффициент трения 0,3.

13. Рудничный поезд массой 450 т движется со скоростью 30 км/ч, развивая мощность 150 л. с. (1 л. с. =736 Вт). Определить коэффициент трения.

14. Определить силу тяги, которую развивает лебедка при подъеме вагонетки массой 2 т с ускорением 0,5 м/^{2}, если коэффициент трения 0,03, а угол наклона железнодорожного полотна 30°.

15. Вагонетка скатывается по наклонной горке длиной 5 м. Определить путь, проходимый вагонеткой по горизонтали до остановки, и наибольшую скорость движения, если коэффициент сопротивления 0,0095. Угол наклона 5°.

16. Маховик, приведенный в равноускоренное вращение, сделав 40 полных оборотов, стал вращаться с частотой 480 мин$^{-1}$.Определить угловое ускорение маховика и продолжительность равноускоренного вращения.

17. Ротор шахтного электродвигателя совершает 960 об/мин. После выключения он останавливается через 10с. Считая вращение равнозамедленным, найти угловое ускорение ротора. Сколько оборотов сделал ротор до остановки?

18. Крутящий момент двигателя электрической лебедки 1,2 кН·м. Для остановки двигателя служат тормозные деревянные колодки, прижимающиеся с двух сторон к тормозному чугунному диску радиусом 0,6 м, жестко связанному с ротором двигателя. Найти силу давления, необходимую для остановки ротора, если коэффициент трения равен 0,5.

19. Двигатель мощностью 3 кВт за 12 с разогнал маховик до 10 об/с. Найти момент инерции маховика.

20. Была произведена работа в 1 кДж, чтобы из состояния покоя привести маховик во вращение с частотой $8с^{-1}$.Какой момент импульса (количества движения) приобрел маховик?

21. Шар и цилиндр имеют одинаковую массу 5кг и катятся со скоростью 10 м/с по горизонтальной плоскости. Найти кинетическую энергию этих тел.

22. Какую работу надо произвести, чтобы раскрутить маховик массой 80 кг до 180об/мин? Массу маховика считать равномерно распределенной по ободу с диаметром 1м.

23. Ротор шахтного электродвигателя совершает 960 об/мин. После выключения он останавливается через 10с. Считая вращение равнозамедленным, найти угловое ускорение ротора. Сколько оборотов сделал ротор до остановки?

24. Шар и сплошной цилиндр катятся по горизонтальной плоскости. Какую часть энергия поступательного движения каждого тела составляет от общей кинетической энергии?

25. Маховик, выполненный в виде диска радиусом 0,4м и имеющий массу 100 кг, был раскручен до 480 оборотов в минуту и предоставлен самому себе. Под действием трения вала о подшипники маховик остановился через 80 с. Определить момент сил трения.

2.МОЛЕКУЛЯРНАЯ ФИЗИКА И ТЕРМОДИНАМИКА

26. Какой объем занимает 1 кг водорода при давлении 106 Па и температуре 20°С? Молярная масса водорода $2 \cdot 10^{-3}$ кг/моль.

27. Для автогенной сварки привезли баллон кислорода вместимостью 100 л. Найти массу кислорода, если его давление 12 МПа и темпера-тура 16°С. Молярная масса кислорода $32 \cdot 10^{-3}$ кг/моль.

28. Определить среднюю плотность сжатого воздуха в рудничной воздухопроводной сети, если давление воздуха в компрессоре составляет $7 \cdot 10^5$ Па, а давление у воздухоприемников $6 \cdot 10^5$ Па. Температура воздуха в начале и конце сети равна 27°С и 7°С. Молярная масса воздуха равна 0,029 кг/моль.

29. Стальной баллон емкостью 25 л наполнен ацетиленом $C_2 H_2$ при температуре 27° С до давления 20 МПа. Часть ацетилена использовали для автогенной сварки подкрановых путей в шахте. Какая масса ацетилена из-расходована, если давление в баллоне при температуре 23°С стало равным 14 МПа ? Молярная масса ацетилена 0,026 кг/моль.

30. Сжатый воздух в баллоне имеет температуру 15°С. Во время пожара температура воздуха в баллоне поднялась до 450° С. Взорвется ли баллон, если известно, что при этой температуре он может выдержать давление не более 9,8 МПа? Начальное давление в баллоне 4,8 МПа.

31. Температура взрыва гремучей смеси, то есть температура, до которой нагреты в первый момент газообразные продукты взрыва, достигает в среднем 2600° С, если взрыв происходит внутри замкнутого пространства. Во сколько раз давление при взрыве гремучего газа превосходит давление смеси до взрыва, если последнее равно 10^5 Па, а начальная температура 17° С?

32. Компрессор, обеспечивающий работу отбойных молотков в забое, засасывает из атмосферы 100 л воздуха в секунду при давлении 1 атм. Сколько отбойных молотков может работать от этого компрессора, если для каждого молотка необходимо 100 $см^3$ воздуха в секунду при давлении 50 атм ?

33. В двигателе Дизеля сжимается адиабатически воздух, в результате чего его температура поднимается, достигая температуры воспламенения нефти 800° С. До какого давления сжимается при этом воздух и во сколько раз уменьшается его объем, если начальное давление 1 атм, начальная температура 80°С, γ=1,4?

34. Современные вакуумные насосы позволяют понижать давление до 10^{-15} мм рт. ст. Сколько молекул газа содержится в объеме 1 $см^3$ при указанном давлении и температуре 27° С ?

35. Определить средние квадратичные скорости молекул метана CH_4 до взрыва и после него, если температура до взрыва равна 20° С, а после него 2600° С. Молярная масса 0,016 кг/моль.

36. Найти среднюю кинетическую энергию вращательного движения одной молекулы кислорода при температуре 350 К, а также кинетическую энергию вращательного движения всех молекул, содержащихся в 4 г кислорода.

37. Вычислить удельные теплоемкости при постоянном объеме и при постоянном давлении окиси углерода CO, принимая этот газ за идеальный.

38. На сжатие азота при постоянном давлении была затрачена работа 12 кДж. Найти изменение внутренней энергии и затраченное количество теплоты.

39. Какое количество теплоты для нагревания от 50°C до 100° C надо сообщить азоту массой 28 г, который находится в цилиндре с подвижным поршнем? Чему равна при этом процессе работа расширения?

40. При адиабатическом процессе расширения внутренняя энергия кислорода уменьшилась на 8,38 кДж. Вычислить массу кислорода, если начальная температура его 47° C, а объем увеличился в 10 раз.

41. В двигателе внутреннего сгорания температура газообразных продуктов сгорания поднимается от 600° C до 2000° C. Найти количество теплоты, подведенное к 1 кг газа при постоянном давлении, изменение его внутренней энергии и совершенную работу, если удельные теплоемкости при постоянных давлении и объеме соответственно равны 1,25 кДж/(кг·К) и 0,96 кДж/(кг·К).

42. Определить мощность на валу компрессора производительностью 25 $м^3$ в минуту, работающего на подземную воздушную сеть, если первоначальное давление 1 атм, а давление, развиваемое компрессором в конце изотермического сжатия, составляет 7 атм.

43. Тепловая машина работает по обратимому циклу Карно. Температура нагревателя 227° C. Определить термический коэффициент полезного действия цикла и температуру охладителя, если за счет каждого килоджоуля теплоты, полученной от нагревателя, машина совершает работу 350 Дж.

44. От идеальной теплосиловой установки, работающей по циклу Карно, отводится ежечасно 270 МДж теплоты с помощью холодильника при 9° C. Определить полезную мощность установки, если количество подводимой в час теплоты равно 900 МДж. При какой температуре подводится теплота?

45. Газ совершает цикл Карно. Абсолютная температура нагревателя в три раза выше, чем температура холодильника. Нагреватель передал газу 42 кДж теплоты. Какую работу совершил газ?

46. При прямом цикле Карно тепловая машина совершает работу, равную 200 Дж. Температура нагревателя 375 К, холодильника 300 К. Найти количество теплоты, получаемое машиной от нагревателя.

3. ЭЛЕКТРИЧЕСТВО И МАГНЕТИЗМ

47. Вследствие трения о шкив ремень заряжается, причем каждый квадратный метр ремня содержит 0,02Кл заряда. Ширина ремня 0,3м, скорость его движения 20 м/с. Какой заряд проходит ежесекундно через любую неподвижную плоскость, перпендикулярную ремню?

48. Определить заряд, емкость и потенциал Земли, считая ее шаром радиусом $6 \cdot 10^3$ км и зная, что напряженность поля около поверхности равна 100 В/м.

49. Разность потенциалов между пластинами плоского конденсатора 6 кВ, заряд каждой пластины 10 нКл. Найти энергию конденсатора и силу взаимного притяжения пластин, если расстояние между ними 2 см.

50. Какое количество теплоты выделится при разрядке плоского конденсатора, если разность потенциалов между пластинами 15 кВ, расстояние 1 мм, диэлектрик слюда ($\varepsilon = 6$), площадь каждой пластины 300 $см^2$?

51. Какую работу надо совершить , чтобы увеличить расстояние между пластинами воздушного конденсатора от 0,03 м до 0,1 м? Площадь пластин 100 $см^2$. Конденсатор подключен к источнику напряжения 220 В.

52. Камнедробилка должна работать под напряжением 100 В, потребляя ток в 40 А. Напряжение на электростанции 120 В, а расстояние до нее 1 км. Определить сечение медных соединительных проводов ($\rho = 1{,}7 \cdot 10^{-8}$ Ом м).

53. Какой длины надо взять нихромовый проводник диаметром 1,5 мм для изготовления спирали вулканизатора , применяемого при сращивании кабелей, если сопротивление спирали 5,5 Ом, а удельное сопротивление нихрома $1{,}1 \cdot 10^{-6}$ Ом м?

54. Цена деления прибора $1,5 \cdot 10^{-5}$ А /дел. Шкала прибора имеет 200 делений, его внутреннее сопротивление 100 Ом. Какие сопротивления нужно подключить к этому прибору и каким образом, чтобы можно было измерять напряжение до 200 В или ток до 4 А?

55. Определить сопротивление медных магистральных проводов при температуре 30^0 С. Расстояние от места расположения проводов до взрывной станции 400 м. Площадь сечения проводов 0,8 $мм^2$, $\rho = 0{,}017$(Ом· $мм^2$ /м), $\alpha = 0{,}0044$ град-1.

56. ЭДС батареи 12 В, ток короткого замыкания 5 А. Какую наибольшую мощность может дать батарея во внешней цепи?

57. Найти ток короткого замыкания для аккумуляторной батареи, если при токе 5 А она дает во внешнюю цепь мощность 9,5 Вт, а при токе 8 А мощность 14,4 Вт.

58. Ток в проводнике сопротивлением 100 Ом равномерно нарастает от 0 до 10 А в течение 30 с. Чему равно количество теплоты, выделившееся за это время в проводнике?

59. По прямому бесконечно длинному проводнику течет ток 50 А. Найти магнитную индукцию в точке, удаленной на расстояние 5 см от проводника.

60. По двум бесконечно длинным прямым параллельным проводам текут токи 50 А и 100 А в противоположных направлениях. Расстояние между проводами 20 см. Определить магнитную индукцию в точке, удаленной на 25 см от первого и на 40 см от второго провода.

61. Найти число витков в катушке диаметром 10 см, если магнитная стрелка, помещенная в ее центре, отклонилась от плоскости магнитного меридиана на 38° при токе 0,2 А. Горизонтальная составляющая земного магнитного поля 12,8 А /м . Плоскость катушки совпадает с плоскостью магнитного меридиана.

62. Определить горизонтальную составляющую напряженности магнитного поля Земли,
если обмотка тангенс–буссоли имеет 10 витков радиусом 25 см. При токе 0,64 А стрелка отклоняется на угол 45°.

63. Плоский контур площадью 20 см ² находится в однородном магнитном поле с индукцией 0,03 Тл. Найти магнитный поток, пронизывающий контур, если его плоскость составляет угол 60° с линиями индукции.

64. Электромагнит изготовлен в виде тороида со средним диаметром 51 см и вакуумным зазором 2 мм. Обмотка тороида равномерно распределена по всей его длине. Во сколько раз уменьшится напряженность магнитного поля в зазоре, если при неизменном токе в обмотке зазор увеличить в три раза? Магнитная проницаемость сердечника тороида 800.

65. Найти напряженность магнитного поля между полюсами электромагнита , если проводник массой 10 г и длиной 1м при токе в нем 19,6 А висит в поле , не падая.

66. В однородном магнитном поле с индукцией 0,1 Тл движется проводник длиной 10 см со скоростью 15 м /с, направленной перпендикулярно к магнитному полю. Найти ЭДС, индуцированную в проводнике.

67. Обмотка электромагнита содержит 800 витков. Площадь сечения сердечника 15 $см^2$, Индукция магнитного поля в сердечнике 1,4 Тл. Вычислить величину средней ЭДС , возникающей в обмотке при размыкании тока, если ток уменьшается до нуля в течение 0,001с.

68. На железное кольцо намотано в один слой 200 витков провода. Чему равна энергия Магнитного поля, если при токе 2,5 А магнитный поток в железе 0,5 мВб?

69. Замкнутый соленоид намотан на немагнитный каркас и содержит 20 витков на каждый сантиметр длины. Найти объемную плотность энергии поля при токе 1 А.

70. С какой скоростью должен нарастать ток в катушке с числом витков 800, площадью поперечного сечения 10 $см^2$, длиной 30 см, чтобы величина ЭДС самоиндукции, возникшей в ней, была равна 25 мВ?

4. МЕХАНИЧЕСКИЕ И ЭЛЕКТРОМАГНИТНЫЕ КОЛЕБАНИЯ И ВОЛНЫ

71. Маятник для гравиметрической съемки за сутки совершил 57600 колебаний. Найти ускорение свободного падения, если длина маятника
0,56м.

72. Днище вибролюка, применяемого для погрузки руды в бункер поезда из очистной камеры, совершает гармоническое колебательное движение с амплитудой 5 мм и частотой 1500 $мин^{-1}$. Написать уравнение колебаний, если начальная фаза равна нулю.

73. Стол питателя, предназначенного для погрузки руды в вагонетки, колеблется с частотой 45 $мин^{-1}$. Определить максимальные скорость и ускорение стола, полную энергию колебаний, если масса питателя 1000 кг, амплитуда колебаний 72 мм.

74. Решето рудообогатительного грохота совершает вертикальное колебательное движение с амплитудой 5 см. Найти наименьшую частоту колебаний, при которой куски руды, лежащие на решете, будут отделяться от него и подбрасываться вверх.

75. Для погружения обсадных труб в глинистые отложения применяется вибровозбудитель ВО-10, амплитуда колебаний которого 0,13 см, частота вращения дебалансов 1200 $мин^{-1.}$ Определить максимальные скорость и ускорение, написать уравнение колебаний, если начальная фаза равна нулю.

76. Определить полную энергию колебаний и максимальную силу взаимодействия между подъемным сосудом массой 90 тонн и армировкой ствола шахты, если амплитуда горизонтальных колебаний сосуда 3 см, а циклическая частота 7 $с^{-1}$.

77. Точка одновременно совершает два гармонических колебания, происходящих по взаимно перпендикулярным направлениям и выражаемых уравнениями: $x = 0{,}5\sin t$, $y = 2\cos t$. Найти уравнение траектории точки, построить график ее движения.

78. Два одинаково направленных гармонических колебания одного периода с амплитудами 10 см и 6 см складываются в одно колебание с амплитудой 14 см. Определить разность фаз складываемых колебаний.

79. Груз, подвешенный к пружине, гармонически колеблется по вертикали с периодом 0,5 с. Коэффициент упругости пружины 4 Н/м. Определить массу груза.

80. Амплитуда затухающих колебаний маятника за 5 мин уменьшилась в два раза. За какое время, считая от начального момента, амплитуда уменьшится в восемь раз?

81. Источник незатухающих гармонических колебаний подчиняется закону $x = 5\sin 3140t$ (м). Определить смещение, скорость и ускорение точки, находящейся на расстоянии 340м от источника, через 1 с от начала колебаний, если скорость волны 340 м/с.

82. Уравнение незатухающих колебаний $y = 0{,}1\sin 0{,}5\pi t$ (м). Скорость волны 300 м/с. Написать уравнение колебаний для точек волны в момент времени 4 с после начала колебаний. Найти разность фаз для источника и точки на расстоянии 200 м от него.

83. Звуковые колебания с частотой 500 Гц и амплитудой 0,25 мм, распространяются в воздухе. Длина волны 70 см. Определить скорость распространения волны и наибольшую скорость колебаний частиц воздуха.

84. Определить коэффициент сжатия горной породы - величину, обратную модулю Юнга, если скорость распространения звуковых волн в горной породе равна 4500 м/с, а плотность породы составляет $2{,}3\cdot 10^3$ кг/м^3.

85. К одному из концов длинного стержня прикреплен вибратор, колеблющийся по закону $y = 10^{-6}\sin 10^4\pi t$ (м). Найти скорость точек в сечении стержня, отстоящем от вибратора на расстоянии 25см, в момент времени 10^{-4} с. Скорость волны $5\cdot 10^3$ м/с.

86. Колебательный контур состоит из катушки с индуктивностью 2 мГн и конденсатора емкостью 888 пФ. На какую длину волны настроен контур?

87. Найти частоту собственных колебаний в контуре, состоящем из катушки индуктивности и плоского конденсатора. Площадь каждой пластины конденсатора 30 см^2 и расстояние между ними 0,1 см. Число витков катушки 1000, длина ее 30 см, сечение 1 см^2.

88. Колебательный контур состоит из катушки с индуктивностью 1,02 Гн и конденсатора емкостью 0,025 мкФ. Заряд на конденсаторе равен $2{,}5\cdot^{10\text{-}6}$ Кл. Какова зависимость разности потенциалов на конденсаторе от времени?

89. Катушка (без сердечника) длиной 50 см и площадью поперечного сечения 3 см^2 имеет 1000 витков и соединена параллельно с конденсатором. Он состоит из двух

пластин площадью 75 см^2 каждая, рас-стояние между пластинами 5 мм, диэлектрик - воздух. Найти период колебаний контура и длину волны, на которую он настроен.

90. Колебательный контур состоит из катушки индуктивностью 1,02 Гн и конденсатора емкостью 25 нФ. На обкладках конденсатора сосредоточен заряд 2,5 мкКл. Написать уравнение изменения тока в цепи в зависимости от времени.

91. Разность потенциалов на конденсаторе в контуре за 1 мс уменьшается в три раза. Найти коэффициент затухания.

92. Электромагнитные волны распространяются в некоторой однородной среде со скоростью $2{,}5\cdot10^8$ м/с. Какую длину волны имеют электромагнитные колебания в данной среде, если частота колебаний 1 МГц?

93. Катушка с индуктивностью 30 мкГн присоединена к плоскому конденсатору с площадью пластин 0,01 м^2 и расстоянием между ними 0,1 мм. Найти диэлектрическую проницаемость среды, заполняющей пространство между пластинами, если контур настроен на длину волны 750 м.

94. Колебательный контур состоит из конденсатора емкостью 80 пФ и катушки индуктивностью 0,5 мГн. Найти максимальный ток в контуре, если максимальная разность потенциалов на обкладках конденсатора 300 В. На какую длину волны резонирует данный контур?

95. Закон изменения разности потенциалов на обкладках конденсатора в контуре задан уравнением $U = 50\cos10^4\pi t$(В). Емкость конденсатора равна 0,1 мкФ. Найти период колебаний, индуктивность, длину волны. Написать закон изменения тока в контуре.

96. Колебательный контур состоит из конденсатора переменной емкости от 12 пФ до 80пФ и катушки с индуктивностью 1,2 мГн. Найти диапазон длин электромагнитных волн, которые могут вызывать резонанс в этом контуре.

97. Индуктивность колебательного контура 0,5 мГн. Какова должна быть электроемкость контура, чтобы он резонировал на длину волны 300 м?

98. Катушка (без сердечника) длиной 50 см и площадью поперечного сечения 3 см^2 имеет 1000 витков и соединена параллельно с конденсатором. Он состоит из двух пластин площадью 75 см^2 каждая, расстояние между пластинами 5 мм, диэлектрик - воздух. Найти период колебаний контура и длину волны, на которую он настроен.

99. Какую индуктивность надо включить в колебательный контур, чтобы при емкости 2 мкФ получить частоту 1000 Гц?

100. Индуктивность катушки в колебательном контуре 20 мкГн. Требуется настроить этот контур на частоту 5 МГц. Какую емкость следует выбрать?

101. Колебательный контур, состоящий из воздушного конденсатора с двумя пластинами по 100 $см^2$ каждая и катушки с индуктивностью 1 мкГн резонирует на волну длиной 10м. Найти расстояние между пластинами конденсатора.

5. ВОЛНОВАЯ И КВАНТОВАЯ ОПТИКА

102. Расстояние между двумя щелями в опыте Юнга I мм, расстояние от щелей до экрана 3м, расстояние между соседними интерференционными максимумами на экране 1,5 мм. Найти длину волны источника монохроматического света.

103. Оранжевые лучи с длиной волны 650 нм от двух когерентных источников, расстояние между которыми 120 мкм, падают на экран. Расстояние от источников до экрана 3,6 м. Найти расстояние между центрами соседних темных полос на экране.

104. Какую наименьшую толщину должна иметь пластинка, сделанная из материала с показателем преломления 1,54, чтобы при освещении ее лучами с длиной волны 750 нм, перпендикулярными к пластинке, она в отраженном свете казалась красной?

105. Между двумя плоскопараллельными пластинками лежит проволочка, отчего образовался воздушный клин. Пластинки освещаются светом с длиной волны 500 нм. Угол падения лучей 0°, длина пластинки 10 см. Расстояние между интерференционными полосами в отраженном свете 1,8 мм. Найти толщину проволочки.

106. Плосковыпуклая линза (n=1,5) с оптической силой 0,5 диоптрий выпуклой стороной лежит на стеклянной пластинке. Найти радиус пятого темного кольца Ньютона в проходящем свете (λ =600 нм).

107. Радиус кривизны плосковыпуклой линзы 4 м. Чему равна длина волны падающего света, если радиус 5-го светлого кольца Нью-она в отраженном свете равен 3,6 мм?

108. На щель шириной 0,2 мм падает нормально монохроматический свет с длиной волны 640 нм. Определить угол отклонения лучей, соответствующих первой светлой дифракционной полосе.

109. На пластинку со щелью падает нормально монохроматический свет. Угол отклонения лучей, соответствующих второму дифракционному минимуму, равен 1°. Сколько длин волн падающего света составляет ширина щели?

110. На щель шириной 0,05 мм падает нормально монохроматический свет (λ=0,6 мкм). Найти угол между первоначальным направлением пучка света и направлением на четвертую темную дифракционную полосу.

111. На дифракционную решетку нормально падает пучок света от разрядной трубки, наполненной гелием. На какую линию в спектре третьего порядка накладывается красная линия гелия с длиной волны 670 нм спектра второго порядка?

112. При освещении дифракционной решетки белым светом спектры второго и третьего порядка накладываются друг на друга. На какую длину волны в спектре второго порядка накладывается фиолетовая граница (400 нм) спектра третьего порядка?

113. На дифракционную решетку, имеющую 800 штрихов на I мм, падает параллельный пучок белого света. Какова разность углов отклонения конца первого и начала второго спектров? Принять длину волны красного света 760 нм, фиолетового 400 нм.

114. На дифракционную решетку, содержащую 50 штрихов на миллиметр, падает в направлении нормали к ее поверхности белый свет. Спектр проектируется на экран с помощью линзы, помещенной вблизи решетки. Определить длину спектра первого порядка на экране, если расстояние от линзы до экрана 3 м. Границы видимого спектра 400 нм и 760 нм.

115. Угол преломления луча света в жидкости равен 35°. Определить показатель преломления этой жидкости, если отраженный луч максимально поляризован.
116. Под каким углом к горизонту должно находиться Солнце, чтобы его лучи, отраженные от поверхности озера, были бы наиболее полно поляризованы.

117. Предельный угол полного внутреннего отражения луча на границе жидкости с воздухом равен 43°. Каков должен быть угол падения луча из воздуха на поверхность жидкости, чтобы отраженный луч был максимально поляризован?

118. Угол максимальной поляризации при отражении света от кристалла каменной соли равен 57°. Определить скорость распространения света в этом кристалле.

119. Угол между плоскостями поляризации двух призм Николя равен 45°. Во сколько раз
уменьшится интенсивность света, прошедшего через николи, если этот угол увеличить до 60°?

120. Температура «голубой» звезды $3 \cdot 10^4$К. Определить интегральную интенсивность излучения и длину волны, соответствующую максимуму излучательной способности.

121. Приняв температуру поверхности Солнца равной 6000 К, определить энергию, излучаемую с одного квадратного метра за секунду и длину волны, соответствующую максимуму излучательной способности.

122. Поток энергии, излучаемой из смотрового окошка печи за секунду, равен 34 Вт. Найти температуру печи, если площадь отверстия 6 $см^2$.

123. Средняя величина энергии, теряемой вследствие излучения с одного квадратного сантиметра поверхности Земли за минуту, равна 0,55 Дж. Какую температуру должно иметь абсолютно черное тело, излучающее такое же количество энергии?

124. Печь при температуре 1100 К посылает на измерительный прибор некоторое тепловое излучение. Какова должна быть температура печи, чтобы получаемое прибором излучение увеличилось в два, четыре и шестнадцать раз?

125. Максимальная лучеиспускательная способность абсолютность черного тела приходится на длину волны 800 нм. Какая мощность должна быть подведена к этому телу, поверхность которого 100 $см^2$, чтобы поддерживать его при постоянной температуре.

126. Вследствие изменения температуры абсолютно черного тела, максимум испускательной способности сместился с 500 нм на 750 нм. Во сколько раз уменьшилась суммарная мощность излучения?

127. Какая доля энергии фотона израсходована на работу вырывания фотоэлектрона, если красная граница фотоэффекта равна 307 нм и кинетическая энергия фотоэлектрона I эВ?

128. Калий (работа выхода 2 эВ) освещается монохроматическим светом с длиной волны 509 нм. Определить максимально возможную кинетическую энергию фотоэлектронов.

129. Определить работу выхода электрона из цезия и серебра, если красная граница фотоэффекта у этих металлов составляет соответственно 660 нм и 260 нм.

130. Определить энергию, импульс и массу фотона, длина волны которого соответствует видимой части спектра с длиной волны 500 нм.

131. Определить давление света на стенки электрической стоваттной лампы. Колба лампы представляет собой сферический сосуд радиусом 5 см. Стенки лампы

отражают 10 % падающего на них света. Считать, что вся потребляемая мощность идет на излучение.

132. На поверхность площадью 100 $см^2$ ежеминутно падает 63 Дж световой энергии. Найти величину светового давления, если поверхность полностью отражает все лучи и если полностью поглощает все лучи.

133. Давление света с длиной волны 600 нм на черную поверхность равно $2,2 \cdot 10^{-7}$ $Н/м^2$. Сколько фотонов падает на I $см^2$ за одну секунду?

6. КВАНТОВАЯ ФИЗИКА И ФИЗИКА АТОМА

134. Определить длину волны, соответствующую границе серии Бальмера для водорода. Выделить эту спектральную линию на схеме энергетических уровней атома водорода. Постоянная Ридберга равна $1,097 \cdot 107 м^{-1}$.

135. Найти наибольшую и наименьшую длины волн в первой инфракрасной серии спектра водорода (серии Пашена). Начертить схему энергетических уровней атома водорода.

136. Атом водорода в основном состоянии поглотил квант света с длиной волны 121,5 нм. Определить радиус электронной орбиты возбужденного атома водорода.

137. Вычислить энергию фотона, испускаемого при переходе электрона в атоме водорода с третьего энергетического уровня на первый.

138. Определить длины волн де Бройля для электрона и протона, движущихся со скоростью 1000 км/с. Масса электрона $9,1 \cdot 10^{-31}$кг, масса протона $1,67 \cdot 10^{-27кг}$.

139. Какую ускоряющую разность потенциалов должен пройти электрон, чтобы длина волны де Бройля была равна 0,10 нм ?

140. Определить длину волны де Бройля для электрона, движущегося по круговой орбите атома водорода, находящегося в основном состоянии.

141. Электрон, движущийся со скоростью $6 \cdot 10^6$м/с, попадает в продольное ускоряющее однородное электрическое поле напряженностью 5 В/см. Какое расстояние должен пройти электрон в таком поле, чтобы его длина волны стала равной 0,10 нм?

142. Рассчитать дебройлевскую длину волны для протона с кинетической энергией, равной энергии покоя электрона 0,51МэВ.

143. Найти коротковолновую границу непрерывного рентгеновского спектра, если известно, что уменьшение приложенного к рентгеновской трубке напряжения на 23 кВ увеличивает искомую длину волны в два раза.

144. Найти длину волны коротковолновой границы сплошного рентгеновского спектра, если скорость электронов, подлетающих к антикатоду трубки, составляет 0,85 скорости света.

145. Для определения постоянной Планка к рентгеновской трубке приложили напряжение 16 кВ и определили минимальную длину волны сплошного рентгеновского излучения (λмин =77,6 пм). Вычислить по этим данным постоянную Планка.

146. Частица в потенциальной яме шириной *l* находится в возбужденном состоянии (n=2).
Вычислить вероятность нахождения частицы в крайней четверти ямы.
46. Частица в потенциальной яме находится в основном состоянии. Какова вероятность обнаружить частицу в крайней трети ямы?
147. В одномерной потенциальной яме шириной *l* находится электрон. Найти вероятность нахождения электрона на первом энергетическом уровне в интервале *l*/4, равноудаленном от стенок ямы.

148. Вычислить величину момента импульса L орбитального движения электрона, находящегося в атоме водорода в s-состоянии и в p-состоянии.

149. Частица в потенциальной яме шириной *l* находится в низшем возбужденном состоянии. Определить вероятность нахождения частицы в интервале *l*/4, равноудаленном от стенок ямы.

150. Определить возможные значения проекции момента импульса L_Z орбитального движения электрона в атоме водорода на направление внешнего магнитного поля. Электрон находится в d-состоянии.

151. Электрон находится в одномерной прямоугольной потенциальной яме шириной *l*
с бесконечно высокими стенками. Определить вероятность обнаружения электрона в средней трети ямы, если электрон находится в возбужденном состоянии (n=3).

7. ЭЛЕМЕНТЫ ЯДЕРНОЙ ФИЗИКИ

152. Активность препарата пропорциональна числу ядер, распадающихся за секунду. Во сколько раз уменьшится активность препарата стронция $_{38}Sr^{90}$ через 100 лет? Период полураспада равен 28 лет.

153. Сколько β-частиц испускает в течение одного часа 1 мкг изотопа $_{11}Na^{24}$, период полураспада которого составляет 15 часов?

154. Препарат $_{92}U^{238}$ массой 1 г излучает $1{,}24 \cdot 10^4$ α -частиц в секунду. Найти период полураспада этого изотопа урана и активность препарата.

155. Найти число распадов за одну секунду в 1 г радия, период полураспада которого 1590 лет. Молярная масса радия 0,226 кг/моль.

156. Активность препарата пропорциональна числу ядер, распадающихся за одну секунду. Во сколько раз уменьшится активность иода $_{53}J^{124}$ спустя 12 суток? Период полураспада равен четырем суткам.

157. Сколько β-частиц испускается в течение суток при распаде изотопа фосфора $_{15}P^{32}$ массой 1 мкг? Период полураспада 14,3 суток.
158. Активность препарата уменьшилась в 256 раз. Сколько периодов полураспада составляет промежуток времени, за который произошло такое уменьшение активности?

159. За один год начальное количество радиоактивного вещества уменьшилось в три раза. Во сколько раз оно уменьшится за два года?
60. Какая доля начального количества радиоактивного вещества останется нераспавшейся через промежуток времени, равный двум периодам полураспада?

160. Дефект массы ядра $_7N^{15}$ равен 0,12396 а.е.м. Определить массу атома. ($m\ _1H^1 = 1{,}00783$ а.е.м.; $m\ _0n^1 = 1{,}00867$ а.е.м.).

161. Найти удельную энергию связи ядра $_6C^{12}$, если известно, что $m\ _1H^1 = 1{,}00783$ а.е.м.; $m\ _0n1 = 1{,}00867$ а.е.м.; $m\ _{12}C^6 = 12{,}00000$ а.е.м.

162. Рассчитать массу нейтрального атома, если ядро его состоит из трех протонов и двух нейтронов, а энергия связи ядра равна 26,3 Мэв. ($m\ _1H^1 = 1{,}00783$ а.е.м.; $m\ _0n^1 = 1{,}00867$ а.е.м.).

163. Определить энергию связи ядра изотопа кислорода $_8O^{16}$, если $m\ _1H^1 = 1{,}00783$ а.е.м.;
$m\ _0n^1 = 1{,}00867$ а.е.м.; $m\ _8O^{16} = 1\ 5{,}99491$ а.е.м.

164. Определить энергию связи, приходящуюся на один нуклон ядра атома $_{11}Na^{23}$, если $m\ _{11}Na^{23} = 22{,}98977$а.е.м.; $m\ _1H^1 = 1{,}00783$ а.е.м.; $m\ _0n^1 = 1{,}00867$ а.е.м.

165. Найти дефект массы, энергию связи и удельную энергию связи ядра $_3Li^7$, если известно, что $m\ _3Li^7 = 7{,}01601$ а.е.м.; $m\ _1H^1 = 1{,}00783$ а.е.м.; $m\ _0n^1 = 1{,}00867$ а.е.м.

166. Энергия связи электрона с ядром невозбужденного атома водорода $_1H^1$ равна 13,6 эВ. Определить, насколько масса атома водорода меньше суммы масс свободных протона и электрона.

167. Вычислить дефект массы и энергию связи ядра $_5B^{11}$,если известны следующие массы: m $_5B^{11}$ = 11,00931 а.е.м.; m $_1H^1$ = 1,00783 а.е.м.; m $_0n^1$ = 1,00867 а.е.м.

168. Найти энергию, которую нужно затратить для отрыва нейтрона от ядра $_{11}Na^{23}$, если известны следующие массы: m $_0n^1$ = 1,00867 а.е.м.; m $_{11}Na^{23}$ = 22,98977 а.е.м.; m $_{11}Na^{22}$ = 21,99444 а.е.м.

169. Найти энергию отрыва нейтрона от ядра $_2He^4$,если известны массы: m $_0n^1$ = 1,00867 а.е.м.; m $_2He^4$ = 4,00260 а.е.м.; m $_2He^3$ = 3,01603 а.е.м.

170. Найти энергию, необходимую для удаления одного протона из ядра $_8O^{16}$ ($_8O^{16} \rightarrow {}_7N^{15} + {}_1H^1$). m $_1H^1$ = 1,00783 а.е.м.; m $_8O^{16}$ = 15,99491 а.е.м.; m $_7N^{15}$ = 15,00011 а.е.м.

171. Найти изменение массы при следующей ядерной реакции:
$_{13}Al^{27} + {}_2He^4 \rightarrow {}_{15}P^{30} + {}_0n^1$, если m $_{13}Al^{27}$ =2 6,98154 а.е.м.; m $_2He^4$ = 4,00260 а.е.м.; m $_{15}P^{30}$= 29,97263 а.е.м.; m $_0n^1$= 1,00867 а.е.м.

172.Вычислить энергетический эффект ядерной реакции: $1H^2 + {}_1H3 \rightarrow {}_2He^4 + {}_0n^1$, если m $_1H^2$ = 2,01410 а.е.м.; m $_1H^3$ =3,01605 а.е.м.; m $_0n^1$ =1,00867 а.е.м.; m $_2He^4$ = 4,00260 а.е.м.

173. В термоядерном реакторе с дейтериевым горючим может происходить вторичная термоядерная реакция $_2He^3 + {}_1H^2 \rightarrow {}_2He^4 + {}_1H^1$. Вычислить энергию этой реакции. (m $_2He^3$ = 3,01603 а.е.м.; m $_1H^2$ = 2,01410 а.е.м.; m $_2He^4$ = 4,00260 а.е.м.; m $_1H^1$ = 1,00783 а.е.м.).

174. Вычислить энергию ядерной реакции $_7N^{14} + {}_0n^1 \rightarrow {}_6C^{14} + {}_1H^1$. (m $_7N^1$ ^{4}= 14,00307а.е.м.; m $_0n^1$ =1,00867 а.е.м ; m $_6C^{14}$= 14,00324 а.е.м.; m $_1H^1$= 1,00783 а.е.м.).

175. Определить энергию ядерной реакции $_3Li6 + {}_1H^2 \rightarrow {}_2He^4 + {}_2He^4$. (m $_3Li^6$ = 6,01513 а.е.м.; m $_1H^2$= 2,01410 а.е.м.; m $_2He^4$ =4 ,00260 а.е.м.).

176. Какую минимальную энергию должен иметь квант для вырывания нейтрона из ядра $_6C^{14}$? Известны массы: m $_6C^{14}$ = 14,00324 а.е.м.; m $_0n^1$= 1,00867 а.е.м.; m $_6C^{13}6$ = 13,00335а.е.м.

177. Какую минимальную энергию необходимо затратить, чтобы разделить $_6C^{12}$ на три равные части.(m $_6C^{12}$= 12,00000 а.е.м.; m $_2He^4$= 4,00260 а.е.м.).

178. Определить энергию ядерной реакции $_{20}Ca^{14} + {}_1H^1 \rightarrow {}_{19}K^{41} + 2He^4$. ($m\ {}_{20}Ca^{4\,4}$= 43,95549 а.е.м.; $m\ {}_1H^1$ = 1,00783 а.е.м.; $m\ {}_2He^4$ = 4,00260 а.е.м.; $m\ {}_{19}K^{41}$= 40,96184 а.е.м.)

СПИСОК ЛИТЕРАТУРЫ

Основная литература

8.1 Основная литература

.

1.	И.Г. Коршунов. Физика. – Екатеринбург: Ид-во УГГУ, 2014. – 341 с.
2.	В.И. Горбатов, В.Ф. Полев. Физика. – Екатеринбург: Изд-во УГГУ (Ч.1, 2012.-105 с.; Ч.2, 2013.-115 с.; Ч.3.- 2014.-147 с.)
3.	Михайлов В.К. Физика: учебное пособие/ Михайлов В.К.— Электрон. текстовые данные.- М.: Московский государственный строительный университет, ЭБС АСВ, 2013.-120 с.-Режим доступа: http://www.iprbookshop.ru/23753.html - ЭБС «IPRbooks».
4.	Михайлов В.К. Волны. Оптика. Атомная физика. Молекулярная физика: учебное пособие/ Михайлов В.К., Панфилова М.И.-Электрон. текстовые данные.-М.: Московский государственный строительный университет, ЭБС АСВ, 2016.-144 с.-Режим доступа: http://www.iprbookshop.ru/62614.html -ЭБС «IPRbooks».
5.	Трофимова Т.М. Курс физики. Академия, 2010.- 560 с.

Дополнительная литература

1. И..Г. Коршунов. Основы физики.- Екатеринбург: Изд-во УГГУ, 2010. - 312 с.
2. Ветрова В.Т. Физика. Сборник задач: учебное пособие/ Ветрова В.Т.- Электрон. текстовые данные.- Минск: Вышэйшая школа, 2015.-446 с.- Режим доступа: http://www.iprbookshop.ru/48021.html -ЭБС «IPRbooks».
3. Чакак А.А. Физика. Краткий курс: учебное пособие для студентов очно-заочной формы обучения вузов, слушателей курсов повышения квалификации и профессиональной переподготовки специалистов, для студентов факультета дистанционных образовательных технологий/ Чакак А.А., Летута С.Н. Электрон. текстовые данные. Оренбург: Оренбургский государственный университет, ЭБС АСВ, 2011.-541 с. - Режим доступа: http://www.iprbookshop.ru/30092.html - ЭБС «IPRbooks».
4. Сарина М.П. Механика. Молекулярная физика и термодинамика. Часть 1. Механика: учебное пособие/ Сарина М.П.- Электрон. текстовые данные.- Новосибирск: Новосибирский государственный технический университет, 2014.- 187 с.- Режим доступа: http://www.iprbookshop.ru/45392.html - ЭБС «IPRbooks».

ПРИЛОЖЕНИЯ

Приложение 1

Некоторые физические постоянные

Физическая постоянная	Обозначение	Значение
Скорость света в вакууме	c	$3.00 \cdot 10^{8}$ м/с
Гравитационная постоянная	G	$6.67 \cdot 10^{-11}$ м^3/(кг·с^2)
Число Авогадро	N_A	$6.02 \cdot 10^{23}$ моль$^{-1}$
Молярная газовая постоянная	R	8.31 Дж/(моль·К)
Постоянная Больцмана	k	$1.38 \cdot 10^{-23}$ Дж/К
Атомная единица массы	*1а.е.м.*	$1.660 \cdot 10^{-27}$ кг
Элементарный заряд	e	$1.60 \cdot 10^{-19}$ Кл
Масса покоя электрона	m_e	$9.11 \cdot 10^{-31}$ кг
Масса покоя протона	m_p	$1.67 \cdot 10^{-27}$ кг
Электрическая постоянная	ε_0	$8.85 \cdot 10^{-12}$ Ф/м
Магнитная постоянная	μ_0	$4\pi \cdot 10^{-7}$ Гн/м
Постоянная Планка	h $\hbar$	$6.63 \cdot 10^{-34}$ Дж/с $1.05 \cdot 10^{-34}$ Дж/с

Приложение 2

Множители и приставки для образования десятичных кратных и дольных единиц и их наименования

Приставка			Множитель	Приставка			Множитель
Наименование	Обозначение			Наименование	Обозначение		
	русское	международное			русское	международное	
экса	Э	E	10^{18}	деци	д	d	10^{-1}
пэта	П	P	10^{15}	санти	с	c	10^{-2}
тера	Т	T	10^{12}	милли	м	m	10^{-3}
гига	Г	G	10^{9}	микро	мк	μ	10^{-6}
мега	М	M	10^{6}	нано	н	n	10^{-9}
кило	к	k	10^{3}	пико	п	p	10^{-12}
Гекто	г	h	10^{2}	фемто	ф	f	10^{-15}
Дека	да	da	10^{1}	атто	а	a	10^{-18}
П р и м е ч а н и е: Приставки гекто, дека, деци и санти допускается применять только в наименованиях кратных и дольных единиц, уже получивших широкое распространение (гектар, декалитр, дециметр, сантиметр и др.)							

Приложение 3

Единицы физических величин, имеющие собственные наименования

Величина	Единица	
	Наименование	Обозначение
Длина	метр	м
Масса	килограмм	кг
Время	секунда	с
Плоский угол	радиан	рад
Телесный угол	стерадиан	ср
Сила, вес	ньютон	Н
Давление	паскаль	Па
Напряжение (механическое)	паскаль	Па
Модуль упругости	паскаль	Па
Работа, энергия	джоуль	Дж
Мощность	ватт	Вт
Частота колебаний	герц	Гц
Термодинамическая температура	кельвин	К
Разность температур	кельвин	К
Теплота, количество теплоты	джоуль	Дж
Количество вещества	моль	моль
Электрический заряд	кулон	Кл
Сила тока	ампер	А
Потенциал электрического поля, электрическое напряжение	вольт	В
Электрическая емкость	фарад	Ф
Электрическое сопротивление	ом	Ом
Электрическая проводимость	сименс	См
Магнитная индукция	тесла	Тл
Магнитный поток	вебер	Вб
Индуктивность	генри	Гн
Сила света	кандела	кд
Световой поток	люмен	лм
Освещенность	люкс	лк
Поток излучения	ватт	Вт
Поглощенная доза излучения (доза излучения)	грэй	Гр
Активность изотопа	беккерель	Бк

Приложение 4

Внесистемные единицы

Наименование величины	Единица		
	Наименование	Обозначение	Соотношение с единицей СИ
Масса	тонна атомная единица массы	т а.е.м.	10^3 кг $1.66 \cdot 10^{-27}$ кг
Время	минута час сутки	мин ч сут	60 с 3600 с 86400 с
Плоский угол	градус минута секунда град	…• …′ …″ град	$1.74 \cdot 10^{-2}$ рад $2.91 \cdot 10^{-4}$ рад $4.85 \cdot 10^{-6}$ рад $(\pi/200)$ рад
Объем, вместимость	литр	Л	10^{-3} м^3
Длина	астрономическая единица световой год парсек	а.е. св. год пк	$1.50 \cdot 10^{11}$ м $9.46 \cdot 10^{15}$ м $3.08 \cdot 10^{16}$ м
Оптическая сила	диоптрия	Дптр	1 м$^{-1}$
Площадь	гектар	Га	10^4 м^2
Энергия	электрон-вольт	эВ	$1.60 \cdot 10^{-19}$ Дж
Полная мощность	вольт-ампер	В·А	
П р и м е ч а н и е: Единицы времени (минуту, час, сутки), плоского угла (градус, минуту, секунду), астрономическую единицу, световой год, диоптрию и атомную единицу массы не допускается применять с приставками.			

Приложение 5

Плотность некоторых твердых тел

Твердое тело	Плотность, г/см^3	Твердое тело	Плотность, г/см^3
Алюминий	2.70	Цезий	1.90
Барий	3.50	Каменная соль	2,2
Ванадий	6.02	Латунь	8,55
Висмут	9.80	Марганец	7,40
Железо (чугун, сталь)	7.88	Платина	21,4
Литий	0.53	Золото	19,3
Медь	8.93	Висмут	9,8◌
Никель	8.90	Уран	18,7
Свинец	11.3	Цинк	7.15
Серебро	10.5	Вольфрам	19,3

Приложение 6

Плотность некоторых жидкостей и газов

Жидкость (при 15° С)	Плотность, г·/см^3	Газ (при нормальных условиях	Плотность, кг/м^3
Вода (дистиллированная при 4°С)	1.00	Водород	0.09
Глицерин	1.26	Воздух	1.29
Керосин	0.8	Гелий	0.18
Ртуть	13.6	Аргон	1,78
Масло (оливковое, смазочное)	0.9	Азот	1,25
Масло касторовое	0.96	Кислород	1.43
Сероуглерод	1.26		
Эфир	0.7		
Спирт	0.80		

Приложение 7

Удельное сопротивление ρ некоторых материалов

Материал	Удельное сопротивление, Ом·м	Материал	Удельное сопротивление, Ом·м
Алюминий	$2{,}53\cdot10^{-8}$	Ртуть	$9{,}6\cdot10^{-7}$
Алюминий провод	$2{,}87\cdot10^{-8}$	Свинец	$2{,}08\cdot10^{-7}$
Бумага	10^{15}	Серебро	$1{,}6\cdot10^{-8}$
Вода дистиллированная	10^{4}	Сталь литая	$1{,}3\cdot10^{-7}$
Вода морская	0,3	Сталь чистая	$1{,}01\cdot10^{-7}$
Вольфрам	$5{,}5\cdot10^{-8}$	Стекло	10^{11}
Графит	$3{,}9\cdot10^{-6}$	Стекло кварцевое	10^{16}
Железо чистое	$9{,}8\cdot10^{-8}$	Угольные щётки	$4\cdot10^{-5}$
Железо	$8{,}7\cdot10^{-8}$	Цинк	$5{,}9\cdot10^{-8}$
Золото	$2{,}2\cdot10^{-8}$	Чугун серый	$1\cdot10^{-6}$
Константан	$5\cdot10^{-7}$	Никель	$8{,}7\cdot10^{-8}$
Масло парафиновое	10^{14}	Нихром	$1{,}12\cdot10^{-6}$
Магний	$4{,}4\cdot10^{-8}$	Олово	$1{,}2\cdot10^{-7}$
Манганин	$4{,}3\cdot10^{-7}$	Платина	$1{,}07\cdot10^{-7}$
Медь	$1{,}72\cdot10^{-8}$	Медь провод	$1{,}78\cdot10^{-8}$

Приложение 8

Диэлектрическая проницаемость некоторых веществ

Вещество	Проницаемость	Вещество	Проницаемость
Ацетон	21,4	Парафин	2,0
Вакуум	1,0	Парафинированная бумага	2,0
Воздух	1,000594	Полиэтилен	2,2
Вода	81	Слюда	7,0
Вода дистиллированная	31	Спирт этиловый	25,1
Воск	7,8	Спирт метиловый	33,5
Керосин	2,0	Стекло	7,0
Масло	5,0	Фарфор	5,0
Масло трансформаторное	2,2	Эбонит	2,6

Приложение 9

Греческий алфавит

Обозначения букв	Название букв	Обозначения букв	Название букв
A, α	Альфа	N, ν	ню
B, β	Бета	Ξ, ξ	кси
Γ, γ	Гамма	O, o	омикрон
Δ, δ	Дэльта	Π, π	пи
E, ε	Эпсилон	P, ρ	ро
Z, ς	Дзета	Σ, σ	сигма
H, η	Эта	T, τ	тау
Θ, θ	Тэта	Y, υ	ипсилон
J, i	Иота	Φ, φ	фи
K, κ	Каппа	X, χ	хи
Λ, λ	Ламбда	Ψ, ψ	пси
M, μ	Ми	Ω, ω	омега

СОДЕРЖАНИЕ

Общие методические указания к решению задач и выполнению домашних контрольных работ	3
1. Механика	4
2. Молекулярная физика и термодинамика	7
3. Электричество и магнетизм	10
4. Механические и электромагнитные колебания и волны	12
5. Волновая и квантовая оптика	15
6. Квантовая физика и физика атома	18
7. Элементы ядерной физики	19
Список литературы	23
Приложения	24



Министерство образования и науки РФ
ФГБОУ ВО
«Уральский государственный горный университет»

Н. А. Зайцева

КАЧЕСТВЕННЫЕ РЕАКЦИИ В НЕОРГАНИЧЕСКОЙ ХИМИИ

Учебно-методическое пособие для выполнения лабораторных и контрольных работ курсов «Химия» и «Неорганическая химия» для студентов всех специальностей

Екатеринбург
2017

З17

Рецензент: Т. И. Красненко, д-р химических наук, профессор, ведущий научный сотрудник лаборатории оксидных систем ИХТТ УрО РАН

Учебно-методическое пособие рассмотрено на заседании кафедры химии 25 февраля 2016 г. (протокол № 6) и рекомендовано для издания в УГГУ

Зайцева Н. А.
З17 КАЧЕСТВЕННЫЕ РЕАКЦИИ В НЕОРГАНИЧЕСКОЙ ХИМИИ: учебно-методическое пособие для выполнения лабораторных и контрольных работ курсов «Химия» и «Неорганическая химия» для студентов всех специальностей / Н. А. Зайцева. – Екатеринбург: Изд-во УГГУ, 2017. – 35 с.

В учебно-методическом пособии изложены краткие сведения о качественных реакциях в неорганической химии. Пособие содержит необходимые сведения для выполнения лабораторных работ по качественному анализу катионов и решения задач.

Пособие предназначено для студентов всех специальностей.

© Зайцева Н. А., 2017

© Уральский государственный горный университет, 2017

ВВЕДЕНИЕ

Качественная реакция – химическая реакция, с помощью которой можно определить наличие в растворе того или иного вещества или его фрагмента (катиона, аниона, функциональной группы). Качественная реакция на ионы позволяет обнаружить («открыть») в растворе присутствие соответствующих ионов. При обнаружении открываемого иона обычно фиксируют появление аналитического сигнала — образование осадка, изменение окраски раствора, появление запаха и т. д.

Требования к качественным реакциям

1. Экспрессность (реакция должна протекать быстро).
2. Высокая чувствительность.
3. Селективность или специфичность.
4. Необратимость.

Чувствительность реакции определяется наименьшим количеством искомого вещества, которое может быть обнаружено данным реактивом в капле раствора.

Существенной характеристикой анализа является селективность (избирательность).

По избирательности реагенты можно разделить на три группы:

1. *Специфические реагенты* – реактивы, с помощью которых в данных условиях можно обнаружить только одно вещество (ион),

например: крахмал для обнаружения I_2 (синяя окраска); щёлочь для обнаружения NH^{4+} (запах аммиака).

Специфические реакции – реакции, которые дают возможность открывать одни ионы в присутствии различных других ионов.

2. *Селективные реагенты* – реактивы, с помощью которых в данных условиях можно обнаружить небольшое число веществ. Например, диметилглиоксим в аммиачном буферном растворе реагирует с Fe (II), Co (II), Ni (II), Zr (IV), Th (IV).

3. *Групповые реагенты* – используются в систематическом анализе смеси катионов и взаимодействуют со всеми катионами одной аналитической группы.

Реакции, позволяющие обнаружить искомые ионы в отдельных порциях сложной смеси при условии устранения влияния других ионов, называют **дробными реакциями**, а метод анализа, основанный на применении дробных реакций, называют **дробным анализом.** При этом порядок обнаружения катионов и анионов не имеет особого значения. При **систематическом анализе**, в отличие от дробного, соблюдается определенный порядок разделения и последующего открытия ионов. К обнаружению ионов приступают лишь после удаления из раствора всех других ионов, мешающих открытию. Систематический (групповой) анализ применяют при невозможности использования дробного анализа. На основе растворимости их солей или других соединений ионы делят на аналитические группы, на основании различных классификаций катионов разработаны разные методы систематического анализа катионов.

Методы систематического анализа

1. Сероводородный – основан на разной растворимости сульфидов и хлоридов в зависимости от *pH*-среды.

2. Аммиачно-фосфатный – основан на разной растворимости фосфатов.

3. Кислотно-основной – основан на разной растворимости в кислотах и основаниях гидроксидов и солей (табл. 1).

Таблица 1

Классификация катионов по кислотно-основному методу

Группа	Катионы	Групповой реактив	Характеристика группы
I	Na^+, K^+, NH_4^+	–	Хлориды, сульфаты и гидроксиды растворимы в воде
II	Ag^+, Pb^{2+}, Hg_2^{2+}	2M HCl	Хлориды нерастворимы в воде и разбавленных кислотах
III	Ca^{2+}, Sr^{2+}, Ba^{2+}	2M H_2SO_4	Сульфаты нерастворимы в воде, кислотах и щелочах
IV	Al^{3+}, Cr^{3+}, Zn^{2+}, $^*As^{3+}$, $^*As^{5+}$, Sn^{2+}, Sn^{4+}	4M NaOH (избыток)	Гидроксиды амфотерны, растворимы в избытке щелочи
V	Fe^{2+}, Fe^{3+}, Mn^{2+}, Mg^{2+}, Bi^{3+}, Sb^{3+}, Sb^{5+}	2M NaOH (25 % NH_4OH)	Гидроксиды нерастворимы в избытке щелочи и аммиаке
VI	Cu^{2+}, Co^{2+}, Ni^{2+}, Hg^{2+}, Cd^{2+}	25% NH_4OH (избыток)	Гидроксиды растворимы в избытке аммиака с образованием аммиакатов

$^*As^{3+}$ и As^{5+} гидроксидов не образуют.

Лабораторная работа № 1

КАЧЕСТВЕННЫЕ РЕАКЦИИ НА КАТИОНЫ ЖЕЛЕЗА

Цель работы: познакомиться с качественными реакциями на катионы железа, определить наиболее подходящие реактивы для открытия Fe^{3+} и Fe^{2+}.

Для получения аналитического сигнала в качественном анализе используют химические реакции разных типов: реакции ионного обмена (осаждение, нейтрализация), окислительно-восстановительные, комплексообразование. Для обнаружения ионов железа возможно использование всех типов реакций.

Реакции ионного обмена в качественном анализе

Опыт 1. Действие щелочей на катионы Fe^{3+} и Fe^{2+}

В две пробирки налейте по 1 мл растворов $FeCl_3$ и $FeSO_4$, добавьте по 1 мл раствора щёлочи в каждую пробирку. Сравните полученные осадки $Fe(OH)_3$ и $Fe(OH)_2$, составьте уравнения обеих реакций. Растворимы ли полученные гидроксиды железа в избытке щёлочи?

Опыт 2. Действие раствора аммиака на катионы Fe^{3+} и Fe^{2+}

В две пробирки налейте по 1 мл растворов солей железа (III) и железа (II), добавьте по 1 мл разбавленного раствора гидроксида аммония в каждую пробирку. Сравните полученные осадки с

осадками из первого опыта. Составьте уравнения реакций. Проверьте действие избытка концентрированного гидроксида аммония на оба осадка: образуют ли ионы железа аммиачные комплексы?

Реакции окисления-восстановления

Опыт 3. Действие окислителей на катионы Fe^{3+} и Fe^{2+}

а) В две пробирки налейте по 1 мл растворов солей Fe^{2+} и Fe^{3+}, добавьте по 2 мл раствора серной кислоты. В обе пробирки прилейте раствор перманганата калия, в какой из них наблюдается обесцвечивание $KMnO_4$? Запишите уравнение реакции, учитывая, что в кислой среде перманганат-ионы восстанавливаются до ионов Mn^{2+}, уравняйте его методом электронно-ионного баланса.

б) В две пробирки налейте по 1 мл растворов солей Fe^{2+} и Fe^{3+}, добавьте по 2 мл раствора серной кислоты. В обе пробирки прилейте раствор бихромата калия, в какой из них наблюдается изменение окраски раствора? Запишите уравнение реакции, учитывая, что бихромат-ионы $Cr_2O_7^{2-}$ восстанавливаются до ионов Cr^{3+}, уравняйте его методом электронно-ионного баланса.

Опыт 4. Действие восстановителей на катионы Fe^{3+} и Fe^{2+}

В две пробирки налейте по 1 мл растворов солей Fe^{2+} и Fe^{3+}, добавьте по 1 мл раствора йодида калия. Какая из солей железа проявила окислительный свойства? Запишите уравнение реакции, расставьте коэффициенты методом электронно-ионного баланса.

Реакции с участием комплексных ионов

Опыт 5. Реакция ионов железа с роданидом аммония

В две пробирки налейте по 1 мл раствора $FeCl_3$ и $FeSO_4$, добавьте по 1 мл раствора роданида аммония NH_4SCN в каждую пробирку. В какой из пробирок наблюдается образование роданида железа красного цвета? Составьте уравнение реакции.

Опыт 6. Реакция ионов железа с реактивом Чугаева

В две пробирки налейте по 1 мл раствора соли железа (III) и железа (II), добавьте по 1 мл раствора аммиака и по 1 капле раствора диметилглиоксима ($C_4H_8N_2O_2$). Для какого иона железа наблюдается образование окрашенного внутрикомплексного соединения с реактивом Чугаева? Составьте уравнение реакции образования диметилглиоксимата железа [Fe $(C_4H_7O_2N_2)_2$].

Опыт 7. Берлинская лазурь и турнбуллева синь

На растворы $FeCl_3$ и $FeSO_4$ подействуйте каплей раствора жёлтой кровяной соли (гексацианоферрата (II) калия). В каком случае наблюдается выпадение синего осадка? Запишите уравнение реакции, предполагая, что выпавший осадок берлинской лазури имеет состав $Fe_4\,[Fe(CN)_6]_3$.

На растворы $FeCl_3$ и $FeSO_4$ подействуйте каплей раствора красной кровяной соли (гексацианоферрата (III) калия). В каком случае наблюдается выпадение синего осадка? Запишите уравнение реакции, предполагая, что выпавший осадок турнбуллевой сини

имеет состав Fe_3 [Fe $(CN)_6]_3$. Сделайте вывод, какой кровяной солью можно открыть ион Fe^{2+}, и с помощью какой обнаруживается ион Fe^{3+}.

КОНТРОЛЬНЫЕ ВОПРОСЫ И ЗАДАНИЯ

1. Что произойдет с зеленоватым осадком Fe $(OH)_2$ при добавлении к нему раствора перекиси водорода H_2O_2? Запишите уравнение реакции, уравняйте его методом электронно-ионного баланса.

2. Выпадет ли осадок при смешивании равных объемов растворов $FeCl_3$ и NaOH, если ПР (Fe $(OH)_3$) = $3{,}8 \cdot 10^{-38}$, а концентрации растворов 0,001 моль/л? Выпадет ли осадок при смешивании равных объемов растворов $FeSO_4$ и NaOH, если ПР (Fe $(OH)_2$) = $4{,}8 \cdot 10^{-16}$, а концентрации обоих растворов 0,001 моль/л?

3. Какой объём соляной кислоты с концентрацией 0,01 моль/л требуется для полного растворения осадка Fe $(OH)_3$ массой 0,5 г?

4. Реакция образования окрашенного роданида железа (опыт 3) является обратимой. Запишите выражение для константы равновесия этой реакции. Какими способами, согласно принципу Ле-Шателье, можно сместить равновесие в сторону образования окрашенного продукта?

5. Запишите уравнения реакций первичной и вторичной диссоциации красной и жёлтой кровяных солей. Почему чаще всего именно цианид-ионы используются для маскирования ионов железа в растворах?

6. Подвергаются ли соли железа гидролизу? Запишите уравнения взаимодействия с водой для $FeCl_3$ и $FeSO_4$, определите тип гидролиза и кислотность среды раствора. Какую окраску приобретёт лакмус в этих растворах?

Лабораторная работа № 2
КАЧЕСТВЕННЫЕ РЕАКЦИИ НА ИОНЫ Co^{2+}, Ni^{2+} и Cu^{2+}

Цель работы: познакомиться с качественными реакциями на ионы **Co^{2+}, Ni^{2+} и Cu^{2+}**, выполняемыми пробирно, капельно, и с использованием экстракции, определить наиболее подходящие реакции для открытия каждого иона.

Предел обнаружения – минимальная концентрация или минимальное количество вещества, которое может быть обнаружено данным методом допустимой погрешностью. Предел обнаружения в значительной степени зависит от условий протекания реакции. Обычно для обнаружения ионов применяют реакции с пределом обнаружения 10^{-7} г (0,1мкг) в 1 мл раствора.

Приемы для обеспечения низкого предела обнаружения

1. *Капельный анализ* – метод микрохимического анализа, в котором качественную реакцию проводят с использованием капли раствора. Реакции выполняют на стеклянной или фарфоровой пластинке, фильтровавальной бумаге (иногда предварительно пропитанной раствором реагента и высушенной). Пределы обнаружения веществ 0,1–0,001 мкг в капле объемом 50 мм^3. Минимальные пределы обнаружения достигаются при выполнении анализа на фильтровальной бумаге.

2. *Микрокристаллоскопический анализ* – метод анализа, основанный на реакциях образования кристаллических осадков с

характерной формой кристаллов, для рассмотрения которых используется микроскоп.

3. *Экстракция* – процесс переведения вещества из водной фазы в органическую, используется для разделения и концентрирования веществ.

4. *Флотация* – процесс разделения мелких твёрдых частиц в водной суспензии или растворе, основанный на их избирательной адсорбции на границах раздела фаз в соответствии с их смачиваемостью, используется для разделения и концентрирования.

5. *Метод «умножающихся реакций»* – ряд последовательных реакций, в результате которых получается новое вещество в количестве, во много раз превышающем первоначальное количество обнаруживаемого вещества.

6. *Каталитические реакции*.

Реакции в пробирке (в растворе)

Опыт 1. Действие щелочей на катионы Co^{2+}, Ni^{2+} и Cu^{2+}

В три пробирки налейте по 1 мл растворов солей Co^{2+}, Ni^{2+} и Cu^{2+}, добавьте по 1 мл разбавленного раствора щёлочи в каждую пробирку. Составьте уравнения реакций образования синего CoOHCl, голубого CuOHCl и зелёного NiOHCl. Подействуйте на каждый полученный осадок избытком концентрированной щёлочи, составьте уравнения реакций образования гидроксидов кобальта (II), никеля (II) и меди (II).

Опыт 2. Действие раствора аммиака на Co^{2+}, Ni^{2+} и Cu^{2+}

В три пробирки налейте по 1 мл растворов солей Co^{2+}, Ni^{2+} и Cu^{2+}, добавьте по 1 мл разбавленного раствора аммиака в каждую пробирку. Сравните полученные осадки с осадками из первого опыта. Составьте уравнения реакций.

Проверьте действие избытка концентрированного гидроксида аммония на полученные осадки, запишите уравнения реакций, учитывая, что в аммиачных комплексах кобальта и никеля координационное число комплексообразователя равно шести, а медь удерживает только четыре лиганда.

Разрушаются ли полученные аммиакаты раствором кислоты?

Опыт 3. Реакции с желтой кровяной солью

В три пробирки налейте по 1 мл растворов солей Co^{2+}, Ni^{2+} и Cu^{2+}, добавьте по 1 мл разбавленного раствора гексацианоферрата (II) калия в каждую пробирку. Что наблюдается? Составьте уравнения реакций, учитывая, что все осадки получены в результате полного ионного обмена.

Капельные реакции на фильтровальной бумаге

Опыт 4. Реакция катионов Ni^{2+} с реактивом Чугаева

На сухую фильтровальную бумагу поместите несколько капель раствора соли никеля (II), добавьте каплю раствора аммиака и каплю раствора диметилглиоксима $C_4H_8N_2O_2$ (реактив Чугаева). Сравните наблюдаемый аналитический сигнал с реакцией образования

диметилглиоксимата железа (II), выполненной в предыдущей работе. Запишите уравнение реакции

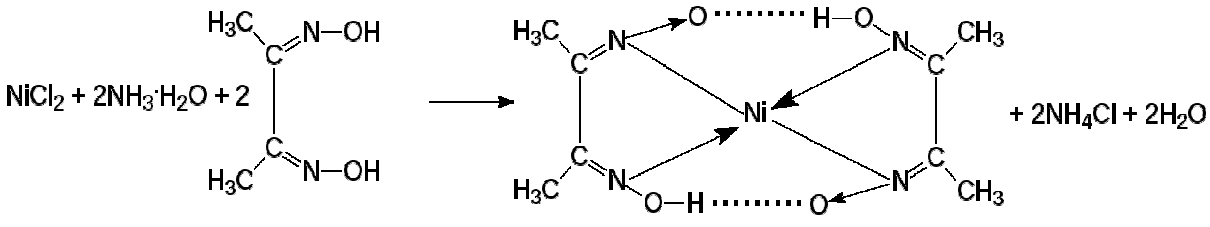

Проведите аналогичную реакцию с растворами меди (II) и кобальта (II). Какой из этих ионов может мешать определению ионов никеля и почему?

Опыт 5. Капельная реакция ионов Co^{2+}с роданидом аммония

Поместите на сухую фильтровальную бумагу несколько капель раствора хлорида кобальта (II), добавьте кристаллы сухой соли NH_4SCN, при необходимости добавьте ещё одну каплю раствора. Как изменилась окраска кристаллов? Составьте уравнение реакции образования комплексного соединения $(NH_4)_2[Co(SCN)_4]$.

Обнаружение катионов с использованием экстракции

Опыт 6. Реакция ионов Co^{2+} с роданидом аммония

Поместите в пробирку несколько капель раствора хлорида кобальта (II), добавьте кристаллы сухой соли тиоцианата (роданида) аммония. Как изменилась окраска раствора?

Чувствительность этой реакции можно повысить с помощью экстракции окрашенного комплекса $(NH_4)_2[Co(SCN)_4]$ органическим растворителем. Добавьте к полученному раствору несколько капель изоамилового спирта, взболтайте. Дождитесь разделения в пробирке водной и спиртовой фаз. Что при этом наблюдается?

КОНТРОЛЬНЫЕ ВОПРОСЫ И ЗАДАНИЯ

1. Составьте уравнения реакций первичной и вторичной диссоциаций гексаамминкобальта (II), гексаамминникеля (II), тетраамминмеди (II). Запишите формулы для константы нестойкости.

2. Для открытия ионов Ni^{2+} с помощью диметилглиоксима при реакции на капельной пластинке предел обнаружения Ni^{2+} – 0,16 мкг; в пробирке можно обнаружить 1,4 мкг Ni^{2+} в 1 мл. Предел обнаружения можно уменьшить до 0,015 мкг, если каплю анализируемого раствора нанести на фильтровальную бумагу, пропитанную диметилглиоксимом. Если осадок диметилглиоксимата никеля (II) флотируется на границе раздела фаз «вода – изоамиловый спирт», то предел обнаружения ионов Ni^{2+} понижается до 0,002 мкг. Определите минимальную молярную концентрацию ионов Ni^{2+}, открываемых каждым из способов.

3. Окисление тиосульфат-ионов ионами железа (III) ускоряется в присутствии ионов меди (каталитическая реакция). Время обесцвечивания тиоцианата железа (III) тиосульфатом натрия в отсутствие меди около двух минут. В присутствии ионов Cu^{2+} раствор тиоцианата железа (III) обесцвечивается мгновенно. Предел обнаружения меди – 0,02мкг в 1 мл. Определите минимальную молярную концентрацию ионов Cu^{2+}, соответствующую этому пределу обнаружения.

Лабораторная работа № 3

КАЧЕСТВЕННЫЕ РЕАКЦИИ НА ИОНЫ $A1^{3+}$, Cr^{3+}, Zn^{2+}

Цель работы: познакомиться с качественными реакциями на ионы **$A1^{3+}$, Cr^{3+}** и **Zn^{2+}**, научиться использовать амфотерность их гидроксидов в химическом анализе, определить наиболее подходящие реакции для открытия каждого иона.

Для проведения каждой качественной реакции необходимо соблюдать определенные условия, основные из которых: *pH*-среды; температура; концентрации реагентов; присутствие определенных веществ; отсутствие мешающих ионов или веществ. Для протекания многих реакций необходима среда с определенным значением *pH* водного раствора. Значение *pH* можно контролировать с помощью индикаторов или прибора *pH*-метра. Для поддержания нужного значения *pH* при необходимости используют соответствующие буферные растворы.

Буферные растворы — это растворы, способные сохранять постоянное значение *pH* при разбавлении водой или добавлении к ним определенного количества сильных кислот или оснований. В состав буферной смеси входят в определенном количественном соотношении слабые кислоты и их соли с сильными основаниями или слабые основания и их соли с сильными кислотами.

Амфотерность гидроксидов алюминия, цинка и хрома (III) позволяет отделять их от остальных катионов действием растворов щелочей различной концентрации.

Опыт 1. Действие щелочей на катионы $A1^{3+}$, Cr^{3+}, Zn^{2+}

В три пробирки налейте по 1 мл растворов хлоридов алюминия, хрома и цинка, добавьте по несколько капель очень разбавленного раствора щёлочи в каждую пробирку до образования нерастворимых гидроксидов. Составьте уравнения реакций. Подействуйте на каждый полученный осадок избытком щёлочи до полного растворения, составьте уравнения реакций образования тетрагидроксоалюмината, тетрагидроксоцинката и гексагидроскохромата натрия.

Опыт 2. Действие раствора аммиака на ионы $A1^{3+}$, Cr^{3+}, Zn^{2+}

В три пробирки налейте по 1 мл растворов хлоридов алюминия, хрома и цинка, добавьте по 1 мл разбавленного раствора аммиака в каждую пробирку. Сравните полученные осадки с осадками из первого опыта. Составьте уравнения реакций образования соответствующих гидроксидов.

Проверьте действие избытка концентрированного гидроксида аммония на полученные осадки. Какие гидроксиды растворяются частично или полностью? Составьте реакцию комплексообразования, учитывая, что в образующихся аммиакатных комплексах координационное число каждого комплексообразователя вдвое больше, чем модуль его степени окисления.

Опыт 3. Реакция ионов алюминия с алюминоном

В пробирку поместите 3–4 капли раствора соли алюминия, при необходимости 2–3 капли раствора уксусной кислоты и 3–5 капель 0,01 % раствора алюминона ($C_{21}H_{11}O_9$ $(NH_4)_3$). Смесь нагрейте на

водяной бане, добавьте несколько капель раствора аммиака до щелочной реакции и выпадения красного хлопьевидного осадка алюминиевого лака.

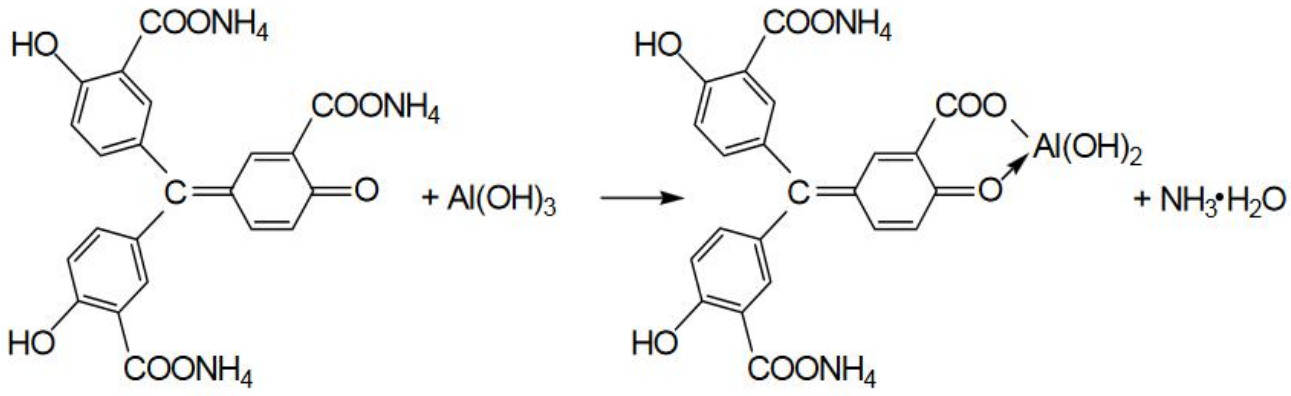

Опыт 4. Реакция ионов цинка с желтой кровяной солью

В пробирке к 1 мл раствора $ZnCl_2$ добавьте 1 мл раствора гексацианоферрата (II) калия. Наблюдайте выпадение белого осадка $K_2Zn_3[Fe(CN)_6]_2$. Составьте уравнение этой реакции ионного обмена.

Опыт 5. Восстановительные свойства ионов хрома (III)

В пробирку поместите 2–3 капли раствора соли хрома(III), прибавьте 4–5 капель 2 моль/л раствора щёлочи NaOH до растворения осадка, и 2–3 капли 3 % раствора перекиси водорода H_2O_2. Нагревайте до изменения зеленой окраски раствора на желтую (цвет хромат-ионов CrO_4^{2-}). Составьте уравнение окислительно-восстановительной реакции, расставьте коэффициенты методом электронно-ионного баланса.

Опыт 6. Образование надхромовой кислоты

К жёлтому раствору хромата натрия, полученному в предыдущем опыте, прибавьте 5 капель пероксида водорода H_2O_2, ~0,5 мл изоамилового спирта, тщательно перемешайте и прибавьте по каплям раствор серной кислоты (1 моль/л). Верхний органический слой окрашивается в интенсивно синий цвет за счёт экстракции образовавшейся надхромовой кислоты H_2CrO_6. Запишите уравнение реакции, протекающее через образование дихромовой кислоты и её последующее окисление перекисью водорода:

$$2Na_2CrO_4+2H_2SO_4 \rightarrow H_2Cr_2O_7+2Na_2SO_4+H_2O$$

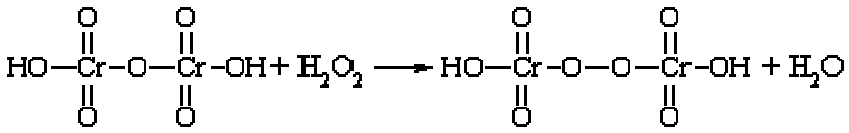

$$H_2Cr_2O_8 + 3\ H_2O_2 \leftrightarrow 2\ H_2CrO_6 + 2\ H_2O$$

Составьте электронно-ионный баланс для этой реакции.

КОНТРОЛЬНЫЕ ВОПРОСЫ И ЗАДАНИЯ

1. Составьте уравнения первичной и вторичной диссоциации солей, полученных в первом опыте: тетрагидроксоалюмината, тетрагидроксоцинката и гексагидроскохромата натрия.

2. Напишите выражение константы нестойкости для комплексных ионов тетраамминцинка и гексаамминхрома, полученных во втором опыте.

3. Напишите уравнения диссоциаций хромовой, дихромовой и надхромовой кислот.

Лабораторная работа № 4

РАЗДЕЛЕНИЕ И ОБНАРУЖЕНИЕ КАТИОНОВ Ag^{+}, Pb^{2+}, Hg^{2+} МЕТОДОМ ОСАДОЧНОЙ БУМАЖНОЙ ХРОМАТОГРАФИИ

Цель работы: познакомиться с разделением и идентификацией катионов методом бумажной хроматографии

Хроматография – физико–химический метод разделения веществ, основанный на использовании сорбционных процессов в динамических условиях.

Анализируемые компоненты распределяются между подвижной и неподвижной фазами. Неподвижной фазой служит твердое вещество – сорбент. Подвижной фазой является жидкость или газ, протекающий через неподвижную фазу – элюент. Элюент в процессе хроматографирования перемещается вдоль сорбента, так что частицы анализируемых веществ могут многократно переходить из подвижной фазы в неподвижную и наоборот. Разделение веществ с помощью хроматографии основано на различном сродстве разделяемых компонентов к подвижной и неподвижной фазам.

Бумажная хроматография – вид хроматографии, в котором носителем неподвижного растворителя служит очищенная от примесей фильтровальная бумага. Подвижная фаза продвигается вдоль листа бумаги, главным образом за счет капиллярных сил. Бумажная хроматография отличается простотой, экспрессностью, наглядностью разделения, высокой чувствительностью (можно определить 10–20 мкг вещества с точностью 5–7 %).

Опыт 1. Подготовка фильтровальной бумаги

Два фильтра «синяя лента» диаметром 45 мм смочите 5 %-м раствором йодида калия, опуская фильтры в раствор пинцетом. Высушите фильтры на воздухе в чашке Петри.

Опыт 2. Получение первичной осадочной хроматограммы

В центр каждого высушенного фильтра нанесите пипеткой каплю анализируемой смеси катионов Ag^+, Hg^{2+} и Pb^{2+}, после её полного впитывания нанесите еще одну, дайте ей впитаться. Катионы анализируемой смеси вступают в реакцию с KI, которым пропитан фильтр, образуя осадочную хроматограмму, зоны которой имеют цвета осадков AgJ (жёлтый), HgJ_2 (оранжевый), PbJ_2 (ярко-желтый).

Полученные хроматограммы необходимо промыть дистиллированной водой. Для промывания хроматограмм нанесите на фильтры 2–3 капли дистиллированной воды, внося каждую последующую каплю после впитывания предыдущей до увеличения размера зон в два–три раза. Высушите обе осадочные хроматограммы, заполните табл. 1, составьте уравнения реакций образования осадков.

Таблица 1

Первичная хроматограмма смеси катионов Ag^+, Hg^{2+}, Pb^{2+}

Зона адсорбции	Цвет зоны	Ион
1. Первая – хорошая адсорбция (в центре фильтра)		
2. Вторая – средняя адсорбция		
3. Третья – плохая адсорбция (края фильтра)		

Опыт 3. Получение проявленной осадочной хроматограммы

Анализируя первичную хроматограмму, легко определить катионы Hg^{2+} (оранжевая зона в центре) и Pb^{2+} (ярко-желтая зона по периферии). Бледно-желтая окраска AgJ либо видна плохо (из-за маскировки оранжевым HgJ_2 и ярко-желтым PbJ_2), либо не видна совсем. Для того, чтобы явно видеть зону серебра, первичную хроматограмму на одном из фильтров необходимо проявить.

Для проявления хроматограммы внесите в центр фильтра каплю раствора NaOH. При этом йодид свинца растворится в NaOH с образованием бесцветного плюмбита натрия Na_2PbO_2, йодид ртути останется неизменным, бледно-жёлтое пятно йодида серебра постепенно почернеет вследствие превращения гидроксида серебра (I) в оксид серебра (I), который затем разложится до свободного серебра.

Заполните табл. 2, составьте уравнения всех протекающих при проявке первичной хроматограммы реакций.

Таблица 2

Вторичная хроматограмма смеси катионов Ag^+, Hg^{2+}, Pb^{2+}

Зона адсорбции	Цвет зоны	Ион
1. Первая – хорошая адсорбция (в центре фильтра)		
2. Вторая – средняя адсорбция		
3. Третья – плохая адсорбция (край фильтра)		

По результатам работы сделайте вывод об эффективности метода бумажной хроматографии для дробного открытия катионов Ag^{+}, Hg^{2+}, Pb^{2+} при их совместном присутствии.

КОНТРОЛЬНЫЕ ВОПРОСЫ И ЗАДАНИЯ

1. Какие процессы лежат в основе хроматографического анализа?

2. Вычислите ПР йодида свинца (II), если известно, что растворимость его равна 0,03 г на 0,1 кг воды.

3. Выпадет ли осадок при взаимодействии равных объемов растворов $AgNO_3$ и KI, если концентрации обоих растворов 0,001 моль/л, а произведение растворимости йодида серебра ПР (AgI) =$8{,}3 \cdot 10^{-17}$.

4. В избытке йодида калия осадок йодида ртути (II) растворяется без изменения степеней окисления элементов с образованием комплексного соединения тетрайодомеркурата калия. Составьте уравнение этой реакции, а также уравнения первичной и вторичной диссоциаций полученного соединения, запишите выражение для константы нестойкости комплексного иона.

5. Оксид серебра (I) неустойчив на воздухе, поэтому он используется не в чистом виде, а в аммиачном растворе (реактив Толленса). При взаимодействии гидроксида аммония и оксида серебра (I) образуется гидроксид диамминсеребра (I). Составьте уравнение этой реакции, а также уравнения первичной и вторичной диссоциаций полученного соединения, запишите выражение для константы нестойкости комплексного иона.

6. Дайте определения терминам «элюент», «сорбент», «элюат», «подвижная фаза», «неподвижная фаза», «собрция», «десорбция».

Лабораторная работа № 5

ДРОБНОЕ ОПРЕДЕЛЕНИЕ РАЗЛИЧНЫХ КАТИОНОВ

Цель работы: с помощью качественных реакций определить, какая соль находится в каждой пробирке.

Ход работы

В двенадцати пронумерованных пробирках находятся следующие растворы соли:

Раствор бесцветный	**Раствор может быть окрашенным**
Хлорид аммония	Сульфат меди (II)
Хлорид кальция	Хлорид кобальта (II)
Сульфат марганца (II)	Хлорид никеля (II)
Сульфат железа (II)	Хлорид хрома (III)
Хлорид цинка	Хлорид железа (III)
Хлорид алюминия	
Нитрат свинца (II)	

После получения у преподавателя нескольких пробирок (по вариантам 3–6 шт.,) составьте в тетради таблицу для записи результатов анализа:

Качественный анализ растворов, номер (№) (запишите номера пробирок)

Испытуемый раствор	Добавленный реагент	Наблюдение	Предполагаемый состав	Вывод
Опыт № 1 «Открытие окрашенных ионов»				
№ 13	отсуствует	Раствор розовый	Ионы Co^{2+}	
№ 13	NaOH	Выпал синий осадок, при добавлении избытка щёлочи стал розовым	CoOHCl $Co(OH)_2$	В пробирке был $CoCl_2$
Опыт № 2 «Действие щелочей»				
№ 14				

Опыт 1. Открытие окрашенных ионов

Опишите внешний вид растворов, сделайте предположения, какие растворы могут быть в каждой из пробирок, занесите их в таблицу. Наиболее вероятные предположения (для окрашенных растворов) проверьте с помощью соответствующих качественных реакций, взяв для анализа небольшую порцию испытуемого раствора. Составьте уравнения реакций, сделайте выводы.

Опыт 2. Действие щелочей на испытуемые растворы

Взяв пробы оставшихся исследуемых растворов (по 0,5 мл), подействуйте на них разбавленным раствором щёлочи, добавляя его по каплям. Занесите в таблицу аналитический сигнал: выделился запах аммиака, выпал неизменяющийся осадок, выпал осадок, растворимый в избытке щёлочи или темнеющий на воздухе. Обратите внимание, что гидроксид свинца $Pb(OH)_2$ проявляет амфотерные свойства, растворяясь в избытке щелочи с образованием плюмбита Na_2PbO_2, а светло-бежевый гидроксид марганца $Mn(OH)_2$ постепенно окисляется кислородом воздуха, что выглядит как потемнение раствора на границе с воздухом:

$$2\ Mn(OH)_2 + O_2 \rightarrow 2\ MnO_2\downarrow + 2\ H_2O.$$

Эту реакцию можно сделать более наглядной, ускорив процесс окисления с помощью перекиси водорода:

$$Mn(OH)_2 + H_2O_2 \rightarrow MnO_2\downarrow + 2\ H_2O.$$

Сделайте предположения о том, какие катионы находятся в пробирках. Проверьте предположения с помощью качественных реакций, для ионов Mn^{2+} кроме реакции с H_2O_2 можно использовать

ОВР с окислением марганца до розовых перманганат-ионов висмутатом натрия в сильнокислой среде:

$$2MnSO_4+5NaBiO_3+16HNO_3 \rightarrow$$

$$2HMnO_4+5Bi(NO_3)_3+NaNO_3+2Na_2SO_4+7H_2O.$$

Сделайте выводы, запишите уравнения выполненных реакций.

Опыт 3. Действие раствора аммиака на испытуемые пробы

Взяв пробы оставшихся исследуемых растворов (по 0,5 мл), подействуйте на них разбавленным раствором аммиака. Занесите в таблицу аналитический сигнал. Сделайте предположения о том, какие катионы находятся в пробирках. Проверьте предположения с помощью качественных реакций. Сделайте выводы, запишите уравнения выполненных реакций.

Опыт 4. Открытие неокрашенных ионов

Взяв пробы оставшихся исследуемых растворов (по 0,5 мл), проведите качественный анализ на катионы, которые остались не открытыми. Сделайте выводы, запишите уравнения выполненных реакций.

ЗАДАНИЯ ДЛЯ КОНТРОЛЬНОЙ РАБОТЫ ПО ТЕМЕ «КАЧЕСТВЕННЫЕ РЕАКЦИИ В НЕОРГАНИЧЕСКОЙ ХИМИИ»

1. Две соли окрашивают пламя в фиолетовый цвет. Одна из них бесцветна, и при лёгком нагревании её с концентрированной серной кислотой отгоняется жидкость, в которой растворяется медь; последнее превращение сопровождается выделением бурого газа. При добавлении к раствору второй соли раствора серной кислоты жёлтая окраска раствора изменяется на оранжевую, а при нейтрализации полученного раствора щёлочью восстанавливается первоначальный цвет. Запишите формулу и название этого вещества. Составьте уравнения реакций, которые были проведены в процессе его распознавания.

2. В двух сосудах находятся растворы неизвестных веществ. При добавлении к раствору первого вещества хлорида бария выпадает осадок белого цвета, нерастворимый в воде и кислотах. Осадок белого цвета выпадает также и при добавлении раствора нитрата серебра к пробе, отобранной из второго сосуда. При нагревании пробы первого раствора с гидроксидом натрия выделяется газ с резким запахом. При взаимодействии второго раствора с хроматом натрия выпадает осадок жёлтого цвета. Напишите уравнения описанных реакций.

3. Действием концентрированной серной кислоты на белые кристаллы при нагревании получен газ. При пропускании этого газа через раствор нитрата серебра выпал белый творожистый осадок. Кристаллы окрашивают пламя спиртовки в жёлтый цвет. Какая соль была взята для реакции? Приведите её формулу и название. Запишите уравнения реакций, описанных в тексте.

4. Порошкообразное вещество белого цвета окрашивает пламя горелки в оранжево-красный цвет. При действии соляной кислоты «вскипает» с выделением тяжёлого газа без цвета и запаха. Это вещество способно растворяться в воде при одновременном пропускании избытка углекислого газа. Запишите формулу и название этого вещества. Составьте уравнения реакций, которые были проведены в процессе его распознавания.

5. Некоторое кристаллическое вещество, окрашивающее пламя в жёлтый цвет, хорошо растворяется в воде. При добавлении к этому раствору нитрата серебра выпадает жёлтый осадок, не растворимый в разбавленной азотной кислоте. При действии на исходный раствор бромной воды образуется коричневое окрашивание. Запишите формулу и название этого вещества. Составьте уравнения реакций, которые были проведены в процессе его распознавания.

6. Для определения качественного состава белый, нерастворимый в воде порошок с зеленоватым оттенком подвергли

термическому разложению, в результате которого образовалось два оксида. Один из них — порошок чёрного цвета, при добавлении к которому раствора серной кислоты и последующем нагревании образовался раствор голубого цвета. Про другой известно, что это газ тяжелее воздуха, без цвета и запаха, играющий важную роль в процессе фотосинтеза. Запишите химическую формулу и название вещества. Составьте уравнения реакций, которые были проведены в процессе исследования.

7. Для проведения исследования бесцветные кристаллы соли, которые при непродолжительном нахождении на воздухе приобрели голубой цвет, нагрели до выделение бурого газа и образование чёрного порошка. При пропускании над нагретым полученным порошком водорода наблюдалось появление красного налёта простого вещества — металла. Известно, что металл, образующий катион, входит в состав многих сплавов, например бронзы. Запишите химическую формулу и название исследованной соли. Составьте уравнения реакций, которые были проведены в процессе исследования его свойств.

8. Для изучения состава соли был взят раствор, который разделили на две части. К первой части этого раствора добавили хлорид натрия, в результате чего выпал белый осадок. При добавлении ко второй части раствора цинковой стружки образовались серые хлопья металла, катионы которого обладают дезинфицирующим свойством. Известно, что выданная соль

используется для изготовления зеркал и в фотографии, а её анион является составной частью многих минеральных удобрений. Запишите химическую формулу и название вещества. Составьте уравнения реакций, которые были проведены в процессе исследования.

9. Для изучения состава соли были взяты белые кристаллы хорошо растворимого в воде вещества, которое используется в хлебопечении и кондитерской промышленности в качестве разрыхлителя теста. В результате процесса термического разложения выданной соли образовались три вещества, два из которых при обычных условиях являются газами. При нагревании соли с гидроксидом натрия образуется газ, водный раствор которого используется в медицине под названием нашатырный спирт. Запишите химическую формулу и название вещества. Составьте уравнения реакций, которые были проведены в процессе исследования.

10. Для установления качественного состава была изучена соль тяжёлого металла, оксид которого используется в производстве хрустального стекла. При термическом разложении соли образуется оксид этого металла и два газообразных вещества: одно из них — газ бурого цвета, а другое — важнейший компонент воздуха. При приливании к раствору выданной соли раствора йодида калия выпадает осадок ярко-жёлтого цвета. Запишите

химическую формулу и название вещества. Составьте уравнения реакций, которые были проведены в процессе исследования.

11. Для определения качественного состава неизвестной соли азотной кислоты исследовали белое кристаллическое вещество. Это вещество при нагревании полностью разлагается без образования сухого остатка. При действии горячего раствора гидроксида натрия выделяется бесцветный газ с резким запахом, вызывающий посинение лакмусовой бумаги. Запишите формулу и название этого вещества. Составьте уравнения реакций, которые были проведены в процессе его распознавания.

12. В химической лаборатории хранится склянка с кристаллическим веществом белого цвета. При действии на него гидроксида натрия выделяется лёгкий, бесцветный газ с резким запахом, вызывающий посинение лакмусовой бумаги. При действии на него сильной кислоты выделяется бесцветный газ без запаха, вызывающий покраснение раствора лакмуса. При приливании к раствору этого вещества раствора гидроксида кальция выделяется нерастворимый в воде осадок. Запишите формулу и название этого вещества. Составьте уравнения реакций, которые были проведены в процессе его распознавания.

13. Кристаллическое вещество оранжевого цвета при нагревании значительно увеличивается в объёме за счёт выделения бесцветного газа и образует твёрдое вещество тёмно-зелёного

цвета. Выделившийся газ взаимодействует с литием даже при комнатной температуре. Продукт этой реакции гидролизуется водой с образованием газа с резким запахом, способного восстановить медь из её оксида. Запишите формулу и название этого вещества. Составьте уравнения реакций, которые были проведены в процессе его распознавания.

14. Для исследования свойств неизвестного вещества его концентрированный раствор разделили на две части. В пробирку с одной частью раствора поместили медную проволоку. При этом наблюдалось выделение бурого газа и растворение меди. При добавлении к другой части раствора силиката натрия наблюдалось образование бесцветного студенистого осадка. Запишите формулу и название этого вещества. Составьте уравнения реакций, которые были проведены в процессе его распознавания.

15. Для определения качественного состава неизвестной соли исследовали раствор голубого цвета. При добавлении горячего раствора сильной кислоты выделился газ с резким запахом жжёной резины, окрашивающий лакмус в красный цвет. При добавлении раствора аммиака сначала выпал голубой осадок, который затем растворился в избытке аммиака с образованием фиолетового раствора. Запишите формулу и название этого вещества. Составьте уравнения реакций, которые были проведены в процессе его распознавания.

16. Для определения качественного состава неизвестной соли исследовали её раствор желтоватого цвета. При добавлении раствора сильной кислоты появился резкий запах уксуса. При добавлении роданида аммония раствор приобрёл кроваво-красную окраску. Запишите формулу и название этого вещества. Составьте уравнения реакций, которые были проведены в процессе его распознавания.

17. Для определения качественного состава неизвестной соли исследовали её бесцветный раствор. При добавлении раствора разбавленной серной кислоты выделился газ с запахом тухлых яиц и выпал белый осадок, не растворимый в кислотах. При взаимодействии порции исходного раствора с хроматом натрия выпадает осадок жёлтого цвета. Запишите формулу и название этого вещества. Составьте уравнения реакций, которые были проведены в процессе его распознавания.

18. Для определения качественного состава было выдано кристаллическое вещество — средняя соль многоосновной кислоты, катион которой не является ионом металла. При взаимодействии данного вещества с гидроксидом натрия выделяется газ с резким раздражающим запахом, а при приливании к раствору выданного вещества раствора нитрата серебра выпадает осадок жёлтого цвета. Запишите формулу и название этого вещества. Составьте уравнения реакций, которые были проведены в процессе его распознавания.

19. Для определения качественного состава студентам было выдано бесцветное кристаллическое вещество — соль. К одной части раствора исследуемой соли прилили раствор нитрата серебра, в результате чего выпал осадок жёлтого цвета. А при добавлении к другой части раствора карбоната натрия выпал белый осадок. Известно, что катион этой соли образован щёлочно-земельным металлом, входящим в состав костной ткани человека. Анион этой соли состоит из атомов химического элемента, образующего простое вещество, спиртовой раствор которого используется в качестве дезинфицирующего средства. Запишите формулу и название этого вещества. Составьте уравнения реакций, которые были проведены в процессе его распознавания.

20. При определении качественного состава неизвестного кристаллического вещества белого цвета было установлено, что его раствор взаимодействует с раствором гидроксида калия с образованием осадка. А при добавлении к раствору исследуемого вещества раствора нитрата бария выпадает осадок белого цвета, не растворимый в кислотах. Известно, что катион металла, входящий в состав данного соединения, входит в состав хлорофилла. Этот металл ранее применялся также в фотографии для получения вспышки. Запишите формулу и название этого вещества. Составьте уравнения реакций, которые были проведены в процессе его распознавания.

СПИСОК ЛИТЕРАТУРЫ

Алексеев В. Н. Качественный химический полумикроанализ. М.: Химия. 1973. 584 с.

Глинка Н. Л. Общая химия: учебник / под ред. В. А. Попкова, А. В. Бабкова. 18-е изд., перераб. и доп. М.: Изд-во «Юрайт»; ИД «Юрайт», 2011. 886 с.

Гринвуд Н., Эршно А. Химия элементов (в 2 томах): учебник. Изд-во «Бином. Лаборатория знаний», 2015. 1280 с.

Карапетьянц М. Х., Дракин С. И. Общая и неорганическая химия: учебник. 5-е изд. Изд-во Книжный дом «Либроком» 2015. 592 с.

Крешков А. П. Основы аналитической химии. Ч. 1. Теоретические основы. Качественный анализ. М.: Химия. 1970. 460 с.

ОГЛАВЛЕНИЕ

ВВЕДЕНИЕ……..……..…...3
Лабораторная работа № 1. КАЧЕСТВЕННЫЕ РЕАКЦИИ НА КАТИОНЫ ЖЕЛЕЗА.....6
КОНТРОЛЬНЫЕ ВОПРОСЫ И ЗАДАНИЯ…….……9
Лабораторная работа № 2. КАЧЕСТВЕННЫЕ РЕАКЦИИ НА ИОНЫ Co^{2+}, Ni^{2+} И Cu^{2+}……..…….10
КОНТРОЛЬНЫЕ ВОПРОСЫ И ЗАДАНИЯ……...…14
Лабораторная работа № 3. КАЧЕСТВЕННЫЕ РЕАКЦИИ НА ИОНЫ $A1^{3+}$, Cr^{3+}, Zn^{2+}…….…..…15
КОНТРОЛЬНЫЕ ВОПРОСЫ И ЗАДАНИЯ……...…18
Лабораторная работа № 4. РАЗДЕЛЕНИЕ И ОБНАРУЖЕНИЕ КАТИОНОВ Ag^{+}, Pb^{2+}, Hg^{2+} МЕТОДОМ ОСАДОЧНОЙ БУМАЖНОЙ ХРОМАТОГРАФИИ……..…..…..…19
КОНТРОЛЬНЫЕ ВОПРОСЫ И ЗАДАНИЯ……...…22
Лабораторная работа № 5. ДРОБНОЕ ОПРЕДЕЛЕНИЕ РАЗЛИЧНЫХ КАТИОНОВ…….…….....23
ЗАДАНИЯ ДЛЯ КОНТРОЛЬНОЙ РАБОТЫ ПО ТЕМЕ «КАЧЕСТВЕННЫЕ РЕАКЦИИ В НЕОРГАНИЧЕСКОЙ ХИМИИ»……..…….…..26
СПИСОК ЛИТЕРАТУРЫ…….……..……...34

МИНОБРНАУКИ РФ

ФГБОУ ВО «Уральский государственный горный университет»

УТВЕРЖДАЮ
Проректор по учебно-методическому комплексу
_____ С.А.Упоров

МЕТОДИЧЕСКИЕ УКАЗАНИЯ И КОНТРОЛЬНЫЕ ЗАДАНИЯ К ЛАБОРАТОРНЫМ ЗАНЯТИЯМ ПО ДИСЦИПЛИНЕ

Б1.О.11 ХИМИЯ, Ч.1

Часть 1

Специальность:
21.05.02 Прикладная геология

Специализация:
Геология месторождений нефти и газа

форма обучения: очная

Авторы: Смирнова, Н.Б. к.х.н., Сахарова, В.М.к.х.н.

Одобрены на заседании кафедры
Химии
(название кафедры)
Зав. кафедрой _____
(подпись)
д.т.н., проф. Амдур А.М.
(Фамилия И.О.)
Протокол № 2 от 09.10.2020
(Дата)

Рассмотрены методической комиссией
факультета геологии и геофизики
(название факультета)
Председатель _____
(подпись)
д.г.-м.н., проф. Бондарев В.И.
(Фамилия И.О.)
Протокол № 2 от 13.10.2020
(Дата)

Екатеринбург

Методические указания и контрольные задания по дисциплине согласованы с выпускающей кафедрой литологии и геологии горючих ископаемых

Заведующий кафедрой ЛГГИ _____к.г.-м.н., С.А. Рыльков____

С О Д Е Р Ж А Н И Е

Введение ……..….. 4
Общие правила работы в химической лаборатории ……..…… 7
Правила техники безопасности при работе с химическими реактивами ……. 7
Оказание первой медицинской помощи ……. 8
Оформление лабораторного журнала ……. 8
1. Периодичность изменения свойств оксидов и гидроксидов …….. 9
1.1. Экспериментальная часть ……. 11
1.2. Контрольные вопросы и задания ……. 12
2. Химическая кинетика …… 14
2.1. Экспериментальная часть …….. 16
2.2. Контрольные вопросы и задания …….. 18
3. Химическое равновесие …… 19
3.1. Экспериментальная часть ……. 20
3.2. Контрольные вопросы и задания ……. 21
4. Ионные равновесия в растворах электролитов ……..… 23
4.1. Экспериментальная часть …… 25
4.2. Контрольные вопросы и задания …… 26
5. Реакции ионного обмена …… 27
5.1. Экспериментальная часть …… 29
5.2. Контрольные вопросы и задания …… 31
6. Гидролиз солей …… 32
6.1. Экспериментальная часть …… 34
6.2. Контрольные вопросы и задания …… 35
Список литературы ……. 37

ВВЕДЕНИЕ

Горные инженеры, геологи и геофизики сталкиваются с самыми разнообразными явлениями природы, химическими по своей сущности: быстрой выветриваемостью, окисляемостью, различной смачиваемостью горных пород, с особенностями воздушной среды под землей, с обводненностью горных выработок, агрессивностью рудничных вод. Поэтому им требуются более глубокие знания по химии, чем любому другому специалисту. Инженеры горнодобывающей отрасли способны справиться с современными задачами горно-металлургической и горно-химической промышленности только зная весь путь от разведки полезного ископаемого до его переработки. Физико-химическая некомпетентность горных инженеров и геологов является причиной недостатков в развитии горной науки, техники и технологии, бедственного экологического положения горных предприятий.

Роль химии в подготовке инженеров непрерывно возрастает в связи с необходимостью решения задач по снижению уровня потерь полезных компонентов и увеличению комплексности использования руд, рациональному применению вскрышных пород, очистке и использованию шахтных вод и сточных вод обогатительных фабрик, защите от коррозии бурового и горнодобывающего оборудования, заблаговременной дегазации угольных месторождений, применению физико-химических методов упрочнения грунтов, геотехнологическим методам добычи полезных ископаемых.

В горном деле широко применяются химические материалы: химические растворы при бурении и тампонаже скважин, взрывчатые вещества при отбойке угля, руды и породы, химические добавки, препятствующие распыление угля и налипанию льда на конвейерную ленту, материалы для покрытия из пены, предохраняющей от промерзания участка разработки, компоненты для отвердевания закладочных смесей, огнетушащие составы, синтетические смолы для укрепления горных пород, реагенты для флотации и обогащения руд и большой ассортимент таких обычных химикатов как горючие и смазочные материалы, цемент, стекло, керамика, гидро-, термо- и электроизоляционные материалы, лаки, краски, пластмассы, резина.

Еще благодаря усилиям Д.И. Менделеева, химию, как одну из фундаментальных дисциплин, стали преподавать во всех высших школах России. Химия вместе с физикой и математикой составляет основу профессиональной подготовки специалистов высокой квалификации.

Будущие специалисты должны получить такой комплекс знаний по химии, который составит базу для успешного освоения последующих дисциплин и правильного использования материалов, применяемых в технике.

Теоретические разделы химии, такие как строение электронных оболочек атомов, основные виды химических связей, химическая кинетика и равновесие, окислительно-восстановительные потенциалы, водородный показатель, произведение растворимости, свойства комплексных соединений, позволяет правильно ориентироваться в вопросах, связанных непосредственно со свойствами и превращениями минералов и горных пород.

Горные породы и руды состоят из минералов. К минералам относят природные химические соединения. Неорганические минералы подразделяются на минеральные типы, названия которым присваиваются согласно классификации неорганических веществ и их номенклатуре. По химическому составу минералы подразделяют на:

а) простые вещества (металлы, неметаллы),

б) карбиды, нитриды, фосфиды, сульфиды, арсениды, селениды, оксиды, гидроксиды, галогениды и др.,

в) соли кислородержащих кислот (силикаты, фосфаты, арсенаты, ванадаты, бораты, карбонаты, сульфаты, нитраты, вольфраматы, молибдаты, хроматы, иодаты и др.).

Основа химической н о м е н к л а т у р ы - русские названия химических элементов, приведенные в периодической системе Д.И. Менделеева, которые не всегда совпадают с латинскими названиями, например, гидрогениум - водород, оксигениум - кислород.

К неметаллам относят:

He, Ne, Ar, Kr, Xe, Rn, F, Cl, Br, J, At, O, S, Se, Te, N, P, As, C, Si, B, H, остальные элементы - металлы.

Названия простых веществ состоят их одного слова - наименования химического элемента с числовой приставкой, например: O_3 - трикислород, P_4 - тетрафосфор, S_8 - октасера.

Используют также числовые приставки:

1 - моно	7 - гепта
2 - ди	8 - окта
3 - три	9 - нона
4 - тетра	10 - дека
5 - пента	11 - ундека
6 - гекса	12 - додека

В химических формулах сложных вещество на первом месте (слева) всегда записывают формульные обозначения электроположительных составляющих, а за ними указывают формульные обозначения электроотрицательных составляющих. Например, PCl_3.

Названия сложных веществ составляются по их химических формулам справа налево. Они складываются из двух слов - названий электроотрицательных составляющих (условных или реальных катионов) в именительном падеже и электроположительных составляющих (условных или реальных катионов) в родительном падеже, например: PCl_3 - трихлорид фосфора, CO - монооксид углерода.

Названия одноэлементных анионов оканчивается на -ид, а названия многоэлементных анионов - на -ат.

Для построения названий сложных веществ используются корни (иногда усеченные) русских названий элементов, например, бериллий - бериллат, молибден - молибдат, фосфор - фосфид и фосфат. Традиционно применяются корни латинских названий для элементов: серебро, мышьяк, золото, углерод, медь, железо, ртуть, марганец, азот, никель, свинец, сера, сурьма, кремний, олово:

Ag - аргентат	N - нитрид, нитрат
As - арседид, арсенат	Ni - николат
Au – аурат	Pb - плюмбат
C - карбид, карбонат	S - сульфид, сульфат
Cu - купрат	Sb - стибид (антимонид), стибат
Fe - феррат	Si - силицид, силикат
Hg – меркурат	Sn - станнат
Mn - манганат	

В названиях сложных веществ употребляются как числовые приставки, так и степени окисления катиона (обычно металлического) при точно известном заряде аниона, например, P_4O_{10} - декаоксид тетрафосфора, V_2O_5 - оксид ванадия (V), $Bi(OH)_3$ - гидроксид висмута (III).

Названия кислот и кислотных остатков приводятся в учебном пособии [1]. Названия кислотных остатков используют построении названий солей. Соли - продукты реакций нейтрализации. Соли, содержащие кислотные остатки с незамещенными атомами водорода, - к и с л ы е соли. Соли, содержащие гидроксид-ионы, называют о с н о в н ы м и солями.

$Ca(H_2PO_4)_2$ - дигидрофосфат кальция

$KHSO_4$ - гидросульфат калия

$FeOH(NO_3)_2$ - гидроксонитрат железа (III)

$(CaOH)_2SO_4$ - гидроксосульфат кобальта (II)

$Cu_2CO_3(OH)_2$ - дигидроксид-карбонат димеди

Если соли содержат два разных катиона, то их называют д в о й н ы м и.

$KAl(SO_4)_2$ - сульфат алюминия-калия

$CaMg(CO_3)_2$ - карбонат магния-кальция

ОБЩИЕ ПРАВИЛА РАБОТЫ В ХИМИЧЕСКОЙ ЛАБОРАТОРИИ

Прежде чем приступить к работе по данной теме, следует изучить ее по описанию, уяснить цель задания и план его выполнения.

Не загромождайте рабочее место портфелями, свертками, сумками, перчатками и т.п. Для них отведены специальные этажерки. На рабочем столе должны находиться только необходимые приборы и лабораторный журнал.

Работайте тщательно, аккуратно, без лишней торопливости, соблюдайте в лаборатории тишину.

Внимательно наблюдайте за ходом опыта, отмечая и записывая каждую его особенность.

Категорически запрещается в лаборатории принимать пищу, пробовать химические вещества на вкус.

Без указания преподавателя не проводите никаких дополнительных опытов.

После окончания работы вымойте использованную посуду, выключите воду, электрические приборы и приведите в порядок рабочее место.

ПРАВИЛА ТЕХНИКИ БЕЗОПАСНОСТИ ПРИ РАБОТЕ С ХИМИЧЕСКИМИ РЕАКТИВАМИ

Для выполнения работ в лаборатории имеется определенный набор химических реактивов, часть которых размещается на лабораторных столах (водные растворы солей), а остальные - концентрированные и разбавленные кислоты и щелочи, сухие соли, дурно пахнущие вещества - в вытяжных шкафах.

При использовании реактивов следует соблюдать следующие правила:

1. Не разрешается уносить реактивы из вытяжного шкафа на рабочее

место.

2. Сухие реактивы набирают чистым шпателем или ложечкой.

3. Для проведения опыта в пробирке брать сухое вещество в количестве, закрывающем дно пробирки, а раствора - не более 1/6 ее объема.

4. Избыток реактива нельзя высыпать (выливать) обратно в те склянки, из которых они были взяты.

5. Не следует путать пробирки от разных склянок. Крышки и пробки кладут на стол поверхностью, не соприкасающейся с реактивом.

6. При нагревании растворов в пробирке держать ее таким образом, чтобы отверстие пробирки было направлено в сторону от работающего и его соседей по рабочему месту.

7. При разбавлении концентрированных кислот вливать кислоту в воду, а не наоборот.

8. Остатки растворов, содержащих кусочки металлов, собирают в специальные склянки, находящиеся в вытяжных шкафах.

ОКАЗАНИЕ ПЕРВОЙ МЕДИЦИНСКОЙ ПОМОЩИ

При порезах стеклом удаляют осколки из раны, смазывают края раны раствором йода и перевязывают бинтом.

При ожоге горячей жидкостью или горячим предметом обожженное место обрабатывают раствором перманганата калия, накладывают мазь от ожога.

При ожогах кислотами сразу промывают обожженное место большим количеством воды, а затем 3%-ным раствором гидрокарбоната натрия.

При ожогах едкими щелочами хорошо и обильно промыть обожженное место проточной водой, затем разбавленным раствором уксусной кислоты и опять водой.

При попадании кислоты или щелочи в глаза немедленно промыть глаза в течение трех минут большим количеством воды, а затем раствором гидрокарбоната натрия или борной кислоты.

ОФОРМЛЕНИЕ ЛАБОРАТОРНОГО ЖУРНАЛА

Каждый студент должен иметь лабораторный журнал - отдельную тетрадь для записей.

В лабораторном журнале студент выполняет отчеты по лаборатор-

ным работам, домашние задания, решает задачи, отвечает на контрольные вопросы.

Все наблюдения и выводы по экспериментальной работе студент заносит в лабораторный журнал непосредственно после выполнения опыта.

Отчеты по выполненным лабораторным работам должны содержать:

1) название лабораторной работы,
2) названия всех проделанных опытов,
3) после названия опыта записывается уравнение проделанной реакции, в котором указываются осадки (↓) и их окраска, газы (↑), изменения окраски растворов,
4) задания, указанные в методическом руководстве,
5) выводы по каждому опыту и общий вывод по работе.

1. ПЕРИОДИЧНОСТЬ ИЗМЕНЕНИЯ СВОЙСТВ ОКСИДОВ И ГИДРОКСИДОВ

Цель работы - изучение изменения кислотно-основных свойств гидроксидов в периодах и группах периодической системы Д.И. Менделеева.

Периодическая система Д.И. Менделеева - естественная система химических элементов, созданная на основе периодического закона.

Положение элемента в периодической системе определяет физико-химические свойства соответствующих им простых веществ и химических соединений.

Периодичность свойств химических соединений удобно проследить на примере оксидов и гидроксидов. Оксиды и гидроксиды относятся к основным породообразующим минералам, они широко распространены и составляют 17% от массы земной коры.

В табл.1.1. приведены наиболее часто встречающиеся реакции взаимодействия оксидов и гидроксидов с водой.

Кислотно-основные свойства соединений можно объяснить на основе электростатических представлений. Ослабление основных и усиление кислотных свойств гидроксидов связано с изменением поляризующего действия элемента, образующего гидроксид, на группу OH^-. Поляризующее действие катиона сильно зависит от его строения и может быть охарактеризовано следующими закономерностями:

1) Поляризующее действие иона очень быстро возрастает с увеличением его заряда;

Таблица 1.1

Кислотно-основные реакции оксидов и гидроксидов

Тип оксида (гидроксида)	Типичная реакция
Сильно - кислый	$SO_{3(г)} + H_2O = SO_4^{2-}(р) + 2H^+(р)$
Слабо - кислый	$CO_2 + H_2O \Leftrightarrow HCO_3^-(р) + H^+(р)$
Амфотерный	$Zn(OH)_{2(к)} \Rightarrow \left\vert \begin{array}{l} \xrightarrow{H^+(р)} \quad Zn^{2+}(р) + H_2O \\ \xrightarrow{OH^-(р)} \quad [Zn(OH)_4]^{2-}(р) \end{array} \right.$
Слабо - основной	$Fe(OH)_{2(к)} \Leftrightarrow FeOH^+(р) + OH^-(р)$
Сильно - основной	$Li_2O_3 + H_2O = 2Li^+(р) + 2OH^-(р)$

2) большое значение имеет строение внешней электронной оболочки, по этому признаку катионы разделяются на ионы с незаконченным внешним слоем, переходным от 8-электронного и 18-электронному (Mg^{2+}, Fe^{2+}, Fe^{3+}) и ионы с 18-электронным внешним слоем (Zn^{2+}, Ag^+);

3) при сходном строении внешней электронной оболочки и равном заряде поляризующее действие иона возрастает по мере уменьшения его радиуса.

Итак, ослабление основных и усиление кислотных свойств гидрооки-сей связано с увеличением поляризующего действия катиона, т.е. с убыванием его радиуса и возрастанием положительной степени окисления, а также с увеличением числа внешних электронов. Например, если катион имеет малый заряд сравнительно большой радиус, его электростатическое притяжение к группе OH^- невелико и OH^- выступает в гидроксиде как единое целое. Поэтому типичными основаниями являются гидроксиды элементов, находящихся в главных подгруппах I и II групп периодической системы (KOH, NaOH), а также NH_4OH.

По мере увеличения поляризующего действия катиона возрастает ковалентность связей элемент-кислород и усиливается ионный характер связей O ─ H. Основные свойства гидроксидов ослабляются и появляются кислотные свойства. Из элементов II группы бериллий и цинк дают амфо-

дают атмосферные гидроксиды, в (III) группе амфотерны гидроксиды алюминия, галлия, индия. Амфотерность характерна для большинства элементов четвертой группы периодической системы.

Когда катион имеет большой положительный заряд и малый радиус (что типично для неметаллов), усиление его поляризующего действия приводит к тому, что водород становится подвижным и преобладает диссоциация по кислотному типу. Среди элементов третьей группы гидроксид бора - типичная кислота. В четвертой группе кислотами являются гидроксиды углерода и кремния, однако, эти кислоты еще очень слабые. Гидроксиды многих элементов с максимальной степенью окисления пятой, шестой, седьмой групп - сильные кислоты.

Способность веществ к взаимодействию определяется изменением изобарно-изотермического потенциала (ΔG) химической реакции. Чем меньше алгебраическая величина энергии Гиббса химического процесса, тем больше вероятность ее протекания в данном направлении.

$2Al(OH)_{3(к)} + Na_2O_{(к)} = 2NaAlO_{2(к)} + 3H_2O$; ΔG^0_{298} = - 153 кДж/моль

$2H_3BO_{3(к)} + Na_2O_{(к)} = 2NaBO_{2(к)} + 3H_2O$; ΔG^0_{298} = - 277 кДж/моль

Увеличение отрицательного значения ΔG^0_{298} свидетельствует об усилении кислотных свойств гидроксида бора H_3BO_3.

1.1. Экспериментальная часть

ОПЫТ 1. Гидроксиды магния и кальция

Поместите в пробирку небольшое количество оксида магния или кальция и прибавьте 5 мл воды. Взболтайте содержимое пробирки и испытайте реакцию среды 1-2 каплями фенолфталеина. Составьте уравнение реакции взаимодействия оксида с водой. Сделайте вывод о характере гидроксида.

ОПЫТ 2. Получение и свойства гидроксида алюминия

В пробирку налейте 2 мл раствора соли алюминия и прибавьте примерно такой же объем раствора гидроксида аммония. Содержимое пробирки распределите в две пробирки. В одну из пробирок при взбалтывании прилейте по каплям разбавленный раствор серной кислоты до полного рас-

творения осадка. Во вторую пробирку прилейте разбавленный раствор гидроксида натрия также до полного растворения осадка. Составить уравнение реакций. Сделайте вывод о характере гидроксида алюминия.

ОПЫТ 3. Двуокись углерода

Налейте в пробирку несколько мл воды и прибавьте 1-2 капли индикатора. Пропустите из аппарата Киппа в воду двуокись углерода до изменения окраски индикатора. Составьте уравнение реакции. Сделайте вывод о характере гидроксида.

ОПЫТ 4. Гидроксид кремния

В пробирку поместите раствор силиката натрия и пропустите через него углекислый газ из аппарата Киппа, при этом наблюдайте образование осадка гидроксида кремния. Напишите уравнение реакции. Сделайте вывод о кислотно-основном характере гидроксида кремния.

ОПЫТ 5. Оксид фосфора (V)

В пробирку поместите немного фосфорного ангидрида и добавьте несколько мл воды. Наблюдайте растворение, встряхивая пробирку. Испытайте реакцию среды индикаторами. Составьте уравнение реакции. Сделайте вывод о характере гидроксида.

ОПЫТ 6. Гидроксиды олова (II) и свинца (II)

а) Налейте в пробирку 2 мл раствора хлорида олова. Добавьте по каплям разбавленный раствор щелочи до образования осадка. Содержимое пробирки разделите на две части. Подействовать на одну концентрированным раствором щелочи, а на другую - соляной кислотой. Составьте уравнения реакций. Сделайте вывод о характере гидроксида олова.

б) Такой же опыт проделать с раствором соли азотнокислого свинца. На полученный гидроксид свинца подействовать азотной кислотой и щелочью. Почему для растворения гидроокиси свинца нельзя воспользоваться соляной или серной кислотами? Составьте уравнения реакций. Сделайте вывод о характере гидроксида свинца.

1.2. Контрольные вопросы и задания

1. Сравнив результаты опытов, сделайте вывод, как изменяется характер гидроксидов элементов: Mg, Al, Si, P в третьем периоде слева

направо. Чем объясняется это изменение характера гидроксидов? Как оно связано с изменением металлических свойств элементов?

2. По результатам опытов сделайте вывод об изменении кислотно-основных свойств гидроксидов элементов: C, Si, Sn, Pb в главных подгруппах сверху вниз. Как увязать такое изменение характера гидроксидов с возрастанием порядкового номера элемента и изменением металлических свойств элементов?

3. Запишите кислородные соединения марганца со степенями окисления II, IV, VI, VII и покажите, как с увеличением степени окисления изменяется характер оксидов и соответствующих им гидроксидов.

4. Укажите, какая из сравниваемых двух кислот H_2SO_3 или H_2SO_4 является более сильной и как объяснить такое явление.

5. Какой из галогенов имеет наибольшее сродство к натрию, если энергия Гиббса для галогенидов натрия имеет следующую величину (кДж/моль): ΔG^0_{298} NaJ = - 237.2,

ΔG^0_{298} NaBr = -347.7,

ΔG^0_{298} NaCl = -384.0,

ΔG^0_{298} NaF = -541.0.

6. $MgO_{(к)} + CO_{2(г)} = MgCO_{3(к)}$; ΔG^0_{298} = -65.1 кДж/моль

$BaO_{(к)} + CO_{2(г)} = BaCO_{3(к)}$; ΔG^0_{298} = -217.4 кДж/моль

$CaO_{(к)} + CO_{2(г)} = CaCO_{3(к)}$; ΔG^0_{298} = -131.9 кДж/моль

$SrO_{(к)} + CO_{2(г)} = SrCO_{3(к)}$; ΔG^0_{298} = -183.6 кДж/моль.

Как изменяются кислотно-основные свойства оксидов (расположите их в ряд) и как это согласуется со значением ΔG^0_{298} образования рассматриваемых карбонатов из оксидов?

7. Как изменяется сила кислот в ряду H_2SO_4 - H_2SeO_4 - H_2TeO_4 ?

8. $6Na_2O(к) + P_4O_{10}(к) = 4Na_3PO_4(к)$ ΔG^0_{298} = - 378 кДж/моль

$Na_2O(к) + Al_2O_3(к) = 2NaAlO_2(к)$ ΔG^0_{298} = - 173.2 кДж/моль

$Na_2O(к) + SO_3(г) = Na_2SO_4(к)$ ΔG^0_{298} = - 522.1 кДж/моль

$Na_2O(к) + SiO_2(к) = Na_2SiO_3(к)$ ΔG^0_{298} = - 194.5 кДж/моль

$Na_2O(к) + Cl_2I_7(г) = 2NaClO_4(к)$ ΔG^0_{298} = -587.0 кДж/моль

Как изменяются кислотно-основные свойства оксидов (расположите их в ряд) и как это согласуется со значениями ΔG^0_{298} образования рассматриваемых солей из оксидов?

9. Укажите, какое из рассматриваемых двух соединений является более сильным основанием: а) гидроксид натрия или гидроксид цезия; б) гидроксид бария или гидроксид кальция? Объясните это изменение характера гидроксидов, исходя из расположения элементов в таблице Д.И. Менделеева.

2. ХИМИЧЕСКАЯ КИНЕТИКА

Ц е л ь р а б о т ы - изучение скорости химической реакции и ее зависимости от концентрации и температуры.

Раздел химии, изучающей скорость химических реакций, называется химической кинетикой.

Скорость химической реакции - это изменение концентрации реагирующих веществ в единицу времени. Зависимость скорости химической реакции выражается законом действующих масс: при постоянной температуре скорость химической реакции прямо пропорциональна произведению концентраций реагирующих веществ, взятых в степенях, равных стехиометрическим коэффициентам в уравнении реакции.

Для реакции aА + bВ = cС + dД скорость выразится уравнением:

$$v = k\cdot[\text{A}]^a \cdot [\text{B}]^b \qquad \text{(для гомогенной системы)},$$

где v - скорость реакции;

[А], [В] - молярные концентрации реагирующих веществ;

k - константа скорости реакции

(при [А] = [В] = 1 моль/л, k численно равна v).

Для реакции $2NO_{(г)} + O_{2(г)} = 2NO_{2(г)}$ выражение скорости имеет следующий вид:

$$v = k\cdot[\text{NO}]^2\cdot[\text{O}_2].$$

Гомогенная система состоит из одной фазы - между реагентами нет поверхности раздела. Гетерогенная система состоит из двух и более фаз. Реакция в гетерогенной системе осуществляется на поверхности раздела фаз. Скорость гетерогенной реакции не зависит от площади поверхности раздела фаз, так же как скорость гомогенной реакции не зависит от объема системы.

Концентрация твердого вещества принимается за единицу.

Зависимость скорости химической реакции от температуры описывается экспериментально найденным уравнением Вант-Гоффа:

$$v_{t_2} = v_{t_1} \cdot \gamma^{\frac{t_2 - t_1}{10}},$$

где v_{t_1}, v_{t_2} - скорость реакции при температурах соответственно t_1 и t_2;

γ - температурный коэффициент скорости реакции,
равный обычно 2-4.

Эта зависимость может быть выражена в виде следующего правила: при увеличении температуры на каждые 10° скорость химической реакции увеличивается в 2-4 раза.

Зависимость скорости реакции от температуры более точно может быть выражена уравнением Аррениуса:

$$k = c \cdot e^{-\frac{E_{\text{акт}}}{RT}},$$

где k - константа скорости реакции;

c - постоянная;

$E_{\text{акт}}$ - энергия активации;

R - универсальная газовая постоянная (8.31 Дж/моль ·К);

T - абсолютная температура.

Из уравнения Аррениуса следует, что скорость реакции с повышением температуры увеличивается по закону экспоненты, однако интенсивность теплоотвода в конкретных условиях реакции может возрастать только линейно. В этом случае возможен скачкообразный переход от стационарного режима к нестационарному, быстрое ускорение - самовоспламенение, или цепной взрыв. По такому механизму происходят взрывы метана и угольной пыли в шахтах. Например, при повышении концентрации метана на несколько процентов достигается нижний предел взрываемости метана в воздухе, в тысячи раз ускоряется реакция окисления метана кислородом воздуха $CH_4 + 2O_2 = CO_2 + 2H_2O + Q$. Концентрационные пределы взрываемости метана в воздухе от 5 до 15% по объему.

Одним из направлений в решении проблемы предупреждения взры-

вов метана и угольной пыли в шахтах, опасных по газу и пыли, является применение способов взрывозащиты, основанных на использовании распыленной воды или специальных химических соединений, которые играют роль отрицательных катализаторов (ингибиторов), теплопоглотителей в реакциях окисления углеводородов. Такие вещества носят общее название флегматизаторов горения. Этим свойством обладают гидрокарбонаты натрия и калия, гидрофосфаты аммония, бура и др.

2.1. Экспериментальная часть.

ОПЫТ 1. Зависимость скорости химической реакции от концентрации реагирующих веществ.

Соли тиосерной кислоты устойчивы в твердом состоянии и в растворе. Тиосерная кислота неустойчива и при получении распадается самопроизвольно по реакции

$$Na_2S_2O_3 + H_2SO_4 = H_2SO_3 + S + Na_2SO_4$$

с образованием сернистой кислоты и свободной серы.

Постановка опыта основывается на следующем: в результате реакции между серной кислотой и тиосульфатом натрия образуется сера, выделяющаяся в виде белой мути. Время от начала реакции до момента появления мути зависит от скорости этой реакции.

В три пробирки налить по 6 мл раствора серной кислоты.

В первую пробирку влить 6 мл раствора $Na_2S_2O_3$, быстро перемешать ее содержимое и одновременно включить секундомер. Отсчитать время (τ) до начала появления белой мути - коллоидной серы.

Во вторую пробирку влить смесь 4 мл раствора тиосульфата натрия и 2 мл воды. Наблюдать, через сколько секунд растворы сделаются мутными.

Результаты наблюдений записать по следующей форме, выразив значения скоростей реакций в условных единицах (десятичных дробях!) в виде $v = 1/\tau$, где τ - время в секундах.

Относительная концентрация раствора тиосульфата натрия записана в условных единицах $C_{Na_2S_2O_3} = v_{Na_2S_2O_3} / V_{\text{раствора}}$, где $V_{\text{раствора}}$ - общий объем раствора 12 мл. Тогда для первого случая $C_{Na_2S_2O_3}$ 50%, для второго - 33% и третьего - 17%, что соответствует значениям 3а, 2в, а.

№ опыта	Объем в мл			Относит. концентр. $C_{Na_2S_2O_3}$	Время до появления мути, τ	$v = \frac{1}{\tau}$
	раствора H_2SO_4	раствора $Na_2S_2O_3$	H_2O			
1	6	6	0	3а		
2	6	4	2	2а		
3	6	2	4	а		

Результаты измерений необходимо представить в виде графика. На ось абсцисс наносят значения относительных концентраций в виде трех точек, отстоящих от начала координат на а, 2а, 3а, где а - произвольно выбранный отрезок. Из каждой точки восстанавливается перпендикуляр, длина которого соответствует значениям скоростей реакции в условных единицах. Далее следует обдумать, каким образом, пользуясь верхними концами этих перпендикуляров, провести линию, характеризующую зависимость скорости реакции от концентрации. Подсказкой будет служить математическое выражение для скорости изучаемой реакции, которое нужно записать согласно закону действия масс.

Сделать вывод о зависимости скорости реакции от концентрации реагирующих веществ.

ОПЫТ 2. Зависимость скорости реакции от температуры опыта

Налить в одну пробирку 5 мл раствора $Na_2S_2O_3$, а другую - 5 мл раствора H_2SO_4. Обе пробирки поместить в стакан с водопроводной водой. Спустя 5-7 минут измерить температуру воды и слить вместе содержимое обеих пробирок. Измерить время появится помутнение.

В две другие пробирки налить по 5 мл тех же растворов. Поместить пробирки в стакан с водой, нагретой на 10° выше, чем в предыдущем опыте. Через 5-7 минут слить содержимое пробирок. Измерить время до появления мути.

Повторить опыт, повысив температуру еще на 10°.

Результаты наблюдений выразить в виде графика, откладывая по оси абсцисс температуру опыта, по оси ординат - относительную скорость реакции.

Сделать вывод о зависимости скорости реакции от температуры.

2.2. Контрольные вопросы и задания.

1. Реакция в водном растворе выражается уравнением:

$$2KI + K_2S_2O_8 = 2K_2SO_4 + I_2.$$

Как изменится скорость этой реакции при разбавлении реагирующей смеси в 2 раза?

2. Записать математические выражения для скорости следующих газовых реакций

а) $CH_3CHO = CH_4 + CO$, в) $H_2 + Cl_2 = 2HCl$,
б) $2N_2O = 2N_2 + O_2$, г) $SO_2 + 2H_2 = S + 2H_2O$.

Предсказать изменение скорости этих реакций при увеличении концентрации каждого из реагирующих веществ в 2 раза.

3. Записать выражения для скорости реакций

а) $MgCO_3 = MgO + CO_2$, в) $CaCO_3 + 2HCl = CaCl_2 + H_2CO_3$,
б) $2N_2O = 2N_2 + O_2$, г) $2Zn + O_2 = 2ZnO$.

Как изменится скорость вышеуказанных реакций, если:
а) увеличить концентрацию исходных веществ в 2 раза;
б) увеличить давление в 2 раза.

4. Срок хранения флотационного реагента, поступившего на обогатительную фабрику, согласно техническим условиям составляет при температуре 20°С 2 месяца. Воспользовавшись правилом Вант-Гоффа, рассчитать срок годности этого флотореагента, если на складе фабрики поддерживается 0°С, а температурный коэффициент скорости разложения равен 2.

5. Во сколько раз изменится скорость реакции

$$2NO + O_2 = 2NO_2,$$

если концентрация оксида азота уменьшится в 2 раза, а концентрация кислорода увеличивается в 2 раза?

6. Реакция протекает по уравнению

$$CH_3COOH + C_2H_5OH = CH_3COOC_2H_5 + H_2O,$$

концентрацию CH_3COOH увеличили от 0.3 до 0.45 моль/л, а концентрацию C_2H_5OH увеличили от 0.4 до 0.8 моль/л. Во сколько раз возросла скорость прямой реакции?

7. Кальцинированная сода (безводная Na_2CO_3) используется в виде раствора в качестве регулятора щелочности флотационного процесса. При температуре 55°С сода растворяется в 6 раз быстрее, чем при 15°. Рассчитать температурный коэффициент скорости растворения соды.

8. Для приготовления раствора силиката натрия требуемой плотности, использующегося в качестве подавителя пустой породы, твердые прозрачные куски силикат-глыбы Na_2SiO_3 загружают в воду: нагревают до 95° и ведут перемешивание в течение четырех часов. Какой срок потребуется для получения раствора необходимой концентрации, если поддерживать температуру 90° ($\gamma = 2$)?

3. ХИМИЧЕСКОЕ РАВНОВЕСИЕ

Ц е л ь р а б о т ы - Изучение влияния концентрации на сдвиг химического равновесия.

Многие реакции идут не до исчезновения исходных веществ, а до состояния, не изменяющегося во временя, когда в реакционной смеси можно обнаружить как исходные вещества, так и продукты реакции. Такое состояние системы называется химическим равновесием.

С термодинамической точки зрения состояние равновесия характеризуются тем, что система достигает минимального значения энергии Гиббса (при заданных температуре, давлении и общем составе).

С кинетической точки зрения при равновесии скорости процессов образования продуктов реакции из исходных веществ и исходных веществ из продуктов выравниваются. Скорость достижения равновесия в зависимости от природы процесса, условий, а также наличия подходящих катализаторов может варьировать от малых долей секунды до веков и тысячелетий.

Если равновесие достигнуто, то для реакции

$$aA + bB \Leftrightarrow cC + dД \qquad \text{величина} \quad K_p = \frac{[C]^c \cdot [Д]^d}{[A]^a \cdot [B]^b},$$

называемая константой равновесия, принимает определенное значение. Константа равновесия зависит от температуры, но не зависит от конкретных количеств реагентов и порядка их взаимодействия.

Изменение равновесных концентраций при внешнем воздействии называется с м е щ е н и е м х и м и ч е с к о г о р а в н о в е с и я .

Основным законом, управляющим смещением равновесия, служит принцип Ле-Шателье: «Если на систему, находящуюся в равновесии, оказывается внешнее воздействие, то равновесие смещается в сторону, указываемую воздействием, до тех пор, пока нарастающее в системе противодействие не станет равно оказанному воздействию».

Внешним воздействием, смещающим равновесие, может быть изменение температуры, давления, концентрации одного или нескольких веществ, участвующих в реакции. «Смещение равновесия в сторону, указанную воздействием» означает, что при повышении давления преимущество получает процесс, ведущий к уменьшению объема, т.е. к тому же результату, что и само воздействие. Нагревание ведет к увеличению роли эндотермического прочеса, т.е. процесса, увеличивающего запас энергии в системе (эндотермические реакции идут с поглощением тепла, а экзотермические - с его выделением).

Увеличение концентрации одного из веществ приводит к смещению равновесия в сторону расходования этого вещества.

3.1. Экспериментальная часть

ОПЫТ 1. Влияние концентрации веществ на смещение химического равновесия.

Реакция между хлоридом железа и тиоцианатом аммония протекает по уравнению:

$$FeCl_3 + 3NH_4NCS \leftrightarrow Fe(NCS)_3 + 3NH_4Cl$$

Красная окраска образовавшегося раствора обусловлена содержанием в нем тиоционата (роданида) железа. По изменению интенсивности этой окраски можно судить о направлении смещения равновесия при изменении концентрации какого-либо реагирующего вещества.

В одной пробирке приготовить смесь (по 4 мл) разбавленных растворов $FeCl_3$ и NH_4NCS . Полученный окрашенный раствор разлить поровну в 4 пробирки.

В первую пробирку добавить 2 капли насыщенного раствора $FeCl_3$. Во вторую пробирку добавить несколько кристалликов NH_4NCS (или KNCS). В третью пробирку всыпать немного твердой соли NH_4Cl (или KCl). Четвертую пробирку оставить для сравнения.

Записать уравнение химической реакции и выражение для константы

равновесия. Сделать выводы о влиянии концентрации веществ на смещение химического равновесия с использованием принципа Ле-Шателье.

Форма записи

Что добавлено	Изменение интенсивности окраски	Смещение равновесия
1. $FeCl_3$ 2. NH_4NCS 3. NH_4Cl	более интенсивная ……... ……	вправо …… …….

3.2. Контрольные вопросы и задания

1. К гомогенных химических системах при постоянных давлении и температуре установилось состояние равновесия:

$2H_2S + 3O_2 \leftrightarrow 2SO_2 + 2H_2O$, $K = 3 \cdot 10^5$;

$2CH_4 + 3O_2 + 2NH_3 \leftrightarrow 2HCN + 6H_2O$, $K = 1$;

$4NH_3 + 5O_2 \leftrightarrow 4NO + 6H_2O$, $K = 0.008$;

$H_2 + Cl_2 \leftrightarrow 2HCl$, $K = 24.3$.

По данным значениям констант равновесия укажите, реагенты или продукты будут преобладать в равновесной смеси веществ. На основании закона действующих масс составьте выражения для констант равновесия.

2. В гетерогенных химических системах установилось состояние равновесия:

$Si(к) + 2H2O(г) \leftrightarrow SiO_{2(к)} + 2H_{2(г)}$;

$Mg_3N_{2(к)} + 6H_2O_{(г)} \leftrightarrow 3Mg(OH)_{2(к)} + 2NH_{3(г)}$;

$CS_{2(г)} + 2Cl_{2(г)} \leftrightarrow CCl_{4(г)} + 2S_{(к)}$;

$2NO_{2(г)} + 2S_{(к)} \leftrightarrow N_{2(г)} + 2SO_{2(г)}$;

$10NO_{(г)} + P_{4(г)} \leftrightarrow 5N_{2(г)} + P_4O_{10(к)}$;

$TiO_{2(к)} + 2C_{(к)} + 2Cl_{2(г)} \leftrightarrow TiCl_{4(г)} + 2CO_{(г)}$.

На основании закона действующих масс составьте выражения для

констант равновесия.

3. За последние 100 лет количество углекислого газа, поступающее за счет сжигания ископаемого топлива, возросло в 50 раз, а парциальное давление CO_2 в атмосфере за это же время увеличилось в 1.2 раза. Объясните это соотношение, допустив, что CO_2 поглощается океаном:
$CO_{2(г)} + H_2O_{(ж)} \leftrightarrow H_2CO_{3(р)}$.

4. Рассчитать равновесный выход диоксида серы в реакциях окислительного обжига сульфидных минералов - пирита, молебденита, пирротина, если в состоянии равновесия количество SO_2 равно 0.4 моль, а начальный объем O_2 составлял 33.6 л (н.у.):

$$4FeS_{2(к)} + 11O_{2(г)} \leftrightarrow 2Fe_2O_{3(к)} + 8SO_{2(г)};$$
пирит

$$2MoS_{2(к)} + 7O_{2(г)} \leftrightarrow 2MoO_{3(к)} + 4SO_{2(г)};$$
молибденит

$$4FeS_{(к)} + 7O_{2(г)} \leftrightarrow 2Fe_2O_{3(к)} + 4SO_{2(г)}.$$
пирротин

5. Равновесный процесс, протекающий в подземных пещерах при образовании сталактитов и сталагмитов, можно описать уравнением

$$Ca^{2+}_{(р)} + 2\,HCO_3^-{}_{(р)} \leftrightarrow CaCO_{3(к)} + H_2O_{(ж)} + CO_{2(г)}.$$

Напишите выражение для константы равновесия этого процесса. Укажите, в какую сторону сдвигается равновесие а) при улетучивании CO_2, б) испарении воды, в) увлажнении атмосферы в пещерах.

6. Состояние равновесия реакции окисления сфалерита

$$2ZnS_{(к)} + 3O_{2(г)} \leftrightarrow 2ZnO_{(к)} + 2SO_{2(г)}$$

установилось при равновесной концентрации диоксида серы, равной 0.25 моль/л. Рассчитать исходную концентрацию кислорода.

7. В герметически закрытом сосуде объемом 0.25 л проводят реакцию восстановления антимонита

$$Sb_2S_{3(к)} + 3CO_{(г)} \leftrightarrow 2Sb_{(к)} + 3COS_{(г)}.$$

Равновесная концентрация каждого газообразного вещества равна 0.3 моль/л. Для смещения равновесия добавляют 0.1 моль CO. Определить новые равновесные концентрации CO и COS.

8. Определить, влево или вправо сместится положение равновесия

реакций

$$Fe_2O_3(к) + 3CO(г) \leftrightarrow 2Fe(к) + 3CO_2(г), \quad \Delta H° > 0;$$
гематит

$$3CaCO_3(к) + 3SiO_2(к) \leftrightarrow 3CO_2(г) + Ca_3Si_3O_9(к), \quad \Delta H° < 0,$$
волластонит

$$Cu_2CO_3(OH)_2(к) \leftrightarrow 2CuO(к) + CO_2(г) = H_2O(г), \quad \Delta H° > 0;$$
малахит

$$2Mg_2SiO_4(к) + 2H_2O(ж) + CO_2(г) \leftrightarrow Mg_3(OH)_4Si_2O_5(к) + MgCO_3(к), \quad \Delta H° < 0$$
форстерит серпентин магнезит

при следующих воздействиях: а) введение избытка диоксида углерода, б) нагревание, в) увеличение давления.

9. На некоторых предприятиях систематически из труб в атмосферу выбрасываются оксиды азота, что можно наблюдать как газ красно-желтого цвета (лисий хвост). Объяснить причину различной интенсивности окраски этого газа в зависимости от времени года (лето, зима), если известно, что NO_2 - бурый газ при -11°С превращается в димер N_2O_4 - бесцветные кристаллы, а при обычных условиях существует смесь NO_2 и N_2O_4

$$2\ NO_2 \leftrightarrow N_2O_4.$$

Укажите знак при ΔH в этом уравнении.

4. ИОННЫЕ РАВНОВЕСИЯ В РАСТВОРАХ ЭЛЕКТРОЛИТОВ

Ц е л ь р а б о т ы - Изучение смещения ионного равновесия в водных растворах.

Э л е к т р о л и т а м и называют вещества, диссоциирующие в растворах (или расплавах) на и о н ы и способные проводить электрический ток. Распад вещества на ионы называется электролитической диссоциацией. Перенос тока в растворах (и расплавах) электролитов осуществляется положительными и отрицательными ионами, которые называются катионами и анионами. К электролитам относятся соли, кислоты и основания.

Для количественной характеристики электролитической диссоциации используется степень диссоциации α - доля моля электролита, существующая в растворе в виде ионов:

$$\alpha = C/C_0,$$

где C - концентрация молекул, распавшихся на ионы, моль/л;

C_0 - исходная концентрация раствора, моль/л.

По величине степени диссоциации все электролиты делятся на сильные и слабые. К сильным относятся те электролиты, α - степень диссоциации которых равна единица, т.е. $C = C_0$. Распад на ионы сильных электролитов протекает необратимо. В растворе сильного электролита не может быть недиссоциированных молекул.

$$HNO_3 = H^+ + NO_3^-; \quad NaCl = Na^+ + Cl^-.$$

К сильным электролитам относятся практически все соли, гидроксиды щелочных и щелочно-земельных металлов и некоторые кислоты (например, HCl, HNO_3, H_2SO_4, HBr, HI, $HClO_4$)

Степень диссоциации слабых электролитов меньше единицы ($C < C_0$). Их ионизация протекает обратимо:

$$CH_3COOH \Leftrightarrow CH_3COO^- + H^+; \qquad H_2CO_3 \Leftrightarrow H^+ + HCO_3^-.$$

Константу равновесия электролитической диссоциации слабого электролита называют константой диссоциации. Например, при 298 К

$$K_{CH_3COOH} = \frac{C_{CH_3COO^-} \cdot C_{H^+}}{C_{CH_3COOH}} = 1.8 \cdot 10^{-5}.$$

$$K_{H_2CO_3} = \frac{C_{H^+} \cdot C_{HCO_3^-}}{C_{H_2CO_3}} = 4.4 \cdot 10^{-7}.$$

Из величин констант видно, что угольная кислота по первой ступени электролит более слабый, чем уксусная кислота.

Степень и константа ионизации слабого электролита связаны зависимостью (закон Оствальда):

$$K = \frac{\alpha^2 \cdot C_0}{1 - \alpha}.$$

Если степень ионизации электролита значительно меньше единицы, то уравнение можно записать $K = \alpha^2 \cdot C_0$, откуда следует, что α возрастает с разведением раствора.

В чистой воде кроме молекул H_2O содержатся протоны и гидроксид-ионы, при этом

$$[H^+] = [OH^-] = 1 \cdot 10^{-7} \text{ моль/л } (25^\circ \text{ C}).$$

Содержание протонов и гидрокид-ионов выражают также через водород-

ный показатель pH = 1g [H^+]. При pH = 7 среду водного раствора называют нейтральной, при pH < 7 - кислотной и при pH > 7 - щелочной.

Каковы пределы значений pH в природе? Рудничные воды выветривающихся колчеданных месторождений, содержащие свободную серную кислоту, имеют pH около 2, а воды окисляющихся месторождений самородной серы в песчаниках - еще ниже. Воды кратерных озер имеют pH 1-3, торфяных болот около 4, буроугольных месторождений около 5, pH дождевой воды примерно 5.5. Обычные грунтовые воды имеют pH 6.5 - 8.5, морская вода (в зависимости от времени года, ее температуры, количества растворенной в ней углекислоты, органических кислот, привнесенных реками) колеблется от 8.2 до 8.5. В содовых озерах pH достигает 9-10.

4.1. Экспериментальная часть

ОПЫТ 1. Сравнение относительной силы кислот

В одну пробирку наливают 1-2 мл 2М раствора уксусной кислоты, в другую - столько же раствора соляной кислоты той же концентрации. В обе пробирки добавляют небольшое количество мелко измельченного известняка. Взбалтывая пробирки с содержимым, наблюдать, одинаково ли быстро растворяется $CaCO_3$ во взятых кислотах.

$$CaCO_3\downarrow + 2H^+ = Ca^{2+} + H_2O + CO_2\uparrow.$$

Интенсивность выделения CO_2 при этой реакции служит относительным индикатором концентрации водородных ионов. Рассчитайте, во сколько раз концентрация протонов в растворе HCl больше, чем в растворе CH_3COOH, если $K_{CH_3COOH} = 1.8 \cdot 10^{-5}$.

Напишите уравнения диссоциации обеих кислот.

ОПЫТ 2. Влияние концентрации одноименных ионов на ионизацию слабой кислоты.

К 1-2 мл 2М раствора уксусной кислоты в двух пробирках прибавьте 2 капли метилоранжа. Отметьте окраску индикатора. Добавьте при перемешивании в одну пробирку несколько кристалликов ацетата аммония до изменения цвета раствора. Как изменился pH раствора? Объясните изменение pH, применяя правило Ле Шателье и используя выражение константы диссоциации CH_3COOH

ОПЫТ 3. Влияние концентрации одноименных ионов на ионизацию слабого основания.

В две пробирки наливают по 1-2 мл 2М раствора гидроксида аммония и по 2 капли фенолфталеина. В одну из пробирок добавляют при перемешивании несколько кристалликов ацетата аммония до изменения цвета раствора. Объясните причину наблюдаемого изменения окраски на основании уравнения диссоциации NH_4OH, принципа Ле Шателье и константы диссоциации NH_4OH.

ОПЫТ 4. Определение характера диссоциации гидроксидов

В три пробирки наливают по 2-3 мл растворов: в 1-ю - силиката натрия, во 2-ю - сульфата никеля, в 3-ю - сульфата цинка. До начала выпадения осадков гидроксидов добавляют по каплям в 1-ю - раствор серной кислоты, а во 2-ю - раствор гидроксида натрия.

Содержимое каждой пробирки взбалтывают и разливают каждый осадок гидроксидов на две пробирки. В одну пробирку добавляют разбавленной кислоты, а в другую концентрированной щелочи. На основании наблюдений за растворением осадков кремниевой кислоты, гидроксида никеля и гидроксида цинка в кислоте и щелочи сделайте вывод о кислотно-основном характере электролитической диссоциации этих гидроксидов.

Напишите уравнения диссоциации гидроксидов.

4.2. Контрольные вопросы и задания

1. Присутствие каких ионов можно ожидать в водном растворе сернистой кислоты H_2SO_3? Запишите выражения для констант диссоциаций этой кислоты.

2. Почему константа электролитической диссоциации служит более удобной характеристикой, чем степень диссоциации?

3. Объясните, почему соли являются сильными электролитами. На примере $NaHCO_3$ укажите характер химических связей, по которым электролитическая диссоциация протекает в водном растворе: а) практически полностью; б) частично; в) отсутствует.

4. Укажите, корректно ли сопоставлять такие свойства, как растворимость вещества и способность его к электролитической диссоциации.

5. В практике флотации используются процессы с низкими и высо-

кими значениями pH флотационной пульпы. Можно ли приготовить растворы с pH 0, -1, -2, 14, 15, 16?

6. Вычислите концентрацию ионов водорода в 1М (9.45 %-ном) растворе серной кислоты, pH которого - 0.005. Объясните полученный результат.

7. В Первоуральске выпал кислотный дождь, водородный показатель которого равен 2.5. Во сколько раз превышена концентрация иона водорода, если обычная дождевая вода имеет pH = 5.5?

8. Шахтные воды Кизеловского бассейна содержат 0.01 г/л ионов водорода. Рассчитайте водородный показатель этих вод, концентрацию OH^- ионов. Укажите, кислотный или щелочной характер имеют эти воды.

9. Во сколько раз уменьшится концентрация ионов водорода, если к 1 литру раствора уксусной кислоты с концентрацией 0.005 моль/л прибавить 0.05 моль ацетата натрия, считая, что концентрация недиссоциированных молекул уксусной кислоты, как и объем раствора остаются практически постоянными? K_{CH_3COOH} $1.8 \cdot 10^{-5}$.

10. Для оценки pH раствора сероводорода студент записал следующие уравнения:

$$H_2S = 2H^+ + S^{2-}; \quad S^{2-} + H_2O \leftrightarrow HS^- + OH^-.$$

Таким образом, студент сделал вывод, что среда щелочная. Найдите ошибки в его рассуждениях.

5. РЕАКЦИИ ИОННОГО ОБМЕНА

Ц е л ь р а б о т ы - выявление закономерностей протекания реакций ионного обмена в растворах электролитов.

Минералы и горные породы в условиях земной поверхности стремятся перейти в более устойчивые соединения. Известняки медленно растворяются в водах, содержащих углекислоту, образую гидрокарбонат кальция. Грунтовые воды, содержащие $Ca(HCO_3)_2$, реагируют с сульфатно-хлоридно-магниевыми (морскими) водами. При этом осаждаются гипс и доломит:

$$2Ca(HCO_3)_2 + MgCl_2 + Na_2SO_4 = \underset{\text{гипс}}{CaSO_4} + \underset{\text{доломит}}{CaMg(CO_3)_2} + 2NaCl + 2H_2CO_3.$$

Так озера морского типа превращаются в озера континентального типа. Сульфатно-натриевые воды - результат выщелачивания горных по-

род, могут образовывать содовые озера.

$$Ca(HCO_3)_2 + NaSO_4 = CaSO_4\downarrow + NaHCO_3.$$

Изверженные горные породы выветриваются, в полевых шпатах содержание алюминия увеличивается от ранних пород к поздним. При этом из них выносятся катионы щелочноземельных металлов. Например, из анорита образуется каолинит

$$CaO\cdot Al_2O_3\cdot 2SiO_2 + 2H_2O + CO_2 = Al_2O_3\cdot 2SiO_2\cdot 2H_2O + CaCO_3.$$

В результате воздействия растворов, содержащих в повышенных концентрациях ионы Mg^{2+} и SO_4^{2-}, происходит доломитизация известняков

$$2CaCO_3 + MgSO_4 = CaMg(CO_3)_2 + CaSO_4.$$

Если химическая реакция протекает, то она отличается следующими признаками:

происходит образование осадка, или растворение осадка, или изменяется цвет осадка или раствора, или появляются пузырьки газа.

Сущность ионных реакций обмена сводится к соединению ионов в молекулы новых веществ. Равновесия ионных реакций в растворах смещаются в сторону образования слабых электролитов (слабых кислот, слабых оснований, воды) и сильных электролитов (осадков, летучих веществ).

Все кислые соли в воде растворяются, основные соли, как правило, нерастворимы.

В ионных уравнениях сильные, хорошо растворимые электролиты записываются в форме ионов, а слабые электролиты, газы и осадки - в виде молекул.

Рассмотрим следующие примеры реакций. Запишем их сначала в молекулярной форме, а затем в виде кратких ионных уравнений.

$$Fe(HCO_3)_2 + 2NaOH = FeCO_3\downarrow + Na_2CO_3 + 2H_2O;$$

$$Fe^{2+} + 2\,HCO_3^- + 2OH^- = FeCO_3\downarrow + CO_3^{2-} + 2H_2O;$$

$$ZnSO_4 + 4NaOH = Na_2ZnO_2 + Na_2SO_4 + 2H_2O;$$

$$Zn^{2+} + 4OH^- = ZnO_2^{2-} + 2H_2O;$$

$$NaSiO_3 + 2CO_2 + 2H_2O = H_2SiO_3\downarrow + 2\ NaHCO_3;$$

$$SiO_2^{2-} + 2CO_2 + 2H_2O = H_2SiO_3\downarrow + 2\,HCO_3^-;$$

$$NH_4OH + HCl = NH_4Cl + H_2O;$$

$$NH_4OH + H^+ = NH_4Cl + H_2O.$$

5.1. Экспериментальная часть

ОПЫТ 1. Образование осадков

а) В две пробирки наливают по 2 мл раствора хлорида бария и добавляют в одну пробирку сульфата натрия, а в другую - нитрата калия. Написать молекулярное и ионное уравнения и сделать вывод, в каком случае соль реагирует с другой солью;

б) В две пробирки наливают по 2 мл раствора сульфата меди. В одну пробирку добавляют 1 мл очень разбавленный (1%-ный) раствор гидроксида натрия, а в другую - столько же разбавленного раствора той же щелочи. Написать молекулярные и ионные уравнения, указав окраску образующихся осадков и учитывая, что в первом случае образуется основной сульфат меди $(CuOH)_2SO_4$. Сделайте вывод об условиях образования основной соли и гидроксида. Осадки сохранить для выполнения опыта 2б;

в) В две пробирки наливают по 2 мл раствора хлорида кобальта. В одну пробирку добавляют разбавленного раствора щелочи до образования синего осадка основной соли. Во вторую пробирку приливают еще столько же щелочи и нагревают с целью получения гидроксида кобальта розового цвета. Содержимое пробирок оставляют для проведения опыта 2в. Написать молекулярное и ионные уравнения, указав цвет осадков.

ОПЫТ 2. Растворение осадков.

а) Наливают в пробирку известковую воду $Ca(OH)_2$, через этот раствор пропускают углекислый газ из аппарата Киппа. Наблюдают образование белого осадка средней соли, продолжают пропускать пузырьки CO_2 до растворения белого осадка и получения бесцветного прозрачного раствора кислой соли $Ca(HCO_3)_2$. Написать молекулярные и ионные уравнения образования карбоната кальция и растворения его. Сделать вывод об условии получения кислой соли.

б) В обе пробирки опыта 1б добавляют серной кислоты до растворения осадков. Написать молекулярные и ионные уравнения реакции растворения. Объяснить причину сдвига ионного равновесия;

в) Берут пробирки с осадками опыта 1в. В пробирку с синим осадком добавляют хлороводородной кислоты, в пробирку с розовым осадком - разбавленной щелочи. Напишите молекулярные и ионные уравнения. Наблюдать растворение одного из осадков. Дать объяснения наблюдениям.

О П Ы Т 3. Образование газообразного вещества

Все сульфиты, растворимые и нерастворимые в воде, разлагаются минеральными кислотами с выделением диоксида серы, который определяют как запах горящей серы.

К раствору сульфита натрия приливают разбавленной серной кислоты. Обнаруживают запах SO_2 , стараясь запомнить его. Это позволит впредь распознавать диоксид серы органолептически.

Написать молекулярное и ионное уравнение реакции.

О П Ы Т 4. Образование слабых электролитов

а) Наливают в пробирку 1-2 мл раствора ацетата натрия и добавляют разбавленной серной кислоты. Определяют по запаху образующуюся уксусную кислоту;

б) Наливают в пробирку 1-2 мл раствора хлорида аммония и добавляют разбавленной щелочи. Определяют по запаху выделяющийся аммиак;

в) Наливают в пробирку 3 мл раствора сульфата хрома (III) и приливают к нему по каплям раствор разбавленной щелочи до появления серо-зеленого осадка гидроксида хрома.

Содержимое пробирки разделяют на две части. К одной части приливают раствор серной кислоты, к другой - раствор щелочи. Сравнить цвет полученных растворов. Сделать вывод о характере гидроксида хрома.

Для опытов а), б), в) написать молекулярные и ионные уравнения реакций, объяснить причины сдвига ионных равновесий.

Сделать вывод, в каком направлении протекают реакции ионного обмена в растворах электролитов.

5.2. Контрольные вопросы и задания

1. Составить в молекулярном виде уравнения реакций растворения следующих малорастворимых минералов:

а) стронцианит $SrCO_3$ переводят в водный раствор насыщением CO_2 суспензии минерала в воде;

б) сассолин $B(OH)_3$ обрабатывают избытком раствора едкого натра;

в) гиббсит $Al(OH)_3$ хорошо растворяется известковом молоке;

г) азурит $Cu(OH)_2 \cdot 2CuCO_3$ обрабатывают хлороводородной кислотой;

д) гетит Fe_2O_3 хорошо растворяется в серной кислоте;

е) гемиморфит $Zn(OH)_2 \cdot Zn_3Si_2O_7$ нагревают в растворе гидроксида натрия;

ж) брусит $Mg(OH)_2$ разлагается раствором серной кислоты;

з) борнит $FeS \cdot CuS \cdot 2Cu_2S$ обрабатывают соляной кислотой.

2. При смещении водных растворов одного из следующих веществ: NaOH, KOH, CsOH концентрацией 1 моль/л с одинаковыми объемами 1М раствором HCl, HBr, HNO_3, $HClO_4$ выделяется примерно одно и то же количество теплоты, составляющее 55-59 кДж/моль. О чем это свидетельствует? Напишите уравнения реакции в ионном виде.

3. При смешении 1М водных растворов одной из следующих кислот: азотной, уксусной, бензойной с одинаковыми объема 1М растворов КОН обнаруживаются различные тепловые эффекты. Объясните, приведя уравнения реакций в молекулярно-ионном виде.

4. Укажите причины, по которым реакция

$$Na_2CO_{3(р)} + Ca(OH)_{2(к)} \leftrightarrow CaCO_{3(к)} + 2NaOH_{(р)}$$

обратима, составьте выражение для константы равновесия. Почему в этом процессе образуется только разбавленный раствор гидроксида натрия, а получение концентрированного раствора невозможно?

5. Для переработки карбонатных марганцевых руд предложен способ, основанный на выщелачивании их раствором хлорида кальция:

$$MnCO_{3(к)} + CaCl_{2(р)} \leftrightarrow CaCO_{3(к)} + MnCl_{2(р)}.$$

Можно ли регенерировать раствор хлорида кальция и вывести одновременно марганец в осадок добавлением к продуктам выщелачивания суспензии $Ca(OH)_2$? Напишите уравнение реакции.

6. Растворение соли слабой кислоты в растворах кислот должно проходить тем быстрее, чем больше концентрация ионов водорода. Однако кальцит $CaCO_3$ растворяется в растворе уксусной кислоты быстрее, чем в растворе серной. Почему?

7. В 250 мл раствора содержится 1 г NaOH. Вычислите молярную концентрацию и pH этого раствора.

8. Кислые растворы имеют кислый вкус, щелочные - вкус мыла. Сливаются равные объемы растворов хлороводородной кислоты и гидроксида натрия одинаковой концентрации. Какой вкус полученного раствора?

9. Гашеную известь $Ca(OH)_2$ используют при флотации для создания щелочной среды (pH 12 и более), отделения пирита от сфалерита и сульфидов меди. Как изменяется pH растворов извести при хранении их в открытых емкостях? Напишите уравнение реакции.

6. ГИДРОЛИЗ СОЛЕЙ

Ц е л ь р а б о т ы - Изучение свойств водных растворов, связанных с реакцией гидролиза солей.

Природные воды часто не бывают нейтральными, а имеют либо кислую, либо щелочную среду вследствие гидролиза. При химическом выветривании известняков образуются щелочные растворы, а пиритсодержащих - кислые. Изменение нейтральной реакции среды водного раствора - признак гидролиза соли, обменной химической реакции, протекающей с участием воды .Однако не все соли вступают в реакцию гидролиза. Если растворить в воде хлорид калия KCl, нейтральная реакция среды (pH = 7), характерная для чистой воды, не изменится. Соли, образованные сильным основанием и сильной кислотой (NaCl, $LiNO_3$, CsBr и т.п.), в реакцию гидролиза не вступают.

С водой взаимодействуют: 1) соли, образованные слабыми основаниями и сильными кислотами (NH_4Cl, $CuSO_4$, $Zn(NO_3)_2$ и т.п.); 2) соли, образованные слабыми кислотами и сильными основаниями (Na_2S, KCN, $BaCO_3$ и т.п.); 3) соли, образованные слабыми основаниями и слабыми

кислотами (NH_4CH_3COO и т.п.).

Из рассмотренных примеров следует, что в реакцию с водой вступают катионы слабых оснований и анионы слабых кислот. Если эти ионы многозарядны (Fe^{3+}, Cu^{2+}, CO_3^{2-}, SiO_3^{2-} и т.п.), их взаимодействие с водой обычно идет до образования основного или кислого иона (первая ступень гидролиза). Например, соль $FeCl_3$, образованная слабым основанием с сильной кислотой, подвергается гидролизу по катиону:

$$Fe^{3+} + HOH \leftrightarrow FeOH^{2+} + H^+$$

Или в молекулярной форме:

$$FeCl_3 + HOH \leftrightarrow FeOHCl_2 + HCl.$$

В результате гидролиза соли $FeCl_3$ появляется избыток катионов H^+ и раствор приобретает кислую реакцию, pH < 7.

Гидролизу по аниону подвергаются соли, образованные сильным основанием и слабой кислотой. В качестве примера запишем уравнение гидролиза соли Na_2CO_3 в ионном виде:

$$CO_3^{2-} + HOH \leftrightarrow HCO_3^- + OH^-$$

И в молекулярной форме:

$$Na_2CO_3 + HOH \leftrightarrow NaHCO_3 + NaOH.\uparrow$$

Избыток анионов OH^- придает раствору щелочную реакцию, pH > 7.

Если же соль образована слабым малорастворимым основанием и слабой летучей кислотой, то происходит полный необратимый гидролиз. В таблице растворимости такие соли обозначены прочерком, означающим, что эти соли в водных растворах не существуют. Например, гидролиз карбоната железа (III):

$$Fe_2(CO_3)_3 + 6H_2O = 2Fe(OH)_3\downarrow + 3H_2CO_3;$$

$$2Fe^{3+} + 3\,CO_3^{2-} + 6H_2O = 2Fe(OH)_3\downarrow + 3H_2CO_3 \begin{array}{l} \nearrow 3CO_2\uparrow \\ \searrow 3H_2O \end{array}$$

т.е. карбонат железа (III) может существовать только в виде сухой соли, а в растворе он подвергается полному гидролизу, образуя труднорастворимый гидроксид железа (III) и слабую летучую угольную кислоту. В подобных случаях в осадок выпадает наименее растворимый из возможных продуктов гидролиза. Так, растворимость $(CuOH)_2CO_3$ меньше, чем $Cu(OH)_2$,

поэтому в зоне окисления минералов меди в известняках встречается малахит

$$2CuSO_4 + 2CaCO_3 + H_2O \leftrightarrow (CuOH)_2CO_3 + CaSO_4 + CO_2,$$

В водном растворе положительные ионы металлов гидратированы. Многие из них связывают воду так прочно, что их можно рассматривать как комплексные ионы. Гидролиз солей, образованных слабыми основаниями и сильными кислотами, происходит за счет молекул воды, входящих в комплексный ион. При этом катион металла выталкивает за пределы внутренней сферы одноименно заряженный ион водорода из молекулы воды, среда становится кислой. Например, при гидролизе хлорида магния координационное число Mg^{2+} равно шести

$$Mg^{2+} + 6H_2O = [Mg(H_2O)_6]^{2+} \Leftrightarrow [Mg(H_2O)_5OH]^+ + H^+;$$

$$MgCl_2 + 6H_2O \Leftrightarrow [Mg(H_2O)_5OH]Cl + HCl\ .$$

Ионы Bi^{3+}, Sb^{3+}, Ti^{4+}, V^{4+} обладают настолько сильным поляризующим действием, что выталкивает из молекулы воды оба иона водорода, вследствие чего образуются ионы BiO^+ висмутил, SbO^+ антимонид, TiO^{2+} титанил, VO^{2+} ванадил.

$$SbCl_3 + HOH \Leftrightarrow SbOCl + 2HCl.$$

6.1. Экспериментальная часть

О П Ы Т 1. Образование основной соли при гидролизе

В три пробирки наливают по 3-4 капли нейтрального раствора лакмуса и добавляют по 2 мл растворов: в одну пробирку - дистиллированной воды, в другую - сульфата натрия, в третью - сульфата алюминия. Сравнивают окраску индикатора в воде и растворах солей. Сделать вывод о возможности гидролиза.

Написать молекулярное и ионное уравнение реакции гидролиза: отразить отсутствие гидролиза в пробирке с раствором Na_2SO_4.

О П Ы Т 2. Образование кислой соли при гидролизе

В две пробирки наливают по 3-4 капли нейтрального раствора фенолфталеина и добавляют по 2 мл растворов: хлорида натрия и карбоната натрия. Сравнивают окраску индикатора в воде и растворах солей.

Сделать вывод о возможности гидролиза.

Написать молекулярное и ионное уравнение реакции гидролиза: отразить отсутствие гидролиза а пробирке с раствором NaCl.

О П Ы Т 3. Смещение равновесия гидролиза

Налить в пробирку 1-2 мл раствора нитрата висмута $Bi(NO_3)_3$ и разбавить его водой в 3-5 раз. Наблюдать образование осадка, т.е. помутнение раствора. Составить молекулярное и ионное уравнение реакции гидролиза, зная, что труднорастворимым продуктом является соль $BiONO_3$.

В пробирку с осадком $BiONO_3$ прибавить несколько капель концентрированной азотной кислоты. Наблюдать растворение осадка. Объяснить наблюдаемое, исходя из уравнения гидролиза.

О П Ы Т 4. Влияние нагревания на гидролиз ацетата натрия

К 3-4 мл раствора уксуснокислого натрия CH_3COONa прибавить 1-2 капли фенолфталеина и нагреть до кипения. Обратить внимание на появление розовой окраски, исчезающей при охлаждении раствора.

Написать ионное и молекулярное уравнение реакции гидролиза уксуснокислого натрия. Объясните различие окраски при нагревании и охлаждении раствора.

О П Ы Т 5. Полный гидролиз (совместный гидролиз)

К 1-2 мл раствора сернокислого алюминия $Al_2(SO_4)_3$ прилить такой же объем раствора карбоната натрия Na_2CO_3. Наблюдать выделение углекислого газа и образование осадка гидроксида алюминия. Написать молекулярное и ионное уравнение совместного гидролиза взятых солей.

6.2. Контрольные вопросы и задания

1. На некоторых обогатительных фабриках иногда барабаны (емкости) из-под цианида натрия обезвреживают 10%-ным раствором железного купороса $FeSO_4$. Напишите уравнения реакции, ведущих к образованию в этих условиях циановодородной кислоты, и покажите тем самым, что такой способ растворения цианидов абсолютно недопустим. При подкислении до $pH \leq 9$ работать с растворами цианида натрия опасно; безопасно при $pH > 10$.

2. Раствор основания и раствор кислоты смешивают в эквивалент-

ных соотношениях. Для каких из перечисленных пар раствор будет иметь нейтральную реакцию:

а) $NH_4OH + HCl$, б) $NH_4OH + CH_3COOH$, в) $NaOH + HCl$,

г) $NaOH + CH_3COOH$?

3. Сточные воды обогатительных фабрик, содержащие гидрокарбонат кальция, очищают от коллоидных примесей (удалить которые отстаиванием и фильтрованием невозможно) добавлением к ним сульфата алюминия. Образующийся хлопьевидный $Al(OH)_3$ обволакивает коллоидные частицы примесей и вызывает их осаждение. Объясните образование $Al(OH)_3$ и напишите уравнение реакции.

4. Определить, возможна ли реакция окисления сфалерита кислородом воздуха в стандартных условиях, если

$$ZnS_{(к)} + 2O_{2(г)} + 7H_2O_{(ж)} = ZnSO_4 \cdot 7H_2O_{(р)}.$$

ΔG^0_{298}, кДж/моль	-201	-237	-2564

Сделайте вывод о кислотности рудничных вод, содержащих в качестве продукта выветривания сульфат цинка, записав уравнение реакции гидролиза в молекулярном и ионном виде.

5. При окислении пирита, преобладающего в колчеданных рудах, кислородом, растворенным в воде, выделяется сульфат железа (III). Поступая с нисходящим током растворов в нижние горизонты, он реагирует с породой. Сделайте вывод о составе породы, если наблюдается совместное образование гипса $CaSO_4 \cdot 2H_2O$ и лимонита $Fe(OH)_3$. Напишите уравнение реакции взаимодействия сульфата железа (III) и породы.

6. Объясните, приведя молекулярно-ионное уравнение, почему при нагревании раствора $NaHCO_3$ реакция среды из слабощелочной переходит в сильнощелочную.

7. В водном растворе хлорида цинка при нагревании происходит растворение кусочка металлического цинка. Напишите уравнения реакции, объясняя причину выделения водорода.

8. В жесткой воде ионы железа обычно присутствуют в виде гидрокарбоната железа (II). При хранении такой воды в открытых сосудах, железо окисляется кислородом воздуха, вода мутнеет из-за выпадения в осадок $Fe(OH)_3$. Напишите уравнение реакции, в результате которой образуется гидроксид железа (III).

МИНОБРНАУКИ РФ

ФГБОУ ВО «Уральский государственный горный университет»

УТВЕРЖДАЮ
Проректор по учебно-методическому комплексу
_____ С.А.Упоров

МЕТОДИЧЕСКИЕ УКАЗАНИЯ И КОНТРОЛЬНЫЕ ЗАДАНИЯ К ЛАБОРАТОРНЫМ ЗАНЯТИЯМ ПО ДИСЦИПЛИНЕ

Б1.О.12 ХИМИЯ, Ч. 2

ЧАСТЬ 2

Специальность:
21.05.02 Прикладная геология

Специализация:
Геология месторождений нефти и газа

форма обучения: очная

Автор: Смирнова, Н.Б., к.х.н., Сахарова, В.М., к.х.н.

Одобрены на заседании кафедры
Химии
(название кафедры)
Зав. кафедрой _____
(подпись)
д.т.н., проф. Амдур А.М.
(Фамилия И.О.)
Протокол № 2 от 09.10.2020
(Дата)

Рассмотрены методической комиссией
факультета геологии и геофизики
(название факультета)
Председатель _____
(подпись)
д.т.-м.н., проф. Бондарев В.И.
(Фамилия И.О.)
Протокол № 2 от 13.10.2020
(Дата)

Екатеринбург

Методические указания и контрольные задания по дисциплине согласованы с выпускающей кафедрой литологии и геологии горючих ископаемых

Заведующий кафедрой ЛГГИ _____.г.-м.н., С.А. Рыльков____

РАБОТА 1. **Комплексные соединения**

Цель работы - познакомиться с методами получения комплексных соединений и их свойствами.

Широко распространены среди минералов комплексные соединения. Комплексные соединения содержат катионный, анионный или нейтральный комплекс, состоящий из центрального атома или иона и связанных с ним молекул или ионов лигандов. Центральный атом - комплексообразователь - обычно представляет собой акцептор, а лиганды - доноры электронов, и при образовании комплекса между ними возникает донорно-акцепторная, или координационная связь. Комплексообразователь и лиганды образуют внутреннюю сферу комплексного соединения, которая в растворах сохраняет индивидуальность, хотя может иметь место и диссоциация. За счет устойчивости внутренней сферы можно перевести в водный раствор малорастворимые минералы. Например, кераргирит **AgCl,** плохо растворимый в воде, растворяется под действием насыщенного раствора хлорида натрия

$$\mathbf{AgCl + NaCl = Na[AgCl_2].}$$

Шарпит $\mathbf{UO_2CO_3H_2O}$ переходит в насыщенный раствор соды, образуя $\mathbf{Na_4[UO_2(CO_3)_3]}$.

Нантокит растворяется при обработке концентрированным раствором гидроксида аммония:

$$\mathbf{CuCl + 2NH_4OH = [Cu(NH_3)_2]Cl + H_2O.}$$

Устойчивые комплексные соединения $K_3[Fe(CH)_6]$, $Na_2[Zn(OH)_4]$, $K_4[Fe(CH)_6]$ и др. служат в качестве подавителей флотации при обогащении руд. Образование комплексных соединений происходит при умягчении воды, при защите металлов от коррозии и многих других процессах, использующихся в горнодобывающей и горноперерабатывающей промышленности.

В водных растворах комплексные соединения полностью распадаются на ионы внутренней и внешней сферы

$$\mathbf{[Cu(NH_3)_2]Cl = [Cu(NH_3)_2]^+ + Cl^-}.$$

Комплексные ионы диссоциируют только частично, ведут себя как слабые электролиты

$$\mathbf{[Cu(NH_3)_2]+ \leftrightarrow Cu^+ + 2NH_3.}$$

Константа равновесия этого процесса называется константой нестойкости **($K_н$)**:

$$K_{\text{Н}} = \frac{C_{Cu^+} \cdot C^2_{NH_3}}{C_{[Cu(NH_3)_2]^+}}.$$

Чем устойчивее комплексный ион в растворе, тем меньше величина константы нестойкости.

Опыт 1. Диссоциация сульфата железа - аммония

Налить в три пробирки по 2-3 мл раствора соли **$NH_4Fe(SO_4)_2$.** В первую пробирку добавить несколько капель раствора тиоцианата калия **KSCN**. **О** наличии, какого иона в растворе свидетельствует появление характерной красной окраски?

Во вторую пробирку добавьте несколько капель 30% -ного раствора щелочи. Слегка нагреть. Какой ион образует бурый осадок, а какой обусловливает появление запаха аммиака? В третью пробирку добавить 1 мл хлорида бария. Какая соль вы падет в осадок?

На три вышеприведенных вопроса ответить, записав четыре уравнения реакций в ионном виде.

Составить уравнение диссоциации исследуемой соли и сделать вывод, какой солью, двойной или комплексной, она является.

Опыт 2. Диссоциация гексацианоферрата (III) калия

Составить уравнение диссоциации гексацианоферрата (III) калия. Налить в две пробирки по 1 мл раствора этой соли. В одну из них добавить несколько капель щелочи, в другую - тиоцианата калия. Записать в ионном виде отсутствие взаимодействия комплексного иона со щелочью в первой пробирке и с тиоцианатом - во второй.

Почему в растворе не обнаружено иона железа (III)? Сделайте вывод, какой солью, двойней или комплексной, является исследуемое вещество. Написать математическое выражение для константы нестойкости комплексного иона.

Опыт 3. Получение сульфата тетраамминмеди (II)

Налить в пробирку 1-2 мл раствора сульфата меди и по каплям добавить раствор аммиака до выпадения осадка основной соли меди **$(CuOH)_2SO_4$.** Написать уравнение реакции образования этой соли в молекулярном и ионном виде.

Прилить избыток 5-6 мл гидроксида аммония. Наблюдать растворение **$(CuOH)_2SO_4$** и образование фиолетового раствора, содержащего комплексный ион тетраамминмеди (II) **$[Cu(NH_3)_4]^{2+}$.**

Написать уравнение реакции образования комплексных солей $[Cu(NH_3)_4]SO_4$ и $[Cu(NH_3)_4](OH)_2$ в молекулярном и ионном виде.

Опыт 4. Получение тетраиодомеркурата (II) **калия**

Налить в пробирку 3-4 капли раствора нитрата ртути (II) и добавить по каплям раствор иодида калия до появления ярко-красного осадка иодида ртути.

Дальнейшее прибавление иодида калия вызывает растворение осадка и образование бесцветного раствора комплексной соли $K_2[HgI_4]$

Написать уравнения образования и растворения осадка в молекулярном и ионном виде.

Опыт 5. Получение соединения, содержащего в **молекуле комплексный катион и комплексный анион**

В пробирку внести 2-3 мл раствора гексацианоферрата (II) калия и 3-4 мл раствора сульфата никеля. К полученному осадку гексацианоферрата (II) никеля добавить раствор гидроксида аммония до полного растворения осадка. Наблюдать образование бледно-лиловых кристаллов соли $[Ni(NH_3)_6]$ $[Fe(CN)_6]$. Написать в ионном виде уравнения реакций образования осадка и растворения осадка.

Опыт 6. **Растворение осадков за счет процесса комплексообразования**

Процессы комплексообразования вызывают уменьшение равновесной концентрации ионов в насыщенном растворе малорастворимого соединения. Это смещает равновесие в системе раствор - осадок и вызывает растворение осадка.

а) Налить в пробирку 1 мл концентрированного раствора хлорида кальция, добавить 2 мл раствора сульфата натрия. Наблюдать выпадение осадка при встряхивании. Написать уравнение реакции в ионном виде.

Полученный осадок сульфата кальция растворить в насыщенном растворе сульфата аммония. Написать уравнение реакции растворения $CaSO_4$ (в молекулярной и ионной форме) в результате образования комплексной соли $(NH_4)_2[Ca(SO_4)_2]$.

б) Налить в пробирку 3-4 капли раствора соли цинка и добавить по каплям разбавленный раствор **NaOH** до выпадения осадка $Zn(OH)_2$ и последующего растворения его с образованием $[Zn(OH)_4]_2$. Написать уравнения реакций в молекулярном виде.

Опыт 7. Комплексные соединения в реакциях обмена

а) Налить в пробирку 1-2 мл раствора гексацианоферрата (II) калия $K_4[Fe(CN)_6]$ и добавить несколько капель раствора Fe^{3+}. Наблюдать образование осадка берлинской лазури $Fe_4[Fe(CN)_6]_3$.

б) Налить в пробирку 1-2 мл раствора гексацианоферрата (III) калия $K_3[Fe(CN)_6]_3$ и добавить несколько капель раствора, содержащего ион цинка. Отметить окраску осадка $Zn_3[Fe(CN)_6]_2$.

Написать молекулярные и ионные уравнения реакция. Сделать вывод об устойчивости комплексных ионов в реакциях обмена.

Контрольные вопросы и задания

1. Укажите внутреннею и внешнюю сферы, комплексообразователь и лиганды в следующих комплексных соединениях:

$K_3[Co(C_2O_4)_3]$, $[Zn(NH_3)_4](NO_3)_2$, $[Cr(CO)_6]$,

$Na_3[FeF_6]$, $[Ti(H_2O)_6]Cl_3$, $H[AuCl_4]$, $[Cr(C_6H_6)_2]$.

2. Определите степень окисления и координационное число комплексообразователя в следующих комплексных соединениях:

$Al[BH_4]_3$, $[Pt(NH_3)_2Cl_2]$, $K_2[CuCl_4]$,

$[Cr(H_2O)_6]Cl_3$, $Rb_2[SnCl_6]$, $Na[Au(CN)_2Cl_2]$,

$[Co(NH_3)_5Br]SO_4$, $Ca[Cr(NH_3)_2(SCN)_4]$, $[Ir(NH_3)_3Cl_3]$.

3. Объясните, какое основание является более сильным и почему: $Ni(OH)_2$ или $[Ni(NH_3)_4](OH)_2$? Какая кислота сильнее **HCN** или $H[Ag(CN)]_2$?

4. Степень гидролиза какой соли больше и почему: **KCN** или **K[Ag(CN)]2**

5. Объясните уменьшение растворимости $PbCl_2$ в воде при добавлении разбавленной **HCl** и увеличение растворимости этого осадка при добавлении концентрированной **HCl**.

6. Сколько молей **AgCl** осаждается при добавлении нитрата серебра к раствору $[Co(NH_3)_5ClICl_2$ в расчете на моль имеющегося кобальта?

РАБОТА 2. Определение молярной массы эквивалента

Цель работы - усвоить одно из важнейших химических понятий - понятие об эквиваленте - и научиться определять молярную массу эквивалента вещества.

Молярная масса - отношение массы вещества к количеству вещества:

$$M = \frac{m}{\nu} \qquad (1)$$

где M - молярная масса вещества; m - масса вещества; ν - количество вещества.

Например, М **(**O**)** =16 г/моль; М (O_2) = 32 г/моль.

Эквивалент (Э) **-** это частица вещества, которая может замещать**,** присоединять, высвобождать или каким-либо другим образом эквивалентна одному иону водорода в ионообменных реакциях или одному электрону в окислительно-восстановительных реакциях.

Для определения состава эквивалента вещества необходимо исходить из конкретной реакции. Например:

$$\mathbf{Cu(OH)_2 + 2HCl = CuCl_2 + 2H_2O;}$$

$$\mathbf{Cu(OH)_2 + 2H^+ = Cu^{2+} + 2H_2O.}$$

В данной реакции один ион водорода эквивалентен 1/2 моль $\mathbf{Cu(OH)_2}$, поэтому эквивалент $\mathbf{Cu(OH)_2}$ равен половине его молекулы.

Фактор эквивалентности (*f*) - число, обозначающее, какая доля от реальной частицы эквивалентна одному иону водорода или одному электрону. Например, в рассмотренном случае фактор эквивалентности**:** $\mathbf{f(Cu(OH)) = 1/2}$.

Для оснований фактор эквивалентности определяется количеством гидроксильных ионов $\mathbf{(OH^-)}$, которые могут быть замещены либо замещаются в конкретной реакции на кислотные остатки.

Например**,** $\mathbf{f(Fe(OH)_3) = 1/3}$, но в конкретных реакциях может проявляться неполная кислотность основания и необходимо определять конкретный фактор эквивалентности:

$$\mathbf{Fe(OH)_3 + 2HCl = FeOHCl_2 + 2H_2O\ ;\quad f(Fe(OH)_3) = 1/2\ ;}$$

$$\mathbf{Fe(OH)_3 + HCl = Fe(OH)_2Cl + H_2O;\ \ f(Fe(OH)_3) = 1}.$$

Для кислот фактор эквивалентности определяется количеством ионов водорода, которые могут быть замещены либо замещаются в конкретной реакции на катионы металла.

Например, $\mathbf{f\ (H_2SO_4) = 1/2}$, так как в молекуле серной кислоты два иона водорода могут быть замещены на катион металла, но в реакции

$$\mathbf{H_2SO_4 + NaOH = NaHSO_4 + H_2O;\quad f\ (H_2SO_4) = 1}$$

фактор эквивалентности серной кислоты равен 1.

Фактор эквивалентности кислотного оксида равен фактору эквивалентности соответствующей ему кислоты. Так, фактор эквивалентности оксида углерода (IV) (CO_2) равен 1/2, так как ему соответствует угольная кислота $\mathbf{(H_2CO_3)}$.

Но в конкретной реакции фактор эквивалентности определяется количеством эквивалентов реагирующего с оксидом вещества. Так в реакции:

$$CO_2 + NaOH = NaHCO_3; \quad f(CO_2) = 1$$

Фактор эквивалентности соли и основного оксида определяется произведением степени окисления металла на количестве атомов металла в молекуле. Например:

$$f(Al_2O_3) = 1/(2\cdot 3) = 1/6; \qquad f(FeCl_3) = 1/(1\cdot 3) = 1/3.$$

Зная фактор эквивалентности и молярную массу вещества, можно рассчитать молярную массу эквивалента (Э) данного вещества, которую часто для краткости называют эквивалентом

$$Э = f \cdot M, \tag{2}$$

Понятие эквивалента является одним из важнейших в химии, так как позволяет проводить количественные расчеты при взаимодействии веществ, пользуясь законом эквивалентов: "Все вещества реагируют в строго эквивалентных соотношениях". Иными словами, если в химическую реакцию вступило эквивалентов одного вещества, то количество эквивалентов любого другого вещества вступившего с ним в реакцию, будет тоже. Так, 0.1 моль эквивалентов серной кислоты реагирует с 0.1 моль эквивалентов хлорида бария, или 0.1 моль эквивалентов нитрата свинца, или 0.1 моль эквивалентов гидроксида натрия, или 0.1 моль эквивалентов гидроксида меди и т. д.

Количество эквивалентов вещества может быть рассчитано по формуле:

$$\nu_{(\text{эквивалентов})} = \frac{m_{(\text{в–ва})}}{Э_{(\text{в-ва})}} \tag{3}$$

Так как количества эквивалентов веществ, вступающих в реакцию, одинаково, то одной из формул, выражающих закон эквивалентов, может быть следующая:

$$\frac{m(\text{в - ва 1})}{Э(\text{в - ва 1})} = \frac{m(\text{в - ва 2})}{Э(\text{в - ва 2})} \tag{4}$$

Пользуясь этой формулой, можно практически определить молярную массу эквивалента вещества. Используемый метод основан на способности исследуемого вещества реагировать с кислотой: выделением газа (водорода или диоксида углерода). Работа проводится на приборе, изображенном на рисунке.

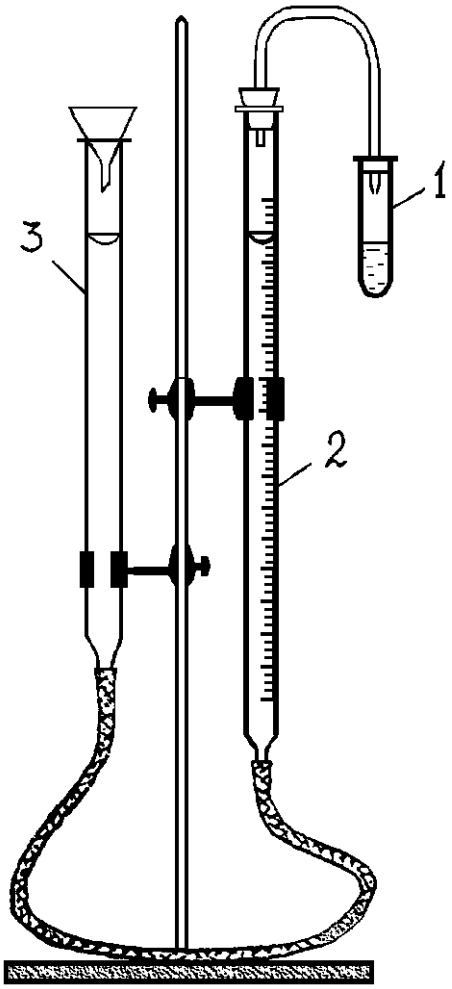

Прибор состоит из пробирки (1), бюретки (2) на 100 мл, заполненной водой или раствором хлорида натрия, стеклянной трубки и воронки (3), выполняющих роль уравнительного сосуда.

Пробирка соединена с бюреткой стеклянной трубкой, на концах надеты резиновые пробки, герметично закрывающие пробирку и бюретку. Нижний конец бюретки соединен с уравнительным сосудом резиновой "трубкой длиной 40-50 мм. Перед работой испытайте герметичность прибора. Для этого поднимите воронку на 15-20 см, закрепите ее в этом положении и наблюдайте в течение 1-3 минут за постоянством уровня жидкости в бюретке. Если уровень остается постоянным, то прибор герметичен.

Опыт 1. Определение эквивалента металла

Получите у лаборанта исследуемый металл. В пробирку налейте 5-6 мл 10 % -ного раствора соляной кислоты. Навеску металла заверните в небольшую полоску фильтровальной бумаги, верхнюю часть бумажки полученного фунтика смочите водой и приложите к внутренней части пробирки так, чтобы после того, как пробирка будет закрыта пробкой, этот фунтик на 1-3 см был ниже края пробирки и не касался кислоты. Убедитесь, что прибор вновь герметичен. Установите бюретку и воронку так, чтобы положение воды в них было точно на одном уровне, но не выше нулевой отметки. Отметьте и запишите положение мениска в бюретке (при этом глаз должен находиться на уровне мениска). Наклоняя пробирку, добейтесь того, чтобы кусочки металла упали на дно пробирки. Наблюдайте выделение водорода и вытеснение воды в уравнительный сосуд. Когда весь металл растворится, дайте пробирке остыть, приведите положение воды в бюретке и воронке к одному уровню и точно отметьте положение мениска в бюретке. Разность двух отсчетов - до и после реакции металла с

кислотой - дает объем водорода (**V**), выделившегося при данных условиях (**T** и **P**).

Форма записи результатов опыта

Навеска металла	***m*, г**
Объем выделившегося водорода при данных условиях	**V, мл**
Температура опыта	**T**, К
Барометрическое давление	**P**, Па
Давление насыщенного водяного пара при температуре опыта	**h**, Па

Обработка результатов опыта

Пользуясь уравнением Менделеева-Клапейрона, рассчитайте массы выделившегося водорода:

$$m_{H_2} = \frac{\mathbf{P}_{H_2} \cdot \mathbf{V}_{H_2} \cdot \mathbf{M}_{H_2}}{\mathbf{T} \cdot \mathbf{R}}, \quad \text{г},$$

где $\mathbf{M}_{H_2}$ - молярная масса водорода, 2 г/моль; **T** - температура опыта, К; **R** - газовая постоянная - 8.31 Дж/моль К; $\mathbf{V}_{H_2}$ - объем выделившегося водорода, мл; $\mathbf{P}_{H_2}$ - парциальное давление водорода, Па, рассчитанное по формуле: $\mathbf{P}_{H_2} = \mathbf{P} - \mathbf{h}$, где P - атмосферное давление, Па; **h** - давление насыщенного водяного пара при данной температуре, Па (см. таблицу 1)

Таблица 1

t, ^{0}C	**h**, Па	*t*, ^{0}C	**h**, Па	*t*, ^{0}C	**h**, Па
11	1306	16	1813	21	2490
12	1400	17	1933	22	2640
13	1493	18	2066	23	2813
14	1600	19	2200	24	2986
15	1706	20	2333	25	3173

По закону эквивалентов определите молярную массу эквивалента металла:

$$Э_{Me} = \frac{m_{Me}}{m_{H_2}} \cdot Э_{H_2}, \text{ г/моль (экв);}$$

$$Э_{H_2} = \mathbf{f}_{H_2} \cdot \mathbf{M}_{H_2} = 1/2 \cdot 2 \text{ г/моль} = 1 \text{ г/моль.}$$

Узнайте у преподавателя степень окисления растворенного вами металла, определите, какой это металл, и по таблице Д И. Менделеева рассчитайте точную молярную массу эквивалента данного металла (**Э** точн.).

Определите относительную погрешность опыта:

$$\Delta = \frac{Э_{Me} - Э_{точн.}}{Э_{Me}} \cdot 100\%.$$

Контрольные вопросы и задания.

1. Почему при определении молярной массы соли в бюретку заливают не воду, а раствор поваренной соли?
2. Почему при определении объема выделившегося газа необходимо выравнивать уровни жидкости в бюретке и сообщающейся с ней трубке?
3. Какой оксид реагировал с 16г кислорода, если в реакцию вступило 64 грамма оксида, образованного элементом со степенью окисления 44, фактор эквивалентности оксида равен 1/2 ?
4. Определите эквивалент металла, 56 г которого прореагировали с раствором, содержащим 109.5 г соляной кислоты.
5. Зависит ли эквивалент химического элемента от степени окисления элемента или является постоянной величиной?

РАБОТА 3. Окислительно-восстановительные реакции

Цель работы - изучить окислительно-восстановительные свойства химических соединений, составить уравнения окислительно-восстановительных реакций, определить направление окислительно-восстановительных процессов по электродным потенциалам.

Окислительно-восстановительные процессы широко распространены в природе, они протекают в атмосфере и в магматических расплавах. Руды и минералы земной поверхности окисляются при воздействии $\mathbf{O_2}$, $\mathbf{CO_2}$ и влаги, выветриваются, образуя гидроксиды, карбонаты, сульфаты. Например, пирит разлагается во влажном воздухе

$$\mathbf{2FeS_2 + 2H_2O + 7H_2O = 2FeSO_4 + 2H_2SO_4}$$

с выделением серной кислоты. Растворы серной кислоты опускаются вниз, выделяя из сульфидов сероводород, который ниже уровня грунтовых вод в отсутствии кислорода восстанавливает серебро, мышьяк, висмут, медь.

Окислительно-восстановительные реакции сопровождаются перераспределением электронной плотности. Если частица отдает электроны, то степень окисления элемента повышается и он переходит в окисленную формы (ОФ), если принимает, то элемент переходит в восстановленную форму (ВФ). Обе формы составляют сопряженную окислительно-восстановительную пару. В каждой реакции участвуют две сопряженные пары:

$$\underset{\text{ОФ1}}{\mathbf{Cl_2}} + \underset{\text{ВФ}_2}{\mathbf{2I^-}} \rightarrow \underset{\text{ВФ}_1}{\mathbf{2Cl^-}} + \underset{\text{ОФ}_2}{\mathbf{I_2}}.$$

(окислитель) (восстановитель)

Окислительно-восстановительная способность атомов и ионов характеризуется величиной их окислительно-восстановительного (электродного) потенциала, φ^0 ОФ/ВФ - стандартный электродный потенциал.

Располагая значениями электродных потенциалов, можно определить возможность и направление окислительно-восстановительных реакций, зная правило: сопряженная пара с более положительной величиной электродного потенциала выступает в качестве окислителя, а с отрицательной - в качестве восстановителя.

Пример. В каком направлении могут самопроизвольно протекать реакции:

1) $\mathbf{2Fe^{3+} + 2I^- \leftrightarrow 2Fe^{2+} + I_2}$,

2) $\mathbf{2Fe^{3+} + 2Cl^- \leftrightarrow 2Fe^{2+} + Cl_2}$,

если известны величины стандартных потенциалов следующих пар:

ОФ/ВФ	$\mathbf{I_2/2I^-}$	$\mathbf{Fe^{3+}/\ Fe^{2+}}$	$\mathbf{Cl_2/2Cl^-}$
φ^0, **В**	**0.54**	**0.77**	**1.36**

Решение. Увеличение активности ОФ наблюдается с ростом алгебраической величины.

I_2, как ОФ с наименьшим значением, не может окислять ионы $\mathbf{Fe^{3+}}$ и $\mathbf{Cl^-}$**.** Ионы $\mathbf{Fe^{3+}}$ могут окислять иодид-ионы, не способны окислять ионы $\mathbf{Cl^-}$ **.** $\mathbf{Cl_2}$ является ОФ пары с наибольшим значением φ^0 и служит окислите-

лем для ионов Fe^{2+}. Поэтому первая реакция протекает в прямом направлении, а вторая - в обратном:

1) $2Fe^{3+} + 2I^- = 2Fe^{2+} + I_2$;

2) $2Fe^{2+} + Cl_2 = 2Fe^{3+} + 2Cl^-$.

Опыт 1. Окислительные свойства нитрита натрия

В пробирку налейте 1 мл раствора иодида калия и столько же разбавленной серной кислоты, а затем - на кончике шпателя добавьте сухой соли нитрита натрия.

Отметьте выделение бесцветного газа **NO,** его побурение под действием кислорода воздуха, а также окраску образовавшегося раствора при выделении йода.

Напишите уравнение реакции на основе электронного баланса

$$\varphi^0\ I_2/2I^- = 0.54\ В; \qquad \varphi^0\ NO_2^-/NO = 0.99\ В,$$

сравнивая эти потенциалы, решите, какая из двух пар будет играть роль восстановителя. Может ли в результате реакции образоваться диоксид азота?

Опыт 2. **Восстановительные свойства нитрита натрия**

Налейте в пробирку 1 мл раствора перманганата калия и добавьте на кончике шпателя сухой соли нитрита натрия до изменения окраски раствора. Составьте уравнение реакции, имея в виду, что перманганат-ион в нейтральной среде восстанавливается до диоксида марганца (IV), нитрит-ион окисляется до нитрат-иона, а среда становится щелочной (образуется **КОН)**

$$\varphi^0\ MnO_4^-/MnO_2 = +0.62\ В; \qquad \varphi^0\ NO_3^-/NO_2^- = -0.01\ В,$$

сравнивая эти потенциалы, решить, какая из двух пар будет играть роль окислителя.

Опыт 3. Образование окрашенных перманганат-ионов

Ионы **Mn** окисляются висмутатом натрия в азотнокислой среде с образованием перманганат-ионов:

$$MnSO_4 + NaBiO_3 + HNO_3 \rightarrow HMnO_4 + Bi(NO_3)_3 + NaNO_3 + Na_2SO_4 + H_2O$$

К 1-2 каплям сульфата марганца добавляют 4-5 капель раствора азотной кислоты и на кончике шпателя висмутата натрия.

Реакция протекает без нагревания. Как объяснить появление малиновой окраски?

φ^0 $\mathbf{MnO_4^-/Mn^{2+}}$ **= 1.51 В;** φ^0 $\mathbf{NaBiO_3/Bi^{3+}}$ **= 1.8 В,**

укажите окислитель и восстановитель.

Рассчитайте коэффициенты для проведенной реакции на основе электронного баланса.

Опыт 4. Окислительные свойства сульфита натрия

Налейте в пробирку 4-5 капель разбавленной серной кислоты, добавьте 2-3 капли раствора $\mathbf{Na_2S}$ и $\mathbf{Na_2SO_4}$ на кончике шпателя. Наблюдать выделение серы в виде белой мути

$$\mathbf{Na_2SO_3 + Na_2S + H_2SO_4 \rightarrow S + Na_2SO_4 + H_2O.}$$

Рассчитайте коэффициенты для этой реакции на основе электронного баланса

φ^0 $\mathbf{SO_3^{2-}/S}$ **= 0.45 В;** φ^0 $\mathbf{S/S^{2-}}$ **= -0.48 В,**

укажите окислитель и восстановитель.

Опыт 5. Окислительные свойства перманганата калия в различных средах

В три пробирки налить по 1 мл раствора перманганата калия.

В первую пробирку добавляют 1 мл разбавленной серной кислоты.

Во вторую пробирку наливают 1 мл воды.

В третью пробирку помешают 1 мл щелочи.

Затем в каждую пробирку засыпают по половине стеклянной ложечки сухой соли сульфита натрия.

В первой пробирке образуется ион $\mathbf{Mn^{2+}}$

$$\mathbf{KMnO_4 + Na_2SO_3 + H_2SO_4 \rightarrow MnSO_4 + Na_2SO_4 + K_2SO_4 + H_2O.}$$

Во второй пробирке получается диоксид марганца (IV)

$$\mathbf{KMnO_4 + Na_2SO_3 + H_2O \rightarrow MnO_2 + Na_2SO_4 + KOH.}$$

В третьей пробирке восстановление протекает до $\mathbf{MnO_4^{2-}}$

$$\mathbf{KMnO_4 + Na_2SO_3 + NaOH \rightarrow K_2MnO_4 + Na_2MnO_4 + Na_2SO_4 + H_2O.}$$

Подберите коэффициенты для уравнений методом электронного баланса

φ^0 $\mathbf{MnO_4^-/Mn^{2+}}$ = 1.51 В; φ^0 $\mathbf{MnO_4^-/MnO_2}$ = 0.62 В,

φ^0 $\mathbf{MnO_4^-/MnO_4^{2-}}$ = 0.56 В; φ^0 $\mathbf{SO_4^{2-}/SO_3^{2-}}$ = 0.22 В.

Установить, в какой среде перманганат калия является наиболее сильным окислителем.

Опыт 6. Окислительные свойства дихромата калия.

Налейте в пробирку 1-2 мл раствора $K_2Cr_2O_7$, столько же разбавленной серной кислоты и добавьте несколько кристаллов сульфата железа до изменения окраски раствора. Напишите уравнение реакции, учитывая, что Fe^{2+} окисляется до Fe^{3+} , дихромат-ион восстанавливается до Cr^{3+}

$$\varphi^0\ Cr_2O_7^{2-}/2Cr^{3+} = 1.33\ В; \qquad \varphi^0\ Fe^{3+}/Fe^{2+} = 0.77\ В.$$

Контрольные вопросы и задания

1. Какие из реакций являются окислительно-восстановительными, укажите для них окислитель, восстановитель и среду

$$Pb_3O_4 + 4HNO_3 = PbO_2 + 2Pb(NO_3)_2 + 2H_2O;$$
$$2MnO_2 + 3PbO_2 + 6HNO_3 = 2HMnO_4 + 3Pb(NO_3)_2 + 2H_2O;$$
$$2Na_2CrO_4 + H_2SO_4 = Na_2Cr_2O_7 + Na_2SO_4 + H_2O;$$
$$4KMnO_4 + 4KOH = 4K_2MnO_4 + O_2 + H_2O;$$
$$2KMnO_4 + H_2SO_4 = Mn_2O_7 + K_2SO_4 + H_2O.$$

2. Рассчитайте коэффициенты для реакций

$$Zn + NaAsO_2 + HCl = AsH_3 + ZnCl_2 + H_2O + NaCl;$$
$$CuS + HNO_3 = CuSO_4 + NO_2 + H_2O;$$
$$K_2MnO_4 + H_2O = KMnO_4 + MnO_2 + KOH;$$
$$KOH + Cl_2 = KClO_3 + KCl + H_2O.$$

3. Какие из приведенных реакций могут проткать самопроизвольно?

$$H_3PO_3 + 2AgNO_3 + H_2O = 2Ag + 2HNO_3 + H_3PO_4;$$
$$H_3PO_3 + Pb(NO_3)_2 + H_2O = Pb + 2HNO_3 + H_3PO_4;$$

$\varphi^0\ Ag^+/Ag = 0.8\ В$ $\varphi^0\ Pb^{2+}/Pb = -0.13\ В$ $\varphi^0\ H_3PO_4/H_3PO_3 = -0.28\ В.$

4. Укажите, какое из уравнений соответствует реальному протеканию химической реакции?

$$4N_2H_4 + 8HNO_3 = 5N_2 + 6NO_2 + 12H_2O;$$
$$N_2H_4 + 4HNO_3 = N_2 + 4NO_2 + 4H_2O;$$
$$2N_2H_4 + 16HNO_3 = N_2 + 18NO_2 + 12H_2O.$$

Литература

Карапетьянц М.Х., Дракин С.И. Общая и неорганическая химия. М.: Химия, 1992. - 588 с.

МИНОБРНАУКИ РФ

ФГБОУ ВО «Уральский государственный горный университет»

УТВЕРЖДАЮ
Проректор по учебно-методическому комплексу
_____ С.А.Упоров

МЕТОДИЧЕСКИЕ УКАЗАНИЯ И КОНТРОЛЬНЫЕ ЗАДАНИЯ К ЛАБОРАТОРНЫМ ЗАНЯТИЯМ ПО ДИСЦИПЛИНЕ

Б1.Б.1.12 ХИМИЯ, Ч.2

ЧАСТЬ 3

Специальность:
21.05.02 Прикладная геология

Специализация:
Геология месторождений нефти и газа

форма обучения: очная

Авторы : Смирнова, Н.Б. к.х.н., Сахарова, В.М.к.х.н.

Одобрены на заседании кафедры
Химии
(название кафедры)
Зав. кафедрой _____
(подпись)
д.т.н., проф. Амдур А.М.
(Фамилия И.О.)
Протокол № 2 от 09.10.2020
(Дата)

Рассмотрены методической комиссией
факультета геологии и геофизики
(название факультета)
Председатель _____
(подпись)
д.г.-м.н., проф. Бондарев В.И.
(Фамилия И.О.)
Протокол № 2 от 13.10.2020
(Дата)

Екатеринбург

Методические указания и контрольные задания по дисциплине согласованы с выпускающей кафедрой литологии и геологии горючих ископаемых

Заведующий кафедрой ЛГГИ _____к.г.-м.н., С.А. Рыльков____

Химия : руководство по выполнению лабораторных работ по дисциплине «Химия» для студентов всех профилизаций и направлений; Часть III / Н.Б. Смирнова, В.М. Сахарова; Уральская госуд. горно-геол. академия. Каф. химии. - Екатеринбург : Изд. УГГГА, 1995. - 16 с.

Руководство содержит описание трех лабораторных работ:

1. Гальванические элементы. 2. Электролиз водных растворов солей.
3. Электрохимическая коррозия металлов.

В руководстве приведены для каждой лабораторной работы краткие теоретические сведения, методические указания по провидению опытов, контрольные вопросы и задания для самостоятельного выполнения.

Руководство рассмотрено на заседания кафедры химии 7 сентября 1995 года. (протокол № 1) и рекомендовано для издания в УГГГА.

Рецензент: Н.Г.Кошель, доц., канд. хим. наук

© Уральская государственная горно-геологическая академия, 1995

Работа 1. ГАЛЬВАНИЧЕСКИЕ ЭЛЕМЕНТЫ

Цель работы - изучение электрохимических процессов, протекающих при работе гальванических элементов, расчет значений ЭДС гальванических элементов и величин энергии Гиббса по значениям электродных потенциалов.

Химические источники электрической энергии имеют широкое распространение, т.к. для многих современных машин, аппаратов и транспорта требуются автономные источники электрической энергии. Любое горное предприятие используют химические источники тока. Простейший пример химического источника тока - гальванический элемент.

В гальванических элементах протекают процессы превращения химической энергии окислительно-восстановительных реакций в электрическую.

Электрохимическая схема гальванического элемента.

$$Fe \mid FeSO_4 \parallel NiSO_4 \mid Ni \quad \text{или} \quad Fe \mid Fe^{2+} \parallel Ni^{2+} \mid Ni$$

Отрицательным полюсом (анодом) этого гальванического элемента является железо, поскольку его электродный потенциал меньше потенциала никеля.

$$(-)\ Fe \mid FeSO_4 \parallel NiSO_4 \mid Ni\ (+)$$

$$(-)\ Fe^{o} - 2e = Fe^{2+}$$

$$(+)\ Ni^{2+} + 2e = Ni^{o}$$

$$Fe^{o} + Ni^{2+} = Fe^{2+} + Ni^{o}$$

Электродвижущая сила(ЭДС) гальванического элемента определяется по равности электродных потенциалов: ЭДС = $\varphi_{(+)} - \varphi_{(-)}$, соответствующих процессам, протекающим на положительном и отрицательном полюсах гальванического элемента. Пользуясь таблицей стандартных электродных потенциалов, можно определить ЭДС этого гальванического элемента:

$$E = \varphi^0_{ок} - \varphi^0_{вос} = \varphi^0_{Ni^{2+}/Ni} - \varphi^0_{Fe^{2+}/Fe} = -0.25 - (-0.44) = 0.19\ В$$

Изменение энергии Гиббса ΔG^0_{298} связанно с ЭДС гальванического элемента соотношением $\Delta G^0_{298} = -nFE$, где n - число электронов, принима-

Общий вид установки для измерения электродвижущей силы гальванического элемента в рабочем состоянии

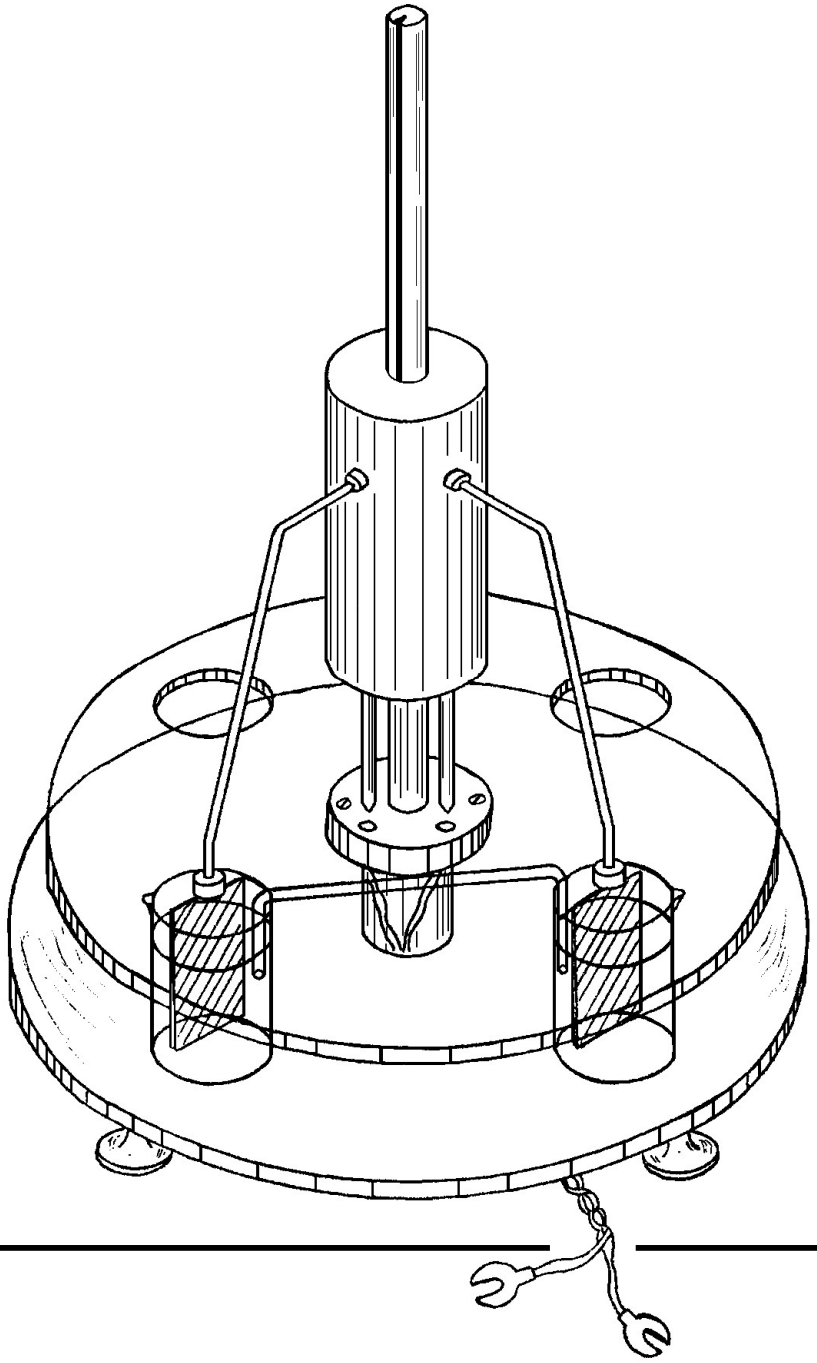

ющих участие в реакции; F - постоянная Фарадея (96500 Кл/моль); E - ЭДС гальванического элемента.

Опыт 1. Медно - цинковый гальванический элемент.

В два химических стаканчика налейте равные объемы растворов сульфата цинка (C_M = 1моль/л) и сульфата меди (C_M = 1моль/л). Опустите пластинки цинка и меди в растворы собственных солей. Растворы соедините электролитическим ключом - жидкостным мостиком, заполненным насыщенным раствором хлорида калия. Провода внешней цепи присоедините к гальванометру.

1. Напишите: электрохимическую схему полученного гальванического элемента; процессы, протекающие на отрицательном и положительном полюсах гальванического элемента; суммарную окислительно-восстановительную реакцию в ионной и молекулярной формах.
2. Укажите направление перехода электронов во внешней цепи.
3. По значениям электродных потенциалов рассчитайте ЭДС гальванического элемента.
4. Запишите показание гальванометра в вольтах (В) и сравните его с расчетным значением ЭДС.

Последующие опыты 2, 3 и 4 оформить по той же схеме (пункты 1-4).

Опыт 2. Медно-свинцовый гальванический элемент

Опустите в растворы собственных солей пластинки из меди и свинца. Концентрации растворов задаются преподавателем. Соедините растворы электролитическим ключом. Присоедините провода внешней цепи к гальванометру. Наблюдайте отклонение стрелки гальванометра, указывающее на возникновение электрического тока.

Опыт 3. Медно-кадмиевый гальванический элемент.

В один стаканчик налейте раствор сульфата кадмия (C_M = 1 моль/л), а в другой налейте раствор сульфата меди (C_M = 1 моль/л). Погрузите в эти растворы соответственно пластинки из кадмия и меди, соедините электролитическим ключом. Провода внешней цепи присоедините к гальванометру.

Опыт 4. Свинцово-цинковый гальванический элемент.

Налейте в два химических стаканчика равные объемы растворов солей свинца (II) и цинка, их концентрации задаются преподавателем. Опус-

тите в них соответственно пластинки свинца и цинка. С помощью электролитического ключа соедините растворы солей. Подключите во внешнюю цепь гальванометр.

Контрольные вопросы и задания.

1. Объясните, почему показания гальванометра отличаются от расчетного значения ЭДС?
2. Каким образом можно добиться возрастания ЭДС в гальванических элементах?
3. Какие изменения концентрации растворов солей на электроде - окислителе и электроде - восстановителе приводят к увеличению и уменьшению ЭДС?
4. Халькопирит ($\varphi = 0.42$ В) растворяется в природных водах чрезвычайно медленно. Почему при контакте с пиритом ($\varphi = 0.7$ В) этот процесс ускоряется?
5. Рассчитайте значение ЭДС и энергии Гиббса медно-цинкового гальванического элемента, если концентрация раствора сульфата цинка равна 0.5 моль/л, а концентрация сульфата меди равна - 2 моль/л.
6. Приведите примеры двух гальванических элементов, в одном из которых железо будет отрицательным полюсом (анодом), а в другом будет положительным полюсом (катодом).

Работа 2. ЭЛЕКТРОЛИЗ ВОДНЫХ РАСТВОРОВ СОЛЕЙ.

Цель работы - изучение электрохимических процессов, протекающих при электролизе водных растворов солей с инертным и растворимым анодами, запись процессов, происходящих на катоде и аноде.

Практически нет ни одной отрасли техники, где бы не применялся электролиз. При выполнении строительных работ проводят электрохимическую обработку глинистых грунтов, при обогащении полезных ископаемых прибегают к электрохимическому кондиционированию флотационной пульпы. В том случае, когда другие методы не обеспечивают необходимой степени очистки воды, используют электрохимическую обработку производственных сточных вод пропусканием через электрокоагуляторы с электродами из железа или алюминия.

При электролизе рассматриваются процессы на электродах: катоде, заряженном отрицательно, и аноде, заряженном положительно. Внешний

источник тока выполняет роль своеобразного электронного насоса, который “нагнетает” электроны на катод и “откачивает” электроны с анода. Когда потенциалы электродов достигают определенных значений, на них становится возможным заряд ионов или молекул из раствора - начинается электролиз.

Катодные процессы: На катоде в первую очередь протекает тот процесс восстановления, потенциал которого более положителен. При электролизе водных растворов на катоде выделяются все металлы, потенциалы которых положительнее, чем -1.0 В.

Если в растворе находятся лишь ионы металлов, более активных чем марганец, потенциалы которых отрицательнее, чем -1.0 В, на катоде выделяется водород из воды по реакции:

$$2H_2O + 2e = H_2 + 2OH^-.$$

Анодные процессы: на нерастворимых анодах из Pt, Ti, C происходит процесс окисления того восстановителя, потенциал которого более отрицателен. Практически: если в растворе имеются анионы I^-, Br^-, Cl^-, не содержащие кислород, то они окисляются с выделением I_2, Br_2, Cl_2, соответственно.

$$2Hal^- - 2e = Hal_2.$$

Если же в растворе имеются лишь ионы F^-, или анионы, содержащие кислород, потенциал которых больше 2.0 В, то на аноде выделяется кислород из воды по реакции:

$2H_2O - 4e = O_2 + 4H^+$ в кислой и нейтральной средах

$4OH^- - 4e = O_2 + 2H_2O$ в щелочной среде.

В зависимости от окисляемости материала анода различают процессы с растворимым и нерастворимым (инертным) анодом. Растворимые аноды (большинство металлов) в ходе электролиза окисляются, посылая свои ионы в раствор. Например: $Cu - 2e = Cu^{2+}$, $Ni - 2e = Ni^{2+}$. Инертные электроды при электролизе окислению не подвергаются. К числу наиболее распространенных инертных анодов относятся электроды из платины, графита, титана.

Примеры электролиза водных растворов солей

1. Электролиз водного раствора $SnCl_2$, анод Pt

Катод (-) $Sn^{2+} + 2e = Sn^{o}$

Анод (+) $2Cl^{-} - 2e = Cl_2$

2. Электролиз водного раствора $CuSO_4$, анод Cu

Катод (-) $Cu^{2+} + 2e = Cu^{o}$

Анод(+) $Cu - 2e = Cu^{2+}$

Опыт 1. Электролиз водного раствора сульфата натрия с графитовым анодом

Получите электролизер, заполненный раствором сульфата натрия, с графитовыми электродами и пропустите постоянный электрический ток напряжением 12 В. Через 1-2 минуты сравните интенсивность выделения пузырьков газа на электродах, определите расположение катода и анода.

В околокатодное пространство налейте несколько капель фенолфталеина, а в околоанодное - лакмуса. Окраска индикаторов должна измениться. Объясните наблюдаемое явление, составив электронно - ионные схемы процессов, протекающих на катоде и аноде, и указывая стандартные значения окислительно - восстановительных потенциалов.

Опыт 2. Электролиз водного раствора иодида калия с графитовым анодом

Получите электролизер, заполненный раствором иодида калия с графитовыми электродами, присоедините электроды к сети постоянного тока. Через 1-2 минуты наблюдайте изменение окраски раствора.

Запишите результаты опыта, составив электронно-ионные схемы процессов, протекающих на катоде и аноде с указанием величин стандартных окислительно-восстановительных потенциалов. Объясните, почему и у какого электрода появилась окраска, почему на катоде не выделяется металлический калий.

Опыт 3. Электролиз водных растворов сульфатов кадмия, меди, никеля, цинка, нитрата свинца.

Получите электролизеры, заполненные водными растворами солей, присоедините графитовые электроды к сети постоянного тока. Пропускайте электрический ток в течение получаса, пока на одном из электродов не появится налет металла.

Поменяйте полюса на электродах, т.е. произведите переполюсовку электродов поворотом вилки относительно розетки. Снова пропускайте электрический ток.

Составьте электронно-ионные схемы катодного и анодного процессов с указанием величин стандартных электродных потенциалов, протекающих при электролизе всех солей: а) с графитовым анодом; б) с соответствующим металлическим анодом.

Контрольные вопросы и задания

1. Если на электродах могут протекать несколько электрохимических процессов, то какой из них реализуются и что является критерием, определяющим его преимущество?

2. В какой последовательности должны разряжаться на катоде ионы Ag^{+}, Fe^{2+}, Cu^{2+}, Bi^{3+}, Sn^{2+}, если в растворе они содержатся в одинаковой концентрации? Чем эта последовательность определяется?

3. Составьте электронно-ионные схемы катодного и анодного процессов, происходящих на медных электродах при электролизе водного раствора нитрата калия.

4. При электролизе водного раствора соли значение pH в приэлектродном пространстве одного из электронов возросло. Раствор какой соли подвергся электролизу: а) $CdSO_4$; б) $CuCl_2$; в) KBr ?

5. Рудное тело, содержащее сульфидные минералы в количестве, достаточном для того, чтобы обеспечить электропроводность, можно рассматривать как нерастворимый электрод в поле Земли. В грунтовых водах, окружающих рудное тело, концентрация электролитов изменяется с глубиной. Верхний конец проводника играет роль катода, а нижний - анода. Катионы подъемных вод перемещаются к катоду, а ионы - к аноду, как показано на приведенной схеме.

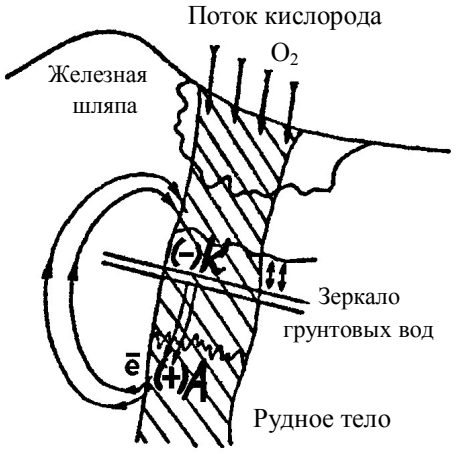

На *а н о д е* происходит окисление, минералы теряют электроны и переходят в раствор.

Например, растворение пирита характеризуется уравнением:

$$FeS_2 + 8H_2O - 14e = Fe^{2+} + 2SO_4^{2-} + 16H^+$$

халькопирита: $CuFeS_2 + 8H_2O - 16e = Cu^{2+} + Fe^{2+} + 2SO_4^{2-} + 16H^+$.

Образующиеся ионы меди (II) вступают в обменные реакции создают так называемую зону вторичного обогащения. Сфалерит замещается ковеллином:

$$ZnS + CuSO_4 = CuS + ZnSO_4$$

халькопирит обогащается медью за счет образования халькозина:

$$CuFeS_2 + CuSO_4 = Cu_2S + FeSO_4 + S.$$

На *к а т о д е* происходит восстановление. Из нескольких возможных катодных процессов протекает тот, потенциал которого более положителен. Катодные процессы в верхней части рудного тела заключается в потреблении электронов, высвободившихся на аноде и переместившихся на катод. Здесь могли бы восстанавливаться катионы, но в первую очередь реагирует атмосферный кислород, приток которого осуществляется непрерывно, а потенциал намного положительнее, чем у прочих участников геохимического процесса.

$$O_2 + 2H_2O + 4e = 4OH^-$$

а) используя уравнение ионно-электронного баланса, составьте суммарную реакцию растворения пирита в молекулярном виде;

б) какова среда (значение водородного показателя) рудничных вод каменноугольных шахт, если уголь содержит примеси сульфидов?

в) составьте уравнение электронного баланса для приведенной выше реакции взаимодействия халькопирита и сульфата меди с образованием халькозина.

Работа 3. ЭЛЕКТРОХИМИЧЕСКАЯ КОРРОЗИЯ МЕТАЛЛОВ

Цель работы - изучение электрохимических процессов, протекающих при работе коррозионных гальванопар.

Десятки миллионов тонн металла ежегодно теряются вследствие коррозии. Горное дело является одним из наиболее металлоемких производств. Вполне возможно сократить потери от коррозии за счет лучшего понимания горными инженерами важнейших физико - химических закономерностей коррозии. Чаще всего разрушение металлов вызывается электрохимической коррозией, которая является результатом эксплуатации металлического оборудования при повышенном содержании коррозионно-активных веществ в шахтах, на карьерах и в горных породах.

Электрохимическая коррозия происходит в средах, проводящих электрический ток, сопровождается направленным движением электронов и ионов. Электролиты могут содержаться даже в тонком невидимом слое влаги, адсорбированной из воздуха поверхностью металла. Реальная поверхность твердых металлов неоднородна. Различные примеси в металле, его структурная неоднородность, механическая деформация металла, различие концентраций коррозионных агентов в растворах, контактирующих с металлом - все это приводит к тому, что на одних участках поверхности коррозирующего металла идет процесс окисления металла (анодный процесс), а на других - процесс восстановления окислителя (катодный процесс).

Схема электрохимической коррозии становится таким образом аналогичной схеме работы короткозамкнутого гальванического элемента, в котором протекает анодное окисление металла и катодное восстановление окислителя. В литературе по коррозии окислитель обычно обозначают специальным термином *деполяризатор.* Самыми распространенными деполяризаторами в процессах электрохимической коррозии являются растворенный кислород и ионы водорода. Соответственно различают процессы с кислородной и водородной деполяризацией.

С кислородной деполяризацией коррозируют металлы, находящиеся во влажной атмосфере, в воде, нейтральных растворах солей, во влажном грунте. Это самый распространенный тип коррозионных процессов.

$$(-) \quad Fe - 2e = Fe^{2+}$$

$$(+) \quad O_2 + 2H_2O + 4e = 4OH^-$$

$$2Fe + O_2 + 2H_2O = 2Fe(OH)_2$$

В процессах коррозии с *водородной деполяризацией* окисление металла происходит под действием ионов водорода:

$2H^+ + 2e = H_2$ в кислой среде;

$2H_2O + 2e = H_2 + 2OH^-$ в щелочной и нейтральной средах.

Коррозия с водородной деполяризацией преобладает в следующих условиях: для большинства металлов в растворах кислот, для очень активных металлов в нейтральных растворах (например, коррозия магния в воде и растворах хлорида натрия), для амфотерных металлов (например, олово, цинк, алюминий) в растворах щелочей.

Коррозию значительно замедляет поляризация. Концентрационная поляризация - накопление ионов металла на аноде и недостаточно быстрое связывание электронов, поступающих на катод, вследствие уменьшения концентрации окислителя в растворе. Газовая поляризация - слой адсорбированного водорода на поверхности катода, затрудняющий дальнейшее восстановление, если окислителями были ионы водорода.

Во многих случаях металл предохраняет от коррозии образующаяся на его поверхности стойкая нерастворимая оксидная пленка. Однако, некоторые анионы, например, хлориды, разрушают такие пленки за счет связывания катионов металлов прочные комплексные ионы, растворимые в воде, которые легко удаляются с поверхности металла тем самым усиливая коррозию.

Коррозию замедляют введением в жидкую фазу ингибиторов. Ингибиторы образуют с металлом нерастворимые соединения-соли или прочно связанные поверхностные соединения и таким образом предохраняют поверхность от дальнейшего окисления. Ингибиторы как бы наносят на поверхность металла слой масляной краски толщиной в одну молекулу.

Опыт 1. Коррозия оцинкованного и луженого железа в кислой среде

В две пробирки наливают по 2-3 мл разбавленной серной кислоты. Затем кусочек пластинки из оцинкованного железа помещают в первую пробирку, а во вторую - кусочек пластинки из луженого железа (покрытого оловом). В обе пробирки доливают по 1 мл раствора гексацианоферрата (III) калия, с помощью которого можно обнаружить Fe^{2+}, которые образуются при коррозии железа. Ион Fe^{2+} с этим реактивом дает характерное синее окрашивание в соответствии с реакцией:

$$3Fe^{2+} + 2[Fe(CN)_6]^{3-} = Fe_3[Fe(CN)_6]_2 \downarrow$$

Через несколько минут наблюдать растворение железа в кислоте, замечая синее окрашивание на срезах одной из пластинок.

Результаты опыта занести в таблицу:

	Оцинкованное железо	Луженое железо
Коррозионная гальванопара		
Процессы (-)		
на полюсах (+)		
Суммарная реакция		
Синеет через минуту		

В строке "коррозионная гальванопара" запишите электрохимическую схему гальванического элемента.

Сделайте вывод, какой металл растворяется при коррозии оцинкованного и луженого железа и может ли быть использован цинк в качестве протектора для защиты стального оборудования.

Слейте кислоту в стакан для слива кислот осторожно, не теряя кусочков железа. Налить воды в пробирки и промыть 2 раза кусочки металла от кислоты, не доставая их из пробирок.

Опыт 2. Коррозия оцинкованного и луженого железа в нейтральной среде.

В две пробирки с кусочками металла из опыта 1 наливают по 2-3 мл раствора хлорида натрия и добавляют в каждую по 1 мл раствора гексацианоферрата (III) калия.

Через несколько минут замечают синее окрашивание на боковых срезах одной из пластинок.

Результаты опыта запишите в такую же таблицу, как и в первом опыте.

Сделайте вывод, какой металл растворяется при коррозии.

Опыт 3. Растворение химически чистого цинка и цинка, частично покрытого медью, в серной кислоте

В пробирку помещают гранулу химически чистого цинка и 2-3 мл разбавленной серной кислоты. Начавшееся растворение цинка через некоторое время замедляется или прекращается совсем.

В другую пробирку наливают 2-3 мл раствора сульфата меди и опускают такую же гранулу цинка. Через 4-5 минут осторожно сливают раствор и промывают омедненный цинк 2-3 раза водой. Воду сливают, добавляют 2-3 мл разбавленной серной кислоты и наблюдают выделение газообразного водорода.

Результаты опыта запишите в виде ответов на следующие вопросы:

1. Объясните, почему замедляется растворение химически чистого цинка в серной кислоте?

2. Составьте электрохимическую схему коррозионной гальванопары, образованной цинком и металлической медью, выделившейся на его поверхности.

3. Запишите процессы, происходящие у полюсов этой коррозионной гальванопары.

4. Сделайте вывод, почему происходит ускорение растворения цинка в контакте с медью.

Опыт 4. Действие ингибитора коррозии

В две пробирки налить 2-3 мл разбавленной серной кислоты, в одну из них добавляют 1 мл раствора уротропина. В две пробирки поместить по несколько кусочков железных стружек. Объясните разницу в действии на металлы обычной ингибированной кислоты.

Опыт 5. Действие стимулятора коррозии

В две пробирки поместить по кусочку алюминиевой пластинки и добавить по 1-2 мл водного раствора сульфата меди. В одну из пробирок всыпать микрошпатель(щепотку) сухого хлорида натрия. Следить, как влияет добавка его на коррозию алюминия.

Контрольные вопросы и задания.

1. Какое покрытие металла называют анодным и какое катодным? Назовите металлы, которые можно использовать для анодного и катодного покрытия железа во влажном воздухе и в сильнокислой среде.

2. Железное изделие покрыли свинцом. Какое это покрытие: анодное

или катодное? Почему? Составьте уравнение анодного и катодного процессов коррозии этого изделия при нарушении цельности покрытия во влажном воздухе и в растворе соляной кислоты. Какие продукты коррозии образуются в первом и во втором случаях?

3. Почему некоторые достаточно активные металлы, например, алюминий, не корродируют на воздухе? Назовите другие металлы с аналогичными свойствами.

4. Одинаково ли отношение к коррозии технического и химически чистого металла? чем вызывается коррозия конструкционной стали?

5. Какое железо корродирует быстрее: находящиеся в контакте с оловом или медью? Мотивируйте ваш выбор.

6. Величины электродных потенциалов металлов уменьшается при повышении pH среды. Объясните, почему при изменении нейтральной среды на щелочную коррозионная устойчивость железа, меди, магния и ряда других металлов увеличивается, а алюминия, хрома, цинка, олова уменьшается.

Список литературы

1. Коровин Н.В. и др. Курс общей химии. - М.: Высш.шк., 1990.- 445 с.
2. Романцева Л.М. и др. Сборник задач и упражнений по общей химии. - М.: Высш.шк., 1991. - 228 с.
3. Любимова Н.Б. Вопросы и задачи по общей и неорганической химии. - М.: Высш.шк., 1990. - 351 с.
4. Смирнова Н.Б., Сахарова В.М. Коррозия и защита металлов. - Екатеринбург: Изд.УГГГА, 1995. - 68 с.
5. Бирюков Ю.В. и др. Общая и неорганическая химия. Лабораторный практикум. - М. - Киев: Высш.шк., 1990. - 133 с.

Химия. Часть III.

Руководство по выполнению лабораторных работ по дисциплине “Химия” для студентов всех профилизаций и направлений.

Авторы: Н.Б.Смирнова, доц., канд. хим. наук
В.М.Сахарова доц., канд. хим. наук

Корректура кафедры химии
Подписано к печати 01.11.95
Формат бумаги 60×84 1/16
Печ. л. 1.0 Тираж 100 экз. Заказ № 95
Цена *С*

Лаб. множительной техники УГГГА
620144, Екатеринбург, Куйбышева, 30

МИНОБРНАУКИ РФ

ФГБОУ ВО «Уральский государственный горный университет»

УТВЕРЖДАЮ
Проректор по учебно-методическому комплексу
_____С.А.Упоров

МЕТОДИЧЕСКИЕ РЕКОМЕНДАЦИИ И ЗАДАНИЯ ДЛЯ ВЫПОЛНЕНИЯ ПРАКТИЧЕСКИХ И РАСЧЕТНО-ГРАФИЧЕСКИХ РАБОТ

Б1.О.13 ЭЛЕКТРОТЕХНИЧЕСКОЕ МАТЕРИАЛОВЕДЕНИЕ

Специальность:
21.05.02 Прикладная геология

Специализация:
Геология месторождений нефти и газа

форма обучения: очная

Автор: Угольников А. В., доцент, к.т.н.

Одобрены на заседании кафедры
Электротехники
(название кафедры)
Зав.кафедрой _____
(подпись)
к.т.н., доц. Угольников А.В.
(Фамилия И.О.)
Протокол № 2 от 09.10.2020
(Дата)

Рассмотрены методической комиссией
факультета геологии и геофизики
(название факультета)
Председатель _____
(подпись)
д.г.-м.н., проф. Бондарев В.И.
(Фамилия И.О.)
Протокол № 2 от 13.10.2020
(Дата)

Екатеринбург

Методические материалы по дисциплине согласованы с выпускающей кафедрой литологии и геологии горючих ископаемых

Заведующий кафедрой _____ С. А. Рыльков

СОДЕРЖАНИЕ

Часть1.ЦЕЛИ, ЗАДАЧИ И СОДЕРЖАНИЕ ДИСЦИПЛИНЫ 5
1.1. Цель преподавателя дисциплины 5
1.2. Задачи изучения дисциплины 5
1.3. Перечень дисциплин с указанием разделов (тем), усвоение которых необходимо для изучения данной дисциплины 5
1.4. Содержание дисциплины 6

Часть 2. ДИЭЛЕКТРИКИ 12
2.1. Основные сведения о пробое диэлектриков 12
2.2. Пробой газообразных диэлектриков 13
2.3. Пробой твердых диэлектриков 18
2.4. Практическая работа № 1. Определение электрической прочности твердых и газообразных диэлектриков. Цель работы 21
2.5. Объект исследования 21
2.6. Средства измерения 21
2.7. Рабочее задание 21
2.8. Методические указания по выполнению рабочего задания 22
2.9. Контрольные вопросы 27

Часть 3. МАГНИТНЫЕ МАТЕРИАЛЫ 28
3.1. Основные характеристики магнитных веществ 28
3.2. Физическая природа магнетизма 29
3.3 Классификация веществ по магнитным свойствам 32
3.4. Строение ферромагнетиков 33
3.5. Явления магнитной анизотропии и магнитострикции 36
3.6. Намагничивание ферромагнетика 38
3.7. Свойства ферромагнитных материалов в квазипостоянных магнитных полях 41
3.8. Дифференциальная магнитная проницаемость 44
3.9. Свойства ферромагнетиков в переменных магнитных полях 46
3.10. Индукционный метод определения параметров магнитных материалов с использованием

осциллографа 53
3.11. Объект исследования 58
3.12. Средства измерения и вспомогательные средства исследования 59
3.13. Подготовка осциллографа к работе 59
3.14. Калибровка осциллографа и определение масштабов по напряженности и индукции магнитного поля 60
3.15. Подготовка звукового генератора к работе 61
3.16. Практическая работа №1. «Исследование свойств магнитных материалов в магнитных полях постоянной частоты». Цель работы 62
3.17. Рабочее задание 62
3.18. Методические рекомендации к выполнению рабочего задания 63
3.19. Содержание отчета 66
3.20. Вопросы для самоконтроля 67
3.21. Практическая работа №2. «Исследование свойств магнитных материалов в магнитных полях переменной частоты». Цель работы 67
3.22. Рабочее задание 68
3.23. Методические указания к выполнению рабочего задания 68
3.24. Содержание отчета 70
3.25. Вопросы для самоконтроля 70

Часть 4.РАСЧЕТНО-ГРАФИЧЕСКАЯ РАБОТА № 1. «ОПРЕДЕЛЕНИЕ ДИЭЛЕКТРИЧЕСКИХ СВОЙСТВ ИЗОЛЯЦИИ ДВУХЖИЛЬНОГО КАБЕЛЯ» 72
4.1. Требование к оформлению контрольной работы 72
4.2. Задание на контрольную работу 72
4.3. Методические указания к выполнению контрольной работы 74
4.4. Экзаменационные вопросы 78
Учебно-методические материалы 80

Часть 1
ЦЕЛИ, ЗАДАЧИ И СОДЕРЖАНИЕ ДИСЦИПЛИНЫ

1.1. Цель преподавателя дисциплины

В дисциплине «Электротехническое и конструкционное материаловедение» излагается широкий круг вопросов, связанных со свойствами различных материалов по отношению к электрическому и магнитному полям. Излагаются свойства разновидностей электротехнических материалов, применяемых в технике.

Целью преподавания дисциплины является изложение основных сведений о процессах, происходящих в электротехнических материалах под воздействием электрического и магнитного полей, ознакомление с основными характеристиками и параметрами, посредством которых оцениваются свойства материалов к этим полям, методами их практического определения, ознакомление с основными видами электротехнических материалов, областями и способами их применения.

Дисциплина «Электротехническое и конструкционное материаловедение» является одним из основных предметов, необходимых для последующего успешного освоения специальных дисциплин, изучаемых студентами направления подготовки бакалавров «Электроэнергетика и электротехника».

1.2. Задачи изучения дисциплины

В результате изучения дисциплины «Электротехническое и конструкционное материаловедение» студенты должны иметь ясное представление о процессах, происходящих в электротехнических материалах при воздействии на них электрического и магнитных полей, знать основные характеристики и параметры материалов, научится определять их экспериментально, усвоить требования, которым должны удовлетворять материалы при использовании в устройствах, предназначенных для работы в условиях горной промышленности, уметь производить выбор конкретных видов электротехнических материалов.

1.3. Перечень дисциплин с указанием разделов (тем), усвоение которых необходимо для изучения данной дисциплины

Успешное усвоение дисциплины «Электротехническое и конструкционное материаловедение» базируется на знаниях, полученных студентами при изучении физики (разделы: физика твёрдого тела,

электричество, магнетизм), химии, теоретических основ электротехники (разделы: электрические цепи постоянного и переменного тока, магнитные цепи), электрических измерений (разделы: основы метрологии, методы измерения электрических величин).

1.4. Содержание дисциплины

1.4.1. Введение

Краткий исторический обзор развития производства и использования электротехнических материалов. Значение электротехнических материалов в развитии и совершенствовании современного электромашиностроения.

Роль русских и советских учёных в создании и совершенствовании современных электротехнических материалов.

Предмет дисциплины «Электротехническое и конструкционное материаловедение». Классификация электротехнических материалов.

Вопросы для самопроверки

1. Какое значение имеют электротехнические материалы в развитии электромашиностроения?
2. Перечислите основные классы электротехнических материалов по свойствам, которыми обладают по отношению к электромагнитному полю.
3. Каковы перспективы развития производства электротехнических материалов?

1.4.2. Диэлектрики

Понятие о диэлектриках. Поляризация диэлектриков и основные виды поляризации.

Классификация диэлектриков. Понятие о диэлектрической проницаемости, абсолютная и относительная диэлектрические проницаемости. Зависимость величины диэлектрической проницаемости от внешних факторов.

Понятие о электропроводности диэлектриков. Удельные объёмное и поверхностное сопротивления и методика их определения.

Диэлектрические потери. Угол диэлектрических потерь. Схемы замещения диэлектриков для учёта диэлектрических потерь. Виды диэлектрических потерь.

Понятие о электрическом пробое диэлектриков. Пробивное напряжение и электрическая прочность. Пробой газообразных диэлектриков. Виды пробоев жидких и твёрдых диэлектриков.

Физико-механические свойства диэлектриков. Основные механические свойства диэлектриков. Нагревостойкость. Классы нагревостойкости. Температура воспламенения и температура вспышки. Морозостойкость и тропикостойкость. Гигроскопичность и влагопроницаемость. Химические и радиационные свойства.

Вопросы для самопроверки

1. Какие вещества называются диэлектриками?
2. По каким признакам классифицируются диэлектрики?
3. Какой процесс называется поляризацией диэлектриков?
4. Как происходит электронная поляризация?
5. Как зависит диэлектрическая проницаемость от температуры и частоты электрического поля при электронной поляризации?
6. Как происходит ионная поляризация, и в каких веществах она наблюдается?
7. Как происходит дипольная поляризация?
8. Как зависит величина диэлектрической проницаемости от температуры и частоты электрического поля?
9. Как происходит ионно-релаксационная, электронно-релаксационная и миграционная (структурная) поляризации?
10. Как осуществляется спонтанная поляризация и для каких диэлектриков она характерна?
11. На какие группы подразделяются диэлектрики в соответствии с видами поляризации, которыми они обладают?
12. Как зависит диэлектрическая проницаемость газообразных диэлектриков от давления и температуры, величины напряжённости и частоты внешнего электрического поля?
13. Как зависит диэлектрическая проницаемость жидких диэлектриков от температуры, величины напряженности и частоты электрического поля?
14. Как зависит диэлектрическая проницаемость твёрдых диэлектриков от температуры, величины напряженности и частоты электрического поля?
15. Как определяется диэлектрическая проницаемость сложных диэлектриков?
16. Назовите причины возникновения электрического тока в диэлектрике под воздействием внешнего электрического поля.
17. Что такое объёмное и поверхностное удельные сопротивления и как они определяются?
18. Как зависит электропроводность газообразных диэлектриков от напряжения и почему?
19. Чем обуславливается электропроводность твёрдых диэлектриков и как она зависит от температуры и напряжённости электрического поля?
20. Чем обуславливается электропроводность жидких диэлектриков, как она зависит от температуры и напряжённости электрического поля?

21. Какие потери называются диэлектрическими?
22. Какой угол называется углом диэлектрических потерь?
23. Нарисуйте схемы замещения диэлектрика и соответствующие им векторные диаграммы для учёта величины диэлектрических потерь.
24. Установите связь между параметрами параллельной и последовательной схем замещения диэлектрика с потерями.
25. Какие виды диэлектрических потерь существуют в диэлектриках?
26. Какое явление называется электрическим пробоем диэлектриков?
27. Каким образом происходит пробой газообразных диэлектриков?
28. От каких факторов зависит электрическая прочность газообразных диэлектриков?
29. Объясните, как осуществляется электрический пробой жидких диэлектриков с высокой степенью очистки?
30. Как осуществляется электрический пробой технически чистых диэлектриков?
31. Назовите виды пробоев твёрдых диэлектриков.
32. Как происходит электрический, электротепловой и электрохимический пробой?
33. Что такое гигроскопичность диэлектрика и как она влияет на его электрические свойства?
34. Перечислите основные механические свойства диэлектриков.
35. Назовите основные параметры, с помощью которых характеризуются тепловые свойства диэлектриков.
36. Перечислите классы нагревостойкости диэлектриков и дайте краткую характеристику каждого из них.

1.4.3. Изоляционные материалы

Газообразные изоляционные материалы. Сравнительные характеристики основных газообразных изоляционных материалов и области их применения.

Жидкие изоляционные материалы. Нефтяные масла. Трансформаторное масло, его основные харктеристики и свойства, старение и регенерация, методы испытаний и области применения.

Синтетические жидкие диэлектрики, сравнительные характеристики и области применения. Компаунды.

Полимерные изоляционные материалы. Волокнистые изоляционные материалы и слоистые пластики.

Слюда и материалы на основе слюды. Керамика и стекло.

Вопросы для самопроверки

1. Какие из газообразных изоляционных материалов нашли наибольшее практическое применение?
2. Произведите сравнительный анализ свойств газообразных изоляционных материалов.

3. В чём заключается старение трансформаторного масла и как оно восстанавливается?
4. Какими параметрами характеризуется трансформаторное масло как электроизоляционный материал?
5. Перечислите основные синтетические жидкие диэлектрики, используемые на практике, их основные свойства и области применения.
6. Какие органические высокомолекулярные изоляционные материалы, используемые на практике, вам известны?
7. Какими свойствами обладают компаунды и основные области их применения?

1.4.4. Магнитные материалы

Природа магнетизма. Условия возникновения ферромагнитных свойств у веществ. Классификация веществ по магнитным свойствам.

Строение ферромагнетиков. Явление магнитной анизотропии и магнитострикции. Использование этих явлений в технике.

Основные характеристики магнитных материалов. Петля гистерезиса и основная кривая намагничивания. Остаточная индукция и коэрцитивная сила, индукция технического насыщения.

Относительная и абсолютная магнитные проницаемости. Потери на гистерезис и вихревые токи при перемагничивании в переменных магнитных полях. Явление вытеснения магнитного поля и его последствия.

Магнитомягкие, магнитотвёрдые материалы и магнитные материалы специального назначения.

Разновидности магнитных материалов. Листовые электротехнические стали и пермаллой, основные характеристики и применение.

Вопросы для самопроверки

1. Какие элементарные круговые точки существуют в атоме?
2. Какой круговой ток создаёт наибольший магнитный момент в атоме?
3. Чем объяснить то, что не у всех химических элементов атомы обладают собственным магнитным моментом?
4. Как называются области в ферромагнетиках, в пределах которых магнитные моменты атомов ориентированы параллельно?
5. Как происходит намагничивание ферромагнетиков?
6. Какое явление в ферромагнетиках называется магнитной анизотропией?
7. Где и как учитывается явление магнитной анизотропии?
8. В чём заключается явление магнитострикции и где оно используется?
9. Чем отличается основная кривая намагниченности от петли гистерезиса?

10. Назовите основные характеристики ферромагнитных материалов.
11. Как зависит величина магнитной проницаемости от напряжённости магнитного поля?
12. Как зависит магнитная проницаемость от частоты переменного магнитного поля?
13. Как расшифровать обозначения марок электротехнических сталей?
14. Назовите основные характеристики листовых электротехнических сталей и области их применения.
15. Что представляют собой сплавы пермаллои?
16. В чём преимущество холоднокатаных сталей перед горячекатаными?
17. Какие основные виды магнитотвёрдых материалов используется на практике?
18. Какие материалы специального назначения используются на практике?
19. Что представляют собой ферриты и в чём их преимущество перед другими видами магнитных материалов?

1.4.5. Полупроводники

Понятие о полупроводниках. Классификация полупроводников. Понятия о видах электропроводности полупроводников.

Вопросы для самопроверки

1. Какие вещества называются полупроводниками?
2. Какие виды электропроводности свойственны собственным полупроводникам?
3. Как получить полупроводник с основной электронной электропроводностью?
4. Как получить полупроводник с основной дырочной электропроводностью?
5. Как зависит удельная электропроводность полупроводников от температуры?
6. Как влияет механическая деформация на электропроводность полупроводника?
7. Как зависит электропроводность полупроводников от частоты и интенсивности световой энергии?
8. Как влияет напряжённость электрического поля на электропроводность полупроводника?

1.4.6. Проводники

Понятие о проводниках природа электропроводности проводников. Основные характеристики. Классификация проводниковых материалов. Понятие о сверхпроводимости проводников.

Вопросы для самопроверки

1. Какой механизм электропроводности свойственен металлам?
2. Какой механизм электропроводности свойственен электролитам?

3. В чём разница в объяснении механизма электропроводности с позиций классической электронной теории строения металлов и кантовой механики?
4. Какими параметрами характеризуются свойства проводников?
5. Чем объяснить зависимость удельной электропроводности металлов от температуры?
6. Почему удельное сопротивление металла зависит от его деформации?
7. Какие материалы относятся к материалам высокой проводимости?
8. Дайте сравнительную характеристику меди и алюминия.
9. Какие сплавы высокого сопротивления применяются в технике?
10. Что такое явление сверхпроводимости?
11. Каким материалам и при каких условиях свойственно явление сверхпроводимости?

1.4.7. Примерный перечень лабораторных работ

1. Определение электрической прочности газообразных и твёрдых диэлектриков.
2. Определение динамических характеристик ферромагнетиков при постоянной частоте магнитного поля.
3. Определение динамических характеристик ферромагнетиков при изменяющейся частоте магнитного поля.

Часть 2
ДИЭЛЕКТРИКИ

2.1. Основные сведения о пробое диэлектриков

Важнейшей областью использования диэлектриков в технических целях является применение их в качестве изоляционных материалов, предназначающихся для предотвращения протекания электрического тока по путям, не предусмотренным электрической схемой установки. Такое использование диэлектриков связано с их исключительно малой электропроводностью.

Так, удельная объемная электропроводность этих материалов при комнатной температуре не превышает 10^{-8} см/м, а удельное объемное сопротивление соответственно больше 10^{8} Ом·м.

Такое значение электропроводности и удельного объемного сопротивления сохраняется только для определенного напряжения. Превышение этого напряжения приводит к резкому (скачкообразному) возрастанию электропроводности и уменьшению сопротивления диэлектрика.

Потеря диэлектриком изоляционных свойств под воздействием внешнего электрического поля называется ***пробоем***.

Напряжение, при котором в диэлектрике возникает электрический пробой, называется ***пробивным*** или ***напряжением пробоя***.

Пробивное напряжение обозначается $U_{\text{пр}}$. Единицей измерения пробивного напряжения в системе СИ является вольт (В). Допускается использовать в качестве единицы измерения пробивного напряжения киловольт (кВ).

Значение пробивного напряжения зависит от химического состава, структуры строения, толщины диэлектрика и воздействия ряда других факторов.

Другой важнейшей характеристикой способности диэлектриков выдерживать воздействие высоких напряжений без потери изоляционных свойств является электрическая прочность ($E_{\text{пр}}$). Под электрической прочностью понимается отношение пробивного напряжения диэлектрика к его толщине:

$$E_{\text{пр}} = \frac{U_{\text{пр}}}{h},$$

где h – толщина диэлектрика.

Единицей измерения электрической прочности в системе СИ является В/м. В связи с тем, что использование этой единицы на практике неудобно из-за

малой толщины изоляции в различных электромеханических установках и больших значений пробивных напряжений, ГОСТом допускается применение внесистемной единицы измерения, равной кВ/мм. Соотношение между этими единицами – кВ/мм = 10^6 В/м.

Если на диэлектрик воздействует внешнее однородное электрическое поле, то электрическая прочность представляет собой напряженность этого поля, при которой происходит пробой.

В зависимости от механизма развития и причин возникновения различают следующие виды пробоев: электрический, тепловой и электрохимический.

Электрический пробой связан с развитием процессов ударной и фотонной ионизации, возникающих в сильных электрических полях и приводящих к быстрому росту концентрации свободных носителей электрических зарядов к скачкообразному увеличению электрического тока в месте пробоя при превышении значения напряженности электрического поля, равного электрической прочности диэлектрика.

Тепловой пробой возникает под воздействием тепловой энергии, выделяющейся в диэлектриках за счет диэлектрических потерь или поступающей от посторонних источников тепловой энергии. Тепловая энергия вызывает уменьшение активного сопротивления диэлектриков и возрастание активного потока, приводящих к дальнейшему увеличению температуры диэлектриков с последующим их термическим разрушением.

Электрохимический пробой возникает при длительной эксплуатации диэлектриков в электрических полях и связан с изменением химического состава в результате протекающих в диэлектриках электрохимических процессов.

Более подробно каждый из видов пробоя диэлектриков рассмотрен в последующих параграфах.

2.2. Пробой газообразных диэлектриков

В газообразных диэлектриках пробой является электрическим и связан с развитием процессов ударной и фотонной ионизации под воздействием сильных электрических полей.

В любом газообразном диэлектрике содержится малое количество положительных и отрицательных ионов и электронов, находящихся в хаотическом тепловом движении. Под воздействием электрического поля эти частицы начинают перемещаться либо в направлении напряженности поля

(положительные ионы), либо в направлении, противоположном ей (электроны, отрицательные ионы).

При этом каждая из частиц получает добавочную энергию за счет электрического поля

$$W_{\text{ч}} = g \cdot U_{\lambda}, \tag{2.1}$$

где g – электрический заряд напряженной частицы; U_{λ} – разность потенциалов на длине свободного пробега заряженной частицы.

В однородном электрическом поле

$$U_{\lambda} = E \cdot \lambda, \tag{2.2}$$

где E – напряженность однородного электрического поля; λ – длина свободного пробега частицы.

Таким образом, в однородном электрическом поле добавочная энергия, приобретенная частицей в результате воздействия электрического поля:

$$W_{\text{ч}} = g \cdot E \cdot \lambda. \tag{2.3}$$

В конце пути свободного пробега заряженная частица сталкивается с нейтральной молекулой. Если при этом энергия заряженной частицы оказывается больше энергии ионизации нейтральной молекулы газообразного диэлектрика, то последняя расщепляется на электрон и положительно заряженный ион. Этот процесс получил название процесса ударной ионизации.

Таким образом, условие возникновения ударной ионизации описывается уравнением

$$W_{\text{ч}} \geq W_{\text{и}}. \tag{2.4}$$

С учетом уравнений (2.2) и (2.3) получим:

$$E_{\text{н}} \cdot g \cdot \lambda \geq W_{\text{и}},$$

а

$$U_{\lambda} = E_{\text{н}} \cdot \lambda \geq W_{\text{и}}, \tag{2.5}$$

где U_{λ} – ионизационный потенциал газообразного диэлектрика; $E_{\text{н}}$ – начальная напряженность поля.

Ионизационный потенциал характеризует энергию ионизации диэлектрика. У различных газообразных диэлектриков он лежит в диапазоне от 4 до 25 В, что соответствует энергии ионизации от 4 до 25 эВ.

Так как λ и g для каждого из газообразных диэлектриков постоянны, то ударная ионизация начинается при определенной напряженности поля, называемой начальной напряженностью.

В ряде случаев столкновение заряженной частицы с нейтральной молекулой может не ионизировать последнюю, а принести ее в возбужденное состояние. Через определенный промежуток времени возбужденная молекула испускает фотон, отдавая при этом избыточную энергию. Фотон поглощается

другой нейтральной молекулой, которая в этом случае ионизируется, расщепляясь на электрон и положительно заряженный ион. Такая ионизация называется фотонной. Фотонная ионизация приводит к быстрому развитию канала пробоя в газообразном промежутке.

Развитие процессов ударной и фотонной ионизации при напряженности электрического поля большей, чем начальная, приводит к резкому возрастанию количества свободных носителей электрических зарядов и возникновению двух встречных источников разноименно заряженных частиц в канале пробоя.

В результате пробоя пространство, занимаемое каналом пробоя, заполнено движущимися заряженными частицами газа. Такое состояние газообразного диэлектрика получило название газоразрядной плазмы.

За счет фотонной ионизации пробой газов осуществляется практически мгновенно.

Электрическая прочность газообразного диэлектрика зависит от длительности воздействия электрического поля. При кратковременном воздействии напряжение пробоя диэлектрика, выше чем при длительном воздействии. Повышение пробивного напряжения характеризуется коэффициентом импульса

$$\beta = \frac{U_{\text{пр}}}{U_{\text{пр50}}}, \qquad (2.6)$$

где $U_{\text{пр}}$ – пробивное напряжение при данной длительности импульса; $U_{\text{пр50}}$ – пробивное напряжение при постоянном или переменном напряжении частотой 50 Гц.

Значения коэффициента импульса находятся в диапазоне от 1 до 1,5.

Электрическая прочность газообразных диэлектриков зависит от расстояния между электродами или толщины диэлектрика. Зависимость $E_{\text{пр}}=f(h)$ представлена на рисунке 2.1.

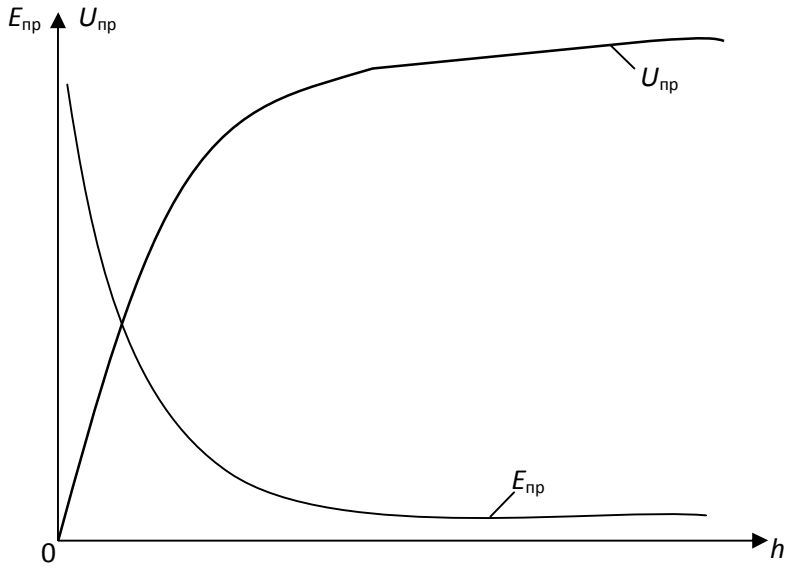

Рис. 2.1. Зависимость электрической прочности и пробивного напряжения газообразного диэлектрика от расстояния между электродами

Из рис. 2.1 видно, что с ростом толщины диэлектрика его электрическая прочность уменьшается, а пробивное напряжение увеличивается. Это объясняется тем, что при малых расстояниях между электродами затрудняется возникновение процесса ударной ионизации. Это видно из анализа уравнения (2.5).

Решив уравнение (2.5) относительно $E_н$, получим

$$E_н = \frac{W_и}{g \cdot \lambda}.$$

При малых расстояниях между электродами, когда $h \geq \lambda$, можно записать

$$E_н = \frac{W_и}{g \cdot h}. \qquad (2.7)$$

Из уравнения (2.7) видим, что чем меньше толщина газообразного диэлектрика, тем больше начальная напряженность электрического поля, при которой энергия движущийся заряженной частицы обеспечивает ионизацию молекулы газообразного диэлектрика и возникновение процессов ударной и фотонной ионизации.

Электрическая прочность газообразного диэлектрика зависит также и от давления газа. Эта зависимость представлена на рисунке 2.2.

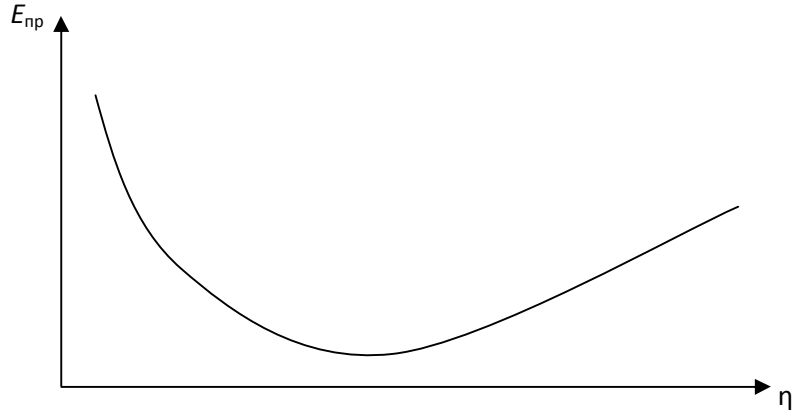

Рис. 2.2. Зависимость электрической прочности газа от давления

Как видно из рис. 2.2, при малых значениях давления наблюдается уменьшение электрической прочности с ростом давления. Такое явление объясняется тем, что при малых давлениях вероятность столкновения заряженной частицы с нейтральной молекулой незначительная, и затрудняется развитие процессов ударной и фотонной ионизации. С ростом давления плотность молекул газа увеличивается, что приводит к возрастанию

вероятности столкновений заряженных частиц с молекулами газа и облегчает развитие процессов ударной ионизации. При сверхвысоких давлениях существенно уменьшается длина свободного пробега заряженной частицы, что, согласно уравнению (2.7), приводит к росту начальной напряженности поля.

Электрическая прочность газообразного диэлектрика существенно зависит от однородности электрического поля (рис. 2.3).

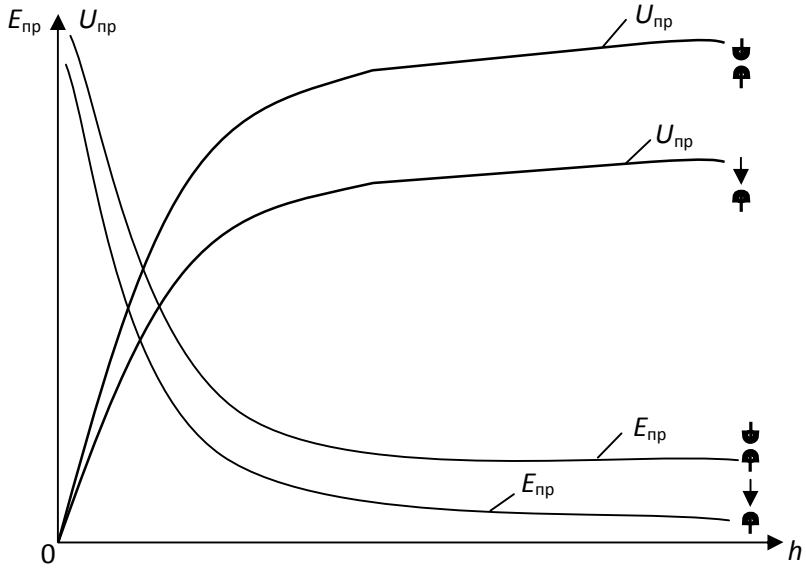

Рис. 2.3. Зависимости электрической прочности и пробивного напряжения газообразного диэлектрика от расстояния между электродами в однородном и неоднородном электрических полях

В однородных электрических полях, возникающих между плоскими электродами с закругленными краями, либо между сферическими электродами большого диаметра, электрическая прочность значительно выше, чем в неоднородных электрических полях между электродами типа «игла – игла», «полусфера – игла», « плоскость – игла» и т. п. Неоднородное электрическое поле возникает также между двумя полусферами, когда расстояние между ними больше радиуса сферы.

Меньшее значение электрической прочности газообразных диэлектриков в неоднородных электрических полях по сравнению с электрической прочностью в однородных полях объясняется тем, что при одной и той же разности потенциалов между электродами напряженность поля в точках, расположенных по кратчайшему расстоянию между двумя электродами, в неоднородных полях значительно выше, чем напряженность однородного электрического поля. Следовательно и электрический пробой газообразного диэлектрика в неоднородном электрическом поле произойдет при меньшем напряжении, приложенном к электродам, чем в однородном поле.

По разному развивается электрический пробой в однородных и неоднородных электрических полях.

В однородном электрическом поле при определенном значении напряжения, зависящем от температуры, давления газа и расстояния между электродами возникает искровой разряд, переходящий в дуговой при дальнейшем росте напряжения.

В неоднородных электрических полях вначале возникает частичный разряд в местах, где напряженность достигает максимальных значений (коронный разряд). При дальнейшем возрастании напряжения коронный разряд переходит в искровой, а затем и в дуговой разряды.

Электрическая прочность газообразного диэлектрика зависит от полярности электродов типа «игла – плоскость», «игла – сфера».

При положительной полярности иглы пробой происходит при меньшем напряжении, чем при обратной полярности. Это явление объясняется тем, что ионизация газа начинается в районе кончика иглы, независимо от ее полярности, так как именно в этой области напряженность поля максимальная. При положительной полярности иглы у ее кончика возникает положительный объемный заряд из положительно заряженных ионов газа, который как бы является продолжением иглы, способствуя уменьшению длины газообразного промежутка и соответствующему уменьшению пробивного напряжения.

При отрицательной полярности иглы образовавшийся объемный положительный заряд как бы экранизирует иглу, препятствуя перемещению электронов от иглы к поверхности положительно заряженной плоскости или сферы. Наличие экрана из положительно заряженных ионов около кончика иглы и приводит к возрастанию пробивного напряжения при отрицательной полярности иглы, по сравнению с пробивным напряжением при обратной полярности иглы.

2.3. Пробой твердых диэлектриков

В твердых диэлектриках могут возникать четыре вида пробоев:

- электрический пробой макроскопически однородных твердых диэлектриков;
- электрический пробой макроскопически неоднородных твердых диэлектриков;
- электротепловой (тепловой) пробой;
- электрохимический пробой.

Электрический пробой макроскопически однородных твердых диэлектриков развивается аналогично электрическому пробою в газообразных диэлектриках в результате осуществления процесса ударной ионизации, когда

исключено влияние электропроводности и диэлектрических потерь, обуславливающих разогрев диэлектрика.

В связи с этим, зависимости электрической прочности и пробивного напряжения твердых диэлектриков от толщины и конфигураций электродов анологичны таким же зависимостям для газообразных диэлектриков (рис. 2.1, рис. 2.3).

Электрический пробой неоднородных диэлектриков характерен для технических диэлектриков, в структуре которых имеются поры и капилляры, заполненные газообразным диэлектриком. Чаще всего таким газообразным диэлектриком является воздух. Так как электрическая прочность воздуха значительно меньше электрической прочности твердых диэлектриков, то наличие капилляров и пор в структуре твердых диэлектриков обуславливает значительную меньшую электрическую прочность неоднородных диэлектриков сравнению с однородными.

С ростом толщины неоднородного твердого диэлектрика наблюдается уменьшение его электрической прочности, так как возрастает количество газовых включений.

Электрическая прочность неоднородных твердых диэлектриков зависит от однородности и неоднородности электрического поля. Но, в отличие от газообразных и однородных твердых диэлектриков, электрическая прочность неоднородных твердых диэлектриков может быть в неоднородном поле больше, чем в однородном. Это связано с тем, что при большей площади электродов, между которыми создается однородное поле, возрастает количество слабых мест (пор, капилляров, трещин и т. д.), приводящих к снижению электрической прочности твердого диэлектрика.

Электротепловой (тепловой) пробой связан с разогревом материала в электрическом поле за счет возрастания сквозной электропроводности и диэлектрических потерь, приводящих к потере изоляционных свойств материала. Пробивное напряжение при электротепловом пробое зависит от частоты поля, условий охлаждения, температуры окружающей среды и т. п.

Установившийся температурный режим возникает тогда, когда выделение тепла в изоляционном материале равняется теплоотдаче в окружающую среду. Этот режим описывается следующим уравнением

$$U^2 \cdot \omega \cdot c \cdot \mathrm{tg}\delta = \sigma \cdot S\left(t_{\text{раб}} - t_{\text{о}}\right), \qquad (2.8)$$

где U – напряжение на электродах; ω – угловая частота; c – емкость изоляционного материала; $\mathrm{tg}\delta$ – тангенс угла диэлектрических потерь изоляционного материала σ – коэффициент теплоотдачи; S – поверхность изоляционного материала; $t_{\text{раб}}$ – температура изоляционного материала; $t_{\text{о}}$ – температура окружающей среды.

На рисунке 2.4 построены зависимости мощности диэлектрических потерь P_a и мощности теплоотдачи P_t от температуры.

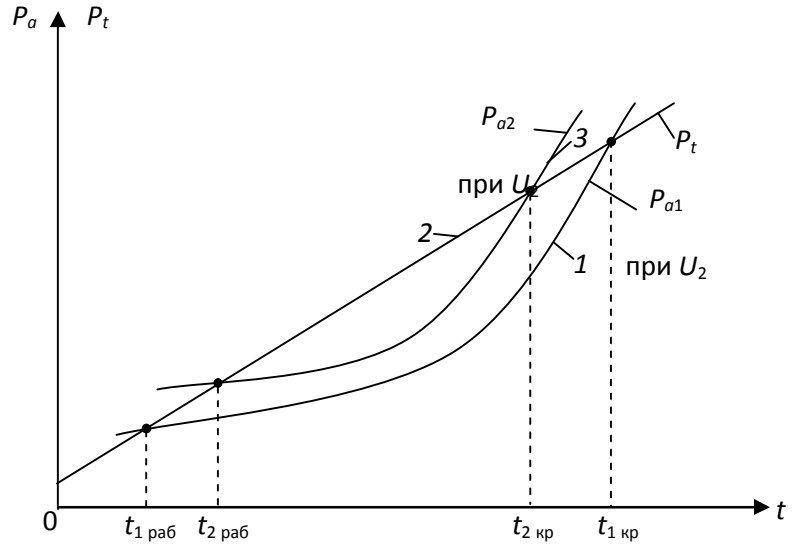

Рис. 2.4. Зависимость мощности диэлектрических потерь и мощности теплоотдачи изоляционного материала от температуры

Как видно из рис. 2.4, зависимость $P_{a1}=f(t)$ имеет две точки пересечения с прямой $P_t = f(t)$ и следовательно, два установившихся режима при $t_{1раб}$ и $t_{1кр}$. Учитывая, что в условиях эксплуатации не исключается дополнительный разогрев изоляционного материала за счет посторонних источников тепловой энергии, рабочая температура может случайно возрасти. Если с учетом возможного возрастания $t_{1раб}<t_{1кр}$, то тепловой пробой не произойдет, так как количество тепла, выделяемое внутри диэлектрика, возрастает медленнее, чем увеличивается теплоотдача. Если за счет дополнительного нагрева установится соотношение $t_{1раб}>t_{1кр}$, то количество тепловой энергии, выделяемой в изоляционном материале, превысит теплоотдачу, и температура будет расти до полного разрушения диэлектрика. С ростом напряжения зависимость $P_a=f(t)$ смещается вверх (см. кривую *3*, полученную при $U_2>U_1$). При тех же самых условиях охлаждения повышение напряжения приводит к росту рабочей температуры ($t_{2раб}>t_{1раб}$) и уменьшению критической температуры ($t_{1кр}>t_{2кр}$).

Таким образом, как видно из рис. 2.4, увеличение напряжения приводит к возрастанию рабочей температуры за счет роста количества тепла, выделяемого в материале.

Выделение тепловой энергии вследствие диэлектрических потерь приводит к увеличению электрической прочности диэлектрика. На рисунке 2.5 приведены зависимости электрической прочности и пробивного напряжения

твердого диэлектрика от толщины при электрическом и электротепловом пробоях.

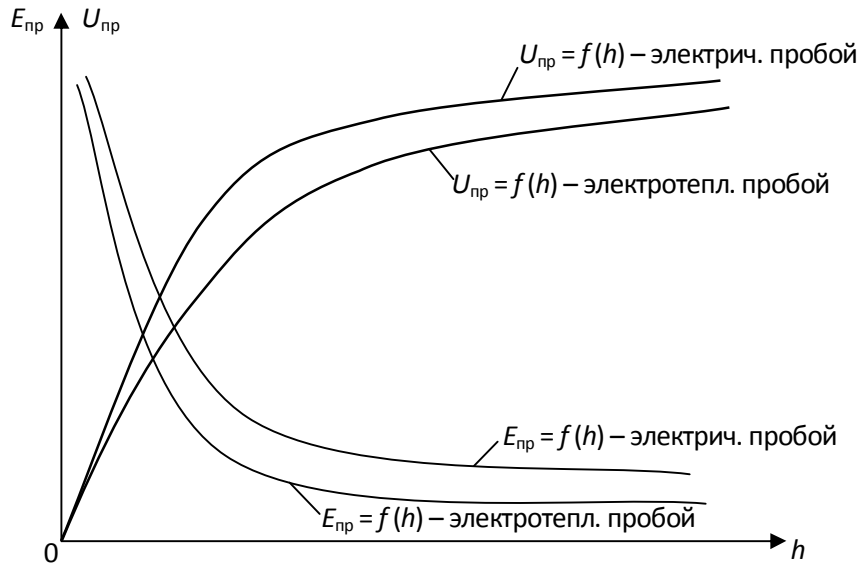

Рис. 2.5. Зависимости электрической прочности и пробивного напряжения от толщины диэлектрика

Как видно из рис. 2.5, электрическая прочность изоляционного материала при электротепловом пробое меньше, чем при чисто электрическом пробое.

Уменьшение электрической прочности при электротепловом пробое связано с одной стороны с разрушением структуры строения изоляционного материала (растрескивание, обугливание и т. д.), когда рабочая температура превышает критическую. С другой стороны, электрическая прочность при электротепловом пробое меньше, чем при электрическом даже в том случае, когда рабочая температура не превышает критическую. Такое явление можно объяснить следующим образом: с ростом температуры изоляционного материала увеличивается кинетическая энергия теплового хаотического движения заряженных частиц и нейтральных молекул твердого диэлектрика. Возрастание энергии теплового хаотического движения молекул приводит к тому, что полю необходимо сообщить меньшую дополнительную энергию движущихся заряженных частиц, чтобы последняя могла ионизировать нейтральную молекулу при столкновении с ней. И, следовательно, выполнение условия развития ударной ионизации наступает при меньшем напряжении, подаваемом на электроды.

2.4. Лабораторная работа № 1. Определение электрической прочности твердых и газообразных диэлектриков. Цель работы

Целью лабораторной работы является научить студентов определять электрическую прочность твердых и газообразных диэлектриков и выявлять зависимости электрической прочности от толщины диэлектрика и конфигурации электродов, формирование навыков использования теоретических сведений к объяснению результатов эксперимента.

2.5. Объект исследования

1. Образцы твердых диэлектриков. Материал, размеры образцов и их толщины задаются преподавателем.
2. Воздух. Длины воздушных зазоров задаются преподавателем.

2.6. Средства измерения

1. Испытательная высоковольтная установка с максимальным напряжением до 10 кВ. Принципиальная электрическая схема установки приведена на рис. 2.6.
2. Вольтметр переменного тока с пределом измерения до 150 В.
3. Микрометр типа МК с пределом измерения 0 – 25 мм. Цена деления микрометра – 0,1 мм.
4. Штангенциркуль. Цена деления – 0,1 мм.

2.7. Рабочее задание

1. Испытать на электрический пробой образцы твердого диэлектрика различной толщины, определяя пробивное напряжение каждого из них. Число образцов и измерений определяет преподаватель.
2. Рассчитать электрическую прочность каждого образца.
3. Произвести электротепловой пробой аналогичных по химическому составу и толщине образцов твердого диэлектрика, определяя пробивное напряжение каждого образца. Количество образцов и измерений такое же, как и при испытании на электрический пробой.
4. Рассчитать электрическую прочность каждого образца при электротепловом пробое.
5. Построить для одних и тех же образцов:
   - зависимости $U_{пр}=f(h)$ при электрическом и электротепловом пробоях в одних осях координат;

- зависимости $E_{пр}=f(h)$ при электрическом и электротепловом пробоях в одних осях координат.

6. Осуществить электрический пробой воздуха при различных толщинах воздушного зазора h, определяя каждый раз значение пробивного напряжения. Электрический пробой произвести для двух сочетаний электродов с различной конфигурацией, заданных преподавателем.
7. Рассчитать электрическую прочность воздуха для каждого пробоя.
8. Построить:
   - зависимости $U_{пр}=f(h)$ для каждого из сочетаний электродов в одних осях координат;
   - зависимости $E_{пр}=f(h)$ для каждого из сочетаний электродов в одних осях координат.
9. Сделать выводы по работе.

2.8. Методические указания по выполнению рабочего задания

2.8.1. Устройство и принцип действия лабораторной установки

Принципиальная электрическая схема лабораторной установки для определения пробивного напряжения и электрической прочности твердых и газообразных диэлектриков приведена на рис. 2.6.

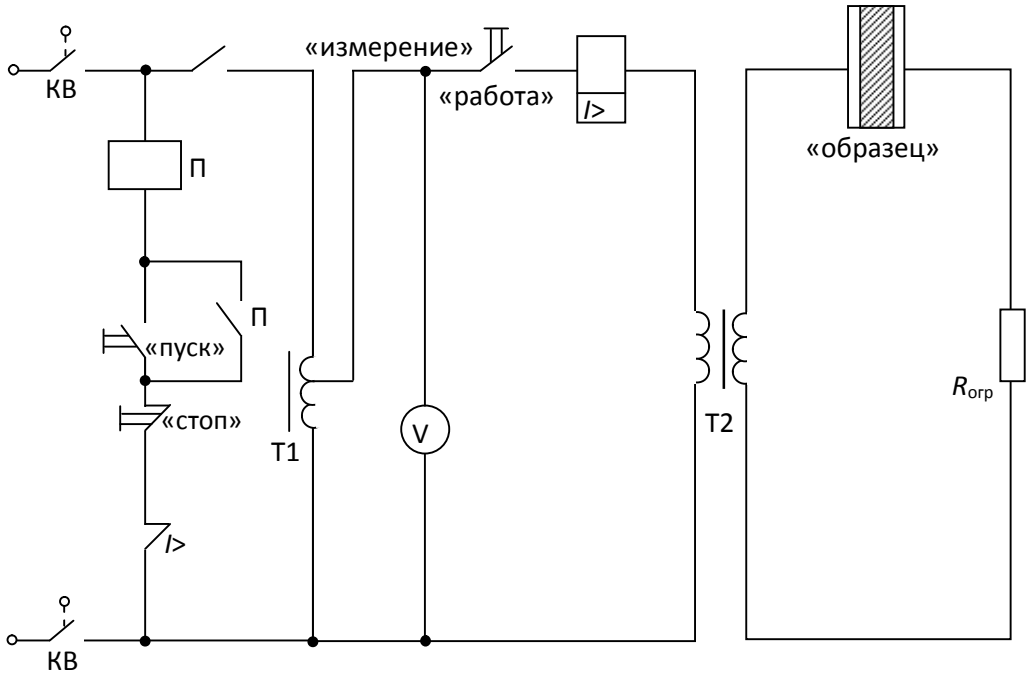

Рис. 2.6. Принципиальная электрическая схема установки

В состав установки входят:

– линейный автотрансформатор Т1, предназначенный для регулирования напряжения, подаваемого на испытательный образец;

– высоковольтный трансформатор Т2 с максимальным напряжением вторичной обмотки U_{2max}=10 кВ и коэффициентом K=10;
– сопротивление $R_{огр}$, предназначенное для ограничения тока в обмотке высокого напряжения при возникновении пробоя образца;
– электромагнитный пускатель: кнопки «пуск» и «стоп»;
– сигнальная лампа «напряжение подано»;
– переключатель режима работы установки «работа – измерение»;
– многопредельный вольтметр.

В нижней части лабораторной установки находится высоковольтный трансформатор и токоограничивающее сопротивление. Эта часть установки закрыта металлическим заземленным экраном, исключающим возможность попадания работающего на установке под высокое напряжение.

На верхней, горизонтально расположенной части установки находятся линейный автотрансформатор, вольтметр, переключатель режима работы и высоковольтная камера со сменными электродами.

Принцип действия лабораторной установки заключается в следующем. При закрытой дверце высоковольтной камеры контакты концевых выключателей КВ замкнуты и электрическая цепь установки подготовлена к работе.

При нажатии кнопки «пуск», расположенной в левом верхнем углу стенда, срабатывает электромагнитный пускатель П и через его замкнутые контакты напряжение подается на автотрансформатор Т1. Одновременно в камере высокого напряжения загорается сигнальная лампа «напряжение подано». Вторая пара контактов пускателя блокирует кнопку «пуск». Напряжение с выхода автотрансформатора поступает на обмотку низкого напряжения высоковольтного трансформатора, если переключатель режима работы установлен в положении «работа». Это напряжение измеряется многопредельным вольтметром переменного тока. На обмотке высокого напряжения трансформатора создается напряжение, значение которого может быть вычислено по формуле

$$U_2 = K \cdot U_1 . \qquad (2.9)$$

Когда напряжение U_2 достигает значения, равного напряжению пробоя $U_{пр}$, происходит пробой образца, и в цепи вторичной обмотки возрастает ток, амплитуда которого ограничивается сопротивлением $R_{огр}$. Возрастание тока вторичной обмотки вызывает соответствующее увеличение тока первичной обмотки трансформатора, в результате которого срабатывает реле максимального тока $I>$. Контакты этого реле размыкаются, разрывая цепь питания обмотки электромагнитного пускателя. Контакты пускателя размыкаются и отключают стенд от сети.

Обычно пробой образца происходит внезапно, что затрудняет отсчет по вольтметру напряжения, при котором произошел пробой. Поэтому для облегчения отсчета напряжения пробоя предусмотрена возможность работы установки в режиме «измерение». Для перевода установки в этот режим переключатель режима работы устанавливается в положение «измерение». В этом режиме высоковольтный трансформатор отключается от выхода автотрансформатора. Если положение рукояти автотрансформатора, регулирующей его выходное напряжение, сохранить таким же, как и в момент пробоя, то после нажатия на кнопку «пуск» вольтметр покажет то же напряжение, что было установлено при пробое.

2.8.2. Методика экспериментального определения пробивного напряжения и электрической прочности твердых диэлектриков при электрическом пробое

1. Перед началом эксперимента необходимо проверить правильность подключения элементов установки (рис. 2.7), предварительно установив рукоятку автотрансформатора в нулевое положение и открыв дверку камеры высокого напряжения. Лампа «напряжение подано» не должна гореть.

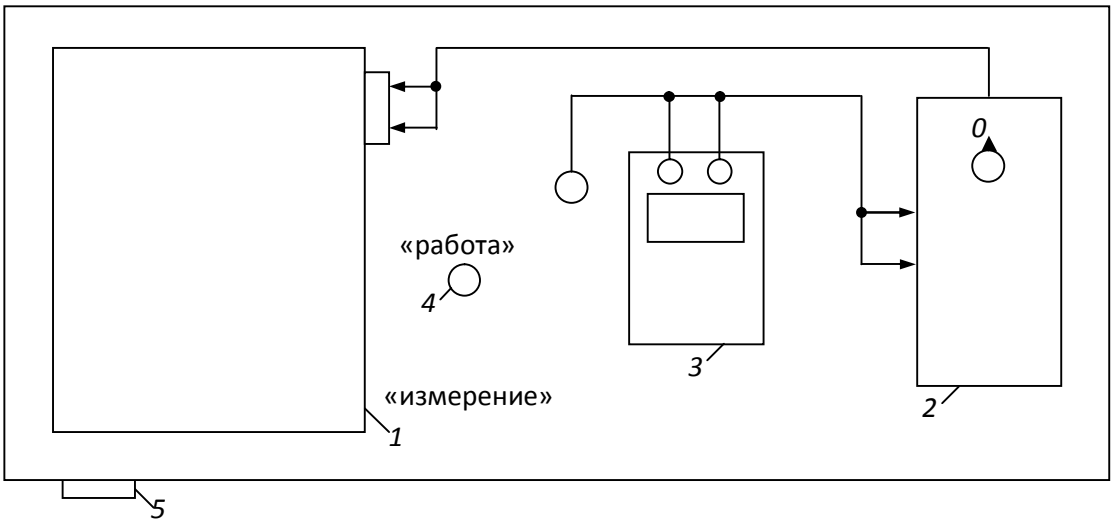

Рис. 7. Схема соединения элементов лабораторной установки:
1 – высоковольтная камера; 2 – линейный автотрансформатор; 3 – вольтметр; 4 – переключатель режима работы установки; 5 – кнопки «пуск» и «стоп»

2. Установить по указанию преподавателя сменные электроды.

3. Измерить микрометром толщину испытываемого образца диэлектрика. Рекомендуется начинать эксперимент с образца наибольшей величины. Данные измерений записать в таблицу 2.1.

Таблица 2.1

Экспериментальное определение напряжение пробоя и электрической прочности твердых диэлектриков при электрическом пробое

№ п/п	h, мм	U_1,В	$U_{пр}$, кВ	$E_{пр}$, кВ/мм	Конфигурация электродов

Примечание: высота столбцов таблицы должна быть рассчитана для записи результатов пробоя 7 – 8 образцов.

4. Разместить образец между электродами в высоковольтной камере. Для этого необходимо отвернуть стопорный винт верхнего электрода до тех пор, пока последний не начнет свободно перемещаться. Поднять верхний электрод и поместить образец в образовавшийся зазор. Опустить верхний электрод на образец и повернуть стопорный винт в обратном направлении до упора.

5. Закрыть крышку камеры высокого напряжения.

6. Установить переключатель режима работы в положение «работа».

7. Нажать кнопку «пуск». При этом загорается лампа «напряжение подано».

8. Плавно вращая рукоятку автотрансформатора, увеличивать напряжение, подаваемое на образец, до тех пор, пока не произойдет автоматическое отключение напряжения, свидетельствующее о пробое образца. Сигнальная лампа «напряжение подано» должна погаснуть.

9. Переключатель режима работы установить в положение «измерение».

10. Нажать на кнопку «пуск». Сигнальная лампа «напряжение подано» должна загореться.

11. По вольтметру отсчитать напряжение U_1, при котором произошел пробой диэлектрика и записать в табл. 2.1.

12. Нажать кнопку «стоп». Сигнальная лампа «напряжение подано» должна погаснуть.

13. Установить рукоятку линейного автотрансформатора в нулевое положение, открыть дверцу камеры высокого напряжения и убрать пробитый образец.

14. Рассчитать пробивное напряжение и электрическую прочность образца по формуле

$$U_{пр} = \frac{K \cdot U_1}{1000}; \qquad (2.10)$$

$$E_{пр} = \frac{U_{пр}}{h}, \qquad (2.11)$$

где U_1 – действующее значение выходного напряжения автотрансформатора, В; $U_{пр}$ – действующее значение напряжения пробоя образца, кВ; K=100 – коэффициент

трансформации высоковольтного трансформатора; $E_{пр}$ – электрическая прочность образца, кВ/мм.

Рассчитанные значения $U_{пр}$ и $E_{пр}$ записать в таблицу 2.1.

2.8.3. Методика экспериментального определения электрической прочности твердых диэлектриков при электротепловом пробое

1. Электротепловой пробой производится на образцах диэлектриков, аналогичных по химическому составу и геометрическим размерам образцам, использованным при электрическом пробое. Количество испытываемых образцов и их толщины задаются преподавателем.

2. Перед началом испытаний необходимо рассчитать значения начального напряжения $U_{нач}$ и интервал, через который будет изменяться напряжение установки ΔU по следующим формулам:

$$U_{нач} = 0{,}6 \cdot U_{пр} \cdot 1000; \qquad (2.12)$$

$$\Delta U = 1000 \cdot U_{пр} \cdot \frac{(1-0{,}6)}{6 \div 7} = \frac{0{,}4}{6 \div 7} \cdot U_{пр} \cdot 1000, \qquad (2.13)$$

где $U_{пр}$ – пробивное напряжение образца, полученное при электрическом пробое, кВ; ΔU– интервал, через который изменяется напряжение, приложенное к образцу при электротепловом пробое, В.

3. Выполнить пункты 3 – 7 из 2.8.2. данных методических указаний.

4. Плавно вращая рукоятку автотрансформатора, установить напряжение, подаваемое на образец, равным ___.

5. Выдержать образец под действием напряжения$U_{нач}$ и в течение интервала времени, указанного преподавателем.

6. Вращая рукоятку автотрансформатора увеличить напряжение на образец на ΔU.

7. Выдержать образец под действием напряжения в течение указанного преподавателем интервала времени.

8. Повторить операции, перечисленные в пунктах 6 и 7, до тех пор пока не произойдет пробой образца.

9. Измерить пробивное напряжение в соответствии с пунктами 9 – 13 из методики 2.8.2.

10. Рассчитать пробивное напряжение и электрическую прочность образца при электротепловом пробое по формулам (2.10) и (2.11). Данные измерений и расчётов записываются в таблицу 2.2. Пример заполнения таблицы приведен ниже.

Таблица 2.2

Экспериментальное определение напряжение пробоя и электрической прочности твердых диэлектриков при электротепловом пробое

№ п/п	h, мм	$U_{нач}$, В	ΔU, В	U_1,В	$U_{пр}$, кВ	$E_{пр}$, кВ/мм	Конфигурация электродов

11. Построить зависимости $U_{пр}=f(h)$ при электротепловом и электрическом пробоях в одних осях координат.

12. Построить зависимости $E_{пр}=f(h)$ при электротепловом и электрическом пробоях твердого диэлектрика в одних осях координат.

2.8.4. Методика экспериментального определения электрической прочности воздуха

1. Установить электроды заданной преподавателем конфигурации в высоковольтной камере стенда.

2. Установить необходимую толщину воздушного зазора между электродами. Для этого отвернуть стопорный винт верхнего электрода и разместить калиброванные пластины между электродами. Опустить верхний электрод на поверхность пластин и зафиксировать его положение с помощью стопорного винта. Убрать калиброванные пластины из камеры.

3. Осуществить электрический пробой воздуха в соответствии с пунктами 5 – 14 из 2.8.2. данных методических указаний. Электрический пробой воздуха произвести для двух сочетаний электродов различной формы в соответствии с указаниями преподавателя.

4. Построить зависимости $U_{пр}=f(h)$ для обоих сочетаний электродов в одних осях координат.

5. Построить зависимости $E_{пр}=f(h)$ для обоих сочетаний электродов в одних осях координат.

2.9. Контрольные вопросы

1. С помощью каких показателей характеризуется способность диэлектрика противостоять электрическому пробою?
2. Какая из величин (пробивное напряжение или электрическая прочность) более точно оценивает способность различных диэлектриков противостоять электрическому пробою?
3. Чем объяснить, что электрическая прочность пористых твердых диэлектриков ниже прочности однородных по структуре строения твердых диэлектриков?
4. Какими процессами обуславливается развитие электрического пробоя в газообразных диэлектриках?
5. В чем разница между электротепловым и чисто электрическим пробоем диэлектриков?
6. Какое явление называется пробоем диэлектриков?
7. В каком из электрических полей (однородном или неоднородном) электрическая прочность диэлектриков выше? Чем это можно объяснить?
8. По каким причинам электрическая прочность диэлектриков при тепловом пробое меньше, чем при электрическом?

9. Зависит ли электрическая прочность воздуха от полярности электродов при следующих сочетаниях электродов: игла – плоскость, игла – полусфера? Ответ аргументируйте.
10. Чем объяснить, что электрическая прочность воздуха при сочетании электродов игла плоскость или игла полусфера уменьшается в большем диапазоне, чем его прочность при сочетании электродов плоскость – плоскость, полусфера – полусфера, с ростом толщины воздушного зазора?
11. Чем объяснить, что электрическая прочность диэлектриков уменьшается с ростом толщины?
12. При каких условиях в твердых диэлектриках может произойти электротепловой пробой?
13. Почему необходимо учитывать процесс старения электрической изоляции при определении рабочего напряжения различных электрических машин?
14. Как изменяется электрическая прочность газообразных диэлектриков с ростом давления и почему?
15. Влияет ли температура на электрическую прочность диэлектриков? Ответ аргументируйте.

Часть 3
МАГНИТНЫЕ МАТЕРИАЛЫ

3.1. Основные характеристики магнитных веществ

Магнитное состояние вещества оценивается намагниченностью. Намагниченностью называется сумма элементарных магнитных моментов в единице объема вещества

$$M = \frac{\sum_{i=1}^{n} m_i}{V}, \qquad (3.1)$$

где m_i – элементарный магнитный момент (спин электрона); V – объем образца.

Значение намагниченности зависит от напряженности магнитного поля H и связано с последней в соответствии с уравнением:

$$M = \chi \cdot H$$

где χ – магнитная восприимчивость вещества.

В системе СИ магнитная восприимчивость является безразмерной величиной.

Под воздействием напряженности магнитного поля в веществе создается магнитная индукция, зависимость которой от напряженности поля и намагниченности материала описывается уравнением

$$B = \mu_0 (H + \chi \cdot H), \qquad (3.2)$$

где μ_0=1,256·10^{-6} – магнитная постоянная вакуума, Гн/м.

В системе СИ индукция измеряется в теслах (Тл), а в ситстеме СГС – в гауссах (ГС).

Связь между индукцией и напряженностью магнитного поля может быть также описана следующим уравнением:

$$B = \mu_a \cdot H = \mu_0 \cdot \mu_r \cdot H, \qquad (3.3)$$

где μ_a – абсолютная магнитная проницаемость; μ_r – относительная магнитная проницаемость.

Абсолютная магнитная проницаемость имеет ту же размеренность, что и магнитная постоянная вакуума, а относительная магнитная проницаемость является безразмерной величиной.

Абсолютная и относительная магнитная проницаемости связаны между собой соотношением

$$\mu_a = \mu_0 \cdot \mu_r. \qquad (3.4)$$

Если учесть, что

$$\mu_a = \frac{B}{H},$$

а (3.5)

$$\mu_r = \frac{B}{H \cdot \mu_0},$$

становится ясным физический смысл относительной магнитной проницаемости. Она показывает, во сколько раз магнитная индукция в веществе больше, чем индукция в вакууме под воздействием намагничивающих полей одинаковой напряженности.

3.2. Физическая природа магнетизма

Известно, что элементарный замкнутый круговой электрический ток i создает магнитное поле, основной характеристикой которого является магнитный элемент

$$\underline{m} = i \cdot \underline{S},$$

где $\underline{S}$ – векторная величина площади, охватываемой током.

На уровне атома можно условно выделить три основные формы движения электрических зарядов, создающих элементарные магнитные моменты:

- движение электронов по круговой орбите вокруг ядра;
- вращение электронов вокруг собственной оси;
- вращение протонов ядра атома.

Наибольший магнитный момент создается за счет вращения электрона вокруг собственной оси. Этот магнитный момент получил название – спин электрона. Спины электронов могут принимать только вполне определенные дискретные значения, кратные постоянной Планка. Минимальное значение спина электрона превышает магнитный момент, создаваемый протоном, примерно в 650 раз.

Но не все электроны, создающие электронные оболочки атома, участвуют в создании магнитного момента атома. Рассмотрим, как создается результирующий магнитный момент атома вещества. Электроны в атомах вещества занимают различные энергетические уровни, которые принято изображать в виде ряда электронных оболочек. Количество оболочек в атоме химического элемента определяется номером периода таблицы Менделеева, в котором расположен данный элемент. Каждая из электронных оболочек состоит из ряда подоболочек, число которых колеблется от 1 до 4. Номер электронной оболочки индексируется цифрами от 1 до 7, а номер подоболочки буквами *S*, *p*, *d*, *f*. Пример обозначения оболочек и подоболочек приведен на рис. 3.1.

В подоболочках с индексом *S* могут находиться максимально 2, в подоболочках*p* – 6, в подоболочках *d* – 10 и в подоболочках *f* – 14 электронов.

Заполнение электронами оболочек и подоболочек у подавляющего большинства элементов подчиняются следующему правилу.

Прежде всего заполняются наиболее близко расположенные к ядру атома оболочки и подоболочки. Заполнение последующих электронных подоболочек начинается после того, как полностью заполнена предыдущая.

В полностью заполненных подоболочках половина количества электронов, заполнивших электронную подоболочку, вращаются в одном направлении, создавая спиновые моменты, направление которых условно принимается за *положительное*.

Другая половина электронов данной подоболочки вращается в противоположном направлении, создавая спиновые моменты, направление которых принимается за *отрицательное*.

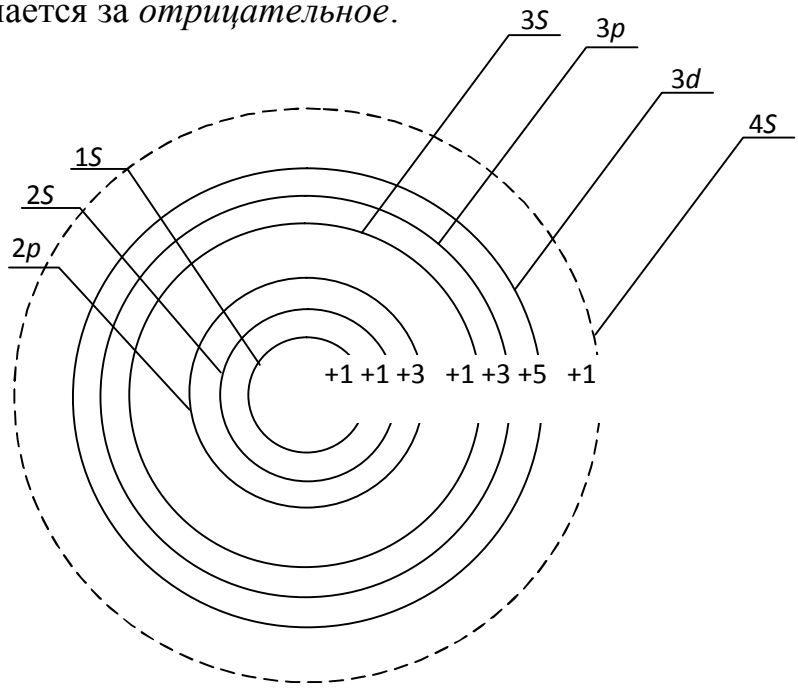

Рис. 3.1. Распределение электронов по оболочкам и подоболочкам в атоме железа

Так как количество положительных и отрицательных спинов в полностью заполненной электронной подоболочке одинаково, то они взаимокомпенсируются.

Следовательно, атомы элементов, электронные оболочки и подоболочки которых полностью заполнены электронами, не имеют собственных магнитных моментов, а сами вещества слабо намагничиваются в магнитном поле.

Но у ряда химических элементов такой порядок заполнения электронами оболочек и подоболочек нарушается.

Как видно из рис. 3.1, у атома железа не заполнена полностью подоболочка 3*d*, на которой находится всего 6 электронов вместо 10, а уже заполнена следующая, валентная для железа, подоболочка 4*S*.

Пять из шести электронов подоболочки 3*d* вращаются в одном направлении, создавая положительные спины электронов. Шестой электрон вращается в направлении обратном, создавая противоположно направленный спин – отрицательный.

Таким образом в подоболочке 3*d* атома железа существует 4 нескомпенсированных спинов электронов, которые, суммируясь, вызывают появление магнитного момента у атома.

Наличие нескомпенсированных спинов электронов в различных подоболочках наблюдается и у атомов ряда других элементов: кобальта, никеля, марганца и др.

Электроны, находящиеся в наружной валентной подоболочке, служить источником магнитных моментов не могут, т. к. при образовании молекул и кристаллов их магнитные моменты компенсируются спинами валентных электронов соседних атомов.

Учитывая вышеизложенное, можно сформулировать первое условие возникновения ферромагнетизма у веществ.

Для того чтобы вещество хорошо намагничивалось и в нем создавалась большая магнитная индукция, необходимо, чтобы у атомов этого вещества существовали нескомпенсированные спины электронов в подоболочках, предшествующих валентной.

Однако выполнения только одного этого условия недостаточно для того, чтобы вещество являлось ферромагнетиком. Связано это с тем, что в любом объеме вещества, с которым приходится иметь дело на практике, содержится большое количество атомов. Электроны атомов образуют многоэлектронный коллектив.

Между атомами происходит постоянный обмен электронами. При обмене между электронами соседних атомов возникает сильное электростатическое взаимодействие. Данное взаимодействие получило название «обменного», а энергия этого взаимодействия называется «обменной энергией».

Такое электростатическое взаимодействие электронов соседних атомов способно ориентировать нескомпенсированные спины электронов определенным образом. Направление ориентации спинов электронов соседних атомов определяется значением обменной энергии.

График зависимости обменной энергии от отношения *K* приведен на рис. 3.2.

Известно, что обменная энергия зависит от отношения

$$k = \frac{a}{r},$$

где a– расстояние между центрами соседних атомов; r – радиус электронной подоболочки с некомпенсированными спинами электронов.

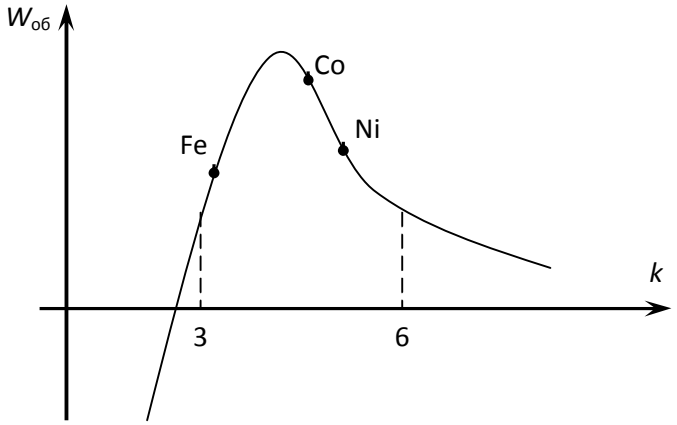

Рис. 2.2. Зависимость «обменной» энергии от геометрических размеров кристаллической решетки вещества

При k> 3 обменная энергия положительна, но настолько мала, что спины электронов соседних атомов ориентируются хаотично, вещества с такой ориентацией спинов намагничиваются слабо и относятся к классу парамагнетиков. С уменьшением kзначение обменной энергии возрастает, что заставляет спиновые моменты соседних атомов ориентироваться параллельно друг другу. Это приводит к тому, что спиновые моменты атомов складываются и возникает самопроизвольное намагниченное состояние вещества. При k = 3,5 обменная энергия достигает максимума и при дальнейшем сближении атомов начинает убывать. Когда k< 3, обменная энергия становится отрицательной. При отрицательной обменной энергии энергетически выгодным становится взаимопротивоголожная ориентация спинов электронов соседних атомов, приводящая к их взаимной компенсации. Вещества с отрицательной обменной энергией называются антиферромагнетиками.

Таким образом, второе условие возникновения ферромагнетизма в веществе заключается в том, что оно должно обладать достаточно большей положительной обменной энергией, т. е. отношение kдолжно находиться в диапазоне 3 <k< 6.

При выполнении обоих условий в веществе возникает внутреннее магнитное поле, характеризуемое намагниченностью М, определяемой в соответствии с уравнением (3.1).

3.3. Классификация веществ по магнитным свойствам

В 3.2. показано, что магнитные свойства веществ зависят от наличия или отсутствия нескомпенсированных спиновых моментов в электронных подоболочках атомов и от длины междуатомных расстояний между соседними атомами (отношение k).

По способности намагничиваться под воздействием магнитного поля все вещества подразделяются на следующие большие группы: диамагнетики, парамагнетики, магнетики.

Магнетики, в свою очередь, подразделяются на ферромагнетики, ферримагнетики и антиферромагнетики. Краткая характеристика каждой из групп материалов приведена в табл. 3.1.

Таблица 3.1.

Классификация веществ по магнитным свойствам

Группа	Ориентация спиновых электронов соседних атомов	Краткая характеристика свойств
Диамагнетики	нескопенсированные спины электронов, отсутствуют	при отсутствии намагничивающего поля (H=0), намагниченность M=0. При $H\neq0$ появляются индуктированные магнитные моменты и $M\neq0$. Отсюда $\chi=-10^{-6}$, а $\mu_r<1$. Магнитная проницаемость μ_r не зависит от напряженности поля
Парамагнетики	ориентация спиновых моментов соседних атомов хаотичная	при H=0, у атомов существуют собственные магнитные моменты m, но намагниченность M=0, из-за хаотической оринетации спиновых моментов, $10^{-6}<\chi<10^{-3}$. Магнитная проницаемость $\mu_r>1$, но не значительно и не зависит от напряженности магнитного поля

Продолжение табл. 3.1

Группа	Ориентация спиновых электронов соседних атомов	Краткая характеристика свойств
Ферромагнетики	ориентация спиновых моментов паралельная	при H=0, у атомов существуют собственные магнитные моменты m, возникают области с самопроизвольной намагниченностью ($M\neq0$). Но в целом намагниченность всего атома вещества равна 0. $X=10^5\ldots10^7$. Магнитная проницаемость $\mu_r>>1$ и ее значение зависит от напряженности магнитного поля
Ферримагнетики (ферриты)	антипаралельная ориентация магнитных моментов разного	материалы, получаемые спеканием оксидов железа, никеля, цинка,

	значения	марганца и других металлов, являются нескомпенсированными антиферомагнетиками. При H=0 существуют области самопроизвольного намагничивания с $M \neq 0$. В целом вещество остается ненамагниченным. Магнитная проницаемость $\mu_r >> 1$ и зависит от напряженности поля
Антиферомагнетики	антипаралельная ориентация спиновых моментов соседних атомов	атомы имеют собственные магнитные моменты, одинаковые по значению и противоположно направленные. При H=0, намагниченность M=0, т. к. эти вещества обладают отрицательной обменной энергией. Легированием других веществ могут быть превращены в ферримагнетики.

Из таблицы видно, что наиболее высокими свойствами обладают ферромагнетики и ферримагнетики, в которых можно создавать значительно большие магнитные индукции, чем в других материалах, из-за наличия у них самопроизвольной намагниченности.

3.4. Строение ферромагнетиков

Все процессы намагничивания и перемагничивания обусловлены магнитным взаимодействием атомов. Это взаимодействие приводит к тому, что при отсутствии внешнего магнитного поля ферромагнитные тела разбиваются на области с самопроизвольным намагничиванием, называемые *доменами*.

Объем домена колеблется в пределах $10^{-1} \div 10^{-6}$ см^3. Каждый из доменов намагничен до насыщения в направлении, отличном от направления намагниченности соседних доменов. Насыщенное магнитное состояние домена оценивается намагниченностью насыщения M_S, которая определяется из следующего уравнения:

$$M_S = \lim_{V \to 0} \left(\sum_{i=1}^{n} \frac{m_i}{V} \right). \qquad (3.6)$$

Направление намагниченности каждого из доменов устанавливается таким, чтобы магнитные моменты их взаимокомпенсировались, и намагниченность ферромагнетика в целом равнялась нулю при отсутствии внешнего намагничивающего поля.

Рассмотрим подробнее, почему это происходит. Допустим, что ферромагнетик имеет однодоменную структуру, при которой магнитные моменты атомов ориентированы параллельно.

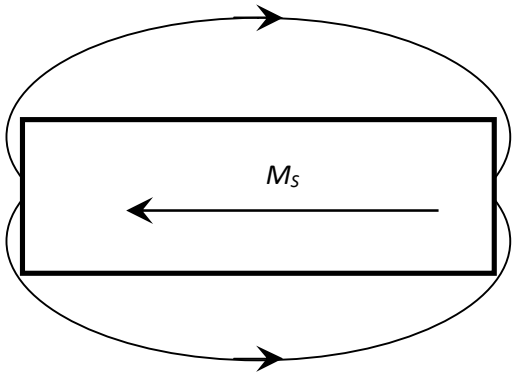

Рис. 3.3. Однодоменная структура строения ферромагнетика

При такой структуре строения (рис. 3.3.) силовые линии магнитного поля замыкаются через окружающее образец воздушное пространство, и, следовательно, в нем возникает размагничивающее поле напряженностью:

$$H_p = -N \cdot M_S, \tag{3.7}$$

где N– коэффициент размагничивания, значение которого зависит от структуры строения, ферромагнетика (числа доменов).

В отсутствие внешнего магнитного поля свободная магнитостатическая энергия образца в собственном размагничивающем поле зависит от коэффициента размагничивания и может быть определена из уравнения

$$W_{\text{ст}} = -0{,}5N \cdot H_p \cdot M_S = 0{,}5N \cdot M_S^2. \tag{3.8}$$

Так как коэффициент размагничивания имеет наибольшее значение при однодоменной структуре строения, то и свободная магнитостатическая энергия максимальна именно при такой структуре строения.

Известно, что при отсутствии внешних источников энергии вещество стремится приобрести такую структуру строения, при которой его собственная энергия была бы минимальна. С этой точки зрения однодоменная структура строения для ферромагнетика является энергетически невыгодной, так как в этом случае он обладает максимальной свободной магнитостатической энергией.

Стремясь уменьшить значение магнитостатической энергии, ферромагнетик начинает самопроизвольно делиться на области со спонтанным намагничиванием.

Энергетически более выгодными являются структуры с двумя и четырьмя доменами, рис. 3.4.

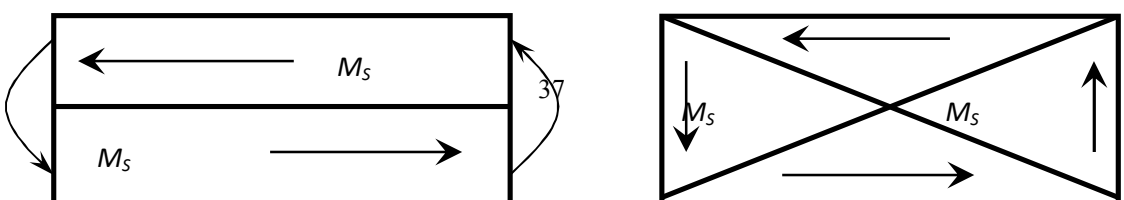

Рис. 3.4. Двухдоменная и четырехдоменная структура строения ферромагнетика

При двухдоменной структуре коэффициент размагничивания и, следовательно, свободная магнитостатическая энергия приблизительно в два раза меньше, чем при однодоменной.

Энергетически еще более выгодной является структура с четырьмя доменами. При самопроизвольном разбиении образца на 4 домена в каждом из них устанавливаются такие направления спонтанной намагниченности, при которых магнитный поток замыкается внутри образца и размагничивающее поле отсутствует, $H_p = 0$.

При переходе от домена к домену направление намагниченности изменяется плавно в пределах слоя, расположенного между соседними доменами. Этот слой получил название стенки, или границы (рис. 3.5).

В пределах границы происходит постепенный поворот спинов от одного направления намагниченности к другому. Толщина стенок соответствует определенному значению общей свободной энергии стенки, которая складывается из обменной энергии, магнитоупругой энергии и энергии магнитной анизотропии.

Спонтанное деление образца ферромагнетика на домены приводит к уменьшению свободной магнитостатической энергииобразца. Но одновременно возрастает количество стенок между доменами, что приводит к увеличению свободной энергии, равной сумме свободных энергий всех стенок.

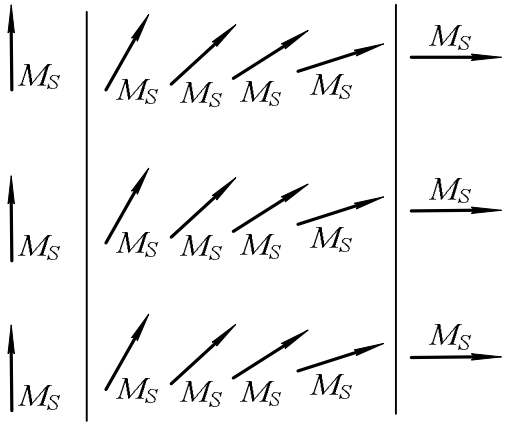

Рис. 3.5. Схема поворота спинов атома в пределах границы домена

Деление ферромагнетика на домены будет продолжаться до тех пор, пока затраты энергии на создание нового домена, равные свободной энергии стенки,

не сравняются с уменьшением магнитостатической энергии. Дальнейшее деление ферромагнетика на домены становится энергетически невыгодным.

Доменная структура строения ферромагнетика сохраняется только до определенной температуры, называемой температурой Кюри, или точкой Кюри.

Точка Кюри соответствует равенству кинетической энергии теплового движения и обменной энергии. Поэтому у разных ферромагнетиков точка Кюри различна. Так, у железа она равна 770 °С, у никеля – 358 °С, у кобальта – 1127 °С.

При температуре выше, чем точка Кюри, кинетическая энергия теплового движения становится достаточной для преодоления ориентирующего действия обменной энергии, и состояние самопроизвольной намагниченности доменов нарушается. Ферромагнетик превращается в парамагнетик.

3.5. Явления магнитной анизотропии и магнитострикции

Практически все ферромагнетики состоят из большого числа кристаллов. Кристаллы различных материалов имеют разные пространственные кристаллические решетки, в узлах которых находятся атомы вещества. Так, кристалл железа представляет собой куб, в вершинах и в центре которого располагаются атомы железа (рис. 3.6, *а*).

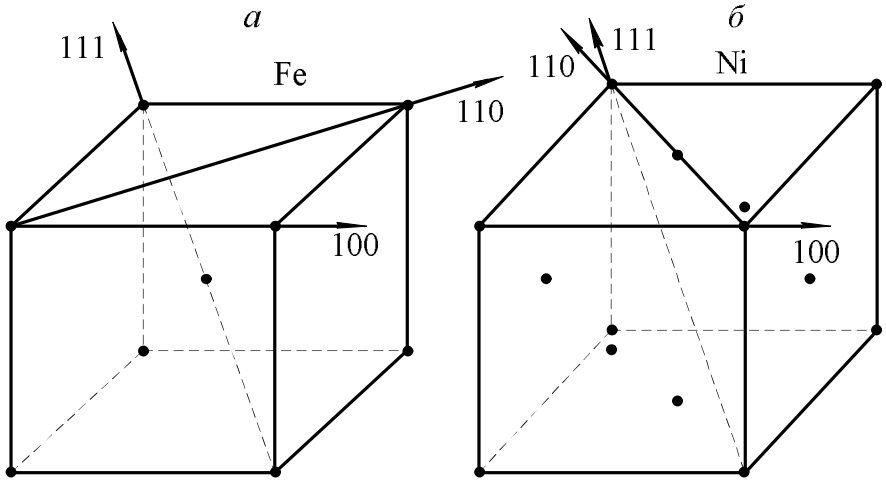

Рис. 3.6. Основные кристаллографические направления железа и никеля

В кристаллах железа различают три основные кристаллографических направления:

- 100 – направление по ребру куба;
- 110 – направление по диагонали грани куба;
- 111 – направление по диагонали грани самого куба.

Если ферромагнетик намагничивать по различным кристаллографическим направлениям, то состояние насыщения будет достигаться при разных значениях напряженности магнитного поля.

Состояние магнитного насыщения железа достигается при наименьшей напряженности намагничивающего поля, если намагничивание производится по направлению 100, т. е. по ребру куба. И наоборот, насыщение железа происходит при максимальной напряженности намагничивающего поля, если намагничивание производится по кристаллографической оси 111.

Направление 100 называется *осью легкого намагничивания*, направление 111 – *осью трудного намагничивания*.

Если железо намагничивать по кристаллографическому направлению 110, то насыщение материала достигается при меньшей напряженности намагничивающего поля, чем при намагничивании по оси 111 и большей, чем при намагничивании по кристаллографическому направлению 100. Кристаллографическое направление 110 называется *осью среднего намагничивания*. Кривые намагничивания для разных направлений железа приведены на рисунке 3.7.

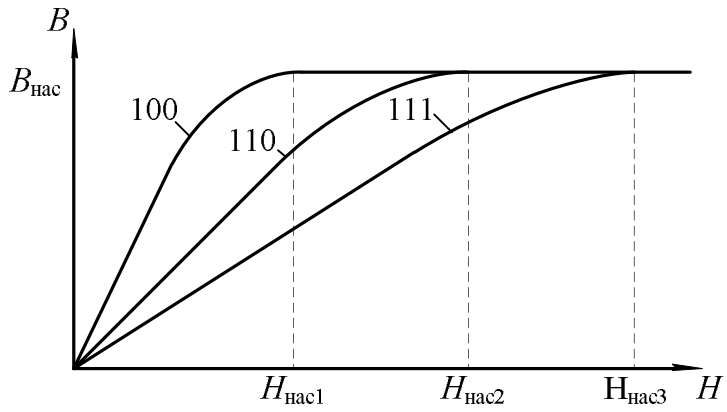

Рис. 3.7. Кривые намагничивания для разных направлений железа

В отличие от железа, у кристалла никеля атомы располагаются в вершинах и в центрах каждой грани куба. Такое расположение атомов в кристалле никеля приводит к изменению осей легкого и трудного намагничивания. У никеля осью легкого намагничивания является направление 111, а осью трудного намагничивания – кристаллографическое направление 100 (рис. 3.6, *б*). Направление среднего намагничивания у никеля остается таким же, что и у железа –110.

Различие магнитных свойств у ферромагнетиков при намагничивании по различным кристаллографическим направлениям называется *магнитной анизотропией*.

Явление магнитной анизотропии учитывается при изготовлении холоднокатаных анизотропных текстурованных электротехнических сталей. У таких сталей оси легкого намагничивания всех кристаллов совпадают с направлением прокатки. Применение анизотропных холоднокатаных сталей позволяет уменьшить вес электрических машин примерно на одну треть, по

сравнению с электрическими машинами такой же мощности, в которых используется изотропная горячекатаная сталь.

Намагничивание ферромагнетиков сопровождается изменением линейных размеров образца за счет магнитного взаимодействия электронов, вызывающего измененииерасстояний и деформацию кристаллической решетки. Это явление называется *магнитострикцией*. Относительное изменение линейных размеров ферромагнетика при намагничивании оценивается коэффициентом магнитострикции:

$$\lambda = \pm \frac{\Delta l}{l},$$

где Δl– удлинение образца ферромагнетика при намагничивании; l – исходная длина образца до намагничивания.

Значение и знак коэффициента магнитострикции зависят от направления намагничивания и вида ферромагнетика.

Так, при намагничивании кристалла железа по оси легкого намагничивания происходит его удлинение вдоль этой оси и, следовательно, коэффициент магнитострикции является положительным.

Если же железо намагничивать по оси трудного намагничивания, то происходит укорочение образца вдоль данной оси, т. е. коэффициент магнитострикции отрицателен.

В отличие от железа, у кристаллов никеля коэффициент магнитострикции отрицателен при намагничивании по оси легкого намагничивания 111, и положителен, если намагничивать кристалл по оси трудного намагничивания.

Удлинение или сжатие ферромагнетика в направлении намагничивающего поля сопровождается сжатием или удлинением, соответственно, в поперечном направлении.

Явление магнитострикции обнаруживается и во влиянии внешних механических воздействий на магнитные свойства ферромагнетиков.

Растяжение ферромагнетика внешними механическими силами вызывает облегчение, а сжатие – затруднение процесса намагничивания, если у ферромагнетика положительный коэффициент магнитострикции. Для материалов с отрицательным коэффициентом магнитострикции сжатие приводит к облегчению, а растяжение – к затруднению процесса намагничивания. Явление магнитострикции широко используется в технике. Например, в области ультразвуковой локации магнитострикционные материалы широко используются как источники ультразвука.

Явление магнитострикции, свойственное магнитным материалам, приводит к тому, что линейные размеры магнитопроводов машин переменного тока колеблются с частотой, равной частоте переменного магнитного поля. Это

приводит к возникновению дополнительных механических напряжений в местах крепления магнитопровода к корпусу электрической машины и появлению шума, что является нежелательным.

3.6. Намагничивание ферромагнетика

Если размагниченный ферромагнетик поместить в магнитное поле, то под воздействием напряженности поля начинается перераспределение магнитных моментов доменов, в результате которого появляется намагниченность ферромагнетика в направлении напряженности намагничивающегося поля.

Внутри ферромагнетика создается магнитная индукция, значение которой определяется намагниченностью ферромагнетика и напряженностью *H*намагничивающего поля:

$$B = \mu_0(H + M). \qquad (3.9)$$

В ферромагнетиках внутренняя намагниченность значительно больше напряженности намагничивающего поля (*H*>*M*). В связи с этим значение магнитной индукции, в основном, определяется внутренней намагниченностью ферромагнетика, ане напряженностью внешнего поля.

Рассмотрим подробнее процесс намагничивания ферромагнетика. На рис. 3.8. приведена основная кривая намагничивания .

Выделим на этой кривой участки, в пределах которых возрастание магнитной индукции обусловливается различными процессами.

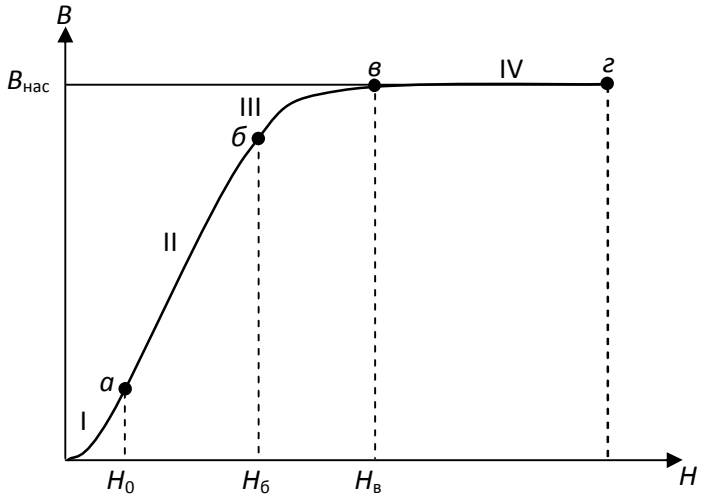

Рис. 3.8. Основная кривая намагничивания ферромагнетика

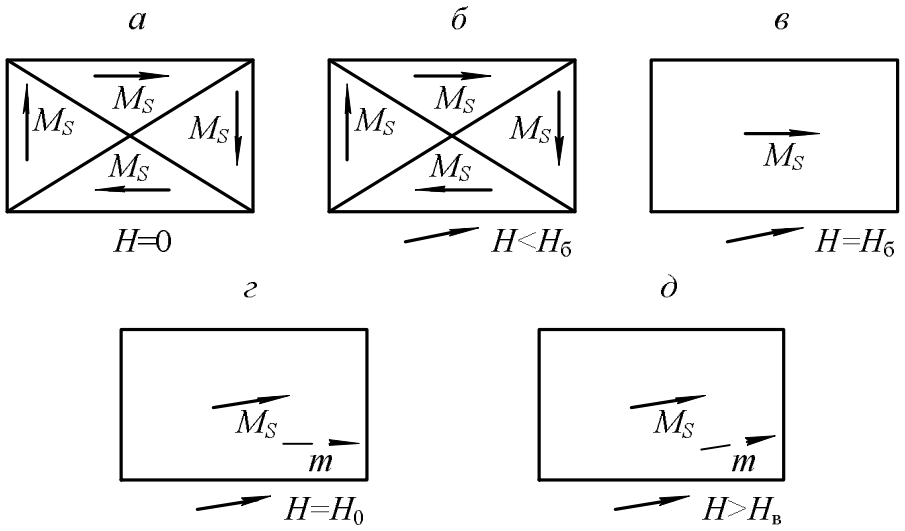

Рис. 3.9. Схема намагничивания ферромагнетика

Из параграфа 3.4. известно, что размагниченный образец ферромагнитного материала при отсутствии магнитного поля (H = 0) самопроизвольно разбивается на домены, направление намагниченности каждого из которых такое, что суммарная намагниченность образца в целом равна 0 (рис. 3.9, *а*).

Намагничиваем образец, плавно увеличивая напряженность магнитного поля. В диапазоне изменения напряженности Hот 0 до $H_а$ происходит рост объема (смещение границ) тех доменов, у которых направление собственной намагниченности наиболее близко к направлению напряженности внешнего намагничивающего поля (рис. 3.9, *б*). Процесс роста домена в этом диапазоне осуществляется вполне упруго и без потерь энергии. Если напряженность поля опять уменьшить до 0, то ферромагнетик вернется в исходное размагниченное состояние (см. рис. 3.9, *а*).

При возрастании напряженности в диапазоне $H_а< H < H_б$магнитная индукция за счет продолжающегося смягчения границ доменов с наименьшим углом между собственностью и напряженностью намагничивающегося поля (рис. 3.9, *б*). Только этот процесс приобретает необратимый характер и связан с потерями энергии. Необратимость процесса на участке IIкривой намагничивания (см. рис. 3.8) обусловлена тем, что неоднородные внутренние напряжения, инородные включения, пустоты идефекты, всегда имеющиеся в материале, препятствуют смещению границ доменов. Наличие препятствий приводит к тому, что при плавном повышении напряженности поля индукция в ферромагнетике изменяется скачкообразно. Скачкообразное изменение индукции вызывает появление микроскопических вихревых токов, при

протекании которых происходит нагрев образца, т.е. в материале возникают потери энергии на намагничивание.

Чтобы размагнитить образец после того, как напряженность поля возросла до $H > H_а$,необходимо изменить направление напряженности поля на обратное и опять затратить энергию. Когда напряженность поля $H = H_б$, ферромагнетик приобретает однодоменную структуру строения (рис. 3.9, *в*),но направление намагниченности отлично от направления напряженности намагничивающегося поля.

Дальнейшее повышение напряженности поля вызывает рост магнитной индукции в образце за счет процесса ориентации магнитных моментов в направлении поля (поворот моментов). Когда направление магнитных моментов домена совпадает с направлением напряженности намагничивающего поля, рост магнитной индукции практически прекратится с ростом напряженности поля (рис. 3.9, *г*).

Такое состояние ферромагнетика называется техническим насыщением. Напряженность поля в точке «в» кривой намагничивания обозначается H_Sи называется *напряженностью насыщения*.

С дальнейшим ростом напряженности поля ($H > H_в$) наблюдается медленное и весьма незначительное повышение намагниченности за счет парапроцесса, заключающегося в дополнительной ориентации спиновых моментов электронов, направление которых отлично от направления поля из-за теплового движения частиц.

3.7. Свойства ферромагнитных материалов в квазипостоянных магнитных полях

Квазипостоянным магнитным полем называется такое переменное поле, напряженность которого изменяется с частотой, близкой к 0, и амплитудой, равной H_m .

Если предварительно размагниченный образец поместить в квазипостоянное магнитное поле, то при возрастании напряженности поля от 0 до + H_m индукция в образце увеличивается в соответствии с основной кривой намагничивания (участок *ОА*, рис. 3.10).

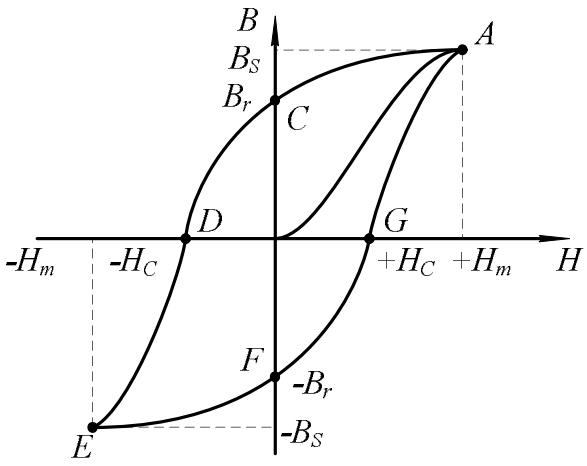

Рис. 3.10. Петля гистерезиса ферромагнетика

После того, как напряженность намагничивающего поля достигнет значения, равного амплитудному, она начинает уменьшаться до 0, вызывая снижение магнитной индукции за счет обратного поворота магнитного момента домена в направлении ближайшей оси легкого намагничивания. Когда напряженность поля станет равной 0, в ферромагнетике сохранится остаточная магнитная индукция B_r (участок *AC*, см. рис. 3.10). В дальнейшем напряженность намагничивающего поля изменяет свое направление на обратное и становится «отрицательной», вызывая дальнейшее уменьшение магнитной индукции (участок *CD*, см. рис. 3.10). На этом участке происходит необратимое разделение однодоменной структуры ферромагнетика на ряд доменов с различными направлениями собственных магнитных моментов. Когда напряженность поля *H*становится равной $-H_C$ (коэрцитивная сила), ферромагнетик приобретает структуру, аналогичную структуре строения до начала намагничивания, а индукция образца становится равной нулю (точка *D*, см. рис. 3.10).

На участке *DE* напряженность поля изменяется в пределах от $-H_C$ до $-H_m$. Магнитная индукция в образце возрастает за счет смещения границ доменов и последующей ориентации векторов намагниченности в направлении действия поля.

Достигнув амплитудного значения, напряженность магнитного поля начинает изменяться от $-H_m$ до 0.

Индукция в образце уменьшается до значения, равного остаточной магнитной индукции (участок *EF*) за счет процесса, аналогичного процессу размагничивания ферромагнетика на участке АС.

При изменении напряженности поля от 0 до $+H_C$ (участок *FG*) продолжается процесс размагничивания образца аналогично размагничиванию на участке *CD*. Когда $H = H_C$, индукция в образце равна 0.

Дальнейшее возрастание напряженности поля до амплитудного значения приводит к намагничиванию образца и возрастанию индукции.

Таким образом, зависимость магнитной индукции от напряженности квазипостоянного поля за полный цикл перемагничивания представляет петлю, называемую *петлей гистерезиса*.

Площадь петли гистерезиса пропорциональна потерям на гистерезис.

Если после каждого цикла перемагничивания увеличивать амплитуду напряженности квазипостоянного магнитного поля, то получится семейство петель гистерезиса. Причем большему значению амплитуды напряженности поля будет соответствовать петля с большей амплитудой магнитной индукции и площадью петли (рис. 3.11). Когда напряженность поля достигает значения, при котором наступает насыщение ферромагнетика, площадь петли гистерезиса максимальна. При дальнейшем возрастании амплитуды напряженности площадь петли остается постоянной, а в концах петли появляются прямолинейные участки со слабым возрастанием магнитной индукции.

Петля с наибольшей площадью называется *предельной петлей гистерезиса*.

По предельной петле гистерезиса определяются основные характеристики магнитных материалов, значения которых приводятся в справочниках; индукция технического насыщения, B_s; напряженность поля, при которой достигается насыщение ферромагнетика, H_s; остаточная индукция, B_r; коэрцитивная сила, H_c.

Если через вершины семейства петель гистерезиса провести линию, то полученная кривая $B_m = f(H_m)$ представляет собой основную кривую намагничивания.

По основной кривой намагничивания определяются абсолютная и относительная магнитные проницаемости:

$$\mu_a = \frac{B_m}{H_m}; \tag{3.10}$$

$$\mu_r = \frac{B_m}{(\mu_o \cdot H_m)}, \tag{3.11}$$

где μ_a – абсолютная магнитная проницаемость.

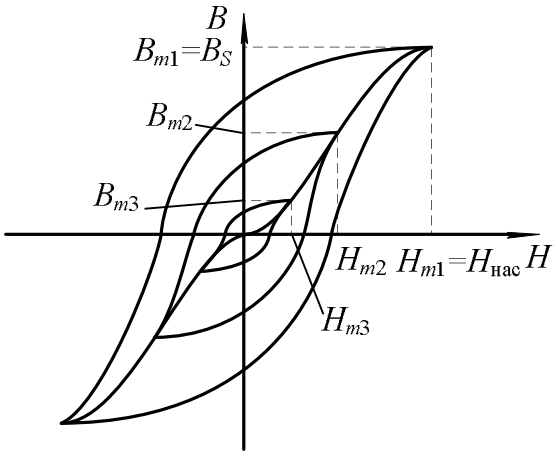

Рис. 3.11. Семейство петель гистерезиса

Определяя значение относительной магнитной проницаемости для каждого значения напряженности намагничивающего поля по основой кривой намагничивания, можно получить зависимость $\mu_r = f(H_m)$, (рис. 3.12).

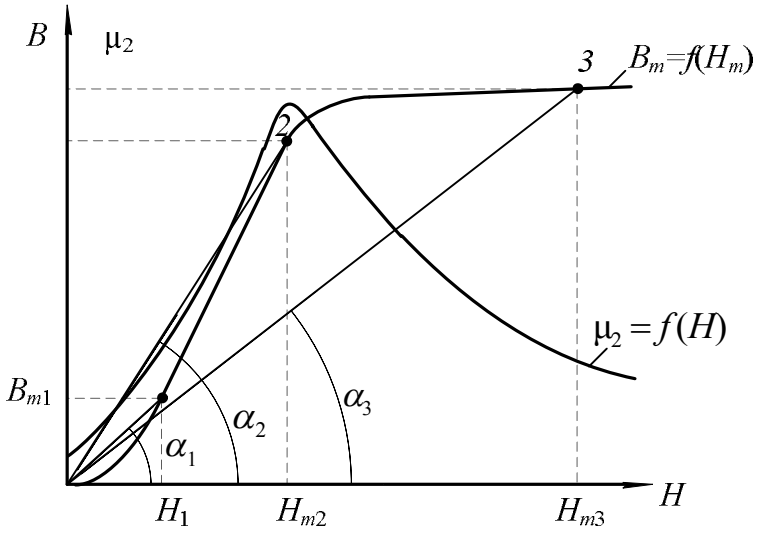

Рис. 3.12. Зависимость относительной магнитной проницаемости от напряженности поля

Как видно из рис. 3.12,относительная магнитная проницаемость с ростом напряженности поля вначале возрастает от $\mu_{нач}$ до μ_{max}, а затем уменьшается. Неоднозначный характер изменения μ_r связан с видом основной кривой намагничивания. Покажем это на примере. Допустим, что необходимо определить проницаемость материала μ_r в точках 1, 2 и 3.

Тогда, в соответствии с формулой (3.11):

$$\mu_{r1} = \frac{B_1}{(\mu_o \cdot H_1)};$$

$$\mu_{r2} = \frac{B_2}{(\mu_o \cdot H_2)};$$

$$\mu_{r3} = \frac{B_3}{(\mu_o \cdot H_3)}.$$

B_1 и H_1, B_2 и H_2, B_3 и H_3 с учетом масштабов по индукции и напряженности представляют собой катеты прямоугольных треугольников с вершинами O_{11}, O_{22} и O_{33} соответственно, а отношения B_1/H_1, B_2/H_2, B_3/H_3являются тангенсами углов наклона, образованных прямыми, проведенными из начала координат в точки 1, 2, 3, на кривой намагничивания.

Вследствие переменной крутизны основной кривой намагничивания, угол наклона этих прямых сначала возрастает, затем, когда ферромагнетик входит в состояние насыщения, уменьшается с ростом напряженности намагничивающего поля. Максимальное значение магнитной проницаемости μ_r достигается в той точке кривой намагничивания, в которой прямая, соединяющая эту точку с началом координат, является касательной к кривой намагничивания. Значение магнитной проницаемости в этой точке обозначается $\mu_{r\,max}$иобычно находится в начале участка *б – в* кривой намагничивания (см. рис. 3.8).

Определение магнитной проницаемости μ_r при напряженности поля $H = 0$ в соответствии с уравнением (3.11) лишено смысла, так как значение относительной магнитной проницаемости в этом случае неопределенно. В связи с этим введено понятие *начальной магнитной проницаемости* $\mu_{r\,нач}$.

За начальную магнитную проницаемость принимается предельное значение отношения индукции, деленной на магнитную постоянную, к напряженности при стремлении напряженности магнитного поля к нулю:

$$\mu_{r\,нач} = \frac{1}{\mu_o} \cdot \lim_{H \to 0} \frac{B}{H}. \qquad (3.12)$$

Практически начальная магнитная проницаемость $\mu_{r\,нач}$ определяется при напряженности поля $H \leq 0{,}1$ А/м.

Значения начальной $\mu_{r\,нач}$и максимальной $\mu_{r\,max}$ магнитных проницаемостей для каждого магнитного материала приводятся в справочниках.

3.8. Дифференциальная магнитная проницаемость

Неоднозначность зависимости магнитной индукции от напряженности поля существенно усложняет расчет и анализ цепей, содержащих магнитные элементы. С целью упрощения, расчеты и анализ электромагнитных цепей часто ведутся по основной кривой намагничивания $B=f(H)$, что в ряде случаев приводит к существенным ошибкам. Особенно это касается тех ферромагнитных устройств, форма и значение выходного напряжения которых зависят от того, как и в каких пределах изменяется на напряженность магнитного поля. Для таких устройств введена еще одна характеристика магнитного материала – дифференциальная магнитная проницаемость:

$$\mu_{rg} = \frac{1}{\mu_0} \cdot \frac{dB}{dH}, \qquad (3.13)$$

где $\frac{dB}{dH}$ – производная от магнитной индукции по напряженности поля в заданной точке петли гистезиса.

Если определить μ_{rg} в каждой точке петли гистезиса, то можно получить зависимость $\mu_{rg}=f(H)$, представленную на рис. 3.13.

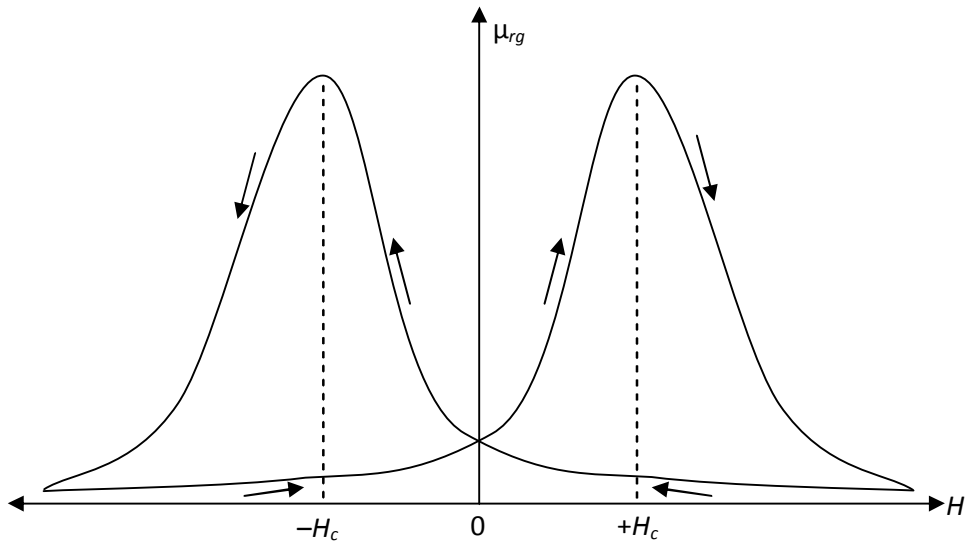

Рис. 3.13. Зависимость дифференциальной магнитной проницаемости от напряженности магнитного поля

Полученная зависимость $\mu_{rg}=f(H)$ за полный цикл перемагничивания представляет собой замкнутую петлю с двумя максимумами. Максимальные значения μ_{rg} достигаются при напряженностях магнитного поля, приблизительно равных коэффициентной силе $H=\pm H_c$. Минимальные значения μ_{rg} соответствуют вершинам предельной петли гистезиса.

В диапазоне напряженности от 0 до $+H_c$ дифференциальная магнитная проницаемость возрастает до $\mu_{rg\max}$, т. к. возрастает производная от индукции по напряженности (крутизна петли гистезиса) $\frac{dB}{dH}$ (участок *FG*, рис. 3.10).

При изменении напряженности поля от $+H_c$ до $+H_m$ μ_{rg} уменьшается из-за уменьшения крутизны петли гистезиса (участок *GA* рис. 3.10).

Последующее уменьшение *H* от $+H_m$ до 0, вызывает медленное возрастание дифференциальной магнитной проницаемости, т. к. крутизна петли гистезиса на участке *AC* (рис. 3.10) медленно растет.

Характер зависимости $\mu_{rg}=f(H)$ при отрицательных значениях напряженности аналогичен характеру этой же зависимости при положительных значениях напряженности.

3.9. Свойства ферромагнетиков в переменных магнитных полях

3.9.1. Динамическая петля намагничивания

Когда на магнитный материал воздействует переменное магнитное поле, напряженность которого изменяется с частотой *f*, то он периодически перемагничивается с той же самой частотой. При таком циклическом перемагничивании зависимость магнитной индукции от напряженности магнитного поля представляет собой петлю, которая называется *д и н а м и ч е с к о й п е т л е й намагничивания.*

Площадь динамической петли намагничивания больше площади петли гистерезиса, полученной при той же амплитуде напряженности поля. Это объясняется тем, что потери на перемагничивание в переменных магнитных полях больше, чем в квазипостоянных. Если изменять амплитуду напряженности переменного магнитного поля, то можно получить семейство динамических петель намагничивания (рис. 3.14).

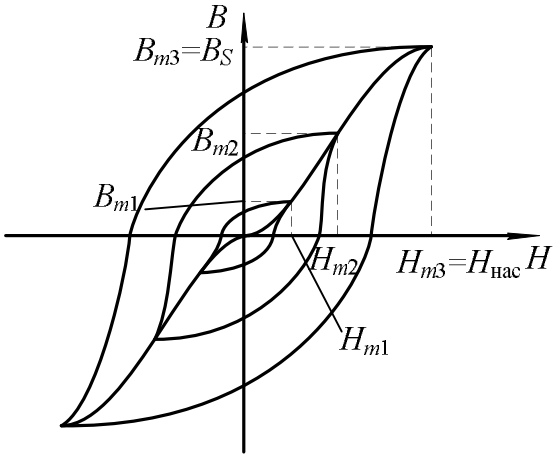

Рис. 3.14. Семейство динамических петель намагничивания

Как видно из рис. 3.14, с увеличением амплитуды напряженности магнитного поля растут амплитуда магнитной индукции и площадь динамической петли намагничивания. После того, как амплитуда напряженности поля достигает значения, при котором наступает насыщение магнитного материала, возрастание индукции и площади петли прекращается, а в вершинах петли появляются линейные участки, практически параллельные оси напряженности поля.

Петля с наибольшей площадью называется *предельной динамической петлей намагничивания.*

Если через вершины семейства динамических петель намагничивания провести линию, то полученная зависимость $B_m = f(H_m)$ называется *основной динамической кривой намагничивания*.

По предельной динамической петле намагничивания и динамической кривой намагничивания определяются основные характеристики магнитных материалов в переменном магнитном поле аналогично определению характеристик этих материалов в квазипостоянном магнитном поле.

3.9.2. Эффект вытеснения магнитного поля при перемагничивании ферромагнетиков в переменном поле

Перемагничивание в переменном магнитном поле приводит к появлению в магнитных материалах вихревых токов, протекание которых вызывает появление эффекта вытеснения магнитного поля из центра к периферии образца.

Рассмотрим подробнее это явление.

Пусть имеется образец магнитного материала площадью сечения S (рис. 3.15).

Можно разбить сечение такого образца на ряд элементарных замкнутых контуров толщиной Δh.Переменный магнитный поток, сцепляясь с каждым из элементарных витков, наводит в них ЭДС.

Под воздействием наведенной ЭДС в каждом из витков начнет протекать макроскопический вихревой ток, который создает свою магнитодвижущую силу $F_{вт}$,направленную противоположно основной магнитодвижущей силе, создающей переменный магнитный поток в образце. Таким образом, в переменном магнитном поле на магнитный материал воздействуют две магнитодвижущие силы, направленные встречно друг другу. В результате возникает результирующая магнитодвижущая сила (МДС), которая может быть определена как разность двух магнитодвижущих сил:

$$F_{р} = F - F_{вт},$$

где $F_{р}$– результирующая МДС; F– основная МДС, создаваемая намагничивающим током; $F_{вт}$– МДС вихревого тока.

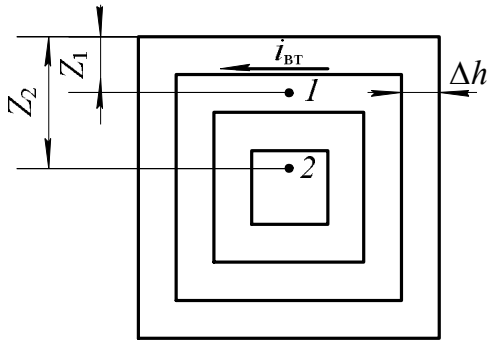

Рис. 3.15. К объяснению эффекта вытеснения

Известно, что значение магнитодвижущей силы вихревого тока в какой-либо точке сечения образца зависит от числа элементарных контуров, охватывающих данную точку. Поскольку точка *2* охвачена большим числом элементарных контуров с вихревыми токами, чем точка *1*, то можно сделать вывод, что магнитодвижущая сила вихревого тока возрастает по мере удаления от поверхности образца к центру (рис. 3.16). Экспериментально установлено, что МДС вихревого тока зависит от расстояния до заданной точки от поверхности образца по экспоненциальному закону (кривые $F_{вт1}$ и $F_{вт2}$).

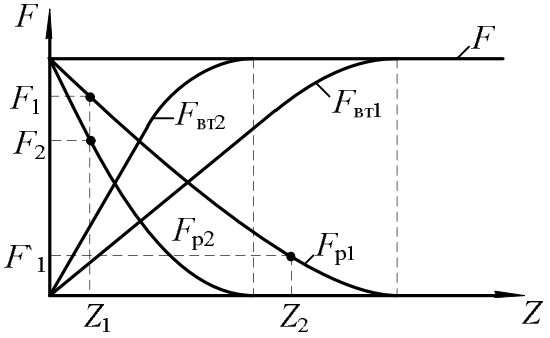

Рис. 3.16. Зависимость изменения результирующей МДС от расстояния до поверхности

образца

На рис. 3.16 построены зависимости магнитодвижущих сил от расстояния Z для двух различных частот намагничивающего поля f_1 и f_2 ($f_1>f_2$). Тогда результирующая магнитодвижущая сила по мере удаления от поверхности образца к его центру убывает также по экспоненциальному закону (кривые F_{p1} и F_{p2}). Аналогично результирующей магнитодвижущей силе уменьшается и напряженность магнитного поля по мере удаления от поверхности образца к центру. Зависимость напряженности поля от расстояния определяется из уравнения:

$$H(Z) = H_{\max} \cdot e^{-bz}.$$

где H_{max} – напряженность поля на поверхности образца; Z– расстояние от поверхности образца; $b = 2\pi \frac{\sqrt{\frac{\mu_p \cdot \gamma}{T}}}{C}$; C – константа, обусловленная выбором системы единиц; T – период волны напряженности поля; γ – удельная проводимость образца.

В соответствии с изменением напряженности переменного магнитного поля уменьшается индукция в образце с увеличением расстояния от его поверхности. При достаточно большой толщине образца уменьшение индукции может привести к тому, что в центральной части сечения образца индукция будет равна 0, а магнитный поток в ней отсутствовать. Таким образом, за счет макроскопических вихревых токов возникает эффект вытеснения магнитного потока из центральной части сечения образца к периферии. Следовательно, из-за эффекта-вытеснения магнитного поля уменьшается площадь сечения образца, по которой проходит магнитный поток. Уменьшение площади сечения приводит к возрастанию магнитного сопротивления образца и соответствующему падению величины магнитного потока. Зависимость магнитного потока Ф в ферромагнетике от магнитодвижущей силы F и от сопротивления магнитной цепи $R_м$ описывается формулой

$$\Phi = \frac{F}{R_м}.$$

Магнитное сопротивление определяется по уравнению:

$$R_м = \frac{l}{S' \cdot \mu_a},$$

где и S' – длина и площадь сечения образца ферромагнетика, через которую проходит магнитный поток; μ_a – абсолютная магнитная проницаемость ферромагнетика.

Как видно из вышеприведенных равенств, уменьшение площади, по которой проходит магнитный поток, вызываем возрастание магнитного сопротивления образца. А увеличение магнитного сопротивления уменьшает магнитный поток в ферромагнетике при неизменной магнитодвижущей силе. Т.к. геометрические размеры образца (длина и площадь сечения) остаются постоянными при намагничивании, то уменьшение магнитного потока к снижению магнитной индукции в образце:

$$B = \frac{\Phi}{S},$$

где S – геометрическая площадь сечения образца.

Для оценки влияния эффекта вытеснения на магнитное сопротивление образца используется характеристика, называемая *глубиной проникновения переменного магнитного поля в ферромагнетик*:

$$Z_1 = \frac{1}{b},$$

где Z_1– глубина проникновения переменного магнитного поля.

Глубиной проникновения называется расстояние от поверхности образца, на котором амплитудное значение напряженности магнитного поля уменьшается в 2,7 раза, по сравнению с напряженностью поля на поверхности образца.

Глубина проникновения определяется химическим составом ферромагнетика и частотой магнитного поля.

Для ослабления эффекта вытеснения магнитопроводы электрических машин собирают из отдельных листов электротехнической стали, толщина которых не превышает Z_1. На поверхности листов стали наносятся электроизоляционные покрытия (лаковые, оксидные и т. п.), обладающие высокими электрическими сопротивлениями, наличие участков с высоким электрическим сопротивлением на пути протекания вихревых токов приводит к их уменьшению и соответственному ослаблению эффекта вытеснения.

При больших толщинах листов, чем Z_1 или цельнолитых магнитопроводах, магнитные свойства ферромагнетиков используются плохо из-за ярко выраженного эффекта вытеснения.

Существенное влияние на эффект вытеснения оказывает частота переменного магнитного поля. Это объясняется тем, что с ростом частоты увеличивается ЭДС $E_{вт}$, наводимая в элементарном контуре, так как значение ее прямо пропорционально частоте. Возрастание ЭДС приводит к увеличению

вихревого тока и МДС $F_{вт}$. Поэтому на одном и том же расстоянии Zот поверхности образца (см. рис. 3.16) результирующая магнитодвижущая сила при большей частоте окажется меньше, чем при меньшей частоте намагничивающего тока. Следовательно, с ростом частоты глубина проникновения переменного магнитного поля уменьшается, что вызывает соответствующее снижение среднего значения индукции в образце.

На рис. 3.16 приведены зависимости $F_{р} = f(Z)$ для двух значений частоты магнитного поля. Зависимость $F_{р2} = f(Z)$ соответствует большей частоте магнитного поля, чем у $F_{р1} = f(Z)$.

3.9.3. Потери на перемагничивание в переменном магнитном поле

Потери мощности на перемагничивание в переменном магнитном поле больше, чем в квазипостоянном поле. Это связано с тем, что в переменном магнитном поле помимо потерь на гистерезис существуют также потери от вихревых токов и добавочные потери.

Потери мощности на перемагничивание определяются следующим образом:

$$P = P_r + P_{вт} + P_g, \tag{3.14}$$

где потери мощности на гистерезис:

$$P_r = \vartheta \cdot f \cdot B_{max}^n \cdot V, \tag{3.15}$$

то же от вихревых токов:

$$P_{вт} = \xi \cdot f^2 \cdot B_{max}^2 \cdot V, \tag{3.16}$$

где ϑ – коэффициент, зависящий от марки ферромагнетика; ξ – коэффициент, зависящий от марки ферромагнетика, толщины листа и формы образца; V – объем ферромагнитного образца; P_g – добавочные потери; n– коэффициент, значение которого определяется величиной индукции в ферромагнетике.

Коэффициент n принимает следующие значения:

$n = 1$ при $B_{max} \leq 0{,}1$ Тл;

$n = 1{,}6$ при $B_{max} \approx 0{,}1 – 1{,}0$ Тл;

$n = 2 – 3$ при $B_{max} > 1{,}0$ Тл.

Природа добавочных потерь полностью не выяснена. Эти потери связаны со структурой строения ферромагнетика, формой и размерами зерен вещества. При практических расчетах потерь их значение принимается примерно равным (0,2 – 0,3) от суммы потерь на гистерезис и вихревые токи:

$$P_g = (0{,}2 – 0{,}3) \cdot (P_r + P_{вт}).$$

3.9.4. Потери на перемагничивание в переменном магнитном поле

Определение свойств ферромагнитных материалов может производиться двумя методами. Первый из них заключается в следующем. Изменяется частота магнитного поля, а индукция, создаваемая в образце, поддерживается неизменной ($f = V_{ar}$, $B_m = \text{const}$). При втором методе с изменением частоты поля поддерживается неизменной напряженность магнитного поля ($f = V_{ar}$, $H_m = \text{const}$).

С увеличением частоты переменного магнитного поля, при условии постоянства амплитуды магнитной индукции, в образце $B_m = \text{const}$, форма динамической петли приближается к эллипсу, вытянутому по оси H (рис. 3.17).

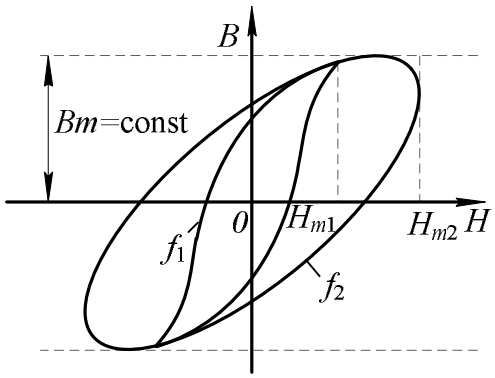

Рис. 3.17. Семейство динамических петель намагничивания

Площадь динамической петли с ростом частоты увеличивается пропорционально потерям мощности на перемагничивание.

Определив значения относительной магнитной проницаемости в вершинах семейства динамических петель намагничивания и потери на перемагничивание, можно построить зависимости $\mu_r = F(f)$ и $P = F(f)$. Эти зависимости приведены на рис. 3.18.

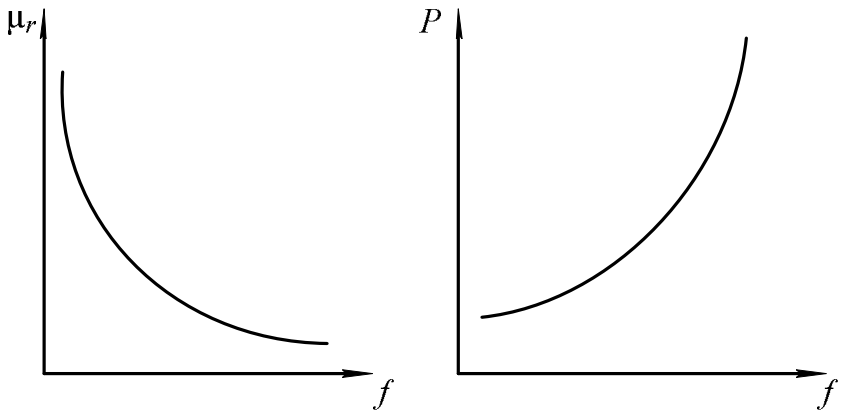

Рис. 3.18. Зависимости $\mu_r = F(f)$

Из рис. 3.18 видно, что с ростом частоты относительная магнитная проницаемость уменьшается. Это явление можно объяснить следующим. С

возрастанием частоты переменного магнитного поля уменьшается среднее значение индукции в образце за счет усиления эффекта вытеснения магнитного поля.

Для того чтобы компенсировать уменьшение индукции, необходимо увеличивать напряженность намагничивающего поля. А так как

$$\mu_r = \frac{B_m}{H_m \cdot \mu_0},$$

то относительная магнитная проницаемость μ_r уменьшается с ростом частоты из-за увеличения амплитуды напряженности поля H_m.

При неизменной магнитной индукции характер изменения потерь мощности на перемагничивание определяется зависимостью этих потерь от вихревых токов. А так как потери мощности пропорциональны квадрату частоты переменного поля, то и зависимость этих потерь в ферромагнетике имеет квадратичный характер от изменения частоты (см. рис. 3.18).

Если увеличивать частоту переменного магнитного поля, поддерживая постоянной его напряженность, то форма динамической петли приближается к эллипсу, а амплитуда магнитной индукции уменьшается (рис. 3.19).

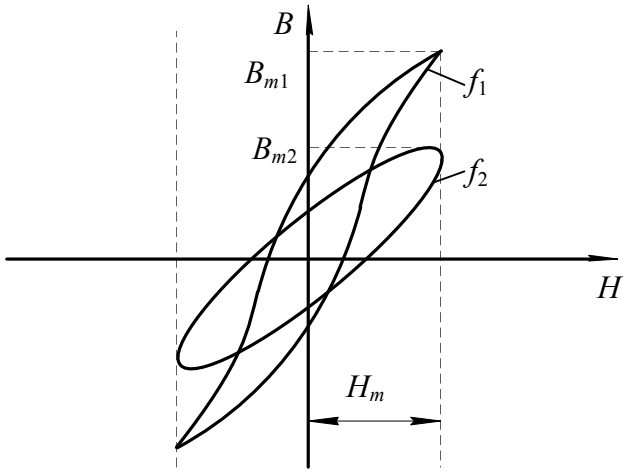

Рис. 3.19. Семейство динамических петель намагничиванияпри $H_m = \text{const}$

Определив по семейству динамических петель намагничивания значения магнитной проницаемости μ_r и потери мощности на перемагничивание, строим зависимости $\mu_r = F(f)$ и $P = F(f)$ (рис. 3.20).

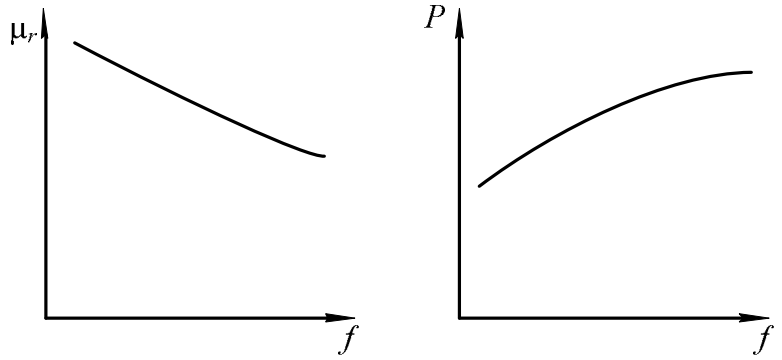

Рис. 3.20. Зависимости $\mu_r = F(f)$ и $P = F(f)$

С ростом частоты относительная магнитная проницаемость ферромагнетика уменьшается, но в меньших пределах, по сравнению с пределом изменения ее при $B_m = \text{const}$ в одном и том же интервале изменения частоты. Это объясняется тем, что с ростом частоты уменьшается амплитуда магнитной индукции ферромагнетика из-за усиления эффекта вытеснения. Электродвижущая сила, наводимая в элементарном контуре $E_{\text{вт}}$, зависит от индукции B_m и частоты f магнитного поля:

$$E_{\text{вт}} \approx S \cdot B_m \cdot f \ ,$$

где S – поперечное сечение образца.

Из приведенного уравнения видно, что электродвижущая сила вихревого тока при неизменной напряженности поля возрастает с увеличением частоты медленнее, чем при постоянной амплитуде магнитной индукции, так как рост ЭДС за счет частоты частично компенсируется ее уменьшением из-за снижения магнитной индукции. Медленное возрастание электродвижущей силы, а следовательно, и вихревого тока, протекающего по элементарному контуру, приводит к тому, что эффект вытеснения при неизменной амплитуде напряженности выражен менее ярко, чем при $B_m = \text{const}$.

Поэтому относительная магнитная проницаемость изменяется в меньшем диапазоне по сравнению со случаем, когда магнитная индукция поддерживалась неизменно.

Анализ уравнений (3.15, 3.16) показывает, что потери на гистерезис и вихревые токи возрастают незначительно с повышением частоты, так как их рост с повышением частоты частично компенсируется за счет уменьшения магнитной индукции в образце. Таким образом, потери на перемагничивание ферромагнетика в целом медленно увеличиваются с ростом частоты магнитного поля.

3.10. Индукционный метод определения параметров магнитных материалов с использованием осциллографа

Общие сведения

В связи с тем, что невозможно с достаточной степенью точности рассчитать характеристики магнитных материалов при намагничивании в переменном поле, широко используются экспериментальные методы их определения.

В настоящее время разработаны и используются на практике различные методы испытаний ферромагнитных материалов в переменном магнитном поле.

Основными из них являются:

- индукционный с использованием амперметра и вольтметра;
- индукционный с использованием фазочувствительного вольтметра (феррометр);
- индукционный с использованием осциллографического способа измерения (феррограф);
- индукционный с использованием компенсатора переменного тока;
- параметрический (мостовой).

При испытаниях индукционными методами измеряются ЭДС, индуктируемые в измерительных обмотках, и токи, протекающие по намагничивающим обмоткам, намотанным на образцах исследуемого магнитного материала.

Измерение ЭДС, пропорциональной магнитной индукции и намагничивающего тока, пропорционально магнитодвижущей силе намагничивающей обмотки, осуществляется с помощью либо показывающих приборов (амперметров и вольтметров) либо электронных осциллографов либо компенсаторов переменного тока.

Наиболее простым из индукционных методов является метод с использованием амперметра и вольтметра для определения магнитной проницаемости и потерь в образцах, основной динамической кривой намагничивания и динамических петель намагничивания. Недостатком этого метода является погрешность при перемагничивании материала до индукции свыше 1,2 Тл из-за отклонения формы кривой индукции от синуссидальной.

Наиболее точным из индукционных методов испытания магнитных материалов является компенсационный, основанный на измерении напряжений, пропорциональных индукций и напряженности магнитного поля с помощью компенсаторов переменного напряжения. С помощью этого метода определяется зависимости индукции от напряженности поля, потери на перемагничивание и т. д. Достоинствами способа являются полнота информации, высокая точность измерения, широкий диапазон измерения измеряемых величин. Недостатки заключаются в большой длительности процесса измерения, сложности и высокой стоимости аппаратуры.

Параметрический (мостовой) метод испытаний магнитных материалов, обеспечивающий высокую точность измерения в широком частотном диапазоне, заключается в определении индуктивности и сопротивления катушки с испытуемым образцом путем уравновешивания мостовой схемы изменением двух переменных параметров. Метод позволяет исследовать зависимости максимальной индукции от максимального значения напряженности поля, определять магнитную проницаемость, потери на перемагничивание и составляющие комплексного магнитного сопротивления. В основном мостовой метод предназначен для определения характеристик в слабых полях, когда индукция в образце не превышает 80 % от индукции насыщения исследуемого материала.

Достоинствами данного метода являются высокая точность измерения, возможность определения практически всех характеристик, широкий частотный диапазон испытаний.

Наиболее удобным и наглядным методом исследования динамических характеристик магнитных материалов является индукционный с использованием осциллографа, суть которого заключается в измерении электрических напряжений, пропорциональных магнитной индукции и напряженности поля, с помощью электронно-лучевого осциллографа. Этот метод используется для измерения показателей и визуального наблюдения основной динамической кривой намагничивания, семейств динамических петель намагничивания, определения потерь на перемагничивание, дифференциальной магнитной проницаемости, абсолютной и относительной магнитных проницаемостей в диапазоне частот магнитного поля от 20 Гц до нескольких десятков кГц.

Основной недостаток этого метода заключается в сравнительно высокой погрешности используемого средства регистрации, составляющей несколько процентов.

Вышеперечисленные достоинства осциллографического метода измерения, обусловили его использование для исследования свойств магнитных материалов в лабораторной работе.

Рассмотрим более подробно суть этого метода.

Принципиальная электрическая схема установки для исследования магнитных материалов индукционным методом с использованием электронно-лучевого осциллографа приведена на рис. 3.21.

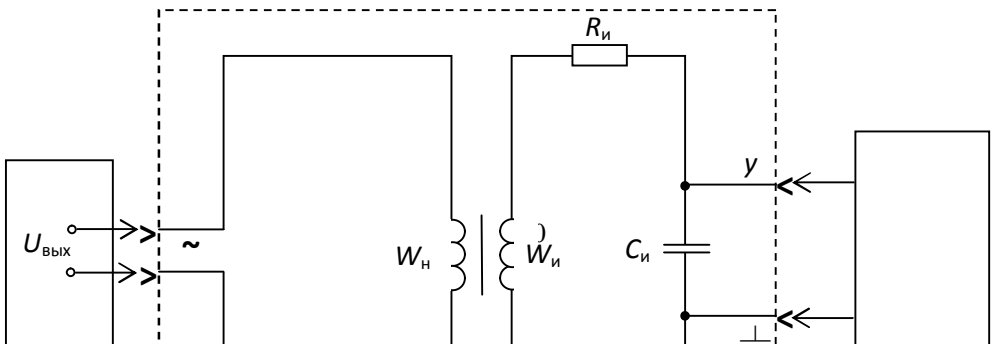

Рис. 3.21. Принципиальная электрическая схема установки:
1 – звуковой генератор; 2 – исследуемый образец; 3 - электронно-лучевой осциллограф

Для обеспечения необходимой точности измерений лучше всего применять образцы, в которых исключено влияние воздушных зазоров и рассеяния магнитного тока и в которых напряженность поля во всех точках образца практически одна и та же.

Чтобы выполнить данные требования, используются кольцевые (тороидальные) образцы и образцы в виде стержней с различным отношением длины к поперечному сечению.

Кольцевые образцы, намагничиваемые по замкнутому контуру, наиболее широко применяются для испытания магнитных материалов с максимальной напряженностью магнитного поля до 50 кА/м. Площадь сечения образца должна быть постоянной по всей длине. Разность между наибольшей и наименьшей площадями сечения допускается не более 1 %. Кольцевые образцы листовых и ленточных материалов изготавливают сборкой из штампованных и точеных колец или спиральной навивкой. Ферритовые образцы изготавливаются прессованием.

Внешний диаметр образца не должен превышать внутренний более чем в 1,3 раза. Это объясняется тем, что в кольцевых образцах с большим отношением внешнего диаметра к внутреннему наблюдается сильная неравномерность намагничивания, приводящая к значительным погрешностям при исследовании.

В работе исследуются образцы из различных магнитных материалов тороидальной формы, на каждом из которых намотано по две обмотки: намагничивающая $W_н$ и измерительная $W_и$.

Последовательно с намагничивающей обмоткой включено активное сопротивление $R_о$, а к зажимам измерительной обмотки подключена

интегрирующая цепь, состоящая из пассивных элементов: активного сопротивления $R_и$ и конденсатора емкостью $C_и$.

При подаче на зажим «~» выходного напряжения звукового генератора $U_{вых}$ по намагничивающей обмотке образца начнет протекать намагничивающий ток $i_н$, который создает магнитодвижущую силу, вызывающую появление в образце магнитного поля.

Мгновенное значение магнитодвижущей силы F_t связано с мгновенным значением напряженности поля в любой точке образца H_t следующим соотношением:

$$F_t = i_н \cdot W_н = 2\pi \cdot r_{ср} \cdot H_t, \qquad (3.17)$$

где $i_н$ – мгновенное значение намагничивающего тока; $r_{ср}$ – средний радиус кольцевого образца, равный

$$r_{ср} = \frac{r_{вш} + r_{вн}}{2},$$

где$r_{вш}$ – внешний радиус сердечника образца; $r_{вш}$ – внутренний радиус сердечника образца.

Из уравнения (3.17) выразим H_t через намагничивающий ток. Получим:

$$H_t = \frac{i_н \cdot W_н}{2\pi \cdot r_{ср}}. \qquad (3.18)$$

Из выражения (3.18) видно, что мгновенное значение напряженности магнитного поля в любой точке образца прямопропорционально намагничивающему току $i_н$.

Таким образом, измерив значение намагничивающего тока и зная число витков намагничивающей обмотки и средний радиус образца, можно определить по уравнению (3.18) мгновенное значение напряженности магнитного поля.

Преобразовав выражение (3.18), получим уравнение для амплитудных значений напряженности поля и намагничивающего тока.

$$H_m = \frac{I_{mн} \cdot W_н}{2\pi \cdot r_{ср}}. \qquad (3.19)$$

Учитывая, что отклонение луча в электронно-лучевом осциллографе пропорционально значению напряжения, подаваемого на вход усилителя, возникает необходимость преобразования намагничивающего тока в напряжение. Это осуществляется последовательным включением с намагничивающей обмоткой эталонного активного сопротивления $R_о$ (рис. 3.21). При протекании тока $i_н$ по сопротивлению $R_о$, на последнем создается падение напряжения

$$U_x = R_о \cdot i_н.$$

Амплитудное значение этого напряжения

$$U_{mx} = R_{\text{о}} \cdot I_{\text{н}}. \tag{3.20}$$

Подставив в уравнение (3.19) вместо тока $I_{m\text{н}}$ его выражение из (3.20), получим

$$H_m = \frac{W_{\text{н}}}{2\pi \cdot r_{\text{ср}} \cdot R_{\text{о}}} \cdot U_{mx}. \tag{3.21}$$

Из уравнения (3.21) видно, что если на вход «*x*» падать напряжение U_{mx} с сопротивления $R_{\text{о}}$, то отклонение луча осциллографа по горизонтальной оси прямопропорционально напряженности магнитного поля в образце.

Магнитодвижущая сила тока $i_{\text{н}}$ создает в сердечнике образца магнитный поток, который наводит в измерительной наводке ЭДС

$$e = -W_{\text{и}} \cdot \frac{d\Phi_t}{dt} = -W_{\text{и}} \cdot S \cdot \frac{dB_t}{dt}. \tag{3.22}$$

где $W_{\text{и}}$ – число витков измерительной обмотки; Φ_t – мгновенное значение магнитного потока в сердечнике образца; S – площадь поперечного сечения сердечника образца; B_t – мгновенное значениемагнитной индукциив сердечнике образца.

Чтобы получить на экране осциллографа динамическую петлю намагничивания надо на вход «*y*» электронно-лучевого осциллографа подать напряжение, которое должно быть пропорционально магнитной индукции, создаваемой в образце. С этой целью измерительная обмотка образца подсоединяется по входу интегрирующей цепи с пассивными элементами $R_{\text{и}}$ и $C_{\text{и}}$ (рис. 3.21).

Тогда мгновенное значение тока, протекающего по интегрирующей цепи, определяется

$$i = \frac{e}{Z_{\text{и}}}. \tag{3.23}$$

Если выполнить условие $R_{\text{и}} >> x_{C_{\text{и}}}$, то можно считать, что ток в интегрирующей цепи является практически активным ($i=i_a$). Тогда напряжение на входе интегратора будет равно интегралу от ЭДС, наводимой в измерительной обмотке

$$U_{\text{вых}} = \frac{1}{C_{\text{и}}} \int_0^t i \cdot dt = \frac{1}{C_{\text{и}}} \int_0^t \frac{e}{R_{\text{и}}} \cdot dt \approx -\frac{W_{\text{и}} \cdot S}{R_{\text{и}} \cdot C_{\text{и}}} \cdot B_t. \tag{3.24}$$

Решив уравнение (3.24) относительно величины B_t получим

$$B_t = \frac{R_{\text{и}} \cdot C_{\text{и}}}{W_{\text{и}} \cdot S} \cdot U_{\text{вых}}, \tag{3.25}$$

где $R_{\text{и}}$ – активное сопротивление интегрирующей цепи; $C_{\text{и}}$ – емкость конденсатора этой цепи.

Из уравнения (3.25) видно, что индукция в образце пропорциональна выходному напряжению интегрирующей цепи.

Переходя к амплитудным значениям индукции и выходного напряжения интегрирующей цепи, получим

$$B_m = \frac{R_{\text{и}} \cdot C_{\text{и}}}{W_{\text{и}} \cdot S} \cdot U_{m\text{вых}}, \tag{3.26}$$

Подав напряжение с выхода интегратора $U_{m\text{вых}}$ на вход «*y*» и напряжение с сопротивления $R_{\text{о}}$ на вход «*x*» осциллографа, на экране последнего получим динамическую петлю намагничивания.

Чтобы реакция измерительной цепи не влияла на форму динамической петли, желательно, чтобы магнитодвижущая сила тока измерительной обмотки была значительно меньше, чем магнитодвижущая сила тока намагниченной обмотки, т. е.

$$\frac{R_{\text{и}} \cdot C_{\text{и}}}{W_{\text{и}} \cdot S} \geq 0{,}001.$$

Для получения неискаженной формы динамической петли постоянная времени интегратора должна удовлетворять следующему требованию:

$$\tau_{\text{и}} = R_{\text{и}} \cdot C_{\text{и}} \geq (60 \div 100) \cdot \frac{1}{2\pi \cdot f_{\min}}, \tag{3.27}$$

где $f_{\min}$ – наименьшая частота переменного магнитного поля.

По активному сопротивлению $R_{\text{и}}$ и емкости конденсатора $C_{\text{и}}$, рассчитывается постоянная времени интегрирующей цепи $\tau_{\text{и}}$ по уравнению

$$\tau_{\text{и}} = R_{\text{и}} \cdot C_{\text{и}}. \tag{3.28}$$

Затем определяется наименьшая частота магнитного поля, при которой выходное напряжение интегратора пропорционально магнитной индукции в образце:

$$f_{\min} = \frac{60}{2\pi \cdot \tau_{\text{и}}}. \tag{3.29}$$

При частоте магнитного поля $f<f_{\min}$ исследовать образец нельзя из-за больших искажений формы динамической петли намагничивания, вызываемых интегрирующей цепью образца.

3.11. Объект исследования

Образцы ферромагнитных материалов тороидальной формы с двумя обмотками: намагничивающей и измерительной. Параметры образцов и

обмоток приведены в таблицах, расположенных на корпусах образцов. Параметры образцов и обмоток записываются в табл. 3.2.

Таблица 3.2

Данные исследуемого образца

Номер образца			Данные схемы						
			Число витков			Интегратор			
средний радиус, $r_{ср}$, м	поперечное сечение, S, м2	плотность, γ, кг/м3	намагничивающей обмотки, $W_н$	измерительной обмотки, $W_и$	образцовое сопротивление, $R_о$, Ом	активное сопротивление, $R_и$, Ом	емкость, $Си$, Ф	постоянная времени, $\tau_и$, С	наименьшая частота, f_{min}, Гц

3.12. Средства измерения и вспомогательные средства исследования

Осциллограф универсальный типа CI-73.

Звуковой генератор с регулируемым напряжением и частотой.

3.13. Подготовка осциллографа к работе

Перед включением осциллографа установить органы управления на передней панели в следующие положения:

- ручку «яркость» – в крайнее левое;
- ручку «фокус» – в среднее;
- переключатель «V/дел» – 0,01;
- ручку «усиление» - крайнее правое;
- ручку «↕» – в среднее;
- переключатель «~⊥≂» в «≂»;
- ручку «уровень» – в крайнее правое»
- ручку «↔» – в среднее.

Далее установить тумблер «разверт. X» на правой боковой панели в положение «⊖ X». Подключить осциллограф кабелем питания к сети 220 В и включить тумблер «питание» на передней панели осциллографа. При этом должна загореться сигнальная лампочка. В течение 2-3 минут прогреть

осциллограф. Пока осциллограф прогревается, необходимо нанести координатную сетку осциллографа на листки кальки. После прогрева осциллографа установите ручкой «яркость» удобную яркость точки. Рукояткой «↕» установите точку на горизонтальную ось экрана осциллографа. Рукояткой «↔» установите точку точно по центру экрана.

В результате выполнения вышеперечисленных операций осциллограф подготовлен к выполнению экспериментальной части лабораторной работы.

3.14. Калибровка осциллографа и определение масштабов по напряженности и индукции магнитного поля

Для определения амплитудных значений индукции и напряженности магнитного поля образца по динамическим петлям необходимо определить чувствительность осциллографа по входам «*x*» и «*y*». Если при зарисовке динамических петель намагничивания ручка «усиление» находится в крайнем правом положении, то чувствительность осциллографа по оси «*y*» определяется по числу, против которого находилась риска переключателя «*V*/дел», если осциллограф был правильно откалиброван. Для проверки правильности калибровки необходимо переключатель «*V*/дел» установить в положение «5 дел». При правильной калибровке на экране осциллографа появятся две горизонтальные линии или две точки, смещенные на 5 клеток (делений) относительно друг друга.

Пример: при зарисовке динамических петель намагничивания ручка «усиление» находится в крайнем правом положении, а переключатель «*V*/дел» – против числа 0,02. При переключении переключателя «*V*/дел» в положение «5 дел» на экране появились две горизонтальные линии на расстоянии 5 клеток друг от друга.

В этом случае масштаб осциллографа по входу «н» составляет

$$m_{\text{в}} = 0{,}02 \ \text{В/дел.}$$

Масштаб $m_{\text{в}}$ необходимо записать в табл. 3.3.

Таблица 3.3

Определение масштабов по напряженности и индукции магнитного поля

Измерено				Вычислено			
$n_{\text{в}}$	$m'_{\text{в}}$	n_r	U_r	$m_{\text{в}}$	m_r	$M_{\text{в}}$	$M_{\text{н}}$
дел.	В/дел.	дел.	В	В/дел.	В/дел.	Т\мм	А/м/мм

Если ручка «усиление» находилась в положении, отличном от крайнего правого, то расчет масштаба осуществляется следующим образом. Сохраняя ручку «усиление» в том же положении, что и при зарисовке динамических петель намагничивания, переключатель «*V*/дел» установить в положение «5 дел». Измерить расстояние по вертикальной оси между двумя горизонтальными линиями или точками $n_в$ и записать в таблицу 3.3. Тогда чувствительность осциллографа по оси «*y*» может быть рассчитана следующим образом:

$$m_в = \frac{m'_в}{n_в} \cdot 5, \tag{3.30}$$

где $m'_в$ – чувствительность осциллографа, определенная числом напротив переключателя «*V*/дел» в рабочем положении; $n_в$ – расстояние между горизонтальными линиями в дел.

Результат расчета записывается в табл. 3.3.

При калибровке усилителя сигнала на оси «*x*» необходимо соединить гнездо «⊖ X», расположенное на правой боковой панели. С гнездом « ⊖⎍1V», расположенным на левой боковой панели. Определить расстояние между двумя вертикальными линиями n_r и записать в табл. 3.3. Напряжение, подаваемое на вход усилителя *x*, равно 1 В. Тогда чувствительность осциллографа по горизонтальной оси (оси «*x*») рассчитывается по уравнению

$$m_r = \frac{U_r}{n_r}. \tag{3.31}$$

Рассчитанное значение m_r записывается в табл. 3.3.

По определенным масштабам $m_в$ и $m_н$ рассчитываются масштабы по индукции и напряженности магнитного поля $M_в$ и $M_н$ по уравнениям

$$M_в = \frac{m_в \cdot R_и \cdot C_и}{6 \cdot W_и \cdot S}; \tag{3.32}$$

$$M_н = \frac{m_r \cdot W_н}{6 \cdot R_о \cdot 2\pi \cdot r_{ср}}, \tag{3.33}$$

где $r_{ср}$ – средний радиус сердечника, м; $R_о$ – образцовое сопротивление в цепи намагничивающей обмотки; $W_н$ – число витков намагничивающей обмотки; $W_и$ – число витков измерительной обмотки; $R_и$ – сопротивление интегрирующей цепи, Ом; $C_и$ – емкость интегрирующей цепи, ф; *S* – площадь поперечного сечения сердечника образца м^2.

Определенные масштабы $M_в$ и $M_н$ записываются в таблицу 3.3.

3.15. Подготовка звукового генератора к работе

Методика подготовки звукового генератора к работе, написана применительно к генератору Г3-53. При использовании генератора другого типа необходимо производить подготовку к работе согласно инструкции по эксплуатации или в соответствии с указанием преподавателя.

Перед включением звукового генератора необходимо установить органы управления на передней панели прибора в следующие положения:

- переключатель «поддиапазоны» – «Ок Hz»;
- рукоятку «частота Hz» – в положение при котором риска указателя частоты оказывается против цифры 0 на шкале частоты соответствующей поддиапазону 0 – 5 кГц;
- переключатель «пределы шкал, ослабление» – 3 в;
- рукоятка «регулировка выхода» – в положение, соответствующее значению выходного напряжения, равного нулю.

Затем следует подключить генератор кабелем питания к сети 220 В и включить переключатель «сеть». При этом должна загореться сигнальная лампа.

В течение 2 – 3 минут прогреть генератор. Если после прогрева вольтметр «напряжение выхода» покажет напряжение, отличное от нуля, необходимо плавным вращением рукоятки «уст. нуля» добиться нулевого показания вольтметра.

После выполнения вышеуказанных операций звуковой генератор подготовлен к работе.

3.16. Лабораторная работа №1. «Исследование свойств магнитных материалов в магнитных полях постоянной частоты». Цель работы

Целью лабораторной работы является ознакомление студентов с индукционным методом измерения магнитных величин и экспериментальное определение свойств и характеристик ферромагнитных материалов при воздействии на них магнитного поля постоянной частоты с изменяющейся по амплитуде напряженностью.

3.17. Рабочее задание

Собрать схему установки (рис. 3.21).

Зарисовать с экрана осциллографа семейство динамических петель намагничивания, начиная с предельной динамической петли до минимально различимой (6 – 7 петель.)

Произвести калибровку осциллографа.

По данным калибровки рассчитать масштабы по напряженности и индукции магнитного поля.

Для каждой из динамических петель намагничивания определить амплитудные значения напряженности и магнитной индукции.

Для каждой из динамических петель намагничивания определить удельные потери на перемагничивание.

Определить для каждой динамической петли значение магнитной проницаемости.

Рассчитать по предельной динамической петле дифференциальную магнитную проницаемость при различных значениях напряженности поля в диапазоне изменения ее от 0 до H_m и обратно.

Построить зависимости $B_m=F(H_m)$, $\mu_r=(H_m)$, $\mu_{rg}=(H)$, $P=F(B_m)$.

Сделать выводы по работе.

3.18. Методические рекомендации к выполнению рабочего задания

3.18.1. Подготовка к проведению эксперимента

Перед началом выполнения лабораторной работы необходимо получить у лаборанта комплект соединительных проводов, осциллограф, звуковой генератор и исследуемый образец по указанию преподавателя.

Данные образца записать в табл. 3.2.

По известным параметрам интегрирующей цепи образца рассчитайте наименьшую частоту магнитного поля $f_{\min}$ в соответствии с уравнением (3.29) и запишите ее в таблицу 3.2.

Соберите схему установки (рис. 3.21).

При сборке схемы, в соответствии с рис. 3.21, гнезда «вход *y*» и «⊥» исследуемого образца соединить с гнездом « ⊖ УІМ Ω 35*pF*» тракта вертикального отклонения луча осциллографа, а гнезда «вход *x*» и «⊥» образца с гнездом « ⊖X» осциллографа.

Произведите подготовку осциллографа к работе в соответствии с методикой, изложенной в разделе 3.13 данных методических указаний и звукового генератора (раздел 3.15).

3.18.2. Рекомендации по зарисовке семейства динамических петель намагничивания

Увеличивая выходное напряжение генератора, получите на экране осциллографа предельную динамическую петлю намагничивания. Предельной динамической петлей является наибольшая по площади динамическая петля, у которой появляются «усы», свидетельствующие о начале насыщения. Наложив кальку с нанесенной координатной сеткой, зарисуйте предельную динамическую петлю намагничивания.

Уменьшая выходное напряжение звукового генератора, зарисуйте на кальку семейство 6 – 7 динамических петель от предельной до минимально различимой петли намагничивания.

3.18.3. Калибровка осциллографа

Калибровка осциллографа осуществляется в соответствии с пунктом 3.14 данных методических указаний. При калибровке положение точки «усиление» должно быть таким же как и во время зарисовки динамических петель.

3.18.4. Определение амплитудных значений индукции, напряженности магнитного поля и потерь в сердечнике образца на перемагничивание

По имеющимся на кальках изображениям определяются для каждой динамической петли намагничивания координаты вершин H'_m и B'_m в миллиметрах. Значения H'_m и B'_m записываются в табл. 3.4. Пример определения координат H'_m и B'_m приведен на рис. 3.22.

Таблица 3.4

Определение амплитудных значений индукции, напряженности магнитного поля и потерь в сердечнике образца на перемагничивание

Номер опыта	Измерено				Вычислено			
	f	B'_m	H'_m	S_n	B_m	H_m	μ_r	P
	Гц	мм	мм	мм^2	Т	А/м	10^3	Вт/кг

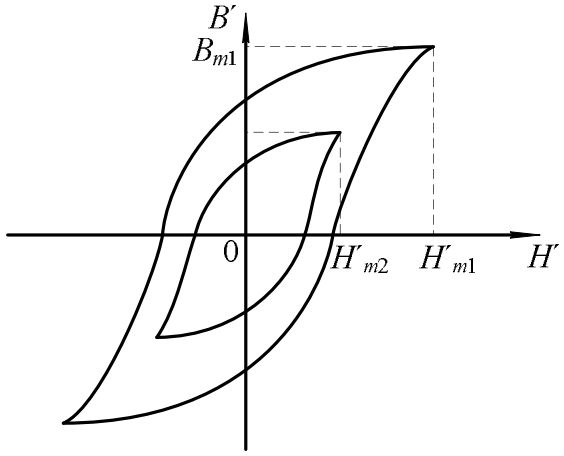

Рис. 3.22. Определение координат вершин динамических петель намагничивания

Амплитудные значения индукции и напряженности магнитного поля рассчитываются:

$$B_m = B'_m \cdot M_{\text{в}}. \tag{3.34}$$

$$H_m = H'_m \cdot M_{\text{н}}. \tag{3.35}$$

Для определения потерь на перемагничивание образца подсчитываются площади каждой из динамических петель намагничивания по клеткам миллиметровой бумаги, на которую накладывается калька с динамическими петлями намагничивания. Значения площадей записываются в табл. 3.4.

По найденным значениям B_m,H_m, S_n вычисляются значения относительной магнитной проницаемости и потери на перемагничивание для каждой петли

$$\mu_r = \frac{B_m}{\mu_{\text{о}} \cdot H_m}; \tag{3.36}$$

$$P = \frac{S_n \cdot M_{\text{в}} \cdot M_{\text{н}}}{\gamma} \cdot f, \tag{3.37}$$

где $\mu_{\text{о}}=1{,}256 \cdot 10^{-6}$ Гн/м – магнитная постоянная вакуума; f – частота намагничивающего потока, Гц; γ – плотность сердечника образца, кг/м^3.

Результаты расчетов записываются в табл.3.4.

3.18.5. Определение дифференциальной магнитной проницаемости

Определение дифференциальной магнитной проницаемости производится по предельной динамической петле намагничивания в следующем порядке. В интервале изменения H' от 0 до H'_m откладываются 6 – 7 значений H' (H'_0, H'_1, H'_2 … H'_m) на одинаковом расстоянии друг от друга. Затем в окрестности каждого значения H' задаются приращениями $\Delta H'$ так, чтобы эти значения Н′ находились посередине отрезка равного $\Delta H'$ (рис. 3.23).

Проведя из концов $\Delta H'$ линии, параллельные оси В до пересечения с восходящей и нисходящей ветвями предельной динамической петли

намагничивания, определяем для каждого значения напряженности поля приращение индукции $\Delta B'_1$ и $\Delta B'_2$. $\Delta B'_1$ – приращение индукции, когда размагничивание осуществляется по нисходящей ветви при уменьшении напряженности поля от H'_m до 0.

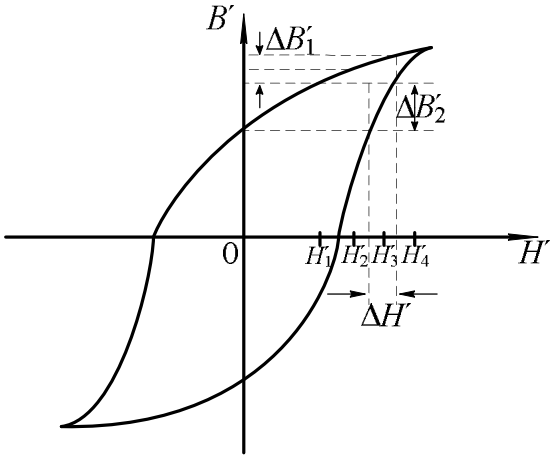

Рис. 3.23. К определению дифференциальной магнитной проницаемости

Значения напряженности $\Delta H'$, приращений $\Delta H'$, $\Delta B'_1$, $\Delta B'_2$ записываются в таблицу 3.5.

Таблица 3. 5

Определение дифференциальной магнитной проницаемости

H', мм	$\Delta H'$, мм	$\Delta B'_1$, мм	$\Delta B'_2$, мм	H, А/м	ΔH, А/м	ΔB_1, Тл	ΔB_2, Тл	μ'_{rg}	μ''_{rg}

Затем производится перерасчет значений напряженности H' по уравнению (3.35), а $\Delta H'$, $\Delta B'_1$, $\Delta B'_2$ по нижеследующим формулам

$$\Delta H = \Delta H' \cdot M_{\text{н}}, \tag{3.38}$$

$$\Delta B_1 = \Delta B_1' \cdot M_{\text{в}}, \tag{3.39}$$

$$\Delta B_2 = \Delta B_2' \cdot M_{\text{в}}. \tag{3.40}$$

Значения дифференциальной магнитной проницаемости рассчитывается по формулам

$$\mu_{rg}' = \frac{\Delta B_1}{\mu_{\text{о}} \cdot \Delta H}, \tag{3.41}$$

$$\mu_{rg}'' = \frac{\Delta B_2}{\mu_{\text{о}} \cdot \Delta H}. \tag{3.42}$$

При построении зависимости $\mu_{rg}=F(H)$ по оси абсцисс откладываются значения напряженности Н, а по оси ординат соответствующие им значения μ'_{rg}

и μ''_{rg}. В результате построения должен получится график, представленный на рис. 3.24.

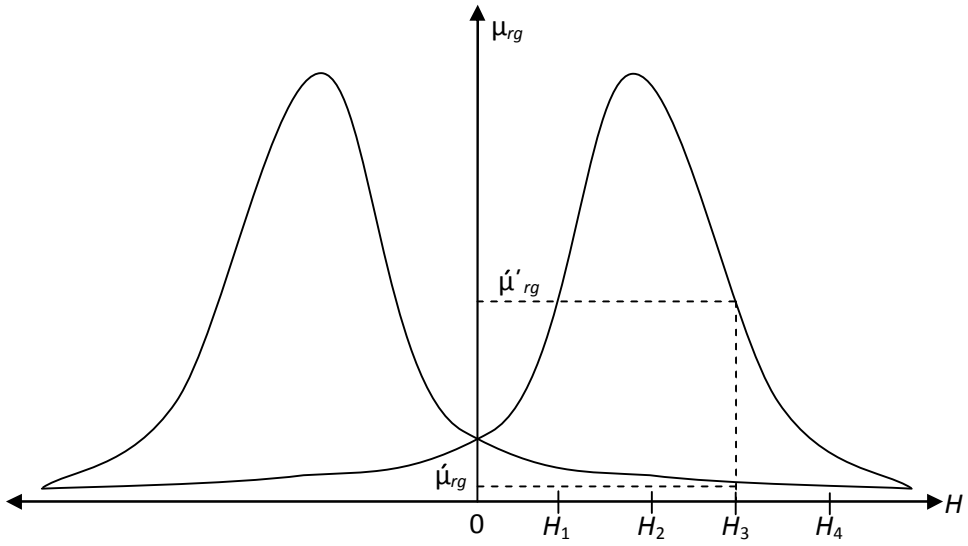

Рис. 3.25. Зависимость $\mu_{rg}=F(H)$

3.19. Содержание отчета

Отчет по лабораторной работе должен иметь следующее содержание:

1. Цель лабораторной работы.

2. Характеристика и основные параметры исследуемого образца.

3. Характеристики средства измерения и вспомогательных средств исследования.

4. Таблицы с записью результатов экспериментальных исследований и расчетов.

5. Основные расчетные формулы.

6. Зависимости магнитной индукции $B_m=F(H_m)$ и относительной магнитной проницаемости $\mu_r=F(H_m)$, дифференциальной магнитной проницаемости $\mu_{rg}=F(H)$ от напряженности магнитного поля.

7. Зависимость потерь на перемагничивание от индукции в образце $P=F(B_m)$.

Зависимости магнитной индукции $B_m=F(H_m)$ и относительной магнитной проницаемости $\mu_r=F(H_m)$ необходимо строить в одной системе координат, откладывая по оси абсцисс значения H_m, а по оси ординат значения B_m и μ_r, в выбранных для каждой из этих величин масштабах.

Отчет заканчивается выводами, в которых в краткой форме должны быть описаны характеры полученных экспериментально зависимостей и дано их теоретическое обоснование.

3.20. Вопросы для самоконтроля

1. Как зависит относительная магнитная проницаемость от напряженности магнитного поля?
2. Чем объяснить, что сначала магнитная проницаемость возрастает с ростом напряженности, а затем уменьшается при дальнейшем возрастании последней?
3. Как изменяется магнитная индукция в образце с ростом напряженности намагничивающего поля?
4. На чем основан принцип действия лабораторной установки?
5. Какими параметрами установки ограничивается наименьшая частота намагничивающего тока?
6. Определите наименьшую частоту магнитного поля, при которой можно исследовать образец.
7. Как зависят потери на перемагничивание от магнитной индукции, создаваемой в образце?
8. Какие причины обуславливают рост потерь на перемагничивание с ростом магнитной индукции?
9. Объясните, как осуществляется намагничивание ферромагнетиков на различных участках основной кривой намагничивания?
10. В какой точке основной кривой намагничивания относительная магнитная проницаемость максимальна?
11. Каким основным условиям должно удовлетворять вещество, являющееся ферромагнетиком?
12. Какой из видов элементарного движения электрических зарядов создает основной магнитный момент в атоме?
13. Какое явление называется магнитной анизотропией?
14. Какое явление называется магнитострикцией?
15. Почему ферромагнетик самопроизвольно делится на отдельные области, домены?
16. Какая область ферромагнетика называется доменом?
17. Как и где происходит изменение направления намагниченности между доменами?

3.21. Лабораторная работа №2. «Исследование свойств магнитных материалов в магнитных полях переменной частоты». Цель работы

Целью лабораторной работы является ознакомление студентов с индукционным методом измерения магнитных величин и экспериментальное определение свойств и характеристик магнитных материалов при воздействии на них магнитного поля переменной частоты.

3.22. Рабочее задание

Рассчитать для полученного образца постоянную времени интегрирующей цепочки $\tau_и$ и минимальную частоту магнитного поля, при которой его можно исследовать.

Собрать схему установки (рис. 3.21).

Зарисовать с экрана осциллографа семейство динамических петель намагничивания при различных частотах намагничивающего тока, поддерживая неизменной магнитную индукцию B_m=const.

Зарисовать семейство динамических петель намагничивания при различных частотах намагничивающего тока, поддерживая неизменной напряженность магнитного поля H_m=const.

Произвести калибровку осциллографа.

По данным калибровки рассчитать масштаб по напряженности и индукции магнитного поля.

Для каждой из динамических петель намагничивания рассчитать амплитудные значения напряженности и магнитной индукции.

Для каждой из динамических петель намагничивания определить потери на перемагничивание образца.

Рассчитать для каждой динамической петли значение относительной магнитной проницаемости.

Построить зависимости $\mu_r=F(f)$, $P=F(f)$ для обоих семейств динамических петель намагничивания.

Сделать выводы по работе.

3.23. Методические указания к выполнению рабочего задания

3.23.1. Подготовка к проведению эксперимента.

Подготовка к проведению эксперимента осуществляется в соответствии с пунктом 3.18.1.

3.23.2. Рекомендации по зарисовке семейств динамических петель намагничивания.

Перед началом экспериментальных исследований выбирается диапазон частот магнитного поля в пределах от f_{min} до f_{max}, который задается преподавателем.

Зарисовка динамических петель намагничивания при различных частотах магнитного поля с неизменной магнитной индукцией в образце B_m=const производится в следующем порядке. Необходимо установить на генераторе частоту $f=f_{max}$. Увеличивая выходное напряжение генератора добиться, чтобы динамическая петля намагничивания касалась двух горизонтальных линий, отстоящих друг от друга на расстоянии 5 клеток (рис. 3.26) и зарисовать на кальку.

Затем уменьшить частоту генератора на Δf. При этом амплитуда B_m возрастает. Уменьшая выходное напряжение генератора, восстановить прежнее значение индукции B_m в образце и снова зарисовать динамическую петлю намагничивания. В диапазоне изменения частоты генератора от f_{max} до f_{min} необходимо зарисовать шесть – семь петель, сохраняя индукцию в образце неизменной при каждой частоте.

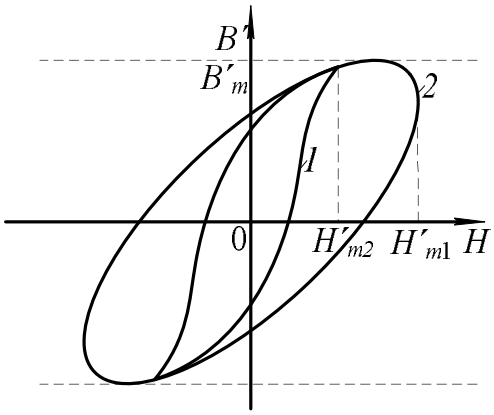

Рис. 3.26. Свойство динамических петель намагничивания с постоянной магнитной индукцией и различной частотой магнитного поля

Зарисовка семейства динамических петель намагничивания на различных частотах магнитного поля при постоянной напряженности магнитного поля в образце производится следующим образом. Частота звукового генератора устанавливается равной f_{min}. Увеличивая выходное напряжение генератора добиваются максимальной по размеру экрана магнитной индукции B_m. Через вершины петель паралельно оси B_m проводятся две вертикальные линии на кальке. Затем увеличивают частоту генератора до следующего значения. При этом ширина динамической петли или H_m уменьшится. Увеличивая выходное напряжение генератора, добиваются, чтобы динамическая петля касалась линий, проведенных параллельно оси B_m и зарисовывают петлю на кальку (см. рис. 3.27).

Изменяя частоту генератора в диапазоне от f_{min} до f_{max}зарисовывают 6 – 7 динамических петель намагничивания на различных частотах, сохраняя H_m=const по вышеприведенной методике.

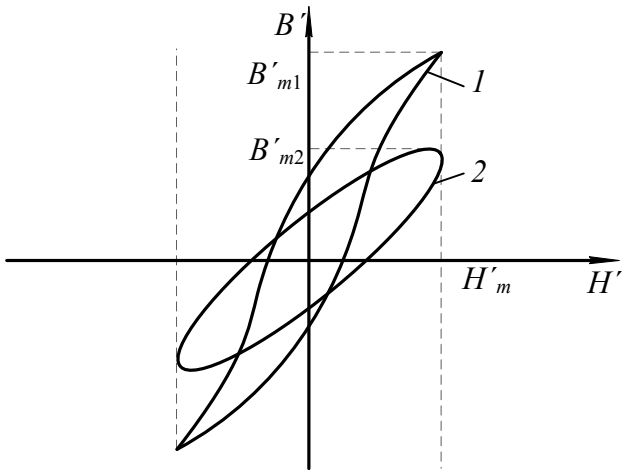

Рис. 3.27. Семейство динамических петель намагничивания при H_m=const

3.23.2. Рекомендации по зарисовке семейств динамических петель намагничивания.

Определение амплитудных значений индукции и напряженности магнитного поля потерь в сердечнике, значений относительной магнитной проницаемости для вершин каждой из зарисованных динамических петель намагничивания производится в соответствии с методикой, изложенной в пункте 3.18.4 данных методических указаний.

3.24. Содержание отчета

Содержание отчета по данной лабораторной работе должно отличаться от содержания отчета по лабораторной работе 1 (см. 3.19) полученными экспериментально зависимостями.

В этой работе определяются и строятся графики зависимостей $\mu_r=F(f)$, $P=F(f)$, когда B_m=const, и эти же зависимости, когда H_m=const. Необходимо строить зависимости $\mu_r=F(f)$ при B_m=const и $\mu_r=F(f)$ при H_m=const в одной системе координат откладывая по оси абсцисс значения H_m, а по оси ординат – значения μ_r.

Аналогично, в одной системе координат строятся зависимости $P=F(f)$ для обоих режимов испытания образца.

3.25. Вопросы для самоконтроля

1. Чем отличается динамическая петля намагничивания от петли гистерезиса?
2. Какие виды потерь существуют при перемагничивании ферромагнетика в переменном магнитном поле?
3. От каких параметров намагничивающего поля и как зависят потери на гистерезис?
4. От каких параметров намагничивающего поля и как зависят потери на вихревые токи?
5. Объясните суть явления вытеснения магнитного поля.
6. К каким последствиям приводит явление вытеснения магнитного поля?
7. Почему с ростом частоты уменьшается индукция, если B_m=const?
8. Почему с ростом частоты уменьшается магнитная индукция, если H_m=const?
9. Как и почему изменяются потери на перемагничивание с ростом частоты при B_m=const?
10. Как и почему изменяются потери на перемагничивание с ростом частоты при H_m=const?
11. Почему в одном и том же диапазоне изменения частоты относительная магнитная проницаемость изменяется в больших пределах, когда, как и почему изменяются потери на перемагничивание с ростом частоты при B_m=const, а не при H_m=const?
12. Почему в одном и том же диапазоне изменения частоты потери на перемагничивание ферромагнетика изменяются в больших пределах при B_m=const, а не при H_m=const?

Часть 4
КОНТРОЛЬНАЯ РАБОТА № 1. «ОПРЕДЕЛЕНИЕ ДИЭЛЕКТРИЧЕСКИХ СВОЙСТВ ИЗОЛЯЦИИ ДВУХЖИЛЬНОГО КАБЕЛЯ»

4.1. Требование к оформлению контрольной работы

Контрольная работа состоит из двадцати вариантов с нумерацией вариантов от 0 до 19.

Номер варианта задачи, решаемой студентов в контрольной работе, определяется суммой двух последних цифр шифра студента. Например, если номер шифра студента 4298, то номер варианта задачи – 17.

К оформлению контрольной работы предъявляются следующие требования:

1. Контрольная работа выполняется в тетради, на обложке которой должны быть указаны фамилия, имя, отчество студента, учебный шифр, наименование дисциплины и домашний адрес.
2. Условия задачи переписываются полностью, без сокращений.
3. Текстовая часть, формулы, числовые выкладки должны быть выполнены чернилами без помарок и исправлений.
4. Графическая часть работы выполняется в карандаше с помощью чертёжных инструментов.
5. Электрические схемы вычерчиваются с соблюдением установленных стандартом условных обозначений.
6. Ответы на вопросы должны быть аргументированы теоретически с использованием в необходимом объёме рисунков, графиков.
7. В конце работы необходимо привести список использованной при выполнении контрольной работы литературы.
8. После списка литературы необходимо проставить дату выполнения работы и подпись.

4.2. Задание на контрольную работу

Питание электротехнической установки осуществляется с помощью кабельной линии длиной l. Кабель со свинцовой оболочкой имеет две токопроводящие жилы радиусом R (Рис.1). В качестве электрической изоляции жил друг от друга и жил от оболочки использована кабельная бумага. В пористой структуре диэлектрика имеются капилляры, заполненные воздухом. К жилам кабеля приложено переменное напряжение, действующее значение которого U, частотой f. При расчёте считать, что электрическое поле внутри кабеля однородно.

Требуется определить:

1) ёмкость между жилами кабеля, $C_к$;
2) сопротивление изоляции между жилами кабеля, $Z_{из}$;
3) значение тока утечки между жилами кабеля, $I_у$;
4) диэлектрические потери в изоляции кабеля, P;
5) пробивное напряжение изоляции между жилами кабеля, $U_{пр}$;
6) ёмкость $C_{кп}$, сопротивление изоляции $Z_{изп}$ и ток утечки $I_{уп}$ диэлектрические потери $P_п$, пробивное напряжение $U_{прп}$ при условии, что оболочка кабеля заполнена газообразным либо жидким диэлектриком. При расчёте принять, что поры и капилляры полностью заполнены этим диэлектриком;
7) после расчёта составить таблицу сравнительных данных кабелей без пропитки и с пропиткой и произвести анализ влияния пропитки изоляции кабеля на его электрические свойства;
8) определить соответствие изоляционных свойств электрической изоляции кабеля требованиям правил установки электропотребителей (ПУЭ);

Геометрические размеры кабеля и электрические параметры диэлектриков, использованных в качестве изоляции, приведены в таблице 4.1.

Вопросы к контрольной работе

1. Дайте расшифровку цифр, используемых в обозначениях марок электрических сталей.
2. На основной кривой намагничивания укажите участки, на которых намагничивание осуществляется за счёт роста доменов. В чём отличие процессов намагничивания на этих участках?
3. Как влияют на магнитные свойства материалов вихревые токи. В каких магнитных полях возникают эти токи?

Таблица 4.1

Исходные данные для решения контрольной работы

Номер варианта	Длинна линии l	Радиус жилы, R	Расстояние между жилами, S	Рабочее напряжение, U	Частота, f	Плотность		Относительная диэлектрическая проницаемость			Тангенс угла диэлектрических потерь			Электрическая прочность		
						Целлюлозы, D_1	Бумаги, D	Целлюлозы, ε_{21}	Воздуха, ε_{22}	Пропитки, ε_{23}	Целлюлозы, $tg\delta_1$	Воздуха, $tg\delta_2$	Пропитки, $tg\delta_3$	Целлюлозы, $E_{пр1}$	Воздуха, $E_{пр2}$	Пропитки, $E_{пр3}$
	м	мм	мм	В	Гц	кг/м^3	кг/м^3				10^{-4}	10^{-6}	10^{-3}	кВ/мм	кВ/мм	кВ/мм
1	2	3	4	5	6	7	8	9	10	11	12	13	14	15	16	17
0	120	1,38	7,5	220	50	1550	780	6,6	1,00059	2,1	65,0	4,0	3,0	15,0	3,2	20,0
1	50	1,78	8,3	380	50	1550	850	6,6	1,00059	2,7	65,0	4,0	10,0	15,0	3,2	60,0

2	1000	2,25	12,24	2200	50	1550	1100	6,6	1,00059	4,5	65,0	4,0	25,0	15,0	3,2	50,0
3	800	2,82	13,58	1100	50	1550	1090	6,6	1,00059	4,1	65,0	4,0	15,0	15,0	3,2	55,0
4	150	3,34	17,92	6600	50	1550	780	6,6	1,00059	2,8	65,0	4,0	0,2	15,0	3,2	43,0
5	1500	3,99	19,42	3300	50	1550	770	6,6	1,00059	5,2	65,0	4,0	30,0	15,0	3,2	35,0
6	3000	4,72	14,18	6600	50	1550	900	6,6	1,00059	4,8	65,0	4,0	5,0	15,0	3,2	20,0

Окончание табл. 4.1

Номер варианта	Длинна линии l	Радиус жилы, R	Расстояние между жилами, S	Рабочее напряжение, U	Частота, f	Плотность		Относительная диэлектрическая проницаемость			Тангенс угла диэлектрических потерь			Электрическая прочность		
						Целлюлозы, D_1	Бумаги, D	Целлюлозы, ε_{21}	Воздуха, ε_{22}	Пропитки, ε_{23}	Целлюлозы, $tg\delta_1$	Воздуха, $tg\delta_2$	Пропитки, $tg\delta_3$	Целлюлозы, E_{np1}	Воздуха, E_{np2}	Пропитки, E_{np3}
	м	мм	мм	В	Гц	кг/м^3	кг/м^3				10^{-4}	10^{-6}	10^{-3}	кВ/мм	кВ/мм	кВ/мм
1	2	3	4	5	6	7	8	9	10	11	12	13	14	15	16	17
7	500	5,5	15,74	380	50	1550	970	6,6	1,00059	2,4	65,0	4,0	3,0	15,0	3,2	18,0
8	250	6,18	19,5	2200	50	1550	800	6,6	1,00059	1,01	65,0	4,0	4,0	15,0	3,2	20,0
9	2000	6,91	20,76	1100	50	1550	1100	6,6	1,00059	3,8	65,0	4,0	0,2	15,0	3,2	45,0
10	200	7,68	24,8	3300	50	1550	1100	6,6	1,00059	2,1	65,0	4,0	3,0	15,0	3,2	20,0
11	4000	8,74	27,3	6600	50	1550	850	6,6	1,00059	2,3	65,0	4,0	1,0	15,0	3,2	18,0
12	3500	1,38	11,2	1100	50	1550	780	6,6	1,00059	5,0	65,0	4,0	20,0	15,0	3,2	42,0
13	1600	1,78	11,2	2200	50	1550	900	6,6	1,00059	4,4	65,0	4,0	5,0	15,0	3,2	45,0
14	600	7,68	20,1	220	50	1550	770	6,6	1,00059	2,8	65,0	4,0	0,2	15,0	3,2	24,0
15	800	8,74	22,2	660	50	1550	970	6,6	1,00059	4,8	65,0	4,0	8,0	15,0	3,2	25,0
16	300	2,25	16,14	3300	50	1550	1090	6,6	1,00059	2,7	65,0	4,0	10,0	15,0	3,2	25,0
17	1400	3,34	17,92	6600	50	1550	780	6,6	1,00059	1,019	65,0	4,0	0,2	15,0	3,2	50,0
18	700	6,18	17,1	660	50	1550	780	6,6	1,00059	3,8	65,0	4,0	20,0	15,0	3,2	32,0

4.3. Методические указания к выполнению контрольной работы

Кабельная бумага представляет собой механическую смесь целлюлозы и воздуха с неодинаковой относительной диэлектрической проницаемостью. Определение относительной диэлектрической проницаемости такого диэлектрика производится в соответствии с уравнением Лихтенеккера для последовательного расположения компонентов. В связи с тем, что при использовании этого уравнения необходимо знать объёмные концентрации компонентов, расчёт

следует начать с определения последних по заданным значениям плотности целлюлозы и кабельной бумаги в соответствии с уравнениями

$$\theta_1 = \frac{D}{D_1}\ ; \tag{4.1}$$

$$\theta_2 = 1 - \frac{D}{D_1}, \tag{4.2}$$

где θ_1 – объёмная концентрация целлюлозы; θ_2 – объёмная концентрация воздуха; D – плотность кабельной бумаги, кг/м^3; D_1 – плотность целлюлозы, кг/м^3.

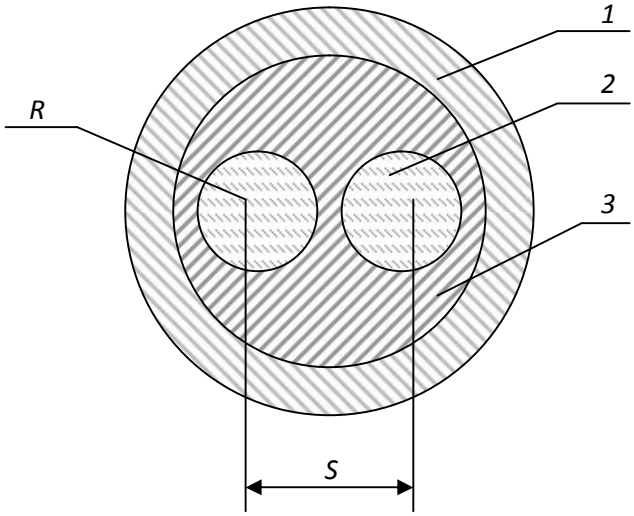

Рис. 4.1. Сечение двужильного кабеля
1- оплётка кабеля; 2- жила кабеля; 3- изоляция кабеля

По вычисленному значению относительной диэлектрической проницаемости непропитанной кабельной бумаги и заданным геометрическим размерам кабеля рассчитывается ёмкость кабельной линии.

Для двухжильного кабеля ёмкость между жилами может быть определена из уравнения:

$$C_k = \xi_r \cdot \xi_0 \times \frac{2 \cdot \pi \cdot l}{\ln K^2}, \tag{4.3}$$

где

$$K = \frac{a + x - R}{a + R - x};$$

$$x = \frac{S}{2};$$

$$a = \sqrt{(\frac{S}{2})^2 - R^2}\ ;$$

S– расстояние между центрами жил кабеля, м; *R*– радиус жил кабеля, м; *l*– длинна кабельной линии, м.

Тангенс угла диэлектрических потерь кабельной бумаги вычисляются по заданным значениям тангенсов углов диэлектрических потерь целлюлозы и воздуха по формуле

$$\mathrm{tg}\delta = \frac{\mathrm{tg}\delta_1}{1+\dfrac{\theta_2 \cdot \xi_{r1}}{(1-\theta_2)\cdot \xi_{r2}}} + \frac{\mathrm{tg}\delta_2}{1+\dfrac{(1-\theta_2)\cdot \xi_{r2}}{\theta_2 \cdot \xi_{r1}}}. \qquad (4.4)$$

Удельная активная (γ_a) и удельная реактивная (γ_p) проводимости изоляции в переменном электрическом поле с частотой *f* вычисляются по формулам, приведённым в основных учебных пособиях.

Удельная полная проводимость изоляции кабеля связана с удельными активной и реактивной проводимостями соотношением

$$\gamma_{из} = \sqrt{\gamma_a^2 + \gamma_p^2} \qquad (4.5)$$

Полная проводимость $Y_{из}$ изоляции кабеля определяется по удельной проводимости $\gamma_{из}$ и геометрическим размерам кабеля

$$Y_{из} = \gamma_{из} \cdot \frac{2\pi \cdot l}{\ln K^2} \qquad (4.6)$$

Ток утечки кабеля, возникающий под воздействием приложенного напряжения, сопротивление изоляции между жилами в двухжильных кабелях рассчитываются на основании соотношений

$$I_у = U \cdot Y_{из}; \qquad (4.7)$$

$$Z_{из} = \frac{1}{Y_{из}}. \qquad (4.8)$$

Диэлектрические потери в изоляции кабеля *P* находятся по действующему значению приложенного переменного напряжения, ёмкости кабельной лини, тангенсу угла диэлектрических потерь и частоте питающей сети

$$P = U^2 \cdot 2\pi \cdot f \cdot C_k \cdot \mathrm{tg}\delta, \qquad (4.9)$$

где *U* – рабочее напряжение кабельной линии, В; *f* – частота, Гц; C_k – ёмкость кабельной линии, Ф; tgδ – тангенс угла диэлектрических потерь; *P* – диэлектрические потери, Вт.

Для упрощения расчёта величины пробивного напряжения делаем допущение, что электрическое поле внутри кабеля однородное, то есть напряженность поля в любой его точке одинакова. Тогда электрическая прочность кабельной бумаги может быть получена по заданным значениям

электрической прочности компонентов (целлюлозы и воздуха) из следующего уравнения

$$E_{\text{пр}} = \frac{E_{\text{пр1}} \cdot E_{\text{пр2}}}{E_{\text{пр1}} + E_{\text{пр2}} \cdot (1 - \frac{\xi_{r2}}{\xi_{r1}})}. \qquad (4.10)$$

Пробивное напряжение изоляции:

$$U_{\text{пр}} = E_{\text{пр}} \cdot h_{\text{из}}, \qquad (4.11)$$

где $h_{\text{из}}$ – минимальная толщина изоляции, мм.

Минимальная толщина изоляции между жилами кабеля для двухжильного кабеля определяется из уравнения

$$h_{\text{из}} = S - 2R \qquad (4.12)$$

Вычислив электрические параметры линии, в кабеле которой в качестве изоляции использована непропитанная кабельная бумага, следует произвести расчёт параметров этой линии при условии, что оболочка кабеля заполнена вместо воздуха либо газообразным диэлектриком, либо жидким изоляционным материалом. При этом считаем, что в порах капиллярах воздух полностью замещается этими диэлектриками.

Последовательность расчёта остаётся той же, что для непропитанной кабельной бумаги. В уравнениях (4.2), (4.4) и (4.10) необходимо вместо электрических параметров воздуха подставлять аналогичные параметры замещающего воздух другого диэлектрика согласно условию задачи. При записи расчётного уравнения необходимо индекс 2, обозначающий, что это параметр воздуха, изменить на индекс 3.

Например, при определении $\text{tg}\delta_n$ пропитанной жидким диэлектриком кабельной бумаги уравнение (4.4) нужно записать в следующем виде:

$$\text{tg}\delta_{\text{п}} = \frac{\text{tg}\delta_q}{1 + \frac{\theta_3 \cdot \xi_{r1}}{(1-\theta_3) \cdot \xi_{r2}}} + \frac{\text{tg}\delta_3}{1 + \frac{(1-\theta_3) \cdot \xi_{r3}}{\theta_3 \cdot \xi_{r1}}}.$$

При расчёте следует полагать, что объёмные концентрации целлюлозы и заменяющего воздух другого газообразного или жидкого диэлектрика остались такими же, как целлюлозы и воздуха, то есть

$$\theta_3 = \theta_2.$$

После окончания расчёта следует *обязательно* проанализировать, как влияет на электрические параметры кабельной линии пропитка её изоляции жидким диэлектриком. Для удобства анализа необходимо составить таблицу расчётных значений электрических параметров кабельной линии дои после пропитки. Образец такой таблицы представлен ниже.

Таблица 4.2

Таблица сравнительных данных кабельной линии

Обозначение параметра	ξ_r	C_k, Ф	$X_{из}$, См/м	$Z_{из}$, Ом	$Y_{из}$, См	P, Вт	$U_{пр}$, кВ
Кабель без пропитки							
Кабель с пропиткой							

При анализе необходимо указывать, как влияет пропитка изоляции на значение каждого из рассчитанных параметров с использованием теоретических сведений.

В конце анализа необходимо сделать вывод о соответствии изоляции пропитанного и непропитанного кабелей требованиям, предъявляемых к кабельной линии правилами устройства электроустановок (ПУЭ).

В соответствии с этими требованиями кабельные линии с рабочим напряжением до 1000 В должны обладать сопротивлением изоляции $R_{из}$>0,5 МОм при прозвонке их мегаомметром на напряжение 2,5 кВ.

Изоляция кабельных линий с рабочим напряжением более 1 кВ должна выдерживать воздействия постоянных напряжений, значение которых приводятся в табл. 4.3.

Таблица 4.3

Испытательное напряжение выпрямленного тока для силовых кабелей

Изоляция	Напряжение, кВ, для кабелей на рабочее напряжение, кВ								Продолжительность
	2	3	6	10	20	35	110	220	
Бумажная	12	18	36	60	100	175	300	450	

Для установления соответствия изоляции кабельных линий с рабочим напряжением до 1 кВ требованиям ПУЭ необходимо рассчитать сопротивление изоляции $R_{из}$ постоянному току. Расчёт $R_{из}$ осуществляется по активной удельной проводимости в соответствии с уравнениями

$$g_{из} = \gamma_а \cdot \frac{2\pi \cdot l}{\ln K^2}; \quad (4.13)$$

$$R_{из} = \frac{1}{g_{из}}, \quad (4.14)$$

где $g_{из}$ – активная проводимость кабельной линии, См; $\gamma_а$ – удельная активная проводимость кабельной линии, См/м; $R_{из}$ – сопротивление изоляции постоянному току, Ом.

Если рассчитанное значение сопротивления изоляции $R_{из}$ больше 0,5 мОм, то кабельная линия удовлетворяет требованиям ПУЭ.

Для кабельных линий с рабочим напряжением свыше 1000В проверка изоляции на соответствие требованиям ПУЭ производится путём сравнения рассчитанного пробивного напряжения с $U_{пр}$ с испытательным напряжением, приведённым в табл. 4.3.

4.4. Экзаменационные вопросы

1. Понятия об электротехнических материалах. Классификация (определения).
2. Диэлектрики. Основные понятия. Определения. Классификация.
3. Понятия поляризации. Механизм поляризации.
4. Виды поляризации. Электронная поляризация.
5. Виды поляризации. Ионная поляризация.
6. Виды поляризации. Спонтанная (остаточная) поляризация.
7. Обобщенная схема замещения диэлектрика.
8. Относительная диэлектрическая проницаемость газообразных диэлектриков.
9. Относительная диэлектрическая проницаемость твердых диэлектриков
10. Относительная диэлектрическая проницаемость сложных диэлектриков. Уравнение Лихтеннекера.
11. Понятия об электропроводности диэлектриков. Электропроводность твердых диэлектриков. Объемное и поверхностное удельные сопротивления диэлектриков.
12. Диэлектрические потери. Основные понятия. Схемы замещения. Виды диэлектрических потерь.
13. Понятие пробоя диэлектриков. Электрический пробой газообразных диэлектриков.
14. Понятие электрического пробоя диэлектриков. Электротепловой пробой.
15. Механические, физические и тепловые свойства диэлектриков.
16. Электроизоляционные материалы. Газообразные, жидкие твердые и твердеющие изоляционные материалы.
17. Физика магнетизма. Условия возникновения ферромагнетизма.
18. Основные характеристики магнитных веществ.
19. Строение ферромагнетиков.
20. Явление магнитной анизотропии и магнитострикции.
21. Намагничивание ферромагнетиков.
22. Свойства ферромагнетиков в квазипостоянных магнитных полях.
23. Динамическая петля намагничивания.
24. Эффект вытеснения магнитного поля диэлектрика в переменном магнитном поле.
25. Потери мощности на перемагничивание ферромагнетиков в переменном магнитном поле.

26. Магнитные материалы. Магнитомягкие и магнитотвердые магнитные материалы.
27. Исследование ферромагнетика в переменном магнитном поле.
28. Полупроводники. Основные понятия. Классификация.
29. Электропроводность полупроводников.
30. Электронно-дырочный переход полупроводников.
31. Проводники. Классификация. Основные понятия.
32. Удельное сопротивление проводников. Температурный коэффициент удельного сопротивления.
33. ТермоЭДС. Температурный коэффициент линейного расширения металлических проводников.
34. Основы конструкционного и электротехнического материаловедение.
35. Агрегатные состояния и дефекты строения материалов.
36. Термическая обработка.
37. Металлы и сплавы.
38. Искусственные и синтетические материалы.
39. Классификация материалов.
40. Технологии получения материалов.

Учебно-методические материалы

Основная литература

Богородицкий Н. П., *Пасынков В. В.*, *Тареев Б. М.* Электротехнические материалы. 7-е издание. Л.: Энергоатомиздат, 1985. 304 с.

Угольников А. В. Электротехническое и конструкционное материаловедение. Екатеринбург, Изд-во УГГУ, 2015. 147 с.

Хахин Ю. М. Электротехническое материаловедение. Екатеринбург, Изд. УГГГА, 1995. 100 с.

Дополнительная литература

Справочник по электрическим материалам / под ред. Ю. В. Корицкого 2-е изд. М.: Энергия, том 1, 1974. 583 с.; том 2, 1974. 615 с; том 3, 1976. 896 с.

Агеева Н. Д., Винаковская Н. Г, Лифанов В. Н. Электротехническое материаловедение, Владивосток: Изд-во ДВГТУ, 2006. 76 с.

Дудкин А. Н. Ким В. С. Электротехническое материаловедение. Томск: Издательство Томского политехнического университета, 2012. 216 с.

Журавлева Л. В. Электроматериаловедение, М ПрофОбрИздат, 2001. 312 с.

*Попов В. С.*Теоретическая электротехника. М.: Энергоатомиздат, 1990.

Розенблат М. А. Магнитные элементы автоматики и вычислительной техники. М.: Наука, 1966. 720с.

Тареев Б. М. Физика диэлектрических материалов. М.: Энергия, 1982. 320 с.

Штофа Ян. Электротехнические материалы в вопросах и ответах. М.: Энергоатомиздат, 1984. 200 с.

Электротехнические и конструкционные материалы. В. Н. Бородулин, А. С. Воробьев, В. М. Матюгин и др. М: Издательский центр «Академия», 2005. 280 с.

МИНОБРНАУКИ РФ

ФГБОУ ВО «Уральский государственный горный университет»

УТВЕРЖДАЮ
Проректор по учебно-методическому комплексу
_____С.А.Упоров

МЕТОДИЧЕСКИЕ РЕКОМЕНДАЦИИ К САМОСТОЯТЕЛЬНОЙ РАБОТЕ ПО ДИСЦИПЛИНЕ

Б1.О.13 ЭЛЕКТРОТЕХНИЧЕСКОЕ МАТЕРИАЛОВЕДЕНИЕ

Специальность:
21.05.02 Прикладная геология

Специализация:
Геология месторождений нефти и газа

форма обучения: очная

Автор: Угольников А. В., доцент, к.т.н.

Одобрены на заседании кафедры
Электротехники
(название кафедры)
Зав.кафедрой _____
(подпись)
к.т.н., доц. Угольников А.В.
(Фамилия И.О.)
Протокол № 2 от 09.10.2020
(Дата)

Рассмотрены методической комиссией
факультета геологии и геофизики
(название факультета)
Председатель _____
(подпись)
д.г.-м.н., проф. Бондарев В.И.
(Фамилия И.О.)
Протокол № 2 от 13.10.2020
(Дата)

Екатеринбург

Методические материалы по дисциплине согласованы с выпускающей кафедрой литологии и геологии горючих ископаемых

Заведующий кафедрой 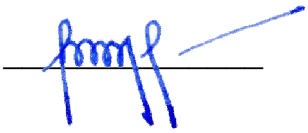 С. А. Рыльков

СОДЕРЖАНИЕ

ВВЕДЕНИЕ 4
ВИДЫ САМОСТОЯТЕЛЬНОЙ РАБОТЫ СТУДЕНТА 5
МЕТОДИЧЕСКИЕ РЕКОМЕНДАЦИИ ПО ПОДГОТОВКЕ КО ВСЕМ ВИДАМ ТЕКУЩЕГО КОНТРОЛЯ 5
Повторение материала лекций и самостоятельное изучение курса 5
Подготовка к практическим занятиям и лабораторным работам 6
МЕТОДИЧЕСКИЕ РЕКОМЕНДАЦИИ ПО ПОДГОТОВКЕ К ПРОМЕЖУТОЧНОЙ АТТЕСТАЦИИ 7
Подготовка к зачёту 7

ВВЕДЕНИЕ

Самостоятельная работа студентов – это разнообразные виды деятельности студентов, осуществляемые под руководством, но без непосредственного участия преподавателя в аудиторное и/или внеаудиторное время.

Это особая форма обучения по заданиям преподавателя, выполнение которых требует активной мыслительной, поисково-исследовательской и аналитической деятельности.

Методологическую основу самостоятельной работы студентов составляет деятельностный подход, когда цели обучения ориентированы на формирование умений решать типовые и нетиповые задачи, то есть на реальные ситуации, где студентам надо проявить знание конкретной дисциплины, использовать внутрипредметные и межпредметные связи.

Цель самостоятельной работы – закрепление знаний, полученных на аудиторных занятиях, формирование способности принимать на себя ответственность, решать проблему, находить конструктивные выходы из сложных ситуаций, развивать творческие способности, приобретение навыка организовывать своё время

Кроме того самостоятельная работа направлена наобучение студента осмысленно и самостоятельно работать сначала с учебным материалом, затем с научной информацией, заложить основы самоорганизации и самовоспитания с тем, чтобы привить умение в дальнейшем непрерывно повышать свой профессиональный уровень.

Самостоятельная работа реализует следующие задачи:

- систематизация и закрепление полученных теоретических знаний и практических умений студентов;
- углубление и расширение теоретических знаний;
- формирование умений использовать нормативную, правовую, справочную документацию и специальную литературу;
- развитие познавательных способностей и активности студентов: творческой инициативы, самостоятельности, ответственности и организованности;
- формирование самостоятельности мышления, способностей к саморазвитию, самосовершенствованию и самореализации;
- формирование практических (общеучебных и профессиональных) умений и навыков;
- развитие исследовательских умений;
- получение навыков эффективной самостоятельной профессиональной (практической и научно-теоретической) деятельности.

В учебном процессе выделяют два вида самостоятельной работы:

- аудиторная;
- внеаудиторная.

Аудиторная самостоятельная работа по дисциплине выполняется на учебных занятиях под непосредственным руководством преподавателя и по его заданию.

Внеаудиторная самостоятельная работа– планируемая учебная, учебно-исследовательская, научно-исследовательская работа студентов, выполняемая во внеаудиторное время по заданию и при методическом руководстве преподавателя, но без его непосредственного участия.

Самостоятельная работа, не предусмотренная образовательной программой, учебным планом и учебно-методическими материалами, раскрывающими и конкретизирующими их содержание, осуществляется студентами инициативно, с целью реализации собственных учебных и научных интересов.

Для более эффективного выполнения самостоятельной работы по дисциплине преподаватель рекомендует студентам источники и учебно-методические пособия для работы, характеризует наиболее рациональную методику самостоятельной работы, демонстрирует ранее выполненные студентами работы и т. п.

ВИДЫ САМОСТОЯТЕЛЬНОЙ РАБОТЫ СТУДЕНТА

Основные формы организации самостоятельной работы студентов определяются следующими параметрами:

- содержание учебной дисциплины;
- уровень образования и степень подготовленности студентов;
- необходимость упорядочения нагрузки студентов при самостоятельной работе.

В соответствии с реализацией рабочей программы дисциплины в рамках самостоятельной работы студенту необходимо выполнитьследующиевиды работ:

для подготовки ко всем видам текущего контроля:

- повторение материала лекций;
- самостоятельное изучение курса;
- подготовка к практическим занятиям и лабораторным работам;
- подготовка к контрольной работе, написание контрольной работы;
- выполнение и написание курсовой работы (проекта);

для подготовки ко всем видам промежуточной аттестации:

- подготовка к зачёту;
- подготовка к экзамену.

Особенностью организации самостоятельной работы студентов является необходимость не только подготовиться к сдаче зачета /экзамена, но и собрать, обобщить, систематизировать, проанализировать информацию по темам дисциплины.

Технология организации самостоятельной работы студентов включает использование информационных и материально-технических ресурсов образовательного учреждения.

Самостоятельная работа может осуществляться индивидуально или группами студентов как online, так и на занятиях в зависимости от цели, объема, конкретной тематики самостоятельной работы, уровня сложности, уровня умений студентов.

В качестве форм и методов контроля внеаудиторной самостоятельной работы студентов могут быть использованы обмен информационными файлами, семинарские занятия, тестирование, опрос, доклад, реферат, самоотчеты, контрольные работы, защита контрольных и курсовых работ (проектов), защита зачётных работ в виде доклада с презентацией и др.

Текущий контроль результатов внеаудиторной самостоятельной работы студентов осуществляется в пределах времени, отведенного на обязательные учебные занятия по дисциплине.

Промежуточный контроль результатов внеаудиторной самостоятельной работы студентов осуществляется в пределах времени, отведенного для сдачи экзамена / зачёта.

В методических указаниях по каждому виду контроля представлены материалы для самостоятельной работы и рекомендации по организации отдельных её видов.

МЕТОДИЧЕСКИЕ РЕКОМЕНДАЦИИ ПО ПОДГОТОВКЕ КО ВСЕМ ВИДАМ ТЕКУЩЕГО КОНТРОЛЯ

Повторение материала лекций и самостоятельное изучение курса

Лекционный материал по дисциплине излагается в виде устных лекций преподавателя во время аудиторных занятий. Самостоятельная работа студента во время лекционных аудиторных занятий заключается в ведении записей (конспекта лекций).

Конспект лекций, выполняемый во время аудиторных занятий, дополняется студентом при самостоятельном внеаудиторном изучении некоторых тем курса.Самостоятельное изучение тем курса осуществляется на основе списка основной и дополнительной литературы к дисциплине.

Перечень основной и дополнительной учебной литературы, необходимой для освоения дисциплины приведён в рабочей программе дисциплины.

Рекомендуемые задания для самостоятельной внеаудиторной работы студента, направленные на повторение материала лекций и самостоятельное изучение тем курса:

для овладения знаниями:

- конспектирование текста;
- чтение основной и дополнительной литературы;
- составление плана текста;
- работа со словарями, справочниками и нормативными документами;
- просмотр обучающих видеозаписей.

для закрепления и систематизации знаний:

- работа с конспектом лекций;
- повторная работа над учебным материалом;
- составление таблиц для систематизации учебного материала;
- изучение нормативных материалов;
- составление плана и тезисов ответа на вопросы для самопроверки;
- ответы на вопросы для самопроверки;
- составление библиографических списков по изучаемым темам.

для формирования навыков и умений:

- выполнение рисунков, схем, эскизов оборудования;
- рефлексивный анализ профессиональных умений.

Тематический план изучения дисциплины и содержание учебной дисциплины приведены в рабочей программе дисциплины.

Вопросы для самопроверки приведены учебной литературе по дисциплине или могут быть предложены преподавателем на лекционных аудиторных занятиях после изучения каждой темы.

Подготовка к практическим занятиям и лабораторным работам

Практические занятия по дисциплине выступают средством формированияу студентов системы интегрированных умений и навыков, необходимых для освоения профессиональных компетенций, а также умений определять, разрабатывать и применять оптимальные методы решения профессиональных задач.

На практических занятиях происходит закрепление теоретических знаний, полученных в ходе лекций, осваиваются методики и алгоритмы решения типовых задач по образцу и вариантных задач, разбираются примеры применения теоретических знаний для практического использования, выполняются доклады с презентацией по определенным учебно-практическим, учебно-исследовательским или научным темам с последующим их обсуждением.

Рекомендуемые задания для самостоятельной внеаудиторной работы студента, направленные на подготовку к практическим занятиям:

для овладения знаниями:

- чтение основной и дополнительной литературы;
- работа со словарями, справочниками и нормативными документами;
- просмотр обучающих видеозаписей.

для закрепления и систематизации знаний:

- работа с конспектом лекций;
- ответы на вопросы для самопроверки;
- подготовка публичных выступлений;
- составление библиографических списков по изучаемым темам.

для формирования навыков и умений:

- решение задач по образцу и вариативных задач;
- выполнение рисунков, схем, эскизов оборудования;

– рефлексивный анализ профессиональных умений.

Тематический план изучения дисциплины и содержание учебной дисциплины приведены в рабочей программе дисциплины.

Лабораторные занятия по дисциплине выступают средством формированияу студентов навыков работы с использованием лабораторного оборудования, планирования и выполнения экспериментов, оформления отчётной документации по выполнению лабораторных работ.

Рекомендуемые задания для самостоятельной внеаудиторной работы студента, направленные на подготовку к лабораторным занятиям:

для овладения знаниями:

- изучение методик работы с использованием различных видов и типов лабораторного оборудования;
- изучение правил безопасной эксплуатации лабораторного оборудования;
- работа со словарями, справочниками и нормативными документами.

для закрепления и систематизации знаний:

- составление плана проведения эксперимента;
- составление отчётной документации по результатам экспериментирования;
- аналитическая обработка результатов экспериментов.

для формирования навыков и умений:

- выполнение рисунков, схем, эскизов оборудования;
- оформление отчётной документации по выполнению лабораторных работ.

ПО ПОДГОТОВКЕ К ПРОМЕЖУТОЧНОЙ АТТЕСТАЦИИ

Подготовка к зачёту

Зачёт по дисциплине может быть проведён в виде теста или включать в себя защиту контрольной работы (доклад с презентацией).

Тест – это система стандартизированных заданий, позволяющая автоматизировать процедуру измерения уровня знаний и умений обучающегося.

При самостоятельной подготовке к зачёту, проводимому в виде теста, студенту необходимо:

- проработать информационный материал (конспект лекций, учебное пособие, учебник) по дисциплине; проконсультироваться с преподавателем по вопросу выбора дополнительной учебной литературы;
- выяснить условия проведения теста:количествовопросов в тесте,продолжительностьвыполнения теста, систему оценки результатов и т. д.;
- приступая к работе с тестом, нужно внимательно и до конца прочитать вопрос и предлагаемые варианты ответов, выбрать правильные (их может быть несколько), на отдельном листке ответов вписать цифру вопроса и буквы, соответствующие правильным ответам.

В процессе выполнения тестарекомендуется применять несколько подходов в решении заданий. Такая стратегия позволяет максимально гибко оперировать методами решения, находя каждый раз оптимальный вариант. Не нужно тратить слишком много времени на трудный вопрос, а сразу переходить к другим тестовым заданиям, к трудному вопросу можно обратиться в конце. Необходимо оставить время для проверки ответов, чтобы избежать механических ошибок.

Зачёт также может проходить в виде защиты контрольной работы (доклад с презентацией). Методические рекомендации по подготовке и выполнению доклада с презентацией приведены в п. «Подготовка и написание контрольной работы».

Министерство науки и высшего образования РФ
ФГБОУ ВО
«Уральский государственный горный университет»

ОДОБРЕНО
Методической комиссией
горно-механического факультета

«___» _____ 2018 г.
Председатель комиссии
проф. В. П. Барановский

Брагин В. Г., Волков Е. Б., Казаков Ю. М.

ТЕОРЕТИЧЕСКАЯ МЕХАНИКА

Учебное пособие

Издание УГГУ Екатеринбург, 2018

УДК 531
Б 87

Рецензент: *Н. М. Суслов*, д-р техн. наук, заведующий кафедрой ГМК
Уральского государственного горного университета.

Учебное пособие рассмотрено на заседании кафедры технической механики от «07» июня 2018 г. (протокол № 7) и рекомендовано для издания в УГГУ.

Печатается по решению Учебно-методического совета Уральского государственного горного университета.

Брагин В. Г., Волков Е. Б., Казаков Ю. М.

Б 87 ТЕОРЕТИЧЕСКАЯ МЕХАНИКА: Учебное пособие / Ю. М. Казаков, В. Г. Брагин, Е. Б. Волков. – Екатеринбург: Изд-во УГГУ, 2018. – 250 с.
ISBN 978-5-8019-0460-3

Учебное пособие содержит краткие методические указания, примеры решений задач и упражнения для самостоятельной работы по основным темам курса теоретической механики: статика, кинематика точки и простейшие движения твёрдых тел, сложное движение точки, динамика точки и механической системы. Учебное пособие для студентов всех специальностей очной и заочной форм обучения.

ISBN 978-5-8019-0460-3

©Брагин В. Г., Волков Е. Б.,
Казаков Ю. М., 2018
©Уральский государственный горный университет, 2018

ОГЛАВЛЕНИЕ

1. СТАТИКА 4
1.1. Основные понятия статики 4
1.2. Система сходящихся сил. Условия равновесия 9
1.3. Произвольная плоская система сил 16
1.4. Равновесие систем тел 26
1.5. Произвольная пространственная система сил 34
1.6. Равновесие тел при наличии сил трения 44
2. КИНЕМАТИКА ТОЧКИ И ТВЁРДОГО ТЕЛА 55
2.1. Криволинейное движение точки 55
2.2. Поступательное движение и вращение твердого тела 62
вокруг неподвижной оси 62
2.3. Скорости точек при плоскопараллельном движении твёрдого тела 73
2.4. Ускорения точек при плоскопараллельном движении твёрдого тела 84
3. СЛОЖНОЕ ДВИЖЕНИЕ ТОЧКИ 100
3.1. Основные понятия и определения сложного движения точки 100
4. ДИНАМИКА ТОЧКИ 114
4.1. Дифференциальные уравнения движения точки 114
4.2. Колебания материальной точки 124
4.3. Теорема об изменении кинетической энергии точки 134
5. ОБЩИЕ ТЕОРЕМЫ ДИНАМИКИ СИСТЕМЫ 146
5.1. Теорема о движении центра масс системы 146
5.2. Теорема об изменении кинетического момента системы
относительно оси 148
5.3. Теорема об изменении кинетической энергии системы 153
5.4. Применение общих теорем динамики системы к описанию
движений твёрдого тела 162
6. ПРИНЦИПЫ МЕХАНИКИ 177
6.1. Принцип Даламбера для системы 177
6.2. Принцип возможных перемещений 182
6.3. Общее уравнение динамики 189
6.4. Уравнения Лагранжа II рода 201
7. ОТВЕТЫ И КРАТКИЕ ПОЯСНЕНИЯ 220
7.1. Ответы к упражнениям главы 1 220
7.2. Ответы к упражнениям главы 2 226
7.3. Ответы к упражнениям главы 3 231
7.4. Ответы к упражнениям главы 4 233
7.5. Ответы к упражнениям главы 5 236
7.6. Ответы к упражнениям главы 6 241
СПИСОК РЕКОМЕНДУЕМОЙ ЛИТЕРАТУРЫ 249

1. СТАТИКА

1.1. Основные понятия статики

Статика представляет раздел теоретической механики, в котором освещаются условия равновесия тел под действием систем сил.

Материальной точкой называют простейшую модель материального тела, размерами которого можно пренебречь и которое можно принять за геометрическую точку, имеющую массу, равную массе тела. Совокупность материальных точек называется **системой материальных точек**. Если система материальных точек такова, что движение каждой точки зависит от положения и движения остальных точек системы, то система называется **механической системой материальных точек**. Любое материальное тело представляет собой механическую систему материальных точек. Если точки системы связаны между собой так, что расстояния между любыми двумя точками не изменяются, то система называется **неизменяемой системой**, а тело – **абсолютно твердым телом**.

Силой в механике называют меру механического действия одного материального объекта (например, твердого тела) на другой. Единицей измерения силы в системе СИ является ньютон (Н). Совокупность сил, действующих на механическую систему (в частности, на твёрдое тело), называют **системой сил.**

Если система сил, приложенная к твердому телу, оставляет его в состоянии покоя или равномерного прямолинейного движения, то такая система сил называется **уравновешенной,** или **системой сил, эквивалентной нулю**.

Если одну систему сил, действующих на твердое тело или материальную точку, можно заменить другой системой, не изменяя при этом состояния покоя или движения, в котором находится тело или материальная точка, то такие две системы сил называются **эквивалентными**. Если система сил эквивалентна одной силе, то эта сила называется **равнодействующей** данной системы сил.

Основные виды связей и их реакции

Всякое твердое тело, которое может занимать произвольное положение в пространстве, называется свободным. Если на тело наложены внешние связи, стесняющие (ограничивающие) свободу его перемещений, то тело является несвободным. Сила, с которой данная связь действует на тело, препятствуя его перемещениям, называется **реакцией связи**. Всякое несвободное твердое тело можно рассматривать как свободное, если освободить тело от связей и заменить действие связей их реакциями. **Реакция связи направлена в сторону, противоположную тому направлению, вдоль которого связь препятствует перемещению тела.**

Опора тела на гладкую плоскость (поверхность) без трения. Реакция $\vec{R}$ абсолютно гладкой поверхности приложена в точке касания и направлена перпендикулярно к общей касательной соприкасающихся поверхностей (рис. 1.1, *a*). Такая реакция называется **нормальной реакцией**.

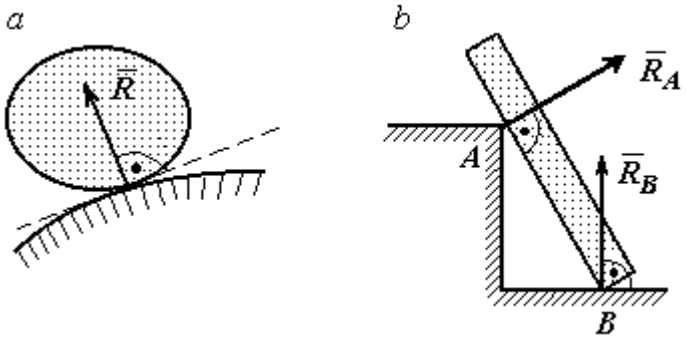

Рис. 1.1. Реакция опоры:

Брус с гладкой поверхностью (рис. 1.1, *b*), опирающийся в точке *B* на гладкий пол и в точке *A* на ребро (точечную опору), имеет реакциями опор $\vec{R}_B$ – реакцию пола и $\vec{R}_A$ – реакцию ребра (точечной опоры). Реакции приложены к брусу и направлены по нормалям к поверхности пола и поверхности бруса.

Цилиндрический шарнир и подвижная опора (каток). Цилиндрический шарнир (на рис. 1.2, *a* обозначен буквой *A*) представляет собой устройство, которое допускает поворот тела в плоскости, перпендикулярной оси шарнира (например, цилиндрическая втулка, надетая на неподвижный цилиндр).

Реакция цилиндрического шарнира $\vec{R}_A$ лежит в плоскости, перпендикулярной оси шарнира. При решении задач неизвестную по величине и направлению реакцию цилиндрического шарнира представляют в виде составляющих, $\vec{X}_A$, $\vec{Y}_A$, направленных вдоль координатных осей (см. рис. 1.2, *a*). Величина реакции $\vec{R}_A$ определяется по формуле: $R_A = \sqrt{X_A^2 + Y_A^2}$, где $\vec{X}_A$, $\vec{Y}_A$ – составляющие реакции.

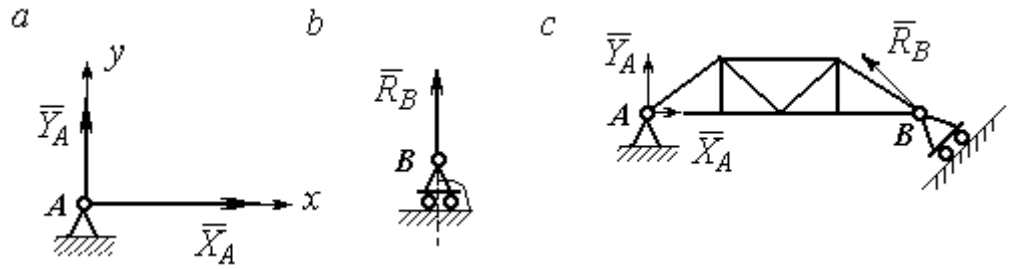

Рис. 1.2. Реакции шарнирных опор:
a – цилиндрический шарнир; *b* – каток; *c* – мостовая конструкция с цилиндрической шарнирной опорой и опорой на каток

Реакция $\vec{R}_B$ опоры на каток (подвижной опоры) (рис. 1.2, *b*) перпендикулярна опорной поверхности.

На рис. 1.2, *c* показаны реакции связей мостовой конструкции с цилиндрической шарнирной опорой и подвижной опорой (катком). Реакция цилиндрического шарнира в точке *A* изображена в виде разложения на взаимно перпендикулярные составляющие $\vec{X}_A$, $\vec{Y}_A$, реакция $\vec{R}_B$ катка в точке *B* перпендикулярна наклонной плоскости, на которой стоит каток.

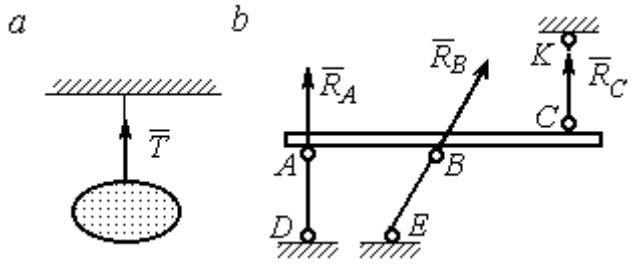

Рис. 1.3. Реакция гибкой нити и невесомого стержня

Гибкая связь и жесткий невесомый стержень. Связь в виде гибкой нерастяжимой нити (каната, троса) препятствует удалению тела от точки подвеса. (рис. 1.3, *a*). Реакция связи $\vec{T}$,

равная натяжению нити, приложена к телу и направлена вдоль нити в сторону противоположную направлению, вдоль которого нить препятствует перемещению тела

Если опорой тела служит невесомый стержень с шарнирами на концах, то реакция прямолинейного стержня приложена к телу и направлена вдоль стержня. Направление реакции стержня противоположно направлению, по которому стержень препятствует перемещению тела.

Реакции невесомых стержней, удерживающих балку, изображённую на рис. 1.3, *b*, направлены исходя из предположения, что балка может перемещаться вниз. При этом стержни *AD* и *BE* сжаты, а стержень *CK* растянут.

Сферический шарнир. Связь в виде сферического шарнира не позволяет перемещать тело в пространстве, но допускает поворот в пространстве вокруг неподвижной точки. Реакция сферического шарнира может иметь любое направление в пространстве. При решении задач реакцию изображают ее составляющими. На рис. 1.4 реакция $\vec{R}_A$ сферического шарнира A разложена на составляющие $\vec{X}_A, \vec{Y}_A, \vec{Z}_A$ по направлениям координатных осей. Величина реакции сферического шарнира определяется по формуле: $R_A = \sqrt{X_A^2 + Y_A^2 + Z_A^2}$.

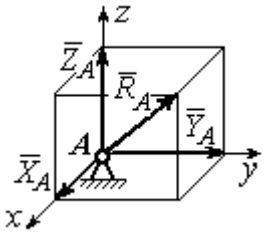

Рис. 1.4. Реакция сферического шарнира

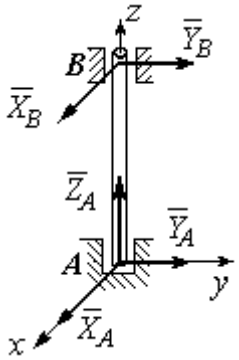

Рис. 1.5. Реакции подшипника и подпятника

Подшипник и подпятник. Подшипник представляет собой цилиндрический шарнир (рис. 1.5, подшипник *B*). Его реакция может иметь любое направление в плоскости, перпендикулярной оси шарнира. При решении задач реакция подшипника раскладывается на две составляющие. Например, на рис. 1.5 реакция $\vec{R}_B$ подшип-

ника *B* разложена на составляющие $\vec{X}_B, \vec{Y}_B$, параллельные координатным осям. Величина реакции подшипника определяется по формуле: $R_B = \sqrt{X_B^2 + Y_B^2}$.

Подпятник является цилиндрическим шарниром с упором. В задачах реакция подпятника обычно изображается векторами $\vec{X}_A, \vec{Y}_A, \vec{Z}_A$, представляющими разложение силы реакции подпятника по заданным направлениям координатных осей (см. рис. 1.5, подпятник *A*). Величина реакции подпятника определяется по формуле: $R_A = \sqrt{X_A^2 + Y_A^2 + Z_A^2}$.

Проекция силы на ось и на плоскость

Проекция силы на ось есть алгебраическая величина, равная произведению модуля силы на косинус угла между силой и положительным направлением оси. Если этот угол острый, проекция положительна, если тупой – отрицательна. Если сила перпендикулярна оси, её проекция на ось равна нулю.

Проекции сил $\vec{F}$, $\vec{Q}$, $\vec{P}$, изображённых на рис. 1.6, *a*, на ось *x*: $F_x = F\cos\alpha$, $Q_x = Q\cos\alpha_1 = -Q\cos\varphi$, $P_x = P\cos 90^\circ = 0$.

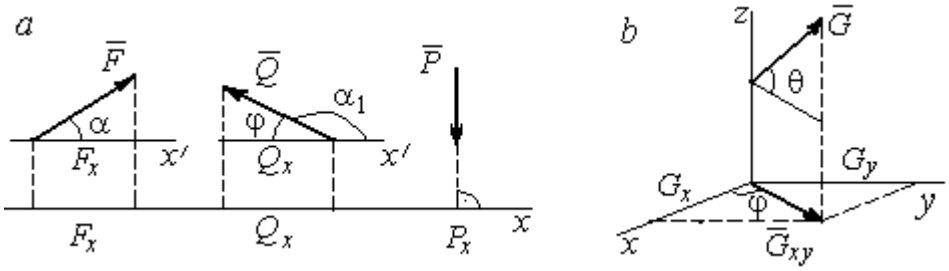

Рис. 1.6. Проекция силы на ось и на плоскость:
a – проекция силы на ось; *b* – проекция силы на плоскость

Проекцией силы на плоскость называется вектор, заключённый между проекциями начала и конца силы $\vec{G}$ на эту плоскость.

На рис. 1.6, *b* вектор $\vec{G}_{xy}$ является проекцией силы $\vec{G}$ на плоскость *xy*. По величине $G_{xy} = G\cos\theta$, где θ – угол между направлением силы $\vec{G}$ и её проек-

ции $\vec{G}_{xy}$. Проекции силы $\vec{G}$ на оси xyz: $G_x = G_{xy}\cos\varphi = G\cos\theta\cos\varphi$, $G_y = G_{xy}\sin\varphi = G\cos\theta\sin\varphi$, $G_z = G\sin\theta$.

1.2. Система сходящихся сил. Условия равновесия

Для равновесия **пространственной системы сходящихся сил** необходимо и достаточно, чтобы суммы проекций всех сил на каждую из трёх осей прямоугольной системы координат были равны нулю:

$$\sum F_{kx} = 0,\ \sum F_{ky} = 0,\ \sum F_{kz} = 0,$$

где F_{kx}, F_{ky}, F_{kz} – проекции всех сил на координатные оси.

Для равновесия **плоской системы сходящихся сил** необходимо и достаточно, чтобы суммы проекций всех сил на каждую из двух осей прямоугольной системы координат, расположенной в плоскости действия сил, были равны нулю: $\sum F_{kx} = 0$, $\sum F_{ky} = 0$, где F_{kx}, F_{ky} – проекции всех сил на координатные оси.

Примеры решения задач на равновесие сходящейся системы сил

Задача 1. Каток весом 20 кН удерживается на гладкой наклонной плоскости тросом, который одним концом закреплён на поверхности шара, а другим – на вертикальной стене (рис. 1.7). Угол наклона троса к вертикальной стене $\beta = 120°$. Угол наклона плоскости к горизонту $\alpha = 45°$. Определить силу давления катка на плоскость и натяжение троса.

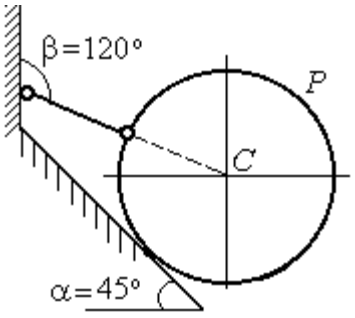

Рис. 1.7. Равновесие шара

Решение

При равновесии на каток действуют сила тяжести $\vec{P}$, реакция троса $\vec{N}$ и реакция опоры $\vec{R}$. Линии действия всех сил находятся в одной плоскости и пересекаются в центре шара. Направления реакций показаны на рис. 1.8.

Условия равновесия плоской сходящейся системы сил:

$$\sum F_{kx} = 0,\ \sum F_{ky} = 0.$$

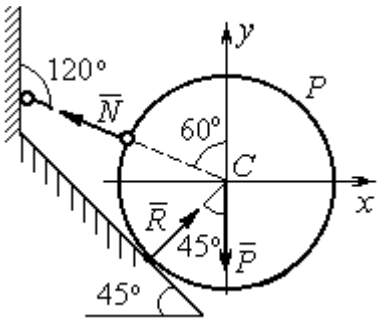

Рис. 1.8. Силы, действующие на каток, при его равновесии

Проведя оси координат, как показано на рис. 1.8, выразим условия равновесия в виде системы уравнений:

$$\sum F_{kx} = -N\cos 30^\circ + R\cos 45^\circ = 0;$$

$$\sum F_{ky} = N\cos 60^\circ + R\cos 45^\circ - P = 0.$$

Подставляя в уравнения исходные данные задачи, найдем: $N = 14{,}64$ кН, $R = 17{,}93$ кН.

Натяжение троса равно модулю его реакции. Сила давления катка на плоскость равна реакции опоры гладкой плоскости, но направлена в противоположную сторону.

Задача 2. Кронштейн состоит из невесомых стержней *AC* и *BC*, скрепленных друг с другом и с вертикальной стеной шарнирами, как показано на рис. 1.9. Стержень *BC* горизонтален, стержень *AC* составляет с горизонталью угол $\beta = 60^\circ$. К шарниру *C* прикреплены два троса, удерживающие грузы 1 и 2 весом $G_1 = 10$ кН и $G_2 = 12$ кН. Трос, удерживающий груз 1, вертикален, а другой перекинут через блок *D* так, что угол наклона участка троса *CD* к вертикали $\alpha = 60^\circ$. Определить реакции стержней *BC* и *AC*.

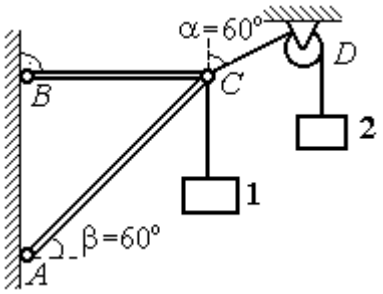

Рис. 1.9. Равновесие кронштейна

Решение

Рассмотрим равновесие узла *C*, в котором закреплены стержни и тросы. На узел *C* действуют реакции $\vec{T}_1$ и $\vec{T}_2$ тросов, натянутых грузами 1 и 2, и реакции $\vec{N}_1$ и $\vec{N}_2$ стержней *BC* и *AC* (рис. 1.10). Модули реакций тросов $\vec{T}_1$ и $\vec{T}_2$ равны весу грузов: $T_1 = G_1$, $T_2 = G_2$.

Плоская система сил ($\vec{T}_1$, $\vec{T}_2$, $\vec{N}_1$, $\vec{N}_2$) является сходящейся. Условия равновесия: $\sum F_{kx} = 0$, $\sum F_{ky} = 0$. Проведя оси координат xCy, как показано на рис. 1.10, и определяя проекции сил на оси, получим систему уравнений:

$$N_1 + N_2\cos 60^\circ - T_2\cos 30^\circ = 0;$$

$$N_2\cos 30^\circ + T_1 - T_2\cos 60^\circ = 0.$$

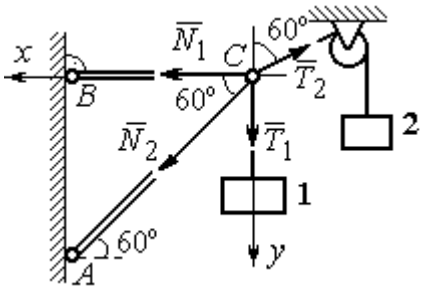

Рис. 1.10. Силы, действующие на узел *C* при его равновесии

Подставим в уравнения исходные данные задачи. С учётом того, что $T_1 = G_1 = 10$ кН, $T_2 = G_2 = 12$ кН, найдём значения реакций: $N_1 = 12{,}7$ кН, $N_2 = -4{,}62$ кН. Отрицательная величина N_2 означает, что вектор $\vec{N}_2$ реакции стержня *AC* направлен в противоположную сторону.

Задача 3. Груз весом $P = 20$ кН поднимается стержневым краном *ABC* посредством каната, перекинутого через блоки *B* и *D* (рис. 1.11). Блок *B* установлен в месте шарнирного соединения невесомых стержней *AB* и *BC*, блок *D* укреплён так, что участок троса *DB* составляет с вертикалью угол $\beta = 60^\circ$. Стержни *AB* и *BC* соединены со стенками шарнирами. Конец троса, несущий груз *P*, переброшен через блок *E* и на отрезке *BE* составляет с вертикалью угол $\alpha = 30^\circ$. Пренебрегая трением в блоке и размерами блока *B*, определить усилия в стержнях *AB* и *BC* при равновесии груза.

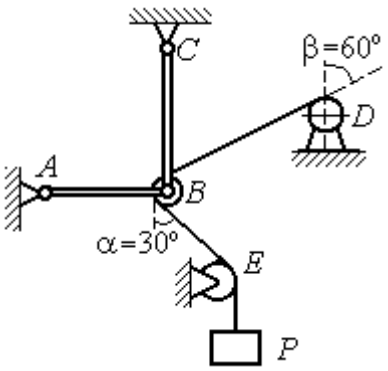

Рис. 1.11. Равновесие стержневой конструкции

Решение

Рассмотрим равновесие блока *B* вместе с отрезками нити *BE* и *BD*. Освободим блок *B* от связей и заменим их реакциями.

Рассматривая блок и отрезок нити как одно целое, можно не учитывать силы взаимного давления нити и блока. На блок действует реакция $\vec{T}$ нити *BD*, приложенная в точке *D*, численно равная весу груза *P*, реакция $\vec{T}'$ нити *BE*, приложенная в точке *E* и также численно равная весу груза *P* и реакции стержней $\vec{N}_1$, $\vec{N}_2$ (см. рис. 1.12).

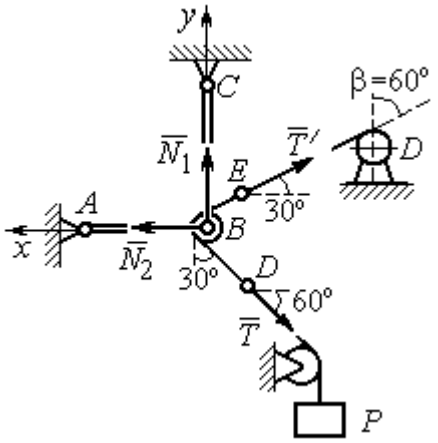

Рис. 1.12. Силы, действующие на блок *B*, при его равновесии

Пренебрегая размерами блока, можно считать систему сил сходящейся. Проведём координатные оси, как показано на рис. 1.12, и выразим условия равновесия плоской сходящейся системы сил в виде системы уравнений:

$$\sum F_{kx} = N_2 - T'\cos 30^\circ - T\cos 60^\circ = 0;\ \sum F_{ky} = N_1 + T'\cos 60^\circ - T\cos 30^\circ = 0.$$

Решая полученную систему уравнений с учётом, что $T' = T = P$ = 20 кН, получим: N_1 = 7,32 кН, N_2 = 27,32 кН.

Задача 4. Шахта ориентируется в вертикальной плоскости с помощью несвободного проволочного отвеса *CBDP*, натянутого грузом весом *P* = 50 Н (рис. 1.13).

Определить натяжения частей отвеса *CB*, *BD*, *DP* и натяжения оттяжек *BA* и *DE*, если угол отклонения оттяжки *BC* от горизонтали $\alpha = 60^\circ$, а отклонение средней части отвеса *BD* от вертикали $\beta = 4^\circ$. Весом проволоки отвеса пренебречь.

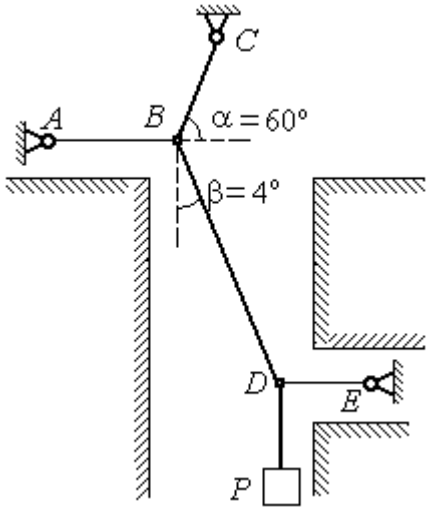

Рис. 1.13. Схема отвеса

Решение

Рассмотрим равновесие узла *D*, в котором сходятся три силы – реакция $\vec{S}$ средней части отвеса, реакция $\vec{T}_E$ оттяжки *DE* и реакция $\vec{T}_P$ отвеса на участке

DP, равная весу груза $T_P = P$ (рис. 1.14). Выберем оси координат *xDy*, как показано на рис. 1.14, и составим уравнения равновесия узла *D:*

$$\sum F_{kx} = S\cos 86^\circ - T_E = 0\,; \;\; \sum F_{ky} = S\cos 4^\circ - T_P = 0\,.$$

Из второго уравнения с учётом, что натяжение отвеса на участке *DP* $T_P = P =$ 50 Н, находим натяжение S на среднем участке отвеса: $S = \dfrac{T_P}{\cos 4^\circ} = 50{,}12$ Н. Из первого уравнения находим натяжение $T_E = S\cos 86^\circ = 3{,}49$ Н.

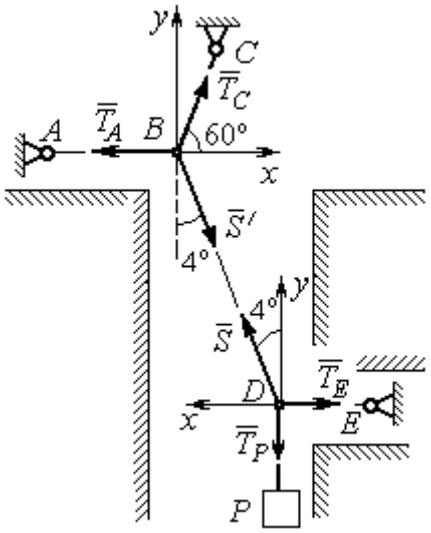

Рис.1.14. Силы, действующие в узлах *B* и *D* при равновесии отвеса

Теперь рассмотрим равновесие узла *B*, на который действуют реакция $\vec{T}_A$ оттяжки *BA*, реакция $\vec{T}_C$ верхней части отвеса *BC* и реакция $\vec{S}'$ средней части отвеса. Вектор силы $\vec{S}'$ противоположен направлению вектора $\vec{S}$: $\vec{S}' = -\vec{S}$, а численно (по принципу равенства действия и противодействия) они равны $S' = S$ (см. рис. 1.14). Выберем оси координат *xBy*, как показано на рис. 1.14, и составим уравнения равновесия узла *B:*

$$\sum F_{kx} = T_C\cos 60^\circ + S'\cos 86^\circ - T_A = 0\,; \quad \sum F_{ky} = T_C\cos 30^\circ - S'\cos 4^\circ = 0\,.$$

Находим натяжение отвеса на верхнем участке *BC* и натяжение T_A оттяжки *BA*: $T_C = \dfrac{S'\cos 4^\circ}{\cos 30^\circ} = 57{,}73$ Н; $T_A = T_C\cos 60^\circ + S'\cos 86^\circ = 32{,}36$ Н.

Задача 5. Груз *P* = 20 кН удерживается двумя стержнями *AC*, *AD* одинаковой длины и цепью *AB*, скреплённых в точке *A*, так, что плоскость треугольника *ADC* горизонтальна (рис. 1.15). Цепь *BA* отклонена от вертикальной стены на угол $\beta = 60^\circ$ и расстояние *CE* = *ED.* Трос закреплён одним концом в точке *A*, а другой его конец, несущий груз, переброшен через блок *K* так, что отрезок

троса AK находится в плоскости, параллельной плоскости стены, и составляет с горизонтом угол $\alpha = 30^\circ$. Крепления стержней шарнирные. Углы у оснований стержней $\angle DCA = \angle CDA = 60^\circ$. Определить реакции стержней и натяжение цепи. Весами стержней пренебречь.

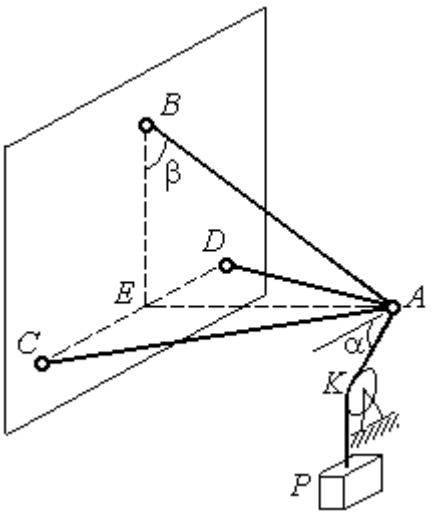

Рис. 1.15. Конструкция пространственного кронштейна

Решение

Рассмотрим равновесие узла A. Освобождаем узел от связей, заменяя действие связей реакциями. Реакции стержней $\vec{S}_D$ и $\vec{S}_C$ направлены по стержням, реакция цепи $\vec{S}_B$ направлена вдоль линии натянутой цепи (рис. 1.16). Реакция троса $\vec{T}$ направлена вдоль троса по линии AK и численно равна весу груза: $T = P$. Направления реакций выбраны в предположении, что стержни и цепь растянуты.

Выберем систему координат, как показано на рис. 1.16. На узел A действует пространственная сходящаяся система сил.

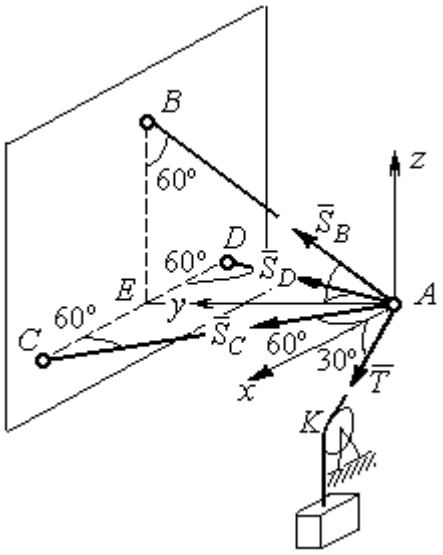

Рис. 1.16. Силы, действующие на узел A, при его равновесии

Условия равновесия пространственной сходящейся системы сил $\sum F_{kx} = 0$, $\sum F_{ky} = 0$, $\sum F_{kz} = 0$, где F_{kx}, F_{ky}, F_{kz} – проекции всех сил на координатные оси. Составляем уравнения равновесия:

$$\sum F_{kx} = S_C \cos 60^\circ - S_D \cos 60^\circ + T \cos 30^\circ = 0;$$

$$\sum F_{ky} = S_C \cos 30^\circ + S_D \cos 30^\circ + S_B \cos 30^\circ = 0; \quad \sum F_{kz} = S_B \cos 60^\circ - T \cos 60^\circ = 0.$$

Решая эту систему, находим $S_B = T = P = 20$ кН; $S_C = -27{,}32$ кН; $S_D = 7{,}32$ кН. Знак минус величины S_C показывает, что реакция стержня AC имеет обратное направление. Натяжение цепи равно модулю реакции $\vec{S}_B$.

Задача 6. Подъёмное устройство (рис. 1.17) состоит из двух стержневых опор DB и DA и растяжки DC, соединённых в точке D. В точке D к устройству прикреплена вертикальная нить, удерживающая груз весом $P = 50$ кН.

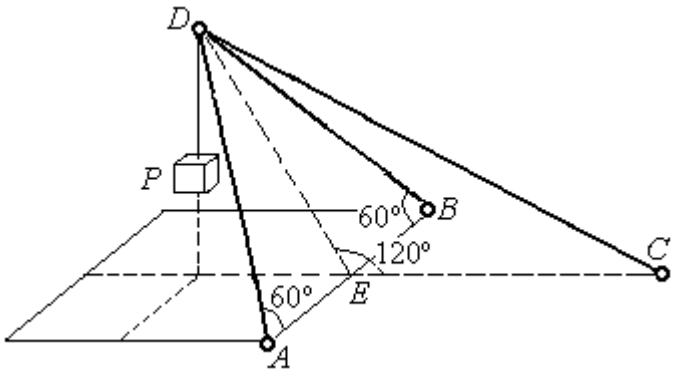

Рис. 1.17. Конструкция подъёмного устройства

Определить реакцию стержневых опор и усилие в растяжке подъёмного устройства, если крепления стержней шарнирные, угол $\angle DEC = 120^\circ$, $AE = EB$, $DE = EC$, а углы в основании опор $\angle DAB = \angle DBA = 60^\circ$.

Решение

Рассматриваем равновесие узла D. Освобождаем узел от связей, заменяя действие связей реакциями. Реакции стержней $\vec{S}_A$, $\vec{S}_B$, $\vec{S}_C$ направлены по стержням, реакция нити $\vec{T}$, численно равная весу тела, направлена вдоль нити (рис. 1.18). Направление реакций выбрано в предположении, что все стержни растянуты.

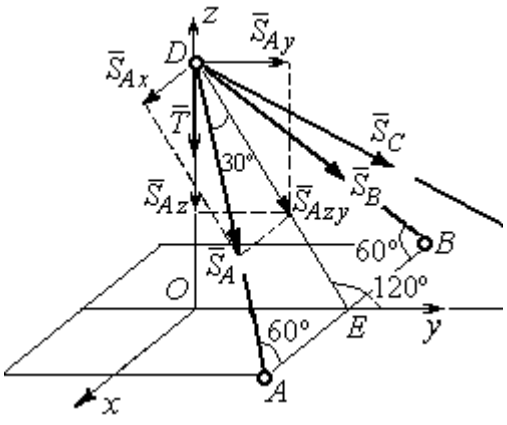

Рис. 1.18. Силы, действующие на узел D, при его равновесии

На узел D действует пространственная сходящаяся система сил. Выберем систему координат $Oxyz$, как показано на рис. 1.18, и составим уравнения равновесия. Заметим, что при определении проекции си-

лы $\vec{S}_A$ на оси координат следует вначале получить её проекции $\vec{S}_{Ax}$ на ось Ox и $\vec{S}_{Azy}$ – на плоскость Oyz, а затем найти проекции силы $\vec{S}_{Azy}$ на оси Oy и Oz. На рис. 1.18 показана последовательность вычисления проекций силы $\vec{S}_A$ на оси координат: $S_{Ax} = S_A\cos60^\circ$, $S_{Ay} = S_{Azy}\cos60^\circ = S_A\cos30^\circ\cos60^\circ$, $S_{Az} = -S_{Azy}\cos30^\circ = -S_A\cos^2 30^\circ$. Определение проекций силы $\vec{S}_B$ производится аналогично. Сила $\vec{S}_C$ расположена в плоскости Oyz и имеет своими проекциями $S_{Cy} = S_C\cos30^\circ$, $S_{Cz} = -S_C\cos60^\circ$. В результате уравнения равновесия узла D принимают вид

$$\sum F_{ky} = S_A\cos30^\circ\cos60^\circ + S_B\cos30^\circ\cos60^\circ + S_C\cos30^\circ = 0;$$

$$\sum F_{kx} = S_A\cos60^\circ - S_B\cos60^\circ = 0;$$

$$\sum F_{kz} = -S_A\cos^2 30^\circ - S_B\cos^2 30^\circ - S_C\cos60^\circ - T = 0.$$

Решая систему, получим: $S_A = S_B = -50$ кН, $S_C = 50$ кН.

Отрицательные значения S_A и S_B означают, что реакций стержней AD и DB направлены в противоположную сторону. В результате стержни AD и DB сжаты, а стержень DC растянут.

1.3. Произвольная плоская система сил

Система сил, расположенных в одной плоскости, называется **плоской системой сил.**

Алгебраическим моментом $M_O(\vec{F})$ силы $\vec{F}$ относительно центра O, или просто **моментом силы** $\vec{F}$ относительно центра, называют взятое с соответствующим знаком произведение модуля силы $\vec{F}$ и кратчайшего расстояния h от центра до линии действия силы (рис. 1.19, *а*): $M_O(\vec{F}) = \pm Fh$. Величину h называют **плечом силы.** Единица измерения момента – Н·м. Момент считается положительным, если сила $\vec{F}$ стремится повернуть тело вокруг центра в

направлении против хода часовой стрелки, и отрицательным – в обратном случае.

На рис. 1.19, *b* показаны знаки моментов сил $\vec{F}$ и $\vec{Q}$ относительно центра *O*: $M_O(\vec{F}) = +Fh_2$, $M_O(\vec{Q}) = -Qh_1$. Момент силы $\vec{R}$ относительно центра *O* равен нулю: $M_O(\vec{R}) = 0$, так как плечо силы равно нулю.

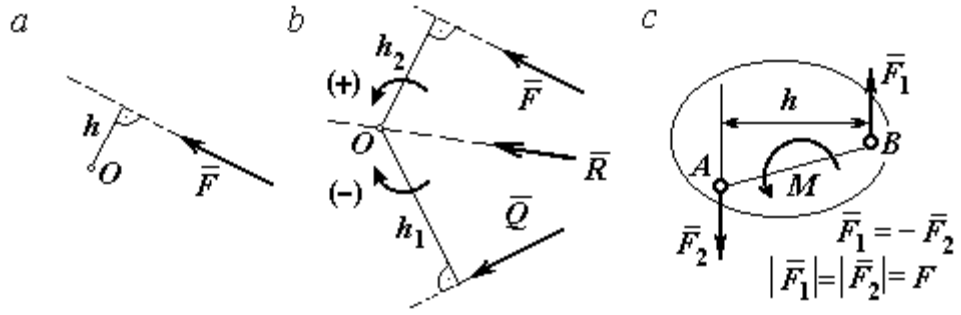

Рис. 1.19. Схемы к вычислению момента силы:
a, *b* – момент силы относительно центра; *c* – момент пары сил

Парой сил, или просто парой (рис.1.19, *c*), называют систему двух равных по модулю сил, параллельных, направленных в противоположные стороны и не лежащих на одной прямой. **Плечом пары** называют кратчайшее расстояние между линиями действия ее сил. Алгебраическим моментом пары сил, или **моментом пары,** называют взятое со знаком плюс или минус произведение модуля одной из сил пары и плеча пары. Правило знаков такое же, как и для момента силы. Пара сил, показанная на рис. 1.19, *c*, имеет плечо *h* и момент *M*: $M = F_1 h = F_2 h$. Поскольку пара сил характеризуется только ее моментом, на схемах пару часто изображают дуговой стрелкой, показывающей направление поворота твердого тела под действием пары (см. *M* на рис. 1.19, *c*).

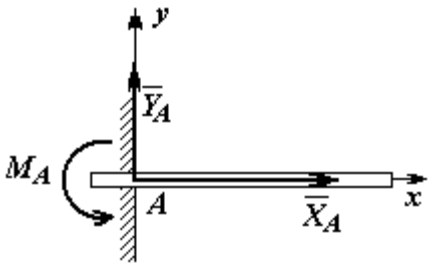

Рис. 1.20. Реакция жесткой заделки

Жесткая заделка. Такая связь (рис. 1.20) препятствует не только линейным перемещениям тела, но и повороту. Реакция жесткой заделки состоит из силы

реакции $\vec{R}_A$ и пары сил с моментом M_A. Силу реакции жесткой заделки $\vec{R}_A$ изображают ее составляющими $\vec{X}_A$ и $\vec{Y}_A$, направленными вдоль координатных осей (см. рис. 1.20). Величина силы реакции $\vec{R}_A$ определяется по формуле: $R_A = \sqrt{X_A^2 + Y_A^2}$.

При вычислении моментов сил часто применяют **теорему Вариньона** о том, что момент равнодействующей системы сил относительно любого центра равен сумме моментов всех сил этой системы относительно того же центра. На рис. 1.21 показана схема применения теоремы Вариньона. Силу $\vec{F}$ раскладываем на составляющие $\vec{F}_1$, $\vec{F}_2$, направленные вдоль координатных осей так, что имеет место равенство $\vec{F} = \vec{F}_1 + \vec{F}_2$. Численно составляющие $\vec{F}_1$ и $\vec{F}_2$ равны проекциям силы $\vec{F}$ на координатные оси: $F_1 = F\cos\alpha$, $F_2 = F\sin\alpha$. Для каждой из составляющих находим плечи h_1 и h_2 относительно центра *O*. Тогда (с учётом знаков) момент силы $\vec{F}$ относительно центра *O*: $M_O(\vec{F}) = M_O(\vec{F}_1) + M_O(\vec{F}_2) = F_1 h_1 + F_2 h_2$.

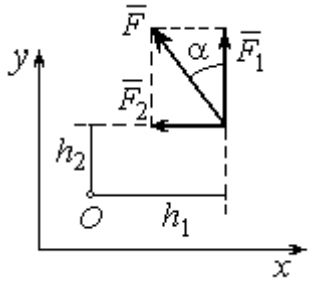

Рис.1.21. Применение теоремы Вариньона

Распределённая нагрузка. Силы, приложенные непрерывно вдоль некоторой поверхности, называются **распределенными**. Распределённая нагрузка характеризуется интенсивностью *q*. Интенсивность нагрузки, равномерно распределённой вдоль прямой, измеряется в Н/м. На рис. 1.22 приведена плоская система сил, равномерно распределённых вдоль прямой. Равнодействующая $\vec{Q}$ сил, равномерно распределённых вдоль прямой, приложена в середине отрезка действия распределённой нагрузки и по модулю равна про-

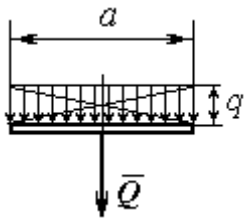

Рис. 1.22. Нагрузка, равномерно распределённая по прямой

изведению интенсивности нагрузки на длину её действия: $Q = qa$, где a – длина отрезка действия распределённой нагрузки.

Основная форма условий равновесия плоской системы сил. Для равновесия плоской системы сил необходимо и достаточно, чтобы суммы проекций всех сил на каждую из двух осей прямоугольной системы координат, расположенной в плоскости действия сил, были равны нулю и сумма моментов сил относительно любого центра, находящегося в плоскости действия сил, была равна нулю:

$$\sum F_{kx} = 0, \ \sum F_{ky} = 0, \ \sum M_A(\vec{F}_k) = 0,$$

где F_{kx}, F_{ky} – проекции всех сил на координатные оси; $M_A(\vec{F}_k)$ – моменты всех сил относительно произвольно выбранного центра A.

Примеры решения задач на равновесие произвольной плоской системы сил

Задача 7. Однородная балка *AB* весом *P* = 100 кН прикреплена к стене шарниром *A* (рис.1.23). Балка удерживается под углом 60° к вертикали при помощи троса, прикреплённого к балке в точке *B*, перекинутого через блок *D* и несущего груз *Q*. Участок троса *DB* образует с вертикалью угол 30°. В точке *C* к балке подвешен груз *G* весом *G* = 200 кН. Определить вес груза *Q*, удерживающий балку в равновесии, и реакцию шарнира *A*, пренебрегая трением в блоке, если расстояние $BC = 0{,}25BA$.

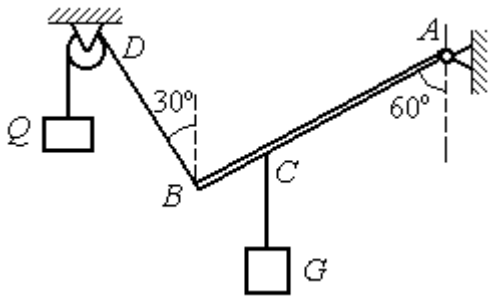

Рис. 1.23. Равновесие балки

Решение

Объектом равновесия является балка *AB*. На балку действуют сила тяжести $\vec{P}$, приложенная в середине отрезка *AB*, реакция шарнира *A*, представлен-

ная в виде двух составляющих $\vec{X}_A$ и $\vec{Y}_A$, направленных вдоль координатных осей, реакция $\vec{T}_1$ нити, удерживающей груз *Q*, и реакция $\vec{T}_2$ нити, удерживающей груз *G*. Направления сил и реакций связей показаны на рис. 1.24.

Силы – $\vec{T}_1$, $\vec{T}_2$, $\vec{P}$, $\vec{X}_A$, $\vec{Y}_A$, действующие на балку, составляют произвольную плоскую систему. Условия равновесия произвольной плоской системы сил:

$$\sum F_{kx} = 0\,;\ \sum F_{ky} = 0\,;\ \sum M_A(\vec{F}_k) = 0\,.$$

Выберем систему координат *xAy,* как показано на рис. 1.24.

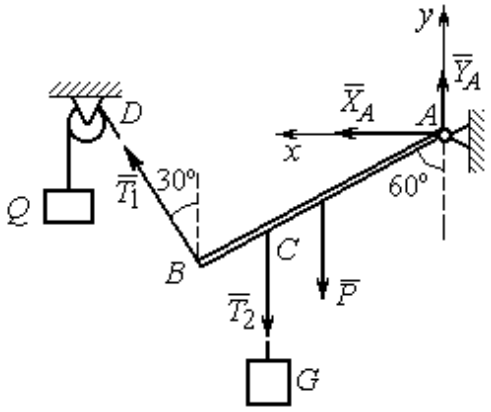

Рис. 1.24. Внешние силы и реакции связей при равновесии балки

Первые два уравнения равновесия имеют вид

$$\sum F_{kx} = X_A + T_1\cos 60^\circ = 0;$$

$$\sum F_{ky} = Y_A + T_1\cos 30^\circ - T_2 - P = 0.$$

Выберем центром точку *A* и будем вычислять моменты сил относительно этого центра. Обозначим (для удобства записи) длину $AB = \ell$. Условие равновесия балки в форме равенства нулю суммы моментов сил относительно центра *A* имеет вид

$$\sum M_A(\vec{F}_k) = -T_1\ell + T_2\frac{3}{4}\ell\cos 30^\circ + P\frac{1}{2}\ell\cos 30^\circ = 0.$$

Подставим данные из условия задачи, с учётом, что реакция нити, удерживающей груз *Q*, по модулю равна весу этого груза: $T_1 = Q$, а реакция нити, удерживающей груз *G*, численно равна весу груза *G*: $T_2 = G$.

Получим систему уравнений:

$$X_A + Q\cdot 0{,}5 = 0,\ \ Y_A + Q\cdot 0{,}866 - 300 = 0,\ \ -Q + 173{,}2 = 0.$$

Решая систему, найдём $Q = 173{,}2$ кН, $X_A = -86{,}6$ кН, $Y_A = 150{,}01$ кН.

Задача 8. Рама *ACE* (рис. 1.25, *a*) в точке *A* закреплена на цилиндрической шарнирной опоре, а в точке *B* поддерживается вертикальным невесомым стержнем *BK*. На раму действуют: пара сил с моментом $M = 8$ кН·м, сила $\vec{F}$, равная по модулю $F = 10$ кН, приложенная в точке *D* под углом 60° к раме, и равномерно распределенная на отрезке *AB* нагрузка интенсивностью $q = 2$ кН/м. В точке *E* под прямым углом к отрезку *CE* рамы прикреплен трос, перекинутый через блок и несущий груз $P = 20$ кН.

Пренебрегая весом балки, определить реакцию шарнира *A* и реакцию стержневой опоры *BK*, если $a = 2$ м.

Решение

Рассмотрим равновесие рамы *ACE*. Выбираем систему координат *xAy*, например, как показано на рис. 1.25, *b*.

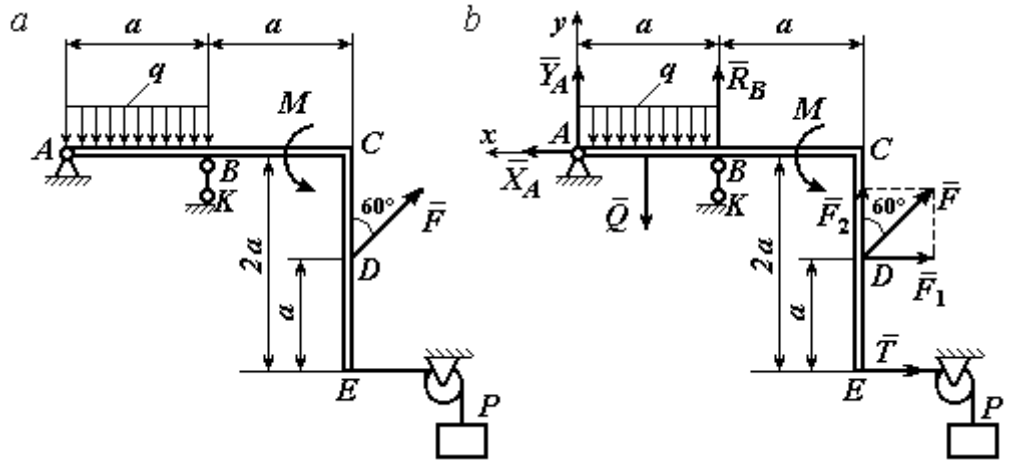

Рис. 1.25. Равновесие рамы:
a – конструкция и нагрузка рамы; *b* – внешние силы и реакции связей при равновесии рамы

Заменяем действие связей их реакциями. Изображаем реакцию $\vec{R}_A$ шарнира *A* двумя ее составляющими $\vec{X}_A$ и $\vec{Y}_A$, направленными, соответственно, вдоль горизонтальной оси *Ax* и вертикальной *Ay*. Реакция $\vec{R}_B$ невесомой стержневой опоры *BK* приложена в точке *B* и направлена вдоль стержня *BK*. Действие груза *P* на раму изображается реакцией троса $\vec{T}$, модуль которой ра-

вен весу груза $T = P$. Заменяем распределенную нагрузку её равнодействующей $\vec{Q}$. Сила $\vec{Q}$ приложена в середине отрезка AB и численно равна: $Q = qa = 2 \cdot 2 = 4$ кН. На рис. 1.25, *b* показано направление внешних сил и реакций при равновесии рамы. Направление реакции стержневой опоры *BK* выбрано в предположении, что стержень сжимается.

При равновесии рамы *ACE* действующие на неё силы составляют уравновешенную произвольную плоскую систему сил ($\vec{Q}, \vec{F}, \vec{X}_A, \vec{Y}_A, \vec{R}_B, \vec{T}, M$) ~ 0. Условия равновесия имеют вид $\sum F_{kx} = 0$; $\sum F_{ky} = 0$; $\sum M_A(\vec{F}_k) = 0$. Вычисляя проекции сил на оси *Ax*, *Ay*, первые два уравнения из условий равновесия получим в виде:

$$\sum F_{kx} = X_A - F\cos 30^\circ - T = 0; \quad \sum F_{ky} = Y_A - Q + R_B + F\cos 60^\circ = 0. \qquad (1.1)$$

При составлении третьего уравнения моменты сил будем вычислять относительно центра *A*. В этом случае линии действия сил $\vec{X}_A$ и $\vec{Y}_A$, составляющих реакцию шарнира *A*, проходят через центр *A*, плечи сил равны нулю, и, следовательно, моменты этих сил относительно данного центра равны нулю: $M_A(\vec{X}_A) = 0$, $M_A(\vec{Y}_A) = 0$.

При определении момента силы $\vec{F}$ удобнее воспользоваться теоремой Вариньона. С этой целью представим вектор силы $\vec{F}$ как равнодействующую двух сил $\vec{F}_1$ и $\vec{F}_2$, параллельных осям *Ax* и *Ay*: $\vec{F} = \vec{F}_1 + \vec{F}_2$ (см. рис. 1.25, *b*). Величины сил $\vec{F}_1$ и $\vec{F}_2$ определяются как проекции силы *F* на оси координат: $F_1 = F\cos 30^\circ$, $F_2 = F\cos 60^\circ$. По теореме Вариньона момент силы $\vec{F}$ относительно центра *A* равен сумме моментов сил $\vec{F}_1$ и $\vec{F}_2$ относительно того же центра *A*: $M_A(\vec{F}) = M_A(\vec{F}_1) + M_A(\vec{F}_2) = F_1 \cdot a + F_2 \cdot 2a$.

В результате уравнение равновесия в форме моментов имеет вид

$$\sum M_A(\vec{F}_k) = -Q \cdot 0{,}5a + R_B a + M + F\cos 60^\circ \cdot 2a + F\cos 30^\circ \cdot a + T2a = 0. \qquad (1.2)$$

Подставляя в уравнения равновесия (1.1), (1.2) численные значения из условий задачи, получим систему уравнений относительно неизвестных X_A, Y_A, R_B. Решая эту систему, найдем: X_A= 28,66 кН; Y_A= 59,66 кН; R_B = – 60,66 кН.

Отрицательное значение величины R_B означает, что фактическое направление реакции $\vec{R}_B$ стержневой опоры BK противоположно направлению, показанному на рис. 1.25, *b*, т. е. стержень BK растягивается. Реакция шарнирной опоры *A* – сила $\vec{R}_A$ – находится как геометрическая (векторная) сумма сил $\vec{X}_A$ и $\vec{Y}_A$. Величина реакции $R_A = \sqrt{X_A^2 + Y_A^2} = \sqrt{28{,}66^2 + 59{,}66^2} = 66{,}18$ кН.

Задача 9. Прямоугольная рама *ABCED* (рис. 1.26) в точке *A* закреплена жёсткой заделкой. В точке *E* к раме прикреплена нить, составляющая угол 60º к горизонту. Другой конец нити, переброшенный через невесомый блок, несёт груз весом *P* = 15 кН. На раму действуют: пара сил с моментом M = 12 кН·м, сила $\vec{F}$, равная по модулю *F* = 10 кН, приложенная в точке *C* под углом 30° к горизонтальному участку рамы *BE*, и равномерно распределенная на отрезке *BC* нагрузка интенсивностью *q* = 2 кН/м. В точке *D* под углом 60° к горизонту на раму действует сила $\vec{G}$, численно равная 20 кН.

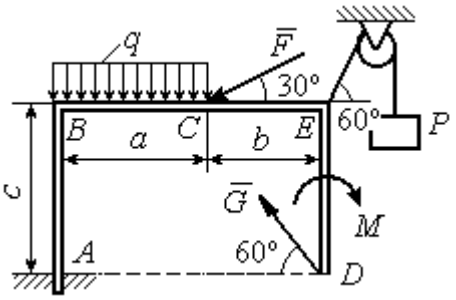

Рис. 1.26. Конструкция рамы

Пренебрегая весом рамы, определить реакцию жесткой заделки в точке *A*, если размеры рамы: *a* = 2 м, *b* = 1 м, *c* = 5 м.

Решение

Объектом равновесия является рама *ABCED.* Связями в данной конструкции являются жесткая заделка рамы в точке *A* и нить, натянутая грузом *P.* Заменяем действие связей их реакциями. Изображаем реакцию жесткой заделки в точке *A* в виде силы, которую представим двумя ее составляющими $-\vec{X}_A$ и

$\vec{Y}_A$, и парой сил с моментом M_A (рис. 1.27). Реакция нити $\vec{T}$, приложенная к раме в точке *E*, направлена вдоль нити и численно равна весу груза $T = P$. Заменяем распределенную нагрузку её равнодействующей $\vec{Q}$. Сила $\vec{Q}$ приложена в середине отрезка *AB* и численно равна: $Q = qa = 4$ кН.

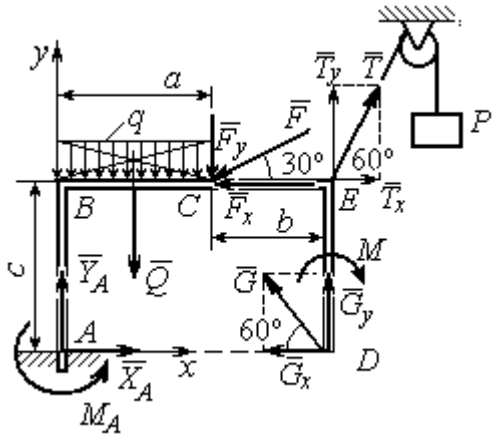

Рис. 1.27. Внешние силы и реакции связей при равновесии рамы

Действующие на раму силы составляют уравновешенную произвольную плоскую систему сил: $(\vec{Q}, \vec{F}, \vec{X}_A, \vec{Y}_A, \vec{G}, \vec{T}, M) \sim 0$. Условия равновесия для такой системы сил: $\sum F_{kx} = 0$; $\sum F_{ky} = 0$; $\sum M_A(\vec{F}_k) = 0$.

Выбираем систему координат *xAy*, например, как показано на рис. 1.27, и составляем уравнения равновесия:

$$\sum F_{kx} = X_A - F\cos 30^\circ + T\cos 60^\circ - G\cos 60^\circ = 0; \quad (3)$$

$$\sum F_{ky} = Y_A - Q - F\cos 60^\circ + T\cos 30^\circ + G\cos 30^\circ = 0. \quad (4)$$

Моменты сил будем вычислять относительно центра *A*. В этом случае моменты сил $\vec{X}_A$ и $\vec{Y}_A$ равны нулю: $M_A(\vec{X}_A) = 0$; $M_A(\vec{Y}_A) = 0$.

При определении момента силы $\vec{F}$ удобно воспользоваться теоремой Вариньона. С этой целью представим вектор силы $\vec{F}$ как равнодействующую двух сил $\vec{F}_x$ и $\vec{F}_y$, параллельных осям *Ax* и *Ay*: $\vec{F} = \vec{F}_x + \vec{F}_y$ (см. рис. 1.27). Величины сил $\vec{F}_x$ и $\vec{F}_y$ определяются как проекции силы $\vec{F}$ на оси координат: $F_x = F\cos 30^\circ$, $F_y = F\cos 60^\circ$. Плечо вектора силы $\vec{F}_x$ относительно центра *A* равно *c* (как длина перпендикуляра, проведённого из центра *A* на линию действия силы $\vec{F}_x$), плечом силы $\vec{F}_y$ является расстояние *a*. По теореме Вариньона

момент силы $\vec{F}$ относительно центра A равен алгебраической сумме моментов сил $\vec{F}_x$ и $\vec{F}_y$ относительно того же центра:

$$M_A(\vec{F}) = M_A(\vec{F}_x) + M_A(\vec{F}_y) = F_x \cdot c - F_y \cdot a = F\cos 30^\circ \cdot c - F\cos 60^\circ \cdot a .$$

Аналогично вычисляем моменты сил $\vec{G}$ и $\vec{T}$: $M_A(\vec{G}) = G\cos 30^\circ \cdot (a+b)$; $M_A(\vec{T}) = -T\cos 60^\circ \cdot c + T\cos 30^\circ \cdot (a+b)$. В результате уравнение моментов имеет вид:

$$\sum M_A(\vec{F}_k) = F\cos 30^\circ \cdot c - F\cos 60^\circ \cdot a - T\cos 60^\circ \cdot c + T\cos 30^\circ \cdot (a+b) +$$

$$+ G\cos 30^\circ \cdot (a+b) - Q\frac{a}{2} - M + M_A = 0. \qquad (1.5)$$

Подставляя в уравнения равновесия (1.3) – (1.5) численные значения из условий задачи, получим систему уравнений относительно неизвестных X_A, Y_A, M_A, откуда найдём значения реакций: X_A= 11,16 кН; Y_A= –21,31 кН; M_A = –70,73 Н·м. Знаки показывают, что составляющая $\vec{Y}_A$ силы реакции жёсткой заделки и момент реакции M_A направлены в противоположную сторону. Величина силы реакции жесткой заделки $R_A = \sqrt{X_A^2 + Y_A^2}$ = 24,05 кН.

Упражнения

Упражнение 1.1

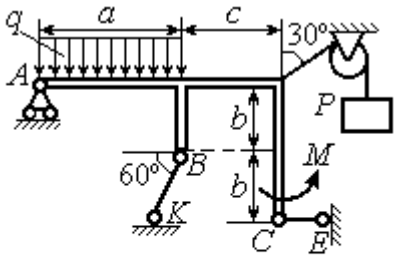

a = 3 м, b = 1 м, c = 2 м,
P = 15 кН, M = 3 кНм, q = 5 кН/м.
Найти реакцию стержней BK, CE
и реакцию шарнира A

Упражнение 1.2

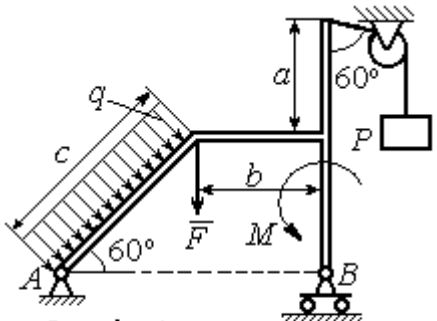

a = 2 м, b = 1 м, c = 3 м,
M = 3 кНм, q = 3 кН/м,
P = 2 кН, F = 4 кН.
Найти реакцию шарниров A и B

Рис. 1.28. Задания для самостоятельного решения. Упражнения 1.1, 1.2

Упражнение 1.3

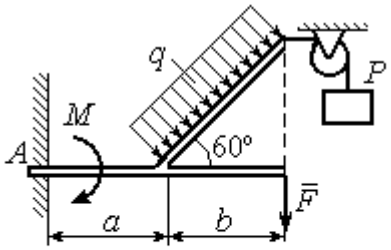

$a = 1$ м, $b = 2$ м, $F = 2$ кН,
$P = 3$кН, $M = 3$ кН·м,
$q = 2$ кН/м
Найти реакцию жесткой заделки

Упражнение 1.4

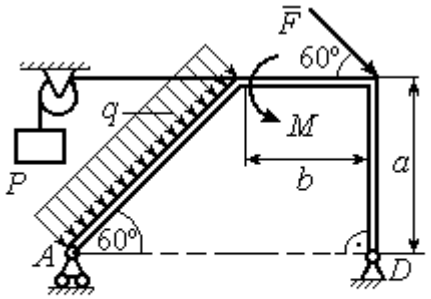

$a = 3$ м, $b = 1$ м, $P = 2$ кН, $F = 3$ кН,
$M = 3$ кН·м, $q = 2$ кН/м.
Найти реакцию шарниров A и D

Рис. 1.29. Задания для самостоятельного решения. Упражнения 1.3, 1.4

1.4. Равновесие систем тел

Связи, соединяющие части конструкции, называются **внутренними** в отличие от **внешних** связей, скрепляющих конструкцию с внешними телами, не входящими в данную конструкцию.

Одним из способов решения задач на равновесие сил, действующих на сочленённую конструкцию, является **разбиение конструкции на отдельные тела** и составление уравнений равновесия для каждого из тел, входящих в конструкцию. В уравнения равновесия будут входить только силы, непосредственно приложенные к телу, равновесие которого рассматривается. **При этом реакции внутренних связей, приложенные к разным телам, будут попарно равны по модулю и противоположны по направлению.**

Примеры решения задач на равновесие систем тел

Задача 10. Диск весом Q = 100 кН опирается на вертикальную стенку и на наклонную балку AB. На диск действует сила $\vec{F}$, равная по величине 50 кН (рис. 1.30). Линия действия силы $\vec{F}$ проходит через центр диска под углом 30º к его вертикальному диаметру.

Однородная балка AB весом $G = 80$ кН закреплена в точке A шарнирно и удерживается под углом 60º к стене при помощи вертикального троса, один конец которого закреплён на балке в точке B, а другой – переброшен через блок и несёт груз весом P. Определить давление диска на стенку и на балку, реакцию шарнира A и вес груза P, удерживающий конструкцию в равновесии, если длина балки AB $\ell = 6$ м, радиус диска $r = 1$ м.

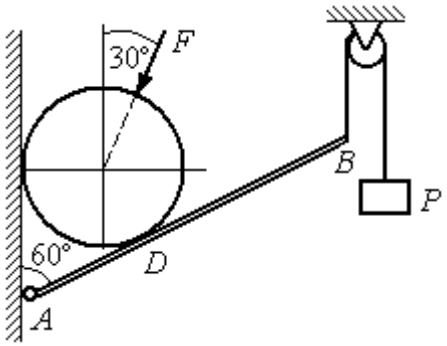

Рис. 1.30. Равновесие составной конструкции

Решение

Объект равновесия включает балку и диск и представляет собой составную конструкцию. Опора диска на балку в точке D является внутренней связью конструкции. Рассмотрим равновесие диска и балки отдельно.

Освобождаем диск от связей. На диск действует сила веса $\vec{Q}$, сила $\vec{F}$ и реакции $\vec{N}$ и $\vec{R}$ опор диска на стену в точке K и на балку в точке D (рис. 1.31). Силы, приложенные к диску, составляют плоскую систему сходящихся сил. Выберем систему координат, как показано на рис. 1.31, и составим уравнения равновесия:

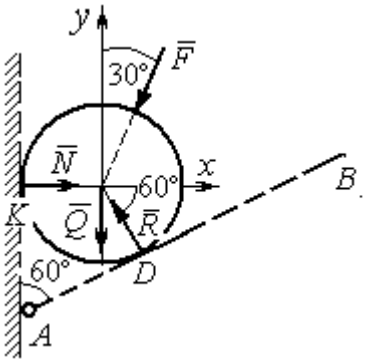

Рис. 1.31. Внешние силы и реакции связей при равновесии диска

$$\sum F_{kx} = -F\cos 60^\circ - R\cos 60^\circ + N = 0; \quad (1.6)$$

$$\sum F_{ky} = -F\cos 30^\circ + R\cos 30^\circ - Q = 0. \quad (1.7)$$

Рассмотрим равновесие балки AB (рис. 1.32).

На балку действуют сила тяжести $\vec{G}$, реакция шарнира A, (на рис. 1.32 показано её разложение на составляющие $\vec{X}_A$ и $\vec{Y}_A$), реакция нити $\vec{T}$, численно равная весу груза P, и сила $\vec{R}'$ давления диска на балку. Сила давления $\vec{R}'$ про-

тивоположна реакции $\vec{R}$ опоры диска на балку и численно равна ей. Система сил ($\vec{X}_A, \vec{Y}_A, \vec{G}, \vec{T}, \vec{R}'$), действующих на балку, является произвольной плоской. Условия равновесия такой системы сил: $\sum F_{kx} = 0$; $\sum F_{ky} = 0$; $\sum M_A(\vec{F}_k) = 0$.

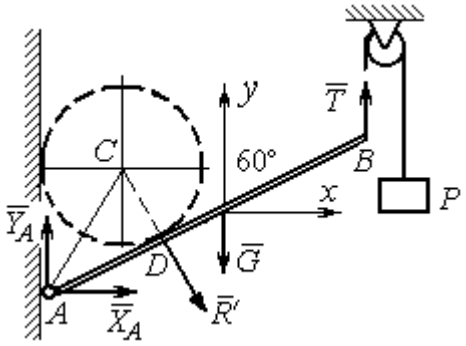

Рис. 1.32. Силы, действующие на балку, при равновесии

Выберем оси, как показано на рис. 1.32, и составим уравнения равновесия, полагая точку A центром, относительно которого производятся вычисления моментов сил:

$$\sum F_{kx} = X_A + R'\cos 60^\circ = 0, \tag{1.8}$$

$$\sum F_{ky} = Y_A - R'\cos 30^\circ - G + T = 0, \tag{1.9}$$

$$\sum M_A(\vec{F}_k) = -R' \cdot AD - G \cdot \frac{\ell}{2}\cos 30^\circ + T\ell\cos 30^\circ = 0. \tag{1.10}$$

Добавив к уравнениям (1.8) – (1.10) равновесия балки AB уравнения (1.6), (1.7) равновесия диска с учётом, что $R' = R$, получим систему пяти уравнений с пятью неизвестными. Подставляя данные из условия задачи и решая совместную систему, найдём: $R = 165{,}47$ кН; $N = 107{,}74$ кН; $P = 95{,}26$ кН; $X_A = -82{,}73$ кН; $Y_A = 128{,}03$ кН.

Сила давления диска на стену равна модулю реакции опоры $\vec{N}$ и направлена в противоположную сторону, сила давления диска на балку равна $\vec{R}'$.

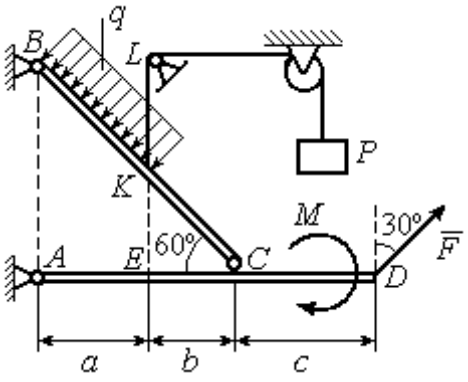

Рис.1.33. Равновесие кронштейна как сочленённой конструкции

Задача 11. Кронштейн состоит из горизонтальной балки AD, прикрепленной к вертикальной стене в точке A, и откоса BC, соединённого с балкой AD в точке C под углом 60º и прикреплённого к вертикальной стене в точке B (рис. 1.33). Все соедине-

ния шарнирные. На конструкцию действуют сила $\vec{F}$, приложенная в точке D под углом 30º к вертикали и равная по модулю F =10 кН, пара сил с моментом M = 8 кН·м и равномерно распределенная на отрезке BK нагрузка интенсивностью q = 3 кН/м. В точке K к балке BC прикреплена нить, другой конец которой, переброшенный через невесомые блоки, несёт груз весом P = 5 кН (см. рис. 1.33).

Определить реакции шарниров A, B и C, если a = 2 м, b = 1 м, c = 3 м, а на отрезке KL нить натянута вертикально.

Решение

Рассмотрим равновесие каждой из составных частей конструкции – балки BC и балки AD. Освобождаем балки от связей и заменяем их реакциями (рис. 1.34).

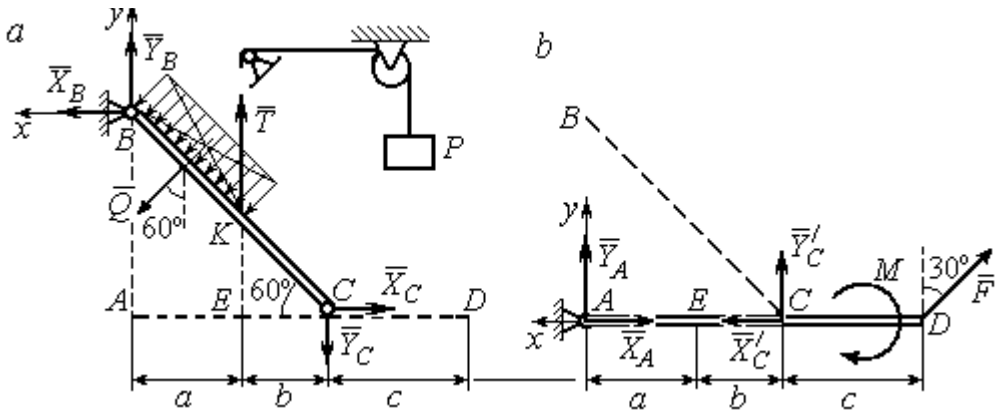

Рис. 1.34. Равновесие элементов конструкции кронштейна:
a - силы, действующие на балку *BC*; *b* - силы, действующие на балку *AD*

На рис. 1.34, *a* показаны реакции внешних и внутренних связей балки BC: реакция $\vec{R}_B$ шарнира B, реакция нити $\vec{T}$, равная по величине весу груза, $T = P$ и реакция $\vec{R}_C$ внутреннего шарнира C. Реакции шарниров B и C представлены в виде разложения на составляющие $\vec{X}_B$, $\vec{Y}_B$ и $\vec{X}_C$, $\vec{Y}_C$. Заменяем равномерную нагрузку равнодействующей силой $\vec{Q}$, приложенной в середине отрезка BK (см. рис. 1.34, *a*) и численно равной $Q = q \cdot BK = q \cdot \dfrac{a}{\cos 60^\circ} = q \cdot 2a$.

Система сил ($\vec{Q}$, $\vec{X}_B, \vec{Y}_B, \vec{X}_C, \vec{Y}_C, \vec{T}$), действующая на балку *BC*, является произвольной плоской уравновешенной системой сил. Выберем оси координат *xBy*, как показано на рис. 1.34, *a*, и составим уравнения равновесия. При этом моменты сил будем вычислять относительно центра *C*:

$$\sum F_{kx} = X_B + Q\cos 30^\circ - X_C = 0; \tag{1.11}$$

$$\sum F_{ky} = Y_B - Q\cos 60^\circ + T - Y_C = 0; \tag{1.12}$$

$$\sum M_C(\vec{F}_k) = X_B \cdot AB - Y_B(a+b) - Tb + Q\left(CK + \frac{1}{2}BK\right) = 0, \tag{1.13}$$

где $AB = (a+b)\mathrm{tg}60^\circ$; $CK = 2b$; $\frac{1}{2}BK = a$.

Рассмотрим равновесие балки *AD* (рис. 1.34, *b*).

На балку действует сила $\vec{F}$, реакция $\vec{R}_A$ шарнира *A* и реакция $\vec{R}'_C$ внутреннего шарнира *C*. Реакция $\vec{R}'_C$ равна по величине и противоположна по направлению реакции $\vec{R}_C$. На рис. 1.34, *b* реакция $\vec{R}_A$ представлена составляющими $\vec{X}_A$ и $\vec{Y}_A$, реакция $\vec{R}'_C$ – составляющими $\vec{X}'_C$ и $\vec{Y}'_C$. При этом следует отметить: $\vec{X}'_C = -\vec{X}_C$; $\vec{Y}'_C = -\vec{Y}_C$.

Выберем оси координат *xAy* как показано на рис. 1.34, *b*, и составим уравнения равновесия балки *AD*, вычисляя моменты сил относительно центра *C*:

$$\sum F_{kx} = -X_A + X'_C - F\cos 60^\circ = 0; \tag{1.14}$$

$$\sum F_{ky} = Y_A + Y'_C + F\cos 30^\circ = 0; \tag{1.15}$$

$$\sum M_C(\vec{F}_k) = -Y_A(a+b) + F\cos 30^\circ \cdot c - M = 0. \tag{1.16}$$

Решая совместно систему уравнений (1.11) – (1.16) с учётом исходных данных задачи и равенства модулей сил $X_C = X'_C$ и $Y_C = Y'_C$, находим:

X_A = 5,99 кН, Y_A = 5,99 кН, X_C = 10,99 кН, Y_C = – 14,65 кН;

X_B = 0,6 кН, Y_B = – 13,65 кН,

$$R_A = \sqrt{X_A^2 + Y_A^2} = 8{,}47 \text{ кН}, \; R_C = \sqrt{X_C^2 + Y_C^2} = 18{,}31 \text{ кН},$$

$$R_B = \sqrt{X_B^2 + Y_B^2} = 13{,}65 \text{ кН}.$$

Задача 12. Вертикальная балка AB с горизонтальной перекладиной LC закреплена в точке A с помощью жесткой заделки (рис. 1.35). Наклонная балка EC с углом наклона к горизонту 60° точке C шарнирно прикреплена к горизонтальной перекладине LC балки AB, а в точке E опирается на каток установленный на горизонтальной поверхности. На конструкцию действуют равномерно распределенная на отрезках BL и DE нагрузка с одинаковой интенсивностью $q = 2$ кН/м, сила $\vec{F}$, приложенная в точке D перпендикулярно балке EC и равная по величине $F = 10$ кН, и пара сил с моментом $M = 5$ кН·м. Определить реакцию жесткой заделки A и реакции шарниров C и E, если параметр a, определяющий размеры конструкции, равен $a = 2$ м.

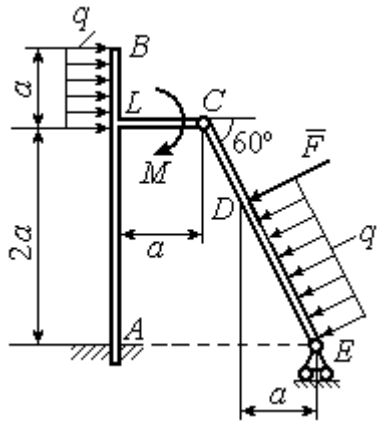

Рис. 1.35. Равновесие сочленённой конструкции

Решение

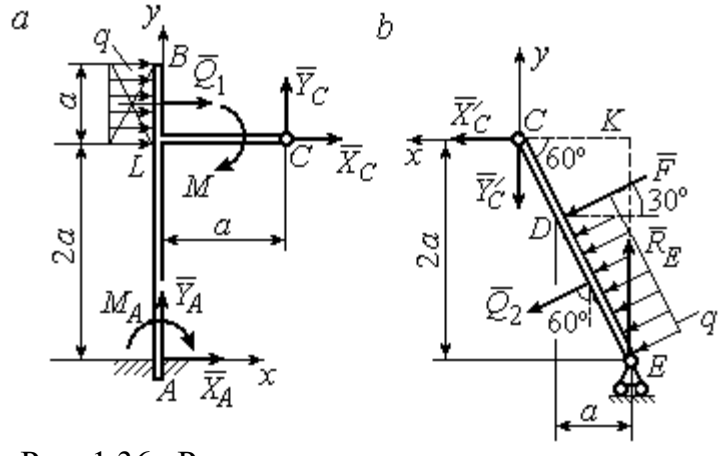

Рис. 1.36. Равновесие элементов конструкции:
a - силы и реакции связей, действующие на балку AB;
b - силы и реакции связей, действующие на балку CE

Разделим систему на две части по шарниру C и рассмотрим равновесие балок ABC и EC отдельно.

Рассмотрим балку ABC (рис. 1.36, *a*). Заменим распределенную нагрузку эквивалентной силой $\vec{Q}_1$, численно равной $Q_1 = qa = 4$ кН. На балку действует сила $\vec{Q}_1$, пара сил с моментом M и реакции связей – жёсткой заделки в точке A и шарнира C.

На рис. 1.36, *a* изображена реакция жесткой заделки в точке *A* в виде силы, разложенной на составляющие $\vec{X}_A$, $\vec{Y}_A$, и пары с моментом M_{A}. Реакция $\vec{R}_C$ шарнира *C* показана разложением на составляющие $\vec{X}_C, \vec{Y}_C$. Силы образуют произвольную плоскую систему.

Введём систему координат, как показано на рис. 1.36, *a,* и составим уравнения равновесия балки, выбрав центром вычисления моментов сил точку *A*.

Имеем систему

$$\sum F_{kx} = X_A + Q_1 + X_C = 0; \quad \sum F_{ky} = Y_A + Y_C = 0; \tag{1.17}$$

$$\sum M_A\left(\vec{F}_k\right) = -M_A - Q_1 \cdot \left(2a + \frac{a}{2}\right) - M + Y_C a - X_C 2a = 0. \tag{1.18}$$

Рассмотрим теперь равновесие балки *EC* (рис. 1.36, *b*). Заменим распределённую нагрузку эквивалентной силой $\vec{Q}_2$, приложенной в середине отрезка *ED* и равной $Q_2 = \dfrac{qa}{\cos 60^\circ} = q \cdot 2a = 8\,\text{кН}$. На балку действуют силы $\vec{Q}_2$, $\vec{F}$, реакция $\vec{R}_E$ подвижной опоры – катка *E* и реакция $\vec{R}'_C$ шарнира *C*. На рис. 1.36, *b* реакция $\vec{R}'_C$ показана в виде разложения на составляющие $\vec{X}'_C$, $\vec{Y}'_C$. При этом силы $\vec{X}'_C$, $\vec{Y}'_C$ направлены противоположно силам $\vec{X}_C$, $\vec{Y}_C$ и равны им по модулю: $X_C = X'_C$; $Y_C = Y'_C$ (см. рис. 1.36, *a*, *b*).

Действующие на балку *EC* силы образуют уравновешенную произвольную плоскую систему сил. Выберем систему координат, как показано на рис. 1.36, *b,* и составим уравнения равновесия, вычисляя моменты сил относительно центра *C*. Получим:

$$\sum F_{kx} = Q_2 \sin 60^\circ + F\cos 30^\circ + \vec{X}'_C = 0, \tag{1.19}$$

$$\sum F_{ky} = R_E - Q_2 \cos 60^\circ - F\sin 30^\circ - Y'_C = 0, \tag{1.20}$$

$$\sum M_C\left(\vec{F}_k\right) = -F \cdot \left(\frac{2a}{\cos 30^\circ} - 2a\right) - Q_2 \cdot \left(\frac{2a}{\cos 30^\circ} - a\right) + R_E \cdot 2a\,\text{tg}30^\circ = 0. \tag{1.21}$$

Подставим в совместную систему (1.17) – (1.21) исходные данные задачи и, воспользовавшись тем, что модули сил $\vec{X}_C$, $\vec{Y}_C$ и $\vec{X}'_C$, $\vec{Y}'_C$ равны, найдём:

$$X_A = 11{,}59 \text{ кН}; \quad Y_A = -2{,}76 \text{ кН}; \quad M_A = 42{,}87 \text{ кН·м};$$

$$X_C = -15{,}59 \text{ кН}; \quad Y_C = 2{,}76 \text{ кН}; \quad R_E = 11{,}76 \text{ кН}.$$

Полные величины сил реакции жесткой заделки и взаимного давления в шарнире C: $R_A = \sqrt{X_A^2 + Y_A^2} = 11{,}91$ кН; $R_C = \sqrt{X_C^2 + Y_C^2} = 15{,}83$ кН.

Упражнения

Упражнение 1.5

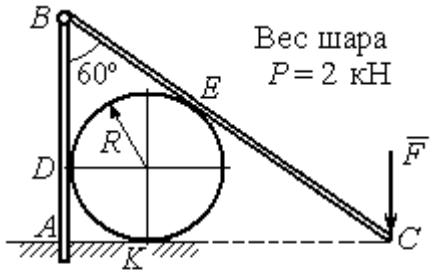

$R = 1$ м, $F = 8$ кН.
Найти реакцию жесткой заделки в точке A, реакцию шарнира B, реакцию опоры шара в точках D, K, E

Упражнение 1.6

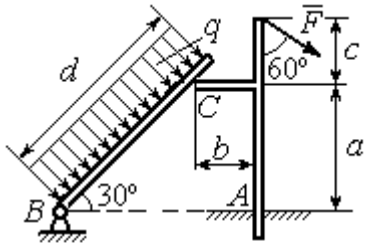

$a = 2$ м, $b = 1$ м, $c = 1$ м, $d = 5$ м,
$q = 3$ кН/м, $F = 4$ кН.
Найти реакцию жесткой заделки в точке A, реакцию шарнира B и реакцию опоры в точке C

Упражнение 1.7

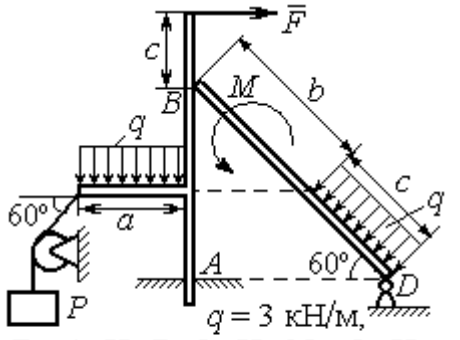

$q = 3$ кН/м,
$F = 4$ кН, $P = 3$ кН, $M = 2$ кН·м,
$a = 2$м, $b = 3$м, $c = 1$м
Найти реакцию заделки A, шарнира D и реакцию опоры B

Упражнение 1.8

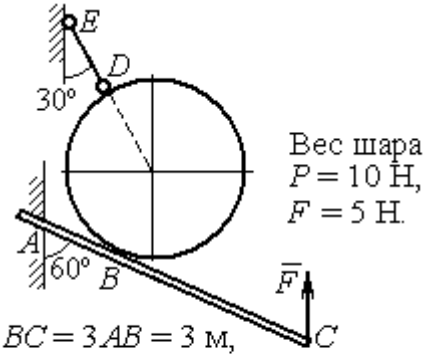

$BC = 3AB = 3$ м,
Найти реакцию жесткой заделки A, реакцию стержня DE и реакцию опоры в точке B

Рис. 1.37. Задания для самостоятельного решения. Упражнения 1.5 – 1.8

1.5. Произвольная пространственная система сил

Моментом силы относительно оси называют момент вектора проекции этой силы на плоскость, перпендикулярную оси, относительно точки пересечения оси с плоскостью. На рис. 1.38 показано вычисление момента силы $\vec{F}$ относительно оси z:

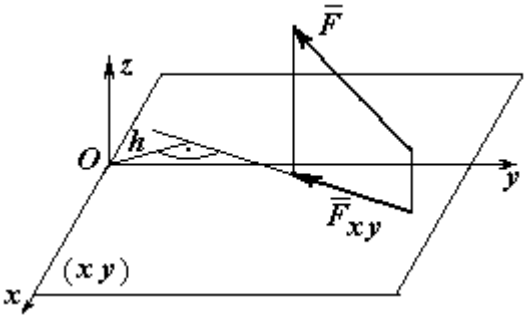

Рис. 1.38. Момент силы относительно оси

$$M_z(\vec{F}) = M_O(\vec{F}_{xy}) = F_{xy}h,$$

где O – точка пересечения оси z с плоскостью xy, перпендикулярной оси z; $\vec{F}_{xy}$ – вектор проекции силы $\vec{F}$ на плоскость xy; h – плечо силы $\vec{F}_{xy}$ относительно центра O. Момент силы относительно оси считается положительным, если при взгляде с положительного направления оси он создаёт вращение против хода часовой стрелки.

Равновесие пространственной системы сил. Для равновесия пространственной системы сил необходимо и достаточно, чтобы суммы проекций всех сил на оси прямоугольной системы координат x, y, z были равны нулю и суммы моментов всех сил относительно тех же осей также были равны нулю:

$$\sum F_{kx} = 0;\ \sum F_{ky} = 0;\ \sum F_{kz} = 0;$$

$$\sum M_x(\vec{F}_k) = 0;\quad \sum M_y(\vec{F}_k) = 0;\quad \sum M_z(\vec{F}_k) = 0,$$

где F_{kx}, F_{ky}, F_{kz} – проекции всех сил на координатные оси; $M_x(\vec{F}_k)$, $M_y(\vec{F}_k)$, $M_z(\vec{F}_k)$ – моменты всех сил относительно выбранных осей, $k = 1, 2, ...$

Примеры решения задач на равновесие пространственных систем сил

Задача 13. Горизонтальный вал (рис. 1.39) закреплен в подпятнике C и подшипнике K. Вал имеет шкив B радиуса R и шкив D радиуса r.

Оба шкива перпендикулярны оси вала. Рукоять *AE* параллельна оси *Cx*.

Нить, удерживающая груз *Q*, сходит со шкива *D* по касательной в точке *L* параллельно плоскости *zCx*, так что радиус шкива *D*, проведённый в точку схода нити, составляет с вертикальным диаметром угол 30º.

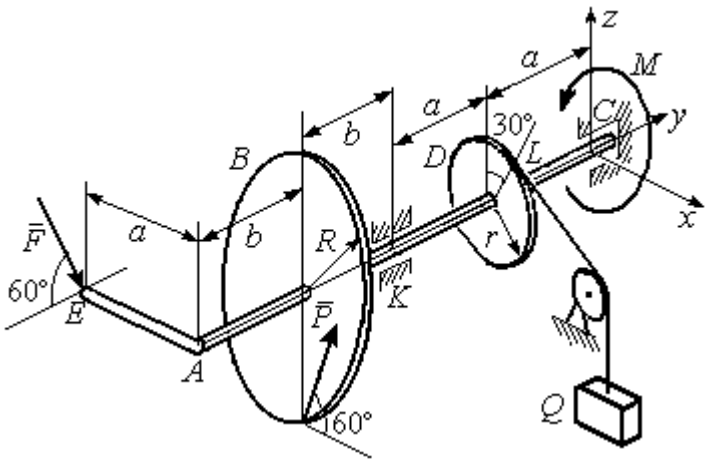

Рис. 1 39. Равновесие вала

На вал действуют силы: $\vec{F}$, $\vec{P}$ и пара сил с моментом *M*. Сила $\vec{F}$ находится в плоскости, параллельной *zCy*, и составляет угол 60° с направлением оси *Cy*. Сила $\vec{P}$ приложена в нижней точке шкива *B*, параллельна плоскости *zCx* и составляет угол 60° с направлением оси *Cx*. Определить вес удерживаемого груза Q и реакции подшипника и подпятника, если $P = 4$ кН; $F = 2$ кН; $M = 3$ кН·м; $R = 0{,}6$ м; $r = 0{,}3$ м; $a = 0{,}8$ м; $b = 0{,}4$ м.

Решение

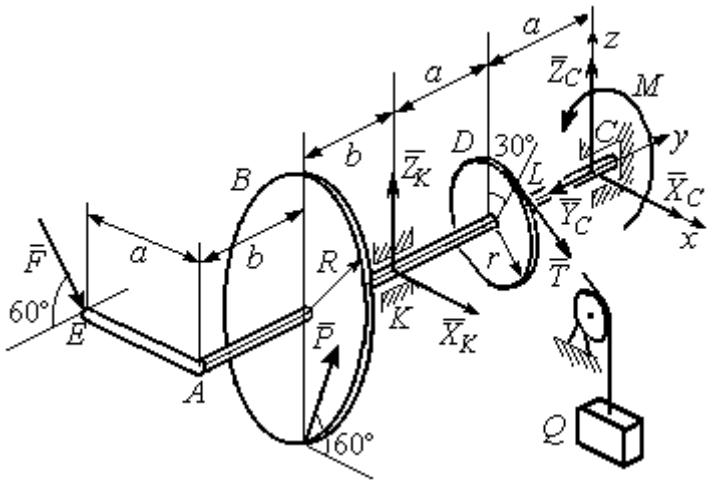

Рис. 1.40. Активные силы и реакции связей, действующие на вал, при его равновесии

Рассмотрим равновесие вала. На вал действуют активные силы $\vec{F}$, $\vec{P}$, пара с моментом *M* и реакции связей. Связями являются нить, натянутая грузом Q, подпятник *C* и подшипник *K*. Освобождаем вал от связей, заменяя их действие реакциями. Реакцию $\vec{R}_C$ подпятника *C* раскладываем на три составляющие: $\vec{X}_C$, $\vec{Y}_C$, $\vec{Z}_C$, направленные вдоль координатных осей (рис. 1.40). Реакция $\vec{R}_K$ подшипника *K* лежит в плоскости, пер-

пендикулярной оси вала, и ее составляющими будут вектора $\vec{X}_K, \vec{Z}_K$, направленные вдоль координатных осей *x*, *z*. Реакция нити $\vec{T}$ направлена вдоль нити от точки *L* и по модулю равна весу груза *Q*.

Активные силы и реакции связей составляют произвольную пространственную уравновешенную систему сил. При составлении уравнений равновесия изобразим вал вместе с действующими на него силами в проекциях на координатные плоскости (рис. 1.41).

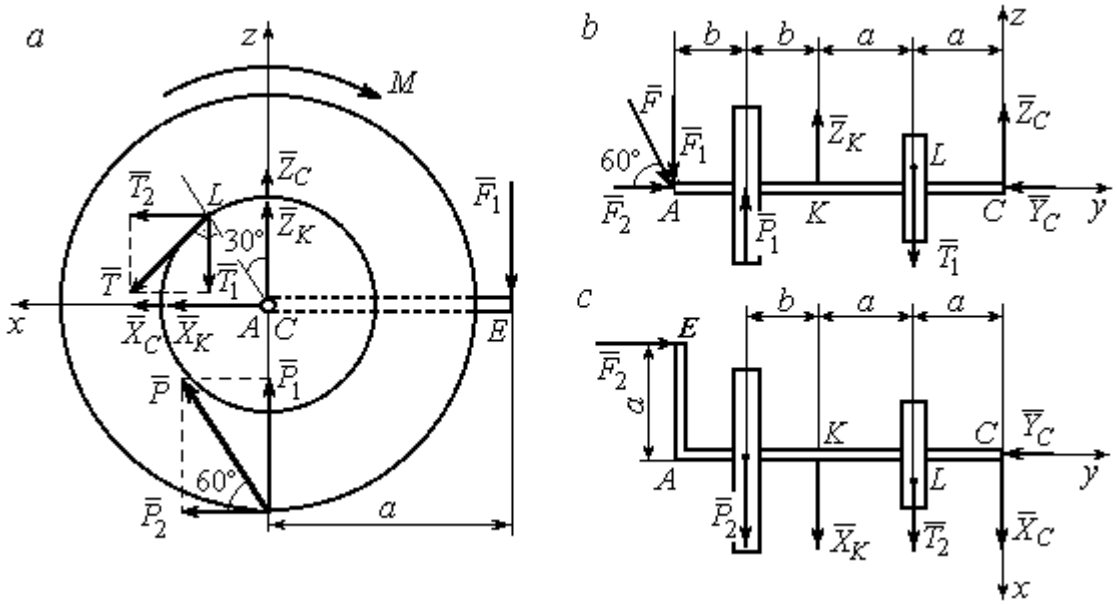

Рис. 1.41. Вал и действующие на него силы в проекциях на координатные плоскости:
a – вид вала в проекции на плоскость *zCx* с положительного конца оси *y*;
b – вид вала в проекции на плоскость *zCy* с положительного конца оси *x*;
c – вид вала в проекции на плоскость *xCy* с положительного конца оси *z*

На рис. 1.41, *a* показаны проекции вала и всех сил на плоскость *zCx*. Вычисляя моменты проекций сил относительно точки *C*, получим значения моментов этих сил относительно оси *y*. При вычислении моментов сил относительно оси *x* достаточно вычислить моменты проекций сил на плоскость *zCy* относительно точки *C* (рис. 1.41, *b*), а вычисляя моменты проекций сил на

плоскость *xCy* относительно точки *C*, получим значения моментов сил относительно оси *z* (рис. 1.41, *c*).

Величины проекций сил определяются равенствами: $P_1 = P\cos 30^\circ$;

$P_2 = P\cos 60^\circ$; $T_1 = T\cos 60^\circ$; $T_2 = T\cos 30^\circ$; $F_1 = F\cos 30^\circ$; $F_2 = F\cos 60^\circ$.

Составляем уравнения равновесия:

$$\sum F_{kx} = P\cos 60^\circ + X_K + T\cos 30^\circ + X_C = 0; \quad \sum F_{ky} = F\cos 60^\circ - Y_C = 0;$$

$$\sum F_{kz} = P\cos 30^\circ + Z_K - T\cos 60^\circ + Z_C - F\cos 30^\circ = 0;$$

$$\sum M_x(\vec{F}_k) = T\cos 60^\circ \cdot a - Z_K \cdot 2a - P\cos 30^\circ \cdot (2a + b) +$$

$$+ F\cos 30^\circ \cdot (2a + 2b) = 0;$$

$$\sum M_y(\vec{F}_k) = -F\cos 30^\circ \cdot a - P\cos 60^\circ \cdot R + T \cdot r - M = 0;$$

$$\sum M_z(\vec{F}_k) = T\cos 30^\circ \cdot a + X_K \cdot 2a + P\cos 60^\circ \cdot (2a + b) - F\cos 60^\circ \cdot a = 0.$$

Подставляя исходные данные задачи, получим систему шести уравнений с шестью неизвестными, решая которую, найдём:

$$X_C = -8{,}09 \text{ кН}, \; Y_C = 1 \text{ кН}, \; Z_C = 4{,}65 \text{ кН}, \; Z_K = 2{,}92 \text{ кН};$$

$$X_K = -10{,}02 \text{ кН}, \; T = 18{,}6 \text{ кН}.$$

Реакции подпятника и подшипника:

$$R_C = \sqrt{X_C^2 + Y_C^2 + Z_C^2} = 9{,}4 \text{ кН}, \; R_K = \sqrt{X_K^2 + Z_K^2} = 10{,}44 \text{ кН}.$$

Вес удерживаемого груза *Q* равен реакции нити *T*.

Задача 14. Однородная прямоугольная плита (рис. 1.42) веса 25 кН прикреплена к полу при помощи шарового шарнира *A*, подшипника *B* и удерживается в вертикальном положении стержнем *CO*, лежащим в плоскости, перпендикулярной плоскости плиты так, что $\angle COB = 60^\circ$. В плоскости плиты на неё действуют пара сил с моментом $M = 6$ кН·м, сила $\vec{F}_1$, равная $F_1 = 10$ кН, приложенная на верхней стороне плиты в точке *H* под углом 30º к линии *EC*, и сила $\vec{F}_2$, равная $F_2 = 5$ кН, приложенная в точке *D* параллельно стороне *AB*.

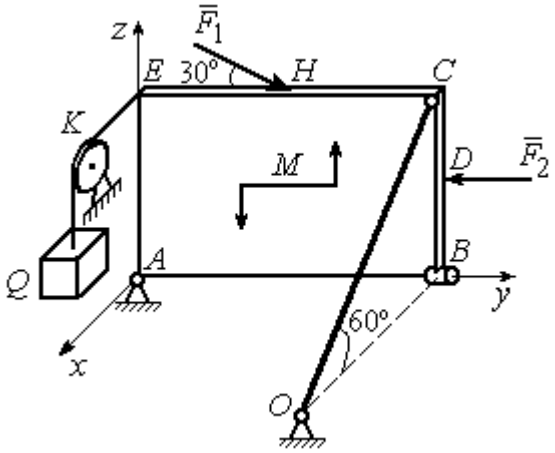

Рис. 1.42. Равновесие плиты

В точке E к плите прикреплён трос, на другом конце которого, перекинутым через блок K, подвешен груз весом $Q = 20$ кН. Отрезок троса EK перпендикулярен плоскости плиты.

Определить реакции шарнира A, подшипника B и реакцию стержня CO, если ширина плиты $AB = 3$ м; высота $AE = 2$ м; $EH = HC$, $CD = DB$.

Решение

Рассмотрим равновесие плиты $ABCE$. На плиту действуют активные силы $\vec{F}_1$, $\vec{F}_2$, сила тяжести плиты $\vec{P}$, пара сил с моментом M и реакции связей. Связями являются пространственный шарнир A, нить, натянутая грузом Q, подшипник B и невесомый стержень CO.

Выберем систему координат, как показано на рис. 1.43. Освобождаем плиту от связей, заменяя их действие реакциями. Реакцию $\vec{R}_A$ шарнира A раскладываем на три составляющие: $\vec{X}_A$, $\vec{Y}_A$, $\vec{Z}_A$, направленные вдоль координатных осей. Реакция нити $\vec{T}$ направлена вдоль нити параллельно оси Ax и равна весу груза $T = Q$, реакция $\vec{R}_B$ подшипника B расположена в плоскости, перпендикулярной оси Ay, и представлена в виде двух своих составляющих $\vec{X}_B$, $\vec{Z}_B$, реакция $\vec{S}$ невесомого стержня CO направлена вдоль стержня. Направления активных сил и реакций связей показаны на рис. 1.43.

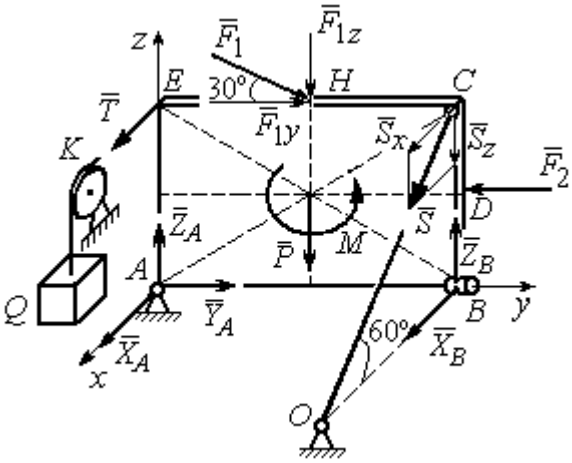

Рис. 1.43. Силы, действующие на плиту, при её равновесии

Силы, действующие на плиту, и реакции связей составляют пространственную уравновешенную систему сил. Составим уравнения равновесия:

$$\sum F_{kx} = X_A + T + X_B + S\cos 60^\circ = 0;$$

$$\sum F_{ky} = Y_A - F_2 + F_1\cos 30^\circ = 0;$$

$$\sum F_{kz} = Z_A - F_1\cos 60^\circ - P + Z_B - S\cos 30^\circ = 0;$$

$$\sum M_x(\vec{F}_k) = -F_1\cos 60^\circ \cdot 0{,}5 \cdot AB - F_1\cos 30^\circ \cdot AE - P \cdot 0{,}5 \cdot AB +$$

$$+ F_2 \cdot BD + Z_B \cdot AB - S\cos 30^\circ \cdot AB + M = 0;$$

$$\sum M_y(\vec{F}_k) = T \cdot AE + S\cos 60^\circ \cdot CB = 0;$$

$$\sum M_z(\vec{F}_k) = -X_B \cdot AB + S\cos 60^\circ \cdot EC = 0.$$

Подставляя исходные данные задачи, получим систему уравнений, решая которую, найдём значения реакций: $S = -40$ кН; $X_B = -20$ кН; $Z_B = -17{,}53$ кН; $X_A = 20$ кН; $Y_A = -3,66$ кН; $Z_A = 12{,}89$ кН.

Задача 15. Прямоугольная фрамуга *ACEB* весом $P = 50$ Н, закрепленная в точках *A* и *B* цилиндрическими шарнирами, открыта на угол 60º (рис. 1.44). На фрамуге в точке *H* закреплена верёвка, другой конец которой, переброшенный через невесомый блок *K*, несёт груз *Q*. При этом линия верёвки *HK* параллельна прямой *ED*. На фрамугу действует сила $\vec{F}$, приложенная в верхнем углу в точке *C* перпендикулярно плоскости фрамуги и равная по величине $F = 15$ Н.

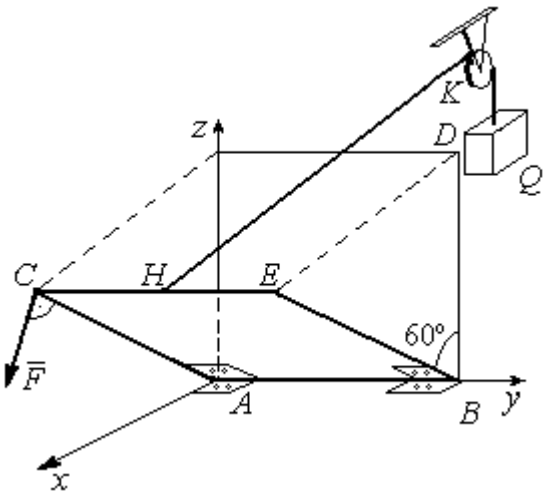

Рис. 1.44. Равновесие фрамуги

Определить вес груза *Q*, необходимый для удержания фрамуги в равновесии и реакции цилиндрических шарниров *A* и *B*, если размеры фрамуги $BE = BD = 2$ м; $AB = 3$ м; $CH = HE$.

Решение

Рассмотрим равновесие фрамуги *ABCE*. Изображаем внешние активные силы: силу $\vec{F}$, силу тяжести фрамуги $\vec{P}$, а также реакции связей. Связями являются два цилиндрических шарнира *A* и *B* (связь, аналогичная подшипнику) и нить, натянутая грузом *Q*. Выберем систему координат *Axyz*, как показано на рис. 1.45. Освобождаем фрамугу от связей, заменяя их действие реакциями. Реакции $\vec{R}_A$ и $\vec{R}_B$ шарниров *A* и *B* раскладываем на взаимно перпендикулярные составляющие: $\vec{X}_A$, $\vec{Z}_A$ и $\vec{X}_B$, $\vec{Z}_B$ в плоскостях, перпендикулярных оси вращения фрамуги (ось *Ay*), реакция нити $\vec{T}$ направлена вдоль нити и равна весу груза $T = Q$. Направления активных сил и реакций связей показаны на рис. 1.45.

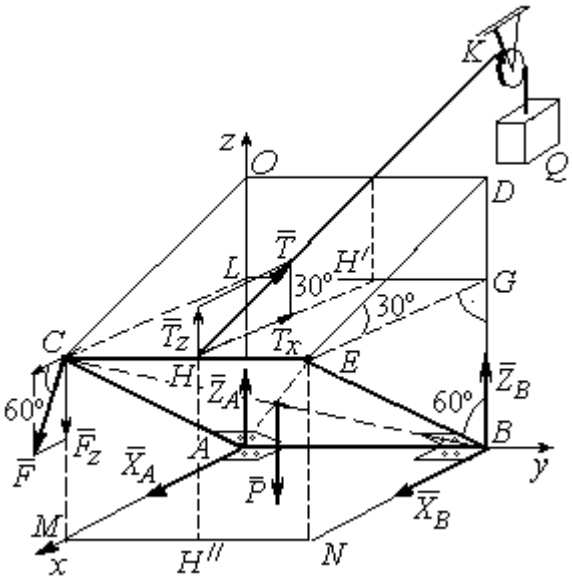

Рис. 1.45. Активные силы и реакции при равновесии фрамуги

Силы, действующие на фрамугу, составляют уравновешенную пространственную систему сил.

Составим уравнения равновесия. При этом для удобства вычисления моментов сил относительно осей изобразим плоскости, перпендикулярные этим осям, с проекциями на них сил, действующих на фрамугу (рис. 1.46). Тогда моменты сил, действующих на фрамугу, например, относительно оси *Ax* определяются как моменты векторов проекций этих сил на плоскость *zAy* относительно точки *A* – пересечения оси *Ax* и перпендикулярной ей плоскости *zAy* (см. рис. 1.46, *a*). Аналогично при вычислении моментов сил относительно оси *Az* достаточно вычислить моменты векторов проекций сил на плоскость *xAy* относительно точки *A* (см. рис. 1.46, *b*).

Значения моментов сил относительно оси Ay получим, вычисляя моменты векторов проекций сил на плоскость zAx относительно точки A (см. рис. 1.46, *c*).

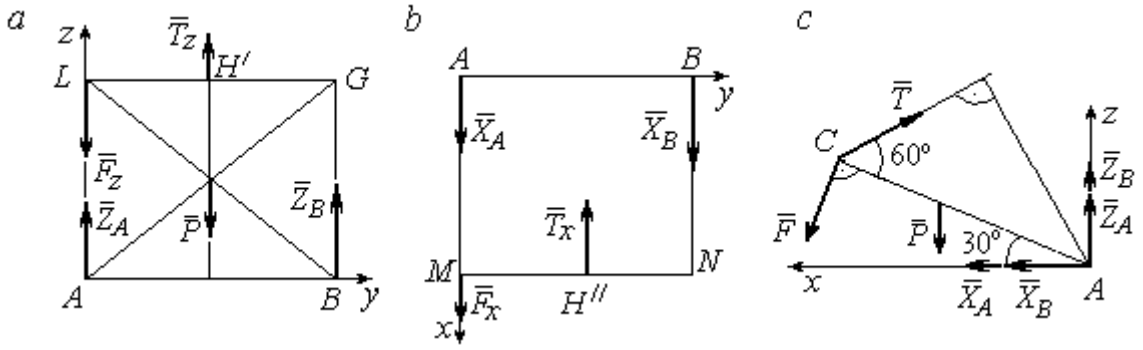

Рис. 1.46. Фрамуга и действующие на неё силы в проекциях на координатные плоскости:
a – проекция на плоскость *zAy* со стороны положительного направления оси *x*;
b – проекция на плоскость *xAy* со стороны положительного направления оси *z*; *c* – проекция на плоскость *zAx* со стороны положительного направления оси *y*

Уравнения равновесия фрамуги имеют вид:

$$X_A + X_B + F\cos 60^\circ - T\cos 30^\circ = 0;$$

$$Z_A + Z_B - P - F\cos 30^\circ + T\cos 60^\circ = 0;$$

$$\sum M_x(\vec{F}_k) = T_z \cdot 0{,}5 \cdot AB - P \cdot 0{,}5 \cdot AB + Z_B \cdot AB =$$

$$= T\cos 60^\circ \cdot 0{,}5 \cdot AB - P \cdot 0{,}5 \cdot AB + Z_B \cdot AB = 0;$$

$$\sum M_y(\vec{F}_k) = P \cdot 0{,}5 \cdot AC\cos 30^\circ + F \cdot AC - T \cdot AC\sin 60^\circ = 0;$$

$$\sum M_z(\vec{F}_k) = -X_B \cdot AB + T_x \cdot 0{,}5 \cdot AB = -X_B \cdot AB + T\cos 30^\circ \cdot 0{,}5 \cdot AB = 0.$$

Подставляя исходные данные из условия задачи и решая систему, найдём реакции шарниров фрамуги:

$$X_B = 18{,}22 \text{ Н},\ Z_B = 14{,}41 \text{ Н},\ R_B = \sqrt{X_B^2 + Z_B^2} = 23{,}31 \text{ Н};$$

$$X_A = 10{,}83 \text{ Н},\ Z_A = 27{,}41 \text{ Н},\ R_A = \sqrt{X_A^2 + Z_A^2} = 29{,}47 \text{ Н}.$$

Вес груза, удерживающий фрамугу в равновесии, численно равен реакции верёвки: $Q = T = 42{,}37$ Н.

Задача 16. Горизонтальный коленчатый вал *AD* (рис. 1.47) закреплен в подпятнике *A* и подшипнике *C*. Вал имеет шкив радиуса r и рукоять *DH*, перпендикулярные оси вала. Рукоять *DH* образует угол 30º к направлению оси *Ax*. Колено вала расположено в горизонтальной плоскости *xAy*. Нить, удерживающая груз *Q*, намотана на шкив и сходит с него вертикально вниз. На вал действуют силы $\vec{F}$, $\vec{P}$, $\vec{G}$ и пара сил с моментом *M*. Сила $\vec{F}$ приложена в верхней точке вертикального диаметра шкива под углом 30° к направлению оси *Ay* и находится в плоскости *zAy*. Сила $\vec{P}$ приложена в нижней точке *H* рукояти параллельно оси *Az*. Сила $\vec{G}$ приложена в крайней точке *K* стойки колена вала под углом 60º к стойке и находится в плоскости, перпендикулярной оси вала. Пара сил с моментом *M* создаёт вращение вала вокруг оси *Ay*.

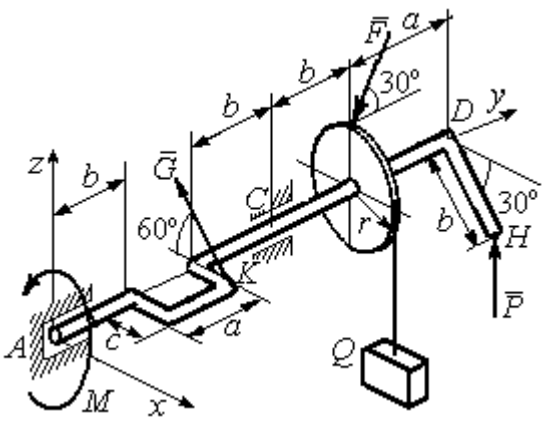

Рис. 1.47. Равновесие вала

Определить вес удерживаемого груза Q и реакции подшипника и подпятника, если: $P = 10$ кН; $F = 12$ кН; $G = 6$ кН; $M = 3$ кН·м; $r = 0{,}3$ м; $a = 0{,}8$ м; $b = 0{,}4$ м; $c = 0{,}2$ м.

Решение

Рассмотрим равновесие вала. На вал действуют активные силы – $\vec{F}$, $\vec{P}$, $\vec{G}$, пара сил с моментом *M* и реакции связей. Связями являются нить, натянутая грузом Q, подпятник *A* и подшипник *C*.

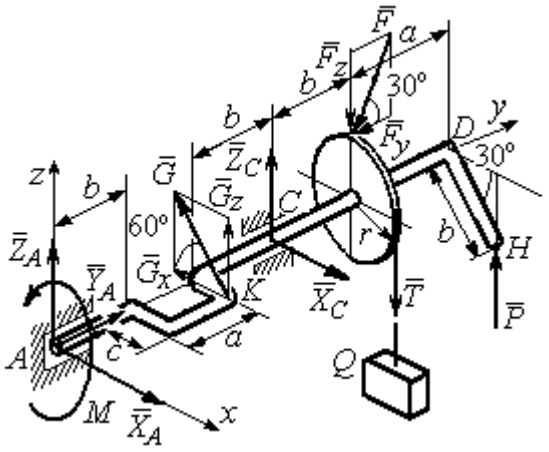

Рис. 1.48. Силы и реакции, действующие на вал при равновесии

Освобождаем вал от связей, заменяя их действие реакциями.

Реакцию подпятника A раскладываем на три составляющие: $\vec{X}_A$, $\vec{Y}_A$, $\vec{Z}_A$, направленные вдоль координатных осей. Реакция подшипника C лежит в плоскости, перпендикулярной оси вала, и также может быть разложена на составляющие $\vec{X}_C, \vec{Z}_C$, направленные вдоль координатных осей Ax, Az. Реакция нити $\vec{T}$ направлена вдоль нити и по модулю равна весу груза, $T = Q$. Действие на вал активных сил и реакций связи показано на рис. 1.48.

Указанные силы составляют произвольную пространственную уравновешенную систему сил.

Составим уравнения равновесия:

$$\sum F_{kx} = X_A - G\cos 60^\circ + X_C = 0;$$

$$\sum F_{ky} = Y_A - F\cos 30^\circ = 0;$$

$$\sum F_{kz} = Z_A + G\cos 30^\circ + Z_C - F\cos 60^\circ - T + P = 0.$$

$$\sum M_x(\vec{F}_k) = G_z(b+a) + Z_C(b+a+b) - F_z(b+a+b+b) + F_y r -$$

$$- T(b+a+b+b) + P(b+a+b+b+a) = 0;$$

$$\sum M_y(\vec{F}_k) = -G_z c + Tr - Pb\cos 30^\circ - M = 0;$$

$$\sum M_z(\vec{F}_k) = G_x(b+a) - X_C(b+a+b) = 0,$$

где значения проекций сил на оси $G_z = G\cos 30^\circ$; $G_x = G\cos 60^\circ$; $F_z = F\cos 60^\circ$; $F_y = F\cos 30^\circ$.

Подставляя исходные данные и решая систему, получим значения реакций:

$$X_C = 2{,}25 \text{ кН}; \; Z_C = 13{,}57 \text{ кН}; \; R_C = \sqrt{X_C^2 + Z_C^2} = 15{,}58 \text{ кН};$$

$$Z_A = 0{,}39 \text{ кН}; \; Y_A = 10{,}39 \text{ кН}; \; X_A = 0{,}75 \text{ кН}; \; R_A = \sqrt{X_A^2 + Y_A^2 + Z_A^2} = 10{,}42 \text{ кН}.$$

Вес удерживаемого груза равен реакции нити $Q = T = 25{,}03$ кН.

Упражнения

Упражнение 1.9

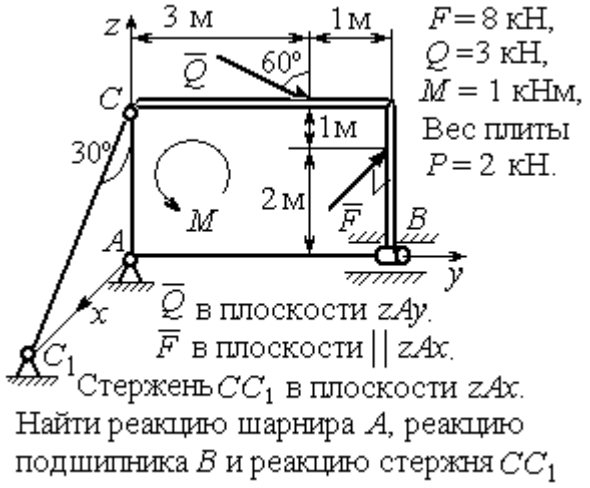

Упражнение 1.10

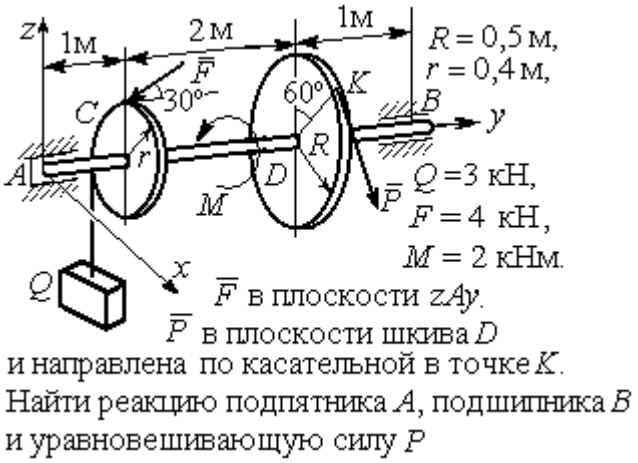

Упражнение 1.11



Упражнение 1.12

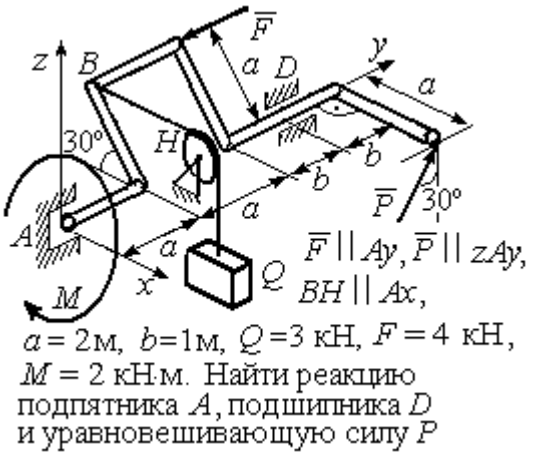

Рис. 1.49. Задания для самостоятельного решения. Упражнения 1.9 – 1.12

1.6. Равновесие тел при наличии сил трения

Трение скольжения. При наличии трения скольжения полная реакция $\vec{R}$ шероховатой опоры раскладывается на нормальную составляющую $\vec{N}$ опоры и

силу $\vec{F}_{\text{тр с}}$ трения скольжения, направленную по касательной к поверхности в точке опоры.

В покое сила трения скольжения может принимать любые значения от нуля до некоторого предельного значения $F_{\text{тр с}}$, называемого **предельной силой трения скольжения** (рис. 1.50).

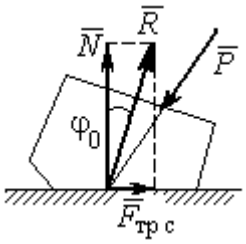

Рис. 1.50. Реакция опоры с трением скольжения

Наибольший угол φ_0, который полная реакция шероховатой поверхности образует с нормалью к поверхности, называется **предельным углом трения**. Предельная сила трения численно равна произведению коэффициента трения на величину нормальной реакции опоры тела на поверхность: $F_{\text{тр с}} = f \cdot N$, где f – безразмерный коэффициент трения, определяемый экспериментально.

Изучение равновесия тел с учетом сил трения сводится к рассмотрению предельного равновесия, когда сила трения принимает предельное значение.

Трением качения называется сопротивление, возникающее при качении одного тела по шероховатой поверхности другого. Реакция шероховатой опоры раскладывается на нормальную составляющую $\vec{N}$ и силу трения качения $\vec{F}_{\text{тр к}}$, направленную по касательной к поверхности качения. При этом за счёт небольшого вдавливания в поверхность качения нормальная реакция опоры $\vec{N}$ смещена в сторону от линии действия силы тяжести $\vec{P}$ так, что вместе с ней образует пару, противодействующую качению (рис. 1.51). В предельном положении равновесия тела смещение нормальной реакции опоры максимально. Величина максимального смещения k называется **коэффициентом трения качения**, измеряемого в единицах длины. Момент,

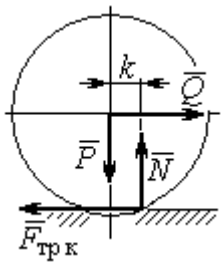

Рис. 1.51. Реакция опоры с трением качения

создаваемый парой $(\vec{N}, \vec{P})$, называется **моментом трения качения** $M_{\text{тр к}} = kN$. Максимальная сила трения качения $\vec{F}_{\text{тр к}}$ определяется из условия, что в предельном положении равновесия момент трения качения равен моменту качения, создаваемого парой $(\vec{F}_{\text{тр к}}, \vec{Q})$ (рис. 1.51).

Если максимальная сила трения качения меньше предельной силы трения скольжения, движение представляет качение без скольжения.

Примеры решения задач на равновесие тел с трением

Задача 17. Груз Q весом 50 Н удерживается нитью на шероховатой наклонной плоскости (рис.1.52). Один конец нити закреплен на грузе Q, а к другому, перекинутому через невесомый блок, подвешен груз весом P. Отрезок нити AB горизонтальный. Угол наклона плоскости составляет 30º к горизонту. Определить максимальное и минимальное значения веса груза P, при которых груз Q может начать скольжение по плоскости без опрокидывания, если коэффициент трения скольжения между грузом Q и наклонной плоскостью $f = 0{,}4$.

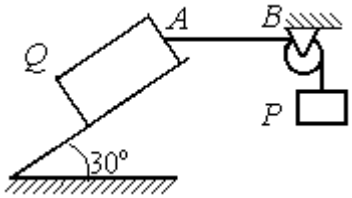

Рис.1.52. Равновесие груза на наклонной плоскости с трением

Решение

Рассмотрим равновесие груза Q при минимальном значении веса груза P. На груз действуют сила тяжести $\vec{Q}$, реакция нити $\vec{T}_{\min}$ и реакция шероховатой поверхности наклонной плоскости, состоящая из нормальной реакции наклонной плоскости $\vec{N}$ и силы трения $\vec{F}_{\text{тр1}}$ (рис. 1.53, *а*). Особенностью задач на равновесие призм является то, что точка приложения нормальной реакции не определена. В случае необходимости она находится из уравнений равновесия.

Определим направление силы трения. Если вес уравновешивающего груза P имеет минимальное значение $P_{\min}$, то при его дальнейшем уменьшении груз Q начнёт двигаться вниз по наклонной плоскости. Таким образом, предельная сила трения $\vec{F}_{\text{тр}1}$, обеспечивающая равновесие при минимальном значении веса груза P, направлена вверх по наклонной плоскости (см. рис. 1.53, *a*).

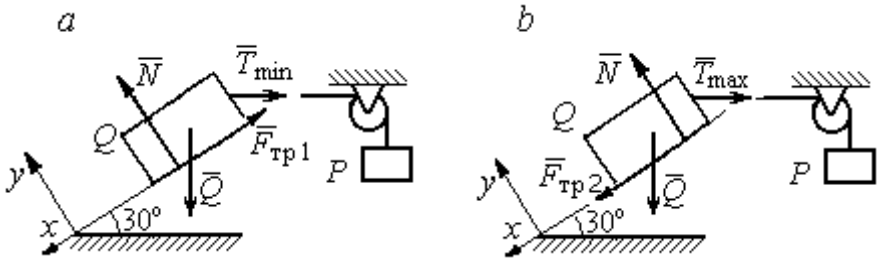

Рис. 1.53. Силы, действующие на груз при равновесии:
a – минимальный вес уравновешивающего груза;
b – максимальный вес уравновешивающего груза

Выберем систему координат, как показано на рис. 1.53, и составим уравнения равновесия в виде проекций сил:

$$\sum F_{kx} = Q\cos 60^\circ - T_{\min}\cos 30^\circ - F_{\text{тр}} = 0;$$

$$\sum F_{ky} = -Q\cos 30^\circ + N - T_{\min}\cos 60^\circ = 0.$$

Полагая в первом уравнении $F_{\text{тр}1} = fN$, решаем систему и находим реакцию нити $T_{\min} = 7{,}21$ Н. Минимальное значение веса уравновешивающего груза равно реакции нити: $P_{\min} = T_{\min} = 7{,}21$ Н.

Рассмотрим равновесие груза Q при максимальном $P_{\max}$ значении веса груза P. На груз действует сила тяжести $\vec{Q}$, реакция нити $\vec{T}_{\max}$ и реакция шероховатой поверхности наклонной плоскости, состоящая, как и в первом случае, из нормальной реакции наклонной плоскости $\vec{N}$ и силы трения $\vec{F}_{\text{тр}2}$ (см. рис. 1.53, *b*).

При определении направления силы трения заметим, что увеличение веса груза P больше максимального вызывает движение груза Q вверх по наклонной плоскости. Тогда предельная сила трения $\vec{F}_{\text{тр}2}$, действующая против возможного движения, должна быть направлена вниз по наклонной плоскости (см. рис. 1.53, *b*). Уравнения равновесия груза Q:

$$\sum F_{kx} = Q\cos 60^\circ - T_{\max}\cos 30^\circ + F_{\text{тр}2} = 0;$$

$$\sum F_{ky} = -Q\cos 30^\circ + N - T_{\max}\cos 60^\circ = 0.$$

Решаем систему, подставляя вместо силы трения её значение $F_{\text{тр}2} = fN$, и находим максимальное значение веса груза P: $P_{\max} = T_{\max} = 63{,}54$ Н.

Таким образом, груз Q будет находиться в равновесии на наклонной плоскости, если вес уравновешивающего груза находится в пределах $8{,}87 < P < 48{,}87$ Н.

Задача 18. Цилиндрический каток радиуса r = 0,5 м, весом P = 50 Н удерживается в равновесии на наклонной плоскости нитью, один конец которой закреплён в центре катка, а другой перекинут через блок и несёт груз весом Q (рис. 1.54). Коэффициент трения качения катка $f_{\text{к}}$ = 0,02 м. Наклонная плоскость составляет угол 30º с горизонтом.

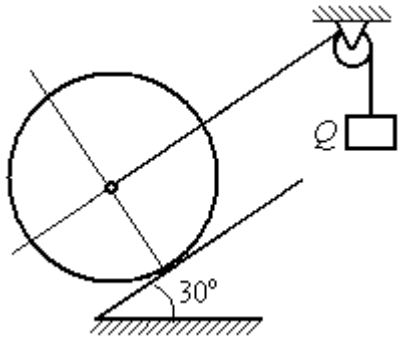

Рис. 1.54. Равновесие катка

Определить наименьшую и наибольшую величину веса Q, при которых каток будет в равновесии. Найти наименьшее значение коэффициента трения скольжения $f_{\text{с}}$, при котором в случае движения каток будет катиться без скольжения.

Решение

Рассмотрим равновесие катка при минимальном значении веса груза Q. На каток действует сила тяжести $\vec{P}$, реакции нити $\vec{Q}_{\min}$ и реакция шероховатой

поверхности наклонной плоскости $\vec{R}$, имеющая своими составляющими нормальную реакцию поверхности $\vec{N}$ и силу трения качения $\vec{F}_{\text{тр1к}}$ (рис. 1.55, *a*).

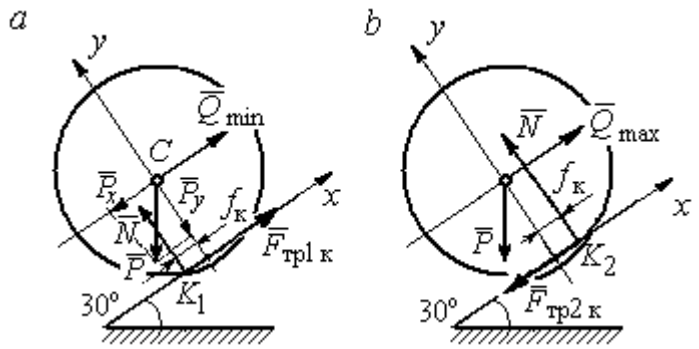

Рис. 1.55. Силы, действующие на каток, при равновесии:
a – минимальный вес груза; *b* – максимальный вес груза

Минимальный вес груза $Q_{\min}$ удерживает каток от качения вниз по наклонной плоскости. В этом случае составляющие реакции шероховатой поверхности наклонной плоскости приложены в точке K_1, слева от нормального к плоскости диаметра катка (см. рис. 1.55, *a*). Выбор точки приложения реакции шероховатой поверхности основан на том, что пара $(\vec{N}, \vec{P}_y)$ должна создавать момент трения качения, противодействующий предполагаемому движению.

На каток действует плоская уравновешенная система сил $(\vec{Q}_{\min}, \vec{F}_{\text{тр1к}}, \vec{N}, \vec{P}) \infty 0$. Выберем систему координат, как показано на рис. 1.55, *a*, и составим уравнения равновесия катка, где уравнение моментов сил составлено относительно точки K_1:

$$\sum F_{kx} = -P\cos 60^\circ + Q_{\min} + F_{\text{тр1к}} = 0;$$

$$\sum F_{ky} = = -P\cos 30^\circ + N = 0;$$

$$\sum M_{K_1}(\vec{F}_k) = P\cos 60^\circ \cdot r - Q_{\min} r - P\cos 30^\circ \cdot f_{\text{к}} = 0.$$

Подставляем данные задачи и находим минимальное значение веса груза, при котором каток находится в равновесии $Q_{\min} = 7{,}68$ Н, величину нормальной реакции наклонной плоскости $N = 43{,}3$ Н и значение силы трения качения, удерживающей каток в равновесии, $F_{\text{тр1к}} = 17{,}32$ Н.

Рассмотрим равновесие катка при максимальном значении веса груза $Q_{\max}$. Здесь нарушение предельного равновесия при увеличении веса груза Q вызывает движение катка вверх по наклонной плоскости. В таком случае точка приложения реакции опоры шероховатой поверхности (точка K_2) расположена справа от нормального к плоскости качения диаметра катка (рис. 1.55, *b*).

На каток действует плоская уравновешенная система сил $(\vec{Q}_{\max}, \vec{F}_{\text{тр2 к}}, \vec{N}, \vec{P}) \infty 0$. Выберем систему координат, как показано на рис. 1.55, *b*. Уравнения равновесия катка, где уравнение моментов сил составлено относительно точки K_2 имеют вид:

$$\sum F_{kx} = -P\cos 60^\circ + Q_{\max} - F_{\text{тр2 к}} = 0;$$

$$\sum F_{ky} = -P\cos 30^\circ + N = 0;$$

$$\sum M_{K_2}(\vec{F}_k) = -P\cos 60^\circ \cdot r + Q_{\max} r - P\cos 30^\circ \cdot f_{\text{к}} = 0.$$

Решая систему, получим: $Q_{\max} = 42{,}32$ Н; $N = 43{,}3$ Н; $F_{\text{тр2 к}} = 17{,}32$ Н.

Таким образом, на шероховатой поверхности каток находится в равновесии, если вес уравновешивающего груза выбран в пределах $7{,}68 \le Q \le 42{,}32$ Н.

При любом движении (вверх или вниз) качение катка будет без скольжения, если предельная сила трения скольжения $F_{\text{тр с}}$ больше аналогичной силы трения качения: $F_{\text{тр с}} > F_{\text{тр к}}$. Величина силы трения скольжения не зависит от направления движения: $F_{\text{тр с}} = f_{\text{с}} N = 43{,}3 f_{\text{с}}$, где $f_{\text{с}}$ – коэффициент трения скольжения. Величина силы трения качения также не зависит от направления движения: $F_{\text{тр к}} = F_{\text{тр1 к}} = F_{\text{тр2 к}} = 17{,}32$ Н. Таким образом, для определения требуемого коэффициента скольжения имеет место неравенство $43{,}3 f > 17{,}32$, откуда $f > 0{,}4$.

Задача 19. Для подъёма и опускания грузов в выработках используется ступенчатый ворот с тормозом, изображённый на рис. 1.56. Радиусы большой и малой ступенек барабана ворота $R = 0{,}5$ м и $r = 0{,}2$ м. Ворот тормозят, надавливая на конец A рычага AB, соединённого цепью CD с концом D тормозного рычага ED с расположенной на нём тормозной колодкой. Коэффициент трения между тормозной колодкой и барабаном ворота $f = 0{,}4$. На малой ступеньке барабана ворота навита верёвка, другой конец которой, переброшенный через невесомые неподвижный блок m и подвижный блок n, удерживает груз Q весом 1 кН (см. рис. 1.56). Угол наклона к горизонту участка верёвки, соединяющей барабан с неподвижным блоком m, составляет 30º.

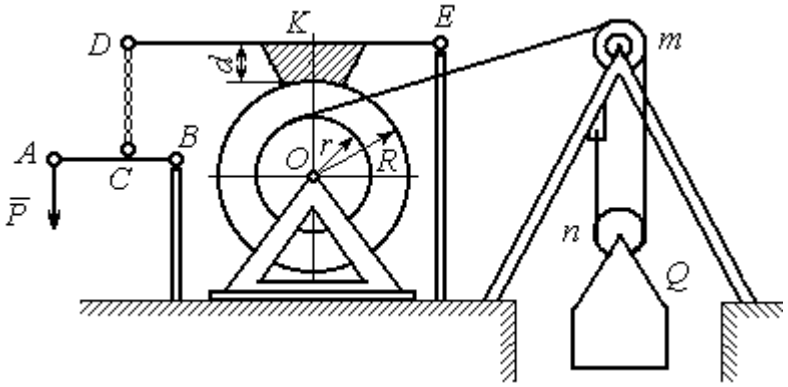

Рис. 1.56. Ворот с колодочным тормозом

Определить величину силы $\vec{P}$, уравновешивающей груз Q, и реакции шарниров O и E, если вес ворота G = 140 Н, высота тормозной колодки $d = 0{,}1$ м, расстояния AB = 1 м, BC = 0,1 м; $ED = 1{,}2$ м; $EK = 0{,}6$ м.

Решение

Рассмотрим отдельно равновесие барабана ворота, тормозного рычага DE и рычага AB (рис. 1.57).

Для того; чтобы определить силу натяжения верёвки, прикреплённой к барабану, рассмотрим равновесие груза вместе с подвижным блоком n (см. рис. 1.57, *а*). На объект равновесия действует сила тяжести груза $\vec{Q}$ и реакции $\vec{T}'$ и $\vec{T}''$ двух ветвей верёвки, огибающей снизу блок n.

Уравнения равновесия такой системы сил:

$$T' + T'' - Q = 0; \qquad T''r_{\text{бл}} = T'r_{\text{бл}},$$

где моменты сил вычислены относительно центра блока; $r_{бл}$ – радиус блока *n*. Решая систему уравнений, получим: $T' = T'' = 0{,}5Q = 500$ Н.

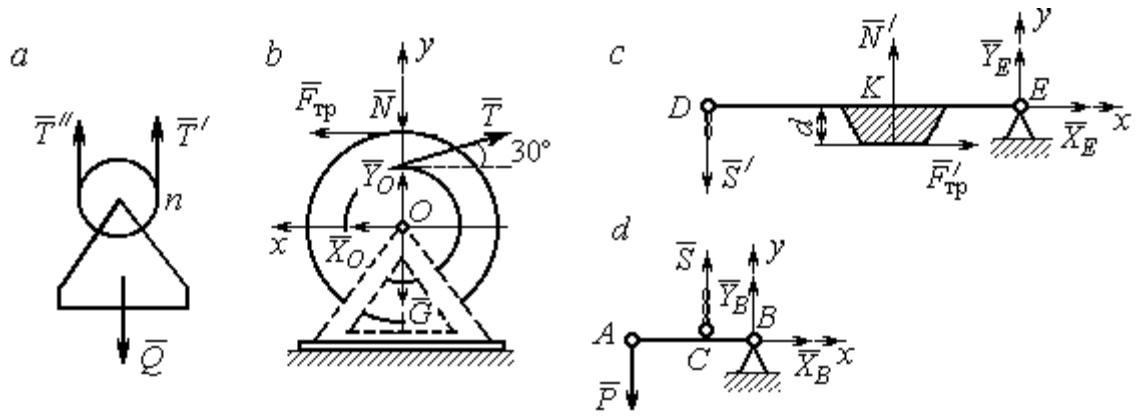

Рис. 1.57. Равновесие элементов конструкции ворота:
a – равновесие груза; *b* – силы, действующие на барабан; *c* – силы, действующие на тормозной рычаг *DE*; *d* – силы, действующие на рычаг *AB*

Рассмотрим равновесие барабана. На барабан действуют: сила веса барабана $\vec{G}$, сила давления $\vec{N}$ со стороны рычага, направленная по радиусу барабана, сила трения $\vec{F}_{\text{тр}}$, действующая по касательной к барабану в сторону, противоположную движению барабана при опускании груза, реакция $\vec{R}_O$ шарнира *O*, представленная двумя составляющими $\vec{X}_O, \vec{Y}_O$, и реакция верёвки $\vec{T}$, численно равная модулю силы $\vec{T}'$ (см. рис. 1.57, *b*).

Силы, действующие на барабан, составляют уравновешенную произвольную плоскую систему сил ($\vec{G}$, $\vec{X}_O, \vec{Y}_O$, $\vec{T}$, $\vec{N}$, $\vec{F}_{\text{тр}}$) ~ 0. Составим уравнение моментов относительно точки *O*:

$$-Tr + F_{\text{тр}}R = 0,\ \text{откуда с учётом}\ T = T'\ F_{\text{тр}} = 200\ \text{Н}.$$

Величина силы $\vec{N}$ давления рычага на барабан находится из вида зависимости силы трения $F_{\text{тр}} = fN$, тогда $N = \dfrac{F_{\text{тр}}}{f} = 500$ Н.

Составим уравнения равновесия барабана в виде проекций сил на оси, выбранные, как показано на рис. 1.57, *b*:

$$\sum F_{kx} = X_O + F_{\text{тр}} - T\cos 30^\circ = 0;$$

$$\sum F_{ky} = Y_O + T\cos 60^\circ - N - G = 0.$$

Решая систему, найдём реакцию шарнира *O*:

$$X_O = 233 \text{ Н};\ Y_O = 390 \text{ Н};\ R_O = \sqrt{X_O^2 + Y_O^2} = 454{,}3 \text{ Н}.$$

Рассмотрим теперь равновесие тормозного рычага *DE* (см. рис. 1.57, *c*).

На рычаг действуют сила $\vec{N}'$ давления со стороны барабана и сила трения $\vec{F}'_{\text{тр}}$, приложенные в точке касания тормозной колодки с барабаном, равные по величине и противоположные по направлению, соответственно, силам $\vec{N}$ и $\vec{F}_{\text{тр}}$. Кроме того, в точке *D* на рычаг действует сила $\vec{S}'$, под действием которой рычаг прижимается к барабану, и реакция шарнира *E*, разложенная на составляющие $\vec{X}_E$, $\vec{Y}_E$ вдоль осей *x*, *y*. Уравнения равновесия рычага имеют вид:

$$\sum F_{kx} = X_E + F'_{\text{тр}} = 0; \qquad \sum F_{ky} = Y_E + N' - S' = 0;$$

$$\sum M_E(\vec{F}_k) = S' \cdot DE - N' \cdot EK + F'_{\text{тр}} d = 0.$$

Подставляя в систему данные из условия задачи, с учётом найденных значений $F'_{\text{тр}} = F_{\text{тр}} = 200$ Н, $N' = N = 500$ Н, определим усилие S', с которым тормозной рычаг прижимается к барабану, и реакцию шарнира *E*:

$$S' = 233{,}33 \text{ Н};\ X_E = -200 \text{ Н};\ Y_E = -266{,}67 \text{ Н};\ R_E = \sqrt{X_E^2 + Y_E^2} = 333{,}34 \text{ Н}.$$

Силу $\vec{P}$, необходимую для уравновешивания груза *Q*, найдём рассматривая равновесие рычага *AB* (см. рис. 1.57, *d*) . На рычаг действуют сила $\vec{P}$, реакция цепи $\vec{S}$ и реакция шарнира *B*, показанная на рис. 1.57, *d* составляющими $\vec{X}_B$, $\vec{Y}_B$.

Составим уравнение равновесия рычага в форме равенства нулю суммы моментов сил относительно точки *B*: $P \cdot AB - S \cdot CB = 0$. С учётом того, что модули сил $\vec{S}$ и $\vec{S}'$ равны, найдем $P = 23{,}3$ Н.

Упражнения

Упражнение 1.13

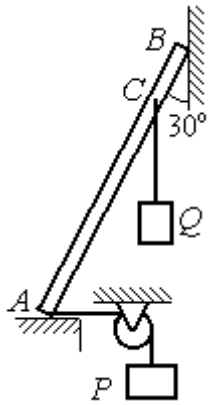

Невесомый стержень AB опирается в точках A и B на шероховатые поверхности – горизонтальный пол и вертикальную стену. Коэффициент трения между стержнем и полом и между стержнем и стеной $f = 0{,}2$. Угол наклона стержня к вертикальной стене 30°. В точке C к стержню подвешен груз Q. Стержень удерживается в равновесии горизонтальной нитью, прикреплённой в точке A и перекинутой через блок. К другому концу нити подвешен груз P. В каких границах можно изменять вес груза P, не нарушая равновесия стержня?

$AB = 3$ м, $AC = 2$ м, $Q = 200$ Н.

Упражнение 1.14

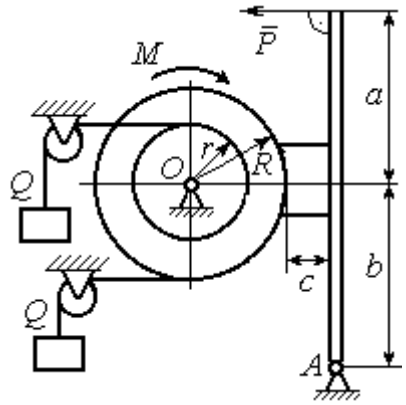

Шкив O состоит из двух барабанов радиусов R и r. На барабаны навиты верёвки, натянутые одинаковыми грузами Q. К шкиву приложена пара сил с моментом M. Шкив затормаживается с помощью рычажного тормоза. Коэффициент трения между тормозной колодкой и шкивом $f = 0{,}4$. Определить силу $\vec{P}$, приложенную к рычагу тормозной колодки и уравновешивающую шкив. Найти реакцию шарнира A.

$a = b = 1$ м; $c = 0{,}1$ м; $Q = 100$ Н; $M = 120$ Н·м;
$R = 0{,}6$ м; $r = 0{,}2$ м.

Рис. 1.58. Задания для самостоятельного решения. Упражнения № 1.13, 1.14

2. КИНЕМАТИКА ТОЧКИ И ТВЁРДОГО ТЕЛА

2.1. Криволинейное движение точки

Кривая, которую описывает движущаяся точка, называется **траекторией** точки. Движение точки может быть задано **векторным**, **координатным** или **естественным** способами.

Координатный способ задания движения точки основан на том, что положение точки определяется ее координатами, заданными для каждого момента времени (рис. 2.1): $x = x(t)$, $y = y(t)$, $z = z(t)$.

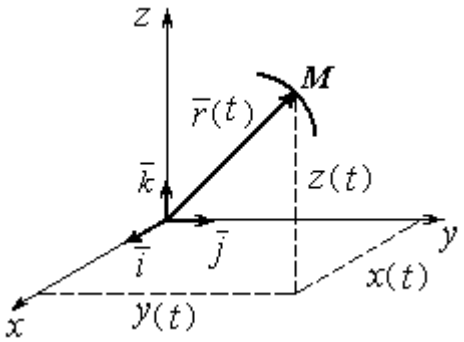

Рис. 2.1. Векторный и координатный способы задания движения точки

Мгновенная скорость, или скорость точки в данный момент времени, является векторной величиной и определяется как производная по времени от радиус-вектора точки: $\vec{V} = \frac{d\vec{r}}{dt}$. **Вектор скорости точки $\vec{V}$ всегда направлен по касательной к траектории в сторону движения точки.** Величины V_x, V_y, V_z проекций вектора скорости $\vec{V}$ на координатные оси определяются как производные по времени от соответствующих координат: $V_x = \frac{dx}{dt} = \dot{x}$; $V_y = \frac{dy}{dt} = \dot{y}$; $V_z = \frac{dz}{dt} = \dot{z}$. Модуль вектора скорости: $V = \sqrt{V_x^2 + V_y^2 + V_z^2}$.

Мгновенное ускорение точки**,** или ускорение в данный момент времени, является векторной величиной и определяется как производная по времени от вектора скорости точки или как вторая производная от радиус-вектора точки: $\vec{a} = \frac{d\vec{V}}{dt} = \frac{d^2\vec{r}}{dt^2}$. Величины a_x, a_y, a_z проекций вектора ускорения на координ-

натные оси определяются равенствами: $a_x = \frac{dV_x}{dt} = \dot{V}_x = \ddot{x}$; $a_y = \frac{dV_y}{dt} = \dot{V}_y = \ddot{y}$; $a_z = \frac{dV_z}{dt} = \dot{V}_z = \ddot{z}$. Модуль вектора ускорения: $a = \sqrt{a_x^2 + a_y^2 + a_z^2}$.

Естественный способ задания движения используется, если траектория движения точки заранее известна. Тогда положение точки однозначно определяется длиной дуги $O\breve{M} = S(t)$, отсчитываемой от некоторой фиксированной точки *O*, принятой за начало отсчета (рис. 2.2). При этом заранее устанавливаются положительное и отрицательное направления отсчета дуговой координаты.

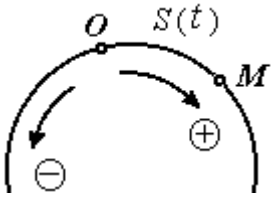

Рис. 2.2. Естественный способ задания движения точки

При естественном способе задания движения вектор скорости точки определяется равенством: $\vec{V} = \dot{S}\vec{\tau} = V_\tau \vec{\tau}$, где S – дуговая координата; $\vec{\tau}$ – единичный вектор касательной к траектории движения, направленный в сторону положительного направления дуговой координаты. Величина $V_\tau = \dot{S}$ называется алгебраической скоростью точки и представляет собой проекцию вектора скорости точки на касательную к траектории.

Вектор ускорения точки $\vec{a}$ раскладывается на составляющие по направлениям естественных осей – касательную (ось τ) и перпендикулярную к ней нормальную (ось *n*):

$$\vec{a} = a_\tau \vec{\tau} + a_n \vec{n} \text{ или } \vec{a} = \vec{a}_\tau + \vec{a}_n,$$

где $\vec{\tau}$ – единичный направляющий вектор касательной; $\vec{n}$ – единичный направляющий вектор нормали траектории; a_τ – проекция ускорения точки на касательную называется **касательным ускорением**; a_n – проекция вектора ускорения точки на нормаль называется **нормальным ускорением** (рис. 2.3). Касательная составляющая ускорения характеризует изменение величины скорости точки, нормальная – изменение направления вектора скорости.

Если проекции V_τ и a_τ имеют одинаковые знаки (направлены в одну сторону), движение будет ускоренным, если разных знаков (разнонаправлены) – замедленным (см. рис. 2.3, *a*, *b*).

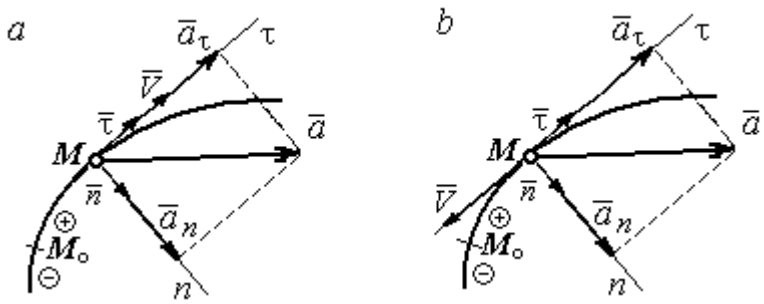

Рис. 2.3. Скорость и ускорение точки. Разложение ускорения на нормальную и касательную составляющие:
a – ускоренное движение; *b* – замедленное движение

Проекции ускорения на естественные оси и модуль вектора ускорения вычисляются по формулам:

$$a_\tau = \ddot{S} = \dot{V}_\tau,\ a_n = \frac{V^2}{\rho};$$

$$a = \sqrt{a_n^2 + a_\tau^2}\ ,$$

где ρ – радиус кривизны траектории. Иногда при вычислении касательной составляющей ускорения удобнее пользоваться формулой $a_\tau = \dfrac{a_x V_x + a_y V_y}{V_\tau}$.

Вектор нормальной составляющей ускорения $\vec{a}_n$ всегда направлен к центру кривизны траектории. Вектор касательной составляющей ускорения $\vec{a}_\tau$ направлен в сторону положительного направления касательной (по направлению единичного вектора $\vec{\tau}$), если $\ddot{S} > 0$, и в противоположную сторону – при $\ddot{S} < 0$.

Криволинейное движение точки называется **равномерным**, если проекция вектора скорости на касательную – постоянная величина: $V_\tau = \text{const}$.

Криволинейное движение точки называется **равнопеременным**, если постоянна проекция вектора ускорения на касательную: $a_\tau = \text{const}$.

Примеры решения задач на криволинейное движение точки

Задача 20. Движение точки задано координатным способом уравнениями $x(t) = 2\sin\pi t$, $y(t) = \cos 2\pi t$, где *x*, *y* – в сантиметрах, *t* – в секундах.

Найти траекторию точки, величину и направление скорости и ускорения в моменты времени t_1 = 0,25 с, t_2 = 0,75 с. Определить участки ускоренного и замедленного движений точки.

Решение

Определяем траекторию точки. Из уравнений движения находим $y = \cos 2\pi t = \cos^2 \pi t - \sin^2 \pi t = 1 - 2\sin^2 \pi t = 1 - \frac{x^2}{2}$. Траекторией точки является парабола $y = 1 - \frac{x^2}{2}$ (рис. 2.4). Однако не вся парабола будет траекторией движения, а только та её часть, точки которой согласно уравнениям движения удовлетворяют неравенствам: $-2 \le x \le 2$, $-1 \le y \le 1$.

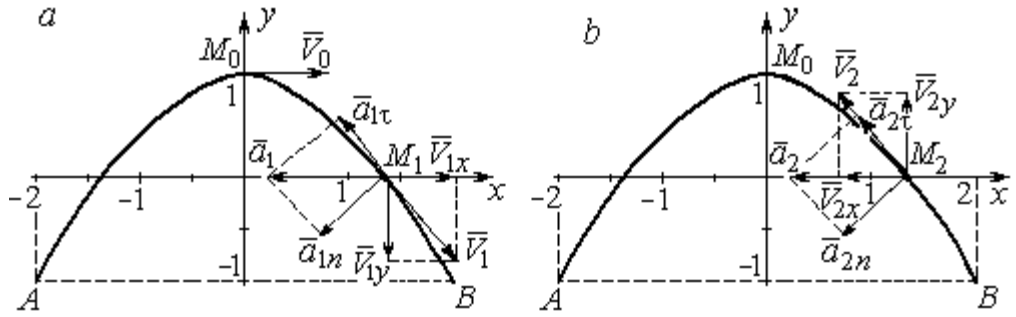

Рис. 2.4. Траектория движения точки:

a – замедленное движение точки на участке от M_0 к *B*;
b – ускоренное движение точки на участке от *B* к M_0

Определяем параметры движения точки в момент времени t_1 = 0,25 с.

Находим координаты x_1, y_1 положения точки M_1:

$$x_1 = x(0{,}25) = 2\sin\frac{\pi}{4} = \sqrt{2} \text{ см}, \quad y_1 = y(0{,}25) = \cos\frac{\pi}{2} = 0.$$

Находим проекции V_{1x}, V_{1y} вектора $\vec{V}_1$ скорости точки на оси системы координат:

$$V_x(t) = \dot{x} = 2\pi\cos\pi t; \; V_y(t) = \dot{y} = -2\pi\sin 2\pi t;$$

$$V_{1x} = V_x(0{,}25) = 2\pi\cos\frac{\pi}{4} = \pi\sqrt{2} \text{ см/с}; \quad V_{1y} = V_y(0{,}25) = -2\pi\sin\frac{\pi}{2} = -2\pi \text{ см/с}.$$

Модуль скорости $V_1 = \sqrt{V_{1x}^2 + V_{1y}^2} = \pi\sqrt{6}$ см/с.

Находим проекции a_{1x}, a_{1y} вектора $\vec{a}_1$ ускорения точки на оси системы координат:

$$a_x(t) = \dot{V}_x = -2\pi^2 \sin\pi t;\ a_y(t) = \dot{V}_y = -4\pi^2 \cos 2\pi t;$$

$$a_{1x} = a_x(0{,}25) = -2\pi^2 \sin\frac{\pi}{4} = -\pi^2\sqrt{2} \text{ см/с}^2;\ a_{1y} = a_y(0{,}25) = -4\pi^2 \cos\frac{\pi}{2} = 0.$$

Модуль вектора ускорения $a_1 = \sqrt{a_{1x}^2 + a_{1y}^2} = \pi^2\sqrt{2}$ см/с.

Положение точки M_1 в момент времени $t_1 = 0{,}25$ с, построение векторов скорости $\vec{V}_1$ и ускорения $\vec{a}_1$ по их проекциям показано на рис. 2.4, *а*.

Для того чтобы определить характер движения точки в положении M_1 – ускоренное или замедленное, найдём направление касательного ускорения. С этой целью разложим известный уже вектор ускорения $\vec{a}_1$ на нормальную и касательную составляющие согласно равенству $\vec{a}_1 = \vec{a}_{1\tau} + \vec{a}_{1n}$. При этом направление касательной совпадает с направлением вектора скорости $\vec{V}_1$, а направление нормали – перпендикулярно ему. Касательное ускорение $\vec{a}_{1\tau}$ оказалось направленным противоположно вектору скорости $\vec{V}_1$ (см. рис. 2.4, *а*). Следовательно, точка в рассматриваемый момент движется замедленно.

В момент времени $t_2 = 0{,}75$ с положение M_2 совпадает с положением M_1:

$$x_2 = x(0{,}75) = 2\sin\frac{3\pi}{4} = \sqrt{2} \text{ см};\ y_2 = y(0{,}75) = \cos 2\pi\frac{3}{4} = 0.$$

Проекции векторов скорости $\vec{V}_2$ и ускорения $\vec{a}_2$ точки на оси координат:

$$V_{2x} = V_x(0{,}75) = 2\pi\cos\frac{3\pi}{4} = -\pi\sqrt{2} \text{ см/с};\ V_{2y} = V_y(0{,}75) = -2\pi\sin 2\pi\frac{3}{4} = 2\pi \text{ см/с};$$

$$a_{2x} = a_x(0{,}75) = -2\pi^2 \sin\frac{3\pi}{4} = -\pi^2\sqrt{2} \text{ см/с}^2;\ a_{2y} = a_y(0{,}75) = -4\pi^2 \cos 2\pi\frac{3}{4} = 0.$$

Модули скорости и ускорения точки в момент времени $t_2 = 0{,}75$ с:

$$V_2 = \sqrt{V_{2x}^2 + V_{2y}^2} = \pi\sqrt{6} \text{ см/с}; \quad a_2 = |a_{2x}| = \pi^2\sqrt{2} \text{ см/с}^2.$$

Положение точки M_2 в момент времени t_2 = 0,75 с, построение векторов скорости $\vec{V}_2$ и ускорения $\vec{a}_2$ по их проекциям, а также разложение вектора ускорения $\vec{a}_2$ на составляющие $\vec{a}_{2n}$ и $\vec{a}_{2\tau}$ показано на рис. 2.4, *b*. В данном случае вектор касательного ускорения совпадает по направлению с вектором скорости (см. рис. 2.4, *b*), поэтому движение ускоренное.

В целом движение точки по траектории происходит следующим образом. Из начального положения M_0 (t_0 = 0) точка с замедлением перемещается по правой ветви параболы. Достигнув положения *B* на траектории (t_B = 0,5 с), точка совершает мгновенную остановку и начинает обратное ускоренное движение. Достигнув положения M_0 (t_{M_0} = 1 с), точка переходит на левую часть параболы, где движется аналогично.

Задача 21. Рудничный поезд выходит на закруглённый участок пути радиуса *R* = 1 км с начальной скоростью 54 км/ч. Считая движение поезда равнопеременным, определить его скорость и ускорение в конце 10-й секунды движения по закруглённому участку, если за это время поезд прошёл путь 500 м.

Решение

Примем за начало отсчёта расстояния точку M_0, где поезд выходит на закруглённый участок пути (рис. 2.5). Предположим, движение поезда равноускоренное и происходит в сторону возрастания дуговой координаты *S*. В этом случае вектор скорости и вектор касательного ускорения направлены в положительную сторону касательной.

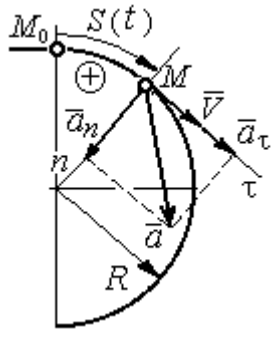

Рис. 2.5. Скорость и ускорение поезда

При равнопеременном движении проекция вектора ускорения на касательную постоянна: a_τ = const. Так как $a_\tau = \dfrac{dV_\tau}{dt}$, то $V_\tau = a_\tau t + C_1$, где V_τ – проекция вектора скорости на касательную

ось. Далее, поскольку $V_\tau = \frac{dS}{dt}$, имеем $S = \frac{a_\tau t^2}{2} + C_1 t + C_2$. Константы интегрирования C_1 и C_2 находятся из начальных условий: при $t = 0$ $S = 0$ и $V_\tau = V_0 =$ = 54 км/ч = 15 м/с. Подставив эти условия в уравнения движения, найдём константы интегрирования: C_1 = 15 м/с; C_2 = 0.

В результате получена система уравнений:

$$V_\tau = a_\tau t + 15; \quad S = \frac{a_\tau t^2}{2} + 15t .$$

По условию задачи через 10 с от начала движения по закруглённому участку поезд прошёл по дуге путь S = 500 м. Подставляя это условие во второе уравнение, получим a_τ = 7 м/с^2. Скорость поезда в конце пройденного пути с учётом известной величины касательного ускорения найдём из первого уравнения V_τ = 85 м/с. Следует заметить, что при указанном движении поезда проекция вектора скорости на касательную ось положительна и равна его модулю: $V_\tau = V$.

Нормальное ускорение поезда при движении по дуге окружности радиуса R = 1000 м в момент времени t = 10 с равно $a_n = \frac{V_\tau^2}{R}$ = 7,23 м/с^2. Величина (модуль) полного ускорения поезда $a = \sqrt{a_n^2 + a_\tau^2}$ = 10,06 м/с^2. Разложение вектора ускорения поезда на нормальную и касательную составляющие показано на рис. 2.5.

Задача 22. Вагонетка движется равнопеременно по дуге окружности радиуса R = 80 м. За время движения скорость вагонетки изменилась от начальной V_0 = 18 км/ч до конечной V_1 = 9 км/ч.

Определить характер движения – ускоренное или замедленное. Найти ускорение вагонетки в начале и в конце участка движения, если за это время она прошла путь S = 60 м.

Решение

Выберем некоторую точку на траектории в качестве начальной, а направление положительного отсчёта расстояний – в сторону движения вагонетки.

Уравнения равнопеременного движения точки при начальных условиях: $t = 0$; $S = 0$ и $V_\tau = V_0 = 5$ м/с имеют вид:

$$V_\tau = 5 + a_\tau t\,; \quad S = 5t + \frac{a_\tau t^2}{2}.$$

Подставим в уравнения параметры движения в момент времени $t = t_1$, когда скорость вагонетки стала $V_{1\tau} = 2{,}5$ м/с, а пройденный ею путь составил 60 м. Получим систему:

$$-2{,}5 = a_\tau t_1\,; \quad 60 = 5t_1 + \frac{a_\tau t_1^2}{2},$$

откуда найдём касательное ускорение: $a_\tau = -0{,}16$ м/с^2.

Отрицательная величина означает, что вектор касательного ускорения направлен в сторону, противоположную направлению вектора скорости, и движение равнозамедленное.

Нормальное ускорение вагонетки в начале движения $a_{n0} = \frac{V_0^2}{R} = 0{,}31$ м/с^2.

Полное ускорение $a_0 = \sqrt{a_{n0}^2 + a_\tau^2} = 0{,}35$ м/с^2. В конце движения нормальное ускорение $a_{n1} = \frac{V_1^2}{R} = 0{,}08$ м/с^2. Полное ускорение $a_1 = \sqrt{a_{n1}^2 + a_\tau^2} = 0{,}18$ м/с^2.

2.2. Поступательное движение и вращение твердого тела вокруг неподвижной оси

Движение твёрдого тела называется **поступательным**, если любой прямолинейный отрезок, связанный с телом, остаётся в процессе движения параллельным самому себе. При **поступательном** движении твёрдого тела все его

точки движутся по одинаковым траекториям, имеют равные скорости и ускорения.

Вращением твёрдого тела вокруг неподвижной оси называется такое его движение, при котором две точки тела остаются неподвижными в течение всего времени движения. Прямая, проходящая через неподвижные точки, называется **осью вращения** тела.

Положение вращающегося тела определяется углом поворота $\varphi = \varphi(t)$ относительно какой-либо системы отсчёта, например, относительно неподвижной плоскости, проходящей через ось вращения.

Вектор угловой скорости вращения тела $\vec{\omega}$ лежит на оси вращения и направлен в сторону, откуда вращение тела видно против хода часовой стрелки. **Алгебраическим значением угловой скорости** вращения тела называют проекцию вектора угловой скорости на ось вращения (ось z) $\omega_z = \dot{\varphi}$. При $\dot{\varphi} > 0$ тело вращается в сторону положительного направления отсчёта угла φ, при $\dot{\varphi} < 0$ – в обратную сторону. Направление угловой скорости обычно показывают дуговой стрелкой вокруг оси вращения. Модуль алгебраического значения угловой скорости вращения тела называется угловой скоростью $\omega = |\omega_z| = |\dot{\varphi}|$.

Алгебраическим значением **углового ускорения** вращающегося тела называют проекцию вектора углового ускорения на ось вращения (ось z) $\varepsilon_z = \dot{\omega}_z = \ddot{\varphi}$. Модуль алгебраического значения углового ускорения вращения тела называется угловым ускорением: $\varepsilon = |\varepsilon_z| = |\dot{\omega}_z| = |\ddot{\varphi}|$.

Вектор углового ускорения направлен вдоль оси вращения. Если $\varepsilon_z \omega_z > 0$ (вектора угловой скорости и углового ускорения сонаправлены), движение ускоренное, если $\varepsilon_z \omega_z < 0$ (векторы угловой скорости и углового ускорения противоположны по направлению), – замедленное.

При равномерном вращении угловая скорость тела (алгебраическое значение) – постоянная величина: ω_z = const. Угол поворота тела изменяется по линейному закону $\varphi = \varphi_0 + \omega_z t$, где φ_0 – начальный угол поворота тела.

При равнопеременном вращении постоянной величиной является алгебраическое значение углового ускорения: ε_z = const. В этом случае справедливы уравнения движения: $\omega_z = \omega_{z0} + \varepsilon_z t$; $\varphi = \varphi_0 + \omega_{z0} t + \dfrac{\varepsilon_z t^2}{2}$.

При вращательном движении тела все его точки движутся по окружностям, радиусы которых равны расстояниям от выбранной точки до неподвижной оси. **Скорость точки** вращающегося твердого тела **(**в отличие от угловой скорости тела) называют **линейной,** или **окружной скоростью** точки. Модуль скорости точки рассчитывается по формуле: $V = \omega h$, где ω – угловая скорость тела; h – расстояние от точки до оси вращения. Вектор скорости направлен по касательной к описываемой точкой окружности в сторону вращения тела.

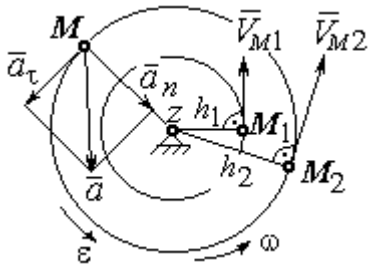

Рис. 2.6. Скорость и ускорение точек вращающегося тела

При вращении тела отношение скоростей двух точек тела равно отношению расстояний от этих точек до оси вращения: $\dfrac{V_{M_1}}{V_{M_2}} = \dfrac{h_1}{h_2}$ (рис. 2.6).

Ускорение точки вращающегося твердого тела рассчитывается как ускорение точки при естественном способе задания движения в виде суммы векторов касательного и нормального ускорений (см. рис. 2.6): $\vec{a} = \vec{a}_\tau + \vec{a}_n$, где модули векторов $a_\tau = \varepsilon h$, $a_n = \omega^2 h$; $a = \sqrt{a_\tau^2 + a_n^2}$; ω, ε – угловая скорость и угловое ускорение тела, $\varepsilon = |\varepsilon_z|$; h – расстояние от точки до оси вращения. **Вектор касательного ускорения точки** $\vec{a}_\tau$ направлен по касательной к описываемой точкой окружности в сторону движения точки, если вращение тела ускоренное, и в противоположную сторо-

ну, если движение тела замедленное. **Вектор нормального ускорения точки** $\vec{a}_n$ направлен вдоль радиуса описываемой точкой окружности к её центру.

При **передаче вращения** одного тела другому без проскальзывания соотношения между угловыми скоростями и угловыми ускорениями выражаются из равенства скоростей и касательных ускорений в точке контакта: $\frac{\omega_1}{\omega_2} = \frac{r_2}{r_1}$; $\frac{\varepsilon_1}{\varepsilon_2} = \frac{r_2}{r_1}$ (рис. 2.7).

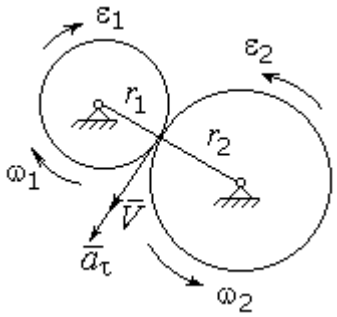

Рис. 2.7. Передача вращения одного тела другому

Примеры решения задач на вращательное движение тел

Задача 23. Вал, начиная вращаться равноускоренно из состояния покоя, за первые 2 мин. сделал 3600 оборотов. Определить угловую скорость вала в конце 2-й минуты и угловое ускорение вала.

Решение

Допустим, вращение вала вокруг оси *z* происходит в сторону положительного направления отсчёта угла. Тогда алгебраические значения угловой скорости и углового ускорения равны модулям соответствующих векторов $\omega_z = \omega$; $\varepsilon_z = \varepsilon$.

Воспользуемся уравнениями равнопеременного вращения вала с нулевыми начальными условиями (начальный угол поворота $\varphi_0 = 0$ и начальная угловая скорость вала $\omega_0 = 0$). Имеем $\omega = \varepsilon t$; $\varphi = \frac{\varepsilon t^2}{2}$.

Подставим в уравнения параметры движения вала в момент времени $t = t_1 = 2$ мин = 120 с; $\varphi_1 = 3600$ об $= 7200\pi$ рад. Получим систему:

$$\omega_1 = \varepsilon \cdot 120, \quad 7200\pi = \frac{\varepsilon \cdot 120^2}{2}, \text{ откуда } \varepsilon = \pi \text{ с}^{-2}; \quad \omega_1 = 120\pi \text{ с}^{-1}.$$

Задача 24. В механизме стрелочного индикатора (рис. 2.8) движение от рейки мерительного штифта 1 передаётся шестерне 2, скреплённой на одной оси с зубчатым колесом 3. Колесо 3 сцепляется, в свою очередь, с шестернёй 4, несущей стрелку-индикатор. Определить угловую скорость стрелки, если движение штифта задаётся уравнением $x = 4\sin\pi t$ и радиусы зубчатых колёс: $r_2 = 6$ см, $r_3 = 10$ см, $r_4 = 4$ см.

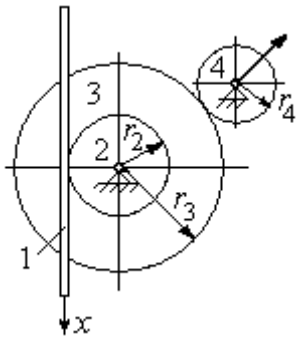

Рис. 2.8. Механизм стрелочного индикатора

Решение

Мерительный штифт движется поступательно вдоль оси x (см. рис. 2.8). Проекция скорости любой точки штифта на ось x $V_{1x} = \dot{x} = 4\pi\cos\pi t$ см/с. Такую же скорость имеет и точка касания штифта с шестернёй 2.

Полагая, что точка касания штифта с шестернёй 2 принадлежит и шестерне, найдём алгебраическое значение угловой скорости шестерни 2: $\omega_{2z} = \dfrac{V_{1x}}{r_2} = \dfrac{4\pi\cos\pi t}{6} = \dfrac{2\pi}{3}\cos\pi t$ рад/с. Зубчатое колесо 3 скреплено с шестернёй 2 на одной оси и имеет ту же угловую скорость $\omega_{3z} = \omega_{2z}$. Вращение колеса 3 через точку зацепления передаётся шестерне 4. Выразим соотношение между алгебраическими значениями угловых скоростей при передаче вращения одного тела другому: $\dfrac{\omega_{3z}}{\omega_{4z}} = \dfrac{r_4}{r_3}$. Отсюда получим: $\omega_{4z} = \dfrac{V_{1x} r_3}{r_2 r_4} = \dfrac{5\pi}{3}\cos\pi t$ с$^{-1}$. Угловая скорость стрелки равна угловой скорости шестерни 4.

Задача 25. Ведущее колесо 1 подъёмного устройства (рис. 2.9) передаёт движение шестерне 2. На одной оси с шестернёй 2 расположен шкив 3, жёстко скреплённый с шестернёй. Шкив 3 соединяется со шкивом 4 бесконечным

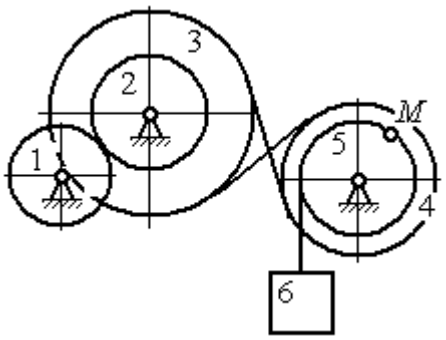

Рис. 2.9. Схема механизма подъёмного устройства

перекрёстным ремнём. Барабан 5 скреплён со шкивом 4 и находится с ним на одной оси. На барабан намотана нить, удерживающая груз 6. По заданному уравнению движения колеса 1 определить скорость, нормальное, касательное и полное ускорения точки M на ободе барабана 5 в момент времени $t_1 = 1$ с, а также скорость и ускорение груза 6. Скольжение между звеньями механизма отсутствует.

Значения радиусов колёса, шкивов и барабана механизма: $r_1 = 20$ см, $r_2 = 10$ см, $r_3 = 40$ см, $r_4 = 16$ см, $r_5 = 8$ см. Уравнение вращения колеса 1: $\varphi_1 = 2t^2 - 5t$ рад.

Решение

Ведущим звеном в механизме является колесо 1. Выберем положительное направление отсчёта угла поворота колеса 1 в сторону, противоположную направлению вращения часовой стрелки. На рис. 2.10 это направление показано дуговой стрелкой φ_1.

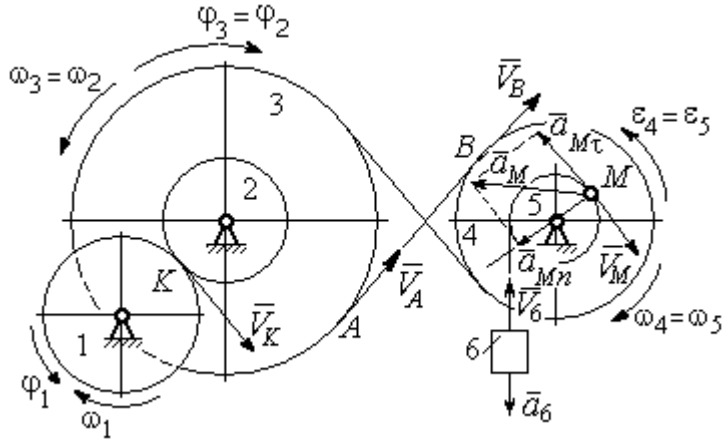

Рис. 2.10. Расчётная схема механизма

Продифференцировав по времени уравнение движения колеса 1, получим алгебраическое значение его угловой скорости: $\omega_{1z} = \dot{\varphi}_1 = 4t - 5$ рад/с. В момент времени $t_1 = 1$ с алгебраическое значение угловой скорости колеса 1 отрицательно: $\dot{\varphi}_1(1) = -1$ рад/с. Это означает, что в данный момент времени колесо 1 вращается в сторону, противоположную положительному направлению отсчёта угла φ_1. Угловая скорость колеса 1 равна модулю: $\omega_1 = |\omega_{1z}| = 1$ рад/с. Направление угловой скорости ω_1 колеса 1 в момент времени $t_1 = 1$ с показано дуговой стрелкой ω_1.

Вращение колеса 1 передаётся шестерне 2 через точку контакта *K*. Из соотношения $\frac{\omega_1}{\omega_2}=\frac{r_2}{r_1}$ найдём угловую скорость шестерни 2: $\omega_2=\frac{\omega_1 r_1}{r_2}$. Шкив 3, закреплённый на одной оси с шестернёй 2 имеет такую же угловую скорость, $\omega_3=\omega_2$. Направление угловых скоростей шестерни 2 и шкива 3 показано на рис. 2.10 дуговой стрелкой ω_2.

Передача движения шкива 3 шкиву 4 производится с помощью ремённой передачи. На участке от точки *A*, где ремень сходит со шкива 3, и до точки *B*, где ремень набегает на шкив 4, ремень движется поступательно, поэтому скорости точек *A* и *B* равны: $V_A=V_B$. Выразив скорости точек через угловые скорости тел, имеем равенство $\omega_3 r_3=\omega_4 r_4$, откуда с учётом, что $\omega_3=\omega_2$, найдём угловую скорость шкива 4: $\omega_4=\frac{\omega_3 r_3}{r_4}=\frac{\omega_1 r_1 r_3}{r_2 r_4}$. Угловая скорость барабана 5 равна угловой скорости шкива 4, $\omega_5=\omega_4$. Направление угловых скоростей шкива 4 и барабана 5 показано на рис. 2.10 дуговой стрелкой ω_4.

Величина (модуль) скорости точки *M* рассчитывается по формуле: $V_M=\omega_5 r_5$. В момент времени $t_1=1$ с $\omega_5=\frac{\omega_1 r_1 r_3}{r_2 r_4}=5$ рад/с и $V_M=20$ см/с. Вектор скорости $\vec{V}_M$ направлен по касательной к ободу барабана в точке *M* и направлен в сторону вращения барабана 5 (см. рис. 2.10).

Нить, несущая груз 6, сматываясь с обода барабана, имеет скорость, равную скорости точек обода барабана, и, следовательно, равна скорости точки *M*: $V_6=V_M$. Направление скорости груза 6 определяется направлением вращения барабана 5. При $t_1=1$с груз поднимается со скоростью $V_6=20$ см/с.

Определим ускорение точки *M*. Вектор ускорения точки *M* равен сумме векторов: $\vec{a}_M=\vec{a}_M^{\tau}+\vec{a}_M^{n}$, где $\vec{a}_M^{\tau}$, $\vec{a}_M^{n}$ – касательная и нормальная составляющие ускорения.

Найдём алгебраическое значение угловой скорости барабана 5: $\omega_{5z} = \dfrac{\omega_{1z} r_1 r_3}{r_2 r_4} = 20t - 25$ рад/с. Алгебраическое значение углового ускорения барабана 5 ε_{5z} равно производной $\varepsilon_{5z} = \dot{\omega}_{5z} = 20$ рад/с^2. Так как в момент времени $t_1 = 1$ с знаки алгебраических значений угловой скорости барабана и его углового ускорения разные ($\omega_{5z} = -5$ рад/с $\vec{a}_M = \vec{a}_M^{\tau} + \vec{a}_M^{n}$ $\varepsilon_{5z} = +20$ рад/с^2), угловое ускорение (по величине равное модулю $\varepsilon_5 = |\varepsilon_{5z}|$) направлено в сторону, противоположную угловой скорости. На рис. 2.10 направление углового ускорения барабана 5 показано дуговой стрелкой ε_5.

Касательное ускорение точки: $a_{M\tau} = \varepsilon_5 r_5 = 80$ см/с^2. Вектор $\vec{a}_{M\tau}$ касательного ускорения точки M направлен по касательной к траектории в точке M в сторону углового ускорения ε_5 (см. рис. 2.10).

Нормальное ускорение точки M рассчитывается как $a_M^n = \omega_5^2 r_5$, где угловая скорость барабана $\omega_5 = |\omega_{5z}|$. В момент времени $t_1 = 1$ с $\omega_5 = 5$ рад/с и величина нормального ускорения: $\vec{a}_M^{\,n} = 100$ см/с^2. Вектор нормального ускорения $\vec{a}_M^{\,n}$ направлен по радиусу к центру барабана 5.

Модуль полного ускорения точки M в заданный момент времени: $a_M = \sqrt{(a_M^{\tau})^2 + (a_M^n)^2} = 128{,}06$ см/с^2. Вектор ускорения $\vec{a}_M$ направлен по диагонали прямоугольника, построенного на векторах $\vec{a}_M^{\,n}$ и $\vec{a}_M^{\tau}$ (см. рис. 2.10).

Ускорение a_6 груза 6 находится из условия, что груз движется прямолинейно. При прямолинейном движении нормальная составляющая ускорения равна нулю. В результате, ускорение груза 6 $a_6 = a_6^{\tau} = \dot{V}_6 = \dot{V}_M = a_M^{\tau} = \varepsilon_5 r_5 = 80$ см/с^2. Направление вектора ускорения груза 6 определяется направлением углового ускорения барабана 5. На рис. 2.10 направление ускорения груза 6 показано вектором $\vec{a}_6$.

Задача 26. По заданному уравнению поступательного движения звена 1 механизма (рис. 2.11, *a*) определить скорость, нормальное, касательное и полное ускорения точки *M* диска 3 в момент времени $t_1 = 1$ с, а также скорость и ускорение звена 4. Скольжение между звеньями механизма отсутствует. Значения радиусов колес механизма и закон движения звена 1: $R_2 = 20$ см, $r_2 = 5$ см, $R_3 = 8$ см, $r_3 = 4$ см, $x_1 = \cos\pi t + \sin\pi t$ см.

Решение

Звено 1 движется поступательно вдоль оси *x*. Положительное направление движения задаётся направлением оси *x* (рис. 2.11, *a*). Продифференцировав по времени уравнение движения звена 1, получим его алгебраическое значение скорости: $V_{1x}(t) = \dot{x}_1 = -\pi\sin\pi t + \pi\cos\pi t$.

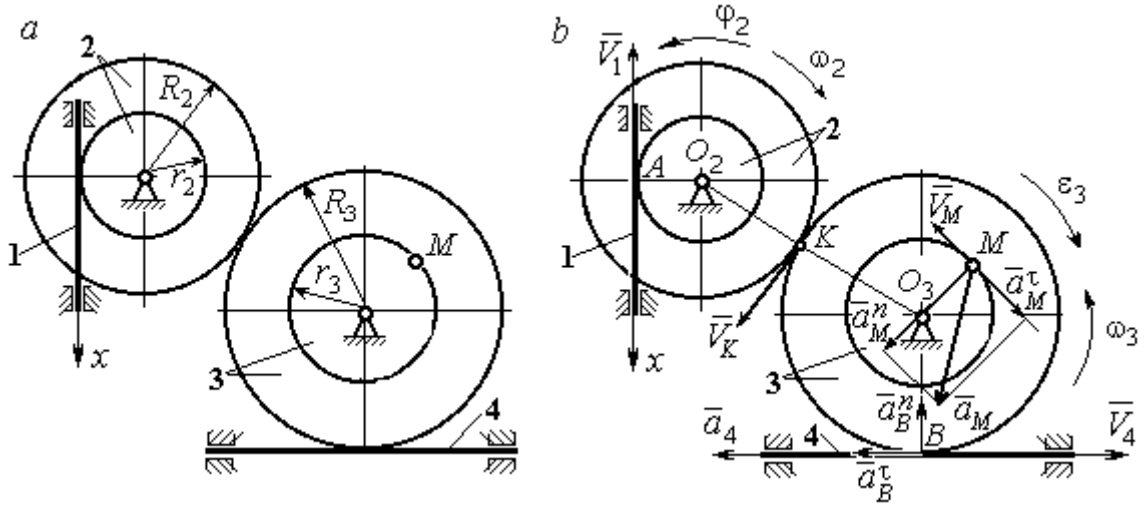

Рис. 2.11. Кинематика поступательного и вращательного движений твердого тела:
a – схема механизма; *b* – расчетная схема для определения скоростей
и ускорений точек механизма

В момент времени $t_1 = 1$ с алгебраическое значение скорости звена 1 отрицательное: $V_{1x}(1) = -\pi$ см/с. Это показывает, что в данный момент времени звено 1 движется в сторону, противоположную положительному направлению оси *x*. Скорость звена 1 равна модулю производной $V_1(1) = |\dot{x}_1| = \pi$ см/с. На рис. 2.11, *b* показано направление вектора скорости $\vec{V}_1$.

Точка A соприкосновения звена 1 с диском 2 имеет ту же скорость, что и звено 1. Угловая скорость диска 2 определяется из равенства $\omega_2 = \frac{V_1}{r_2}$ рад/с. Направление угловой скорости вращения диска 2 показано на рис. 2.11, *b* дуговой стрелкой ω_2.

Передача вращения диска 2 диску 3 происходит в точке *K*. Из соотношения $\frac{\omega_3}{\omega_2} = \frac{R_2}{R_3}$ находим угловую скорость диска 3: $\omega_3 = \frac{V_1 R_2}{r_2 R_3} = \frac{\pi}{2}$. Направление угловой скорости диска 3 показано на рис. 2.11, *b* дуговой стрелкой ω_3.

Модуль скорости точки M $V_M = \omega_3 r_3 = 2\pi$ см/с. Вектор скорости $\vec{V}_M$ направлен по касательной к траектории движения точки *M* в сторону вращения диска 3 (см. рис. 2.11, *b*).

Звено 4 движется поступательно. Величина и направление скорости звена 4 совпадают с величиной и направлением скорости точки *B* касания звена 4 с диском 3: $V_4 = V_B = \omega_3 R_3$. В момент времени $t_1 = 1$ с $V_4 = 4\pi$ см/с. Направление вектора скорости $\vec{V}_4$ определяется направлением вращения диска 3.

Определим ускорение точки *M*. Найдём алгебраическое значение ω_{3z} угловой скорости диска 3: $\omega_{3z} = \frac{V_{1x} R_2}{r_2 R_3} = \frac{\pi}{2}(-\sin\pi t + \cos\pi t)$. Алгебраическое значение ε_{3z} углового ускорения диска 3: $\varepsilon_{3z} = \dot{\omega}_{3z} = -\frac{\pi^2}{2}(\cos\pi t + \sin\pi t)$ и в момент времени $t_1 = 1$ с $\varepsilon_{3z} = \frac{\pi^2}{2}$. Разные знаки алгебраических значений угловой скорости и углового ускорения диска 3 ($\omega_{3z} = -\frac{\pi}{2}; \varepsilon_{3z} = +\frac{\pi^2}{2}$) показывают, что угловое ускорение направлено в сторону, противоположную угловой скорости. На рис 2.11, *b* направление углового ускорения диска 3 показано дуговой стрелкой ε_3.

Касательное ускорение точки M рассчитывается по формуле $a_M^{\tau} = \varepsilon_3 r_3$, где угловое ускорение $\varepsilon_3 = |\varepsilon_{3z}|$. В момент времени $t_1 = 1$ с $a_M^{\tau} = 2\pi^2$ см/с^2. Вектор касательного ускорения точки M $\vec{a}_M^{\tau}$ направлен по касательной к траектории точки M в сторону углового ускорения ε_3 (см. рис. 2.11, *b*).

Нормальное ускорение точки M рассчитывается как $a_M^n = \omega_3^2 r_3$. В момент времени $t_1 = 1$ с величина нормального ускорения $a_M^n = \pi^2$ см/с^2. Вектор нормального ускорения $\vec{a}_M^n$ направлен по радиусу к центру диска 3.

Модуль полного ускорения точки M: $a_M = \sqrt{(a_M^n)^2 + (a_M^{\tau})^2} = \pi^2\sqrt{5}$ см/с^2. Вектор полного ускорения $\vec{a}_M$ направлен по диагонали прямоугольника, построенного на векторах $\vec{a}_M^n$ и $\vec{a}_M^{\tau}$.

Звено 4 движется поступательно и прямолинейно. Ускорение звена 4 равно проекции ускорения точки B (касания диска 3 со звеном 4) на линию движения звена 4: $a_4 = a_B^{\tau} = \varepsilon_3 R_3 = 4\pi^2$ см/с^2. Направление ускорения звена 4 совпадает с касательным ускорением точки B.

Упражнения

Упражнение 2.1

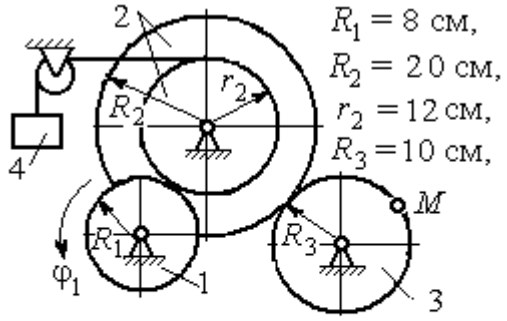

$R_1 = 8$ см,
$R_2 = 20$ см,
$r_2 = 12$ см,
$R_3 = 10$ см,

$\varphi_1 = 3t + 2\sin\frac{\pi t}{2}$ рад,

Найти скорость и ускорение точки M и груза 4 в момент $t = 1$ с

Упражнение 2.2

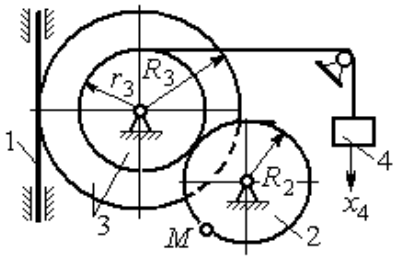

$R_2 = 0{,}2$ м, $R_3 = 0{,}4$ м, $r_3 = 0{,}3$ м,

$x_4 = t - 1 - \sin\frac{\pi t}{3} + \cos\frac{\pi t}{3}$ м.

Найти скорость и ускорение точки M и звена 1 в момент $t = t_1 = 3$ с.

Рис. 2.12. Задания для самостоятельного решения. Упражнения 2.1, 2.2

2.3. Скорости точек при плоскопараллельном движении твёрдого тела

Плоскопараллельным, или плоским движением твердого тела, называется такое движение, при котором все точки тела движутся параллельно некоторой неподвижной (основной) плоскости.

Для скоростей $\vec{V}_A$ и $\vec{V}_M$ двух точек A и M тела, совершающего плоское движение, справедливо утверждение: **проекции скоростей двух точек твердого тела на ось, проходящую через эти точки, равны друг другу:** $V_A\cos\alpha = V_M\cos\beta$, где α, β – углы между векторами скорости $\vec{V}_A$ и $\vec{V}_M$ и осью, проходящей через точки A и M.

Мгновенным центром скоростей (МЦС) называется точка P плоской фигуры, скорость которой в данный момент времени равна нулю. При известном положении МЦС скорость любой точки плоской фигуры находят так, как если бы движение фигуры было мгновенно вращательным вокруг мгновенного центра скоростей с угловой скоростью, равной угловой скорости плоской фигуры. Способы построения мгновенного центра скоростей приведены в табл. 2.1.

Таблица 2.1

Способы построения мгновенного центра скоростей

1. Если известны направления скоростей $\vec{V}_A$ и $\vec{V}_B$ каких-нибудь двух точек A и B плоской фигуры, то мгновенный центр скоростей P находится в точке пересечения перпендикуляров, восстановленных из этих точек к векторам скоростей.	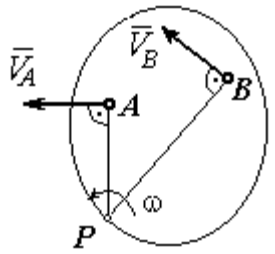
2. Если скорости двух точек $\vec{V}_A$ и $\vec{V}_B$ параллельны, но точки A и B не лежат на общем перпендикуляре к скоростям, то, как видно из рисунка, мгновенный центр P бесконечно удалён. В этом случае угловая скорость $\omega = 0$ и тело в данный момент движется поступательно (движение является мгновенным поступательным). При таком движении скорость любой точки тела равна $\vec{V}_A$.	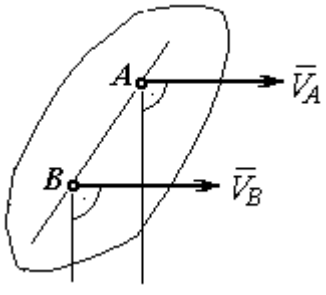

3. Если скорости двух точек $\vec{V}_A$ и $\vec{V}_B$ параллельны, а точки A и B лежат на общем перпендикуляре к скоростям, то мгновенный центр скоростей P находится как пересечение прямой, соединяющей точки A и B и линии, проходящей через концы векторов, изображающих скорости $\vec{V}_A$ и $\vec{V}_B$.	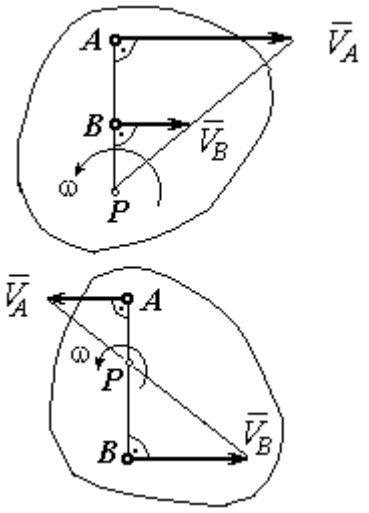
4. Если плоскопараллельное движение осуществляется путем качения без скольжения одного тела по неподвижной поверхности другого, то мгновенный центр скоростей P расположен в точке касания катящегося тела с неподвижной поверхностью.	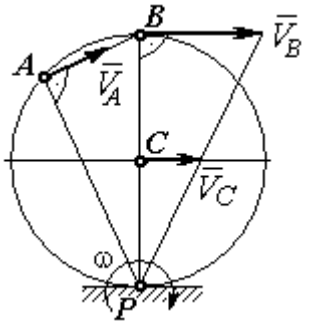

Примеры решения задач на плоскопараллельное движение тела

Задача 27. Приводной механизм насоса находится в положении, показанном на рис. 2.13. Кривошип O_1C вращается с постоянной угловой скоростью $\omega_{O_1C} = 2$ рад/с вокруг оси, проходящей через точку O_1 перпендикулярно плоскости чертежа. Определить скорость поршня D и угловые скорости шатуна BC, коромысла AB и штока AD, если O_1C = 20 см, $OB = 2 \cdot OA$ = 40 см, AD = 60 см.

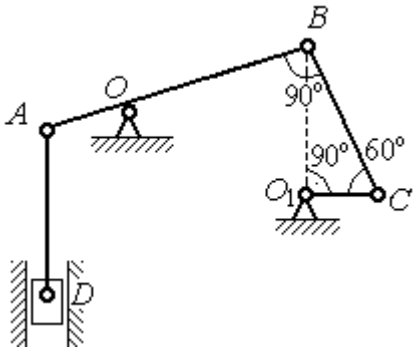

Рис. 2.13. Приводной механизм насоса

Решение

Предположим для определённости, что кривошип O_1C вращается в направлении по ходу часовой стрелки. Вектор $\vec{V}_C$ скорости точки C направлен

перпендикулярно кривошипу O_1C, в сторону его вращения (рис. 2.14). Модуль скорости $V_C = \omega_{O_1C} \cdot O_1C = 40$ см/с.

Коромысло AB качается (вращается) вокруг оси, проходящей через точку O, параллельно оси вращения кривошипа. Скорость точки B направлена перпендикулярно коромыслу AB вдоль шатуна BC (рис. 2.14).

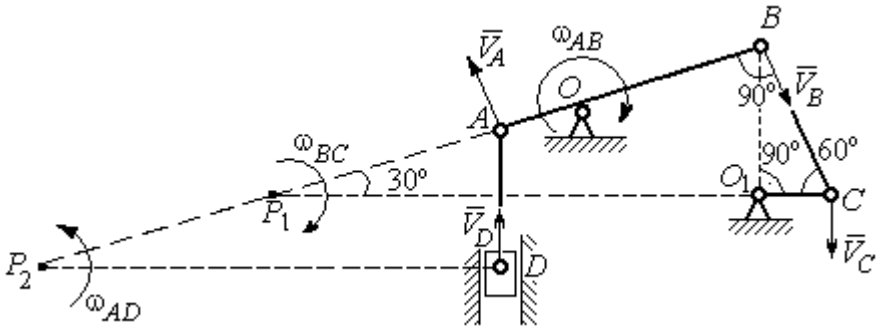

Рис. 2.14. Расчётная кинематическая схема механизма привода насоса

Шатун BC совершает плоскопараллельное движение. Мгновенный центр скоростей шатуна P_1 расположен в точке пересечения перпендикуляров к скоростям $\vec{V}_C$ и $\vec{V}_B$ точек C и B шатуна. Находим $P_1C = 4O_1C = 80$ см. Угловая скорость вращения шатуна BC $\omega_{BC} = \dfrac{V_C}{CP_1} = 0{,}5$ рад/с. Направление угловой скорости вращения шатуна BC определяется направлением вращения кривошипа O_1C и на рис. 2.14 показано дуговой стрелкой ω_{BC}.

Скорость V_B найдём по теореме о проекциях скоростей. Спроектируем вектора скоростей $\vec{V}_C$ и $\vec{V}_B$ точек C и B на линию BC. Получим $V_B \cos 0^\circ = V_C \cos 30^\circ$. Отсюда $V_B = 20\sqrt{3}$ см/с.

Угловая скорость коромысла AB $\omega_{AB} = \dfrac{V_B}{OB} = \dfrac{\sqrt{3}}{2}$ рад/с. Направление угловой скорости коромысла определяется направлением вектора скорости $\vec{V}_B$ и показано дуговой стрелкой ω_{AB}.

Скорость точки A коромысла равна половине скорости точки B: $V_A = \frac{1}{2}V_B = 10\sqrt{3}$ см/с. Вектор скорости $\vec{V}_A$ направлен перпендикулярно коромыслу AB в сторону его вращения.

Точка P_2 пересечения перпендикуляров к скоростям $\vec{V}_A$ и $\vec{V}_D$ является мгновенным центром скоростей штока AD. Тогда угловая скорость штока $\omega_{AD} = \frac{V_A}{AP_2} = \frac{\sqrt{3}}{12}$ рад/с. Направление угловой скорости штока определяется по направлению скорости точки A и на рис. 2.14 показано дуговой стрелкой ω_{AD}.

Скорость поршня $V_D = \omega_{AD} \cdot P_2D = 15$ см/с.

Задача 28. Механизм качалки (рис. 2.15) состоит из кривошипа OA, вращающегося вокруг оси O и несущего в точке A ось подвижной шестерни 2, которая катится по неподвижной шестерне 1. Вращение кривошипа происходит с угловой скоростью $\omega_{OA} = 2$ рад/с. Радиусы шестерён $r_1 = r_2 = 6$ см. К ободу шестерни 2 в точке B шарнирно прикреплён шатун BC длиной $BC = 8$ см, который в точке C передаёт движение коромыслу CO_1 длиной $CO_1 = 16$ см.

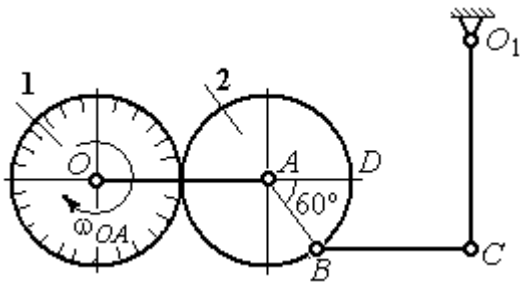

Рис. 2.15. Схема механизма качалки

Определить угловые скорости шестерни 2, шатуна BC, коромысла CO_1, а также скорости точек A, B, C, D в момент, когда кривошип OA и шатун BC горизонтальны и угол $\angle DAB = 60^\circ$.

Решение

Найдём скорость точки A кривошипа: $V_A = \omega_{OA} \cdot OA = 24$ см/с. Вектор скорости точки $\vec{V}_A$ расположен перпендикулярно кривошипу OA и направлен в сторону вращения кривошипа (рис. 2.16).

Мгновенный центр скоростей P_2 шестерни 2 находится в точке касания с неподвижной поверхностью шестерни 1. Угловая скорость шестерни 2 $\omega_2 = \dfrac{V_A}{AP_2} = 4$ рад/с. Направление угловой скорости шестерни 2 определяется направлением вектора скорости $\vec{V}_A$ и на рис. 2.16 показано дуговой стрелкой ω_2.

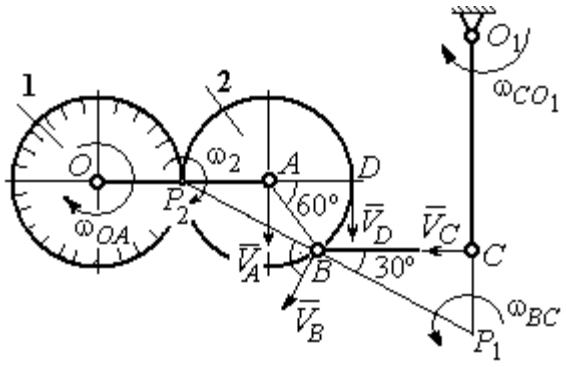

Рис.2.16. Расчётная кинематическая схема механизма качалки

Найдём расстояние P_2B из равнобедренного треугольника P_2AB по теореме косинусов: $P_2B = \sqrt{r^2 + r^2 - 2r^2\cos 120^\circ} = 6\sqrt{3}$ см. Скорость точки B $V_B = \omega_2 \cdot P_2B = 24\sqrt{3}$ см/с. Вектор скорости $\vec{V}_B$ перпендикулярен линии P_2B и направлен в сторону вращения шестерни 2.

Скорость точки D: $V_D = \omega_2 \cdot P_2D = 48$ см/с. Вектор скорости $\vec{V}_D$ перпендикулярен линии P_2D и направлен в ту же сторону (см. рис. 2.16).

Скорость точки C перпендикулярна линии CO_1. Восстанавливая перпендикуляры к скоростям $\vec{V}_B$ и $\vec{V}_C$, получим точку пересечения P_1, которая будет мгновенным центром скоростей шатуна BC. Расстояние $P_1B = \dfrac{BC}{\cos 30^\circ} = \dfrac{16}{\sqrt{3}}$ см.

Угловая скорость шатуна $\omega_{BC} = \dfrac{V_B}{P_1B} = \dfrac{9}{2}$ рад/с. Направление угловой скорости определяется по направлению скорости $\vec{V}_B$ и показано дуговой стрелкой ω_{BC}.

Скорость точки C: $V_C = \omega_{BC} \cdot P_1C = \dfrac{36}{\sqrt{3}}$ см/с. Направление вектора скорости определяется направлением вращения шатуна BC.

Угловая скорость коромысла CO_1: $\omega_{CO_1} = \dfrac{V_C}{O_1C} = \dfrac{9}{4\sqrt{3}}$ рад/с.

Задача 29. В планетарном механизме (рис. 2.17) кривошип OA длиной OA = 25 см вращается вокруг неподвижной оси O, перпендикулярной плоскости рисунка, с угловой скоростью ω_{OA} = 3,6 рад/с. На конец A кривошипа насажена шестерёнка 2, находящаяся во внутреннем зацеплении с колесом 1 радиуса r_1 = 45 см, соосным с кривошипом OA и вращающимся с угловой скоростью ω_1 = 1 рад/с. Шатун BC, шарнирно соединённый с шестерёнкой 2 на её ободе в точке B, приводит в движение кривошип CO_1. Определить угловые скорости шестерёнки 2, шатуна BC и кривошипа CO_1, скорости точек A, B, C в положении, показанном на рис.2.17, если длина шатуна BC = 100 см, длина кривошипа CO_1 = 50 см.

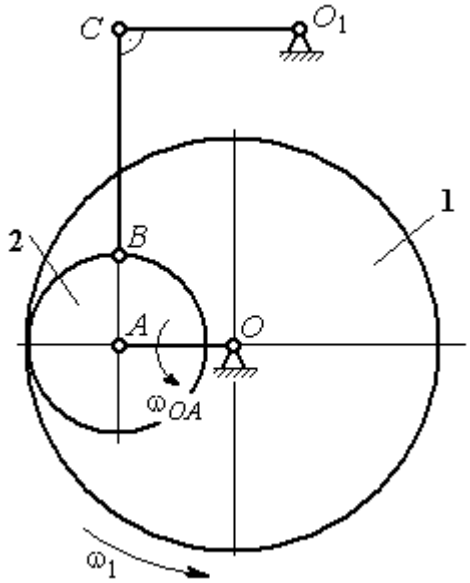

Рис. 2.17. Планетарный механизм

Решение

Найдём скорости точек A и D

$$V_A = \omega_{OA} \cdot OA = 90 \text{ см/с}; \quad V_D = \omega_1 \cdot r_1 = 45 \text{ см/с}.$$

Вектор скорости $\vec{V}_A$ направлен перпендикулярно кривошипу OA в сторону его вращения. Вектор скорости $\vec{V}_D$ перпендикулярен радиусу OD колеса 1 и направлен в сторону вращения колеса (рис. 2.18).

Мгновенный центр скоростей P_2 шестерни 2 находится на пересечении прямой, соединяющей точки A и D, и линии, проходящей через концы векторов $\vec{V}_A$ и $\vec{V}_D$, изображающих скорости точек A и D Расстояние P_2D от центра скоростей до точки D находится из пропорции $\frac{V_A}{V_D} = \frac{AP_2}{DP_2} = \frac{DP_2 + 20}{DP_2}$, откуда P_2D = 20 см.

Угловая скорость шестерёнки 2 $\omega_2 = \dfrac{V_D}{P_2 D} = 2{,}25$ рад/с. Направление угловой скорости ω_2 показано на рис. 2.18 дуговой стрелкой ω_2.

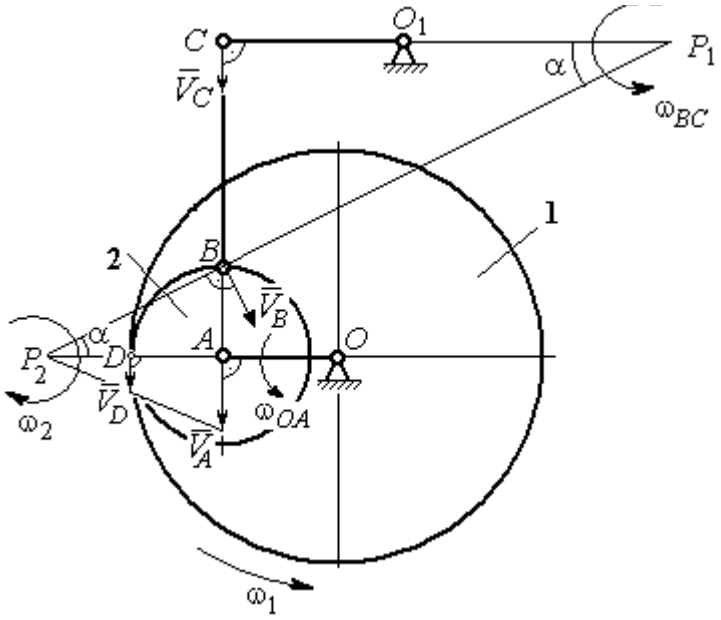

Рис. 2.18. Расчётная кинематическая схема планетарного механизма

Скорость точки *B,* которая находится на ободе шестеренки, $V_B = \omega_2 \cdot P_2 B = = 45\sqrt{5}$ см/с. Вектор скорости $\vec{V}_B$ перпендикулярен линии P_2B и направлен в сторону вращения шестерни 2.

Направим вектор скорости $\vec{V}_C$ перпендикулярно кривошипу CO_1 и восстановим перпендикуляры к скоростям $\vec{V}_C$ и $\vec{V}_B$. Точка P_1 пересечения перпендикуляров является мгновенным центром скоростей шатуна *BC*. Расстояние P_1B найдём из треугольника P_1BC: $P_1B = \dfrac{BC}{\sin\alpha}$, где $\sin\alpha = \dfrac{AB}{P_2B} = \dfrac{1}{\sqrt{5}}$. Тогда $P_1B = 100\sqrt{5}$ см. Угловая скорость шатуна $\omega_{BC} = \dfrac{V_B}{P_1B} = 0{,}45$ рад/с. Скорость точки *C* шатуна *BC* найдём по теореме о проекциях скоростей. Спроектируем скорости $\vec{V}_C$ и $\vec{V}_B$ точек *C* и *B* на линию, проходящую через эти точки Имеем: $V_C \cos 0^\circ = V_B \cos\alpha$, откуда $V_C = 90$ см/с.

Угловая скорость кривошипа CO_1 $\omega_{CO_1} = \dfrac{V_C}{O_1C} = 1{,}8$ рад/с.

Задача 30. В плоском механизме (рис. 2.19) кривошип OA вращается вокруг оси O с угловой скоростью ω_{OA}. На конец A кривошипа насажена шестерня 2, находящаяся во внешнем зацеплении с неподвижным колесом 1. Радиусы колеса и шестерни r_1 и r_2. Шестерня 2 соединяется с колесом 3 шатуном BC, закреплённым на шестерне в точке B и на колесе в точке C. Колесо 3 катится без скольжения по горизонтальной поверхности. Все соединения шарнирные. Качение шестерни 2 по неподвижному колесу 1 без проскальзывания. Для положения механизма, изображенного на рис. 2.19, определить скорости точек A, B, C и угловые скорости шатуна BC, шестерни 2 и колеса 3, если ω_{OA}= 4 рад/с; r_1= 4 см; $r_2 = r_3$= 8 см.

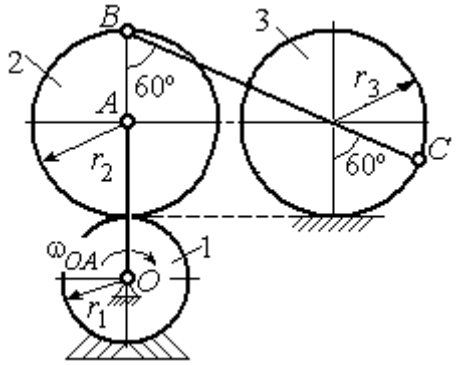

Рис. 2.19. Схема движения плоского механизма

Решение

Рассмотрим вращательное движение кривошипа OA. Скорость точки A кривошипа: $V_A = \omega_{OA} \cdot OA$= 48 см/с. Вектор скорости $\vec{V}_A$ направлен перпендикулярно кривошипу OA в сторону его вращения (рис. 2.20).

При качении шестерни 2 по неподвижной поверхности колеса 1 точка их соприкосновения P_2 является мгновенным центром скоростей шестерни.

Угловая скорость шестерни 2 $\omega_2 = \dfrac{V_A}{AP_2}$= 6 рад/с.

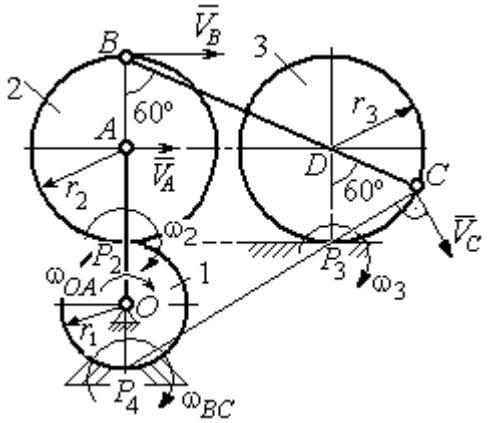

Рис. 2.20. Расчетная схема для определения угловых скоростей звеньев механизма

Скорость точки B шестерни 2 $V_B = \omega_2 \cdot BP_2$ = 96 см/с.

Точка P_3 касания колеса 3 с неподвижной поверхностью является его мгновенным центром скоростей. Вектор $\vec{V}_C$ скорости точки C колеса 3 перпендикулярен линии P_3C и направлен в сторону качения колеса (см. рис. 2.20).

Мгновенный центр скоростей шатуна BC – точка P_4 находится на пересечении перпендикуляров, восстановленных к скоростям точек B и C. По построению $BP_4 = BC = BD + DC = 2r_2 + r_3 = 24$ см. Угловая скорость шатуна BC $\omega_{BC} = \dfrac{V_B}{BP_4} = 4$ рад/с. Так как $BP_4 = CP_4$, скорости точек C и B $V_C = 96$ см/с.

Угловая скорость колеса 3 $\omega_3 = \dfrac{V_C}{CP_3} = 12$ рад/с.

Задача 31. В плоском механизме (рис. 2.21) кривошип OC, вращаясь вокруг неподвижной оси O, приводит в движение два шатуна CD и CE, присоединённых к кривошипу в точке C. Шатун CE прикреплён в точке E к ободу цилиндрического выступа диска 1, который катится без проскальзывания своим выступом по неподвижному горизонтальному рельсу. К другому шатуну CD в точке D прикреплён ползун, перемещающийся вдоль направления вертикального диаметра диска 1. Все соединения шарнирные. Радиусы диска и цилиндрического выступа $R_1 = 3$ см, $r_1 = 2$ см. Длина шатуна $CE = 4$ см. В заданном положении механизма (см. рис. 2.21) шатун CE горизонтален.

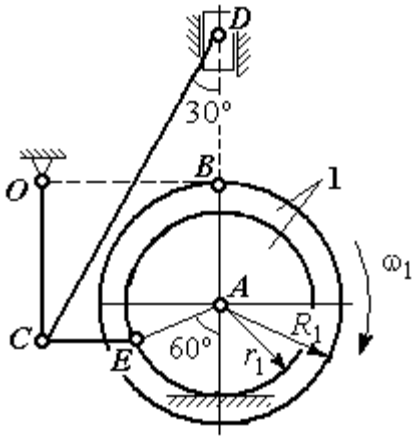

Рис. 2.21. Схема движения плоского механизма

Определить скорости точек A, E, C, D и угловые скорости диска 1, шатунов CE, CD и кривошипа CO, если известна скорость точки B на ободе диска 1 $V_B = 10$ см/с и направление ω_1 угловой скорости диска.

Решение

Изобразим вектор скорости точки B диска 1 в соответствии с заданным направлением его движения. При качении диска 1 по неподвижной поверхности рельса точка P_1 касания обода выступа с поверхностью рельса является его мгновенным центром скоростей (рис. 2.22).

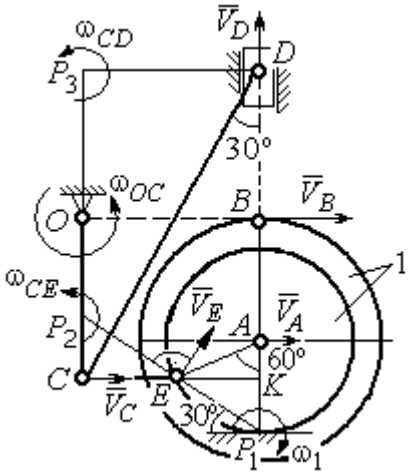

Рис. 2.22. Расчётная схема для определения скоростей точек и угловых скоростей звеньев механизма

Угловая скорость диска 1 $\omega_1 = \dfrac{V_B}{BP_1} = 2$ рад/с. Скорость точки A $V_A = \omega_1 \cdot AP_1 = 4$ см/с. Скорость точки E $V_E = \omega_1 \cdot EP_1 = 4$ см/с. Вектор скорости $\vec{V}_A$ и вектор скорости $\vec{V}_E$ перпендикулярны, соответственно, линиям AP_1 EP_1 и направлены в сторону вращения диска.

Шатун CE совершает плоскопараллельное движение. Скорость точки C шатуна неизвестна по величине, но известно, что вектор скорости $\vec{V}_C$ перпендикулярен кривошипу OC и направлен вдоль CE в сторону точки E. Мгновенный центр скоростей P_2 шатуна CE находится на пересечении перпендикуляров, восстановленных к скоростям $\vec{V}_E$ и $\vec{V}_C$ (см. рис. 2.22).

Расстояние $EP_2 = \dfrac{EC}{\cos 30^\circ} = 4{,}62$ см. Угловая скорость шатуна CE $\omega_{CE} = \dfrac{V_E}{EP_2} = 0{,}86$ рад/с. Направление угловой скорости шатуна, определяемое по направлению скорости точки E, на рис. 2.22 показано дуговой стрелкой ω_{CE}. Скорость точки C шатуна CE $V_C = \omega_{CE} \cdot CP_2 = \dfrac{V_E}{2} = 2$ см/с.

Длина кривошипа $OC = BK = R_1 + r_1 \sin 30^\circ = 4$ см. Угловая скорость кривошипа $\omega_{OC} = \dfrac{V_C}{OC} = 0{,}5$ рад/с.

Для шатуна CD известны величина и направление вектора $\vec{V}_C$ скорости точки C и направление вектора $\vec{V}_D$ скорости точки D. Мгновенный центр скоростей шатуна CD находится в точке P_3, полученной на пересечении перпендикуляров, восстановленных к скоростям $\vec{V}_C$ и $\vec{V}_D$.

Расстояние $CP_3 = DK = (CE + r_1 \cos 30^\circ)\operatorname{ctg} 30^\circ = 9{,}92$ см (см. рис. 2.22). Угловая скорость шатуна CD: $\omega_{CD} = \dfrac{V_C}{CP_3} = 0{,}21$ рад/с.

Скорость ползуна D: $V_D = \omega_{CD} DP_3 = \omega_{CD}(CE + r_1 \cos 30^\circ) = 1{,}2$ см/с.

Упражнения

Упражнение 2.3

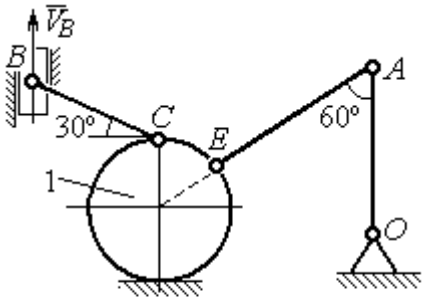

$R_1 = 2$ см, $OA = AE = 6$ см,
$BC = 5$ см, $V_B = 5$ см/с.
Найти: $\omega_{OA}, \omega_{AE}, \omega_{CB}, \omega_1, V_C, V_A, V_E$

Упражнение 2.4

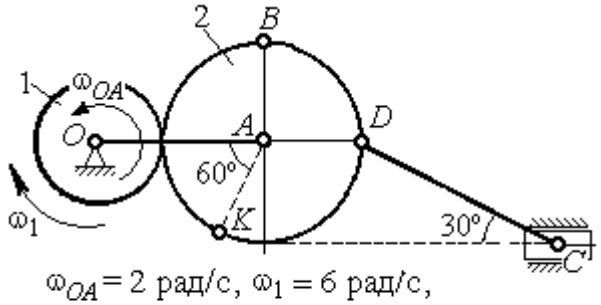

$\omega_{OA} = 2$ рад/с, $\omega_1 = 6$ рад/с,
$r_1 = 3$ см, $r_2 = 6$ см.
Найти: $\omega_2, \omega_{DC}, V_B, V_K, V_D, V_C$

Рис. 2.23. Задания для самостоятельного решения. Упражнения 2.3, 2.4

Упражнение 2.5

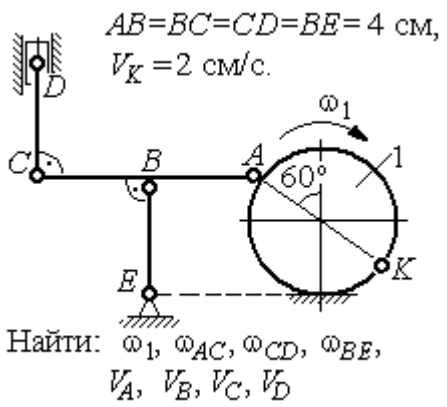

Упражнение 2.6

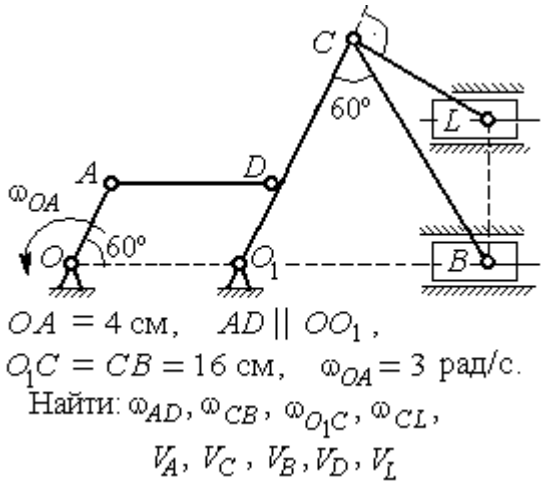

Упражнение 2.7

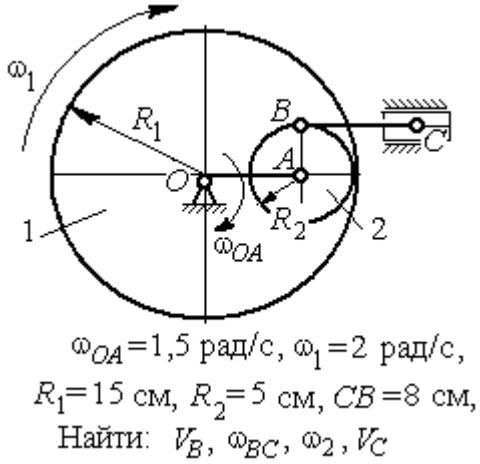

Упражнение 2.8

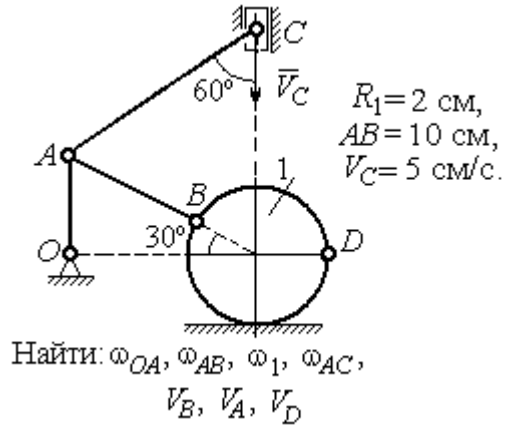

Рис. 2.24. Задания для самостоятельного решения. Упражнения 2.5 – 2.8

2.4. Ускорения точек при плоскопараллельном движении твёрдого тела

Ускорение любой точки M плоской фигуры при плоскопараллельном движении твердого тела представляется как сумма векторов $\vec{a}_M = \vec{a}_A + \vec{a}^{\tau}_{MA} + \vec{a}^{n}_{MA}$, где $\vec{a}_A$ – ускорение полюса A; $\vec{a}^{\tau}_{MA}$, $\vec{a}^{n}_{MA}$ – касательная и

нормальная составляющие ускорения точки *M* при вращении фигуры вокруг полюса *A* (рис. 2.25).

Вектор нормального ускорения $\vec{a}^{\,n}_{MA}$ всегда направлен от точки *M* к полюсу *A*. Вектор касательного ускорения $\vec{a}^{\,\tau}_{MA}$ направлен перпендикулярно отрезку *AM* в сторону вращения, если оно ускоренное (см. рис. 2.25, *a*), и против вращения, если оно замедленное (см. рис. 2.25, *b*). Величины касательного и нормального составляющих ускорения точки *M* определяются по формулам:

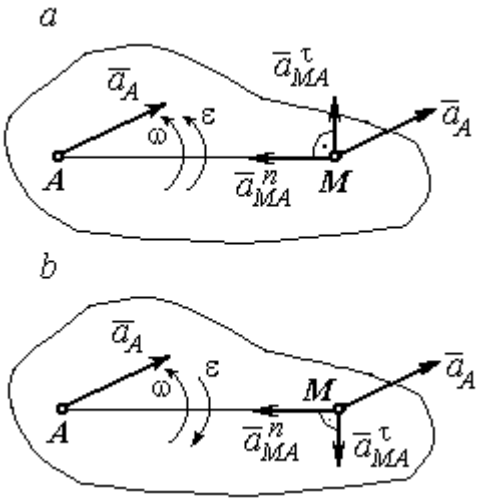

Рис. 2.25. Ускорение точки плоской фигуры:
a – ускоренное движение;
b – замедленное движение

$a^{\tau}_{MA} = \varepsilon \cdot AM$; $a^{n}_{MA} = \omega^2 \cdot AM$, где ω, ε – угловая скорость и угловое ускорение тела (плоской фигуры); AM – расстояние от точки *M* до полюса *A*.

Если при движении плоской фигуры известны траектории движения полюса *A* и точки *M*, то для определения ускорения точки *M* используется векторное равенство $\vec{a}^{\,\tau}_{M} + \vec{a}^{\,n}_{M} = \vec{a}^{\,\tau}_{A} + \vec{a}^{\,n}_{A} + \vec{a}^{\,\tau}_{MA} + \vec{a}^{\,n}_{MA}$, где $\vec{a}^{\,\tau}_{M}$, $\vec{a}^{\,n}_{M}$, $\vec{a}^{\,\tau}_{A}$, $\vec{a}^{\,n}_{A}$ – касательная и нормальная составляющие ускорения точки *M* и полюса *A* при движении их по заданным траекториям.

Примеры решения задач на определение ускорений точек

Задача 32. Поршень *D* гидравлического пресса приводится в движение шарнирно-рычажным механизмом *OABD*. В положении механизма, указанном на рис. 2.26, точка *L* рычага имеет скорость $V_L = 0{,}6$ м/с и ускорение $a_L = 0{,}5$ м/с^2. Длина рычага $OA = 2 \cdot AL = 0{,}6$ м, длина звена $AB = 0{,}4$ м. Определить скорость и ускорение поршня *D*, угловую скорость и ускорение звена *AB*.

Решение

Найдём угловую скорость рычага OL: $\omega_{OL} = \dfrac{V_L}{OL} = \dfrac{2}{3}$ рад/с.

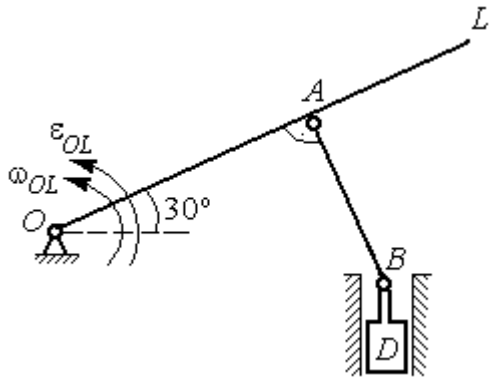

Рис. 2.26. Шарнирно-рычажный механизм гидравлического пресса

Ускорение точки L представляется в виде суммы векторов нормального и касательного ускорений: $\vec{a}_L = \vec{a}_L^{\,\tau} + \vec{a}_L^{\,n}$ (рис. 2.27). Модуль нормального ускорения точки L $a_L^n = \omega_{OL}^2 \cdot OL = 0{,}4$ м/с^2. Модуль её касательного ускорения и угловое ускорение рычага, соответственно, равны:

$$a_L^{\tau} = \sqrt{a_L^2 - (a_L^n)^2} = 0{,}3 \text{ м/с}^2, \quad \varepsilon_{OL} = \frac{a_L^{\tau}}{OL} = \frac{1}{3} \text{ рад/с}^2.$$

Скорость $\vec{V}_A$ точки A перпендикулярна рычагу OL и направлена в сторону вращения рычага. Её модуль $V_A = \omega_{OL} \cdot OA = 0{,}4$ м/с. Скорость $\vec{V}_B$ точки B направлена вертикально вверх вдоль линии движения поршня. Направления векторов скоростей $\vec{V}_A$ и $\vec{V}_B$ показаны на рис. 2.27. Точка P_1 – пересечения перпендикуляров, восстановленных к векторам скоростей $\vec{V}_A$ и $\vec{V}_B$ - определяет положение мгновенного центра скоростей звена AB. Расстояние $AP_1 = P_1B \cdot \cos 30^\circ = 0{,}4\sqrt{3}$ м.

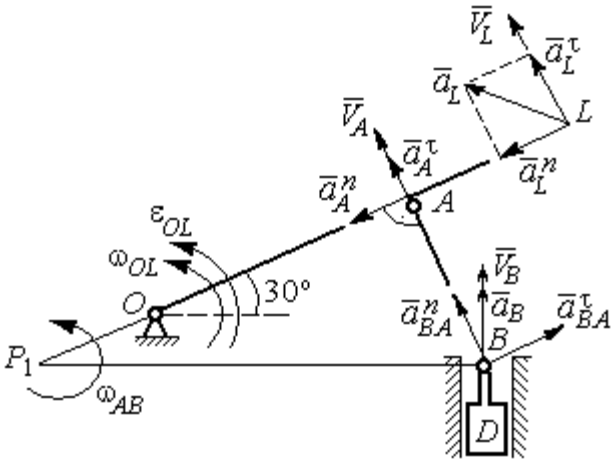

Рис. 2.27. Расчётная кинематическая схема механизма

Угловая скорость звена AB $\omega_{AB} = \dfrac{V_A}{P_1A} = \dfrac{1}{\sqrt{3}}$ рад/с.

Представим ускорение точки B через полюс A: $\vec{a}_B = \vec{a}_A + \vec{a}^{\tau}_{BA} + \vec{a}^{n}_{BA}$, где $\vec{a}_A$ – ускорение полюса A; $\vec{a}^{\tau}_{BA}$, $\vec{a}^{n}_{BA}$ – касательная и нормальная составляющие ускорения точки B при вращении звена AB вокруг полюса A. Так как траекторией точки A является окружность с центром в точке O, ускорение этой точки может быть разложено на две составляющие: $\vec{a}_A = \vec{a}^{\tau}_{A} + \vec{a}^{n}_{A}$. В результате ускорение точки B представляется в виде векторной суммы $\vec{a}_B = \vec{a}^{\tau}_{A} + \vec{a}^{n}_{A} + \vec{a}^{\tau}_{BA} + \vec{a}^{n}_{BA}$. Направления векторов ускорений показаны на рис. 2.27.

Модули ускорений:

$$a^{n}_{A} = \omega^{2}_{OL} \cdot OA = 0{,}27 \text{ см/с}^2;\ a^{n}_{BA} = \omega^{2}_{AB} \cdot AB = 0{,}13 \text{ см/с}^2;$$

$$a^{\tau}_{A} = \varepsilon_{OL} \cdot OA = 0{,}2 \text{ см/с}^2.$$

Ускорение $a^{\tau}_{BA} = \varepsilon_{AB} \cdot AB$ остаётся неизвестной величиной, так как угловое ускорение ε_{AB} звена AB неизвестно.

Спроектируем векторное равенство ускорения точки B на оси x, y, где ось x проходит вдоль линии звена AB, ось y – перпендикулярна ей (рис. 2.28). Получим равенства:

$$a_B \cdot \cos 30^\circ = a^{\tau}_{A} + a^{n}_{BA};\ \ a_B \cdot \cos 60^\circ = -a^{n}_{A} + a^{\tau}_{BA}.$$

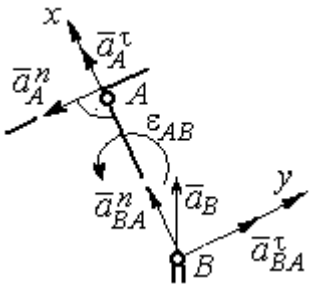

Рис. 2.28. Вычисление проекций векторов ускорений

Решая систему уравнений, находим модуль ускорения точки B: $a_B = 0{,}38$ см/с^2 и величину касательного ускорения: $a^{\tau}_{BA} = 0{,}46$ см/с^2. Угловое ускорение стержня AB $\varepsilon_{AB} = \dfrac{a^{\tau}_{BA}}{AB} = 1{,}15$ рад/с^2. Направление углового ускорения ε_{AB} звена AB определяется направлением вектора $\vec{a}^{\tau}_{BA}$ касательного ускорения точки B при вращении звена вокруг полюса A (см. рис. 2.28).

Ускорение поршня D равно ускорению точки B: $a_D = a_B = 0{,}38$ см/с^2.

Задача 34. Колесо 1 радиуса $r_1 = 0{,}6$ м катится без скольжения по прямолинейному участку пути и приводит в движение шатун 2, соединённый шарнирно с колесом в точке B на его ободе. На другом конце шатуна в точке C к нему присоединён ползун, перемещающийся горизонтально (рис. 2.29).

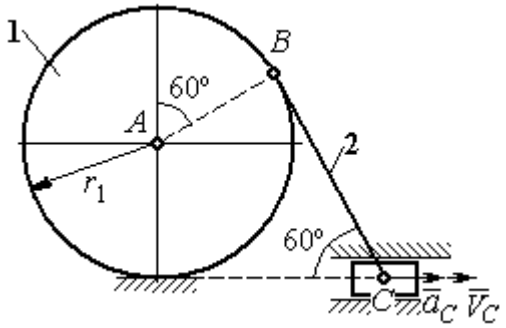

Рис. 2.29. Механизм, связывающий качение колеса с поступательным движением ползуна

В положении механизма, показанном на рис. 2.29, найти ускорение центра A колеса 1, его угловое ускорение, а также угловое ускорение шатуна 2, если заданы скорость и ускорение ползуна C: $V_C = 9$ м/с; $a_C = 4$ м/с^2.

Решение

При качении диска 1 по неподвижной поверхности точка P_1 касания его с поверхностью является мгновенным центром скоростей диска. Вектор скорости $\vec{V}_B$ перпендикулярен линии P_1B. Восстановим перпендикуляры к скоростям $\vec{V}_B$ и $\vec{V}_C$. Их пересечение в точке P_2 определяет положение мгновенного центра скоростей шатуна 2 (рис. 2.30).

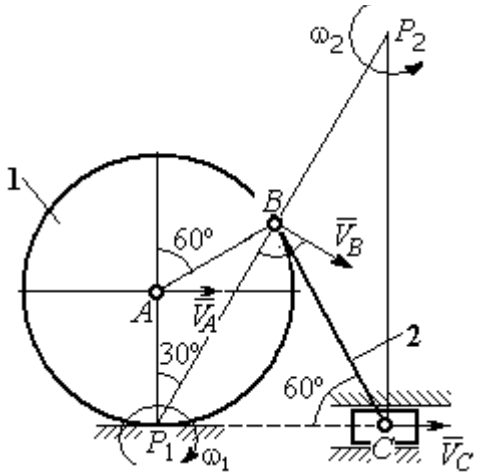

Рис. 2.30. Расчётная схема механизма для определения скоростей точек

Вычислим необходимые расстояния.

Расстояние P_1B (см. рис. 2.30) найдём из треугольника P_1AB по теореме косинусов: $P_1B = r_1\sqrt{3} = 1{,}04$ м. Из построения мгновенных центров скоростей P_1 и P_2 следует: $P_1B = BP_2 = BC$. Расстояние P_2C определяется из треугольника P_1P_2C: $P_2C = P_1P_2 \cdot \cos 30^\circ = 1{,}8$ м.

Угловая скорость шатуна 2 $\omega_2 = \dfrac{V_C}{P_2C}$ = 5рад/с. Направление угловой скорости ω_2 определяется направлением скорости $\vec{V}_C$.

Скорость точки *B* найдём по формуле $V_B = \omega_2 \cdot P_2B$ = 5,2 м/с.

Угловая скорость диска 1 $\omega_1 = \dfrac{V_B}{P_1B}$ = 5 рад/с. Скорость центра колеса 1 $V_A = \omega_1 \cdot P_1A$ = 3 м/с.

Найдём ускорение точки *A*.

Примем точку *B* за полюс и выразим ускорение точки *A* через полюс *B*: $\vec{a}_A = \vec{a}_B + \vec{a}^{\,\tau}_{AB} + \vec{a}^{\,n}_{AB}$, где $\vec{a}_B$ – ускорение полюса *B*; $\vec{a}^{\,\tau}_{AB}$, $\vec{a}^{\,n}_{AB}$ – касательная и нормальная составляющие ускорения точки *A* при вращении диска 1 вокруг полюса *B* (рис. 2.31). Направления ускорения точки $\vec{a}_A$ и касательной составляющей ускорения $\vec{a}^{\,\tau}_{AB}$ точки *A* выбраны в предположении ускоренного движения диска.

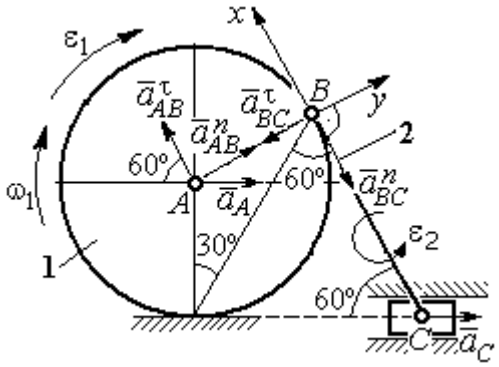

Рис. 2.31. Расчётная схема механизма для определения ускорений точек

Ускорение полюса *B* выразим через полюс *C*: $\vec{a}_B = \vec{a}_C + \vec{a}^{\,\tau}_{BC} + \vec{a}^{\,n}_{BC}$, где $\vec{a}_C$ – ускорение полюса *C*; $\vec{a}^{\,\tau}_{BC}$, $\vec{a}^{\,n}_{BC}$ – касательная и нормальная составляющие ускорения точки *B* при вращении шатуна 2 вокруг полюса *C*. Направление касательной составляющей ускорения $\vec{a}^{\,\tau}_{BC}$ точки *B* выбрано в направлении вращения шатуна 2 (см. рис. 2.30) исходя из предположения его ускоренного движения. В результате ускорение точки *A* выражается векторной суммой:

$$\vec{a}_A = \vec{a}^{\,\tau}_{AB} + \vec{a}^{\,n}_{AB} + \vec{a}^{\,\tau}_{BC} + \vec{a}^{\,n}_{BC} + \vec{a}_C.$$

Направления векторов ускорений показаны на рис. 2.31.

Заметим, что в любой момент времени движения колеса 1 расстояние от точки A до мгновенного центра скоростей колеса P_1 остаётся постоянным, равным радиусу колеса. Дифференцируем выражение $V_A = \omega_1 \cdot P_1A = \omega_1 \cdot r_1$. Получим $\frac{dV_A}{dt} = \frac{d\omega_1}{dt} r_1 = \varepsilon_1 \cdot r_1$, откуда с учётом $\frac{dV_A}{dt} = a_A$ (прямолинейное движение точки A) угловое ускорение диска 1 $\varepsilon_1 = \frac{a_A}{r_1}$. В результате, касательное ускорение a^{τ}_{AB} точки A при вращении диска 1 вокруг полюса B $a^{\tau}_{AB} = \varepsilon_1 \cdot AB = a_A$.

Найдём модули векторов ускорений:

$$a^n_{AB} = \omega_1^2 \cdot AB = 15 \text{ м/с}^2;\ a^n_{BC} = \omega_2^2 \cdot BC = 26 \text{ м/с}^2.$$

Ускорение $a^{\tau}_{BC} = \varepsilon_2 \cdot BC$ остаётся неизвестным. Применить здесь способ дифференцирования выражения $V_C = \omega_2 \cdot P_2C$ для определения углового ускорения ε_2 невозможно, так как расстояние P_2C от мгновенного центра скоростей P_2 шатуна 2 до точки C меняется во время движения механизма неизвестным образом.

Спроектируем векторное равенство ускорения точки A на оси x, y, выбранные, как показано на рис. 2.31. Получим систему уравнений:

$$\text{проекция на ось } x\text{: } -a_A\cos60^\circ = a^{\tau}_{AB} - a^n_{BC} - a_C\cos60^\circ;$$

$$\text{проекция на ось } y\text{: } a_A\cos30^\circ = a^n_{AB} - a^{\tau}_{BC} + a_C\cos30^\circ.$$

Из первого уравнения с учётом того, что $a^{\tau}_{AB} = a_A$, найдём ускорение точки A: a_A = 18,67 м/с^2. Положительное значение ускорения точки A означает, что вектор $\vec{a}_A$ направлен так, как показано на рис. 2.31, – в сторону направления вектора скорости $\vec{V}_A$. Из этого следует, что диск 1 движется ускоренно и угловое ускорение направлено в сторону его угловой скорости.

Из второго уравнения получим: $a_{BC}^{\tau} = 2{,}29$ м/с^2. Угловое ускорение шатуна 2: $\varepsilon_2 = \dfrac{\left|a_{BC}^{\tau}\right|}{BC} = 2{,}2$ рад/с^2. Из того, что касательное ускорение a_{BC}^{τ} положительно, следует, что направление вектора $\vec{a}_{BC}^{\tau}$ совпадает с направлением, указанным на рис. 2.31. Это, в свою очередь, означает, что в данном положении механизма угловое ускорение шатуна 2 направлено так, как показано на рис. 2.31, – по направлению его угловой скорости, то есть шатун 2 вращается ускоренно.

Задача 35. По неподвижной шестерне 1 радиуса r_1 обкатывается шестерня 2 радиуса r_2, насаженная в центре на кривошип OA (рис. 2.32). Кривошип OA вращается вокруг оси O с угловой скоростью ω_{OA} и угловым ускорением ε_{OA}. На ободе шестерни 2 в точке B шарнирно прикреплен стержень BC, соединенный другим концом с центром C диска 3, катящегося без скольжения вдоль горизонтальной прямой. Радиус диска 3 равен радиусу шестерни 2: $r_3 = r_2$. Для положения механизма, изображенного на рис. 2.32, определить ускорение точки D и угловое ускорение стержня BC, если $r_1 = 0{,}2$ м, $r_2 = 0{,}4$ м, $\omega_{OA} = 4$ рад/с, $\varepsilon_{OA} = 2$ рад/с^2. Длина стержня $BC = 1$ м.

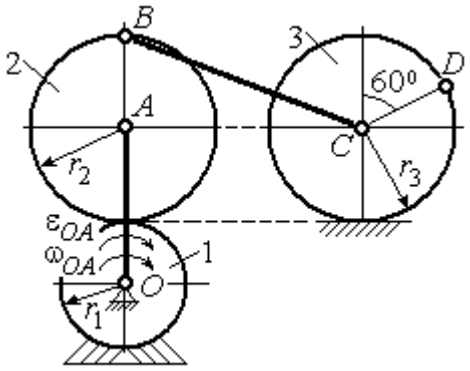

Рис. 2.32. Схема движения плоского механизма

Решение

Найдём угловые скорости звеньев механизма.

Рассмотрим вращательное движение кривошипа OA. Скорость его точки A: $V_A = \omega_{OA} \cdot OA = 2{,}4$ м/с. Вектор скорости $\vec{V}_A$ направлен перпендикулярно кривошипу OA в сторону его вращения (рис. 2.33).

При качении подвижной шестерни 2 по неподвижной 1, точка их соприкосновения P_2 является мгновенным центром скоростей шестерни 2. Угловая скорость шестерни 2: $\omega_2 = \dfrac{V_A}{AP_2} =$ 6 рад/с. Скорость точки B шестерни 2: $V_B = \omega_2 \cdot BP_2 =$ 4,8 м/с.

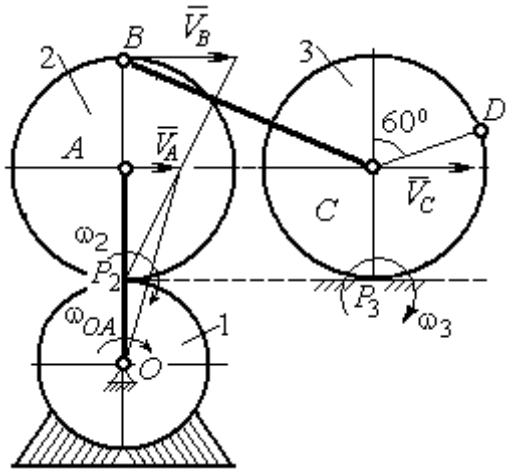

Рис. 2.33. Расчетная схема для определения угловых скоростей звеньев механизма

Для определения угловой скорости стержня BC заметим, что скорости двух точек стержня $\vec{V}_B$ и $\vec{V}_C$ параллельны, но точки B и C не лежат на общем перпендикуляре к скоростям. В этом случае мгновенный центр скоростей стержня BC отсутствует (или бесконечно удалён), угловая скорость стержня равна нулю и стержень совершает мгновенное поступательное движение. При таком движении мгновенные скорости всех точек стержня BC одинаковы по величине и направлению. Таким образом, $\omega_{BC} = 0$; $V_C = V_B =$ 4,8 м/с.

При качении диска 3 по неподвижной поверхности без проскальзывания точка P_3 касания диска с поверхностью является его мгновенным центром скоростей. Угловая скорость диска 3: $\omega_3 = \dfrac{V_C}{CP_3} =$ 12 рад/с. Направление угловой скорости ω_3 определяется направлением вектора $\vec{V}_C$.

Найдём ускорения точек и угловые ускорения звеньев механизма.

Выразим ускорение $\vec{a}_C$ точки C, направленное вдоль линии движения центра колеса 3, через полюс B. Ускорение представляется векторной суммой: $\vec{a}_C = \vec{a}_B + \vec{a}^{\,n}_{CB} + \vec{a}^{\,\tau}_{CB}$, где $\vec{a}_B$ – вектор ускорения полюса B; $\vec{a}^{\,n}_{CB}$, $\vec{a}^{\,\tau}_{CB}$ – нормальная и касательная составляющие ускорения точки C при вращении

стержня BC вокруг полюса B. Вектор $\vec{a}^{n}_{CB}$ направлен вдоль стержня от точки C к полюсу B, вектор $\vec{a}^{\tau}_{CB}$ перпендикулярен стержню BC. Направление вектора $\vec{a}^{\tau}_{CB}$ выбрано по предполагаемому угловому ускорению стержня BC, показанному на рис. 2.34 дуговой стрелкой ε_{CB}.

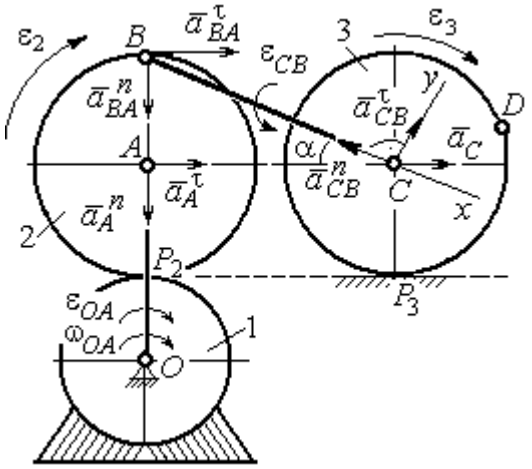

Рис. 2.34. Расчетная схема для определения ускорений точек механизма и угловых ускорений его звеньев

Рассмотрим плоскопараллельное движение шестерни 2 и выразим ускорение точки B через полюс A в виде векторного равенства: $\vec{a}_B = \vec{a}_A + \vec{a}^{n}_{BA} + \vec{a}^{\tau}_{BA}$, где $\vec{a}_A$ – ускорение полюса A; $\vec{a}^{n}_{BA}$, $\vec{a}^{\tau}_{BA}$ – нормальная и касательная составляющие ускорения точки B при вращении шестерни 2 вокруг полюса A. Вектор $\vec{a}^{n}_{BA}$ направлен вдоль радиуса шестерни от точки B к полюсу A, вектор $\vec{a}^{\tau}_{BA}$ перпендикулярен линии BA. Направление вектора $\vec{a}^{\tau}_{BA}$ соответствует ускоренному вращению шестерни 2.

Рассмотрим вращение кривошипа OA. Вектор ускорения точки A кривошипа при вращении его вокруг неподвижной оси O представляется в виде суммы: $\vec{a}_A = \vec{a}^{n}_{A} + \vec{a}^{\tau}_{A}$, где $\vec{a}^{n}_{A}$ и $\vec{a}^{\tau}_{A}$ – вектора нормальной и касательной составляющих ускорения точки A. Вектор $\vec{a}^{n}_{A}$ направлен вдоль кривошипа по направлению к оси вращения, вектор $\vec{a}^{\tau}_{A}$ перпендикулярен кривошипу и направлен в сторону углового ускорения ε_{OA} вращения кривошипа.

В результате для определения ускорения точки C имеем векторное равенство:

$$\vec{a}_C = \vec{a}^{n}_{A} + \vec{a}^{\tau}_{A} + \vec{a}^{n}_{BA} + \vec{a}^{\tau}_{BA} + \vec{a}^{n}_{CB} + \vec{a}^{\tau}_{CB}.$$

Направления всех векторов ускорений показаны на рис. 2.34.

Вычислим модули векторов, составляющих векторную сумму:

$$a_A^n = \omega_{OA}^2 \cdot OA = 9{,}6 \text{ м/с}^2; \quad a_A^\tau = \varepsilon_{OA} \cdot OA = 1{,}2 \text{ м/с}^2;$$

$$a_{BA}^n = \omega_2^2 \cdot BA = 14{,}4 \text{ м/с}^2; \quad a_{CB}^n = \omega_{BC}^2 \cdot BC = 0.$$

Заметим, что во время движения шестерни 2 расстояние AP_2 остается постоянным, равным r_2. Дифференцируя равенство $V_A = \omega_2 \cdot AP_2 = \omega_2 r_2$, получим: $\frac{dV_A}{dt} = \frac{d\omega_2}{dt} r_2$. При криволинейном движении точки A производная от скорости равна касательному ускорению: $\frac{dV_A}{dt} = a_A^\tau$. С учётом, что $\frac{d\omega_2}{dt} = \varepsilon_2$, получим: $a_A^\tau = \varepsilon_2 r_2$, откуда $\varepsilon_2 = \frac{a_A^\tau}{r_2} = 3$ рад/с^2 и $a_{BA}^\tau = \varepsilon_2 \cdot BA = 1{,}2$ м/с^2.

Выберем оси Cx, Cy, как показано на рис. 2.34, – вдоль отрезка BC и перпендикулярно ему и спроектируем на них векторное равенство ускорения точки C. Получим систему уравнений:

$$a_C \cos\alpha = a_A^n \sin\alpha + a_A^\tau \cos\alpha + a_{BA}^n \sin\alpha + a_{BA}^\tau \cos\alpha - a_{CB}^n;$$

$$a_C \sin\alpha = -a_A^n \cos\alpha + a_A^\tau \sin\alpha - a_{BA}^n \cos\alpha + a_{BA}^\tau \sin\alpha + a_{CB}^\tau,$$

где α – угол между стержнем BC и линией центров AC, $\sin\alpha = \frac{AB}{BC} = 0{,}4$; $\cos\alpha = 0{,}92$.

Находим из первого уравнения ускорение точки C: $a_C = 12{,}83$ м/с^2, из второго – касательное ускорение точки C при вращении стержня BC вокруг полюса B: $a_{CB}^\tau = 33{,}95$ м/с^2. Величина углового ускорения стержня BC: $\varepsilon_{CB} = \frac{\left|a_{CB}^\tau\right|}{BC} = 33{,}95$ рад/с^2. Положительное значение a_{CB}^τ означает, что вектор касательного ускорения $\vec{a}_{CB}^\tau$ направлен так, как показано на рис. 2.34. Тогда и

направление углового ускорения ε_{CB} стержня BC совпадает с направлением, показанным дуговой стрелкой на рис. 2.34.

При качении диска 3 точка C движется по прямой и расстояние CP_3 остается постоянным, равным радиусу диска 3. В этом случае равенство $V_C = \omega_3 \cdot CP_3 = \omega_3 r_3$ можно продифференцировать по времени. Получим: $\frac{dV_C}{dt} = \frac{d\omega_3}{dt} r_3$. Так как движение точки C является прямолинейным, производная от скорости точки C равна ускорению этой точки: $\frac{dV_C}{dt} = a_C$. Тогда с учётом $\frac{d\omega_3}{dt} = \varepsilon_3$ имеем равенство $a_C = \varepsilon_3 r_3$. Угловое ускорение диска 3: $\varepsilon_3 = \frac{a_C}{r_3} = 32{,}07$ рад/с^2.

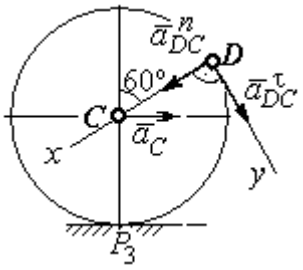

Рис.2.35. Расчетная схема для определения ускорения точки D

Выразим ускорение точки D через полюс C, ускорение которого известно и по величине, и по направлению: $\vec{a}_D = \vec{a}_C + \vec{a}^n_{DC} + \vec{a}^\tau_{DC}$, где $\vec{a}_C$ – ускорение точки C; $\vec{a}^n_{DC}$, $\vec{a}^\tau_{DC}$ – нормальное и касательное составляющие ускорения точки D при вращении диска 3 вокруг полюса C. Модули ускорений

$$a_C = 12{,}83 \text{ м/с}^2;\ a^n_{DC} = \omega_3^2 DC = 57{,}6 \text{ м/с}^2;\ a^\tau_{DC} = \varepsilon_3 DC = 12{,}83 \text{ м/с}^2.$$

Проведём оси Dx и Dy, как показано на рис. 2.34, и спроектируем векторное равенство ускорения точки D на оси. Получим систему уравнений:

$$a_{Dx} = -a_C \cos 30^\circ + a^n_{DC};\quad a_{Dy} = a_C \cos 60^\circ + a^\tau_{DC}.$$

Подставляя в уравнения проекций значения модулей ускорений, найдём: $a_{Dx} = 46{,}49$ м/с^2; $a_{Dy} = 19{,}25$ м/с^2.

Величина ускорения точки D: $a_D = \sqrt{a^2_{Dx} + a^2_{Dy}} = 50{,}32$ м/с^2.

Заметим, что для определения ускорения точки D невозможно было сразу использовать приём с последовательным выражением ускорения точки D через

ускорения полюсов C, B и A, так как в полученной в результате проекций системе двух уравнений будет три неизвестных величины - a_{Dx}, a_{Dy} и величина ускорения a_{CB}^{τ}.

Задача 36. Механизм качалки (рис. 2.36) включает в себя кривошип OA, вращающийся вокруг неподвижной оси O, шестерню 1 радиуса r_1, насаженную на кривошип в точке A и обкатывающуюся по неподвижной цилиндрической поверхности, и шатун BC, присоединённый одним концом в точке B к шестерне, а другим – в точке C к коромыслу CO_1. В положении, указанном на рис. 2.36, определить угловую скорость и угловое ускорение коромысла CO_1, если ω_{OA} = 2 рад/с; ε_{OA} = 4 рад/с^2; OA = 0,8 м; r_1 = 0,4 м; AB = 0,2 м; BC = 0,6 м. Для этого же положения определить ускорение точки C.

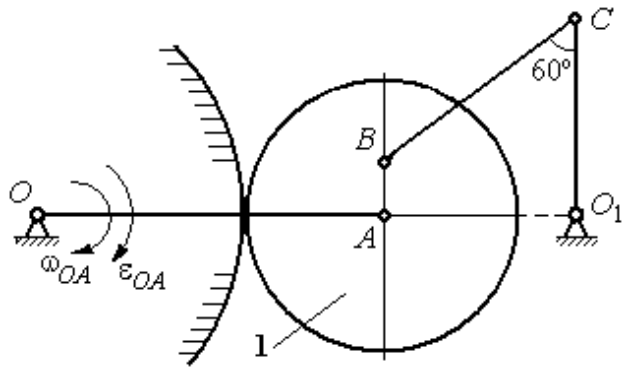

Рис. 2.36. Механизм качалки

Решение

Найдём угловые скорости звеньев механизма.

Скорость точки A кривошипа $V_A = \omega_{OA} \cdot OA$ = 1,6 м/с. Вращаясь, кривошип передаёт движение шестерне 1, которая катится по неподвижной поверхности. Точка касания P_1 шестерни с неподвижной поверхностью является мгновенным центром скоростей шестерни. Тогда её угловая скорость $\omega_1 = \dfrac{V_A}{AP_1}$ = 4 рад/с. Направление угловой скорости показано на рис. 2.37 дуговой стрелкой ω_1.

Расстояние от мгновенного центра скоростей шестерни до её точки B P_1B = 0,45 м. Скорость точки B: $V_B = \omega_1 \cdot P_1B$ = 1,8 м/с. Вектор скорости $\vec{V}_B$ перпендикулярен линии P_1B и направлен в сторону вращения шестерни.

При вращении коромысла CO_1 вокруг неподвижной оси O_1 вектор скорости $\vec{V}_C$ перпендикулярен коромыслу. Точка P_2, лежащая на пересечении перпендикуляров, восстановленных к векторам $\vec{V}_B$ и $\vec{V}_C$ – скоростей точек B и C, является мгновенным центром скоростей шатуна BC (рис. 2.37). Расстояние $BK = BC\cos 30^\circ = 0{,}52$ м; $\cos\alpha = \dfrac{AP_1}{BP_1} = 0{,}89$; $P_2B = \dfrac{BK}{\cos\alpha} = 0{,}58$ м. Угловая скорость шатуна $\omega_{BC} = \dfrac{V_B}{BP_2} = 3{,}1$ рад/с. Направление угловой скорости шатуна показано на рис. 2.37 дуговой стрелкой ω_{BC}.

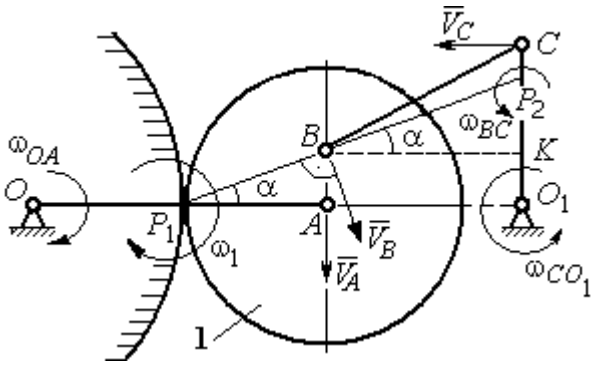

Рис. 2.37. Расчётная схема для определения угловых скоростей звеньев механизма

Расстояние $P_2C = BC \cdot \sin 30^\circ - P_2B \cdot \sin\alpha = 0{,}04$ м. Скорость точки C шатуна BC: $V_C = \omega_{BC} \cdot P_2C = 0{,}12$ м/с. Длина коромысла $CO_1 = CK + KO_1 = 0{,}5$ м, угловая скорость коромысла $\omega_{CO_1} = \dfrac{V_C}{CO_1} = 0{,}24$ рад/с.

Найдём ускорения звеньев механизма.

Считая, что точка C принадлежит шатуну BC, выразим ускорение точки C через полюс B: $\vec{a}_C = \vec{a}_B + \vec{a}^{\,n}_{CB} + \vec{a}^{\,\tau}_{CB}$, где $\vec{a}_B$ – ускорение полюса B; $\vec{a}^{\,n}_{CB}$, $\vec{a}^{\,\tau}_{CB}$ – нормальная и касательная составляющие вектора ускорения точки C при вращении шатуна вокруг полюса B.

Полагая, что точка B принадлежит шестерне 1, выразим её ускорение через полюс A: $\vec{a}_B = \vec{a}_A + \vec{a}^{\,n}_{BA} + \vec{a}^{\,\tau}_{BA}$, где $\vec{a}_A$ – ускорение точки A шестерни; $\vec{a}^{\,n}_{BA}$, $\vec{a}^{\,\tau}_{BA}$ – нормальная и касательная составляющие вектора ускорения точки B при вращении шестерни вокруг полюса A.

Поскольку точка A принадлежит и кривошипу OA, а точка C – коромыслу CO_1, вращающихся вокруг своих неподвижных осей, вектора ускорений этих точек можно представить в виде сумм векторов:

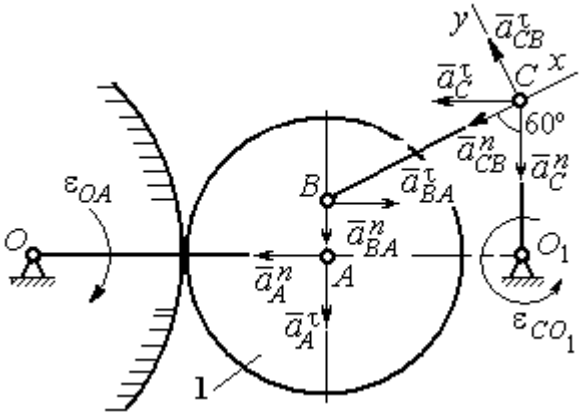

Рис. 2.38. Расчётная схема для определения ускорений точек механизма

$$\vec{a}_A = \vec{a}_A^{\,n} + \vec{a}_A^{\,\tau},\ \vec{a}_C = \vec{a}_C^{\,n} + \vec{a}_C^{\,\tau},$$

где $\vec{a}_A^{\,n}$, $\vec{a}_A^{\,\tau}$ – нормальная и касательная составляющие вектора ускорения точки A при вращении кривошипа вокруг оси O; $\vec{a}_C^{\,n}$, $\vec{a}_C^{\,\tau}$ – нормальная и касательная составляющие вектора ускорения точки C при вращении коромысла вокруг оси O_1.

В результате подстановок получим полное векторное равенство, связывающее ускорения точек механизма:

$$\vec{a}_C^{\,n} + \vec{a}_C^{\,\tau} = \vec{a}_{CB}^{\,n} + \vec{a}_{CB}^{\,\tau} + \vec{a}_{BA}^{\,n} + \vec{a}_{BA}^{\,\tau} + \vec{a}_A^{\,n} + \vec{a}_A^{\,\tau}.$$

Направления векторов ускорений показаны на рис. 2.38.

Модули векторов ускорений:

$$a_C^n = \omega_{CO_1}^2 \cdot CO_1 = 0{,}03 \text{ м/с}^2;\ \ a_{CB}^n = \omega_{CB}^2 \cdot CB = 5{,}77 \text{ м/с}^2,$$

$$a_A^n = \omega_{OA}^2 \cdot OA = 3{,}2 \text{ м/с}^2;\ a_A^\tau = \varepsilon_{OA} \cdot OA = 3{,}2 \text{ м/с}^2,$$

$$a_{BA}^n = \omega_1^2 \cdot BA = 3{,}2 \text{ м/с}^2;\ \ a_{BA}^\tau = \varepsilon_1 \cdot BA.$$

Для определения ε_1 углового ускорения шестерни 1 продифференцируем равенство $V_A = \omega_1 \cdot AP_1 = \omega_1 r_1$. Получим: $a_A^\tau = \varepsilon_1 r_1$, откуда $\varepsilon_1 = \dfrac{a_A^\tau}{r_1} = 8$ рад/с^2.

Тогда $a_{BA}^\tau = 1{,}6$ м/с^2.

Неизвестными в векторном равенстве ускорений остаются модули векторов $\vec{a}^{\tau}_{CB}$ и $\vec{a}^{\tau}_{C}$. Выберем ось x вдоль шатуна BC, как показано на рис. 2.38, и спроектируем на неё полное векторное равенство.

Получим уравнение:

$$-a^{n}_{C}\cos 60^{\circ} - \vec{a}^{\tau}_{C}\cos 30^{\circ} = -a^{n}_{CB} - a^{n}_{BA}\cos 60^{\circ} + a^{\tau}_{BA}\cos 30^{\circ} - a^{n}_{A}\cos 30^{\circ} - a^{\tau}_{A}\cos 60^{\circ},$$

откуда найдём ускорение a^{τ}_{C} = 11,94 м/с^2. Угловое ускорение качалки

$$\varepsilon_{CO_1} = \frac{\left|a^{\tau}_{C}\right|}{CO_1} = 23{,}88 \text{ рад/с}^2.$$

Положительное значение касательного ускорения a^{τ}_{C} свидетельствует о том, что направление вектора ускорения $\vec{a}^{\tau}_{C}$ совпадает с направлением, показанным на рис. 2.38. В эту же сторону направлена и скорость $\vec{V}_C$ точки C (см. рис. 2.37). Следовательно, в данном положении движение качалки ускоренное и угловое ускорение направлено в сторону угловой скорости.

Упражнения

Упражнения 2.9

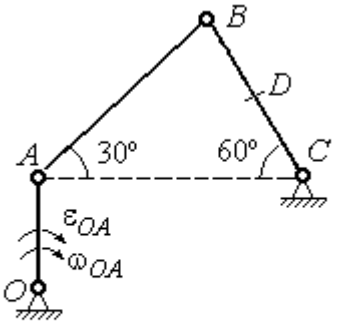

$OA = 4$ см, $BD = DC = 4$ см,
$\omega_{OA} = 3$ рад/с, $\varepsilon_{OA} = 2$ рад/с^2.
Найти ускорение точки D

Упражнения 2.10

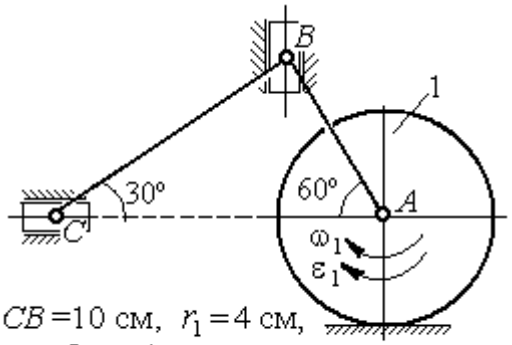

$CB = 10$ см, $r_1 = 4$ см,
$\omega_1 = 3$ рад/с, $\varepsilon_1 = 2$ рад/с^2.
Найти ускорение точки C

Рис. 2.39. Задания для самостоятельного решения. Упражнения 2.9, 2.10

3. СЛОЖНОЕ ДВИЖЕНИЕ ТОЧКИ

3.1. Основные понятия и определения сложного движения точки

Рассматривается подвижное твердое тело и точка, перемещающаяся относительно тела.

Неподвижная система координат, относительно которой определяются движения точки и тела, называется **основной**. Связанная с телом и движущаяся вместе с ним система координат называется **подвижной.**

Движение точки относительно подвижной системы координат (фактически движение точки относительно тела) называется **относительным**. **Переносным** движением называют движение, которое совершает точка вместе с подвижной системой координат (фактически вместе с телом). Движение точки относительно основной (неподвижной) системы координат называется **абсолютным.**

Скорость точки относительно подвижной системы координат называют **относительной скоростью**, ускорение – **относительным ускорением**.

Переносной скоростью точки и **переносным ускорением** называют скорость и ускорение той точки тела, с которой в данный момент совпадает движущаяся точка.

Скорость и ускорение точки относительно основной системы называют **абсолютной скоростью и абсолютным ускорением.**

При вычислении абсолютной скорости используется теорема о сложении скоростей: **скорость абсолютного движения точки равна векторной сумме переносной и относительной скоростей:** $\vec{V} = \vec{V}_e + \vec{V}_r$, где $\vec{V}$, $\vec{V}_e$, $\vec{V}_r$ – вектора абсолютной, переносной и относительной скоростей точки.

При вычислении абсолютного ускорения используется теорема Кориолиса о сложении ускорений: **абсолютное ускорение точки равно векторной сумме трех ускорений – относительного, переносного и ускорения Кориолиса:** $\vec{a} = \vec{a}_e + \vec{a}_r + \vec{a}_к$, где $\vec{a}$ – вектор абсолютного ускорения точки; $\vec{a}_e, \vec{a}_r$ –

вектора соответственно переносного и относительного ускорений точки; $\vec{a}_{\text{к}}$ – вектор ускорения Кориолиса.

Вектор ускорения Кориолиса определяется векторным произведением: $\vec{a}_{\text{к}} = 2(\vec{\omega}_e \times \vec{V}_r)$, где $\vec{\omega}_e$ – вектор угловой скорости переносного движения; $\vec{V}_r$ – вектор относительной скорости точки. Модуль ускорения Кориолиса: $|\vec{a}_{\text{к}}| = 2|\vec{\omega}_e| \cdot |\vec{V}_r| \sin\alpha$, где α – угол между вектором угловой скорости переносного движения $\vec{\omega}_e$ и вектором относительной скорости точки $\vec{V}_r$ (рис. 3.1).

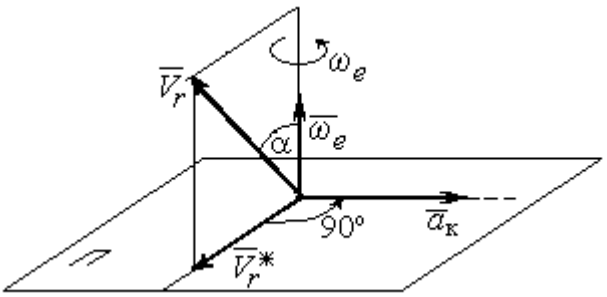

Рис. 3.1. Определение ускорения Кориолиса по правилу Жуковского

На рис. 3.1 показан способ определения вектора ускорения Кориолиса по правилу Н. Е. Жуковского. Правило состоит в следующем. Построим плоскость *П*, перпендикулярную вектору угловой скорости $\vec{\omega}_e$, и спроектируем вектор относительной скорости $\vec{V}_r$ на эту плоскость. Проекцию обозначим $\vec{V}_r^*$ (см. рис. 3.1). Чтобы получить направление ускорения Кориолиса, следует вектор проекции относительной скорости $\vec{V}_r^*$ повернуть на 90° в плоскости *П* вокруг оси переносного вращения в направлении этого вращения.

Если сложное движение точки происходит в плоскости, перпендикулярной оси переносного вращения, направление ускорения Кориолиса можно получить простым поворотом вектора относительной скорости на угол 90° вокруг оси переносного вращения в направлении этого вращения. При этом модуль ускорения Кориолиса $a_{\text{к}} = 2|\omega_e| \cdot |V_r| \sin 90^\circ = 2\omega_e V_r$.

Примеры решения задач на сложное движение точки

Задача 37. Компрессор с криволинейными каналами (рис. 3.2) вращается с постоянной угловой скоростью $\omega = 10$ рад/с вокруг оси *O*, перпендикулярной плоскости рисунка. Воздух перемещается по каналу *AB* с постоянной относительной скоростью $V_r = 4$ м/с. Найти ускорение частицы воздуха в начале канала в точке *A* и проекции этого ускорения на оси неподвижной системы координат *xOy*, если радиус $OA = 0{,}5$ м, радиус кривизны канала в точке *A* $\rho = 0{,}8$ м, угол между нормалью *n* к кривой *AB* в точке *A* и радиусом *OA* $\alpha = 30^\circ$.

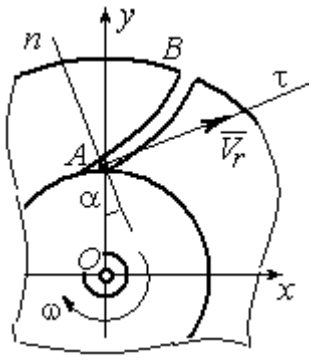

Рис.3.2. Движение воздуха по каналу компрессора

Решение

Переносным движением для частицы воздуха будет вращательное движение компрессора, а скорость точки *A* компрессора, где по условию находится частица воздуха, будет её переносной скоростью: $V_e = \omega \cdot OA = 5$ м/с. Вектор $\vec{V}_e$ переносной скорости частицы перпендикулярен радиусу *OA* и направлен в сторону угловой скорости вращения компрессора (рис. 3.3).

Вектор $\vec{V}_r$ относительной скорости частицы воздуха направлен вдоль касательной к кривой *AB* (стенки канала) в точке *A*.

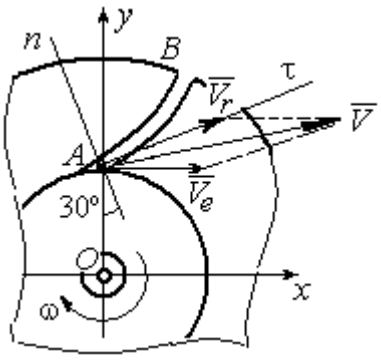

Рис. 3.3. Построение вектора абсолютной скорости частицы

Вектор абсолютной скорости частицы воздуха равен геометрической сумме векторов относительной и переносной скоростей: $\vec{V} = \vec{V}_r + \vec{V}_e$ (см. рис. 3.3). Спроектируем это векторное равенство на оси *x*, *y*. Получим систему уравнений:

$$V_x = V_e + V_r \cos 30^\circ = 8{,}46 \text{ м/с}; \; V_y = V_r \cos 60^\circ = 2 \text{ м/с}.$$

Модуль абсолютной скорости $V = \sqrt{V_x^2 + V_y^2} = 8{,}69$ м/с.

Найдём ускорение частицы воздуха.

Абсолютное ускорение частицы определяется по теореме сложения ускорений:

$$\vec{a} = \vec{a}_r + \vec{a}_e + \vec{a}_{\text{к}}.$$

В относительном движении частица движется между стенками канала по криволинейной траектории, и её ускорение $\vec{a}_r$ представляется суммой: $\vec{a}_r = \vec{a}_r^{\,n} + \vec{a}_r^{\,\tau}$, где $\vec{a}_r^{\,n}$, $\vec{a}_r^{\,\tau}$ – вектора нормальной и касательной составляющих относительного ускорения частицы.

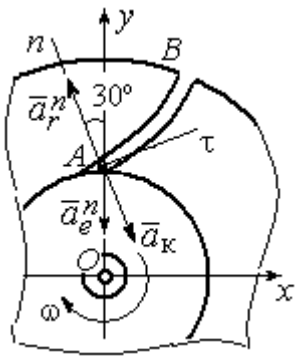

Рис. 3.4. Составляющие ускорения частицы в сложном движении

Переносное ускорение частицы $\vec{a}_e$ есть ускорение точки *A* вращающегося компрессора, которое выражается суммой $\vec{a}_e = \vec{a}_e^{\,n} + \vec{a}_e^{\,\tau}$, где $\vec{a}_e^{\,n}$, $\vec{a}_e^{\,\tau}$ – вектора нормальной и касательной составляющих переносного ускорения частицы.

В результате абсолютное ускорение частицы воздуха в точке А выражается векторной суммой:

$$\vec{a} = \vec{a}_r^{\,n} + \vec{a}_r^{\,\tau} + \vec{a}_e^{\,n} + \vec{a}_e^{\,\tau} + \vec{a}_{\text{к}}.$$

Вычислим модули ускорений:

$$a_r^{\tau} = \dot{V}_r = 0,\ a_r^n = \frac{V_r^2}{\rho} = 20 \text{ м/с}^2;\ a_e^{\tau} = \varepsilon \cdot OA = \dot{\omega} \cdot OA = 0,$$

$$a_e^n = \omega^2 r = 50 \text{ м/с}^2;\ a_{\text{к}} = 2\omega V_r = 80 \text{ м/с}^2.$$

Направление ускорения Кориолиса определяется простым поворотом вектора относительной скорости на угол 90° вокруг оси переносного вращения в направлении этого вращения. Вектора ускорений показаны на рис. 3.4.

Спроектируем векторное равенство ускорения частицы на оси неподвижной системы координат *xOy*. Получим:

$$a_x = -a_r^n \cos 60^\circ + a_к \cos 60^\circ = 30 \text{ м/с}^2 ;$$

$$a_y = a_r^n \cos 30^\circ - a_e^n - a_к \cos 30^\circ = -101{,}96 \text{ м/с}^2.$$

Модуль ускорения $a = \sqrt{a_x^2 + a_y^2} = 106{,}28$ м/с^2.

Задача 38. При совмещении работы механизмов подъёма груза и поворота крана (рис. 3.5) груз *A* перемещается в горизонтальном и вертикальном направлениях. На участке разгона барабан *B* радиуса $r_1 = 0{,}5$ м, на который навит канат, поддерживающий груз, вращается с постоянным угловым ускорением $\varepsilon_1 = 3$ рад/с^2, а кран разворачивается вокруг оси O_1O_2 с угловым ускорением $\varepsilon_2 = 0{,}5$ рад/с^2.

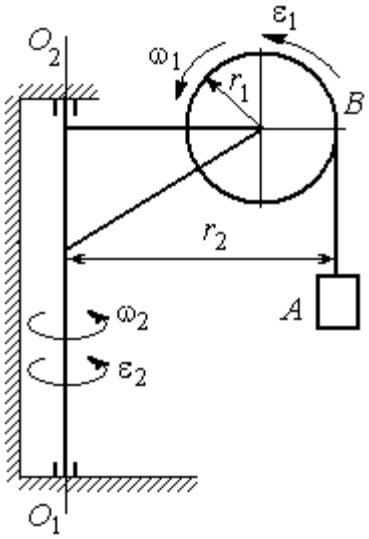

Рис. 3.5. Механизм поворотного крана

Пренебрегая отклонением каната от вертикали, определить скорость и ускорение груза в момент времени $t_1 = 1$ с, если вылет стрелы крана до линии подвеса груза $r_2 = 10$ м.

Решение

Подъём груза *A* на канате является для груза относительным движением, а вращение крана – переносным. Вектор абсолютной скорости груза равен сумме $\vec{V} = \vec{V}_r + \vec{V}_e$, где вектора относительной $\vec{V}_r$ и переносной $\vec{V}_e$ скоростей.

При равноускоренном вращении барабана *B* из состояния покоя его угловая скорость $\omega_1 = \varepsilon_1 t$. В момент времени $t_1 = 1$ с $\omega_1 = 3$ рад/с. Скорость подъёма груза *A* в этот момент $V_r(1) = \omega_1(1) r_1 = 1{,}5$ м/с. Вектор относительной скорости $\vec{V}_r$ направлен вдоль линии движения груза, в сторону его подъёма (рис. 3.6).

Угловая скорость крана при постоянном угловом ускорении $\omega_2 = \varepsilon_2 t$. При $t_1 = 1$ с $\omega_2 = 0{,}5$ рад/с. Переносная скорость груза A равна скорости груза, движущегося вместе со стрелой крана по окружности радиуса r_2: $V_e = \omega_2 r_2 = 5$ м/с. Вектор переносной скорости груза $\vec{V}_e$ направлен по касательной к траектории переносного движения груза в сторону угловой скорости вращения крана (см. рис. 3.6).

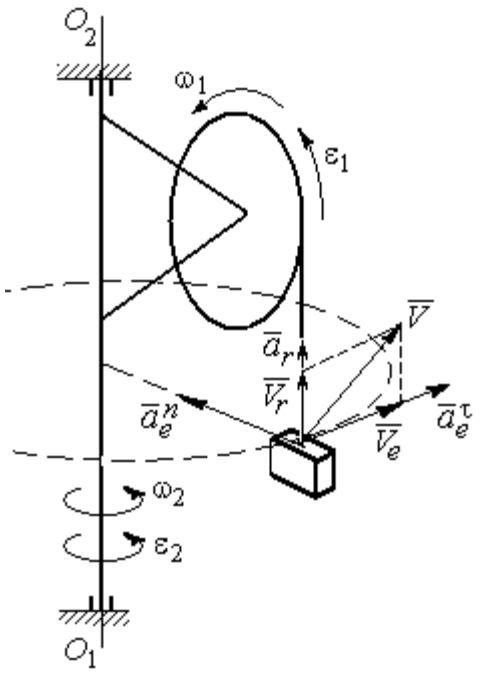

Рис. 3.6. Расчётная схема для определения скорости и ускорения груза на поворотном кране

Так как вектора относительной и переносной скоростей груза взаимно перпендикулярны, модуль абсолютной скорости $V = \sqrt{V_r^2 + V_e^2} = 5{,}22$ м/с.

Найдём абсолютное ускорение груза.

Теорема сложения ускорений имеет вид векторной суммы: $\vec{a} = \vec{a}_r + \vec{a}_e + \vec{a}_\text{к} = \vec{a}_r^{\,n} + \vec{a}_r^{\,\tau} + \vec{a}_e^{\,n} + \vec{a}_e^{\,\tau} + \vec{a}_\text{к}$, где $\vec{a}_r^{\,n}$, $\vec{a}_r^{\,\tau}$, $\vec{a}_e^{\,n}$, $\vec{a}_e^{\,\tau}$, $\vec{a}_\text{к}$ – вектора нормального и касательного ускорений груза в относительном и переносном движениях и ускорение Кориолиса. Найдём модули векторов ускорений.

Нормальное относительное ускорение a_r^n груза, движущегося прямолинейно, равно нулю: $a_r^n = 0$, а касательное a_r^τ равно по величине касательному ускорению точки на поверхности барабана: $a_r^\tau = \varepsilon_1 r_1 = 1{,}5$ м/с^2. Направление вектора $\vec{a}_r^{\,\tau}$ относительного касательного ускорения груза определяется направлением углового ускорения барабана.

Переносные нормальное a_e^n и касательное a_e^τ ускорения груза: $a_e^n = \omega_2^2 r_2$ = 2,5 м/с^2; $a_e^\tau = \varepsilon_2 r_2$ = 5 м/с^2. Вектор касательного ускорения $\vec{a}_e^\tau$ направлен в сторону углового ускорения вращения крана.

Ускорение Кориолиса $a_к$ равно нулю, так как вектор $\vec{V}_r$ параллелен вектору $\vec{\omega}_2$: $a_к = 0$.

Направления векторов ускорений, модули которых отличны от нуля, показаны на рис. 3.6. В результате вектор абсолютного ускорения груза представлен в виде разложения на три взаимно перпендикулярных вектора: $\vec{a} = \vec{a}_e^n + \vec{a}_e^\tau + \vec{a}_r^\tau$, поэтому модуль абсолютного ускорения груза $a = \sqrt{(a_e^n)^2 + (\vec{a}_e^\tau)^2 + (\vec{a}_r)^2}$ = 5,79 м/с^2.

Задача 39. Фигура, состоящая из половины диска и построенного на его диаметре равнобедренного треугольника (рис. 3.7), вращается вокруг оси, перпендикулярной плоскости фигуры и проходящей через вершину A треугольника, по закону $\varphi_e = 5t - 2t^2$ рад. Положительное направление вращения отмечено на схеме дуговой стрелкой φ.

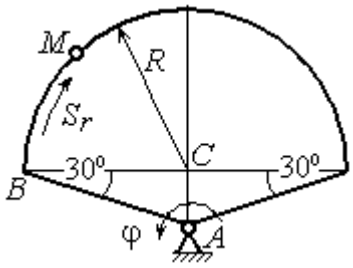

Рис. 3.7. Схема сложного движения точки

По ободу диска из начального положения B движется точка M. Уравнение движения точки: $\breve{BM} = S_r = 9\pi t^2$, см.. Положительное направление отсчёта дуги BM показано дуговой стрелкой S_r (см. рис. 3.7). Радиус диска R = 9 см. Найти абсолютную скорость и абсолютное ускорение точки M в момент времени t_1 = 1 с.

Решение

Переносным движением точки M является вращение фигуры вокруг оси A, относительным – её движение по окружности обода диска.

Положение точки M на окружности определяется центральным углом: $\alpha = \dfrac{S_r}{R}$, где S_r – длина дуги окружности, пройденная точкой. В момент времени $t_1 = 1$ с $S_r = 9\pi$ см и $\alpha = \pi$. Расчётное положение точки M на рис. 3.8 обозначено M_1.

Угловая скорость вращения фигуры равна модулю производной $\omega_e = |\dot{\varphi}_e| = |5 - 4t|$. При $t_1 = 1$ с $\omega_e(1) = 1$ рад/с. Направление угловой скорости определяется знаком производной $\dot{\varphi}_e$. Положительная на данный момент времени величина производной ($\dot{\varphi}_e = 1$) показывает, что вращение фигуры происходит в положительном направлении отсчёта угла φ_e и отмечено на рис. 3.8 дуговой стрелкой ω_e.

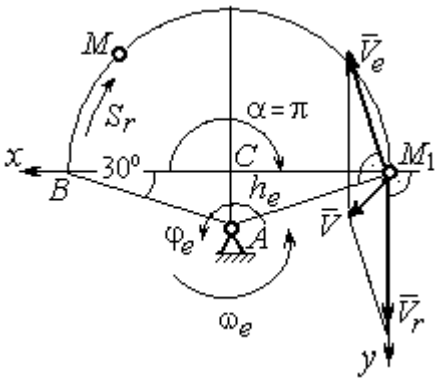

Рис. 3.8. Расчетная схема для вычисления абсолютной скорости точки

Переносная скорость точки V_e – это скорость расчётного положения точки M вращающейся фигуры: $V_e = \omega_e h_e = = \omega_e AM_1 = \dfrac{\omega_e R}{\cos 30^\circ} = 10{,}39$ см/с. Вектор переносной скорости точки $\vec{V}_e$ перпендикулярен отрезку AM_1 и направлен в сторону вращения фигуры (см. рис. 3.8).

Скорость точки в относительном движении определяется как модуль производной: $V_r = |\dot{S}_r| = |18\pi t|$. При $t_1 = 1$ с $V_r = 56{,}5$ см/с. Положительное значение производной $\dot{S}_r = 18\pi > 0$ указывает, что в этот момент времени относительное движение точки происходит в положительном направлении отсчёта дуги окружности, по которой движется точка. Вектор $\vec{V}_r$ относительной скорости точки перпендикулярен отрезку CM_1 и направлен в сторону её движения.

Абсолютная скорость точки равна сумме векторов переносной и относительной скоростей $\vec{V} = \vec{V}_e + \vec{V}_r$. Для того чтобы найти абсолютную скорость

точки, выберем оси координат M_1x, M_1y, как показано на рис. 3.8, и спроектируем обе части векторного равенства теоремы сложения скоростей на эти оси:

$$V_x = V_e\cos 60^\circ = 5{,}2 \text{ см/с}, \; V_y = -V_e\cos 30^\circ + V_r = 47{,}5 \text{ см/с}.$$

Модуль абсолютной скорости: $V = \sqrt{V_x^2 + V_y^2} = 47{,}8$ см/с.

Абсолютное ускорение точки определяется по теореме сложения ускорений: $\vec{a} = \vec{a}_e + \vec{a}_r + \vec{a}_\text{к}$.

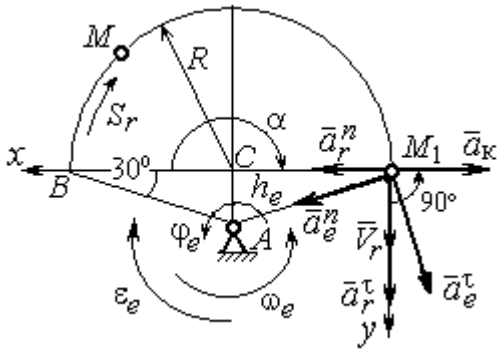

Рис. 3.9. Расчетная схема для определения абсолютного ускорения точки

Переносное ускорение точки представляется в виде суммы: $\vec{a}_e = \vec{a}_e^{\,\tau} + \vec{a}_e^{\,n}$, где $\vec{a}_e^{\,\tau}$ и $\vec{a}_e^{\,n}$ – переносные касательное и нормальное ускорения. В относительном движении точки (по дуге окружности) ускорение также может быть разложено на две составляющие – относительные касательное и нормальное ускорения: $\vec{a}_r = \vec{a}_r^{\,\tau} + \vec{a}_r^{\,n}$. В результате теорема о сложении ускорений приобретает вид: $\vec{a} = \vec{a}_r^{\,\tau} + \vec{a}_r^{\,n} + \vec{a}_e^{\,\tau} + \vec{a}_e^{\,n} + \vec{a}_\text{к}$.

Вычислим модули и направления векторов ускорений в расчётном положении точки M_1.

Относительное касательное ускорение a_r^τ вычисляется по формуле: $a_r^\tau = \left|\ddot{S}_r\right|$, где $\ddot{S}_r = 18\pi = 56{,}5$ см/с^2. Так как значение второй производной $\ddot{S}_r$ положительно, вектор ускорения $\vec{a}_r^{\,\tau}$ направлен по касательной в сторону положительного отсчёта траектории относительного движения. Относительное нормальное ускорение точки a_r^n вычисляется по формуле: $a_r^n = \dfrac{V_r^2}{R}$ и в момент $t_1 = 1$ с равно 355,3 см/с^2. Вектор ускорения $\vec{a}_r^{\,n}$ направлен по радиусу диска к центру C (рис. 3.9).

Угловое ускорение фигуры в момент времени $t_1 = 1$ с, $\varepsilon_e = |\ddot{\varphi}_e| = 4$ рад/с^2. Поскольку значение второй производной угла поворота отрицательное ($\ddot{\varphi}_e = -4$ рад/с^2), то угловое ускорение направлено в сторону, противоположную положительному направлению отсчёта угла поворота фигуры, как показано на рис. 3.9 дуговой стрелкой ε_e. Модуль переносного касательного ускорения a_e^τ определяется по формуле $a_e^\tau = \varepsilon_e h_e = \varepsilon_e \cdot AM_1$ и в момент времени $t_1 = 1$ с равен 41,6 см/с^2. Вектор переносного касательного ускорения точки $\vec{a}_e^\tau$ перпендикулярен AM_1 и направлен в сторону углового ускорения фигуры ε_e (см. рис. 3.9). Переносное нормальное ускорение вычисляется по формуле $a_e^n = \omega_e^2 h_e = \omega_e^2 \cdot AM_1$ и на момент времени $t_1 = 1$ с: $a_e^n = 10{,}4$ см/с^2. Вектор переносного нормального ускорения $\vec{a}_e^n$ направлен вдоль отрезка M_1A к оси вращения тела (см. рис. 3.9).

Модуль ускорения Кориолиса в момент времени $t_1 = 1$ с $a_к = 2\omega V_r =$ $=113{,}1$ см/с^2. По условию задачи вектор $\vec{V}_r$ скорости относительного движения точки перпендикулярен вектору $\vec{\omega}_e$ угловой скорости переносного движения. В этом случае для определения направления ускорения Кориолиса достаточно повернуть вектор относительной скорости $\vec{V}_r$ на 90° в сторону переносного движения (см. рис. 3.9).

Для определения абсолютного ускорения точки выберем оси M_1x и M_1y, как показано на рис. 3.9, и спроектируем обе части векторного равенства теоремы сложения ускорений на эти оси. Получим:

$$a_x = -a_e^\tau \cos 60^\circ + a_e^n \cos 30^\circ + a_r^n - a_к = 230{,}4 \text{ см/с}^2;$$

$$a_y = a_e^\tau \cos 30^\circ + a_e^n \cos 60^\circ + a_r^\tau = 97{,}9 \text{ см/с}^2.$$

Модуль абсолютного ускорения

$$a = \sqrt{a_x^2 + a_y^2} = 250{,}3 \text{ см/с}^2.$$

Задача 40. Диск (рис. 3.10) вращается вокруг оси O_1O_2, проходящей вдоль вертикального диаметра, с угловой скоростью $\omega = 2t^2 + 4\cos\pi t$ рад/с. Положительное направление отсчёта угла поворота диска отмечено на схеме дуговой стрелкой φ. Вдоль другого диаметра диска, наклоненного под углом 30º к вертикальному, движется точка M по закону $CM = S_r = (4t-1)^2 - 1$ см. Расстояние отсчитывается от точки C на краю диска. Положительное направление движения точки M показано стрелкой S_r. Радиус диска $R = 4$ см. Найти абсолютную скорость и абсолютное ускорение точки M в момент времени $t_1 = 1$ с.

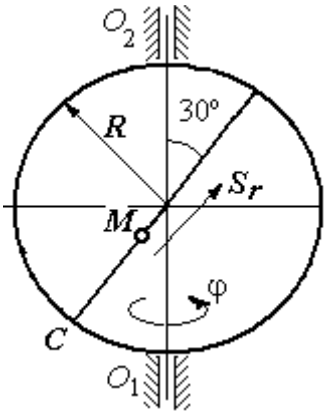

Рис. 3.10. Схема сложного движения точки

Решение

Переносным движением точки M является вращение диска вокруг вертикального диаметра, относительным – её прямолинейное движение вдоль наклонного диаметра диска.

Расстояние S_r, пройденное точкой, к моменту времени $t_1 = 1$ с равно 8 см. При радиусе диска $R = 4$ см точка M в данный момент времени находится на противоположном от точки C конце диаметра. На рис. 3.11 это положение обозначено буквой M_1.

Угловая скорость диска равна модулю производной: $\omega = |\dot{\varphi}| = |2 + 4\cos\pi|$ и при $t_1 = 1$ с $\omega = 2$ рад/с. Направление угловой скорости определяется по знаку производной $\dot{\varphi}$. В данном случае производная имеет отрицательное значение ($\dot{\varphi} = -2$ рад/с). Это означает, что вращение диска происходит в сторону, противоположную положительному направлению отсчёта угла поворота. Направление угловой скорости диска в данный момент времени отмечено на рис. 3.11 дуговой стрелкой ω.

Переносная скорость точки V_e – это скорость точки M_1 на вращающемся диске: $V_e = \omega h_e = \omega \cdot KM_1$, где $KM_1 = h_e$ – расстояние от оси вращения диска до точки M_1. Очевидно, $KM_1 = 0{,}5R = 2$ см. При $t_1 = 1$ с величина переносной скорости $V_e = 4$ см/с. Вектор переносной скорости $\vec{V}_e$ перпендикулярен плоскости диска $O_1M_1O_2$ и направлен в сторону вращения диска (рис. 3.11, *a*).

(На рис. 3.11, *a* символ ⊙ рядом с вектором означает, что данный вектор направлен перпендикулярно плоскости рисунка «к нам», символ ⊕ – «от нас».)

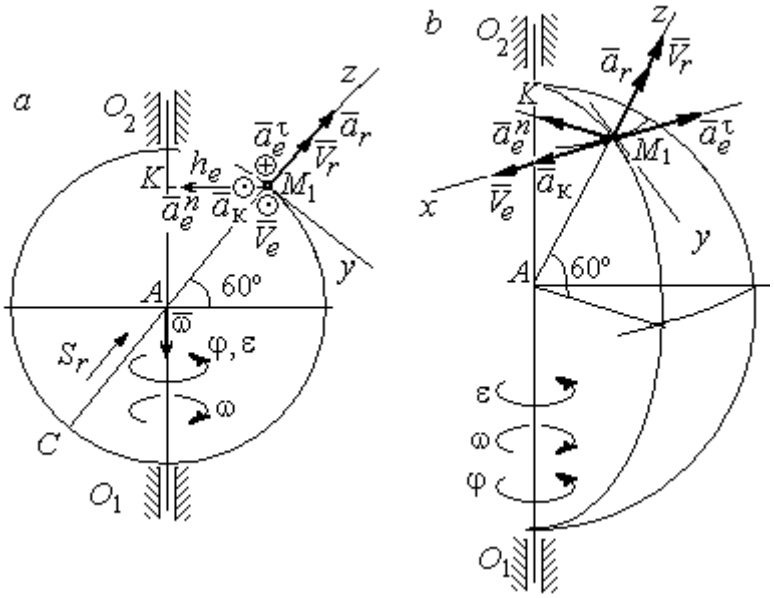

Рис. 3.11. Расчётная схема определения абсолютной скорости и ускорения точки:
a – плоская модель движения;
b – пространственная модель движения

Относительная скорость точки равна модулю производной: $V_r = \left|\dot{S}_r\right| = \left|8(4t - 1)\right|$. При $t_1 = 1$ с $V_r = 24$ см/с. Положительное значение самой производной $\dot{S}_r$ указывает, что относительное движение точки в данный момент времени происходит в положительном направлении. Вектор $\vec{V}_r$ относительной скорости точки в положении M_1 направлен вдоль диаметра диска CM_1 в сторону движения.

Абсолютная скорость точки равна сумме векторов переносной и относительной скоростей: $\vec{V} = \vec{V}_e + \vec{V}_r$. Так как векторы $\vec{V}_e$ и $\vec{V}_r$ взаимно перпендикулярны, модуль абсолютной скорости $V = \sqrt{V_e^2 + V_r^2} = 24{,}33$ см/с. Вектор абсолютной скорости на рис. 3.11 не показан.

Абсолютное ускорение точки определяется векторной суммой, которая при прямолинейном относительном и вращательном переносном движениях представляется в виде: $\vec{a} = \vec{a}_r + \vec{a}_e^{\tau} + \vec{a}_e^{n} + \vec{a}_{\text{к}}$.

Относительное ускорение точки $a_r = \left|\ddot{S}_r\right| = 32$ см/с^2. Так как значение второй производной $\ddot{S}_r$ положительно, вектор ускорения $\vec{a}_r$ в точке M_1 направлен по линии движения точки в сторону положительного направления (см. рис. 3.11).

Угловое ускорение диска $\varepsilon = \left|\dot{\omega}\right| = \left|4t - 4\pi\sin\pi t\right|$. В момент времени $t_1 = 1$ с $\varepsilon = 4$ рад/с^2. Положительное значение производной в данный момент времени ($\dot{\omega} = 4$ рад/с^2) означает, что угловое ускорение ε направлено в сторону положительного направления отсчёта угла поворота диска. Направление углового ускорения показано на рис. 3.11 дуговой стрелкой ε. Модуль переносного касательного ускорения a_e^{τ} определяется по формуле $a_e^{\tau} = \varepsilon h_e$, и при $t_1 = 1$ с $a_e^{\tau} = 8$ см/с^2. Вектор ускорения $\vec{a}_e^{\tau}$ перпендикулярен плоскости диска $O_1M_1O_2$ в точке M_1 и направлен в сторону углового ускорения (противоположно вектору скорости).

Переносное нормальное ускорение a_e^{n} рассчитывается по формуле $a_e^{n} = \omega^2 h_e = \omega^2 \cdot KM_1$, и при $t_1 = 1$ с $a_e^{n} = 8$ см/с^2. Вектор переносного нормального ускорения $\vec{a}_e^{n}$ направлен вдоль отрезка M_1K к оси вращения диска (см. рис. 3.11).

Вектор скорости относительного движения точки $\vec{V}_r$ составляет с вектором угловой скорости переносного движения $\vec{\omega}$ угол 150º. Модуль ускорения Кориолиса на момент времени $t_1 = 1$ с $a_{\text{к}} = 2\left|\omega\right\|V_r\left|\sin 150^\circ = 48\right.$ см/с^2. Направление вектора ускорения Кориолиса определяем по правилу Жуковского. Так, вектор относительной скорости точки $\vec{V}_r$ проектируем на плоскость, перпенди-

кулярную вектору $\vec{\omega}$ (т. е. на плоскость, перпендикулярную оси вращения тела). На рис 3.11, *а* это будет проекция на линию KM_1. Далее следует повернуть вектор проекции относительной скорости вокруг оси вращения на 90° в сторону угловой скорости вращения диска. На рис 1.11, *а* вектор ускорения Кориолиса перпендикулярен плоскости рисунка в точке M_1 и направлен «на нас».

Для определения абсолютного ускорения точки выберем оси координат M_1x, M_1y и M_1z, как показано на рис. 3.11 (на рис. 3.11, *а* ось M_1x направлена перпендикулярно рисунку «к нам» и на рисунке не показана). Спроектируем обе части векторного равенства теоремы сложения ускорений на оси

$$a_x = -a_e^{\tau} + a_{\text{к}} = 40 \text{ см/с}^2; \quad a_y = -a_e^n \cos 30^\circ = 6{,}93 \text{ см/с}^2;$$

$$a_z = a_r - a_e^n \cos 60^\circ = 28 \text{ см/с}^2.$$

Модуль абсолютного ускорения $a = \sqrt{a_x^2 + a_y^2 + a_z^2} = 49{,}32$ см/с^2.

Упражнения

Упражнение 3.1

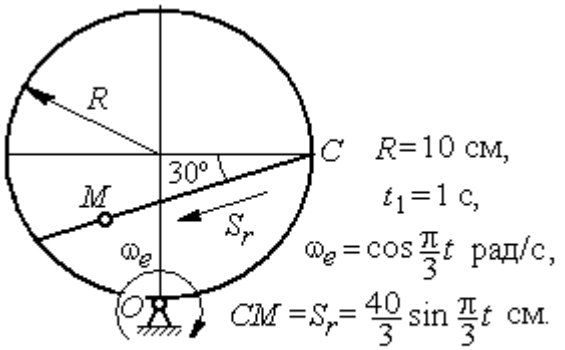

Найти скорость и ускорение точки M в момент $t = t_1$

Упражнение 3.2

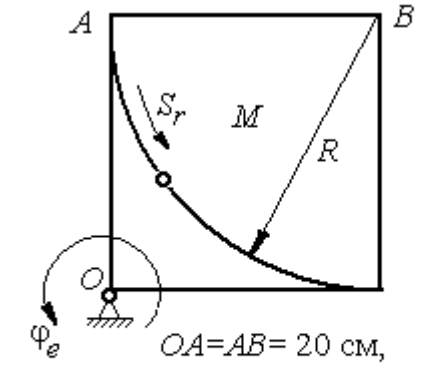

Найти скорость и ускорение точки M в момент $t = t_1 = 1$ с

Рис. 3.12. Задания для самостоятельного решения. Упражнения 3.1, 3.2

4. ДИНАМИКА ТОЧКИ

4.1. Дифференциальные уравнения движения точки

Движение материальной точки под действием системы сил $\vec{F}_1,\ \vec{F}_2,\ldots,\ \vec{F}_K$ в прямоугольной декартовой системе координат *Oxyz* описывается **дифференциальными уравнениями:**

$$m\frac{d^2x}{dt^2} = \sum F_{kx}\ ,\ m\frac{d^2y}{dt^2} = \sum F_{ky}\ ,\ m\frac{d^2z}{dt^2} = \sum F_{kz}\ .$$

Обозначая вторые производные от координат по времени двумя точками, уравнения движения можно записать в виде:

$$m\ddot{x} = \sum F_{kx}\ ;\ m\ddot{y} = \sum F_{ky}\ ;\ m\ddot{z} = \sum F_{kz}\ ,$$

где m – масса точки; x, y, z – текущие координаты точки; $\ddot{x}$, $\ddot{y}$, $\ddot{z}$ – проекции вектора ускорения точки на оси координат; $\sum F_{kx}$, $\sum F_{ky}$, $\sum F_{kz}$ – алгебраические суммы проекций всех сил на оси координат.

Для удобства интегрирования дифференциальные уравнения движения иногда представляют в виде:

$$m\frac{dV_x}{dt} = \sum F_{kx}\ ;\ \ m\frac{dV_y}{dt} = \sum F_{ky}\ ;\ \ m\frac{dV_z}{dt} = \sum F_{kz}\ ,$$

где $V_x = \dot{x}$, $V_y = \dot{y}$, $V_z = \dot{z}$ – проекции вектора скорости точки на оси координат.

В естественной системе координат движение материальной точки описывается уравнениями в естественной форме:

$$m\frac{dV}{dt} = \sum F_{k\tau}\ ;\ \ m\frac{V^2}{\rho} = \sum F_{kn}\ ;\ 0 = \sum F_{kb}\ ,$$

где ρ – радиус кривизны траектории; τ, n, b – оси естественного трехгранника – касательная, нормаль и бинормаль.

В общем случае правые части дифференциальных уравнений зависят от времени, положения и скорости точки. Интегрирование дифференциальных

уравнений производится в зависимости от их вида методами, известными из курса математики.

Примеры решения задач на интегрирование уравнений движения

Задача 41. При обогащении по трению разделение частиц производится следующим образом. Барабанный питатель (рис. 4.1) сообщает частице в точке A сортировочного стола AB начальную скорость V_0, направленную вдоль поверхности стола, наклоненного под углом α к горизонту. Нижний край стола в точке B поднят на высоту h над уровнем пола. Частица скользит по столу, испытывая силу трения скольжения с коэффициентом трения f. Дойдя до края стола в точке B, частица отрывается от него и совершает свободное падение с высоты h. На каком расстоянии $CK = \ell$ на полу нужно установить стенку приёмного устройства, чтобы частицы с коэффициентом трения меньше заданного $f < f_1$ перелетали за точку C и попадали в приёмник, а с большим коэффициентом $f > f_1$ – не долетали до него.

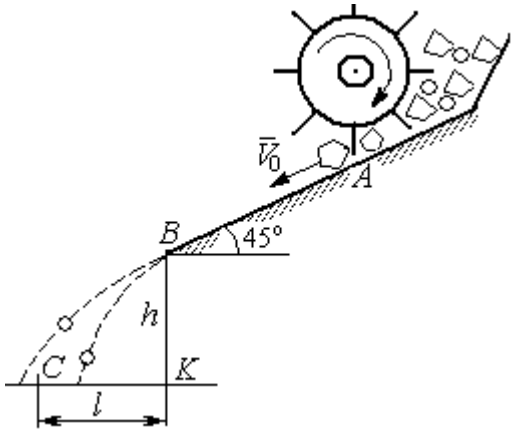

Рис. 4.1. Разделение частиц по трению

Начальная скорость частицы $V_0 = 1$ м/с, длина сортировочного стола $AB = S = 1{,}2$ м, угол наклона $\alpha = 45°$, высота точки отрыва $BK = h = 1{,}5$ м, заданный коэффициент трения для разделения частиц $f_1 = 0{,}4$.

Решение

Из условия задачи следует, что частица с коэффициентом трения, равным заданному, $f = f_1$ в конце своего движения (скольжение по столу + свободное падение) должна попасть ровно в точку C (см. рис. 4.1).

Рассмотрим первый участок движения такой частицы – прямолинейное движение по шероховатой поверхности наклонного стола. На частицу действуют сила тяжести $\vec{P}$, реакция опоры $\vec{N}$ и сила трения $\vec{F}_{\text{тр}}$. Выберем систему координат *xAy*, направив ось *x* вдоль линии движения, а ось *y* – перпендикулярно ей (рис. 4.2). Движение частицы описывается уравнениями:

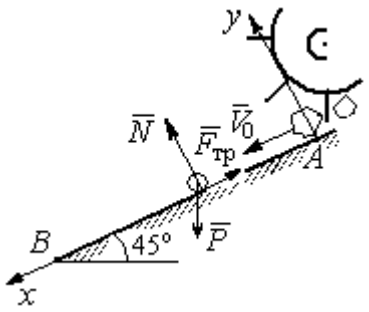

Рис. 4.2. Движение частицы по наклонной плоскости

$$m\ddot{x} = \sum F_{kx} = P\cos 45^\circ - F_{\text{тр}};$$

$$m\ddot{y} = \sum F_{ky} = -P\cos 45^\circ + N.$$

Поскольку вдоль оси *y* частица не перемещается, то $\ddot{y} = 0$. Тогда второе уравнение движения представляется в виде: $-P\cos 45^\circ + N = 0$, откуда реакция опоры частицы $N = mg\cos 45^\circ$. Сила трения, которую испытывает частица, двигаясь по сортировочному столу: $F_{\text{тр}} = fN = fmg\cos 45^\circ$, где f – коэффициент трения.

Подставляя в уравнение движения частицы, выражение силы трения и полагая ускорение $\ddot{x} = \dfrac{dV_x}{dt}$, получим дифференциальное уравнение

$$\frac{dV_x}{dt} = g(1-f)\cos 45^\circ \text{ или при } f = f_1 = 0{,}4: \ \frac{dV_x}{dt} = 4{,}18.$$

После интегрирования найдём скорость и закон движения частицы как функции времени: $V_x = 4{,}18t + C_1$; $x = 2{,}09t^2 + C_1 t + C_2$.

Константы интегрирования C_1, C_2 находятся из начальных условий движения. Подставляя начальные условия $x(0) = 0$, $\dot{x}(0) = V_x(0) = V_0$ в уравнение движения частицы, найдём $C_2 = 0$, $C_1 = V_0$.

Окончательно движение частицы на прямолинейном участке *AB* сортировочного стола описывается системой уравнений: $V_x = 4{,}18t + 1$; $x = 2{,}09t^2 + t$.

Допустим частица достигает края стола B в момент времени $t = t_B$. Её координата равна длине сортировочного стола: $x(t_B) = S$, а скорость равна скорости отрыва её от стола: $V_x(t_B) = V_B$. Подставим эти условия в уравнения движения, получим систему: $V_B = 4{,}18t_B + 1$, $S = 2{,}09t_B^2 + t_B$, откуда скорость частицы в точке отрыва её от стола $V_B = \sqrt{1 + 8{,}36S}$. При длине стола S = 1,2 м скорость отрыва V_B = 3,32 м/с.

Рассмотрим участок BC свободного падения частицы, брошенной с высоты h с начальной скоростью V_B, направленной под углом 45° к горизонту (рис. 4.3). В полёте на частицу действует только сила тяжести $\vec{P}$. Выберем прямоугольную систему координат xKy с началом координат в точке K (см. рис. 4.3). Дифференциальные уравнения движения точки

$$m\ddot{x} = 0;\ m\ddot{y} = -P = -mg \text{ или } \ddot{x} = 0,\ \ddot{y} = -g.$$

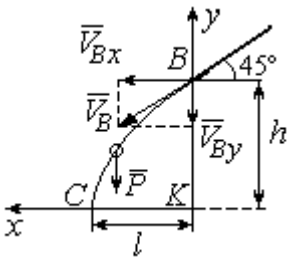

Рис. 4.3. Свободное падение частицы

Интегрируя первое уравнение, получим, что движение частицы вдоль оси x описывается уравнениями $\dot{x} = C_3;\ x = C_3t + C_4$. Константы интегрирования C_3 и C_4. определяются из начальных условий движения: при t = 0 , $x(0) = 0$, $\dot{x}(0) = V_{Bx}$, где V_{Bx} – проекция вектора скорости $\overline{V}_B$ на ось x, $V_{Bx} = V_B\cos45^\circ$ = 2,35 м/с. После подстановки начальных условий в уравнение движения частицы получим: C_4 = 0, C_3 = 2,35. В результате, движение частицы вдоль оси x при её свободном падении описывается уравнением $x = 2{,}35t$.

Проинтегрируем уравнение движения частицы в направлении оси y. Получим: $\dot{y} = -gt + C_5$ и $y = -g\dfrac{t^2}{2} + C_5t + C_6$. Начальные условия движения частицы вдоль оси y: при t = 0 , $y(0) = h$ = 1,5 м, $\dot{y}(0) = V_{By} = -V_B\cos45^\circ = -2{,}35$ м/с, где V_{By} – проекция вектора скорости $\overline{V}_B$ на ось y. Подставляя начальные

условия в уравнение движения, найдём: $C_6 = h$; $C_5 = V_{By} = -2{,}35$. Таким образом, движение частицы вдоль оси y при её свободном падении описывается уравнением $y = -4{,}91t^2 - 2{,}35t + 1{,}5$.

В момент $t = t_{\text{п}}$ падения частицы на пол её вертикальная координата обращается в нуль: $y = 0$, а горизонтальная – равна дальности полёта: $x = \ell$. Подставляя эти условия в уравнения движения частицы, получим систему:

$$\ell = 2{,}35t_{\text{п}},\ 0 = -4{,}91t_{\text{п}}^2 - 2{,}35t_{\text{п}} + 1{,}5.$$

Исключая в системе время $t_{\text{п}}$, выразим уравнение для определения дальности горизонтального полёта: $\ell^2 + 1{,}12\ell - 1{,}68 = 0$. Отсюда находим: $\ell = 0{,}85$ м.

Таким образом, частицы с коэффициентом трения $f = 0{,}4$ в конце своего движения падают на горизонтальную поверхность на расстоянии 0,85 м от края стола. Очевидно, именно здесь необходимо установить разделительную стенку приёмного устройства. Частицы с меньшим коэффициентом трения ($f < 0{,}4$) будут улетать за стенку, а при большем ($f > 0{,}4$) – недолетать. К примеру, длина горизонтального полёта частицы с коэффициентом трения $f = 0{,}3$ составляет 0,89 м, а при $f = 0{,}5$ равна 0,61 м.

Задача 42. Материальная точка массой $m = 1$ кг движется прямолинейно по горизонтальной поверхности под действием силы $F = 10 - kt$ Н, где k – коэффициент пропорциональности; $k = \text{const}$; t – время в секундах. Определить величину коэффициента k, при котором скорость точки за первую секунду от начала движения увеличится от начального значения $V_0 = 2$ м/с до величины $V_1 = 10$ м/с, а также путь, пройденный точкой до остановки.

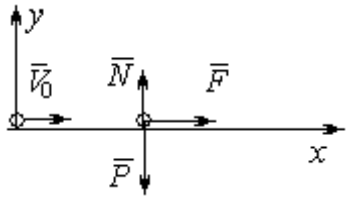

Рис. 4.4. Прямолинейное движение точки

Решение

Для описания движения точки выберем прямоугольную систему координат x, y с началом в том месте, откуда точка начала движение (рис. 4.4).

На точку действуют сила тяжести $\vec{P}$, реакция опоры $\vec{N}$ и заданная сила $\vec{F}$. Направление силы $\vec{F}$ на рис. 4.4 соответствует начальному этапу движения, когда проекция силы на ось *x* положительная. Движение точки описывается уравнением $m\ddot{x} = F_x = 10 - kt$.

Положим $\ddot{x} = \dfrac{dV}{dt}$. Здесь в силу того, что движение происходит только вдоль одной координаты, индекс *x* у скорости опущен. Учитывая массу точки, получим уравнение $\dfrac{dV}{dt} = 10 - kt$. Разделив переменные и проинтегрировав полученное уравнение, найдём закон изменения скорости точки $V = 10t - k\dfrac{t^2}{2} + C_1$. Выражая скорость через производную от координаты $V = \dfrac{dx}{dt}$, получим дифференциальное уравнение $\dfrac{dx}{dt} = 10t - k\dfrac{t^2}{2} + C_1$, интегрируя которое, найдём уравнение движения точки $x = 5t^2 - k\dfrac{t^3}{6} + C_1 t + C_2$.

Подставляя начальные условия (при $t = 0$, $V = V_0 = 2$ м/с, $x = 0$) в уравнения, получим: $C_1 = 2$, $C_2 = 0$. Окончательно движение точки описывается системой уравнений: $V = 10t - k\dfrac{t^2}{2} + 2$; $x = 5t^2 - k\dfrac{t^3}{6} + 2t$.

Известно, что через 1 с от начала движения точка приобрела скорость $V_1 = 10$ м/с. Подставляя это условие в первое уравнение, найдём $k = 4$.

В момент t_1 точка остановилась и её скорость обращается в нуль: $V(t_1) = 0$, а координата равна пройденному пути: $x(t_1) = S$. Подставляя эти условия в уравнения движения с учетом вычисленного значения коэффициента *k*, получим систему: $0 = 10t_1 - 2t_1^2 + 2$; $S = 5t_1^2 - \dfrac{2}{3}t_1^3 + 2t_1$, откуда находим путь, пройденный точкой до остановки: $S = 51{,}86$ м.

Задача 43. Материальная точка массой m = 1 кг, находясь на высоте h_1 = 2 м над уровнем Земли, подброшена вертикально вверх (ось x) с начальной скоростью V_0 = 4 м/с (рис. 4.5, *a*). При движении на точку действует сила сопротивления, пропорциональная квадрату скорости, так, что проекция её на вертикаль направлена в сторону, противоположную движению, $R_x = -0{,}5mV^2$ Н, где V – скорость точки. Определить, на какой высоте h_2 от уровня Земли скорость падающей обратно точки достигнет значения начальной стартовой скорости.

Решение

Решение задачи осуществляется в два этапа. На первом этапе рассматривается движение точки вверх с высоты h_1 с начальной скоростью V_0 и определение максимальной высоты полёта H, на втором этапе – падение точки вниз с высоты H без начальной скорости (рис. 4.5, *b*).

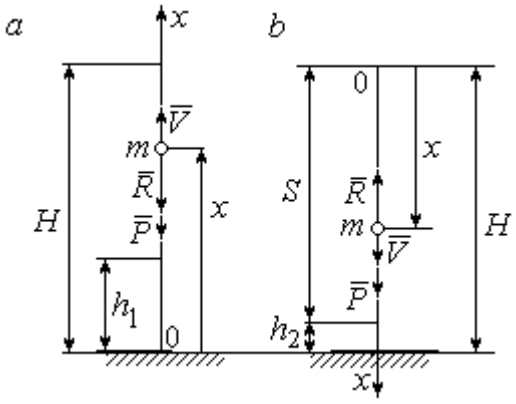

Рис. 4.5. Силы, действующие на точку в полёте:
a – движение точки вверх;
b – движение точки вниз

Рассмотрим первый этап движения и найдём максимальную высоту подъёма точки. На рис. 4.5, *a* показаны силы, действующие на точку в полёте: сила тяжести $\vec{P}$ и сила сопротивления $\vec{R}$. Ось x, вдоль которой происходит движение точки, выбрана по направлению движения, начало координат – на уровне Земли (см. рис. 4.5, *a*).

Дифференциальное уравнение движения точки в проекции на ось x: $m\ddot{x} = \sum F_x = P_x + R_x$, где проекции сил тяжести и сопротивления на ось x: $P_x = -P = -mg$; $R_x = -0{,}5mV^2$. Полагая $\ddot{x} = \dfrac{dV}{dt}$, получим уравнение движения точки в виде: $\dfrac{dV}{dt} = -(g + 0{,}5V^2)$.

Учитывая, что $\frac{dV}{dt}=\frac{dV}{dx}\frac{dx}{dt}=V\frac{dV}{dx}=\frac{dV^2}{2dx}$, исходное уравнение движения представляется в виде, удобном для интегрирования: $\frac{dV^2}{g+0{,}5V^2}=-2dx$.

Проинтегрировав это уравнение, находим: $\ln(g+0{,}5V^2)=-x+C$.

В начальном положении, т. е. при $t = 0$, точка находилась на высоте $x = h_1$, а скорость её $V = V_0$. Подставив эти значения в проинтегрированное уравнение, получим: $C=h_1+\ln(g+0{,}5V_0^2)$. Окончательно положение точки в полёте определяется выражением $x=h_1+\ln\left(\frac{g+0{,}5V_0^2}{g+0{,}5V^2}\right)$.

При максимальном подъёме точки, т. е. при $x=H$, её скорость обращается в нуль: $V = 0$. Подставляя H, получим: $H=h_1+\ln\left(1+\frac{V_0^2}{2g}\right)$. При начальной скорости $V_0 = 4$ м/с, с учётом высоты точки старта $h_1 = 2$ м, высота подъёма точки относительно уровня Земли $H = 2{,}6$ м.

Рассмотрим второй этап решения задачи – движение точки вниз с максимальной высоты H без начальной скорости. Выберем ось x по направлению движения и поместим начало координат в точке, откуда началось движение вниз (рис. 4.5, *b*). Дифференциальное уравнение движения падающей точки: $m\frac{dV}{dt}=P_x+R_x = mg-0{,}5mV^2$, которое, как и в предыдущем случае, приводится к виду: $\frac{dV^2}{g-0{,}5V^2}=2dx$.

Проинтегрировав это уравнение, находим: $\ln(g-0{,}5V^2)=-x+C_1$.

В начальном положении, т. е. при $t = 0$, координата точки и скорость равны нулю: $x = 0$, $V = 0$. Подставив эти значения, находим: $C_1=\ln g$.

Окончательно положение падающей точки определяется выражением $x = \ln\left(\frac{g}{g - 0{,}5V^2}\right)$.

Расстояние S, которое пролетела точка с высоты H, приобретя скорость, V_0: $S = \ln\left(\frac{g}{g - 0{,}5V_0^2}\right)$. Высота h_2 этого положения от уровня Земли: $h_2 = H - S$ (см. рис. 4.5, *b*). С учётом величины начальной скорости $V_0 = 4$ м/с, максимальной высоты подъёма точки $H = 2{,}6$ м высота $h_2 = 0{,}91$ м.

Задача 44. Точка 1 движется горизонтально с постоянной скоростью V_1 на высоте h. Точка 2 массой m_2 находится в начале координат (рис. 4.6).

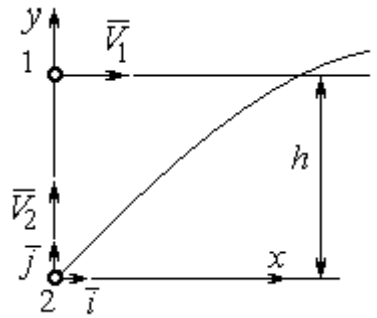

Рис. 4.6. Схема встречного движения точек

В момент, когда обе точки находились на одной вертикали y, точка 2 стартовала вертикально вверх со скоростью V_2. В полёте на точку 2 действует отклоняющая сила $\vec{F}_2$, которая представлена в виде разложения по единичным векторам $\vec{i}$, $\vec{j}$ системы координат xy: $\vec{F}_2 = p\vec{i} + q\vec{j}$, где p, q – const. С какой скоростью V_2 должна стартовать точка 2, чтобы обе точки встретились.

Решение

Рассмотрим движение точки 2. На точку действует сила тяжести $\vec{P}_2$ и сила $\vec{F}_2$, проекции которой на оси x, y: $F_{2x} = p$, $F_{2y} = q$ (рис. 4.7).

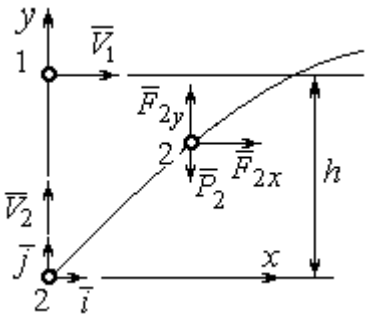

Рис. 4.7. Расчётная схема встречи точек

Уравнения движения точки в проекциях на оси xy имеют вид:

$$m_2\ddot{x} = p,\ m_2\ddot{y} = q - m_2 g.$$

Дважды интегрируя первое уравнение, полу-

чим: $\dot{x} = \frac{p}{m_2}t + C_1$; $x = \frac{p}{2m_2}t^2 + C_1 t + C_2$. Константы интегрирования найдём из условия, что в начальный момент вторая точка стартовала из начала координат вертикально, то есть при $t = 0$ $x = 0$ и $\dot{x} = V_{2x} = 0$. Подставляя начальные условия в уравнения движения, получим: $C_1 = 0$, $C_2 = 0$. Таким образом, движение точки 2 вдоль оси x описывается уравнением $x = \frac{p}{2m_2}t^2$.

Аналогично, дважды интегрируя второе уравнение движения, получим зависимость скорости движения точки 2 от времени и закон её движения вдоль оси y: $\dot{y} = \left(\frac{q}{m_2} - g\right)t + C_3$; $y = \left(\frac{q}{m_2} - g\right)\frac{t^2}{2} + C_3 t + C_4$. Из начальных условий: при $t = 0$ $y = 0$, $\dot{y} = V_{2y} = V_2$ следует: $C_3 = V_2$, $C_4 = 0$.

В результате закон движения точки 2 вдоль оси y: $y = \left(\frac{q}{m_2} - g\right)\frac{t^2}{2} + V_2 t$.

Обозначим t_1 – время движения точек до встречи. В момент встречи высота точки 2 $y(t_1) = h$, а расстояние по горизонтали, которое прошла точка 2 до встречи, должно быть равно расстоянию, пройденному точкой 1 за это же время. Подставляя условия встречи в уравнения движения, получим систему:

$$V_1 t_1 = \frac{p}{2m_2}t_1^2; \qquad h = \left(\frac{q}{m_2} - g\right)\frac{t_1^2}{2} + V_2 t_1,$$

откуда найдём: $V_2 = \frac{h}{t_1} - \left(\frac{q}{m_2} - g\right)\frac{t_1}{2}$, где $t_1 = \frac{2V_1 m_2}{p}$.

Упражнения

Упражнение 4.1. Тело массы m = 2 кг поднимается по прямой по шероховатой поверхности, составляющей угол 30° с горизонтом. Коэффициент трения f = 0,4. На тело действует сила $F = kt + 0{,}5P$, направленная в сторону движения, параллельно плоскости. Определить величину коэффициента k и начальную скорость тела, направленную вверх по наклонной плоскости, если за первую секунду тело прошло путь S = 2 м, а скорость увеличилась вдвое относительно начальной.

Упражнение 4.2. Материальную точку массы m = 1 кг, находящуюся на высоте H = 10 м над уровнем Земли, бросили под углом φ = 30° к горизонту с начальной скоростью V_0. Свободное движение точки происходит в вертикальной плоскости. Определить начальную скорость V_0 и горизонтальную дальность полета l при падении точки на Землю, если высоту h =7 м она пересекла через 1 с от начала движения.

4.2. Колебания материальной точки

Если материальная точка массой m движется вдоль оси Оx под действием линейной восстанавливающей силы, равной $F = cx$, где c – постоянный коэффициент, x – отклонение точки от положения равновесия, куда поместили начало координат, то дифференциальное уравнение свободных прямолинейных колебаний имеет вид:

$$m\ddot{x} + cx = 0, \text{ или } \ddot{x} + \omega^2 x = 0,\ \omega^2 = \frac{c}{m},$$

где ω – угловая частота колебаний.

Решение дифференциального уравнения свободных колебаний представляется в виде $x = C_1\cos\omega t + C_2\sin\omega t$. Постоянные интегрирования C_1 и C_2 находятся из начальных условий.

Если кроме восстанавливающей силы на материальную точку действует переменная возмущающая сила, колебания точки называются **вынужденными.** В случае гармонического возмущения $Q = H\sin pt$, где H, p – амплитуда и угловая частота возмущающей силы, дифференциальное уравнение вынужденных колебаний материальной точки относительно положения равновесия

$$m\ddot{x} + cx = H\sin pt, \text{ или } \ddot{x} + \omega^2 x = h\sin pt,\ \omega^2 = \frac{c}{m},\ h = \frac{H}{m}$$

где ω – угловая частота собственных колебаний; h – относительная амплитуда возмущающей силы.

Общее решение неоднородного дифференциального уравнения вынужденных колебаний при отсутствии резонанса (частота собственных колебаний точки не совпадает с частотой возмущающей силы $p \neq \omega$) имеет вид:

$x = C_1\cos\omega t + C_2\sin\omega t + \dfrac{h}{\omega^2 - p^2}\sin pt$, а в случае возникновения резонанса ($p = \omega$) определяется формулой: $x = C_1\cos\omega t + C_2\sin\omega t - \dfrac{ht}{2p}\cos pt$. Значения произвольных постоянных C_1 и C_2 находятся с учётом начальных условий движения.

Колебания груза на двух параллельных пружинах с жесткостью c_1 и c_2 можно рассматривать как колебания груза на одной пружине с эквивалентной жесткостью $c_{экв} = c_1 + c_2$, где $c_{экв}$ – жесткость эквивалентной пружины. При последовательном соединении пружин коэффициент жесткости эквивалентной пружины $c_{экв} = \dfrac{c_1 c_2}{c_1 + c_2}$.

Примеры решения задач на колебания точки

Задача 45. Подъёмное устройство (рис. 4.8) опускает груз Q массой $m = 400$ кг в шахту при помощи упругого троса с коэффициентом жесткости $c = 8 \cdot 10^4$ Н/м с постоянной скоростью $V = 10$ м/с. В некоторый момент во время спуска трос защемило в блоке. Пренебрегая массой троса, определить дальнейшее движение груза и найти максимальную силу натяжения троса.

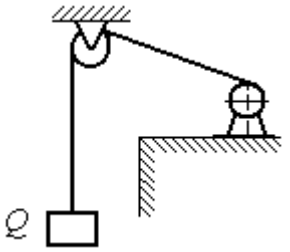

Рис. 4.8. Подъёмное устройство

Решение

После того как произошло защемление троса в обойме блока, вертикальную часть троса длиной ℓ_0 можно рассматривать как пружину с закреплённым верхним концом, а груз – материальной точкой.

Расчетная схема колебаний груза Q на пружине показана на рис. 4.9.

Ось *Ox*, вдоль которой происходят колебания груза, направлена вертикально вниз. Начало отсчёта координаты *x* (точка *O*) выбрано в положении нерастянутой пружины.

На рис. 4.9, *a* положение нерастянутой пружины соответствует положению груза на тросе в момент его защемления. В произвольном положении груза (рис. 4.9, *b*), обозначенном координатой *x*, к нему приложены две силы: сила тяжести $\vec{Q}$ и сила упругости пружины $\vec{F}_{\text{упр}}$. Проекция силы упругости пружины на ось *Ox*: $F_{\text{упр}\,x} = -c\Delta\ell = -cx$, где $\Delta\ell$ – удлинение пружины. Дифференциальное уравнение движения груза в проекции на ось *Ox* имеет вид: $m\ddot{x} = Q - cx$. В результате получаем неоднородное дифференциальное уравнение колебаний:

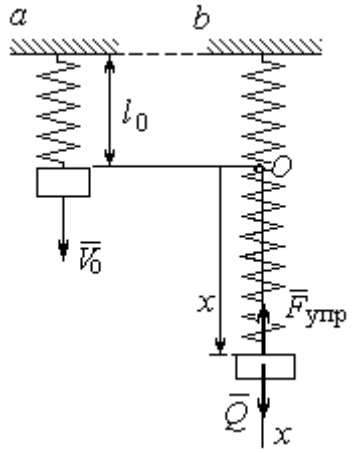

Рис. 4.9. Расчётная схема колебаний груза:
a – положение груза на начало колебаний; *b* – положение груза в произвольный момент времени

$$m\ddot{x} + cx = mg \text{ или } \ddot{x} + \omega^2 x = g,$$

где ω – угловая частота собственных колебаний, $\omega = \sqrt{\dfrac{c}{m}} = 14{,}14$ рад/с.

Решение неоднородного дифференциального уравнения представляется в виде $x = C_1\cos\omega t + C_2\sin\omega t + \dfrac{g}{\omega^2}$, где первые два слагаемых представляют общее решения однородного уравнения, последнее – частное решение неоднородного

Для определения произвольных постоянных C_1 и C_2 используем начальные условия движения: при $t = 0$ груз находился в положении $x = 0$, а его скорость равнялась скорости груза $\dot{x} = V_0 = 10$ м/с. Подставляя значение координаты начального положения груза в общее решение уравнения колебаний, полу-

чим: $C_1 = -\frac{g}{\omega^2} = -0{,}69$ м. Для определения второй константы вычислим скорость груза: $\dot{x} = -C_1\omega\sin\omega t + C_2\omega\cos\omega t$. Подставив начальное значение скорости груза при $t = 0$, получим: $C_2 = \frac{V_0}{\omega} = 0{,}71$ м. Окончательно, движение груза после защемления троса в обойме блока описывается уравнением

$$x = -0{,}69\cos 14{,}14t + 0{,}71\sin 14{,}14t + 0{,}69.$$

Представим уравнение колебаний в виде $x = A\sin(\omega t + \alpha) + \frac{g}{\omega^2}$, где A – амплитуда собственных колебаний груза $A = \sqrt{C_1^2 + C_2^2}$, α – фаза колебаний; $\operatorname{tg}\alpha = \frac{C_1}{C_2}$. Максимальное растяжение троса равно максимальному значению координаты груза: $x_{\max} = \max[A\sin(\omega t + \alpha) + \frac{g}{\omega^2}] = A + \frac{g}{\omega^2} = 1{,}68$ м. Соответственно, максимальное усилие в тросе равно значению силы упругости при максимальном растяжении: $F_{\text{упр max}} = cx_{\max} = 134{,}4$ кН.

Задача 46. Рабочий орган вибрационной машины представляет собой массивное тело, расположенное на гладкой наклонной плоскости между двумя пружинами (см. рис. 4.10). Угол наклона плоскости к горизонту 60º. Масса груза $m = 9$ кг. Пружины, зажимающие груз, имеют коэффициенты жесткости $c_1 = 300$ Н/м и $c_2 = 600$ Н/м.

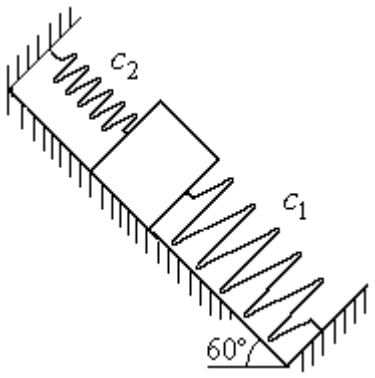

Рис. 4.10. Колебания груза на наклонной плоскости

В начальный момент груз, когда пружины не деформированы, груз оттягивают вниз по наклонной плоскости на расстояние $\Delta\ell = 0{,}12$ м и отпускают без начальной скорости.

Найти период колебаний, амплитуду и уравнение движения груза.

Решение

Колебания груза, зажатого между двумя пружинами, представим как колебания груза, прикреплённого к одной пружине эквивалентной жёсткости: $c_э = c_1 + c_2$ = 900 Н/м (рис. 4.11). Ось, вдоль которой происходят колебания, направим вниз по наклонной плоскости. Начало отсчёта координаты груза x выберем в положении его статического равновесия (точка O) (см. рис. 4.11).

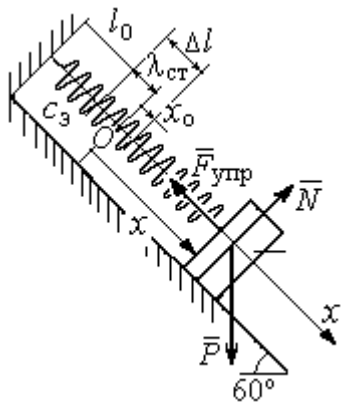

Рис. 4.11. Схема колебаний груза на эквивалентной пружине

Дифференциальное уравнение движения груза в проекции на ось Ox: $m\ddot{x} = P_x - F_{упр\,x}$. Проекция силы упругости пружины на ось Ox: $F_{упр\,x} = -c_э \Delta\ell$, где $\Delta\ell = (x + \lambda_{ст})$ – удлинение пружины, включающее её растяжение $\lambda_{ст}$ относительно положения нерастянутой пружины и растяжение x относительно начала координат.

Удлинение пружины $\lambda_{ст}$ определяется из условия равновесия груза на наклонной плоскости в положении статического равновесия:

$$P\cos 30^\circ - F_{упр} = 0{,}87mg - c_э\lambda_{ст} = 0.$$

Находим $\lambda_{ст} = \dfrac{0{,}87mg}{c_э} = 0{,}085$ м.

Подставляя выражение силы упругости, с учётом условия статического равновесия груза ($0{,}87mg = c_э\lambda_{ст}$), получим дифференциальное уравнение колебаний: $m\ddot{x} = -c_э x$ или $\ddot{x} + \omega^2 x = 0$, где ω – угловая частота собственных колебаний груза, $\omega = \sqrt{\dfrac{c_э}{m}} = 10$ рад/с.

Общее решение уравнения колебаний $x = C_1\cos\omega t + C_2\sin\omega t$.

Для определения произвольных постоянных C_1 и C_2 вычислим начальные условия движения груза.

Координата начального положения груза на оси Ox (см. рис. 4.11) $x_0 = \Delta\ell - \lambda_{ст} = 0{,}035$ м. Подставляя значение координаты начального положения груза в общее решение уравнения колебаний при $t = 0$, получим: $C_1 = x_0 = 0{,}035$ м. Для определения второй константы вычислим скорость груза: $\dot{x} = -C_1\omega_2 \sin\omega_2 t + C_2\omega_2 \cos\omega_2 t$. Подставив начальное значение скорости груза: при $t = 0$ $\dot{x} = V_0 = 0$, получим $C_2 = 0$. Окончательно уравнение движения груза относительно его положения статического равновесия $x(t) = 0{,}035\cos 10t$ м. Амплитуда колебаний $A = 0{,}035$ м. Период колебаний $T = \dfrac{2\pi}{\omega} = 0{,}63$ с.

Задача 47. Пружинный амортизатор состоит из двух одинаковых вертикально стоящих пружин, к верхним концам которых прикреплена невесомая горизонтальная площадка (рис. 4.12). Жёсткость каждой пружины c = 350 Н/м. Груз массой m = 5 кг падает с высоты h = 0,3 м.

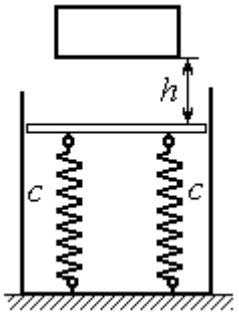

Рис. 4.12. Пружинный амортизатор

Коснувшись площадки, груз начинает двигаться вместе с ней. Определить максимальную осадку амортизатора и уравнение движения груза.

Решение

Заменим две пружины амортизатора одной с жесткостью, эквивалентной двум пружинам: $c_э = 2c$ = 700 Н/м. Расчётная схема колебаний груза показана на рис. 4.13. Начало координат оси x (точка O), вдоль которой происходят колебания, выбрано на уровне статического равновесия груза.

При движении (на рис. 4.13, c предполагается движение груза вниз) на груз действуют сила упругости $\vec{F}_{упр}$ и сила тяжести $\vec{P}$. Уравнение движения груза в проекции на ось x: $m\ddot{x} = P - F_{упр} = P - c_э\Delta\ell$, где $\Delta\ell$ – удлинение (или сжатие) пружины относительно недеформированного состояния.

В произвольном положении груза, обозначенном координатой x (см. рис. 4.13, *c*), сжатие пружины относительно её недеформированного состояния (см. рис. 4.13, *a*) составляет величину: $\Delta\ell = x + \lambda_{ст}$. Величина $\lambda_{ст}$ находится из условия статического равновесия груза, которое выражается равенством (рис. 4.13, *b*): $P - F_{упр\,ст} = P - c_э\lambda_{ст} = 0$.

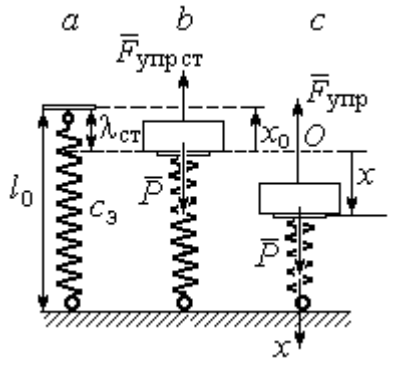

Рис. 4.13. Расчётная схема колебаний на эквивалентной пружине:
a – недеформированная пружина;
b – положение статического равновесия груза; *c* – произвольное положение

Подставляя это условие в уравнение движения груза, получим дифференциальное уравнение колебаний: $m\ddot{x} + c_э x = 0$ или $m\ddot{x} + \omega^2 x = 0$, где $\omega = \sqrt{\dfrac{c_э}{m}}$ = 11,83 рад/с – угловая частота колебаний.

Общее решение однородного уравнения колебаний представляется в виде $x = C_1\cos\omega t + C_2\sin\omega t$, где C_1 и C_2 – произвольные постоянные, вычисляемые по начальным условиям движения груза.

По условию задачи груз падает на площадку, установленную на недеформированных пружинах. Это означает, что начальная координата груза при его движении на пружинах соответствует положению недеформированной пружины: $x_0 = -\lambda_{ст} = -\dfrac{mg}{c_э} = -0{,}07$ м.

Начальная скорость колебаний груза равна скорости груза при падении его с высоты 1 м. Интегрируя уравнение движения груза во время падения $m\ddot{s} = mg$, где s – путь, пройденный телом, получим зависимость скорости от пройденного пути: $V^2 = 2gs$. Полагая s = 0,3, найдём скорость груза при его встрече с площадкой: V = 2,43 м/с. Проекция начальной скорости колебаний груза на ось x положительна: $V_{0x} = V$ = 2,43 м/с.

Подставив начальные условия в общее решение уравнения колебаний, получим: $C_1 = x_0 = -0{,}07$ м; $C_2 = \frac{V_{0x}}{\omega} = 0{,}2$ м. Окончательно уравнение колебаний груза на амортизаторе $x = -0{,}07\cos 11{,}83t + 0{,}2\sin 11{,}83t$. Амплитуда колебаний $A = \sqrt{C_1^2 + C_2^2} = 0{,}21$ м. Проседание амортизатора H отсчитывается от положения нерастянутых пружин: $H = A + \lambda_{ст} = 0{,}28$ м.

Задача 48. Для регистрации (записи) вертикальных колебаний тяжёлых платформ используется пружинный виброграф (рис. 4.14). Схема действия прибора состоит в следующем. Массивная платформа A совершает вертикальные гармонические колебания по закону $\xi = \xi(t)$. На платформе установлена вертикальная стойка с горизонтальной перекладиной, к которой прикреплена пружина жесткостью c. К нижнему концу пружины подвешен груз P массой m с индикаторной стрелкой B (см. рис. 4.14). Вертикальная шкала индикаторной стрелки закреплена на платформе A. В начальный момент груз на пружине находился в покое в положении статического равновесия. Определить закон колебаний стрелки B вдоль шкалы, если масса груза $m = 1$ кг, жесткость пружины $c = 10$ Н/м, платформа совершает вертикальные колебания по закону $\xi = a\sin pt$ см, где амплитуда $a = 0{,}02$ м, частота колебаний платформы $p = 7$ рад/с.

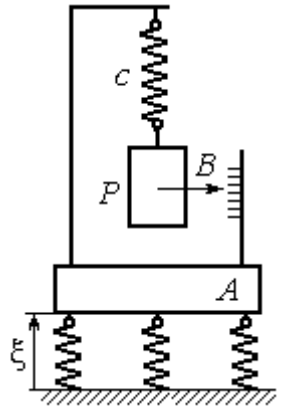

Рис.4.14. Регистратор вертикальных колебаний

Решение

Выберем неподвижную ось x, связанную, например, с неподвижной поверхностью, на которой стоит платформа. Начало координат – точку O выберем на уровне статического равновесия груза на пружине при неподвижной платформе. Произвольное положение груза отмечено координатой x (рис. 4.15).

Растяжение пружины при неподвижной платформе составляет величину $x+\lambda_{ст}$, где $\lambda_{ст}$ – удлинение пружины в положении статического равновесия груза, определяемое из условия $P-c\lambda_{ст}=0$. Вместе с тем колебание платформы вызывает аналогичное смещение точки подвеса пружины. В результате растяжение пружины при произвольном положении груза равно сумме: $\Delta\ell=(x+\lambda_{ст}+\xi)$.

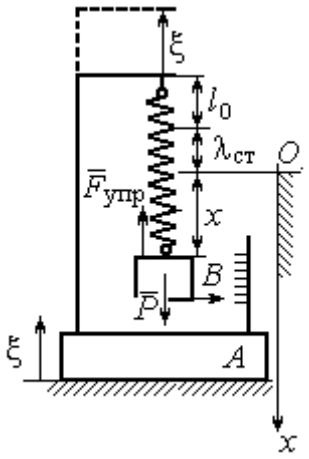

Рис. 4.15. Расчётная схема колебаний груза

На груз действуют сила тяжести $\vec{P}$ и сила упругости пружины $\vec{F}_{упр}$. Дифференциальное уравнение движения груза в проекции на ось *Ox*: $m\ddot{x}=P_x+F_{упр\,x}$, где проекции $P_x=P$, $F_{упр\,x}=-c\Delta\ell=-c(x+\lambda_{ст}+\xi)$. Расчётная схема колебаний груза показана на рис. 4.15.

С учётом условия статического равновесия груза $P-c\lambda_{ст}=0$ получим дифференциальное уравнение вынужденных колебаний груза в виде:

$$\ddot{x}+\omega^2x=-h\sin pt,$$

где ω – угловая частота собственных колебаний груза, $\omega=\sqrt{\dfrac{c}{m}}=3{,}16$ рад/с;

h – относительная амплитуда вынужденных колебаний, $h=\dfrac{ca}{m}$ = 0,2 м/с^2;

p – угловая частота вынужденных колебаний, p = 7 рад/с.

Решение уравнения вынужденных колебаний представляется суммой $x=x_1+x_2$, где x_1 является общим решением однородного уравнения $\ddot{x}_1+\omega^2x_1=0$, а x_2 – частное решение уравнения вынужденных колебаний: $\ddot{x}_2+\omega^2x_2=-h\sin pt$.

Решив однородное уравнение, находим: $x_1=C_1\cos\omega t+C_2\sin\omega t$.

При отсутствии резонанса (а в данном случае частота вынужденных колебаний груза не совпадает с частотой собственных $\omega \neq p$) частное решение уравнения вынужденных колебаний ищем в виде $x_2 = b\sin pt$. Подставляя частное решение в уравнение вынужденных колебаний, получим уравнение $-bp^2\sin pt + \omega^2 b\sin pt = -h\sin pt$, откуда находим коэффициент: $b = \dfrac{h}{p^2 - \omega^2}$.

В результате общее решение уравнения колебаний принимает вид:

$$x = x_1 + x_2 = C_1\cos\omega t + C_2\sin\omega t + \frac{h}{p^2 - \omega^2}\sin pt,$$

где константы C_1 и C_2 подлежат определению.

В начальный момент груз находился на пружине в положении статического равновесия, и потому его начальная координата и скорость равны нулю Подставляя значение координаты начального положения груза в общее решение уравнения вынужденных колебаний при t = 0, получим C_1= 0. Для определения второй константы вычислим скорость груза в произвольный момент времени: $\dot{x} = -C_1\omega\sin\omega t + C_2\omega\cos\omega t + \dfrac{hp}{p^2 - \omega^2}\cos pt$. Подставив начальное значение скорости груза, найдём $C_2 = -\dfrac{hp}{\omega(p^2 - \omega^2)} = -0{,}01$ м.

Таким образом, колебания груза относительно неподвижной системы координат описываются уравнением $x = -0{,}01\sin 3{,}16t + 0{,}05\sin 7t$ и представляют абсолютное движение груза. Для того чтобы найти закон движения груза относительно платформы – относительное движение, нужно из его абсолютного движения исключить переносное – колебания платформы. Поскольку стрелка прибора закреплена на грузе, а шкала – на платформе, то закон движения стрелки относительно шкалы:

$$x_r = x - \xi = -0{,}01\sin 3{,}16t + 0{,}05\sin 7t - 0{,}02\sin 7t = -0{,}01\sin 3{,}16t + 0{,}03\sin 7t.$$

Упражнения

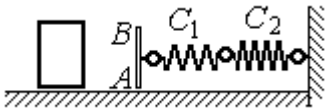

Рис. 4.16. Схема движения груза

Упражнение 4.3. Груз массы m = 0,5 кг, получив начальную скорость V_0 = 6 м/с, движется по горизонтальной поверхности, испытывая силу сопротивления, равную по величине $F = kV$ и направленную в сторону, противоположную движению. Через 1 с груз соединяется с невесомой вертикальной площадкой AB и продолжает движение вместе с ней, уже без сопротивления. К площадке прикреплены две горизонтальные последовательно соединённые пружины жёсткостью C_1 = 120 и C_2 = 40 Н/м (рис. 4.16).

Найти величину максимального сжатия пружины, если k = 0,5 Н/м/с. Определить закон движения груза.

Упражнение 4.4. Груз массы m =1 кг прикреплен к конструкции, состоящей из трёх вертикальных пружин одинаковой жёсткости C = 160 Н/м (рис. 4.17), и находится в равновесии. В некоторый момент времени грузу сообщают скорость V = 4 м/с, направленную вверх.

Найти амплитуду и частоту колебаний груза.

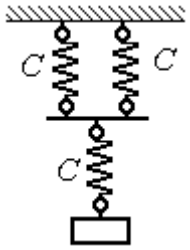

Рис. 4.17. Схема крепления груза на пружинах

4.3. Теорема об изменении кинетической энергии точки

Работой постоянной по величине и направлению силы $\vec{F}$ на прямолинейном перемещении точки приложения силы M (рис. 4.18) называется скалярная величина $A(\vec{F}) = FS\cos\alpha$, где F – модуль силы; S – конечное перемещение точки приложения силы; α – угол между направлением вектора силы и направлением перемещения точки приложения силы.

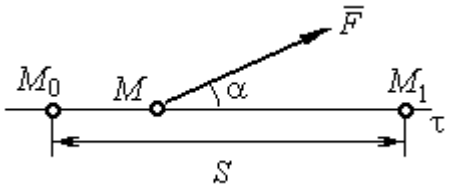

Рис. 4.18. Работа постоянной силы на прямолинейном участке

Работа силы тяжести материальной точки при перемещении её из положения M_0 в положение M_1 равна произведению $A_{(M_0M_1)} = \pm Ph$, где P – величина силы тяжести точки; h – вертикальное перемещение точки (рис. 4.19).

Работа силы тяжести положительна, если начальная точка движения выше конечной (см. рис. 4.19, *a*), и отрицательна, если начальная точка ниже конечной (см. рис. 4.19, *b*).

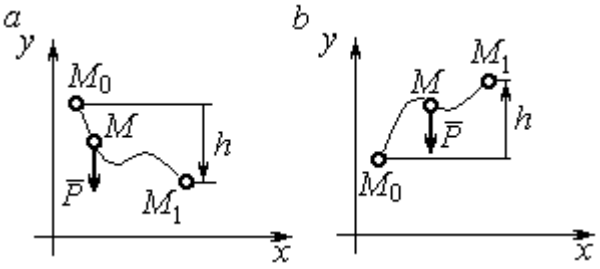

Рис. 4.19. Работа силы тяжести:
a – перемещение точки сверху вниз;
b – перемещение точки снизу вверх

Работа силы упругости пружины при перемещении вдоль линии действия силы из положения недеформированной пружины на расстояние *h* определяется формулой $A(\vec{F}_{\text{упр}}) = -\frac{ch^2}{2}$, где c – коэффициент жесткости (или жёсткость) пружины.

Кинетической энергией материальной точки называется скалярная величина $T = \frac{1}{2}mV^2$, где *m* – масса точки; *V* – её скорость.

Теорема об изменении кинетической энергии точки. Изменение кинетической энергии материальной точки при переходе её из начального положения в текущее равно алгебраической сумме работ всех действующих на неё сил: $\frac{mV_1^2}{2} - \frac{mV_0^2}{2} = \sum A_{(M_0M_1)}$, где V_0, V_1 – скорость точки в начальном положении M_0 и в положении M_1; $\sum A_{(M_0M_1)}$ – сумма работ всех сил, действующих на точку, при перемещении её из положения M_0 в положение M_1. При несвободном движении точки в сумму работ сил войдёт и работа реакций связи.

Для определения реакций связи при несвободном движении точки используются уравнения движения в проекциях на оси естественной системы координат – касательную и нормальную: $m\frac{dV}{dt} = \sum F_\tau$, $m\frac{V^2}{\rho} = \sum F_n$, где $\sum F_\tau$, $\sum F_n$ – суммы проекций сил на касательную и нормальную оси естественной системы координат, ρ – радиус кривизны траектории точки.

Примеры решения задач с использованием теоремы об изменении кинетической энергии точки

Задача 49. Подъёмное устройство в шахте опускает груз массой 500 кг с постоянной скоростью V_0 = 6 м/с. После обрыва каната подъёмника срабатывает предохранительное устройство, которое создаёт силу трения между лифтом подъёмного устройства и стенками шахты. Какую силу трения, считая её постоянной, должно создать предохранительное устройство, чтобы остановить лифт на протяжении пути 10 м.

Решение

Рассмотрим падение груза после обрыва каната подъёмника. На груз действуют сила тяжести $\vec{P}$ и сила трения $\vec{F}_{\text{тр}}$, направленная в сторону, противоположную движению. Считая груз материальной точкой, составим уравнение теоремы об изменении кинетической энергии точки. Получим выражение $\frac{mV^2}{2} - \frac{mV_0^2}{2} = Ps - F_{\text{тр}}s$, где V_0, V – скорость груза в начале движения (сразу после обрыва каната) и в конце; s – путь, проходимый грузом за время движения. В конце движения груз должен остановиться, то есть V = 0. Тогда уравнение теоремы об изменении кинетической энергии точки принимает вид: $-\frac{mV_0^2}{2} = \left(P - F_{\text{тр}}\right)s$, откуда находим требуемую для остановки груза силу трения: $F_{\text{тр}} = P + \frac{mV_0^2}{2s}$. Подставляя условия задачи, получим: $F_{\text{тр}}$ = 5,81 кН

Задача 50. Тонкий стержень, расположенный в вертикальной плоскости, состоит из двух дуг сопряженных окружностей радиусов R = 1 м и r = 0,5 м (рис. 4.20). Линия OO_1, соединяющая центры окружностей, составляет с горизонтом угол 30°. На стержень надет шарик весом P = 10 Н. В точке A, положение которой на дуге радиуса R определяется углом α = 60°, шарику сообщают начальную скорость V_0, после чего он скользит по стержню без трения. Опре-

делить значение начальной скорости, при которой шарик достигнет наивысшей точки B со скоростью, равной половине начальной. При найденном значении начальной скорости рассчитать давление шарика на стержень в точке C, положение которой на дуге радиуса r определяется углом $\beta = 90°$ относительно линии центров.

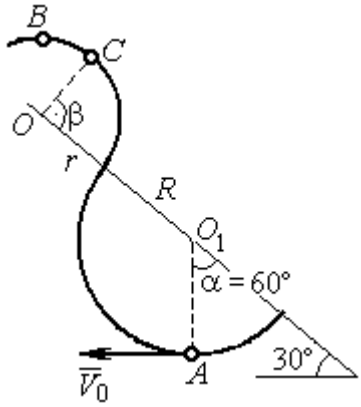

Рис. 4.20. Движение шарика по изогнутому стержню

Решение

При движении шарика по стержню без трения на него действуют сила тяжести $\vec{P}$ и реакция опоры $\vec{N}$. При этом работу совершает только сила тяжести шарика. Реакция гладкой поверхности стержня в любой момент времени перпендикулярна поверхности стержня и потому её работа равна нулю.

По теореме об изменении кинетической энергии точки при движении её из начального положения A в положение B имеем равенство:

$$\frac{mV_B^2}{2} - \frac{mV_A^2}{2} = A(P) = -Ph_{(AB)},$$

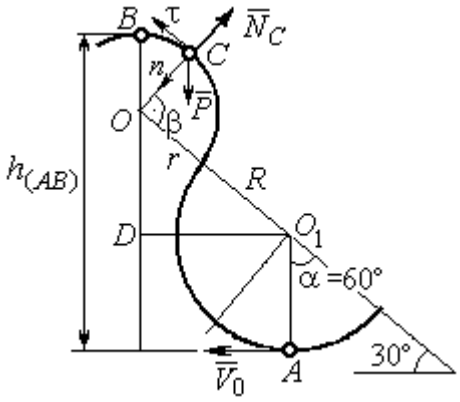

Рис. 4.21. Расчётная схема движения шарика

где $h_{(AB)}$ – перепад высот точек B и A, $h_{(AB)} = R + DO + r = \frac{3}{2}(R + r)$ (см. рис. 4.21); V_A, V_B – скорость шарика в точках A и B, причём $V_A = V_0$, $V_B = 0{,}5V_0$.

В результате уравнение, составленное на основании теоремы об изменении кинетической энергии, принимает вид: $\frac{3V_0^2}{8} = g\frac{3}{2}(R + r)$, откуда $V_0 = 2\sqrt{(R + r)g} = 7{,}67$ м/с.

На рис. 4.21 показаны силы, приложенные к шарику, в момент, когда он находится в точке *C*. Проведём в точке *C* оси естественной системы координат – касательную $C\tau$ и нормаль Cn. Уравнение движения шарика в проекции на нормальную ось имеет вид: $m\dfrac{V_C^2}{r} = P\cos 30^\circ - N_C$, откуда найдём реакцию N_C.

Для определения скорости шарика в точке *C* воспользуемся теоремой об изменении кинетической энергии точки при движении шарика из положения *C* в положение *B*. Получим равенство $\dfrac{mV_B^2}{2} - \dfrac{mV_C^2}{2} = -Ph_{(CB)}$, где $h_{(CB)}$ – перепад высот при движении шарика из начального положения *C* в положение *B*. С учётом известных значений $V_B = 0{,}5V_0 =$ 3,84 м/с и $h_{(CB)} = r\cos 30^\circ =$ 0,43 м получим: $V_C = \sqrt{V_B^2 + 2gh_{(CB)}} =$ 4,82 м/с.

Из уравнения движения шарика находим реакцию опоры $N_C = P\cos 30^\circ - m\dfrac{V_C^2}{r} =$ – 38,7 Н.

Отрицательное значение реакции опоры шарика показывает, что фактическое направление реакции противоположно тому, как показано на рис. 4.21. Искомое давление шарика на трубку равно модулю реакции опоры.

Задача 51. Желоб состоит из шероховатой наклонной прямой *AB* и гладкой дуги окружности радиуса *r* = 0,8 м, сопряжённых в точке *B* так, что прямая *AB* является касательной к окружности в точке *B* (рис. 4.22). Положение точки *B* на дуге задаётся углом 30º относительно вертикального диаметра окружности. Тяжёлый шарик массой *m* = 0,5 кг начинает движение из точки *A* со скоростью $V_0 = 0{,}2$ м/с.

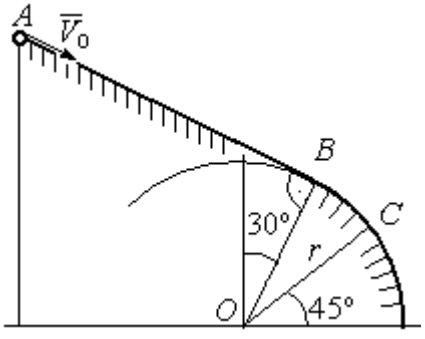

Рис. 4.22. Движение точки по составному желобу

Какой длины *S* должен быть желоб *AB*,

чтобы шарик оторвался от окружности в точке C, определяемой углом 45º относительно горизонтального диаметра, если при движении по прямой AB шарик испытывает сопротивление скольжения с коэффициентом трения $f = 0{,}4$.

Решение

Рассмотрим движение шарика по дуге окружности. Проведём в точке C оси естественной системы координат – касательную $C\tau$ и нормаль Cn (рис. 4.23). На шарик действуют сила тяжести $\vec{P}$, реакция $\vec{N}_C$ опоры в точке C. Уравнение движения шарика в проекции на ось Cn имеет вид: $m\dfrac{V_C^2}{r} = P\cos 45^\circ - N_C$, где V_C – скорость шарика в точке C. Реакция опоры $N_C = P\cos 45^\circ - m\dfrac{V_C^2}{r}$.

В момент отрыва шарика в точке C реакция опоры обращается в ноль: $N_C = 0$. В результате получаем уравнение $V_C^2 = rg\cos 45^\circ$, из которого находим скорость шарика в момент его отрыва от опоры: $V_C = 2{,}36$ м/с.

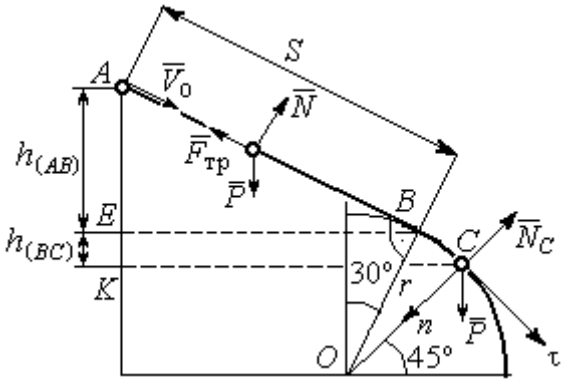

Рис. 4.23. Расчётная схема движения точки

Рассмотрим движение шарика из начального положения A в положение C. На шарик действуют сила тяжести $\vec{P}$, нормальная реакция опоры $\vec{N}$ и, при движении по наклонной прямой AB, сила трения $\vec{F}_{\text{тр}}$ (см. рис. 4.23). Работу совершают сила тяжести шарика и сила трения. Реакция опоры $\vec{N}$ и в том и другом случае перпендикулярна траектории движения, и её работа равна нулю.

Составим уравнение теоремы об изменении кинетической энергии точки $\dfrac{mV_C^2}{2} - \dfrac{mV_A^2}{2} = Ph_{(AC)} - F_{\text{тр}}S$, где S – длина участка AB; $h_{(AC)}$ – перепад высот на участке AC (см. рис. 4.23); $h_{(AC)} = h_{(AB)} + h_{(BC)} = S\sin 30^\circ + r\left(\cos 30^\circ - \cos 45^\circ\right)$.

Модуль силы трения: $F_{\text{тр}} = fN$. Для того чтобы найти реакцию N опоры шарика на наклонную поверхность желоба AB, составим проекцию уравнения движения шарика на ось y, перпендикулярную AB (на рис. 4.23 не показана). Получим: $m\ddot{y} = N - P\cos 30^\circ = 0$. Отсюда $N = P\cos 30^\circ$ и сила трения $F_{\text{тр}} = fP\cos 30^\circ$.

Из уравнения теоремы об изменении кинетической энергии точки найдём выражение для определения длины S участка AB:

$$\frac{V_C^2 - V_A^2}{2g} = S\sin 30^\circ + r\left(\cos 30^\circ - \cos 45^\circ\right) - fPS\cos 30^\circ,$$

откуда получим $S = 1$ м.

Задача 52. Груз подвешен на нити длиной $l = 1$ м, закреплённой в неподвижной точке O (рис. 4.24). В начальный момент груз находился в положении A, при котором линия OA составляет с вертикалью угол $60°$. В этом положении грузу сообщают начальную скорость $\vec{V}_0$, перпендикулярно нити. Достигнув горизонтального положения, нить, натянутая грузом, встречает препятствие в виде тонкой проволоки в точке O_1, расположенной на середине длины нити, и дальше навивается на неё.

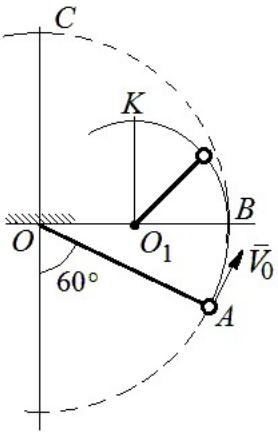

Рис. 4.24. Схема движения груза на нити

Какую минимальную начальную скорость нужно сообщить грузу в точке A, чтобы после встречи нити с проволокой в O_1 груз проскочил верхнюю точку траектории K. На какую максимальную высоту (относительно горизонтального диаметра OB) поднимется груз, двигаясь из той же точки A и с той же начальной скоростью, если нить будет двигаться беспрепятственно. Определить скачок натяжения нити в точке B при переходе груза с одной траектории на другую.

Решение

Построим оси естественной системы координат $n K \tau$ в точке K траектории – окружности радиуса $0{,}5l$ с центром O_1 (рис. 4.25, *a*). Во время движения на груз действуют сила тяжести и реакция нити. Уравнение движения груза в проекции на ось Kn имеет вид: $m\dfrac{V_K^2}{r} = P + N_K$, где V_K – скорость

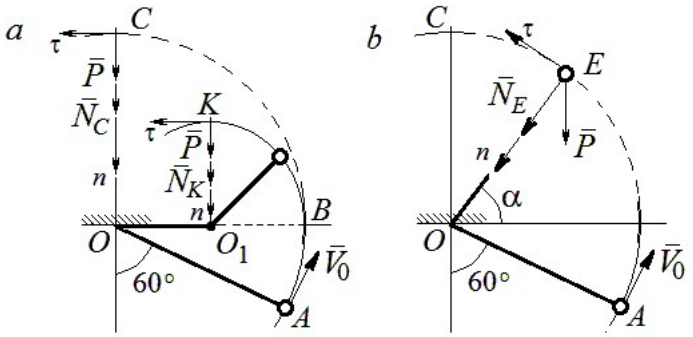

Рис. 4.25. Расчётная схема движения груза:
a – нить навивается на препятствие;
b – свободное движение

груза в точке K; N_K – реакция нити; r – радиус окружности движения груза; $r = 0{,}5l$. Из уравнения движения находим реакцию нити: $N_K = m\dfrac{2V_K^2}{l} - P$.

Так как нить представляет собой гибкую связь, то условием достижимости грузом точки K является требование, что при движении нить должна быть натянута, иначе говоря, всюду во время движения должно выполняться неравенство $N_K \geq 0$. С учётом уравнения движения груза это приводит к неравенству, выражающему требование к скорости в конечной точке: $V_K^2 \geq \dfrac{1}{2}gl$.

Скорость груза в точке K найдём на основании теоремы об изменении кинетической энергии точки при движении груза из положения A в положение K. Имеем равенство $\dfrac{mV_K^2}{2} - \dfrac{mV_0^2}{2} = -Ph_{(AK)}$, где $h_{(AK)}$ – перепад высот точек A и K; $h_{(AK)} = l$ (см. рис. 4.25, *a*). Решая полученное уравнение, найдём зависимость скорости груза в точке K от начальной: $V_K^2 = V_0^2 - 2gl$. С учётом выполнения неравенства натяжения нити получим: $V_0 \geq \sqrt{\dfrac{5}{2}gl}$.

При минимальной начальной скорости $V_0 = \sqrt{\frac{5}{2}gl}$ груз достигает верхней точки *K*. Однако, натяжение нити в точке *K* обращается в нуль: $N_K = 0$ и нить в этом месте перестаёт быть натянутой. Груз продолжает движение, но уже в виде свободного падения с начальной скоростью $V_K = \sqrt{\frac{1}{2}gl}$.

Определим, на какую высоту поднимется груз из положения *A* с минимальной начальной скоростью $V_0 = \sqrt{\frac{5}{2}gl}$, если нить движется беспрепятственно (см. рис. 4.25, *b*). Построим в точке *E* оси естественной системы координат $nE\tau$ аналогично тому, как это было сделано в точке *K*. Уравнение движения груза в проекции на ось *En* имеет вид: $m\frac{V_E^2}{l} = P\sin\alpha + N_E$, где V_E – скорость груза в точке *E*; N_E – проекция реакции нити на нормальную ось.

Для определения скорости груза в точке *E* составим уравнение теоремы об изменении кинетической энергии точки при движении груза из начального положения *A* в положение *E*. Получим: $\frac{mV_E^2}{2} - \frac{mV_0^2}{2} = -Ph_{(AE)}$, где $h_{(AE)}$ – перепад высот точек *A* и *E*; $h_{(AE)} = \frac{l}{2} + l\sin\alpha$ (см. рис. 4.25, *b*). Решая полученное уравнение относительно скорости V_E при заданной начальной скорости $V_0 = \sqrt{\frac{5}{2}gl}$, найдём: $mV_E^2 = \frac{3}{2}mgl - 2mgl\sin\alpha$. С другой стороны, из уравнения движения груза (учитывая, что в точке *E* натяжение нити равно нулю: $N_E = 0$) получим: $mV_E^2 = Pl\sin\alpha$. Приравнивая выражения, получим $\sin\alpha = \frac{1}{2}$. Высота подъёма относительно горизонтального радиуса составляет $\frac{1}{2}l$.

Для определения скачка натяжения нити при переходе груза в точке B с окружности радиуса l на окружность радиуса $\frac{1}{2}l$, т. е. в момент, когда нить начинает навиваться на проволоку, напишем проекции уравнения движения груза на нормальную ось в точке B. Получим для малой окружности $\frac{2mV_B^2}{l} = N_B$ и для большой $\frac{mV_B^2}{l} = N'_B$, где N_B и N'_B – проекции реакции нити в точке B при движении груза по окружности радиусов $\frac{1}{2}l$ и l. Из уравнений видно, что переход груза с большой окружности на малую вызывает двукратное увеличение натяжения нити: $N'_B = \frac{3}{2}mg$, $N_B = 3mg$.

Задача 53. Шарик массой m = 0,5 кг движется в вертикальной плоскости из положения A внутри трубки, которая состоит из полуокружности AB радиуса R = 0,6 м и прямолинейного участка BD, сопряжённого в точке B с окружностью (рис. 4.26). Диаметр полуокружности AB составляет с горизонталью угол 60°. Начальная скорость шарика V_0 = 5 м/с. В конце кругового участка в точке B шарик упирается в недеформированную пружину жесткостью c = 100 Н/м. Найти величину S максимального сжатия пружины.

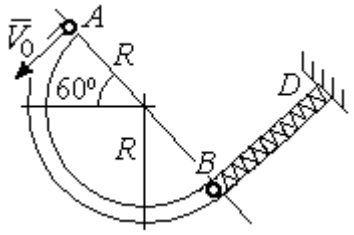

Рис. 4.26. Схема движения шарика

Решение

Найдём скорость шарика в точке B. Для этого составим уравнение теоремы об изменении кинетической энергии точки при движении шарика из начального положения A в положение B. Получим: $\frac{mV_B^2}{2} - \frac{mV_A^2}{2} = A(P) = Ph_{(AB)}$, где $h_{(AB)}$ – перепад высот точек A и B, $h_{(AB)} = 2R\sin 60^\circ = 1{,}04$ м (рис. 4.27).

Решая уравнение, найдём скорость шарика в точке B: $V_B = \sqrt{V_A^2 + 2gh_{(AB)}} = 6{,}74$ м/с.

Для того, чтобы найти величину максимального сжатия пружины, рассмотрим движение шарика на прямолинейном отрезке трубки BD. На этом отрезке работу совершают сила тяжести шарика и сила упругости пружины, приложенные к шарику (см. рис. 4.27).

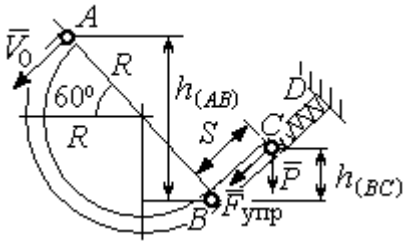

Рис. 4.27. Расчетная схема движения шарика

Обозначим S – максимальное сжатие пружины, равное BC. На основании теоремы об изменении кинетической энергии точки, применённой к движению шарика на отрезке BC, имеем уравнение $\frac{mV_C^2}{2} - \frac{mV_B^2}{2} = A(P) + A(F_{упр}) = -Ph_{(BC)} - \frac{cS^2}{2}$,

где $h_{(BC)}$ – перепад высот точек B и C; $h_{(BC)} = S\sin 30^\circ = 0{,}5S$ (см. рис. 4.27).

В точке C максимального сжатия пружины скорость шарика обращается в нуль: $V_C = 0$. Подставляя это условие, с учётом $V_B = 6{,}74$ м/с, получим уравнение для определения величины максимального сжатия пружины: $S^2 + 0{,}05S - 0{,}23 = 0$.

Выбирая положительный корень уравнения, находим: $S = 0{,}45$ м.

Упражнения

Упражнение 4.5. Лётчик в самолёте пикирует из точки A по прямой, составляющей с горизонтом угол φ, с начальной скоростью V_0. Пройдя расстояние $AB = l$, самолёт продолжает движение по дуге окружности радиуса R, сопряженной с прямой AB в точке B (рис. 4.28).

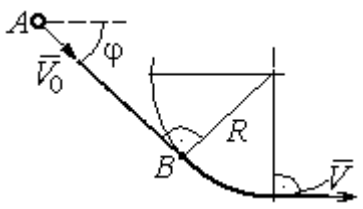

Рис. 4.28. Схема движения самолёта

Каким должен быть радиус окружности, чтобы в точке C – выхода самолёта на горизонтальный полёт - сила давления человека на корпус самолёта не превосходила его тройной вес.

Упражнение 4.6. Пружина жесткостью C = 100 Н/м, сжатая из недеформированного состояния на расстояние $KA = a = 0{,}3$ м, выталкивает шарик массой $m = 0{,}5$ кг, который отделяется от неё в точке K и продолжает движение в трубке по дуге KCB, окружности радиуса R = 1 м, затем – по горизонтальному участку BD. Определить давление шарика на трубку в точке C. Какой путь пройдёт шарик до остановки по прямой BD, если здесь на него действует сила трения с коэффициентом $f = 0{,}4$.

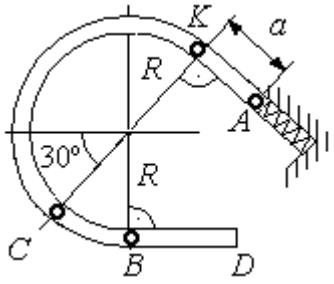

Рис. 4.29. Схема движения шарика в трубке

5. ОБЩИЕ ТЕОРЕМЫ ДИНАМИКИ СИСТЕМЫ

5.1. Теорема о движении центра масс системы

Центром масс системы материальных точек называют точку C, координаты которой x_C, y_C, z_C удовлетворяют равенствам:

$$mx_C = \sum m_k x_k \ , \quad my_C = \sum m_k y_k \ , \ mz_C = \sum m_k z_k \ ,$$

где m – масса системы: $m = \sum m_k$; m_k, x_k, y_k, z_k – массы и координаты материальных точек системы.

Теорема о движении центра масс системы. Центр масс механической системы движется как материальная точка с массой, равной массе системы, и к которой приложены внешние силы, действующие на систему: $m\vec{a}_C = \sum \vec{F}_k^e$, где $\vec{a}_C$ – вектор ускорения центра масс системы; $\sum \vec{F}_k^e$ – сумма всех внешних сил, действующих на систему.

Пример решения задач на применение теоремы о движении центра масс

Задача 54. Груз 1, находящийся на верхнем основании прямоугольной пирамиды *ABCD*, соединен с грузом 2 нерастяжимой нитью, перекинутой через блок C (рис. 5.1). Определить перемещение пирамиды, если груз 2 опустился на высоту 1 м. Масса груза 1 m_1 = 15 кг, груза 2 m_2 = 20 кг, пирамиды m = 50 кг. Трение при движении груза 1 по пирамиде и пирамиды по горизонтальной поверхности не учитывать.

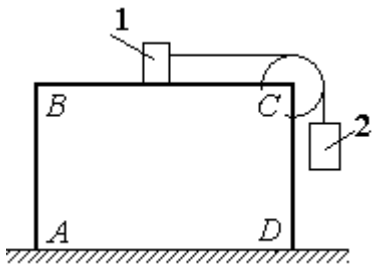

Рис. 5.1. Пирамида с системой подвижных грузов

Решение

Рассматриваем механическую систему, состоящую из двух грузов, соединённых нерастяжимой нитью, блока *C* и пирамиды *ABCD*.

Внешние силы, приложенные к системе: силы тяжести грузов и пирамиды – $\vec{P}_1$, $\vec{P}_2$, $\vec{P}$ и нормальная реакция $\vec{N}$ опоры поверхности, на которой стоит пирамида. Направления векторов внешних сил показаны на рис. 5.2.

Выберем неподвижную систему координат *Axy*, как показано на рис. 5.2. Все внешние силы, действующие на механическую систему, вертикальны, поэтому дифференциальное уравнение, составленное на основании теоремы о движении центра масс механической системы в проекции на ось *Ax,* имеет вид:

$$(m + m_1 + m_2)\ddot{x}_C = P_{1x} + P_{2x} + P_x + N_x = 0$$

$$\text{или} \quad \ddot{x}_C = 0,$$

где x_C – координата центра масс системы.

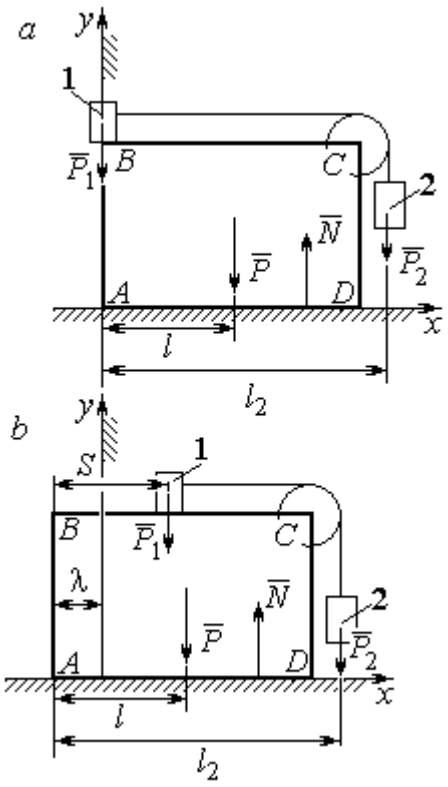

Рис. 5.2. Расчётная схема перемещения пирамиды: *a* – начальное положение; *b* – положение пирамиды при перемещении грузов на расстояние *S*

Проинтегрировав его дважды, получим закон движения центра масс системы: $x_C = C_1 t + C_2$, где константы интегрирования C_1 и C_2 находятся из начальных условий. Предположим, в начальный момент движение в механической системе отсутствовало и координата центра масс системы была равна x_{C0} (на рис. 5.2, *a* не показана), то есть при $t = 0$ $x_C(0) = x_{C0}$ и $\dot{x}_C(0) = 0$. Подставляя начальные условия, получим: $C_1 = 0$, $C_2 = x_{C0}$. В результате закон движения центра масс системы имеет вид: $x_C = x_{C0}$. Последнее означает, что при любом перемещении тел в системе координата центра масс системы на оси *Ax* остаётся постоянной, равной своему начальному значению.

Предположим, в начальный момент времени груз 1 находился у левого края призмы, как показано на рис. 5.2, *a*.

Начальная координата x_{C0} центра масс системы находится из равенства $(m_1 + m_2 + m)x_{C0} = \sum m_k x_k = m_1 \cdot 0 + m_2 l_2 + ml$, где l_2 – расстояние от начала координат до линии действия силы тяжести груза 2 (координата центра масс гру-

за 2 на оси Ax); l – аналогичное расстояние до линии действия силы тяжести пирамиды (см. рис. 5.2, *a*). Тогда начальная координата центра масс системы: $x_{C0} = \dfrac{m_2 l_2 + ml}{(m_1 + m_2 + m)}$.

Положение грузов в системе, после того как груз 1 переместился на расстояние *S*, и положение призмы показано на рис. 5.2, *b*. На рисунке отмечено, что при перемещении груза 1 вправо на расстояние *S* призма *ABCD* сместилась влево на расстояние λ. Координата x_{C1} центра масс для нового положения системы определяется из равенства:

$$(m_1 + m_2 + m)x_{C1} = m_1(S - \lambda) + m_2(l_2 - \lambda) + m(l - \lambda).$$

Выражая отсюда координату x_{C1} и приравнивая её начальному значению координаты центра масс $x_{C0} = x_{C1}$, найдём перемещение пирамиды $\lambda = \dfrac{m_1 S}{(m_1 + m_2 + m)}$. Подставляя данные задачи, получим $\lambda = 0{,}18$ м.

5.2. Теорема об изменении кинетического момента системы относительно оси

Момент инерции однородного диска радиусом *R*, массой *m* относительно оси *z*, проходящей через центр масс перпендикулярно плоскости диска: $J_z = \dfrac{1}{2}mR^2$. **Для неоднородных тел момент инерции** относительно оси *z* вычисляется по формуле: $J_z = mi_z^2$, где i_z – радиус инерции тела.

Кинетическим моментом (моментом количества движения) системы относительно неподвижной оси *z* называется величина, равная сумме моментов количеств движения точек относительно этой оси $\vec{L}_z = \sum M_z(m_k \vec{V}_k)$.

Для твёрдого тела, вращающегося вокруг неподвижной оси *z*, кинетический момент: $L_z = J_z\omega$, где J_z и ω – момент инерции и угловая скорость

тела. **Теорема об изменении кинетического момента системы относительно оси**. Производная по времени от кинетического момента системы относительно неподвижной оси z равна сумме моментов внешних сил относительно той же оси: $\frac{dL_z}{dt} = \sum M_z(\vec{F}_k^e)$.

Примеры решения задач на применение теоремы об изменении кинетического момента системы

Задача 55. Для подъёма груза используется лебёдка со ступенчатым барабаном и противовесом. Груз 1 массой m_1 поднимается на канате, навитом на барабан 2 массой m_2 радиуса R. Противовес 3 массой m_3 прикреплён к канату, который навит на малую ступень барабана радиуса r (рис. 5.3). Радиус инерции барабана относительно оси вращения i_z. На барабан действует постоянный момент сил сопротивления $M_c = 60$ Н·м. В начале движения к барабану лебёдки прикладывается вращающий момент, пропорциональный времени: $M_{вр} = 620 + 30t$ Н·м, который через 2 с отключается. Определить, на какую высоту поднимется груз, если движение началось из состояния покоя. Массы грузов и барабана: $m_1 = 100$ кг, $m_2 = 50$ кг, $m_3 = 20$ кг. Радиусы ступеней барабана и радиус инерции: $R = 0{,}6$ м; $r = 0{,}4$ м; $i_z = 0{,}5$ м.

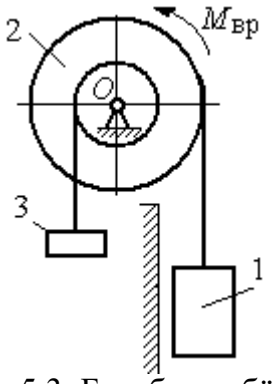

Рис. 5.3. Барабан лебёдки с грузом и противовесом

Решение

Решение следует рассматривать на двух этапах. На первом груз поднимается под действием вращающего момента, на втором – по инерции.

Рассмотрим механическую систему, состоящую из груза 1, барабана 2 и противовеса 3. На систему действуют силы тяжести груза $\vec{P}_1$, барабана $\vec{P}_2$, противовеса $\vec{P}_3$, реакция шарнира $\vec{R}$, пара сил с моментом, равным моменту вра-

щения $M_{вр}$, и пара сил с моментом сопротивления M_c. Направления векторов сил и моментов показаны на рис. 5.4. Выберем начало оси *y*, вдоль которой поднимается груз на первом участке движения, в точке начала движения (см. рис. 5.4).

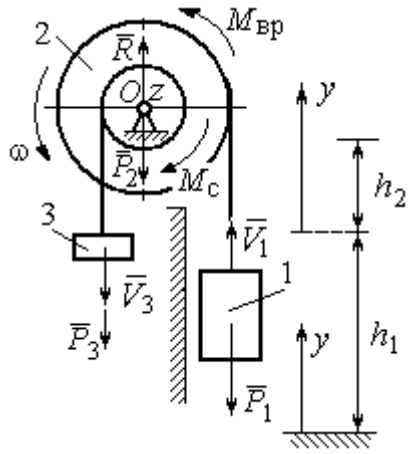

Рис. 5.4. Силы, действующие на систему во время движения

Воспользуемся теоремой об изменении кинетического момента системы относительно оси *z*, проходящей через центр *O*: $\frac{dL_z}{dt} = \sum M_z(\vec{F}_k^e)$. Кинетический момент системы относительно оси *z* равен сумме кинетических моментов барабана, груза и противовеса: $L_z = L_z^{бар} + L_z^{гр} + L_z^{пр}$. Кинетический момент барабана, вращающегося вокруг неподвижной оси *z*: $L_z^{бар} = J_z\omega$, где J_z – момент инерции барабана относительно оси *z*, $J_z = m_2 i_z^2$; ω – угловая скорость барабана. Рассматривая груз и противовес как материальные точки, найдём их кинетические моменты относительно оси *z*: $L_z^{гр} = M_z(m_1\vec{V}_1) = m_1V_1R$; $L_z^{пр} = M_z(m_3\vec{V}_3) = m_3V_3r$.

Суммарный кинетический момент системы:

$$L_z = L_z^{бар} + L_z^{гр} + L_z^{пр} = m_2 i_z^2\omega + m_1V_1R + m_3V_3r.$$

Выразим скорости груза 1 и противовеса 3 через угловую скорость барабана: $V_1 = \omega R$, $V_3 = \omega r$ - и подставим их в выражение кинетического момента. Получим $L_z = (m_2 i_z^2 + m_1R^2 + m_3r^2)\omega = (m_2 i_z^2 + m_1R^2 + m_3r^2)\frac{V_1}{R}$.

Суммарный момент внешних сил относительно оси *z*

$$\sum M_z(\vec{F}_k^e) = M_{вр} - M_c - P_1R + P_3r.$$

Дифференциальное уравнение движения груза:

$$(m_2 i_z^2 + m_1R^2 + m_3r^2)\frac{dV_1}{dt} = \left(M_{вр} - M_c - P_1R + P_3r\right)R,$$

или с учётом данных задачи $\frac{dV_1}{dt} = 0{,}58 + 0{,}35t$.

Дважды интегрируя это уравнение с нулевыми начальными условиями, найдём скорость груза V_1 и проходимый им путь y как функции времени:

$$V_1(t) = 0{,}58t + 0{,}175t^2; \quad y(t) = 0{,}29t^2 + 0{,}058t^3.$$

Из уравнений движения найдём: при $t = 2$ с (конец первого участка) груз поднялся на высоту $h_1 = y(2) = 1{,}62$ м и имел скорость $V_1 = V_1(2) = 1{,}86$ м/с.

На втором участке движения груз продолжает подниматься вверх. Уравнение движения груза здесь аналогично первому участку, за исключением вращающего момента (см. рис. 5.4):

$$(m_2 i_z^2 + m_1 R^2 + m_3 r^2)\frac{dV_1}{dt} = \left(-M_c - P_1 R + P_3 r\right)R, \text{ или } \frac{dV_1}{dt} = -6{,}61.$$

Представим ускорение груза в виде: $\frac{dV_1}{dt} = \frac{dV_1 dy}{dy dt} = V_1 \frac{dV_1}{dy}$. Теперь уравнение движения груза на втором участке имеет вид: $V_1 \frac{dV_1}{dy} = -6{,}61$. Интегрируя его, получим зависимость скорости груза от пройденного пути $\frac{V_1^2}{2} = -6{,}61y + C_3$. Выберем начало второго участка на высоте h_1. Из начальных условий движения груза: при $t = 0$, $y = 0$, $V_1 = 1{,}86$ м/с, получим: $C_3 = 1{,}73$.

Максимальную высоту h_2, на которую поднялся груз на втором участке, определим из условия, что в этой точке скорость груза обращается в нуль. Имеем $0 = -6{,}61h_2 + 1{,}73$, откуда $h_2 = 0{,}26$ м. Максимальная высота подъёма груза $H = h_1 + h_2 = 1{,}88$ м.

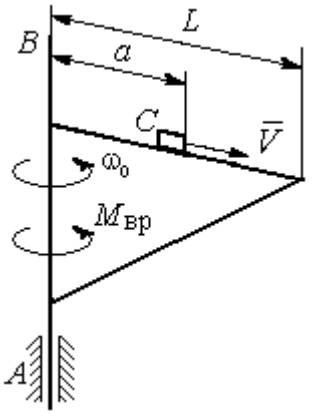

Рис. 5.5. Поворотный кран

Задача 56. Тележка C поворотного подъёмного крана (рис. 5.5) движется с постоянной относительно стрелы скоростью $V = 0{,}5$ м/с. Длина стрелы

L = 10 м, масса тележки с грузом m_1 = 100 кг, момент инерции крана относительно оси вращения AB без учёта тележки и груза J = 1800 кг·м^2. Двигатель крана создаёт постоянный вращающий момент $M_{вр}$ = 400 Н·м. Определить угловую скорость крана в момент, когда тележка достигнет края стрелы, если в начальный момент конструкция вращалась с угловой скоростью ω_0 = 2 рад/с, а тележка находилась на расстоянии a = 1 м от оси вращения.

Решение

На систему действуют внешние силы: $\vec{P}_1$ – сила тяжести тележки с грузом, $\vec{P}_2$ – сила тяжести поворотного крана (на рис. 5.6 показана в условном центре тяжести крана); $\vec{R}_x$, $\vec{R}_y$ – составляющие реакции подшипника A и пара сил с моментом, равным вращающему моменту $M_{вр}$ (см. рис. 5.6). Применим к описанию движения системы теорему об изменении кинетического момента системы относительно оси вращения z, направленной вдоль линии AB.

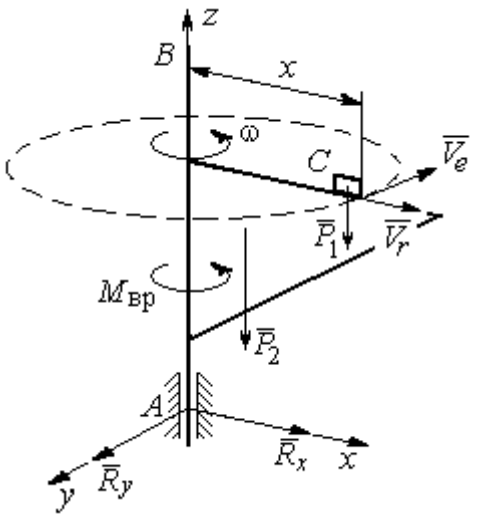

Рис. 5.6. Внешние силы, действующие на кран при его движении

Поскольку силы тяжести параллельны оси вращения крана, а составляющие реакции шарнира A пересекают её, то моменты этих сил относительно оси z равны нулю и теорема об изменении кинетического момента системы принимает вид: $\frac{dL_z}{dt} = M_{вр}$. Интегрируя это уравнение при постоянном вращающем моменте, получим равенство: $L_z - L_{z0} = M_{вр}t$, где L_z, L_{z0} – кинетический момент системы в текущий и начальный моменты времени.

Кинетический момент системы L_z равен сумме: $L_z = L_z^{кран} + L_z^{груз}$. Кинетический момент крана как твердого тела, вращающегося вокруг неподвижной

оси: $L_z^{\text{кран}} = J\omega$. Полагая тележку с грузом материальной точкой, определим её кинетический момент $L_z^{\text{груз}}$, как момент вектора количества движения тележки относительно оси *z*. Тележка с грузом участвует в сложном движении. Вектор абсолютной скорости тележки $\vec{V}_{\text{абс}}$ равен сумме $\vec{V}_{\text{абс}} = \vec{V}_r + \vec{V}_e$, где $\vec{V}_r$ относительная скорость тележки (перемещение по стреле крана); $\vec{V}_e$ – переносная скорость (движение вместе с краном). Воспользовавшись теоремой Вариньона при вычислении момента количества движения тележки с грузом, получим:

$$L_z^{\text{груз}} = M_z(m_1\vec{V}_{\text{абс}}) = M_z(m_1\vec{V}_e + m_1\vec{V}_r) = M_z(m_1\vec{V}_e) = m_1V_ex = m_1\omega x^2.$$

В результате суммарный кинетический момент системы в текущий момент времени $L_z = L_z^{\text{кран}} + L_z^{\text{груз}} = \left(J + m_1x^2\right)\omega$. Тогда начальный кинетический момент систем: $L_{z0} = \left(J + m_1a^2\right)\omega_0$.

Подставляя выражения начального и текущего кинетического моментов в уравнение движения, получим: $\left(J + m_1x^2\right)\omega - \left(J + m_1a^2\right)\omega_0 = M_{\text{вр}}t$, откуда закон изменения угловой скорости крана $\omega = \dfrac{M_{\text{вр}}t + \left(J + m_1a^2\right)\omega_0}{\left(J + m_1x^2\right)}$. Момент времени $t_{\text{к}}$, когда тележка достигнет края стрелы ($x = L$), найдём из условия движения тележки по стреле с постоянной скоростью: $Vt_{\text{к}} = L - a$. С учётом данных задачи угловая скорость крана в этот момент $\omega(t_{\text{к}}) = 0{,}93$ рад/с.

5.3. Теорема об изменении кинетической энергии системы

Кинетическая энергия тела при поступательном движении $T = \dfrac{1}{2}mV_C^2$, где m – масса тела; V_C – скорость центра масс тела; **при вращательном движении** вокруг неподвижной оси z: $T = \dfrac{1}{2}J_z\omega^2$, где J_z – момент инерции тела относительно оси *z*; ω – угловая скорость тела; **при плоскопа-**

раллельном движении: $T = \frac{1}{2} m V_C^2 + \frac{1}{2} J_{zC} \omega^2$, где m – масса тела; V_C, ω – скорость центра масс и угловая скорость тела; J_{zC} – момент инерции тела относительно оси z, проходящей через центр масс перпендикулярно плоскости движения.

Работа постоянной силы F при прямолинейном перемещении точки приложения силы $A = FS\cos\alpha$, где S – перемещение точки; α – постоянный угол между перемещением и направлением силы. **Работа пары сил с постоянным моментом** M при повороте тела на конечный угол φ вычисляется по формуле: $A = \pm M\varphi$, где φ – угол поворота тела. Работа считается положительной, если пара сил стремится повернуть тело в направлении его вращения, и отрицательной – в противном случае.

Мощностью силы F называют величину, равную скалярному произведению силы на скорость точки её приложения: $N = \vec{F} \cdot \vec{V}$, где V – скорость точки приложения силы. При плоском движении тела мощность силы равна сумме скалярных произведений: $N = \vec{F} \cdot \vec{V}_O + \vec{M}_O \cdot \vec{\omega}$, где V_O – скорость точки, выбранной полюсом; ω – угловая скорость тела; $\vec{M}_O = M_O(\vec{F})$ – момент силы относительно полюса. Если в качестве полюса выбрать точку K – мгновенный центр скоростей, то мощность силы $N(\vec{F}) = \vec{M}_K(\vec{F}) \cdot \vec{\omega}$, где $M_K(\vec{F})$ – момент силы относительно мгновенного центра скоростей.

Теорема об изменении кинетической энергии системы в дифференциальной форме. Производная по времени от кинетической энергии системы равна сумме мощностей внешних и внутренних сил $\frac{dT}{dt} = \sum N(\vec{F}_k^e) + \sum N(\vec{F}_k^i)$.

Теорема об изменении кинетической энергии системы на конечном перемещении. Изменение кинетической энергии системы при перемещении её

из начального состояния в текущее равно сумме работ внешних и внутренних сил, действующих на систему: $T - T_0 = \sum A(\vec{F}_k^e) + \sum A(\vec{F}_k^i)$.

Механические системы, состоящие из абсолютно твердых тел, соединенных гибкими нерастяжимыми нитями, называются **неизменяемыми**. В неизменяемых системах сумма работ и сумма мощностей внутренних сил равны нулю: $\sum A(\vec{F}_k^i) = 0$.

Примеры решения задач на применение теоремы об изменении кинетической энергии системы

Задача 57. Планетарный механизм, позволяющий получать повышенные передаточные отношения угловых скоростей, состоит из трех одинаковых колёс, соединённых кривошипом *OA* (рис. 5.7). Колесо 1 неподвижно, кривошип *OA* вращается с угловой скоростью ω_{OA} и приводит в движение колёса 2 и 3. Полагая массы колёс и их радиусы одинаковыми, равными *m* и *r,* и пренебрегая массой кривошипа, найти кинетическую энергию механизма.

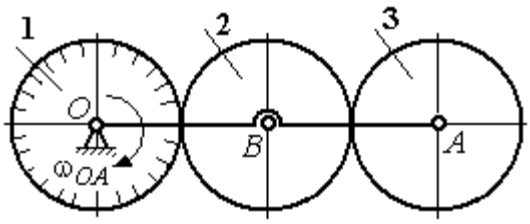

Рис. 5.7. Планетарный механизм

Решение

Кинетическая энергия механизма *T* равна сумме энергий колёс 2 и 3: $T = T_2 + T_3$. Энергия колеса 1 равна нулю потому, что оно неподвижно, а энергия кривошипа равна нулю, так как массой кривошипа пренебрегаем. При движении механизма колесо 2, увлекаемое кривошипом, катится по неподвижной поверхности первого колеса. Энергия колеса 2:

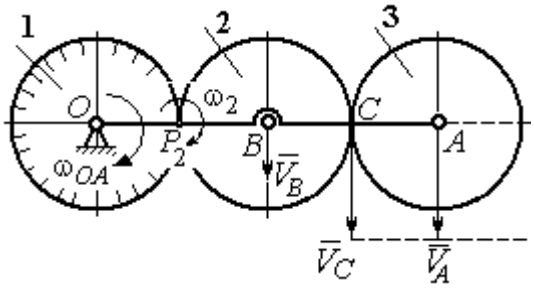

Рис. 5.8. Расчётная схема вычисления энергии механизма

$T_2 = \frac{mV_B^2}{2} + \frac{J_{2B}\omega_2^2}{2}$, где V_B – скорость центра масс колеса 2, J_{2B} – момент инерции колеса 2 относительно оси, проходящей через центр масс перпендикулярно плоскости колеса, $J_{2B} = \frac{mr^2}{2}$.

Выразим кинетическую энергию колеса 2 через угловую скорость ω_{OA} кривошипа OA.

Скорость точки B, лежащей на кривошипе OA: $V_B = \omega_{OA} \cdot OB = \omega_{OA} 2r$.

Так как точка P_2 касания колёс 1 и 2 является мгновенным центром скоростей колеса 2 (рис. 5.8), угловая скорость колеса 2 $\omega_2 = \frac{V_B}{BP_2}$. В результате получим: $\omega_2 = 2\omega_{OA}$. Подставив зависимости V_B и ω_2 в выражение кинетической энергии колеса 2, найдём:

$$T_2 = \frac{m(\omega_{OA} 2r)^2}{2} + \frac{mr^2}{2} \cdot \frac{(2\omega_{OA})^2}{2} = 3m\omega_{OA}^2 r^2.$$

Вычислим кинетическую энергию колеса 3. Найдём скорость точки C, считая, что она принадлежит колесу 2: $V_C = \omega_2 \cdot P_2C = 4\omega_{OA} r$. Скорость точки A – центра колеса 3 определим, полагая, что точка A лежит и на кривошипе: $V_A = \omega_{OA} \cdot OA = 4\omega_{OA} r$. Скорости двух точек A и C колеса 3 равны и параллельны, причём линия AC перпендикулярна векторам скоростей $\vec{V}_A$ и $\vec{V}_C$ (см. рис. 5.8). В этом случае мгновенный центр скоростей отсутствует и колесо 3 совершает мгновенно-поступательное движение. Энергия поступательного движения колеса 3: $T_3 = \frac{mV_A^2}{2} = \frac{m(4\omega_{OA} r)^2}{2} = 8m\omega_{OA}^2 r^2$.

Окончательно, энергия механизма: $T = T_2 + T_3 = 11m\omega_{OA}^2 r^2$.

Задача 58. Горизонтальный желоб DE опирается на блок 1 и на каток 3 одинакового радиуса r (рис. 5.9). Блок 1 весом P_1 вращается вокруг неподвиж-

ной оси O_1. Каток 3 катится по горизонтальному рельсу без проскальзывания. На одной оси с катком 3 жестко связано колесо 2 радиуса R. Их общий вес равен Q, а общий радиус инерции относительно оси z, проходящей через центр масс C перпендикулярно плоскости катка, равен i_z. Система движется в вертикальной плоскости под действием сил тяжести, силы $\vec{F}$ и пары сил с моментом M. Массой желоба пренебрегаем. Скольжение между желобом и блоком 1, а также катком 3 отсутствует. Определить ускорение центра масс колеса 2 и катка 3 и угловое ускорение блока 1, если: P_1 = 40 Н, Q = 60 Н, F = 50 Н, M = 45 Н·м, R = 0,8 м, r = 0,6 м, i_z = 0,4 м.

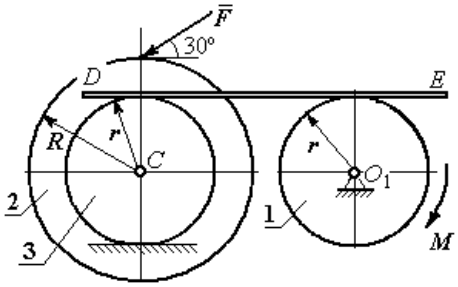

Рис. 5.9. Схема движения механической системы

Решение

Для решения задачи воспользуемся теоремой об изменении кинетической энергии для неизменяемых механических систем: $\frac{dT}{dt} = \sum N(\vec{F}_k^e)$, где T – энергия системы в её текущем положении; $\sum N(\vec{F}_k^e)$ – суммарная мощность внешних сил.

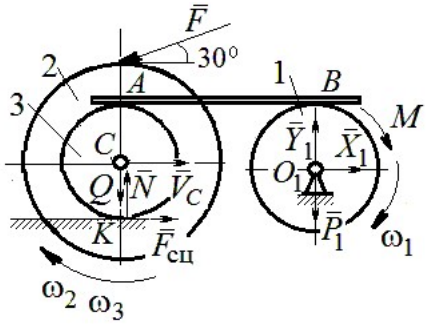

Рис. 5.10. Расчетная схема для исследования движения системы

Предположим, во время движения системы блок 1 вращается по ходу часовой стрелки.

Угловые скорости ω_1, ω_2 блока 1, катка 3 и скорость $\vec{V}_C$ центра масс катка 3 показаны на рис. 5.10. Угловая скорость колеса 2 и катка 3 равны: $\omega_3 = \omega_2$.

Кинетическая энергия вращательного движения блока 1 $T_1 = \frac{1}{2} J_{zO_1} \omega_1^2$,

где J_{zO_1} – осевой момент инерции блока, $J_{zO_1} = \frac{m_1 r^2}{2}$.

Фигура, состоящая из катка 3 и колеса 2, двигается плоскопараллельно. Кинетическая энергия фигуры определяется по формуле: $T_2 = \frac{1}{2} m V_C^2 + \frac{1}{2} J_{zC} \omega_2^2$, где m – общая масса катка и колеса, $m = \frac{Q}{g}$, J_{zC} – момент инерции фигуры относительно оси z, проходящей через центр масс перпендикулярно плоскости диска, $J_{zC} = m i_z^2$,

У катка 3 мгновенный центр скоростей находится в точке касания его с неподвижной поверхностью (точка K на рис. 5.10). Тогда $\omega_3 = \frac{V_C}{r}$. Скорость точки A катка $V_A = \omega_3 2r = 2V_C$. Приравнивая скорость точки A на катке 2 к скорости точки B на блоке 1, получим $\omega_1 = \frac{2V_C}{r}$.

Найдём кинетическую энергию системы, выраженную через скорость центра масс катка 3:

$$T = T_1 + T_2 = \frac{P_1}{g} V_C^2 + \frac{Q}{2g}\left(1 + \frac{i_z^2}{r^2}\right) V_C^2 = \frac{V_C^2}{2g}\left[2P_1 + Q\left(1 + \frac{i_z^2}{r^2}\right)\right].$$

Найдем сумму мощностей внешних сил.

На блок 1 действуют: сила тяжести $\vec{P}_1$, пара сил с моментом M и реакция шарнира O_1, разложенная на составляющие $\vec{X}_1$, $\vec{Y}_1$ (рис. 5.10). Мощности силы тяжести $\vec{P}_1$ и сил реакции $\vec{X}_1$, $\vec{Y}_1$ подшипника O_1 равны нулю, так как нет перемещения точек приложения этих сил. Момент M направлен в сторону вращения блока 1, его мощность $N(M) = M\omega_1 = M\frac{2V_C}{r}$.

На каток 3 (вместе с жестко связанным с ним колесом 2) действуют: сила $\vec{F}$, сила тяжести $\vec{Q}$ катка и колеса, нормальная реакция опоры $\vec{N}$ и сила сцепления $\vec{F}_{\text{сц}}$ катка 3 с поверхностью.

Мощности сил $\vec{N}$ и $\vec{F}_{\text{сц}}$ равны нулю, так как точкой приложения этих сил является мгновенный центр скоростей катка 3, скорость которого равна нулю. Мощность силы тяжести $\vec{Q}$ равна нулю, так как угол между вектором силы и вектором скорости точки C равен 90°.

Для определения мощности силы $\vec{F}$, приложенной к колесу, выберем в качестве полюса точку K – мгновенный центр скоростей диска 2. С учётом того, что скорость $V_K = 0$, получим:

$$N(\vec{F}) = \vec{F} \cdot \vec{V}_K + \vec{M}_K(\vec{F}) \cdot \vec{\omega}_2 = \vec{M}_K(\vec{F})\vec{\omega}_2 =$$

$$= -F(r+R)\omega_2 \cos 30° = -FV_C\left(1+\frac{R}{r}\right)\cos 30°.$$

Поскольку вращение, создаваемое моментом силы $\vec{F}$ относительно центра K, противоположно выбранному направлению угловой скорости катка, мощность силы $\vec{F}$ отрицательная.

Суммарная мощность внешних сил:

$$\sum N(F^e) = -FV_C\left(1+\frac{R}{r}\right)\cos 30° + M\frac{2V_C}{r}.$$

Составляем уравнение теоремы об изменении кинетической энергии системы. Находим производную по времени от кинетической энергии системы $\frac{dT}{dt} = \frac{V_C}{g}a_C\left[2P_1 + Q\left(1+\frac{i_z^2}{r^2}\right)\right]$ и приравниваем суммарной мощности внешних сил. Получим:

$$\frac{1}{g}a_C\left[2P_1 + Q\left(1+\frac{i_z^2}{r^2}\right)\right] = -F\left(1+\frac{R}{r}\right)\cos 30° + \frac{2M}{r},$$

откуда с учётом исходных данных задачи ускорение центра масс диска 2 $a_C = 2{,}88$ м/с^2. Для определения углового ускорения блока 1 продифференцируем по времени равенство $\omega_1 = \dfrac{2V_C}{r}$. Получим: $\varepsilon_1 = \dfrac{2a_C}{r} = 9{,}6$ рад/с^2.

Задача 59. Каток радиуса *r*, весом *P* закатывают вверх по наклонной плоскости приложив в центре катка силу $\vec{F}$ под углом 30° к наклонной плоскости (рис. 5.11). Сама плоскость наклонена под углом 30° к горизонту. Величина силы *F* = 2*P*. В начальном положении центр катка имел скорость V_0.

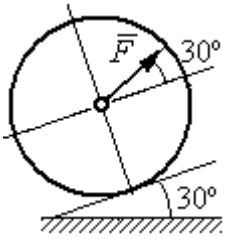

Рис. 5.11. Движение катка на наклонной плоскости

На какое расстояние *S* переместился центр катка, если в конце перемещения его скорость удвоилась.

Решение

Применим теорему об изменении кинетической энергии на конечном перемещении системы: $T - T_0 = \sum A(F_k)$. На каток действует сила тяжести $\vec{P}$, сила $\vec{F}$, нормальная реакция опоры $\vec{N}$ и сила $\vec{F}_{\text{сц}}$ сцепления диска с наклонной плоскостью (рис. 5.12). При перемещении центра катка на расстояние *S* вдоль наклонной плоскости работу совершают только сила $\vec{F}$: $A(\vec{F}) = F\cos 30° S$ и сила тяжести: $A(\vec{P}) = -Ph$, где *h* – перепад высот при перемещении центра масс катка. Работа реакции опоры и силы сцепления равна нулю.

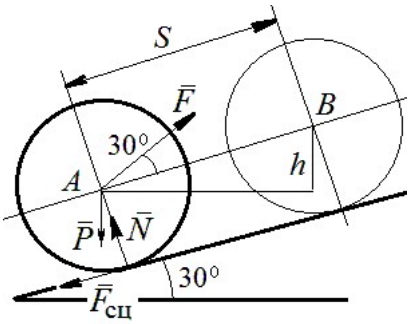

Рис. 5.12. Расчётная схема движения катка

Кинетическая энергия катка $T = \dfrac{1}{2}mV_A^2 + \dfrac{1}{2}J_{zA}\omega^2$, где J_{zA} – момент инерции фигуры относительно оси *z*, проходящей через центр масс перпендикулярно плоскости диска, $J_{zA} = \dfrac{mr^2}{2}$. Выражая угловую скорость катка через

скорость центра масс $\omega = \dfrac{V_A}{r}$, с учётом выражения момента инерции катка, получим энергию катка в виде: $T = \dfrac{3}{4} m V_A^2$.

Составим уравнение теоремы об изменении кинетической энергии при перемещении центра катка на расстояние S: $\dfrac{3}{4} m V_B^2 - \dfrac{3}{4} m V_A^2 = F\cos 30° S - Ph$, где $V_A = V_0$ $V_B = 2V_0$, $F = 2P$, $h = S\sin 30°$.

Найдём искомое перемещение: $S = \dfrac{9V_0^2}{4g\left(2\cos 30° - \sin 30°\right)}$.

Упражнения

Упражнение 5.1. Крановая тележка массы m_1 может перемещаться по горизонтальной балке без трения (рис. 5.13). В центре масс тележки закреплён трос длиной l, на другом конце которого привязан груз массы m_2. Трос может совершать колебательные движения в вертикальной плоскости. В начальный момент трос был в вертикальном положении. Определить горизонтальное перемещение тележки в зависимости от угла наклона троса. Весом троса пренебречь.

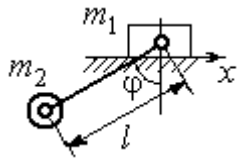

Рис. 5.13. Движение крановой тележки

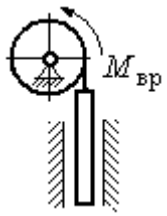

Рис. 5.14. Схема механизма лебёдки

Упражнение 5.2. К барабану лебёдки, поднимающей штангу, приложен вращающий момент, пропорциональный времени $M_{ВР} = kt$ (рис. 5.14). Штанга массы m_1 поднимается посредством каната, навитого на барабан массы m_2 и радиуса r. В начальный момент система находилась в покое. Определить угловую скорость барабана, считая его однородным диском.

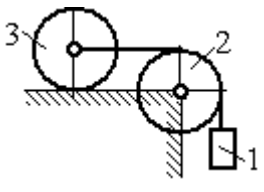

Рис. 5.15. Схема движения системы

Упражнение 5.3. Груз 1 массы m_1 подвешен на нерастяжимом тросе, другой конец которого переброшен через блок 2 и закреплён в центре масс катка 3 (рис. 5.15). Каток 3 катится по горизонтальной поверхности без проскальзывания. Блок 2 и каток 3 – однородные диски массы m_2 и m_3, радиуса r. В начальный момент система находилась в покое. Определить скорость груза, когда он опустится на высоту h, если к катку 3 приложен момент M.

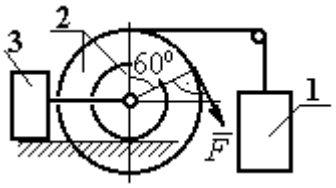

Рис. 5.16. Схема механизма катка

Упражнение 5.4. Механическая система включает два груза 1 и 3 одинакового веса P и каток 2 весом $2P$, радиусом $R = 2r$ с цилиндрическим выступом радиусом r (рис. 5.16). Каток катится выступом по неподвижной поверхности без проскальзывания. К катку по касательной к окружности приложена сила $F = 2P$. Найти ускорение центра масс катка, если его радиус инерции относительно оси, проходящей через центр масс перпендикулярно плоскости движения: $i_{zC} = r\sqrt{2}$.

5.4. Применение общих теорем динамики системы к описанию движений твёрдого тела

Поступательное движение твердого тела описывается дифференциальными уравнениями: $m\ddot{x} = \sum F^e_{kx}$, $m\ddot{y} = \sum F^e_{ky}$, $m\ddot{z} = \sum F^e_{kz}$ - или в алгебраической форме $ma_{Cx} = \sum F^e_{kx}$, $ma_{Cy} = \sum F^e_{ky}$, $ma_{Cz} = \sum F^e_{kz}$, где m – масса тела; $\ddot{x} = a_{Cx}$, $\ddot{y} = a_{Cy}$, $\ddot{z} = a_{Cz}$ – проекции ускорения центра масс тела на координатные оси; F^e_{kx}, F^e_{ky}, F^e_{kz} – проекции внешних сил.

Вращательное движение твердого тела относительно неподвижной оси z описывается дифференциальным уравнением: $J_z \dfrac{d\omega}{dt} = \sum M_z(\vec{F}^e_k)$ или алгебраическим уравнением: $J_z\varepsilon = \sum M_z(\vec{F}^e_k)$, где ω, ε – угловая скорость и угловое ускорение тела; $\sum M_z(\vec{F}^e_k)$ – сумма моментов внешних сил относительно оси z; J_z – момент инерции тела относительно оси z.

Плоскопараллельное движение твердого тела описывается уравнениями движения центра масс и вращательного движения тела относительно оси, проходящей через центр масс перпендикулярно плоскости движения.

В проекции на координатные оси уравнения плоскопараллельного движения тела имеют вид:

$$ma_{Cx} = \sum F^e_{kx};\ ma_{Cy} = \sum F^e_{ky};\ J_{zC}\varepsilon = \sum M_{zC}(\vec{F}^e_k),$$

где a_{Cx}, a_{Cy} – проекции ускорения центра масс тела; F^e_{kx}, F^e_{ky} – проекции на оси координат внешних сил, действующих на тело; J_{zC} – момент инерции тела относительно оси *z*, проходящей через центр масс перпендикулярно плоскости движения; ε – угловое ускорение тела; $M_{zC}(\vec{F}^e_k)$ – моменты внешних сил относительно оси, проходящей через центр масс.

Проводя динамический расчет механической системы, следует рассматривать движение каждого тела системы в отдельности, предварительно освободив его от связей и заменив их действие реакциями.

Примеры решения задач на составление уравнений движения твердых тел

Задача 59. Лебёдка поднимает груз 1 массы $m_1 = 50$ кг посредством троса, переброшенного через блок 3 и навитого на барабан 2 массы $m_2 = 20$ кг, радиуса $r = 0{,}8$ м (рис. 5.17). К барабану приложен постоянный вращающий момент $M_{вр} = 480$ Н·м. Определить ускорение груза, натяжение троса и реакцию шарнира барабана 2. Весом троса и массой блока 3 пренебречь, барабан считать сплошным цилиндром.

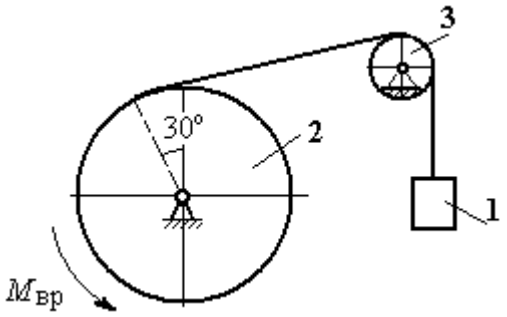

Рис. 5.17. Механизм лебёдки

Решение

Составим уравнение движения груза 1. Для этого освобождаем груз от связей, заменив действие троса реакцией. На груз действует сила тяжести $\vec{P}_1$ и реакция троса $\vec{H}_1$ (рис. 5.18). Выберем ось *x* по направлению движения груза. Уравнение движения груза в проекции на ось *x*: $m_1 a_1 = H_1 - P_1$.

Рассмотрим движение барабана 2. Освободим барабан от связей и заменим их действие реакциями.

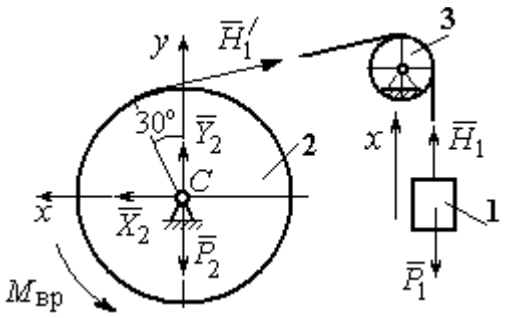

Рис. 5.18. Внешние силы и реакции, действующие на груз и барабан при движении системы

На барабан действует сила тяжести $\vec{P}_2$, пара сил с моментом вращения $M_{вр}$, реакция троса $\vec{H}_1'$ и реакция шарнира (на рис. 5.18 разложена на составляющие $\vec{X}_2$, $\vec{Y}_2$). Так как массой блока 3 пренебрегаем, то модули сил $\vec{H}_1$ и $\vec{H}_1'$ равны. Направления действия сил и момента показаны на рис. 5.18.

Уравнение вращательного движения барабана относительно оси z: $J_z\varepsilon_2 = \sum M_z(F_k) = M_{вр} - H_1'r$, где момент инерции барабана $J_z = \dfrac{m_2 r^2}{2}$.

Продифференцируем по времени равенство $V_1 = \omega_2 r$ и выразим угловое ускорение барабана через ускорение груза 1. Получим $\varepsilon_2 = \dfrac{a_1}{r}$. Подставляя выражение углового ускорения в уравнение вращательного движения барабана с учётом равенства модулей сил $\vec{H}_1$ и $\vec{H}_1'$, напишем уравнения движения барабана и груза в виде системы уравнений:

$$m_1 a_1 = H_1 - P_1, \;\; m_2 a_1 = \frac{2M_{вр}}{r} - 2H_1,$$

откуда находим a_1= 1,82 м/с^2, H_1 = 581,8 Н. Натяжение троса численно равно реакции.

Для определения реакции шарнира составим (формально) уравнение движения центра масс блока 2 в проекциях на оси x, y (см. рис. 5.18):

$$m_2 a_{Cx} = X_2 - H_1'\cos 30^\circ = 0, \; m_2 a_{Cy} = Y_2 + H_1'\cos 60^\circ - P_2 = 0.$$

Отсюда $X_2 = 503{,}84$ Н, $Y_2 = -94{,}7$ Н, $R_2 = \sqrt{X_2^2 + Y_2^2} = 512{,}66$ Н.

Задача 60. Барабан весом G, радиусом R имеет цилиндрический выступ радиусом r (рис. 5.19). Барабан скатывается по наклонной плоскости с углом наклона 30°, опираясь на неё поверхностью выступа. К барабану приложены постоянные силы $\vec{F}_1$ и $\vec{F}_2$. Сила $\vec{F}_1$ направлена по касательной к поверхности барабана. Сила $\vec{F}_2$ действует под углом 30° к диаметру барабана, перпендикулярному наклонной плоскости. В начальный момент времени барабан приведён в равновесие парой сил с моментом M.

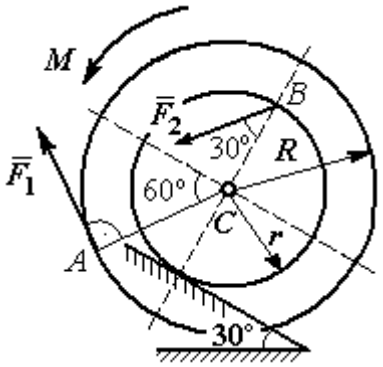

Рис. 5.19. Схема движения барабана по наклонной плоскости

Определить угловое ускорение барабана и закон движения центра масс, если в положении равновесия величину уравновешивающего момента увеличить в 1,2 раза. Исходные данные для решения задачи: R = 0,6 м, r = 0,2 м, G = 100 Н, F_1 = 60 Н, F_2 = 25 Н, радиус инерции барабана i_z = 0,4 м.

Решение

На барабан действуют силы $\vec{F}_1$, $\vec{F}_2$, сила тяжести $\vec{G}$, пара сил с неизвестным моментом M, нормальная реакция опоры $\vec{N}$ и сила $\vec{F}_{сц}$ сцепления барабана с поверхностью. Сила сцепления приложена в точке K касания выступа барабана с наклонной плоскостью и направлена вдоль неё (рис. 5.20).

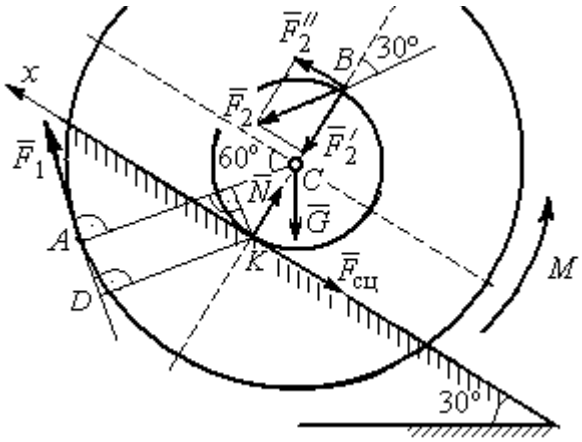

Рис. 5.20. Силы, действующие на барабан, во время движения

Для определения момента M, приводящего барабан в равновесие, запишем уравнение равно-

весия в виде равенства нулю моментов сил $\sum M_K(\vec{F}_k^e) = 0$ относительно точки *K*. Точка *K* выбрана с той целью, что в уравнение не будет входить момент неизвестной силы сцепления.

На рис. 5.20 показано разложение силы $\vec{F}_2$: $\vec{F}_2 = \vec{F}_2' + \vec{F}_2''$. Значения составляющих определяются как проекции: $F_2' = F_2\cos 30°$, $F_2'' = F_2\sin 30°$.

Применяя теорему Вариньона, вычислим момент силы $\vec{F}_2$ относительно точки *K*: $M_K(\vec{F}_2) = M_K(\vec{F}_2') + M_K(\vec{F}_2'') = F_2\sin 30° \cdot 2r$.

Момент силы $\vec{F}_1$ относительно точки *K*:

$$M_K(\vec{F}_1) = -F_1 \cdot KD = -F_1(R - r\cos 30°).$$

В результате уравнение моментов сил при равновесии барабана принимает вид

$$\sum M_K(\vec{F}_k^e) = -F_1(R - r\cos 30°) + F_2\sin 30° \cdot 2r - Gr\sin 30° + M = 0.$$

Подставляя сюда исходные данные задачи, находим величину уравновешивающего момента $M = 30{,}61$ Н·м. Направление момента показано дуговой стрелкой на рис. 5.20.

Увеличим значение момента *M*, удерживающего барабан в равновесии, в 1,2 раза: $M_1 = 1{,}2M$. Возникшее после этого качение барабана вверх по наклонной плоскости представляет собой плоскопараллельное движение, которое описывается с применением теорем о движении центра масс и об изменении кинетического момента.

Уравнение движения центра масс барабана в проекции на ось *x*, направленную вверх по наклонной плоскости, имеет вид:

$$m\ddot{x}_C = F_1\cos 30° + F_2\cos 60° - G\cos 60° - F_{\text{сц}},$$

где x_C – координата центра масс барабана.

Применив теорему об изменении кинетического момента барабана относительно оси *z*, проходящей через центр масс перпендикулярно плоскости

движения и считая моменты сил положительными, если они создают вращение в сторону движущегося вверх барабана, выразим уравнение вращательного движения барабана вокруг оси z в виде:

$$J_{zC}\ddot{\varphi} = -F_1 R + F_2 r\cos 60° + F_{\text{сц}} r + M_1,$$

где φ – угол поворота барабана; J_{zC} – момент инерции барабана, $J_{zC} = mi_z^2$; i_z – радиус инерции. С учётом соотношения $\ddot{\varphi} = \dfrac{\ddot{x}_C}{r}$ получим уравнение:

$$m\ddot{x}_C\left(1 + \frac{i_z^2}{r^2}\right) = -F_1\left(\frac{R}{r} - \cos 30°\right) + 2F_2\cos 60° - G\cos 60° + \frac{M_1}{r}.$$

После подстановки данных задачи находим дифференциальное уравнение движения центра масс: $\ddot{x}_C = 0{,}6$. Дважды интегрируя его с нулевыми начальными условиями (так как движение началось из состояния покоя), находим закон движения центра масс: $x_C = 0{,}3t^2$ м. Из уравнения следует, что барабан движется в сторону положительного направления оси x.

Угловое ускорение барабана $\varepsilon = \ddot{\varphi} = \dfrac{\ddot{x}_C}{r} = 3$ рад/с^2.

Задача 61. Механизм (рис. 5.21) включает в себя груз 1, каток 2 и ступенчатый барабан 3, соединённых нерастяжимыми нитями. Движение механизма происходит из состояния покоя в вертикальной плоскости под действием сил тяжести $\vec{P}_1$, $\vec{P}_2$, $\vec{P}_3$, силы

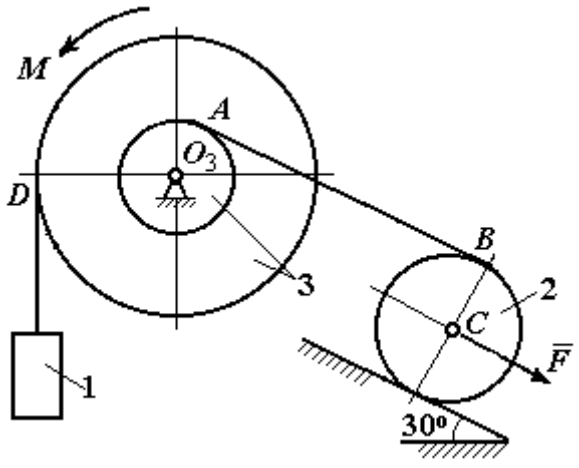

Рис. 5.21. Конструкция механической системы

$\vec{F}$, приложенной в центре масс катка 2, и пары сил с моментом M, приложенной к барабану 3. Качение катка 2 по наклонной плоскости с углом наклона к горизонту 30º происходит без проскальзывания.

Каток 2 считать однородным диском радиуса R_2. Радиусы ступеней барабана 3: R_3, r_3, радиус инерции барабана i_3.

Найти ускорение груза 1, силы натяжения нитей и динамическую реакцию шарнира барабана 3, если $P_1 = P_2 = 2P$; $P_3 = 3P$, $F = 3P$; $M = Pr$, $R_2 = 2r$; $R_3 = 3r$; $r_3 = r$; $i_3 = r\sqrt{3}$.

Решение

Рассмотрим движение каждого тела системы отдельно, предварительно освободив тела от связей и заменив их действие реакциями. На рис. 5.22 изображены силы, действующие на тела системы, после освобождения их от связей и направление движения каждого тела.

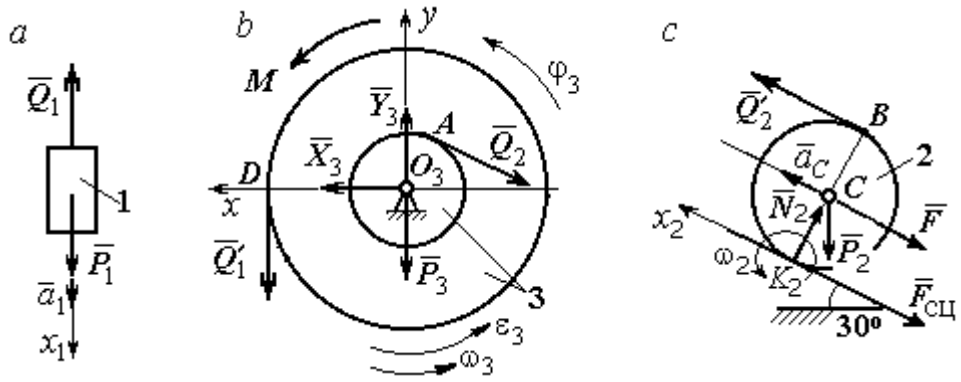

Рис. 5.22. Расчетные схемы для описания движения тел, входящих в систему

Допустим, груз движется вниз со скоростью V_1, ускорением a_1. К нему приложена сила тяжести $\vec{P}_1$ и реакция нити $\vec{Q}_1$ (рис. 5.22, *a*). Направим ось x_1 в сторону движения груза. Уравнение движения груза вдоль оси x_1 имеет вид:

$$m_1 a_1 = \sum F_{kx} = P_1 - Q_1 = 2P - Q_1 .$$

Барабан 3 вращается вокруг неподвижной оси z, проходящей через центр масс O_3. На диск 3 действует сила тяжести $\vec{P}_3$, реакция подшипника $\vec{R}_3$ (на

рис. 5.22, *b* показано разложение реакции на составляющие $\vec{X}_3$, $\vec{Y}_3$), пара сил с моментом *M* и реакции нитей $\vec{Q}_1'$ и $\vec{Q}_2$.

При составлении уравнения вращательного движения барабана моменты сил относительно оси считаем положительными, если они создают поворот в сторону вращения барабана. Уравнение вращения барабана 3 имеет вид:

$$J_{zO_3}\varepsilon_3 = \sum M_{zO_3}(F_k) = Q_1'R_3 + M - Q_2r_3 = Q_1'3r + Pr - Q_2r,$$

Момент инерции барабана относительно оси *z*: $J_{zO_3} = m_3i_3^2 = \dfrac{9Pr^2}{g}$;

Каток 2 совершает плоскопараллельное движение. К нему приложена сила тяжести $\vec{P}_2$, сила $\vec{F}$, реакция нити $\vec{Q}_2'$, нормальная реакция $\vec{N}_2$ наклонной плоскости и сила $\vec{F}_{\text{сц}}$ сцепления диска с поверхностью (рис. 5.22, *c*).

Выберем ось x_2 по направлению движения центра масс катка 2. Плоскопараллельное движение катка описывается уравнениями движения его центра масс в проекции на ось x_2 и вращения вокруг оси, походящей через центр масс перпендикулярно плоскости диска:

$$m_2a_C = Q_2' - F - F_{\text{сц}} - P_2\cos 60^\circ = Q_2' - 3P - F_{\text{сц}} - P;$$

$$J_C\varepsilon_2 = Q_2'R_2 + F_{\text{сц}}R_2 = Q_2'2r + F_{\text{сц}}2r,\ \ J_C = \frac{m_2R_2^2}{2}.$$

При составлении второго уравнения момент силы считается положительным, если он создаёт поворот в сторону вращения катка.

К системе четырех уравнений, описывающих движения тел в системе, необходимо добавить уравнения связей между ускорениями точек и угловыми ускорениями тел. Предположим, скорость центра масс катка 2 равна V_C (см. рис. 5.22, *c*). Угловая скорость катка $\omega_2 = \dfrac{V_C}{CK_2} = \dfrac{V_C}{R_2}$, где CK_2 – расстояние от

центра масс катка 2 до его мгновенного центра скоростей. Продифференцировав по времени последнее равенство, получим: $\varepsilon_2 = \dot{\omega}_2 = \dfrac{\dot{V}_C}{R_2} = \dfrac{a_C}{2r}$.

Скорость точки B катка 2 $V_B = \omega_2 \cdot BK_2 = 2V_C$. Приравняв скорость точки A к скорости точки B (см. рис. 5.21), получим: $2V_C = V_B = V_A = \omega_3 r_3 = \omega_3 r$, откуда $\omega_3 = \dfrac{2V_C}{r}$. После дифференцирования найдём: $\varepsilon_3 = \dfrac{2a_C}{r}$.

Скорость груза 1 связана со скоростью центра масс катка 2 следующим образом: $V_1 = V_D = \omega_3 R_3 = \dfrac{2V_C}{r} 3r = 6V_C$. Тогда ускорение груза 1 $a_1 = 6a_C$.

После подстановки уравнений связи в уравнения движения с учётом равенства модулей сил $\vec{Q}_1'$ и $\vec{Q}_1$, а также $\vec{Q}_2$ и $\vec{Q}_2'$ получим систему:

$$\frac{12P}{g} a_C = 2P - Q_1; \quad \frac{18P}{g} a_C = 3Q_1 + P - Q_2,$$

$$\frac{2P}{g} a_C = Q_2 - 4P - F_{\text{сц}}; \quad \frac{P}{g} a_C = Q_2 + F_{\text{сц}},$$

откуда находим: $a_C = 0{,}09g$, $Q_1 = 0{,}92P$, $Q_2 = 2{,}14P$.

Динамические реакции $\vec{X}_3$, $\vec{Y}_3$, действующие на ось вращающегося барабана 3 (рис. 5.22, *b*), определяются из уравнений, которые можно получить, формально применив к барабану теорему о движении центра масс. Так как центр масс барабана 3 неподвижен, его ускорение равно нулю, $a_{O_3} = 0$. Тогда уравнения движения его центра масс в проекциях на оси x, y имеют вид:

$$m_3 a_{O_3 x} = X_3 - Q_2 \cos 30^\circ = 0;$$

$$m_3 a_{O_3 y} = Y_3 - Q_1 - P_3 - Q_2 \cos 60^\circ = 0.$$

Подставляя значения $Q_1 = 0{,}92P$ и $Q_2 = 2{,}14P$, находим составляющие реакции оси барабана 3: $X_3 = Q_2 \cos 30^\circ = 1{,}85P$, $Y_3 = Q_1 + P_3 + Q_2 \cos 60^\circ = 4{,}98P$.

Полная величина реакции оси барабана 3: $R_3 = \sqrt{X_3^2 + Y_3^2} = 5{,}31P$.

Задача 62. Подъёмное устройство (рис. 5.23) состоит из однородного диска 1 массой m_1, радиусом r_1, ступенчатого диска 2 массой $m_2 = 3m_1$, радиусом $R_2 = 4r_1$ и радиусом ступеньки $r_2 = r_1$ и груза 3 массой $m_3 = 2m_1$. Система движется из состояния покоя в вертикальной плоскости под действием сил тяжести и пары сил с моментом $M = m_1 g r_1$, приложенной к диску 1. Определить ускорение груза 3 и натяжение нити груза 3, если радиус инерции ступенчатого диска относительно оси, походящей через центр масс, перпендикулярно плоскости диска 2, $i_{2C} = 2r_1$.

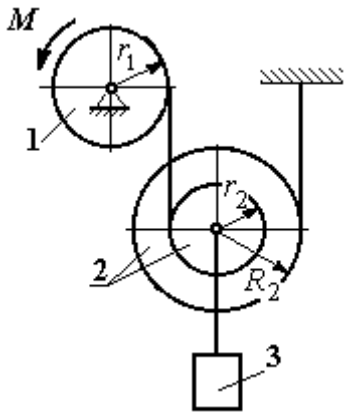

Рис. 5.23. Конструкция подъёмного устройства

Решение задачи осуществить с применением теоремы об изменении кинетической энергии системы и проверить его методом динамического расчёта, составляя уравнения движения тел, входящих в систему.

Решение

1. Для неизменяемой системы (состоящей из абсолютно твёрдых тел, соединённых нерастяжимыми нитями), движущейся из состояния покоя, теорема об изменении кинетической энергии на конечном перемещении имеет вид $T = \sum A(\vec{F}_k^e)$. Схема движения механизма в предположении, что груз 3 опускается, показана на рис. 5.24.

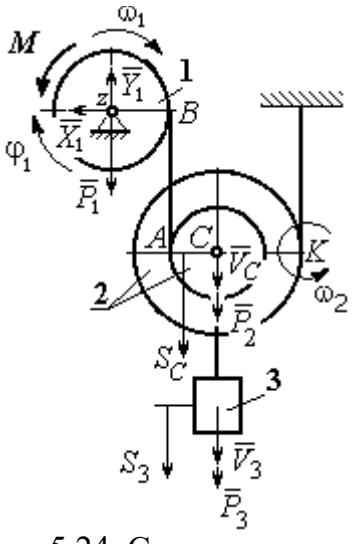

Рис. 5.24. Схема движения механизма

Диск 1 вращается вокруг неподвижной оси z. Кинетическая энергия диска 1: $T_1 = \dfrac{J_{1z}\omega_1^2}{2}$, где момент инерции диска $J_{1z} = \dfrac{m_1 r_1^2}{2}$.

У диска 2 плоскопараллельное движение. Кинетическая энергия диска 2: $T_2 = \frac{m_2 V_C^2}{2} + \frac{J_{2C}\omega_2^2}{2}$, где V_C – скорость центра масс диска 2. Момент инерции диска 2 относительно оси, проходящей через центр масс перпендикулярно движению диска, $J_{2C} = m_2 i_{2C}^2$.

Кинетическая энергия груза 3: $T_3 = \frac{m_3 V_3^2}{2}$.

Энергия механизма равна сумме энергий тел, входящих в систему:

$$T = T_1 + T_2 + T_3 = \frac{J_{1z}\omega_1^2}{2} + \frac{m_2 V_C^2}{2} + \frac{J_{2C}\omega_2^2}{2} + \frac{m_3 V_3^2}{2}.$$

Выразим угловые скорости дисков 1 и 2 и скорость центра масс диска 2 через скорость груза 3.

Скорость центра масс диска 2 равна скорости груза 3, $V_C = V_3$. Угловая скорость диска 2 $\omega_2 = \frac{V_C}{CK} = \frac{V_3}{R_2}$, где CK – расстояние от центра диска 2 до его мгновенного центра скоростей.

Скорость точки B нити равна скорости точки A. Из равенства $\omega_1 r_1 = \omega_2 (R_2 + r_2)$ найдём: $\omega_1 = \frac{(r_2 + R_2)}{r_1}\omega_2 = \frac{(r_2 + R_2)}{r_1}\frac{V_3}{R_2}$.

Подставляя найденные зависимости в выражение энергии системы, получим кинетическую энергию механизма:

$$T = \frac{V_3^2}{2}\left[\frac{m_1}{2}\left(1 + \frac{r_2}{R_2}\right)^2 + m_2\left(1 + \frac{i_{2C}^2}{R_2^2}\right) + m_3\right] = \frac{209}{64} m_1 V_3^2.$$

Во время движения механизма работу совершают силы тяжести $\vec{P}_2$, $\vec{P}_3$ и пара сил с моментом M. Перемещения S_C и S_3 точек приложения сил $\vec{P}_2$, $\vec{P}_3$ и угол φ_1 поворота диска 1 показаны на рис. 5.24.

Сумма работ сил $\sum A(\vec{F}_k^e) = P_3S_3 + P_2S_C - M\varphi_1$. Работа момента отрицательная, так как заданное направление момента противоположно выбранному направлению вращения колеса 1.

Выразим перемещение центра масс диска 2 и угол поворота диска 1 через перемещение груза 3. Проинтегрировав равенство скоростей $V_3 = V_C$, получим равенство перемещений: $S_3 = S_C$. Аналогично, из равенства $\omega_1 = \frac{(r_2 + R_2)}{r_1}\frac{V_3}{R_2}$ следует соотношение $\varphi_1 = \frac{(r_2 + R_2)}{r_1}\frac{S_3}{R_2}$.

В итоге суммарная работа внешних сил в механизме:

$$\sum A(\vec{F}_k^e) = \left[P_3 + P_2 - M\frac{(r_2 + R_2)}{r_1 R_2} \right] S_3 = \frac{15}{4} m_1 g S_3 .$$

Составляя уравнение теоремы об изменении кинетической энергии системы, получим равенство:

$$\frac{209}{64} m_1 V_3^2 = \frac{15}{4} m_1 g S_3 \text{ или } V_3^2 = \frac{240}{209} g S_3 .$$

Продифференцируем последнее равенство. Получим: $2V_3\frac{dV_3}{dt} = \frac{240}{209} g \frac{dS_3}{dt}$.

Так как $\frac{dS_3}{dt} = V_3$, а $\frac{dV_3}{dt} = a_3$, находим ускорение груза 3: $a_3 = \frac{120}{209} g$ м/с^2.

Для того чтобы найти натяжение нити груза 3, необходимо написать уравнение его движения. Выделим груз 3 из системы, заменив действие нити её реакцией H_3. Выберем ось x по направлению движения груза. Применим к описанию движения груза теорему о движении центра масс, написав её проекцию на ось x: $m_3 a_3 = P_3 - H_3$, где H_3 –реакция нити. При известном ускорении a_3 находим реакцию нити $H_3 = \frac{178}{209} m_1 g$. Натяжение нити численно равно реакции, но направлено в противоположную сторону.

2. Для решения задачи вторым способом – путём составления уравнений движения тел, входящих в состав механизма, освободим тела от связей и заменим их реакциями. На рис. 5.25 изображены силы и реакции, действующие на каждое тело, после освобождения его от связей, а также направления угловых ускорений тел и ускорения центров масс.

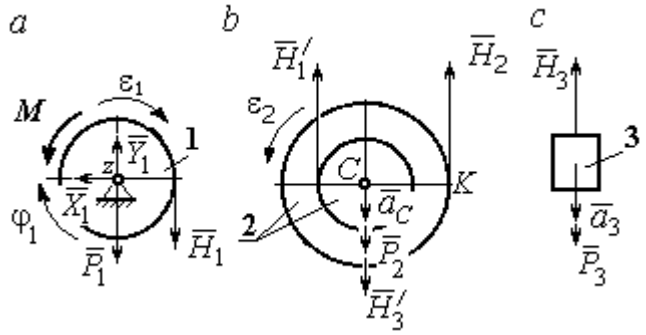

Рис. 5.25. Внешние силы и реакции связей, действующие на тела системы

Диск 1 вращается вокруг неподвижной оси *z*. На диск действует сила тяжести $\vec{P}_1$, реакция подшипника $\vec{X}_1$, $\vec{Y}_1$, пара сил с моментом *M* и реакция нити $\vec{H}_1$. Вращение диска описывается уравнением: $J_{1z}\varepsilon_1 = \sum M_z(F_k) = H_1 r_1 - M$. Момент инерции диска 1 относительно оси *z*, $J_{1z} = \dfrac{m_1 r_1^2}{2}$.

Диск 2 (рис. 5.25, *b*) совершает плоскопараллельное движение. К нему приложена сила тяжести $\vec{P}_2$ и реакции нитей $\vec{H}_1'$, $\vec{H}_2$ и $\vec{H}_3'$. Плоскопараллельное движение диска 2 описывается уравнением движения его центра масс в проекции на вертикальную ось и уравнением вращения диска вокруг оси, походящей через центр масс перпендикулярно плоскости диска:

$$m_2 a_C = P_2 - H_1' - H_2 + H_3'; \;\; J_{2C}\varepsilon_2 = H_2 R_2 - H_1' r_2 .$$

Момент инерции диска 2 $J_{2C} = m_2 i_{2C}^2$. При составлении уравнения вращательного движения диска 2 момент силы считается положительным, если он создаёт поворот в сторону вращения диска.

Груз 3 совершает поступательное движение. К нему приложены сила тяжести $\vec{P}_3$ и реакция нити $\vec{H}_3$ (рис. 5.25, *c*). Уравнение движения груза 3 в проекции на вертикальную ось, направленную в сторону его движения, имеет вид:

$$m_3 a_3 = P_3 - H_3 ,$$

Выразим угловые ускорения дисков 1 и 2 и ускорение центра масс диска 2 через ускорение груза 3. Для этого нужно продифференцировать соответствующие кинематические соотношения между скоростями. Так, из найденных ранее выражений: $V_3 = V_C$, $\omega_2 = \dfrac{V_3}{R_2}$, $\omega_1 = \dfrac{(r_2 + R_2)}{r_1}\dfrac{V_3}{R_2}$ следует: $a_3 = a_C$, $\varepsilon_2 = \dfrac{a_3}{R_2}$, $\varepsilon_1 = \dfrac{(r_2 + R_2)}{r_1}\dfrac{a_3}{R_2}$.

Подставляя кинематические соотношения между ускорениями в уравнения движения тел с учётом равенства модулей сил $\vec{H}_1$ и $\vec{H}_1'$, а также $\vec{H}_3$ и $\vec{H}_3'$, получим систему уравнений, описывающих движение звеньев механизма:

$$\frac{5}{8}m_1 a_3 = H_1 - m_1 g;\ \ 3m_1 a_3 = 3m_1 g - H_1 - H_2 + H_3;$$

$$3m_1 a_3 = 4H_2 - H_1;\ \ 2m_1 a_3 = 2m_1 g - H_3.$$

Решая систему, найдём $a_3 = \dfrac{120}{209}g$ м/с^2, $H_3 = \dfrac{178}{209}m_1 g$. Выражения ускорения a_3 груза 3 и натяжения нити H_3 совпадают с аналогичными выражениями, полученными в пункте 1 при решении данной задачи с применением теоремы об изменении кинетической энергии.

Упражнения

Упражнение 5.5. Система состоит из двух катков 1 и 2, соединённых невесомым стержнем (рис. 5.26). Каток 1 весом P, радиуса r. Каток 2 весом $2P$, радиуса $3r$ имеет цилиндрический выступ радиуса r. Невесомый стержень, параллельный плоскости качения катков, закреплён в центре катка 1 и передаёт движение катка 1 катку 2 в верхней точке вертикального диаметра цилиндрического выступа без проскальзывания. Качение катков без скольжения. К катку 1 приложена пара сил с моментом $M = 4Pr$. В центре масс катка 2 приложена сила $F = 2P$. Радиус инерции катка 2 относительно оси, проходящей через центр катка перпендикулярно плоскости движения, $i_2 = r\sqrt{2}$. Найти ускорение центра масс катка 1 и реакцию стержня.

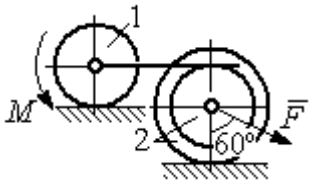

Рис. 5.26. Система катков

Упражнение 5.6. С помощью подъёмного устройства (рис. 5.27) производится подъём груза 1. Нить, закреплённая одним концом на неподвижной поверхности, спускается, охватывает снизу блок 2 массы $m_2 = m$, радиуса r, затем поднимается и проходит параллельно горизонтальной плоскости, где к концу её привязан груз 3 массы $m_3 = m$, передвигающийся по плоскости под действием силы $F = 2{,}5mg$. Нити, удерживающие блок 2, вертикальны. Груз 1 массы $m_1 = 3m$ прикреплён к оси блока 2. Найти ускорение груза 1 и натяжения нитей, удерживающих блок 2.

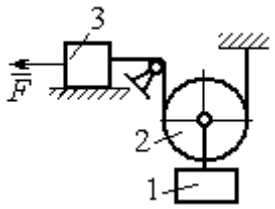

Рис. 5.27. Подъёмное устройство

Упражнение 5.7. Груз 1 массы $m_1 = m$, спускается вниз по наклонной плоскости без трения (рис. 5.28). Нить, прикреплённая к грузу 1, другим своим концом намотана на барабан катка 2 радиуса $R = 2r$ и при движении груза заставляет барабан катиться по горизонтальной поверхности цилиндрическим выступом радиуса r. Качение происходит без проскальзывания. К центру катка привязана другая нить, посредством которой каток тащит за собой груз 3 массы $m_3 = 2m$, скользящий по горизонтальной поверхности без трения. Масса катка $m_2 = 3m$, радиус инерции катка относительно оси, проходящей через его центр масс перпендикулярно плоскости движения $i_2 = r\sqrt{3}$. По касательной к ободу катка 2 приложена сила $F = mg$ (точка приложения силы см. рис. 5.28). Определить ускорение груза 1 и натяжения нитей.

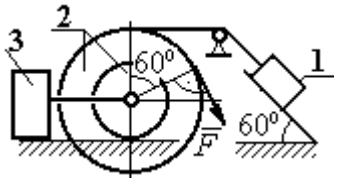

Рис. 5.28. Схема движения механической системы

6. ПРИНЦИПЫ МЕХАНИКИ

6.1. Принцип Даламбера для системы

Силой инерции материальной точки называют векторную величину, модуль которой равен произведению массы точки на модуль её ускорения. Направлен вектор силы инерции точки в сторону, противоположную ускорению $\vec{R}^{\text{и}} = -m\vec{a}$, где m – масса точки; $\vec{a}$ – вектор ускорения точки.

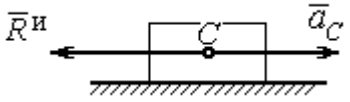

Рис. 6.1. Главный вектор сил инерции при поступательном движении твердого тела

При поступательном движении тела с ускорением центра масс $\vec{a}_C$ главный вектор сил инерции $\vec{R}^{\text{и}}$ по модулю $R^{\text{и}} = ma_C$, приложен в центре масс тела и направлен в сторону, противоположную ускорению $\vec{a}_C$ (рис. 6.1).

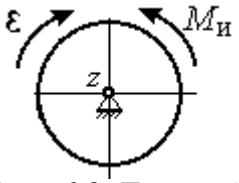

Рис. 6.2. Главный момент сил инерции при вращении тела вокруг оси, проходящей через центр масс

При вращении тела вокруг неподвижной оси z, проходящей через центр масс, главный вектор сил инерции обращается в нуль. Главный момент $\vec{M}^{\text{и}}$, сил инерции относительно оси вращения равен по величине $M^{\text{и}} = J_z\varepsilon$, где J_z – момент инерции тела относительно оси z; ε – угловое ускорение тела. Направлен главный момент сил инерции в сторону, противоположную угловому ускорению (рис. 6.2).

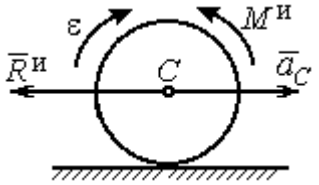

Рис. 6.3. Главный вектор и главный момент сил инерции при плоскопараллельном движении твердого тела

При плоскопараллельном движении тела с ускорением центра масс $\vec{a}_C$ и угловым ускорением ε главный вектор сил инерции $\vec{R}^{\text{и}}$ равен по модулю $R^{\text{и}} = ma_C$, приложен в центре масс тела и направлен в сторону, противоположную ускорению центра масс $\vec{a}_C$ (рис. 6.3). Главный момент сил инерции $\vec{M}^{\text{и}}$ относи-

тельно оси, проходящей через центр масс тела перпендикулярно плоскости движения: $M^{и} = J_C\varepsilon$, где J_C – момент инерции тела относительно оси вращения, и направлен в сторону, противоположную угловому ускорению.

Если в любой момент времени к каждой из точек системы кроме действующих на нее внешних сил присоединить соответствующие силы инерции, то полученная система сил будет уравновешенной.

Принцип Даламбера даёт возможность составлять уравнения движения механической системы в виде уравнений равновесия (метод кинетостатики):

$$\sum \vec{F}_k^e + \vec{R}^{и} = 0,\ \sum \vec{M}_O(\vec{F}_k^e) + \vec{M}_O^{и} = 0,$$

где $\vec{F}_k^e$ –внешние силы, действующие на систему; $\vec{R}^{и}$ – главный вектор сил инерции; $\vec{M}_O(\vec{F}_k^e)$, $\vec{M}_O^{и}$ – моменты внешних сил и главный момент сил инерции относительно произвольного центра *O*.

Примеры решения задач на применение принципа Даламбера

Задача 63. Груз 1 массы m_1 = 10 кг спускается вниз по наклонной грани клина, образующей угол 60º с горизонтом, и посредством нити, переброшенной через блок 2, укреплённый в верхней точке клина, приводит в движение груз 3 массы m_3 = 5 кг (рис. 6.4). Клин *ABC* массы m_4 = 15 кг стоит гранью *AC* на горизонтальной гладкой поверхности и упирается в выступ *E*.

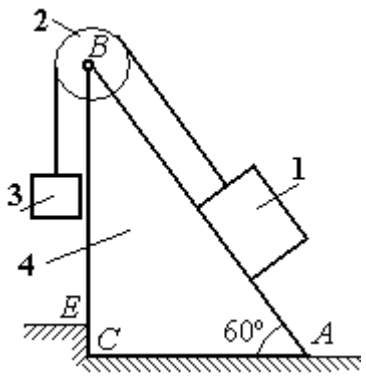

Рис. 6.4. Клин с грузами

Найти давление клина на выступ. Массой блока 2 и нити пренебречь.

Решение

Выберем систему, состоящую из клина *ABC*, блока 2, грузов 1 и 3 и нити, соединяющей грузы. Внешние силы, действующие на систему, – силы тяжести $\vec{P}_1$, $\vec{P}_3$ и $\vec{P}_4$ грузов 1, 3 и клина 4, горизонтальная реакция $\vec{R}_x$ упора клина в вы-

ступ и вертикальная реакция $\vec{R}_y$ опоры на горизонтальную поверхность. Реакция нити, реакция опоры груза 1 на наклонную поверхность клина и реакция шарнира *B* блока 2 для данной системы являются внутренними.

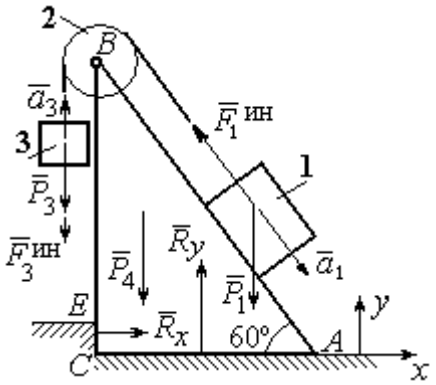

Рис. 6.5. Внешние силы и силы инерции, действующие на систему

Допустим, груз 1 движется вниз, груз 3 – вверх. Приложим силы инерции. Направления ускорений грузов и сил инерции показаны на рис. 6.5.

В соответствии с принципом Даламбера, полученная система сил находится в равновесии. Условие равновесия: $\sum \vec{F}_k^e + \vec{F}_1^{ин} + \vec{F}_3^{ин} = 0$.

Выберем оси *xy,* как показано на рис. 6.5, и спроектируем векторное равенство на ось *x*. Получим: $R_x - F_1^{ин}\cos 60^\circ = 0$, где модуль силы инерции $F_1^{ин} = m_1 a_1$.

Найдём ускорение груза 1. С этой целью рассмотрим отдельно движение грузов 1 и 3 (рис. 6.6 *a*, *b*).

Рассматривая груз 1 как отдельную систему, изобразим внешние силы: силу тяжести $\vec{P}_1$, реакцию нити $\vec{T}'$ и реакцию опоры $\vec{N}$ (см. рис. 6.6, *b*). Присоединим силу инерции $\vec{F}_1^{ин}$ и составим уравнение равновесия полученной системы сил в проекции на ось *x*, расположенную вдоль наклонной грани клина: $P_1 \sin 60^\circ - T' - F_1^{ин} = 0$, где $F_1^{ин} = m_1 a_1$.

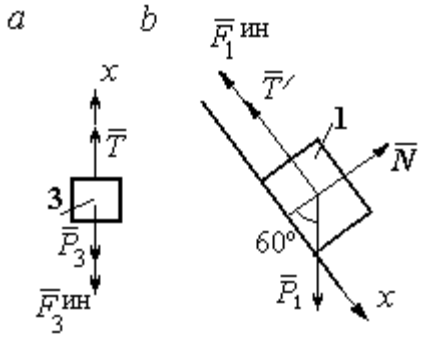

Рис. 6.6. Равновесие грузов

Для груза 3 внешними силами будут сила тяжести $\vec{P}_3$ и реакция нити $\vec{T}$. Присоединим к грузу 3 силу инерции $\vec{F}_3^{ин}$ (см. рис. 6.6, *a*) и составим уравне-

ние равновесия системы сил в проекции на ось *x*, выбранную по направлению движения груза 3: $T - P_3 - F_3^{\text{ин}} = 0$, где модуль силы инерции $F_3^{\text{ин}} = m_3 a_3$.

Решая полученную систему с учётом, что модули реакций нити и модули ускорений грузов равны: $T = T'$ и $a_1 = a_3$, находим ускорение грузов. Получим: $a_1 = a_3 = \dfrac{(m_1 \sin 60^\circ - m_3)g}{m_1 + m_3}$. Тогда давление клина на уступ:

$$R_x = F_1^{\text{ин}} \cos 60^\circ = m_1 g \frac{(m_1 \sin 60^\circ - m_3)}{(m_1 + m_3)} \cos 60^\circ .$$

Подставляя данные из условия задачи, найдём R_x = 11,97 Н.

Задача 64. Для подъёма грузов используется лебёдка со ступенчатым воротом, изображённая на рис. 6.7. Радиусы большой и малой ступенек барабана ворота r_1 и r_2, радиус инерции барабана относительно оси вращения i_3. Лебёдка установлена на горизонтальной балке *AB*, которая закреплена в точке *A* на неподвижном цилиндрическом шарнире и опирается на каток в точке *B*. Груз 1 поднимается на верёвке, навитой на большую ступеньку ворота. На малой ступеньке барабана ворота закреплена другая верёвка, удерживающая противовес 2. К барабану лебёдки приложен постоянный вращающий момент $M_{\text{вр}}$.

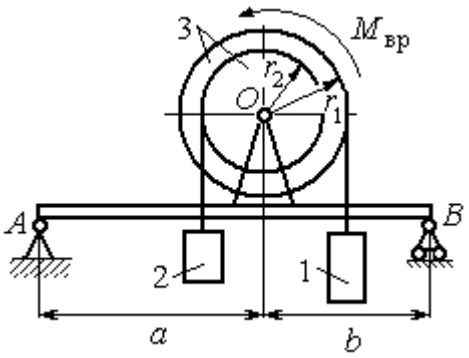

Рис. 6.7. Лебёдка на балке

Найти реакции опор балки во время движения груза, если радиусы ступенек барабана r_1 = 0,8 м, r_2 = 0,2 м, радиус инерции барабана относительно оси вращения i_3 =0,6 м, масса груза 1 m_1 = 100 кг, противовеса 2 m_2 =30 кг, масса барабана m_1 = 50 кг, величина вращающего момента $M_{\text{вр}}$ = 1050 Н·м, расстояния от крайних точек балки *A* и *B* до линии вертикального диаметра барабана *a* = 2 м, *b* = 1 м.

Решение

Выберем систему, включающую только барабан 3, грузы 1 и 2 и нити, связывающие грузы с барабаном (рис. 6.8). Внешние силы, действующие на эту систему, – пара сил, создающая вращающий момент $M_{\text{вр}}$, силы тяжести $\vec{P}_1$, $\vec{P}_2$, $\vec{P}_3$ грузов 1, 2 и барабана 3 и реакция $\vec{R}_O$ опоры барабана на шарнир в точке O. Натяжения нитей для данной системы являются внутренними и на рис. 6.8 не показаны.

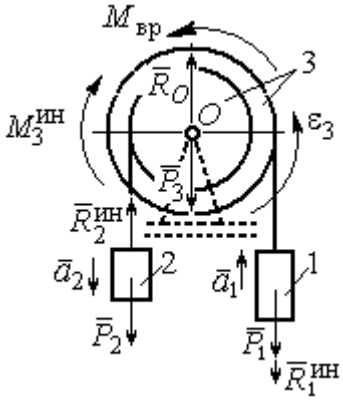

Рис. 6.8. Расчётная схема равновесия барабана

Приложим силы инерции. Направления главных векторов сил инерции $\vec{R}_1^{\text{ин}}$, $\vec{R}_2^{\text{ин}}$ и момента сил инерции $M_3^{\text{ин}}$ показаны на рис. 6.8.

Согласно принципу Даламбера, полученная система внешних сил и сил инерции является уравновешенной. Составим уравнения равновесия:

$$R_O + R_2^{\text{ин}} - P_2 - P_3 - P_1 - R_1^{\text{ин}} = 0;\ \ M_{\text{вр}} - M_3^{\text{ин}} - R_2^{\text{ин}} r_2 + P_2 r_2 - P_1 r_1 - R_1^{\text{ин}} r_1 = 0,$$

где $R_1^{\text{ин}} = m_1 a_1$, $R_2^{\text{ин}} = m_2 a_2$, $M_3^{\text{ин}} = J_{3O}\varepsilon_3$, $J_{3O} = m_3 i_3^2$.

Из второго уравнения с учётом кинематических соотношений: $\varepsilon_3 = \dfrac{a_1}{r_1}$ и $a_2 = \dfrac{r_2}{r_1} a_1$, найдём ускорение груза 1: $a_1 = \dfrac{r_1(M_{\text{вр}} + P_2 r_2 - P_1 r_1)}{m_3 i_3^2 + m_2 r_2^2 + m_1 r_1^2}$. Подставляя данные задачи, получим a_1 = 3,49 м/с^2.

Вычислим модули сил инерции $R_1^{\text{ин}} = m_1 a_1$=349 Н; $R_2^{\text{ин}} = m_2 a_2$ = 26,17 Н.

Подставляя модули сил инерции в первое уравнение условий равновесия, найдём реакцию опоры барабана на шарнир O:

$$R_O = -R_2^{\text{ин}} + P_2 + P_3 + P_1 + R_1^{\text{ин}} = 2088{,}63 \text{ Н}.$$

Для определения реакций опор балки AB выберем объектом равновесия саму балку (рис. 6.9). На балку действуют сила $\vec{R}'_O$ давления со стороны шарнира O, реакция шарнира в точке A (на рис. 6.9 разложенная на составляющие $\vec{R}_{Ax}$, $\vec{R}_{Ay}$) и реакция $\vec{R}_{By}$ опоры балки на шарнир в точке B. Составим уравнения равновесия балки:

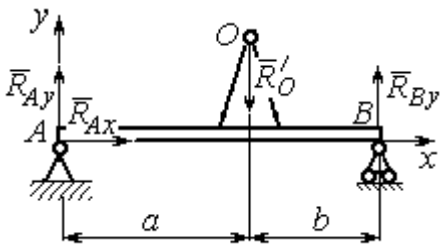

Рис. 6.9. Равновесие балки

$$\sum F_x = R_{Ax} = 0,\ \sum F_y = R_{Ay} - R'_O + R_{By} = 0,$$

$$\sum M_A(F) = R_{By}(a+b) - R'_O a = 0.$$

Решая систему с учётом того, что модули сил $\vec{R}'_O$ и $\vec{R}_O$ равны, найдём реакции опор балки: $R_{By} = R_O \dfrac{a}{a+b} = 1392{,}42$ Н; $R_{Ay} = R_O - R_{By} = 696{,}21$ Н.

Для сравнения реакции опор балки при неподвижном барабане $R_{By} = 1419{,}18$ Н, $R_{Ay} = 346{,}62$ Н.

Упражнение

Упражнение 6.1. Груз 1 соединён с грузом 2 нерастяжимой нитью, переброшенной через неподвижный блок (рис. 6.10). Опускаясь вниз, груз 2 перемещает груз 1 по горизонтальной поверхности призмы 3 без трения. Призма стоит на горизонтальной гладкой поверхности и упирается левым краем в выступ. Определить силу давления призмы на пол, если массы грузов 1, 2 и призмы 3 одинаковы и равны m. Массой нити и блока пренебречь.

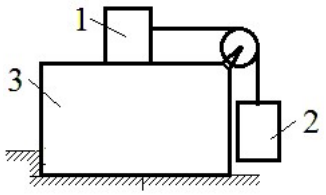

Рис. 6.10. Схема движения грузов в системе

6.2. Принцип возможных перемещений

Возможными перемещениями механической системы называют любую совокупность элементарных (бесконечно малых) перемещений точек системы из занимаемого в данный момент времени положения, которые допускаются всеми наложенными на систему связями.

Идеальными связями в механической системе называют такие связи, для которых сумма элементарных работ их реакций на любом возможном перемещении равна нулю.

Принцип возможных перемещений.

Если все приложенные к точкам системы внешние и внутренние силы разделить на **активные силы** и **реакции связей**, то для равновесия механической системы с идеальными связями необходимо и достаточно, чтобы сумма элементарных работ всех активных сил была равна нулю на любом возможном перемещении системы: $\sum \delta A(\vec{F}_k^{\text{акт}}) = 0$.

Примеры решения задач на применение принципа возможных перемещений

Задача 65. В талевом механизме барабан 1 состоит из двух соосных жестко связанных валов (рис. 6.11). При поднятии груза верхний трос барабана 1 наматывается на вал большего радиуса R_1, нижний – сматывается с вала меньшего радиуса r_1.

Какой вращающий момент M, постоянный по величине, нужно приложить к барабану, чтобы уравновесить груз весом P, прикреплённый в центре блока 4. Массами блоков и троса пренебречь.

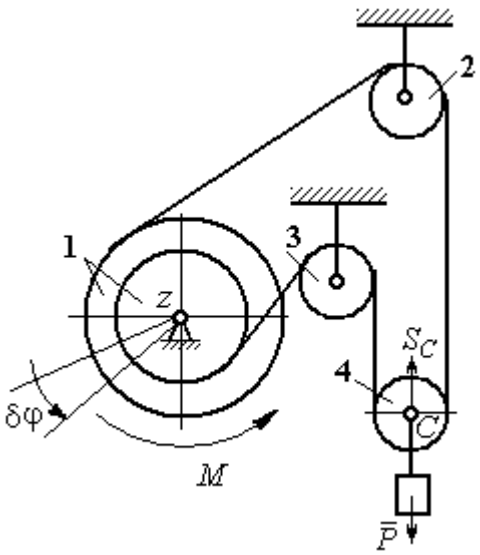

Рис. 6.11. Уравновешивание талевого механизма

Решение

Активными силами в системе являются сила тяжести груза $\vec{P}$ и уравновешивающий момент M. По принципу возможных перемещений для равновесия системы необходимо и достаточно выполнения условия:

$$\delta A(M) + \delta A(\vec{P}) = 0, \text{ или } M\delta\varphi_1 - P\delta S_C = 0.$$

где $\delta\varphi_1$ и δS_C – возможные перемещения барабана и груза.

Найдём связь между перемещениями $\delta\varphi_1$ и δS_C. Предположим, в механизме осуществляется подъём груза. На рис. 6.12 показано построение мгновенного центра скоростей блока 4 – точки *K*. Здесь скорость точки *A* блока 4 (рис. 6.12) равна скорости точек обода малого вала барабана 1, а скорость точки *B* – скорости точек обода большого вала. Составим пропорцию $\frac{V_B}{V_A}=\frac{BK}{AK}=\frac{r_4+CK}{r_4-CK}$, где r_4 – радиус блока 4 (см. рис.6.12). Подставляя выражения для скоростей точек *A* и *B* $V_A=\omega_1 r_1$, $V_B=\omega_1 R_1$, найдём расстояние: $CK=\frac{(R_1-r_1)r_4}{R_1+r_1}$.

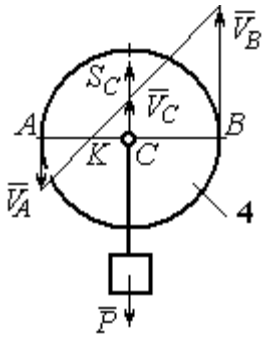

Рис. 6.12. Распределение скоростей точек блока 4

Угловая скорость блока 4 $\omega_4=\frac{V_B}{r_4+CK}=\frac{\omega_1(R_1+r_1)}{2r_4}$. Скорость его центра: $V_C=\omega_4\cdot CK=\frac{\omega_1(R_1-r_1)}{2}$. Выразим соотношение между скоростью точки *C* и угловой скоростью барабана 1 в дифференциальной форме: $dS_C=d\varphi_1\frac{(R_1-r_1)}{2}$. Поскольку действительное перемещение является одним из возможных (т. е. $ds=\delta s$, $d\varphi=\delta\varphi$), получим связь между возможными перемещениями барабана 1 и груза: $\delta S_C=\frac{\delta\varphi_1(R_1-r_1)}{2}$.

Подставляя найденное соотношение в уравнение принципа возможных перемещений, представим его в окончательном виде: $M\delta\varphi_1-P\frac{\delta\varphi_1(R_1-r_1)}{2}=0$, откуда найдём значение уравновешивающего момента: $M=\frac{P(R_1-r_1)}{2}$.

Задача 66. Брус 1 весом $P_1 = P$ лежит на цилиндрическом катке 2 и на блоке 3 одинаковых радиусов r, и одинакового веса $P_2 = P_3 = 2P$ (рис. 6.13). Каток 2 катится без проскальзывания по наклонной плоскости с углом наклона 30º к горизонту. Блок 3 вращается вокруг неподвижной оси z и к нему приложена пара сил с моментом $M = Pr$. Каток и блок расположены так, что брус 1 параллелен наклонной плоскости.

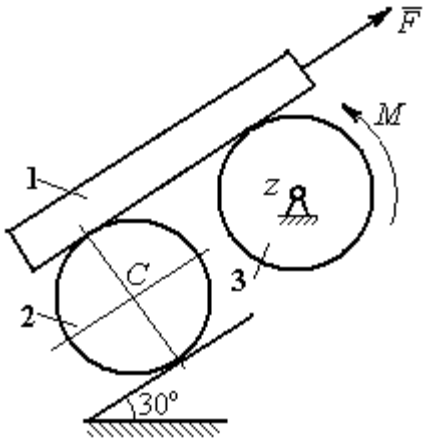

Рис. 6.13. Равновесие механической системы

Какую силу F, параллельную наклонной плоскости, нужно приложить к брусу 1, чтобы удержать его в равновесии. Скольжение между брусом и катком, брусом и блоком отсутствует.

Решение

Рассмотрим механизм, состоящий из бруса 1, катка 2 и блока 3. Активными силами, действующими на механизм, являются силы тяжести $\vec{P}_1$, $\vec{P}_2$ и $\vec{P}_3$ бруса, катка и блока, пара сил с моментом M, приложенная к блоку 3, и сила $\vec{F}$, приложенная к брусу. Связи в механизме идеальные, так как работа реакции $\vec{N}_2$ опоры катка 2 на плоскость, работа силы $\vec{F}_{сц}$ сцепления катка с плоскостью и работа реакции шарнира блока 3 при любом перемещении системы равны нулю. Направления векторов сил в системе показаны на рис. 6.14.

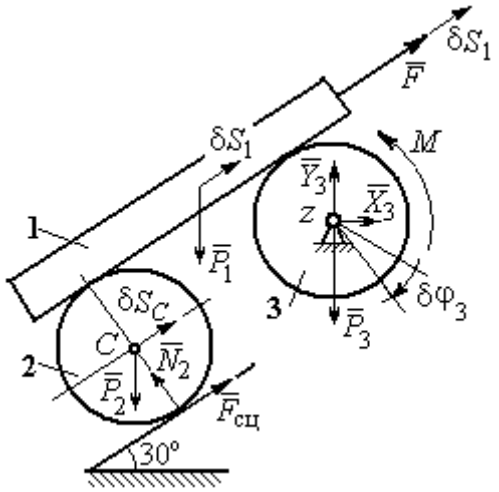

Рис. 6.14. Расчётная схема применения принципа возможных перемещений

Придадим системе возможное перемещение, сдвинув брус 1 на расстояние δS_1 вдоль линии действия силы $\vec{F}$, вверх по наклонной плоскости. Тогда

центр катка 2 переместится на расстояние δS_C, а блок 3 повернётся на элементарный угол $\delta\varphi_3$ (см. рис. 6.14).

Для определения условий равновесия применим к системе принцип возможных перемещений. Получим уравнение:

$$-P_1\delta S_1\cos 60^\circ - P_2\delta S_C\cos 60^\circ - M\delta\varphi_3 + F\delta S_1 = 0.$$

Выразим все перемещения через перемещение бруса δS_1. Допустим, скорость бруса равна V_1. Тогда $V_C = \frac{V_1}{2}$, и, следовательно, $\delta S_C = \frac{\delta S_1}{2}$.

Угловая скорость блока 3 $\omega_3 = \frac{V_1}{r}$, отсюда $\delta\varphi_3 = \frac{\delta S_1}{r}$.

Подставляя найденные соотношения в уравнение принципа возможных перемещений с учётом данных задачи, находим $F = 2P$.

Задача 67. Уравновешивание роликового катка 3 с противовесом 1 осуществляется с помощью пары сил с моментом *M*, приложенных к блоку 2. Каток состоит из двух соосных жестко связанных дисков (рис. 6.15) радиусов *r* и *R* = 2*r* с общей массой 3*m*. Масса груза 1 равна *m*. При движении каток катится без скольжения по вертикальной поверхности, касаясь её диском меньшего радиуса. Вертикальная пружина с закреплённым верхним концом своим нижним концом удерживает каток за центр масс. Жесткость пружины $c = mg / r$.

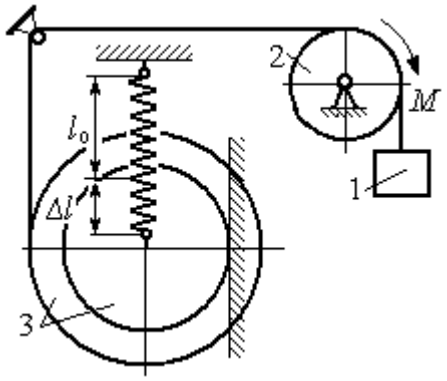

Рис. 6.15. Уравновешивание роликового катка

Какой величины уравновешивающий момент *M* приложен к блоку 2, если при равновесии катка пружина растянулась относительно недеформированного состояния на величину $\Delta l = r$.

Решение

Рассмотрим механическую систему, состоящую из груза 1, блока 2 и катка 3. Активными силами, действующими на механизм, являются силы тяжести $\vec{P}_1$, $\vec{P}_2$ и $\vec{P}_3$ – груза, блока и катка, пара сил с моментом M, приложенная к блоку 2, и сила $\vec{F}_{\text{упр}}$ упругости пружины, приложенная к центру катка. Реакциями связей в механизме являются: сила $\vec{F}_{\text{сц}}$ сцепления катка с плоскостью и реакция $\vec{R}_2$ шарнира блока 2. Реакция $\vec{N}_2$ опоры катка 2 на вертикальную плоскость равна нулю (на рис. 6.16 не показана).

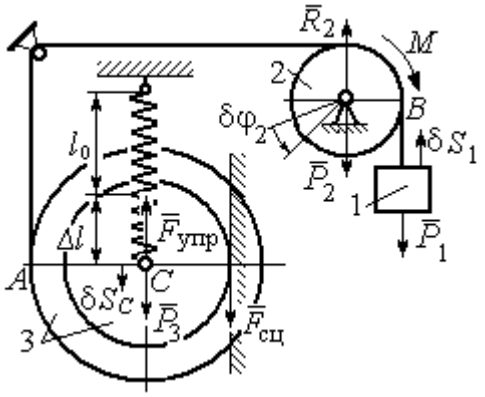

Рис. 6.16. Расчётная схема уравновешивания ролика

Допустим, система находится в равновесии. Дадим центру катка возможное перемещение δS_C, направленное вертикально вниз. При этом блок 2 повернётся на угол $\delta\varphi_2$, а груз 1 получит бесконечно малое перемещение δS_1. Направления возможных перемещений показаны на рис. 6.16.

Составим уравнение принципа возможных перемещений:

$$P_3\delta S_C - F_{\text{упр}}\delta S_C + M\delta\varphi_2 - P_1\delta S_1 = 0,$$

где сила упругости в положении равновесия системы $F_{\text{упр}} = c\Delta l$.

Выразим перемещения $\delta\varphi_2$, δS_1 блока 2 и груза 1 через перемещение центра катка δS_C. Предположим, при возможном перемещении скорость центра масс катка равна V_C. Скорость груза 1 равна скорости точки A на ободе большого диска катка: $V_1 = V_A = \dfrac{R+r}{r}V_C$. Здесь учтено, что точка касания катка

с вертикальной поверхностью является его мгновенным центром скоростей. Угловая скорость блока 2 $\omega_2 = \dfrac{V_A}{r} = \dfrac{R+r}{r^2} V_C$.

Представляя кинематические соотношения в дифференциальном виде, получим необходимые связи между возможными перемещениями:

$$\delta S_1 = \frac{R+r}{r}\delta S_C = 3\delta S_C; \quad \delta\varphi_2 = \frac{R+r}{r^2}\delta S_C = \frac{3\delta S_C}{r}.$$

Окончательно уравнение принципа возможных перемещений выражается в виде: $P_3\delta S_C - c\Delta l\delta S_C + M\dfrac{3\delta S_C}{r} - P_1 3\delta S_C = 0$. Величина уравновешивающего момента $M = \dfrac{1}{3}mgr$.

Упражнения

Упражнение 6.2. Штамповка деталей осуществляется при помощи рычажного пресса (рис. 6.17). Найти соотношение между силой F, приложенной к внешнему рычагу, и силой Q, сжимающей деталь A вдоль центральной оси.

Длины рычагов a, b, c, d показаны на рис. 6.17.

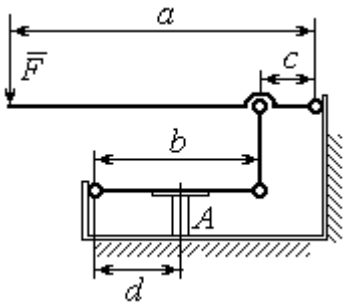

Рис. 6.17. Рычажный пресс

Упражнение 6.3. Конструкция состоит из двух валов, находящихся во внешнем зацеплении, и двух грузов, удерживающихся нитями, намотанными валы (рис. 6.18).

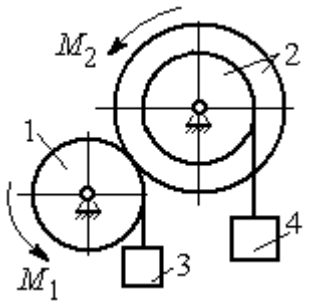

Рис. 6.18. Схема уравновешивания валов

Радиус вала 1 $R_1 = r$. Вал 2 состоит из двух барабанов, жестко скреплённых на одной оси. Радиусы барабанов: $R_2 = 3r$, $r_2 = r$.

Найти величину уравновешивающего момента M_2, приложенного к валу 2, если к валу 1 приложена пара сил с моментом $M_1 = 2Pr$, а грузы 3 и 4 одинакового веса P.

6.3. Общее уравнение динамики

При движении механической системы с идеальными связями в каждый момент времени сумма элементарных работ активных сил и сил инерции на любом возможном перемещении равна нулю:

$$\sum \delta A(\vec{F}_k^{\text{акт}}) + \sum \delta A(\vec{R}_k^{\text{и}}) = 0,$$

где $\delta A(\vec{F}_k^{\text{акт}})$, $\delta A(\vec{R}_k^{\text{и}})$ – элементарные работы активных сил и сил инерции, приложенных к точкам системы на её возможном перемещении.

При вычислении элементарных работ активных сил и сил инерции используют обычные формулы для вычисления работы сил на элементарном перемещении точек их приложения.

Примеры решения задач на применение общего уравнения динамики

Задача 68. Механическая система включает груз 1, ступенчатый диск 2 (каток), катящийся ступенькой по неподвижному рельсу, и однородный диск 3 (блок), вращающийся вокруг неподвижной оси, соединённых нерастяжимыми нитями (рис. 6.19). Качение ступенчатого диска происходит без скольжения. К грузу 1 приложена сила $\vec{F}$ под углом 30° к горизонтальному направлению движения груза. К блоку 3 приложена пара сил с моментом M. Найти закон движения центра масс катка 2 и реакцию шарнира блока 3 в момент времени t = 1 с, если P_1 = 10 Н; P_2 = 20 Н; P_3 = 15 Н; $F = 5(t+1)$ Н; $M = 3(1+2t)$ Н·м; R_2 = 0,8 м; r_2 = 0,2 м; R_3 = 0,4 м; момент инерции катка 2 относительно оси, проходящей через центр масс перпендикулярно плоскости движения, i_{2C} = 0,6 м.

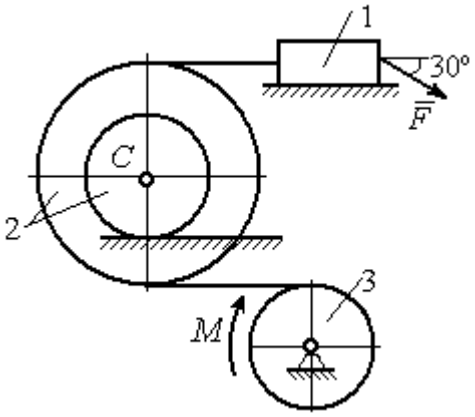

Рис. 6.19. Схема движения механической системы

Решение

В рассматриваемой механической системе активными силами являются силы тяжести $\vec{P}_1$, $\vec{P}_2$, $\vec{P}_3$, сила $\vec{F}$ и пара сил с моментом M (рис. 6.20).

Реакциями связей являются нормальные реакции опор: $\vec{N}_1$, $\vec{N}_2$, сила сцепления катка 2 с неподвижной поверхностью $\vec{F}_{сц}$ и реакция шарнира O блока 3 (на рис. 6.20 реакция показана в виде разложения на составляющие $\vec{X}_3$, $\vec{Y}_3$). Связи идеальные, так как скольжение груза 1 происходит по гладкой поверхности, качение диска 2 без проскальзывания, а ось вращения блока 3 неподвижна.

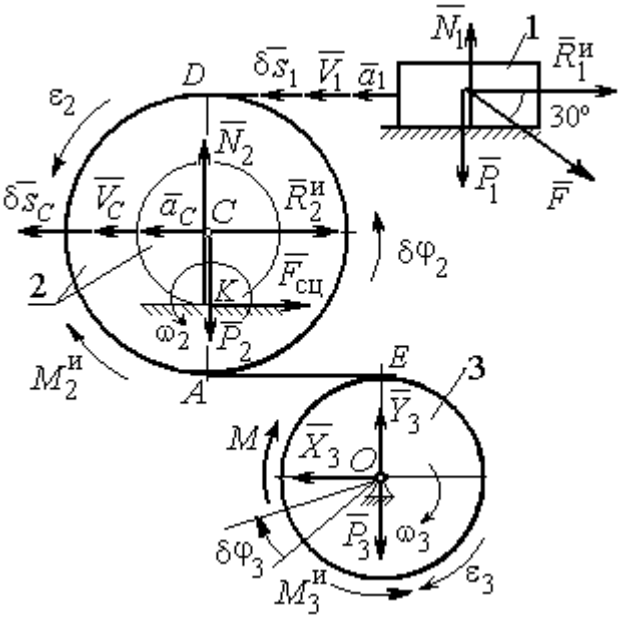

Рис. 6.20. Расчётная схема исследования движения механической системы

Предположим, система движется так, что блок 3 вращается с угловой скоростью ω_3 и угловым ускорением ε_3 в направлении поворота, создаваемого моментом M. Соответствующие направления скорости $\vec{V}_C$ и ускорения $\vec{a}_C$ центра масс катка 2, его угловой скорости ω_2 и ускорения ε_2, а также направление скорости $\vec{V}_1$ и ускорения $\vec{a}_1$ груза 1 показаны на рис. 6.20.

Присоединим к телам системы силы инерции. Главные векторы $\vec{R}_1^{и}$, $\vec{R}_2^{и}$ сил инерции груза 1 и катка 2 приложены в центрах масс груза и катка и направлены в сторону, противоположную ускорениям $\vec{a}_1$ и $\vec{a}_C$. Главные моменты $\vec{M}_2^{и}$, $\vec{M}_3^{и}$ сил инерции катка 2 и блока 3 направлены в сторону, противоположную угловым ускорениям ε_2 и ε_3.

Главные векторы и главные моменты сил инерции показаны на рис. 6.20.

Для механической системы с идеальными связями общее уравнение динамики имеет вид:

$$\sum \delta A(\vec{F}_k^{\text{акт}}) + \sum \delta A(\vec{R}_k^{\text{и}}) = 0 .$$

Угловая скорость катка 2 $\omega_2 = \dfrac{V_C}{CK} = \dfrac{V_C}{r_2}$. Здесь учтено, что в точке K находится мгновенный центр скоростей катка (см. рис. 6.20). Скорость точки E блока 3 равна скорости точки A катка 2 (см. рис. 6.20):

$$V_E = V_A = \omega_2 \cdot AK = \omega_2 (R_2 - r_2) = V_C \frac{R_2 - r_2}{r_2} .$$

Угловая скорость блока 3 $\omega_3 = \dfrac{V_E}{R_3} = V_C \dfrac{(R_2 - r_2)}{R_3 r_2}$.

Скорость груза 1 равна скорости точки D катка 2:

$$V_1 = V_D = \omega_2 \cdot DK = \omega_2 (R_2 + r_2) = V_C \frac{(R_2 + r_2)}{r_2} .$$

Соотношения между ускорениями определяются путем дифференцирования установленных кинематических равенств:

$$a_1 = a_C \frac{(R_2 + r_2)}{r_2}, \quad \varepsilon_2 = \frac{a_C}{r_2}, \quad \varepsilon_3 = a_C \frac{(R_2 - r_2)}{R_3 r_2} .$$

Если выразить скоростные кинематические соотношения в дифференциальном виде, то, полагая действительное перемещение возможным (т. е. $ds = \delta s$, $d\varphi = \delta\varphi$), получим соотношения между перемещениями:

$$\delta s_1 = \delta s_C \frac{(R_2 + r_2)}{r_2}, \ \delta\varphi_2 = \frac{\delta s_C}{r_2}, \ \delta\varphi_3 = \delta s_C \frac{(R_2 - r_2)}{R_3 r_2} .$$

Найдем элементарные работы активных сил.

Работы сил тяжести груза 1 и катка 2 равны нулю, так как перемещения точек приложения сил перпендикулярны векторам сил.

Работа силы тяжести блока 3 также равна нулю, поскольку точка прило-

жения силы тяжести блока 3 не перемещается:

$$\delta A(\vec{P}_1) = P_1 \delta s_1 \cos 90^\circ = 0;\ \ \delta A(\vec{P}_2) = P_2 \delta s_C \cos 90^\circ = 0;\ \delta A(\vec{P}_3) = 0.$$

Работу совершают только пара сил с моментом M и сила $\vec{F}$:

$$\delta A(\vec{M}) = M\delta\varphi_3 = M\delta s_C \frac{(R_2 - r_2)}{R_3 r_2};$$

$$\delta A(\vec{F}) = F\delta s_1 \cos 150^\circ = -F\delta s_C \frac{(R_2 + r_2)}{r_2}\cos 30^\circ.$$

В результате сумма элементарных работ активных сил:

$$\sum \delta A(\vec{F}_k^{\text{акт}}) = \delta A(\vec{M}) + \delta A(\vec{F}) =$$

$$= M\delta s_C \frac{(R_2 - r_2)}{R_3 r_2} - F\delta s_C \frac{(R_2 + r_2)}{r_2}\cos 30^\circ = (0{,}85 + 23{,}35t)\delta s_C.$$

Определим модули главных векторов и главных моментов сил инерции:

$$R_1^{\text{и}} = m_1 a_1 = \frac{P_1}{g}\frac{(R_2 + r_2)}{r_2} a_C,\ \ R_2^{\text{и}} = m_2 a_C = \frac{P_2 a_C}{g};$$

$$M_2^{\text{и}} = J_{2C}\varepsilon_2 = \frac{P_2}{g} i_{2C}^2 \frac{a_C}{r_2};$$

$$M_3^{\text{и}} = J_{3O}\varepsilon_3 = \frac{P_3 R_3}{2g}\frac{(R_2 - r_2)}{r_2} a_C,$$

где J_{2C} – момент инерции катка 2 относительно оси, проходящей через его центр масс перпендикулярно плоскости движения, $J_{2C} = m_2 i_{2C}^2$; i_{2C} – радиус инерции катка; J_{3O} – осевой момент инерции блока 3, $J_{3O} = \frac{m_3 R_3^2}{2}$.

Найдем элементарные работы сил инерции:

$$\delta A(\vec{R}_1^{\text{и}}) = -R_1^{\text{и}}\delta s_1 = -\frac{P_1 (R_2 + r_2)^2 a_C}{g r_2^2}\delta s_C;$$

$$\delta A(\vec{R}_2^{\text{и}}) = -R_2^{\text{и}}\delta s_C = -\frac{P_2 a_C}{g}\delta s_C;$$

$$\delta A(\vec{M}_2^{\text{и}}) = -M_2^{\text{и}}\delta\varphi_2 = -\frac{P_2 i_2^2 a_C}{g r_2^2}\delta s_C;$$

$$\delta A(\vec{M}_3^{\text{и}}) = -M_3^{\text{и}}\delta\varphi_3 = -\frac{P_3(R_2 - r_2)^2 a_C}{2 g r_2^2}\delta s_C.$$

Сумма элементарных работ сил инерции:

$$\sum\delta A(\vec{R}_k^{\text{и}}) = -\frac{P_1(R_2 + r_2)^2 a_C}{g r_2^2}\delta s_C - \frac{P_2 a_C}{g}\delta s_C - \frac{P_2 i_2^2 a_C}{g r_2^2}\delta s_C -$$

$$-\frac{P_3(R_2 - r_2)^2 a_C}{2 g r_2^2}\delta s_C = -52{,}75\, a_C \delta s_C, \text{ где } g = 9{,}81 \text{ м/с}^2.$$

С учетом проделанных вычислений общее уравнение динамики принимает вид: $\sum\delta A(\vec{F}_k^{\text{акт}}) + \sum\delta A(\vec{R}_k^{\text{и}}) = (0{,}85 + 23{,}35t)\delta s_C - 52{,}75\, a_C \delta s_C = 0$, откуда найдём ускорение центра масс катка 2 как функцию времени:

$$a_C(t) = 0{,}02 + 0{,}45t.$$

Представляя ускорение a_C в виде второй производной координаты движения центра масс $a_C = \ddot{s}_C$, получим дифференциальное уравнение $\ddot{s}_C = 0{,}02 + 0{,}45t$. Дважды проинтегрировав это уравнение с нулевыми начальными условиями, найдём закон движения центра масс:

$$s_C = 0{,}01t^2 + 0{,}075t^3.$$

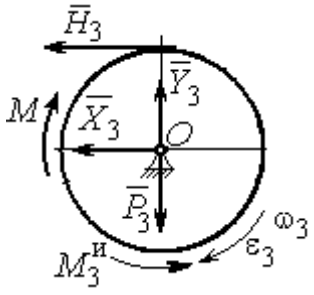

Рис. 6.21. Вращение блока 3

Рассмотрим вращательное движение блока 3, освободив его от связей. На блок действуют сила тяжести $\vec{P}_3$, реакция подшипника, разложенная на составляющие $\vec{X}_3$, $\vec{Y}_3$, пара сил с моментом M и реакция нити $\vec{H}_3$ (рис. 6.21). Присоединим к блоку 3 силы инерции. При вращательном движении блока вокруг оси, проходящей через центр масс, главный вектор сил инерции равен ну-

лю. Главный момент сил инерции $M_3^{\text{и}}$ направлен в сторону, противоположную угловому ускорению блока 3.

По принципу Даламбера система сил, приложенных к блоку 3, включая силы инерции, находится в равновесии. Составим уравнение равновесия в виде равенства нулю суммарного момента всех сил относительно оси вращения: $M - H_3 R_3 - M_3^{\text{и}} = 0$, откуда найдём реакцию нити: $H_3 = \dfrac{M}{R_3} - \dfrac{M_3^{\text{и}}}{R_3}$. Подставляя в уравнение величину модуля главного момента сил инерции блока 3 $M_3^{\text{и}}(1) = 0{,}7$ Н·м и значение момента, приложенного к блоку 3, в момент времени $t = 1$ с, $M(1) = 9$ Н·м найдём реакцию нити $H_3(1) = 20{,}75$ Н.

Уравнения равновесия, составленные в виде проекций сил на вертикальную и горизонтальную оси (см. рис. 6.21), имеют вид:

$$X_3 + H_3 = 0,\ Y_3 - P_3 = 0.$$

Составляющие реакции шарнира блока 3 в момент времени $t = 1$ с: $X_3 = -20{,}75$ Н, $Y_3 = 15$ Н. Полная реакция шарнира $R_3 = \sqrt{X_3^2 + Y_3^2} = 25{,}6$ Н.

Задача 69. Груз 2 весом P_2, поднимаемый лебёдкой (рис. 6 22), подвешен в центре подвижного блока 3 весом P_3. Нерастяжимая нить одним концом прицеплена к грузу 1 весом P_1, лежащему на наклонной плоскости. Другой конец, переброшенный через невесомый блок B, охватывает снизу подвижный блок 3 радиуса r и закреплён в вертикальном положении. К грузу 1 приложена сила $\vec{F}$, направленная вдоль наклонной плоскости.

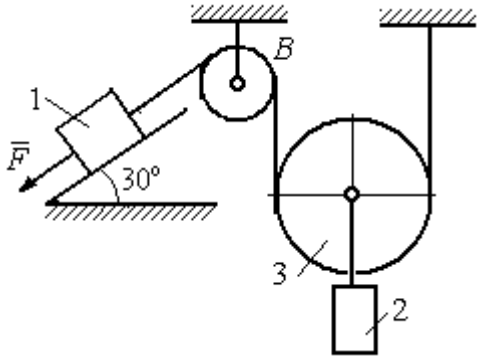

Рис. 6.22. Схема подъёмного устройства

Найти закон движения поднимаемого груза, если $P_1 = P_3 = P$, $P_2 = 3P$, $F = 2P$ и движение началось из состояния покоя.

Решение

Применим к решению задачи общее уравнение динамики. В данной механической системе активными силами являются силы тяжести $\vec{P}_1$, $\vec{P}_2$, $\vec{P}_3$ и сила $\vec{F}$ (рис. 6.23). Реакциями связей являются реакция шарнира блока *B* и реакция опоры груза 1 (на рис. 6.23 не показаны). Связи идеальные, так как работа реакций связей равна нулю.

Предположим, груз 1 спускается вниз по наклонной плоскости с ускорением a_1. Приложим к телам системы силы инерции. Главные вектора сил инерции $\vec{R}_1^{\text{ин}}$ и $\vec{R}_2^{\text{ин}}$ грузов 1 и 2, движущихся поступательно, приложены в центрах масс грузов и направлены противоположно векторам ускорений тел. Главный вектор $\vec{R}_3^{\text{ин}}$ сил инерции блока 3 приложен в центре масс блока 3 и направлен противоположно вектору ускорения его центра масс. Главный момент сил инерции $M_3^{\text{ин}}$ относительно оси, проходящей через центр масс блока 3 перпендикулярно плоскости движения, направлен в сторону, противоположную направлению углового ускорения блока 3, совпадающего с направлением углового движения. Направления главных векторов и главного момента сил инерции тел показаны на рис. 6.23.

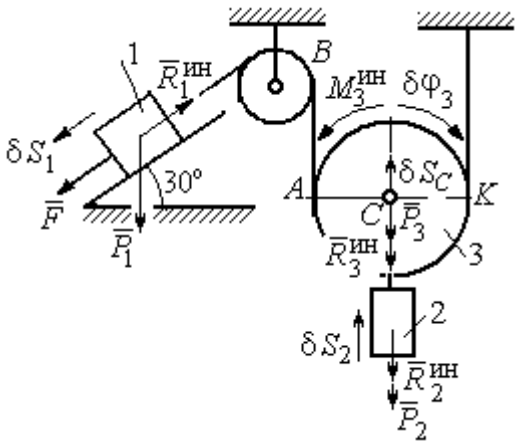

Рис.6.23. Активные силы и силы инерции, приложенные к системе

Дадим системе возможное перемещение, при котором груз 1 спустился вниз по наклонной плоскости на расстояние δS_1. В соответствии с приложенными в системе связями центр масс подвижного блока 2 и груз 2 переместились вверх на высоту δS_C, а сам блок повернулся на угол $\delta\varphi_3$ (см. рис. 6.23).

Составим общее уравнение динамики $\sum \delta A(\vec{F}_k^{\text{акт}}) + \sum \delta A(\vec{R}_k^{\text{и}}) = 0$. Получим

$$F\delta S_1 + P_1 \delta S_1 \cos 60° - P_2 \delta S_2 - P_3 \delta S_C -$$

$$- R_1^{\text{ин}} \delta S_1 - R_2^{\text{ин}} \delta S_C - R_3^{\text{ин}} \delta S_C - M_3^{\text{ин}} \delta \varphi_3 = 0,$$

где модули сил инерции $R_1^{\text{ин}} = m_1 a_1$, $R_2^{\text{ин}} = m_2 a_2$, $R_3^{\text{ин}} = m_3 a_C$, $M_3^{\text{ин}} = \dfrac{m_3 r^2}{2} \varepsilon_3$.

Выразим перемещение δS_2 и ускорение a_2 груза 2, а также поворот $\delta \varphi_3$ и угловое ускорение ε_3 подвижного блока 3 через перемещение δS_1 и ускорение a_1 груза 1.

Угловая скорость блока 3 $\omega_3 = \dfrac{V_A}{AK} = \dfrac{V_1}{2r}$. Здесь учтено, что точка K блока 3 является его мгновенным центром скоростей. Тогда, элементарный поворот блока $\delta \varphi_3 = \dfrac{\delta S_1}{2r}$, а его угловое ускорение $\varepsilon_3 = \dfrac{a_1}{2r}$.

Скорость центра масс блока 3 и скорость груза 2: $V_2 = V_C = \dfrac{V_1}{2}$. Из этого равенства следует, что: $\delta S_2 = \delta S_C = \dfrac{\delta S_1}{2}$, $a_2 = a_C = \dfrac{a_1}{2}$.

Подставляя найденные соотношения в общее уравнение динамики с учётом данных задачи, окончательно получим уравнение: $\dfrac{1}{2} P \delta S_1 = \dfrac{17}{8g} P a_1 \delta S_1$. Отсюда $a_1 = \dfrac{4}{17} g = 0{,}23g$. Ускорение груза 2, $a_2 = \dfrac{a_1}{2} = 0{,}12g$.

Представим ускорение груза 2 в виде второй производной координаты его движения. Получим дифференциальное уравнение: $\ddot{S}_2 = 0{,}12g$. Дважды проинтегрировав его с нулевыми начальными условиями, найдём закон движения груза: $S_2 = 0{,}06gt^2$.

Задача 70. Грузы 1 и 2 весом $P_1 = 20$ Н и $P_2 = 30$ Н привязаны к нерастяжимой нити. Нить переброшена через неподвижные блоки B и D и охватывает снизу подвижный блок 3 весом $P_3 = 40$ Н (рис. 6.24). Определить ускорения грузов 1 и 2 и центра масс блока 3. Весом неподвижных блоков B и D пренебречь.

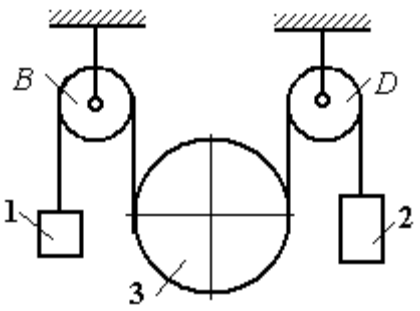

Рис. 6.24. Механическая система с двумя степенями свободы

Решение

В данной механической системе активными силами являются силы тяжести $\vec{P}_1$, $\vec{P}_2$, $\vec{P}_3$ (рис. 6.25), а реакциями связей – реакции шарниров блоков B и D. Связи идеальные, так как оси вращения блоков B и D неподвижны.

Применим к решению задачи общее уравнение динамики. Система имеет две степени свободы. В этом случае общее уравнение динамики необходимо составлять для каждого из независимых перемещений.

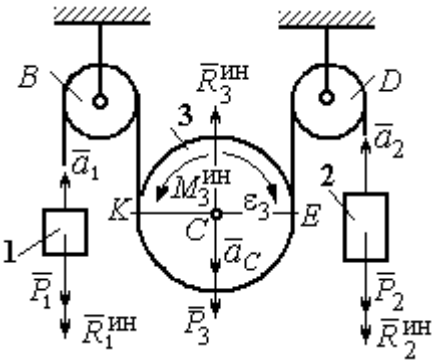

Рис.6.25. Активные силы и силы инерции, приложенные к системе

Предположим, система движется так, что оба груза 1 и 2 равноускоренно перемещаются вверх. Скорости грузов $\vec{V}_1$, $\vec{V}_2$, ускорения – $\vec{a}_1$ и $\vec{a}_2$. Блок 3 опускается вниз с ускорением центра $\vec{a}_C$, вращается и имеет угловое ускорение ε_3, направленное по ходу часовой стрелки (см. рис. 6.25).

Приложим к телам системы силы инерции (см. рис. 6.25). Модули сил инерции: $R_1^{ин} = m_1 a_1$, $R_2^{ин} = m_2 a_2$, $R_3^{ин} = m_3 a_C$. Главный момент сил инерции блока 3 $M_3^{ин} = J_{3C}\varepsilon_3$, где осевой момент инерции $J_{3C} = \dfrac{m_3 r^2}{2}$. Направления векторов сил и моментов сил инерции показаны на рис. 6.25.

Для вычисления углового ускорения блока 3 воспользуемся векторным представлением ускорения точки при плоскопараллельном движении тела. Выберем точку K за полюс. Ускорение точки E определяется равенством $\vec{a}_E = \vec{a}_K + \vec{a}^{\,n}_{EK} + \vec{a}^{\,\tau}_{EK}$, где $\vec{a}_K$ – ускорение полюса K; $\vec{a}^{\,n}_{EK}$, $\vec{a}^{\,\tau}_{EK}$ – нормальная и касательная составляющие ускорения точки E при вращении блока 3 вокруг полюса K (рис. 6.26). Спроектируем векторное равенство на вертикальную ось $E\tau$. Получим: $a_{E\tau} = a_{K\tau} + a^{\tau}_{EK}$, где $a_{E\tau}$ и $a_{K\tau}$ – проекции ускорений точек E и K на вертикальную ось.

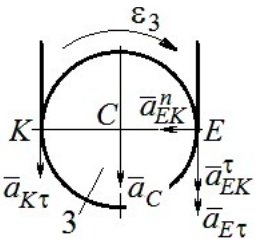

Рис. 6.26. Схема вычисления углового ускорения блока 3

Поскольку модуль ускорения точки K нити равен модулю ускорения груза 1, то $a_{K\tau} = a_1$. Модуль ускорения точки E нити равен модулю ускорения груза 2 и $a_{E\tau} = a_2$. Так как $a^{\tau}_{EK} = \varepsilon_3 AK = \varepsilon_3 2r$, то $\varepsilon_3 = \dfrac{a_{E\tau} - a_{K\tau}}{2r} = \dfrac{a_2 - a_1}{2r}$.

Составляя такое же векторное уравнение для определения ускорения центра масс блока 3 (точки C) и проектируя его на вертикальную ось, найдём:

$$a_C = a_{K\tau} + a^{\tau}_{CK} = a_1 + \varepsilon_3 r = \frac{a_2 + a_1}{2}.$$

Выберем в качестве независимых координат s_1, s_2 – положения грузов 1 и 2, отсчитываемые от неподвижных осей вращения блоков B и D. Возможные перемещения грузов обозначим δs_1 и δs_2.

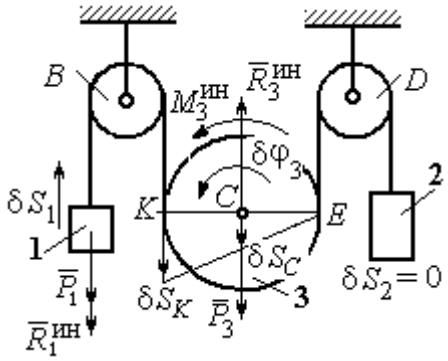

Рис.6.27. Движение системы при перемещении груза 1.

Дадим системе возможное перемещение, при котором груз 1 поднимается вверх на расстояние δs_1, а груз 2 – неподвижен. При таком движении нить, соединяющая груз 2 с блоком 3, неподвижна вплоть до точки E (рис. 6.27).

Вращение блока 3 происходит против направления хода часовой стрелки. Точка E является мгновенным центром скоростей блока 3, и угловая скорость блока $\omega_3 = \dfrac{V_K}{2r} = \dfrac{V_1}{2r}$. Скорость центра масс блока $V_C = \dfrac{1}{2}V_1$. Тогда элементарный поворот блока 3 $\delta\varphi_3 = \dfrac{\delta s_1}{2r}$ и элементарное перемещения центра масс $\delta s_C = \dfrac{1}{2}\delta s_1$.

На данном возможном перемещении работу совершают как активные силы – силы тяжести $\vec{P}_1$ и $\vec{P}_3$ груза 1 и блока 3, так и силы инерции – $\vec{R}_1^{\text{ин}}$, $\vec{R}_3^{\text{ин}}$ и пара сил инерции с моментом $M_3^{\text{ин}}$.

Составим общее уравнение динамики:

$$\sum \delta A\left(\vec{F}_k^{\text{акт}}\right) + \sum \delta A\left(\vec{R}_k^{\text{ин}}\right) = -P_1\delta s_1 + P_3\delta s_C - R_1^{\text{ин}}\delta s_1 - R_3^{\text{ин}}\delta s_C + M_3^{\text{ин}}\delta\varphi_3 = 0.$$

Здесь работа сил инерции

$$R_1^{\text{ин}}\delta s_1 = m_1 a_1 \delta s_1, \quad R_3^{\text{ин}}\delta s_C = m_3 a_C \delta s_C = \frac{P_3}{g}\left(\frac{a_1 + a_2}{2}\right)\cdot\frac{1}{2}\delta s_1;$$

$$M_3^{\text{ин}}\delta\varphi_3 = J_{3C}\varepsilon_3\delta\varphi_3 = \frac{P_3 r^2}{2g}\cdot\frac{a_2 - a_1}{2r}\cdot\frac{\delta s_1}{2r}.$$

В результате общее уравнение динамики представляется выражением

$$-P_1\delta s_1 + \frac{1}{2}P_3\delta s_1 - \frac{P_1}{g}a_1\delta s_1 - \frac{P_3}{g}\left(\frac{a_1 + a_2}{2}\right)\cdot\frac{1}{2}\delta s_1 + \frac{P_3 r^2}{2g}\cdot\frac{a_2 - a_1}{2r}\cdot\frac{\delta s_1}{2r} = 0,$$

которое преобразуется к виду:

$$(3P_3 + 8P_1)a_1 + P_3 a_2 = (4P_3 - 8P_1)g.$$

Дадим системе другое независимое возможное перемещение, при котором груз 2 движется вверх ($\delta s_2 \neq 0$), а груз 1 неподвижен ($\delta s_1 = 0$).

При этом перемещении нить, соединяющая груз 1 и блок 3 неподвижна вплоть до точки K (рис. 6.28). Вращение блока 3 происходит по направлению хода часовой стрелки. Точка K является мгновенным центром скоростей бло-

ка 3. Тогда $\omega_3 = \frac{V_E}{2r} = \frac{V_2}{2r}$ и скорость центра масс блока $V_C = \frac{1}{2}V_2$. Элементарный поворот блока 3 $\delta\varphi_3 = \frac{\delta s_2}{2r}$ и перемещение центра масс $\delta s_C = \delta s_E = \frac{1}{2}\delta s_2$.

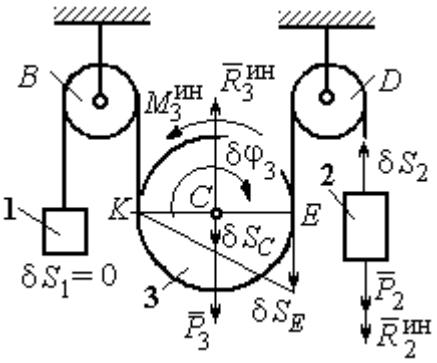

Рис. 6.28. Движение системы при перемещении груза 2

При таком движении работу совершают силы тяжести $\vec{P}_2$ и $\vec{P}_3$, силы инерции $\vec{R}_2^{ин}$, $\vec{R}_3^{ин}$ и пара сил с моментом $M_3^{ин}$.

Составим общее уравнение динамики на возможном перемещении δs_2 (см. рис. 6.28):

$$-P_2\delta s_2 - R_2^{ин}\delta s_2 + P_3\delta s_C - R_3^{ин}\delta s_C - M_3^{ин}\delta\varphi_3 = 0,$$

которое преобразуется к виду

$$-P_2\delta s_2 - \frac{P_2}{g}a_2\delta s_2 + \frac{1}{2}P_3\delta s_2 - \frac{P_3}{g}\left(\frac{a_1+a_2}{2}\right)\frac{1}{2}\delta s_2 - \frac{P_3 r^2}{2g}\left(\frac{a_2-a_1}{2r}\right)\frac{\delta s_2}{2r} = 0$$

или к виду

$$(8P_2 + 3P_3)a_2 + P_3 a_1 = (4P_3 - 8P_2)g.$$

Подставляя данные задачи в оба уравнения динамики, соответствующие независимым перемещениям δs_1 и δs_2, получим систему уравнений:

$$7a_1 + a_2 = 0, \quad 2g + 9a_2 + a_1 = 0.$$

Решение системы: $a_1 = \frac{1}{31}g$, $a_2 = -\frac{7}{31}g$ представляет ускорения грузов 1 и 2. Ускорение центра масс блока 3 находится по формуле $a_C = \frac{a_1 + a_2}{2} = -\frac{3}{31}g$.

Знаки ускорений определяют направления движений тел: груз 1 движется в выбранном направлении – вверх, груз 2 – вниз, центр блока 3 – вверх.

Упражнения

Упражнение 6.4. В механической системе (рис. 6.29) блок 1 радиуса *r* и каток 2 соединены горизонтальным невесомым стержнем. Скольжение между стержнем и катками отсутствует. Каток 2 состоит из двух шкивов радиусов *r* и *R* = 2*r*, скреплённых на одной оси. Каток катится, опираясь малым шкивом на горизонтальную поверхность, без проскальзывания. Груз 3 представляет собой поршень, двигающийся по горизонтальной поверхности без трения и прикреплённый к центру масс катка 2. К блоку 1 приложена пара сил с переменным моментом $M_{\text{вр}} = mgr\sin\omega t$.

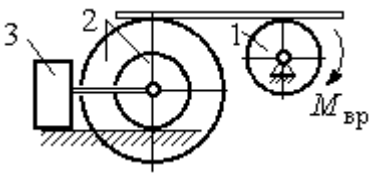

Рис. 6.29. Схема движения механической системы

Найти закон движения поршня 3, если массы грузов $m_1 = m_3 = m$, общая масса катка 2 $m_2 = 2m$, момент инерции катка 2 относительно оси, проходящей через центр масс перпендикулярно плоскости движения, $i_2 = 1{,}5r$. Движение началось из состояния покоя.

Упражнение 6.5. Груз 1, двигаясь горизонтально, приводит в движение ступенчатый барабан 2 посредством нерастяжимой нити, намотанной на его малую ступень (рис. 6.30). К барабану на нитях, намотанных на большую и малую ступеньки, подвешены два груза 3 и 4. На груз 1 действует сила $F = P(t+1)$. Определить закон движения груза 3, если веса грузов одинаковы и равны *P*, вес барабана 2 равен 2*P*, радиусы ступенек барабана *r* и 2*r*, радиус инерции барабана $i_2 = r\sqrt{2}$, и движение началось из состояния покоя.

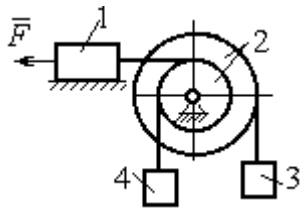

Рис. 6.30. Схема подъёмника

6.4. Уравнения Лагранжа II рода

Обобщенными координатами называется совокупность любых *s* независимых параметров $q_1, q_2, \ldots, q_S$, однозначно определяющих положение системы в любой момент времени.

Если системе сообщить возможное перемещение, при котором все обобщенные координаты изменятся на элементарные (бесконечно малые) величины $\delta q_1, \delta q_2, \ldots, \delta q_S$, называемые **вариациями обобщенных координат**, то все действующие активные силы совершат элементарную работу, которая может быть представлена в виде: $\delta A = Q_1 \cdot \delta q_1 + Q_2 \cdot \delta q_2 + \ldots + Q_s \cdot \delta q_S$.

Величина Q_k, $k = 1, 2, \ldots, s$, равная коэффициенту при вариации δq_k обобщенной координаты, называется **обобщенной силой**, соответствующей данной обобщенной координате. Расчет обобщенных сил осуществляется путем последовательного придания системе возможных перемещений, при которых варьируется только одна из обобщенных координат, а вариации остальных координат равны нулю.

Для материальной системы с идеальными связями дифференциальные уравнения движения в обобщенных координатах – **уравнения Лагранжа II рода** – имеют вид: $\frac{d}{dt}\left(\frac{\partial T}{\partial \dot{q}_k}\right) - \frac{\partial T}{\partial q_k} = Q_k$, $k = 1,2,...,s$, где s – число степеней свободы системы; T – кинетическая энергия системы; $q_1, q_2, \ldots, q_s$ – обобщенные координаты; $\dot{q}_1, \dot{q}_2, \ldots, \dot{q}_s$ – обобщенные скорости.

Примеры решения задач на составление уравнений Лагранжа

Задача 71. В механизме домкрата (рис. 6.31) движение зубчатого колеса 1 передаётся шестерне 2, к которой соосно прикреплено зубчатое колесо 3, имеющее зацепление с зубчатой рейкой 4, на которой поднимается груз 5 массы m_5 = 50 кг.

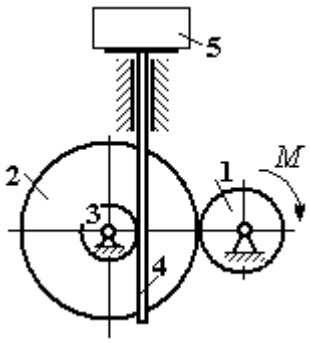

Рис. 6.31. Схема механизма домкрата

Радиусы зубчатых колёс r_1 = 5 см, r_2 = 12 см, r_3 = 6 см. Зубчатые колёса считать сплошными однородными дисками. Массы колёс m_1 = 0,8 кг, m_2 = 1,6 кг, m_3 = 0,6 кг, масса зубчатой рейки m_4 = 1 кг.

Какой величины постоянный вращающий момент нужно приложить к колесу 1 для того, чтобы в момент времени $t = 2$ с груз 5 имел скорость V_5 = 1 м/с, если движение системы начинается из состояния покоя.

Решение

Домкрат является механической системой с одной степенью свободы. Выберем в качестве обобщённой координаты координату *x*, отмечающую положение груза 5 (рис. 6.32).

Уравнение Лагранжа для обобщённой координаты *x* имеет вид: $\frac{d}{dt}\left(\frac{\partial T}{\partial \dot{x}}\right)-\frac{\partial T}{\partial x}=Q_x$, где T – кинетическая энергия системы; $\dot{x}$ – обобщённая скорость; Q_x – обобщённая сила.

Кинетическая энергия колеса 1: $T_1=\frac{J_1\omega_1^2}{2}$, где ω_1 – угловая скорость колеса 1; J_1 – момент инерции колеса, $J_1=\frac{m_1 r_1^2}{2}$.

Кинетические энергии шестерни 2 и зубчатого колеса 3, у которых угловые скорости одинаковы, соответственно: $T_2=\frac{J_2\omega_2^2}{2}$, $T_3=\frac{J_3\omega_2^2}{2}$, где ω_2 – угловая скорость шестерни 2; J_2, J_3 – моменты инерции шестерни 2 и зубчатого колеса 3 относительно оси, проходящей через общий центр масс, $J_2=\frac{m_2 r_2^2}{2}$, $J_3=\frac{m_3 r_3^2}{2}$. Скорость груза 5 равна скорости зубчатой линейки $V_5=V_4$. Кинетическая энергия зубчатой линейки 4 и груза 5: $T_4=\frac{m_4 V_4^2}{2}$, $T_5=\frac{m_5 V_4^2}{2}$.

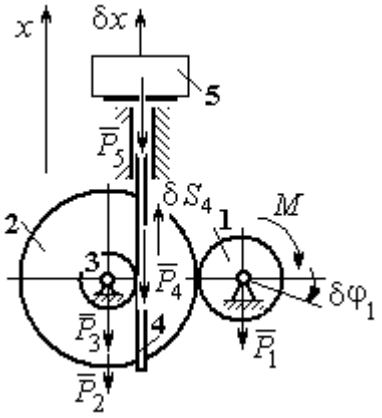

Рис. 6.32. Возможные перемещения звеньев механизма

Выразим угловые скорости колёс через скорость груза (зубчатой линейки).

Имеем: $\omega_2 = \omega_3 = \dfrac{V_4}{r_3}$ (см. рис. 6.32). Кроме того, из равенства $\omega_2 r_2 = \omega_1 r_1$ следует $\omega_1 = \dfrac{\omega_2 r_2}{r_1} = \dfrac{V_4 r_2}{r_1 r_3}$.

Подставляя полученные соотношения в выражения кинетических энергий тел и с учётом данных задачи, получим кинетическую энергию системы:

$$T = T_1 + T_2 + T_3 + T_4 + T_5 =$$

$$= \frac{m_1 r_1^2}{4}\left(\frac{V_4 r_2}{r_1 r_3}\right)^2 + \frac{m_2 r_2^2}{4}\left(\frac{V_4}{r_3}\right)^2 + \frac{m_3 r_3^2}{4}\left(\frac{V_4}{r_3}\right)^2 + \frac{m_4 V_4^2}{2} + \frac{m_5 V_4^2}{2} =$$

$$= \left[\frac{m_1 + m_2}{2}\left(\frac{r_2}{r_3}\right)^2 + \frac{m_3}{2} + m_4 + m_5\right]\frac{V_4^2}{2} = 28{,}05\, V_4^2 = 28{,}05\, \dot{x}^2 .$$

Вычислим обобщённую силу.

Дадим возможное перемещение δx грузу 5. При этом линейка 4 переместится на расстояние δs_4, а зубчатое колесо 1 повернётся на угол $\delta\varphi_1$. Найдём сумму работ всех сил, приложенных к системе, на этом возможном перемещении. Получим: $\delta A = -P_5 \delta x - P_4 \delta s_4 + M \delta\varphi_1$. Работа сил тяжести зубчатых колёс $\vec{P}_1$, $\vec{P}_2$ и $\vec{P}_3$ равна нулю, так как точки приложения этих сил неподвижны.

Из ранее полученных скоростных соотношений следуют равенства перемещений: $\delta s_4 = \delta x$, $\delta\varphi_1 = \dfrac{r_2}{r_1 r_3}\delta x$. В результате сумма работ сил на возможном перемещении системы выражается в виде $\delta A = \left(-m_5 g - m_4 g + M\dfrac{r_2}{r_1 r_3}\right)\delta x$. Отсюда обобщённая сила Q_x, соответствующая координате x: $Q_x = -(m_5 + m_4)g + M\dfrac{r_2}{r_1 r_3} = -500{,}31 + 40M$.

Составим уравнение Лагранжа.

С учётом, что $\frac{d}{dt}\left(\frac{\partial T}{\partial \dot{x}}\right) = 56{,}1\,\ddot{x}$ и $\frac{\partial T}{\partial x} = 0$, дифференциальное уравнение движения имеет вид: $56{,}1\,\ddot{x} = -500{,}31+40M$ или $\ddot{x} = -8{,}92+0{,}71M$.

Интегрируя это уравнение с нулевыми начальными условиями, получим закон изменения скорости груза 5: $V_5 = \dot{x} = (-8{,}92+0{,}71M)t$.

По условию задачи при $t = 2$ с $V_5 = 1$ м/с. Подставляя эти данные в уравнение, получим: $M = 13{,}27$ Н·м.

Задача 72. Механическая система состоит из ступенчатого блока 2, катка 3, соединённых невесомым брусом 1, и невесомой пружины жесткостью c. Радиусы ступеней блока r и $R = 1{,}5r$, радиус катка 3 равен r. Брус, лежащий на катке 3 и блоке 2, во время движения остаётся параллельным линии качения катка 3 (рис. 6.33). В центре катка 3 приложена сила $\vec{F}$, направленная вверх параллельно наклонной плоскости, а к блоку 2 – пара сил с моментом M. Качение катка по неподвижной поверхности без скольжения. Проскальзывание между брусом 1 и дисками отсутствует. Передача движения пружины блоку 2 производится посредством невесомого жесткого вертикального стержня, прижатого к малой ступеньке блока без скольжения. Радиус инерции блока 2 относительно оси вращения $i_z = r\sqrt{2}$. Веса тел: $P_3 = P$, $P_2 = 2P$, приложенная сила $F = 2P$, момент $M = Pr$, жесткость пружины $c = P/r$.

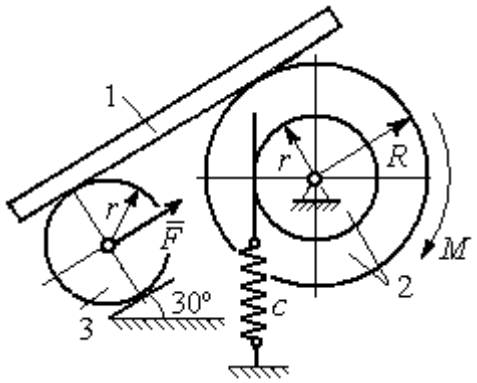

Рис. 6.33. Механическая система с одной степенью свободы

Определить закон угловых колебаний блока 2 при $P = 10$ Н, $r = 0{,}2$ м, если в начальный момент пружина находилась в нерастянутом состоянии, а блоку 2 придали угловую скорость $\omega_0 = 0{,}5$ рад/с в сторону вращения, создаваемого заданным моментом.

Решение

Рассматриваемая механическая система (рис. 6.34) имеет одну степень свободы. В качестве обобщённой координаты q выберем перемещение x верхнего края пружины, отсчитываемого от уровня недеформируемой пружины (см. рис. 6.34). Обобщённая скорость $\dot{q} = \dot{x}$.

Уравнение Лагранжа II рода, описывающее движение системы, имеет вид $\frac{d}{dt}\left(\frac{\partial T}{\partial \dot{x}}\right) - \frac{\partial T}{\partial x} = Q_x$, где T – кинетическая энергия системы; Q_x – обобщенная сила, соответствующая обобщенной координате x.

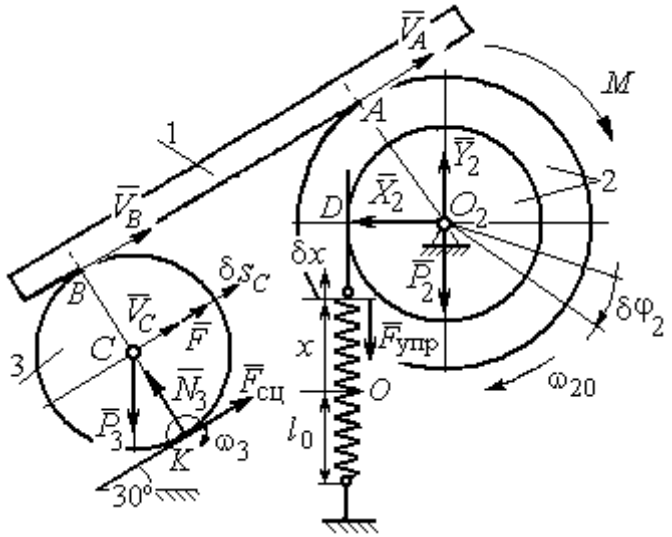

Рис. 6.34 Расчётная схема колебаний механической системы с одной степенью свободы

Вычислим кинетическую энергию системы. Энергия вращательного движения блока 2: $T_2 = \frac{1}{2} J_{2z} \omega_2^2$, где ω_2 – угловая скорость блока; J_{2z} – момент инерции блока 2 относительно оси z, $J_{2z} = m_2 i_z^2$. Каток 3 совершает плоскопараллельное движение. Его кинетическая энергия $T_3 = \frac{1}{2} m_3 V_C^2 + \frac{1}{2} J_{zC} \omega_3^2$, где V_C, ω_3 – скорость центра масс катка 3 и его угловая скорость; J_{zC} – момент инерции катка относительно оси, проходящей через его центр масс перпендикулярно плоскости движения, $J_{zC} = \frac{1}{2} m_3 r^2$; r – радиус катка.

Выразим угловые скорости ω_2, ω_3, а также скорость V_C через обобщённую скорость $\dot{x}$.

Заметим, что скорость точки D блока 2 равна скорости движения верхнего края пружины: $V_D = \dot{x}$ (см. рис. 6.34). Угловая скорость блока 2: $\omega_2 = \dfrac{V_D}{r} = \dfrac{\dot{x}}{r}$. Скорость точки A блока 2: $V_A = \omega_2 R = \dfrac{\dot{x}R}{r}$.

Так как брус совершает поступательное движение, то скорости точек A и B равны: $V_B = V_A$. Угловая скорость катка 3 (точка K касания катка 3 с неподвижной поверхностью является его мгновенным центром скоростей): $\omega_3 = \dfrac{V_B}{2r} = \dfrac{V_A}{2r} = \dfrac{\dot{x}R}{2r^2}$. Скорость центра катка 3: $V_C = \dfrac{V_B}{2} = \dfrac{\dot{x}R}{2r}$.

Подставляя найденные кинематические соотношения с учётом исходных данных задачи, получим кинетическую энергию тел системы:

$$T_2 = \frac{1}{2} J_{2z} \omega_2^2 = \frac{1}{2} \cdot \frac{2P}{g} \left(r\sqrt{2}\right)^2 \left(\frac{\dot{x}}{r}\right)^2 = \frac{2P}{g} \dot{x}^2;$$

$$T_3 = \frac{1}{2} m_3 V_C^2 + \frac{1}{2} J_{zC} \omega_3^2 = \frac{1}{2} \frac{P}{g} \left(\frac{\dot{x}R}{2r}\right)^2 + \frac{1}{2} \frac{Pr^2}{2g} \left(\frac{\dot{x}R}{2r^2}\right)^2 = \frac{3P}{4g} \left(\frac{R}{2r}\right)^2 \dot{x}^2.$$

Полная кинетическая энергия системы:

$$T = T_2 + T_3 = \frac{P}{g} \left(2 + \frac{3}{4} \left(\frac{R}{2r}\right)^2\right) \dot{x}^2.$$

Найдём обобщённую силу. Произвольное положение системы определяется обобщённой координатой x, показывающей растяжение пружины. Дадим пружине в произвольном положении возможное (бесконечно малое) перемещение δx в положительном направлении оси x (см. рис. 6.34). При этом блок 2 повернётся на угол $\delta\varphi_2 = \dfrac{\delta x}{r}$, центр масс катка 3 сдвинется на расстояние $\delta s_C = \dfrac{R}{2r} \delta x$. На заданном перемещении системы работу совершают сила тяжести катка 3, пара сил с моментом M, сила $\vec{F}$ и сила упругости пружины.

Элементарная работа вращающего момента M: $\delta A(M) = M\delta\varphi_2 = M\dfrac{\delta x}{r}$.

Работа силы тяжести катка 3: $\delta A(\vec{P}_3) = P_3\delta s_C\cos 120^\circ = -P_3\dfrac{R}{4r}\delta x$.

Работа силы F: $\delta A(\vec{F}) = F\delta s_C = F\dfrac{R}{2r}\delta x$.

Модуль силы упругости пружины, растянутой из недеформированного положения на расстояние x: $F_{\text{упр}} = cx$. Сила упругости направлена в сторону, противоположную растяжению (см. рис. 6.34). Её работа при перемещении δx вычисляется по формуле $\delta A(\vec{F}_{\text{упр}}) = F_{\text{упр}}\delta x\cos 180° = -cx\delta x$.

Сумма работ сил на рассматриваемом возможном перемещении системы с учётом данных задачи:

$$\delta A = M\frac{\delta x}{r} - P_3\frac{R}{4r}\delta x + F\frac{R}{2r}\delta x - cx\delta x = P\left(\frac{17}{8} - \frac{x}{r}\right)\delta x,$$

откуда обобщённая сила $Q_x = P\left(\dfrac{17}{8} - \dfrac{x}{r}\right)$.

Вычислим необходимые производные кинетической энергии: $\dfrac{d}{dt}\left(\dfrac{\partial T}{\partial \dot{x}}\right) = \dfrac{2P}{g}\left(2 + \dfrac{3}{4}\left(\dfrac{R}{2r}\right)^2\right)\ddot{x}$, $\dfrac{\partial T}{\partial x} = 0$ и, подставляя их в общий вид уравнений Лагранжа, получим дифференциальное уравнение колебаний верхнего края пружины:

$$\frac{2P}{g}\left(2 + \frac{3}{4}\left(\frac{R}{2r}\right)^2\right)\ddot{x} = P\left(\frac{17}{8} - \frac{x}{r}\right), \text{ или } \ddot{x} + 10{,}2x = 4{,}34 \text{ (здесь } g = 9{,}81 \text{ м/с}^2\text{)}.$$

Решение дифференциального уравнения представляется в виде суммы: $x = x_{\text{одн}} + x_{\text{частн}}$. Общее решение однородного уравнения имеет вид $x_{\text{одн}} = C_1\sin kt + C_2\cos kt$, где C_1, C_2 – произвольные постоянные; k – круговая частота собственных колебаний пружины, $k = \sqrt{10{,}2}$ = 3,19 рад/с. Частное ре-

шение неоднородного уравнения ищется в виде константы $x_{\text{част}} = b$. Подставив его в уравнение колебаний, получим: $b = 0{,}42$. Таким образом, общее решение неоднородного уравнения имеет вид $x(t) = C_1 \sin 3{,}19t + C_2 \cos 3{,}19t + 0{,}42$.

Произвольные постоянные C_1, C_2 находятся из начальных условий. По условию задачи в начальный момент пружина была в нерастянутом состоянии. Тогда начальная координата пружины (её верхнего края) $x(0) = 0$. Подставляя значение начальной координаты в общее решение неоднородного уравнения при $t = 0$, получим $C_2 = -0{,}42$. Скорость верхнего края пружины в начальный момент времени $\dot{x}(0)$ равна начальной скорости $V_D(0)$ точки D блока 2. Поскольку в начальный момент времени блоку 2 сообщили угловую скорость $\omega_{20} = 0{,}5$ рад/с, то при $r = 0{,}2$ м $\dot{x}(0) = V_D(0) = \omega_{20} r = 0{,}1$ м/с.

Вычисляем скорость движения края пружины, взяв производную: $\dot{x}(t) = 3{,}19 C_1 \cos 3{,}19t - 3{,}19 C_2 \sin 3{,}19t$. Подставляя начальное значение скорости, получим $C_1 = 0{,}03$.

Окончательно уравнение движения верхнего края пружин: $x(t) = 0{,}03 \sin 3{,}19t - 0{,}42 \cos 3{,}19t + 0{,}42$ м. Уравнение колебательного движения блока 2: $\varphi_2 = \dfrac{x}{r} = 0{,}15 \sin 3{,}19t - 2{,}1 \cos 3{,}19t + 2{,}1$ рад.

Задача 73. Прямоугольная призма 3 весом $2P$ лежит на катке 1 радиуса r и веса P и опирается на невесомый блок 2 (рис. 6.35). Каток 1 катится по неподвижной горизонтальной поверхности без скольжения. По наклонной поверхности призмы скатывается без скольжения каток 4 весом P и радиуса r. Угол наклона поверхности призмы к горизонту составляет

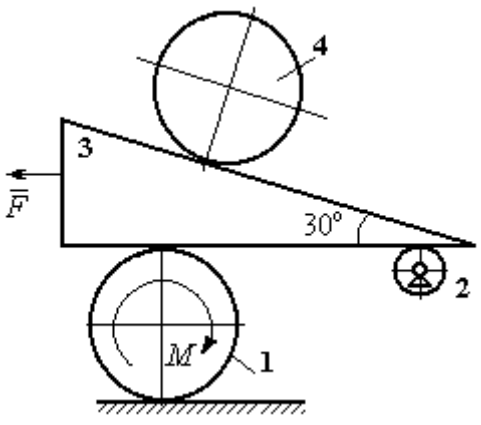

Рис. 6.35. Механическая система с двумя степенями свободы

30º. На каток 1 действует пара сил с постоянным моментом $M = 3Pr$, а на призму 3 – горизонтальная сила $\vec{F}$ с модулем $F = P$. Катки считать однородными дисками. Проскальзывание между катками 1, 4 и призмой отсутствует. В начальный момент система находилась в покое.

Определить закон движения призмы 3 и закон движения катка 4 относительно призмы.

Решение

Рассматриваемая механическая система – катки и призма имеет две степени свободы, так как перемещение катка 4 относительно призмы 3 не зависит от перемещения самой призмы и катка 1. За обобщенные координаты выберем перемещение x_4 центра масс катка 4 относительно края призмы и перемещение x_3 края призмы 3 относительно произвольной неподвижной вертикальной плоскости (рис. 6.36). Обобщенные скорости: $\dot{x}_4$, $\dot{x}_3$.

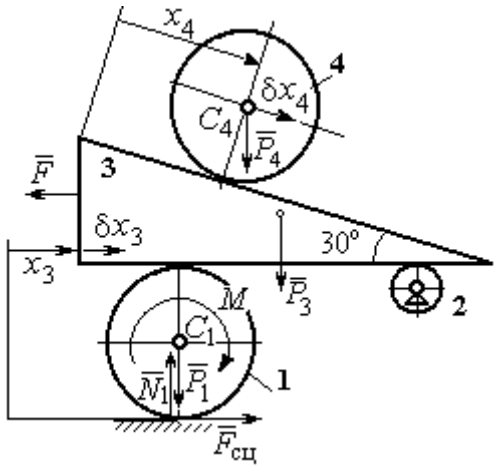

Рис. 6.36. Возможные перемещения механической системы

Уравнения Лагранжа II рода, описывающие движение системы в обобщённых координатах:

$$\frac{d}{dt}\left(\frac{\partial T}{\partial \dot{x}_4}\right) - \frac{\partial T}{\partial x_4} = Q_{x_4};$$

$$\frac{d}{dt}\left(\frac{\partial T}{\partial \dot{x}_3}\right) - \frac{\partial T}{\partial x_3} = Q_{x_3},$$

где T – кинетическая энергия системы; Q_{x_4}, Q_{x_3} – обобщенные силы, соответствующие указанным обобщенным координатам.

Вычислим кинетическую энергию тел в системе.

Каток 1 совершает плоскопараллельное движение. Кинетическая энергия катка $T_1 = \frac{1}{2} m_1 V_{C_1}^2 + \frac{1}{2} J_{C_1} \omega_1^2$, где V_{C_1} – скорость центра масс катка, $V_{C_1} = \frac{1}{2}\dot{x}_3$; J_{C_1} – момент инерции катка относительно оси, проходящей через центр масс

перпендикулярно плоскости движения, $J_{C_1} = \frac{m_1 r^2}{2}$; ω_1 – угловая скорость катка 1, $\omega_1 = \frac{\dot{x}_3}{2r}$.

Призма 3 совершает поступательное движение со скоростью $V_3 = \dot{x}_3$. Её кинетическая энергия $T_3 = \frac{m_3 V_3^2}{2} = \frac{m_3 \dot{x}_3^2}{2}$.

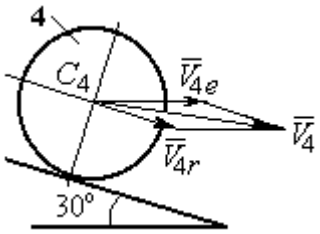

Рис. 6.37. Скорость центра масс катка 4

При расчёте кинетической энергии катка 4 по формуле $T_4 = \frac{1}{2} m_4 V_4^2 + \frac{1}{2} J_{C_4} \omega_4^2$ необходимо учитывать, что каток 4 совершает сложное движение. Здесь относительное движение катка – его качение по наклонной поверхности призмы, переносное – поступательное перемещение вместе с призмой.

Вектор абсолютной скорости центра масс катка 4 $\vec{V}_4$ представляется в виде суммы $\vec{V}_4 = \vec{V}_{4e} + \vec{V}_{4r}$ (рис. 6.37), где $\vec{V}_{4e}$ – вектор переносной скорости катка, равный по модулю скорости призмы: $V_{4e} = \dot{x}_3$; $\vec{V}_{4r}$ – вектор относительной скорости центра масс катка, равный по величине $V_{4r} = \dot{x}_4$. Модуль абсолютной скорости центра масс катка 4 (по теореме косинусов):

$$V_4^2 = V_{4e}^2 + V_{4r}^2 - 2V_{4e}V_{4r}\cos 150^\circ = \dot{x}_3^2 + \dot{x}_4^2 + 2\dot{x}_3\dot{x}_4\cos 30^\circ .$$

Поскольку переносное движение катка 4 поступательное, угловая скорость катка ω_4 равна его угловой скорости в относительном движении $\omega_4 = \frac{V_{4r}}{r} = \frac{\dot{x}_4}{r}$.

В результате выражение кинетической энергии системы, в обобщённых скоростях имеет вид:

$$T = \frac{1}{2} m_1 V_{C_1}^2 + \frac{1}{2} J_{C_1} \omega_1^2 + \frac{1}{2} m_3 V_3^2 + \frac{1}{2} m_4 V_4^2 + \frac{1}{2} J_{C_4} \omega_4^2 =$$

$$= \frac{P}{2g}\left(\frac{27}{8}\dot{x}_3^2 + \frac{3}{2}\dot{x}_4^2 + \dot{x}_3\dot{x}_4\sqrt{3}\right).$$

Дадим системе возможное перемещение по координате x_3, оставляя координату x_4 без изменения: $\delta x_3 > 0, \delta x_4 = 0$. При таком движении системы каток 4 не скатывается по призме, а движется поступательно вместе с ней. В этом случае работа сил тяжести катков 1, 4 и призмы равна нулю, так как нет вертикального перемещения точек приложения этих сил. Работу на этом перемещении будет производить только сила $\vec{F}$ и пара сил с моментом M, приложенная к катку 1. Суммарная элементарная работа

$$\delta A = -F\delta x_3 + M\delta\varphi_1 = \left(-F + \frac{M}{2r}\right)\delta x_3 .$$

Здесь учтено, что элементарный угол поворота катка 1 связан с перемещением призмы соотношением: $\delta\varphi_1 = \frac{\delta x_3}{2r}$. Отсюда обобщённая сила, соответствующая координате x_3: $Q_{x_3} = -F + \frac{M}{2r} = \frac{1}{2}P$.

Дадим системе другое независимое перемещение – по координате x_4, оставляя координату x_3 без изменения: $\delta x_4 > 0, \delta x_3 = 0$. При этом возможном перемещении вся система стоит, кроме катка 4, который скатывается по наклонной поверхности призмы. При таком движении системы работу совершает только сила тяжести катка 4. Выражая элементарную работу $\delta A = P_4\delta x_4\cos 60^\circ = \frac{1}{2}P\delta x_4$, найдём обобщённую силу, соответствующую координате x_4: $Q_{x_4} = \frac{1}{2}P$.

Составим уравнения Лагранжа. С этой целью вычислим необходимые производные кинетической энергии

$$\frac{d}{dt}\left(\frac{\partial T}{\partial \dot{x}_3}\right) = \frac{27P}{8g}\ddot{x}_3 + \frac{P\sqrt{3}}{2g}\ddot{x}_4;\ \ \frac{d}{dt}\left(\frac{\partial T}{\partial \dot{x}_4}\right) = \frac{3P}{2g}\ddot{x}_4 + \frac{P\sqrt{3}}{2g}\ddot{x}_3;\ \ \frac{\partial T}{\partial x_3} = 0,\ \frac{\partial T}{\partial x_4} = 0.$$

Подставляя результаты расчётов в общий вид уравнений Лагранжа, получим систему дифференциальных уравнений:

$$\frac{27P}{8g}\ddot{x}_3 + \frac{P\sqrt{3}}{2g}\ddot{x}_4 = \frac{1}{2}P, \quad \frac{3P}{2g}\ddot{x}_4 + \frac{P\sqrt{3}}{2g}\ddot{x}_3 = \frac{1}{2}P$$

или

$$6{,}75\ddot{x}_3 + 1{,}73\ddot{x}_4 = g; \quad 3\ddot{x}_4 + 1{,}73\ddot{x}_3 = g.$$

Решаем данную систему как алгебраическую относительно ускорений $\ddot{x}_3$, $\ddot{x}_4$. Получим: $\ddot{x}_3 = 0{,}07g$, $\ddot{x}_4 = 0{,}29g$.

Интегрируя дважды эти уравнения с нулевыми начальными условиями, получим закон движения призмы ($x_3 = 0{,}035gt^2$) и центра масс катка 4 относительно призмы ($x_4 = 0{,}145gt^2$). Движение призмы и катка 4 относительно призмы происходит в положительном направлении осей.

Задача 74. Механическая система состоит из трёх тел – груза 1, катка 2 и блока 3 (рис. 6.38). Невесомый стержень, соединяющий каток 2 с блоком 3, параллелен горизонтальной плоскости качения катка 2. К центру катка 2 прикреплена горизонтальная пружина, другой конец которой соединён с грузом 1. Коэффициент жесткости пружины *c*. Груз 1 весом P_1 движется без трения по горизонтальной поверхности. Каток 2 весом P_2 катится по горизонтальной поверхности без скольжения. Радиус катка 2 равен *r*. Блок 3 считать однородным диском весом P_3 радиуса *R*. К блоку 3 приложена пара сил с моментом *M*. Движение катка 2 блоку 3 передаётся горизонтальным невесомым стержнем. Скольжение между стержнем и дисками отсутствует. В начальный момент система находилась в покое. При этом груз 1 находился в положении, при котором

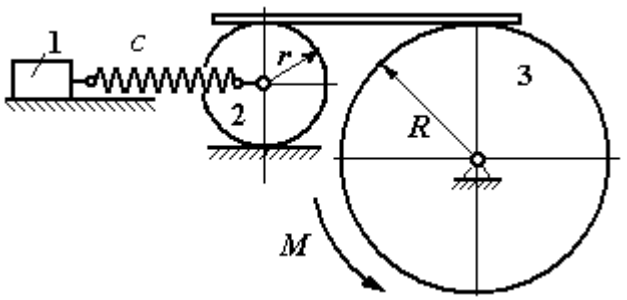

Рис. 6.38. Колебания механической системы с двумя степенями свободы

пружина была растянута относительно своего недеформированного состояния на величину Δl_0.

Найти закон абсолютного движения груза 1, если известно P_1 = 10 Н, P_2 = 20 Н, P_3 = 30 Н, M = 5 Н·м, R = 24 см, c = 207 Н/м, Δl_0 = 5 см.

Решение

Рассматриваемая механическая система имеет две степени свободы. В качестве обобщенных координат выберем удлинение пружины x_1 относительно недеформированного состояния и угол φ_3 поворота блока 3 (рис. 6.39). При этом x_1 является относительной координатой движения груза, а φ_3 – абсолютной координатой вращения блока 3.

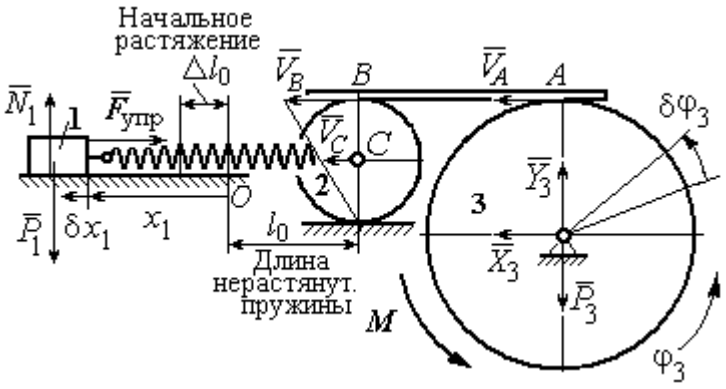

Рис. 6.39. Расчётная схема колебаний механической системы

Рассмотрим сложное движение груза 1. Относительное движение груза – это его движение на пружине в предположении, что точка крепления пружины неподвижна. Относительная скорость $V_{1r} = \dot{x}_1$. Переносное движение – это перемещение груза вместе с фиксированной длиной пружины (иначе, заменяя пружину жестким стержнем). Переносная скорость груза 1 $V_{1e} = V_C$, где V_C – скорость центра масс катка 2.

На рис. 6.39 показано распределение скоростей точек катка 2, откуда следует: $V_C = \frac{1}{2} V_B$. Имеем: $V_B = V_A = \omega_3 R = \dot{\varphi}_3 R$ и $V_C = \frac{1}{2}\dot{\varphi}_3 R$.

Для того чтобы найти модуль абсолютной скорости груза 1, спроектируем векторное равенство теоремы сложения скоростей $\vec{V}_1 = \vec{V}_{1r} + \vec{V}_{1e}$ на горизон-

тальную ось. Полагая, что движение системы происходит в положительном направлении отсчета обобщённых координат, получим: $V_1 = \dot{x}_1 + \frac{1}{2}\dot{\varphi}_3 R$.

Уравнения Лагранжа II рода, описывающие движение системы:

$$\frac{d}{dt}\left(\frac{\partial T}{\partial \dot{x}_1}\right) - \frac{\partial T}{\partial x_1} = Q_x, \quad \frac{d}{dt}\left(\frac{\partial T}{\partial \dot{\varphi}_3}\right) - \frac{\partial T}{\partial \varphi_3} = Q_\varphi,$$

где T – кинетическая энергия системы; Q_x, Q_φ – обобщенные силы, соответствующие обобщенным координатам x_1 и φ_3.

Вычислим кинетическую энергию системы и выразим её через обобщённые скорости.

Кинетическая энергия поступательного движения груза 1 определяется выражением $T_1 = \frac{1}{2} m_1 V_1^2$, где V_1 следует рассматривать как абсолютную скорость груза. Тогда $T_1 = \frac{1}{2} m_1 \left(\dot{x}_1 + \frac{1}{2}\dot{\varphi}_3 R\right)^2$. Каток 2 совершает плоскопараллельное движение. Кинетическая энергия катка $T_2 = \frac{3}{4} m_2 V_C^2$, причём $V_C = \frac{1}{2}\dot{\varphi}_3 R$. Тогда $T_2 = \frac{3}{16} m_2 \dot{\varphi}_3^2 R^2$. Кинетическая энергия вращающегося блока 3: $T_3 = \frac{1}{2} J_{3z} \omega_3^2$, где J_{3z} – осевой момент инерции блока 3, $J_{3z} = \frac{m_3 R^2}{2}$. Окончательно $T_3 = \frac{1}{4} m_3 \dot{\varphi}_3^2 R^2$.

Кинетическая энергия системы имеет вид:

$$T = T_1 + T_2 + T_3 = \frac{1}{2} m_1 (\dot{x}_1 + \frac{1}{2}\dot{\varphi}_3 R)^2 + \frac{3}{16} m_2 \dot{\varphi}_3^2 R^2 + \frac{m_3 R^2}{4} \dot{\varphi}_3^2 =$$

$$= \frac{1}{2} m_1 \dot{x}_1^2 + \frac{1}{2} m_1 \dot{x}_1 \dot{\varphi}_3 R + \left(\frac{1}{8} m_1 + \frac{3}{16} m_2 + \frac{1}{4} m_3\right) \dot{\varphi}_3^2 R^2.$$

Дадим системе возможное перемещение, при котором изменяется координата груза x_1 ($\delta x_1 > 0$), а другая координата – угол поворота блока 3 φ_3 остаётся постоянной ($\delta\varphi_3 = 0$). В этом случае груз 1 движется горизонтально, блок 3 и каток 2 – неподвижны. При таком движении работу будет производить только упругая сила пружины.

Модуль силы упругости пружины пропорционален её растяжению и в произвольном положении груза равен: $F_{\text{упр}} = c\Delta\ell = cx_1$. Направление силы упругости противоположно растяжению (см. рис. 6.39).

Сумма элементарных работ сил на заданном перемещении системы δx_1: $\delta A = -F_{\text{упр}}\delta x_1 = -cx_1\delta x_1$. Отсюда обобщенная сила Q_x, соответствующая координате x_1: $Q_x = -cx_1 = -207x_1$ Н.

Дадим системе другое возможное перемещение, при котором пружина не растягивается: $\delta x_1 = 0$, а блок 3 повернулся на угол $\delta\varphi_3$: $\delta\varphi_3 > 0$. В этом случае пружина рассматривается как жёсткий стержень, связывающий груз 1 с центром масс катка 2. В результате при повороте блока 3 груз 1 и точка *C* движутся одинаково в горизонтальном направлении. На этом перемещении системы работу совершает только пара сил с моментом *M*, приложенная к блоку 3. Имеем $\delta A = M\delta\varphi_3$, и, следовательно, обобщённая сила $Q_\varphi = M = 5$ Н·м.

Составим уравнения Лагранжа, для чего вычислим производные от кинетической энергии по обобщенным скоростям и координатам:

$$\frac{\partial T}{\partial \dot{x}_1} = m_1\dot{x}_1 + \frac{1}{2}m_1R\dot{\varphi}_3;\ \frac{\partial T}{\partial \dot{\varphi}_3} = \frac{1}{2}m_1R\dot{x}_1 + \left(\frac{1}{4}m_1 + \frac{3}{8}m_2 + \frac{1}{2}m_3\right)\dot{\varphi}_3R^2;$$

$$\frac{\partial T}{\partial x_1} = 0,\ \frac{\partial T}{\partial \varphi_3} = 0.$$

Полные производные по времени:

$$\frac{d}{dt}\left(\frac{\partial T}{\partial \dot{x}_1}\right) = m_1\ddot{x}_1 + \frac{1}{2}m_1R\ddot{\varphi}_3;\ \frac{d}{dt}\left(\frac{\partial T}{\partial \dot{\varphi}_3}\right) = \frac{1}{2}m_1R\ddot{x}_1 + \left(\frac{1}{4}m_1 + \frac{3}{8}m_2 + \frac{1}{2}m_3\right)\ddot{\varphi}_3R^2.$$

Приравнивая полные производные обобщённым силам, получим уравнения Лагранжа окончательно в виде системы алгебраических уравнений относительно ускорений $\ddot{x}_1$ и $\ddot{\varphi}_3$:

$$1{,}02\ddot{x}_1 + 0{,}12\ddot{\varphi}_3 = -207x_1;\ \ 0{,}12\ddot{x}_1 + 0{,}15\ddot{\varphi}_3 = 5.$$

Разрешая систему относительно ускорения $\ddot{x}_1$, получим уравнение относительных колебаний груза:

$$\ddot{x}_1 + 225x_1 = -4{,}35\,.$$

Решение линейного неоднородного дифференциального уравнения с постоянными коэффициентами представляется в виде суммы общего решения однородного уравнения и частного решения неоднородного: $x_1 = x_{\text{одн}} + x_{\text{частн}}$.

Общее решение однородного уравнения $x_{\text{одн}} = C_1\sin kt + C_2\cos kt$, где C_1, C_2 – произвольные постоянные; k – круговая частота собственных колебаний груза 1, $k = \sqrt{225} = 15$ рад/с. Частное решение неоднородного уравнения ищется в виде константы $x_{\text{част}} = b$. Подставив его в уравнение колебаний, получим: $b = -0{,}02$.

Таким образом, общее решение неоднородного уравнения

$$x_1(t) = C_1\sin 15t + C_2\cos 15t - 0{,}02\,.$$

Начальная координата x_{01} груза 1 определяется из условия, что в начальный момент времени при $t = 0$ груз находился в положении, при котором пружина была растянута относительно своего недеформированного состояния на расстояние $\Delta l_0 = 0{,}05$ м. Следовательно, $x_{01} = 0{,}05$. Подставляя значение начальной координаты в общее решение неоднородного уравнения при $t = 0$, получим: $C_2 = 0{,}07$.

Относительная скорость груза 1 в любой момент времени: $\dot{x}_1(t) = C_1 15\cos 15t - C_2 15\sin 15t$. По условию задачи начальная скорость груза 1

$\dot{x}_1(0) = 0$. После подстановки начального условия в выражение для скорости груза 1 получим: $C_1 = 0$.

Окончательно уравнение относительного движения груза 1:

$$x_1(t) = 0{,}07\cos 15t - 0{,}02 \text{ м}.$$

Найдём уравнение вращательного движения блока 3. Для этого в дифференциальное уравнение $0{,}12\ddot{x}_1 + 0{,}15\ddot{\varphi}_3 = 5$ подставим значение второй производной решения относительных колебаний груза 1. Получим: $\ddot{\varphi}_3 = 33{,}33 + 12{,}6\cos 15t$. Полагая $\ddot{\varphi}_3 = \dfrac{d\omega_3}{dt}$, получим дифференциальное уравнение первого порядка: $\dfrac{d\omega_3}{dt} = 33{,}33 + 12{,}6\cos 15t$, откуда найдём угловую скорость блока 3: $\omega_3 = 33{,}33t + 0{,}84\sin 15t + C_3$.

Аналогично, положив $\omega_3 = \dfrac{d\varphi_3}{dt}$, найдём закон вращательного движения блока 3: $\varphi_3 = 16{,}665t^2 - 0{,}056\cos 15t + C_3 t + C_4$.

Начальные условия движения блока: при $t = 0$, $\varphi_3(0) = 0$, $\omega_3(0) = 0$. Подставляя начальные условия в уравнения движения, получим: $C_4 = 0{,}056$, $C_3 = 0$.

Окончательно уравнение вращательного движения блока 3:

$$\varphi_3 = 16{,}665t^2 - 0{,}056\cos 15t + 0{,}056.$$

Абсолютное движение s_1 груза 1 представляется суммой относительного и переносного движений:

$$s_1 = x_1 + S_C = x_1 + \frac{1}{2}R\varphi_3 = 2t^2 - 0{,}06\cos 15t - 0{,}01.$$

Упражнения

Упражнение 6.6. Каток весом $P_1 = 2P$, радиуса r, движущийся без проскальзывания по вертикальной стене, удерживается вертикальной пружиной жесткостью $C = 4P / r$, прикреплённой одним концом к центру катка, другим – к неподвижной поверхности (рис. 6.40). К нити, намотанной на барабан катка, подвешен груз 2 весом $P_2 = P$. На груз действует сила $F = P$, к катку приложена пара сил с моментом $M = Pr$.

Найти закон движения груза 2 и максимальное растяжение пружины, если движение системы началось из состояния покоя при недеформированной пружине.

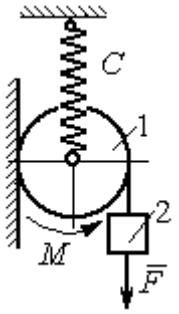

Рис. 6.40. Схема движения катка

Упражнение 6.7. Грузы 1 и 2 весом $P_1 = 20$ Н и $P_2 = 30$ Н привязаны к нерастяжимой нити. Нить переброшена через неподвижные блоки B и D и охватывает снизу подвижный блок 3 весом $P_3 = 40$ Н (рис. 6.41).

Определить ускорения грузов 1 и 2 и центра масс блока 3. Весом нити и неподвижных блоков B и D пренебречь.

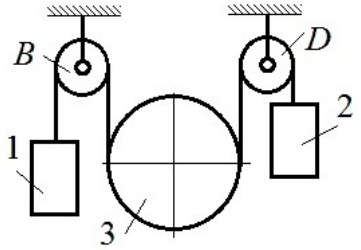

Рис. 6.41. Механическая система с двумя степенями свободы

Упражнение 6.8. Каток 1, радиуса r весом P катится по горизонтальной поверхности. К катку приложена пара сил с моментом $M = 2Pr$. Каток передаёт движение невесомой тележке (см. рис. 6.42). В кузове тележки находится каток 2 такого же радиуса r и веса P, который движется по горизонтальной поверхности кузова под действием силы $F = P$, приложенной в центре катка. Найти закон движения центра катка 2 относительно тележки, если движение системы началось из состояния покоя.

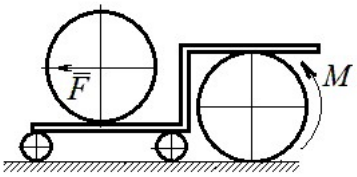

Рис. 6 42. Движение катка в кузове тележки

7. ОТВЕТЫ И КРАТКИЕ ПОЯСНЕНИЯ

7.1. Ответы к упражнениям главы 1

1.1

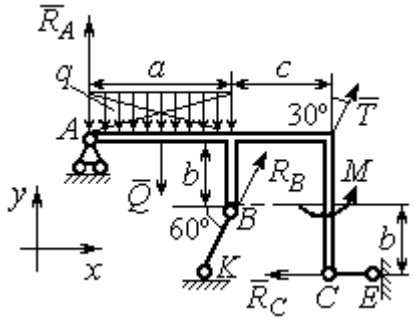

Рис. 7.1. Расчётная схема к упражнению 1.1

$$T = 15 \text{ кН}, \quad Q = 15 \text{ кН}.$$

$$R_B\cos 60^\circ + T\cos 60^\circ - R_C = 0;$$

$$R_A - Q + R_B\cos 30^\circ + T\cos 30^\circ = 0;$$

$$-Q\cdot\frac{a}{2} + R_B\cos 30^\circ\cdot a + R_B\cos 60^\circ\cdot b + T\cos 30^\circ\cdot(a+c) +$$

$$+ M - R_C\cdot 2b = 0.$$

$$R_B = -3{,}8 \text{ кН}, \quad R_C = 5{,}6 \text{ кН}, \quad R_A = 5{,}3 \text{ кН}.$$

1.2

$Q = 9$ кН. $T = 2$ кН.

$$X_A + T\cos 30^\circ + Q\cos 30^\circ = 0;$$

$$Y_A - Q\cos 60^\circ + R_B - T\cos 60^\circ - F = 0;$$

$$-Q\cdot\frac{c}{2} + R_B(b + c\cos 60^\circ) - Fc\cos 60^\circ + M -$$

$$-T\cos 60^\circ(b + c\cos 60^\circ) - T\cos 30^\circ(a + c\sin 60^\circ) = 0.$$

$R_B = 10{,}02$ кН, $X_A = -9{,}53$ кН, $Y_A = -0{,}52$ кН.

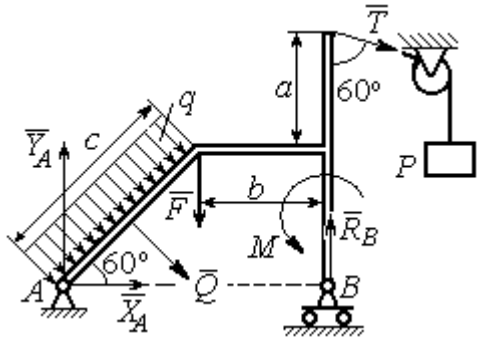

Рис. 7.2. Расчётная схема к упражнению 1.2

1.3

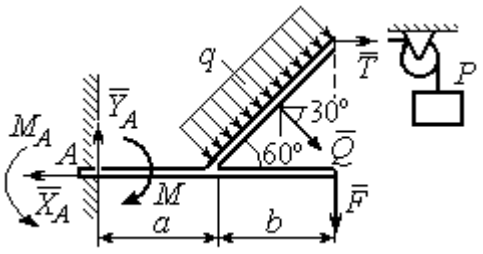

Рис. 7.3. Расчётная схема к упражнению 1.3

$Q = 8$ кН. $T = 3$ кН.

$$-X_A + T + Q\cos 30^\circ = 0;$$

$$Y_A - Q\cos 60° - F = 0;$$

$$-T2b\cos 30° - F(a+b) + M_A - M -$$

$$-Q\cos 60°\left(a + \frac{b}{2}\right) - Q\cos 30^\circ\left(b\cos 30^\circ\right) = 0.$$

$M_A = 18{,}61$ кН·м, $X_A = 9{,}93$ кН, $Y_A = 6$ кН.

1.4

$Q = 6{,}93$ кН, $T = 2$ кН.

$$-X_B - T + Q\cos 30^\circ + F\cos 60^\circ = 0;$$

$$R_A - Q\cos 60^\circ + Y_B - F\cos 30^\circ = 0;$$

$$-\frac{Qa}{2\cos 30^\circ} + Y_B\left(b + \frac{a}{2\cos 30^\circ}\right) + Ta - Fa\cos 60^\circ -$$

$$-F\cos 30^\circ\left(b + \frac{a}{2\cos 30^\circ}\right) + M = 0.$$

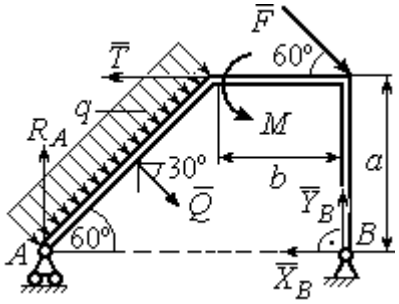

Рис.7.4. Расчётная схема к упражнению 1.4

$R_A = 0{,}72$ кН, $X_B = -5{,}5$ кН, $Y_B = 5{,}34$ кН.

1.5

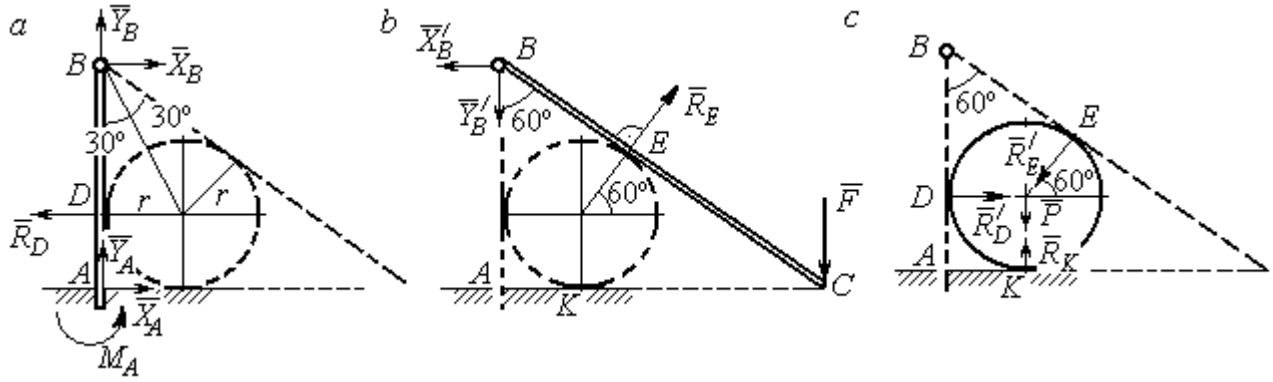

Рис. 7.5. Расчётные схемы к упражнению 1.5:
a – равновесие балки *AB*; *b* – равновесие балки *BC*; *c* – равновесие шара

$X_B = X'_B$, $Y_B = Y'_B$, $R_D = R'_D$, $R_E = R'_E$.

Балка *AB*. $AB = r + BD = r + r\operatorname{ctg}30^\circ = 2{,}73$ м.

$$X_A - R_D + X_B = 0, \quad Y_A + Y_B = 0, \quad M_A + R_D \cdot r - X_B \cdot AB = 0.$$

Балка *BC*. $BE = BD = 1{,}73$ м. $AC = BC\cos 30^\circ = 2AB\cos 30^\circ = 4{,}73$ м.

$$R_E\cos 60^\circ - X'_B = 0, \quad RE\sin 60\circ - Y'B - F = 0, \quad R_E \cdot BE - F \cdot AC = 0.$$

Шар.

$$R'_D - R'_E\cos 60^\circ = 0, \quad R_K - P - R'_E\cos 30^\circ = 0.$$

$R_E = 21{,}87$ кН, $Y_B = 10{,}94$ кН, $X_B = 10{,}94$ кН, $R_D = 10{,}94$ кН;

$R_K = 20{,}94$ кН, $X_A = 0$, $Y_A = -10{,}94$ кН, $M_A = 18{,}93$ кН·м.

1.6

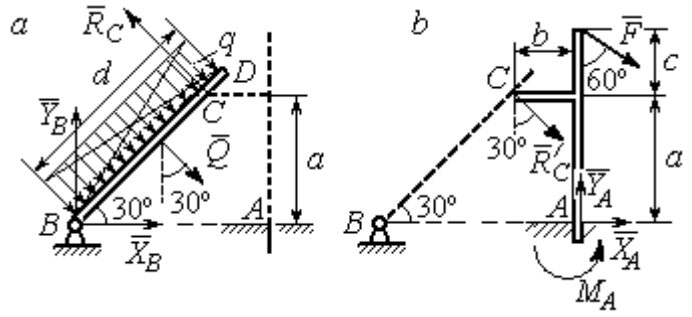

Рис. 7.6. Расчётные схемы к упражнению № 1.6:
a – равновесие балки *BD*; *b* – равновесие балки *AC*

Балка *BD*. $Q = 15$ кН.

$$X_B + Q\cos 60^\circ - R_C\cos 30^\circ = 0;$$

$$Y_B - Q\cos 30^\circ + R_C\cos 60^\circ = 0;$$

$$-Q\frac{d}{2} + R_C\, 2a = 0.$$

Балка *AC*. $R_C = R'_C$.

$$X_A + R'_C\cos 60^\circ + F\cos 30^\circ = 0,\ Y_A - R'_C\cos 30^\circ - F\cos 60^\circ = 0;$$

$$M_A - R'_C\cos 60^\circ \cdot a + R'_C\cos 30^\circ \cdot b - F\cos 30^\circ (a + c) = 0.$$

$$X_B = 0{,}61 \text{ кН},\ \ Y_B = 8{,}3 \text{ кН},\ R_C = 9{,}37 \text{ кН};$$

$$X_A = -8{,}15 \text{ кН},\ \ Y_A = 10{,}11 \text{ кН},\ \ M_A = 11{,}65 \text{ кН·м}.$$

1.7

Балка *AB*. $Q_1 = 6$ кН.

$T = P = 3$ кН.

$$X_A + R_B - T\cos 60^\circ + F = 0;$$

$$Y_A - Q_1 - T\cos 30^\circ = 0;$$

$$M_A - R_B(b + c)\cos 30^\circ + Q_1\frac{a}{2} +$$

$$+ T\cos 30^\circ a + T\cos 60^\circ c\cos 30^\circ -$$

$$- F\left[c + (b + c)\cos 30^\circ\right] = 0.$$

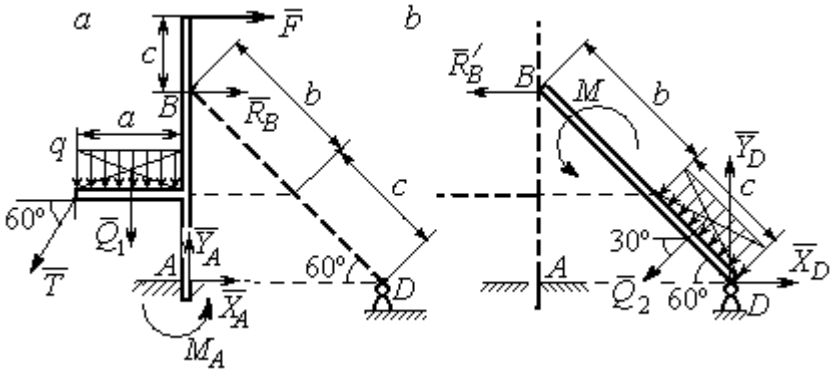

Рис. 7.7. Расчётные схемы к упражнению 1.7:
a – равновесие балки *AB*; *b* – равновесие балки *BD*

Балка *DB*. $Q_2 = 3$ кН. $R'_B = R_B$.

$$X_D - R'_B - Q_2\cos 30^\circ = 0,\ \ Y_D - Q_2\cos 60^\circ = 0,\ M + R'_B(b + c)\cos 30^\circ + Q_2\frac{c}{2} = 0.$$

$$X_A = -1{,}49 \text{ кН},\ Y_A = 8{,}6 \text{ кН},\ M_A = 8{,}86 \text{ кН},\ R_B = -1{,}01 \text{ кН};$$

$$X_D = 1{,}59 \text{ кН},\ \ Y_D = 1{,}5 \text{ кН}.$$

1.8

Шар.

$$R_B\cos60^\circ - R_D\cos60^\circ = 0;$$

$$R_B\cos30^\circ + R_D\cos30^\circ - P = 0.$$

Балка AC. $R'_B = R_B$.

$$X_A - R'_B\cos60^\circ = 0;$$

$$Y_A - R'_B\cos30^\circ + F = 0;$$

$$M_A - R'_B AB + F \cdot AC\cos30^\circ = 0.$$

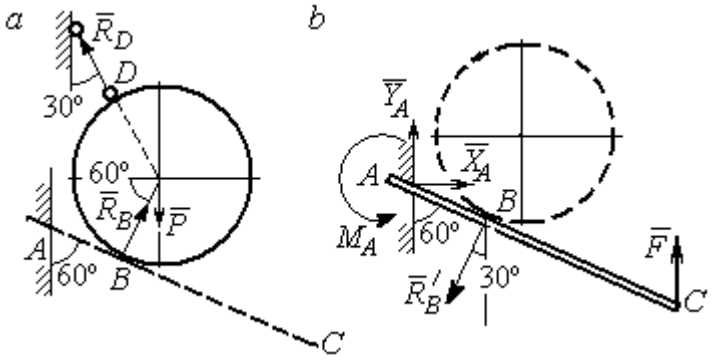

Рис. 7.8. Расчётные схемы к упражнению 1.8:
a – равновесие шара; *b* – равновесие балки *AC*

$X_A = 2{,}89$ кН, $Y_A = 0$ кН, $M_A = -11{,}55$ кН·м, $R_B = 5{,}77$ кН, $R_D = 5{,}77$ кН.

1.9

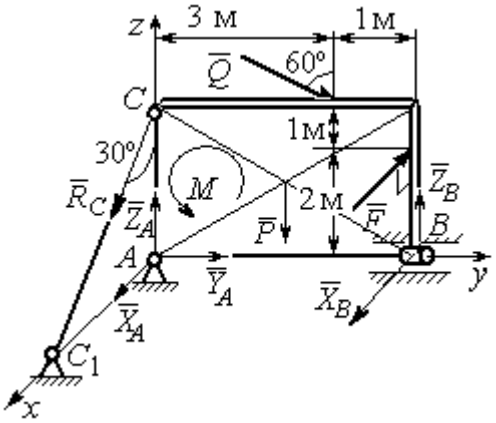

Рис. 7.9. Расчётная схема
к упражнению 1.9

$$X_A + R_C\cos60^\circ + X_B - F = 0;$$

$$Y_A + Q\cos30^\circ = 0;$$

$$Z_A - R_C\cos30^\circ - Q\cos60^\circ + Z_B - P = 0;$$

$$M - Q\cos60^\circ \cdot 3 - Q\cos30^\circ \cdot 3 + Z_B \cdot 4 - P \cdot 2 = 0;$$

$$R_C\cos60^\circ \cdot 3 - F \cdot 2 = 0,\ -X_B \cdot 4 + F \cdot 4 = 0.$$

$X_A = 5{,}34$ кН, $Y_A = 2{,}6$ кН;

$Z_A = 8{,}92$ кН, $R_C = 10{,}67$ кН;

$X_B = 8$ кН, $Z_B = 3{,}82$ кН.

1.10

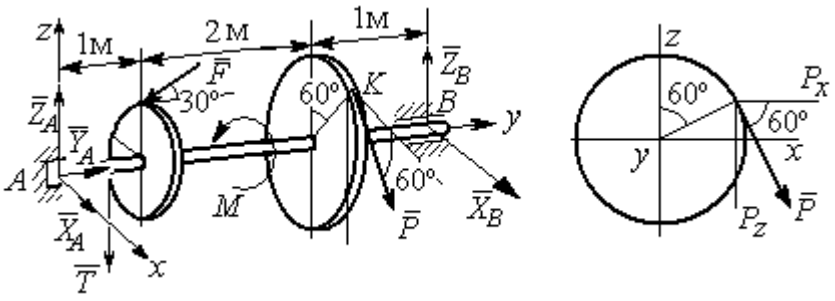

Рис. 7.10. Расчётные схемы к упражнению 1.10

$T = Q = 3$ кН.

$$X_A + P\cos 60^\circ + X_B = 0,\ \ Y_A - F\cos 30^\circ = 0;$$

$$Z_A - F\cos 60^\circ - P\cos 30^\circ - T + Z_B = 0.$$

$$-T\cdot 1 - F\cos 60^\circ \cdot 1 + F\cos 30^\circ \cdot r - P\cos 30^\circ \cdot 3 + Z_B \cdot 4 = 0;$$

$$-Tr + PR - M = 0,\ \ -P\cos 60^\circ \cdot 3 + X_B \cdot 4 = 0.$$

$X_A = 5{,}6$ кН, $Y_A = 3{,}46$ кН, $Z_A = 5{,}48$ кН, $P = 6{,}4$ кН, $X_B = 2{,}4$ кН, $Z_B = 5{,}06$ кН.

1.11

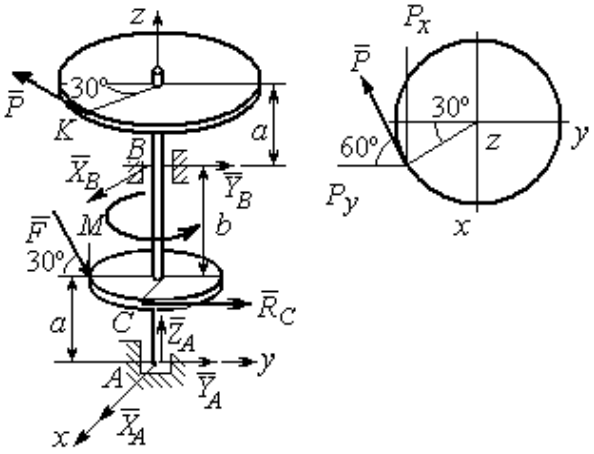

Рис. 7.11. Расчётные схемы к упражнению 1.11

$R_C = Q = 3$ кН.

$$X_A + X_B - P\cos 30^\circ = 0;$$

$$Y_A + Y_B - P\cos 60^\circ + R_C + F\cos 30^\circ = 0;$$

$$Z_A - F\cos 60^\circ = 0;$$

$$-Y_B(a+b) + P\cos 60^\circ(2a+b) - R_C a - -$$

$$F\cos 30^\circ \cdot a + F\cos 60^\circ \cdot r = 0;$$

$$X_B(a+b) - P\cos 30^\circ(2a+b) = 0;$$

$$-PR + R_C r + M = 0.$$

$X_A = -1{,}85$ кН, $Y_A = -5{,}64$ кН, $Z_A = 2$ кН, $P = 6{,}4$ кН, $X_B = 7{,}39$ кН, $Y_B = 2{,}38$кН.

1.12

$$T = Q = 3 \text{ кН}.$$

$$X_A + T + X_D = 0;\ Y_A - F + P\cos 60^\circ = 0,$$

$$Z_A + Z_D + P\cos 30^\circ = 0;$$

$$Fa\sin 30^\circ + Z_D(b+2a) + P(2b+2a)\cos 30^\circ = 0;$$

$$Ta\sin 30^\circ - Pa\cos 30^\circ + M = 0;$$

$$-Ta - X_D(b+2a) + Pa\cos 60^\circ + Fa\cos 30^\circ = 0.$$

$$X_A = 0{,}8 \text{ кН},\quad Y_A = 2{,}56 \text{ кН},\ \ Z_A = 1{,}3 \text{ кН};$$

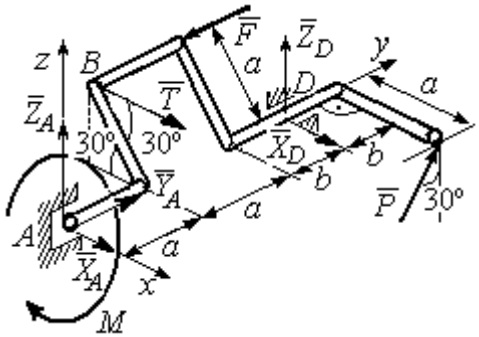

Рис. 7.12. Расчётная схема к упражнению 1.12

$$P = 2{,}89 \text{ кН},\ X_D = 0{,}76 \text{ кН},\ Z_D = -3{,}80 \text{ кН}.$$

1.13

Минимальный вес груза P:

$$T_{\min} + F_{\text{тр}\,A} - N_B = 0;$$

$$F_{\text{тр}\,B} + N_A - Q = 0;$$

$$F_{\text{тр}\,B} \cdot AB\sin 30° + N_B \cdot AB\cos 30° - Q \cdot AC\sin 30° = 0$$

Максимальный вес груза P:

$$T_{\max} - F_{\text{тр}\,A} - N_B = 0;$$

$$-F_{\text{тр}\,B} + N_A - Q = 0;$$

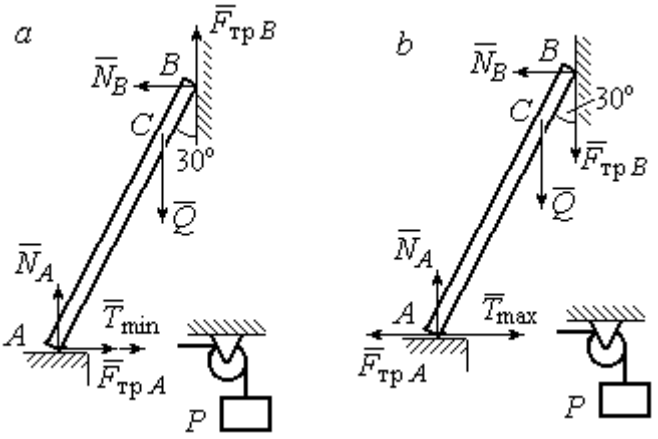

Рис. 7.13. Расчётные схемы к упражнению 1.13:
a – расчёт минимального веса груза;
b – расчёт максимального веса груза

$$-F_{\text{тр}\,B} \cdot AB\sin 30° + N_B \cdot AB\cos 30° - Q \cdot AC\sin 30° = 0;$$

$$F_{\text{тр}\,A} = f N_A,\ F_{\text{тр}\,B} = f N_B.$$

$$T_{\min} = 31.77 \text{ Н} < P < T_{\max} = 130{,}51 \text{ Н}.$$

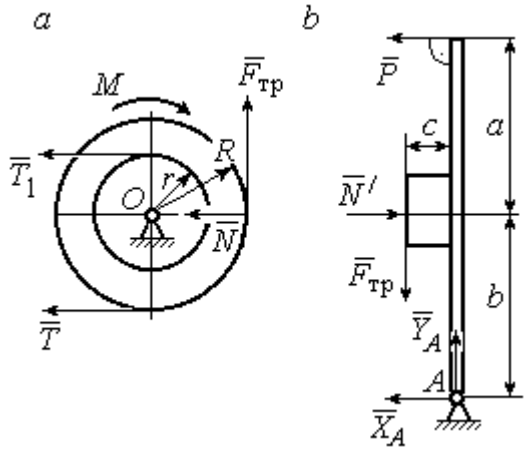

Рис. 7.14. Расчётные схемы
к упражнению 1.14:
a – равновесие шкива; *b* – равновесие рычага

1.14

Шкив. $T = T_1 = Q$.

$$T \cdot R - T_1 r + M - F_{\text{тр}} R = 0.$$

$$F_{\text{тр}} = 266{,}67 \text{ Н};$$

$$N = \frac{F_{\text{тр}}}{f} = 666{,}67 \text{ Н}.$$

Рычаг. $N = N'$. $F_{\text{тр}} = F'_{\text{тр}}$.

$$P(a+b) - N' \cdot b + F'_{\text{тр}} c = 0.$$

$$P = 320 \text{ Н}.$$

$$-X_A - P + N' = 0;$$

$$Y_A - F'_{\text{тр}} = 0.$$

$$X_A = 346{,}67 \text{ Н},\ Y_A = 266{,}67 \text{ Н}.$$

7.2. Ответы к упражнениям главы 2

2.1

$$\omega_{1z} = \dot{\varphi}_1 = 3 + \pi\cos\frac{\pi t}{2},\ \omega_1(1) = |\omega_{1z}(1)| = 3 \text{ рад/с}.$$

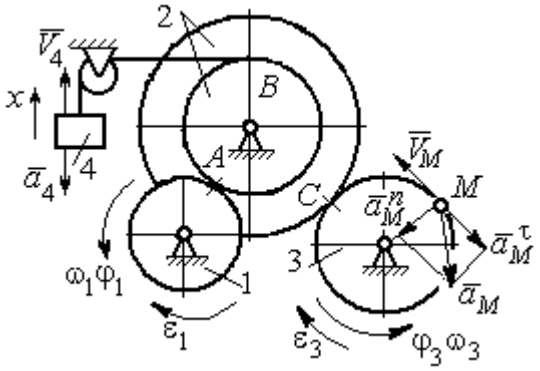

Рис. 7.15. Расчётная схема к упражнению 2.1

$$\omega_{3z} = \omega_{1z}\frac{R_1}{r_2}\frac{R_2}{R_3} = \left(3 + \pi\cos\frac{\pi t}{2}\right)\frac{4}{3};$$

$$\omega_3(1) = |\omega_{3z}(1)| = 4 \text{ рад/с}.$$

$$V_M(1) = \omega_3(1)R_3 = 40 \text{ см/с}.$$

$$\varepsilon_{3z} = \dot{\omega}_{3z} = -\frac{2\pi^2}{3}\sin\frac{\pi t}{2},\quad \varepsilon_{3z}(1) = -\frac{2\pi^2}{3};$$

$$\varepsilon_3(1) = |\varepsilon_{3z}(1)| = \frac{2\pi^2}{3} = 6{,}58 \text{ рад/с}^2.$$

$$\bar{a}_M = \bar{a}_M^n + \bar{a}_M^\tau,\ a_M^n(1) = \omega_3^2(1)R_3 = 160 \text{ см/с}^2,\ a_M^\tau(1) = \varepsilon_3(1)R_3 = 65{,}8 \text{ см/с}^2.$$

$$a_M(1) = 173 \text{ см/с}^2.$$

$$V_{4x} = V_A = \omega_{1z}R_1 = \left(3 + \pi\cos\frac{\pi t}{2}\right)8;\ V_4(1) = |V_{4x}(1)| = 24 \text{ см/с}.$$

$$\dot{V}_{4x} = -4\pi^2\sin\frac{\pi t}{2},\ \dot{V}_{4x}(1) = -4\pi^2;\ a_4(1) = |\dot{V}_{4x}(1)| = 39{,}48 \text{ см/с}^2.$$

2.2

$$V_{4x} = \dot{x}_4 = 1 - \frac{\pi}{3}\cos\frac{\pi t}{3} - \frac{\pi}{3}\sin\frac{\pi t}{3};$$

$$V_{4x}(3) = 2{,}05 \text{ м/с},\ V_4 = |V_{4x}(3)|$$

$$\omega_{3z} = \frac{V_{4x}}{r_3} = \frac{1}{r_3}\left(1 - \frac{\pi}{3}\cos\frac{\pi t}{3} - \frac{\pi}{3}\sin\frac{\pi t}{3}\right);$$

$$\omega_{3z}(3) = 6{,}83 \text{ рад/с};\ \omega_3 = |\omega_{3z}(3)|.$$

$$\varepsilon_{3z} = \dot{\omega}_{3z} = \frac{1}{r_3}\left(\frac{\pi^2}{9}\sin\frac{\pi t}{3} - \frac{\pi^2}{9}\cos\frac{\pi t}{3}\right).$$

$$\varepsilon_{3z}(3) = 3{,}65 \text{ рад/с}^2;\ \varepsilon_3 = |\varepsilon_{3z}(3)|.$$

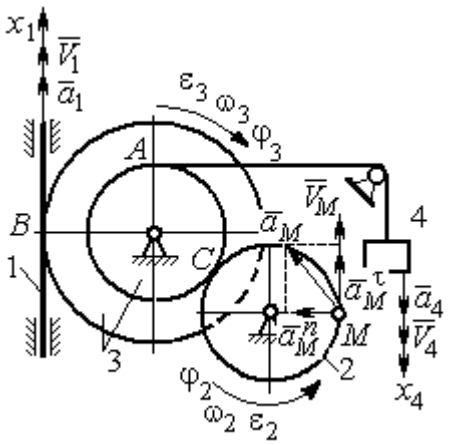

Рис. 7.16. Расчётная схема к упражнению 2.2

$$\frac{\omega_3}{\omega_2}=\frac{R_2}{r_3};\ \ \omega_2=\omega_3\frac{r_3}{R_2}=10{,}25\ \text{рад/с};\ V_M=\omega_2 R_2=2{,}05\ \text{м/с}.$$

$$\frac{\varepsilon_3}{\varepsilon_2}=\frac{R_2}{r_3};\ \ \varepsilon_2=\varepsilon_3\frac{r_3}{R_2}=5{,}47\ \text{рад/с}^2.$$

$$a_M^n=\omega_2^2 R_2=20{,}4\ \text{м/с}^2;\ \ a_M^\tau=\varepsilon_2 R_2=1{,}09\ \text{м/с}^2.$$

$$a_M=\sqrt{\left(a_M^n\right)^2+\left(a_M^\tau\right)^2}=20{,}43\ \text{м/с}^2.$$

$$V_1=\omega_3 R_3=2{,}73\ \text{м/с};\ a_1=\dot V_1=\dot\omega_3 R_3=\varepsilon_3 R_3=2{,}19\ \text{м/с}^2.$$

2.3

$$BP_2=BC\cos30^\circ=4{,}33\ \text{см};\ CP_2=2{,}5\ \text{см}.$$

$$\omega_{BC}=\frac{V_B}{BP_2}=1{,}15\ \text{рад/с};\ \ V_C=\omega_{BC}CP_2=2{,}87\ \text{см/с};$$

$$\omega_1=\frac{V_C}{CP_1}=0{,}72\ \text{рад/с};\ EP_1=2R_1\cos30^\circ=3{,}46\ \text{см};$$

$$V_E=\omega_1 EP_1=2{,}49\ \text{см/с};\ EP_3=2AE\cos30^\circ=10{,}39\ \text{см};$$

$$\omega_{AE}=\frac{V_E}{EP_3}=0{,}24\ \text{рад/с};\ EA=AP_3;$$

$$V_A=\omega_{AE}AP_3=1{,}44\ \text{см/с},\ \ \omega_{AO}=\frac{V_A}{AO}=0{,}24\ \text{рад/с}.$$

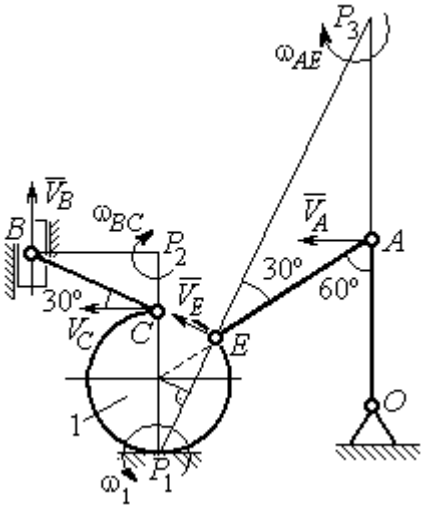

Рис. 7.17. Расчётная схема к упражнению 2.3

2.4

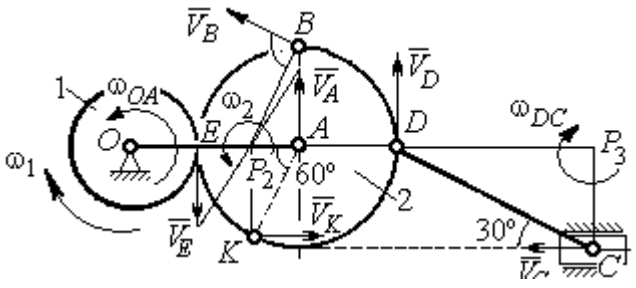

Рис. 7.18. Расчётная схема к упражнению 2.4

E – точка касания дисков.

$$V_E=\omega_1 r_1=18\ \text{см/с}.$$

$$V_A=\omega_{OA}\left(r_1+r_2\right)=18\ \text{см/с}.$$

$$EP_2=P_2A=3\ \text{см},\ \omega_2=\frac{V_E}{EP_2}=6\ \text{рад/с}.$$

$$V_K=\omega_2 P_2K=31{,}18\ \text{см/с}.$$

$$V_B=\omega_2 P_2B=40{,}25\ \text{см/с};\ V_D=\omega_2 P_2D=54\ \text{см/с}.$$

$DC = 2r_2$, $\omega_{DC} = \dfrac{V_D}{DP_3} = 5{,}197$ рад/с; $V_C \cos 30^\circ = V_D \cos 60^\circ$, $V_C = 31{,}18$ см/с.

2.5

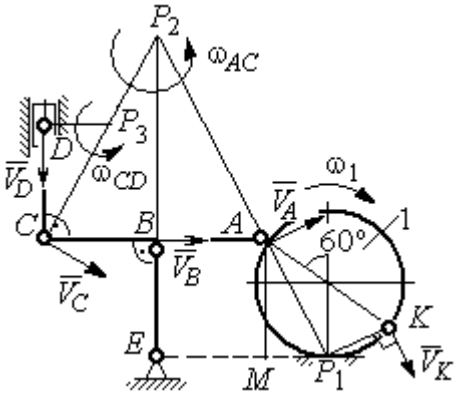

Рис. 7. 19. Расчётная схема к упражнению 2.5.

$BE = 1{,}5R_1$; $R_1 = 2{,}67$ см.

$KP_1 = R_1$; $\omega_1 = \dfrac{V_K}{KP_1} = 0{,}75$ рад/с.

$AP_1 = \dfrac{AM}{\cos 30^\circ} = 4{,}62$ см; $V_A = \omega_1 P_1 A = 3{,}46$ см/с.

$AP_2 = 2AB = 8$ см; $\omega_{AC} = \dfrac{V_A}{AP_2} = 0{,}43$ рад/с.

$V_B \cos 0^\circ = V_A \cos 30^\circ$; $V_B = 2{,}99$ см/с.

$\omega_{BE} = \dfrac{V_B}{BE} = 0{,}75$ рад/с; $V_C = V_A = 3{,}46$ см/с; $CP_3 = \dfrac{DC}{\cos 30^\circ} = 4{,}62$ см;

$\omega_{CD} = \dfrac{V_C}{CP_3} = 0{,}75$ рад/с; $V_D \cos 0^\circ = V_C \cos 60^\circ$; $V_D = 1{,}73$ см/с.

2.6

$V_A = \omega_{OA} \cdot OA = 12$ см/с; $\omega_{AD} = 0$, $V_D = V_A$.

$\omega_{O_1C} = \dfrac{V_D}{DO_1} = 3$ рад/с;

$V_C = \omega_{O_1C} \cdot O_1C = 48$ см/с.

$CB = CP = 16$ см; $\omega_{CB} = \omega_{CL} = \dfrac{V_C}{CP} = 3$ рад/с.

$PL = \dfrac{CP}{\cos 30^\circ} = 18{,}48$ см; $PB = 2BC \cos 30^\circ$.

$V_L = \omega_{CL} \cdot PL = 55{,}44$ см/с;

$V_B = \omega_{CB} \cdot PB = 83{,}13$ см/с.

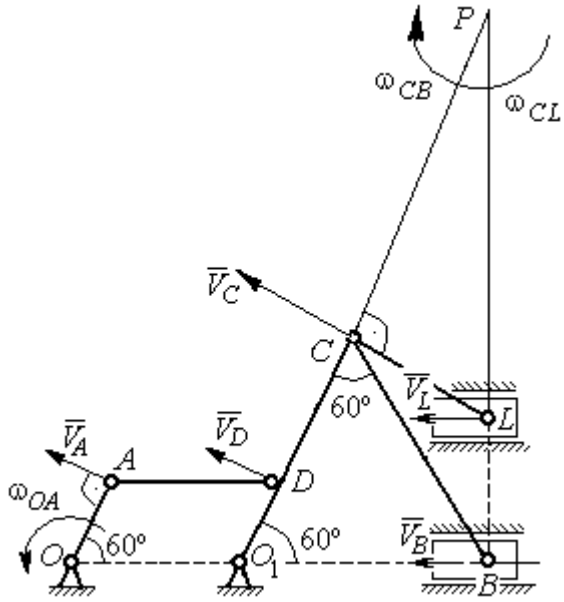

Рис. 7.20. Расчётная схема к упражнению 2.6.

2.7

$V_D = \omega_1 R_1 = 30$ см/с; $V_A = \omega_{OA} \cdot OA = 15$ см/с.

$$\omega_2 = \frac{V_A}{AP_2} = 3 \text{ рад/с.}$$

$$V_B = \omega_2 \cdot P_2 B = 21{,}21 \text{ см/с.}$$

$V_C \cos 0^\circ = V_B \cos 45^\circ$; $V_C = 15$ см/с.

$CP_3 = CB$; $\omega_{BC} = \dfrac{V_C}{CP_3} = 1{,}87$ рад/с.

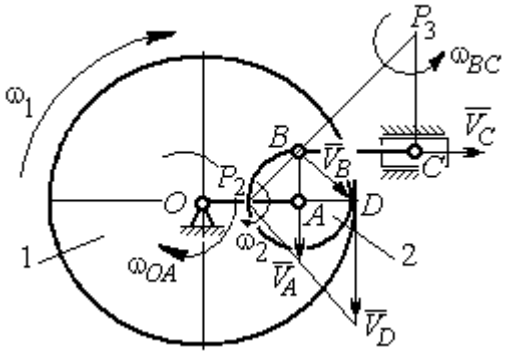

Рис. 7.21. Расчётная схема к упражнению 2.7

2.8

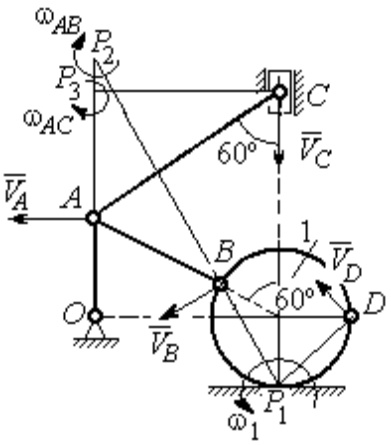

Рис. 7.22. Расчётная схема к упражнению 2.8

$AC = AB + R_1 = 12$ см; $CP_3 = AC \cos 30^\circ = 10{,}39$ см.

$\omega_{AC} = \dfrac{V_C}{CP_3} = 0{,}48$ рад/с; $V_A = \omega_{AC} \cdot AP_3 = 2{,}89$ см/с.

$$AB = AP_2; \quad \omega_{AB} = \frac{V_A}{AP_2} = 0{,}29 \text{ рад/с.}$$

$$BP_2 = 2AB \cos 30^\circ = 17{,}32 \text{ см.}$$

$$V_B = \omega_{AB} BP_2 = 5{,}02 \text{ см/с.}$$

$OA = (AB + R_1)\sin 30° = 6$ см; $\omega_{OA} = \dfrac{V_A}{AO} = 0{,}48$ рад/с.

$$BP_1 = 2R_1 \cos 30^\circ = 3{,}46 \text{ см;} \quad \omega_1 = \frac{V_B}{BP_1} = 1{,}45 \text{ рад/с.}$$

$$DP_1 = R_1\sqrt{2} = 2{,}82 \text{ см;} \; V_D = \omega_1 DP_1 = 4{,}09 \text{ см/с.}$$

2.9

$$V_A = \omega_{OA} OA = 12 \text{ см/с;} \quad AP = 2AB = 2BC \cdot \operatorname{tg} 60^\circ = 27{,}71 \text{ см.}$$

$$\omega_{AB} = \frac{V_A}{AP} = 0{,}43 \text{ рад/с;} \; V_B \cos 0^\circ = V_A \cos 30^\circ; \; V_B = 10{,}38 \text{ см/с.}$$

$$\omega_{BC} = \frac{V_B}{BC} = 1{,}29 \text{ рад/с.}$$

$$\bar{a}_B = \bar{a}_A + \bar{a}^n_{BA} + \bar{a}^\tau_{BA}; \quad \bar{a}_B = \bar{a}_C + \bar{a}^n_{BC} + \bar{a}^\tau_{BC}, \; a_C = 0.$$

$$\bar{a}_A = \bar{a}_O + \bar{a}^n_{AO} + \bar{a}^\tau_{AO},\ a_O = 0.$$

$$\bar{a}^n_{BC} + \bar{a}^\tau_{BC} = \bar{a}^n_{AO} + \bar{a}^\tau_{AO} + \bar{a}^n_{BA} + \bar{a}^\tau_{BA}.$$ Найти a^τ_{BC}

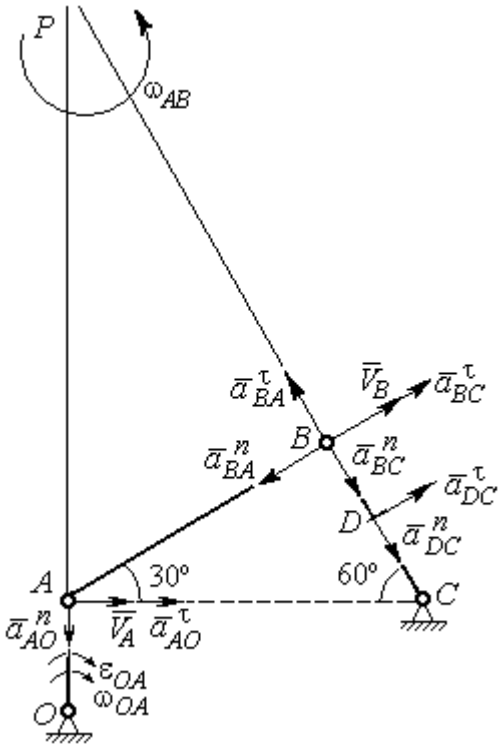

Рис. 7.23. Расчётная схема к упражнению 2.9

$$a^n_{AO} = \omega^2_{AO} \cdot AO = 36 \text{ см/с}^2;$$

$$a^\tau_{AO} = \varepsilon_{AO} \cdot AO = 8 \text{ см/с}^2;$$

$$AB = BC \cdot \text{tg}60^\circ = 13{,}86 \text{ см}.$$

$$a^n_{BA} = \omega^2_{AB} \cdot AB = 2{,}56 \text{ см/с}^2;\ \ a^\tau_{AB} = \varepsilon_{AB} AB.$$

$$a^n_{BC} = \omega^2_{BC} \cdot BC = 13{,}31 \text{ см/с}^2;\ \ a^\tau_{BC} = \varepsilon_{BC} BC.$$

Проекция на AB:

$$a^\tau_{BC} = -a^n_{AO}\cos 60^\circ +$$

$$+ a^\tau_{AO}\cos 30^\circ - a^n_{BA} = 13{,}63 \text{ см/с}^2.$$

$$\varepsilon_{BC} = \frac{\left|a^\tau_{BC}\right|}{BC} = 1{,}7 \text{ рад/с}^2.$$

$$\bar{a}_D = \bar{a}^n_{DC} + \bar{a}^\tau_{DC}.$$

$$a^n_{DC} = \omega^2_{BC} \cdot DC = 6{,}65 \text{ см/с}^2;\ \ a^\tau_{DC} = \varepsilon_{BC} \cdot DC = 6{,}8 \text{ см/с}^2.$$

$$a_D = \sqrt{\left(a^n_{DC}\right)^2 + \left(a^\tau_{DC}\right)^2} = 9{,}51 \text{ см/с}^2.$$

2.10

$$V_A = \omega_1 r_1 = 12 \text{ см/с};\ P_2 A = \frac{1}{2} BC = 5 \text{ см}.$$

$$\omega_{AB} = \frac{V_A}{P_2 A} = 2{,}4 \text{ рад/с}.$$

$$V_B \cos 30^\circ = V_A \cos 60^\circ;\ V_B = 6{,}93 \text{ см/с}.$$

$$P_3 B = BC\cos 30^\circ = 8{,}66 \text{ см};$$

$$\omega_{BC} = \frac{V_B}{P_3 B} = 0{,}8 \text{ рад/с}.$$

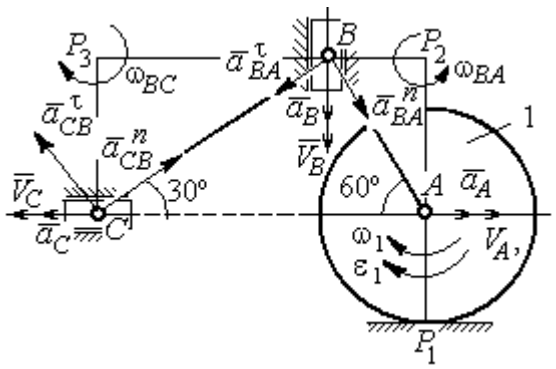

Рис. 7.24. Расчётная схема к упражнению 2.10

$$\bar{a}_B = \bar{a}_A + \bar{a}^n_{BA} + \bar{a}^\tau_{BA}.$$ Найти a_B.

Проекция на BA: $a_B\cos30° = a_A\cos60° + a^n_{BA}$.

$$a_A = a^\tau_A = \varepsilon_1 r_1 = 8 \text{ см/с}^2;\ AB = BC\operatorname{tg}30° = 5{,}77 \text{ см}.$$

$$a^n_{BA} = \omega^2_{BA}\cdot BA = 33{,}23 \text{ см/с}^2;\ \ a_B = 43{,}03 \text{ см/с}^2.$$

$$\bar a_C = \bar a_B + \bar a^n_{CB} + \bar a^\tau_{CB}.$$

Проекция на BC: $a_C\cos60° = a_B\cos60° - a^n_{CB}$,

$$a^n_{CB} = \omega^2_{CB}\cdot CB = 6{,}4 \text{ см/с}^2;\ \ a_C = a_B - 2a^n_{CB} = 30{,}23 \text{ см/с}^2.$$

7.3. Ответы к упражнениям главы 3

3.1

$$CM_1 = S_r(1) = \frac{40}{3}\sin\frac{\pi}{3} = 11{,}55 \text{ см}.$$

Так как $CM_1\cos30° = 10$ см $= R$, то точка M_1 лежит на вертикальном диаметре.

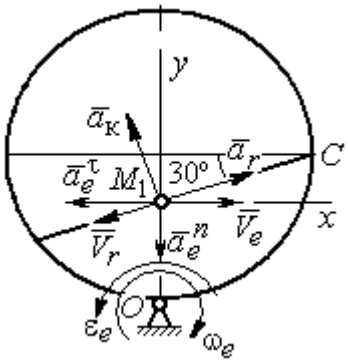

Рис. 7.25. Расчётная схема к упражнению 3.1

$$V_r = \dot S_r = \frac{40\pi}{9}\cos\frac{\pi t}{3};\ V_r(1) = 6{,}98 \text{ см/с}.$$

$$\omega_e(1) = 0{,}5 \text{ рад/с};\ OM_1 = R - \frac{1}{2}CM_1 = 4{,}23 \text{ см}.$$

$$V_e = \omega_e OM_1;\ \ V_e(1) = 2{,}12 \text{ см/с}.$$

$$\bar V_M = \bar V_e + \bar V_r.$$

$$V_{Mx} = V_e - V_r\cos30° = -3{,}93 \text{ м/с};\ V_{My} = -V_r\cos60° = -3{,}49 \text{ м/с};$$

$$V_M = \sqrt{(V_{Mx})^2 + (V_{My})^2} = 5{,}26 \text{ см/с}.$$

$$\bar a_M = \bar a_e + \bar a_r + \bar a_к.$$

$$\bar a_e = \bar a^n_e + \bar a^\tau_e,\ \ a^n_e = \omega^2_e OM_1;\ \ a^n_e(1) = 1{,}06 \text{ см/с}^2.$$

$$\dot\omega_e = -\frac{\pi}{3}\sin\frac{\pi t}{3},\ \ \dot\omega_e(1) = -0{,}91 \text{ рад/с}^2;\ \ \varepsilon_e = |\dot\omega_e(1)| = 0{,}91 \text{ рад/с}^2,$$

$$a^\tau_e(1) = \varepsilon_e\cdot OM_1 = 3{,}85 \text{ см/с}^2.$$

$$\dot{V}_r = -\frac{40\pi^2}{27}\sin\frac{\pi t}{3},\ \dot{V}_r(1) = -12{,}66;\ a_r = \left|\dot{V}_r(1)\right| = 12{,}66 \text{ см/с}^2$$

$$a_к = 2\left|\omega_e\right| \cdot \left|V_r\right|;\ \ a_к(1) = 6{,}98 \text{ см/с}^2.$$

$$\bar{a}_M = \bar{a}_e^n + \bar{a}_e^\tau + \bar{a}_r + \bar{a}_к.$$

$$a_{Mx} = -a_e^\tau + a_r\cos 30° - a_к\cos 60° = 3{,}62 \text{ см/с}^2;$$

$$a_{My} = -a_e^n + a_r\cos 60° + a_к\cos 30° = 11{,}31 \text{ см/с}^2.$$

$$a_M = \sqrt{(a_{Mx})^2 + (a_{My})^2} = 11{,}87 \text{ см/с}^2.$$

3.2

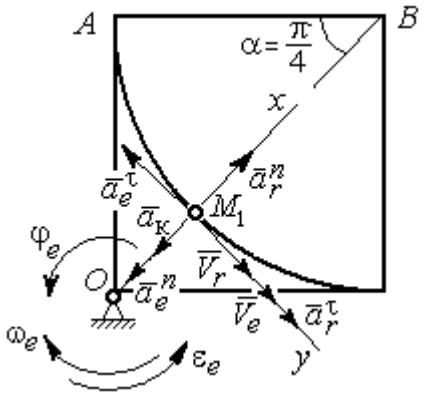

Рис. 7.26. Расчётная схема к упражнению 3.2

Положение M_1:

$$\alpha = \frac{S_r(1)}{R} = \frac{\pi}{4};\ \ OM_1 = 8{,}28 \text{ см}.$$

$$\dot{S}_r = 10\pi t;\ \ V_r = \left|\dot{S}_r(1)\right| = 31{,}42 \text{ см/с}.$$

$$\dot{\varphi}_e = 2t - 5,$$

$$\dot{\varphi}_e(1) = -3 \text{ рад/с},\ \ \omega_e = \left|\dot{\varphi}_e(1)\right| = 3 \text{ рад/с}.$$

$$V_e = \omega_e \cdot OM_1 = 24{,}6 \text{ см/с}.$$

$$\bar{V}_M = \bar{V}_e + \bar{V}_r \cdot\ V_{Mx} = V_e + V_r = 56{,}02 \text{ см/с};$$

$$V_{My} = 0;\ V_M = 56{,}02 \text{ см/с}.$$

$$\bar{a}_M = \bar{a}_e + \bar{a}_r + \bar{a}_к = \bar{a}_e^n + \bar{a}_e^\tau + \bar{a}_r^n + \bar{a}_r^\tau + \bar{a}_к.$$

$$\bar{a}_e = \bar{a}_e^n + \bar{a}_e^\tau\ \cdot\ a_e^n = \omega_e^2 \cdot OM_1 = 74{,}52 \text{ см/с}^2;$$

$$\dot{\omega}_e = 2 \text{ рад/с}^2;\ \varepsilon_e = \left|\dot{\omega}_e\right|;\ \ a_e^\tau(1) = \varepsilon_e OM_1 = 16{,}56 \text{ см/с}^2;$$

$$\bar{a}_r = \bar{a}_r^n + \bar{a}_r^\tau \cdot \dot{V}_r = 10\pi;\ a_r^\tau = \left|\dot{V}_r\right| = 10\pi = 31{,}42 \text{ см/с}^2;$$

$$a_r^n(1) = \frac{V_r^2}{R} = 49{,}36 \text{ см/с}^2;\ \ a_к = 2\left|\omega_e\right| \cdot \left|V_r\right|;\ \ a_к(1) = 62{,}84 \text{ см/с}^2.$$

$$a_{Mx} = -a_e^n + a_r^n - a_к = -88 \text{ см/с}^2;\ a_{My} = -a_e^\tau + a_r^\tau = 14{,}86 \text{ см/с}^2.$$

$$a_M = \sqrt{(a_{Mx})^2 + (a_{My})^2} = 89{,}24 \text{ см/с}^2.$$

7.4. Ответы к упражнениям главы 4

4.1

$$m\ddot{x} = F - P\cos 60° - F_{\text{тр}}, \quad m\ddot{y} = N - P\cos 30° = 0.$$

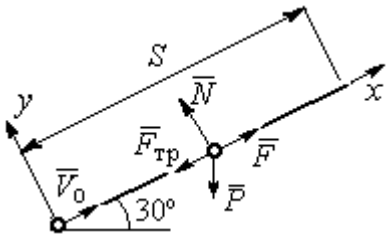

Рис. 7.27. Расчётная схема к упражнению 4.1

$$F_{\text{тр}} = fN = fmg\cos 30°;$$

$$\ddot{x} = \frac{1}{2}kt - 3{,}4, \quad \dot{x} = \frac{1}{4}kt^2 - 3{,}4t + V_0;$$

$$x = \frac{1}{12}kt^3 - 1{,}7t^2 + V_0 t.$$

Конечные условия: $t = 2$ с; $x = S = 2$ м; $V = 2V_0$.

$$V_0 = k - 6{,}8; \quad 1 = \frac{1}{3}k - 3{,}4 + V_0.$$

$$k = 8{,}4; \; V_0 = 1{,}6 \text{ м/с}.$$

4.2

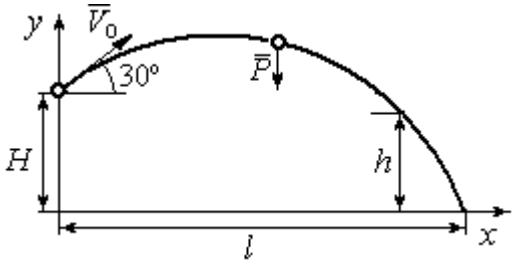

Рис. 7.28. Расчётная схема к упражнению 4.2

Уравнения движения точки:

$$m\ddot{x} = 0; \; \dot{x} = V_0\cos 30°; \; x = V_0 t\cos 30°.$$

$$m\ddot{y} = -P; \dot{y} = -gt + V_0\cos 60°;$$

$$y = -\frac{1}{2}gt^2 + V_0 t\cos 60° + H.$$

Краевое условие пролёта высоты h:

$$t = 1 \text{ с}; \; y = h = 7 \text{ м}.$$

Подставляя краевые условия в уравнение движения, находим: $V_0 = 3{,}81$ м/с.

Краевое условие падения точки:

$$t = t_{\text{пад}}; \; x = l; \; y = 0.$$

Подстановка в уравнения движения условия приводит к системе:

$$l = V_0 t_{\text{пад}}\cos 30°; \; 0 = -\frac{1}{2}gt_{\text{пад}}^2 + V_0 t_{\text{пад}}\cos 60° + H.$$

Находим: $t_{\text{пад}} = 1{,}64$ с; $l = 5{,}41$ м.

4.3

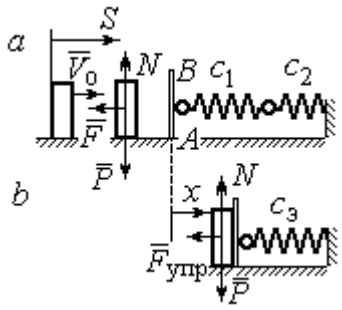

Рис. 7.29. Расчётная схема к упражнению 4.3: *a* – движение груза до начала колебаний; *b* – колебания груза

Уравнение движения груза (рис. 7.29, *a*):

$$m\ddot{S} = -F = -k\dot{S}.$$

Начальные условия: $t = 0;\ S = 0;\ \dot{S} = V_0$.

Решение: $S = \dfrac{mV_0}{k}\left(1 - e^{-\frac{k}{m}t}\right) = 6\left(1 - e^{-t}\right)$ м.

Скорость груза: $\dot{S} = 6e^{-t}$.

Скорость груза в момент соединения с площадкой AB: $V_1 = \dot{S}(1) = 0{,}21$ м/с.

Уравнение колебаний груза на эквивалентной пружине (рис. 7.29, *b*):

$$m\ddot{x} = -F_{упр} = -c_э x;\ c_э = \frac{c_1 c_2}{c_1 + c_2} = 30 \text{ Н/м}.$$

Начальные условия движения: $t = 0;\ x = 0;\ \dot{x} = V_1$.

Общий вид решения: $x = C_1\cos\omega t + C_2\sin\omega t;\ \omega = \sqrt{\dfrac{c_э}{m}} = 7{,}75$ рад/с,

где константы: $C_1 = 0;\ C_2 = \dfrac{V_1}{\omega} = 0{,}28$ м. Закон движения груза $x = 0{,}28\sin 7{,}75t$.

Максимальное сжатие 0,28 м.

4.4

Жесткость эквивалентной пружины

$$c_э = \frac{c \cdot 2c}{c + 2c} = \frac{2}{3}c.$$

Уравнение колебаний:

$$m\ddot{x} = P - F_{упр} = P - c_э(\lambda_{ст} + x) = -c_э x.$$

Общее решение:

$$x = C_1\cos\omega t + C_2\sin\omega t;\ \omega = \sqrt{\frac{c_э}{m}} = 10{,}33 \text{ рад/с}.$$

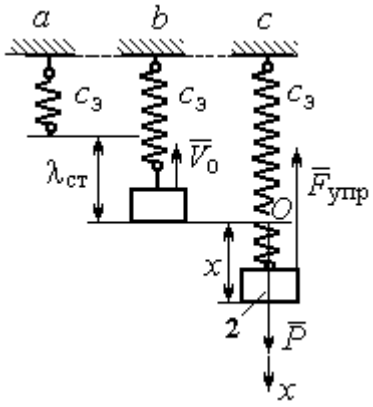

Рис. 7.30. Расчётная схема к упражнению 4.4: *a* – нерастянутая пружина; *b* – положение статического равновесия; *c* – произвольное положение груза

Начальные условия: $t = 0;\ x = 0;\ \dot{x} = -V_0$.

Находим константы интегрирования: $C_1 = 0;\ C_2 = \dfrac{V_0}{\omega} = 0{,}39$ м.

Закон движения груза: $x = 0{,}39\sin 10{,}33t$.

Амплитуда $A = 0{,}39$ м, частота $\omega = 10{,}33$ рад/с.

4.5

Скорость человека, находящегося в самолёте, в нижней точке траектории (точка C):

$$\frac{mV_C^2}{2} - \frac{mV_0^2}{2} = mg\left[l\sin\varphi + r(1-\cos\varphi)\right].$$

Откуда $V_C^2 = V_0^2 + 2g\left[l\sin\varphi + r(1-\cos\varphi)\right]$.

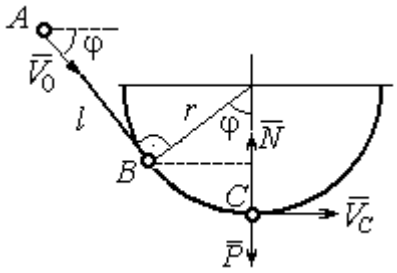

Рис. 7.31. Расчётная схема к упражнению 4.5

Уравнение движения человека, двигающегося вместе с самолётом, в проекции на нормаль в точке C: $\dfrac{mV_C^2}{r} = N - P$, где N – реакция корпуса самолёта. Сила давления человека на корпус самолёта по величине равна реакции, но направлена в противоположную сторону.

Из условия $N \le 3P$ следует неравенство: $V_C^2 \le 2gr$, или

$V_0^2 + 2g\left[l\sin\varphi + r(1-\cos\varphi)\right] \le 2gr$. Откуда $r \ge \dfrac{V_0^2 + 2gl\sin\varphi}{2g\cos\varphi}$.

4.6

Из уравнения теоремы об изменении кинетической энергии шарика в точке B с учётом, что $V_A = 0$, найдём:

$$\frac{mV_B^2}{2} = \frac{ca^2}{2} + mg\left[R + R\cos 60° - a\cos 30°\right].$$

Составим уравнение теоремы об изменении кинетической энергии точки на участке BD:

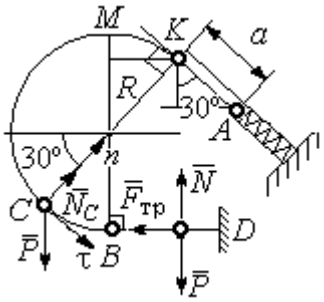

Рис. 7.32. Расчётная схема к упражнению 4.6

$-\frac{mV_B^2}{2} = -fNs$, где s – путь точки до остановки. С учётом данных задачи, получим: s = 5,39 м.

Уравнение движения шарика в проекции на нормальную ось в точке C

$$\frac{mV_C^2}{R} = N_C - P\cos 60°.$$

Для вычисления реакции опоры шарика на трубу имеем равенство $N_C = \frac{mV_C^2}{R} + P\cos 60° = \frac{1}{R}\left[mV_B^2 - 2mgR(1-\cos 60°)\right] + mg\cos 60°$, где кинетическая энергия шарика в точке B: $mV_B^2 = ca^2 + 2mgR\left[(1+\cos 60°) - \frac{a}{R}\cos 30°\right]$. Получим: $N_C = 18{,}71$ Н. Давление шарика на трубку равно реакции опоры и направлено в противоположную сторону.

7.5. Ответы к упражнениям главы 5

5.1

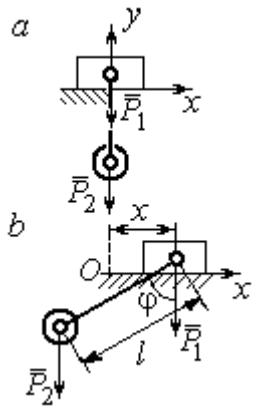

Рис. 7.33. Расчётная схема к упражнению 5.1:
a – начальное положение системы;
b – произвольное положение

x_0 – координата центра тяжести системы в начальном положении, x_0 = 0 (см. рис.7.33); x – текущая координата центра тележки; x_1 – координата центра тяжести системы в её произвольном положении: $x_1 = \frac{m_1 x - m_2(l\sin\varphi - x)}{m_1 + m_2}$.

Уравнение закона сохранения движения центра масс системы: $x_1 = x_0$, или

$$m_1 x - m_2(l\sin\varphi - x) = 0.$$

Отсюда зависимость координаты движения тележки от положения груза 2: $x = \frac{m_2 l}{m_1 + m_2}\sin\varphi$.

5.2

Теорема об изменении кинетического момента системы относительно оси z: $\dfrac{dL_z}{dt} = \sum M_z(\vec{F}_k^e)$.

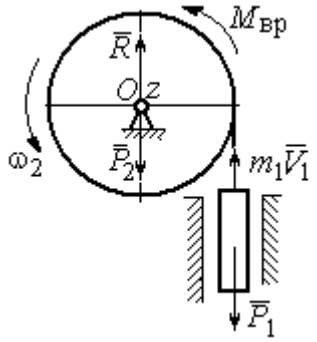

Рис. 7.34. Расчётная схема к упражнению 5.2

Кинетический момент системы:

$$L_z = L_z^{\text{бар}} + L_z^{\text{гр}} = \frac{m_2 r^2}{2}\omega + m_1 V_1 r = \left(m_1 + \frac{m_2}{2}\right)\omega r^2.$$

Суммарный момент внешних сил относительно оси z: $\sum M_z(\vec{F}_k^e) = M_{\text{вр}} - P_1 r = kt - m_1 g r$.

Дифференциальное уравнение вращения барабана:

$$\left(m_1 + \frac{m_2}{2}\right) r^2 \frac{d\omega}{dt} = kt - m_1 g r.$$

При нулевых начальных условиях $\omega = \dfrac{kt^2 - 2m_1 grt}{(2m_1 + m_2)r^2}$.

5.3

Уравнение теоремы об изменении кинетической энергии для неизменяемых систем на конечном перемещении: $T - T_0 = \sum A(F_k)$, $T_0 = 0$.

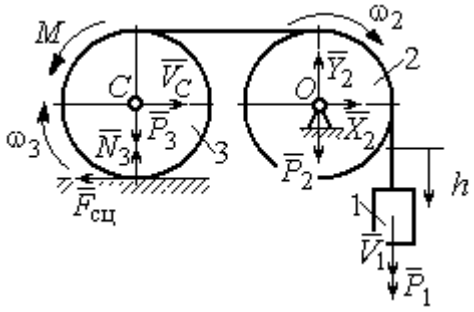

Рис. 7.35. Расчётная схема к упражнению 5.3

Кинетическая энергия груза 1: $T_1 = \dfrac{m_1 V_1^2}{2}$. Энергия вращательного движения блока 2: $T_2 = \dfrac{1}{2} J_O \omega_2^2$, где осевой момент инерции блока: $J_O = \dfrac{m_2 r^2}{2}$, угловая скорость блока $\omega_2 = \dfrac{V_1}{r}$. Кинетическая энергия катка 3: $T_3 = \dfrac{1}{2} m_3 V_C^2 + \dfrac{1}{2} J_C \omega_3^2$, где момент инерции катка относительно оси, проходя-

щей через центр масс перпендикулярно плоскости диска, $J_C = \frac{m_3 r^2}{2}$, угловая скорость катка и скорость его центра масс $\omega_3 = \frac{V_1}{2r}$, $V_C = \frac{V_1}{2}$.

Энергия системы: $T = T_1 + T_2 + T_3 = (8m_1 + 4m_2 + 3m_3)\frac{V_1^2}{16}$.

Суммарная работа вешних сил на перемещении h: $\sum A(F_k) = P_1 h - M\frac{h}{2r}$.

Уравнение теоремы об изменении кинетической энергии:

$$(8m_1 + 4m_2 + 3m_3)\frac{V_1^2}{16} = \left(m_1 g - \frac{M}{2r}\right)h.$$

Скорость груза на высоте h: $V_1 = 4\sqrt{\frac{\left(m_1 g - \frac{M}{2r}\right)h}{8m_1 + 4m_2 + 3m_3}}$.

5.4

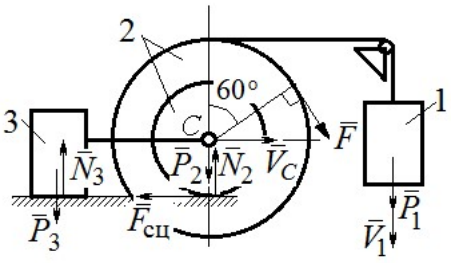

Рис. 7.36. Расчётная схема к упражнению 5.4

Для решения задачи используется теорема об изменении кинетической энергии в дифференциальной форме: $\frac{dT}{dt} = \sum N(\vec{F}_k^e)$, где T – энергия системы в её текущем положении; $\sum N(\vec{F}_k^e)$ – суммарная мощность внешних сил.

Допустим, груз 1 движется вниз со скоростью V_1. Скорость центра масс катка V_C.

Кинетическая энергия катка 2: $T_2 = \frac{1}{2}m_2 V_C^2 + \frac{1}{2}J_{zC}\omega_2^2$. Здесь $m_2 = \frac{2P}{g}$, $J_{zC} = m_2 i_z^2$, $\omega_2 = \frac{V_C}{r}$. В результате кинетическая энергия катка $T_2 = \frac{3P}{g}V_C^2$.

Скорость груза 3 $V_3 = V_C$. Кинетическая энергия груза 3 $T_3 = \frac{P}{g}V_C^2$.

Скорость груза 1 $V_1 = \omega_2 3r = 3V_C$. Кинетическая энергия груза 1: $T_1 = \dfrac{9P}{2g}V_C^2$.

Суммарная кинетическая энергия (энергия системы): $T = T_1 + T_2 + T_3 = \dfrac{17P}{2g}V_C^2$. Производная $\dfrac{dT}{dt} = \dfrac{17P}{g}V_C\dfrac{dV_C}{dt} = \dfrac{17}{g}V_C a_C$.

Мощности сил $\vec{P}_2$, $\vec{N}_2$, $\vec{F}_{\text{сц}}$, $\vec{P}_3$, $\vec{N}_3$ равны нулю.

Мощность силы $\vec{F}$, приложенной к колесу, определяется по формуле: $N(\vec{F}) = \vec{F}\cdot\vec{V}_C + \vec{M}_C(\vec{F})\cdot\vec{\omega}_2 = FV_C\cos 60° + FR\omega_2$. Мощность силы $\vec{P}_1$ $N(\vec{P}_1) = P_1V_1$. Суммарная мощность внешних сил: $\sum N(F^e) = 7PV_C$.

Составляем уравнение теоремы об изменении кинетической энергии системы: $\dfrac{17P}{g}V_C a_C = 7PV_C$, откуда $a_C = \dfrac{7}{17}g$ м/с^2.

5.5

Рассмотрим движение катков отдельно, заменив невесомый стержень реакцией. Предположим, катки движутся направо (см. рис. 7.37). Уравнения движения катков:

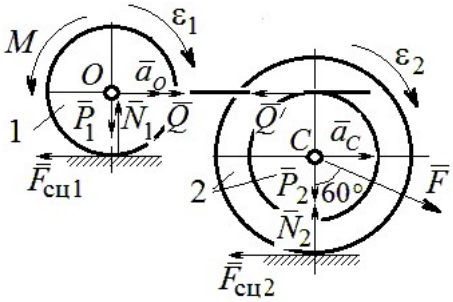

Рис. 7.37. Расчётная схема к упражнению 5.5

$$m_1 a_O = Q - F_{\text{сц1}},\ J_{1O}\varepsilon_1 = F_{\text{сц1}}r - M;$$

$$m_2 a_C = -Q' - F_{\text{сц2}} + F\cos 30°;$$

$$J_{2C}\varepsilon_2 = F_{\text{сц2}}3r - Q'r.$$

Здесь $\vec{Q}$ – реакция невесомого стержня, $|\vec{Q}| = |\vec{Q}'|$; $\vec{F}_{\text{сц1}}$, $\vec{F}_{\text{сц2}}$ – силы сцепления катков с поверхностями качения; моменты инерции катков $J_{1O} = \dfrac{m_1 r^2}{2}$, $J_{2C} = m_2 i_2^2$. Подставляя кинематические соотношения $\varepsilon_2 = \dfrac{a_C}{3r}$; $a_O = \dfrac{4}{3}a_C$; $\varepsilon_1 = \dfrac{4a_C}{3r}$, с учётом данных задачи, получим систему уравнений:

$$\frac{4P}{3g}a_C = Q - F_{\text{сц}1};\ \ \frac{2P}{3g}a_C = F_{\text{сц}1} - 4P;$$

$$\frac{2P}{g}a_C = -Q - F_{\text{сц}2} + P\sqrt{3};\ \ \frac{4P}{3g}a_C = 3F_{\text{сц}2} - Q.$$

Находим ускорение центра катка 2: $a_C = \dfrac{3\left(3\sqrt{3}-16\right)g}{46} \approx -\ 0{,}7g$. Каток движется в противоположную сторону. Реакция стержня $Q = 2{,}6P$.

5.6

Выделяем звенья механизма, заменяя действия нитей их реакциями. Допустим, направления движений тел в системе соответствуют подъёму груза 1.

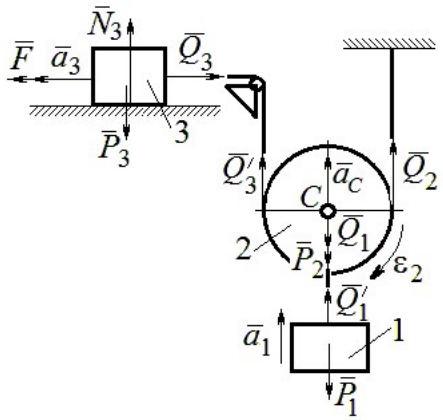

Рис. 7.38. Расчётная схема к упражнению 5.6

Уравнения движения тел:

$$m_3a_3 = F - Q_3,\ m_2a_C = Q_3' + Q_2 - P_2 - Q_1;$$

$$J_{2C}\varepsilon_2 = Q_3'r - Q_2r,\ m_1a_1 = Q_1' - P_1.$$

С учётом, что $\left|\vec{Q}_3\right| = \left|\vec{Q}_3'\right|$, $\left|\vec{Q}_1\right| = \left|\vec{Q}_1'\right|$ и $a_C = a_1$, $a_3 = 2a_1$, $\varepsilon_2 = \dfrac{a_1}{r}$, $J_{2C} = \dfrac{m_2r^2}{2}$, подставляя данные задачи, получим систему уравнений:

$$2ma_1 = 2{,}5mg - Q_3;\ \ ma_1 = Q_3 + Q_2 - mg - Q_1;$$

$$\frac{ma_1}{2} = Q_3 - Q_2;\ m_1a_1 = Q_1 - P_1.$$

Решая систему, находим: $a_1 = \dfrac{2}{17}g \approx 0{,}12g$; $Q_3 = 2{,}26mg$; $Q_2 = 2{,}15mg$.

5.7

Заменяем действия нитей реакциями. Предположим, груз 1 спускается по наклонной плоскости. Уравнения движения тел:

$$m_1a_1 = P_1\cos 30° - Q_1;\ \ m_3a_3 = Q_3;$$

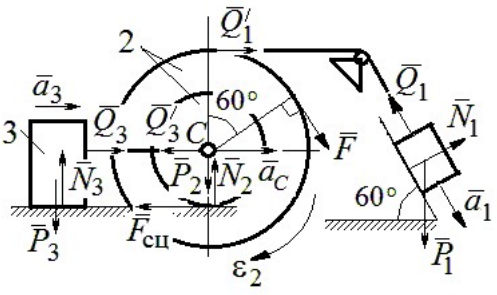

Рис. 7.39. Расчётная схема к упражнению 5.7

$$m_2 a_C = Q_1' - Q_3' - F_{\text{сц}} + F\cos 60^\circ;\ J_{2C}\varepsilon_2 = Q_1' R + FR + F_{\text{сц}} r,\ J_{2C} = m_2 i_2^2.$$

Соотношения ускорений: $\varepsilon_2 = \dfrac{a_1}{R+r}$, $a_C = \dfrac{a_1 r}{R+r}$, $a_3 = a_C$. Подставляя данные задачи, с учётом, что модули сил $Q_1' = Q_1$ и $Q_3' = Q_3$, получим систему уравнений:

$$ma_1 = mg\frac{\sqrt{3}}{2} - Q_1;\ \frac{2}{3}ma_1 = Q_3;$$

$$ma_1 = Q_1 - Q_3 - F_{\text{сц}} + \frac{1}{2}mg;\ 3ma_1 = 2Q_1 + 2mg + F_{\text{сц}}.$$

Находим $a_1 = \dfrac{3}{46}\left(5+3\sqrt{3}\right)g \approx 0{,}44g;\ Q_1 = 0{,}21mg;\ Q_3 = 0{,}44mg$.

7.6. Ответы к упражнениям главы 6

6.1

Внешние силы, действующие на систему: силы тяжести – $\vec{P}_1$, $\vec{P}_2$, $\vec{P}_3$ и реакции опор $\vec{N}_3$, $\vec{R}_3$ Приложим к телам системы, силы инерции $\vec{R}_1^{\text{ин}}$, $\vec{R}_2^{\text{ин}}$ (рис. 7.40, *a*). В соответствии с принципом Даламбера, полученная система сил находится в равновесии. Составляем условие равновесия системы сил в проекциях на горизонтальную и вертикальную оси:

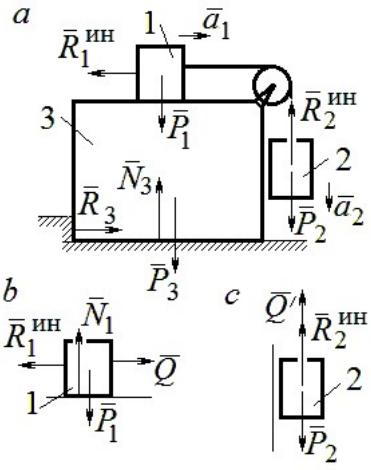

Рис. 7.40. Расчётная схема к упражнению 6.1

$$R_3 - R_1^{\text{ин}} = 0,\ N_3 - P_3 - P_1 - P_2 + R_2^{\text{ин}} = 0.$$

Для вычисления сил инерции рассмотрим отдельно грузы 1 и 2, заменяя действие соединяющей их нити реакцией (рис. 7.40, *b*, *c*). Присоединим к грузам силы инерции и, применив принцип Даламбера, составим уравнения равновесия систем сил - для груза 1 в проекции на горизонтальную ось, для груза 2 – на вертикальную:

$$Q - R_1^{\text{ин}} = 0;\ P_2 - Q' - R_2^{\text{ин}} = 0,$$

где $R_1^{\text{ин}} = m_1 a_1$, $R_2^{\text{ин}} = m_2 a_2$.

Решая полученную систему с учётом равенства модулей сил $Q = Q'$ и ускорений грузов $a_1 = a_2$, находим ускорение грузов: $a_1 = a_2 = 0{,}5g$. Тогда давление призмы на горизонтальную поверхность: $N_3 = 2{,}5mg$.

6.2

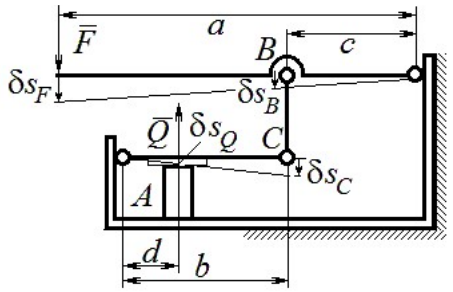

Рис. 7.41. Расчётная схема к упражнению 6.2

Активными силами в системе являются силы $\vec{F}$ и $\vec{Q}$. Для равновесия системы необходимо и достаточно выполнения условия: $\delta A\left(\vec{F}\right) + \delta A\left(\vec{Q}\right) = 0$ или $F\delta s_F - Q\delta s_Q = 0$, где δs_F и δs_Q – возможные перемещения точек приложения сил $\vec{F}$ и $\vec{Q}$.

Имеем соотношения: $\dfrac{\delta s_F}{\delta s_B} = \dfrac{a}{c}$, $\dfrac{\delta s_C}{\delta s_Q} = \dfrac{b}{d}$, где δs_B и δs_C – возможные перемещения точек B и C, причём $\delta s_B = \delta s_C$. Тогда $\delta s_Q = \dfrac{cd}{ab}\delta s_F$ и сила, сжимающая деталь A под прессом, равна $Q = \dfrac{ab}{cd}F$.

6.3

Активными силами, совершающими работу при движении системы, являются силы тяжести $\vec{P}_3$, $\vec{P}_4$ и пары сил с моментами M_1 и M_2. Связи идеальные.

Для равновесия системы необходимо и достаточно выполнения условия:

$$\delta A\left(\vec{P}_3\right) + \delta A\left(\vec{P}_4\right) + \delta A(M_1) + \delta A(M_2) = 0 \text{ или}$$

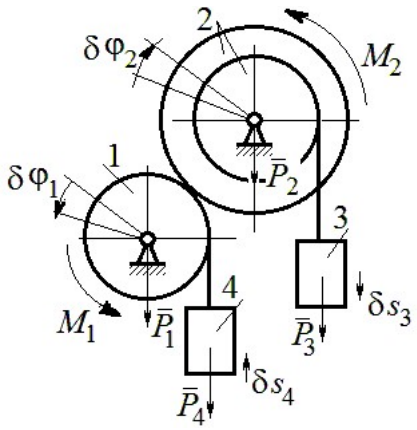

Рис. 7.42. Расчётная схема к упражнению 6.3

$$P_3\delta s_3 - P_4\delta s_4 + M_1\delta\varphi_1 - M_2\delta\varphi_2 = 0,$$

где $\delta s_3, \delta s_4$ – элементарные перемещения грузов 3, 4; $\delta\varphi_1, \delta\varphi_2$ – элементарные повороты валов 1 и 2. Выразим все перемещения через угол поворота вала 2: $\delta s_3 = \delta\varphi_2 r$, $\delta\varphi_1 = 3\delta\varphi_2$, $\delta s_4 = 3r\delta\varphi_2$ и подставим в уравнение равновесия. Получим: $M_2 = 4Pr$.

6.4

Система с идеальными связями. Активными силами являются силы тяжести $\vec{P}_1$, $\vec{P}_2$, $\vec{P}_3$ и пара сил с моментом $M_{\text{вр}}$ (рис. 7.43).

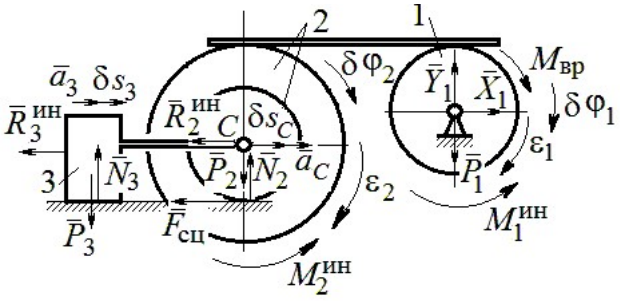

Рис. 7.43. Расчётная схема к упражнению 6.4

Направления поворотов дисков и их угловые ускорения показаны на рис. 7.43 дуговыми стрелками $\delta\varphi_1, \varepsilon_1$ и $\delta\varphi_2, \varepsilon_2$. Направления движения центра масс катка 2, груза 3 и их ускорения обозначены: $\delta s_C, a_C$ и $\delta s_3, a_3$.

Кинематические соотношения между перемещениями и ускорениями:

$$\delta s_C = \delta s_3,\ a_C = a_3,\ \delta\varphi_2 = \frac{\delta s_3}{r},\ \varepsilon_2 = \frac{a_3}{r},\ \delta\varphi_1 = \frac{3\delta s_3}{r},\ \varepsilon_1 = \frac{3a_3}{r}.$$

Присоединим к телам системы силы инерции.

Модули главных векторов сил инерции: $R_3^{\text{ин}} = m_3 a_3 = ma_3$;

$$R_2^{\text{ин}} = m_2 a_C = 2ma_3;\ M_2^{\text{ин}} = m_2 i_2^2 \varepsilon_2 = 4{,}5mra_3;\ M_1^{\text{ин}} = \frac{m_1 R_1^2}{2}\varepsilon_1 = 1{,}5mra_3.$$

Элементарные работы активных сил:

$$\sum \delta A(\vec{F}_k^{\text{акт}}) = M_{\text{вр}}\delta\varphi_1 = (mg\sin\omega t)3\delta s_3.$$

Элементарные работы сил инерции:

$$\sum \delta A(\vec{R}_k^{\text{ин}}) = -R_3^{\text{ин}}\delta s_3 - R_2^{\text{ин}}\delta s_C - M_2^{\text{ин}}\delta\varphi_2 - M_1^{\text{ин}}\delta\varphi_1 =$$

$$= -ma_3\delta s_3 - 2ma_3\delta s_3 - 4{,}5ma_3\delta s_3 - 1{,}5ma_3 3\delta s_3 = -12ma_3\delta s_3.$$

Общее уравнение динамики имеет вид:

$$\sum \delta A(\vec{F}_k^{\text{акт}}) + \sum \delta A(\vec{R}_k^{\text{ин}}) = m(3g\sin\omega t - 12a_3)\delta s_3 = 0.$$

Ускорение груза 3: $a_3 = 0{,}25g\sin\omega t$, или $\ddot{s}_3 = 0{,}25g\sin\omega t$. Интегрируя дифференциальное уравнение с нулевыми начальными условиями, получим закон движения груза: $s_3 = \dfrac{0{,}25g}{\omega}\left(t - \dfrac{1}{\omega}\sin\omega t\right)$.

6.5

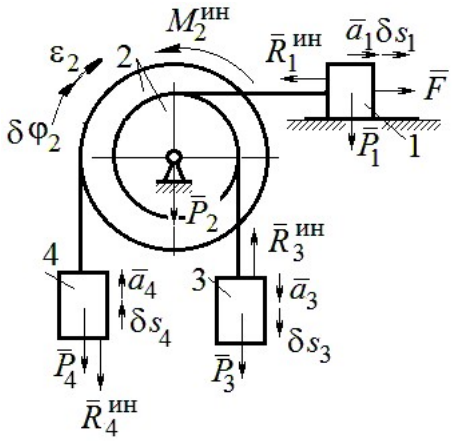

Рис. 7.44. Расчётная схема к упражнению 6.5

Система с идеальными связями. Активные силы и главные вектора сил инерции показаны на рис. 7.44.

Элементарные работы активных сил: $\sum \delta A(\vec{F}_k^{\text{акт}}) = F\delta s_1 + P_3\delta s_3 - P_4\delta s_4$ и сил инерции $\sum \delta A(\vec{R}_k^{\text{ин}}) = -R_1^{\text{ин}}\delta s_1 - R_3^{\text{ин}}\delta s_3 - R_4^{\text{ин}}\delta s_4 - M_2^{\text{ин}}\delta\varphi_2$, где модули сил инерции: $R_1^{\text{ин}} = \dfrac{P_1}{g}a_1$, $R_3^{\text{ин}} = \dfrac{P_3}{g}a_3$, $R_4^{\text{ин}} = \dfrac{P_1}{g}a_4$, $M_2^{\text{ин}} = \dfrac{P_2}{g}i_2^2\varepsilon_2$.

Кинематические соотношения: $\delta s_3 = \delta s_1$, $a_3 = a_1$, $\delta s_4 = 2\delta s_1$, $a_4 = 2a_1$, $\delta\varphi_2 = \dfrac{\delta s_1}{r}$, $\varepsilon_2 = \dfrac{a_1}{r}$. Общее уравнение динамики:

$$\sum \delta A(\vec{F}_k^{\text{акт}}) + \sum \delta A(\vec{R}_k^{\text{ин}}) = P(t+1)\delta s_1 + P\delta s_1 - 2P\delta s_1 -$$

$$-\left(\frac{P}{g}a_1\delta s_1 + \frac{P}{g}a_1\delta s_1 + \frac{2P}{g}2a_1 2\delta s_1 + \frac{2P}{g}2r^2\frac{a_1}{r}\frac{\delta s_1}{r}\right) = P\left(t - \frac{14a_1}{g}\right)\delta s_1 = 0.$$

Находим уравнение движения груза 3: $a_3 = a_1 = \dfrac{1}{14}gt$, или $\ddot{x}_3 = \dfrac{1}{14}gt$.

Проинтегрировав дифференциальное уравнение с нулевыми начальными условиями, получим закон движения груза 3: $x_3 = \dfrac{1}{84}gt^3 \approx 0{,}012gt^3$.

6.6

Рассматриваемая механическая система (рис. 7.45) имеет одну степень свободы. Уравнение Лагранжа: $\frac{d}{dt}\left(\frac{\partial T}{\partial \dot{x}}\right)-\frac{\partial T}{\partial x}=Q_x$, где T – кинетическая энергия системы: Q_x – обобщенная сила.

В качестве обобщённой координаты x выберем положение точки C относительно недеформированной пружины, отмеченной на рис. 7.45 величиной l_0. Обобщённая скорость $\dot{x}$.

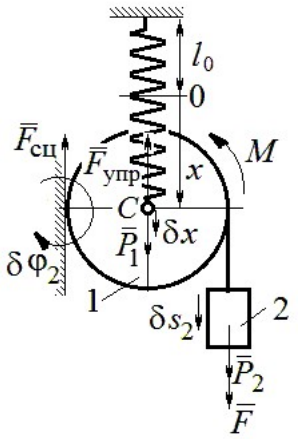

Рис. 7.45. Расчётная схема к упражнению 6.6

Кинетическая энергия катка: $T_1=\frac{1}{2}m_1V_C^2+\frac{1}{2}J_{zC}\omega_1^2$, где ω_1, V_C – угловая скорость катка и скорость его центра масс, $V_C=\dot{x}$, $\omega_1=\frac{V_C}{r}=\frac{\dot{x}}{r}$; момент инерции $J_{zC}=\frac{1}{2}m_1r^2$. Кинетическая энергия груза 2: $T_2=\frac{1}{2}m_2V_2^2$, где V_2 – скорость груза 2, $V_2=2V_C=2\dot{x}$. Кинетическая энергия системы, выраженная через обобщённую скорость: $T=T_1+T_2=\frac{7P}{2g}\dot{x}^2$.

В произвольном положении системы, определяемом координатой x, дадим центру масс катка возможное перемещение δx (см. рис. 7.45). Элементарная работа активных сил $\sum\delta A(F_{\text{к}})=P_1\delta x-F_{\text{упр}}\delta x+(P_2+F)\delta s_2-M\delta\varphi_1$. Полагая перемещения $\delta s_2=2\delta x$, $\delta\varphi_1=\frac{\delta x}{r}$, модуль силы упругости $F_{\text{упр}}=cx$ и с учётом данных задачи, получим $\sum\delta A(F_{\text{к}})=(3P-cx)\delta x$. Обобщённая сила $Q_x=3P-cx$.

Уравнение Лагранжа $\frac{7P}{g}\ddot{x}=3P-cx$, или $\ddot{x}+\frac{4g}{7r}x=\frac{3g}{7}$.

Решение уравнения (с нулевыми начальными условиями): $x = \frac{3}{4} r\left(1 - \cos\omega t\right)$. Закон движения груза: $s_2 = 2x = \frac{3}{2} r\left(1 - \cos\omega t\right)$.

6.7

Рассматриваемая система имеет две степени свободы. Обобщённые координаты – расстояния x_1, x_2 соответственно до грузов 1 и 2, отсчитываемые от неподвижных центров блоков *B* и *D* (рис. 7.46, *a*). Обобщённые скорости $\dot{x}_1$, $\dot{x}_2$. Кинетическая энергия грузов и блока 3:

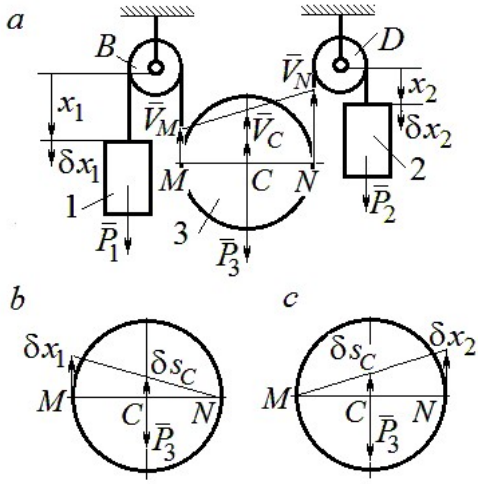

Рис. 7.46. Расчётная схема к упражнению 6.7: *a* – кинематика механизма; *b*, *c* – возможные перемещения блока 3 при вычислении обобщённых сил

$$T_1 = \frac{P_1 \dot{x}_1^2}{2g},\ T_2 = \frac{P_2 \dot{x}_2^2}{2g};$$

$$T_3 = \frac{P_3}{2g}\left(\frac{\dot{x}_1 + \dot{x}_2}{2}\right)^2 + \frac{1}{2}\frac{P_3 r^2}{2g}\left(\frac{\dot{x}_2 - \dot{x}_1}{2r}\right)^2.$$

Здесь учтено (см. рис. 7.46, *a*): что

$$V_C = \frac{V_N + V_M}{2} = \frac{\dot{x}_2 + \dot{x}_1}{2};$$

$$\omega_2 = \frac{V_N - V_M}{2r} = \frac{\dot{x}_2 - \dot{x}_1}{2r}.$$

Дадим системе возможное перемещение по координате x_1, оставляя координату x_2 постоянной: $\delta x_1 \neq 0$, $\delta x_2 = 0$. На этом перемещении сумма элементарных работ внешних сил (см. рис. 7.46, *a*, *b*):

$$\sum \delta A(F_к) = P_1 \delta x_1 - P_3 \delta s_C = \left(P_1 - \frac{1}{2} P_3\right)\delta x_1.$$

Обобщённая сила $Q_{x_1} = P_1 - \frac{1}{2} P_3$.

Дадим системе другое независимое возможное перемещение – по координате x_2, так, что $\delta x_1 = 0$, $\delta x_2 \neq 0$. При этом перемещении сумма элементарных работ внешних сил (см. рис. 7.46, *a*, *c*):

$$\sum \delta A(F_{\text{к}}) = P_2 \delta x_2 - P_3 \delta s_C = \left(P_2 - \frac{1}{2} P_3 \right) \delta x_2 .$$

Обобщённая сила $Q_{x_2} = P_2 - \frac{1}{2} P_3$.

Уравнения Лагранжа

$$\left(P_1 + \frac{3}{8} P_3 \right) \frac{\ddot{x}_1}{g} + \frac{1}{8} P_3 \frac{\ddot{x}_2}{g} = P_1 - \frac{1}{2} P_3 , \quad \frac{1}{8} P_3 \frac{\ddot{x}_1}{g} + \left(P_2 + \frac{3}{8} P_3 \right) \frac{\ddot{x}_2}{g} = P_2 - \frac{1}{2} P_3 \text{ или}$$

$$7\ddot{x}_1 + \ddot{x}_2 = 0 , \; \ddot{x}_1 + 9\ddot{x}_2 = 2g .$$

Ускорения грузов: $\ddot{x}_1 = -\frac{1}{31} g$, $\ddot{x}_2 = \frac{7}{31} g$. Ускорение центра масс блока $\ddot{x}_C = \frac{\ddot{x}_2 + \ddot{x}_1}{2} = \frac{6}{31} g$. Груз 1 и центр блока 3 движутся вверх, груз 2 – вниз. (Сравнить с задачей 70.)

6.8

Система с двумя степенями свободы. Обобщённые координаты: x_1 – положение центра масс катка 1 (точки C_1) относительно неподвижной вертикальной стены; x_2 – положение центра масс катка 2 (точки C_2) относительно подвижного края платформы.

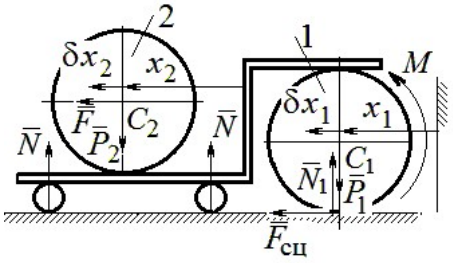

Рис. 7.47. Расчётная схема к упражнению 6.8

Кинетическая энергия системы

$$T = \frac{3}{4} m_1 \dot{x}_1^2 + \frac{1}{2} \left[m_2 \left(\dot{x}_2 + 2\dot{x}_1 \right)^2 + \frac{m_2 r^2}{2} \left(\frac{\dot{x}_2}{r} \right)^2 \right] = \frac{P}{g} \left(\frac{11}{4} \dot{x}_1^2 + \dot{x}_2^2 + 2\dot{x}_1 \dot{x}_2 \right).$$

Дадим системе возможное перемещение по координате x_1 $\left(\delta x_1 \neq 0 \right)$, оставляя другую координату x_2 неизменной $\left(\delta x_2 = 0 \right)$. Работу совершают момент M и сила $\overline{F}$. Суммарная работа

$$\sum \delta A(F_{\text{к}}) = M \delta \varphi_1 + F \delta s_{C_2} = M \frac{\delta x_1}{r} + F 2 \delta x_1 = 4P \delta x_1 .$$

Обобщённая сила $Q_{x_1} = 4P$.

При другом независимом возможном перемещении $\delta x_1 = 0$, $\delta x_2 \neq 0$ суммарная работа внешних сил $\sum \delta A(F_к) = F\delta x_2$ и обобщённая сила, соответствующая координате x_2, равна $Q_{x_2} = P$.

Уравнения Лагранжа

$$\frac{P}{g}\left(\frac{11}{2}\ddot{x}_1 + 2\ddot{x}_2\right) = 4P,\ \frac{P}{g}\left(2\ddot{x}_2 + 2\ddot{x}_1\right) = P, \text{ или}$$

$$11\ddot{x}_1 + 4\ddot{x}_2 = 8g,\ 2\ddot{x}_2 + 2\ddot{x}_1 = g$$

Ускорение центра катка 1 $\ddot{x}_1 = \frac{6}{7}g$. Тележка катится в направлении оси x_1. Ускорение центра катка 2 относительно тележки $\ddot{x}_2 = -\frac{5}{14}g$. Закон относительного движения центра катка 2 при нулевых начальных условиях: $x_2 = -\frac{5}{28}gt^2$. Каток катится к правому борту тележки.

СПИСОК РЕКОМЕНДУЕМОЙ ЛИТЕРАТУРЫ

Бать М. И., *Джанелидзе Г. Ю.*, *Кельзон А. С.* Теоретическая механика в примерах и задачах: Т. 1–2.– СПб.: Лань, 2010.

Бутенин Н. В., *Лунц Я. Л.*, *Меркин Д. Р.* Курс теоретической механики: В 2-х томах.– М.: Наука, 2009.

Вебер Г. Э., *Ляпцев*, *С. А*. Лекции по теоретической механике. – Екатеринбург: Изд-во УГГУ, 2008.

Тарг С. М. Краткий курс теоретической механики: учебник для втузов. – М.: Высшая школа, 2010.

Учебное издание

Валерий Григорьевич Брагин
Евгений Борисович Волков
Юрий Михайлович Казаков

ТЕОРЕТИЧЕСКАЯ МЕХАНИКА

Учебное пособие

Редактор *Л.В. Устьянцева*

Компьютерная версия

Подписано в печать 26.10.2018 г.
Бумага писчая. Формат бумаги 60×84 1/16.
Гарнитура Times New Roman. Печать на ризографе.
Печ. л. 15,625. Уч. изд. л. 10,5. Тираж экз. Заказ №
Издательство УГГУ
620144, г. Екатеринбург, ул. Куйбышева, 30
Уральский государственный горный университет
Отпечатано с оригинал-макета
в лаборатории множительной техники УГГУ

Министерство образования и науки РФ
ФГБОУ ВО
«Уральский государственный
горный университет»

Е. Б. Волков, Ю. М. Казаков

ТЕОРЕТИЧЕСКАЯ МЕХАНИКА

Учебно-методическое пособие
для самостоятельной работы студентов

Екатеринбург
2017

Министерство образования и науки РФ
ФГБОУ ВО
«Уральский государственный горный университет»

ОДОБРЕНО
Методической комиссией
горно-механического факультета
«15» декабря 2017 г.
Председатель комиссии
проф. В. П. Барановский

Е. Б. Волков, Ю. М. Казаков

ТЕОРЕТИЧЕСКАЯ МЕХАНИКА

Учебно-методическое пособие
для самостоятельной работы студентов

Издание УГГУ Екатеринбург, 2017

В 67

Рецензент: *Н. М. Суслов*, д-р техн. наук, заведующий кафедрой ГМК
Уральского государственного горного университета

Учебно-методическое пособие рассмотрено на заседании кафедры технической механики от 19.12.2016 г. (протокол № 2) и рекомендовано для издания в УГГУ.

Печатается по решению Редакционно-издательского совета Уральского государственного горного университета.

Волков Е. Б., Казаков Ю. М.

В67 ТЕОРЕТИЧЕСКАЯ МЕХАНИКА: Учебно-методическое пособие для самостоятельной работы студентов. / Е. Б. Волков, Ю. М. Казаков, Уральский государственный горный университет. Екатеринбург: Изд-во УГГУ, 2017. 156 с.

Учебно-методическое пособие для самостоятельной работы студентов содержит краткие методические указания, контрольные задания и примеры выполнения заданий по темам: «Статика твердого тела. Равновесие произвольной плоской и пространственной систем сил», «Кинематика вращательного и плоскопараллельного движений твердого тела. Определение скоростей и ускорений точек твёрдого тела», «Сложное движение точки», «Динамика точки. Дифференциальные уравнения движения точки. Гармонические и вынужденные колебания точки. Применение теоремы об изменении кинетической энергии при исследовании движения точки», «Применение общих теорем динамики к исследованию движения механической системы», «Принципы механики. Применение общего уравнения динамики к исследованию движения механической системы», «Уравнения Лагранжа II рода».

Учебно-методическое пособие для студентов всех специальностей очной формы обучения.

© Волков Е. Б., Казаков Ю. М., 2017
©Уральский государственный горный университет, 2017

ОГЛАВЛЕНИЕ

1. СТАТИКА ТВЕРДОГО ТЕЛА 4
1.1. Основные виды связей и их реакции 4
1.2. Моменты силы относительно центра и относительно оси. Пара сил. Момент пары 5
1.3. Условия равновесия систем сил 7
1.4. Задание С1. Равновесие произвольной плоской системы сил. Равновесие системы тел 8
1.5. Задание С2. Равновесие пространственной системы сил 17
2. КИНЕМАТИКА ТОЧКИ И ТВЕРДОГО ТЕЛА 26
2.1. Кинематика точки. Основные параметры движения точки 26
2.2. Вращение тела вокруг неподвижной оси 28
2.3. Плоскопараллельное движение твёрдого тела 29
2.4. Задание К1. Определение скоростей и ускорений точек твердого тела при поступательном и вращательном движениях 32
2.5. Задание К2. Определение скоростей точек твёрдого тела при плоскопараллельном движении 38
2.6. Задание К3. Определение ускорений точек твёрдого тела при плоскопараллельном движении 46
3. СЛОЖНОЕ ДВИЖЕНИЕ ТОЧКИ 57
3.1. Основные понятия сложного движения точки 57
3.2. Задание К4. Определение скорости и ускорения точки при сложном движении 60
4. ДИНАМИКА ТОЧКИ 73
4.1. Дифференциальные уравнения движения точки. 73
4.2. Задание Д1. Интегрирование дифференциальных уравнений движения точки ... 73
4.3. Колебания материальной точки 80
4.4. Задание Д2. Исследование колебаний точки 84
4.5. Теорема об изменении кинетической энергии точки. 95
4.6. Задание Д3. Исследование движения точки с применением теоремы об изменении кинетической энергии 96
5. ДИНАМИКА МЕХАНИЧЕСКОЙ СИСТЕМЫ 103
5.1. Описание движений твёрдых тел на основе общих теорем динамики системы. 103
5.2. Задание Д4. Динамический расчет механической системы 104
5.3. Теорема об изменении кинетической энергии системы. 112
5.4. Задание Д5. Исследование движения механической системы с применением теоремы об изменении кинетической энергии 114
6. АНАЛИТИЧЕСКАЯ МЕХАНИКА 124
6.1. Принципы механики. Общее уравнение динамики 124
6.2. Задание Д6. Исследование механической системы с применением общего уравнения динамики 126
6.3. Уравнения Лагранжа II рода 136
6.4. Задание Д7. Исследование механической системы с одной степенью свободы с применением уравнений Лагранжа 137
6.5. Задание Д8. Исследование механической системы с двумя степенями свободы 145
СПИСОК РЕКОМЕНДУЕМОЙ ЛИТЕРАТУРЫ 155

1. СТАТИКА ТВЕРДОГО ТЕЛА

Статика представляет раздел теоретической механики, в котором изучаются условия равновесия твердых тел под действием системы сил.

1.1. Основные виды связей и их реакции

Опора тела на гладкую плоскость (поверхность) без трения. Реакция приложена в точке касания и направлена перпендикулярно к общей касательной соприкасающихся поверхностей. При опоре углом, или на угол (рис. 1.1, *a*), реакция направлена по нормали к одной из поверхностей. **Гибкая связь**. Если на тело наложена связь в виде гибкой нерастяжимой нити (каната, троса), то реакция связи $\vec{T}$, равная натяжению нити, приложена к телу и направлена вдоль нити (рис. 1.1, *b*).

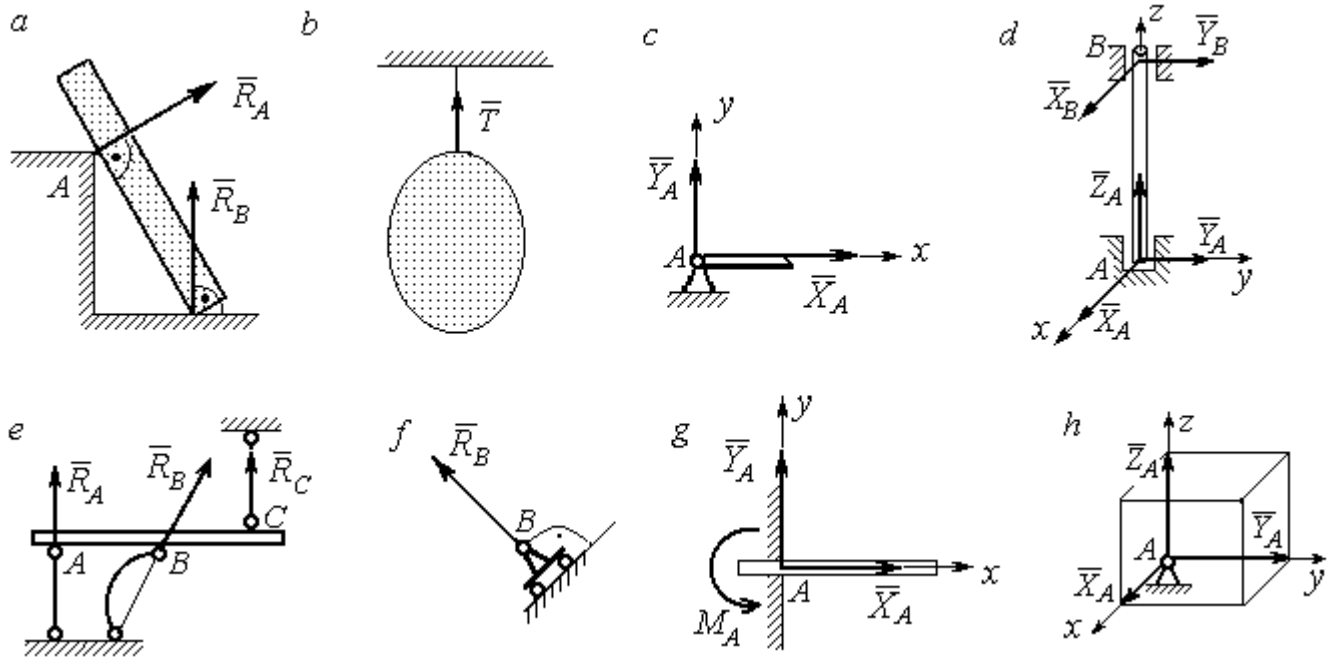

Рис. 1.1. Виды связей и их реакции:
a – реакция опоры тела на гладкую поверхность без трения; *b* – реакция связи гибкой нерастяжимой нити; *c* – реакция цилиндрического шарнира; *d* – реакция подшипника и подпятника; *e* – реакция невесомого стержня; *f* – реакция подвижной опоры; *g* – реакция жесткой заделки; *h* – реакция пространственного шарнира

Цилиндрический шарнир (подшипник) создает соединение, при котором одно тело может вращаться по отношению к другому. Реакция цилиндрического шарнира лежит в плоскости, перпендикулярной оси шарнира. При решении задач реакцию цилиндрического шарнира $\vec{R}_A$ изображают ее составляющими $\vec{X}_A$ и $\vec{Y}_A$, взятыми по направлениям координатных осей (рис. 1.1, *c*). Реакция подшипника $\vec{R}_B$ (рис. 1.1, *d*) также изображается своими составляющими $\vec{X}_B$ и $\vec{Y}_B$, взятыми по направлениям координатных осей в плоскости, перпендикулярной оси вращения подшипника. Величина реакции определяется по формуле: $R_A = \sqrt{X_A^2 + Y_A^2}$. **Реакция прямолинейного невесомого стержня с шарнирными соединениями на краях** направлена вдоль самого стержня, а криволинейного – вдоль линии, соединяющей точки крепления стержня (рис. 1.1, *e*). **Реакция подвижной опоры** $\vec{R}_B$ (рис. 1.1, *f*) направлена по нормали к поверхности, на которую опираются катки опоры. **Жесткая заделка** (рис. 1.1, *g*) препятствует не только линейным перемещениям тела, но и повороту. Реакция заделки состоит из силы реакции $\vec{R}_A$ и пары сил с моментом M_A. При решении задач силу реакции жесткой заделки $\vec{R}_A$ изображают ее составляющими $\vec{X}_A$ и $\vec{Y}_A$, взятыми по направлениям координатных осей. Модуль реакции определяется по формуле $R_A = \sqrt{X_A^2 + Y_A^2}$. Виды связей и их реакции показаны на рис. 1.1.

1.2. Моменты силы относительно центра и относительно оси. Пара сил. Момент пары

Алгебраическим моментом силы *F* относительно центра *O* $M_O(\vec{F})$, или просто **моментом силы** $\vec{F}$ относительно центра *O*, называют взятое с соответствующим знаком произведение модуля силы $\vec{F}$ на кратчайшее расстояние *h* от центра *O* до линии действия силы: $M_O(\vec{F}) = \pm Fh$ (рис. 1.2, *a*).

Величину h называют **плечом силы**. Момент силы относительно центра считается положительным, если сила стремится повернуть тело вокруг центра против хода часовой стрелки, и отрицательным – в обратном случае.

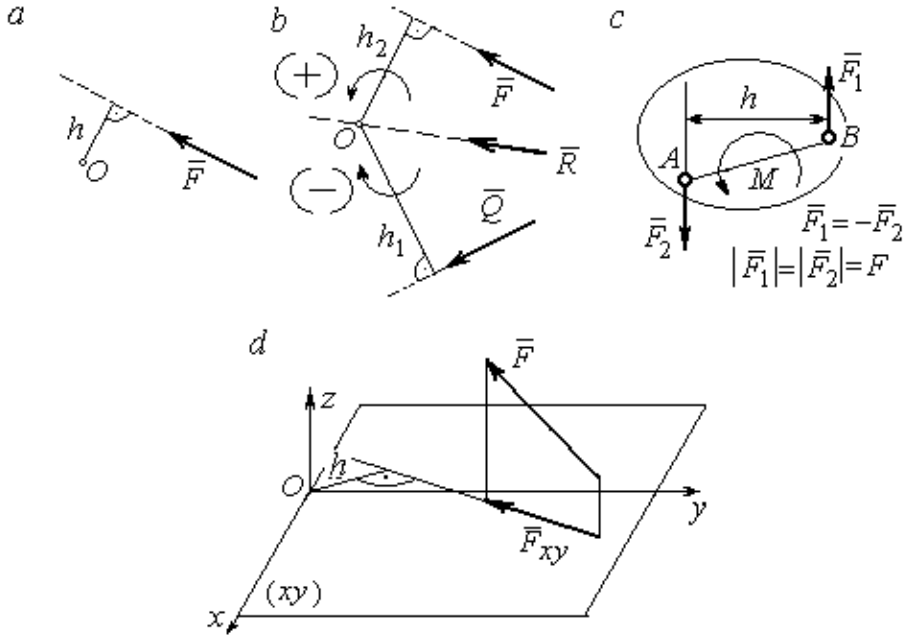

Рис. 1.2. Схемы для вычисления моментов сил:
a, *b* – момент силы относительно центра; *c* – момент пары сил;
d – момент силы относительно оси

На рис. 1.2, *b* показано, что момент силы $\vec{F}$ относительно центра O положительный, а момент силы $\vec{Q}$ относительно того же центра – отрицательный. Момент силы $\vec{R}$ относительно центра O равен нулю, так как линия действия этой силы проходит через центр O и плечо силы равно нулю.

Парой сил, или просто парой (рис.1.2, *c*), называют систему двух равных по модулю сил, параллельных, направленных в противоположные стороны и не лежащих на одной прямой. Алгебраическим моментом пары сил, или **моментом пары,** называют взятое со знаком плюс или минус произведение модуля одной из сил пары на плечо пары – кратчайшее расстояние между линиями действия ее сил. Правило знаков такое же, как и для момента силы. На рисунках пару часто изображают дуговой стрелкой, показывающей направление поворота твердого тела под действием пары (см. M на рис. 1.2, *c*).

Моментом силы относительно оси называют момент проекции этой силы на плоскость, перпендикулярную оси, относительно точки пересечения оси с этой плоскостью. На рис. 1.2, *d* показано вычисление момента силы F относительно оси *z*: $M_z(\vec{F}) = F_{xy}h$, где F_{xy} – проекция силы $\vec{F}$ на плоскость *xy*, перпендикулярную оси *z*, *h* – плечо проекции F_{xy} относительно центра *O* – точки пересечения оси *z* и плоскости *xOy*.

1.3. Условия равновесия систем сил

Плоской системой сил называется система сил, расположенных в одной плоскости.

Основная форма условий равновесия плоской системы сил. Для равновесия плоской системы сил, приложенных к твердому телу, необходимо и достаточно, чтобы суммы проекций всех сил на каждую из двух осей прямоугольной системы координат, расположенной в плоскости действия сил, были равны нулю и сумма моментов сил относительно любого центра, находящегося в плоскости действия сил, также была равна нулю:

$$\sum F_{kx} = 0,\ \sum F_{ky} = 0,\ \sum M_A(\vec{F}_k) = 0,$$

где F_{kx}, F_{ky} – проекции всех сил на координатные оси; $M_A(\vec{F}_k)$ – моменты всех сил относительно произвольно выбранного центра A.

Пространственной системой сил называется система сил, расположенных произвольно в пространстве.

Для **равновесия пространственной системы сил** необходимо и достаточно, чтобы суммы проекций всех сил на оси прямоугольной системы координат были равны нулю и суммы моментов всех сил относительно тех же осей также были равны нулю:

$$\sum F_{kx} = 0,\ \sum F_{ky} = 0,\ \sum F_{kz} = 0,$$

$$\sum M_x(\vec{F}_k) = 0,\ \sum M_y(\vec{F}_k) = 0,\ \sum M_z(\vec{F}_k) = 0,$$

где F_{kx}, F_{ky}, F_{kz} – проекции всех сил на координатные оси x, y, z; $M_x(\vec{F}_k)$, $M_y(\vec{F}_k)$, $M_z(\vec{F}_k)$ – моменты всех сил относительно выбранных осей.

Равновесие систем тел

Связи, соединяющие части конструкции, называют **внутренними,** в отличие от **внешних** связей, скрепляющих конструкцию с внешними телами, не входящими в данную конструкцию. Одним из способов решения задач на равновесие сил, действующих на сочленённую конструкцию с внутренними связями, является **разбиение конструкции на отдельные тела** и составление уравнений равновесия для каждого из тел, входящих в конструкцию. При этом в уравнения равновесия должны входить только силы, непосредственно приложенные к тому телу, равновесие которого рассматривается.

1.4. Задание С1. Равновесие произвольной плоской системы сил. Равновесие системы тел

Каждый вариант задания включает две задачи по темам: «Равновесие произвольной плоской системы сил» и «Равновесие системы тел».

В задачах требуется определить реакции связей конструкции исходя из условия равновесия произвольной плоской системы сил. Весом стержневых подпорок, поддерживающих балочные конструкции, и блоков, через которые перекинуты невесомые нити, пренебречь.

Варианты заданий даны на рис. 1.3 – 1.6. Исходные данные приведены в табл. 1.1. Из таблицы исходных данных выбираются значения тех параметров, которые указаны на схемах.

Варианты № 1, 11, 21

Задача 1

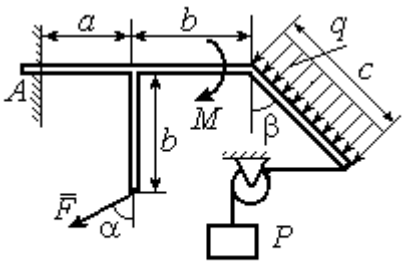

Найти реакцию жесткой заделки в точке A

Задача 2

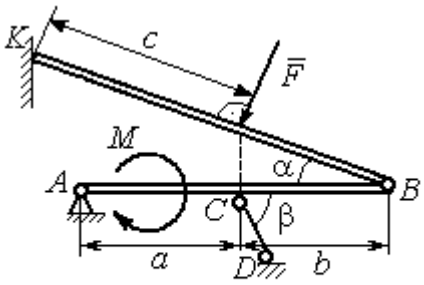

Найти реакции шарниров A, B, реакцию стержня CD и реакцию опоры в точке K

Варианты № 2, 12, 22

Задача 1

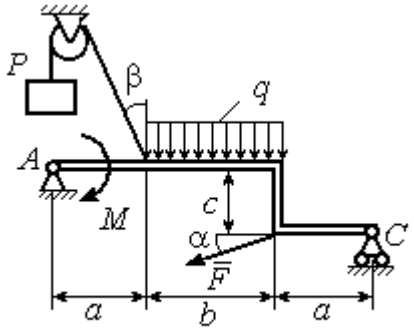

Найти реакции шарниров A и C

Задача 2

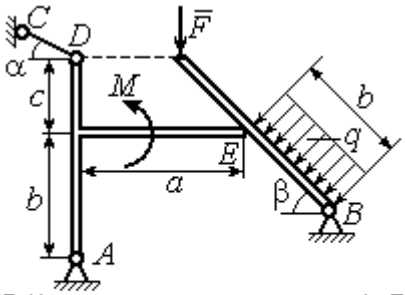

Найти реакции шарниров A, B, реакцию опоры в точке E и реакцию стержня CD

Варианты № 3, 13, 23

Задача 1

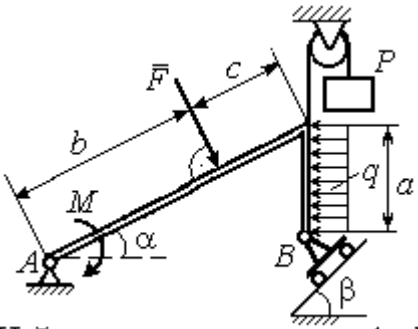

Найти реакцию шарниров A и B

Задача 2

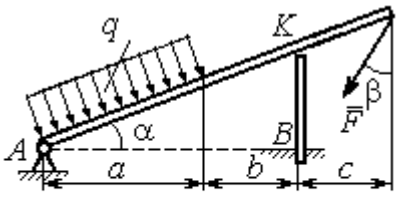

Найти реакцию шарнира A, реакцию опоры в точке K и реакцию жесткой заделки в точке B

Рис. 1.3. Задание С1. Равновесие произвольной плоской системы сил. Равновесие системы тел. Номера вариантов задания 1 – 3, 11 – 13, 21 – 23

Варианты № 4, 14, 24

Задача 1

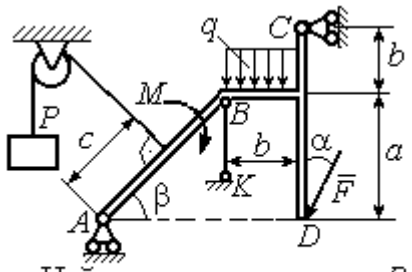

Найти усилие в стержне BK и реакцию шарниров A, C

Задача 2

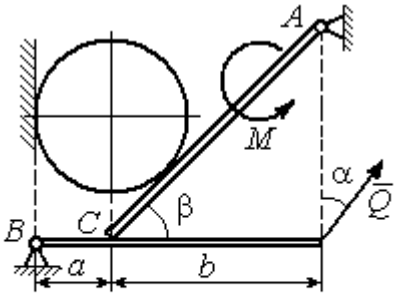

Вес шара P. Найти реакцию шарниров A, B, давление шара на балку и стенку, реакцию опоры балки в точке C и уравновешивающую силу Q

Варианты № 5, 15, 25

Задача 1

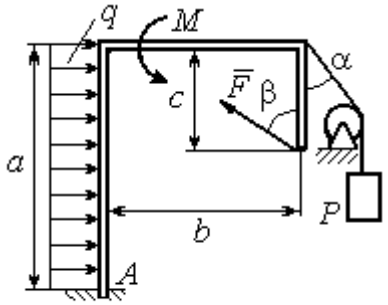

Найти реакцию жесткой заделки в точке A

Задача 2

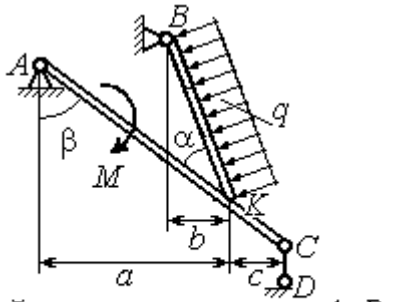

Найти реакцию шарнирв A, B, реакцию стержня CD и реакцию опоры в точке K

Варианты № 6, 16, 26

Задача 1

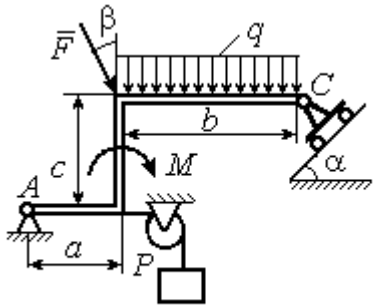

Найти реакции шарниров A и C

Задача 2

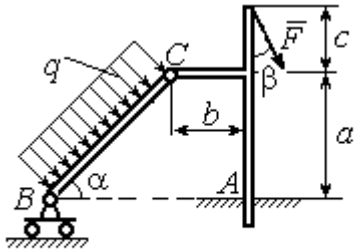

Найти реакцию жесткой заделки в точке A и реакции шарниров B и C

Рис. 1.4. Задание С1. Равновесие произвольной плоской системы сил. Равновесие системы тел. Номера вариантов задания 4 – 6, 14 – 16, 24 –26

Варианты № 7, 17, 27

Задача 1

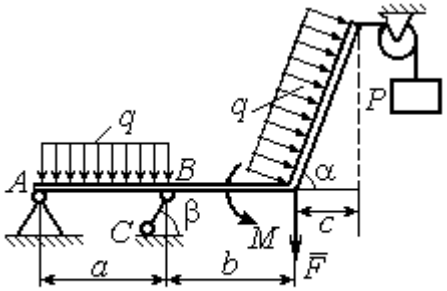

Найти реакцию стержня BC и реакцию шарнира A

Задача 2

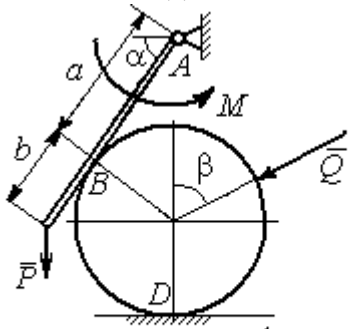

Найти реакцию шарнира A, давление балки на шар, реакцию опоры шара в точке D и уравновешивающую силу Q

Варианты № 8, 18, 28

Задача 1

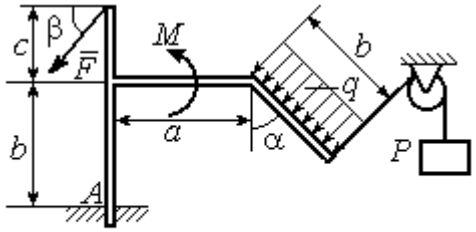

Найти реакцию жесткой заделки в точке A

Задача 2

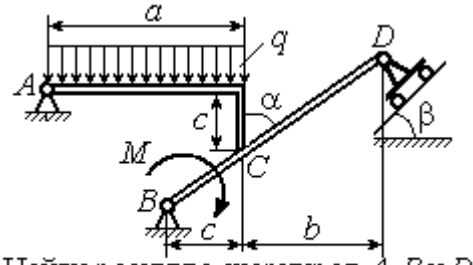

Найти реакцию шарниров A, B и D и реакцию опоры в точке C

Варианты № 9, 19, 29

Задача 1

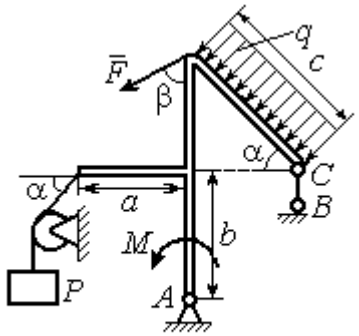

Найти реакцию стержня BC и реакцию шарнира A

Задача 2

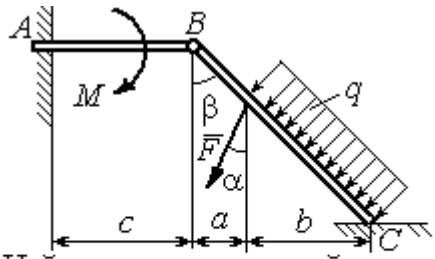

Найти реакцию жесткой заделки в точке A, реакцию шарнира B и реакцию опоры в точке C

Рис. 1.5. Задание С1. Равновесие произвольной плоской системы сил. Равновесие системы тел. Номера вариантов задания 7 – 9, 17 – 19, 27 – 29

Окончание вариантов задания С1

Варианты № 10, 20, 30

Задача 1

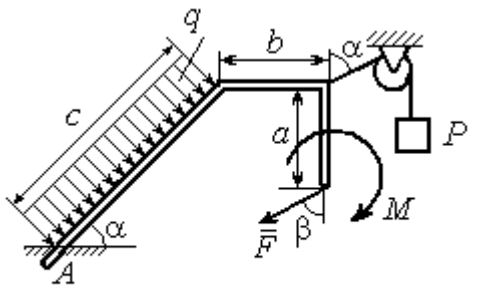

Найти реакцию жесткой заделки в точке A

Задача 2

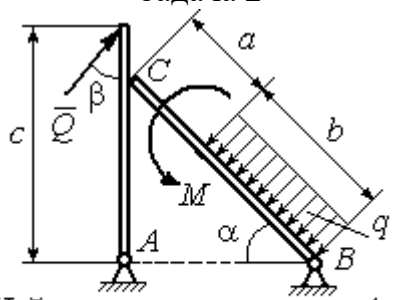

Найти реакцию шарниров A, B, реакцию опоры в точке C и уравновешивающую силу Q

Рис. 1.6. Задание С1. Равновесие произвольной плоской системы сил. Равновесие системы тел. Номера вариантов задания 10, 20, 30

Таблица 1.1

Исходные данные задания С1. Равновесие произвольной плоской системы сил. Равновесие системы тел.

Номер варианта задания	**1**	**2**	**3**	**4**	**5**	**6**	**7**	**8**	**9**	**10**	**11**	**12**	**13**	**14**	**15**
P, кН	6	5	6	12	6	6	10	3	8	5	10	4	8	10	8
F, кН	12	6	10	5	12	8	6	5	6	2	12	8	12	6	10
q, кН/м	5	4	2	3	6	3	5	2	2	4	6	2	3	4	5
M, кН·м	12	8	6	8	12	5	12	8	4	6	8	12	10	6	10
α, град	45	60	30	60	30	30	45	60	30	30	45	30	60	45	60
β, град	60	30	45	30	60	90	60	60	30	45	30	45	30	60	30
a, м	3	4	3	4	3	4	3	4	1	2	2	3	2	3	4
b, м	3	3	4	3	2	4	3	3	2	3	3	3	4	3	2
c, м	4	2	2	2	3	2	2	1	5	4	4	2	1	2	2

Номер варианта задания	**16**	**17**	**18**	**19**	**20**	**21**	**22**	**23**	**24**	**25**	**26**	**27**	**28**	**29**	**30**
P, кН	10	8	10	6	4	6	12	10	5	6	8	6	8	4	6
F, кН	6	12	12	8	3	14	10	8	15	10	12	8	10	10	2
q, кН/м	5	3	4	3	2	3	2	5	4	2	3	4	5	2	4
M, кН·м	10	6	8	6	5	12	4	6	8	10	12	10	6	4	8
α, град	60	60	30	45	60	30	60	45	30	60	45	30	30	30	45
β, град	45	30	30	60	60	45	30	60	30	45	90	30	60	45	30
a, м	3	4	3	1	2	2	4	1	4	3	4	3	2	1	2
b, м	2	4	3	3	4	1	4	3	2	2	2	2	2	2	2
c, м	3	2	2	4	5	4	2	2	1	1	1	2	1	3	5

Пример выполнения задания С1. Равновесие произвольной плоской системы сил. Равновесие системы тел.

Задача 1**.** Рама *ACE* (рис. 1.7) в точке *A* закреплена на цилиндрической шарнирной опоре, а в точке *B* поддерживается вертикальным невесомым стержнем *BK*. На раму действуют: пара с моментом $M = 8$ Нм, сила $F = 10$ Н, приложенная в точке *D* под углом 60° к раме, и равномерно распределенная нагрузка интенсивностью $q = 2$ Н/м, приложенная на отрезке *AB*. В точке *E* под прямым углом к участку балки *CE* прикреплен трос, несущий груз $P = 20$ Н. Пренебрегая весом балки, определить реакцию шарнира *A* и реакцию стержневой опоры *BK*, если $a = 2$ м.

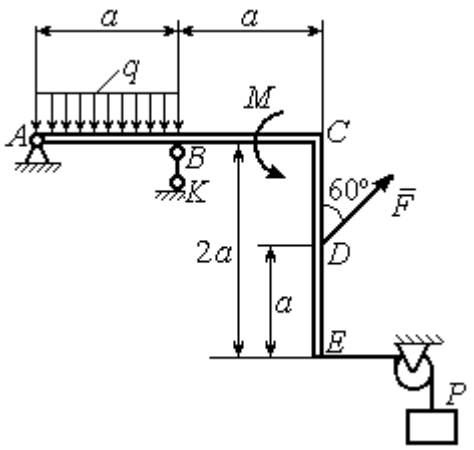

Рис. 1.7. Конструкция рамы

Решение

Выбираем систему координат *xAy*, например, как показано на рис. 1.8. Заменяем действие связей их реакциями. Изображаем реакцию шарнира *A* двумя ее составляющими $\vec{X}_A$ и $\vec{Y}_A$, направленными вдоль горизонтальной и вертикальной осей (см. рис. 1.8). Реакция $\vec{R}_B$ невесомой стержневой опоры *BK* приложена в точке *B* и направлена вдоль стержня *BK*. Заменяем распределенную нагрузку её равнодействующей $\vec{Q}$. Сила $\vec{Q}$ приложена в середине отрезка *AB* и по модулю равна $Q = qa = 4$ Н. Действие груза *P* на раму изображается реакцией $\vec{T}$, равной по величине весу груза.

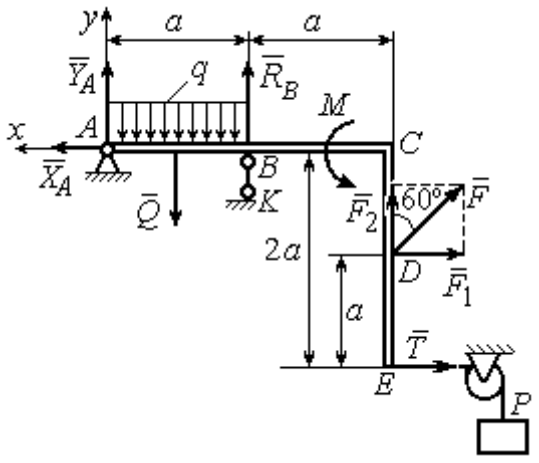

Рис. 1.8. Силы и реакции связей, действующие на раму при её равновесии

При равновесии рамы действующие на неё силы составляют уравновешенную произвольную плоскую систему. Условия равновесия системы сил имеют вид: $\sum F_{kx} = 0$, $\sum F_{ky} = 0$, $\sum M_A(\vec{F}_k) = 0$. Вычисляя проекции сил на оси *x*, *y*, и моменты сил относительно центра *A*, уравнения равновесия получим в виде:

$$\sum F_{kx} = X_A - F\cos 30^\circ - T = 0, \quad \sum F_{ky} = Y_A - Q + R_B + F\cos 60^\circ = 0.$$

$$\sum M_A(\vec{F}_k) = -Q\frac{a}{2} + R_B a + M + F\cos 60^\circ \cdot 2a + F\cos 30^\circ \cdot a + T2a = 0.$$

Здесь для вычисления момента силы $\vec{F}$ относительно центра *A* использована теорема Вариньона: $M_A(\vec{F}) = M_A(\vec{F}_1) + M_A(\vec{F}_2) = F_1 \cdot a + F_2 \cdot 2a$, где $F_1 = F\cos 30^\circ$, $F_2 = F\cos 60^\circ$ (см. рис. 1.8).

Подставляя в уравнения равновесия исходные данные задачи, получим систему уравнений относительно неизвестных X_A, Y_A, R_B:

$$X_A - 28{,}66 = 0, \quad Y_A + R_B + 1 = 0, \quad R_B \cdot 2 + 121{,}32 = 0.$$

Решая систему, найдем X_A = 28,66 Н, Y_A = 59,66 Н, R_B = – 60,66 Н.

Отрицательное значение величины R_B означает, что фактическое направление реакции R_B стержневой опоры *BK* противоположно направлению, показанному на рис. 1.8. Численное значение реакции шарнира

$$R_A = \sqrt{X_A^2 + Y_A^2} = \sqrt{28{,}66^2 + 59{,}66^2} = 66{,}18 \text{ Н}.$$

Задача 2. Балка *ABLC* с вертикальной частью *AB* и горизонтальной перекладиной *LC* закреплена в точке *A* с помощью жесткой заделки (рис. 1.9). Наклонная балка *EC* с углом наклона к горизонту 60° в точке *C* шарнирно прикреплена к горизонтальной перекладине *CL*, а в точке *E* закреплена на шарнирно-подвижной опоре, установленной на горизонтальной поверхности. На конструкцию действуют равномерно распределенная на отрезках *BL* и *DE* нагрузка с одинаковой интенсивностью $q = 2$ кН/м, сила $\vec{F}$, приложенная в точке *D* перпендикулярно балке *EC* и равная по величине $F = 10$ кН, и пара сил

с моментом M = 5 кН·м. Определить реакцию жесткой заделки A и реакции шарниров C и E, если a = 2 м.

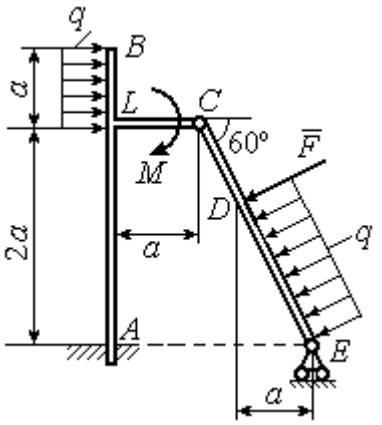

Рис. 1.9. Равновесие конструкции двух балок, соединённых шарниром

Решение

Разделяем систему на две части по шарниру C и рассмотрим равновесие балок $ABLC$ и EC отдельно. Изобразим обе балки и расставим внешние силы и реакции связей (рис. 1.10). Рассмотрим балку $ABLC$ (рис. 1.10, *a*). Заменим распределенную нагрузку эквивалентной силой $\vec{Q}_1$, приложенной в середине отрезка BL, направленной в сторону действия нагрузки и равной $Q_1 = q \cdot a =$ 4 кН. Кроме силы $\vec{Q}_1$ и пары сил с моментом M на балку действуют реакция жёсткой заделки в точке A, имеющая своими составляющими силы $\vec{X}_A$, $\vec{Y}_A$ и пару сил с моментом M_A, а также реакция шарнира C, разложенная на составляющие $\vec{X}_C$, $\vec{Y}_C$ (см. рис. 1.10, *a*). Действующие на раму силы составляют уравновешенную плоскую систему сил. Выберем систему координат xAy, как показано на рис. 1.10, *a*, и составим уравнения равновесия:

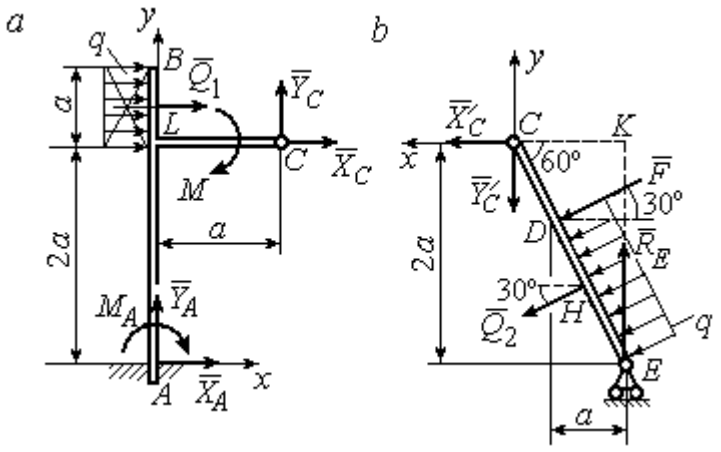

Рис. 1.10. Равновесие частей конструкции:
a - силы и реакции связей, действующие на балку $ABLC$;
b - силы и реакции связей, действующие на балку CE

$$\sum F_{kx} = X_A + Q_1 + X_C = 0, \quad \sum F_{ky} = Y_A + Y_C = 0,$$

$$\sum M_A(\vec{F}_k) = -M_A - Q_1 \cdot \left(2a + \frac{a}{2}\right) - M + Y_C a - X_C 2a = 0.$$

Рассмотрим равновесие балки *EC*. Заменим равномерную нагрузку эквивалентной силой $\vec{Q}_2$, приложенной в середине отрезка *ED*, направленной в сторону действия нагрузки и равной по модулю $Q_2 = q \cdot 2a = 8$ кН. На балку кроме сил $\vec{Q}_2$, $\vec{F}$ действуют реакции связей: $\vec{R}_E$ – реакция шарнирно-подвижной опоры в точке *E* и $\vec{X}'_C$, $\vec{Y}'_C$ – составляющие реакции шарнира *C*. Силы $\vec{X}'_C$, $\vec{Y}'_C$ направлены противоположно силам $\vec{X}_C$, $\vec{Y}_C$ и равны им по модулю $X_C = X'_C$, $Y_C = Y'_C$ (см. рис. 1.10, *a*, *b*). Действующие на балку *EC* силы образуют плоскую уравновешенную систему сил. Выберем систему координат *xCy,* как показано на рис. 1.10, *b,* и составим уравнения равновесия. При этом центром, относительно которого будем считать моменты сил, выберем точку *C*. Получим:

$$\sum F_{kx} = Q_2 \sin 60^\circ + F\cos 30^\circ + \vec{X}'_C = 0,\ \sum F_{ky} = R_E - Q_2 \cos 60^\circ - F\sin 30^\circ - Y'_C = 0,$$

$$\sum M_C\left(\vec{F}_k\right) = -F \cdot CD - Q_2 \cdot CH + R_E \cdot CK = 0.$$

Здесь плечи сил: $CD = \dfrac{2a}{\cos 30^\circ} - 2a$, $CH = \dfrac{2a}{\cos 30^\circ} - a$, $CK = 2a\,\mathrm{tg}30^\circ$. Заменяя в уравнениях величины X'_C на X_C, а Y'_C на Y_C и подставляя исходные данные, получим систему уравнений:

$$X_A + X_C + 4 = 0,\ Y_A + Y_C = 0,\ -M_A - 4X_C + 2Y_C - 25 = 0,$$

$$X_C + 15{,}59 = 0,\ -Y_C + R_E - 9 = 0,\ 2{,}31R_E - 27{,}14 = 0,$$

откуда найдём величины реакции жесткой заделки и реакции шарниров:

$$X_A = 11{,}59 \text{ кН},\ Y_A = -2{,}76 \text{ кН},\ M_A = 42{,}87 \text{ кН·м},$$

$$X_C = -15{,}59 \text{ кН},\ Y_C = 2{,}76 \text{ кН},\ R_E = 11{,}76 \text{ кН}.$$

Модули реакций жесткой заделки *A* и шарнира *C*:

$$R_A = \sqrt{X_A^2 + Y_A^2} = 11{,}91 \text{ кН},\ R_C = \sqrt{X_C^2 + Y_C^2} = 15{,}83 \text{ кН}.$$

1.5. Задание С2. Равновесие пространственной системы сил

В заданиях рассматривается равновесие однородной плиты или вала (прямого или с «ломаной» осью) с насаженным на него шкивом.

Вал закреплен подпятником и подшипником и удерживается в равновесии. На вал действуют сила $\vec{F}$, пара сил с моментом M и сила $\vec{P}$. На шкив вала намотана нить, к свободному концу которой, перекинутому через невесомый блок, подвешен груз весом Q. Для вала определить реакции подшипника и подпятника и величину уравновешивающей силы Q (или момента M).

Плита весом P закреплена пространственным шарниром, подшипником и удерживается в заданном положении невесомым стержнем. На плиту действуют силы $\vec{F}$, $\vec{Q}$ и пара сил с моментом M. Для плиты найти реакции сферического и цилиндрического шарниров и реакцию стержня.

Варианты задания даны на рис. 1.11 – 1.13. Исходные данные для выполнения задания приведены в табл. 1.2.

Варианты № 1, 11, 21	**Варианты № 2, 12, 22**
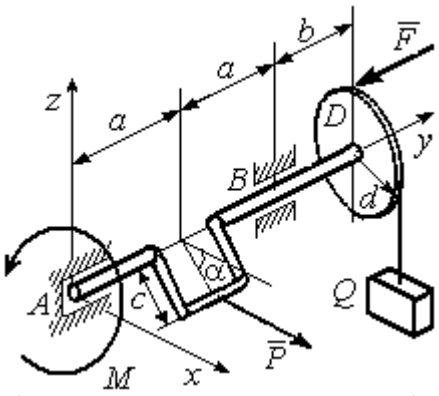	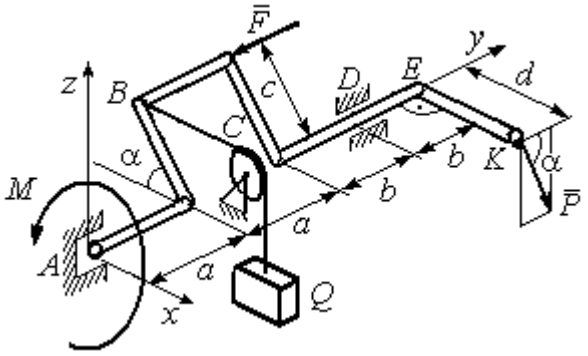
Сила $\vec{F}$ параллельна оси Ay; сила $\vec{P}$ параллельна оси Ax; нить, удерживающая груз, сходит со шкива вертикально. Найти реакции подпятника и подшипника в точках A и B и величину уравновешивающего груза Q	Сила $\vec{F}$ параллельна оси Ay; сила $\vec{P}$ лежит в плоскости, параллельной zAy; отрезок нити BC параллелен оси Ax; рукоять вала EK параллельна оси Ax. Найти реакции подпятника и подшипника в точках A и D и величину уравновешивающего момента M

Рис. 1.11. Задание С2. Равновесие пространственной системы сил.
Номера вариантов задания 1 – 2, 11 – 12, 21 – 22

Варианты № 3, 13, 23	**Варианты № 4, 14, 24**
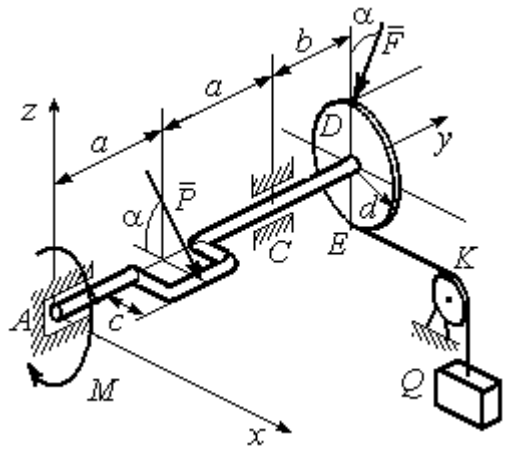	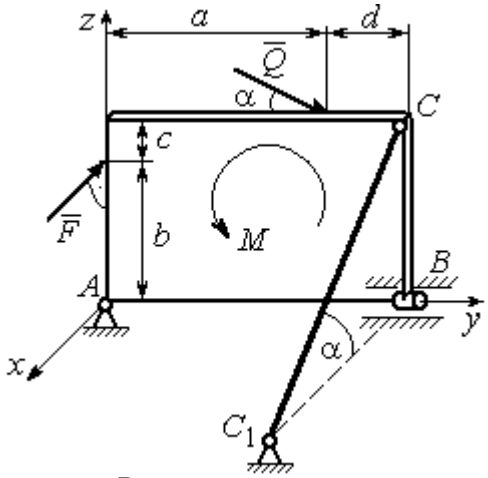
Сила $\vec{F}$, лежит в плоскости *zAy*; сила $\vec{P}$ лежит в плоскости, параллельной *zAx*, отрезок нити *EK* параллелен оси *Ax*. Найти реакции подпятника и подшипника в точках *A* и *C*, а также величину уравновешивающего груза *Q*	Плита весом *P* расположена в плоскости *zAy*; пара сил с моментом *M* действует в плоскости плиты; стержень CC_1 расположен в плоскости, параллельной *zAx*; сила $\vec{Q}$ действует в плоскости плиты; сила $\vec{F}$ перпендикулярна плоскости плиты. Найти реакции сферического и цилиндрического шарниров в точках *A* и *B* и реакцию стержня CC_1

Варианты № 5, 15, 25	**Варианты № 6, 16, 26**
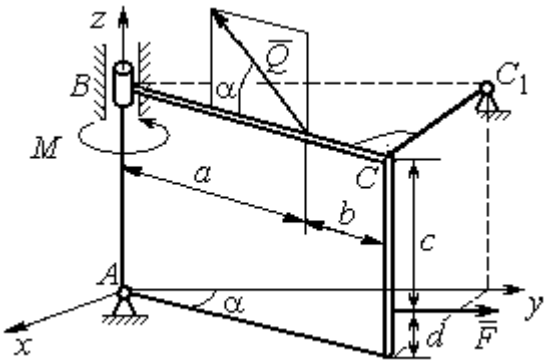	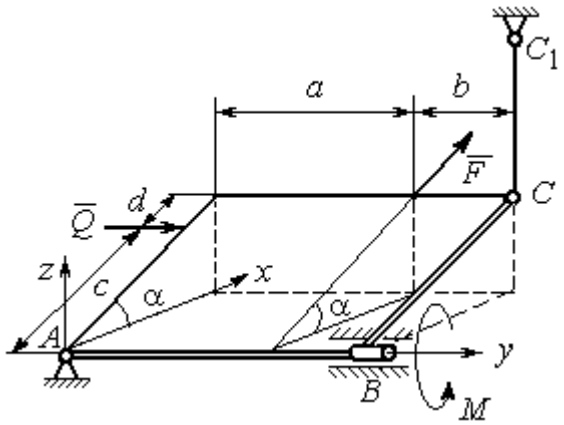
Плита весом *P* отклонена на угол α от вертикальной плоскости *zAy*; сила $\vec{Q}$ лежит в плоскости плиты; сила $\vec{F}$ параллельна оси *Ay*; стержень CC_1 перпендикулярен плоскости плиты. Найти реакции сферического и цилиндрического шарниров в точках *A* и *B* и реакцию стержня CC_1	Плита весом *P* отклонена на угол α от горизонтальной плоскости *xAy*; сила $\vec{Q}$ перпендикулярна боковой стенке плиты и параллельна оси *Ay*; сила $\vec{F}$ расположена в плоскости плиты и параллельна её боковым стенкам; стержень CC_1 параллелен оси *Az*. Найти реакции сферического и цилиндрического шарниров в точках *A* и *B* и реакцию стержня CC_1

Рис. 1.12. Задание С2. Равновесие пространственной системы сил.
Номера вариантов задания 3 – 6, 13 – 16, 23 – 26

Варианты № 7, 17, 27	**Варианты № 8, 18, 28**
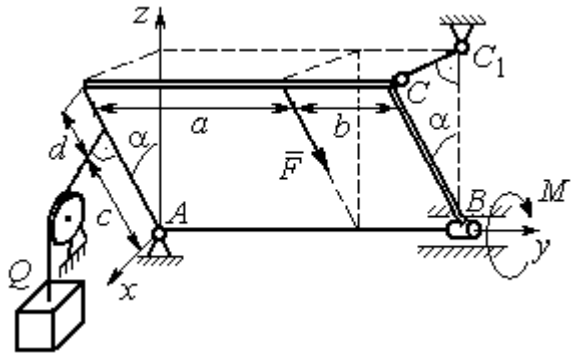	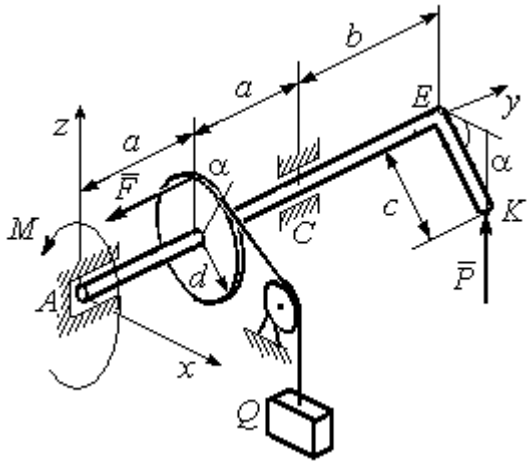
Плита весом *P* отклонена на угол α от вертикальной плоскости *zAy*; нить, удерживающая груз *Q*, находится плоскости *zAx*, прикреплена к боковой стенке плиты и перпендикулярна ей; сила $\vec{F}$ параллельна боковым стенкам плиты; стержень CC_1 перпендикулярен плоскости *zAy*. Найти реакции сферического и цилиндрического шарниров в точках *A* и *B* и реакцию стержня CC_1	Рукоять *EK* перпендикулярна оси вала и наклонена под углом α к горизонтальной плоскости *xAy*; сила $\vec{P}$ параллельна оси *Az*; сила $\vec{F}$ параллельна оси A*y*; нить, удерживающая груз *Q*, сходит со шкива по касательной. Найти реакции подпятника *A*, подшипника *C*, и величину уравновешивающего груза *Q*

Варианты № 9, 19, 29	**Варианты № 10, 20, 30**
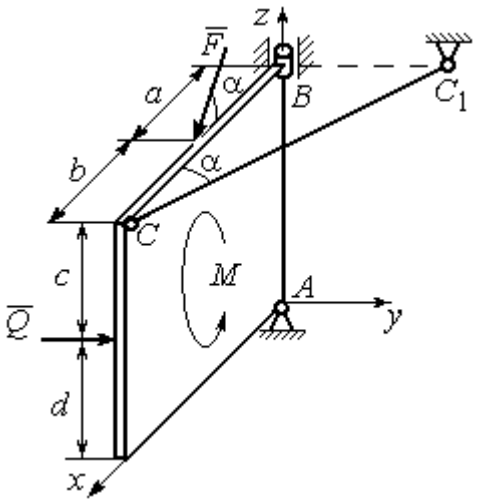	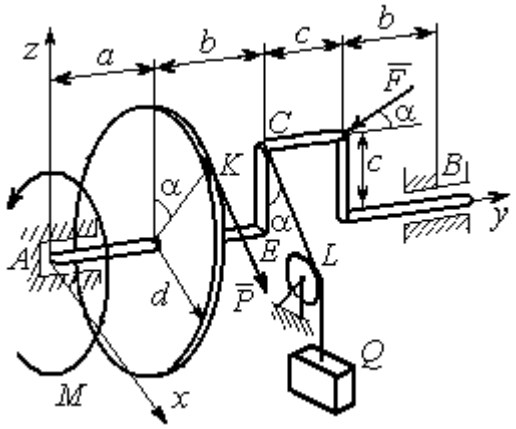
Плита весом *P* находится в вертикальной плоскости *zAx*; стержень CC_1 расположен в плоскости, параллельной *xAy*; пара сил с моментом *M* действует в плоскости плиты; сила $\vec{Q}$ перпендикулярна плоскости плиты; сила $\vec{F}$ лежит в плоскости плиты. Найти реакции сферического и цилиндрического шарниров в точках *A* и *B* и реакцию стержня CC_1	Сила $\vec{F}$ находится в плоскости *zAy*; стойка *CE* находится в плоскости *zAy*; отрезок *CL* нити, удерживающей груз, находится в плоскости параллельной *xAz*; сила $\vec{P}$ находится в плоскости шкива и направлена по касательной к ободу в точке *K*. Найти реакции подпятника *A*, подшипника *B* и величину уравновешивающего момента *M*

Рис. 1.13. Задание С2. Равновесие пространственной системы сил.
Номера вариантов задания 7 – 10, 17 – 20, 27 – 30

Таблица 1.2

Исходные данные для задания С2.
Равновесие пространственной системы сил

Номер варианта задания	**1**	**2**	**3**	**4**	**5**	**6**	**7**	**8**	**9**	**10**
P, кН	5	4	6	10	16	15	12	10	15	14
F, кН	8	6	12	6	10	10	8	12	12	10
Q, кН	–	12	–	12	8	12	10	–	10	12
M, кН·м	12	–	10	8	12	6	8	6	8	–
α, град	60	30	30	30	60	60	60	30	30	60
a, м	1,2	0,8	1,4	0,6	1,2	0,9	1,4	0,4	0,8	0,8
b, м	1,0	0,6	1,1	0,4	0,8	0,4	0,6	1,2	0,2	0,6
c, м	0,8	0,5	0,8	0,3	1,4	0,8	1,2	0,8	0,4	0,4
d, м	0,4	0,4	0,6	0,2	0,4	0,2	0,4	0,6	0,6	0,6

Номер варианта задания	**11**	**12**	**13**	**14**	**15**	**16**	**17**	**18**	**19**	**20**
P, кН	8	10	10	15	14	10	16	9	10	12
F, кН	6	12	16	8	12	14	10	15	8	10
Q, кН	–	14	–	10	10	12	14	–	12	14
M, кН·м	10	–	12	12	12	8	10	10	10	–
α, град	30	60	60	60	30	30	30	60	60	30
a, м	0,8	1,3	0,9	0,5	1,3	1,2	1,6	0,6	0,9	1,2
b, м	0,6	1,1	0,6	0,4	0,9	0,6	0,8	1,2	0,3	0,8
c, м	0,4	0,8	0,5	0,2	1,5	0,9	1,2	0,4	0,6	0,6
d, м	0,2	0,4	0,4	0,1	0,5	0,4	0,6	0,2	0,2	0,8

Номер варианта задания	**21**	**22**	**23**	**24**	**25**	**26**	**27**	**28**	**29**	**30**
P, кН	10	12	5	8	10	14	18	12	14	10
F, кН	12	8	15	10	12	8	10	15	9	8
Q, кН	–	10	–	12	14	10	16	–	12	6
M, кН·м	12	–	16	14	8	10	8	12	10	–
α, град	90	30	60	30	45	30	30	60	60	30
a, м	0,6	0,8	1,1	1,2	1,5	0,8	1,0	0,8	1,2	0,9
b, м	0,8	0,6	0,9	1,0	0,9	0,6	0,8	1,4	0,6	0,4
c, м	0,4	1,2	0,8	0,6	1,5	0,9	1,1	0,5	0,8	0,6
d, м	0,4	1,5	0,5	0,2	0,4	0,3	0,3	0,4	0,6	0,5

Примеры решения задания С2. Равновесие пространственной системы сил

Задача 1. Горизонтальный вал (рис. 1.14) закреплен в подпятнике *C* и подшипнике *K*. Вал имеет шкив I радиуса *R* и шкив II радиуса *r*, перпендикулярные оси вала. Рукоять *AE* параллельна оси *Cx*. Нить, удерживающая груз *Q*, сходит со шкива I по касательной вертикально вниз. На вал действуют силы $\vec{F}$, $\vec{P}$ и пара сил с моментом *M*, закручивающая вал вокруг оси *Cy*. Сила $\vec{F}$ находится в плоскости, параллельной *zCy*, и составляет угол 60° с направлением оси *Cy*. Сила $\vec{P}$ приложена в точке *B* шкива II, определяемой центральным углом 30º, и направлена по касательной. Определить величину уравновешивающего момента *M* и реакции подшипника и подпятника, если $P = 4$ кН, $F = 2$ кН, $Q = 3$ кН, $R = 0{,}6$ м, $r = 0{,}3$ м, $a = 0{,}8$ м, $b = 0{,}4$ м.

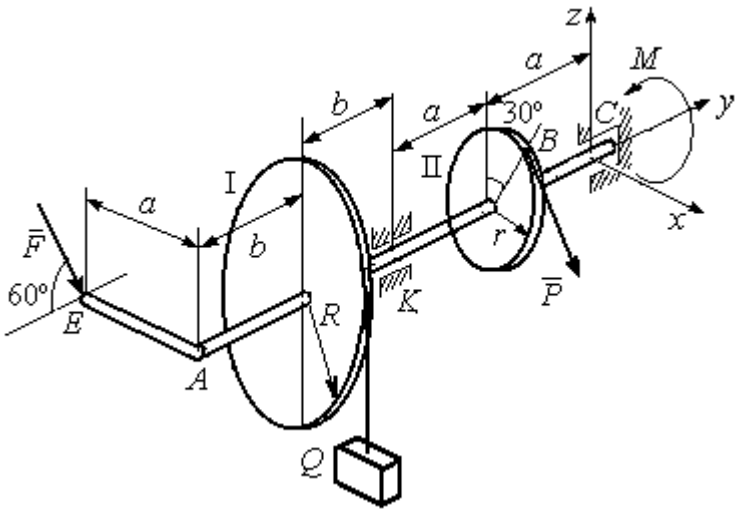

Рис. 1.14. Схема вала и его нагрузка

Решение

Рассмотрим равновесие вала. На вал действуют внешние силы $\vec{F}$, $\vec{P}$, пара сил с моментом *M* и реакции связей. Связями являются нить, натянутая грузом *Q*, подпятник *C* и подшипник *K*. Освобождаем вал от связей, заменяя их действие реакциями. Реакцию подпятника *C* раскладываем на три со-

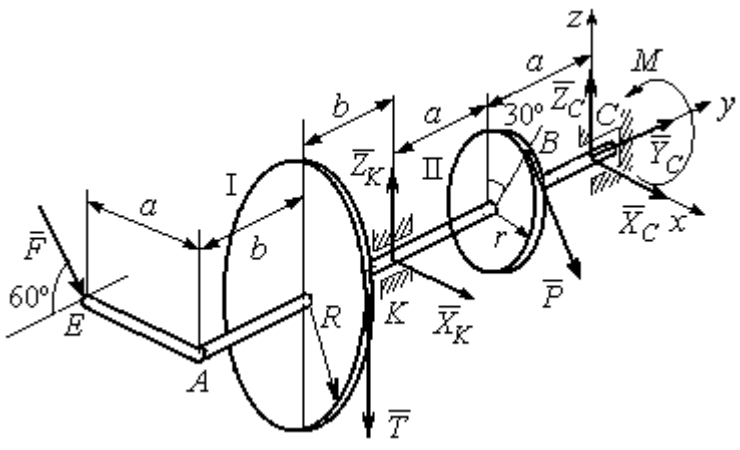

Рис. 1.15. Внешние силы и реакции связей вала

ставляющие: $\vec{X}_C$, $\vec{Y}_C$, $\vec{Z}_C$, направленные вдоль координатных осей. Реакция подшипника *K* лежит в плоскости, перпендикулярной оси вала, и ее составляющими будут вектора $\vec{X}_K, \vec{Z}_K$, направленные вдоль координатных осей *x*, *z*. Реакция нити $\vec{T}$ направлена вдоль нити от точки *K* и по модулю равна весу груза. Действие на вал внешних сил и реакций связи показано на рис. 1.15.

Внешние силы, действующие на вал, и реакции связей составляют произвольную пространственную систему сил, эквивалентную нулю ($\vec{P}, \vec{F}, \vec{X}_K, \vec{Z}_K, \vec{T}, \vec{X}_C, \vec{Y}_C, \vec{Z}_C, M$) ∞ 0, для которой уравнения равновесия:

$$\sum F_{kx} = 0,\ \sum F_{ky} = 0,\ \sum F_{kz} = 0,$$

$$\sum M_x(\vec{F}_k) = 0,\ \sum M_y(\vec{F}_k) = 0,\ \sum M_z(\vec{F}_k) = 0.$$

Для удобства при составлении уравнений равновесия изобразим вал вместе с действующими на него силами в проекциях на координатные плоскости (рис. 1.16)

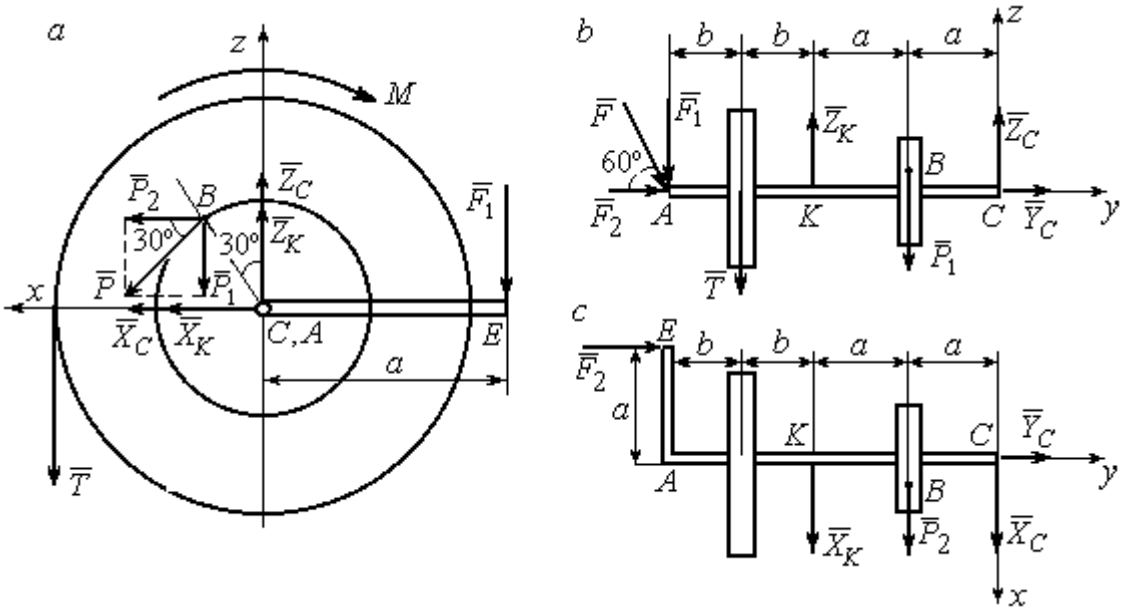

Рис. 1.16. Вал и действующие на него силы в проекциях на координатные плоскости:
a – вид вала в проекции на плоскость *zCx* с положительного конца оси *y*;
b – вид вала в проекции на плоскость *zCy* с положительного конца оси *x*;
c – вид вала в проекции на плоскость *xCy* с положительного конца оси *z*.

На рис. 1.16, *а* показаны проекции всех сил на плоскость *zCx*. Вычисляя моменты проекций этих сил относительно точки *C*, получим значения моментов исходных сил относительно оси *y*.

Для вычисления моментов сил относительно оси *x* достаточно найти моменты проекций сил на плоскость *zCy* относительно точки *C* (см. рис. 1.16, *b*), а вычисляя моменты проекций сил на плоскость *xCy* относительно точки *C*, получим значения моментов сил относительно оси z.

Составляем уравнения равновесия:

$$\sum F_{kx} = P_2 + X_K + X_C = 0,\ \sum F_{ky} = F_2 + Y_C = 0,$$

$$\sum F_{kz} = -P_1 + Z_K - T + Z_C - F_1 = 0,$$

$$\sum M_x(\vec{F}_k) = P_1 a - Z_K 2a - T(2a + b) + F_1(2a + 2b) = 0,$$

$$\sum M_y(\vec{F}_k) = -F_1 a + TR + Pr - M = 0,$$

$$\sum M_z(\vec{F}_k) = P_2 a + X_K 2a - F_2 a = 0.$$

Подставляя исходные данные задачи, с учётом того, что

$$P_1 = P\cos 60^\circ = 0{,}5P,\ P_2 = P\cos 30^\circ = 0{,}87P,$$

$$F_1 = F\cos 30^\circ = 0{,}87F,\ F_2 = F\cos 60^\circ = 0{,}5F$$ (см. рис. 1.16 *а*, *b*),

получим систему уравнений:

$$0{,}87 \cdot 4 + X_K + X_C = 0,\ \ 2 \cdot 0{,}5 + Y_C = 0,\ -4 \cdot 0{,}5 + Z_K - 3 + Z_C - 2 \cdot 0{,}87 = 0,$$

$$0{,}5 \cdot 4 \cdot 0{,}8 - 1{,}6Z_K - 3 \cdot 0{,}87(2 \cdot 0{,}8 + 0{,}4) + 2 \cdot 0{,}87(2 \cdot 0{,}8 + 2 \cdot 0{,}4) = 0,$$

$$-0{,}87 \cdot 0{,}8 + 3 \cdot 0{,}6 + 4 \cdot 0{,}3 - M = 0,\ 0{,}87 \cdot 4 \cdot 0{,}8 + 1{,}6 \cdot X_K - 2 \cdot 0{,}5 \cdot 0{,}8 = 0.$$

Решая систему, найдём: $X_C = -2{,}24$ кН, $Y_C = -1$ кН, $Z_C = 6{,}39$ кН, $X_K = -1{,}24$ кН, $Z_K = 0{,}35$ кН, $M = 2{,}3$ кН·м.

Окончательно, реакция подпятника $R_C = \sqrt{X_C^2 + Y_C^2 + Z_C^2} = 6{,}84$ кН,

реакция подшипника $R_K = \sqrt{X_K^2 + Z_K^2} = 1{,}29$ кН.

Задача 2. Плита весом P расположена в вертикальной плоскости zAy. В точке А плита закреплена пространственным шарниром, а в точке B на оси y опирается на цилиндрический шарнир (подшипник). Плита удерживается в равновесии при помощи невесомого стержня CC_1, прикреплённого шарниром к плите в её верхнем углу, в точке C перпендикулярно плоскости плиты (рис. 1.17).

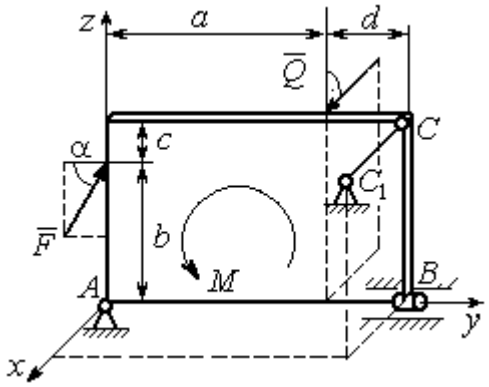

Рис. 1.17. Равновесие плиты

На плиту действует сила $\vec{Q}$, приложенная на краю плиты перпендикулярно её плоскости, и сила $\vec{F}$, лежащая в плоскости плиты и направленная под углом α к горизонту (см. рис. 1.17). Кроме того, в плоскости плиты на неё действует пара сил с моментом M. Найти реакции шарниров A и B и усилие в стержневой подпорке CC_1 при равновесии плиты, если параметры нагрузки: P = 1 кН, Q = 500 Н, F = 400 Н, M = 300 Н·м, $\alpha = 35^\circ$, a = 2 м, b = 1,5 м, c = 0,2 м, d = 0,4 м.

Решение

Заменим связи плиты их реакциями. Реакция шарнира A раскладывается на три составляющие: $\vec{X}_A$ $\vec{Y}_A$, $\vec{Z}_A$ по направлениям координатных осей. Направления координатных осей показаны на рис. 1.17. Реакция подшипника B лежит в плоскости, перпендикулярной оси подшипника, и ее составляющими будут вектора $\vec{X}_B, \vec{Z}_B$, направленные вдоль координатных осей x, z. Реакция стержня $\vec{T}$ направлена вдоль стержня. Действие сил и реакций показано на рис.1.18.

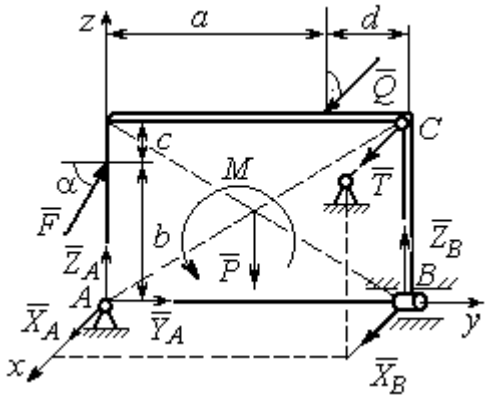

Рис. 1.18. Действие сил и реакций при равновесии плиты

Пространственная система сил, действующих на плиту, является уравновешенной: $(\vec{P}, \vec{F}, \vec{X}_B, \vec{Z}_B, \vec{T}, \vec{X}_A, \vec{Y}_A, \vec{Z}_A, M) \infty 0$. Уравнения равновесия:

$$\sum F_{kx} = 0,\ \sum F_{ky} = 0,\ \sum F_{kz} = 0,$$

$$\sum M_x(\vec{F}_k) = 0,\ \sum M_y(\vec{F}_k) = 0,\ \sum M_z(\vec{F}_k) = 0.$$

В вычислениях моментов сил относительно осей будем считать момент положительным, если при взгляде со стороны положительного направления оси, сила вращает тело (плиту) против хода часовой стрелки. Получим:

$$\sum F_{kx} = 0,\ X_A + Q + X_B + T = 0,$$

$$\sum F_{ky} = 0,\ Y_A + F\cos\alpha = 0,$$

$$\sum F_{kz} = 0,\ Z_A + F\sin\alpha - P + Z_B = 0$$

$$\sum M_x(\vec{F}_k) = 0,\ -F\cos\alpha \cdot b - P \cdot 0{,}5(a+d) + Z_B(a+d) + M = 0,$$

$$\sum M_y(\vec{F}_k) = 0,\ Q \cdot (b+c) + T \cdot (b+c) = 0,$$

$$\sum M_z(\vec{F}_k) = 0,\ -Q \cdot a - T \cdot (a+d) - X_B \cdot (a+d) = 0.$$

Подставив исходные данные задачи, получим систему уравнений:

$$X_A + 500 + X_B + T = 0,\ Y_A + 400 \cdot 0{,}82 = 0,\ Z_A + 400 \cdot 0{,}57 - 1000 + Z_B = 0,$$

$$-400 \cdot 0{,}82 \cdot 1{,}5 - 1000 \cdot 0{,}5 \cdot 2{,}4 + Z_B \cdot 2{,}4 + 300 = 0,$$

$$500 \cdot 1{,}7 + T \cdot 1{,}7 = 0,\quad -500 \cdot 2 - T \cdot 2{,}4 - X_B \cdot 2{,}4 = 0,$$

откуда находим значения составляющих реакций:

$$T = -500\ \text{Н},\ X_B = 83{,}33\ \text{Н},\ Z_B = 580\ \text{Н},$$

$$X_A = -83{,}33\ \text{Н},\ Y_A = -328\ \text{Н},\ Z_A = 192\ \text{Н}.$$

Полные реакции пространственного шарнира *A*:

$$R_A = \sqrt{X_A^2 + Y_A^2 + Z_A^2} = 389{,}09\ \text{Н},$$

цилиндрического шарнира *B*: $R_B = \sqrt{X_B^2 + Z_B^2} = 585{,}95\ \text{Н}$.

2. КИНЕМАТИКА ТОЧКИ И ТВЕРДОГО ТЕЛА

Кинематикой называется раздел механики, в котором изучаются свойства движения материальных тел без учета их масс и действующих на них сил.

2.1. Кинематика точки. Основные параметры движения точки

Кривая, которую описывает движущаяся точка, называется **траекторией** точки. Движение точки может быть задано **векторным**, **координатным** или **естественным** способами.

Векторный способ основан на определении положения точки ее радиусом-вектором в виде векторного уравнения $\vec{r} = \vec{r}(t)$. При **координатном способе** задания движения точки положение точки определяется ее координатами, заданными для каждого момента времени: $x = x(t)$, $y = y(t)$, $z = z(t)$. **Естественный способ** задания движения используется, если заранее известна траектория движения точки. Тогда положение точки однозначно определяется длиной дуги $\breve{OM} = S(t)$, отсчитываемой от некоторой фиксированной точки *O*, принятой за начало отсчета.

Мгновенная скорость, или скорость точки в данный момент времени, является векторной величиной и определяется как производная по времени от радиуса-вектора точки: $\vec{V} = \dot{\vec{r}}$. Вектор скорости точки $\vec{V}$ всегда направлен по касательной к траектории в сторону движения точки.

При координатном способе задания движения величины проекций вектора скорости $\vec{V}$ на координатные оси определяются как производные по времени от соответствующих координат: $V_x = \dot{x}$, $V_y = \dot{y}$, $V_z = \dot{z}$. Модуль вектора скорости: $V = \sqrt{V_x^2 + V_y^2 + V_z^2}$. При естественном способе задания движения вектор скорости точки определяется равенством: $\vec{V} = \dot{S}\vec{\tau}$, где $S = S(t)$ – закон измене-

ния длины дуги, $\vec{\tau}$ –единичный вектор касательной к траектории движения, направленный в сторону возрастающих расстояний.

Величина $V = |\dot{S}|$ называется алгебраической скоростью точки. При $\dot{S} > 0$ вектор скорости $\vec{V}$ направлен по единичному вектору $\vec{\tau}$ – в сторону возрастающих расстояний. При $\dot{S} < 0$ он имеет направление, противоположное единичному вектору $\vec{\tau}$, т. е. в сторону убывающих расстояний.

Мгновенное ускорение, или ускорение точки в данный момент времени, является векторной величиной и определяется как производная по времени от вектора скорости точки или как вторая производная от радиус-вектора точки: $\vec{a} = \dot{\vec{V}} = \ddot{\vec{r}}$. При координатном способе проекции вектора ускорения $\vec{a}$ на координатные оси – величины a_x, a_y, a_z – определяются равенствами: $a_x = \dot{V}_x = \ddot{x}$, $a_y = \dot{V}_y = \ddot{y}$, $a_z = \dot{V}_z = \ddot{z}$. Модуль вектора ускорения равен: $a = \sqrt{a_x^2 + a_y^2 + a_z^2}$.

При естественном способе задания движения вектор ускорения точки $\vec{a}$ раскладывается на две взаимно перпендикулярные составляющие $\vec{a}_n$ и $\vec{a}_\tau$, параллельные осям n и τ естественной системы координат, и представляется в виде равенства $\vec{a} = a_\tau \vec{\tau} + a_n \vec{n}$, или $\vec{a} = \vec{a}_\tau + \vec{a}_n$, где $\vec{\tau}$ – единичный направляющий вектор оси, касательной к траектории (касательная ось); $\vec{n}$ – единичный направляющий вектор главной нормали траектории. Величина a_n называется **нормальным ускорением** точки и вычисляется по формуле: $a_n = \dfrac{V^2}{\rho}$, где ρ – радиус кривизны траектории. (У окружности радиус кривизны равен её радиусу, у прямой линии – бесконечности.) Вектор $\vec{a}_n$ нормальной составляющей ускорения всегда направлен к центру кривизны траектории. При движении по окружности радиус кривизны траектории равен радиусу окружности, а центр кривизны траектории совпадает с центром окружности. Величина a_τ называется **касательным ускорением** и равна модулю второй производной от заданно-

го закона изменения длины дуги: $a_\tau = |\ddot{S}|$, где $S = S(t)$ – закон изменения длины дуги. Направление вектора касательного ускорения $\vec{a}_\tau$ зависит от знака второй производной $\ddot{S}$. При $\ddot{S} > 0$ вектор $\vec{a}_\tau$ в направлен в сторону возрастающих расстояний, по направлению единичного вектора $\vec{\tau}$, при $\ddot{S} < 0$ – в сторону убывающих расстояний (противоположно единичному вектору $\vec{\tau}$). Вектор полного ускорения $\vec{a}$ направлен по диагонали прямоугольника, построенного на векторах $\vec{a}_n$ и $\vec{a}_\tau$. Модуль вектора ускорения: $a = \sqrt{a_n^2 + a_\tau^2}$.

2.2. Вращение тела вокруг неподвижной оси

Движение тела, при котором все точки некоторой его прямой остаются неподвижными, называется **вращательным**, а указанная прямая называется осью вращения. Вращение тела задается углом поворота $\varphi = \varphi(t)$ подвижной плоскости, связанной с телом, относительно некоторого ее начального положения. Направление вращения с возрастанием угла поворота считается положительным.

Величина **угловой скорости** вращения тела равна модулю производной от угла поворота тела по времени: $\omega = |\dot{\varphi}|$. Направление угловой скорости вращения тела зависит от знака производной $\dot{\varphi}$. При $\dot{\varphi} > 0$ вращение происходит в положительном направлении, в сторону возрастания угла поворота, при $\dot{\varphi} < 0$ – в отрицательном. Направление угловой скорости обычно показывают дуговой стрелкой вокруг оси вращения. Вектор угловой скорости $\vec{\omega}$ направлен вдоль оси вращения в сторону, откуда вращение тела видно против хода часовой стрелки.

Величина **углового ускорения** при вращении тела равна модулю второй производной от угла поворота тела по времени: $\varepsilon = |\ddot{\varphi}|$. Если $\ddot{\varphi}$ одного знака с

φ, то угловое ускорение ускоряет вращение тела, если разных знаков, то угловое ускорение замедляет вращение.

При вращательном движении тела все его точки движутся по окружностям, радиусы которых равны расстояниям от выбранной точки до неподвижной оси. **Скорость точки вращающегося твердого тела (**в отличие от угловой скорости тела) называют **линейной,** или **окружной скоростью** точки. Величина скорости рассчитывается по формуле: $V = \omega h$, где ω – величина угловой скорости тела; h – расстояние от точки до оси вращения. Вектор скорости точки лежит в плоскости описываемой точкой окружности и направлен по касательной к ней в сторону вращения тела. Отношение скоростей двух точек вращающегося тела равно отношению расстояний от этих точек до оси: $\frac{V_{M1}}{V_{M2}} = \frac{h_1}{h_2}$.

Ускорение точки вращающегося твердого тела рассчитывается как ускорение точки при естественном способе задания движения в виде суммы векторов касательного и нормального ускорений: $\vec{a}_M = \vec{a}_\tau + \vec{a}_n$. Величины касательного, нормального и полного ускорений точки вращающегося тела, соответственно: $a_\tau = \varepsilon h$, $a_n = \omega^2 h$, $a_M = \sqrt{a_\tau^2 + a_n^2}$, где ω, ε – угловая скорость и угловое ускорение тела; h – расстояние от точки до оси вращения.

2.3. Плоскопараллельное движение твёрдого тела

Плоскопараллельным, или плоским движением твердого тела, называется такое движение, при котором все точки тела движутся параллельно некоторой неподвижной плоскости. Плоское движение представляется в виде суммы мгновенного поступательного движения, при котором все точки плоской фигуры движутся со скоростью выбранной точки-полюса, и мгновенного вращательного движения вокруг этого полюса.

Скорость любой точки M плоской фигуры равна векторной сумме вектора скорости точки-полюса и вектора скорости точки M при вращении тела вокруг этого полюса: $\vec{V}_M = \vec{V}_A + \vec{V}_{MA}$, где $\vec{V}_M$ – скорость точки M; $\vec{V}_A$ – скорость полюса A; $\vec{V}_{MA}$ – вектор скорости точки M при вращении тела вокруг полюса A, модуль скорости $V_{MA} = \omega \cdot MA$, где ω – угловая скорость мгновенного вращательного движения тела вокруг полюса; MA – расстояние между полюсом A и точкой M.

Мгновенным центром скоростей называется такая точка P плоской фигуры, скорость которой в данный момент времени равна нулю. Выбрав в качестве полюса мгновенный центр скоростей, скорость любой точки плоской фигуры находят так, как если бы мгновенное движение фигуры было вращательным вокруг мгновенного центра скоростей.

Способы построения мгновенного центра скоростей

1. Если известны направления скоростей $\vec{V}_A$ и $\vec{V}_B$ каких-нибудь двух точек A и B плоской фигуры, то мгновенный центр скоростей находится в точке пересечения перпендикуляров, восстановленных из этих точек к векторам скоростей (рис. 2.1, *a*).

2. Если скорости $\vec{V}_A$ и $\vec{V}_B$ двух точек A и B плоской фигуры известны и параллельны друг другу, а линия AB перпендикулярна $\vec{V}_A$ (и, конечно, $\vec{V}_B$), то мгновенный центр скоростей определяется как точка пересечения линий, проведенных через основания и вершины векторов скоростей (построение показано на рис. 2.1, *b*, *c*).

3. Если скорости $\vec{V}_A$ и $\vec{V}_B$ двух точек A и B параллельны друг другу, но линия AB, соединяющая эти точки, не перпендикулярна векторам скоростей (рис. 2.1, *d*), то мгновенная угловая скорость тела равна нулю и движение тела

в данный момент времени является мгновенным поступательным. В этом случае скорости всех точек равны по величине и направлению.

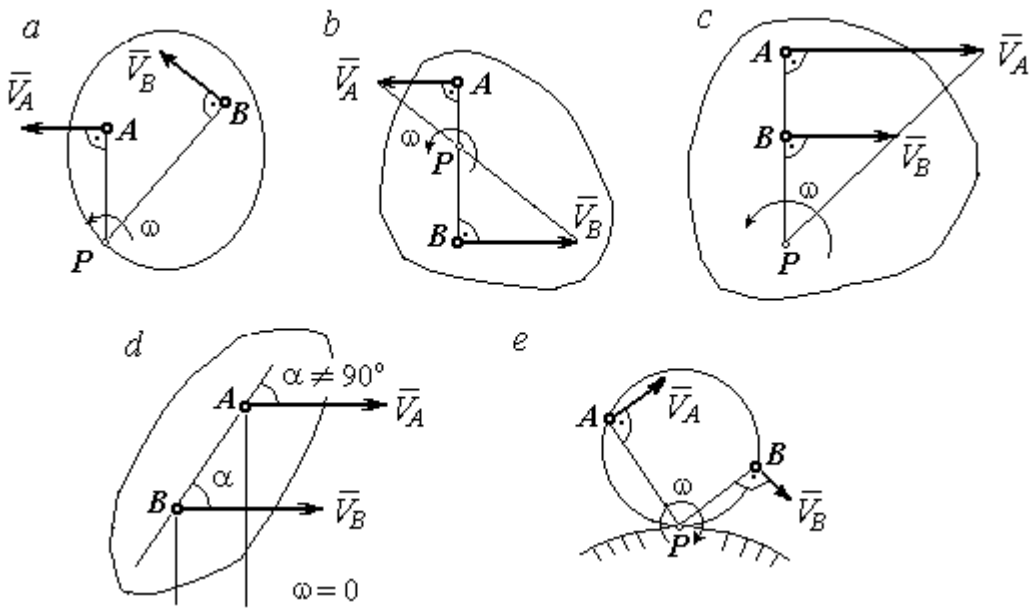

Рис. 2.1. Способы построения мгновенного центра скоростей

4. Если плоскопараллельное движение осуществляется путем качения без скольжения одного тела по неподвижной поверхности другого, то мгновенный центр скоростей расположен в точке касания катящегося тела с неподвижной поверхностью (рис. 2.1, *e*).

Ускорение любой точки *M* плоской фигуры при плоскопараллельном движении твердого тела представляется как сумма векторов – ускорения полюса и ускорения точки *M* при вращении фигуры вокруг полюса. Учитывая, что ускорение точки вращающегося тела представляется как сумма нормального и касательного ускорений, получим:

$$\vec{a}_M = \vec{a}_A + \vec{a}^{\tau}_{MA} + \vec{a}^{n}_{MA},$$

где $\vec{a}_A$ – ускорение полюса A; $\vec{a}^{\tau}_{MA}$, $\vec{a}^{n}_{MA}$ – касательная и нормальная составляющие ускорения точки M при вращении фигуры вокруг полюса A.

Вектор нормального ускорения $\vec{a}^{\,n}_{MA}$ всегда направлен от точки M к полюсу A. Вектор касательного ускорения $\vec{a}^{\,\tau}_{MA}$ направлен перпендикулярно отрезку AM в сторону вращения, если оно ускоренное (рис. 2.2, *a*), и против вращения, если оно замедленное (рис. 2.2, *b*). Численно величины касательного и нормального составляющих ускорения точки M определяются по формулам:

$$a^{\tau}_{MA} = \varepsilon \cdot AM\,,\quad a^{n}_{MA} = \omega^2 \cdot AM\,,$$

где ω, ε – угловая скорость и угловое ускорение тела (плоской фигуры); AM – расстояние от точки M до полюса A (см. рис. 2.2).

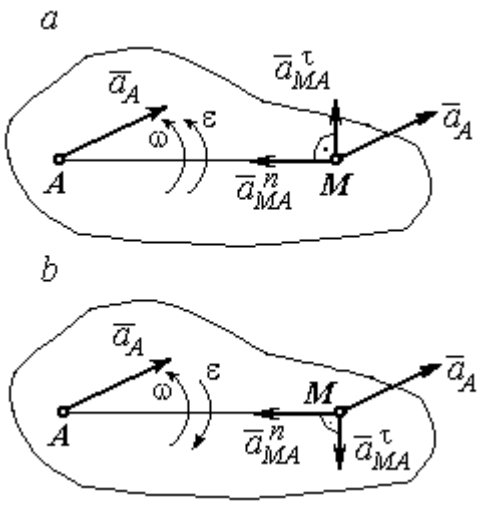

Рис. 2.2. Ускорение точки плоской фигуры:
a – ускоренное движение;
b – замедленное движение

Если при движении плоской фигуры известны траектории движения полюса A и точки M, то для определения ускорения точки M используется векторное равенство

$$\vec{a}^{\,\tau}_{M} + \vec{a}^{\,n}_{M} = \vec{a}^{\,\tau}_{A} + \vec{a}^{\,n}_{A} + \vec{a}^{\,\tau}_{MA} + \vec{a}^{\,n}_{MA},$$

где $\vec{a}^{\,\tau}_{M}$, $\vec{a}^{\,n}_{M}$, $\vec{a}^{\,\tau}_{A}$, $\vec{a}^{\,n}_{A}$ – касательная и нормальная составляющие ускорения точки M и полюса A при движении их по заданным траекториям.

2.4. Задание К1. Определение скоростей и ускорений точек твердого тела при поступательном и вращательном движениях

По заданному движению одного из звеньев механизма $x_1 = x_1(t)$ (варианты 1, 3, 5, 7, 9) или $\varphi_1 = \varphi_1(t)$ (варианты 2, 4, 6, 8, 10) найти в момент времени t_1 скорость, касательное, нормальное и полное ускорения точки M звена механизма, совершающего вращательное движение, а также скорость и ускорение звена 4, совершающего поступательное движение.

Варианты заданий даны на рис. 2.3, 2.4. Исходные данные представлены в табл. 2.1.

Варианты № 1, 11, 21	Варианты № 2, 12, 22	Варианты № 3, 13, 23
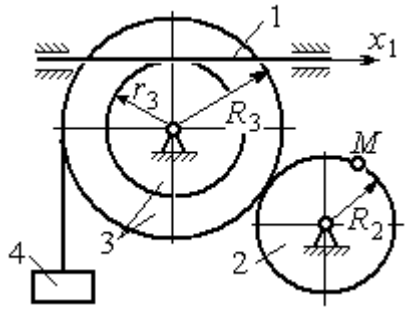	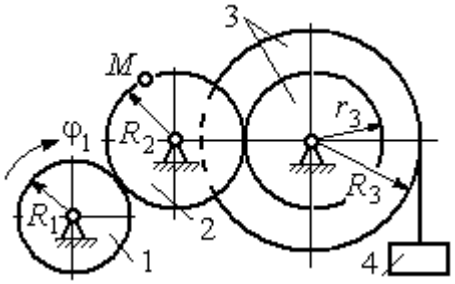	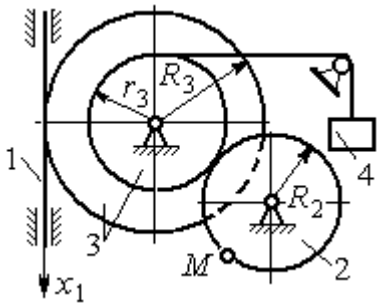

Варианты № 4, 14, 24	Варианты № 5, 15, 25	Варианты № 6, 16, 26
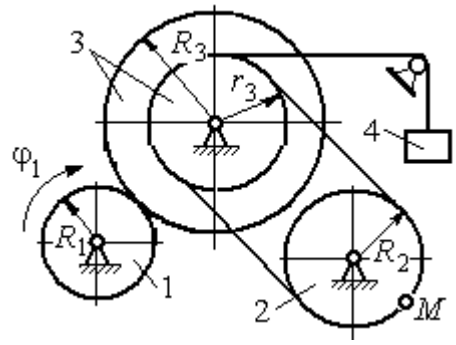	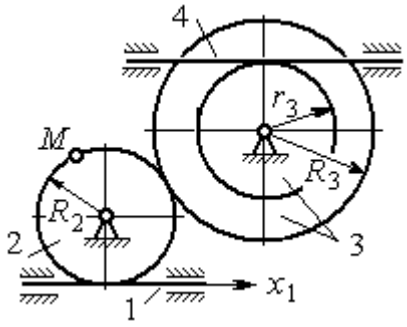	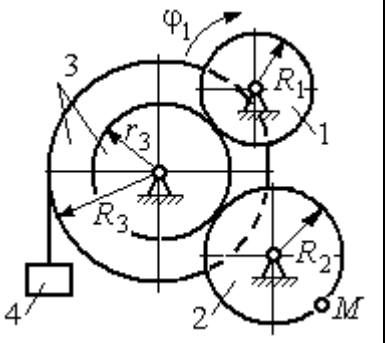

Варианты № 7, 17, 27	Варианты № 8, 18, 28
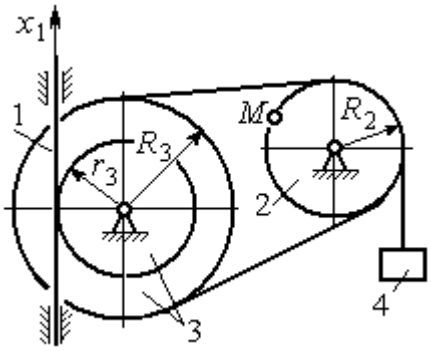	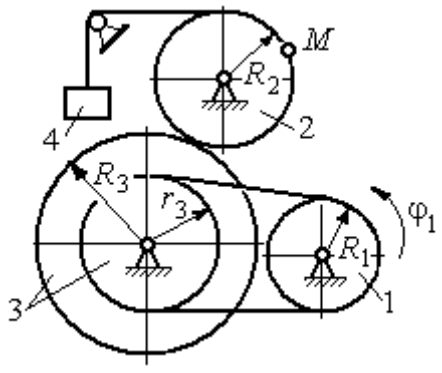

Рис. 2.3. Задание К1. Определение скоростей и ускорений точек при поступательном и вращательном движениях твёрдого тела. Номера вариантов задания 1 – 8, 11 – 18, 21 – 28

Окончание вариантов задания К1

Варианты № 9, 19, 29	**Варианты № 10, 20, 30**
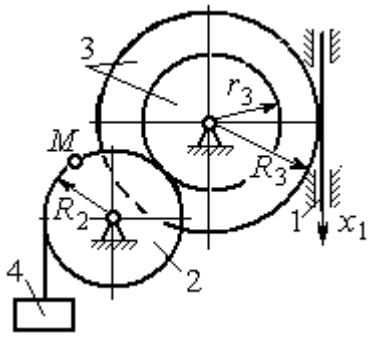	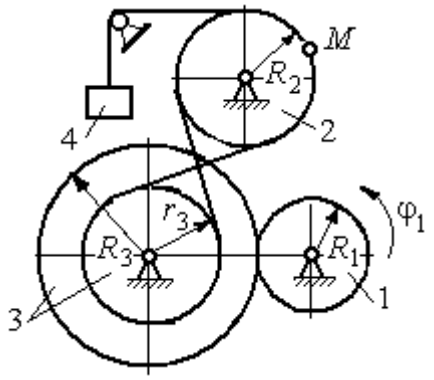

Рис. 2.4. Задание К1. Определение скоростей и ускорений точек при поступательном и вращательном движениях твёрдого тела. Номера вариантов задания 9 – 10, 19 – 20, 29 – 30

Таблица 2.1

Исходные данные вариантов задания К1. Определение скоростей и ускорений точек при поступательном и вращательном движениях твёрдого тела

Номер варианта задания	R_1,см	R_2, см	R_3, см	r_3, см	$x_1(t)$, см $\varphi_1(t)$, рад	t_1, с
1	–	40	45	35	$x_1(t) = (3t-1)^2$	2
2	10	20	38	18	$\varphi_1(t) = t^2 + 6\cos(\pi t/6)$	3
3	–	30	42	18	$x_1(t) = 5t^2 - 2\cos(\pi t/2)$	1
4	15	30	45	20	$\varphi_1(t) = 5t^2 + \cos(\pi t/2)$	2
5	–	30	40	20	$x_1(t) = 6t - \cos(\pi t/3)$	3
6	10	20	30	10	$\varphi_1(t) = t^3 - \cos(\pi t/2)$	1
7	–	30	40	30	$x_1(t) = 2\sin(\pi t/2) + \cos(\pi t/2)$	2
8	8	10	30	25	$\varphi_1(t) = 5t + \cos(\pi t/2)$	2
9	–	18	30	18	$x_1(t) = 5t + \cos(\pi t/3)$	3
10	15	30	50	20	$\varphi_1(t) = 2t^2 + \sin(\pi t/4)$	2
11	–	30	40	25	$x_1(t) = (t^2 - 3t)$	2
12	12	20	40	28	$\varphi_1(t) = 3t^2 + 6\sin(\pi t/6)$	3
13	–	25	60	42	$x_1(t) = 2t^2 + \cos(\pi t/2)$	1
14	10	30	45	30	$\varphi_1(t) = 3t^2 + 2\cos(\pi t/2)$	2

Окончание табл. 2.1

Номер варианта задания	R_1,см	R_2, см	R_3, см	r_3, см	$x_1(t)$, см $\varphi_1(t)$, рад	t_1, с
15	–	20	30	20	$x_1(t)=3t^2-\cos(\pi t/3)$	3
16	12	18	40	20	$\varphi_1(t)=2t^3+\cos(\pi t/2)$	1
17	–	20	35	15	$x_1(t)=2\sin(\pi t/2)-\cos(\pi t/2)$	2
18	15	18	40	25	$\varphi_1(t)=5t+\cos(\pi t/2)$	1
19	–	22	50	18	$x_1(t)=t^2+\cos(\pi t/3)$	3
20	10	20	45	10	$\varphi_1(t)=2t^2+\sin(\pi t/4)$	4
21	–	20	40	20	$x_1(t)=t+(3t-4)^2$	2
22	8	18	42	18	$\varphi_1(t)=2t^2+12\cos(\pi t/6)$	3
23	–	45	60	40	$x_1(t)=4t^2+\sin(\pi t/2)$	1
24	5	15	30	20	$\varphi_1(t)=2t^2+4\cos(\pi t/2)$	2
25	–	15	35	25	$x_1(t)=2t^2+\cos(\pi t/3)$	3
26	18	20	35	20	$\varphi_1(t)=2t^3+\sin(\pi t/2)$	1
27	–	15	35	15	$x_1(t)=2\sin(\pi t/2)-\cos(\pi t/2)$	1
28	10	12	40	25	$\varphi_1(t)=2t^2+\cos(\pi t/2)$	1
29	–	35	50	10	$x_1(t)=t^3-\cos(\pi t/2)$	1
30	10	20	40	10	$\varphi_1(t)=2t^2+\cos(\pi t/4)$	4

Пример выполнения задания К1. Определение скоростей и ускорений точек при поступательном и вращательном движениях твёрдого тела

По заданному уравнению движения звена 1 механизма (рис. 2.5, *а*) определить скорость, нормальное, касательное и полное ускорения точки *M* на момент времени t_1, а также скорость и ускорение звена 4, если значения радиусов колес механизма и закон движения звена 1: R_2= 20 см, r_2= 5 см, R_3= 8 см, r_3 = 4 см, $x_1 = 2t^2 - 5t$ см, t_1=1 с.

Решение

Отметим на схеме положительные направления отсчета углов поворота дисков 2 и 3, соответствующие заданному положительному направлению движения звена 1.

Направления показаны на рис 2.5, *b* дуговыми стрелками φ_2, φ_3, а положительное направление движения звена 4 – направлением оси x_4.

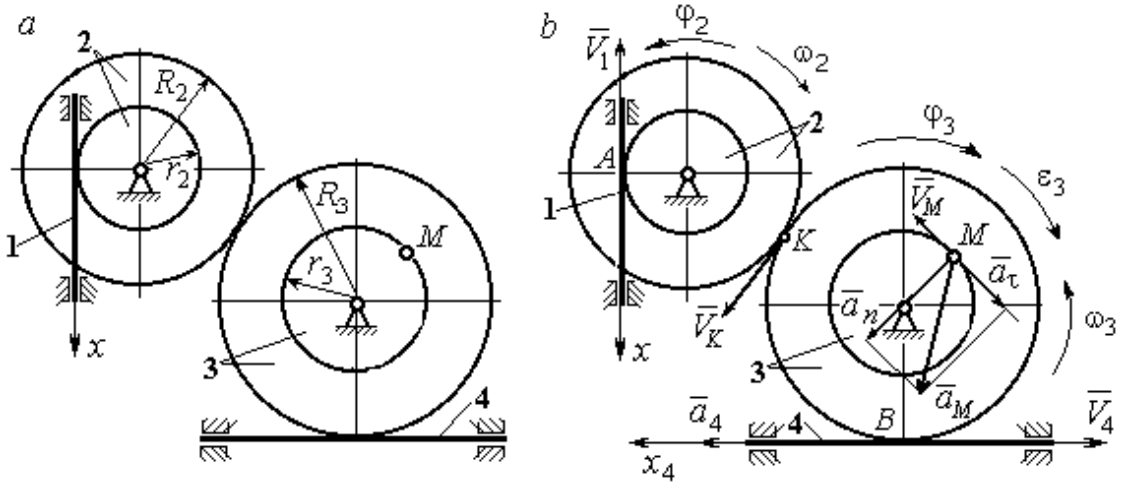

Рис. 2.5. Кинематика вращательного движения твердого тела:
a – схема механизма; *b* – расчетная схема для определения скоростей и ускорений точек механизма

Звено 1 движется поступательно. Движение задано координатным способом в виде закона изменения координаты x. Дифференцируем по времени уравнение движения: $\dot{x} = 4t - 5$ см/с. В момент времени $t_1 = 1$ с значение производной: $\dot{x}(1) = -1$ см/с. Отрицательное значение производной $\dot{x}$ показывает, что в данный момент времени звено 1 движется в отрицательном направлении оси *x*. Скорость звена 1 равна модулю производной: $V_1 = |\dot{x}|$. На рис. 2.5, *b* направление движения звена 1 в момент времени $t_1 = 1$ с показано вектором скорости $\vec{V}_1$, направленным в сторону, противоположную положительному направлению оси *x*. Эту же скорость будет иметь точка *A* – точка контакта звена 1 с диском 2, лежащая на расстоянии r_2 от оси вращения диска. Следовательно, $V_1 = V_A = \omega_2 r_2$, где ω_2 – угловая скорость диска 2. Отсюда угловая скорость диска: $\omega_2 = \dfrac{V_A}{r_2} = \dfrac{|4t-5|}{5} = |\dot{\varphi}_2|$ рад/с. При $t_1 = 1$ с значение производной отрицательно: $\dot{\varphi}_2(1) = -0{,}2$ рад/с. Это означает, что в заданный момент времени вращение диска 2 с угловой скоростью $\omega_2(1) = |\dot{\varphi}_2(1)| = 0{,}2$ рад/с происходит

в отрицательном для диска 2 направлении. На рис. 2.5, *b* направление вращения диска 2 показано дуговой стрелкой ω_2 в сторону, противоположную положительному направлению отсчета угла φ_2. При передаче вращения диска 2 диску 3 величины угловых скоростей дисков обратно пропорциональны радиусам дисков, которым принадлежит точка контакта: $\frac{\omega_2}{\omega_3} = \frac{R_3}{R_2}$. Тогда, угловая скорость диска 3 $\omega_3 = \omega_2 \frac{R_2}{R_3} = |2t - 2{,}5| = |\dot{\varphi}_3|$ рад/с.

В момент времени $t_1 = 1$с значение производной $\dot{\varphi}_3$ отрицательно: $\dot{\varphi}_3(1) = -0{,}5$ рад/с, и, следовательно, вращение диска 3 в данный момент времени с угловой скоростью $\omega_3(1) = |\dot{\varphi}_3(1)| = 0{,}5$ рад/с происходит в сторону, противоположную положительному направлению отсчета угла φ_3, как показано на рис. 2.5, *b*. Величина (модуль) скорости точки *M* рассчитывается по формуле: $V_M = \omega_3 r_3$. В момент времени $t_1 = 1$ с модуль скорости $V_M(1) = 2$ см/с. Вектор скорости $\vec{V}_M$ расположен по касательной к траектории движения точки *M* (окружности) и направлен в сторону вращения диска 3 (см. рис. 2.5, *b*).

Звено 4 движется поступательно. Скорость звена 4 равна скорости точки касания его с диском 3: $V_4 = V_B = \omega_3 R_3 = |2t - 2{,}5| \cdot 8 = |\dot{x}_4|$. В момент времени $t_1 = 1$ с значение производной от координаты движения звена 4 отрицательно: $\dot{x}_4(1) = -4$ см/с. В результате, вектор скорости $\vec{V}_4(1)$, равный по модулю $V_4(1) = 4$ см/с, направлен вдоль оси x_4 в сторону, противоположную ее положительному направлению (см. рис. 2.5, *b*).

Угловое ускорение диска 3: $\varepsilon_3(t) = |\dot{\omega}_3| = |\ddot{\varphi}_3| = 2$ рад/с^2. Из того, что угловая скорость ω_3 и угловое ускорение $\dot{\omega}_3$ диска 3 имеют разные знаки, следует, что вращение диска 3 замедленное. Угловое ускорение диска направлено в сторону положительного направления отсчета угла поворота φ_3, диска 3 (см. рис. 2.5, *b*).

Касательное ускорение a_τ точки M рассчитывается по формуле $a_\tau = \varepsilon_3 r_3$ и в момент времени $t_1 = 1$ с: $a_\tau = 8$ см/с^2. Так как вращение диска 3 замедленное, вектор касательного ускорения точки M $\vec{a}_\tau(t)$ направлен в сторону, противоположную вектору скорости $\vec{V}_M(1)$ (см. рис. 2.5, *b*). Нормальное ускорение a_n точки M рассчитывается как $a_n = \omega_3^2 r_3$. В момент времени $t_1 = 1$ с величина нормального ускорения: $a_n(1) = 1$ см/с^2. Вектор нормального ускорения $\vec{a}_n(1)$ направлен по радиусу к центру диска 3 (см. рис. 2.5, *b*). Полное ускорение точки M в заданный момент времени: $a_M(1) = \sqrt{a_\tau^2(1) + a_n^2(1)} = 8{,}06$ см/с^2. Вектор полного ускорения $\vec{a}_M$ направлен по диагонали прямоугольника, построенного на векторах $\vec{a}_n$ и $\vec{a}_\tau$.

Ускорение a_4 звена 4 находится из условия, что звено 4 движется поступательно и прямолинейно. При прямолинейном движении нормальная составляющая ускорения равна нулю. Тогда $a_4 = a_{4\tau} = \dot{V}_4 = = \dot{V}_B = |\dot{\omega}_3| R_3 = \varepsilon_3 R_3$.

Так как угловое ускорение диска 3 является постоянной величиной, ускорение a_4 не зависит от времени: $a_4 = 16$ см/с^2. Вектор ускорения $\vec{a}_4$ направлен вдоль оси x_4 в сторону положительных значений.

2.5. Задание К2. Определение скоростей точек твёрдого тела при плоскопараллельном движении

Для заданного положения плоского механизма определить скорости точек и угловые скорости звеньев механизма.

Варианты заданий показаны на рис. 2.6 – 2.8. Исходные данные вариантов заданий выбираются из таблиц, приведённых на рисунках схем механизмов.

Варианты № 1, 11, 21	**Варианты № 2, 12, 22**
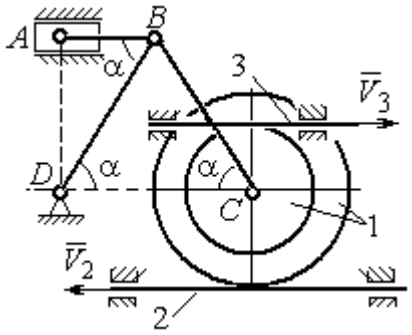 Найти: $V_A, V_B, V_C, \omega_{AB}, \omega_{BC}, \omega_1, \omega_{BD}$	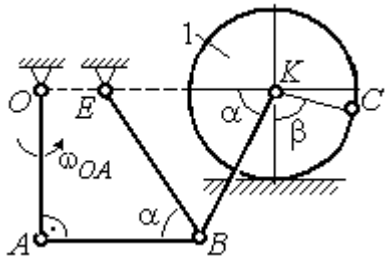 Найти: V_A, V_B, V_K, $\omega_1, \omega_{AB}, \omega_{OA}$, ω_{BE}, ω_{BK}

Номер варианта задания	R_1, см	r_1, см	AD, см	α, град	V_2, см/с	V_3, см/с	Номер варианта задания	R_1, см	OA, см	OE, см	α, град	β, град	V_C, см/с
1	10	5	20	30	8	10	**2**	3	5	4	30	60	10
11	12	8	25	45	10	4	**12**	4	8	6	45	90	8
21	10	6	15	60	5	5	**22**	5	12	2	60	120	12

Варианты № 3, 13, 23	**Варианты № 4, 14, 24**
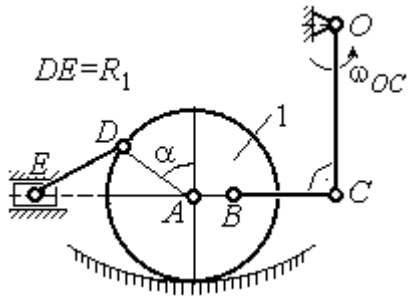 Найти: V_A, V_B, V_C, V_D, V_E, $\omega_{BC}, \omega_1, \omega_{DE}$	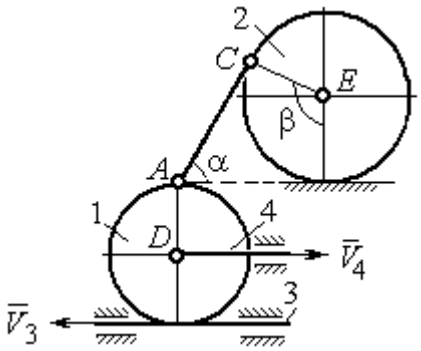 Найти: V_A, V_C, V_E, $\omega_1, \omega_2, \omega_{AC}$

Номер варианта задания	R_1, см	OC, см	AB, см	BC, см	α, град	ω_{OC}, рад/с	Номер варианта задания	R_1, см	R_2, см	α, град	β, град	V_3, см/с	V_4, см/с
3	12	18	10	35	60	4	**4**	10	15	30	60	8	4
13	10	15	10	25	90	8	**14**	6	10	45	90	4	6
23	15	20	5	20	120	6	**24**	10	12	60	120	3	3

Рис. 2.6. Задание К2. Определение скоростей точек тела при плоскопараллельном движении. Номера вариантов задания 1 – 4, 11 – 14, 21 – 24

Варианты № 5, 15, 25

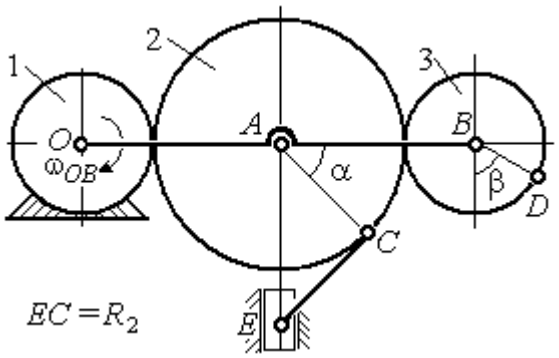

Найти: V_A, V_B, V_C, V_D, V_E, ω_2, ω_3, ω_{EC}

Номер варианта задания	R_1, см	R_2, см	R_3, см	α, град	β, град	ω_{OB}, рад/с
5	10	20	12	60	0	6
15	6	18	10	90	90	8
25	20	25	15	120	180	4

Варианты № 6, 16, 26

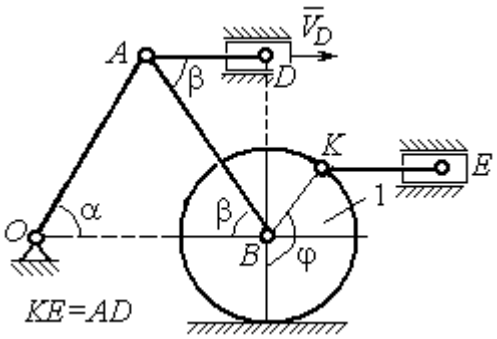

Найти: $V_A, V_B, V_K, V_E,$ ω_1, ω_{OA}, ω_{AB}, ω_{AD}, ω_{KE}

Номер варианта задания	R_1, см	OA, см	α, град	β, град	φ, град	V_D, см/с
6	10	20	30	60	60	12
16	12	26	30	30	90	8
26	15	30	60	60	120	15

Варианты № 7, 17, 27

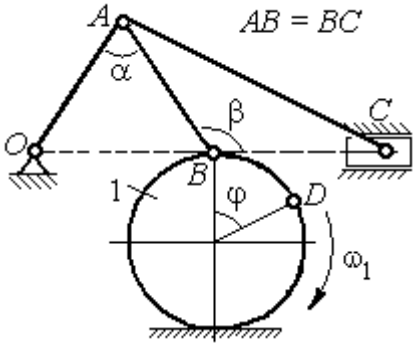

Найти: $V_A, V_B, V_C, \omega_1, \omega_{OA}, \omega_{AB}, \omega_{AC}$

Номер варианта задания	R_1, см	AB, см	α, град	β, град	φ, град	V_D, см/с
7	10	20	30	60	60	12
17	12	25	60	120	90	16
27	8	16	30	60	120	10

Варианты № 8, 18, 29

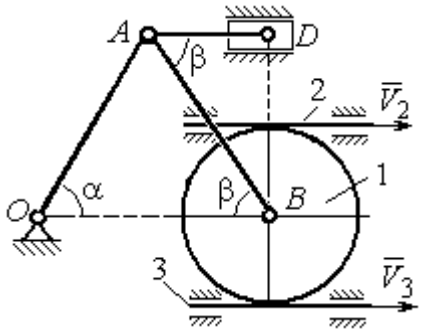

Найти: V_A, V_B, V_D, $\omega_1, \omega_{OA}, \omega_{AB}, \omega_{AD}$

Номер варианта задания	R_1, см	OA, см	α, град	β, град	V_2, см/с	V_3, см/с
8	10	20	30	60	12	4
18	12	26	30	30	8	2
28	15	30	60	60	6	3

Рис. 2.7. Задание К2. Определение скоростей точек тела при плоскопараллельном движении. Номера вариантов задания 5 – 8, 15 – 18, 25 – 28

Окончание вариантов задания К2

Варианты № 9, 19, 29	**Варианты № 10, 20, 30**
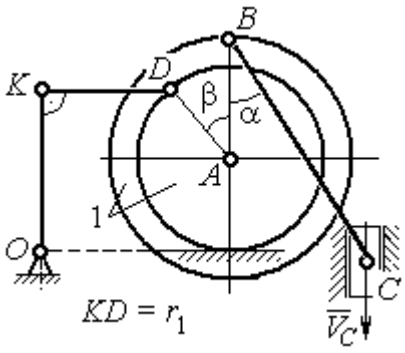 Найти: $\omega_{OK}, \omega_{KD}, \omega_{BC}, \omega_1,$ V_A, V_B, V_K, V_D	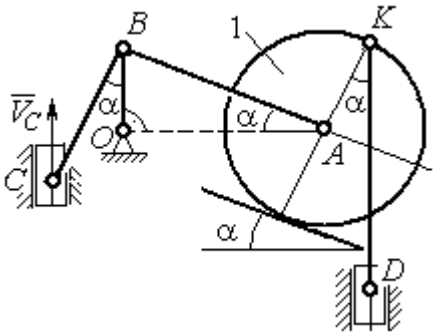 Найти: $V_A, V_B, V_D, V_K,$ $\omega_{CB}, \omega_1, \omega_{OB}, \omega_{AB}, \omega_{KD}$

Номер варианта задания	R_1, см	r_1, см	α, град	β, град	BC, см	V_C, см/с	Номер варианта задания	R_1, см	CB, см	OB, см	KD, см	α, град	V_C, см/с
9	20	12	45	60	60	8	**10**	10	20	30	60	30	4
19	24	16	60	90	50	4	**20**	12	26	30	50	45	2
29	16	10	30	120	40	6	**30**	15	30	60	60	60	3

Рис. 2.8. Задание К2. Определение скоростей точек тела при плоскопараллельном движении. Номера вариантов задания 9 – 10, 19 – 20, 29 – 30

Пример выполнения задания К2. Определение скоростей точек твёрдого тела при плоскопараллельном движении

Задача 1. Плоский механизм (рис. 2.9) состоит из стержня OC и подвижных дисков 2 и 3 радиусами r_2, r_3, шарнирно закрепленными на стержне, соответственно, в точках A и C. Стержень OC вращается вокруг неподвижного центра O с угловой скоростью ω_{OC}. Диск 2, увлекаемый стержнем OC, катится без проскальзывания по неподвижной поверхности диска 1 радиусом r_1. Диск 3, также увлекаемый стержнем OC, катится без проскальзыва-

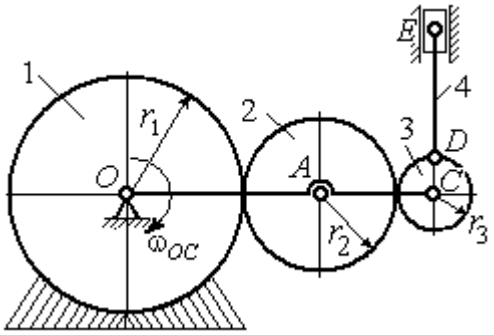

Рис. 2.9. Схема плоского механизма

ния по подвижному диску 2. В точке *D*, расположенной на краю диска 3, шарнирно прикреплен стержень 4, к которому в точке *E* шарнирно прикреплен поршень *E*, способный совершать только вертикальное перемещение. Для заданного положения механизма (см. рис. 2.9), когда стержень *OC* горизонтален, стержень *DE* направлен по линии вертикального диаметра диска 3, найти скорости точек *A*, *C*, *D*, *E*, угловые скорости дисков 2, 3 и стержня 4, если: r_1 = 6 см, r_2 = 4 см, r_3 = 2 см, *DE* = 10 см, ω_{OC} = 1 рад/с.

Решение

Определим скорость точки *A*, общей для стержня *OC* и диска 2: $V_A = \omega_{OC}(r_1 + r_2)$ = 10 см/с. Вектор скорости $\vec{V}_A$ перпендикулярен стержню *OC* и направлен в сторону его вращения (рис. 2.10).

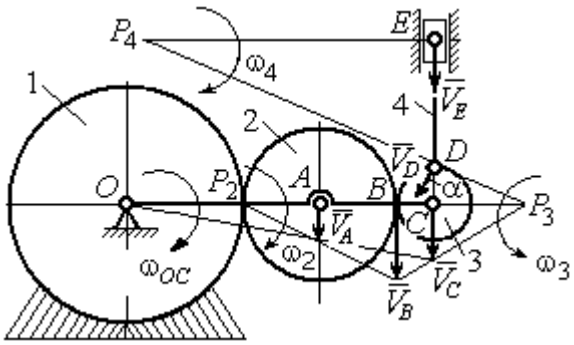

Рис. 2.10. Расчетная схема для определения скоростей точек механизма и угловых скоростей его звеньев

Диск 2 катится по неподвижной поверхности диска 1. Точка касания диска 2 с неподвижным диском 1 является мгновенным центром скоростей диска 2. На рис. 2.10 центр скоростей диска 2 обозначен точкой P_2. В этом случае скорость точки *A* может быть определена через угловую скорость диска ω_2 следующим образом: $V_A = \omega_2 \cdot AP_2 = 4\omega_2$. Так как V_A = 10 см/с, получим ω_2 = 2,5 рад/с.

Для того чтобы найти угловую скорость диска 3, необходимо определить положение его мгновенного центра скоростей. С этой целью вычислим скорости точек *B* и *C*. Скорость точки *B* может быть найдена через угловую скорость диска 2: $V_B = \omega_2 \cdot BP_2$ = 20 см/с. Вектор скорости $\vec{V}_B$ перпендикулярен отрезку BP_2 и направлен в сторону мгновенного вращения диска 2 вокруг своего центра скоростей P_2.

Скорость точки C определяется через угловую скорость стержня OC: $V_C = \omega_{OC}(r_1 + 2r_2 + r_3)$ = 16 см/с. Вектор скорости $\vec{V}_C$ перпендикулярен стержню OC и направлен в сторону его вращения (см. рис. 2.10).

Построение мгновенного центра скоростей P_3 диска 3 по известным скоростям $\vec{V}_B$ и $\vec{V}_C$ показано на рис. 2.10. Его положение определяется из условия, что отношение скоростей двух точек тела, совершающего плоскопараллельное движение, равно отношению расстояний от этих точек до мгновенного центра скоростей: $\frac{V_B}{V_C} = \frac{r_3 + CP_3}{CP_3}$. Разрешая пропорцию относительно неизвестной величины CP_3, получим: CP_3= 8 см. Скорость точки C выражается через угловую скорость диска 3 $V_C = \omega_3 \cdot CP_3$. Отсюда величина угловой скорости диска 3: $\omega_3 = \frac{V_C}{CP_3}$= 2 рад/с. Направление мгновенного вращения диска 3 вокруг своего центра скоростей определяется известными направлениями скоростей точек C и B, принадлежащих диску 3 (см. рис. 2.10). Скорость точки D $V_D = \omega_3 \cdot DP_3$ = $=2 \cdot \sqrt{2^2 + 8^2}$ = 16,5 см/с. Вектор скорости $\vec{V}_D$ перпендикулярен отрезку DP_3 и направлен в сторону мгновенного вращения диска 3 вокруг центра P_3.

Для определения скорости поршня E воспользуемся теоремой о проекциях скоростей точек плоской фигуры, согласно которой проекции скоростей двух точек плоской фигуры на ось, проходящую через эти точки, равны между собой. Проведем ось через точки D и E. По построению, угол α между вектором $\vec{V}_D$ и осью DE равен углу $\angle DP_3C$ (см. рис. 2.10). Тогда, $\cos\alpha = \frac{CP_3}{DP_3} = \frac{8}{\sqrt{2^2 + 8^2}} = 0{,}97$, откуда $\alpha = 14^\circ$. На основании теоремы о проекциях скоростей точек плоской фигуры имеем равенство: $V_D \cos\alpha = V_E \cos 0$, откуда скорость точки E: V_E=16 см/с.

Мгновенный центр скоростей стержня 4 – точка P_4 – определяется как точка пересечения перпендикуляров к векторам скоростей $\vec{V}_D$ и $\vec{V}_E$, восстановленных, соответственно, из точек D и E (см. рис. 2.10). Угловая скорость стержня 4, совершающего мгновенный поворот вокруг своего центра скоростей, равна: $\omega_4 = \dfrac{V_E}{EP_4}$, где EP_4 – расстояние от точки E до мгновенного центра скоростей звена 4, $EP_4 = DE \cdot \mathrm{ctg}\alpha$ = 40 см. В результате, $\omega_4 = 0{,}4$ рад/с. Направление мгновенного вращения звена 4 вокруг своего центра скоростей определяется направлением скорости точки D.

Задача 2. В плоском стержневом механизме (рис. 2.11) кривошипы OA и ED вращаются вокруг неподвижных центров O и E. В крайней точке D кривошипа ED к нему прикреплён шатун DB, второй конец которого в точке B прикреплён к кривошипу OA. Шатун AC прикреплён в точке A к кривошипу AO, а другим своим концом – к ползуну C, способному совершать только вертикальное движение. Все соединения шарнирные. В заданном положении механизма кривошип OA вертикален, шатун DB расположен горизонтально, кривошип ED наклонен под углом 60° к горизонтали, а шатун AC отклонён на угол 30° от вертикального положения кривошипа AO. Найти скорости всех отмеченных на схеме точек и угловые скорости всех звеньев, если линейные размеры звеньев механизма AC = 6 см, AB = 2 см, BO = 8 см, DB = 10 см и скорость ползуна в данный момент V_C = 4 см/с.

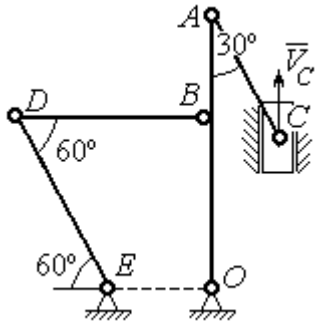

Рис. 2.11. Стержневой механизм

Решение

Кривошипы OA и ED совершают вращательные движения вокруг неподвижных центров. Скорости $\vec{V}_A$ и $\vec{V}_B$ точек A и B перпендикулярны кривоши-

пу OA, а скорость $\vec{V}_D$ точки D перпендикулярна кривошипу ED. Направления векторов скоростей точек показаны на рис. 2.12.

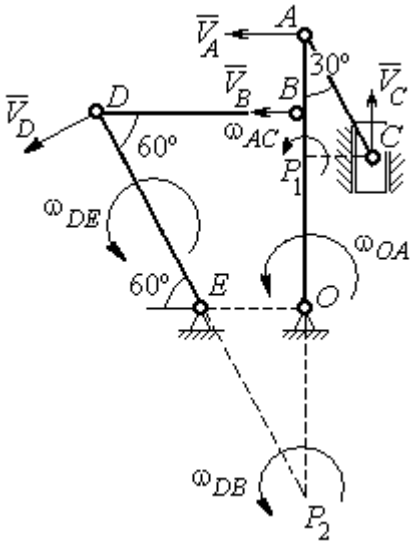

Рис. 2.12. Расчётная схема определения скоростей точек механизма и угловых скоростей его звеньев

Шатун AC совершает плоскопараллельное движение. Его мгновенный центр скоростей P_1 находится как точка пересечения перпендикуляров к скоростям $\vec{V}_A$ и $\vec{V}_C$. Угловая скорость звена AC равна $\omega_{AC} = \dfrac{V_C}{P_1C} = \dfrac{V_C}{AC \cdot \sin 30^\circ} = \dfrac{4}{3}$ рад/с. Далее, полагая, что точка A принадлежит шатуну AC, найдем её скорость:

$$V_A = \omega_{AC} \cdot P_1A = \frac{4}{3} AC \cdot \cos 30^\circ = 4\sqrt{3} \text{ см/с.}$$

Теперь, исходя из того, что точка A принадлежит как шатуну AC, так и кривошипу OA, найдём его угловую скорость: $\omega_{AO} = \dfrac{V_A}{AO} = 0{,}4\sqrt{3}$ рад/с. Скорость точки B кривошипа $V_B = \omega_{AO} \cdot OB = 3{,}2\sqrt{3}$ см/с.

Шатун DB совершает плоскопараллельное движение. Зная направления скоростей точек B и D, построим мгновенный центр скоростей P_2 звена DB как точку пересечения перпендикуляров к скоростям $\vec{V}_B$ и $\vec{V}_D$ (см. рис. 2.12). Тогда, угловая скорость шатуна DB $\omega_{DB} = \dfrac{V_B}{P_2B} = \dfrac{3{,}2\sqrt{3}}{DB \cdot \operatorname{tg} 60^\circ} = 0{,}32$ рад/с. Скорость точки D $V_D = \omega_{DB} \cdot P_2D = 0{,}32 \dfrac{DB}{\sin 30^\circ} = 6{,}4$ см/с. Угловая скорость кривошипа DE $\omega_{DE} = \dfrac{V_D}{DE} = \dfrac{6{,}4}{(OB / \sin 60^\circ)} = 0{,}69$ рад/с.

2.6. Задание К3. Определение ускорений точек твёрдого тела при плоскопараллельном движении

Для заданного положения плоского механизма определить ускорения точек звеньев механизма и угловые ускорения звеньев. Варианты заданий и исходные данные приведены на рис. 2.13 – 2.15.

Варианты № 1, 11, 21

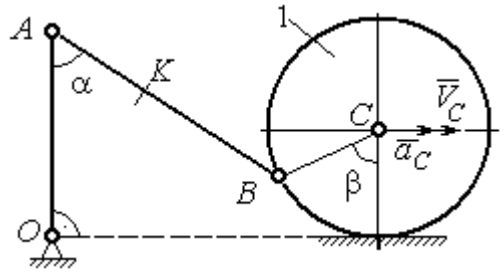

Найти: $a_A, a_K, \varepsilon_{AB}$

Номер варианта задания	AB, см	AK, см	α, град	β, град	R_1, см	V_C, см/с	a_C, см/с^2
1	16	10	60	120	10	12	6
11	20	16	30	60	8	10	8
21	18	10	60	180	6	8	4

Варианты № 2, 12, 22

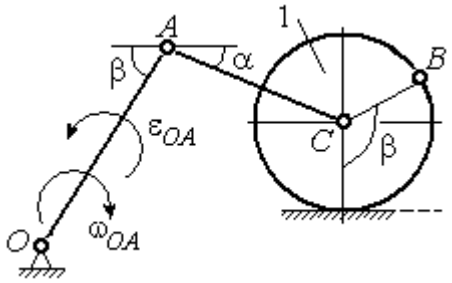

Найти: $a_C, a_B, \varepsilon_{AC}$

Номер варианта задания	R_1, см	OA, см	AC, см	α, град	β, град	ω_{OA}, рад/с	ε_{OA}, рад/с^2
2	5	10	12	30	60	2	4
12	8	24	20	30	120	1	2
22	6	12	15	60	90	2	3

Варианты № 3, 13, 23

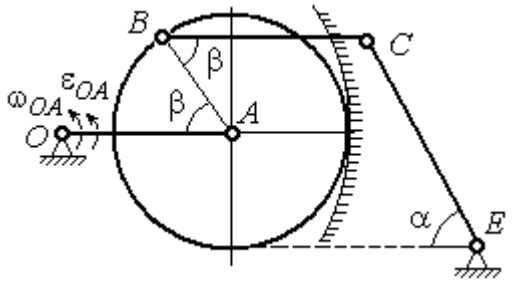

Найти: a_C, a_B, ε_{BC}

Номер варианта задания	BC, см	AO, см	α, град	β, град	R_1, см	ω_{OA}, рад/с	ε_{OA}, рад/с^2
3	16	15	60	90	10	2	3
13	18	12	90	60	8	3	2
23	14	12	30	120	10	2	4

Варианты № 4, 14, 24

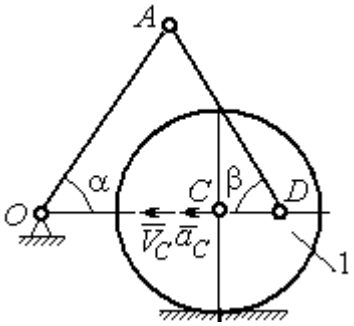

Найти: $a_A, a_D, \varepsilon_{DA}$

Номер варианта задания	R_1, см	OA, см	DC, см	α, град	β, град	V_C, см/с	a_C, см/с^2
4	10	28	5,78	60	30	10	2
14	8	24	4,62	30	90	8	3
24	6	20	6	45	45	12	2

Рис. 2.13. Задание К3. Определение ускорений точек тела при плоскопараллельном движении. Номера вариантов задания 1 – 4, 11 – 14, 21 – 24

Варианты № 5, 15, 25	**Варианты № 6, 16, 26**
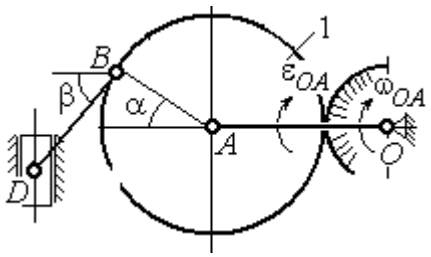 Найти: $a_D, a_B, \varepsilon_{BD}$	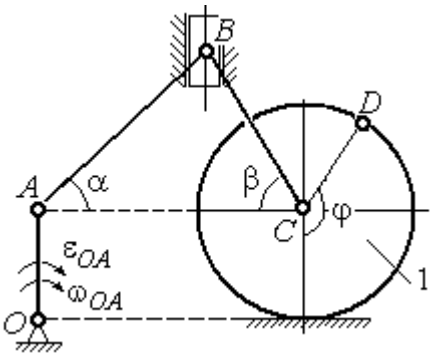 Найти: $a_B, a_D, \varepsilon_{BC}$

Номер варианта задания	*OA*, см	*BD*, см	α, град	β, град	R_1, см	ω_{OA}, рад/с	ε_{OA}, рад/с^2	Номер варианта задания	R_1, см	*AB*, см	φ, град	α, град	β, град	ω_{OA}, рад/с	ε_{OA}, рад/с^2
5	16	10	60	30	10	4	3	**6**	6	18	60	30	30	2	3
15	18	8	90	45	12	2	4	**16**	8	20	90	60	30	2	4
25	14	12	30	60	8	3	2	**26**	5	16	120	30	60	3	4

Варианты № 7, 17, 27	**Варианты № 8, 18, 28**
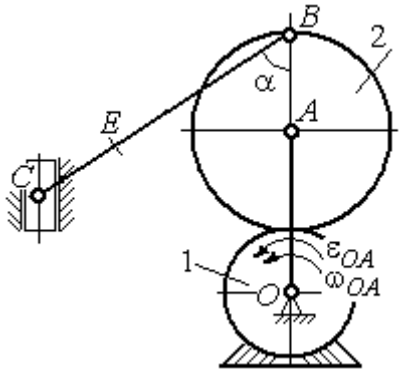 Найти: $a_E, a_C, \varepsilon_{BC}$	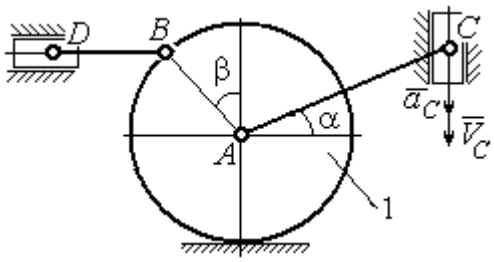 Найти: $a_D, a_B, \varepsilon_{BD}$

Номер варианта задания	*BC*, см	*BE*, см	α, град	R_1, см	R_2, см	ω_{OA}, рад/с	ε_{OA}, рад/с^2	Номер варианта задания	R_1, см	*BD*, см	*AC*, см	α, град	β, град	V_C, см/с	a_C, см/с^2
7	22	10	60	2	10	2	3	**8**	4	5	12	60	60	12	5
17	28	15	30	3	6	3	4	**18**	6	10	16	45	90	10	8
27	20	8	45	4	8	2	2	**28**	8	8	16	30	120	8	6

Рис. 2.14. Задание К3. Определение ускорений точек тела при плоскопараллельном движении. Номера вариантов задания 5 – 8, 15 – 18, 25 – 28

Окончание вариантов задания К3

Варианты № 9, 19, 29	**Варианты № 10, 20, 30**
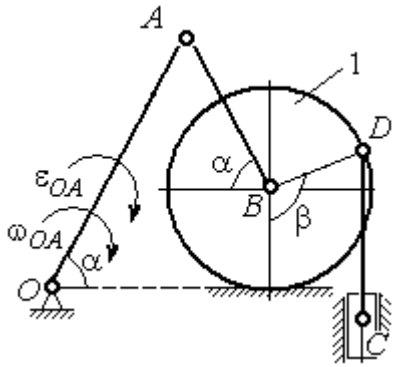 Найти: $a_C, a_B, \varepsilon_{AB}$	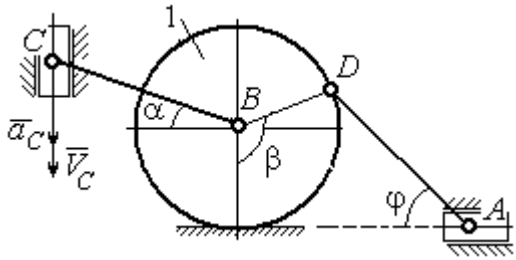 Найти: $a_A, a_B, \varepsilon_{CB}$

Номер варианта задания	OA, см	DC, см	α, град	β, град	R_1, см	ω_{OA}, рад/с	ε_{OA}, рад/с^2	Номер варианта задания	R_1, см	BC, см	φ, град	α, град	β, град	V_C, см/с	a_C, см/с^2
9	18	10	30	120	4	2	3	**10**	6	14	60	30	120	15	3
19	20	12	60	60	6	3	4	**20**	5	18	45	60	90	10	5
29	18	8	60	90	4	2	3	**30**	4	16	30	45	60	12	4

Рис. 2.15. Задание К3. Определение ускорений точек тела при плоскопараллельном движении. Номера вариантов задания 9 – 10, 19 – 20, 29 – 30

Примеры решения задания К3. Определение ускорений точек тела при плоскопараллельном движении

Задача 1. Ступенчатый барабан 1 с радиусами ступенек R = 0,5 м и r = 0,3 м катится окружностью малой ступеньки по горизонтальной поверхности без скольжения (рис. 2.16). Барабан приводится в движение шатуном AC, один конец которого соединён с центром барабана в точке A, а другой – с ползуном C, перемещающимся вертикально. В положении механизма, когда шатун AC отклонён от вертикали на угол 60°, найти ускорение точки B барабана, лежащей на его горизонтальном диаметре, если заданы скорость и ускорение ползуна C: V_C = 9м/с, a_C = 4 м/с^2.

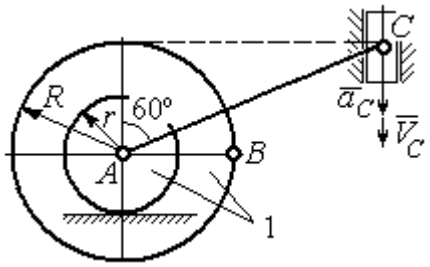

Рис. 2.16. Схема движения плоского механизма

Решение

Найдём угловые скорости ω_{AC}, ω_1 шатуна AC и барабана 1. Шатун совершает плоское движение. Его мгновенный центр скоростей P_2 находится на пересечении перпендикуляров к скоростям $\vec{V}_A$ и $\vec{V}_C$ (рис. 2.17). По условию, скорость точки C направлена вертикально вниз. Точка A принадлежит как шатуну AC, так и барабану 1. При качении барабана по горизонтальной поверхности скорость его центра – точки A параллельна поверхности качения барабана.

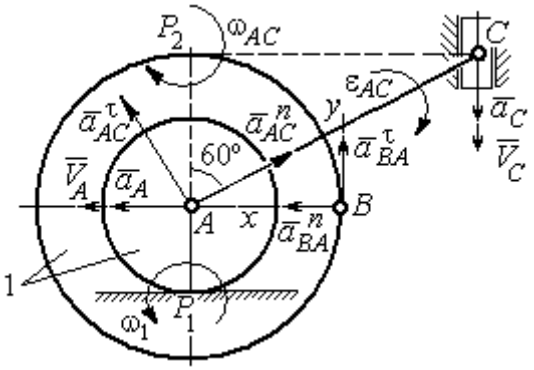

Рис. 2.17. Расчётная схема определения скоростей и ускорений точек механизма

Угловая скорость шатуна $\omega_{AC} = \dfrac{V_C}{CP_2} = \dfrac{9}{R\text{tg}60^\circ} = 6\sqrt{3}$ рад/с. Скорость точки A шатуна $V_A = \omega_{AC} \cdot AP_2 = 3\sqrt{3}$ м/с. Угловая скорость барабана 1 $\omega_1 = \dfrac{V_A}{AP_1} = 10\sqrt{3}$ рад/с.

При расчёте угловой скорости барабана учтено, что качение барабана по неподвижной поверхности представляет собой плоское движение, при котором мгновенный центр скоростей находится в точке касания с поверхностью (в точке P_1 на рис. 2.17).

Выразим ускорение $\vec{a}_A$ точки A через полюс C на основании векторного равенства: $\vec{a}_A = \vec{a}_C + \vec{a}^{\,\tau}_{AC} + \vec{a}^{\,n}_{AC}$, где $\vec{a}_C$ – ускорение точки C, выбранной в качестве полюса; $\vec{a}^{\,\tau}_{AC}$, $\vec{a}^{\,n}_{AC}$ – касательная и нормальная составляющие ускорения точки A при вращении шатуна AC вокруг полюса C. Вектор нормального ускорения $\vec{a}^{\,n}_{AC}$ направлен вдоль шатуна AC от точки A к полюсу C и равен по величине $a^n_{AC} = \omega^2_{AC} \cdot AC = (6\sqrt{3})^2 \cdot 2R = 108$ м/с^2. Вектор касательного ускорения

$\vec{a}_{AC}^{\,\tau}$, модуль которого вычисляется по формуле $a_{AC}^{\tau} = \varepsilon_{AC} \cdot AC$, направлен перпендикулярно отрезку AC.

На данном этапе величина вектора касательного ускорения не может быть вычислена, поскольку угловое ускорение шатуна AC ε_{AC} неизвестно. На рис. 2.17 направление вектора касательного ускорения $\vec{a}_{AC}^{\,\tau}$ выбрано из предположения, что вращение шатуна ускоренное и направление углового ускорения совпадает с направлением его угловой скорости.

Направление вектора $\vec{a}_A$ ускорения точки A определяется из того, что центр барабана движется по прямой, параллельной горизонтальной поверхности качения. На рис. 2.17 направление вектора ускорения $\vec{a}_A$ выбрано из предположения, что качение барабана ускоренное.

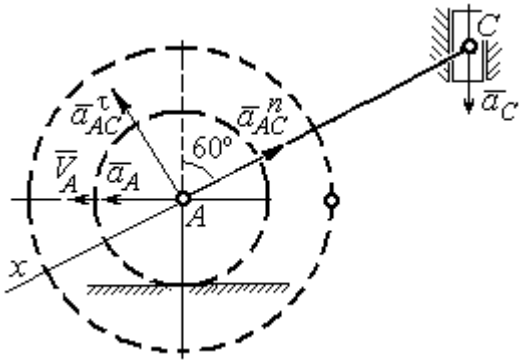

Рис. 2.18. Схема для определения ускорения центра барабана

Выберем ось x вдоль линии AC (рис. 2.18) и спроектируем векторное равенство $\vec{a}_A = \vec{a}_C + \vec{a}_{AC}^{\,\tau} + \vec{a}_{AC}^{\,n}$ на эту ось. При таком выборе оси проекция неизвестного ускорения $\vec{a}_{AC}^{\,\tau}$ обращается в нуль. Получим $a_A \cos 30^\circ = a_C \cos 60^\circ - a_{AC}^{n}$. Отсюда найдём ускорение центра барабана $a_A = \dfrac{1}{\cos 30^\circ}\left(a_C \cos 60^\circ - a_{AC}^{n}\right) = -\,122{,}4$ м/с^2. Отрицательное значение ускорения точки A означает, что на рис. 2.17, 2.18 вектор ускорения $\vec{a}_A$ должен иметь противоположное направление. Таким образом, вектор ускорения $\vec{a}_A$ направлен в сторону, противоположную вектору скорости $\vec{V}_A$, и движение барабана замедленное.

Для того чтобы найти ускорение точки B, выразим его через полюс A на основании векторного равенства $\vec{a}_B = \vec{a}_A + \vec{a}_{BA}^{\,\tau} + \vec{a}_{BA}^{\,n}$, где $\vec{a}_A$ – ускорение

точки A, выбранной в качестве полюса; $\vec{a}_{BA}^{\,\tau}$, $\vec{a}_{BA}^{\,n}$ – касательная и нормальная составляющие ускорения точки B при вращении барабана вокруг полюса A.

Модуль вектора нормального ускорения $\vec{a}_{BA}^{\,n}$ равен по величине $a_{BA}^{n} = \omega_1^2 \cdot BA = (10\sqrt{3})^2 \cdot R = 150$ м/с^2. Вектор направлен вдоль радиуса барабана от точки B к полюсу A (см. рис. 2.17).

Модуль вектора касательного ускорения $\vec{a}_{BA}^{\,\tau}$ вычисляется по формуле $a_{BA}^{\tau} = \varepsilon_1 \cdot BA$, где ε_1 – угловое ускорение барабана. Значение углового ускорения катящегося барабана (в отличие от углового ускорения ε_{AC} шатуна AC) может быть найдено. Расчёт основан на том, что при движении барабана расстояние AP_1 от точки A до центра скоростей барабана P_1 остаётся постоянным, равным r. Тогда выражение $V_A = \omega_1 \cdot AP_1 = \omega_1 \cdot r$ для расчёта скорости точки A можно продифференцировать. Получим $\dfrac{dV_A}{dt} = \dfrac{d\omega_1}{dt} \cdot r$. Так как точка A движется по прямой, производная от скорости точки равна её полному ускорению, а производная от угловой скорости барабана равна его угловому ускорению. Тогда имеем: $a_A = \varepsilon_1 \cdot r$, откуда находим угловое ускорение $\varepsilon_1 = \dfrac{a_A}{r} = 40{,}8$ рад/с^2, а затем и модуль вектора касательного ускорения $a_{BA}^{\tau} = \varepsilon_1 \cdot BA = 20{,}4$ м/с^2.

Заметим, что для вычисления углового ускорения ε_{AC} шатуна AC подобные рассуждения неприменимы. Формулу $V_A = \omega_{AC} \cdot AP_2$ невозможно продифференцировать, так как при движении механизма расстояние AP_2 от точки A до центра скоростей P_2 шатуна AC является неизвестной функцией времени.

Выберем систему координат xBy как показано на рис. 2.17, и спроецируем на эти оси векторное равенство $\vec{a}_B = \vec{a}_A + \vec{a}_{BA}^{\,\tau} + \vec{a}_{BA}^{\,n}$. Полагая, что движение барабана ускоренное (т. е. вектора ускорений $\vec{a}_A$ и $\vec{a}_{BA}^{\,\tau}$ направлены, как показано на рис. 2.17), получим значения составляющих ускорения точки B:

$a_{Bx} = a_A + a_{BA}^n$, $a_{By} = a_{BA}^\tau$. Подставляя значения ускорений, найдём $a_{By} = 20{,}4$ м/с^2, $a_{Bx} = -122{,}4 + 150 = 27{,}6$ м/с^2. Вектор полного ускорения точки B направлен по диагонали прямоугольника, построенного на векторах $\vec{a}_{Bx}$, $\vec{a}_{By}$. Величина ускорения точки B: $a_B = \sqrt{a_{Bx}^2 + a_{By}^2} = 34{,}32$ м/с^2.

Задача 2. В плоском механизме (рис. 2.19) кривошип OA вращается вокруг оси O с угловой скоростью ω_{OA} и угловым ускорением ε_{OA}. Диск 2, шарнирно присоединённый к кривошипу в точке A, катится без проскальзывания по неподвижному диску 1. Радиусы дисков R_1 и R_2. На краю диска 2 в точке B шарнирно прикреплен стержень BC, соединенный с центром C диска 3. Радиус диска 3 равен радиусу диска 2: $R_3 = R_2$. Диск 3 катится без скольжения по горизонтальной поверхности, по прямой. Для положения механизма, изображенного на рис. 2.19, определить ускорение точки D и угловое ускорение стержня BC, если $\omega_{OA} = 4$ рад/с, $\varepsilon_{OA} = 2$ рад/с^2, $R_1 = 4$ см, $R_2 = 8$ см. Длина стержня $BC = 20$ см.

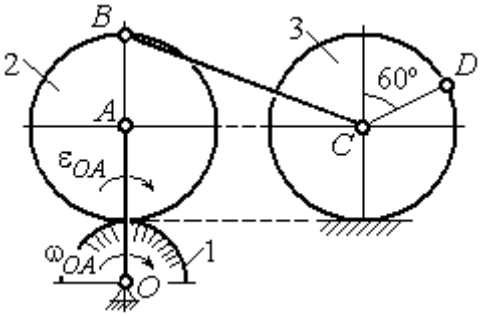

Рис. 2.19. Схема движения плоского механизма

Решение

Определение угловых скоростей звеньев механизма.

Рассмотрим вращательное движение кривошипа OA. Скорость точки A: $V_A = \omega_{OA} \cdot OA = 48$ см/с. Вектор скорости $\vec{V}_A$ направлен перпендикулярно кривошипу OA в сторону движения кривошипа (рис. 2.20).

При движении диска 2 точка P_2 соприкосновения второго диска с неподвижным первым является мгновенным центром скоростей диска 2. Угловая скорость диска 2: $\omega_2 = \dfrac{V_A}{AP_2} = \dfrac{48}{8} = 6$ рад/с.

Скорость точки B диска 2: $V_B = \omega_2 BP_2 = 6 \cdot 16 = 96$ см/с.

Для определения угловой скорости стержня BC заметим, что скорости двух точек стержня $\vec{V}_B$ и $\vec{V}_C$ параллельны, но точки B и C не лежат на общем перпендикуляре к скоростям. В этом случае мгновенный центр скоростей стержня BC отсутствует (бесконечно удалён), угловая скорость стержня равна нулю: $\omega_{BC} = 0$, а стержень совершает мгновенное поступательное движение. В результате имеем: $V_C = V_B = 96$ см/с.

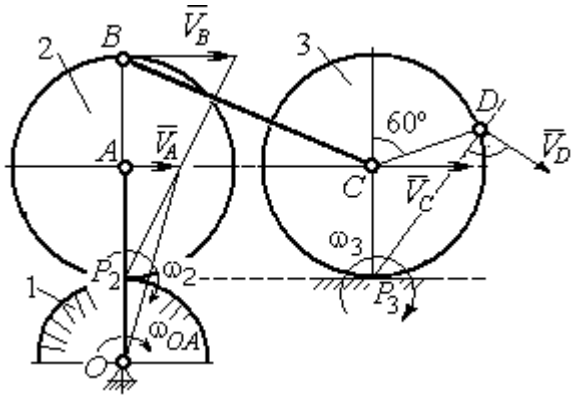

Рис. 2.20. Расчетная схема для определения угловых скоростей звеньев механизма

При качении диска 3 по неподвижной поверхности без проскальзывания точка P_3 касания его с поверхностью является мгновенным центром скоростей. Тогда угловая скорость диска 3: $\omega_3 = \dfrac{V_C}{CP_3} = 12$ рад/с. Скорость точки D диска 3: $V_D = \omega_3 \cdot DP_3$. Величину DP_3 находим из треугольника P_3DC. В результате $DP_3 = 2R_3\cos 30^\circ = 13{,}8$ см и $V_D = 165{,}6$ см/с. Вектор скорости $\vec{V}_D$ направлен в сторону движения диска 3 перпендикулярно линии DP_3 и (см. рис. 2.20).

Определение ускорений точек механизма.

Представим ускорение $\vec{a}_C$ точки C векторной суммой $\vec{a}_C = \vec{a}_B + \vec{a}^{\,n}_{CB} + \vec{a}^{\,\tau}_{CB}$, где $\vec{a}_B$ – ускорение точки B, выбранной в качестве полюса; $\vec{a}^{\,n}_{CB}$, $\vec{a}^{\,\tau}_{CB}$ – нормальная и касательная составляющие ускорения точки C при вращении стержня BC вокруг полюса B, $a^n_{CB} = \omega^2_{CB} \cdot CB$, $a^{\tau}_{CB} = \varepsilon_{CB} \cdot CB$.

Нормальная составляющая ускорения точки C $a^n_{CB} = 0$, так как стержень CB совершает мгновенное поступательное движение и $\omega_{BC} = 0$.

Направление касательной составляющей $\vec{a}^{\tau}_{CB}$ неизвестно, так как неизвестно направление углового ускорения стержня ε_{CB}. Для определённости выберем направление углового ускорения стержня BC в сторону против хода часовой стрелки. На рис. 2.21 это направление показано дуговой стрелкой ε_{CB}.

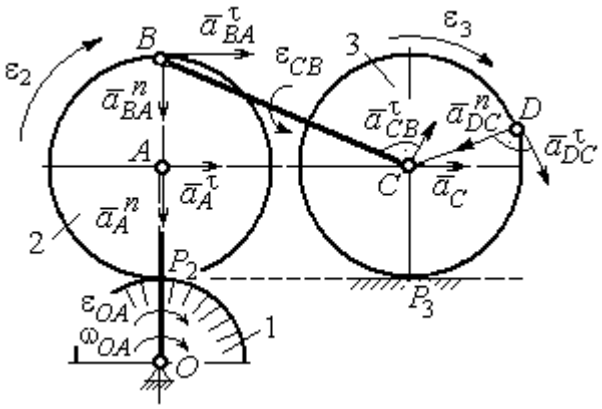

Рис. 2.21. Расчетная схема для определения ускорений точек механизма и угловых ускорений его звеньев

В соответствии с выбранным направлением углового ускорения вектор $\vec{a}^{\tau}_{CB}$ строится перпендикулярно линии стержня BC в сторону углового ускорения ε_{CB} (см. рис. 2.21).

Выразим ускорение точки B через полюс A: $\vec{a}_B = \vec{a}_A + \vec{a}^{n}_{BA} + \vec{a}^{\tau}_{BA}$, где $\vec{a}_A$ – ускорение полюса A; $\vec{a}^{n}_{BA}$, $\vec{a}^{\tau}_{BA}$ – нормальная и касательная составляющие ускорения точки B при вращении диска 2 вокруг полюса A. Величина нормальной составляющей ускорения точки B $a^{n}_{BA} = \omega_2^2 \cdot BA = 288$ см/с^2. Вектор $\vec{a}^{n}_{BA}$ направлен вдоль радиуса BA от точки B к полюсу A (см. рис. 2.21). Касательное ускорение точки B при вращении диска 2 вокруг полюса A вычисляется по формуле $a^{\tau}_{BA} = \varepsilon_2 \cdot BA$. Для определения углового ускорения ε_2 диска 2 заметим, что во время движения диска 2 расстояние AP_2 остается постоянным, равным R_2. Дифференцируя равенство $V_A = \omega_2 \cdot AP_2 = \omega_2 R_2$, получим: $\frac{dV_A}{dt} = \frac{d\omega_2}{dt} R_2$, или $a^{\tau}_A = \varepsilon_2 R_2$, откуда $\varepsilon_2 = \frac{a^{\tau}_A}{R_2}$.

Для того чтобы найти величину a^{τ}_A, рассмотрим вращательное движение кривошипа OA вокруг неподвижной оси O. Ускорение точки A представляется в виде векторного равенства $\vec{a}_A = \vec{a}^{n}_A + \vec{a}^{\tau}_A$, где $\vec{a}^{n}_A$ и $\vec{a}^{\tau}_A$ – известные

нормальная и касательная составляющие ускорения точки A кривошипа OA: $a_A^n = \omega_{OA}^2 \cdot OA = 192$ см/с^2, $a_A^\tau = \varepsilon_{OA} \cdot OA = 24$ см/с^2. Направления векторов нормального ускорения $\vec{a}_A^n$ и касательного ускорения $\vec{a}_A^\tau$ показаны на рис. 2.21.

Теперь найдём величину углового ускорения диска 2 и модуль касательного ускорения a_{BA}^τ точки B при вращении диска 2 вокруг полюса A: $\varepsilon_2 = \dfrac{a_A^\tau}{R_2} =$ $= 3$ рад/с^2, $a_{BA}^\tau = \varepsilon_2 \cdot BA = 24$ см/с^2.

Для определения ускорения точки C имеем векторное равенство $\vec{a}_C = \vec{a}_A^n + \vec{a}_A^\tau + \vec{a}_{BA}^n + \vec{a}_{BA}^\tau + \vec{a}_{CB}^\tau$. Выберем оси Cx, Cy, как показано на рис. 2.22, – вдоль отрезка BC и перпендикулярно ему и спроецируем на них имеющееся векторное равенство. Получим:

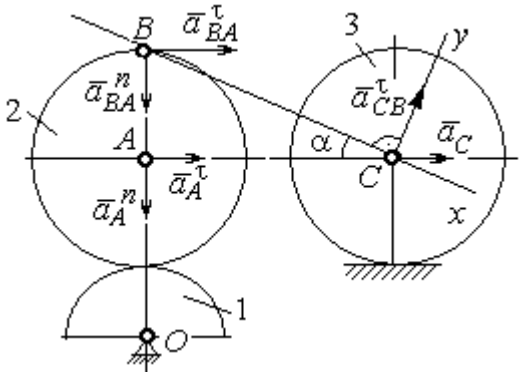

Рис. 2.22. Расчетная схема для вычисления ускорения точки С

$$a_C \cos\alpha = a_A^n \sin\alpha + a_A^\tau \cos\alpha + a_{BA}^n \sin\alpha + a_{BA}^\tau \cos\alpha;$$

$$a_C \sin\alpha = a_A^n \cos\alpha + a_A^\tau \sin\alpha + a_{BA}^n \cos\alpha + a_{BA}^\tau \sin\alpha + a_{CB}^\tau,$$

где α – угол между стержнем BC и линией центров AC; $\sin\alpha = \dfrac{AB}{BC} = 0{,}4$; $\cos\alpha = 0{,}92$. Решая систему, найдём: $a_C = 256{,}7$ см/с^2, $a_{CB}^\tau = -358{,}12$ см/с^2.

Модуль углового ускорения стержня BC: $\varepsilon_{CB} = \dfrac{\left|a_{CB}^\tau\right|}{BC} = 17{,}9$ рад/с^2.

Знак «минус» величины a_{CB}^τ означает, что вектор касательного ускорения $\vec{a}_{CB}^\tau$ на рис. 2.21 – 2.22 следует направить в противоположную сторону. Направление углового ускорения стержня BC, показанное на рис. 2.21 дуговой стрелкой ε_{CB}, также следует заменить на противоположное.

Выразим ускорение точки D через полюс C: $\vec{a}_D = \vec{a}_C + \vec{a}^{\,n}_{DC} + \vec{a}^{\,\tau}_{DC}$, где $\vec{a}_C$ – известное ускорение точки C; $\vec{a}^{\,n}_{DC}$, $\vec{a}^{\,\tau}_{DC}$ – нормальное и касательное составляющие ускорения точки D при вращении диска 3 вокруг полюса C. Величина нормального ускорения точки D: $a^n_{DC} = \omega_3^2 \cdot DC = 1152$ см/с^2. Вектор ускорения $\vec{a}^{\,n}_{DC}$ направлен по радиусу от точки D к полюсу C (рис. 2.23).

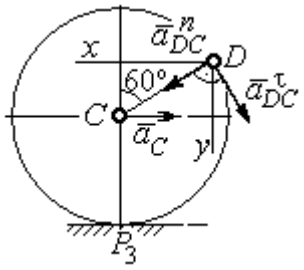

Рис.2.23. Расчетная схема для определения ускорения точки D

Для расчёта касательной составляющей a^{τ}_{DC} ускорения точки D найдём угловое ускорение диска 3. Продифференцируем по времени равенство $V_C = \omega_3 \cdot CP_3 = \omega_3 R_3$. Получим: $\frac{dV_C}{dt} = \frac{d\omega_3}{dt} R_3$, или $a_C = \varepsilon_3 R_3$. Угловое ускорение диска 3: $\varepsilon_3 = \frac{a_C}{R_3} = 32{,}09$ рад/с^2. Тогда величина касательной составляющей ускорения точки D: $a^{\tau}_{DC} = \varepsilon_3 \cdot DC = 256{,}7$ см/с^2. Направление вектора $\vec{a}^{\,\tau}_{DC}$ соответствует ускоренному движению диска 3.

Проведём оси Dx и Dy, как показано на рис. 2.23, и спроецируем векторное равенство ускорения точки D на оси:

$$a_{Dx} = -a_C + a^n_{DC}\cos 30^\circ - a^{\tau}_{DC}\cos 60^\circ, \quad a_{Dy} = a^n_{DC}\cos 60^\circ + a^{\tau}_{DC}\cos 30^\circ.$$

Решая систему, находим значения проекций модуля ускорения $a_{Dx} = 612{,}5$ см/с^2, $a_{Dy} = 798{,}3$ см/с^2. Величина ускорения точки D:

$$a_D = \sqrt{a^2_{Dx} + a^2_{Dy}} = 1006{,}2 \text{ см/с}^2.$$

3. СЛОЖНОЕ ДВИЖЕНИЕ ТОЧКИ

3.1. Основные понятия сложного движения точки

В неподвижной системе координат рассматривается подвижное твердое тело и точка, перемещающаяся относительно тела.

Траектория точки в её движении относительно тела называется **относительной траекторией.** Скорость точки в этом движении называют **относительной скоростью**, ускорение – **относительным ускорением**.

Траектория точки, перемещающейся вместе с телом, называется переносной траекторией точки, скорость точки при таком её движении – **переносной скоростью**, а ускорение – **переносным ускорением**.

Суммарное движение точки вместе с телом и относительно тела называется **сложным движением**. Траектория точки относительно неподвижной системы координат называется **абсолютной траекторией точки**, скорость и ускорение – **абсолютной скоростью и абсолютным ускорением.**

При вычислении абсолютной скорости используется теорема о сложении скоростей: **при сложном движении абсолютная скорость точки равна геометрической сумме относительной и переносной скоростей:** $\vec{V} = \vec{V}_e + \vec{V}_r$, где $\vec{V}$, $\vec{V}_e$, $\vec{V}_r$ – вектора абсолютной, переносной и относительной скоростей точки.

В случае, когда относительное движение точки задается естественным способом в виде закона изменения пути $S = S(t)$, величина относительной скорости точки равна модулю производной: $V_r = \left|\dot{S}_r\right|$. Если переносное движение точки есть вращение тела вокруг неподвижной оси, скорость точки в переносном движении будет: $V_e = \omega_e h_e$, где ω_e – величина угловой скорости вращения тела; h_e – кратчайшее расстояние от места положения точки на теле до оси вращения тела.

При вычислении абсолютного ускорения используется теорема Кориолиса о сложении ускорений: **при сложном движении абсолютное ускорение точки равно геометрической сумме трех ускорений – относительного, переносного и ускорения Кориолиса** $\vec{a} = \vec{a}_e + \vec{a}_r + \vec{a}_к$, где $\vec{a}$ – вектор абсолютного ускорения точки; $\vec{a}_e, \vec{a}_r$ – вектора соответственно переносного и относительного ускорений точки; $\vec{a}_к$ – вектор ускорения Кориолиса. (Иногда его называют поворотным ускорением.)

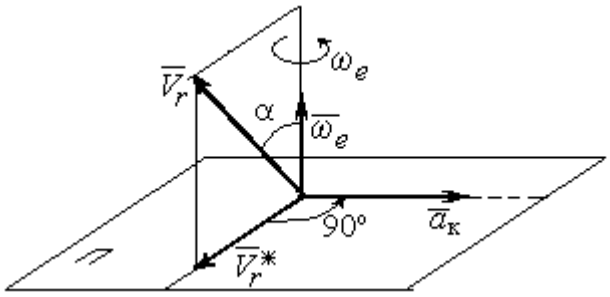

Рис. 3.1. Определение направления ускорения Кориолиса по правилу Жуковского

Вектор ускорения Кориолиса определяется векторным произведением $\vec{a}_к = 2(\vec{\omega}_e \times \vec{V}_r)$, где $\vec{\omega}_e$ – вектор угловой скорости переносного движения; $\vec{V}_r$ – вектор относительной скорости точки. Модуль ускорения Кориолиса: $|\vec{a}_к| = 2|\vec{\omega}_e| \cdot |\vec{V}_r| \sin\alpha$, где α – угол между вектором угловой скорости переносного движения и вектором относительной скорости точки (см. рис. 3.1). Направление вектора ускорения Кориолиса может быть получено по правилу построения вектора векторного произведения.

На рис. 3.1 показана последовательность выбора направления вектора ускорения Кориолиса по правилу Н. Е. Жуковского. Правило состоит в следующем: пусть имеется точка, движущаяся с относительной скоростью $\vec{V}_r$. Построим плоскость П, перпендикулярную вектору переносной угловой скорости $\vec{\omega}_e$, и спроецируем вектор $\vec{V}_r$ на эту плоскость. Проекцию обозначим $\vec{V}_r^*$ (см. рис. 3.1). Чтобы получить направление ускорения Кориолиса, следует вектор проекции относительной скорости $\vec{V}_r^*$ повернуть на 90° в плоскости П вокруг оси переносного вращения в направлении этого вращения.

Если сложное движение точки происходит в плоскости, перпендикулярной оси переносного вращения, направление ускорения Кориолиса можно получить простым поворотом вектора относительной скорости на угол 90° вокруг оси переносного вращения в направлении этого вращения.

Относительное ускорение $\vec{a}_r$ представляется как сумма векторов относительного касательного $\vec{a}_r^{\tau}$ и относительного нормального $\vec{a}_r^{n}$ ускорений: $\vec{a}_r = \vec{a}_r^{\tau} + \vec{a}_r^{n}$. Переносное ускорение точки $\vec{a}_e$ тела имеет своими составляющими переносное касательное $\vec{a}_e^{\tau}$ и переносное нормальное $\vec{a}_e^{n}$ ускорения так, что $\vec{a}_e = \vec{a}_e^{\tau} + \vec{a}_e^{n}$.

Таким образом, абсолютное ускорение точки в сложном движении можно представить в виде векторного равенства

$$\vec{a} = \vec{a}_r^{\tau} + \vec{a}_r^{n} + \vec{a}_e^{\tau} + \vec{a}_e^{n} + \vec{a}_{\text{к}}.$$

Модули относительного касательного и относительного нормального ускорений при естественном способе задания относительного движения точки равны: $a_r^{\tau} = \left|\dot{V}_r\right|$, $a_r^{n} = \dfrac{V_r^2}{\rho}$, где ρ – радиус кривизны относительной траектории. При движении точки по окружности радиус кривизны равен радиусу окружности, при движении по прямой – бесконечности, и в этом случае $a_r^{n} = 0$.

При вращательном переносном движении точки значения переносного касательного и нормального ускорений вычисляются по формулам: $a_e^{\tau} = \varepsilon_e h_e$, $a_e^{n} = \omega_e^2 h_e$, где ε_e – угловое ускорение вращательного переносного движения, $\varepsilon_e = \left|\dot{\omega}_e\right|$; h_e – расстояние от точки до оси вращения тела; ω_e – величина угловой скорости вращения тела.

Вектора ускорений строятся по общим правилам построения векторов нормального и касательного ускорений.

При поступательном переносном движении ускорение Кориолиса и переносное нормальное ускорение равны нулю: $a_{\text{к}} = 0,\ a_e^n = 0$. Абсолютное ускорение точки при поступательном переносном движении можно представить в виде векторного равенства $\vec{a} = \vec{a}_r^{\,\tau} + \vec{a}_r^{\,n} + \vec{a}_e^{\,\tau}$.

3.2. Задание К4. Определение скорости и ускорения точки при сложном движении

Задание включает две задачи с вращательным и поступательным видами переносного движения точки.

Задача 1. Вращение тела относительно неподвижной оси задается законом изменения угла поворота: $\varphi_e = \varphi_e(t)$ или законом изменения его угловой скорости: $\omega_e = \omega_e(t)$. Движение точки относительно тела отсчитывается от её начального положения в точке C и задается законом изменения длины дуги окружности или отрезка прямой линии: $CM = S_r = S_r(t)$.

Определить абсолютные скорость и ускорение точки в заданный момент времени t_1.

Задача 2. Поступательное движение тела, несущего точку, задается законом изменения координаты $x_e = x_e(t)$. Движение точки относительно тела отсчитывается от её начального положения в точке C и задается законом изменения длины дуги окружности или отрезка прямой линии: $CM = y_r = y_r(t)$.

Определить абсолютные скорость и ускорение точки в момент времени t_2, который либо задаётся в исходных данных задачи, либо на схемеописаны условия, из которых он находится.

Номера вариантов заданий даны на рис. 3.2 – 3.5.

Варианты исходных данных приведены в табл. 3.1.

Варианты № 1, 11, 21

Задача 1

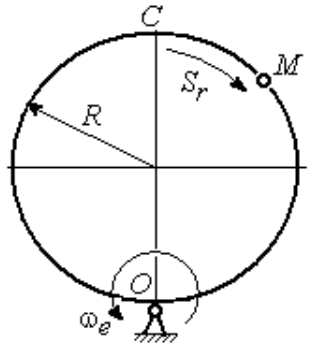

Задача 2

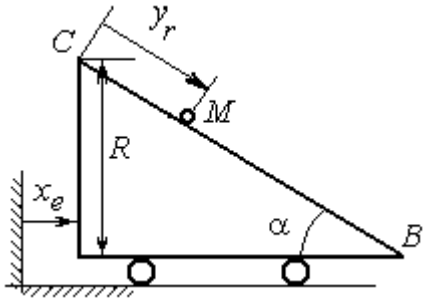

В момент $t = t_2$ точка M прошла половину пути CB

Варианты № 2, 12, 22

Задача 1

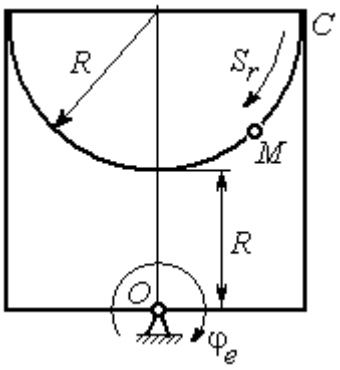

Задача 2

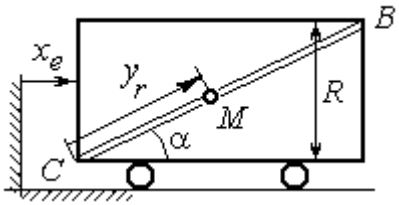

В момент $t = t_2$ точка M прошла 2/3 пути CB

Варианты № 3, 13, 23

Задача 1

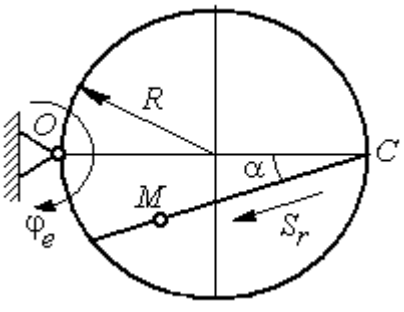

Задача 2

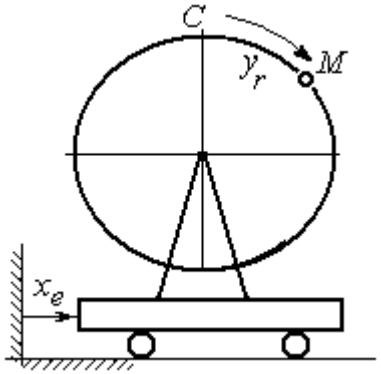

Рис. 3.2. Задание К4. Сложное движение точки.
Номера вариантов задания 1 – 3, 11 – 13, 21 – 23

Варианты № 4, 14, 24

Задача 1

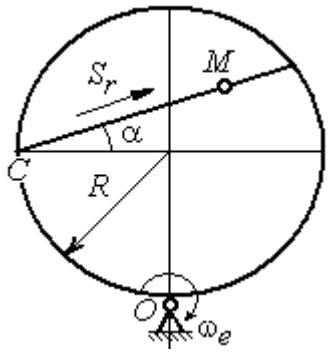

Задача 2

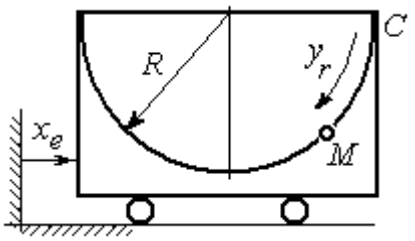

Варианты № 5, 15, 25

Задача 1

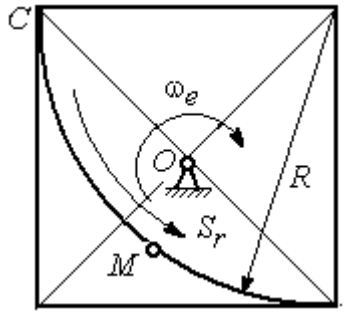

Задача 2

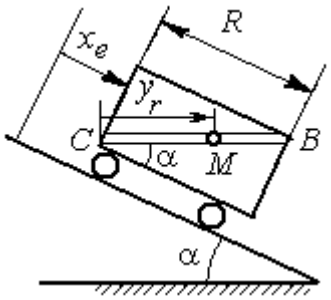

В момент $t = t_2$ точка M прошла путь CB

Варианты № 6, 16, 26

Задача 1

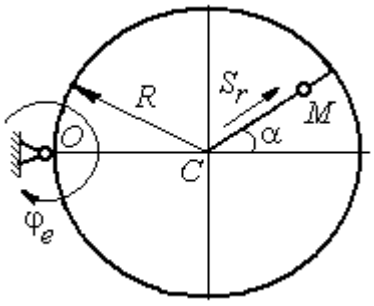

Задача 2

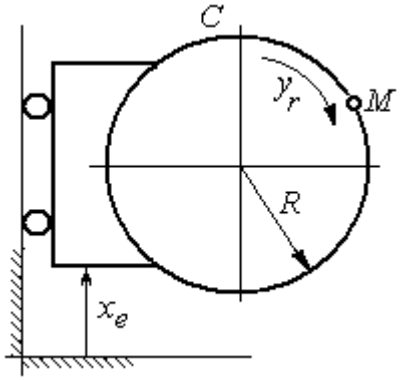

Рис. 3.3. Задание К4. Сложное движение точки.
Номера вариантов задания 4 – 6, 14 – 16, 24 – 26

Варианты № 7, 17, 27

Задача 1

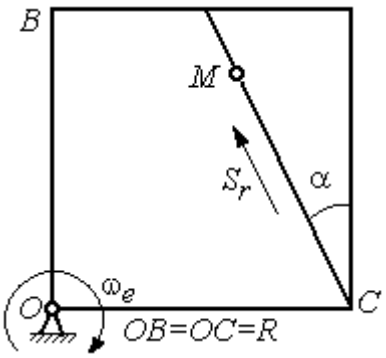

Задача 2

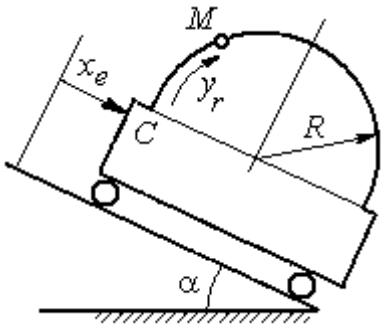

Варианты № 8, 18, 28

Задача 1

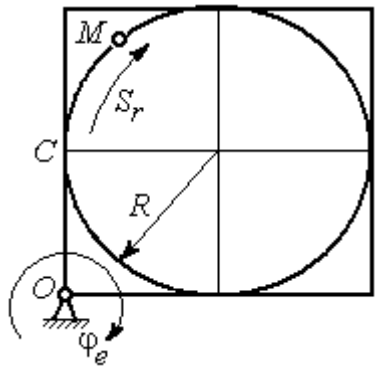

Задача 2

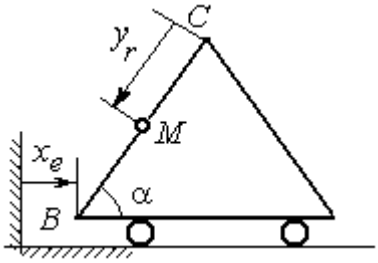

В момент $t = t_2$ точка M прошла половину пути $CB = R$

Варианты № 9, 19, 29

Задача 1

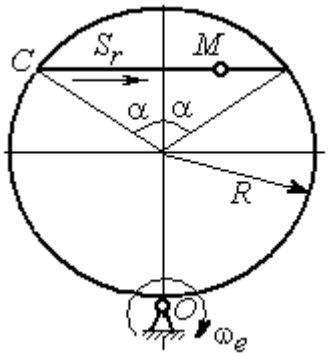

Задача 2

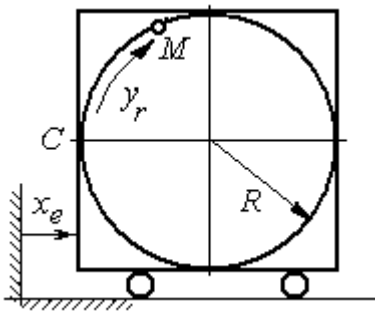

Рис. 3.4. Задание К4. Сложное движение точки.
Номера вариантов задания 7 – 9, 17 – 19, 27 – 29

Окончание вариантов задания К4

Варианты № 10, 20, 30

Задача 1

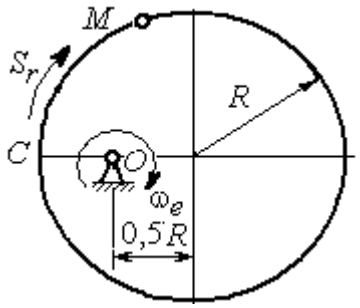

Задача 2

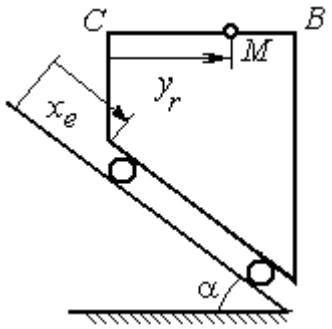

В момент $t = t_2$ точка M прошла половину пути $CB = R$

Рис. 3.5. Задание К4. Сложное движение точки.
Номера вариантов задания 10, 20, 30

Таблица 3.1

Исходные данные для заданий по сложному движению точки

Номер варианта задания	Номер задачи	R, см	α, град	$C\breve{M} = S_r(t)$, см $C\breve{M} = y_r(t)$, см	$\varphi_e(t)$, рад; $\omega_e(t)$, рад/с $x_e(t)$, см	t_1, с t_2, с
1	1	3	–	$S_r = 2\pi\sin(\pi t/6)$	$\omega_e = 4t^2$	1
	2	4	30	$y_r = 4t^2$	$x_e = 2\cos(\pi t/6)$	–
2	1	2	–	$S_r = 4\pi\sin^2(\pi t/6)$	$\varphi_e = 6\cos(\pi t/3)$	1
	2	3	60	$y_r = t^2 + t$	$x_e = 1 + \cos(\pi t)$	–
3	1	4	30	$S_r = 2\sqrt{3}[t + \sin(\pi t/2)]$	$\varphi_e = 4t - t^2$	1
	2	6	–	$y_r = \pi[2t + \sin\pi t]$	$x_e = 5t - t^2$	1
4	1	4	60	$S_r = 2(t^3 + t)$	$\omega_e = 6\cos(\pi t/6)$	1
	2	3	–	$y_r = \pi[2t + \cos(\pi t/2)]$	$x_e = t^3 - 4t$	1
5	1	6	–	$S_r = 4\pi\sin^2(\pi t/6)$	$\omega_e = 6\cos(\pi t/3)$	1
	2	2	30	$y_r = t^2 + 2t$	$x_e = t^2 - 4t$	–
6	1	6	60	$S_r = t + 10\sin(\pi t/6)$	$\varphi_e = 2t^2 - 5t$	1
	2	3	–	$y_r = 4\pi\sin(\pi t/6)$	$x_e = [1 - \cos(\pi t/4)]$	1
7	1	8	30	$S_r = 2(t^3 + 3t)$	$\omega_e = 6\cos(\pi t/6)$	1
	2	4	30	$y_r = 2\pi t^2$	$x_e = t^3 - 5t$	1

Продолжение табл. 3.1

Номер варианта задания	Номер задачи	R, см	α, град	$C\breve{M} = S_r(t)$, см $C\breve{M} = y_r(t)$, см	$\varphi_e(t)$, рад; $\omega_e(t)$, рад/с $x_e(t)$, см	t_1, с t_2, с
8	1	8	–	$S_r = 2\pi\left[t^2 + \sin\pi t\right]$	$\varphi_e = t^2 - 5t$	2
	2	6	30	$y_r = t(t+1)$	$x_e = \cos\pi t$	–
9	1	8	30	$S_r = 2t^2$	$\omega_e = \cos(\pi t/8)$	2
	2	3	–	$y_r = 4\pi\sin^2(\pi t/4)$	$x_e = (3-2t)^2$	1
10	1	6	–	$S_r = \pi(2t^3 + \sin\pi t)$	$\omega_e = 5t - 2t^3$	1
	2	4	30	$y_r = t^2 + 2t$	$x_e = 1 + \cos\pi t$	–
11	1	6	–	$S_r = 8\pi\sin(\pi t/12)$	$\omega_e = 2 + \cos(\pi t/4)$	2
	2	6	60	$y_r = 4\sin\pi t$	$x_e = t^2 - 2t$	–
12	1	18	–	$S_r = \pi(2t^2 + 2t)$	$\varphi_e(t) = 3t - t^2$	2
	2	6	30	$y_r = 2t^2 + t$	$x_e = 1 + \cos(\pi t)$	–
13	1	10	60	$S_r = t^3 + t$	$\varphi_e = 6\cos(\pi t/6)$	2
	2	6	–	$y_r = 6\pi\cos(\pi t/3)$	$x_e = t(t+1)$	1
14	1	4	30	$S_r = 8\sqrt{3}\sin(\pi t/12)$	$\omega_e = (3-2t)^2$	2
	2	3	–	$y_r = 2\pi\sin(\pi t/6)$	$x_e = 2t^2 - 5t$	1
15	1	8	–	$S_r = 4\pi\sin^2(\pi t/4)$	$\omega_e = 2 + \cos(\pi t/4)$	1
	2	5	60	$y_r = 5t + t^2$	$x_e = \cos(\pi t/6)$	–
16	1	12	90	$S_r = 3\left[t + \sin(\pi t/2)\right]$	$\varphi_e = 2t - 3t^2$	1
	2	15	–	$y_r = \pi(4t + t^2)$	$x_e = 6\sin(\pi t/3)$	1
17	1	6	45	$S_r = 3\sqrt{2}\left[t^2 + 2\sin\pi t\right]$	$\omega_e(t) = 4t^2 - 6$	1
	2	6	60	$y_r = 8\pi\sin(\pi t/12)$	$x_e = \sqrt{2}\sin(\pi t/8)$	2
18	1	8	–	$S_r = 4\pi\sqrt{2}\sin(\pi t/8)$	$\varphi_e = 18t - 4t^2$	2
	2	8	60	$y_r = 3t + 2t^2$	$x_e = \sin\pi t$	–
19	1	8	60	$S_r = 2\sqrt{3}\left[t + \sin(\pi t/2)\right]$	$\omega_e = 5t - t^2$	1
	2	9	–	$y_r = 6\pi\cos(\pi t/3)$	$x_e = \cos(\pi t/6)$	1
20	1	4	–	$S_r = 4\pi\sin(\pi t/6)$	$\omega_e = 3t - 5$	1
	2	6	60	$y_r = 3t + 2t^2$	$x_e = \pi\sin\pi t$	–
21	1	3	–	$S_r = 4\pi\sqrt{2}\sin(\pi t/8)$	$\omega_e = 6t - 14$	2
	2	8	45	$y_r = (t^2 + 3t)$	$x_e = t + 2\sin\pi t$	–

Окончание табл. 3.1

Номер варианта задания	Номер задачи	R, см	α, град	$C\breve{M} = S_r(t)$, см $C\breve{M} = y_r(t)$, см	$\varphi_e(t)$, рад; $\omega_e(t)$, рад/с $x_e(t)$, см	t_1, с t_2, с
22	1	4	–	$S_r = 2\pi(t^2 + 2t)$	$\varphi_e = 6\cos(\pi t/6)$	1
	2	9	60	$y_r = 8\sin\pi t$	$x_e = 5t - t^2$	–
23	1	6	45	$S_r = 12\sin(\pi t/8)$	$\varphi_e = t^2 + \cos(\pi t/4)$	2
	2	6	–	$y_r = 6\pi[t + \sin(\pi t/6)]$	$x_e = 5t - t^2$	1
24	1	6	45	$S_r = 12\sin(\pi t/8)$	$\omega_e = t + 4\cos(\pi t/4)$	2
	2	6	–	$y_r = \pi(t^2 + 2t)$	$x_e = 6\cos(\pi t/6)$	1
25	1	6	–	$S_r = 2\pi t^2$	$\omega_e = 3\sin(\pi t/3)$	1
	2	4	45	$y_r = 2t(t + 3t)$	$x_e = 2(t^3 - 3t)$	–
26	1	6	120	$S_r = t^2 + t$	$\varphi_e = 12\cos(\pi t/12)$	2
	2	9	–	$y_r = \pi\sqrt{3}\sin(\pi t/3)$	$x_e = 2(t^2 - 3t)$	1
27	1	10	60	$S_r = \sqrt{3}(t^2 + t)$	$\omega_e = 6\cos(\pi t/6)$	2
	2	9	30	$y_r = \sqrt{3}\pi\sin(\pi t/3)$	$x_e = t + 4\cos(\pi t/4)$	1
28	1	2	–	$S_r = 6\pi\sin(\pi t/6)$	$\varphi_e = 2t + \cos(\pi t/2)$	1
	2	6		$y_r = 2t + 3t^2$	$x_e = t + \sin\pi t$	–
29	1	8	30	$S_r = (t^2 + 2t)$	$\omega_e = 6\sin(\pi t/12)$	2
	2	3	–	$y_r = 2\pi\sqrt{3}\sin(\pi t/3)$	$x_e = 5t - t^2$	1
30	1	2	–	$\pi(t^2 + 2t)$	$\omega_e(t) = 6\cos(\pi t/6)$	1
	2	3	60	$y_r = t + t^2$	$x_e = t + \sin\pi t$	–

Пример выполнения задания К4. Сложное движение точки

Задача 1. Фигура, состоящая из половины диска и равнобедренного треугольника (рис. 3.6), вращается вокруг оси, перпендикулярной плоскости фигуры и проходящей через вершину A треугольника. Вращательное движение задается законом изменения угла поворота фигуры $\varphi_e = 5t - 2t^2$ рад.

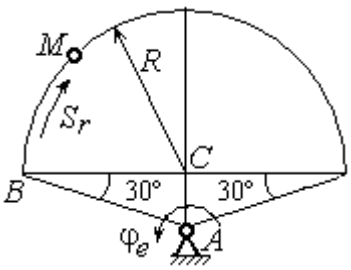

Рис. 3.6. Схема сложного движения точки

Положительное направление вращения отмечено на схеме дуговой стрелкой φ_e. По ободу диска от точки *B* движется точка *M*. Движение точки относительно диска задается законом изменения длины дуги окружности: $\overset{\cup}{BM} = S_r = 9\pi t^2$ см. Положительное направление движения точки *M* на рис. 3.6 показано дуговой стрелкой S_r. Радиус диска $R = 9$ см.

Найти абсолютную скорость и абсолютное ускорение точки *M* в момент времени $t_1 = 1$ с.

Решение

Вращение фигуры будет для точки *M* переносным движением. Относительное движение точки *M* – её движение по окружности обода диска.

Для определения **положения точки** *M* на ободе диска вычислим расстояние, которое она прошла на заданный момент времени. Длина дуги окружности, пройденной точкой за 1 с: $S_r(1) = 9\pi$ см. Положение точки *M* определяется центральным углом $\alpha = \dfrac{S_r(1)}{R} = \dfrac{9\pi}{9} = \pi$. Положение точки в момент времени $t_1 = 1$ с отмечено на рис. 3.7 точкой M_1.

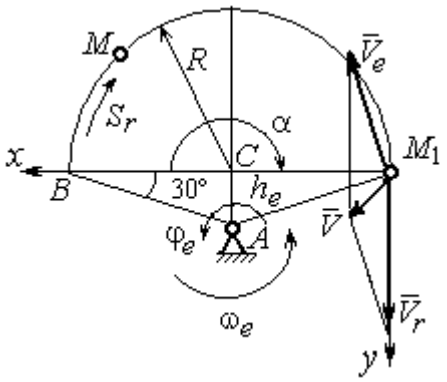

Рис. 3.7. Расчетная схема для вычисления абсолютной скорости точки при сложном движении

Для определения **скорости переносного движения** точки вычисляем значение производной: $\dot{\varphi}_e = 5 - 4t$. Угловая скорость вращения фигуры: $\omega_e = |\dot{\varphi}_e|$. При $t_1 = 1$ с $\dot{\varphi}_e(1) = 1$ рад/с. Положительная величина производной $\dot{\varphi}_e(1)$ показывает, что вращение фигуры в данный момент происходит в положительном направлении, что отмечено дуговой стрелкой ω_e на рис. 3.7.

В момент времени $t_1 = 1$ с точка *M* находится в положении M_1. Скорость V_e переносного движения точки в момент времени $t_1 = 1$ с $V_e(1) = \omega_e(1)h_e$, где

расстояние от точки M_1 до оси вращения фигуры $h_e = AM_1 = \dfrac{R}{\cos 30^\circ} = 6\sqrt{3}$ см.

Тогда $V_e(1) = 6\sqrt{3}$ см/с.

Вектор скорости переносного движения точки $\vec{V}_e$ перпендикулярен линии AM_1 и направлен в сторону вращения фигуры (см. рис. 3.7).

Относительное движение точки задано естественным способом, как закон изменения длины дуги *BM*. В этом случае **скорость относительного движения** точки $V_r = \left|\dot{S}_r\right| = \left|18\pi t\right|$. При t_1 = 1 с $V_r(1) = \left|\dot{S}_r(1)\right| = 18\pi$ = 56,5 см/с. Положительное значение производной $\dot{S}_r(1)$ указывает, что относительное движение точки в положении M_1 происходит в положительном направлении, указанном на рис. 3.7 дуговой стрелкой S_r. Вектор $\vec{V}_r$ относительной скорости точки в положении M_1 направлен по касательной к траектории относительного движения в сторону положительного направления движения (см. рис. 3.7).

Абсолютную скорость точки находим по теореме сложения скоростей $\vec{V} = \vec{V}_e + \vec{V}_r$. Направление вектора абсолютной скорости, полученное по правилу сложения векторов, показано на рис. 3.5. Для определения величины абсолютной скорости выбираем прямоугольные оси координат M_1xy (см. рис. 3.7) и проецируем обе части векторного равенства теоремы сложения скоростей на эти оси. Получим:

$$V_x = V_e \cos 60^\circ = 3\sqrt{3} = 5{,}2 \text{ см/с};$$

$$V_y = -V_e \cos 30^\circ + V_r = -6\sqrt{3} \cdot \frac{\sqrt{3}}{2} + 56{,}5 = 29{,}5 \text{ см/с}.$$

Модуль абсолютной скорости: $V = \sqrt{V_x^2 + V_y^2} = \sqrt{5{,}2^2 + 29{,}5^2} = 29{,}95$ см/с.

Абсолютное ускорение точки определяем по теореме Кориолиса, которая при вращательном переносном движении имеет вид:

$$\vec{a} = \vec{a}_r^{\,\tau} + \vec{a}_r^{\,n} + \vec{a}_e^{\,\tau} + \vec{a}_e^{\,n} + \vec{a}_{\text{к}}.$$

Относительное касательное ускорение a_r^τ вычисляется по формуле: $a_r^\tau = \left|\ddot{S}_r\right|$. По условию задачи вторая производная $\ddot{S}_r = 18\pi$ = 56,5 см/с^2 – постоянная величина. Так как значение второй производной $\ddot{S}_r$ положительно, вектор ускорения $\vec{a}_r^\tau$ направлен по касательной к траектории относительного движения в точке M_1 в сторону положительного направления относительного движения, отмеченного дуговой стрелкой S_r.

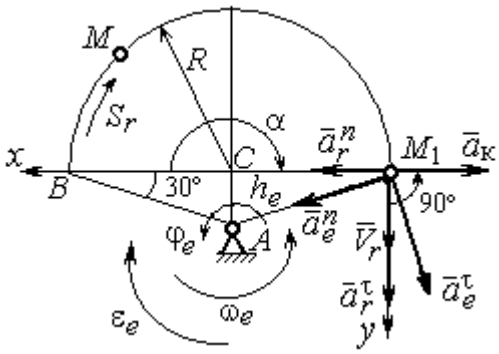

Рис. 3.8. Расчетная схема для определения абсолютного ускорения точки

Относительное нормальное ускорение точки вычисляется по формуле $a_r^n = \dfrac{V_r^2}{R}$ и в момент $t_1 = 1$ с равно: $a_r^n(1) = \dfrac{V_r^2(1)}{R} = \dfrac{(18\pi)^2}{9} = 355{,}3$ см/с^2. Вектор ускорения $\vec{a}_r^n$ направлен по радиусу диска к центру C (см. рис. 3.8).

Переносное касательное ускорение вычисляется по формуле: $a_e^\tau = \varepsilon_e h_e$, где угловое ускорение $\varepsilon_e = \left|\ddot{\varphi}_e\right|$. Вычислим производную $\ddot{\varphi}_e = -4$ рад/с^2. Угловое ускорение $\varepsilon_e = \left|\ddot{\varphi}_e\right| = 4$ рад/с^2 постоянно и не зависит от времени.

Отрицательное значение производной $\ddot{\varphi}_e < 0$ при условии, что расчетная величина угловой скорости положительна: $\dot{\varphi}_e > 0$, означает, что вращательное движение замедленное и переносное угловое ускорение ε_e направлено в сторону, противоположную направлению вращения.

Вектор $\vec{a}_e^\tau$ переносного касательного ускорения точки в её положении M_1 перпендикулярен линии AM_1 и направлен противоположно вектору переносной скорости $\vec{V}_e$ (см. рис. 3.8). Модуль переносного касательного ускорения: $a_e^\tau = a_e^\tau = \varepsilon_e h_e = 24\sqrt{3} = 41{,}6$ см/с^2.

Переносное нормальное ускорение a_e^n рассчитывается по формуле: $a_e^n = \omega_e^2 h_e$ и в момент времени $t_1 = 1$ с $a_e^n(1) = \omega_e^2(1)h_e = 6\sqrt{3} = 10{,}4$ см/с^2. Вектор переносного нормального ускорения $\vec{a}_e^n$ направлен по линии AM_1 к оси вращения (см. рис. 3.8).

По условию задачи вектор скорости относительного движения точки $\vec{V}_r$ лежит в плоскости, перпендикулярной оси переносного вращения, то есть перпендикулярен вектору угловой скорости переносного движения $\vec{\omega}_e$. Тогда модуль **ускорения Кориолиса** при $t_1 = 1$ с $a_к = 2\omega_e V_r = 2 \cdot 1 \cdot 18\pi = 113{,}1$ см/с^2.

Так как вектор относительной скорости точки $\vec{V}_r \perp \vec{\omega}_e$, то по правилу Жуковского для определения направления ускорения Кориолиса достаточно повернуть вектор относительной скорости точки $\vec{V}_r$ на 90° в сторону переносного движения вокруг оси, параллельной оси вращения и проходящей через точку M_1 (см. рис. 3.8). Для определения абсолютного ускорения спроецируем на прямоугольные оси xM_1y (см. рис. 3.8) векторное равенство $\vec{a} = \vec{a}_r^{\,\tau} + \vec{a}_r^{\,n} + \vec{a}_e^{\,\tau} + \vec{a}_e^{\,n} + \vec{a}_к$. Получим: $a_y = a_e^{\tau}\cos 30^\circ + a_e^n \cos 60^\circ + a_r^{\tau} = 97{,}9$ см/с^2, $a_x = -a_e^{\tau}\cos 60^\circ + a_e^n \cos 30^\circ + a_r^n - a_к = 228{,}4$ см/с^2. Модуль абсолютного ускорения: $a = \sqrt{a_x^2 + a_y^2} = 248{,}5$ см/с^2.

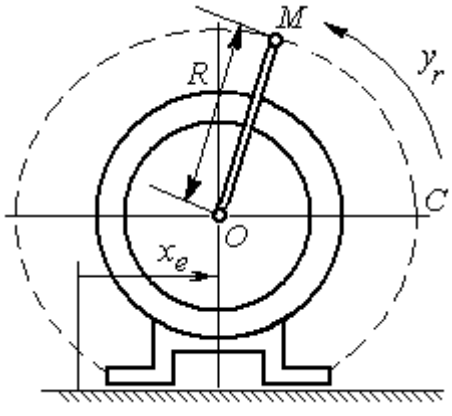

Рис. 3.9. Схема движения точки стержня, укреплённого на электромоторе

Задача 2. К вращающемуся валу электромотора прикреплён стержень OM длины $R = 6$ см. Во время работы электромотора точка M стержня из начального положения C перемещается по дуге окружности согласно уравнению $CM = y_r = \pi t^2$ см. При этом электромотор, установленный без креплений, совершает горизонтальные гармонические колебания на фундаменте по закону

$x_e = 5\sin(\pi t/3)$ см. Определить абсолютное ускорение точки M в момент времени $t_1 = 1$ с.

Решение

Точка M совершает сложное движение – относительно электромотора и вместе с ним. Относительным движением точки будет её движение по дуге окружности радиуса R, переносным – поступательное горизонтальное, прямолинейное движение электромотора.

Найдём положение точки относительно электродвигателя в заданный момент времени. Угол α, отсчитываемый стержнем OM от начального положения OC, в момент времени $t_1 = 1$ с составляет $\alpha = \dfrac{y_r(t_1)}{R} = \dfrac{\pi}{6} = 30°$. Положение точки в момент времени $t_1 = 1$ с отмечено на рис. 3.10 буквой M_1.

Относительное движение точки задано естественным способом, как закон изменения длины дуги. Относительная скорость $V_r = \dot{y}_r = 2\pi t$. В момент времени $t_1 = 1$ с V_r= 6,28 см/с. Вектор $\vec{V}_r$ относительной скорости направлен перпендикулярно стержню OM_1.

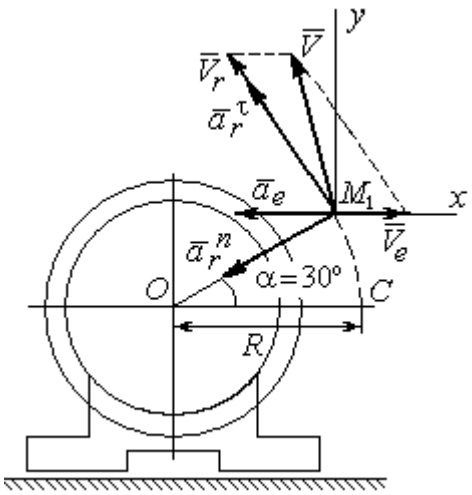

Рис. 3.10. Расчётная схема вычисления абсолютной скорости и абсолютного ускорения точки

Скорость точки в переносном движении – это скорость горизонтального движения электродвигателя:

$$V_e = \dot{x}_e = \frac{5\pi}{3}\cos(\pi t/3).$$

В момент времени $t_1 = 1$с $V_e = \dfrac{5\pi}{3}\cos 60^\circ$ = 2,62 см/с. Вектор $\vec{V}_e$ переносной скорости точки M направлен параллельно линии движения электродвигателя (см. рис. 3.10).

Абсолютная скорость точки определяется на основании теоремы сложения скоростей при сложном движении: $\vec{V}_M = \vec{V}_e + \vec{V}_r$. Для того чтобы найти величину абсолютной скорости, выберем оси xM_1y, как показано на рис. 3.10, и спроецируем векторное равенство сложения скоростей на эти оси. Получим: $V_{Mx} = V_e - V_r\cos 60^\circ = -0{,}52$ см/с (проекция направлена в отрицательную сторону оси x), $V_{My} = V_r\cos 30^\circ = 5{,}44$ см/с. Модуль абсолютной скорости $V_M = \sqrt{V_{Mx}^2 + V_{My}^2} = 5{,}46$ см/с. Вектор абсолютной скорости направлен по диагонали параллелограмма, построенного на векторах $\vec{V}_e$ и $\vec{V}_r$.

При поступательном переносном движении точки $\omega_e = 0$ и потому $a_к = 0$. Относительное ускорение точки при движении по окружности раскладывается на две составляющие $\vec{a}_r = \vec{a}_r^{\,\tau} + \vec{a}_r^{\,n}$, направленные вдоль стержня OM и перпендикулярно ему. Кроме того, при прямолинейном относительном движении $a_e^n = 0$. В результате, теорема о сложении ускорений принимает вид $\vec{a}_M = \vec{a}_r^{\,\tau} + \vec{a}_r^{\,n} + \vec{a}_e$, где модули векторов вычисляются по формулам $a_r^{\tau} = \dot{V}_r$, $a_r^n = \dfrac{V_r^2}{R}$, $a_e = a_e^{\tau} = \dot{V}_e = -\dfrac{5\pi^2}{9}\sin(\pi t/3)$ и в момент времени $t_1 = 1$с равны $a_r^{\tau} = 6{,}28$ см/с^2, $a_r^n = 6{,}57$ см/с^2, $a_e = -4{,}75$ см/с^2. Направления векторов ускорений показаны на рис. 3.10. Для вычисления модуля абсолютного ускорения точки спроецируем векторное равенство сложения ускорений на оси выбранной ранее системы координат xM_1y. Получим:

$$a_{Mx} = -a_r^{\tau}\cos 60^\circ - a_r^n\cos 30^\circ - a_e = -4{,}08 \text{ см/с}^2;$$

$$a_{My} = a_r^{\tau}\cos 30^\circ - a_r^n\cos 60^\circ = 2{,}15 \text{ см/с}^2.$$

Величина абсолютного ускорения $a_M = \sqrt{a_{Mx}^2 + a_{My}^2} = 4{,}61$ см/с^2.

4. ДИНАМИКА ТОЧКИ

4.1. Дифференциальные уравнения движения точки

Движение точки под действием системы сил $\vec{F}_1$, $\vec{F}_2$, …, $\vec{F}_K$ в прямоугольной декартовой системе координат *Oxyz* описывается **дифференциальными уравнениями:** $m\frac{d^2x}{dt^2} = \sum F_{kx}$, $m\frac{d^2y}{dt^2} = \sum F_{ky}$, $m\frac{d^2z}{dt^2} = \sum F_{kz}$ или, обозначая вторые производные от координат по времени двумя точками, уравнениями: $m\ddot{x} = \sum F_{kx}$, $m\ddot{y} = \sum F_{ky}$, $m\ddot{z} = \sum F_{kz}$, где m – масса точки; x, y, z – текущие координаты точки; $\ddot{x}$, $\ddot{y}$, $\ddot{z}$ – проекции вектора ускорения точки на оси координат; $\sum F_{kx}$, $\sum F_{ky}$, $\sum F_{kz}$ – алгебраические суммы проекций сил на оси координат.

Интегрирование дифференциальных уравнений производится в зависимости от их вида методами, известными из курса математики.

4.2. Задание Д1. Интегрирование дифференциальных уравнений движения точки

Две материальные точки движутся в вертикальной плоскости *xOy*. Точка 1 массой m_1, получив в начальном положении *A* скорость V_{01}, движется вдоль гладкой оси *AS*, наклоненной под углом β к горизонту. Во время движения на точку 1 действуют сила тяжести и постоянная сила $\vec{F}_1$, направленная вдоль оси *AS*. Направление вектора проекции силы на ось $\vec{F}_{1S}$ показано на схеме.

Одновременно с точкой 1 начинает движение точка 2 массой m_2 из положения *B* на оси *y*. На точку 2 действуют сила тяжести и постоянная сила $\vec{F}_2$. Направление вектора силы $\vec{F}_2$ определяется его разложением по единичным векторам $\vec{i}$, $\vec{j}$ координатных осей *x*, *y*.

Определить величину и направление (угол α) начальной скорости V_{02} точки 2, чтобы в момент времени t_1 точки 1 и 2 встретились на оси AS в точке C. Момент времени t_1 задаётся в условиях задачи или определяется по дополнительным условиям встречи.

Варианты заданий представлены на рис. 4.1, 4.2. Исходные данные приведены в табл. 4.1.

Варианты № 1, 11, 21	**Варианты № 2, 12, 22**
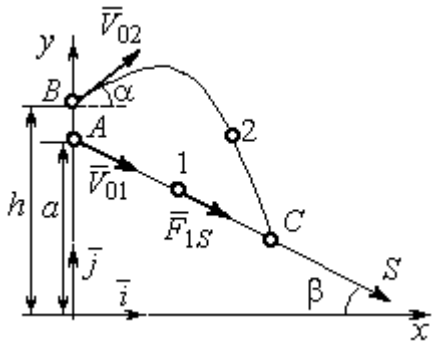 Встреча в точке C в момент, когда скорость точки 1 увеличилась в 1,5 раза относительно начальной	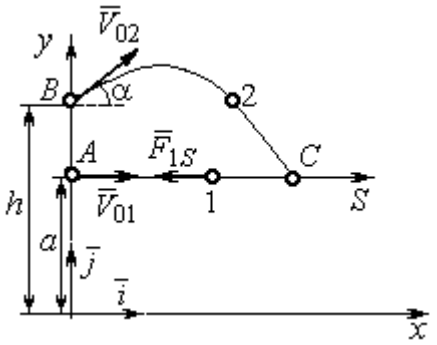 Встреча в точке C в момент, когда точка 1 максимально удалилась от места старта

Варианты № 3, 13, 23	**Варианты № 4, 14, 24**
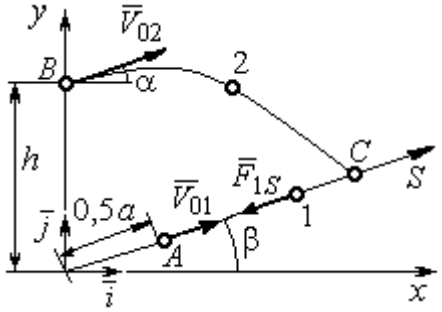 Встреча в точке C в момент, когда скорость точки 1 уменьшилась в 2 раза относительно начальной	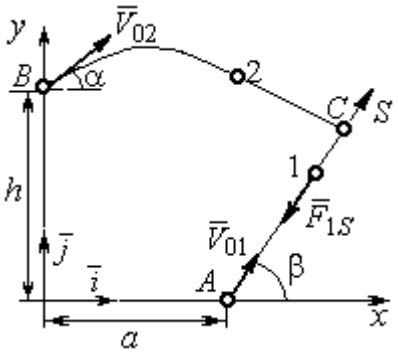 Встреча в точке C в момент времени $t_1 = 0{,}5$ с

Рис. 4.1. Задание Д1. Интегрирование уравнений движения точки.
Номера вариантов задания 1 – 4, 11 – 14, 21 – 24

Варианты № 5, 15, 25	**Варианты № 6, 16, 26**
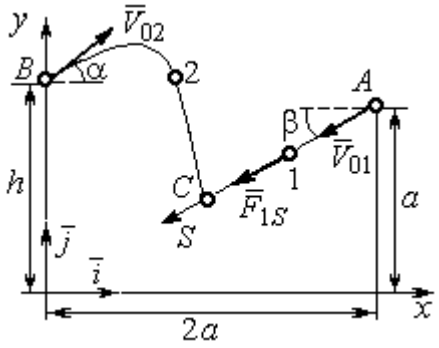	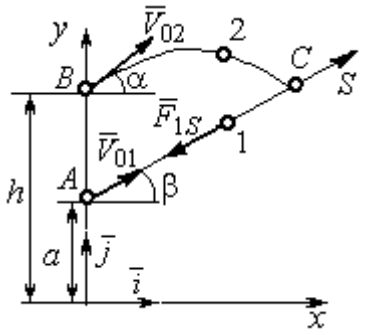
Встреча в точке *C* в момент, когда скорость точки 1 увеличилась в 1,5 раза относительно начальной	Встреча в точке *C*, когда точка 1 максимально удалилась от места старта

Варианты № 7, 17, 27	**Варианты № 8, 18, 28**
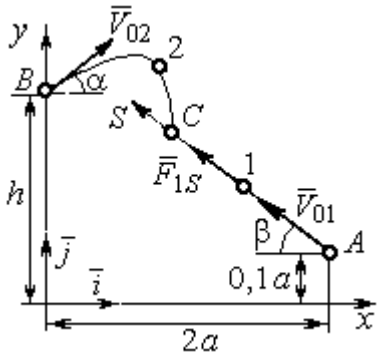	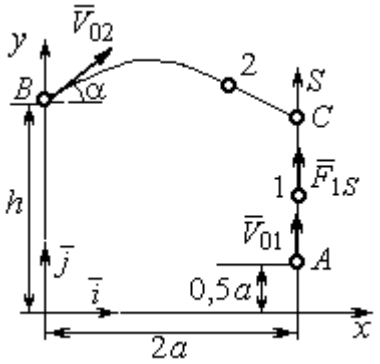
Встреча в точке *C* в момент времени $t_1 = 0{,}4$ с	Встреча в точке *C* в момент максимального подъёма точки 1

Варианты № 9, 19, 29	**Варианты № 10, 20, 30**
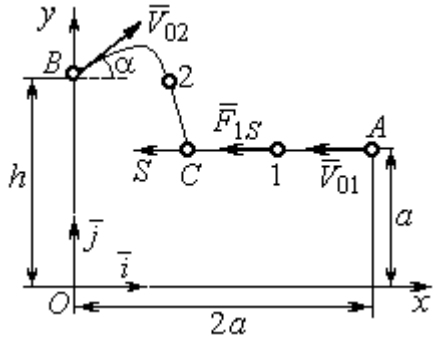	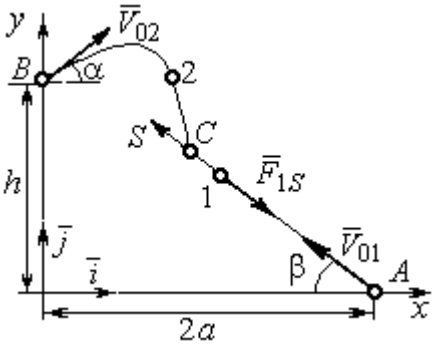
Встреча в точке *C* в момент времени $t_1 = 0{,}6$ с	Встреча в точке *C* в момент, когда точка 1 достигла максимальной высоты подъёма

Рис. 4.2. Задание Д1. Интегрирование уравнений движения точки.
Номера вариантов задания 5 – 10, 15 – 20, 25 – 30

Таблица 4.1

Исходные данные задания Д1. Интегрирование уравнений движения точки

Номер варианта задания	m_1, кг	F_{1S}, Н	V_{01}, м/с	β, град	m_2, кг	$\vec{F}_2$, Н	a, м	h, м
1	1	3	3	30	2	$7\vec{i}$	2	4
2	3	6	2	0	2	$4\vec{i}+12\vec{j}$	1,5	1
3	2	5	4	35	1,5	$10\vec{i}+4\vec{j}$	2	2,5
4	1	10	2	60	2	$4\vec{i}+8\vec{j}$	2,2	2
5	1	3	3	30	2	$5\vec{i}$	3	4,5
6	0,8	6	6	50	3	$3\vec{i}+12\vec{j}$	1,5	4
7	2	5	4,5	40	1	$10\vec{i}+2\vec{j}$	3	2,5
8	1	2	3,5	90	2	$6\vec{i}+8\vec{j}$	1,2	2
9	2	4	4	0	1	$3\vec{i}+2\vec{j}$	2	2,5
10	1	3	3	55	1,5	$4\vec{i}$	1	1,5
11	0,5	2	3	60	2	$3\vec{i}+8\vec{j}$	1,5	2,5
12	0,2	3	4	0	1	$5\vec{i}-2\vec{j}$	1	2,5
13	1	2	6	50	1,5	$6\vec{i}-4\vec{j}$	0,8	2
14	0,5	6	4	35	1	$3\vec{i}-2\vec{j}$	2,5	2
15	0,2	3	3	50	2	$2\vec{i}-2\vec{j}$	3	4
16	2	4	6	40	2	$3\vec{i}+12\vec{j}$	1	1,5
17	1	6	5	60	1,5	$5\vec{i}+4\vec{j}$	3	2,5
18	1	2	2	90	2	$4\vec{i}+4\vec{j}$	2	2
19	1	3	2	2	2	$2\vec{i}+10\vec{j}$	1	1,5
20	5	4	2	30	1	$3\vec{i}-2\vec{j}$	1,5	1,5
21	0,2	4	4	45	1	$6\vec{i}-2\vec{j}$	1	3
22	0,4	3	2	0	2	$4\vec{i}+6\vec{j}$	1,5	2,5
23	1	3	8	60	2	$4\vec{i}+2\vec{j}$	1,2	1,5
24	0,5	8	3	30	2	$6\vec{i}+7\vec{j}$	2	1,5
25	2	4	4	60	1	$2\vec{i}-2\vec{j}$	3,5	4
26	1	3	5	50	2	$4\vec{i}+6\vec{j}$	0,5	1,5
27	1,5	3	6	30	2	$4\vec{i}+4\vec{j}$	2	2,5
28	2	5	3	90	2	$6\vec{i}+7\vec{j}$	2	1,5
29	2	4	4	0	1	$5\vec{i}-2\vec{j}$	1,5	2
30	1	3	2,5	70	2	$4\vec{i}+6\vec{j}$	1	1

Пример выполнения задания Д1. Интегрирование дифференциальных уравнений движения точки

На рис. 4.3 представлена схема движения материальных точек в вертикальной плоскости *xOy*. Точка 1 массой $m_1 = 2$ кг, получив в начальном положении *A* скорость $V_{01} = 4$ м/с, движется вдоль гладкой оси *AS* с углом наклона $\beta = 30^{\circ}$. Во время движения на точку 1 действуют сила тяжести $\vec{P}_1$ и постоянная сила $\vec{F}_1$, проекция которой на ось *AS* равна $F_{1S} = 4{,}5$ Н. Направление вектора проекции силы $\vec{F}_{1S}$ на ось *AS* показано на рис. 4.3.

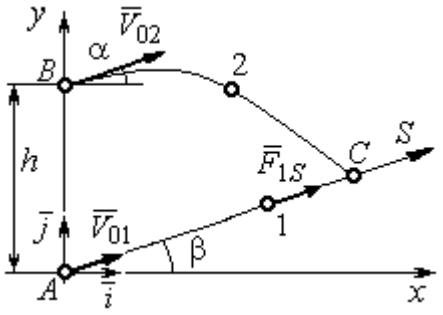

Рис. 4.3. Схема совместного движения точек

Одновременно с началом движения точки 1 из положения *B* на оси *y* высотой $h = 1$ м начинает движение точка 2 массой $m_2 = 1{,}2$ кг. На точку 2 действуют сила тяжести $\vec{P}_2$ и сила $\vec{F}_2$, направление которой определяется разложением по единичным векторам $\vec{i}$, $\vec{j}$ осей *x*, *y* декартовой системы координат: $\vec{F}_2 = 2{,}4\vec{i} + 4{,}5\vec{j}$, Н. Определить величину и направление (угол α) начальной скорости V_{02} точки 2, чтобы в момент времени t_1, когда скорость точки 1 уменьшилась в 2 раза по сравнению с начальным значением, обе они встретились на оси *AS* в точке *C*.

Решение

Рассмотрим движение точки 1. В текущий момент времени на точку 1 действует сила тяжести $\vec{P}_1$, нормальная реакция $\vec{N}_1$ наклонной оси *AS* и сила $\vec{F}_1$, величина проекции которой на ось *AS* равна F_{1S} (рис. 4.4). Дифференциальное уравнение движения точки 1 $m_1\ddot{S} = F_{1S} - P_1\sin\beta$, или $m_1\dfrac{dV_{1S}}{dt} = 4{,}5 - m_1 g\sin\beta$. С учетом исходных данных, полагая ускорение свободного падения $g = 9{,}81$ м/с^2, дифференциальное уравнение движения точки 1

приводится к виду: $\frac{dV_{1S}}{dt} = -2{,}66$. Разделим переменные, представив дифференциальное уравнение в виде $dV_{1S} = -2{,}66dt$. Проинтегрировав его, получим зависимость скорости точки 1 от времени: $V_{1S} = -2{,}66t + C_1$. Для того чтобы определить закон движения точки 1, представим скорость точки как производную от координаты $V_{1S} = \frac{dS}{dt}$. Получим дифференциальное уравнение $\frac{dS}{dt} = -2{,}66t + C_1$, проинтегрировав которое, найдём уравнение движения точки 1: $S = -1{,}33t^2 + C_1 t + C_2$. Константы интегрирования C_1, C_2 находятся из начальных условий: при $t = 0$, $S = 0$, $\dot{S} = V_{1S} = V_{01} = 4$ м/с. Подставляя первое из условий в уравнение движения точки 1, получим $C_2 = 0$. Подставим начальное значение скорости в уравнение $\dot{S} = -2{,}66t + C_1$, выражающее зависимость скорости точки 1 от времени. Получим $C_1 = 4$. Таким образом, движение точки 1 вдоль оси AS описывается уравнением: $S = -1{,}33t^2 + 4t$.

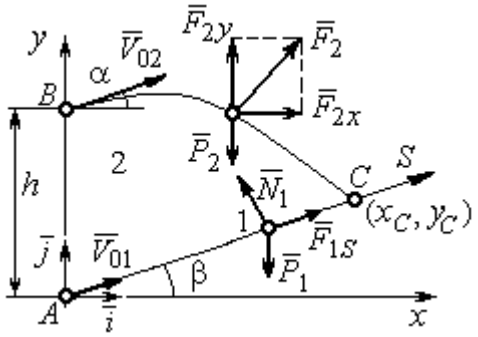

Рис. 4.4. Силы, действующие на точки 1 и 2, во время их движения

По условию задачи встреча двух точек происходит в момент времени t_1, когда скорость первой точки уменьшилась в 2 раза по сравнению с начальной: $V_{1S}(t_1) = \frac{V_{01}}{2} = 2$ м/с. Подставляя это условие в уравнение, выражающее зависимость скорости точки 1 от времени, получим: $2 = -2{,}66t_1 + 4$, откуда найдём момент времени встречи $t_1 = 0{,}75$ с. Расстояние AC, пройденное точкой 1 до встречи, определяется как путь, пройденный этой точкой за время $t_1 = 0{,}75$ с, $AC = S(t_1) = -1{,}33 \cdot 0{,}75^2 + 4 \cdot 0{,}75 = 2{,}25$ м. Координаты точки встречи x_C, y_C определяются из равенств: $x_C = S(t_1)\cos 30^\circ = 1{,}95$ м; $y_C = S(t_1)\sin 30^\circ = 1{,}12$ м.

Рассмотрим движение точки 2. В текущий момент времени на нее действует сила тяжести $\vec{P}_2$ и сила $\vec{F}_2 = 2{,}4\vec{i} + 4{,}5\vec{j}$, проекции которой на оси координат $F_{2x} = 2{,}4$ Н, $F_{2y} = 4{,}5$ Н. Дифференциальные уравнения движения точки 2 в проекциях на оси координат *x*, *y* имеют вид:

$$m_2\ddot{x} = F_{2x} = 2{,}4\,, \quad m_2\ddot{y} = -P_2 + F_{2y} = -m_2 g + 4{,}5\,,$$

или после подстановки исходных данных: $\ddot{x} = 2$, $\ddot{y} = -6{,}06$.

Представим в первом уравнении проекцию ускорения точки 2 на ось *x* как производную от соответствующей проекции скорости $\ddot{x} = \dfrac{dV_{2x}}{dt}$. После разделения переменных получим дифференциальное уравнение $dV_{2x} = 2dt$. Проинтегрируем его и найдем зависимость горизонтальной составляющей скорости точки 2 от времени: $V_{2x} = 2t + C_3$. Заменим в этом уравнении проекцию скорости точки на ось *x* на производную от координаты $V_{2x} = \dfrac{dx}{dt}$. После интегрирования получим уравнение, описывающее движение точки 2 вдоль оси *x*, $x = t^2 + C_3 t + C_4$. Для того чтобы найти постоянные C_3 и C_4, воспользуемся граничными условиями движения точки 2 – известной начальной координатой движения точки и вычисленной координатой точки встречи, то есть при $t = 0$, $x = 0$, а при $t_1 = 0{,}75$ с $x(t_1) = x_C = 1{,}95$ м. Подставляя граничные условия в уравнение движения точки 2, получим $C_4 = 0$, $C_3 = 1{,}85$. Таким образом, уравнение движения точки 2 вдоль оси *x*: $x = t^2 + 1{,}85t$.

Закон движения точки 2 вдоль оси *y* находим путем интегрирования второго дифференциального уравнения. Его представим в виде: $\dfrac{dV_{2y}}{dt} = -6{,}06$. После разделения переменных и первого интегрирования получим зависимость проекции скорости точки 2 на ось *y* от времени: $V_{2y} = -6{,}06t + C_5$. Заменив проекцию скорости точки 2 на ось *y* производной от координаты $V_{2y} = \dfrac{dy}{dt}$, вто-

рично проинтегрируем. В результате движение точки 2 вдоль оси y описывается уравнением: $y = -3{,}03t^2 + C_5 t + C_6$. Для определения констант C_5 и C_6 используем граничные условия: при $t = 0$ $y(0) = h = 1$ м, а при $t_1 = 0{,}75$ с $y(t_1) = y_C = 1{,}12$ м. Получим $C_6 = 1$, $C_5 = 2{,}43$. Таким образом, точка 2 движется вдоль оси y по закону: $y = -3{,}03t^2 + 2{,}43t + 1$.

Проекции скорости точки 2 на оси координат как функции времени имеют вид: $V_{2x}(t) = \dot{x} = 2t + 1{,}85$, $V_{2y}(t) = \dot{y} = -6{,}06t + 2{,}43$. Значения проекций при $t = 0$: $V_{02x} = V_{2x}(0) = 1{,}85$ м/с, $V_{02y} = V_{2y}(0) = 2{,}43$ м/с. Величина начальной скорости: $V_{02} = \sqrt{{V_{02x}}^2 + {V_{02y}}^2} = 3{,}05$ м/с.

Угол наклона вектора скорости в начальный момент определяется из равенства: $\mathrm{tg}\alpha = \dfrac{V_{02y}}{V_{02x}} = \dfrac{2{,}43}{1{,}85} = 1{,}31$. Откуда $\alpha = 52{,}64^\circ$.

4.3. Колебания материальной точки

Силы, возникающие при отклонении материальной точки от положения равновесия и направленные так, чтобы вернуть точку в это положение, называются **восстанавливающими**. Восстанавливающие силы, линейно зависящие от расстояния от точки до положения её равновесия, называются **линейными восстанавливающими силами**. Так, сила упругости пружины $F = c\Delta\ell$, где c – коэффициент жесткости (или просто жёсткость) пружины; $\Delta\ell$ – удлинение пружины, является линейной восстанавливающей силой.

Дифференциальное уравнение движения материальной точки массой m вдоль оси Оx под действием линейной восстанавливающей силы, представляет собой уравнение гармонических колебаний и имеет вид:

$$m\ddot{x} + cx = 0, \text{ или } \ddot{x} + \omega^2 x = 0,$$

где x – отклонение точки от положения равновесия, куда поместили начало

координат; ω – угловая частота колебаний, $\omega^2 = \frac{c}{m}$. Единица измерения угловой частоты – рад/с.

Решение дифференциального уравнения свободных колебаний представляется суммой $x = C_1\cos\omega t + C_2\sin\omega t$, где постоянные интегрирования C_1 и C_2 находятся из начальных условий. **Амплитуда свободных колебаний** $A = \sqrt{C_1^2 + C_2^2}$. Промежуток времени, в течение которого точка совершает одно полное колебание, называется **периодом колебаний**: $T = \frac{2\pi}{\omega}$. Величина, обратная периоду $\nu = \frac{1}{T}$ определяет число полных колебаний точки за 1 с и называется **частотой колебаний**. Частота колебаний измеряется в герцах (Гц). Частота, равная 1 Гц, соответствует одному полному колебанию в секунду. Угловая частота связана с частотой колебаний соотношением $\omega = 2\pi\nu$.

Если на материальную точку кроме восстанавливающей силы действует сила сопротивления движению, пропорциональная скорости точки, $\vec{R} = -\mu\vec{V}$, где μ – коэффициент сопротивления, то дифференциальное уравнение движения точки с сопротивлением относительно положения равновесия имеет вид $m\ddot{x} + \mu\dot{x} + cx = 0$, или $\ddot{x} + 2n\dot{x} + \omega^2 x = 0$, где n – коэффициент затухания, $n = \frac{\mu}{2m}$; ω – угловая частота собственных колебаний точки без учёта сопротивления, $\omega^2 = \frac{c}{m}$.

При $n < \omega$ движение точки представляет затухающие колебания. Общее решение дифференциального уравнения колебаний с сопротивлением $x = e^{-nt}(C_1\cos\omega_1 t + C_2\sin\omega_1 t) = Ae^{-nt}\sin(\omega_1 t + \alpha)$, где C_1 и C_2 – постоянные интегрирования; ω_1 – угловая частота затухающих колебаний, $\omega_1 = \sqrt{\omega^2 - n^2}$;

$A_1 = Ae^{-nt}$ – амплитуда затухающих колебаний, $A = \sqrt{C_1^2 + C_2^2}$; α – начальная фаза колебаний, $\text{tg}\alpha = \dfrac{C_1}{C_2}$.

При $n > \omega$ движение точки апериодическое, затухающее. Общее решение дифференциального уравнения движения точки с таким сопротивлением имеет вид $x = e^{-nt}(C_1 e^{\omega_2 t} + C_2 e^{-\omega_2 t})$, где $\omega_2 = \sqrt{n^2 - \omega^2}$.

При $n = \omega$ движение точки происходит согласно уравнению $x = e^{-nt}(C_1 t + C_2)$.

Если кроме восстанавливающей силы на материальную точку действует переменная возмущающая сила, колебания точки называются **вынужденными.**

При действии гармонической возмущающей силы $F = H\sin pt$, где H, p – амплитуда и угловая частота колебаний возмущающей силы, дифференциальное уравнение вынужденных колебаний материальной точки относительно положения равновесия и при отсутствии сил сопротивления имеет вид

$$m\ddot{x} + cx = H\sin pt, \text{ или } \ddot{x} + \omega^2 x = h\sin pt,$$

где ω – угловая частота собственных гармонических колебаний, $\omega^2 = \dfrac{c}{m}$; h – относительная амплитуда возмущающей силы, $h = \dfrac{H}{m}$.

Общее решение неоднородного дифференциального уравнения вынужденных колебаний представляется как сумма общего решения однородного уравнения и частного решения неоднородного.

При отсутствии резонанса, когда частота собственных колебаний не совпадает с частотой возмущающей силы $p \neq \omega$, решение имеет вид: $x = C_1\cos\omega t + C_2\sin\omega t + \dfrac{h}{\omega^2 - p^2}\sin pt$, а в случае резонанса, когда $p = \omega$, – вид: $x = C_1\cos\omega t + C_2\sin\omega t - \dfrac{ht}{2p}\cos pt$. Значения произвольных постоянных C_1 и C_2

определяются из общего решения неоднородного уравнения с учетом начальных условий движения. Амплитуда собственных колебаний груза $A_{\text{соб}} = \sqrt{C_1^2 + C_2^2}$. Амплитуда вынужденных колебаний при отсутствии резонанса $A_{\text{вын}} = \dfrac{h}{\omega^2 - p^2}$. При резонансе амплитуда вынужденных колебаний растет как линейная функция времени $A_{\text{вын}} = \dfrac{ht}{2p}$.

Если возмущающее воздействие заключается в **принудительном гармоническом колебании точки подвеса пружины**, например, по закону $S = a\sin pt$, где a, p – амплитуда и угловая частота колебаний точки подвеса пружины, дифференциальное уравнение вынужденных колебаний материальной точки относительно положения равновесия при отсутствии сил сопротивления имеет вид $\ddot{x} + \omega^2 x = h\sin pt$, где ω – угловая частота собственных гармонических колебаний, $\omega^2 = \dfrac{c}{m}$; h – относительная амплитуда возмущающего колебания, $h = \dfrac{ca}{m}$. Общее решение неоднородного дифференциального уравнения вынужденных колебаний при принудительном гармоническом колебании точки подвеса пружины может быть получено аналогично случаю возмущения гармонической силой.

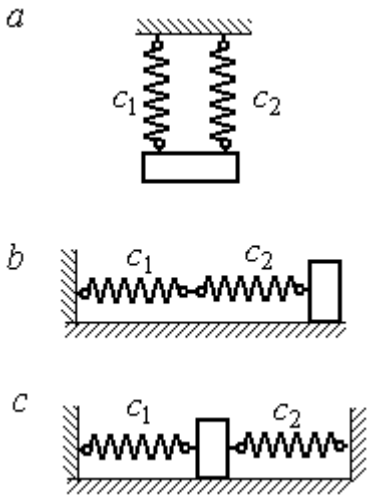

Рис. 4.5. Способы крепления груза на двух пружинах:
a – две параллельные пружины;
b – последовательно соединённые пружины; *c* – крепление груза между пружинами

Система пружин заменяется одной с эквивалентной жесткостью. Так, колебания груза на двух параллельных пружинах с коэффициентами жесткости c_1 и c_2 (рис. 4.5, *a*) можно рассматривать как колебания груза на одной пружине эквивалент-

ной жесткости $c_{экв} = c_1 + c_2$, где $c_{экв}$ – коэффициент жесткости эквивалентной пружины. При последовательном соединении пружин (рис. 4.5, *b*) коэффициент жесткости эквивалентной пружины $c_{экв} = \dfrac{c_1 c_2}{c_1 + c_2}$. Если груз расположен между двумя пружинами (рис. 4.5, *c*), тогда $c_{экв} = c_1 + c_2$. Коэффициент жесткости эквивалентной пружины равен сумме коэффициентов жесткости пружин.

4.4. Задание Д2. Исследование колебаний точки

Задание Д2 на исследование колебаний точки включает две задачи.

Задача 1. Исследование гармонических колебаний точки.

Найти уравнение движения груза массой m_1 (или одновременно двух грузов массой m_1 и m_2) на пружине жесткостью c_1 (или на двух пружинах жесткостью c_1 и c_2). Расположение грузов на пружине и описание условий, при которых начались колебания, приведено на схемах. Определить амплитуду и частоту колебаний.

Задача 2. Исследование вынужденных колебаний точки.

Груз движется на пружинах, расположенных вертикально или горизонтально. При движении груза по горизонтальной поверхности трение не учитывается. Жёсткость пружин c_1 и c_2. Направление возмущающего усилия $F = F(t)$, приложенного к грузу, или возмущающего движения точки крепления пружин $S = S(t)$, а также описание условий начала колебаний приведено на схемах. В задачах, где на схемах присутствует амортизатор, создающий сопротивление движению груза, сила сопротивления пропорциональна скорости движения груза и находится по формуле: $\vec{R} = -\mu \vec{V}$ Н, где μ – коэффициент сопротивления; V – скорость груза. Определить уравнение колебаний груза, амплитуды собственных и вынужденных колебаний.

Варианты заданий даны на рис. 4.6 – 4.9. Исходные данные в табл. 4.2.

Варианты № 1, 11, 21

Задача 1

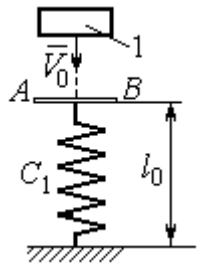

Невесомая пластина AB укреплена на нерастянутой пружине. Груз 1, получив начальную скорость V_0, падает вертикально вниз. Через 1 с после начала падения груз достигает пластины и продолжает движение вместе с ней

Задача 2

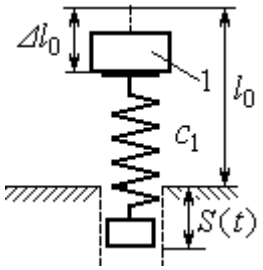

К верхнему концу пружины, сжатой на величину $\Delta\ell_0$, прикрепляют груз 1 и отпускают без начальной скорости. Одновременно нижний конец пружины начинает двигаться по закону $S = S(t)$

Варианты № 2, 12, 22

Задача 1

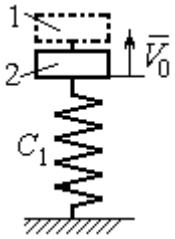

В положении статического равновесия двух грузов (1 и 2), установленных на пружине, груз 1 убрали, а грузу 2 сообщили скорость V_0, направленную вверх

Задача 2

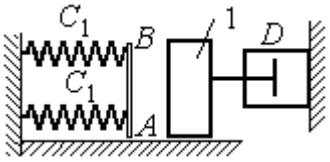

Груз 1 движется по гладкой горизонтальной поверхности с начальной скоростью V_0. Через 1 с груз упирается в площадку AB, укреплённую на недеформированных пружинах, соединённых параллельно, и продолжает движение вместе с ней. Во время движения (до упора в площадку AB и вместе с ней) груз испытывает сопротивление, создаваемое демпфером D

Варианты № 3, 13, 23

Задача 1

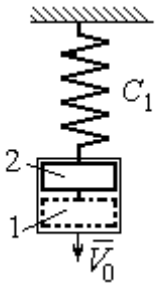

В положении статического равновесия груза 2, укреплённого на пружине, к нему присоединили груз 1 и оба груза толкнули вниз со скоростью V_0

Задача 2

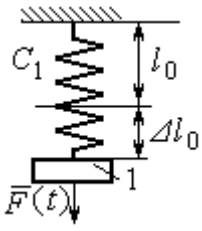

Недеформированную пружину оттянули вниз на расстояние $\Delta\ell_0$, подцепили груз 1 и отпустили без начальной скорости. Одновременно на груз стала действовать возмущающая сила $\vec{F}(t)$

Рис. 4.6. Задание Д2. Исследование колебаний точки.
Варианты задания 1 – 3, 11 – 13, 21 – 23

Варианты № 4, 14, 24

Задача 1

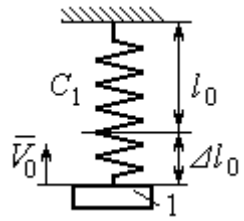

К недеформированной пружине подцепили груз 1, оттянули его вниз на расстояние $\Delta\ell_0$ и сообщили скорость V_0, направленную вверх

Задача 2

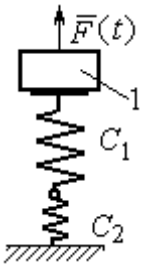

Грузу 1, укреплённому на двух последовательно соединённых пружинах в положении статического равновесия, сообщили начальную скорость V_0, направленную вниз. Одновременно на груз стала действовать возмущающая сила $\vec{F}(t)$

Варианты № 5, 15, 25

Задача 1

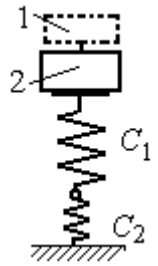

В положении статического равновесия грузов 1 и 2, укреплённых на двух вертикальных последовательно соединённых пружинах, убрали груз 1, а груз 2 отпустили без начальной скорости

Задача 2

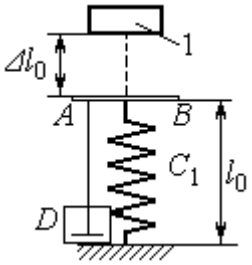

Груз 1 падает с высоты $\Delta\ell_0$ на площадку AB, установленную на недеформированной пружине, и продолжает движение вместе с ней. Демпфер D создаёт сопротивление движению груза на пружине

Варианты № 6, 16, 26

Задача 1

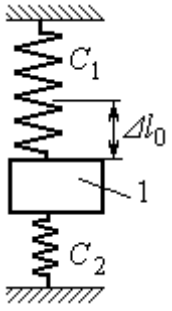

Груз 1 поместили между двумя недеформированными пружинами, затем оттянули вниз на расстояние $\Delta\ell_0$ и отпустили без начальной скорости

Задача 2

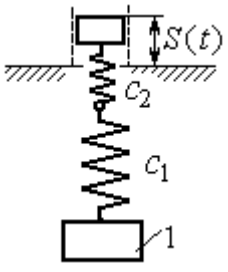

К недеформированным пружинам, соединённым последовательно, подцепили груз 1 и толкнули его вниз со скоростью V_0. Одновременно верхний конец пружины начинает двигаться по закону $S = S(t)$

Рис. 4.7. Задание Д2. Исследование колебаний точки.
Варианты задания 4 – 6, 14 – 16, 24 – 26

Варианты № 7, 17, 27

Задача 1

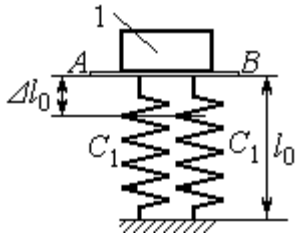

К недеформированным пружинам приложили груз 1, переместили его вниз на величину $\Delta\ell_0$ и сообщили скорость V_0, направленную вниз

Задача 2

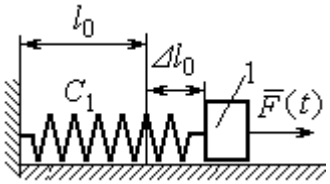

К нерастянутой пружине, расположенной на горизонтальной гладкой поверхности, подцепили груз 1, оттянули его на расстояние $\Delta\ell_0$ и отпустили. Одновременно на груз стала действовать горизонтальная возмущающая сила $\vec{F}(t)$

Варианты № 8, 18, 28

Задача 1

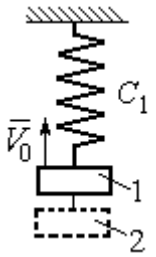

Грузы 1 и 2 находятся на пружине в положении статического равновесия. Груз 2 удаляют, а грузу 1 сообщают скорость V_0, направленную вверх

Задача 2

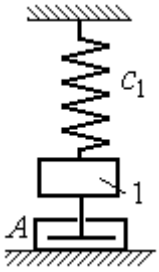

В положении статического равновесия груза 1 ему сообщили скорость V_0, направленную вниз. Демпфер A создаёт сопротивление движению груза

Варианты № 9, 19, 29

Задача 1

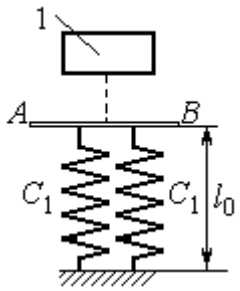

Груз 1 без начальной скорости падает вниз. Пройдя путь 1 м, груз достигает невесомой пластины AB, укреплённой на недеформированных, параллельно соединённых пружинах, и дальше движется вместе с ней

Задача 2

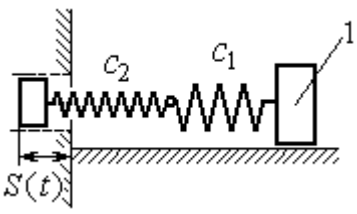

К двум горизонтальным пружинам, соединённым последовательно, в положении их нерастянутого состояния прицепили груз 1 и сообщили ему горизонтальную скорость V_0, направленную в сторону сжатия пружин. Одновременно левый конец пружинной системы начинает двигаться по закону $S = S(t)$

Рис. 4.8. Задание Д2. Исследование колебаний точки.
Варианты задания 7 – 9, 17 – 19, 27 – 29

Окончание вариантов задания Д2

Варианты № 10, 20, 30

Задача 1

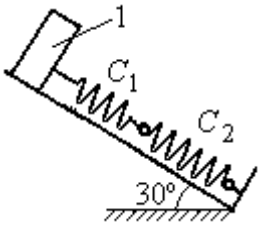

В положении статического равновесия груза 1, укреплённого на двух последовательно соединённых пружинах, сообщили скорость V_0, направленную вниз по наклонной плоскости

Задача 2

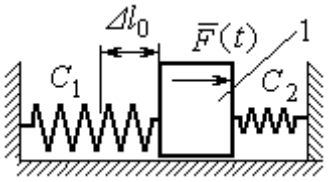

Между двумя горизонтальными недеформированными пружинами на гладкую поверхность поместили груз 1, оттянули его влево на расстояние $\Delta\ell_0$ и отпустили без начальной скорости. Одновременно на груз стала действовать возмущающая сила $\vec{F}(t)$

Рис. 4.9. Задание Д2. Исследование колебаний точки.
Варианты задания 10, 20, 30

Таблица 4.2

Исходные данные задания Д2. Исследование колебаний точки

Номер варианта задания	Номер задачи	m_1, кг	m_2, кг	V_0, м/с	c_1, Н/м	c_2, Н/м	$\Delta\ell_0$, м	μ, Н·с/м	$F(t)$, Н	$S(t)$, м
1	1	2,5	–	2,0	200	–	–	–	–	–
	2	2,0	–	–	210	–	0,1	–	–	0,02sin12t
2	1	1,5	2,0	4	250	–	–	–	–	–
	2	2,0	–	4	220	–	–	1,0	–	–
3	1	2,0	1,5	3	250	–	–	–	–	–
	2	1,2	–	–	200	–	0,14	–	12sin5t	–
4	1	2,0	–	3	180	–	0,1	–	–	–
	2	1,5	–	2	150	120	–	–	8sin12t	–
5	1	1,0	2,0	–	120	100	–	–	–	–
	2	1,0	–	–	50	–	0,5	18	–	–
6	1	1,2	–	–	120	180	0,12	–	–	–
	2	1,4	–	2,4	120	180	–	–	–	0,03sin14t
7	1	1,6	–	3,2	140	–	0,15	–	–	–
	2	1,5	–	–	120	–	0,12	–	12sin6t	–
8	1	1,0	2,0	3,0	150	–	–	–	–	–
	2	2,0	–	3,5	120	–	–	15	–	–

Продолжение табл. 4.2

Номер варианта задания	Номер задачи	m_1, кг	m_2, кг	V_0, м/с	c_1, Н/м	c_2, Н/м	$\Delta\ell_0$, м	μ, Н·с/м	$F(t)$, Н	$S(t)$, м
9	1	1,5	–	–	100	–	–	–	–	–
	2	1,4	–	2,0	100	110	–	–	–	0,015sin8t
10	1	2,5	–	2,5	110	100	–	–	–	–
	2	2,0	–	–	110	52	0,08	–	5sin9t	–
11	1	2,0	–	4,0	300	–	–	–	–	–
	2	1,0	–	–	200	–	0,12	–	–	0,01sin4t
12	1	1,8	2,4	4	220	–	–	–	–	–
	2	1,0	–	5	240	–	–	0,6	–	–
13	1	1,5	1,5	2	200	–	–	–	–	–
	2	1,8	–	–	180	–	0,08	–	10sin10t	–
14	1	2,0	–	2	200	–	0,12	–	–	–
	2	2,0	–	2	150	120	–	–	10sin8t	–
15	1	1,5	2,0	–	120	250	–	–	–	–
	2	1,5	–	–	120	–	0,4	4	–	–
16	1	2,0	–	–	150	75	0,1	–	–	–
	2	2,0	–	2,5	150	75	–	–	–	0,01sin5t
17	1	1,5	–	2,1	160	–	0,11	–	–	–
	2	1,8	–	–	150	–	0,1	–	8sin12t	–
18	1	2,0	1,0	2,5	80	–	–	–	–	–
	2	1,5	–	2,5	50	–	–	21	–	–
19	1	1,6	–	–	120	–	–	–	–	–
	2	1,2	–	2,0	85	120	–	–	–	0,015sin7t
20	1	2,0	–	2,0	90	100	–	–	–	–
	2	2,5	–	–	100	90	0,12	–	6sin10t	–
21	1	2,0	–	1,6	220	–	–	–	–	–
	2	2,5	–	–	250	–	0,14	–	–	0,01sin10t
22	1	2,2	1,5	3	180	–	–	–	–	–
	2	1,5	–	4	280	–	–	0,8	–	–
23	1	2,2	1,2	2	220	–	–	–	–	–
	2	1,6	–	–	200	–	0,12	–	5sin7t	–

Окончание табл. 4.2

Номер варианта задания	Номер задачи	m_1, кг	m_2, кг	V_0, м/с	c_1, Н/м	c_2, Н/м	$\Delta\ell_0$, м	μ, Н·с/м	$F(t)$, Н	$S(t)$, м
24	1	1,6	–	2,4	160	–	0,13	–	–	–
	2	1,0	–	3	150	300	–	–	6sin10t	–
25	1	0,8	1,2	–	120	80	–	–	–	–
	2	0,8	–	–	180	–	0,4	12	–	–
26	1	1,4	–	–	100	120	0,15	–	–	–
	2	1,8	–	2,2	150	120	–	–	–	0,015sin8t
27	1	2	–	4,0	150	–	0,12	–	–	–
	2	2	–	–	162	–	0,13	–	5sin9t	–
28	1	1,5	2,0	2,0	140	–	–	–	–	–
	2	1,5	–	3,1	180	–	–	12	–	–
29	1	1,0	–	–	140	–	–	–	–	–
	2	2,0	–	2,4	75	150	–	–	–	0,08sin5t
30	1	1,6	–	3	75	150	–	–	–	–
	2	1,5	–	3	80	70	0,15	–	8sin10t	–

Пример выполнения задания Д2. Исследование колебаний точки

Задача 1. Груз 1 весом P = 20 Н, лежащий на гладкой наклонной плоскости, прикреплён к недеформированной пружине, расположенной параллельно плоскости (рис. 4.10). Угол наклона плоскости к горизонту 30º, коэффициент жесткости пружины c = 400 Н/м. В начальный момент груз переместили вверх по наклонной плоскости (сжали пружину) на расстояние $\Delta\ell_0$ = 0,1 м относительно нерастянутой пружины и отпустили без начальной скорости.

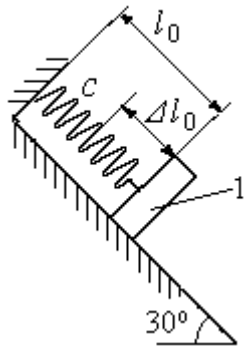

Рис. 4.10. Схема крепления груза и условия начала колебаний

Определить уравнение колебаний груза 1, а также частоту и амплитуду колебаний.

Решение

Расчетная схема колебаний груза 1 показана на рис. 4.11. Направим ось *Ox*, вдоль которой происходят колебания груза, вниз вдоль наклонной плоскости. Начало отсчёта координаты *x* выберем в положении статического равновесия груза (см. рис. 4.11) В произвольном положении груза, обозначенном координатой *x*, к нему приложены три силы: сила тяжести $\vec{P}$, реакция опоры наклонной плоскости $\vec{N}$ и сила упругости пружины $\vec{F}_{\text{упр}}$. Проекция силы упругости пружины на ось *Ox*: $F_{\text{упр}\,x} = -c\Delta\ell$, где $\Delta\ell$ – удлинение пружины относительно её нерастянутого положения, включающее её растяжение *x* относительно выбранного начала координат и растяжение $\lambda_{\text{ст}}$ при статическом равновесии груза на наклонной плоскости.

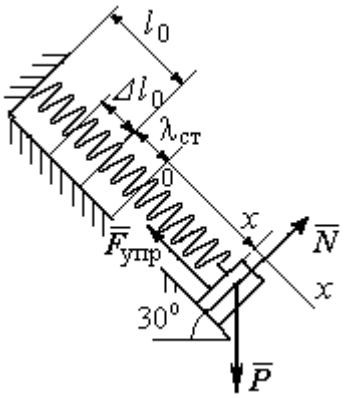

Рис. 4.11. Расчётная схема колебаний груза

С учетом выражения силы упругости получим дифференциальное уравнение движения груза в проекции на ось *Ox*:

$$m\ddot{x} = P\sin 30^\circ - c(x + \lambda_{\text{ст}}).$$

В положении статического равновесия сила упругости уравновешивается силой, равной проекции силы тяжести на ось *x*: $P\sin 30^\circ - c\lambda_{\text{ст}} = 0$. Подставляя это выражение условия статического равновесия груза в уравнение движения, получим дифференциальное уравнение колебаний груза:

$$m\ddot{x} = -cx, \text{ или } \ddot{x} + \omega^2 x = 0,$$

где ω – угловая частота колебаний; $\omega = \sqrt{\dfrac{c}{m}} = 14{,}01$ рад/с.

Общее решение уравнения колебаний $x = C_1\cos\omega t + C_2\sin\omega t$.

Для определения произвольных постоянных C_1 и C_2 вычислим координату x_0 начального положения груза на оси *Ox*.

Растяжение пружины в положении статического равновесия $\lambda_{ст} = \dfrac{P\sin 30^\circ}{c} = 0{,}025$ м. Координата начального положения груза определяется величиной сжатия пружины и, поскольку начало отсчёта координаты x выбрано в положении статического равновесия груза, равна (со знаком!): $x_0 = -(\Delta\ell_0 + \lambda_{ст}) = -0{,}125$ м (см. рис. 4.11).

Подставляя значение координаты начального положения груза в общее решение уравнения колебаний при $t = 0$, получим $C_1 = -0{,}125$ м. Для определения второй константы вычислим скорость груза в произвольный момент времени: $\dot{x} = -C_1\omega\sin\omega t + C_2\omega\cos\omega t$. Подставим сюда начальное значение скорости груза при $t = 0$ $\dot{x} = V_0 = 0$, получим $C_2 = 0$. Окончательно уравнение движения груза 1 относительно положения статического растяжения пружины:

$$x(t) = -0{,}125\cos 14{,}01t \text{ м}.$$

Амплитуда колебаний груза $A = 0{,}125$ м.

Задача 2. Груз 1 весом $P = 20$ Н подвешен на недеформированной вертикальной пружине (рис. 4.12). Жесткость пружины $c = 800$ Н/м. В начальный момент груз был оттянут вниз в положение, при котором пружина растянулась на расстояние $\Delta\ell_0 = 0{,}1$ м, и в этом положении ему сообщена начальная скорость $V_0 = 2$ м/с, направленная вверх.

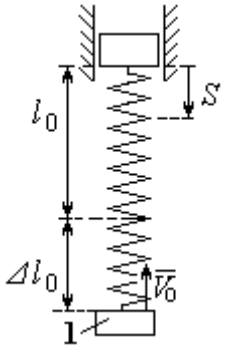

Рис. 4.12. Схема крепления груза и условия начала колебаний

Одновременно с началом движения груза верхний конец пружины стал совершать гармонические колебания по закону $S = a\sin 10t$, где $a = 0{,}02$ м.

Определить уравнение колебаний груза 1, а также частоту и амплитуду собственных колебаний.

Решение

Расчетная схема колебаний груза 1 показана на рис. 4.13. Направим ось *Ox*, вдоль которой происходят колебания груза, вертикально вниз. Начало отсчёта координаты *x* выберем в положении статического равновесия груза (см. рис. 4.13, *c*, *d*). В произвольном положении груза, обозначенном координатой *x*, к нему приложены две силы: сила тяжести $\vec{P}$ и сила упругости пружины $\vec{F}_{\text{упр}}$.

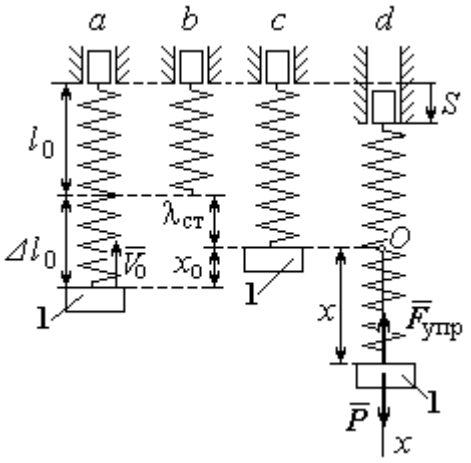

Рис. 4.13. Расчётная схема вынужденных колебаний груза: *a* – положение груза на начало колебаний; *b* – недеформированная пружина; *c* – статическое растяжение пружины под действием веса груза; *d* – положение груза в произвольный момент времени и перемещение точки подвеса пружины

Проекция силы упругости пружины на ось *Ox*

$$F_{\text{упр}\,x} = -c\Delta\ell = -c(x + \lambda_{\text{ст}} - S),$$

где $\Delta\ell$ – удлинение пружины, включающее её растяжение *x* относительно начала координат, растяжение $\lambda_{\text{ст}}$ при статическом равновесии груза и уменьшение растяжения при смещении верхнего конца, $\Delta\ell = (x + \lambda_{\text{ст}} - S)$.

С учетом выражения силы упругости получим дифференциальное уравнение движения груза в проекции на ось *Ox*:

$$m\ddot{x} = P - c(x + \lambda_{\text{ст}} - S).$$

В положении статического равновесия выполняется условие равенства сил: $P - c\lambda_{\text{ст}} = 0$.

После подстановки его в уравнение движения груза получаем дифференциальное уравнение вынужденных колебаний:

$$m\ddot{x} = -cx + cS, \text{ или } \ddot{x} + \omega^2 x = h\sin pt,$$

где ω – угловая частота собственных колебаний, $\omega = \sqrt{\frac{c}{m}}$, ω = 19,81 рад/с; h – относительная амплитуда вынужденных колебаний, $h = \frac{ca}{m}$ = 7,85 м/с^2; p – угловая частота вынужденных колебаний, p = 10 рад/с.

При отсутствии резонанса (здесь $\omega \neq p$) общее решение уравнения вынужденных колебаний имеет вид $x = C_1\cos\omega t + C_2\sin\omega t + \frac{h}{\omega^2 - p^2}\sin pt$.

Для определения произвольных постоянных C_1 и C_2 вычислим координату x_0 начального положения груза на оси Ox. Координата начального положения груза (см. рис. 4.13, *b*) $x_0 = \Delta\ell_0 - \lambda_{ст}$. Растяжение пружины в положении статического равновесия $\lambda_{ст} = \frac{P}{c}$ = 0,02 м, тогда x_0 = 0,08 м. Подставляя значение координаты начального положения груза в общее решение уравнения вынужденных колебаний при t = 0, получим: $C_1 = x_0$ = 0,08 м.

Для определения второй константы вычислим скорость груза в произвольный момент времени: $\dot{x} = -C_1\omega\sin\omega t + C_2\omega\cos\omega t + \frac{hp}{\omega^2 - p^2}\cos pt$. Проекция скорости груза в начальный момент на ось Ox $V_{0x} = -V_0$. Подставив начальное значение скорости груза при t = 0 $\dot{x} = V_{0x} = -V_0$, получим: $C_2 = -\frac{V_0}{\omega} - \frac{hp}{\omega(\omega^2 - p^2)}$ = – 0,11 м. Окончательно уравнение движения груза 1 относительно положения статического равновесия, м.

$$x(t) = 0{,}08\cos 19{,}82t - 0{,}11\sin 19{,}82t - 0{,}03\sin 10t.$$

Амплитуда вынужденных колебаний $A_{вын} = \frac{h}{\omega^2 - p^2}$ = 0,03 м. Амплитуда собственных колебаний груза $A_{соб} = \sqrt{C_1^2 + C_2^2}$ = 0,14 м.

4.5. Теорема об изменении кинетической энергии точки

Работой $A(\vec{F})$ силы $\vec{F}$, постоянной по модулю и направлению, на конечном прямолинейном перемещении S_1 точки приложения силы называется величина $A(\vec{F}) = FS_1\cos\alpha$. Если угол α острый, работа силы положительна. Если угол α тупой, – отрицательна. При $\alpha = 90°$ сила перпендикулярна перемещению точки и работа силы равна нулю.

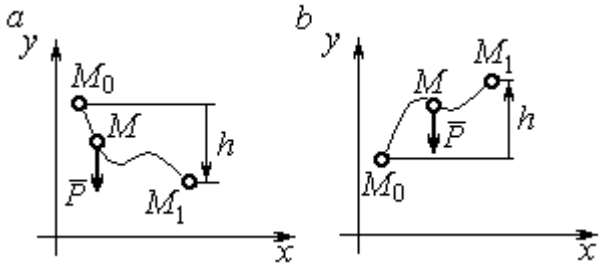

Рис. 4.14. Схема для вычисления работы силы тяжести:
a – перемещение точки сверху вниз;
b – перемещение точки снизу вверх

Работа силы тяжести материальной точки (вертикальной силы) при перемещении точки из положения M_0 в положение M_1 равна произведению модуля силы тяжести на вертикальное перемещение точки $A_{(M_0M_1)} = \pm Ph$, где P – величина силы тяжести точки; h – величина вертикального перемещения точки (рис. 4.14). Работа силы тяжести положительная, если начальная точка движения выше конечной, и отрицательная, – если ниже.

Работа силы упругости пружины на прямолинейном перемещении вдоль линии действия силы из положения недеформированной пружины на расстояние h определяется формулой $A(F_{\text{упр}}) = -\dfrac{ch^2}{2}$, где c – коэффициент жесткости (или просто жёсткость) пружины.

Кинетической энергией материальной точки называется скалярная величина $T = \dfrac{1}{2}mV^2$, где m – масса точки; V – её скорость. **Теорема об изменении кинетической энергии точки** заключается в том, что изменение кинетической энергии точки за конечный промежуток времени равно алгебраической сумме работ всех действующих на неё сил: $\dfrac{mV_1^2}{2} - \dfrac{mV_0^2}{2} = \sum A_{(M_0M_1)}$, где V_0,

V_1 – скорость точки в начальном положении M_0 и в положении M_1; $\sum A_{(M_0M_1)}$ – сумма работ всех сил, действующих на точку, при её перемещении из положения M_0 в положение M_1.

При несвободном движении точки сумма работ сил включает работу реакций связи. Если движение происходит без трения по неподвижной гладкой поверхности, то реакция связи направлена по нормали к поверхности и её работа при любом перемещении точки равна нулю.

Для определения реакций связи при несвободном движении точки используются уравнения движения точки в проекциях на оси естественной системы координат – касательную и нормальную: $m\frac{dV}{dt} = \sum F_\tau$, $m\frac{V^2}{\rho} = \sum F_n$, где $\sum F_\tau$, $\sum F_n$ – суммы проекций сил на касательную и нормальную оси естественной системы координат; ρ – радиус кривизны траектории точки.

4.6. Задание Д3. Исследование движения точки с применением теоремы об изменении кинетической энергии

Тонкий стержень с надетым на него шариком массой *m* расположен в вертикальной плоскости и состоит из дуг окружностей радиусами *r* и *R* = 2*r*, соединённых прямолинейным отрезком *EK*, сопряжённым с дугами окружностей в точках *E* и *K*. В этих точках шарик переходит с одного участка стержня на другой, не изменяя величины и направления скорости. Длина отрезка *EK* = *a*.

В точке *A*, положение которой на дуге окружности определяется углом α, шарику сообщают начальную скорость V_0. По дугам окружностей шарик скользит без трения, а при движении по прямолинейному отрезку *EK* на него действует постоянная сила трения с коэффициентом трения *f*. На участках с вертикальным отрезком *EK* считать, что шарик прижимается к стержню силой, равной половине веса шарика.

Достигнув на дуге окружности точки *D*, шарик упирается в недеформированную пружину жёсткостью *c* и, продолжая движение по сопряженной прямой, сжимает её. Положение точки *D* определяется углом φ.

Определить величину максимального сжатия пружины, если шарик проходит наивысшее положении траектории – точку *B* со скоростью $V_B = kV_0$. При найденном значении начальной скорости рассчитать давление шарика на стержень в точке *C*, положение которой на дуге определяется углом β.

Варианты заданий приведены на рис. 4.15, 4.16. Исходные данные задания в табл. 4.3.

Варианты № 1, 11, 21	**Варианты № 2, 12, 22**	**Варианты № 3, 13, 23**
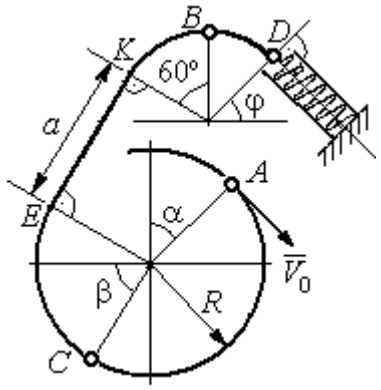	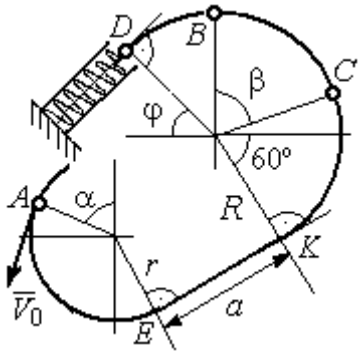	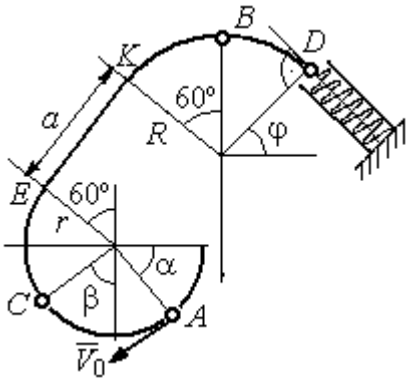

Варианты № 4, 14, 24	**Варианты № 5, 15, 25**	**Варианты № 6, 16, 26**
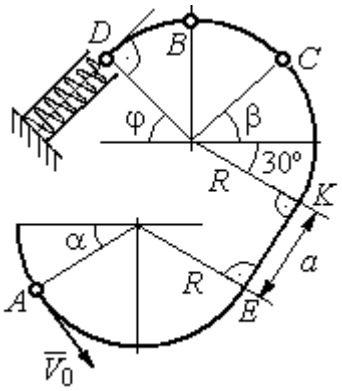	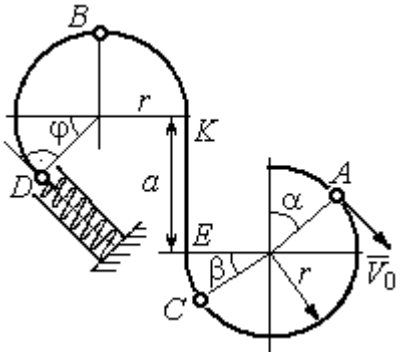	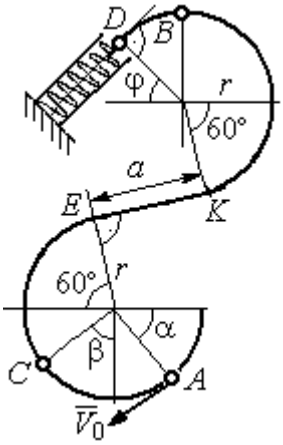

Рис. 4.15. Задание Д3. Исследование движения точки с применением теоремы об изменении кинетической энергии.
Номера вариантов задания 1 – 6, 11 – 16, 21 – 26

Окончание вариантов задания Д3

Варианты № 7, 17, 27	**Варианты № 8, 18, 28**
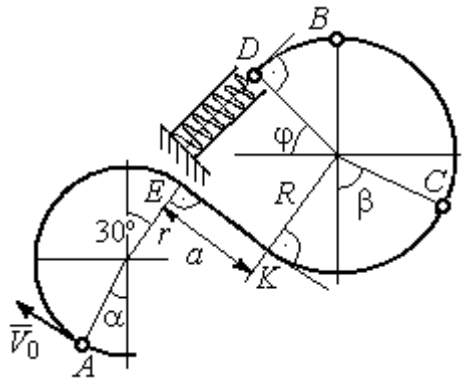	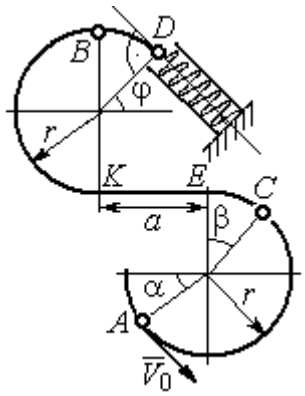

Варианты № 9, 19, 29	**Варианты № 10, 20, 30**
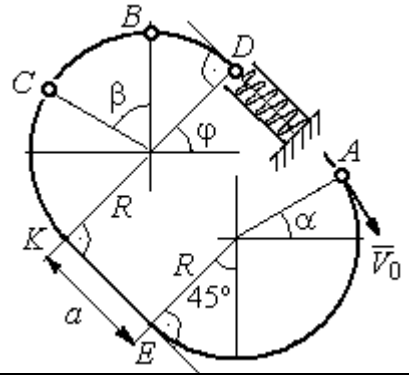	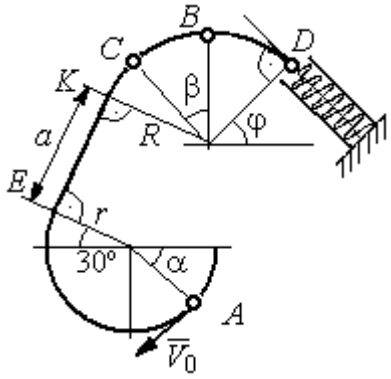

Рис. 4.16. Задание Д3. Исследование движения точки с применением теоремы об изменении кинетической энергии.
Номера вариантов задания 7 – 10, 17 – 20, 27 – 30

Таблица 4.3

Исходные данные задания Д3. Исследование движения точки с применением теоремы об изменении кинетической энергии

Номер варианта задания	**1**	**2**	**3**	**4**	**5**	**6**	**7**	**8**	**9**	**10**	**11**	**12**	**13**	**14**	**15**
m, кг	0,8	0,5	0,6	0,4	1,0	0,6	0,9	0,5	0,3	0,4	0,8	0,6	0,5	0,3	1,0
α, град	30	45	0	30	30	0	0	45	30	0	60	30	30	45	60
β , град	60	30	60	0	60	30	60	60	30	45	30	60	60	30	30
φ, град	0	60	30	0	0	30	45	0	30	45	30	30	0	30	45
r, м	0,4	0,4	0,5	0,3	0,6	0,5	0,3	0,6	0,4	0,5	0,3	0,5	0,4	0,5	0,8
a, м	0,5	0,6	0,9	1,4	0,8	1,2	0,5	0,5	1,4	0,5	0,8	0,5	0,8	0,6	0,6
f	0,4	0,3	0,4	0,3	0,4	0,3	0,5	0,3	0,4	0,3	0,4	0,5	0,3	0,4	0,3
k	0,3	0,4	0,3	0,4	0,3	0,3	0,4	0,4	0,3	0,4	0,3	0,3	0,4	0,3	0,4
c, Н/м	100	80	90	80	120	100	90	80	60	80	90	60	80	60	110

Окончание табл. 4.3

Номер варианта задания	**16**	**17**	**18**	**19**	**20**	**21**	**22**	**23**	**24**	**25**	**26**	**27**	**28**	**29**	**30**
m, кг	0,6	0,5	0,6	0,4	0,8	0,5	0,4	1,0	0,6	0,5	0,4	0,8	0,4	0,6	0,8
α, град	60	30	0	45	60	90	90	60	60	90	30	60	60	45	90
β , град	60	30	45	90	60	45	90	60	60	30	30	60	60	0	60
φ, град	45	60	60	60	30	90	0	90	45	60	60	90	30	60	0
r, м	0,6	0,4	0,8	0,5	0,6	0,6	0,6	0,4	0,6	0,8	0,4	0,4	0,8	0,6	0,4
a, м	0,4	1,2	0,9	1,2	1,2	0,9	0,6	1,5	1,4	0,8	1,2	0,9	0,6	0,8	0,5
f	0,3	0,4	0,4	0,5	0,3	0,3	0,4	0,3	0,3	0,4	0,4	0,3	0,4	0,3	0,4
k	0,4	0,3	0,3	0,4	0,3	0,4	0,4	0,3	0,4	0,3	0,3	0,4	0,4	0,3	0,3
c, Н/м	80	60	90	60	100	90	80	110	80	60	60	80	60	80	100

Пример выполнения задания Д3. Исследование движения точки с применением теоремы об изменении кинетической энергии

Тонкий стержень, расположенный в вертикальной плоскости, состоит из двух дуг окружностей, сопряженных в точках *E* и *K* с прямолинейным отрезком *EK* длиной *a* = 0,6 м (рис. 4.17). Радиусы окружностей *R* = 1 м и *r* = 0,5 м. Диаметры дуг окружностей, проведённые в точках *E* и *K*, составляют с горизонтом угол 30°. На стержень надет шарик массой *m* = 0,5 кг. В точке *A*, положение которой на дуге радиуса *R* определяется углом α = 60° (см. рис. 4.17), шарику сообщают начальную скорость V_0, после чего он начинает движение. По дугам окружностей шарик скользит без трения. При движении по прямой *EK* на него действует постоянная сила трения с коэффициентом трения *f* = 0,2. Достигнув точки *D* на верхней дуге, шарик упирается в пружину жесткостью *c* = 100 Н/м и, двигаясь по сопряжённой прямой без трения, сжимает её. Найти величину максимального сжатия пружины, если наивысшее положение на траектории (точку *B*) шарик проходит со скоростью $V_B = kV_0$ при *k* = 0,3. При

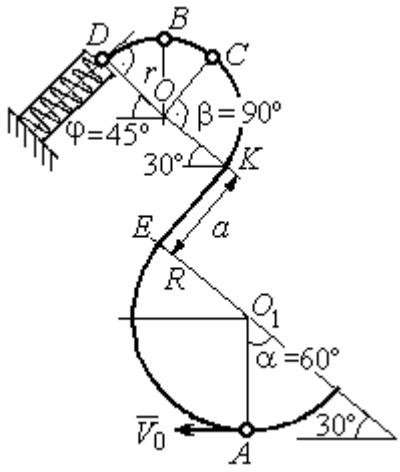

Рис. 4.17. Схема движения шарика

найденном значении начальной скорости рассчитать давление шарика на стержень в точке *C*, положение которой на дуге определяется углом $\beta = 90°$.

Решение

Рассмотрим движение шарика по стержню из начального положения *A* в наивысшее положение – точку *B*.

При движении шарика по дугам окружностей работу совершает только сила тяжести. Реакция гладкой поверхности стержня в любой момент времени перпендикулярна поверхности стержня, и потому её работа при перемещении шарика равна нулю.

На участке движении шарика по прямой *EK* на него действуют сила тяжести $\vec{P}$, нормальная реакция опоры $\vec{N}_{EK}$ и сила трения $\vec{F}_{\text{тр}}$ (рис. 4.18, *b*). Работу совершают сила тяжести и сила трения. Работа реакции опоры стержня равна нулю.

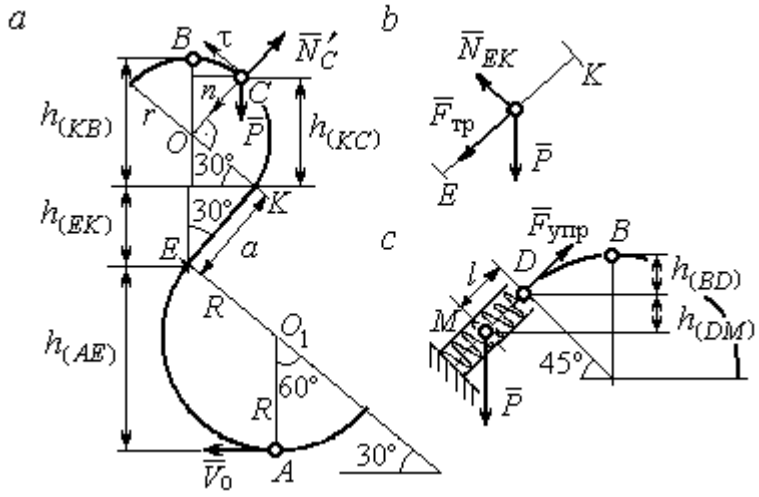

Рис. 4.18. Силы, действующие на шарик во время движения и перепады высот

Обозначим $h_{(AB)}$ – перепад высот точек *A* и *B* на траектории; V_A – начальная скорость шарика в точке *A*, $V_A = V_0$; V_B – его скорость в точке *B*, $V_B = 0{,}3V_0$.

Для вычисления перепада высот точек *A* и *B* имеем выражение (рис. 4.18, *a*):

$$h_{(AB)} = h_{(AE)} + h_{(EK)} + h_{(KB)} = R(1+\sin 30^\circ) + a\cos 30^\circ + r(1+\sin 30^\circ).$$

Будем считать шарик материальной точкой. Применяя теорему об изменении кинетической энергии точки при движении шарика из положения *A* в положение *B*, получим: $\frac{mV_B^2}{2} - \frac{mV_A^2}{2} = A(\vec{P}) + A(\vec{F}_{\text{тр}})$, где $A(\vec{P}) = -Ph_{(AB)}$,

$A(\vec{F}_{\text{тр}}) = -F_{\text{тр}}a$ – работы, соответственно, силы тяжести на участке движения *AB* и силы трения на отрезке *EK*. Сила трения равна $F_{\text{тр}} = f \cdot N_{EK} = f \cdot mg\cos 60^\circ$ (рис. 4.18, *a*, *b*).

В результате, теорема об изменении кинетической энергии точки при движении шарика из начального положения *A* в конечное положение *B* принимает вид: $\frac{m(0{,}3V_0)^2}{2} - \frac{mV_0^2}{2} = -\,mg\left[(R+r)(1+\sin 30^\circ) + a(\cos 30^\circ + f \cdot \cos 60^\circ)\right]$.

После подстановки данных задачи, получим: $0{,}91V_0^2 = 55{,}517$, откуда находим необходимое значение начальной скорости шарика: $V_0 = 7{,}81$ м/с.

Найдём давление шарика на стержень в точке *C*.

Проведём в точке *C* оси естественной системы координат – касательную $C\tau$ и нормаль Cn (рис. 4.18, *a*). Уравнение движения шарика в точке *C* в проекции на нормальную ось имеет вид: $m\frac{V_C^2}{r} = P\cos 30^\circ - N'_C$, где V_C – скорость шарика в точке *C*, N'_C – реакция стержня, приложенная к шарику. Направление реакции на рис. 4.18, *a* соответствует предположению, что шарик давит на стержень в направлении центра дуги окружности.

Для определения скорости шарика в точке *C* воспользуемся тем, что скорость шарика в точке *B* уже известна, и применим теорему об изменении кинетической энергии при движении шарика из начального положения *C* в конечное положение *B*. На этом участке движения работу совершает только сила тяжести шарика. Получим $\frac{mV_B^2}{2} - \frac{mV_C^2}{2} = -Ph_{(CB)}$, где V_C, V_B – значения скорости шарика в точках *C* и *B*; $h_{(CB)}$ – перепад высот точек *C* и *B*; $h_{(CB)} = r(1-\sin 30^\circ) = 0{,}5r$ (см. рис. 4.18, *a*). В результате теорема об изменении кинетической энергии принимает вид: $mV_C^2 = mV_B^2 + 2mgh_{(CB)}$ или $V_C^2 = V_B^2 + gr$. Отсюда, при условии $V_B = 0{,}3V_0 = 2{,}34$ м/с, найдём $V_C = 3{,}22$ м/с.

Реакция опоры шарика: $N'_C = P\cos 30^\circ - m\dfrac{V_C^2}{r} = -6{,}12$ Н.

Отрицательное значение реакции опоры шарика означает, что вектор реакции $\vec{N}'_C$ в точке C (см. рис. 4.18, *а*) направлен в противоположную сторону. Давление шарика на стержень в точке C равно модулю реакции опоры.

Найдём величину максимального сжатия пружины.

Рассмотрим движение шарика на участке от точки *B* до положения максимально сжатой пружины – точки *M*. Движение на этом участке происходит по дуге окружности *BD* и по прямой *DM*. При этом сила тяжести совершает работу на всём участке движения, а сила упругости – на отрезке сжатия пружины. Обозначим величину максимального сжатия пружины $MD = l$.

По теореме об изменении кинетической энергии точки при движении шарика из положения *B* в *M* получим: $\dfrac{mV_M^2}{2} - \dfrac{mV_B^2}{2} = A(\vec{P}) + A(\vec{F}_{\text{упр}})$, где V_M, V_B – скорость шарика в точках *M* и *B*. Работа силы тяжести $A(\vec{P}) = Ph_{(BM)} =$ $= P\left[h_{(BD)} + h_{(DM)}\right] = mg\left[r\left(1 - \cos 45^\circ\right) + l\cos 45^\circ\right]$. Работа силы упругости на прямолинейном участке *DM* длиной *l*: $A(\vec{F}_{\text{упр}}) = -\dfrac{cl^2}{2}$. Условие максимального сжатия пружины означает, что в точке *M* скорость шарика обращается в нуль: $V_M = 0$, тогда теорема об изменении кинетической энергии точки принимает вид: $-\dfrac{mV_B^2}{2} = mg\left[r\left(1 - \cos 45^\circ\right) + l\cos 45^\circ\right] - \dfrac{cl^2}{2}$. Подставляя данные задачи и с учётом того, что скорость шарика в наивысшей точке *B* найдена из предыдущих рассуждений $V_B = 2{,}34$ м/с, получим квадратное уравнение для определения величины максимального сжатия пружины $50l^2 - 3{,}468l - 2{,}085 = 0$. В качестве ответа принимается положительный корень уравнения $l = 0{,}24$ м.

5. ДИНАМИКА МЕХАНИЧЕСКОЙ СИСТЕМЫ

5.1. Описание движений твёрдых тел на основе общих теорем динамики системы

Поступательное движение твердого тела описывается теоремой о движении центра масс механической системы. В проекциях на координатные оси дифференциальные уравнения поступательного движения твердого тела имеют вид: $m\ddot{x}_C = \sum F^e_{kx}$, $m\ddot{y}_C = \sum F^e_{ky}$, $m\ddot{z}_C = \sum F^e_{kz}$, где m – масса тела; x_C, y_C, z_C – координаты центра масс тела; F^e_{kx}, F^e_{ky}, F^e_{kz} – проекции на оси координат внешних сил, действующих на твердое тело.

Вращательное движение твердого тела относительно неподвижной оси z описывается теоремой об изменении кинетического момента.

Дифференциальное уравнения вращательного движения тела имеет вид:

$$J_z \frac{d\omega}{dt} = \sum M_z(\vec{F}^e_k) \quad \text{или} \quad J_z\ddot{\varphi} = \sum M_z(\vec{F}^e_k),$$

где ω – угловая скорость тела; $\omega = \dot{\varphi}$; φ – угол поворота тела; $\sum M_z(\vec{F}^e_k)$ – моменты внешних сил относительно оси z; J_z – момент инерции тела относительно оси z.

Уравнение вращательного движения можно представить в алгебраической форме: $J_z\varepsilon = \sum M_z(\vec{F}^e_k)$, где ε – угловое ускорение тела; $\varepsilon = \dot{\omega}$.

Плоскопараллельное движение твердого тела описывается на основании теорем о движении центра масс и изменении кинетического момента относительно оси, проходящей через центр масс перпендикулярно плоскости движения. В проекции на координатные оси уравнения плоскопараллельного движения тела имеют вид:

$$ma_{Cx} = \sum F^e_{kx}, \quad ma_{Cy} = \sum F^e_{ky}, \quad J_{zC}\varepsilon = \sum M_{zC}(\vec{F}^e_k),$$

где a_{Cx}, a_{Cy} – проекции ускорения центра масс тела на координатные оси; F^e_{kx},

F_{ky}^{e} – проекции на оси координат внешних сил, действующих на тело; J_{zC} – момент инерции тела относительно оси *z*, проходящей через центр масс, перпендикулярно плоскости движения; ε – угловое ускорение тела; $M_{zC}(\vec{F}_k^{e})$ – моменты внешних сил относительно оси, проходящей через центр масс.

Проводя динамический расчет механической системы, следует рассматривать движение тел системы в отдельности, предварительно освободив их от связей и заменив действие связей реакциями. Далее на основании общих теорем динамики системы следует составить уравнения движения каждого тела.

5.2. Задание Д4. Динамический расчет механической системы

Механизм состоит из трёх тел – груза 1, катка 2 и блока 3, соединенных нерастяжимыми нитями или невесомыми стержнями.

Движение механизма происходит в вертикальной плоскости под действием сил тяжести $\vec{P}_1$, $\vec{P}_2$, $\vec{P}_3$, силы $\vec{F}$ и пары сил с моментом *M*. Направление действия силы $\vec{F}$ определяется углом α. Качение катка 2 происходит без скольжения. Проскальзывание между дисками и соединяющими их невесомыми стержнями или нитями отсутствует.

Радиусы ступеней катка 2 и блока 3 на схемах обозначены R_2, r_2 и R_3, r_3.

Сплошные диски считать однородными. Радиусы инерции неоднородных (ступенчатых) дисков относительно осей, проходящих через центры масс перпендикулярно плоскости движения, равны i_{z2}, i_{z3}.

Найти ускорение груза 1 и динамические реакции, действующие на ось блока 3.

Варианты заданий представлены на рис. 5.1, 5.2. Исходные данные приведены в табл. 5.1.

Варианты № 1, 11, 21	Варианты № 2, 12, 22
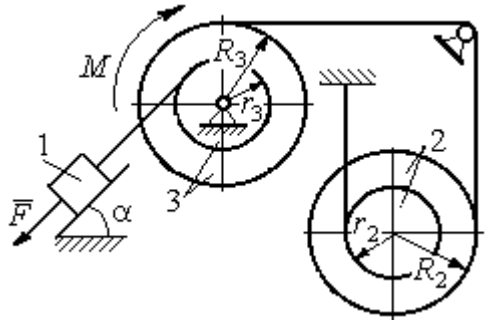	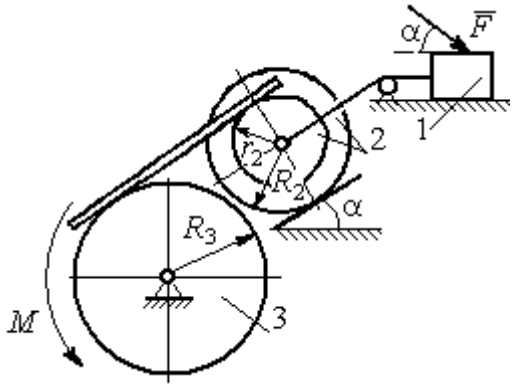

Варианты № 3, 13, 23	Варианты № 4, 14, 24
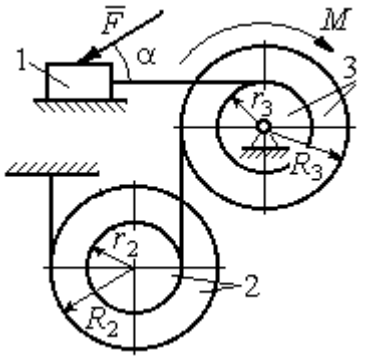	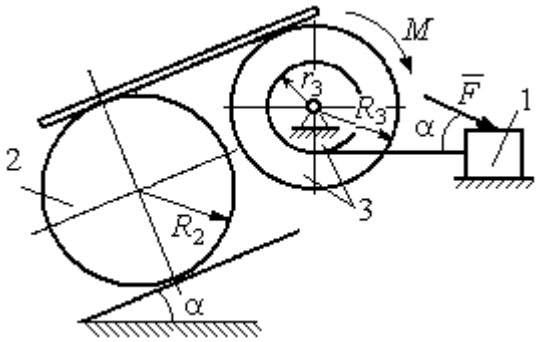

Варианты № 5, 15, 25	Варианты № 6, 16, 26
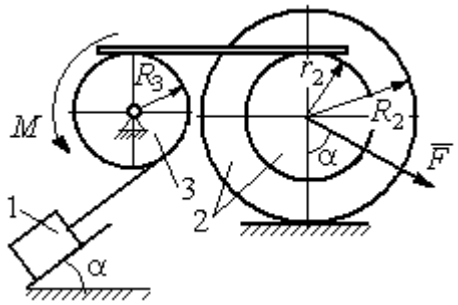	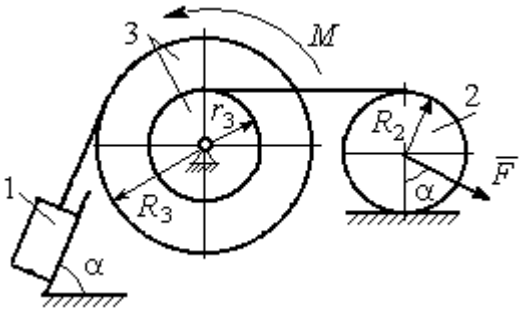

Рис. 5.1. Задание Д4. Динамический расчёт механической системы.
Номера вариантов задания 1 – 6, 11 – 16, 21 – 26

Окончание вариантов задания Д4

Варианты № 7, 17, 27	**Варианты № 8, 18, 28**
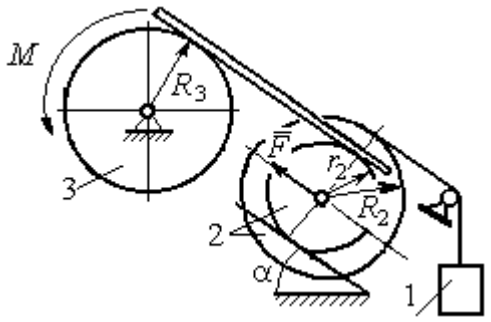	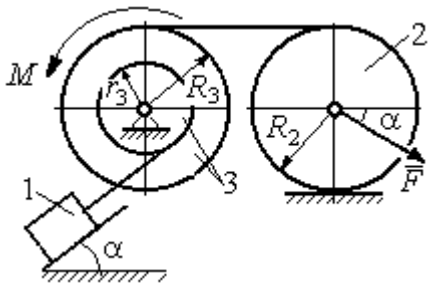

Варианты № 9, 19, 29	**Варианты № 10, 20, 30**
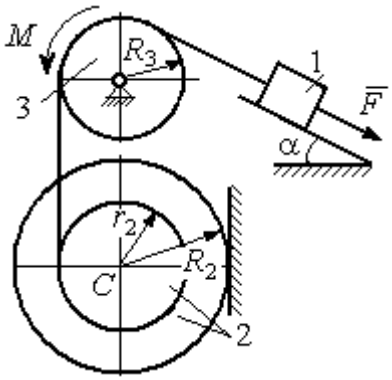	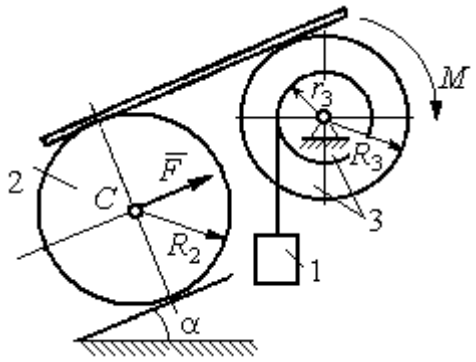

Рис. 5.2. Задание Д4. Динамический расчёт механической системы.
Номера вариантов задания 7 – 10, 17 – 20, 27 – 30

Таблица 5.1

Исходные данные задания Д4. Динамический расчёт механической системы

Номер варианта задания	P_1, Н	P_2, Н	P_3, Н	F, Н	M, Н·м	α, град	R_2, м	r_2, м	R_3, м	r_3, м	i_{z2}, м	i_{z3}, м
1	P	P	$2P$	P	$2Pr$	60	$3r$	r	$2r$	r	$2r$	$r\sqrt{2}$
2	$3P$	P	$3P$	$3P$	Pr	30	$2r$	r	$2r$	–	$2r$	–
3	$4P$	$3P$	$4P$	$2P$	$2Pr$	60	$2r$	r	$2r$	r	$2r$	$2r$
4	$2P$	$2P$	$4P$	P	$4Pr$	45	$3r$	–	$3r$	r	–	$r\sqrt{2}$
5	P	$3P$	$3P$	$2P$	$3Pr$	30	$3r$	r	r	–	$2r$	–
6	P	$2P$	$4P$	$4P$	$6Pr$	60	$3r$	–	$3r$	r	–	$r\sqrt{2}$
7	P	$2P$	$3P$	$2P$	$3Pr$	45	$3r$	r	r	-	$r\sqrt{3}$	–

Окончание табл. 5.1

Номер варианта задания	P_1, Н	P_2, Н	P_3, Н	F, Н	M, Н·м	α, град	R_2, м	r_2, м	R_3, м	r_3, м	i_{z2}, м	i_{z3}, м
8	$2P$	$3P$	$3P$	P	$3Pr$	30	$2r$	–	$2r$	r	–	$r\sqrt{3}$
9	$3P$	P	$3P$	P	$2Pr$	30	$2r$	r	$2r$	–	$r\sqrt{2}$	–
10	P	P	$3P$	P	$2Pr$	60	$3r$	–	$3r$	r	–	$r\sqrt{3}$
11	P	P	$3P$	$2P$	$3Pr$	30	$3r$	$2r$	$2r$	r	$r\sqrt{2}$	$r\sqrt{2}$
12	$2P$	P	$2P$	$4P$	Pr	60	$3r$	r	$3r$	–	$r\sqrt{3}$	–
13	$3P$	P	$3P$	$3P$	$2Pr$	30	$3r$	$2r$	$2r$	r	$2r$	$r\sqrt{2}$
14	$2P$	P	$3P$	$2P$	$4Pr$	60	$2r$	–	$3r$	$2r$	–	$2r$
15	P	$2P$	$4P$	P	$4Pr$	45	$3r$	$2r$	$2r$	–	$r\sqrt{3}$	–
16	P	$3P$	$4P$	$2P$	$3Pr$	30	$2r$	–	$2r$	r	–	$r\sqrt{2}$
17	P	P	$3P$	$2P$	$6Pr$	60	$3r$	r	$3r$	-	$r\sqrt{3}$	
18	$2P$	$2P$	$3P$	P	$3Pr$	60	$2r$	–	$3r$	r	–	$r\sqrt{2}$
19	$2P$	P	$2P$	$3P$	$4Pr$	30	$3r$	r	$3r$	–	$2r$	–
20	P	P	$3P$	P	$2Pr$	45	$2r$	–	$2r$	r	–	$r\sqrt{3}$
21	$2P$	P	$4P$	$2P$	$4Pr$	60	$2r$	r	$3r$	r	$r\sqrt{2}$	$2r$
22	P	P	$2P$	$5P$	$2Pr$	45	$3r$	$2r$	$2r$	–	$2r$	–
23	$2P$	$2P$	$3P$	$3P$	$2Pr$	60	$3r$	r	$2r$	r	$2r$	$r\sqrt{2}$
24	$4P$	P	$3P$	P	$3Pr$	30	$2r$	–	$3r$	r	–	$r\sqrt{3}$
25	P	$3P$	$2P$	P	$2Pr$	60	$3r$	r	r	–	$r\sqrt{3}$	–
26	P	$3P$	$4P$	$3P$	$3Pr$	45	$2r$	–	$3r$	$2r$	–	$r\sqrt{3}$
27	P	P	$4P$	$2P$	$4Pr$	30	$2r$	r	$2r$	-	$r\sqrt{3}$	
28	$2P$	$3P$	$3P$	P	$6Pr$	30	$2r$	–	$3r$	$2r$	–	$r\sqrt{2}$
29	$2P$	P	$2P$	$2P$	$2Pr$	45	$2r$	r	r	–	$2r$	–
30	P	P	$4P$	P	$4Pr$	60	$3r$	–	$3r$	$2r$	–	$2r$

Пример выполнения задания Д4. Динамический расчёт механической системы

Механизм (рис. 5.3) состоит из груза 1, однородного диска – катка 2 и неоднородного диска – блока 3, соединённых друг с другом нерастяжимыми нитями. Система движется в вертикальной плоскости из состояния покоя.

Движение происходит под действием сил тяжести $\vec{P}_1$, $\vec{P}_2$, $\vec{P}_3$, равных по модулю: $P_1 = 2P$, $P_2 = 2P$, $P_3 = 3P$, силы $\vec{F}$, приложенной в центре масс катка 2, равной по величине: $F = 3P$, и пары сил с моментом $M = Pr$,

приложенных к блоку 3. Механизм является неизменяемой механической системой. Радиус катка 2 $R_2 = 2r$. Качение катка по наклонной плоскости происходит без проскальзывания. Радиусы ступенчатого блока 3: $R_3 = 3r$, $r_3 = r$. Радиус инерции блока 3 $i_3 = r\sqrt{3}$.

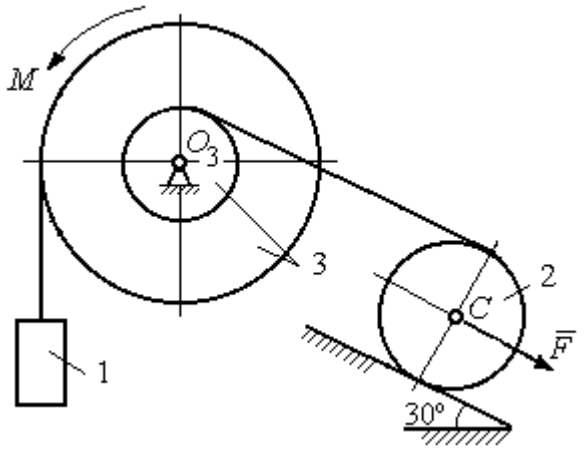

Рис. 5.3. Схема механической системы

Применяя метод динамического расчета механической системы найти ускорение груза 1 и динамические реакции, действующие на ось вращающегося блока 3.

Решение

Освобождаем систему от связей. На рис. 5.4 изображены внешние силы, действующие на каждое тело, после освобождения его от связей.

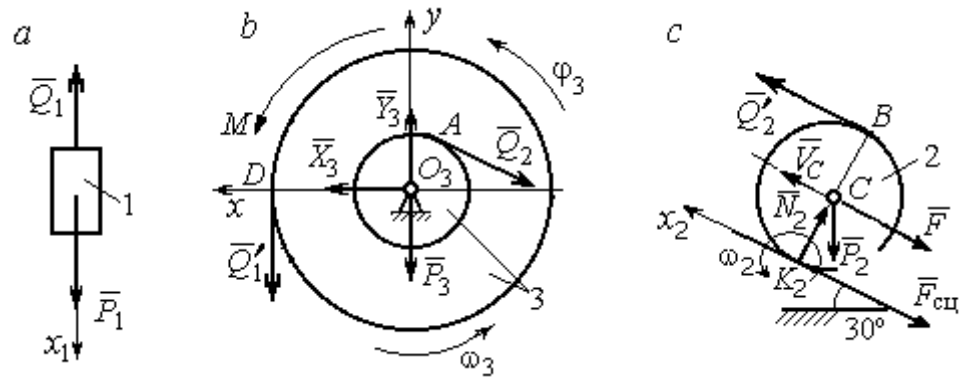

Рис. 5.4. Расчетные схемы для описания движения тел, входящих в систему:
a – поступательное движение груза 1; *b* – вращательное движение блока 3;
c – плоское движение катка 2

Груз 1 совершает поступательное движение. К нему приложены сила тяжести $\vec{P}_1$ и реакция нити $\vec{Q}_1$ (рис. 5.4, *a*). Предположим, груз 1 движется вниз, и направим ось x_1 в сторону движения груза.

Уравнение движения груза в проекции на ось x_1 в соответствии с теоремой о движении центра масс механической системы имеет вид:

$$m_1 a_1 = \sum F_{kx} = P_1 - Q_1 = 2P - Q_1,$$

где m_1, a_1 – соответственно, масса груза 1 и его ускорение, $m_1 = \frac{P_1}{g} = \frac{2P}{g}$.

Блок 3 вращается вокруг неподвижной оси *z*, проходящей через его центр масс O_3, перпендикулярно плоскости диска. Направление вращения блока, соответствующее выбранному движению вниз груза 1, показано на рис. 5.4, *b* дуговой стрелкой ω_3.

На блок действуют сила тяжести $\vec{P}_3$, силы реакции подшипника $\vec{X}_3$, $\vec{Y}_3$, момент *M* и реакции нитей $\vec{Q}_1'$ и $\vec{Q}_2$ (см. рис. 5.4, *b*). При составлении уравнения вращательного движения блока 3 моменты сил считаем положительными, если они поворачивают блок в сторону его вращения.

Уравнение вращения блока 3 имеет вид:

$$J_{zO_3} \varepsilon_3 = \sum M_{zO_3}(F_k) = Q_1' R_3 + M - Q_2 r_3 = Q_1 3r + Pr - Q_2 r,$$

где J_{zO_3} – момент инерции блока 3 относительно оси *z*; ε_3 – угловое ускорение диска 3, $J_{zO_3} = m_3 i_3^2 = \frac{P_3}{g}(r\sqrt{3})^2 = \frac{9Pr^2}{g}$.

Каток 2 совершает плоскопараллельное движение. К нему приложены сила тяжести $\vec{P}_2$, сила $\vec{F}$, реакция нити $\vec{Q}_2'$ и реакция наклонной плоскости, состоящая из нормальной реакции опоры $\vec{N}_2$ и силы сцепления катка с поверхностью $\vec{F}_{\text{сц}}$. Согласно принципу равенства действия и противодействия, модули сил $\vec{Q}_2$ и $\vec{Q}_2'$ равны. На рис. 5.4, *c* показаны направления действия сил, приложенных к диску 2. В соответствии с направлением движения груза 1, центр масс катка 2 движется вверх параллельно наклонной плоскости. Направление движения центра масс катка 2 показано направлением оси x_2. Направление вращения катка 2 показано дуговой стрелкой угловой скорости ω_2 (см. рис 5.4, *c*).

Плоскопараллельное движение катка 2 описывается уравнением движения его центра масс и уравнением вращения вокруг оси, проходящей через

центр масс, перпендикулярно плоскости диска. Составляя уравнение движения, получим:

$$m_2 a_C = Q_2' - F - F_{\text{сц}} - P_2 \cos 60^\circ = Q_2 - 3P - F_{\text{сц}} - P,$$

$$J_C \varepsilon_2 = Q_2' R_2 + F_{\text{сц}} R_2 = Q_2 2r + F_{\text{сц}} 2r,$$

где m_2 – масса катка 2, $m_2 = \frac{P_2}{g} = \frac{2P}{g}$; a_C, ε_2 – ускорение центра масс и угловое ускорение катка 2; J_C – момент инерции однородного катка 2 относительно оси, проходящей через центр масс, перпендикулярно плоскости диска, $J_C = \frac{m_2 R_2^2}{2} = \frac{P R_2^2}{g} = \frac{4 P r^2}{g}$. В уравнении вращательного движения диска момент силы считается положительным, если создаваемый им поворот направлен в сторону вращения диска,

К системе четырех уравнений, описывающих движения тел в системе, необходимо добавить уравнения связей. Если предположить, что скорость центра масс катка 2 равна V_C, то угловая скорость катка определится по формуле: $\omega_2 = \frac{V_C}{CK_2} = \frac{V_C}{R_2}$, где CK_2 – расстояние от центра масс катка 2 до его мгновенного центра скоростей (см. рис. 5.4, *c*). Продифференцировав по времени последнее равенство, получим уравнение связи между ускорением центра масс катка 2 и его угловым ускорением: $\varepsilon_2 = \dot{\omega}_2 = \frac{\dot{V}_C}{R_2} = \frac{a_C}{R_2} = \frac{a_C}{2r}$.

Скорость точки *B* катка 2 (см. рис. 5.4, *c*) $V_B = \omega_2 \cdot BK_2 = \frac{V_C}{R_2} 2R_2 = 2V_C$.

Точка *B* катка 2 и точка *A* блока 3 соединены нитью (см. рис. 5.3), поэтому их скорости равны. Приравняв скорости точек *A* и *B*, получим равенство: $2V_C = V_B = V_A = \omega_3 r_3 = \omega_3 r$, откуда $\omega_3 = \frac{2V_C}{r}$. После дифференцирования последнего выражения найдём соотношение между ускорениями: $\varepsilon_3 = \frac{2a_C}{r}$.

Скорость груза 1 связана со скоростью центра масс диска 2 следующим образом: $V_1 = V_D = \omega_3 R_3 = \dfrac{2V_C}{r} 3r = 6V_C$. Тогда $a_1 = 6a_C$.

В результате получены четыре уравнения, описывающие движение тел в системе:

$$\frac{2P}{g} a_1 = 2P - Q_1, \quad \frac{9Pr^2}{g} \varepsilon_3 = Q_1 3r + Pr - Q_2 r;$$

$$\frac{2P}{g} a_C = Q_2 - 3P - F_{\text{сц}} - P, \quad \frac{4Pr^2}{g} \varepsilon_2 = Q_2 2r + F_{\text{сц}} 2r$$

и три уравнения связей: $\varepsilon_2 = \dfrac{a_C}{2r}$, $\varepsilon_3 = \dfrac{2a_C}{r}$, $a_1 = 6a_C$.

После подстановки уравнений связи в уравнения движения тел получим систему четырёх уравнений с четырьмя неизвестными:

$$\frac{12P}{g} a_C = 2P - Q_1, \quad \frac{18P}{g} a_C = 3Q_1 + P - Q_2,$$

$$\frac{2P}{g} a_C = Q_2 - 4P - F_{\text{сц}}, \quad \frac{P}{g} a_C = Q_2 + F_{\text{сц}},$$

которая может быть решена любым известным из курса математики способом.

Например, исключив из первых двух уравнений величину Q_1, а из третьего и четвёртого уравнений – величину $F_{\text{сц}}$, получим систему двух уравнений с двумя неизвестными:

$$\frac{54P}{g} a_C = 7P - Q_2, \; \frac{3P}{g} a_C = 2Q_2 - 4P,$$

откуда $a_C = \dfrac{10}{111} g$, $Q_2 = \dfrac{79}{37} P$. Величину натяжения нити Q_1 находим из первого уравнения исходной системы: $Q_1 = \dfrac{34}{37} P$.

Для вычисления динамической реакции R_3 оси блока 3 заметим, что центр масс блока 3 неподвижен и его ускорение равно нулю, $\vec{a}_{O_3} = 0$. Тогда уравнения движения центра масс блока 3 в проекциях на оси x, y имеют вид :

$$m_3 a_{O_3 x} = X_3 - Q_2 \cos 30^\circ = 0,\ m_3 a_{O_3 y} = Y_3 - Q_1 - P_3 - Q_2 \cos 60^\circ = 0,$$

где X_3, Y_3, – проекции реакции R_3 оси вращающегося блока 3 на оси x, y (см. рис. 5.4, *b*). Отсюда, с учетом значений $Q_1 = 0{,}919P$ и $Q_2 = 2{,}135P$, проекции динамической реакции оси блока 3: $X_3 = Q_2 \cos 30^\circ = 1{,}85P$, $Y_3 = Q_1 + P_3 + Q_2 \cos 60^\circ = 4{,}98P$. Полная величина динамической реакции оси блока 3: $R_3 = \sqrt{X_3^2 + Y_3^2} = 5{,}31P$.

5.3. Теорема об изменении кинетической энергии системы

Кинетическая энергия тела при поступательном движении: $T = \frac{1}{2} m V_C^2$, где m – масса тела; V_C – скорость центра масс тела. **Кинетическая энергия тела при вращательном движении** вокруг неподвижной оси z: $T = \frac{1}{2} J_z \omega^2$, где J_z – момент инерции тела относительно оси z; ω – угловая скорость тела. Для дисков с равномерно распределённой массой момент инерции относительно оси z, проходящей через центр масс: $J_z = \frac{1}{2} m R^2$, где R – радиус диска. Для тел с неравномерно распределённой массой $J_z = m i_z^2$, где i_z – радиус инерции. **Кинетическая энергия тела при плоскопараллельном движении:** $T = \frac{1}{2} m V_C^2 + \frac{1}{2} J_{zC} \omega^2$, где m – масса тела; V_C, ω – скорость центра масс и угловая скорость тела; J_{zC} – момент инерции тела относительно оси z, проходящей через центр масс перпендикулярно плоскости движения.

Работа постоянной по модулю и направлению силы $\vec{F}$ на конечном прямолинейном перемещении S точки приложения силы: $A(F) = FS\cos\alpha$, где α – угол между вектором силы и перемещением. Если угол α острый, работа

положительна. Если тупой – отрицательна. При $\alpha = 90°$ сила перпендикулярна перемещению точки и работа силы равна нулю.

Работа пары сил с постоянным моментом M при повороте тела на конечный угол φ: $A = \pm M\varphi$, где φ – угол поворота тела. Работа считается положительной, если пара сил стремится повернуть тело в направлении его вращения, и отрицательной – в противном случае.

Мощностью силы $\vec{F}$ называют величину $N(F)$, равную скалярному произведению силы на скорость точки её приложения: $N(F) = \vec{F} \cdot \vec{V} = F \cdot V\cos\alpha$, где V – скорость точки приложения силы; α – угол между вектором силы и вектором скорости точки приложения силы.

При плоском движении тела мощность силы выражается суммой скалярных произведений векторов: $N = \vec{F} \cdot \vec{V}_O + \vec{M}_O(\vec{F}) \cdot \vec{\omega} = F \cdot V_O\cos\alpha \pm F h_O \omega$, где $\vec{V}_O$ – вектор скорости точки, выбранной полюсом; $\vec{\omega}$ – вектор угловой скорости тела; $\vec{M}_O$ – вектор момента силы $\vec{F}$ относительно полюса; h_O – плечо силы $\vec{F}$ относительно полюса *O*.

Теорема об изменении кинетической энергии системы в дифференциальной форме. Производная по времени от кинетической энергии системы равна сумме мощностей внешних и внутренних сил $\frac{dT}{dt} = \sum N(\vec{F}_k^e) + \sum N(\vec{F}_k^i)$, где T – кинетическая энергия системы; $\sum N(\vec{F}_k^e)$, $\sum N(\vec{F}_k^i)$ – сумма мощностей, соответственно, внешних и внутренних сил.

Теорема об изменении кинетической энергии системы на конечном перемещении. Изменение кинетической энергии системы на её конечном перемещении равно сумме работ внешних и внутренних сил, действующих на систему $T - T_0 = \sum A(\vec{F}_k^e) + \sum A(\vec{F}_k^i)$, где T, T_0 – кинетическая энергия системы, соответственно, в текущем и начальном состояниях; $\sum A(\vec{F}_k^e)$, $\sum A(\vec{F}_k^i)$ – сум-

ма работ внешних и внутренних сил при перемещении системы из начального состояния в текущее.

Механические системы, состоящие из абсолютно твердых тел, соединенных гибкими нерастяжимыми нитями, называются **неизменяемыми**. В неизменяемых системах сумма работ внутренних сил и, следовательно, сумма мощностей этих сил равны нулю. Поэтому для таких систем в теореме об изменении кинетической энергии достаточно учитывать только внешние силы.

5.4. Задание Д5. Исследование движения механической системы с применением теоремы об изменении кинетической энергии

Неизменяемая механическая система состоит из ступенчатого и однородного дисков, соединённых нерастяжимой нитью или невесомым стержнем. Нити и стержни, соединяющие диски, параллельны плоскостям качения дисков. Качение дисков без скольжения. Скольжение между невесомым стержнем и дисками отсутствует.

Вес дисков P_1 и P_2. Система движется в вертикальной плоскости под действием сил тяжести $\vec{P}_1$, $\vec{P}_2$, сил $\vec{F}_1$, $\vec{F}_2$ и пары сил с моментом *M*. Направления действия сил $\vec{F}_1$, $\vec{F}_2$ и наклон плоскости (если он есть) определяются углами α или β, показанными на схемах механизмов.

Радиус однородного диска *r*. Радиусы ступеней ступенчатого диска *R* и *r*. Радиус инерции ступенчатого диска относительно оси, проходящей через центр масс перпендикулярно плоскости движения, равен i_z.

1. Найти ускорение центра масс диска 2.

2. Найти реакцию опоры диска 2 на плоскость (её нормальную составляющую и силу сцепления диска с плоскостью).

Варианты задания приведены на рис. 5.5, 5.6, исходные данные представлены в табл. 5.2.

Варианты № 1, 11, 21	Варианты № 2, 12, 22
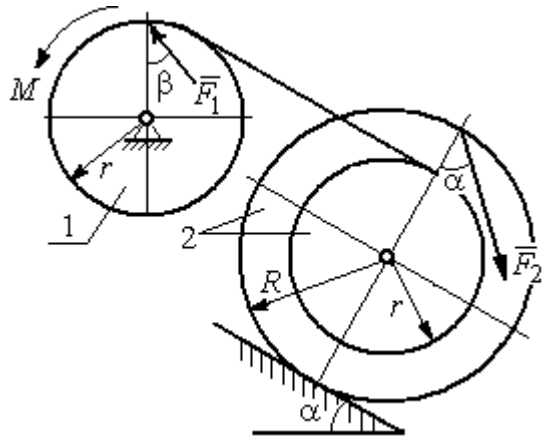	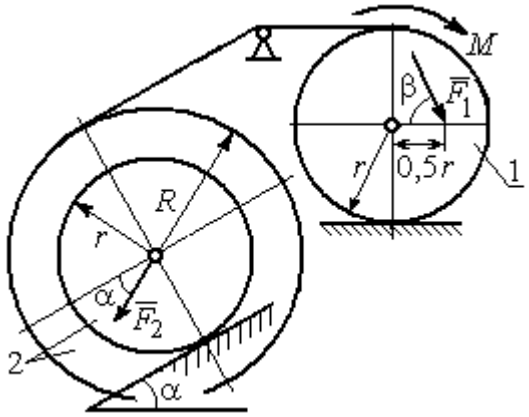

Варианты № 3, 13, 23	Варианты № 4, 14, 24
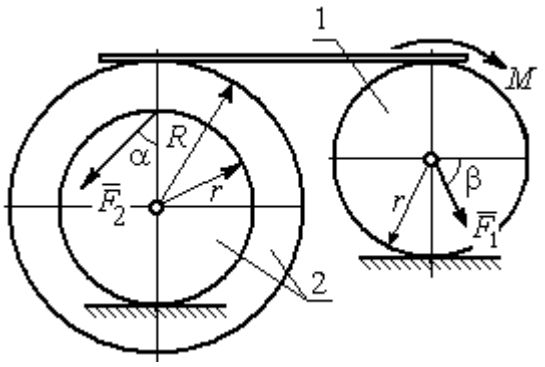	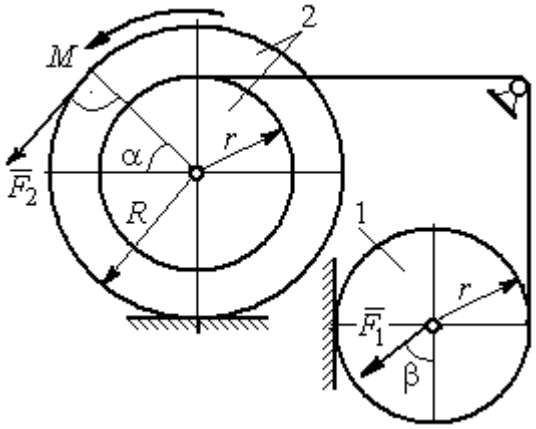

Вариант № 5, 15, 25	Варианты № 6, 16, 26
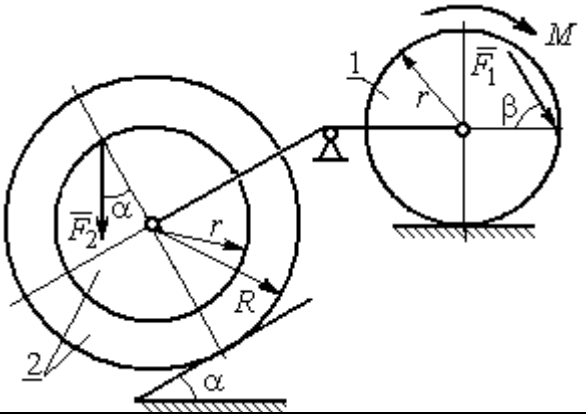	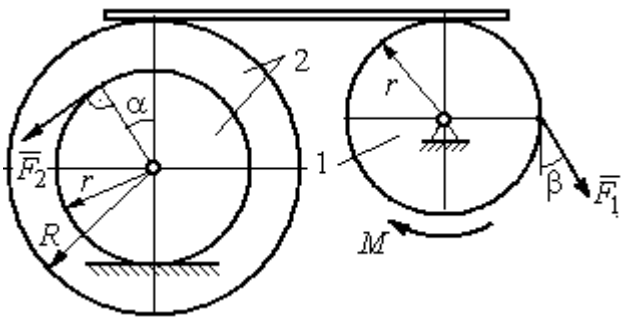

Рис. 5.5. Задание Д5. Исследование движения механической системы с применением теоремы об изменении кинетической энергии. Варианты задания 1 – 6, 11 – 16, 21 – 26

Окончание вариантов задания Д5

Варианты № 7, 17, 27	**Варианты № 8, 18, 28**
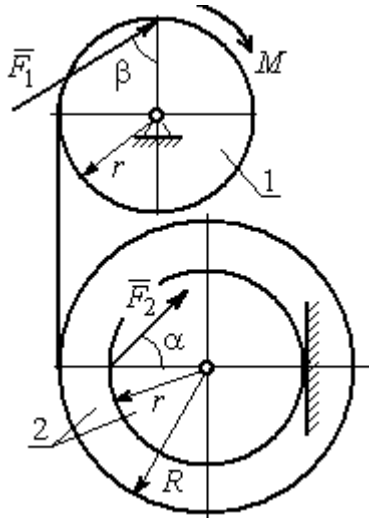	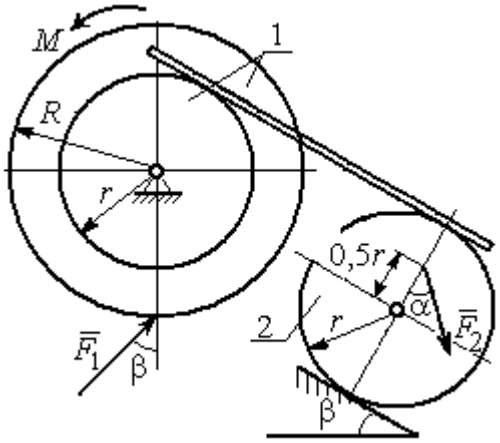

Варианты № 9, 19, 29	**Варианты 10, 20, 30**
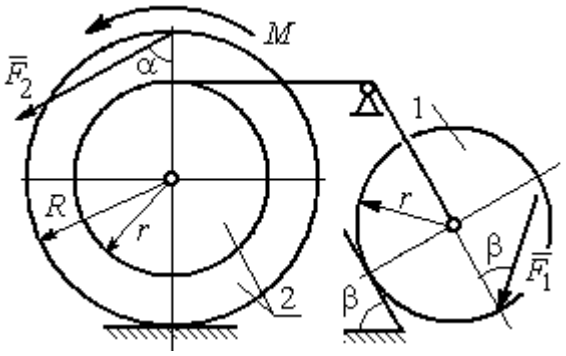	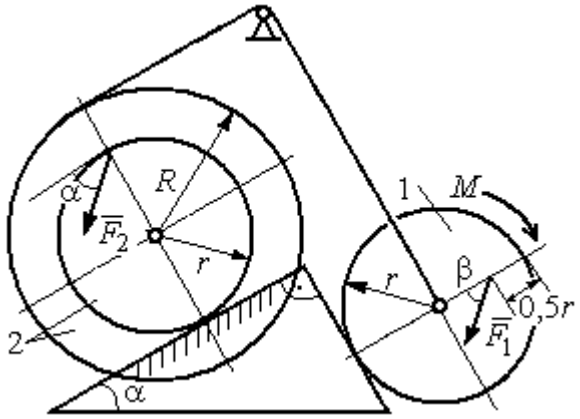

Рис. 5.6. Задание Д5. Исследование движения механической системы с применением теоремы об изменении кинетической энергии. Варианты задания 7 – 10, 17 – 20, 27 – 30

Таблица 5.2

Исходные данные задания Д5. Исследование движения механической системы с применением теоремы об изменении кинетической энергии

Номер варианта задания	P_1, Н	P_2, Н	F_1, Н	F_2, Н	M, Н·м	α, град	β, град	R, м	r, м	i_z, м
1	10	20	15	20	25	30	60	0,4	0,3	0,3
2	20	30	10	20	20	60	30	0,6	0,3	0,4
3	10	15	12	20	25	60	60	1,2	0,6	0,8
4	12	25	20	25	35	30	30	1,5	0,5	1,2

Окончание табл. 5.2

Номер варианта задания	P_1, Н	P_2, Н	F_1, Н	F_2, Н	M, Н·м	α, град	β, град	R, м	r, м	i_z, м
5	15	20	10	20	30	60	30	0,8	0,4	0,7
6	18	20	18	22	22	45	60	1,2	0,4	0,9
7	15	25	10	8	20	45	45	0,9	0,6	0,7
8	25	22	10	12	30	45	60	1,0	0,8	0,9
9	12	25	18	10	32	30	30	0,8	0,6	0,7
10	10	15	8	10	28	60	30	1,4	0,7	1,2
11	15	22	20	25	30	60	45	0,6	0,4	0,5
12	20	25	15	40	30	30	60	0,8	0,4	0,6
13	10	20	10	25	30	45	30	1,0	0,5	0,9
14	12	15	18	15	25	30	30	0,9	0,3	0,8
15	20	25	20	20	30	45	60	1,0	0,5	0,8
16	10	15	10	15	16	60	45	1,2	0,4	1,1
17	18	25	12	10	30	30	30	1,5	0,9	1,3
18	25	20	10	15	20	60	60	0,8	0,5	0,7
19	12	25	10	10	32	60	60	1,2	0,9	1,1
20	15	20	8	20	25	30	45	0,8	0,4	0,7
21	10	25	25	15	30	45	30	0,7	0,5	0,6
22	18	20	20	20	35	60	45	1,4	0,7	0,9
23	10	15	10	30	30	30	30	1,4	0,7	0,8
24	10	15	12	20	20	30	30	1,2	0,4	0,8
25	12	18	20	18	30	60	30	1,2	0,6	1,1
26	10	12	12	15	15	30	30	0,9	0,3	0,8
27	15	22	10	12	20	45	60	0,8	0,6	0,7
28	22	20	8	16	8	30	45	0,6	0,2	0,4
29	18	25	10	8	32	60	60	1,2	0,8	1,1
30	20	25	8	20	28	30	30	0,8	0,4	0,6

Пример выполнения задания Д5. Исследование движения механической системы с применением теоремы об изменении кинетической энергии

Механическая система состоит из ступенчатого и однородного дисков, соединённых невесомым стержнем (рис. 5.7). Система движется в вертикальной плоскости под действием сил тяжести, сил $\vec{F}_1$, $\vec{F}_2$ и пары сил с моментом M. Направления действия сил $\vec{F}_1$, $\vec{F}_2$ определяются углами α и β.

Диск 1 вращается вокруг неподвижной оси O_1. Диск 2 катится прямолинейно по горизонтальной поверхности. Качение диска 2 без проскальзывания.

Невесомый стержень, соединяющий диски, расположен горизонтально. Скольжение между стержнем и дисками отсутствует.

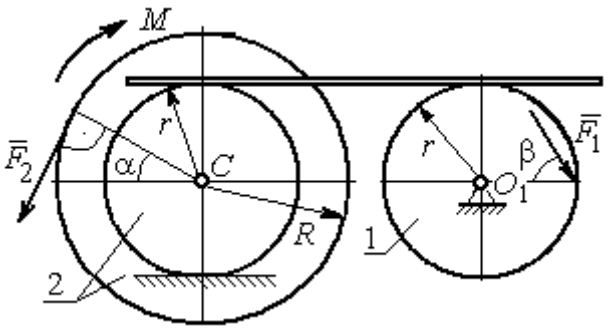

Рис. 5.7. Схема движения механической системы

Определить ускорение центра масс диска 2, угловое ускорение дисков, усилие в стержне, динамическую реакцию шарнира O_1, реакцию опоры диска 2 (её нормальную составляющую и силу сцепления диска с поверхностью качения), если модули сил тяжести $P_1 = 40$ Н, $P_2 = 60$ Н, модули сил $F_1 = 80$ Н, $F_2 = 30$ Н, величина момента $M = 35$ Н·м, углы наклона сил $\alpha = 30°$, $\beta = 45°$, радиусы дисков $R = 0{,}8$ м, $r = 0{,}6$ м, радиус инерции диска 2 $i_z = 0{,}4$ м.

Решение

Предположим, что во время движения системы диск 1 вращается по ходу часовой стрелки. Угловые скорости ω_1 и ω_2 дисков 1 и 2 и скорость центра масс диска 2 показаны на рис. 5.8.

На диск 1 действуют силы: $\vec{F}_1$, сила тяжести $\vec{P}_1$ и реакция шарнира O_1, разложенная на составляющие $\vec{X}_1$, $\vec{Y}_1$. На диск 2: сила $\vec{F}_2$, сила тяжести $\vec{P}_2$, пара сил с моментом M, нормальная реакция опоры $\vec{N}$ и сила сцепления диска 2 с поверхностью $\vec{F}_{сц}$. Направления действия сил показаны на рис. 5.8.

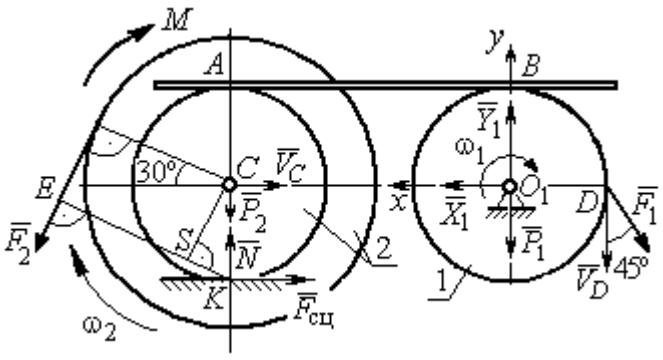

Рис. 5.8. Расчетная схема для исследования движения системы

Для решения задачи воспользуемся теоремой об изменении кинетической энергии системы в дифференциальной форме. По условию задачи рассматриваемая система неизменяемая и, следовательно, сумма мощностей внутренних сил равна нулю. В этом случае теорема об изменении кинетической энергии системы принимает вид $\frac{dT}{dt} = \sum N(\vec{F}_k^e)$, где T – энергия системы в текущем положении; $\sum N(\vec{F}_k^e)$ – суммарная мощность внешних сил.

Найдём кинетическую энергию системы и выразим её через скорость центра масс диска 2.

Кинетическая энергия вращательного движения диска 1: $T_1 = \frac{1}{2} J_{zO_1} \omega_1^2$, где ω_1 – угловая скорость диска 1; J_{zO_1} – осевой момент инерции диска 1, $J_{zO_1} = \frac{m_1 r^2}{2}$. Диск 2 движется плоскопараллельно. Его кинетическая энергия определяется по формуле: $T_2 = \frac{1}{2} m_2 V_C^2 + \frac{1}{2} J_{zC} \omega_2^2$, где V_C, ω_2 – скорость центра масс и угловая скорость диска 2; J_{zC} – момент инерции ступенчатого диска 2 относительно оси *z*, проходящей через центр масс перпендикулярно плоскости диска, $J_{zC} = m_2 i_z^2$.

У диска 2 мгновенный центр скоростей находится в точке касания его с неподвижной поверхностью (точка *K* на рис. 5.8). Тогда скорость точки *C* определяется по формуле $V_C = \omega_2 \cdot CK = \omega_2 r$, откуда $\omega_2 = \frac{V_C}{r}$. Скорость точки *A* $V_A = \omega_2 \cdot AK = \omega_2 2r$, или $V_A = 2V_C$.

Так как нет проскальзывания между стержнем и дисками, скорость точки *A* на диске 2 равна скорости точки *B* на диске 1, причём $V_B = \omega_1 r$. Приравнивая скорости $V_B = V_A$, найдем $\omega_1 = \frac{2V_C}{r}$.

С учетом найденных зависимостей кинетические энергии дисков 1 и 2 и суммарная энергия системы имеют вид

$$T_1 = \frac{1}{2} J_{zO_1} \omega_1^2 = \frac{1}{2} \cdot \frac{P_1 r^2}{2g} \left(\frac{2V_C}{r} \right)^2 = \frac{P_1}{g} V_C^2;$$

$$T_2 = \frac{1}{2} m_2 V_C^2 + \frac{1}{2} J_{zC} \omega_2^2 = \frac{1}{2} \cdot \frac{P_2}{g} V_C^2 + \frac{1}{2} \cdot \frac{P_2}{g} i_z^2 \left(\frac{V_C}{r} \right)^2;$$

$$T = T_1 + T_2 = \frac{P_1}{g} V_C^2 + \frac{1}{2} \frac{P_2}{g} \left(1 + \frac{i_z^2}{r^2} \right) V_C^2 .$$

Производная по времени от кинетической энергии системы

$$\frac{dT}{dt} = 2V_C \frac{dV_C}{dt} \left[\frac{P_1}{g} + \frac{P_2}{2g} \left(1 + \frac{i_z^2}{r^2} \right) \right].$$

Найдем сумму мощностей внешних сил. Отметим, что мощности силы тяжести $\vec{P}_1$ и сил реакции $\vec{X}_1$, $\vec{Y}_1$ подшипника O_1 равны нулю, так как нет перемещения точек приложения этих сил. Мощности сил $\vec{N}$ и $\vec{F}_{\text{сц}}$ – нормальной реакции опоры диска 2 и силы сцепления диска с плоскостью также равны нулю, так как точкой приложения этих сил является мгновенный центр скоростей диска 2, скорость которого равна нулю. Мощность силы $\vec{P}_2$ равна нулю, так как угол между вектором силы и скоростью точки приложения силы – точки C – равен 90° (см. рис. 5.8). Для определения мощности силы $\vec{F}_2$, приложенной к диску 2, воспользуемся формулой расчета мощности силы при плоскопараллельном движении тела. Выберем в качестве полюса точку K – мгновенный центр скоростей диска 2, скорость которого $V_K = 0$ (см. рис. 5.8). В этом случае мощность силы $\vec{F}_2$ равна: $N(\vec{F}_2) = \vec{M}_K \cdot \vec{\omega}_2 = -F_2 h_K \omega_2$, где $\vec{M}_K = M_K(\vec{F}_2)$ – вектор момента силы $\vec{F}_2$ относительно центра K; $\vec{\omega}_2$, ω_2 – вектор и модуль угловой скорости диска 2; h_K – плечо силы $\vec{F}_2$ относительно центра K. Мощ-

ность силы $\vec{F}_2$ отрицательная, так как направление момента силы $\vec{F}_2$ относительно точки K противоположно направлению угловой скорости диска 2.

В результате, мощность силы $\vec{F}_2$:

$$N(\vec{F}_2) = -F_2 h_K \omega_2 = -F_2(R + r\cos 60^\circ)\omega_2 = -F_2 V_C\left(\frac{1}{2} + \frac{R}{r}\right).$$

Здесь $h_K = EK = ES + SK = R + r\cos 60^\circ$ (см. рис. 5.8).

Заметим, что для вычисления мощности силы F_2 можно использовать в качестве полюса центр масс диска – точку C. Имеем:

$$N(\vec{F}_2) = \vec{F}_2 \cdot \vec{V}_C + \vec{M}_C(F_2) \cdot \vec{\omega}_2 = F_2 V_C \cos 120^\circ - F_2 R\omega_2 = -F_2 V_C\left(\frac{1}{2} + \frac{R}{r}\right).$$

Момент M направлен в сторону вращения диска 2. Его мощность положительная: $N(M) = M\omega_2 = M\dfrac{V_C}{r}$. Мощность силы $\vec{F}_1$, приложенной в точке D, $N(\vec{F}_1) = F_1 V_D \cos 45^\circ = F_1 V_C \sqrt{2}$. Здесь учтено очевидное равенство $V_D = V_A = 2V_C$ (см. рис. 5.8).

Суммарная мощность внешних сил:

$$\sum N(F^e) = -F_2 V_C\left(\frac{1}{2} + \frac{R}{r}\right) + M\frac{V_C}{r} + F_1 V_C\sqrt{2}.$$

В результате теорема об изменении кинетической энергии системы приводится к виду

$$2V_C\frac{dV_C}{dt}\left[\frac{P_1}{g} + \frac{P_2}{2g}\left(1 + \frac{i_z^2}{r^2}\right)\right] = -F_2 V_C\left(\frac{1}{2} + \frac{R}{r}\right) + M\frac{V_C}{r} + F_1 V_C\sqrt{2},$$

откуда ускорение центра масс диска 2:

$$a_C = \frac{dV_C}{dt} = \frac{\left[-F_2\left(\frac{1}{2} + \frac{R}{r}\right) + \frac{M}{r} + F_1\sqrt{2}\right]g}{\left[2P_1 + P_2\left(1 + \frac{i_z^2}{r^2}\right)\right]}.$$

Подставляя исходные данные задачи, получим: $a_C = 6{,}85$ м/с^2.

Для определения углового ускорения диска 2 продифференцируем по времени равенство $\omega_2 = \frac{V_C}{CK} = \frac{V_C}{r}$. Дифференцирование здесь допустимо, так как во время движения диска 2 расстояние от точки *C* до мгновенного центра скоростей диска 2 – точки *K* – не меняется.

Найдем $\varepsilon_2 = \dot{\omega}_2 = \frac{\dot{V}_C}{r} = \frac{a_C}{r}$ = 11,42 рад/с^2. Угловое ускорение диска 1 находится путём дифференцирования равенства $\omega_1 = 2\omega_2$. Имеем: $\varepsilon_1 = 2\varepsilon_2 = 22{,}84$ рад/с^2.

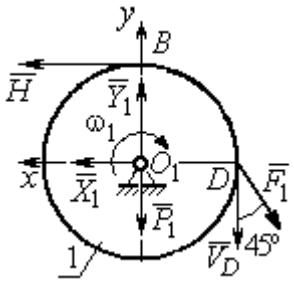

Рис. 5.9. Силы, действующие на диск 1 во время движения

Для того чтобы определить реакцию стержня, освобождаемся от стержня, заменяем его реакцией $\vec{H}$ и составляем уравнения движения дисков 1 и 2.

Силы, действующие на диск 1 во время движения, показаны на рис. 5.9. Уравнение вращательного движения диска 1 в алгебраической форме: $J_{zO_1}\varepsilon_1 = \sum M_z(\vec{F}_k^e)$, где ε_1 – угловое ускорение диска; J_{zO_1} – момент инерции диска 1 относительно оси *z*, проходящей через точку O_1 перпендикулярно плоскости диска, $J_{zO_1} = \frac{m_1 r^2}{2}$; $\sum M_{zO_1}(\vec{F}_k^e)$ – сумма моментов внешних сил относительно оси *z*.

Считая моменты сил положительными, если они создают поворот диска в сторону его вращения, составим сумму моментов внешних сил относительно оси *z*: $\sum M_{zO_1}(\vec{F}_k^e) = F_1 r\cos 45^\circ - Hr$. В результате уравнение вращательного движения диска 1 принимает вид: $\frac{P_1 r^2}{2g}\varepsilon_1 = F_1 r\cos 45^\circ - Hr$.

Подставляя в уравнение исходные данные задачи с учетом найденного значения углового ускорения диска 1 ε_1 = 22,84 рад/с^2, найдем реакцию стержня *H* = 28,63 Н.

Для определения динамической реакции шарнира O_1 диска 1 применим теорему о движении центра масс. Выберем оси координат O_1x и O_1y, как показано на рис. 5.9, и составим уравнение движения центра масс диска 1 в проекциях на оси координат с учётом того, что сам центр масс неподвижен и его ускорение равно нулю.

Получим систему:

$$H + X_1 - F_1\sin 45^\circ = 0, \quad Y_1 - P_1 - F_1\cos 45^\circ = 0.$$

Отсюда, с учётом найденной величины усилия в стержне $H = 28{,}63$ Н, находим составляющие динамической реакции шарнира: $X_1 = 27{,}94$ Н, $Y_1 = 96{,}57$ Н. Полная реакция шарнира $R_{O_1} = \sqrt{X_1^2 + Y_1^2} = 100{,}53$ Н.

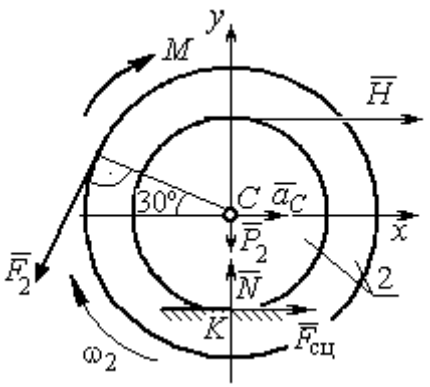

Рис. 5.10. Силы, действующие на диск 2 во время движения

Для определения величины силы сцепления диска 2 с поверхностью качения и нормальной составляющей реакции опоры диска используем теорему о движении центра масс. Силы, приложенные к диску 2, и выбранная система координат xCy показаны на рис. 5.10. Уравнения движения центра масс диска 2 в проекциях на оси x, y имеют вид:

$$m_2 a_C = H + F_{\text{сц}} - F_2\cos 60^\circ;$$

$$0 = -F_2\cos 30^\circ - P_2 + N.$$

С учетом найденных значений реакции стержня $H = 28{,}63$ Н и ускорения центра масс диска 2 $a_C = 6{,}85$ м/с^2, находим силу сцепления и нормальную реакцию опоры: $F_{\text{сц}} = 28{,}27$ Н, $N = 85{,}98$ Н.

Полная реакция опоры $R_K = \sqrt{N^2 + F_{\text{сц}}^2} = 90{,}51$ Н.

6. АНАЛИТИЧЕСКАЯ МЕХАНИКА

6.1. Принципы механики. Общее уравнение динамики

Силой инерции материальной точки называют векторную величину, модуль которой равен произведению массы точки на модуль её ускорения, направленную противоположно этому ускорению $\vec{R}^{\text{и}} = -m\vec{a}$, где m – масса точки; $\vec{a}$ – вектор ускорения точки.

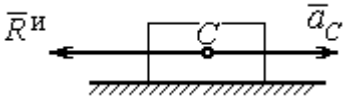

Рис. 6.1. Главный вектор сил инерции при поступательном движении твердого тела

При поступательном движении тела с ускорением центра масс $\vec{a}_C$ система сил инерции, приложенных к каждой точке тела, приводится к главному вектору сил инерции $\vec{R}^{\text{и}}$, равному по величине $R^{\text{и}} = ma_C$, приложенному в центре масс тела и направленному в сторону, противоположную ускорению $\vec{a}_C$ (рис. 6.1).

При вращении тела вокруг неподвижной оси z, проходящей через центр масс, главный вектор сил инерции, приведённый к центру масс тела, обращается в нуль (так как ускорение центра масс равно нулю). Таким образом, система сил инерции приводится к паре сил с моментом $\vec{M}^{\text{и}}$, равным главному моменту сил инерции относительно оси вращения. Величина главного момента сил инерции $M^{\text{и}} = J_z\varepsilon$, где J_z – момент инерции тела относительно оси z; ε – угловое ускорение тела. Направлен главный момент сил инерции в сторону, противоположную угловому ускорению (рис. 6.2).

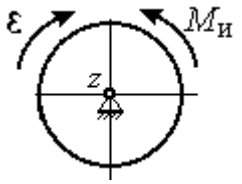

Рис. 6.2. Главный момент сил инерции при вращении тела вокруг оси, проходящей через центр масс

При плоскопараллельном движении тела с ускорением центра масс $\vec{a}_C$ и угловым ускорением ε система сил инерции, приложенных к каждой точке тела, приводится к силе $\vec{R}^{\text{и}}$, равной главному вектору сил инерции, и паре сил с моментом $\vec{M}^{\text{и}}$, равным главному моменту сил инерции относительно оси,

проходящей через центр масс тела перпендикулярно плоскости движения (рис. 6.3). Главный вектор сил инерции равен по модулю произведению массы тела на ускорение его центра масс: $R^{и} = ma_C$, приложен в центре масс тела и направлен в сторону, противоположную ускорению $\vec{a}_C$ центра масс. Главный момент сил инерции равен по величине произведению момента инерции тела относительно оси, проходящей через центр масс перпендикулярно плоскости движения, на угловое ускорение тела: $M^{и} = J_C\varepsilon$, где J_C – момент инерции тела. Направлен главный момент сил инерции в сторону, противоположную угловому ускорению (см. рис. 6.3).

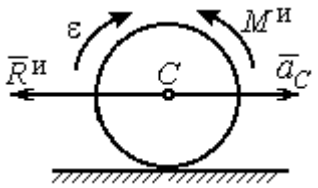

Рис. 6.3. Главный вектор и главный момент сил инерции при плоскопараллельном движении твердого тела

Принцип Даламбера для системы. Если в любой момент времени к каждой из точек системы кроме действующих на нее внешних и внутренних сил присоединить соответствующие силы инерции, то полученная система сил будет уравновешенной. Принцип Даламбера даёт возможность составлять уравнения движения механической системы в виде уравнений равновесия:

$$\sum \vec{F}_k^e + \vec{R}^{и} = 0, \ \sum \vec{M}_O(\vec{F}_k^e) + \vec{M}_O^{и} = 0,$$

где $\vec{F}_k^e$ – внешние силы, приложенные к системе; $\vec{R}^{и}$ – главный вектор сил инерции; $\vec{M}_O(\vec{F}_k^e)$ – момент внешних сил, приложенных к системе, относительно произвольного центра *O*; $\vec{M}_O^{и}$ – главный момент сил инерции относительно центра *O*.

Силы, действующие на систему, можно подразделить на активные и реакции связей. **Идеальными связями** в механической системе называют такие связи, для которых сумма элементарных работ их реакций на любом возможном перемещении равна нулю.

Принцип возможных перемещений. Для равновесия механической системы с идеальными связями необходимо и достаточно, чтобы сумма

элементарных работ всех активных сил, приложенных к точкам системы, была равна нулю на любом возможном перемещении системы: $\sum \delta A(\vec{F}_k^{\text{акт}}) = 0$, где $\delta A(\vec{F}_k^{\text{акт}})$ – элементарная работа активных сил на возможном перемещении.

Совместное применение принципа Даламбера и принципа возможных перемещений приводит к формулировке общего уравнения динамики.

Общее уравнение динамики. При движении механической системы с идеальными связями в каждый момент времени сумма элементарных работ всех приложенных активных сил и сил инерции на любом возможном перемещении равна нулю: $\sum \delta A(\vec{F}_k^{\text{акт}}) + \sum \delta A(\vec{R}_k^{\text{и}}) = 0$, где $\delta A(\vec{F}_k^{\text{акт}})$, $\delta A(\vec{R}_k^{\text{и}})$ – элементарные работы активных сил и сил инерции, приложенных к системе, на её возможном перемещении.

При вычислении элементарных работ активных сил и сил инерции используют обычные формулы для вычисления работы сил на элементарном перемещении точек их приложения. При этом переменные силы на элементарном перемещении точек их приложения считаются постоянными.

6.2. Задание Д6. Исследование механической системы с применением общего уравнения динамики

Механическая система с идеальными связями включает груз и два диска – однородного радиусом R или r и ступенчатого. Ступенчатый диск состоит из двух одноосных цилиндров радиусом R и r. Радиусы дисков указаны на схеме. Тела соединены нерастяжимыми нитями или невесомыми стержнями. Система движется в вертикальной плоскости из состояния покоя под действием сил тяжести, постоянной силы $\vec{F}$, а также пары сил с переменным моментом M. Направление действия силы $\vec{F}$ и наклон плоскости движущихся тел определяются углами α и β. Радиус инерции ступенчатого диска относительно оси, проходящей через центр масс перпендикулярно плоскости движения, равен i_z.

Качение дисков без проскальзывания. Скольжение между невесомым стержнем и дисками отсутствует. Движение грузов по плоскости без трения. Нити и стержни, соединяющие груз и диски, параллельны соответствующим плоскостям, по которым двигаются тела.

Найти уравнение движения центра масс диска 3. Определить реакцию шарнира диска 2 в момент времени $t = 1$ с.

Варианты задания приведены на рис. 6.4, 6.5. Исходные данные выбираются из табл. 6.1.

Варианты № 1, 11, 21	**Варианты № 2, 12, 22**
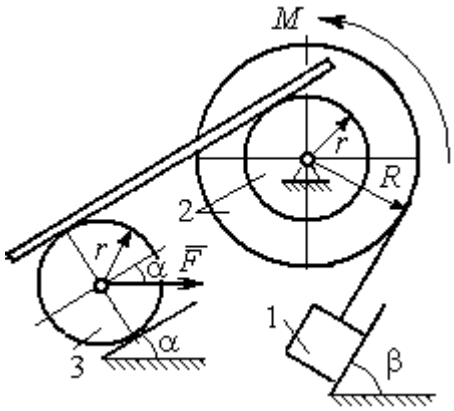	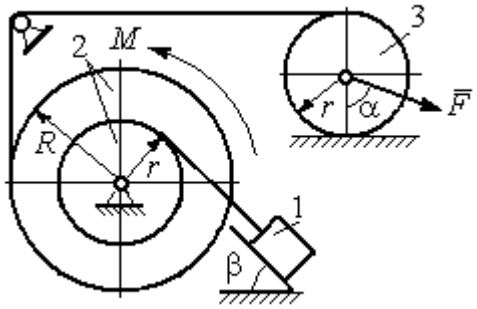
Варианты 3, 13, 23	**Варианты № 4, 14, 24**
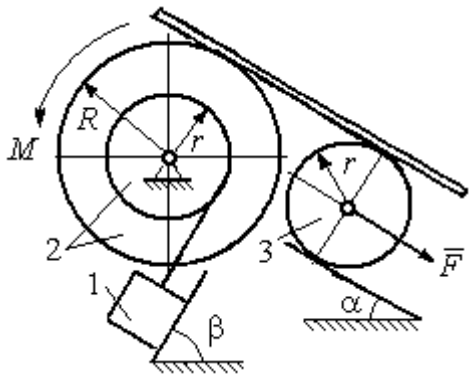	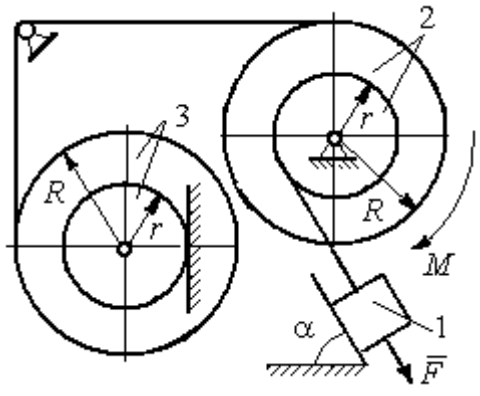

Рис. 6.4. Задание Д6. Исследование движения механической системы с применением общего уравнения динамики.
Номера вариантов задания 1 – 4, 11 – 14, 21 – 24

Варианты № 5, 15, 25	**Варианты № 6, 16, 26**
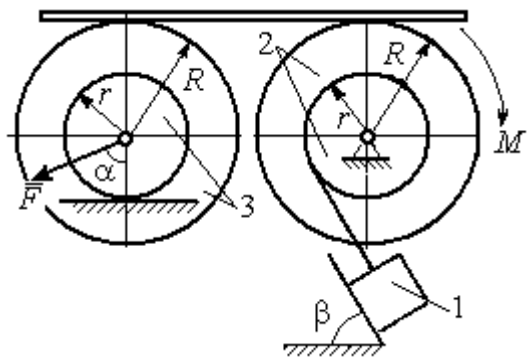	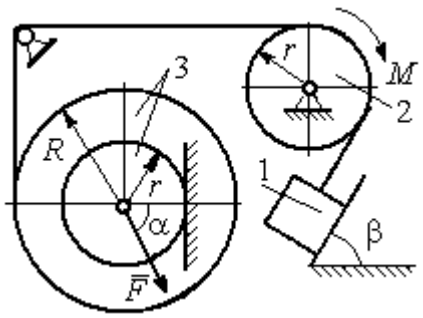

Варианты № 7, 17, 27	**Варианты № 8, 18, 28**
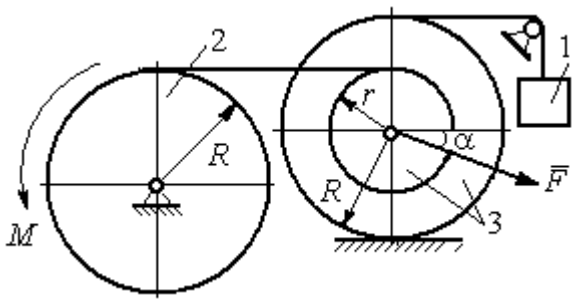	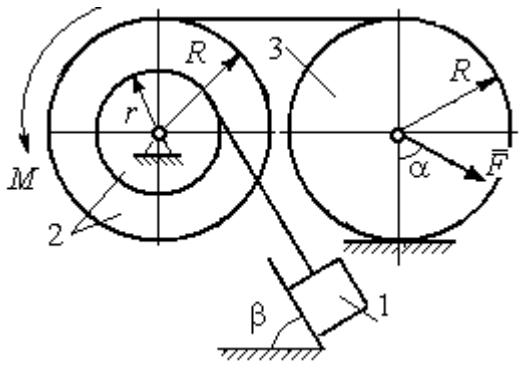

Варианты № 9, 19, 29	**Варианты № 10, 20, 30**
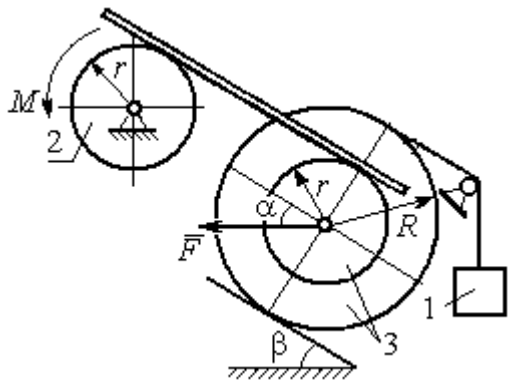	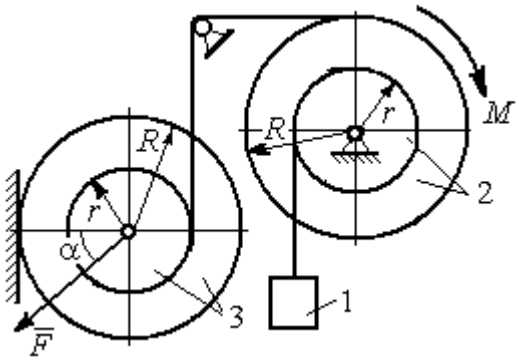

Рис. 6.5. Задание Д6. Исследование движения механической системы с применением общего уравнения динамики. Номера вариантов задания 5 – 10, 15 – 20, 25 – 30

Таблица 6.1

Исходные данные задания Д6. Исследование движения механической системы с применением общего уравнения динамики

Номер варианта задания	P_1, Н	P_2, Н	P_3, Н	F, Н	M, Н·м	α, град	β, град	R, м	r, м	i_z, м
1	10	20	8	20	$3(2+t^2)$	30	60	0,6	0,3	0,4
2	10	22	15	15	$4(t+3)$	30	30	0,8	0,4	0,6
3	5	18	10	6	$8(t^2+1)$	90	30	0,4	0,3	0,3
4	5	22	10	5	$14(t^2+t+1)$	30	–	0,6	0,5	0,6
5	5	20	16	9	$3(t^2+4)$	45	60	0,6	0,3	0,5
6	10	16	14	15	$4(5+t)$	60	30	1,0	0,6	0,8
7	6	20	20	8	$9(3t^2+2)$	45	–	0,8	0,6	0,8
8	16	25	15	12	$5(t^2+4)$	30	60	1,2	0,6	0,8
9	5	20	12	8	$4(3+5t)$	60	30	0,6	0,4	0,5
10	6	25	8	10	$5(3t+6)$	30	–	1,0	0,8	0,9
11	4	22	8	15	$2+ t^2$	45	45	0,8	0,4	0,6
12	15	18	15	10	$5(t+3)$	30	60	1,0	0,5	0,7
13	6	20	10	4	$5(t^2+2)$	30	60	0,6	0,5	0,4
14	10	25	15	8	$16(t+2)$	60	–	0,8	0,6	0,7
15	8	18	20	10	$6(t+2)$	30	90	1,2	0,6	1,0
16	8	18	12	12	$5(3+t^2)$	90	60	0,8	0,6	0,7
17	5	20	10	10	$2t^2+20$	60	–	0,9	0,6	0,8
18	20	15	20	15	$3(t+4)$	60	30	0,8	0,4	0,7
19	8	20	12	10	$4(3+t)$	45	45	1,2	0,4	0,8
20	12	20	10	6	$6(3t+4)$	45	–	1,0	0,6	0,9
21	15	25	12	12	$6+t^2$	60	60	0,6	0,3	0,5
22	20	22	18	15	$2(2t+9)$	45	45	0,8	0,4	0,6
23	8	24	12	8	$7(3t^2+2)$	30	45	0,8	0,5	0,6
24	12	20	18	10	$6(t+4)$	90	–	0,5	0,3	0,4
25	5	20	12	12	$9(2+t^2)$	60	30	1,4	0,7	1,2
26	10	12	10	8	$6(2+t)$	30	45	1,2	0,8	0,9
27	6	18	16	14	$8(2t^2+3)$	30	–	0,8	0,2	0,6
28	10	20	20	20	$3(t^2+3)$	45	30	0,6	0,3	0,5
29	10	18	8	12	$5(4+t+ t^2)$	30	60	1,2	0,8	0,9
30	8	18	10	15	$8(t^2+5)$	60	–	1,0	0,8	0,9

Пример выполнения задания Д6. Исследование движения механической системы с применением общего уравнения динамики

Механическая система состоит из груза 1, движущегося поступательно, ступенчатого диска 2 (каток), катящегося по неподвижной поверхности цилин-

дрической ступенькой, и однородного диска 3 (блок), вращающегося вокруг неподвижной оси, проходящей через центр масс блока (рис. 6.6). Качение катка 2 без проскальзывания, скольжение груза 1 – без трения. Движение системы происходит под действием сил тяжести, силы $\vec{F}$, приложенной к грузу 1 и пары сил с моментом M, приложенной к диску 3.

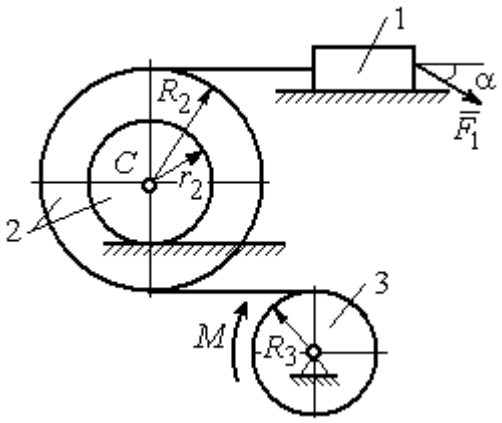

Рис. 6.6. Схема движения механической системы

Найти уравнение движения центра масс катка 2 если движение системы началось из состояния покоя. Определить реакцию шарнира диска 3 в момент t = 1 с, если: P_1 = 10 Н; $P_2 = 20$ Н; $P_3 =$ 15 Н; $F = 5(t+1)$ Н; $M = 6(1+2t)$ Н·м; R_2 = 0,8 м; r_2 = 0,2 м; R_3 = 0,4 м; i_{2C} = 0,6 м.

Решение

В рассматриваемой механической системе активными силами являются силы тяжести $\vec{P}_1$, $\vec{P}_2$, $\vec{P}_3$, сила $\vec{F}$ и пара сил с моментом M (рис. 6.7). Связи идеальные, так как скольжение груза 1 происходит по гладкой поверхности без трения, качение диска 2 без проскальзывания, а ось вращения блока 3 неподвижна.

Предположим, направление движения в системе задаёт пара сил с моментом M, приложенная к блоку 3. Обозначим ω_3, ε_3 – угловая скорость и угловое ускорение блока 3, V_C, a_C – скорость и ускорение центра масс катка 2, V_1, a_1 – скорость и ускорение груза 1. Направления векторов скоростей и ускорений точек и угловых скоростей и ускорений тел в соответствии с выбранным направлением движения системы показаны на рис. 6.7.

Общее уравнение динамики имеет вид:

$$\sum \delta A(\vec{F}_k^{\text{акт}}) + \sum \delta A(\vec{R}_k^{\text{и}}) = 0 .$$

Присоединим к телам системы силы инерции. Груз 1 движется поступательно. Главный вектор сил инерции груза 1 $\vec{R}_1^{\text{и}}$ приложен в центре масс груза и направлен в сторону, противоположную ускорению $\vec{a}_1$ груза 1. Модуль главного вектора сил инерции груза 1 $R_1^{\text{и}} = m_1 a_1$, где m_1 – масса груза 1; a_1 – величина ускорения груза 1.

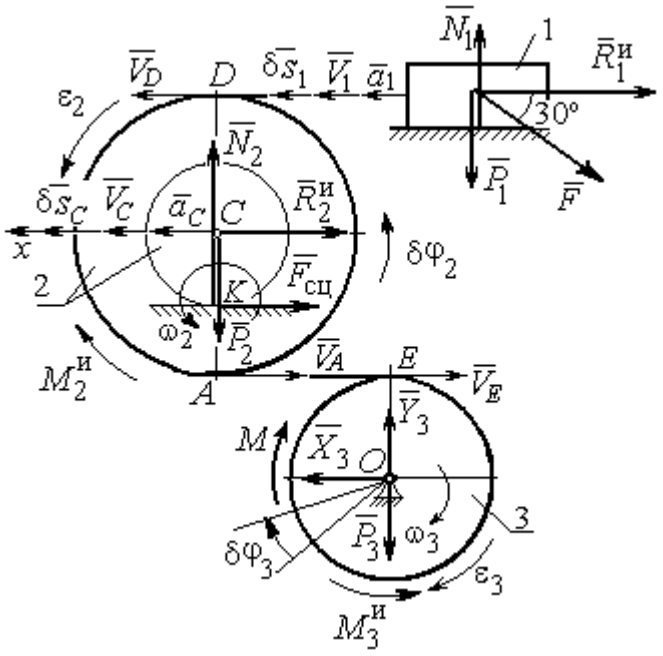

Рис. 6.7. Расчётная схема исследования движения механической системы

Система сил инерции катка 2, приводятся к силе, равной главному вектору сил инерции $\vec{R}_2^{\text{и}}$, приложенному в центре масс катка 2, и паре сил с моментом, равным главному моменту сил инерции $\vec{M}_2^{\text{и}}$ относительно оси, проходящей через центр масс перпендикулярно плоскости движения. Главный вектор сил инерции направлен в сторону, противоположную ускорению $\vec{a}_C$, и составляет $R_2^{\text{и}} = m_2 a_C$, где m_2 – масса катка 2; a_C – величина ускорения центра масс. Главный момент сил инерции: $M_2^{\text{и}} = J_{2C}\varepsilon_2$, где J_{2C} – момент инерции катка 2 относительно оси, проходящей через центр масс перпендикулярно плоскости движения; ε_2 – угловое ускорение катка 2. Направлен главный момент сил инерции $M_2^{\text{и}}$ в сторону, противоположную угловому ускорению ε_2.

Главный вектор сил инерции, приложенных к блоку 3 и приведённых к центру масс блока, равен нулю, так как блок вращается вокруг неподвижной оси, проходящей через центр масс, и ускорение центра масс блока равно нулю. В результате силы инерции блока 3 приводятся к паре сил, момент которой ра-

вен главному моменту сил инерции $\vec{M}_3^{\text{и}}$ относительно оси вращения. Главный момент сил инерции блока 3 равен по величине $M_3^{\text{и}} = J_{3O}\varepsilon_3$, где J_{3O} – момент инерции блока 3 относительно оси вращения; ε_3 – угловое ускорение блока 3, и направлен в сторону, противоположную угловому ускорению ε_3. Главные векторы и главные моменты сил инерции показаны на рис. 6.8.

Определим кинематические соотношения между скоростями точек системы и выразим их через скорость V_C центра масс катка 2. Каток 2 катится по неподвижной поверхности без скольжения. Мгновенный центр скоростей катка находится в точке *K* касания катка с поверхностью (см. рис. 6.7). Угловая скорость катка 2 $\omega_2 = \dfrac{V_C}{CK} = \dfrac{V_C}{r_2}$. Скорость точки *A* катка 2: $V_A = \omega_2 \cdot AK = \omega_2(R_2 - r_2) = V_C \dfrac{R_2 - r_2}{r_2}$. Скорость точки *E* блока 3 равна скорости точки *A* катка 2, $V_E = V_A$. Тогда угловая скорость блока 3:

$$\omega_3 = \frac{V_E}{R_3} = \frac{V_A}{R_3} = V_C \frac{(R_2 - r_2)}{R_3 r_2}.$$

Скорость груза 1 равна скорости точки *D* катка 2:

$$V_1 = V_D = \omega_2 \cdot DK = \omega_2(R_2 + r_2) = V_C \frac{(R_2 + r_2)}{r_2}.$$

Соотношения между ускорениями определяются путем дифференцирования установленных кинематических равенств:

$$a_1 = a_C \frac{(R_2 + r_2)}{r_2}, \quad \varepsilon_2 = \frac{a_C}{r_2}, \quad \varepsilon_3 = a_C \frac{(R_2 - r_2)}{R_3 r_2}.$$

Для того чтобы найти соотношения между перемещениями, выразим кинематические равенства между скоростями в дифференциальном виде и, полагая, что действительное перемещение является возможным, т. е. $ds = \delta s$, $d\varphi = \delta\varphi$, получим соотношения между возможными перемещениями:

$$\delta s_1 = \delta s_C \frac{(R_2 + r_2)}{r_2}, \ \ \delta\varphi_2 = \frac{\delta s_C}{r_2}, \ \ \delta\varphi_3 = \delta s_C \frac{(R_2 - r_2)}{R_3 r_2}.$$

Сообщим системе возможное перемещение, совпадающее с действительным. Элементарная работа реакций связи на любом возможном перемещении системы равна нулю, так как связи в системе идеальные.

Найдем элементарные работы активных сил и выразим их через перемещение центра масс катка 2. Прежде заметим, что элементарные работы сил тяжести груза 1 и катка 2 равны нулю, так как направления перемещений точек приложения этих сил перпендикулярны векторам сил:

$$\delta A(\vec{P}_1) = P_1 \delta s_1 \cos 90^\circ = 0, \ \delta A(\vec{P}_2) = P_2 \delta s_C \cos 90^\circ = 0.$$

Элементарная работа силы тяжести блока 3 равна нулю, так как точка приложения силы тяжести блока 3 не перемещается: $\delta A(\vec{P}_3) = 0$.

Элементарная работа пары сил с моментом M, приложенных к блоку 3:

$$\delta A(\vec{M}) = M\delta\varphi_3 = M\delta s_C \frac{(R_2 - r_2)}{R_3 r_2}.$$

Элементарная работа силы $\vec{F}$:

$$\delta A(\vec{F}) = F\delta s_1 \cos 150^\circ = -F\delta s_C \frac{(R_2 + r_2)}{r_2} \cos 30^\circ.$$

Сумма элементарных работ всех активных сил:

$$\sum \delta A(\vec{F}_k^{\text{акт}}) = \delta A(\vec{M}) + \delta A(\vec{F}) = M\delta s_C \frac{(R_2 - r_2)}{R_3 r_2} - F\delta s_C \frac{(R_2 + r_2)}{r_2} \cos 30^\circ =$$

$$= \left[6(1 + 2t)\left(\frac{0{,}8 - 0{,}2}{0{,}4 \cdot 0{,}2} \right) - 5(t + 1)\left(\frac{0{,}8 + 0{,}2}{0{,}2} \right) 0{,}866 \right] \delta s_C = (23{,}35 + 68{,}35t)\delta s_C.$$

Определим модули главных векторов и главных моментов сил инерции в зависимости от ускорения a_C центра масс катка 2:

$$R_1^{\text{и}} = m_1 a_1 = \frac{P_1}{g} a_1 = \frac{P_1 (R_2 + r_2)}{g r_2} a_C, \quad R_2^{\text{и}} = m_2 a_C = \frac{P_2 a_C}{g},$$

$$M_2^{\text{и}} = J_{2C}\varepsilon_2 = m_2 i_{2C}^2 \varepsilon_2 = \frac{P_2}{g} i_{2C}^2 \frac{a_C}{r_2},$$

$$M_3^{\text{и}} = J_{3O}\varepsilon_3 = \frac{m_3 R_3^2}{2}\varepsilon_3 = \frac{P_3 R_3^2}{2g}\frac{(R_2 - r_2)}{R_3 r_2}a_C = \frac{P_3 R_3 (R_2 - r_2)}{2g r_2}a_C,$$

где J_{2C} – момент инерции катка 2 относительно оси, проходящей через его центр масс перпендикулярно плоскости движения, $J_{2C} = m_2 i_{2C}^2$; i_{2C} – радиус инерции катка 2; J_{3O} – момент инерции блока 3 относительно оси вращения, проходящей через его центр масс, $J_{3O} = \frac{m_3 R_3^2}{2}$.

Найдем элементарные работы сил инерции на возможном перемещении системы и выразим их в зависимости от перемещения δs_C центра масс катка 2:

$$\delta A(\vec{R}_1^{\text{и}}) = R_1^{\text{и}}\delta s_1 \cos 180^\circ = -\frac{P_1 (R_2 + r_2)^2 a_C}{g r_2^2}\delta s_C;$$

$$\delta A(\vec{R}_2^{\text{и}}) = R_2^{\text{и}}\delta s_C \cos 180^\circ = -\frac{P_2 a_C}{g}\delta s_C,\ \delta A(\vec{M}_2^{\text{и}}) = -M_2^{\text{и}}\delta\varphi_2 = -\frac{P_2 i_2^2 a_C}{g r_2^2}\delta s_C;$$

$$\delta A(\vec{M}_3^{\text{и}}) = -M_3^{\text{и}}\delta\varphi_3 = -\frac{P_3 (R_2 - r_2)^2 a_C}{2 g r_2^2}\delta s_C.$$

Сумма элементарных работ сил инерции:

$$\sum \delta A(\vec{R}_k^{\text{и}}) = -\frac{P_1 (R_2 + r_2)^2 a_C}{g r_2^2}\delta s_C - \frac{P_2 a_C}{g}\delta s_C - \frac{P_2 i_2^2 a_C}{g r_2^2}\delta s_C - \frac{P_3 (R_2 - r_2)^2 a_C}{2 g r_2^2}\delta s_C =$$

$$= -\frac{a_C \delta s_C}{g}\left[\frac{10(0{,}8 + 0{,}2)^2}{0{,}2^2} + 20 + \frac{20 \cdot 0{,}6^2}{0{,}2^2} + \frac{15(0{,}8 - 0{,}2)^2}{2 \cdot 0{,}2^2}\right] = -52{,}75\, a_C \delta s_C,$$

где $g = 9{,}81$ м/с^2.

С учетом проделанных вычислений общее уравнение динамики принимает вид:

$$\sum \delta A(\vec{F}_k^{\text{акт}}) + \sum \delta A(\vec{R}_k^{\text{и}}) = (23{,}35 + 68{,}35t)\delta s_C - 52{,}75\, a_C \delta s_C = 0,$$

откуда ускорение центра масс катка 2:

$$a_C = 0{,}44 + 1{,}29t.$$

Выберем ось x по направлению движения центра масс катка 2 (см. рис. 6.7). Проектируя вектор $\vec{a}_C$ ускорения точки C на ось x, получим дифференциальное уравнение $a_C = \ddot{x}_C = 0{,}44 + 1{,}29t$. Интегрируя дважды это уравнение, найдём закон движения: $x_C = 0{,}44\dfrac{t^2}{2} + 1{,}29\dfrac{t^3}{6} + C_1 t + C_2$. Подставляя сюда начальные условия: $t = 0$, $V_C = 0$, $x_C = 0$, найдём константы интегрирования: $C_1 = C_2 = 0$. Окончательно уравнение движения центра масс диска 2 представим в виде:

$$x_C = 0{,}22t^2 + 0{,}21t^3.$$

Рассмотрим вращательное движение блока 3, освободив его от связей. На блок действуют сила тяжести $\vec{P}_3$, реакция подшипника, разложенная на составляющие $\vec{X}_3$, $\vec{Y}_3$, пара сил с моментом M и реакция нити $\vec{H}_3$ (см. рис. 6.8). Реакция нити, равная силе натяжения нити, приложена к блоку 3, направлена вдоль нити, связывающей каток 2 и блок 3. Присоединим к блоку 3 силы инерции. Направления сил, моментов пар сил и главного момента сил инерции, действующих на блок 3, показаны на рис. 6.8.

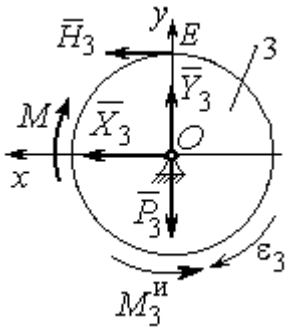

Рис. 6.8. Расчётная схема определения натяжения нити и реакции шарнира блока 3

По принципу Даламбера система сил, приложенных к блоку 3, включая силы инерции, находится в равновесии. Составим уравнение равновесия в виде равенства нулю суммарного момента всех сил (включая силы инерции) относительно оси вращения. Получим $M - H_3 R_3 - M_3^{и} = 0$, где $M_3^{и} = J_{3O}\varepsilon_3 = \dfrac{P_3 R_3 (R_2 - r_2) a_C}{2 g r_2}$. Из уравнения находим величину натяжения нити:

$$H_3 = \frac{M}{R_3} - \frac{P_3 (R_2 - r_2) a_C}{2 g r_2} = \frac{6(1 + 2t)}{R_3} - \frac{P_3 (R_2 - r_2)}{2 g r_2}(0{,}44 + 1{,}29t) = 13{,}99 + 27{,}04t.$$

В момент времени $t = 1$ с натяжение нити: $H_3 = 41{,}04$ Н.

Так как главный вектор сил инерции блока 3 равен нулю, то составленные по принципу Даламбера уравнения равновесия блока 3 в виде проекций сил на вертикальную и горизонтальную оси содержат только внешние силы. Имеем: $X_3 + H_3 = 0$, $Y_3 - P_3 = 0$ (см. рис. 6.8). Отсюда находим составляющие реакции шарнира блока 3 в момент времени t = 1 с: $X_3 = -H_3$= – 41,04 Н, $Y_3 = P_3$= 15 Н. Отрицательное значение горизонтальной составляющей реакции шарнира X_3 означает её противоположное направление.

Полная реакция шарнира $R_3 = \sqrt{X_3^2 + Y_3^2}$ = 43,69 Н.

6.3. Уравнения Лагранжа II рода

Обобщенными координатами механической системы называется совокупность любых s независимых параметров $q_1, q_2, \ldots, q_S$, однозначно определяющих положение системы в любой момент времени.

Если системе сообщить возможное перемещение, при котором все обобщенные координаты изменяются на элементарные (бесконечно малые) величины $\delta q_1, \delta q_2, \ldots, \delta q_S$, называемые вариациями обобщенных координат, то все действующие активные силы совершат элементарную работу, которая может быть представлена в виде $\delta A = Q_1 \cdot \delta q_1 + Q_2 \cdot \delta q_2 + \ldots + Q_s \cdot \delta q_S$. Величина Q_k, равная коэффициенту при вариации δq_k обобщенной координаты, называется **обобщенной силой**, соответствующей данной обобщенной координате. Расчет обобщенных сил осуществляется путем последовательного придания системе возможных перемещений, при которых варьируется только одна из обобщенных координат, а вариации остальных координат равны нулю.

Для материальной системы с идеальными связями дифференциальные уравнения движения в обобщенных координатах – **уравнения Лагранжа II рода** – имеют вид:

$$\frac{d}{dt}\left(\frac{\partial T}{\partial \dot{q}_k}\right) - \frac{\partial T}{\partial q_k} = Q_k, \quad k = 1, 2, \ldots, s,$$

где T – кинетическая энергия системы; $q_1, q_2, \ldots, q_S$ – обобщенные координаты; $\dot{q}_1, \dot{q}_2, \ldots, \dot{q}_S$ – обобщенные скорости; s – число степеней свободы системы.

6.4. Задание Д7. Исследование механической системы с одной степенью свободы с применением уравнений Лагранжа

Механическая система состоит из трёх тел – бруса 1, блока 2, катка 3 и невесомой пружины жесткостью c. Брус 1, соединяющий каток 3 с блоком 2, расположен параллельно линии качения катка 3. Радиусы ступеней ступенчатого диска и радиус однородного диска указаны на схеме.

Качение катка 3 происходит без проскальзывания. Скольжение между брусом и дисками отсутствует. В задачах, где пружина соединяется с блоком 2, передача движения блоку 2 производится посредством невесомого стержня без скольжения.

Радиус инерции ступенчатого диска относительно оси, проходящей через его центр масс перпендикулярно плоскости движения, равен i_z.

Система движется в вертикальной плоскости под действием сил тяжести $\vec{P}_1$, $\vec{P}_2$, $\vec{P}_3$, силы $\vec{F}$ и пары сил с моментом M.

Определить закон движения бруса 1 и закон угловых колебаний блока 2, если в начальный момент пружина находилась в нерастянутом состоянии, а блоку 2 придали угловую скорость ω_{20}, направленную в сторону заданного момента пары сил.

Варианты заданий даны на рис. 6.9, 6.10. Варианты исходных данных в табл. 6.2. Отрицательные значения величин F или M в табл. 6.2 означают, что при заданных модулях силы или момента направление вектора силы $\vec{F}$ или момента M на схеме следует изменить на противоположные.

Варианты № 1, 11, 21	Варианты № 2, 12, 22
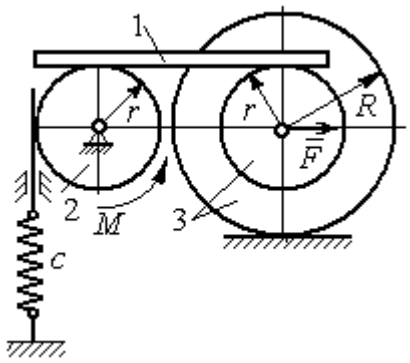	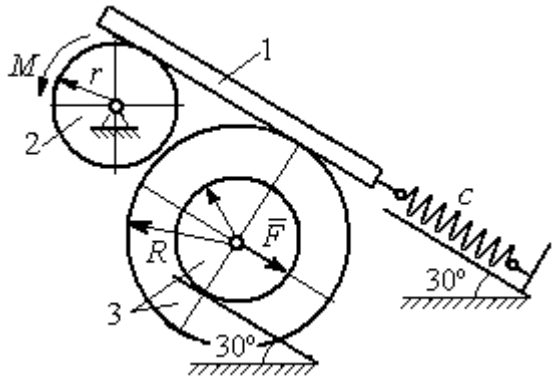

Варианты № 3, 13, 23	Варианты № 4, 14, 24
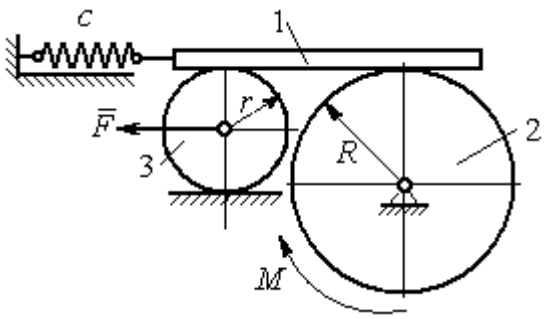	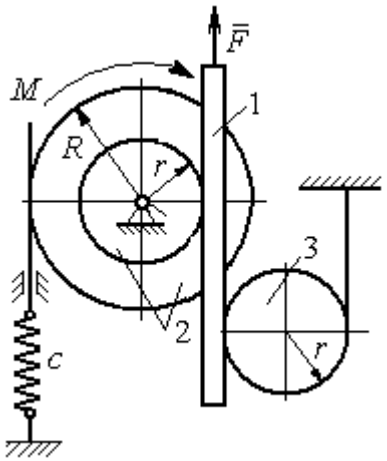

Варианты № 5, 15, 25	Варианты № 6, 16, 26
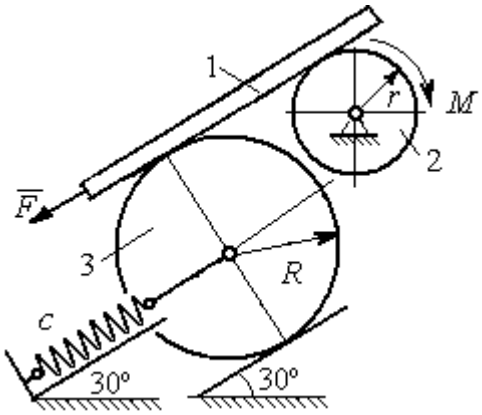	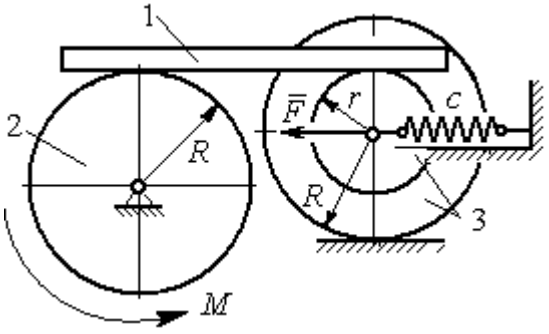

Рис. 6.9. Задание Д7. Исследование движения механической системы с одной степенью свободы. Номера вариантов задания 1 – 6, 11 – 16, 21 – 26

Варианты № 7, 17, 27	**Варианты № 8, 18, 28**
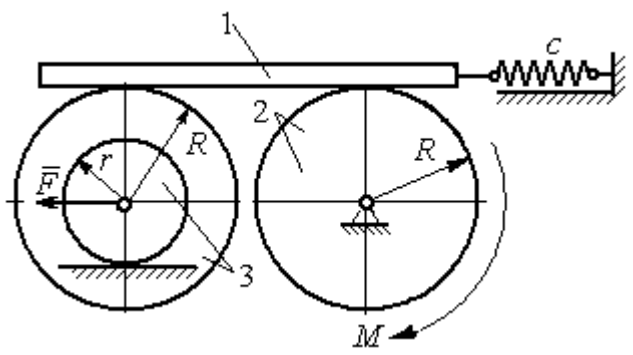	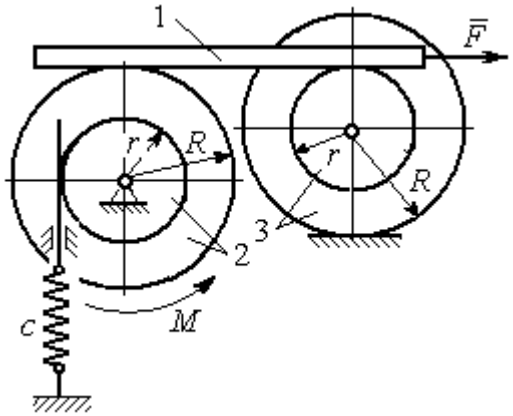

Варианты № 9, 19, 29	**Варианты № 10, 20, 30**
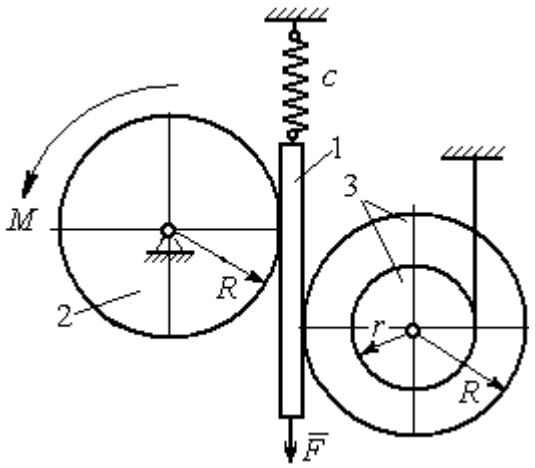	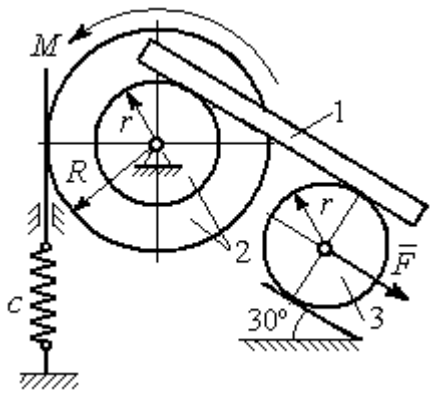

Рис. 6.10. Задание Д7. Исследование движения механической системы с одной степенью свободы. Номера вариантов задания 7 – 10, 17 – 20, 27 – 30

Таблица 6.2

Исходные данные задания Д7. Исследование движения механической системы с одной степенью свободы с применением уравнений Лагранжа

Номер варианта задания	P_1, Н	P_2, Н	P_3, Н	F, Н	M, Н·м	c, Н/м	ω_{20}, рад/с	R, м	r, м	i_z, м
1	8	12	18	15	3	50	0,3	0,6	0,3	0,4
2	10	8	15	12	5	55	0,4	0,8	0,5	0,6
3	5	18	10	8	4	60	0,2	0,5	0,3	–
4	5	20	12	10	6	70	0,5	0,6	0,5	0,6
5	5	8	16	8	8	65	0,2	0,6	0,3	–

Окончание табл. 6.2

Номер варианта задания	P_1, Н	P_2, Н	P_3, Н	F, Н	M, Н·м	c, Н/м	ω_{20}, рад/с	R, м	r, м	i_z, м
6	8	10	14	6	2	50	0,1	1,0	0,6	0,8
7	10	12	15	12	3	65	0,2	0,8	0,6	0,7
8	12	15	15	6	2	50	0,3	1,2	0,6	0,8
9	5	20	12	8	4	75	0,1	0,6	0,4	0,5
10	6	25	8	5	12	60	0,4	1,0	0,8	0,9
11	4	10	12	–10	–2	60	0,2	0,8	0,4	0,6
12	5	8	15	–8	3	50	0,5	1,0	0,5	0,7
13	6	15	8	–12	–4	65	0,4	0,6	0,5	–
14	10	25	10	6	10	55	0,1	0,8	0,6	0,7
15	8	6	20	–10	2	70	0,2	1,2	0,6	–
16	10	12	12	–5	6	60	0,3	0,8	0,6	0,7
17	12	16	12	–6	–2	55	0,4	0,9	0,6	0,8
18	10	20	20	10	4	60	0,1	0,8	0,4	0,7
19	8	20	12	–10	6	65	0,2	1,2	0,4	0,8
20	12	20	10	–3	6	50	0,24	1,0	0,6	0,9
21	5	12	15	12	–3	55	0,3	0,6	0,5	0,55
22	10	15	18	6	–2	65	0,1	0,8	0,4	0,6
23	8	20	12	–8	2	45	0,2	0,8	0,6	–
24	12	20	18	–4	–8	70	0,4	0,5	0,3	0,4
25	6	10	15	–6	–2	60	0,1	1,4	0,7	–
26	8	12	10	10	–3	65	0,2	1,2	0,8	0,9
27	6	18	16	5	–3	70	0,2	0,8	0,2	0,6
28	8	12	12	–6	2	65	0,3	0,6	0,3	0,5
29	10	18	20	–10	4	60	0,2	1,2	0,8	0,9
30	8	18	10	8	6	75	0,1	1,0	0,8	0,9

Пример выполнения задания Д7. Исследование движения механической системы с одной степенью свободы с применением уравнений Лагранжа

Механическая система состоит из трёх тел – бруса 1, блока 2, катка 3 и невесомой пружины жесткостью c. Брус, соединяющий каток 3 с блоком 2, расположен параллельно линии качения катка 3 (рис. 6.11). Радиусы ступеней ступенчатого диска R и r, радиус однородного диска r. Система движется в вертикальной плоскости под действием сил тяжести $\vec{P}_1$, $\vec{P}_2$, $\vec{P}_3$, силы $\vec{F}$ и пары сил с моментом M. Движение катка 3 по неподвижной поверхности происходит без проскальзывания. Скольжение между брусом и дисками отсутствует.

Передача движения от пружины блоку 2 производится посредством невесомого вертикального стержня без скольжения. Радиус инерции блока 2 относительно оси, проходящей через его центр масс перпендикулярно плоскости движения, i_z.

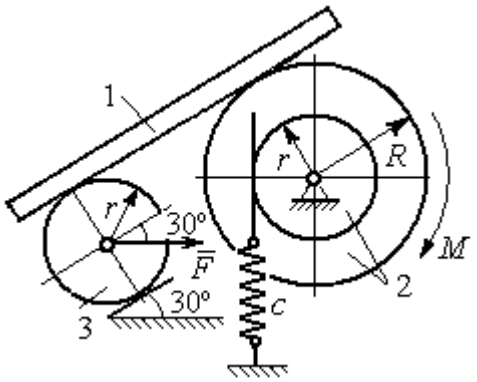

Рис. 6.11. Механическая система с одной степенью свободы

Исходные данные задачи: $P_1 = P$ Н, $P_2 = 2P$ Н, $P_3 = P$ Н, $F = 2P$ Н, $M = Pr$ Н·м, $R = 1{,}5r$ м, $i_z = r\sqrt{2}$ м, $c = P/r$ Н/м.

Определить законы движения блока 2 и бруса 1 при $P = 10$ Н, $r = 0{,}2$ м, если в начальный момент пружина находилась в нерастянутом состоянии, а блоку 2 придали угловую скорость $\omega_0 = 0{,}5$ рад/с, направленную в сторону заданного момента пары сил.

Решение

Рассматриваемая механическая система (рис. 6.11) имеет одну степень свободы, так как в системе не допускается независимое друг от друга движение тел. В качестве обобщённой координаты q выберем перемещение x верхнего края пружины, отсчитываемого от уровня, при котором пружина длиной l_0 находилась в нерастянутом состоянии (рис. 6.12). Обобщённая скорость $\dot{q} = \dot{x}$.

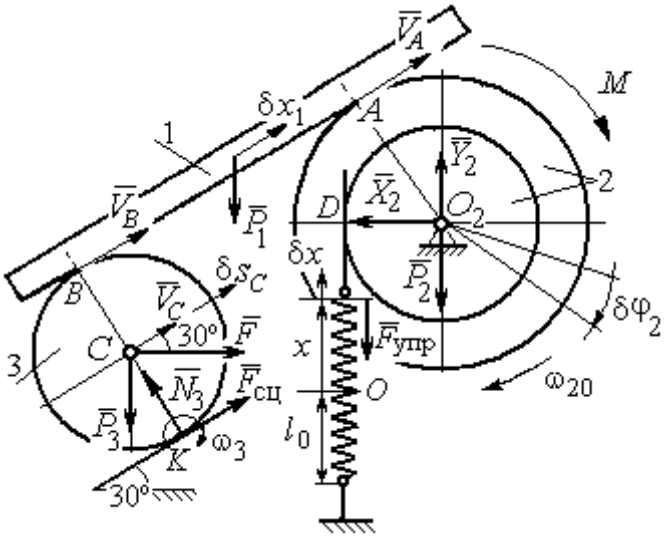

Рис. 6.12. Расчётная схема колебаний механической системы с одной степенью свободы

Уравнение Лагранжа II рода, описывающее движение системы с одной степенью свободы, имеет вид $\dfrac{d}{dt}\left(\dfrac{\partial T}{\partial \dot{x}}\right) - \dfrac{\partial T}{\partial x} = Q_x$, где T –

кинетическая энергия системы, Q_x – обобщенная сила, соответствующая обобщенной координате *x*.

Вычислим кинетическую энергию системы как сумму кинетических энергий бруса, блока и катка: $T = T_1 + T_2 + T_3$. Кинетическая энергия поступательного движения бруса 1: $T_1 = \frac{1}{2} m_1 V_1^2$, где m_1, V_1 – масса и скорость бруса. Энергия вращательного движения блока 2: $T_2 = \frac{1}{2} J_{2z} \omega_2^2$, где ω_2 – угловая скорость блока, J_{2z} – момент инерции блока 2 относительно оси *z*, $J_{2z} = m_2 i_z^2$.

Каток 3 совершает плоскопараллельное движение. Его кинетическая энергия $T_3 = \frac{1}{2} m_3 V_C^2 + \frac{1}{2} J_{zC} \omega_3^2$, где V_C – скорость центра масс катка 3; J_{zC} – момент инерции катка относительно оси, проходящей через его центр масс перпендикулярно плоскости движения, $J_{zC} = \frac{1}{2} m_3 r^2$; *r* – радиус катка; ω_3 – угловая скорость катка.

Выразим скорость V_1 бруса 1, угловые скорости ω_2, ω_3 блока 2 и катка 3, а также скорость V_C центра масс катка 3 через обобщённую скорость $\dot{x}$.

Заметим, что скорость точки *D* блока 2 равна скорости верхнего края пружины $V_D = \dot{x}$. Угловая скорость блока 2 $\omega_2 = \frac{V_D}{r} = \frac{\dot{x}}{r}$. Скорость бруса 1 равна скорости точки *A* блока 2 и вычисляется по формуле $V_1 = V_A = \omega_2 R = \frac{\dot{x} R}{r}$. Так как брус совершает поступательное движение, то $V_B = V_1$. Угловая скорость катка 3 $\omega_3 = \frac{V_B}{2r} = \frac{V_1}{2r} = \frac{\dot{x} R}{2r^2}$. Здесь при определении угловой скорости катка 3 учтено, что точка *K* касания катка 3 с неподвижной поверхностью является мгновенным центром скоростей катка. Скорость центра катка 3 $V_C = \frac{V_B}{2} = \frac{\dot{x} R}{2r}$.

Подставляя исходные данные задачи с учётом найденных кинематических соотношений, получим кинетическую энергию тел системы

$$T_1=\frac{1}{2}m_1V_1^2=\frac{P}{2g}\left(\frac{\dot{x}R}{r}\right)^2=1{,}125\frac{P}{g}\dot{x}^2,\ \ T_2=\frac{1}{2}J_{2z}\omega_2^2=\ \frac{1}{2}\cdot\frac{2P}{g}\left(r\sqrt{2}\right)^2\left(\frac{\dot{x}}{r}\right)^2=2\frac{P}{g}\dot{x}^2,$$

$$T_3=\frac{1}{2}m_3V_C^2+\frac{1}{2}J_{zC}\omega_3^2=\frac{1}{2}\frac{P}{g}\left(\frac{\dot{x}R}{2r}\right)^2+\frac{1}{2}\frac{Pr^2}{2g}\left(\frac{\dot{x}R}{2r^2}\right)^2=0{,}422\frac{P}{g}\dot{x}^2.$$

Тогда полная кинетическая энергия системы:

$$T=T_1+T_2+T_3=3{,}547\frac{P}{g}\dot{x}^2.$$

Произвольное положение системы определяется обобщённой координатой *x*, показывающей растяжение пружины. Дадим пружине, находящейся в произвольном положении, возможное (бесконечно малое) перемещение δx в положительном направлении оси *x* (см. рис. 6.12). При этом блок 2 повернётся на угол $\delta\varphi_2$: $\delta\varphi_2=\frac{\delta x}{r}$, брус 1 переместится на расстояние δx_1: $\delta x_1=\frac{\delta xR}{r}$, центр масс катка 3 сдвинется на расстояние δS_C: $\delta S_C=\frac{\delta xR}{2r}$. Все перемещения получены из установленных ранее кинематических соотношений и показаны на рис. 6.12.

При заданном возможном перемещении системы работу совершают силы тяжести $\vec{P}_1$, $\vec{P}_3$ бруса 1 и катка 3, пара сил с моментом *M*, сила $\vec{F}$ и сила упругости пружины (см. рис. 6.12). Элементарная работа вращающего момента *M*, приложенного к блоку 2, будет $\delta A(M)=M\delta\varphi_2=M\frac{\delta x}{r}$. Работа силы тяжести бруса 1 определяется равенством $\delta A(P_1)=P_1\delta x_1\cos120^\circ=-P_1\delta x_1\cos60^\circ=-\frac{P_1\delta xR}{2r}$. Работы силы тяжести катка 3 и силы *F*: $\delta A(P_3)=P_3\delta s_C\cos120^\circ=-P_3\frac{\delta xR}{4r}$, $\delta A(F)=F\frac{\delta xR}{2r}\cos30^\circ$. Модуль силы упругости пружины, растянутой из неде-

формированного положения на расстояние x: $F_{\text{упр}} = cx$. Сила $\vec{F}_{\text{упр}}$ упругости направлена в сторону, противоположную растяжению (см. рис. 6.12). Работа силы упругости при перемещении вдоль линии действия на расстояние δx вычисляется по формуле $\delta A(\vec{F}_{\text{упр}}) = F_{\text{упр}}\delta x\cos 180^\circ = -cx\delta x$.

Сумма работ сил на рассматриваемом возможном перемещении системы с учётом данных задачи составляет

$$\delta A = \delta A(M) + \delta A(P_1) + \delta A(P_3) + \delta A(F) + \delta A(F_{\text{упр}}) =$$

$$= M\frac{\delta x}{r} - \frac{P_1\delta xR}{2r} - P_3\frac{\delta xR}{4r} + F\frac{\delta xR}{2r}\cos 30^\circ - cx\delta x = P(1{,}174 - 5x)\delta x,$$

откуда обобщённая сила $Q_x = P(1{,}174 - 5x)$.

Составим уравнения Лагранжа. Вычислим частные производные от кинетической энергии по обобщенной скорости $\dot{x}$ и координате x: $\frac{\partial T}{\partial \dot{x}} = 7{,}094\frac{P}{g}\dot{x}$, $\frac{\partial T}{\partial x} = 0$. Определим полную производную по времени: $\frac{d}{dt}\left(\frac{\partial T}{\partial \dot{x}}\right) = 7{,}094\frac{P}{g}\ddot{x}$. Результаты расчетов подставим в уравнения Лагранжа II рода и получим дифференциальное уравнение колебаний верхнего края пружины:

$$7{,}094\frac{P}{g}\ddot{x} = P(1{,}174 - 5x), \text{ или при } g = 9{,}81 \text{ м/с}^2,\ \ddot{x} + 6{,}91x = 1{,}62.$$

Решение дифференциального уравнения представляется в виде суммы общего решения однородного уравнения и частного решения неоднородного: $x = x_{\text{одн}} + x_{\text{частн}}$. Общее решение однородного уравнения имеет вид $x_{\text{одн}} = C_1\sin kt + C_2\cos kt$, где C_1, C_2 – произвольные постоянные; k – круговая частота собственных колебаний пружины, $k = \sqrt{6{,}91} = 2{,}63$ рад/с. Частное решение неоднородного уравнения ищется в виде константы $x_{\text{частн}} = b$. Подставив его в уравнение колебаний, получим $b = 0{,}23$. Таким образом, общее решение неоднородного уравнения имеет вид $x(t) = C_1\sin 2{,}63t + C_2\cos 2{,}63t + 0{,}23$.

Произвольные постоянные C_1, C_2 находятся из начальных условий. По условию задачи в начальный момент пружина была в нерастянутом состоянии. Тогда начальная координата пружины (её верхнего края) $x(0) = 0$. Скорость верхнего края пружины в начальный момент времени $\dot{x}(0)$ равна начальной скорости $V_D(0)$ точки *D* блока 2. Поскольку в начальный момент времени блоку 2 сообщили угловую скорость ω_{20}, то $\dot{x}(0) = V_D(0) = \omega_{20} r = 0{,}1$ м/с.

Подставляя значение начальной координаты в общее решение неоднородного уравнения при $t = 0$, получим $C_2 = -0{,}23$.

Вычисляем скорость движения пружины, взяв производную: $\dot{x}(t) = 2{,}63C_1 \cos 2{,}63t - 2{,}63C_2 \sin 2{,}63t$. Подставляя начальное значение скорости, получим $C_1 = 0{,}038$. Окончательно уравнение движения верхнего края пружин: $x(t) = 0{,}038 \sin 2{,}63t - 0{,}23 \cos 2{,}63t + 0{,}23$ м.

Уравнения колебательных движений бруса 1 и блока 2 найдём из ранее полученных кинематических соотношений:

$$x_1 = \frac{xR}{r} = 1{,}5\, x(t) = 0{,}057 \sin 2{,}63t - 0{,}34 \cos 2{,}63t + 0{,}34 \text{ м};$$

$$\varphi_2 = \frac{x}{r} = 5\, x(t) = 0{,}19 \sin 2{,}63t - 1{,}15 \cos 2{,}63t + 1{,}15 \text{ рад}.$$

Амплитуда колебаний бруса $A = \sqrt{0{,}057^2 + 0{,}34^2} = 0{,}35$ м.

6.5. Задание Д8. Исследование механической системы с двумя степенями свободы

Механическая система, состоящая из четырёх тел, из состояния покоя движется в вертикальной плоскости под действием сил тяжести $\vec{P}_1$, $\vec{P}_2$, $\vec{P}_3$, $\vec{P}_4$, силы $\vec{F}$ и пары сил с моментом *M*. Качение тел во всех случаях происходит без проскальзывания, скольжение грузов по поверхностям – без трения. Радиусы дисков одинаковы и равны *R*. Найти уравнения движения системы в обоб-

щённых координатах. Варианты заданий и рекомендуемые обобщённые координаты даны на рис. 6.13, 6.14, варианты исходных данных – в табл. 6.3.

Варианты № 1, 11, 21	**Варианты № 2, 12, 22**
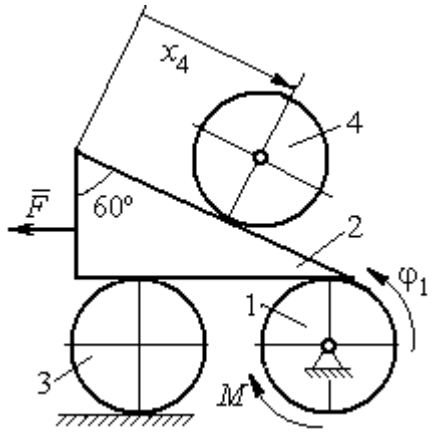	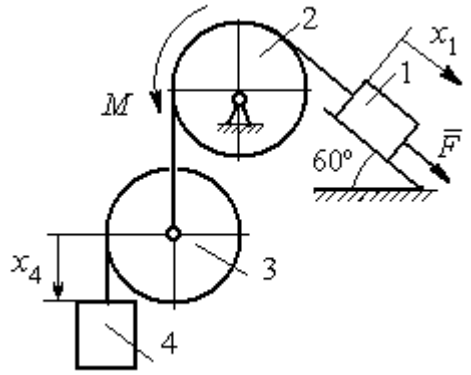
Варианты № 3, 13, 23	**Варианты № 4, 14, 24**
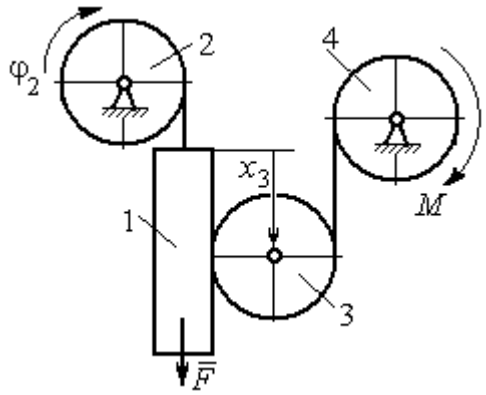	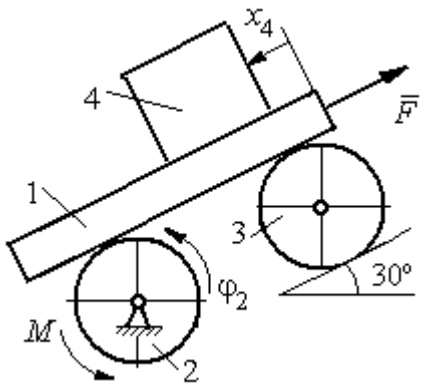
Варианты № 5, 15, 25	**Варианты № 6, 16, 26**
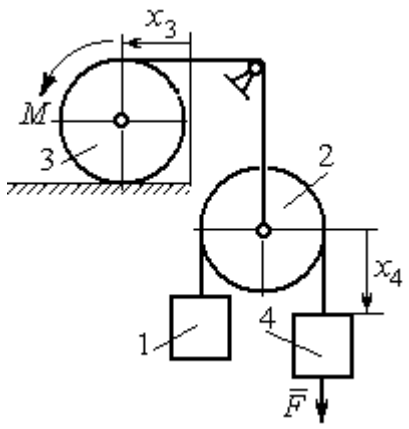	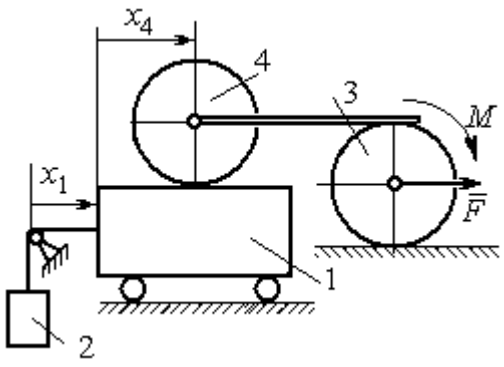

Рис. 6.13. Задание Д8. Исследование движения механической системы с двумя степенями свободы. Номера вариантов задания 1 – 6, 11 – 16, 21 – 26

Окончание вариантов задания Д8

Варианты № 7, 17, 27	**Варианты № 8, 18, 28**
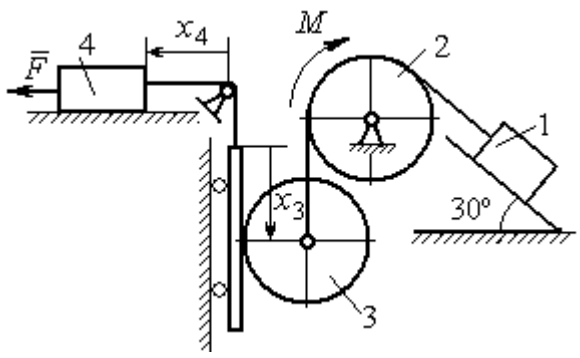	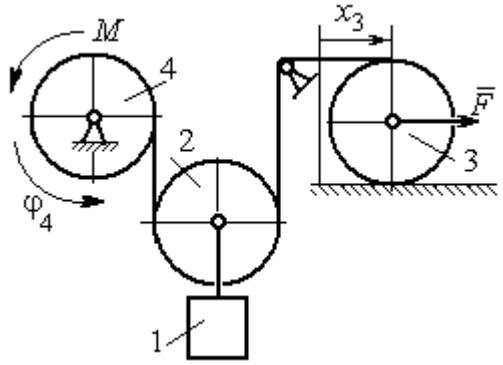

Варианты № 9, 19, 29	**Варианты № 10, 20, 30**
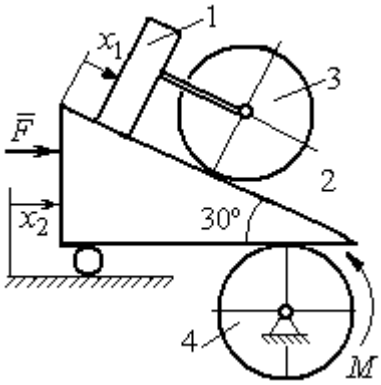	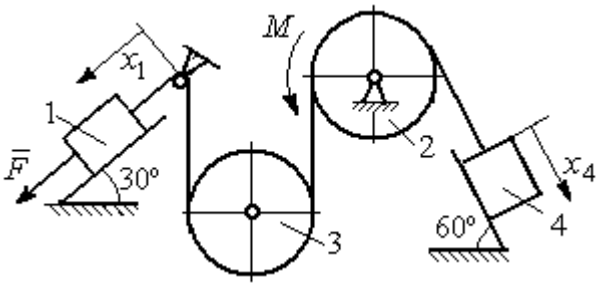

Рис. 6.14. Задание Д8. Исследование движения механической системы с двумя степенями свободы. Номера вариантов задания 7 – 10, 17 – 20, 27 – 30

Таблица 6.3

Исходные данные задания Д8. Исследование движения механической системы с двумя степенями свободы

Номер варианта задания	**1**	**2**	**3**	**4**	**5**	**6**	**7**	**8**	**9**	**10**	**11**	**12**	**13**	**14**	**15**
P_1, Н	P	$2P$	P	$1{,}5P$	P	$3P$	P	$1{,}2P$	$3P$	P	$2P$	P	P	$2P$	P
P_2, Н	$3P$	$3P$	$4P$	$3P$	$2P$	P	$2P$	$3P$	P	$2P$	$3P$	$2P$	$3P$	$4P$	$3P$
P_3, Н	$2P$	$2P$	$3P$	$2P$	$2P$	$2P$	$3P$	P	$2P$	$3P$	$2P$	$2P$	$2P$	P	$2P$
P_4, Н	$2P$	P	P	$2P$	$3P$	$3P$	P	P	$2P$	P	P	P	$2P$	$2P$	$2P$
R, м	$2r$	$1{,}5r$	$2{,}5r$	$1{,}2r$	$2r$	r	$1{,}5r$	r	$2r$	r	$1{,}5r$	$1{,}2r$	$2r$	$2r$	$2r$
F, Н	P	$2P$	P	$3P$	P	P	$2P$	$4P$	P	$2P$	P	$2P$	$1{,}5P$	$4P$	$2P$
M, Н·м	$2Pr$	$3Pr$	$4Pr$	$3Pr$	$3Pr$	$4Pr$	$2Pr$	$2Pr$	$3Pr$	$2Pr$	$3Pr$	$4Pr$	$3Pr$	$3Pr$	$2Pr$

Окончание табл. 6.3

Номер варианта задания	**16**	**17**	**18**	**19**	**20**	**21**	**22**	**23**	**24**	**25**	**26**	**27**	**28**	**29**	**30**
P_1, Н	4P	1,5P	P	2P	P	P	1,5P	1,5P	2P	P	P	2P	1,2P	3P	1,2P
P_2, Н	2P	2P	2P	4P	3P	4P	3P	4P	3P	2P	2P	1,2P	2P	3P	2P
P_3, Н	2P	2P	3P	2P	2P	3P	2P	2P	P	2P	3P	2P	P	P	3P
P_4, Н	1,5P	2P	3P	P	2P	2P	2P	P	2P	3P	P	P	2P	P	2P
R, м	1,5r	r	1,5r	2r	r	1,2r	2r	1,5r	2r	r	1,5r	2r	r	1,2r	2r
F, Н	2P	2P	P	3P	4P	2P	3P	2P	3P	P	3P	1,5P	4P	2P	3P
M, Н·м	3Pr	2Pr	4Pr	Pr	4Pr	4Pr	2Pr	Pr	4Pr	2Pr	4Pr	2Pr	2Pr	3Pr	2Pr

Пример выполнения задания Д8. Исследование движения механической системы с двумя степенями свободы

Платформа 3 лежит горизонтально на катке 5 и блоке 4 одинакового радиуса R (рис. 6.15). На платформу действует горизонтальная сила $\vec{F}$. К блоку 4, вращающемуся вокруг неподвижной оси, приложена пара сил с моментом M. Каток 5 катится по горизонтальной поверхности. К краю платформы одним концом прикреплена горизонтальная нить, а к другому концу, перекинутому через невесомый блок, прикреплён груз 6, движущийся вертикально. На платформе 3 установлен каток 2 радиуса R. К центру катка прикреплена нить, расположенная параллельно платформе и натянутая грузом 1, движущимся вертикально (см. рис. 6.15). Движение системы началось из состояния покоя. Качение тел без проскальзывания. Определить уравнения движения системы в обобщённых координатах, если $R = 2r$, веса тел $P_1 = P_6 = P$, $P_3 = 3P$, $P_4 = P_5 = P_2 = 2P$, $F = P$, $M = 3Pr$.

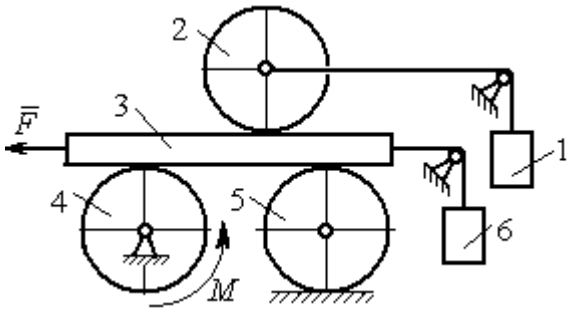

Рис. 6.15. Механическая система с двумя степенями свободы

Решение

Рассматриваемая механическая система, включающая катки 2, 5, платформу 3, блок 4 и грузы 1, 6, имеет две степени свободы, так как перемещение

катка 2 относительно платформы 3 не зависит от перемещения самой платформы. За обобщенные координаты выберем перемещение x_2 центра масс катка 2 относительно края платформы и перемещение x_3 платформы 3 относительно произвольной неподвижной вертикальной плоскости (рис. 6.16). Обобщенные скорости – скорость $\dot{x}_2$ центра масс катка 2 относительно края платформы и скорость платформы $\dot{x}_3$ относительно неподвижной вертикали. Уравнения Лагранжа II рода, описывающие движение системы:

$$\frac{d}{dt}\left(\frac{\partial T}{\partial \dot{x}_2}\right)-\frac{\partial T}{\partial x_2}=Q_{x_2}, \quad \frac{d}{dt}\left(\frac{\partial T}{\partial \dot{x}_3}\right)-\frac{\partial T}{\partial x_3}=Q_{x_3},$$

где T – кинетическая энергия системы; Q_{x_2}, Q_{x_3} – обобщенные силы, соответствующие указанным обобщенным координатам.

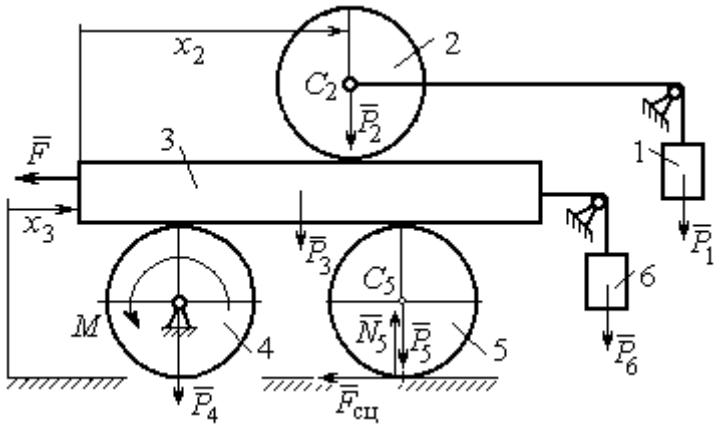

Рис. 6.16. Действующие силы
и обобщённые координаты механической системы

Вычислим кинетическую энергию системы как сумму кинетических энергий тел.

Платформа 3 совершает поступательное движение. Кинетическая энергия платформы $T_3=\frac{P_3}{2g}V_3^2$, где V_3 – скорость платформы, причём, в соответствии с выбором обобщённых координат и скоростей, $V_3=\dot{x}_3$.

Блок 4 вращается вокруг неподвижной оси. Энергия вращательного движения блока $T_4=\frac{1}{2}J_4\omega_4^2$, где J_4, ω_4 – осевой момент инерции блока 4 и его угловая скорость. Угловая скорость блока 4 $\omega_4=\frac{V_3}{R_4}=\frac{\dot{x}_3}{2r}$.

Каток 5 совершает плоскопараллельное движение, его кинетическая энергия вычисляется по формуле: $T_5 = \frac{1}{2}\frac{P_5}{g}V_{C_5}^2 + \frac{1}{2}J_5\omega_5^2$, где J_5 – момент инерции катка относительно оси вращения, проходящей через его центр масс; ω_5, V_{C_5} – угловая скорость и скорость центра масс катка 5. Для определения скорости центра масс катка 5 заметим, что точка касания катка с платформой имеет скорость, равную скорости платформы, а точка *K* касания катка с неподвижной горизонтальной поверхностью является его мгновенным центром скоростей. Следовательно, скорость центра катка равна половине скорости платформы: $V_{C_5} = \frac{1}{2}V_3 = \frac{1}{2}\dot{x}_3$. Угловая скорость катка 5 $\omega_5 = \frac{V_3}{2R_5} = \frac{\dot{x}_3}{4r}$ (рис. 6.17, *a*).

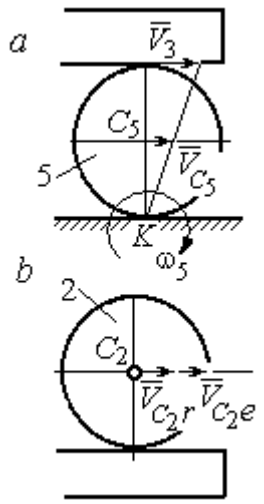

Рис. 6.17. Скорости центров катков 2 и 5

При расчёте кинетической энергии катка 2 необходимо учитывать, что каток совершает сложное движение. Качение катка по поверхности платформы является относительным движением, перемещение его вместе с платформой – переносным. Абсолютная скорость V_{C_2} центра масс катка 2 представляется в виде векторной суммы $\vec{V}_{C_2} = \vec{V}_{C_2r} + \vec{V}_{C_2e}$ (рис. 6.17, *b*), где $\vec{V}_{C_2e}$ – вектор переносной скорости катка, равный по модулю скорости платформы, $V_{C_2e} = V_3 = \dot{x}_3$; $\vec{V}_{C_2r}$ – вектор относительной скорости центра масс катка, равный по величине скорости центра масс катка 2 относительно края платформы, $V_{C_2r} = \dot{x}_2$. Модуль абсолютной скорости центра масс катка 2 равен сумме $V_{C_2} = V_{C_2r} + V_{C_2e} = \dot{x}_2 + \dot{x}_3$ (рис. 6.17, *b*).

Угловая скорость переносного движения катка 2 равна нулю, поскольку переносное движение катка – это поступательное движение платформы. В результате угловая скорость катка 2 равна его угловой скорости в относительном

движении: $\omega_2 = \dfrac{V_{C_2 r}}{R_2} = \dfrac{\dot{x}_2}{2r}$. Кинетическая энергия катка 2 рассчитывается по формуле: $T_2 = \dfrac{1}{2}\dfrac{P_2}{g}V_{C_2}^2 + \dfrac{1}{2}J_2\omega_2^2$, где J_2 – осевой момент инерции катка 2; ω_2 – угловая скорость катка; V_{C_2} – абсолютная скорость центра масс катка 2.

Движение грузов 1 и 6 поступательное, их кинетические энергии вычисляются по формулам: $T_1 = \dfrac{P_1}{2g}V_1^2$, $T_6 = \dfrac{P_6}{2g}V_6^2$. При этом скорость груза 1 равна абсолютной скорости центра катка 2: $V_1 = V_{C_2} = \dot{x}_2 + \dot{x}_3$, а скорость груза 6 равна скорости платформы: $V_6 = V_3 = \dot{x}_3$.

Выразим кинетическую энергию системы через обобщённые скорости. Кинетическая энергия:

$$T = T_1 + T_2 + T_3 + T_4 + T_5 + T_6 =$$

$$= \frac{P_1}{2g}V_1^2 + \frac{1}{2}\frac{P_2}{g}V_{C_2}^2 + \frac{1}{2}J_2\omega_2^2 + \frac{P_3}{2g}V_3^2 + \frac{1}{2}J_4\omega_4^2 + \frac{1}{2}\frac{P_5}{g}V_{C_5}^2 + \frac{1}{2}J_5\omega_5^2 + \frac{P_6}{2g}V_6^2,$$

где значения скоростей: $V_1 = \dot{x}_2 + \dot{x}_3$, $V_{C_2} = \dot{x}_2 + \dot{x}_3$, $\omega_2 = \dfrac{\dot{x}_2}{2r}$, $V_3 = \dot{x}_3$, $\omega_4 = \dfrac{\dot{x}_3}{2r}$, $V_{C_5} = \dfrac{1}{2}\dot{x}_3$, $\omega_5 = \dfrac{\dot{x}_3}{4r}$, $V_6 = \dot{x}_3$. Значения осевых моментов инерции катков: $J_2 = \dfrac{P_2 R_2^2}{2g} = \dfrac{4Pr^2}{g}$, $J_4 = \dfrac{P_4 R_4^2}{2g} = \dfrac{4Pr^2}{g}$, $J_5 = \dfrac{P_5 R_5^2}{2g} = \dfrac{4Pr^2}{g}$. Подставляя значения скоростей, моментов инерции и данные задачи, получим выражение кинетической энергии системы в виде

$$T = \frac{P}{2g}(\dot{x}_2 + \dot{x}_3)^2 + \frac{1}{2}\cdot\frac{2P}{g}(\dot{x}_2 + \dot{x}_3)^2 + \frac{1}{2}\cdot\frac{4Pr^2}{g}\left(\frac{\dot{x}_2}{2r}\right)^2 + \frac{3P}{2g}\dot{x}_3^2 +$$

$$+\frac{1}{2}\cdot\frac{4Pr^2}{g}\left(\frac{\dot{x}_3}{2r}\right)^2 + \frac{1}{2}\cdot\frac{2P}{g}\left(\frac{\dot{x}_3}{2}\right)^2 + \frac{1}{2}\cdot\frac{4Pr^2}{g}\left(\frac{\dot{x}_3}{4r}\right)^2 + \frac{P}{2g}\dot{x}_3^2 =$$

$$= \frac{1}{2}\frac{P}{g}\dot{x}_2^2 + \frac{3P}{2g}(\dot{x}_2 + \dot{x}_3)^2 + \frac{23P}{8g}\dot{x}_3^2 = \frac{2P}{g}\dot{x}_2^2 + \frac{3P}{g}\dot{x}_2\dot{x}_3 + \frac{35P}{8g}\dot{x}_3^2.$$

Дадим системе возможное перемещение по координате x_3, оставляя координату x_2 без изменения: $\delta x_3 > 0, \delta x_2 = 0$ (рис. 6.18). При таком перемещении каток 2 стоит на платформе и движется поступательно вместе с ней. В этом случае работа сил тяжести $\vec{P}_2$, $\vec{P}_5$, $\vec{P}_3$ катков 2, 5 и платформы 3 равна нулю, так как перемещения точек приложения этих сил перпендикулярны векторам сил (см. рис. 6.18). Работа силы тяжести $\vec{P}_4$ равна нулю, так как точка приложения силы лежит на неподвижной оси вращения блока 4.

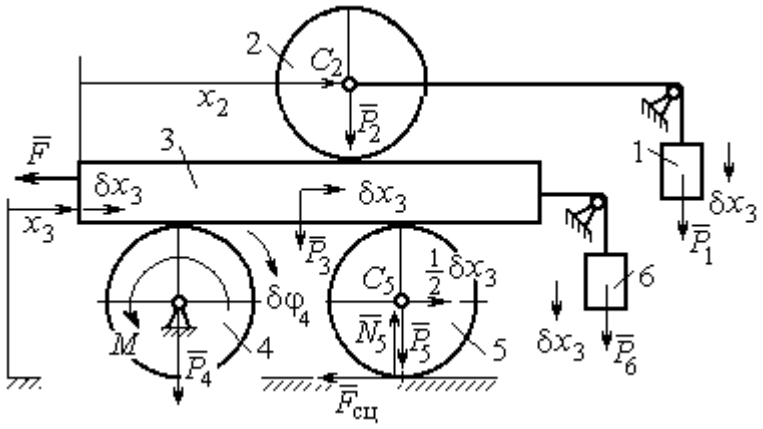

Рис. 6.18. Возможное перемещение системы при вариации обобщённых координат $\delta x_3 > 0$, $\delta x_2 = 0$

Работу будут производить сила $\vec{F}$, пара сил с моментом M и силы тяжести грузов $\vec{P}_1$ и $\vec{P}_6$. Суммарная работа сил на перемещении δx_3: $\delta A = -F\delta x_3 - M\delta\varphi_4 + P_1\delta x_3 + P_6\delta x_3$.

Представим полученное ранее соотношение $\omega_4 = \dfrac{\dot{x}_3}{2r}$ в дифференциальном виде: $d\varphi_4 = \dfrac{dx_3}{2r}$. Поскольку дифференциалы координат также являются возможными перемещениями, получим нужное соотношение $\delta\varphi_4 = \dfrac{\delta x_3}{2r}$. Теперь элементарную работу сил на возможном перемещении δx_3 с учётом значений сил можно представить в виде:

$$\delta A = -P\delta x_3 - 3Pr\frac{\delta x_3}{2r} + P\delta x_3 + P\delta x_3 = -\frac{1}{2}P\delta x_3,$$

отсюда обобщённая сила, соответствующая координате x_3: $Q_{x_3} = -\dfrac{1}{2}P$.

Дадим системе другое независимое перемещение – по координате x_2, оставляя координату x_3 без изменения: $\delta x_2 > 0, \delta x_3 = 0$ (рис. 6.19).

При этом возможном перемещении вся система стоит, кроме катка 2, который катится по поверхности неподвижной платформы, и груза 1, который опускается вертикально вниз. Работу совершает только сила тяжести груза 1. Выражая работу в виде $\delta A = P_1 \delta x_2 = P \delta x_2$, найдём обобщённую силу, соответствующую координате x_2: $Q_{x_2} = P$.

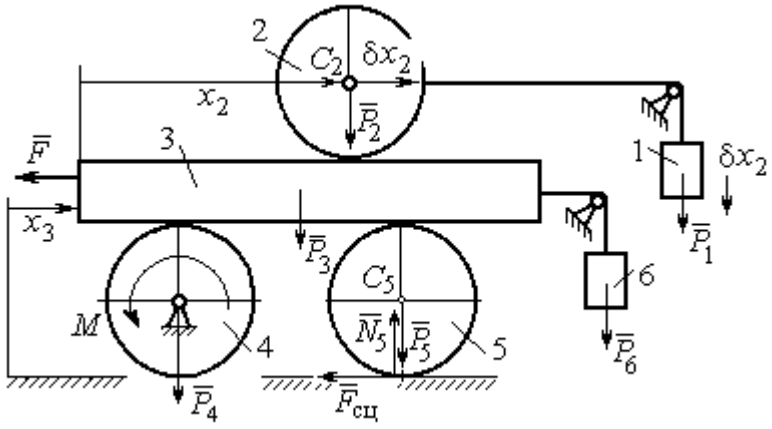

Рис. 6.19. Возможное перемещение системы при вариации обобщённых координат $\delta x_2 > 0$, $\delta x_3 = 0$

Составим уравнения Лагранжа. С этой целью вычислим частные производные от кинетической энергии по обобщенным скоростям $\dot{x}_3$ и $\dot{x}_2$:

$$\frac{\partial T}{\partial \dot{x}_3} = \frac{3P}{g}\dot{x}_2 + \frac{35P}{4g}\dot{x}_3, \quad \frac{\partial T}{\partial \dot{x}_2} = \frac{4P}{g}\dot{x}_2 + \frac{3P}{g}\dot{x}_3$$

и по обобщённым координатам: $\frac{\partial T}{\partial x_3} = 0, \frac{\partial T}{\partial x_4} = 0.$

Определим полные производные по времени от частных производных кинетической энергии по скоростям:

$$\frac{d}{dt}\left(\frac{\partial T}{\partial \dot{x}_3}\right) = \frac{3P}{g}\ddot{x}_2 + \frac{35P}{4g}\ddot{x}_3, \quad \frac{d}{dt}\left(\frac{\partial T}{\partial \dot{x}_2}\right) = \frac{4P}{g}\ddot{x}_2 + \frac{3P}{g}\ddot{x}_3.$$

Подставляя результаты расчётов в уравнения Лагранжа с учётом вычисленных значений обобщённых сил, получим систему дифференциальных уравнений, описывающих движение системы в обобщённых координатах:

$$12\ddot{x}_2 + 35\ddot{x}_3 = -2g, \quad 4\ddot{x}_2 + 3\ddot{x}_3 = g.$$

Алгебраическим решением системы служат значения ускорений:

$$\ddot{x}_3 = -\frac{5}{26}g = -0{,}19g \quad \text{и} \quad \ddot{x}_2 = \frac{41}{104}g = 0{,}39g.$$

Полученные выражения представляют собой дифференциальные уравнения, проинтегрировав которые дважды с нулевыми начальными условиями (движение началось из состояния покоя), найдём уравнения абсолютного движения платформы и относительного движения центра масс катка 2:

$$x_3 = -0{,}095gt^2, \quad x_2 = 0{,}195gt^2.$$

Отрицательное значение координаты x_3 означает, что движение платформы происходит в отрицательном направлении оси x_3 (см. рис. 6.16).

Абсолютное движение центра катка 2 представляется суммой относительного и переносного движений: $x_{C_2} = x_2 + x_3 = 0{,}1gt^2$.

Уравнение вращательного движения катка 2 находится на основании выражения $\varphi_2 = \frac{1}{R_2}x_2 = \frac{1}{2r}x_2 = 0{,}097\frac{gt^2}{r}$. Вращение блока 4 описывается уравнением $\varphi_4 = \frac{1}{R_4}x_3 = \frac{1}{2r}x_3 = -0{,}047\frac{gt^2}{r}$.

Движение катка 5 описывается двумя уравнениями: уравнением движения центра масс катка $x_{C_5} = \frac{1}{2}x_3 = -0{,}047gt^2$ и уравнением вращательного движения катка $\varphi_5 = \frac{x_3}{2R_5} = -0{,}024\frac{gt^2}{r}$.

СПИСОК РЕКОМЕНДУЕМОЙ ЛИТЕРАТУРЫ

Бать М. И., *Джанелидзе Г. Ю.*, *Кельзон А. С.* Теоретическая механика в примерах и задачах. Т. 1–2.– СПб.: Лань, 2010.

Бутенин Н. В., *Лунц Я. Л.*, *Меркин Д. Р.* Курс теоретической механики: в 2-х томах.– М.: Наука, 2009.

Вебер Г. Э., *Ляпцев С. А*. Лекции по теоретической механике. Екатеринбург: Изд-во УГГУ, 2008.

Тарг С. М. Краткий курс теоретической механики: учебн. для втузов. – М.: Высшая школа, 2010.

Учебное издание

Евгений Борисович Волков
Юрий Михайлович Казаков

ТЕОРЕТИЧЕСКАЯ МЕХАНИКА

сборник заданий для расчетно-графических работ

Учебно-методическое пособие
для самостоятельной работы студентов

Редактор *Л.В. Устьянцева*

Подписано в печать
Бумага писчая. Формат бумаги 60×84 1/16.
Гарнитура Times New Roman. Печать на ризографе.
Печ. л. 9,75 Уч. изд. л. 6,5 Тираж экз. Заказ №

Издательство УГГУ
620144, г. Екатеринбург, ул. Куйбышева, 30
Уральский государственный горный университет.
Отпечатано с оригинал-макета
в лаборатории множительной техники УГГУ

4. ДИНАМИКА ТОЧКИ 73
4.1. Дифференциальные уравнения движения точки. 73
4.2. Задание Д1. Интегрирование дифференциальных уравнений движения точки 73
4.3. Колебания материальной точки 80
4.4. Задание Д2. Исследование колебаний точки 84
4.5. Теорема об изменении кинетической энергии точки. 95
4.6. Задание Д3. Исследование движения точки
с применением теоремы об изменении кинетической энергии 96
5. ДИНАМИКА МЕХАНИЧЕСКОЙ СИСТЕМЫ 103
5.1. Описание движений твёрдых тел на основе общих теорем динамики системы . 103
5.2. Задание Д4. Динамический расчет механической системы 104
5.3. Теорема об изменении кинетической энергии системы. 112
5.4. Задание Д5. Исследование движения механической системы
с применением теоремы об изменении кинетической энергии 114
6. АНАЛИТИЧЕСКАЯ МЕХАНИКА 124
6.1. Принципы механики. Общее уравнение динамики 124
6.2. Задание Д6. Исследование механической системы
с применением общего уравнения динамики 126
6.3. Уравнения Лагранжа II рода 136
6.4. Задание Д7. Исследование механической системы с одной степенью свободы
с применением уравнений Лагранжа 137
6.5. Задание Д8. Исследование механической системы с двумя степенями свободы 145
СПИСОК РЕКОМЕНДУЕМОЙ ЛИТЕРАТУРЫ 155

МИНОБРНАУКИ РОССИИ

ФГБОУ ВО «Уральский государственный горный университет»

УТВЕРЖДАЮ
Проректор по учебно-методическому комплексу _____ С.А. Упоров

МЕТОДИЧЕСКИЕ РЕКОМЕНДАЦИИ И ЗАДАНИЯ К КОНТРОЛЬНОЙ РАБОТЕ

Б1.О.15 ПРИКЛАДНОЕ ПРОГРАММНОЕ ОБЕСПЕЧЕНИЕ

Специальность:
21.05.02 Прикладная геология

Специализация:
Геология месторождений нефти и газа

Автор: Дружинин А.В., доцент, канд. техн. наук

Одобрена на заседании кафедры	Рассмотрена методической комиссией
Информатики	Факультета геологии и геофизики
(название кафедры)	*(название факультета)*
Зав. кафедрой _____	Председатель _____
(подпись)	*(подпись)*
Дружинин А.В.	
(Фамилия И.О.)	*(Фамилия И.О.)*
Протокол № 1 от 10.09.2020	Протокол № 2 от 13.10.2020
(Дата)	*(Дата)*

Екатеринбург

ВВЕДЕНИЕ

Данные методические рекомендации необходимы для специальности 21.05.02 – «Прикладная геология» при организации самостоятельной работы по дисциплине «Прикладное программное обеспечение» в рамках подготовки и защиты контрольной работы.

В методических рекомендациях содержатся особенности организации подготовки контрольной работы в виде реферата, требования к его оформлению, а также порядок защиты и критерии оценки.

ОРГАНИЗАЦИЯ ПОДГОТОВКИ КОНТРОЛЬНОЙ РАБОТЫ (РЕФЕРАТА)

Общая характеристика реферата

Написание реферата практикуется в учебном процессе в целях приобретения студентом необходимой профессиональной подготовки, развития умения и навыков самостоятельного научного поиска: изучения литературы по выбранной теме, анализа различных источников и точек зрения, обобщения материала, выделения главного, формулирования выводов и т. п. С помощью реферата студент может глубже постигать наиболее сложные проблемы дисциплины, учится лаконично излагать свои мысли, правильно оформлять работу, докладывать результаты своего труда.

В «Толковом словаре русского языка» дается следующее определение: «**реферат** – краткое изложение содержания книги, статьи, исследования, а также доклад с таким изложением».

Различают два вида реферата:

- *репродуктивный* – воспроизводит содержание первичного текста в форме реферата-конспекта или реферата-резюме. В реферате-конспекте содержится фактическая информация в обобщённом виде, иллюстрированный материал, различные сведения о методах исследования, результатах исследования и возможностях их применения. В реферате-резюме содержатся только основные положения данной темы;
- *продуктивный* – содержит творческое или критическое осмысление реферируемого источника и оформляются в форме реферата-доклада или реферата-обзора. В реферате-докладе, наряду с анализом информации первоисточника, дается объективная оценка проблемы, и он имеет развёрнутый характер. Реферат-обзор составляется на основе нескольких источников и в нем сопоставляются различные точки зрения по исследуемой проблеме.

Студент для изложения материала должен выбрать продуктивный вид реферата.

Выбор темы реферата

Студенту предоставляется право выбора темы реферата из рекомендованного преподавателем дисциплины списка. Выбор темы должен быть осознанным и обоснованным с точки зрения познавательных интересов автора, а также полноты освещения темы в имеющейся научной литературе.

Если интересующая тема отсутствует в рекомендованном списке, то по согласованию с преподавателем студенту предоставляется право самостоятельно предложить тему реферата, раскрывающую содержание изучаемой дисциплины. Тема не должна быть слишком общей и глобальной, так как небольшой объем работы (до 20-25 страниц без учёта приложений) не позволит раскрыть ее.

Начинать знакомство с избранной темой лучше всего с чтения обобщающих работ по данной проблеме, постепенно переходя к узкоспециальной литературе. При этом

следует сразу же составлять библиографические выходные данные используемых источников (автор, название, место и год издания, издательство, страницы).

На основе анализа прочитанного и просмотренного материала по данной теме следует составить тезисы по основным смысловым блокам, с пометками, собственными суждениями и оценками. Предварительно подобранный в литературных источниках материал может превышать необходимый объем реферата.

Формулирование цели и составление плана реферата

Выбрав тему реферата и изучив литературу, необходимо сформулировать цель работы и составить план реферата.

Цель – это осознаваемый образ предвосхищаемого результата. Возможно, формулировка цели в ходе работы будет меняться, но изначально следует ее обозначить, чтобы ориентироваться на нее в ходе исследования. Формулирование цели реферата рекомендуется осуществлять при помощи глаголов: исследовать, изучить, проанализировать, систематизировать, осветить, изложить (представления, сведения), создать, рассмотреть, обобщить и т. д.

Определяясь с целью дальнейшей работы, параллельно необходимо думать над составлением плана, при этом четко соотносить цель и план работы. Правильно построенный план помогает систематизировать материал и обеспечить последовательность его изложения.

Наиболее традиционной является следующая **структура реферата**:

Титульный лист.

Оглавление (план, содержание).

Введение.

1. (полное наименование главы).
   1.1. (полное название параграфа, пункта);
   1.2. (полное название параграфа, пункта).
2. (полное наименование главы).
   2.1. (полное название параграфа, пункта);
   2.2. (полное название параграфа, пункта).

Заключение (выводы).

} Основная часть

Библиография (список использованной литературы).

Приложения (по усмотрению автора).

Титульный лист оформляется в соответствии с Приложением.

Оглавление(план, содержание) включает названия всех глав и параграфов (пунктов плана) реферата и номера страниц, указывающие их начало в тексте реферата.

Введение. В этой части реферата обосновывается актуальность выбранной темы, формулируются цель и задачи работы, указываются используемые материалы и дается их краткая характеристика с точки зрения полноты освещения избранной темы. Объем введения не должен превышать 1-1,5 страницы.

Основная часть реферата может быть представлена двумя или тремя главами, которые могут включать 2-3 параграфа (пункта).

Здесь достаточно полно и логично излагаются главные положения в используемых источниках, раскрываются все пункты плана с сохранением связи между ними и последовательности перехода от одного к другому.

Автор должен следить за тем, чтобы изложение материала точно соответствовало цели и названию главы (параграфа). Материал в реферате рекомендуется излагать своими словами, не допуская дословного переписывания из литературных источников. В тексте обязательны ссылки на первоисточники, т. е. на тех авторов, у которых взят данный материал в виде мысли, идеи, вывода, числовых данных, таблиц, графиков, иллюстраций и пр.

Работа должна быть написана грамотным литературным языком. Сокращение слов в тексте не допускается, кроме общеизвестных сокращений и аббревиатуры. Каждый раздел рекомендуется заканчивать кратким выводом.

Заключение(выводы). В этой части обобщается изложенный в основной части материал, формулируются общие выводы, указывается, что нового лично для себя вынес автор реферата из работы над ним. Выводы делаются с учетом опубликованных в литературе различных точек зрения по проблеме, рассматриваемой в реферате, сопоставления их и личного мнения автора реферата. Заключение по объему не должно превышать 1,5-2 страниц.

Библиография(список использованной литературы) – здесь указывается реально использованная для написания реферата литература, периодические издания и электронные источники информации. Список составляется согласно правилам библиографического описания.

Приложения могут включать графики, таблицы, расчеты.

ТРЕБОВАНИЯ К ОФОРМЛЕНИЮ РЕФЕРАТА

Общие требования к оформлению реферата

Рефераты, как правило, требуют изучения и анализа значительного объема статистического материала, формул, графиков и т. п. В силу этого особое значение приобретает правильное оформление результатов проделанной работы.

Текст реферата должен быть подготовлен в печатном виде. Исправления и помарки не допускаются. Текст работы оформляется на листах формата А4, на одной стороне листа, с полями: левое – 25 мм, верхнее – 20 мм, правое – 15 мм и нижнее – 25 мм. При компьютерном наборе шрифт должен быть таким: тип шрифта TimesNewRoman, кегль 14, междустрочный интервал 1,5.

Рекомендуемый объем реферата – не менее 20 страниц. Титульный лист реферата оформляется студентом по образцу, данному в приложении 1.

Текст реферата должен быть разбит на разделы: главы, параграфы и т. д. Очередной раздел нужно начинать с нового листа.

Все страницы реферата должны быть пронумерованы. Номер страницы ставится снизу страницы, по центру. Первой страницей является титульный лист, но на ней номер страницы не ставится.

Таблицы

Таблицы по содержанию делятся на аналитические и неаналитические. Аналитические таблицы являются результатом обработки и анализа цифровых показателей. Как правило, после таких таблиц делается обобщение, которое вводится в текст словами: «таблица позволяет сделать вывод о том, что…», «таблица позволяет заключить, что…» и т. п.

В неаналитических таблицах обычно помещаются необработанные статистические данные, необходимые лишь для информации и констатации фактов.

Таблицы размещают после первого упоминания о них в тексте таким образом, чтобы их можно было читать без поворота работы или с поворотом по часовой стрелке.

Каждая таблица должна иметь нумерационный и тематический заголовок. Тематический заголовок располагается по центру таблицы, после нумерационного, размещённого в правой стороне листа и включающего надпись «Таблица» с указанием арабскими цифрами номера таблицы. Нумерация таблиц сквозная в пределах каждой главы. Номер таблицы состоит из двух цифр: первая указывает на номер главы, вторая – на номер таблицы в главе по порядку (например, «Таблица 2.2» – это значит, что представленная таблица вторая во второй главе).

Цифры в графах таблиц должны проставляться так, чтобы разряды чисел во всей графе были расположены один под другим. В одной графе количество десятичных знаков должно быть одинаковым. Если данные отсутствуют, то в графах ставят знак тире. Округление числовых значений величин до первого, второго и т. д. десятичного знака для различных значений одного и того же наименования показателя должно быть одинаковым.

Таблицу с большим количеством строк допускается переносить на другую страницу, при этом заголовок таблицы помещают только над ее первой частью, а над переносимой частью пишут «Продолжение таблицы» или «Окончание таблицы». Если в работе несколько таблиц, то после слов «Продолжение» или «Окончание» указывают номер таблицы, а само слово «таблица» пишут сокращенно, например, «Продолжение табл. 1.1», «Окончание табл. 1.1».

На все таблицы в тексте реферата должны быть даны ссылки с указанием их порядкового номера, например, «…в табл. 2.2».

Формулы

Формулы – это комбинации математических знаков, выражающие какие-либо предложения.

Формулы, приводимые в реферате, должны быть наглядными, а обозначения, применяемые в них, соответствовать стандартам.

Пояснения значений символов и числовых коэффициентов следует приводить непосредственно под формулой, в той последовательности, в какой они даны в формуле. Значение каждого символа и числового коэффициента дается с новой строки. Первую строку объяснения начинают со слова «где» без двоеточия после него.

Формулы и уравнения следует выделять из текста свободными строками. Если уравнение не умещается в одну строку, оно должно быть перенесено после знака равенства (=) или после знака (+), минус (–), умножения (х) и деления (:).

Формулы нумеруют арабскими цифрами в пределах всей реферата или главы. В пределах реферата используют нумерацию формул одинарную, в пределах главы – двойную. Номер указывают с правой стороны листа на уровне формулы в круглых скобках.

В тексте ссылки на формулы приводятся с указанием их порядковых номеров, например: «…в формуле (2.2)» (второй формуле второй главы).

Иллюстрации

Иллюстрации позволяют наглядно представить явление или предмет такими, какими мы их зрительно воспринимаем, но без лишних деталей и подробностей.

Основными видами иллюстраций являются схемы, диаграммы и графики.

Схема – это изображение, передающее обычно с помощью условных обозначений и без соблюдения масштаба основную идею какого-либо устройства, предмета, сооружения или процесса и показывающее взаимосвязь их главных элементов.

Диаграмма – один из способов изображения зависимости между величинами. Наибольшее распространение получили линейные, столбиковые и секторные диаграммы.

Для построения линейных диаграмм используется координатное поле. По горизонтальной оси в изображенном масштабе откладывается время или факториальные признаки, на вертикальной – показатели на определенный момент (период) времени или размеры результативного независимого признака. Вершины ординат соединяются отрезками – в результате получается ломаная линия.

На столбиковых диаграммах данные изображаются в виде прямоугольников (столбиков) одинаковой ширины, расположенных вертикально или горизонтально. Длина (высота) прямоугольников пропорциональна изображенным ими величинам.

Секторная диаграмма представляет собой круг, разделенный на секторы, величины которых пропорциональны величинам частей изображаемого явления.

График – это результат обработки числовых данных. Он представляет собой условные изображения величин и их соотношений через геометрические фигуры, точки и линии.

Количество иллюстраций в работе должно быть достаточным для пояснения излагаемого текста.

Иллюстрации обозначаются словом «Рис.» и располагаются после первой ссылки на них в тексте так, чтобы их было удобно рассматривать без поворота работы или с поворотом по часовой стрелке. Иллюстрации должны иметь номер и наименование, расположенные по центру, под ней. Иллюстрации нумеруются в пределах главы арабскими цифрами, например: «Рис. 1.1» (первый рисунок первой главы). Ссылки на иллюстрации в тексте реферата приводят с указанием их порядкового номера, например: «…на рис. 1.1».

При необходимости иллюстрации снабжаются поясняющими данными (подрисуночный текст).

Приложения

Приложение – это часть основного текста, которая имеет дополнительное (обычно справочное) значение, но, тем не менее, необходима для более полного освещения темы. По форме они могут представлять собой текст, таблицы, графики, карты. В приложении помещают вспомогательные материалы по рассматриваемой теме: инструкции, методики, положения, результаты промежуточных расчетов, типовые проекты, имеющие значительный объем, затрудняющий чтение и целостное восприятие текста. В этом случае в тексте приводятся основные выводы (результаты) и делается ссылка на приложение, содержащее соответствующую информацию. Каждое приложение должно начинаться с новой страницы. В правом верхнем углу листа пишут слово «Приложение» и указывают номер приложения. Если в реферате больше одного приложения, их нумеруют последовательно арабскими цифрами, например: «Приложение 1», «Приложение 2» и т. д.

Каждое приложение должно иметь заголовок, который помещают ниже слова «Приложение» над текстом приложения, по центру.

При ссылке на приложение в тексте реферата пишут сокращенно строчными буквами «прил.» и указывают номер приложения, например: «…в прил. 1».

Приложения оформляются как продолжение текстовой части реферата со сквозной нумерацией листов. Число страниц в приложении не лимитируется и не включается в общий объем страниц реферата.

Библиографический список

Библиографический список должен содержать перечень и описание только тех источников, которые были использованы при написании реферата.

В библиографическом списке должны быть представлены монографические издания отечественных и зарубежных авторов, материалы профессиональной периодической печати (экономических журналов, газет и еженедельников), законодательные и др. нормативно-правовые акты. При составлении списка необходимо обратить внимание на достижение оптимального соотношения между монографическими изданиями, характеризующими глубину теоретической подготовки автора, и периодикой, демонстрирующей владение современными экономическими данными.

Наиболее распространенным способом расположения наименований литературных источников является алфавитный. Работы одного автора перечисляются в алфавитном порядке их названий. Исследования на иностранных языках помещаются в порядке латинского алфавита после исследований на русском языке.

Ниже приводятся примеры библиографических описаний использованных источников.

Статья одного, двух или трех авторов из журнала

Зотова Л. А., Еременко О. В. Инновации как объект государственного регулирования // Экономист. 2010. № 7. С. 17–19.

Статья из журнала, написанная более чем тремя авторами

Валютный курс и экономический рост / С. Ф. Алексашенко, А. А. Клепач, О. Ю. Осипова [и др.] // Вопросы экономики. 2010. № 8. С. 18–22.

Книга, написанная одним, двумя или тремя авторами

Олейник А. Н. Институциональная Горное дело: учебное пособие. М.: ИНФРА-М, 2011. 416 с.

Книга, написанная более чем тремя авторами

Экономическая теория: учебник / В. Д. Камаев [и др.]. М.: ВЛАДОС, 2011. 143 с.

Сборники

Актуальные проблемы экономики и управления: сборник научных статей. Екатеринбург: УГГУ, 2010. Вып. 9. 146 с.

Статья из сборника

Данилов А. Г. Система ценообразования промышленного предприятия // Актуальные проблемы экономики и управления: сб. научных статей. Екатеринбург: УГГУ, 2010. Вып. 9. С. 107–113.

Статья из газеты

Крашаков А. С. Будет ли обвал рубля // Аргументы и факты. 2011. № 9. С. 3.

Библиографические ссылки

Библиографические ссылки требуется приводить при цитировании, заимствовании материалов из других источников, упоминании или анализе работ того или иного автора, а также при необходимости адресовать читателя к трудам, в которых рассматривался данный вопрос.

Ссылки должны быть затекстовыми, с указанием номера соответствующего источника (на который автор ссылается в работе) в соответствии с библиографическим списком и соответствующей страницы.

Пример оформления затекстовой ссылки

Ссылка в тексте: «Под трансакцией понимается обмен какими-либо благами, услугами или информацией между двумя агентами» [10, С. 176].

В списке использованных источников:

10. *Сухарев О. С.* Институциональная Горное дело: учебник и практикум для специалистиата и магистратуры /О.С. Сухарев. М.: Издательство Юрайт, 2016. 501 с.

ОРГАНИЗАЦИЯ ЗАЩИТЫ РЕФЕРАТА

Необходимо заранее подготовить тезисы выступления (план-конспект).

Порядок защиты реферата.

1.Краткое сообщение, характеризующее цель и задачи работы, ее актуальность, полученные результаты, вывод и предложения.

2.Ответы студента на вопросы преподавателя.

3.Отзыв руководителя-консультанта о ходе выполнения работы.

Советы студенту:

- Готовясь к защите реферата, вы должны вспомнить материал максимально подробно, и это должно найти отражение в схеме вашего ответа. Но тут же необходимо выделить главное, что наиболее важно для понимания материала в целом, иначе вы

сможете проговорить все 15-20 минут и не раскрыть существа вопроса. Особенно строго следует отбирать примеры и иллюстрации.

- Вступление должно быть очень кратким – 1-2 фразы (если вы хотите подчеркнуть при этом важность и сложность данного вопроса, то не говорите, что он сложен и важен, а покажите его сложность и важность).
- Целесообразнее вначале показать свою схему раскрытия вопроса, а уж потом ее детализировать.
- Рассказывать будет легче, если вы представите себе, что объясняете материал очень способному и хорошо подготовленному человеку, который не знает именно этого раздела, и что при этом вам обязательно нужно доказать важность данного раздела и заинтересовать в его освоении.
- Строго следите за точностью своих выражений и правильностью употребления терминов.
- Не пытайтесь рассказать побольше за счет ускорения темпа, но и не мямлите.
- Не демонстрируйте излишнего волнения и не напрашивайтесь на сочувствие.
- Будьте особенно внимательны ко всем вопросам преподавателя, к малейшим его замечаниям. И уж ни в коем случае его не перебивайте!
- Не бойтесь дополнительных вопросов – чаще всего преподаватель использует их как один из способов помочь вам или сэкономить время. Если вас прервали, а при оценке ставят в вину пропуск важной части материала, не возмущайтесь, а покажите план своего ответа, где эта часть стоит несколько позже того, на чем вы были прерваны.
- Прежде чем отвечать на дополнительный вопрос, необходимо сначала правильно его понять. Для этого нужно хотя бы немного подумать, иногда переспросить, уточнить: правильно ли вы поняли поставленный вопрос. И при ответе следует соблюдать тот же принцип экономности мышления, а не высказывать без разбора все, что вы можете сказать.
- Будьте доброжелательны и тактичны, даже если к ответу вы не готовы (это вина не преподавателя, а ваша).

ТЕМЫ КОНТРОЛЬНОЙ РАБОТЫ (РЕФЕРАТА)

1. Хост-компьютеры.
2. Локальные сети и персональные компьютеры.
3. Каналы связи.
4. Хранение и предоставление доступа к информации.
5. Управление передачей сообщений.
6. Каналы связи, обеспечивающие взаимодействие между хост-компьютерами.
7. Обмен информацией между абонентами сети.
8. Использование баз данных сети.
9. Классификация прикладного программного обеспечения.
10. Пакеты прикладных программ.
11. Методо-ориентированные пакеты.
12. Системы реального времени.
13. Офисные приложения.
14. Инструменты электронных таблиц для решения экономических задач.
15. Классификация баз данных (БД).
16. Системы управления базами данных (СУБД). Классификация СУБД.
17. Локальные и глобальные сети. Intranet и Internet. Сетевые службы.
18. Поисковые системы: Яndex, Rambler, Google, ПОИСК@mail.ru.

МЕТОДИКА ОЦЕНКИ КОНТРОЛЬНОЙ РАБОТЫ (РЕФЕРАТА)

Проверяемые компетенции:ОПК-8

Знать:

- классификацию программного обеспечения;
- существующие пакеты прикладных программ;
- офисные приложения;
- основы создания баз данных;
- принципы работы в разных поисковых системах интернет и в системах коммуникации.

Уметь:

- использовать файловые менеджеры, утилиты архивирования;
- устанавливать и удалять программное обеспечение;
- использовать офисные приложения;
- создавать базы данных средствами офисных приложений;
- использовать электронную почту и другие средства коммуникаций с помощью Интернета.

Владеть:

- навыками работы с файловыми менеджерами;
- инструментарием офисных приложений;
- технологией разработки баз данных;
- навыками работы в разных поисковых системах интернет и в системах коммуникации.

Критерии оценивания:

достижение поставленной цели и задач исследования (новизна и актуальность поставленных в реферате проблем, правильность формулирования цели, определения задач исследования, правильность выбора методов решения задач и реализации цели; соответствие выводов решаемым задачам, поставленной цели, убедительность выводов);

уровень эрудированности автора по изученной теме (знание автором состояния изучаемой проблематики, цитирование источников, степень использования в работе результатов исследований);

личные заслуги автора реферата (новые знания, которые получены помимо основной образовательной программы, новизна материала и рассмотренной проблемы, научное значение исследуемого вопроса);

культура письменного изложения материала (логичность подачи материала, грамотность автора);

культура оформления материалов работы (соответствие реферата всем стандартным требованиям);

знания и умения на уровне требований стандарта данной дисциплины: знание фактического материала, усвоение общих понятий и идей;

степень обоснованности аргументов и обобщений (полнота, глубина, всестороннее раскрытие темы, корректность аргументации и системы доказательств, характер и достоверность примеров, иллюстративного материала, наличие знаний интегрированного характера, способность к обобщению);

качество и ценность полученных результатов (степень завершенности реферативного исследования, спорность или однозначность выводов);

использование профессиональной терминологии;

использование литературных источников.

Правила оценивания:

Каждый показатель оценивается в 1 балл

Критерии оценки:

9-10 баллов (90-100%) - оценка «отлично»;
7-8 баллов (70-89%) - оценка «хорошо»;
5-6 баллов (50-69%) - оценка «удовлетворительно»;
0-4 балла (0-49%) - оценка «неудовлетворительно».

Приложение

Образец оформления титульного листа контрольной работы (реферата)

МИНОБРНАУКИ РОССИИ
Федеральное государственное бюджетное образовательное учреждение
высшего образования
«Уральский государственный горный университет»

Инженерно-экономический факультет

Кафедра информатики

КОНТРОЛЬНАЯ РАБОТА (РЕФЕРАТ)

по дисциплине
«Прикладное программное обеспечение»

на тему:

УПРАВЛЕНИЕ ПЕРЕДАЧЕЙ СООБЩЕНИЙ

Руководитель:
Дружинин А.В.
Студент гр. ГН-21
Артёмова Елена Юрьевна

Екатеринбург

МИНОБРНАУКИ РОССИИ
ФГБОУ ВО «Уральский государственный горный университет»

УТВЕРЖДАЮ
Проректор по учебно-методическому комплексу _____С.А. Упоров

МЕТОДИЧЕСКИЕ РЕКОМЕНДАЦИИ И ЗАДАНИЯ К ПРАКТИЧЕСКИМ РАБОТАМ

Б1.О.15 ПРИКЛАДНОЕ ПРОГРАММНОЕ ОБЕСПЕЧЕНИЕ

Специальность:
21.05.02 Прикладная геология

Специализация:
Геология месторождений нефти и газа

Автор: Дружинин А.В., доцент, канд. техн. наук

Одобрена на заседании кафедры

Информатики
(название кафедры)

Зав. кафедрой _____
(подпись)

Дружинин А.В.
(Фамилия И.О.)

Протокол № 1 от 10.09.2020
(Дата)

Рассмотрена методической комиссией

Факультета геологии и геофизики
(название факультета)

Председатель _____
(подпись)

(Фамилия И.О.)

Протокол № 2 от 13.10.2020
(Дата)

Екатеринбург

ОГЛАВЛЕНИЕ

ВВЕДЕНИЕ ... 3
ПРАКТИЧЕСКАЯ РАБОТА № 1 ... 10
Создание таблиц базы данных «Реализация товаров» ... 10
Создание файла базы данных Access ... 10
ПРАКТИЧЕСКАЯ РАБОТА № 2 ... 19
Работа с простыми запросами ... 19
Конструирование запросов на выборку с условием отбора ... 19
Вычисляемые поля в запросах ... 22
Параметры в запросах ... 24
Групповые операции в запросах ... 26
ПРАКТИЧЕСКАЯ РАБОТА № 3 ... 30
Работа с многотабличными запросами ... 30
Запросы на изменение ... 34
Задание для самостоятельной работы ... 37
ПРАКТИЧЕСКАЯ РАБОТА № 4 ... 38
Работа с формами ... 38
Условное форматирование элементов управления ... 39
Создание разделенной формы ... 41
Многотабличные формы ... 42
Создание многотабличной формы с помощью мастера ... 43
Одиночная многотабличная форма ... 46
Задание для самостоятельной работы ... 50
ПРАКТИЧЕСКАЯ РАБОТА № 5 ... 50
Работа с отчетами ... 50
Задание для самостоятельной работы ... 52
ПРАКТИЧЕСКАЯ РАБОТА № 6 ... 53
Создание главной кнопочной формы ... 53
с использованием макросов ... 53
Создание управляющих кнопок на экране ... 56
ВАРИАНТЫ ЗАДАНИЙ ДЛЯ ПРАКТИЧЕСКОЙ РАБОТЫ ... 61
Указания к выполнению работы ... 61
Варианты заданий ... 61
СПИСОК РЕКОМЕНДУЕМОЙ ЛИТЕРАТУРЫ ... 73

ВВЕДЕНИЕ

Система управления базами данных

СУБД (система управления базами данных) является универсальным программным инструментом создания и обслуживания баз данных и приложений пользователя в самых разных предметных областях. СУБД обеспечивает создание, многоаспектный доступ к данным и использование одних и тех же данных различными задачами и приложениями пользователей.

СУБД поддерживаются различные модели данных. *Модель данных* – это метод (принцип) логической организации данных, используемый СУБД. Наиболее известными являются иерархическая, сетевая и реляционная модели.

В СУБД для персональных компьютеров (настольных СУБД) поддерживается преимущественно *реляционная модель*, которую отличает простота и единообразие представления данных простейшими *двумерными таблицами.*

Основной логической структурной единицей манипулирования данными является *строка* таблицы – *запись*. *Структура записи* определяется составом входящих в неё *полей*. Совокупность полей записи соответствует логически связанным реквизитам, характеризующим некоторую сущность предметной области.

Типовыми функциями СУБД по манипулированию данными являются выборка, добавление, удаление, изменение данных.

- *Выборка данных* – выборка записей из одной или нескольких взаимосвязанных таблиц в соответствии с заданными условиями.
- *Добавление* и *удаление* данных – добавление новых записей в таблицы и удаление существующих.
- *Изменение данных* – изменение значений данных в полях существующих записей.

Данные из одной или нескольких взаимосвязанных таблиц могут подвергаться обработке. К операциям *обработки* относятся, например, расчеты в пределах каждой записи, группировка записей в соответствии с *заданным* критерием группировки и обработка записей выделенных групп с помощью статистических функций, таких как суммирование, определение максимального, подсчет числа записей в группе и т. п.

СУБД Access включает разнообразные и многочисленные относительно автономные инструментальные средства, ориентированные на создание объектов базы данных и приложений пользователя.

- *Разнообразие мастера* в режиме ведения диалога с пользователем позволяют создавать объекты и выполнять разнообразные функции по реорганизации объектов базы данных и приложений пользователя.
- *Средства программирования* СУБД включают язык запросов *SQL*, язык макрокоманд и язык объектно-ориентированного программирования для приложений *Microsoft Visual Basic for Applications (VBA).*
- *Средства графического конструирования* позволяют создавать объекты базы данных и объекты приложения с помощью многочисленных графических элементов, не прибегая непосредственно к программированию. Среди многочисленных средств графического конструирования и диалоговых средств Access следует выделить средства для создания:
- таблиц и схем баз данных, отображающих их связи;
- запросов выборки, отбирающих и объединяющих данные нескольких таблиц в виртуальную таблицу, которая может использоваться во многих задачах приложения;
- запросов на изменение данных базы;
- экранных форм, предназначенных для ввода, просмотра и обработки данных в диалоговом режиме;
- отчетов, предназначенных для ввода, просмотра и вывода на печать данных из базы и результатов их обработки в удобном для пользователя виде.

Реляционная база данных

База данных является организованной на машинном носителе совокупностью взаимосвязанных данных и содержит сведения о различных сущностях одной предметной области: реальных объектах, процессах, событиях или явлениях.

Реляционная база данных представляет собой множество взаимосвязанных двумерных таблиц – *реляционных таблиц*, называемых также *отношениями*, в каждой из которых содержаться сведения об одной сущности автоматизируемой предметной области.

Логическую структуру реляционной базы данных образует совокупность реляционных таблиц, между которыми установлены логические связи.

В таблицах базы должны сохраняться все данные, необходимые для решения задач предметной области, причем каждый элемент данных должен храниться в базе только в одном экземпляре. Для создания таблиц,

соответствующих реляционной модели данных, используется процесс, называемый нормализацией данных. *Нормализация* – это удаление из таблиц повторяющихся данных путем их переноса в новые таблицы, записи которых не содержат повторяющихся значений.

Структура реляционной таблицы определяется составом полей. Каждое *поле* отражает определенную характеристику сущности. Для поля указывается *тип* и *размер* элементарного данного, размещаемого в нем, и ряд др. свойств. Содержимое поля отображается в столбце таблицы. Столбец таблицы содержит данные одного типа.

Содержание таблицы заключено в её строках, однотипных по структуре, каждая строка таблицы содержит данные о конкретном экземпляре сущности и называется *записью*.

Для однозначного определения (*идентификации)* каждой записи таблица должна иметь *уникальный (первичный) ключ.* По значению ключа таблицы отыскивается единственная запись в таблице. Ключ может состоять из одного или нескольких полей таблицы. Значение уникального ключа не может повторяться в нескольких записях.

Логические связи между таблицами дают возможность объединять данные из разных таблиц. Связь каждой пары таблиц задается одинаковыми полями в них – *ключом связи*. Таким образом, обеспечивается рациональное хранение недублированных данных и их объединение в соответствии с требованиями решаемых задач.

В нормализованной реляционной базе данных связь двух таблиц характеризуется отношениями записей типа «один-к-одному» (1:1) или «один-ко-многим» (1:M). Отношение 1:1 предполагает, что каждой записи одной таблицы соответствует одна запись другой таблицы. Отношение типа 1:M предполагает, что каждой записи первой таблицы соответствует много записей во второй, но каждой записи второй таблицы соответствует только одна запись в первой.

Для двух таблиц, находящихся в отношении типа 1:M, связь устанавливается по уникальному ключу таблицы, представляющей в отношении сторону «один», – *главной таблицы* в связи. Во второй таблице, представляющей в отношении сторону «многие» и называемой *подчиненной*, этот ключ связи может быть либо частью уникального ключа, либо не входить в состав ключа. В подчиненной таблице ключ связи называется ещё *внешним ключом*.

Схема данных

В СУБД Access процесс создания реляционной базы данных включает создание *схемы данных*. Схема данных наглядно отображает логическую структуру базы данных: таблицы и связи между ними, а также обеспечивает использование установленных в ней связей при обработке данных.

Для нормализованной базы данных, основанной на одно-многозначных и однозначных отношениях между таблицами, в схеме данных для связей таких таблиц по первичному ключу или уникальному индексу главной таблицы могут устанавливаться параметры *связной целостности*.

При поддержании целостности взаимосвязанных данных не допускается наличия записи в подчиненной таблице, если в главной таблице отсутствует связанная с ней запись. Соответственно при первоначальной загрузке базы данных, а также корректировке, добавлении и удалении записей система допускает выполнение операции только в том случае, если она не приводит к нарушению целостности. Связи, определенные в схеме данных, автоматически используются для объединения таблиц при разработке многотабличных форм, запросов, отчетов, существенно упрощая процесс их конструирования. В схеме связи могут устанавливаться для любой пары таблиц, имеющих одинаковое поле, позволяющее объединять эти таблицы. **Объекты Access**

База данных Access включает следующие сохраняемые в одном accdbфайле объекты:

- *таблицы, запросы, схемы данных,* непосредственно имеющие отношение к базе данных;
- *формы, отчеты, макросы* и *модули*, называемые *объектами приложения.*

Формы и отчеты предназначены для типовых процессов обработки данных: просмотра, обновления, поиска по заданным критериям, получения отчетов. Эти объекты приложений конструируются из графических элементов, называемых *элементами управления*. Основные элементы управления служат для отображения полей таблиц, являющихся источниками данных объекта.

Для автоматизации доступа к объектам и их взаимодействия используется программный код. Только с помощью программного кода получается полноценное приложение пользователя, функции которого доступны через меню, панели инструментов и формы. Для создания программного кода служат модули на языке *VBA* и макросы.

Каждый объект и элемент управления имеет свои свойства, определяя которые можно настраивать их. С каждым объектом и элементом управления связывается набор событий, которые могут обрабатываться макросами или

процедурами обработки событий на VBA, входящими в состав модулей форм, отчетов.

Объекты представлены в области навигации окна базы данных Access. Все операции по работе с объектами и приложениями начинаются в этом окне.

- *Таблицы* создаются пользователем для хранения данных об одной сущности – одном информационном объекте модели данных предметной области. Таблица состоит из полей (столбцов) и записей (строк). Каждое поле содержит одну характеристику информационного объекта предметной области. В записи собраны сведения об одном экземпляре информационного объекта. База данных Access может включать до 32768 объектов (в том числе формы, отчеты и т. д.). Одновременно может открываться до 2048 таблиц.
- *Запросы*. Запросы на выборку служат для выборки нужных данных из одной или нескольких связанных таблиц. Результатом выполнения запроса является виртуальная таблица. В запросе можно указать, какие поля исходных таблиц следует включить в запись таблицы запроса и как отобрать нужные записи. Таблица запроса может быть использована с другими таблицами базы при обработке данных. Запросы на изменение позволяют обновлять, удалять или добавлять данные в таблицы, а также создавать новые таблицы на основе уже существующих.
- *Схема данных* определяет, с помощью каких полей таблицы связываются между собой, как будет выполняться объединение данных этих таблиц, нужно ли проверять связную целостность при добавлении и удалении записей, изменение ключей таблиц. Схемы данных в области навигации в окне базы данных отображаются только в проектах Access, работающих с базами данных сервера. Для отображения схемы данных в базах данных Access используется команда **Схема данных**, размещенная на вкладке ленты **Работа с базами данных** в группе **Отношения**.
- *Формы* являются основным средством создания диалогового интерфейса приложения пользователя. Форма может создаваться для работы с электронными документами, сохраняемыми в таблицах базы данных. Вид таких документов может соответствовать привычному для пользователя бумажному документу. Форма используется для разработки интерфейса по управлению приложением. Включаемые в форму процедуры обработки событий позволяют управлять процессом обработки данных в приложении. Такие процедуры хранятся в модуле формы. В формы могут вставляться рисунки, диаграммы, звуковые фрагменты, видео. Возможна разработка форм с набором вкладок, с

каждой из которых связано выполнение той или иной функции приложения.

- *Отчеты* предназначены для формирования на основе данных базы выходных документов любых форматов, содержащих результаты решения задач пользователя, и вывода их на печать. Как и формы, отчеты могут включать процедуры обработки событий. Использование графических объектов позволяет дополнять данные отчета иллюстрациями. Отчеты обеспечивают возможность анализа данных при использовании фильтрации, агрегирования и представления данных источника в различных разрезах. *Макросы* являются программами, состоящими из последовательностей макрокоманд, которые выполняются по вызову или при наступлении некоторого события в объекте приложения или его элементе управления. Макросы данных выполняются при наступлении некоторого события в исходных таблицах. Макросы позволяют автоматизировать некоторые действия в приложении пользователя. Создание макросов осуществляется в диалоговом режиме путем выбора нужных макрокоманд и задания параметров, используемых ими при выполнении.
- *Модули* содержат процедуры на языке *Visual Basic for Applications*. Могут создаваться процедуры-программы, процедуры-функции, которые разрабатываются пользователем, и процедуры для обработки событий.

Интерфейс пользователя Access

Для Access 2013 разработан интерфейс пользователя, упрощающий доступ к многочисленным функциональным возможностям в процессе создания и работы с объектами базы данных и приложений пользователя.

Основу этого интерфейса составляют *ленты* и *область навигации.* Собранные на одной ленте команды четко соответствуют задачам, выполняемым в Access, что позволяет легко находить нужную команду.

Основные элементы интерфейса пользователя в Access 2013:

- *страницы*, предназначенные для управления файлами баз данных. Стартовая страница отображается при запуске Access и позволяет открыть существующие файлы баз данных или создать новые. В процессе работы доступны страницы, открываемые при щелчке на цветном значке **Файл**.

Они содержат команды для сохранения, сжатия и восстановления базы данных, определения параметров и ряд др.;

- *лента* – широкая полоса, расположенная в верхней части окна Access. Она содержит стандартные вкладки с группами наиболее часто используемых команд, контекстные вкладки, которые появляются только тогда, когда их использование допустимо, и *панель быстрого доступа* – небольшую панель инструментов, на которую можно добавить нужные команды. Лента является основой интерфейса пользователя и обеспечивает быстрый доступ к набору команд, применимых к выполняемым в базе данных в текущий момент работам;
- *коллекция (галерея)* – элемент интерфейса, который не просто отображает команды, а показывает набор результатов выполнения этих команд с отображением внешнего вида вариантов выбора;
- *диалоговые окна* могут выводиться при выполнении команд для уточнения операции и передачи параметров. В некоторых группах вкладок ленты имеются кнопки вызова диалоговых окон;
- *контекстное меню* вызывается щелчком правой кнопкой мыши на элементе объекта. Содержит команды, зависящие от контекста – элемента объекта, с которым работает пользователь, или выполняемой задачи; *панель быстрого доступа* – единственная панель инструментов, предусмотренная в интерфейсе. Она обеспечивает доступ одним нажатием кнопки к наиболее часто используемым командам. Это панель настраивается в соответствии с предпочтениями пользователя;
- *область навигации* расположена в левой части окна. В ней отображаются объединенные в группы объекты базы данных;
- *вкладки документов* – таблицы, запросы, формы, отчеты и макросы отображаются на вкладках в рабочем пространстве окна Access – окне документов;
- *строка состояния* – полоса в нижней части окна программы, в которой отображаются сведения о состоянии объекта и располагаются кнопки, позволяющие изменить режим его представления;
- *мини-панель инструментов* – прозрачный элемент, подключенный к объекту, который появляется над выбранным текстом и позволяет легко отформатировать его;
- *панель сообщений* – это единственное средство вывода всех предупреждений системы безопасности. Отображается, когда в открываемой базе данных имеется любое потенциально опасное выполняемое содержимое.

ПРАКТИЧЕСКАЯ РАБОТА № 1
Создание таблиц базы данных «Реализация товаров»

Создать базу данных для учета реализации товаров со складов. Организовать хранение информации в создаваемой базе данных с помощью четырех таблиц: «Товары», «Фирмы», «Склады» и «Продажи».

Этапы проектирования базы данных:

1. Исследование предметной области и формулировка основных допущений (накладываемых условий). На этом этапе составляется список всех форм и отчетов, которые могут быть затребованы пользователями вашей БД.
2. Анализ данных. Составить перечень всех элементов данных, входящих в формы и отчеты, и сгруппировать их в таблицы БД.
3. Установить, какие взаимосвязи существуют между элементами данных. Определить первичные и вторичные (внешние) ключи отношений. Организовать поля данных в таблицах.

Создать базу данных «Реализация товаров», при условии, что на одном складе может храниться только один вид товара.

Создание файла базы данных Access

Для создания файла новой локальной базы данных щелкните в области создания базы данных стартового окна Access на элементе **Пустая база данных** (рис. 1.1). В открывшемся окне введите имя файла в поле **Имя файла** – например, ***Реализация товаров***.

Щелчком по кнопке **Создать,** завершите процесс создания пустого файла новой базы данных. В результате по умолчанию откроется окно созданной базы данных с пустой таблицей с именем **Таблица1** в режиме таблицы (рис. 1.2).

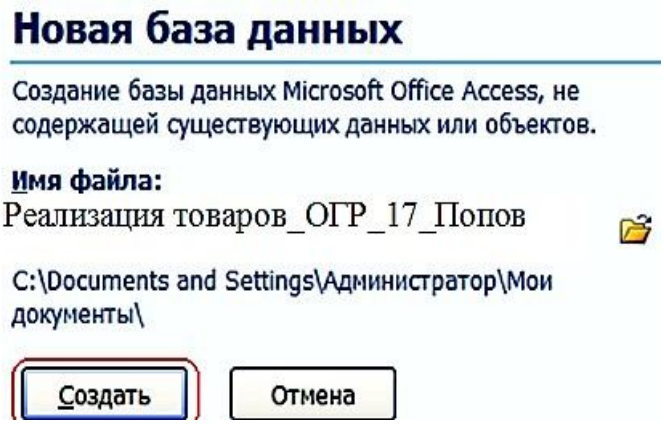

Рис. 1.1. Определение имени и местоположения файла новой базы данных

Так как создание таблиц будет происходить при помощи конструктора таблиц, поэтому закройте таблицу при помощи щелчка по значку «**Закрыть**».



Рис. 1.2. **Таблица1** в режиме таблицы

Задание 1. Создание таблицы базы данных «Реализация товаров»

Рассмотрим последовательность действий при создании таблиц. Для этого начнем создание таблицы «Товар» с определения её структуры в режиме конструктора таблиц. На вкладке ленты **Создание** в группе **Таблицы** выполним команду **Конструктор таблиц** (рис. 1.3).



Рис. 1.3. Лента с открытой вкладкой **Создание**

В окне конструктора **Таблица1** определим все поля таблицы «Товар». Для каждого поля таблицы «Товар» определим **Имя поля**, **Тип данных.**



Рис. 1.4. Таблица «Товары» в режиме «**Конструктор**»

Теперь определим первичный ключ таблицы. Выделим поле «**Код товара»**, щелкнув кнопкой мыши на области маркировки, слева от имени поля, и нажмем кнопку **Ключевое поле** на вкладке ленты **Конструктор** в группе **Сервис**. Признаком установки ключа является изображение ключа слева от имени поля  .

Сохраним созданную структуру таблицы и присвоим имя новой таблице – «Товар». Для этого выполним команду **Сохранить** на Панели быстрого доступа или на вкладке **ФАЙЛ**. В окне **Сохранение** введем имя таблицы.

При сохранении таблицы происходит обновление файла базы данных, в которую помещается созданная таблица. Таблица «Товар» появиться в списке объектов **Таблицы** в области навигации открытой базы данных «Реализация товаров».

После сохранения структуры таблицы переходите ко второму этапу создания таблицы – созданию записей. Для этого переключитесь в режим таблицы нажатием кнопки **Режим** на ленте конструктора или выбором нужного режима при открытии списка данной кнопки (рис. 1.5).

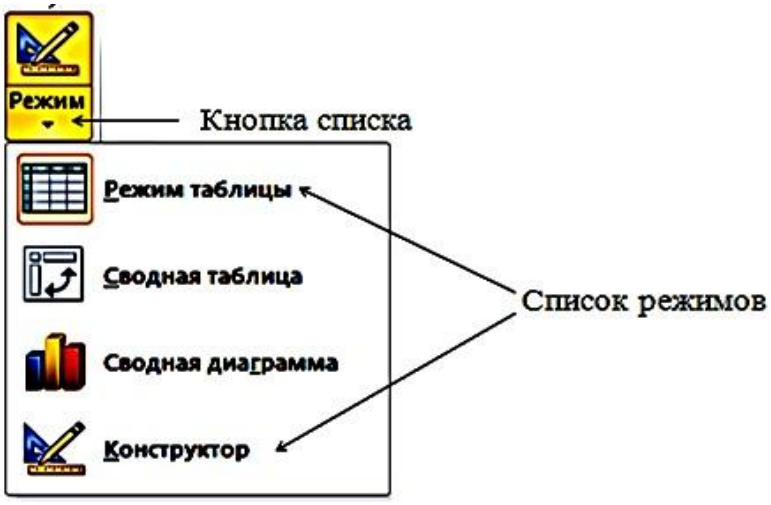

Рис. 1.5. Выбор режима представления таблицы

Как и в режиме конструктора, в режиме таблицы можно удалить столбец. При этом следует помнить, что удаляются все данные столбца, и отменить удаление невозможно. Удаление поля первичного ключа в режиме таблицы невозможно. Для этого необходимо использовать режим конструктора.

Открыть таблицу для ввода исходных данных. Установить курсор в первую строку таблицы и ввести исходные данные. Ввод данных в каждое поле таблицы завершать нажатием клавиши **Enter.** По окончании ввода данных при необходимости увеличить ширину полей. Записать таблицу «Товар» на диск.

Товары

Код товара	Наименование	Марка	Номер склада	Количество	Цена
1	Тахеометр	SP FOKUS 6	1	5	319 463,00 ₽
2	Тахеометр	SP FOKUS 6W	1	7	357 487,00 ₽
3	Тахеометр	Soutn NTS-365 R	2	6	225 000,00 ₽
4	Тахеометр	Soutn NTS-362 R	2	5	240 000,00 ₽
5	Теодолит	3Т2КП	3	9	84 193,00 ₽
6	Теодолит	4Т15П	3	5	58 764,00 ₽
7	Теодолит	4Т30П	3	8	50 625,00 ₽
8	Теодолит	VEGA TEO 5	3	10	30 000,00 ₽
9	Нивелир	4Н -2КЛ	4	15	16 680,00 ₽
10	Нивелир	4Н-3КЛ	4	18	12 500,00 ₽
(№)					

Рис. 1.6. Таблица «Товары» в режиме таблицы

Задание 2. Создание таблицы «Фирмы»

Для поля Телефон следует задать маску ввода: **(# # #) # # # - # # - # #**



Рис. 1.7. Таблица «Фирмы» в режиме «**Конструктор**»



Рис. 1.8. Таблица «Фирмы» в режиме таблицы

Задание 3. Создание таблицы «Склады»



Рис. 1.9. Таблица «**Склады**» в режиме «**Конструктор**»

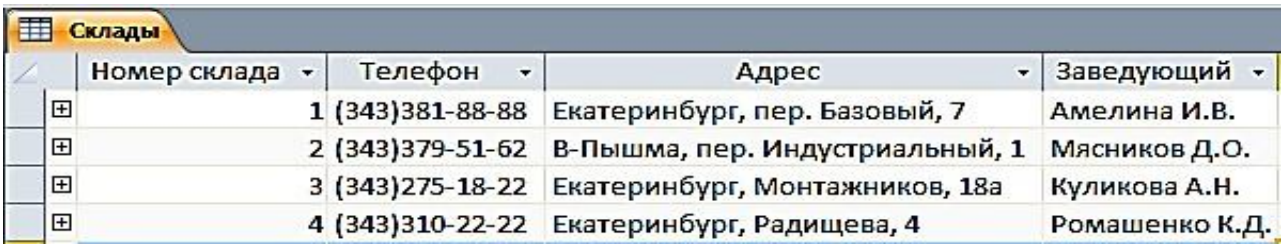

Склады

Номер склада	Телефон	Адрес	Заведующий
1	(343)381-88-88	Екатеринбург, пер. Базовый, 7	Амелина И.В.
2	(343)379-51-62	В-Пышма, пер. Индустриальный, 1	Мясников Д.О.
3	(343)275-18-22	Екатеринбург, Монтажников, 18а	Куликова А.Н.
4	(343)310-22-22	Екатеринбург, Радищева, 4	Ромашенко К.Д.

Рис. 1.10. Таблица «**Склады**» в режиме «**Таблицы**»

Задание 4. Создание таблицы «Продажи»

1. Ввести в первой строке имя поля: **Дата продажи** и выбрать для него тип Дата/время.
2. Сформировать поле **Код фирмы** и выбрать для него числовой тип.
3. Указать в качестве источника данных для поля **Код фирмы** список кодов фирмы, внесенных в поле с таким же названием в таблицу «Фирмы», рис. 1.11.
4. Не переводя курсор со строки **Код фирмы**, щелкнуть мышью по закладке **Подстановка.**
5. Щелкнуть мышью по слову **Поле** в строке **Тип элементауправления**, а затем – по появившейся при этом кнопке **Раскрыть список**.
6. Выбрать щелчком мыши из раскрывшегося списка строку **Поле со списком**.
7. Щелкнуть мышью по незаполненному полю в строке **Источник строк**, а затем – по появившейся при этом кнопке **Раскрыть список**.
8. Щелчком мыши выбрать строку с названием таблицы «Фирмы».

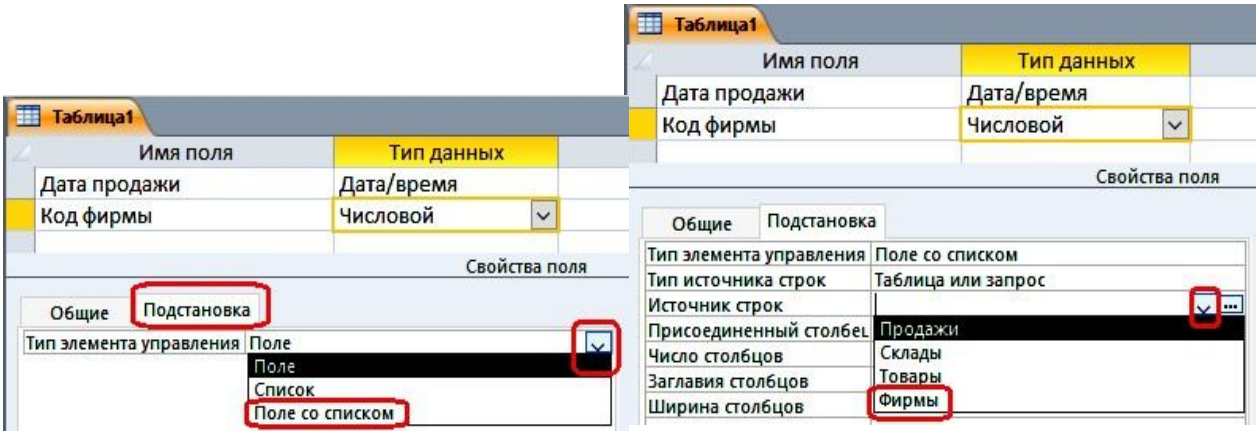

Рис. 1.11. Окно таблицы с подстановкой в режиме «**Конструктора**»



Рис. 1.12. Окно таблицы с выбором источника строк



Рис. 1.13. Окно таблицы «**Продажи**» в режиме «**Конструктора»**



Дата прода	Код фирмы	Код товара	Количество	Скидки
15.01.2018	4	10	10	5
19.01.2018	1	2	6	10
20.01.2018	3	5	8	5
25.01.2018	2	4	4	10
27.01.2018	1	1	4	15
30.01.2018	3	7	4	10
02.02.2018	2	3	5	5
05.02.2018	4	9	10	10
10.02.2018	3	8	9	10
15.02.2018	3	5	8	10

Рис. 1.14. Таблица «**Продажи**» в режиме «**Таблицы**»

Задание 5. Создание схемы данных

Создание схемы данных начинается с выполнения команды **Схема данных** в группе **Отношения** на вкладке ленты **Работа с базами данных**. В результате выполнения этой команды открывается окно схемы данных и диалоговое окно **Добавление таблицы**, в котором осуществляется выбор таблиц, включаемых в схему (рис. 1.15).



Рис. 1.15. Вкладка ленты **Работа с базами данных**

В окне **Добавление таблицы** отображаются все таблицы и запросы, содержащиеся в базе данных. Выберем вкладку **Таблицы** и с помощью кнопки **Добавить** разместим в окне **Схема данных** все ранее созданные таблицы базы данных «Реализация товаров». При создании связей в схеме данных используется проект структуры реляционной базы данных, в котором показаны все одно-многозначные связи таблиц. Реализуются связи с помощью добавления в связанные таблицы общих полей, называемых *ключом связи.*

На рис. 1.16 в созданной схеме данных БД «Реализация товаров» все связи отмечены символами **1** или ∞. Это свидетельствует о том, что одно-многозначные связи установлены правильно (по простому и составному ключу).

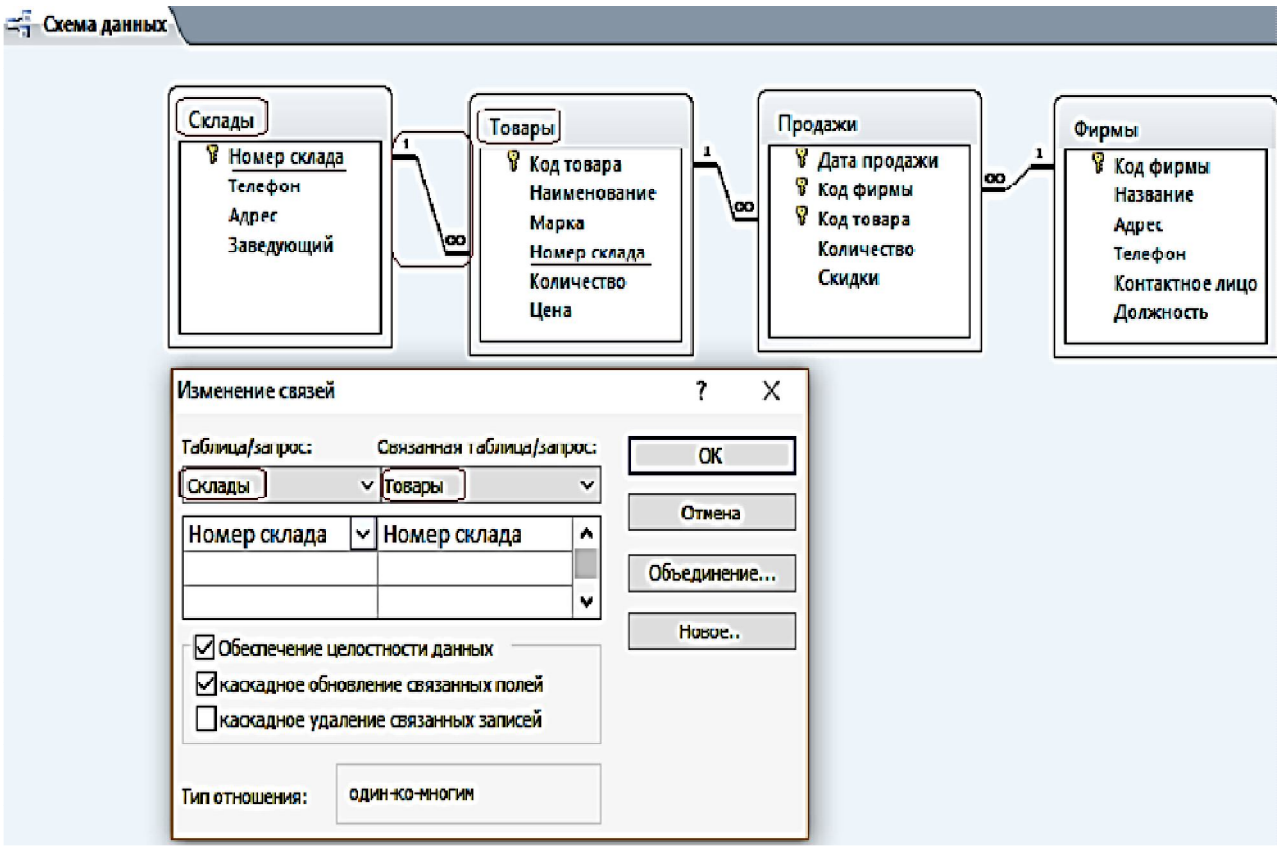

Рис. 1.16. Схема данных БД «**Реализация товаров**»

ПРАКТИЧЕСКАЯ РАБОТА № 2

Работа с простыми запросами

Конструирование запросов на выборку с условием отбора

Задание 1. Выбрать товар по его наименованию

1. Для создания запроса в окне базы данных выберите вкладку ленты – **Создание** и в группе **Запросы** нажмите кнопку **Конструктор запросов**.

2. В окне **Добавление таблицы** выберите таблицу «Товар» и нажмите кнопку добавить. Выбранная таблица будет отображена в области схемы данных запроса. Закройте окно **Добавление таблицы**, нажав кнопку **Закрыть.** На ленте появляется и автоматически активизируется новая вкладка **Работа с запросами / Конструктор**, на которой цветом выделен тип создаваемого запроса – **Выборка.**

3. В окне конструктора (рис. 2.1) последовательно перетащите из списка полей таблицы «Товар» поля **Наименование, Марка и Цена** в столбцы бланка запроса в строку **Поле**. Для этого необходимо щелкнуть двойным щелчком на имени поля таблицы в схеме данных запроса.

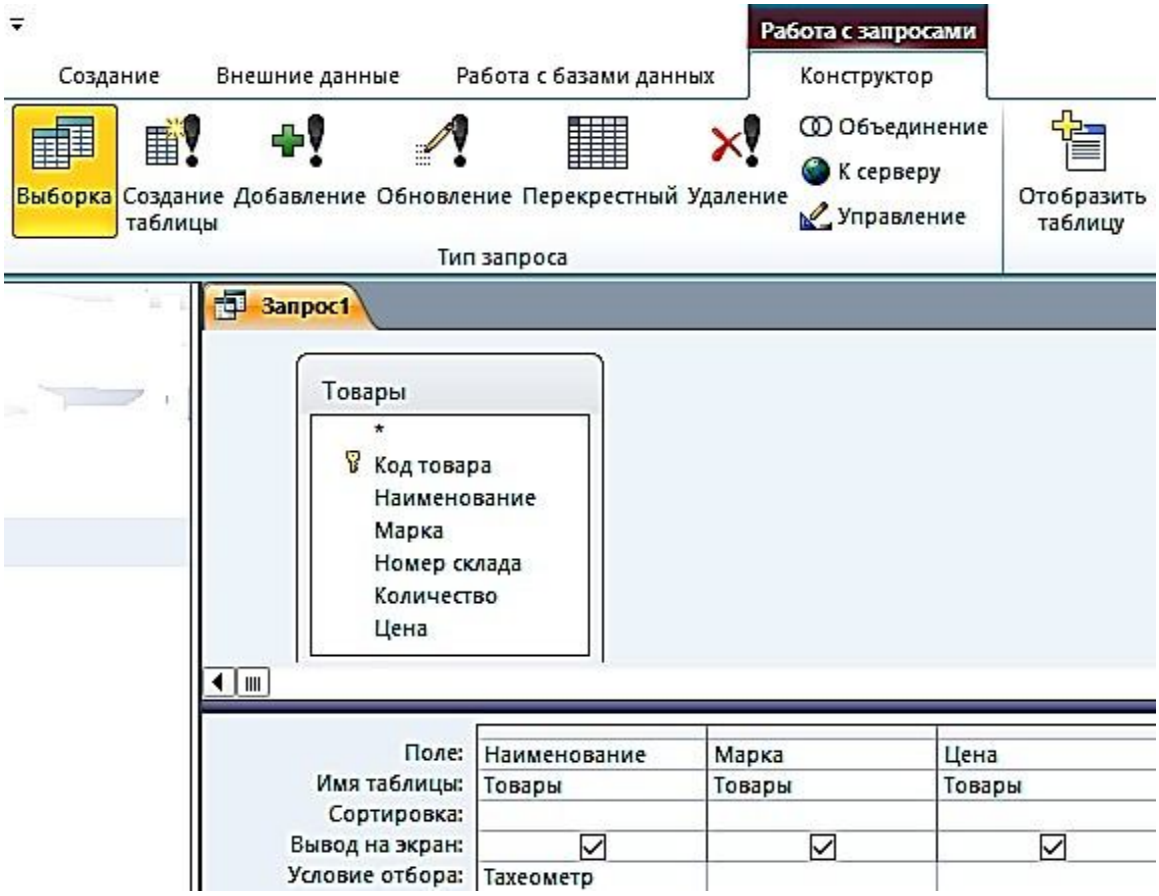

Рис. 2.1. Окно конструктора запроса на выборку

4. Запишите в строке **Условия отбора** наименование товара – Тахеометр. Используемое в выражении текстовое значение вводится в двойных кавычках, которые добавляются автоматически.

5. Выполните запрос, щелкнув по кнопке **Выполнить !** или на кнопке **Режим**  в группе **Результаты**. На экране откроется окно запроса в режиме таблицы с записью из таблицы «Товар», отвечающий заданным условиям (рис. 2.2). Дайте ему имя **2_По наименованию Тахеометр**.

1_По наименованию Тахеометр

Наименование	Марка	Цена
Тахеометр	SP FOKUS 6	319 463,00 ₽
Тахеометр	SP FOKUS 6W	357 487,00 ₽
Тахеометр	Soutn NTS-365 R	225 000,00 ₽
Тахеометр	Soutn NTS-362 R	240 000,00 ₽

Рис. 2.2. Просмотр запроса в режиме «**Таблицы»**

Задание 2. Выбрать товары, цена которых менее 100 000 руб. и более 20 000 руб., и количество больше или равно 9

1. Создайте новый запрос в режиме конструктора, добавьте таблицу «Товар». В окне конструктора последовательно перетащите из списка полей таблицы «Товар» в бланк запроса поля (рис. 2.3).

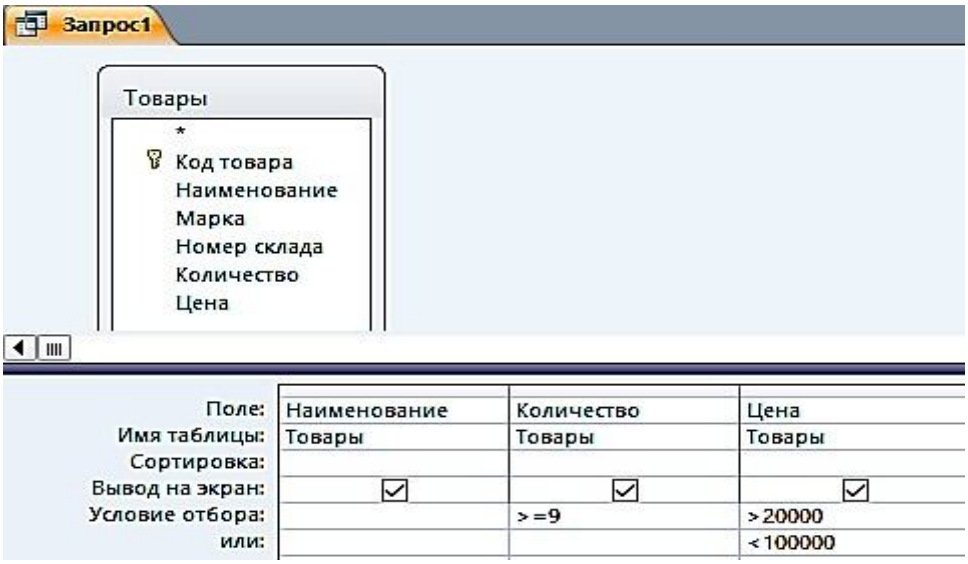

Рис. 2.3. Окно конструктора запроса на выборку с логическими операциями в условии отбора

2. Запишите **Условия отбора**, как показано в бланке запроса. Между условиями, записанными в одной строке, выполняется логическая операция AND. Между условиями, записанными в разных строках, выполняется логическая операция OR.

3. Выполните запрос. Дайте ему имя **2_Цена_количество** (рис. 2.4).

2_Цена_количество

Наименование	Количество	Цена
Теодолит	9	84 193,00 ₽
Теодолит	5	58 764,00 ₽
Теодолит	8	50 625,00 ₽
Теодолит	10	30 000,00 ₽
Нивелир	15	16 680,00 ₽
Нивелир	18	12 500,00 ₽

Рис. 2.4. Просмотр запроса в режиме «**Таблицы**»

Задание 3. Выбрать скидки, равные 10, за заданный период (после 25 января 2018 г.) (рис. 2.5, 2.6)

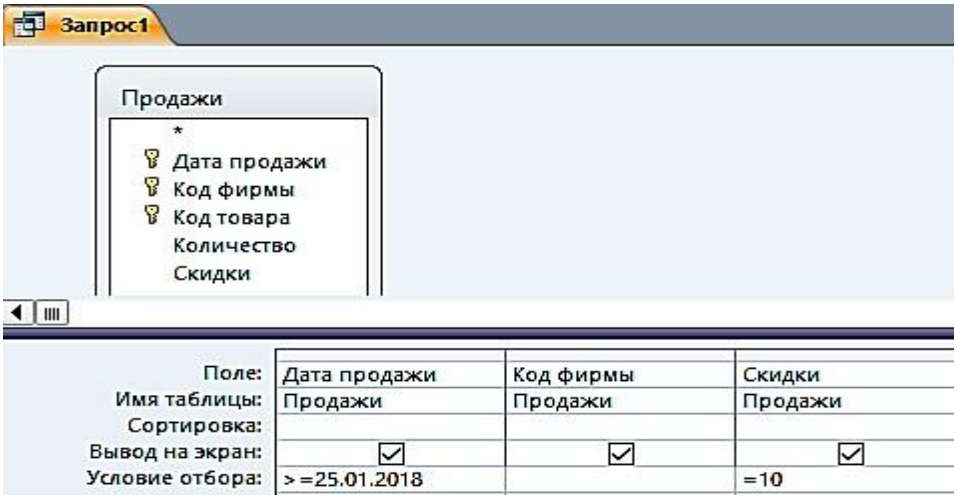

Рис. 2.5. Окно конструктора запроса на выборку
с логическими операциями в условии отбора

3_Дата_скидка

Дата прода	Код фирмы	Скидки
25.01.2018	2	10
30.01.2018	3	10
05.02.2018	4	10
10.02.2018	3	10
15.02.2018	3	10

Рис. 2.6. Просмотр запроса в режиме «**Таблицы**»

Вычисляемые поля в запросах

В запросе, как и в таблице, для каждой записи могут производиться вычисления с числовыми, строковыми значениями или со значениями дат с использованием данных из одного или нескольких полей. Результат вычисления образует в таблице запроса новое вычисляемое поле (рис. 2.7).



Рис. 2.7. Запрос с вычисляемым полем

Задание 4. В таблице «Товар» вычислить Цену с НДС, при ставке НДС 35 %

1. Создайте в режиме конструктора запрос на выборку для таблицы «Товары». Перетащите в бланк запроса поля **Наименование, Марка, Номер склада, Количество, Цена** (рис. 2.8).

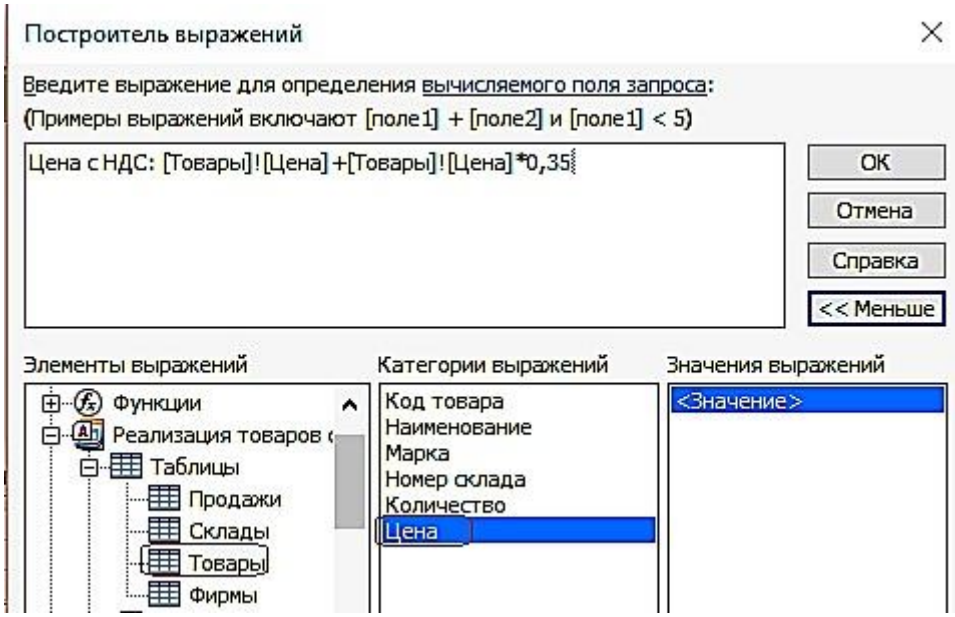

Рис. 2.8. Построитель выражений

2. Для подсчета цены с учетом НДС создайте после поля Цена вычисляемое поле **Цена с НДС** (с правой стороны) при помощи построителя.

3. Вызовите построитель выражений, нажав кнопку **Построитель**  в группе **Настройка запроса** ленты «**Конструктор**». Курсор мыши должен быть установлен предварительно в ячейке ввода выражения.

4. В левой верхней части окна **Построитель выражений** (см. рис. 2.8) выберите свою базу данных «Реализация товаров со складов», далее выберите таблицу «**Товары**», на которой построен запрос. Справа отобразится список её полей. Последовательно выбирайте нужные поля и операторы, двойным щелчком вставляя в выражение. Выражение сформируется в верхней части окна. Обратите внимание – построитель перед именем поля указал имя таблицы, которой оно принадлежит, и отделил его от имени поля восклицательным знаком.

5. Слово «Выражение» удаляйте, иначе оно выдает, синтаксическую ошибку.

Полученный запрос «**4_Цена с НДС**» в режиме «**Таблицы»** изображен на рис. 2.9.

4_Цена с НДС

Наименование	Марка	Номер склада	Количество	Цена	Цена с НДС
Тахеометр	SP FOKUS 6	1	5	319 463,00 ₽	431 275,05 ₽
Тахеометр	SP FOKUS 6W	1	7	357 487,00 ₽	482 607,45 ₽
Тахеометр	Soutn NTS-365 R	2	6	225 000,00 ₽	303 750,00 ₽
Тахеометр	Soutn NTS-362 R	2	5	240 000,00 ₽	324 000,00 ₽
Теодолит	3Т2КП	3	9	84 193,00 ₽	113 660,55 ₽
Теодолит	4Т15П	3	5	58 764,00 ₽	79 331,40 ₽
Теодолит	4Т30П	3	8	50 625,00 ₽	68 343,75 ₽
Теодолит	VEGA TEO 5	3	10	30 000,00 ₽	40 500,00 ₽
Нивелир	4Н -2КЛ	4	15	16 680,00 ₽	22 518,00 ₽
Нивелир	4Н-3КЛ	4	18	12 500,00 ₽	16 875,00 ₽

Рис. 2.9. Просмотр запроса «**4_Цена с НДС**» в режиме «**Таблицы»**

Задание 5. В вычисляемых полях и условиях отбора можно использовать встроенные функции. Необходимо выбрать количество продаж, в заданном месяце

1. Создайте в режиме конструктора запрос на выборку по таблице «Продажи».

2. Создайте вычисляемое поле **Заданный месяц** (в правой) пустой ячейке строки, записав туда одно из выражений: а Format([Продажи]![Дата продажи];"mmmm") – эта функция возвратит полное название месяца;

b или Format([Продажи]![Дата продажи];"mm") – эта функция возвратит номер месяца;

3. Для отбора продаж в заданном месяце, в вычисляемом поле в строку **Условие отбора** введите название месяца, например, – Январь, или номер месяца, например, 1, в соответствии с параметром в функции Format (рис. 2.10, 2.11).

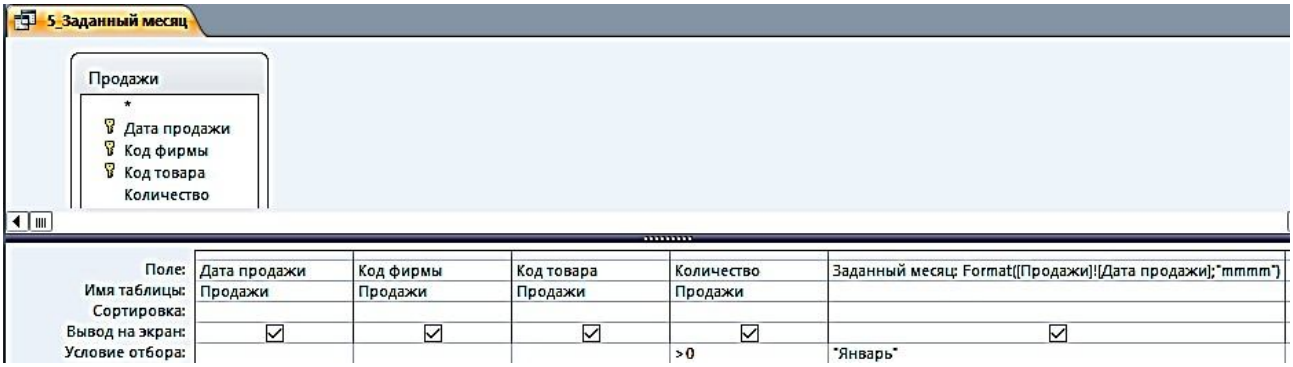

Рис. 2.10. Запрос с функцией выделения из даты полного названия месяца в вычисляемом поле

5_Заданный месяц

Дата продажи	Код фирмы	Код товара	Количество	Заданный месяц
15.01.2018	4	10	10	Январь
19.01.2018	1	2	6	Январь
20.01.2018	3	5	8	Январь
25.01.2018	2	4	4	Январь
27.01.2018	1	1	4	Январь
30.01.2018	3	7	4	Январь

Рис. 2.11. Просмотр запроса «**5_Заданный месяц**» в режиме «**Таблицы**»

Параметры в запросах

При решении практических задач удобнее вводить выражение в условие отбора в процессе выполнения запроса в диалоге с пользователем, не переходя в режим конструктора. Обеспечить такой диалог можно с помощью *параметра запроса.* Имя параметра запроса задается в строке **Условие отбора** в квадратных скобках. При выполнении запроса это имя появиться в диалоговом окне **Введите значение параметра.**

Задание 6. Скопируйте запрос «5_Заданный месяц» и переименуйте его в «6_Параметрический запрос»

1. Замените в условии отбора рассмотренного запроса название месяца Январь на имя параметра – [Название месяца].

2. Выполните запрос. Открывшееся диалоговое окно (рис. 2.12) позволит ввести значение параметра запроса – **Название месяца**.

3. Введите Январь и получите результат.

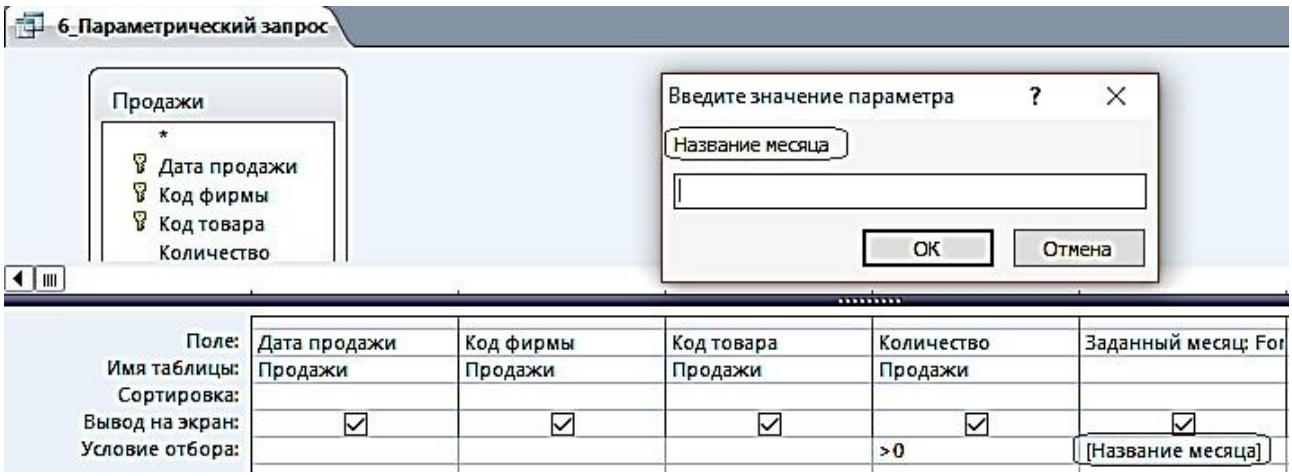

Рис. 2.12. Диалоговое окно ввода значения параметра

Параметры запроса могут быть использованы не только в выражениях условий отбора, но и для ввода значений операндов в вычисляемых полях.

Задание 7. Создайте в режиме конструктора запрос на выборку для таблицы «Товар»

Перетащите в бланк запроса поля Наименование и Цена. Для увеличения цены на заданный процент в вычисляемое поле запишите выражение с параметром запроса [На сколько процентов увеличить?]/100 (рис. 2.13).

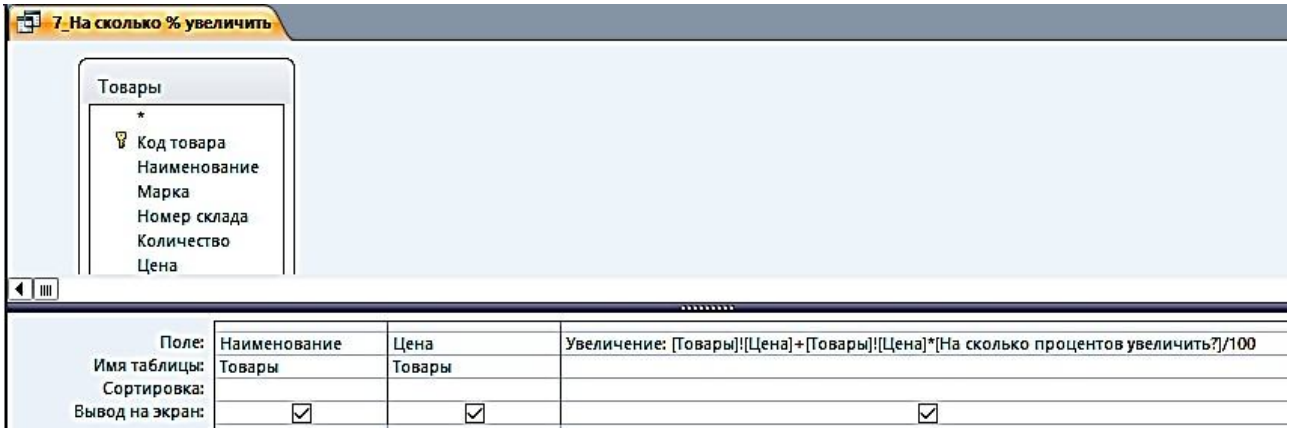

Рис. 2.13. Использование параметра в выражении вычисляемого поля

Задание 8. Скопируйте запрос «**7_На сколько % увеличить**» и переименуйте его в «**8_Проценты**» (рис. 2.14)

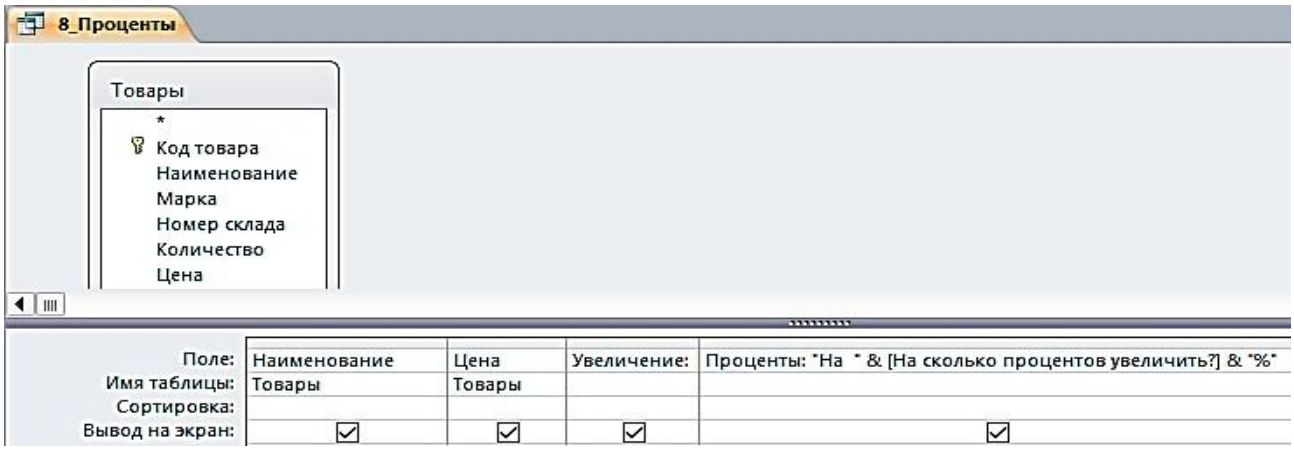

Рис. 2.14. Использование параметра в выражении вычисляемого поля «**Проценты**»

После выполнения предыдущего запроса в таблице отображается результат вычисления с использованием введенного значения параметра. Однако значение параметра при этом не выводится. Для отображения в таблице запроса введенного значения параметра дополните запрос ещё одним вычисляемым полем, в котором запишите выражение:

Проценты: "На " & [На сколько процентов увеличить?] & "%".

Теперь в таблице запроса появится поле «**Проценты»**, в котором будет записано, например, при вводе 35 – **На 35 %** (рис. 2.15).

8_Проценты

Наименование	Цена	Увеличение	Проценты
Тахеометр	319 463,00 ₽	431 275,05 ₽	На 35%
Тахеометр	357 487,00 ₽	482 607,45 ₽	На 35%
Тахеометр	225 000,00 ₽	303 750,00 ₽	На 35%
Тахеометр	240 000,00 ₽	324 000,00 ₽	На 35%
Теодолит	84 193,00 ₽	113 660,55 ₽	На 35%
Теодолит	58 764,00 ₽	79 331,40 ₽	На 35%
Теодолит	50 625,00 ₽	68 343,75 ₽	На 35%
Теодолит	30 000,00 ₽	40 500,00 ₽	На 35%
Нивелир	16 680,00 ₽	22 518,00 ₽	На 35%
Нивелир	12 500,00 ₽	16 875,00 ₽	На 35%

Рис. 2.15. Просмотр запроса «**8_Проценты**» в режиме «**Таблицы**»

Групповые операции в запросах

Групповые операции позволяют выделить группы записей с одинаковыми значениями в указанных полях и вычислить итоговые данные для каждой из групп по др. полям, используя одну из статистических функций. Статистические функции применимы к полям с типом данных **Числовой, Денежный, Дата и время**.

Задание 9. Запрос с функцией **Sum**

Определите суммарное количество и цену каждого из товаров.

1. Создайте в режиме конструктора запрос на выборку из таблицы «**Товары**».
2. Из списка таблицы перетащите в бланк запроса поле «**Наименование**». По этому полю будет производиться группировка записей таблицы.
3. Перетащите в бланк запроса поля «**Количество**» и «**Цена**», по которым будет подсчитываться суммарное количество каждого из товаров.
4. Выполните команду **Итоги** из группы **Показать или Скрыть**. В бланке запроса появится новая строка **Групповая операция** со значением **Группировка** во всех полях запроса.
5. В столбцах «**Количество**» и «**Цена**» замените слово **Группировка** на функцию **Sum**. Для этого вызовите раскрывающийся список и выберите эту функцию (рис. 2.16).

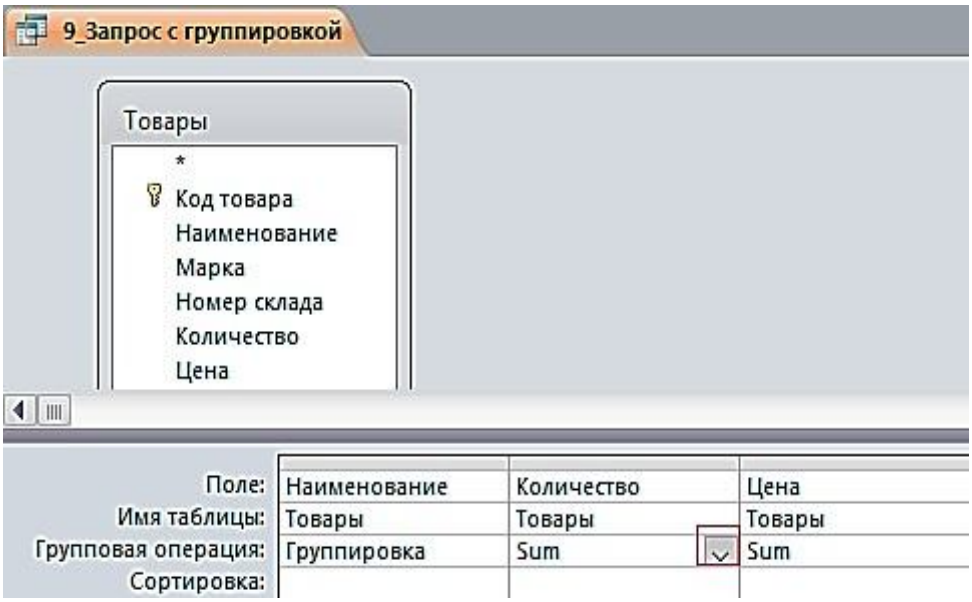

Рис. 2.16. Запрос с группировкой по коду товара и суммированием количества и цены в группе

6. Для отображения результата запроса (рис. 2.17) щелкните по кнопке **Выполнить** в группе **Результаты**.



Рис. 2.17. Результат подсчета суммарного количества и цены

Задание 10. Запрос с функцией **Count**

Определите, сколько раз продавался товар по коду фирмы.

1. Создайте в режиме конструктора запрос на выборку из таблицы «Продажи».

2. Из списка таблицы перетащите в бланк запроса поле «**Код фирмы**». По этому полю будет производиться группировка записей таблицы.

3. Перетащите в бланк запроса поле «**Количество**», по которому будет происходить подсчет числа товаров с одинаковыми номерами фирм.

4. Выполните команду **Итоги** из группы **Показать или Скрыть**. В бланке запроса появится новая строка **Групповая операция** со значением **Группировка** во всех полях запроса.

5. В столбце «**Количество**» замените слово **Группировка** на функцию Count. Для этого вызовите раскрывающийся список и выберите эту функцию
(рис. 2.18).

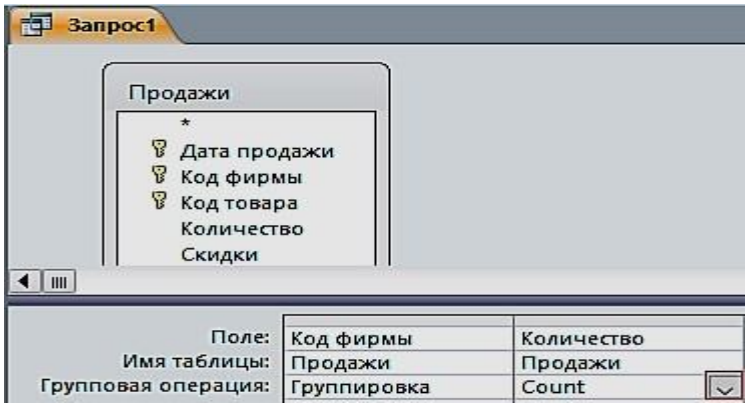

Рис. 2.18. Запрос для подсчета количества товара по коду фирмы

6. Сохраните запрос под именем «**10_Число продаж по коду фирмы**». Результат запроса показан на рис. 2.19.



Рис. 2.19. Результат подсчета количества товара по коду фирмы

Задание 11. Запрос с отображением строки итогов по столбцу

Строка итогов используется для быстрого расчета и отображения в столбце таблицы или запроса в режиме таблицы таких значений, как итоговая сумма, среднее, минимальное и максимальное, количество значений.

1. Для добавления строки итогов в таблицу запроса откройте запрос «**1_По наименованию тахеометр»** в режиме таблицы. На вкладке ленты **Главная** в группе **Записи** выполните команду **Итоги**. В таблице отобразится строка **Итог**.

2. В строке **Итог** нажмите кнопку раскрывающегося списка в столбце «**Цена**», для которого требуется выполнить расчет, и выберите в списке **Сумма** (рис. 2.20).

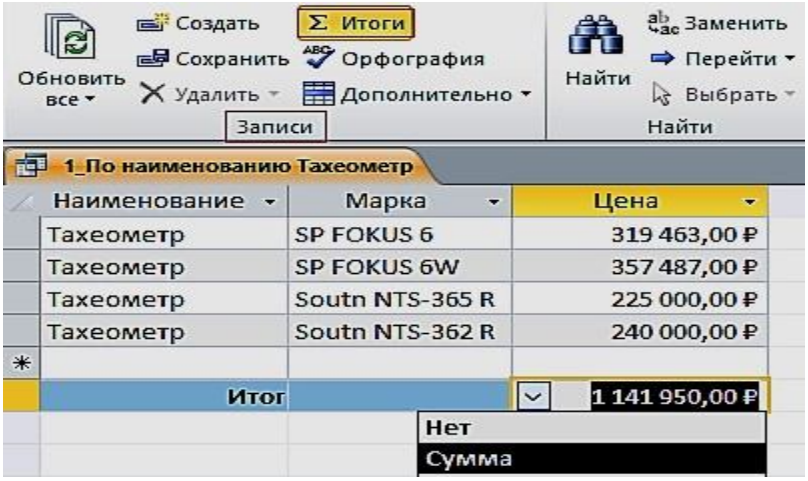

Рис. 2.20. Результат отображения строки итогов с расчетом суммы по столбцу

3. Для того, чтобы скрыть строку итогов, повторно выполните команду **Итоги**.

ПРАКТИЧЕСКАЯ РАБОТА № 3
Работа с многотабличными запросами

Многотабличный запрос позволяет сформировать записи результата путем объединения взаимосвязанных записей из таблиц базы данных и выбора из них нужных полей и записей. Многотабличный запрос часто осуществляет объединение данных, которые на этапе проектирования были разделены на множество таблиц, отвечающих требованиям нормализации.

При конструировании многотабличного запроса важнейшим условием является правильное представление о том, как идет объединение записей таблиц при формировании результата.

Рассмотрим технологию конструирования многотабличного запроса на выборку для расчета разности количества товаров и количества проданных товаров.

Задание 1. Запрос с вычисляемым полем «**Остаток**»

1. Создайте в режиме конструктора запрос на выборку для таблиц «**Товары**» и «**Продажи**». Перетащите в бланк запроса из таблицы «**Товары**» поля «**Наименование**», «**Марка**», «**Количество»**, и из таблицы «**Продажи**» поле «**Количество**».

2. Для подсчета разности количества товаров создайте после поля «**Количество**», вычисляемое поле «**Остаток**» (с правой стороны), при помощи построителя (рис. 3.1).

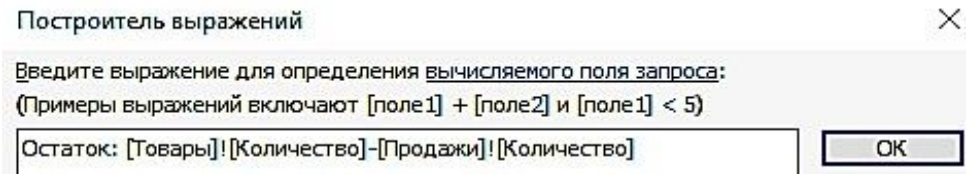

Рис. 3.1. Построитель выражений

3. Вызовите построитель выражений, нажав кнопку **Построитель** в группе **Настройка запроса** ленты «**Конструктор**». Курсор мыши должен быть установлен предварительно в ячейке ввода выражения (рис. 3.2).

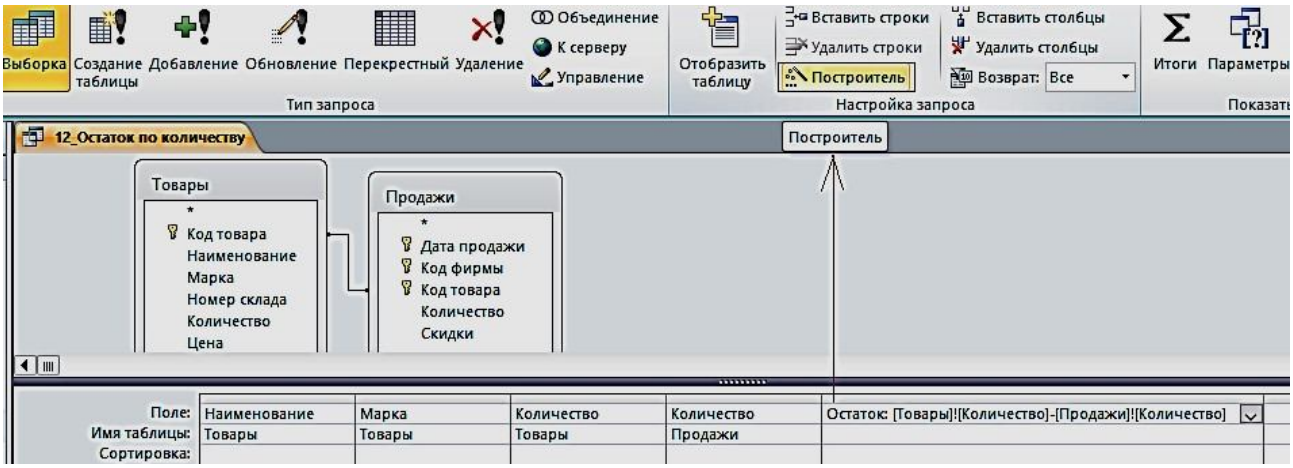

Рис. 3.2. Запрос с вычисляемым полем

4. В левой части окна **Построитель выражений** выберите свою базу данных «**Реализация товаров со складов**», далее выберите таблицу «**Товары**». Справа отобразится список её полей. Выберите поле «**Количество**» и знак минус, двойным щелчком вставляя в выражение. Снова выберите таблицу «**Продажи**» и поле «**Количество**» (рис. 3.3).

12_Остаток по количеству

Наименование	Марка	Товары.Количество	Продажи.Количество	Остаток
Тахеометр	SP FOKUS 6	5	4	1
Тахеометр	SP FOKUS 6W	7	6	1
Тахеометр	Soutn NTS-365 R	6	5	1
Тахеометр	Soutn NTS-362 R	5	4	1
Теодолит	3Т2КП	9	8	1
Теодолит	3Т2КП	9	8	1
Теодолит	4Т30П	8	4	4
Теодолит	VEGA TEO 5	10	9	1
Нивелир	4Н -2КЛ	15	10	5
Нивелир	4Н-3КЛ	18	10	8

Рис. 3.3 Результат запроса «**Остаток по количеству**»

5. Слово «Выражение» удаляйте, оно выдает, синтаксическую ошибку.

Задание 2. Формирование запроса об увеличении цены на 15 % в феврале месяце

1. Создайте в режиме конструктора запрос на выборку для таблиц «**Товары**» и «**Продажи**». Перетащите в бланк запроса из таблицы «**Продажи**» поле «**Дата продажи**», а из таблицы «**Товары**» поля «**Наименование**», «**Марка**», «**Номер склада**», «**Количество**», «**Цена**».

2. Создайте новое поле «**Новая цена**». Для этого создайте после поля Цена, вычисляемое поле «**Новая Цена**» (с правой стороны) при помощи построителя.

3. Вызовите построитель выражений, нажав кнопку **Построитель** в группе **Настройка запроса** ленты «**Конструктор**». Курсор мыши должен быть установлен предварительно в ячейке ввода выражения. В окне «**Построительвыражений**» выбрать «**Элементы выражений**», в нем найти название своей базы данных, затем Таблицы «**Товары**» и в поле «**Категории выражений**» выбрать «**Цена**», а с клавиатуры набрать «*1,05».

4. В поле «**Дата продажи**» введите условие отбора >=01.02.2018 (рис. 3.4).

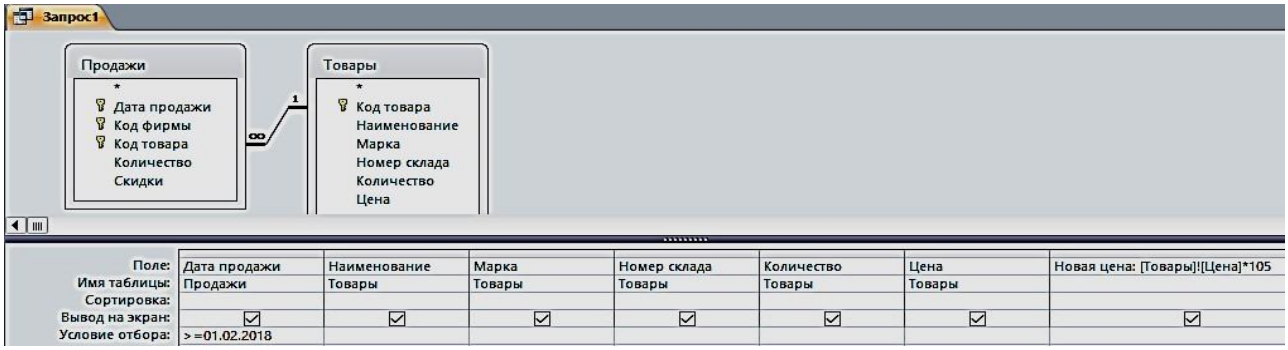

Рис. 3.4. Запрос «**Новая цена**» в режиме конструктора

5. Сохранить запрос с именем «**Новая цена**» (рис. 3.5).

13_Цена в феврале

Дата прода	Наименование	Марка	Номер склада	Количество	Цена	Новая цена
02.02.2018	Тахеометр	Soutn NTS-365 R	2	6	225 000,00 ₽	23 625 000,00 ₽
15.02.2018	Теодолит	3Т2КП	3	9	84 193,00 ₽	8 840 265,00 ₽
10.02.2018	Теодолит	VEGA TEO 5	3	10	30 000,00 ₽	3 150 000,00 ₽
05.02.2018	Нивелир	4Н -2КЛ	4	15	16 680,00 ₽	1 751 400,00 ₽

Рис. 3.5. Результат запроса «**Новая цена**»

Задание 3. Создание запроса о товарах на складе в г. Екатеринбурге (рис. 3.6, 3.7)

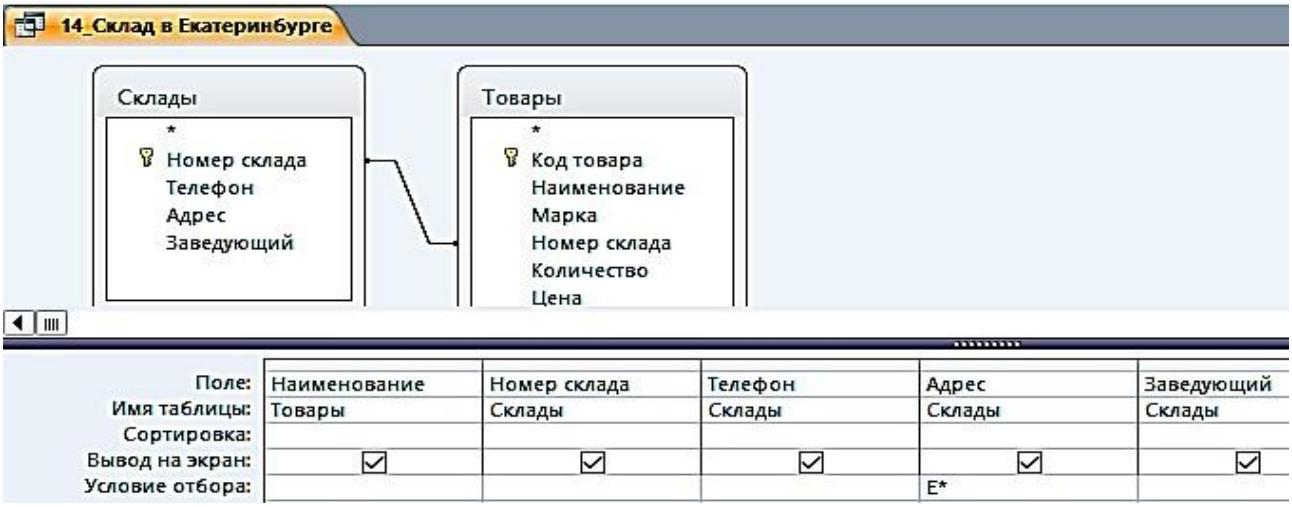

Поле:	Наименование	Номер склада	Телефон	Адрес	Заведующий
Имя таблицы:	Товары	Склады	Склады	Склады	Склады
Сортировка:					
Вывод на экран:	☑	☑	☑	☑	☑
Условие отбора:				E*	

Рис. 3.6. Запрос «**Склад в Екатеринбурге**» в режиме Конструктора

14_Склад в Екатеринбурге

Наименование	Номер склада	Телефон	Адрес	Заведующий
Тахеометр	1	(343)381-88-88	Екатеринбург, пер. Базовый, 7	Амелина И.В.
Тахеометр	1	(343)381-88-88	Екатеринбург, пер. Базовый, 7	Амелина И.В.
Теодолит	3	(343)275-18-22	Екатеринбург, Монтажников, 18а	Куликова А.Н.
Теодолит	3	(343)275-18-22	Екатеринбург, Монтажников, 18а	Куликова А.Н.
Теодолит	3	(343)275-18-22	Екатеринбург, Монтажников, 18а	Куликова А.Н.
Теодолит	3	(343)275-18-22	Екатеринбург, Монтажников, 18а	Куликова А.Н.
Нивелир	4	(343)310-22-22	Екатеринбург, Радищева, 4	Ромашенко К.Д.
Нивелир	4	(343)310-22-22	Екатеринбург, Радищева, 4	Ромашенко К.Д.

Рис. 3.7. Результат запроса «**Склад в Екатеринбурге**»

Задание 4. Создание запроса о товарах в феврале, с вычисляемым полем «**Сумма**» и отображения строки итогов с расчетом суммы по этому столбцу (рис. 3.8, 3.9)

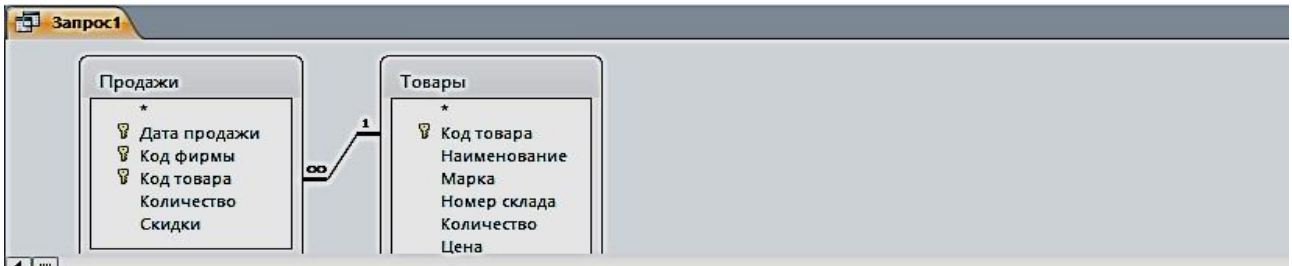

Поле:	Дата продажи	Скидки	Наименование	Марка	Количество	Цена	Сумма: [Товары]![Количество]*[Товары]![Цена]
Имя таблицы:	Продажи	Продажи	Товары	Товары	Товары	Товары	
Сортировка:							
Вывод на экран:	☑	☑	☑	☑	☑	☑	☑
Условие отбора:	>=01.02.2018						

Рис. 3.8. Запрос «**Стоимость**» в режиме Конструктора

15_Стоимость

Дата прода	Скидки	Наименование	Марка	Количество	Цена	Сумма
02.02.2018	5	Тахеометр	Soutn NTS-365 R	6	225 000,00 ₽	1 350 000,00 ₽
15.02.2018	10	Теодолит	3Т2КП	9	84 193,00 ₽	757 737,00 ₽
10.02.2018	10	Теодолит	VEGA TEO 5	10	30 000,00 ₽	300 000,00 ₽
05.02.2018	10	Нивелир	4Н -2КЛ	15	16 680,00 ₽	250 200,00 ₽
Итог						2 657 937,00 ₽

Нет
Сумма

Рис. 3.9. Результат запроса «**Стоимость**» и итог с расчетом суммы по столбцу

Задание 5. Создание запроса из четырех таблиц (рис. 3.10, рис. 3.11)

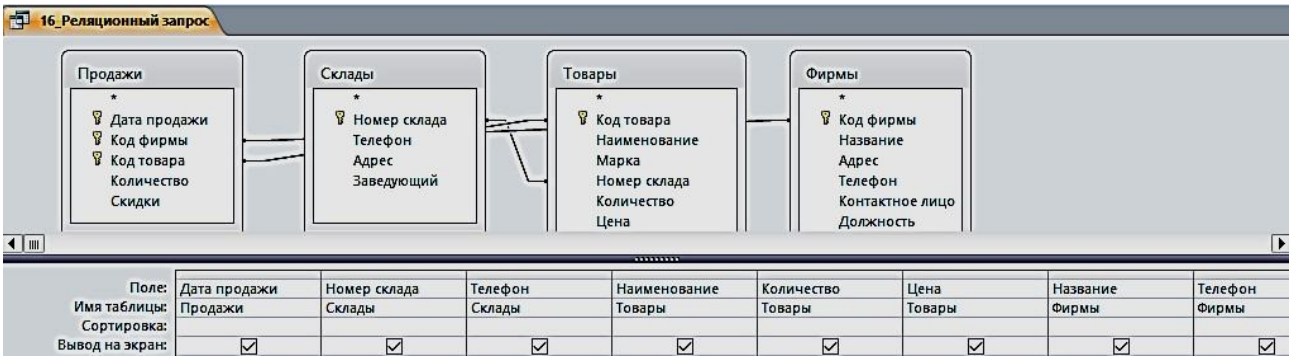

Рис. 3.10. Реляционный запрос в режиме Конструктора

16_Реляционный запрос

Дата продажи	Номер склада	Склады.Телефон	Наименование	Количество	Цена	Название	Фирмы.Телефон
15.01.2018	4	(343)310-22-22	Нивелир	18	12 500,00 ₽	ГеоСтройПрибор	(473)271-21-44
19.01.2018	1	(343)381-88-88	Тахеометр	7	357 487,00 ₽	ООО "Геомар Недра"	(495)618-05-10
20.01.2018	3	(343)275-18-22	Теодолит	9	84 193,00 ₽	ООО "А-ГЕО"	(904)095-70-45
25.01.2018	2	(343)379-51-62	Тахеометр	5	240 000,00 ₽	ООО "Навгеоком"	(343)253-53-55
27.01.2018	1	(343)381-88-88	Тахеометр	5	319 463,00 ₽	ООО "Геомар Недра"	(495)618-05-10
30.01.2018	3	(343)275-18-22	Теодолит	8	50 625,00 ₽	ООО "А-ГЕО"	(904)095-70-45
02.02.2018	2	(343)379-51-62	Тахеометр	6	225 000,00 ₽	ООО "Навгеоком"	(343)253-53-55
05.02.2018	4	(343)310-22-22	Нивелир	15	16 680,00 ₽	ГеоСтройПрибор	(473)271-21-44
10.02.2018	3	(343)275-18-22	Теодолит	10	30 000,00 ₽	ООО "А-ГЕО"	(904)095-70-45
15.02.2018	3	(343)275-18-22	Теодолит	9	84 193,00 ₽	ООО "А-ГЕО"	(904)095-70-45

Рис. 3.11. Результат сложного запроса

Запросы на изменение

К запросам на изменение относятся запросы на обновление данных в записях таблицы базы, на добавление и удаление записей из таблицы, а также запросы на создание таблицы из записей, сформированных в нем.

Задание 6. Создать запрос на обновление таблицы «Товары». Увеличьте цену товара на 20 %:

1. Создайте запрос на выборку, путем отбора соответствующих полей. Присвойте ему имя «**17_Обновление**».

2. Откройте этот запрос в режиме Конструктора. Выполните команду **Запрос – Обновление** – Введите в строке «**Обновление**» выражение для новых значений [Цена]*1,2 (рис. 3.12). Закройте запрос. У запроса изменится вид значка. Проверьте правильность его выполнения (рис. 3.13).

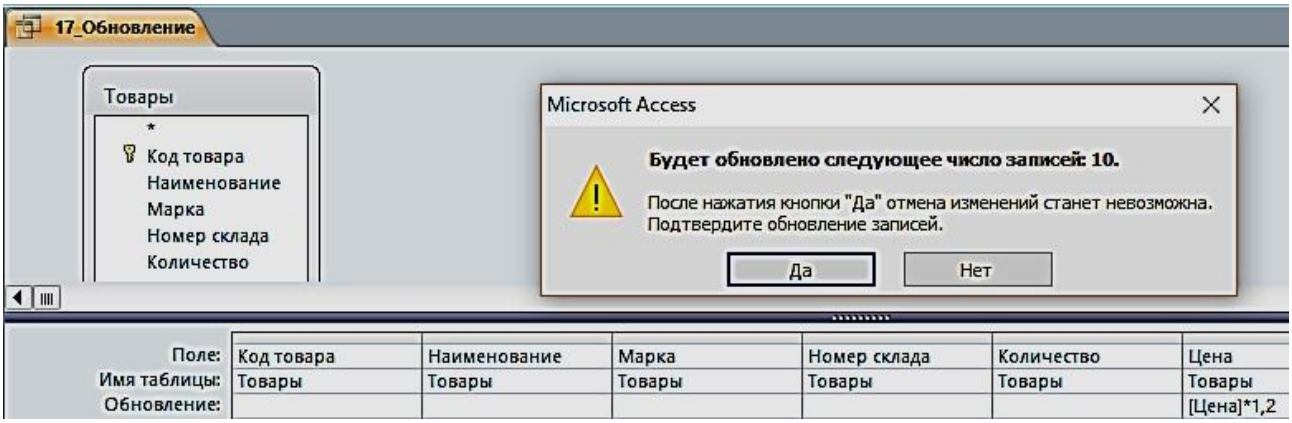

Рис. 3.12. Запрос на обновление в режиме Конструктора

Рис. 3.13. С правой стороны результат обновления таблицы

Цена
319 463,00 ₽
357 487,00 ₽
225 000,00 ₽
240 000,00 ₽
84 193,00 ₽
58 764,00 ₽
50 625,00 ₽
30 000,00 ₽
16 680,00 ₽
12 500,00 ₽

17_Обновление

Цена
383 355,60 ₽
428 984,40 ₽
270 000,00 ₽
288 000,00 ₽
101 031,60 ₽
70 516,80 ₽
60 750,00 ₽
36 000,00 ₽
20 016,00 ₽
15 000,00 ₽

Задание 6. Создать запрос на создание новой таблицы «18_Создание таблицы»:

1. Создайте запрос на выборку по всем таблицам путем отбора нужных полей. Присвойте ему имя и проверьте правильность его выполнения.

2. В области навигации выделите названный запрос и с помощью команды контекстного меню откройте его в режиме Конструктора.

3. Преобразуйте этот запрос на выборку в запрос на создание таблицы, выполнив команду **Создание таблицы** в группе **Тип запроса** на

вкладке Конструктора, или выбрав команду контекстного меню запроса **Тип запроса – Создание таблицы.**

4. В окне **Создание таблицы** введите имя создаваемой таблицы «Объединенная» (рис. 3.14).

5. Для того чтобы просмотреть, какие записи будут помещены в новую таблицу, щелкните по кнопке **Режим** на ленте Конструктора запросов в группе **Результаты**.

6. Выполните запрос. Откроется окно сообщений с запрашиваемым разрешением (рис. 3.15). Подтвердите согласие на создание новой таблицы. После этого таблицу можно увидеть в списке таблиц области навигации (рис. 3.16).

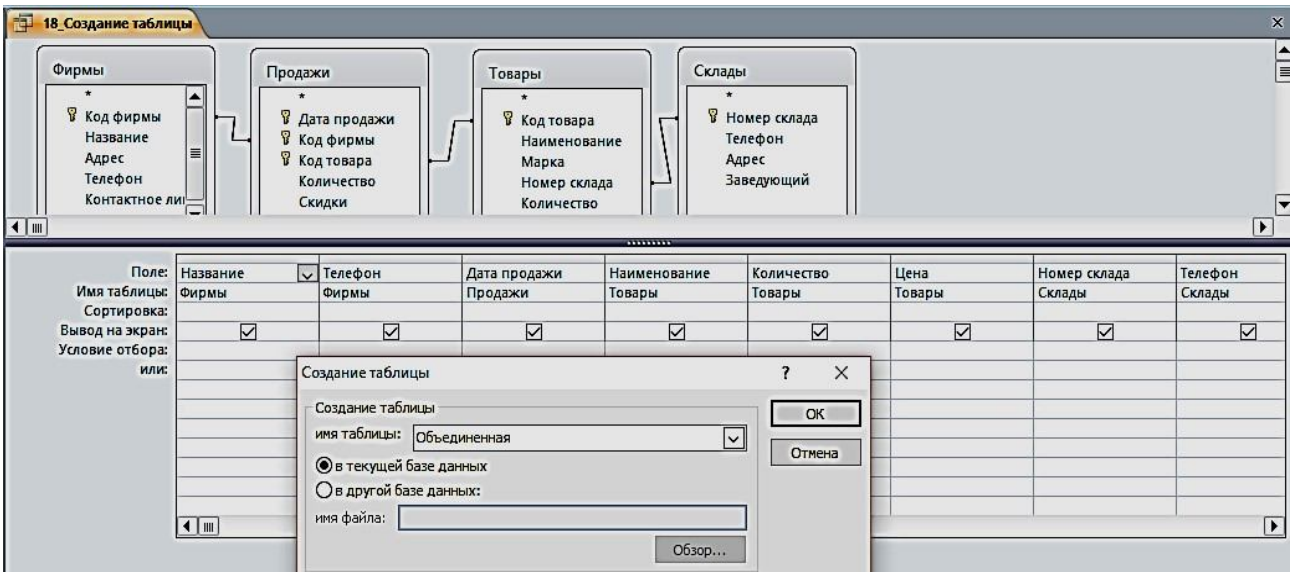

Рис. 3.14. Определение имени таблицы, создаваемой в запросе

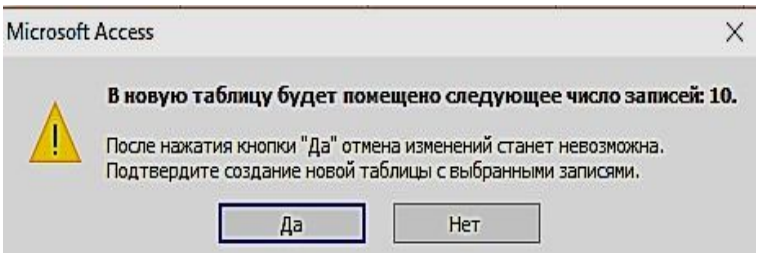

Рис. 3.15. Окно сообщений

Объединенная

Название	Фирмы_Телефон	Дата продажи	Наименование	Количество	Цена	Номер склада	Склады_Телефон
ООО "Геомар Недра"	4956180510	19.01.2018	Тахеометр	7	428 984,40 ₽	1	3433818888
ООО "Геомар Недра"	4956180510	27.01.2018	Тахеометр	5	383 355,60 ₽	1	3433818888
ООО "Навгеоком"	3432535355	25.01.2018	Тахеометр	5	288 000,00 ₽	2	3433795162
ООО "Навгеоком"	3432535355	02.02.2018	Тахеометр	6	270 000,00 ₽	2	3433795162
ООО "А-ГЕО"	9040957045	20.01.2018	Теодолит	9	101 031,60 ₽	3	3432751822
ООО "А-ГЕО"	9040957045	30.01.2018	Теодолит	8	60 750,00 ₽	3	3432751822
ООО "А-ГЕО"	9040957045	10.02.2018	Теодолит	10	36 000,00 ₽	3	3432751822
ООО "А-ГЕО"	9040957045	15.02.2018	Теодолит	9	101 031,60 ₽	3	3432751822
ГеоСтройПрибор	4732712144	15.01.2018	Нивелир	18	15 000,00 ₽	4	3433102222
ГеоСтройПрибор	4732712144	05.02.2018	Нивелир	15	20 016,00 ₽	4	3433102222

Рис. 3.16. Результат запроса на создание новой таблицы

Задание для самостоятельной работы

1. По таблице «Товары» сформировать запрос по наименованию товаров на букву Т.
2. По таблице «Товары» сформировать запрос на выборку товаров, цена которых более 100 000 рублей и количество больше или равно 5.
3. По таблице «Продажи» сформировать запрос на выборку товаров, скидки которых равны 5, за период меньше или равный 02 февраля 2018 г.
4. По таблице «**Товары**» сформировать запрос с вычисляемым полем, вычислить цену с НДС, при ставке 18 %.
5. Создать параметрический запрос, в котором выдавалось бы сообщение «**Введите наименование товара**».
6. По таблице «**Товары**» сформировать запрос с вычисляемым полем, об увеличении цены на 10 % в январе месяце.
7. По таблице «**Товары**» сформировать запрос с вычисляемым полем, вычислить сумму за январь.
8. По таблице «**Товары**» сформировать запрос с вычисляемым полем, найти увеличение количества нивелиров в 2 раза.
9. Создать новую таблицу, состоящую из таблиц «**Продажи**» и «**Фирмы**», с полями на ваш выбор (поле – количество обязательно).
10. По новой созданной таблице создать запрос на обновление количества товара в 3 раза.

ПРАКТИЧЕСКАЯ РАБОТА № 4
Работа с формами

Формы являются основой разработки диалоговых приложений пользователя с базой данных. Работая с формой, пользователь может добавлять, удалять и изменять записи таблиц, получать расчетные данные. Форма состоит из элементов управления, которые отображают поля таблиц и графические элементы, не связанные с полями таблиц. Элементы управления предназначены для разработки макета формы: размещение полей таблиц и запросов, надписей, внедряемых объектов (рисунков, диаграмм), вычисляемых полей, кнопок, выполняющих печать и открывающих др. объекты или задачи.

Однотабличная форма предназначена для загрузки, просмотра и корректировки данных одной таблицы. Источником данных такой формы служит единственная таблица. Она может быть создана одним щелчком мыши с помощью команд автоматического создания формы: **Форма, Разделенная форма** или **Несколько элементов**, размещенных на вкладке **Создание** в группе **Формы** (рис. 4.1).

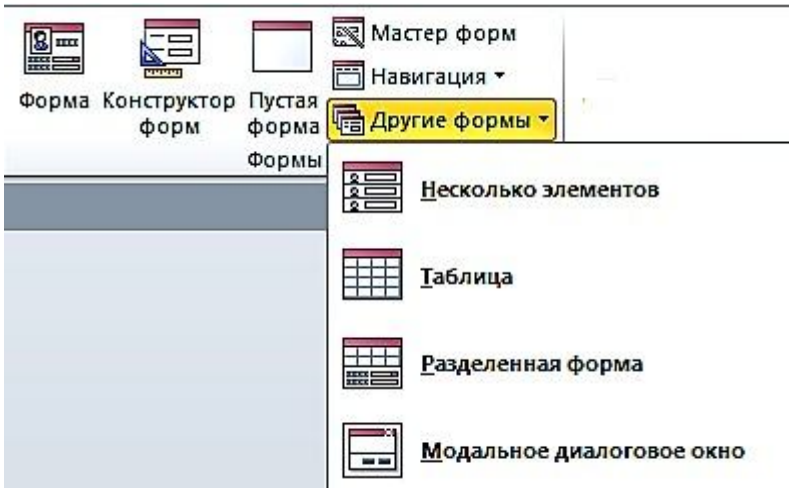

Рис. 4.1. Команды группы формы на вкладке ленты **Создание**

Задание 1. Создать однотабличную форму «**Товары для ввода, просмотра и корректировки данных»** таблицы «**Товары**». Чтобы источником записей формы стала таблица «**Товары»**, выберите её в области навигации и выполните команду форма на вкладке **Создание**. Эта команда обеспечит автоматическое создание формы на основе только выбранной таблицы (рис. 4.2).

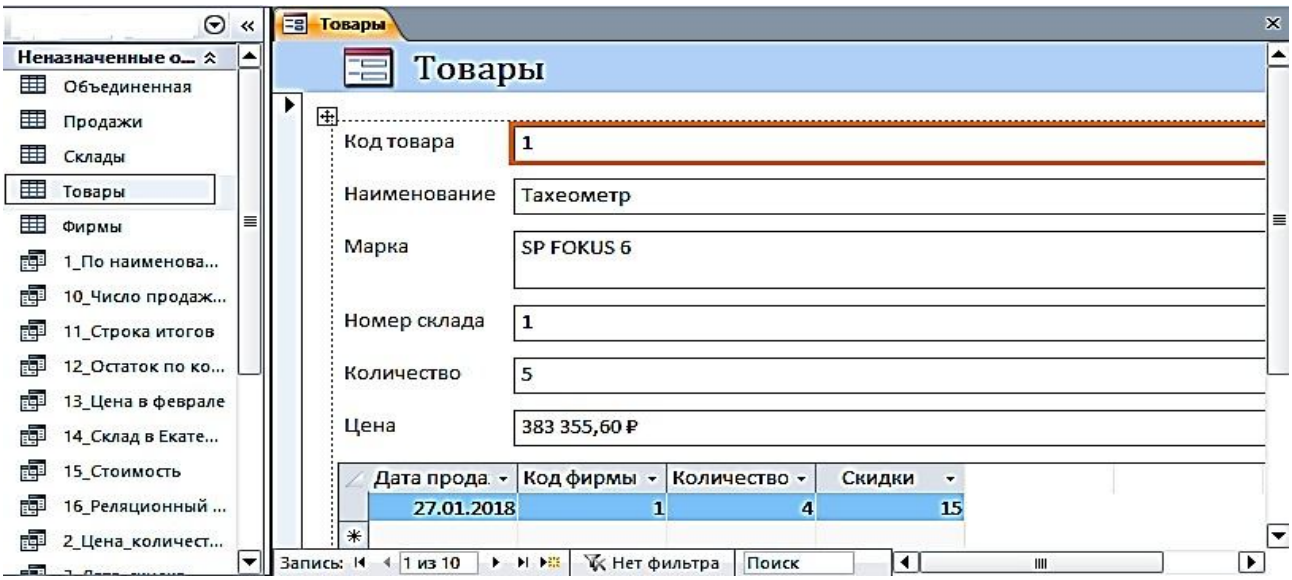

Рис. 4.2. Форма, полученная по команде **Форма**, для работы с таблицей «**Товары**»

Условное форматирование элементов управления

Для изменения внешнего вида элемента управления в форме**,** в зависимости от одного или нескольких условий используйте условное форматирование.

Задание 2. Изменить в форме «**Товары**» цвет денежных значений в поле «**Цена**» на красный, заливку на желтый, шрифт жирный, когда они оказываются выше заданной величины, например, 100 000 руб.

1. Выберите поле Цена, в котором нужно произвести изменения. На вкладке ленты **Формат** в группе **Форматирование элементов управления** выберите команду **Условное форматирование**. Откроется диалоговое окно **Диспетчер правил условного форматирования** (рис. 4.3).

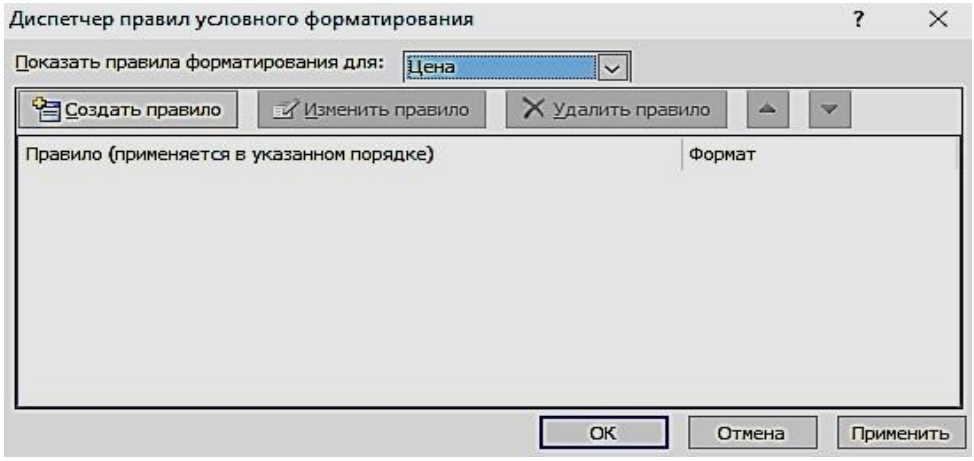

Рис. 4.3. Окно с пустым списком правил форматирования

2. Чтобы создать первое правило условного форматирования щелкните по кнопке **Создать правило**.

3. В окне **Новое правило форматирования** выберите тип правила и сформируйте описание правил, согласно которым будет производиться заданное форматирование поля.

4. В первом поле со списком выберите пункт **Значения поля**, во втором выберите тип сравнения – **больше** и введите постоянное значение в третье поле – 100000, не используя знака денежных единиц.

5. Выберите начертание шрифта, цвет и другие параметры форматирования. Нажмите кнопку ОК (рис. 4.4).

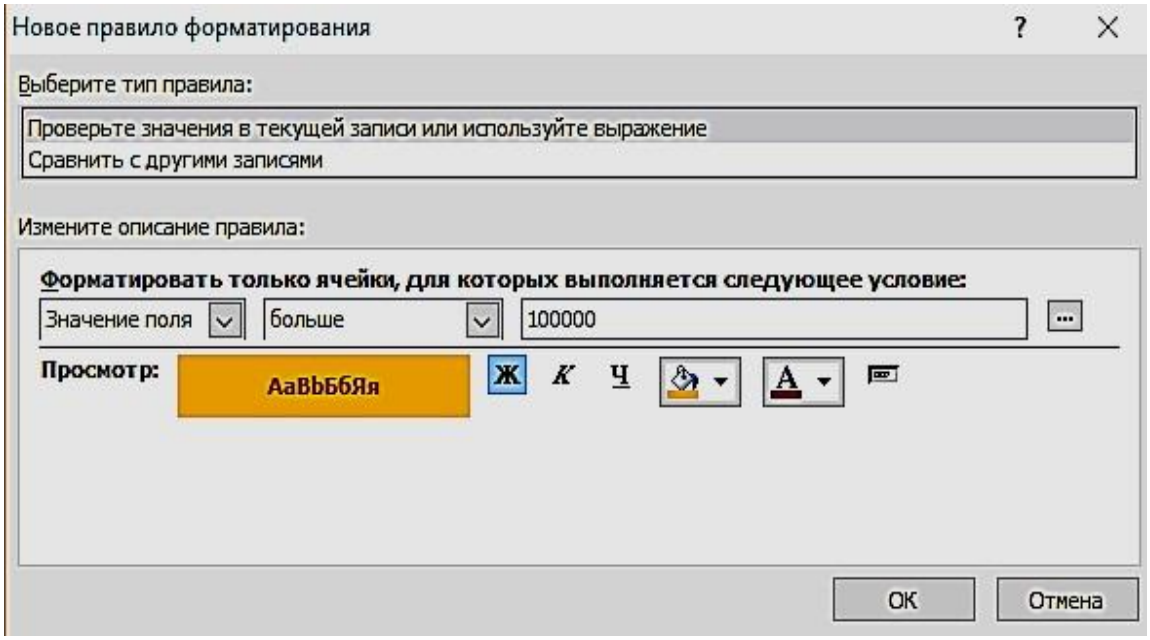

Рис. 4.4. Окно определения условий форматирования

Задание 3. Создать однотабличную форму «**Склады**». Для создания выбрать таблицу «**Склады**», использовать команду **Форма**, автоматически будет создана форма, содержащая встроенную подчиненную таблицу «**Товары**». Источником записей главной формы будет таблица «**Склады**». Такое поведение команды **Форма** вызвано тем, что таблица «**Склады**» имеет подчиненную таблицу «**Товары**», с которой она находиться в отношении 1**:**∞, и эта связь определена в схеме данных (рис. 4.5).

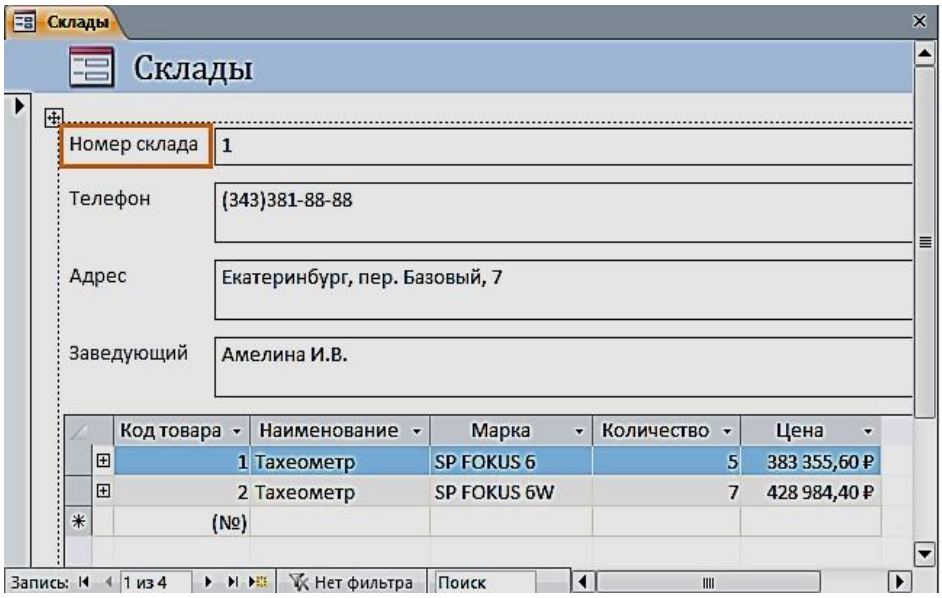

Рис. 4.5. Форма по таблице «**Склады**» с встроенной подчиненной «**Товары**»

Создание разделенной формы

Разделенная форма позволяет синхронно отображать данные одного источника в двух представлениях: в режиме формы и в режиме таблицы.

Задание 4. Создать однотабличную разделенную форму для работы с данными таблицы «**Продажи**». Выберите таблицу «**Продажи**» в области навигации и выполните команду **Разделенная форма** на вкладке ленты **Создание** в группе **Формы**. Эта команда обеспечит автоматическое создание формы на основе только одной выбранной таблицы. Созданная форма отобразится в режиме макета (рис. 4.6).

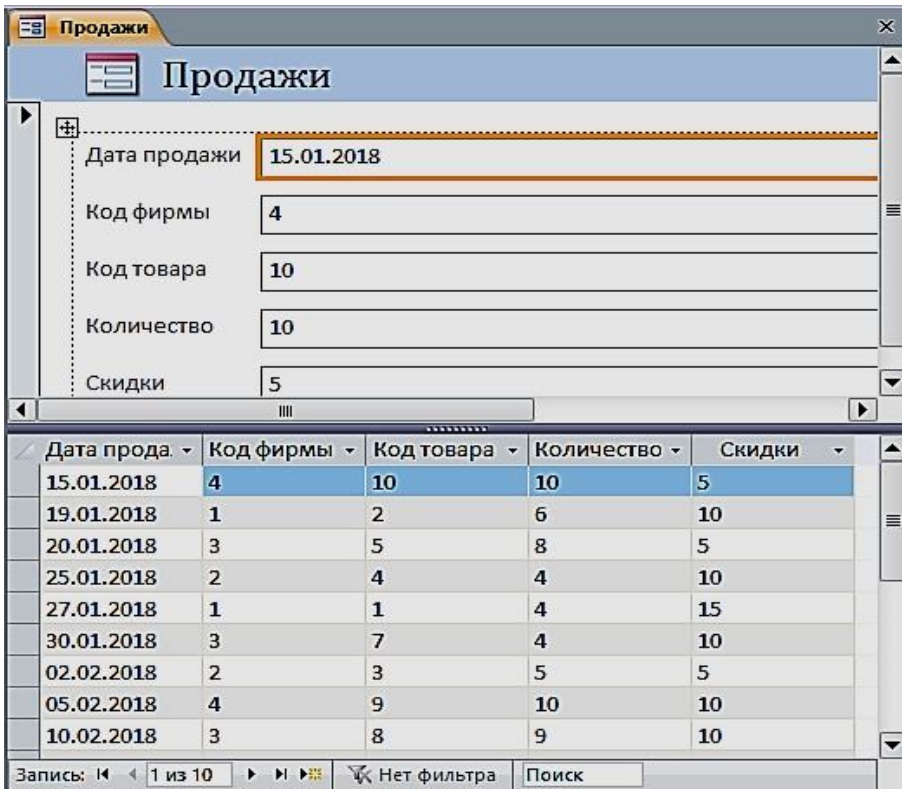

Рис. 4.6. Разделенная форма «**Продажи**»

Многотабличные формы

Многотабличная форма создается для работы с данными нескольких взаимосвязанных таблиц. Источником данных такой формы является многотабличный запрос. При этом форма может быть простой, отображающей одну запись в столбик, или ленточной, отображающей все записи в табличном виде с надписями в заголовке формы. Для такой формы могут быть использованы команды **Форма** или **Несколько элементов**.

Многотабличная форма может быть составной: состоять из главной формы и одной или нескольких подчиненных включаемых форм.

Задание 5. Создать составную форму воспользовавшись реляционным запросом. Выберите запрос «**16_реляционный запрос**» в области навигации и выполните команду **Форма** на вкладке **Создание**. Эта команда обеспечит автоматическое создание формы на основе выбранного запроса (рис. 4.7). В режиме Конструктора можно изменить заголовок.

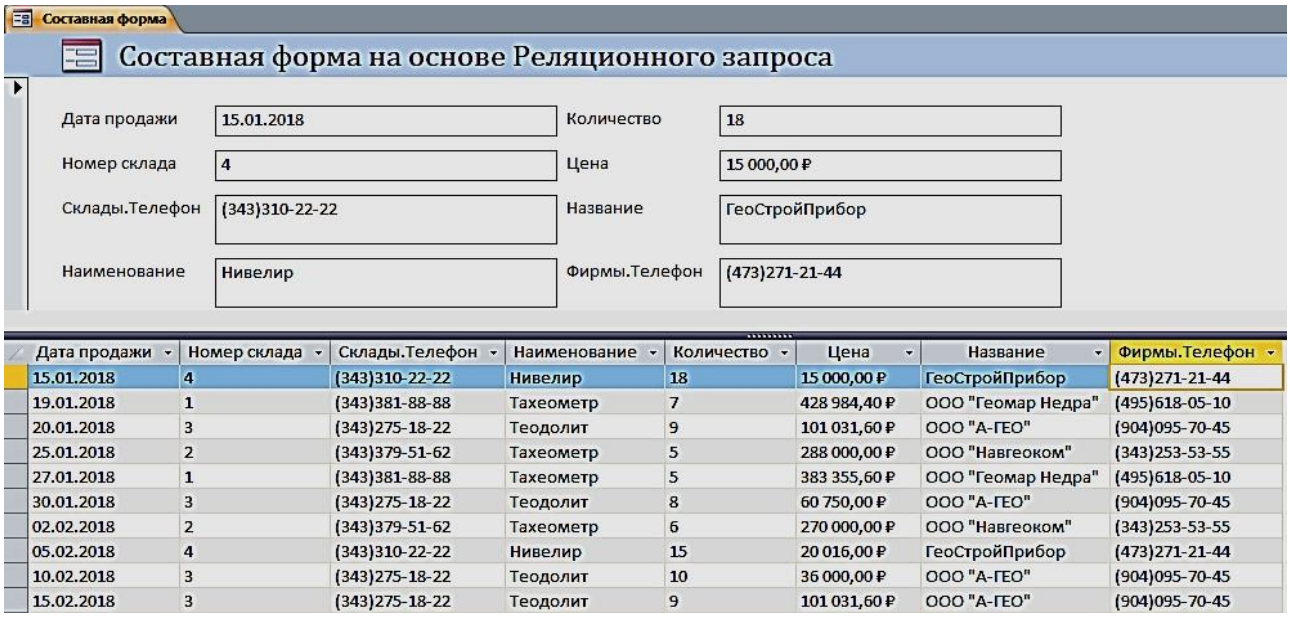

Дата продажи	Номер склада	Склады.Телефон	Наименование	Количество	Цена	Название	Фирмы.Телефон
15.01.2018	4	(343)310-22-22	Нивелир	18	15 000,00 ₽	ГеоСтройПрибор	(473)271-21-44
19.01.2018	1	(343)381-88-88	Тахеометр	7	428 984,40 ₽	ООО "Геомар Недра"	(495)618-05-10
20.01.2018	3	(343)275-18-22	Теодолит	9	101 031,60 ₽	ООО "А-ГЕО"	(904)095-70-45
25.01.2018	2	(343)379-51-62	Тахеометр	5	288 000,00 ₽	ООО "Навгеоком"	(343)253-53-55
27.01.2018	1	(343)381-88-88	Тахеометр	5	383 355,60 ₽	ООО "Геомар Недра"	(495)618-05-10
30.01.2018	3	(343)275-18-22	Теодолит	8	60 750,00 ₽	ООО "А-ГЕО"	(904)095-70-45
02.02.2018	2	(343)379-51-62	Тахеометр	6	270 000,00 ₽	ООО "Навгеоком"	(343)253-53-55
05.02.2018	4	(343)310-22-22	Нивелир	15	20 016,00 ₽	ГеоСтройПрибор	(473)271-21-44
10.02.2018	3	(343)275-18-22	Теодолит	10	36 000,00 ₽	ООО "А-ГЕО"	(904)095-70-45
15.02.2018	3	(343)275-18-22	Теодолит	9	101 031,60 ₽	ООО "А-ГЕО"	(904)095-70-45

Рис. 4.7. Составная форма

Создание многотабличной формы с помощью мастера

Основным средством создания многотабличной формы можно считать мастер форм, который, запросив у пользователя сведения о включаемых в форму полях из нескольких взаимосвязанных таблиц и запросов, создает составную или одиночную форму.

Задание 6. С помощью мастера создайте форму для работы с данными о продажах товаров

Для вызова мастера форм выполните на вкладке ленты **Создание** в группе **Формы** команду **Мастер форм**. Отобразится окно мастера **Создания форм**, представленное на рис. 4.8.

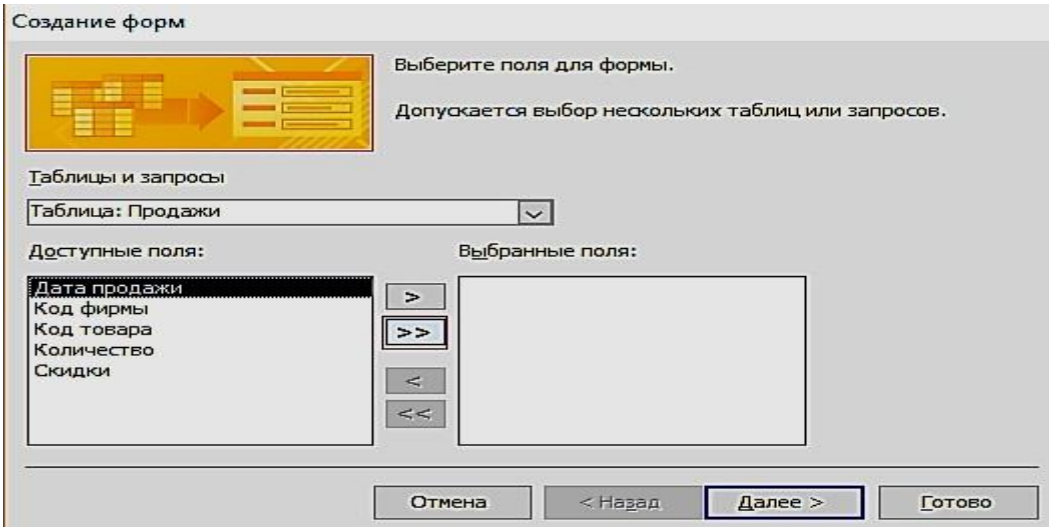

Рис. 4.8. Выбор таблиц и полей для создаваемой формы

Если предварительно в области навигации не была выбрана таблица «**Продажи**», выберите её в раскрывающемся списке **Таблицы и запросы** диалогового окна мастера. Затем отберите из списка **Доступные поля,** в нашем случае все, кроме поля «**Скидки**» (рис. 4.9).

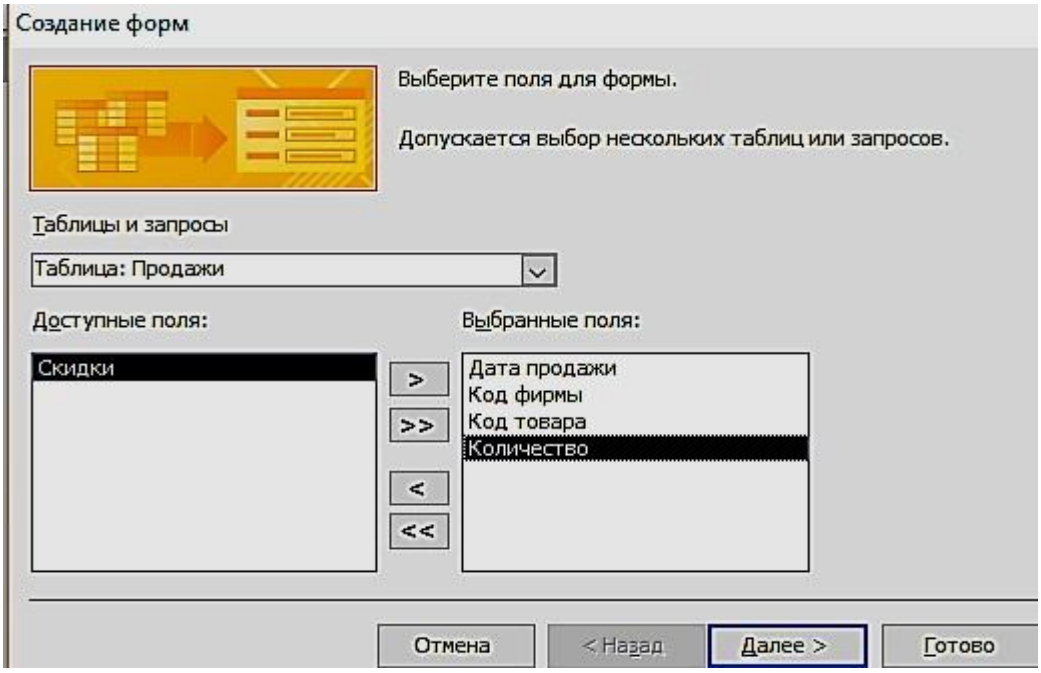

Рис. 4.9. Выбранные поля таблицы «**Продажи**» для создаваемой формы

Переходим к выбору полей из таблицы «**Товары**». Перетаскиваем все поля, кроме поля Код товара. После выбора полей для обеих таблиц и нажатия кнопки Далее в окне создание форм в списке **Выберите тип представления данных** надо выделить имя таблицы Продажи и щелкнуть по кнопке «**Далее**» (рис.
4.10).

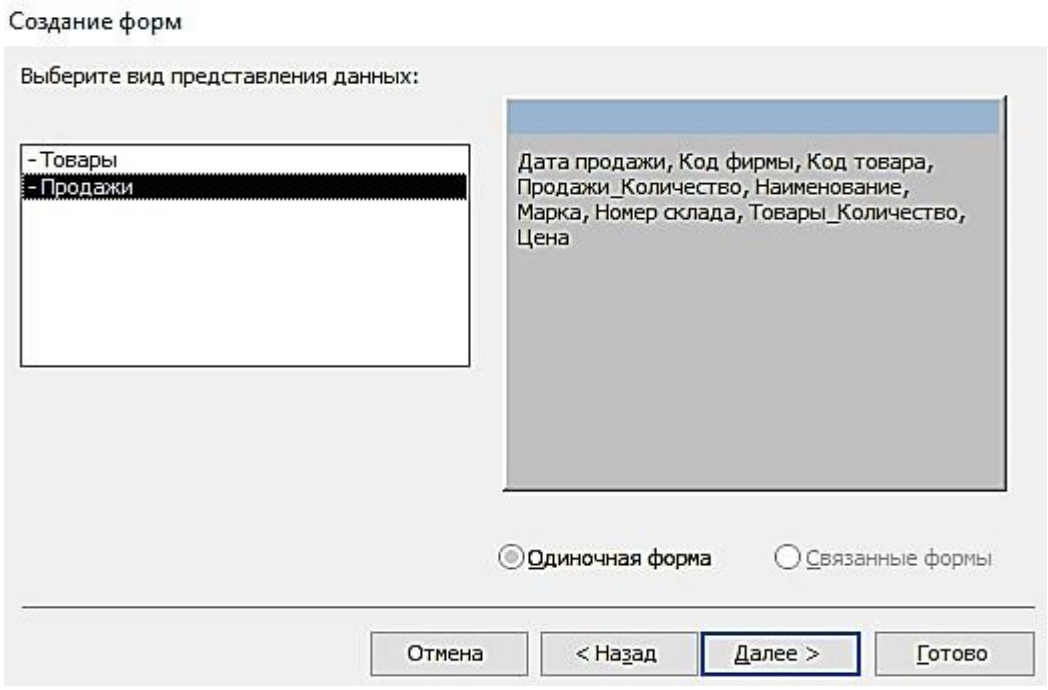

Рис. 4.10. Выбор вида представления данных

В следующем диалоговом окне предоставляется возможность выбрать внешний вид формы и нажать кнопку «**Готово**» (рис. 4.11).

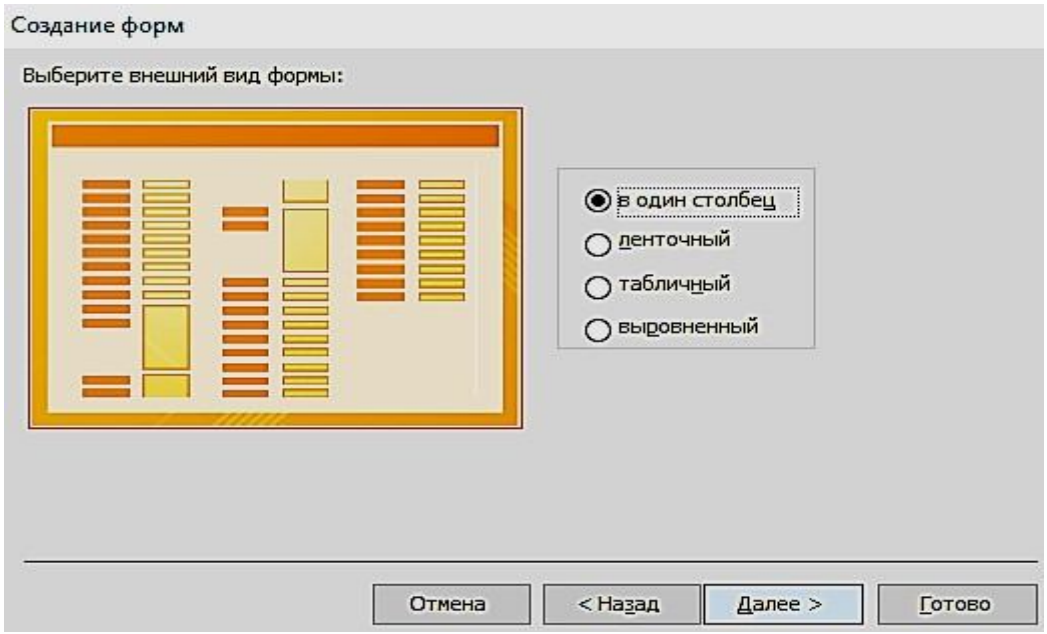

Рис. 4.11. Выбор вида формы в один столбец

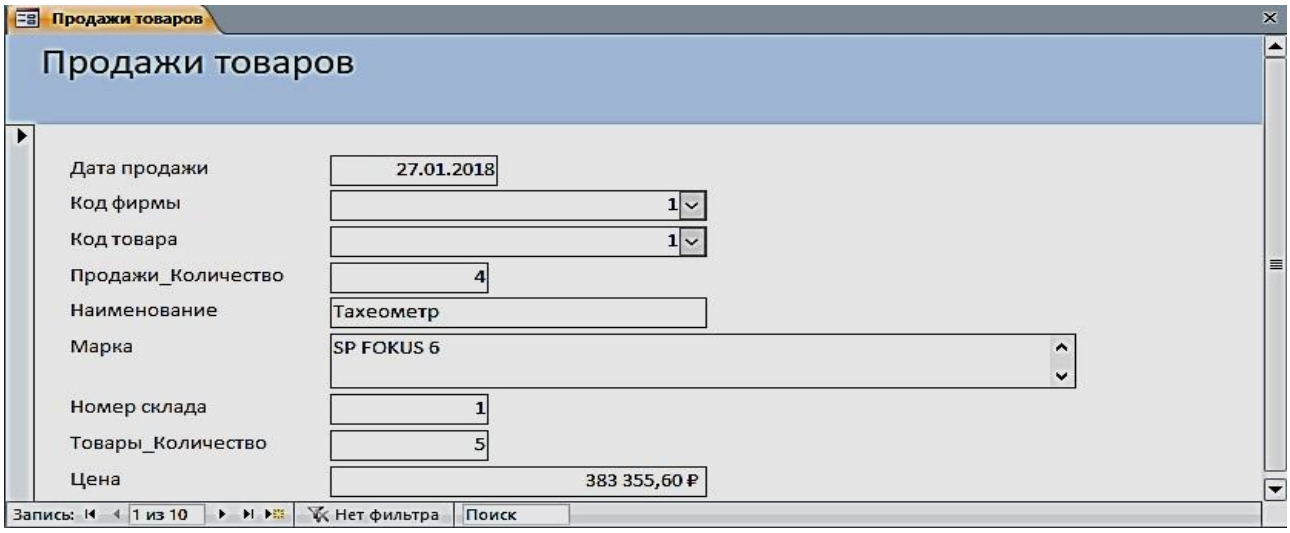

Рис. 4.12. Форма, открытая для просмотра, корректировки и ввода данных

Одиночная многотабличная форма

Одиночную форму, включающую поля из нескольких связанных таблиц, позволяет быстро построить инструмент **Пустая форма.** Выполните команду **Пустая форма** на вкладке ленты **Создать** в группе **Формы**. Откроется пустая форма в режиме макета и отобразится область **Список полей**. В списке перечислены все таблицы базы данных, и предоставляется возможность открыть список полей каждой из них (рис. 4.13). Чтобы добавить поле в форму, щелкните на нем двойным щелчком или перетащите его в форму. Для отображения каждого поля Access создает в форме соответствующий элемент управления и привязывает его к полю. Кроме того, для элемента управления создается присоединенная надпись.

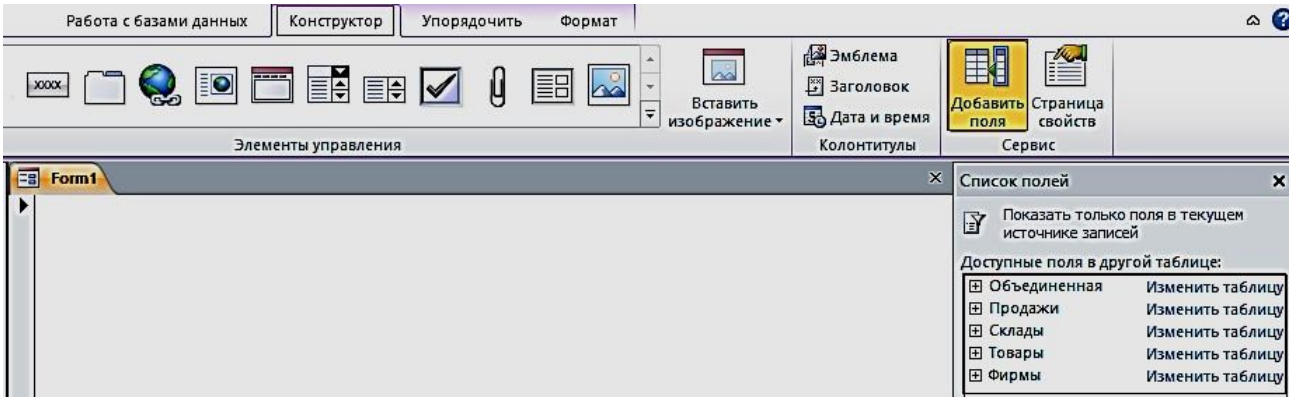

Рис. 4.13. Область **Список полей** при создании одиночной формы

Задание 7. Создать одиночную многотабличную форму для просмотра всех данных базы. Выполните команду **Пустая форма.** В области **Список полей** откройте список полей таблицы «**Продажи**», щелкнув знак «Плюс»

рядом с её именем. Добавьте в форму необходимые поля (Дата продажи, Код фирмы, Код товара, Количество, Скидки). Далее последовательно добавляйте поля из таблицы «**Товары**» (Наименование, Марка, Цена), затем из таблицы «**Склады**» (Номер склада, Телефон, Адрес, Заведующий) и из таблицы «**Фирмы поля**» – (Название, Адрес, Телефон, Контактное лицо, Должность). Сохранить форму под именем «Общие данные».

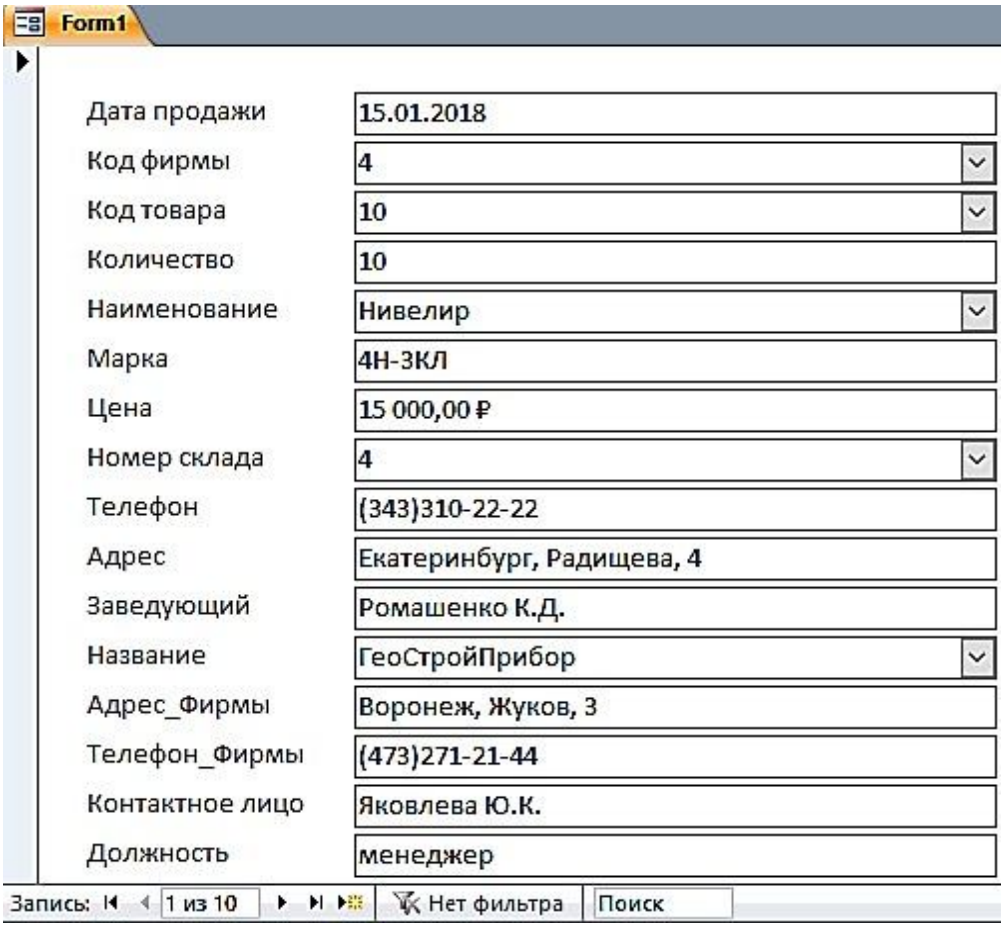

Рис. 4.14. Форма «**Общие данные**», созданная с помощью инструмента **Пустая форма**

Задание 8. Создать одиночную форму с помещенной в неё гистограммой

Для этого откройте таблицу «**Товары**». В группе **Импорт и связи** на вкладке **Внешние данные** выберите на ленте **Экспорт в таблицу Excel** (рис. 4.15).



Товары

Код товара	Наименование	Марка	Номер склада	Количество	Цена
1	Тахеометр	SP FOKUS 6	1	5	383 355,60р.
2	Тахеометр	SP FOKUS 6W	1	7	428 984,40р.
3	Тахеометр	Soutn NTS-365 R	2	6	270 000,00р.
4	Тахеометр	Soutn NTS-362 R	2	5	288 000,00р.
5	Теодолит	3Т2КП	3	9	101 031,60р.
6	Теодолит	4Т15П	3	5	70 516,80р.
7	Теодолит	4Т30П	3	8	60 750,00р.
8	Теодолит	VEGA TEO 5	3	10	36 000,00р.
9	Нивелир	4Н -2КЛ	4	15	20 016,00р.
10	Нивелир	4Н-3КЛ	4	18	15 000,00р.

Рис. 4.15. Окно экспорта таблицы «**Товары**» на лист Excel

Выберите место назначения для экспорта таблицы «**Товары**», для этого нажмите на кнопку **Обзор**, выберите соответствующую папку (рис. 4.16, 4.17).

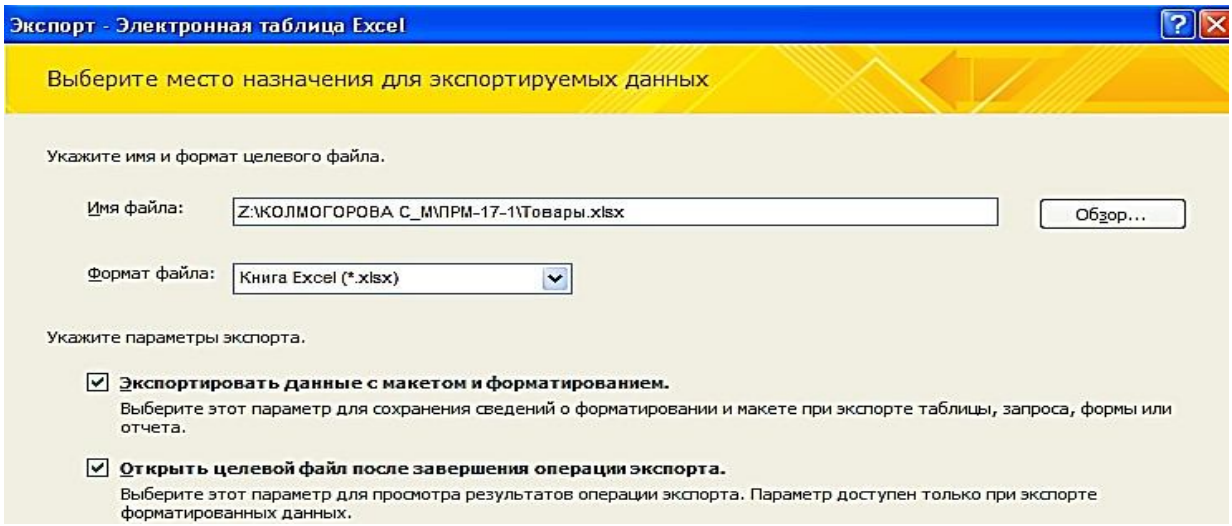

Рис. 4.16. Окно выбора места назначения для экспорта таблицы «**Товары**»

	A	B	C	D	E	F
1	Код товара	Наименование	Марка	Номер склада	Количество	Цена
2	1	Тахеометр	SP FOKUS 6	1	5	383 355,60р.
3	2	Тахеометр	SP FOKUS 6W	1	7	428 984,40р.
4	3	Тахеометр	Soutn NTS-365 R	2	6	270 000,00р.
5	4	Тахеометр	Soutn NTS-362 R	2	5	288 000,00р.
6	5	Теодолит	3Т2КП	3	9	101 031,60р.
7	6	Теодолит	4Т15П	3	5	70 516,80р.
8	7	Теодолит	4Т30П	3	8	60 750,00р.
9	8	Теодолит	VEGA TEO 5	3	10	36 000,00р.
10	9	Нивелир	4Н -2КЛ	4	15	20 016,00р.
11	10	Нивелир	4Н-3КЛ	4	18	15 000,00р.

Рис. 4.17. Таблица «**Товары**» в Excel, экспортируемая из Access

Построение гистограммы по колонкам «**Наименование**» и «**Цена**» (рис. 4.18).

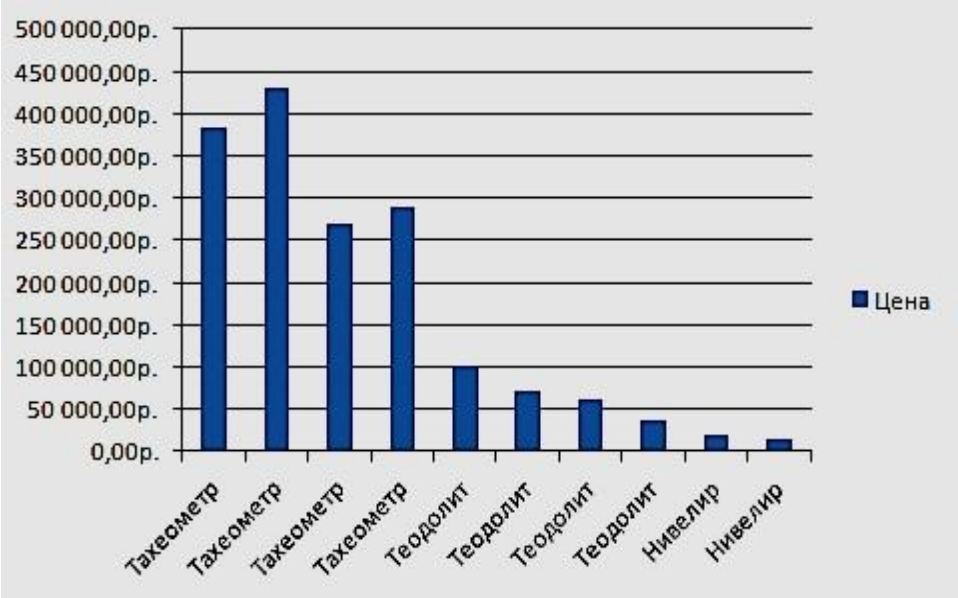

Рис. 4.18. Гистограмма, соответствующая таблице «**Товары**»

Скопируйте гистограмму в Excel. В Access выполните команду **Пустая форма** на вкладке ленты **Создать** в группе **Формы**. В режиме «**Конструктор**» произвести вставку гистограммы. Сохранить форму под названием **Гистограмма** (рис. 4.19).

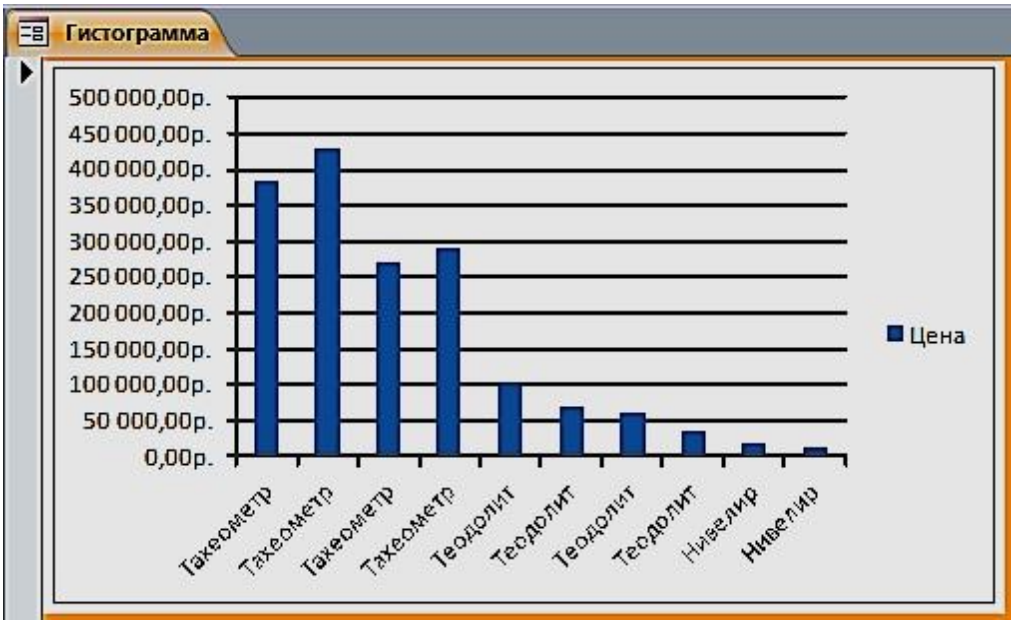

Рис. 4.19. Форма «Гистограмма»

Задание для самостоятельной работы

1. Изменить в форме «**Товары**» цвет денежных значений в поле «**Цена**» на зеленый, заливку на светло-зеленый, начертание шрифта – жирный курсив, когда они оказываются меньше или равны 80000 руб.
2. Создать форму «**Фирмы**» с подчиненной «**Продажи**».

ПРАКТИЧЕСКАЯ РАБОТА № 5
Работа с отчетами

Средства Access по разработке отчетов предназначены для конструирования макета отчета, в соответствии с которым осуществляется вывод данных из определенного источника записей в виде выходного печатного документа.

Отчет может создаваться с помощью Мастера или в режиме Конструктора отчетов.

Задание 1. Выберем в области навигации таблицу «**Фирмы**», данные из которой будут источником записей отчета. На вкладке ленты **Создание** в группе **Отчеты** выполнить команду **Отчет**.

Access создаст отчет и отобразит его в режиме макета (рис. 5.1). В отчете будут представлены все записи таблицы «**Фирмы**». Размещение полей таблицы – источника записей отчета – в разделах отчета представлено на рис. 5.2.

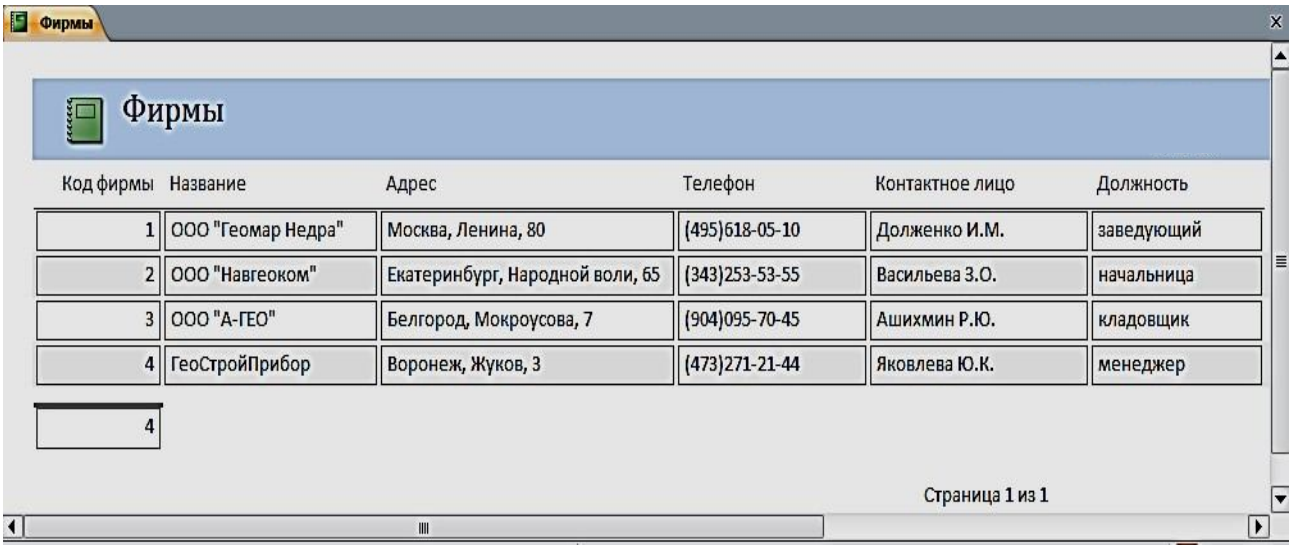

Рис. 5.1. Отчет в режиме «**Макета**»

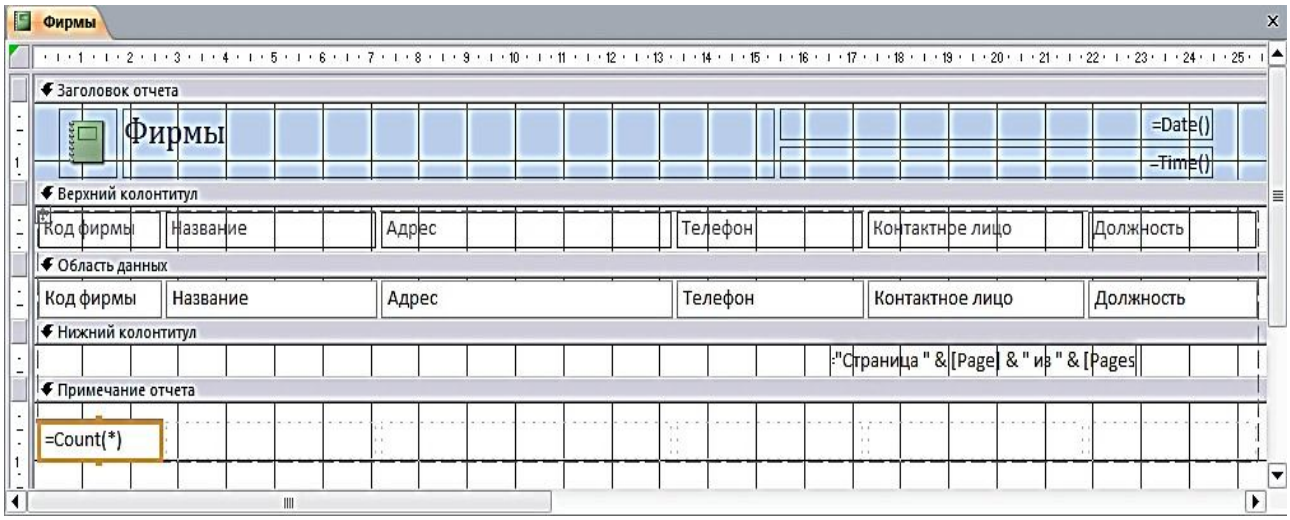

Рис. 5.2. Разделы однотабличного отчета в режиме Конструктора

В режиме макета легко привести созданный отчет в соответствие с заданными требованиями. Измените название отчета на «Контакты». Для этого выполните двойной щелчок на нем и введите новое название. Выделите макет отчета и измените заливку, размер шрифта, выбрав его на вкладке **Главная** в группе **Форматирование текста** или на вкладке **Формат** в группе **Шрифт.** Для изменения параметров страницы выполняйте команды соответствующей вкладки ленты. Пунктирной линией в отчете отмечена граница полей страницы. Отображение этой линии регулируется кнопкой **Показать поля** на вкладке ленты **Параметры страницы.** Для выбора размеров полей страницы может быть использована коллекция, отображаемая при нажатии кнопки **Поля.** На этой же вкладке можно выбрать размер бумаги, ориентацию страницы и ряд др. параметров (рис. 5.3).

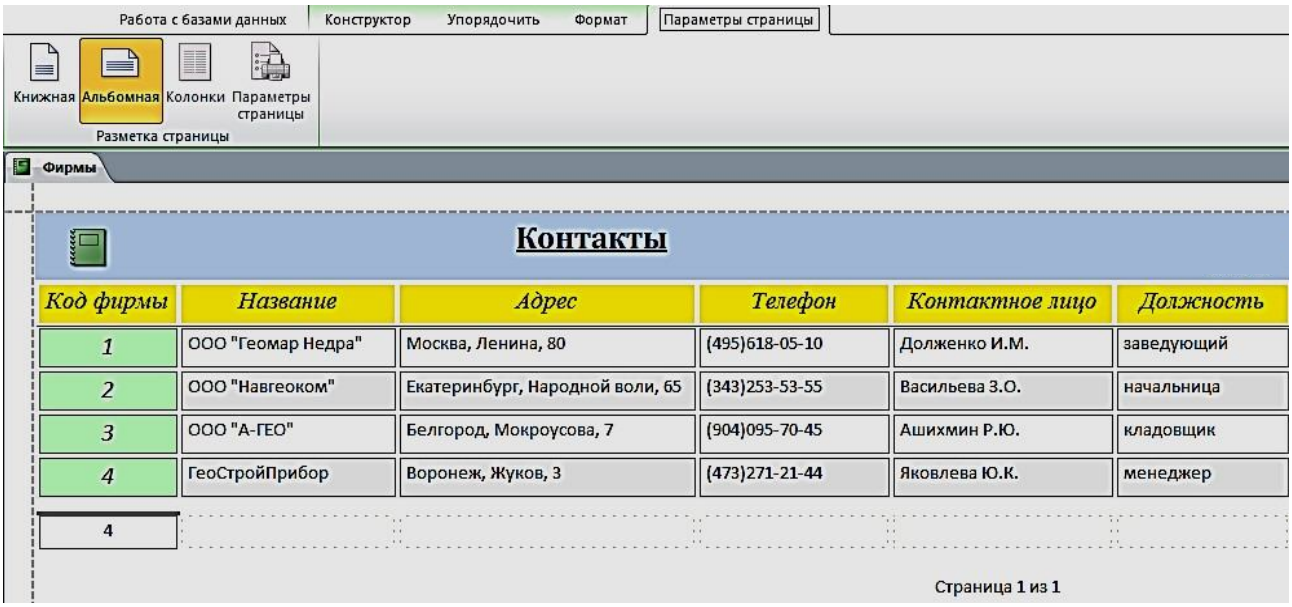

Рис 5.3. Отформатированный отчет в режиме Макета

Задание 2. Выберем в области навигации форму **Продажи товаров**, данные из которой будут источником записей отчета. На вкладке ленты **Создание** в группе **Отчеты** выполнить команду **Отчет**. Для группировки данных по дате продажи выполним команду **Группировка, сортировка и итоги.** Выберем для предлагаемого уровня группировки поле «**Дата продажи**». Откроем список, щелкнув на параметре **по кварталам**, и выберем **по месяцам.** Для закрытия списка щелкните на любом месте за его пределами (рис. 5.4, 5.5).

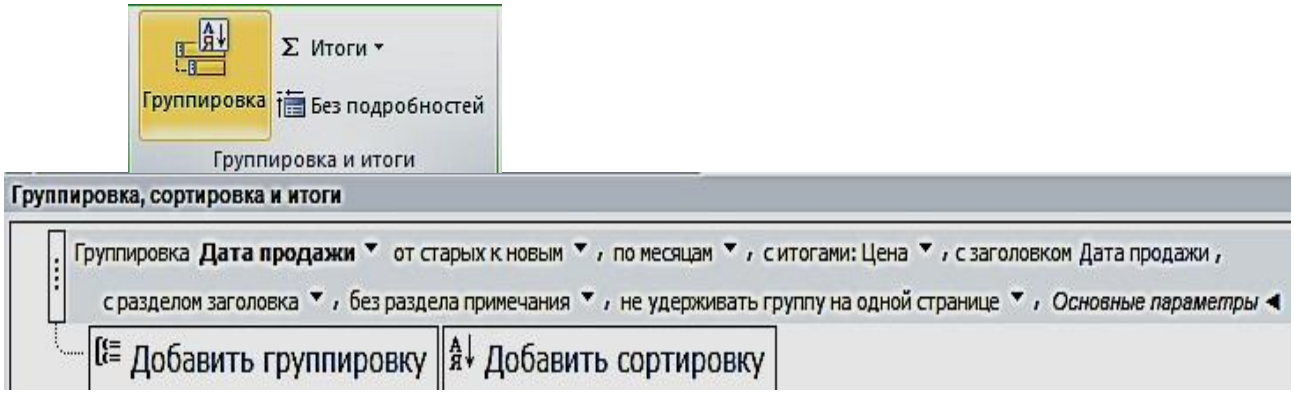

Рис. 5.4. Выбор для поля с датой группировки по месяцам

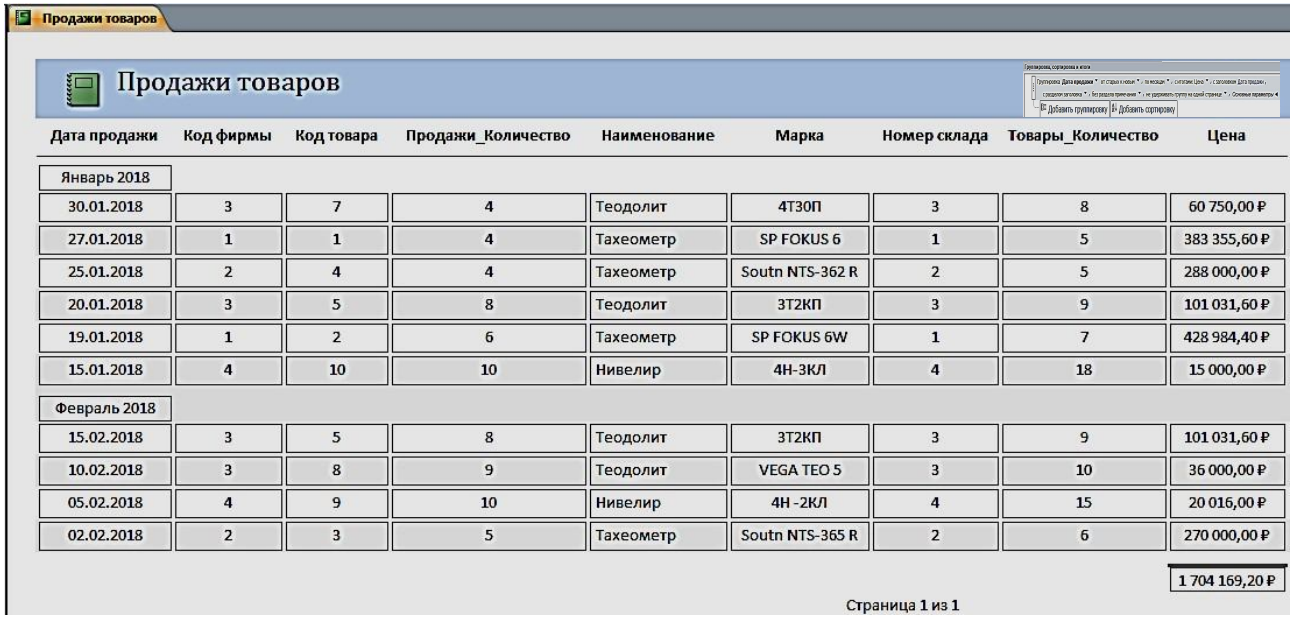

Продажи товаров

Дата продажи	Код фирмы	Код товара	Продажи_Количество	Наименование	Марка	Номер склада	Товары_Количество	Цена
Январь 2018								
30.01.2018	3	7	4	Теодолит	4Т30П	3	8	60 750,00 ₽
27.01.2018	1	1	4	Тахеометр	SP FOKUS 6	1	5	383 355,60 ₽
25.01.2018	2	4	4	Тахеометр	Soutn NTS-362 R	2	5	288 000,00 ₽
20.01.2018	3	5	8	Теодолит	3Т2КП	3	9	101 031,60 ₽
19.01.2018	1	2	6	Тахеометр	SP FOKUS 6W	1	7	428 984,40 ₽
15.01.2018	4	10	10	Нивелир	4Н-3КЛ	4	18	15 000,00 ₽
Февраль 2018								
15.02.2018	3	5	8	Теодолит	3Т2КП	3	9	101 031,60 ₽
10.02.2018	3	8	9	Теодолит	VEGA TEO 5	3	10	36 000,00 ₽
05.02.2018	4	9	10	Нивелир	4Н -2КЛ	4	15	20 016,00 ₽
02.02.2018	2	3	5	Тахеометр	Soutn NTS-365 R	2	6	270 000,00 ₽
								1 704 169,20 ₽

Страница 1 из 1

Рис 5.5. Форма с датой группировки по месяцам

Задание для самостоятельной работы

Создать отчет по таблице «**Объединенная**», изображенного на рис. 5.6.

ОТЧЕТ ПРОДАЖИ

Дата продажи - по месяцам	Название	Фирмы_Телефон	Дата продажи	Наименование	Количество	Цена	Номер склада	Склады_Телефон
Январь 2018								
	ГеоСтройПрибор	4732712144	*15.01.2018*	Нивелир	18	15 000,00 ₽	4	3433102222
	ООО "Геомар Недра"	4956180510	*19.01.2018*	Тахеометр	7	428 984,40 ₽	1	3433818888
	ООО "А-ГЕО"	9040957045	*20.01.2018*	Теодолит	9	101 031,60 ₽	3	3432751822
	ООО "Навгеоком"	3432535355	*25.01.2018*	Тахеометр	5	288 000,00 ₽	2	3433795162
	ООО "Геомар Недра"	4956180510	*27.01.2018*	Тахеометр	5	383 355,60 ₽	1	3433818888
	ООО "А-ГЕО"	9040957045	*30.01.2018*	Теодолит	8	60 750,00 ₽	3	3432751822
Итоги для 'Дата продажи' = 30.01.2018 (6 записей)								
Сумма					52	1 277 121,60 ₽		
Февраль 2018								
	ООО "Навгеоком"	3432535355	*02.02.2018*	Тахеометр	6	270 000,00 ₽	2	3433795162
	ГеоСтройПрибор	4732712144	*05.02.2018*	Нивелир	15	20 016,00 ₽	4	3433102222
	ООО "А-ГЕО"	9040957045	*10.02.2018*	Теодолит	10	36 000,00 ₽	3	3432751822
	ООО "А-ГЕО"	9040957045	*15.02.2018*	Теодолит	9	101 031,60 ₽	3	3432751822
Итоги для 'Дата продажи' = 15.02.2018 (4 записей)								
Сумма					40	427 047,60 ₽		
ИТОГО					92	1 704 169,20 ₽		

Рис. 5.6. Результат отчета

ПРАКТИЧЕСКАЯ РАБОТА № 6

Создание главной кнопочной формы с использованием макросов

Использования макросов для автоматизации управления реакцией приложения на действия пользователя в формах или отчетах позволяет создавать полноценные интерактивные приложения без написания кода *VBA*.

Макрос (от слова «макрокоманда») – программа, состоящая из последовательности макрокоманд. *Макрокоманда* – это инструкция, ориентированная на выполнение определенного действия над объектами Access и их элементами.

Например, макрокомандой можно открыть форму, отчет, напечатать отчет, запустить на выполнение запрос, применить фильтр, присвоить значение и т. д.

Задание 1. Создать главную форму управления приложением, в которой будут представлены:

- элементы для кнопочных форм запросов и гистограмма;
- макросы для таблиц и отчетов;
- макрос, с помощью которого будет закрыта база данных.

1. Выполним команду **Пустая форма** на вкладке ленты **Создать** в группе **Формы**, режим «**Конструктор**» (рис. 6.1).

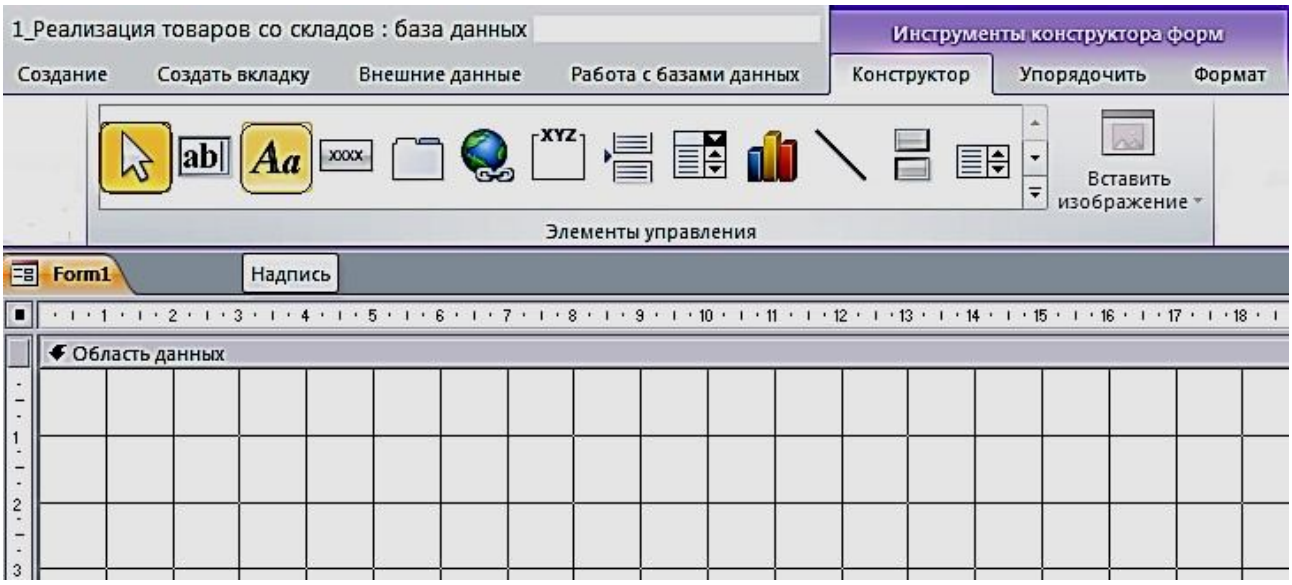

Рис. 6.1. Пустая форма в режиме «**Конструктор**» с элементами управления

2. Расположим в области **Формы** элемент **Надпись**, поместим в него название **Реализация товаров со складов** (рис. 6.2). Форматирование шрифта в надписях и кнопках осуществляется для выделенного объекта, при помощи **Инструмента конструктора форм**, в объекте **Формат**. Сохраним форму под именем «**Главная форма**».

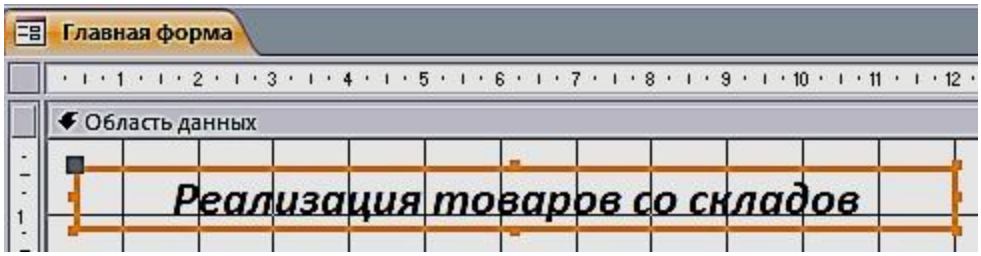

Рис. 6.2. Использование элемента управления **Надпись**

Создание макроса осуществляется в диалоговом режиме и сводится к записи в окне конструктора макроса последовательности макрокоманд, для которых задаются аргументы. Каждому макросу присваивается имя. При выполнении макроса макрокоманды выполняются последовательно в порядке их расположения. При этом используются объекты или данные, указанные в аргументах макрокоманд.

Создание макроса начинается с выполнением команды **Макрос** на вкладке ленты **Создание** в группе **Макросы и код**. В результате выполнения команды открывается окно макроса и каталог макрокоманд (рис. 6.3).

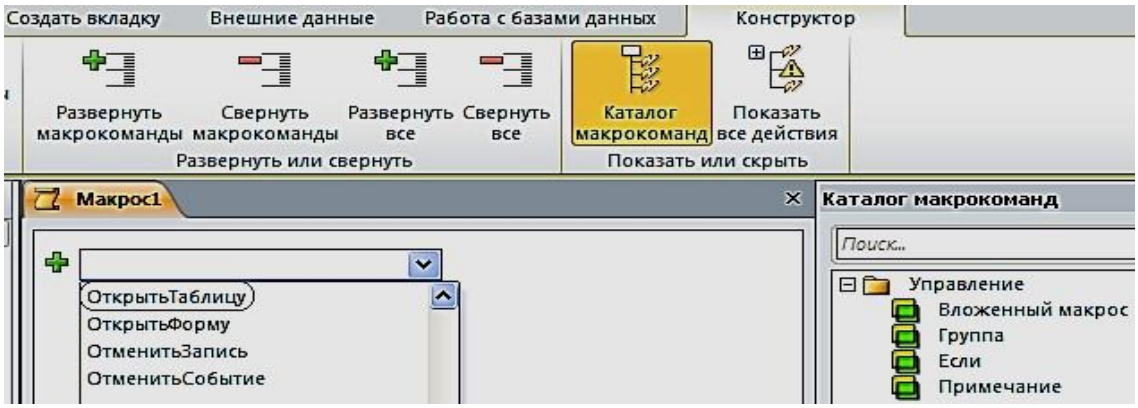

Рис. 6.3. Окно конструирования макроса с Каталогом макрокоманд

3. Создадим первый макрос **Таблицы**, при выполнении которого откроются четыре таблицы: «Продажи», «Склады», «Товары» и «Фирмы». Сохраним его под именем **Таблицы** (рис. 6.4).

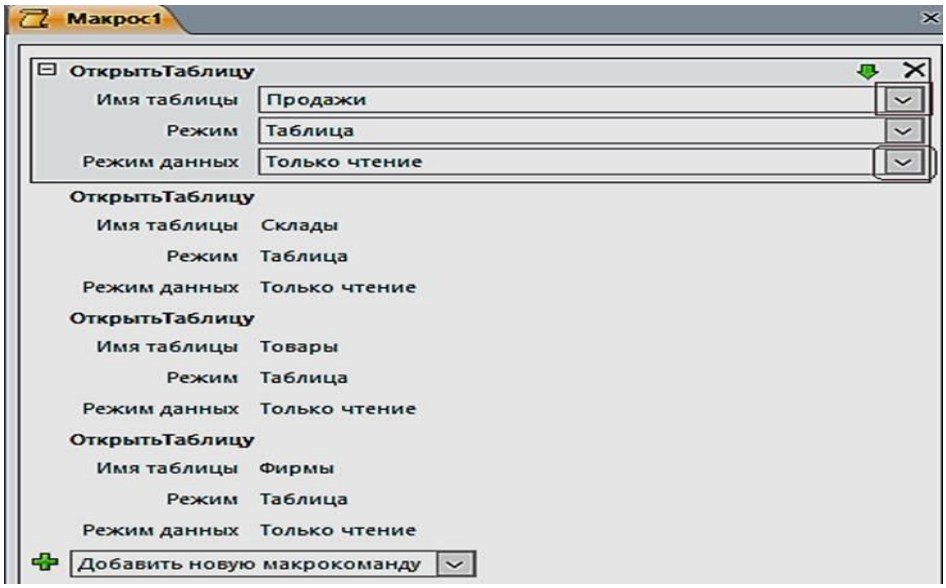

Рис. 6.4. Блок конструирования Макроса «**Таблицы**»

4. Создадим второй макрос, при выполнении которого откроется отчет «Продажи товаров» (рис. 6.5). Сохраним его под именем **Отчет**.

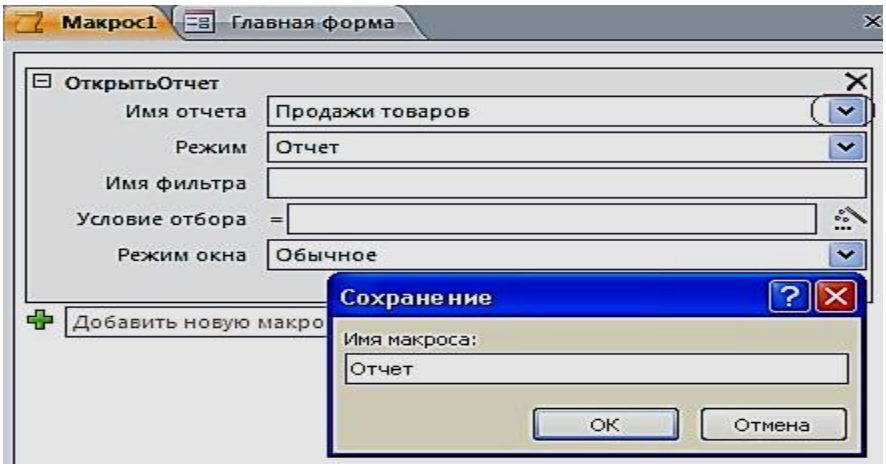

Рис. 6.5. Создание макроса **ОткрытьОтчет**

5. Создадим третий макрос, при выполнении которого откроется отчет «Продажи товаров» (рис. 6.6). Сохраним под именем **Выход**.



Рис. 6.6. Создание макроса **ЗакрытьБазуДанных**

Создание управляющих кнопок на экране

1. Создадим кнопки: **Таблицы**, **Отчет** и **Выход из БД.** Расположим в области **Главной формы** три кнопки с ранее созданными макросами. Для размещения кнопок предусмотрим, чтобы все действия осуществлялись при нажатой кнопке **«Использовать мастера»**. Переместим элемент управления **Кнопка** на форму, появится окно для создания кнопок. Выберем категорию: **Разное**, затем – действия: **Выполнить макрос,** нажмем кнопку **Далее** (рис. 6.7).

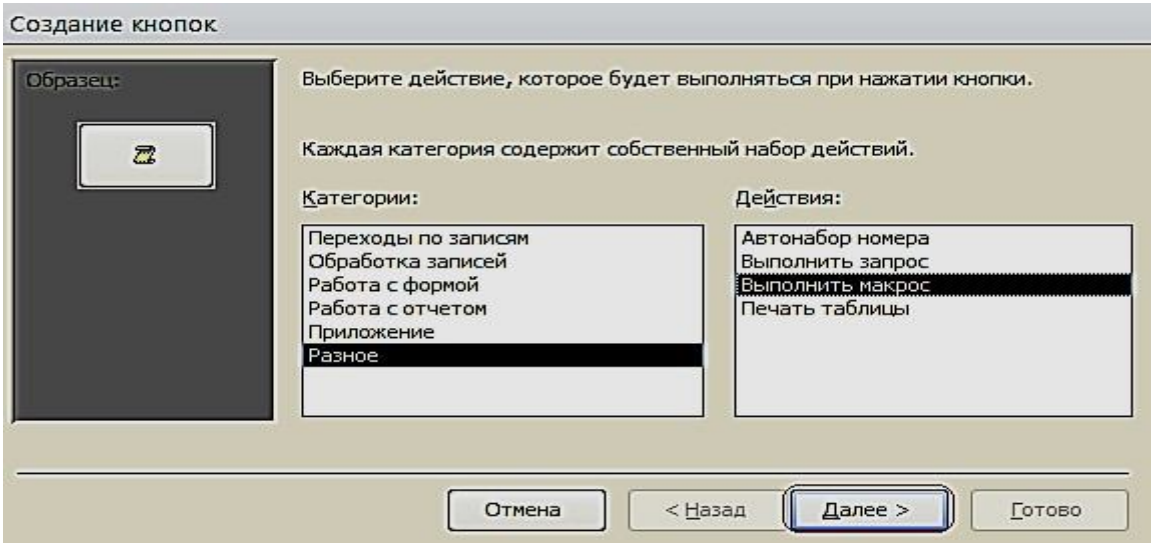

Рис. 6.7. Окно создания кнопок при работе с **Макросами**

2. Выберем соответствующий макрос (рис. 6.8). Разместим текст на кнопке.

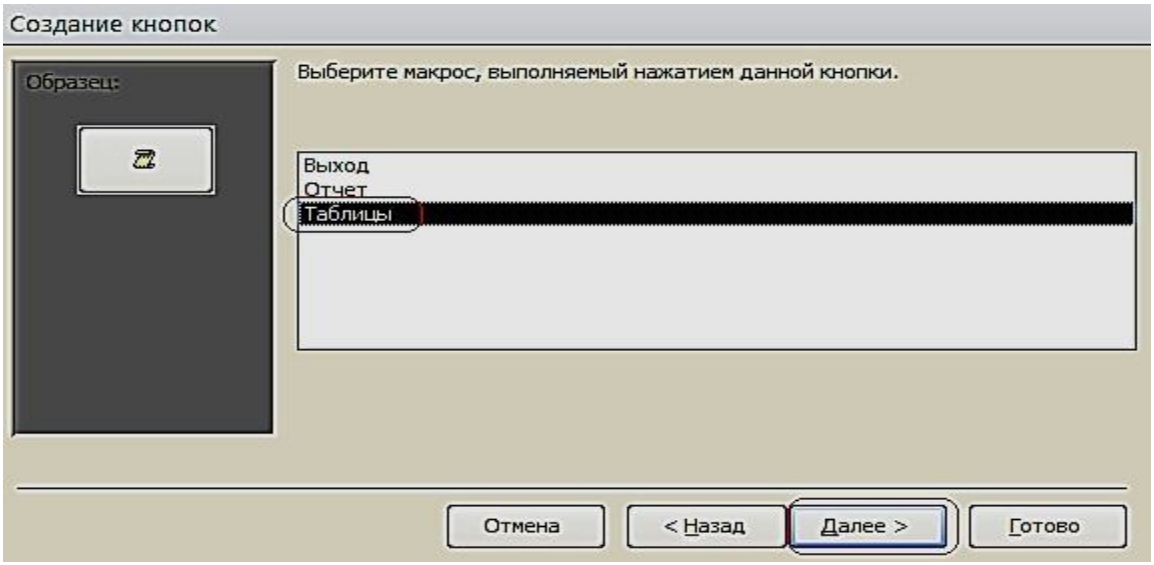

Рис. 6.8. Окно выбора макроса

3. В тексте напишем название **Таблицы** и выполним действия, указанные по кнопке **Далее** (рис. 6.9).

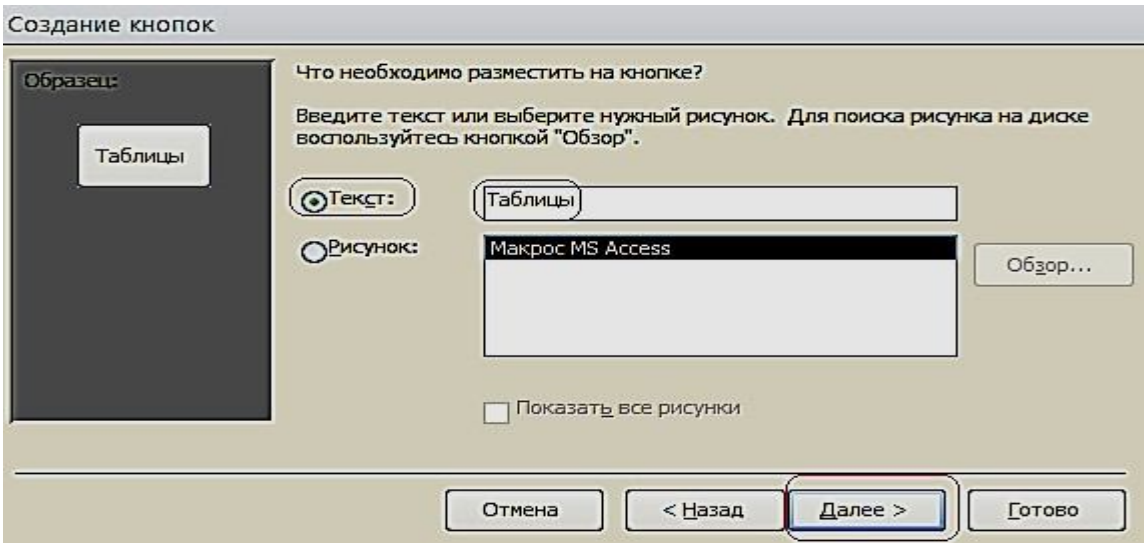

Рис. 6.9. Размещение текста на кнопке

4. Таким образом, создадим все кнопки, которые будут открываться с помощью макросов (рис. 6.10).

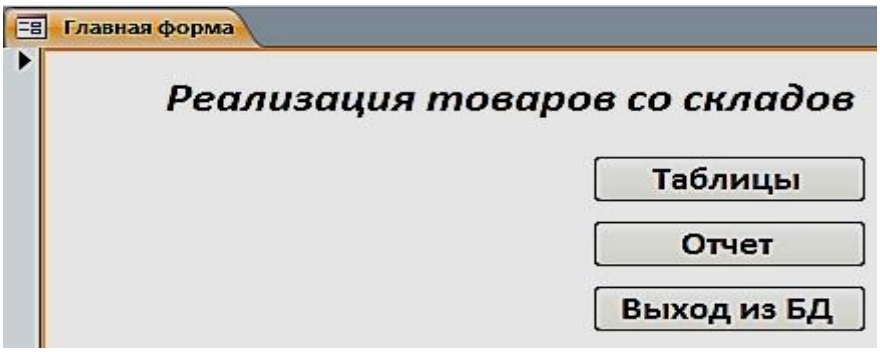

Рис. 6.10. Главная форма в режиме Макета

5. Расположим в области **Главной формы** три кнопки: **Составная форма**, **Общие данные** и **Гистограмма**. Переместим элемент управления **Кнопка** на форму, появится окно для создания кнопок. Выберем категорию: **Работа с формой**, действия: **Открыть форму,** нажмем кнопку **Далее** (рис. 6.11).

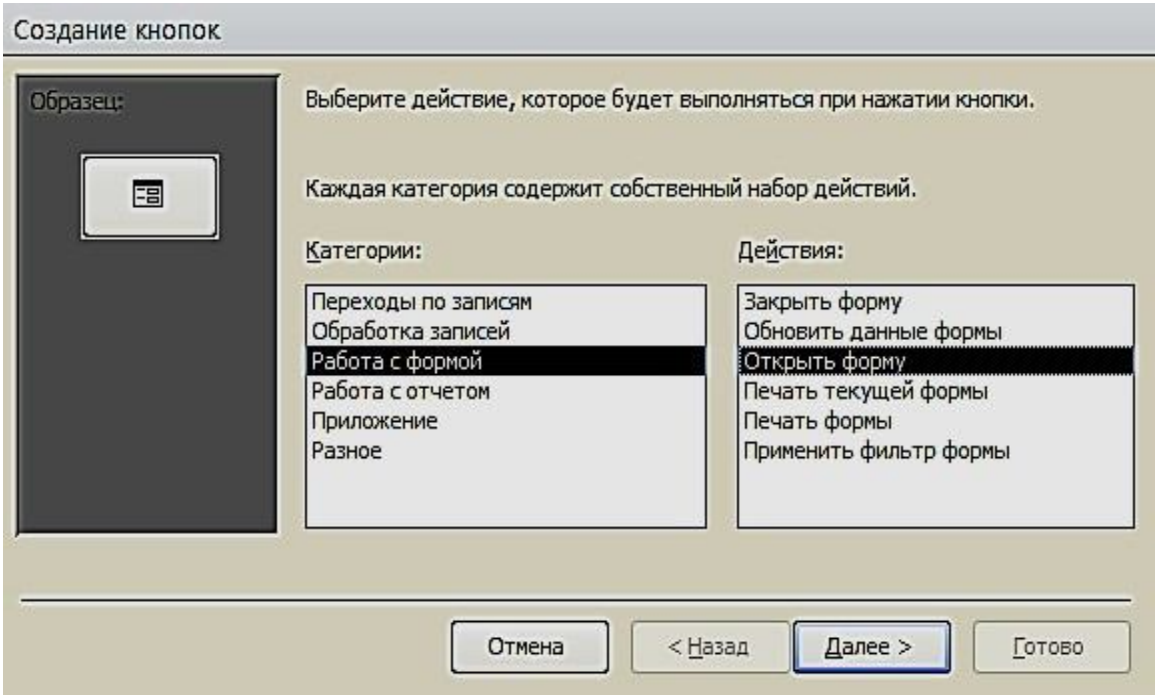

Рис. 6.11. Окно создания кнопок при работе с формами

6. Выберем соответствующую форму (рис. 6.12).

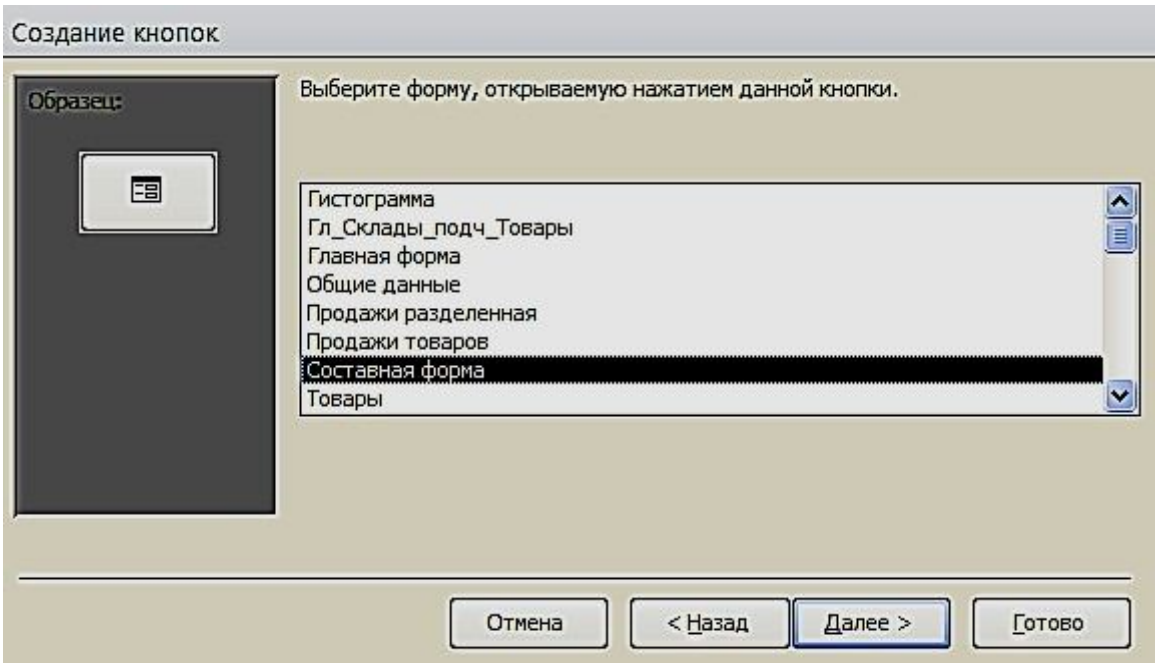

Рис. 6.12. Окно выбора формы

Поместим текст на кнопке (рис. 6.13). В тексте напишем название **Гистограмма** и выполним действия, указанные по кнопке **Далее**. Таким образом, создадим все кнопки, которые будут открываться с помощью Форм.

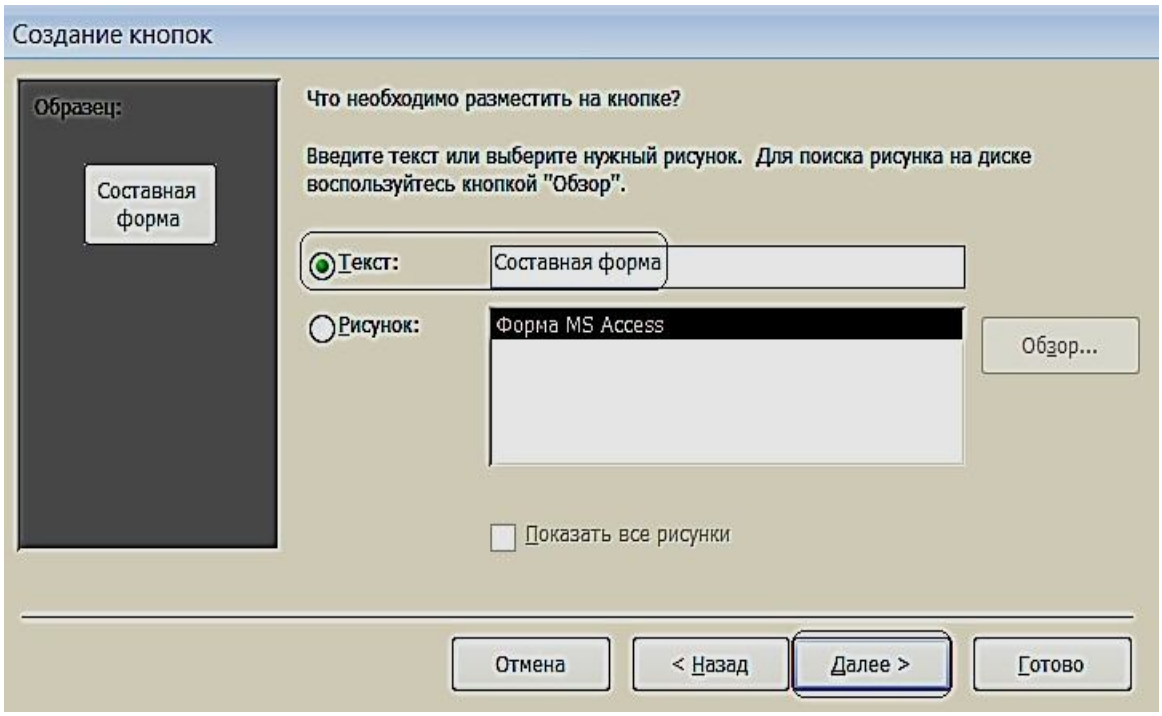

Рис. 6.13. Размещение текста на кнопке

7. Для создания картинки воспользуемся элементом управления «**Рисунок**».

8. По завершению разработки приложения, сохраним и закроем форму. Затем откроем и проверим работоспособность всех её элементов (рис. 6.14).



Рис. 6.14. Управляющая форма в режиме «**Формы**»

ВАРИАНТЫ ЗАДАНИЙ ДЛЯ ПРАКТИЧЕСКОЙ РАБОТЫ

Указания к выполнению работы

- Создать логическую модель базы данных: для заданной предметной области, представленной в виде перечня реквизитов, сформировать таблицы, определить в них ключевые поля, описать имена, типы и свойства полей и создать связи между таблицами.
- Создать формы для ввода данных в таблицы (простая и сложная формы). Заполнить таблицы. Каждая таблица должна содержать не менее 7 строк.
- Создать запросы по пунктам вариантов задания.
- Создать кнопочную форму для вызова созданных объектов.

Варианты заданий

Вариант № 1

Исходные данные:

- ***Рабочие***: табельный номер, фамилия, имя, отчество, дата рождения.
- ***Цеха:*** наименование цеха, категория производства (основное, управление, вспомогательное).
- ***Движение по службе***: должность, оклад, тип работы (штатный, совместитель, почасовик). ○*Вычислить* общую сумму выплат за месяц по выбранному цеху, а

  также среднемесячный заработок этого цеха.

  ○ *Создать* ведомость для начисления заработной платы рабочих этого цеха.

Вариант № 2*Исходные данные:*

- ***Сотрудники:*** фамилия, имя, отчество, дата рождения, дата поступления на работу
- ***Оплата труда:*** должность, оклад
- ***Отделы:*** номер отдела, фамилия сотрудника*Определить:* ○ возраст сотрудников (количество полных лет) при поступлении

на работу и на текущее время; ○ количество сотрудников заданного отдела младше 30 лет; ○ минимальный размер оклада.

- ***Создать таблицу,*** которая содержит сведения о 5-и самых высокооплачиваемых сотрудниках фирмы**.**

Вариант № 3

Исходные данные:

Работники: фамилия, имя, отчество, цех.

- ***Изделия:*** наименование изделия, категория изделия (A, B, C), стоимость изготовления.
- ***Итоги:*** шифр сборщика, количество изготовленных изделий по категориям.

Рассчитать: ○ общее количество изделий каждой категории;

○ общее количество изделий, собранных всеми рабочими заданного цеха;

- *Создать ведомость*для начисления заработной платы рабочих заданного цеха. Определить средний размер заработной платы работников этого цеха.

Вариант № 4

Исходные данные:

- ***Абоненты:*** фамилия, имя, отчество, телефон, дата установки.
- ***Расценки:*** тип заказа (по городу, область, Украина, Европа, …), цена 1 мин. разговора.
- ***Заказ:*** телефон вызова, вызываемый пункт, время в минутах.

○ *Рассчитать* общее количество телефонов, установленных начиная с заданного года по сегодняшний день. Выдавать по вводимой фамилии абонента номер его телефона. ○*Создать таблицу*, которая содержит фамилии задолжников и их телефоны.

Вариант № 5

Исходные данные:

- ***Поставка:*** поставщик, дата поставки, объем поставки.
- ***Игрушки:*** артикул, наименование, цена, нижняя и верхняя возрастные границы.
- ***Чеки: номер чека, дата продажи, сумма.***

- *Определить* стоимость наиболее дорогой игрушки и ее наименование. По введенному значению *A, B* и *X*, выводить названия игрушек, которые по стоимости не превышают *X* и подходят ребенку от *A* до *B* лет. ○*Создать таблицу*, которая содержит следующую информацию: наименование игрушек, которые подходят детям от *1* до *3* лет и их цены.

Вариант № 6

Исходные данные:

- ***Студенты:*** фамилия, имя отчество студента; код группы, дата рождения.
- ***Предметы:*** наименование предмета, категория предмета (фундаментальный, профессионально-ориентированный, на выбор), тип аттестации (зачет, экзамен).

Журнал: оценки по 5 экзаменам, признак участия в общественной работе. ○*Определить* общее число активистов в списке.

- *Создать таблицу*, которая содержит сведения о начислении стипендии студентам заданной группы. Рассчитать размер стипендии по следующему алгоритму: студенту, который получил все оценки «*5*» и активно принимает участие в общественной работе, назначается повышенная стипендия – доплата 50 %; студенту, который получил «*4*» и «*5*», назначается обычная стипендия – ее необходимо задать; студенту, который получил одну оценку «*3*», но активно занимается общественной работой, также назначается обычная стипендия; другим студентам стипендия не назначается.

Вариант № 7

Исходные данные:

- ***Авторы:*** фамилия, имя отчество, название книги.
- ***Книги:*** год издания, количество экземпляров.
- ***Местоположение:*** шифр книги, номер стеллажа, номер шкафа, номер полки. ○*Определить* общее количество книг в коллекции, а также число книг заданного года издания. По заданному автору и названию книги выдать информацию о местонахождении книги. ○*Создать таблицу*, которая содержит информацию о книгах за-

данного автора, которые находятся в коллекции.

Вариант № 8

Исходные данные:

- ***Группа:*** факультет, шифр группы, фамилия куратора, должность.
- *Студент*. Фамилия студента, шифр группы, номер зачетной книжки, дата рождения, дата поступления.
- ***Результаты сессии:*** оценки по *5*-и экзаменам и результаты сдачи 5 зачетов («З» – зачет, «Н» – незачет). ○*Вычислить* средний балл, полученный каждым студентом за-

данной группы, и средний балл этой группы по каждому предмету. Определить общее количество задолженностей (по экзаменам и зачетам в сумме) каждого студента заданной группы и общее число студентов-должников той же группы.

- *Создать таблицу*, которая содержит сведения о неуспевающих студентах: группу, фамилия и количество задолженностей.

Вариант № 9*Исходные данные:*

- ***Рейсы:*** номер рейса, пункт назначения, время вылета, время прибытия, стоимость билета.

Самолеты: шифр самолета, марка, количество посадочных мест, срок службы.

- ***Билеты:*** дата вылета, количество свободных мест в самолете.

Определить: ○ номера рейсов и время отправления самолетов в заданный го-

род; ○ по заданному городу и времени отправления наличие свободных мест на рейс; ○общее количество рейсов через сутки в заданный город. □*Создать таблицу,* которая содержит номера рейсов и время отправления самолетов в заданный город.

Вариант № 10*Исходные данные:*

- ***Поставка:*** артикул обуви (артикул начинается с буквы *Ж* – для женской обуви, *М* – для мужской, *Д* – для детской обуви, например: *Д0321*), наименование, объем поставки.
- ***Обувь:*** цвет, стоимость.
- *Наличие*: размер, количество*.*

Определить:

- стоимость обуви заданного артикула, и какие размеры есть в

наличии; ○ общее количество пар детской обуви, имеющейся в магазине, и

ее суммарную стоимость.

- *Создать таблицу*, которая содержит информацию обо всех моделях женской обуви.

Вариант №

11*Исходные данные:*

- ***Игроки:*** фамилия, имя, отчество, год рождения, название футбольного клуба.
- ***Футбольный клуб:*** название клуба, фамилия директора, фамилия главного тренера.
- ***Результаты:*** шифр игрока, число заброшенных им шайб, число сделанных им голевых передач, заработанное штрафное время.○*Вычислить* общее число шайб, забитых хоккеистами каждой ко-

манды, и суммарное штрафное время. ○*Создать таблицу*, которая содержит фамилии шести лучших

игроков, и сумму очков каждого игрока (голы + передачи).

Вариант № 12

Исходные данные:

- ***Студенты:*** фамилия, имя, дата рождения дата поступления.

Выбор дисциплины: код студента, наименование пяти дисциплин (выбираемая дисциплина отмечается символом «*1*», иначе – *пробел*).

- ***Успеваемость:*** средний балл, наличие задолженности.

○ *Вычислить* количество слушателей каждой дисциплины. Определить число слушателей заданной дисциплины, у которых средний балл превышает заданный. ○*Создать таблицу*, которая содержит фамилию, группу и сред-

ний балл всех слушателей заданной дисциплины. Если число их превысит заданное, то отобрать студентов, которые имеют более высокий средний балл успеваемости.

Вариант № 13

Исходные данные:

- ***Рейсы:*** номер поезда, станция назначения, время отправления, время прибытия, стоимость билета в вагоны каждого вида отдельно.

- ***Поезда:*** количество посадочных мест в купейных вагонах, плацкартных, количество мест в вагоны повышенной комфортности.
- ***Билеты:*** дата отправления, номер поезда, наличие билетов в вагоны каждого вида отдельно.

Определить:

- количество свободных мест в купейные вагоны поезда с заданным номером;
- количество поездов, которые отправляются к заданной станции назначения.

- *Создать таблицу***,** содержащую информацию о поездах, которые отправляются к заданной станции в заданном интервале времени (временной интервал задать двумя значениями, например, *13:00* и *18:30*).

Вариант №

14*Исходные данные:*

- ***Сотрудники:*** табельный номер фамилия, имя, отчество, дата рождения, дата поступления на работу.
- ***Отделы:*** номер отдела, количество сотрудников, фамилия начальника.
- ***Движение по службе***: должность, оклад, тип работы (штатный, совместитель, почасовик).
  - *Рассчитать* стаж работы всех сотрудников; средний стаж работы сотрудников заданного отдела; количество сотрудников с окладом ниже заданного.
  - *Создать таблицу*, которая содержит список сотрудников пенсионного возраста (на сегодняшний день) с указанием стажа работы.
  - *Определить разницу* в стаже работы женщин и мужнин пенсионного возраста.

Вариант №

15*Исходные данные:*

- ***Пациенты:*** фамилия, имя, отчество, пол, дата рождения, местожительство (город).
- ***Палата:*** количество мест в палате.
- ***Учет:*** дата поступления, диагноз поступления, уточненный диагноз, дата выписки, если выписался).

Определить: ○ количество иногородних граждан, прибывших в клинику; ○ количество пациентов с заданным диагнозом; ○ количество пациентов пенсионного возраста.

- *Создать таблицу*, которая содержит список пациентов старше заданного возраста с заданным диагнозом.

Вариант № 16

Исходные данные:

- ***Пассажир:*** фамилия, шифр багажа.
- ***Багаж:*** количество вещей, вес.
- ***Учет:*** дата сдачи, время сдачи, номер секции, номер стойки.

Определить: ○ общий средний вес одной вещи;

○ багаж, у которого средний вес одной вещи отличается не больше чем на 0,3 кг от общего среднего веса одной вещи; ○количество пассажиров, которые имеют больше 2 вещей. □*Создать таблицу,* содержащую информацию о багаже, вес которого превышает заданный.

Вариант №

17*Исходные данные:*

- ***Компания:*** наименование компании, дата создания компании, фамилия директора, номинал акции.
- ***Курс:*** дата, продажа, покупка.
- ***Учет:*** количество проданных акций, количество купленных акций.

Определить: ○среднее количество проданных и купленных акций; ○максимальное различие между курсом продажи и покупки акций; ○суммарное количество акций, проданных всеми фирмами, и общую сумму, на которую они проданы.

- *Создать таблицу*, которая содержит наименование фирмы и стоимость проданных акций.

Вариант № 18

Исходные данные:

- ***Заказчик:*** фамилия, адрес, телефон.
- ***Ремонт:*** номер заказа, наименование оборудования, вид ремонта, стоимость.
- ***Учет:*** фамилия мастера, дата начала ремонта, дата окончания ремонта.

Определить: ○ суммарную стоимость всех заказов; ○ количество заказов на ремонт заданного вида; ○ минимальная стоимость ремонта.

- *Создать таблицу*, которая содержит сведения о продолжительности ремонта заказов, оформленных весной: номер заказа, фамилия заказчика, наименование оборудования, продолжительность заказа.

Вариант № 19

Исходные данные:

- ***Абоненты:*** фамилия, имя, отчество, телефон, дата установки.
- ***Расценки:*** код города, стоимость *1* минуты разговора.
- ***Заказ:*** дата разговора, телефон вызова, вызываемый пункт, продолжительность в минутах.*Определить:* ○максимальную стоимость разговора; ○суммарную стоимость всех разговоров; ○общее количество разговоров в город с заданным кодом. □*Создать таблицу*, которая содержит сведения о стоимости разговоров, которые состоялись в интервале между двумя заданными датами.

Вариант №

20*Исходные данные:*

- ***Товары:*** шифр товара, наименование товара, категория (*A, B, C*), страна-производитель.
- ***Поставка:*** дата поставки, поставщик (наименование фирмы), объем, оптовая цена.
- ***Учет:*** дата продажи, розничная цена, количество проданного товара.

○ По заданному шифру товара выдавать информацию о нем.

Определить: ○ суммарную прибыль от продажи всех товаров;

- наименование товаров, продаваемых по наивысшей и наиболее низкой цене.

• *Создать таблицу*, которая содержит наименование товара и суммарную выручку.

Вариант №

21*Исходные данные:*

• ***Продукция***: номер цеха изготовителя, наименование изделия

• ***Стоимость:*** код изделия, себестоимость

• ***Учет:*** дата изготовления, количество изготовленных изделий, цена.

Определить: ○ суммарное различие между себестоимостью и ценой всех изго-

товленных изделий; ○общее количество изделий, изготовленных до заданной даты; ○цену изделия по заданному наименованию.

• *Создать таблицу*, которая содержит сведения о товарах, изготовленных в заданном цехе.

Вариант №

22*Исходные данные:*

• ***Рабочие:*** фамилия, имя, отчество, дата рождения, дата поступления на работу, номер цеха.

• ***Расценки:*** разряд, стоимость одного часа.

• ***Учет:*** дата, количество отработанных часов.

Определить: ○ среднее количество часов, отработанных за день; ○ максимальную стоимость одного часа; ○ по заданной дате количество отработанных часов.

• *Создать таблицу*, которая содержит следующие сведения о работниках заданного цеха: ○фамилия работника; ○ суммарная стоимость отработанного им времени.

Вариант № 23

Исходные данные:

• ***Клиенты:*** фамилия, адрес, телефон**.**

• ***Заказ:*** номер заказа, наименование изделия, фамилия мастера.

• ***Учет:*** дата приема, дата выполнения заказа, стоимость заказа.

Определить: ○ количество заказов, выполненных мастером с заданной фа-

милией; ○ стоимость самого дорого

заказа; ○ среднюю стоимость

заказов.

- *Создать таблицу*, которая содержит фамилию клиента, номер заказа и продолжительность его выполнения.

Вариант № 24

Исходные данные:

- ***Импортеры:*** фирма-импортер, страна, наименование товара.
- ***Поставка:*** шифр товара, объем партии в штуках, стоимость *1* штуки в условных единицах.
- ***Учет:*** дата поставки, дата получения, подтверждение приема партии. *Определить:* ○суммарный объем товаров, импортированных заданной страной;

○ суммарную стоимость партии товара по заданному шифру; ○ минимальную стоимость товара.

- *Создать таблицу,* которая содержит сведения о стоимости товаров, импортированных заданной страной. Таблица должна содержать наименование товара и суммарную стоимость партии.

Вариант №

25*Исходные данные:*

- ***Рабочие:*** фамилия, имя, отчество, дата рождения, дата поступления на работу, номер цеха.
- ***Оплата:*** разряд, оплата за изготовление одной качественной детали.
- ***Учет:*** дата, количество изготовленных деталей, количество бракованных деталей.Определить: ○общее количество бракованных деталей, изготовленных всеми

мастерами заданного цеха; ○сумму штрафа за каждую бракованную деталь, которая состав-

ляет 20 % от оплаты за качественную работу; ○фамилию мастера, который изготовил максимальное количе-

ство качественных деталей.

- *Создать таблицу*, которая содержит сведения об оплате труда рабочих. Таблица должна содержать фамилию рабочего, номер цеха и сумму к

выплате с учетом штрафа и налога (налог составляет 15 % от стоимости оплаты).

Вариант №

26*Исходные данные:*

- ***Отделение:*** номер отделения, фамилию заведующего, номер корпуса, этаж.
- ***Лечение:*** шифр болезни, продолжительность.
- ***Оплата:*** диагностика, стоимость *1* дня лечения, затраты на лекарство.
- ***Суммарная стоимость:*** отработанного им времени.

Определить:
- по названию болезни затраты на лекарство;
- среднюю стоимость *1* дня лечения;
- рассчитать суммарную стоимость лечения каждой болезни, включая затраты на лекарство.

- *Создать таблицу*, которая содержит сведения о стоимости лечения в заданном отделении.

Вариант № 27

Исходные данные:

- ***Книги:*** наименование книги, фамилия автора, издательство, год издания, тираж.
- ***Магазины:*** шифр книги, номер магазина, цена.
- ***Учет продаж:*** код продажи, продано, остаток.

Определить:
- количество проданных книг в заданном магазине;
- суммарную стоимость всех непроданных книг;
- среднюю цену одной книги.

- *Создать таблицу,* которая содержит суммарную стоимость книг, проданных каждым магазином.

Вариант №

28*Исходные данные:*

- ***Детали:*** наименование детали, цех-изготовитель
- ***Изготовление:*** шифр материала, шифр детали, затрата материала на *1* деталь.

- ***Учет:*** дата изготовления, количество изготовленных деталей, количество брака.

Определить: ○ для всех деталей суммарные затраты материала на брак; ○ количество качественных деталей; ○ деталь, на которую тратится более всего материала. □

Создать таблицу, которая содержит шифр детали и процент брака.

Вариант №

29*Исходные данные:*

- ***Лекарство:*** название лекарства, категория (антибиотик, жаропонижающее, витамины, противовоспалительное, антидепрессант), дата изготовления, дата истечения срока.
- ***Стоимость:*** шифр лекарства, код аптеки, цена за *1* упаковку.
- ***Продажа:*** количество проданных упаковок, остаток.

Определить: ○ суммарное количество упаковок лекарства, проданных всеми аптеками и принадлежащее заданной категории.

- ○ стоимость всех непроданных упаковок;
- ○ среднюю стоимость лекарства.

- *Создать таблицу*, которая содержит информацию о просроченных лекарствах: номер аптеки, название, категория и дату истечения срока.

Вариант № 30

Исходные данные:

- ***Продавцы:*** табельный номер, фамилия, имя, отчество, дата рождения.
- ***Товары:*** шифр товара, тип товара, сложность продажи (средняя, высокая);
- ***Журнал регистрации:*** количество проданных товаров по дням недели (понедельник, вторник, ..., суббота);*Определить:* ○общее количество товаров, проданных каждым продавцом; ○фамилия продавца, который продал наибольшее число товаров, и определить день, когда он достиг наивысшей производительности труда.
- *Создать таблицу,* которая содержит следующую информацию: фамилия продавца и общее количество товаров, проданное им за неделю.

СПИСОК РЕКОМЕНДУЕМОЙ ЛИТЕРАТУРЫ

Основная литература:

1. *Бекаревич Ю. Б., Пушкина Н. В*. СПб.: БХВ - Петербург, 2016. 464 с. (Самоучитель Microsoft Access 2013).

2. *Гурвиц Г.* Microsoft Access 2013. Разработка приложений на реальном примере:
М., 2012. 258 с.

3. *Одиночкина С. В.* Разработка баз данных в Microsoft Access 2010, НИУ ИТМО, 2012. 81 с.

Дополнительная литература:

1. *Домострой А.* MS Access 2013. Создание базы данных. Урок 1. Режим доступа: https://www.youtube.com/watch?v=uCenTUX1QcQ

2. *Домострой А.* MS Access 2013. Таблицы. Урок 2. Режим доступа: https://www.youtube.com/watch?v=VDuyue8ra2Q

3. *Домострой А.* MS Access 2013. Запросы. Урок 3. Режим доступа: https://www.youtube.com/watch?v=nSIHUvfBy34

4. *Домострой А.* MS Access 2013. Формы. Урок 4. Режим доступа: https://www.youtube.com/watch?v=54ZZhSYrz8s

5. *Домострой А.* MS Access 2013. Многотабличные формы. Урок 5. Режим доступа: https://www.youtube.com/watch?v=ou-1q4Q6NjY

6. *Домострой А.* MS Access 2013. Создание отчетов. Урок 6. Режим доступа: https://www.youtube.com/watch?v=PrH-S8r0nlE

7. *Домострой А.* MS Access 2013. Главная Кнопочная форма Урок 7. Режим доступа: https://www.youtube.com/watch?v=Ou0HJtzypOU

8. *Макарова Н. В.* Информатика: учебник для вузов. Стандарт третьего поколения. СПб: Питер, 2011. 576 с.: ил.

МИНОБРНАУКИ РОССИИ

ФГБОУ ВО «Уральский государственный горный университет»

УТВЕРЖДАЮ
Проректор по учебно-методическому комплексу _____ С.А. Упоров

МЕТОДИЧЕСКИЕ УКАЗАНИЯ ПО ОРГАНИЗАЦИИ САМОСТОЯТЕЛЬНОЙ РАБОТЫ И ЗАДАНИЯ ДЛЯ ОБУЧАЮЩИХСЯ ПО ДИСЦИПЛИНЕ

Б1.О.15 ПРИКЛАДНОЕ ПРОГРАММНОЕ ОБЕСПЕЧЕНИЕ

Специальность:
21.05.02 Прикладная геология

Специализация:
Геология месторождений нефти и газа

Автор: Дружинин А.В., доцент, канд. техн. наук

Одобрена на заседании кафедры	Рассмотрена методической комиссией
Информатики	Факультета геологии и геофизики
(название кафедры)	*(название факультета)*
Зав. кафедрой _____	Председатель _____
(подпись)	*(подпись)*
Дружинин А.В.	
(Фамилия И.О.)	*(Фамилия И.О.)*
Протокол № 1 от 10.09.2020	Протокол № 2 от 13.10.2020
(Дата)	*(Дата)*

Екатеринбург

Оглавление

ЧАСТЬ I. ПОНЯТИЕ ППП.....3
Тема 1.1 Введение в предмет. Понятие ППП.....4
Тема 1.2 Структура и основные компоненты ППП.....10
Тема 1.3 Эволюция ППП. Примеры современных ППП.....13
ЧАСТЬII. ПППMSOFFICE.....22
Тема 2.1 Структура и состав MS Office. Основные приложения 23
Тема 2.2 Введение в офисное программирование.....29
Тема 2.3 Макросы. Использование макрорекордера.....34
Тема 2.4 Среда разработки
VBA.....38

ЧАСТЬ I. ПОНЯТИЕ ППП
ТЕМА 1.1 ВВЕДЕНИЕ В ПРЕДМЕТ. ПОНЯТИЕ ППП

Цели и задачи дисциплины

- Изучение основных принципов, используемых в разработке интегрированных программных продуктов.
- Изучение структуры, состава и назначения компонентов интегрированного ПО, а также средств организации взаимодействия между компонентами и инструментальных средств расширения функциональности.
- Формирование навыков работы со средствами автоматизации решения прикладных задач.
- Формирование навыков использования встроенных средств разработки.
- Требования к уровню освоения дисциплины
- В результате изучения дисциплины студенты должны:
- знать принципы построения прикладных информационных систем
- уметь использовать современные программные средства для обработки разнородной информации;
- уметь автоматизировать процесс решения прикладных задач с помощью встроенных языков программирования;
- иметь представление о современном состоянии и тенденциях развития рынка прикладного ПО.

Основные понятия и определения

Информационная система (ИС) - организационно упорядоченная совокупность документов (массивов документов) и информационных технологий, в том числе с использованием средств вычислительной техники и связи, реализующих информационные процессы. Информационные системы предназначены для хранения, обработки, поиска, распространения, передачи и представления информации.

Автоматизированная (информационная) система (АС) - совокупность программных и аппаратных средств, предназначенных для хранения и/или управления данными и информацией и производства вычислений и управляемая человеком-оператором (в этом главное отличие автоматизированной системы от автоматической).

Многоуровневое представление ИС - модель представления информационной системы в виде совокупности взаимосвязанных уровней, разделенных по функциональному назначению (рис. 1).



Рис. 1. Многоуровневое представление информационных систем.

Аппаратное обеспечение ИС - комплекс электронных, электрических и механических устройств, входящих в состав информационной системы или сети.

Программное обеспечение (ПО) — совокупность программ и данных, предназначенных для решения определенного круга задач и хранящиеся на машинных носителях.

Программа — последовательность формализованных инструкций, представляющих алгоритм решения некоторой задачи и предназначенная для исполнения устройством управления вычислительной машины. Инструкции программы записываются при помощи машинного кода или специальных языков программирования. В зависимости от контекста термин «программа» может относится к исходным текстам, при помощи которых записывается алгоритм, или к исполняемому машинному коду.

Программист - специалист, занимающийся разработкой и проверкой программ. Различают системных и прикладных программистов.

Пользователь - человек, принимающий участие в управлении объектами и система ми некоторой предметной области и являющийся составным элементом автоматизированной системы.

Прикладное программное обеспечение - программное обеспечение, ориентированное на конечного пользователя и предназначенное для решения пользовательских задач.

Прикладное ПО состоит из:

- отдельных прикладных программ и пакетов прикладных программ, предназначенных для решения различных задач пользователей;
- автоматизированных систем, созданных на основе этих пакетов.

Пакет прикладных программ - комплект программ, предназначенных для решения задач из определенной проблемной области. Обычно применение пакета прикладных программ

предполагает наличие специальной документации: лицензионного свидетельства, паспорта, инструкции пользователя и т.п.

Классификация программного обеспечения

Любая классификация подразумевает выбор некоторого группировочного признака (или нескольких), на основании которого и производится отнесение объектов к тому или иному классу. Так, при классификации программного обеспечения по способу распространения можно выделить следующие категории список не полный):

- Commercial Software - коммерческое (с ограниченными лицензией возможностями на использование), разрабатываемое для получения прибыли.
- Freeware - свободное ПО, распространяемое без ограничений на использование, модификацию и распространение.
- Shareware - условно-бесплатное ПО, с частичными ограничениями при работе в ознакомительном режиме (например, определенное количество запусков программы).
- Abandonware - «заброшенное» ПО, поддержка которого непосредственным разработчиком прекращена, но продолжается третьими лицами (например, партнерами или энтузиастами).
- Adware - ПО, в код которого включены рекламные материалы. Такое ПО распространяется бесплатно, но для отключения рекламных блоков необходима оплата.
- Careware - «благотворительное» ПО, оплату за которое разработчик (или распро странитель) просит переводить на благотворительные нужды.

При классификации программного обеспечения по назначению в качестве критерия используют уровень представления ИС, на который ориентирована та или иная программа.
Соответственно выделяют следующие классы ПО:

1. Системное ПО - решает задачи общего управления и поддержания работоспособности системы в целом. К этому классу относят операционные системы, менеджеры загрузки, драйверы устройств, программные кодеки, утилиты и программные средства защиты информации.
2. Инструментальное ПО включает средства разработки (трансляторы, отладчики, интегрированные среды, различные SDK и т.п.) и системы управления базами данных (СУБД).
3. Прикладное ПО - предназначено для решения прикладных задач конечными пользователями.

Прикладное ПО - самый обширный класс программ, в рамках которого возможна дальнейшая классификация, например, по предметным областям. В этом случае

группировочным признаком является класс задач, решаемых программой. Приведем несколько примеров:

- Офисные приложения - предназначены для автоматизации офисной деятельности (текстовые редакторы и процессоры, электронные таблицы, редакторы презентаций и т.п.)
- Корпоративные информационные системы - бухгалтерские программы, системы корпоративного управления, системы управления проектами (Project Management), инструменты автоматизации документооборота (EDM-системы) и управления архивами документов (DWM-системы)
- Системы проектирования и производства - системы автоматизированного проектирования (САПР, CAD/CAM-системы), системы управления технологическими (SCADA) и производственными (MES) процессами
- Научное ПО - системы математического и статистического расчета, анализа и моделирования
- Геоинформационные системы (ГИС)
- Системы поддержки принятия решений (СППР)
- Клиенты доступа к сетевым сервисам (электронная почта, веб-браузеры, передача сообщений, чат-каналы, клиенты файлообменных сетей и т.п.)
- Мультимедийное ПО - компьютерные игры, средства просмотра и редактирования аудио- и видеоинформации, графические редакторы и вьюеры, анимационные редакторы и т.п.

С точки зрения конечного пользователя такая классификация оправданна и наглядна, для разработчика же более значимым фактором является структура прикладной программы, в общем случае состоящей из нескольких компонентов. Назначение этих компонентов, связи между ними и способность к взаимодействию определяют интеграцию прикладного ПО. Чем теснее связаны программные компоненты, тем выше степень интеграции.

В зависимости от степени интеграции многочисленные прикладные программные средства можно классифицировать следующим образом[1]:

1. отдельные прикладные программы;
2. библиотеки прикладных программ;
3. пакеты прикладных программ;
4. интегрированные программные системы.

[1] Следует отметить отсутствие безусловных границ между перечисленными формами прикладного программного обеспечения

Отдельная прикладная программа пишется, как правило, на некотором высокоуровневом языке программирования (Pascal, Basic и т.п.) и предназначается для решения конкретной прикладной задачи. Такая программа может быть реализована в виде набора модулей, каждый из которых выполняет некоторую самостоятельную функцию (например, модуль пользовательского интерфейса, модуль обработки ошибок, модуль печати и т.п.).
При этом доступ к функциям модулей из внешних программ невозможен.

Библиотека представляет собой набор отдельных программ, каждая из которых решает некоторую прикладную задачу или выполняет определенные вспомогательные функции (управление памятью, обмен с внешними устройствами и т.п.). Библиотеки программ зарекомендовали себя эффективным средством решения вычислительных задач. Они интенсивно используются при решении научных и инженерных задач с помощью ЭВМ.
Условно их можно разделить на библиотеки общего назначения и специализированные библиотеки.

Пакет прикладных программ (ППП) - это комплекс взаимосвязанных программ, ориентированный на решение определенного класса задач. Формально такое определение не исключает из числа пакетов и библиотеки программ, однако у ППП, как отдельной категории, есть ряд особенностей, среди которых: ориентация на решение классов задач, унифицированный интерфейс, наличие языковых средств.

Интегрированная программная система - это комплекс программ, элементами которого являются различные пакеты и библиотеки программ. Примером служат системы автоматизированного проектирования, имеющие в своем составе несколько ППП различного назначения. Часто в подобной системе решаются задачи, относящиеся к различным классам или даже к различным предметным областям.

Понятие пакета прикладных программ

Итак, пакет прикладных программ (ППП) – это комплекс взаимосвязанных программ для решения определенного класса задач из конкретной предметной области. На текущем этапе развития информационных технологий именно ППП являются наиболее востребованным видом прикладного ПО. Это связано с упомянутыми ранее особенностями ППП. Рассмотрим их подробней:

- Ориентация на решение класса задач. Одной из главных особенностей является ориентация ППП не на отдельную задачу, а на некоторый класс задач, в том числе и специфичных, из определенной предметной области. Так, например, офисные пакеты ориентированы на офисную деятельность, одна из задач которой - подготовка документов (в общем случае включающих не только текстовую информацию, но и таблицы, диаграммы, изображения). Следовательно, офисный пакет должен

реализовывать функции обработки текста, представлять средства обработки табличной информации, средства построения диаграмм разного вида и первичные средства редактирования растровой и векторной графики.

- Наличие языковых средств. Другой особенностью ППП является наличие в его составе специализированных языковых средств, позволяющих расширить число задач, решаемых пакетом или адаптировать пакет под конкретные нужды. Пакет может представлять поддержку нескольких входных языков, поддерживающих различные парадигмы. Поддерживаемые языки могут быть использованы для формализации исходной задачи, описания алгоритма решения и начальных данных, организации доступа к внешним источникам данных, разработки программных модулей, описания модели предметной области, управления процессом решения в диалоговом режиме и других целей. Примерами входных языков ППП являются VBA в пакете MS Office, AutoLISP/VisualLISP в Autodesk AutoCAD, StarBasic в OpenOffice.org
- Единообразие работы с компонентами пакета. Еще одна особенность ППП состоит в наличии специальных системных средств, обеспечивавших унифицированную работу с компонентами. К их числу относятся специализированные банки данных, средства информационного обеспечения, средства взаимодействия пакета с операционной системой, типовой пользовательский интерфейс и т.п.
-

ТЕМА 1.2 СТРУКТУРА И ОСНОВНЫЕ КОМПОНЕНТЫ ППП

Несмотря на разнообразие конкретных пакетных разработок, их обобщенную внутреннюю структуру можно представить в виде трех взаимосвязанных элементов1 (рис. 2):

1. входной язык (макроязык, язык управления) - представляет средство общения пользователя с пакетом;
2. предметное обеспечение (функциональное наполнение) - реализует особенности конкретной предметной области;
3. системное обеспечение (системное наполнение) - представляет низкоуровневые средства, например, доступ к функциям операционной системы.

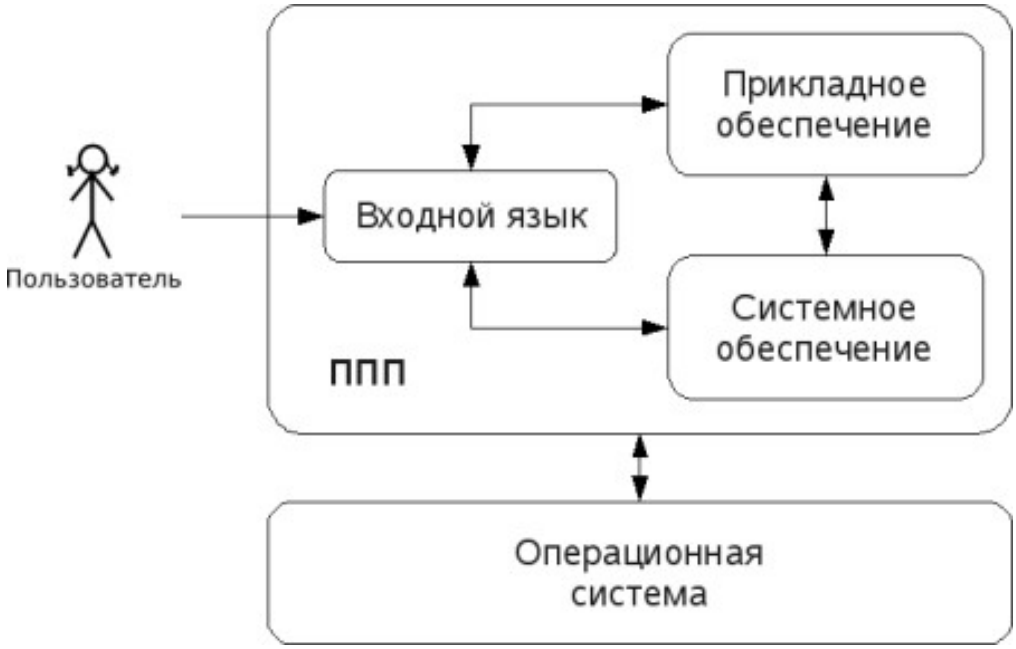

Рис. 2. Структура ППП.

Входной язык - основной инструмент при работе пользователя с пакетом прикладных программ. В качестве входного языка могут использоваться как универсальные (Pascal, Basic и т.п.), так и специализированные, проблемно-ориентированные языки программирования (Cobol - для бизнес-приложений, Lisp - списочные структуры данных, Fortran и MathLAB - математические задачи и т.п.).

Развитый пакет может обладать несколькими входными языками, предназначенными для выполнения различных функций в рамках решаемого класса задач. Так, например, в пакете OpenOffice.org поддерживаются языки StarBasic, Python, JavaScript и Java. StarBasic является основным входным языком, предназначенным для автоматизации работы с пакетом, для этого языка имеется интегрированная среда разработки и встроенный отладчик. Скрипты на языках Python и JavaScript загружаются и исполняются из внешних файлов. На Java (через SDK и функции API OpenOffice) можно создавать модули расширения и полнофункциональные приложения-компоненты.

Входные языки отражают объем и качество предоставляемых пакетом возможностей, а также удобство их использования. Таким образом, именно входной язык является основным показателем возможностей ППП. Однако стоит отметить, что в современных пакетах обращение пользователя к языковым средствам обычно происходит косвенно, через графический интерфейс.

Предметное обеспечение отражает особенности решаемого класса задач из конкретной предметной области и включает:

- программные модули, реализующие алгоритмы (или их отдельные фрагменты) прикладных задач;
- средства сборки программ из отдельных модулей.

Наиболее распространено в настоящее время оформление программных модулей в виде библиотек, подключаемых статически или динамически. В зависимости от использованного разработчиками подхода к проектированию и реализации ППП такие библиотеки содержат встроенные классы и описания их интерфейсов (при использовании объектно-ориентированного программирования). При использовании парадигмы структурного программирования в библиотечных модулях содержатся процедуры и функции, предназначенные для решения некоторых самостоятельных задач. В обоих случаях библиотеки связаны с другими модулями пакета лишь входной и выходной информацией.

Системное обеспечение представляет собой совокупность низкоуровневых средств (программы, файлы, таблицы и т.д.), обеспечивающих определенную дисциплину работы пользователя при решении прикладных задач и формирующих окружение пакета. К системному обеспечению ППП относят следующие компоненты:

- монитор - программа, управляющая взаимодействием всех компонентов ППП;
- транслятор(ы) с входных языков - для ППП характерно использование интерпретируемых языков;
- средства доступа к данным - драйверы баз данных и/или компоненты, представляющие доступ через унифицированные интерфейсы (ODBC, JDBC, ADO, BDE и т.п.);
- информационно-справочный модуль - предоставляет функции поддержки, среди которых информационные сообщения, встроенная справочная системы и т.п.

различные служебные программы, выполняющие низкоуровневые операции (автосохранение, синхронизация совместно используемых файлов и т.д.)

Приведенная логическая структура ППП достаточна условна и в конкретном ППП может отсутствовать четкое разделение программ на предметное и системное обеспечение. Например, программа планирования вычислений, относящаяся к прикладному обеспечению, может одновременно выполнять и ряд служебных функций (информационное обеспечение, связь с операционной системой и т.п.).

Кроме того, одни и те же программы в одном пакете могут относиться к предметному обеспечению, а в другом - к системному. Так, программы построения диаграмм в рамках специализированного пакета машинной графики естественно отнести к предметному обеспечению. Однако те же программы следует считать вспомогательными и относящимися к системному обеспечению, например, в пакете решения вычислительных задач.

ТЕМА 1.3 ЭВОЛЮЦИЯ ППП. ПРИМЕРЫ СОВРЕМЕННЫХ ППП

Этапы развития ППП

Первые ППП представляли собой простые тематические подборки программ для решения отдельных задач в той или иной прикладной области, обращение к ним выполнялось с помощью средств оболочки ОС или из других программ. Современный пакет является сложной программной системой, включающей специализированные системные и языковые средства. В относительно короткой истории развития вычислительных ППП можно выделить *4 основных поколения* (класса) пакетов. Каждый из этих: классов характеризуется определенными особенностями входящих состав ППП компонентов - входных языков, предметного и системного обеспечения.

Первое поколение

В качестве входных языков ППП первого поколения использовались универсальные языки программирования (Фортран, Алгол-60 и т.п.) или языки управления заданиями соответствующих операционных систем. Проблемная ориентация входных языков достигалась за счет соответствующей мнемоники в идентификаторах. Составление заданий на таком языке практически не отличалось от написания программ на алгоритмическом языке.

Предметное обеспечение первых ППП, как правило, было организовано в форме библиотек программ, т.е. в виде наборов (пакетов) независимых программ на некотором базовом языке программирования (отсюда впервые возник и сам термин «пакет»). Такие ППП иногда называют *пакетами библиотечного типа*, или *пакетами простой структуры*.

В качестве системного обеспечения пакетов первого поколения обычно использовались штатные компоненты программного обеспечения ЭВМ: компиляторы с алгоритмических языков, редакторы текстов, средства организации библиотек программ, архивные системы и т.д. Эти пакеты не требовали сколько-нибудь развитой системной поддержки, и для их функционирования вполне хватало указанных системных средств общего назначения. В большинстве случаев разработчиками таких пакетов были прикладные программисты, которые пытались приспособить универсальные языки программирования к своим нуждам.

Второе поколение

Разработка ППП второго поколения осуществлялась уже с участием системных программистов. Это привело к появлению специализированных входных языков на базе универсальных языков программирования. Проблемная ориентация таких языков достигалась не только за счет использования определенной мнемоники, но также применением соответствующих языковых конструкций, которые упрощали формулировку задачи и делали ее

более наглядной. Транслятор с такого языка представлял собой препроцессор (чаще всего макропроцессор) к транслятору соответствующего алгоритмического языка.

В качестве модулей в пакетах этого класса стали использоваться не только программные единицы (т.е. законченные программы на том или ином языке программирования), но и такие объекты, как последовательность операторов языка программирования, совокупность данных, схема счета и др.

Существенные изменения претерпели также принципы организации системного обеспечения ППП. В достаточно развитых пакетах второго поколения уже можно выделить элементы системного обеспечения, характерные для современных пакетов: монитор, трансляторы с входных языков, специализированные банки данных, средства описания модели предметной области и планирования вычислений и др.

Третье поколение

Третий этап развития ППП характеризуется появлением самостоятельных входных языков, ориентированных на пользователей-непрограммистов. Особое внимание в таких ППП уделяется системным компонентам, обеспечивающим простоту и удобство. Это достигается главным образом за счет специализации входных языков и включения в состав пакета средств автоматизированного планирования вычислений.

Четвертое поколение

Четвертый этап характеризуется созданием ППП, эксплуатируемых в интерактивном режиме работы. Основным преимуществом диалогового взаимодействия с ЭВМ является возможность активной обратной связи с пользователем в процессе постановки задачи, ее решения и анализа полученных результатов. Появление и интенсивное развитие различных форм диалогового общения обусловлено прежде всего прогрессом в области технических средств (графическая подсистема ЭВМ и средства мультимедиа, сетевые средства). Развитие аппаратного обеспечения повлекло за собой создание разнообразных программных средств поддержки диалогового режима работы (диалоговые операционные системы, диалоговые пакеты программ различного назначения и т. д.).

Прикладная система состоит из *диалогового монитора* - набора универсальных программ, обеспечивающих ведение диалога и обмен данными, и базы знаний об области. Информация о структуре, целях и форма диалога задает сценарий, в соответствии с который монитор управляет ходом диалога. Носителями процедурных знаний о предметной области являются прикладные модули, реализующие функции собственной системы. Таким образом, создание прикладной системы сводится к настройке диалогового монитора на конкретный диалог, путем заполнения базы знаний. При этом программировать в традиционном смысле

этого слова приходится лишь прикладные модули, знания о диалоге вводятся в систему с помощью набора соответствующих средств - редактора сценариев. Логично требовать, чтобы редактор сценариев также представлял собой диалоговую программу, отвечавшую рассмотренным выше требованиям. Благодаря готовому универсальному монитору программист может сосредоточиться на решении чисто прикладных задач, выделение же знаний о диалоге в сценарий обеспечивает в значительной степени необходимая гибкость программного продукта.

Большое внимание в настоящее время уделяется проблеме создания *«интеллектуальных ППП»*. Такой пакет позволяет конечному пользователю лишь сформулировать свою задачу в содержательных терминах, не указывая алгоритма ее решения. Синтез решения и сборка целевой программы производятся автоматически. При этом детали вычислений скрыты от пользователя, и компьютер становится интеллектуальным партнером человека, способным понимать его задачи. Предметное обеспечение подобного ППП представляет собой некоторую базу знаний, содержащую как процедурные, так и описательные знания. Такой способ решения иногда называют концептуальным программированием, характерными особенностями которого является программирование в терминах предметной области использование ЭВМ уже на этапе постановки задач, автоматический синтез программ решения задачи, накопление знаний о решаемых задачах в базе знаний.

Краткий обзор некоторых ППП

Для иллюстрации ранее рассмотренных материалов приведем несколько примеров современных пакетов прикладных программ из различных предметных областей. Учитывая, что постоянно появляются новые версии программных продуктов, здесь будут рассматриваться не возможности конкретных версий, а лишь основные структурные компоненты, входящие в состав того или иного пакета.

Autodesk AutoCAD

Основное назначение ППП AutoCAD - создание чертежей и проектной документации. Современные версии этого пакета представляют существенно большие возможности, среди которых построение трехмерных твердотельных моделей, инженерно-технические расчеты и многое другое.

Первые версии системы AutoCAD, разрабатываемой американской фирмой Autodesk, появились еще в начале 80-х годов двадцатого века, и сразу же привлекли к себе внимание своим оригинальным оформлением и удобством для пользователя. Постоянное развитие системы, учет замечаний, интеграция с новыми продуктами других ведущих фирм сделали

AutoCAD мировым лидером на рынке программного обеспечения для автоматизированного проектирования.

Языковые средства

В основе языковых средств ППП AutoCAD - технология Visual LISP, базирующаяся на языке AutoLISP (подмножество языка LISP) и используемая для создания приложений и управления в AutoCAD. Visual LISP представляет полное окружение, включающее:

- Интегрированную среду разработки, облегчающую написание, отладку и сопровождение приложений на AutoLISP
- Доступ к объектам ActiveX и обработчикам событий
- Защиту исходного кода
- Доступ к файловым функциям операционной системы
- Расширенные функции языка LISP для обработки списочных структур данных.

Для разработчиков совместимых приложений в AutoCAD включена поддержка ObjectARX. Это программное окружение представляет объектно-ориентированный интерфейс для приложений на языках C++, C# и VB.NET и обеспечивает прямой доступ к структурам БД, графической подсистеме и встроенным командам пакета.

Кроме того, в AutoCAD имеется поддержка языка Visual Basic for Applications (VBA), что позволяет использовать этот пакет совместно с другими приложениями, в частности, из семейства Microsoft Office.

Предметное обеспечение

К предметному обеспечению пакета в первую очередь относятся функции построения примитивов - различных элементов чертежа. Простые примитивы - это такие объекты как точка, отрезок, круг (окружность) и т.д. К сложным примитивам относятся: полилиния, мультилиния, мультитекст (многострочный текст), размер, выноска, допуск, штриховка, вхождение блока или внешней ссылки, атрибут, растровое изображение. Кроме того, есть пространственные примитивы, видовые экраны и пр. Операции построения *большей части* примитивов могут быть выполнены через пользовательский интерфейс, *все* - через команды языка.

Высокоуровневые средства представлены расширениями и приложениями AutoCAD для конкретных предметных областей. Например в машиностроении используется Autodesk Mechanical Desktop - предназначенный для сложного трехмерного моделирования, в том числе валов и пружин. Для проектирования деталей из листовых материалов предназначена система Copra Sheet Metal Bender Desktop (разработчик - Data-M Software GmbH). Моделирование динамики работы механизмов может выполняться в системе Dynamic Designer (Mechanical

Dynamics). В числе известных архитектурных и строительных приложений можно отметить системы АРКО (АПИО-Центр), СПДС GraphiCS (Consistent Software), ArchiCAD. Для проектирования промышленных объектов может использоваться система PLANT-4D (CEA Technology). Это лишь некоторые из областей использования AutoCAD.

Системное обеспечение

Среди системного обеспечения следует отметить основной формат файлов AutoCAD .dwg, который стал стандартом «де факто» для прочих САПР.

К системному же обеспечению относятся типовые и специализированные библиотеки деталей и шаблонов, использование которых позволяет существенно ускорить процесс проектирования. Здесь же упомянем требования отраслевых и государственных стандартов, которым должны соответствовать чертежи и спецификации.

Конфигурация и настройки различных режимов AutoCAD устанавливаются через т.н. системные переменные. Изменяя их значения можно задавать пути к файлам, точность вычислений, формат вывода и многое другое.

Adobe Flash

Adobe (ранее Macromedia) Flash - это технология и инструментарий разработки интерактивного содержания с большими функциональными возможностями для цифровых, веб- и мобильных платформ. Она позволяет создавать компактные, масштабируемые анимированные приложения (ролики), которые можно использовать как отдельно, так и встраивая в различное окружение (в частности, в веб-страницы). Эти возможности обеспечиваются следующими компонентами технологии: языком Action Script, векторным форматом .swf и видеоформатом .flv, всевозможными flash-плейерами для просмотра и редакторами для создания.

Рассмотрим интегрированную среду Adobe Flash как основное средство создания flash-приложений. При этом отметим, что языковые и системные средства относятся не только к этому пакету, а к технологии в целом.

Язык ActionScript

ActionScript — объектно-ориентированный язык программирования, который добавляет интерактивность, обработку данных и многое другое в содержимое Flash-приложений. Синтаксис ActionScript основан на спецификации ECMAScript (сюда же относятся языки JavaScript и JScript). Библиотека классов ActionScript, написанная на C++, представляет доступ к графическим примитивам, фильтрам, принтерам, геометрическим функциям и пр.

ActionScript как язык появился с выходом 5 версии Adobe (тогда еще Macromedia) Flash, которая стала первой программируемой на ActionScript средой. Первый релиз языка назывался

ActionScript 1.0. Flash 6 (MX). В 2004 году Macromedia представила новую версию ActionScript 2.0 вместе с выходом Flash 7 (MX 2004), в которой было введено строгое определение типов, основанное на классах программирование: наследование, интерфейсы и т. д. Также Macromedia была выпущена модификация языка Flash Lite для программирования под мобильные телефоны. ActionScript 2.0 является не более чем надстройкой над ActionScript 1.0, то есть на этапе компиляции ActionScript 2.0 осуществляет некую проверку и превращает классы, методы ActionScript 2.0 в прежние прототипы и функции ActionScript 1.0.

В 2005 году вышел ActionScript 3.0 в среде программирования Adobe Flex, а позже в Adobe Flash 9.

ActionScript 3.0 (текущая версия на момент подготовки этого материала) представляет, по сравнению с ActionScript 2.0 качественное изменение, он использует новую виртуальную машину AVM 2.0 и дает взамен прежнего формального синтаксиса классов настоящее классовое (class-based) Объектно-ориентированное программирование. ActionScript 3.0 существенно производительней предыдущих версий и по скорости приблизился к таким языкам программирования, как Java и C++.

С помощью ActionScript можно создавать интерактивные мультимедиа-приложения, игры, веб-сайты и многое другое.

Системное обеспечение

ActionScript исполняется виртуальной машиной (ActionScript Virtual Machine), которая является составной частью Flash Player. ActionScript компилируется в байткод, который включается в SWF-файл.

SWF-файлы исполняются Flash Player-ом. Flash Player существует в виде плагина к веб-браузеру, а также как самостоятельное исполняемое приложение. Во втором случае возможно создание исполняемых exe-файлов, когда swf-файл включается во Flash Player.

Для создания и просмотра видеофайлов в формате flv используются программные кодеки, поддерживающие этот формат.

Прикладное обеспечение

К прикладному обеспечению в рамках технологии Flash относятся средства создания роликов в форматах .swf, .flv и .exe. Основным инструментом является среда среда Adode Flash, включающая различные средства для создания и редактирования мультимедийного содержания, в т.ч. видео- и аудиофайлов, интегрированную среду разработки на ActionScript и множество дополнительных функций упрощения процесса создания роликов.

Пакет MatLab

MatLab (сокращение от англ. «Matrix Laboratory») — пакет прикладных программ для решения задач технических вычислений, и язык программирования, используемый в этом пакете. По данным фирмы-разработчика, более 1000000 инженерных и научных работников используют этот пакет, который работает на большинстве современных операционных систем, включая GNU/Linux, Mac OS, Solaris и Microsoft Windows.

Язык MatLab

MATLAB как язык программирования был разработан Кливом Моулером (англ. Cleve Moler) в конце 1970-х годов. Целью разработки служила задача использования программных математических библиотек Linpack и EISPACK без необходимости изучения языка Фортран. Акцент был сделан на матричные алгоритмы.

Программы, написанные на MATLAB, бывают двух типов — функции и скрипты. Функции имеют входные и выходные аргументы, а также собственное рабочее пространство для хранения промежуточных результатов вычислений и переменных. Скрипты же используют общее рабочее пространство. Как скрипты, так и функции не компилируются в машинный код, а сохраняются в виде текстовых файлов. Существует также возможность сохранять так называемые pre-parsed программы — функции и скрипты, приведенные в вид, удобный для машинного исполнения и, как следствие, более быстрые по сравнению с обычными.

Системное обеспечение

Язык MATLAB является высокоуровневым интерпретируемым языком программирования, включающим основанные на матрицах структуры данных, широкий спектр функций, интегрированную среду разработки, объектно-ориентированные возможности и интерфейсы к программам, написанным на других языках программирования. Имеются интерфейсы для получения доступа к внешним данным, клиентам и серверам, общающимся через технологии Component Object Model (COM) или Dynamic Data Exchange (DDE), а также периферийным устройствам, которые взаимодействуют напрямую с MATLAB. Многие из этих возможностей известны под названием MATLAB API.

Встроенная среда разработки позволяет создавать графические интерфейсы пользователя с различными элементами управления, такими как кнопки, поля ввода и другими. С помощью компонента MATLAB Compiler эти графические интерфейсы могут быть преобразованы в самостоятельные приложения.

Для MATLAB имеется возможность создавать специальные наборы инструментов (англ. toolbox), расширяющие его функциональность. Наборы инструментов представляют собой коллекции функций, написанных на языке MATLAB для решения определенного класса задач.

Прикладное обеспечение

MATLAB предоставляет удобные средства для разработки алгоритмов, включая высокоуровневые с использованием концепций объектно-ориентированного программирования. В нем имеются все необходимые средства интегрированной среды разработки, включая отладчик и профайлер.

MATLAB предоставляет пользователю большое количество (несколько сотен) функций для анализа данных, покрывающие практически все области математики, в частности:

- Матрицы и линейная алгебра — алгебра матриц, линейные уравнения, собственные значения и вектора, сингулярности, факторизация матриц и другие.
- Многочлены и интерполяция — корни многочленов, операции над многочленами и их дифференцирование, интерполяция и экстраполяция кривых и другие.
- Математическая статистика и анализ данных — статистические функции, статистическая регрессия, цифровая фильтрация, быстрое преобразование Фурье и другие.
- Обработка данных — набор специальных функций, включая построение графиков, оптимизацию, поиск нулей, численное интегрирование (в квадратурах) и другие.
- Дифференциальные уравнения — решение дифференциальных и дифференциально-алгебраических уравнений, дифференциальных уравнений с запаздыванием, уравнений с ограничениями, уравнений в частных производных и другие.
- Разреженные матрицы — специальный класс данных пакета MATLAB, использующийся в специализированных приложениях.

В составе пакета имеется большое количество функций для построения графиков, в том числе трехмерных, визуального анализа данных и создания анимированных роликов, функции для создания алгоритмов для микроконтроллеров и других приложений.

ЧАСТЬ II. ППП MSOFFICE

ТЕМА 2.1 СТРУКТУРА И СОСТАВ MS OFFICE. ОСНОВНЫЕ ПРИЛОЖЕНИЯ

Структура MS Office и назначение компонентов

ППП Microsoft Office - это совокупность программных средств автоматизации офисной деятельности. В состав пакета входит множество приложений, каждое из которых предназначено для выполнения определенных функций и может быть использовано автономно и независимо от остальных. Весь набор офисных приложений можно разделить на *основные* и *дополнительные*.

Основные компоненты Microsoft Office

Список и назначение основных компонентов, входящих в состав Microsoft Office приведен в таб. 1.

Таблица 1. Основные компоненты Microsoft Office

Название приложения	Функциональное назначение приложения
Microsoft Word	Текстовый процессор
Microsoft Excel	Табличный процессор
Microsoft PowerPoint	Система подготовки презентаций
Outlook	Система управления персональной информацией
Microsoft Access	Система управления базами данных
Microsoft Binder	Система управления подшивками
Microsoft FrontPage	Система управления Web-узлами
Microsoft PhotoDraw	Графический редактор
Microsoft Publisher	Настольная издательская система
Microsoft Project	Система управления проектами
Microsoft Team Manager	Система управления персоналом

Дополнительные компоненты MS Office

Кроме основных компонентов, в семейство Microsoft Office входит большое количество вспомогательных приложений, которые устанавливаются (или не устанавливаются) вместе с основными. Ими можно воспользоваться из основных приложений или вызвать независимо. В таб. 2 перечислены некоторые из вспомогательных приложений.

Таблица 2. Некоторые вспомогательные приложения Microsoft Office

Название приложения	Функциональное назначение приложения
Microsoft Query	Интерпретатор запросов к внешним базам данных
Microsoft Organization Chart	Программа рисования блок-схем
Microsoft WordArt	Программа создания фигурных текстов
Microsoft Equation	Редактор математических формул
Microsoft Map	Программа отображения данных на географических картах
Microsoft Graph	Программа построения диаграмм
Microsoft Photo Editor	Графический редактор
Microsoft Draw	Средство рисования

Microsoft Find Fast	Служба индексации документов
Microsoft Extended Finder	Средство поиска документов в папках файловой системы и электронной почты
Microsoft Script Editor	Редактор сценариев
Microsoft ClipArt	Коллекция картинок и клипов
Панель Microsoft Office	Средство быстрого доступа к приложениям Office

Кроме основных и вспомогательных приложений, могут быть установлены и использованы различные расширения (надстройки). Их можно условно разделить на три группы:

1. *Самостоятельные приложения*, разработанные фирмой Microsoft, которые являются компонентами семейства Microsoft Office, но формально не входят в состав пакета. Примерами являются приложения Microsoft Project и Microsoft Team Manager.
2. *Надстройки* над компонентами Microsoft Office, разработанные фирмой Microsoft и представляющие собой дополнительные функции. Как правило, надстройки оформляются не в виде готовых к выполнению программ, а в виде документов специального типа: шаблонов, рабочих книг, библиотек динамической компоновки (DLL) и т.п.
3. *Приложения третьих фирм*, разработанные для пользователей Microsoft Office. В этот класс попадают как продукты сторонних фирм, так и собственные разработки пользователей. Сюда можно отнести средства распознавания текстов (OCR), автоматического перевода текста, средства управления большими массивами документов (перечисленные задачи не реализованы или слабо развиты в самом пакете MS
   Office).

Приведенный перечень основных компонентов носит условный характер, поскольку состав пакета зависит от следующих факторов:

1. *Устанавливаемый комплект (или редакция) пакета*. Пакет выпускается в нескольких редакциях, и состав приложений в разных редакциях различен.
2. *Источник установки. Установка* может быть выполнена с компакт-диска или с сетевого сервера. Наборы файлов, которые устанавливаются на компьютер, существенно различаются.
3. *Операционная система*. Microsoft Office может работать под управлением различных ОС: MS Windows и Mac OS. Эти операционные системы могут иметь

разные версии и модификации, что также влияет на состав устанавливаемых компонентов.

4. *Наличие на компьютере в момент установки предшествующих версий*. Некоторые компоненты старых версий автоматически включаются в состав обновляемой версии Microsoft Office (если они уже установлены на компьютере).
5. *Параметры, заданные при установке*. В случае так называемой выборочной (т.е. по выбору пользователя) установки, можно указать несколько десятков независимых параметров, влияющих на состав пакета.

Несмотря на большое число различных приложений в составе пакета, все они в совокупности образуют единое целое. Для каждого из приложений MS Office характерно наличие следующих отличительных признаков:

1. совместимость по данным;
2. унифицированный интерфейс;
3. единые средства программирования.

Документы Microsoft Office

Единица данных самого верхнего уровня структуризации в Microsoft Office называется **документом**.

Документы классифицируются по типам в зависимости от того, какого сорта информация в них хранится. Как правило, документы разных типов обрабатываются разными приложениями Microsoft Office. Основные типы документов, с которыми работают программы Microsoft Office, перечислены в таб. 3.

Таблица 3. Основные типы документов Microsoft Office

Название	Расширение	Приложение	Краткое описание
Документ	.doc	Word	Основной тип документов Word. Содержит форматированный текст, т.е. текст с дополнительной информацией о шрифтах, отступах, интервалах и т.п., а также рисунки, таблицы и другие элементы
Рабочая книга	.xls	Excel	Основной тип документов Excel. Содержит данные различных типов: формулы, диаграммы и макросы
База данных	.mdb	Access	Основной тип документов Access. Содержит как собственно базу данных, то есть совокупность таблиц, так и соответствующие запросы, макросы, модули, формы и отчеты

Презентация	.ppt	PowerPoint	Основной тип документов PowerPoint. Содержит презентацию, состоящую из набора слайдов, заметок выступающего, раздаточных материалов и другой информации
Публикация	.pub	Publisher	Основной тип документов Publisher. Как и Word, содержит форматированный текст, рисунки, таблицы и т.п.
План проекта	.mpp	Project	Основной тип документов Project. Содержит календарный план проекта, описание задач, ресурсов и их взаимосвязи

Исходя из вышесказанного, можно сделать следующий вывод: входящие в состав пакета MS Office приложения способны тесно взаимодействовать при решении прикладных задач; они создают единую информационную среду и позволяют обмениваться объектами. Документы Microsoft Office являются частными примерами объектов. Поэтому Microsoft Office является *документо-ориентированным пакетом* (средой).

Программная среда

Основным средством разработки приложений в MS Office является комплексное решение на основе языка Visual Basic, а именно - Visual Basic for Application (VBA). Эта технология включает макрорекордер, интерпретатор Visual Basic, интегрированную среду разработки с встроенным отладчиком, библиотеки времени выполнения (runtime library) и библиотеки типов, представляющие объекты пакета. Эти средства позволяют расширять функциональность пакета и адаптировать его к решению специализированных задач.

Интерфейс MS Office

Приложения Microsoft Office имеют унифицированный интерфейс, суть которого заключается в следующем: сходные функции имеют одинаковое обозначение (название команды или значок на кнопке), а несходные функции имеют различные обозначения.

В большей степени унификация коснулась интерфейсов таких приложений, как Microsoft Word, Microsoft Excel и Microsoft PowerPoint.

Одним из достоинств пакета Microsoft Office является последовательное использование графического интерфейса пользователя (Graphical User Interface, GUI), представляемого операционной системой и различных элементов управления. Как правило, отдельные элементы группируются в более крупные конструкции, такие как окна, панели инструментов, меню. Рассмотрим характеристику каждой из этих групп.

Оконный интерфейс

Оконный интерфейс - такой способ организации пользовательского интерфейса программы, когда каждая интегральная часть располагается в *окне* — собственном субэкранном пространстве, находящемся в произвольном месте «над» основным экраном. Несколько окон одновременно располагающихся на экране могут перекрываться, находясь

«выше» или «ниже» друг относительно друг

В MS Office использует окна четырех типов:

- окно приложения;
- окно документа; • диалоговое окно;
- форма.

Панели инструментов

Панели инструментов - это элементы пользовательского интерфейса, на которых могут располагаются такие элементы управления, как кнопки быстрого вызова и раскрывающиеся списки. Панели инструментов разных приложений могут содержать кнопки, сходные по функциям и внешнему виду, что упрощает освоение интерфейса Microsoft Office.

Панели инструментов могут быть:

- пристыкованными вдоль границы окна приложения;
- плавающими, т.е. находится в любой части окна приложения;
- представленными в отдельных окнах; в этом случае форму и размеры панели инструментов можно менять произвольно.

Меню

Меню представляет доступ к иерархическим спискам доступных команд. Результатом выбора команды из меню может быть:

- непосредственное выполнение некоторого действия;
- раскрытие еще одного меню;
- раскрытие диалогового окна или формы.

Меню интерфейса Microsoft Office, кроме строки меню любого приложения, можно разделить (по способу перехода к ним) на раскрывающиеся и контекстные (или всплывающие).

Элементы управления

Элементы управления - это объекты оконного интерфейса, реализующие типовые операции с интерфейсом: щелчок мышью, выбор из списка, выбор вариантов, прокрутка и т.п. К элементам управления относятся следующие: кнопки, текстовые поля (или поля ввода), флажки, переключатели, списки и раскрывающиеся списки, полосы прокрутки, палитры, счетчики и прочие, специфичные для некоторых приложений или условий.

ТЕМА 2.2 ВВЕДЕНИЕ В ОФИСНОЕ ПРОГРАММИРОВАНИЕ

Офисное программирование — это процесс разработки приложений, предназначенных для автоматизации офисной деятельности с использованием специализированных пакетов (MS Office, OpenOffice.org или подобных).

Офисное программирование имеет ряд особенностей, отличающих его от программирования в общем смысле:

- цели разработки;
- область применения;
- макроязык;
- среда разработки;
- поддержка объектно-ориентированного программирования.

Рассмотрим эти особенности на примере MS Office.

Цели разработки

В офисной среде *программный проект неразрывно связан с документом*, хранится как часть документа и не может существовать независимо от него. *Документ, а не программа, является целью разработки.*

Стандартные возможности среды по работе с документами велики. Однако возможность изменить типовой документ, снабдив его дополнительными функциями – это одна из важнейших задач офисного программирования. Для ее решения офисная среда представляет совокупность библиотек классов, которые составляют каркас (Framework) текстовых документов, электронных таблиц, презентаций, баз данных и приложений на основе этих документов. Всякий раз, когда создается новый документ, его каркас составляют объекты библиотек, заданные по умолчанию. Этот каркас можно существенно изменить, добавив в документ новые свойства. Расширение каркаса не требует от программиста значительных усилий – достаточно включить в него необходимые библиотеки классов.

Область применения

Область применения офисного программирования широка – от настройки отдельных документов до решения задач автоматизации офисной деятельности масштаба предприятия, в т.ч. ориентированных на совместную работу в глобальной сети.

Visual Basic for Application

Visual Basic для приложений (Visual Basic for Application, VBA) – это инструмент разработки приложений, который позволяет создавать программные продукты, решающие практически все задачи, встречающиеся в среде Windows. Эти продукты можно использовать, например, для оформления документов (подготовки текстов) или анализа данных таблиц (электронных таблиц). VBA – уникальное приложение, поскольку оно встраивается в другое приложение и расширяет его функциональные возможности.

Visual Basic for Application (VBA) - стандартный макроязык пакета Microsoft Office, предназначенный для расширения функциональных возможностей приложения в котором используется.

С помощью VBA можно:

- создать собственное диалоговое окно и придать ему требуемый внешний вид;
- создать макросы, расширяющие функциональные возможности приложения, в которое встроен VBA;
- изменить меню приложения Microsoft Office;
- управлять другим приложением Microsoft Office или принадлежащими ему данными;
- объединить данные из нескольких приложений Microsoft Office в одном документе;
- автоматически создавать или изменять страницы Web, совместно используя приложения Microsoft Office и VBA.

Для разработчика доступны следующие инструменты и средства, которые используются при создании проекта VBA:

- отладка приложений без предварительной компиляции;
- средства Win32 API;
- SQL и объекты доступа к данным для управления данными и извлечения их из внешних источников данных, таких как Microsoft SQL Server;
- построение и проверка элементов интерфейса непосредственно в среде разработки VBA (Integrated Development Environment, IDE);
- связывание программ и процедур с событиями, которые возникают в приложениях VBA.

Среда разработки

Среда приложений Office ориентирована в первую очередь на пользователей, а не на программистов и в ней можно создавать документы без всякого программирования. Поэтому программист обычно начинает работать с документами не на пустом месте, а с их заготовками, созданными пользователями, т.е. и сам программист может выступать в роли пользователя. Средства совместной работы над документами Office обеспечивают одновременную работу программистов и пользователей.

Среда MS Office предлагает два способа создания программ, отличающихся подходом к процессу: использование макрорекордера и ручное кодирование (на языке VBA). Эти подходы ориентированы на разные категории: непосредственно пользователей и программистов соответственно.

Макрорекордер (MacroRecorder) – это программный инструмент, записывающий действия пользователя при работе с документами и приложениями, с сохранением записи в виде макроса -исходного кода на языке VBA. При вызове сохраненного макроса воспроизводится вся сохраненная последовательность действий.

Макрорекордер представляет возможность создания программного проекта или, по крайней мере, его отдельных компонентов автоматически, без программирования. Для записи и воспроизведения макроса не требуется специальных знаний, поэтому пользователь может самостоятельно создавать программы (макросы), в общем случае даже не представляя себе, как они работают.

Для программиста макрорекордер полезен тем, что позволяет создавать фрагменты программы автоматически, тем самым увеличивая скорость разработки и уменьшая время отладки.

Интегрированная среда разработки на VBA (Visual Basic Environment, VBA) - встроенное в MS Office средство для написания, тестирования и отладки приложений на VBA. Среда VBA представляет все возможности для создания законченных офисных приложений, включая средства визуального проектирования пользовательского интерфейса. VBA ориентирована на использование программистами для разработки офисных приложений (это отнюдь не означает, что пользователи не могут применять VBA).

Поддержка ООП

Разработка приложений для MS Office тесно связана с парадигмой объектно-ориентированного программирования. Все документы (более того, сами компоненты пакета) в MS Office - суть объекты, наделенные собственными наборами свойств

(характеристик объекта), методов (подпрограмм управления свойствами) и событий (подпрограмм, обрабатывающих изменения состояния объекта в результате некоторых действий). Соответственно, для обеспечения более полной интеграции с пакетом, входной язык (VBA) также поддерживает ООП.

Все объекты приложения MS Office образуют иерархическую структуру, которая определяет связь между ними и способ доступа. Такая структура называется объектной моделью (object model). За рамки объектной модели выходят, но также могут использоваться в офисных приложениях, внешние объекты, поддерживающие технологии DDE, OLE/ActiveX и ряд других.

В объектно-ориентированную концепцию удачно вписывается технология *визуального программирования*. Все отображаемые элементы графического интерфейса, такие как формы, элементы управления, меню и панели инструментов являются объектами, наделенными набором свойств и методов и способными реагировать на события (например, щелчки мыши, нажатия клавиш и т.п.). При визуальном подходе не требуется программного задания (хотя это и возможно) их основных свойств (например, ширина или высота, цвет фона и т.п.). Эти свойства можно задать при помощи мыши (например, ширину и высоту формы путем операции "перетаскивания" маркеров) или установить их в окне свойств (название формы, цвет фона формы и т. д.). Таким образом, визуальное программирование делает проектирование интерфейса программы более наглядным и быстрым. При этом сохраняется возможность управлять всеми объектами и программно.

Преимущества офисного программирования

Преимущества, которые получает конечный пользователь, использующий программируемые офисные документы:

- Пользователь получает документы, обладающие новыми функциями и способные решать задачи, характерные для проблемной области пользователя.
- Пользователь находится в единой офисной среде независимо от того, с каким документом он работает в данный момент и какой программист разрабатывал этот документ.
- Большинство доступных при работе с документами функций являются общими для всех документов, поскольку их предоставляет сама офисная среда. Единый стиль интерфейса разных документов облегчает работу с ними.
- Пользователь сам, не будучи программистом, способен создавать простые виды программируемых офисных документов, постепенно совершенствуясь в этой деятельности.

Преимущества, которые получает программист, работающий в Office:

- В распоряжении программиста находится мощная интегрированная среда. Для него эта среда представлена в виде совокупности хорошо организованных объектов, доступных в языке программирования и по принципу работы ничем не отличающихся от встроенных объектов языка или объектов, создаваемых самим программистом.
- Большинство повседневных задач становятся для него простыми, – чтобы их решить, зачастую достаточно стандартных средств.
- Там, где стандартных средств не хватает, где у документа должны появиться новые функциональные возможности, где необходимо создать документ по заказу, вступает в силу язык программирования – VBA, существенная особенность которого – возможность работы с объектами любого из приложений Office.
- Офисное программирование позволяет применять на практике идеи компонентного программирования. Компонентный подход предполагает взаимодействие компонентов, создаваемых в разных программных средах, на разных языках, на разных платформах и находящихся на разных машинах. Работа с компонентами (DLL, ActiveX, AddIns, ComAddIns) является неотъемлемой частью офисного программирования.

ТЕМА 2.3 МАКРОСЫ. ИСПОЛЬЗОВАНИЕ МАКРОРЕКОРДЕРА

Макросы

Независимо от используемых операционной системы и программных приложений MS Office пользователь часто выполняет одни и те же последовательности команд для многих рутинных задач. Вместо повторения последовательности команд каждый раз, когда необходимо выполнить какую-либо задачу, можно создать макрос (macro), который вместо пользователя будет выполнять эту последовательность. Термин macro произошел от греческого слова, означающего расширенный или растянутый.

Макрос – это программа (в контексте офисного программирования - созданная автоматически), состоящая из списка команд, которые должны быть выполнены приложением.

Основными преимуществами использования макросов являются:

- повышение точности и скорости работы, поскольку компьютеры лучше приспособлены для выполнения повторяющихся задач, чем человек;

- при выполнении макросов обычно нет необходимости в присутствии человека-оператора; в случае, если макрос очень длинный и выполняет операции, требующие значительного времени (например, поиск в базе данных и сортировка), пользователь может переключиться на другое приложение.

Макрос служит для объединения нескольких различных действий в одну процедуру, которую можно легко вызвать. Этот список команд состоит в основном из макрокоманд, которые тесно связаны с приложением, в котором создается макрос – т.е. с командами Word, Excel или других приложений Microsoft Office.

Можно выделить *три основные разновидности макросов*:

1. *Командные макросы* – это наиболее распространенные макросы, обычно состоящие из операторов, эквивалентным тем или иным командам меню или параметрам диалоговых окон. Основным предназначением такого макроса является выполнение действий, аналогичных командам меню – т.е. изменение окружения и основных объектов приложения.
2. *Пользовательские функции* – работают аналогично встроенным функциям приложения. Отличие этих функций от командных макросов состоит в том, что они используют значения передаваемых им аргументов, производят некоторые вычисления и возвращают результат в точку вызова, но не изменяют среды приложения.
3. *Макрофункции* – представляют сочетание командных макросов и пользовательских функций. Они могут использовать аргументы и возвращать результат, подобно пользовательским функциям, а также могут изменять среду приложения, как и командные макросы. Чаще всего эти макросы вызываются из других макросов, и активно используются для модульного программирования.

Поддержка макросов позволяет порой обойтись вообще безо всякого программирования: достаточно включить автоматическую запись выполняемых пользователем действий и в результате получить готовый макрос, а затем назначить ему кнопку на панели инструментов или новую команду меню, которые будут использоваться для вызова. Простые макросы удается создавать, не написав вручную ни одной строки программного кода.

Для разработки же серьезных приложений приходится программировать.

Таким образом, различают 2 способа разработки макроса:

- автоматическое создание, с использованием макрорекордера;
- написание макроса "с нуля", используя язык программирования VBA.

Отметим, что возможен и комбинированный подход: фрагменты будущей программы записываются автоматически, а затем они корректируются и дополняются "рукописным" кодом.

Для записи макросов из приложений Microsoft Office используется **макрорекордер**. Это встроенный инструмент, который фиксирует все действия пользователя, включая ошибки и неправильные запуски. При выполнении макроса интерпретируется каждая записанная макрорекордером команда точно в такой последовательности, в которой пользователь выполнял их во время записи.

Для **записи макроса** в приложении Microsoft Office можно использовать меню "Сервис/Макрос/Начать запись" или выбрать кнопку "Записать макрос" на панели инструментов Visual Basic. До начала записи нужно указать имя макроса и определить, где он будет храниться и как будет доступен. Затем выполнить действия, которые требуется сохранить в макросе. Для завершения записи нужно на панели инструментов "Остановка записи" щелкнуть кнопку "Остановить запись".

Для **выполнения макроса** необходимо:

1. Установить курсор в место вставки выполнения макроса.
2. Выбрать пункт меню "Сервис/Макрос/Макросы".
3. В появившемся диалоговом окне "Макрос" выбрать имя нужного макроса и выбрать "Выполнить".

Чтобы **просмотреть код** записанного макроса, надо выбрать меню "Сервис/Макрос/Макросы". В появившемся диалоговом окне выбрать имя нужного макроса и щелкнуть кнопку "Изменить". Исходный код указанного макроса будет загружен в окно редактора Visual Basic.

Структура записанного макроса

Макросы, создаваемые макрорекордером MS Office, сохраняются в специальной части файла данных, называемой *модулем*. Модуль VBA содержит исходный код программы на языке VBA. Фактически макрос является подпрограммой (а точнее, процедурой) VBA. Записанный макрос имеет строго определенную структуру. Ниже представлен исходный код простого макроса, созданного в Microsoft Word.

Листинг 1. Пример макроса

```
Sub Hello()
' Макрос изменяет размер, начертание шрифта, выравнивание абзаца и
' выводит надпись в активный документ MS Word
'
```

```
    Selection.Font.Size = 24
    Selection.Font.Bold = wdToggle
    Selection.ParagraphFormat.Alignment = wdAlignParagraphCenter
    Selection.TypeText Text:="Hello, World!"
End Sub
```

В общем виде структуру кода макроса можно представить следующим образом[2]:

```
Sub имяМакроса ()
' текст комментария
    Оператор1
    Оператор2 ...
    ОператорN
End Sub
```

Каждый макрос VBA начинается с ключевого слова Sub, за которым следует имя макроса. Строку, содержащую ключевое слово Sub и имя макроса, называют *строкой объявления (declaration)* макроса. За именем макроса всегда следуют пустые круглые скобки (т.к. макрос является процедурой VBA без параметров).

За строкой объявления макроса следуют строки комментариев. *Комментарий (comment)* – это строка в макросе VBA, которая не содержит инструкций, являющихся частью этого макроса. Каждая строка комментария начинается с символа апострофа ('). Комментарии содержат имя макроса и текст, который был введен пользователем в текстовое поле "Описание" ("Description") диалогового окна "Запись макроса" ("Record Macro") в момент записи этого макроса.

Сразу за объявлением макроса следует *тело макроса (body)*. Каждая строка в теле макроса состоит из одного или более операторов VBA. *Оператор VBA (statement)* – это последовательность ключевых слов и других символов, которые вместе составляют одну полную инструкцию для VBA. Макрос VBA состоит из одного или нескольких операторов.

Конец макроса выделяется ключевой строкой End Sub, завершающей тело макроса.

ТЕМА 2.4 СРЕДА РАЗРАБОТКИ VBA

Visual Basic for Application (VBA) – это система программирования, которая используется как единое средство программирования во всех приложениях Microsoft

[2] Локализованные версии пакета MS Office позволяют использовать в макросах символы национальных алфавитов (например, в идентификаторах). Однако не следует пользоваться этой сомнительной возможностью во избежании сложностей с отладкой и портированием приложений на VBA.

Office. Всякая система программирования включает в себя, по меньшей мере, три составные части:

1. Язык (или языки) программирования.
2. Среду разработки, т.е. набор инструментов для написания программ, редактирования, отладки и т.п.
3. Библиотеку (или библиотеки) стандартных программ, т.е. набор готовых программ (процедур, функций, объектов и т.д.), которые можно использовать как готовые элементы при построении новых программ.

Для создания офисных приложений в MS Office имеется *интегрированная среда разработки* (Integrated Development Environment, *IDE*) с унифицированным интерфейсом. VBA IDE – это набор инструментов разработки программного обеспечения, таких как редактор Visual Basic (Visual Basic Editor, VBA), средства отладки, средства управления проектом и т.д.

Вызов VBA IDE из любого приложения выполняется через комбинацию клавиш Alt+F11 или меню "Сервис/Макрос/Редактор Visual Basic".

Структура VBA

VBA – это стандартное интерфейсное окно, содержащее меню, панели инструментов, другие окна и элементы, которые применяются при создании проектов VBA. Общий вид окна редактора Visual Basic представлен на рис. 3.

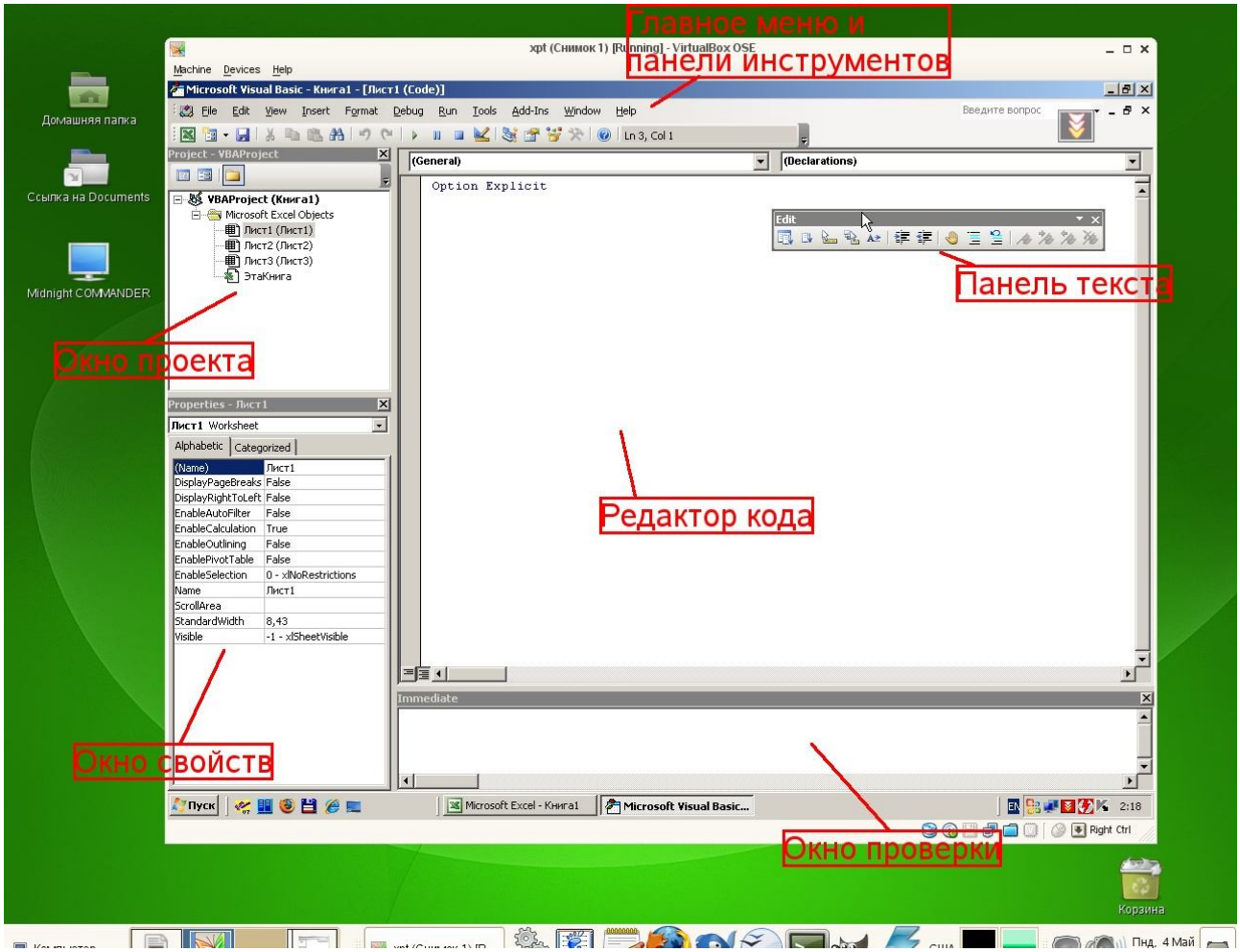

Рисунок 3. Окно редактора Visual Basic

Основными (открывающимися по умолчанию) являются три окна: окно проекта, окно свойств и окно редактирования кода. Краткое описание этих и некоторых других компонентов VBA приведено в таб. 4. Все они доступны через команды, представленные в меню "Вид".

Таблица 4. Назначение компонентов VBA

Наименование окна	**Описание**
Project (Проект)	Предназначено для отображения всех открытых проектов, а также их составляющих: модулей, форм и ссылок на другие проекты
Toolbox (Панель элементов)	Содержит элементы управления для конструирования форм
UserForm	Используется для создания форм путем размещения на них элементов
Наименование окна	**Описание**
	управления

Code (Программа)	Предназначено для просмотра, написания и редактирования программы на языке VBA. Поскольку среда разработки является многооконной, то для каждого модуля проекта можно открыть отдельное окно
Properties (Свойства)	Отображает свойства выделенных объектов. В этом окне можно задавать новые значения свойств формы и элементов управления
Object Browser (Просмотр объектов)	Отображает классы, свойства, методы, события и константы различных библиотек объектов. Используется для быстрого получения информации об объектах
Immediate (Проверка)	Предназначено для быстрого выполнения вводимых в него инструкций. В данном окне также выводятся результаты выполнения вводимых инструкций
Locals (Локальные переменные)	Автоматически показывает все переменные данной процедуры
Watches (Контрольные значения)	Применяется при отладке программ для просмотра значений выражений

Характеристики компонентов VBA

Окно проекта (Project)

Проект – это совокупность всех программных модулей, связанных с документом Microsoft Office. Окно *Project (Проект)* предназначено для быстрого получения информации о различных составляющих проекта.

Проект может содержать модули следующих видов:

- *Объекты основного приложения*. Проекты VBA выполняются совместно с другими приложениями. Приложение, в котором разрабатывается и выполняется проект VBA, называется основным.
- *Модули форм*. В VBA имеется возможность создавать пользовательские формы, предназначенные для ввода или вывода данных, а также процедуры обработки событий, возникающие в этих формах.
- *Модули кода*. Модульность - один из основных принципов парадигмы структурного программирования. Каждый модуль, как правило, содержит подпрограммы, сход-

  ные по назначению. Небольшие модули проще отлаживать и использовать повторно. В частности, в VBA имеются средства импорта/экспорта готового кода.
- *Модули классов*. VBA позволяет создавать и использовать собственные объекты. Описание объектов включается в модули класса. Каждый модуль класса содержит полную информацию об одном типе объекта.

С помощью окна проекта можно добавить или удалить какой-либо объект из проекта. Модули кода добавляются в проект командой "Вставить/Модуль". Формы создаются командой "Вставить/UserForm", а модули класса командой "Вставить/Модуль класса".

Окно проекта можно использовать также для быстрой навигации по формам проекта и программному коду. Для этого необходимо выбрать в контекстном меню соответственно команды "Объект" или "Программа".

Окно свойств (Properties)

Список свойств выделенного объекта выводится в окне Properties (Свойства). Для того чтобы выделить объект, необходимо с помощью окна проекта выбрать форму и перейти в режим конструктора, используя команду "View Object". Свойства объекта можно упорядочить в алфавитном порядке (Alphabetic (По алфавиту)) или по категориям (Categorized (По категориям)), выбрав соответствующую вкладку. Предусмотрена также возможность получения быстрой справки по какому-либо свойству объекта. Для этого достаточно установить курсор на нужное свойство и нажать клавишу F1.

Окно просмотра объектов(Object Browser)

Окно Object Browser (Просмотр объектов) предназначено для просмотра объектов, доступных при создании программы. Точнее, в этом окне отображаются не сами объекты, а структура соответствующего класса объектов. Окно просмотра объектов может использоваться для поиска метода или свойства объекта.

Окно Code (Окно редактирования кода)

Окно Code (Программа) представляет собой текстовый редактор, предназначенный для написания и редактирования кода процедур приложения. Это окно появляется на экране, например, при создании нового модуля. Код внутри модуля организован в виде отдельных разделов для каждого объекта, программируемого в модуле. Переключение между разделами выполняется путем выбора значений из списка "Object" ("Объект"), который находится в левом верхнем углу окна. Каждый раздел может содержать несколько процедур, которые можно выбрать из списка "Procedure" ("Процедура") в правом верхнем углу.

Интеллектуальные возможности редактора кода:

1. При написании кода пользователю предлагается список компонентов, логически завершающих вводимую пользователем инструкцию.
2. На экране автоматически отображаются сведения о процедурах, функциях, свойствах и методах после набора их имени.

3. Автоматически проверяется синтаксис набранной строки кода сразу после нажатия клавиши Enter. В результате проверки выполняется выделение определенных фрагментов текста:
    - красным цветом – синтаксические ошибки; • синим цветом – зарезервированные ключевые слова;
    - зеленым цветом – комментарии.
4. Если курсор расположить на ключевом слове VBA, имени процедуры, функции, свойства или метода и нажать клавишу F1, то на экране появится окно со справочной информацией об этой функции.

Окно редактирования форм (UserForm)

Для создания диалоговых окон, разрабатываемых приложений VBA, используются формы. Редактор форм является одним из основных средств визуального программирования. При добавлении формы в проект (команда "Insert" – "UserForm" ("Вставить" – "UserForm")) на экран выводится незаполненная форма с панелью инструментов Toolbox (Панель элементов).

Используя панель инструментов Toolbox (Панель элементов) из незаполненной формы конструируется требуемое для приложения диалоговое окно. Размеры формы и размещаемых на ней элементов управления можно изменять. Также окно редактирования форм поддерживает операции буфера обмена. Кроме того, команды меню "Format" ("Формат") автоматизируют и облегчают процесс выравнивания элементов управления как по их взаимному местоположению, так и по размерам.

Окна отладочной информации

Окно Immediate (Проверка) позволяет ввести инструкцию и выполнить ее. При этом инструкция должна быть записана в одну строку, директивы которой будут выполнены после нажатия клавиши Enter. Данное окно можно использовать для быстрой проверки действий, выполняемой той или иной инструкцией. Это позволяет не запускать всю процедуру, что удобно при отладке программ.

Окно Locals (Локальные переменные) автоматически отображает все объявленные переменные текущей процедуры и их значения.

Окно Watches (Контрольные значения) применяется при отладке программ для просмотра значений выражений.

МИНОБРНАУКИ РФ

ФГБОУ ВО «Уральский государственный горный университет»

УТВЕРЖДАЮ
Проректор по учебно-методическому комплексу
_____ С.А.Упоров

МЕТОДИЧЕСКИЕ УКАЗАНИЯ К САМОСТОЯТЕЛЬНОЙ РАБОТЕ СТУДЕНТОВ ПО ДИСЦИПЛИНЕ

Б1.О.16 ГЕОМЕТРИЧЕСКОЕ МОДЕЛИРОВАНИЕ

Специальность:
21.05.02 Прикладная геология

Специализация:
Геология месторождений нефти и газа

Автор: Шангина Е.И., проф., д-р пед. н., к. т. н., зав. каф. ИГр

Одобрены на заседании кафедры
Инженерной графики
(название кафедры)
Зав. кафедрой _____
(подпись)
д.п.н., проф. Шангина Е.И.
(Фамилия И.О.)
Протокол № 2 от 28.09.2020
(Дата)

Рассмотрены методической комиссией
факультета геологии и геофизики
(название факультета)
Председатель _____
(подпись)
д.г.-м.н., проф. Бондарев В.И.
(Фамилия И.О.)
Протокол № 2 от 13.10.2020
(Дата)

Екатеринбург

Методические материалы по дисциплине согласованы с выпускающей кафедрой литологии и геологии горючих ископаемых

Заведующий кафедрой _____ С. А. Рыльков

СОДЕРЖАНИЕ

ВВЕДЕНИЕ 4
ВИДЫ САМОСТОЯТЕЛЬНОЙ РАБОТЫ СТУДЕНТА 5
МЕТОДИЧЕСКИЕ РЕКОМЕНДАЦИИ ПО ПОДГОТОВКЕ КО ВСЕМ ВИДАМ ТЕКУЩЕГО КОНТРОЛЯ 6
Повторение материала лекций и самостоятельное изучение курса 6
Подготовка к практическим занятиям и лабораторным работам 6
Подготовка и написание контрольной работы 7
МЕТОДИЧЕСКИЕ РЕКОМЕНДАЦИИ ПО ПОДГОТОВКЕ К ПРОМЕЖУТОЧНОЙ АТТЕСТАЦИИ 7
Подготовка к зачёту 7

ВВЕДЕНИЕ

Самостоятельная работа студентов - это разнообразные виды деятельности студентов, осуществляемые под руководством, но без непосредственного участия преподавателя в аудиторное и/или внеаудиторное время.

Это особая форма обучения по заданиям преподавателя, выполнение которых требует активной мыслительной, поисково-исследовательской и аналитической деятельности.

Методологическую основу самостоятельной работы студентов составляет деятельностный подход, когда цели обучения ориентированы на формирование умений решать типовые и нетиповые задачи, то есть на реальные ситуации, где студентам надо проявить знание конкретной дисциплины, использовать внутрипредметные и межпредметные связи.

Цель самостоятельной работы - закрепление знаний, полученных на аудиторных занятиях, формирование способности принимать на себя ответственность, решать проблему, находить конструктивные выходы из сложных ситуаций, развивать творческие способности, приобретение навыка организовывать своё время.

Кроме того самостоятельная работа направлена на обучение студента осмысленно и самостоятельно работать сначала с учебным материалом, затем с научной информацией, заложить основы самоорганизации и самовоспитания с тем, чтобы привить умение в дальнейшем непрерывно повышать свой профессиональный уровень.

Самостоятельная работа реализует следующие задачи:

- систематизация и закрепление полученных теоретических знаний и практических умений студентов;
- углубление и расширение теоретических знаний;
- формирование умений использовать нормативную, правовую, справочную документацию и специальную литературу;
- развитие познавательных способностей и активности студентов: творческой инициативы, самостоятельности, ответственности и организованности;
- формирование самостоятельности мышления, способностей к саморазвитию, самосовершенствованию и самореализации;
- формирование практических (общеучебных и профессиональных) умений и навыков;
- развитие исследовательских умений;
- получение навыков эффективной самостоятельнойпрофессиональной (практической и научно-теоретической) деятельности.

В учебном процессе выделяют два вида самостоятельной работы:

- аудиторная;
- внеаудиторная.

Аудиторная самостоятельная работа по дисциплине выполняется на учебных занятиях под непосредственным руководством преподавателя и по его заданию.

Внеаудиторная самостоятельная работа – планируемаяучебная, учебно-исследовательская, научно-исследовательская работа студентов,выполняемая вовнеаудиторное время по заданию и при методическом руководстве преподавателя, но без его непосредственного участия.

Самостоятельная работа, не предусмотренная образовательной программой, учебным планом и учебно-методическими материалами, раскрывающими и конкретизирующими их содержание, осуществляется студентами инициативно, с

целью реализации собственных учебных и научных интересов.

Для более эффективного выполнения самостоятельной работы по дисциплине преподаватель рекомендует студентам источники и учебно-методические пособия для работы, характеризует наиболее рациональную методику самостоятельной работы, демонстрирует ранее выполненные студентами работы и т. п.

ВИДЫ САМОСТОЯТЕЛЬНОЙ РАБОТЫ СТУДЕНТА

Основные формы организации самостоятельной работы студентов определяются следующими параметрами:

- содержание учебной дисциплины;
- уровень образования и степень подготовленности студентов;
- необходимость упорядочения нагрузки студентов при самостоятельной работе.

В соответствии с реализацией рабочей программы дисциплины в рамках самостоятельной работы студенту необходимо выполнить следующие виды работ:

для подготовки ко всем видам текущего контроля:

- повторение материала лекций;
- самостоятельное изучение курса;
- подготовка к практическим занятиям;
- подготовка к контрольной работе, написание контрольной работы.

для подготовки ко всем видам промежуточной аттестации:

- подготовка к зачёту.

Особенностью организации самостоятельной работы студентов является необходимость не только подготовиться к сдаче зачета, но и собрать, обобщить, систематизировать, проанализировать информацию по темам дисциплины.

Технология организации самостоятельной работы студентов включает использование информационных и материально-технических ресурсов образовательного учреждения.

Самостоятельная работа может осуществляться индивидуально или группами студентов как online, так и на занятиях в зависимости от цели, объема, конкретной тематики самостоятельной работы, уровня сложности, уровня умений студентов.

В качестве форм и методов контроля внеаудиторной самостоятельной работы студентов могут быть использованы обмен информационными файлами, тестирование, опрос, контрольные работы, защита контрольных работ, защита зачётных работ и др.

Текущий контроль результатов внеаудиторной самостоятельной работы студентов осуществляется в пределах времени, отведенного на обязательные учебные занятия по дисциплине.

Промежуточный контроль результатов внеаудиторной самостоятельной работы студентов осуществляется в пределах времени, отведенного для сдачи зачёта.

В методических указаниях по каждому виду контроля представлены материалы для самостоятельной работы и рекомендации по организации отдельных её видов.

МЕТОДИЧЕСКИЕ РЕКОМЕНДАЦИИ ПО ПОДГОТОВКЕ КО ВСЕМ ВИДАМ ТЕКУЩЕГО КОНТРОЛЯ

Повторение материала лекций и самостоятельное изучение курса

Лекционный материал по дисциплине излагается в виде устных лекций преподавателя во время аудиторных занятий. Самостоятельная работа студента во время лекционных аудиторных занятий заключается в ведении записей (конспекта лекций).

Конспект лекций, выполняемый во время аудиторных занятий, дополняется студентом при самостоятельном внеаудиторном изучении некоторых тем курса. Самостоятельное изучение тем курса осуществляется на основе списка основной и дополнительной литературы к дисциплине.

Перечень основной и дополнительной учебной литературы, необходимой для освоения дисциплины приведён в рабочей программе дисциплины.

Рекомендуемые задания для самостоятельной внеаудиторной работы студента, направленные на повторение материала лекций и самостоятельное изучение тем курса: *для овладения знаниями:*

- конспектирование текста;
- чтение основной и дополнительной литературы;
- составление плана текста;
- работа со словарями, справочниками и нормативными документами;
- просмотр обучающих видеозаписей

для закрепления и систематизации знаний:

- работа с конспектом лекций;
- повторная работа над учебным материалом;
- составление таблиц для систематизации учебного материала;
- изучение нормативных материалов;
- составление плана и тезисов ответа на вопросы для самопроверки;
- ответы на вопросы для самопроверки;
- составление библиографических списков по изучаемым темам;

для формирования навыков и умений:

- выполнение рисунков, схем, эскизов оборудования;
- рефлексивный анализ профессиональных умений.

Тематический план изучения дисциплины и содержание учебной дисциплины приведены в рабочей программе дисциплины.

Вопросы для самопроверки приведены в учебной литературе по дисциплине или могут быть предложены преподавателем на лекционных аудиторных занятиях после изучения каждой темы.

Подготовка к практическим занятиям

Практические занятия по дисциплине выступают средством формирования у студентов системы интегрированных умений и навыков, необходимых для освоения профессиональных компетенций, а также умений определять, разрабатывать и применять оптимальные методы решения профессиональных задач.

На практических занятиях происходит закрепление теоретических знаний, полученных в ходе лекций, осваиваются методики и алгоритмы решения типовых

задач по образцу и вариантных задач, разбираются примеры применения теоретических знаний для практического использования.

Рекомендуемые задания для самостоятельной внеаудиторной работы студента, направленные на подготовку к практическим занятиям: *для овладения знаниями:*

- чтение основной и дополнительной литературы;
- работа со словарями, справочниками и нормативными документами;
- просмотр обучающих видеозаписей;

для закрепления и систематизации знаний:

- работа с конспектом лекций;
- ответы на вопросы для самопроверки;
- подготовка публичных выступлений;
- составление библиографических списков по изучаемым темам;

для формирования навыков и умений:

- решение задач по образцу и вариативных задач;
- выполнение рисунков, схем, эскизов оборудования;
- рефлексивный анализ профессиональных умений.

Тематический план изучения дисциплины и содержание учебной дисциплины приведены в рабочей программе дисциплины.

Подготовка и написание контрольной работы

Контрольная работа - индивидуальная деятельность обучающегося по концентрированному выражению накопленного знания, обеспечивает возможность одновременной работы всем обучающимся за фиксированное время по однотипным заданиям, что позволяет преподавателю оценить всех обучающихся. Контрольная работа является средством проверки умений применять полученные знания для решения задач определенного типа по теме или разделу.

Рекомендуемые задания для самостоятельной внеаудиторной работы студента, направленные на подготовку к контрольной работе: *для овладения знаниями:*

- чтение основной и дополнительной литературы;
- работа со словарями, справочниками и нормативными документами.

для закрепления и систематизации знаний:

- работа с конспектом лекций;
- ответы на вопросы для самопроверки.

для формирования навыков и умений:

- решение задач по образцу и вариативных задач;
- выполнение рисунков, схем, эскизов оборудования;

МЕТОДИЧЕСКИЕ РЕКОМЕНДАЦИИ ПО ПОДГОТОВКЕ К ПРОМЕЖУТОЧНОЙ АТТЕСТАЦИИ

Подготовка к зачёту

Зачёт по дисциплине может быть проведён в виде теста или включать в себя защиту контрольной работы.

Тест - это система стандартизированных заданий, позволяющая автоматизировать процедуру измерения уровня знаний и умений обучающегося.

При самостоятельной подготовке к зачёту, проводимому в виде теста, студенту необходимо:

- проработать информационный материал (конспект лекций, учебное пособие, учебник) по дисциплине; проконсультироваться с преподавателем по вопросу выбора дополнительной учебной литературы;

- выяснить условия проведения теста:количествовопросоввтесте,

- продолжительность выполнения теста, систему оценки результатов и т. д.;

- приступая к работе с тестом, нужно внимательно и до конца прочитать вопрос и предлагаемые варианты ответов, выбрать правильные (их может быть несколько), на отдельном листке ответов вписать цифру вопроса и буквы, соответствующие правильным ответам.

В процессе выполнения теста рекомендуется применять несколько подходов в решении заданий. Такая стратегия позволяет максимально гибко оперировать методами решения, находя каждый раз оптимальный вариант. Не нужно тратить слишком много времени на трудный вопрос, а сразу переходить к другим тестовым заданиям, к трудному вопросу можно обратиться в конце. Необходимо оставить время для проверки ответов, чтобы избежать механических ошибок.

Зачёт также может проходить в виде защиты контрольной работы (доклад с презентацией). Методические рекомендации по подготовке и выполнению доклада с презентацией приведены в п. «Подготовка и написание контрольной работы».

МИНОБРНАУКИ РФ

ФГБОУ ВО «Уральский государственный горный университет»

УТВЕРЖДАЮ

Проректор по учебно-методическому комплексу

_____ С.А. Упоров

МЕТОДИЧЕСКИЕ РЕКОМЕНДАЦИИ К САМОСТОЯТЕЛЬНОЙ РАБОТЕ ПО ДИСЦИПЛИНЕ

Б1.О.17 ГЕОДЕЗИЯ

Специальность:

21.05.02 Прикладная геология

Специализация:

Геология месторождений нефти и газа

Автор: Коковин П.А., к.с-х.н.

Одобрены на заседании кафедры *Геодезии и кадастров*	Рассмотрены методической комиссией факультета геологии и геофизики
(название кафедры)	*(название факультета)*
Зав. кафедрой _____ *(подпись)*	Председатель _____ *(подпись)*
к.т.н., доц. Акулова Е.А.	д.г.-м.н., проф. Бондарев В.И.
(Фамилия И.О.)	*(Фамилия И.О.)*
Протокол № 1-20/21 от 07.09.2020	Протокол № 2 от 13.10.2020
(Дата)	*(Дата)*

Екатеринбург

Методические рекомендации по дисциплине согласованы с выпускающей кафедрой литологии и геологии горючих ископаемых

Заведующий кафедрой ЛГГИ _____к.г.-м.н., С.А. Рыльков____

подпись *И.О. Фамилия*

Содержание

	Стр.
1.Общие положения …….	**4**
2. Требования к уровню освоения дисциплины «Геодезия»……	**5**
3. Внутренние факторы, способствующие активизации самостоятельной работы	**6**
4. Виды самостоятельной работы …….	**7**
5. Организация СРС…….	**9**
6. Деятельность студентов по формированию и развитию навыков учебной самостоятельной работы……	**19**
7. Требования к учебно-методическому обеспечению самостоятельной работы студентов……	**26**
8. Самостоятельная работа студента - необходимое звено становления исследователя и специалиста…….	**30**
Список используемой литературы……	**32**

1. Общие положения

Самостоятельная работа студентов в ВУЗе является важным видом учебной и научной деятельности студента. Самостоятельная работа студентов играет значительную роль в рейтинговой технологии обучения. Государственным стандартом предусматривается, как правило, 50% часов из общей трудоемкости дисциплины на самостоятельную работу студентов (далее СРС). В связи с этим, обучение в ВУЗе включает в себя две, практически одинаковые по объему и взаимовлиянию части – процесса обучения и процесса самообучения. Поэтому СРС должна стать эффективной и целенаправленной работой студента.

Самостоятельная работа студентов - это любая деятельность, связанная с воспитанием мышления будущего профессионала. Любой вид занятий, создающий условия для зарождения самостоятельной мысли, познавательной активности студента связан с самостоятельной работой. В широком смысле под самостоятельной работой следует понимать совокупность всей самостоятельной деятельности студентов как в учебной аудитории, так и вне её, в контакте с преподавателем и в его отсутствии.

Самостоятельная работа студентов – это средство вовлечения студента в самостоятельную познавательную деятельность, формирующую у него психологическую потребность в систематическом самообразовании.

Сущность самостоятельной работы студентов как специфической педагогической конструкции определяется особенностями поставленных в ней учебно-познавательных задач. Следовательно, самостоятельная работа – это не просто самостоятельная деятельность по усвоению учебного материала, а особая система условий обучения, организуемых преподавателем.

Основные задачи самостоятельной работы:

- развитие и привитие навыков студентам самостоятельной учебной работы и формирование потребностей в самообразовании;

- освоение содержания дисциплины в рамках тем, выносимых на самостоятельное изучение студента;

- осознание, углубление содержания и основных положений курса в ходе конспектирования материала на лекциях, отработки в ходе подготовки к семинарским и практическим занятиям;

- использование материала, собранного и полученного в ходе самостоятельных занятий, при написании курсовых и дипломной работ, для эффективной подготовки к итоговым зачетам и экзаменам.

Активная самостоятельная работа студентов возможна только при наличии серьезной и устойчивой мотивации. Самый сильный мотивирующий фактор - подготовка к дальнейшей эффективной профессиональной деятельности.

2. Требования к уровню освоения дисциплины «Геодезия»

Объектом профессиональной деятельности выпускника по направлению подготовки специалитета по специальности 21.05.04 «Горное дело» являются: недра Земли, включая производственные объекты, оборудование и технические системы их освоения; техника и технологии обеспечения безопасной и эффективной реализации геотехнологий добычи, переработки твердых полезных ископаемых и рационального использования подземного пространства.

Дисциплина «Геодезия» является дисциплиной базовой части Блока 1 «Дисциплины» учебного плана по направлению подготовки 21.05.04 «Горное дело».

Цель дисциплины: формирование научного и практического представления о средствах и методах геодезических работ при топографо-геодезических изысканиях; овладение навыков определения пространственно-геометрического положения объектов, выполнения необходимых геодезических и маркшейдерских измерений, обработки и интерпретации их результатов.

Выпускник по направлению подготовки специалитета по специальности 21.05.04 «Горное дело» в результате изучения дисциплины должен:

Знать:

- содержание, предмет и задачи геодезии;
- современные воззрения на форму и фигуру Земли;
- классификацию карт и планов, системы координат, используемые в геодезии;
- основные требования к составлению картографического материала;

– методики проведений геодезических измерений;

– назначение и классификацию геодезических сетей;

– основные виды инженерно-геодезических работ.

Уметь:

– определять плановое положение точек в геодезической и прямоугольной системах координат, абсолютные и относительные высоты;

– составлять топографический план;

– измерять горизонтальные, вертикальные углы, дальномерные расстояния и превышения;

– решать прямые и обратные геодезические задачи;

– выполнять построение профиля трассы.

Владеть:

– навыками работы с топографо-геодезическими приборами;

– методами обработки результатов измерений.

Для эффективного использования времени, отведенного для самостоятельной работы при подготовке дипломированного специалиста необходимо рационально его использовать, грамотно организовать работу и иметь мотивацию для ее реализации.

3. Внутренние факторы, способствующие активизации самостоятельной работы

Среди них можно выделить следующие:

1. Полезность выполняемой работы. Если студент знает, что результаты его работы будут использованы в лекционном курсе, в методическом пособии, в лабораторном практикуме, при подготовке публикации или иным образом, то отношение к выполнению задания существенно меняется в лучшую сторону и качество выполняемой работы возрастает. При этом важно психологически настроить студента, показать ему, как необходима выполняемая работа.

Другим вариантом использования фактора полезности является активное применение результатов работы в профессиональной подготовке. Так, например, если студент получил задание на дипломную (квалификационную) работу на одном из младших курсов, он может выполнять самостоятельные задания по ряду дисциплин гуманитарного и социально-

экономического, естественно-научного и общепрофессионального циклов дисциплин, которые затем войдут как разделы в его квалификационную работу.

Материальные стимулирующие факторы могут выражаться в надбавках к основной стипендии, номинированные на именные стипендии, участие в конкурсах научно-исследовательских работ, где в качестве приза могут выступать материальные поощрения.

2. Участие студентов в творческой деятельности. Это может быть участие в научно-исследовательской, опытно-конструкторской или методической работе, проводимой на кафедре.

3. Участие в олимпиадах по учебным дисциплинам, конкурсах научно-исследовательских или прикладных работ и т.д.

4. Использование мотивирующих факторов контроля знаний (накопительные оценки, рейтинг, тесты, нестандартные экзаменационные процедуры). Эти факторы при определенных условиях могут вызвать стремление к состязательности, что само по себе является сильным мотивационным фактором самосовершенствования студента.

5. Поощрение студентов за успехи в учебе и творческой деятельности (стипендии, премирование, поощрительные баллы) и санкции за плохую учебу. Например, за работу, сданную раньше срока, можно проставлять повышенную оценку, а в противном случае ее снижать.

6. Индивидуализация заданий, выполняемых как в аудитории, так и вне ее, постоянное их обновление.

7. Мотивационным фактором в интенсивной учебной работе и, в первую очередь, самостоятельной является личность преподавателя. Преподаватель может быть примером для студента как профессионал, как творческая личность. Преподаватель может и должен помочь студенту раскрыть свой творческий потенциал, определить перспективы своего внутреннего роста.

4. Виды самостоятельной работы

В образовательном процессе высшего профессионального образовательного учреждения выделяется два вида самостоятельной работы – аудиторная, под руководством преподавателя, и внеаудиторная. Тесная взаимосвязь этих видов работ предусматривает

дифференциацию и эффективность результатов ее выполнения и зависит от организации, содержания, логики учебного процесса (межпредметных связей, перспективных знаний и др.):

Аудиторная самостоятельная работа по дисциплине выполняется на учебных занятиях под непосредственным руководством преподавателя и по его заданию.

Внеаудиторная самостоятельная работа выполняется студентом по заданию преподавателя, но без его непосредственного участия.

Основными видами самостоятельной работы студентов без участия преподавателей являются:

— формирование и усвоение содержания конспекта лекций на базе рекомендованной лектором учебной литературы, включая информационные образовательные ресурсы (электронные учебники, электронные библиотеки и др.);

— подготовка к лабораторным работам, их оформление;

— выполнение микроисследований;

— подготовка практических разработок;

— выполнение домашних заданий в виде решения отдельных задач, проведения типовых расчетов, расчетно-компьютерных и индивидуальных работ по отдельным разделам содержания дисциплин и т.д.;

— выполнение конкретного задания в период прохождения учебной практики;

— компьютерный текущий самоконтроль и контроль успеваемости на базе электронных обучающих и аттестующих тестов;

— подготовка докладов и презентаций для конкурсов НИРС и конкурсов профессионального мастерства;

— подготовка к контрольным мероприятиям, таким как текущий контроль знаний в виде проверочных тестов или расчетно-графических работ, зачетов, экзаменов;

Основными видами самостоятельной работы студентов с участием преподавателей являются:

— текущие консультации;

— прием и разбор домашних заданий (в часы практических занятий);

— прием и защита лабораторных работ (во время проведения л/р);

— выполнение учебно-исследовательской работы (руководство, консультирование и защита УИРС);

— прохождение и оформление результатов практик (руководство и оценка уровня сформированности профессиональных умений и навыков) и др.

5. Организация СРС

Аудиторная самостоятельная работа может реализовываться при проведении практических занятий, семинаров, выполнении лабораторного практикума и во время чтения лекций.

При чтении лекционного курса непосредственно в аудитории контролируется усвоение материала основной массой студентов путем проведения экспресс-опросов по конкретным темам, тестового контроля знаний, опроса студентов и т.д.

На практических и лабораторных занятиях различные виды СРС позволяют сделать процесс обучения более интересным и поднять активность значительной части студентов в группе.

На практических занятиях не менее 1 часа из двух (50% времени) отводится на самостоятельное решение задач. Лабораторные занятия строятся следующим образом:

1. Вводное слово преподавателя (цели занятия, основные вопросы, которые должны быть рассмотрены).
2. Беглый опрос.
3. Решение 1-2 типовых задач.
4. Самостоятельное решение задач.
5. Проверка решения задач с обязательной работой над ошибками. Лабораторная или практическая работа считается выполненной при условии отсутствия ошибок.

Для проведения занятий необходимо иметь большой банк заданий и задач для самостоятельного решения, причем эти задания могут быть дифференцированы по степени сложности. В зависимости от дисциплины или от ее раздела можно использовать два пути:

1. Давать определенное количество задач для самостоятельного решения, равных по трудности, а оценку ставить за количество решенных за определенное время задач.
2. Выдавать задания с задачами разной трудности и оценку ставить за трудность решенной задачи.

По результатам самостоятельного решения задач следует выставлять по каждому занятию оценку.

При проведении лабораторных работ и учебных практик студенты могут выполнять СРС как индивидуально, так и малыми группами, каждая из которых разрабатывает свою задачу. Выполненная задача затем рецензируется преподавателем и членами бригады. Публичное обсуждение и защита своего варианта повышают роль СРС и усиливают стремление к ее качественному выполнению. Данная система организации практических занятий позволяет вводить в задачи научно-исследовательские элементы, упрощать или усложнять задания.

Активность работы студентов на обычных практических занятиях может быть усилена введением новой формы СРС, сущность которой состоит в том, что на каждую задачу студент получает свое индивидуальное задание (вариант), при этом условие задачи для всех студентов одинаковое, а исходные данные различны. Перед началом выполнения задачи преподаватель дает лишь общие методические указания (общий порядок решения, точность и единицы измерения определенных величин, имеющиеся справочные материалы и т.п.). Выполнение СРС на занятиях с проверкой результатов преподавателем приучает студентов грамотно и правильно выполнять технические расчеты, пользоваться вычислительными средствами и справочными данными. Изучаемый материал усваивается более глубоко, у студентов меняется отношение к лекциям, так как без понимания теории предмета, без хорошего конспекта трудно рассчитывать на успех в решении задачи. Это улучшает посещаемость как практических, так и лекционных занятий.

Выполнение лабораторного практикума, как и другие виды учебной деятельности, содержит много возможностей применения активных методов обучения и организации СРС на основе индивидуального подхода.

Любая лабораторная работа должна включать глубокую самостоятельную проработку теоретического материала, изучение методик проведения и планирование эксперимента, освоение измерительных средств, обработку и интерпретацию экспериментальных данных. При этом часть работ может не носить обязательный характер, а выполняться в рамках самостоятельной работы по курсу. В ряд работ целесообразно включить разделы с дополнительными элементами научных исследований, которые потребуют углубленной самостоятельной проработки теоретического материала.

Разработка комплекса методического обеспечения учебного процесса является важнейшим условием эффективности самостоятельной работы студентов. К такому комплексу следует отнести тексты лекций, учебные и методические пособия, лабораторные

практикумы, банки заданий и задач, сформулированных на основе реальных данных, банк расчетных, моделирующих, тренажерных программ и программ для самоконтроля, автоматизированные обучающие и контролирующие системы, информационные базы дисциплины или группы родственных дисциплин и другое. Это позволит организовать проблемное обучение, в котором студент является равноправным участником учебного процесса.

Результативность самостоятельной работы студентов во многом определяется наличием активных методов ее контроля. Существуют следующие виды контроля:

- входной контроль знаний и умений студентов при начале изучения очередной дисциплины;

- текущий контроль, то есть регулярное отслеживание уровня усвоения материала на лекциях, практических и лабораторных занятиях;

- промежуточный контроль по окончании изучения раздела или модуля курса;

- самоконтроль, осуществляемый студентом в процессе изучения дисциплины при подготовке к контрольным мероприятиям;

- итоговый контроль по дисциплине в виде зачета или экзамена;

- контроль остаточных знаний и умений спустя определенное время после завершения изучения дисциплины.

В последние годы наряду с традиционными формами контроля - коллоквиумами, зачетами, экзаменами достаточно широко вводятся новые методы, то есть организация самостоятельной работы студентов производится на основе современных образовательных технологий. В качестве такой технологии в современной практике высшего профессионального образования часто рассматривается рейтинговая система обучения, позволяющая студенту и преподавателю выступать в виде субъектов образовательной деятельности, т.е. являться партнерами.

Тестовый контроль знаний и умений студентов, который отличается объективностью, экономит время преподавателя, в значительной мере освобождает его от рутинной работы и позволяет в большей степени сосредоточиться на творческой части преподавания, обладает высокой степенью дифференциации испытуемых по уровню знаний и умений и очень эффективен при реализации рейтинговых систем, дает возможность в значительной мере индивидуализировать процесс обучения путем подбора индивидуальных заданий для

практических занятий, индивидуальной и самостоятельной работы, позволяет прогнозировать темпы и результативность обучения каждого студента.

Тестирование помогает преподавателю выявить структуру знаний студентов и на этой основе переоценить методические подходы к обучению по дисциплине, индивидуализировать процесс обучения. Весьма эффективно использование тестов непосредственно в процессе обучения, при самостоятельной работе студентов. В этом случае студент сам проверяет свои знания. Не ответив сразу на тестовое задание, студент получает подсказку, разъясняющую логику задания и выполняет его второй раз.

Следует отметить и все шире проникающие в учебный процесс автоматизированные обучающие и обучающе-контролирующие системы, которые позволяют студенту самостоятельно изучать ту или иную дисциплину и одновременно контролировать уровень усвоения материала.

Методические рекомендации для студентов по отдельным формам самостоятельной работы.

С первых же сентябрьских дней на студента обрушивается громадный объем информации, которую необходимо усвоить. Нужный материал содержится не только в лекциях (запомнить его – это только малая часть задачи), но и в учебниках, книгах, статьях. Порой возникает необходимость привлекать информационные ресурсы Интернет.

Система вузовского обучения подразумевает значительно большую самостоятельность студентов в планировании и организации своей деятельности. Вчерашнему школьнику сделать это бывает весьма непросто: если в школе ежедневный контроль со стороны учителя заставлял постоянно и систематически готовиться к занятиям, то в вузе вопрос об уровне знаний вплотную встает перед студентом только в период сессии. Такая ситуация оборачивается для некоторых соблазном весь семестр посвятить свободному времяпрепровождению («когда будет нужно – выучу!»), а когда приходит пора экзаменов, материала, подлежащего усвоению, оказывается так много, что никакая память не способна с ним справиться в оставшийся промежуток времени.

Работа с книгой.

При работе с книгой необходимо подобрать литературу, научиться правильно ее читать, вести записи. Для подбора литературы в библиотеке используются алфавитный и систематический каталоги.

Важно помнить, что рациональные навыки работы с книгой - это всегда большая экономия времени и сил.

Правильный подбор учебников рекомендуется преподавателем, читающим лекционный курс. Необходимая литература может быть также указана в методических разработках по данному курсу.

Изучая материал по учебнику, следует переходить к следующему вопросу только после правильного уяснения предыдущего, описывая на бумаге все выкладки и вычисления (в том числе те, которые в учебнике опущены или на лекции даны для самостоятельного вывода).

При изучении любой дисциплины большую и важную роль играет самостоятельная индивидуальная работа.

Особое внимание следует обратить на определение основных понятий курса. Студент должен подробно разбирать примеры, которые поясняют такие определения, и уметь строить аналогичные примеры самостоятельно. Нужно добиваться точного представления о том, что изучаешь. Полезно составлять опорные конспекты. При изучении материала по учебнику полезно в тетради (на специально отведенных полях) дополнять конспект лекций. Там же следует отмечать вопросы, выделенные студентом для консультации с преподавателем.

Выводы, полученные в результате изучения, рекомендуется в конспекте выделять, чтобы они при перечитывании записей лучше запоминались.

Опыт показывает, что многим студентам помогает составление листа опорных сигналов, содержащего важнейшие и наиболее часто употребляемые формулы и понятия. Такой лист помогает запомнить формулы, основные положения лекции, а также может служить постоянным справочником для студента.

Различают два вида чтения; первичное и вторичное. Первичное - эти внимательное, неторопливое чтение, при котором можно остановиться на трудных местах. После него не должно остаться ни одного непонятного олова. Содержание не всегда может быть понятно после первичного чтения.

Задача вторичного чтения полное усвоение смысла целого (по счету это чтение может быть и не вторым, а третьим или четвертым).

Правила самостоятельной работы с литературой.

Как уже отмечалось, самостоятельная работа с учебниками и книгами (а также самостоятельное теоретическое исследование проблем, обозначенных преподавателем на

лекциях) – это важнейшее условие формирования у себя научного способа познания. Основные советы здесь можно свести к следующим:

• Составить перечень книг, с которыми Вам следует познакомиться; «не старайтесь запомнить все, что вам в ближайшее время не понадобится, – советует студенту и молодому ученому Г. Селье, – запомните только, где это можно отыскать» (Селье, 1987. С. 325).

• Сам такой перечень должен быть систематизированным (что необходимо для семинаров, что для экзаменов, что пригодится для написания курсовых и дипломных работ, а что Вас интересует за рамками официальной учебной деятельности, то есть что может расширить Вашу общую культуру...).

• Обязательно выписывать все выходные данные по каждой книге (при написании курсовых и дипломных работ это позволит очень сэкономить время).

• Разобраться для себя, какие книги (или какие главы книг) следует прочитать более внимательно, а какие – просто просмотреть.

• При составлении перечней литературы следует посоветоваться с преподавателями и научными руководителями (или даже с более подготовленными и эрудированными сокурсниками), которые помогут Вам лучше сориентироваться, на что стоит обратить большее внимание, а на что вообще не стоит тратить время...

•Естественно, все прочитанные книги, учебники и статьи следует конспектировать, но это не означает, что надо конспектировать «все подряд»: можно выписывать кратко основные идеи автора и иногда приводить наиболее яркие и показательные цитаты (с указанием страниц).

• Если книга – Ваша собственная, то допускается делать на полях книги краткие пометки или же в конце книги, на пустых страницах просто сделать свой «предметный указатель», где отмечаются наиболее интересные для Вас мысли и обязательно указываются страницы в тексте автора (это очень хороший совет, позволяющий экономить время и быстро находить «избранные» места в самых разных книгах).

• Если Вы раньше мало работали с научной литературой, то следует выработать в себе способность «воспринимать» сложные тексты; для этого лучший прием – научиться «читать медленно», когда Вам понятно каждое прочитанное слово (а если слово незнакомое, то либо с помощью словаря, либо с помощью преподавателя обязательно его узнать), и это может занять немалое время (у кого-то – до нескольких недель и даже месяцев); опыт

показывает, что после этого студент каким-то «чудом» начинает буквально заглатывать книги и чуть ли не видеть «сквозь обложку», стоящая это работа или нет...

• «Либо читайте, либо перелистывайте материал, но не пытайтесь читать быстро... Если текст меня интересует, то чтение, размышление и даже фантазирование по этому поводу сливаются в единый процесс, в то время как вынужденное скорочтение не только не способствует качеству чтения, но и не приносит чувства удовлетворения, которое мы получаем, размышляя о прочитанном», – советует Г. Селье (Селье, 1987. – С. 325-326).

• Есть еще один эффективный способ оптимизировать знакомство с научной литературой – следует увлечься какой-то идеей и все книги просматривать с точки зрения данной идеи. В этом случае студент (или молодой ученый) будет как бы искать аргументы «за» или «против» интересующей его идеи, и одновременно он будет как бы общаться с авторами этих книг по поводу своих идей и размышлений... Проблема лишь в том, как найти «свою» идею...

Чтение научного текста является частью познавательной деятельности. Ее цель – извлечение из текста необходимой информации. От того на сколько осознанна читающим собственная внутренняя установка при обращении к печатному слову (найти нужные сведения, усвоить информацию полностью или частично, критически проанализировать материал и т.п.) во многом зависит эффективность осуществляемого действия.

Выделяют четыре основные установки в чтении научного текста:

- информационно-поисковый (задача – найти, выделить искомую информацию)
- усваивающая (усилия читателя направлены на то, чтобы как можно полнее осознать и запомнить как сами сведения излагаемые автором, так и всю логику его рассуждений)
- аналитико-критическая (читатель стремится критически осмыслить материал, проанализировав его, определив свое отношение к нему)
- творческая (создает у читателя готовность в том или ином виде – как отправной пункт для своих рассуждений, как образ для действия по аналогии и т.п. – использовать суждения автора, ход его мыслей, результат наблюдения, разработанную методику, дополнить их, подвергнуть новой проверке).

С наличием различных установок обращения к научному тексту связано существование и нескольких ***видов чтения***:

1. библиографическое – просматривание карточек каталога, рекомендательных списков, сводных списков журналов и статей за год и т.п.;

2. просмотровое – используется для поиска материалов, содержащих нужную информацию, обычно к нему прибегают сразу после работы со списками литературы и каталогами, в результате такого просмотра читатель устанавливает, какие из источников будут использованы в дальнейшей работе;

3. ознакомительное – подразумевает сплошное, достаточно подробное прочтение отобранных статей, глав, отдельных страниц, цель – познакомиться с характером информации, узнать, какие вопросы вынесены автором на рассмотрение, провести сортировку материала;

4. изучающее – предполагает доскональное освоение материала; в ходе такого чтения проявляется доверие читателя к автору, готовность принять изложенную информацию, реализуется установка на предельно полное понимание материала;

5. аналитико-критическое и творческое чтение – два вида чтения близкие между собой тем, что участвуют в решении исследовательских задач. Первый из них предполагает направленный критический анализ, как самой информации, так и способов ее получения и подачи автором; второе – поиск тех суждений, фактов, по которым или в связи с которыми, читатель считает нужным высказать собственные мысли.

Из всех рассмотренных видов чтения основным для студентов является изучающее – именно оно позволяет в работе с учебной литературой накапливать знания в различных областях. Вот почему именно этот вид чтения в рамках учебной деятельности должен быть освоен в первую очередь. Кроме того, при овладении данным видом чтения формируются основные приемы, повышающие эффективность работы с научным текстом.

Основные виды систематизированной записи прочитанного:

1. Аннотирование – предельно краткое связное описание просмотренной или прочитанной книги (статьи), ее содержания, источников, характера и назначения;

2. Планирование – краткая логическая организация текста, раскрывающая содержание и структуру изучаемого материала;

3. Тезирование – лаконичное воспроизведение основных утверждений автора без привлечения фактического материала;

4. Цитирование – дословное выписывание из текста выдержек, извлечений, наиболее существенно отражающих ту или иную мысль автора;

5. Конспектирование – краткое и последовательное изложение содержания прочитанного.

Конспект – сложный способ изложения содержания книги или статьи в логической последовательности. Конспект аккумулирует в себе предыдущие виды записи, позволяет всесторонне охватить содержание книги, статьи. Поэтому умение составлять план, тезисы, делать выписки и другие записи определяет и технологию составления конспекта.

Методические рекомендации по составлению конспекта:

1. Внимательно прочитайте текст. Уточните в справочной литературе непонятные слова. При записи не забудьте вынести справочные данные на поля конспекта;

2. Выделите главное, составьте план;

3. Кратко сформулируйте основные положения текста, отметьте аргументацию автора;

4. Законспектируйте материал, четко следуя пунктам плана. При конспектировании старайтесь выразить мысль своими словами. Записи следует вести четко, ясно.

5. Грамотно записывайте цитаты. Цитируя, учитывайте лаконичность, значимость мысли.

В тексте конспекта желательно приводить не только тезисные положения, но и их доказательства. При оформлении конспекта необходимо стремиться к емкости каждого предложения. Мысли автора книги следует излагать кратко, заботясь о стиле и выразительности написанного. Число дополнительных элементов конспекта должно быть логически обоснованным, записи должны распределяться в определенной последовательности, отвечающей логической структуре произведения. Для уточнения и дополнения необходимо оставлять поля.

Овладение навыками конспектирования требует от студента целеустремленности, повседневной самостоятельной работы.

Выполняя самостоятельную работу под контролем преподавателя

студент должен:

– освоить минимум содержания, выносимый на самостоятельную работу студентов и предложенный преподавателем в соответствии с Государственными образовательными стандартами высшего профессионального образования (ГОС ВПО/ГОС СПО) по данной дисциплине.

– планировать самостоятельную работу в соответствии с графиком самостоятельной работы, предложенным преподавателем.

– самостоятельную работу студент должен осуществлять в организационных формах, предусмотренных учебным планом и рабочей программой преподавателя.

– выполнять самостоятельную работу и отчитываться по ее результатам в соответствии с графиком представления результатов, видами и сроками отчетности по самостоятельной работе студентов.

студент может:

сверх предложенного преподавателем (при обосновании и согласовании с ним) и минимума обязательного содержания, определяемого ГОС ВПО/ГОС СПО по данной дисциплине:

– самостоятельно определять уровень (глубину) проработки содержания материала;

– предлагать дополнительные темы и вопросы для самостоятельной проработки;

– в рамках общего графика выполнения самостоятельной работы предлагать обоснованный индивидуальный график выполнения и отчетности по результатам самостоятельной работы;

– предлагать свои варианты организационных форм самостоятельной работы;

– использовать для самостоятельной работы методические пособия, учебные пособия, разработки сверх предложенного преподавателем перечня;

– использовать не только контроль, но и самоконтроль результатов самостоятельной работы в соответствии с методами самоконтроля, предложенными преподавателем или выбранными самостоятельно.

Самостоятельная работа студентов должна оказывать важное влияние на формирование личности будущего специалиста, она планируется студентом самостоятельно. Каждый студент самостоятельно определяет режим своей работы и меру труда, затрачиваемого на овладение учебным содержанием по каждой дисциплине. Он выполняет внеаудиторную работу по личному индивидуальному плану, в зависимости от его подготовки, времени и других условий.

6. Деятельность студентов по формированию и развитию навыков учебной самостоятельной работы

В процессе самостоятельной работы студент приобретает навыки самоорганизации, самоконтроля, самоуправления, саморефлексии и становится активным самостоятельным субъектом учебной деятельности.

Основной формой самостоятельной работы студента является изучение конспекта лекций, их дополнение, рекомендованной литературы, активное участие на практических и семинарских занятиях. Но для успешной учебной деятельности, ее интенсификации, необходимо учитывать следующие субъективные факторы:

1. Знание школьного программного материала, наличие прочной системы зияний, необходимой для усвоения основных вузовских курсов. Это особенно важно для математических дисциплин. Необходимо отличать пробелы в знаниях, затрудняющие усвоение нового материала, от малых способностей. Затратив силы на преодоление этих пробелов, студент обеспечит себе нормальную успеваемость и поверит в свои способности.

2. Наличие умений, навыков умственного труда:

а) умение конспектировать на лекции и при работе с книгой;

б) владение логическими операциями: сравнение, анализ, синтез, обобщение, определение понятий, правила систематизации и классификации.

3. Специфика познавательных психических процессов: внимание, память, речь, наблюдательность, интеллект и мышление. Слабое развитие каждого из них становится серьезным препятствием в учебе.

4. Хорошая работоспособность, которая обеспечивается нормальным физическим состоянием. Ведь серьезное учение - это большой многосторонний и разнообразный труд. Результат обучения оценивается не количеством сообщаемой информации, а качеством ее усвоения, умением ее использовать и развитием у себя способности к дальнейшему самостоятельному образованию.

5. Соответствие избранной деятельности, профессии индивидуальным способностям. Необходимо выработать у себя умение саморегулировать свое эмоциональное состояние и устранять обстоятельства, нарушающие деловой настрой, мешающие намеченной работе.

6. Овладение оптимальным стилем работы, обеспечивающим успех в деятельности. Чередование труда и пауз в работе, периоды отдыха, индивидуально обоснованная норма

продолжительности сна, предпочтение вечерних или утренних занятий, стрессоустойчивость на экзаменах и особенности подготовки к ним,

7. Уровень требований к себе, определяемый сложившейся самооценкой.

Адекватная оценка знаний, достоинств, недостатков - важная составляющая самоорганизации человека, без нее невозможна успешная работа по управлению своим поведением, деятельностью.

Одна из основных особенностей обучения в высшей школе заключается в том, что постоянный внешний контроль заменяется самоконтролем, активная роль в обучении принадлежит уже не столько преподавателю, сколько студенту.

Зная основные методы научной организации умственного труда, можно при наименьших затратах времени, средств и трудовых усилий достичь наилучших результатов.

Эффективность усвоения поступающей информации зависит от работоспособности человека в тот или иной момент его деятельности.

Работоспособность - способность человека к труду с высокой степенью напряженности в течение определенного времени. Различают внутренние и внешние факторы работоспособности.

К внутренним факторам работоспособности относятся интеллектуальные особенности, воля, состояние здоровья.

К внешним:

- организация рабочего места, режим труда и отдыха;
- уровень организации труда - умение получить справку и пользоваться информацией;
- величина умственной нагрузки.

Выдающийся русский физиолог Н. Е. Введенский выделил следующие условия продуктивности умственной деятельности:

- во всякий труд нужно входить постепенно;
- мерность и ритм работы. Разным людям присущ более или менее разный темп работы;
- привычная последовательность и систематичность деятельности;
- правильное чередование труда и отдыха.

Отдых не предполагает обязательного полного бездействия со стороны человека, он может быть достигнут простой переменой дела. В течение дня работоспособность изменяется. Наиболее плодотворным является *утреннее время (с 8 до 14 часов),* причем

максимальная работоспособность приходится на период с 10 до 13 часов, затем *послеобеденное* - (с 16 до 19 часов) и *вечернее* (с 20 до 24 часов). Очень трудный для понимания материал лучше изучать в начале каждого отрезка времени (лучше всего утреннего) после хорошего отдыха. Через 1-1,5 часа нужны перерывы по 10 - 15 мин, через 3 - 4 часа работы отдых должен быть продолжительным - около часа.

Составной частью научной организации умственного труда является овладение техникой умственного труда.

Физически здоровый молодой человек, обладающий хорошей подготовкой и нормальными способностями, должен, будучи студентом, отдавать *учению 9-10 часов в день* (из них 6 часов в вузе и 3 - 4 часа дома). Любой предмет нельзя изучить за несколько дней перед экзаменом. Если студент в году работает систематически, то он быстро все вспомнит, восстановит забытое. Если же подготовка шла аврально, то у студента не будет даже общего представления о предмете, он забудет все сданное.

Следует взять за правило: *учиться ежедневно, начиная с первого дня семестра*.

Время, которым располагает студент для выполнения учебного плана, складывается из двух составляющих: одна из них - это аудиторная работа в вузе по расписанию занятий, другая - внеаудиторная самостоятельная работа. Задания и материалы для самостоятельной работы выдаются во время учебных занятий по расписанию, на этих же занятиях преподаватель осуществляет контроль за самостоятельной работой, а также оказывает помощь студентам по правильной организации работы.

Чтобы выполнить весь объем самостоятельной работы, необходимо заниматься по 3 - 5 часов ежедневно. Начинать самостоятельные внеаудиторные занятия следует с первых же дней семестра, пропущенные дни будут потеряны безвозвратно, компенсировать их позднее усиленными занятиями без снижения качества работы и ее производительности невозможно. Первые дни семестра очень важны для того, чтобы включиться в работу, установить определенный порядок, равномерный ритм на весь семестр. Ритм в работе - это ежедневные самостоятельные занятия, желательно в одни и те же часы, при целесообразном чередовании занятий с перерывами для отдыха. Вначале для того, чтобы организовать ритмичную работу, требуется сознательное напряжение воли. Как только человек втянулся в работу, принуждение снижается, возникает привычка, работа становится потребностью.

Если порядок в работе и ее ритм установлены правильно, то студент изо дня в день может работать, не снижая своей производительности и не перегружая себя. Правильная смена одного вида работы другим позволяет отдыхать, не прекращая работы.

Таким образом, первая задача организации внеаудиторной самостоятельной работы – это составление расписания, которое должно отражать время занятий, их характер (теоретический курс, практические занятия, графические работы, чтение), перерывы на обед, ужин, отдых, сон, проезд и т.д. Расписание не предопределяет содержания работы, ее содержание неизбежно будет изменяться в течение семестра. Порядок же следует закрепить на весь семестр и приложить все усилия, чтобы поддерживать его неизменным (кроме исправления ошибок в планировании, которые могут возникнуть из-за недооценки объема работы или переоценки своих сил).

При однообразной работе человек утомляется больше, чем при работе разного характера. Однако не всегда целесообразно заниматься многими учебными дисциплинами в один и тот же день, так как при каждом переходе нужно вновь сосредоточить внимание, что может привести к потере времени. Наиболее целесообразно ежедневно работать не более чем над двумя-тремя дисциплинами.

Начиная работу, не нужно стремиться делать вначале самую тяжелую ее часть, надо выбрать что-нибудь среднее по трудности, затем перейти к более трудной работе. И напоследок оставить легкую часть, требующую не столько больших интеллектуальных усилий, сколько определенных моторных действий (черчение, построение графиков и т.п.).

Самостоятельные занятия потребуют интенсивного умственного труда, который необходимо не только правильно организовать, но и стимулировать. При этом очень важно уметь поддерживать устойчивое внимание к изучаемому материалу. Выработка внимания требует значительных волевых усилий. Именно поэтому, если студент замечает, что он часто отвлекается во время самостоятельных занятий, ему надо заставить себя сосредоточиться. Подобную процедуру необходимо проделывать постоянно, так как это является тренировкой внимания. Устойчивое внимание появляется тогда, когда человек относится к делу с интересом.

Следует правильно организовать свои занятия по времени: 50 минут - работа, 5-10 минут - перерыв; после 3 часов работы перерыв - 20-25 минут. Иначе нарастающее утомление повлечет неустойчивость внимания. Очень существенным фактором, влияющим на повышение умственной работоспособности, являются систематические занятия

физической культурой. Организация активного отдыха предусматривает чередование умственной и физической деятельности, что полностью восстанавливает работоспособность человека.

Самопроверка.

После изучения определенной темы по записям в конспекте и учебнику, а также решения достаточного количества соответствующих задач на практических занятиях и самостоятельно студенту рекомендуется, используя лист опорных сигналов, воспроизвести по памяти определения, выводы формул, формулировки основных положений и доказательств.

В случае необходимости нужно еще раз внимательно разобраться в материале.

Иногда недостаточность усвоения того или иного вопроса выясняется только при изучении дальнейшего материала. В этом случае надо вернуться назад и повторить плохо усвоенный материал. Важный критерий усвоения теоретического материала - умение решать задачи или пройти тестирование по пройденному материалу. Однако следует помнить, что правильное решение задачи может получиться в результате применения механически заученных формул без понимания сущности теоретических положений.

Консультации

Если в процессе самостоятельной работы над изучением теоретического материала или при решении задач у студента возникают вопросы, разрешить которые самостоятельно не удается, необходимо обратиться к преподавателю для получения у него разъяснений или указаний. В своих вопросах студент должен четко выразить, в чем он испытывает затруднения, характер этого затруднения. За консультацией следует обращаться и в случае, если возникнут сомнения в правильности ответов на вопросы самопроверки.

Подготовка к экзаменам и зачетам.

Изучение многих общепрофессиональных и специальных дисциплин завершается экзаменом. Подготовка к экзамену способствует закреплению, углублению и обобщению знаний, получаемых, в процессе обучения, а также применению их к решению практических задач. Готовясь к экзамену, студент ликвидирует имеющиеся пробелы в знаниях, углубляет, систематизирует и упорядочивает свои знания. На экзамене студент демонстрирует то, что он приобрел в процессе обучения по конкретной учебной дисциплине.

Экзаменационная сессия - это серия экзаменов, установленных учебным планом. Между экзаменами интервал 3-4 дня. Не следует думать, что 3-4 дня достаточно для успешной подготовки к экзаменам.

В эти 3-4 дня нужно систематизировать уже имеющиеся знания. На консультации перед экзаменом студентов познакомят с основными требованиями, ответят на возникшие у них вопросы. Поэтому посещение консультаций обязательно.

Требования к организации подготовки к экзаменам те же, что и при занятиях в течение семестра, но соблюдаться они должны более строго. Во-первых, очень важно соблюдение режима дня; сон не менее 8 часов в сутки, занятия заканчиваются не позднее, чем за 2-3 часа до сна. Оптимальное время занятий, особенно по математике - утренние и дневные часы. В перерывах между занятиями рекомендуются прогулки на свежем воздухе, неутомительные занятия спортом. Во-вторых, наличие хороших собственных конспектов лекций. Даже в том случае, если была пропущена какая-либо лекция, необходимо во время ее восстановить (переписать ее на кафедре), обдумать, снять возникшие вопросы для того, чтобы запоминание материала было осознанным. В-третьих, при подготовке к экзаменам у студента должен быть хороший учебник или конспект литературы, прочитанной по указанию преподавателя в течение семестра. Здесь можно эффективно использовать листы опорных сигналов.

Вначале следует просмотреть весь материал по сдаваемой дисциплине, отметить для себя трудные вопросы. Обязательно в них разобраться. В заключение еще раз целесообразно повторить основные положения, используя при этом листы опорных сигналов.

Систематическая подготовка к занятиям в течение семестра позволит использовать время экзаменационной сессии для систематизации знаний.

Правила подготовки к зачетам и экзаменам:

• Лучше сразу сориентироваться во всем материале и обязательно расположить весь материал согласно экзаменационным вопросам (или вопросам, обсуждаемым на семинарах), эта работа может занять много времени, но все остальное – это уже технические детали (главное – это ориентировка в материале!).

• Сама подготовка связана не только с «запоминанием». Подготовка также предполагает и переосмысление материала, и даже рассмотрение альтернативных идей.

• Готовить «шпаргалки» полезно, но пользоваться ими рискованно. Главный смысл подготовки «шпаргалок» – это систематизация и оптимизация знаний по данному предмету,

что само по себе прекрасно – это очень сложная и важная для студента работа, более сложная и важная, чем простое поглощение массы учебной информации. Если студент самостоятельно подготовил такие «шпаргалки», то, скорее всего, он и экзамены сдавать будет более уверенно, так как у него уже сформирована общая ориентировка в сложном материале.

• Как это ни парадоксально, но использование «шпаргалок» часто позволяет отвечающему студенту лучше демонстрировать свои познания (точнее – ориентировку в знаниях, что намного важнее знания «запомненного» и «тут же забытого» после сдачи экзамена).

• Сначала студент должен продемонстрировать, что он «усвоил» все, что требуется по программе обучения (или по программе данного преподавателя), и лишь после этого он вправе высказать иные, желательно аргументированные точки зрения.

Правила написания научных текстов:

• Важно разобраться сначала, какова истинная цель Вашего научного текста - это поможет Вам разумно распределить свои силы, время и.

• Важно разобраться, кто будет «читателем» Вашей работы.

• Писать серьезные работы следует тогда, когда есть о чем писать и когда есть настроение поделиться своими рассуждениями.

• Как создать у себя подходящее творческое настроение для работы над научным текстом (как найти «вдохновение»)? Во-первых, должна быть идея, а для этого нужно научиться либо относиться к разным явлениям и фактам несколько критически (своя идея – как иная точка зрения), либо научиться увлекаться какими-то известными идеями, которые нуждаются в доработке (идея – как оптимистическая позиция и направленность на дальнейшее совершенствование уже известного). Во-вторых, важно уметь отвлекаться от окружающей суеты (многие талантливые люди просто «пропадают» в этой суете), для чего важно уметь выделять важнейшие приоритеты в своей учебно-исследовательской деятельности. В-третьих, научиться организовывать свое время, ведь, как известно, свободное (от всяких глупостей) время – важнейшее условие настоящего творчества, для него наконец-то появляется время. Иногда именно на организацию такого времени уходит немалая часть сил и талантов.

• Писать следует ясно и понятно, стараясь основные положения формулировать четко и недвусмысленно (чтобы и самому понятно было), а также стремясь структурировать свой

текст. Каждый раз надо представлять, что ваш текст будет кто-то читать и ему захочется сориентироваться в нем, быстро находить ответы на интересующие вопросы (заодно представьте себя на месте такого человека). Понятно, что работа, написанная «сплошным текстом» (без заголовков, без выделения крупным шрифтом наиболее важным мест и т, п.), у культурного читателя должна вызывать брезгливость и даже жалость к автору (исключения составляют некоторые древние тексты, когда и жанр был иной и к текстам относились иначе, да и самих текстов было гораздо меньше – не то, что в эпоху «информационного взрыва» и соответствующего «информационного мусора»).

• Объем текста и различные оформительские требования во многом зависят от принятых в конкретном учебном заведении порядков.

.

7. Требования к учебно-методическому обеспечению самостоятельной работы студентов

Для нормальной самостоятельной работы студент должен быть обеспечен достаточным количеством учебных пособий разного вида. Чем более разнообразны учебные пособия, тем более успешна будет самостоятельная работа студента, так как каждый может выбрать себе учебное пособие по силам, по склонностям, по материальным возможностям. Должны быть пособия краткие и подробные, с неглубокими и глубокими теоретическими обоснованиями, теоретического и практического содержания. Нужны справочники, конспекты-справочники, учебники. Часть учебных пособий должна находиться в учебной студенческой библиотеке, часть пособий студент должен иметь возможность купить для личного пользования в книжном магазине учебного заведения. Основная часть учебных пособий должна быть в бумажном виде (книги, брошюры, чертежи и т.д.).

Наряду с ними нужно создавать, накапливать в учебных фондах и продавать учебные пособия электронного вида. Этот вид учебных пособий в обозримом будущем не может стать основным и вряд ли когда-нибудь станет. Это – вспомогательные, дополнительные учебные пособия, используемые в основном для заочного, дистанционного образования. Количество учебных пособий в учебном фонде библиотеки должно быть таким, чтобы каждый студент мог получить хотя бы один из рекомендованных учебников.

Многоуровневая система высшего образования должна предоставлять человеку условия для развития его потенциальных возможностей и наиболее полного удовлетворения потребности личности в самореализации. Поэтому на каждом из уровней подготовки самостоятельная работа студентов (СРС) есть обязательное условие, которое должно быть соблюдено для достижения проектируемых результатов обучения. Правильная (психологически и дидактически обоснованная) организация СРС при изучении каждой дисциплины – это один из основных педагогических путей развития и становления творческих качеств личности учащегося на каждом уровне обучения.

Из дидактики следует, что для непрерывного развития учащегося и становления его как творческой личности все элементы содержания образования (знания, умения и навыки, опыт творческой и оценочной деятельности), выделенные в рамках определенной дисциплины, должны быть им усвоены с установкой на перенос и активное использование. Поэтому на первом уровне обучения каждого студента по каждой учебной дисциплине нужно снабдить комплектом учебно-методических материалов, помогающих ему организовывать самостоятельную работу. В такой комплект обязательно должны входить: программа, адаптированная для студента; учебная литература (учебник, задачник, руководство по выполнению лабораторных работ); система заданий для самостоятельной работы студентов; методические указания по организации самостоятельной работы при выполнении заданий по разным видам занятий, включая и курсовые работы (проекты).

На втором и третьем уровнях обучения их следует снабдить методическими указаниями по выполнению выпускной работы, завершающей подготовку специалиста. Программа должна содержать: обоснование необходимости изучения дисциплины, написанное в убеждающей и понятной для студентов форме; четкую формулировку цели изучения и задач, которые должны быть решены для достижения общей цели; последовательность тем и разделов курса дисциплины, обязательных для данного направления подготовки; перечень видов деятельности, которые должен освоить студент, выполняя задания по дисциплине; перечни методологических и предметных знаний, общеобразовательных и специальных умений (с указанием уровня их усвоения), которыми необходимо овладеть в процессе изучения данной дисциплины; сроки и способы текущего, рубежного и итогового контроля уровня усвоения знаний сформированности умений.

Учебная литература по содержанию и последовательности представления материала должна соответствовать программе. Объем, научный уровень и стиль изложения должны

позволять каждому студенту самостоятельно усвоить приведенный в ней материал за время, отведенное на его изучение, и овладеть знаниями, умениями, видами деятельности, перечисленными в программе. Для обеспечения терминологической однозначности в системе знаний, усваиваемых студентом, каждое учебное пособие (или другой вид учебной литературы) должно содержать словарь основных терминов, используемых в нем.

Задания для самостоятельной работы должны быть конкретными. Их содержание, соответствуя программе, должно знакомить студентов с современными методами решения задач данной дисциплины.

Структура заданий должна соответствовать принципу доступности: от известного к неизвестному и от простого к сложному, а трудоемкость – времени, выделенному программой на самостоятельную работу по изучению данной темы. В заданиях следует указывать знания и умения, которыми должен овладеть студент по мере их выполнения. Кроме того, в них нужно включать вопросы для самоконтроля и взаимного контроля, тесты и контрольные вопросы для оценки и самооценки уровня усвоения знаний, сформированности умений.

Методические указания по организации СРС на каждом уровне обучения должны способствовать непрерывному развитию у них рациональных приемов познавательной деятельности в процессе изучения конкретных дисциплин. Основное назначение всех методических указаний – дать возможность каждому студенту перейти от деятельности, выполняемой под руководством преподавателя, к деятельности, организуемой самостоятельно, к полной замене контроля со стороны преподавателя самоконтролем. Поэтому они должны содержать подробное описание рациональных приемов выполнения перечисленных видов деятельности, критериев оценки выполненных работ, а также рекомендации по эффективному использованию консультаций и по работе при подготовке и сдаче экзаменов.

Каждый из названных учебно-методических материалов влияет в большей степени на один из этапов усвоения знаний и видов деятельности, но одновременно способствует осуществлению других этапов и более полной реализации их задач.

Так, программа с четко выделенной целью и перечнем задач, влияющих на ее достижение, определяет мотивационный этап и способствует организации деятельности на всех остальных, указывая последовательность изучаемых разделов, сроки контроля. Учебная литература служит информационной основой, прежде всего для ориентировочного

этапа. В то же время работа с литературой усиливает мотивацию, если изложение материала по уровню сложности соответствует зоне ближайшего развития студента; помогает осуществлению исполнительского и контрольного этапов, если в ней указаны особенности выполнения заданий, даны контрольные вопросы.

Задания для самостоятельной работы организуют исполнительский этап, задавая последовательность видов деятельности, необходимых для усвоения знаний и приобретения умений. Так как задания содержат средства контроля, то они определяют и контрольный этап.

Вопросы и задачи в заданиях требуют от студента не только воспроизведения знаний, но и проявления творчества, формируют и развивают его опыт творческой деятельности. Это расширяет основы мотивации, усиливает и укрепляет ее. В целом содержание и структура заданий, отвечающих перечисленным требованиям, позволяет регулярно занимающимся студентам получать удовлетворение от самостоятельно выполненной работы. Такой эмоциональный фон, в свою очередь, формирует положительное отношение к выполненному делу, а через него – и к изучаемой дисциплине.

Методические указания по организации СРС способствуют грамотному и рациональному осуществлению исполнительского этапа, обеспечивают контрольный этап. Для этого виды деятельности, активно используемые при изучении дисциплины, должны быть подробно описаны в указаниях с выделением последовательности действий и даже операций. В этом случае сами виды деятельности становятся предметом изучения, что дает верное направление ориентировочному этапу и, безусловно, усиливает мотивацию обучения. Работа студентов с такими методическими указаниями позволяет им уже при изучении общенаучных дисциплин усвоить полную и обобщенную ориентировочную основу для каждого из таких видов деятельности, как работа с литературой, проведение эксперимента, решение задач.

Таким образом, создание для каждой учебной дисциплины рассмотренного комплекта учебно-методических материалов обеспечивает обязательные этапы усвоения знаний, видов деятельности, опыта творчества, Снабжение таким комплектом каждого студента – необходимое условие полной реализации в процессе обучения всех возможностей СРС как вида познавательной деятельности, метода и средства учения и преподавания.

8. Самостоятельная работа студента - необходимое звено становления исследователя и специалиста

Прогресс науки и техники, информационных технологий приводит к значительному увеличению научной информации, что предъявляет более высокие требования не только к моральным, нравственным свойствам человека, но и в особенности, постоянно возрастающие требования в области образования – обновление, модернизация общих и профессиональных знаний, умений специалиста.

Всякое образование должно выступать как динамический процесс, присущий человеку и продолжающийся всю его жизнь. Овладение научной мыслью и языком науки является необходимой составляющей в самоорганизации будущего специалиста исследователя. Под этим понимается не столько накопление знаний, сколько овладение научно обоснованными способами их приобретения. В этом, вообще говоря, состоит основная задача вуза.

Специфика вузовского учебного процесса, в организации которого самостоятельной работе студента отводятся все больше места, состоит в том, что он является как будто бы последним и самым адекватным звеном для реализации этой задачи. Ибо во время учебы в вузе происходит выработка стиля, навыков учебной (познавательной) деятельности, рациональный характер которых будет способствовать постоянному обновлению знаний высококвалифицированного выпускника вуза.

Однако до этом пути существуют определенные трудности, в частности, переход студента от синтетического процесса обучения в средней школе, к аналитическому в высшей. Это связано как с новым содержанием обучения (расширение общего образования и углубление профессиональной подготовки), так и с новыми, неизвестными до сих пор формами: обучения (лекции, семинары, лабораторные занятия и т.д.). Студент получает не только знания, предусмотренные программой и учебными пособиями, но он также должен познакомиться со способами приобретения знаний так, чтобы суметь оценить, что мы знаем, откуда мы это знаем и как этого знания мы достигли. Ко всему этому приходят через собственную самостоятельную работу.

Это и потому, что самостоятельно приобретенные знания являются более оперативными, они становятся личной собственностью, а также мотивом поведения, развивают интеллектуальные черты, внимание, наблюдательность, критичность, умение

оценивать. Роль преподавателя в основном заключается в руководстве накопления знаний (по отношению к первокурсникам), а в последующие годы учебы, на старших курсах, в совместном установлении проблем и заботе о самостоятельных поисках студента, а также контролирования за их деятельностью. Отметим, что нельзя ограничиваться только приобретением знаний предусмотренных программой изучаемой дисциплины, надо постоянно углублять полученные знания, сосредотачивая их на какой-нибудь узкой определенной области, соответствующей интересам студента. Углубленное изучение всех предметов, предусмотренных программой, на практике является возможным, и хорошая организация работы позволяет экономить время, что создает условия для глубокого, систематического, заинтересованного изучения самостоятельно выбранной студентом темы.

Конечно, все советы, примеры, рекомендации в этой области, даваемые преподавателем, или определенными публикациями, или другими источниками, не гарантируют никакого успеха без проявления собственной активности в этом деле, т.е. они не дают готовых рецептов, а должны способствовать анализу собственной работы, ее целей, организации в соответствии с индивидуальными особенностями. Учитывая личные возможности, существующие условия жизни и работы, навыки, на основе этих рекомендаций, возможно, выработать индивидуально обоснованную совокупность методов, способов, найти свой стиль или усовершенствовать его, чтобы изучив определенный материал, иметь время оценить его значимость, пригодность и возможности его применения, чтобы, в конечном счете, обеспечить успешность своей учебе с будущей профессиональной деятельности.

Список используемой литературы

1. ФЕДЕРАЛЬНЫЙ ГОСУДАРСТВЕННЫЙ ОБРАЗОВАТЕЛЬНЫЙ СТАНДАРТ ВЫСШЕГО ОБРАЗОВАНИЯ ПО НАПРАВЛЕНИЮ ПОДГОТОВКИ (СПЕЦИАЛЬНОСТИ) 21.05.04 ГОРНОЕ ДЕЛО (УРОВЕНЬ СПЕЦИАЛИТЕТА)

2. Методические рекомендации для студентов по организации самостоятельной работы./ ГОУ ВПО «Московский государственный гуманитарный университет им. М.А. Шолохова». 2010г.

МИНОБРНАУКИ РФ

ФГБОУ ВО «Уральский государственный горный университет»

УТВЕРЖДАЮ
Проректор по учебно-методическому комплексу
_____ С.А.Упоров

МЕТОДИЧЕСКИЕ РЕКОМЕНДАЦИИ К САМОСТОЯТЕЛЬНОЙ РАБОТЕ ПО ДИСЦИПЛИНЕ

Б1.О.21 ОСНОВЫ ГИДРОГЕОЛОГИИ И ИНЖЕНЕРНОЙ ГЕОЛОГИИ

Специальность:
21.05.02 Прикладная геология

Специализация:
Геология месторождений нефти и газа

форма обучения: очная

Автор: Антонова И.А., к.г.-м.н.

Одобрены на заседании кафедры
Гидрогеологии, инженерной геологии и геоэкологии
(название кафедры)
Зав. кафедрой _____
(подпись)
д.т.н., проф. Тагильцев С.Н.
(Фамилия И.О.)
Протокол № 21 от 17.09.2020
(Дата)

Рассмотрены методической комиссией
факультета геологии и геофизики
(название факультета)
Председатель _____
(подпись)
д.г.-м.н., проф. Бондарев В.И.
(Фамилия И.О.)
Протокол № 2 от 13.10.2020
(Дата)

Екатеринбург

Методические указания по дисциплине согласованы с выпускающей кафедрой литологии и геологии горючих ископаемых

Заведующий кафедрой ЛГГИ _____к.г.-м.н., С.А. Рыльков____

ОГЛАВЛЕНИЕ

	Введение	3
1.	Общие положения	4
2.	Самостоятельная работа студентов, обеспечивающая подготовку к аудиторным занятиям	7
	2.1. Повторение материала лекций	7
	2.2. Самостоятельное изучение тем курса	8
	2.3. Подготовка к практическим и лабораторным работам	8
3.	Другие виды самостоятельной работы	8
	3.1. Подготовка к зачёту	8

Введение

Самостоятельная работа в современном образовательном процессе рассматривается как форма организации обучения, которая способна обеспечивать самостоятельный поиск необходимой информации, творческое восприятие и осмысление учебного материала в ходе аудиторных занятий, разнообразные формы познавательной деятельности студентов на занятиях и во внеаудиторное время, развитие аналитических способностей, навыков контроля и планирования учебного времени, выработку умений и навыков рациональной организации учебного труда.

Таким образом, самостоятельная работа – форма организации образовательного процесса, стимулирующая активность, самостоятельность, познавательный интерес студентов.

В методических указаниях рассматриваются вопросы организации самостоятельной работы для студентов Уральского государственного горного университета.

Методическое указание включает три главы, которые логически связаны друг с другом. Первая глава знакомит читателя с теоретическими основами самостоятельной работы студентов и особенностями подготовки к ней в вузе. Во второй и третьей главах представлен материал, который содержит информацию о видах самостоятельной работы по данной дисциплине, а также об источниках информации для осуществления самостоятельной работы. Эмпирической основой разработки системы критериев и показателей оценки форм самостоятельной работы стал практический опыт работы преподавателей кафедры геодезии и кадастров.

1. ОБЩИЕ ПОЛОЖЕНИЯ

Самостоятельная работа студентов всех форм и видов обучения является одним из обязательных видов образовательной деятельности, обеспечивающей реализацию требований Федеральных государственных стандартов высшего образования (ФГОС), созданных на основе Федерального закона от 29.12.2012 г. № 273-ФЗ «Об образовании в Российской Федерации».

Конкретные требования к самостоятельной работе студентов определяются в Федеральных государственных образовательных стандартах высшего образования по направлению.

Нормативные требования к самостоятельной работе студентов дополняются документами локального характера: Уставом Уральского государственного горного университета, рабочей программой дисциплины.

Согласно требованиям нормативных документов, самостоятельная работа студентов является обязательным компонентом образовательного процесса, так как она обеспечивает закрепление получаемых на лекционных занятиях знаний путем приобретения навыков осмысления и расширения их содержания, навыков решения актуальных проблем формирования общекультурных и профессиональных компетенций, подготовки к практическим занятиям, сдаче зачета и экзамена.

Самостоятельная работа студентов представляет собой совокупность внеаудиторных занятий и работ, обеспечивающих успешное освоение образовательной программы высшего образования в соответствии с требованиями ФГОС.

Навыки самостоятельной работы по освоению каких-либо знаний приобретаются человеком с раннего детства и развиваются в течение всей жизни. К началу обучения в вузе каждый студент имеет личный опыт и навыки организации собственных действий, полученные в процессе обучения в школе, учреждениях дополнительного образования, во время внешкольных занятий и в

быту. Однако при обучении в вузе требования к организации самостоятельной работы существенно возрастают, так как они связаны с освоением сложных общекультурных и профессиональных компетенций.

Практика показывает, что студенты различаются по уровню готовности к реализации требований к самостоятельной работе. Выделяются две основные группы студентов. Первая характеризуется тем, что ее представители ориентированы на выполнение заданий самостоятельной работы и обладают универсальными учебными компетенциями, позволяющими успешно справиться с требованиями к ее выполнению (умением понимать и запоминать приобретаемую информацию, логически мыслить, воспроизводить материал письменно и устно, проводить измерения, вычисления, проектировать и т. д.). Студенты второй группы не имеют устойчивой ориентации на постоянное выполнение самостоятельной работы при освоении учебного материала и отличаются низким уровнем развития универсальных учебных компетенций и навыков самоорганизации.

Самостоятельная работа в рамках образовательного процесса в вузе решает следующие *задачи:*

- закрепление и расширение знаний, умений, полученных студентами во время аудиторных и внеаудиторных занятий, превращение их в стереотипы умственной и физической деятельности;

- приобретение дополнительных знаний и навыков по дисциплинам учебного плана;

- формирование и развитие знаний и навыков, связанных с научно-исследовательской деятельностью;

- развитие ориентации и установки на качественное освоение образовательной программы;

- развитие навыков самоорганизации;

- формирование самостоятельности мышления, способности к саморазвитию, самосовершенствованию и самореализации;

- выработка навыков эффективной самостоятельной профессиональной теоретической, практической и учебно-исследовательской деятельности.

Для реализации задач самостоятельной работы студентов и ее осуществления необходим *ряд условий*, которые обеспечивает университет:

- наличие материально-технической базы;

- наличие необходимого фонда информации для самостоятельной работы студентов и возможности работы с ним в аудиторное и внеаудиторное время;

- наличие помещений для выполнения конкретных заданий, входящих в самостоятельную работу студентов;

- обоснованность содержания заданий, входящих в самостоятельную работу студентов;

- связь самостоятельной работы с рабочими программами дисциплин, расчетом необходимого времени для самостоятельной работы;

- развитие преподавателями у студентов навыков самоорганизации, универсальных учебных компетенций;

- сопровождение преподавателями всех этапов выполнения самостоятельной работы студентов, текущий и конечный контроль ее результатов.

Специфическими *принципамиорганизации* самостоятельной работы в рамках современного образовательного процесса являются:

- принцип интерактивности обучения (обеспечение интерактивного диалога и обратной связи, которая позволяет осуществлять контроль и коррекцию действий студента);

- принцип развития интеллектуального потенциала студента (формирование алгоритмического, наглядно-образного, теоретического стилей мышления, умений принимать оптимальные или вариативные решения в сложной ситуации, умений обрабатывать информацию);

- принцип обеспечения целостности и непрерывности дидактического цикла обучения (предоставление возможности выполнения всех звеньев дидактического цикла в пределах темы, раздела, модуля).

Самостоятельная работа студентов планируется преподавателем в рабочей программе дисциплины.

Объем времени, отведенный на внеаудиторную самостоятельную работу, находит отражение: в учебном плане в целом по теоретическому обучению, по каждому из циклов дисциплин, по каждой дисциплине; в рабочих программах учебных дисциплин с ориентировочным распределением по разделам или конкретным темам.

Самостоятельная работа студентов классифицируется: по месту организации (аудиторная и внеаудиторная); по целям организации (цели дисциплины, сформулированные и обоснованные в рабочей программе); по способу организации (индивидуальная, групповая).

Выбор формы организации самостоятельной работы студентов (индивидуальная или групповая) определяется содержанием учебной дисциплины и формой организации обучения (лекция, семинар, практическое занятие, контрольное занятие и др.).

В зависимости от формы промежуточной аттестации виды самостоятельной работы дополняются подготовкой к экзамену, зачету и процедурами текущей аттестации.

2.САМОСТОЯТЕЛЬНАЯ РАБОТА СТУДЕНТОВ, ОБЕСПЕЧИВАЮЩАЯ ПОДГОТОВКУ К АУДИТОРНЫМ ЗАНЯТИЯМ

2.1. Повторение материала лекций

Источники информации по теме лекции:

1) раздаточный материал, который предоставляется студенту в электронном виде перед каждым лекционным занятием;

2) конспект лекции, который студент пишет во время проведения лекционного занятия;

3) учебная литература, которая указана в рабочей программе дисциплины.

2.2. Самостоятельное изучение тем курса

Самостоятельное изучение тем осуществляется при обучении на заочной форме обучения.

Источники информации для самостоятельного изучения тем:

1) раздаточный материал, который предоставляется студенту в электронном виде перед сессией;

2) учебная литература, которая указана в рабочей программе дисциплины.

2.3. Подготовка к практическим и лабораторным занятиям

Типовые задания (примеры) работ, выполняемые на практических занятиях представлены в комплекте оценочных материалов.

Принципы работы на практических занятиях озвучиваются преподавателем на соответствующих лекционных занятиях.

Источники информации для подготовки к практическим занятиям:

1) раздаточный материал, который предоставляется студенту в электронном виде перед каждым лекционным занятием либо в начале сессии;

2) конспект лекции, который студент пишет во время проведения практического или лабораторного занятия (при наличии);

3) учебная литература, которая указана в рабочей программе дисциплины;

4) методические указания по выполнению практических и лабораторных занятий.

3. ДРУГИЕ ВИДЫ САМОСТОЯТЕЛЬНОЙ РАБОТЫ

3.1. Подготовка к зачету

В комплекте оценочных средств представлен перечень тестовых заданий, теоретических вопросов и практико-ориентированных заданий, которые входят в постав билетов.

Источники информации для подготовки к зачету:

1) раздаточный материал, который предоставляется студенту в электронном виде перед каждым лекционным занятием либо в начале сессии;

2) конспект лекции, который студент пишет во время проведения лекционного занятия (при наличии);

3) учебная литература, которая указана в рабочей программе дисциплины.

МИНОБРНАУКИ РФ
ФГБОУ ВО «Уральский государственный горный университет»

УТВЕРЖДАЮ
Проректор по учебно-методическому комплексу _____ Д.А. Зуев

МЕТОДИЧЕСКИЕ УКАЗАНИЯ
ПО ВЫПОЛНЕНИЮ КОНТРОЛЬНОЙ РАБОТЫ ПО ДИСЦИПЛИНЕ
Б1.О.23 ОБЩАЯ ГЕОЛОГИЯ
ДЛЯ СТУДЕНТОВ СПЕЦИАЛЬНОСТИ 21.05.02 «ПРИКЛАДНАЯ ГЕОЛОГИЯ»

Авторы: Огородников В. Н., д.г-м.н., доцент; Поленов Ю. А., д.г-м.н., доцент

Одобрены на заседании кафедры геологии
(название кафедры)
Зав.кафедрой _____
(подпись)
Огородников В.Н.
(Фамилия И.О.)
Протокол № 2 от 12.10.2020
(Дата)

Рассмотрены методической комиссией Факультета геологии и геофизики
(название факультета)
Председатель _____
(подпись)
Бондарев В.И.
(Фамилия И.О.)
Протокол № 2 от 13.10.2020
(Дата)

Екатеринбург

Контрольная работа по курсу дисциплины «Общая геология» представляет важную часть в общем цикле геологических дисциплин. Она дает студентам возможность познакомиться с главнейшими породообразующими минералами и наиболее распространенными горными породами, а также получить навыки работы с горным компасом.

Выполнение контрольной работы производится в два этапа. Вначале студенты знакомятся с основными породообразующими минералами и учатся распознавать их в составе горных пород. На втором этапе студенты получают навыки определения и описания магматических, метаморфических и осадочных горных пород.

Часть 1

МИНЕРАЛЫ

1. ОБЩИЕ СВЕДЕНИЯ О МИНЕРАЛАХ

Подавляющее большинство химических элементов образуют в земной коре простые или сложные соединения (исключения составляют инертные газы и некоторые самородные элементы).

Минералы – химические соединения, образовавшиеся в земной коре в результате природных геологических процессов и обладающие определенными химическим составом и физическими свойствами.

Каждый минерал обладает вполне определенным химическим составом и вполне определенной кристаллической структурой, т. е. закономерным расположением в пространстве элементарных частиц (атомов, ионов). Например, минерал галит (каменная соль) состоит из 39,4 % Na и 50,6 % Cl и имеет химическую формулу NaCl. Кристаллическая структура галита характеризуется поочередным расположением ионов Na^+ и Cl в углах кубов (рис. 1), где каждый ион хлора окружен шестью ионами натрия, и наоборот.

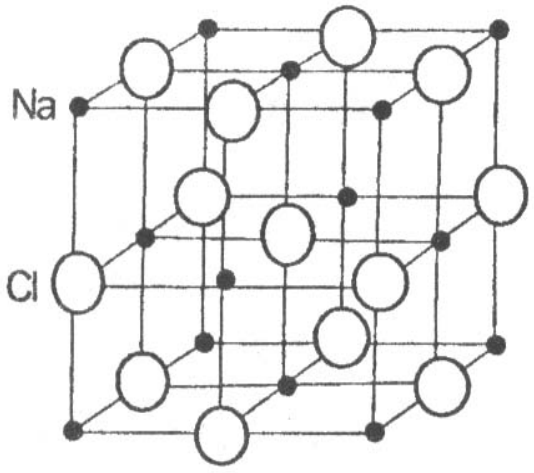

Рис. 1. Кристаллическая структура галита (NaCl)

В зависимости от особенностей химического состава и кристаллической структуры минералы образуют многогранники различной формы, называемые кристаллами. Эти же характеристики минералов (химический состав и кристаллическая структура) обусловливают их физические свойства. Иногда минералы имеют неупорядоченные строения, когда атомы и ионы располагаются беспорядочно, хаотично. Минералы с таким строением называют аморфными.

Образование минералов является результатом различных геологических процессов. По способу образования (источнику энергии) минералы могут быть объединены в две группы.

1. Минералы эндогенного генезиса, образующиеся за счет внутренней энергии Земли. Возникают в результате кристаллизации магмы и связанных с ней горячих газовых и водных растворов (гидротерм) на различных глубинах, а также путем преобразования минералов в условиях больших давлений и температур.

2. Минералы экзогенного генезиса, образующиеся за счет внешней (солнечной) энергии. Источником минералообразования являются разнообразные горные породы, вступающие во взаимодействие с атмосферой, гидросферой и биотой, давая начало новым минералам.

Пути и способы образования минералов разнообразны. Они могут быть следствием: 1) кристаллизации огненно-жидкого силикатного расплава (магмы); 2) кристаллизации из горячих минерализованных растворов (гидротерм); 3) отложения кристаллического вещества из газообразных продуктов возгонов; 4) перекристаллизации минералов и горных пород; 5) образования новых минералов за счет разрушения ранее созданных.

1.1. Формы нахождения минералов

В природе минералы встречаются в виде отдельных хорошо образованных кристаллов либо в виде скоплений неправильной формы зерен (агрегатов).

1.1.1. Облик кристаллов

Среди минералов выделяют три группы, обладающие характерным обликом, или габитусом, кристаллов.

Изометричные – формы, имеющие близкие размеры во всех направлениях. Примером могут служить кубы пирита, галенита, октаэдры магнетита, ромбоэдры кальцита и др. (рис. 2).

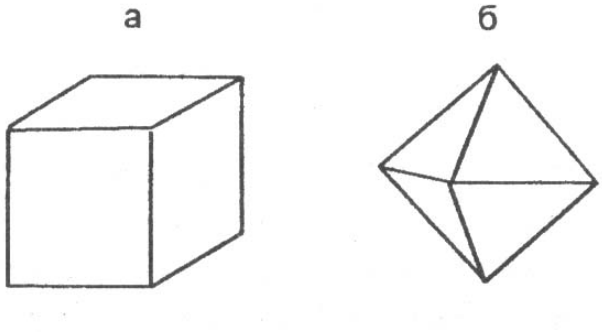

Рис. 2. Изометричные формы кристаллов:
а – кубический кристалл пирита;
б – октаэдрический кристалл магнетита

Уплощенные - формы, хорошо развитые преимущественно в двух направлениях. Сюда относятся таблитчатые, пластинчатые, листоватые и чешуйчатые кристаллы слюды, хлорита, графита и т. д. (рис. 3).



Рис. 3. Уплощенные формы кристаллов:
a – таблитчатый кристалл гематита;
b– пластинчатый кристалл мусковита

Удлиненные - формы, развитые в одном направлении. К этой группе относятся призматические, столбчатые, шестоватые, игольчатые и волокнистые кристаллы роговой обманки, пироксена, кварца и т. д. (рис. 4).

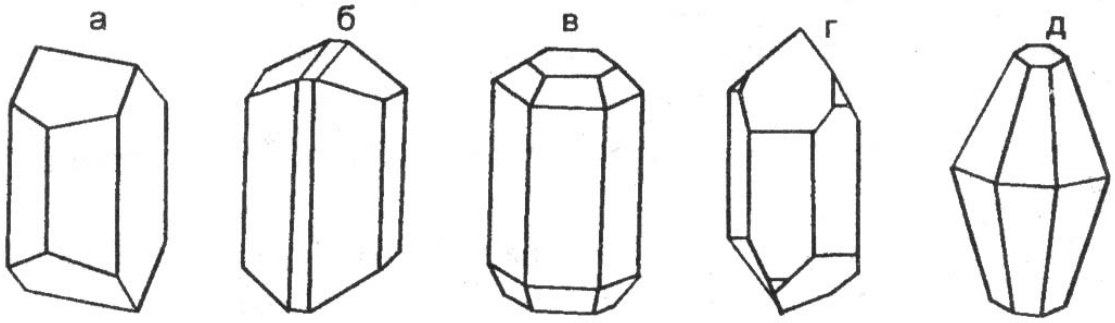

Рис. 4. Удлиненные формы кристаллов:
а – полевого шпата; б – роговой обманки; в – апатита; г – кварца; д - корунда

1.1.2. Минеральные агрегаты

В природе чаще встречаются не единичные кристаллы минералов, а скопления или срастания различной формы зерен. Эти скопления называют минеральными агрегатами.

Агрегаты бывают мономинеральными (моно - один), т. е. состоящими из зерен одного минерала, и полиминеральными (поли - много), сложенными несколькими различными минералами. Выделяют несколько видов минеральных агрегатов.

Зернистые агрегаты обладают наибольшим распространением в земной коре. В зависимости от формы слагающих зерен различают собственно зернистые (состоящие из изометричных зерен), а также пластинчатые, листоватые, чешуйчатые, волокнистые, игольчатые, шестоватые и другие агрегаты. По величине зерен можно выделять агрегаты крупнозернистые, более 5 мм в поперечнике, среднезернистые - от 1 до 5 мм и мелкозернистые - с зернами менее 1 мм.

Землистые агрегаты - порошкообразные, рыхлые мягкие минеральные массы скрытокристаллического строения, обычно пачкают руки, легко распадаются на мелкие комочки.

Сажистые - (черные цвета) или охристые (желтого, бурого и других ярких цветов). Образуются в процессе химического выветривания. Примером являются минерал каолинит и марганцевые руды.

Натечные формы выделений минералов образуются на стенках пустот при медленном испарении или охлаждении поступающих туда растворов. Эти образования имеют разнообразную форму: почковидную, гроздевидную, неправильную, цилиндрическую. Натеки, свисающие в виде сосулек со сводов пустот, называются сталактитами, а поднимающиеся им навстречу со дна пустот - сталагмитами. Характерным примером натечных образований являются: лимонит, малахит, кальцит.

Друзы - это сростки более или менее хорошо ограненных кристаллов на стенках каких-либо пустот. Примером могут служить довольно часто встречающиеся друзы кристаллов кварца или пирита.

Реже встречаются другие виды минеральных агрегатов: *секреции* -выполнение пустот изометричной, часто округлой формы, отличающиеся концентрически-зональным строением. Мелкие секреции в излившихся эффузивах называют миндалинами, крупные – жеодами; *конкреции* — шарообразные или неправильной формы стяжения и желваки, образующиеся в рыхлых осадочных породах (илах, глинах, песках и др.); *оолиты* - (от греч.-яйцо) - мелкие стяжения сферической формы размером от долей миллиметра до нескольких миллиметров, образующиеся путем наслоения коллоидального материала на песчинки в подвижной водной среде.

1.2. Физические свойства минералов

Минералы отличаются друг от друга по многим внешним признакам: цвету, блеску, твердости, форме и другим свойствам. Все физические свойства находятся в прямой зависимости от химического состава и кристаллической структуры, поэтому каждый из минералов характеризуется своим набором физических свойств, позволяющим проводить их диагностику (определение).

1.2.1. Оптические свойства

Цвет

У минералов различают идиохроматическую, аллохроматическую и псевдохроматическую окраски.

Идиохроматическая (от греч. «идиос» - свой, собственный и «хрома» - цвет) окраска обусловлена внутренними свойствами минерала, особенностями строения кристаллической решетки. Такую окраску имеют латунно-желтый пирит, черный магнетит, свинцово-серый галенит и др.

Аллохроматическая (от греч. «аллос» - посторонний) окраска связана с присутствием в минералах либо элементов-хромофоров (красителей), либо тонкорассеянных механических примесей. Например, очень сильным элементом-красителем является хром. Даже незначительная примесь Cr_2O_3 (0,1 %) окрашивает бесцветный минерал корунд в ярко-красный цвет, прозрачная разновидность которого называется рубином.

Наличие тонкорассеянных механических примесей оксидов и гидрооксидов железа в бесцветных минералах окрашивает последние во всю гамму красно-желтых тонов. Тонкорассеянное органическое вещество дает серые, черные цвета и т. д. Примером окраски такого рода может служить цвет галита. Чистые минералы галита прозрачны и бесцветны или имеют белый цвет. Но часто те или иные красящие пигменты обусловливают окраску различных цветов: серый (обычно глинистые частицы), желтый (*гидроксиды* железа), красный (*оксиды* железа), бурый и черный (органические вещества).

Природа окрашивания некоторых минералов кроется в нарушении однородности строения их кристаллических решеток, в возникновении в них различных дефектов (черный кварц, аметист и др.).

Псевдохроматическая (от греч. «псевдос» - ложный) окраска не имеет ничего общего с природой самого минерала. Некоторые минералы меняют окраску в зависимости от освещения. Например, на полированной поверхности минерала лабрадорита при некоторых углах поворота освещения появляются густые синие и зеленовато-синие переливы, вызванные интерференцией световых лучей, отраженных от плоскостей спайности лабрадорита. Такое явление называется иризацией.

Иногда минералы бывают покрыты тонкой поверхностной пленкой другого минерала, которая обычно имеет радужную окраску, напоминающую окраску тонких пленок нефти на поверхности воды. Подобные пленки на минералах называют побежалостью.

При определении окраски минерала обычно широко применяется метод сравнения с окраской хорошо известных предметов или веществ: яблочно-зеленый, лазурно-синий, шоколадно-коричневый и т. п. Эталонами считаются названия цветов следующих минералов: фиолетовый у аметиста, зеленый у малахита, красный у киновари, бурый у лимонита, свинцово-серый у галенита, железо-черный у магнетита, латунно-желтый у пирита, металлически-золотистый у золота.

Прозрачность - способность минерала пропускать свет. В зависимости от этой способности все минералы делятся: на прозрачные - горный хрусталь, топаз, исландский шпат и др.; полупрозрачные - флюорит, сильвин и др.; непрозрачные - пирит, магнетит и др.

Цвет черты

Это цвет тонкого порошка минерала, который легко получить, если провести испытуемым минералом черту на матовой (неглазурованной) поверхности фарфоровой пластики, называемой бисквитом. Цвет черты является более надежным признаком по сравнению с окраской минералов. В ряде случаев он соответствует цвету минерала (серая черта у серого галенита), но иногда цвет черты резко отличается от цвета минерала (латунно-желтый пирит оставляет черную черту). Для некоторых минералов этот признак является диагностическим. Например, очень похожие друг на друга минералы группы железа легко распознаются по цвету черты: магнетит имеет черную черту, гематит – вишневую, лимонит – желто-бурую.

Цвет черты определяется только у минералов с металлическим блеском, потому что другие минералы имеют белую или светлоокрашенную черту.

Блеск

Блеск – способность минералов отражать от своей поверхности световой поток. Установлено, что блеск зависит от показателя преломления минерала, т. е. величины, характеризующей разницу в скорости света при переходе из воздушной в кристаллическую среду. Минералы с показателем преломления 1,3-1,9 имеют *стеклянный* блеск, с 1,9-2,6 — *алмазный* блеск. *Полуметаллический* блеск отвечает минералам с показателем преломления 2,6-3,0 и *металлический* – выше 3,0. Металлический блеск отвечает отражению полированной поверхности металла. Такой блеск характерен для непрозрачных минералов. Примером могут служить минералы пирит, галенит, халькопирит. Полуметаллический блеск напоминает блеск потускневшего металла. Он характерен для гематита, графита и др. Наиболее широко распространен стеклянный блеск, на его долю приходится около 70 % минералов. Стеклянным блеском обладают горный хрусталь, кальцит, корунд, флюорит, амфиболы, пироксены, полевые шпаты и другие минералы.

Более сильным, чем стеклянный, является алмазный блеск, характерный, например, для алмаза, серы.

Блеск минерала зависит также от характера его поверхности. Если поверхность неровная, то отраженный свет несколько рассеивается, преобразуя стеклянный и алмазный блески в так называемый жирный. Порошковатые рыхлые минералы, обладающие тонкой пористостью, имеют матовый блеск, так как микроскопические поры являются своего рода «ловушками» для света. Примерами могут служить каолинит, землистые массы лимонита и др.

У минералов с параллельно-волокнистым строением наблюдается типичный шелковистый блеск (асбест), полупрозрачные «слоистые» и пластинчатые минералы имеют перламутровый отлив.

1.2.2. Механические свойства

Спайность и излом

Спайностью называют свойство минералов раскалываться по определенным направлениям, обусловленным строением их кристаллических решеток, образуя при этом ровные площади – плоскости спайности. Это свойство минералов связано исключительно с внутренним их строением и не зависит от внешней формы кристаллов. Например, при раскалывании кристаллов кальцита самой разнообразной формы получается спайный выколок всегда одной и той же формы – ромбоэдр, кристаллов флюорита – октаэдр, галенита и галита – куб.

По степени совершенства различают следующие виды спайности: *весьма совершенная* - минералы легко расщепляются на тонкие листочки, чешуйки (мусковит, биотит, хлорит, тальк, графит); *совершенная* — минералы при ударе раскалываются на обломки, со всех сторон ограниченные тремя и более плоскостями спайности (кальцит, флюорит, галенит, галит); *средняя* – минералы раскалываются на обломки, ограниченные двумя плоскостями спайности и неровными поверхностями по случайным направлениям (полевые шпаты, роговая обманка, пироксен); несовершенная – минералы раскалываются

на обломки, ограниченные неровными поверхностями и одной плоскостью спайности (корунд, апатит); весьма несовершенная или отсутствует – минералы раскалываются только по случайным направлениям с неровными поверхностями (кварц, магнетит, пирит).

Чтобы не спутать грани кристаллов с плоскостями спайности необходимо помнить, что направление спайности дает систему взаимопараллельных плоскостей или трещин. При определении спайности в агрегате выбирается одно или несколько наиболее крупных зерен и в них наблюдаются плоскости спайности. Если угол спайности, например, равен 90 градусам, то излом *ступенчатый*, а если угол спайности острый – излом *занозистый.*

Неровные поверхности, получаемые при расколе минерала по случайным направлениям, называют *изломом.* Наиболее распространен *неровный* излом, но иногда наблюдаются и другие виды: *гладкий*, *раковистый* – излом характерен для минералов с весьма несовершенной спайностью, напоминает поверхность раковины с концентрической скульптурой (кварц, пирит); *ступенчатый*, *занозистый* – излом характерен для игольчатых или волокнистых минералов (селенит). Излом, как и спайность, определяется внутренним строением минерала, его кристаллической решеткой.

Твердость, хрупкость, ковкость, упругость

Под твердостью минерала подразумевается степень его сопротивления внешним механическим воздействиям. В минералогической практике применяют наиболее простой способ определения твердости - царапанье одного минерала другим, т. е. устанавливается относительная твердость минерала. Для оценки относительной твердости немецким минералогом Ф. Моосом была предложена шкала, состоящая из десяти минералов, каждый из которых, обладая более высокой твердостью, своим острым концом царапает все предыдущие с меньшими номерами. Твердость минералов-эталонов в шкале условно обозначена целыми числами.

Шкала Мооса представлена следующими минералами:

Тальк	$Mg_3[Si_4O_{10}](OH)_2$	1
Гипс	$CaSO_4 \cdot 2H_2O$	2
Кальцит	$CaCO_3$	3
Флюорит	CaF_2	4
Апатит	$Ca_5[P0_4]_3(F,C1)$	5
Ортоклаз	$K[A1Si_30_8]$	6
Кварц	SiO_2	7
Топаз	$A1_2[SiO_4]F_2$	8
Корунд	$A1_20_3$	9
Алмаз	C	10

Для определения твердости исследуемого минерала устанавливают, какой эталон с максимальным номером он царапает. Например, если испытуемый минерал царапает апатит, но оставляет порошок, т. е. истирается на ортоклазе, значит его твердость выше 5, но ниже 6 и оценивается в 5.5.

Относительную твердость можно определить, не имея шкалы Мооса, используя некоторые заменители. Так, твердость ногтя – 2,5; медной монеты – 3,0-3,5; оконного

стекла – 5,0; стального ножа – 6,0; напильника – 7,0. Твердость порошковатых разностей бывает занижена по сравнению с твердостью этого минерала в крупных зернах.

Под хрупкостью понимают свойство минерала крошиться при проведении по нему черты ножом. Противоположный эффект – гладкий блестящий след – свидетельствует о свойстве минерала деформироваться пластически. Ковкие минералы расплющиваются под ударом молотка в тонкую пластинку, упругие – способны восстанавливать форму после снятия нагрузки (слюды, асбест).

1.2.3. Прочие свойства

Удельный вес

Удельный вес может быть точно замерен только в лабораторных условиях различными методами; приблизительное суждение об удельном весе можно получить путем сопоставления с распространенными минералами, удельный вес которых принимается за эталон. Все минералы по удельному весу можно разделить на три группы: *легкие* - с удельным весом меньше 3 г/см^3 (галит, гипс, кварц и др.); *средние* - с удельным весом порядка 3-5 г/см^3 (апатит, корунд, пирит и др.); *тяжелые* - с удельным весом больше 5 г/см^3 (галенит, золото и др.).

1.2.4. Специфические свойства

Некоторые минералы обладают особыми, характерными только для них свойствами, когда нет необходимости определять их в других индивидах.

Магнитность. Сравнительно небольшое число минералов обладает свойством воздействовать на магнитную стрелку. Для минералов, обладающих магнитностью, это свойства имеет важное диагностическое значение. Минералы, обладающие ярко выраженными ферромагнитными свойствами, могут притягивать даже мелкие железные предметы - опилки, булавки (магнетит). Менее магнитные минералы (парамагнитные) слабо притягиваются магнитом (пирротин), и, наконец, имеются минералы, которые отталкивают магнитную стрелку, - самородный висмут.

Реакция с соляной кислотой. С соляной кислотой взаимодействуют минералы из класса карбонатов:

- кальцит $CaCO_3$ - бурно реагирует, "вскипая" в кислоте;
- доломит $CaMg(CO_3)_2$ - «вскипает» только в порошке;
- магнезит $MgCO_3$ - не реагирует с кислотой.

Двойное лучепреломление. Двупреломление света – разложение светового луча, входящего в кристалл, на два. Это свойство характерно для карбонатов, особенно для прозрачной разновидности кальцита – исландского шпата. При наложении исландского шпата на рисунок или текст явственно заметно раздвоение изображения.

Физиологические свойства. (Воздействие на вкусовые, обонятельные и тактильные анализаторы человека). Ряд минералов можно определить по вкусу. Например, галит имеет соленый вкус, сильвин – горько-соленый. Эти минералы, кроме того, растворяются в воде. Другие минералы можно различить по запаху. При горении серы ощущается запах сернистого газа, в то время как горящий янтарь издает ароматический запах. Существенна также степень шероховатости минералов, т. е. ощущение, возникающее при прикосновении к минералу. Есть минералы жирные на ощупь (тальк), гладкие (горный хрусталь) и шершавые (каолин).

1.3. Классификация минералов

Существует несколько классификаций минералов, в основу каждой из которых положены различные признаки. Наиболее признанной является кристаллохимическая классификация, в основе которой лежит в равной мере химический состав и кристаллическая структура минералов. По этой классификации выделяется большое

количество классов, из которых в данном курсе будут рассмотрены лишь следующие: 1 - самородные элементы, 2 - сульфиды 3 - галогениды, 4 - оксиды и гидрооксиды, 5 - карбонаты, 6 - сульфаты, 7 - фосфаты и 8 - силикаты.

Класс 1 - самородные элементы – некоторые химические элементы в свободном минеральном состоянии. К ним относят: *металлы* - золото (Au), серебро (Ag), медь (Cu) и др.; *полуметаллы* - мышьяк (As), висмут (Bi); *неметаллы* - графит (C), сера (S) и др.

Класс 2 – сульфиды – соли сернистой кислоты H_2S. Наиболее характерными признаками, свойственными большинству сульфидов, являются сильный металлический блеск и высокий удельный вес. Сюда относят минералы: пирит – FeS_2, халькопирит – $CuFeS_2$ и галенит – PbS.

Класс 3 – галогениды – соли соляной кислоты HCl (*хлориды*) и соли плавиковой кислоты HF (*фториды*). Для них характерны низкая твердость (2-4), прозрачность и совершенная спайность. К этому классу относят галит – NaCl, сильвин – КС1 и флюорит – CaF_2.

Класс 4 – оксиды и гидрооксиды – соединения металлов и неметаллов с кислородом и водой H_2O. Для оксидов характерна прочность кристаллической решетки, чем обусловлена их высокая твердость (5-9). К этому классу относят корунд – $A1_2O_3$, кварц – SiO_2, опал – $SiO_2 \cdot nH_2O$ и минералы группы железа: магнетит – Fe_3O_4, гематит – $Fe_2O_3 \cdot n\,H_2O$.

Класс 5 – карбонаты – соли угольной кислоты H_2CO_3. Большая часть карбонатов бесцветна, твердость невысокая (3), характерна совершенная спайность по ромбоэдру и эффект двойного лучепреломления. К этому классу относят кальцит – $CaCO_3$, доломит – $CaMg(CO_3)_2$, магнезит – $MgCO_3$.

Класс 6 – сульфаты – соли серной кислоты H_2SO_4. В технических науках их называют купоросами. Для минералов этого класса характерна низкая твердость (2-3,5) и пестрые цвета окраски. К ним относят гипс – $CaSO_4 \cdot 2H2O$ и ангидрит – $CaSO_4$, медный купорос – $CuSO_4$ и железный купорос – $FeSO_4$.

Класс 7 – фосфаты – соли ортофосфорной кислоты H_3PO_4. Характерна средняя твердость (5) и светлая окраска. Сюда относят минерал апатит – $Ca_5[PO_4]_3(F,C1)$.

Класс 8 – силикаты – самая обширная группа породообразующих минералов, содержащих SiO_2. Основой кристаллической решетки силикатов является скелет из кремнекислородных тетраэдров $[SiO_4]^{-4}$ (рис.5,а). Кремнекислородные тетраэдры в структурах силикатов могут находиться либо в виде изолированных друг от друга структурных единиц $[SiO_4]$, либо сочленяются друг с другом разными способами. В зависимости от способа их сочленения выделяют следующие подклассы:

Островные силикаты с изолированными тетраэдрами (см. рис.5, а) представлены оливином. Для них характерны повышенные твердость и удельный вес, а также изометричные формы кристаллов.

Цепочечные силикаты с одинарными цепочками тетраэдров (см. рис. 5, б) представленные пироксенами;

Ленточные силикаты со сдвоенной цепочкой тетраэдров (см. рис. 5, в) представлены роговой обманкой. Несмотря на существенное различие в количественных соотношениях компонентов, цепочечные и ленточные силикаты имеют много общих свойств: удлиненная форма кристаллов, средняя спайность в двух направлениях, твердость 5-6, темный цвет.

Листовые силикаты с непрерывными слоями кремнекислородных тетраэдров представлены слоями кремнекислородных тетраэдров (рис. 5, г). Сюда относят слюды (биотит, мусковит), хлорит, тальк, каолинит, серпентинит. В прямой зависимости от

кристаллической структуры находится важное диагностическое свойство этих силикатов - весьма совершенная спайность, а также гексагональная форма кристаллов.

Каркасные силикаты с непрерывными трехмерными каркасами тетраэдров $[SiO_4]^{-4}$ представлены почти исключительно алюмосиликатами, в которых часть ионов Si^{4+} в кремнекислородных тетраэдрах замещена на ионы $A1^{3+}$. Для этих силикатов характерна светлая окраска и твердость 5-7.

3. МЕТОДИКА ВЫПОЛНЕНИЯ КОНТРОЛЬНОЙ РАБОТЫ

Основная цель работы – знакомство с минералами и изучение их физических свойств. Исследование физических свойств выполняется в соответствии с рекомендациями, изложенными в разделе 1. Вначале определяется форма и характер минеральных агрегатов, затем цвет, блеск и другие физические свойства. Полученные данные сводятся в таблицу описания минералов.

Название минерала, формула	Форма кристаллов или минераль-ных агрегатов	Физические свойства минералов						Приме-чание
		цвет	цвет черты	блеск	спай-ность	твер-дость	спец. св-ва	
1	2	3	4	5	6	7	8	9

Часть 2

МАГМАТИЧЕСКИЕ ГОРНЫЕ ПОРОДЫ

2.1. Общие сведения о магматических горных породах

Магматические горные породы образуются в результате затвердевания магмы на глубине или на земной поверхности при вулканических извержениях. Магматические породы также называют изверженными.

Магма (от греч. «густая мазь») — огненно жидкий, главным образом силикатный расплав, возникающий в верхней мантии или в земной коре. Магма содержит большое количество растворенных газов и паров воды (F, C1, CO_2, H_2O и др.). На большой глубине магма находится под очень большим всесторонним давлением и обладает высокой температурой.

Поднимаясь вверх, магма внедряется в твердые и относительно холодные породы, которым она отдает свое тепло, начинает охлаждаться и кристаллизоваться. Большую роль в процессе кристаллизации играют летучие компоненты: пары воды и газа, способствующие и часто определяющие скорость кристаллизации минералов.

Поднимаясь вверх, магма оказывается в различных термодинамических условиях.

На значительных глубинах при медленном остывании магмы и сохраняющемся большом давлении происходит постепенная, последовательная и полная кристаллизация расплава. Последовательность в кристаллизации магмы связана с существованием минералов с разной температурой плавления. Тугоплавкие минералы

кристаллизуются при более высоких температурах, когда другие еще находятся в расплаве.

К тугоплавким относят минералы, содержащие Fe и Mg (железисто-магнезиальные силикаты: оливин, авгит, роговая обманка, биотит и др.). При понижении температуры последовательно кристаллизуются и другие минералы.

Таким образом, на больших глубинах весь силикатный расплав превращается в агрегат тех или иных минералов, образуется полнокристаллическая горная порода. Долго сохраняющиеся условия высоких температур и давления создают благоприятные условия роста для всех минералов, в результате образуются полнокристаллические и равнокристаллические структуры пород с более или менее одинаковым размером зерен всех минералов.

На средних и небольших глубинах условия кристаллизации магмы менее стабильны и более разнообразны.

Если масса и температура расплава, внедрившегося на средних глубинах, достаточно велики для прогрева вмещающих пород и давление является достаточным для удержания в расплаве летучих компонентов, происходит также полная раскристаллизация расплава и образуется полнокристаллическая порода. При этом центральные части получают равнокристаллическое, а краевые — неравнокристаллическое строение в связи с относительно быстрым охлаждением на контакте с вмещающими породами и частичной потерей летучих компонентов. Летучие компоненты для некоторых минералов являются катализаторами и заметно повышают скорость их роста, тогда при полнокристаллическом строении возникает большая разница в размерах зерен разных минералов, могут возникать порфировидные структуры.

На небольших глубинах температура и давление магмы могут быть недостаточными для ее полной кристаллизации. В таких условиях часть магмы успевает раскристаллизоваться и превратиться в минеральные зерна — вкрапленники, а другая часть затвердевает в виде вулканического стекла — аморфной массы, в которой могут быть зародыши кристаллов — микролиты, хорошо различимые только под микроскопом. В этих условиях образуются неполнокристаллические породы.

При вулканических извержениях магма либо изливается на земную поверхность (или на дно водного бассейна) в виде лавы, либо при взрывах выбрасывается в воздух на разную высоту, застывает и падает на поверхность в виде твердых частиц и обломков разного размера (вулканический пепел, песок, лапилли, вулканические бомбы), давая начало пирокластическим горным породам обломочного строения. Последние образуют особую группу вулканических пород и будут рассмотрены ниже.

Магма, излившаяся на поверхность в виде лавы, попадает в условия резкого понижения температуры и давления и связанной с этим почти полной потери летучих компонентов, что приводит к быстрому затвердеванию лавы. При этом если расплав поднимается медленно и с больших глубин и до выхода на поверхность в нем произошла частичная кристаллизация, то есть образовались кристаллы минералов, то при затвердевании на поверхности образуются неполнокристаллические породы. При быстром движении расплав не успевает кристаллизоваться и застывает на поверхности в виде вулканического стекла, образуя стекловатую породу, в которой кристаллы почти или полностью отсутствуют.

По условиям образования магматические горные породы подразделяют на следующие виды.

1. **Интрузивные** (внедрившиеся):
   - глубинные (абиссальные),
   - полуглубинные (гипабиссальные).
2. **Вулканические**:
   - эффузивные (излившиеся),
   - пирокластические.

Интрузивные, или внедрившиеся (от лат. «интрузио» — внедрение), горные породы образуются при застывании магмы под земной поверхностью и по глубине застывания делятся на глубинные и полуглубинные.

Глубинные, или абиссальные (от греч. «абиссос» — бездонный), или плутонические, породы формируются на больших глубинах, в условиях длительно сохраняющихся высоких температур и давлений и характеризуются полной раскристаллизацией магматического расплава.

Полуглубинные (гипабиссальные) горные породы, затвердевшие на средних и небольших глубинах, по условиям образования являются промежуточными между глубинными интрузивными и эффузивными. Температура и давление магмы на разных глубинах меняются по-разному, и могут возникать как полно-, так и неполнокристаллические породы.

Излившиеся, или **эффузивные,** породы (от лат. «эффузио» — излияние) образуются при излиянии лавы на дневную поверхность, где резко понижаются температура и давление. Эффузивные породы характеризуются неполной кристаллизацией или быстрым затвердеванием расплава в виде вулканического стекла.

Различия в условиях образования магматических пород четко отражаются на их внешнем облике и легко распознаются макроскопически по характеру структуры и текстуры.

2.2. Структуры и текстуры магматических горных пород

Структуры магматических горных пород макроскопически классифицируются по степени кристалличности вещества, относительному и абсолютному размеру зерен.

По *степени кристаллизации* магматического расплава выделяют следующие структуры:

полнокристаллические, когда все вещество раскристаллизовано в агрегат минералов;

неполнокристаллические, когда часть расплава раскристаллизовалась и образовались минеральные зерна, а другая часть затвердела в виде вулканического стекла;

стекловатые, когда вся порода представлена вулканическим стеклом. Для глубинных пород характерны полнокристаллические структуры, для полуглубинных — полно- и неполнокристаллические, а для излившихся — неполнокристаллические и стекловатые структуры.

По *относительному размеру* минеральных зерен выделяют структуры:

равнокристаллические (равномерно-кристаллические). Если порода полнокристаллическая по степени кристаллизации и размеры минеральных зерен близки по величине;

неравнокристаллические структуры выделяются как для полнокристаллических, так и для неполнокристаллических пород.

Для полнокристаллических различают:

неравнокристаллические, когда размер минеральных зерен различается не резко;

порфировидные, если одни зерна по размеру резко отличаются от других.

Для неполнокристаллических пород различают:

порфировые, состоящие из нераскристаллизованной части исходного расплава, которая вне зависимости от ее количества в породе называется «основной массой», и раскристаллизованной — «вкрапленников», представленных кристаллами минералов;

афировые, если порода состоит из основной массы без вкрапленников .

Равно- и неравнокристаллические и порфировидные структуры характерны для интрузивных пород, порфировые и афировые — для эффузивных и близповерхностных полуглубинных пород.

Для пород полно- и равнокристаллических выделяют *структуры по абсолютному размеру зерен*, см:

Гигантокристаллические	> 1
Крупнокристаллические	1-0,3
Среднекристаллические	0,3-0,1
Мелкокристаллические	0,1-0,05
Скрытокристаллические (афанитовые)	< 0,05

Все вышеперечисленные структуры, от гиганто- до скрытокристал-лической, характерны для интрузивных глубинных и полуглубинных пород, афанитовые — для основной массы эффузивных пород (вкрапленники при этом могут иметь различные размеры).

Среди многочисленных структур, выделяемых по взаимоотношениям минералов в породе, макроскопически хорошо различима *пегматитовая (письменная)*, характеризующаяся закономерным прорастанием полевого шпата кварцем, образующим клинообразные зерна, напоминающие древнееврейские письмена, откуда и произошло название структуры.

Текстуры изверженных горных пород подразделяют на компактные, когда нет пор и пустот, и некомпактные, если есть в породе пустоты и поры. К компактным текстурам относят: *массивную, пятнистую, флюидалъную, полосчатую, миндалекаменную;* к некомпактным — *пористую, пенистую, пузырчатую.*

Массивная текстура отличается беспорядочным расположением минеральных зерен, она наиболее характерна для интрузивных пород, нередко встречается и в эффузивных породах.

Пятнистую текстуру выделяет при неравномерном распределении светлых и темных минералов в породе. Встречается реже, главным образом в интрузивных породах.

Флюидальная текстура отличается ориентированным расположением удлиненных кристаллов, например столбиков роговой обманки, что отражает вязкое течение магмы или лавы в процессе застывания, при котором удлиненные кристаллы, как бревна в реке, располагаются своими длинными осями по направлению течения более или менее параллельно друг другу.

Флюидальная текстура может проявляться также в *полосчатости,* характеризующейся различиями в составе или структуре полос.

Некомпактные текстуры характерны для эффузивных пород и связаны с выделением из лавы летучих компонентов, после чего в затвердевшей лаве остаются пустоты округлой или миндалевидной формы.

Если пустоты мелкие (до нескольких миллиметров), образуется *пористая,* более крупные — *пузырчатая текстура*. В особо благоприятных условиях пары и газы могут вспенивать лаву, и при застывании образуется *пенистая,* или *пемзовая, текстура,* в которой пустоты по объему преобладают.

Миндалекаменная (мандельштейновая) текстура характерна для эффузивных горных пород и образуется в результате заполнения пор и пустот в затвердевшей лаве вторичными минералами (кварц, халцедон, кальцит, хлорит и др.). Образовавшиеся миндалины обычно выделяются своим более светлым цветом на фоне темно-серой или черной породы. От вкрапленников миндалины отличаются округлой или миндалевидной формой. Горные породы с миндалекаменной текстурой называют мандельштейнами.

2. 3. Классификация магматических горных пород по химическому и минеральному составам

В основу классификации магматических горных пород положены химический и минеральный составы и структурные особенности пород (см. таблицу).

Химический анализ магматических горных пород показывает, что они состоят в основном из восьми оксидов: SiO_2, $A1_2O_3$, Fe_2O_3, FeO, MgO, CaO, Na_2O, K_2O. В значительно меньших количествах присутствуют TiO_2, MnO, P_2O_5, H_2O и некоторые другие. Из главных оксидов только SiO_2 присутствует во всех магматических породах в значительных количествах. Оксид SiO_2 и принят за основу химической классификации изверженных горных пород.

По содержанию кремнезема (оксида SiO_2) магматические породы подразделяют на четыре группы:

- кислые (SiO_2 = 64-78 %),
- средние (SiO_2 = 53-64 *%),*
- основные (SiO_2 = 44-53 %),
- ультраосновные (SiO_2 = 30-44 %).

Границы между этими группами магматических пород в известной мере являются условными, так как между породами соседних групп существуют постепенные переходы.

Важным показателем для классификации является содержание в магматической породе щелочей. По сумме щелочей ($Na_2O + K_2O$) выделяют три ряда магматических пород: нормальной щелочности (низкощелочные, известково-щелочные), субщелочные (умеренно-щелочные) и щелочные (с высокой щелочностью).

Границы содержаний суммы щелочей для выделения рядов значительно варьируют в зависимости от группы магматических пород по содержанию оксида SiO_2.

По относительному количеству железисто-магнезиальных силикатов в объемных процентах (М — цветное число) магматические породы подразделяют на ультрамафические (М > 70), мафические (70 > М > 20) и салические (М < 20).

Химический состав магматических пород взаимосвязан с комплексом слагающих их минералов. Минералами — показателями степени кислотности (содержания оксида SiO_2) являются кварц и оливин. Кислые породы отличаются значительным содержанием кварца. Для основных и ультраосновных пород характерен оливин, а кварц может встречаться только как второстепенный (менее 5 %) минерал и макроскопически обычно не виден. Средние по степени кислотности породы, занимая промежуточное положение и по минералогическому составу, являются переходными между кислыми и основными породами. В них выделяют средние кварцевые, переходные к кислым, и средние бескварцевые, переходные к основным породы.

Количество железисто-магнезиальных темноцветных минералов постепенно увеличивается от кислых к основным и ультраосновным породам. Некоторые разности основных и все ультраосновные породы состоят почти на 100 % из цветных силикатов и относятся к ультрамафитам.

Содержание полевых шпатов уменьшается от кислых к основным породам. В кислых и средних породах полевые шпаты развиты широко, в основных — количество их уменьшается, а ультраосновные породы являются бесполевошпатовыми.

Высокая щелочность магматических пород определяется присутствием щелочных минералов, таких как нефелин, калиевый полевой шпат и другие.

Химический и минералогический состав определяют цвет магматической породы: чем кислее порода, тем она светлее, чем основнее — тем темнее. Кислые и средние породы обычно бывают серыми или цветными (розовыми, красными, желтыми), основные — темно-серыми или черными, ультраосновные — черными или темно-зелеными.

Условия образования не оказывают существенного влияния на химический и минеральный состав изверженных пород. Поэтому в классификации по степени кислотности

Классификация магматических горных пород нормальной щелочности

	Группы пород по содержанию SiO_2 (в масс. %)							
	кислые (78-64)		средние (64-53)		основные (53-44)		ультраосновные (44-30)	
	глубинные	излившиеся	глубинные	излившиеся	глубинные	излившиеся	глубинные	излившиеся
Породы нормальной щелочности	Гранит, гранодиорит	Риолит, обсидиан, дацит	Диорит	Андезит	Габбро	Базальт	Дунит, перидотит, пироксенит, горнблендит	Пикрит, коматиит
Породо-образующие минералы	**Кварц,** КПШ, биотит, кислый плагиоклаз В обсидиане, пемзе - стекло		Средний плагиоклаз, роговая обманка, пироксен		Основной плагиоклаз, пироксен, роговая обманка, оливин		Оливин, пироксен, роговая обманка	
Количество кварца	15-40 %		-		-		-	
Цвет излившихся пород		Белый, серый, светлые тона		Темно-серый, коричневый		Черный		Черный
Количество темно-цветных минералов в глубинных породах	10-15 ± 5 %		25 ± 15 %		50 ± 15 %		100 %	

изверженных пород в одну группу объединяют различные по происхождению (интрузивные, эффузивные, жильные), но близкие по химическому и минеральному составу.

Первоначальный минералогический состав магматических пород может заметно меняться в результате вторичных изменений.

Магматические горные породы весьма разнообразны, но лишь немногие из них распространены в земной коре широко. Наиболее широко развиты породы основного и кислого состава.

В земной коре среди магматических пород *около 70 %* составляют *основные* породы, а *кислые* и *средние* вместе — *около 30 %*. На ультраосновные породы приходится незначительная доля процента.

При этом среди эффузивов самыми распространенными являются лавы основного состава (базальты), а среди интрузивных образований — кислые породы (граниты и гранодиориты).

Среди всех типов по степени кислотности (кислые, средние и т. д.) наиболее широко распространены магматические породы нормальной щелочности (известково-щелочные). Однако субщелочные и щелочные породы хотя и развиты меньше, но не являются редкими.

В таблицах приводится характеристика наиболее часто встречающихся разновидностей глубинных (плутонических) и эффузивных пород.

Выполнение контрольной работы на этом этапе состоит в изучении и описании магматических горных пород.

Порядок описания интрузивных пород.

1. Цвет.
2. Структура (по степени кристаллизации, по относительному размеру зерен и для равно-, полнокристаллических по абсолютному размеру зерен).
3. Текстура.
4. Минералогический состав в процентах.
5. Характеристика каждого из минералов, входящих в состав породы (размер и форма зерен, цвет, спайность, излом, блеск).
6. Вывод: название породы, условия образования, группа по степени кислотности и щелочности.
7. Эффузивный аналог.

Порядок описания эффузивных пород.

1. Цвет.
2. Структура (по степени кристаллизации, по относительному размеру зерен).
3. Текстура.
4. Соотношение основной массы и вкрапленников в процентах.
5. Характеристика основной массы (цвет, особенности).
6. Характеристика вкрапленников (цвет, форма и размер зерен, спайность, блеск, излом, вторичные изменения).
7. Вывод: название, условия образования, группа по степени кислотности и щелочности.
8. Глубинный аналог.

Часть 3

МЕТАМОРФИЧЕСКИЕ ГОРНЫЕ ПОРОДЫ

3.1. Общие сведения о метаморфизме

Горные породы после формирования могут попасть в такую геологическую обстановку, которая будет существенно отличаться от обстановки образования породы и на нее будут оказывать влияние различные эндогенные силы: тепло, давление (нагрузка) вышележащих толщ, глубинные флюиды, растворы и газы, вода, водород, углекислота и др. Изменение магматических и осадочных пород в твердом состоянии под воздействием эндогенных факторов и называется **метаморфизмом**. Преобразованию могут подвергаться любые горные породы: осадочные, магматические и ранее образовавшиеся метаморфические. В физико-химических условиях, отличных от тех, в которых образовались горные породы, происходит изменение их минерального состава, структуры и текстуры. Изменение минерального состава при метаморфизме может протекать **изохимически**, т. е. без изменения химического состава метаморфизуемой породы, и **метасоматически**, т. е. со значительным изменением химического состава метаморфизуемой породы за счет привноса и выноса вещества. Особенность метаморфических процессов заключается в том, что они протекают с сохранением твердого состояния системы, без существенного расплавления пород. Лишь при определенных физико-химических условиях метаморфизм сопровождается частичной или полной кристаллизацией исходных пород. Процессы подобного характера объединяются под названием **ультраметаморфизма.**

В зависимости от интенсивности метаморфических процессов наблюдается постепенный переход от слабо измененных, сохраняющих состав и структуру исходных разностей, до глубоко преобразованных пород, первичная природа которых практически утрачена. Метаморфические отложения широко распространены в земной коре.

Метаморфизм - процесс преобразования любых исходных пород под воздействием изменившихся физико-химических условий среды. Он реализуется преимущественно путем перекристаллизации пород без существенного плавления под воздействием меняющихся температур, давлений, газовой (флюидной) среды. Преобразуя свой минеральный состав, порода, таким образом, приспосабливается к изменившимся термодинамическим (Т-Р) условиям.

Название термина происходит от греческого слова metamorpho – преобразование, превращение. Метаморфическим преобразованием могут подвергаться изначально осадочные, магматические и (повторно) метаморфические породы. При этом исходные породы, как правило, после таких преобразований полностью теряют свой первоначальный облик.

Факторами метаморфизма, т. е. непосредственными причинами преобразования пород, являются: давление (Р), температура (Т), а также растворы и газы (флюиды), пронизывающие толщи горных пород.

Давление при метаморфических преобразованиях может быть обусловлено рядом причин: давлением нагрузки вышележащих толщ (литостатическим - Рл), динамическим давлением тектонического движения (стрессовым - Рс), давлением движущейся магмы (Рм), а также давлением поровых (гидротермальных и флюидных) растворов (Рф). Главным среди отмеченных причин следует считать тектоническое или стрессовое давление, способное достигать десятков тысяч атмосфер и распространяться на огромные пространства. При проявлении тектонического или стрессового давления роль нагрузки вышележащих пород может оказаться незаметной, а проявление магматического и порового давления флюидов на таком фоне может повлиять на характер минеральных преобразований лишь локально, в местах их проявления.

Температура метаморфических преобразований могут быть обусловлены

несколькими причинами и достигать уровней, когда порода начинает плавиться, т. е. 1000 - 1200 °С. Всегда существует температурный фон, обусловленный глубиной погружения пород, т. е. геотермическим градиентом (Тг), составляющим обычно около 30°/1 км. Однако основные тепловые превращения в породе осуществляются за счет тектонических подвижек (Тс), а также нередко сопровождающих такие движения аномальных глубинных тепловых потоков (Тф). На контакте с магматическими породами преобразование осуществляется за счет прогрева пород очагом остывающей магмы (Тм).

Гидротермальные растворы и флюиды, которые способны привносить или выносить различные химические компоненты, могут влиять на характер минералообразования, создавать специфическую окислительную или восстановительную (Eh), а также кислую либо щелочную (pH) среды.

Глубинные флюиды насыщены, прежде всего, парами воды и углекислоты, а также более редкими соединениями водорода, хлора, фтора и др.

3.2. Типы метаморфизма

В зависимости от сочетания упомянутых выше факторов выделяются те или иные типы метаморфизма. Наиболее простая схема типов метаморфизма, выделяющихся в зависимости от термодинамических (Р, Т) параметров, показана на рис. 1, а геологические условия их проявления - на рис. 2. Можно говорить о контактовом типе метаморфизма, когда порода преобразуется под преимущественным воздействием температуры, а также динамическом, когда основным фактором выступает давление, и динамотермальном, когда проявляются оба фактора одновременно. Каждый из этих типов обладает своими специфическими геологическими условиями проявления (рис. 2).

Контактовый тип метаморфизма проявляется в породах обрамления магматических тел, на контакте с ними, поэтому он называется контактовым. Температура магматических тел колеблется в интервале 800-1200° С, а вмещающие породы, разогретые первоначально за счет геотермического градиента, могут быть относительно «холодным». Ширина зоны (ореол) контактового метаморфизма зависит, главным образом, от объема магматического очага и может достигать нескольких километров. Если вмещающая порода разогрета жильным магматическим телом (пегматитовая жила, дайка гранитоидов и т. д.), то прогретой бывает лишь узкая полоса в несколько метров.

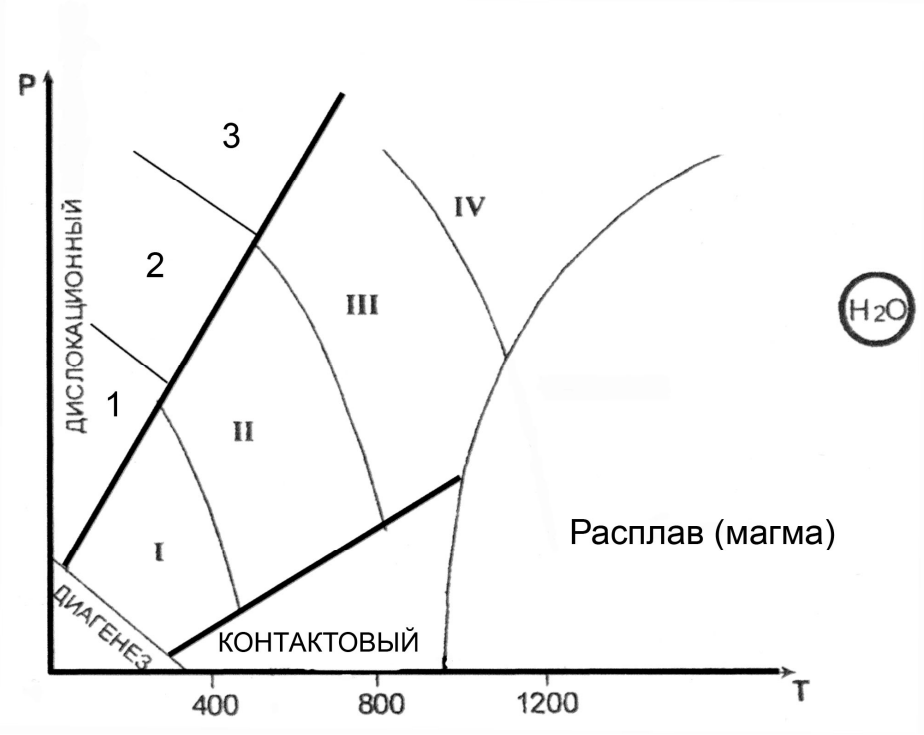

Рис. 1. Типы метаморфизма

Фации умеренного давления: I – зеленосланцевая, II – Эпидот-амфиболитовая, III – амфиболитовая, IV – гранулитовая

Фации высокого давления: 1– глаукофановая, 2 – дистен-мусковитовых сланцев и дистеновых гнейсов, 3 – эклогитовая

Весьма существенную роль при контактовом метаморфизме играет химический состав магмы и вмещающих пород, а точнее, контрастность состава между ними. В случае резкого контраста между многокомпонентной магмой и вмещающими породами на их контакте протекают диффузионные процессы взаимного проникновения, меняющие как состав внешней оболочки магматического тела, так и состав вмещающих пород. Такой процесс перекристаллизации пород, протекающий с существенным изменением их первичного химического состава, называется **метасоматозом**. Обычно метасоматоз сопровождается интенсивной гидротермальной и флюидной проработкой, способствующей привносу и выносу химических компонентов. Типичными представителями таких контактово-метасоматических процессов (на границе между силикатными магмами и известняками) являются скарны. С другой стороны, в случае, если силикатная магма находится в контакте с близкими ей по химическому составу вмещающими породами, то формируются роговики - прогретые и перекристаллизованные продукты метаморфизма первичных пород без проявления метасоматоза.

Дислокационный метаморфизм протекает в условиях высокого стрессового давления, под воздействием тектонических движений по крупным разрывным нарушениям (разломам). При этом происходит дробление пород с

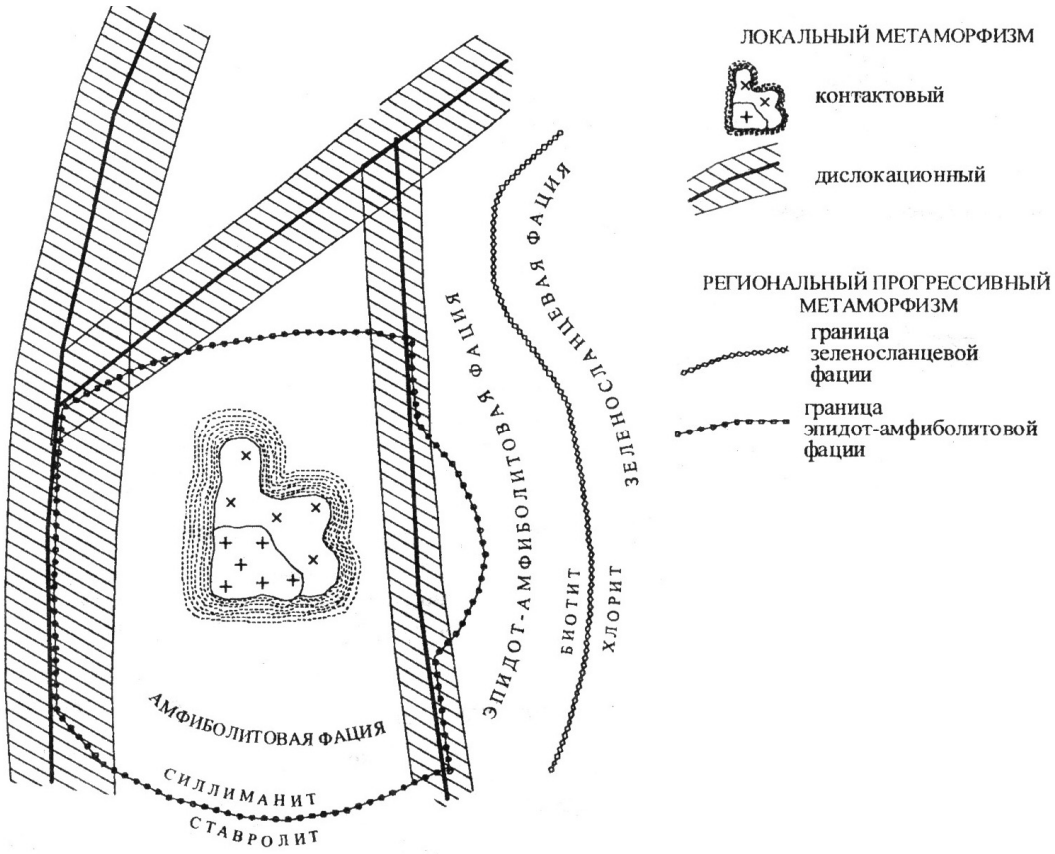

Рис. 2. Схематическая карта метаморфизма

образованием структур катаклаза, а под действием проникающих в ослабленные зоны флюидов (гидротермальных растворов), горные породы подвергаются частичной или полной перекристаллизации и цементации.

Новообразованными минералами - индикаторами высоких давлений являются кианит, глаукофан, пироп, омфацит (пироксен), алмаз. Эти минералы фиксируют давления больших глубин, где всегда имеется и некоторый температурный фон, создаваемый геотермальным градиентом. В приповерхностных условиях можно наблюдать и неперекристаллизованные брекчии, милониты, филлониты.

Процессы контактового и дислокационного типов метаморфизма протекают в ограниченных пространствах, т. е. развиваются локально. Контактовый метаморфизм проявляется в виде узкой полосы вокруг магматических тел, а дислокационный – такой же полосой сопровождает тектонические трещины, в связи с чем эти два тип метаморфизма объединяются под общим названием **локальный метаморфизм** (рис. 3).

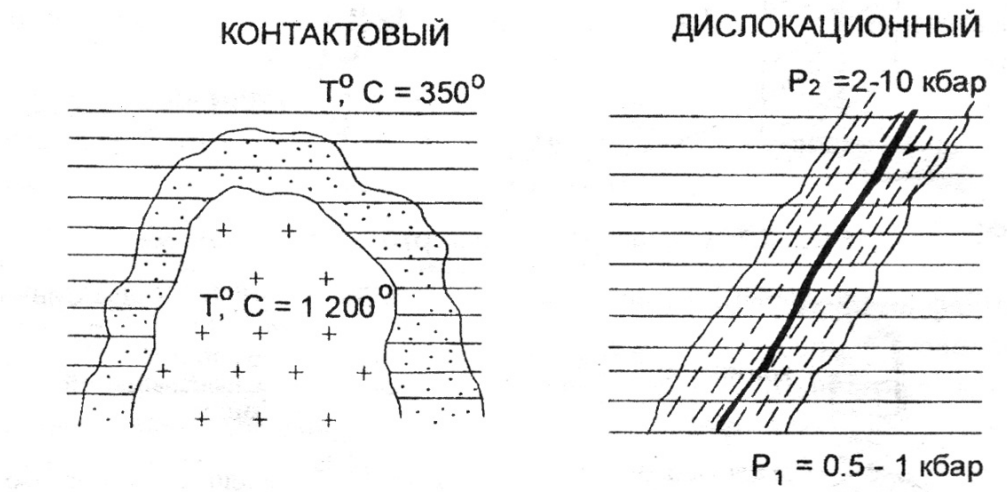

Рис. 3. Локальные типы метаморфизма

В противоположность локальному выделяют **региональный метаморфизм.** Региональный метаморфизм – широкомасштабный процесс, охватывающий огромные территории в пределах подвижных поясов земной коры. Главными его факторами являются температура и давление, а также воздействие воды и углекислоты, содержащихся в исходных породах и способствующих ходу химических реакций. Преобразование горных пород, происходящее на глубине без существенного плавления и метасоматоза, сопровождается перекристаллизацией и развитием новых минералов в условиях расплющивания и пластического течения вещества, что приводит к появлению характерной для метаморфических образований ориентированности (параллельному расположению) минеральных зерен. Породы регионального метаморфизма имеют наиболее широкое распространение.

Метасоматоз контактовый – процесс метасоматического изменения горных пород в контакте с интрузивными телами. При метасоматозе возникают как экзометасоматиты, то есть контактовоизмененные вмещающие породы под воздействием внедрившихся в них интрузий, так и эндометасоматиты, являющиеся продуктами изменения самих интрузивных образований при биметасоматических реакциях. Температурный режим этих процессов изменяется от 900 до 300-200 ^{o}C. Примерами контактового метасоматоза могут служить скарнообразование, грейзенизация и пр.

1.2. Фации метаморфизма

В зависимости от параметров метаморфизма и минерального состава образующихся пород выделяют **фации метаморфизма**, понимая под этим термином совокупности горных пород, минеральный состав которых находится в равновесии при данных условиях метаморфизма.

Для метаморфических пород, в соответствии с типами метаморфизма, выделяют две группы фаций:

- фации умеренных давлений (региональный метаморфизм);

- фации высокого давления (дислокационный метаморфизм).

Метаморфические породы **умеренных давлений** подразделяются на четыре фации. По мере возрастания Р-Т условий регионального метаморфизма выделяют: 1 – зеленосланцевую фацию; 2 – эпидот-амфиболитовую фацию; 3 – амфиболитовую фацию; 4 – гранулитовую фацию. Название фации определяется по типичной породе, сложенной определенной ассоциацией минералов. В области термодинамических условий гранулитовой (иногда амфиболитовой) фации в породе может отмечаться частичное плавление, такое преобразование называют ультраметаморфизмом. Это переходная зона от метаморфизма к магматизму, сложенная мигматитами.

Фация зеленых сланцев (зеленосланцевая) соответствует наиболее низкотемпературной ступени регионального метаморфизма и объединяет породы, сформировавшиеся в температурном интервале 250-450 °С при давлении от 1,5 до 3 кбар. Широкое развитие минералов зеленого, светло-зеленого цвета (хлорита, актинолита, серицита, талька и др.) определило название фации.

Эпидот-амфиболитовая фация отвечает более высокотемпературной ступени регионального метаморфизма (Т = 450-600 °С, Р = 3-6 кбар) и поэтому характеризуются заменой низкотемпературных минералов более высокотемпературными. Граница прорисована линией исчезновения хлорита и замещением его биотитом. В этой фации появляется гранат, эпидот, ставролит, роговая обманка и другие. Наиболее широко распространены кристаллические сланцы с гранатом, биотитом, мусковитом, ставролитом и другие.

Амфиболитовая фация представлена гнейсами, амфиболитами, для образования которых требуются уже значительные температуры и давление (Т = 600-800 °С, Р = 4-8 кбар). При этих условиях исчезает эпидот, ставролит.

При высоком содержании в породах воды наступает частичное их плавление – анатексис с возникновением гранитного расплава, что приводит к образованию мигматитов.

Гранулитовая фация отличается наиболее интенсивными параметрами метаморфизма (Т = 750-1100 °С, Р = 6-11 кбар). Такие условия создавались на больших глубинах, на ранних стадиях развития Земли – архейского и протерозойского эонов. Породы, сформированные в условиях этой фации, почти полностью лишены воды; гидроксилсодержащие минералы в них содержатся редко.

В условиях дислокационного метаморфизма выделяются **фации высокого давления,** которые локализуются в глубинных узких тектонических зонах, формируются в условиях повышенного давления (до 10-20 кбар) и температурах 300-800 °С.

Глаукофановая фация является наиболее низкотемпературной и в этом отношении сопоставимой с зеленосланцевой фацией. Эта фация характеризуется развитием различных сланцев, в которых обычно присутствует хлоритоид, фенгит, парагонит, глаукофан.

Фация дистен-мусковитовых сланцев и дистеновых гнейсов соответствует примерно интервалам температур эпидот-амфиболитовой фации умеренных давлений, но наряду с минералами, свойственными указанной фации появляются новые минералы, индикаторы высокого давления – дистен, омфацит, глаукофан, пироповый гранат, парагонит и ряд других

минералов. Обычными породами этой фации являются дистен-мусковитовые (парагонитовые) сланцы и более высокотемпературные дистеновые гнейсы.

Эклогитовая фация включает весьма своеобразные породы, называемые эклогитами. Главными минералами эклогитов является пироксен (омфацит) и гранат (пироп).

3.3. Особенности минерального состава метаморфических горных пород

Широкий диапазон термодинамических условий проявления метаморфизма обусловил большое разнообразие минерального состава пород. Кроме того, этот набор минералов зависит от состава исходных пород. Сам механизм перекристаллизации пород, протекающий в твердом виде, представляет собой сложный процесс замещения одних минералов (неустойчивых при новых Р-Т- условиях) другими, более устойчивыми. При этом важную роль играют поровые флюиды как катализаторы реакций замещения.

Кроме упоминавшихся минералов, входящих в состав магматических пород, выделяется группа минералов, характерных преимущественно для метаморфических пород.

Тальк – низкотемпературный чешуйчатый минерал, возникающий при гидротермальной проработке магнезиальных пород. Мягкий, с жирным блеском.

Хлорит – низкотемпературный чешуйчатый минерал часто с зеленоватым оттенком. Образуется при гидротермальной проработке основных пород.

Серпентин – возникает как продукт гидротермальной проработки ультраосновных пород. Не обладает четко выраженной формой (иногда образует волокнистые агрегаты), серого с зеленоватыми оттенками цвета.

Серицит – низкотемпературная, мелкочешуйчатая, наиболее гидроксилнасыщенная разновидность слюды - мусковита. Присутствие в породе серицита обусловливает ее шелковистый блеск.

Эпидот – образует призматические кристаллы, лучистые или зернистые агрегаты. Цвет светло-зеленый. Блеск сильный стеклянный.

Гранат – кристаллы изометричные в виде ромбододекаэдров, реже зернистые агрегаты. Цвет – от коричневого до красного. Макроскопически легко узнается по характерному облику кристаллов и цвету.

Актинолит – низкотемпературная разновидность роговой обманки. Образует волосовидные, тонколучистые неориентированные агрегаты. Цвет светло-зеленый.

Глаукофан – разновидность роговой обманки, образующаяся при высоких давлениях. Образует тонколучистые агрегаты. Цвет густо фиолетовый до черного.

Ставролит – кристаллы в виде коротких ромбического сечения призм, характерные двойники, напоминающие прямой или косой (угол 60°) крест. Цвет коричневый, красно-бурый до черного. Легко узнается по цвету и двойниковым формам.

Дистен (кианит) – кристаллы длинные, уплощенные. Имеет анизотропию твердости. Цвет голубой или синий.

3.4. Текстуры и структуры метаморфических горных пород

Текстуры и структуры метаморфических пород зависят от специфических физических условий их образования. Эти условия отличаются от термодинамических параметров кристаллизации магматических пород, для которых действует в полной мере известный закон Паскаля, обеспечивающий при любом направленном тектонических движений одинаковое давление во все стороны. Этим условием обеспечивается повсеместная массивная текстура глубинных магматических пород. Слюды в гранитах, например, благодаря действию закона Паскаля, не ориентированы в одном направлении.

Метаморфические процессы не достигают условий плавления, поэтому породы изменяются в твердом или пластичном состоянии, когда закон Паскаля работает лишь частично или не проявляется вовсе. Для регионального метаморфизма, например, ориентированное давление влияет на форму возникающих минералов, а также на их параллельную или субпараллельную ориентировку. Поэтому у низкотемпературных продуктов регионального метаморфизма отмечаются, как правило, **сланцеватые текстуры** с параллельным и субпараллельным расположением вытянутых, уплощенных или чешуйчатых минералов.

С повышением температуры, в условиях амфиболитовой фации, когда вещество начинает проявлять пластические свойства, а значит, частично проявляется закон Паскаля, четкая ориентировка удлиненных, уплощенных минералов постепенно исчезает, т. к. давление становится, до определенной степени, всесторонним. Такая текстура со слабо выраженной ориентировкой минералов называется **гнейсовой,** по названию главного и типичного представителя пород амфиболитовой фации - гнейса.

Максимальное проявление закона Паскаля достигается в условиях гранулитовой фации, поэтому ее продукты не несут следов ориентировки минералов, а текстура называется **массивной** как у глубинных магматических пород.

Так как региональный метаморфизм протекает в условиях тектонического давления, то сланцеватые текстуры могут усложняться мелкой складчатостью. Тогда такая текстура называется плойчатой. Нередко метаморфические процессы высокотемпературных фаций сопровождаются расслоением первично однородной массы на слои контрастного минерального состава. Образуются темно-окрашенные (с амфиболом, слюдами) и светлоокрашенные (с кварцем, полевым шпатами) слои. В этом случае говорят о **полосчатой** текстуре пород.

Более широкий диапазон текстур характерен для продуктов локального (контактового и дислокационного) метаморфизма. Для скарнов, роговиков, березитов, лиственитов, мраморов, образующихся при контактовом метаморфизме без проявления тектонического (стрессового) давления, наиболее часто отмечается **массивная** текстура, хотя может встречаться пористая, ноздреватая, пятнистая и другие.

Структурные особенности метаморфических пород также в существенной степени определяются Р-Т условиями среды минералообразования. Очевидно, что в условиях полной анизотропии среды, когда относительно «холодная» твердая порода подвергается тектоническому направленному сжатию, легче кристаллизоваться и расти чешуйчатым минералам, которые относительно легко могут наращивать свой размер вкрест, перпендикулярно вектору давления. В то же время в условиях изотропной среды гранулитовой фации, когда давление становится всесторонним, возникают благоприятные условия для кристаллизации изометричных, объемных минералов.

Так как для метаморфических процессов отмечается тесная обусловленность внешними факторами формы минералов, эта особенность заложена в понятие структуры (в противоположность магматическим и осадочным породам, где в понятие структуры вкладывается не форма, а размер минералов, зерен и т. д.). Форма минералов, а значит и структура породы, совместно с ее текстурными особенностями позволяют восстанавливать Р-Т условия образования продуктов метаморфизма.

Конкретные названия структур определяются несколькими латинскими названиями упомянутых форм минералов: лепидос - чешуйка; нематос - нить, иголка; гранос - зерно. Кроме того, следует помнить, что метаморфизм – процесс постоянного обновления минерального состава породы, все минералы вновь выросшие, возникшие. Этот процесс называется бластезом (от греческого «бластос» – росток). В итоге структуры продуктов регионального метаморфизма, в зависимости от формы слагающих ее минералов, могут называться: лепидобластовая, гранобластовая, нематобластовая, либо более сложными комбинированными названиями: лепидо-гранобластовая, немато-гранобластовая или лепидо-немато-бластовая т. д.

Гранобластовая структура чаще отмечается для пород амфиболовой и гранулитовой фаций метаморфизма при наличии зерен изометричной формы кварца, полевых шпатов, гранатов, карбонатов и др.

Лепидобластовая характерна обычно для зеленосланцевой фации при обилии чешуйчатых, листоватых минералов – серицита, мусковита, биотита, хлорита, талька, серпентина.

Нематобластовая в чистом виде встречается редко (амфиболиты, актинолитовые сланцы) и отличаются наличием минералов игольчатой, длиннопризматической формы (эпидот, роговая обманка, актинолит, кианит, рутил).

Иногда в породе отмечаются разнозернистые агрегаты, когда один из новообразованных минералов резко выделяется по размеру среди остальных. В этом случае можно говорить о **порфиробластовой** структуре.

Значительно меньшую информацию об условиях образования несут структуры контактового метаморфизма, продукты которого чаще всего обладают **кристаллобластовыми** структурами.

Среди пород регионального метаморфизма имеется два характерных исключения. В зависимости от Р-Т условий различные формы минералов возникают лишь в том случае, если в исходном химическом составе имелись в наличии необходимые породообразующие компоненты, позволяющие строить все многообразие решеток минералов (чешуйчатых, игольчатых, зернистых). Среди осадочных пород известны две мономинеральные, а значит простые по составу, образования - известняки ($CaCO_3$, $MgCO_3$) и кварцевые пески (SiO_2). При метаморфизме эти простые по составу породы не способны формировать игольчатые, чешуйчатые и другие, кроме зернистых, формы. Поэтому известняки при метаморфизме переходят в мономинеральную (с одним кальцитом) породу – мрамор с возможным укрупнением зерна по мере роста температуры. Аналогично ведут себя кварцевые пески, которые способны образовать только зернистый агрегат кварцита. Так как отмеченные породы не способны реагировать на давление изменением формы зерен, то для них, обычно, трудно восстановить тип метаморфизма – региональный или контактовый.

3.5. Методика выполнения контрольной работы

Основная цель контрольной работы – знакомство с метаморфическими горными породами, их текстурно-структурными особенностями, минеральным составом. Студенты должны научиться определять продукты разных типов метаморфизма (регионального, термального и дислокационного) и, при возможности, устанавливать их исходный состав (эдукт).

Выполнение контрольной работы проводится в определенной последовательности: вначале определяется текстура породы, позволяющая устанавливать тип метаморфизма; затем исследуются структурные особенности, по которым восстанавливают термодинамические условия проявлений метаморфизма (фации – для продуктов регионального метаморфизма), которые уточняются после диагностики минерального состава породы. По совокупности полученных сведений о метаморфической породе делаются выводы об исходной породе (эдукте).

Описание пород ведется в следующей последовательности: цвет породы, текстура, структура, минеральный состав. По совокупности всех описанных признаков студент должен определять тип метаморфизма, фациальный уровень (Р-Т- условия), и при возможности предположить возможный состав эдукта.

Часть 4

ОСАДОЧНЫЕ ГОРНЫЕ ПОРОДЫ

4.1. КРАТКИЕ СВЕДЕНИЯ ОБ ОСАДОЧНЫХ ГОРНЫХ ПОРОДАХ

4.1.1. Литогенез

Формирование осадочных пород представляет собой сложный и длительный процесс, связанный с экзогенными процессами. В образовании осадочных пород выделяют следующие стадии: 1) образование исходного осадочного материала; 2) перенос осадочного материала; 3) накопление осадка (седиментогенез); 4) преобразование осадка в осадочную породу (диагенез); 5) изменение осадочной породы до начала метаморфизма или начача выветривания (катагенез). Процесс формирования осадочной породы, начиная от образования исходного материала и заканчивая превращением осадка в породу, носит название литогенеза. Крупный вклад в изучение этого процесса внесли советские учёные Н. М. Страхов, Л. В. Пустовалов, Г. Ф. Крашенинников, Н. Б. Вассоевич, Л. Б. Рухин, Н. В. Логвиненко, Т. А. Лапинская и др.

Исходным материалом осадочных пород служат продукты разрушения магматических, метаморфических и ранее образовавшихся осадочных пород на поверхности Земли. Разрушаются горные породы и входящие в их состав минералы в результате экзогенных процессов, причём основная масса продуктов разрушения образуется в результате выветривания. Под действием поверхностных вод и в меньшей степени ледников и ветра продукты разрушения переносятся к областям седиментации (осадконакопления). Весь этот материал, находящийся на стадии переноса, при соответствующих условиях рельефа и геохимической обстановки может перейти в осадок. При этом начинается третья стадия образования породы - седиментогенез, или накопление осадка. Осаждение частиц может быть временным, когда частицы вновь подхватываются движением среды, или окончательным, когда происходит накопление осадка, т. е. постепенное закрепление частиц на дне.

Подавляющая масса осадков накапливается в конечных водоёмах стока - озёрах и, главным образом, морях. Такие осадки называют субаквальными. В отличие от них осадки, накапливающиеся на суше, вне водной среды, называют субаэральными. В конечных водоёмах стока в зависимости от характера поступающего материала, а также от гидродинамического и гидрохимического режимов формируются осадки трёх типов: обломочные, органогенные и хемогенные. Характерно, что породы биогенного происхождения встречаются только в толщах субаквальных отложений. Субаэральные отложения обычно представлены только обломочными и хемогенными образованиями, отличными по своим свойствам от тех же разностей, сформировавшихся в субаквальных условиях. На стадии седиментогенеза закладываются такие важные свойства осадка, как минеральный состав, размер и форма слагающих его частиц, слоистость. Следующим этапом формирования породы является стадия диагенеза. Диагенез - совокупность процессов, преобразующих осадок в осадочную породу. Свежесформированные осадки обычно образуют рыхлые, сильно обводнённые слои, насыщенные разнообразными химически активными соединениями. Кроме минеральных веществ в осадке присутствует органическое вещество в виде остатков отмерших организмов и живые бактерии.

Только что образовавшийся осадок представляет собой рыхлое или текучее тело, обильно обводненное, богатое микроорганизмами и состоящее из весьма разнообразного материала, частью твердого, частью жидкого и газообразного. Главная особенность свежесформированного осадка - отсутствие равновесия между входящими в его состав

реакционноспособными соединениями. Из-за неравномерности свежий осадок представляет собой неустойчивую физико-химическую систему. Так, в осадке имеется много кислорода и богатых им веществ, здесь же - живые организмы, нуждающиеся в кислороде для своего существования, и органическое вещество, которое способно к окислению и сгоранию. Пропитывающая иловый осадок вода по составу почти не отличается в первый момент от воды наддонной. Эта вода не насыщена карбонатами, кремнеземом, фосфатами и другими компонентами; в то же время в осадке много биогенно осажденных или перенесенных в виде взвеси кальцита, магнезита, кремнезема и других веществ. В состав глинистых минералов в виде примеси входят также поглощенные ими катионы многих металлов.

После фиксации осадка на дне естественно начинается процесс уравновешивания этой системы. Физико-химическое равновесие достигается при процессах обезвоживания, разложения органических остатков, уплотнения и цементации осадков, образования конкреций.

Стадией диагенеза заканчивается процесс собственно формирования осадочной горной породы. Она продолжает существовать в земной коре до тех пор, пока находится в термодинамических условиях, характерных для верхних горизонтов. Однако и здесь осадочная горная порода не остаётся неизменной. Наступает стадия катагенеза. Катагенез — это совокупность процессов, изменяющих осадочную породу в период её' существования до начала метаморфизма или выветривания. В отличие от диагенетических процессов, обусловленных внутренней неуравновешенностью осадка, причиной катагенез является отсутствие равновесия между породой и средой, в которую она попадает в результате прогибания или подъёма участков земной коры. Основными факторами катагенеза являются температура и воздействие подземных вод. В целом процессы катагенеза протекают менее интенсивно, чем диагенетические, но зато чрезвычайно длительны и приводят к заметным результатам, а именно: уплотнению и обезвоживанию, растворению и выносу ряда минералов подземными водами, перекристаллизации минералов в осадочной породе.

4. 1.2. Химический и минеральный составы осадочных пород

Осадочные горные породы состоят из различных по составу и происхождению компонентов: аллотигенных, органических остатков разного типа и вулканогенного материала.

Аллотигенные (привнесённые извне) компоненты составляют основную массу обломочных и некоторых глинистых пород и представляют собой обломки и частицы пород и минералов различного размера. Как правило, в осадочных породах встречаются обломки наиболее устойчивых минералов и пород. Главным образом это кварц, затем следуют полевые шпаты, слюды. пироксены, амфиболы.

Аутигенные (образовавшиеся на месте нахождения) компоненты образуются за счёт выделения минерального вещества из природных растворов или в результате обменных и других реакций либо в воде бассейна осадконакопления, либо в осадочной горной породе. Наибольшее значение из них имеют глинистые минералы, карбонаты, сульфаты, соли, оксиды и гидроксиды Fe, Mn, Al, Si, а также фосфаты. Эти минералы слагают основную массу хемогенных и часть глинистых пород, а также широко распространены в цементах обломочных пород и конкрециях.

Органические остатки. В осадочных горных породах присутствуют органические останки или следы жизнедеятельности организмов. Это обломки раковин или скелетных частей различных животных и растительных организмов. В породах биогенного происхождения органические останки являются преобладающим компонентом, а в некоторых случаях породы целиком сложены ими (ракушняки, известняки, мел и др.).

В значительной части современных осадков присутствует вулканогенный материал в виде обломков вулканического стекла и эффузивных пород. Вулканогенный материал попадает в осадки обычно как примесь вулканического пепла, песка и более крупных образований при извержениях. При этом название породы состоит из двух слов, например, туфогенный песчаник. Следует иметь в виду, что прилагательное в этом словосочетании (в данном случае «туфогенный») означает, что вулканогенного материале в породе меньше, чем терригенного. В песчанистом туфе меньше терригенного материала, чем вулканогенного.

3.2. Классификация осадочных горных пород

Общепризнанных классификаций осадочных горных пород нет, что связано, прежде всего, с разнообразием процессов и факторов, контролирующих образование осадков. В нашей стране распространением пользуется классификация осадочных пород, предложенная в 1958 г. М. С. Шевцовым, в основу которой положено, с одной стороны, их происхождение, а с другой - их химический и минеральный составы. Упрощенная классификация осадочных пород приведена в виде таблицы.

По генетическим признакам среди осадочных горных пород выделяют три главные группы.

1. Терригенные (обломочные) породы образуются в результате механического разрушения ранее существовавших горных пород и накопления обломочного материала. К ним относят песчаники, гравелиты, конгломераты, а также их не сцементированные и неокатанные разности: пески, гравий, дресву, галечник и щебень. В эту же группу входят глинистые породы, являющиеся продуктом преимущественно химического разрушения пород, а также переотложения глинистых минералов, освободившихся при выветривании глинистых толщ и тончайшего дробления химически стойких минералов.

2. Органогенные породы, которые образуются в результате жизнедеятельности организмов (коралловые постройки) и их отмирания (кости рыб, зубы акул и т. д.). В отдельную группу выделяют каустобиолиты, образующиеся из растительных и животных (планктон) останков, преобразованных под влиянием биохимических, химических и другихгеологических факторов и обладающих горючими свойствами. Это - угли, торф, сапропель и др.

3. Хемогенные породы, образующиеся при химическом разрушении, растворении минералов материнских пород и последующем выпадении новых минералов в осадок из пересыщенных растворов.

Более детальное подразделение осадочных пород в пределах выделяемых генетических групп производится по вещественному и минеральному составам. Терригенные осадочные горные породы по размеру обломков (частиц) подразделяют на грубообломочные (псефиты), песчаные (псаммиты), пылеватые (алевролиты) и глинистые (пелиты). По характеру связи (цементации) обломочного материала их подразделяют на сцементированные и несцементированные (рыхлые).

При классификации органогенных и хемогенных пород определяющим является их химический состав.

3.3. Текстуры и структуры осадочных горных пород

Строение осадочных пород характеризуется текстурой и структурой.

Текстура - это общий рисунок породы, черты ее строения, определяемые способом заполнения пространства, характером сочетания между собой элементарных частиц (минералов, зерен, обломков). Текстура породы формируется с этапа накопления осадка. Возникшие в процессе осадконакопления первичные текстуры отражают состояние среды в момент накопления осадочного материала и результаты её взаимодействия с осадком.

Вторичные текстуры возникают в уже сформировавшейся породе при процессах диагенеза и гипергенеза.

'Структура осадочной породы - это особенности её строения, которые определяются размером, формой, степенью однородности составных частей, а также количеством, размером и степенью сохранности органических остатков. Элементы структуры породы формируются на протяжении всех этапов образования и жизни породы.

Важнейшим признаком, характеризующим строение осадочных пород, является их слоистая текстура. Образование слоистости связано с условиями накопления осадков. Любые перемены этих условий вызывают либо изменение отлагающегося материала, либо обстановку в его поступлении, что внешне выражается в появлении слоев.

Классификация осадочных горных пород

ТЕРРИГЕННЫЕ				
Структура	Рыхлые, несцементированные		Сцементированные	Размер, мм
	неокатанные	окатанные		
псефитовая	Глыбы Щебень Дресва	Валуны Галечник Гравий	>50 Конгломераты 10 Гравелит	> 1-10
псаммитовая	Песок		Песчаник	0,1-1,0
алевритовая	Алевриты		Алевролиты	0,01 -ОД
пелиговая	Глины		Аргшшпы	<0,01
ОРГАНОГЕННЫЕ				
Название			Химический состав	
Известняки, мел			CaCOз	
Доломит			CaMg(CQ,)	
Опоки, трепела			SiQz-nHaO	
Сапропелиты, торф, уголь			Органические соединения углерода	
ХЕМОГЕННЫЕ				
Название			Химический состав	
Соли галоидные: галит сильвин Соли сернокислые: гипс ангидрит Соли фосфатные: аштит Бурые железняки Бокситы			NaCl KCl $CaS0_4$-2H20 $CaS0_4$ АЩз • nH_2O, Al(OHb A10(OH)	

Слои представляют собой более или менее плоские тела, горизонтальные размеры которых во много раз больше их толщины (мощности), и отделяющиеся друг от друга поверхностями напластования. Слоистая текстура обусловлена чередованием слоев нескольких разностей осадочных пород и может быть вызвана резким изменением размера обломочных частиц и вещественного состава пород либо ориентировкой осадочного материала.

Для осадочных пород характерна также пористая текстура, характеризующая степень её проницаемости. По степени пористости выделяют следующие породы:

микропористые, в которых пористость не заметна на глаз, но устанавливается специальными методами;

мелкопористые, в которых можно различить мелкие частые поры;

крупнопористые - с колебанием размера пор в пределах от 0,5 до 2,5 мм;

кавернозные имеют крупные поры (каверны) на месте выщелоченных раковин и остатков других организмов, а также отдельных частей горной породы.

Для однородных, преимущественно зернистых хемогенных и органогенных пород, характерны массивные текстуры. Все несцементированные осадочные горные породы имеют рыхлую текстуру.

Структура осадочных пород отражает их происхождение. Структуры осадочных пород определяются, главным образом, размером и отчасти формой слагающих их частиц.

По величине обломков для терригенных горных пород (мм) выделяют такие структуры, как: галечная (окатанные обломки) - 10 - 100; щебеночная (остроугольные обломки) - 10 - 100; гравийная (окатанные обломки) - 1 - 10 ; дресвяная (остроугольные обломки) — 1-10; псаммитовая -0,1-1; алевролитовая — 0,01 - 0,1; пелитовая - < 0,01.

Для хемогенных пород (известняки, доломит, гипс) характерна кристаллически-зернистая структура. В зависимости от размера слагающих породу зерен выделяют крупнозернистую (преобладают зерна величиной 1,0 -0,5 мм), среднезернистую (0,5 - 0,25 мм), мелкозернистую структуры (0,25 -0,1 мм), иногда, когда порода плохо отсортирована, выделяют разнозернистую структуру.

Оолитовая структура наблюдается в случаях, когда в породе в массовых количествах присутствуют мелкие шаровидные стяжения (оолиты) различного размера (боксит, оолитовый известняк).

Структуры пород, в составе которых большое участие принимают остатки организмов (свыше 20 - 30 % объема породы), определяются степенью сохранности этих останков и их количеством. Выделяются следующие структуры: биоморфная - в случае хорошей сохранности скелетных остатков организмов; детритовая - порода почти полностью состоит из скелетных обломков размером крупнее 0,1 мм.

Осадочные породы имеют самую разнообразную окраску и оттенки. При этом иногда окраска является признаком, характерным для определения этих пород, и зависит: 1) от окраски минералов, слагающих пород; 2) окраски рассеянных в породе примесей и цемента; 3) цвета тончайшей корочки, часто обволакивающей зерна составляющих породу минералов. Белый и светлосерый цвета обычно обусловлены окраской главных минералов осадочных пород (кварца, каолинита, кальцита, доломита и др.) и свидетельствует до некоторой степени о чистоте породы. Темно-серый и черный цвета чаще всего появляются в результате примеси углеродистого вещества и, реже, оксидов и гидрооксидов марганца. Красный и розовый цвета связаны с примесью в породе оксидов железа, а зеленый цвет зависит от примеси закисного железа и присутствия минералов с зеленой окраской - чаще глауконита, реже хлорита и малахита.

4.3. Методика выполнения контрольной работы

Основная цель этого этапа контрольной работы - знакомство с осадочными горными породами, их текстурно-структурными особенностями, минеральным составом.

Правильное определение осадочных горных пород возможно только при полном учете всего комплекса внешних свойств. Подробно должны быть описаны текстура и структура породы, характер слоистости (в случае отсутствия последней это должно быть специально указано), наличие или отсутствие кавернозности и т. д. Необходимо устанавливать и указывать возможно точнее структуру породы со всеми ее особенностями, окраску, твердость, излом, удельный вес и другие признаки, точно определять состав породы. Не менее подробно, чем породу, следует описывать и все инородные включения в нее: органические остатки, конкреции, прожилки, различные выделения, выцветы, примазки и т. д. Полное описание дает возможность установить тип породы и способ ее образования, а тем самым и определить ее.

При описании псефитов следует указывать состав, окраску, величину и характер окатанности обломков, состав и окраску цемента и соотношение в породе обломков и цемента.

Описывая глину, необходимо указать следующие ее внешние признаки: цвет, причем подчеркнуть, в каком состоянии влажности описывается глина; пластичность (глина бывает жирная, пластичная, сухая и песчанистая); характер примесей, часто обусловливающих окраску; структуру; растительные остатки и окаменелости.

МИНОБРНАУКИ РФ
ФГБОУ ВО «Уральский государственный горный университет»

УТВЕРЖДАЮ
Проректор по учебно-методическому комплексу _____ С.А.Дворов

МЕТОДИЧЕСКИЕ УКАЗАНИЯ
ДЛЯ САМОСТОЯТЕЛЬНОЙ РАБОТЫ СТУДЕНТОВ СПЕЦИАЛЬНОСТИ 21.05.02 «ПРИКЛАДНАЯ ГЕОЛОГИЯ» ПО ДИСЦИПЛИНЕ Б1.О.23 ОБЩАЯ ГЕОЛОГИЯ

Автор: Огородников В. Н., д.г-м.н., доцент

Одобрены на заседании кафедры геологии
(название кафедры)
Зав.кафедрой _____
(подпись)
Огородников В.Н.
(Фамилия И.О.)
Протокол № 2 от 12.10.2020
(Дата)

Рассмотрен методической комиссией Факультета геологии и геофизики
(название факультета)
Председатель _____
(подпись)
Бондарев В.И.
(Фамилия И.О.)
Протокол № 2 от 13.10.2020
(Дата)

Екатеринбург

Введение

Естественные науки – совокупность наук о природе. Природа – в широком смысле – все сущее, весь мир в многообразии его форм; объект естествознания. К естественным наукам относятся и география, и геология. **География –** система естественных – физико-географических и общественных – экономико-географических наук, изучающих географическую оболочку Земли, природные и производственно-территориальные комплексы и их компоненты. **Геология –** комплекс наук о составе, строении и истории развития земной коры и Земли (Советский энциклопедический словарь. М.: Изд-во «Советская энциклопедия», 1979).

В школьных программах нет дисциплины «Геологии». Элементарные сведения о Земле как планете и ее внутреннем строении школьники получают на уроках «Географии» в 6 и 7 классах. Для изучения геологических вопросов рекомендуем самостоятельно читать учебники по геологии. В настоящее время выпущено огромное число самых различных учебников, учебных пособий, методических указаний по всем направлениям геологических наук. Любой желающий по своему усмотрению без особого труда может для себя их приобрести. Но следует помнить афоризм Козьмы Пруткова: «Никто не обнимет необъятного!» Нельзя школьникам сразу преподносить геологические знания в объеме читаемой в высшей школе, но знать основы геологии необходимо каждому грамотному человеку для того, чтобы понимать историю развития природы. Без этих знаний невозможно понять процесс формирования как прошлых, так и современных ландшафтов – важнейших составных частей географической оболочки Земли.

Для квалифицированного подхода к встрече с природными объектами рекомендуем иметь элементарные познания по геологии. Аннотации первоочередных лекций приведены в настоящих методических указаниях.

Геология – это наука о Земле, о ее свойствах и изменениях, происходящих на ней в настоящее время, а также совершавшихся во времена прошедшие. Геология – это история Земли, и эту историю она сама записывает. Она сама ведет свою автобиографию; ведет ее без перерыва почти от начала своего образования и до настоящего времени, записывая ее на своих каменных страницах, и человеку остается лишь научиться читать эту занимательную каменную летопись, научиться понимать эти каменные письмена, в которых буквами являются попадающиеся нам под ноги камешки, а чернилами – воды ручьев, рек и морей. Вначале мы должны научиться различать буквы – камни, потом должны постигнуть самый процесс чтения записей Земли, для этого должны изучать геологические процессы, и лишь после того, как мы хорошо освоимся с ними, мы можем приступить к чтению древних страниц этой летописи. В этой великой многотомной летописи Вселенной всякая летопись человека, будь то самый древний папирус, является лишь одной незначительной строчкой, помещенной в конце ее последней страницы. Читая эту великую автобиографию, мы уносимся в бесконечно отдаленные от нас, неизмеримые даже тысячелетиями, времена. Эти далекие времена отдалены от нас во времени так, как отдалены от нас в пространстве далекие, загадочно мерцающие звезды.

Но где и как можно научиться читать эту великую летопись Земли? Где и как надо изучать геологию? Везде и всюду – в каждом овраге, в каждой речке, в любом карьере можно наблюдать результаты геологических процессов. Для изучения геологических процессов необходимо принимать участие в геологических экскурсиях, проходящих по геологическим объектам, доступными непосредственно нашему наблюдению.

1. ОБЪЕКТ И ПРЕДМЕТ ГЕОЛОГИИ

1.1. НАУКА О ЗЕМЛЕ. ФУНДАМЕНТАЛЬНЫЕ И ПРИКЛАДНЫЕ НАУЧНЫЕ НАПРАВЛЕНИЯ

Два греческих слова "гео" — Земля и "логос – учение позволяют трактовать термин "геология" как науку о Земле. Однако в наше время ограничиться таким простым толкованием уже нельзя, поскольку этот термин объединяет в себе целый комплекс самостоятельных направлений, как фундаментальных, так и прикладных.

Под ***фундаментальными*** обычно понимают те направления, которые разрабатывают понятия, открывают явления, закономерности, свойства, определяющие развитие геологии как науки. Фундаментальность не следует отождествлять с теоретическими разработками. К фундаментальным геологическим наукам могут быть отнесены следующие дисциплины: геохимия, минералогия, петрография, геотектоника, общая геология и историческая геология. Названные дисциплины занимаются различными уровнями организации вещества Земли в пространстве и во времени. Именно это обстоятельство в основном и определяет фундаментальность каждого из названных направлений. Все они теснейшим образом связаны между собой.

К ***прикладным направлениям*** принято относить те, которые непосредственно работают на производство: создают приёмы, методы, технологию геологических исследований, связанных в первую очередь, с поисками и разведкой полезных ископаемых, а также охраной и рациональной эксплуатацией земных недр. Их в современной геологии значительно больше, чем фундаментальных. Назовём лишь несколько: региональная геология, структурная геология, геологическое картирование, поиски и разведка месторождений полезных ископаемых, инженерная геология.

1.2. ОБЪЕКТ И ПРЕДМЕТ ГЕОЛОГИИ

Объектом общей геологии является Земля в целом: её возникновение как планеты, формирование внутренних и внешних оболочек, их функционирование и взаимодействие. Иными словами, речь идёт об изучении Земли как геологической системы.

Предметом непосредственного изучения геологии служат минералы, горные породы, ископаемые органические остатки и современные геологические процессы.

В основе научного познания геологической истории Земли, реконструкции процессов и обстановок прошлого лежит ***метод актуализма.*** При использовании этого метода к пониманию прошлого идут от изучения современных процессов, но с осознанием того, что в прошлом, особенно отдалённом от современности, и физико-географическая обстановка, и сами процессы отличались от современных тем больше, чем больше отдалена от нас прошлая геологическая эпоха.

1.3. ЗНАЧЕНИЕ ГЕОЛОГИИ ДЛЯ РАЗВИТИЯ ОБЩЕСТВА

Огромное значение, которое имеет геология, может быть рассмотрено в двух аспектах - общенаучном и народнохозяйственном.

Общенаучное значение геологии заключается в её неоценимой роли в формировании материалистического понимания природы. Данные геологии играют важную роль в диалектико-материалистическом обосновании философских принципов, отражающих материальное единство мира и его развитие,

Практическое значение геологии заключается в обеспечении минерально-сырьевыми ресурсами различных отраслей хозяйства, в инженерно-геологическом

обосновании строительства разнообразных гражданских и промышленных объектов, в решении питьевого и технического водоснабжения.

1.4. КРАТКАЯ ИСТОРИЯ ГЕОЛОГИИ

Геология зародилась в глубокой древности. Задолго до новой эры человек научился выплавлять металлы, использовать минеральную воду. Издавна привлекали внимание человека и природные процессы. Однако временем возникновения геологии как науки принято считать вторую половину ХУШ в. – период зарождения и бурного развития горнодобывающей промышленности. В России основоположником обобщений геологических знаний стал М.В. Ломоносов (1711-1765), в Западной Европе - Д.Геттон (1726-1797) и А.Г.Вернер (1750-1817).

2. ОБЩИЕ СВЕДЕНИЯ О ЗЕМЛЕ

2.1. ЗЕМЛЯ ВО ВСЕЛЕННОЙ

"Вселенная, весь мир, бесконечный во времени и пространстве и бесконечно разнообразный по тем формам, которые принимает материя в процессе своего развития. Вселенная существует объективно, независимо от сознания человека, её познающего. Вселенная содержит гигантское множество небесных тел, многие из которых по размерам превосходят Землю иногда во много миллионов раз (БСЭ, т.5, с. 1315). Доступная для изучения часть Вселенной называется ***Метагалактикой,*** включающей свыше миллиарда звёздных скоплений, или ***галактик*** (греч. "галактика" - молочный, млечный).

Наша ***Галактика Млечного Пути*** - типичная звездная система с массой около 10^{10} масс Солнца относится к типу спиральных и включает свыше 150 миллиардов звёзд. С Земли, расположенной внутри Галактики, Млечный Путь представляется в виде широкой белёсой полосы звезд, пересекающей небо. Период обращения Солнца и звёзд вокруг центра Млечного Пути 200 млн. лет. Возраст Галактики около 12 млрд. лет. Когда речь идёт о Солнечной системе, то имеется в виду Солнце и всё, что находится в поле его тяготения. К наиболее крупным телам этой системы относятся 9 планет, 34 их спутника, многочисленные кометы и астероиды. Согласно современным космогеническим представлениям Земля и другие планеты Солнечной системы образовались 4,6 млрд. лет назад почти одновременно с Солнцем.

Земля обращается вокруг Солнца по эллиптической орбите на среднем расстоянии 149,6 млн. км (144,117 млн. км в перигелии, 152,083 в афелии), период обращения 365,242 средних солнечных суток (год), скорость в среднем 29,765км\с (30,27км\с в перигелии, 29,27км\с в афелии). Период обращения Земли вокруг оси 23 час 56 мин 4,1 с (сутки).

Пожалуй, все согласны с тем, что исходным веществом для формирования Солнечной системы послужили межзвёздная пыль и газы, широко распространенные во Вселенной. Но каким образом в их составе оказался полный набор химических элементов таблицы Менделеева и что послужило толчком для начала конденсации газа и пыли в протосолнечную туманность остается дискуссионной проблемой. Следующая стадия образования Солнечной системы предусматривает распад протопланетного диска на отдельные планеты внутренней и внешней групп с поясом астероидов между ними. Промежуточной фазой было образование сонма твердых и довольно крупных, до сотен километров в диаметре, тел, именуемых планетезималями, последующее скопление и соударение которых и явилось процессом аккреции (наращивания) планеты. Этот процесс занял не более сотни миллионов лет, т.е. был с геологической точки зрения очень быстрым.

Важнейшее отличие Земли от других планет Солнечной системы - существование на ней жизни, появившейся 3-3,5 млрд. лет назад и достигшей с появлением человека (12 млн. лет назад) своей высшей формы.

2.2. ФОРМА И РАЗМЕРЫ ЗЕМЛИ

Поверхность реальной Земли чрезвычайно сложна и во всех деталях навряд ли может быть описана с помощью математических формул. Однако эта сложность существенно уменьшается при переходе от крупномасштабного к мелкомасштабному изображению, когда особенности рельефа Земли рассматриваются для достаточно обширных территорий.

Под фигурой, или формой Земли, понимают форму ее твердого тела, образованную поверхностью материков и дном морей и океанов. Форма планеты определяется ее вращением, соотношением сил притяжения и центробежной, плотностью вещества и его распределением в теле Земли. Геодезические измерения показали, что упрощенная форма Земли приближается к ***эллипсоиду вращения (сфероиду)***. В СССР в качестве эталона в 1946 году был принят эллипсоид Ф.Н.Красовского и его учеников (А.А.Изотов, и др.), основные параметры которого подтверждаются современными исследованиями и с орбитальных станций. По этим данным экваториальный радиус равен 6378,245 км, полярный радиус 6356,863 км, полярное сжатие 1/298,25.

Поверхность реальной Земли чрезвычайно сложна и во всех деталях навряд ли может быть описана с помощью математических формул. Однако эта сложность существенно уменьшается при переходе от крупномасштабного к мелкомасштабному изображению, когда особенности рельефа Земли рассматриваются для достаточно обширных территорий.

В связи с расчлененностью рельефа (наличием высоких гор и глубоких впадин) действительная форма Земли является более сложной, чем трехосный эллипсоид. Наиболее высокая точка на Земле - гора Джомолунгма в Гималаях - достигает высоты 8848 м. Наибольшая глубина - 11 034 м - обнаружена в Марианской впадине. Таким образом, наибольшая амплитуда рельефа земной поверхности составляет немногим менее 20 км. Учитывая эти особенности, немецкий физик Листинг в 1873 г. фигуру Земли назвал геоидом, что дословно обозначает «землеподобный». **Геоид** — некоторая воображаемая уровневая поверхность, которая определяется тем, что направление силы тяжести к ней будет всегда перпендикулярно. Эта поверхность совпадает с уровнем воды в Мировом океане, который мысленно проводится под континентами. Это та поверхность, от которой проводится отсчет высот рельефа. Поверхность геоида приближается к поверхности трехосного эллипсоида, отклоняясь от него местами на величину 100-150 м (повышаясь на материках и понижаясь на океанах, что, по-видимому, связано с плотностными неоднородностями масс в Земле и появляющимися из-за этого аномалиями силы тяжести.

2.4. СТРОЕНИЕ ЗЕМЛИ

Изучение внутреннего строения Земли производится различными методами. Геологические методы, основанные на изучении естественных обнажений горных пород, разрезов шахт и рудников, керна глубоких буровых скважин, дают возможность судить о строении приповерхностной части земной коры. Глубинное внутреннее строение Земли изучается главным образом геофизическими методами: сейсмическими, гравиметрическими, магнитометрическими и др. Одним из важнейших методов является сейсмический, основанный на изучении скорости распространения упругих волн, вызванных естественными и "искусственными" землетрясениями.

На основании скорости распространения сейсмических волн австралийский сейсмолог К. Буллен разделил Землю на ряд зон, дал им буквенные обозначения в

определённых усреднённых интервалах глубин, которые используются с некоторыми уточнениями до настоящего времени.

Выделяются три главные области Земли:

Земная кора (слой А) - верхняя оболочка Земли, мощность которой изменяется от 6-7 км под глубокими частями океанов до 35- 40 км под равнинными платформенными территориями континентов, до 50 - 75км под горными сооружениями (наибольшие под Гималаями и Андами).

Мантия Земли распространяется до глубин 2900км. В её пределах по сейсмическим данным выделяются: верхняя мантия - слой В глубиной до 400км и С - до 800 - 1000км (некоторые исследователи слой С называют средней мантией); нижняя мантия - слой D до глубины 2900 с переходным слоем от 2700 до 2900км.

Ядро Земли подразделяется на внешнее ядро - слой Е в пределах глубин 2900 - 4980км; переходную оболочку - слой Г - от 4980 - 5120км; и внутреннее ядро - слой G до 6971 км.

Земная кора - это верхняя каменная оболочка Земли, сложенная магматическими, метаморфическими и осадочными породами. Она представляет собой наиболее активный слой твердой Земли - сферу деятельности магматических и тектонических процессов. Нижняя граница земной коры как бы зеркально повторяет поверхность Земли. Под материками она глубоко опускается в мантию, под океанами приближается к поверхности Земли,

Мантия Земли является самым крупным элементом Земли - она занимает 83% ее объема и составляет около 66% ее массы.

Верхняя мантия характеризуется резким нарастанием скорости распространения сейсмических волн с глубиной. Выделяется два слоя: В (35-420 км), С (420-1000 км). Внутри слоя В, с глубин 80-100 км под материками и 50-70 км под океанами и до глубин 250-300 км, выделяется слой пониженной вязкости, который носит название *астеносферы.* Астеносфера выделяется по геофизическим данным как слой пониженной скорости, поперечных сейсмических волн и повышенной электропроводности. Повышенная вязкость астеносферы обусловлена, по-видимому, высокой температурой, приводящей, как полагают, к частичному выплавлению базальтовой магмы. Астеносфера играет важную роль в эндогенных процессах, протекающих в земной коре.

Земная кора вместе с твёрдой частью слоя Гутенберга образует единый жесткий слой, лежащий на астеносфере, который называется *литосферой.* По существу литосфера является своеобразной геосферой, отделённой от остальной части мантии активным поясом астеносферы.

Земная кора и верхняя мантия включая астеносферу, представляют собой *тектоносферу* - область Земли, где происходят тектонические явления.

3. ГЕОЛОГИЧЕСКИЕ ПРОЦЕССЫ

3.1.ОБЩИЕ СВЕДЕНИЯ О ГЕОЛОГИЧЕСКИХ ПРОЦЕССАХ

Под воздействием внутренних, или ***эндогеннных,*** и внешних, или ***экзогенных,*** сил земная кора испытывает постоянные изменения, которые называются ***геологическими процессами***. Соответственно различают эндогенные и экзогенные процессы.

Эндогенные процессы определяются глубинными источниками энергии. В результате на поверхности Земли образуются горные хребты и впадины, в земной коре возникают магматические очаги, происходят вулканические извержения, землетрясения. Эндогенные процессы характеризуются сложностью и большим разнообразием.

Экзогенные **процессы** развиваются на поверхности Земли за счёт энергии Солнца, и их интенсивность связана с активностью атмосферных явлений, геологической деятельностью поверхностных и подземных вод, озер, ледников, морей и океанов.

Сформировавшийся под воздействием эндогенных процессов рельеф молодых горных областей подвергается воздействию экзогенных сил, направленных на сглаживание, выравнивание рельефа. Таким образом, эндогенные и экзогенные процессы развиваются одновременно, связанно и взаимно обусловленно.

К эндогенным процессам относятся тектонические движения, магматизм и метаморфизм.

3.2. ТЕКТОНИЧЕСКИЕ ДВИЖЕНИЯ

Совокупность тектонических движений и деформаций, под воздействием которых формируются геологические структуры, называется тектоническими процессами, или *тектогенезом.* Тектонические движения – механические перемещения масс горных пород различного масштаба, сопровождающиеся изменениями их залегания и строения, а также связанными с этими изменениями деформациями (дислокациями). Тектоническим движениям принадлежит ведущая роль в развитии всех геологических процессов, так как они обусловливают перераспределение и трансформацию внутренней энергии Земли, влияют на изменение давления, интенсификацию теплопотока и т.д.

Упрощенно в зависимости от интенсивности, преимущественной направленности и геологических результатов тектонические движения можно разделить на две основные группы - *колебательные и дислокационные.*

3.3. ОБЩАЯ ХАРАКТЕРИСТИКА МАГМАТИЗМА

Магматизмом называют явления, связанные с образованием, изменением состава и движением магмы из недр Земли к ее поверхности. Магма представляет собой природный высокотемпературный расплав, образующийся в виде отдельных очагов в литосфере и верхней мантии, главным образом в астеносфере. Подъем магмы и прорыв ее в вышележащие горизонты происходят вследствие инверсии плотностей, при которой внутри литосферы появляются очаги менее плотного, но мобильного расплава. Магматизм - это глубинный процесс, обусловленный тепловым и гравитационными полями Земли.

В зависимости от характера движения магмы различают магматизм интрузивный и эффузивный. При ***интрузивном магматизме*** (плутонизме) магма не достигает земной поверхности, а активно внедряется во вмещающие вышележащие породы, частично расплавляя их, и застывает в трещинах и полостях коры. При ***эффузивном магматизме*** (вулканизме) магма через подводящий канал достигает поверхности Земли, где образует вулканы различных типов, и застывает на поверхности. В обоих случаях при застывании расплава образуются магматические горные породы. Температуры магматических расплавов, находящихся внутри земной коры, судя по экспериментальным данным и результатам изучения минерального состава магматических пород, находятся в пределах 700-1100°С.

Измеренные температуры магм, излившихся на поверхность, в большинстве случаев колеблются в интервале 900-1100°С, изредка достигая 1350°С. Более высокая температура наземных расплавов обусловлена тем, что в них протекают процессы окисления под воздействием атмосферного кислорода. На больших глубинах в магме в растворенном состоянии присутствуют летучие компоненты - пары воды и газов (H_2O, H_2, CO_2, HCl и др.). В условиях высоких давлений их содержание может достигать 12%. Они являются химически очень активными подвижными веществами и удерживаются в магме только благодаря высокому внешнему давлению.

3.4. ОБЩАЯ ХАРАКТЕРИСТИКА МЕТАМОРФИЗМА

Метаморфизм - преобразование горных пород под действием эндогенных процессов, вызывающих изменение физико-химических условий в земной коре. Преобразованию могут подвергаться любые горные породы: осадочные, магматические и ранее образовавшиеся метаморфические. Изменение минерального состава при метаморфизме может протекать ***изохимически,*** т. е. без изменения химического состава метаморфизуемой породы, и ***метасоматически,*** т. е. со значительным изменением химического состава метаморфизуемой породы за счет привноса и выноса вещества. Изменение структуры и текстуры пород обычно происходит в процессе перекристаллизации вещества. Особенность метаморфических процессов заключается в том, что они протекают с сохранением твердого состояния системы.

Метаморфизм представляет собой сложное физико-химическое явление, обусловленное комплексным воздействием температуры, давления и химически активных веществ.

3.5. ОСНОВНЫЕ ВИДЫ ЭКЗОГЕННЫХ ГЕОЛОГИЧЕСКИХ ПРОЦЕССОВ

Экзогенные геологические процессы в отличие от эндогенных протекают в самых верхних слоях земной коры на её границе с внешними геосферами Земли. Их энергетической основой является энергия солнечной радиации и сил гравитации. Экзогенные процессы протекают при нормальных значениях температуры и давления с поглощением тепла и направлены на дифференциацию вещества земной коры. Выделяют четыре группы (стадии) экзогенных геологических процессов: выветривание, денудацию, аккумуляцию, диагенез.

Выветривание (нем. "веттер" - погода) представляет собой процесс глубокого изменения магматических, метаморфических и осадочных горных пород и минералов, оказавшихся неустойчивыми в условиях земной поверхности. Изменение физического и химического состояния первичных минералов и горных пород происходит в месте их залегания в результате физического, химического и биологического воздействия воды, углекислого газа, различных минеральных и органических кислот, живых организмов, а также непосредственного воздействия солнечной радиации.

Денудация (лат. "денудацио" - обнажение) - это совокупность процессов удаления (сноса и переноса) продуктов выветривания с места их образования и непосредственного разрушения горных пород агентами денудации (силы гравитации, воды континентов, морей и океанов, ветер, ледники). Перемещая материал с возвышенностей в пониженные участки рельефа, денудационные процессы приводят к разрушению земной поверхности и образованию выровненных форм рельефа.

Аккумуляция (осадконакопление) - геологические процессы, в результате которых рыхлые продукты разрушения первичных горных пород накапливаются в понижениях рельефа: в речных долинах, озёрах, болотах, морях и океанах.

Диагенез (перерождение) представляет собой сложный процесс преобразования продуктов экзогенной деятельности (осадков) в осадочные горные породы под влиянием гравитационных сил и изменения физико-химических условий в приповерхностной части земной коры.

Все экзогенные геологические процессы тесно взаимосвязаны. Благодаря выветриванию происходит подготовка материала для денудации, а сами продукты выветривания, оставшиеся на месте, являются материалом для образования новых горных пород.

Основными результатами экзогенных геологических процессов являются изменения вещественного состава верхней части земной коры, дифференциация вещества по физическим и химическим свойствам, создание толщ осадочных горных пород и форм

рельефа земной поверхности. Благодаря экзогенным процессам формируются почвы и полезные ископаемые. Около 60% мировой добычи полезных ископаемых связано с продуктами экзогенной деятельности.

Вместе с тем разрушения берегов рек, озёр и морей, обвалы, оползни, снежные лавины, размыв и разрушение склонов, рост оврагов и заболачивание территорий - это также результаты деятельности экзогенных геологических процессов

4. ВЕЩЕСТВЕННЫЙ СОСТАВ ЗЕМНОЙ КОРЫ

Земную кору — верхнюю твердую оболочку Земли - слагают горные породы (магматические, осадочные и метаморфические), состоящие из определенного сочетания минералов, в состав которых входят различные химические элементы. Изучая такую иерархию: химические элементы – минералы – горные породы, можно судить о строении земной коры в различных структурных зонах.

4.1. МИНЕРАЛЫ

Подавляющие большинство химических элементов образуют в земной коре простые или сложные соединения (исключения составляют инертные газы и некоторые самородные элементы). Химические соединения, образовавшиеся в земной коре в результате природных процессов и обладающие определенными химическим составом и физическими свойствами, называются ***минералами.*** Установлено, что в земной коре содержится около 4000 минералов.

Любой минерал обладает вполне определённым химическим составом и вполне определённой кристаллической структурой, т.е. закономерным расположением в пространстве элементарных частиц (молекул, атомов, ионов). В зависимости от особенностей химического состава и кристаллической структуры минералы образуют многогранники различной формы, называемые кристаллами. Эти же характеристики минералов (химический состав и кристаллическая структура) обуславливают все физические свойства, такие, как цвет, блеск, твёрдость и т.д.

4.2. ГОРНЫЕ ПОРОДЫ

Горными породами называются устойчивые парагенетические ассоциации минералов, возникающие в результате определённых геологических процессов и образующие геологически самостоятельные тела в земной коре. Науки, изучающие горные породы, - петрография, литология, астрофизика и физика горных пород.

Традиционно под горными породами подразумеваются только твёрдые тела, в широком применении к горным породам относят также воду, нефть и природные газы.

Горные породы могут слагаться как одним минералом, так и их комплексом. Минералы, входящие в состав горной породы и определяющие её состав и свойства, называются ***породообразующими***

Если горные породы состоят из одного минерала (кварцит, известняк, каменная соль), они называются ***мономинеральными,*** если же из нескольких -***полиминеральными*** (гравий, глина).

Все горные породы обладают комплексом морфологических особенностей, которые объединяют в понятия структура и текстура. Наряду с химическим и минеральным составом структура и текстура являются важнейшими диагностическими признаками горных пород.

По происхождению горные породы делятся на три класса: осадочные, магматические и метаморфические.

Осадочные горные породы образуются только на поверхности земной коры при разрушении_любых, ранее существовавших горных пород, в результате жизнедеятельности и отмирания организмов и выпадения осадков из пересыщенных растворов.

Магматические горные породы возникают путём кристаллизации природных силикатных расплавов внутри земной коры или на её поверхности.

Метаморфические горные породы возникают путем коренного преобразования магматических, осадочных и ранее существовавших метаморфических пород под влиянием высоких температур, давления и химически активных растворов.

5. СТРОЕНИЕ ЗЕМНОЙ КОРЫ

Строение земной коры рассматривается отдельно по той причине, что эта геосфера является основным объектом геологии и средой горного производства.

Земная кора - это верхняя каменная оболочка Земли, сложенная магматическими, метаморфическими и осадочными породами и имеющая мощностьот 7 до 75 км. Она представляет собой наиболее активный слой твёрдой Земли - сферу деятельности магматических и тектонических процессов. Нижняя граница земной коры как бы зеркально повторяет поверхность Земли. Под материками она глубоко опускается в мантию, под океанами приближается к поверхности Земли.

Выделяют два главных типа земной коры: континентальную и океаническую.

Мощность ***континентальной*** коры в зависимости от тектонических условий меняется в среднем от 25-45 . (на платформах) до 45-75 км (в областях горообразования), однако в пределах каждой геоструктурной области она не остаётся строго постоянной. В континентальной коре различают осадочный, гранитный и базальтовый слои.

Мощность осадочного слоя достигает 20 км , но распространён он не повсеместно. Названия гранитного и базальтового слоев условны и исторически связаны с выделением разделяющей их границы Конрада, хотя последующие исследования показали некоторую сомнительность этой границы.

Основное отличие ***океанической*** коры от континентальной - отсутствие гранитного слоя, существенно меньшая мощность (2-10 км), более молодой возраст (юра, мел, кайнозой), большая латеральная однородность. Океаническая кора состоит из трёх слоев. Первый слой, или осадочный, характеризуется широким диапазоном скоростей и мощностью до 2 км. Второй слой, или акустический фундамент, имеет среднюю мощность 1,2-1,8 км. Глубоководным бурением установлено, что этот слой сложен сильно трещиноватыми и брекчированными базальтами, которые с увеличением возраста океанической коры становятся более консолидированными. Третий слой сложен породами в основном габброидного состава.

Кроме двух главных типов земной коры выделяется кора переходного типа - субконтинентальная в островных дугах и субокеаническая на континентальных окраинах.

Участки земной коры, различающиеся типом геологического строения, называются ***структурными элементами.*** *С* точки зрения закономерностей пространственного строения земной коры океаны и континенты - это ***структуры*** **I** (планетарного) порядка . В пределах структурных элементов I порядка по особенностям геологического строения и развития выделяются структуры П порядка: на материках - платформы и геосинклинальные пояса, на океанической коре - талассократоны и срединно - океанические хребты.

6. ИСТОРИЯ РАЗВИТИЯ ЗЕМНОЙ КОРЫ. ОСНОВЫ ИСТОРИЧЕСКОЙ ГЕОЛОГИИ

Геология - наука естественно-историческая, и поэтому особо важное значение имеет ее раздел, посвященный изучению развития геологических событий по времени. Задачи исторической геологии - восстановление физико-географических обстановок накопления осадков в различные эпохи, последовательности формирования пород и их распределения по относительному возрасту, изучение истории развития органического мира от древнейших эпох до настоящего времени.

6.1. ГЕОХРОНОЛОГИЧЕСКАЯ И СТРАТИГРАФИЧЕСКАЯ ШКАЛЫ

В геологии как в никакой другой науке важна последовательность установления событий, их хронологии, основанной на естественной периодизации геологической истории. Геологическая хронология, или геохронология, основана на выяснении геологической истории наиболее хорошо изученных регионов. На основе широких обобщений, сопоставления геологической истории различных регионов Земли, закономерностей эволюции органического мира в конце прошлого века на первых международных геологических конгрессах была выработана и принята Международная геохронологическая шкала, отражающая последовательность подразделений времени, в течение которых формировались определённые комплексы отложений, и эволюцию органического мира. Таким образом, Международная геохронологическая шкала - это естественная периодизация истории Земли.

Среди геохронологических подразделений выделяются: зон, эра, период, эпоха, век, время. Каждому геохронологическому подразделению отвечает комплекс отложений, выделенный в соответствии с изменением органического мира и называемый стратиграфическим: эонотема, группа, система, отдел, ярус, зона. Таким образом существует две шкалы - геохронологическая и стратиграфическая. Первую мы используем, когда говорим об относительном времени в истории Земли, а вторую, когда имеем дело с отложениями. В настоящее время выделяют три наиболее крупных стратиграфических подразделения - эонотемы: архейскую, протерозойскую и фанерозойскую.

6.2. СОВРЕМЕННЫЕ ПРЕДСТАВЛЕНИЯ О ФОРМИРОВАНИИ ЗЕМНОЙ КОРЫ

Представления о закономерностях формирования земной коры развивались на протяжении длительного времени по мере накопления фактического материала, совершенствования геологических и геофизических методов исследований. Особое значение на современном этапе развития теоретической геологии имеют данные, полученные при изучении обширных океанических территорий, и результаты космических исследований.

Гипотезы горизонтального дрейфа континентов

Механизм горизонтального перемещения континентальных глыб был разработан в 1929г. американским учёным А.Холмсом. Его гипотеза подкоровых течений предполагает существование в мантии (субстрате) медленных конвективных потоков, обусловленных различным накоплением тепла под континентами и океанами. Восходящие конвективные потоки приводят к разрыву коры, раздвиганию блоков и образованию молодого океанического дна. В районах нисходящих потоков, наоборот, блоки сталкиваются, сминаются, образуя системы надвигов, шарьяжей, а глубинные слои коры даже вовлекаются в мантию, переходя в глубинные аналоги базальтов - эклогиты.

Можно отметить, что с разработкой гипотезы А.Холмса идеи мобилизма получили новый импульс, обусловивший их широкую популярность и в наши дни. Кроме того, в последние годы при изучении строения дна океанов получены новые данные, которые

также используются для подтверждения возможности горизонтального дрейфа. Эти данные послужили основой гипотезы новой глобальной тектоники, или тектоники плит. Гипотеза разработана американскими учёными Г.Хессом и Р.Дицем. Значительный вклад в её развитие внесли зарубежные и советские геологи.

Основные идеи, положенные в основу гипотезы тектоники плит, связаны с открытием зон формирования молодой океанической коры в зонах рифтообразования и зон поглощения коры у глубоководных желобов.

По мнению авторов гипотезы, в зонах рифтообразования происходит "раздвигание" плит литосферы с образованием молодой океанической коры в центральной рифтовой зоне. Это явление называется ***спредингом*** океанического дна, характеризуется прерывистостью, сопровождается внедрениями мантийного вещества из астеносферы и разрывами маломощных базальтов в рифтовой зоне. С этой активной зоной связаны проявления вулканизма, неглубокие зоны землетрясений и аномалии теплового потока.

Образование новой коры в зонах спрединга сопровождается поглощением блоков (плит) литосферы в других участках нашей планеты. По мнению авторов гипотезы, такими участками являются зоны глубоководных океанических желобов, в которых происходит прерывистое поддвигание одной плиты литосферы под другую. Это явление называется ***субдукцией,*** сопровождается кратковременным выделением значительной механической энергии в виде землетрясений, проявлений вулканизма. Длительное поддвигание океанической коры под континентальную приводит к деформации окраинного моря, смещению островной дуги к континенту и складкообразованию. При этом поддвигание может смениться развитием обширных надвигов океанической коры - ***обдукцией***. Другим путём образования орогенных зон, по мнению авторов гипотезы, является столкновение - ***коллизия*** континентов.

Движущие силы механизма перемещения блоков литосферы авторы гипотезы тектоники плит связывают с конвективным перемешиванием мантийного вещества, что близко к взглядам А.Холмса. Однако в отличие от положений гипотезы подкоровых течений, в соответствии с рассматриваемой гипотезой потоки мантийного вещества здесь замыкаются на уровне астеносферы.

Таким образом, в соответствии с гипотезой тектоники плит под действием потоков мантийного вещества происходят глобальные перемещения континентов, но не изолированно, как считал А.Вегенер, а в составе мощных плит литосферы. При таком горизонтальном перемещении плит в зонах спрединга происходит обновление коры, а в зонах субдукции - её поглощение и растворение в астеносфере.

По современным данным, литосфера состоит из семи крупных плит, ограниченных зонами спрединга, субдукции или смятия: Тихоокеанской, Евразиатской, Индийской, Африканской, Антарктической, Северо-Американской и Южно-Американской.

7. ОБЩИЕ СВЕДЕНИЯ О МЕСТОРОЖДЕНИЯХ ПОЛЕЗНЫХ ИСКОПАЕМЫХ И ИХ КЛАССИФИКАЦИЯ

7.1. ОСНОВНЫЕ ПОНЯТИЯ И ОПРЕДЕЛЕНИЯ

Важнейший раздел геологии, позволяющий решать обширные прикладные задачи, - учение о полезных ископаемых. Он включает в себя совокупность сведений о геологической позиции и закономерностях размещения месторождений различных полезных ископаемых, методику поисков и экономику минерального сырья, тесно соприкасается с технологий переработки руд и извлечения из них ценных компонентов.

Полезным ископаемым называют природное минеральное образование, которое используется в народном хозяйстве в естественном виде или после предварительной обработки (переработки) путем дробления, сортировки, обогащения для

извлечения ценных металлов или минералов. По физическому состоянию полезные ископаемые бывают газообразными, жидкими и твердыми. К первым относятся горючие газы углеводородного состава и негорючие инертные газы, ко вторым - нефть, рассолы, вода, к третьим - большинство полезных ископаемых, которые применяются как химические элементы или их соединения, а также в виде кристаллов, минералов, горных пород. По промышленному использованию полезные ископаемые разделяются на ***металлические, неметаллические, горючие или каустобиолиты, гидро-и газоминеральные.***

Металлические полезные ископаемые служат для извлечения из них металлов и элементов: черных (железо, титан, хром, марганец и др.); легирующих (никель, кобальт, вольфрам, молибден и др.); цветных (алюминий, свинец, цинк, сурьма, ртуть и др.); благородных (золото, серебро, платина, палладий и др.); радиоактивных (уран, радий, торий и др.); редких и рассеянных (висмут, цирконий, ниобий, тантал, галлий, германий, кадмий, индий и др.); редкоземельных (лантан, церий, иттрий, прометий, самарий, лютеций и др.).

К *неметаллическим* полезным ископаемым принадлежат строительные горные породы (естественные строительные камни, пески, глины, сырье для каменного литья, стекол и керамики и др.), индустриальное (алмаз, графит, асбест, слюды, драгоценные и поделочные камни, пьезокристаллы, оптические минералы и др.), а также химическое и агрономическое сырье (сера, флюорит, барит, галит, калийные соли, апатит, фосфориты и др.).

Горючие ископаемые включают торф, бурый уголь, каменный уголь, антрацит, горючие сланцы, озокерит, нефть, горючий газ. Они служат энергетическим и металлургическим топливом, а также сырьем для химической промышленности.

К ***газоминеральному*** сырью относятся негорючие инертные газы: гелий, неон, аргон, криптон и др.

Гидроминеральные полезные ископаемые разделяются на подземные воды питьевые, технические, бальнеологические или минеральные и нефтяные, содержащие ценные элементы (бром, йод, бор, радий и др.) в количестве, позволяющем извлекать их, а также рассолы (озерные рассолы, минеральные грязи, илы). Важным гидроминеральным сырьем являются воды морей и океанов, используемые для получения пресной воды и извлечения многих ценных элементов.

Рудой называется минеральное сырье, содержащее ценные полезные компоненты (металлы, их соединения, минералы) в количестве, достаточном для промышленного извлечения при современном состоянии экономики, техники и технологии. В зависимости от вида извлекаемого компонента выделяются руды металлические (железные, медные, свинцово-цинковые и т. д.) и неметаллические (серные, асбестовые, графитные, апатитовые и др.). По количеству компонентов руды различают монометалльные (мономинеральные), биметалльные (биминеральные) и полиметалльные (полиминеральные).

Месторождением **полезного ископаемого** называется его природное в виде геологических тел скопление в земной коре, которое по условиям залегания, количеству и качеству минерального сырья при данном состоянии экономики и техники может служить объектом промышленной разработки в настоящее время или в ближайшем будущем. К месторождениям полезных ископаемых промышленность предъявляет требования, определяемые технической возможностью и экономической целесообразностью их разработки.

Совокупность требований промышленности к минеральному сырью называется ***кондициями*** - они не являются постоянными и зависят от экономических условий и состояния техники и технологии добычи и переработки минерального сырья.

Площади распространения полезных ископаемых в порядке их уменьшения разделяются на провинции, области (пояса, бассейны), районы (узлы), поля, месторождения, тела.

Телом полезного ископаемого называют ограниченное со всех сторон скопление минерального вещества, которое приурочено к отдельным структурным элементам или их комбинациям.

7.2. ВЕЩЕСТВЕННЫЙ СОСТАВ ПОЛЕЗНЫХ ИСКОПАЕМЫХ

Являясь природными минеральными образованиями, все полезные ископаемые обладают определенным вещественным (минеральным и химическим) составом, строением или структурно-текстурными особенностями, а также некоторым комплексом физических, физико-химических и технологических свойств. Все эти характеристики в общем случае обусловливают качество полезных ископаемых, которое имеет важнейшее значение для оценки месторождений с целью их промышленного использования.

Вещественный состав металлических и неметаллических руд определяется соотношением рудных, или ценных, и сопутствующих им нерудных, или жильных, минералов. В металлических рудах рудные минералы являются носителями ценных металлов, в неметаллических - минералы сами представляют практический интерес благодаря специфическим свойствам.

По составу преобладающей части минералов выделяются следующие типы руд:

самородные - самородные металлы и интерметаллические соединения - медь, золото, платина и др.;

сернистые **и им** подобные - сульфиды, арсениды и антимониды тяжелых металлов - меди, цинка, свинца, никеля, кобальта, молибдена и др.;

оксидные - оксиды и гидроксиды железа, марганца, хрома, олова, урана, алюминия и др.;

карбонатные - карбонаты железа, марганца, магния, свинца, цинка, меди и др.;

сульфатные - сульфаты бария, стронция, кальция и др.;

фосфатные - *апатитовые и фосфоритовые неметаллические руды, а также фосфаты некоторых металлов и др.;*

силикатные - *сравнительно редкие руды железа, марганца, меди; широко распространенные неметаллические полезные ископаемые - слюды, асбест, тальк и др.;*

галоидные - *минеральные соли и флюорит и др.*

По вещественному составу, определяющему промышленную ценность и технологические свойства, полезные ископаемые разделяются на природные типы и промышленные сорта.

7.3. ГЕНЕТИЧЕСКАЯ КЛАССИФИКАЦИЯ МЕСТОРОЖДЕНИЙ ПОЛЕЗНЫХ ИСКОПАЕМЫХ

В настоящее время известно несколько десятков генетических классификаций месторождений полезных ископаемых. Наиболее известной является классификация В.И.Смирнова.

Эндогенные месторождения, к числу которых относятся скопления полезных ископаемых, прямо или косвенно связанные с магматической деятельностью, подразделяют на: собственно магматические, пегматитовые и постмагматические.

Магматическими называются месторождения, образующиеся из жидких магматических расплавов в процессе их внедрения и раскристаллизации. При подъеме магматических расплавов в верхние горизонты земной коры и остывании происходит их дифференциация, с чем связана концентрация, а иногда и полное обособление рудных компонентов. Процессы образования магматических месторождений достаточно сложны. В одних случаях месторождения образуются в результате внедрения

магмы, обогащенной рудными компонентами еще на глубине, в других - рудные концентрации возникают из магм при ее подъеме, в третьих - лишь на месте становления интрузива.

Главная особенность всех магматических месторождений - их связь с материнскими интрузивами, которые рассматриваются как вещественный или энергетический источник оруденения. Магматические месторождения разделяются на генетические подгруппы: ликвационные, раннемагматические и позднемагматические.

В группу ***экзогенных*** включаются скопления полезных ископаемых, которые образуются при экзогенных процессах в результате химической, биохимической и механической дифференциации вещества земной коры. По способу накопления осадочного материала различают месторождения выветривания и осадочные.

К ***месторождениям выветривания*** относятся остаточные и инфильтрационные месторождения. ***Остаточные*** месторождения полезных ископаемых образуются при физическом и химическом выветривании горных пород, которое сопровождается гидролизом породообразующих минералов, растворением и выносом неустойчивых компонентов.

К **осадочным месторождениям** относятся аллювиальные и прибрежно-морские россыпи, химические и биохимические осадочные месторождения.

Метаморфизованными называют месторождения любого происхождения, испытавшие метаморфические преобразования одновременно с вмещающими породами. При этом процессы метаморфизма могут выражаться в изменении и преобразовании структур и текстур, изменении характера минерального состава руд, а также в переотложении рудного вещества, изменении формы рудных тел, рассланцевании и изменении состава вмещающих пород.

Под ***метаморфическими*** месторождениями понимают такие месторождения, которые возникли в результате метаморфизма горных пород, до того не содержащих промышленных рудных скоплений и не представляющих собой полезного ископаемого. К возникающим в процессе метаморфизма собственно метаморфическим месторождениям относятся месторождения высокоглиноземистого сырья (кианит, андалузит, силлиманит), графита, гранулированного кварца, слюды, амфибол-асбеста, корунда, наждака, граната, титана и др.

8. СИСТЕМА ГЕОЛОГИЧЕСКОГО ИЗУЧЕНИЯ НЕДР

Геологическое изучение недр в России производится последовательно и планомерно с тем, чтобы не только получить необходимую геологическую информацию о недрах, но и своевременно выявить промышленные и отбраковать непромышленные скопления полезных ископаемых. В общей системе геологического изучения недр можно выделить три крупных этапа. Этапы геологического изучения включают несколько последовательных стадий.

Этап I. Работы общегеологического и минерагенического назначения.

Стадия 1. Региональное геологическое изучение недр прогнозирование полезных ископаемых.

Этап II. Поиски и оценка месторождений.

Стадия 2. Поисковые работы.

Стадия 3.Оценочные работы.

Этап III. Разведка и освоение месторождений.

Стадия 4. Разведка месторождения.

Стадия 5. Эксплуатационная разведка.

На каждой стадии геологического изучения недр осуществляется их геолого-промышленная оценка, заключающаяся в определении действительной или возможной

значимости изучаемого участка земной коры, в котором содержатся или могут содержаться скопления полезной минерализации или же предполагается горное строительство. С этой целью исследуются состав и строение горных пород и полезного ископаемого, условия залегания, степень и характер тектонической нарушенности, гидрогеологические и инженерно-геологические характеристики месторождения, географо-экономические условия района и т. п.

РЕКОМЕНДАЦИИ

Для более углубленного изучения отдельных разделов геологических дисциплин рекомендуем воспользоваться следующими методическими указаниями.

Часть 1. Минералы.

Часть 2. Магматические горные породы.

Часть 3. Метаморфические горные породы.

Часть 4. Осадочные горные породы.

Часть 5. Организация геологических экскурсий.

Часть 6. Художественная обработка камнесамоцветного сырья.

МИНОБРНАУКИ РФ
ФГБОУ ВО
«Уральский государственный горный университет»

Л. И. Кралина, Г. А. Усов, Ф. П. Сердюков

БУРОВЫЕ СТАНКИ И БУРЕНИЕ СКВАЖИН

Методические указания
по выполнению курсового проекта
по дисциплине
«Буровые станки и бурение скважин»

для студентов специальности
21.05.02 Прикладная геология

очного и заочного обучения

Екатеринбург
2018

Оглавление

1. Общие положения ……3
2. Объем курсового проекта и его оформление ……3
3. Содержание основных разделов проекта…….4
Введение……4
3.1. Гидрогеологическая характеристика разреза……..4
3.2. Выбор и характеристика средств откачки ……..……4
3.3. Выбор и расчет фильтра ……...5
3.4. Выбор способа бурения и расчет
конструкции скважины …….....5
3.5. Технология бурения скважин……...6
3.6. Выбор бурового оборудования и инструмента……...7
3.7. Вскрытие и освоение водоносного пласта …….8
3.8. Промсанитария, техника безопасностии
охрана окружающей среды.....8
Рекомендуемая литература…….8
Приложение 1. Пример выполнения титульного листа
курсового проекта…….9
Приложение 2. Пример бланка задания ……10
Приложение 3. Геолого-технический наряд……...12

1. Общие положения

Студенты специальности Прикладная геология выполняют курсовой проект по бурению скважин на воду после изучения дисциплины «Буровые станки и бурение скважин». Это самостоятельная работа, характеризующая умение студентам решать комплексные инженерные задачи в зависимости от конкретных технико-экономических и гидрогеологических условий производства работ.

Целью курсового проекта является закрепление и углубление знаний по дисциплине «**Буровые станки и бурение скважин**» и их практическое применение к решению конкретных инженерных задач, знакомство с методикой пользования специальной и справочной литературой. Курсовой проект можно рассматривать как важнейший этап подготовки к работе над технической частью дипломного проекта.

Курсовой проект разрабатывается на основании фактических материалов, собранных студентами на производственной практике. Эти материалы включают геологическую карту района производства работ, геологический разрез с указанием места заложения проектной скважины, гидрогеологическую характеристику разреза с подробными данными о всех водоносных горизонтах и ориентировочном проектном дебите каждого из них.

Курсовой проект выполняется под руководством преподавателя кафедры технологии и техники разведки месторождений полезных ископаемых. Каждый студент перед началом проектирования получает у руководителя индивидуальное задание, в котором содержатся формулировка темы проекта, характеристика проектного геологического разреза, данные о проектном дебите скважины, статическом уровне подземных вод и условиях производства работ.

2. Объем курсового проекта и его оформление

Курсовой проект выполняется на бумаге формата А4 (210×297) с одной стороны листа. С левой стороны листа оставляется поле для подшивки 30 мм; с верхней – 20 мм; с правой – 15 мм; с нижней –35 мм, на котором посередине проставляется порядковый номер страницы.

После титульного листа (приложение 1) помещается задание на курсовой проект, затем содержание, и далее следует текст. В конце проекта приводится список используемой литературы и приложения.

Текст пояснительной записки должен быть выполнен на компьютере. Общий объем записки курсового проекта –25-30 с.

Графические приложения к тексту выполняются на плотной бумаге, кальке или миллиметровке формата 210×297 мм и подшиваются вместе с текстом записки. На отдельном листе формата А3 выполняется чертеж, на котором могут быть представлены геолого-технический наряд, схемы различных устройств, технологические схемы откачки, вскрытия, освоения водоносных пластов.

Пример оформления геолого-технического наряда представлен в приложении 3.

Текст курсового проекта включает следующие основные разделы.

Вводная часть – 5% от всего объема.

Гидрогеологическая часть – 5-10% объема.

Технико-технологическая часть – 85-90% объема.

Разработка и изложение отдельных вопросов в проекте должны быть осуществлены в следующей последовательности.

Содержание курсового проекта:

Введение

1. Гидрогеологическая характеристика разреза.
2. Выбор и характеристика средства откачки.

3. Выбор и расчет фильтра.
4. Выбор способа бурения и расчет конструкции скважины.
5. Выбор бурового оборудования и инструмента.
6. Вскрытие и освоение водоносного пласта.
7. Техника безопасности и охрана окружающей среды.

Список использованной литературы.
Приложения.

3. Содержание основных разделов проекта

Введение.

Во введении обосновывается назначение проектируемой скважины. Приводятся общие сведения о районе работ, дается его краткая физико-географическая и экономическая характеристика, оцениваются условия производства работ по бурению и оборудованию скважин, отмечается обеспеченность электроэнергией, топливом, водой, глиной и т. д.

3.1. Гидрогеологическая характеристика разреза

Приводится описание литологического состава горных пород, указываются их мощность, физические свойства, категория буримости, дается характеристика коллекторских свойств пород водоносных горизонтов (трещиноватость, гранулометрический состав, пористость, проницаемость), величина дебита каждого водоносного горизонта и статический уровень подземных вод.

Затем приводится характеристика тектонических зон и указываются возможные осложнения при их бурении.

Геологический разрез составляется в масштабе 1:200 или 1:500.

3.2. Выбор и характеристика средств откачки

В зависимости от целевого назначения скважины и ее дебита выбирается наиболее рациональный способ подъема воды из скважины. Выбор водоподъемной установки производится с учетом следующих исходных данных:

1) проектного дебита скважины;
2) глубины установки водоподъемных средств;
3) особых условий производства откачки, обусловленных повышенной температурой, минерализацией или высоким загрязнением воды. При этом фактические производительности и напор выбранного водоподъемника должны быть равны или несколько больше проектных. Особое внимание уделяется размерам водоподъемника, особенно его диаметру, который влияет на выбор размера водоподъемных труб и, следовательно, на конструкцию скважины. Обычно необходимо выбирать водоподъемники с минимально возможными размерами рабочих органов, что упрощает и удешевляет конструкцию скважины.

Водоподъемные установки выбираются по справочникам на основании данных о проектном дебите и динамическом уровне откачки.

Эрлифты применяются на стадии испытания, освоения водоносных горизонтов и при откачке из разведочных скважин. Выбранная схема эрлифта должна быть рассчитана для определения основных его параметров: глубины погружения смесителя, удельного расхода воздуха и производительности эрлифта, диаметров водоподъемных и воздухопроводных труб.

3.3. Выбор и расчет фильтра

Производительность скважины в процессе откачки зависит от правильного выбора водоприемной части скважины (типа фильтра и от его геометрических размеров).

Тип, конструкция фильтра выбираются в зависимости от характера пород (гранулометрического состава) водоносного горизонта, назначения скважины, ее производительности и глубины, агрессивности вод и ряда других факторов.

Необходимые конструктивные размеры фильтра для конкретных условий откачки определяются расчетом.

Диаметр и длина рабочей части фильтра подбираются и рассчитываются с учетом дебита скважины, коэффициента фильтрации пород водоносного горизонта и его мощности.

При этом необходимый диаметр фильтра рассчитывается исходя из диаметра выбранного водоподъемника, а точнее диаметра эксплуатационной колонны. При мощности водоносного горизонта, не превышающей 10 м, диаметр фильтра рассчитывается с учетом проектного дебита скважины, рабочей длины фильтра и коэффициента фильтрации пород. В данном случае длина рабочей части фильтра принимается равной мощности водоносного горизонта (10 м), а при мощности более 10 м рассчитывается на основании проектного дебита скважины диаметра фильтра. Скважность фильтра выбирается с учетом характеристики пород водоносного горизонта и должна обеспечивать водопропускную способность фильтра с минимальным сопротивлением движению и с допустимой скоростью движения воды, которая не приводит к переносу частиц шлама в скважину.

При правильном выборе и расчете параметров фильтра его водопропускная способность должна быть равна или более проектного дебита скважины.

3.4. Выбор способа бурения и расчет конструкции скважины

Выбор способа бурения скважин на воду производится с учетом гидрогеологических условий, проектной глубины скважины, ее целевого назначения, экономичности и качественных показателей по вскрытию и освоению водоносного горизонта.

В настоящее время применяются следующие способы бурения скважин на воду: роторный, колонковый, ударно-вращательный и ударно-канатный.

Роторный способ применяется при бурении разведочно-эксплуатационных и эксплуатационных скважин на воду в твердых, трещиноватых породах с промывкой водой, в мягких породах, а также в тектонических зонах сильнорассланцованных, перемятых пород с промывкой глинистым раствором. В районах с затрудненным водоснабжением (Крайний Север, Средняя Азия) роторное бурение целесообразно использовать с продувкой воздухом или применять пневмоударное бурение. Роторное бурение рекомендуют использовать при вскрытии глубокозалегающих водоносных горизонтов, и оно отличается более высокой производительностью и экономичностью по сравнению с другими способами.

Канатно-ударное бурение применяется для бурения разведочно-эксплуатационных, эксплуатационных и дренажных скважин большого диаметра (свыше 500 м) при вскрытии низконапорных горизонтов. Оно отличается высокой металлоемкостью конструкции скважин и является более дорогостоящим по сравнению с роторным бурением. Канатно-ударный способ рекомендуется при бурении скважин глубиной до 150 м в породах осадочного комплекса, представленного средне- и крупнозернистыми песками, плывунами, валунно-галечными отложениями, а также сильно трещиноватыми и

кавернозными породами, в которых использование роторного бурения весьма затруднительно. Колонковый способ в основном применяется при бурении разведочных скважин на воду небольшого диаметра (до 200 мм) в породах различной крепости.

После выбора способа бурения проектируется конструкция скважины. При бурении скважин на воду выделяют следующие элементы конструкции скважин: кондуктор (направление), эксплуатационную колонну и фильтр.

При проектировании конструкции скважины необходимо учитывать специфику и возможности выбранного способа бурения. В частности, расчетные диаметры бурения обсадных труб должны быть указаны со стандартными размерами бурового инструмента конкретно для выбранного способа бурения.

3.5. Технология бурения скважин

Технология бурения разрабатывается на основании составленного ранее геологического разреза с учетом физико-механических свойств горных пород и характеристик водоносных горизонтов. При этом для каждой разновидности горных пород выбираются рациональные конструкции буровых наконечников и определяются технологические параметры режима бурения этими наконечниками.

Прежде всего необходимо выбрать типы буровых наконечников (коронки, долота) и установить их необходимые характеристики в соответствии с конструкцией скважины.

Затем для вращательных способов бурения выбирается вид промывочной жидкости и определяются необходимые параметры (например, глинистых растворов), характеризующие их качество. Параметры промывочных жидкостей (удельный вес, вязкость, водоотдача, статическое напряжение сдвига, содержание песка и др.) применяются в зависимости от возможных осложнений при бурении скважин.

После этого рассчитываются рациональные величины технологических параметров режима бурения. Для вращательных способов бурения это – осевая нагрузка на породоразрушающий инструмент, частота вращения бурового снаряда и количество промывочной жидкости, нагнетаемой в скважину. Для ударно-канатного бурения определяются вес, высота сбрасывания и частота ударов бурового инструмента.

Необходимо также разработать мероприятия по борьбе с возможными осложнениями при бурении скважин (обвалы стенок скважин, поглощения промывочной жидкости и др.).

Устье скважины оборудуется направлением или кондуктором. Эксплуатационная колонна обеспечивает крепление ствола скважины, в ней обычно устанавливают насос для подъема воды.

В скважинах со сложным геологическим разрезом, в котором может встречаться несколько зон осложнений, устанавливают иногда промежуточную колонну, которая обычно следует после кондуктора. Выбор конструкции разведочно-эксплуатационной скважины необходимо начинать с определения типа водоподъемника и его диаметра, который определяет внутренний диаметр эксплуатационной колонны:

$$D_{\text{в.эк}} = D_{\text{в}} + 2\Delta ,$$

где $D_{\text{в}}$ - наружный диаметр водоподъемника, мм; Δ - зазор между водоподъемником и эксплуатационной колонной, мм.

Диаметр долота под эксплуатационную колонну определяется из условия:

$$D_{\text{д}} = D_{\text{м}} + 2\delta ,$$

где $D_м$ - наружный диаметр муфты, мм; δ - зазор между муфтой и скважиной, мм.

Для $D_м$ <250 мм δ = 25 мм; для $D_м$ >250 мм δ =20-50 мм.

Чем больше выход колонны из-под башмака обсадных труб, тем больше должен быть зазор δ.

Диаметр фильтра подбирают из условия обеспечения необходимого водопритока. Конечный диаметр скважины определяется необходимостью проведения комплекса гидрогеологических исследований и наблюдений.

Особое внимание уделяется технологии бурения скважин в интервалах водоносных горизонтов, направленной насохранение естественной водопроницаемости водоносных пластов.

В случае бурения разведочных скважин устанавливаются интервалы бурения с отбором керна для составления детального геологического разреза и проведения исследований образцов горных пород. Особое внимание необходимо уделить разработке мероприятий по обеспечению получения качественного керна с интервалов водоносных горизонтов. С целью обеспечения получения качественных образцов горных пород при бурении необходимо выбрать комплекс технических средств и разработать специальные технологические и организационные мероприятия.

3.6. Выбор бурового оборудования и инструмента

Буровое оборудование выбирается с учетом целевого назначения скважины, ее конструкции, характера пород геологического разреза, способа бурения и разработанной технологии бурения.

В настоящее время буровое оборудование комплектуется в буровые агрегаты и установки, которые выпускаются отечественной промышленностью. Поэтому выбор основного бурового оборудования сводится к выбору буровой установки.

Выбор буровой установки производится по способу бурения, по проектной глубине бурения, по величине начального и конечного диаметра, которые обычно даются в ее характеристике. Также учитываются и другие данные характеристики буровой установки, такие как скорости вращения, осевое усилие, развиваемое механизмом подачи, которые обеспечивают необходимые технологические параметры режима бурения. В зависимости от наличия источников энергосбережения в районе бурения скважин буровые установки выбираются с электроприводом (от электролинии) или с автономным приводом от двигателя внутреннего сгорания (при отсутствии электролинии).

Вспомогательное буровое оборудование (труборазвороты, глиномешалки, КИП, талевая оснастка, вертлюги-сальники и др.) выбирается в зависимости от его потребности и условий производства работ.

После выбора всего комплекса бурового оборудования, необходимого для бурения проектируемой скважины, приводятся его технические характеристики.

Выбор породоразрушающего инструмента (коронок, долот) производится с учетом физико-механических свойств горных пород и их буримости.

Для вращательного бурения выбираются типы бурильных труб и их диаметры, конструкция и тип колонковой трубы для обеспечения качественного выхода керна; длина и диаметр утяжеленных труб при бурении скважин сплошным забоем большого диаметра (более 150 мм).

Для ударно-канатного бурения выбирается конструкция и размеры ударного снаряда, тип и размеры долот. Для ликвидации наиболее распространенных аварий (обрывы бурильных канатов, колонковых, обсадных труб) необходимо предусмотреть ловильный аварийный инструмент (метчики, колокола, труболовки, крючки, штопоры, овершоты).

В приложении нужно дать спецификацию всего бурового оборудования и инструмента с указанием его наименования и количества, необходимого для бурения скважины.

На основании геологического задания, выбора бурового оборудования, конструкции скважины и разработанной технологии бурения составляется геолого-технический наряд на бурение скважины, форма которого приведена в приложении 2.

3.7. Вскрытие и освоение водоносного пласта

Ответственными операциями при сооружении скважин на воду являются вскрытие и освоение водоносного пласта, которые оказывают большое влияние на производительность и долговечность скважины.

Вскрытие водоносного пласта включает комплекс технологических операций, направленных на успешное бурение горных пород водоносного пласта при обеспечении их устойчивости и сохранения естественной водопроницаемости.

Выбор технологии вскрытия водоносного пласта зависит от глубины его залегания, устойчивости и коллекторских свойств горных пород, слагающих водоносный пласт, пластового давления, мощности водоносного пласта и дебита скважины.

Неустойчивые горные породы водоносного пласта не рекомендуется вскрывать с применением глинистого раствора, так как глинистые частицы вызывают кольматацию пор и трещин и резкое снижение их водопроницаемости. В этом случае применяют специальные промывочные жидкости: малоглини-стые, меловые, полимерные, аэрированные, самораспадающиеся промывочные жидкости, пены и др.

Безнапорные пески при наличии устойчивой кровли водоносного пласта могут вскрываться гидровмывом фильтра, а также формированием каверны в водоносном пласте. Существуют и другие методы с применением различных схем промывки.

Освоение скважины обычно включает такие технологические операции, как установка фильтра в скважину, восстановление естественной водопроницаемости или ее искусственное увеличение, устройство гравийной обсыпки фильтров, откачки воды из скважины с целью формирования водоприемной части скважины и осветления воды.

При выборе способа освоения скважины необходимо учитывать его эффективность и простоту его технологического выполнения.

3.8. Промсанитария, техникабезопасности и охрана окружающей среды

В этом разделе необходимо предусмотреть мероприятия по охране здоровья работающего персонала и средства по оказанию первой помощи пострадавшим.

Мероприятия по технике безопасности, противопожарной технике и охране окружающей среды проектируются в соответствии с действующими инструктивными указаниями при выполнении различного вида работ: монтаж установок, бурение скважины, транспорт, демонтаж установки, эксплуатация скважин.

Рекомендуемая литература

*Бейсебаев А. М., Туякбаев Т. Н., Федоров Б. В.*Бурение скважин и горно-разведочное бурение. –М.: Недра, 1990. – 303 с.

Соломин Б. Н. Проектирование скважин на воду. –М.: Недра, 1983. –107 с.

Справочник по бурению скважин на воду / Д. Н. Башкатов, С. С. Сулакшин, С. Л. Драхлис, Г. П. Квашнин. –М.: Недра, 1979. –560с.

Справочник по бурению и оборудованию скважин на воду / В. В. Дубровский [и др.]. – М.: Недра, 1972. – 512с.

Разведочное бурение/ О. В. Ошкордин [и др.] –М.: Недра,2000. –748 с.

Приложение 1

Пример выполнения титульного листа курсового проекта



МИНОБРНАУКИ РФ
ФГБОУ ВО

«УРАЛЬСКИЙ ГОСУДАРСТВЕННЫЙ ГОРНЫЙ УНИВЕРСИТЕТ»

ФАКУЛЬТЕТ ГЕОЛОГИИ И ГЕОФИЗИКИ

Кафедра ТЕХНОЛОГИИ И ТЕХНИКИ РАЗВЕДКИ МПИ

КУРСОВОЙ ПРОЕКТ

НА ТЕМУ: «Сооружение разведочно-эксплуатационной скважины на воду»

Руководитель_____
Студент_____
Группа _____

Екатеринбург 201__г.

Приложение 2

Пример бланка задания

З А Д А Н И Е

по курсовому проекту на бурение гидрогеологической скважины

Студентугруппы _____

Тема проекта _____

_____

Содержание проекта

I. Исходные данные

1. Геологический разрез скважины.

№ п/п	Наименование пород и горизонты	Интервалы, м	Примечание
1			
2			
3			
4			
5			

2. Проектная глубина скважины _____
3. Проектный дебит скважины __$м^3$/час из горизонта_____
4. Статический уровень _____
5. Проектный динамический уровень _____
6. Период работы _____

7 . Особые условия (обеспеченность электроэнергией, водой, глиной и т.п.)_____

II. Задачи проектирования

1) выбрать и обосновать тип и размеры откачных средств;
2) обосновать выбор типа фильтра и произвести его расчет;
3) выбрать и обосновать способ бурения скважины;
4) составить и обосновать конструкцию скважины;
5) разработать рациональную технологию бурения для каждого горизонта:
   а) выбрать породоразрушающий инструмент;
   б) выбрать промывочную жидкость и обосновать ее качественные параметры;
   в) рассчитать технологические параметры режима бурения.
6. Выбрать буровое оборудование:
   а) буровой агрегат (буровой станок, насос, привод);
   б) буровой копер или мачту.
7. Разработать конструкцию бурового снаряда:

а) колонкового набора;
б) колонны бурильных труб;
в) колонны обсадных труб.

Примечание: для выбранного оборудования приводится краткая техническая характеристика.

8. Уточнить режим бурения с учетом технических характеристик выбранного оборудования.
9. Произвести проверочный расчет выбранного бурового оборудования:
а) насоса (по производительности и рабочему давлению);
б) привода бурового станка и насоса;
в) бурового копра или мачты (по грузоподъемности);
г) колонны бурильных труб.
10. Запроектировать способ вскрытия водоносного горизонта и опробования.
11. Предусмотреть мероприятия по технике безопасности, противопожарной технике и промсанитарии.
12. Составить спецификации основного оборудования, инструмента и материалов, необходимых для бурения скважин.

III. Графические приложения
1. Геолого-технический наряд.
2. Схема конструкции скважины.
3. Схема бурового снаряда.
4. Схема фильтра.
5. Схема оборудования скважины для откачки.

Дата сдачи проекта на кафедру _____
Руководитель проекта _____

Приложение 3

Геолого-технический наряд

ГРО, ГРЭ _____
Проектная глубина, м _____
Начало бурения _____
Окончание бурения _____

Буровой станок_____
Буровой насос _____
Двигатель _____
Мачта_____
Буровые трубы _____

Скважина _____

Геологическая часть							Техническая часть										
Масштаб глубин	Наименование горных пород	Категория пород по буримости	Литология	Интервал и вид отложений	Статический уровень Динамический уровень	Мощность слоев, м	Конструкция скважины	Тип и диаметр ПРИ, мм	Длина и диаметр УБТ	Режимы бурения			Качество бурового раствора	Способы борьбы с осложнениями	Способ вскрытия водоносного пласта	Тип фильтра	Примечание
										Осевая нагрузка, кН	Частота вращения, об/мин.	Расход промывочной жидкости, л/мин.					
1	2	3	4	5	6	7	8	9	10	11	12	13	14	15	16	17	18

МИНОБРНАУКИ РФ

ФГБОУ ВО
«Уральский государственный горный университет»

Л. И. Кралина, Ф. П. Сердюков, Г. А. Усов

ТЕХНОЛОГИЧЕСКИЕ РАСЧЕТЫ В БУРЕНИИ

Учебно-методическое пособие
к практическим занятиям и самостоятельной работе
по профилирующим дисциплинам
для студентов специальности

21.05.02 Прикладная геология
очного, заочного обучения

Екатеринбург
2018

ВВЕДЕНИЕ

Настоящее учебно-методическое пособие предназначено в помощь преподавателям и студентам при проведении занятий побурению скважин, а также для подготовки курсовых и квалификационных работ по профилирующим дисциплинам. Сборник выполнен для студентов специальности21.05.02Прикладная геология. При выполнении работ используются справочные материалы, которые приведены в таблицах каждого расчета. Большинство работ рассчитано на выполнение и оформление непосредственно на занятиях. Если работа не закончена, то с разрешения преподавателя она может быть оформлена и сдана к следующему занятию.

В конце приводится список литературы, использованной при написании данного учебно-методического пособия.

Расчет №1
Расчет предельного значения кернопотерь

1. Расчет предельного значения кернопотерь

$$B_k^{\min}=F(\text{НП, И},[m_k]).$$

При НП, И$[m_k]$ табличные значения (см. таблицу) расчет по формуле для реального (различного) B_k и по данным лабораторных анализов P, $P_к$, $P_{сред}$

$$B_k^{\min} = \frac{(\text{НП}-1)*\text{И}}{(\text{НП}-1)*\text{И}+m_k^{доп}} * 100\ \%$$

где $B_k^{\min}$ - выход керна минимальный, %;
НП- неоднородность оруденения, %;
И- избирательность кернопотерь, %;
$m_k^{доп}$ - погрешность опробования, %.

Группировка месторождений по значениям НП и И

Группы и типы руд	Примеры руд и месторождений	Характерные значения	
		НП, %	И
I. Сплошные массивные			
I.1. Мономинеральные	Сплошные мартитовые, магнетитовые, гидромагнетитовые и другие богатые железные руды криворожского типа, сплошные мономинеральные руды каменной соли, бокситы Боксонского месторождения, тальк Алгуйского месторождения и т.п.	1,2±10	40±15
I.2. Полиминеральные	Сплошные колчеданные медные и медно-цинковые месторождения ураль-ского типа, сплошные полиметаллические руды Горевского, Риддер-Сокольного и других месторождений. Апатиты Ошурковского месторождения и т.п.	4±10 2,5±10	15±10 20±10
II. Вкрапленные			
II. 1. В массивных изверженных и осадочных породах	Вкрапленные руды полиметаллических месторождений Садовое, Миргалимсай. медные руды Алмалыка, редкометалльных месторождений Белозиминское, Африкандское и т.п.	6,5±10	7± 5
II. 2. В жилах и дайках	Руды жильных золоторудных месторождений Средней Азии, Забайкалья, Якутии, оловянных и вольфрамовых месторождений Приморья, Якутии и др.	16±5	5±4
III. Прожилково- и слоисто-вкрапленные			
III. 1. Руды штокверковых месторождений	Руды вольфрамовых, молибденовых, медно-молибденовых месторождений Забайкалья, Казахстана и Средней Азии	6,5±5	10±8
III. 2**.** В линейно-вытянутых зонах трещиноватости	Руды полиметаллических месторождений Алтая, Средней Азии, Прибайкалья, оловорудных месторождений Комсомольского района, ртутных месторождений Терлиг-Хая и частично Никитовки и т.п.	8,3±6	10±8
IV.Прожилковые, слоистые и переливающиеся			
IV. 1. Прожилковые	Медные руды месторождения Дальнего: никель-кобальтовые руды Тувинской АССР, асбестовое месторождение Молодежное; оловянные - Тарбальджей, Иигода, Хрустальное; золотые - Советское, Коммунар и др.	3,3±15	25±15
IV. 2.Переслаивающиеся и полосчатые	Железистые кварциты Кольского полуострова, Кривого Рога, сферосидериты Дагестана	1,7±10	30±15
V. Прожилково-гнездовые			
V.Прожилково-гнездовые	Руды ртутных месторождений Средней Азии (Хайдаркан, Акташ,Чувай), отдельных участков Никитовки и др. Мусковит Луговского, Чуйского и Согдиондонского месторождений	20±10 6,5±5	4±3 8±5

2. Изучение влияния выхода керна на погрешность опробования для различных сортов руд (для бакалаврской работы)

Слабонеоднородные руды **НП=2**

m_k\И	10 %	20 %	30 %	40 %
5%	B_k^{1-1}	B_k^{1-2}	…	…
10%	…	B_k		B_k^{2-4}
15%	B_k^{3-1}			
20%	…			B_k^{4-4}
25%	B_k^{5-1}	…	…	B_k^{5-4}

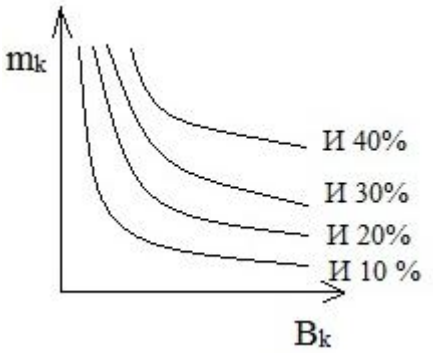

B_k

Средненеоднородные руды **НП=6**

m_k\И	10%	20%	30%	40%
5%	B_k^{1-1}	B_k^{1-2}	…	…
10%	…	B_k		B_k^{2-4}
15%	B_k^{3-1}			
20%	…			B_k^{4-4}
25%	B_k^{5-1}	…	…	B_k^{5-4}

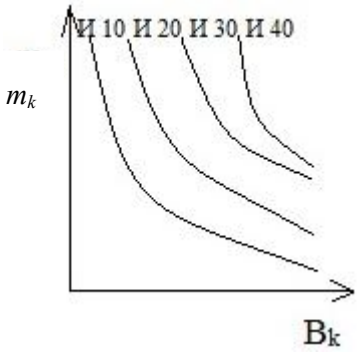

Сильнонеоднородные руды **НП=15**

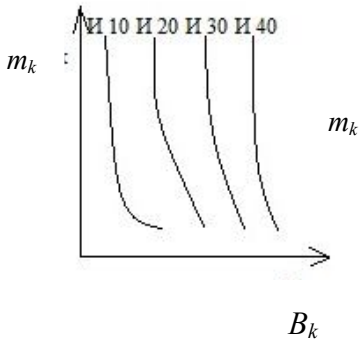

B_k

m_k\И	10 %	20 %	30 %	40 %
5 %	B_k^{1-1}	B_k^{1-2}	…	…
10 %	…	B_k		B_k^{2-4}
15 %	B_k^{3-1}			
20 %	…			B_k^{4-4}
25 %	B_k^{5-1}	…	…	B_k^{5-4}

3. Основные аналитические задачи:

3.1. Для каких руд избирательность истирания более всего влияет на погрешность опробования?

3.2. При какой избирательности и в каких сортах руд наибольший эффект дают мероприятия по повышению выхода керна?

3.3. Постройте таблицу нормативных значений минимального выхода керна, при допустимой погрешности m_k=5% (10%,15%, 20%, 25%) для всех сортов руд (для всех табличных комбинаций НП и И).

Расчет №2

Определение рациональной частоты вращения бурового снаряда при твердосплавном бурении, рад/с

$$n = \frac{60*0{,}105\omega_0}{\pi*D_0} \approx \frac{2*\omega_0}{D_0};$$

$$n = \frac{60*\omega_0}{\pi*D_0} \approx \frac{20*\omega_0}{D_0}.$$

Таблица исходных данных

Обозначение	Наименование	Ед.изм	Пределы изменения		Примечание
			от	до	
ω_0	Окружная скорость движения резцов	м/с	1,0 крепкие породы (YI-YIII кат.)	3,0 мягкие породы (II-IYкат.)	Ограничивается сверхнормативным износом
D_0	Средний диаметр коронки	м	$46*10^{-3}$	$223*10^{-3}$	Стандарт
n_0	Частота вращения	Рад/с об/мин	9,3 93	65 500	Ограничение техническими условиями бурения

Расчет №3

Минимальная (критическая) частота вращения шнекового снаряда, рад/с

$$n_{\min} = \frac{30}{\pi} * \frac{\sqrt{g*(\tan a + f)}}{f'*R*(1-f*\tan a)}.$$

Таблица исходных данных

Параметр	Наименование	Единица измерения	Пределы измерения	
			от	до
R	Радиус вала шнека	м	$50*10^{-3}$	$89*10^{-3}$
a	Угол подъема винтовой ленты	град	10	30
f	Коэффициент трения породы о шнек	-	0,25	1,4
f'	Коэффициент трения породы о породу	-	0,2	1,5
g	Ускорение силы тяжести	м/с^2	9,8	

Основные аналитические задачи

1.1. Оцените влияние коэффициента трения породы о шнек и породы о породы на $n_{\min}$. Постройте графики зависимости $n_{\min}$от *f*и *f'* для различных значений *R* и *a*.

1.2. Оцените влияние конструктивных параметров шнека (*R* и *a*) на $n_{\min}$ для вязких (*f'*=1,5;*F*=0,25). Постройте графики.

Расчет №4

Определение критической скорости восходящего потока и расхода очистного агента по предельным нормативным характеристикам (для воды малоглинистых растворов)

1. Критическая скорость восходящего потока очистного агента, м/с:

$$U_{kp} = K_{\text{ф}}\sqrt{\frac{d_u(\gamma_{\text{п}}-\gamma_{\text{р}})}{\gamma_{\text{р}}}}.$$

2. Рациональная скорость восходящего потока, м/с:

$$U_{\text{р}} = U_{\text{кр}} + U.$$

3. Расход промывочной жидкости, обеспечивающий рациональную скорость движения восходящего потока, м^3/с:

$$Q_{\text{кр}} = U_{\text{р}} * \frac{\pi(D_{\text{скв}}^2 - d_{\text{бур.тр.}}^2)}{4}.$$

Пара-метр	Наименование	Ед. изм.	Пределы изменения	
			от	до
$K_{\text{ф}}$	Коэффициент формы частиц шлама	-	2,5 (плоские)	5,11 (ид.шар)
d_u	Диаметр (средний размер) частиц	м	$0{,}1*10^3$	$1{,}5*10^3$
$\gamma_{\text{п}}$	Удельный вес горной породы, руды	т/м^3	2,0	5,5
$\gamma_{\text{р}}$	Удельный вес раствора	т/м^3	1	1,15
U	Желательная скорость движения шлама вверх	м/с	0,1	0,3
$d_{\text{бур.тр.}}$	Диаметр бурильной колонны, номинальный (без учета износа)	м	$32*10^{-3}$	$73*10^{-3}$
$d'_{\text{бур.тр.}}$	Диаметр бурильной колонны, с учетом износа	м	$30*10^{-3}$	$70*10^{-3}$
$D_{\text{скв}}$	Диаметр скважины, номинальный	м	$46*10^{-3}$	$225*10^{-3}$
$D'_{\text{скв}}$	Диаметр скважины, с учетом разработки ствола	м	$47*10^{-3}$ $230*10^{-3}$	$50*10^{-3}$ $250*10^{-3}$
$D''_{\text{скв}}$	Диаметр скважины, с учетом каверн	м	По геолого-геофизическим и гидрогеологическим данным $D_{\text{скв}}$ $500*10^{-3}$	
Q	Расход очистного агента	м^3/с л/мин	0,0002 10,0	0,003 160

Расчет №5

Критический расход глинистого раствора с учетом реологии раствора

$$Q_{\text{кр}} = 0{,}392 * \text{ŋ} * \frac{D+d}{\gamma}\left[1+\sqrt{1+\frac{2*10^{-3}*\gamma*t_0*(D-d)^2}{3*\text{ŋ}}}\right]$$

Таблица исходных данных

Пара-метр	Наименование	Ед. изм.	Пределы измерения		Примечания
			от	до	
D	Диаметр долота	мм	46	225	
d	Диаметр колонны	мм	32	73	
ŋ	Пластическая вязкость	Пуаз (Па*с)	0,05	0,4	В зависимости от содержания глины в качестве раствора
γ	Уд. вес раствора	г/см^3	1,01	1,2	
t_0	Динамическое напряжение сдвига	Дин/ см^2	50	600	
Q	Расход глинистого раствора Критическая скорость восходящего потока	л/с м/с	0,1	5,0	В зависимости от диаметра скважины

Расчет №6

Расчет осевой нагрузки при твердосплавном бурении, кН

$$P = \frac{b^2 * m}{\eta \sqrt{\frac{2\omega * \mu_к * D_н * n * K * \tan a}{b * P_ш}}}.$$

Таблица исходных данных

Параметр	Наименование	Ед. изм.	Пределы изменения	
			от	до
b	Ширина резца	м	$3*10^3$	$30*10^3$
K	Количество резцов на ширине кольца	шт	2 (М-1)	4 (СТ-2)
m	Количество основных резцов	шт	8 (М-1)	30 (СА-3)
$\boldsymbol{\mu_к}$	Коэффициент резцов о породу	-	0,2	1,0
$\boldsymbol{\omega}$	Удельный износ резца	$м^3$/Н*м	2	60
$D_н$	Наружный диаметр коронки	М	$46*10^3$	$225*10^3$
n	Частота вращения снаряда	рад/с	60	360
a	Угол приострения резца	град	45	90
ŋ	Коэффициент угла приострения	-	0,97	0,9
$P_ш$	Твердость породы по штампу	Па	$1*10^6$	$70*10^3$

Расчет №7

Определение механической скорости (интенсивности) углубки скважины при твердосплавном бурении, м/ч

$$V_м = V_0 * e^{-\gamma t} = V_0 * (\frac{1}{e})^{\gamma t}.$$

Если $V_0 = 60 * n * h_0 * K * m$,

то $V_м = 60 * n * h_0 * K * m * e^{-\gamma t}$.

Таблица исходных данных

Пара-метр	Наименование	Ед. изм.	Пределы изменения	
			от	до
n	Частота вращения снаряда	об/мин	40	600
h_0	Торцовый вылет основных резцов	М	$0,1*10^{-3}$	$5*10^{-3}$
m	Количество резцов	шт	4	20
K	Коэффициент включения резцов	-	0,3	0,5
e	Основание натуральных логарифмов	1/град	2,71	2,71
γ	Декремент затухания	-	0,1	1
t	Текущее время (длительность рейса)	Ч	0,5	6
$V_м$	Интенсивность углубки (механическая скорость)	м/ч	0,15	25
V_0	Начальная механическая скорость	м/ч		

Здесь $V_м$ - величина приращения глубины скважины в единицу времени на данный момент (интенсивности углубки). Выражается показательной функцией постепенного замедления от максимального начального значения V_0 в соответствии сγ.

V_0 и γ зависят от технологических условий: прочности пород, абразивности, характеристик инструмента, параметров бурения $\{P_ш, K_{абр}, X_и, P_б\}$.

Чем легче условия бурения и лучше инструмент, тем больше V_0 (↑) и меньше γ (↓) - долго не замедляется бурение.

Чем интенсивнее режим бурения (максимальные параметры), тем больше V_0 (↑) и γ (↑) - вначале углубка идет быстро, но очень быстро замедляется - на малой глубине приемлемо.

Чем слабее режим бурения, тем меньше V_0 , но и тем медленнее затухание $V_м$ (см. рисунок).

γ=0; $V_м=V_0$

Незатупл. инструмент

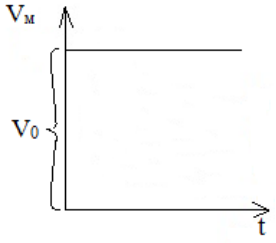

γ =1; $V_м=V_0*\left(\frac{1}{2,7}\right)^t$

Интенсивное затупление

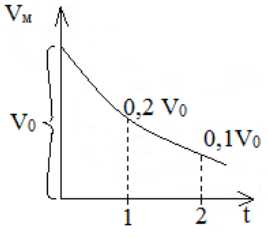

γ =0,5; $V_м=V_0*\left(\frac{1}{2,7}\right)^t$

Интенсивное затупление

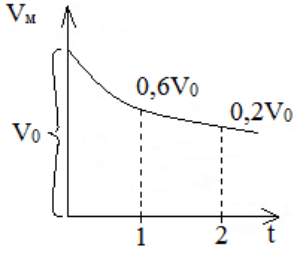

Графики изменения механической скорости
от декремента затухания

Расчет №8

Определение механической скорости бурения на основе физико-механических свойств пород при алмазном бурении, м/ч

$$V_{\text{м}} = L * F_{\text{д}}^{-a} * K_{\text{абр}}^{-a}.$$

Параметр	Наименование	Ед. изм.	Пределы изменения	
			однослойные алмазные коронки	импрегнированные алмазные коронки
$F_{\text{д}}$	Коэффициент динамической прочности	-	10-15	15-30
$K_{\text{абр}}$	Коэффициент абразивности пород	-	1,1-2,0	2,1-2,6
L	Коэффициент конструктивности коронки	-	5,9	0,14
$-a$	Коэффициент влияния прочности пород	-	0,36	0,2
-β	Коэффициент влияния абразивности пород	-	0,5	0,2
$V_{\text{м}}$	Механическая скорость бурения	м/ч	1,8-1,9	0,15-0,12

Расчет №9

Расчет шпинделя бурового станка

Шпиндель испытывает осевую нагрузку от механизма подачи и крутящий момент.

1. Напряжение от осевой нагрузки, Н/м^2:

$$\sigma = \frac{4Q}{\pi*(D^2-d^2)}.$$

2. Крутящий момент на шпинделе, Н·м:

$$M = 9750\frac{N^{max}}{n}.$$

$$N_{\max} = N_g * \eta * \lambda \text{ , кВт}$$

3. Касательные напряжения от крутящего момента, снимаемого со шпинделя, Н/м^2:

$$\tau = \frac{M}{2W};$$

$$W = \frac{\pi}{16} * \frac{D^4-d^4}{D} \text{ , м}^3.$$

4. Полное приведенное напряжение в теле шпинделя, Н/м^2:

$$\sigma_{\Sigma} = \sqrt{\sigma^2 - \tau^2}.$$

Таблица исходных данных

Пара-метр	Наименование	Ед. изм.	Пределы изменений	
			от	до
Q	Усилие подачи станка	Н	40000	50000
D	Наружный диаметр шпинделя	м	$51*10^{-3}$	$61*10^{-3}$
d	Внутренний диаметр шпинделя	м	$43*10^{-3}$	$53*10^{-3}$
$N_{\max}$	Мощность, передаваемая на шпиндель	кВт	-	-
n	Число оборотов шпинделя	-	80	1500
N_g	Номинальная мощность шпинделя	-	0,8	
η	КПД передачи от вала двигателя до шпинделя	-		
λ	Коэффициент возможной перегрузки: - электродвигатель -двигатель внутреннего сгорания	 - -	 1,5 1,1	 2,0 1,15

Расчет №10

Расчет механического зажимного патрона

Расчет патрона приведен для двух плашек, управляемых двумя болтами.

1. Допустимое осевое усилие по болту из условий его прочности на сжатие, Н:

$$P = F[\sigma_{сж}].$$

2. Допустимое осевое давление, развиваемое болтом, Н:

$$P' = \frac{\pi*(d^2-d_t^2)*I*P}{4t}.$$

3. Сила трения, при закреплении ведущей трубы в двух патронах, Н:

$$T = 4P' * f.$$

4. Окружное усилие, передаваемое патроном, Н:

$$P_0 = \sqrt{T_0^2 - Q^2}$$

5. Передаваемая мощность патронами, кВт:

$$N = \frac{P_v*V}{75}.$$

Таблица исходных данных

Пара-метр	Наименование	Ед. изм.	Пределы изменений	
			от	до
F	Площадь поперечного сечения	$м^2$	0,04	0,06
$[\sigma_{сж}]$	Допустимое напряжение сжатия	$Н/м^2$	$1000*10^5$	$1400*10^5$
d	Наружный диаметр резьбы болта	м	0,03	0,5
d_1	Внутренний диаметр резьбы болта	м	0,025	0,4
I	Длина резьбы болта	м	0,03	0,5
P	Наибольшее удельное давление болта	$Н/м^2$	$65*10^5$	$75*10^5$
t	Шаг резьбы болта	м	0,003	0,004
f	Коэффициент трения между плашками и бурильной трубой	-	0,35	0,4
Q	Осевое усилие	Н	40000	120000
V	Окружная скорость	м/с	0,2	0,85

Расчет №11

Расчет фрикционной лебедки

1. Скорость вращения подъемного вала лебедки, мин$^{-1}$:

$$n_2 = n_1 \frac{d_1}{d_2} \varphi.$$

2. Скорость навивки каната на барабан, м/с:

$$V = \frac{(D + d)n_2}{60}.$$

3. Окружная скорость на ободе большого фрикционного колеса, м/с:

$$V_1 = \frac{\pi * d_2 * n_2}{60}.$$

4. Окружное усилие на ободе барабана, Н:

$$P = \frac{75 * N * \eta}{V}.$$

5. Окружное усилие на ободе фрикционного колеса, Н:

$$P_ф = \frac{75 * N * \eta}{V_1}.$$

6. Необходимое усилие нажатия фрикционных колес друг на друга, Н:

$$Q = \frac{k * P_ф * \sin \alpha}{f}$$

Таблица исходных данных

Параметр	Наименование	Ед. изм.	Пределы изменений	
			от	до
n_1	Число оборотов приводного вала станка	мин$^{-1}$	80	
d_1	Диаметр малого фрикционного колеса	м	0,15	
d_2	Диаметр большого фрикционного колеса	м	0,8	
φ	Коэффициент скольжения при фрикционной передаче	-	0,98	
D	Диаметр барабана	м	0,22	
d	Диаметр каната	м	0,12	
N	Мощность электродвигателя станка	кВт	11	
η	КПД передачи от двигателя до барабана	-	0,8	
k	Коэффициент запаса	-	1,5	
α	Угол наклона боковых поверхностей клиньев	град	12	15
f	Коэффициент трения чугуна по стали	-	0,2	

Расчет №12

Анализ взаимосвязи мощности привода, конструктивных параметров и эксплуатационных характеристик планетарной лебедки бурового станка

1. Принципиальная расчетная схема

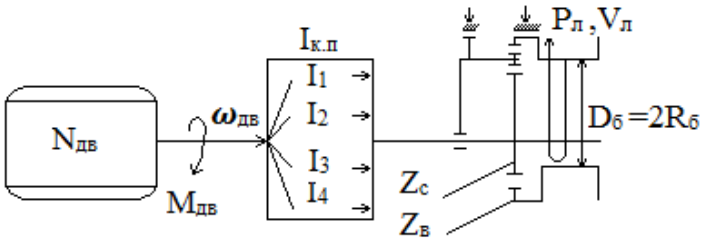

2. Основные расчетные формулы:

$$N_{\text{дв}} = 713 * M_{\text{дв}} * \omega_{\text{дв}}(\text{л.с.}) = 973 * M_{\text{дв}} * \omega_{\text{дв}}, \text{кВт}$$

$$M_{\text{Б}} = \frac{N_{\text{дв}}}{\omega_{\text{дв}}} * i_{\text{к.п.}} * \frac{Z_{\text{с}}}{Z_{\text{В}}}, \text{Н*м};$$

$$\text{Р}_{\text{л}} = \frac{M_{\text{Б}}}{R_{\text{Б}}}, \text{Н};$$

$$\omega_{\text{Б}} = \frac{N_{\text{ДВ}}}{M_{\text{Б}}} * \frac{i}{i_{\text{К.П.}}} * \frac{Z_{\text{В}}}{Z_{\text{С}}}, \text{об/мин};$$

$$V_{\text{Л}} = \omega_{\text{Б}} * 2\pi * R_{\text{Б}}, \text{м/мин}.$$

Таблица основных исходных данных

Пара-метр	Наименование	Ед. изм.	Пределы изменения	
			от	до
$N_{\text{дв}}$	Мощность двигателя	кВт л.с.	10 15	150 220
$\boldsymbol{\omega}_{\text{дв}}$	Число оборотов двигателя	об/мин	1200	5000
$I_{\text{к.п.}}$	Передаточное число коробки перемены передач	-	1 (прямая передача)	10 (высшая передача)
$D_{\text{б}}$	Диаметр барабана лебедки	м	0,2	0,7
$Z_{\text{с}}$	Число зубьев солнечной шестерни лебедки	шт	50	150
$Z_{\text{в}}$	Число зубьев венца лебедки	шт	250	1500

3. Основные эксплуатационные характеристики лебедки

$P_{\text{л}}$ – рабочее усилие (грузоподъемность на прямом канате, кГс, Тс, кН, даН) на конкретной передаче ($P_{\text{л}1}$, $P_{\text{л}2}$, $P_{\text{л}3}$, …);
$V_{\text{л}}$ – скорость подъема груза (на прямом канате, м/мин) на конкретной передаче ($V_{\text{л}1}$, $V_{\text{л}2}$, $V_{\text{л}3}$, …).

4. Основное задание

4.1. Рассчитать и построить графики зависимости эксплуатационных характеристик лебедки ($V_{\text{л}}$, $P_{\text{л}}$) от конкретных параметров бурового станка: $Z_{\text{с}}$и $Z_{\text{в}}$, $D_{\text{б}}$, i_{i}.

4.2. Рассчитать и построить графики зависимости мощности и механической характеристики ($\boldsymbol{\omega}_{\text{дв}}$=F($N_{\text{дв}}$)) двигателя.

Расчет №13

Расчет талевой системы

1. Натяжение на струне талевой системы, Н:

$$P_m = \frac{P_л}{\beta^m}.$$

2. Натяжение каната наматываемого на барабан лебедки, Н:

$$P_л = Q * \frac{\beta^m(\beta-1)}{\beta^m-1}.$$

3. Натяжение закрепленного конца каната, Н:

$$P_m = Q * \frac{\beta-1}{\beta(\beta^m-1)}.$$

4. КПД талевой системы, Н:

$$\eta = \frac{1}{m} * \frac{(\beta^m-1)}{\beta^m*(\beta-1)}.$$

Таблица исходных данных

Параметр	Наименование	Ед. изм.	Пределы изменений	
			от	до
β	Коэффициент сопротивления узла одного ролика	-	1,03	1,04
m	Число струн талевой системы	шт	1	6
Q	Нагрузка на крюке	Н	15000	55000

Расчет №14

Расчет колонны бурильных труб на прочность

Сечение I-I

1. Напряжение растяжения, Н/м^2:

$$\sigma_{\text{р}} = \frac{Q_{\text{кр}}}{F}.$$

2. Напряжение кручения, Н/м^2:

$$\tau = \frac{M_{\text{б}}}{W_{\text{р}}}.$$

3. Крутящий момент при бурении, Н*м:

$$M_{\text{б}} = \frac{N_{\text{б}}}{\omega}.$$

4. Мощность, затрачиваемая на бурение, кВт:

$$N_{\text{б}} = N_{\text{тр}} + N.$$

5. Первый момент сопротивления, м^3:

$$W_{\text{р}} = 0{,}1 * \frac{d_{\text{н}}^4 - d_{\text{в}}^4}{d_{\text{н}}}.$$

6. Суммарное напряжение в сечение I-I:

$$\sigma_{\Sigma} = \sqrt{\sigma_{\text{р}}^2 + 4\tau^2} \leq [\sigma_g].$$

Сечение II-II

7. Напряжение сжатия, Н/м^2:

$$\sigma_{\text{сж}} = \frac{P_{\text{ос}}}{F}.$$

8. Напряжение изгиба, Н/м^2:

$$\sigma_{\text{из}} = \frac{\pi^2 * E * D * f}{2 * 1^2}.$$

9. Напряжения кручения, Н/м^2:

$$\tau = \frac{M_{\text{б}}}{W_{\text{р}}}.$$

10. Мощность, затрачиваемая на бурение, кВт:

$$N_{\text{б}} = 1{,}5 * N_{\text{з}}.$$

11. Суммарное напряжение в сечение II-II, Н/м^2:

$$\sigma_{\Sigma} = \sqrt{(\sigma_{\text{сж}} + \sigma_{\text{из}})^2 + 4\tau^2} \leq [\sigma_g].$$

12. Запас статической прочности колонны:

$$n = \frac{\sigma_г}{\sigma_\Sigma} \geq 1{,}7.$$

13. Запас прочности по нормальным напряжениям:

$$n_\sigma = \frac{\sigma_{-1}}{\sigma_{из} * k_g}.$$

14. Запас прочности по касательным напряжениям:

$$n_\tau = \frac{\tau_г}{\tau}.$$

15. Суммарный запас прочности:

$$n_\Sigma = \frac{n_\sigma * n_\tau}{\sqrt{n_\sigma^2 * n_\tau^2}}.$$

Таблица исходных данных

Пара-метр	Наименование	Ед. изм.	Пределы изменений	
			от	до
$Q_{кр}$	Нагрузка на крюке	Н	0	55000
F	Площадь опасного сечения	$м^2$	$2{,}16*10^{-4}$	$7{,}06*10^{-4}$
$M_б$	Крутящий момент при бурении	Н*м	70	6500
$W_р$	Полярный момент сопротивления	$м^3$	$5{,}4*10^{-6}$	$10{,}6*10^{-6}$
$N_б$	Мощность, затрачиваемая на бурение	кВт	1,5	70
$d_н$	Наружный диаметр бурильных труб	м	42	54
$d_в$	Внутренний диаметр бурильных труб	м	22	40
$P_{ос}$	Осевая нагрузка на забой	Н	0	120000
E	Модуль упругости	$Н/м^2$	$0{,}7*10^{11}$	$2{,}1*10^{11}$
D	Диаметр скважины	м	0,037	0,133
f	Стрела прогиба	м	0,01	0,025
I	Длина полуволны	м	5	30
$\boldsymbol{\omega}$	Угловая скорость вращения снаряда	$с^{-1}$	8,3	156
$N_{гр}$	Затраты мощности на вращение колонны бурильных труб	кВт	12	40
$N_з$	Затраты мощности на разрушение забоя	кВт	1,2	2,5
$[\sigma_g]$	Предел прочности материала, из которого изготовлены бурильные трубы	$Н/м^2$	$230*10^5$	$683*10^5$

Расчет №15

Сопоставление конструктивных характеристик бурового снаряда и параметров керна при срыве вращением

1. Принципиальная схема и таблица исходных расчетных данных

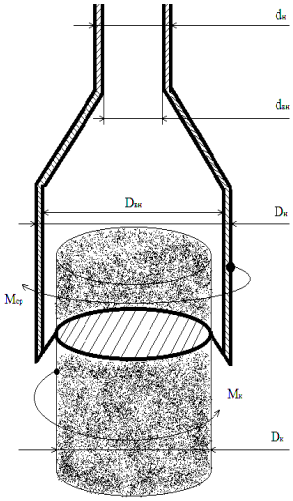

Пара-метр	Наименова-ние	Ед. изм.	Пределы изменения	
			от	до
$d_н$	Наружный диаметр бурильных труб	м	$32*10^{-3}$	$73*10^{-3}$
$d_{вн}$	Внутренний диаметр бурильных труб	м	$22*10^{-3}$	$59*10^{-3}$
$D_н$	Наружный диаметр колонковой трубы	м	$34*10^{-3}$	$219*10^{-3}$
$D_{вн}$	Внутренний диаметр колонковой трубы	м	$27*10^{-3}$	$203*10^{-3}$
$D_к$	Диаметр керна	м	$23*10^{-3}$	$199*10^{-3}$
$[\tau_{тр}]$	Прочность материала труб при кручении	МПа	162	284
$[\tau_к]$	Прочность горных пород при кручении	МПа	1,5	56,0

2. Основные аналитические зависимости.

Момент срыва керна $M_{ср}$равен моменту реакции керна $M_к$, Н*м :

$$M_{ср} = [\tau_{тр}] * W_{тр} = [\tau_к] * W_к = M_к$$

где $W_{тр}$- момент сопротивления поперечного сечения труб, м^3:

а) бурильных труб:

$$W_{тр}^{б.тр} = \frac{\pi}{16} * \frac{d_н^4 - d_{вн}^4}{d};$$

б) колонковых труб:

$$W_{тр}^{к} = \frac{\pi}{16} * \frac{D_{н.к.т.}^4 - D_{вн.к.т}^4}{D_{н.к.т}};$$

$W_к$- момент сопротивления поперечного сечения керна, м^3:

$$W_к = \frac{\pi * D_к^4}{32}.$$

3. Основные аналитические задачи

3.1. Задайте некоторое значение прочности горной породы и материала труб. Постройте графики зависимости минимальных значений наружного диаметра бурильных труб (при постоянной толщине стенок) от диаметра керна.

3.2. При тех же условиях постройте график зависимости диаметра колонковой трубы от диаметра срываемого керна.

3.3. Задайте некоторый постоянный диаметр керна и материала труб. Постройте графики зависимости минимального диаметра бурильных труб от прочности горной породы.

3.4. При тех же условиях постройте график зависимости диаметра колонковой трубы от прочности горной породы.

3.5. Задайте диаметры труб и керна, постройте график зависимости необходимой прочности труб от диаметра срываемого керна.

3.6. Задайте диаметры труб, прочность горной породы и постройте график зависимости необходимой прочности труб от диаметра срываемого керна.

3.7. Повторите расчеты 3.1, 3.2, 3.3, 3.4, 3.5,3.6 при измененных начальных условиях.

Расчет №16

Анализ взаимосвязи мощности привода, конструктивных параметров и эксплуатационных характеристик бурового промывочного насоса

1. Принципиальная расчетная схема

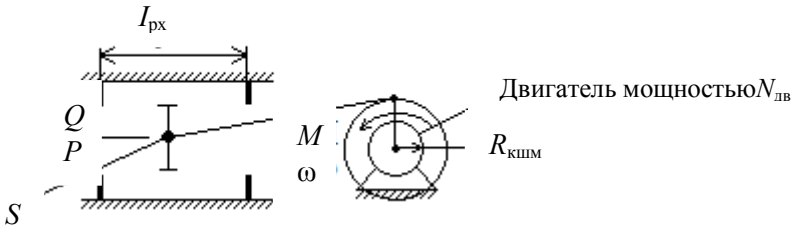

2. Основные расчетные формулы

$$N_{дв} = K_i * M * \beta,$$

где М– крутящий момент, кГс*м;
ω- частота вращения, об/мин;
$N_{дв}$- мощность двигателя (при K_1=973кВт, а при K_2=713 л.с.).

$$Q = S * I_{рх} * \omega;$$

$$P = \frac{M}{R_{кшм}} * \frac{1}{S};$$

$$I_{рх} = 2 * R_{кшм},$$

где Q – расход промывочной жидкости, м^3/мин;
S –площадь поршня, м^2;
$I_{рх}$–ход поршня, м;
P – рабочее давление в напорной магистрали, кГс/м^2
$R_{кшм}$–радиус кривошипа, м.

3. Расчетно-аналитические задачи

3.1. При постоянной мощности асинхронного двигателя:
- Как влияет площадь поршня S на эксплуатационные характеристики насоса (построить графики $P=f_1(S)$ и $Q=f_2(S)$ для N=10, … 50 кВт).
- Как влияет радиус кривошипа и величина рабочего хода поршня на эксплуатационные характеристики насоса.

3.2. С изменяемой мощностью:
- До какой глубины возможно применение насоса с приводом 10, 20, …50 кВт, если гидросопротивления на каждые 100 м скважины при алмазном бурении (Q=300 л/мин) составляют 10 атмосфер, при твердосплавном бурении (Q=60 л/мин) 7 атмосфер, при шарошечном бурении (Q=100 л/мин) 15 атмосфер.

Расчет №17

Расчет эрлифта для откачки воды из скважины

Условия откачки:

- Проектный дебит откачки Q, м^3/ч.
- Глубина статического уровня в скважине h_0, м.
- Проектное понижение уровня воды при откачке $h_п$, м.
- Мощность водоносного горизонта m, м.
- Глубина залегания водоносного горизонта L, м.
- Конструкция эрлифта с расположением эрлифтных труб по схеме «рядом».

Расчетная схема представлена на рисунке.

1. Расчет глубины погружения смесителя

1.1 Определяется проектный динамический уровень воды в скважине, при откачке воды относительно излива:

$$h_g = h_0 + h_п + h_и \ ,$$

где h_g– проектный динамический уровень, м;

h_0– статический уровень, м;

$h_п$– проектное понижение уровня, при откачке ($h_п \leq 0{,}4\ m$), м;

m –мощность водоносного горизонта, м;

$h_и$– высота расположения излива относительно устья скважины (0,5м), м.

1.2. Определяется глубина погружения смесителя относительно уровня излива, при проектном динамическом уровне воды в скважине:

$$H = K + h_g \ ,$$

где H- погружение смесителя относительно уровня излива, м;

h_g- динамический уровень относительно излива, м;

K- коэффициент погружения смесителя.

Абсолютная величина коэффициента погружения смесителя K в зависимости от динамического уровня определяется опытным путем и поэтому принимается при расчетах согласно табл.1.

Таблица 1

Зависимость коэффициента погружения смесителя эрлифта от динамического уровня

h_g	70-40	60-20	30-10
K	1,4-1,6	1,7-2	2,5-3

2. Расчет расхода и давления воздуха, нагнетаемого в эрлифтную систему

2.1. Определяется удельный расход воздуха для откачки из скважины 1м^3 воды:

$$W_0 = \frac{h_g}{C_0 * \log_{10} \frac{h_g * (K-1) + 10}{10}} \ ,$$

где W_0– удельный расход воздуха, приводимый к 1 атм или 0,1 МПа, м^3/мин;

h_g– динамический уровень воды в скважине, м;

K– принятый коэффициент погружения смесителя;

C_0– опытный коэффициент, зависящий от коэффициента погружения смесителя, принимается согласно табл.2.

Таблица 2

Зависимость коэффициента C_0 от K

K	4	3,35	2,85	2,5	2,2	2	1,8	1,7	1,55
C_0	14,3	13,9	13,6	13,1	12,4	11,5	10	9	8

При расчете удельного расхода воздуха для откачки из скважины жидкостей, имеющих удельный вес больше единицы ($\gamma_ж > 1$), г/см^3, необходимо W_0 умножить на $\gamma_ж$.

2.2. Определяется полный расход воздуха для откачки воды из скважины с проектной производительностью Q, м^3/ч:

$$\sum W_0 = \frac{Q * W_0}{60},$$

где $\sum W_0$– суммарный полный расход воздуха, приведенный к 1 атм или 0,1 МПа, м^3/мин;
Q – проектный дебит откачки, м^3/мин
W_0– удельный расход воздух, приведенный к 1 атм или 0,1 МПа, м^3/мин.

3. Расчет необходимого давления и производительности для выбора компрессора

3.1. Определение необходимого давления сжатого воздуха, при спуске компрессора:

$$P_п = 0{,}01 * \left(K * (h_g - h_0\right) + P_1),$$

где $P_п$– пусковое давление компрессора, МПа;
K – принятый коэффициент погружения смесителя;
h_g– динамический уровень воды в скважине, м;
h_0–статический уровень воды в скважине, м;
P_0– потери напора в воздухопроводах, при спуске компрессора:$P_1 =$ 1м.вод.ст.

3.2. Определение рабочего давления компрессора в процессе откачки воды из скважины:

$$P_р = 0{,}01 * (h_g * (K - 1) + P_2,$$

где $P_р$– рабочеедавление компрессора, МПа;
h_g– динамический уровень воды в скважине, м;
K – принятый коэффициент погружения смесителя;
$P_р$–потери напора в воздухопроводах, при процессе откачки.

3.3.Определение рабочего расхода сжатого воздуха в процессе откачки воды из скважины с проектной производительностью Q, м^3/ч:

$$W_р = \sum W_0 * \frac{P_0}{P_p},$$

где $W_р$– рабочий расход промывочной жидкости, м^3/мин;
$\sum W_0$– полный расход воздуха, приведенный к 1 атм или 0,1 МПа, м^3/мин;
P_0– атмосферное давление воздуха, P_0=0,1 МПа;

$P_р$– рабочее давление сжатого воздуха, МПа.

3.4. Выбор компрессора для оборудования эрлифта.

Для откачки воды из скважины м проектной производительностью Q давление компрессора $P_к$ и производительностью компрессора $q_к$ выбирается согласно следующим условиям:

$$Р_к \geq Р_п; \quad P_к \geq Р_р; \quad q_к \geq W_р.$$

4. Расчет внутренних диаметров эрлифтных колон

4.1. Выбор скоростей движения потоков воздуха и аэрированной воды в эрлифтных колоннах труб.

Для устойчивой и эффективной работы эрлифта необходимо обеспечить следующие скорости движения потоков воздуха и аэрировонной воды в эрлифтных колоннах труб:

$V_в$– скорость потока в воздухопроводной колонне труб:

$$V_в=10 \text{ м/с};$$

$V_с$– скорость потока аэрированной воды в водоподъемной колонне труб над смесителем

$$V_с=(2\text{-}4) \text{ м/с};$$

$V_н$– скорость потока аэрированной воды в водоподъемной колонне труб, перед изливом

$$V_н=(6\text{-}12) \text{ м/с}.$$

$V_с$ и $V_н$ зависят от h_g (чем больше h_g, тем больше $V_с$ и $V_н$).

4.2. Расчет площади сечения потока воздуха в воздухопроводной колонне:

$$\omega_в = \frac{W_р}{60 * V_в},$$

где $\omega_в$– площадь сечения потока воздуха в воздухопроводной колонне, м^2;

$W_р$– рабочий расход сжатого воздуха, м^3/мин;

$V_р$– скорость потока воздуха в воздухопроводной колонне, м/с.

4.3. Расчет площади потока аэрированной воды в водоподъемной колонне

4.3.1. Определение расхода воды над смесителем:

$$q_c = \frac{Q}{360} + \frac{W_p}{60},$$

где $q_с$– расход аэрированной воды над смесителем, м^3/с;

Q – проектный дебит откачки, м^3/ч;

$W_р$ – рабочий расход сжатого воздуха, м^3/мин.

4.3.2. Расчет площади сечения потока аэрированной воды над смесителем:

$$\omega_с = \frac{q_с}{V_с},$$

где $\omega_с$– площадь сечения потока над смесителем, м^2;

$q_с$ – расход потока над смесителем, м^3/ч;

$V_с$– скорость потока над смесителем, м/с.

4.3.3. Определение расхода аэрированной воды перед изливом:

$$q_н = \frac{Q}{3600} + \frac{\sum W_0}{60},$$

где $q_н$– расход аэрированной воды перед изливом, м^3/ч;

Q – проектный дебит откачки, м^3/ч;

$\sum W_0$– суммарный полный расход воздуха, приведенный к 1 атм или 0,1 МПа, м^3/мин.

4.3.4. Расчет площади сечения аэрированного воды перед изливом:

$$\omega_{н} = \frac{q_{н}}{V_{н}},$$

где $\omega_{н}$– площадь потока перед изливом, м^3;

$q_{н}$– расход потока перед изливом, м^3/ч;

$V_{н}$– скорость потока перед изливом, м/с.

4.4. Расчет внутренних диаметров внутренних эрлифтных колонн

Внутренние диаметры эрлифтных колонн определяются на основании площадей сечений потоков воздуха в воздухопроводной колонне и аэрированной воды в водоподъемной колонне по формуле:

$$d = \sqrt{\frac{4\omega_{н}}{\pi}},$$

где d- внутренний диаметр трубы, м;

$\omega_{н}$- площадь сечения потока в трубе, м^2.

Таблица исходных данных

Параметр	Наименование	Ед.изм.	Пределы изменений	
			от	до
L	Глубина залегания водоносного горизонта	м	50	150
h_0	Статический уровень воды	м	8	26
$h_{н}$	Понижение уровня воды	м	1	5
Q	Дебит	м^3/ч	10	130
m	Мощность водоносного горизонта	м	2	14

Расчет №18

Цементирование скважин

Основная цель цементирования – получение прочного водогазонефтенепроницаемого, концентрично расположенного в затрубном пространстве кольца цементного камня, который по всей высоте обеспечивал бы разобщение и надежную изоляцию вскрытых скважиной продуктивных горизонтов и зон осложнений.

Способ цементирования выбирается в зависимости от температуры в ее стволе, опасности поглощения при заданной высоте подъема цементного раствора и возникновения затрубных проявлений в период ОЗЦ для каждой конкретной скважины.

Расчет цементирования сводится к определению:

- потребного количества сухого цемента, воды, промывочной жидкости;
- конечного давления при цементировании и выбора типа и потребного количества цементировочных агрегатов и цементно-смесительных машин;
- продолжительности цементирования.

1. Определение потребного количества сухого цемента, воды, продавочной жидкости при цементировании обсадной колонны

1.1. Определение потребного количества цементного раствора, м^3:

$$V_{\text{п.р.}} = \frac{\pi}{4}\left[(k^2 \cdot D^2 - d^2) \cdot h_{\text{ц}} + h_0 \cdot d_{\text{в}}^2\right],$$

где k – коэффициент увеличения ствола скважины (k = 1,1÷1,25).

1.2. Определение удельного веса цементного раствора, г/с^3:

$$\gamma_{\text{ц.р}} = \frac{\gamma_{\text{ц}} \cdot \gamma_{\text{в}} \cdot (1+m)}{m \cdot \gamma_{\text{ц}} + \gamma_{\text{в}}},$$

где $\gamma_{\text{ц}}$, $\gamma_{\text{в}}$ - соответственно удельный вес сухого цемента и воды ($\gamma_{\text{ц}}$ = 3,15г/см^3, $\gamma_{\text{в}}$ =1,0г/см^3);

m – цементное отношение.

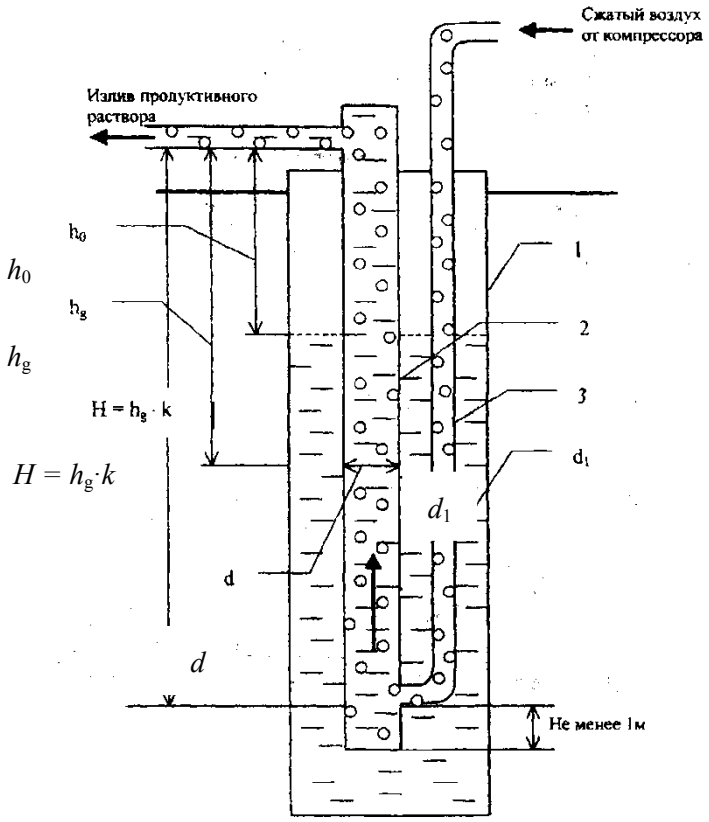

Схема эрлифта с расположением труб «рядом»:

1 – обсадные трубы; 2 – водоподъемные трубы; 3 – воздухопроводные трубы

1.3. Определение потребного количества сухого цемента, т:

$$Q_{\text{ц}} = e \cdot \frac{1}{1+m} \cdot \gamma_{\text{ц.р}} \cdot V_{\text{ц.р}} \ ,$$

где e – коэффициент, учитывающий потери сухого цемента при транспортировке и затворении (e = 1,03÷1,05).

1.4. Определение потребного количества воды для затворения цемента, м^3:

$$V_{\text{в}} = m \cdot Q_{\text{ц}}.$$

1.5. Определение объема продавочной жидкости, м^3:

$$V_{\text{пр}} = \Delta \cdot \frac{\pi}{4} \cdot d^2_{\text{вн.ср}} \cdot (L - h_0) \ ,$$

где Δ - коэффициент, учитывающий сжатие жидкости (Δ = 1,03÷1,05).

Таблица исходных данных

Пара-метр	Наименование	Ед. изм.	Пределы измерений		Примечание
			от	до	
D	Диаметр долота	м	161	445	D (161, 172, 190, 214, 243, 269, 295, 320, 346, 370, 394, 445)
d	Диаметр обсадных труб	м	114	340	d (114, 127, 146, 168,178, 194, 219, 245, 273, 299, 324, 340, 508)
δ	Толщина стенки обсадных труб	мм	6,5	12	
$d_{\text{вн.ср}}$	Средний внутренний диаметр обсадных труб	м	$(d-\delta)$		
$h_{\text{ц}}$	Высота подъема цементного раствора за колонной	м	50	4000	
h_0	Высота цементного стакана в колонне	м	20	20	
L	Глубина спуска обсадных труб	м	50	4000	

2. Определение конечного давления при цементировании

2.1 Определение давления в цементировочной головке в конце цементирования, атм:

$$P_{\max} = P_{\text{гидр}} + 0{,}1 \cdot \left[\left(L - h_{\text{ц}}\right)\gamma_{\text{г.р}} + \left(h_{\text{ц}} - h_0\right)\gamma_{\text{г.р}} - \left(L - h_0\right)\gamma_{\text{пр.ж}}\right] + (15 \div 20),$$

где $P_{\text{гидр}}$ – гидравлические сопротивления, атм.:

$$P_{\text{гидр}} = 0{,}01L + 8, (V_{\text{восх}} \leq 1 \text{ м/с и 1 агрегатом}),$$

$P_{\text{гидр}} = 0{,}02L + 16, (V_{\text{восх}} > (1 \div 2)\text{м/с});$

L– длина эксплуатационной колонны, м;

$h_{\text{ц}}$ - высота цементирования, м;

h_0 - высота цементного стакана, м;

$\gamma_{\text{г.р}}$ - плотность глинистого раствора, г/см^3;

$\gamma_{\text{п}}$ – плотностьпродавочнойжидкости, г/см^3.

$(15 \div 20)$-скачок давления на манометре в момент посадки продавочной пробки на упорное кольцо, атм.

Выбор ЦА $P_{\text{агр}} \geq P_{\max}$(выписываем характеристику ЦА – P и q).

2.2. Определение производительности цементировочного кольца агрегата в конце цементировочного агрегата в конце цементирования,м^3/с:

$$\sum q = \frac{\pi}{4} \cdot (K^2 \cdot D^2 - d^2) \cdot V_{\text{восх}},$$

где K – коэффициент кавернозности;

$V_{\text{восх}}$ - скорость восходящего потока, м/с.

2.3. Определение необходимого количества цементировоч-ных агрегатов по скорости, шт:

$$n = \frac{\sum q}{q^{\text{v}}} + 1,$$

где $\sum q$ – необходимый расход для обеспечения заданной скорости поднятия цементного раствора за эксплуатационную колонну, м^3/с;

q^v – производительность выбранного агрегата на высшей скорости, л/с.

Характеристика 3ЦА-400

Скорость	Число двойных ходов поршня насоса в 1мин	*d* = 100мм		*d* = 115мм		*d* = 127мм	
		подача, л/с	давление, атм	подача, л/с	давление, атм	подача, л/с	давление, атм
I	53,2	6,5	400	8,6	305	11,25	232
II	76,2	9,6	270	12,7	205	16,10	163
III	112,5	14,2	182	18,7	138	23,8	110
IV	156,0	19,7	131	26,0	100	33,0	79

Характеристика ЦА-320М

Режим работы	Скорость	Число двойных ходов поршня насоса в 1мин	*d* = 90мм		*d* = 100мм		*d* = 115мм		*d* = 127мм	
			подача, л/с	подача, л/с	давление, атм	давление, атм	давление, атм	давление, атм	давление, атм	давление, атм
Максимальная производительность	I	28	2,4	390	3,0	305	4,1	225	5,1	182
	II	54	4,5	202	5,8	159	7,9	117	9,9	95
	III	97	8,3	113	10,4	88	14,2	65	17,6	52
	IV	125	10,6	87	13,5	69	18,3	50	22,8	40
Максимальное давление	I	27	2,3	400	2,9	320	3,9	230	4,9	185
	II	41	3,5	231	4,4	182	6,0	134	7,5	109
	III	73	6,2	130	7,8	103	10,7	75	13,3	61
	IV	94	8,0	102	10,1	80	13,8	59	17,1	47

2.4. Определение количества цементно-смесительных машин, шт:

$$i = \frac{Q_{\text{ц}}}{20},$$

где $Q_{\text{ц}}$ - количество цемента, необходимое для цементирования эксплуатационной колонны, т.

Таблица исходных данных

Параметр	Наименование	Ед. изм.	Пределы измерений	
			от	до
D	Диаметр долота	м	161	445
d	Диаметр обсадных труб	м	114	340
L	Глубина спуска обсадной колонны	м	50	4000
$h_{\text{ц}}$	Высота подъема цементного раствора за колонной	м	50	4000
h_0	Высота цементного стакана в колонне	м	20	20
$\gamma_{\text{г.р}}$	Удельный вес глинистого раствора	г/см³	1,2÷1,25÷ 1,3	
$\gamma_{\text{ц.р}}$	Удельный вес цементного раствора	г/см³	1,9÷ 1,85 ÷ 1,8	
$\gamma_{\text{п}}$	Удельный вес продавочной жидкости	г/см³	1,0÷ 1,25	
$V_{\text{восх.}}$	Скорость подъема восходящего потока цементного раствора в затрубном пространстве: - для кондукторов и технических колонн - для эксплуатационных колонн	м/с	 (0,6÷ 0,8) (1,2÷1,5)	
k	Коэффициент увеличения диаметра ствола скважины	-	1,1	1,25

3. Определение продолжительности цементирования обсадной колонны

Возможность начала закачки определяется следующим условием:

$$P^V > P_г,$$

где P^V – максимальное давление, развиваемое ЦА на наивысшей скорости, атм;
$P_г$ - давление на преодоление в скважине в скважине гидравлических сопротивлений, атм.

$$P_г = 0{,}01L + 8 \text{ (при } V_{восх} \leq 1 \text{ м/с)};$$

$$P_г = 0{,}02L + 16 \text{ (при } V_{восх} \leq 2 \text{ м/с)}.$$

Если условие не выполняется, выбираем ближайшую скорость, на которой

$$P_{агр} > P_г.$$

3.1. Определяем, сколько цементного раствора будет закачано на этих скоростях:

$$h_{ц.р}^{IV} = \frac{10(P_г - P^V)}{(\gamma_{ц.р} - \gamma_{гл.р})},$$

где $h_{ц.р}^{IV}$ - высота столба цементного раствора, который необходимо закачать на IV скорости, м;

P^V – давление, создаваемое насосом агрегата на V скорости.

Определяем объем раствора, закачанного на IV скорости, м^3:

$$V_{ц.р}^{IV} = \frac{\pi \cdot d_{вн.ср}^2}{4} \cdot h_{ц.р}^{IV},$$

Определяем объем цементного раствора, закачанного на V скорости, м^3:

$$V_{ц.р}^{V} = V_{ц.р} - V_{ц.р}^{IV}.$$

3.2. Определение высоты столба продавочной жидкости в колонне при работе агрегата на V скорости, м:

$$I_i^V == \frac{L \cdot (d_{вн}^2 + k^2 \cdot D_с^2 - d_{э.к}^2) + (k^2 \cdot D_с^2 - d_{э.к}^2) \cdot \frac{10(P_н^V - P_г)}{\gamma_{ц.р} - \gamma_{гл.р}} - \frac{4V_{ц.р}}{\pi}}{(k^2 \cdot D_с^2 - d_{э.к}^2)\frac{\gamma_{ц.р} - \gamma_{пр.ж}}{\gamma_{ц.р} - \gamma_{гл.р}} + d_{вн}^2}.$$

Определяем постоянные элементы для данной формулы:

$$a = L \cdot (d_{вн}^2 + k^2 \cdot D_с^2 - d_{э.к}^2);$$

$$b=(k^2 \cdot D_с^2 - d_{э.к}^2);$$

$$c = \frac{\gamma_{ц.р} - \gamma_{пр.ж}}{\gamma_{ц.р} - \gamma_{гл.р}};$$

$$Z = \frac{4V_{ц.р}}{\pi};$$

$$I_1^V = \frac{a + b \cdot \frac{10(P_н^V - P_г)}{\gamma_{ц.р} - \gamma_{гл.р}} - Z}{b \cdot c + d_{вн}^2}.$$

3.3. Определение высоты подъема цементного раствора за колонной на V скорости агрегата, м:

$$I_2^V = \frac{a + b \cdot \frac{10(P_н^V - P_г)}{\gamma_{ц.р} - \gamma_{гл.р}} - Z}{b \cdot c + d_{вн}^2},$$

т. е.

$$I_2^v = \frac{Z - d^2(L - I_1^v)}{b}.$$

3.4. Высота столба продавочной жидкости на IV скорости агрегата, м:

$$I_1^{IV} = \frac{a + b \cdot \frac{10(P^{IV} - P^V)}{\gamma_{ц.р} - \gamma_{гл.р}} - Z}{b \cdot c + d_{вн}^2}.$$

3.5. Высота подъема цементного раствора за колонной на IV скорости агрегата, м:

$$I_2^{IV} = \frac{Z - d^2(L - I_1^{IV})}{b}.$$

3.6. Высота столба продавочной жидкости на III скорости агрегата, м:

$$I_2^{III} = \frac{a + b \cdot \frac{10(P^{III} - P^{IV})}{\gamma_{ц.р} - \gamma_{гл.р}} - Z}{b \cdot c + d_{вн}^2}.$$

3.7. Высота подъема цементного раствора за колонной, на III скорости агрегата, м:

$$I_2^{III} = \frac{Z - d^2(L - I_1^{III})}{b}.$$

3.8. Определяем количество продавочной жидкости, закачиваемой на различных скоростях агрегата, м^3:

$$V_{пр}^V = e \cdot \frac{\pi \cdot d_{вн}^2}{4} \cdot I_1^V;$$

$$V_{пр}^{IV} = e \cdot \frac{\pi \cdot d_{вн}^2}{4} \cdot (I_1^{IV} - I_1^V);$$

$$V_{пр}^{III} = e \cdot \frac{\pi \cdot d_{вн}^2}{4} \cdot (I_1^{III} - I_1^{IV});$$

$$V_{пр}^{II} = V_{пр} - V_{пр}^I - V_{пр}^{III} - V_{пр}^{IV} - V_{пр}^V;$$

$$V_{пр}^I = 2.$$

3.9. Определяем время работы одним агрегатом на разных скоростях, мин:

$$t^V = \frac{(V_{ц.р}^V + V_{пр}^V)}{q^V \cdot 60};$$

$$t^{IV} = \frac{(V_{ц.р}^{IV} + V_{пр}^{IV})}{q^{IV} \cdot 60};$$

$$t^{III} = \frac{(V_{\text{ц.р}}^{III} + V_{\text{пр}}^{III})}{q^{III} \cdot 60};$$

$$t^{II} = \frac{(V_{\text{ц.р}}^{II} + V_{\text{пр}}^{II})}{q^{II} \cdot 60};$$

$$t^{I} = \frac{(V_{\text{ц.р}}^{I} + V_{\text{пр}}^{I})}{q^{I} \cdot 60}.$$

3.10. Общее время цементирования, мин:

$$T' = t^{\text{I}} + t^{\text{II}} + t^{\text{III}} + t^{\text{IV}} + t^{\text{V}}.$$

С учетом подготовительно-заключительных работ

$$T_{\text{ц}} = T' + 15 \text{ мин}.$$

3.11. Определяем температуру на забое скважины, ℃:

$$t_{\text{заб}} = t_{\text{ср}} + 0{,}025L,$$

где $t_{\text{ср}}$ −среднегодовая температура воздуха, ℃,

L – глубина скважины, м.

3.12. Определяем количество агрегатов, шт:

По времени схватывания

$$n_{ЦА} = \frac{T}{0{,}75T_{\text{скв}}} + 1,$$

по скорости

$$n = \frac{\sum q}{q^{\text{v}}} + 1,$$

где $\sum q$ – необходимый расход для обеспечения заданной скорости поднятия цементного раствора за эксплуатационную колонну, л/с;

q^{v} – производительность выбранного агрегата на высшей скорости, л/с.

ЛИТЕРАТУРА

Основная:

1. Технология бурения разведочных скважин/ А.Г. Калинин, В.И.Власюк, О.В.Ошкордин, Р.М.Скрябин.- М.: Техника, ТУМА ГРУПП, 2004. - 528 с.
2. Башкатов Д.Н., Кривошеев В.В., Соловьев Н.В. Бурение разведочных скважин: учебник для вузов. - М.: Высшая школа, 2007.
3. Гусман А.М., Порожский К.П. Буровые комплексы. Современные технологии и оборудование. – Екатеринбург, 2002. - 592 с.

Дополнительная:

1. Ошкордин О. В. Технологическое проектирование в разведочном бурении на твердые полезные ископаемые: учебное пособие. – Екатеринбург: УГГГА, 1994.
2. Калинин А. Г., Ошкордин О.В. Разведочное бурение. – М.: Недра, 2000.
3. Михайлова Н.Д. Техническое проектирование колонкового бурения. – М.: Недра, 1985.
4. Ганджумян Р.А. Практическое расчеты в разведочном бурении. – М.: Недра, 1986.
5. Поляков Г.Д., Булгаков Е.С. Проектирование, расчет и эксплуатация буровых установок. – М.: Недра, 1983.
6. Кирсанов А.Н., Зиненко В.П., Кардыш В.Г. Буровые машины и механизмы. –М.: Недра, 1986.
7.Элияшевский И.В., Орсуляк А.М. Типовые задачи и расчеты в бурении. – М.: Недра, 1974.
8. Справочник по бурению и оборудованию скважин на воду /под общей ред. В.В.Дубровского – Второе издание, перераб. и доп. – М.: Недра, 1972.
9. Справочник по бурению скважин на воду / под общей ред. Д.Н.Башкатова. – М.: Недра, 1979.
10. Справочник инженера по бурению геологоразведочных скважин /авторский колл.;гл. ред. проф. Е.А.Козловский. – СПб, 2000.

МИНОБРНАУКИ РФ
ФГБОУ ВО
«Уральский государственный горный университет»

Л. И. Кралина, Г. А. Усов, Ф. П. Сердюков

БУРОВЫЕ СТАНКИ И БУРЕНИЕ СКВАЖИН

Методические указания
по выполнению курсового проекта
по дисциплине
«Буровые станки и бурение скважин»

для студентов специальности
21.05.02 Прикладная геология

очного и заочного обучения

Екатеринбург
2018

Оглавление

1. Общие положения ……3
2. Объем курсового проекта и его оформление ……3
3. Содержание основных разделов проекта…….4
Введение……4
3.1. Гидрогеологическая характеристика разреза……..4
3.2. Выбор и характеристика средств откачки ……..……4
3.3. Выбор и расчет фильтра ……...5
3.4. Выбор способа бурения и расчет
конструкции скважины …….....5
3.5. Технология бурения скважин……...6
3.6. Выбор бурового оборудования и инструмента……...7
3.7. Вскрытие и освоение водоносного пласта …….8
3.8. Промсанитария, техника безопасностии
охрана окружающей среды.....8
Рекомендуемая литература…….8
Приложение 1. Пример выполнения титульного листа
курсового проекта…….9
Приложение 2. Пример бланка задания ……10
Приложение 3. Геолого-технический наряд……...12

1. Общие положения

Студенты специальности Прикладная геология выполняют курсовой проект по бурению скважин на воду после изучения дисциплины «Буровые станки и бурение скважин». Это самостоятельная работа, характеризующая умение студентам решать комплексные инженерные задачи в зависимости от конкретных технико-экономических и гидрогеологических условий производства работ.

Целью курсового проекта является закрепление и углубление знаний по дисциплине «**Буровые станки и бурение скважин**» и их практическое применение к решению конкретных инженерных задач, знакомство с методикой пользования специальной и справочной литературой. Курсовой проект можно рассматривать как важнейший этап подготовки к работе над технической частью дипломного проекта.

Курсовой проект разрабатывается на основании фактических материалов, собранных студентами на производственной практике. Эти материалы включают геологическую карту района производства работ, геологический разрез с указанием места заложения проектной скважины, гидрогеологическую характеристику разреза с подробными данными о всех водоносных горизонтах и ориентировочном проектном дебите каждого из них.

Курсовой проект выполняется под руководством преподавателя кафедры технологии и техники разведки месторождений полезных ископаемых. Каждый студент перед началом проектирования получает у руководителя индивидуальное задание, в котором содержатся формулировка темы проекта, характеристика проектного геологического разреза, данные о проектном дебите скважины, статическом уровне подземных вод и условиях производства работ.

2. Объем курсового проекта и его оформление

Курсовой проект выполняется на бумаге формата А4 (210×297) с одной стороны листа. С левой стороны листа оставляется поле для подшивки 30 мм; с верхней – 20 мм; с правой – 15 мм; с нижней –35 мм, на котором посередине проставляется порядковый номер страницы.

После титульного листа (приложение 1) помещается задание на курсовой проект, затем содержание, и далее следует текст. В конце проекта приводится список используемой литературы и приложения.

Текст пояснительной записки должен быть выполнен на компьютере. Общий объем записки курсового проекта –25-30 с.

Графические приложения к тексту выполняются на плотной бумаге, кальке или миллиметровке формата 210×297 мм и подшиваются вместе с текстом записки. На отдельном листе формата А3 выполняется чертеж, на котором могут быть представлены геолого-технический наряд, схемы различных устройств, технологические схемы откачки, вскрытия, освоения водоносных пластов.

Пример оформления геолого-технического наряда представлен в приложении 3.

Текст курсового проекта включает следующие основные разделы.

Вводная часть – 5% от всего объема.

Гидрогеологическая часть – 5-10% объема.

Технико-технологическая часть – 85-90% объема.

Разработка и изложение отдельных вопросов в проекте должны быть осуществлены в следующей последовательности.

Содержание курсового проекта:

Введение

1. Гидрогеологическая характеристика разреза.
2. Выбор и характеристика средства откачки.

3. Выбор и расчет фильтра.
4. Выбор способа бурения и расчет конструкции скважины.
5. Выбор бурового оборудования и инструмента.
6. Вскрытие и освоение водоносного пласта.
7. Техника безопасности и охрана окружающей среды.

Список использованной литературы.
Приложения.

3. Содержание основных разделов проекта

Введение.

Во введении обосновывается назначение проектируемой скважины. Приводятся общие сведения о районе работ, дается его краткая физико-географическая и экономическая характеристика, оцениваются условия производства работ по бурению и оборудованию скважин, отмечается обеспеченность электроэнергией, топливом, водой, глиной и т. д.

3.1. Гидрогеологическая характеристика разреза

Приводится описание литологического состава горных пород, указываются их мощность, физические свойства, категория буримости, дается характеристика коллекторских свойств пород водоносных горизонтов (трещиноватость, гранулометрический состав, пористость, проницаемость), величина дебита каждого водоносного горизонта и статический уровень подземных вод.

Затем приводится характеристика тектонических зон и указываются возможные осложнения при их бурении.

Геологический разрез составляется в масштабе 1:200 или 1:500.

3.2. Выбор и характеристика средств откачки

В зависимости от целевого назначения скважины и ее дебита выбирается наиболее рациональный способ подъема воды из скважины. Выбор водоподъемной установки производится с учетом следующих исходных данных:

1) проектного дебита скважины;
2) глубины установки водоподъемных средств;
3) особых условий производства откачки, обусловленных повышенной температурой, минерализацией или высоким загрязнением воды. При этом фактические производительности и напор выбранного водоподъемника должны быть равны или несколько больше проектных. Особое внимание уделяется размерам водоподъемника, особенно его диаметру, который влияет на выбор размера водоподъемных труб и, следовательно, на конструкцию скважины. Обычно необходимо выбирать водоподъемники с минимально возможными размерами рабочих органов, что упрощает и удешевляет конструкцию скважины.

Водоподъемные установки выбираются по справочникам на основании данных о проектном дебите и динамическом уровне откачки.

Эрлифты применяются на стадии испытания, освоения водоносных горизонтов и при откачке из разведочных скважин. Выбранная схема эрлифта должна быть рассчитана для определения основных его параметров: глубины погружения смесителя, удельного расхода воздуха и производительности эрлифта, диаметров водоподъемных и воздухопроводных труб.

3.3. Выбор и расчет фильтра

Производительность скважины в процессе откачки зависит от правильного выбора водоприемной части скважины (типа фильтра и от его геометрических размеров).

Тип, конструкция фильтра выбираются в зависимости от характера пород (гранулометрического состава) водоносного горизонта, назначения скважины, ее производительности и глубины, агрессивности вод и ряда других факторов.

Необходимые конструктивные размеры фильтра для конкретных условий откачки определяются расчетом.

Диаметр и длина рабочей части фильтра подбираются и рассчитываются с учетом дебита скважины, коэффициента фильтрации пород водоносного горизонта и его мощности.

При этом необходимый диаметр фильтра рассчитывается исходя из диаметра выбранного водоподъемника, а точнее диаметра эксплуатационной колонны. При мощности водоносного горизонта, не превышающей 10 м, диаметр фильтра рассчитывается с учетом проектного дебита скважины, рабочей длины фильтра и коэффициента фильтрации пород. В данном случае длина рабочей части фильтра принимается равной мощности водоносного горизонта (10 м), а при мощности более 10 м рассчитывается на основании проектного дебита скважины диаметра фильтра. Скважность фильтра выбирается с учетом характеристики пород водоносного горизонта и должна обеспечивать водопропускную способность фильтра с минимальным сопротивлением движению и с допустимой скоростью движения воды, которая не приводит к переносу частиц шлама в скважину.

При правильном выборе и расчете параметров фильтра его водопропускная способность должна быть равна или более проектного дебита скважины.

3.4. Выбор способа бурения и расчет конструкции скважины

Выбор способа бурения скважин на воду производится с учетом гидрогеологических условий, проектной глубины скважины, ее целевого назначения, экономичности и качественных показателей по вскрытию и освоению водоносного горизонта.

В настоящее время применяются следующие способы бурения скважин на воду: роторный, колонковый, ударно-вращательный и ударно-канатный.

Роторный способ применяется при бурении разведочно-эксплуатационных и эксплуатационных скважин на воду в твердых, трещиноватых породах с промывкой водой, в мягких породах, а также в тектонических зонах сильнорассланцованных, перемятых пород с промывкой глинистым раствором. В районах с затрудненным водоснабжением (Крайний Север, Средняя Азия) роторное бурение целесообразно использовать с продувкой воздухом или применять пневмоударное бурение. Роторное бурение рекомендуют использовать при вскрытии глубокозалегающих водоносных горизонтов, и оно отличается более высокой производительностью и экономичностью по сравнению с другими способами.

Канатно-ударное бурение применяется для бурения разведочно-эксплуатационных, эксплуатационных и дренажных скважин большого диаметра (свыше 500 м) при вскрытии низконапорных горизонтов. Оно отличается высокой металлоемкостью конструкции скважин и является более дорогостоящим по сравнению с роторным бурением. Канатно-ударный способ рекомендуется при бурении скважин глубиной до 150 м в породах осадочного комплекса, представленного средне- и крупнозернистыми песками, плывунами, валунно-галечными отложениями, а также сильно трещиноватыми и

кавернозными породами, в которых использование роторного бурения весьма затруднительно. Колонковый способ в основном применяется при бурении разведочных скважин на воду небольшого диаметра (до 200 мм) в породах различной крепости.

После выбора способа бурения проектируется конструкция скважины. При бурении скважин на воду выделяют следующие элементы конструкции скважин: кондуктор (направление), эксплуатационную колонну и фильтр.

При проектировании конструкции скважины необходимо учитывать специфику и возможности выбранного способа бурения. В частности, расчетные диаметры бурения обсадных труб должны быть указаны со стандартными размерами бурового инструмента конкретно для выбранного способа бурения.

3.5. Технология бурения скважин

Технология бурения разрабатывается на основании составленного ранее геологического разреза с учетом физико-механических свойств горных пород и характеристик водоносных горизонтов. При этом для каждой разновидности горных пород выбираются рациональные конструкции буровых наконечников и определяются технологические параметры режима бурения этими наконечниками.

Прежде всего необходимо выбрать типы буровых наконечников (коронки, долота) и установить их необходимые характеристики в соответствии с конструкцией скважины.

Затем для вращательных способов бурения выбирается вид промывочной жидкости и определяются необходимые параметры (например, глинистых растворов), характеризующие их качество. Параметры промывочных жидкостей (удельный вес, вязкость, водоотдача, статическое напряжение сдвига, содержание песка и др.) применяются в зависимости от возможных осложнений при бурении скважин.

После этого рассчитываются рациональные величины технологических параметров режима бурения. Для вращательных способов бурения это – осевая нагрузка на породоразрушающий инструмент, частота вращения бурового снаряда и количество промывочной жидкости, нагнетаемой в скважину. Для ударно-канатного бурения определяются вес, высота сбрасывания и частота ударов бурового инструмента.

Необходимо также разработать мероприятия по борьбе с возможными осложнениями при бурении скважин (обвалы стенок скважин, поглощения промывочной жидкости и др.).

Устье скважины оборудуется направлением или кондуктором. Эксплуатационная колонна обеспечивает крепление ствола скважины, в ней обычно устанавливают насос для подъема воды.

В скважинах со сложным геологическим разрезом, в котором может встречаться несколько зон осложнений, устанавливают иногда промежуточную колонну, которая обычно следует после кондуктора. Выбор конструкции разведочно-эксплуатационной скважины необходимо начинать с определения типа водоподъемника и его диаметра, который определяет внутренний диаметр эксплуатационной колонны:

$$D_{\text{в.эк}} = D_{\text{в}} + 2\Delta ,$$

где $D_{\text{в}}$ - наружный диаметр водоподъемника, мм; Δ - зазор между водоподъемником и эксплуатационной колонной, мм.

Диаметр долота под эксплуатационную колонну определяется из условия:

$$D_{\text{д}} = D_{\text{м}} + 2\delta ,$$

где $D_м$ - наружный диаметр муфты, мм; δ - зазор между муфтой и скважиной, мм.

Для $D_м$ <250 мм δ = 25 мм; для $D_м$ >250 мм δ =20-50 мм.

Чем больше выход колонны из-под башмака обсадных труб, тем больше должен быть зазор δ.

Диаметр фильтра подбирают из условия обеспечения необходимого водопритока. Конечный диаметр скважины определяется необходимостью проведения комплекса гидрогеологических исследований и наблюдений.

Особое внимание уделяется технологии бурения скважин в интервалах водоносных горизонтов, направленной насохранение естественной водопроницаемости водоносных пластов.

В случае бурения разведочных скважин устанавливаются интервалы бурения с отбором керна для составления детального геологического разреза и проведения исследований образцов горных пород. Особое внимание необходимо уделить разработке мероприятий по обеспечению получения качественного керна с интервалов водоносных горизонтов. С целью обеспечения получения качественных образцов горных пород при бурении необходимо выбрать комплекс технических средств и разработать специальные технологические и организационные мероприятия.

3.6. Выбор бурового оборудования и инструмента

Буровое оборудование выбирается с учетом целевого назначения скважины, ее конструкции, характера пород геологического разреза, способа бурения и разработанной технологии бурения.

В настоящее время буровое оборудование комплектуется в буровые агрегаты и установки, которые выпускаются отечественной промышленностью. Поэтому выбор основного бурового оборудования сводится к выбору буровой установки.

Выбор буровой установки производится по способу бурения, по проектной глубине бурения, по величине начального и конечного диаметра, которые обычно даются в ее характеристике. Также учитываются и другие данные характеристики буровой установки, такие как скорости вращения, осевое усилие, развиваемое механизмом подачи, которые обеспечивают необходимые технологические параметры режима бурения. В зависимости от наличия источников энергосбережения в районе бурения скважин буровые установки выбираются с электроприводом (от электролинии) или с автономным приводом от двигателя внутреннего сгорания (при отсутствии электролинии).

Вспомогательное буровое оборудование (труборазвороты, глиномешалки, КИП, талевая оснастка, вертлюги-сальники и др.) выбирается в зависимости от его потребности и условий производства работ.

После выбора всего комплекса бурового оборудования, необходимого для бурения проектируемой скважины, приводятся его технические характеристики.

Выбор породоразрушающего инструмента (коронок, долот) производится с учетом физико-механических свойств горных пород и их буримости.

Для вращательного бурения выбираются типы бурильных труб и их диаметры, конструкция и тип колонковой трубы для обеспечения качественного выхода керна; длина и диаметр утяжеленных труб при бурении скважин сплошным забоем большого диаметра (более 150 мм).

Для ударно-канатного бурения выбирается конструкция и размеры ударного снаряда, тип и размеры долот. Для ликвидации наиболее распространенных аварий (обрывы бурильных канатов, колонковых, обсадных труб) необходимо предусмотреть ловильный аварийный инструмент (метчики, колокола, труболовки, крючки, штопоры, овершоты).

В приложении нужно дать спецификацию всего бурового оборудования и инструмента с указанием его наименования и количества, необходимого для бурения скважины.

На основании геологического задания, выбора бурового оборудования, конструкции скважины и разработанной технологии бурения составляется геолого-технический наряд на бурение скважины, форма которого приведена в приложении 2.

3.7. Вскрытие и освоение водоносного пласта

Ответственными операциями при сооружении скважин на воду являются вскрытие и освоение водоносного пласта, которые оказывают большое влияние на производительность и долговечность скважины.

Вскрытие водоносного пласта включает комплекс технологических операций, направленных на успешное бурение горных пород водоносного пласта при обеспечении их устойчивости и сохранения естественной водопроницаемости.

Выбор технологии вскрытия водоносного пласта зависит от глубины его залегания, устойчивости и коллекторских свойств горных пород, слагающих водоносный пласт, пластового давления, мощности водоносного пласта и дебита скважины.

Неустойчивые горные породы водоносного пласта не рекомендуется вскрывать с применением глинистого раствора, так как глинистые частицы вызывают кольматацию пор и трещин и резкое снижение их водопроницаемости. В этом случае применяют специальные промывочные жидкости: малоглини-стые, меловые, полимерные, аэрированные, самораспадающиеся промывочные жидкости, пены и др.

Безнапорные пески при наличии устойчивой кровли водоносного пласта могут вскрываться гидровмывом фильтра, а также формированием каверны в водоносном пласте. Существуют и другие методы с применением различных схем промывки.

Освоение скважины обычно включает такие технологические операции, как установка фильтра в скважину, восстановление естественной водопроницаемости или ее искусственное увеличение, устройство гравийной обсыпки фильтров, откачки воды из скважины с целью формирования водоприемной части скважины и осветления воды.

При выборе способа освоения скважины необходимо учитывать его эффективность и простоту его технологического выполнения.

3.8. Промсанитария, техникабезопасности и охрана окружающей среды

В этом разделе необходимо предусмотреть мероприятия по охране здоровья работающего персонала и средства по оказанию первой помощи пострадавшим.

Мероприятия по технике безопасности, противопожарной технике и охране окружающей среды проектируются в соответствии с действующими инструктивными указаниями при выполнении различного вида работ: монтаж установок, бурение скважины, транспорт, демонтаж установки, эксплуатация скважин.

Рекомендуемая литература

*Бейсебаев А. М., Туякбаев Т. Н., Федоров Б. В.*Бурение скважин и горно-разведочное бурение. –М.: Недра, 1990. – 303 с.

Соломин Б. Н. Проектирование скважин на воду. –М.: Недра, 1983. –107 с.

Справочник по бурению скважин на воду / Д. Н. Башкатов, С. С. Сулакшин, С. Л. Драхлис, Г. П. Квашнин. –М.: Недра, 1979. –560с.

Справочник по бурению и оборудованию скважин на воду / В. В. Дубровский [и др.]. – М.: Недра, 1972. – 512с.

Разведочное бурение/ О. В. Ошкордин [и др.] –М.: Недра,2000. –748 с.

Приложение 1

Пример выполнения титульного листа курсового проекта



МИНОБРНАУКИ РФ
ФГБОУ ВО

«УРАЛЬСКИЙ ГОСУДАРСТВЕННЫЙ ГОРНЫЙ УНИВЕРСИТЕТ»

ФАКУЛЬТЕТ ГЕОЛОГИИ И ГЕОФИЗИКИ

Кафедра ТЕХНОЛОГИИ И ТЕХНИКИ РАЗВЕДКИ МПИ

КУРСОВОЙ ПРОЕКТ

НА ТЕМУ: «Сооружение разведочно-эксплуатационной скважины на воду»

Руководитель_____
Студент_____
Группа _____

Екатеринбург 201__г.

Приложение 2

Пример бланка задания

З А Д А Н И Е

по курсовому проекту на бурение гидрогеологической скважины

Студентугруппы _____

Тема проекта _____

_____

Содержание проекта

I. Исходные данные

1. Геологический разрез скважины.

№ п/п	Наименование пород и горизонты	Интервалы, м	Примечание
1			
2			
3			
4			
5			

2. Проектная глубина скважины _____
3. Проектный дебит скважины __$м^3$/час из горизонта_____
4. Статический уровень _____
5. Проектный динамический уровень _____
6. Период работы _____

7 . Особые условия (обеспеченность электроэнергией, водой, глиной и т.п.)_____

II. Задачи проектирования

1) выбрать и обосновать тип и размеры откачных средств;
2) обосновать выбор типа фильтра и произвести его расчет;
3) выбрать и обосновать способ бурения скважины;
4) составить и обосновать конструкцию скважины;
5) разработать рациональную технологию бурения для каждого горизонта:
   а) выбрать породоразрушающий инструмент;
   б) выбрать промывочную жидкость и обосновать ее качественные параметры;
   в) рассчитать технологические параметры режима бурения.
6. Выбрать буровое оборудование:
   а) буровой агрегат (буровой станок, насос, привод);
   б) буровой копер или мачту.
7. Разработать конструкцию бурового снаряда:

а) колонкового набора;
б) колонны бурильных труб;
в) колонны обсадных труб.

Примечание: для выбранного оборудования приводится краткая техническая характеристика.

8. Уточнить режим бурения с учетом технических характеристик выбранного оборудования.
9. Произвести проверочный расчет выбранного бурового оборудования:
а) насоса (по производительности и рабочему давлению);
б) привода бурового станка и насоса;
в) бурового копра или мачты (по грузоподъемности);
г) колонны бурильных труб.
10. Запроектировать способ вскрытия водоносного горизонта и опробования.
11. Предусмотреть мероприятия по технике безопасности, противопожарной технике и промсанитарии.
12. Составить спецификации основного оборудования, инструмента и материалов, необходимых для бурения скважин.

III. Графические приложения
1. Геолого-технический наряд.
2. Схема конструкции скважины.
3. Схема бурового снаряда.
4. Схема фильтра.
5. Схема оборудования скважины для откачки.

Дата сдачи проекта на кафедру _____
Руководитель проекта _____

Приложение 3

Геолого-технический наряд

ГРО, ГРЭ _____
Проектная глубина, м _____
Начало бурения _____
Окончание бурения _____

Буровой станок_____
Буровой насос _____
Двигатель _____
Мачта_____
Буровые трубы _____

Скважина _____

Геологическая часть							Техническая часть										
Масштаб глубин	Наименование горных пород	Категория пород по буримости	Литология	Интервал и вид отложений	Статический уровень Динамический уровень	Мощность слоев, м	Конструкция скважины	Тип и диаметр ПРИ, мм	Длина и диаметр УБТ	Режимы бурения			Качество бурового раствора	Способы борьбы с осложнениями	Способ вскрытия водоносного пласта	Тип фильтра	Примечание
										Осевая нагрузка, кН	Частота вращения, об/мин.	Расход промывочной жидкости, л/мин.					
1	2	3	4	5	6	7	8	9	10	11	12	13	14	15	16	17	18

МИНОБРНАУКИ РФ

ФГБОУ ВО «Уральский государственный горный университет»

УТВЕРЖДАЮ
Проректор по учебно-методическому комплексу
_____ С.А. Упоров

МЕТОДИЧЕСКИЕ РЕКОМЕНДАЦИИ ПО ВЫПОЛНЕНИЮ КУРСОВОЙ РАБОТЫ ПО ДИСЦИПЛИНЕ

Б1.О.26 СТРУКТУРНАЯ ГЕОЛОГИЯ

Специальность:
21.05.02 Прикладная геология

Специализация:
Геология месторождений нефти и газа

форма обучения: очная

Автор: Бутин В.В., к.г.-м.н., доцент

Одобрены на заседании кафедры

Геологии
(название кафедры)
Зав. кафедрой _____
(подпись)
Огородников В.Н.
(Фамилия И.О.)
Протокол № 2 от 12.10.2020
(Дата)

Рассмотрены методической комиссией факультета

Геологии и геофизики
(название факультета)
Председатель _____
(подпись)
Бондарев В. И.
(Фамилия И.О.)
Протокол № 2 от 13.10.2020
(Дата)

Екатеринбург

Методические рекомендации по дисциплине согласованы с выпускающей кафедрой литологии и геологии горючих ископаемых

Заведующий кафедрой ЛГГИ _____к.г.-м.н., С.А. Рыльков____

подпись *И.О. Фамилия*

КРАТКАЯ МЕТОДИКА
составления курсовой работы
по теме ГЕОЛОГИЧЕСКОЕ СТРОЕНИЕ УРАЛА

1. **Задача курсовойработы.**

   Основной задачей курсовойработы по структурной геологии является получение студентами навыков обработки имеющихся геологических материалов по конкретной площади и подготовка комплекса картографических и текстовых материалов по площади. Обязательными компонентами работы являются – Геологическая Карта и текст Проекта (Объяснительная Записка к геологической карте). В тексте работы должны быть отражены основные черты геологического строения рассматриваемой территории (только в пределах проектного листа) – Введение, Географическое положение, Стратиграфия, Магматизм, Тектоника, Полезные ископаемые.

2. **Исходные материалы.**

Для подготовки материалов к курсовойработе студентам выдаются в электронном компьютерном виде(на индивидуальные флеш-носители) следующие материалы:

а. Геологическая карта масштаба 1:200 000 района проектной площади с легендой (условные обозначения), стратиграфической колонкой, геологическими разрезами (1-3 разреза). Материалы даются в растровом виде (jpg., tif., bmp….).

б. Топографическая карта масштаба 1:500 000 – 1:1 000 000 (растр) с нанесенной координатной сеткой и номенклатурой планшетов масштаба 1:200 000.

в.Тектоническая схема района (растр, часть тектонической карты Урала масштаба 1:1 000 000) с координатной сеткой и номенклатурой планшетов масштаба 1:200 000.

г. Текст геологического строения листа масштаба 1:200 000 (Word, pdf, ….). Он содержит сокращенную геологическую характеристику района из Объяснительной Записки к Карте или из Геологического отчета.

д. Текстовое приложение (Word) СПИСОК ИНТРУЗИЙ. Отмечены номера и названия интрузивных массивов, выделенные на тектонической схеме.

3. **Требуется:**

А. Подготовка геологической карты.

а.Из геологической карты масштаба 1:200 000 «вырезать» намеченную ¼ часть планшета, соответствующую стандартному листу масштаба 1:100 000 и обозначить его номенклатуру. Необходимо помнить, что номенклатуры листов масштаба 1:200 000 и 1:100 000 обозначаются по-разному. Например, лист О-41-XIII (1:200 000) содержит листы О-41-49, 50, 61, 62 (1:100 000).

б. Из общей легенды карты масштаба 1:200 000 выделить («вырезать») только те условные обозначения, которые имеют отношение к выбранному листу масштаба 1:100 000.

в. «Обработать» стратиграфическую колонку. В стратиграфической колонке оставить только те подразделения, который имеют распространение на территории описываемого листа масштаба 1:100 000, остальные подразделения из колонки убрать («вырезать»).

г. Использование геологического разреза (разрезов). Если линия приведенного к карте масштаба 1:200 000 геологического разреза проходит через описываемую площадь листа 1:100 000, то этот разрез (или его часть) можно в неизмененном виде приложить к описываемой карте. Если линия разреза находится за пределами выбранного планшета, то

геологический разрез к этому планшету необходимо построить самостоятельно, ориентируясь на структурное положение комплексов и их взаимоотношения, показанные на имеющемся разрезе.

д. Оформить геологическую карту масштаба 1:100 000.

- Заголовок - аналогичный исходной карте 1:200 000. Здесь необходимо выделить «собственную» номенклатуру, например О-41-62.
- Показать планшет геологической карты масштаба 1:100 000. Форма планшета не должна быть искажена, пропорциональна, для этого масштаба размер планшета (по меридиану) должен составлять 37 см.
- К геологической карте добавить условные обозначения, стратиграфическую колонку, геологический разрез.
- Оформленная геологическая карта предоставляется в бумажном варианте, подготовленном и отпечатанном электронным способом. В виде исключения Геологическая карта проекта может быть подготовлена и раскрашена ручным способом.

Б. Подготовка текста Объяснительной записки.

В тексте Объяснительной записки приводится характеристика геологического строения и полезных ископаемых (перечень разделов указан выше), имеющих распространение только в пределах описываемого планшета масштаба 1:100 000. Для этого в тексте оставить только ту информацию, которая имеет отношение к описываемому планшету, удалив все остальное. Общий объем текста 25 – 40 стр.

4. Защита курсовойработы.

На защите курсовойработы необходимо показать знание основных черт геологического строения описываемой площади и полезных ископаемых. Наличие структурных этажей, ярусов, стратиграфических комплексов, магматических комплексов, складчатых, блоковых и разрывных структур, генетических типов месторождений и рудопроявлений полезных ископаемых. Знать состав и условия образования основных разновидностей пород, распространенных на площади, и отраженных в легенде и стратиграфической колонке.

На защите можно пользоваться текстом работы, геологической картой и приложениями.

5. Оценка курсовойработы.

Общая оценка складывается из оценки качества и полноты текста и геологической карты и оценки защиты работы.

6. Примерные темы курсовых работ:

Названиекурсовойработы
Геологическое строение листа О-41-111(Белоярский)
Геологическое строение листа О-41-99(Малышева)
Геологическое строение листа N-41-45(Куртамыш)
Геологическое строение листа О-41-112(Богданович)
Геологическое строение листа О-40-131(Нижние Серги)
Геологическое строение листа О-40-120(Первоуральск)
Геологическое строение листа О-40-108(Починок)

Геологическое строение листа O-40-107(Новоуральск)
Геологическое строение листа O-40-119(Бисерть)
Геологическое строение листа O-40-144(Верхний Уфалей)
Геологическое строение листа O-41-143(Шемаха)
Геологическое строение листа O-40-100(Артемовский)
Геологическое строение листа N-41-34(Красный Уралец)
Геологическое строение листа O-40-132(Верхние Серги)

МИНОБРНАУКИ РФ

ФГБОУ ВО «Уральский государственный горный университет»

УТВЕРЖДАЮ
Проректор по учебно-методическому комплексу
_____ С.А.Упоров

МЕТОДИЧЕСКИЕ РЕКОМЕНДАЦИИ К САМОСТОЯТЕЛЬНОЙ РАБОТЕ ПО ДИСЦИПЛИНЕ

Б1.О.27 ИСТОРИЧЕСКАЯ ГЕОЛОГИЯ С ОСНОВАМИ ПАЛЕОНТОЛОГИИ И СТРАТИГРАФИИ

Специальность:
21.05.02 Прикладная геология

Специализация:
Геология месторождений нефти и газа

форма обучения: очная

Авторы: Устьянцева Н.В., Коророва Е.В.

Одобрены на заседании кафедры
Литологии и геологии горючих ископаемых
(название кафедры)
Зав. кафедрой _____
(подпись)
к.г.-м.н., доц. Рыльков С.А.
(Фамилия И.О.)
Протокол № 2 от 06.10.2020
(Дата)

Рассмотрены методической комиссией
факультета геологии и геофизики
(название факультета)
Председатель _____
(подпись)
д.г.-м.н., проф. Бондарев В.И.
(Фамилия И.О.)
Протокол № 2 от 13.10.2020
(Дата)

Екатеринбург

Введение

Самостоятельная работа студента является важнейшей составной частью образовательной программы подготовки дипломированного специалиста. По курсу «Историческая геология с основами палеонтологии и стратиграфии» обязательная самостоятельная работа студента осуществляется в следующих направлениях:

- ✓ выполнение домашних заданий;
- ✓ освоение материалов по отдельным темам, входящим в Рабочую программу дисциплины [9];
- ✓ подготовка к экзамену;
- ✓ изучение коллекций ископаемых остатков основных систематических групп.

Самостоятельная работа студентов направлена на развитие интеллектуальных умений, повышение творческого потенциала студентов и заключается в:

– поиске, анализе, структурировании и презентации информации, анализе научных публикаций по основным группам руководящих ископаемых и основным методам стратиграфических исследований.

– исследовательской работе и участии в научных студенческих конференциях, семинарах и олимпиадах.

Оценка результатов самостоятельной работы организуется как единство двух форм: самоконтроль и контроль со стороны преподавателей.

Данные методические указания предназначены для организации самостоятельной работы студентов при освоении отдельных тем дисциплины.

Методические указания к самостоятельной работе студента

В последующем разделе пособия приведена развернутая программа дисциплины «Историческая геология с основами палеонтологии и стратиграфии». Здесь указаны наименование и содержание лекционных тем в соответствии с Учебной программой курса [9]. Каждая тема является основой вопросов в экзаменационном билете. При чтении лекций по курсу преподаватель указывает те темы дисциплины, которые выносятся на самостоятельную проработку студентами. Основной объем информации по каждой теме содержится в учебниках по курсу [1,3,4,7,8]. Для углубленного освоения темы рекомендуется дополнительная литература [2, 5, 6]. Для самоконтроля и приобретения навыков решения задач по отдельным разделам дисциплины в последнем разделе приведены контрольные вопросы и упражнения, которые являются основой подготовки к экзамену.

При освоении указанных ниже тем рекомендуется следующий порядок самостоятельной работы студента.

1. Ознакомьтесь со структурой темы.
2. По учебникам [1,3,4,7,8] освойте каждый структурный элемент темы. Во всех темах указаны разделы и страницы учебника, содержащие данный материал.
3. При необходимости используйте указанную дополнительную литературу. Консультацию по использованию дополнительной литературы Вы можете получить у преподавателя.
4. Ответьте на контрольные вопросы и выполните рекомендованные упражнения. При затруднениях в ответах на вопросы вернитесь к изучению рекомендованной литературы.
5. Законспектируйте материал. При этом конспект может быть написан в виде ответов на контрольные вопросы и упражнения.

При самостоятельной работе над указанными темами рекомендуется вести записи в конспектах, формируемых на лекционных занятиях по курсу, и в том порядке, в котором данные темы следуют по учебной программе.

Данное учебно-методическое пособие может быть использовано при подготовке ответов на вопросы во время экзамена.

Содержание курса

Тема 1: Основы палеонтологии. [1,3]

Формы сохранности ископаемых остатков. Среда обитания и образ жизни организмов. Руководящие ископаемые. Царство животных: типы Sarcodina, Spongiata, Cnidaria, Arthropoda, Mollusca, Briozoa, Brachiopoda, Echinodermata, Hemichordata, Chordata. Общая характеристика, геологическое значение. Царство растений.

Дополнительная литература: [2, 6].

Контрольные вопросы и упражнения:

1. Перечислите предмет, задачи и методы палеонтологии.
2. Каково значение палеонтологии для геологии?
3. При каких условиях организмы сохраняются в ископаемом состоянии?
4. По каким критериям проводится классификация ископаемых организмов?
5. Как проводится реконструкция образа жизни и условий существования ископаемых организмов?
6. Зарисуйте и опишите в атласе ископаемых организмов, составляемом на практических занятиях, цианобионты, строматолиты, онколиты. На рисунке стрелками покажите основные скелетные элементы.
7. Составьте схему систематического состава подцарства Protozoa, вписав названия недостающих таксонов (тип, класс) согласно схеме. Справа укажите классификационные признаки.

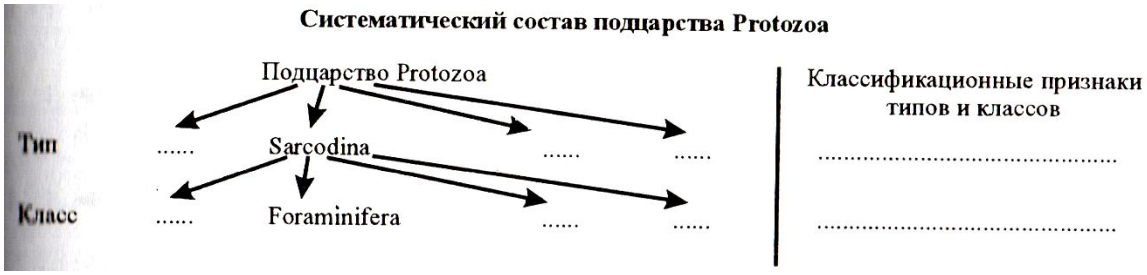

8. Зарисуйте и опишите в атласе ископаемых организмов, составляемом на практических занятиях, представителей родов Fusulina, Schwagerina, Nummulites; приведите их систематику и время жизни. Отметьте породообразующую роль фузулинид и нуммулитид.
9. Зарисуйте и опишите в атласе ископаемых организмов, составляемом на практических занятиях, губки и археоциаты. На рисунке стрелками покажите основные скелетные элементы.
10. С чем связано наличие у ругоз пережимов стенки кораллита (rugae-морщины)?
11. Зарисуйте и опишите в атласе ископаемых организмов, составляемом на практических занятиях, схемы строения днищевиков, четырехлучевых и шестилучевых кораллов. На рисунке стрелками покажите основные скелетные элементы (днища, септы, столбик, пузырчатую ткань). Составить атлас (систематика, диагноз, изображение, время жизни) представителей родов Stromatopora, Amphipora, Chaetetes, Conularia, Favosites, Syringopora, Halysites, Heliolites; Caninia, Cystiphyllum, Lithostrotion? Lithostrotionella, Lonsdaleia.

12. Зарисуйте и опишите в атласе ископаемых организмов, составляемом на практических занятиях представителей родов Agnostus, Paradoxides, Asaphus, Scutellum, Phillipsia.

13. Геологическое и стратиграфическое значение двустврчатых моллюсков рудистов.

14. Что такое голостомное и сифоностомное устья у гастропод и как они связаны с образом жизни гастропод?

15. Как распределяются во времени типы перегородочных линий у аммонитов?

16. Зарисуйте в атласе ископаемых организмов, составляемом на практических занятиях, схемы строения двустворок, гастропод, аммоноидей и колеоидей. На рисунке стрелками покажите основные скелетные элементы [4, рис. 5-8].

17. Зарисуйте и опишите в атласе ископаемых организмов, составляемом на практических занятиях представителей родов: **Двустворок** (Trigonia, Pecten, Inoceramus, Gryphaea, Ostrea, Exogyra, Aucella, Cardium, Hippuritella; **Гастропод** (Bellerophon, Pleurotomaria, Eoumphalus, Patella, Turritella, Natica); **Головоногих моллюсков** (Nautilus, Endoceras, Orthoceras, Manticoceras, Tornoceras, Paragastrioceras, Ceratites, Cadoceras, Virgatites, Craspedites, Belemnitella). Изображение представителя каждого рода снабдить систематикой, диагнозом и временем жизни.

18. Участвуют ли мшанки в породообразовании и каким образом?

19. С какого времени мшанки известны в палеонтологической летописи.

20. Используются ли мшанки для восстановления палеоэкологической и палеогеографической обстановок древних морских бассейнов?

21. Зарисуйте и опишите в атласе ископаемых организмов, составляемом на практических занятиях представителей родов: Fenestella, Polypora). Изображение представителя каждого рода снабдить систематикой, диагнозом и временем жизни.

22. Указать наиболее важные в стратиграфическом отношении отряды замковых брахиопод и указать время их существования.

23. Что значит “обратное положение” седла и синуса у одного из представителей (рода) отряда Pentamerida?

24. Зарисуйте и опишите в атласе ископаемых организмов, составляемом на практических занятиях представителей родов, указанных в Практикуме [4, с.64-69]. Изображение представителя каждого рода снабдить систематикой, диагнозом и временем жизни

25. С какого времени появляются Морские лилии и в чем состоит их породобразующая роль?

26. Каковы особенности морфологии морских пузырей отряда Rhombifera? За что они получили свое название?

27. Из скольких табличек состоит панцирь у большинства представителей класса Морские бутоны?

28. Чем отличается строение панциря у древних палеозойских и новых мезокайнозойских ежей?

29. Что такое “правильные” и “неправильные” морские ежи? Какие две группы выделяются в составе неправильных морских ежей?

30. Зарисуйте и опишите в атласе ископаемых организмов, составляемом на практических занятиях представителей родов, указанных в Практикуме [4, с.64-69]. Изображение представителя каждого рода снабдить систематикой, диагнозом и временем жизни.

31. В течение какого времени и в каких условиях существовали панцирные рыбы?

32. К какому подклассу относятся представители рода Helicoprion? Время их существования?

33. Каковы основные черты строения лабиринтодонтов?

34. Охарактеризовать основные типы черепа пресмыкающихся.

35. Назвать основные подклассы пресмыкающихся и указать их типичных представителей.

36. Каковы характерные особенности анатомического строения древних птиц?

37. Основные экологические группы ископаемых представителей млекопитающих (наземные, плавающие, летающие). Указать типичных представителей, дать их краткую характеристику.

38. Укажите представители каких типов водорослей участвуют в рифообразовании и в породообразовании.

39. Каковы основные черты строения псилофитов и в какое время они заселили наземные пространства?

40. К какому типу растений относятся лепидодендроны и каковы основные черты их строения? Их геологическое значение.

41. К какому типу растений относятся каламитовые и каковы основные черты их строения? Их геологическое значение.

42. Каковы основные различия анатомического строения представителей классов Бессемянные, Голосеменные и Покрытосеменные растения? Каково их геологическое значение?

Тема 2: Основы стратиграфии. [4]

Предмет, задачи и принципы стратиграфии. Общая геохронологическая и стратиграфическая шкала. Биостратиграфические и литостратиграфические методы расчленения и корреляции. Событийная стратиграфия. Секвентная стратиграфия. Геофизические методы расчленения и корреляции. Радиохронологические методы определения возраста. Документация геологических объектов.

Дополнительная литература: [6].

Контрольные вопросы и упражнения:

1. Перечислить задачи стратиграфии в логической их последовательности. Указать конечные цели стратиграфических исследований.

2. С какой задачей стратиграфических исследований связано использование принципа Стенона?

3. С какой задачей стратиграфических исследований связано использование принципа Гексли?

4. С какой задачей стратиграфических исследований связано использование принципа Мейена?

5. Стратифицирующие литологические и палеонтологические признаки, их использование для построения стратиграфических шкал.

6. Для чего используются лимитотипы нижних границ ярусов

7. Каковы основные литологические признаки, которые используются для расчленения и корреляции разрезов?

8. Каковы основные особенности свитной стратиграфии? Как используется петрографический состав для стратификации разрезов?

9. Каковы основные условия для возникновения косой слоистости? Как она используется в целях корреляции?

10. Как используется цикличное строение толщ для их расчленения и корреляции? Методика построения ритмограмм по Н.Б. Вассоевичу.

11. Каковы маркирующие горизонты в области развития прибрежно-морских угленосных серий отложений?

12. Как используются в стратиграфии уровни несогласного залегания пород? Угловое несогласие и его применение для стратификации докембрийских образований

13. Какие вы знаете типы палеонтологических шкал (биостратиграфическая и биохронологическая), их характеристика и возможности практического применения?

14. Каковы основные требования , которые следует предъявлять к биохронологическим шкалам? Основные приемы их построения. Почему необходимо условие минимальной размерности зональных подразделений шкалы?

15. Как создается комплексная характеристика зональных подразделений шкал?

16. Какие стратиграфические шкалы зависимые и какие независимые?

17. В чем состоит операция датировки возраста стратонов в единицах Международной стратиграфической шкалы?

18. Какие задачи решаются с помощью каротажа? Какие методы каротажных наблюдений наиболее оптимально выявляют наличие нефтеносных песчаников в пробуренной толще пород?

19. Каким методом каротажа определяется глубина залегания кровли и подошвы слоев в скважине?

20. Каковы ограничения для применения метода сейсмостратиграфических исследований?

21. Каковы основные гипотезы, лежащие в основе использования магнитостратиграфического метода?

22. Как по определению координат магнитного полюса устанавливается возраст

23. Что такое атомный номер и массовое число элемента? Типы радиактивного распада (бета-распад, выброс позитрона, захват электрона из внутренней К-оболочки).

24. Основная формула датировки возраста пород и минералов. Что такое постоянная распада, период полураспада?

25. Радиоуглеродный метод. Каковы его возможности определения возраста?

26. Рубидий-стронциевый метод. Образцы каких пород и какие минералы используются для проведения этого метода?

27. Калий-аргоновый метод. Образцы каких пород и какие минералы используются для проведения этого метода?

28. Уран-торий-свинцовый метод. Образцы каких пород и какие минералы используются для проведения этого метода?

29. Датирование по свинцово-свинцовому методу. Чем определяется возможность проведения этого метода?

Тема 3: Методы восстановления палеогеографической обстановки. [7,8]

Учение о фациях. Важнейшие критерии фациального анализа. Литофациальный и биофациальный анализы. Анализ общегеологических данных. Основные группы фаций. Палеогеографические карты и профили.

Дополнительная литература: [5].

Контрольные вопросы и упражнения:

1. В чем состоит суть биостратиграфического анализа?
2. Сущность литостратиграфического анализа.
3. Каким способом определяют относительный возраст интрузий?
4. Какие организмы являются стеногалинными?
5. Каким образом газовый режим влияет на расселение водных организмов?

Тема 4: Строение и главнейшие структуры земной коры. [7, 8]

Океаническая и континентальная кора. Платформы и складчатые области континентов. Срединно-океанические хребты и талассократоны. Важнейшие геотектонические концепции. Тектоническая периодизация, понятие о тектономагматических эпохах.

Дополнительная литература: [5].

Контрольные вопросы и упражнения:

1. Какие основные типы земной коры выделяют?
2. Назовите структурные элементы океанов.
3. Назовите структурные элементы материков.
4. В чем состоит суть геосинклинальной концепции?
5. В чем состоит суть концепции тектоники литосферных плит?

Тема 5: Геологическая история Земли. [7, 8]

Стратиграфическое расчленение и ранги стратиграфических подразделений. Земля в докембрии: общая характеристика, органический мир, структуры земной коры и породообразование, полезные ископаемые. Земля в фанерозое. Основные черты палеозойского этапа: кембрия, ордовика, силура, девона, карбона и перми. Тектоно-магматические эпохи. Органический мир, структуры земной коры и палеогеография. Климатическая зональность. Полезные ископаемые. Основные черты мезозойского этапа: триаса, юры и мела. Отличительные черты осадконакопления. Киммерийская тектономагматическая эпоха. Органический мир, структуры земной коры и палеогеография. Климатическая зональность. Полезные ископаемые. Земля в кайнозое: органический мир, палеогеография, фазы альпийской складчатости, полезные ископаемые. Отличительные черты осадконакопления. Изменения климата и оледенения. Неотектонические движения. Направленность геологического развития земной коры.

Дополнительная литература: [5].

Контрольные вопросы и упражнения:

1. Какова особенность докембрийских образований методика их изучения?
2. Основные черты палеозойской истории развития Земли: органический мир, тектоника и палеогеография.
3. Основные черты мезозойской истории развития Земли: органический мир, тектоника и палеогеография.
4. Основные черты кайнозойской истории развития Земли: органический мир, тектоника и палеогеография.

Вопросы к зачету по курсу «Историческая геология с основами палеонтологии и стратиграфии»

1. Цели, задачи палеонтологии, значение палеонтологии для геологии. Формы сохранности ископаемых остатков. Среда обитания и образ жизни организмов. Руководящие ископаемые.
2. Тип Простейшие. Класс Саркодовые. Подкласс Фораминиферы. Подкласс Радиолярии. Общая характеристика*, геологическое значение.
3. Тип Губки, тип Археоциаты. Общая характеристика, геологическое значение.
4. Тип Кишечнополостные. Класс Коралловые полипы, основные подклассы. Общая характеристика, геологическое значение.
5. Тип Членистоногие. Класс Трилобиты. Общая характеристика, геологическое значение. Класс Остракоды, общая характеристика, геологическое значение.
6. Тип Моллюски. Класс Гастроподы. Класс Двустворчатые моллюски. Общая характеристика, геологическое значение.
7. Тип Моллюски. Класс Головоногие моллюски (Агониатиты, Гониатиты, Цератиты, Аммониты, Белемниты). Общая характеристика, геологическое значение.
8. Тип Брахиоподы. Характеристика классов Беззамковых и Замковых брахиопод, их геологическое значение.
9. Тип Иглокожие. Класс Морские ежи, Морские лилии, Морские пузыри, общая характеристика, геологическое значение.
10. Тип Полухордовые. Класс Граптолиты, общая характеристика, геологическое значение. Конодонты, геологическое значение.
11. Тип Хордовые, подтип Позвоночные. Класс Земноводные. Общая характеристика, геологическое значение.
12. Тип Хордовые, подтип Позвоночные. Класс Рыбы. Общая характеристика, геологическое значение.
13. Тип Хордовые, подтип Позвоночные. Класс пресмыкающиеся. Общая характеристика, геологическое значение.

14. Царство растения. Низшие растения. Систематика, геологическое значение.

15. Царство растения. Высшие растения. Систематика, геологическое значение. Спорово-пыльцевой анализ.

16. Предмет, задачи и принципы стратиграфии.

17. Общая геохронологическая и стратиграфическая шкала: общие, региональные и местные стратиграфические подразделения. Стратотип.

18. Биостратиграфические подразделения (биозона, комплексная зона, филозона, акмезона).

19. Биостратиграфический метод расчленения и корреляции. Точка ТГСГ.

20. Литостратиграфические методы расчленения и корреляции.

21. Типы слоистости, геологическое значение ее изучения.

22. Цикличность. Ритмостратиграфический метод расчленения и корреляции.

23. Перерывы в осадконакоплении. Маркирующие горизонты.

24. Событийная стратиграфия. Примеры глобальных абиотических и биотических событий.

25. Основные понятия секвентной стратиграфии (осадочная секвенция, парасеквенс, пакет парасеквенсов – проградационный, ретроградационный, аградационный).

26. Геофизические методы расчленения и корреляции: метод анализа каротажных диаграмм.

27. Магнитостратиграфический метод в стратиграфии.

28. Сейсмостратиграфический метод в стратиграфии, его достоинства и недостатки.

29. Радиохронологические методы определения возраста.

Вопросы к экзамену по курсу
«Историческая геология с основами палеонтологии и стратиграфии»

1. Задачи, решаемые исторической геологией, ее значение в системе геологических знаний.
2. Методы и принципы историко-геологического анализа. Принцип актуализма.
3. Геологическое летоисчисление. Абсолютная геохронология. Методы ядерной геохронологии, их недостатки и достоинства.
4. Методы относительной геохронологии. Литологические методы.
5. Геофизические методы относительной геохронологии.
6. Ритмостратиграфический и климатостратиграфический методы относительной геохронологии.
7. Общегеологические методы относительной геохронологии.
8. Методы биостратиграфии.
9. Геохронологическая и Стратиграфическая шкалы. Шкалы общие, региональные и местные.
10. Основные структуры земной коры. Типы земной коры.
11. Структуры земной коры континентов.
12. Эволюция и строение подвижных поясов сжатия.
13. Эволюция и строение платформ.
14. Структуры земной коры океанов.
15. Сущность фациального анализа, его задачи и методы; определение «фации».
16. Литофациальный анализ.
17. Биофациальный анализ.
18. Комплекс континентальных фаций.
19. Комплекс переходных фаций.
20. Комплекс морских фаций.
21. Догеологическая и лунная стадии развития Земли.
22. Тектоно-магматические эпохи (ТМЭ) в истории земной коры.

23. Архей и протерозой Земли.
24. Ранний палеозой планеты: стратиграфическое расчленение, климаты, развитие органического мира, палеогеография, полезные ископаемые.
25. Каледонская ТМЭ.
26. Поздний палеозой планеты: стратиграфическое расчленение, климаты, развитие органического мира, палеогеография, полезные ископаемые.
27. Герцинская ТМЭ.
28. Мезозой планеты: стратиграфическое расчленение, климаты, развитие органического мира, палеогеография, полезные ископаемые.
29. Киммерийская ТМЭ.
30. Кайнозой планеты: стратиграфическое расчленение, климаты, развитие органического мира, палеогеография, полезные ископаемые.
31. Альпийская ТМЭ.

Рекомендуемая литература

1. Михайлова И.А. Палеонтология [Электронный ресурс]: учебник / И.А. Михайлова, О.Б. Бондаренко. — Электрон. текстовые данные. — М. : Московский государственный университет имени М.В. Ломоносова, 2006. — 592 c. — 5-211-04887-3. — Режим доступа: http://www.iprbookshop.ru/13102.html Электронный ресурс

2. Словарь терминов по исторической геологии, основам стратиграфии и палеонтологии [Электронный ресурс] : учебное пособие / . — Электрон. текстовые данные. — Томск: Томский политехнический университет, 2012. — 140 c. — 2227-8397. — Режим доступа: http://www.iprbookshop.ru/55209.html Электронный ресурс

3. Черных В.В. Палеонтология беспозвоночных : практикум по дисциплине "Основы палеонтологии и общая стратиграфия": для студентов направления подготовки 130101 / В. В. Черных ; Уральский государственный горный университет. - 2-е изд., стер. - Екатеринбург : УГГУ, 2013. - 85 с. : ил. - Библиогр.: с. 71.

4. Черных В.В. Общая стратиграфия: конспект лекций по дисциплине "Основы палеонтологии и общая стратиграфия": для студентов специальности 21.05.02 / В. В. Черных ; Министерство образования и науки РФ, Уральский государственный горный университет. - Екатеринбург : УГГУ, 2016. - 79 с. : ил. - Библиогр.: с. 72.

5. Историческая геология с основами палеонтологии : учебник для студентов **геологи**ческих специальностей вузов / Е. В. Владимирская [и др.]. - Ленинград : Недра, Ленинградское отделение, 1985. - 423 с.

6 Бондаренко О. Б. Краткий определитель ископаемых беспозвоночных : учебное пособие / О. Б. Бондаренко, И. А. Михайлова ; ред. В. Н. Шиманский. - 2-е изд., испр. и доп. - Москва : Недра, 1984. - 536 с. 11

7. Амон Э. О. Введение в историческую геологию : учебник / Уральский государственный горный университет. - Екатеринбург: УГГУ, 2005. - 511 с. : ил. - Библиогр.: с. 500-504.

8. Историческая геология с основами палеонтологии / Мария Даниловна Парфенова М. Д. - Томск : Изд-во НТЛ, 1999. - 524 с. : ил. - Библиогр.: с. 502. - ISBN 5-89503-063-7 9

9. Историческая геология с основами палеонтологии и стратиграфии программа дисциплины для студентов специальности 21.05.02 Прикладная геология специализация № 3 Геология месторождений нефти и газа / Н.В. Устьянцева, Е.В. Коророва. Екатеринбург: УГГУ, 2020. 8 с.

МИНИСТЕРСТВО ОБРАЗОВАНИЯ И НАУКИ РОССИЙСКОЙ ФЕДЕРАЦИИ

ФГБОУ ВО «Уральский государственный горный университет»

УТВЕРЖДАЮ
Проректор по учебно-методическому комплексу
_____ А.А. Упоров

МЕТОДИЧЕСКИЕ УКАЗАНИЯ ДЛЯ ВЫПОЛНЕНИЯ ПРАКТИЧЕСКИХ РАБОТ И САМОСТОЯТЕЛЬНОЙ РАБОТЫ СТУДЕНТОВ

Б1.О.28 ГЕОМОРФОЛОГИЯ И ЧЕТВЕРТИЧНАЯ ГЕОЛОГИЯ

Специальность:
21.05.02 Прикладная геология

Специализация:
Геология месторождений нефти и газа

Автор: Бутин В.В., к.г.-м.н., доцент

Одобрена на заседании кафедры
Геологии
(название кафедры)
Зав. кафедрой _____
(подпись)
Огородников В. Н.
(Фамилия И.О.)
Протокол № 2 от 12.10.2020
(Дата)

Рассмотрена методической комиссией факультета
Геологии и геофизики
(название факультета)
Председатель _____
(подпись)
Бондарев В. И.
(Фамилия И.О.)
Протокол № 2 от 13.10.2020
(Дата)

Екатеринбург

Методические указания по дисциплине согласованы с выпускающей кафедрой литологии и геологии горючих ископаемых

Заведующий кафедрой ЛГГИ _____ к.г.-м.н., С.А. Рыльков____

подпись *И.О. Фамилия*

ОГЛАВЛЕНИЕ

Введение 5
1. МОРФОЛОГИЧЕСКИЕ ОСОБЕННОСТИ ТИПОВ РЕЛЬЕФА.....6
2. ОСНОВНЫЕ ГЕНЕТИЧЕСКИЕ ТИПЫ ЧЕТВЕРТИЧНЫХ ОБРАЗОВАНИЙ.....9
3. МЕТОДИКА ВЫПОЛНЕНИЯ ПРАКТИЧЕСКОЙ РАБОТЫ 14
Рекомендуемая литература 27

Введение

Практические занятия студентов геологических специальностей по дисциплине«Структурная геология, геоморфология и четвертичная геология» включают всебя работы по стереоскопическому дешифрированию аэрофотоснимков крупного и детального масштаба. В результате этих работ составляется «Карта четвертичных образований» (приложение 1).

Подготовленные для выполнения практических работ аэрофотоснимки отображают конкретные участки рельефа различных климатических зон, характеризующихся формированием определенных генетических типов четвертичных породи имеющих различный характер соотношения эндогенных и экзогенных рельефообразующих процессов.

Эндогенные рельефообразующие силы складчатого, дизъюнктивного, магматического типовреализуются в верхней части литосферы обычно в виде вертикальных положительных или отрицательных перемещений блоков земной коры, приводящих к возрастанию контрастности рельефа. Экзогенные силы имеют противоположную направленность по отношению к эндогенным движениям, стремятся компенсировать их и снизить контрастность рельефа путем проявления и сочетания денудационных и аккумулятивных процессов. Всвязи с этим каждой конкретный тип рельефа представляет собой результат взаимодействия эндогенных и экзогенных сил, фиксируя определенную стадию экзогенной переработки эндогенного рельефа.

1. МОРФОЛОГИЧЕСКИЕ ОСОБЕННОСТИ ТИПОВ РЕЛЬЕФА

В морфологическом отношении на аэрофотоснимках представлены следующие основные типы рельефа: высокогорный, низкогорный, холмистый и равнинный.

Высокогорный рельеф развит в областях тектонической активизации,с проявлением интенсивных вертикальных движений, определивших высокую контрастность элементов рельефа и его эрозионную расчлененность. На аэрофотоснимках горного рельефа дешифрируются островершинные хребты, скалистые гребни и склоны, глубоко врезанные ущелья, и V-образные долины рек и их притоков, долинные линейные ледники. Эрозионные формы высокогорного рельефа представлены отпрепарированными участками выходов коренных пород, реликтовыми эрозионными останцами и уступами, эрозионными склонами флювиального, ледникового, криогенного типов. Аккумулятивные формы рельефа сложены делювиальными и коллювиальными площадными развалами и осыпями на склонах, гляциальными, пролювиальными и аллювиальными отложениями речных долин, ручьев, логов.

Низкогорный рельеф характеризуется менее контрастными, сглаженными формами вершин и склонов, что обусловлено активным и длительным развитием денудационных процессов и обычно развитием менее устойчивыхи контрастных в эрозионном отношении горных пород. Эрозионные элементы рельефа приурочены к локальным площадям развития относительно более устойчивых к выветриванию горных пород, в пределах которых сохраняются эрозионные останцы на водоразделах, склонах, в бортах речных долин. Рыхлые отложения склонов чаще всего представлены делювиальными или солифлюкционными отложениями. В

формировании речных долин значительную роль играют процессы боковой эрозии. Речные формы рельефа характеризуются сочетанием эрозионных и аккумулятивных элементов рельефа, дешифрируются русловые и пойменные фации аллювия, речные террасы цокольного иаккумулятивного типов.

Холмистый рельеф представляет собой сочетание реликтовых останцовых эрозионных форм с разделяющими их денудационными депрессиями. Эрозионные останцы приурочены к выходам более устойчивых к выветриванию горных пород, образующих отпрепарированные положительные формы различной конфигурации. Коренные выходы пород приурочены к бровкам, уступам эрозионных склонов, реже к нижнимчастям этих склонов, к эрозионным бортам речных долин. Элювиальные образования развиты на вершинах и уплощенных водоразделах, рыхлые породы склонов представлены делювиальными или солифлюкционными отложениями. У подножий этих склонов и в их основании нередко отмечается образование пролювиальных шлейфов за счет слияния конусов выноса временных потоков. Речные долины характеризуется ящикообразным поперечным профилем с плоским днищем, эрозионными бортами, преобладанием аккумулятивных флювиальных форм и широким развитием русловых, пойменных и террасовых фаций аллювиальных отложений.

Равнины на аэрофотоснимках представлены денудационными и аккумулятивными типами. Аккумулятивные формы рельефа сложены отложениями флювиального, пролювиального, гляциального, флювиогляциального и эолового генезиса. Коренные выходы пород на аккумулятивных равнинах отсутствуют. Элювиальные породы в небольшом объеме могут присутствовать на уплощенных реликтовых положительных

формах рельефа. Более широкое распространение имеют делювиальные отложения поприверщинным и склоновым участкам рельефа.Речные формы рельефа представлены аллювиальными осадками русловых, старичных и пойменных фаций, аккумулятивными надпойменными террасами, расположенными в пределах широких разработанных речных долин с меандрирующими или ветвящимися руслами рек.

Пролювиальные равнины слагают относительно ровные или слабоволнистые участки предгорного рельефа, имеющего общий пологий наклон к предгорным равнинам. В строении пролювиальных равнин принимают участие мощные пролювиальные отложения временных горных потоков и слияние конусов выноса в предгорной равнине.

Гляциальные равнинные формы рельефа сложены моренными отложениями донной морены, образующей площадной покров и перекрывающей выходы более древних четвертичных отложений и дочетвертичных коренных пород. Морфологически покров характеризуется относительно ровной поверхностью с образованием небольших холмистых возвышений и впадин, развитием в отрицательных формах рельефа озер, болот. В периферических частях ледников выделяются конечные и боковые морены, образующие линейные валообразные формы рельефа, оконтуривающие ледники, наперигляциальных участках за пределами ледников формируются флювиогляциальные и зандровые аккумулятивные отложения.

Криогенный тип равнинного рельефа, помимосолифлюкционных аккумулятивных форм, в небольшом объеме представлентермокарстовыми и полигональными элементами рельефа, образование которых приурочено к участкам развития многолетнемерзлых аккумулятивных

отложений флювиального, озерно-речного, морского, гляциальногои флювиогляциального происхождения.

Эоловый типрельефа имеет ограниченное распространениеи представлен песчаными аккумулятивными формами ариднойклиматической зоны. Положительные формы рельефа сложеныбарханамиипродольно-грядовыми песками, разделенными дефляционными и глинисто-солончаковыми ложбинами и такырами**.**

2. ОСНОВНЫЕ ГЕНЕТИЧЕСКИЕ ТИПЫ ЧЕТВЕРТИЧНЫХ ОБРАЗОВАНИЙ

Из всей обширной группы различных по генезису четвертичных образований остановимся лишь на осадочных четвертичных отложениях, получивших распространение на имеющихся аэрофотоснимках.

***Элювиальные образования*(e)** включают в себя продукты физического и химического выветривания, не перемещенные с места своего образования. В зависимости от климатических условий, длительности процессов выветривания и типа субстрата, элювий может быть представлен различными типами обломочных и глинистых кор выветривания. Элювий приурочен к выходам дочетвертичных пород на дневную поверхность и располагается на горизонтальных участках рельефа с углом наклона склона менее 5°. На аэрофотоснимках элювиальные отложения выделяются на уплощенных водоразделах, пологих вершинах, на горизонтальных поверхностях ступенчатого денудационного рельефа.

***Делювиальные отложения*(d)** представляют собой разрушенные коренные породы, перемещенные с места своего образования по склону под действием временных безрусловых плоскостных потоков. Состав

пород обусловлен составом исходного субстрата и типом коры выветривания, размер обломков и сортировка могут быть разными. Делювиальные отложения приурочены к склонам с углом наклона до 15° и распространены в верхних привершинных частях положительных форм рельефа и на пологих склонах. Реже, в условиях холмистого рельефа, делювий выделяется также в нижней части и в основании склонов.

Коллювиальныеотложения**(c)**представленыпродуктамифизическоговыветривания, смещенными по склону под действием гравитационных сил. Наиболее широкое распространение получили осыпиглыбово-щебенчатого материала на склонах с крутизной более 30°. Выделяются такжекрупноглыбовые и глыбовые обвальные накопления на склонах при угле более 40° и у подножий крутых склонов.

Солифлюкционныеотложения**(s)**развиты в районах распространения многолетней мерзлоты. Образуются в результате накопления рыхлого обломочного или глинистого материала, перешедшего в мобильное пластическое состояние вследствие вытаивания подземных льдов и перемещающегося по склонам под действием гравитационных сил. Мелкоземистым материалом на пологих склонах сложены оплывные формы рельефа в виде натечных террас, ступеней высотой до нескольких метров. Грубообломочный материал образует площадные глыбовые развалы на горизонтальных участках, «каменные моря», площадные курумы, линейные скопления на склонах, «каменные реки», приуроченные к отрицательным элементам рельефа. На аэрофотоснимках солифлюкционные отложения, помимо оплывных форм, распознаются также по полосчатым«расчесанным склонам», представляющим результат плоскостно-струйчатого перемещения рыхлого материала («делли»).

***Пролювиальныеотложения*(р)** представляют собой отложения временных потоков, в разной степени сортированных. Для временных потоков равнинных областей характерно формирование тонкосортированного слоистого овражного аллювия. Отложения временных потоков горного рельефа характеризуются плохой сортировкой и грубообломочным составом. На аэрофотоснимках выделяются триразновидности пролювия. Первую из них составляют отложения, локализованные непосредственно в руслах и тальвегах водотоков и образующие линейные аккумулятивные полосы по дну долин временных потоков. Вторая разновидность пролювия представлена рыхлыми отложениями конусов выноса временных потокови ручьев при резкомвыполаживании продольных профилей водотоков в местах их выхода в основную речную долину или на предгорную равнину(«сухие дельты»). Третья разновидность представляет собой пролювиальнуюпологонаклонную равнину, образовавшуюся за счет слияния конусов выноса в предгорных участках.

***Аллювиальныеотложения*(а)** имеют широкое распространение и присутствуют практически на всех аэрофотоснимках. Из всейгруппы аллювия наиболее распространенными являются русловые, пойменные и террасовые фации аллювиальных отложений.

Русловые отложения сложены грубообломочным валунно-галечно-песчаным материалом, распределенным по дну узких врезающихся речных долин или локализованным на участках современного русла разработанных долин. Эти отложения хорошо распознаются на аэрофотоснимках поотсутствию растительности и светлому фототону, отражающему состав обломочного аллювиального материала.

Отложения пойменных фаций приурочены к днищам речных долин, находящихся на стадии расширения долин и сочетания процессов боковой эрозии и аккумуляции. Чаще всего для поймы является характерным темный фототон черно-белых аэрофотоснимков, вследствиеширокогоразвития растительности, сравнительно ровная поверхность, меандрирующий характер русла, наличие стариц, озер, болот. Пойменные отложения имеют более тонкий песчано-глинистый или глинисто-илистый терригенно-биогенный состав.

Речные террасы представлены двумя генетическими типами – аккумулятивными и эрозионно-аккумулятивными. В рельефе, в пределах речных долин, речные террасы в виде реликтовых форм отчетливо выделяются по более высокому гипсометрическому положению, ровной поверхностью террасы,они отделяются уступами от поймы и от борта речной долины. Количество надпойменных террас составляет одну-две, достигая на отдельных снимках до трех. Поверхность террас обычно ровная, характеризуется однороднымфототоном, наличием бровки и тылового шва,в цоколе эрозионно-аккумулятивных террас выходят коренныедочетвертичные породы.

***Ледниковые(гляциальные) отложения*(g)** представлены моренными породами, образующими аккумулятивные формы рельефа. Моренные отложения характеризуются смешанным несортированным глыбово-щебенчатым, валунным, галечным, песчаным и глинистым материалом, образовавшимся в результате накопления на месте ледника и по периферии ледника после его деградации. На аэрофотоснимках отложения донной (основной)морены занимают днища и нижние части бортов ледниковых трогов, каров, образуя покровы, шлейфы, бугристые и холмистые аккумулятивные формы рель-

ефа. В периферических частях ледников моренные отложения слагают линейные валообразные формы боковых и конечных морен.

***Водно-ледниковые (флювиогляциальные) отложения*(f)** образуются в результате накопления донных обломочных отложений поверхностных водных потоков внутри ледника и за его пределами на этапе деградации и таяния ледника. Выделяется три основных типа отложений, различающихся по условиям образования,–озы, камы, зандры.

Озы представляют собой протяженные положительные аккумулятивные формы рельефа, сложенные песчано-галечным сортированным материалом, аккумулированным водными потоками внутри ледников покровного площадного типа. После отступления ледника эти отложения образуют «насаженные»протяженные линейные аккумулятивные формы рельефа, наложенные на осадки основной морены.

Камовые образования формируются в результате аккумуляции рыхлых отложений в озерах, расположенных внутри ледника. Породы характеризуются хорошей сортировкой, слоистостью и образуют холмообразные аккумулятивные формы рельефа, также наложенные на отложения донной морены.

Зандровые отложения образуются за пределами ледников и характеризуются площадным зональным распределением терригенного материала, вынесенного талыми водами с ледника. Наиболее удаленные от края ледника участки зандровых полей отличаются мелкообломочным песчано-глинистым составом и пониженной общей мощностью флювиогляциальных отложений.

***Эоловые отложения*(v)** на имеющихся аэрофотоснимках представлены лишь одной разновидностью – барханными песками.Барханы де-

шифрируются по характерномуизвилистому полосчатому фоторисунку и однородному светлому фототону слагающих их песчаныхотложений.

Из ***техногенных образований*****(t)** на аэрофотоснимках выделяются рыхлые отложения, перемещенные при хозяйственном освоении территорий. Сюда относятся дамбы, дорожные насыпи, распаханные поля и огороды, застроенные участки, отличающиеся, обычно светлым однородным фототоном.

Дочетвертичные породы**(D'Q)** приурочены к реликтовым денудационным формам и эрозионным элементам рельефа. Выходыдочетвертичных пород фиксируются в крутых эрозионных бортах временных и постоянных водотоков, в цоколе речных террас, в эрозионных уступах на склонах гор. Кроме того, выходы коренных пород приурочены к водораздельным хребтам, бровкам эрозионных склонов, этими породами сложены отпрепарированные эрозионные останцовые формы рельефа. Реже, в условиях литоморфного рельефа, коренные породы слагают более значительные площадные выходы дочетвертичных отложений в современном рельефе, в отдельных случаях представленных структурно-денудационными формами на участках аридного климата или выходами кайнозойских вулканических пород.

3. МЕТОДИКА ВЫПОЛНЕНИЯ ПРАКТИЧЕСКОЙ РАБОТЫ

Для практических работ по геоморфологическому дешифрированию подготовлено 30 комплектов черно-белых плановых аэрофотоснимков **(АФС)** масштаба 1:10000 – 1:43000. В комплекте имеются 2 или 3 снимка, составляющие стереопары или стереотройки на определенную площадь. Два смежных снимка дают возможность получения

стереоскопической модели местности на перекрывающейся части снимков. Площадь перекрытия на АФС составляет 60-80% каждого снимка.

Работы по геоморфологическому дешифрированию АФС выполняются в следующей последовательности.

1. ***Определение масштаба АФС***. Масштаб снимка рассчитывается по формуле m = f / H, где f– фокусное расстояние аэрофотокамеры, мм; H–высота фотографирования,м (рис. 1).Оба параметра берутся из текста, приложенного к аэрофотоснимкам и переводятся для расчета в одни единицы (метры или миллиметры). Расчет масштаба АФС проводится с округлением, кратным 1000 (например, 1:17000, 1:23000 и др.).

2. ***Определение границ участка*** для составления карты. Для этого на одном из снимков стереопары определяются и наносятся на кальку границы участка, отображенного на обоих снимках и составляющего стереоскопическую модель рельефа.

3. ***Определение центров аэрофотоснимков***. Центр снимка (главная точка АФС) фиксирует положение оптической оси аэрофотокамеры в момент фотографирования. Положение центра снимка определяется геометрическим путем несколькими методами.

Наиболее точно центр снимка определяется как точка пересечения линий, соединяющих марки противоположных сторон снимка или как точка пересечения диагоналей, соединяющих противоположные углы-рамки снимка (рис. 2). Менее точным методом,используемым лишь в учебных целях, является построение центра снимка как точки пересечения линий, соединяющих противоположные углы снимка.

Кроме того, на каждый снимок выносится проекция центра соседнего снимка, составляющего стереопару. Если в комплекте имеется три

снимка, то на среднем из них отображаются центры соседних с ним левого и правого снимков. Вынос центров-проекций с соседних снимков осуществляется под стереоскопом после того, как будут нанесены на каждом снимке собственные центры фотографирования.

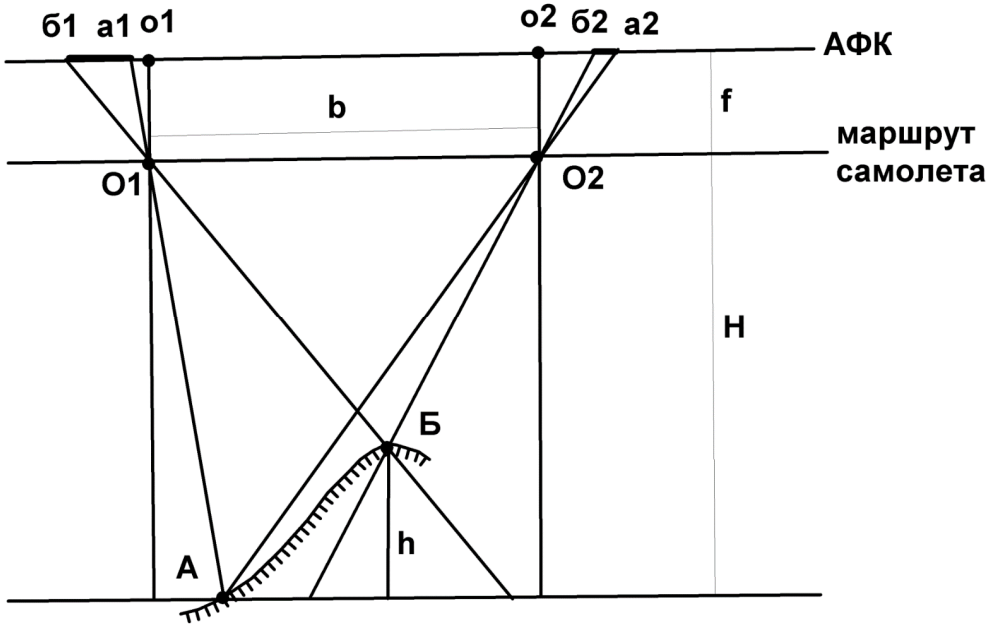

Рис.1. Основные параметры при фотографировании рельефа:
А, Б– нижняя и верхняя точки участка рельефа (склон горы);
АФК – условное положение плоскости фотографии аэрофотокамеры;
h – относительное превышение точки Б над точкой А;
О1, О2– центры фотографирования для стереопары снимков на линии маршрута самолета; о1, о2 – проекции центров фотографирования на фотоснимках;
Н– высота фотографирования; f – фокусное расстояние аэрофотокамеры;
b – базис фотографирования; а1б1**,** а2б2– горизонтальные проекции отображения склона АБ на фотоснимках

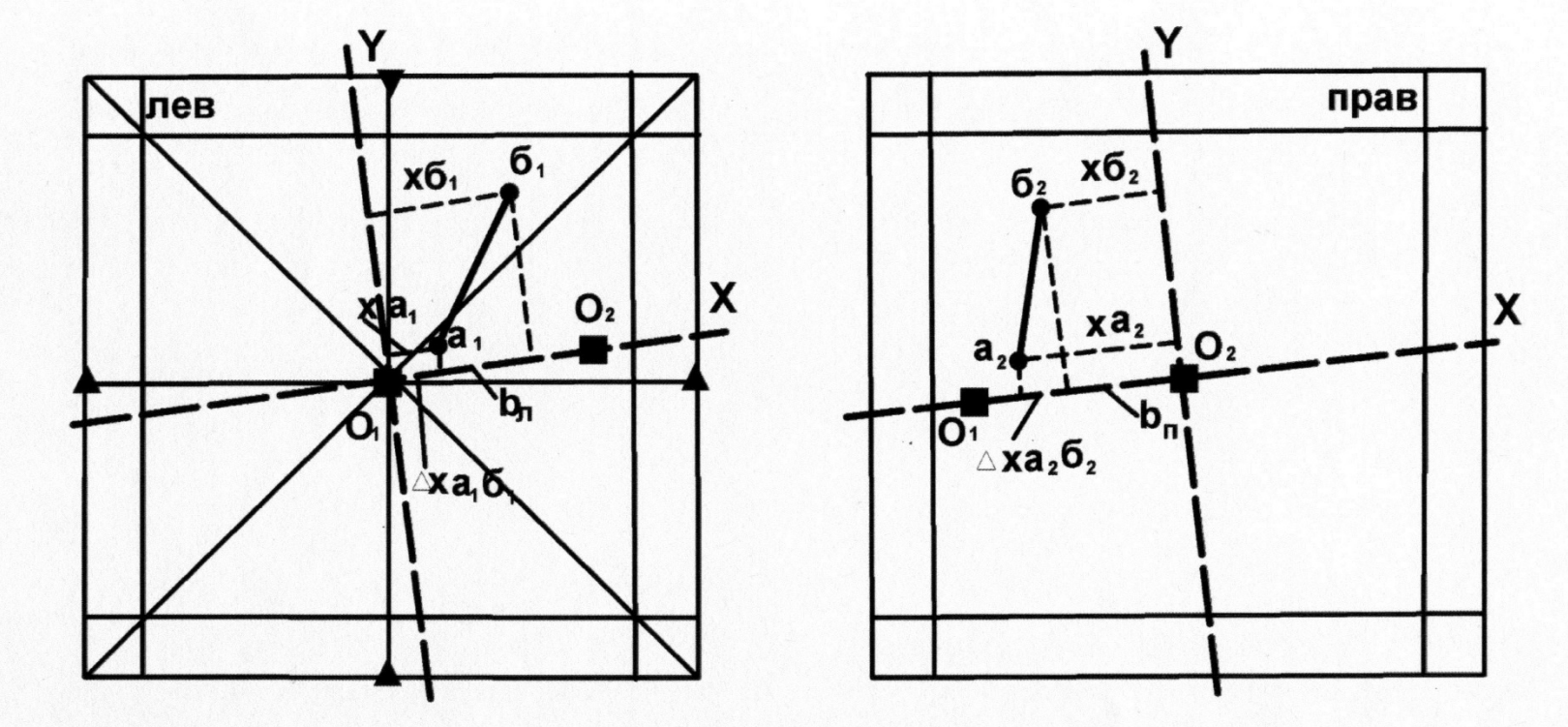

Рис. 2. Определение координат (**ха, хб**) и разностей координат (**Δх**) точек **а**и **б** на левом (**лев**) и правом (**прав**) снимках стереопары:

O_1O_2 = $b_л$, $b_п$– базисы фотографирования на левом ($b_л$) и правом ($b_п$) снимках;

$\Delta xa_1б_1$, **$\Delta xa_2б_2$** – разности координат точек **а**и **б** в проекции на ось **X**

4. ***Определение базиса фотографирования***. Линии, соединяющие на каждом снимке центры снимков с центрами-проекциями соседних снимков стереопар, фиксируют маршрут самолета. Расстояние между этими точками (O_1-O_2, см. рис. 1, 2) составляет базис фотографирования. Необходимо вычислить средний базис фотографирования. Для этого замеряют линейкой или палеткой базисы на левом и правом снимках и определяют средний базис фотографирования (с точностью до 0,1 мм), мм:$b_{ср} = (b_{лев} + b_{прав})/ 2$, мм.

*5.****Определение относительных превышений точек рельефа***. Для определения относительных превышений элементов рельефа, крутизны склонов, высоты уступов, уклона речных долин и др. необходимо определить разницу высотных отметок рельефа. С этой целью на снимках нанесены профили, пересекающие основные геоморфологические формы и включающие в себя 7-15 точек, располагающихся на перегибах наиболее характерных элементов рельефа. Вычисленные относительные превышения этих точек дают возможность определить конфигурацию поперечного строения форм рельефа и характера условий образования рыхлых четвертичных отложений склонов.

В основе метода измерительного дешифрирования для определения относительных превышений лежит количественная оценка разности линейных величин аб(см. рис. 1,2), представляющей собойпроекцию части рельефа АБ на аэрофотоснимках стереопары. Линейные размеры аб зависят от параметров АФС (высота фотографирования – H, базис фотографирования –b, фокусное расстояние аэрофотокамеры – f) и от относительного превышения точек между собой ($\Delta h_{АБ}$).

Параметры АФС постоянны для любых участков стереопары и даны в объяснительной записке к снимкам (H, f) или уже определены ($b_{ср}$). В связи с этим, исходя из пропорциональной зависимости величин аби Δh, работа сводится к измерению на обоих снимках для любой пары точек величин аб; определения их разности и расчета Δh для этих точек. С этой целью на левом и правом снимках стереопары необходимо определить положение точки на снимке и разность координат точек в системе координат XY, лежащих в плоскости снимка. За ось X принимается направление O_1-O_2, ось Y располагается перпендикулярно оси X и проходит через центральную точку снимка. Расчет относительных превышений точек рельефа выполняем по упрощенной схеме без учета поправок на колебание высоты полета, наклон снимков, приращение координат по оси Y и др. В связи с этим изменение положения точек на снимках и определение разности их координат проводим только относительно оси X. Разность координат какой-либо точки по оси абсцисс называется продольным параллаксом этой точки (продольные по отношению к маршруту самолета, по оси X).

Определение продольных параллаксов точек на АФС можно выполнять несколькими методами (параллаксометрами, параллактическими линейками, палетками). Простейшим методом является определение с помощью палетки геолога-дешифровщика (Михайлов, Рамм, 1975), которая дает возможность расчета величины Δx для любой пары точек на каждом снимке.

Палетка геолога-дешифровщика(рис. 3) представляет собой поперечный масштаб, позволяющий измерять линейные величины с точностью до 0,1 мм. Для удобства работы шкала палетки нанесена на прозрачную пленку, и при измерениях ее можно накладывать непосредст-

венно на снимок. Разность координат точек Δx палеткой определяется без стереоскопа на каждом снимке отдельно, сначала на левом, а затем на правом. Для этого палетку помещают на снимок таким образом, чтобы левая точка располагалась на левой рамке шкалы палетки (точка а, см. рис. 3).

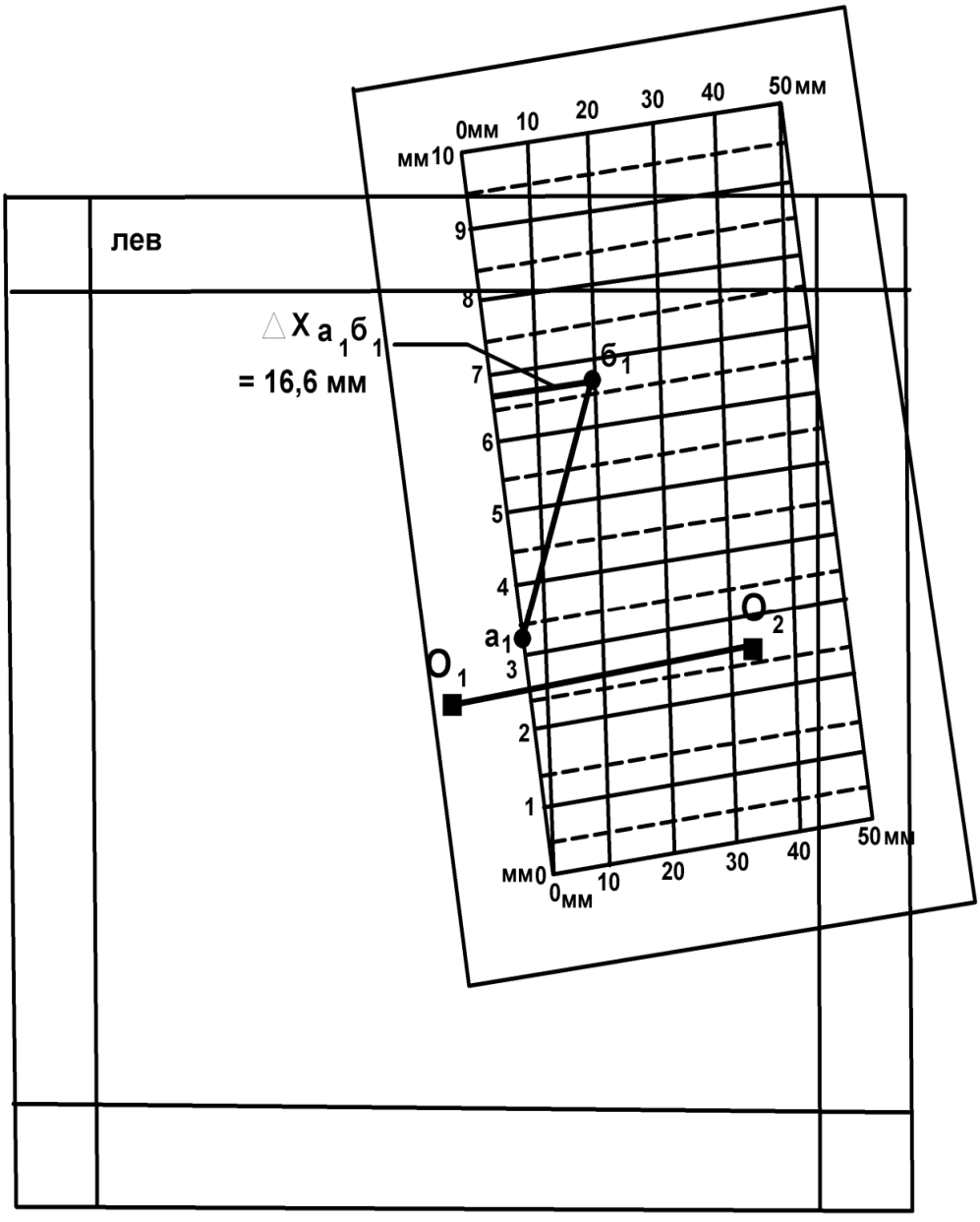

Рис. 3. Определение разности координат точек а и б
с помощью палетки геолога-дешифровщика ($\Delta x a_1 б_1$ = 16,6 мм)

Перемещая палетку по снимку, добиваются такого положения, чтобы точка б разместилась на одной из наклонных линий шкалы. Обязательным условием при этом должно быть ориентированное расположение палетки перпендикулярно линии O_1-O_2(рис. 3). При определении $\Delta x_{a1б1}$ измеряется расстояние от точки б до левой части шкалы палетки. Непосредственный отсчет Δx определяется следующим образом. Десятки миллиметров надо брать по отметке наклонной линии (на которой расположена точка b_1) на нижней части шкалы (10 мм), целые миллиметры считываются по левой шкале палетки (6 мм), доли миллиметра рассчитываются интерполяцией положения точки (0,6 мм). Величина $\Delta x_{a1б1}$ = 10 +6 + 0,6 = 16,6 мм. Аналогично выполняется измерение $\Delta x_{a2б2}$ на правом снимке.

После определения разностей координат пары точек на обоих снимках рассчитывается разность продольных параллаксов **(**Δp**)** этих точек, мм: $\Delta p_{аб} = \Delta x_{a1б1} - \Delta x_{a2б2}$.

Расчет относительных превышений двух точек выполняется по формуле $\Delta h_{аб} = (H \times \Delta p_{аб}) / b_{ср}$, где $\Delta h_{аб}$– относительное превышение точек а и б, м; H – высота фотографирования, м; $\Delta p_{аб}$– разность продольных параллаксов, мм; $b_{ср}$ – средний базис фотографирования, мм.

При определении относительных превышений точек рельефа по геоморфологическому профилю, нанесенному на АФС, работы выполняются последовательно на левом и правом снимках для каждой пары точек (1-2, 2-3, 3-4 и т.д., рис. 4), все результаты замеров заносятся в таблицу. При этом, кроме расчета непосредственных значений относительных превышений точек, необходимо определить знак превышений, т.е. повышение или понижение рельефа от одной точки до другой. Для определения знака превышений приняты следующие условия. Втаблицу

каждая пара точек заносится в порядке возрастания их номеров по профилю. Если при измерении Δx точка с меньшим порядковым номером располагается на снимке левее точки с большим номером (см. рис. 4, таблицу, пары 1-2, 2-3), то величина принимается с положительным знаком. В других случаях, когда точка с более высоким порядковым номером находится левее, ее располагают на левой рамке палетки, а величинаΔx принимается с отрицательным знаком (см. рис.4, таблицу, – Δx 3-4, –Δx 4-5).

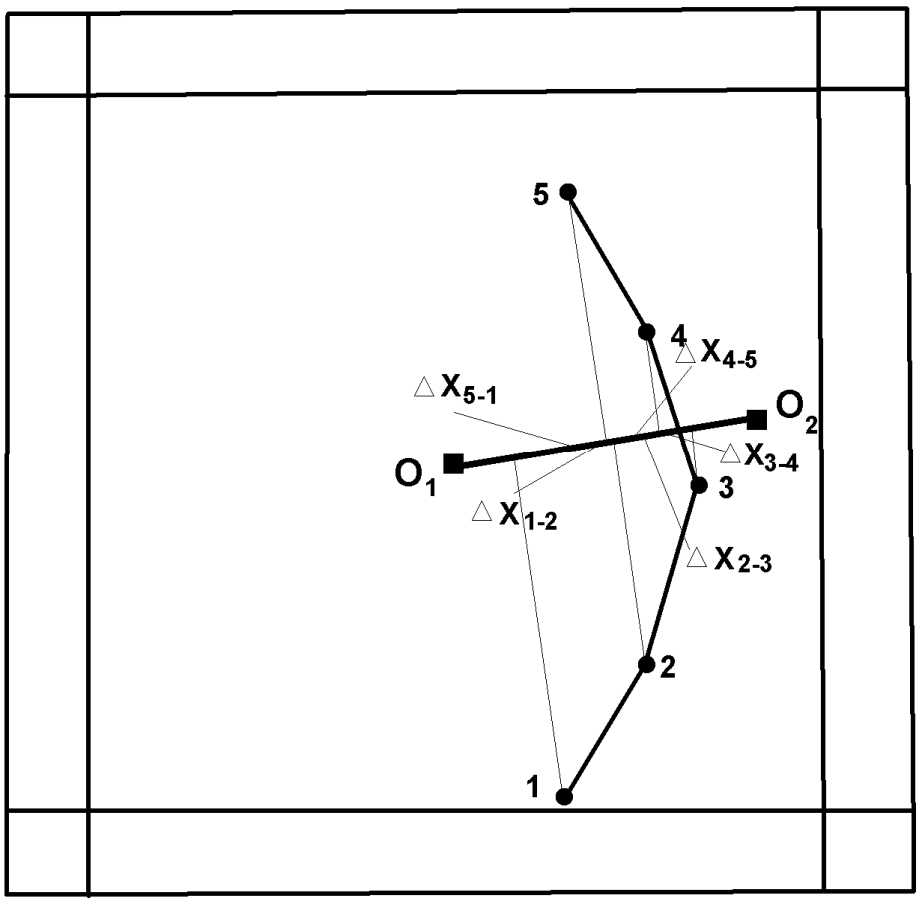

Рис. 4. Определение разностей координат (Δx) пар точек рельефа в проекции на ось X по профилю 1-5 (см. таблицу)

Расчет относительных превышений точек рельефа, м, по профилю 1-5 на аэрофотоснимках по разности координат точек в проекции на ось X

Точки профиля	$\Delta X_{лев}$, мм	$\Delta X_{прав}$, мм	Δp, мм	Δh, м
1-2	8,9	9,2	-0,3	-60
2-3	6,1	5,4	0,7	140
3-4	-2,3	-3,4	1,1	220
4-5	-4,6	-3,2	-1,4	-280
5-1	-8,2	-7,9	-0,3	-60
$\sum$	-0,1	0,1		

При расчете разностей продольных параллаксов (Δp) пар точек по профилю определяется алгебраическая разность величин Δxс учетом их знака: $\Delta p = \Delta x_{лев} - \Delta x_{прав}$, где $\Delta x_{лев}$ и $\Delta x_{прав}$ – разности координат точек на левом и правом снимках с их знаком. Положительные значения Δp указывают на то, что в измеренной паре точек точка с большим порядковым номером имеет положительное превышение по отношению к точке с меньшим номером, т. е. точка с большим номером располагается гипсометрически выше. Отрицательные значения Δp свидетельствуют о более низком положении в рельефе точки с большим порядковым номером. При $\Delta p = 0$, независимо от абсолютных значений Δx пар точек, эти точки не имеют между собой превышений, т. е. они располагаются на одной высоте.

Вычисленные относительные превышения (Δh) пар точек рельефа по профилю также имеют положительные и отрицательные значения и отражают высотное положение точки с более высоким порядковым номером по отношению к точке с меньшим номером. Полученные значения Δhзаносятся в таблицу с округлением до целых значений метров.

Кроме рассчитанных относительных превышений пар точек рельефа в таблице должны быть определены абсолютные гипсометрические высоты этих точек. Для этого преподавателем для каждого комплекта аэрофотоснимков должна быть определена и выдана студенту гипсометрическая отметка какой-либо базисной точки профиля. Конкретное расположение и абсолютная высота базисной точки различны для каждого комплекта АФС. Наиболее благоприятным является определение высоты начальной точки профиля (например, отметка точки 1 = 680 м, см. приложение 1), по отношению к которой должны быть определены отметки других точек профиля по величинам Δhмежду точками замера.

6. ***Построение линии профиля.***На основе вычисленных относительных превышений точек рельефа отстраивается линия рельефапо профилю (см. приложение 1). Вертикальный масштаб принимается одинаковым с горизонтальным и соответствует масштабу карты. По результатам стереоскопического изучения площади отрисовывается поверхность рельефа по профилю с учетом конфигурации его элементов: плоские, выпуклые, вогнутые, неравномерные или ступенчатые вершины, склоны и впадины рельефа. Анализ характера водоразделов, вершин, впадин, типа и крутизны склонов дает возможность предполагать и обосновать выделение генетических типов рыхлых отложений четвертичного возраста с учетом особенностей форм и элементов рельефа и климатических условий района.

7. ***Составление геоморфологического разреза*** по линии профиля (см. приложение 1).Горизонтальный масштаб соответствует масштабу АФС и карты. Вертикальный масштаб с округлением до стандартных значений (1:20000, 1:10000, 1:5000 и др.) выбирается с таким расчетом, чтобы относительные превышения между минимальной и максимальной точками по профилю в этом масштабе составляли 3-5 см. На некоторых,

наиболее контрастных по рельефу АФСвертикальный масштаб принимается одинаковым с горизонтальным.

Мощность рыхлых отложений по разрезупринимается условной, равной 1-2 мм для склоновых образований и до 6-7 мм– в участках максимального развития аккумулятивных форм (аккумулятивные речные долины, предгорные пролювиальные равнины, эоловые отложения и др.). На разрезе должны быть отражены возрастные взаимоотношения четвертичных пород (Q_{IV}, Q_{III}, Q_{II}) и показаны контакты фациальных переходов одновозрастных рыхлых образований.

В пределах изученного участка аэрофотоснимка выделяютсяи прослеживаются основные элементы рельефа, отмеченные в тексте к снимкам: речные долины, русла рек и ручьев, озера, болота, границы русловых, пойменных и террасовых форм, конусы выноса, водоразделы, гребни, кары, бровки уступов, эрозионные останцы, оси барханных цепей и др. (см. приложение 1).

Выделяются и оконтуриваются поля развития основных генетических типов рыхлых отложений согласно их типизации и приуроченности к определенным типам и формам рельефа и с учетом количественных показателей рельефа (относительные превышения, высота уступов, крутизна и конфигурация склонов и др.). Выделяются участки выхода на поверхность коренныхдочетвертичных пород, приуроченных к определенным формам и элементам рельефа.

*8.**Оформление практической работы.*** Карта четвертичных образований выполняется на кальке тушью и включает собственно геологическую карту, легенду с условными обозначениями пород и элементов рельефа (приложение3),геоморфологический разрез, таблицу с результатами измерительного дешифрирования. Размещение этой информации и оформление карты показано в приложении1.

Геологическая карта ориентирована длинной стороной в меридиональном направлении. Выделенные на карте генетические типы четвертичных пород раскрашиваются в соответствии с легендой (приложение 2). В условных обозначениях легенды четвертичные образования обозначены индексами и размещены сверху вниз в порядке возрастания их возраста (Q_{IV}, Q_{III}, Q_{II}). Дочетвертичныепороды независимо от возраста и состава пород обозначаются одним обобщенным знаком и цветом (D′Q). Кроме того, в легенде показаны элементы рельефа (уступы, конусы выноса, хребты и др.).

Ниже карты четвертичных образований располагаются два профиля земной поверхности.

Один профиль отстраивается с сохранением идентичности горизонтального и вертикального масштабов, равным масштабу карты. Он дает возможность установления реального характера земной поверхности с определением крутизны склонов, типов горных вершин, речных долин и интерпретации распределения выявленных геоморфологических элементов по всей площади карты.

Геоморфологический разрез строится по этой же линии профиля с увеличением вертикального масштаба, что дает возможность отображения условий залегания и характера взаимоотношений маломощных и разновозрастных покровных четвертичных образований. На профиле и разрезе должны быть показаны пункты замера превышений рельефа.

Слева от карты помещается таблица с результатами измерительного дешифрирования по определению относительных превышений точек профиля и их абсолютных отметок.

В правом верхнем углу кальки указывается фамилия и группа студента – автора лабораторной работы, номер и параметры аэрофотоснимка.

Рекомендуемая литература

Основная литература

Макарова Н.В., Суханова Т.В. Геоморфология: учебное пособие. М.: КДУ, 2007.

Костенко Н. П. Геоморфология: учебник. М.: Изд-во МГУ, 1999.

Дополнительная литература

Бекшенев О.Г., БутинВ.В., СевальневаН.М. Геоморфология сосновами четвертичной геологии: словарь-справочник. Ханты-Мансийск: ПЦ «Лайн-Арт», 2006. 178 с.

Панов Д.Г. Общая геоморфология: учебник. М.: Высшая школа, 1966. 427с.

МИНОБРНАУКИ РФ

ФГБОУ ВО «Уральский государственный горный университет»

УТВЕРЖДАЮ
Проректор по учебно-методическому комплексу
_____С.А.Упоров

МЕТОДИЧЕСКИЕ РЕКОМЕНДАЦИИ К КОНТРОЛЬНОЙ РАБОТЕ ПО ДИСЦИПЛИНЕ

Б1.О.29 КРИСТАЛЛОГРАФИЯ И МИНЕРАЛОГИЯ

Специальность:
21.05.02 Прикладная геология

Специализация:
Геология месторождений нефти и газа

Автор: Суставов С.Г., доцент, к.г.-м.н.

Одобрены на заседании кафедры
Минералогии, петрографии и геохимии
(название кафедры)
Зав. кафедрой _____
(подпись)
д.г.-м.н., проф. Коротеев В.А.
(Фамилия И.О.)
Протокол № 1 от 29.09.2020
(Дата)

Рассмотрены методической комиссией
факультета геологии и геофизики
(название факультета)
Председатель _____
(подпись)
д.г.-м.н., проф. Бондарев В.И.
(Фамилия И.О.)
Протокол № 2 от 13.10.2020
(Дата)

Екатеринбург
2020

Методические рекомендации по дисциплине «Кристаллография и минералогия» согласованы с выпускающей кафедрой литологии и геологии горючих ископаемых

Заведующий кафедрой ЛГГИ _____ 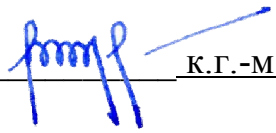 _____к.г.-м.н., С.А. Рыльков____

ОГЛАВЛЕНИЕ

Стр.
ПРЕДИСЛОВИЕ 4
ВВЕДЕНИЕ 5
ВНЕШНИЕ ПРИЗНАКИ МИНЕРАЛОВ 6
Морфология кристаллов 7
Строение агрегатов 10
Блеск 11
Цвет, черта 12
Твердость 15
Спайность и отдельность 17
Упругость, пластичность, хрупкость 18
Плотность 19
Магнитные свойства 19
ПОРЯДОК ОПРЕДЕЛЕНИЯ МИНЕРАЛОВ 20
КЛЮЧ К ТАБЛИЦАМ ДЛЯ ОПРЕДЕЛЕНИЯ МИНЕРАЛОВ 22
УСЛОВНЫЕ ОБОЗНАЧЕНИЯ 23
ПРИНЯТЫЕ СОКРАЩЕНИЯ 23
ИСПОЛЬЗОВАННАЯ ЛИТЕРАТУРА 24
ТАБЛИЦЫ МИНЕРАЛОВ 26
УКАЗАТЕЛЬ МИНЕРАЛОВ 168

ПРЕДИСЛОВИЕ

Знакомство с минералами начинается с восприятия тех или иных внешних признаков, определение которых возможно без каких-либо приборов, с помощью наиболее простых приспособлений. Диагностика по внешним признакам является наиболее простым и универсальным методом при определении минералов. Вместе с тем от диагноста требуется "острая" наблюдательность и хорошая память. В практической минералогии, как правило, невозможно определение минерала по словесному описанию. Практическая минералогия – "чувственная" наука и в ней справедливо правило: лучше один раз увидеть, чем сто раз услышать, и лучше один раз в руках подержать, чем сто раз увидеть. Рассматривая минерал в витрине музея можно получить информацию только о его цвете и форме выделения. Держа образец в руках дополнительно можно достаточно надежно определить его блеск, плотность, сопутствующие минералы. Внимательный осмотр образцов опытным специалистом дает большую информацию, которая не только позволяет определить минерал, но, в некоторых случаях, указать месторождение. В свое время курс практической минералогии был разра-ботан основателем кафедры – К.К.Матвеевым сразу после революции. Для проведения лабораторных занятий необходим определитель минералов. Первоначально для этой цели использовалось руководство А.Вейсбаха и К.Фукса. В дальнейшем был из-дан определитель Ф.И.Рукавишникова в 1938 году. Позднее этот определитель обновлялся и расширялся в 1956 году В.Н.Свяжиным, а в 1970 году Г.Н.Вертушковым и В.Н.Авдониным.

Минералогия, как и другие науки, не стоит на месте - растет поток информации о минералах. Это привело к физическому и моральному старе-нию определителя 1970 года. Все это послужило причиной к переработке, расширению и некоторому изменению таблиц и принципа расположения мине-ралов в структуре определителя. При написании определителя основной упор делался на те свойства минералов, определение которых может производить любой студент, знакомый с основами геометрической кристаллографии и конституцией минералов. Первое издание таблиц было осуществлено автором в 1995 году, в настоящее время пришла пора несколько изменить

и дополнить существующие таблицы описанием внешних признаков минералов.

Вместе с этим таблицы выполнены в таком виде, что могут быть использованы для диагностики минералов в полевых условиях и в курсах по практической минералогии, в геммологии и других науках.

ВВЕДЕНИЕ

Таблицы для определения минералов по внешним признакам составлены в соответствии с программой курса "Кристаллография и минералогия" для специальности 21,05.02 – " Прикладная геология". Минеральные виды, представленные в таблицах, приведены в соответствие со сводкой по систематике (Флейшер М.. 1990), лишь некоторые изоморфные ряды описаны как единый минерал при отсутствии данных по крайним членам ряда.

При пользовании определителем необходимо различать понятия: минерал и минеральный вид, которые нередко в некоторой литературе отождествляют. Минерал, как объект исследования науки минералогии, известен с глубокой древности. Первоначально к минералам наряду с кристаллами причислялись "земли", горные породы, торф, каменный уголь. В настоящий период под минералом понимается продукт природной физико-химической реакции, имеющий индивидуализированный химический состав, изменяющийся в определенных границах и обладающий или обладавший кристаллической структурой, которая разрушена под влиянием радиоактивного облуче-ния. По мере детального изучения отдельных минералов было установлено, что они, в свою очередь, состоят из двух или нескольких веществ, имеющих строго индивидуализированный состав, но обладающих однотипной структурой. Эти исследования позволили выделить новое понятие – минеральный вид являющийся фундаментальной единицей современных минералогических классификаций. Таким образом, минеральный вид является частью, более общего, понятия минерал. Например: минерал гранат состоит из отдельных видов: гроссуляр, андрадит, уваровит, пироп, спессартин, альмандин; минерал оливин содержит в своем составе виды: форстерита и фаялита и т.д. В настоящее время для сложных многокомпонентных твердых растворов, которыми являются некоторые минералы, понятие минерал отождествляется с названием группы в классификации.

ВНЕШНИЕ ПРИЗНАКИ МИНЕРАЛОВ

Каждый минеральный вид имеет определенный химический состав и структуру, которые находятся в тесной взаимосвязи и определяют его конституцию. Конституция определяет свойства, присущие минералу, и его морфологию. Свойства, определяемые визуально или с использованием простых испытаний, называются внешними признаками. Искусство диагностики минералов определяется овладением этими признаками. В отдельных случаях внешние признакинастолько специфичны, что позволяют однозначно определить минерал. В других случаях они позволяют выделить группу минералов, в которой определение конкретного вида требует тщательного анализа.

К внешним признакам относятся морфология кристаллов, строение агрегатов, блеск, цвет, черта, твердость, спайность, отдельность, упругость, пластичность, хрупкость, плотность, магнитные свойства

.

Морфология кристаллов

Форма кристалла определяется его структурой и влиянием окружающей среды. Появление тех или иных простых форм на кристалле определяется законом Бравэ, согласно которому при образовании кристаллов развитие и частота появления основных форм зависят от густоты расположения атомов, ионов на их гранях. В соответствии с принципом Кюри, внешняя симметрия кристалла будет сохранять толь-ко те элементы симметрии, которые совпадают с подобными элементами симметрии среды. Степень развития кристалла в разных направлениях определяет его облик. Выделяются следующие типы облика (рис. 1):

1) изометричный (а) – кристалл примерно одинаково развит по трем взаимно перпендикулярным направлениям; 2) увеличение в одном

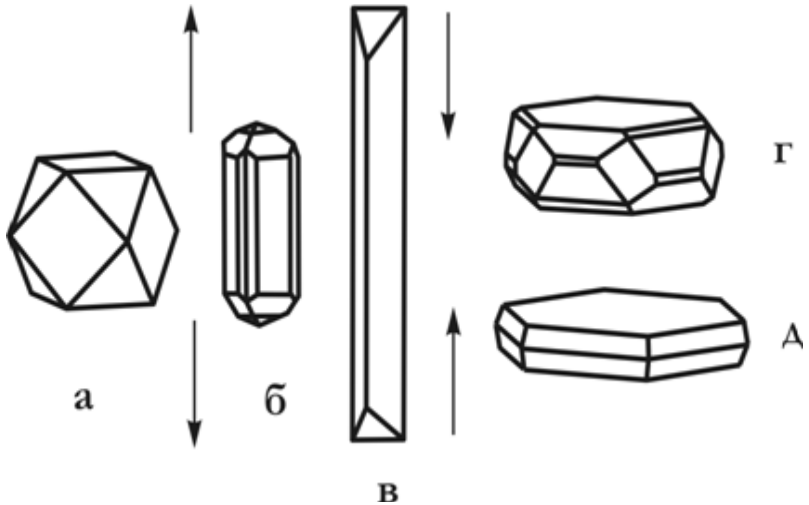

Рис. 1. Типы облика кристаллов.
а-изометричный, б-короткопризматический, в-длиннопризматический, г-таблитчатый, д-пластинчатый

Габитус кристалла определяется преобладающими гранями простых форм, представленных в ограничении. Например, у пирита облик изометричный, а габитус кубический, пента-гондодекаэдрический или октаэдрический.

Грани кристаллов нередко покрыты мелкими бороздами или штрихами. Для ряда минералов присутствие штриховки является важным диагностическим признаком. В одних случаях она наблюдается в виде параллельных штрихов, в других штрихи пересекаются под определенными углами. Так, на гранях призмы кристаллов кварца наблюдается

направлении последовательно приводит к короткопризматическому (б), длиннопризматическому (в), игольчатому, волокнистому облику; 3) сжатие в одном на-правлении определяет таблитчатый (г), пластинчатый (д),чешуйчатый, листоватый облик.

Неравномерное развитие кристалла в разных направлениях определяет бочонковидный, клиновидный, скипетровидный, сноповидный и другие облики.

выделяются параллельные, двойниковые и эпитаксические сростки. Параллельными сростками называются такие срастания кристаллов минералов, в которых все грани первого кристалла параллельны соответствующим граням второго.

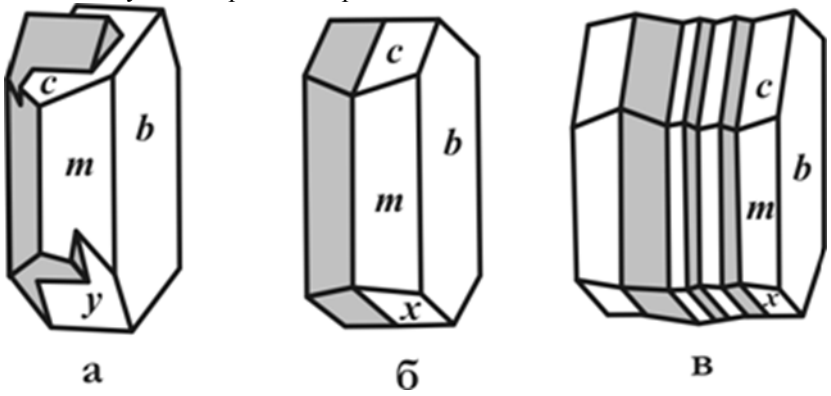

Рис.2. Виды двойниковых срастаний.
а-двойник прорастания, б-двойник срастания,
в-полисинтетический двойник

поперечная штриховка, а на гранях призмы топаза и берилла – вертикальная.

По своему происхождению штриховка может быть *комбинационной*, обусловленная узкими вицинальными гранями двух простых форм (берилл, турмалин и др.), *двойниковой*, являющейся результатом полисинтетического двойникования минералов (сфалерит, корунд, плагиоклазы и др.) *индукционной,* появляющейся в месте соприкосновения двух одновременно растущих индивидов.

Кристаллы редко бывают одиночными, обычно они образуют сростки. Различают *закономерные и случайные* сростки, среди первых

в значительной степени зависит от формы отдельных кристаллов и механизма их образования. В случае изометричных зерен агрегаты по величине их подразделяются на тонкозернистые (зерна на глаз неразличимы), мелкозернистые (зерна менее 1мм, но различимы на глаз), среднезернистые (1-5 мм), крупнозернистые (5-20 мм), гигантозернистые (зерна крупнее 20 мм).

В том случае, если индивиды имеют вытянутую в разной степени форму, то они образуют *шестоватые, игольчатые, волокнистые* агрегаты. Если кристаллы обладают *уплощенной* формой, то агрегаты приобретают *пластинчатое, чешуйчатое, листоватое* строение.

По механизму образования выделяют следующие агрегаты. В открытых полостях из низкотемпературных растворов на стенках осаждаются натечные агрегаты, которые могут иметь *сталактитовое, гроздевидное, сосцевидное или почковидное* строение. Из коллоидных суспензий (гелей) образуются *колломорфные* агрегаты.

В том случае, если открытая полость не полностью заполняется раствором, то на стенках полости происходит образование друз или щеток кристаллов. Друзы сложены удлиненными кристаллами и имеют зону геометрического отбора. Последняя предполагает преимущественный рост тех индивидов, удлинение которых совпадает с

Двойниками называются закономерные срастания двух кристаллов одного и того же минерала, в которых один индивид может быть выведен из другого отражением в плоскости или поворотом на 180° вокруг оси. В зависимости от количества сросшихся в двойниковом положении индивидов различают тройники, четверники, пятерническийки и т. д. В зависимости от расположения элементов простые двойники подразделяются на *двойники прорастания* (рис.2а) и *двойники срастания* (рис. 2б). Наряду с простыми двойниками широко распространены *полисинтетические двойники*. В них каждые два соседних индивида находятся в двойниковом положении (рис.2в).

Эпитаксическими сростками называются срастания двух различных минералов, в которых хотя бы некоторые кристаллографические элементы оказываются параллельными. Это объясняется сходством кристаллических структур и параметров решеток у минералов в эпитаксическом сростке

Строение агрегатов

Незакономерное срастание множества индивидов одного или разных минералов называется агрегатом. Форма минеральных агрегатов

нормалью к стенке полости. Щетки обычно представлены изометричными индивидами, в которых геометрический отбор прошел, и все кристаллы имеют одинаковую ориентировку.

Мелкие стяжения сферической или эллипсоидальной формы носят название оолитов и сферолитов. *Оолиты* обычно сцементированы друг с другом в горную породу. Они имеют концентрически-скорлуповатое строение, отдельные слои их отлагаются вокруг центра (например, песчинки или пузырька воздуха). *Сферолиты* обладают радиально-волокнистым строением и образуются в открытой полости. *Конкреции* - стяжения округлой формы, радиально-лучистого или скорлуповатого строения, рост которых происходил от центра к периферии.

При быстрой кристаллизации минерала в трещине или хорошо проницаемой породе образуются плоские или объемные ветвистые агрегаты (*дендриты*). Наряду с основными типами минеральных агрегатов, имеются разности, наименования которых отражают внешние особенности этих агрегатов, например *звездчатые, сетчатые, ячеистые, шлаковидные, землистые*

Блеск

Блеск – это визуальная характеристика отраженного от поверхности минерала света, учитывающая и долю отраженного света, и особенности отражения. Блеск минералов по мере его усиления подразделяется на *стеклянный, алмазный, полуметаллический и металлический.* У прозрачных и хорошо просвечивающих минералов, с повышением показателя преломления, слабый стеклянный блеск постепенно сменяется более сильный алмазным. Для минералов с высоким коэффициентом поглощения и большой отражательной способностью, т.е. непрозрачных даже в тонком порошке, характерен металлический блеск. У части минералов блеск промежуточный между алмазным и металлическим; такие минералы или просвечивают хотя бы в тонком порошке, или заметно поглощают и рассеивают свет. Промежуточный по степени блеск называют *полуметаллическим.*

Переход от одной градации степени блеска к другой постепенный и достаточно условный. При мелкошероховатой поверхности у сильно поглощающих или непрозрачных минералов характер блеска тусклый (магнетит); у просвечивающих и прозрачных - *матовый* (каолин, любые землистые агрегаты). Характер поверхности нередко зависит от особенностей излома - при отсутствии спайности излом может быть мелкобугорчатым, а блеск - *жирным* (кварц, нефелин).

На вид блеска большое значение оказывают характер поверхности и строение агрегата. *Шелковистый* блеск отмечается у параллельно-волокнистых агрегатов за счет своеобразного отражения и рассеяния света волокнами. Такой блеск особенно заметен при падении света вдоль волокон (селенит, хризотил-асбест). Прозрачные минералы с совершенной спайностью отражают свет не только от внешней плоскости, но и от возникающих в глубине образца трещинок. Подобное мерцающее отражение сопровождается интерференцией света, создающей нежную радужную окраску. Этот вид блеска называют *перламутровым* (гейландит, гипс, кальцит).

Цвет, черта

Цвет – это свойство вещества вызывать у человека определенное зрительное ощущение в соответствии со спектральным составом

отражаемого или пропускаемого излучения. Исходя из физической сущности, удобно разделить окраску минералов на собственную и чуждую. *Собственная окраска* обусловлена особенностями конституции минерала – его химическим составом и структурой. Наиболее распространенный вид собственной окраски минералов вызывается характером светопоглощения. При этом возникают разные варианты.

1. Если свет не взаимодействует с минералом, то минерал остается бесцветным и прозрачным, как, например, горныйхрусталь. При полном поглощении видимого спектра света минерал становится черным и непрозрачным. При поглощении происходит возбуждение электронов в верхнем слое, которые мгновенно возвращаются обратно, испуская световые лучи, что проявляется в металлическом блеске. Цветовые оттенки у сильно поглощающих минералов возникают в случае энергетической неравнозначности переходов электронов, и потому часть лучей света поглощается минералом.

2. Наиболее характерно проявляется неравномерность поглощения света как причина окраски у прозрачных минералов-диэлектриков, в составе которых находятся химические элементы-хромофоры. Хромофорами являются ионы переходных металлов периодической системы Д.И. Менделеева. Наиболее важные из них V, Cr, Mn, Fe, Co, Ni, Cu. В зависимости от конституции кристаллом поглощаются разные лучи. Минерал окрашивается в цвет, дополнительный к поглощенному. Окраска, вызываемая хромофорами следующая: V^{3+} – зеленый (тсаворит), голубой (танзанит); Cr^{3+} – зеленый (уваровит, изумруд), красный (рубин); Mn^{2+} – розовый (родохрозит, родонит); Fe^{2+} – зеленый (актинолит, хризолит), красный (альмандин); Fe^{3+} – желтый (хризоберилл); Co^{2+} – голубой (шпинель), розовый (эритрин); Ni^{2+} -зеленый(непуит); Cu^{2+} – зеленый (малахит), синий (азурит), голубой (бирюза).

3. В прозрачных минералах окраска может быть вызвана явлением переноса заряда. Так возникает окраска синего корунда (сапфира) с изоморфной примесью железа и титана. Появление окраски объясняется образованием пары $Fe^{2+} + Ti^{4+}$, которая за счет переноса заряда (электрона) внутри пары и поглощения лучей с соответствующей длиной волны образует пару $Fe^{3+} + Ti^{3+}$ и минерал приобретает синий цвет.

4. Неравномерное светопоглощение некоторых минералов может

быть вызвано наличием в их кристаллической решетке электронно-дырочных центров окраски. В черном кварце (морионе) в позициях кремния располагаются ионы $A1^{3+.}$ Для компенсации валентностей в кристаллическую решетку внедряются катионы щелочных металлов или H^+. Под действием радиоактивного или рентгеновского излучения происходит смещение электрона от кислорода к Al^{3+} с поглощением части света; ионы O^- становятся центрами окраски. Аналогичным образом возникает окраска у флюорита.

Чуждая окраска определяется вростками пигментирующих окрашенных минералов, цветными пленками разной природы и другими причинами, не связанными с особенностями конституции минерала.

Кроме этого окраска зависит от спектра светового пучка и от направления. Наиболее ярко эта особенность проявляется в минералах с незначительной примесью хрома. Например, александрит при дневном освещении зеленый, а при искусственном - красный. Зависимость от направления – это анизотропия окраски. В ромбическом кордиерите с примесью Fe цвет разный по всем трем кристаллографическим осям. Он темно-синий вдоль оси z, светло-синий вдоль оси x, желтовато-серый вдоль оси y. Это явление называется плеохроизмом и наблюдается у всех окрашенных минералов под микроскопом.

Окраска минерала определяется степенью его дисперсности: гематит в кристаллах железо-черный, а в порошке - вишнево-красный. Порошок остается после прочерчивания минералом по фарфоровой пластинке. Цвет черты, наряду с цветом минерала в массе, является важным диагностическим признаком.

Черта минерала помогает при отсутствии навыков правильно определить блеск. У минералов с металлическим блеском черта обычно черная и темнее, чем цвет минерала в массе. У минералов с полуметаллическим блеском черта аналогична цвету минерала в массе или светлее, но всегда отчетливо видна на фарфоровой пластинке. Преобладают коричневые оттенки. Минералы с алмазным блеском имеют черту красной, оранжевой или желтой окраски разной яркости и тона. У бесцветных минералов с алмазным блеском черта белая, но они при этом как бы святятся внутри. У минералов со стеклянным блеском черта белая или светло-серая с неясным оттенком.

Тот участок минерала, которым мы проводили черту, у них белеет.

Твердость

Твердость - способность минерала противодействовать внешнему воздействию, будь то царапание, вдавливание или шлифование. Метод динамического определения заключается в диагностике твердости относительно эталонов шкалы Мооса, которая состоит из десяти минералов-эталонов:

1) тальк $Mg_3[Si_4O_{10}](OH)_2$; 6) ортоклаз $K[AlSi_3O_8]$;
2) гипс $Ca[SO_4] \times 2H_2O$; 7) кварц SiO_2;
3) кальцит $Ca[CO_3]$; 8) топаз $Al_2[SiO_4](F,OH)_2$;
4) флюорит CaF_2; 9) корунд Al_2O_3;
5) апатит $Ca_5[PO_4]_3F$; 10) алмазС.

Определение твердости осуществляется царапанием острым углом минерала эталона. Появление мельчайшей царапины указывает на более высокую твердость определяемого минерала. Вместо минералов-эталонов нередко используют заменители – ноготь (2), оконное стекло (5), напильник (6,5-7). Минералы с твердостью 1 легко пишут по бумаге. Оконное стекло очень удобно, так как имеет ровную поверхность и любая царапина на нем заметна.

При определении твердости следует помнить, что более мягкие минералы будут на более твердых оставлять черту, которую легко стереть в отличие от царапины. Во многих случаях такую черту принимают за царапину. Во избежание ошибки необходимо провести пальцем- царапина останется на месте, а черта сотрется.

На результаты определения относительной твердости влияет анизотропия, которая достаточно сильно проявляется в низко симметричных минералах и в самих эталонах. Например, у кианита она варьирует от 4,5 вдоль удлинения таблитчатых кристаллов до 6,5-7 в поперечном направлении.

Спайность и отдельность

Спайность - способность минералов раскалываться по определенным кристаллографическим направлениям с образованием ровных блестящих поверхностей, параллельных друг другу и заметных по одновременному отблеску при отражении падающего света.

По степени совершенства выделяют следующие виды спайности:

• весьма совершенная – индивид при небольшом усилии легко расщепляется на плоскости большой площади (слюды, молибденит);

• совершенная - требует большее усилие для менее ровной поверхности (сфалерит, кальцит);

• несовершенная – ровные поверхности проявляются редко, имеют минимальную площадь и обнаруживаются с трудом (кварц, оливин).

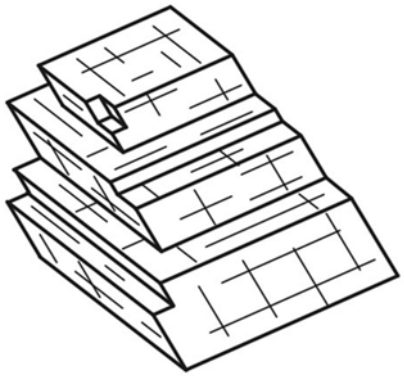

Рис. 3. Совершенная спайность в кальците

Причина возникновения спайности заключается в присутствии ослабленных направлений в структуре, которые проявляются после механического воздействия. Кристаллографическая направленность плоскостей спайности предполагает, что спайность ориентирована по какой-то простой форме. При определении спайности, кроме степени совершенства важно определять количество направлений и угол между плоскостями спайности, так как в ряде случаев является важным диагностическим признаком. Например, у амфиболов и пироксенов спайность в двух направлениях и близкая окраска, но у первых угол между плоскостями спайности 120о, а у вторых – 90о

При определении спайности важно не путать плоскости спайности с гранями кристалла. Плоскости спайности более гладкие и совершенные, чем естественные грани, которые могут иметь штриховку, следы растворения и т.д.

В некоторых минералах при раскалывании образуются ровные, кристаллографичные, иногда блестящие поверхности, напоминающие спайные. Возникновение подобных плоскостей носит название *отдельность* и связано с наличием закономерных включений вдоль зон роста кристалла, в результате возникновения структур распада или полисинтетического двойникования. Отличительным признаком отдельности является конечный размер пластинок, если они вызваны двойникованием, и матовое отражение плоскостей, при наличии включений.

Упругость, пластичность, хрупкость

Упругость минералов проявляется в их способности восстанавливать форму и начальный объем после снятия напряжения. Это свойство, например, позволяет различить минералы группы слюд, чешуйки которых возвращаются в первоначальное положение после изгиба, от минералов группы хлоритов внешне достаточно схожих, но не обладающих упругими свойствами.

Пластичность – это свойство минерала необратимо деформироваться под действием механической нагрузки, превышающей предел упругости. Пластические деформации приводят к механическому двойникованию, смятию или изгибу зерен с сохранением их целостности. Это характерно для антимонита, кальцита, гипса, молибденита, кианита, слюд. Некоторые минералы при этом способны к течению с изменением первоначальной формы и претерпевают грануляцию или перекристаллизацию (галенит, галит, арсенопирит). С пластичностью в прямой зависимости находится такое свойство, как ковкость минералов. У металлов это свойство проявляется в расплющивании их в тонкие пластинки. У некоторых сульфидов (халькозин, акантит, галенит), обладающих слабой ковкостью, царапина блестящая, а не пылит, в отличии от хрупких минералов, что является диагностическим признаком.

Хрупкость – это способность минералов разрушаться при небольших деформациях после превышения предела прочности. Хрупкость минералов определяет их способность к измельчению, важную характеристику при обработке руд и их обогащении.

Плотность

Плотность – это мера массы в единице объема. Плотность минералов варьирует от 0,8 у некоторых органических минералов до 22,7 г/см^3 у осмистого иридия. Она зависит от кристаллической структуры и химического состава минерала. Высокая плотность характерна для минералов с компактной структурой, низкая – для минералов со слоистой и каркасной структурой (например, алмаз - 3,5 г/см^3, графит - 2,2 г/см^3). Плотность возрастает с увеличением массы атома или иона и уменьшается с увеличением их размеров. Например, плотность плагиоклазов изменяется от 2,61 г/см^3 (альбит) до 2,76 г/см3 (анортит).

Основная масса минералов имеет плотность, которая находится в интервале от 2,5 до 5,2 г/см3, и лишь немногие имеют более высокие или низкие значения. По степени распространенности и плотности минералы условно можно разделить на легкие (плотность менее 2,5 г/см3), средние (2,5-4 г/см3) и тяжелые (более 4 г/см3). Плотность мономинерального образца приближенно можно оценить, сравнивая с образцами с известной плотностью и близкого объема.

Магнитные свойства

По магнитным свойствам минералы подразделяются на магнитные, слабомагнитные и немагнитные. Магнитные минералы притягиваются постоянным магнитом. К ним относятся магнетит, моноклинный пирротин и некоторые разности ильменита. Некоторые разности магнетита ведут себякак постоянный магнит, т.е. притягивают к себе железные предметы и магнитные минералы. К слабомагнитным отно-сятся те минералы, которые приобретают магнитные свойства под действием электрического поля. Так ведут себя, например, все минералы, содержащие железо: геденбергит, альмандин, железистый сфалерит (марматит) и т. д.

ПОРЯДОК ОПРЕДЕЛЕНИЯ МИНЕРАЛОВ

В определителе все минералы по блеску разделены на четыре группы: с металлическим, полуметаллическим, алмазным и стеклянным блеском. Минералы с металлическим блеском цветные, непрозрачные, черта темнее, чем цвет минерала в массе. Минералы с полуметаллическим блеском цветные, непрозрачные, черта аналогична цвету минерала в массе или светлее, но всегда отчетливая.

Минералы третьей и четвертой групп прозрачны в той или иной степени. Минералы с алмазным блеском могут быть бесцветны или окрашены. Первые встречаются довольно редко и узнаются по сильному блеску, видимому невооруженным глазом. В том случае, если они обладаютокраской, черта у них варьирует от бледно-желтой до красной.

Минералы со стеклянным блеском имеют в большинстве белую черту, реже она светлую окраску. Минерал в том месте, с которого получена черта, белеет.

Таким образом, при определении минерала в первую очередь.

необходимо определить: блеск, черту, цвет. Это позволяет достаточно надежно отнести минерал к тому или иному разделу.

Подразделение минералов с металлическим блеском внутри раздела производится по цвету. В подразделе цветности минералы располагаются по твердости.

Минералы с полуметаллическим и алмазным блеском разделены по цве-ту черты и цвету в "массе" или в образце. Расположение минералов в подразделах производится по твердости.

В минералах со стеклянным блеском первоначальное подразделение осуществляется по цвету черты. Это позволяет выделить подраздел цветных минералов, имеющих яркую окраску, близкую или аналогичную цвету минерала в "массе" (зеленую, синюю и др.). В отдельный подраздел объединены минералы темной окраски (темно-зеленая, грязно-зеленая, черная), имеющие серую черту различных оттенков. Черта слабо контраст-на. В последнем, наиболее многочисленном, подразделе находятся минералы с белой чертой. Внутри минералы расположены по твердости.

Такое построение определителя дает возможность, при правильном определении блеска, цвета минерала, его твердости и черты, найти несколько сходных минералов или единственный с данными свойствами. При наличии нескольких минералов, необходимо получение дополнительных данных по морфологии, химизму и генезису определяемого минерала.

При определении необходимо помнить, что все свойства минерала находятся во взаимозависимости и отражают конституцию данного минераль-ного вида. Это не позволяет определить минерал по одному, наугад взятому свойству

КЛЮЧ К ТАБЛИЦАМ ДЛЯ ОПРЕДЕЛЕНИЯ МИНЕРАЛОВ.

1. Минералы с металлическим блеском. Цветные непрозрачные.
Черта серая. Темно-серая или черная.
1.1. Цвет белый, серый до черного. Стр. 20
1. 2 Цвет желтый, красный. Стр.36
2. Минералы с полуметаллическим блеском. Цветные, непрозрачные.

Черта аналогична цвету минерала в массе или светлее, но всегда отчетливая.
2.1. Черта бурая, буровато-черная, черная.
Цвет черный, серо-черный. Стр. 44
2. 2. Черта красновато-бурая, желтовато-
бурая, зеленовато-серая.
Цвет темно-красный, темно-бурый, черный. Стр.50
3. Минералы с алмазным блеском. Бесцветные или цветные, идеально прозрачные или прозрачные в той или иной степени.
3.1. Черта оранжевая, красная.
Цвет минерала оранжевый, красный до черного. Стр. 56
3.2. Черта желтая, светло-желтая, белая.
Цвет минералов желтый, коричневый до черного, иногда бесцветный. Стр. 60
4. Минералы со стеклянным блеском. Прозрачные в той или иной степени.
Черта чаще белая, реже светлоокрашенная, минерал белеет в том месте, с которого получена черта.
4.1. Черта имеет отчетливую окраску: зеленую, голубую, синюю, желтовато-бурую. Цвет минерала аналогичен цвету черты или несколько темнее. Стр. 74
4. 2. Черта имеет зеленоватый или сероватый оттенок, выраженный неясно. Преобладающая окраска минералов зеленая, темно-зеленая, черная. Стр.82
4.3. Черта белая
Твердость 1 – 3 Стр. 94
4.3. Черта белая
Твердость 3 – 5 Стр. 114
4.3. Черта белая.
Твердость 5 - 7 Стр. 130
4.3. Черта белая.
Твердость 7- 9 Стр. 154

УСЛОВНЫЕ ОБОЗНАЧЕНИЯ

X – минералы известные на Урале;
* – минерал широко распространен и образует крупные выделения;
# – минерал открыт на Урале.

Минералы непомеченные символами на Урале не известны. Известные на Урале минералы отмечены по работе [7].

ПРИНЯТЫЕ СОКРАЩЕНИЯ

в п.п.тр.— в пламени паяльной трубки;
в. сов.— весьма совершенная;
выд.— выделение;
конц.—концентрированной
м-ния — месторождения;
направл.— направление;
несов.— несовершенная;
раствор.—растворяется
сов.— совершенная;
УФ — ультрафиолетовый свет;
и т.д. — и так далее.

ИСПОЛЬЗОВАННАЯ ЛИТЕРАТУРА

Булах А.Г. Минералогия с основами кристаллографии – М.: Недра, 1989. – 351 с.

Вертушков Г.Н., Авдонин В.Н. Физические и химические свойства минералов и определитель минералов по внешним признакам – Св.:СГИ, 1970. – 172 с.

Годовиков А.А. Минералогия. – М.: Недра, 1975. – 520 с.

Лазаренко Е.К. Курс минералогии. – М.: Высшая школа, 1971. – 608 с.

Минералы. Справочник. /Под ред. Ф.В.Чухрова, Э.Н. Бонштедт-Куплетской. Т.I – IV— Наука, 1960-2004

Флейшер М. Словарь минеральных видов. Пер. с англ. – М.: Мир, 1990. – 206 с.

Юшкин Н.П., Иванов О.К., Попов В.А. Введение в топоминералогию Урала. М.: Наука, 1986, - 294 с.

I. Минералы с металлическим блеском. Цветные непрозрачные
Черта серая,темно-серая или черная

Таблица 1

Название, химический состав	Сингония, облик кристаллов и строение агрегатов	Спайность, излом	Цвет, черта	Твер-дость	Плот ность	Химические свойства, особые приметы	Сходные минера-лы	Сопутствую-щие минералы	Условия нахождения
1	2	3	4	5	6	7	8	9	10
1.1. Цвет белый, се					**рый до черного.**				
* Молибденит (молибденовый блеск) MoS_2	Гексагональная, боченковидные кристаллы, чешуйчатые, листоватые агрегаты	В. сов. по {0001} в одном направл	Свинцово-серый с голубоватым оттенком. Серовато-черная при растирании зеленеет	1	4,7-4,8	Трудно раствор. в HNO_3 до MoO_3. Мажет руки, жирный на ощупь	Графит, тетради-мит	Шеелит, вольфра-мит, касситерит, висмутин и др	Высоко- и среднетемпера-турные гидротермальные жилы, скарны, меднопорфи-ровые м-ния
* Графит C	Гексагональная, пластинчатые кристаллы, чешуйчатые, пластинчатые агрегаты	В.сов. по {0001} в одном направл.	Свинцово-серый до оловянно-белого. Стально-черная	1	2,1-2,2	При нагрева-нии с дымящей HNO_3 чешуйки вспучиваются. Мажет руки, жирный на ощупь	Молиб-денит, валле-риит	Полевой шпат, кварц, биотит, рутил и др	Магматический, пневматолито-гидротермальные жилы, скарны, метаморфические породы
X Тетрадимит Bi_2Te_2S	Тригональная, таблитчатый, чешуйчатый, листоватый	В. сов. по (0001) в одном направл	Свинцово-серый до оловянно-белого. Стально-черная	1,5-2	7,2-7,3	Конц. горяч. H_2SO_4 Окрашивает в малиновый цвет. Листочки гибкие, но не упругие, пишет на бумаге	Молиб-денит, теллуро-висмутит	Теллуриды, золото, пирит, халькопи-рит, галенит	Кварцевые жилы

Продолжение таблицы 1

1	2	3	4	5	6	7	8	9	10
* Теллурвисмутит Bi_2Te_3	Тригональная, пластинчатый, листоватый	Сов. по {0001} в одном направл.	Свинцово-серый . Стальночерная	1,5-2	7,8-7,9	В откр. трубке дает белый дым TeO_2 . Листочки гибкие, но не упругие	Тетрадимит	Теллуриды, золото, сульфиды	Золотоносные кварцевые жилы
* Ковеллин CuS	Гексагональная, порошковатые, сажистые массы	В. сов. по {0001} в одном направл	Индигово-синий. Серая до черной	1,5-2	4,6-4,8	Раствор. в горячей HNO_3 с выд, S: раствор приобретает. зеленый цвет. Специфическая окраска		Халькозин, борнит, халькопирит	Зона окисления медноколчеданных м-ний
*Антимонит (сурьмяный блеск, стибнит) Sb_2S_3	Ромбическая, призматические кристаллы, спутанно-волокнистые и зернистые агрегаты	Сов. по {010} в одном направл	Свинцово-серый, слегка голубоватый. Черная, при растирании краснеет	2	4,5-4,7	Раствор. в HCl с выд. H_2S. На плоскостях спайности часто двойниковая штриховка	Висмутин, джемсонит, буланжерит	Обычно один, реже с киноварью, флюоритом, баритом	Низкотемпературные гидротермальные м-ния
* Висмутин (висмутовый блеск) Bi_2S_3	Ромбическая, призматические и игольчатые кристаллы, зернистые агрегаты	Сов. по {010} в одном направл	Оловянно-белый до свинцово-серого. Свинцово-серая	2-2,5	6,8	Легко раствор. в HNO_3 и горячей HCl. На плоскостях спайности часто двойниковая штриховка, перпендикулярная удлинению	Антимонит, висмутовые сульфосоли	Самородон ый висмут, молибденит, касситерит, вольфрамит	Высоко- и среднетемпературные гидротермальные жилы, пегматиты, скарны

1	2	3	4	5	6	7	8	9	10
*Висмут Bi	Тригональная, шестоватый, зернистый	Сов. по {0001} в одном направл., хорошая по $\{20\bar{2}1\}$ в трех направл.	Серебристо-белый с желтоватым оттенком, красная побежалость. Оловянно-белая	2-2,5	9,8	Легко раствор в HNO_3 , после разбавления выпадает белый осадок. По характерной красной побежалости	Тетрадимит	Касситерит, вольфрамит, молибденит, висмутин и др	Пегматиты, скарны, кварцевые жилы
*Акантит Ag_2S	Моноклинная, редко кристаллы, сплошные массы или параморфозы по аргентиту	Отсутствует. Раковистый, неровный	Железо-черный. Черная, блестящая	2-2,5	7,2-7,3	Раствор. в HNO_3 с выд. S. Характерна низкая твердость, сильная ковкость, зерна раздавливаются с трудом	Халькозин, серебро	Серебро, прустит, пираргирит, галенит, кальцит, барит	Кварцевые, кварц-кальцитовые и серебро-арсенидные жилы; зона вторичного сульфидного обогащения
* Серебро Ag	Кубическая, волосовидные, моховидные и проволочные фор-мы, дендриты	Отсутствует. Крючковатый	Серебряно-белый, с поверхности серый или черный налет. Белая блестящая	2,5-3	10,1-11,1	Раствор. в HNO_3, при добавлении HCl выпадает белый осадок. Характерен цвет, крючковатый излом, высокая ковкость	Изоферроплатина	Акантит, прустит, пираргирит, галенит, кальцит, барит	Низкотемпературные гидротермальные жилы с арсенидами, зона вторичного сульфидного обогащения
* Халькозин (медный блеск) Cu_2S	Ромбическая, Призматические и пластинчатые кристалы, сплошные плотные массы	Несов. по {110}. Раковистый	Несов. по {110}. Раковистый	2,5-3	5,5-5,8	Раствор. в HNO_3 с выд. S. Ковок. Царапина от иглы блестящая	Акантит, джарлеит, дигенит, анилит, блеклые руды	Борнит, ковеллин, халькопирит, самородная медь	Низкотемпературные гидротермальные образования, зона вторичного сульфидного обогащения

Продолжение таблицы 1

1	2	3	4	5	6	7	8	9	10
* Галенит (свинцовый блеск) PbS	Кубическая, зернистые агрегаты, реже плотные и натечные, обычны кристаллы	Сов. по {100}, в трех направл., иногда отдельность по {111}	Свинцово-серый, у тонко-зернистых агрегатов более светлый. Серовато-черная	2,0-3,0	7,4-7,6	Раствор. в HNO_3 с выд. S, при добавлении HCl выпадает белый осадок. Слабо ковок. Типичен цвет, спайность в трех направл. и высокая плотность	Антимо-нит	Сфалерит, пирит, халь-копирит, кварц, кальцит, барит	Средне- и низко-температурный гидротермальные жилы, скарны
* Джемсонит $Pb_4FeSb_6S_{14}$	Моноклинная, игольчатые и волосовидные кристаллы, перистые и шестоватые агрегаты	Ясная по {001} в одном направл., несов. по {110} и {010}. Неровный	Свинцово-серый, иногда пестрая побежалость. Темно-серая, серовато-черная	2,0-3,0	5,5-6,0	Раствор. в горячей HCl, при охлажде-нии выпадает $PbCl_2$. Характерна поперечная спайность	Булан-жерит, менеги-нит	Пирит, сфалерит, галенит, тетраэдрит, буланжерит	Второстепенный минерал средне-температурных гидротермальных жил
*Буланжерит $Pb_5Sb_4S_{11}$	Моноклинная, игольчатые, призматичес-кие кристаллы, волокнистые агрегаты	Сов. по {100} в одном направл	Свинцово-серый до железо-черного. Серовато-черная с коричневым оттенком	2,5-3,0	6,0-6,2	Раствор. в горячей HCl с выд. H_2S. От джемсонита отличается отсутствием поперечной спайности	Джемсо-нит, менегинит	Галенит, сфалерит, арсенопи-рит, пирит, джемсонит	Средне- и низко-температурные гидротермальные жилы и метасома-тические залежи

Продолжение таблицы 1

1	2	3	4	5	6	7	8	9	10
*Мышьяк As	Тригональная, ромбоэдрический, зернистый, концентрически скорлуповатый	Сов. по {0001}. Неровный	Оловянно-белый, на свежем изломе быстро тускнеет до серовато-черного. Серая	3,5	5,6-5,8	Раствор. в HNO_3. При нагревании сублимирует, издавая чесночный запах	Сурьма, висмут	Прустит, пираргирит, аргентит, блеклые руды, кальцит, реальгар	В кварцевых и кварц-карбонатных жилах
*Сурьма Sb	Тригональная, зернистый, натечный, почковидный	Сов. по {0001}, ясная по {20$\bar{2}$1}. Неровный	Оловянно-белый с желтой побежалостью. Буровато-серая	3-3,5	6,6-6,8	Раствор. в HNO_3 При нагревании сублимирует, образуя белый осадок	Висмут, мышьяк	Антимонит, бертьерит, арсенопирит, висмут, минералы серебра	В кварц-сульфидых жилах
* Теннантит (мышьяковая блеклая руда) $(Cu,Fe)_{12}As_4S_{13}$	Кубическая, Тетраэдрические кристаллы, сплошные зернистые агрегаты	Отсутствует Раковистый, неровный	Стально-серый до железо-черного. Черная с вишнево-красным оттенком	3,0-4,0	4,4-4,7	Разлагается в HNO_3 с выд. S. Блеклый тон окраски, хрупкость	Тетраэдрит, халькозин	Халькопирит, сфалерит, галенит, пирит, айкинит, бурнонит	Широко распространен, средне- и низкотемпературный гидротермальный минерал
* Тетраэдрит (сурьмяная блеклая руда) $(Cu,Fe)_{12}Sb_4S_{13}$	Кубическая, Тетраэдрические кристаллы, сплошные зернистые агрегаты	Отсутствует Раковистый, неровный	Стально-серый до железо-черного. Черная	3-4,5	4,9-5,1	Разлагается в HNO_3 с выд. S. Блеклый тон окраски, хрупкость	Халькозин, теннантит	Халькопирит, сфалерит, галенит, пирит, айкинит, бурнонит	Широко распространен, средне- и низкотемпературный гидротермальный минерал
Станин Cu_2FeSnS_4	Тетрагональная, зернистые массы	Несов. по {110} и {001}	Стально-серый до железо-черного. Черная	3,0-4,0	4,3-4,5	Разлагается в HNO_3 с выд S и SnO_2, раствор синий	Блеклые руды	Касситерит, халькопирит, сфалерит, пирит, арсеноприт, пирротин	В кварцевых и пегматитовых жилах

Продолжение таблицы 1

1	2	3	4	5	6	7	8	9	10
* Железо Fe	Кубическая, изометричный, зернистый	Сов. по {100} в трех направл. Крючковатый	Стально-серый до железо-черного. Стально-серая	4,0	7,3-7,7	Раствор. в HNO_3 и HCl с выд. водорода. Магнитно и ковко	Серебро, висмут	Графит, пирротин, шпинель	В основных изверженных породах
X Тетраферро-платина (ферро-платина) PtFe	Тетрагональная, мелкие зерна	Нет. Неровный	Темно-серый до черного. Черная	4,0	12,0-15,0	Разлагается в царской водке. Магнитна и относительно хрупка	Железо, хромшпинели	Изоферро-платина, туламенит, хромшпинели	Магматический в ультраосновных изверженных породах, россыпях
* Изоферро-платина (поликсен) Pt_3Fe	Кубическая, кубические кристаллы, мелкие зерна и самородки	Отсутствует. Крючковатый	Серебряно-белый до стально-серого. Черная	4,0-4,5	14,0-18,65	Разлагается в царской водке. Слабо магнитна, ковка	Осмий, рутений	Тетраферро платина, иридосмин, хромшпинели	Магматический в ультраосновных изверженных породах, россыпях
* Саффлорит $CoAs_2$	Ромбическая, изометричный, зернистый, шестоватый	Несов. по {110	Оловянно-белый до свинцово-серого. Серовато-черная	4,5-5,0	7,0-7,3	Раствор. в HNO_3 , раствор розовый	Арсенопирит, леллингит, раммельсбергит	Шмальтин, хлоантит, раммельсбергит, лелленгит, серебро, аргентит	В железорудных скарнах и в карбонатных и кварц-карбонатных жилах
* Леллингит $FeAs_2$	Ромбическая, призматический, зернистый	До ясной по {010} и {101} в трех направл.	Серебряно-белый до стально-серого. Серовато-черная	5,0-6,0	7,0-7,4	Раствор. в HNO3 Распространен менее, чем арсенопирит	Арсенопирит, раммельсбергит, саффлорит	Никелин, раммельсбергит, мышьяк, касситерит, танталит	В ультраосновных изверженных породах, скарнах, кварц-карбонатных и пегматитовых жилах.

Продолжение таблицы 1

1	2	3	4	5	6	7	8	9	10
* Раммельс-бергит $NiAs_2$	Ромбическая, призматичес-кий, зернистый	До ясной по {110} в двух направл.	Оловянно-белый с красноватым оттенком. Серовато-черная	5,0-6,0	6,9-7,2	Раствор. в HNO_3 , раствор зеленый. Слабо ковок	Арсенопи-рит, саффло-рит	Шмальтин, хлоантит, раммельс-бергит , никелин, висмут, минералы серебра	В арсенидно-карбонатных и сульфидно-кварцевых жилах
* Кобальтин (кобальтовый блеск) CoAsS	Кубическая, зернистые агрегаты, иногда кристаллы	Сов. по {100} в трех направл. Неровный, раковистый	Серебряно-белый с красноватым оттенком. Серовато-черная	5,5	6,1-6,4	Разлагается в горячей HNO_3 с выд. S и As_2O_3; раствор розовый. Форма кристаллов и розовый оттенок	Арсенопи-рит, сперрилит	Пирротин, халькопи-рит, арсенопи-рит, сфалерит, висмутин	Высоко- и среднетемпе-ратурные гид-ротермальные жилы, скарны
* Герсдорфит NiAsS	Кубическая, {100},{110}, {111}, {311}, зернистый	Сов. по {100} в трех направл. Неровный	Оловянно-белый до стально-белого. Серовато-черная	5,0-5,5	5,6-6,2	Разлагается в горячей HNO_3 , раствор зеленый. Редкий	Ульманит, арсено-пирит	Арсениды Co и Ni, халькопи-рит, ульманит, пирит, висмутин	В кварцевых и карбонатно-кварцевых жилах
*Арсенопирит (мышьяко-вый колчедан) FeAsS	Моноклинная, призма-тические и изометричные кристаллы, зерни-стые и шестоватые агрегаты	Несов. по {101}, {010}. Неровный	Оловянно-белый до стально-серого. Серовато-черная	5,5-6,0	5,9-6,3	Разлагается в горячей HNO3 с выд. S. Широко распространен. Форма крис-таллов, твер-дость, чесноч-ный запах при ударе	Кобаль-тин, гудмундит	Пирит, халькопи-рит, пирротин, сфалерит, висмутин	В кварцевых и пегматитовых жилахТипичный гид-ротермальный минерал ши-рокого диапа-зона температур, скарны

Продолжение таблицы 1

1	2	3	4	5	6	7	8	9	10
Х Гудмундит FeSbS	Моноклинная, призматические кристаллы, зернистые агрегаты	Отсутствует. Неровный	Серебряно-белый. Черная	6,0	6,7-6,9	Разлагается в горячей HNO_3. Редкий. Реакция на Sb	Арсенопирит, кобальтин	Арсенопирит, молибденит, пирротин, халькопирит	Среднетемпературный гидротермальный минерал
Х Скуттерудит (шмальтин) $CoAs_2$	Кубическая, плотные зернистые агрегаты, нередко кристаллы	Несов. по {100}. Неровный, раковистый	Оловянно-белый. Серовато-черная	5,5-6,0	6,5-6,8	Раствор. в HNO_3 с образованием розового раствора. Ассоциация с другими арсенидами и форма кристаллов	Никельскуттерудит, саффлорит	Кобальтин, арсенопирит, пирротин, арсениды Co и Ni	Среднетемпературный гидротермальный минерал
Х Никельскуттерудит (хлоантит) $NiAs_{2-3}$	Кубическая, плотные зернистые агрегаты, нередко кристаллы	Несов. по {100}. Неровный	Оловянно-белый до стально-серого. Серовато-черная	5,5-6,0	6,4-6,8	Раствор. в HNO_3 с образованием зеленого раствора. Ассоциация с никелином, форма кристаллов	Скуттерудит, рамельсбергит	Арсениды Co и Ni, кобальтин, герсдорфит	Среднетемпературный гидротермальный минерал
Пиролюзит MnO_2	Тетрагональная, призматические кристаллы, землистые, скрытокристаллические агрегаты	Сов. по {110} в двух направл	Стально-серый, железо-серый в кристаллах. Черный в землистых агрегатах. Черная	6,0-6,5	4,7-5,2	Растворяется в HCl с выд. Cl_2.	Окислы и гидроокислы Mn	Романешит, криптомелан, браунит, родохрозит, гетит	Типичный минерал коры выветривания, зоны окисления, морских осадков, гидротермальный в жилах

Продолжение таблицы 1

1	2	3	4	5	6	7	8	9	10
* Сперрилит $PtAs_2$	Кубическая, {100}, {110}, {111}, {302}, обычно хорошо образованные кристаллы	Несов. по {100}. Раковистый	Оловянно-белый. Темно-серая	6,0-7,0	10,58	В кислотах не раствор. В п.п.тр. на угле плавится , образуя платину и As_2O_3	Иридистая платина	Пирротин, халькопирит, пентландит, магнетит	Медно-никелевые сульфидные руды, россыпи
*Осмий Os (иридосмин, сысерскит)	Гексагональная, Пластинчатые и боченковидные кристаллы	Сов по {0001} в одном направл	Серый, стально-серый	6,0-7,0	21,0-23,0	В кислотах не раствор., в п.п.тр. темнеет, издавая резкий запах OsO_4 . Слабо магнитен, ковок	Платина	Платина, хромит, магнетит, платиноиды	Ультраосновные породы, россыпи
X Иридий Ir (невьянскит)	Кубическая, изометричные зерна и кристаллы	Раковистый	Оловянно-белый	6,0-7,0	22,0-25,0	В кислотах не раствор., сплавы с KNO_3 раствор. В воде, образуя синий осадок окиси иридия. Слабо ковок	Сперрилит, платина	Иридосмин, хромит, магнетит, платиноиды	Ультраосновные платиноносные массивы, россыпи
	1. 2 Цвет жел								**тый, красный**
* Медь Cu	Кубическая, {100}, {111}, (110); дендриты, проволочки	Отсутствует. Крючковатый	Светло-розовая в свежем изломе, мед-но-красная при окислении. Медно красная, блестящая	2,5-3,0	8,4-8,9	Легко раствор. в HNO_3. Ковкость, цвет, вторичные продукты	Аурикуприд	Халькозин, куприт, кальцит, гетит, атакамит	Гидротермальная в основных и ультраосновных изверженных породах, в зоне окисления

Продолжение таблицы 1

1	2	3	4	5	6	7	8	9	10
* Золото Au	Кубическая, {111}, {100}, {110}; чешуйки, листочки, самородки	Отсутствует. Крючковатый	Золотисто-желтый до светло-желтого, иногда розоватый оттенок. Золотисто-желтая, блестящая	2,5-3,0	15,6-18,3	Раствор. в царской водке. Цвет, высокая ковкость, отсутствие продуктов окисления	Халькопирит, аурикуприд	Арсенопирит, пирит, галенит, сфалерит, халькопирит и др	Гидротермальное в кварцевых жилах, конгломератах, черных сланцах, в зоне окисления
* Борнит $Cu5FeS_4$	Кубическая, {100}, {110}, {111}; зернистый	Несов. по {111}. Мелкораковистый	Темный медно-красный, с пестрой побежалостью. Серовато-черная	3,0	4,9-5,3	Раствор. в HNO_3 с выд. S. Цвет в свежем изломе и низкая твердость	Никелин, пирротин, ковеллин	Халькопирит, халькозин, галенит, пирит, сфалерит	Гидротермальный в основных изверженных породах и кварцевых жилах, скарнах, зоне окисления
X Миллерит Ni S	Тригональная, игольчатый, волокнистый, зернистый	Сов.по {10$\bar{1}$1}и {10$\bar{1}$2}. Неровный	Бледно латунно-жел-тый, иногда с побежалостью. Зеленовато-черная	3,0-3,5	5,2-5,6	Раствор. в HNO_3 , раствор в зеленый цвет. Игольчатая форма выделений	Халькопирит	Пирит, Халькопирит, сульфиды и арсениды Ni и Co, кальцит	Медно-никелевые месторождения, кварцевые и кварц-карбонатные жилы
*Халькопирит (медный колчедан) $CuFeS_2$	Тетрагональная, зернистые агрегаты, иногда тетраэдрические кристаллы	Несов. по {112} и {101}. Раковистый, неровный	Латунно-желтый, нередко пестрая побежалость. Зеленовато-черная	3,0-4,0	4,1-4,3	Раствор. в HNO_3 с выд. S. Цвет, твердость, хрупкость	Пирит, золото, талнахит	Пирротин, пирит, арсенопирит, галенит, сфалерит и др.	Высоко- и среднетемпературный гидротермальный минерал в основных породах, скарнах

Продолжение таблицы 1

1	2	3	4	5	6	7	8	9	10
Талнахит $Cu_9Fe_8S_{16}$	Кубическая, зернистый	Несов. Раковистый	Латунно-желтый, на свежем сколе быстро образуется побежалость	3-4	4,3-4,4	Раствор. В HNO_3	Халькопирит	Кубанит	Медно-никелевые месторождения в основных породах
Х Пентландит (никелевый колчедан) $(Fe,Ni)_8S_9$	Кубическая, зернистые агрегаты и структуры распада в пирротине	Сов. по {111} в четырех направл. Раковистый	Бронзово-желтый. Зеленовато-черная	3-4,0	4,5-5	Раствор. в HNO_3, окрашивая раствор в зеленый цвет. Ассоциация и характерная спайность	Пирротин, пирит	Пирротин, халькопирит, талнахит, магнетит, кубанит	Магматический в основных изверженных породах
* Пирротин гексагональный $Fe_{1-x}S$	Гексагональная, таблитчатые и призматические кристаллы	Несов. по $\{10\bar{1}0\}$, отдельность по {0001}. Неровный	Бронзово-желтый с буроватой побежалостью. Серовато-черная до черной	3,5-4,5	4,6-4,7	В HNO_3 и HCl разлагается с трудом. Бронзово-желтая окраска	Троилит, кубанит	Халькопирит, пентландит, пирит, сфалерит, арсенопирит	Среднетемпературный гидротермальный минерал, в основных породах,скарнах, кварцевых жилах
* Клинопирротин (магнитный колчендан) Fe_7S_8	Моноклинная, зернистые агрегаты	Отдельность по {001}. Неровный	Бронзово-желтый. Серовато-черная до черной	3,5-4,5	4,6-4,7	Раствор. в HNO_3. Бронзово-желтая окраска и магнитность	Троилит, кубанит, пирротин гексагональный	Халькопирит, пентландит, пирит, сфалерит, арсенопирит	Среднетемпературный гидротермальный минерал, в основных породах, скарнах,кварцевых жилах
Х Троилит FeS	Гексагональная, зернистый	Неровный	Бронзово-желтый.	4	4,6-4,8	Легко раствор. в HCL с выд. H_2S. Парамагнитен	Пирротин	Халькопирит, пенландит	Медно-никелевыу месторождения в основных породах, серпентинизированные гипербазиты, включения в метеоритах

Окончание таблицы 1

1	2	3	4	5	6	7	8	9	10
Х Туламенит PtFeCu (купроплатина)	Кубическая, зернистый	Кубическая, зернистый	Неровный	4	14,6	В кислотах не раствор. Сильно магнитен	Пирротин	Изоферроплатина, тетраферроплатина, хромшпинелиды	В ультраснов-ных изверженных породах
Х Никелин NiAs	Гексагональная, почковидные, зернистые агрегаты	Несов.по $\{10\bar{1}0\}$. Неровный	Бледно медно-красный. Буровато-черная	5-5,5	7,6-7,8	Легко раствор. в HNO_3	Борнит, пирротин	Шмальтин, хлоантит, саффлорит, раммельсбергит, скуттерудит	В медно-никелевых месторождениях в основных изверженных породах, карбонатных и кварц-карбонатных жилах
* Марказит (лучистый колчедан) FeS_2	Ромбическая, копьевидные и таблитчатые кристаллы, конкреции, натечные агрегаты	Ясная по {101}. Неровный	Латунно-желтый с серым оттенком. Черная	6-6,5	4,9	Разлагается в HNO_3 с выд. S. Форма выд	Пирит, арсенопирит	Пирит, халькопирит, галенит, сфалерит, пирротин	Низкотемпертурный гидротермальный минерал, в зоне окисления
* Пирит (серный колчедан) FeS_2	Кубическая, зернистые агрегаты, коломорфные массы, хорошо образованные кристаллы	Несов. по {100}, отдельность по {111}. Раковистый	Светлый латунно-желтый. Зеленовато-черная	6-6,5	4,9-5,2	С трудом разлагается в HNO_3 с выд, S. Форма кристаллов, твердость, окраска	Марказит, халькопирит, арсенопирит	Халькопирит, сфалерит, арсенопирит и др.	Наиболее широко распространенный сульфид

2. Минералы с полуметаллическим блеском. Цветные непрозрачные
Черта аналогична цвету минерала в массе или светлее, но всегда отчетливая

Таблица 2

Название, химический состав	Сингония, облик кристаллов и строение агрегатов	Спайность, излом	Цвет, черта	Твер-дость	Плот ность	Химические свойства, особые приметы	Сходные минера-лы	Сопутству-ющие минералы	Условия нахождения
1	2	3	4	5	6	7	8	9	10
2.1. Черта бурая, буро									
			Цвет черный,						
X Ферберит $FeWO_4$	Моноклинная, зернистые аг-регаты,призма-тические и таблитчатые кристаллы	Сов. по {010} в одном нап-равлении. Неровный	Черный. Черная	4,5	7,3-7,5	Раствор. в HNO_3 и HCl. Ассоциация, окраска, спайность	Танталит, сфалерит, кассите-рит	Касситерит, висмутин, топаз, берилл, флюорит	Высокотемпера-турный гидро-термальный ми-нерал кварцевых жил, грейзенов, пегматитов
X Уранинит UO_2	Кубическая, массивный, колломорф-ный - насту-ран,	Неровный, раковистый	Стально-серый до черного. Черная, буровато-черная, слегка блестящая	5-6,0	7,5-10,	Раствор. в H_2SO_4 и HCl. Радиоактив-ность, окраска, форма выд	Ильменит	Монацит, ксенотим, циртолит, алланит, биотит	Гидротермаль-ный минерал, в пегматитах, грейзенах, квар-цевых жилах и цементе конгломератов
# Ильменит $FeTiO_3$ (титанис- тый железняк	Тригональная, таблитчатый {0001}, $\{10\bar{1}1\}$,$\{10\bar{1}4\}$, зернистый	Неровный, раковистый	Железо-черный до стально-серого. черная	5-6	5,6-6,4	В кислотах не раствор. Слабо магнитен	Гематит, магнетит, хромит	Гематит, магнетит, циркон, титанит, апатит, полевые шпаты	В основных изверженных горных породах, пегматитовых и кварцевых жилах, амфиболитах
X Самарскит $(Y,Ce,U,Fe^{+3})\times$ $\times(Nb,Ta)_5O_{16}$	Моноклинная, псевдо-ромбический, призматич, метамиктный	Раковистый	Смоляно-чер-ный, бархати-сто-черный. Бурая до черной	5-6	5,6-6,4	Разлагается в кислотах при кипячении. Сильно радиоактивен	Колумбит	Колумбит, монацит,то-паз, берилл, циркон, шерл	В щелочных пегматитах

Продолжение таблицы 2

2

1	2	3	4	5	6	7	8	9	10
ХЭшинит $(Ce,Ca,Th,)\times$ $\times(Ti,Nb)\times$ $\times(O,OH)_6$	Ромбическая, призматический, отдельные зерна	Раковистый, неровный	Буровато-черный до черного. Бурая	5-6	4,9-5,3	Разлагается в конц. H_2SO_4. Сильно радиоактивен, имеет красные и желто-бурые внутренние рефлексы	Самарскит, колумбит, фергусонит	Монацит, биотит, циркон, магнетит, апатит, алланит	В щелочных пегматитах
* Романешит (псиломелан) $(Ba, H_2O) \times$ $\times(Mn^{4+}, Mn^{3+})_5$ $\times O_{10}$	Моноклин-ная; натеч-ные, почко-видные, плотные агрегаты	Неровный, скорлупова-тый	Темный стально-серый до черного. Коричневато-черная	5-6	4,0-4,7	Легко с выд. Cl_2. Окрашивает пламя в зеленый цвет	Криптомелан, пиролюзит	Пиролюзит, якобсит, браунит, гаусманит	Типичный минерал коры выветривания, зоны окисления, морских осадков, редко гидротермальный
* Криптомелан $K(Mn^{4+},$ $Mn^{2+})_8O_{16}$	Моноклин-ная, псевдотетрагональный, тонкозернистый, тонковолокнистый, почковидный	Неровный	Стально-серый до черного. Коричневато-черная	6-6,5	4,2-4,4	Раствор. в HCl и HNO_3	Романешит, пиролюзит	Манганит, романешит, пиролюзит, браунит, якобсит, исутит	В метаморфизованных марганцевых м-ниях и их зоне окисления, осадочных марганцевых рудах, в пегматитовых и кварц-карбонатных жилах
* Магнетит (магнитный железняк) $Fe^{2+}Fe^{3+}{}_2O^4$	Кубическая, {111}, {110}, {311},зернистый, землистый. Мушкетовит - псевдоморфоза по гематиту	Отдельность по {111}. Неровный, раковистый	Черный, темно-серый. Черная	5,5-6	4,8-5,3	Раствор. в HCl при нагревании. Сильно магнитен	Ильменит, гематит, хромит	Ильменит, гематит, фторапатит, андрадит, эпидот, диопсид	Магматический в основных изверженных породах; метасоматический в скарнах; железистые кварциты

Продолжение таблицы 2

1	2	3	4	5	6	7	8	9	10
Х Лопарит (Ce,Na, Ca)× ×(Nb,Ti)O^3	Кубическая, псевдокубический {100}, {111},двойники прорастания по{111}	Несов. по {100}. Неровный	Черный, серовато-черный. Коричнево-бурая	5,5-6	4,7-4,9	В кислотах нераствор. Характерно нахождение в щелочных породах	Перовскит	Микроклин, нефелин, альбит, эгирин, арфедсонит, эвдиалит, апатит	В щелочных изверженных породах и их пегматитах
Х Якобсит $MnFe_2O_4$	Кубическая, {110}, {111}, {311}, зернистый	Отдельность по{111}	Черный,буровато-черный. Бурая, буровато-черная	5,5-6,5	4,8-4,9	Раствор. в HCl с выдел. хлора. Слабо или сильно магнитен	Браунит, магнетит	Гематит,теффроит, гаусманит, гранат, эпидот, родохрозит	В гидротермальных и метаморфических месторождениях, скарнах
* Хромит (хромистый железняк) $FeCr_2O_4$	Кубическая, зернистый, нодулярный, редко кристаллы	Отсутствует. Неровный	Черный, буровато-черный. Бурая, иногда серая	5,5-7,5	4,5-4,8	В кислотах раствор. при сплавлении с $KHSO_4$. Бурая черта, высокая твердость, иногда слабая магнитность	Гематит, магнетит, ильменит	Форстерит, серпентин, магнетит, уваровит	Магматический в ультраосновных изверженных породах, россыпях
* Ферроколумбит Fe,Mn)Nb_2O_6	Ромбическая, Призматический, пластинчатый, сплошной, зернистый	Ясная по {010}. Раковистый, неровный	Черный. Черная, буровато-черная	6	4,9-5,4	В кислотах не раствор. Слабо магнитен	Самарскит, ильменит, вольфрамит	Магнетит, ильменит, альмандин, циркон, ксенотим	В кислых и щелочных изверженных породах их пегматитах и карбонатитах
Ферротанталит (Fe,Mn)Ta_2O_6	Ромбическая, Призматический, пластинчатый	Ясная по {010}. Раковистый	Черный, буровато-черный. Буровато-черная	6-6,5	6,4-8,2	В кислотах не раствор	Самарскит, ильменит, вольфрамит	Сподумен, поллуцит, лепидолит, берилл, турмалин, топаз	В гранитных пегматитах

Продолжение таблицы 2

1	2	3	4	5	6	7	8	9	10
2.2. Черта красновато-бурая, же Цвет темно-красный					**лтовато-бурая, зеленовато-серая. темно-бурый, черный**				
X Манганит $MnO(OH)$	Моноклинная, натечные, плотные и зернистые массы, конкреции, оолиты	В. сов. по {010} и сов. по {110}. Неровный	Темный стально-серый до железо-черного. Красновато-бурая, бурая	3,5-4	4,2-4,3	Раствор. в конц. H_2SO_4 и конц. HCl с выд. хлора. Цвет черты и твердость	Гетит, гаусманит, браунит	Родохрозит, пиролюзит, гетит,романешит, браунит, барит	В осадочных мниях марган-ца, реже, низкотемпературный гидротермальный минерал
X Алабандин MnS	Кубическая, {100}, {110}, {111}, зернистый	Сов. по {100} в трех направл	Железо-черный до сталь-но-серого, часто бурая побежалость. Зеленовато-серая	3,5-4	3,9-4,1	Бурно раствор. в HCl и HNO_3 с выдел. H_2S. Слабо магнитен	Сфалерит, гауерит	Родохрозит, тефроит, галенит, сфалерит,пирофанит,рододит, пирок-смангит	В низкотемпературных гидротермальных жилах и метаморфогеных марганцевых рудах
Мангантаталит $Mn\ Ta_2O_6$	Ромбическая, призматически зернистый	Ясная по{010}	Буровато-красный, тем-но-красный. Темно-красная	6	7,5	В кислотах не раствор. Прозрачен в тонких сколах	Манган-колумбит, гейкелит	Пирофанит, воджинит, эшинит(Ce)	В редкометальных и литиевых пегматитах
* Сфалерит (цинковая обманка) ZnS Fe - марматит	Кубическая, часто кристаллы, зернистый, скорлуповатый, колломорфный, землистый	Сов. по {110} в шести направл.	Бурый, черный, красно-вато-бурый, желтый, зеле-ный. Бурая, желтовато-бурая	3,5-4	3,9-4,1	Раствор. в конц. HNO_3 с выд. серы, в HCl с выд. H_2S. Форма кристаллов и спайность	Вольфрамит, вюрцит	Галенит, халькопирит, пирит, блеклые руды, кальцит, кварц	Гидротермальный минерал широкого диапазона температур

Продолжение таблицы 2

1	2	3	4	5	6	7	8	9	10
Х Гюбнерит $Mn(WO_4)$	Моноклинная, призматические кристаллы, зернистые и радиально-лучистые агрегаты	Сов. по {010} в одном направл. Неровный	Красновато-бурый до коричневато-черного. Желтовато-бурая до красновато-коричневой	4-4,5	7,1-7,3	Разлагается в горячих конц. H_2SO_4 и HCl. Форма зерен, окраска, спайность	Сфалерит, касситерит	Триплит, висмутин, шеелит, касситерит, молибденит	Высокотемпературный гидротермальный минерал, грейзены и пегматиты
* Гейкелит $MgTiO_3$	Тригональ-ная, отдельные зерна и сплошные массы, редко кристаллы	Ясная по $\{10\bar{1}1\}$, отдельность по {0001}. Раковистый	Красно-бурый до черного. Буровато-красная	5	3,8-4,1	В кислотах не растворяется. В тонких осколках просвечивает красным. Редок	Пирофанит, ильменит	Шпинель, циркон, хромит, диопсид, форстерит	Магматический в ультраосновных изверженных породах, в россыпях, реже гидротермальный
* Гетит $FeO(OH)$	Ромбическая, почковидные, натечные выделения параллельно-волокнистого строения	Сов. по {010} и менее сов. по {100}. Занозистый, неровный	Желтовато-бурый до черного. Желтовато-бурая, бурая	5-5,5	4,1-4,3	Медленно раствор. в HCl. Параллельно-волокнистое строение и желтый оттенок черты	Гематит, лепидокркит	Гематит, лепидокрокит, кальцит	Гипергенный минерал зоны окисления и коры выветривания; осадочные образования, реже, гидротермальный
Х Гаусманит $Mn^{2+}Mn^{3+}{}_2O_4$	Тетрагональная, бипирамидальный, зернистый	Ясная по {001} в одном направл. неровный	Коричневато-черный до черного. Коричневая, красновато-бурая	5-5,5	4,7-4,9	В HCl раствор. с выделен. хлора	Браунит, гейкелит, магнетит	Пиролюзит, псилимелан, браунит, гематит, тефроит, родохрозит	В метаморфизованных марганцевых м-ниях, скарнах и гидротермальных жилах

Окончание таблицы 2

1	2	3	4	5	6	7	8	9	10
X Пирофанит $MnTiO_3$	Тригональная, тонкотаблитчатый, зернистый	Отчетливая по $\{02\bar{2}1\}$	Буровато-красный до черно-крас-ного. Охряно-желтая до красновато-бурой	5-6	4,4-4,6	В кислотах не раствор. В тонких листочках просвечивает красным	Ильменит, гейкелит, рутил	Пирохроит, родонит, спессартин, родохрозит, алабандин, натролит	Вметаморфических марганцевых месторождениях и пегматитах щелочных массивов
Мангано-колумбит $MnNb_2O_6$	Ромбическая, призматический, зернистый	Ясная по {010}, раковистый	Красновато-бурый до черного. Красновато-бурая	6	5,4	В кислотах не растворяется. Красные рефлексы	Мангано-танталит, гейкелит	Самарскит, эвксенит, фергусонит	В редкометальных пегматитах
X Торианит ThO_2	Кубическая, {100}, {111}, зернистый	Несов по {110}, неровный	Серовато-коричневый до черного. Зеленовато-серая	6,5-7,5	8,4-10,0	Растворяется в HNO_3 и H_2SO_4	Уранинит, торит	Циркон, монацит, берилл, флюорит, ильменит, рутил	В кислых изверженных породах и их метаморфических аналогах, пегматитах, карбонатитах и россыпях
* Гематит (железный блеск) Fe_2O_3	Тригональная, плотные зернистые, тонкочешуйчатые, пластинчатые, натечные агрегаты и кристаллы	Отдельность по $\{000\bar{1}\}$ и $\{10\bar{1}1\}$. Раковистый	Стально-серый до черного, землистые агрегаты – буровато-красные. Вишнево-красная	5-6	5,0-5,3	Раствор. в конц. HCl. Специфическая черта, цвет и магнитность после прокаливания	Вольфрамит, хромит	Магнетит, кварц, рутил, сидерит, шамозит, ильменит	В железистых кварцитах, скарнах, жилах альпийского типа и кварцевых, коре выветривания

3. Минералы с алмазным блеском. Или прозрачные в

Бесцветные или цветные, идеально прозрачные той или инойстепениТаблица3

Название, химический состав	Сингония, облик кристаллов и строение агрегатов	Спайность, излом	Цвет, черта	Твер-дость	Плот ность	Химические свойства, особые приметы	Сходные минера-лы	Сопутствую -щие минералы	Условия нахождения
1	2	3	4	5	6	7	8	9	10
3.1. Черта оранжевая, Цвет минерала оранжевый, красная красный до черного									
Х Реальгар AsS	Моноклинная, призматичес-кие кристаллы зернистые агрегаты, налеты	Сов. по {010} в одном направл. Полурако-вистый	Огненно-красный до оранжево-жел-того. Оранжево-красная, огненно-краная	1,5-2	3,56	Разлагается в HNO_3 с выд. S, в HCl выпадают желтые хлопья. Окраска и ассоциация	Крокоит, киноварь	Аурипиг-мент, антимонит, киноварь, сажистый пирит	Низкотемпера-турный гидротер-мальный минерал. В жилах и вулканических возгонах
Х Глет (литаргит) PbO	Тетрагональ-ная, таблит-чатый, корочки, примазки	Ясная по {110} в двух направл	Красный, оранжево-красный. Красная	2	9,3	Раствор. в HCl, HNO_3 и H_2SO_4, в последней образуется осадок $PbSO_4$	Сурик, киноварь	Церуссит, сурик, англезит, вульфенит, свинец	В зоне окисления свинцовых месторождений
Х Киноварь HgS	Тригональная, зернистые аг-регаты, сплошные порошкова-тые массы, реже крсталлы	Сов. по $\{10\bar{1}0\}$ в трех направл. Неровный	Ярко-красный, коричневато-красный. Ярко-красная	2-2,5	8,0-8,2	Разлагается царской водкой. При нагревании сублимирует. Цвет, спайность, высокая плотность	Куприт, кермезит	Антимо-нит, пирит, реальгар, арсенопи-рит	Низкотемпера-турный гидротер-мальный мине-рал. Преимуществен-но, в жилах

Продолжение таблицы 3

1	2	3	4	5	6	7	8	9	10
Х Прустит Ag_3AsS_3	Тригональная, призматический, ромбоэдрический, зернистый	До ясной по $\{10\bar{1}1\}$. Раковистый	Ярко-красный, темнее на свету. Кирпично-красная	2,0-2,5	5,55-5,64	Разлагается в HNO_3 с выдел. S	Пираргирит, реальгар	Аргентит, пираргирит, серебро, мышьяк	В карбонатно-кварцевых жилах
Х Пираргирит Ag_3SbS_3	Тригональная, призматический, зернистый	До ясной по $\{10\bar{1}1\}$. Раковистый, неровный	Вишнево-красный до красновато-черного. Пурпурно-красная	2,0-2,5	5,8-5,9	Разлагается в HNO_3 с выдел. S и Sb_2O_3	Прустит	Галенит, серебро, прустит, аргентит	В карбонатно-кварцевых жилах
Х Сурик $Pb^{4+}Pb_2O_4$	Тетрагональная, плотный или порошковатый	Неровный	Ярко-красный до буровато-красного. Желто-оранжевая	2,0-3,0	8,2-9,2	Раствор. в HCl с выдел. Cl, в HNO_3 образуется $Pb(NO_3)_2$ и коричневый осадок PbO_2. Редок	Глет	Галенит, церуссит, массикот, вульфенит	В зоне окисления свинцовых месторождений
# Крокоит $Pb(CrO_4)$	Моноклинная, призматические и игольчатые кристаллы, массивные агрегаты	Ясная по {110} в двух направл. Раковистый, неровный	Гиацинтово-красный, оранжево-красный. Желтовато-оранжевая	2,5-3,0	6,0-6,1	Раствор. в HCl с выд. Cl и $PbCl_2$. Ассоциация и окраска	Реальгар, фенико-хроит	Вокеленит, пироморфит, миметезит, церуссит	Зона окисления сульфидных м-ний

Продолжение таблицы 3

1	2	3	4	5	6	7	8	9	10
* Куприт Cu_2O	Кубическая, мелкозер-нистый, по-рошковатый, кубические и столбчатые кристаллы - вискеры	До ясной по {111}. Неровный, раковистый	Темно-крас-ный, кирпич-но-красный до черного. Буровато-красная	3,5-4	5,9-6,2	Легко раствор. в HNO_3. Ассоциация со вторичными минералами меди	Киноварь, прустит. Пирарги-рит	Медь, малахит, гетит, псевдомал-ахит	Зона богатых окисных руд медносульфид-ных м-ний
* Лепидокро-кит (рубиновая слюдка) FeO(OH)	Ромбическая, мелко-чешуйчатый, радиально-пластинча-тый, таблит-атые крис-таллы	Сов. по {010} и {001} в двух направл. Неровный	Рубиново-красный, вишнево-красный. Оранжево-красная	4-5	3,8-4,1	Раствор. в HCl. Красноватый оттенок черты и парагенезис	Гетит, гематит	Гетит, гематит, пирит	В бурых железняках зоны окисления, бокситах, почвах

3.2. Черта желтая

Цвет минералов желтый, коричне

светло-желтая, белая.

вый до черного, иногда бесцветный

*Сера S	Ромбическая, зернистые, порошкова-тые, сливные агрегаты и дипирами-дальные кристаллы	Несов. по {001}, {110}. Раковистый, неровный	Серно-желтый, медово-желтый, зеленовато- и буровато-желтый. Белая	1-2	2,1	Легко горит. Раствор. в сероуглероде и скипидаре. Цвет, хруп-кость, блеск, горючесть	Розицкит, аурипиг-мент	Гипс, ангидрит, галит, кальцит, арагонит	В вулканических отложениях, оса-дочных породах и зоне окисления сульфидных м-ний
* Ферримолиб-дит $Fe_2(MoO_4)_3\times$ $\times 7H_2O$	Ромбическая, радиально-волокнистые и порошковатые агрегаты	Сов. по {001}. Неровный	Канареечно-желтый, зеленовато-желтый. Бледно-желтая	1-2	4,5	Раствор. в кис-лотах. Форма выд. и развитие по молибдениту	Ярозит, ферро-тунгстит	Молибде-нит, вольфра-мит, полевой шпат	Зона окисления молибденовых м-ний

Продолжение таблицы 3

1	2	3	4	5	6	7	8	9	10
* Тюямунит $Ca(UO_2)_2 \times \times (VO_4)_2 \times \times 8H_2O$	Ромбическая, чешуйчатые и пластинчатые агрегаты	Сов. по {001} в одном направл	Канареечно-желтый, зеленовато-желтый. Желтая	1-2	3,7-4,5	Раствор. в кислотах. Цвет, форма выд. Радиоактивность	Карнотит, урановые слюдки	Карнотит, уранинит, коффинит, роскоэлит	Зона окисления урановых м-ний и терригенные осадочные породы (песчаники)
Х Арсенолит As_2O_3	Кубическая, октаэдрический, землистый,	Сов. по {111} в 4-х направл. Раковистый	Бесцветный, белый, желтый. Белая	1,5	3,7-3,9	Частично раствор. в горячей воде. Возгоняется в виде белого дыма	Сенармон-тит, валентинит	Мышьяк, арсенопирит, теннантит, реальгар, аурипигмент	Зона окисления сульфидных м-ний
Х Аурипигмент As_2S_3	Моноклинная, кристаллы, пластинчатые и волокнистые агрегаты, порошковатые массы	В. сов. по {010} в одном направл	Золотисто-желтый, лимонно-желтый. Светло-желтая	1,5-2	3,5	Раствор. царской водке и щелочах с выпадением бурого осадка. Цвет, низкая твердость и спайность	Сера	Реальгар, антимонит, пирит, арсенопирит, гетчеллит	Низкотемпературные гидротермальные м-ния и отложения горячих источников
Х Сенармонтит Sb_2O_3	Кубическая, октаэдрический, зернистый	Раковистый, неровный	Бесцветный, серовато-белый. Белая	2-2,5	5,2-5,8	Легко раствор. в HCl. Ассоциация с антимонитом и вторичными минералами Sb	Валентинит, арсенолит	Антимонит, кремезит, сурьма	Зона окисления сурьмяных м-ний

Продолжение таблицы 3

1	2	3	4	5	6	7	8	9	10
Карнотит $K_2(UO_2)_2(VO_4)_2\times\times 3H_2O$	Ромбическая, пластинчатый, землистый	Сов. по {001} в одном направл	Ярко-желтый до лимонно-желтого. Желтая	2-2,5	4,5-5,0	Легко раствор. в кислотах. Яркий цвет, приуроченность к осадочному комплексу, радиоактивность	Отенит, тюямунит	Тюямунит, фольбортит, россит, уранинит, асфальтит	Зона окисления урановых м-ний и в песчаниках
X Вульфенит $Pb(MoO)_4$	Тетрагональная, дипирамидальный, пластинчатый, зернистый	Ясная по {011}	Оранжево-желтый, серовато-желтый. Белая	2,5-3	6,5-7	Раствор. в кислотах	Штольцит, шеелит	Пироморфит, ванадинит, церуссит, галенит, миметизит	Зона окисления сульфидных м-ний
X Штольцит $Pb(WO)_4$	Тетрагональная, дипирамидальный, зернистый	Несов. по {011}. Раковис-тый, неровный	Красновато-желтый, желтовато-серый, соломенно-желтый. Белая	2,5-3	7,9-8,3	Раствор. в HCl с выдел. WO_3	Вульфенит, шеелит	Ванадинит, миметизит, вульфенит, церуссит, лимонит	Зона окисления сульфидных м-ний
# Вокеленит $b_2Cu(CrO_4)\times\times(PO_4)(OH)$	Моноклинная, клиновидный, зернистый	Неровный	Оливково-зеленый до черного. Зеленовато-желтая	2,5-3	6,5-7,1	Раствор. в HNO_3	Лаксманит, форнасит	Крокоит, пироморфит, миметизит, ванадинит	Зона окисления сульфидных м-ний

Продолжение таблицы 3

1	2	3	4	5	6	7	8	9	10
X Ванадинит $Pb_5(VO_4)_3Cl$	Гексагональная, призматические кристаллы и мелкозернистые корочки	Раковистый, неровный	Оранжево-красный, коричнево-красный, коричнево-желтый. Бледно-желтая	2,5-3	6,5-7,1	Легко растворяется в HCl и HNO_3 Форма кристаллов, цвет и ассоциация	Миметезит	Миметезит, пироморфит, деклуазит, церуссит, вульфенит	Зона окисления свинцовых м-ний
* Ярозит $KFe_3(SO_4)_2 \times \times (OH)_6$	Тригональная, ромбоэдрические кристаллы, тонкочешуйчатые плотные агрегаты	В. сов. по {0001} в одном направл.	Охристо-желтый до коричнево-желтого. Желтая	2,5-3,5	3,1-3,3	Раствор. в кислотах. Жирный на ощупь	Гетит, лимонит	Лимонит, гематит, гетит	Зона окисления сульфидных м-ний
* Церуссит $Pb(CO_3)$	Ромбическая, пластинчатые и бипирамидальные кристаллы, зернистые и натечные агрегаты	Ясная по {110} и {021}. Раковистый	Бесцветный, белый, серый, желтый. Белая	3-3,5	6,5	Раствор. в кислотах с выд. CO_2. Форма кристаллов, блеск, плотность и ассоциация	Англезит	Англезит, смитсонит, вульфенит, малахит, галенит	Зона окисления свинцовых м-ний
* Сфалерит (цинковая обманка) ZnS	Кубическая, тетраэдрические кристаллы, зернистый, реже землистый - брункит	Сов. по{110} в шести направл. Раковистый	Желтый, зеленый (клейофан), красный, бурый. Светло-желтая	3,5-4	3,9-4,1	Раствор. в конц. HNO_3 с выд. S, в HCl с выд. H_2S. Форма кристаллов, спайность и блеск	Гринокит, вюрцит	Галенит, блеклая руда, халькозин, борнит	В полиметаллических м-ниях, в известняках и колчеданных рудах

Продолжение таблицы 3

1	2	3	4	5	6	7	8	9	10
Х Миметизит $Pb_5(AsO_4)_3Cl$	Гексагональная, призматический, зернистый	Неровный	Бесцветный, белый, желтый, бурый. Белая	3,5-4	7,2-7,3	Раствор. в HNO_3 и HCl, где выпадает $PbCl_2$	Пироморфит, ванадинит	Пироморфит, ванадинит, церуссит, вульфенит, бедантит	Зона окисления свинцовых м-ний
* Пироморфит $Pb_5(PO_4)_3Cl$	Гексагональная, призматические кристаллы и зернистые агрегаты	Неровный	Желтый, желтовато-зеленый, бурый. Белая	3,5-4	7-7,1	Раствор. в кислотах. Легко плавится, после охлаждения приобретает полиэдрическую форму	Миметезит, ванадинит	Церуссит, лимонит, крокоит, вокеленит, вульфенит	Зона окисления свинцовых м-ний
* Шеелит $Ca(WO)_4$	Тетрагональная, дипирамидальные кристаллы и зернистые агрегаты	Ясная по {101}. Неровный	Белый, серый, бледно-желтый, оранжево-красный. Белая	4,5-5	5,8-6,2	Раствор. в HCl с выд. WO_3 Плотность, форма кристаллов, люминесцирует в УФ-лучах	Кварц	Вольфрамит, касситерит, гранат, эпидот, флюорит	Кварцевые жилы и скарны
* Пирохлор $(Ca,Na)_2 \times$ $\times (Nb,Ta)_2 \times$ $\times O_6(OH,F)$	Кубическая, октаэдрические кристаллы и мелкокристаллические агрегаты	Отдельность по {111} Раковистый	Желто-бурый, янтарно-желтый, зеленовато-желтый. Светло-желтая	5-5,5	4,2-5	С трудом раствор. в HCl. Разлагается в конц. H_2SO_4. Форма кристаллов, цвет	Циркон, шеелит, перовскит	Циркон, ильменит, биотит, апатит, титанит, алланит	Нефелиновые сиениты, альбитизированные граниты, щелочные основные породы и карбонатиты

Продолжение таблицы 3

1	2	3	4	5	6	7	8	9	10
* Перовскит $CaTiO_3$	Ромбическая (псевдокубическая), кубический, октаэдрический, зернистый редко	Несов. по {100}. Раковис-тый, неровный	Черный,буровато-черный, красновато-бурый, буровато-желтый. Белая, буровато-серая	5,5	4,1-4,3	Раствор. в HF и при кипячении в конц. H_2SO_4	Хромит	Хлорит, кальцит, гранат, диопсид, магнетит, ильменит	В ультраосновных и щелочных породах, карбонатитах и контактово измененных известняках
* Анатаз TiO_2	Тетрагональная, остродипирамидальные кристаллы, зернистые агрегаты	Сов. по {001} и {111} в пяти направл. Раковистый	Синий до черного, лимонно-желтый, красновато-коричневый. Белая	5-6	3,9-4	В кислотах не раствор. Цвет и форма кристаллов	Кассите-рит, рутил	Адуляр, брукит, ильменит, титанит, апатит	Жилы альпийского типа, акцессорный минерал магматических и метаморфических пород
* Брукит TiO_2	Ромбическая, уплощенно-призматические и призматические кристаллы	Несов. по {110}. Раковистый	Желтый, желтовато-коричневый до черного. Белая до бледно-желтой	5,5-6	4--4,1	В кислотах не раствор. Уплощенная форма кристаллов, цвет и ассоциация	Рутил	Анатаз, титанит, адуляр, рутил, ильменит	Жилы альпийского типа, акцессорный минерал метаморфических пород
* Рутил TiO_2	Тетрагональная, призматические и игольчатые кристаллы, коленчатые двойники и зернистые агрегаты	Сов. по {110} в двух направл. Раковистый, неровный	Светло-желтый, красновато-бурый до черного (нигрин). Светло-желтая до бледно-коричневой	6-6,5	4,2-4,3	В кислотах не раствор. Широко распространен. Форма кристаллов, твердость	Кассите-рит, циркон, турмалин	Апатит, ильменит, брукит, гематит	В апатитовых жилах и гнездах, в основных изверженных и метаморфических породах и кварцевых жилах

Окончание таблицы 3

1	2	3	4	5	6	7	8	9	10
Х Касситерит SnO_2	Тетрагональная, призматические кристаллы, зернистые и колломорфные агрегаты (деревянистое олово)	Несов. по {110} и {100}. Полураковистый, неровный	Желтый, красновато-бурый до коричнево-черного. Белая до темно-бурой	6-7	6,8-7	Зерна при кипячении с цинком в HCl покрываются пленкой олова. Плотность, форма кристаллов	Рутил, циркон	Вольфрамит, касситерит, висмутин, арсенопирит, шеелит	В кварцевых и пегматитовых жилах, грейзенах, скарнах, кислых магматических породах и россыпях
* Циркон $Zr[SiO]_4$	Тетрагональная, обычно призматические или дипирамидальные кристаллы, иногда метамиктные	Несов. по {110} и {111}. Раковистый	Желтый (жаргон), желто-бурый, красный (гиацинт), красно-коричневый. Белая до светло-желтой	7-7,5	3,9-4,6	Слабо разлагается в конц. H_2SO_4. Преимущественно в кристаллах, люминесцирует в УФ-лучах, иногда радиоактивен	Рутил, касситерит, монацит	Монацит, ксенотим, титанит, алланит, биотит, ильменит	Акцессорный минерал кислых и щелочных изверженных пород и их пегматитов, россыпи
Х Алмаз С	Кубическая, округлые кристаллы, зернистые сростки (борт, баллас, карбонадо)	Сов. по {111} в четырех направл. Раковистый	Бесцветный, голубой, желтый, зеленый, розовый, коричневый до черного. Белая	10	3,5-3,6	В кислотах не растворяется. Форма кристаллов, блеск, ассоциация, люминесценция в УФ и рентгеновских лучах	Лонсдейлит, муассанит	Пироп, гейкелит, хромдиопсид, форстерит, флогопит	Кимберлитовые и лампроитовые трубки взрыва, россыпи

3. Минералы с алмазным блеском.
Черта чаще белая, реже светло окрашенная,
Прозрачные в той, или иной степени
минерал белеет в том месте, с которого получена черта

Таблица 4

Название, химический состав	Сингония, облик кристаллов и строение агрегатов	Спайность, излом	Цвет, черта	Твер-дость	Плот ность	Химические свойства, особые приметы	Сходные минералы	Сопутству-ющие минералы	Условия нахождения
1	2	3	4	5	6	7	8	9	10
4.1. Черта имеет отчетливую окраску: **Цвет минерала аналогичен цвету**									
* Вивианит $Fe_3(PO_4)_2 \times \times 8H_2O$	Моноклинная, призматичес-кие до игольчатых кристаллы, землистые агрегаты, конкреции, стяжения	Сов. по {010} в одном направл. Неровный	Свежий - бесцветный, на воздухе быстро синеет до сине-черного. Голубоватая до синей	1,5-2	2,68	Легко раствор. в кислотах. Окраска и приуроченность к органическим остаткам		Анапаит, фосфаты железа и марганца	Осадочные железорудные м-ния, торфяники
* Эритрин $Co_3(AsO_4)_2 \times \times 8H_2O$	Моноклинная, призматические и игольчатые кристаллы, землистые агрегаты, выцветы, налеты	Сов. по {010} в одном направл. Неровный	Малиново-красный, персиково-красный, бледно-розовый. Бледно-розовая, розовая	1,5-2,5	3-3,1	Раствор. в кислотах, окрашивая раствор в розовый цвет. Окраска и развитие по арсенидам и сульфоарсенидам	Родохрозит	Кобальтин, саффлорит, скуттерудит, аннабергит, кальцит	Зона окисления арсенидных и сульфоарсенидных м-ний кобальта и никеля
зеленую, голубую, синюю, розовую. **черты, или несколько темнее**									

Продолжение таблицы 4

1	2	3	4	5	6	7	8	9	10
*Глауконит $K(Fe^{+3}Mg)\times[AlSi_3O_{10}]\times\times(OH)$	Моноклинная, землистые массы, червеобразные и шаровидные мелкие стяжения	В. сов. по {001}	Зеленый, зеленовато-бурый до зеленовато-черного. Зеленая	2-3	2,4-3	Разлагается в HCl с образованием скелета SiO_2. Цвет, форма выд. и парагенезис	Хлориты, селадонит	Селадонит, слоистые силикаты	В осадочных терригенных горных породах и почвах
Лампрофиллит $Na_2(Sr,Ba)_2Ti_3\times\times(SiO_4)_4(OH,F)_2$	Моноклинная, призматический, радиально-лучистый	В. сов. по {001}	Золотисто-бурый, бронзово-желтый. Буровато-желтая	2-3	3,4-3,5	Разлагается в царской водке с выдел. кремнезема. Грубопластинчатый	Астрофиллит	Эвдиалит, мурманит, эгирин, рамзаит, нефелин	В щелочных изверженных породах и их пегматитах
* Аннабергит $Ni_3(AsO_4)_2\times\times8H_2O$	Моноклинная, призматические и игольчатые кристаллы, землистые агрегаты, выцветы, налеты	Сов. по {010}. Неровный	Яблочно-зеленый, гряз-но-зеленый до белого. Бледно-зеленая до белой	2,5-3	3,0-3,2	Раствор. в кислотах, окрашивая раствор в нежно-зеленый цвет. Окраска и развитие по арсенидам и сульфоарсенидам никеля	Моренозит	Симплезит, моренозит, малахит, адамин, эритрин	Зона окисления арсенидных и сульфоарсенидных м-ний кобальта и никеля
Х Астрофиллит $(K,Na)_3\times(Fe^{2+},Mn)_7\times Ti2\times[Si_8O_{24}]\times(O,OH)_7$	Триклинная, таблитчатые, игольчатые кристаллы, радиально-лучистые, волокнистые агрегаты	В. сов. по {001} в одном направл	Золотисто-желтый, бронзово-желтый. Буровато-желтая	3	3,28-3,42	Легко раствор. в HCl. Магнитен после прокаливания	Лампрофиллит	Эгирин, арфедсонит, канкринит, аьбит, натролит, титанит, апатит	В щелочных изверженных породах и их пегматитах

Продолжение таблицы 4

1	2	3	4	5	6	7	8	9	10
Х Атакамит $Cu_2Cl(OH)_3$	Ромбическая, призматический, пластинчатый, мелкозернистый	Сов. по {010}. Раковистый	Изумрудно-зеленый до черно-зеленого. Яблочно-зеленая	3-3,5	3,8-3,9	Легко раствор. в кислотах. Окрашивает пламя в голубой цвет	Малахит, брошантит	Куприт, гипс, пара-атакамит, брошантит, малахит и др	В зоне окисления медных м-ний в областях с засушливым климатом
* Малахит $Cu(CO_3) \times \times Cu(OH)_2$	Моноклинная, натечные, почковидные и радиально-лучистые агрегаты, редко призматические кристаллы	Сов. по {201} и {010}. Неровный раковистый	Ярко-зеленый, темно-зеленый до черно-зеленого. Бледно-зеленая	3,5	4-4,1	Легко раствор. в кислотах с выдел. CO_2. Широко распространен, положительная реакция на CO_2	Атакамит, адамин	Медь, куприт, азурит, хризоколла	В зоне окисления медных сульфидных м-ний
* Азурит $Cu_3(CO_3)_2 \times \times (OH)_2$	Моноклинная, таблитчатые кристаллы, зернистые и землистые агрегаты	Сов. по {001} ясная по {100}. Раковистый	Лазурно-синий до темно-синего, голубой в землистых агрегатах. Голубая	3,5-4	3,7-3,9	Легко раствор. в кислотах с выд. CO_2. Окраска, форма кристаллов и ассоциация	Линарит	Малахит, куприт, тенорит, кальцит, хризоколла	В зоне окисления медных сульфидных м-ний
* Брошантит $Cu_4(SO_4) \times \times (OH)_6$	Моноклинная, призматический, игольчатый, зернистый, плотный	Сов. по {100}. Неровный	Светло-зеленый, изумрудно-зеленый, черно-зеленый. Бледно-зеленая	3,5-4	3,9-4,1	Раствор. в кислотах	Малахит, атакамит	Малахит, азурит, куприт, линарит, церуссит, атакамит	В зоне окисления медных сульфидных м-ний

Продолжение таблицы 4

1	2	3	4	5	6	7	8	9	10
Х Псевдомалахит $Cu_5(PO_4)_2 \times \times (OH)_2$	Моноклинная, призматический, натечный, радиально-волокнистый	Ясная по {010}	Голубовато-зеленый, темно-зеленый. Бледно-зеленая	4,5-5	4-4,3	Легко раствор. в кислотах. Специфический голубоватый оттенок	Малахит, хризоколла	Малахит, хризоколла, тенорит, пироморфит, лимонит	В зоне окисления сульфидных медных м-ний
Диоптаз $Cu_6[Si_6O_{18}] \times \times 6H_2O$	Тригональная, призматический, сливной	Сов. по$\{10\bar{1}1\}$.Раковистый	Голубовато-зеленый, ярко-зеленый. Голубовато-зеленая	5	3,1-3,5	Разлагается в HCl и HNO_3 с выдел. Студенистого кремнезема	Хризоколла, планшеит	Хризоколла, планшеит, азурит, малахит, церуссит, вульфенит	В зоне окисления сульфидных медных м-ний на контакте с известняками
Х Людвигит $(Mg,Fe)_2Fe^{+3} \times \times [BO_3]O_2$	Ромбическая, шестоватые и тонкоигольчатые агрегаты, сплошные зернистые массы	Неровный, занозистый	Темно-зеленый до черного. Зеленовато-серая, серая	5	3,6-4,7	Раствор. в кислотах. Форма выделения, ассоциация	Шерл, геденбергит	Гумит, форстерит, диопсид, магнетит	Контактово-метасоматические м-ния
ХЛазурит $6Na[AlSiO_4] \times \times 2Ca(SO_4,S,Cl_2)$	Кубическая, Зернистые агрегаты, редко ромбододекаэдрические кристаллы	Несов. по {110}. Неровный	Голубой, ярко-синий, сине-фиолетовый, темно-синий. Голубая	5,5-6	2,4-2,5	Раствор. в кислотах с выд. студенистого кремнезема и сероводорода. Цвет, ассоциация	Содалит, вишневит, нозеан	Кальцит, диопсид, скаполит, пирит	Контакт щелочных изверженных пород и известняков
Пьемонтит $Ca_3(Al,Mn,Fe)_2 \times \times [SiO_4][Si_2O_2] \times \times O(OH)$	Моноклинная, призматический, зернистый	Сов. по {001}, несов. по {100}. Неровный	Вишнево-красный, красновато-бурый, тем-но-коричневый. Вишнево-красная	6-6,5	3,4-3,5	В кислотах не раствор., в п.п.тр. вспучивается, легко плавится	Тулит, родонит	Спессартин, браунит, гаусманит	В метаморфизованных марганцевых осадках, глаукофановых и зеленых сланцах

4.2. Черта имеет зеленоватый или се
Преобладающая окраска минералов

роватый оттенок, выраженный неясно.
Зеленая, темно-зеленая, черная

Продолжение таблицы 4

1	2	3	4	5	6	7	8	9	10
*Вермикулит $(Mg, Fe^{2+},Al)_3 \times$ $\times[(Al,Si)_4O_{10}] \times$ $\times(OH)\times 4H_2O$	Моноклинная, пластинчатый, чешуйчатый	В. сов. по{001} в одном направл	Золотисто–желтый, желто-бурый, бурый. Бледно-коричневая, бледно-зеленая	1,5-2	2,3	Легко разлагается в кислотах с образованием порошковатого SiO_2. Вспучивается при нагревании	Гидробиотит	Калиевые полевые шпаты, апатит, циркон	Образуется при выветривании в виде псевдоморфоз по биотиту и флогопиту, встречается в почвах
Х Гриналит $(Fe^{2+},Fe^{3+})_{2-3}\times$ $\times[Si_2O_5](OH)_4$	Моноклинная, пластинчатый, чешуйчатый	В. сов. по{001}	Темно-зеленый, темно-бурый. Зеленая, бурая	2-2,5	2,8-3	Раствор. в HCl. Сплавляется в черное стекло	Кронштедтит	Сидерит, пирит, марказит	Образуется при гидролизе железистых силикатов
* Шамозит $(Fe^{2+},Mg,)_5Al\times$ $\times[Al\ (Si,Al)_3\times$ $\times O_{10}]\ (OH)_8$	Моноклинная, листо-атые, мелко- и тонкочешуйчатые агрегаты	В. сов. по {001}	Темно-зеленый до черного. Серо-зеленая	2,5-3	3-3,4	Раствор. в HCl с выд. студенистого SiO_2. Форма выд., цвет, сплавляется в черное стекло	Гриналит	Сидерит, пирит, марказит	Осадочные железорудные м-ния
* Аннит $K(Mg,Fe)_3\times$ $\times[AlSi_3O_{10}]$ $(OH)_2$	Моноклинная, столбчатые и пластинчатые кристаллы, чешуйчатые и пластинчатые агрегаты	В. сов. по {001} в одном направл	Черный с зеленоватым, красноватым или золотистым оттенком. Коричневая	2-3	3-3,1	Разлагается в H_2SO_4 с образованием скелета SiO_2. Цвет, упругость листочков и ассоциация	Биотит, флогопит	Полевые шпаты, титанит, циркон, кварц	Кислые и средние магматические горные породы и их пегматиты, метаморфические породы

Продолжение таблицы 4

1	2	3	4	5	6	7	8	9	10
* Рибекит $Na_2Fe_3^{2+}Fe_2^{3+}\times\times[Si_4O_{11}]_2\times\times(OH,F)$	Моноклинная, призматический, зернистый	Сов. по {110} в двух направл. под углом 124°	Светло-зеленый, серо-зеленый до зеленовато–черного. Зеленовато-серая до белой	5-6	3-3,4	В кислотах не раствор.	Глаукофан	Полевые шпаты, мусковит, кварц	Акцессорный минерал в кислых изверженных породах, фенитах, железистых кварцитах, пегматитах
*Паргасит $NaCa_2(Mg,Fe^{2+})_4\times\times Al[Al_2Si_6O_{22}]\times(OH)_2$	Моноклинная, шестоватые и зернистые агрегаты	Сов. по {110} в двух направл. под углом 124°. Неровный	Светло-зеленый, серо-зеленый до зеленовато-черного. Зеленовато-серая	5-6	3-3,2	В кислотах не раствор. Цвет, ассоциация и оп-тические конс-танты	Гастингсит	Кальцит, доломит, форстерит, диопсид, флогопит	Метаморфизованные карбонатизированные ультраосновные породы, скарны, эклогиты
*Гастингсит $NaCa_2(Fe^{2+},Mg)_4\times Fe^{3+}[Al_2Si_6O_{22}\times\times(OH)_2$	Моноклинная, несовершенные кристалы, шестоватые и зернистые агрегаты,	Сов. по {110} в двух направл. под углом 124° Неровный	Зеленовато-коричневый, коричневый до зелено-вато-черного. Серо-зеленая	5-6	3,1-3,3	В кислотах не раствор. Цвет, ассоциация и оптические константы	Паргасит	Пироксен, форстерит, плагиоклаз, ильменит, апатит	Основные магматические, метаморфические и метасоматические породы
* Гиперстен $(Fe,Mg)_2[Si_2O_6]$	Ромбическая, плотные зернистые агрегаты, пластинчатые сростания с клинопироксенами	Сов. по {110} в двух направл. под углом 88°. Неровный	Темно-зеленый, серовато-чер-ный, томпаково-бурый. Серая, коричневато-серая	5-6	3,4-3,7	Частично раствор. в HCl. Сплавляется в черную эмаль Форма зерен, угол между плоскостями спайности	Энстатит, бронзит	Авгит, салит, плагиоклаз, гастингсит, магнетит, биотит	Породообразующий минерал магматических и метамофических пород

Продолжение таблицы 4

1	2	3	4	5	6	7	8	9	10
* Грюнерит $(Fe^{2+},Mg)_7 \times \times [Si_8O_{22}] \times \times (OH)_2$	Моноклинная, игольчатый, радиально-лучистый, волокнистый	Сов. по {110} в двух направл. под углом 124°	Желтый, бурый, зеленовато-серый. Зеленовато-серая	5.5	3-3.5	В кислотах не раствор. Плавится в чер-ное магнитное стекло	Даннеморит	Актинолит, кварц, магнетит, гематит, анкерит, биотит	В контактово и регионально метаморфизованных породах и метасоматических жилах
* Арфедсонит $Na_3(Fe^{2+},Mg) \times \times Fe^{3+} [Si_8O_{22}] \times \times (OH)_2$	Моноклинная, призматические и игольчатые кристаллы, радиально-лучистые, шестоватые агрегаты	Сов. по {110} в двух направл. под углом 124°. Неровный, занозистый	Зеленый, зеленовато-черный, черный. Зеленовато-серая, голубовато-серая	5.5-6	3-3.5	В кислотах не раствор. Легко плавится в магнитное стекло Форма зерен, окраска, спайность, ассоциация	Гастингсит, эгирин	Эгирин, гастингсит, куммингтонит, микроклин, плагиоклаз	Щелочные изверженные породы и их пегматиты, щелочные граниты, карбонатиты, метасоматиты
X Ильваит $CaFe^{2+}{}_2Fe^{3+} \times \times [Si_2O_7]O \times \times (OH)_2$	Ромбическая, призматический, изометричный, зернистый, шестоватый	Сов. по {010} и {001} в двух направл.	Черный с буроватым или зеленоватым оттенком. Темно-серая с зеленоватым оттенком	5.5-6	3.8-4.1	Разлагается в HCl с образованием студенистого осадка SiO_2 Сплавляется в черный стекловатый магнитный шарик	Людвигит, энигманит	Кварц, кальцит, геденбергит, даннеморит, магнетит, гранат, эпидот	В известковых скарнах, медно-никелевых сульфидных м-ниях и гидротермально измененных породах
*Авгит $(Ca,Na) \times \times (Mg,Fe,Al,Ti) \times [(Si,Al)_2O_6]$	Моноклинная, короткопризматические кристаллы, сплошные зернистые массы	Сов. по {110} и отдельность по {100}. Раковистый,неровный	Зеленый, черно-зеленый до черного. Зеленовато-бурая	5.5-6	3.2-3.6	Частично разлагается в HCl. По форме кристаллов в эффузивах или оптически	Диопсид	Плагиоклаз, оливин, магнетит, пижонит	Породообразующий минерал магматических пород, в гнейсах и кварцитах

Продолжение таблицы 4

1	2	3	4	5	6	7	8	9	10
*Актинолит $Ca_2(Mg,Fe^{2+})_5 \times \times[Si_8O_{22}]\,(OH)_2$	Моноклинная, шестоватые, тонко-лучистые и волокнистые (асбест) агрегаты, плотные массы - нефрит	Сов. по {110} в двух направл. под углом 124°. Неровный, занозистый	Зеленый, серовато-зеленый, голубовато-зеленый. Белая до бледно-зеленой	5-6	3.1-3.2	В кислотах не раствор. Плавится с трудом в серо-зеленоватое стекло. Окраска, форма кристаллов и ассоциация	Тремолит, эпидот, турмалин	Альбит, эпидот, клинохлор, кальцит, доломит, глаукофан	Породообразующий минерал зеленосланцевой фации метаморфизма
* Тефроит $Mn_2[SiO_4]$	Ромбическая, призматический, зернистый	Сов. по {010} и {001}. Раковистый	Пепельно-серый, бурый, оливково– и черно-зеленый. Серая	5.5-6	3.8-4.3	Раствор. в HCl с выдел. студенистого кремнезема. Иногда слабо магнитен	Фаялит	Родонит, спессартин, родохрозит, барит, гаусманит, бустамит	В железо-марганцевых мниях, скарнах, метаморфизованных марганцевых осадках
Алланит-Се (ортит) $(Ce,Ca,Y)_2\,(Al, Fe^{3+})_3\times[SiO_4]\times \times[Si_2O_7]O(OH)$	Моноклинная, пластинчатые, досковидные кристаллы, сливные агрегаты	Отсутству-ет. Неровный, раковистый	Темно-зеленый, смоляно-черный, светло-коричневый. Серая, светло-зеленая	5.5-6	3.3-4.2	Раствор. в HCl с выд. порошковатого SiO_2. Нередко радиоактивен.Форма кристаллов, цвет, радиоактивность	Меланит, стенструпин	Альбит, апатит, флюорит, биотит, гастингсит, магнетит	Акцессорный минерал гранитов и сиенитов, их пегматитов, карбонатиты
Диопсид $CaMg[Si_2O_6]$	Моноклинная, призматические кристаллы зернистые шестоватые и радиально-лучистые агрегаты,	Сов. по {110} в двух направл. под углом 88°, отдельность по {100}. Неровный	Светло-зеленый, серо-фиолетовый, розовый, белый. Белая до бледно-зеленой	5.5-6	3.2-3.4	Слабо раствор. в HCl. Форма кристаллов и окраска	Геденбергит, гиперстен	Кальцит, флогопит, апатит, магнетит, клинохлор, шпинель	Породообразующий минерал магматических пород, их пегматитов, метаморфических пород, скарнов

Продолжение таблицы 4

1	2	3	4	5	6	7	8	9	10
* Геденбергит $CaFe[Si_2O_6]$	Моноклинная, крупношестоватые и радиально-лучистые агрегаты, иногда зонально-концентрические	Сов. по {110} в двух направл. под углом 88˚, отдельность по {100}. Неровный	Темно-зеленый до черно-зеленого. Светло-серая с зеленоватым оттенком	5,5-6,5	3,4-3,6	Частично разлагается в HCl. Легко сплавляется в черный магнитный шарик. Спайность и ассоциация	Людвигит, шерл	Фаялит, магнетит, кварц, ильваит, полевые шпаты	Породообразующий минерал оливинсодержащих сиенитов, железистых кварцитов, скарнов
* Глаукофан $Na_2Mg_3Al_2\times\times[Si_4O_{11}]_2\times\times(OH)_2$	Моноклинная, призматические кристаллы, шестоватые и волокнистые (асбест) агрегаты	Сов. по {110} в двух направл. под углом 124˚. Занозистый, неровный	Серо-синий, ярко-синий, голубовато-черный. Голубовато-серая	6-6,5	3-3,3	В кислотах не раствор. Окраска и нахождение в метаморфических породах	Рибекит, рихтерит	Эпидот, альмандин, альбит, лавсонит, пумпеллиит	Кристаллические сланцы, эклогиты, метасоматиты
* Эгирин $NaFe[Si_2O_6]$	Моноклинная, радиально-лучистые,спутанно-волокнистые агрегаты, реже игольчатые кристаллы	Сов. по {110} в двух направл. под углом 88˚. Занозистый, неровный	Светло-зеленый, зеленовато-черный до черного. Светло-зеленая	6-6,5	3,4-3,7	В кислотах не раствор. Форма кристаллов, окраска, спайность, ассоциация	Арфедсонит, энигманит	Полевые шпаты, нефелин, корунд, магнетит	Кислые и щелочные породы, их пегматиты, железистые кварциты, гидротермалиты
* Жадеит $NaAl[Si_2O_6]$	Моноклинная, плотные агрегаты спутанно-волокнистого строения, зернистые массы	Сов. по {110} вдвух направл. под углом 88˚.Неровный до занозистого	Белый, серый, зеленовато-серый, зеленый, синий. Белая	6-6,5	3,1-3,4	В кислотах не раствор. Форма выд., окраска, высокая вязкость	Нефрит	Альбит, кварц, анальцим, натролит, эпидот, цоизит	Метаморфические породы, контактово-метасоматические тела, ультраосновные породы

Продолжение таблицы 4

1	2	3	4	5	6	7	8	9	10
Х Рамзаит $Na_2Ti_2[Si_2O_6]O_3$	Ромбическая, призматический, зернистый, волокнистый	В. сов. по {100}, сов. по {210}	В. сов. по {100}, сов. по {210}	6-6,5	3,1-3,5	Раствор. в HF. Легко плавится в черный непрозрачный шарик	Катаплеит, эльпидит	Эгирин, лопарит, эвдиалит, астрофиллит, альбит, натролит	В щелочных породах и их пегматитах
*Хлоритоид $(Fe^{+2},Mg)\times\times(Al, Fe^{+3})\times Al_3[SiO_4]_2O_2\times\times(OH)_4$	Моноклинная, чешуйчатые агрегаты, плохо ограненные порфиробласты	Сов. по {001} в одном направл. Неровный	Темно-зеленый, зеленовато-черный. Светло-зеленая, зеленовато-серая	6,5	3,5-3,6	Разлагается в H_2SO_4. Сплавляется в черное слабомагнитное стекло. Высокая твердость и плотность, ассоциация	Клинохлор, клинтонит	Биотит, альмандин, кварц, мусковит, ильменит, эпидот	Метаморфические породы, роговики, кварцевые жилы
* Фаялит $Fe_2[SiO_4]$	Ромбическая, зернистые агрегаты, редко призматические кристаллы	Ясная по {100}, {010}. Раковистый, неровный	Темно-зеленый до черного, темно-бурый. Зеленовато-серая	6-6,5	4,39	Раствор. в HCl с выд. студенистого SiO_2. Сплавляется в магнитный шарик. Цвет, твер-дость, ассоциация	Оливин	Флогопит, шорломит, перовскит, апатит, мелилит	Кислые и щелочные породы, их пегматиты, железорудные скарны, карбонатиты
* Шерл $NaFe^{2+}{}_3Al_6\times\times[Si_6O_{18}]\times\times(BO_3)_3(OH,F)_4$	Тригональная, призматические кристаллы, шестоватые, радиальнолучистые, зернистые агрегаты	Отсутствует, Раковистый, неровный	Зеленовато-черный, черный. Зеленовато-серая, серая	7-7,5	2,9-3,2	В кислотах не раствор. Легко сплавляется в темно-коричневую эмаль. Форма поперечного сечения, твердость	Эгирин, людвигит	Кордиерит, кварц, ортоклаз, биотит, апатит, магнетит	Кислые и щелочные изверженные и метаморфические породы и их пегматиты, грейзены, кварцевые жилы, скарны

Продолжение таблицы 4

1	2	3	4	5	6	7	8	9	10
Бюргерит $NaFe_3^{3+}Al_6 \times \times (BO_3)_3 \times \times [Si_6O_{18}]\ O_3F$	Тригональный, призматический, игольчатый	Сов. по $\{11\bar{2}0\}$	Темно-бурый, буровато-черный. Буровато-серая	7	3,3	В кислотах не раствор.	Везувиан, кварц	Геденбергит, волластонит, форстерит, плагиоклаз	В магнезиальных скарнах с борной минерализацией, пегматитах и кислых вулканитах
4.3 Чер					**та белая**				
Твер					**дость 1-3**				
* Тальк $Mg_3[Si_4O_{10}] \times \times (OH)_2$	Моноклинная, листоватые, чешуйчатые и скрытокристаллические (стеа-тит) агрегаты	В. сов. по {001} в одном направл. Неровный	Бледно-зеленый, белый с желтоватым или розоватым оттенком	1	2,7-2,8	В кислотах не раствор. Твердость, жирный на ощупь	Пирофиллит, каолинит	Тремолит, флогопит, серпентин, доломит, гематит	Гидротермально измененные ультраосновные породы и метаморфические породы
Сассолин $B(OH)_3$	Триклинная, таблитчатый, чешуйчатый, натечный	В. сов. по {001}	Бесцветный, белый	1	1,5	Растворяется в воде, спирте. Раствор спирта окрашивает пламя в бледно-зеленый цвет. Редок	Бура	Бораты и сульфаты	В вулканических озерах и источниках, в отложениях фумарол
* Пирофиллит $Al_2[Si_4O_{10}] \times \times (OH)_2$	Моноклинная, листоватые, чешуйчатые и скрытокристал-лические (агальматолит) агрегаты	В. сов. по {001} в одном направл. Неровный	Белый, светло-зеленый, буроватый, красноватый	1-1,5	2,7-2,9	Раствор. в кислотах. Твердость, жирный на ощупь, ассоциация	Тальк, каолинит	Каолинит, монтмориллонит, хлорит, кварц	В метаморфических породах, околорудных метасоматитах, вторичных кварцитах и кварцевых жилах

Продолжение таблицы 4

1	2	3	4	5	6	7	8	9	10
* Термонатрит $Na_2(CO)_3 \times H_2O$	Ромбическая, таблитчатый, выцветы, мучнистый	Несов. по {010}	Бесцветный, белый, серый, желтый	1-1,5	2,7-2,9	Легко раствор. в воде	Сода, трона	Сода, трона, гейлюссит, кальцит	В отложениях соляных озер и фумарол, выцветы в аридных областях
* Сода (натрон) $Na_2(CO_3) \times \times 10H_2O$	Моноклинная, призматический, зернистый, рыхлый	Ясная по{001}. Раковистый	Бесцветный до белого, серый, желтый	1-1,5	1,48	Легко раствор. в воде, в кислотах с шипением выделяет CO_2	Термонатрит, трона	Термонатрит, трона, гейлюсит, кальцит	В отложениях содовых озер и вулканических областей
* Бейделлит $(Na,Ca)_{0,5}Al_2 \times \times [(Si,Al)_4O_{10} \times \times (OH)_2 \times nH_2O$	Моноклинная, пластинчатый, землистый	В. сов. по {001}	Белый, желтый, бурый	1,5	2,6	Раствор. в кислотах	Монтморилонит, сапонит	Каолинит, монтморилонит, галлуазит, кварц, полевые шпаты	В коре выветривания основных вул-анических пород, в продуктах гидротермального изменения рудных м-ний
* Нашатырь $(NH_4)Cl$	Кубическая, тетрагонтриоктаэдрический {110}, {211}, {100}, зернистый, рыхлый	Несов. по {111}. Раковистый	бесцветный, белый, желтый, коричневый	1-2	1,53	Легко раствор. в воде. При нагревании сублимирует	Сильвин, галит, масканьит	Буссенготит, масканьит, копейскит, аммониоярозит, сильвин	В отложениях фумарол и продуктах горения угольных терриконов
Бишофит $MgCl_2 \times 6H_2O$	Моноклинная, призматический, зернистый, волокнистый	Раковис-тый, неровный	Бесцветный, белый, красный	1-2	1,65	Легко раствор. в воде. Вкус горький, жгучий	Карналит	Галит, кизерит, карналлит, сильвин, ангидрит	В м-ниях морских солей и осадках озер

Продолжение таблицы 4

1	2	3	4	5	6	7	8	9	10
* Сапонит $(Ca_{0,5}, Na)_{0,3} \times \times (Mg, Fe^{2+})_3 \times \times [(Si,Al)_4O_{10}] \times \times (OH)_2$	Моноклинная, пластинчатый, землистый	В. сов. по {001}. Ровный до раковистого	Буро-зеленый до шоколадно-ко-ричневого	1-2	2,3-2,5	Раствор. в кислотах. Жирный на ощупь	Нонтронит	Кальцит, монтмориллонит, каолинит, хлорит, тальк, тремолит, флогопит	В коре выветривания основных вулканических пород, в продуктах гидротермального изменения рудных м-ний
* Нонтронит $Na_{0,33}Fe^{3+}{}_2 \times \times [(Si,Al)_4O_{10}] \times \times (OH)_2 \times nH_2O$	Моноклинная, пластинчатые и землистые агрегаты	В. сов. по {001}. Неровный	Желтовато-зеленый до буро-зеленого и темно-бурого	1-2	2,3-2,5	Раствор. в кислотах. Окраска и условия нахождения	Сапонит, монтмориллонит	Монтмориллонит, магнезит, арагонит, кварц	Кора выветривания ультраосновных пород
* Галлотрихит $FeAl_2 [SiO_4] \times \times 22H_2O$	Моноклинная, игольчатый, волокнистый, спутанно-волокнистый	Несов. по {010}	Бесцветный, белый, желтоватый, зеленоватый	1,5-2	1,9-2	Раствор. в воде	Пиккерингит, билинит, дитрихит	Алуноген, мелантерит, копиапит, гипс	Продукт окисления пирит-содержащих пород колчеданных м-ний и угленосных отложений
* Мирабилит $Na_2(SO_4) \times \times 10H_2O$	Моноклинная, призматический, зернистый	Сов. по {100}. Раковистый	Бесцветный, белый	1,5-2	1,49	Легко раствор. в воде. Вкус солоновато-горький, при нагревании теряет воду и переходит в тенардит	Глауберит	Гипс, галит, тенардит, трона, глауберит, астраханит, эпсомит	В отложениях соляных озер в засушливых областях

Продолжение таблицы 4

1	2	3	4	5	6	7	8	9	10
*Монтмориллонит $(Na,Ca)_{0.33} \times \times (Al,Mg)_2 \times \times [Si_4O_{10}](OH)_2$	Моноклинная, землистые агрегаты	В. сов.по {001}. Ровный	Белый, розовый, красный	1-2	2,1-2,3	Раствор. в кислотах. Жирный на ощупь, сильно разбухает в воде, становится пластичным	Каолинит, галлуазит	Иллит, хлорит, каолинит, галлуазит, палыгорскит, сепиолит	Кора выветривания вулканических пород, продукты изменения околорудных пород, почвы
* Гипс $Ca(SO_4) \times H_2O$	Моноклинная, зернистые, волокнистые (селенит) агрегаты	Сов. по {010} в одном направл. Ясная по {100}. Ровный, до занозистого	Бесцветный, белый, голубова-тый, розовый, желтый, оранжевый	2	2,3	Слабо раствор. в воде, растворяется в HCl. Спайность , твердость, отсутствие реакции на CO_2	Брушит, бобьерит	Ангидрит, сера, арагонит, кальцит, кварц	Хемогенные осадочные породы, зона окисления сульфидных м-ний, кварцевые жилы и фумаролы
* Сильвин KCl	Кубическая, зернистые, землистые, волокнистые, шестоватые агрегаты, натеки, выцветы	Сов. по {100} в трех направл. Раковистый	Бесцветный, белый, голубой, желтый, красный	2	1,993	Раствор. в воде. Окрашивает пламя в фиолетовый цвет. Пластичен, вкус горьковато соленый	Галит	Ангидрит, галит, кизерит, карналит, каинит, эпсомит, полигалит	Соляные залежи морского происхождения, выцветы на почве, вулканические продукты
* Мелантерит $Fe(SO_4) \times 7H_2O$	Моноклинная, призматический, зернистый, сталактиты	Сов. по {001} и {110}. Раковистый	Травяно-зеленый, синевато-зеленый	2	1,8-2,2	Легко раствор. в воде	Моренозит	Пизанит, галотрихит, пиккерингит, копиапит, алуноген	В зоне окисления сульфидных м-ний

Продолжение таблицы 4

1	2	3	4	5	6	7	8	9	10
Х Госларит $Zn(SO_4)\times 7H_2O$	Ромбическая, зернистый	Сов. по {010}	Бесцветный, белый, желтый	2	1,8-2	Легко раствор. в воде	Эпсомит, мирабилит	Меланте-рит, дитри-хит, гало-трихит, ко-пиапит, алуноген	В зоне окисления сульфидных м-ний
* Галит NaCl	Кубическая, зеристые агрегаты, сталактиты	Сов. по {100} в трех напр-равл. Раковистый	Бесцветный, белый, синий, желтый, красный	2-2,5	2,2	Легко раствор. в воде. Окрашивает пламя в жел-тый цвет. Спайность, соленый вкус, ассоциация	Сильвин	Сильвин, карналит, лангбей-нит, гипс, ангидрит, полигалит	Соляные залежи, солончаки
Х Пирохроит $Mn(OH)_2$	Тригональная, таблитчатый, ромбоэдричес-кий, чешуйчатый, волокнистый	Сов. по {0001} в одном направл	Бесцветный, на свету становится бронзово-бу-рым, черным. При окислении бурая	2-2,5	3,2-3,3	Легко раствор. в HCL	Брусит	Манганит, доломит, магнетит, гаусманит, родохрозит, кальцит, пироаурит	В кварц-карбонатных жилах
Х Бура $Na_2[B_4O_5\times$ $\times (OH)_4]\times$ $\times 8H_2O$	Моноклинная, призматически й, зернистый	Несов. по {110}. Неровный	Бесцветный, белый, розовый, серый	2-2,5	1,72	Раствор. воде. Вкус сладкова-то-щелочной, на поверхнос-ти теряет воду и белеет	Соссолин	Галит, тро-на, тенар-дит, глаубе-рит, гипс, гейлюсит, углексит	В хемогенных отложениях озер
* Эпсомит $Mg(SO_4)\times 7H_2O$	Ромбическая, призматичес-кий, зернистый, волокнистый	Сов. по {001}	Белый, серый, бурый	2-2,5	1,7	Легко раствор. в воде. Вкус горький, вяжущий	Госларит, мирабилит	Ангидрит, гипс, поли-галит, ме-лантерит, галотрихит, квасцы	В соляных отло-жениях, в зоне окисления суль-фидных м-ний

Продолжение таблицы 4

1	2	3	4	5	6	7	8	9	10
* Каолинит $Al_2[Si_2O_5] \times \times (OH)_4$	Триклинная, тонкочешуйчатые, землистые агрегаты	В. сов. по {001}. Плоскораковистый	Белый, серый, бурый	2-2,5	2,6-2,7	В кислотах не раствор. С водой становится пластичным. Окраска, высокая пластичность, мылкий на ощупь	Монтмориллонит, галлуазит	Монтмориллонит, галлуазит, иллит, палыгорскит, сепиолит	Кора выветривания кислых пород
*Галлуазит $Al_2[Si_2O_5](OH)_4$	Моноклинная, землистые, плотные агрегаты	В. сов. по {001}. Плоскораковистый	Белый, голубоватый, бурый	2	2-2,2	В кислотах не раствор. Генезис и специальные методы	Каолинит, монтмориллонит	Каолинит, бейделлит, иллит, монтмориллонит	Кора выветривания кислых пород и гидротермальные жилы
* Сепиолит $Mg_4[Si_6O_{15}](OH)_2 \times \times 6H_2O$	Ромбическая, спутано-волокнистый, глиноподобный	Неровный, плоскораковистый	Белый, серовато-белый, желтый, бурый	2-2,5	2,0	Раствор. в HCl с выд. SiO_2	Палыгорски	Кальцит, барит, арагонит, опал, магнезит	В коре выветривания серпентинитов, карбонатных осадочных породах
* Палыгорскит $(Mg, Al)_2 \times [Si_4O_{10}] (OH) \times \times 4H_2O$	Ромбическая, моноклинная, войлокоподобный (горная кожа), листы, пленки	Неровный	Белый, желтовато-серый, буроватый, зеленоватый	2-2,5	2,1-2,3	Разлагается в конц. H_2SO_4 с выд. скелета SiO_2	Сепиолит	Доломит, магнезит, монтмориллонит, каолинит	В коре выветривания серпентинитов, осадочных породах и гидротермальным путем
* Флогопит $KMg_3 \times \times [AlSi_3O_{10}] \times \times (OH)_2$	Моноклинная, пластинчатые, листоватые, чешуйчатые агрегаты	В. сов. по {001} в одном направл	Бесцветный, буровато-желтый, красновато-коричневый	2-2,5	2,8-3	Разлагается в концентрированной H_2SO_4 Ассоциация	Биотит	Диопсид, форстерит, шпинель, гиалофан, гумит, апатит	Перидотиты, кимберлиты, контактово-метасоматические породы и метаморфизованные карбонатные толщи

Продолжение таблицы 4

1	2	3	4	5	6	7	8	9	10
* Карналлит $KMgCl_3 \times\times 6H_2O$	Ромбическая, зернистые агрегаты, смеси с галитом, волокнистые образования	Раковистый	Бесцветный, розовый, желтый, красный, бурый	2,5	1,6	Легко раствор. в воде, сорбируя ее из атмосферы. Вкус горький, жгучий	Галит, сильвин	Галит, сильвин, ангидрит, кизерит, каинит, эпсомит	В залежах калийных солей
* Криолит Na_3AlF_6	Моноклин-ая, зернистые агрегаты	Отдельность по {001} и {110}. Неровный	Бесцветный, белый, сероватый, грязно-бурый	2,5	2,96	Раствор. в кислотах. Легко плавится, окрашивая пламя в желтый цвет	Хиолит, флюорит	Томсенолит, колумбит, пирохлор, топаз, рибекит, альбит, герксутит	Акцессорный минерал щелочных гранитов и пегматитов
* Гиббсит (гидраргиллит) $Al(OH)_3$	Моноклинная, землис-тые агрегаты, червеобраз-ные выд., оолиты, натечные образоания	В. сов. по {001} в одном направл. Ровный, раковистый	Бесцветный, белый, сероватый	2,5-3	2,3-2,4	Легко раствор. в горячих щелочах и H_2SO_4. Спайность, форма выд., ассоциация	Бемит, брусит, норстрандит	Каолинит, галлуазит, аллофан, нефелин	Бокситы, щелочные породы как продукт изменения натролита и нефелина
* Брусит $Mg(OH)_2$	Тригональ-ная, чешуй-чатые, волок-нистые (немалит), натечные выд., сфероиды	В. сов. по {0001} в одном направл. Чешуйча-тый до занозистого	Бесцветный, белый, сероватый, желтоватый, зеленоватый, голубоватый	2,5	2,4	Легко раствор. в кислотах. В пламени паяльной трубки не плавится.Растворимость в HCl	Гипс, гиббсит	Серпентины, перикласз, доломит, арагонит,тальк, гидромагнезит	Метаморфизованные доломиты, мраморы, серпентиниты, известковые скарны
* Хризотил $Mg_3[Si_2O_5] \times \times (OH)_4$	Моноклинная, волокнистые и параллель-ношестова-тые (асбест), плотные агрегаты	В. сов. по {001}. Ровный до занозистого	Белый, желтоватый, зеленый разных оттенков	2,5	2,55	Раствор. в HCl с образованием волокнистого скелета. Форма выд., окраска, ассоциация	Лизардит, амфибо-лы, Ni - хлориты	Лизардит, антигорит, тальк, магнетит, брусит, гидромагнезит	Гидротермально-измененные гипербазиты и контактово-измененные карбонатно-магнезиальные породы

Продолжение таблицы 4

1	2	3	4	5	6	7	8	9	10
Лизардит $Mg_3[Si_2O_5]\times$ $\times(OH)_4$	Моноклинная, тонкозернистые агрегаты	В. сов. по {001}. Ровный до раковистого и занозистого	Зеленый, желтовато-зеленый, темно-зеленый	2,5	2,55	Раствор. в HCl с образованием порошковатого SiO_2. Высокая распространенность	Хризотил, Ni-хлориты, Ni-монтмориллониты	Хризотил, актинолит, тальк, магнетит, брусит, гидромагнезит	Гидротермально-измененные и контактово-измененные карбонатно-магнезильные породы
ХКукеит $LiAl_4\times$ $\times[Al\ Si_3O_{10}]\times$ $\times(OH)_8$	Моноклинная, таблитчатый	В. сов. по {001}	Зеленый, желтовато-зеленый, темно-зеленый	2,5	2,67	В кислотах не раствор	Донбасит, тальк, хлорит	Поллуцит, петалит, амблигонит, рубеллит, танталит	В литиевых пегматитах
*Халькантит $Cu(SO_4)\times5H_2O$	Триклинная, пластинчатые и зернистые агрегаты, натечные образования	Несов. по {110}. Раковистый	Небесно-голубой до ярко-синего	2,5	2,1-2,3	Легко раствор. в воде. Вкус металлический, вяжущий. Окраска и условия нахождения	Пизанит	Меланте-рит, пикерингит, алуноген, копиапит	Зона окисления медно-колчеданных м-ний
Улексит $NaCa[B_5O_6\times$ $\times(OH)_6]\times5H_2O$	Триклинная, тонковолокнистый, спутанноволокнис-тый	Сов. по {010} и несов. по {110}	Бесцветный, белый	2,5	1,9-2,0	Раствор. в горячей воде. Плавится со вспучиванием	Ашарит, тонковолокнистые бораты	Бура, галит, глауберит, трона, мирабилит, колеманит	В бороносных соляных залежах морского и озерного происхождения
* Клинохлор $(Mg, Fe^{2+})_5Al\times$ $\times[AlSi_3O_{10}]\times$ $\times(OH)_8$	Моноклинная, таблитчатый, пластинчатый, листоватый, чешуйчатый	В. сов. по {001} в одном направл	Белый, серый (лейхтенбергит), зеленый, фиолетовый (кеммеририт)	2,5	2,6-2,8	Раствор. при кипячении в H_2SO_4 Окраска, спайность, чешуйки не упругие	Хлориты, мусковит	Магнетит, перовскит, гранат, эпидот, везувиан, титанит	В метаморфических породах фации зеленых сланцев, скарнах, в измененных ультраосновных породах

Продолжение таблицы 4

1	2	3	4	5	6	7	8	9	10
* Мусковит $KAl_2[AlSi_3O_{10}\times\times(OH,F)_2$	Моноклинная, коротко-столбчатые кристаллы, листоватые, чешуйчатые агрегаты (серицит)	В. сов. по {001} в одном нап-равл, несов. по {110} и {010}	Бесцветный, белый, зеленый, изумрудно-зеле-ный (фуксит)	2,5-3	2,8-3,1	В кислотах не раствор. Ассоциация	Лепидолит, циннваль-дит, парагонит	Кварц, полевые шпаты, хлорит, доломит	Кислые извер-женные и мета-морфические породы, пегма-ти-ы, грейзены
* Парагонит $NaAl_2\times\times[AlSi_3O_{10}]\times\times(OH)_2$	Моноклинная, листова-тые, чешуй-чатые агрегаты	В. сов. по {001} в одном нап-равл	Бесцветный, белый, зеленовато-белый	2,5-3	2,9	В кислотах не раствор	Мусковит	Роговая обманка, альмандин, плагиокла-зы, кианит	Метаморфичес-кие породы богатые Na
*Лепидолит $K(Li,Al)_3\times\times[AlSi_3O_{10}]\times\times(F,OH)_2$	Моноклин-ная, таблитчатые, чешуйчатые, скорлупова-тые агрегаты	В. сов. по {001} в одном нап-равл	Белый, розо-вато-фиолето-вый, персиково-красный	2-3 до 4	2,8-2,9	В кислотах не раствор. Цвет, характер ассоциации	Мусковит	Сподумен, петалит, альбит, рубеллит, флюорит, топаз	Гранитные пегматиты и грейзены
* Судоит (рипидолит, прохлорит) $Mg_2(Al,Fe^{3+})_3\times\times[AlSi_3O_{10}]\times\times(OH)_8$	Моноклин-ная, листоватые, чешуйчатые агрегаты	В. сов. по {001}, в одном нап-равл	Белый, бледно-зеленый, зеленый	2-3	2,6-2,7	Частично разлагается кислотами. Цвет, спай-ность, ассоциа-ция, гибкость	Клинохлор	Эпидот, альбит, актинолит, кварц, рутил, титанит	Зеленокаменные породы. Жилы альпийского типа
Х Гидроборацит $CaMgB_6O_8\times\times(OH)_6\times3H_2O$	Моноклинная, игольчатый, спутанно-волокнистый	Сов. по {010}. Неровный, занозистый	Бесцветный, белый, сероватый, желтоватый	2,5-3	2,17	Легко раствор. в кислотах Форма выд., ассоциация	Улексит	Колеманит, иньоит, индерит, улексит, кальцит	В бороносных соляных залежах озерного и морского происхождения

Продолжение таблицы 4

1	2	3	4	5	6	7	8	9	10
* Виллиомит NaF	Кубическая, зернистые агрегаты	Сов. по {100} в трех направл. Раковистый, неровный	Карминово-красный, темно-вишневый	2-0,2	2,79	Легко раствор. в воде. Цвет, спайность, ассоциация	Флюорит	Эвколит, астрофиллит, содалит, ловчоррит, полевой шпат	Щелочные породы и их пегматиты
Х Тенардит $Na_2(SO_4)$	Ромбическая, дипирамидальный, пинакоидальный, зернистый, выцветы	Сов. по {010}, ясная по {101}	Бесцветный, белый, сероватый, желтоватый	2,5-3	2,17	Легко раствор. в воде. Вкус горько-соленый (глауберова соль)	Мирабилит, эпсомит	Мирабилит, глауберит, эпсомит, гипс, сода, галит	В озерных отложениях засушливых областей и отложениях фумарол
Х Полигалит $K_2Ca_2Mg(SO_4)_4 \times\times 2H_2O$	Триклинная, таблитчатый, шестоватый, волокнистый	Средняя по {110	Бесцветный, белый, розовато-красный, кирпично-красный	2,5-3,5	2,78	Раствор. в воде с выд. гипса и сингенита	Пикромерит	Галит, гипс, ангидрит, карналлит	В соляных зележах и вулканических продуктах
* Амезит $Mg_2Al[AlSiO_5]\times \times(OH)_4$	Триклинная, Пластин-чатые и чешуйчатые агрегаты	В. сов. по {001} в одном направл	Белый, бледно-зеленый, фиолетовый (хром-амезит)	2,5-3	2,7-2,8	Медленно раствор. в HCl. Спайность, форма выд., ассоциация	Клинохлор	Диаспор, рутил, магнетит, лейкоксен, миллерит	Измененные ультраосновные породы и метаморфические м-ния наждака
Иниоит $Ca[B_3O_3(OH)_5] \times \times 4H_2O$	Моноклин-ная, толсто-таблитчатый, зернистый	Сов. по{001} и {010}	Бесцветный, белый	2,5-3	1,88	Раствор. в горячей воде	Колеманит, гипс	Гипс, колеманит, гидроборацит, улексит, курнаковит	В бороносных соляных залежах

Продолжение таблицы 4

1	2	3	4	5	6	7	8	9	10
Х Англезит $Pb(SO_4)$	Ромбическая, призматический, бипирамидальный, зернистый, натечный	Сов. по {001}, ясная по {210}	Бесцветный, белый, желтоватый, коричневатый	2,5-3	6,38	Медленно раствор. в HNO_3 Парагенезис	Церуссит	Церуссит, галенит, лимонит, малахит, азурит	Зона окисления свинцовых м-ний
Циннвальдит $KLiFe^{2+}Al\times$ $\times[AlSi_3O_{10}]\times$ $\times(F,OH)_2$	Моноклинная, листова-тые, чешуй-чатые агрегаты	В. сов. по {001} в одном направл	Серый, буровато- или зеленовато-серый	2,5-3,5	2,9-3,2	В кислотах не раствор. Цвет. Тип ассоциации	Мусковит, лепидолит	Вольфрамит, шеелит, топаз, флюорит, турмалин, кварц	Грейзены и олово-вольфрамовые кварцевые жилы
4.3 Черта					**белая**				
				Твер	**ость 3-5**				
Х Ссайбелиит (ашарит) $Mg_2[B_2O_4(OH)]\times$ $\times(OH)$	Моноклинная, спутанно-волокнистый, землистый	Сов. по {110}. Неровный, раковистый	Белый, сероватый, желтоватый	3	2,65	Медленно раствор. в кислотах. Форма выд., ассоциация	Гидроборацит	Улексит, гидроборацит, пандермит, гипс	Скарны, хемогенные бороносные залежи, серпентинит
Х Ньюбериит $Mg(HPO_4)\times 3H_2O$	Ромбическая, призматический, порошковатый, землистый	Сов. по {010}.	Бесцветный, белый, серый, голубой, розовый	3	2,1	Легко раствор. в HCl	Брушит	Грейгит, аллофан, брушит	В отложениях гуано и ископаемых бивнях мамонтов
* Кальцит $Ca(CO_3)$	Тригональная, хорошо образован-ные кристал-лы, сталакти-ты, зернис-тые агрегаты	Сов. по $\{10\bar{1}0\}$ в трех направл. Раковистый	Бесцветный, белый, серый, голубой, розовый	3	2,72	Легко раствор. в кислотах с выд. CO_2. Штриховка полисинтитического двойникования	Арагонит	Кварц, доломит, флюорит, барит, сульфиды и арсениды	Карбонатные, кварц-карбонатные жилы, метаморфические и осадочные породы

Продолжение таблицы 4

1	2	3	4	5	6	7	8	9	10
Витерит $Ba(CO_3)$	Ромбическая, дипирамидальный, зернистый	Ясная по {010}, несов. по {110}. Неровный	Бесцветный, белый, серый, желтый	3-3,5	4,2-4,3	Раствор. в кислотах. Имеет высокую плотность	Стронциа-нит	Барит, галенит, кальцит, сфалерит	В гидротер-мальных барит-витеритовых жилах
* Целестин $Sr(SO_4)$	Ромбическая, Чечевице-образные кристаллы, пластинчато-волокнистые прожилки, зернистые агрегаты	Сов. по {001} и {210} в трех направл. Неровный	Бледно-голубой, голубовато-серый, белый, красный	3-3,5	3,9-4	Слабо раствор. в кислотах. Голубая окраска, форма выд., спайность	Барит	Доломит, гипс, стронциа-нит, галит, галенит, сфалерит	Хемогенные осадочные толщи эвапоритов и кварцевые жилы
* Барит $Ba(SO_4)$	Ромбическая, пластинчатые и зернистые агрегаты, сферические конкреции	Сов. по {001} и {210} в трех направл. Неровный	Бесцветный, белый, голубоватый, светло-сиреневый	3-3,5	4,5	В кислотах не раствор. Форма кристаллов. Спайность, твердость, плотность	Целестин, ангидрит	Флюорит, кальцит, кварц, галенит, сфалерит, витерит	Гидротермальные жилы, желваки и конкреции осадочных пород
*Ангидрит $Ca(SO_4)$	Ромбическая, хорошо образованные кристаллы, зернистые агрегаты	Сов.по {010},{100} {001} в трех направл. Неровный	Бесцветный, белый, голубоватый, светло-сиреневый	3,5	2,98	Раствор. в кислотах. Спайность, отсутствие реакции на CO_2	Гипс, карбонаты	Гипс, кальцит, доломит, пирит и другие сульфиды	Хемогенные осадочные породы, гидротермальные жилы, колчеданные и скарновые м-ния
Х Кизерит $Mg(SO_4)\times H_2O$	Моноклинная, бипирамидальный, зернистый, выцветы	Сов. по {111} и {110}. Неровный	Бесцветный, белый, желтый	3,5	2,57	Раствор. в воде	Эпсомит, ссомольно-кит	Эпсомит, госларит, лимонит	В соляных залежах и зоне окисления колчеданных м-ний

Продолжение таблицы 4

1	2	3	4	5	6	7	8	9	10
* Бемит AlO(OH)	Ромбическая, Скрытокристаллические, землистые, фарфоровидные агрегаты	Сов. по {010}. Неровный до раковистого, иногда мелкозанозистый	Бесцветный, белый, желтый	3,5-4,0	3,0-3,1	В кислотах не раствор. Ассоциация, форма выд., спайность	Гиббсит	Гиббсит, диаспор, каолинит, гидроокислы Fe	Бокситы и продукты изменения фельдшпатоидов и натролита в щелочных пегматитах
* Арагонит $Ca(CO_3)$	Ромбическая, игольчатые и зернистые плотные агрегаты. Корки, натеки	Ясная по {010} Неровный	Бесцветный, белый, желтоватый, серый	3,5-4,0	2,9-3,0	Раствор. в кислотах с выд. CO_2. Форма кристаллов, ассоциация	Кальцит, доломит	Кальцит, магнезит, опал, лимонит	Хемогенные и биогенные осадки, кора выветривания ультраосновных пород
* Доломит $CaMg(CO_3)_2$	Тригональная, грубозернистые, тонкозернистые агрегаты	Сов. по $\{10\bar{1}1\}$ в трех направл. Неровный	Бесцветный, белый, желтый, буроватый	3,5-4,0	2,8-3,0	Медленно раствор. в HCl. Характер двойникования, ассоциация, спайность	Кальцит, магнезит	Сидерит, кальцит, кварц, арсениды, Co и Ni, магнезит	Хемогенные осадочные породы, кварц-карбонатные жилы и измененные ультраосновные породы
* Анкерит $Ca(Mg, Fe)\times\times(CO_2)$	Тригональная, ромбоэдрический, зернистый	Сов. по $\{10\bar{1}1\}$ в трех направл	Бесцветный, белый, желтоватый, бурый	3,5-4,0	2,9-3,1	Слабо раствор. в холодной HCl.	Доломит, сидерит	Кварц, доломит, сидерит, гематит, пирит, галенит, сфалерит	В карбонатитах, гидротермальных, полиметаллических м-ниях и кварц-карбонатных жилах
ХАлунит $K\,Al_3(SO_4)_2\times\times(OH)_6$	Тригональная, мелкозернистые,скрытокристалличесские плотные агрегаты	Сов. по {0001}. Неровный	Белый, желтоватый, серый	3,5-4,0	2,6-2,9	Медленно раствор. в разбавленной H_2SO_4. Точная диагностика осуществляется оптически	Каолинит, зуниит	Гиббсит, каолинит, гипс, кварц, галлуазит	Измененные вулканогенные породы, зона гипергенеза осадочных толщ

Продолжение таблицы 4

1	2	3	4	5	6	7	8	9	10
Лангбейнит $Mg(SO_4)\times$ $\times K_2(SO_4)$	Кубическая, почковидный, зернистый	Раковистый	Бесцветный, желтоватый, розоватый, серый	3,5-4,0	2,83	Очень медленно раствор. в воде	Каинит	Галит, сильвин, карналлит, тенардит	Морские соляные отложения
Х Вавеллит $Al_3(PO_4)_2\times$ $\times(OH)_3\times 5H_2O$	Ромбическая, призматический, радиально-волокнистый, опаловидный	Сов. по {110} и {010}. Неровный	Бледно-зеленый, зеленый, желтый, бурый, голубой, белый	3,5-4,0	2,36	Легко раствор. в кислотах	Варисцит	Апатит, марказит, воксит, варисцит	В бокситах, углисто-кремнистых сланцах, лимонитах, кварцевых жилах
* Стильбит (десмин) $NaCa_2[Al_5Si_{13}\times$ $\times O_{36}]\times 14H_2O$	Моноклинная, пластинчатый, сноповидный, радиально-лучистый	Сов. по {010}, ясная по {100}	Белый, желтоватый, красноватый	3,5-4,0	2,1-2,2	Раствор. в HCl с выд. порошковатого SiO_2. Наиболее распространен	Цеолиты	Эпидот, натролит, гейландит, ломонтит, кальцит	В пустотах траппов и других эффузивов, рудных жилах, скарнах, сланцах
* Гейландит $(Ca, Na)[Al_{2-x}\times$ $\times Si_{2+x}O_8]_2\times$ $\times 5H_2O$	Моноклинная, пластинчатый, чешуйчатый	Сов. по {010} в одном направл	Бесцветный, белый, розоватый, красно-коричневый	3,5-4,0	2,2	Раствор. в HCl с выд. студенистого SiO_2	Клиноптилолит	Кварц, кальцит, стильбит, гранат, аксинит	В пустотах основных эффузивов, скарнах, жилах альпийского типа
* Скородит $Fe(AsO_4)\times 2H_2O$	Ромбическая, плотные, шлакоподобные массы, корки, желваки, землистые скопления	Несов. по {201}. Раковистый, неровный	Серовато-зеленый, яблочно-зеленый, буровато-серый	3,5-4,0	3,3	Раствор. в HCl. Вторичный по арсенопириту. Окраска, приуроченность к зоне окисления сульфоарсенидов	Мансфильдит, халькосидерит	Фармакосидерит, бедантит, вивианит, лимонит, гипс	Зона окисления сульфидных м-ний

Продолжение таблицы 4

1	2	3	4	5	6	7	8	9	10
* Сидерит $Fe(CO_3)$	Тригональная, зернистые и землистые агрегаты. Оолиты, конкреции	Сов. по $\{10\bar{1}1\}$ в трех направл. Неровный	Желтовато-серый, горохово-желтый, желтовато-бурый	3,5-4,5	3,9-4,0	Раствор. в HCl с выд. CO_2. Цвет, спайность, твердость	Анкерит	Доломит, лимонит, пирротин, марказит, кварц	Хемогенные осадочные породы и кварц-карбонатные жилы
* Родохрозит $Mn(CO_3)$	Тригональная, зернистые агрегаты	Сов. по $\{10\bar{1}1\}$в трех направл. Неровный	Розовый, темно-красный, желтовато-серый	3,5-4,5	3,6-3,7	Раствор. в HCl с выд. CO_2. Твердость, пленка гидроокислов и окислов Mn	Родонит, кальцит	Кварц, арсенопирит, сфалерит, галенит, родонит, спессартин	Гидротермальные жилы, контактово-метаморфическиемния и осадочные толщи
*Маргарит $CaAl_2\times$ $\times [Al_2Si_2O_{10}]\times$ $\times (OH)_2$	Моноклинная, листоватые, чешуйчатые агрегаты	Сов. по {001} в одном направл. Неровный	Жемчужно-белый с сероватым, розоватым, желтоватым оттенками	3,5-4,5	3,0-3,1	С трудом раствор. в H_2SO_4. Парагенезис, блеск, твердость	Клинтонит	Парагонит, хлоритоид, графит, эпидот, наждак, диаспор	Кристаллические сланцы, наждаки и слюдиты
* Флюорит CaF_2	Кубическая, зернистые и землистые (ратовкит) агрегаты	Сов. по {111} в четырех направл. Раковистый, неровный	Бесцветный, зеленый, фиолетовый, голубой, синевато-черный	4,0	3,18	Раствор. в концентрированной H_2SO_4 с выд. HF. Отсутствие реакции на CO_2	Криолит, карбонаты	Кварц, берилл, турмалин, касситерит, вольфрамит, топаз, халцедон	Грейзены, скарны, гидротермальные и пегматитовые жилы

Продолжение таблицы 4

1	2	3	4	5	6	7	8	9	10
* Магнезит $Mg(CO_3)$	Тригональная, зернистые, фарфоровидные, мелоподобные агрегаты	Сов. по $\{10\bar{1}1\}$ в трех направл. Раковистый	Бесцветный, белый, желтый, серый	4,0-4,5	3,0-3,1	Раствор. в HCl при нагревании с выд. CO_2. Форма выд.	Кальцит, доломит	Опал, арагонит, лимонит, доломит, кальцит, барит	Коры выветривания ультраосновных пород и гидротермально-метамофические залежи
Х Бастнезит $(Ce, La)(CO_3)F$	Гексагональная, таблитчатый, зернистый	Несов. по {0001}, часто отдельность	Желтый до красно-коричневого	4,0-4,5	4,5-4,9	Раствор. в крепких кислотах при нагревании	Паризит, синхизит	Альбит, эгирин, титанит, циркон, ортит, барит, кальцит	В фенитах и щелочных пегматитах, карбонатитах, карбонатных жилах
Колеманит $Ca_2(Ba_2O_{11})\times$ $\times 5H_2O$	Моноклинная, изометричный, призматический, зернистый, шестоватый	Сов. по {010} в одном направл. Неровныйраковистый	Бесцветный, белый, серый	4,5	2,42	Раствор. в HCl	Индеборит, иньоит	Гидроборацит, иньоит, улексит, ашарит, карналлит, бишофит	Лагунные отложения солей и диапировые купола
Варисцит $Al(PO_4)\times 2H_2O$	Ромбическая, дипирамидальный, зернистый	Сов по {010} в одном направл. Неровный	Бледно-зеленый, голубовато-зеленый до бесцветного	4,5	2,6-2,8	Раствор. в кислотах при нагревании	Вавеллит, штренгит	Вавеллит, крандаллит, апатит, халцедон, лимонит	В корах выветривания пород богатых алюминием
Хлорапатит $Ca_5(PO_4)_3(Cl,F)$	Моноклинный, псевдогексагональный, призматический, зернистый	Несов. по {001}	Бесцветный, белый	4,5-5,0	3,1-3,2	Раствор. в кислотах	Фторапатит	Диопсид, андрадит, магнетит, эпидот	Некоторые основные интрузивные породы и контактово-метасоматические м-ния

Продолжение таблицы 4

1	2	3	4	5	6	7	8	9	10
Х Ксенотим $Y(PO_4)$	Тетрагональная, зернистые агрегаты	Сов. по {100} в двух направл. Раковистый	Желтовато-бурый, красный, серый	4,0-5,0	3,0-3,1	Раствор. в HCl при нагревании с выд. CO_2. Форма выд	Кальцит, доломит	Опал, арагонит, лимонит, доломит,кальцит, барит	Коры выветривания ультраосновных пород и гидротермально-метаморфические залежи
* Шабазит $(Na. Ca)[Al\times\times Si_2O_6]_2\times 6H_2O$	Тригональная, ромбоэдрический, зернистый	Ясная по $\{10\bar{1}1\}$. Раковистый	Бесцветный, белый с красноватым или буроватым оттенком	4,0-5,0	4,5-4,9	Раствор. в крепких кислотах при нагревании	Паризит, синхизит	Альбит,эгирин, титанит,циркон, ортит,барит кальцит	В фенитах и щелочных пегматитах, карбонатитах, карбонатных жилах
Х Смитсонит $Zn(CO_3)$	Тригональная, скорлуповатые, почковидные, натечные выделения	Сов. по $\{10\bar{1}1\}$. Неровный	Белый, желтовато-коричневый, зеленый, голубой	4,0-4,5	2,42	Раствор. в HCl	Индеборит, иньоит	Гидроборацит, иньоит, улексит, ашарит, карналлит, бишофит	Лагунные отложения солей и диапировые купола
* Фторапофиллит $KCa_4[Si_4O_{10}]_2\times\times F\times 8H_2O$ Гидроксилапофиллит $KCa_4[Si_4O_{10}]_2\times\times(OH,F)\times 8H_2O$	Тетрагональная, дипирамидальный, призматический, шестоватый	Сов. по {001} в одном направл. Раковистый	Бесцветный, белый, розовый, красный, зеленый	4,5-5,0	2,6-2,8	Раствор. в кислотах при нагревании	Вавеллит, штренгит	Вавеллит, крандаллит, апатит, халцедон, лимонит	В корах выветривания пород богатых алюминием
* Волластонит $Ca_3[Si_3O_9]$	Триклинная шестоватые, радиально-лучистые, тонковолокнистые, листоватые агрегаты	Сов. по {100}, средняя по {001}. Неровный	Белый, сероватый, желтоватый	4,5-5,0	3,1-3,2	Раствор. в кислотах	Фторапатит	Диопсид, андрадит, магнетит, эпидот	Некоторые основные интрузивные породы и контактово-метасоматические м-ния

Продолжение таблицы 4

1	2	3	4	5	6	7	8	9	10
Х Пектолит $NaCa_2[Si_3O_8]\times$ $\times(OH)$	Триклинная призматический, шестоватый, волокнистый	Сов. по {100} и {001} вдвух нап-равл	Белый, светло-серый, бледно-розовый	4,5-5,0	2,9-3,1	Раствор. в HCl с выд. студенистого SiO_2.	Волласто-нит	Кальцит, цеолиты	В миндалинах и трещинах эффузивных пород
* Фторапатит (апатит) $Ca_5[PO_4]_3F$	Гексагональная, призматические и пластинчатые кристаллы, зернистые агрегаты	Ясная по {0001}. Раковистый, неровный	Бесцветный, белый, желтый, синий, фиолетовый, розовый	5,0	3,1-3,2	Раствор. в кислотах. Форма кристаллов, твердость	Берилл	Нефелин, эгирин, титанит, скаполит, форстерит, магнетит	Кислые и щелочные породы, карбонатиты и пегматиты
* Карбонат-фторапатит $Ca_5[PO_4,CO_3]_3F$	Ромбическая, пластинчатый, шестоватый, волокнистый	Сов. по {110} в двух направл. Неровныйр аковис-тый	Бесцветный, голубой, зеленый, серый, бурый до черного	3,5-5,0	2,6-3,0	Раствор. в HCl с выд. CO_2. Форма выдел	Фторапа-тит, хлорапатит	Монтморил-лонит, каолинит, кварц, кальцит	В терригенных и хемогенных осадочных породах
Гемиморфит (каламин) $Zn_4[Si_2O_7]\times$ $\times(OH)_2\times H_2O$	Тетрагональный, призматический, зернистый	Сов по {110} и {010}. раковистый	Бесцветный, белый	5,0	3,4-3,5	После прокаливания легко раствор. в кислотах с выд. студенистого SiO_2	Смитсонит	Смитсонит, виллемит, цинкит, малахит и др.	В зоне окисления полиметаллических м-ний
Х Селлаит MgF_2				5,0	3,1-3,2	Раствор. в конц. H_2SO_4. Относительно редок	Флюорит	Ангидрит, гипс, флюорит, молибденит, касситерит, флогопит	В кварцевых жилах, фумаролах, доломитах и мраморах

Продолжение таблицы 4

1	2	3	4	5	6	7	8	9	10
Х Клинтонит (ксантофиллит) $Ca(Mg,Al)_3[(Si,Al)_4O_{10}](OH)_2$	Моноклинная, пластинчатый, чешуйчатый	Сов по {001} в одном направл	Бледно-зеленый, желтовато-зеленый, белый	5,0	3,07	В кислотах не раствор	Маргарит	Диопсид, хондродит, гуммит, кальцит, апатит	В магнезиальных скарнах богатых алюминием
*Анальцим $Na[AlSi_2O_6]\times$ $\times H_2O$	Кубическая, тетрагонтриоктаэдрический, зернистый	Несов. по {100}. Неровный	Бесцветный, белый, розовый	4,5-5,5	2,2-2,3	Раствор. в HCl с выд. студенистого SiO_2	Лейцит	Кальцит, натролит, нефелин	В щелочных магматических породах, миндалинах основных эффузивов
* Вишневит $6Na[AlSiO_4]\times$ $\times Ca(SO_4)2H_2O$	Гексагональная, зернистые агрегаты, реакционные каймы и псевдоморфозы по нефелину	Сов. по $\{10\bar{1}1\}$ в трех направл. Неровный, раковистый	Светло-голу-бой до голу-бовато-синего	5,0	2,3-2,4	Легко раствор. в HCl с выд. студенистого SiO_2. Окраска и ассоциация	Содалит, лазурит	Нефелин, полевые шпаты, эгирин, циркон, титанит	Позднемагматический в нефелиновых сиенитах и их пегматитах
			4.3. Черта Тверд		**белая ость 5-7**				
Х Датолит $CaB[SiO_4](OH)$	Моноклинная, призматический, зернистый, плотный	Ясная по {100}. Неровный	Бесцветный, белый, голубовато-зеле-ный, желтовато-зеленый	5,0-5,5	2,9-3,0	Раствор. в HCl с выд. студенистого SiO_2. Окрашивает пламя в желтовато-зеленый цвет	Кварц, топаз, андалузит	Цеолиты, пренит, кальцит, кварц, аксинит, гранат, волластонит, данбурит	Жилы альпийского типа, контактово-метасоматические м-ния
* Канкринит $6Na[AlSiO_4]\times$ $\times Ca(CO_3)2H_2O$	Гексагональная, зернистые агрегаты, реакционные каймы по нефелину	Сов. по $\{10\bar{1}0\}$ в трех направл. Неровный	Белый, серый, желый, красноватый	5,0-5,5	2,4-2,5	Раствор. в HCl с выд. CO_2 и студенистого SiO_2.Спайность, окраска	Нефелин, ортоклаз, микроклин	Нефелин, альбит, титанит, циркон, эгирин	Позднемагматический в нефелиновых сиенитах и их пегматитах

Продолжение таблицы 4

1	2	3	4	5	6	7	8	9	10
# Монацит $(Ce,La,Nd)\times\times(PO_4)$	Моноклинная, таблитчатые кристаллы, реже зернистые агрегаты	Сов. по {100}, отдельность по {001}. Раковистый	Желтый, красно-ко-ричневый, коричне-вый, иногда белый	5,0-5,5	5,0-5,2	С трудом разлагается кислотами.Форма кристаллов,твердость, плотность	Ксено-им, титанит	Ксенотим, алланит, уранинит, циртолит, биотит, молибденит	Акцессорный минерал гранитов, пегматитов, фенитов, грейзенов, гнейсов и жил альпийского типа
Эвдиалит $Na_4(Ca,Ce)_2\times\times FeZr[Si_8O_{22}]\times\times(OH, Cl)_2$	Тригональная, ромбоэдрический, таблитчатый, зернистый	Неровный, раковистый	Красный, малиново-красный, вишнево-красный	5,0-5,5	2,8-3,0	Раствор. в HCl с выд. студенистого SiO_2	Гранаты	Апатит, биотит, магнетит, титанит, эгирин, полевые шпаты	Нефелиновые сиениты и их пегматиты
* Натролит $Na_2[Al_2Si_3O_{10}]\times\times 2H_2O$	Ромбическая, призматические до игольчатых кристаллы; шестоватые,радиально лучистые агрегаты	Сов. по{110} в двух направл. Неровный, раковистый	Бесцветный, белый, желтый, красный	5,0-5,5	2,2-2,3	Легко раствор. в HCl с выд. студенистого SiO_2. Спайность, форма выд., ассоциация	Томсонит	Анальцим, шабазит, сколецит, гейландит	Постмагматический минерал щелочных пород, их пегматитов; гидротермальный в жилах и миндалинах эффузивов
Гаюин $Na_6Ca_2[SiO_4]_6\times\times(SO)_2$	Кубическая, додэкаэдрический, октаэдрический, зернистый	Несов. по {110}	Ярко-синий, голубой, зеленовато-синий, белый	5,0-5,5	2,4-2,5	Раствор. в HCl с выд. геля SiO_2, добавление $BaCl_2$ –осадок $BaSO_4$	Содалит, лазурит, вишневит	Санидин, лейцит, нефелин, титанит	В вулканических щелочных породах
* Титанит (сфен) $CaTi[SiO_4]O$	Моноклинная, конвертообразные кристаллы; зернистые агрегаты	Сов. по {110}. Неровный до занозистого	Желтый, коричневый до черного, изумрудно-зеленый, белый	5,0-6,0	3,3-3,6	Раствор. в H_2SO_4. Форма кристаллов, окраска, спайность	Циркон, гранаты	Нефелин, канкринит, циркон, биотит, апатит, флогопит, диопсид	Первичный минерал щелочных пород и гранитов; встречается в скарнах, гнейсах, жилах альпийского типа

Продолжение таблицы 4

1	2	3	4	5	6	7	8	9	10
Виллемит $Zn_2[SiO_4]$	Тригональная, призматический	Несов. по {0001} и $\{10\bar{1}2\}$. Раковистый	Бесцветный, белый, желтоватый, розоватый	5,0-6,0	4,0-4,2	Раствор. в HCl с выд. студенистого SiO_2	Гемиморфит	Кварц, гентгельвин, ганит, циркон, фенакит, сфалерит	В зоне окисления полиметаллических м-ний, скарнах и кварцевых жилах
Бирюза $CuAl_6(PO_4)\times\times(OH)_8\times4H_2O$	Триклинная, плотные тонкозернистые агрегаты	Сов. по {001}. Мелкораковистый	Голубой, синевато-зеленый	5,0-6,0	2,6-2,8	С трудом раствор. в HCl. Окраска и форма выд	Халькосидерит	Вавеллит, амблигонит, халцедон, каолинит, гетит	Кора выветривания фосфатсодержащих осадочных и вулканических горных пород
* Антофиллит $(Mg,Fe)_7\times\times[Si_8O_{22}](OH)_2$	Ромбическая, лучистые, радиально-сноповидные, шестоватые, волокнистые (асбест) агрегаты	Сов. по {110} в двух направл. Неровный	Бесцветный, серовато-зеленый, зеленовато-бурый	5,5-6,0	2,8-3,2	В кислотах не раствор. От других амфиболов отличается оптически; от хризотил-асбеста по ассоциации	Тремо-лит, жед-рит	Энстатит, тальк, кордиерит, паргасит, плагиоклаз	Метаморфизованные ультрабазиты, магнезиальные скарны, регионально метаморфизованные породы
* Куммингтонит $(Mg,Fe)_7[Si_8O_{22}\times\times(OH)_2$	Моноклинная, волокнистый, зернистый	Сов. по {110}в двух направл. под углом 124°	Белый, светло-зеленый, серый, бурый	5,5-6,0	3,2-3,3	В кислотах не раствор	Антофиллит, тремолит	Стильпномелан, грюнерит, анкерит, ильменит, кварц	В контактово и регионально-метаморфизованных породах
Х Рихтерит $Na_2Ca(Mg,Fe^{+2})\times\times[Si_8O_{22}]\ (OH)_2$	Моноклинная, призматический, зернистый, волокнистый	Сов. по {110}в двух направл. под углом 124°	Желтый, бурый, буровато-красный, светло-зеленый	5,0-6,0	2,9-3,5	В кислотах не раствор. Мало распространен	Актинолит, тремолит, жедрит	Кальцит, магнетит, доломит, флогопит, актинолит, хлорит, титанит	В метаморфизованных карбонатных породах, гидротермально-измененных породах

Продолжение таблицы 4

1	2	3	4	5	6	7	8	9	10
* Тремолит $Ca_2Mg_5\times$ $\times[Si_8O_{22}](OH)_2$	Моноклинная, шестоватые, волокнистые агрегаты, иногда призматические кристаллы	Сов. по {110} в двух направл. Плоскораковистый (нефрит)	Бесцветный, белый, светло-серый, светло-зеленый	5,5-6,0	3,0-3,1	В кислотах не раствор. От других амфиболов отличается оптически; от эпидота по спайнсти	Антофиллит, жедрит	Диопсид, форстерит, флогопит, скаполит, кварц, серпентин	Метаморфические и метасоматические породы, образовавшиеся по карбонатным и ультраосновным породам
Нозеан $Na_8[AlSiO_4]_6\times$ $\times(SO_4)$	Кубическая, зернистый	Несов. по {110}	Серый, синий, белый	5,5-6,0	2,3-2,4	Раствор. в HCl с выд. геля SiO_2, добавление $BaCl_2$—осадок $BaSO_4$	Содалит, лазурит, гаюин	Санидин, слюда, титанит	В вулканических щелочных породах
* Содалит $Na_8[AlSiO_4]_6Cl_2$	Кубическая, Зернистые агрегаты, псевдоморфозы по нефелину, ромбододекаэдрические кристаллы	Ясная по {110}. Неровный	Синий, се-рый, зеленоватый, розовый (гакманит)	5,5-6,0	2,1-2,3	Раствор. в HCl с выд. студенистого SiO_2. Спайность, окраска, ассоциация	Вишневит, лазурит, гаюин	Нефелин, канкринит, эгирин, микроклин, титанит, апатит	Щелочные породы и их пегматиты
* Лейцит $K[AlSi_2O_6]$	Тетрагональная, тетрагонтриоктаэдрические кристаллы, реже зернистые агрегаты	Отсутствует. Раковистый	Бесцветный, белый, серый	5,5-6,0	2,4-2,5	Раствор. в HCl с выд. порошковатого SiO_2. Форма выд. и условия нахождения	Анальцим	Ортоклаз, нефелин, санидин	Молодые щелочные эффузивные породы
* Нефелин $Na[AlSiO_4]$	Гексагональная, вкрапленники, зернистые массы; реже короткопризматические кристаллы	Несов. по $\{10\bar{1}0\}$. Неровный	Желтый, красный, зеленый, бесцветный	5,5-6,0	2,6-2,7	Легко раствор. в кислотах с выд. геля SiO_2	Канкринит, кальсилит	Полевые шпаты, аннит, арфведсонит, эгирин, титанит, апатит	Щелочные магматические горные породы

Продолжение таблицы 4

1	2	3	4	5	6	7	8	9	10
* Мариалит $Na_4[AlSi_3O_8]_3Cl$	Тетрагональная, призматические кристаллы, зернистые, шестоватые и сливные агрегаты	Сов. по {100}, несов. по {110}. Неровный	Бесцветный, белый, серый, желтоватый	5,5-6,0	2,6	В кислотах практически не раствор. Форма кристаллов, спайность, ассоциация	Мейонит, полевые шпаты	Диопсид, плагиоклаз, флогопит, апатит, волластонит	Метаморфические и контактово-метасоматические м-ния
Мейонит $Ca_4[Al_2Si_2O_8]_3\times$ $\times (CO_3)$	Тетрагональная, призматические кристаллы, зернистые, шестоватые и сливные агрегаты	Сов. по {100}, несов. по {110}. Неровный	Бесцветный, серый, фиолетовый (главколит), грязно-зеле-ный, бурый	5,5-6,0	2,75	Частично раствор. в HCl с выд. геля SiO_2. Форма кристаллов, спайность, ассоциация	Мариа-лит, по-левые шпаты	Флогопит, диопсид, апатит, кальцит, эпидот, гранат	Метаморфические и контактово-метасоматические м-ния
Амблигонит $LiAl(PO_4)F$	Триклинная, зернистый	Сов. по {100}, несов. по {110}. Неровный	Белый, кремово-белый, желтовато-белый	5,5-6,0	3,0-3,1	С трудом раствор. в кислотах. Окрашивает пламя в красный цвет	Монтебразит, сподумен	Сподумен, литиофиллит, апатит,лепидолит, петалит,поллуцит	В гранитных пегматитах богатых литием
Х Мелилит $Ca,Na)_2(Mg,Al)\times$ $\times[(Si,Al)_2O_7]$ промежуточный член ряда окерманит-геленит)	Тетрагональная, призматический, зернистый	Сов. по {100}, несов. по {110}. Неровный	Белый, бледно-желтый, зеленовато-желтый, розовый	5,5-6,0	3,0-3,1	Раствор. в HCl с выд. геля SiO_2	Хондродит, гумит	Форстерит, диопсид, шпинель, паргасит, флогопит, кальцит	Щелочные ультраосновные породы, контакты основных пород и известняков
Х Клиногумит $4Mg_2[SiO_4]\times$ $\times Mg(OH, F)$	Моноклинная, изометричный, зернистый	Несов. по {001}. Неровный, раковистый	Желтый, желтовато-серый, красно-коричневый	5,5-6,0	3,2-3,4	Раствор. в HCl с выд. геля SiO_2	Хондродит, гумит	Форстерит, диопсид, шпинель, паргасит, флогопит, кальцит	Магнезиальные скарны, кальцефиры и пегматиты

Продолжение таблицы 4

1	2	3	4	5	6	7	8	9	10
* Диопсид $CaMg[Si_2O_6]$	Моноклинная, зернистые, шестоватые и радиально-лучистые агрегаты, призматические кристаллы	Сов. по {110} в двух направл. под угл88˚, отдельность{100}. Неровный	Светло-зеленый, серо-фиолетовый, розовый, белый. Белая до бледно-зеленой	5,5-6,0	3,2-3,4	Слабо раствор. в HCl. Форма кристаллов и окраска	Геденбергит, гиперстен	Кальцит, флогопит, апатит, магнетит, клинохлор, шпинель	Породообразующий минерал магматических пород, их пегматитов, метаморфических пород, скарнов
* Опал $SiO_2 \times nH_2O$	Аморфный; плотный, натечный	Аморфный; плотный, натечный	Отсутствует. Раковистый	5,5-6,5	1,9-2,2	Раствор. в HF. Форма выд. и условия нахождения	Аллофан	Магнезит, арагонит, нонтронит	Кора выветривания ультраосновных пород, в миндалинах эффузивов среднего и кислого состава
* Родонит $CaMn_4[Si_5O_{15}]$	Триклинная, зернистые агрегаты, редко призматические кристаллы	Сов. по {100}, {010} и {001}. Неровный	Розовый, ярко-красный и коричнево-красный	5,5-6,5	3,4-3,8	Раствор. в HCl выд.порошковатогоSiO_2.Окраска,спайность, твер-до-ть и ассоциация	Родохрозит, пироксмангит	Тефроит, спессартин, пироксмангит, гиалофан, алабандин	Метаморфические горные породы и скарны
* Жедрит $(Mg,Fe^{+2})_5Al_2 \times \times[(Al,Si)_2 \times \times Si_6O_{22}] (OH)_2$	Ромбическая, призматический, шестоватый, волокнистый	Сов. по {110}в двух напрвл. под углом 124°	Буровато-коричневый, зеленовато-коричневый, желтовато-серый	6,0	2,9-3,3	В кислотах не раствор.Окраска,наличие пертитовых вростков, спайность	Микроклин, плагиоклазы	Кварц, слюды, силлиманит, ставролит, альмандин	Породообразующий в кислых и щелочных изверженных породах, их пегматитах и метаморфических породах
* Ортоклаз $K[AlSi_3O_8]$	Моноклинная, призматические кристаллы зернистые агрегаты	Сов. по {001} и {010} в двух направл. под углом 90°. Неровный	Серый, желтоватый, красноватый; иризирует (лунный камень)	6,0	2,6	В кислотах не раствор. Окраска, наличие пертитовых вростков, спайность	Микроклин, плагиоклазы	Кварц, слюды, силлиманит, ставролит, альмандин	Породообразующий в кислых и щелочных изверженных породах, их пегматитах и метаморфических породах

Продолжение таблицы 4

1	2	3	4	5	6	7	8	9	10
* Микроклин $K[AlSi_3O_8]$	Триклинная, зернистые агрегаты и призматические кристаллы	Сов. по {001} и {010} в двух направл. под углом 90°. Неровный	Серо-желтый, красный, зеленый (амазонит); иризирует (лунный камень)	6,0	2,6	В кислотах не раствор. Окраска, наличие пертитовых вростков, спайность	Ортоклаз, плагиоклазы	Ортоклаз, плагиоклазы	В кислых и щелочных изверженных породах и их пегматитах
Плагиоклазы: непрерывный ряд твердых растворов от * альбита $Na[AlSi_3O_8]$ до * анортита $Ca[Al_2Si_2O_8]$	Триклинная, призматические и пластинчатые кристаллы, зернистые агрегаты	Сов. по {001} и {010} в двух направл. под углом 90°. Неровный	Бесцветный, белый, зеленоватый, серый	6,0	2,6-2,8	Богатые анортитовой молекулой раствор. в HCl с выд. геля SiO_2 Окраска, полисинтетическое двойникование	Ортоклаз, мейонит, мариалит	Кварц, слюды, микроклин, пироксены, амфиболы	Породообразующий в изверженных породах, их пегматитах, метаморфических породах, жилах альпийского типа
* Цоизит $Ca_2Al_3[SiO_4] \times \times [Si_2O_7]O(OH)$	Ромбическая, призматические кристаллы и зернистые агрегаты	Сов. по{100} и несов. по {001}. Неровный	Белый, серый, зеленоватый, розовый (тулит), голубой (танзанит)	6,0	3,2-3,3	Ассоциация Раствор. в HCl после прокаливания с выд. геля SiO_2. Окраска	Клиноцоизит, эпидот	Альбит, эпидот, кальцит, серицит, кварц, рутил	Метаморфизованные основные породы и кварцевые жилы
* Энстатит $Mg_2[Si_2O_6]$	Ромбическая, Призматические кристаллы и зернистые агрегаты	Сов.по {110} в двух направл. под углом 88°. Неровный	Белый, серый, желтоватый, зеленоватый, оливково-зеленый, бурый	6,0	3,2-3,3	В кислотах не раствор. Окраска, спайность, ассоциация	Диопсид, бронзит	Кианит, оливин, тальк, шпинель, флогопит, антофиллит	Породообразующий ультраосновных и основных магматических пород и кимберлитов

Продолжение таблицы 4

1	2	3	4	5	6	7	8	9	10
Х Петалит $(Li,Na)[AlSi_4O_{10}]$	Моноклинная, призма-тический, зернистый, плотный	Сов. по {001}, несов, по{201}. Неровный	Бесцветный, белый, серый, розовый	6,0	2,4-2,5	В кислотах не раствор	Диопсид, бронзит	Лепидолит, сподумен, амблигонит, альбит, кварц, титанит	Литиевые пегматиты
* Кианит $Al_2[SiO_4]O$	Триклинная, радиально-лучистые, шестоватые агрегаты, призматичес-кие кристаллы	Сов. по {100}, ясная по {010}. Занозистый	Голубой, синий, серый, белый, зеленый, желтый	4,5-7,0	3,5-3,7	В кислотах не раствор. Окраска, форма выд., спайность	Силлима-нит	Кварц, мусковит, хлоритоид, ставролит, альбит	Породообразу-ющий в метаморфичес-ких породах и кварцевых жилах
* Пренит $Ca_2Al[AlSi_3O_{10}]\times$ $\times(OH)_2$	Ромбическая, призматичес-кий, пластин-чатый, корки, радиально пластинча-тый	Сов. по {001}. Неровный	Зеленоватый, белый, серый, желтый	6,0-6,5	2,8-3,0	Медленно раствор. в HCl	Халцедон, цеолиты	Кварц, дио-псид, грос-суляр, цеоли-ты, халцедон, кальцит	В метаморфи-зованных ос-новных поро-дах и скарнах
Х Хондродит $2Mg_2[SiO_4]\times$ $\times Mg(F,OH)_2$	Моноклин-ная, изомет-ричный, зернистый	Несов. по {001}. Раковистый	Медовый, желтый, коричневый	6,0-6,5	3,2-3,3	Раствор. в HCl с выд. геля SiO_2	Гумит, клиногумит	Оливин, диопсид, шпинель, флогопит, магнетит	В магнезиаль-ных скарнах и кальцефирах
Х Гумит $3Mg_2[SiO_4]\times$ $\times Mg(OH,F)_2$	Ромбическая, изометрич-ный, боченковидный	Несов. по {001}. Раковистый	Желтый до коричневого	6,0-6,5	3,2-3,3	Раствор. в HCl с выд. геля SiO_2. Распро-странен менее хондродита и клиногумита	Хондродит, клиногумит	Оливин, флогопит, тремолит, шпинель, апатит	В магнезиаль-ных скарнах, кальцефирах и бруситовых мраморах

Продолжение таблицы 4

1	2	3	4	5	6	7	8	9	10
* Жадеит $NaAl[Si_2O_6]$	Моноклинная, плотный, спутанно-волокнистый, реже зернистый	Сов. по {110} в двух направл. под углом 88°. Неровный	Бесцветный, белый, зеленый, серый	6,0-6,5	3,3-3,4	В кислотах не раствор. Высокая прочность, форма выд., окраска	Нефрит, тремолит	Альбит, анальцим, натролит, тремолит, кварц, альмандин	В метаморфических и контактово-метасоматических м-ниях по гипербазитам
* Клиноцоизит $Ca_2Al_3[SiO_4]\times$ $\times[Si_2O_7]O(OH)$	Моноклинная, призматические кристаллы, зернистые агрегаты	Сов. по {001} и несов. по {100}. Неровный	Бесцветный, светло-серый, желтый, серовато-зеленый	6,5	3,3-3,4	После прокаливания раствор. в HCl с выд. студенистого SiO_2. Форма выд. и условия нахождения	Цоизит, эпидот	Альбит, кальцит, серицит, эпидот, пренит, титанит	Метаморфические основные породы и жилы альпийского типа
X Поллуцит $(Cs,Na)_2\times$ $\times [Al_2Si_4O_{12}]\times$ $\times H_2O$	Кубическая, Зернистый	Отсутствует. Раковистый	Бесцветный, белый	6,5	2,9	С трудом раствор. в HCl с выд. порошковатого SiO_2. Форма выд. и условия нахождения	Кварц, чкаловит	Петалит, альбит, кварц, лепидолит, амблигонит	Литиевые пегматиты
# Диаспор $AlO(OH)$	Ромбическая, призматческие кристаллы, пластинчатые и чешуйчатые агрегаты	Сов. по {010} в одном направл	Бесцветный, белый, желтовато-бурый, серый, розовый	6,5-7,0	3,3-3,5	В кислотах не раствор. Форма выд., спайность, ассоциация	Гиббсит	Пирофиллит, серицит, корунд, хлоритоид, зуниит, андалузит	Вторичные кварциты, метаморфические породы, жилы альпийского типа
* Везувиан $Ca_{10}Al_4(Mg,Fe)_2\times$ $\times[SiO_4][Si_2O_7]\times$ $\times (OH)_4$	Тетрагональная, призматические кристаллы, зернистые и сли-	Несов. по{110} и {100}. Неровный, раковистый	Зеленый, желтый, бурый, серый, черно-бурый, фиолетовый	6,5	3,3-3,5	После прокаливания раствор. в HCl с выд. геля SiO_2. Форма крис-	Гранаты, эпидот	Диопсид, гроссуляр, волласто-нит, эпидот, монтичеллит, флогопит,	Скарны, родингиты,метасоматические породы по ультрабазитам, пегматиты и карбо-

вные агрега-ты

таллов, окраска, ассоциация

геленит

натные жилы

Продолжение таблицы 4

1	2	3	4	5	6	7	8	9	10
*Эпидот $Ca_2(Al,Fe)_3\times$ $\times [SiO_4]\times$ $\times[Si_2O_7]O(OH)$	Моноклинная, призматические и таблитчатые кристаллы, зернистые агрегаты	Сов. по {001} и несов. по {100}. Неровный	Желтовато-зеленый, темно-зеленый (пушкинит), коричневый, черный	6,0-7,0	3,3-3,5	После прокаливания раствор. в HCl с выд. геля SiO_2. Окраска, спайность, ассоциация	Везувиан, гранаты	Альбит, гастингсит, андрадит, везувиан, скаполит	Метаморфические основные породы, скарны и жилы альпийского типа
* Силлиманит $Al[AlSiO_5]$	Ромбическая, игольчатые кристаллы, волокнистые агрегаты (фибролит)	Сов. по {010}. Неровный, занозистый	Бесцветный, белый, серый, бурый, зеленоватый	6,5-7,5	3,2	В кислотах не раствор. Форма выд. и условия нахождения	Кианит, тремолит	Андалузит, диаспор, корунд, кварц, кианит, ставролит, плагиоклаз	Метаморфичес-кие породы, вторичные кварциты, пегматиты и жилы альпийского типа
* Форстерит $Mg_2[SiO_4]$	Ромбическая, призматические и таблитчатые кристаллы, зернистые агрегаты	Ясная по {100} и {010}. Неровный	Белый, желтоватый, зеленоватый, фиолетовый	6,5-7,0	3,2-3,6	Раствор. в HCl с выд. геля SiO_2 Форма выд., окраска, ассоциация	Апатит, пироксены, гумит	Диопсид, энстатит, хромит, магнетит, лабрадор, перовскит, флогопит, пироп	Ультраосновные породы, кимберлиты, базальты, магнезиальные скарны

* Ферроаксинит $Ca_2FeAl_2 \times$ $\times[BSi_4O_{15}](OH)$	Триклинная, клиновидный, зернистый	Сов. по {100}, несов. по {001}, {110}. Неровный	Серо-фиолетовый, буро-фиолетовый	6,5-7,0	3,2-3,3	В кислотах не раствор.	Серендибит, данбурит	Кварц, хлорит, эпидот, титанит, адуляр, датолит	Жилы в основных породах, околоскарновая минерализация и жилы альпийского типа

Продолжение таблицы 4

1	2	3	4	5	6	7	8	9	10
Х Манганаксинит $Ca_2MnAl_2[BO_4]\times$ $\times[Si_4O_{12}]$ (OH)	Триклинная, клиновидный, зернистый	Сов. по {100}, несов. по {001}, {110}. Неровный	Желтовато-бурый, зеленовато-бурый	6,5-7,0	3,2-3,3	В кислотах не раствор.	Тиценит	Кварц, барит, браунит, пиролюзит, бустамит, волластонит, гранат	Марганцевые метаморфические и скарновые м-ния
* Сподумен $LiAl[Si_2O_6]$	Моноклинная, уплощенно-призматические кристаллы и зернистые агрегаты	Сов. по {110}в двух направл., отдельность по {100} и {010}. Раковистый	Белый, серый, розовый (кунцит), зеленый (гидденит), желтый	6,5-7,0	3,0-3,2	Слабо раствор. в HCl. Пламя окрашивает в алый цвет (Li). Форма выд., спайность, ассоциация	Микроклин, пироксены	Кварц, альбит, микроклин, лепидолит, эльбаит, поллуцит	Литиевые гранитные пегматиты
* Гроссуляр $Ca_3Al_2[SiO_4]_3$	Кубическая, кристаллы простые формы {110} и {211}, зернистые до сливных агрегаты	Отсутствует, иногда отдельность по {110}. Раковистый, неровный	Белый, желтый, зеленый (цаворит-Cr), розовато-красный (гессонит)	6,5-7,0	3,2-3,8	В кислотах не раствор. Форма кристаллов, твердость, окраска	Спессартин, везувиан	Диопсид, волластонит, титанит, датолит, везувиан, скаполит	Скарны, метаморфизованные известняки
* Андрадит $Ca_3Fe_2[SiO_4]_3$	Кубическая, кристаллы	Отсутствует. Раковистый,	Желтовато-бурый, зеле-	6,5-7,5	3,5-4,1	После прокаливания раз-	Везувиан, гроссуляр	Диопсид, геденбергит,	Скарны, кремнистые

	простые формы {110} и {211}, зернистые до сливных агрегаты	неровный	ный (демантоид), бурый до черного (шорломит)			лагается в HCl с выд. геля SiO_2. Форма кристаллов, твердость, окраска		эпидот, везувиан, актинолит	известняки, гидротермальные жилы в гипербазитах

Продолжение таблицы 4

1	2	3	4	5	6	7	8	9	10
* Андалузит $Al_2[SiO_4]O$	Ромбическая, зернистые и шестоватые агрегаты, призматические кристаллы	Сов. по {110} по {100} до ясной. Неровный	Серый, желтый, бурый, розовый, красный, зеленый (виридин)	6,5-7,5	3,1-3,2	В кислотах не раствор. Форма кристаллов, твердость, окраска	Кианит, кордиерит	Кордиерит, силлима-нит, став-ролит	Метаморфические породы, роговики, вторичные кварциты и жилы альпийского типа
* Халцедон (тонковолокнистая разновидность кварца) SiO_2	Тонковолокнистые агрегаты, концентрически-полосчатый (агат), сталактиты	Отсутствует. Раковистый	Белый, се-рый, голубой, желтовато-красный (сердолик), зеленый (хризопраз)	6,5-7,0	2,55-2,64	Растворяется в HF. Форма выд., окраска, излом	Люссатин, кварцин	Кварц, кальцит, цеолиты	Миндалины эффузивных пород, кора выветривания гипербазитов, гидротермальные жилы
* Кристобалит (высокотемпературный) SiO_2	Тетрагональная; скрытокристаллический, натечный	Неровный, раковистый	Бесцветный, белый	6,5-7,0	2,2-2,3	Растворяется в HF. Форма выд. и условия нахождения	Тридимит, кварц	Тридимит, кальцит, цеолиты, опал	Эффузивные породы и кора выветривания гипербазитов
X Данбурит $Ca[B_2Si_2O_8]$	Ромбическая, призматический, зернистый	Несов. по {001}. Раковистый	Бесцветный, желтый, розовый, бурый	7,0	2,9-3,0	В кислотах не раствор	Топаз, кварц	Волластонит, геденбергит, датолит, аксинит,	Скарны и гипс-ангидритовые толщи

									кварц
* Эльбаит $Na(Li,Al)_3Al_6 \times \times [Si_6O_{18}](BO_3)_3 \times \times (OH)_4$	Тригональная, зернистые, шестоватые агрегаты и призматические кристаллы	Несов. по $\{10\bar{1}1\}$ и $\{11\bar{2}0\}$ Раковистый, неровный	Бесцветный (ахроит), красный, розовый (рубеллит), зеленый	7,0	3,0-3,1	В кислотах не раствор. Сечение кристаллов, окраска, твердость	Дравит, корунд, шпинель	Альбит, лепидолит, петалит, берилл	Гранитные пегматиты богатые литием

Продолжение таблицы 4

1	2	3	4	5	6	7	8	9	10
* Кварц SiO_2	Тригональная, зернистые и шестоватые агрегаты и призматические кристаллы	Несов. по$\{10\bar{1}1\}$, $\{01\bar{1}1\}$, $\{10\bar{1}0\}$, отдельность по $\{10\bar{1}1\}$. Раковистый	Бесцветный, белый, дымчатый, желтый, розо-вый, фиоле-товый, чер-ный	7,0	2,65	Раствор. в HF. Форма выд., твердость, окраска	Топаз, данбурит, нефелин, кордиерит	Полевые шпаты, слюды, сульфиды	Породообразующий в кислых изверженных породах, в пегматитовых, кварцевых жилах и жилах альпийского типа
ХУвит $CaMg_4Al_5 \times \times (BO_3)_3[Si_6O_{18}] \times \times (OH)_4$	Тригональная, призматический, игольчатый, волокнистый	Несов, по $\{11\bar{2}0\}$ Раковистый	Голубовато-серый, синевато-черный	7,0	3,1	В кислотах не раствор. Сечение кристаллов, окраска, твердость	Кордиерит, сапфирин	Флогопит, плагиоклаз, ортоклаз	В известковых скарнах, апокарбонатных грейзенах, метаморфических породах

4.3. Черта
Тверд **белая**
ость 7-9

*Дравит $NaMg_3Al_6 \times \times [Si_6O_{18}] \times \times (BO_3)_3 (OH)_4$	Тригональная, зернистые, шестоватые, волокнистые агрегаты и призматические кристаллы	Несов. по $\{10\bar{1}1\}$ и $\{11\bar{2}0\}$ Раковистый, неровный	Бесцветный (ахроит), бурый, зеленовато-бурый, травянисто-зеленый, синий	7,0-7,5	3,0-3,2	В кислотах не раствор. Сечение кристаллов, окраска, твердость	Везувиан, ставролит	Касситерит, кварц, полевой шпат, флюорит, доломит	Метаморфизованные или скарнированные карбонатные породы, метасоматиты по основным и ультраосновным породам
* Пироп $Mg_3Al_2[SiO_4]_3$	Кубическая, округлые зерна	Отсутствует. Раковистый, неровный	Огненно-красный, кроваво-красный, рубиновый, розовый	7,0-7,5	3,5-4,0	В кислотах не раствор. Форма кристаллов, окраска, ассоциация	Альмандин, шпинель	Сапфирин, силлиманит, гиперстен, кордиерит	В эклогитах, кимберлитах, перидотитах и серпентинитах

Продолжение таблицы 4

1	2	3	4	5	6	7	8	9	10
* Спессартин $Mn_3Al_2[SiO_4]_3$	Кубическая, кристаллы с простыми формами {110},{211}и зернистые агрегаты	Отсутствует. Раковистый, неровный	Оранжево-красный, розовый, желтый, красно-коричневый	7,0-7,5	3,8-4,3	После прокаливания разлагается в HCl с выд. геля SiO_2. Форма кристаллов, окраска, ассоциация	Гроссуляр, гумит	Шерл, мусковит, кварц, трифилин, апатит, альбит, родонит, тефрои	Пегматитовые жилы, метаморфизованные марганцевые м-ния
* Альмандин $Fe_3Al_2[SiO_4]_3$	Кубическая, зернистые до сливных агрегаты, кристаллы с простыми формами {110} и {211}	Отсутствует. Раковистый, неровный	Красно-коричневый, темно-красный, фиолетово-красный	7,0-7,5	3,7-4,3	В кислотах не раствор. В п. п.тр. сплавляется в магнитный шарик. Форма кристаллов, окраска, ассоциация	Пироп	Силлиманит, кианит, ставролит, полевой шпат, биотит	Мусковитовые пегматиты, регионально метаморфизованные породы

Ставролит $FeAl_4[SiO_4]_2O_2 \times \times (OH)_2$	Ромбическая, призматические крсталлы, крестообразные двойники, зернистые агрегаты	Сов. по {010} и {100}. Неровный	Желтовато-коричневый до буровато-черного	7,0-7,5	3,6-3,8	В кислотах не раствор. Форма кристаллов, твердость, ассоциация	Шерл, пироксены	Мусковит, кианит, силлиманит, альмандин, кварц, ильменит	Гнейсы и кристалличес-кие сланцы
* Циркон $Zr[SiO_4]$	Тетрагональная, призматические и дипирамидальные кристаллы, зерна, радиальнолучистые агрегаты	Несов. по {110} и {111}. Раковистый	Желтый (жаргон), желто-бурый, красный (гиацинт), красно-коричневый	7,0-7,5	3,9-4,6	Слабо разлагается в конц. H_2SO_4. Преимущественно в кристаллах, люминесцирует в УФ-лучах, иногда радиоактивен	Кассите-рит, рутил	Полевые шпаты, ильменит, титанит, алланит, магнетит, монацит	Акцессорный минерал кислых и щелочных изверженных пород и их пегматитов, в гнейсах и кристаллических сланцах

Продолжение таблицы 4

1	2	3	4	5	6	7	8	9	10
Борацит $Mg_3[B_7O_{13}]Cl$	Ромбическая, призматический, зернистый	Раковистый	Бесцветный, белый, сероватый, желтоватый, зеленоватый	7,0-7,5	2,9	Медленно расвор. в HCl		Доломит, гипс, ангидрит, галит, сильвин, ашарит	В соляных м-ниях
* Кордиерит $(Mg,Fe)_2Al_3 \times \times [AlSi_5O_{18}]$	Ромбическая, призматический, зернистый	Средняя по {010} и {100}, отдельность по {001}. Раковистый	Синий, фиолетовый, дымчато-синий, бурый	7,0-7,5	2,5-2,8	Частично раствор. при кипячении в HCl	Кварц, сапфир, осумилит	Кварц, биотит, полевой шпат, силлиманит, андалузит, корунд	В метаморфических породах, кислых изверженных породах и их пегматитах
* Уваровит $Ca_3Cr_2[SiO_4]_3$	Кубическая; зернистые агрегаты и кристаллы с	Отсутствует. Раковистый, неровный	Изумрудно-зеленый до темно-зеленого	7,5	3,4-3,8	В кислотах не раствор. Окраска,	Демантоид, цаворит	Хромит, хромовые хлориты, хромвезу-	Ультраоснов-ные породы и залежи хромита

	простыми формами {110} и {211}					форма кристаллов, ассоциация		виан, хромтитанит	
* Берилл $Be_3Al_2[Si_6O_{18}]$	Гексагональная, зернис-тые агрега-ты, призматические кристаллы	Несов. по {0001} и {10$\bar{1}$0}. Раковистый, неровный	Бесцветный, белый (гошенит), желтый (гелиодор), голубой (аквамарин), зеленый (изумруд), розовый (воробьевит)	7,5-8,0	2,6-2,9	В кислотах не раствор. Твердость, форма кристаллов, ассоциация	Апатит, фенакит, топаз	Морион, микроклин, биотит, шерл, сподумен, колумбит, флогопит	Пегматиты, грейзены, высокотемпературные кварцевые жилы, контактово-метасоматические породы
* Фенакит $Be_2[SiO_4]$	Тригональная, чечевицеобразный, призматический, зернистый	Несов. По {11$\bar{2}$0}. Раковистый	Бесцветный, желтоватый, розовый, коричневый	7,5-8,0	3,0	В кислотах не раствор	Кварц, топаз	Морион, альбит, топаз, берилл, флогопит, шерл, гранат	Пегматиты, слюдиты контактового типа, гидротермальные жилы

Продолжение таблицы 4

1	2	3	4	5	6	7	8	9	10
*Топаз $Al_2[SiO_4](F,OH)_2$	Ромбическая, зернистые агрегаты, призматические кристаллы	Сов. по {001}. Раковистый, неровный	Бесцветный, желтый, голубой, фиолетово-голубой, розовый	8,0	3,4-3,6	В кислотах не раствор. Форма кристаллов, спайность, плотность	Кварц, фенакит	Кварц, берилл, флюорит, полевые шпаты, турмалин	Гранитные пегматиты и грейзены, реже вторичные кварциты и кварцевые жилы
* Шпинель $MgAl_2O_4$	Кубическая, октаэдрические кристаллы, зернистые агрегаты	Раковистый, неровный	Бесцветный, красный, зеленый, синий, черный	8,0	3,6-4,1	С трудом раствор. в конц. H_2SO_4. Форма кристаллов, твердость, ассоциация	Гранат, корунд	Форстерит, диопсид, кальцит, флогопит, гумит, паргасит, андрадит	Магнезиальные скарны, роговики, гнейсы, акцессорный в основных и кислых породах

* Хризоберилл $BeAl_2O_4$	Ромбическая, зернистые агрегаты, пластинчатые и дипирамидальные кристаллы, тройники	Сов. по {011}, несов. по {010}. Раковистый, неровный	Желтый, зеленовато-желтый, зеленый (александрит), бесцветный	8,0	3,5-4,0	В кислотах не раствор. Окраска, форма кристаллов, твердость	Берилл	Берилл, фенакит, флюорит, апатит, турмалин, гранат	Пегматиты и скарны
* Корунд Al_2O_3	Тригональная, зернистые агрегаты (наждаки), таблитчатые и дипирамидальные кристаллы	Отдельность по {0001} и {10$\bar{1}$1}. Раковистый, неровный	Серый, синий (сапфир), красный (рубин), бесцветный, желтый, зеленый	9,0	4,0-4,4	В кислотах не раствор. Твердость, окраска, ассоциация	Шпинель	Полевой шпат, биотит, гранат, маргарит, диаспор, андалузит	Сиениты, пегматиты, плагиоклазиты, гнейсы и высокоглиноземистые метаморфиты (наждаки)

стр.
Авгит 86
Агальматолит 94
Агат 152
Адуляр 140
Азурит 78
Акантит 24
Аквамарин 158
Актинолит. 88
Алабандин 50
Александрит 160
Алланит –Ce. 88
Алмаз 72
Алунит 118
Альбит 142
Альмандин 156
Амазонит 142
Амблигонит 138
Амезит 112
Анальцим 130
Анатаз 70
Ангидрит 116
Англезит 114
Андалузит 152
Андрадит 150
Анкерит 118
Аннабергит 76
Аннит 82
Анортит 142
Антимонит 22
Антофиллит 134
Арагонит 118
Арфедсонит 86
Арсенолит 62
Арсенопирит 32

стр.
Астрофиллит 76
Атакамит 78
Аурипигмент 62
Ахроит 152
Баллас 72
Барит 116
Бастнезит 124
Бейделлит 96
Бемит 118
Берилл 158
Биотит 82
Бирюза 134
Бишофит 96
Борацит 158
Борнит 38
Борт 72
Брошантит 78
Брукит 70
Брункит 66
Брусит 106
Буланжерит 26
Бура 102
Бюргерит 94
Вавеллит 120
Ванадинит 66
Варисцит 124
Везувиан 146
Вермикулит 82
Вивианит .74
Виллемит 134
Виллиомит 112
Виридин 152
Висмут 24
Вискер 60
Волластонит 126
Витерит 116
Вишневит 130
Вокелит 64
Воробьевит 158
Вульфенит 64
Галенит 26
Галит 102
Галлуазит 104
Галлотрихит 98
Гастингсит 84
Гаусманит 52
Гаюин 132
Геденбергит 90
Гейкелит 52
Гейландит 120
Геленит 138
Гелиодор 158
Гематит 54
Гемиморфит 128
Герсдорфит 32
Гессанит 150
Гетит 52
Гиацинт 72
Гиббсит 106
Гидденит 150
Гидраргиллит 106
Гидроборацит 110
Гидроксантофллит 126
Гиперстен 84
Гипс 100
Главколит 138
Глауконит 76
Глаукофан 90
Глет 56
Горная кожа 104
Госларит 102
Графит 20
Гриналит 82
Гроссуляр 150
Грюнерит 86
Гудмундит 34
Гумит 144
Гюбнерит 52
Данбурит 152
Датолит 130
Демантоид 150
Деревянистое олово 72
Десмин 120
Джемсонит 26
Диаллаг 88
Диаспор 146
Диопсид 88, 140
Диоптаз 80
Доломит 118
Дравит 154
Жадеит 90, 146
Жедрит 140
Железо 30
Золото 38
Изоферроплатина 30
Изумруд 158
Ильваит 86
Ильменит 44
Иньоит 112
Иридий 36
Каламин 128
Кальцит 114
Канкринит 130
Карбонадо 72
Каолинит 104
Карбонат-фторапатит 128

Карналлит 106
Карнотит 64
Касситерит 72
Кварц 154
Кеммеририт 108
Кианит 144
Кизерит 116
Киноварь 56
Клейофан 66
Клиногумит 138
Клинопирротин 40
Клинохлор 108
Клиноцоизит 146
Клинтонит 130
Кобальтин 32
Ковеллин 22
Колеманит 124
Колофан 128
Кордиерит 158
Корунд 160
Криолит 106
Криптомелан 46
Кристобалит 152
Крокоит 58
Ксантофиллит 130
Ксенотим126.
Кукеит 108
Кумингтонит 134
Кунцит 150
Куприт 60
Лазурит 80
Лампрофиллит 76
Лангбейнит 120
Лейхтенбергит 108
Лейцит 136
Леллингит 30
Лепидокрокит 60
Лепидолит 110
Лизардит 108
Лопарит 48
Людвигит 80
Магнезит 124
Магнетит 46
Малахит 78
Манганит 50
Манганоаксинит 150
Манганоколумбит 54
Манганотанталит 50
Маргарит 122
Мариалит 138
Марказит 42
Марматит 50
Медь 36
Мейонит 138
Мелантерит 100
Меллилит 138
Микроклин 142
Миллерит 38
Миметизит 68
Мирабилит 98
Молибденит 20
Монацит 132
Монтмориллонит 100
Мусковит 110
Мушкетовит 46
Мышьяк 28
Настуран 44
Натролит 132
Нашатырь 96
Немалит 106
Нефелин 136
Нефрит 88
Нигрин 70
Никелин 42

Никельскуттерудит 34
Нозеан 136
Нонтронит 98
Ньюберит 114
Опал 140
Ортоклаз 140
Осьмий 36
Палыгорскит 104
Парагонит 110
Паргасит 84
Пектолит 128
Пентландит 40
Перовскит 70
Петалит 144
Пираргирит 58
Пирит 42
Пиролюзит 34
Пироморфит 68
Пироп 154
Пирофанит 54
Пирофиллит 94
Пирохлор 68
Пирохроит 102
Пирротин 40
Плагиоклазы 142
Полигалит 112
Поллуцит 146
Пренит 144
Прустит 58
Псевдомалахит 80
Псиломелан 46
Пушкинит 148
Пьемонтит 80
Рамзаит 92
Раммельсбергит 32
Ратовкит 122
Реальгар 56
Рибекит 84
Рихтерит 134
Родонит 140
Родохрозит 122
Романешит 46
Рубин 160
Рубеллит 150
Рутил 70
Самарскит 44
Сапонит 98
Сапфир 160
Сассолин 94
Саффлорит 30
Свинчак 26
Селенит 100
Селлаит 128
Сенармонтит 62
Сепиолит 104
Сера 60
Сердолик 152
Серебро 24
Серицит 110
Сидерит 122
Силлиманит 148
Сильвин 100
Скородит 120
Скуттерудит 34
Смитсонит 126
Сода 96
Содалит 136
Сперрилит 36
Спессартин 156
Сподумен 150
Ссайбелиит 114
Ставролит 156
Станин 28
Стеатит 94

Стильбит 120
Судоит 110
Сурик 58
Сурьма 28
Сфалерит 50, 66
Сфен 132
Тальк 94
Талнахит 40
Танзанит 142
Теллуровимутит 22
Тенардит 122
Теннантит 28
Термонатрит 96
Тетрадимит 20
Тетраферроплатина 30
Тетраэдрит 28
Тефроит 88
Титанит 132
Топаз 160
Торианит 54
Тремолит 136
Троилит 40
Туламенит 42
Тулит 142
Тюямунит 62
Уваровит 158
Увит 154
Улексит 108
Уранинит 44
Фаялит 92
Фенакит 158
Ферберит 44
Ферримолибдит 60
Ферроаксинит 148
Ферроколумбит 48
Ферротанталит 48
Флогопит 104
Флюорит 122
Форстерит 148
Фторапатит 128
Фторапофиллит 126
Фуксит 110
Халцедон 152
Халькантит 108
Халькозин 24
Халькопирит 38
Хлорапатит 124
Хлоритоид 92
Хондродит 144
Хризоберилл 160
Хризопраз 152
Хризотил 106
Хромит 48
Цаворит 148
Целестин 116
Церуссит 66
Циннвальдит 114
Циркон 72, 156
Цоизит 142
Шабазит 126
Шамозит 82
Шеелит 68
Шерл 92
Шорломит 150
Шпинель 160
Штольцит 64
Эвдиалит 132
Эгирин 90
Эльбаит 152
Энстатит 142
Эпидот 148
Эпсомит 102
Эритрин 74
Эшинит 46
Якобсит 48
Ярозит 66

УДК 549 : 548.12
С89

Рецензент: В. Н. Огородников, доктор геолого-минералогических наук, профессор, зав. кафедрой геологии УГГУ.

Печатается по решению Редакционно-издательского Совета Уральского государственного горного университета.

Суставов С. Г.

С89 МОРФОЛОГИЯ, ФИЗИЧЕСКИЕ СВОЙСТВА И ОПРЕДЕЛЕНИЕ МИНЕРАЛОВ ПО ВНЕШНИМ ПРИЗНАКАМ: Учебно-методидическое пособие / С. Г. Суставов; Уральский государственный горный университет. Екатеринбург: Изд-во УГГУ, Изд. 2-е, стереотипное, 2019. – 127 с.

Пособие соответствует дисциплине “Кристаллография и минералогия” по Государственному образовательному стандарту (ГОС) направления подготовки 21.05.02 -”Прикладная геология” высшего профессионального образования для подготовки инженеров.

В нём в доступной форме изложены основы кристаллографии и даны физические свойства минералов, необходимые при их диагностике. Приведены внешние признаки минералов и методические приемы их определения. В таблицах для определения минералов включены диагностические свойства породообразующих и важных в промышленном отношении минеральных видов, позволяющих находить их по комплексу свойств без использования специальных методов.

Пособие предназначено для самостоятельной работы студентов геологических специальностей очной и заочной форм обучения, а также для любителей камня, не имеющих специальных знаний.

УДК 549 : 548.12

© Суставов С. Г., 2013, 2019
© Уральский государственный горный университет, 2013, 2019

ОГЛАВЛЕНИЕ

Стр.
ВВЕДЕНИЕ. 4
ВНЕШНИЕ ПРИЗНАКИ МИНЕРАЛОВ 5
Морфология минеральных индивидов 6
Симметрия кристаллов 7
Простые формы и их комбинации 10
Реальные кристаллы 14
Строение агрегатов 16
Блеск 18
Цвет, черта 19
Твердость 22
Спайность и отдельность 23
Упругость, пластичность, хрупкость 24
Плотность 25
Магнитные свойства 26
КЛЮЧ К ТАБЛИЦАМ ДЛЯ ОПРЕДЕЛЕНИЯ МИНЕРАЛОВ 26
УСЛОВНЫЕ ОБОЗНАЧЕНИЯ 27
ПРИНЯТЫЕ СОКРАЩЕНИЯ 28
ИСПОЛЬЗОВАННАЯ ЛИТЕРАТУРА 28
ТАБЛИЦЫ МИНЕРАЛОВ 30
УКАЗАТЕЛЬ МИНЕРАЛОВ 126

ВВЕДЕНИЕ

Знакомство с минералами начинается с восприятия тех или иных внешних признаков, определение которых возможно без каких-либо приборов, с помощью наиболее простых приспособлений. Диагностика по внешним признакам является наиболее простым и универсальным методом при определении минералов. Вместе с тем, от диагноста требуется "острая" наблюдательность и хорошая память. В практической минералогии, как правило, невозможно определение минерала по словесному описанию. Практическая минералогия – "*чувственная*" наука, и в ней справедливо правило: *лучше один раз увидеть, чем сто раз услышать, и лучше один раз в руках подержать, чем сто раз увидеть*. Рассматривая минерал в витрине музея, можно получить информацию только о его цвете и форме выделения. Держа образец в руках, можно достаточно надежно определить его блеск, плотность, сопутствующие минералы. При внимательном осмотре образцов опытный специалист получает информацию, которая не только позволяет определить минерал, но, в некоторых случаях, указать месторождение. В свое время курс практической минералогии был разработан основателем кафедры – К. К. Матвеевым сразу после революции. Для проведения лабораторных занятий необходим определитель минералов. Первоначально для этой цели использовалось руководство А. Вейсбаха и К. Фукса. В 1938 году был издан определитель Ф. И. Рукавишникова. Позднее этот определитель обновлялся и расширялся в 1956 году Н. В. Свяжиным, а в 1970 году – Г. Н. Вертушковым и В. Н. Авдониным.

Минералогия, как и другие науки, не стоит на месте – растет поток информации о минералах. Это привело к физическому и моральному старению определителя 1970 года, что обусловило переработку, расширение и некоторое изменение таблиц и принципа расположения минералов в структуре определителя. При написании пособия основной упор сделан на свойства минералов, определение которых может производить любой студент, знакомый с основами геометрической кристаллографии и конституцией минералов. Первое издание таблиц было осуществлено автором в 1995 году для специальности МПГ, в 2001 году – второе издание, в 2009-м – третье с уточнениями и исправлениями. Первое издание таблиц для специальности РМ было выполнено в 2007 году. В настоящее время необходимо несколько изменить и дополнить существующий определитель в соответствии с ФГОСом третьего поколения.

Учебно-методическое пособие «Морфология, физические свойства и определение минералов по внешним признакам» составлено в соответствии с программой курса "Кристаллография и минералогия" по направлению подготовки (специальности) 130101.65 – "Прикладная геология (РМ, ГИГ, ГН, МПГ)". Настоящее пособие дополнено разделом по симметрии и морфологии кристаллов. В нем детализированы и выделены шрифтом видовые, межвидовые, надвидовые названия и разновидности.

ВНЕШНИЕ ПРИЗНАКИ МИНЕРАЛОВ

Минерал – это природное химическое соединение, состав которого изменяется в граничных пределах, обладающее кристаллической структурой и образующееся в результате геологических процессов. По мере изучения минералов было установлено, что в ряде случаев они имеют достаточно сложный состав и состоят из нескольких минераль-

ных видов. Например, оливин состоит из форстерита и фаялита; гранат – из пиропа, альмандина, спессартина, гроссуляра, уваровита и андрадита.

Каждый минеральный вид имеет определенный химический состав и структуру, которые находятся в тесной взаимосвязи и определяют его конституцию, которая в свою очередь обусловливает свойства, присущие минералу, и его морфологию. Свойства, определяемые визуально или с использованием простых испытаний, называют внешними признаками. Искусство диагностики минералов определяется овладением этими признаками. В отдельных случаях внешние признаки настолько специфичны, что позволяют однозначно определить минерал. В других случаях они позволяют выделить группу минералов, в которой определение конкретного вида требует тщательного анализа.

К внешним признакам относят морфологию и симметрию кристаллов, строение агрегатов, блеск, цвет, черту, твердость, спайность, отдельность, упругость, пластичность, хрупкость, плотность, магнитные свойства.

Морфология минеральных индивидов

Форма зерна является результатом отражения его упорядоченного внутреннего строения. Вместе с тем форма зерна – это первый диагностический признак, видимый невооруженным глазом.

Все множество минеральных индивидов по строению внешней поверхности можно разделить на две группы: 1) правильные многогранники, или идиоморфные кристаллы; 2) зерна неправильной формы, или ксеноморфные. Идиоморфные индивиды покрыты плоскими гранями, пересекающимися по ребрам, сходящимся в вершины. Положение граней кристалла определяется его структурой. Поверхность ксеноморфных индивидов определяется внешними условиями и от структуры не зависит [2, 8].

Симметрия кристаллов

Греческое слово «симметрия» в переводе на русский язык означает соразмерность. Симметрия проявляется в закономерно повторяющихся частях кристалла при его вращении. Для выявления симметрии кристаллов используют вспомогательные геометрические образы: прямые, плоскости, точки (оси симметрии, плоскости, центр инверсии).

Ось симметрии L (рис.1, *а*) – это прямая линия, при вращении вокруг которой многогранник или кристалл совмещается столько раз, каков порядок оси. Порядок оси симметрии – любое целое число, но в кристаллах возможны элементы симметрии, которые не противоречат однородности его строения. Осями симметрии кристаллов могут быть L_2, L_3, L_4 и L_6 . *Плоскость симметрии P* (рис. 1, *б*) – это воображаемая плоскость, которая делит модель на две равные и зеркально симметричные части. *Центром симметрии (инверсии) C* (рис. 1, *в*) называется мнимая точка внутри модели, от которой диаметрально противоположные точки поверхности удалены на равное расстояние. Существует мнемоническое правило: если каждой грани модели имеется равная и параллельная грань, то центр инверсии есть. Наряду с этим, в кристаллах могут быть инверсионные оси симметрии, например L^i_4 или L^i_6, представляющие собой в первом случае совокупность оси симметрии второго порядка и центра инверсии, действующих совместно. Во втором случае это одновременное действие оси симметрии третьего порядка и перпендикулярно к ней расположенной плоскости симметрии.

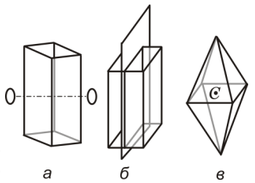

Рис.1

При определении элементов симметрии на моделях нужно знать, как они сочетаются друг с другом. Для этого необходимо выучить несколько теорем [8].

Теоремы:

Линия пересечения двух плоскостей симметрии является осью симметрии, угол поворота которой в два раза больше угла между плоскостями.

При наличии двух пересекающихся осей симметрии L_2 есть третья – равнодействующая им и проходящая через точку их пересечения (теорема Л. Эйлера).

При наличии центра инверсии *C* и четной оси L_{2n} перпендикулярно к последней проходит плоскость симметрии P.

Если имеются ось L_n и плоскость симметрии P, проходящая вдоль нее, то всего плоскостей симметрии будет n.

При наличии оси L_n и перпендикулярной к ней оси L_2, число таких осей будет равно *n*.

В кристаллических многогранниках присутствуют неповторяющиеся направления, которые называются единичными. Повторяющиеся в кристалле направления, связанные элементами симметрии, называются симметрично-равными. Присутствие единичных и симметрично-равных направлений определяется совокупностью элементов симметрии.

Полный перечень всех элементов симметрии одного многогранника обусловливает его точечную группу или *вид симметрии*. Впервые сложение элементов симметрии выполнил академик А. В. Гадолин в 1867 г. и выявил 32 вида симметрии [2]. Точечные группы, обладающие сходными элементами симметрии, составляют *сингонии,* которые по числу единичных направлений объединяют в категории (табл. 1).

Таблица 1

32 точечные группы симметрии кристаллов

Категория	Сингония	Виды симметрии					
		примитивный	центральный	планальный	аксиальный	планаксиальный	инверсионно-примитивный	инверсионно-планальный
Низшая	Триклинная	1	C					
	Моноклинная			P	L_2	L_2PC		
	Ромбическая			L_22P	$3L_2$	$3L_23PC$		
Средняя	Тригональная	L_3	L_3C	L_33P	L_33L_2	L_33L_23PC		$L^i_4(=L_2)\ 2L_22P$
	Тетрагональная	L_4	L_4PC	L_44P	L_44L_2	L_44L_25PC	$L^i_4(=L_2)$	$L^i_4(=L_2)\ 2L_22P$
	Гексагональная	L_6	L_6PC	L_66P	L_66L_2	L_66L_27PC	$L^i_6=L_2P$	$L^i_63L_23P=L_33L_24P$
Высшая	Кубическая	$4L_33L_2$	$4L_33L_23PC$	$4L_33L_26P$	$3L_44L_36L_2$	$3L_44L_36L_29PC$		

Простые формы и их комбинации

Свободно растущие кристаллы приобретают форму многогранника с различным количеством и конфигурацией граней.

По характеру огранения кристаллы разделяют на две группы. Кристаллы первой группы состоят из одинаковых, симметрично расположенных граней, которые полностью покрывают «тело» кристалла (тетраэдр). Вторая группа кристаллов обладает различными по форме и величине гранями, так как грани одного сорта полностью закрыть объем кристалла не могут (призма, пирамида). Первые представляют собой простые формы, вторые – их комбинации [2, 8].

Простой формой называют множество равных граней, связанных между собой элементами симметрии. Последнее определяет равенство физических свойств граней одной простой формы, так как они представлены одинаковыми плоскими сетками в структуре и могут быть получены симметричными преобразованиями из одной грани.

Комбинацией называют совокупность двух или нескольких простых форм. В этом случае множество граней не связано элементами симметрии, следовательно, могут иметь различную конфигурацию и размеры. Грани одной конфигурации, не связанные элементами симметрии, принадлежат разным простым формам.

Количество простых форм в комбинации (на моделях кристаллов) соответствует числу граней, разных по конфигурации (рис. 2). Грани одной конфигурации, если они связаны элементами симметрии, принадлежат одной простой форме. В том случае, если одинаковые грани не связаны элементами симметрии, то они принадлежат разным простым формам .

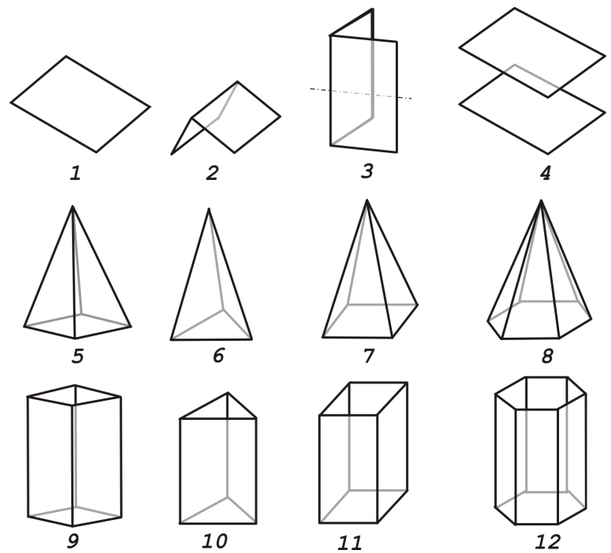

Рис. 2. Наиболее распространённые простые формы кристаллов:
Моноэдр – простая форма, состоящая из одной грани (*1*).
Диэдр – форма, состоящая из двух равных и пересекающихся между собой граней (*2, 3*).
Пинакоид – форма, состоящая из двух равных и параллельных между собой граней (*4*).
Пирамида – собирательное название простых форм, в которых все равные грани пересекаются в одной точке. Это открытые формы. Пирамиды называются по форме основания: ромбическая (*5*), тригональная (*6*), тетрагональная (*7*), гексагональная (*8*).
Призма – собирательное название простых форм, в которых все равные грани пересекаются по параллельным рёбрам. Призмы - открытые формы и различаются по сечениям плоскостью, перпендикулярной к ребру: ромбическая (*9*), тригональная (*10*), тетрагональная (*11*), гексагональная (*12*).

Продолжение рисунка 2

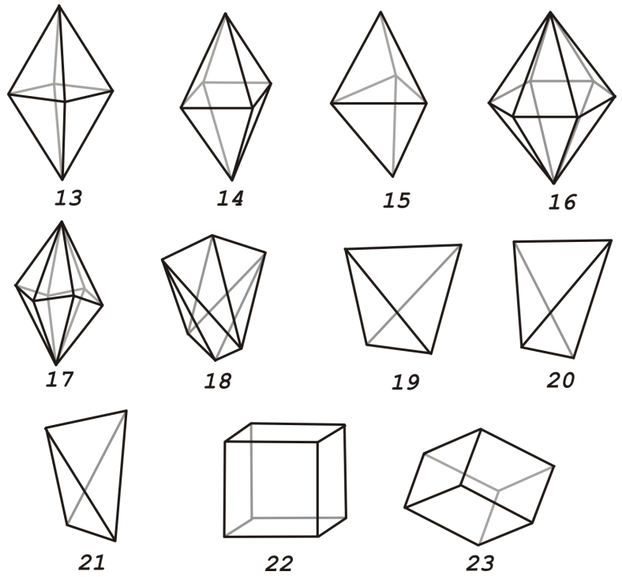

Дипирамида – собирательное название простых форм, состоящих из двух пирамид, сложенных основаниями. Дипирамиды различаются, как и пирамиды, по форме сечений: ромбическая (*13*), тетрагональная (*14*), тригональная (*15*), гексагональная (*16*).
Скаленоэдры – дитригональный (*17*) и дитетрагональный (*18*) имеют форму граней в виде неравностороннего треугольника.
Тетраэдры – четырёхгранники: кубический (*19*) (грань – равносторонний треугольник); тетрагональный (*20*) (грань – равнобедренный треугольник); ромбический (*21*) (грань – остроугольный треугольник).
Куб, или *гексаэдр* – шестигранник (*22*). Грани имеют форму квадрата (их 6; рёбер 12; вершин 8). Три главных направления взаимно перпендикулярные и равные между собой.
Ромбоэдр состоит из шести граней в форме ромба (*23*), общий случай ромбоэдра – “сдавленный” или “растянутый” по оси L_3 куб.

Окончание рисунка 2

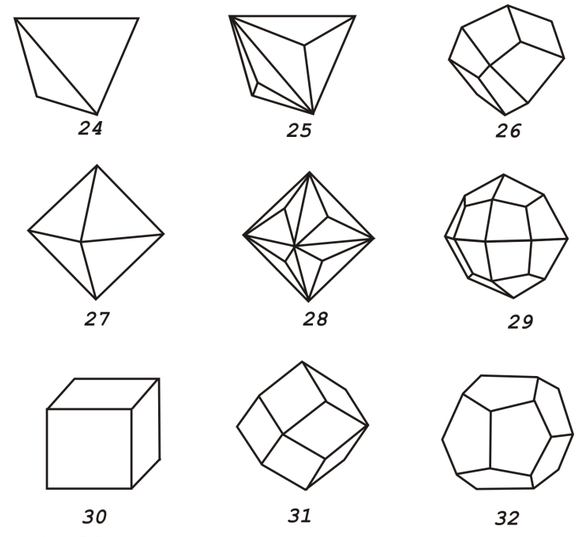

Тетраэдр (*24*) и его производные, полученные усложнением грани. В названии у них отражается форма грани: тригон, тетрагон и т. п.; количество граней в комплексе: три, тетра и название грани - эдр.
25 – тригонтритетраэдр; *26* – тетрагонтритетраэдр.
27 – октаэдр – восьмигранник – равносторонние треугольники сходятся по 4 в вершинах, ребер – 12.
Октаэдрические формы, образованные на базе октаэдра называются по такому же принципу, как тетраэдрические: *28* – тригонтриоктаэдр, *29* – тетрагонтриоктаэдр.
30 – Гексаэдр (куб).
Додекаэдры – (двенадцатигранники) – ромбический и пентагональный.
У ромбододэкаэдра (*31*) грани имеют форму ромба.
У пентагондодекаэдра грани в форме пятиугольника (*32*).

В огранении кристаллов участвуют 47 простых форм. Для каждой сингонии характерны свои простые формы. На рис. 2 показаны наиболее распространенные простые формы.

Реальные кристаллы

Форма кристалла определяется его структурой и влиянием окружающей среды. Появление тех или иных простых форм на кристалле определяется законом Бравэ, согласно которому при образовании кристаллов развитие и частота появления основных форм зависят от густоты расположения атомов, ионов на их гранях [8]. В соответствии с принципом Кюри, внешняя симметрия кристалла будет сохранять только те элементы симметрии, которые совпадают с подобными элементами симметрии среды. Степень развития кристалла в разных направлениях определяет его облик.

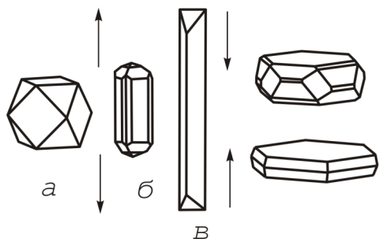

Рис. 3. Типы облика кристаллов:
а – изометричный; *б* – короткопризматический; *в* – длиннопризматический; *г* – таблитчатый; *д* – пластинчатый.

Выделяют следующие типы облика:

1) изометричный – кристалл примерно одинаково развит по трем взаимно перпендикулярным направлениям;

2) увеличение в одном направлении последовательно приводит к короткопризматическому, длиннопризматическому, игольчатому, волокнистому облику;

3) сжатие в одном направлении определяет таблитчатый, пластинчатый, чешуйчатый, листоватый облик (рис. 3).

Неравномерное развитие кристалла в разных направлениях определяет бочонковидный, клиновидный, скипетровидный, сноповидный и другие облики.

Габитус кристалла определяется преобладающими гранями простых форм, представленных в огранении. Например, у пирита облик изометричный, а габитус кубический, пентагондодекаэдрический или октаэдрический.

Грани кристаллов нередко покрыты мелкими бороздами или штрихами. Для ряда минералов присутствие штриховки является важным диагностическим признаком. В одних случаях она наблюдается в виде параллельных штрихов, в других – штрихи пересекаются под определенными углами. Так, на гранях призмы кристаллов кварца наблюдается поперечная штриховка, а на гранях призмы топаза и берилла – вертикальная.

По своему происхождению штриховка может быть *комбинационной,* обусловленной узкими вицинальными гранями двух простых форм (берилл, турмалин и др.), *двойниковой,* являющейся результатом полисинтетического двойникования минералов (сфалерит, корунд, плагиоклазы и др.) и *индукционной*, появляющейся в месте соприкосновения двух одновременно растущих индивидов [6].

Кристаллы редко бывают одиночными, обычно они образуют сростки. Различают *закономерные* и *случайные* сростки, среди первых выделяют параллельные, двойниковые и эпитаксические сростки. Параллельными сростками называют такие срастания кристаллов минералов, в которых все грани первого кристалла параллельны соответствующим граням второго.

Двойниками называют закономерные срастания двух кристаллов одного и того же минерала, в которых один индивид может быть выведен из другого отражением в плоскости или поворотом на 180° вокруг оси. В зависимости от количества сросшихся в двойниковом положении индивидов

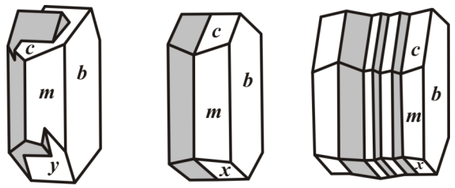

а б в

Рис.4. Двойники: *а*– прорастания; *б*– срастания; *в*– полисинтетический

различают тройники, четверники, пятерники и т. д. В зависимости от расположения элементов простые двойники подразделяют на *двойники срастания* и *двойники прорастания* .

Наряду с простыми двойниками широко распространены *полисинтетические.* В них каждые два соседних индивида находятся в двойниковом положении (рис. 4).

Эпитаксическими сростками называют срастания двух различных минералов, в которых хотя бы некоторые кристаллографические элементы оказываются параллельными. Это объясняется сходством кристаллических структур и параметров решеток у минералов в эпитаксическом сростке [6].

Строение агрегатов

Незакономерное срастание множества индивидов одного или разных минералов называется агрегатом. Форма минеральных агрегатов в значительной степени зависит от формы отдельных кристаллов и механизма их образования.

В случае изометричных зерен агрегаты по величине подразделяют на тонкозернистые (зерна на глаз неразличимы), мелкозернистые (зерна менее 1 мм, но различимы на глаз), среднезернистые (1–5 мм), крупнозернистые (5–20 мм), гигантозернистые (зерна крупнее 20 мм).

В том случае, если индивиды имеют вытянутую в разной степени форму, то они образуют *шестоватые, игольчатые, волокнистые* агрегаты. Если кристаллы обладают уплощенной формой, то агрегаты приобретают *пластинчатое, чешуйчатое, листоватое* строение.

По механизму образования выделяют следующие агрегаты. В открытых полостях из низкотемпературных растворов на стенках осаждаются натечные агрегаты, которые могут иметь *сталактитовое*, *гроздевидное, сосцевидное* или *почковидное* строение. Из коллоидных суспензий (гелей) образуются *колломорфные* агрегаты [6].

В том случае, если открытая полость не полностью заполняется раствором, то на стенках полости происходит образование *друз* или *щеток* кристаллов. Друзы сложены удлиненными кристаллами и имеют зону геометрического отбора. Последняя предполагает преимущественный рост тех индивидов, удлинение которых совпадает с нормалью к стенке полости. Щетки обычно представлены изометричными индивидами, в которых геометрический отбор прошел, и все кристаллы имеют одинаковую ориентировку.

Мелкие стяжения сферической или эллипсоидальной формы носят название оолитов и сферолитов. *Оолиты* обычно сцементированы друг с другом в горную породу. Они имеют концентрически-скорлуповатое строение, отдельные слои их отлагаются вокруг центра (например, песчинки или пузырька воздуха). *Сферолиты* обладают радиально-волокнистым строением и образуются в открытой полости.

Конкреции - стяжения округлой формы, радиально-лучистого или скорлуповатого строения, рост которых происходил от центра к периферии.

При быстрой кристаллизации минерала в трещине или хорошо проницаемой породе образуются плоские или объемные ветвистые агрегаты (*дендриты*). Наряду с основными типами минеральных агрегатов, имеются разности, наименования которых отражают внешние особенности этих агрегатов, например *звездчатые, сетчатые, ячеистые, шлаковидные, землистые.*

Блеск

Блеск – это визуальная характеристика отраженного от поверхности минерала света, учитывающая и долю отраженного света, и особенности отражения. Блеск минералов по мере его усиления подразделяют на *стеклянный*, *алмазный*, *полуметаллический* и *металлический*. У прозрачных и хорошо просвечивающих минералов, с повышением показателя преломления, слабый *стеклянный* блеск постепенно сменяется более сильным *алмазным*. Для минералов с высоким коэффициентом поглощения и большой отражательной способностью, т. е. непрозрачных, даже в тонком порошке, характерен *металлический* блеск. У части минералов блеск промежуточный между алмазным и металлическим; такие минералы или просвечивают хотя бы в тонком порошке, или заметно поглощают и рассеивают свет. Промежуточный по степени блеск называют *полуметаллическим*.

Переход от одной градации степени блеска к другой постепенный и достаточно условный. При мелкошероховатой поверхности у сильно поглощающих или непрозрачных минералов характер блеска *тусклый* (магнетит); у просвечивающих и прозрачных - *матовый* (каолин, любые землистые агрегаты). Характер поверхности нередко зависит от особенностей излома – при отсутствии спайности излом может быть мелкобугорчатым, а блеск –*жирным* (кварц, нефелин).

На вид блеска большое значение оказывают характер поверхности и строение агрегата. *Шелковистый* блеск отмечается у параллельно-волокнистых агрегатов за счет своеобразного отражения и рассеяния света волокнами. Такой блеск особенно заметен при падении света вдоль волокон (селенит, хризотил-асбест). Прозрачные минералы с совершенной спайностью отражают свет не только от внешней поверхности, но и от имеющихся в глубине образца трещинок. Подобное мерцающее отражение сопровождается интерференцией света, создающей нежную радужную окраску. Этот вид блеска называют *перламутровым* (гейландит, гипс,

кальцит).

Цвет, черта

Цвет – это свойство вещества вызывать у человека определенное зрительное ощущение в соответствии со спектральным составом отражаемого или пропускаемого излучения. По физической сущности окраску минералов подразделяют на собственную и чуждую [1]. *Собственная окраска* обусловлена особенностями конституции минерала – его химическим составом и структурой. Наиболее распространенный вид собственной окраски минералов вызывается характером светопоглощения. При этом возникают разные варианты.

1. Если свет не взаимодействует с минералом, то минерал остается бесцветным и прозрачным, как, например, горный хрусталь. При полном поглощении видимого спектра света минерал становится черным и непрозрачным. При поглощении происходит возбуждение электронов в верхнем слое, которые мгновенно возвращаются обратно, испуская световые лучи, что проявляется в металлическом блеске.

Цветовые оттенки у сильно поглощающих минералов возникают в случае энергетической неравнозначности переходов электронов, и потому часть лучей света поглощается минералом.

2. Наиболее ярко проявляется неравномерность поглощения света, как причина окраски прозрачных минералов-диэлектриков, в составе которых присутствуют химические элементы-хромофоры. Хромофорами являются ионы переходных металлов периодической системы Д. И. Менделеева. Наиболее важные из них V, Cr, Mn, Fe, Co, Ni, Cu. В зависимости от конституции, кристаллом поглощаются разные лучи. Минерал окрашивается в цвет, дополнительный к поглощенному. Окраска, вызываемая хромофорами, следующая: V^{3+} – зеленый (тсаворит), голубой (танзанит); Cr^{3+} – зеленый (уваровит, изумруд), красный (рубин); Mn^{2+} – розо-

вый (родохрозит, родонит); Fe^{2+} – зеленый (актинолит, хризолит), красный (альмандин); Fe^{3+} – желтый (хризоберилл); Co^{2+} – голубой (шпинель), розовый (эритрин); Ni^{2+} – зеленый (непуит); Cu^{2+} – зеленый (малахит), синий (азурит), голубой (бирюза).

3. В прозрачных минералах окраска может быть вызвана явлением переноса заряда. Так возникает окраска синего корунда (сапфир) с изоморфной примесью железа и титана. Появление окраски объясняется образованием пары $Fe^{2+} + Ti^{4+}$, которая за счет переноса заряда (электрона) внутри пары и поглощения лучей с соответствующей длиной волны образует пару $Fe^{3+} + Ti^{3+}$, и минерал приобретает синий цвет.

4. Неравномерное светопоглощение некоторых минералов может быть вызвано наличием в их кристаллической решетке электронно-дырочных центров окраски. В черном кварце (морионе) в позициях кремния располагаются ионы Al^{3+}. Для компенсации валентностей в кристаллическую решетку внедряются катионы щелочных металлов или H^{+}. Под действием радиоактивного или рентгеновского излучения происходит смещение электрона от кислорода к Al^{3+} с поглощением части света; ионы O^{-} становятся центрами окраски. Аналогичным образом возникает окраска у флюорита.

Чуждая окраска определяется вростками пигментирующих окрашенных минералов, цветными пленками разной природы и другими причинами, не связанными с особенностями конституции минерала.

Наряду с этим окраска зависит от спектра светового пучка и от направления. Наиболее ярко эта особенность проявляется в минералах с незначительной примесью хрома. Например, александрит при дневном освещении зеленый, а при искусственном – красный. Зависимость от направления – это анизотропия окраски. В ромбическом кордиерите с примесью Fe цвет разный по всем трем кристаллографическим осям. Он темно-синий вдоль оси *z,* светло-синий вдоль оси *x,* желтовато-серый вдоль оси *y.* Это явление называется

плеохроизмом и наблюдается у всех окрашенных минералов под микроскопом.

Окраска минерала определяется степенью его дисперсности: гематит в кристаллах железо-черный, а в порошке - вишнево-красный. Порошок остается после прочерчивания минералом по фарфоровой пластинке. Цвет черты, наряду с цветом минерала в массе, является важным диагностическим признаком.

Черта минерала помогает при отсутствии навыков правильно определить блеск. У минералов с металлическим блеском черта обычно черная и темнее, чем цвет минерала в массе. У минералов с полуметаллическим блеском черта аналогична цвету минерала в массе или светлее, но всегда отчетливо видна на фарфоровой пластинке. Преобладают коричневые оттенки. Минералы с алмазным блеском имеют черту красной, оранжевой или желтой окраски разной яркости и тона. Участок, с которого получена черта, светлеет. У бесцветных минералов с алмазным блеском черта белая, но они при этом, как бы, светятся внутри. У минералов со стеклянным блеском черта белая или светло-серая с неясным оттенком. Тот участок минерала, которым мы проводили черту, у них белеет.

Твердость

Твердость - способность минерала противодействовать внешнему воздействию, будь то царапание, вдавливание или шлифование. Метод динамического определения заключается в диагностике твердости относительно эталонов шкалы Мооса, которая состоит из десяти минералов-эталонов:

1) тальк $Mg_3[Si_4O_{10}](OH)_2$;
2) гипс $Ca[SO_4] \cdot 2H_2O$;
3) кальцит $Ca[CO_3]$;
4) флюорит CaF_2;
5) апатит $Ca_5[PO_4]_3F$;
6) ортоклаз $K[AlSi_3O_8]$;
7) кварц SiO_2;
8) топаз $Al_2[SiO_4](F,OH)_2$;
9) корунд Al_2O_3;
10) алмаз C.

Определение твердости осуществляется царапанием острым углом минерала эталона. Появление мельчайшей царапины указывает на более высокую твердость определяемого минерала. Вместо минералов-эталонов нередко используют заменители – ноготь (2), оконное стекло (5), напильник (6,5-7). Минералы с твердостью 1 легко пишут по бумаге. Оконное стекло очень удобно, так как имеет ровную поверхность и любая царапина на нем заметна.

При определении твердости следует помнить, что более мягкие минералы будут на более твердых оставлять черту, которую легко стереть в отличие от царапины. Во многих случаях такую черту принимают за царапину. Во избежание ошибки необходимо провести пальцем – царапина останется на месте, а черта сотрется.

На результаты определения относительной твердости влияет анизотропия, которая достаточно сильно проявляется в низкосимметричных минералах и в самих эталонах. Например, у кианита она варьирует от 4,5 вдоль удлинения таблитчатых кристаллов до 6,5-7 в поперечном направлении.

Спайность и отдельность

Спайность – способность минералов раскалываться по определенным кристаллографическим направлениям, с образованием ровных блестящих поверхностей, параллельных друг другу и заметных по одновременному отблеску при отражении на свет.

По степени совершенства выделяют следующие виды спайности:

1) *весьма совершенная* – индивид при небольшом усилии легко расщепляется на плоскости большой площади (слюды, молибденит);

2) *совершенная* – требует большее усилие для получения менее ровной поверхности (сфалерит, кальцит);

3) *несовершенная* – ровные поверхности проявляются редко, имеют минимальную площадь и обнаруживаются с трудом (кварц, оливин) [3].

Причина возникновения спайности заключается в присутствии ослабленных направлений в структуре, которые проявляются после механического воздействия. Кристаллографическая направленность плоскостей спайности предполагает, что спайность ориентирована по какой-то простой форме. При определении спайности, кроме степени совершенства важно определять количество направлений и угол между плоскостями спайности, так как в ряде случаев это является важным диагностическим признаком. Например, у амфиболов и пироксенов спайность в двух направлениях и близкая окраска, но у первых угол между плоскостями спайности 120°, а у вторых – 90°.

При определении спайности важно не путать плоскости спайности с гранями кристалла. Плоскости спайности более гладкие и совершенные, чем естественные грани, которые могут иметь штриховку, следы растворения и т. д.

В некоторых минералах при раскалывании образуются ровные, кристаллографичные, иногда блестящие поверхности, напоминающие спайные. Возникновение подобных плоскостей носит название *отдельность* и связано с нали-

чием закономерных включений вдоль зон роста кристалла, в результате возникновения структур распада или полисинтетического двойникования. Отличительным признаком отдельности является конечный размер пластинок, если они вызваны двойникованием, и матовое отражение плоскостей, при наличии включений.

Упругость, пластичность, хрупкость

Упругость минералов проявляется в их способности восстанавливать форму и начальный объем после снятия напряжения. Это свойство, например, позволяет различить минералы группы слюд, чешуйки которых возвращаются в первоначальное положение после изгиба, от минералов группы хлоритов внешне достаточно схожих, но не обладающих упругими свойствами.

Пластичность – это свойство минерала необратимо деформироваться под действием механической нагрузки, превышающей предел упругости. Пластические деформации приводят к механическому двойникованию, смятию или изгибу зерен с сохранением их целостности. Это характерно для антимонита, кальцита, гипса, молибденита, кианита, слюд.

Некоторые минералы при этом способны к течению с изменением первоначальной формы, претерпевают грануляцию или перекристаллизацию (галенит, галит, арсенопирит). С пластичностью в прямой зависимости находится такое свойство, как *ковкость* минералов. У металлов это свойство проявляется в расплющивании их в тонкие пластинки. У некоторых сульфидов (халькозин, акантит, галенит), обладающих слабой ковкостью, царапина блестящая, а не пылит, в отличие от хрупких минералов, что является диагностическим признаком.

Хрупкость – это способность минералов разрушаться при небольших деформациях после превышения предела прочности. Хрупкость минералов определяет их способность

к измельчению, что является важной характеристикой при обработке руд и их обогащении.

Плотность

Плотность – это мера массы в единице объема. Плотность минералов варьирует от 0,8 у некоторых органических минералов до 22,7 г/см^3 у осмистого иридия. Она зависит от кристаллической структуры и химического состава минерала. Высокая плотность характерна для минералов с компактной структурой, низкая – для минералов со слоистой и каркасной структурой (например, алмаз – 3,5 г/см^3, графит – 2,2 г/см^3) [3, 6].

Плотность возрастает с увеличением массы атома или иона и уменьшается с увеличением их размеров. Например, плотность плагиоклазов изменяется от 2,61 г/см^3 (альбит) до 2,76 г/см^3 (анортит).

Основная масса минералов имеет плотность, которая находится в интервале от 2,5 до 5,2 г/см^3, и лишь немногие имеют более высокие или низкие значения. По степени распространенности и плотности минералы, условно, можно разделить на легкие (плотность менее 2,5 г/см^3), средние (2,5 -4 г/см^3) и тяжелые (более 4 г/см^3). Плотность мономинерального образца приближенно можно оценить, сравнивая с образцами с известной плотностью и близкого объема.

Магнитные свойства

По магнитным свойствам минералы подразделяют на магнитные, слабомагнитные и немагнитные. Магнитные минералы притягиваются постоянным магнитом. К ним относятся магнетит, моноклинный пирротин и некоторые разности ильменита. Некоторые разности магнетита ведут себя как постоянный магнит, т. е. притягивают к себе железные предметы и магнитные минералы. К слабомагнитным отно-

сятся те минералы, которые приобретают магнитные свойства под действием электрического поля. Так ведут себя, например, все минералы, содержащие железо: геденбергит, альмандин, железистый сфалерит (марматит) и т. д.

КЛЮЧ К ТАБЛИЦАМ ДЛЯ ОПРЕДЕЛЕНИЯ МИНЕРАЛОВ

1. Минералы с металлическим блеском. Цветные непрозрачные.

Черта серая. Темно-серая или черная.

1.1. Цвет белый, серый до черного. Стр. 30

1.2. Цвет желтый, красный. Стр.40

2. Минералы с полуметаллическим блеском. Цветные, непрозрачные.

Черта аналогична цвету минерала в массе или светлее, но всегда отчетливая.

2.1. Черта бурая, буровато-черная, черная.

Цвет черный, серо-черный. Стр. 44

2.2. Черта красновато-бурая, желтовато-бурая, зеленовато-серая.

Цвет темно-красный, темно-бурый, черный. Стр. 48

3. Минералы с алмазным блеском. Бесцветные или цветные, идеально прозрачные или прозрачные в той или иной степени.

3.1. Черта оранжевая, красная.

Цвет минерала оранжевый, красный до черного. Стр. 54

3.2. Черта желтая, светло-желтая, белая.

Цвет минералов желтый, коричневый до черного, иногда бесцветный. Стр. 56

4. Минералы со стеклянным блеском. Прозрачные в той или иной степени.

Черта чаще белая, реже светлоокрашенная, минерал белеет в том месте, с которого получена черта.

4.1. Черта имеет отчетливую окраску: зеленую, голубую, синюю, желтовато-бурую. Цвет минерала аналогичен цвету черты или несколько темнее. Стр. 66

4.2. Черта имеет зеленоватый или сероватый оттенок, выраженный неясно. Преобладающая окраска минералов зеленая, темно-зеленая, черная. Стр. 70

4.3. Черта белая

Твердость 1 – 3 Стр. 80

4.4. Черта белая

Твердость 3 – 5 Стр. 92

4.5. Черта белая.

Твердость 5 – 7 Стр. 100

4.6. Черта белая.

Твердость 7– 9 Стр. 120

УСЛОВНЫЕ ОБОЗНАЧЕНИЯ

X – минералы, известные на Урале;

* – минерал широко распространен и образует крупные выделения;

– минерал открыт на Урале.

Минералы, не помеченные символами, на Урале не известны. Известные на Урале минералы отмечены по работе [10].

Названия минералов в таблицах:

жирный шрифт – основные видовые ;

простой шрифт – межвидовые;

курсив – разновидности.

ПРИНЯТЫЕ СОКРАЩЕНИЯ

в п.п.тр.– в пламени паяльной трубки;

в. сов.– весьма совершенная;

выд.– выделение;

конц.– концентрированной

м-ния – месторождения;

направл.– направление;

несов.– несовершенная;

раствор.– растворяется

сов.– совершенная;
УФ – ультрафиолетовый свет.

ИСПОЛЬЗОВАННАЯ ЛИТЕРАТУРА

1. *Булах А.Г.* Минералогия с основами кристаллографии – М.: Недра, 1989. – 351 с.
2. *Вертушков Г. Н.* Конституция и морфология минеральных индивидов. – Свердловск: СГИ, 1972.–139 с.
3. *Вертушков Г. Н., Авдонин В. Н.* Физические и химические свойства минералов и определитель минералов по внешним признакам. – Свердловск: СГИ, 1970 – 172 с.
4. ˇ *Годовиков А. А.* Минералогия. – М.: Недра, 1975.– 520 с.
5. ˇ Кривовичев В. Г. Минералогический словарь – С.Пб.: Изд-во С.-Петерб. ун-та. 2008. –556с.
6. *Лазаренко Е. К.* Курс минералогии. – М.: Высшая школа, 1971. 608 с.
7. ˇ *Минералы:* справочник /под ред. Ф. В. Чухрова, Э. Н. Бонштедт-Куплетской. Т.I – IV – М.: Наука, 1960-2004.
8. *Попов Г. М., Шафрановский И. И.* Кристаллография. Изд. 5-е – М.: Высшая школа, 1972.–352 с.
9. ˇ *Флейшер М.* Словарь минеральных видов/ пер. с англ. М. Флейшер — М.: Мир, 1990. – 206 с.
10. *Юшкин Н. П., Иванов О. К., Попов В. А.* Введение в топоминералогию Урала.– М.: Наука, 1986. – 294 с

ˇ Данные этих источников использованы в таблицах..

I. Минералы с металлическим блеском. Цветные непрозрачные
Черта серая, темно-серая или черная

Таблица 1

Название, химический состав	Сингония, облик кристаллов и строение агрегатов	Спайность, излом	Цвет, черта	Твердость	Плотность	Химические свойства, особые приметы	Сходные минералы	Сопутствующие минералы	Условия нахождения
1	2	3	4	5	6	7	8	9	10
1.1. Цвет белый, серый до черного									
* **Молибденит** (молибденовый блеск) MoS_2	Гексагональная, чешуйчатые, листоватые агрегаты, бочонковидные кристаллы	В. сов. по {0001} в одном направл.	Свинцово-серый с голубоватым оттенком. Серовато-черная, при растирании зеленеет	1	4,7-4,8	Трудно раствор. в HNO_3 до MoO_3. Мажет руки, жирный на ощупь	Графит, тетрадимит	Шеелит, вольфрамит, касситерит, висмутин и др.	Высоко- и среднетемпературные гидротермальные жилы, скарны, меднопорфировые м-ния
* **Графит** C	Гексагональная, пластинчатые кристаллы, чешуйчатые, пластинчатые агрегаты	В.сов. по {0001} в одном направл.	Черный до серебристо-серого. Черная	1	2,1-2,2	При нагревании с дымящей HNO_3 чешуйки вспучиваются. Мажет руки, жирный на ощупь	Молибденит, валлериит	Полевой шпат, кварц, биотит, рутил и др.	Магматический, пневматолито-гидротермальные жилы, скарны, метаморфические породы
* **Ковеллин** CuS	Гексагональная, порошковатые, сажистые массы	В. сов. по {0001} в одном направл.	Индигово-синий. Серая до черной	1,5-2	4,6-4,8	Раствор. в горячей HNO_3 с выд, S: раствор приобретает. зеленый цвет. Специфическая окраска		Халькозин, борнит, халькопирит	Зона окисления медноколчеданных м-ний

Продолжение таблицы 1

1	2	3	4	5	6	7	8	9	10
* **Стибнит** (сурьмяный блеск, антимонит) Sb_2S_3	Ромбическая, призматические кристаллы, спутанно-волокнистые и зернистые агрегаты	Сов. по {010} в одном направл.	Свинцово-серый, слегка голубоватый. Черная, при растирании краснеет	2	4,5-4,7	Раствор. в HCl с выд. H_2S. На плоскостях спайности часто двойниковая штриховка	Висмутин, джемсонит, буланжерит	Обычно один, реже с киноварью, флюоритом, баритом	Низкотемпературные гидротермальные м-ния
* **Висмутин** (висмутовый блеск) Bi_2S_3	Ромбическая, призматические и игольчатые кристаллы, зернистые агрегаты	Сов. по {010} в одном направл.	Оловянно-белый до свинцово-серого. Свинцово-серая	2-2,5	6,8	Легко раствор. в HNO_3 и горячей HCl. На плоскостях спайности часто двойниковая штриховка, перпендикулярная удлинению	Антимонит, висмутовые сульфосоли	Самородный висмут, молибденит, касситерит, вольфрамит	Высоко- и среднетемпературные гидротермальные жилы, пегматиты, скарны
* **Серебро** Ag	Кубическая, волосовидные, моховидные и проволочные формы, дендриты	Отсутствует. Крючковатый	Серебряно-белый, с поверхности серый или черный налет. Белая блестящая	2,5-3	10,1-11,1	Раствор. в HNO_3, при добавлении HCl выпадает белый осадок. Характерен цвет, крючковатый излом, высокая ковкость	Изоферроплатина	Акантит, прустит, пираргирит, галенит, кальцит, барит	Низкотемпературные гидротермальные жилы с арсенидами, зона вторичного сульфидного обогащения
* **Халькозин** (медный блеск) Cu_2S	Ромбическая, призматические и плстинчатые кристаллы, сплошные плотные массы	Несов. по {110}. Раковистый	Свинцово-серый до черного при окислении. Темно-серая, черная	2,5-3	5,5-5,8	Раствор. в HNO_3 с выд. S. Ковок. Царапина от иглы блестящая	Акантит, джарлеит, дигенит, анилит, блеклые руды	Борнит, ковеллин, халькопирит, самородная медь	Низкотемпературные гидротермальные образования, зона вторичного сульфидного обогащения

Продолжение таблицы 1

1	2	3	4	5	6	7	8	9	10
* **Галенит** (свинцовый блеск) PbS	Кубическая, зернистые агрегаты, реже плотные и натечные, обычны кристаллы	Сов. по {100}, в трех направл., иногда отдельность по {111}	Свинцово-серый, у тонкозернистых агрегатов более светлый. Серовато-черная	2,0-3,0	7,4-7,6	Раствор. в HNO_3 с выд. S, при добавлении HCl выпадает белый осадок. Слабо ковок. Типичен цвет, спайность в трех направл. и высокая плотность	Антимонит	Сфалерит, пирит, халькопирит, кварц, кальцит, барит	Средне- и низкотемпературный гидротермальные жилы, скарны
* **Джемсонит** $Pb_4FeSb_6S_{14}$	Моноклинная, игольчатые и волосовидные кристаллы, перистые и шестоватые агрегаты	Ясная по {001} в одном направл., несов. по {110} и {010}. Неровный	Свинцово-серый, иногда пестрая побежалость. Темно-серая, серовато-черная	2,0-3,0	5,5-6,0	Раствор. в горячей HCl, при охлаждении выпадает $PbCl_2$. Характерна поперечная спайность	Буланжерит, менегинит	Пирит, сфалерит, галенит, тетраэдрит, буланжерит	Второстепенный минерал среднетемпературных гидротермальных жил
* **Буланжерит** $Pb_5Sb_4S_{11}$	Моноклинная, игольчатые, призматические кристаллы, волокнистые агрегаты	Сов. по {100} в одном направл.	Свинцово-серый до железо-черного. Серовато-черная с коричневым оттенком	2,5-3,0	6,0-6,2	Раствор. в горячей HCl с выд. H_2S. От джемсонита отличается отсутствием поперечной спайности	Джемсонит, менегинит	Галенит, сфалерит, арсенопирит, пирит, джемсонит	Средне- и низкотемпературные гидротермальные жилы и метасоматические залежи

Продолжение таблицы 1

1	2	3	4	5	6	7	8	9	10
* **Теннантит** (мышьяковая блеклая руда) $(Cu,Fe)_{12}As_4S_{13}$	Кубическая, сплошные зернистые агрегаты, тетрадэрические кристаллы	Отсутствует. Раковистый, неровный	Стально-серый до железо-черного. Черная с вишнево-красным оттенком	3,0-4,0	4,4-4,7	Разлагается в HNO_3 с выд. S. Блеклый тон окраски, хрупкость	Тетраэдрит, халькозин	Халькопирит, сфалерит, галенит, пирит, айкинит, бурнонит	Широко распространен, средне- и низкотемпературный гидротермальный минерал
* **Тетраэдрит** (сурьмяная блеклая руда) $(Cu,Fe)_{12}Sb_4S_{13}$	Кубическая, сплошные зернистые агрегаты, тетраэдрические кристаллы	Отсутствует. Раковистый, неровный	Стально-серый до железо-черного. Черная	3-4,5	4,9-5,1	Разлагается в HNO_3 с выд. S. Блеклый тон окраски, хрупкость	Халькозин, теннантит	Халькопирит, сфалерит, галенит, пирит, айкинит, бурнонит	Широко распространен, средне- и низкотемпературный гидротермальный минерал
Х **Тетраферроплатина** (ферроплатина) PtFe	Тетрагональная, мелкие зерна	Нет. Неровный	Темно-серый до черного. Черная	4	12,0-15	Разлагается в царской водке. Магнитна и относительно хрупка	Железо, хромшпинели	Изоферроплатина, туламенит, хромшпинели	Магматический в ультраосновных изверженных породах, россыпях
* **Изоферроплатина** (поликсен) Pt_3Fe	Кубическая, мелкие зерна и самородки, кубические кристаллы	Отсутствует. Крючковатый	Серебряно-белый до стально-серого. Черная	4-4,5	14-18,65	Разлагается в царской водке. Слабомагнитна, ковка	Осмий, рутений	Тетраферроплатина, иридосмин, хромшпинели	Магматический в ультраосновных изверженных породах, россыпях

Продолжение таблицы 1

1	2	3	4	5	6	7	8	9	10
* **Кобальтин** (кобальтовый блеск) $CoAsS$	Кубическая, зернистые агрегаты, иногда кристаллы	Сов. по {100} в трех направл. Неровный, раковистый	Серебряно-белый с красноватым оттенком. Серовато-черная	5.5	6,1-6,4	Разлагается в горячей HNO_3 с выд. S и As_2O_3; раствор розовый. Форма кристаллов и розовый оттенок	Арсенопирит, сперрилит	Пирротин, халькопирит, арсенопирит, сфалерит, висмутин	Высоко- и среднетемпературные гидротермальные жилы, скарны
***Арсенопирит** (мышьяковый колчедан) $FeAsS$	Моноклинная, зернистые и шестоватые агрегаты, призматические и изометричные кристаллы	Несов. по {101}, {010}. Неровный	Оловянно-белый до стально-серого. Серовато-черная	5,5-6	5,9-6,3	Разлагается в горячей HNO_3 с выд. S. Широко распространен. Форма кристаллов, твердость, чесночный запах при ударе	Кобальтин, гудмундит	Пирит, халькопирит, пирротин, сфалерит, висмутин	Типичный гидротермальный минерал широкого диапазона температур, скарны
Х **Скуттерудит** (шмальтин) $CoAs_3$	Кубическая, плотные зернистые агрегаты, нередко кристаллы	Несов. по {100}. Неровный, раковистый	Оловянно-белый. Серовато-черная	5,5-6	6,5-6,8	Растворяется в HNO_3 с образованием розового раствора. Ассоциация с другими арсенидами и форма кристаллов	Никельскуттерудит, саффлорит	Кобальтин, арсенопирит, пирротин, арсениды Co и Ni	Среднетемпературный гидротермальный минерал
Х **Никельскуттерудит** (хлоантит) $NiAs_3$	Кубическая, плотные зернистые агрегаты, нередко кристаллы	Несов. по {100}. Неровный	Оловянно-белый до стально-серого. Серовато-черная	5,5-6	6,4-6,8	Раствор. в HNO_3 с образованием зеленого раствора. Ассоциация с никелином, форма кристаллов	Скуттерудит, раммельсбергит	Арсениды Co и Ni, кобальтин, герсдорфит	Среднетемпературный гидротермальный минерал

Продолжение таблицы 1

1	2	3	4	5	6	7	8	9	10
			I. 2. Цвет						
* **Медь** Cu	Кубическая, {100}, {111}, (110); дендриты, проволочки	Отсутствует. Крючковатый	Светло-розовая в свежем изломе, медно-красная при окислении. Медно-красная, блестящая	2,5-3	8,4-8,9	Легко раствор. в HNO_3. Ковкость, цвет, вторичные продукты	Аурикуприд	Халькозин, куприт, кальцит, гетит, атакамит	Гидротермальная в основных и ультраосновных изверженных породах, в зоне окисления
* **Золото** Au	Кубическая, {111}, {100}, {110}; чешуйки, листочки, самородки	Отсутствует. Крючковатый	Золотисто-желтый до светло-желтого, иногда розоватый оттенок. Золотисто-желтая, блестящая	2,5-3	15,6-18,3	Раствор. в царской водке. Цвет, высокая ковкость, отсутствие продуктов окисления	Халькопирит, аурикуприд	Арсенопирит, пирит, галенит, сфалерит, халькопирит и др.	Гидротермальное в кварцевых жилах, конгломератах, черных сланцах, в зоне окисления
* **Борнит** Cu_5FeS_4	Кубическая, {100}, {110}, {111}; зернистый	Несов. по {111}. Мелкораковистый	Темный медно-красный, с пестрой побежалостью. Серовато-черная	3	4,9-5,3	Раствор. в HNO_3 с выд. S. Цвет в свежем изломе и низкая твердость	Никелин, пирротин, ковеллин	Халькопирит, халькозин, галенит, пирит, сфалерит	Гидротермальный в основных изверженных породах и кварцевых жилах, скарнах, зоне окисления
* **Халькопирит** (медный колчедан) $CuFeS_2$	Тетрагональная, зернистые агрегаты, иногда тетраэдрические кристаллы	Несов. по {112} и {101}. Раковистый, неровный	Латунно-желтый, нередко пестрая побежалость. Зеленовато-черная	3-4,0	4,1-4,3	Раствор. в HNO_3 с выд. S. Цвет, твердость, хрупкость	Пирит, золото, талнахит	Пирротин, пирит, арсенопирит, галенит, сфалерит и др.	Высоко- и среднетемпературный гидротермальный минерал в основных породах, скарнах

Окончание таблицы 1

1	2	3	4	5	6	7	8	9	10
Х **Пентландит** (никелевый колчедан) $(Fe,Ni)_8S_9$	Кубическая, зернистые агрегаты и структуры распада в пирротине	Сов. по {111} в четырех направл. Раковистый	Бронзово-желтый. Зеленовато-черная	3-4,0	4,5-5	Раствор. в HNO_3, окрашивая раствор в зеленый цвет. Ассоциация и характерная спайность	Пирротин, пирит	Пирротин, халькопирит, талнахит, магнетит, кубанит	Магматический в основных изверженных породах
* **Пирротин** гексагональный $Fe_{1-x}S$	Гексагональная, таблитчатые и призматические кристаллы	Несов. по $\{10\bar{1}0\}$, отдельность по {0001}. Неровный	Бронзово-желтый с буроватой побежалостью. Серовато-черная до черной	3,5-4,5	4,6-4,7	В HNO_3 и HCl разлагается с трудом. Бронзово-желтая окраска	Троилит, кубанит	Халькопирит, пентландит, пирит, сфалерит, арсенопирит	Среднетемпературный гидротермальный минерал, в основных породах, скарнах, кварцевых жилах
* **Клинопирротин** (магнитный колчедан) Fe_7S_8	Моноклинная, зернистые агрегаты	Отдельность по {001}. Неровный	Бронзово-желтый. Серовато-черная до черной	3,5-4,5	4,6-4,7	Раствор. в HNO_3. Бронзово-желтая окраска и магнитность	Троилит, кубанит, пирротин гексагональный	Халькопирит, пентландит, пирит, сфалерит, арсенопирит	Среднетемпературный гидротермальный минерал, в основных породах, скарнах, кварцевых жилах
* **Марказит** (лучистый колчедан) FeS_2	Ромбическая, копьевидные и таблитчатые кристаллы, конкреции, натечные агрегаты	Ясная по {101}. Неровный	Латунно-желтый с серым оттенком. Черная	6-6,5	4,9	Разлагается в HNO_3 с выд. S. Форма выд.	Пирит, арсенопирит	Пирит, халькопирит, галенит, сфалерит, пирротин	Низкотемпературный гидротермальный минерал, в зоне окисления
* **Пирит** (серный колчедан) FeS_2	Кубическая, зернистые агрегаты, колломорфные массы, хорошо образованные кристаллы	Несов. по {100}, отдельность по {111}. Раковистый	Светлый латунно-желтый. Зеленовато-черная	6-6,5	4,9-5,2	С трудом разлагается в HNO_3 с выд. S. Форма кристаллов, твердость, окраска	Марказит, халькопирит, арсенопирит	Халькопирит, сфалерит, арсенопирит и др.	Наиболее широко распространенный сульфид

2. Минералы с полуметаллическим блеском. Цветные, непрозрачные.
Черта аналогична цвету минерала в мас се или светлее, но всегда отчетливая

Название, химический состав	Сингония, облик кристаллов и строение агрегата	Спайность, излом	Цвет, черта	Твердость	Плотность	Химические свойства, особые приметы	Сходные минералы	Сопутствующие минералы	Условия нахождения
2.1. Черта бурая, буро вато-черная, черная. Цвет черный, серо-черный									
1	2	3	4	5	6	7	8	9	10
X **Ферберит** $FeWO_4$	Моноклинная, зернистые агрегаты, призматические и таблитчатые кристаллы	Сов. по {010} в одном направлении. Неровный	Черный. Черная	4,5	7,3-7,5	Раствор. в HNO_3 и HCl. Ассоциация, окраска, спайность	Танталит, сфалерит, касситерит	Касситерит, висмутин, топаз, берилл, флюорит	Высокотемпературный гидротермальный минерал кварцевых жил, грейзенов, пегматитов
X **Уранинит** UO_2	Кубическая, массивный, колломорфный - настуран, кубические кристаллы	Отсутствует. Неровный, раковистый	Стально-серый до черного. Черная, буровато-черная, слегка блестящая	5-6,0	7,5-10,6	Раствор. в H_2SO_4 и HCl. Радиоактивность, окраска, форма выд.	Ильменит	Монацит, ксенотим, циртолит, алланит, биотит	Гидротермальный минерал, в пегматитах, грейзенах, кварцевых жилах и цементе конгломератов
# **Ильменит** $FeTiO_3$	Тригональная, редко зернистый, округлые зерна и пластинчатые кристаллы	Отсутствует. Раковистый	Железо-черный, иногда стально-серый оттенок. Черная	5-6,0	4,6-4,8	В кислотах не раствор. Окраска, черта, слабая магнитность	Магнетит, титаномагнетит, гематит	Магнетит, циркон, титанит, фторапатит, полевые шпаты	Магматический в основных изверженных породах, амфиболитах, пегматитах; гидротермальный в жилах

Продолжение таблицы 2

1	2	3	4	5	6	7	8	9	10
***Романешит** (псиломелан) $Ba(Mn^{3+}{}_2, Mn^{4+}{}_3)O_{10}\times$ $\times H_2O$	Моноклинная; натечные, почковидные, плотные агрегаты	Отсутствует. Неровный, скорлуповатый	Темный стально-серый до черного. Коричневато-черная	5-6	4,0-4,7	Легко раствор. в HCl с выд. Cl_2. Окрашивает пламя в зеленый цвет	Криптомелан, пиролюзит	Пиролюзит, якобсит, браунит, гаусманит	Типичный минерал коры выветривания, зоны окисления, морских осадков, редко гидротермальный
Пиролюзит MnO_2	Тетрагональная, землистый, скрытокристаллические агрегаты, призматические кристаллы	Сов. по {110} в двух направл.	Стально-серый, железо-серый в кристаллах. Черный в землистых агрегатах. Черная	6-6,5	4,7-5,2	Растворяется в HCl с выд. Cl_2.	Окислы и гидроокислы Mn	Романешит, криптомелан, браунит, родохрозит, гетит	Типичный минерал коры выветривания, зоны окисления, морских осадков, гидротермальный в жилах
* **Магнетит** (магнитный железняк) $Fe^{2+}Fe^{3+}{}_2O_4$	Кубическая, зернистый, землистый. *Мушкетовит* - псевдоморфоза по гематиту, кристаллы	Отдельность по {111}. Неровный, раковистый	Черный, темно-серый. Черная	5,5-6	4,8-5,3	Раствор. в HCl при нагревании. Сильно магнитен	Ильменит, гематит, хромит	Ильменит, гематит, фторапатит, андрадит, эпидот, диопсид	Магматический в основных изверженных породах; метасоматический в скарнах; железистые кварциты
* **Хромит** (хромистый железняк) $FeCr_2O_4$	Кубическая, зернистый, нодулярный, редко кристаллы	Отсутствует. Неровный	Черный, буровато-черный. Бурая, иногда серая	5,5-7,5	4,5-4,8	В кислотах раствор. при сплавлении с $KHSO_4$. Бурая черта, высокая твердость, иногда слабо магнитен	Гематит, магнетит, ильменит	Форстерит, серпентин, магнетит, уваровит	Магматический в ультраосновных изверженных породах, россыпях

Продолжение таблицы 2

1	2	3	4	5	6	7	8	9	10
* **Колумбит** $(Fe,Mn)Nb_2O_6$ (надвидовое название серии твердых растворов)	Ромбическая, обычно кристаллы, реже радиально-лучистые и зернистые агрегаты	Ясная по {010}. Раковистый, неровный	Черный, серовато- или коричневато-черный. Черная, буровато-черная	6	4,9-5,4	В кислотах не раствор., частично в H_2SO_4 при кипячении. По форме кристаллов, ассоциации, цвету	Самарскит, ильменит, вольфрамит	Магнетит, ильменит, альмандин, циркон, ксенотим	Магматический в кислых и щелочных изверженных породах и их пегматитах
***Танталит** $(Fe,Mn)Ta_2O_6$ (надвидовое название серии твердых растворов)	Ромбическая, обычно кристаллы, реже радиально-лучистые и зернистые агрегаты	Ясная по {010}. Раковистый, неровный	Красновато-коричневый до черного, в зависимости от содержания Fe, Mn. Темно-красная до черной	6-6,5	6,4-8,2	В кислотах не раствор. Mn-разности имеют красные рефлексы, прозрачны	Колумбит, самарскит, ильменит, вольфрамит	Сподумен, поллуцит, лепидолит, берилл, эльбаит	В гранитных пегматитах
2.2. Черта красновато-бурая, желтовато-бурая, зеленовато-серая. Цвет темно-красный, темно-бурый, черный									
X **Манганит** MnO(OH)	Моноклинная, натечные, плотные и зернистые массы, конкреции, оолиты	В. сов. по {010} и сов. по {110}. Неровный	Темный стально-серый до железо-черного. Красновато-бурая, бурая	3,5-4	4,2-4,3	Раствор. в конц. H_2SO_4 и конц. HCl с выд. хлора. Цвет черты и твердость	Гетит, гаусманит, браунит	Родохрозит, пиролюзит, гетит, романешит, браунит, барит	В осадочных м-ниях марганца, реже низкотемпературный гидротермальный минерал

Продолжение таблицы 2

1	2	3	4	5	6	7	8	9	10
* **Сфалерит** (цинковая обманка) ZnS Fe - *марматит*	Кубическая, зернистый, скорлуповатый, колломорфный, землистый, часто кристаллы	Сов. по {110} в шести направл.	Бурый, черный, красновато-бурый, желтый, зеленый. Бурая, желтовато-бурая	3,5-4	3,9-4,1	Раствор. в конц. HNO_3 с выд. серы, в HCl с выд. H_2S. Форма кристаллов и спайность	Вольфрамит, вюрцит	Галенит, халькопирит, пирит, блеклые руды, кальцит, кварц	Гидротермальный минерал широкого диапазона температур
X **Гюбнерит** $Mn(WO_4)$	Моноклинная, зернистые и радиально-лучистые агрегаты и призматические кристаллы	Сов. по {010} в одном направл. Неровный	Красновато-бурый до коричневато-черного. Желтовато-бурая до красновато-коричневой	4-4,5	7,1-7,3	Разлагается в горячих конц. H_2SO_4 и HCl. Форма зерен, окраска, спайность	Сфалерит, касситерит	Триплит, висмутин, шеелит, касситерит, молибденит	Высокотемпературный гидротермальный минерал, грейзены и пегматиты
* **Гейкелит** $MgTiO_3$	Тригональная,отдельные зерна и сплошные массы, редко кристаллы	Ясная по $\{10\bar{1}1\}$, отдельность по {0001}. Раковистый	Красно-бурый до черного. Буровато-красная	5	3,8-4,1	В кислотах не растворяется. В тонких осколках просвечивает красным. Редок	Пирофанит, ильменит	Шпинель, циркон, хромит, диопсид, форстерит	Магматический в ультраосновных изверженных породах, в россыпях, реже гидротермальный
* **Гетит** FeO(OH)	Ромбическая, почковидные, натечные выделения параллельно-волокнистого строения	Сов. по {010} и менее сов. по {100}. Занозистый, неровный	Желтовато-бурый до черного. Желтовато-бурая, бурая	5-5,5	4,1-4,3	Медленно раствор. в HCl. Параллельно-волокнистое строение и желтый оттенок черты	Гематит, лепидокрокит	Гематит, лепидокрокит, кальцит	Гипергенный минерал зоны окисления и коры выветривания; осадочные образования, реже гидротермальный

1	2	3	4	5	6	7	8	9	10
* **Гематит** (железный блеск) Fe_2O_3	Тригональная, плотные зернистые, тонкочешуйчатые, пластинчатые, натечные агрегаты (*кровавик*) и кристаллы	Отдельность по {0001} и $\{10\bar{1}1\}$. Раковистый	Стально-серый до черного, землистые агрегаты - буровато-красные. Вишнево-красная	5-6	5,0-5,3	Раствор. в конц. HCl. Специфическая черта, цвет и магнитен после прокаливания	Вольфрамит, хромит	Магнетит, кварц, рутил, сидерит, шамозит, ильменит	В железистых кварцитах, скарнах, жилах альпийского типа и кварцевых, коре выветривания

Таблица 3

3. Минералы с алмазным блеском. Бесцветные или цветные, идеально прозрачные или прозрачные в той или иной степени

Название, химический состав	Сингония, облик кристаллов и строение агрегатов	Спайность, излом	Цвет, черта	Твердость	Плотность	Химические свойства, особые приметы	Сходные минералы	Сопутствующие минералы	Условия нахождения
1	2	3	4	5	6	7	8	9	10
				3.1. Черта ор анжевая, красная. Цвет минерала оранж евый, красный до черного					
X **Реальгар** AsS	Моноклинная, зернистые агрегаты, налеты, призматические кристаллы	Сов. по {010} в одном направл. Полураковистый	Огненно-красный до оранжево-желтого. Оранжево-красная, огненно-красная	1,5-2	3,56	Разлагается в HNO_3 с выд. S, в HCl выпадают желтые хлопья. Окраска и ассоциация	Крокоит. Киноварь	Аурипигмент, стибнит, киноварь, сажистый пирит	Низкотемпературный гидротермальный минерал. В жилах и вулканических возгонах
X **Киноварь** HgS	Тригональная, зернистые агрегаты, сплошные порошковатые массы, реже кристаллы	Сов. по $\{10\bar{1}0\}$ в трех направл. Неровный	Ярко-красный, коричневато-красный. Ярко-красная	2-2,5	8,0-8,2	Разлагается царской водкой. При нагревании сублимирует. Цвет, спайность, высокая плотность	Куприт, кермезит	Антимонит, пирит, реальгар, арсенопирит	Низкотемпературный гидротермальный минерал. Преимущественно в жилах
# **Крокоит** $Pb(CrO_4)$	Моноклинная, массивные агрегаты, призматические и игольчатые кристаллы	Ясная по {110} в двух направл. Раковистый, неровный	Гиацинтово-красный, оранжево-красный. Желтовато-оранжевая	2,5-3	6,0-6,1	Раствор. в HCl с выд. Cl и $PbCl_2$. Ассоциация и окраска	Реальгар, фенохроит	Вокеленит, пироморфит, мимезит, церуссит	Зона окисления свинцовых м-ний

Продолжение таблицы 3

1	2	3	4	5	6	7	8	9	10
* **Куприт** Cu_2O	Кубическая, мелкозернистый, порошковатый, кубические и столбчатые кристаллы - вискеры	До ясной по {111}. Неровный, раковистый	Темно-красный, кирпично-красный до черного. Буровато-красная	3,5-4	5,9-6,2	Легко раствор. в HNO_3. Ассоциация со вторичными минералами меди	Киноварь, прустит. Пираргирит	Медь, малахит, гетит, псевдомалахит	Зона богатых окисных руд медносульфидных м-ний
* **Лепидокрокит** (рубиновая слюдка) $FeO(OH)$	Ромбическая, мелкочешуйчатый, радиально-пластинчатый, таблитчатые кристаллы	Сов. по {010} и {001} в двух направл. Неровный	Рубиново-красный, вишнево-красный. Оранжево-красная	4-5	3,8-4,1	Раствор. в HCl. Красноватый оттенок черты и парагенезис	Гетит, гематит	Гетит, гематит, пирит	В бурых железняках зоны окисления, бокситах, почвах
3.2. Черта желтая, Цвет минералов желтый, коричневый					**светло-желтая, белая. до черного, иногда бесцветный**				
***Сера** S	Ромбическая, зернистые, порошковатые, сливные агрегаты и дипирамидальные кристаллы	Несов. по {001}, {110}. Раковистый, неровный	Серно-желтый, медово-желтый, зеленовато- и буровато-желтый. Белая	1-2	2,1	Легко горит. Раствор. в сероуглероде и скипидаре. Цвет, хрупкость, блеск, горючесть	Розицкит, аурипигмент	Гипс, ангидрит, галит, кальцит, арагонит	В вулканических отложениях, осадочных породах и зоне окисления сульфидных м-ний
* **Ферримолибдит** $Fe_2(MoO_4)_3 \times \times 7H_2O$	Ромбическая, радиально-волокнистые и порошковатые агрегаты	Сов. по {001}. Неровный	Канареечно-желтый, зеленовато-желтый. Бледно-желтая	1-2	4,5	Раствор. в кислотах. Форма выд. и развитие по молибдениту	Ярозит, ферротунгстит	Молибденит, вольфрамит, полевой шпат	Зона окисления молибденовых м-ний

Продолжение таблицы 3

1	2	3	4	5	6	7	8	9	10
* **Тюямунит** $Ca(UO_2)_2 \times \times (VO_4)_2 \times \times 8H_2O$	Ромбическая, чешуйчатые и пластинчатые агрегаты	Сов. по {001} в одном направл.	Канареечно-желтый, зеленовато-желтый. Желтая	1-2	3,7-4,5	Раствор. в кислотах. Цвет, форма выд.	Карнотит, урановые слюдки	Карнотит, уранинит, коффинит, роскоэлит	Зона окисления урановых м-ний и терригенные осадочные породы (песчаники)
Х **Аурипигмент** As_2S_3	Моноклинная, пластинчатые и волокнистые агрегаты, порошковатые массы, кристаллы	В. сов. по {010} в одном направл.	Золотисто-желтый, лимонно-желтый. Светло-желтая	1,5-2	3,5	Раствор. царской водке и щелочах с выпадением бурого осадка. Цвет, низкая твердость и спайность	Сера	Реальгар, стибнит, пирит, арсенопирит, гетчеллит	Низкотемпературные гидротермальные м-ния и отложения горячих источников
Х **Ванадинит** $Pb_5(VO_4)_3Cl$	Гексагональная, мелкозернистые корочки и призматические кристаллы	Раковистый, неровный	Оранжево-красный, коричнево-красный, коричнево-желтый. Бледно-желтая	2,5-3	6,5-7,1	Легко растворяется в HCl и HNO_3 Форма кристаллов, цвет и ассоциация	Миметит	Миметит, пироморфит, деклуазит, церуссит, вульфенит	Зона окисления свинцовых м-ний
* **Ярозит** $KFe_3(SO_4)_2 \times \times (OH)_6$	Тригональная, тонкочешуйчатые плотные агрегаты, ромбоэдрические кристаллы	В. сов. по {0001} в одном направл.	Охристо-желтый до коричнево-желтого. Желтая	2,5-3,5	3,1-3,3	Раствор. в кислотах. Жирный на ощупь	Гетит, лимонит	Лимонит, гематит, гетит	Зона окисления сульфидных м-ний

Продолжение таблицы 3

1	2	3	4	5	6	7	8	9	10
* **Церуссит** $Pb(CO_3)$	Ромбическая, зернистые и натечные агрегаты, пластинчатые и бипирамидальные кристаллы	Ясная по {110} и {021}. Раковистый	Бесцветный, белый, серый, желтый. Белая	3-3,5	6,5	Раствор. в кислотах с выд. CO_2. Форма кристаллов, блеск, плотность и ассоциация	Англезит	Англезит, смитсонит, вульфенит, малахит, галенит	Зона окисления свинцовых м-ний
* **Сфалерит** (цинковая обманка) ZnS	Кубическая, зернистый, реже землистый (*брункит*) , тетраэдрические кристаллы	Сов. по {110} в шести направл. Раковистый	Желтый, зеленый (*клейофан*), красный, бурый. Светло-желтая	3,5-4	3,9-4,1	Раствор. в конц. HNO_3 с выд. S, в HCl с выд. H_2S. Форма кристаллов, спайность и блеск	Гринокит, вюрцит	Галенит, блеклая руда, халькозин, борнит	В полиметаллических м-ниях, в известняках и колчеданных рудах
* **Пироморфит** $Pb_5(PO_4)_3Cl$	Гексагональная, зернистые агрегаты и призматические кристаллы	Неровный	Желтый, желтовато-зеленый, бурый. Белая	3,5-4	7,0-7,1	Раствор. в кислотах. Легко плавится, после охлаждения приобретает полиэдрическую форму	Миметит, ванадинит	Церуссит, гетит, крокоит, вокеленит, вульфенит	Зона окисления свинцовых м-ний
* **Шеелит** $Ca(WO)_4$	Тетрагональная, зернистые агрегаты и дипирамидальные кристаллы	Ясная по {101}. Неровный	Белый, серый, бледно-желтый, оранжево-красный. Белая	4,5-5	5,8-6,2	Раствор. в HCl с выд. WO_3 Плотность, форма кристаллов, люминесцирует в УФ-лучах	Кварц	Вольфрамит, касситерит, гранат, эпидот, флюорит	Кварцевые жилы и скарны

Продолжение таблицы 3

1	2	3	4	5	6	7	8	9	10
* **Пирохлор** $NaCaNb_2O_6F$	Кубическая, мелкокристаллические агрегаты и октаэдрические кристаллы	Отдельность по {111} Раковистый	Желто-бурый, янтарно-желтый, зеленовато-желтый. Светло-желтая	5-5,5	4,2-5,0	С трудом раствор. в HCl. Разлагается в конц. H_2SO_4. Форма кристаллов, цвет	Циркон, шеелит, перовскит	Циркон, ильменит, аннит, апатит, титанит, алланит	Нефелиновые сиениты, альбитизированные граниты, щелочные основные породы и карбонатиты
* **Анатаз** TiO_2	Тетрагональная, остродипирамидальные кристаллы, зернистые агрегаты	Сов. по {001} и {111} в пяти направл. Раковистый	Синий до черного, лимонно-желтый, красновато-коричневый. Белая	5-6	3,9-4,0	В кислотах не раствор. Цвет и форма кристаллов	Кассиterит, рутил	Адуляр, брукит, ильменит, титанит, апатит	Жилы альпийского типа, акцессорный минерал магматических и метаморфических пород
* **Брукит** TiO_2	Ромбическая, уплощенные призматические кристаллы	Несов. по {110}. Раковистый	Желтый, желтовато-коричневый до черного. Белая до бледно-желтой	5,5-6	4,0-4,1	В кислотах не раствор. Уплощенная форма кристаллов, цвет и ассоциация	Рутил	Анатаз, титанит, адуляр, рутил, ильменит	Жилы альпийского типа, акцессорный минерал метаморфических пород
* **Рутил** TiO_2	Тетрагональная, призматические и игольчатые кристаллы, коленчатые двойники и зернистые агрегаты	Сов. по {110} в двух направл. Раковистый, неровный	Светло-желтый, красновато-бурый до черного (*нигрин*). Светло-желтая до бледно-коричневой	6-6,5	4,2-4,3	В кислотах не раствор. Широко распространен. Форма кристаллов, твердость	Кассиterит, циркон, турмалин	Апатит, ильменит, брукит, гематит	В апатитовых жилах и гнездах, в основных изверженных и метаморфических породах и кварцевых жилах

Окончание таблицы 3

1	2	3	4	5	6	7	8	9	10
Х **Касситерит** SnO_2	Тетрагональная, призматические кристаллы, зернистые и колломорфные агрегаты (*деревянистое олово*)	Несов. по {110} и {100}. Полураковистый, неровный	Желтый, красновато-бурый до коричнево-черного. Белая до темно-бурой	6-7	6,8-7,0	Зерна при кипячении с цинком в HCl покрываются пленкой олова. Плотность, форма кристаллов	Рутил, циркон	Вольфрамит, касситерит, висмутин, арсенопирит, шеелит	В кварцевых и пегматитовых жилах, грейзенах, скарнах, кислых магматических породах и россыпях
* **Циркон** $Zr\,[SiO]_4$	Тетрагональная, обычно призматические или дипирамидальные кристаллы, иногда метамиктные	Несов. по {110} и {111}. Раковистый	Желтый (*жаргон*), желто-бурый, красный (*гиацинт*), красно-коричневый. Белая до светло-желтой	7-7,5	3,9-4,6	Слабо разлагается в конц. H_2SO_4. Преимущественно в кристаллах, люминесцирует в УФ-лучах, иногда радиоактивен	Рутил, касситерит, монацит	Монацит, ксенотим, титанит, алланит, аннит, ильменит	Акцессорный минерал кислых и щелочных изверженных пород и их пегматитов, россыпи
Х **Алмаз** C	Кубическая, округлые кристаллы, зернистые сростки (*борт, баллас, карбонадо*)	Сов. по {111} в четырех направл. Раковистый	Бесцветный, голубой, желтый, зеленый, розовый, коричневый до черного. Белая	10	3,5-3,6	В кислотах не растворяется. Форма кристаллов, блеск, ассоциация, люминесценция в УФ и рентгеновских лучах	Лонсдейлит, муассанит	Пироп, гейкелит, хромдиопсид, форстерит, флогопит	Кимберлитовые и лампроитовые трубки взрыва, россыпи

Таблица 4

4. Минералы со стеклянным блеском.
Прозрачные в той или иной степени.
Черта чаще белая, реже светлоокрашенная, минерал белеет в том месте, с которого получена черта

Название, химический состав	Сингония, облик кристаллов и строение агрегатов	Спайность, излом	Цвет, черта	Твердость	Плотность	Химические свойства, особые приметы	Сходные минералы	Сопутствующие минералы	Условия нахождения
1	2	3	4	5	6	7	8	9	10
4.1. Черта имеет отчетливую окраску: Цвет минерала аналогичен цвету									
* **Вивианит** $Fe_3(PO_4)_2 \times \times 8H_2O$	Моноклинная, землистые агрегаты, конкреции, стяжения, призматические до игольчатых кристаллы	Сов. по {010} в одном направл. Неровный	Свежий - бесцветный, на воздухе быстро синеет до сине-черного. Голубоватая до синей	1,5-2	2,68	Легко раствор. в кислотах. Окраска и приуроченность к органическим остаткам	Анапаит, фосфаты железа и марганца		Осадочные железорудные м-ния, торфяники
* **Эритрин** $Co_3(AsO_4)_2 \times \times 8H_2O$	Моноклинная, землистые агрегаты, выцветы, налеты, призматические и игольчатые кристаллы	Сов. по {010} в одном направл. Неровный	Малиново-красный, персиково-красный, бледно-розовый. Бледно-розовая, розовая	1,5-2,5	3,0-3,1	Раствор. в кислотах, окрашивая раствор в розовый цвет. Окраска и развитие по арсенидам и сульфоарсенидам	Родохрозит	Кобальтин, сафлорит, скуттерудит, аннабергит, кальцит	Зона окисления арсенидных и сульфоарсенидных м-ний кобальта и никеля

Продолжение таблицы 4

1	2	3	4	5	6	7	8	9	10
* **Глауконит** $K(Fe^{+3}Mg)\times[AlSi_3O_{10}]\times\times(OH)_2$	Моноклинная, землистые массы, червеобразные и шаровидные мелкие стяжения	В. сов. по {001}	Зеленый, зеленовато-бурый до зеленовато-черного. Зеленая	2-3	2,4-3	Разлагается в HCl с образованием скелета SiO_2. Цвет, форма выд. и парагенезис	Хлориты, селадонит	Селадонит, слоистые силикаты	В осадочных терригенных горных породах и почвах
* **Аннабергит** $Ni_3(AsO_4)_2\times\times8H_2O$	Моноклинная, землистые агрегаты, выцветы, налеты, призматические и игольчатые кристаллы	Сов. по {010}. Неровный	Яблочно-зеленый, грязно-зеленый до белого. Бледно-зеленая до белой	2,5-3	3,0-3,2	Раствор. в кислотах, окрашивая раствор в нежно-зеленый цвет. Окраска и развитие по арсенидам и сульфоарсенидам никеля	Моренозит	Симплезит, моренозит, малахит, адамин, эритрин	Зона окисления арсенидных и сульфоарсенидных м-ний кобальта и никеля
* **Малахит** $Cu_2(CO_3)(OH)_2$	Моноклинная, натечные, почковидные и радиально-лучистые агрегаты, редко призматические кристаллы	Сов. по {201} и {010}. Неровный раковистый	Ярко-зеленый, темно-зеленый до черно-зеленого. Бледно-зеленая	3,5	4,0-4,1	Легко раствор. в кислотах с выделением CO_2. Широко распространен, положительная реакция на CO_2	Атакамит, адамин	Медь, куприт, азурит, хризоколла	Зона окисления медных м-ний
* **Азурит** $Cu_3(CO_3)_2\times\times(OH)_2$	Моноклинная, зернистые и землистые агрегаты и таблитчатые кристаллы	Сов. по {001} ясная по {100}. Раковистый	Лазурно-синий до темно-синего, голубой в землистых агрегатах. Голубая	3,5-4	3,7-3,9	Легко раствор. в кислотах с выд. CO_2. Окраска, форма кристаллов и ассоциация	Линарит	Малахит, куприт, тенорит, кальцит, хризоколла	Зона окисления медных м-ний

Продолжение таблицы 4

1	2	3	4	5	6	7	8	9	10
Х **Людвигит** $(Mg,Fe)_2Fe^{+3}\times$ $\times [BO_3]O_2$	Ромбическая, шестоватые и тонкоигольчатые агрегаты, сплошные зернистые массы	Неровный, занозистый	Темно-зеленый до черного. Зеленовато-серая, серая	5	3,6-4,7	Раствор. в кислотах. Форма выделения, ассоциация	Шерл, геденбергит	Гумит, форстерит, диопсид, магнетит	Контактово-метасоматические м-ния
Х **Лазурит** $Ca_2Na_6\times$ $\times[AlSiO_4]_6\times$ $\times(SO_4,S_2)_2$	Кубическая, зернистые агрегаты, редко ромбододекаэдрические кристаллы	Несов. по {110}. Неровный	Голубой, ярко-синий, сине-фиолетовый, темно-синий. Голубая	5,5-6	2,4-2,5	Раствор. в кислотах с выд. студенистого кремнезема и сероводорода. Цвет, ассоциация	Содалит, вишневит, нозеан	Кальцит, диопсид, скаполит, пирит	Контакт щелочных изверженных пород и известняков
4.2. Черта имеет зеленоватый или сероватый оттенок, выраженный неясно. Преобладающая окраска минералов зеленая, темно-зеленая, черная									
* **Шамозит** $(Fe_5Al)\times$ $\times[Al\ Si^3{}_8O_{10}]\times$ $\times(OH)_8$	Моноклинная, листоватые, мелко- и тонкочешуйчатые агрегаты	В. сов. по {001}	Темно-зеленый до черного. Серо-зеленая	2,5-3	3,0-3,4	Раствор. в HCl с выд. студенистого SiO_2. Форма выд., цвет, сплавляется в черное стекло	Гринналит	Сидерит, пирит, марказит	Осадочные железорудные м-ния
* Биотит $K(Mg,Fe)_3\times$ $\times[AlSi_3O_{10}]$ $(OH)_2$ Промежуточный член ряда флогопит—аннит	Моноклинная, чешуйчатые и пластинчатые агрегаты, столбчатые и пластинчатые кристаллы	В. сов. по {001} в одном направл.	Черный с зеленоватым, красноватым или золотистым оттенком. Коричневая	2-3	3,0-3,1	Разлагается в H_2SO_4 с образованием скелета SiO_2. Цвет, упругость листочков и ассоциация	Аннит, флогопит	Полевые шпаты, титанит, циркон, кварц	Кислые и средние магматические горные породы и их пегматиты, метаморфические породы

Продолжение таблицы 4

1	2	3	4	5	6	7	8	9	10
***Паргасит** $NaCa_2(Mg_4Al)\times$ $\times[Al_2Si_6O_{22}]\times$ $\times(OH)_2$	Моноклинная, шестоватые и зернистые агрегаты	Сов. по {110} в двух направл. под углом 124°. Неровный	Светло-зеленый, серо-зеленый до зеленовато-черного. Зеленовато-серая	5-6	3,0-3,2	В кислотах не раствор. Цвет, ассоциация и оптические константы	Гастингсит	Кальцит, доломит, форстерит, диопсид, флогопит	Метаморфизованные карбонатизированные ультраосновные породы, скарны, эклогиты
***Гастингсит** $NaCa_2(Fe_4^{2+}Fe^{3+})\times$ $\times[Al_2Si_6O_{22}]\times$ $\times(OH)_2$	Моноклинная, шестоватые и зернистые агрегаты, несовершенные кристаллы	Сов. по {110} в двух направл. под углом 124° Неровный	Зеленовато-коричневый, коричневый до зеленовато-черного. Серо-зеленая	5-6	3,1-3,3	В кислотах не раствор. Цвет, ассоциация и оптические константы	Паргасит	Пироксен, форстерит, плагиоклаз, ильменит, апатит	Основные магматические, метаморфические и метасоматические породы
* Гиперстен $(Fe,Mg)_2[Si_2O_6]$ Обогащенный железом энстатит	Ромбическая, плотные зернистые агрегаты, пластинчатые срастания с клинопироксенами	Сов. по {110} в двух направл. под углом 88°. Неровный	Темно-зеленый, серовато-черный, томпаково-бурый. Серая, коричневато-серая	5-6	3,4-3,7	Частично раствор. в HCl. Сплавляется в черную эмаль Форма зерен, угол между плоскостями спайности	Энстатит, бронзит	Авгит, салит, плагиоклаз, гастингсит, магнетит, биотит	Породообразующий минерал магматических и метамофических пород
* **Арфведсонит** $NaNa_2(Fe_4Fe)_4\times$ $\times[Si_8O_{22}](OH)_2$	Моноклинная, радиально-лучистые, шестоватые агрегаты; призматические и игольчатые кристаллы	Сов. по {110} в двух направл. под углом 124°. Неровный, занозистый	Зеленый, зеленовато-черный, черный. Зеленовато-серая, голубовато-серая	5,5-6	3,0-3,5	В кислотах не раствор. Легко плавится в магнитное стекло Форма зерен, окраска, спайность, ассоциация	Гастингсит, эгирин	Эгирин, гастингсит, куммингтонит, микроклин, плагиоклаз	Щелочные изверженные породы и их пегматиты, щелочные граниты, карбонатиты, метасоматиты

Продолжение таблицы 4

1	2	3	4	5	6	7	8	9	10
*Авгит $(Ca,Na)\times\times(Mg,Fe,Al,Ti)\times\times[(Si,Al)_2O_6]$ Разновидность диопсида	Моноклинная, сплошные зернистые массы, короткопризматические кристаллы	Сов. по {110} и отдельность по {100}. Раковистый, неровный	Зеленый, черно-зеленый до черного. Зеленовато-бурая	5,5-6	3,2-3,6	Частично разлагается в HCl. По форме кристаллов в эффузивах или оптически	Диопсид	Плагиоклаз, оливин, магнетит, пижонит	Породообразующий минерал магматических пород, в гнейсах и кварцитах
*Актинолит $Ca_2(Mg,Fe^{2+})_5\times\times[Si_8O_{22}](OH)_2$ железистый тремолит	Моноклинная, шестоватые, тонколучистые и волокнистые (*асбест*) агрегаты, плотные массы - *нефрит*	Сов. по {110} в двух направл. под углом 124°. Неровный, занозистый	Зеленый, серовато-зеленый, голубовато-зеленый. Белая до бледно-зеленой	5-6	3,1-3,2	В кислотах не раствор. Плавится с трудом в серо-зеленоватое стекло. Окраска, форма кристаллов и ассоциация	Тремолит, эпидот, турмалин	Альбит, эпидот, клинохлор, кальцит, доломит, глаукофан	Породообразующий минерал зеленосланцевой фации метаморфизма
***Алланит-(Ce)** (ортит) $CaCeFe^{2+}Al_2\times\times[SiO_4][Si_2O_7]\times\times O(OH)$	Моноклинная, сливные агрегаты, пластинчатые, досковидные кристаллы	Отсутствует. Неровный, раковистый	Темно-зеленый, смоляно-черный, светло-коричневый. Серая, светло-зеленая	5,5-6	3,3-4,2	Раствор. в HCl с выд. порошковатого SiO_2. Нередко радиоактивен. Форма кристаллов, цвет, радиоактивность.	Меланит, стенструпин	Альбит, апатит, флюорит, аннит, гастингсит, магнетит	Акцессорный минерал гранитов и сиенитов, их пегматитов, карбонатиты
* **Диопсид** $CaMg[Si_2O_6]$	Моноклинная, зернистые, шестоватые и радиально-лучистые агрегаты, призматические кристаллы	Сов. по {110} в двух направл. под углом 88˚, отдельность по {100}. Неровный	Светло-зеленый, серо-фиолетовый, розовый, белый. Белая до бледно-зеленой	5,5-6	3,2-3,4	Слабо раствор. в HCl. Форма кристаллов и окраска	Геденбергит, гиперстен	Кальцит, флогопит, апатит, магнетит, клинохлор, шпинель	Породообразующий минерал магматических пород, их пегматитов, метаморфических пород, скарнов

Продолжение таблицы 4

1	2	3	4	5	6	7	8	9	10
* **Геденбергит** $CaFe[Si_2O_6]$	Моноклинная, крупношестоватые и радиально-лучистые агрегаты, иногда зонально-концентрические	Сов. по {110} в двух направл. под углом 88°, отдельность по {100}. Неровный	Темно-зеленый до черно-зеленого. Светло-серая с зеленоватым оттенком	5,5-6,5	3,4-3,6	Частично разлагается в HCl. Легко сплавляется в черный магнитный шарик. Спайность и ассоциация	Людвигит, шерл	Фаялит, магнетит, кварц, ильваит, полевые шпаты	Породообразующий минерал оливинсодержащих сиенитов, железистых кварцитов, скарнов
* **Глаукофан** $Na_2Mg_3Al_2 \times \times [Si_4O_{11}]_2 \times \times (OH)_2$	Моноклинная, шестоватые и волокнистые (*асбест*) агрегаты, призматические кристаллы	Сов. по {110} в двух направл. под углом 124°. Занозистый, неровный	Серо-синий, ярко-синий, голубовато-черный. Голубовато-серая	6-6,5	3,0-3,3	В кислотах не раствор. Окраска и нахождение в метаморфических породах	Рибекит, рихтерит	Эпидот, альмандин, альбит, лавсонит, пумпеллиит	Кристаллические сланцы, эклогиты, метасоматиты
* **Эгирин** $NaFe[Si_2O_6]$	Моноклинная, радиально-лучистые, спутанно-волокнистые агрегаты, реже игольчатые кристаллы	Сов. по {110} в двух направл. под углом 88°. Занозистый, неровный	Светло-зеленый, зеленовато-черный до черного. Светло-зеленая	6-6,5	3,4-3,7	В кислотах не раствор. Форма кристаллов, окраска, спайность, ассоциация	Арфведсонит, энигманит	Полевые шпаты, нефелин, корунд, магнетит	Кислые и щелочные породы, их пегматиты, железистые кварциты, гидротермалиты
* **Жадеит** $NaAl[Si_2O_6]$	Моноклинная, плотные агрегаты спутанно-волокнистого строения, зернистые массы	Сов. по {110} в двух направл. под углом 88°. Неровный до занозистого	Белый, серый, зеленовато-серый, зеленый, синий. Белая	6-6,5	3,1-3,4	В кислотах не раствор. Форма выд., окраска, высокая вязкость	Нефрит	Альбит, кварц, анальцим, натролит, эпидот, цоизит	Метаморфические породы, контактово-метасоматические тела, ультраосновные породы

Продолжение таблицы 4

1	2	3	4	5	6	7	8	9	10
***Хлоритоид** $FeAl_2[SiO_4]O\times\times(OH)_2$	Моноклинная, чешуйчатые агрегаты, плохо ограненные порфиробласты	Сов. по {001} в одном направл. Неровный	Темно-зеленый, зеленовато-черный. Светло-зеленая, зеленовато-серая	6,5	3,5-3,6	Разлагается в H_2SO_4. Сплавляется в черное слабомагнитное стекло. Высокая твердость и плотность, ассоциация	Клинохлор, клинтонит	Биотит, альмандин, кварц, мусковит, ильменит, эпидот	Метаморфические породы, роговики, кварцевые жилы
* **Фаялит** $Fe_2[SiO_4]$	Ромбическая, зернистые агрегаты, редко призматические кристаллы	Ясная по {100}, {010}. Раковистый, неровный	Темно-зеленый до черного, темно-бурый. Зеленовато-серая	6-6,5	4,39	Раствор. в HCl с выд. студенистого SiO_2. Сплавляется в магнитный шарик. Цвет, твердость, ассоциация	Оливин	Флогопит, шорломит, перовскит, апатит, мелилит	Кислые и щелочные породы, их пегматиты, железорудные скарны, карбонатиты
*Оливин $(Fe,Mg)_2[SiO_4]$ Промежуточный член ряда форстерит—фаялит	Ромбическая, зернистые агрегаты, редко призматические кристаллы	Ясная по {100}, {010}. Раковистый, неровный	Оливково-зеленый, травянисто-зеленый. Бледная зеленовато-серая	6,5-7	3,6-4,1	Раствор. в кислотах с выд. студенистого SiO_2. Цвет, твердость, ассоциация	Гиперстен, авгит	Хромит, серпентин, диопсид, энстатит, магнетит	Ультраосновные и основные породы, кимберлиты
* **Шерл** $NaFe^{2+}{}_3Al_6\times\times[Si_6O_{18}]\times\times(BO_3)_3(OH)_4$	Тригональная, шестоватые, радиально-лучистые, зернистые агрегаты; призматические кристаллы	Отсутствует. Раковистый, неровный	Зеленовато-черный, черный. Зеленовато-серая, серая	7-7,5	2,9-3,2	В кислотах не раствор. Легко сплавляется в тем-но-коричне-вую эмаль. Форма попе-речного сече-ния, твердость	Эгирин, людвигит	Кордиерит, кварц, ортоклаз, биотит, апатит, магнетит	Кислые и щелочные изверженные и метаморфические породы и их пегматиты, грейзены, кварцевые жилы, скарны

1	2	3	4	5	6	7	8	9	10
			4.3. Черта		**белая**				
			Твердость		**1 - 3**				
* **Тальк** $Mg_3[Si_4O_{10}] \times \times (OH)_2$	Моноклинная, листоватые, чешуйчатые и скрытокристаллические (*стеатит*) агрегаты	В. сов. по {001} в одном направл. Неровный	Бледно-зеленый, белый с желтоватым или розоватым оттенком	1	2,7-2,8	В кислотах не раствор. Твердость, жирный на ощупь	Пирофиллит, каолинит	Тремолит, флогопит, серпентин, доломит, гематит	Гидротермально измененные ультраосновные породы и контактово-измененные карбонатные породы
* **Пирофиллит** $Al_2[Si_4O_{10}]\times \times (OH)_2$	Моноклинная, листоватые, чешуйчатые и скрытокристаллические (*агальматолит*) агрегаты	В. сов. по {001} в одном направл. Неровный	Белый, светло-зеленый, буроватый, красноватый	1-1,5	2,7-2,9	Раствор. в кислотах. Твердость, жирный на ощупь, ассоциация	Тальк, каолинит	Каолинит, монтмориллонит, хлорит, кварц	В метаморфических породах, во вторичных кварцитах и кварцевых жилах
* **Нонтронит** $Na_{0.33}Fe^{3+}_2\times \times [(Si,Al)_4O_{10}] \times \times (OH)_2 \times nH_2O$	Моноклинная, пластинчатые и землистые агрегаты	В. сов. по {001}. Неровный	Желтовато-зеленый до буро-зеленого и темно-бурого	1-2	2,3-2,5	Раствор. в кислотах. Окраска и условия нахождения	Сапонит, монтмориллонит	Монтмориллонит, магнезит, арагонит, кварц	Кора выветривания ультраосновных пород
***Монтмориллонит** $(Na_{0,33} \cdot nH_2O)\times \times (Al_{1.67}\ Mg_{0.33})\times \times [Si_4O_{10}](OH)_2$	Моноклинная, землистые агрегаты	В. сов.по {001}. Ровный	Белый, розовый, красный	1-2	2,1-2,3	Раствор. в кислотах. Жирный на ощупь, сильно разбухает в воде, становится пластичным	Каолинит, галлуазит	Иллит, хлорит, каолинит, галлуазит, палыгор-скит, се-пиолит	Кора выветривания вулканических пород, продукты изменения околорудных пород, почвы

Продолжение таблицы 4

1	2	3	4	5	6	7	8	9	10
* **Гипс** $Ca(SO_4)\times 2H_2O$	Моноклинная, зернистые, волокнистые (*селенит*) агрегаты	Сов. по {010} в одном направл. Ясная по {100}. Ровный, до занозистого	Бесцветный, белый, голубоватый, розовый, желтый, оранжевый	2	2,3	Слабо раствор. в воде, растворяется в HCl. Спайность, твердость, отсутствие реакции на CO_2	Брушит, бобьерит	Ангидрит, сера, арагонит, кальцит, кварц	Хемогенные осадочные породы, зона окисления сульфидных м-ний, кварцевые жилы и фумаролы
* **Сильвин** KCl	Кубическая, зернистые, землистые, волокнистые, шестоватые агрегаты, натеки, выцветы	Сов. по {100} в трех направл. Раковистый	Бесцветный, белый, голубой, желтый, красный	2	1,993	Раствор. в воде. Окрашивает пламя в фиолетовый цвет. Пластичен, вкус горьковатосоленый	Галит	Ангидрит, галит, кизерит, карналит, каинит, эпсомит, полигалит	Соляные залежи морского происхождения, выцветы на почве, вулканические продукты
* **Галит** NaCl	Кубическая, зернистые агрегаты, сталактиты	Сов. по {100} в трех направл. Раковистый	Бесцветный, белый, синий, желтый, красный	2-2,5	2,2	Легко раствор. в воде. Окрашивает пламя в желтый цвет. Спайность, соленый вкус, ассоциация	Сильвин	Сильвин, карналит, лангбейнит, гипс, ангидрит, полигалит	Соляные залежи, солончаки
* **Каолинит** $Al_2[Si_2O_5]\times$ $\times (OH)_4$	Триклинная, тонкочешуйчатые, землистые агрегаты	В. сов. по {001}. Плоскораковистый	Белый, серый, бурый	2-2,5	2,6-2,7	В кислотах не раствор. С водой становится пластичным. Окраска, высокая пластичность, мылкий на ощупь	Монтмориллонит, галлуазит	Монтмориллонит, галлуазит, иллит, полыгорскит, сепиолит	Кора выветривания кислых пород

Продолжение таблицы 4

1	2	3	4	5	6	7	8	9	10
***Галлуазит** $Al_2[Si_2O_5] \times \times (OH)_4 \cdot 2H_2O$	Моноклинная, землистые, плотные агрегаты	В. сов. по {001}. Плоскораковистый	Белый, голубоватый, бурый	2	2-2,2	В кислотах не раствор. Генезис и специальные методы	Каолинит, монтмориллонит	Каолинит, бейделлит, иллит, монтмориллонит	Кора выветривания кислых пород и гидротермальные жилы
* **Флогопит** $KMg_3 \times$??? $\times [AlSi_3O_{10}] \times \times (OH)_2$	Моноклинная, пластинчатые, листоватые, чешуйчатые агрегаты	В. сов. по {001} в одном направл.	Бесцветный, буровато-желтый, красновато-коричневый	2-2,5	2,8-3,0	Разлагается в концентрированной H_2SO_4 Ассоциация	Биотит	Диопсид, форстерит, шпинель, гиалофан, гумит, апатит	Перидотиты, кимберлиты, контактово-метасоматические породы и метаморфизованные карбонатные толщи
* **Карналлит** $KMgCl_3 \times 6H_2O$	Ромбическая, зернистые агрегаты, смеси с галитом, волокнистые образования	Раковистый	Бесцветный, розовый, желтый, красный, бурый	2,5	1,6	Легко раствор. в воде, сорбируя ее из атмосферы. Вкус горький, жгучий.	Галит, сильвин	Галит, сильвин, ангидрит, кизерит, каинит, эпсомит	В залежах калийных солей
* **Криолит** Na_3AlF_6	Моноклинная, зернистые агрегаты	Отдельность по {001} и {110}. Неровный	Бесцветный, белый, сероватый, грязно-бурый	2,5	2,96	Раствор. в кислотах. Легко плавится, окрашивая пламя в желтый цвет	Хиолит, флюорит	Томсенолит, колумбит, пирохлор, топаз, рибекит, альбит, герксутит	Акцессорный минерал щелочных гранитов и пегматитов
* **Гиббсит** (гидраргиллит) $Al(OH)_3$	Моноклинная, землистые агрегаты, червеобразные выд., оолиты, натечные образования	В. сов. по {001} в одном направл. Ровный, раковистый	Бесцветный, белый, сероватый	2,5-3	2,3-2,4	Легко раствор. в горячих щелочах и H_2SO_4. Спайность, форма выд., ассоциация	Бёмит, брусит, норстрандит	Каолинит, галлуазит, аллофан, нефелин	Бокситы, щелочные породы как продукт изменения натролита и нефелина

Продолжение таблицы 4

1	2	3	4	5	6	7	8	9	10
* **Брусит** $Mg(OH)_2$	Тригональная, чешуйчатые, волокнистые (немалит) агрегаты, натечные выделения, сфероиды	В. сов. по {0001} в одном направл. Чешуйчатый до занозистого	Бесцветный, белый, сероватый, желтоватый, зеленоватый, голубоватый	2,5	2,4	Легко раствор. в кислотах. В пламени паяльной трубки не плавится. Растворимость в HCl	Гипс, гиббсит	Серпентины, периклаз, доломит, арагонит, тальк, гидромагнезит	Метаморфизованные доломиты, мраморы, серпентиниты, известковые скарны
* **Хризотил** $Mg_3[Si_2O_5] \times \times (OH)_4$	Моноклинная, волокнистые и параллельно-шестоватые (*асбест*), плотные агрегаты	В. сов. по {001}. Ровный до раковистого и занозистого	Белый, желтоватый, зеленый разных оттенков	2,5	2,55	Раствор. в HCl с образованием волокнистого скелета. Форма выд., окраска, ассоциация	Лизардит, амфиболы, Ni - хлориты	Лизардит, антигорит, тальк, магнетит, брусит, гидромагнезит	Гидротермально измененные гипербазиты и контак-тово-измененные карбонатно-магнезиальные породы
Лизардит $Mg_3[Si_2O_5]\square \times \times (OH)_4$	Моноклинная, тонкозернистые агрегаты	В. сов. по {001}. Ровный до раковистого и занозистого	Зеленый, желтовато-зеленый, темно-зеленый	2,5	2,55	Раствор. в HCl с образованием порошковатого SiO_2. Высокая распространенность	Хризотил, Ni-хлориты, Ni-монтмориллониты	Хризотил, актинолит, тальк, магнетит, брусит, гидромагнезит	Гидротермально измененные гипербазиты и контактово-измененные карбонатно-магнезиальные породы
***Халькантит** $Cu(SO_4) \times 5H_2O$	Триклинная, пластинчатые и зернистые агрегаты, натечные образования	Несов. по {110}. Раковистый	Небесно-голубой до ярко-синего	2,5	2,1-2,3	Легко раствор. в воде. Вкус металлический, вяжущий. Окраска и условия нахождения	Пизанит	Меланте-рит, пикеренгит, алуноген, копиапит	Зона окисления медно-колчеданных м-ний

Продолжение таблицы 4

1	2	3	4	5	6	7	8	9	10
Клинохлор $Mg_5Al[AlSi_3\times\times O_{10}](OH)_8$	Моноклинная, таблитчатые, пластинчатые, листоватые, чешуйчатые агрегаты	В. сов. по {001} в одном направл.	Белый, серый (*лейхтенбергит*), зеленый, фиолетовый (*кеммерерит*)	2,5	2,6-2,8	Раствор. при кипячении в H_2SO_4. Окраска, спайность, чешуйки неупругие	Хлориты, мусковит	Магнетит, перовскит, гранат, эпидот, везувиан, титанит	Метаморфические породы фации зеленых сланцев, скарны, измененные ультраосновные породы
* **Мусковит** $KAl_2[AlSi_3O_{10}]\times\times(OH)_2$	Моноклинная, листоватые, чешуйчатые агрегаты, короткостолбчатые кристаллы	В. сов. по {001} в одном направл., несов. по {110} и {010}	Бесцветный, белый, зеленый, изумрудно-зеленый (*фуксит*)	2,5-3	2,8-3,1	В кислотах не раствор. Ассоциация	Лепидолит, цинвальдит, парагонит	Кварц, полевые шпаты, хлорит, доломит	Кислые изверженные и метаморфические породы, пегматиты, грейзены
* **Парагонит** $NaAl_2\times\times[AlSi_3O_{10}]\times\times(OH)_2$	Моноклинная, листоватые, чешуйчатые агрегаты	В. сов. по {001} в одном направл.	Бесцветный, белый, зеленовато-белый	2,5-3	2,9	В кислотах не раствор.	Мусковит	Амфибол, альмандин, плагиоклазы, кианит	Метаморфические породы богатые Na
Трилитионит $K(Li_{1,5}Al_{1,5})\times\times[Si_3O_{10}]F_2$ Лепидолит $K(Li,Al)_3\times\times[AlSi_3O_{10}]F_2$	Моноклинная, таблитчатые, чешуйчатые, скорлуповатые агрегаты	В. сов. по {001} в одном направл.	Белый, розовато-фиолетовый, персиково-красный	2-3 до 4	2,8-2,9	В кислотах не раствор. Цвет, характер ассоциации	Мусковит	Сподумен, петалит, альбит, рубеллит, флюорит, топаз	Гранитные пегматиты и грейзены
Судоит (рипидолит, прохлорит) $Mg_2Al_3\times\times[AlSi_3O_{10}]\times\times(OH)_8$	Моноклинная, листоватые, чешуйчатые агрегаты	В. сов. по {001}, в одном направл.	Белый, бледно-зеленый, зеленый	2-3	2,6-2,7	Частично разлагается кислотами. Цвет, спайность, ассоциация, гибкость	Клинохлор	Эпидот, альбит, актинолит, кварц, рутил, титанит	Зеленокаменные породы. Жилы альпийского типа

Продолжение таблицы 4

1	2	3	4	5	6	7	8	9	10
Гидроборацит $CaMg\times\times[B_3O_4(OH)_3]\times\times 3H_2O$	Моноклинная, грубово-локнистые, игольчатые, спутанно-волокнистые агрегаты	Сов. по {010}. Неровный, занозистый	Бесцветный,белый, розоватый, сероватый	2-3	2,17	Легко раствор. в кислотах. Форма выд., ассоциация	Улексит	Колеманит, иньоит, индерит, улексит, кальцит	Бороносные соляные залежи морского и озерного происхождения
* **Виллиомит** NaF	Кубическая, зернистые агрегаты	Сов. по {100} в трех направл. Раковистый, неровный	Карминово-красный, темно-вишневый	2-3	2,79	Легко раствор. в воде. Цвет, спайность, ассоциация	Флюорит	Эвколит, астрофиллит, содалит, ловчоррит, полевой шпат	Щелочные породы и их пегматиты
* **Амезит** $Mg_2Al[AlSiO_5]\times\times(OH)_4$	Триклинная, пластинчатые и чешуйчатые агрегаты	В. сов. по {001} в одном направл.	Белый, бледно-зеленый, фиолето-вый (*хром-амезит*)	2,5-3	2,7-2,8	Медленно раствор. в HCl. Спайность, форма выд., ассоциация	Клинохлор	Диаспор, рутил, магнетит, лейкоксен, миллерит	Измененные ультраосновные породы и метаморфические м -ния наждака
* **Англезит** $Pb(SO_4)$	Ромбическая, зернистые до плотных агрегаты, пористые массы, желваки, сталактиты	Сов. по {001} по {210} ясная. Неровный до раковистого	Бесцветный, белый, желтоватый, коричневатый	2,5-3	6,38	Медленно раствор. в HNO_3. Парагенезис, форма кристаллов	Церуссит	Церуссит, галенит, гетит, малахит, азурит	Зона окисления свинцовых м-ний
Циннвальдит $KLiFe^{2+}Al\times\times[AlSi_3O_{10}]\times\times(F,OH)_2$ Промежуточный член ряда сидерофиллит-политионит	Моноклинная, листоватые, чешуйчатые агрегаты	В. сов. по {001} в одном направл.	Серый, буровато- или зеленовато-серый	2,5-3,5	2,9-3,2	В кислотах не раствор. Цвет. Тип ассоциации	Мусковит, лепидолит	Вольфрамит, шеелит, топаз, флюорит, турмалин, кварц	Грейзены и олововольфрамовые кварцевые жилы

Продолжение таблицы 4

1	2	3	4	5	6	7	8	9	10
* **Ссайбелиит** (ашарит) $Mg_2[B_2O_4(OH)]\times\times(OH)$	Моноклинная, землистые, спутанно-волокнистые агрегаты	Сов. по {110}. Неровный, раковистый	Белый, сероватый, желтоватый	3	2,65	Медленно раствор. в кислотах. Форма выд., ассоциация	Гидроборацит	Улексит, гидроборацит, пан-дермит, гипс	Скарны, хемогенные бороносные залежи, серпентиниты
			4.4. Черта Твердость		**белая. 3 - 5**				
* **Кальцит** $Ca(CO_3)$	Тригональная, хорошо образованные кристаллы, сталактиты, зернистые агрегаты	Сов. по $\{10\bar{1}1\}$ в трех направл. Раковистый	Бесцветный, белый, серый, голубой, розовый	3	2,72	Легко раствор. в кислотах с выд. CO_2. Штриховка полисинтетического двойникования	Арагонит	Кварц, доломит, флюорит, барит, сульфиды и арсениды	Карбонатные, кварц-карбонатные жилы, магматические, метаморфические и осадочные породы
* **Целестин** $Sr(SO_4)$	Ромбическая, чечевицеобразные кристаллы, пластинчато-волокнистые прожилки, зернистые агрегаты	Сов. по {001} и {210} в трех направл. Неровный	Бледно-голубой, голубовато-серый, белый, красный	3-3,5	3,9-4,0	Слабо раствор. в кислотах. Голубая окраска, форма выд., спайность	Барит	Доломит, гипс, стронцианит, галит, галенит, сфалерит	Хемогенные осадочные толщи эвапоритов и кварцевые жилы
* **Барит** $Ba(SO_4)$	Ромбическая, пластинчатые и зернистые агрегаты, сферические конкреции	Сов. по {001} и {210} в трех направл. Неровный	Бесцветный, белый, голубоватый, желтый, красный	3-3,5	4,5	В кислотах не раствор. Форма кристаллов. Спайность, твердость, плотность	Целестин, ангидрит	Флюорит, кальцит, кварц, галенит, сфалерит, витерит	Гидротермальные жилы, желваки и конкреции осадочных пород

Продолжение таблицы 4

1	2	3	4	5	6	7	8	9	10
***Ангидрит** $Ca(SO_4)$	Ромбическая, хорошо образованные кристаллы, зернистые агрегаты	Сов. по {010}, {100}, {001} в трех направл. Неровный	Бесцветный, белый, голубоватый, светло-сиреневый	3,5	2,98	Раствор. в кислотах. Спайность, отсутствие реакции на CO_2	Гипс, карбонаты	Гипс, кальцит, доломит, пирит и другие сульфиды	Хемогенные осадочные породы, гидротермальные жилы, колчеданные и скарновые м-ния
* **Бемит** AlO(OH)	Ромбическая, скрытокристаллические, землистые, фарфоровидные агрегаты	Сов. по {010}. Неровный до раковистого, иногда мелкозанозистый	Бесцветный, белый, желтый	3,5-4	3,0-3,1	В кислотах не раствор. Ассоциация, форма выд., спайность	Гиббсит	Гиббсит, диаспор, каолинит, гидроокислы Fe	Бокситы и продукты изменения фельдшпатоидов и натролита в щелочных пегматитах
* **Арагонит** $Ca(CO_3)$	Ромбическая, игольчатые и зернистые плотные агрегаты. Корки, натеки	Ясная по {010} Неровный	Бесцветный, белый, желтоватый, серый	3,5-4	2,9-3,0	Раствор. в кислотах с выд. CO_2. Форма кристаллов, ассоциация	Кальцит, доломит	Кальцит, магнезит, опал, гетит	Хемогенные и биогенные осадки, кора выветривания ультраосновных пород
* **Доломит** $CaMg(CO_3)_2$	Тригональная, грубозернистые, тонкозернистые агрегаты	Сов. по $\{10\bar{1}1\}$ в трех направл. Неровный	Бесцветный, белый, желтый, буроватый	3,5-4	2,8-3,0	Медленно раствор. в HCl. Характер двойникования, ассоциация, спайность	Кальцит, магнезит	Сидерит, кальцит, кварц, арсениды, Co и Ni, магнезит	Хемогенные осадочные породы, кварц-карбонатные жилы и измененные ультраосновные породы

Продолжение таблицы 4

1	2	3	4	5	6	7	8	9	10
Х **Алунит** $KAl_3(SO_4)_2\times(OH)_6$	Тригональная, мелкозернистые, скрытокристаллические плотные агрегаты	Сов. по {0001}. Неровный	Белый, желтоватый, серый	3,5-4	2,6-2,9	Медленно раствор. в разбавленной H_2SO_4. Точная диагностика осуществляется оптически	Каолинит, зуниит	Гиббсит, каолинит, гипс, кварц, галлуазит	Измененные вулканогенные породы, зона гипергенеза осадочных толщ
* **Скородит** $Fe(AsO_4)\times2H_2O$	Ромбическая, плотные, шлакоподобные массы, корки, желваки, землистые скопления	Несов. по {201}. Раковистый, неровный	Серовато-зеленый, яблочно-зеленый, буровато-серый	3,5-4	3,3	Раствор. в HCl. Вторичный по арсенопириту Окраска, приуроченность к зоне окисления сульфоарсенидов	Манс-фильдит, халько-сидерит	Фармако-сидерит, бедантит, вивианит, гетит, гипс	Зона окисления сульфидных м-ний
* **Сидерит** $Fe(CO_3)$	Тригональная, зернистые и землистые агрегаты. Оолиты, конкреции	Сов. по $\{10\bar{1}1\}$ в трех направл. Неровный	Желтовато-серый, горохово-желтый, желтовато-бурый	3,5-4,5	3,9-4,0	Раствор. в HCl с выд. CO_2. Цвет, спайность, твердость	Анкерит	Доломит, гетит, пирротин, марказит, кварц	Хемогенные осадочные породы и кварц-карбонатные жилы
* **Родохрозит** $Mn(CO_3)$	Тригональная, зернистые агрегаты	Сов. по $\{10\bar{1}1\}$ в трех направл. Неровный	Розовый, темно-красный, желтовато-серый	3,5-4,5	3,6-3,7	Раствор. в HCl с выд. CO_2. Твердость, пленка гидроокислов и окислов Mn	Родонит, кальцит	Кварц, арсенопирит, сфалерит, галенит, родонит, спессартин	Гидротермальные жилы, контактово-метаморфические м-ния и осадочные толщи

Продолжение таблицы 4

1	2	3	4	5	6	7	8	9	10
***Маргарит** $CaAl_2\times$ $\times[Al_2Si_2O_{10}]\times$ $\times(OH)_2$	Моноклинная, листоватые, чешуйчатые агрегаты	Сов. по {001} в одном направл. Неровный	Жемчужно-белый с сероватым, розоватым, желтоватым оттенками	3,5-4,5	3,0-3,1	С трудом раствор. в H_2SO_4. Парагенезис, блеск, твердость	Клинтонит	Парагонит, хлоритоид, графит, эпидот, наждак, диаспор	Кристаллические сланцы, наждаки и слюдиты
* **Флюорит** CaF_2	Кубическая, зернистые и землистые (*ратовкит*) агрегаты	Сов. по {111} в четырех направл. Раковистый, неровный	Бесцветный, зеленый, фиолетовый, голубой. синевато-черный	4	3,18	Раствор. в концентрированной H_2SO_4 с выд. HF. Отсутствие реакции на CO_2	Криолит, карбонаты	Кварц, берилл, турмалин, касситерит, вольфрамит, топаз, халцедон	Грейзены, скарны, гидротермальные и пегматитовые жилы
* **Магнезит** $Mg(CO_3)$	Тригональная, зернистые, фарфоровидные, мелоподобные агрегаты	Сов. по $\{10\bar{1}1\}$ в трех направл. Раковистый	Бесцветный, белый, желтый, серый	4-4,5	3,0-3,1	Раствор. в HCl при нагревании с выд. CO_2. Форма выд.	Кальцит, доломит	Опал, арагонит, лимонит, доломит, кальцит, барит	Коры выветривания ультраосновных пород и гидротермально-метамофические залежи
* **Ксенотим** $Y(PO_4)$	Тетрагональная, зернистые агрегаты	Сов. по {100} в двух направл. Раковистый	Желтовато-бурый, красный, серый	4-5	4,4-5,1	В кислотах не раствор. Твердость, форма кристаллов, ассоциация	Циркон, касситерит	Монацит, циркон, уранинит, колумбит, ильменит, кварц	Гранитные пегматиты, гидротермальные тела щелочных пород
* **Смитсонит** $Zn(CO_3)$	Тригональная, скорлуповатые, почковидные, натечные выделения	Сов. по $\{10\bar{1}1\}$. Неровный	Белый, желтовато-коричневый, зеленый, голубой	4-4,5	4,1-4,4	Раствор. в HCl с выд. CO_2. Форма выд., высокая плотность	Сферосидерит, родохрозит	Сфалерит, галенит, кальцит	Зона окисления сульфидных м-ний и метасоматические залежи по известнякам

Продолжение таблицы 4

1	2	3	4	5	6	7	8	9	10
* **Волластонит** $Ca_3[Si_3O_9]$	Триклинная шестоватые, радиально-лучистые, тонковолокнистые, листоватые агрегаты	Сов. по {100}, средняя по {001}. Неровный	Белый, сероватый, желтоватый	4,5-5	2,8-2,9	Раствор. в HCl с выд. студенистого SiO_2. Спайность, окраска, ассоциация	Тремолит	Геденбергит, андрадит, датолит, аксинит, кассиterит, шеелит	Скарны, мраморизованные известняки и кальцифиры
* **Фторапатит** $Ca_5[PO_4]_3F$ апатит – (CaF)	Гексагональная, зернистые и колломорфные (*коллофан*) агрегаты, призматические и пластинчатые кристаллы	Ясная по {0001}. Раковистый, неровный	Бесцветный, белый, желтый, синий, фиолетовый, розовый	5	3,1-3,2	Раствор. в кислотах. Форма кристаллов, твердость	Берилл	Нефелин, эгирин, титанит, скаполит, форстерит, магнетит	Кислые и щелочные породы, карбонатиты и пегматиты.
* **Вишневит** $Na_8[AlSiO_4]_6\times$ $\times(SO_4)\cdot 2H_2O$	Гексагональная, зернистые агрегаты, реакционные каймы и псевдоморфозы по нефелину	Сов. по $\{10\bar{1}0\}$ в трех направл. Неровный, раковистый	Светло-голубой до голубовато-синего	5	2,3-2,4	Легко раствор. в HCl с выд. студенистого SiO_2. Окраска и ассоциация	Содалит, лазурит	Нефелин, полевые шпаты, эгирин, циркон, титанит	Позднемагматический в нефелиновых сиенитах и их пегматитах

4.5. Черта белая. Твердость 5-7

* **Канкринит** $Na_6Ca_2\times$ $\times[AlSiO_4]_6\times$ $\times(CO_3)_2\cdot 3H_2O$	Гексагональная, зернистые агрегаты, реакционные каймы по нефелину	Сов. по $\{10\bar{1}0\}$ в трех направл. Неровный	Белый, серый, желтый, красноватый	5-5,5	2,4-2,5	Раствор. в HCl с выд. CO_2 и студенистого SiO_2. Спайность, окраска	Нефелин, ортоклаз, микроклин	Нефелин, альбит, титанит, циркон, эгирин	Позднемагматический в нефелиновых сиенитах и их пегматитах

Продолжение таблицы 4

1	2	3	4	5	6	7	8	9	10
Монацит – (Ce) $Ce(PO_4)$	Моноклинная, таблитчатые кристаллы, реже зернистые агрегаты	Сов. по {100}, отдельность по {001}. Раковистый	Желтый, красно-коричневый, коричневый, иногда белый	5-5,5	5,0-5,2	С трудом разлагается кислотами. Форма кристаллов, твердость, плотность	Ксенотим, титанит	Ксенотим, алланит, уранинит, циртолит, биотит, молибденит	Акцессорный минерал гранитов, пегматитов, фенитов, грейзенов, гнейсов и жил альпийского типа
* **Натролит** $Na_2[Al_2Si_3O_{10}]\times$ $\times 2H_2O$	Ромбическая, призматические до игольчатых кристаллы; шестоватые, радиально-лучистые агрегаты	Сов. по {110} в двух направл. Неровный, раковистый	Бесцветный, белый, желтый, красный	5-5,5	2,2-2,3	Легко раствор. в HCl с выд. студенистого SiO_2. Спайность, форма выд., ассоциация	Томсонит	Анальцим, шабазит, сколецит, гейландит	Постмагматический минерал щелочных пород, их пегматитов; гидротермальный в жилах и миндалинах эффузивов
* **Титанит** (сфен) $CaTi[SiO_4]O$	Моноклинная, конвертообразные кристаллы; зернистые агрегаты	Сов. по {110}. Неровный до занозистого	Желтый, коричневый до черного, изумрудно-зеленый, белый	5-6	3,3-3,6	Раствор. в H_2SO_4. Форма кристаллов, окраска, спайность	Циркон, гранаты	Нефелин, канкринит, циркон, биотит, апатит, флогопит, диопсид	Первичный минерал щелочных пород и гранитов; встречается в скарнах, гнейсах, жилах альпийского типа
Бирюза $CuAl_6(PO_4)_4\times$ $\times(OH)_8\cdot 4H_2O$	Триклинная, плотные тонкозернистые агрегаты	Сов. по {001}. Мелкораковистый	Голубой, синевато-зеленый	5-6	2,6-2,8	С трудом раствор. в HCl. Окраска и форма выд.	Халькосидерит	Вавеллит, амблигонит, халцедон, каолинит, гетит	Кора выветривания фосфатсодержащих осадочных и вулканических горных пород

Продолжение таблицы 4

1	2	3	4	5	6	7	8	9	10
Антофиллит $Mg_7[Si_8O_{22}] \times \times (OH)_2$	Ромбическая, лучистые, радиально-сноповидные, шестоватые, волокнистые (*асбест*) агрегаты	Сов. по {110} в двух направл. Неровный	Бесцветный, серовато-зеленый, зеленовато-бурый	5,5-6	2,8-3,2	В кислотах не раствор. От других амфиболов отличается оптически; от хризотил-асбеста по ассоциации	Тремолит, жедрит	Энстатит, тальк, кордиерит, паргасит, плагиоклаз	Метаморфизованные ультрабазиты, магнезиальные скарны, регионально метаморфизованные породы
* **Тремолит** $Ca_2Mg_5 \times \times [Si_8O_{22}](OH)_2$	Моноклинная, шестоватые, волокнистые агрегаты, иногда призматические кристаллы	Сов. по {110} в двух направ. Плоскораковистый (*нефрит*)	Бесцветный, белый, светло-серый, светло-зеленый	5,5-6	3,0-3,1	В кислотах не раствор. От других амфиболов отличается оптически; от эпидота по спайности	Антофиллит, жедрит	Диопсид, форстерит, флогопит, скаполит, кварц, серпентин	Метаморфические и метасоматические породы, образовавшиеся по карбонатным и ультраосновным породам
* **Содалит** $Na_8[AlSiO_4]_6Cl_2$	Кубическая, зернистые агрегаты, псевдоморфозы по нефелину, ромбододекаэдрические кристаллы	Ясная по {110}. Неровный	Синий, серый, зеленоватый, розовый (*гакманит*)	5,5-6	2,1-2,3	Раствор. в HCl с выд. студенистого SiO_2. Спайность, окраска, ассоциация	Вишневит, лазурит, гаюин	Нефелин, канкринит, эгирин, микроклин, титанит, апатит	Щелочные породы и их пегматиты
* **Лейцит** $K[AlSi_2O_6]$	Тетрагональная, тетрагонтриоктаэдрические кристаллы, реже зернистые агрегаты	Отсутствует. Раковистый	Бесцветный, белый, серый	5,5-6	2,4-2,5	Раствор. в HCl с выд. порошковатого SiO_2. Форма выд. и условия нахождения	Анальцим	Ортоклаз, нефелин, санидин	Молодые щелочные вулканические породы

Продолжение таблицы 4

1	2	3	4	5	6	7	8	9	10
Мариалит $Na_4[AlSi_3O_8]_3Cl$	Тетрагональная, призматические кристаллы, зернистые, шестоватые и сливные агрегаты	Сов. по {100}, несов. по {110}. Неровный	Бесцветный, белый, серый, желтоватый	5,5-6	2,6	В кислотах не раствор. Форма кристаллов, спайность, ассоциация	Мейонит, полевые шпаты	Диопсид, плагиоклаз, флогопит, апатит, волластонит	Метаморфические и контактово-метасоматические м-ния
Мейонит $Ca_4[Al_2Si_2O_8]_3\times\times(CO_3)$	Тетрагональная, призматические кристаллы, зернистые, шестоватые и сливные агрегаты	Сов. по {100}, несов. по {110}. Неровный	Бесцветный, серый, грязно-зеленый, бурый	5,5-6	2,75	Частично раствор. в HCl с выд. геля SiO_2. Форма кристаллов, спайность, ассоциация	Мариалит, полевые шпаты	Флогопит, диопсид, апатит, кальцит, эпидот, гранат	Метаморфические и контактово-метасоматические м-ния
* **Нефелин** $KNa_3[AlSiO_4]_4$	Гексагональная, вкрапленники, зернистые массы; реже коротко-призматические кристаллы	Несов. по $\{10\bar{1}0\}$. Неровный	Желтый, красный, зеленый, бесцветный	5,5-6	2,6-2,7	Легко раствор. в кислотах с выд. геля SiO_2	Канкринит, кальсилит	Полевые шпаты, аннит, арфведсонит, эгирин, титанит, апатит	Щелочные магматические горные породы
* **Опал** $SiO_2\times nH_2O$	Аморфный; плотный, натечный	Отсутствует. Раковистый	Бесцветный, желтый, белый, зеленый, красный	5,5-6,5	1,9-2,2	Раствор. в HF. Форма выд. и условия нахождения	Аллофан	Магнезит, арагонит, нонтронит	Кора выветривания ультраосновных пород, в миндалинах эффузивов среднего и кислого состава

Продолжение таблицы 4

1	2	3	4	5	6	7	8	9	10
* **Родонит** $CaMn_4[Si_5O_{15}]$	Триклинная, зернистые агрегаты, редко призматические кристаллы	Сов. по {100}, {010} и {001}. Неровный	Розовый, ярко-красный и коричнево-красный	5,5-6,5	3,4-3,8	Раствор. в HCl с выд. порошковатого SiO_2. Окраска, спайность, твердость и ассоциация	Родохрозит, пироксмангит	Тефроит, спессартин, пироксмангит, гиалофан, алабандин	Метаморфические горные породы и скарны
* **Ортоклаз** $K[AlSi_3O_8]$	Моноклинная, зернистые агрегаты, призматические и ромбоэдрические кристаллы	Сов. по {001} и {010} в двух направл. под углом 90°. Неровный	Серый, желтоватый, красноватый; иризирует (*лунный камень*)	6	2,6	В кислотах не раствор. Окраска, наличие пертитовых вростков, спайность	Микроклин, плагиоклазы	Кварц, слюды, силлиманит, ставролит, альмандин	Породообразующий в кислых и щелочных изверженных породах, их пегматитах и метаморфических породах
* **Микроклин** $K[AlSi_3O_8]$	Триклинная, зернистые агрегаты и призматические кристаллы	Сов. по {001} и {010} в двух направл. под углом 90°. Неровный	Серо-желтый, красный, зеленый (*амазонит*); иризирует (*лунный камень*).	6	2,6	В кислотах не раствор. Окраска, наличие пертитовых вростков, спайность	Ортоклаз, плагиоклазы	Кварц, слюды, апатит, титанит, циркон	В кислых и щелочных изверженных породах и их пегматитах
* **Альбит** $Na[AlSi_3O_8]$	Триклинная, зернистые агрегаты, призматические и пластинчатые кристаллы	Сов. по {001} и {010} в двух направл. под углом 90°. Неровный	Бесцветный, белый, зеленоватый, серый, иногда иризирует.	6	2,6	В кислотах не раствор. Окраска, полисинтетическое двойникование, ассоциация	Ортоклаз, мейонит, мариалит	Кварц, слюды, микроклин, пироксены, амфиболы	Породообразующий в изверженных породах, их пегматитах, метаморфических породах, жилах альпийского типа

Продолжение таблицы 4

1	2	3	4	5	6	7	8	9	10
* **Анортит** $Ca[Al_2Si_2O_8]$	Триклинная, зернистые агрегаты, призматические и пластинчатые кристаллы	Сов. по {001} и {010} в двух направл. под углом 90°. Неровный	Бесцветный, белый, зеленоватый, серый, иногда иризирует	6	2,8	Раствор. в HCl с выд. геля SiO_2. Окраска, полисинтетическое двойникование, ассоциация	Ортоклаз, мейонит, мариалит	Пироксены, амфиболы	Породообразующий в основных и ультраосновных изверженных породах, высоко метаморфизованных породах
* **Цоизит** $Ca_2Al_3[SiO_4] \times$ $\times[Si_2O_7]O(OH)$	Ромбическая, зернистые агрегаты и призматические кристаллы	Сов. по {100} и несов. по {001}. Неровный	Белый, серый, зеленоватый, розовый (*тулит*), голубой (*танзанит*)	6	3,2-3,3	Раствор. в HCl после прокаливания с выд. геля SiO_2. Окраска	Клиноцоизит, эпидот	Альбит, эпидот, кальцит, серицит, кварц, рутил	Метаморфизованные основные породы и кварцевые жилы
* **Энстатит** $Mg_2[Si_2O_6]$	Ромбическая, зернистые агрегаты и призматические кристаллы	Сов. по {110} в двух направл. под углом 88°. Неровный	Белый, серый, желтоватый, зеленоватый, оливково-зеленый, бурый	6	3,2-3,3	В кислотах не раствор. Окраска, спайность, ассоциация	Диопсид, бронзит	Кианит, оливин, тальк, шпинель, флогопит, антофиллит	Породообразующий ультраосновных и основных магматических пород и кимберлитов
* **Кианит** $Al_2[SiO_4]O$	Триклинная, радиально-лучистые, шестоватые агрегаты, призматические кристаллы	Сов. по {100}, ясная по {010}. Занозистый	Голубой, синий, серый, белый, зеленый, желтый	4,5-7	3,5-3,7	В кислотах не раствор. Окраска, форма выд., спайность	Силлиманит	Кварц, мусковит, хлоритоид, ставролит, альбит	Породообразующий в метаморфических породах и кварцевых жилах

Продолжение таблицы 4

1	2	3	4	5	6	7	8	9	10
* **Жадеит** $NaAl[Si_2O_6]$	Моноклинная, плотный, спутанно-волокнистый, реже зернистый	Сов. по {110} в двух направл. под углом 88°. Неровный	Бесцветный, белый, зеленый, серый	6-6,5	3,3-3,4	В кислотах не раствор. Высокая прочность, форма выд., окраска	Нефрит, тремолит	Альбит, анальцим, натролит, тремолит, кварц, альмандин	В метаморфических и контактово-метасоматических м-ниях по гипербазитам
* **Клиноцоизит** $Ca_2Al_3[SiO_4]\times\times[Si_2O_7]O(OH)$	Моноклинная, зернистые агрегаты, призматические кристаллы	Сов. по {001} и несов. по {100}. Неровный	Бесцветный, светло-серый, желтый, серовато-зеленый	6,5	3,3-3,4	После прокаливания раствор. в HCl с выд. студенистого SiO_2. Форма выд. и условия нахождения	Цоизит, эпидот	Альбит, кальцит, серицит, эпидот, пренит, титанит	Метаморфические основные породы и жилы альпийского типа
X **Поллуцит** $Cs_2\times\times[Al_2Si_4O_{12}]\times\times H_2O$	Кубическая, Зернистый	Отсутствует. Раковистый	Бесцветный, белый	6,5	2,9	С трудом раствор. в HCl с выд. порошковатого SiO_2. Форма выд. и условия нахождения	Кварц, чкаловит	Петалит, альбит, кварц, лепидолит, амблигонит	Литиевые пегматиты
# **Диаспор** AlO(OH)	Ромбическая, пластинчатые и чешуйчатые агрегаты, призматические кристаллы	Сов. по {010} в одном направл.	Бесцветный, белый, желтовато-бурый, серый, розовый	6,5-7	3,3-3,5	В кислотах не раствор. Форма выд., спайность, ассоциация	Гиббсит	Пирофиллит, серицит, корунд, хлоритоид, зуниит, андалузит	Вторичные кварциты, метаморфические породы, жилы альпийского типа

Продолжение таблицы 4

1	2	3	4	5	6	7	8	9	10
* **Везувиан** $Ca_{19}Al_{10}Mg_3\times\times[SiO_4]_{10}[Si_2O_7]_4\times\times(OH)_{10}$	Тетрагональная, зернистые и сливные агрегаты, призматические кристаллы	Несов. по {110} и {100}. Неровный, раковистый	Зеленый, желтый, бурый, серый, черно-бурый, фиолетовый	6,5	3,3-3,5	После прокаливания раствор. в HCl с выд. геля SiO_2. Форма кристаллов, окраска, ассоциация	Гранаты, эпидот	Диопсид, гроссуляр, волластонит, эпидот, монтичеллит, флогопит, геленит	Скарны, родингиты, метасоматические породы по ультрабазитам, пегматиты и карбонатные жилы
*__Эпидот__ $Ca_2Al_3[SiO_4]\times\times[Si_2O_7]O(OH)$	Моноклинная, зернистые агрегаты, призматические и таблитчатые кристаллы	Сов. по {001} и несов. по {100}. Неровный	Желтовато-зеленый, темно-зеленый (*пушкинит*), коричневый, черный	6-7	3,3-3,5	После прокаливания раствор. в HCl с выд. геля SiO_2. Окраска, спайность, ассоциация	Везувиан, гранаты	Альбит, гастингсит, андрадит, везувиан, скаполит	Метаморфические основные породы, скарны и жилы альпийского типа
* **Силлиманит** $Al[AlSiO_5]$	Ромбическая, волокнистые агрегаты (*фибролит*), игольчатые кристаллы	Сов. по {010}. Неровный, занозистый	Бесцветный, белый, серый, бурый, зеленоватый	6,5-7,5	3,2	В кислотах не раствор. Форма выд. и условия нахождения	Кианит, тремолит	Андалузит, диаспор, корунд, кварц, кианит, ставролит, плагиоклаз	Метаморфические породы, вторичные кварциты, пегматиты и жилы альпийского типа
* **Форстерит** $Mg_2[SiO_4]$	Ромбическая, зернистые агрегаты, редко призматические и таблитчатые кристаллы	Ясная по {100} и {010}. Неровный	Белый, желтовато-зеленый, зеленоватый (*хризолит*), фиолетовый	6,5-7	3,2-3,6	Раствор. в HCl с выд. геля SiO_2. Форма выд., окраска, ассоциация	Гумит, апатит, пироксены	Диопсид, энстатит, хромит, лабрадор, перовскит, флогопит, пироп	Ультраосновные породы, кимберлиты, базальты, магнезиальные скарны

Продолжение таблицы 4

1	2	3	4	5	6	7	8	9	10
* **Сподумен** $LiAl[Si_2O_6]$	Моноклинная, зернистые агрегаты и уплощенно-призматические кристаллы	Сов. по {110}в двух направл., отдельность по {100} и {010}. Раковистый	Белый, серый, розовый (*кунцит*), зеленый (*гидденит*), желтый	6,5-7	3,0-3,2	Слабо раствор. в HCl. Пламя окрашивает в алый цвет (Li). Форма выд., спайность, ассоциация	Микроклин, пироксены	Кварц, альбит, микроклин, лепидолит, эльбаит, поллуцит	Литиевые гранитные пегматиты
* **Гроссуляр** $Ca_3Al_2[SiO_4]_3$	Кубическая, зернистые до сливных агрегаты, кристаллы простых форм {110} и {211}	Отсутствует, иногда отдельность по {110}. Раковистый, неровный	Белый, желтый, зеленый (*цаворит*-Cr), розовато-красный (*гессонит*)	6,5-7	3,2-3,8	В кислотах не раствор. Форма кристаллов, твердость, окраска	Спессартин, везувиан	Диопсид, волластонит, титанит, датолит, везувиан, скаполит	Скарны, метаморфизованные известняки.
* **Андрадит** $Ca_3Fe_2[SiO_4]_3$	Кубическая, зернистые до сливных агрегаты, кристаллы простых форм {110} и {211}	Отсутствует. Раковистый, неровный	Желтовато-бурый, зеленый (*деманоид*), бурый до черного (*меланит*)	6,5-7,5	3,5-4,1	После прокаливания разлагается в HCl с выд. геля SiO_2. Форма кристаллов, твердость, окраска	Везувиан, гроссуляр	Диопсид, геденбергит, эпидот, везувиан, актинолит	Скарны, кремнистые известняки, гидротермальные жилы в гипербазитах
* **Андалузит** $Al_2[SiO_4]O$	Ромбическая, зернистые и шестоватые агрегаты, призматические кристаллы	Сов. по {110} по {100} до ясной. Неровный	Серый, желтый, бурый, розовый, красный, зеленый (*виридин*)	6,5-7,5	3,1-3,2	В кислотах не раствор. Форма кристаллов, твердость, окраска	Кианит, кордиерит	Кордиерит, силлиманит, ставролит	Метаморфические породы, роговики, вторичные кварциты и жилы альпийского типа

Продолжение таблицы 4

1	2	3	4	5	6	7	8	9	10
* Халцедон (тонковолокнистая разновидность кварца) SiO_2	Тонковолокнистые агрегаты, концентрически-полосчатый (*агат*), сталактиты	Отсутствует. Раковистый	Белый, серый, голубой, желтовато-красный (*сердолик*), зеленый (*хризопраз*)	6,5-7	2,55-2,64	Растворяется в HF. Форма выд., окраска, излом	Люссатин, кварцин	Кварц, кальцит, цеолиты	Миндалины эффузивных пород, кора выветривания гипербазитов, гидротермальные жилы
* **Кристобалит** (высокотемпературный) SiO_2	Тетрагональная; скрытокристаллический, натечный	Неровный, раковистый	Бесцветный, белый.	6,5-7	2,2-2,3	Растворяется в HF. Форма выд. и условия нахождения	Тридимит, кварц	Тридимит, кальцит, цеолиты, опал	Эффузивные породы и кора выветривания гипербазитов
* **Кварц** SiO_2	Тригональная, зернистые и шестоватые агрегаты и призматические кристаллы	Несов. по $\{10\bar{1}1\}$, $\{10\bar{1}0\}$, отдельность по $\{10\bar{1}0\}$. Раковистый	Бесцветный, белый, дымчатый, желтый, розовый, фиолетовый, черный	7	2,65	Раствор. в HF. Форма выд., твердость, окраска	Топаз, данбурит, нефелин, кордиерит	Полевые шпаты, слюды, сульфиды	Породообразующий в кислых изверженных породах, в пегматитовых и кварцевых жилах и жилах альпийского типа
* **Эльбаит** $Na(Li_{1,5},Al_{1,5})Al_6\times$ $\times[Si_6O_{18}](BO_3)_3\times$ $\times(OH)_4$	Тригональная, зернистые, шестоватые агрегаты и призматические кристаллы	Несов. по $\{10\bar{1}1\}$ и $\{11\bar{2}0\}$. Раковистый, неровный	Бесцветный (*ахроит*), красный, розовый (*рубеллит*), зеленый	7	3,0-3,1	В кислотах не раствор. Сечение кристаллов, окраска, твердость	Дравит, корунд, шпинель	Альбит, лепидолит, петалит, берилл	Гранитные пегматиты, богатые литием

Продолжение таблицы 4

1	2	3	4	5	6	7	8	9	10
				4.6. Черта Твердость					
*__Дравит__ $NaMg_3Al_6 \times \times [Si_6O_{18}] \times \times (BO_3)_3 (OH)_4$	Тригональная, зернистые, шестоватые, волокнистые агрегаты и призматические кристаллы	Несов. по $\{10\bar{1}1\}$ и $\{11\bar{2}0\}$. Раковистый, неровный	Бесцветный (*axpoum*), бурый, зеленовато-бурый, травянисто-зеленый, синий	7-7,5					
* **Пироп** $Mg_3Al_2[SiO_4]_3$	Кубическая, округлые зерна	Отсутствует. Раковистый, неровный	Огненно-красный, кроваво-красный, рубиновый, розовый	7-7,5					
* **Спессартин** $Mn_3Al_2[SiO_4]_3$	Кубическая, зернистые агрегаты и кристаллы с простыми формами {110} и {211}	Отсутствует. Раковистый, неровный	Оранжево-красный, розовый, желтый, красно-коричневый	7-7,5					
* **Альмандин** $Fe_3Al_2[SiO_4]_3$	Кубическая, зернистые до сливных агрегаты, кристаллы с простыми формами {110} и {211}	Отсутствует. Раковистый, неровный	Красно-коричневый, темно-красный, фиолетово-красный	7-7,5					

6	7	8	9	10
белая. 7-9				
3,0-3,2	В кислотах не раствор. Сечение кристаллов, окраска, твердость	Везувиан, ставролит	Кассеритит, кварц, полевой шпат, флюорит, доломит	Метаморфизованные или скарнированные карбонатные породы, метасоматиты по основным и ультраосновным породам
3,5-4,0	В кислотах не раствор. Форма кристаллов, окраска, ассоциация	Альмандин, шпинель	Сапфирин, силлиманит, гиперстен, кордиерит	В эклогитах, кимберлитах, перидотитах и серпентинитах
3,8-4,3	После прокаливания разлагается в HCl с выд. геля SiO_2. Форма кристаллов, окраска, ассоциация	Гроссуляр, гумит	Шерл, мусковит, кварц, трифилин, апатит, альбит, родонит, тефроит	Пегматитовые жилы, метаморфизованные марганцевые м-ния
3,7-4,3	В кислотах не раствор. В п. п.тр. сплавляется в магнитный шарик. Форма кристаллов, окраска, ассоциация	Пироп	Силлиманит, кианит, ставролит, полевой шпат, биотит	Мусковитовые пегматиты, регионально метаморфизованные породы

Продолжение таблицы 4

1	2	3	4	5	6	7	8	9	10
Ставролит $FeAl_4[SiO_4]_2O_2\times\times(OH)_2$	Ромбическая, зернистые агрегаты, призматические кристаллы, крестообразные двойники	Сов. по {010} и {100}. Неровный	Желтовато-коричневый до буровато-черного	7-7,5	3,6-3,8	В кислотах не раствор. Форма кристаллов, твердость, ассоциация	Шерл, пироксены	Мусковит, кианит, силлиманит, альмандин, кварц, ильменит	Гнейсы и кристаллические сланцы
* **Циркон** $Zr[SiO_4]$	Тетрагональная, зерна, радиально-лучистые агрегаты, чаще призматические и дипирамидальные кристаллы	Несов. по {110} и {111}. Раковистый	Коричневый разных оттенков, желтый, красный (*гиацинт*), до черного	7-7,5	3,9-4,6	Слабо разлагается в конц. H_2SO_4. Иногда радиоактивен (*малакон, циртолит*). Форма кристаллов, окраска, плотность, ассоциация	Касситерит, рутил	Полевые шпаты, ильменит, титанит, алланит, магнетит, монацит	Акцессорный минерал кислых и щелочных изверженных пород и их пегматитов, в гнейсах и кристаллических сланцах
* **Уваровит** $Ca_3Cr_2[SiO_4]_3$	Кубическая; Зернистые агрегаты и кристаллы с простыми формами {110} и {211}	Отсутствует. Раковистый, неровный	Изумрудно-зеленый до темно-зеленого	7,5	3,4-3,8	В кислотах не раствор. Окраска, форма кристаллов, ассоциация	Деманоид, цаворит	Хромит, хромовые хлориты, хромвезувиан, хромтитанит	Ультраосновные породы и залежи хромита
* **Берилл** $Be_3Al_2[Si_6O_{18}]$	Гексагональная, зернистые агрегаты, призматические кристаллы	Несов. по {0001} и $\{10\bar{1}0\}$. Раковистый, неровный	Бесцветный, белый (*гошенит*), желтый (*гелиодор*), голубой (*аквамарин*), зеленый (*изумруд*), розовый (*воробьевит*)	7,5-8	2,6-2,9	В кислотах не раствор. Твердость, форма кристаллов, ассоциация	Апатит, фенакит, топаз	Морион, микроклин, биотит, шерл, сподумен, колумбит, флогопит	Пегматиты, грейзены, высокотемпературные кварцевые жилы, контактово-метасоматические породы

Окончание таблицы 4

1	2	3	4	5	6	7	8	9	10
***Топаз** $Al_2[SiO_4]F_2$	Ромбическая, зернистые агрегаты, призматические кристаллы	Сов. по {001}. Раковистый, неровный	Бесцветный, желтый, голубой, фиолетово-голубой, розовый	8	3,4-3,6	В кислотах не раствор. Форма кристаллов, спайность, плотность	Кварц, фенакит	Кварц, берилл, флюорит, полевые шпаты, турмалин	Гранитные пегматиты и грейзены, реже вторичные кварциты и кварцевые жилы
* **Шпинель** $MgAl_2O_4$	Кубическая, октаэдрические кристаллы, зернистые агрегаты	Раковистый, неровный	Бесцветный, красный, зеленый, синий, черный	8	3,6-4,1	С трудом раствор. в конц. H_2SO_4. Форма кристаллов, твердость, ассоциация	Гранат, корунд	Форстерит, диопсид, кальцит, флогопит, гумит, паргасит, андрадит	Магнезиальные скарны, роговики, гнейсы, акцессорный в основных и кислых породах
* **Хризоберилл** $BeAl_2O_4$	Ромбическая, зернистые агрегаты, пластинчатые и дипирамидальные кристаллы, тройники	Сов. по {011}, несов. по {010}. Раковистый, неровный	Желтый, зеленовато-желтый, зеленый (*александрит*), бесцветный	8	3,5-4,0	В кислотах не раствор. Окраска, форма кристаллов, твердость	Берилл	Берилл, фенакит, флюорит, апатит, турмалин, гранат	Пегматиты и скарны
* **Корунд** Al_2O_3	Тригональная, зернистые агрегаты (наждаки), таблитчатые и дипирамидальные кристаллы	Отдельность по {0001} и $\{10\bar{1}1\}$. Раковистый, неровный	Серый, синий (*сапфир*), красный (*рубин*), бесцветный, желтый, зеленый	9	4,0-4,4	В кислотах не раствор. Твердость, окраска, ассоциация	Шпинель	Полевой шпат, биотит, гранат, маргарит, диаспор, андалузит	Сиениты, пегматиты, плагиоклазиты, гнейсы и высокоглиноземистые метаморфиты (наждаки)

УКАЗАТЕЛЬ МИНЕРАЛОВ

	стр.
Авгит	74
Агальматолит	80
Агат	122
Аквамарин	116
Азурит	68
Актинолит	74
Алланит-(Ce)	74
Алмаз	64
Алунит	96
Альбит	108
Альмандин	120
Амазонит	108
Амезит	90
Анатаз	62
Ангидрит	94
Англезит	90
Андалузит	116
Андрадит	116
Аннабергит	68
Анортит	110
Антимонит	32
Антофиллит	104
Апатит-(CaF)	100
Арагонит	94
Арсенопирит	38
Арфведсонит	72
Аурипигмент	58
Ахроит	118
Ашарит	90
Баллас	64
Барит	92
Бёмит	94
Берилл	122
Биотит	70
Бирюза	102
Борнит	40
Борт	64
Брукит	62
Брункит	60
Брусит	86
Буланжерит	34
Ванадинит	58
Везувиан	114
Вивианит	66
Виллиомит	90
Виридин	116
Висмутин	32
Вишневит	100
Волластонит	100
Гакманит	104
Галенит	34
Галит	82
Галлуазит	84
Гастингсит	72
Геденбергит	76
Гейкелит	50
Гелиодор	122
Гематит	52
Гессонит	116
Гетит	50
Гиацинт	64,122
Гиббсит	84
Гидраргиллит	84
Гидроборацит	90
Гидденит	116
Гиперстен	72
Гипс	82
Глауконит	68
Глаукофан	74
Графит	30
Гроссуляр	116
Гошенит	122
Гюбнерит	50
Демантоид	116
Деревянистое олово	64
Джемсонит	34
Диаспор	112
Диопсид	74
Доломит	94
Дравит	120
Жадеит	76, 112
Жаргон	64
Золото	40
Изоферроплатина	36
Изумруд	122
Ильменит	44
Кальцит	92
Канкринит	100
Каолинит	82
Карбонадо	64
Карналлит	84
Касситерит	64
Кварц	118
Кеммерерит	64
Кианит	110
Киноварь	54
Клейофан	60
Клинопирротин	42
Клинохлор	88
Клиноцоизит	112
Кобальтин	38
Ковеллин	30
Колумбит	48
Криолит	84
Корунд	124
Кристобалит	118
Кровавик	52
Крокоит	54
Ксенотим	98
Кунцит	116
Куприт	56
Лазурит	70
Лейхтенбергит	88
Лейцит	104
Лепидокрокит	56
Лепидолит	88
Лизардит	86
Лунный камень	108
Людвигит	70
Магнезит	98
Магнетит	46
Малакон	122
Малахит	68
Манганит	48
Маргарит	98
Мариалит	106
Марказит	42
Марматит	50
Медь	40
Мейонит	106
Меланит	116
Микроклин	108
Молибденит	30
Монацит-(Ce)	102
Монтмориллонит	80
Мусковит	88
Мушкетовит	46
Натролит	102
Немалит	86
Нефелин	106
Нефрит	74, 104

Нигрин 62
Никельскуттерудит 38
Нонтронит 80
Оливин 78
Опал 106
Ортоклаз 108
Парагонит 88
Паргасит 72
Пентландит 42
Пирит 42
Пиролюзит 46
Пироморфит 60
Пироп 120
Пирофиллит 80
Пирохлор 62
Пирротин 42
Поликсен 36
Поллуцит 112
Пушкинит 114
Ратовкит 98
Реальгар 54
Родонит 106
Родохрозит 96
Романешит 46
Рубеллит 116
Рубин 124
Рутил 62
Сапфир 124
Сера 56
Сердолик 118
Серебро 32
Сидерит 96
Силлиманит 114
Сильвин 82
Скородит 96
Скуттерудит 38
Смитсонит 98
Содалит 104
Спессартин 120
Сподумен 116
Ссайбелиит 92
Ставролит 122
Стеатит 80
Стибнит 32
Судоит 88
Сфалерит 50, 60
Тальк 80
Танзанит 110
Танталит 46
Теннантит 36
Тетраферроплатина 36
Тетраэдрит 36
Титанит 102
Топаз 124
Тремолит 104
Трилитионит 88
Тюямунит 58
Уваровит 122
Уранинит 44
Фаялит 78
Ферберит 44
Феррimолибдит 56
Ферроплатина 36
Фибролит 114
Флогопит 84
Флюорит 98
Форстерит 114
Фторапатит 100
Фуксит 88
Халцедон 118
Халькантит 86
Халькозин 32
Халькопирит 40
Хлоантит 38
Хлоритоид 78
Хризоберилл 124
Хризолит 114
Хризопраз 116
Хризотил 86
Хромамезит 88
Хромит 44
Цаворит 116
Целестин 92
Церуссит 60
Циннвальдит 90
Циркон 64, 122
Цоизит 110
Шамозит 70
Шеелит 60
Шерл 78
Шмальтин 38
Шпинель 124
Эгирин 76
Эльбаит 118
Энстатит 110
Эпидот 114
Эритрин 66
Ярозит 58

Учебное издание

Сергей Геннадьевич Суставов

МОРФОЛОГИЯ, ФИЗИЧЕСКИЕ СВОЙСТВА И ОПРЕДЕЛЕНИЕ МИНЕРАЛОВ ПО ВНЕШНИМ ПРИЗНАКАМ

Учебно-методическое пособие
по дисциплине «Кристаллография и минералогия»
для студентов направления подготовки
21.05.02 – «Прикладная геология» (РМ, ГИГ, ГН, МПГ)
Второе издание, стереотипное

Редактор Л. В. Устьянцева
Компьютерное макетирование Ф. П. Буслаев

Подписано в печать 03.11.2018.
Бумага офсетная. Формат 60×84 1/16. Печать ризографе.
Печ. л. 8,12. Уч.-изд. л. 6,58. Тираж 100 экз. Заказ №

Издательство УГГУ
620144, г. Екатеринбург, ул. Куйбышева, 30
Уральский государственный горный университет

Отпечатано с оригинал-макета в лаборатории
множительной техники издательства УГГУ

МИНОБРНАУКИ РФ

ФГБОУ ВО «Уральский государственный горный университет»

УТВЕРЖДАЮ
Проректор по учебно-методическому комплексу
_____ С.А.Упоров

МЕТОДИЧЕСКИЕ РЕКОМЕНДАЦИИ К САМОСТОЯТЕЛЬНОЙ РАБОТЕ ПО ДИСЦИПЛИНЕ

Б1.О.30 ГЕОТЕКТОНИКА И ГЕОДИНАМИКА

Специальность:
21.05.02 Прикладная геология

Специализация:
Геология месторождений нефти и газа

форма обучения: очная

Авторы: Кисин А.Ю., д.г.-м.н.

Одобрены на заседании кафедры
Геологии
(название кафедры)
Зав. кафедрой _____
(подпись)
д.г.-м.н., проф. Огородников В.Н.
(Фамилия И.О.)
Протокол № 2 от 12.10.2020
(Дата)

Рассмотрены методической комиссией
факультета геологии и геофизики
(название факультета)
Председатель _____
(подпись)
д.г.-м.н., проф. Бондарев В.И.
(Фамилия И.О.)
Протокол № 2 от 13.10.2020
(Дата)

Екатеринбург

Методические указания по дисциплине согласованы с выпускающей кафедрой литологии и геологии горючих ископаемых

Заведующий кафедрой ЛГГИ _____ к.г.-м.н., С.А. Рыльков____

подпись *И.О. Фамилия*

Введение

Самостоятельная работа студента является важнейшей составной частью образовательной программы подготовки дипломированного специалиста. По курсу «Геотектоника и геодинамика» обязательная самостоятельная работа студента осуществляется в следующих направлениях:

- ✓ выполнение домашних заданий;
  освоение материалов по отдельным темам, входящим в Рабочую программу дисциплины [5];
- ✓ подготовка к экзамену;
- ✓ изучение коллекций ископаемых остатков основных систематических групп.

Самостоятельная работа студентов направлена на развитие интеллектуальных умений, повышение творческого потенциала студентов и заключается в:

– поиске, анализе, структурировании и презентации информации, анализе научных публикаций по результатам современных геодинамических исследований.

– исследовательской работе и участии в научных студенческих конференциях, семинарах и олимпиадах.

Оценка результатов самостоятельной работы организуется как единство двух форм: самоконтроль и контроль со стороны преподавателей.

Данные методические указания предназначены для организации самостоятельной работы студентов при освоении отдельных тем дисциплины.

Методические указания к самостоятельной работе студента

В последующем разделе пособия приведена развернутая программа дисциплины «Геотектоника и геодинамика». Здесь указаны наименование и содержание лекционных тем в соответствии с Учебной программой курса [5]. Каждая тема является основой вопросов в экзаменационном билете. При чтении лекций по курсу преподаватель указывает те темы дисциплины, которые выносятся на самостоятельную проработку студентами. Основной объем информации по каждой теме содержится в учебниках по курсу [1, 2]. Для углубленного освоения темы рекомендуется дополнительная литература [3, 4]. Для самоконтроля и приобретения навыков решения задач по отдельным разделам дисциплины в последнем разделе приведены контрольные вопросы и упражнения, которые являются основой подготовки к экзамену.

При освоении указанных ниже тем рекомендуется следующий порядок самостоятельной работы студента.

1. Ознакомьтесь со структурой темы.
2. По учебникам [1, 2] освойте каждый структурный элемент темы. Во всех темах указаны разделы и страницы учебника, содержащие данный материал.
3. При необходимости используйте указанную дополнительную литературу. Консультацию по использованию дополнительной литературы Вы можете получить у преподавателя.
4. Ответьте на контрольные вопросы и выполните рекомендованные упражнения. При затруднениях в ответах на вопросы вернитесь к изучению рекомендованной литературы.
5. Законспектируйте материал. При этом конспект может быть написан в виде ответов на контрольные вопросы и упражнения.

При самостоятельной работе над указанными темами рекомендуется вести записи в конспектах, формируемых на лекционных занятиях по курсу, и в том порядке, в котором данные темы следуют по учебной программе.

Данное учебно-методическое пособие может быть использовано при подготовке ответов на вопросы во время экзамена.

Содержание курса

Тема 1. Предмет, объект и структура геотектоники. Основные геотектонические гипотезы. [1, 2]

Предмет изучения и значение геологии для науки и практики. Мировоззренческая роль геологии. Место курса геологии в подготовке специалиста. Планеты Солнечной системы. Физические свойства Земли. Модели Земли. Химический состав земной коры. Минералы и горные породы. Земная кора: мощность, типы, строение и состав. Современные методы исследования земной коры.

Дополнительная литература: [3, 4].

Контрольные вопросы и упражнения:

1. Опишите строение земной коры. Каковы ее мощность, строение и состав?
2. Какие современные методы исследования земной коры Вы знаете?

Тема 2.Тектонические движения и методы их изучения. [1, 2]

Общие сведения о геологических процессах. Тектонические движения: колебательные, дислокационные. Тектонические нарушения: складчатые, разрывные. Землетрясения. Методы изучения современных вертикальных тектонических движений: водомерный и метод повторного нивелирования. Методы изучения горизонтальных современных тектонических движений: метод повторной триангуляции, лазерный метод и метод дифференциальной интерферометрии. Методы изучения вертикальных палеотектонических движений: метод фаций, метод мощностей, метод формаций, объемный метод, метод стратиграфических несогласий, метод сравнительной тектоники. Методы изучения горизонтальных палеотектонических движений: метод наилучшего совмещения контуров, палеомагнитный метод, палеоклиматический метод. Палинспастический метод и петроструктурный анализ.

Дополнительная литература: [3, 4].

Контрольные вопросы и упражнения:

1. Какие типы тектонических движений Вы знаете?
2. Методы изучения современных тектонических движений?
3. Какими методами изучают современные тектонические движения?
4. Какими методами изучают палеотектонические движения?

Тема 3. Геотектоническая таксономия. [1, 2]

Тектоносфера, астеносфера, Земная кора, океаническая кора, континентальная кора. Литосферные плиты. Дивергентные, конвергентные и трансформные границы. Срединные океанические хребты. Рифты, абиссальные равнины. Активные окраины континентов. Глубоководные желоба. Аккреционная призма. Вулканические островные дуги и их типы. Окраинное море. Пассивные окраины континентов. Шельф. Континентальный склон. Континентальное подножие. Платформы и их типы: протоплатформы, древние платформы, молодые платформы. Авлакогены. Синеклизы и антеклизы. Складчатые пояса (субдукционные и коллизионные). Развитие складчатых поясов. Структура складчатых поясов. Краевые прогибы (передовые прогибы). Террейны. Срединные массивы. Континентальные рифты. Тектономагматический цикл. Цикл Уилсона. Геодинамический цикл.

Дополнительная литература: [3, 4].

Контрольные вопросы и упражнения:

1. Назовите основные положения концепции тектоники литосферных плит.

2. Какие структурные элементы выделяют в этой концепции?

3. Что такое рифты, механизм и этапность их формирования.

4. Что такое «конвергентный» тип границ литосферных плит и какие геодинамические обстановки им соответствуют?

5. Перечислите современные литосферные плиты.

Тема 4: Геологические тела и структуры как критериальные признаки геотектонических обстановок. [1, 2]

Геотектонический парагенез. Складчатые структуры. Классификация складок. Разрывные структуры и их классификация. Вулканические структуры. Геологические формации. Типоморфные осадочные формации различных геотектонических структур. Типоморфные вулканические формации различных геотектонических обстановок. Типоморфные плутонические формации различных геотектонических обстановок. Типоморфные метаморфические формации различных геотектонических обстановок. Геотектонические обстановки формирования структур тектоносферы.

Дополнительная литература: [3, 4].

Контрольные вопросы и упражнения:

1. Какие разрывные структуры Вы знаете? Какова их классификация?

2. Какие складчатые структуры Вы знаете? Какова их классификация?

3. Какие вулканические структуры Вы знаете? Какова их классификация?

Тема 5: Геотектонические обстановки формирования структур тектоносферы. Геотектоническое районирование. Геотектонические карты. [1, 2]

Геотектонические обстановки океанических рифтов. Геотектонические обстановки срединных океанических хребтов. Геотектонические обстановки абиссальных равнин. Геотектонические обстановки пул-апарт бассейнов. Геотектонические структуры зон перехода от океана к континенту. Геотектонические обстановки пассивных окраин. Геотектонические обстановки активных окраин континента. Геотектонические обстановки зон орогенеза складчатых поясов. Геотектонические обстановки зон внутриплитной активизации. Геотектоническая обстановка континентальных рифтов. Геотектонические обстановки формирования чехла платформ. Геотектонические карты

Дополнительная литература: [3, 4].

Контрольные вопросы и упражнения:

1. Этапность развития океанических и срединно-океанических рифтов?

2. Этапность развития континентальных рифтовых зон?

3. Какими геотектоническими обстановками характеризуются бассейны пассивных окраин континента?

4. Какими геотектоническими обстановками характеризуются бассейны активных окраин континента?

5. Какими геотектоническими обстановками характеризуются зоны внутриплитной активизации?

Вопросы к экзамену по курсу «Геотектоника и геодинамика»

1. Геотектоника (определение). Цели и задачи дисциплины, основные разделы.

2. Прикладное (практическое) значение геотектоники.

3. Методы геотектоники, значение актуалистического подхода при геотектонических исследованиях.

4. Основные положения существовавшего ранее учения о геосинклиналях (строение и развитии геосинклинальных систем).

5. Современная интерпретация представлений о геосинклиналях с позиций мобилизма.

6. Идеи фиксизма и мобилизма.

7. Парадигма тектоники литосферных плит (основные положения).

8. Источники сведений о внутреннем строении Земли. Глубинное строение Земли (внутреннее и внешнее ядро, нижняя и верхняя мантия, переходные слои C и D).

9. Понятие о литосфере, астеносфере и тектоносфере.

10. Существующие типы земной коры, разделы Конрада и Мохоровичича их геологический и геофизический смысл.

11. Земная кора континентального типа: строение, состав, возраст.

12. Земная кора океанического типа: строение, состав, возраст.

13. Земная кора переходного типа - субокеаническая и субконтинентальная.

14. Явление изостазии.

15. Современные литосферные плиты (показать и перечислить). 19. Фиксация границ плит, типы их взаимоотношений друг с другом, соподчиненность с материками и океанами.

16. Прямые данные о взаимном перемещении литосферных плит в настоящее время.

17. Дивергентные типы границ плит и соответствующие им геодинамические обстановки (перечислить).

18. Конвергентные типы границ литосферных плит и соответствующие им геодинамические обстановки (перечислить).

19. Процесс рифтогенеза. Возможные модели зарождения рифтовых структур. Континентальный рифтогенез. Этапность развития континентальных рифтовых зон. Океанический рифтогенез (спрединг) и формирование океанической коры. Глобальная рифтовая система Земли.

20. Срединно-океанические хребты (классификация, строение, характерные геологические формации). Окраинные (задуговые) морские бассейны (классификация, строение, характерные геологические образования). Субдукционные геодинамические обстановки (перечислить). Активные континентальные окраины островодужного типа (классификация, строение, характерные геологические образования). Активные континентальные окраины андского типа (строение, характерные геологические образования).

21. Коллизионные геодинамические обстановки. Орогенические пояса шотладского и скандинавского (гималайского) типов (классификация, строение, характерные геологические образования).

22. Процессы обдукции при замыкании океанических бассейнов. Представление об офиолитах.

23. Сдвиговые (трансформные) границы плит. Трансформные разломы океанов: характер перемещений, их структурное выражение и характерные геологические образования.

24. Внутриплитные геодинамические обстановки. Представления о тектонике плюмов, Представление о горячих точках и горячих полях. Характерные магматические образования горячих точек.

25. Континентальный рифтогенез. Главные элементы континентальных рифтовых систем. Континентальные рифты: главные структурные элементы, характерные геологические образования. Периокеанический рифтогенез. Пример - рифт Красного моря.

26. Геодинамические обстановки формирования обширных провинций внутриконтинентальных траппов.

27. Методы изучения современных тектонических движений и деформаций: вертикальные движения, горизонтальные движения.

28. Методы изучения движений и деформаций геологического прошлого: анализ фаций и мощностей, объемный метод, формационный анализ, анализ перерывов и несогласий.

29. Методы изучения современных движений и деформаций: Структурно- геоморфологические методы.

30. Современные представления о происхождении складчатых поясов с позиций тектоники литосферных плит. Области океанов: срединно-океанические хребты (типы, строение, характерные геологические формации), абиссальные равнины (строение, характерные геологические формации), микроконтиненты (строение, характерные геологические формации), глубоководные желоба (строение, характерные геологические формации).

31. Принципы тектонического районирования крупных территорий континентов по возрасту завершающей складчатости и по типам геодинамических обстановок (эндогенных режимов).

32. Понятие о структурных комплексах, этажах и ярусах земной коры.

33. Структурно-формационное районирование территорий. Выделение структурно-вещественных комплексов, отвечающих определенным геодинамическим обстановкам.

34. Складчатые дислокации, разломы и кольцевые структуры, их роль в строении и развитии земной коры. Современное понимание термина «глубинные разломы».

35. Основные принципы составления палеогеодинамических карт. Выделение геодинамических циклов, составление легенд.

36. Террейновый анализ.

37. Существующие представления о палеогеодинамическом развитии Восточной Сибири (принципы построения легенды к тектонической карте Восточной Сибири).

38. Представление о глобальных палеогеодинамических реконструкциях.

39. Источники энергии глубинных геологических процессов. Связь глубинных процессов и процессов, происходящих в земной коре и литосфере. Представление о циклах Уилсона.

Рекомендуемая литература

1 Бабенко В.В. Геотектоника, геодинамика и металлогения: учебник / В. В. Бабенко; Уральский государственный горный университет. - Екатеринбург: УГГУ, 2009. 734 с.

2 Хаин В. Е., Ломизе М. Г. Геотектоника с основами геодинамики. М.: Изд. КДУ, 2005.

3 Мохнач, М. Ф. Геология. Книга 2. Геодинамика: учебник / М. Ф. Мохнач, Т. И. Прокофьева ; под ред. А. Н. Павлов. — Электрон. текстовые данные. — СПб. : Российский государственный гидрометеорологический университет, 2011. — 280 c. — 978-5-86813-290-2. — Режим доступа: http://www.iprbookshop.ru/17904.html

4. Хаин В.Е., Михайлов А.Е. Общая геотектоника. - М.: Недра,1985.

5 Геотектоника и геодинамика: программа дисциплины для студентов специальности 21.05.02 Прикладная геология специализация № 3 Геология месторождений нефти и газа / А.Ю. Кисин. Екатеринбург: УГГУ, 2020. 9 с.

Министерство науки и высшего образования РФ

Федеральное государственное бюджетное образовательное учреждение высшего образования
«Уральский государственный горный университет»



Е. С. КОНТАРЬ

РЕГИОНАЛЬНАЯ ГЕОЛОГИЯ

Учебное пособие

Екатеринбург – 2018

УДК 55 (47+57):553
К 64

Рецензент – доктор геол.-минерал. наук, профессор Ю. А. Поленов (Урал. гос. горный ун-т).

Печатается по решению Учебно-методического совета
Уральского государственного горного университета.

Контарь Е. С.

К 64 РЕГИОНАЛЬНАЯ ГЕОЛОГИЯ: учебное пособие / Е. С. Контарь; Урал. гос. горный ун-т. – Екатеринбург: Изд-во УГГУ, 2018. – 125 с.

ISBN 978-5-8019-0455-9

Изложены основные черты геологического строения, условия и закономерности размещения месторождений важнейших полезных ископаемых основных тектонических структур -- Восточно-Европейской и Сибирской древних платформ, Урало-Монгольского, Средиземноморского и Тихоокеанского складчатых поясов, расположенных на территории Российской Федерации и частично сопредельных регионов.

Настоящее учебное пособие предназначено для студентов специальности «Прикладная геология», включая специализации: «Геологическая съемка, поиски и разведка месторождений твердых полезных ископаемых» (РМ), «Геология месторождений нефти и газа» (ГН), «Поиски и разведка подземных вод и инженерно-геологические изыскания» (ГИГ), «Прикладная геохимия, петрология, минералогия» (МПГ).

УДК 55 (47+57):553

ISBN 978-5-8019-0455-9

© Контарь Е. С., 2018
© Уральский государственный горный университет, 2018

1. ПРЕДМЕТ, ОБЪЕКТЫ, ЦЕЛИ И ЗАДАЧИ РЕГИОНАЛЬНОЙ ГЕОЛОГИИ. ВЗАИМООТНОШЕНИЯ С ДРУГИМИ ГЕОЛОГИЧЕСКИМИ НАПРАВЛЕНИЯМИ. ОРГАНИЗАЦИОННОЕ И НАУЧНО-МЕТОДИЧЕСКОЕ ОБЕСПЕЧЕНИЕ РЕГИОНАЛЬНЫХ РАБОТ

Региональная геология – это синтетическое направление в общем комплексе геологических дисциплин, которое занимается обобщением материалов по геологическому строению, истории геологического развития, закономерностям размещения месторождений полезных ископаемых отдельных регионов, территорий, материков и др.

Изучить региональную геологию – это значит изучить геологическое строение региона в комплексе, т. е. его стратиграфию, магматизм, тектонические структуры, элементы глубинного строения, условия размещения месторождений полезных ископаемых. Поэтому региональная геология синтезирует сведения по стратиграфии, литологии, магматизму, геоморфологии, тектонике, геофизике, полезным ископаемым и металлогении геологических регионов.

Региональная геология является основой, на которую опирается прогнозная оценка территорий на различные виды полезных ископаемых, разрабатываются направления геологоразведочных работ различных этапов и стадий, интерпретируются геофизические материалы, оцениваются гидрогеологические и инженерно-геологические условия промышленного, гражданского и гидротехнического строительства.

Практические и теоретические положения региональной геологии базируются на анализе материалов геологического картирования, итоговым документом которого является **геологическая карта**.

Геологическая карта является синтезом данных о геологическом строении региона. Поэтому изучение региональной геологии невозможно без понимания геологической карты.

По масштабам геологические карты подразделяют:

- на обзорные – 1: 2 500 000 и мельче;
- мелкомасштабные (региональные) – 1:1 000 000 – 1:500 000;
- среднемасштабные – 1:200 000 – 1:100 000;
- крупномасштабные – 1:50 000 – 1:25 000;
- детальные – 1:10 000 и крупнее.

Объектами региональной геологии являются геологические регионы (Урал и др.), отдельные геологические структуры (Восточно-Европейская платформа и др.), административные территории (Свердловская область и др.), страна в целом (Российская Федерация), разноранговые горнорудные и нефтегазоносные территории (провинции, области, районы), номенклатурные листы международной разграфки.

Номенклатурный лист масштаба 1:1 000 000 – это территория, ограниченная 6° между меридианами и 4° между параллелями, и он обозначается, например Р-40 (56°-60° с. ш., 54°-60° в. д.)

Каждый номенклатурный лист масштаба 1:1 000 000 делится на 4 номенклатурных листа масштаба 1:500 000, которые обозначаются следующим образом: P-40-А, P-40-Б, P-40-В, P-40-Г.

Лист P-40

P-40-А	P-40-Б
P-40-В	P-40-Г

Каждый номенклатурный лист масштаба 1:1 000 000 делится на 36 листов масштаба 1:200 000. Такой лист ограничен 1^0 между меридианами и 40 минутами между параллелями. Он обозначается следующим образом: P-40-I, ..., P-40-XXXVI.

Лист P-40

P-40-I					P-40-VI
P-40-VII					
					P-40-XXXVI

Полистные геологические карты м-бов 1:1 000 000, 1:200 000 и 1:50 000 являются **Государственными**.

Государственная геологическая карта территории Российской Федерации является многоцелевой фундаментальной научной геологической основой природопользования, ориентированной на удовлетворение потребностей экономического и социального развития регионов и страны в целом. Она представляет собой основной источник информации для обоснования прогнозных ресурсов всех видов полезных ископаемых и решения крупных федеральных и региональных проблем развития минерально-сырьевой и топливно-энергетической базы, экологии и других аспектов хозяйственной деятельности и регулирования пользования недрами на суше и прилегающих акваториях.

Государственные геологические карты составляются по соответствующим методическим руководствам и другим нормативно-методическим документам.

К их числу относятся:

- Методическое руководство по составлению и подготовке к изданию листов Государственной геологической карты Российской Федерации м-ба 1:200 000 (второго издания), регламентирующее эти работы;
- Методическое руководство по составлению и подготовке к изданию листов Государственной геологической карты Российской Федерации м-ба 1:1 000 000 (третьего поколения), регламентирующее единые

принципы составления, требования к организации, производству и содержанию комплектов карт;

- Стратиграфический кодекс России, регламентирующий принципы и правила выделения стратифицированных подразделений (серий, свит, подсвит, толщ, горизонтов);
- Петрографический кодекс России, регламентирующий принципы и правила выделения магматических комплексов, а также номенклатуру магматических пород;
- Металлогенический кодекс России, регламентирующий принципы и правила выделения и изучения минерагенических таксонов, устанавливает их классификацию, систематику, таксономию, терминологию и номенклатуру;
- Тектонический кодекс России, регламентирующий правила выделения и изучения тектонических подразделений (таксонов), устанавливает их классификацию, систематику, таксономию и номенклатуру.

Листы масштабов 1:1 000 000 и 1:200 000 объединяются в серии листов.

Серия листов – это группа листов соответствующего масштаба, объединенных общностью геологического строения и закономерностей размещения месторождений полезных ископаемых.

На территории России выделено 96 серий листов Государственной геологической карты масштаба 1:200 000. Из этих 96 серий на Уральский регион приходится 6 серий – это Полярно-Уральская, Северо-Уральская, Средне-Уральская, Пермская, Южно-Уральская и Зауральская.

На территории России выделено 20 серий листов Государственной геологической карты масштаба 1:1 000 000, среди которых имеется, в частности, Уральская серия. Она охватывает следующие листы масштаба 1:1 000 000: Q-40, Q-41, P-40, P-41, O-40, O-41, N-40 и российские части листов N-41, M-40 и M-41 (большие части территорий листов N-41, M-40 и M-41 относятся к Республике Казахстан). Геологосъемочные работы на этих территориях осуществляются в рамках Российско-Казахстанских межправительственных соглашений.

Для каждой серии листов разрабатывается *серийная легенда*, представляющая собой свод всех стратифицированных подразделений и магматических (преимущественно интрузивных) комплексов, расположенных в хронологической последовательности. В серийной легенде предусмотрено отображение *минерагенических особенностей* геологических таксонов.

Государственные геологические карты масштабов 1:1 000 000 и 1:200 000 составляются в ходе регионального геологического изучения территории Российской Федерации.

Эти работы сосредоточены в Министерстве природных ресурсов и экологии Российской Федерации (МПР России).

В структуре МПР находятся: Федеральное агентство водных ресурсов, Федеральное агентство по недропользованию (Роснедра), Федеральная служба по гидрометеорологии и мониторингу окружающей среды, Федеральная служба по надзору в сфере природопользования, Федеральная служба по экологическому, технологическому и атомному надзору.

Все работы геологического направления, в том числе по региональному геологическому изучению, подведомственны Федеральному агентству по недрополь-

зованию (Роснедра). В его структуре находятся: Управление геологических основ, науки и информатики, Управление геологии нефти и газа, подземных вод и сооружений, Управление геологии твердых полезных ископаемых, Управление морских геологоразведочных работ. Все работы по региональному геологическому изучению находятся в ведении Управления геологических основ, науки и информатики.

Прием подготовленных Государственных геологических карт осуществляет Научно-редакционный совет по геологическому картированию (НРС).

Научно-редакционный совет по геологическому картированию территории Российской Федерации Федерального агентства по недропользованию (НРС Роснедра) является специализированным экспертным и редакционно-консультативным органом, обеспечивающим качество и унификацию геолого-картографической продукции и соответствующих нормативно-методических документов, создаваемых по заказам Федерального агентства по недропользованию.

Этот орган находится в С.-Петербурге, и он функционирует при Всероссийском научно-исследовательском геологическом институте им. ак. А. П. Карпинского (ВСЕГЕИ). В этом же институте издается журнал «Региональная геология и металлогения».

Курс «Региональная геология » предусматривает ознакомление с геологическим строением и закономерностями размещения месторождений полезных ископаемых материковой части территории Российской Федерации, занимающей площадь 17,12 млн кв. км на Евразийском континенте, что составляет 11,5 % площади суши Земли. На этой территории находятся все известные на Земле геологические структуры: древние и молодые платформы, разновозрастные складчатые системы, современные океанические структуры – островные дуги, глубоководные желоба, окраинные моря и др.

В результате прохождения этого курса студент должен научиться читать и понимать геологическую карту, карту полезных ископаемых, знать расположение основных тектонических структур и элементов их внутреннего строения, закономерности размещения в этих структурах месторождений полезных ископаемых.

2. ПРИНЦИПЫ И ЗАДАЧИ ТЕКТОНИЧЕСКОГО РАЙОНИРОВАНИЯ ТЕРРИТОРИИ РОССИЙСКОЙ ФЕДЕРАЦИИ

Как уже отмечалось, территория Российской Федерации расположена в пределах материковой части Евразии.

Материки состоят из двух групп крупных структурных элементов: **платформ и складчатых областей (систем)**.

Платформами (кратонами) называются крупные устойчивые блоки континентальной земной коры, имеющие двухъярусное строение. Нижний ярус – это фундамент, верхний ярус – чехол. Платформы с архейским и/или раннепротерозойским фундаментом относятся к **древним платформам** (Восточно-Европейская, Сибирская, Китайско-Корейская, Австралийская и др.). Платформы с более молодым (палеозойским, мезозойским или кайнозойским) фундаментом относятся к **молодым платформам** (Западно-Сибирская, Скифская, Южно-Туранская).

Древние платформы представляют собой древнейшие ядра материков, которые в ходе дальнейшего геологического развития обрастали более молодыми складчатыми сооружениями, которые в ходе своего развития превратились в *молодые платформы*.

Основными структурными элементами платформ являются: щиты, массивы, плиты, синеклизы, антеклизы, авлакогены. В пределах синеклиз и антеклиз выделяются структуры более высоких порядков – валы, поднятия, прогибы, впадины и т. п.

Основные элементы строения платформы показаны на рис. 1.

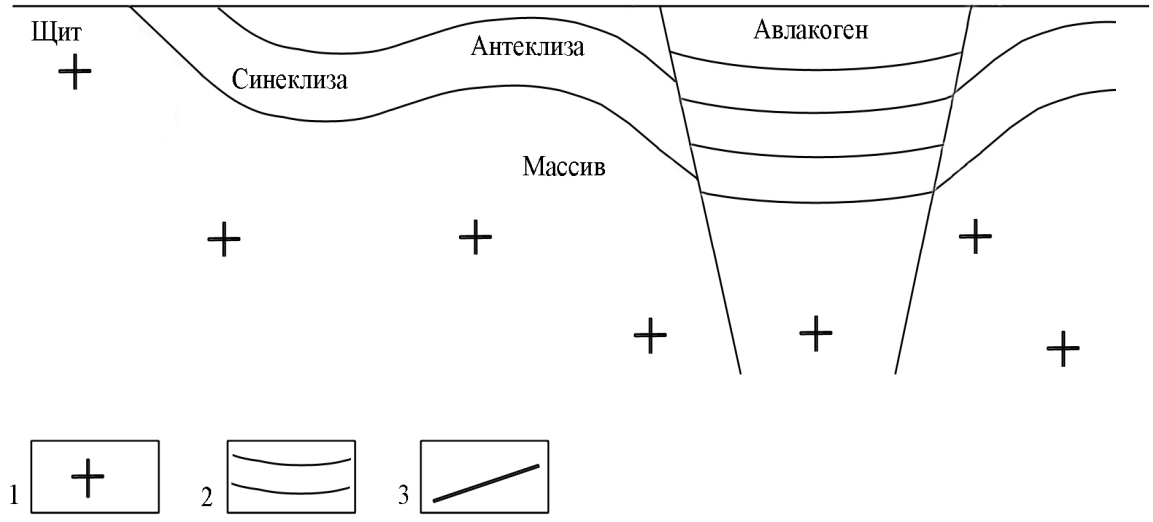

Рис.1. Основные структурные элементы платформ:

1 – кристаллический фундамент; *2* – чехол; *3* – разломы

Щиты – это поднятые блоки фундамента платформ, выходящие на поверхность (например, Балтийский щит, Украинский щит на Восточно-Европейской платформе, Алданский щит – на Сибирской платформе и др.).

Массивы – это небольшие выступы фундамента платформ, также выходящие на поверхность либо залегающие на относительно небольших (300-500 м) глубинах (Воронежский массив на Восточно-Европейской платформе).

Плиты – это участки земной коры в пределах платформы с погруженным фундаментом и развитием горизонтально залегающего или слабонарушенного платформенного чехла (Русская плита, Средне-Сибирская плита).

Синеклизы – это пологие отрицательные структуры платформенного чехла, характеризующиеся наклоном крыльев в первые градусы. Синеклизы обладают наиболее полным разрезом платформенного чехла, в них фундамент расположен на глубинах более 1,5-2 км. (Например, Прикаспийская синеклиза на Восточно-Европейской платформе, Тунгусская синеклиза на Сибирской платформе).

Антеклизы – это пологие положительные структуры платформенного чехла, также характеризующиеся наклоном крыльев в первые градусы. Антеклизы обладают сокращенным разрезом платформенного чехла, ибо фундамент в них приподнят. (Например, Волго-Уральская антеклиза на Восточно-Европейской платформе, Алданская антеклиза на Сибирской платформе).

Авлакогены – это крупные грабенообразные структуры, ограниченные разломами, в которых увеличена мощность платформенного чехла за счет погружения по разломам фундамента платформы (Днепровско-Донецкий авлакоген на Восточно-Европейской платформе).

Складчатые области (системы) – крупные высокоподвижные тектонические структуры земной коры очень сложного строения, образованные на месте геосинклинальных систем и состоящие из сопряженных антиклинориев и синклинориев, разделенных глубинными разломами и срединными массивами. Складчатые области (системы) ограничены платформами.

Складчатые системы в своем развитии переживают три основных этапа (стадии): **геосинклинальный, орогенный, платформенный**. В связи с этим они обладают трехъярусным строением.

Нижний структурный ярус представлен геосинклинальными комплексами, средний структурный ярус – это орогенные комплексы, верхний структурный ярус – это комплексы молодой платформы. Среди геосинклинальных комплексов в виде отдельных блоков располагаются структуры комплекса основания (**срединные массивы**).

Таким образом, большинство складчатых областей (систем) в ходе своего геологического развития потеряли свою подвижность и превратились в **молодые платформы**.

Возраст складчатых областей (систем) определяется по времени начала орогенного этапа, сменяющего геосинклинальное развитие (табл. 1). В зависимости от этого возраста складчатые системы подразделяют на байкальские (байкалиды), каледонские (каледониды), герцинские (герциниды), киммерийские (киммериды), альпийские (альпиды).

Таблица 1

Структурные комплексы разновозрастных складчатых систем

Структурные Комплексы	Возраст складчатых систем				
	байкалиды	каледониды	герциниды	киммериды	альпиды
Дейтероорогенный (тектоно-магматическая активизация)	J-K, N-Q	N-Q	N-Q	N-Q	
Платформенный	O-T	~~P~~-N	K-~~P~~		
Переходный	V-Є	D-C	T_2-J		
Орогенный	PR_2^3-V	O_2-S	C_2-T	J_3-K	N_2-Q
Геосинклинальный	PR_2^1-PR_2^2	V-O_1	O-D-C	T-J_2	~~P~~-N
Догеосинклинального основания	PR_1	PR_1-PR_2	$Є_1$	PZ_3	T-K
			PR_2	PZ_1-PZ_2	PZ
	AR	AR	AR- PR_1	PR_2-V	PR_2-V
				AR- PR_1	AR- PR_1

Примечания: 1. Полужирным шрифтом выделены обязательно присутствующие комплексы. 2. Слабыми линиями обозначены границы структурных этажей в комплексах основания.

Типовыми байкалидами являются Байкальская горная область, Саяно-Енисейская область, некоторые структуры Центрального Казахстана и др.

Типовыми каледонидами являются структуры Северной Скандинавии, Британии, Центрального Казахстана, Кузнецко-Витимская область и др.

Типовыми герцинидами являются некоторые структуры Центральной Европы, Урала, Монголо-Охотской складчатой области, Рудного Алтая и др.

Типовыми киммеридами являются структуры Северо-Востока России, Юго-Восточной Азии и др.

Типовыми альпидами являются некоторые структуры Средиземноморского и Тихоокеанского поясов и др.

Основными структурными формами складчатых областей (систем) являются:

- синклинории, антиклинории, офиолитовые зоны (выведенные на поверхность фрагменты древней океанической коры), зоны глубинных разломов, к которым приурочены продукты базит-гипербазитового магматизма, срединные массивы – в геосинклинальных структурах;
- горст-антиклинории, грабен-синклинории, межгорные и предгорные прогибы – в орогенных структурах;
- срединные массивы (блоки пород догеосинклинального основания).

Наряду с платформами и складчатыми системами выделяется еще один тип тектонических структур, к которым относятся **океанические окраины**. Они представлены системами современных островных дуг, сопряженных с ними глубоководных желобов и окраинных морей, которые рассматриваются как **современные геосинклинали** (структуры обрамления Тихого океана).

3. ОСНОВНЫЕ ПРИЗНАКИ ТЕКТОНИЧЕСКИХ КОМПЛЕКСОВ, СООТВЕТСТВУЮЩИХ ИМ РЕЖИМОВ И ИХ МИНЕРАГЕНИЧЕСКИЕ ОСОБЕННОСТИ

Каждый тектонический комплекс формировался в условиях определенного тектонического (палеотектонического, геодинамического) режима, которому свойственны специфические признаки и особенности.

Под тектоническим (палеотектоническим, геодинамическим) режимом понимается вся совокупность геологических процессов, условий и обстановок, существовавших во время формирования данного комплекса.

Поскольку, как отмечалось выше, каждая складчатая система в своем развитии переживает три основных этапа (стадии): *геосинклинальный*, *орогенный*, *платформенный*, то им свойственны соответствующие тектонические режимы, которые обеспечивают накопление определенных тектонических (структурно-вещественных, формационных) комплексов.

Идентификация этих режимов определяется по типовым для каждого режима структурно-вещественным ассоциациям (формациям) горных пород, обладающим определенными признаками.

А. Признаки геосинклинальных комплексов и режимов.

1. Преимущественно морской глубоководный тип осадочных и вулканических пород.

2. Линейный характер структур.

3. Высокая степень дислоцированности и высокий уровень преимущественно зеленокаменного метаморфизма.

4. Резкие изменения состава и мощностей образований по латерали и вертикали.

5. Насыщенность разреза магматическими образованиями – как вулканическими, так и интрузивными.

6. Наличие систем разломов глубокого заложения, контролирующих размещение магматических образований.

7. Наличие специфических формаций вулканических, интрузивных и осадочных пород.

7.1. Вулканические формации: базальтовая (спилит-диабазовая), базальт-риолитовая, базальт-андезибазальтовая.

7.2. Интрузивные формации: дунит-гарцбургитовая альпинотипная, габбровая, габбро-плагиогранитная, габбро-диорит-гранодиоритовая (плагиогранодиоритовая).

7.3. Осадочные формации: кремнисто-сланцевая, углеродисто-сланцевая, фтанитовая (*фтаниты – это массивные или грубослоистые кремнистые породы*), яшмовая, синвулканических рифогенных известняков.

7.4. Формации базальтовая (спилит-диабазовая), габбровая, дунит-гарцбургитовая альпинотипная, кремнисто-сланцевая (в том числе, фтанитовая) образуют **офиолитовую ассоциацию**.

7.5. Следует обратить внимание на следующее обстоятельство. Каждая вулканическая формация имеет свой эквивалент в виде интрузивной формации. Базальтовой формации соответствует габбровая формация, базальт-риолитовой – габбро-плагиогранитная, базальт-андезибазальтовой – габбро-диорит-гранодиоритовая (плагиогранодиоритовая). Дунит-гарцбургитовая формация своих вулканических эквивалентов не имеет.

8. Специфические металлогенические особенности:

8.1. Месторождения хромитовых руд в альпинотипной дунит-гарцбургитовой формации.

8.2. Месторождения колчеданного семейства в базальт-риолитовой формации.

8.3. Месторождения скарново-магнетитовых руд в области контактов вулканитов базальт-андезибазальтовой формации, рифогенных известняков и пород габбро-диорит-гранодиоритовой (плагиогранодиоритовой) формации.

8.4. Сложные полигенные месторождения золота.

8.5. Вулканогенно-осадочные месторождения марганцевых руд в связи с яшмовой или фтанитовой формациями.

8.6. Меднопорфировые месторождения в породах габбро-диорит-гранодиоритовой (плагиогранодиоритовой) формации.

В ходе своего развития геосинклиналь проходит следующие **три стадии: начальную, раннюю и позднюю**.

На **начальной (океанической) стадии** развития геосинклинали происходило растяжение предыдущей континентальной коры и образование океанического рифта. Этому рифту свойственна офиолитовая ассоциация. Базальты этой ассоциации

относятся к толеитовому ряду, обладают натровым типом щелочности, афировыми структурами и низким *эксплозивным индексом*. Для базальтов офиолитовых ассоциаций этот индекс равен 3-5 %, что свидетельствует о незначительном количестве туфового материала, ибо вулканизм происходил в подводных условиях при линейно-трещинном характере излияний.

[*Под эксплозивным индексом понимается выраженное в процентах отношение объема пирокластического материала к общему объему вулканического материала в составе формации*].

На **ранней (раннегеосинклинальной, раннеостроводужной) стадии** происходила смена растяжения сжатием, в ходе которой накапливались вулканиты базальт-риолитовой формации и формировались малоглубинные интрузии габбро-плагиогранитной формации. Базальты базальт-риолитовой формации по своим особенностям похожи на базальты офиолитов. Риолиты образуют системы экструзивных куполов и коротких лавовых потоков. Для них также характерны преимущественно афировые или мелкопорфировые структуры. Породы обладают натровым типом щелочности, относятся к толеитовом типу, однако уже имеют известково-щелочной тренд. Вулканизм также происходил в подводных морских условиях.

Поздней (позднегеосинклинальной, позднеостроводужной) стадии отвечает обстановка сжатия и накопление вулканитов базальт-андезибазаль-товой формации. Для этих вулканитов характерны крупнопорфировые, полифировые, серийно-порфировые структуры, высокий эксплозивный индекс (60-80 %), известково-щелочной тип и калинатровая щелочность. Вулканиты представлены преимущественно разнообломочными туфами порфировых базальтов и андезибазальтов – от бомбовых и глыбовых до ляпиллиевых и пепловых, в их разрезах присутствуют также лавы того же состава и субвулканические интрузии микродиоритов, габбродиоритов, порфировидных диоритов. Вулканиты тесно ассоциируют с вулканообломочными и осадочными породами – вулканомиктовыми песчаниками, конгломератами, гравелитами, рифогенными известняками. Вулканиты слагают системы протяженных на 300-600 км вулканогенных гряд. Учитывая тесный комплекс вулканических, вулкано-обломочных и карбонатных пород, эту формацию нередко называют *туфо-турбидитной базальт-андезибазальтовой*. Вулканизм происходил в условиях вулканических островов и островных вулканических гряд при чередовании подводного и наземного характера извержений, имевших преимущественно центральный тип.

В зависимости от состава слагающих образований выделяют следующие четыре типа геосинклиналей и геосинклинальных систем:

1. **Офиолитовые геосинклинали**, в которых развитие закончилось на формировании офиолитовой ассоциации. Примерами таких геосинклиналей являются о-в Кипр в Средиземном море, ряд структур Северной Турции (обе мезозой), палеозойские структуры Японии и др. Металлогения таких геосинклиналей определяется формированием *хромитовых месторождений* в альпинотипной дунит-гарцбургитовой формации и *колчеданных месторождений кипрского типа* в базитах. Колчеданные месторождений этого типа характеризуются преимущественно медно-серным составом руд (содержащим небольшие количества никеля и кобальта).

2. **Первичные геосинклинали** (или геосинклинали полного цикла развития). Примерами первичных геосинклиналей являются Урал, Большой Кавказ, ряд структур Скандинавских каледонид, Аппалачей, восток Австралии (все палеозой) и

др. Строение и металлогения таких геосинклиналей охарактеризованы выше, при описании стадий их развития. Отметим только, что *колчеданные месторождения* обладают здесь медно-цинковым составом руд и относятся к *уральскому типу*.

3. **Вторичные геосинклинали** образованы на срединных массивах или на стабилизированных структурах предыдущего тектономагматического цикла развития. Они сложены преимущественно базальт-риолитовыми формациями с преобладающей ролью кислых вулканитов и подчиненным количеством основных. Примерами вторичных геосинклиналей являются Рудный Алтай, Центральный Казахстан, Тува, Иберийский пиритный пояс Испании, некоторые районы Средней Азии (все палеозой), Япония (неоген). Типовым элементом металлогении вторичных геосинклиналей являются *колчеданные месторождений рудноалтайского* (или *куроко*) *типа*. Они характеризуются преимущественно свинцово-цинковым составом руд (± барит) при подчиненной роли меди и повышенном содержании серебра.

4. **Терригенные (сланцевые) геосинклинали** образованы во фронтальных или фланговых частях первичных геосинклиналей либо имеют самостоятельной развитие. Они сложены преимущественно углеродистыми песчано-сланцевыми толщами, содержащими подчиненное количество вулканических пород базальтового либо дацит-андезитового состава. Примерами сланцевых геосинклиналей являются Передовой хребет Большого Кавказа, Куба (обе юра), Австралия, Енисейский кряж, Забайкалье (протерозой) и др. Типовым элементом металлогении терригенных геосинклиналей являются *колчеданные месторождения филизчайского типа* (по названию месторождения Филизчай в Передовом хребте Большого Кавказа), обладающие существенно свинцово-цинковыми (± барит) рудами, а также ряд *золото-сульфидных месторождений* (в так называемых черносланцевых толщах).

Б. Признаки орогенных комплексов и режимов.

1. Преимущественно континентальный тип осадочных и вулканогенных пород, накапливавшихся в наземных, озерных, лагунных обстановках, в условиях расчлененного горного рельефа.

2. Преимущественно брахиформный, глыбовый характер складчатых структур.

3. Резкие изменения фаций и мощностей пород по латерали и вертикали.

4. Молассовый тип осадочных формаций. [*Молассой называется комплекс преимущественно грубообломочных пород, выполняющих краевые и межгорные прогибы, формирующиеся в орогенную стадию развития складчатых систем. Преимущественный состав молассы – это красноцветные и сероцветные конгломераты, песчаники, алевролиты, иногда мергели, угленосные отложения и эвапориты*].

5. Преимущественно риолитовый, риодацитовый, дацитовый состав вулканических формаций при подчиненной роли базальтов.

6. Преимущественно гранитоидный состав интрузивных формаций. Гранитоиды формируют крупные батолитовые массивы.

7. Основные металлогенические особенности определяются преимущественно кислым составом вулканических и интрузивных пород. С ними связаны гидротермальные вулканогенные и плутоногенные месторождения Mo, W, Be, As, Sb, U, Au, Ag, Sn.

Выделяются два типа орогенных комплексов – эпигеосинклинальные (первичные) и эпиплатформенные (вторичные). Первые из них – это типовые (классические) орогены, возникающие вслед за геосинклинальным развитием. К ним отно-

сятся структуры Центрального Казахстана и некоторых других регионов, о которых речь будет идти далее. Вторые – эпиплатформенные орогены – возникают в результате тектонической активизации консолидированных областей континентальной коры и являются по существу проявлением тектоно-магматической активизации (платформа активизированная).

В. Признаки платформенных комплексов и режимов.

1. Преимущественно мелководный морской, лагунный, наземный тип осадков.

2. Выдержанность на больших пространствах фациального состава и мощностей осадочных пород.

3. Низкий уровень метаморфизма.

4. Крупные структурные формы со слабым наклоном крыльев (синеклизы, антеклизы).

5. Наличие следующих индикаторных формаций горных пород:

5.1. Вулканогенные – трахибазальтовые, щелочно-оливин-базальтовые, щелочно-ультраосновные, трапповые, кимберлитовые.

5.2. Осадочные – карбонатные (в том числе известняковые и известняково-доломитовые, карбонатно-рифовые), писчего мела, кварц-глауконитовые, фосфатоносные, глинисто-опоковые, фалаховые (кварц-аркозовые), пестроцветные песчаниково-глинисто-карбонатные, терригенные угленосные, эвапоритовые.

5.3. Интрузивные – долеритовые и габбро-долеритовые (интрузивные траппы, в том числе дифференцированные), расслоенные пироксенит-пери-дотитовые и габбро-гранитные, нефелиновых сиенитов, габбро-сиенитовые; в том числе специфические формации фундаментов древних платформ – гранитов-рапакиви, лабрадоритовые, анортозитовые и т. п.

6. Основные черты металлогении:

6.1. В осадочных формациях – углеводородное сырье (нефть, природный газ), бурый и каменный уголь, горючие сланцы, фосфориты, бариты, медистые песчаники, осадочные железные и марганцевые руды, стратиформные свинцово-цинковые руды в карбонатных отложениях, соли.

6.2. В магматических (вулканических и интрузивных) формациях – медно-никелевые, тантал-ниобиевые, титаномагнетитовые, ильменит-титаномагнетитовые, апатит-нефелиновые руды, алмазы, исландский шпат.

6.3. Специфические комплексы фундаментов древних (AR-PR) платформ – железистые кварциты.

Принципиальная схема строения складчатой области показана на рис. 2.

Помимо охарактеризованных тектонических комплексов и соответствующих им режимов во многих структурах континентальной земной коры проявлялся еще один процесс – это **тектономагматическая активизация (ТМА)**. Это процесс возобновления тектонической и магматической активности устойчивых областей – платформ и/или стабилизированных складчатых структур и/или их частей. ТМА сопровождается, как правило, магматизмом кислого и щелочного состава. ТМА проявляется в двух видах – отраженная ТМА и автономная ТМА. Первая из них сопряжена с активной тектоно-магматической деятельностью (заложение и развитие подвижных областей) в соседних регионах (структурах). Вторая обусловлена проявлением глубинной тектонической активности и не выходит за пределы активизированного участка земной коры. Наиболее значимыми полезными ископаемыми, связанными с процессом ТМА, – месторождения молибдена, вольфрама, олова, тантала, ниобия, циркония, тория.

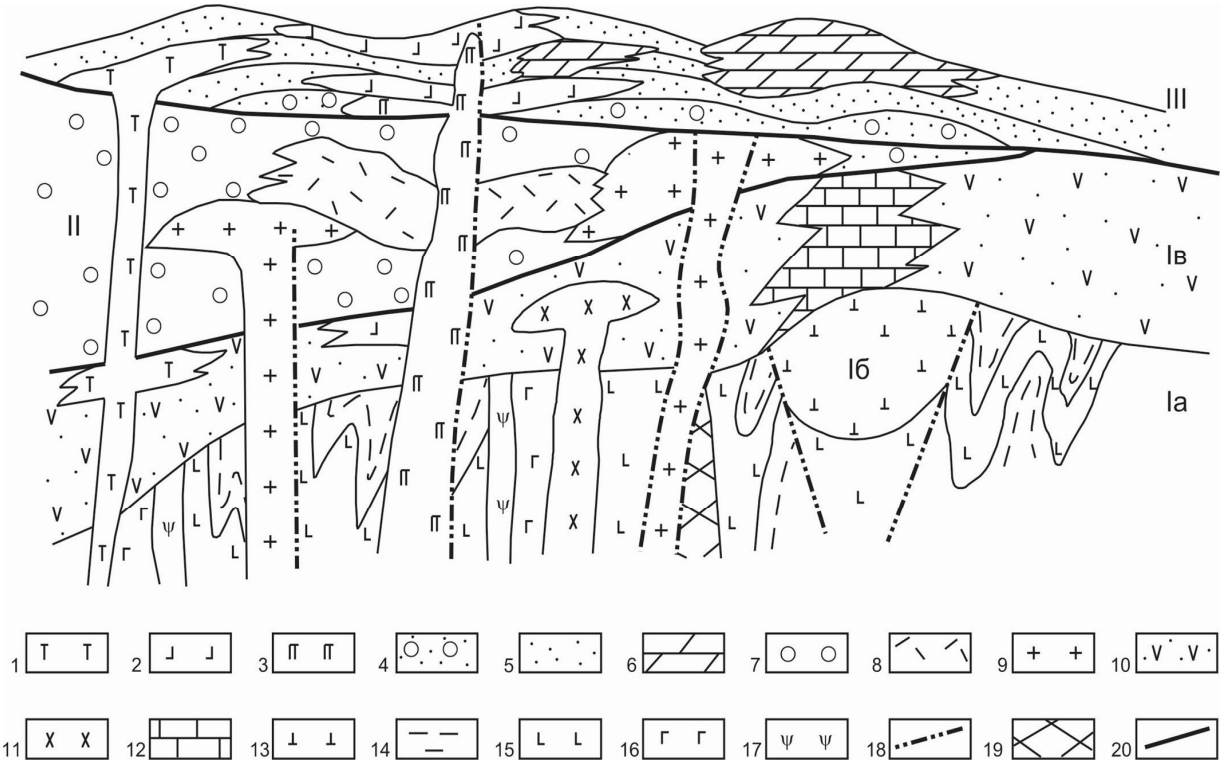

Рис. 2. Принципиальная схема строения складчатой области:

1 – трахибазальтовая формация; *2* – трапповая и щелочно-ультраосновная формации; *3* – габбро-долеритовая и кимберлитовая формации; *4* – фалаховая формация; *5* – терригенные (в том числе угленосные) формации; *6* – карбонатные (известняково-доломитовые) и терригенно-карбонатно-эвапоритовые формации; *7* – молассовая формация; *8* – риолитовая, дацит-риолитовая формации; *9* – группа гранитных формаций; *10* – базальт-андезибазальтовая формация; *11* – габбро-диорит-гранодиоритовая формация; *12* – формация синвулканических рифогенных известняков; *13* – базальт-риолитовая формация; *14–17* – офиолитовая ассоциация (*14* – кремнистые, кремнисто-глинистые сланцы; *15* – афировые базальты, спилиты, вариолиты; *16* – габбровая формация; *17* – дунит-гарцбургитовая формация); *18* – главнейшие тектонические нарушения; *19* – срединный массив; *20* – границы структурно-тектонических комплексов: I – геосинклинальный (Iа – начально геосинклинальный или океанический, Iб – раннегеосинклинальный или раннеостроводужный, Iв – позднегеосинклинальный или позднеостроводужный); II – орогенный; III – платформенный

Таким образом, каждому палеотектоническому (геодинамическому) режиму свойственны специфические, только ему присущие формации вулканических, осадочных и интрузивных пород, которые, в свою очередь, определяют металлогенические особенности конкретного геологического региона.

Базируясь на этих признаках, можно обоснованно подойти к прогнозированию месторождений полезных ископаемых в конкретных геологических обстановках.

4. ТЕКТОНИЧЕСКОЕ И ГИДРОГЕОЛОГИЧЕСКОЕ РАЙОНИРОВАНИЕ ТЕРРИТОРИИ РОССИЙСКОЙ ФЕДЕРАЦИИ

4.1. Тектоническое районирование

В соответствии с изложенными принципами на территории России выделены следующие главнейшие структуры (рис. 3).

1. Древние платформы – Восточно-Европейская (Русская) и Сибирская.

2. Складчатые пояса:

2.1. Урало-Монгольский складчатый пояс, разделяющий Восточно-Европейскую и Сибирскую платформы и обрамляющий ее с юга.

В состав этого пояса входят:

2.1.1. Уральская каледоно-герцинская складчатая область;

2.1.2. Западно-Сибирская молодая платформа;

2.1.3. Саяно-Енисейская область байкальской складчатости;

2.1.4. Кузнецко-Витимская область каледонской складчатости;

2.1.5. Байкальская горная область байкальской складчатости;

2.1.6. Монголо-Охотская область герцинской складчатости.

2.2. Средиземноморский пояс, в состав которого на территории России входят Большой Кавказ и Горный Крым – области альпийской складчатости.

2.3. Тихоокеанский пояс, обрамляющий с востока Сибирскую платформу.

В состав этого пояса входят:

2.3.1. Верхоянско-Чукотская область мезозойской складчатости;

2.3.2. Тайгоносско-Корякская область мезозойской складчатости;

2.3.3. Сихотэ-Алинская область мезозойской складчатости;

2.3.4. Олюторско-Камчатская область альпийской складчатости;

2.3.5. Хоккайдо-Сахалинская область альпийской складчатости;

2.3.6. Курильская (Курило-Камчатская) современная геосинклинальная область.

4.2. Гидрогеологическое районирование

Под **гидрогеологическим районированием** понимается деление территории на районы, различающиеся условиями формирования (питания, накопления, разгрузки), залегания, распространения или характером использования подземных вод.

Различают **общее** и **специальное** (применяемое для решения конкретных гидрогеологических задач, например, для водоснабжения населенных пунктов, изучения гидрогеологических условия месторождений и др.) гидрогеологическое районирование.

Основными единицами **общего** гидрогеологического районирования являются **артезианский бассейн** и **гидрогеологический массив**. Они выделяются на основе единства закономерностей формирования, распределения подземных вод, региональной направленности их стока и связей с геологическими структурами.

Артезианский бассейн приурочен к геологическим структурам, сложенным осадочными породами, **гидрогеологический массив** приурочен к структурам, сложенным магматическими и/или метаморфическими породами.

Системы артезианских бассейнов и гидрогеологических массивов, связанные общностью формирования и распространения подземных вод, объединяются в **гидрогеологические области платформ** и **гидрогеологические области складчатых систем**. В их пределах выделяются гидрогеологические структуры более высоких порядков такие как, **гидрогеологические районы**. Их выделение обусловливается зависимостью от использования подземных вод (специальное гидрогеологическое районирование).

Соответствие гидрогеологического и тектонического районирования приведено в табл. 2.

Таблица 2

Соответствие гидрогеологического и тектонического районирования

Гидрогеологическое районирование	Тектоническое районирование
Гидрогеологические области платформ	**Платформы**
Восточно-Европейская	*Восточно-Европейская*
Западно-Сибирская	*Западно-Сибирская*
Восточно-Сибирская	*Сибирская*
Гидрогеологические области складчатых систем	**Складчатые области и системы**
Карпатско-Крымско-Кавказская	*Большой Кавказ, Горный Крым*
Тимано-Уральская	*Уральская*
Саяно-Алтайско-Енисейская	*Саяно-Енисейская и Кузнецко-Витимская*
Восточно-Сибирская	*Байкальская горная область*
Зейско-Буреинская	*Монголо-Охотская*
Сихотэ-Алинская	*Сихотэ-Алинская*
Верхоянско-Чукотская	*Верхоянско-Чукотская*
Корякско-Камчатско-Курильская	*Тайгоносско-Корякская, Олюторско-Камчатская, Курильская (Курило-Камчатская)*
Сахалинская	*Хоккайдо-Сахалинская*
Таймырская	Таймырская

Артезианский бассейн – это бассейн подземных вод, приуроченный к отрицательной геологической структуре (синеклиза, мульда, прогиб, межгорная впадина и т. п.), содержащий напорные пластовые воды. Состоит из осадочного водоносного чехла (главным образом, дочетвертичного возраста) и фундамента с трещинно-жильными водами. В осадочном чехле кроме напорных вод, служащих источником водоснабжения, развиты также безнапорные грунтовые воды. В артезианском бассейне выделяют области питания, напора и разгрузки подземных вод. Площади артезианских бассейнов составляют от нескольких десятков тысяч до нескольких миллионов кв. километров. Наиболее крупными артезианскими бассейнами России являются Западно-Сибирский (крупнейший в мире), Московский, Прикаспийский и др.

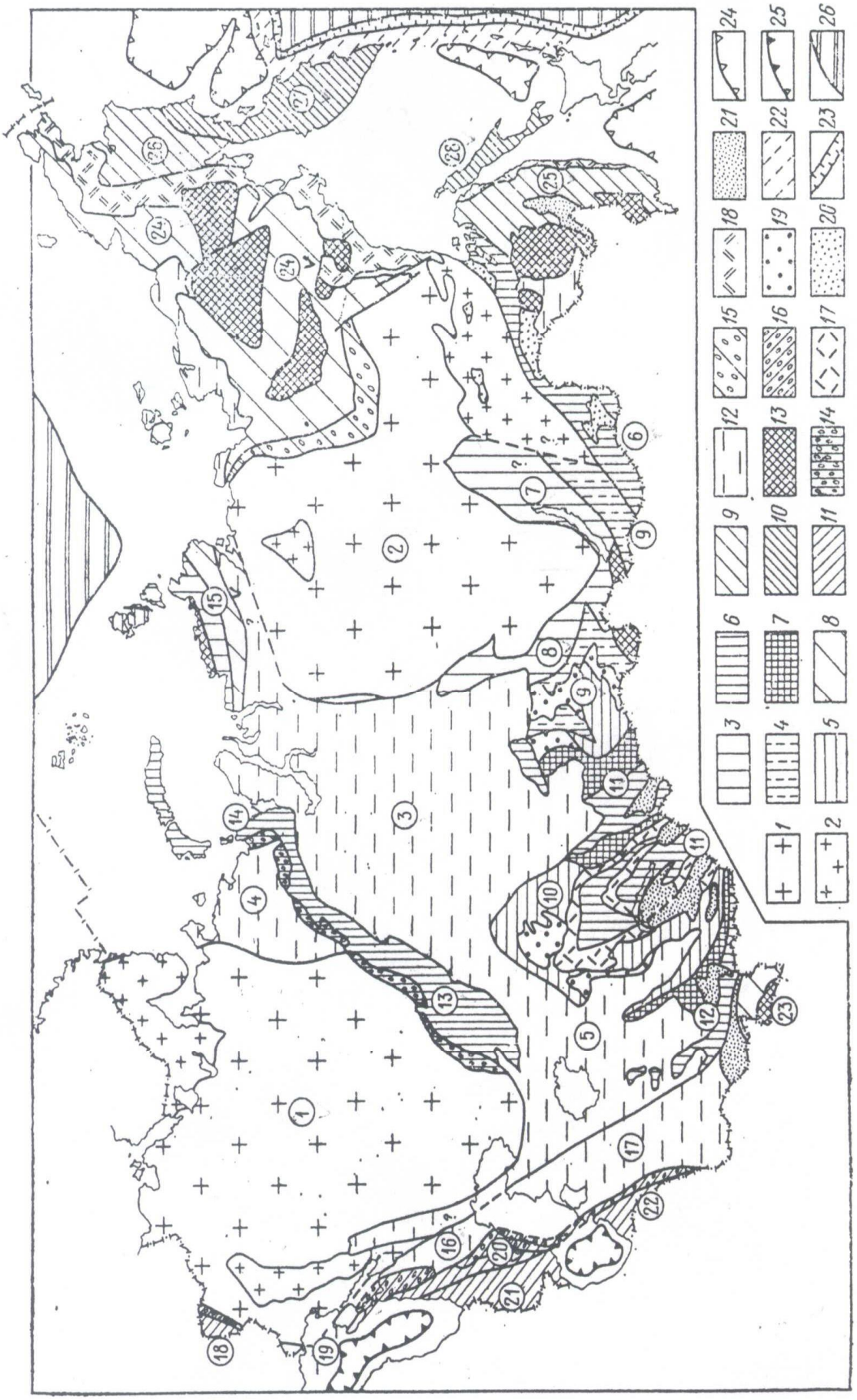

Гидрогеологический массив — это один из типов гидрогеологических структур континентов, характеризующийся развитием трещинных и трещинно-жильных вод в трещинных породах, представленных метаморфическими образованиями и различными по составу и возрасту интрузивными образованиями. (Например, гидрогеологический массив Балтийского щита). Существует несколько типов гидрогеологических массивов в зависимости от состава слагающих их пород: а) сложенные интрузивными породами; б) сложенные метаморфическими породами; в) сложенные вулканогенными, карбонатными или терригенными породами, образующими положительные формы рельефа при антиклинальной складчатости; г) сложенные вулканогенными, карбонатными или терригенными породами, образующими положительные формы рельефа при синклинальной складчатости.

Наряду с артезианскими бассейнами и гидрогеологическими массивами выделяются такие элементы гидрогеологического районирования, как **гидрогеологический бассейн**.

Гидрогеологический бассейн (бассейн подземных вод) – это элемент подземной гидросферы, выделенный по положению геолого-структурных границ различного типа и порядка, гидродинамических границ (водоразделов) потоков подземных вод на основе единства их формирования и распространения запасов (ресурсов).

Различают следующие типы гидрогеологических бассейнов: **бассейн грунтовых вод, бассейн трещинных вод, бассейн подземного стока**.

Рис. 3. Схема тектонического районирования России
и сопредельных государств в границах бывшего Советского Союза,
из (В. М. Цейслер. Основы региональной геологии СССР, 1984):

1-2 – древние платформы: *1* – плиты, *2* – щиты; *3-11* – геосинклинальные складчатые области и системы: *3* – байкальские, *4* – раннекаледонские, *5* – позднекаледонские, *6* – герцинские, *7* – каледоно-герцинские, *8* – мезозойские (киммерийские), *9* – позднемезозойские, *10-11* – кайнозойские (*10* – тихоокеанские, *11* – альпийские); *12* – плиты на молодых платформах; *13* – крупнейшие срединные массивы; *14-16* – краевые прогибы: *14* – позднепалеозойские, *15* – юрско-меловые, *16* – неоген-четвертичные; *17-18* – окраинные вулканно-плутонические пояса: *17* – средне- и позднепалеозойские, *18* – мел-палеогеновые; *19-21* – крупнейшие межгорные впадины: *19* – средне- и позднепалеозойские, *20* – юрско-меловые, *21* – неоген-четвертичные; *22* – современные геосинклинальные области (островные дуги); *23* – глубоководные желоба; *24* – котловины окраинных морей; *25* – котловины внутренних морей; *26* – впадины океанов. Главнейшие структурные элементы (цифры в кружках): *1 – Восточно-Европейская платформа*; *2 – Сибирская платформа*; *3-15 – Урало-Монгольский пояс*: 3-5 – плиты молодой платформы (3 – *Западно-Сибирская*, 4 – Тимано-Печорская, 5 – Северо-Туранская); 6-15 – складчатые области и системы (*6 – Монголо-Охотская*, *7 – Байкальская*, *8 – Саяно-Енисейская*, 9 – *Кузнецко-Витимская*, 10 – Казахстанско-Северо-Тянь-Шанская, 11 – Казахстанско-Алтайская, 12 – Тянь-Шанская, *13 – Уральская*, 14 – Пайхой-Новоземельская, 15 – Таймырско-Североземельская); *16-23 – Средиземноморский пояс*: 16-17 – плиты молодой платформы (16 – Скифская, 17 – Южно-Туранская); 18-23 – складчатые области и системы (18 – Восточно-Карпатская, *19 – Горный Крым*, *20 – Большой Кавказ*, 21 – Малый Кавказ, 22 – Копетдаг и Большой Балхан, 23 – Памир; *24-28 – Тихоокеанский пояс* (складчатые системы и области): *24 – Верхоянско-Чукотская*, *25 – Сихотэ-Алинская*, *26 – Тайгоносско-Корякская*, *27 – Олюторско-Камчатская, 28 – Хоккайдо-Сахалинская*.

Примечание: курсивом выделены названия структур, рассматриваемых в настоящем курсе.

Бассейн грунтовых вод – это система потоков грунтовых вод, выделенная по положению гидродинамических границ или границ распространения отложений определенного стратиграфо-литологического комплекса (например, бассейн грунтовых вод Кулундинской аллювиальной равнины).

Бассейн трещинных вод – это гидрогеологический массив трещинных, жильных и трещинно-жильных вод, выделенный по положению геолого-структурных границ, или часть массива, ограниченная по положению водоразделов потоков подземных вод (например, система бассейнов трещинных вод Балтийского кристаллического щита).

Бассейн подземного стока – это система потоков подземных вод (геогидродинамическая система, природная гидродинамическая система) с общим направлением движения подземных вод, определяемым положением основного базиса стока (дренированием), ограниченная в плане водоразделами стока одного порядка.

Таким образом, после ознакомления с основными понятиями и принципами геологического и гидрогеологического районирования территории, можно перейти к рассмотрению конкретных тектонических структур – платформ и складчатых областей.

5. ВОСТОЧНО-ЕВРОПЕЙСКАЯ (РУССКАЯ) ПЛАТФОРМА (ВЕП)

5.1. Общая характеристика

Восточно-Европейская (Русская) платформа географически занимает территории Среднерусской и Среднеевропейской равнин, охватывая обширную территорию от Урала на востоке и почти до побережья Атлантического океана на западе. На этой территории расположены бассейны рек Волга, Дон, Днепр, Днестр, Неман, Печора, Висла, Одер, Рейн, Эльба, Дунай, Даугава и др.

На территории России ВЕП занимает Среднерусскую возвышенность, характеризующуюся преимущественно равнинным рельефом, с абсолютными отметками до 500 м. Только на Кольском полуострове и в Скандинавских горах проявлен горный рельеф с абсолютными отметками, превышающими 1 200 м.

Границами ВЕП являются: на востоке – Уральская складчатая область, на юге – структуры Средиземноморского складчатого пояса, на севере и северо-западе – структуры Скандинавских каледонид.

5.2. Основные структурные элементы

Как и любая платформа, ВЕП имеет двухъярусное строение.

Нижний ярус – это *архейско-раннепротерозойский фундамент*, верхний ярус – *рифейско-кайнозойский* чехол.

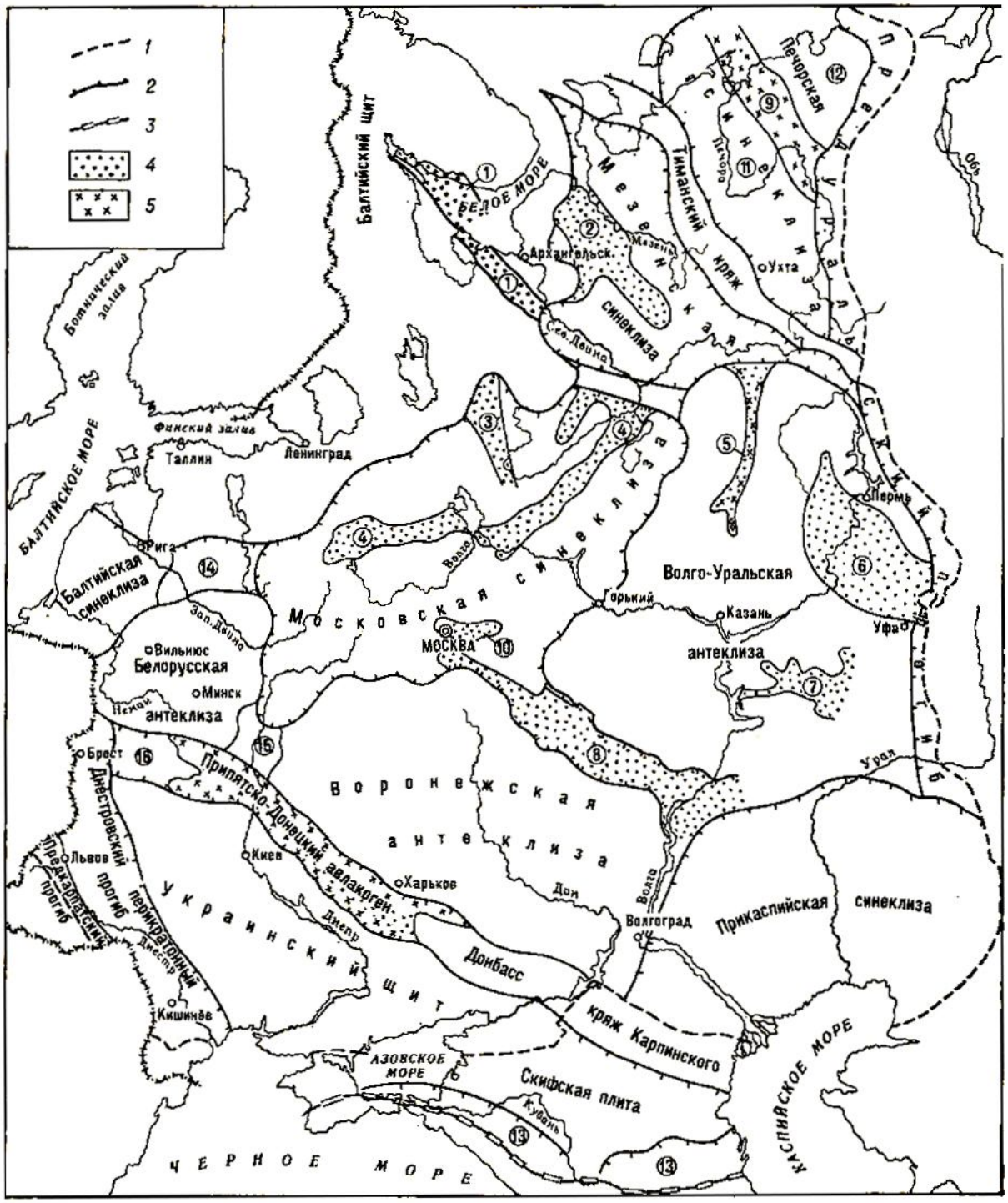

Рис. 4. Основные структуры Восточно-Европейской (Русской) платформы, по В. Д. Наливкину и В. П. Кирикову:

1 – граница платформы; *2* – границы основных структур; *3* – южная граница Скифской плиты; *4* – докембрийские авлакогены; *5* – палеозойские авлакогены.

Цифры в кружках обозначают названия структур, не подписанные на схеме:

1-9 – авлакогены (*1* – Беломорский, *2* – Лешуконский, *3* – Вожже-Лачский, *4* – Среднерусский, *5* – Кажимский, *6* – Калтасинский, *7* – Серноводско-Абдулинский, *8* – Пачелмский, *9* – Печоро-Колвинский); *10* – Московский грабен; *11* – Ижма-Печорская впадина; *12* – Хорейверская впадина; *13* – Предкавказский краевой прогиб; *14-16* – седловины (*14* – Латвийская, *15* – Жлобинская, *16* – Полесская)

Фундамент на ВЕП залегает на глубинах от 0 до (по геофизическим данным) 20 км.

Фундамент на поверхность выходит в двух регионах: 1) в Карелии и на Кольском полуострове, где он представлен **Балтийским щитом**, занимающим также территории Финляндии, Швеции и части Норвегии; 2) в центральной Украине, где он представлен **Украинским щитом**.

Область залегания фундамента на глубинах до 500 м в районе г. Воронежа называется **Воронежским кристаллическим массивом**.

Область распространения платформенного чехла рифейско-кайнозойс-кого возраста называется **Русской плитой**.

Основные структуры Восточно-Европейской платформы показаны на рис. 4.

Областям относительно глубокого (более 2 км) залегания фундамента отвечают пологие отрицательные структуры – **синеклизы**.

Главнейшими из них являются: 1) **Московская**, занимающая центральную часть плиты; 2) **Тимано-Печорская (Печорская)**, расположенная на северо-востоке плиты, между структурами Урала и Тиманским кряжем; 3) **Прикаспийская**, расположенная на юго-востоке плиты, занимающая междуречье Волги и Эмбы, на склонах Волго-Уральской и Воронежской антеклиз.

[*Некоторыми исследователями Тимано-Печорская синеклиза рассматривается в качестве плиты молодой платформы в составе Урало-Монгольского пояса* (*см. рис. 3*)].

Областям относительно приподнятого положения фундамента отвечают пологие положительные структуры – **антеклизы**.

Главнейшими из них являются: 1) **Воронежская**, расположенная над одноименным кристаллическим массивом; 2) **Волго-Уральская**, расположенная в восточной части плиты, ограниченная с востока структурами Урала, с севера Тиманским кряжем, с юга – Прикаспийской синеклизой, с юго-запада Воронежской антеклизой, с запада – Московской синеклизой.

В пределах синеклиз и антеклиз выделяются структуры более высоких порядков, такие как валы, своды, впадины и прогибы.

Тимано-Печорской, Прикаспийской синеклизам и Волго-Уральской антеклизе отвечают одноименные нефтегазоносные провинции.

Между Украинским щитом и Воронежским кристаллическим массивом (и одноименной антеклизой) расположен **Днепровско-Донецкий (Припятско-Донецкий) авлакоген –** это узкая структура грабенообразного погружения фундамента и увеличенной (до 10-12 км) мощности пород чехла, имеющая запад-северо-западное простирание.

5.3. Строение фундамента

Фундамент платформы образован *архейскими* и *раннепротерозойскими* комплексами глубокометаморфизованных пород. Их первичный состав не всегда расшифровывается однозначно. Возраст пород определяется по данным абсолютной геохронологии.

Балтийский щит. Занимает северо-западную часть платформы, и граничит со складчатыми структурами Скандинавских каледонид по разломам глубокого заложения, имеющим надвиговую природу. К югу и юго-востоку фундамент ступенчато погружается под рифейско-кайнозойский чехол Русской плиты.

Комплексы *раннего архея* (*кольская серия* AR_1) в разных блоках Балтийского щита представлены разнообразными гнейсами, кристаллическими сланцами, железистыми (магнетитовыми) кварцитами, амфиболитами, мраморами, мигматитами. Среди гнейсов выделяются следующие разновидности: амфиболовые, биотитовые, высокоглиноземистые (с кианитом, андалузитом, силлиманитом). Вероятным протолитом амфиболитов и амфиболовых гнейсов являются породы типа базитов (базальтоиды и габброиды), высокоглиноземистых гнейсов – осадочные породы типа глинистых осадков, магнетитовых кварцитов – железисто-кремнистые отложения (типа яшмоидов), мраморов – карбонатные отложения (известняки, доломиты). Мощность образований AR_1 не менее 10-12 км.

Образования *раннего архея* (AR_1) формируют структуры типа гнейсовых куполов, в центральных частях которых располагаются крупные массивы олигоклазовых и микроклиновых гранитов, с которыми связаны пегматитовые поля.

Комплексы *позднего архея* (AR_2) слагают узкие синклинорные зоны в образованиях AR_1. Они представлены высокоглиноземистыми гнейсами и сланцами, конгломератами, амфиболитами, карбонатными породами, магнетитсодержащими кварцитами. Мощность образований AR_2 не менее 5-6 км.

Образования *раннего протерозоя* (PR_1) мощностью не менее 10 км выполняют узкие грабен-синклинальные структуры, врезанные в архейский субстрат. Они представлены конгломератами, песчаниками, алевролитами, аргиллитами, метаморфизованными субщелочными базальтоидами, кварцитопесчаниками, гравелитами, местами доломитами, а также шунгитами (высокоуглеродистые метаморфизованные породы типа сланцев).

Образования PR_1 прорваны одновозрастными интрузиями габброноритов печенгского комплекса с медно-никелевым оруденением, щелочными ультраосновными породами с карбонатитами, содержащими апатит-магнетитовые руды с флогопитом, а также более молодыми (рифейскими) гранитами-рапакиви (Выборгский массив) и нефелиновыми сиенитами *средне-позднедевонского возраста*. Последние представлены расслоенными концентрически зональными массивами: Хибинским с месторождениями апатит-нефелиновых руд и Ловозерским с месторождениями тантало-ниобатов.

На Балтийском щите пробурена самая глубокая в мире **Кольская сверхглубокая скважина (СГ-3)** глубиной 12 262-м (проектная глубина скважины – 15 000 м). Скважина пробурена в северо-западной части Кольского полуострова, в 10 км южнее г. Заполярный (Мурманская область), вблизи российско-норвежской границы. Бурение скважины начато в 1970 г. и закончено в 1991 г.

Скважина бурилась по программе глубокого и сверхглубокого бурения, осуществляемого в СССР по решениям Правительства.

Целью бурения СГ-3 являлось изучение глубинного строения докембрийских структур Балтийского щита, типичных для фундаментов древних платформ, и оценка их рудоносности.

Задачами проходки скважины являлось:

1. Изучение глубинного строения протерозойского никеленосного печенгского комплекса и архейского кристаллического основания Балтийского щита, выяснение особенностей проявления на больших глубинах геологических процессов, включая процессы рудообразования.

2. Выяснение геологической природы сейсмических границ в континентальной земной коре и получение новых данных о тепловом режиме недр, глубинных водных растворах и газах.

3. Получение максимально полной информации о вещественном составе горных пород и их физическом состоянии, вскрытие и изучение пограничной зоны между «гранитным» и «базальтовым» слоями земной коры.

4. Усовершенствование имеющихся и создание новых технологий и технических средств для бурения и комплексных геофизических исследований сверхглубоких скважин.

Скважина бурилась с полным отбором керна, выход которого составил 3 591,9 м (29,3 %).

Основные результаты бурения следующие:

1. В интервале 0 – 6 842 м вскрыты метаморфические образования PR_1, их состав примерно тот же, который приводится выше. На глубинах 1 540-1 810 м вскрыты тела базитов с сульфидными медно-никелевыми рудами, что опровергло представление о выклинивании рудоносного печенгского комплекса и расширило перспективы Печенгского рудного поля (медно-никелевые руды).

2. В интервале 6 842 – 12 262 м вскрыты метаморфические образования AR, состав и строение которых примерно те же, о которых речь шла выше. На глубинах свыше 7 км в архейских гнейсах вскрыто несколько горизонтов магнетит-амфиболовых пород – аналогов железистых кварцитов Оленегорского и Костомукшского месторождений. На глубине около 8,7 км вскрыты габброиды с титаномагнетитовой минерализацией. В интервале 9,5 – 10,6 км в архейских образованиях установлен 800-метровый интервал с высокими (до 7,4 г/т) содержаниями золота, а также серебра, молибдена, висмута, мышьяка и некоторых других элементов. Эта минерализация предположительно связывается с процессами гидрогенно-геохимического разуплотнения архейских пород.

3. Предполагаемая на глубинах около 7,5 км геофизическая граница (поверхность) Конрада (граница «гранитного» и «базальтового» слоев) не подтвердилась. Сейсмическая граница на этих глубинах отвечает зоне разуплотнения пород в архейских образованиях и вблизи границы архей-нижний протерозой.

4. На всем протяжении разреза скважины установлены притоки воды и газов, содержащих гелий, водород, азот, метан, тяжелые углеводороды. Исследования изотопного состава углерода показали, что в архейских толщах газы имеют мантийную природу, протерозойских – биогенную. Последнее может свидетельствовать о возможном зарождении биологических процессов, приведших впоследствии к возникновению жизни на Земле, уже в раннем протерозое.

5. К числу принципиально новых относятся данные по изменениям температурного градиента. До глубины 3 000 м температурный градиент составляет 0,9-1°/100 м. Глубже этот градиент возрос до 2-2,5^o/100 м. В итоге на глубине 12 км температура составила 220° вместо ожидаемой 120-130°.

До недавнего времени Кольская скважина функционировала в режиме геолаборатории, являясь полигоном для испытания техники и технологии глубокого и сверхглубокого бурения и геофизического исследования скважин. В настоящее время ликвидирована.

Украинский щит. Представляет собой крупный выступ фундамента, имеющий форму неправильного овала. С севера он ограничен разломами, по которым

контактирует с Днепровско-Донецким авлагогеном, а в южном направлении погружается под отложения платформенного чехла.

В строении щита принимают участие метаморфические породы AR_1, AR_2 и PR_1.

Комплексы *раннего архея* (AR_1) представлены плагиогнейсами, биотит-плагиоклазовыми, амфибол-плагиоклазовыми, высокоглиноземистыми (силлиманитовыми и корундовыми) гнейсами, кристаллическими сланцами, амфиболитами, мигматитами, кварцитами.

В строении комплексов *позднего архея* (AR_2) участвуют разнообразные гнейсы, амфиболиты, хлоритовые сланцы, железистые кварциты и роговики. Эти образования образуют узкие синклинорные зоны, врезанные в раннеархейский субстрат. Мощность образований AR не менее 5-7 км.

К образованиям *раннего протерозоя* (PR_1) относится *криворожская серия*, вмещающая железорудные месторождения формации железистых кварцитов Криворожского бассейна.

Эта серия обладает трехчленным строением. В ее нижней части залегают аркозовые метапесчаники, кварциты, филлиты. Средняя часть серии сложена в основном переслаивающимися джеспилитами, куммингтонитовыми, серицитовыми, хлоритовыми сланцами. В этой части серии расположены основные промышленные железорудные залежи Криворожского бассейна; количество рудных пластов в разных частях бассейна колеблется от 2 до 7. Верхняя часть серии сложена кварцитопесчаниками с осадочно-метаморфи-зованными железными рудами, кварцево-углеродистыми, слюдистыми, биотит-кварцевыми и двуслюдяными сланцами, карбонатными породами, метапесчаниками. Общая мощность образований криворожской серии не менее 5-5,5 км.

Среди комплексов AR и PR расположены крупные интрузивные массивы архейского и раннепротерозойского возраста: сложные многофазные плутоны (Уманский, Криворожский и др.), состав которых меняется от габбро- анортозитов, лабрадоритов до гранитов, гранитов-рапакиви (Коростеньский и др.), а также массивы нефелиновых сиенитов (Мариупольский) с тантало-ниобиевой минерализацией.

Воронежский кристаллический массив. Расположен на глубинах до 500 м. Изучен в связи с геологоразведочными и эксплуатационными работами на железные руды Курской магнитной аномалии (КМА).

Архейские (AR) образования представлены здесь разнообразными гнейсами, амфиболитами, железистыми роговиками, кристаллическими сланцами.

Образования *раннего протерозоя* (PR_1) выделены как *курская и оскольская серии***.** В составе *курской серии* представлены: в нижней части чередующиеся метапесчаники, кварциты, гравелиты, в верхней части – чередующиеся филлиты, двуслюдяные, биотитовые сланцы, горизонты железистых кварцитов, к которым приурочены месторождения КМА. Мощность образований курской серии не менее 1 км. Залегающая выше *оскольская серия* мощностью 3,5-4 км образована углеродистыми сланцами, метапесчаниками, метабазальтами.

Среди толщ AR и PR расположены массивы одновозрастных гранитов, габброноритов с медно-никелевым оруденением, граносиенитов.

5.4. Строение чехла

В строении чехла Русской плиты выделены 5 структурно-стратиграфи-ческих комплексов (снизу вверх): рифейский, венд-кембрийский, раннепалеозойский (ордовикско-раннедевонский), средне-позднепалеозойский (среднедевонско-пермский), мезозойско-кайнозойский (триас-кайнозойский).

Рифейский комплекс

Рифейские толщи распространены в центральных и окраинных частях платформы. Наиболее полные разрезы рифея расположены на Западном Урале, о которых речь будет идти при рассмотрении этого региона. Рифей центральной части платформы представлен всеми тремя отделами.

Ранний рифей (RF_1). В его нижней части залегают красноцветные кварцевые и кварц-полевошпатовые песчаники с горизонтами базальтов траппового типа. Вверх по разрезу они сменяются темными аргиллитами с прослоями мергелей, доломитов и алевролитов. Еще выше залегает мощная толща доломитов с прослоями аргиллитов. Мощность около 3,5 км.

Средний рифей (RF_2). Представлен преимущественно сероцветными песчаниками с прослоями доломитов и базальтов траппового типа общей мощностью около 2,5 км. В стратифицированном разрезе залегают пластовые тела долеритов, габбро-долеритов.

Поздний рифей (RF_3). В его основании залегают кварцевые и кварц-полевошпатовые песчаники, выше – красные аргиллиты и алевролиты с прослоями доломитов, еще выше – чередование аргиллитов, алевролитов, песчаников и доломитов; завершается разрез доломитами. Общая мощность около 2 км.

Венд-кембрийский комплекс

Венд (V). Представлен преимущественно терригенными и вулканогенными образованиями.

В нижней части располагаются преимущественно красноцветные песчаники, алевролиты, ленточные глины, тиллиты. [*Тиллиты – это метаморфизованные моренные отложения*]. Наличие тиллитов – наиболее характерный признак нижних частей разреза вендских отложений. Это, в свою очередь, свидетельствует о проявлении в вендское время интенсивного оледенения (Лапландское оледенение), которое по распространению и интенсивности сопоставимо с оледенением четвертичного времени.

Средняя часть венда представлена песчаниками, алевролитами с горизонтами базальтов, трахибазальтов и их туфов.

Верхняя часть разреза венда представлена пачками чередующихся песчаников, алевролитов, аргиллитов, в том числе красноцветными, содержащими желваковые фосфориты. Общая мощность вендских образований около 1,5 км.

Кембрий (Є). Отложения кембрия общей мощностью около 600-700 м распространены преимущественно в Прибалтике на южном склоне Балтийского щита. Они представлены терригенными отложениями, включающими глины, кварцевые песчаники с глауконитом и мелкими желваками фосфоритов.

Раннепалеозойский (ордовикско-раннедевонский комплекс)

Ордовик (O). Отложения ордовика общей мощностью не более 500 м распространены в основном в западных частях платформы.

Отложения O_1 – глауконитовые песчаники с обильными фосфатизированными раковинами брахиопод; местами они образуют раковинный конгломерат, в котором содержание P_2O_5 достигает 30 %, и они приобретают промышленное значение как фосфатное сырье. Верхняя часть разреза O_1 представлена известняками, доломитами, мергелями.

Отложения O_{2-3} образованы карбонатными отложениями (известняки, доломиты, мергели), среди которых залегают прослои и горизонты горючих сланцев (кукерситы) мощностью до 5 м, которые в Ленинградской области и Эстонии имеют промышленное значение и отрабатываются (Эстонский или Ленинградский сланцевый бассейн).

Силур (S). Отложения *раннего* и *позднего силура* обычной мощности не более 250 м (с локальными увеличениями до 900 м) представлены преимущественно карбонатными отложениями, формирующими крупные рифовые массивы. Среди карбонатных отложений превалируют органогенные известняки, присутствуют также доломиты и мергели. Местами в самых верхах разреза силурийских отложений присутствуют бентонитовые глины.

Ранний девон (D_1). Раннедевонские отложения общей мощностью до 1,6 км представлены чередующимися пачками песчаников, алевролитов, глинистых доломитизированных известняков, аргиллитов.

Средне-позднепалеозойский (среднедевонско-пермский) комплекс

Средний и поздний девон (D_2-D_3). Отложения D_2 и D_3 широко распространены на платформе. На поверхность они выходят в Прибалтике, где образуют Главное девонское поле, и в Воронежской антеклизе – Центральное девонское поле. На остальной части Русской плиты они вскрыты многочисленными скважинами, пробуренными в связи с проведением геологоразведочных работ на нефть и газ.

На Центральном девонском поле отложения D_2 в объеме *эйфельского* и *живетского* ярусов представлены пестроцветными песчаниками в нижней части разреза (так называемые «древние красные песчаники»), которые перекрываются пачками переслаивающихся мергелей, глин, доломитов, гипсов, песчаников.

Отложения D_3 (*франский и фаменский ярусы*) представлены известняками и доломитами с прослоями пестрых глин. Общая мощность отложений среднего и верхнего девона не превышает 150-200 м.

На Главном девонском поле отложения D_2 представлены преимущественно песчаниками с прослоями известняков и доломитов, а отложения D_3 имеют преимущественно карбонатный (известняково-доломитовый) состав. Общая мощность этих отложение не более 450 м.

В Днепровско-Донецком авлакогене *средне-позднедевонские* образования достигают мощности 3,3 км. Они представлены здесь сложным чередованием с фациальными замещениями песчаниками, алевролитами, аргиллитами, известняками, доломитами, ангидритами, гипсами, пластами каменной соли. В этом разрезе залегают пласты, покровы и потоки базальтов траппового типа, трахибазальтов и их туфов.

К *среднему-позднему девону* относится формирование массивов нефелиновых сиенитов (Хибинского и Ловозерского) на Балтийском щите.

К уровню D_3-C_1 относится внедрение кимберлитовых трубок южного берега Белого моря, относящихся к Архангельской алмазоносной провинции.

Карбон (С). Каменноугольные отложения широко распространены на платформе.

Можно выделить два типа разреза каменноугольных отложений: 1) терригенно-карбонатный (подмосковный) и 2) терригенный угленосный (донецкий).

Первый тип разреза относится к Московской синеклизе, второй – к Днепровско-Донецкому авлакогену.

Каменноугольные отложения Московской синеклизы устроены следующим образом.

Турнейский ярус C_1t представлен известняками, чередующимися с прослоями и пачками пестрых глин и известковых конгломератов.

Визейский ярус C_1v. В его нижней части залегают кварцевые пески, переслаивающиеся с огнеупорными глинами, обогащенными глиноземом, пластами бурых углей. Мощность угленосной толщи обычно составляет 20-30 м, местами увеличиваясь до 70 м. Угли имеют промышленное значение и разрабатываются шахтами в Тульской, Калужской и Московской областях. На северо-западе Московской синеклизы (Ленинградская область) на этом уровне расположено Тихвинское месторождение бокситов. Верхняя часть визейского яруса сложена светлыми песками с прослоями глин, содержащими редкие конкреции фосфоритов, маломощными (до 1 м) прослоями бурых углей и известняков. Завершается разрез визейского яруса известняками.

Серпуховской ярус C_1s представлен преимущественно известняками.

Общая мощность отложений *раннего карбона* около 300 м.

Средний карбон C_2. В его основании залегают красноцветные косослоистые пески, сменяющиеся вверх по разрезу известняками, доломитами, мергелями. Мощность 100-150 м.

Поздний карбон C_3 также образован известняками, доломитами, мергелями. Мощность около 150 м.

Принципиально иное строение имеют каменноугольные отложения Днепровско-Донецкого авлакогена. Они представлены исключительно терригенными угленосными отложениями общей мощностью 10-11 км. В разрезе выделяется 15 региональных свит, из которых 5 свит относятся к *раннему карбону* (C_1), 7 – к *среднему* (C_2) и 3 – к *позднему* (C_3). Эти отложения представлены сложно ритмично переслаивающимися песчаниками, аргиллитами, алевролитами, пластами и линзами каменных углей. Породы имеют, как правило, темно-серую или черную окраску. В этом разрезе присутствуют также маломощные (первые см, до 1 м) прослои известняков. Всего в разрезе Донбасса выделено около 300 угольных слоев и пропластков, из которых половина имеет промышленное значение. Обычные рабочие мощности угольных пластов составляют 1-1,2 м. Угли Донбасса высококачественные; сверху вниз они изменяются от газовых до антрацитов. Наиболее угленасыщенными являются свиты *верхней части среднего карбона и нижней части позднего карбона*.

Пермь (Р). Пермские отложения распространены преимущественно на восточной окраине платформы, в Предуралье, где они наиболее полно изучены.

Для пермских отложений также характерны два типа разреза, ареалы которых разделены Тиманским кряжем.

К северу от Тиманского кряжа *пермские отложения* существенно терригенные континентальные, угленосные. Мощность их колеблется от 1 до 7 км. К этим отложениям приурочен Печорский (Воркутинский) угольный бассейн. Угленосные толщи представлены сложным чередованием песчаников, аргиллитов, алевролитов, небольшим количеством известняков, пластов углей. В угленосной толще насчитывается до 150-250 угольных пластов и пропластков. Марочный состав углей колеблется от бурых до антрацитов. Обычные рабочие мощности пластов 1,5-3,5 м, иногда достигают 30 м. Наиболее угленасыщенными являются отложения *ранней перми и нижней части средней перми*.

К югу от Тиманского кряжа разрез пермских отложений более разнообразен и представляется следующим образом. В основании *раннепермских* (*ассельский, сакмарский, артинский ярусы*) отложений залегает толща пестроцветных конгломератов, песчаников, алевролитов, аргиллитов, известняков. Обломочный материал состоит из пород, слагающих горный Урал. Мощность этой толщи не менее 500-600 м.

Параллельно и несколько выше по разрезу (включая *верхи кунгурского яруса*) расположена мощная толща известняков, слагающих крупные карбонатные рифовые массивы (Дуванский, Юрюзанский, Ишимбаевский, Сылвенский и др.). Мощность известняков в рифовых массивах достигает 1 км.

Верхам *ранней перми* (в объеме *кунгурского яруса и соликамского горизонта уфимского яруса – нижнеуфимский подъярус*) отвечают пестроцветные эвапоритоносные отложения, представленные сложным чередованием песчаников, доломитов, известняков, мергелей, гипсов, ангидритов, калийных, магниевых и каменных солей. Все эти породы находятся в тесном переслаивании и фациальных взаимопереходах. Мощность этих отложений достигает 5 км. На этом возрастном уровне расположены Верхнекамский и Печорский соленосные бассейны.

Остальная часть *пермских* отложений, включая *шешминский горизонт* (*верхнеуфимский подъярус* P_1), *казанский ярус* P_2 и *татарский ярус* P_3, образована меденосными пестроцветными карбонатно-глинисто-песчаными толщами, представленными чередующимися песчаниками, мергелями, известняками, глинами, алевролитами, аргиллитами, конгломератами. В этой толще расположено большое количество мелких месторождений и проявлений медистых песчаников, на основе которых еще в XVII веке зарождалась медная промышленность Урала. Мощность меденосных отложений достигает 1 км.

Для всех отложений пермского возраста характерны мелководные прибрежно-морские, лагунные, дельтовые, прибрежно-континентальные условия накопления.

Мезозойско-кайнозойский (триас-кайнозойский) комплекс

Триас (Т). Триасовые отложения широко распространены на платформе и представлены всеми тремя отделами.

Ранне- и среднетриасовые отложения обладают определенной двойственностью своего положения. С одной стороны, они завершают предыдущий комплекс, а с другой – начинают мезозойско-кайнозойский комплекс. Некоторые исследователи ранне- и среднетриасовые отложения рассматривают в составе позднепалеозойского структурно-стратиграфического комплекса.

Отложения *раннего триаса* (T_1) представлены преимущественно континентальными отложениями, сложенными пестроцветными грубыми косослоистыми песчаниками с прослоями конгломератов, алевролитами, глинами, мергелями; в

глинах и алевролитах иногда отмечаются конкреции сидеритов. Мощность отложений T_1 в разных местах платформы колеблется от 200 до 850-900 м.

Отложения *среднего триаса* (T_2) также представлены континентальными пестроцветными песчано-глинистыми отложениями мощностью до 800 м.

Для *позднего триаса* (T_3) также характерны пестро- и сероцветные песчано-глинистые отложения, иногда содержащие прослои бурых углей мощностью до 1 000 м.

Преимущественно континентальный характер триасовых отложений отражает общую особенность развития Земли в это время, которая характеризовалась геократическим режимом.

Юра (J). Юрские отложения представлены всеми тремя отделами. Наиболее распространены отложения верхнего отдела, менее – среднего и совсем ограниченно – нижнего. Для юрских отложений характерны как морские, так и континентальные условия накопления.

Раннеюрские (J_1) отложения в своей нижней части сложены континентальными песчано-глинистыми толщами, а в верхней – морскими глинами, известняками, песчаниками, содержащими прослои оолитовых лептохлорит-гидрогетитовых железных руд. Мощность около 250 м.

Среднеюрские (J_2) отложения в центральных частях платформы являются преимущественно морскими, и они образованы песчаниками с прослоями известняков, глинами, содержащими многочисленную фауну аммонитов, которые наиболее распространены в районах Поволжья. Здесь мощность среднеюрских отложений не превышает 220-250 м. В западной части Прикаспийской синеклизы отложения этого времени являются преимущественно континентальными – это песчано-глинистые толщи с пластами бурого угля, иногда имеющего промышленное значение. Мощность этих отложений увеличена здесь до 500 м.

Позднеюрские (J_3) отложения обычной мощности до 300 м сложены преимущественно морскими глинами, содержащими прослои глауконитовых песков, желваки фосфоритов, конкреции марказита, а также горизонты горючих сланцев; последние в ряде районов имеют промышленное значение и разрабатываются.

Мел (K). Меловые отложения являются преимущественно морскими образованиями.

Раннемеловые (K_1) отложения представлены преимущественно песчано-глинистыми породами с глауконитом и желваками и пластами фосфоритов. Мощность отложений в различных частях платформы колеблется от 100-120 до 500 м.

Позднемеловые (K_2) отложения являются преимущественно карбонатными – это мергели, известняки, писчий мел. Среди карбонатных пород присутствуют горизонты глауконитовых песков, опок, трепела, кремнистых глин и фосфоритов. Мощность не более 500 м.

Палеоген (Р). Отложения палеогена распространены только в южной части платформы, в северном Причерноморье, где представлены как морскими, так и континентальными отложениями.

Образования *раннего палеогена* (*палеоцен* $Р_1$) образованы 80-метровой толщей песков с прослоями глин, опок, кремнистых глауконитовых песков.

Среднепалеогеновые (*эоцен* $Р_2$) отложения общей мощности до 100 м сложены в нижней и верхней частях морскими фациями, состоящими из глауконитовых песков, песчаников, глин, а в средней части – континентальными углефицированными кварцевыми песками с прослоями бурых углей. Глауконитовые и кварц-

глауконитовые пески содержат морские россыпи янтаря побережья Балтийского моря, перемываемые в четвертичное время.

Позднепалеогеновые (*олигоцен* P_3) отложения мощностью до 200 м представлены песчано-глинистыми толщами, содержащими промышленные залежи марганцевых руд (Южно-Украинский марганцевый бассейн).

Неоген (N). Неогеновые отложения также распространены преимущественно в южной части платформы.

Отложения *раннего неогена* (*миоцен* N_1) – устанавливается определенная последовательность в смене снизу вверх по разрезу континентальных отложений лагунными, а затем и морскими. В нижней части миоцена залегают континентальные угленосные терригенные отложения, в средней части находятся лагунные пестроцветные глины с пластами гипсов, а в верхней – известняки, образующие крупные рифовые массивы, а также тонко-мелкозер-нистые кварцевые пески. Общая мощность отложений миоцена приближается к 500 м.

Поздненеогеновые (*плиоцен* N_2) образования представлены преимущественно морскими песчано-глинистыми отложениями мощностью 200-400 м, содержащими пласты оолитовых осадочных железных руд (Керченский железорудный бассейн).

Четвертичные отложения (Q) распространены повсеместно и представлены разнообразными генетическими типами: ледниковыми, флювиогляциальными, аллювиальными, элювиальными, делювиальными и пр. Ледниковые и флювиогляциальные отложения преобладают в северных частях платформы – это валуны, пески, моренные суглинки. В южных частях платформы преобладают лёссовые толщи. Аллювиальные отложения приурочены к долинам рек, где слагают разновозрастные террасы, элювий развит на водораздельных пространствах, делювий развит на их склонах. На побережье Балтийского и Черного морей известны морские террасы, сложенные преимущественно песками. С ними связаны вторичные россыпи янтаря (побережье Балтийского моря, Калининградская область), а также морские ильменит-цирконовые россыпи Причерноморья (Южная Украина).

5.5. Полезные ископаемые

На Восточно-Европейской платформе распространены разнообразные и многочисленные месторождения полезных ископаемых. Среди них углеводородное сырье (нефть, природный газ, конденсат), твердое топливо (бурый, каменный уголь, горючие сланцы), черные, цветные, редкие металлы, неметаллические полезные ископаемые. Они расположены как в фундаменте, так и в чехле платформы.

Полезные ископаемые в фундаменте

Черные металлы. Наиболее значимыми являются месторождения железных руд формации железистых кварцитов, локализованные в *архейских* и *раннепротерозойских комплексах* Балтийского, Украинского щитов и Воронежского кристаллического массива.

Балтийский щит

На Кольском полуострове в метаморфических образованиях AR_1 (*кольская серия*) расположено *Оленегорское месторождение железистых кварцитов* с запасами руды 450 млн т и средним содержанием железа 31 %.

В Республике Карелия в метаморфических образованиях AR_2 расположено *Костомукшское месторождение железистых кварцитов* с запасами руды 1,4 млрд т и средним содержанием железа 32 %.

На Кольском полуострове в *раннепротерозойских* щелочных ультраосновных породах с карбонатитами локализовано *Ковдорское месторождение апатит-магнетитовых руд с флогопитом*. Текущие запасы месторождения составляют около 770 млн т руды, а вместе с ресурсами общий его потенциал приближается к 1,5 млрд т. Руда содержит 28 % железа, 7-7,5 % P_2O_5, а также 0,15% ZrO_2 (в виде бадделита), запасы которого оцениваются почти в 2,7 млн т.

Украинский щит

В *раннепротерозойских* метаморфических комплексах (*криворожская серия*) расположен *Криворожский железорудный бассейн* (Украина) с железными рудами формации *железистых кварцитов*. Разведанные запасы руд этого бассейна оцениваются в 18 млрд т с содержанием железа 34-56 %.

Воронежский кристаллический массив

В *раннепротерозойских* метаморфических комплексах (*курская серия*) на территории Курской, Белгородской и Орловской областей расположен крупнейший в России железорудный бассейн – *Курская магнитная аномалия* (*КМА*), представляющая собой гигантский овал протяженностью с СЗ на ЮВ 600 км при ширине 150-200 км и площадью около 120 тыс. кв. км. Общие разведанные запасы *железистых кварцитов* составляют 66,7 млрд т (почти 2/3 запасов железных руд России) с содержанием железа от 32-37 до 50-60 %.

[*Общим для всех месторождений формации железистых кварцитов являются: 1) большие мощности рудных тел, определяемые в 10-100 м; 2) большая протяженность рудных тел – сотни метров, первые километры; 3) примерно однородный их минеральный состав – это магнетит, гематит, мартит*].

Цветные металлы. Наиболее значимыми являются *Печенгская и Мончегорская группы сульфидных медно-никелевых месторождений*, приуроченных к габброноритовым телам *раннего протерозоя* (*печенгский комплекс*). Они расположены на Балтийском щите (Кольский полуостров). Главными рудными минерами руд являются пентландит, халькопирит, пирротин, пирит. На месторождениях выделяются сплошные и вкрапленные руды. Содержания меди колеблются в пределах 0,5-1,5 %, никеля – 0,5-5 %, руды содержат металлы платиновой группы.

Редкие металлы. Месторождения (*Ловозерская группа*) *редких металлов* (*тантало-ниобатов*) приурочены к одноименному зональному концентрически расслоенному массиву нефелиновых сиенитов на Кольском полуострове (Балтийский щит). Среднее содержание Ta_2O_5 составляет 0,15 %, Nb_2O_5 – 0,2 %. Главными рудными минералами являются лопарит, который содержит до 10 % Nb_2O_5, 0,6-0,7 % Ta_2O_5 и до 30 % редких земель цериевой группы, а также эвдиалит, содержащий до 13-14 % ZrO_2, до 3 % редких земель цериевой группы, до 1,6 % Nb_2O_5.

Неметаллы. *Хибинская группа месторождений (Юкспор, Кукисвумчорр, Коашва* и др.) *апатит-нефелиновых руд* приурочена к одноименному массиву нефелиновых сиенитов на Кольском полуострове (Балтийский щит). Рудные залежи имеют пласто- и линзообразную форму протяженностью 2-3 до 6 км и мощность до 80 м. Содержание апатита в руде от 10 до 80 %, нефелина – от 20 до 65 %. Разведанные запасы апатит-нефелиновых руд составляют около 4 млрд т с содержанием

P_2O_5 от 7,5 до 17,5 %. Эти руды являются основным сырьевым источником производства фосфатных удобрений. Месторождения имеют комплексный характер. Минеральный состав руд – апатит, нефелин, сфен, титаномагнетит. В апатите содержатся также Sr, TR, F, в нефелине – Al, K, Na, Ga, Rb, Cs, в сфене – Ti, Sr, Nb, в титаномагнетите – Fe, Ti, V. Все эти компоненты в той или иной мере извлекаются при технологическом переделе апатит-нефелиновых руд.

Из других неметаллических полезных ископаемых следует отметить следующие: граниты-рапакиви Выборгского (Балтийский щит) и Коростеньского (Украинский щит) массивов, лабрадориты (Коростеньский массив), используемые в качестве облицовочного материала; декоративные кварциты (Шокшинское месторождение на Балтийском щите); месторождения благородных топазов, морионов и цитринов в пегматитовых полях, связанных с раннепротерозойскими гранитами на Волыни (Украинский щит) и др.

Полезные ископаемые в чехле

Углеводородное сырье. На Восточно-Европейской платформе расположены три крупные *нефтегазоносные провинции* (*НГП*): Тимано-Печорская, приуроченная к одноименной синеклизе, Волго-Уральская (одноименная антеклиза), Прикаспийская (одноименная синеклиза).

Тимано-Печорская НГП площадью 350 тыс. кв. км насчитывает около 80 месторождений нефти, природного газа и конденсата. Они приурочены к восьми нефтегазоносным комплексам (НГК): терригенный красноцветный V-O, карбонатный S-D_1, терригенный D_2-D_3f, карбонатный D_3, терригенный C_1, карбонатный C_1v_2-P_1, терригенно-карбонатно-галогенный P_1, терригенный T. Глубины залегания нефтегазоносных отложений колеблются от 500-600 м до 2,5-3 км. Наиболее известными месторождениями являются *Ярегское нефтетитановое* и *Вуктыльское газоконденсатное*.

Волго-Уральская НГП площадью 700 тыс. кв. км насчитывает около 1 000 месторождений. Они приурочены к следующим пяти НГК: терригенно-карбонатному D_2, карбонатному D_3-C_1, терригенному C_1, карбонатному C_2-P_1, карбонатно-глинисто-сульфатно-соленосному C_3-P_1. Продуктивные горизонты залегают на глубинах от 500 до 5 000 м. В пределах провинции выявлено 920 разномасштабных месторождений, наиболее известными из которых являются *Ромашкинское*, *Бавлинское*, *Оренбургское* и др.

Прикаспийская НГП площадью 500 тыс. кв. км насчитывает около 100 месторождений. В ней выделены две группы НГК: подсоленосная и надсоленосная. Подсоленосная группа представлена четырьмя НГК: терригенным D-C_1, карбонатным D_3-C_1, карбонатным C_1-C_2, терригенным C_2-P; в надсоленосной группе находятся два НГК: терригенный P_3-T и карбонатно-терриген-ный J-K. Глубины залегания продуктивных пластов колеблются от 300 до 3 300 м. Наиболее известным месторождением является *Астраханское*.

Твердое топливо. На территории Восточно-Европейской платформы расположены три крупных *угленосных бассейна* (Подмосковный, Донецкий и Печорский) и два *сланцевых бассейна* (Прибалтийский и Тимано-Печорский).

Подмосковный буроугольный бассейн. Общая площадь развития угленосных отложений до глубины 200 м составляет 120 тыс. кв. км. Угленосными являются песчано-глинистые отложения *визейского яруса* (C_1v). Общие геологические ресур-

сы – 11 млрд т, балансовые запасы по сумме категорий А+В+C_1 – 4,1 млрд т, C_2 – 1 млрд т, забалансовые – 1,8 млрд т.

Донецкий каменноугольный бассейн (Донбасс) приурочен к Днепровско-Донецкому авлакогену. Занимает площадь 60 тыс. кв. км. Угленосными являются терригенные отложения *карбона*. Бассейн изучен до глубины 1 800 м. До этой глубины общие запасы кондиционных углей оценены в 109 млрд т. Запасы промышленных категорий составляют 57,5 млрд т, из которых на долю антрацита приходится 24 %, газовых углей – 48 %, коксующихся углей – 17 %, тощих углей – 11 %.

Печорский (Воркутинский) каменноугольный бассейн. Площадь около 300 тыс. кв. км. Расположен в полярной и приполярной частях Предуральского прогиба. Угленосными являются терригенные отложения *пермского возраста*. Марочный состав углей колеблется от бурых до антрацитов. Общие геологические запасы и ресурсы оцениваются в 265 млрд т, из них разведанные запасы составляют 23,9 млрд т.

Прибалтийский сланцевый бассейн. Площадь развития промышленной сланценосности около 5,5 тыс. кв. км. Расположен на южном склоне Балтийского щита, преимущественно на территории Ленинградской области и Эстонии. Продуктивными являются карбонатные отложения *среднего-позднего ордовика*, среди которых залегают горизонты горючих сланцев (кукерситы) мощностью до 9 м, имеющие промышленное значение. Общие разведанные запасы кукерситов оцениваются в 9,3 млрд т.

Тимано-Печорский сланцевый бассейн. Расположен в пределах одноименной синеклизы (Республика Коми). Приурочен к морским песчано-глинистым отложениям *поздней юры*, содержащим три горизонта горючих сланцев мощностью 0,5-3,7 м. Запасы категории C_2 в количестве 550 млн т учтены только по *Айювинскому* месторождению, прогнозные ресурсы всего бассейна оценены в 29 млрд т.

Черные металлы. Черные металлы представлены месторождениями осадочных железных, титан-циркониевых и марганцевых руд, формирующих крупные рудные скопления, в морских терригенных отложениях палеогена и неогена.

Керченский (Керченско-Таманский) железорудный бассейн. Занимает площадь 250-300 кв.км на Керченском полуострове и частично на Таманском полуострове (районы Причерноморья). Рудоносными являются морские *плиоценовые* (N_2) песчано-глинистые толщи, содержащие пласты бурых железняков мощностью до 25-40 м. Преобладающая часть руд имеет оолитовое сложение. Главными рудными минералами являются гидрогётит и лептохлорит. Разведанные запасы железных руд составляют 1,84 млрд т со средним содержанием железа 37,5 %.

Бешпагирское месторождение титан-циркониевых руд представляет собой погребенную россыпь. Она сложена тонко-мелкозернистыми кварцевыми песками *средне-позднесарматского* возраста (*поздний миоцен* N_1), содержащими ильменит, рутил и циркон. Общие запасы TiO_2 приближаются к 7,2 млн т при его среднем содержании около 25 кг/м^3, а ZrO_2 – соответственно 1,7 млн т и около 7,5 кг/м^3.

Южно-Украинский (Никопольский) марганцеворудный бассейн. Расположен на южном склоне Украинского щита и занимает площадь около 5 тыс. кв. км. Наиболее известными *месторождениями* являются *Никопольское*, *Большой Токмак* (Украина). Продуктивными являются *олигоценовые* ($Р_3$) морские песчано-алевритоглинистые отложения, в которых залегают 2-3-метровые пласты осадочных марганцевых руд. Выделяются следующие типы руд: оксидные (среднее содержание марганца 27,9 %), оксидно-карбонатные (среднее содержание марганца 25,0 %) и

карбонатные (среднее содержание марганца 22,0 %). Главными рудными минералами оксидных руд являются пиролюзит, псиломелан, манганит, карбонатных руд – кальциевый родохрозит, манганокальцит. Запасы марганцевых руд этого бассейна составляют 2,5 млрд т.

Цветные металлы. Месторождения цветных металлов в чехле платформы представлены *бокситами* в следующих объектах – *Тихвинское месторождение* (Ленинградская область), *Северо-Онежский бокситоносный район* (Архангельская область) и *Тиманская бокситорудная провинция* (Республика Коми).

Тихвинские и северо-онежские бокситы приурочены к терригенным отложениям C_1.

В Тиманской бокситорудной провинции протяженностью 400 км и шириной до 100 км выделены *Среднетиманский и Южно-Тиманский бокситорудные районы*.

Бокситы Среднетиманского района имеют возраст D_3, они приурочены к разноцветным алевритистым и песчанистым гидрослюдистым и каолинит-гидрослюдистым глинам, представляющим собой кору выветривания на доломитизированных известняках RF_3. Главные рудные минералы – бёмит, диаспор, второстепенные – шамозит, гётит, гематит. Химический состав бокситов следующий: Al_2O_3 – 36,5-55,2 %, SiO_2 – 2,7-12,3 %, Fe_2O_3 – 20,2-35 %, кремневый модуль (Al_2O_3: SiO_2), определяющий количество свободного глинозема, колеблется в пределах 3,5-4 до 20.

Рудоносная пачка *Южно-Тиманского района* имеет *раннекаменноугольный* возраст и представлена каолиновыми глинами с пластами аллитов и бокситов различных разновидностей. Бокситы имеют каолинит-гиббсит-бёмитовый, каолинит-бёмитовый состав. Химический состав бокситов: Al_2O_3 – 40-70 %, SiO_2 – 12-28 %, Fe_2O_3 – 3,6-12,6 %, кремневый модуль колеблется в пределах 1,5-5,5.

Неметаллы. Из неметаллических полезных ископаемых, имеющих важное промышленное значение, следует отметить фосфориты, соли, драгоценные и поделочные камни.

Прибалтийский фосфоритоносный бассейн расположен в северо-западной части Московской синеклизы, на южном склоне Балтийского щита, на территории Ленинградской области и Эстонии. Площадь 15 тыс. кв. км. Фосфатоносными являются отложения низов *раннего ордовика*, представленные ракушняковым конгломератом переменной мощности – от 1-2 до 8-10 м. Местами перекрывается горизонтом горючих сланцев. Балансовые запасы фосфоритов составляют 1,3 млрд т со средним содержанием P_2O_5 12 %.

Вятско-Камский фосфоритоносный бассейн расположен в центральной части Русской плиты (Кировская область). Он занимает площадь 1,9 тыс. кв. км. Фосфатоносными являются отложения *раннего мела*, представленные кварц-глауконитовым песком, в котором сгружены фосфоритовые конкреции размером от 10 до 20-30 см. Запасы фосфоритов составляют 2,1 млрд т с содержанием P_2O_5 11-15 %.

Верхнекамский соленосный бассейн расположен в Предуральском прогибе, занимает площадь 6,5 тыс. кв. км. Продуктивными являются отложения верхней части P_1, представленные пестроцветной эвапоритоносной карбонатно-песчано-глинистой формацией. В бассейне выделяются каменные, калийные и магниевые соли. Главными минералами солей являются галит (NaCl), сильвин (KCl) и карналлит ($MgCl_2 \cdot KCl \cdot 6H_2O$). Промышленные запасы солей составляют 3,8 млрд т, перспективные – 15,7 млрд т.

Прикаспийский соленосный бассейн занимает площадь около 600 тыс. кв. км, совпадая, по существу, с Прикаспийской нефтегазоносной провинцией. Здесь известно около 1 200 соляных куполов (диапиров), в которых мощность соленосных отложений достигает 8-11 км, сокращаясь до 1,5-2 км или до полного выклинивания в межкупольных пространствах. Соленосными являются преимущественно отложения *кунгурского яруса* P_1. В составе солей, наряду с галитом и карналлитом, присутствуют также полигалит $K_2MgCa_2[SO_4]_4 \cdot 2H_2O$ и бишофит $MgCl_2 \cdot 6H_2O$. На территории этого бассейна соленосными являются также воды (рапа) озер Эльтон, Баскунчак. Общие запасы солей приближаются к 3 млрд т.

Архангельская алмазоносная провинция расположена на севере платформы, на южном берегу Белого моря (Архангельская область). Алазоносными являются кимберлитовые трубки, имеющие возраст D_3-C_1. Наиболее известны месторождения *им. Карпинского*, *Ломоносовское* и др. Запасы последнего приближаются к 52 млн карат.

Калининградский янтареносный район расположен на южном берегу Балтийского моря. Промышленная янтареносность связана со вторичными россыпями, образованными при перемыве глауконит-кварцевых песков и алевролитов *верхов эоцена* (*средний палеоген*) мощностью 0,5-20 м, которые рассматриваются как дельтовые отложения.

Подземные воды. Месторождения подземных вод находятся в пределах ряда крупных артезианских бассейнов – *Прикаспийского, Прибалтийского, Печорского, Московского, Волго-Камского* и др.

Кроме того, в чехле платформы известно большое количество общераспространенных полезных ископаемых (песчано-гравийные смеси, галечники, известняки, мергели, мел, щебень), используемых в качестве строительных материалов в промышленном, гражданском и дорожном строительстве, производстве цементов и др. целях.

6. СИБИРСКАЯ ПЛАТФОРМА

6.1. Общая характеристика

Сибирская платформа – другая древняя платформа в России. Она занимает площадь 4,4 млн кв. км, что составляет почти 26 % территории Российской Федерации.

Платформа расположена между реками Енисей – на западе и Лена – на востоке.

В отличие от Восточно-Европейской, Сибирская платформа обладает преимущественно среднегорным рельефом с абсолютными отметками 1 000-1 500 м. В центральной части платформы находится Средне-Сибирское плоскогорье, в юго-восточной – Алданское нагорье, хребты Становой и Джугджур. По территории Сибирской платформы, кроме названных, протекают реки Нижняя и Подкаменная Тунгуска, Ангара, Селенга, Витим, Олекма, Алдан, Котуй и др., относящиеся в бассейну Северного Ледовитого океана.

Границами платформы являются: на западе и юге – структуры Урало-Монгольского пояса, на востоке – структуры Тихоокеанского пояса, на севере – Енисейско-Хатангский прогиб, отделяющий Сибирскую платформу от складчатых структур Таймыра.

6.2. Основные структурные элементы

Сибирская платформа обладает двухъярусным строением.

Нижний ярус – это *архейско-раннепротерозойский* фундамент, верхний ярус – чехол. В отличие от Восточно-Европейской платформы, где формирование чехла началось в раннем рифее, на Сибирской платформе чехольный комплекс начал формироваться со *второй половины раннего протерозоя*.

Области развития платформенного чехла отвечает **Средне-Сибирская** (**Лено-Енисейская**) **плита**.

Фундамент на Сибирской платформе залегает на глубинах от 0 до (по геофизическим данным) 10-12 км.

Выходам фундамента на поверхность отвечают щиты.

На платформе расположены два щита: в северной ее части – **Анабарский щит** и его сателлит **Оленекское поднятие**, в юго-восточной части – **Алданский** (**Алдано-Становой**) **щит**.

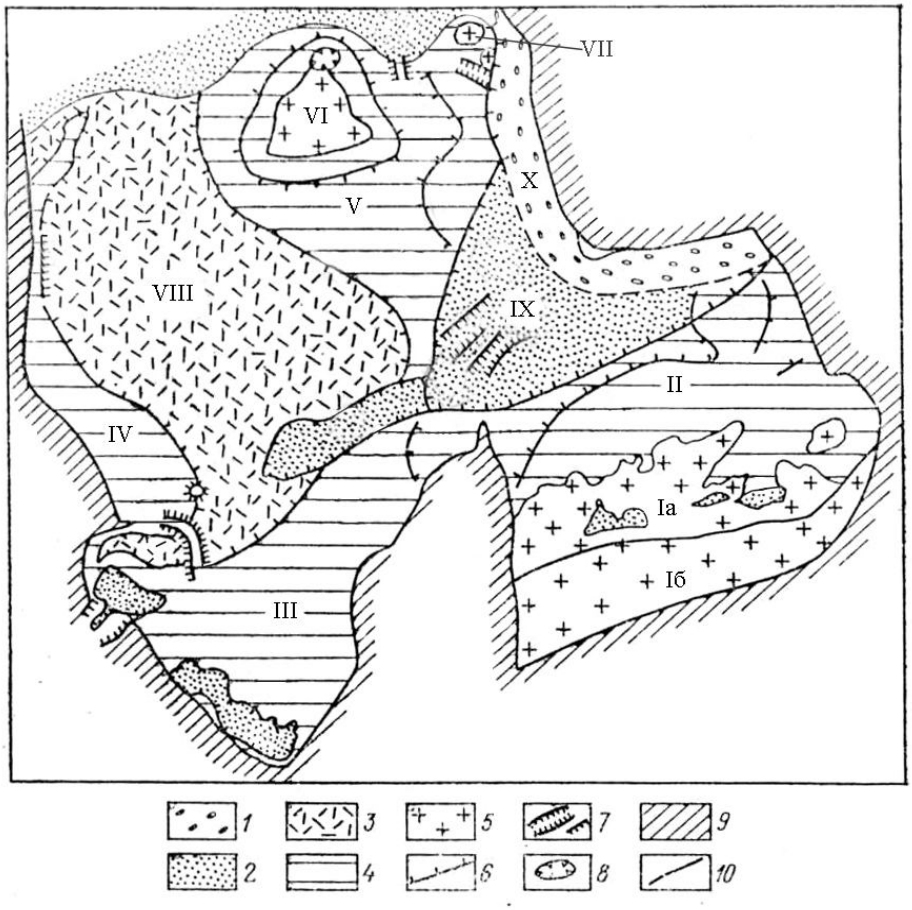

Рис. 5. Схема основных структур Сибирской платформы,
из (В. М. Цейслер. Основы региональной геологии СССР, 1984):

1 – позднеюрско-раннемеловой краевой прогиб; *2* – юрско-меловые синеклизы и наложенные впадины; *3* – пермо-триасовые трапповые комплексы; *4* – раннепалеозойские антеклизы; *5* – выступы кристаллического фундамента; *6* – границы основных структур; *7* – локальные грабены и горсты; *8* – астроблемы; *9* – складчатое обрамление платформы; *10* – разломы. Римскими цифрами обозначены: I – Алданский щит (Iа – Алданский блок, Iб – Становой блок), II – Алданская антеклиза, III – Ангаро-Ленская антеклиза, IV – Приенисейская антеклиза, V – Анабарская антеклиза, VI - Анабарский щит, VII – Оленекское поднятие, VIII – Тунгусская синеклиза, IX – Лено-Вилюйская синеклиза, X – Предверхоянский прогиб

В пределах Средне-Сибирской (Лено-Енисейской) плиты расположены следующие структуры.

На обрамлении Анабарского щита и Оленекского поднятия расположена **Анабарская антеклиза**, на обрамлении Алданского щита – **Алданская антеклиза**; в западной части платформы находится **Приенисейская антеклиза**, в юго-западной – **Ангаро-Ленская антеклиза**. Антеклизы сложены преимущественно рифейскими и раннепалеозойскими комплексами.

Между Анабарской и Приенисейской антеклизами расположена **Тунгусская синеклиза**, сложенная позднепалеозойско-мезозойскими (пермо-триасовыми) образованиями, в том числе уникальными по площади распространения и объему трапповыми комплексами. Между Анабарской и Алданской антеклизами расположена **Лено-Вилюйская синеклиза**, выполненная преимущественно мезозойскими осадочными толщами. В северо-восточной части платформы расположен **Предверхоянский прогиб**, также сложенный мезозойскими осадочными толщами и занимающий переходную позицию к Верхоянско-Чукотской складчатой области Тихоокеанского пояса.

Схема основных структур Сибирской платформы приведена на рис. 5.

6.3. Строение фундамента

Фундамент платформы образован архейскими и раннепротерозойскими комплексами глубокометаморфизованных пород, и он представлен на Алданском (Алдано-Становом), Анабарском щитах и Оленекском поднятии.

Алданский (Алдано-Становой) щит. Расположен в юго-восточной части платформы, где имеет тектонические сопряжения со структурами Урало-Монгольского пояса.

Алданский (Алдано-Становой) щит по особенностям своего геологического строения разделяется на два блока: северный – Алданский и южный – Становой, разделенные крупным разломом. Различия этих двух блоков заключаются в следующем. В Становом блоке широко распространены палеозойские и мезозойские гранитоиды, отражающие его тектономагматическую активизацию, сопряженную с магматизмом, который сопровождал формирование Тихоокеанского пояса.

Архей (AR). Метаморфические образования архея Алданского блока (*алданский комплекс*) условно разделены на три части. В нижней части представлены железистые кварциты, высокоглиноземистые кристаллические сланцы, биотит-гранатовые и гранат-силлиманитовые гранулиты. В пределах этой части разреза залегают тела хрусталеносных пегматитов, а также железорудные месторождения формации железистых кварцитов. В средней части – амфиболовые, биотит-амфиболовые, гиперстеновые гнейсы, мрамора; в верхней – биотитовые, гиперстеновые и гранат-биотитовые гнейсы. Алданский комплекс содержит две разновозрастные группы интрузивных пород: 1) *архейские* гранитогнейсы, образующие крупные согласные тела с постепенными переходами к вмещающим породам; 2) *раннепротерозойские* лейкократовые граниты, представленные небольшими телами с рвущими контактами.

В Становом блоке архейские образования (*становая серия*) представлены биотитовыми, двуслюдяными, эпидот-биотитовыми, амфиболовыми гнейсами, амфиболитами. Эти образования прорваны большим количеством гранитов *архейского*, *раннепротерозойского*, а также *палеозойского* и *мезозойского* возрастов.

Общая мощность архейских метаморфических образований не менее 10 км.

Ранний протерозой (PR_1). В составе раннепротерозойских образований участвуют гранат-гиперстеновые, гиперстен-амфибол-диопсидовые, биотитовые, гранат-биотитовые и т. п. гнейсы, кристаллические сланцы, мрамора, кальцифиры. Мощность этих образований оценивается не менее чем 12 км. Здесь представлены крупные массивы анортозитов, габбро-анортозитов этого же возраста.

Анабарский щит и Оленекское поднятие. В этих структурах, расположенных в северной части платформы, *архейские* (AR) метаморфиты устроены следующим образом. В их нижней части залегают двупироксеновые, амфибол-пироксеновые плагиогнейсы, амфиболиты, кварциты; выше располагаются лейкократовые гиперстеновые гнейсы и биотитовые гнейсы; еще выше – гранатовые и гранат-биотитовые гнейсы, кальцифиры, диопсидовые породы; завершается разрез биотит-амфиболовыми гнейсами, амфиболитами, кварцитами. В полях развития этих образований залегают *архейские* и *раннепротерозойские* интрузивные массивы чарнокитов (гиперстеновые граниты), гранодиоритов, аляскитов, мигматитов. Общая мощность архейских образований не менее 5-7 км.

6.4. Строение чехла

Как уже отмечалось выше, начало формирования платформенного чехла на Сибирской платформе относится ко *второй половине раннего протерозоя*.

К этому времени относится образование *удоканской серии*, представляющей собой протоплатформенный чехол в западной части Алданского щита. Удоканская серия мощностью около 12 км имеет трехчленное строение. В ее нижней части залегают биотит-графитовые сланцы, углеродистые филлиты, кварциты, в средней части – мраморизованные доломиты и доломитизированные известняки, в верхней части – красноцветные косослоистые песчаники, в которых залегает уникальное по масштабам Удоканское месторождение медистых песчаников.

На Средне-Сибирской плите в строении платформенного чехла выделены семь структурно-стратиграфических комплексов (снизу вверх): рифейский, венд-кембрийский, ордовик-силурийский, девон-раннекаменноуголь-ный, среднекаменноугольно-триасовый, юрско-меловой и кайнозойский.

Важной особенностью строения чехла Сибирской платформы, отличающей ее от Восточно-Европейской, является широкое участие в нем разновозрастных магматических комплексов (рис. 6).

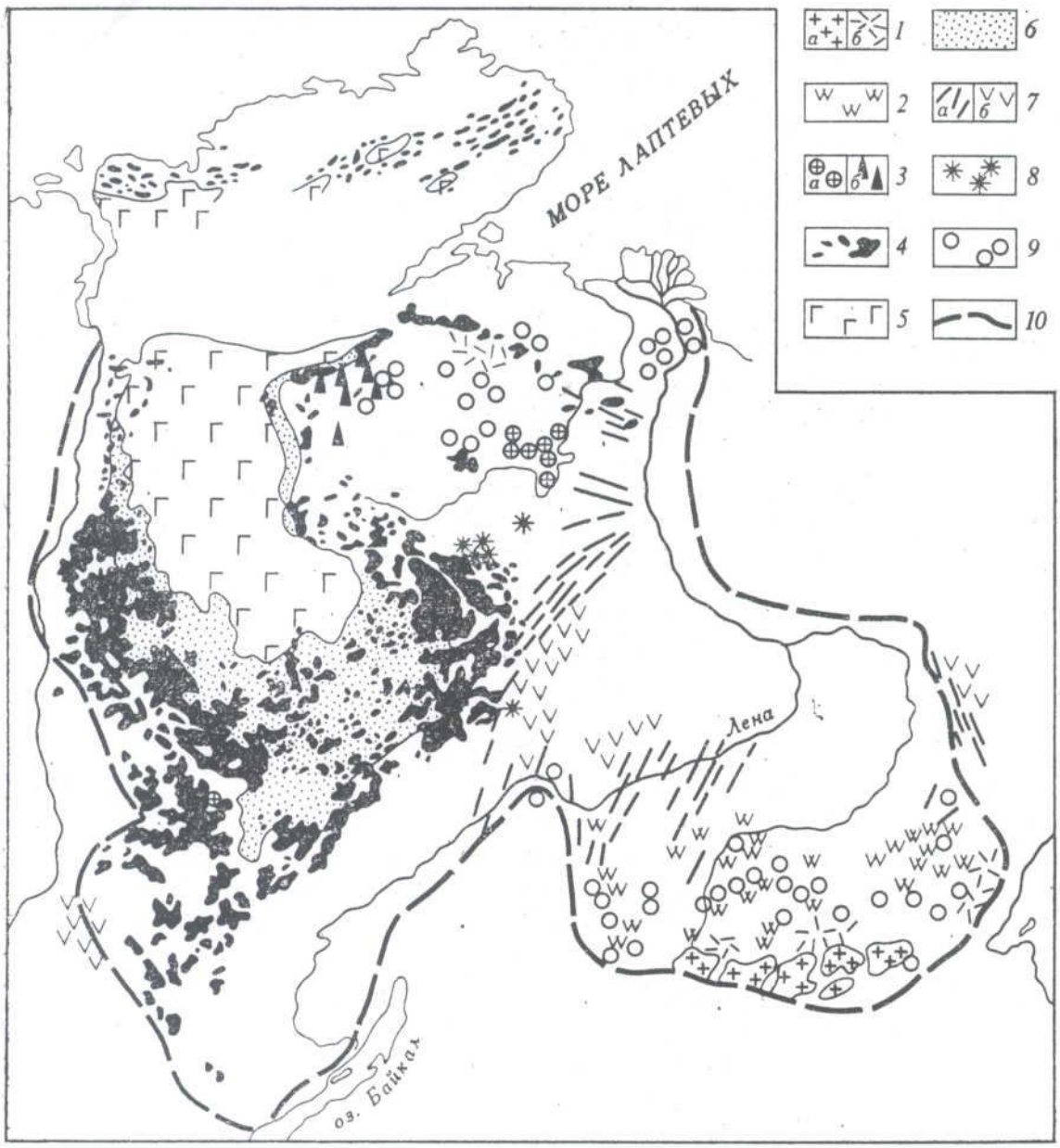

Рис. 6. Схема размещения разновозрастных магматических комплексов на Сибирской платформе (по В. Л.Масайтису):

1-2 – юрско-меловые: *1* – гранитоиды и сиениты (*а*), вулканиты кислого и среднего состава (*б*), *2* – щелочные габброиды и сиениты; *3-6* – позднепалеозойско-триасовые: *3* – щелочно-ультраосновная формация (*а* – кимберлитовые трубки, *б* – массивы щелочно-ультраосновного состава); *4-6* – трапповая формация: *4* – интрузии, *5* – лавы, *6* – туфы; *7-8* – среднепалеозойские: *7* – трапповая формация (*а* – интрузии, *б* – вулканиты), 8 – щелочно-ультраосновная формация, кимберлиты; *9* – позднепротерозойско-раннекембрийские траппы, интрузии ультраосновных и щелочных пород; *10* – границы платформы

Рифейский комплекс

Распространен на обрамлениях Алданского, Анабарского щитов и Оленекского поднятия.

Ранний рифей (RF_1). В основании отложений этого возраста залегают серые и красноцветные кварцевые и кварц-полевошпатовые песчаники, содержащие иногда глауконит, и гравелиты. Выше залегают доломиты. Общая мощность около 1,5 км.

Средний рифей (RF_2). Отложения этого возраста представлены троекратно повторяющимися ритмами, в низах которых залегают кварц-глауконитовые песчаники, алевролиты и аргиллиты, а в верхних частях – известняки и доломиты. Общая мощность около 3 км.

Поздний рифей (RF_3). Эти отложения представлены преимущественно доломитами мощностью около 700 м.

Осадконакопление рифея сопровождалось внедрением даек, силлов и штоков габбро-долеритов траппового типа, а также небольших интрузий щелочно-ультраосновного состава.

Венд-кембрийский комплекс

Венд (V). Распространен преимущественно в антеклизах. В разрезе вендских отложений, как правило, преобладают доломиты и глинистые известняки, подстилаемые песчаниками, иногда красноцветными. Мощность этих отложений в разных частях платформы колеблется в пределах 1-2 км.

Кембрий (Є). В целом для кембрия характерны карбонатно-сульфатно-галогенные отложения.

Породы *раннего и среднего кембрия* ($Є_{1-2}$) представлены чередующимися известняками, доломитами, ангидритами, глинами, каменной и калийной солями. Мощность до 2 км.

Для отложений *позднего кембрия* ($Є_3$) характерны преимущественно массивные доломиты, местами фациально замещающиеся красноцветными косослоистыми песчаниками. Мощность около 500 м.

Ордовик-силурийский комплекс

Ордовик (O) представлен всеми тремя отделами.

В составе отложений *раннего ордовика* (O_1) представлены песчаники и алевролиты в нижних частях разреза, переходящие выше в доломиты и известняки. Местами разрез полностью представлен карбонатными толщами. Мощность до 1 км.

К *среднему ордовику* (O_2) относятся терригенно-карбонатные отложения, сложенные песчаниками, алевролитами, известковистыми песчаниками, мергелями, содержащими фосфоритовые конкреции и фосфоритовые гальки. Местами в разрезе присутствуют доломиты и гипсы. Мощность до 300 м.

Отложения *позднего ордовика* (O_3) представлены красноцветными песчаниками, аргиллитами с прослоями гипсов, фациально замещающиеся известяками и мергелями. Мощность до 300 м.

Отложения *силура* (S) характеризуются преобладающим карбонатным составом.

Отложения *раннего силура* (S_1) представлены 100-150-метровой толщей известняков, подстилаемых темно-серыми глинистыми сланцами. Местами известняки фациально замещаются гипсодоломитовыми толщами.

Отложения *позднего силура* (S_2) мощностью до 300 м сложены в нижней части разреза доломитами, мергелями и известняками с прослоями гипсов, а в верхней – гипсо-глинисто-доломитовой толщей.

Девонско-раннекаменноугольный комплекс

Этот комплекс распространен ограниченно. Особенность этого комплекса заключается в том, что на этом возрастном уровне начал проявляться интенсивный трапповый магматизм на Сибирской платформе, который своё максимальное развитие получил в среднекаменноугольно-среднетриасовое время.

Девон (D). Распространен, как правило, на обрамлениях синеклиз.

Ранний девон (D_1). Отложения этого времени представлены пестроцветными карбонатными алевролитами и аргиллитами с прослоями известняков мощностью до 100 м.

Средний девон (D_2). К этом уровню относятся карбонатно-соленосные отложения, в состав которых входят чередующиеся в разрезе и по простиранию глинистые и битуминозные известняки, доломиты, гипсы, ангидриты, горизонты каменной соли. Мощность 400-450 м.

К *позднему девону* (D_3) относятся аргиллиты, гипсы, ангидриты – в нижней части разреза, доломиты и известняки – в средней части и доломиты, гипсы, ангидриты с пластами каменной соли – в верхней. Мощность до 750 м.

Образования *раннего карбона* (C_1) обладают сложным и пестрым литолого-фациальным составом. Для турнейского яруса (C_1t) характерны известняки, замещающиеся по латерали толщей чередующихся песчаников и базальтовых лав. В составе *визейского* (C_1v) и *серпуховского* (C_1s) ярусов преобладают терригенно-карбонатные отложения (песчаники, алевролиты, известняки). Мощность 100-900 м.

В девонско-раннекаменноугольное время на территории Сибирской платформы широко проявился магматизм основного и щелочно-ультра-основного состава. В разрезе D_1 и D_2 присутствуют мощные потоки и покровы базальтовых лав траппового типа. С ними ассоциируют многочисленные дайки, силлы, штоки долеритов и габбро-долеритов. Мощность даек достигает 20 м, а их протяженность 160 км.

Щелочно-ультраосновные интрузии (щелочные пироксениты, перидотиты) сопровождаются дайко- и трубообразными телами кимберлитов, содержащих минералы-спутники алмазов (пироп, пикроильменит и др.)

Среднекаменноугольно-триасовый (тунгусский) комплекс

Это преимущественно континентальные образования, слагающие Тунгусскую синеклизу, на площади около 1,5 млн кв. км, что составляет почти треть площади всей Сибирской платформы.

В разрезе этого комплекса выделяются три толщи: нижняя – продуктивная (C_2-P), средняя – туфогенная (T_1, местами опускаясь в P_3), верхняя – лавовая (T_{1-2}).

Средний карбон-пермь (C_2-P). Образования этого стратиграфического интервала выделены как продуктивная толща.

Отложения C_2 и C_3 сложены аргиллитами, алевролитами, песчаниками с пластами и линзами углей, имеющих местами промышленное значение. Мощность до 400 м.

Отложения *перми* также являются угленосными. Они представлены чередующимися аргиллитами, алевролитами, конгломератами, гравелитами с пластами углей, достигающими мощности 70 м. В ряде мест в разрезе пермских отложений залегают покровы базальтовых лав и горизонты их туфов. Мощность пермских образований 600-800 м.

Ранний-средний триас (T_{1-2}). Этот стратиграфический интервал представлен преимущественно базальтовыми лавами и туфами, содержащими прослои, горизонты, пласты туфоалевролитов, туфоаргиллитов, туфопесчаников, а местами и известняков и даже ангидритов. Мощность образований этого интервала достигает 2 км.

Пермо-триасовый (P-T) *трапповый магматизм* слагает основной объем Тунгусской синеклизы. Этот магматизм реализован в виде мощных (2,5-3 км) накоп-

лений базальтов, их туфов и сопровождающих интрузий, занимающих объем около 1 млн км^3. В этом магматическом комплексе резко преобладают лавы и интрузии, занимающие около 80 % всего разреза, на долю туфового материала приходится только 20 %. Базальты часто имеют миндалекаменные текстуры. В результате синвулканической гидротермальной деятельности миндалины часто заполняются кальцитом, в том числе водяно-прозрачным исландским шпатом, имеющим промышленное значение. Интрузии представлены, главным образом, долеритами и габбро-долеритами, слагающими штоки, силлы, дайки, блюдце- и воронкообразные тела. Дайки часто образуют сближенные рои, протягивающиеся на 400-500 км при мощности отдельных даек до 100 м. Большинство интрузий являются недифференцированными. В случае дифференцированных (камерных) интрузий в них проявлена определенная зональность, выраженная следующим образом: в нижних частях камер находятся пикритовые долериты, в средних частях – оливиновые долериты, в верхних – лейкократовые и кварцевые долериты и габбро-долериты и даже гранодиориты. К пикритовым долеритам нижних частей камер приурочены залежи медно-никелевых руд Норильского района. Интрузии долеритов оказывают метаморфизующее контактовое воздействие на вмещающие породы. В частности, при пересечении долеритами пластов углей, в зоне контакта образуются залежи графита (Курейское и др. месторождения).

Триасовый (Т) *щелочной ультраосновной магматизм* проявлен в основном в северной части платформы, западнее и юго-западнее Анабарского щита. Ареал этого магматизма известен в геологической литературе как *Меймеча-Котуйская щелочно-ультраосновная провинция* (название дано по рекам Меймеча и Котуй).

Толща щелочных ультраосновных пород мощностью не менее 1000 м сложена лавами нефелиновых базальтов и их туфами, трахибазальтами, гавайитами, авгититами, меймечитами. Они имеют *ранне-среднетриасовый* возраст и фациально замечают, а местами перекрывают трапповый комплекс. С лавами ассоциируют интрузивные породы в виде даек и силлов нефелиновых долеритов, меймечитов. Известны также сложные многофазные дифференцированные интрузии размером до сотен кв. километров. Ранние фазы этих интрузий представлены пироксенитами, оливинитами, перидотитами, поздние фазы – ийолитами и мельтейгитами, с которыми ассоциируют карбонатиты.

Непременным элементом щелочного ультраосновного магматизма являются кимберлитовые трубки, имеющие площадь до 3,5-5 тыс. кв. км, а также дайки кимберлитов мощностью до нескольких метров и протяженностью в первые километры. На платформе известно около 300 кимберлитовых трубок, примерно половина из которых являются алмазоносными. Среди кимберлитовых трубок встречаются не только *триасовые*, но и *юрские* и *девон-раннекаменноугольные*, которые имеют промышленное значение.

На склонах Оленекского поднятия залегают морские терригенные отложения *триаса*, не связанные с тунгусским комплексом. Они представлены песчаниками, алевролитами, аргиллитами, туффитами, содержащими местами небольшие горизонты мергелей. Такая ассоциация свойственна всему разрезу триасовых отложений – от раннего до позднего триаса включительно. Мощность этих отложений достигает 800-1000 м.

Юрско-меловой комплекс

Распространен, главным образом, на окраинах платформы, в пределах синеклиз и прогибов.

Юра (J). Юрские отложения, имеющие преимущественно континентальную природу, на платформе представлены всеми тремя отделами.

Обобщенный разрез юрских отложений следующий:

ранняя юра (J_1) – конгломераты, полимиктовые песчаники, глины, местами с прослоями известняков, сидеритов и бурых углей, мощность до 470 м;

средняя юра (J_2) –песчаники и глины мощностью до 150-200 м;

поздняя юра (J_3) – в основном алевролиты и песчаники с пластами коксующихся углей, достигающими 25-метровой мощности и имеющими промышленное значение (*Нерюнгринское месторождение* в Южно-Якутском угольном бассейне); мощность до 1,5 км.

Меловые отложения (К), образованные существенно терригенными породами, в принципиальном плане наследуют ареалы юрских отложений.

Отложения *раннего мела* ($К_1$) представлены как в морских, так и в континентальных фациях. Морские отложения (глины, алевролиты) приурочены к северной окраине платформы, где они перекрываются континентальными угленосными. В Лено-Вилюйской синеклизе отложения раннего мела являются исключительно континентальными, угленосными, содержащими до 35 угольных пластов рабочей мощности до 5 м, которые разрабатываются на месторождениях Ленского угольного бассейна. Мощность отложений раннего мела достигает 1,8 км.

Отложения *позднего мела* ($К_2$) распространены только в Лено-Вилюйс-кой синеклизе, где достигают мощности 450-1 000 м, и здесь в их сложении участвуют кварцевые пески, песчаники, глины.

В *юрское* и *меловое* время на Сибирской платформе, главным образом, в ее юго-восточной части происходила интенсивная магматическая деятельность. Она реализована в виде протяженных до 100 км и мощностью до 250 м даек долеритов (продолжающих пермо-триасовый трапповый магматизм), интрузий кимберлитов, сиенитов, нефелиновых сиенитов, гранитов, гранодиорит-порфиров.

Кайнозойский комплекс

Палеогеновые (~~Р~~) *и неогеновые* (N) отложения распространены ограничено. Наиболее полный их разрез представлен в Лено-Вилюйской синеклизе. Здесь образования *раннего палеогена* (*палеоцена*) представлены кварцевыми и кварц-полевошпатовыми песками мощностью до 380 м, отложения *среднего палеогена* (*эоцена*) отсутствуют, для отложений *позднего палеогена* (*олигоцена*) характерны пески, глины, лигниты мощностью до 30 м, *раннего неогена* (*миоцена* N_1) – железистые пески (мощностью до 120 м). Завершается разрез *плиоцен-четвертичными* (N_2-Q) песками, галечниками и глинами. Все эти отложения имеют континентальный генезис – это озерные, делювиальные, аллювиальные, делювиально-пролювиальные накопления.

Четвертичные (Q) отложения (пески, галечники, глины) также являются континентальными образованиями, и они представлены всеми генетичес- кими типами – аллювиальным, элювиальным, пролювиальным, делювиальным, ледниковым, флювиогляциальным. Мощность не менее 100 м.

6.5. Полезные ископаемые

Сибирская платформа богата разнообразными полезными ископаемыми, расположенными как в ее фундаменте, так и в чехле. К их числу относятся топливно-

энергетическое сырье, черные, цветные, редкие, благородные металлы, неметаллические полезные ископаемые.

Полезные ископаемые в фундаменте

Черные металлы. В метаморфических образованиях AR_2 Алданского щита локализованы месторождения формации *железистых кварцитов Чаро-Токкинского железорудного района* (на границе Республики Саха-Якутия с Иркутской и Читинской областями). Этот район занимает площадь около 1,5 тыс. кв. км. Наиболее крупным разведанным объектом этого района является *Тарыннахское* месторождение с запасами железных руд около 1,3 млрд т. Общие запасы железных руд района оценены в 16 млрд т со средним содержанием железа в руде 27 %. На месторождениях выделяются магнетитовые, куммингтонит-магнетитовые и пироксен-амфибол-магнетитовые минеральные типы руд.

В *раннепротерозойском* расслоенном массиве габбро-анортозитов локализовано *Чинейское месторождение* вкрапленных *титаномагнетитовых и ильменит-титаномагнетитовых руд*. Главными рудными минералами являются титаномагнетит и ильменит. Средние содержания составляют: Fe – 25,6 %, TiO_2 – 4,9 %, V_2O_5 – 0,34 %, в рудах присутствуют платина и палладий в количествах около 100 мг/т.

Благородные металлы. В западной части Алданского щита локализованы *золото-сульфидные* (возможно, *золото-порфировые*) месторождения (*Рябиновское, Новое*), связанные с *раннемеловыми* интрузиями щелочных сиенитов. Золото находится в сульфидах (пирите, борните, халькопирите), а также в самородном виде. Содержания золота составляют около 5 г/т. Месторождения относятся к разряду мелких и средних.

Полезные ископаемые в чехле

Углеводородное сырье. На платформе расположены две нефтегазоносные провинции (НГП) – Лено-Тунгусская и Лено-Вилюйская.

Лено-Тунгусская НГП занимает площадь 2,8 млн кв. км, охватывая большую часть структур платформенного чехла. В ней выявлено 20 разномасштабных месторождений. Продуктивными являются карбонатные и терригенные отложения *позднего рифея* и *венда-раннего кембрия*, расположенные на глубинах 1,5-3,5 км. Наиболее известным является *Марковское* месторождение.

Лено-Вилюйская НГП приурочена к Лено-Вилюйской синеклизе и Предверхоянскому прогибу, занимает площадь 280 тыс. кв. км. В ней выявлено 8 разномасштабных преимущественно газовых месторождений, наиболее известными из которых являются *Усть-Вилюйское* и *Средне-Вилюйское*. Продуктивными являются отложения *поздней перми*, *раннего триаса*, *ранней и поздней юры*, установленные на глубинах 1-4 км.

Месторождения этих НГП являются основным сырьевым источником строящегося нефтегазопровода Восточная Сибирь – Тихий океан.

Твердое топливо. На платформе представлены следующие важнейшие угленосные бассейны: Ленский, Южно-Якутский, Иркутский.

Ленский угленосный бассейн занимает площадь около 600 тыс. кв. км, будучи приуроченным к Лено-Вилюйской синеклизе и Предверхоянскому прогибу. Угленосными являются терригенные отложения *юры*, *мела* и *неогена*. Угли бурые и каменные. Разведанные запасы углей составляют 3,2 млрд т. Общие геологические ре-

сурсы углей этого бассейна составляют почти 1,7 трлн т, из которых на долю бурых углей приходится 945 млрд т. В этом бассейне сосредоточено 10 % оцененных мировых ресурсов углей и 25 % ресурсов углей бывшего СССР.

Южно-Якутский угленосный бассейн занимает площадь 25 тыс. кв. км. Угленосными являются терригенные отложения *поздней юры* и *позднего мела*. Разведанные запасы углей составляют около 5,4 млрд т. Угли преимущественно каменные. Наиболее известным является месторождение *Нерюнгри*, на базе которого создан одноименный город.

Иркутский угленосный бассейн занимает площадь 37 тыс. кв. км. Угленосными являются терригенные *юрские* отложения. Разведанные запасы углей составляют 7,5 млрд т, в том числе каменные – 5,2 млрд т, бурые – 2,3 млрд т. Наиболее известным является *Черемховское* месторождение.

Черные металлы. *Ангаро-Илимский железорудный бассейн* приурочен к юго-восточному краю Сибирской платформы. Месторождения этого бассейна, наиболее известным из которых является *Коршуновское*, представлены скарново-магнетитовыми рудами. Они образованы на контактах трубообразных тел габбро-долеритов (трапповый комплекс) *пермо-триасового* возраста, прорывающих терригенно-карбонатные отложения кембрия и ордовика. Главным рудным минералом является магнетит. Общие запасы бассейна оценены в 2 млрд. т руды с содержанием железа 26-35 %.

Ангаро-Катская группа железорудных месторождений приурочена к траппо-вому тунгусскому комплексу *пермо-триасового* возраста, и они по своему типу, условиям образования и составу руд в значительной мере походят на объекты Ангаро-Илимского бассейна. Общие запасы железных руд оценены почти в 550 млн т со средним содержанием железа 33 %.

Цветные и редкие металлы. *Удоканское месторождение медистых песчаников* расположено в *раннепротерозойском* протоплатформенном комплексе Алданского щита, в верхней части удоканской серии. Разведанные запасы меди месторождения составляют 18 млн т при ее среднем содержании 1,56 %, в рудах присутствуют серебро (10 г/т) и золото (0,3 г/т). Главными рудными минералами являются халькозин, борнит, второстепенными – халькопирит, пирит.

Норильский рудный район с медно-никелевыми месторождениями (*Талнах*, *Октябрьское*, *Норильск I*, *Норильск II*). Руды этих месторождений связаны с дифференцированными интрузиями габбро-долеритов *пермо-триасо-вого* возраста, располагаясь в их придонных частях. На месторождениях выделены сплошные массивные (мощностью до 64 м) и вкрапленные руды. Главными рудными минералами являются халькопирит, пентландит, пирротин, кубанит ($CuFe_2S_3$). В массивных рудах содержания составляют: медь – 3-25 %, никель – 2-4 %, металлы платиновой группы (МПГ) – 2-200 г/т, во вкрапленных: медь – 0,3-0,5 %, никель – 0,4-0,6 %, МПГ – 2-5 г/т; в рудах присутствует самостоятельный МПГ-содержащий минерал сперрилит ($PtAs_2$).

Свинцово-цинковое месторождение Сардана относится к типу стратиформных свинцово-цинковых объектов в карбонатных отложениях. Рудные тела приурочены к *венд-раннекембрийским* карбонатным (известняково-доломитовым) отложениям. Главными рудными минералами являются сфалерит и галенит. Сумма содержаний свинца и цинка около 10 % при соотношении Pb:Zn = 1:3-4. На место-

рождении разведано 1,9 млн т цинка, 0,6 млн т свинца и 680 т серебра. Прогнозные ресурсы оценены в 2,2 млн т цинка и 0,8 млн т свинца.

Томторское месторождение редких металлов и *редких земель* расположено в краевой части Анабарского щита и связано со щелочными ультраосновными интрузивными породами с карбонатитами *раннего-среднего триаса*. Главными рудными минералами являются монацит, пирохлор, колумбит, ксенотим и апатит. Они обеспечивают содержания Nb_2O_5 2,18-12,42 % (среднее 4,5 %), Ta_2O_5 – 0,003-0,0083 % (среднее 0,005 %), TR иттриевой группы 6,93-22,64 % (среднее 12,8 %), P_2O_5 5,77-20,12 % (среднее 16,4 %), руды содержат в среднем 0,15 % ThO_2 и 0,01 % UO_3.

Благородные металлы. С *четвертичными* аллювиальными отложениями связаны многочисленные месторождения *россыпного золота* (*Ленские прииски*, известные с середины XIX века). Площадь золотоносной территории около 100 тыс. кв. км.

В юго-восточной части платформы расположено одно из наиболее значительных аллювиальных месторождений *россыпных платиноидов (Кондер) четвертичного возраста*. Содержание металлов составляет 1,1 г/м^3. Месторождение образовано за счет разрушения коренного источника, представленного концентрически-зональным массивом дунитов *раннего протерозоя*.

Неметаллы. Неметаллические полезные ископаемые представлены разнообразными видами минерального сырья: это алмазы, графит, соли, слюда-мусковит, исландский шпат, чароит.

Алмазы. На территории Сибирской платформы расположена крупнейшая в России и одна из крупнейших в мире *Якутская алмазоносная провинция.* Месторождения алмазов (*трубки* «*Мир*», «*Зарнирца*», «*Удачная*», «*Айхал*» и др.) приурочены к кимберлитам, имеющим *девон-раннекаменноугольный*, *пермо-триасовый* и даже *юрский* возраст. Согласно имеющимся оценкам, общее количество алмазов (ресурсы, запасы, включая отработанные) приближается к 6-8 млрд карат.

Графит. *Месторождения графита* (*Курейское, Фатьяхинское, Норильское* и др.) приурочены к зонам контактового воздействия габбро-долеритов траппового тунгусского комплекса на пласты углей *пермского* возраста. Мощность пласта чистого графита на Курейском месторождении составляет 4 м. Среднее содержание графита в руде составляет около 83 %.

Исландский шпат. *Месторождения* (*Янгуаракское, Мархинское* и др.) высококачественного *оптического кальцита* (*исландский шпат*) расположены в основном на Тунгусской синеклизе, где приурочены к *пермо-триасовому* трапповому комплексу. Кальцит заполняет миндалины в базальтах тунгусского комплекса либо приурочен к зонам дробления в них.

Соли. Наиболее значительные скопления *каменной* и *калийной солей* приурочены к *ранне-среднекембрийским* отложениям южных и западных частей платформы (Непский свод). Площадь распространения этих соленосных отложений занимает около 1 млн кв. км, мощность их достигает 1 000 м. Наиболее известным является *Непское* месторождение.

Другой *соленосный уровень* приурочен к отложениям *позднего девона* в северной части платформы (район Норильска и Енисейско-Хатанского прогиба). Наиболее известным является месторождение *Нордвик*.

Слюда-мусковит. Месторождения высококачественной слюды-мусковита (*Мамско-Чуйский слюдоносный район*) приурочены к пегматитовым жилам, связанным с *архейскими* гранитами Алданского щита. Размер кристаллов достигает 1-1,5 м.

Слюда-флогопит. Месторождения флогопита (*Алданская группа*) расположены в восточной части Алданского щита и представлены жильными и гнездовыми зонами с кристаллическим маложелезистым флогопитом. Размер кристаллов достигает 40-60 см.

Чароит. Весьма редкий минерал подкласса цепочечных силикатов, сложный водный фторсодержащий силикат K, Na, Ca, Ba, Mn $\{Ca, Na, K, Sr, Ba)_3[Si_4O_{10}](OH, F)\cdot H_2O\}$. Используется в качестве ювелирно-поделочного и коллекционного камня. Приурочен к массиву нефелиновых сиенитов с фенитами *юрского* возраста. Единственное в мире месторождение – *Сиреневый камень* (*Мурунское*) расположено в бассейне р. Чара.

Подземные воды. На территории Сибирской платформы расположено несколько артезианских бассейнов, крупнейшими из которых являются: *Ангаро-Ленский* (южный выступ платформы), *Якутский* (Лено-Вилюйская синеклиза), *Тунгусский* (одноименная синеклиза).

7. СРЕДИЗЕМНОМОРСКИЙ ПОЯС

Средиземноморский складчатый пояс протягивается в широтном направлении около 8 тыс. км от Атлантического океана на западе до Гималаев на востоке. В его состав входят складчатые сооружения Атласских гор в Северной Африке, Пиренеев, Альп, Карпат, Горного Крыма, Большого и Малого Кавказа, Малой и Средней Азии, Копет-Дага, Памира, Тибета, Гиндукуша, Гималаев. Помимо этих складчатых сооружений, в состав Средиземноморского пояса входят молодые платформы: Скифская плита (Западное и Северное Причерноморье), Южно-Туранская плита (обширная территория между Каспийским морем и Памиром, включающая пустыни Кызыл-Кумы и Кара-Кумы к востоку и югу от Аральского моря), а также шельфовые зоны Черного, Азовского и Каспийского морей.

Этот пояс образован на месте древнего океана Тетис, который в позднем палеозое, мезозое и раннем кайнозое разделял два суперконтинента (платформы): на севере – это суперконтинент Лавразия, охватывавший Евразию и Северную Америку, а на юге – суперконтинент Гондвана, охватывавший Южную Америку, Африку и Индию. Современные Средиземное, Черное и Каспийское моря являются остаточными фрагментами этого океана. Начало образования на месте этого океана горно-складчатого сооружения (Альпийско-Гималайский пояс) относится к концу эоцена (около 40 млн лет назад).

Ограничениями Средиземноморского пояса являются: на севере – Восточно-Европейская платформа и Урало-Монгольский пояс, на юге – Афро-Аравийская и Индостанская платформы. Сочленение Средиземноморского пояса с этими структурами происходит по системам глубинных трансрегиональных разломов.

На территории России Средиземноморский пояс представлен Большим Кавказом и Горным Крымом.

7.1. Большой Кавказ

7.1.1. Общая характеристика

Географически это горная страна с вершинами, достигающими абсолютных отметок 4-5,6 тыс. м (г. Домбай 4 046 м, г. Казбек 5 033 м, г. Эльбрус 5 642 м), протягивающаяся в субширотном направлении на 1 200 км от Таманского полуострова (побережье Черного моря) на западе до Апшеронского полуострова (побережье Каспийского моря) – на востоке.

Большой Кавказ – это область альпийской складчатости.

С севера по Предкавказскому прогибу Большой Кавказ сопрягается с южной окраиной Восточно-Европейской платформы и Скифской плитой, с юга он ограничен погребенным под молодыми отложениями Закавказским срединным массивом, территориально совпадающим с долинами рек Кура (течет на восток и впадает в Каспийское море) и Риони (течет на запад и впадает в Черное море). К югу от этого срединного массива расположены структуры Малого Кавказа.

7.1.2. Геологическое строение

Основной тектонической структурой является **мегантиклинорий Большого Кавказа**. В его ядерной части располагаются допалеозойские и палеозойские образования, формирующие комплекс основания, а крылья сложены мезозойскими и кайнозойскими формациями геосинклинального, орогенного и посторогенного комплексов. Мегантиклинорий системами глубинных разломов разделен на ряд структур более высоких порядков.

Комплекс основания. Этот комплекс сложен образованиями позднего протерозоя, раннего, среднего палеозоя и раннего мезозоя (триаса), слагающих следующие структурные этажи.

Позднепротерозойский (PR_2) *структурный этаж* представлен орто- и парагнейсами, биотит-кварцевыми, амфиболовыми, хлоритовыми и т. п. кристаллическими сланцами, амфиболитами, мигматитами. Мощность около 3-4 км.

Раннепалеозойский ($O\text{-}S\text{-}D_1$) *структурный этаж* образован офиолитами (базальты, габброиды, серпентинизированные ультрамафиты дунит-гарцбургитовой формации), зеленые сланцы, филлиты. Мощность не менее 1,3 км.

Среднепалеозойский ($D_2\text{-}C_1$) *структурный этаж* сложен мощной (9-10 км) толщей базальтов, спилитов, андезитов, риолитов, дацитов, глинистых, кремнистых сланцев, замещающихся по простиранию в ряде структур терригенно-карбонатными отложениями. На этом уровне располагаются многочисленные интрузии мезозойских и кайнозойских гранитов.

Позднепалеозойско-раннемезозойский ($C_{2\text{-}3}\text{-}P\text{-}T$) *структурный этаж*

Образования $C_{2\text{-}3}$ представлены молассовым комплексом (конгломераты, песчаники, алевролиты, аргиллиты) с телами лав и туфов кислого и среднего состава. Мощность до 2 км.

В составе комплекса пород *пермского возраста* (P) принимают участие грубообломочные континентальные толщи (моласса) с лавами и туфами кислого, среднего и щелочного состава. Мощность до 1,7 км.

Для *триаса* (Т) характерна толща терригенных красноцветных отложений мощностью 1-3 км.

Геосинклинальный комплекс включает осадочные и осадочно-вулканогенные образования юрского, мелового и палеогенового возраста, он разделяется на три структурных этажа: 1) ранне-среднеюрский, 2) среднеюрский, 3) позднеюрско-эоценовый.

Ранне-среднеюрский (J_{1-2}) *структурный этаж* сложен глинистыми, углеродисто-глинистыми (аспидными) сланцами, содержащими прослои, покровы и потоки вулканитов основного, среднего и кислого состава. Мощность 7,5-8 км.

Среднеюрский (J_2) *структурный этаж* представлен песчано-глинис-тыми отложениями, чередующимися с лавами и туфами базальтов и андезитов. Мощность до 3 км. К этому времени относится внедрение интрузий гранодиоритов.

Позднеюрско-эоценовый (J_3-~~Р~~$_2$) *структурный этаж* образован отложениями всей поздней юры, мела, раннего и среднего палеогена. Разрез этого структурного этажа сложен преимущественно карбонатными отложениями и терригенно-карбонатным флишем. Мощность до 1,5 км. В позднеюрское время произошло внедрение субвулканических интрузий трахитов, к уровню раннего и позднего мела, а также к эоцену относятся гипабиссальные тела эссекситов.

Орогенный комплекс сложен осадочными и магматическими образованиями позднего палеогена (олигоцена), неогена и четвертичного времени. Формирование орогенного комплекса связано с ростом горного сооружения Большого Кавказа, которое сопряжено с накоплениями большого количества грубообломочного материала, заполняющего межгорные прогибы, и сопровождается магматической деятельностью в интрузивной и вулканической формах.

Орогенный комплекс подразделяется на два структурных этажа: 1) олигоцен-позднемиоценовый и 2) позднемиоцен-четвертичный.

Олигоцен-позднемиоценовый (~~Р~~$_3$-N_1^3) *структурный этаж* представлен мощной (до 5-6 км) толщей преимущественно глинистых осадков.

Позднемиоцен-четвертичный (N_1^3-Q) *структурный этаж* сложен грубообломочной молассовой толщей мощностью до 1,5 км, образование которой сопровождалось интенсивным магматизмом. К миоцен-плиоценовому времени относится наземный вулканизм кислого и среднего состава, а также внедрение лакколитов щелочных гранитов (район Кавказских минеральных вод).

Большой Кавказ – это область плиоцен-четвертичной орогенической активности, о чем свидетельствуют его высокая сейсмичность и вулканизм. Это регион с 6-7-балльными, иногда более интенсивными землетрясениями; наиболее высокие вершины Кавказа (Эльбрус и Казбек) – это относительно молодые вулканы. Поскольку орогенез происходит в настоящее время, платформенные комплексы в пределах Большого Кавказа не формируются, хотя некоторые платформенные черты присутствуют в образованиях орогенного комплекса.

Если проанализировать общую последовательность и историю формирования структуры Большого Кавказа, то можно увидеть следующее.

1. Образования позднего протерозоя являются комплексом основания для палеозойской геосинклинали.

2. Офиолиты раннего палеозоя вместе со среднепалеозойскими осадочно-вулканогенными, в том числе базальт-риолитовыми, комплексами образуют палеозойскую геосинклиналь.

3. Позднепалеозойские молассовые толщи, вулканиты кислого, среднего и щелочного состава являются орогенными образованиями этой палеозойской геосинклинали.

4. Красноцветные терригенные отложения триаса являются завершающими платформенными образованиями.

5. Все образования п.п. 1-4 являются комплексом основания для мезозойской геосинклинали, которая, в свою очередь, переживает орогенное развитие, начавшееся в позднем палеогене и которое продолжается в настоящее время.

7.1.3. Полезные ископаемые

Углеводородное сырье. Главной нефтегазоносной территорией является *Северо-Кавказско-Мангышлакская нефтегазоносная провинция*. Она располагается на северном склоне Большого Кавказа (Северный Кавказ), а также на акватории Каспийского моря и полуострова Мангышлак (восточный берег Каспийского моря). На Северном Кавказе она, по существу, совпадает с Предкавказским прогибом. Промышленная нефтегазоносность установлена в разрезе от *триаса* до *неогена* включительно. Глубины залегания продуктивных пластов колеблются от 200-300 до 4 000 – 4 200 м. В пределах всей провинции выявлено около 300 разномасштабных месторождений.

Черные металлы. Наиболее значимым объектом является *Чиатурское месторождение марганцевых руд*, расположенное на южном склоне Большого Кавказа (Грузия). Оно приурочено к глинисто-опоковой толще *олигоцена*, имеющей субгоризонтальное залегание. Мощность рудного пласта 0,5-7 м. На месторождении выделяются следующие типы руд: карбонатные (содержание Mn 10-30 %), оксидные (содержание Mn до 35 %, а в пероксидных разностях 45-52 %), окисленные (содержание Mn 30-35 %), смешанные. Общие разведанные запасы марганцевых руд месторождения 0,3 млрд т. Чиатурское месторождение вместе с Никопольским месторождением Украины и месторождениями Казахстана являлось одним из наиболее значительных марганцеворудных объектов бывшего СССР.

Цветные металлы. Месторождения цветных металлов представлены объектами следующих геолого-промышленных типов: колчеданным уральским, колчеданным филизчайским, свинцово-цинковым жильным.

Объекты *колчеданного уральского геолого-промышленного типа* представлены месторождениями *Уруп, Худес, Бескес* и др. Они приурочены к базальт-риолитовой формации D_2, обладают медно-цинковым составом руд, имеют запасы 600-900 тыс. т меди и 300-400 тыс. т цинка; содержания меди в руде составляет 1-2 %, цинка – до 1 %. Главными рудными минералами являются пирит, халькопирит, сфалерит.

Объекты *колчеданного филизчайского геолого-промышленного типа* представлены месторождениями *Филизчай, Катех, Кацдаг* и др. Они приурочены к толще *ранне-среднеюрских* углеродисто-глинистых сланцев геосинклинального комплекса. Месторождения характеризуются свинцово-цинковым составом руд. Наиболее значительным является месторождение *Филизчай* (Республика Азербайджан), в котором содержание свинца составляет 1,4 %, цинка – 3,5 %. Главными руд-

ными минералами являются галенит и сфалерит. Запасы месторождения оцениваются в 1,4 млн т свинца и 3,4 млн т цинка.

Объекты *жильного геолого-промышленного типа* представлены месторождениями *Садон, Згид, Архон* и др. Они образованы кварц-сульфидными жилами, залегающими в зонах разломов среди *среднепалеозойских* гранитов, и перекрываются юрскими сланцами. Главными рудными минералами являются сфалерит, галенит, пирит, пирротин, халькопирит. Сумма содержаний свинца и цинка достигает 11-12 %.

Редкие металлы. К этой группе относятся месторождения молибдена и вольфрама.

Месторождение *Тырныауз* – это *скарновое вольфрам-молибденовое месторождение*, расположенное на северном склоне Большого Кавказа. Месторождение приурочено к контакту *мел-палеогеновых* гранитов с вмещающими мраморами и песчаниками *раннего карбона*. Главными рудными минералами являются шеелит и молибденит. Среднее содержание WO_3 – 0,3-04 %, Mo – 0,042 %.

Месторождение *Кти-Теберда* относится к типу *стратиформных вольфрамовых месторождений.* Основные рудные залежи приурочены к пластам амфиболитов *позднего протерозоя*, прорванным средне- или позднепалеозойскими гранитами. За пределами пластов амфиболитов развиты жилы и прожилки с убогой минерализацией. Главным рудным минералом является шеелит. Среднее содержание WO_3 – 0,35 %, запасы месторождения оцениваются в 72 тыс. т WO_3.

Неметаллы. Наиболее важными в промышленном отношении являются *месторождения цементного сырья*, приуроченные к *юрско-палеогеновому* флишу, которые расположены на южном склоне западной части Б. Кавказа, в районе г. Новороссийска. Соотношение карбонатных и терригенных компонентов этого флиша – это естественная природная рецептура для производства высококачественных цементов различных марок.

Подземные воды. На северном склоне Б. Кавказа расположены многочисленные месторождения минеральных вод, в том числе горячих, типа «Нарзан», «Ессентуки» и др., используемых в бальнеологических целях. Это район *Кавказских Минеральных Вод* (КМВ). Месторождения связаны с гидротермальной деятельностью молодого магматизма.

Наряду с охарактеризованными на Большом Кавказе имеются небольшие месторождения хромитов, асбеста, ртути (Перевальное), а также большое количество месторождений общераспространенных полезных ископаемых.

7.2. Горный Крым

7.2.1. Общая характеристика

Географически это Крымские горы, занимающие юго-восточную часть Крымского полуострова. Протяженность этого горного сооружения с абсолютными отметками в пределах 1 300-1 500 м, имеющего северо-восточное простирание, составляет 150-170 км при ширине не более 25-30 км. С Крымских гор стекают небольшие реки; некоторые из них (Кача, Альма) впадают в Черное море (на западе полуострова), другие, текущие на север (Салгир и др.), теряются на равнинах Степного Крыма.

С севера складчатая структура Горного Крыма по зоне глубинного разлома сопрягается со Скифской плитой; на юге эта структура опущена под воды Черного моря.

7.2.2. Геологическое строение

Основной тектонической структурой является **мегантиклинорий Горного Крыма.** В современном виде сохранились лишь ядро и северное крыло мегантиклинория. В его ядерной части располагаются *триас-юрские* (T-J) образования, а северное крыло образовано *мел-эоценовыми* (K_2-~~P~~$_2$) толщами. Мегантиклинорий системами глубинных разломов разделен на ряд структур более высоких порядков.

Комплекс основания. Образования этого комплекса на поверхности не известны. По геофизическим данным, предполагается его наличие на глубинах 4-5 км, а по составу он отвечает протерозойским или даже более древним метаморфическим образованиям, подобным тем, которые слагают фундамент Восточно-Европейской платформы.

Геосинклинальный комплекс сложен осадочными, вулканогенно-осадочными и интрузивными образованиями триаса, юры и мела, и он разделен на несколько структурно-стратиграфических этажей.

Позднетриас-раннеюрский (T_3-J_1) *структурный этаж* представлен мощной (до 4 км) толщей терригенного флиша, именуемой *таврической серией*. Она образована многократно повторяющимися ритмами, состоящими из песчаников, алевролитов и аргиллитов.

Ранне-среднеюрский (J_2^1) *структурный этаж*, развитый локально, образован терригенными, в том числе грубообломочными, толщами, также ритмично слоистыми и угленосными песчано-сланцевыми отложениями. Мощность этих образований достигает 1,5-2,0 км).

Поздне-среднеюрский (J_2^2) *структурный этаж* представлен вулканическими базальтовой, базальт-андезит-риолитовой формациями, образованными лавами, туфами, туфобрекчиями, сопряженными с вулкано-обломочными породами. Мощность этих образований достигает 1,5 км. Покровные вулканические образования сопровождаются субвулканическими интрузиями того же состава, а также более глубинными интрузивными породами состава габбро-долерита, диорита, гранодиорита, гранит-порфира. Вулканические породы формируют сложные вулканические постройки (г. Кара-Даг и др.), а интрузивные тела – крупные массивы (горы Аю-Даг, Кастель и др.).

Поздне-среднеюрско-ранне-позднеюрский (J_2^2-J_3^1) *структурный этаж* мощностью до 2 км представлен разнообразными карбонатными и терригенными отложениями. В его строении участвуют различные известняки, в том числе формирующие крупные рифовые массивы (р-н Судака и др.), мергели, глины, песчаники, конгломераты.

Позднеюрско-раннемеловой (J_3-K_1) *структурный этаж* образован мощной (свыше 3 км) толщей терригенно-карбонатного флиша.

Орогенный комплекс относится по возрасту к мелу, раннему (палеоцен) и среднему (эоцен) палеогену, неогену и четвертичному времени. Характерными

его особенностями является амагматичность и квазиплатформенные черты. Образования этого комплекса, представленные различными морскими, континентально-морскими, континентальными терригенными отложениями, заполняют неровности созданного ранее палеорельефа. Орогенный комплекс образован следующими структурно-стратиграфическими этажами.

Мел-эоценовый (K-~~P~~$_2$) *структурный этаж* образован преимущественно песчано-глинистыми отложениями, незакономерно чередующимися с известняками и мергелями; в песчано-глинистых толщах присутствуют маломощные пласты сидеритов. Общая мощность образований этого структурного этажа составляет 1,5-2,0 км.

Олигоцен-раннемиоценовый (~~P~~$_3$-N_1^1) *структурный этаж* образован майкопской серией, представленной битуминозными глинами с конкрециями сидерита. Мощность до 2 км.

Среднемиоцен-четвертичный (N_1^2-Q) *структурный этаж* представлен песками, глинами с прослоями мергелей и известняков-ракушняков. Мощность не менее 0,5 км.

Горный Крым, как и Большой Кавказ, в настоящее время продолжает находиться на орогенном этапе своего развития, в связи с чем платформенные комплексы здесь не формируются. Горный Крым является регионом высокой сейсмической активности. Малоамплитудные землетрясения здесь нередки; известны и катастрофические землетрясения с магнитудой до 9 баллов (например, Ялтинское землетрясение 1927 г.).

7.2.3. Полезные ископаемые

Ведущими полезными ископаемыми Горного Крыма являются разнообразные виды неметаллов, в том числе строительных материалов. Так, магматические породы *средней юры* являются сырьем для производства облицовочных материалов. *Позднеюрские* известняки являются флюсовым сырьем для металлургии. Мраморизованные разности этих известняков используются в качестве облицовочного материала. *Мел-палеоген-неогеновые* известняки используются в качестве сырья для производства цемента. К породам таврической серии, в местах пересечения ее разрывными нарушениями, приурочены выходы разнообразных минеральных и термальных вод, используемых в бальнеологических целях. Имеются проявления бентонитовых глин *мелового возраста*.

8. УРАЛО-МОНГОЛЬСКИЙ ПОЯС

Урало-Монгольский пояс – это один из крупнейших подвижных поясов земной коры. Он расположен в пределах Азиатского континента, и имеет протяженность около 13-14 тыс. км. Это второй по протяженности, после Тихоокеанского, подвижный пояс Земли.

Урало-Монгольский пояс разделяет Восточно-Европейскую, Сибирскую и Китайско-Корейскую платформы.

Географически к Урало-Монгольскому поясу относятся Уральские горы, Западно-Сибирская низменность, Енисейский кряж, Восточные и Западные Саяны,

Забайкальская горная страна, районы Приамурья, Северный и Южный Тянь-Шань, Казахстан, Северный Китай, Монголия.

На западе Урало-Монгольский пояс граничит с Восточно-Европейской платформой, на юго-западе – со Средиземноморским поясом, юго-восточная часть пояса обрамляет с юга Сибирскую платформу, а на востоке он граничит со структурами Тихоокеанского пояса.

В пределах Урало-Монгольского пояса расположены разновозрастные складчатые системы и области, а также Западно-Сибирская плита (молодая платформа). Из этих складчатых систем и областей на территории России представлены следующие: Уральская каледоно-герцинская, Саяно-Енисейская и Байкальская области байкальской складчатости, каледонская Кузнецко-Витимская и Монголо-Охотская области герцинской складчатости, а также Таймырско-Североземельский выступ.

С начала мезозоя весь Урало-Монгольский пояс превратился в молодую эпипалеозойскую платформу.

8.1. Уральская каледоно-герцинская складчатая система

8.1.1. Общая характеристика

Уральская складчатая система на западе граничит с Восточно-Европейс-кой платформой, на востоке – с Западно-Сибирскрй плитой, а на юге (между Каспийским и Аральским морями) ее структуры погружаются под мезозойско-кайнозойские отложения Северо-Туранской плиты.

В пределах системы различают хребты западного склона, серию хребтов центральной (осевой) части и восточный склон, постепенно переходящий в Западно-Сибирскую низменность. По территории Уральской системы протекают реки Урал, Вишера, Белая, Сакмара, Сосьва, Лозьва, Тобол, Печора и др. Наиболее высокая гора Народная имеет абсолютную отметку 1 895 м.

В меридиональном направлении Урал (с севера на юг) подразделяется: на Полярный (это часть Урала, имеющая северо-восточное простирание, примерно до 66° с. ш.), Приполярный (между 66° и 64° с. ш.), Северный (между 64° и 58° с. ш.), Средний (между 58° и 55,5° с. ш.) и Южный (южнее 55,5° с. ш.); южным продолжением Южного Урала являются Мугоджары, расположенные уже в пределах Актюбинской области Казахстана.

Урал – это мировой эталон геосинклинальных систем линейного типа. Многие геологические, геотектонические и металлогенические концепции разрабатывались именно на уральском материале.

Урал – один из важнейших минерально-сырьевых регионов России с высокоразвитой горнодобывающей и металлургической промышленностью, базирующейся на многочисленных месторождениях черных, цветных, редких, благородных металлов, неметаллических полезных ископаемых.

Урал занимает первое место в России по запасам колчеданных руд, хризотил-асбеста, ювелирного изумруда, антофиллит-асбеста; второе место в России по запасам железных руд, бокситов; одно из ведущих мест по запасам бериллия, рудного и россыпного золота и металлов платиновой группы, солей, россыпных алмазов; в Казахстанской части Урала расположено крупнейшее в Евразии месторождение высококачественных хромитов; к Уралу примыкают крупнейшие нефтегазоносные

провинции (Волго-Уральская или «Второе Баку» – с запада, Западно-Сибирская – с востока, с северо-запада – Тимано-Печорская, с юго-запада – Прикаспийская).

По особенностям строения и характеру слагающих его формаций Урала в поперечном сечении подразделяется на три области:

- западную, которой соответствует осевая зона и западный склон Урала, относимые к восточной окраине Восточно-Европейской платформы;
- центральную, которой соответствуют большая часть восточного склона Урала, представляющая собой эвгеосинклинальную область;
- восточную, большей частью погребенную под мезозойско-кайнозойскими отложениями Западно-Сибирской плиты, относящуюся к Валерьяновскому интрузивно-вулканическому поясу.

Границами этих структур являются глубинные разломы. Граница между окраиной платформы и эвгеосинклинальной областью проходит по Главному Уральскому глубинному разлому (ГУГР), граница между эвгеосинклинальной областью и Валерьяновским поясом проходит по Ливановскому разлому.

Схема тектонического районирования Урала приведена на рис. 7.

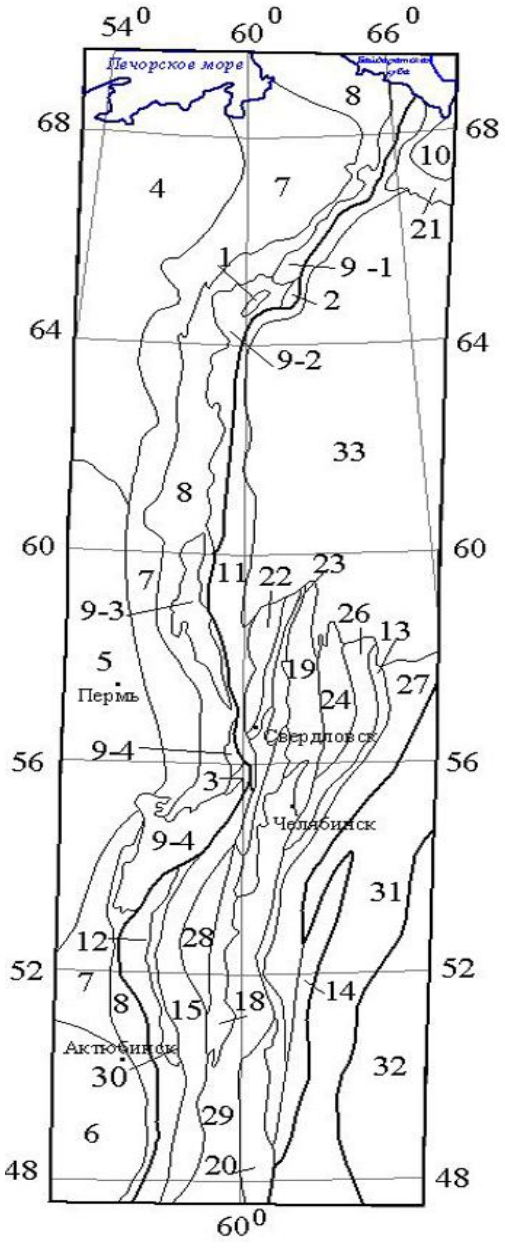

Рис. 7. Схема тектонического районирования Урала

Структуры восточной окраины Восточно-Европейской платформы. Выступы фундамента (микрощиты): *1* – Кожимский; *2* – Хобеизский; *3* – Тараташский и Уфалейский. Структуры чехла: *4* – Тимано-Печорская синеклиза; *5* – Волго-Уральская антеклиза; *6* – Прикаспийская синеклиза; *7* – Предуральский краевой прогиб; *8* – Западно-Уральская зона передовых складок; *9* – Центрально-Уральское поднятие (*9-1* – Полярно-Уральский мегантиклинорий, *9-2* – Ляпинский мегантиклинорий, *9-3* – Кваркушско-Каменогорский мегантиклинорий, *9-4* – Башкирский мегантиклинорий). *Структуры Уральской геосинклинальной области*. Интрузивно-вулканические пояса (мегазоны) и зоны. Каледонские: *10* – Щучьинская, *11* – Тагильский, *12* – Сакмарский (Кракинско-Медногорский), *13* – Катенинский, *14* – Октябрьско-Денисовский. Каледоно-герцинские: *15* – Западно-Магнитогорский, *16* – Медведевско-Свердловская, *17* – Арамильско-Сухтелинская. Герцинские: *18* – Восточно-Магнитогорский, *19* – Каменский (Алапаевско-Теченский), *20* – Иргизский. Срединные массивы и выступы основания: *21* – Харбейский, *22* – Салдинско-Верхисетский, *23* – Мурзинско-Адуйский, *24* – Красногвардейский, *25* – Сысертско-Ильменогорский, *26* – Увельский, *27* – Троицко-Каратауский, *28* – Центрально-Магнитогорский (погребенный), *29* – Челябинско-Суундукский и Адамовско-Мугоджарский, *30* – Уралтауский. *31 – Валерьяновский вулканно-интрузивный пояс*. *32 – Казахстанская складчатая страна. 33 – Западно-Сибирская плита*.

Утолщенными линиями обозначены границы тек-

тонических областей; тонкими линиями обозначены границы структур внутри тектонических областей

Перейдем к более подробному рассмотрению геологического строения Урала. В основу этого рассмотрения будут положены результаты многолетних исследований больших коллективов уральских геологов.

8.1.2. Восточная окраина Восточно-Европейской платформы

В строении восточной окраины Восточно-Европейской платформы выделяются следующие структуры (с востока на запад): 1) Центрально-Уральское поднятие, сложенное архейскими, раннепротерозойскими, рифейскими и вендскими образованиями; 2) Западно-Уральская зона передовых складок, сложенная преимущественно терригенными и карбонатными отложениями раннего и среднего палеозоя; 3) Предуральский краевой прогиб и собственно платформа, сложенные преимущественно пермскими отложениями.

Геологическое строение этой области характеризуется следующим образом.

Фундаментом окраины ВЕП являются архейские и раннепротерозойские метаморфические комплексы.

К *позднему архею* (AR_2) относятся биотитовые, гранат-биотитовые, гранат-силлиманит-биотитовые гнейсы, амфиболиты, железистые кварциты, послойные мигматиты. Они слагают **Тараташский выступ** на Южном Урале.

Образования *раннего протерозоя* (PR_1) слагают ряд выступов (**Уфалейский** на Южном Урале, **Кожимский и Хобеизский** на Приполярном Урале), перекрытых рифейскими преимущественно осадочными комплексами. Эти метаморфические образования представлены амфиболитами, гранат-амфибо-ловыми гнейсами, гранат-слюдяными, слюдяно-кварцевыми, графит-муско-витовыми, двуслюдяными амфибол-плагиоклазовыми кристаллическими сланцами.

Среди позднеархейских и раннепротерозойских метаморфитов залегают послойные тела метаморфизованных ультраосновных пород, габбро, эклогитов и гранитов, имеющих тот же возраст.

Все эти выступы могут рассматриваться как своего рода микрощиты или массивы.

Выше залегает 10-12-километровый комплекс рифейских пород, наиболее полный разрез которых представлен в **Башкирском мегантиклинории**.

Здесь в разрезе рифея выделены три последовательные серии пород (бурзянская, юрматинская, каратауская), имеющие принципиально сходное строение и соответствующие раннему, среднему и позднему рифею.

Бурзянская серия (*ранний рифей* RF_1) сложена в нижней части разреза отложениями фалаховой формации (кварцитопесчаники, кварцевые и полимиктовые песчаники и конгломераты), с которыми ассоциируют вулканиты трахибазальтовой (щелочно-оливин-базальтовой) формации (*навышский комплекс*); в средней части разреза залегают отложения алевролито-аргилли-товой формации (углеродистые алевролиты, аргиллиты, тонкозернистые песчаники); в верхней части разреза представлены отложения терригенно-карбостромовой формации (доломиты, доломитизированные известняки, сидеродоломиты, сидериты, магнезиты). К этой части разреза бурзянской серии (*бакальская, саткинская, суранская свиты*) приурочены месторождения сидеритов (*Бакальская группа*), магнезита (*Саткинское*), флюорита (*Суранское*) а также ряд проявлений стратиформных свинцово-цинковых руд, иногда с баритом.

Юрматинская серия (*средний рифей* RF_2) имеет общее близкое строение. Отличия от бурзянской серии выражены в большем количестве магматических образований. На уровне отложений фалаховой формации залегают вулканиты траповой (базальт-риолитовой) формации (*машакский комплекс*). В интрузивном эквиваленте этому комплексу соответствует формация расслоенных габбро-гранитных интрузий. Она представлена крутопоставленными силлами габбро, габбро-долеритов (*кусинско-копанский комплекс*) и гранитами (*рябиновский комплекс*). К габброидами кусинско-копанского комплекса приурочены месторождения ильменит-титаномагнетитовых руд (*Кусинское, Копанское*). На этом же уровне расположены граниты-рапакиви (Бердяушский массив), а также породы формации расслоенных пироксенит-перидотитовых интрузий (*сарановский комплекс*), к которым приурочено *Сарановское* месторождение хромитов. К отложениям терригенно-карбостро-мовой формации приурочено *Кужинское* месторождение стратиформных свинцово-цинковых руд с баритом.

Каратауская серия (*поздний рифей* RF_3) отличается от двух предыдущих серий заметно меньшим объемом вулканических пород, которые представлены небольшими телами трахибазальтов, их туфов и кимберлитоподобных пород.

На всем уровне разреза рифея располагаются дайки и силлы долеритов и габбро-долеритов траппового типа.

Отложения *венда* (V) представлены преимущественно терригенными образованиями, в том числе тиллитами, в разрезе которых залегают небольшие тела вулканитов трахибазальтового и щелочно-ультраосновного состава.

После перерыва, связанного с большей частью кембрийского времени, началось формирование палеозойского платформенного чехла.

В его основании залегают отложения *позднего кембрия-раннего ордовика* ($Є_3$-O_1), представленные фалаховой формацией (*тельпосская свита* и ее аналоги).

Выше расположены песчано-сланцевые отложения *раннего-среднего ордовика* (O_{1-2}), среди которых залегают согласные тела базальтов траппового типа, а также трахибазальты.

К *среднему-позднему ордовику* (O_{2-3}) относится терригенно-карбонатная формация (песчаники, известковистые песчаники и сланцы, известняки и доломиты). На этом возрастном уровне расположены *Парнокское марганцевое* и *Саурейское свинцово-цинковое (с баритом) месторождения*.

Силур (S) и большая часть *раннего девона* (D_1) представлены отложениями карбонатной формации (известняки, доломитизированные известняки, доломиты).

Эмский ярус раннего девона (D_1e) представлен отложениями фалаховой формации (*такатинская свита*), являющимися промежуточным коллектором алмазов.

Стратиграфический интервал, охватывающий *средний девон-поздний карбон* (**D_2-C_3**), по существу полностью представлен карбонатными отложениями. Только к середине *раннего карбона* (C_1) приурочены терригенные угленосные отложения *Кизеловского* и *Чусовского угленосных бассейнов*.

О *пермских отложениях* (P) речь шла при характеристике Восточно-Европейской платформы.

Всем карбонатным отложениям палеозоя, начиная со среднего ордовика и до перми включительно, свойственны карбонатные рифовые массивы. Это свидетельствует о том, что в это время отложения происходили в неглубоком морском бассейне в условиях субтропического климата.

Полезные ископаемые восточной окраины
Восточно-Европейской платформы

В метаморфических комплексах AR_2 Тараташского выступа расположено два небольших железорудных месторождения *формации железистых кварцитов – Магнитный Ключ* и *Радостное*. Общие их запасы приближаются к 25 млн т руды, содержащей 33-34 % Fe.

В гранитизированных метаморфических комплексах PR_1 Кожимского выступа находятся небольшие *месторождения золота типа жильных и минерализованных зон (Сосновое, Тэлаиз, Воргавож)*, а также значительные *скопления высококачественного кварца и горного хрусталя (Пуйва, Додо и др.).*

В отложениях терригенно-карбостромовой формации RF_1 (бакальская, саткинская, суранская свиты) залегают стратиформные месторождения сидерита Бакальской группы, Саткинское магнезита, Суранское флюорита.

Бакальская группа месторождений – одно из крупнейших в мире промышленных скоплений сидерита, запасы которого составляют 1 млрд т со средним содержанием Fe 31,2 %; кроме того, на месторождении имеются разведанные запасы бурых железняков, образованных по сидериту, с запасами 200 млн т со средним содержанием Fe 44 %.

Саткинское месторождение магнезита содержит 180 млн т руды со средним содержанием MgO 45 %.

На *Суранском месторождении* разведанные запасы *плавикового шпата* составляют 3 млн т со средним содержанием CaF_2 43,3 %.

В отложениях терригенно-карбостромовой формации RF_2 залегает *Кужинское стратиформное барит-свинцово-цинковое месторождение*. Главными рудными минералами являются галенит, сфалерит (преимущественно клейофан) и барит. На месторождении выделены барит-свинцово-цинковые руды, в которых разведано около 80 тыс. т свинца (с содержанием 1,4 %), около 120 тыс. т цинка (с содержанием 2,1 %) и 380 тыс. т барита (с содержанием $BaSO_4$ 6,8 %), а также 6 млн т баритовой руды с содержанием $BaSO_4$ 51,7 %.

В габброидах формации расслоенных габбро-гранитных интрузий RF_2 локализованы *Копанское* и *Кусинское месторождения ильменитовых и ильменит-титаномагнетитовых руд*. На месторождениях выделены сплошные и вкрапленные руды, главными минералами которых являются ильменит и титаномагнетит. В сплошных рудах содержание Fe 45 %, TiO_2 – 11%, V_2O_5 – 0,57 %, во вкрапленных рудах содержание Fe 25 %, TiO_2 – 6 %, V_2O_5 – 0,22 %. Запасы руды Копанского месторождения составляют 103 млн т.

Все названные выше месторождения расположены в структурах Башкирского мегантиклинория на Южном Урале.

В более северных районах, на Среднем Урале, к перидотитам формации расслоенных пироксенит-перидотитовых интрузий RF_2 приурочено *Сарановское месторождение стратиформных хромитов.* Главным рудным минералом является алюмохромит, в связи с чем руды являются глиноземистыми. Содержание Cr_2O_3 составляет 35-38 %, Al_2O_3 – до 20 %. Общие запасы руды месторождения составляют около 20 млн т.

В терригенно-карбонатных отложениях O_{2-3} расположены *стратиформные месторождения Саурейское барит-свинцово-цинковое* на Полярном Урале и *Парнокское марганцевое* – на Приполярном Урале.

На *Саурейском месторождении* главными рудными минералами являются галенит, барит и сфалерит. Его запасы составляют 360 тыс. т свинца (среднее содержание в руде 6%), около 600 тыс. т барита (содержание $BaSO_4$ 9-10 %) и около 30 тыс. т цинка (содержание 0,3 %), руды содержат 30 г/т серебра).

На *Парнокском месторождении* выделены первичные карбонатные руды и окисленные руды. Главными минералами карбонатных руд являются родохрозит, реже манганокальцит. Среднее содержание марганца в карбонатных рудах составляет 24 %. Главными минералами окисленных руд являются пиролюзит MnO_2, псиломелан $mMnO \cdot MnO_2 \cdot nH_2O$, вернадит $MnO_2 \cdot H_2O$, криптомелан $K_2O \cdot MnO \cdot 15\ MnO_2 \cdot nH_2O$. Среднее содержание марганца в окисленных рудах 30,5 %. Общие запасы марганцевых руд составляют 5,5 млн т, в том числе карбонатных – 4,2 млн т, окисленных – 1,3 млн т.

В пестроцветных отложениях *поздней перми* на Южном Урале располагается *Каргалинское месторождение медистых песчаников*. Главными рудными минералами этого месторождения являются халькозин, борнит, халькопирит, в зонах окисления развиты также ковеллин, куприт, тенорит, малахит, азурит. Среднее содержание меди составляет 3,2 %, ее общие запасы составляют 153,5 тыс. т.

О месторождениях солей и углей речь шла выше, при рассмотрении полезных ископаемых ВЕП.

Кроме того, одним из важнейших полезных ископаемых структур западного склона Урала являются *россыпные месторождения* высокосортных, преимущественно ювелирных, *алмазов*, находящиеся на Среднем Урале в *Красновишерском алмазоносном районе* на территории Пермского края.

8.1.3. Уральская эвгеосинклинальная область

Эта область образована серией сопряженных палеозойских геосинклинальных интрузивно-вулканических поясов (мегазон) и разделяющих их срединных массивов. Эти структуры обладают принципиально сходным характером строения, развития и металлогении, но характеризуются разновременным заложением и стабилизацией. Разделяющие эти пояса срединные массивы представляют собой блоки догеосинклинального основания, сложенные допалеозойскими метаморфическими комплексами и испытавшие тектоно-магматическую активизацию в период палеозойского геосинклинального магматизма.

Среди главнейших геосинклинальных интрузивно-вулканических поясов Урала будут рассмотрены следующие: Тагильский, Западно-Магнито-горский, Восточно-Магнитогорский и Каменский (Алапаевско-Теченский).

8.1.3.1.Тагильский интрузивно-вулканический пояс

Геологическое строение

Тагильский интрузивно-вулканический пояс протягивается в меридиональном направлении на Полярном, Приполярном, Северном и Среднем Урале. Его протяженность примерно 1 100 – 1 200 км от побережья Северного Ледовитого океана до широты 56° (около 100 км южнее г. Екатеринбурга).

Лучше всего этот пояс изучен на Северном и Среднем Урале, где его структуры представлены в полном объеме. В более северных районах структуры восточ-

ной части Тагильского пояса погребены под мезозойско-кайнозойским чехлом Западно-Сибирской плиты.

В основании разреза Тагильского пояса располагается *раннепалеозойская* (O_{1-2}) офиолитовая ассоциация, включающая вулканиты однородной базальтовой (кремнисто-базальтовой) формации (*выйская, маринская свиты*), альпинотипные ультрамафиты дунит-гарцбургитовой формации (*салатимский*, *серовский комплексы*), слагающие массивы Рай-Из, Войкарский, Серовский, Салатимский и др., и габбровую формацию. Эти образования относятся к начальной (океанической) стадии.

Выше располагаются вулканиты базальт-риолитовой формации O_3-S_1, выделяемой в разных частях как *шемурская*, *кабанская*, *красноуральская*, *кировградская свиты*. С вулканитами ассоциируют небольшие гипабиссальные тела порфировидных плагиогранитов габбро-плагиогранитной формации. Эти образования относятся к раннегеосинклинальной (раннеостроводужной) стадии.

Еще выше залегают образования туфо-турбидитной базальт-андезибазальтовой формации S_1-S_2, относящиеся к *павдинской* и *именновской свитам*. С вулканитами ассоциируют разнообразные вулкано-осадочные породы и массивы рифогенных известняков. Интрузивным эквивалентом вулканитов является габбро-диорит-гранодиоритовая (габбро-диоритовая) формация. Эти образования относятся к позднегеосинклинальной (позднеостроводужной) стадии.

[*Петрографический, литолого-фациальный состав всех перечисленных образований и их петрогеохимические особенности идентичны охарактеризованным при рассмотрении признаков тектонических комплексов* – см. раздел 3].

Начиная со второй половины позднего силура, Тагильский пояс переходит к платформенному (континентальному) развитию. Начало этого режима зафиксировано накоплениями терригенно-карбонатно-трахибазальт-трахито-вой формации (*туринская свита*) S_2-D_1. Вулканиты этой формации представлены разнообломочными туфами трахибазальтов, трахиандезибазальтов, трахиандезитов, трахитов, лавами того же состава. С ними ассоциируют вулканомиктовые и туфопесчаники, а также рифогенные известняки. Все эти образования находятся в тесных фациальных взаимоотношениях, образуя взаимопереходы, фациальные замещения по латерали и вертикали. Субвулканическая фация представлена дайками трахитов, микрогаббро, микросиенитов, сиенодиоритов. Интрузивным эквивалентом вулканических образований является габбро-сиенитовая формация (*тагило-кушвинский комплекс*), породы которой образуют небольшие гипабиссальные массивы. Они сложены габбросиенитами, сиенитами, сиенодиоритами. Вулканические и интрузивные породы характеризуются калиевым типом щелочности.

К уровню D_1-D_2-D_3^1 относится карбонатная бокситоносная формация, литофонд которой представлен слоистыми и массивными рифогенными известняками.

Залегающий выше *фамен-раннетурнейский* (D_3fm-C_1t_1) комплекс пород представлен трапповой и терригенной угленосной формациями. Трапповая формация представлена преимущественно лавами, реже туфами, высокотитанистых базальтов и оливиновых базальтов, с которыми ассоциируют дайки и силлы оливиновых долеритов и габбро-долеритов (формация интрузивных траппов). Угленосная формация, имеющая *раннетурнейский* возраст (C_1t_1), представлена черными алевролитами, аргиллитами и пластами углей.

Синхронно с накоплением карбонатной формации D_1-D_2-D_3^1 на Среднем Урале формировалась сложная ассоциация вулканогенных, вулканогенно- осадочных, оса-

дочных и интрузивных пород. Этот комплекс включает терригенно-карбонатно-трахибазальт-трахиандезитовую формацию (*краснотурьинская свита*) и габбро-монцодиорит-лейкогранитовую формацию (*песчанско-ауэрбаховский комплекс*). Вулканиты краснотурьинской свиты представлены роговообманковыми трахибазальтами, трахиандезибазальтами, трахиандезитами, их разнообломочными туфами, в субвулканической фации присутствуют породы, аналогичные по составу лавам, а также микромонцодиориты, микрограниты, субщелочные габброиды. Вулканогенно-осадочные породы представлены туфопесчаниками, вулканомиктовыми песчаниками, алевролитами, осадочные – известняками. Вулканиты вместе с совозрастными интрузивными породами образуют вулкано-интрузивную ассоциацию. Вся эта сложная ассоциация вулканогенных, вулканогенно-осадочных, осадочных и интрузивных пород знаменует собой тектоно-магматическую активизацию стабилизированного Тагильского пояса, происходившую на фоне его платформенного развития. Эта тектоно-магматическая активизация по времени сопряжена с развитием девонского геосинклинального магматизма, происходившего в смежных поясах, в частности в Западно-, Восточно-Магнитогорском и Каменском. О строении этих поясов речь будет идти ниже.

Важным элементом геологического строения Тагильского пояса является наличие в его западной части протяженной (около 1 000 км) цепи базит-ультрабазитовых массивов, относящихся к *дунит-клинопироксенит-габбровой ассоциации* и известных как Платиноносный пояс. По морфологии среди этих массивов выделяются две группы – концентрически-зональные и будинообразные. Несмотря на то, что эти образования изучаются на протяжении не менее ста лет, вопрос об их возрасте и геодинамическом положении до настоящего времени не имеет однозначного решения. Тем не менее большинство исследователей полагает, что они не относятся к офиолитам. Многие массивы, обладающие концентрически-зональным строением, близки платформенным. Имеющиеся данные об их возрасте, базирующиеся преимущественно на абсолютной геохронологии, колеблются от раннего протерозоя до раннего карбона. В серийных легендах Госгеолкарты масштабов 1:200 000 и 1:1 000 000 этим образованиям условно придан *вендский* и *позднеордовикско-раннесилурийский* возраст с разделением их на комплексы: *конжаковский дунит-клинопироксенит-габбровый V, качканарский дунит-клинопироксенит-габбровый* O_3 и *тагило-кытлымский габбро-норитовый* S_1.

В центральной части Тагильского пояса (севернее г. В.Тура) в 1985- 2003 гг. бурилась **Уральская сверхглубокая скважина** (**СГ-4**). Скважина была забурена 5.06.1985 г., и окончено бурение 31.12.2004 г. Проектная глубина скважины 15 км. В связи с прекращением финансирования скважина была закрыта на глубине 6 015 м.

Цель бурения скважины – изучить глубинное строение и особенности формирования Тагильской островодужной системы Уральского складчатого пояса.

Главные задачи: 1) изучение геологического разреза Тагильского прогиба; 2) установление состава и природы фундамента прогиба; 3) получение достоверной информации о составе и свойствах глубокозалегающих рудоносных комплексов; 4) исследование особенностей геотермального и флюидного режимов, природы геофизических (сейсмических) границ.

Основные результаты бурения СГ-4

Конструкция скважины: в интервале 0-34 м скважина бурилась диаметром 720 мм; в интервале 34-258 м – диаметром 530 мм; в интервале 258- 3492 м – диамет-

ром 426 мм; в интервале 3492-5413 м – диаметром 324 мм; далее до забоя – диаметром 295 мм.

Вскрытый разрез. В интервале 0-3487 м вскрыты вулканиты *именновской свиты* S_{1-2}, представленные порфировыми базальтами, андезибазальтами и их туфами. В интервале 3487-5070 м вскрыты вулканогенно-осадочные образования (флишоидная толща), относящиеся к *павдинской свите* S_1. В составе этих образований преобладают ритмично-слоистые вулканогенно-осадочные породы дацитового состава, переслаивающиеся к кремнистыми алевропелитами с редкими прослоями туффитов и туфов, а также лавы и туфы андезибазальтов и андезитов. Эти образования пересекаются дайками диоритов и пикробазальтов. Таким образом, оба эти интервала вскрывают разрез туфо-турбидитной базальт-андезибазальтовой формации. С глубины 5070 м и до забоя скважины (глубина 6015 м) пересечены вулканиты базальт-риолитовй формации O_3-S_1, относящиеся к *кабанской свите*. Вскрытая часть разреза кабанской свиты разделена на две пачки – базальтовую (5070-5264 м) и дацитовую (5264-6015 м). Базальтовая пачка сложена преимущественно афировыми базальтами, андезибазальтами с маломощными потоками лав андезидацитов, а в самой верхней части в ней присутствуют слоистые тефроиды с прослойками яшмоидов. Дацитовая пачка образована лавами дацитов и андезидацитов, содержащими редкие потоки андезибазальтов и андезитов. С глубины 5380 м в разрезе кабанской свиты присутствуют дайки роговообманковых диоритов и микродиоритов. Вулканиты базальт-риолитовой формации местами преобразованы в кварц-альбит-серицитовые метасоматиты с вкрапленностью пирита и халькопирита.

Полезные ископаемые

Структуры Тагильского пояса богаты разнообразными месторождениями черных, цветных и благородных металлов.

Черные металлы

Хромовые руды (хромиты). *Месторождения альпинотипных хромитов* (*Центральное, Западное*) приурочены к массиву Рай-Из на Полярном Урале, породы которого относятся к дунит-гарцбургитовой формации. Главным рудным минералом является хромит. Содержание Cr_2O_3 достигают 36-38 %. Общие запасы хромитов на этих объектах составляют около 6,3 млн т.

Железные руды. Месторождения железных руд принадлежат трем геолого-промышленным типам (ГПТ): титаномагнетитовому и скарново-магнети-товому, бурожелезняковому.

Месторождения титаномагнетитового ГПТ, наиболее известными из которых являются *Собственно Качканарское* и *Гусевогорское*, приурочены к массивам Платиноносного пояса. Названные месторождения расположены в пределах Качканарского массива. Объекты характеризуются вкрапленными рудами, главным минералом которых является ванадийсодержащий титаномагнетит. Содержание железа в этих рудах составляет 16,5 %, TiO_2 – 1,3 %, V_2O_5 – 0,14-0,15 %. Запасы железных руд каждого из этих месторождений оцениваются в 5,7 млрд т.

Месторождения скарново-магнетитового ГПТ расположены на трех уровнях.

Месторождения нижнего уровня приурочены к контакту массивов гранодиоритов габбро-диорит-гранодиоритовой формации S_1-S_2 с вмещающими их вулкано-

генными и вулканогенно-осадочными и карбонатными породами этого же возраста. Примером объектов этого уровня является *месторождение 3-е Северное* на Северном Урале. Содержание железа в нем около 30 %, запасы 71 млн т. Главным рудным минералом является магнетит. Месторождение содержит также около 70 тыс. т меди с ее содержанием в руде 0,7 %. Главным медьсодержащим минералом является халькопирит.

Месторождения среднего уровня приурочены к контактам массивов габбро-сиенитовой формации (*тагило-кушвинский комплекс*) S_2-D_1 с вмещающими образованиями *туринской свиты*. На этом уровне расположены *месторождения Тагило-Кушвинского* железорудного района на Среднем Урале (*Высокогорское, Гороблагодатское, Северо-Гороблагодатское, Естюнинское* и др.). Главным рудным минералом является магнетит. Содержания железа в рудах на разных месторождениях колеблются в пределах 26-42 %. Общие запасы железных руд этого района составляют около 700 млн т.

Объекты *верхнего уровня* расположены в области контакта массивов *песчанско-ауэрбаховского комплекса* с вмещающими породами *краснотурьинской свиты* (*ранний-средний девон*). Наиболее известным *месторождением* этого уровня является *Песчанское*, содержащее около 130 млн т руды с содержанием железа 45 %.

Бурожелезняковый ГПТ представлен *Серовским месторождением сеноманского* (K_2) возраста. Бобово-конгломератовые руды сложены гидрогетитом, гетитом, магнетитом, гематитом, гидрогематитом, сидеритом, пиритом. Они залегают в разрезе терригенных отложений *мысовской свиты* этого возраста. В связи с тем, что отложения этой свиты залегают на размытой поверхности и коре выветривания ультраосновных пород, эти руды природно легированы хромом, никелем и кобальтом. Общие запасы железных руд месторождения оценены в 635,6 млн т со средним содержанием железа 36,5 %, хрома – 1,6 %, никеля – 0,18 %, кобальта – 0,02 %.

Цветные металлы

Колчеданные руды. Многочисленные месторождения колчеданных руд (*Шемурское, Ново-Шемурское, Тарньерское, Тагило-Красноуральский и Левихинский рудные районы*) приурочены к вулканитам базальт-риолитовой формации O_3-S_1. Они представлены согласными с залеганием вмещающих вулканитов залежами сплошных и вкрапленных руд, состоящих из пирита, халькопирита и сфалерита с подчиненным количеством галенита, борнита и блеклых руд. Обычные содержания меди в руде составляют 1,5-3 %, цинка – 2,5-4 %, серы – 35-45 %, золота – 1 г/т, серебра – 10 г/т. Месторождения не превышают средних по запасам.

Ванадий-железо-медные руды известны только на *Волковском месторождении*. Месторождение расположено в северной части Тагило-Баранчинского габбрового массива Платиноносного пояса. Вкрапленные руды приурочены к битовнитовым, лабрадоровым габбро, они состоят из ванадийсодержащего титаномагнетита, халькопирита, борнита, пирита и апатита. Среднее содержание меди – 0,9 %, железа – 16,5 %, V_2O_5 – 0,3 %, P_2O_5 – около 4 %, руды содержат до 130 мг/т палладия, а также золото. Месторождение по запасам является крупным.

Медно-скарновые руды представлены в *месторождениях Краснотурьинской группы* (*Турьинские скарновые рудники*) на Северном Урале. Наиболее известными являются *Вадимо-Александровское, Башмаковское, Фроловское месторождения*. Они приурочены к области контакта гранитоидов *песчанско-ауэрбаховского комплекса* и терригенно-карбонатно-вулканогенными образованиями *краснотурьинской свиты* (*ранний-средний девон*). Обычные содержания меди на этих объектах составляют 1-1,2

%; на ряде объектов с медно-скарновыми рудами ассоциируют скарново-магнетитовые руды. Главными рудными минералами являются халькопирит, пирит и магнетит. Месторождения известны с середины XVIII века, некоторые из них отрабатываются до настоящего времени. Общие запасы меди в месторождениях этой группы оценивались примерно в 300 тыс.т. Месторождения в значительной мере выработаны.

Силикатные никель-кобальтовые руды приурочены к *мезозойским* корам выветривания на ультрабазитовых массивах дунит-гарцбургитовой формации. Наиболее известным является *Серовское месторождение*, содержащее около 1 % никеля и до 0,1 % кобальта. Главными рудными минералами являются галлуазит и нонтронит. По запасам месторождение относится к крупным.

Бокситы. Латеритно-осадочные месторождения бокситов приурочены к карбонатной формации D_{1-2}, расположенной в центральной части Тагильского пояса на Северном Урале. Наиболее значительными являются *месторождения Красная Шапочка, Черемуховское, Тошемское, Северо-Тошемское* и др., группа которых образует бокситоносный бассейн, известный как *СУБР* (*Северо-Уральские бокситовые рудники*). В этом бассейне расположены месторождения наиболее высококачественных бокситов России. Содержания Al_2O_3 в этих объектах составляет 53-55 %, SiO_2 – около 6 %, Al_2O_3: SiO_2 = 9.

Благородные металлы

Месторождение золота – Воронцовское, относящееся к *золото-сульфидно-кварцевому типу*, приурочено к образованиям *терригенно-карбонатно-трахибазальт-трахиандезитовой формации* D_{1-2} в области их контакта с гранитоидами *песчанско-ауэрбаховского* комплекса. Среднее содержание золота в рудах около 5 г/т.

Кроме того, на территории Тагильского пояса известно свыше 200 разномасштабных золотых, золото-платиновых и платиновых россыпей, приуроченных к *мезозойским* и *плиоцен-четвертичным* аллювиальным отложениям. Содержания золота в россыпях колеблются в пределах 100-200 мг/м^3, платиноидов – до 100 мг/м^3.

Твердое топливо

Уголь каменный. В породах угленосной формации C_1t_1 локализовано небольшое *Маньинское месторождение*.

Кроме того, в пределах Тагильского пояса имеется значительное количество месторождений декоративных, поделочных и облицовочных материалов, общераспространенных полезных ископаемых (ОПИ) – пески, глины, щебень и т. п., подземных вод, используемых для производственно-технического и коммунального водоснабжения.

***

На Южном Урале структурой, близкой по особенностям строения к Тагильскому поясу, является Кракинско-Медногорский (Сакмарский) интрузивно-вулканический пояс. В отличие от Тагильского, он характеризуется более широко развитым ультрабазитовым магматизмом, реализованным в крупных массивах дунит-гарцбургитовой формации (массивы Крака, Кемпирсайский, Хабарнинский; в последнем совмещены образования дунит-гарцбургитовой формации и платиноносной дунит-клинопироксенит-габбровой ассоциации). В пределах Кемпирсайского массива расположена *Донская* группа месторождений *высокохромистых хромитов* (Актюбинская область, Республика Казахстан). Это самое крупное в Евразии промышленное скопление высокохромистых альпинотипных хромитов. В

наиболее распространенных густовкрапленных рудах содержится: Cr_2O_3 – 30-55 %; FeO – 12-14 %; Al_2O_3 – 2-8,5 % SiO_2 – 4-10 %. Отношение Cr_2O_3:FeO>4. Текущие запасы составляют 340 млн т, а с учетом отработанных – приближаются к 0,5 млрд т.

В базальт-риолитовой формации O_3-S_1, т. е. на том же формационном и возрастном уровне, что и в Тагильском поясе, локализованы *колчеданные месторождения Медногорского рудного района* (*Блявинское, Комсомольское, Яман-Касы*), параметры и содержания в которых близки охарактеризованным выше.

8.1.3.2. Западно-Магнитогорский интрузивно-вулканический пояс

Геологическое строение

Западно-Магнитогорский пояс расположен преимущественно на Южном Урале. Он имеет протяженность 1 000-1 100 км. Его западным ограничением является Уралтауская зона, представляющая собой срединный массив, который в раннем палеозое разделял Западно-Магнитогорский и Кракинско-Медногорский (Сакмарский) пояса. Восточным ограничением Западно-Магнитогорского пояса является Центрально-Магнитогорская зона. Последняя является погребенным срединным массивом, который в девоне разделял Западно- и Восточно-Магнитогорский пояса.

В структуре пояса в поперечном его сечении выделяются четыре структурно-формационные зоны (с запада на восток): 1) Присакмарская, 2) Акъяр-Бурибаевская (Баймак-Бурибаевская), 3) Ирендыкская, 4) Сибай-Гайская.

Присакмарская зона сложена раннепалеозойской офиолитовой ассоциацией, включающей кремнисто-базальтовую формацию O_2-D_1 (*сакмарская*, *поляковская свиты*) и *среднеордовикскую* альпинотипную дунит-гарцбурги-товую формацию. Породы последней слагают Ишкининский, Халиловский, Байгускаровский и ряд более мелких массивов, в которых наряду с ультрамафитами присутствуют небольшие тела габброидов, нередко превращенных в родингиты (хлорит-гранат-пироксеновые породы).

Выше залегают образования граувакковой формации D_3fm-C_1t_1 (*зилаирская свита*), литофонд которой образуют серые песчаники, гравелиты, мелкогалечные конгломераты, небольшие прослои и линзы известняков.

Еще выше залегают отложения визе-серпуховской (C_1v-s) карбонатной формации (*кизильская свита*), сложенной в основном известняками.

В северной части зоны породы офиолитовой ассоциации прорваны небольшими телами гранитной формации C_3-P_1.

Акъяр-Бурибаевская (Баймак-Бурибаевская) зона сложена вулканитами базальт-риолитовой формации S_2-D_1 (или D_1), известной как *баймак-бурибаевская свита*. С этими вулканитами ассоциируют небольшие массивы плагиогранитов, относящиеся к габбро-плагиогранитной формации. В своей восточной части вулканиты базальт-риолитовой формации местами перекрыты образованиями туфо-турбидитной базальт-андезибазальтовой формации D_{1-2} (*ирендыкская свита*), а в западной и южной частях и граувакковой формации D_3fm-C_1t_1.

Ирендыкская зона сложена образованиями туфо-турбидитной базальт-андезибазальтовой формации D_{1-2} (*ирендыкская свита*), с которыми ассоциируют гипабиссальные тела порфировидных диоритов и габбро-диоритов габбро-диорит-гранодиоритовой формации того же возраста.

Сибай-Гайская зона устроена следующим образом. В ее видимом основании располагаются вулканиты базальтовой (кремнисто-базальтовой) формации, выделяемые в объеме *нижней подсвиты карамалыташской свиты* D_2ef. К *верхней подсвите этой свиты* относится базальт-риолитовая формация. Выше залегают отложения терригенно-вулканомиктовой формации *живетского* (D_2žv) *яруса* (*улутауская свита*), сложенная вулканомиктовыми песчаниками, алевролитами, прослоями и банками рифогенных известняков; в основании улутауской свиты залегает *бугулыгырский яшмовый горизонт* (все знаменитые пестроцветные яшмы Южного Урала приурочены к этому горизонту). К *франскому ярусу позднего девона* (D_3f) относится базальт-андезибазальтовая формация (*колтубанская свита*). *Фаменраннетурнейские отложения* (D_3fm-C_1t_1) представлены граувакковой формацией (*зилаирская свита*), сложенной песчаниками, гравелитами, аргиллитами, прослоями и линзами известняков. Среди этих отложений залегают дайки долеритов, габбро-долеритов траппового типа (*худолазовский комплекс*), имеющие *раннекаменноугольный возраст*. Палеозойский разрез Сибай-Гайской зоны завершают отложения карбонатной формации *визе-серпуховского возраста* (C_1v-s), относящиеся к *кизильской свите*.

Полезные ископаемые

Черные металлы

Железные руды. Наиболее значимым является *Круглогорское месторождение скарново-магнетитовых руд*, расположенное в Ирендыкской зоне, где приурочено к области контакта пород туфо-турбидитной базальт-андезибазальтовой формации с комагматичными интрузиями гранитоидов. Главным рудным минералом является магнетит. Запасы месторождения около 60 млн т руды со средним содержанием железа в руде 41 %.

Марганцевые руды. Мелкие месторождения марганцевых руд расположены на двух стратиграфических уровнях.

Объекты нижнего стратиграфического уровня расположены в Сибай-Гайской зоне, где приурочены к *бугулыгырскому яшмовому горизонту*, и они относятся к *кремнисто-марганцевой рудной формации*. Типовым объектом является *Южно-Файзулинское месторождение* (Республика Башкортостан). Наиболее обычным минералом первичных руд является браунит Mn_2O_3, иногда ассоциирующий с родонитом и марганцовистым гранатом. Качество руд низкое: содержание марганца находится на уровне 15-20 %. Промышленный интерес представляли в свое время окисленные руды марганцевых шляп, в которых содержание марганца достигало 50 %. Эти руды в основном отработаны в годы Великой Отечественной войны. Они являлись важным сырьевым источником марганца, так как все марганцевые месторождения Никопольского (Южно-Украинского) бассейна были оккупированы немецкими войсками. Эти руды поставлялись на Магнитогорский металлургический комбинат и использовались для выплавки броневых сталей.

На верхнем стратиграфическом уровне располагается *Аккермановское месторождение* (Оренбургская область), которое относится к *карбонатно-марганцевой рудной формации*. Оно расположено в Присакмарской зоне и приурочено к отложениям *визе-серпуховской* карбонатной формации (*кизильская свита*). Здесь выделяются два типа руд: первичные карбонатные (родохрозит-манганкальцитовые), содержащие в среднем 15 % марганца, и окисленные (псиломелан-

пиролюзитовые), содержащие до 35-40 % марганца. Окисленные руды месторождения также являлись объектом добычи в годы Великой Отечественной войны.

Цветные металлы

Колчеданные месторождения. В Западно-Магнитогорском поясе расположены все самые крупные колчеданные месторождения Урала, в том числе одни из крупнейших в мире.

Месторождения залегают на трех стратиграфических уровнях.

Объекты *нижнего уровня* расположены в *раннепалеозойских* офиолитах Присакмарской зоны, где и относятся к кипрскому типу. К ним относятся *месторождения Маукское*, *Ишкининское*, *Ивановское*, *Дергамышское* и др., для которых характерны преимущественно мелкие размеры, халькопирит-пирит-пирротиновый (±сфалерит) состав руд, присутствие в них повышенных содержаний никеля и кобальта, иногда металлов платиновой группы. Месторождения преимущественно мелкие.

Объекты *среднего уровня* расположены в Акъяр-Бурибаевской (Баймак-Бурибаевской) зоне, где локализованы в вулканитах базальт-риолитовой формации S_2-D_1 (или D_1). В этой зоне месторождения относятся к двум типам: уральскому и куроко. Объекты уральского типа (*месторождения Бурибайское, Юбилейное и др.*) обладают медно-цинковым (сфалерит-халькопирит-пиритовым) составом руд; размер их средний и крупный. Месторождения типа куроко являются мелкими по запасам, для них характерен золото-колчеданно-полиметаллический состав руд (галенит-сфалерит-халькопирит-пиритовый, с повышенным содержанием золота и серебра). К ним относится *Баймакская группа месторождений* (*Семеновское, Таш-Тау, Бакр-Тау, Куль-Юрт-Тау* и др.).

Объекты *верхнего уровня* располагаются в Сибай-Гайской зоне, где также локализованы в вулканитах базальт-риолитовой формации *среднего девона*. К ним относятся такие *месторождения*, как *Гайское* (Оренбургская область), *Подольское, Сибайское, Учалинское* и др. (Республика Башкортостан), *Узельгинское, Карабашская группа* (Челябинская область), *Дегтярское* (Свердловская область). Эти месторождения обладают сфалерит-халькопирит-пиритовым составом руд; содержание меди в них составляет 1-3 %, цинка 2-4 %, золота – около 1 г/т, серебра – 10 г/т.

Медно-порфировые месторождения. Объекты этого рудноформационного типа представлены *Салаватским* и *Вознесенским месторождениями*, расположенными в Ирендыкской зоне (Республика Башкортостан). Они приурочены к порфировидным диоритоидам, завершающим накопление вулканитов туфо-турбидитной базальт-андезибазальтовой формации. Вкрапленные, прожилково-вкрапленные, штокверково-вкрапленные руды имеют преимущественно халькопирит-пиритовый состав; в них содержится до 0,4-0,5 % меди и до 0,007-0,008 % молибдена, а также около 0,2 г/т золота.

Благородные металлы

Золоторудные месторождения. С дайковой серией *позднепалеозойских* гранитов, а также с телами родингитов в Присакмарской зоне связаны месторождения золота типа жильных и минерализованных зон *Миасского золоторудного района*. В этих месторождениях золото-сульфидно-кварцевой и золото-родингитовой формаций содержания золота достигают 5 г/т. Эти месторождения обеспечивают накопления золота в *плиоцен-четвертичных* аллювиальных россыпях. В последних нередко встречались крупные самородки. Знаменитые уральские самородки золота

(«Большой треугольник», «Заячьи уши») весом до 30 кг были добыты из россыпей Миасского золоторудного района.

Неметаллические полезные ископаемые

Западно-Магнитогорский пояс богат многочисленными месторождениями декоративных, облицовочных и поделочных камней, среди которых в первую очередь следует отметить *месторождения пестроцветных яшм* (*гора Калиновская, гора Полковник*) на Южном Урале (Оренбургская область). Пестроцветные яшмы приурочены к *бугулыгырскому горизонту*, залегающему в основании улутауской свиты *среднего девона*

8.1.3.3. Восточно-Магнитогорский интрузивно-вулканический пояс

Геологическое строение

Этот пояс распространен только на Южном Урале и имеет протяженность около 400 км при ширине 50-60 км. Его западным ограничением является Центрально-Магнитогорская зона, восточным – Челябинско-Суундукс-кий срединный массив. Эти границы проходят по зонам разломов глубокого заложения. В своей северной части (между городами Учалы и Миасс) Восточно-Магнитогорский пояс под острым углом причленяется к Западно-Магнитогорскому. На юге, в Мугоджарах, Восточно-Магнитогорский пояс расщепляется на ряд протяженных (до 100 км) и узких вулканогенных трогов шириной 1-3 км, рассекающих Мугоджарский срединный массив.

По своему геологическому строению Восточно-Магнитогорский пояс близок Сибай-Гайской зоне Западно-Магнитогорского пояса. В нем проявлен тот же формационный ряд магматических и осадочных пород *девонско-каменноугольного возраста*. Отличия заключаются в следующем: 1) в Восточно-Магнитогорском поясе развита *раннедевонская* офиолитовая ассоциация; 2) с вулканитами *позднедевонской* туфо-турбидитной базальт-андезибазаль-товой формации ассоциируют небольшие тела гранитоидов габбро-диорит-гранодиоритовой формации, несущие золотое оруденение; 3) на уровне граувакковой формации *фамен-раннетурнейского* возраста располагаются вулканические образования, относящиеся к терригенно-карбонатной трахибазальт-трахитовой формации, с которой ассоциируют комагматичные интрузивные породы габбро-сиенитовой формации; 4) на уровне *позднего турне* (C_1t_2) или *позднего турне-раннего визе* (C_1t_2-v_1) представлены отложения терригенной угленосной формации, с которой ассоциируют вулканиты трапповой формации, с которой, в свою очередь, сопряжены силлы и дайки долеритов и габбро-долеритов формации интрузивных траппов; 5) в нем достаточно широко распространены интрузии *позднепалеозойских* (C_3-P) гранитов.

Полезные ископаемые

Ведущими полезными ископаемыми Восточно-Магнитогорского пояса являются *колчеданные месторождения*. Среди них выделяются три группы объектов.

Одна из этих групп представлена *колчеданно-полиметаллическими* (*медно-свинцово-цинковыми*) *месторождениями*, близкими рудноалтайскому (куроко) типу (*месторождения Александринское* в Челябинской области, *Джусинское, Барсу-*

чий лог в Оренбургской области). Эти месторождения расположены в северной и центральной частях пояса. Главными рудными минералами являются пирит, халькопирит, сфалерит, галенит, иногда барит. Содержания меди в них составляют 1-3 %, цинка – до 4 %, свинца – до 0,5- 07 %, барита – до 10 %. Они приурочены к *эйфельской* базальт-риолитовой формации.

Другая группа представлена *медно-цинковоколчеданными месторождениями* уральского типа, также приуроченными к *эйфельской* базальт-риолитовой формации. Они расположены в южной части пояса, там, где он расщепляется на серию узких вулканогенных трогов. К ним относятся *месторождения Летнее, Весеннее-Аралчинское, Осеннее, Зимнее* (Оренбургская область), *Приорское, Тастыбутак, Авангард* (Актюбинская область Республики Казахстан). Содержания меди и цинка в этих объекта составляют 1-3 %.

Третью группу представляет *Амурское цинково-колчеданное месторождение* (Челябинская область), близкое филизчайскому типу. Оно локализовано в отложениях *живетской* терригенно-вулканомиктовой формации; главными рудными минералами являются сфалерит (содержание цинка 3,7 %) и галенит (содержание свинца около 0,3 %).

Наряду с колчеданными в Восточно-Магнитогорском поясе представлены *золоторудные месторождения* (*Куросанская группа*) в Челябинской области. Они приурочены к телам гранитоидов габбро-диорит-гранодиори-товой формации *позднего девона*, комагматичными и совозрастными вулканитам базальт-андезибазальтовой формации.

К отложениям угленосной формации C_1t_2 или C_1t_2-v_1 приурочены каменноугольные месторождения *Домбаровского угленосного бассейна* (Оренбургская область).

***

На Южном Урале Западно- и Восточно-Магнитогорский пояса разделены Центрально-Магнитогорской зоной. Согласно геофизическим данным в основании этой зоны расположены те же *рифейские* осадочные и магматические комплексы, которые слагают Башкирский мегантиклинорий. Из этого следует, что Центрально-Магнитогорская зона представляла собой срединный массив, который в раннесреднедевонское время разделял Западно- и Восточно-Магнитогорский пояса. В позднедевонское и каменноугольное время этот срединный массив был перекрыт мощными толщами осадочных и вулканических пород соответствующего возраста, имеющими черты платформенных образований. Образования *франского возраста* (D_3f) представлены порфировыми пироксеновыми, пироксен-плагиоклазовыми оливинсодержащими базальтами, трахибазальтами, их туфами, туфами пикритов. Вулканиты *фаменского возраста* (D_3fm) – трахибазальты, трахиандезибазальты, трахиандезиты, трахидациты и их туфы – связаны с франскими постепенными переходами. С ними ассоциируют комагматичные интрузивные образования в виде субщелочных габбро, кварцевых сиенитов, гранитов. На уровне *турне-визе-серпухова* (C_1t-v-s) распространены вулканогенные, интрузивные и осадочные образования. Вулканические породы, входящие в состав *березовской свиты*, представлены высокотитанистыми оливиновыми базальтами, ассоциирующими с калиевыми риолитами, частично трахибазальтами, которые сопоставимы со щелочно-оливин-базальтовой формацией континентов. Вулканитам комагматичны и совозрастны интрузивные породы габбро-граносиенитовой формации (*магнитогорский комплекс*). Вся эта вулкано-интрузивная ассоциация обеспечивала образование

Магнитогорского месторождения скарново-магнетитовых руд. Осадочные толщи представлены карбонатной формацией, образованной преимущественно известняками (*кизильская свита*), возраст которой поднимается до *башкирского яруса среднего карбона* (C_2b). Завершает палеозойский разрез Центрально-Магнитогорс-кой зоны толща континентальных пестроцветных терригенных эвапоритоносных отложений (песчаники, алевролиты, конгломераты, аргиллиты с гипсами и ангидритами) *московского яруса среднего карбона* (C_2m).

8.1.3.4. Каменский (Алапаевско-Теченский) интрузивно-вулканический пояс

Геологическое строение

Этот пояс имеет протяженность около 650 км при ширине 60-70 км. Он располагается между Мурзинско-Адуйским и Челябинско-Суундукским срединными массивами, с которыми граничит по зонам разломов глубокого заложения, нередко фиксированным альпинотипными ультрамафитами.

По особенностям своего строения Каменский (Алапаевско-Теченский) пояс обнаруживает много сходных черт с Восточно-Магнитогорским поясом. Для Каменского пояса характерными являются *девонско-каменноугольные* магматические и осадочные формации, ему также присущи *раннедевонские* офиолиты и *позднепалеозойские* гранитоиды. Его отличительной особенностью является более высокий уровень тектонической нарушенности структур и наличие надвиговых дислокаций, вплоть до проявления обратной (перевернутой) стратиграфической последовательности пород.

Полезные ископаемые

Черные металлы

Железные руды. Наиболее значимым железорудным объектом является *Теченское* месторождение (Челябинская область) *скарново-магнетитовых руд*. Оно приурочено к области контакта пород терригенно-карбонатно-трахибазальт-трахитовой формации D_3fm-C_1t_1 с интрузивными породами габбро-сиенитовой формации того же возраста. Главным рудным минералом является магнетит. Запасы месторождения составляют около 77 млн т при среднем содержании железа 33 %.

Хромовые руды. Мелкие *месторождения альпинотипных хромитов* (*Курмановское*, *III Поденный рудник*) связаны с альпинотипными ультрамафитами Алапаевского массива (Свердловская область). Главным рудным минералом является хромит, содержания Cr_2O_3 не превышают 15 %, запасы месторождений до 0,5 млн т руды.

Цветные металлы

Колчеданные месторождения. В пределах пояса известно три колчеданных *месторождения* (*Сафьяновское* в Свердловской области, *Султановское* и *Касаргинское* – в Челябинской). Все они локализованы в вулканитах э*йфельской* базальт-риолитовой формации, характеризуются пирит-халькопирит-сфалеритовым составом руд, содержащих 1-3 % меди и 0,7-1 % цинка.

Никелевые месторождения. В *мезозойских* корах выветривания на массивах альпинотипных ультрамафитов локализованы *месторождения силикатных никеле-*

вых руд (*Липовское* в Свердловской области и др.), содержащих около 1 % Ni и 0,1 % Co.

Неметаллические полезные ископаемые

Уголь каменный. Все месторождения каменных углей находятся в *Махневско-Каменском* бассейне (Свердловская область), и они локализованы в терригенных отложениях C_1t_2 или C_1t_2-v_1, относящихся к угленосной формации.

Хризотил-асбест. В Каменском поясе расположено одно из крупнейших в мире *Баженовское месторождение хризотил-асбеста* (Свердловская область). Оно локализовано в пределах одноименного массива альпинотипных ультрамафитов, в тех его частях, которые подвержены контактовому воздействию *позднепалеозойских г*ранитов.

8.1.3.5. Восточные структуры Урала

Геологическое строение

В числе этих структур будут рассмотрены наиболее крупные срединные массивы, а также некоторые частные геосинклинальные зоны, рассекающие эти массивы и обладающие наиболее интересными и важными металлогеническими особенностями.

Срединные массивы. Среди наиболее крупных срединных массивов Урала следует отметить следующие: Салдинский, Мурзинско-Адуйский, Гаевский, Верхисетский, Сысертско-Ильменогорский, Челябинско-Суундукский, Адамовско-Мугоджарский.

Эти массивы характеризуются близким геологическим строением. Все они сложены в основном *раннепротерозойскими* метаморфическими образованиями, представленными различными гнейсами, амфиболитами, кристаллическими сланцами, графитистыми сланцами, мраморами, содержащими послойные тела гранитоидов и метаультрамафитов. В некоторых массивах (Сысертско-Ильменогорский, Салдинский, вероятно Адамовско-Мугоджарский) присутствуют блоки пород *позднего архея*, также представленные глубокометаморфизованными породами того же состава, а также гранат-магнетитовыми кварцитами. В Челябинско-Суундукском срединном массиве раннепротерозойские метаморфические образования перекрыты *рифей-вендским* терригенно-карбонатным и *раннепалеозойским* терригенным чехлом. Сысертско-Ильменогорский срединный массив в *раннем ордовике* испытал тектоно-магматическую активизацию, сопряженную по времени с развитием геосинклинального магматизма в Тагильском поясе. Вещественным выражением этой тектономагматической активизации являются массивы нефелиновых сиенитов (миаскитов) Ильменских и Вишневых гор.

Общим для всех срединных массивов является широкое развитие *позднепалеозойско-раннемезозойских* (C_3-P-T_1) гранитоидов, образующих главный гранитный пояс Урала.

Полезные ископаемые

Полезные ископаемые срединных массивов. Полезные ископаемые срединных массивов связаны в основном с гранитоидным магматизмом.

В Мурзинско-Адуйском массиве – это *месторождения редких металлов* (*тантал, ниобий, бериллий*) *Малышевской группы*, *Южно-Шамейское месторождение штокверково-вкрапленных молибденовых руд*. В этой же структуре расположено единственное в России *Малышевское* месторождение *изумрудов*, а также *Мурзинская камнесамоцветная* (*изумруды, александриты, аметисты*) полоса. Все эти объекты, приуроченные к *позднепалеозойско-раннемезозойским* гранитам, находятся в Свердловской области.

В Сысертско-Ильменогорском срединном массиве на территории Челябинской области, в связи с нефелиновыми сиенитами (миаскитами) и сопряженными с ними карбонатитами, расположено *Вишневогорское месторождение танталониобатов*, а также *Потанинское месторождение вермикулита*.

В Челябинско-Суундукском срединном массиве, также в Челябинской области, представлены *месторождения золота* (*Качкарь, Светлинское*) и высококачественного кварцевого сырья – *горный хрусталь* (*Астафьевское*).

Система частных геосинклиналей. Частные геосинклинали представляют собой узкие (шириной до 10-20 км) и протяженные (первые сотни километров), рифтовидные зоны, рассекающие срединные массивы. Они сложены преимущественно *раннепалеозойским* геосинклинальным рядом формаций, нередко сокращенным. Из всех этих структур будут рассмотрены две, наиболее важные, характеризующиеся высокой рудоносностью.

Медведевско-Свердловская зона расположена между Верхисетским и Салдинским массивами с запада и Мурзинско-Адуйским и Гаевским – с востока. Она сложена *раннепалеозойскими* офиолитами, прорванными *позднепалеозойско-раннемезозойскими* гранитами Шарташского массива. С дайковой серией этих гранитов связано *Березовское месторождение золота* в Свердловской области, отрабатывающееся уже около 300 лет. Это одно из крупнейших золоторудных месторождений на Урале, и оно является первенцем золоторудной промышленности России.

Катенинская зона расположена восточнее Челябинско-Суундукского срединного массива. Она сложена *раннепалеозойскими* офиолитами, перекрытыми вулканитами туфо-турбидитной базальт-андезибазальтовой формации *позднесилурийско-раннедевонского* возраста (S_2-D_1). Те и другие образования прорваны порфировидными гранитоидами *средне-позднекаменноугольной* габбро-монцодиорит-граносиенитовой формации. С этими гранитоидами связано *Михеевское молибден-меднопорфировое месторождение* (Челябинская область), содержащее 0,4 % меди и 0,007 % молибдена. Общие разведанные запасы меди составляют около 1,5 млн т. Главными рудными минералами являются халькопирит, пирит, борнит, молибденит.

8.1.4. Валерьяновский интрузивно-вулканический пояс (Геологическое строение и полезные ископаемые)

Это крупная структура, адекватная геосинклинальному Уралу. Она протягивается на 2,5-3 тыс. км, имея сначала меридиональное простирание, параллельное структурам Урала. В районе Мугоджар этот пояс резко поворачивает на юго-восток и, по геофизическим данным, приходит в торцовое сочленение со структурами Среднего Тянь-Шаня в Средней Азии.

Большая часть Валерьяновского пояса перекрыта мезозойско-кайнозойс-кими отложениями Западно-Сибирской плиты.

По своей геодинамической природе геологические формации, слагающие Валерьяновский пояс, близки активизационному типу, в связи с чем они больше относятся к казахстанско-среднеазиатским, чем к уральским.

Геологическое строение Валерьяновского пояса представляется следующим образом.

Наиболее древним образованием является трахибазальт-трахириолито-вая формация, имеющая *ранне-среднедевонско-франский* ($D_{1\text{-}2}$-D_3f) возраст. Она сложена вулканитами соответствующего состава, накопление которых относится к завершению орогенных каледонид Центрального Казахстана.

Выше залегает *визейская* (C_1v) *валерьяновская серия*, относимая к андезит-базальтовой формации. Петрофонд этой формации образуют пироксеновые, плагиоклазовые, роговообманковые, пироксен-плагиоклазовые базальты, андезибазальты, андезиты, их разнообломочные туфы, а также туфопесчаники, туфоалевролиты, содержащие прослои известняков. Вулканитам комагматична и совозрастна диорит-гранодиоритовая формация (*соколовско-сарбайский комплекс*). Вулканиты вместе с интрузивными породами образуют вулкано-интрузивную ассоциацию, которая обеспечила накопление уникальных объемов контактово-метасоматических *скарново-магнетитовых руд Соколовско-Сарбайского, Глубоченского* и *Качарского рудных районов* (Кустанайская область Республики Казахстан и Курганская область России). Общие запасы железных руд приближаются к 4 млрд т со средним содержанием железа около 40 %.

Залегающая выше *серпуховско-башкирская* (C_1s-C_2b) трахибазальт-трахиандезитовая формация (*качарская серия*) образована вулканитами соответствующего состава, чередующимися с туфогравелитами, туфопесчаниками, туфоалевролитами, органогенными обломочными известняками. Интрузивным аналогом вулканитов является габбро-монцодиорит-граносиенитовая формация (*ухановский комплекс*). Вулканиты и их интрузивные аналоги образуют вулкано-интрузивную ассоциацию. С гранитоидами этой интрузивной формации связаны *месторождения молибден-меднопорфировых руд* (*Бенкала Северная, Бенкала Южная* в Республике Казахстан), содержащие 0,4-0,5 % меди и 0,007-0,008 % молибдена.

Завершают палеозойский разрез Валерьяновского пояса пестроцветные терригенно-ангидритовые отложения *московского яруса среднего карбона* (C_2m), содержащие халькозин-борнитовую минерализацию типа медистых песчаников.

8.2. Западно-Сибирская плита

8.2.1. Общая характеристика

Географически это Западно-Сибирская низменность, расположенная между Уральскими горами на западе и р. Енисей – на востоке. По территории этой низменности протекают реки Обь, Иртыш, Тобол, Томь, Таз, Пур, Надым, Конда и др., относящиеся к бассейну Северного Ледовитого океана. Абсолютные отметки не превышают 200 м над уровнем моря.

8.2.2. Геологическое строение

Западно-Сибирская плита занимает северную часть Урало-Монгольс-кого пояса. На западе она ограничена горно-складчатыми сооружениями Урала, на востоке – структурами Сибирской платформы, на юге – структурами Казахстана и Тянь-Шаня, на юго-западе по Тургайскому коридору (Тургайские ворота) сопрягается с Туранской плитой. В северном направлении плита продолжается на шельф Карского моря.

Западно-Сибирская плита – это молодая платформа. Как и в любой платформе, в ее строении имеются фундамент и чехол.

В *фундаменте* Западно-Сибирской плиты представлены все те образования, которые слагают структуры Урала и Валерьяновского пояса – в западной части плиты, а на юго-востоке – образования, слагающие структуры Казахстана, Алтая, Кузнецко-Витимской области.

Платформенный *чехол*, мощность которого достигает 9-10 км, имеет двухэтажное строение: нижний этаж – триас-раннеюрский ($T\text{-}J_1$), верхний этаж – среднеюрско-кайнозойский ($J_2\text{-}KZ$).

Образования *триас-раннеюрского* ($T\text{-}J_1$) *структурного этажа* образуют протяженные до 300 км и относительно узкие (50-80 км) рифты, ограниченные разломами. Эти рифты устроены следующим образом. В их нижних частях залегают вулканиты базальтового состава траппового типа (*турьинская серия*) *раннего-среднего триаса* ($T_{1\text{-}2}$). Выше залегает угленосная формация (*челябинская серия*) *позднего триаса-ранней юры* ($T_3\text{-}J_1$) мощностью 1,5-2,5 км.

Среднеюрско-кайнозойский ($J_2\text{-}KZ$) *структурный этаж* общей мощностью 6-7 км сложен морскими и континентальными терригенными (песчано-глинистыми) отложениями соответствующего возраста. Эти отложения несогласно залегают как на фундаменте, так и на образованиях нижнего структурного этажа.

В 1987-1999 гг. на территории Западно-Сибирской плиты пробурена **Тюменская сверхглубокая скважина** (**СГ-6**) глубиной 7 502 м (проектная глубина 8 000 м). Скважина расположена в 60 км восточнее Уренгойского газового месторождения.

Задачей скважины являлось изучение разреза осадочного чехла Западно-Сибирской плиты.

Результаты бурения. Скважина вскрыла отложения *палеогена*, *мела*, *юры* и *триаса*. Впервые полностью охарактеризована керном *баженовская свита* ($J_3\text{-}K_1$), являющаяся важнейшим нефтегазоносным уровнем. Перебурена почти километровая толща триасовых базальтов, которые по петрогеохимическим особенностям близки одновозрастным траппам Сибирской платформы. Изучение вариаций изотопного состава газов показало, что нижние горизонты осадочного чехла могли вносить существенный вклад в формирование скоплений углеводородов в меловых отложениях. Принципиальным результатом является выявление проницаемых горизонтов на глубинах около 6,5 км, т. е. примерно на тех же глубинах, что и на Кольской сверхглубокой скважине. Породы-коллекторы имеют сложную структуру пустотного пространства, образованного сочетанием пор, трещин и каверн. В результате испытаний, выполненных на глубинах 6 600- 6 655 м открытого ствола скважины, получены пластовые флюиды, представленные водой и свободными углеводородным газом, содержащим 97 % метана и до 0,077 % свободных углеводородов.

8.2.3. Полезные ископаемые

На территории Западно-Сибирской плиты расположены разнообразные месторождения топливно-энергетического сырья и твердых полезных ископаемых.

Углеводородное сырье. Западно-Сибирская плита – это *одноименная нефтегазоносная провинция*, наиболее крупная в России, расположенная в основном на территории Тюменской области. Ее площадь составляет 2,2 млн кв. км. На этой территории выявлено 346 нефтяных, нефтегазовых и газоконденсатных месторождений. Наиболее крупными являются месторождения*: Самотлорское* нефтяное, *Уренгойское, Ямбургское, Харасавейское* газовые и газоконденсатные. Большая часть внутренних потребностей России и ее экспортных обязательств обеспечиваются за счет месторождений этой провинции.

В размещении месторождений в пределах провинции установлена своеобразная зональность. Она выражена в том, что в ее северной части расположены преимущественно газовые и газоконденсатные месторождения, в центральной части – нефтегазовые, в южной – нефтяные. Продуктивными являются *позднеюрско-раннемеловые* отложения (*баженовская свита* – наиболее важный нефтегазоносный уровень), а также *неогена*. Продуктивные отложения залегают на глубинах 0,7-4 км. Нефтегазоносность выявлена не только на континентальной части провинции, но также на шельфе Карского моря. В южной части провинции промышленная нефтеносность установлена и в палеозойских отложениях.

Твердое топливо. В западной части Западно-Сибирской плиты располагаются три *буроугольных бассейна*: *Сосьвинско-Салехардский* (Ханты-Ман-сийский АО) с запасами около 1,5 млрд т, *Серовский* (Свердловская область) с запасами 220 млн т, *Челябинский* (Челябинская область) с запасами около 632 млн т. Угленосность приурочена к *триас-юрским* (T_3-J_1) терригенным отложениям.

Урановое сырье. В южной части Западно-Сибирской плиты (Курганская область) располагается *Зауральский урановорудный район*, *месторождения* которого (*Далматовское*, *Добровольное*, *Хохловское*) приурочены к *ранне-среднеюрским* терригенным отложениям, выполняющим палеодолины этого возраста. Месторождения относятся к инфильтрационному песчаниковому типу. Главным рудным минералом является настуран; среднее содержание урана составляет 0,039 %. Здесь сосредоточено около 3 % запасов урана России, которые обеспечивают примерно 11 % его добычи. Отработка месторождений производится методом подземного выщелачивания с глубины 500-600 м.

Черные металлы. На западном борту плиты к *позднемеловым* морским отложениям приурочен *Аятско-Алапаевский железорудный бассей*н с бурожелезняковыми рудами, имеющими гидрогетит-лептохлоритовый (с сидеритом) состав. Содержание железа в руде около 30 %, запасы около 7 млрд т. На восточном борту расположен *Западно-Сибирский железорудный бассейн* того же возраста и с рудами такого же состава.

В западной части плиты, в области ее сочленения с горно-складчатым Уралом, располагается *Северо-Уральский марганцеворудный бассейн*, в котором разведано 9 месторождений с общими запасами карбонатных марганцевых руд 44 млн т и средним содержанием марганца 20-22 %. Марганценосность связывается с морскими терригенными отложениями *раннего палеогена* (*палеоцен*).

Цветные металлы. В южной и юго-западной частях плиты с континентальными отложениями *раннего мела* связаны *месторождения бокситов* (*Тургайская и*

Каменск-Уральская группы). Содержания Al_2O_3 – 28-60 %, SiO_2 – до 20 %, модуль (Al_2O_3: SiO_2) – 3-15.

Таким образом, с юга на север устанавливается латерально-вертикальная триада алюминий – железо – марганец, составляющая систему, именуемую алфер-мангалиты (по ведущим металлам: ал – алюминий, фер – феррум, ман – марганец, лит – порода). На некоторых месторождениях установлено следующее: нижние части рудных горизонтов сложены бокситом, верхние железными рудами, на других объектах – нижние части рудных горизонтов сложены железными рудами, верхние – марганцевыми рудами. Эта триада установлена и описана крупным литологом ак. Н. М. Страховым.

Титан, цирконий. В западных и юго-восточных частях Западно-Сибирской плиты располагаются россыпные месторождения циркон-рутил-ильменитовых и циркон-ильменитовых руд. Месторождения приурочены к пескам *позднего палеогена* (*олигоцен*). К их числу относятся месторождения: *Правобережное* (Ханты-Мансийский АО), *Буткинское* (Свердловская область), *Тарское* (Омская область). Содержания полезных компонентов на этих объектах колеблются в пределах: TiO_2 – 17-32 кг/м^3, ZrO_2 – 2,6-8,7 кг/м^3. По размерам месторождения относятся средним.

Подземные воды. Западно-Сибирская плита является крупнейшим артезианским бассейном.

8.3. Саяно-Енисейская область байкальской складчатости

8.3.1. Общая характеристика

Географически это Енисейский кряж и хребет Восточные Саяны, расположенные на правобережье р. Енисей и имеющие абсолютные отметки до 2 900 м. На востоке эта складчатая область граничит со структурами Сибирской платформы, на западе и юго-западе – со структурами Кузнецко-Витимской области каледонской складчатости.

8.3.2. Геологическое строение

В геологическом строении Саяно-Енисейской области принимают участие образования широкого возрастного диапазона, от раннего архея до карбона включительно, относящиеся к комплексам основания – геосинклинальному, орогенному и посторогенному.

Комплекс основания, который имеет трехэтажное строение, представлен в срединных массивах (Сангиленский, Хамар-Дабанский).

Нижний структурный этаж – раннеархейский (AR_1) – представлен разнообразными гнейсами, гранито-гнейсами, амфиболитами, кварцитами, линзами мраморов; его мощность составляет 2-3 км. Среди метаморфических пород этого структурного этажа залегают чарнокиты (гиперстеновые граниты).

Средний структурный этаж – позднеархейский (AR_2) сложен геосинклинальными формациями мощностью до 3-4 км (кремнисто-базальтовой, базальт-риолитовой), породы которых метаморфизованы до амфиболитов и кристаллических сланцев; присутствуют породы типа магнетитовых кварцитов, а также линзы мраморов. Интрузивные образования представлены ультраосновными породами и габбро.

Верхний структурный этаж – раннепротерозойский (PR_1) мощностью до 2 км представлен мраморизованными карбонатными породами, в том числе графитистыми мраморами, а также дистен-ставролитовыми и биотит-амфиболовыми сланцами. Эти образования прорваны крупными гранитными массивами того же возраста.

Геосинклинальный комплекс, породы которого имеют *средне-позднерифейский возраст* (RF_{2-3}), располагается на обрамлениях пород комплекса основания. Он представлен сложным чередованием терригенных углеродисто-сланцевых и вулканогенных (кремнисто-базальтовых, иногда базальт-риолитовых) формаций. Причем в Енисейском кряже преобладают углеродисто-сланцевые формации (тип терригенных или сланцевых геосинклиналей), а в Восточных Саянах – вулканогенные формации. Породы геосинклинального комплекса прорваны массивами орогенных микроклиновых гранитов RF_3. Мощность пород геосинклинального комплекса достигает 9-10 км.

Орогенный комплекс отвечает по возрасту *позднему рифею* и *венду* (RF_3-V). Он представлен типичной красноцветной молассой (грубообломочные породы), ассоциирующей с вулканитами кислого состава, общей мощностью до 8-8,5 км. На этом же уровне представлены массивы микроклиновых гранитов.

Посторогенный комплекс представлен осадочными и магматическими породами, развитыми в возрастном интервале *вend-карбон*. По своей геодинамической позиции он занимает промежуточное положение между орогенным и платформенным. Комплекс представлен тремя структурными этажами.

Нижний структурный этаж – вend-среднекембрийский (V-$Є_{1-2}$) мощностью до 2,5 км сложен преимущественно карбонатными (известняково-доломитовыми) толщами с небольшим количеством вулканических пород основного состава. Местами на этом уровне располагаются существенно вулканические образования типа трахибазальтов, ассоциирующих с грубообломочными толщами.

Средний структурный этаж – позднекембрийско-ордовикско-силурийс-кий ($Є_3$-O-S), имеющий мощность до 3 км, сложен преимущественно терригенными породами (конгломераты, песчаники, алевролиты, аргиллиты), прорванные небольшими интрузиями гранитоидов.

Верхний структурный этаж – девонско-каменноугольный (D-C) представлен континентальными и прибрежно-морскими пестроцветными терригенными отложениями мощностью 3-4 км, среди которых располагаются интрузии граносиенитов, сиенитов и нефелиновых сиенитов.

8.3.3. Полезные ископаемые

Наиболее значимые в промышленном отношении месторождения связаны с образованиями геосинклинального комплекса Енисейского кряжа. Они приурочены к углеродисто-терригенным комплексам RF_{2-3}.

К ним относятся следующие:

Горевское колчеданно-полиметаллическое месторождение (филизчайский тип), в рудах которого содержится около 7 % свинца, около 2 % цинка и 0,1 % меди. Главными рудными минералами являются галенит и сфалерит. Месторождение обладает весьма крупными запасами и входит в число крупнейших колчеданно-полиметаллических месторождений мира.

Крупным, мирового уровня, является *золоторудное месторождение Олимпиада*, обладающее относительно невысокими (не более 3 г/т) содержаниями, но весьма крупными запасами.

Помимо этого, в Саяно-Енисейской складчатой области представлены месторождения железных руд, талька, асбеста (в связи с интрузиями ультраосновных пород), а также месторождения фосфоритов (в венд-кембрийских толщах), лазурита (в породах комплекса основания).

8.4. Кузнецко-Витимская область каледонской складчатости

8.4.1. Общая характеристика

Географически это горные сооружения Кузнецкого Алатау, Западных Саян, Горной Шории, восточной части Горного Алтая, Тувинского нагорья с абсолютными отметками до 3 тыс. м. На севере эта область погружается под осадочный чехол Западно-Сибирской плиты, на западе она граничит с Казахстанско-Алтайскими структурами, на востоке – с Саяно-Енисейской область, на юге – она продолжается на территорию Монголии.

8.4.2. Геологическое строение

В геологическом строении Кузнецко-Витимской области принимают участие образования, развитые в диапазоне ранний архей – пермь и принадлежащие комплексу основания, геосинклинальному, орогенному и платформенному комплексам.

Комплекс основания. Породы комплекса основания представлены в ряде срединных массивов и ядрах антиклинориев. В составе комплекса основания выделяются *раннеархейские* (AR_1) гнейсы, *позднеархейские* (AR_2) вулканогенные и железисто-кремнистые формации и *раннепротерозойские* (PR_1) известково-доломитовые толщи. Общая мощность пород комплекса основания составляет 4-5 км.

Геосинклинальный комплекс общей мощностью до 6-7 км охватывает общий возрастной диапазон от *среднего рифея* до *среднего кембрия* (RF_{2-3}-V-$Є_{1-2}$). В составе этого комплекса представлены вулканогенные формации – кремнисто-базальтовые (нередко базальты метаморфизованы до зеленых сланцев), базальт-риолитовые, андезитоидные до трахитоидных, сопровождаемые вулкано-обломочными и карбонатными породами, а из интрузивных образований – альпинотипные ультрамафиты, габбро, граниты, сиениты. В некоторых блоках геосинклинальный комплекс поднимается до *среднего девона* (российская часть Рудного Алтая).

Орогенный комплекс общей мощностью около 5,5 км по возрасту относится к *позднему кембрию-силуру* ($Є_3$-O-S), и он представлен красноцветной молассой, ассоциирующей с толщами кремнекислых вулканитов, которые, в свою очередь, сопровождаются интрузиями гранитов. В тувинской части Кузнецко-Витимской области развит *ранне-среднедевонский* орогенный интрузивно-вулканический пояс.

Платформенный комплекс развит в диапазоне *ранний девон – пермь*. Для *раннего* и большей части *среднего девона* (D_1-D_2) характерны трахибазальты, базальты, их туфы, сопровождаемые красноцветными терригенными отложениями,

общей мощностью 2-3 км. Вулканические породы сопровождаются интрузиями гранитов. Образования верхней части *среднего девона*, всего *позднего девона* и *раннего карбон* (D_2-D_3-C_1) представлены мелководными морскими и лагунно-континентальными терригенно-карбонатными отложениями мощностью 2-3 км. *Средний*, *поздний карбон* и *пермь* (C_2-C_3-P) – это терригенные сероцветные континентальные угленосные отложения мощностью до 7 км.

8.4.3. Полезные ископаемые

Твердое топливо

Каменный уголь. Все месторождения каменных углей относятся к платформенному комплексу и локализованы на уровне *среднего карбона – перми*. Они образуют *Кузнецкий каменноугольный бассейн* (*Кузбасс*), в котором установлено около 300 угольных пластов суммарной мощности 380-400 м. Общие разведанные запасы углей составляют около 640 млрд т.

Черные металлы

Железорудные месторождения. Скарново-магнетитовые месторождения Горной Шории (*Шерегешевское*, *Таштагольское* и др.) и *Кузнецкого Алатау* (*Ампалыкское*, *Лавреневское* и др.) приурочены к *кембрийским* вулканогенно-обломочным и карбонатным породам, прорванным габбро-сиенитами *среднего кембрия* и *среднедевонскими* гранитами. Месторождения сопровождаются скарновым ореолом. Главным рудным минералом этих месторождений является магнетит. Содержание железа в руде около 40 %. Общие запасы железных руд приближаются к 1 млрд т.

Марганцевые месторождения. К *раннекембрийским* известнякам геосинклинального комплекса приурочено *Усинское месторождение карбонатных марганцевых руд* – самое крупное в России. В нем сосредоточена примерно половина запасов марганцевых руд России (около 128 млн т). Месторождение сложено крутопадающими пласто- и линзовидными залежами преимущественно родохрозитовых и манганкальцитовых руд, перемежающихся с марганцовистыми известняками. Они прослежены на 4-6 км при глубине до 500 м. Содержание марганца в карбонатных рудах составляет около 20 %. Суммарная мощность марганцеворудных пластов достигает 150 м. С поверхности и до глубины 50-75 м карбонатные руды окислены; окисленные руды сложены псиломеланом, вернадитом, реже пиролюзитом. В окисленных рудах, количество которых не превышает 5 % от общих запасов руд месторождения, содержание марганца достигает 20-27 %.

Цветные и редкие металлы

Колчеданно-полиметаллические месторождения. Эти объекты (месторождения *Кызыл-Таш*, *Кызыл-Таштыг*, *Салаирское рудное поле* и др.) относятся к типу куроко, и они приурочены к *ранне-среднекембрийским* вулканитам базальт-риолитовой формации геосинклинального комплекса. Главными рудными минералами являются сфалерит, галенит, халькопирит. Содержания цинка достигают 8,5 %, свинца – 1-1,2 %, меди – не более 1 %. Месторождения относятся к разряду средних.

Молибден-меднопорфировое месторождение Ак-Суг приурочено к гранитоидам *ранне-среднедевонского* интрузивно-вулканического пояса. Главными рудны-

ми минералами являются халькопирит и молибденит. Содержание меди в руде составляет 0,66 %, молибдена – 0,013 %. Месторождение относится к разряду крупных.

Молибден. *Сорское месторождение штокверково-вкрапленных молибденовых руд* связано с *кембро-ордовикскими* гранитами. Главным рудным минералом является молибденит. Содержание молибдена в руде 0,058 %. Запасы месторождения составляют 136 тыс. т.

В пределах Кузнецко-Витимской области известны *месторождения ртути* (*Акташское* на Горном Алтае), приуроченное к тектоническим зонам.

Подземные воды

Месторождения термальных *радоновых минеральных вод* используются в бальнеологических целях (*курорт Белокуриха*).

8.5. Байкальская горная область

8.5.1. Общая характеристика

Географически это Приморский и Яблоневый хребты с абсолютными отметками до 2,5 тыс. м, Байкало-Патомское нагорье с абсолютными отметками до 1,5 тыс. м, район оз. Байкал, бассейны верхнего течения р. Витим, нижнего течения р. Селенга.

Байкальская горная область – это эталон (тектонотип) складчатых систем байкальского возраста, именно здесь была впервые выделена и описана байкальская складчатость. С севера Байкальская горная область сопрягается с Алданским щитом Сибирской платформы, с запада граничит с каледонидами Кузнецко-Витимской области, с востока – с герцинидами Монголо-Охотской области.

8.5.2. Геологическое строение

В геологическом строении Байкальской горной области принимают участие метаморфические, вулканогенные, интрузивные и осадочные образования, представленные в возрастном диапазоне от раннего архея до ордовика включительно.

Комплекс основания представлен архейскими комплексами пород, разделенными на два структурных этажа.

Образования *нижнего структурного этажа*, относящиеся к *раннему архею* (AR_1), представлены разнообразными гнейсами и кристаллическими сланцами, содержащими прослои мраморов. Эти образования идентичны тем, которые развиты на Алданском щите.

К *верхнему структурному этажу*, относящемуся к *позднему архею* (AR_2), принадлежат преимущественно вулканогенные образования геосинклинального облика, среди которых преобладают базальты, ассоциирующие с альпинотипными ультраосновными породами и габбро (офиолитовая ассоциация), вулканиты базальт-риолитовой формации; с вулканитами ассоциируют магнетитовые кварциты, фтаниты, а также флишоидные метатерригенные толщи. Мощность этих образований не менее 3-5 км.

Геосинклинальный комплекс. Образования этого комплекса относятся в основном к *первой половине раннего протерозоя* (PR_1^1), они представлены терригенным и терригенно-карбонатным флишем, углеродисто-сланцевыми толщами, со-

держащими прослои базальтов. В отдельных блоках геосинклинальный комплекс поднимается до *низов кембрия*. Мощность пород этого комплекса составляет 6-8 км.

Орогенный комплекс относится ко *второй половине раннего протерозоя* (PR_1^2), он представлен туфами и лавами риолитов, трахириолитов, трахиандезитов, чередующимися с красноцветными грубообломочными терригенными отложениями (моласса) и прорванными крупными гранитными интрузиями. Мощность пород орогенного комплекса оценивается в 6-8 км.

Посторогенный комплекс охватывает продолжительный стратиграфический интервал от рифея до ордовика включительно, он имеет черты как орогенного, так и платформенного режима. В *рифей-вендских* (RF-V) отложениях выделяются три ритма мощностью около 2,5 км каждый. В основании каждого ритма залегают грубообломочные породы (конгломераты, гравелиты), выше – карбонатные (известняково-доломитовые) породы с прослоями углеродистых сланцев.

Вend-среднекембрийские (V-$Є_{1-2}$) отложения мощностью до 8 км представлены в основании базальными конгломератами, выше которых залегают известняки, доломиты, мергели. На этом же уровне располагаются крупные гранитные массивы. Наиболее значительным из них является Баргузинский плутон, занимающий площадь около 200 тыс. кв. км. Массив сложен диоритами, гранодиоритами, адамеллитами, образованными в раннюю фазу, и гнейсовидными и порфировидными биотитовыми гранитами поздних фаз. Завершающие разрез *позднекембрийско-ордовикские* ($Є_3$-O) отложения сложены грубообломочными терригенными толщами мощностью до 3 км.

Байкальская горная область – это регион высокой тектонической активности, начавшейся в меловое время и продолжающейся в неоген-четвертич-ное, в том числе в настоящее время. Эта тектоническая активность выражена образованием Байкальской рифтовой системы протяженностью около 2 500 км. К одному из звеньев этой системы приурочено оз. Байкал (возраст озера – 23-25 млн лет), являющееся самым глубоким континентальным водоемом мира; его максимальная глубина составляет 1 637 м, протяженность – 636 км, наибольшая ширина – 79,5 км, наименьшая ширина – 25 км; площадь озера – 31,5 тыс. кв. км, объем воды – 23 тыс. куб. км. Скорость тектонического расхождения берегов Байкала составляет 0,7-2 см/год. Периодичность землетрясений: до 7 баллов – 1-2 года, 7-8 баллов – 5-10 лет, 9 баллов – 50-100 лет, 10 баллов и более – 150-200 лет. Глубина эпицентров землетрясений – от 12 до 22 км.

В северо-восточном направлении эта рифтовая система продолжается к Становому блоку Алданского щита, а в юго-западном – продолжается в сторону Монголии, где выражена впадиной, в которой расположено оз. Хубсугул. Неоген-четвертичный рифтогенез сопровождался излияниями базальтов траппового типа.

8.5.3. Полезные ископаемые

Из важнейших полезных ископаемых Байкальской горной области следует отметить три наиболее важных, мирового уровня, месторождений. Среди них колчеданно-полиметаллические месторождения Холоднинское и Озерное и золоторудное месторождение Сухой Лог. Все они приурочены к различным уровням образований геосинклинального комплекса. Оба колчеданно-полиметаллических объекта относятся к филизчайскому типу.

Холоднинское колчеданно-полиметаллическое месторождение приурочено к углеродисто-сланцевым толщам RF_{2-3}. Главными рудными минералами являются сфалерит, галенит, халькопирит. Средние содержания цинка – около 5 %, свинца – 0,8 %, меди – не более 0,2 %.

Озерное колчеданно-полиметаллическое месторождение приурочено к терригенно-карбонатному флишу $Є_1$; его главными рудными минералами также являются сфалерит, галенит, халькопирит, обеспечивающие средние содержания цинка около 6 %, свинца – 1,2 %, меди – около 0,4 %.

Оба месторождения относятся к категории сверхкрупных.

Золоторудное месторождение Сухой Лог также приурочено к углеродисто-сланцевым отложениям RF_{2-3}, которые перекрываются и подстилаются карбонатными породами. Главным рудным минералом является золотоносный пирит. Среднее содержание золота составляет около 2 г/т. Запасы месторождения приближаются к 3 тыс. т.

8.6. Монголо-Охотская область герцинской складчатости

8.6.1. Общая характеристика

Географически это горные сооружения Забайкалья, Верхнего Приамурья, Западного Приохотья, склоны Буреинского хребта с абсолютными отметками до 2 тыс. м, Зейско-Буреинская равнина, бассейны р.р. Зея, Бурея, среднего течения р. Амур.

По системам разломов глубокого заложения Монголо-Охотская область граничит с севера с Алданским щитом Сибирской платформы, с запада – с Байкальской горной областью, с востока – с Сихотэ-Алинской областью Тихоокеанского пояса, на юге она продолжается на территориях Северной Монголии и Северного Китая.

8.6.2. Геологическое строение

В геологическом строении Монголо-Охотской области участвуют образования допалеозойского, палеозойского, мезозойского и кайнозойского возрастов, образующие несколько структурно-формационных комплексов.

Комплекс основания. Породы комплекса основания наиболее представлены в Хингано-Буренском срединном массиве, занимающем центральную часть области.

В комплексе основания выделяются два структурных этажа: архейско-раннепротерозойский ($AR\text{-}PR_1$) и рифей-раннепалеозойский ($RF\text{-}PZ_1$).

Образования *архейско-раннепротерозойского* ($AR\text{-}PR_1$) *структурного этажа* представлены гнейсами, кристаллическими сланцами, амфиболитами, кварцитами, мраморами общей мощностью до 4,5 км. Они сохранились в качестве крупных ксенолитов и останцов кровли среди палеозойских гранитов. По составу эти образования сопоставимы с одновозрастными метаморфическими толщами Алданского щита Сибирской платформы.

Рифей-раннепалеозойский ($RF\text{-}PZ_1$) *структурный этаж* устроен следующим образом. *Рифею-венду-раннему кембрию* ($RF\text{-}V\text{-}Є_1$) соответствуют морские терри-

генно-карбонатные отложения мощностью 2-4 км. Диапазону *среднего-позднего кембрия* и *ордовика* ($Є_{2-3}$-O) отвечает формирование крупных гранитных массивов.

Геосинклинальный комплекс охватывает общий стратиграфический интервал от *силура до раннего карбона* (S-C_1) включительно. Для этого комплекса характерными являются толщи чередующихся терригенных пород, базальтов, туффитов, пестроцветных яшм общей мощностью около 15-18 км. Синхронно с геосинклинальным комплексом формировался чехол срединных массивов, представленный известковистыми песчаниками и алевролитами мощностью около 2 км.

Орогенный комплекс, имеющий возраст *средний-поздний карбон-пермь* (C_{2-3}-P), представлен молассовыми толщами мощностью до 1,5 км, а также большим количеством гранитов.

Посторогенный комплекс (посторогенная тектоно-магматическая активизация). Характерной особенностью Монголо-Охотской области является проявление в ней посторогенной *мезозойской* (T-J-K) тектоно-магматической активизации, сопряженной во времени с формированием Тихоокеанского пояса, о котором речь будет идти далее.

В процессе тектоно-магматической активизации (ТМА) происходила переработка всех ранее образованных структур. Она сопровождалась формированием прогибов и впадин и интенсивным магматизмом. Впадины и прогибы выполнены морскими, но преимущественно континентальными отложениями, представленными грубообломочными и песчано-сланцевыми толщами, а также угленосными формациями. Мощность этих отложений колеблется в пределах 1-2 до 5-7 км. Активный магматизм был проявлен излияниями покровов и потоков андезитоидных и риолитоидных лав и внедрением разновозрастных гранитоидов (гранодиориты и граниты). Среди гранитоидов известны массивы *средне-*, *позднеюрского*, *ранне-* и *позднемелового* возраста. Причем возраст интрузий омолаживается с запада на восток.

В *палеогене* (₽) Монголо-Охотская область была вовлечена в процесс неотектонической активизации, в ходе которой был сформирован расчлененный рельеф с заполнением небольших межгорных впадин континентальными песчано-галечными отложениями мощностью до 1 км.

Платформенный комплекс представлен *неоген-четвертичными* (N-Q) песками и галечниками мощностью до 300-400 м.

Монголо-Охотская область – это регион молодой и современной высокой тектонической и сейсмической активности, обусловленной близостью к Тихоокеанскому поясу.

8.6.3. Полезные ископаемые

Все важнейшие месторождения полезных ископаемых связаны с *мезозойскими гранитами*.

К их числу относятся следующие.

Олово. *Хинганское месторождение*, относящееся к *касситерит-кварцевому типу*. Главным рудным минералом является касситерит. Содержание олова – около 0,7 %, запасы месторождения около 20 тыс. т.

Молибден. Бугдаинское месторождение штокверково-вкрапленных руд со средним содержанием молибдена 0,074 % и запасами около 600 тыс. т (это одно из крупнейших месторождений молибдена в мире). Главным рудным минералом яв-

ляется молибденит. Наряду с этим объектом в этой области расположены также *Джидинское* и *Жирекенское* месторождения молибденовых и вольфрам-молибденовых руд.

Уран. *Стрельцовское* месторождение является одним из ведущих сырьевых источников этого металла в России. Оно относится к *геолого-промышленному типу жильно-штокверковых месторождений в вулканогенных комплексах*. Месторождение приурочено к кальдере диаметром около 20 км, выполненной *позднеюрскими* лавами и туфами (от базальтов до риолитов), которые переслаиваются с песчаниками и конгломератами. Кальдера заложена на гранитном палеозойском основании. Месторождение представлено системой вертикальных жилообразных и штокверковых залежей, прослеженных до глубины 300 м. Руды по составу настурановые (UO_2) и настуран-молибденитовые (UO_2-MoS_2). Среднее содержание урана составляет 0,16 %, достигая в отдельных штокверках 0,6%. Запасы месторождения превышают 60 тыс. т.

Кроме того, в Монголо-Охотской области известны месторождения золота, *бурых углей* (*Буреинский бассейн* в *юрских* и *меловых* отложениях), горячие минеральные источники, на базе которых работает курорт *Дарасун*.

9. ТИХООКЕАНСКИЙ ПОЯС

9.1. Общая характеристика

Тихоокеанский складчатый пояс является самым протяженным и самым молодым на Земле. Он обрамляет с запада и востока акватории Тихого океана. Его длина по меридиану составляет около 40 тыс. км. Начало формирования этого пояса относится к мезозою.

В состав Тихоокеанского пояса входят следующие структуры.

В западном полушарии – это Северо-Американские Кордильеры и прилегающие к ним Северо- и Центрально-Американский глубоководные желоба, Южно-Американские Анды и прилегающий к ним глубоководный Перуанско-Чилийский желоб.

В восточном полушарии – это структуры Северо-Востока и Востока Азии, прилегающие к ним Берингово, Охотское, Японское и Филиппинское внутренние моря, Алеутская, Командорская, Японская, Курильская, Филиппинская островные вулканические дуги с прилегающими Алеутским, Курило-Камчатским, Филиппинским и др. глубоководными желобами, а также системы островов Океании в центральной части Тихого океана.

На территории России к структурам Тихоокеанского пояса относятся горно-складчатые сооружения ее Северо-Востока и Востока с прилегающими островными дугами, глубоководными желобами и внутренними морями.

Географически это хребты Верхоянский, Сетте-Дабан, Черского с абсолютными отметками до 3,2 км, бассейны рек Яна, Индигирка, Колыма (северо-восток Сибири); Корякское нагорье, Чукотское нагорье, хребет Сихотэ-Алинь с абсолютными отметками до 2,2 тыс. м, бассейн нижнего течения р. Амур (Дальний Восток), п-ов Камчатка, о-в Сахалин, Курильские и Командорские острова, акватории Берингова, Охотского и Японского морей.

Западным ограничением Тихоокеанского пояса на территории России являются Сибирская платформа и структуры Урало-Монгольского пояса.

В составе Тихоокеанского пояса выделяются мезозойские, кайнозойские складчатые области и современная геосинклиналь.

Основными особенностями российской части Тихоокеанского пояса являются следующие.

1. Омоложение возраста складчатых систем в направлении с запада на восток, т. е. от континента в сторону океана (Так, самыми западными являются *мезозойские* складчатые области (Верхоянско-Чукотская, Тайгоносско-Корякская и Сихотэ-Алинская), восточнее расположены *кайнозойские* складчатые области (Олюторско-Камчатская и Хоккайдо-Сахалинская), еще восточнее располагается *современная* геосинклиналь (включающая Курильскую островную дугу и прилегающий к ней с востока Курильско-Камчатский глубоководный желоб).

2. Заложение мезозойских структур пояса на континентальной коре, представленной восточным краем Сибирской платформы и стабилизированными структурами Урало-Монгольского пояса.

3. Как следствие этого, в пределах мезозойских структур пояса преимущественно развит магматизм сиалического типа.

4. Преимущественный сиалический магматизм обеспечивает основные металлогенические особенности, определяемые формированием месторождений цветных (олово, сурьма, ртуть) и благородных металлов (золото, серебро), связанных с кислым магматизмом.

5. Развитие Охотско-Чукотского вулкано-интрузивного пояса.

6. Наличие современной геосинклинали.

7. Наличие современных действующих вулканов.

8. Высокая современная вулканическая, сейсмическая, тектоническая активность.

Такова общая характеристика Тихоокеанского пояса в пределах территории России.

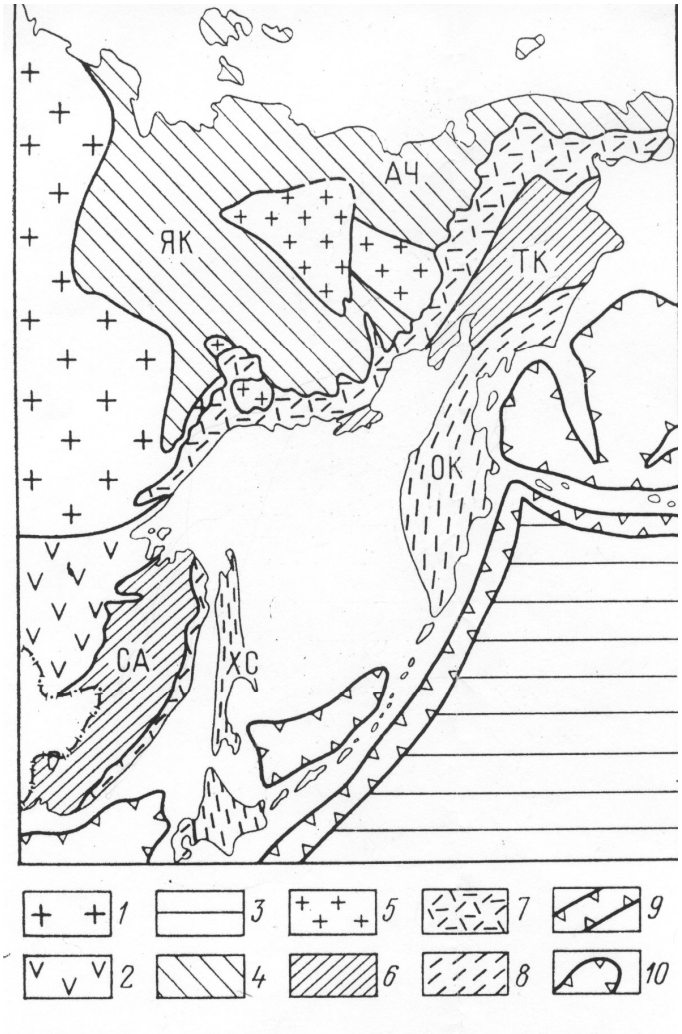

Рис. 8. Схема тектонического районирования Тихоокеанского пояса в пределах территории России, из (В. М. Цейслер. Основы региональной геологии СССР, 1984)

Структуры обрамления: *1* – Сибирская платформа; *2* – Урало-Монгольский пояс; *3* – Тихий океан.
Структуры Тихоокеанского пояса: *4* – Верхоянско-Чукотская область раннемезозойской складчатости (ЯК – Яно-Колымская система, АЧ – Анюйско-Чукотская система); *5* – срединные массивы; *6* – области Позднемезозойской складчатости (ТК – Тайгоносско-Корякская, СА – Сихотэ-Алинская); *7* – Охотско-Чукотский вулканно-интрузивный пояс; *8* – области кайнозойской складчатости (ОК – Олюторско-Камчатская,

ХС – Хоккайдо-Сахалинская);
9 – глубоководные желоба;
10 – глубоководные впадины
окраинных морей

В состав Тихоокеанского пояса на территории России входят: Верхоянско-Чукотская, Тайгоносско-Корякская, Сихотэ-Алинская области мезозойской складчатости, Олюторско-Камчатская и Хоккайдо-Сахалинская области кайнозойской складчатости, Курильская современная геосинклиналь.

Схема тектонического районирования Тихоокеанского пояса на территории России показана на рис. 8.

9.2. Верхоянско-Чукотская область мезозойской складчатости

9.2.1. Общая характеристика

Географически – это хребты Верхоянский, Черского, Сетте-Дабан, горы Чукотки с абсолютными отметками до 3 200 м, бассейны рек Яна, Индигирка, Колыма, Анадырь, Омолон.

На западе и юго-западе Верхоянско-Чукотская область граничит со структурами Сибирской платформы, на востоке – с более молодыми складчатыми областями Тихоокеанского пояса и акваториями прилегающих морей, на севере – продолжается на шельфе Северного Ледовитого океана.

9.2.2. Геологическое строение

В геологическом строении Верхоянско-Чукотской области принимают участие образования, формировавшиеся в диапазоне от архея до кайнозоя включительно. Они образуют несколько структурных этажей и комплексов.

Комплекс основания. Образования, слагающие комплекс основания, представлены в основном в срединных массивах, наиболее крупными из которых являются Колымский и Омолонский. Иногда оба этих массива рассматриваются в качестве единого Колымско-Омолонского массива, вокруг которого развиты более молодые комплексы. Этот срединный массив разделяет Верхоянско-Чукотскую область на Яно-Колымскую (с запада) и Анюйско-Чукотскую (с востока) системы. Различия между этими системами относятся, главным образом, к строению комплекса основания. В Яно-Колымской системе в составе комплекса основания отсутствует позднепалеозойский структурный этаж, а в Анюйско-Чукотской системе этот структурный этаж присутствует.

В строении комплекса основания выделяются четыре структурных этажа, охватывающие общий стратиграфический интервал от архея до перми включительно.

Архейско-раннепротерозойский ($AR\text{-}PR_1$) *структурный этаж* сложен гранат-биотитовыми, гиперстен-биотитовыми, амфиболовыми гнейсами, амфиболитами, пироксен-амфиболовыми, кварц-слюдяными, хлоритовыми кристаллическими сланцами, кварцитами, прорванными телами гранитов и пегматитов. Состав и возраст этих образований сопоставимы с теми, которые слагают фундамент Сибирской платформы.

Позднепротерозойский (PR_2) *структурный этаж* отвечает *рифею* и *венду*. Он представлен почти 10-километровой толщей терригенных и карбонатных пород.

Ранне-среднепалеозойский (PZ_{1-2}) *структурный этаж* включает осадочные и вулканогенные комплексы *кембрия*, *ордовика*, *силура*, *девона* и *раннего карбона*. В одних районах весь этот интервал представлен однородными толщами известняков, доломитов, мергелей, глинистых сланцев, песчаников общей мощностью 10-12 км. В других районах на уровне *ордовика* и *девона* развиты туфы базальтов, чередующиеся с кремнистыми сланцами; в ряде мест *девонские* и *раннекаменноугольные* образования представлены базальтами, спилитами, андезитами, риолитами.

Позднепалеозойский (PZ_3) *структурный этаж*, соответствующий *раннему-среднему карбону* и *перми*, сложен конгломератами, песчаниками, гравелитами, прорванными интрузивными породами этого же возраста, дифференцированными от габбро до плагиогранитов.

Геосинклинальный комплекс. Это почти 15-километровый комплекс пород, именуемый «верхоянским». Начало его формирования относится к среднему карбону, а завершение к средней юре.

Каменноугольно-ранне-среднепермская ($C\text{-}P_{1-2}$) часть разреза этого комплекса сложена переслаивающимися песчаниками, алевролитами; *позднепермская* (P_3) часть разреза – это гравелиты, конгломераты с небольшим количеством риодацитов и дацитов; в составе *триаса* (Т) преобладают аргиллиты и глинистые сланцы, в *ранне-среднеюрской* (J_{1-2}) части – песчаники. Преимущественно терригенный разрез геосинклинального комплекса и крайне ограниченное развитие в нем вулканических пород позволяют рассматривать его в качестве терригенной геосинклинали.

На срединных массивах синхронно с геосинклинальным комплексом формировался терригенно-карбонатный чехол.

Орогенный комплекс представлен *позднеюрско-раннемеловой* ($J_3\text{-}K_1$) молассой, местами угленосной, мощностью 5-6 км. Накопление молассы сопровождалось синхронным гранитоидным магматизмом. Наиболее ранние фазы этого магматизма образованы диоритами и гранодиоритами, поздние фазы – лейкократовыми гранитами и гранит-порфирами.

Посторогенный комплекс. Основным элементом строения этого комплекса является *мел-палеогеновый* Охотско-Чукотский вулкано-интрузивный пояс (ОЧВИП). Этот пояс представляет собой крупный ареал наземных вулканических и сопряженных с ними интрузивных пород, протягивающийся вдоль побережья морей Тихого океана не менее 3 тыс. км при ширине 100-300 км.

Вулканические и интрузивные формации, слагающие ОЧВИП, образуют три структурных этажа.

Нижний структурный этаж (*ранний-поздний мел* K_{1-2}) сложен андезитовой формацией, представленной лавами и туфами андезитов и андезибазальтов, замещающимися по простиранию туфопесчаниками, вулканомиктовыми песчаниками. Интрузивные породы, ассоциирующие с вулканитами, представлены гипабиссальными и субвулканическими порфировидными диоритами и гранодиоритами.

Средний структурный этаж (*поздний мел* K_2) сложен риолитовыми и дацитовыми формациями, в составе которых важная роль принадлежит спекшимся туфам и игнимбритам. Интрузивные породы этого этажа – гиповулканические гранит-порфиры и лейкократовые граниты.

Верхний структурный этаж (*палеоген* Р) сложен породами базальтовой формации в ассоциации с гипабиссальными габброидами.

Одновозрастные вулканические, субвулканические и гипабиссальные породы тесно пространственно и генетически взаимосвязаны, они образуют постепенные переходы, и при проведении полевых работ не всегда удается установить их границы. Такие магматические комплексы называются вулкано-плутоническими или вулкано-интрузивными ассоциациями.

Вулканические образования ОЧВИП обладают пологим залеганием, они формируют вулкано-тектонические структуры типа куполов, кальдер или иных вулкано-тектонических депрессий кольцевого строения диаметром до 30-60 км.

Платформенный комплекс образован *позднепалеогеновыми* (P_3), *неогеновыми* (N) и *четвертичными* (Q) континентальными песчано-галечными и глинистыми отложениями, иногда с прослоями бурых углей, и покровами базальтов и андезитов. Мощность этого комплекса не превышает 1 км.

Верхоянско-Чукотская область – это территория высокой современной тектонической и сейсмической активности.

9.2.3. Полезные ископаемые

Все важнейшие в промышленном отношении месторождения полезных ископаемых связаны с орогенным и посторогенным магматизмом. К их числу относятся месторождения меди и молибдена, золота и серебра, олова, сурьмы, ртути.

Цветные металлы. *Медь*. К малоглубинным гранитоидам *раннего мела* ОЧВИП приурочено крупное *молибден-меднопорфировое месторождение Песчанка*. Главными рудными минералами являются халькопирит и молибденит. Средние содержания меди составляют 0,70 %, молибдена – 0,018 %.

Олово. Наиболее известным является *Депутатское месторождение*, относящееся к *касситерит-силикатной формации*. Вмещающими являются песчано-сланцевые отложения *средней юры* на контакте с *меловыми* гранитами. Рудные залежи приурочены к минерализованным зонам дробления, штокверковым зонам, кварц-сульфидным с флюоритом, кварц-турмалино-вым, кварц-карбонатным жилам. Главным рудным минералом является касситерит. Содержание олова составляет 0,3-2,5 %. Запасы около 200 тыс.т. В расположенных вблизи коренных месторождений россыпях содержание касситерита составляет 600-1 400 г/м^3.

Сурьма. Наиболее известным является *месторождение Сарылах*, представленное *кварц-антимонитовыми жилами*, выполняющими зоны дробления в осадочных породах *триаса*. Содержание сурьмы колеблется в пределах 4-5 – 62 %, в рудах присутствует золото.

Ртуть. *Месторождение Пламенное* приурочено к зонам разломов, контролируемых субвулканическими дайками андезитов и диорит-порфиров *позднего мела*, прорывающих покровы риолитов. Главным рудным минералом является киноварь, присутствует также антимонит. Содержание ртути составляет 1,35 %.

Благородные металлы. *Золото, серебро*. С вулкано-интрузивными ассоциациями ОЧВИП связаны *золото-серебряные месторождения* (*Дукат*, *Карамкен*, *Кубака*, *Майское* и др.). Месторождения представлены жилами, жильными зонами, штокверками золотых, золото-серебряных и золото-теллуридных руд. Главными рудными минералами являются самородное золото, золотоносные сульфиды, аргентит. Месторождения характеризуются высокими содержаниями золота, достигающими 10-20 г/т, и серебра – до 1 кг/т, а также крупными запасами этих метал-

лов. Эти объекты относятся к геолого-промышленному типу золото-серебряных месторождений вулкано-плутонических поясов и зон активизации.

С коренными месторождениями ассоциируют *плиоцен-четвертичные золотые россыпи*.

9.3. Тайгоносско-Корякская область мезозойской складчатости

9.3.1. Общая характеристика

Географически это Корякское нагорье, бассейн р. Анадырь.

С северо-запада граничит с Верхоянско-Чукотской областью, на северо-востоке – погружается под воды Анадырского залива Охотского моря, на юго-востоке – граничит со структурами Камчатки, на юго-западе погружается под воды Охотского моря.

9.3.2. Геологическое строение

Тайгоносско-Корякская область изучена слабее других структур Тихоокеанского пояса. В ее строении принимают участие архейские, протерозойские, палеозойские и кайнозойские образования, слагающие серию структурно-формационных комплексов.

Комплекс основания. Его общий стратиграфический диапазон отвечает архею – раннему-среднему палеозою.

Архейско-раннепротерозойские (AR-PR_1) образования представлены гнейсами, кристаллическими сланцами, амфиболитами.

Позднепротерозойские (PR_2) отложения – это кварциты, филлитовидные сланцы, доломиты мощностью до 1 000 м.

Ранне-среднепалеозойские (PZ_{1-2}) образования многообразны. В одних структурах области они представлены кристаллическими сланцами, мраморами, кварцитами, ассоциирующими с вулканитами кислого состава; в других структурах – это типичные геосинклинальные формации с участием офиолитов. Мощность этих образований оценивается в 2-3 км.

Геосинклинальный комплекс имеет общий стратиграфический диапазон от среднего карбона до мела включительно и мощность 3-4 км. В его составе выделены три структурных этажа.

Среднекаменноугольно-пермский (C_{2-3}-P) *структурный этаж* представлен почти 3-километровой толщей песчаников, алевролитов, глинистых сланцев, местами чередующихся с зеленокаменноизмененными базальтами.

Триас-среднеюрский (T-J_{1-2}) *структурный этаж* – это песчаники, алевролиты, глинистые сланцы, чередующиеся с покровами андезитовых лав и их туфов.

Позднеюрско-меловой (J_3-K) *структурный этаж* образован базальтами, спилитами, кремнистыми сланцами, алевролитами, песчаниками. На этом же уровне располагаются многочисленные небольшие тела ультраосновных пород, габбро, а также редкие массивы гранодиоритов и гранитов.

Орогенный комплекс, охватывающий диапазон поздний мел-ранний неоген и имеющий общую мощность до 4 км, состоит из двух структурных этажей.

Позднемеловой (K_2) *структурный этаж* сложен молассовыми отложениями, иногда угленосными, а также вулканическими породами кислого состава.

Палеоген-ранненеогеновый (Р-N_1) *структурный этаж* представлен туфами андезитов, дацитов, риолитов, замещающихся континентальными и прибрежно-морскими терригенными отложениями.

К интрузивным породам орогенного комплекса относятся небольшие штокообразные тела щелочных габброидов, гранит-порфиров, диорит-порфиров, имеющих преимущественно *позднемеловой-палеогеновый* ($К_2$--Р) возраст.

Платформенный комплекс имеет *плиоцен-четвертичный* (N_2-Q) возраст. К нему относятся галечники, валунники, пески аллювиального, озерного и ледникового происхождения, а также небольшие потоки базальтовых лав.

Как и все структуры Тихоокеанского пояса, Тайгоносско-Корякская область – это регион высокой современной тектонической и сейсмической активности.

9.3.3. Полезные ископаемые

Основные полезные ископаемые рассматриваемой области связаны преимущественно с орогенным комплексом. К ним относятся небольшие месторождения бурых углей в составе орогенной молассы, а также многочисленные, но плохо изученные рудопроявления и мелкие месторождения золота, олова, ртути, сурьмы. С ультраосновными породами геосинклинального комплекса связаны мелкие хромитовые объекты.

9.4. Сихотэ-Алинская область мезозойской складчатости

9.4.1. Общая характеристика

Географически – это хребет Сихотэ-Алинь с абсолютными отметками до 2 100 м, бассейн нижнего (меридионального) течения р. Амур. Западная граница с Монголо-Охотскими герцинидами является одновременно западной границей Тихоокеанского пояса. Восточная граница проводится по глубинному разлому, проходящему по дну татарского пролива и отделяющему Сихотэ-Алинскуй область от кайнозойских структур о-ва Сахалин. Приамурский глубинный разлом северо-северовосточного простирания разделяет Сихотэ-Алинскую область на две части: юго-восточную (внутреннюю) – эвгеосинклинальную и северо-западную (внешнюю) – терригенно-еосинклинальную.

Общая характеристика
9.4.2. Геологическое строение

В геологическом строении Сихотэ-Алинской области принимают участие архейско-раннепротерозойские, позднепротерозойские, палеозойские, мезозойские и кайнозойские образования, которые формируют ряд структурно-формационных комплексов.

Комплекс основания. Этот комплекс, общей мощностью до 18 км, имеет общий возрастной интервал от архея-раннего протерозоя до ордовика включительно. В его строении выделены три структурных этажа. Наиболее изучен этот комплекс в пределах Ханкайского срединного массива.

Архейско-раннепротерозойский (AR-PR_1) *структурный этаж* образован разнообразными гнейсами, кристаллическими сланцами, амфиболитами, мраморами.

Позднепротерозойско-раннекембрийский (PR_2-V-$Є_1$) *структурный этаж* представлен хлоритовыми, слюдистыми сланцами, кварцитами, доломитизированными известняками и доломитами.

Кембро-ордовикский (Є-О) *структурный этаж* – это конгломераты, гравелиты, глинистые сланцы, лавы и туфы андезитов.

Геосинклинальный комплекс по возрасту отвечает *раннему карбону – раннему мелу* (C_1-K_1). Характер формаций этого комплекса различен в разных зонах. Во внутренней зоне – это типичные эвгеосинклинальные (кремнисто-базальтовая, яшмовая, дунит-гарцбургитовая, габбровая) формации, свидетельствующие о развитии этой зоны на коре океанического типа. Стратифицированные формации этой зоны мощностью до 18 км именуются «сихотэ-алинским комплексом». Во внешней зоне – это амагматичные терригенно-флишоидные, кремнисто-терригенные, карбонатные формации, накопление которых происходило в условиях слабодеструктированной континентальной коры.

Орогенный комплекс включает молассовые отложения и магматические образования верхнего мела, палеогена и раннего неогена. В строении этого комплекса выделены два структурных этажа.

Позднемеловой (K_2) *структурный этаж* образован двукратно повторяющимися наземными дацит-андезитовой и дацит-риолитовой формациями. Каждый такой цикл вулканизма начинается излияниями андезитов и дацитов и извержениями их туфов и завершается дацитами, риодацитами, риолитами, игнимбритами. Одновременно с вулканитами формировались комагматичные им габброиды и гранитоиды.

Палеоген-ранненеогеновый (~~P~~-N_1) *структурный этаж* также сложен наземными вулканическими образованиями риолит-базальтовой формации, сопровождающими их интрузиями габбро, сиенитов, сиенодиоритов, гранодиоритов, гранитов. Обязательным элементом орогенного комплекса являются грубообломочные молассовые накопления, в том числе угленосные.

Мощность пород орогенного комплекса достигает 2 км

Посторогенный (квазиплатформенный) комплекс *плиоцен-четвер-тичного* (N_2-Q) возраста представлен галечниками, песками аллювиального, озерного, пролювиального генезиса мощностью до 100 м, а также потоками оливиновых и пироксеновых платобазальтов мощностью до 400 м.

9.4.3. Полезные ископаемые

Наиболее важные в промышленном отношении месторождения полезных ископаемых Сихотэ-Алинской области связаны с орогенным комплексом.

Твердое топливо

Уголь. Месторождения каменного угля расположены в *Партизанском каменноугольном бассейне*, приуроченном к *меловой* угленосной формации. Запасы углей в этом бассейне составляют 413 млн т.

Цветные металлы представлены месторождениями свинца, цинка и олова.

Наиболее значимыми являются *скарновые свинцово-цинковые месторождения Дальнегорского рудного района* (самым крупным является *месторождение Николаевское*). Эти месторождения образованы на контакте *меловых* гранитов с известняками *триаса*. Скарны, как правило, существенно геденбергитовые с боратами. Главными рудными минералами являются галенит, сфалерит, халькопирит. За-

пасы свинца на этом месторождении составляют 600 тыс. т при его среднем содержании около 3 %, запасы цинка – около 675 тыс. т и содержанием около 3,7 %.

Месторождения олова (*Перевальное, Зимнее, Фестивальное, Тигриное* и др.), представленные в *Кавалеровском районе*, относятся к *кварц-кассите-ритовой* и *кварц-сульфидно-касситеритовой рудным формациям*. Содержание олова на этих месторождениях не превышает 1 %, а запасы колеблются от первых тыс. т до 185 тыс. т (*Тигриное*). Месторождения приурочены к *позднемеловым* гранитоидам, прорывающим вулканогенно-осадочные образования *юрского* возраста. Рудными являются жильные кварц-турмалиновые зоны и метасоматиты.

Наряду с коренными месторождениями развиты *плиоцен-четвертичные оловоносные россыпи* с содержанием касситерита в них до 1,2-1,5 кг/м^3.

Борные руды. В геологической позиции Николаевского свинцово-цинкового месторождения находится *Дальнегорское месторождение борато*в (преимущественно датолитовых руд) скарнового типа. В нем сосредоточено 99,3 % запасов российских боратов, составляющих 30,3 млн т B_2O_3 при его содержании в руде 9,6 %.

9.5. Олюторско-Камчатская область кайнозойской складчатости

9.5.1. Общая характеристика

Географически это Камчатский п-ов и южная часть Корякского нагорья с абсолютными отметками до 2 600 м. Основной орографической единицей Камчатки является Срединный хребет с абсолютными отметками до 4 850 м. На северо-западе Олюторско-Камчатская область сочленяется с мезозоидами Тайгоносско-Корякской области. Главный Камчатский глубинный разлом, параллельный Срединному хребту, разделяет Олюторско-Камчатскую область на две зоны: внутреннюю (эвгеосинклинальную), обращенную в сторону Тихого океана и внешнюю (терригенно-геосинклинальную), обращенную в сторону Охотского моря.

9.5.2. Геологическое строение

В строении Олюторско-Камчатской области принимают участие геологические образования архейско-протерозойского, палеозойского, мезозойского и кайнозойского возрастов, слагающие ряд структурно-формационных комплексов.

Комплекс основания изучен недостаточно. Наиболее крупный ареал этих образований (Центрально-Камчатский горст) расположен во внешней зоне. Здесь в составе комплекса основания условно выделяются два структурных этажа.

Архейско-протерозойский (AR-PR) *структурный этаж* образован гнейсами, мигматитами, амфиболитами, различными кристаллическими сланцами.

Палеозойско-мезозойский (PZ-MZ) *структурный этаж* сложен филлитами, песчаниками, метавулканитами разного состава.

Общая мощность толщ комплекса основания составляет около 15 км. Все метаморфические толщи прорваны *палеогеновыми* и *неогеновыми* гранитами.

Геосинклинальный комплекс имеет возрастной диапазон от *позднего мела* до *среднего миоцена* включительно (K_2-~~P~~-N_1^{1-2}).

Во внутренней (эвгеосинклинальной) зоне в составе этого комплекса присутствуют кремнисто-базальтовые, глинисто-алевролитовые, аспидные толщи, туфы, туффиты основного состава, различные вулканомиктовые породы. Общая мощ-

ность этих образований, характеризующихся резкой фациальной изменчивостью по латерали и вертикали, оценивается не менее, чем в 10 км. В составе этого комплекса присутствуют тела ультраосновных пород дунит-гарцбургитового ряда и габброиды.

Во внешней (терригенно-геосинклинальной) зоне геосинклинальный комплекс образован почти 10-километровой толщей переслаивающихся песчаников, алевролитов, аргиллитов, среди которых редко присутствуют отдельные потоки и покровы базальтов. Интрузивные породы представлены *позднемеловыми* и *палеогеновыми* габброидами, гранодиоритами, гранитами.

Орогенный комплекс имеет *позднемиоцен-плиоцен-четвертичный* (N_1^3-N_2-Q) возраст. К этому комплексу относятся терригенные морские и прибрежно-континентальные молассовые (или молассоподобные) отложения, а также вулканические породы. Среди терригенных отложений следует отметить конгломераты, песчаники, аргиллиты, содержащие примесь пирокластического материала; континентальные толщи иногда являются угленосными. Вулканиты представлены лавами и туфами андезибазальтов, андезитов, дацитов, широко развиты спекшиеся туфы и игнимбриты, шлаки, пемзы. Они являются продуктами трещинных излияний и наземных извержений центрального типа. Общая мощность пород орогенного комплекса составляет около 5 км. В составе орогенного комплекса находятся также экструзивно-гипабиссальные тела гранитоидов.

Следует отметить, что по ряду геологических признаков и петрогеохимических показателей вулканические породы орогенного комплекса имеют много общих черт с позднегеосинклинальными (позднеостроводужными) вулканитами.

Олюторско-Камчатская область – это регион высокой современной тектонической, сейсмической и вулканической активности.

На Камчатке известно 160 вулканов, из которых 28 является действующими в настоящее время. Крупнейшими вулканами Камчатки являются: Ключевская сопка высотой 4 850 м, Камень высотой 4 617 м, Плоский высотой 4 030 м, Толбачик высотой 3 682 м, Кроноцкий высотой 3 528 м, Шевелуч высотой 3 335 м, Авачинская сопка высотой 2 738 м, Мутновский высотой 2 046 м. На этих и других вулканах происходит интенсивная парогидротермальная деятельность с функционированием гейзеров, сифонов, современным сульфидным, опалитовым и серным рудообразованием.

Вулканы Камчатки – это природная лаборатория для изучения вулканизма и связанных с ним гидротермальных процессов и гидротермального рудообразования.

Орогенные процессы на Камчатке продолжаются и в настоящее время, поэтому комплексы платформенного типа здесь отсутствуют.

9.5.3. Полезные ископаемые

Наиболее значимые месторождения и проявления полезных ископаемых связаны с образованиями орогенного комплекса и современной гидротермальной активностью.

К ним, в первую очередь, относятся мелкие *месторождения бурых углей*, *ртути* (*Олюторское*), *золота* (*Агинское*), *самородной серы*, имеются небольшие *современные россыпи металлов платиновой группы*. Важное промышленное значение имеют горячие подземные воды и парогазовые источники, связанные с со-

временной вулканической деятельностью. На основе использования парогазовых источников Паужетской геотермальной системы на Камчатке работает одноименная электростанция.

9.6. Хоккайдо-Сахалинская область кайнозойской складчатости

9.6.1. Общая характеристика

Географически – это остров Сахалин (Россия) и остров Хоккайдо (самый северный остров Японского архипелага). Остров Сахалин отделен от континента Татарским проливом, по которому проходит глубинный разлом, разделяющий кайнозойскую складчатую область от мезозоид Сихотэ-Алиня.

9.6.2. Геологическое строение

В геологическом строении Сахалина принимают участие палеозойские, мезозойские и кайнозойские образования. Допалеозойские комплексы на территории острова достоверно не установлены.

Комплекс основания образован *ранне-среднепалеозойскими* (PZ_{1-2}) графитистыми и слюдистыми сланцами, филлитами, кварцитами, аповулканогенными зелеными сланцами мощностью не менее 3 км.

Геосинклинальный комплекс. Главным Сахалинским глубинным разломом этот комплекс разделен на две зоны: восточную (внутреннюю) – эвгеосинклинальную и западную (внешнюю) – терригенно-геосинклинальную.

Во внутренней эвгеосинклинальной зоне в составе этого комплекса выделено три структурных этажа.

Позднепалеозойский (PZ_3) *структурный этаж* мощностью около 1 км образован спилитами, андезитами, риодацитами, их туфами, кремнистыми породами.

Триас-раннемеловой ($T\text{-}K_1$) *структурный этаж* мощностью около 4 км также представлен спилитами, базальтами, яшмами, кремнистыми сланцами.

Позднемеловой-палеогеновый ($K_2\text{-}~~P~~$) *структурный этаж* мощностью около 10 км представлен лавами основного и среднего состава, ассоциирующими с кремнистыми породами, яшмоидами, туфопесчаниками.

С вулканитами ассоциируют ультраосновные породы, габбро, а также небольшие массивы гранитоидов.

Во внешней терригенно-геосинклинальной зоне геосинклинальный комплекс представлен *мел-неогеновыми* алевролитами, аргиллитами, песчаниками, содержащими примесь пирокластического материала, небольшими покровами базальтов и андезитов. Мощность этого комплекса достигает 15 км.

Орогенный комплекс имеет *неоген-четвертичный* (N-Q) возраст, мощность 3-6 км. Он образован прибрежно-морскими и континентальными песчаниками, алевролитами, глинами, содержащими покровы андезибазальтов и базальтов и их туфов. Местами континентальные отложения неогена по латерали замещаются морскими толщами, имеющими полуплатформенную природу.

Интрузивные образования этого комплекса представлены небольшими малочисленными телами субщелочных габброидов, сиенитов, монцонитов.

Сахалин – это область высокой современной тектонической и сейсмической активности. Так, в результате прошедшего в 2007 г. землетрясения был разрушен г.

Невельск, произошло поднятие морского дна, в связи, с чем площадь суши Сахалина увеличилась на 4,5 кв. км.

9.6.3. Полезные ископаемые

Важнейшими полезными ископаемыми Сахалина являются углеводородное сырье и уголь.

Углеводородное сырье.

На Сахалине разведано 41 месторождение *нефти* и 50 *газовых* и *газоконденсатных* месторождений. Они приурочены к *неогеновым* песчано-глинистым отложениям и располагаются как на суше острова, так и шельфе Охотского моря. Глубина залегания продуктивных отложений колеблется в пределах 1,3-4,6 км. Сахалин рассматривается в качестве части более крупной Охотской нефтегазоносной провинции.

Твердое топливо

Уголь. Общие запасы углей Сахалина составляют 1,8 млрд.т, из которых на долю бурых углей приходится 1 млрд.т, на долю каменных – 0,8 млрд т. Угли приурочены к *мел-палеогеновым* и *неогеновым* терригенным отложениям.

Из других полезных ископаемых известны проявления хромитов, хризотил-асбеста, талька, а также сурьмы и ртути.

9.7. Курильская современная геосинклинальная система

9.7.1. Общая характеристика

Основными структурными элементами Курильской системы являются современные геосинклинальные прогибы, выраженные в виде Курильско-Камчатского глубоководного желоба и Южно-Охотской впадины, и геоантиклинальное поднятие Курильского архипелага и Юго-Восточной Камчатки.

9.7.2. Геологическое строение

В геологическом строении Курильской системы преобладают вулканогенные и осадочные образования преимущественно неогенового и четвертичного возрастов, слагающие островную гряду и частично заполняющие смежные прогибы. Эти образования соответствуют геосинклинальному комплексу, причем, вероятнее всего, его верхней части, т. е. раннеостроводужным образованиям. Более древние части этого комплекса не вскрыты.

Комплекс основания достоверно не установлен. Условно к нему относятся терригенные и кремнистые породы, роговики, кварциты, гранитоиды, ультраосновные породы, гранито-гнейсы, имеющие *допозднемеловой* возраст. Они установлены как при глубоководном драгировании, так и обнаружены в качестве резургентных (т. е. чужеродных) включений в неоген-четвертичных лавах, так и в вулканических туфовых выбросах.

Геосинклинальный комплекс имеет общий возрастной диапазон от *позднего мела* до *четвертичного времени* (K_2-~~P~~-N-Q) включительно и общую мощность не менее 4 км.

На островах этот комплекс представлен лавами и туфами базальтов, андезибазальтов, реже дацитов и андезитов, которые слагают вулканические гряды. На их склонах и прилегающих акваториях распространены песчаники, алевролиты, аргиллиты, вулканомиктовые породы, диатомиты. Среди интрузивных пород отмечаются габбро, субвулканические тела щелочных базальтоидов, диориты и гранитоиды.

К востоку от Курильской островной дуги расположен глубоководный Курило-Камчатский желоб. Он имеет протяженность 2 200 км, глубину 9- 10 км и ширину около 100 км (по изобате 6 км). В днище желоба залегают легко взмучиваемые современные желтые илы, на стенках – глины, алевриты, диатомиты, которые в целом подстилаются базальтами.

Курильская область в настоящее время находится на геосинклинальном этапе развития, поэтому более молодые – орогенные, а тем более платформенные, комплексы здесь не формируются.

Курилы – это регион высокой современной вулканической и сейсмической активности. Землетрясения интенсивностью 2-3 балла происходят практически ежедневно, нередкими являются землетрясения до 9-10 баллов. Причем эти землетрясения являются глубокофокусными, их очаги располагаются на глубинах до 500-600 км, в пределах так называемой зоны Беньофа-Заварицкого. Эта зона представляет собой наклоненную под континент разломную структуру, по которой происходит поддвигание океанической коры под континентальную. В ходе этого процесса Курилы приближаются к о-ву Сахалин со скоростью 18 мм в год.

На каждом острове расположено несколько вулканов, все они центрального типа. Одним из наиболее известных является вулкан Эбеко высотой 1 156 м, на о-ве Парамушир. Возраст этого вулкана 2 400 лет. Он извергает лавы и туфы андезибазальтового и андезитового состава, происходят излияния самородной серы. Последнее извержение этого вулкана происходило в 2007 г.

9.7.3. Полезные ископаемые

Наиболее значимым является *месторождение самородной серы Новое* на о-ве Итуруп.

Кроме того, распространены *пляжные ильменит-титаномагнетитовые россыпи*, в которых содержится (в пересчете) TiO_2 – 47-58 кг/м^3 и V_2O_5 – 1,8-1,9 кг/м^3.

Вулканы продуцируют *термальные воды, в том числе ренийсодержащие*.

На Курилах происходят современные гидротермальные и рудообразующие процессы (в том числе, сульфидообразование), изучение которых является важным для выяснения условия и обстановок образования древних месторождений.

ЗАКЛЮЧЕНИЕ

В изложенном материале приведены основные сведения, касающиеся многообразия особенностей геологического строения территории Российской Федерации и размещения месторождений полезных ископаемых.

Наряду с этим многообразием существует и своеобразный консерватизм в геологическом строении и развитии отдельных регионов, в первую очередь складчатых областей. Этот консерватизм геологического строения обусловливает и консерватизм рудообразования.

Следует отчетливо понимать, что невозможно отделять месторождение от геологического строения; рудообразование – это функция геологического строения и геологического развития территории. Это обстоятельство должно быть четко усвоено и использовано студентом и в будущем специалистом-геологом.

Именно для этого и читается настоящий курс.

СПИСОК ИСПОЛЬЗОВАННОЙ И РЕКОМЕНДУЕМОЙ ЛИТЕРАТУРЫ

Верниковский В. А., Матушкин Н. Ю., Метелкин Д. В. Региональная геология России (краткий курс лекций) / Новосибирский государственый университет. – Новосибирск, 2010.

Горная энциклопедия. В 5 томах. – М.: Советская энциклопедия, 1984, 1986, 1987, 1989, 1991.

Инструкция по составлению и подготовке к изданию листов Государственной геологической карты Российской Федерации масштаба 1:200 000. – М.: Роскомнедра, 1995.

Кирюхин В. А., Толстихин Н. И. Региональная гидрогеология. – М.: Недра, 1987.

Контарь Е. С., Либарова Л. Е. Металлогения меди, цинка, свинца на Урале. – Екатеринбург: Уралгеолком, 1997.

Короновский Н. В. Геология России и сопредельных территорий: учебник для студентов учреждений высшего проф. образования. – М.: Издательский центр «Академия», 2011.

Металлогенический кодекс России. – М.: Геокарт-Геос, 2012.

Методическое руководство по составлению и подготовке к изданию листов Государственной геологической карты Российской Федерации масштаба 1:200 000 (второе издание). – СПб, 2010.

Методическое руководство по составлению и подготовке к изданию листов Государственной геологической карты Российской Федерации масштаба 1:1 000 000 (третьего поколения). – СПб, 2010.

Петрографический кодекс России. – СПб, 2008.

Стратиграфический кодекс России. – СПб, 2006.

Тектонический кодекс России. – М.: Геокарт-Геос, 2016.

Цейслер В. М. и др. Основы региональной геологии СССР. – М.: Недра, 1984.

ПРИЛОЖЕНИЯ

Приложение 1

Общая стратиграфическая (геохронологическая) шкала фанерозоя (по данным Стратиграфического кодекса России, 2006; Постановления Межведомственного стратиграфического комитета, 2016)

Эратема (эра)	Система (период), подсистема и их нижние возрастные рубежи, млн лет	Отдел (эпоха) и его (ее) нижние возрастные рубежи, млн лет	Подотдел	Ярус (век)
Кайнозойская KZ	**Четвертичная Q (Четвертичный)**	Голоцен Q_2 (Голоценовый)		
	2,58	Плейстоцен Q_1 (Плейстоценовый)		
	Неогеновая N (Неогеновый)	Плиоцен N_2 (Плиоценовый) **5,3**	Верхний N_2^2	
			Нижний N_2^1	
		Миоцен N_1 (Миоценовый)	Верхний N_1^3	
			Средний N_1^2	
	23,03	**23,03**	Нижний N_1^1	
	Палеогеновая Ꝑ (Палеогеновый)	Олигоцен $Ꝑ_3$ (Олигоценовый)	Верхний $Ꝑ_3^2$	
		38,0	Нижний $Ꝑ_3^1$	
		Эоцен $Ꝑ_2$ (Эоценовый)	Верхний $Ꝑ_2^3$	
			Средний $Ꝑ_2^2$	
		56,0	Нижний $Ꝑ_2^1$	
		Палеоцен $Ꝑ_1$ (Палеоценовый)	Верхний $Ꝑ_1^3$	
			Средний $Ꝑ_1^2$	
	66,0	**66,0**	Нижний $Ꝑ_1^1$	
Мезозойская MZ	**Меловая K (Меловой)**		Верхний K_2	Маастрихтский K_2m
				Кампанский K_2km
				Сантонский K_2st
				Коньякский K_2k
				Туронский K_2t
				Сеноманский K_2s
			100,5	Альбский K_1al
	145,0		Нижний K_1	Аптский K_1a

			Барремский K_1br
			Готеривский K_1g
		145,0	Валанжинский K_1v
			Берриасский K_1b
	Юрская J (Юрский)	Верхний J_3 (мальм)	Титонский J_3tt
			Кимериджский J_3km
	201,3±0,2	**163,5±1**	Оксфордский J_3o

Продолжение приложения 1

Эрате-ма (эра)	Система (период), подсистема и их нижние возрас-тные рубежи, млн лет	Отдел (эпоха) и его (ее) нижние возрастные рубе-жи, млн лет	Подотдел	Ярус (век)
Мезозойская MZ	**Юрская J (Юрский)**		Средний J_2 (доггер)	Келловейский J_2k
				Батский J_2bt
				Байосский J_2b
			174,1±1	Ааленский J_2a
			Нижний J_1 (лейас)	Тоарский J_1t
				Плинсбахский J_1p
				Синемюрский J_1s
	201,3±0,2		**201,3±0,2**	Геттангский J_1g
	Триасовая T (Триасовый)		Верхний T_3 **237,0**	Рэтский T_3r
				Норийский T_3n
				Карнийский T_3k
			Средний T_2 **247,2**	Ладинский T_2l
				Анизийский T_2a
			Нижний T_1	Оленекский T_1o
	252,2		**252,2**	Индский T_1i
Палеозойская PZ	**Пермская P (Пермский)**		Верхний P_3 (татарский) **265,1±0,4**	Вятский P_3v
				Северодвинский P_3s
			Средний P_2 (биармийский) **270,6**	Уржумский P_2ur
				Казанский P_2kz
			Нижний P_1 (приураль-ский)	Уфимский P_1u
				Кунгурский P_1k
				Артинский P_1ar
	298,9±0,15			Сакмарский P_1s
			298,9±0,15	Ассельский P_1a
			Верхний C_3	Гжельский C_3g

	Каменноугольная (карбон) С (Каменноугольный) **358,9±0,4**			**307,0**	Касимовский C_3k
				Средний C_2 **323,2±0,4**	Московский C_2m
					Башкирский C_2b
				Нижний C_1	Серпуховский C_1s
					Визейский C_1v
				358,9±0,4	Турнейский C_1t
	Девонская D (Девонский) **419,2±3,2**			Верхний D_3 **382,7±1,6**	Фаменский D_3fm
					Франский D_3f
				Средний D_2 **393,3±1,2**	Живетский $D_2žv$
					Эйфельский D_2ef
				Нижний D_1	Эмский D_1e
					Пражский D_1p
				419,2±3,2	Лохковский D_1l
	Силурийская S (Силурийский)	**Верхний S_2 427,4±0,5**	Пржидольский S_2^2		
			Лудловский S_2^1		Лудфордский
					Горстийский
		Нижний S_1 443,4±1,5	Венлокский S_1^2		Гомерский
					Шейнвудский
			Лландоверийский S_1^1 **443,4±1,5**		Теличский
					Гомерский
					Шейнвудский

Окончание приложения 1

Эратема (эра)	Система (период), подсистема и их нижние возрастные рубежи, млн лет	Отдел (эпоха) и его (ее) нижние возрастные рубежи, млн лет	Подотдел	Ярус (век)
	Ордовикская О (Ордовикский) **485,4±1,9**		Верхний O_3 **458,4±0,9**	Хирнантский
				Катийский
				Сандбийский
			Средний O_2 **470,0±1,4**	Дарривильский
				Дапинский
			Нижний O_1 **485,4±1,9**	Флоский
				Тремадокский
	Кембрийская С (Кембрийский) **535±1**		Верхний C_3 **497,0**	Батырбайский
				Аксайский
				Сакский
			Средний C_2 **509,0**	Аюсокканский
				Майский
				Амгинский
			Нижний C_1 **535±1**	Тойонский
				Ботомский
				Атдабанский
				Томмотский

Примечания: 1. При недостаточных данных для поярусного расчленения кампанский, сантонский и коньякский ярусы K_2 объединяются под общим названием сенонский ярус (сенон). 2. При недостаточных данных для поярусного расчленения барремский, готеривский, валанжинский и берриасский ярусы K_1 объединяются под общим неокомский ярус (неоком).

Приложение 2

Общая стратиграфическая (геохронологическая) шкала докембрия (по данным Стратиграфического кодекса России, 2006; Постановления Межведомственного стратиграфического комитета, 2016)

<table>
<tr><th>Акротема</th><th colspan="2">Эонотема и ее нижний возрастной рубеж, млн лет</th><th>Эратема и ее нижний возрастной рубеж, млн лет</th><th>Система и ее нижний возрастной рубеж, млн лет</th><th>Отдел и его нижний возрастной рубеж, млн лет</th></tr>
<tr><td rowspan="8">Протерозойская PR</td><td rowspan="4"></td><td rowspan="4"></td><td></td><td rowspan="2">Вендская V

600</td><td>Верхний V_2

570-555</td></tr>
<tr><td></td><td>Нижний V_1

600</td></tr>
<tr><td rowspan="3">Верхнепротерозойская PR_2

1650</td><td rowspan="3">Рифейская RF</td><td>Верхнерифейская RF_3 (Каратавий)

1030</td><td rowspan="6"></td><td rowspan="6"></td></tr>
<tr><td>Среднерифейская RF_2 (Юрматиний)

1350</td></tr>
<tr><td>Нижнерифейская RF_1 (Бурзяний)

1650</td></tr>
<tr><td colspan="2" rowspan="2">Нижнепротерозойская PR_1

2500</td><td>Верхнекарельская KR_2

2100</td></tr>
<tr><td>Нижнекарельская KR_1

2500</td></tr>
<tr><td>Архейская AR</td><td colspan="2">Верхнеархейская AR_2 (Лопийская LP)</td><td>Верхнелопийская LP_3

2800</td><td colspan="2"></td></tr>
<tr><td></td><td colspan="2"></td><td>Среднелопийская LP_2</td><td colspan="2"></td></tr>
</table>

	3200	**3000**	
		Нижнелопийская LP_1 **3200**	
	Нижнеархейская AR_1 (Саамская SM)		

Приложение 3

Геологические задания по выполнению практических работ по курсу «Региональная геология»

Геологическое задание 1

Разработать геолого-минерагенические модели фундаментов и чехлов Восточно-Европейской и Сибирской платформ.

Основные геологические задачи:

1. Построить схемы стратиграфо-хронологического размещения осадочных, магматических и метаморфических пород, слагающих фундаменты и чехлы платформ.

2. Разместить на схемах главнейшие месторождения полезных ископаемых и произвести их идентификацию.

3. Показать положение Кольской сверхглубокой скважины (СГ-3).

4. Сопоставить основные особенности геологического строения и минерагении Восточно-Европейской и Сибирской платформ.

Сроки выполнения геологического задания: на выполнение данной работы отводится три недели аудиторных занятий с момента начала.

Геологическое задание 2

Разработать геолого-минерагенические модели главнейших геосинклинальных вулканических поясов (структурно-формационных мегазон) Урала: 1) Тагильского; 2) Западно-Магнитогорского (по структурно-формационным зонам); 3) Восточно-Магнитогор-ского; 4) Каменского (Алапаевско-Теченского).

Основные геологические задачи:

1. Сформировать схемы стратиграфо-хронологического размещения магматических, осадочных и рудных формаций названных структур.

2. Произвести идентификацию месторождений различных рудных формаций, показанных на схемах.

3. Определить геодинамические (палеотектонические) режимы показанных на схемах магматических, осадочных и рудных формаций.

4. Показать положение Уральской сверхглубокой скважины (СГ-4).

5. Сопоставить основные особенности геологического строения и минерагении названных структур.

Сроки выполнения геологического задания: на выполнение данной работы отводится три недели аудиторных занятий с момента начала.

Приложение 4

Самые глубокие и самые длинные скважины мира

1. Территория бывшего СССР

Аралсорская СГ-1, Прикаспийская низменность, 1962-1971 гг., глубина 6,8 км. Поиски нефти и газа.

Биикжальская СГ-2, Прикаспийская низменность, 1962-1971 гг., глубина 6,2 км. Поиски нефти и газа.

Кольская СГ-3, Балтийский щит, 1970-1994 гг. Проектная глубина – 15 км, фактическая – 12 262. Изучение глубинного строения фундамента Восточно-Европейской платформы.

Саатлинская, Азербайджан, 1977-1990 гг. Проектная глубина 11 км, фактическая – 8 324 м. Изучение глубинного строения нефтегазоносной области.

Колвинская, Архангельская область, 1961-н.д. г.г. Глубина 7 057 м. Изучение глубинного строения Архангельской алмазоносной провинции.

Мурунтауская СГ-10, Узбекистан, 1984-н.д. г.г. Проектная глубина 7 км, фактическая – более 3 км (точнее нет данных). Выявление и изучение возможной золотоносности глубоких горизонтов Мурунтауского рудного поля.

Тимано-Печорская СГ-5, Северо-Восток Европейской России, 1984-1993 гг. Проектная глубина 7 км, фактическая – 6 904 м. Изучение глубинного строения Тимано-Печорской нефтегазоносной провинции.

Тюменская СГ-6, Западная Сибирь, 1987-1996 гг. Проектная глубина 8 км, фактическая – 7 502 м. Изучение строения и нефтегазоносности осадочного чехла Западно-Сибирской плиты.

Воротиловская, Поволжье, 1989-1992 гг. Проектная глубина 6 км, фактическая – 5 374 м. Изучение внутреннего строения и возможной алмазоносности Пучеж-Катункской астроблемы.

Криворожская СГ-8, Украина, 1984-1993 гг. Проектная глубина 12 км, фактическая – 5 382 м. Расшифровка глубинного строения и Криворожского железорудного бассейна и перспектив рудоносности глубоких горизонтов.

Уральская СГ-4, Средний Урал, 1985-2004 гг. Проектная глубина 15 км, фактическая – 6 015 м. Изучение глубинного строения и особенностей формирования Уральского складчатого пояса.

В январе 2011 г. корпорация «ЭксонМобил» объявила о том, что ее дочерняя компания «Эксон Нефтегаз Лимитед» (ЭНЛ) пробурила на месторождении Одопту (проект «Сахалин-1») самую протяженную в мире (12 345 м) скважину (ОП-11) с большим отходом от вертикали. Скважина пробурена под острым углом к поверхности земли, с суши она ушла на шельфовую области о-ва Сахалин (северная часть острова). Скважина пробурена установкой «Ястреб» всего за 60 дней.

В декабре 2017 г. Федеральное агентство по недропользованию (Роснедра) объявило о том, что в рамках нефтегазового проекта «Сахалин-1» на Охотском море пробурена самая длинная скважина в мире длиной 15 000 м. Ее отход от вертикали составил 14 129 м. Процесс бурения скважины занял около четырех месяцев. Скважина пробурена на платформе «Орлан» месторождения Чайво. Проект «Сахалин-1» включает в себя освоение трех морских месторождений Чайво, Одопту и Аркутун-Даги, расположенных на северо-восточном шельфе острова Сахалин.

2. Зарубежные страны

Скважины на нефть и газ

70-е годы XX века

Юниверсити, США, глубина 8 686 м.
Бейден-Юнит, США, глубина 9 159 м.
Берта-Роджерс, США, глубина 9 583 м.

80-е – 90-е годы XX века

Цистердорф, Австрия, глубина 8 553 м.
Сильян Ринг, Швеция, глубина 6,8 км.
Бигхорн, США, глубина 7 583 м.
KTB Hauptbohrung, Германия, 1990-1994 гг. Проектная глубина 10 км, фактическая – 9 100 м. Научное бурение.
В 2008 г. компания «Transocean» для «Maersc Oil» пробурила в Катаре пологую скважину длиной 12 289 м.

Приложение 5

Экзаменационные билеты

Группы РМ, МПГ, ГН

Билет № 1

1. Предмет региональной геологии. Объекты региональной геологии. Организационное и научно-методическое обеспечение региональных геологоразведочных работ.

2. Полезные ископаемые чехла Восточно-Европейской платформы.

Билет № 2

1. Основные черты тектонического районирования территории Российской Федерации.
2. Полезные ископаемые фундамента Восточно-Европейской платформы.

Билет № 3

1. Основные признаки тектонических комплексов и соответствующих им режимов.
2. Полезные ископаемые фундамента Восточно-Европейской платформы.

Билет № 4

1. Основные черты строения фундамента Восточно-Европейской платформы.
2. Полезные ископаемые чехла Сибирской платформы.

Билет № 5

1. Строение чехла Восточно-Европейской платформы (рифейский и вендкембрийс-кий комплексы).
2. Полезные ископаемые Западно-Магнитогорского пояса.

Билет № 6

1. Основные черты строения Западно-Сибирской плиты.
2. Полезные ископаемые Тагильского пояса.

Билет № 7

1. Основные черты строения фундамента Сибирской платформы.
2. Полезные ископаемые Восточно-Магнитогорского пояса.

Билет № 8

1. Основные черты строения чехла Сибирской платформы (рифейский и вендкемб-рийский комплексы).
2. Полезные ископаемые фундамента Сибирской платформы.

Билет № 9

1. Структурно-тектоническое районирование Урала.
2. Полезные ископаемые Западно-Сибирской плиты.

Билет № 10

1. Структурно-тектоническое районирование Урало-Монгольского пояса.
2. Полезные ископаемые структур осевой зоны и западного склона Урала.

Билет № 11

1. Основные черты строения осевой зоны и западного склона Урала.
2. Полезные ископаемые восточных структур Урала.

Билет № 12

1. Структурно-тектоническое районирование и основные черты строения Средиземноморского пояса (в пределах территории России).
2. Полезные ископаемые Монголо-Охотской области.

Билет № 13

1. Структурно-тектоническое районирование и основные черты строения Тихоокеанского пояса.
2. Полезные ископаемые Большого Кавказа.

Билет № 14

1. Основные черты строения восточных зон Урала.
2. Полезные ископаемые Верхоянско-Чукотской области.

Билет № 15

1. Основные черты строения Олюторско-Камчатской складчатой и Курильской геосинклинальной систем.
2. Полезные ископаемые Байкальской горной области.

Билет № 16

1. Основные черты строения Восточно-Европейской платформы (нижнепалеозойский комплекс).
2. Главнейшие нефтегазоносные провинции Восточно-Европейской платформы.

Билет № 17

1. Основные черты строения Восточно-Европейской платформы (средне-верхнепа-леозойский комплекс).
2. Нефтегазоносные провинции Сибирской платформы.

Билет № 18

1. Основные черты строения Восточно-Европейской платформы (мезозойско-кайно-зойский комплекс).

2. Главнейшие угленосные бассейны Сибирской платформы.

Билет № 19

1. Основные черты строения чехла Сибирской платформы (ордовикско-силурийский и девонско-нижнекаменноугольный комплексы).

2. Полезные ископаемые Саяно-Енисейской области.

Билет № 20

1. Основные черты строения чехла Сибирской платформы (среднекаменно-угольно-среднетриасовый комплекс, пермо-триасовый трапповый и триасовый ультраосновной магматизм).

2. Полезные ископаемые Байкальской горной области

Билет № 21

1. Основные черты строения чехла Сибирской платформы (юрско-меловой комплекс и кайнозойские отложения).

2. Полезные ископаемые Сихотэ-Алинской области.

Группы ГИГ

Билет № 1

1. Предмет региональной геологии. Объекты региональной геологии. Организационное и научно-методическое обеспечение региональных геологоразведочных работ.

2. Полезные ископаемые чехла Восточно-Европейской платформы.

Билет № 2

1. Основные черты тектонического и гидрогеологического районирования территории Российской Федерации.

2. Полезные ископаемые фундамента Восточно-Европейской платформы.

Билет № 3

1. Основные признаки тектонических комплексов и соответствующих им режимов.

2. Полезные ископаемые фундамента Восточно-Европейской платформы.

Билет № 4

1. Основные черты строения фундамента Восточно-Европейской платформы.

2. Полезные ископаемые чехла Сибирской платформы.

Билет № 5

1. Строение чехла Восточно-Европейской платформы (рифейский и вендкембрийс-кий комплексы).

2. Полезные ископаемые Западно-Магнитогорского пояса.

Билет № 6

1. Основные черты строения Западно-Сибирской плиты.

2. Полезные ископаемые Тагильского пояса.

Билет № 7

1. Основные черты строения фундамента Сибирской платформы.

2. Полезные ископаемые Восточно-Магнитогорского пояса.

Билет № 8

1. Основные черты строения чехла Сибирской платформы (рифейский и вендкемб-рийский комплексы).

2. Полезные ископаемые фундамента Сибирской платформы.

Билет № 9

1. Структурно-тектоническое районирование Урала.

2. Полезные ископаемые Западно-Сибирской плиты.

Билет № 10

1. Структурно-тектоническое районирование Урало-Монгольского пояса.
2. Полезные ископаемые структур осевой зоны и западного склона Урала.

Билет № 11

1. Основные черты строения осевой зоны и западного склона Урала.
2. Полезные ископаемые восточных структур Урала.

Билет № 12

1. Структурно-тектоническое районирование и основные черты строения Средиземноморского пояса (в пределах территории России).
2. Полезные ископаемые Монголо-Охотской области.

Билет № 13

1. Структурно-тектоническое районирование и основные черты строения Тихоокеанского пояса.
2. Полезные ископаемые Большого Кавказа.

Билет № 14

1. Основные черты строения восточных зон Урала.
2. Полезные ископаемые Верхоянско-Чукотской области.

Билет № 15

1. Основные черты строения Олюторско-Камчатской складчатой и Курильской геосинклинальной систем.
2. Полезные ископаемые Байкальской горной области.

Билет № 16

1. Основные черты строения Восточно-Европейской платформы (нижнепалеозойский комплекс).
2. Главнейшие нефтегазоносные провинции Восточно-Европейской платформы.

Билет № 17

1.Основные черты строения Восточно-Европейской платформы (средне-верхнепа-леозойский комплекс).
2. Нефтегазоносные провинции Сибирской платформы.

Билет № 18

1.Основные черты строения Восточно-Европейской платформы (мезозойско-кайно-зойский комплекс).
2. Главнейшие угленосные бассейны Сибирской платформы.

Билет № 19

1.Основные черты строения чехла Сибирской платформы (ордовикско-силурийский и девонско-нижнекаменноугольный комплексы).

2. Полезные ископаемые Саяно-Енисейской области.

Билет № 20

1. Основные черты строения чехла Сибирской платформы (среднекаменно-угольно-среднетриасовый комплекс, пермо-триасовый трапповый и триасовый ультраосновной магматизм).

2. Полезные ископаемые Байкальской горной области.

Билет № 21

1. Основные черты строения чехла Сибирской платформы (юрско-меловой комплекс и кайнозойские отложения).

2. Полезные ископаемые Сихотэ-Алинской области.

ОГЛАВЛЕНИЕ

1. ПРЕДМЕТ, ОБЪЕКТЫ, ЦЕЛИ И ЗАДАЧИ РЕГИОНАЛЬНОЙ ГЕОЛОГИИ. ВЗАИМООТНОШЕНИЯ С ДРУГИМИ ГЕОЛОГИЧЕСКИМИ НАПРАВЛЕНИЯМИ. ОРГАНИЗАЦИОННОЕ И НАУЧНО-МЕТОДИЧЕСКОЕ ОБЕСПЕЧЕНИЕ РЕГИОНАЛЬНЫХ РАБОТ 3

2. ПРИНЦИПЫ И ЗАДАЧИ ТЕКТОНИЧЕСКОГО РАЙОНИРОВАНИЯ ТЕРРИТОРИИ РОССИЙСКОЙ ФЕДЕРАЦИИ 7

3. ОСНОВНЫЕ ПРИЗНАКИ ТЕКТОНИЧЕСКИХ КОМПЛЕКСОВ, СООТВЕТСТВУЮЩИХ ИМ РЕЖИМОВ И ИХ МИНЕРАГЕНИЧЕСКИЕ ОСОБЕННОСТИ 10

4. ТЕКТОНИЧЕСКОЕ И ГИДРОГЕОЛОГИЧЕСКОЕ РАЙОНИРОВАНИЕ ТЕРРИТОРИИ РОССИЙСКОЙ ФЕДЕРАЦИИ 16
4.1. Тектоническое районирование 16
4.2. Гидрогеологическое районирование 16

5. ВОСТОЧНО-ЕВРОПЕЙСКАЯ (РУССКАЯ) ПЛАТФОРМА (ВЕП) 20
5.1. Общая характеристика 20
5.2. Основные структурные элементы 20
5.3. Строение фундамента 22
5.4. Строение чехла 26
5.5. Полезные ископаемые 32

6. СИБИРСКАЯ ПЛАТФОРМА 38
6.1. Общая характеристика 38
6.2. Основные структурные элементы 39
6.3. Строение фундамента 40
6.4. Строение чехла 41
6.5. Полезные ископаемые 47

7. СРЕДИЗЕМНОМОРСКИЙ ПОЯС 51
7.1. Большой Кавказ 52
7.1.1. Общая характеристика 52
7.1.2. Геологическое строение 52
7.1.3. Полезные ископаемые 54
7.2. Горный Крым 56
7.2.1 Общая характеристика 56
7.2.2. Геологическое строение 56
7.2.3. Полезные ископаемые 58

8. УРАЛО-МОНГОЛЬСКИЙ ПОЯС 58
8.1. Уральская каледоно-герцинская складчатая система 59
8.1.1.Общая характеристика 59
8.1.2. Восточная окраина Восточно-Европейской платформы 61
8.1.3. Уральская эвгеосинклинальная область 65
8.1.3.1. Тагильский интрузивно-вулканический пояс 65

8.1.3.2. Западно-Магнитогорский интрузивно-вулканический пояс 71
8.1.3.3. Восточно-Магнитогорский интрузивно-вулканический пояс ... 75
8.1.3.4. Каменский (Алапаевско-Теченский) интрузивно-вулканический пояс 77
8.1.3.5. Восточные структуры Урала 78

8.1.4. Валерьяновский интрузивно-вулканический пояс (геологическое строение и полезные ископаемые) 80
8.2. Западно-Сибирская плита 81
8.2.1. Общая характеристика 81
8.2.2. Геологическое строение 81
8.2.3. Полезные ископаемые 82
8.3. Саяно-Енисейская область байкальской складчатости 84
8.3.1. Общая характеристика 84
8.3.2. Геологическое строение 84
8.3.3. Полезные ископаемые 85
8.4. Кузнецко-Витимская область каледонской складчатости 86
8.4.1. Общая характеристика 86
8.4.2. Геологическое строение 86
8.4.3. Полезные ископаемые 87
8.5. Байкальская горная область 88
8.5.1. Общая характеристика 88
8.5.2. Геологическое строение 88
8.5.3. Полезные ископаемые 90
8.6. Монголо-Охотская область герцинской складчатости 90
8.6.1. Общая характеристика 90
8.6.2. Геологическое строение 91
8.6.3. Полезные ископаемые 92
9. ТИХООКЕАНСКИЙ ПОЯС 93
9.1. Общая характеристика 93
9.2. Верхоянско-Чукотская область мезозойской складчатости 95
9.2.1. Общая характеристика 95
9.2.2. Геологическое строение 95
9.2.3. Полезные ископаемые 97
9.3. Тайгоносско-Корякская область мезозойской складчатости 98
9.3.1. Общая характеристика 98
9.3.2. Геологическое строение 98
9.3.3. Полезные ископаемые 99
9.4. Сихотэ-Алинская область мезозойской складчатости 100
9.4.1. Общая характеристика 100
9.4.2. Геологическое строение 100
9.4.3. Полезные ископаемые 101
9.5. Олюторско-Камчатская область кайнозойской складчатости 102
9.5.1. Общая характеристика 102
9.5.2. Геологическое строение 102
9.5.3 Полезные ископаемые 103
9.6. Хоккайдо-Сахалинская область кайнозойской складчатости 104

9.6.1. Общая характеристика 104
9.6.2. Геологическое строение 104
9.6.3. Полезные ископаемые 105
9.7. Курильская современная геосинклинальная система 105
9.7.1. Общая характеристика 105
9.7.2. Геологическое строение 105
9.7.3. Полезные ископаемые 107
ЗАКЛЮЧЕНИЕ 108
СПИСОК ИСПОЛЬЗОВАННОЙ И РЕКОМЕНДУЕМОЙ ЛИТЕРАТУРЫ 109

ПРИЛОЖЕНИЯ 110
Приложение 1. Общая стратиграфическая шкала фанерозоя 110
Приложение 2. Общая стратиграфическая шкала докембрия 113
Приложение 3. Геологические задания по выполнению практических работ по курсу «Региональная геология» 114
Приложение 4. Самые глубокие и самые длинные скважины мира 115
Приложение 5. Экзаменационные билеты 117

Учебное издание

Ефим Семенович КОНТАРЬ

РЕГИОНАЛЬНАЯ ГЕОЛОГИЯ

Учебное пособие

Редактор издательства *Л. В. Устьянцева*
Компьютерная верстка и дизайн обложки *Н. Л. Сайгиной*

Подписано в печать 24.09.2018 г.
Формат 60 × 84 1/16. Бумага офсетная.
Печать на ризографе. Гарнитура Times New Roman.
Печ. л. 7,875. Уч.-изд. л. 9,25. Тираж 50. Заказ

Издательство УГГУ
620144, г. Екатеринбург, ул. Куйбышева, 30.
Уральский государственный горный университет
Отпечатано с оригинала-макета
в лаборатории множительной техники УГГУ

МИНОБРНАУКИ РФ

ФГБОУ ВО «Уральский государственный горный университет»

УТВЕРЖДАЮ

Проректор по учебно-методическому комплексу

_____ С.А.Упоров

МЕТОДИЧЕСКИЕ УКАЗАНИЯ К САМОСТОЯТЕЛЬНОЙ РАБОТЕ СТУДЕНТОВ

Б1.О.33 РАЗВИТИЕ НАВЫКОВ КРИТИЧЕСКОГО МЫШЛЕНИЯ

Специальность:

21.05.02 Прикладная геология

Специализация:

Геология месторождений нефти и газа

Автор: Гладкова И. В., доцент, канд. филос. н.

Одобрены на заседании кафедры

Философии и культурологии

(название кафедры)

Зав. кафедрой _____

(подпись)

к.ф.н., доц. Беляев В.П.

(Фамилия И.О.)

Протокол № 1 от 14.09.2020

(Дата)

Рассмотрены методической комиссией

факультета геологии и геофизики

(название факультета)

Председатель _____

(подпись)

д.г.-м.н., проф. Бондарев В.И.

(Фамилия И.О.)

Протокол № 2 от 13.10.2020

(Дата)

Екатеринбург

Методические указания по дисциплине согласованы с выпускающей кафедрой литологии и геологии горючих ископаемых

Заведующий кафедрой ЛГГИ _____ к.г.-м.н., С.А. Рыльков____

подпись *И.О. Фамилия*

СОДЕРЖАНИЕ

	Введение	3
1	Методические рекомендации по работе с текстом лекций	5
2	Методические рекомендации по подготовке к опросу	8
3	Методические рекомендации по подготовке доклада(презентации)	9
4	Методические рекомендации по написанию эссе	11
5	Методические рекомендации по подготовке к семинарским занятиям	14
6	Методические рекомендации по подготовке к дискуссии	15
7	Методические рекомендации по подготовке к сдаче экзаменов и зачетов	17
	Заключение	20
	Список использованных источников	21

ВВЕДЕНИЕ

Инициативная самостоятельная работа студента есть неотъемлемая составная часть учебы в вузе. В современном формате высшего образования значительно возрастает роль самостоятельной работы студента.Правильно спланированная и организованная самостоятельная работа обеспечивает достижение высоких результатов в учебе.

Самостоятельная работа студента (СРС) -это планируемая учебная, учебно-исследовательская, научно-исследовательская работа студентов, выполняемая во внеаудиторное (аудиторное) время по заданию и при методическом руководстве преподавателя, но без его непосредственного участия, при сохранении ведущей роли студентов.

Целью СРС является овладение фундаментальными знаниями, профессиональными умениями и навыками по профилю будущей специальности, опытом творческой, исследовательской деятельности, развитие самостоятельности. Ответственности и организованности, творческого подхода к решению проблем учебного ипрофессионального уровней. Самостоятельная работа студента– важнейшая составная часть учебного процесса, обязательная для каждого студента, объем которой определяется учебным планом. Методологическую основу СРС составляет деятельностный подход, при котором цели обучения ориентированы на формирование умений решать типовые и нетиповые задачи, т. е. на реальные ситуации, в которых студентам надо проявить знание конкретной дисциплины. Предметно и содержательно СРС определяется государственным образовательным стандартом, действующими учебными планами и образовательными программами различных форм обучения, рабочими программами учебных дисциплин, средствами обеспечения СРС: учебниками, учебными пособиями и методическими руководствами, учебно-программными комплексами и т.д.

Самостоятельная работа студентов может рассматриваться как организационная форма обучения - система педагогических условий, обеспечивающих управление учебной деятельностью студентов по освоению знаний и умений в области учебной и научной деятельности без посторонней помощи.

Самостоятельная работа студентов проводится с целью:

- систематизации и закрепления полученных теоретических знаний и практических умений студентов;
- углубления и расширения теоретических знаний;
- формирования умений использовать нормативную, правовую, справочную документацию и специальную литературу;
- развития познавательных способностей и активности студентов: творческой инициативы, самостоятельности, ответственности и организованности;
- формирования самостоятельности мышления, способностей к саморазвитию, самосовершенствованию и самореализации;
- формирования практических (общеучебных и профессиональных) умений и навыков;
- развитияисследовательских умений;
- получения навыков эффективной самостоятельной профессиональной (практической и научно-теоретической) деятельности.

Самостоятельная работа студента - это особым образом организованная деятельность, включающая в свою структуру такие компоненты, как:

- уяснение цели и поставленной учебной задачи;
- четкое и системное планирование самостоятельной работы;
- поиск необходимой учебной и научной информации;
- освоение информации и ее логическая переработка;

- использование методов исследовательской, научно-исследовательской работы для решения поставленных задач;
- выработка собственной позиции по поводу полученной задачи;
- представление, обоснование и защита полученного решения;
- проведение самоанализа и самоконтроля.

В учебном процессе выделяют два вида самостоятельной работы:аудиторная и внеаудиторная.

Аудиторная самостоятельная работа по дисциплине выполняется на учебных занятиях под непосредственным руководством преподавателя и по его заданию: текущие консультации, коллоквиум, прием и разбор домашних заданий и другие.

Внеаудиторная самостоятельная работа - планируемая учебная, учебно-исследовательская, научно-исследовательская работа студентов, выполняемая во внеаудиторное время по заданию и при методическом руководстве преподавателя, но без его непосредственного участия: подготовка презентаций, составление глоссария, подготовка к практическим занятиям, подготовка рецензий, аннотаций на статью, подготовка к дискуссиям, круглым столам.

СРС может включать следующие формы работ:

- изучение лекционного материала;
- работа с источниками литературы: поиск, подбор и обзор литературы и электронных источников информации по заданной проблеме курса;
- выполнение домашних заданий, выдаваемых на практических занятиях:тестов, докладов, контрольных работ и других форм текущего контроля;
- изучение материала, вынесенного на самостоятельное изучение; подготовка к практическим занятиям;
- подготовка к контрольной работе или коллоквиуму;
- подготовка к зачету, экзамену, другим аттестациям;
- написание реферата, эссе по заданной проблем;
- выполнение расчетно-графической работы;
- выполнение выполнение курсовой работы или проекта;
- анализ научной публикации по определенной преподавателем теме, ее реферирование;
- исследовательская работа и участие в научных студенческих конференциях, семинарах иолимпиадах.

Особенностью организации самостоятельной работы студентов является необходимость не только подготовиться к сдаче зачета /экзамена, но и собрать, обобщить, систематизировать, проанализировать информацию по темам дисциплины.

Технология организации самостоятельной работы студентов включает использование информационных и материально-технических ресурсов образовательного учреждения.Для более эффективного выполнения самостоятельной работы по дисциплине преподаватель рекомендует студентам источники и учебно-методические пособия для работы, характеризует наиболее рациональную методику самостоятельной работы.

Самостоятельная работа может осуществляться индивидуально или группами студентов online и на занятиях в зависимости от цели, объема, конкретной тематики самостоятельной работы, уровня сложности, уровня умений студентов.

Подготовка к самостоятельная работа, не предусмотренная образовательной программой, учебным планом и учебно-методическими материалами, раскрывающими и конкретизирующими их содержание, осуществляется студентами инициативно, с целью реализации собственных учебных и научных интересов.

В качестве форм и методов контроля внеаудиторной самостоятельной работы студентов могут быть использованы обмен информационными файлами, семинарские занятия, тестирование, опрос, доклад, реферат, самоотчеты, контрольные работы, защита творческих работ и электронных презентаций и др.

.

1. Методические рекомендации по работе с текстом лекций

На лекционных занятиях необходимо конспектировать учебный материал. Обращать внимание на формулировки, определения, раскрывающие содержание тех или иных понятий, научные выводы и практические рекомендации, положительный опыт в ораторском мастерстве. Внимательное слушание и конспектирование лекций предполагает интенсивную умственную деятельность студента, и помогает усвоить учебный материал.

Желательно оставлять в рабочих конспектах поля, на которых делать пометки, дополняющие материал прослушанной лекции, а также подчеркивающие особую важность тех или иных теоретических положений, фиксировать вопросы, вызывающие личный интерес, варианты ответов на них, сомнения, проблемы, спорные положения. Рекомендуется вести записи на одной стороне листа, оставляя вторую сторону для размышлений, разборов, вопросов, ответов на них, для фиксирования деталей темы или связанных с ней фактов, которые припоминаются самим студентом в ходе слушания.

Слушание лекций - сложный вид интеллектуальной деятельности, успех которой обусловлен*умением слушать*, и стремлением воспринимать материал, нужное записывая в тетрадь. Запись лекции помогает сосредоточить внимание на главном, в ходе самой лекции продумать и осмыслить услышанное, осознать план и логику изложения материала преподавателем.

Такая работа нередко вызывает трудности у студентов: некоторые стремятся записывать все дословно, другие пишут отрывочно, хаотично. Чтобы избежать этих ошибок, целесообразно придерживаться ряда правил.

1. После записи ориентирующих и направляющих внимание данных (тема, цель, план лекции, рекомендованная литература) важно попытаться проследить, как они раскрываются в содержании, подкрепляются формулировками, доказательствами, а затем и выводами.

2. Записывать следует основные положения и доказывающие их аргументы, наиболее яркие примеры и факты, поставленные преподавателем вопросы для самостоятельной проработки.

3. Стремиться к четкости записи, ее последовательности, выделяя темы, подтемы, вопросы и подвопросы, используя цифровую и буквенную нумерацию (римские и арабские цифры, большие и малые буквы), красные строки, выделение абзацев, подчеркивание главного и т.д.

Форма записи материала может быть различной - в зависимости от специфики изучаемого предмета. Это может быть стиль учебной программы (назывные предложения), уместны и свои краткие пояснения к записям.

Студентам не следует подробно записывать на лекции «все подряд», но обязательно фиксировать то, что преподаватели диктуют – это базовый конспект, содержащий основные положения лекции: определения, выводы, параметры, критерии, аксиомы, постулаты, парадигмы, концепции, ситуации, а также мысли-маяки (ими часто являются афоризмы, цитаты, остроумные изречения). Запись лекции лучше вести в сжатой форме, короткими и четкими фразами. Каждому студенту полезно выработать свою систему сокращений, в которой он мог бы разобраться легко и безошибочно.

Даже отлично записанная лекция предполагает дальнейшую самостоятельную работу над ней (осмысление ее содержания, логической структуры, выводов). С целью доработки конспекта лекции необходимо в первую очередь прочитать записи, восстановить текст в памяти, а также исправить описки, расшифровать не принятые ранее сокращения, заполнить пропущенные места, понять текст, вникнуть в его смысл. Далее прочитать материал по рекомендуемой литературе, разрешая в ходе чтения возникшие ранее затруднения, вопросы, а также дополняя и исправляя свои записи. В ходе доработки конспекта углубляются, расширяются и закрепляются знания, а также дополняется, исправляется и совершенствуется конспект. Доработанный конспект и рекомендуемая

литература используется при подготовке к практическому занятию. Знание лекционного материала при подготовке к практическому занятию обязательно.

Особенно важно в процессе самостоятельной работы над лекцией выделить новый понятийный аппарат, уяснить суть новых понятий, при необходимости обратиться к словарям и другим источникам, заодно устранив неточности в записях. Главное - вести конспект аккуратно и регулярно, только в этом случае он сможет стать подспорьем в изучении дисциплины.

Работа над лекцией стимулирует самостоятельный поиск ответов на самые различные вопросы: над какими понятиями следует поработать, какие обобщения сделать, какой дополнительный материал привлечь.

Важным средством, направляющим самообразование, является выполнение различных заданий по тексту лекции, например, составление ее развернутого плана или тезисов; ответы на вопросы проблемного характера, (скажем, об основных тенденциях развития той или иной проблемы); составление проверочных тесты по проблеме, написание по ней реферата, составление графических схем.

По своим задачам лекции могут быть разных жанров: *установочная лекция* вводит в изучение курса, предмета, проблем (что и как изучать), а*обобщающая лекция* позволяет подвести итог (зачем изучать), выделить главное, усвоить законы развития знания, преемственности, новаторства, чтобы применить обобщенный позитивный опыт к решению современных практических задач. Обобщающая лекция ориентирует в истории и современном состоянии научной проблемы.

В процессе освоения материалов обобщающих лекций студенты могут выполнять задания разного уровня. Например: задания *репродуктивного* уровня (составить развернутый план обобщающей лекции, составить тезисы по материалам лекции); задания *продуктивного* уровня (ответить на вопросы проблемного характера, составить опорный конспект по схеме, выявить основные тенденции развития проблемы); задания *творческого* уровня (составить проверочные тесты по теме, защитить реферат и графические темы по данной проблеме).Обращение к ранее изученному материалу не только помогает восстановить в памяти известные положения, выводы, но и приводит разрозненные знания в систему, углубляет и расширяет их. Каждый возврат к старому материалу позволяет найти в нем что-то новое, переосмыслить его с иных позиций, определить для него наиболее подходящее место в уже имеющейся системе знаний.

.

2. Методические указания по подготовке к опросу

Самостоятельная работа обучающихся включает подготовку к устному или письменному опросу на семинарских занятиях. Для этого обучающийся изучает лекции, основную и дополнительную литературу, публикации, информацию из Интернет-ресурсов. Темы и вопросы к семинарским занятиям, вопросы для самоконтроля приведены в методических указаниях по разделам и доводятся до обучающихся заранее.

Письменный опрос

Письменный опрос является одной из форм текущего контроля успеваемости студента. При изучении материала студент должен убедиться, что хорошо понимает основную терминологию темы, умеет ее использовать в нужном контексте. Желательно составить краткий конспект ответа на предполагаемые вопросы письменной работы, чтобы убедиться в том, что студент владеет материалом и может аргументировано, логично и грамотно письменно изложить ответ на вопрос. Следует обратить особое внимание на написание профессиональных терминов, чтобы избегать грамматических ошибок в работе. При изучении новой для студента терминологии рекомендуется изготовить карточки, которые содержат новый термин и его расшифровку, что значительно облегчит работу над материалом.

Устный опрос

Целью устного собеседования являются обобщение и закрепление изученного курса. Студентам предлагаются дляосвещения сквозные концептуальные проблемы. При подготовке следует использовать лекционный материал и учебную литературу. Для более глубокого постижения курса и более основательной подготовки рекомендуется познакомиться с указанной дополнительной литературой. Готовясь к семинару, студент должен, прежде всего, ознакомиться с общим планом семинарского занятия. Следует внимательно прочесть свой конспект лекции по изучаемой теме и рекомендуемую к теме семинара литературу. С незнакомыми терминами и понятиями следует ознакомиться в предлагаемом глоссарии, словаре или энциклопедии[1].

Критерии качества устного ответа.

1. Правильность ответа по содержанию.
2. Полнота и глубина ответа.
3. Сознательность ответа (учитывается понимание излагаемого материала).
4. Логика изложения материала (учитывается умение строить целостный, последовательный рассказ, грамотно пользоваться профессиональной терминологией).
5. Рациональность использованных приемов и способов решения поставленной учебной задачи (учитывается умение использовать наиболее прогрессивные и эффективные способы достижения цели).
6. Своевременность и эффективность использования наглядных пособий и технических средств при ответе (учитывается грамотно и с пользой применять наглядность и демонстрационный опыт при устном ответе).
7. Использование дополнительного материала (приветствуется, но не обязательно для всех студентов).
8. Рациональность использования времени, отведенного на задание (не одобряется затянутость выполнения задания, устного ответа во времени, с учетом индивидуальных особенностей студентов)[2].

---

[1]Методические рекомендации для студентов [Электронный ресурс]: Режим доступа: http://lesgaft.spb.ru/sites/default/files/u57/metod.rekomendacii_dlya_studentov_21.pdf

[2]Методические рекомендации для студентов [Электронный ресурс]: http://priab.ru/images/metod_agro/Metod_Inostran_yazyk_35.03.04_Agro_15.01.2016.pdf

Ответ на каждый вопрос из плана семинарского занятия должен быть содержательным и аргументированным. Для этого следует использовать документы, монографическую, учебную и справочную литературу.

Для успешной подготовки к устному опросу, студент должен законспектировать рекомендуемую литературу, внимательно осмыслить лекционный материал и сделать выводы. Объем временинана подготовку к устному опросу зависимости от сложности темы и особенностей организации обучающимся своей самостоятельной работы.

3.Методические рекомендации по подготовке доклада (презентации)

Доклад – публичное сообщение по заданной теме, представляющее собой развернутое изложение на определенную тему, вид самостоятельной работы, который используется в учебных и внеаудиторных занятиях и способствует формированию навыков исследовательской работы, освоению методов научного познания, приобретению навыков публичного выступления, расширяет познавательные интересы, приучает критически мыслить.

При подготовке доклада используется дополнительная литература, систематизируется материал. Работа над докладом не только позволяет учащемуся приобрести новые знания, но и способствует формированию важных научно-исследовательских навыков самостоятельной работы с научной литературой, что повышает познавательный интерес к научному познанию.

Приветствуется использование мультимедийных технологий, подготовка докладов-презентаций.

Доклад должен соответствовать следующим требованиям:

- тема доклада должна быть согласованна с преподавателем и соответствовать теме занятия;

- иллюстрации (слайды в презентации) должны быть достаточными, но не чрезмерными;

- материалы, которыми пользуется студент приподготовке доклада-презентации, должны тсоответствовать научно-методическим требованиямВУЗа ибытьуказанывдокладе;

- необходимособлюдать регламент: 7-10 минут выступления.

Преподаватель может дать тему сразу нескольким студентам одной группы, по принципу: докладчик и оппонент. Студенты могут подготовить два выступления с противоположными точками зрения и устроить дискуссию по проблемной теме. Докладчики и содокладчики во многом определяют содержание, стиль, активность данного занятия, для этого необходимо:

- использовать технические средства;
- знать и хорошо ориентироваться в теме всей презентации (семинара);
- уметь дискутировать и быстро отвечать на вопросы;
- четко выполнять установленный регламент: докладчик - 7-10 мин.; содокладчик - 5 мин.; дискуссия - 10 мин;
- иметь представление о композиционной структуре доклада.

После выступления докладчик и содокладчик, должны ответить на вопросы слушателей.

В подготовке доклада выделяют следующие этапы:

1. Определение цели доклада: информировать, объяснить, обсудить что-то (проблему, решение, ситуацию и т.п.)

2. Подбор литературы, иллюстративных примеров.

3. Составление плана доклада, систематизация материала, композиционное оформление доклада в виде печатного /рукописного текста и электронной презентации.

Общая структура доклада

Построение доклада включает три части: вступление, основную часть и заключение.

Вступление.

Вступление должно содержать:

- название презентации (доклада);
- сообщение основной идеи;
- обоснование актуальности обсуждаемого вопроса;

- современнуюоценкупредмета изложения;
- краткоеперечислениерассматриваемых вопросов;
- живуюинтереснуюформуизложения;
- акцентированиеоригинальностиподхода.

Основная часть.

Основная частьсостоит из нескольких разделов, постепенно раскрывающих тему. Возможно использование иллюстрации (графики, диаграммы, фотографии, карты, рисунки) Если необходимо, для обоснования темы используется ссылка на источники с доказательствами, взятыми из литературы (цитирование авторов, указание цифр, фактов, определений). Изложение материала должно быть связным, последовательным, доказательным.

Задача основной части - представить достаточно данных для того, чтобы слушатели и заинтересовались темой и захотели ознакомиться с материалами. При этом логическая структура теоретического блока не должны даваться без наглядных пособий, аудио-визуальных и визуальных материалов.

Заключение.

Заключение - это ясное четкое обобщение, в котором подводятся итоги, формулируются главные выводы, подчеркивается значение рассмотренной проблемы, предлагаются самые важные практические рекомендации. Требования к оформлению доклада. Объем машинописного текста доклада должен быть рассчитан на произнесение доклада в течение 7 -10 минут (3-5 машинописных листа текста с докладом).

Доклад оценивается по следующим критериям:

Критерии оценки доклада, сообщения	*Количество баллов*
Содержательность, информационная насыщенность доклада	1
Наличие аргументов	1
Наличие выводов	1
Наличие презентации доклада	1
Владение профессиональной лексикой	1
Итого:	5

Электронные презентации выполняются в программе MS PowerPoint в виде слайдов в следующем порядке: • титульный лист с заголовком темы и автором исполнения презентации; • план презентации (5-6 пунктов - это максимум); • основная часть (не более 10 слайдов); • заключение (вывод). Общие требования к стилевому оформлению презентации: • дизайн должен быть простым и лаконичным; • основная цель - читаемость, а не субъективная красота; цветовая гамма должна состоять не более чем из двух-трех цветов; • всегда должно быть два типа слайдов: для титульных и для основного текста; • размер шрифта должен быть: 24–54 пункта (заголовок), 18–36 пунктов (обычный текст); • текст должен быть свернут до ключевых слов и фраз. Полные развернутые предложения на слайдах таких презентаций используются только при цитировании; каждый слайд должен иметь заголовок; • все слайды должны быть выдержаны в одном стиле; • на каждом слайде должно быть не более трех иллюстраций; • слайды должны быть пронумерованы с указанием общего количества слайдов

4.Методические рекомендации по написанию эссе

Эссе - это самостоятельная письменная работа на тему, предложенную преподавателем. Цель эссе состоит в развитии навыков самостоятельного творческого мышления и письменного изложения собственных мыслей. Писать эссе чрезвычайно полезно, поскольку это позволяет автору научиться четко и грамотно формулировать мысли, структурировать информацию, использовать основные категории анализа, выделять причинно-следственные связи, иллюстрировать понятия соответствующими примерами, аргументировать свои выводы; овладеть научным стилем речи.

Эссе должно содержать: четкое изложение сути поставленной проблемы, включать самостоятельно проведенный анализ этой проблемы с использованием концепций и аналитического инструментария, рассматриваемого в рамках дисциплины, выводы, обобщающие авторскую позицию по поставленной проблеме. В зависимости от специфики дисциплины формы эссе могут значительно дифференцироваться. В некоторых случаях это может быть анализ имеющихся статистических данных по изучаемой проблеме, анализ материалов из средств массовой информации и использованием изучаемых моделей, подробный разбор предложенной задачи с развернутыми мнениями, подбор и детальный анализ примеров, иллюстрирующих проблему и т.д.

Построение эссе - это ответ на вопрос или раскрытие темы, которое основано на классической системе доказательств.

Структура эссе

1. *Титульный лист* (заполняется по единой форме);

2. *Введение* - суть и обоснование выбора данной темы, состоит из ряда компонентов, связанных логически и стилистически.

На этом этапе очень важно правильно *сформулировать вопрос, на который вы собираетесь найти ответ в ходе своего исследования.*

3. *Основная часть* - теоретические основы выбранной проблемы и изложение основного вопроса.

Данная часть предполагает развитие аргументации и анализа, а также обоснование их, исходя из имеющихся данных, других аргументов и позиций по этому вопросу. В этом заключается основное содержание эссе и это представляет собой главную трудность. Поэтому важное значение имеют подзаголовки, на основе которых осуществляется структурирование аргументации; именно здесь необходимо обосновать (логически, используя данные или строгие рассуждения) предлагаемую аргументацию/анализ. Там, где это необходимо, в качестве аналитического инструмента можно использовать графики, диаграммы и таблицы.

В зависимости от поставленного вопроса анализ проводится на основе следующих категорий:

Причина - следствие, общее - особенное, форма - содержание, часть - целое, постоянство - изменчивость.

В процессе построения эссе необходимо помнить, что один параграф должен содержать только одно утверждение и соответствующее доказательство, подкрепленное графическим и иллюстративным материалом. Следовательно, наполняя содержанием разделы аргументацией (соответствующей подзаголовкам), необходимо в пределах параграфа ограничить себя рассмотрением одной главной мысли.

Хорошо проверенный (и для большинства — совершено необходимый) способ построения любого эссе - использование подзаголовков для обозначения ключевых моментов аргументированного изложения: это помогает посмотреть на то, что предполагается сделать (и ответить на вопрос, хорош ли замысел). Такой подход поможет следовать точно определенной цели в данном исследовании. Эффективное использование подзаголовков - не только обозначение основных пунктов, которые необходимо осветить.

Их последовательность может также свидетельствовать о наличии или отсутствии логичности в освещении темы.

4. *Заключение* - обобщения и аргументированные выводы по теме с указанием области ее применения и т.д. Подытоживает эссе или еще раз вносит пояснения, подкрепляет смысл и значение изложенного в основной части. Методы, рекомендуемые для составления заключения: повторение, иллюстрация, цитата, впечатляющее утверждение. Заключение может содержать такой очень важный, дополняющий эссе элемент, как указание на применение (импликацию) исследования, не исключая взаимосвязи с другими проблемами.

Структура аппарата доказательств, необходимых для написания эссе

Доказательство - это совокупность логических приемов обоснования истинности какого-либо суждения с помощью других истинных и связанных с ним суждений. Оно связано с убеждением, но не тождественно ему: аргументация или доказательство должны основываться на данных науки и общественно-исторической практики, убеждения же могут быть основаны на предрассудках, неосведомленности людей в вопросах экономики и политики, видимости доказательности. Другими словами, доказательство или аргументация - это рассуждение, использующее факты, истинные суждения, научные данные и убеждающее нас в истинности того, о чем идет речь.

Структура любого доказательства включает в себя три составляющие: тезис, аргументы и выводы или оценочные суждения.

Тезис - это положение (суждение), которое требуется доказать. *Аргументы* - это категории, которыми пользуются при доказательстве истинности тезиса. *Вывод* - это мнение, основанное на анализе фактов. *Оценочные суждения* - это мнения, основанные на наших убеждениях, верованиях или взглядах. *Аргументы* обычно делятся на следующие группы:

1. *Удостоверенные факты* — фактический материал (или статистические данные).
2. *Определения* в процессе аргументации используются как описание понятий, связанных с тезисом.
3. *Законы* науки и ранее доказанные теоремы тоже могут использоваться как аргументы доказательства.

Требования к фактическим данным и другим источникам

При написании эссе чрезвычайно важно то, как используются эмпирические данные и другие источники (особенно качество чтения). Все (фактические) данные соотносятся с конкретным временем и местом, поэтому прежде, чем их использовать, необходимо убедится в том, что они соответствуют необходимому для исследований времени и месту. Соответствующая спецификация данных по времени и месту — один из способов, который может предотвратить чрезмерное обобщение, результатом которого может, например, стать предположение о том, что все страны по некоторым важным аспектам одинаковы (если вы так полагаете, тогда это должно быть доказано, а не быть голословным утверждением).

Всегда можно избежать чрезмерного обобщения, если помнить, что в рамках эссе используемые данные являются иллюстративным материалом, а не заключительным актом, т.е. они подтверждают аргументы и рассуждения и свидетельствуют о том, что автор умеет использовать данные должным образом. Нельзя забывать также, что данные, касающиеся спорных вопросов, всегда подвергаются сомнению. От автора не ждут определенного или окончательного ответа. Необходимо понять сущность фактического материала, связанного с этим вопросом (соответствующие индикаторы? насколько надежны данные для построения таких индикаторов? к какому заключению можно прийти на основании имеющихся данных и индикаторов относительно причин и следствий? и т.д.), и продемонстрировать это в эссе. Нельзя ссылаться на работы, которые автор эссе не читал сам.

Как подготовить и написать эссе?

Качество любого эссе зависит от трех взаимосвязанных составляющих, такихкак:

1. Исходный материал, который будет использован (конспекты прочитанной литературы, лекций, записи результатов дискуссий, собственные соображения и накопленный опыт по данной проблеме).

2. Качество обработки имеющегося исходного материала (его организация, аргументация и доводы).

3. Аргументация (насколько точно она соотносится с поднятыми в эссе проблемами).

Процесс написания эссе можно разбить на несколько стадий: обдумывание - планирование - написание - проверка - правка.

Планирование - определение цели, основных идей, источников информации, сроков окончания и представления работы.

Цель должна определять действия.

Идеи, как и цели, могут быть конкретными и общими, более абстрактными. Мысли, чувства, взгляды и представления могут быть выражены в форме аналогий, ассоциации, предположений, рассуждений, суждений, аргументов, доводов и т.д.

Аналогии - выявление идеи и создание представлений, связь элементов значений.

Ассоциации - отражение взаимосвязей предметов и явлений действительности в форме закономерной связи между нервно - психическими явлениями (в ответ на тот или иной словесный стимул выдать «первую пришедшую в голову» реакцию).

Предположения - утверждение, не подтвержденное никакими доказательствами.

Рассуждения - формулировка и доказательство мнений.

Аргументация - ряд связанных между собой суждений, которые высказываются для того, чтобы убедить читателя (слушателя) в верности (истинности) тезиса, точки зрения, позиции.

Суждение - фраза или предложение, для которого имеет смысл вопрос: истинно или ложно?

Доводы - обоснование того, что заключение верно абсолютно или с какой-либо долей вероятности. В качестве доводов используются факты, ссылки на авторитеты, заведомо истинные суждения (законы, аксиомы и т.п.), доказательства (прямые, косвенные, «от противного», «методом исключения») и т.д.

Перечень, который получится в результате перечисления идей, поможет определить, какие из них нуждаются в особенной аргументации.

*Источники***.** Тема эссе подскажет, где искать нужный материал. Обычно пользуются библиотекой, Интернет-ресурсами, словарями, справочниками. Пересмотр означает редактирование текста с ориентацией на качество и эффективность.

Качество текста складывается из четырех основных компонентов: ясности мысли, внятности, грамотности и корректности.

Мысль - это содержание написанного. Необходимо четко и ясно формулировать идеи, которые хотите выразить, в противном случае вам не удастся донести эти идеи и сведения до окружающих.

Внятность - это доступность текста для понимания. Легче всего ее можно достичь, пользуясь логично и последовательно тщательно выбранными словами, фразами и взаимосвязанными абзацами, раскрывающими тему.

Грамотность отражает соблюдение норм грамматики и правописания. Если в чем-то сомневаетесь, загляните в учебник, справьтесь в словаре или руководстве по стилистике или дайте прочитать написанное человеку, чья манера писать вам нравится.

Корректность — это стиль написанного. Стиль определятся жанром, структурой работы, целями, которые ставит перед собой пишущий, читателями, к которым он обращается.

5. Методические рекомендации по подготовке семинарским занятиям

Семинар представляет собой комплексную форму и завершающее звено в изучении определенных тем, предусмотренных программой учебной дисциплины. Комплексность данной формы занятий определяется тем, что в ходе её проведения сочетаются выступления обучающихся и преподавателя: рассмотрение обсуждаемой проблемы и анализ различных, часто дискуссионных позиций; обсуждение мнений обучающихся и разъяснение (консультация) преподавателя; углубленное изучение теории и приобретение навыков умения ее использовать в практической работе.

По своему назначению семинар, в процессе которого обсуждается та или иная научная проблема, способствует:

- углубленному изучению определенного раздела учебной дисциплины, закреплению знаний;
- отработке методологии и методических приемов познания;
- выработке аналитических способностей, умения обобщения и формулирования выводов;
- приобретению навыков использования научных знаний в практической деятельности;
- выработке умения кратко, аргументированно и ясно излагать обсуждаемые вопросы;
- осуществлению контроля преподавателя за ходом обучения.

Семинары представляет собой *дискуссию* в пределах обсуждаемой темы (проблемы). Дискуссия помогает участникам семинара приобрести более совершенные знания, проникнуть в суть изучаемых проблем. Выработать методологию, овладеть методами анализа социально-экономических процессов. Обсуждение должно носить творческий характер с четкой и убедительной аргументацией.

По своей структуре семинар начинается со вступительного слова преподавателя, в котором кратко излагаются место и значение обсуждаемой темы (проблемы) в данной дисциплине, напоминаются порядок и направления ее обсуждения. Конкретизируется ранее известный обучающимся план проведения занятия. После этого начинается процесс обсуждения вопросов обучающимися. Завершается занятие подведением итогоа обсуждения, заключительным словом преподавателя.

Проведение семинарских занятий в рамках учебной группы (20 - 25 человек) позволяет обеспечить активное участие в обсуждении проблемы всех присутствующих.

По ходу обсуждения темы помните, что изучение теории должно быть связано с определением (выработкой) средств, путей применения теоретических положений в практической деятельности, например, при выполнении функций государственного служащего. В то же время важно не свести обсуждение научной проблемы только к пересказу случаев из практики работы, к критике имеющих место недостатков. Дискуссии имеют важное значение: учат дисциплине ума, умению выступать по существу, мыслить логически, выделяя главное, критически оценивать выступления участников семинара.

В процессе проведения семинара обучающиеся могут использовать разнообразные по своей форме и характеру пособия, демонстрируя фактический, в том числе статистический материал, убедительно подтверждающий теоретические выводы и положения. В завершение обсудите результаты работы семинара и сделайте выводы, что хорошо усвоено, а над чем следует дополнительно поработать.

В целях эффективности семинарских занятий необходима обстоятельная подготовка к их проведению. В начале семестра (учебного года) возьмите в библиотеке необходимые методические материалы для своевременной подготовки к семинарам. Готовясь к конкретной темезанятия следует ознакомиться с новыми официальными документами, статьями в периодических журналах, вновь вышедшими монографиями.

6. Методические рекомендации по подготовке к дискуссии

Современная практика предлагает широкий круг типов семинарских занятий. Среди них особое место занимает *семинар-дискуссия,* где в диалоге хорошо усваивается новая информация, видны убеждения студента, обсуждаются противоречия (явные и скрытые) и недостатки. Для обсуждения берутся конкретные актуальные вопросы, с которыми студенты предварительно ознакомлены. Дискуссия является одной из наиболее эффективных технологий группового взаимодействия, обладающей особыми возможностями в обучении, развитии и воспитании будущего специалиста.

Дискуссия (от лат. discussio - рассмотрение, исследование) - способ организации совместной деятельности с целью интенсификации процесса принятия решений в группе посредством обсуждения какого-либо вопроса или проблемы.

Дискуссия обеспечивает активное включение студентов в поиск истины; создает условия для открытого выражения ими своих мыслей, позиций, отношений к обсуждаемой теме и обладает особой возможностью воздействия на установки ее участников в процессе группового взаимодействия. Дискуссию можно рассматривать как *метод интерактивного обучения* и как особую технологию, включающую в себя другие методы и приемы обучения: «мозговой штурм», «анализ ситуаций» и т.д.

Обучающий эффект дискуссии определяется предоставляемой участнику возможностью получить разнообразную информацию от собеседников, продемонстрировать и повысить свою компетентность, проверить и уточнить свои представления и взгляды на обсуждаемую проблему, применить имеющиеся знания в процессе совместного решения учебных и профессиональных задач.

Развивающая функция дискуссии связана со стимулированием творчества обучающихся, развитием их способности к анализу информации и аргументированному, логически выстроенному доказательству своих идей и взглядов, с повышением коммуникативной активности студентов, их эмоциональной включенности в учебный процесс.

Влияние дискуссии на личностное становление студента обусловливается ее целостно - ориентирующей направленностью, созданием благоприятных условий для проявления индивидуальности, самоопределения в существующих точках зрения на определенную проблему, выбора своей позиции; для формирования умения взаимодействовать с другими, слушать и слышать окружающих, уважать чужие убеждения, принимать оппонента, находить точки соприкосновения, соотносить и согласовывать свою позицию с позициями других участников обсуждения.

Безусловно, наличие оппонентов, противоположных точек зрения всегда обостряет дискуссию, повышает ее продуктивность, позволяет создавать с их помощью конструктивный конфликт для более эффективного решения обсуждаемых проблем.

Существует несколько видов дискуссий, использование того или иного типа дискуссии зависит от характера обсуждаемой проблемы и целей дискуссии.

Дискуссия- диалог чаще всего применяется для совместного обсуждения учебных и производственных проблем, решение которых может быть достигнуто путем взаимодополнения, группового взаимодействия по принципу «индивидуальных вкладов» или на основе согласования различных точек зрения, достижения консенсуса.

Дискуссия - спор используется для всестороннего рассмотрения сложных проблем, не имеющих однозначного решения даже в науке, социальной, политической жизни, производственной практике и т.д. Она построена на принципе «позиционного противостояния» и ее цель - не столько решить проблему, сколько побудить участников дискуссии задуматься над проблемой, уточнить и определить свою позицию; научить аргументировано отстаивать свою точку зрения и в то же время осознать право других иметь свой взгляд на эту проблему, быть индивидуальностью.

Условия эффективного проведения дискуссии:

- информированность и подготовленность студентов к дискуссии,

- свободное владение материалом, привлечение различных источников для аргументации отстаиваемых положений;

- правильное употребление понятий, используемых в дискуссии, их единообразное понимание;

- корректность поведения, недопустимость высказываний, задевающих личность оппонента; установление регламента выступления участников;

- полная включенность группы в дискуссию, участие каждого студента в ней.

Подготовка студентов к дискуссии: если тема объявлена заранее, то следует ознакомиться с указанной литературой, необходимымисправочными материалами, продумать свою позицию, четко сформулировать аргументацию, выписать цитаты, мнения специалистов.

В проведении дискуссии выделяется несколько этапов.

Этап 1-й, введение в дискуссию: формулирование проблемы и целей дискуссии;

определение значимости проблемы, совместная выработка правил дискуссии; выяснение однозначности понимания темы дискуссии, используемых в ней терминов, понятий.

Этап 2-й, обсуждение проблемы: обмен участниками мнениями по каждому вопросу. Цель этапа - собрать максимум мнений, идей, предложений, соотнося их друг с другом.

Этап 3-й, подведение итогов обсуждения: выработка студентами согласованного мнения и принятие группового решения.

Далее подводятся итоги дискуссии, заслушиваются и защищаются проектные задания. После этого проводится "мозговой штурм" по нерешенным проблемам дискуссии, а также выявляются прикладные аспекты, которые можно рекомендовать для включения в курсовые и дипломные работы или в апробацию на практике.

Семинары-дискуссии проводятся с целью выявления мнения студентов по актуальным и проблемным вопросам.

7. Методические рекомендации по подготовке к сдаче экзаменов и зачетов

Экзамен - одна из важнейших частей учебного процесса, имеющая огромное значение.

Во-первых, готовясь к экзамену, студент приводит в систему знания, полученные на лекциях, семинарах, практических и лабораторных занятиях, разбирается в том, что осталось непонятным, и тогда изучаемая им дисциплина может быть воспринята в полном объеме с присущей ей строгостью и логичностью, ее практической направленностью. А это чрезвычайно важно для будущего специалиста.

Во-вторых, каждый хочет быть волевым и сообразительным., выдержанным и целеустремленным, иметь хорошую память, научиться быстро находить наиболее рациональное решение в трудных ситуациях. Очевидно, что все эти качества не только украшают человека, но и делают его наиболее действенным членом коллектива. Подготовка и сдача экзамена помогают студенту глубже усвоить изучаемые дисциплины, приобрести навыки и качества, необходимые хорошему специалисту.

Конечно, успех на экзамене во многом обусловлен тем, насколько систематически и глубоко работал студент в течение семестра. Совершенно очевидно, что серьезно продумать и усвоить содержание изучаемых дисциплин за несколько дней подготовки к экзамену просто невозможно даже для очень способного студента. И, кроме того, хорошо известно, что быстро выученные на память разделы учебной дисциплины так же быстро забываются после сдачи экзамена.

При подготовке к экзамену студенты не только повторяют и дорабатывают материал дисциплины, которую они изучали в течение семестра, они обобщают полученные знания, осмысливают методологию предмета, его систему, выделяют в нем основное и главное, воспроизводят общую картину с тем, чтобы яснее понять связь между отдельными элементами дисциплины. Вся эта обобщающая работа проходит в условиях напряжения воли и сознания, при значительном отвлечении от повседневной жизни, т. е. в условиях, благоприятствующих пониманию и запоминанию.

Подготовка к экзаменам состоит в приведении в порядок своих знаний. Даже самые способные студенты не в состоянии в короткий период зачетно-экзаменационной сессии усвоить материал целого семестра, если они над ним не работали в свое время. Для тех, кто мало занимался в семестре, экзамены принесут мало пользы: что быстро пройдено, то быстро и забудется. И хотя в некоторых случаях студент может «проскочить» через экзаменационный барьер, в его подготовке останется серьезный пробел, трудно восполняемый впоследствии.

Определив назначение и роль экзаменов в процессе обучения, попытаемся на этой основе пояснить, как лучше готовиться к ним.

Экзаменам, как правило, предшествует защита курсовых работ (проектов) и сдача зачетов. К экзаменам допускаются только студенты, защитившие все курсовые работы проекты) и сдавшие все зачеты. В вузе сдача зачетов организована так, что при систематической работе в течение семестра, своевременной и успешной сдаче всех текущих работ, предусмотренных графиком учебного процесса, большая часть зачетов не вызывает повышенной трудности у студента. Студенты, работавшие в семестре по плану, подходят к экзаменационной сессии без напряжения, без излишней затраты сил в последнюю, «зачетную» неделю.

Подготовку к экзамену следует начинать с первого дня изучения дисциплины. Как правило, на лекциях подчеркиваются наиболее важные и трудные вопросы или разделы дисциплины, требующие внимательного изучения и обдумывания. Нужно эти вопросы выделить и обязательно постараться разобраться в них, не дожидаясь экзамена, проработать их, готовясь к семинарам, практическим или лабораторным занятиям, попробовать самостоятельно решить несколько типовых задач. И если, несмотря на это, часть материала осталась неусвоенной, ни в коем случае нельзя успокаиваться, надеясь на то, что это не попадется на экзамене. Факты говорят об обратном; если те или другие вопросы учебной дисциплины не

вошли в экзаменационный билет, преподаватель может их задать (и часто задает) в виде дополнительных вопросов.

Точно такое же отношение должно быть выработано к вопросам и задачам, перечисленным в программе учебной дисциплины, выдаваемой студентам в начале семестра. Обычно эти же вопросы и аналогичные задачи содержатся в экзаменационных билетах. Не следует оставлять без внимания ни одного раздела дисциплины: если не удалось в чем-то разобраться самому, нужно обратиться к товарищам; если и это не помогло выяснить какой-либо вопрос до конца, нужно обязательно задать этот вопрос преподавателю на предэкзаменационной консультации. Чрезвычайно важно приучить себя к умению самостоятельно мыслить, учиться думать, понимать суть дела. Очень полезно после проработки каждого раздела восстановить в памяти содержание изученного материала. кратко записав это на листе бумаги. создать карту памяти (умственную карту), изобразить необходимые схемы и чертежи (логико-графические схемы), например, отобразить последовательность вывода теоремы или формулы. Если этого не сделать, то большая часть материала останется не понятой, а лишь формально заученной, и при первом же вопросе экзаменатора студент убедится в том, насколько поверхностно он усвоил материал.

В период экзаменационной сессии происходит резкое изменение режима работы, отсутствует посещение занятий по расписанию. При всяком изменении режима работы очень важно скорее приспособиться к новым условиям. Поэтому нужно сразу выбрать такой режим работы, который сохранился бы в течение всей сессии, т. е. почти на месяц. Необходимо составить для себя новый распорядок дня, чередуя занятия с отдыхом. Для того чтобы сократить потерю времени на включение в работу, рабочие периоды целесообразно делать длительными, разделив день примерно на три части: с утра до обеда, с обеда до ужина и от ужина до сна.

Каждый рабочий период дня надо заканчивать отдыхом. Наилучший отдых в период экзаменационной сессии - прогулка, кратковременная пробежка или какой-либо неутомительный физический труд.

При подготовке к экзаменам основное направление дают программа учебной дисциплины и студенческий конспект, которые указывают, что наиболее важно знать и уметь делать. Основной материал должен прорабатываться по учебнику (если такой имеется) и учебным пособиям, так как конспекта далеко недостаточно для изучения дисциплины. Учебник должен быть изучен в течение семестра, а перед экзаменом сосредоточьте внимание на основных, наиболее сложных разделах. Подготовку по каждому разделу следует заканчивать восстановлением по памяти его краткого содержания в логической последовательности.

За один - два дня до экзамена назначается консультация. Если ее правильно использовать, она принесет большую пользу. Во время консультации студент имеет полную возможность получить ответ на нее ни ясные ему вопросы. А для этого он должен проработать до консультации все темы дисциплины. Кроме того, преподаватель будет отвечать на вопросы других студентов, что будет для вас повторением и закреплением знаний. И еще очень важное обстоятельство: преподаватель на консультации, как правило, обращает внимание на те вопросы, по которым на предыдущих экзаменах ответы были неудовлетворительными, а также фиксирует внимание на наиболее трудных темах дисциплины. Некоторые студенты не приходят на консультации либо потому, что считают, что у них нет вопросов к преподавателю, либо полагают, что у них и так мало времени и лучше самому прочитать материал в конспекте или и учебнике. Это глубокое заблуждение. Никакая другая работа не сможет принести столь значительного эффекта накануне экзамена, как консультация преподавателя.

Но консультация не может возместить отсутствия длительной работы в течение семестра и помочь за несколько часов освоить материал, требующийся к экзамену. На консультации студент получает ответы на трудные или оставшиеся неясными вопросы и, следовательно, дорабатывается материал. Консультации рекомендуется посещать, подготовив к ним все

вопросы, вызывающие сомнения. Если студент придет на консультацию, не проработав всего материала, польза от такой консультации будет невелика.

Итак, *основные советы* для подготовки к сдаче зачетов и экзаменов состоят в следующем:

- лучшая подготовка к зачетам и экзаменам - равномерная работа в течение всего семестра;
- используйте программы учебных дисциплин - это организует вашу подготовку к зачетам и экзаменам;
- учитывайте, что для полноценного изучения учебной дисциплины необходимо время;
- составляйте планы работы во времени;
- работайте равномерно и ритмично;
- курсовые работы (проекты) желательно защищать за одну - две недели до начала зачетно-экзаменационной сессии;
- все зачеты необходимо сдавать до начала экзаменационной сессии;
- помните, что конспект не заменяет учебник и учебные пособия, а помогает выбрать из него основные вопросы и ответы;
- при подготовке наибольшее внимание и время уделяйте трудным и непонятным вопросам учебной дисциплины;
- грамотно используйте консультации;
- соблюдайте правильный режим труда и отдыха во время сессии, это сохранит работоспособность и даст хорошие результаты;
- учитесь владеть собой на зачете и экзамене;
- учитесь точно и кратко передавать свои мысли, поясняя их, если нужно, логико-графическими схемами.

Очень важным условием для правильного режима работы в период экзаменационной сессии является нормальный сон, иначе в день экзамена не будет чувства бодрости и уверенности.

ЗАКЛЮЧЕНИЕ

Методические указания по выполнению самостоятельной работы обучающихся являются неотъемлемой частью процесса обучения в вузе. Правильнаяорганизация самостоятельной работы позволяет обучающимся развивать умения и навыки в усвоении и систематизации приобретаемых знаний, обеспечивает высокий уровень успеваемости в период обучения, способствует формированию навыков совершенствования профессионального мастерства.

Также внеаудиторное время включает в себя подготовку к аудиторным занятиям и изучение отдельных тем, расширяющих и углубляющих представления обучающихся по разделам изучаемой дисциплины.

Таким образом, обучающийся используя методические указания может в достаточном объеме усвоить и успешно реализовать конкретные знания, умения, навыки и получить опыт при выполнении следующих условий:

1) систематическаясамостоятельная работа по закреплению полученных знаний и навыков;

2) добросовестноевыполнение заданий;

3) выяснениеи уточнение отдельных предпосылок, умозаключений и выводов, содержащихся в учебном курсе;

4) сопоставление точек зрения различных авторов по затрагиваемым в учебном курсе проблемам; выявление неточностей и некорректного изложения материала в периодической и специальной литературе;

5) периодическое ознакомление с последними теоретическими и практическими достижениями в области управления персоналом;

6) проведение собственных научных и практических исследований по одной или нескольким актуальным проблемам для *HR*;

7) подготовка научных статей для опубликования в периодической печати, выступление на научно-практических конференциях, участие в работе студенческих научных обществ, круглых столах и диспутах по проблемам управления персоналом.

Контроль результатов внеаудиторной самостоятельной работы студентов осуществляется в пределах времени, отведенного на обязательные учебные занятия по дисциплине

СПИСОК ИСПОЛЬЗОВАННЫХ ИСТОЧНИКОВ

1. Долгоруков А. Метод case-study как современная технология профессионально - ориентированного обучения [Электронный ресурс]. Режим доступа: //http://evolkov.net/case/case.study.html/

2. Методические рекомендации по написанию реферата. [Электронный ресурс]. Режим доступа: http://www.hse.spb.ru/edu/recommendations/method-referat-2005.phtml

3. Фролова Н. А. Реферирование и аннотирование текстов по специальности (на материале немецкого языка): Учеб. пособие / ВолгГТУ, Волгоград, 2006. - С.5.

МИНОБРНАУКИ РОССИИ

ФГБОУ ВО «Уральский государственный горный университет»

УТВЕРЖДАЮ
Проректор по учебно-методическому комплексу _____ С. А. Ушаров

МЕТОДИЧЕСКИЕ УКАЗАНИЯ ПО ОРГАНИЗАЦИИ САМОСТОЯТЕЛЬНОЙ РАБОТЫ И ВЫПОЛНЕНИЮ ЗАДАНИЙ ОБУЧАЮЩИХСЯ

Б1.О.ДВ.01.01 ДУХОВНО-НРАВСТВЕННАЯ КУЛЬТУРА ЛИЧНОСТИ

Специальность:
21.05.02 Прикладная геология

Специализация:
Геология месторождений нефти и газа

Авторы: Авторы: Бачинин И.В. к.п.н, Погорелов С.Т., к.п.н. Старостин А.Н., к. ист. н., Суслонов П.Е., к. филос. н., доцент

Одобрена на заседании кафедры
теологии
(название кафедры)
Зав.кафедрой _____
(подпись)
к.п.н. Бачинин И.В.
(Фамилия И.О.)
Протокол № 1 от 10.09.2020
(Дата)

Рассмотрена методической комиссией
факультета геологии и геофизики
(название факультета)
Председатель _____
(подпись)
д.г.-м.н., проф. Бондарев В.И.
(Фамилия И.О.)
Протокол № 2 от 13.10.2020
(Дата)

Екатеринбург

Методические материалы по дисциплине согласованы с выпускающей кафедрой литологии и геологии горючих ископаемых

Заведующий кафедрой ЛГГИ _____ к.г.-м.н., С.А. Рыльков____

подпись *И.О. Фамилия*

Оглавление

Методические указания по освоению дисциплины 4
Освоение лекционного курса 4
Самостоятельное изучение тем курса 4
Подготовка к практическим (семинарским) занятиям 7
Подготовка к тестированию 8
Подготовка к групповой дискуссии 10
Методические указания по подготовке к промежуточной аттестации 12

Методические указания по освоению дисциплины

Освоение лекционного курса

Лекции по дисциплине дают основной теоретический материал, являющийся базой для восприятия практического материала. После прослушивания лекции необходимо обратиться к рекомендуемой литературе, прочитать соответствующие темы, уяснить основные термины, проблемные вопросы и подходы к их решению, а также рассмотреть дополнительный материал по теме.

Главное в период подготовки к лекционным занятиям – научиться методам самостоятельного умственного труда, сознательно развивать свои творческие способности и овладевать навыками творческой работы. Для этого необходимо строго соблюдать дисциплину учебы и поведения. Четкое планирование своего рабочего времени и отдыха является необходимым условием для успешной самостоятельной работы. В основу его нужно положить рабочие программы изучаемых в семестре дисциплин.

Каждому студенту следует составлять еженедельный и семестровый планы работы, а также план на каждый рабочий день. С вечера всегда надо распределять работу на завтрашний день. В конце каждого дня целесообразно подводить итог работы: тщательно проверить, все ли выполнено по намеченному плану, не было ли каких-либо отступлений, а если были, по какой причине это произошло. Нужно осуществлять самоконтроль, который является необходимым условием успешной учебы. Если что-то осталось невыполненным, необходимо изыскать время для завершения этой части работы, не уменьшая объема недельного плана.

Одним из важных элементов освоения лекционного курса является самостоятельная работа на лекции. Слушание и запись лекций – сложный вид вузовской аудиторной работы. Внимательное слушание и конспектирование лекций предполагает интенсивную умственную деятельность студента. Краткие записи лекций, их конспектирование помогает усвоить учебный материал. Конспект является полезным тогда, когда записано самое существенное, основное и сделано это самим студентом. Не надо стремиться записать дословно всю лекцию. Такое «конспектирование» приносит больше вреда, чем пользы. Запись лекций рекомендуется вести по возможности собственными формулировками. Желательно запись осуществлять на одной странице, а следующую оставлять для проработки учебного материала самостоятельно в домашних условиях. Конспект лекции лучше подразделять на пункты, параграфы, соблюдая красную строку. Этому в большой степени будут способствовать пункты плана лекции, предложенные преподавателям. Принципиальные места, определения, формулы и другое следует сопровождать замечаниями «важно», «особо важно», «хорошо запомнить» и т.п. Можно делать это и с помощью разноцветных маркеров или ручек. Лучше если они будут собственными, чтобы не приходилось просить их у однокурсников и тем самым не отвлекать их во время лекции. Целесообразно разработать собственную «маркографию» (значки, символы), сокращения слов. Не лишним будет и изучение основ стенографии. Работая над конспектом лекций, всегда необходимо использовать не только учебник, но и ту литературу, которую дополнительно рекомендовал лектор. Именно такая серьезная, кропотливая работа с лекционным материалом позволит глубоко овладеть знаниями.

Самостоятельное изучение тем курса

Самостоятельное изучение тем курса осуществляется на основе списка основной и рекомендуемой литературы к дисциплине. При работе с книгой необходимо научиться правильно ее читать, вести записи. Самостоятельная работа с учебниками и книгами (а также самостоятельное теоретическое исследование проблем, обозначенных

преподавателем на лекциях) – это важнейшее условие формирования научного способа познания. Основные приемы можно свести к следующим:

• составить перечень книг, с которыми следует познакомиться;

• перечень должен быть систематизированным (что необходимо для семинаров, что для экзаменов, что пригодится для написания курсовых и выпускных квалификационных работ, а что выходит за рамками официальной учебной деятельности, и расширяет общую культуру);

• обязательно выписывать все выходные данные по каждой книге (при написании курсовых и дипломных работ это позволит экономить время);

• определить, какие книги (или какие главы книг) следует прочитать более внимательно, а какие – просто просмотреть;

• при составлении перечней литературы следует посоветоваться с преподавателями и научными руководителями, которые помогут сориентироваться, на что стоит обратить большее внимание, а на что вообще не стоит тратить время;

• все прочитанные книги, учебники и статьи следует конспектировать, но это не означает, что надо конспектировать «все подряд»: можно выписывать кратко основные идеи автора и иногда приводить наиболее яркие и показательные цитаты (с указанием страниц);

• если книга – собственная, то допускается делать на полях книги краткие пометки или же в конце книги, на пустых страницах просто сделать свой «предметный указатель», где отмечаются наиболее интересные мысли и обязательно указываются страницы в тексте автора;

• следует выработать способность «воспринимать» сложные тексты; для этого лучший прием – научиться «читать медленно», когда понятно каждое прочитанное слово (а если слово незнакомое, то либо с помощью словаря, либо с помощью преподавателя обязательно его узнать); Таким образом, чтение научного текста является частью познавательной деятельности. Ее цель – извлечение из текста необходимой информации.

От того на сколько осознанна читающим собственная внутренняя установка при обращении к печатному слову (найти нужные сведения, усвоить информацию полностью или частично, критически проанализировать материал и т.п.) во многом зависит эффективность осуществляемого действия. Грамотная работа с книгой, особенно если речь идет о научной литературе, предполагает соблюдение ряда правил, для овладения которыми необходимо настойчиво учиться. Это серьёзный, кропотливый труд. Прежде всего, при такой работе невозможен формальный, поверхностный подход. Не механическое заучивание, не простое накопление цитат, выдержек, а сознательное усвоение прочитанного, осмысление его, стремление дойти до сути – вот главное правило. Другое правило – соблюдение при работе над книгой определенной последовательности. Вначале следует ознакомиться с оглавлением, содержанием предисловия или введения. Это дает общую ориентировку, представление о структуре и вопросах, которые рассматриваются в книге.

Следующий этап – чтение. Первый раз целесообразно прочитать книгу с начала до конца, чтобы получить о ней цельное представление. При повторном чтении происходит постепенное глубокое осмысление каждой главы, критического материала и позитивного изложения; выделение основных идей, системы аргументов, наиболее ярких примеров и т.д. Непременным правилом чтения должно быть выяснение незнакомых слов, терминов, выражений, неизвестных имен, названий. Студенты с этой целью заводят специальные тетради или блокноты. Важная роль в связи с этим принадлежит библиографической подготовке студентов. Она включает в себя умение активно, быстро пользоваться научным аппаратом книги, справочными изданиями, каталогами, умение вести поиск необходимой информации, обрабатывать и систематизировать ее.

Выделяют четыре основные установки в чтении научного текста:

- информационно-поисковая (задача – найти, выделить искомую информацию);

- усваивающая (усилия читателя направлены на то, чтобы как можно полнее осознать и запомнить как сами сведения, излагаемые автором, так и всю логику его рассуждений);

- аналитико-критическая (читатель стремится критически осмыслить материал, проанализировав его, определив свое отношение к нему);

- творческая (создает у читателя готовность в том или ином виде – как отправной пункт для своих рассуждений, как образ для действия по аналогии и т.п. – использовать суждения автора, ход его мыслей, результат наблюдения, разработанную методику, дополнить их, подвергнуть новой проверке).

С наличием различных установок обращения к научному тексту связано существование и нескольких видов чтения:

- библиографическое – просматривание карточек каталога, рекомендательных списков, сводных списков журналов и статей за год и т.п.;

- просмотровое – используется для поиска материалов, содержащих нужную информацию, обычно к нему прибегают сразу после работы со списками литературы и каталогами, в результате такого просмотра читатель устанавливает, какие из источников будут использованы в дальнейшей работе;

- ознакомительное – подразумевает сплошное, достаточно подробное прочтение отобранных статей, глав, отдельных страниц, цель – познакомиться с характером информации, узнать, какие вопросы вынесены автором на рассмотрение, провести сортировку материала;

- изучающее – предполагает доскональное освоение материала; в ходе такого чтения проявляется доверие читателя к автору, готовность принять изложенную информацию, реализуется установка на предельно полное понимание материала;

- аналитико-критическое и творческое чтение – два вида чтения близкие между собой тем, что участвуют в решении исследовательских задач.

Первый из них предполагает направленный критический анализ, как самой информации, так и способов ее получения и подачи автором; второе – поиск тех суждений, фактов, по которым или в связи с которыми, читатель считает нужным высказать собственные мысли.

Из всех рассмотренных видов чтения основным для студентов является изучающее – именно оно позволяет в работе с учебной литературой накапливать знания в различных областях. Вот почему именно этот вид чтения в рамках учебной деятельности должен быть освоен в первую очередь. Кроме того, при овладении данным видом чтения формируются основные приемы, повышающие эффективность работы с научным текстом. Научная методика работы с литературой предусматривает также ведение записи прочитанного. Это позволяет привести в систему знания, полученные при чтении, сосредоточить внимание на главных положениях, зафиксировать, закрепить их в памяти, а при необходимости вновь обратиться к ним.

Основные виды систематизированной записи прочитанного:

- Аннотирование – предельно краткое связное описание просмотренной или прочитанной книги (статьи), ее содержания, источников, характера и назначения.

- Планирование – краткая логическая организация текста, раскрывающая содержание и структуру изучаемого материала.

- Тезирование – лаконичное воспроизведение основных утверждений автора без привлечения фактического материала.

- Цитирование – дословное выписывание из текста выдержек, извлечений, наиболее существенно отражающих ту или иную мысль автора.

- Конспектирование – краткое и последовательное изложение содержания прочитанного. Конспект – сложный способ изложения содержания книги или статьи в логической последовательности. Конспект аккумулирует в себе предыдущие виды записи, позволяет всесторонне охватить содержание книги, статьи. Поэтому умение составлять

план, тезисы, делать выписки и другие записи определяет и технологию составления конспекта.

Как правильно составлять конспект? Внимательно прочитайте текст. Уточните в справочной литературе непонятные слова. При записи не забудьте вынести справочные данные на поля конспекта. Выделите главное, составьте план, представляющий собой перечень заголовков, подзаголовков, вопросов, последовательно раскрываемых затем в конспекте. Это первый элемент конспекта. Вторым элементом конспекта являются тезисы. Тезис - это кратко сформулированное положение. Для лучшего усвоения и запоминания материала следует записывать тезисы своими словами. Тезисы, выдвигаемые в конспекте, нужно доказывать. Поэтому третий элемент конспекта - основные доводы, доказывающие истинность рассматриваемого тезиса. В конспекте могут быть положения и примеры. Законспектируйте материал, четко следуя пунктам плана. При конспектировании старайтесь выразить мысль своими словами. Записи следует вести четко, ясно. Грамотно записывайте цитаты. Цитируя, учитывайте лаконичность, значимость мысли. При оформлении конспекта необходимо стремиться к емкости каждого предложения. Мысли автора книги следует излагать кратко, заботясь о стиле и выразительности написанного. Число дополнительных элементов конспекта должно быть логически обоснованным, записи должны 15 распределяться в определенной последовательности, отвечающей логической структуре произведения. Для уточнения и дополнения необходимо оставлять поля.

Конспектирование - наиболее сложный этап работы. Овладение навыками конспектирования требует от студента целеустремленности, повседневной самостоятельной работы. Конспект ускоряет повторение материала, экономит время при повторном, после определенного перерыва, обращении к уже знакомой работе. Учитывая индивидуальные особенности каждого студента, можно дать лишь некоторые, наиболее оправдавшие себя общие правила, с которыми преподаватель и обязан познакомить студентов:

1. Главное в конспекте не объем, а содержание. В нем должны быть отражены основные принципиальные положения источника, то новое, что внес его автор, основные методологические положения работы. Умение излагать мысли автора сжато, кратко и собственными словами приходит с опытом и знаниями. Но их накоплению помогает соблюдение одного важного правила – не торопиться записывать при первом же чтении, вносить в конспект лишь то, что стало ясным.

2. Форма ведения конспекта может быть самой разнообразной, она может изменяться, совершенствоваться. Но начинаться конспект всегда должен с указания полного наименования работы, фамилии автора, года и места издания; цитаты берутся в кавычки с обязательной ссылкой на страницу книги.

3. Конспект не должен быть «слепым», безликим, состоящим из сплошного текста. Особо важные места, яркие примеры выделяются цветным подчеркиванием, взятием в рамочку, оттенением, пометками на полях специальными знаками, чтобы можно было быстро найти нужное положение. Дополнительные материалы из других источников можно давать на полях, где записываются свои суждения, мысли, появившиеся уже после составления конспекта.

Подготовка к практическим (семинарским) занятиям

Важной формой самостоятельной работы студента является систематическая и планомерная подготовка к практическому (семинарскому) занятию. После лекции студент должен познакомиться с планом практических занятий и списком обязательной и дополнительной литературы, которую необходимо прочитать, изучить и законспектировать. Разъяснение по вопросам новой темы студенты получают у преподавателя в конце предыдущего практического занятия.

Подготовка к практическому занятию требует, прежде всего, чтения рекомендуемых источников и монографических работ, их реферирования, подготовки докладов и сообщений. Важным этапом в самостоятельной работе студента является повторение материала по конспекту лекции. Одна из главных составляющих внеаудиторной подготовки – работа с книгой. Она предполагает: внимательное прочтение, критическое осмысление содержания, обоснование собственной позиции по дискуссионным моментам, постановки интересующих вопросов, которые могут стать предметом обсуждения на семинаре.

В начале практического занятия должен присутствовать организационный момент и вступительная часть. Преподаватель произносит краткую вступительную речь, где формулируются основные вопросы и проблемы, способы их решения в процессе работы.

Практические занятия не повторяют, а существенно дополняют лекционные занятия, помогая студентам в подготовке к промежуточной аттестации. Практические занятия являются одной из важнейших форм обучения студентов: они позволяют студентам закрепить, углубить и конкретизировать знания по курсу, подготовиться к практической деятельности. В процессе работы на практических занятиях студент должен совершенствовать умения и навыки самостоятельного анализа источников и научной литературы, что необходимо для научно-исследовательской работы.

Одним из важных элементов практических занятий является изучение и анализ источников теологического, религиозного или правового характера, осуществляемый под руководством преподавателя, что необходимо для получения практических навыков в области научно-исследовательской, экспертно-консультативной и представительско-посреднической деятельности по окончании обучения.

Подготовка к тестированию

Тестирование - система стандартизированных заданий, позволяющая автоматизировать процедуру измерения уровня знаний и умений обучающегося.

Тестовая система предусматривает вопросы / задания, на которые слушатель должен дать один или несколько вариантов правильного ответа из предложенного списка ответов. При поиске ответа необходимо проявлять внимательность. Прежде всего, следует иметь в виду, что в предлагаемом задании всегда будет один правильный и один неправильный ответ. Это оговаривается перед каждым тестовым вопросом. Всех правильных или всех неправильных ответов (если это специально не оговорено в формулировке вопроса) быть не может. Нередко в вопросе уже содержится смысловая подсказка, что правильным является только один ответ, поэтому при его нахождении продолжать дальнейшие поиски уже не требуется.

На отдельные тестовые задания не существует однозначных ответов, поскольку хорошее знание и понимание содержащегося в них материала позволяет найти такие ответы самостоятельно. Именно на это слушателям и следует ориентироваться, поскольку полностью запомнить всю получаемую информацию и в точности ее воспроизвести при ответе невозможно. Кроме того, вопросы в тестах могут быть обобщенными, не затрагивать каких-то деталей.

Тестовые задания сгруппированы по темам учебной дисциплины. Количество тестовых вопросов/заданий по каждой теме дисциплины определено так, чтобы быть достаточным для оценки знаний обучающегося по всему пройденному материалу.

При подготовке к тестированию студенту следует внимательно перечитать конспект лекций, основную и дополнительную литературу по той теме (разделу), по которому предстоит писать тест.

Для текущей аттестации по дисциплине «Духовно-нравственная культура личности» применяются тесты, которые выполняются по разделам № 1-4.

Предлагаются задания по изученным темам в виде открытых и закрытых вопросов (35 вопросов в каждом варианте).

Образец тестового задания

1. Древнейший человек на Земле появился около 3 млн. лет назад. Когда появились первые люди на Урале?
а) 1млн. лет назад,
б) 300 тыс. лет назад,
в) около. 150 тыс. лет назад.

2.В каком регионе Урала находится укрепленное поселение бронзового века “Аркаим”:
а) в Курганской
б) в Челябинской,
в) в Свердловской.

3.Уральский город, где расположена известная наклонная башня Демидовых:
а) Кунгур
б) Невьянск
в) Екатеринбург
г) Соликамск

4. В каком году была основана Екатеринбургская горнозаводская школа?
а) 1723
б) 1783
в) 1847

5. Почему на гербе Уральского государственного горного университета изображена императорская корона?
а) потому что он был основан императором Николаем II
б) по личной просьбе представительницы царского дома Романовых О.Н. Куликовской-Романовой, посетившей Горный университет
в) для красоты

6. Из приведенных волевых качеств определите те, которые необходимы для выполнения патриотического долга.
а) Решительность, выдержка, настойчивость в преодолении препятствий и трудностей.
б) Агрессивность, настороженность, терпимость к себе и сослуживцам.
в) Терпимость по отношению к старшим, лояльность по отношению к окружающим

7. Печорин в произведении М.Ю. Лермонтова “Герой нашего времени” был ветераном этой войны:
а) Русско – турецкой
б) Кавказской
в) Крымской
г) Германской

Ключи:
1. б
2. б
3. б
4. а
5. а

6. а
7. б

Тест выполняется на отдельном листе с напечатанными тестовыми заданиями, выдаваемом преподавателем, на котором нужно обвести правильный вариант ответа. Тест подписывается сверху следующим образом: фамилия, инициалы, № группы, дата.

Оценка за тестирование определяется простым суммированием баллов за правильные ответы на вопросы.

В зависимости от типа вопроса ответ считается правильным, если:

- в тестовом задании закрытой формы с выбором ответа выбран правильный ответ;
- в тестовом задании открытой формы дан правильный ответ;
- в тестовом задании на установление правильной последовательности установлена правильная последовательность;
- в тестовом задании на установление соответствия, если сопоставление произведено верно для всех пар.

18-35 баллов (50-100%) – оценка «зачтено»

0-17 баллов (0-49%) - оценка «не зачтено»

Подготовка к групповой дискуссии

Групповая дискуссия — это одна из организационных форм познавательной деятельности обучающихся, позволяющая закрепить полученные ранее знания, восполнить недостающую информацию, сформировать умения решать проблемы, укрепить позиции, научить культуре ведения дискуссии. Тематика обсуждения выдается на первых занятиях. Подготовка осуществляется во внеаудиторное время. Регламент – 3-5 мин. на выступление. В оценивании результатов наравне с преподавателем принимают участие студенты группы.

Обсуждение проблемы (нравственной, политической, научной, профессиональной и др.) происходит коллективно, допускается корректная критика высказываний (мнений) своих сокурсников с обязательным приведением аргументов критики.

Участие каждого обучающегося в диалоге, обсуждении должно быть неформальным, но предметным.

Темы для групповых дискуссий по разделам

Тема для групповой дискуссии по разделу 1. История инженерного дела в России. Создание и развитие Уральского государственного горного университета.

Студентам заранее дается перечень великих уральцев XVIII – начала XX вв. (Демидовы, И.С. Мясников и Твердышевы, Г.В. де Генин, В.А. Глинка, М.Е. Грум-Гржимайло и др.), внесших существенный вклад в развитие металлургической и горной промышленности. Студенты разбиваются на несколько групп, каждой из которых дается один исторический персонаж. Задача студентов по литературным и интернет-источникам подробно познакомиться с биографией и трудами своего героя. В назначенный для дискуссии день они должны не только рассказать о нем и его трудах, но и, главным образом, указать на то, каким образом их жизнь и деятельность повлияла на культуру и жизненный уклад их современников, простых уральцев.

Тема для групповой дискуссии по разделу 2. «Основы российского патриотического самосознания»

Студенты должны заранее освежить в памяти произведения школьной программы: К.М. Симонова «Жди меня», М.Ю. Лермонтова «Бородино», Л.Н. Толстого «Война и мир», А.А. Фадеева «Молодая гвардия».

Вопросы, выносимые на обсуждение:

Какие специфические грани образа патриота представлены в произведениях К.М. Симонова «Жди меня», М.Ю. Лермонтова «Бородино», Л.Н. Толстого «Война и мир», А.А. Фадеева «Молодая гвардия», выделите общее и особенное.

Какие еще произведения, в которых главные герои проявляют патриотические качества, вы можете назвать. Соотнесите их с героями вышеупомянутых писателей.

Тема для групповой дискуссии по разделу 3. Религиозная культура в жизни человека и общества.

Описание изначальной установки:

Группа делится на 2 части: «верующие» и «светские». Каждая группа должна высказать аргументированные суждения по следующей теме:

«Может ли верующий человек прожить без храма/мечети/синагоги и другие культовые сооружения?»

Вопросы для обсуждения:

1. Зачем человеку нужен храм/мечеть/синагога и др. культовые сооружения?
2. Почему совесть называют голосом Божиим в человеке?
3. Что означает выражение «вечные ценности»?
4. Что мешает человеку прийти в храм/мечеть/синагогу и др. культовое сооружение?

Каждый из групп должна представить развернутые ответы на поставленные вопросы со ссылкой на религиоведческие источники и нормативно-правовые акты, аргументированно изложить свою позицию.

Тема для групповой дискуссии по разделу 4. «Основы духовной и социально-психологической безопасности»

***Тема дискуссии:* «Воспитание трезвенных убеждений»**

Основой дискуссии как метода активного обучения и контроля полученных знаний является равноценное владение материалом дискуссии всеми студентами. Для этого при предварительной подготовке рекомендуется наиболее тщательно повторить темы раздела, касающиеся формирования системы ценностей, манипуляций сознанием, мпомобов ведения консциентальной войны, методике утверждения трезвости как базовой национальной ценности.

В начале дискуссии демонстрируется фильм Н. Михалкова «Окна Овертона» из серии Бесогон ТВ: https://www.youtube.com/watch?time_continue=8&v=BlIiy4QfQIk

Затем перед студентами ставится проблемная задача: сформулировать ответ на вопрос «Возможно ли применение данной технологии формирования мировоззрения в благих целях — для воспитания трезвенных убеждений?»

Возможные варианты точек зрения:

1. Это манипулятивная технология, применение ее для воспитания трезвенных убеждений неэтично.

2. Это универсальная социально-педагогическая технология, применение ее во зло или во благо зависит от намерений автора. Испоьзование ее в целях формирования трезвенных

убеждений обосновано и может реализоваться в практической деятельности тех, кто овладел курсом «Основы утверждения трезвости»

Результатом дискуссии не могут быть однозначные выводы и формулировки. Действие ее всегда пролонгировано, что дает студентам возможность для дальнейшего обдумывания рассмотренных проблемных ситуаций, для поиска дополнительной информации по воспитанию трезвенных убеждений.

Незадолго до проведения групповой дискуссии преподаватель разделяет группу на несколько подгрупп, которая, согласно сценарию, будет представлять определенную точку зрения, информацию. При подготовке к групповой дискуссии студенту необходимо собрать материал по теме с помощью анализа научной литературы и источников.

Используя знание исторического, теологического и правового материала, исходя из изложенных изначальных концепций, каждая группа должна изложить свою точку зрения на обсуждаемый вопрос, подкрепив ее соответствующими аргументами.

Каждый из групп по очереди приводит аргументы в защиту своей позиции. Соответственно другая группа должна пытаться привести контраргументы, свидетельствующие о нецелесообразности, пагубности позиции предыдущей группы и стремится доказать, аргументированно изложить свою позицию.

Критерии оценивания: качество высказанных суждений, умение отстаивать свое мнение, культура речи, логичность.

Критерии оценки одной дискуссии:

Суждения зрелые, обоснованные, высказаны с использованием профессиональной терминологии, логично – 8-10 баллов.

Суждения не совсем зрелые или необоснованные, при ответе использована профессиональная терминология, суждение логично – 4 – 7 баллов.

Суждения незрелые, необоснованные, бытовая речь, нелогичный ответ – 2– 3 балла:

Суждения нет, бытовая речь, нелогичный ответ – 2– 3 балла.

Оценка «зачтено» выставляется обучающемуся, если он набрал 8-10 баллов

Оценка «зачтено» выставляется обучающемуся, если он набрал 4-7 баллов

Оценка «зачтено» выставляется обучающемуся, если он набрал 2-3 балла

Оценка «неудовлетворительно» выставляется обучающемуся, если он набрал 0-1 балл.

Максимальное количество баллов, которые можно набрать, работая на дискуссии – 40 баллов.

Методические указания по подготовке к промежуточной аттестации

Каждый учебный семестр заканчивается промежуточной аттестацией в виде зачетно-экзаменационной сессии. Подготовка к зачетно-экзаменационной сессии, сдача зачетов и экзаменов является также самостоятельной работой студента. Основное в подготовке к сессии – повторение всего учебного материала дисциплины, по которому необходимо сдавать зачет или экзамен. Только тот студент успевает, кто хорошо усвоил учебный материал. Если студент плохо работал в семестре, пропускал лекции, слушал их невнимательно, не конспектировал, не изучал рекомендованную литературу, то в процессе подготовки к сессии ему придется не повторять уже знакомое, а заново в короткий срок изучать весь учебный материал. Все это зачастую невозможно сделать из-за нехватки

времени. Для такого студента подготовка к зачету или экзамену будет трудным, а иногда и непосильным делом, а конечный результат – возможное отчисление из учебного заведения.

Ознакомление обучающихся с процедурой и алгоритмом оценивания (в течение первой недели начала изучения дисциплины).

Сообщение результатов оценивания обучающимся.

Оформление необходимой документации.

Зачет - форма контроля промежуточной аттестации, в результате которого обучающийся получает оценку по шкале: «зачтено», «не зачтено».

Зачет проводится по расписанию.

Цель зачета – завершить курс изучения дисциплины, проверить сложившуюся у обучающегося систему знаний, понятий, отметить степень полученных знаний, определить сформированность компетенций.

Зачет подводит итог знаний, умений и навыков обучающихся по дисциплине, всей учебной работы по данному предмету.

К зачету по дисциплине «Духовно-нравственная культура личности» необходимо начинать готовиться с первой лекции, практического (семинарского) занятия, так как материал, набираемый памятью постепенно, неоднократно подвергавшийся обсуждению, образует качественные знания, формирует необходимые компетенции.

Зачет по дисциплине «Духовно-нравственная культура личности» проводится в письменной форме путем выполнения зачетного тестового задания.

При опоздании к началу зачета обучающийся на зачет не допускается. Использование средств связи, «шпаргалок», подсказок зачете является основанием для удаления обучающегося с зачета, а в зачетной ведомости проставляется оценка «не зачтено».

Для подготовки зачету (составления конспекта ответа) обучающийся должен иметь лист (несколько листов) формата А-4.

Лист (листы) формата А-4, на котором будет выполняться подготовка к ответу зачетного задания, должен быть подписан обучающимся в начале работы в правом верхнем углу. Здесь следует указать:

- Ф. И. О. обучающегося;
- группу, курс
- дату выполнения работы
- название дисциплины «Духовно-нравственная культура личности».

Страницы листов с ответами должны быть пронумерованы.

Промежуточная аттестация по итогам освоения дисциплины «Духовно-нравственная культура личности» проводится в форме теста. Выполнение теста предполагает выбор правильного варианта ответа на вопрос из числа предложенных.

На зачете преподаватель может задать обучающемуся дополнительные и уточняющие вопросы. Дополнительные вопросы задаются помимо вопросов теста и связаны, как правило, с плохим ответом. Уточняющие вопросы задаются в рамках теста и направлены на уточнение мысли студента.

Система оценивания по оценочным средствам промежуточного контроля

Форма и описание контрольного мероприятия	Балловая стоимость контрольного мероприятия	Критерии начисления баллов
Тест - система стандартизированных заданий, позволяющая автоматизировать процедуру измерения уровня знаний и умений обучающегося	0-35 баллов (35 заданий)	Правильность ответов

Итого	35 баллов	

Оценка за тестирование определяется простым суммированием баллов за правильные ответы на вопросы.

В зависимости от типа вопроса ответ считается правильным, если:

- в тестовом задании закрытой формы с выбором ответа выбран правильный ответ;
- в тестовом задании открытой формы дан правильный ответ;
- в тестовом задании на установление правильной последовательности установлена правильная последовательность;
- в тестовом задании на установление соответствия, если сопоставление произведено верно для всех пар.

Итоговая оценка по дисциплине складывается из суммы баллов текущего контроля и баллов по промежуточной аттестации.

55 - 110 балла (50-100%) - оценка «зачтено»

0 - 54 балла (0-49%) - оценка «не зачтено».

МИНОБРНАУКИ РОССИИ

ФГБОУ ВО «Уральский государственный горный университет»

МЕТОДИЧЕСКИЕ УКАЗАНИЯ ПО САМОСТОЯТЕЛЬНОЙ РАБОТЕ СТУДЕНТОВ

КОММУНИКАТИВНАЯ КУЛЬТУРА ЛИЧНОСТИ

Автор: Гладкова И. В., доцент, канд. филос. н.

Екатеринбург, 2020

СОДЕРЖАНИЕ

	Введение	3
1	Методические рекомендации по работе с текстом лекций	5
2	Методические рекомендации по подготовке к опросу	8
3	Методические рекомендации по подготовке доклада (презентации)	9
4	Методические рекомендации по написанию эссе	11
5	Методические рекомендации по подготовке к семинарским занятиям	14
6	Методические рекомендации по подготовке к дискуссии	15
7	Методические рекомендации по подготовке к сдаче экзаменов и зачетов	17
	Заключение	20
	Список использованных источников	21

ВВЕДЕНИЕ

Инициативная самостоятельная работа студента есть неотъемлемая составная часть учебы в вузе. В современном формате высшего образования значительно возрастает роль самостоятельной работы студента. Правильно спланированная и организованная самостоятельная работа обеспечивает достижение высоких результатов в учебе.

Самостоятельная работа студента (СРС) - это планируемая учебная, учебно-исследовательская, научно-исследовательская работа студентов, выполняемая во внеаудиторное (аудиторное) время по заданию и при методическом руководстве преподавателя, но без его непосредственного участия, при сохранении ведущей роли студентов.

Целью СРС является овладение фундаментальными знаниями, профессиональными умениями и навыками по профилю будущей специальности, опытом творческой, исследовательской деятельности, развитие самостоятельности. Ответственности и организованности, творческого подхода к решению проблем учебного и профессионального уровней. Самостоятельная работа студента – важнейшая составная часть учебного процесса, обязательная для каждого студента, объем которой определяется учебным планом. Методологическую основу СРС составляет деятельностный подход, при котором цели обучения ориентированы на формирование умений решать типовые и нетиповые задачи, т. е. на реальные ситуации, в которых студентам надо проявить знание конкретной дисциплины. Предметно и содержательно СРС определяется государственным образовательным стандартом, действующими учебными планами и образовательными программами различных форм обучения, рабочими программами учебных дисциплин, средствами обеспечения СРС: учебниками, учебными пособиями и методическими руководствами, учебно-программными комплексами и т.д.

Самостоятельная работа студентов может рассматриваться как организационная форма обучения - система педагогических условий, обеспечивающих управление учебной деятельностью студентов по освоению знаний и умений в области учебной и научной деятельности без посторонней помощи.

Самостоятельная работа студентов проводится с целью:

- систематизации и закрепления полученных теоретических знаний и практических умений студентов;
- углубления и расширения теоретических знаний;
- формирования умений использовать нормативную, правовую, справочную документацию и специальную литературу;
- развития познавательных способностей и активности студентов: творческой инициативы, самостоятельности, ответственности и организованности;
- формирования самостоятельности мышления, способностей к саморазвитию, самосовершенствованию и самореализации;
- формирования практических (общеучебных и профессиональных) умений и навыков;
- развития исследовательских умений;
- получения навыков эффективной самостоятельной профессиональной (практической и научно-теоретической) деятельности.

Самостоятельная работа студента - это особым образом организованная деятельность, включающая в свою структуру такие компоненты, как:

- уяснение цели и поставленной учебной задачи;
- четкое и системное планирование самостоятельной работы;
- поиск необходимой учебной и научной информации;

- освоение информации и ее логическая переработка;
- использование методов исследовательской, научно-исследовательской работы для решения поставленных задач;
- выработка собственной позиции по поводу полученной задачи;
- представление, обоснование и защита полученного решения;
- проведение самоанализа и самоконтроля.

В учебном процессе выделяют два вида самостоятельной работы: аудиторная и внеаудиторная.

Аудиторная самостоятельная работа по дисциплине выполняется на учебных занятиях под непосредственным руководством преподавателя и по его заданию: текущие консультации, коллоквиум, прием и разбор домашних заданий и другие.

Внеаудиторная самостоятельная работа - планируемая учебная, учебно-исследовательская, научно-исследовательская работа студентов, выполняемая во внеаудиторное время по заданию и при методическом руководстве преподавателя, но без его непосредственного участия: подготовка презентаций, составление глоссария, подготовка к практическим занятиям, подготовка рецензий, аннотаций на статью, подготовка к дискуссиям, круглым столам.

СРС может включать следующие формы работ:

- изучение лекционного материала;
- работа с источниками литературы: поиск, подбор и обзор литературы и электронных источников информации по заданной проблеме курса;
- выполнение домашних заданий, выдаваемых на практических занятиях: тестов, докладов, контрольных работ и других форм текущего контроля;
- изучение материала, вынесенного на самостоятельное изучение; подготовка к практическим занятиям;
- подготовка к контрольной работе или коллоквиуму;
- подготовка к зачету, экзамену, другим аттестациям;
- написание реферата, эссе по заданной проблем;
- выполнение расчетно-графической работы;
- выполнение выполнение курсовой работы или проекта;
- анализ научной публикации по определенной преподавателем теме, ее реферирование;
- исследовательская работа и участие в научных студенческих конференциях, семинарах и олимпиадах.

Особенностью организации самостоятельной работы студентов является необходимость не только подготовиться к сдаче зачета /экзамена, но и собрать, обобщить, систематизировать, проанализировать информацию по темам дисциплины.

Технология организации самостоятельной работы студентов включает использование информационных и материально-технических ресурсов образовательного учреждения. Для более эффективного выполнения самостоятельной работы по дисциплине преподаватель рекомендует студентам источники и учебно-методические пособия для работы, характеризует наиболее рациональную методику самостоятельной работы.

Самостоятельная работа может осуществляться индивидуально или группами студентов online и на занятиях в зависимости от цели, объема, конкретной тематики самостоятельной работы, уровня сложности, уровня умений студентов.

Подготовка к самостоятельная работа, не предусмотренная образовательной программой, учебным планом и учебно-методическими материалами, раскрывающими и конкретизирующими их содержание, осуществляется студентами инициативно, с целью реализации собственных учебных и научных интересов.

В качестве форм и методов контроля внеаудиторной самостоятельной работы студентов могут быть использованы обмен информационными файлами, семинарские занятия, тестирование, опрос, доклад, реферат, самоотчеты, контрольные работы, защита творческих работ и электронных презентаций и др.

.

1. Методические рекомендации по работе с текстом лекций

На лекционных занятиях необходимо конспектировать учебный материал. Обращать внимание на формулировки, определения, раскрывающие содержание тех или иных понятий, научные выводы и практические рекомендации, положительный опыт в ораторском мастерстве. Внимательное слушание и конспектирование лекций предполагает интенсивную умственную деятельность студента, и помогает усвоить учебный материал.

Желательно оставлять в рабочих конспектах поля, на которых делать пометки, дополняющие материал прослушанной лекции, а также подчеркивающие особую важность тех или иных теоретических положений, фиксировать вопросы, вызывающие личный интерес, варианты ответов на них, сомнения, проблемы, спорные положения. Рекомендуется вести записи на одной стороне листа, оставляя вторую сторону для размышлений, разборов, вопросов, ответов на них, для фиксирования деталей темы или связанных с ней фактов, которые припоминаются самим студентом в ходе слушания.

Слушание лекций - сложный вид интеллектуальной деятельности, успех которой обусловлен *умением слушать*, и стремлением воспринимать материал, нужное записывая в тетрадь. Запись лекции помогает сосредоточить внимание на главном, в ходе самой лекции продумать и осмыслить услышанное, осознать план и логику изложения материала преподавателем.

Такая работа нередко вызывает трудности у студентов: некоторые стремятся записывать все дословно, другие пишут отрывочно, хаотично. Чтобы избежать этих ошибок, целесообразно придерживаться ряда правил.

1. После записи ориентирующих и направляющих внимание данных (тема, цель, план лекции, рекомендованная литература) важно попытаться проследить, как они раскрываются в содержании, подкрепляются формулировками, доказательствами, а затем и выводами.

2. Записывать следует основные положения и доказывающие их аргументы, наиболее яркие примеры и факты, поставленные преподавателем вопросы для самостоятельной проработки.

3. Стремиться к четкости записи, ее последовательности, выделяя темы, подтемы, вопросы и подвопросы, используя цифровую и буквенную нумерацию (римские и арабские цифры, большие и малые буквы), красные строки, выделение абзацев, подчеркивание главного и т.д.

Форма записи материала может быть различной - в зависимости от специфики изучаемого предмета. Это может быть стиль учебной программы (назывные предложения), уместны и свои краткие пояснения к записям.

Студентам не следует подробно записывать на лекции «все подряд», но обязательно фиксировать то, что преподаватели диктуют – это базовый конспект, содержащий основные положения лекции: определения, выводы, параметры, критерии, аксиомы, постулаты, парадигмы, концепции, ситуации, а также мысли-маяки (ими часто являются афоризмы, цитаты, остроумные изречения). Запись лекции лучше вести в сжатой форме, короткими и четкими фразами. Каждому студенту полезно выработать свою систему сокращений, в которой он мог бы разобраться легко и безошибочно.

Даже отлично записанная лекция предполагает дальнейшую самостоятельную работу над ней (осмысление ее содержания, логической структуры, выводов). С целью доработки конспекта лекции необходимо в первую очередь прочитать записи, восстановить текст в памяти, а также исправить описки, расшифровать не принятые ранее сокращения, заполнить пропущенные места, понять текст, вникнуть в его смысл. Далее прочитать материал по рекомендуемой литературе, разрешая в ходе чтения возникшие ранее затруднения, вопросы, а также дополняя и исправляя свои записи. В ходе доработки конспекта углубляются, расширяются и закрепляются знания, а также дополняется, исправляется и совершенствуется конспект. Доработанный конспект и

рекомендуемая литература используется при подготовке к практическому занятию. Знание лекционного материала при подготовке к практическому занятию обязательно.

Особенно важно в процессе самостоятельной работы над лекцией выделить новый понятийный аппарат, уяснить суть новых понятий, при необходимости обратиться к словарям и другим источникам, заодно устранив неточности в записях. Главное - вести конспект аккуратно и регулярно, только в этом случае он сможет стать подспорьем в изучении дисциплины.

Работа над лекцией стимулирует самостоятельный поиск ответов на самые различные вопросы: над какими понятиями следует поработать, какие обобщения сделать, какой дополнительный материал привлечь.

Важным средством, направляющим самообразование, является выполнение различных заданий по тексту лекции, например, составление ее развернутого плана или тезисов; ответы на вопросы проблемного характера, (скажем, об основных тенденциях развития той или иной проблемы); составление проверочных тесты по проблеме, написание по ней реферата, составление графических схем.

По своим задачам лекции могут быть разных жанров: *установочная лекция* вводит в изучение курса, предмета, проблем (что и как изучать), а *обобщающая лекция* позволяет подвести итог (зачем изучать), выделить главное, усвоить законы развития знания, преемственности, новаторства, чтобы применить обобщенный позитивный опыт к решению современных практических задач. Обобщающая лекция ориентирует в истории и современном состоянии научной проблемы.

В процессе освоения материалов обобщающих лекций студенты могут выполнять задания разного уровня. Например: задания *репродуктивного* уровня (составить развернутый план обобщающей лекции, составить тезисы по материалам лекции); задания *продуктивного* уровня (ответить на вопросы проблемного характера, составить опорный конспект по схеме, выявить основные тенденции развития проблемы); задания *творческого* уровня (составить проверочные тесты по теме, защитить реферат и графические темы по данной проблеме). Обращение к ранее изученному материалу не только помогает восстановить в памяти известные положения, выводы, но и приводит разрозненные знания в систему, углубляет и расширяет их. Каждый возврат к старому материалу позволяет найти в нем что-то новое, переосмыслить его с иных позиций, определить для него наиболее подходящее место в уже имеющейся системе знаний.

.

2. Методические указания по подготовке к опросу

Самостоятельная работа обучающихся включает подготовку к устному или письменному опросу на семинарских занятиях. Для этого обучающийся изучает лекции, основную и дополнительную литературу, публикации, информацию из Интернет-ресурсов. Темы и вопросы к семинарским занятиям, вопросы для самоконтроля приведены в методических указаниях по разделам и доводятся до обучающихся заранее.

Письменный опрос

Письменный опрос является одной из форм текущего контроля успеваемости студента. При изучении материала студент должен убедиться, что хорошо понимает основную терминологию темы, умеет ее использовать в нужном контексте. Желательно составить краткий конспект ответа на предполагаемые вопросы письменной работы, чтобы убедиться в том, что студент владеет материалом и может аргументировано, логично и грамотно письменно изложить ответ на вопрос. Следует обратить особое внимание на написание профессиональных терминов, чтобы избегать грамматических ошибок в работе. При изучении новой для студента терминологии рекомендуется изготовить карточки, которые содержат новый термин и его расшифровку, что значительно облегчит работу над материалом.

Устный опрос

Целью устного собеседования являются обобщение и закрепление изученного курса. Студентам предлагаются для освещения сквозные концептуальные проблемы. При подготовке следует использовать лекционный материал и учебную литературу. Для более глубокого постижения курса и более основательной подготовки рекомендуется познакомиться с указанной дополнительной литературой. Готовясь к семинару, студент должен, прежде всего, ознакомиться с общим планом семинарского занятия. Следует внимательно прочесть свой конспект лекции по изучаемой теме и рекомендуемую к теме семинара литературу. С незнакомыми терминами и понятиями следует ознакомиться в предлагаемом глоссарии, словаре или энциклопедии [1].

Критерии качества устного ответа.

1. Правильность ответа по содержанию.
2. Полнота и глубина ответа.
3. Сознательность ответа (учитывается понимание излагаемого материала).
4. Логика изложения материала (учитывается умение строить целостный, последовательный рассказ, грамотно пользоваться профессиональной терминологией).
5. Рациональность использованных приемов и способов решения поставленной учебной задачи (учитывается умение использовать наиболее прогрессивные и эффективные способы достижения цели).
6. Своевременность и эффективность использования наглядных пособий и технических средств при ответе (учитывается грамотно и с пользой применять наглядность и демонстрационный опыт при устном ответе).
7. Использование дополнительного материала (приветствуется, но не обязательно для всех студентов).
8. Рациональность использования времени, отведенного на задание (не одобряется затянутость выполнения задания, устного ответа во времени, с учетом индивидуальных особенностей студентов)[2].

---

[1] Методические рекомендации для студентов [Электронный ресурс]: Режим доступа: http://lesgaft.spb.ru/sites/default/files/u57/metod.rekomendacii_dlya_studentov_21.pdf

[2]Методические рекомендации для студентов [Электронный ресурс]: http://priab.ru/images/metod_agro/Metod_Inostran_yazyk_35.03.04_Agro_15.01.2016.pdf

Ответ на каждый вопрос из плана семинарского занятия должен быть содержательным и аргументированным. Для этого следует использовать документы, монографическую, учебную и справочную литературу.

Для успешной подготовки к устному опросу, студент должен законспектировать рекомендуемую литературу, внимательно осмыслить лекционный материал и сделать выводы. Объем временина на подготовку к устному опросу зависимости от сложности темы и особенностей организации обучающимся своей самостоятельной работы.

3.Методические рекомендации по подготовке доклада (презентации)

Доклад – публичное сообщение по заданной теме, представляющее собой развернутое изложение на определенную тему, вид самостоятельной работы, который используется в учебных и внеаудиторных занятиях и способствует формированию навыков исследовательской работы, освоению методов научного познания, приобретению навыков публичного выступления, расширяет познавательные интересы, приучает критически мыслить.

При подготовке доклада используется дополнительная литература, систематизируется материал. Работа над докладом не только позволяет учащемуся приобрести новые знания, но и способствует формированию важных научно-исследовательских навыков самостоятельной работы с научной литературой, что повышает познавательный интерес к научному познанию.

Приветствуется использование мультимедийных технологий, подготовка докладов-презентаций.

Доклад должен соответствовать следующим требованиям:

- тема доклада должна быть согласованна с преподавателем и соответствовать теме занятия;

- иллюстрации (слайды в презентации) должны быть достаточными, но не чрезмерными;

- материалы, которыми пользуется студент при подготовке доклада-презентации, должны тсоответствовать научно-методическим требованиям ВУЗа и быть указаны в докладе;

- необходимо соблюдать регламент: 7-10 минут выступления.

Преподаватель может дать тему сразу нескольким студентам одной группы, по принципу: докладчик и оппонент. Студенты могут подготовить два выступления с противоположными точками зрения и устроить дискуссию по проблемной теме. Докладчики и содокладчики во многом определяют содержание, стиль, активность данного занятия, для этого необходимо:

- использовать технические средства;
- знать и хорошо ориентироваться в теме всей презентации (семинара);
- уметь дискутировать и быстро отвечать на вопросы;
- четко выполнять установленный регламент: докладчик - 7-10 мин.; содокладчик - 5 мин.; дискуссия - 10 мин;
- иметь представление о композиционной структуре доклада.

После выступления докладчик и содокладчик, должны ответить на вопросы слушателей.

В подготовке доклада выделяют следующие этапы:

1. Определение цели доклада: информировать, объяснить, обсудить что-то (проблему, решение, ситуацию и т. п.)

2. Подбор литературы, иллюстративных примеров.

3. Составление плана доклада, систематизация материала, композиционное оформление доклада в виде печатного /рукописного текста и электронной презентации.

Общая структура доклада

Построение доклада включает три части: вступление, основную часть и заключение.

Вступление.

Вступление должно содержать:

- название презентации (доклада);
- сообщение основной идеи;
- обоснование актуальности обсуждаемого вопроса;

- современную оценку предмета изложения;
- краткое перечисление рассматриваемых вопросов;
- живую интересную форму изложения;
- акцентирование оригинальности подхода.

Основная часть.

Основная часть состоит из нескольких разделов, постепенно раскрывающих тему. Возможно использование иллюстрации (графики, диаграммы, фотографии, карты, рисунки) Если необходимо, для обоснования темы используется ссылка на источники с доказательствами, взятыми из литературы (цитирование авторов, указание цифр, фактов, определений). Изложение материала должно быть связным, последовательным, доказательным.

Задача основной части - представить достаточно данных для того, чтобы слушатели и заинтересовались темой и захотели ознакомиться с материалами. При этом логическая структура теоретического блока не должны даваться без наглядных пособий, аудио-визуальных и визуальных материалов.

Заключение.

Заключение - это ясное четкое обобщение, в котором подводятся итоги, формулируются главные выводы, подчеркивается значение рассмотренной проблемы, предлагаются самые важные практические рекомендации. Требования к оформлению доклада. Объем машинописного текста доклада должен быть рассчитан на произнесение доклада в течение 7 -10 минут (3-5 машинописных листа текста с докладом).

Доклад оценивается по следующим критериям:

Критерии оценки доклада, сообщения	*Количество баллов*
Содержательность, информационная насыщенность доклада	1
Наличие аргументов	1
Наличие выводов	1
Наличие презентации доклада	1
Владение профессиональной лексикой	1
Итого:	5

Электронные презентации выполняются в программе MS PowerPoint в виде слайдов в следующем порядке: • титульный лист с заголовком темы и автором исполнения презентации; • план презентации (5-6 пунктов - это максимум); • основная часть (не более 10 слайдов); • заключение (вывод). Общие требования к стилевому оформлению презентации: • дизайн должен быть простым и лаконичным; • основная цель - читаемость, а не субъективная красота; цветовая гамма должна состоять не более чем из двух-трех цветов; • всегда должно быть два типа слайдов: для титульных и для основного текста; • размер шрифта должен быть: 24–54 пункта (заголовок), 18–36 пунктов (обычный текст); • текст должен быть свернут до ключевых слов и фраз. Полные развернутые предложения на слайдах таких презентаций используются только при цитировании; каждый слайд должен иметь заголовок; • все слайды должны быть выдержаны в одном стиле; • на каждом слайде должно быть не более трех иллюстраций; • слайды должны быть пронумерованы с указанием общего количества слайдов

4. Методические рекомендации по написанию эссе

Эссе - это самостоятельная письменная работа на тему, предложенную преподавателем. Цель эссе состоит в развитии навыков самостоятельного творческого мышления и письменного изложения собственных мыслей. Писать эссе чрезвычайно полезно, поскольку это позволяет автору научиться четко и грамотно формулировать мысли, структурировать информацию, использовать основные категории анализа, выделять причинно-следственные связи, иллюстрировать понятия соответствующими примерами, аргументировать свои выводы; овладеть научным стилем речи.

Эссе должно содержать: четкое изложение сути поставленной проблемы, включать самостоятельно проведенный анализ этой проблемы с использованием концепций и аналитического инструментария, рассматриваемого в рамках дисциплины, выводы, обобщающие авторскую позицию по поставленной проблеме. В зависимости от специфики дисциплины формы эссе могут значительно дифференцироваться. В некоторых случаях это может быть анализ имеющихся статистических данных по изучаемой проблеме, анализ материалов из средств массовой информации и использованием изучаемых моделей, подробный разбор предложенной задачи с развернутыми мнениями, подбор и детальный анализ примеров, иллюстрирующих проблему и т.д.

Построение эссе - это ответ на вопрос или раскрытие темы, которое основано на классической системе доказательств.

Структура эссе

1. *Титульный лист* (заполняется по единой форме);

2. *Введение* - суть и обоснование выбора данной темы, состоит из ряда компонентов, связанных логически и стилистически.

На этом этапе очень важно правильно *сформулировать вопрос, на который вы собираетесь найти ответ в ходе своего исследования.*

3. *Основная часть* - теоретические основы выбранной проблемы и изложение основного вопроса.

Данная часть предполагает развитие аргументации и анализа, а также обоснование их, исходя из имеющихся данных, других аргументов и позиций по этому вопросу. В этом заключается основное содержание эссе и это представляет собой главную трудность. Поэтому важное значение имеют подзаголовки, на основе которых осуществляется структурирование аргументации; именно здесь необходимо обосновать (логически, используя данные или строгие рассуждения) предлагаемую аргументацию/анализ. Там, где это необходимо, в качестве аналитического инструмента можно использовать графики, диаграммы и таблицы.

В зависимости от поставленного вопроса анализ проводится на основе следующих категорий:

Причина - следствие, общее - особенное, форма - содержание, часть - целое, постоянство - изменчивость.

В процессе построения эссе необходимо помнить, что один параграф должен содержать только одно утверждение и соответствующее доказательство, подкрепленное графическим и иллюстративным материалом. Следовательно, наполняя содержанием разделы аргументацией (соответствующей подзаголовкам), необходимо в пределах параграфа ограничить себя рассмотрением одной главной мысли.

Хорошо проверенный (и для большинства — совершено необходимый) способ построения любого эссе - использование подзаголовков для обозначения ключевых моментов аргументированного изложения: это помогает посмотреть на то, что предполагается сделать (и ответить на вопрос, хорош ли замысел). Такой подход поможет следовать точно определенной цели в данном исследовании. Эффективное использование подзаголовков - не только обозначение основных пунктов, которые необходимо осветить.

Их последовательность может также свидетельствовать о наличии или отсутствии логичности в освещении темы.

4. *Заключение* - обобщения и аргументированные выводы по теме с указанием области ее применения и т.д. Подытоживает эссе или еще раз вносит пояснения, подкрепляет смысл и значение изложенного в основной части. Методы, рекомендуемые для составления заключения: повторение, иллюстрация, цитата, впечатляющее утверждение. Заключение может содержать такой очень важный, дополняющий эссе элемент, как указание на применение (импликацию) исследования, не исключая взаимосвязи с другими проблемами.

Структура аппарата доказательств, необходимых для написания эссе

Доказательство - это совокупность логических приемов обоснования истинности какого-либо суждения с помощью других истинных и связанных с ним суждений. Оно связано с убеждением, но не тождественно ему: аргументация или доказательство должны основываться на данных науки и общественно-исторической практики, убеждения же могут быть основаны на предрассудках, неосведомленности людей в вопросах экономики и политики, видимости доказательности. Другими словами, доказательство или аргументация - это рассуждение, использующее факты, истинные суждения, научные данные и убеждающее нас в истинности того, о чем идет речь.

Структура любого доказательства включает в себя три составляющие: тезис, аргументы и выводы или оценочные суждения.

Тезис - это положение (суждение), которое требуется доказать. *Аргументы* - это категории, которыми пользуются при доказательстве истинности тезиса. *Вывод* - это мнение, основанное на анализе фактов. *Оценочные суждения* - это мнения, основанные на наших убеждениях, верованиях или взглядах. *Аргументы* обычно делятся на следующие группы:

1. *Удостоверенные факты* — фактический материал (или статистические данные).
2. *Определения* в процессе аргументации используются как описание понятий, связанных с тезисом.
3. *Законы* науки и ранее доказанные теоремы тоже могут использоваться как аргументы доказательства.

Требования к фактическим данным и другим источникам

При написании эссе чрезвычайно важно то, как используются эмпирические данные и другие источники (особенно качество чтения). Все (фактические) данные соотносятся с конкретным временем и местом, поэтому прежде, чем их использовать, необходимо убедится в том, что они соответствуют необходимому для исследований времени и месту. Соответствующая спецификация данных по времени и месту — один из способов, который может предотвратить чрезмерное обобщение, результатом которого может, например, стать предположение о том, что все страны по некоторым важным аспектам одинаковы (если вы так полагаете, тогда это должно быть доказано, а не быть голословным утверждением).

Всегда можно избежать чрезмерного обобщения, если помнить, что в рамках эссе используемые данные являются иллюстративным материалом, а не заключительным актом, т.е. они подтверждают аргументы и рассуждения и свидетельствуют о том, что автор умеет использовать данные должным образом. Нельзя забывать также, что данные, касающиеся спорных вопросов, всегда подвергаются сомнению. От автора не ждут определенного или окончательного ответа. Необходимо понять сущность фактического материала, связанного с этим вопросом (соответствующие индикаторы? насколько надежны данные для построения таких индикаторов? к какому заключению можно прийти на основании имеющихся данных и индикаторов относительно причин и следствий? и т.д.), и продемонстрировать это в эссе. Нельзя ссылаться на работы, которые автор эссе не читал сам.

Как подготовить и написать эссе?

Качество любого эссе зависит от трех взаимосвязанных составляющих, таких как:

1. Исходный материал, который будет использован (конспекты прочитанной литературы, лекций, записи результатов дискуссий, собственные соображения и накопленный опыт по данной проблеме).

2. Качество обработки имеющегося исходного материала (его организация, аргументация и доводы).

3. Аргументация (насколько точно она соотносится с поднятыми в эссе проблемами).

Процесс написания эссе можно разбить на несколько стадий: обдумывание - планирование - написание - проверка - правка.

Планирование - определение цели, основных идей, источников информации, сроков окончания и представления работы.

Цель должна определять действия.

Идеи, как и цели, могут быть конкретными и общими, более абстрактными. Мысли, чувства, взгляды и представления могут быть выражены в форме аналогий, ассоциации, предположений, рассуждений, суждений, аргументов, доводов и т.д.

Аналогии - выявление идеи и создание представлений, связь элементов значений.

Ассоциации - отражение взаимосвязей предметов и явлений действительности в форме закономерной связи между нервно - психическими явлениями (в ответ на тот или иной словесный стимул выдать «первую пришедшую в голову» реакцию).

Предположения - утверждение, не подтвержденное никакими доказательствами.

Рассуждения - формулировка и доказательство мнений.

Аргументация - ряд связанных между собой суждений, которые высказываются для того, чтобы убедить читателя (слушателя) в верности (истинности) тезиса, точки зрения, позиции.

Суждение - фраза или предложение, для которого имеет смысл вопрос: истинно или ложно?

Доводы - обоснование того, что заключение верно абсолютно или с какой-либо долей вероятности. В качестве доводов используются факты, ссылки на авторитеты, заведомо истинные суждения (законы, аксиомы и т.п.), доказательства (прямые, косвенные, «от противного», «методом исключения») и т.д.

Перечень, который получится в результате перечисления идей, поможет определить, какие из них нуждаются в особенной аргументации.

*Источники***.** Тема эссе подскажет, где искать нужный материал. Обычно пользуются библиотекой, Интернет-ресурсами, словарями, справочниками. Пересмотр означает редактирование текста с ориентацией на качество и эффективность.

Качество текста складывается из четырех основных компонентов: ясности мысли, внятности, грамотности и корректности.

Мысль - это содержание написанного. Необходимо четко и ясно формулировать идеи, которые хотите выразить, в противном случае вам не удастся донести эти идеи и сведения до окружающих.

Внятность - это доступность текста для понимания. Легче всего ее можно достичь, пользуясь логично и последовательно тщательно выбранными словами, фразами и взаимосвязанными абзацами, раскрывающими тему.

Грамотность отражает соблюдение норм грамматики и правописания. Если в чем-то сомневаетесь, загляните в учебник, справьтесь в словаре или руководстве по стилистике или дайте прочитать написанное человеку, чья манера писать вам нравится.

Корректность — это стиль написанного. Стиль определятся жанром, структурой работы, целями, которые ставит перед собой пишущий, читателями, к которым он обращается.

5. Методические рекомендации по подготовке семинарским занятиям

Семинар представляет собой комплексную форму и завершающее звено в изучении определенных тем, предусмотренных программой учебной дисциплины. Комплексность данной формы занятий определяется тем, что в ходе её проведения сочетаются выступления обучающихся и преподавателя: рассмотрение обсуждаемой проблемы и анализ различных, часто дискуссионных позиций; обсуждение мнений обучающихся и разъяснение (консультация) преподавателя; углубленное изучение теории и приобретение навыков умения ее использовать в практической работе.

По своему назначению семинар, в процессе которого обсуждается та или иная научная проблема, способствует:

- углубленному изучению определенного раздела учебной дисциплины, закреплению знаний;
- отработке методологии и методических приемов познания;
- выработке аналитических способностей, умения обобщения и формулирования выводов;
- приобретению навыков использования научных знаний в практической деятельности;
- выработке умения кратко, аргументированно и ясно излагать обсуждаемые вопросы;
- осуществлению контроля преподавателя за ходом обучения.

Семинары представляет собой *дискуссию* в пределах обсуждаемой темы (проблемы). Дискуссия помогает участникам семинара приобрести более совершенные знания, проникнуть в суть изучаемых проблем. Выработать методологию, овладеть методами анализа социально-экономических процессов. Обсуждение должно носить творческий характер с четкой и убедительной аргументацией.

По своей структуре семинар начинается со вступительного слова преподавателя, в котором кратко излагаются место и значение обсуждаемой темы (проблемы) в данной дисциплине, напоминаются порядок и направления ее обсуждения. Конкретизируется ранее известный обучающимся план проведения занятия. После этого начинается процесс обсуждения вопросов обучающимися. Завершается занятие подведением итогоа обсуждения, заключительным словом преподавателя.

Проведение семинарских занятий в рамках учебной группы (20 - 25 человек) позволяет обеспечить активное участие в обсуждении проблемы всех присутствующих.

По ходу обсуждения темы помните, что изучение теории должно быть связано с определением (выработкой) средств, путей применения теоретических положений в практической деятельности, например, при выполнении функций государственного служащего. В то же время важно не свести обсуждение научной проблемы только к пересказу случаев из практики работы, к критике имеющих место недостатков. Дискуссии имеют важное значение: учат дисциплине ума, умению выступать по существу, мыслить логически, выделяя главное, критически оценивать выступления участников семинара.

В процессе проведения семинара обучающиеся могут использовать разнообразные по своей форме и характеру пособия, демонстрируя фактический, в том числе статистический материал, убедительно подтверждающий теоретические выводы и положения. В завершение обсудите результаты работы семинара и сделайте выводы, что хорошо усвоено, а над чем следует дополнительно поработать.

В целях эффективности семинарских занятий необходима обстоятельная подготовка к их проведению. В начале семестра (учебного года) возьмите в библиотеке необходимые методические материалы для своевременной подготовки к семинарам. Готовясь к конкретной теме занятия следует ознакомиться с новыми официальными документами, статьями в периодических журналах, вновь вышедшими монографиями.

6. Методические рекомендации по подготовке к дискуссии

Современная практика предлагает широкий круг типов семинарских занятий. Среди них особое место занимает *семинар-дискуссия,* где в диалоге хорошо усваивается новая информация, видны убеждения студента, обсуждаются противоречия (явные и скрытые) и недостатки. Для обсуждения берутся конкретные актуальные вопросы, с которыми студенты предварительно ознакомлены. Дискуссия является одной из наиболее эффективных технологий группового взаимодействия, обладающей особыми возможностями в обучении, развитии и воспитании будущего специалиста.

Дискуссия (от лат. discussio - рассмотрение, исследование) - способ организации совместной деятельности с целью интенсификации процесса принятия решений в группе посредством обсуждения какого-либо вопроса или проблемы.

Дискуссия обеспечивает активное включение студентов в поиск истины; создает условия для открытого выражения ими своих мыслей, позиций, отношений к обсуждаемой теме и обладает особой возможностью воздействия на установки ее участников в процессе группового взаимодействия. Дискуссию можно рассматривать как *метод интерактивного обучения* и как особую технологию, включающую в себя другие методы и приемы обучения: «мозговой штурм», «анализ ситуаций» и т.д.

Обучающий эффект дискуссии определяется предоставляемой участнику возможностью получить разнообразную информацию от собеседников, продемонстрировать и повысить свою компетентность, проверить и уточнить свои представления и взгляды на обсуждаемую проблему, применить имеющиеся знания в процессе совместного решения учебных и профессиональных задач.

Развивающая функция дискуссии связана со стимулированием творчества обучающихся, развитием их способности к анализу информации и аргументированному, логически выстроенному доказательству своих идей и взглядов, с повышением коммуникативной активности студентов, их эмоциональной включенности в учебный процесс.

Влияние дискуссии на личностное становление студента обусловливается ее целостно - ориентирующей направленностью, созданием благоприятных условий для проявления индивидуальности, самоопределения в существующих точках зрения на определенную проблему, выбора своей позиции; для формирования умения взаимодействовать с другими, слушать и слышать окружающих, уважать чужие убеждения, принимать оппонента, находить точки соприкосновения, соотносить и согласовывать свою позицию с позициями других участников обсуждения.

Безусловно, наличие оппонентов, противоположных точек зрения всегда обостряет дискуссию, повышает ее продуктивность, позволяет создавать с их помощью конструктивный конфликт для более эффективного решения обсуждаемых проблем.

Существует несколько видов дискуссий, использование того или иного типа дискуссии зависит от характера обсуждаемой проблемы и целей дискуссии.

Дискуссия- диалог чаще всего применяется для совместного обсуждения учебных и производственных проблем, решение которых может быть достигнуто путем взаимодополнения, группового взаимодействия по принципу «индивидуальных вкладов» или на основе согласования различных точек зрения, достижения консенсуса.

Дискуссия - спор используется для всестороннего рассмотрения сложных проблем, не имеющих однозначного решения даже в науке, социальной, политической жизни, производственной практике и т.д. Она построена на принципе «позиционного противостояния» и ее цель - не столько решить проблему, сколько побудить участников дискуссии задуматься над проблемой, уточнить и определить свою позицию; научить аргументировано отстаивать свою точку зрения и в то же время осознать право других иметь свой взгляд на эту проблему, быть индивидуальностью.

Условия эффективного проведения дискуссии:

- информированность и подготовленность студентов к дискуссии,

- свободное владение материалом, привлечение различных источников для аргументации отстаиваемых положений;

- правильное употребление понятий, используемых в дискуссии, их единообразное понимание;

- корректность поведения, недопустимость высказываний, задевающих личность оппонента; установление регламента выступления участников;

- полная включенность группы в дискуссию, участие каждого студента в ней.

Подготовка студентов к дискуссии: если тема объявлена заранее, то следует ознакомиться с указанной литературой, необходимыми справочными материалами, продумать свою позицию, четко сформулировать аргументацию, выписать цитаты, мнения специалистов.

В проведении дискуссии выделяется несколько этапов.

Этап 1-й, введение в дискуссию: формулирование проблемы и целей дискуссии;

определение значимости проблемы, совместная выработка правил дискуссии; выяснение однозначности понимания темы дискуссии, используемых в ней терминов, понятий.

Этап 2-й, обсуждение проблемы: обмен участниками мнениями по каждому вопросу. Цель этапа - собрать максимум мнений, идей, предложений, соотнося их друг с другом.

Этап 3-й, подведение итогов обсуждения: выработка студентами согласованного мнения и принятие группового решения.

Далее подводятся итоги дискуссии, заслушиваются и защищаются проектные задания. После этого проводится "мозговой штурм" по нерешенным проблемам дискуссии, а также выявляются прикладные аспекты, которые можно рекомендовать для включения в курсовые и дипломные работы или в апробацию на практике.

Семинары-дискуссии проводятся с целью выявления мнения студентов по актуальным и проблемным вопросам.

7. Методические рекомендации по подготовке к сдаче экзаменов и зачетов

Экзамен - одна из важнейших частей учебного процесса, имеющая огромное значение.

Во-первых, готовясь к экзамену, студент приводит в систему знания, полученные на лекциях, семинарах, практических и лабораторных занятиях, разбирается в том, что осталось непонятным, и тогда изучаемая им дисциплина может быть воспринята в полном объеме с присущей ей строгостью и логичностью, ее практической направленностью. А это чрезвычайно важно для будущего специалиста.

Во-вторых, каждый хочет быть волевым и сообразительным., выдержанным и целеустремленным, иметь хорошую память, научиться быстро находить наиболее рациональное решение в трудных ситуациях. Очевидно, что все эти качества не только украшают человека, но и делают его наиболее действенным членом коллектива. Подготовка и сдача экзамена помогают студенту глубже усвоить изучаемые дисциплины, приобрести навыки и качества, необходимые хорошему специалисту.

Конечно, успех на экзамене во многом обусловлен тем, насколько систематически и глубоко работал студент в течение семестра. Совершенно очевидно, что серьезно продумать и усвоить содержание изучаемых дисциплин за несколько дней подготовки к экзамену просто невозможно даже для очень способного студента. И, кроме того, хорошо известно, что быстро выученные на память разделы учебной дисциплины так же быстро забываются после сдачи экзамена.

При подготовке к экзамену студенты не только повторяют и дорабатывают материал дисциплины, которую они изучали в течение семестра, они обобщают полученные знания, осмысливают методологию предмета, его систему, выделяют в нем основное и главное, воспроизводят общую картину с тем, чтобы яснее понять связь между отдельными элементами дисциплины. Вся эта обобщающая работа проходит в условиях напряжения воли и сознания, при значительном отвлечении от повседневной жизни, т. е. в условиях, благоприятствующих пониманию и запоминанию.

Подготовка к экзаменам состоит в приведении в порядок своих знаний. Даже самые способные студенты не в состоянии в короткий период зачетно-экзаменационной сессии усвоить материал целого семестра, если они над ним не работали в свое время. Для тех, кто мало занимался в семестре, экзамены принесут мало пользы: что быстро пройдено, то быстро и забудется. И хотя в некоторых случаях студент может «проскочить» через экзаменационный барьер, в его подготовке останется серьезный пробел, трудно восполняемый впоследствии.

Определив назначение и роль экзаменов в процессе обучения, попытаемся на этой основе пояснить, как лучше готовиться к ним.

Экзаменам, как правило, предшествует защита курсовых работ (проектов) и сдача зачетов. К экзаменам допускаются только студенты, защитившие все курсовые работы проекты) и сдавшие все зачеты. В вузе сдача зачетов организована так, что при систематической работе в течение семестра, своевременной и успешной сдаче всех текущих работ, предусмотренных графиком учебного процесса, большая часть зачетов не вызывает повышенной трудности у студента. Студенты, работавшие в семестре по плану, подходят к экзаменационной сессии без напряжения, без излишней затраты сил в последнюю, «зачетную» неделю.

Подготовку к экзамену следует начинать с первого дня изучения дисциплины. Как правило, на лекциях подчеркиваются наиболее важные и трудные вопросы или разделы дисциплины, требующие внимательного изучения и обдумывания. Нужно эти вопросы выделить и обязательно постараться разобраться в них, не дожидаясь экзамена, проработать их, готовясь к семинарам, практическим или лабораторным занятиям, попробовать самостоятельно решить несколько типовых задач. И если, несмотря на это, часть материала осталась неусвоенной, ни в коем случае нельзя успокаиваться, надеясь

на то, что это не попадется на экзамене. Факты говорят об обратном; если те или другие вопросы учебной дисциплины не вошли в экзаменационный билет, преподаватель может их задать (и часто задает) в виде дополнительных вопросов.

Точно такое же отношение должно быть выработано к вопросам и задачам, перечисленным в программе учебной дисциплины, выдаваемой студентам в начале семестра. Обычно эти же вопросы и аналогичные задачи содержатся в экзаменационных билетах. Не следует оставлять без внимания ни одного раздела дисциплины: если не удалось в чем-то разобраться самому, нужно обратиться к товарищам; если и это не помогло выяснить какой-либо вопрос до конца, нужно обязательно задать этот вопрос преподавателю на предэкзаменационной консультации. Чрезвычайно важно приучить себя к умению самостоятельно мыслить, учиться думать, понимать суть дела. Очень полезно после проработки каждого раздела восстановить в памяти содержание изученного материала. кратко записав это на листе бумаги. создать карту памяти (умственную карту), изобразить необходимые схемы и чертежи (логико-графические схемы), например, отобразить последовательность вывода теоремы или формулы. Если этого не сделать, то большая часть материала останется не понятой, а лишь формально заученной, и при первом же вопросе экзаменатора студент убедится в том, насколько поверхностно он усвоил материал.

В период экзаменационной сессии происходит резкое изменение режима работы, отсутствует посещение занятий по расписанию. При всяком изменении режима работы очень важно скорее приспособиться к новым условиям. Поэтому нужно сразу выбрать такой режим работы, который сохранился бы в течение всей сессии, т. е. почти на месяц. Необходимо составить для себя новый распорядок дня, чередуя занятия с отдыхом. Для того чтобы сократить потерю времени на включение в работу, рабочие периоды целесообразно делать длительными, разделив день примерно на три части: с утра до обеда, с обеда до ужина и от ужина до сна.

Каждый рабочий период дня надо заканчивать отдыхом. Наилучший отдых в период экзаменационной сессии - прогулка, кратковременная пробежка или какой-либо неутомительный физический труд.

При подготовке к экзаменам основное направление дают программа учебной дисциплины и студенческий конспект, которые указывают, что наиболее важно знать и уметь делать. Основной материал должен прорабатываться по учебнику (если такой имеется) и учебным пособиям, так как конспекта далеко недостаточно для изучения дисциплины. Учебник должен быть изучен в течение семестра, а перед экзаменом сосредоточьте внимание на основных, наиболее сложных разделах. Подготовку по каждому разделу следует заканчивать восстановлением по памяти его краткого содержания в логической последовательности.

За один - два дня до экзамена назначается консультация. Если ее правильно использовать, она принесет большую пользу. Во время консультации студент имеет полную возможность получить ответ на нее ни ясные ему вопросы. А для этого он должен проработать до консультации все темы дисциплины. Кроме того, преподаватель будет отвечать на вопросы других студентов, что будет для вас повторением и закреплением знаний. И еще очень важное обстоятельство: преподаватель на консультации, как правило, обращает внимание на те вопросы, по которым на предыдущих экзаменах ответы были неудовлетворительными, а также фиксирует внимание на наиболее трудных темах дисциплины. Некоторые студенты не приходят на консультации либо потому, что считают, что у них нет вопросов к преподавателю, либо полагают, что у них и так мало времени и лучше самому прочитать материал в конспекте или и учебнике. Это глубокое заблуждение. Никакая другая работа не сможет принести столь значительного эффекта накануне экзамена, как консультация преподавателя.

Но консультация не может возместить отсутствия длительной работы в течение семестра и помочь за несколько часов освоить материал, требующийся к экзамену. На

консультации студент получает ответы на трудные или оставшиеся неясными вопросы и, следовательно, дорабатывается материал. Консультации рекомендуется посещать, подготовив к ним все вопросы, вызывающие сомнения. Если студент придет на консультацию, не проработав всего материала, польза от такой консультации будет невелика.

Итак, *основные советы* для подготовки к сдаче зачетов и экзаменов состоят в следующем:

- лучшая подготовка к зачетам и экзаменам - равномерная работа в течение всего семестра;
- используйте программы учебных дисциплин - это организует вашу подготовку к зачетам и экзаменам;
- учитывайте, что для полноценного изучения учебной дисциплины необходимо время;
- составляйте планы работы во времени;
- работайте равномерно и ритмично;
- курсовые работы (проекты) желательно защищать за одну - две недели до начала зачетно-экзаменационной сессии;
- все зачеты необходимо сдавать до начала экзаменационной сессии;
- помните, что конспект не заменяет учебник и учебные пособия, а помогает выбрать из него основные вопросы и ответы;
- при подготовке наибольшее внимание и время уделяйте трудным и непонятным вопросам учебной дисциплины;
- грамотно используйте консультации;
- соблюдайте правильный режим труда и отдыха во время сессии, это сохранит работоспособность и даст хорошие результаты;
- учитесь владеть собой на зачете и экзамене;
- учитесь точно и кратко передавать свои мысли, поясняя их, если нужно, логико-графическими схемами.

Очень важным условием для правильного режима работы в период экзаменационной сессии является нормальный сон, иначе в день экзамена не будет чувства бодрости и уверенности.

ЗАКЛЮЧЕНИЕ

Методические указания по выполнению самостоятельной работы обучающихся являются неотъемлемой частью процесса обучения в вузе. Правильная организация самостоятельной работы позволяет обучающимся развивать умения и навыки в усвоении и систематизации приобретаемых знаний, обеспечивает высокий уровень успеваемости в период обучения, способствует формированию навыков совершенствования профессионального мастерства. Также внеаудиторное время включает в себя подготовку к аудиторным занятиям и изучение отдельных тем, расширяющих и углубляющих представления обучающихся по разделам изучаемой дисциплины.

Таким образом, обучающийся используя методические указания может в достаточном объеме усвоить и успешно реализовать конкретные знания, умения, навыки и получить опыт при выполнении следующих условий:

1) систематическая самостоятельная работа по закреплению полученных знаний и навыков;

2) добросовестное выполнение заданий;

3) выяснение и уточнение отдельных предпосылок, умозаключений и выводов, содержащихся в учебном курсе;

4) сопоставление точек зрения различных авторов по затрагиваемым в учебном курсе проблемам; выявление неточностей и некорректного изложения материала в периодической и специальной литературе;

5) периодическое ознакомление с последними теоретическими и практическими достижениями в области управления персоналом;

6) проведение собственных научных и практических исследований по одной или нескольким актуальным проблемам для *HR*;

7) подготовка научных статей для опубликования в периодической печати, выступление на научно-практических конференциях, участие в работе студенческих научных обществ, круглых столах и диспутах по проблемам управления персоналом.

Контроль результатов внеаудиторной самостоятельной работы студентов осуществляется в пределах времени, отведенного на обязательные учебные занятия по дисциплине

СПИСОК ИСПОЛЬЗОВАННЫХ ИСТОЧНИКОВ

1. Долгоруков А. Метод case-study как современная технология профессионально - ориентированного обучения [Электронный ресурс]. Режим доступа: //http://evolkov.net/case/case.study.html/

2. Методические рекомендации по написанию реферата. [Электронный ресурс]. Режим доступа: http://www.hse.spb.ru/edu/recommendations/method-referat-2005.phtml

3. Фролова Н. А. Реферирование и аннотирование текстов по специальности (на материале немецкого языка): Учеб. пособие / ВолгГТУ, Волгоград, 2006. - С.5.

МИНОБРНАУКИ РФ

ФГБОУ ВО «Уральский государственный горный университет»

УТВЕРЖДАЮ

Проректор по учебно-методическому комплексу_____С.А.Упоров

МЕТОДИЧЕСКИЕ РЕКОМЕНДАЦИИ К САМОСТОЯТЕЛЬНОЙ РАБОТЕ ПРИ ПРОХОЖДЕНИИ

ПРОИЗВОДСТВЕННО-ТЕХНОЛОГИЧЕСКОЙ ПРАКТИКИ, Ч.1

Специальность:
21.05.02 *Прикладная геология*

Специализация
Геология месторождений нефти и газа

форма обучения: очная

Автор: Рыльков С.А., доцент, к.г.-м.н.

Одобрены на заседании кафедры

Литологии и геологии горючих ископаемых
(название кафедры)

Зав.кафедрой _____
(подпись)

Рыльков С.А.
(Фамилия И.О.)

Протокол № 2 от 06.10.2020
(Дата)

Рассмотрены методической комиссией факультета

Геологии и геофизики
(название факультета)

Председатель _____
(подпись)

Бондарев В.И.
(Фамилия И.О.)

Протокол № 2 от 13.10.2020
(Дата)

Екатеринбург

ОГЛАВЛЕНИЕ

1. ПРОИЗВОДСТВЕННО-ТЕХНОЛОГИЧЕСКАЯ ПРАКТИКА, ч. 1 4
1.1. Цели и задачи практики 4
1.2. Содержание отчета по практике 5
1.3. Задачи по сбору фактического материала при прохождении практики на объектах геологоразведочных работ 6

1. ПРОИЗВОДСТВЕННО-ТЕХНОЛОГИЧЕСКАЯ ПРАКТИКА, ч.1

1.1. Цели и задачи практики

Производственно-технологическую практику, ч.1 студент проходит по окончании шестого семестра на предприятии, осуществляющем геологоразведочную производственную деятельность на объектах нефти и газа. Минимальная продолжительность производственной практики – 6 недель. В это время включается также составление отчета по практике. В процессе производственной практики студент выполняет определенные производственные обязанности, замещая вакантную должность (или в качестве дублера) специалиста геологической службы или другой специальности, по согласованию (договору) с руководством предприятия.

Целью производственно-технологической практики, ч.1 практики является закрепление ранее полученных студентом в течение учебного процесса теоретических знаний и приобретение им практических навыков на конкретном рабочем месте, способствующих дальнейшему освоению теоретического курса обучения.

Задачи, решаемые студентом при прохождении первой производственной практики, нижеследующие:

1.1.1. Закрепление теоретических знаний, полученных по курсам структурной и исторической геологии, основам геохимии, минералогии, петрографии, литологии, геологическому картированию, технике и технологии геологоразведочных работ.

1.1.2. Приобретение практического опыта в проведении полевых сейсморазведочных работ, бурении глубоких скважин на нефть и газ.

1.1.3. Знакомство с организационной деятельностью структурного подразделения.

1.1.4. Сбор материалов для курсовых проектов и работ по дисциплинам IV курса и для самостоятельной научной работы.

1.1.5. Знакомство:

- с проектно-сметной документацией производства геологоразведочных работ на нефть и газ;
- с техникой и технологией проведения полевых сейсморазведочных работ, или проходки буровых скважин;
- с методикой проведения и задачами геофизических и геохимических исследований, проводимых как в процессе бурения скважин, так и по его завершению.

1.1.6. Приобретение навыков и умения ведения геологической документации при макроописании керна, отборе и обработке шлама, составлении шламограммы буровой скважины.

В процессе прохождения производственной практики студент по личным наблюдениям, фондовым, литературным источникам должен составить полное представление об орографии и геологическом строении участка и рай-

она работ, об условиях локализации залежи углеводородов (месторождении), типе коллектора и фильтрационно-емкостных его свойствах, методике, технике и экономике проведения поисково-оценочных и разведочных работ. Все эти данные должны быть отражены в отчете о производственной практике.

Перед отъездом на производственную практику студент обязан обсудить с преподавателем (руководителем практики от института) вероятные темы будущих своих курсовых (научно-исследовательских) работ, получить на них конкретные тематические задания и перечень необходимого материала для их выполнения, который должен быть собран на производственной практике.

1.2. Содержание отчета по производственно-технологической практике, ч. 1

Учитывая ограниченные возможности производственных предприятий, предоставить студенту возможность знакомства со всеми вышеперечисленными методами и методиками проведения геологоразведочных работ за сравнительно небольшой отрезок времени часто мало реально. Поэтому предлагается сосредоточить свое внимание на следующих основных вопросах, которые необходимо отразить в отчете по производственной практике.

Для принимающих участие на производственной практике в полевых геологоразведочных работах (сейсморазведочных работах и на бурении глубоких скважин) структура производственного отчета должна соответствовать нижеследующему рубрикатору:

Введение - целевое назначение работ, организация, место и время проведения практики, занимаемая практикантом должность или рабочее место.

1. Общие сведения о районе работы (инфраструктура, орогидрография, флора и фауна, климат, социальная сфера).

2. Геологическая изученность района (в табличной форме: когда, кто какой метод ставил на изучаемой территории и какой был получен результат).

3. Геологическое строение района работ (стратиграфия, магматизм, тектоника, нефтегазоносность района работ, нефтегазоносность объекта, где проходила практика).

4. Методика проведения геологоразведочных работ:

- этап (стадия) производства работ, применяемый комплекс методов решения геологической задачи;
- при проведении сейсморазведочных работ – рассчитанный годограф, принятые параметры между ПВ и ПП, длина кос, группирование сейсмоприемников и т. п. информация по технологии производства; при проведении буровых работ – геолого-технический наряд (ГТН);
- опорные геологические разрезы;
- зарисовки, фотографии (по теме рубрикатора).

5. Основные мероприятия по охране окружающей среды.

6. Основные мероприятия по охране труда и технике безопасности.

7. Организация и экономика работ (сводная смета производства работ).

8. Заключение (вывод о результатах работ).

Список литературы – в алфавитном порядке авторов приводятся опубликованные и фондовые материалы, использованные студентом в данном отчете.

Графические приложения к отчету: обзорная карта района работ (в формате листа А4, по-возможности - мелкомасштабная геологическая карта, геологическая карта месторождения (участка), разрезы, карты геохимических и геофизических полей, личные зарисовки-эскизы, схемы, фотографии, графики. Указываются масштаб, год составления, авторы.

Отчет по производственной практике должен также отражать личную работу студента, а не являться компиляцией фондово-литературных материалов. Отчет может быть выполнен как в виде рукописи, так и в текстовом формате ПК. Объем текстовой части не должен быть более 50 с. Страницы, иллюстрации, таблицы, рисунки должны быть пронумерованы. Все иллюстрации должны иметь подрисуночный текст, масштаб, условные обозначения, ссылки на авторов. На иллюстрации, рисунки, таблицы должны быть ссылки по тексту отчета.

1.3. Задачи по сбору фактического материала при прохождении производственно-технологической практике, ч. 1 на объектах геологоразведочных работ

Кафедра ЛГГИ, направляя студента на производственную практику, обычно ставит перед производственной организацией условие – задействовать студента на работах, близких к специализации обучения, однако не всегда это условие соблюдается. Поэтому при прохождении производственной практики на участке (объекте), прямо не связанном с специализацией выпускающей кафедры, студент должен собрать материал для отчета по производственной практике по вышеприведенному рубрикатору, при отсутствии на месте прохождения практики – в головной организации и зарезервировать себе для этой цели необходимое время (по согласованию с руководителем практики от производства).

Кроме того, направляясь на производственную практику, студент должен четко представлять, что собранный им материал ляжет в основу курсового проектирования и оттого, насколько он будет представителен, будет зависеть его оценка. По материалам, собранным на производственной практике студент выполняет в седьмом семестре курсовую работу: **«Методика поисков (разведки) на … площади (месторождении, залежи)».**

Рекомендации для проходящих практику:

- на геофизических работах:

Студенты специальности ГН проходят производственную практику, связанную с производством геофизических исследований, в основном в сейсморазведочных экспедициях (партиях), где принимают непосредственное участие в производственном процессе (в качестве рабочих по переноске кос, топогеодезических рабочих, значительно реже - на обработке полевых материалов).

При прохождении практики в геофизической организации необходимо ознакомиться с временными разрезами опорных сейсморазведочных профилей, с результатами параметрического бурения на территории работ или данными по ближайшим глубоким скважинам. Особое внимание уделить выделению на сейсморазрезах продуктивного для данного региона (территории) нефтегазового комплекса, а также зон дизъюнктивных нарушений.

В качестве материала для курсового проектирования собрать данные по основным параметрам проведения сейсморазведочных работ на данной территории, материалы по бурению глубоких параметрических и поисково-оценочных скважин, отстроенные структурные планы кровли продуктивного нефтегазоносного горизонта. Желательно также подобрать материалы по увязке геофизических и геологических аномалий.

- на геохимических исследованиях:

При прохождении производственной практики в составе геохимического подразделения студенты специальности ГН проходят практику на рабочих местах в полевых отрядах. В процессе практики необходимо освоить методику проведения геохимических и сопутствующих им исследований, расшифровки полученных результатов для решения определенных геологических задач, четко представлять, что такое геохимическая аномалия и причину ее появления.

В качестве материала для курсового проектирования собрать данные по методике проведения геохимических работ на данной территории, информацию по рядом расположенным месторождениям (залежам) углеводородного сырья, информацию по пройденным в регионе параметрическим скважинам. Обязательно в собранном материале должна присутствовать структурная карта продуктивного нефтегазового комплекса (если нет возможности получить таковую на район работ, обязательно взять на регион). Кроме всего, необходимо иметь материал по результативности проводимых работ.

- на буровых работах:

При прохождении практики на бурении глубоких скважин необходимо четко представлять роль и задачи геологической службы на буровой. Необходимо получить представление о роли газокаротажной партии, отряда ГТИ на бурении скважины, по возможности ознакомиться с процессом ГИС, опробованием в открытом стволе, отбором керна, полевом описании керна.

В качестве материала для курсового проектирования собрать данные по проекту производства бурения скважины (*на разведочных работах* – информацию по месторождению (залежи), ранее проведенных работах на объекте; *на поисково-оценочных работах* – информацию по паспорту структуры, обоснованию постановки буровых работ; *при бурении параметрической*

скважины – информацию по обоснованию постановки работ). В качестве фактического материала обязательно должен быть взят шлам в количестве не менее 20 – 30 образцов через каждые 5-10 м проходки (подряд без пропусков, весом от 0,1 до 0,2 кг каждый образец шлама). Обязательно должна быть взята копия ГТН, структурный план НГК, на который проектируется бурение скважины.

Особое внимание необходимо уделить материалам по геофизическим исследованиям в скважине (скважинах). Наиболее представительным для характеристики залежи является материал сводных корреляционных разрезов по данным геофизических исследований в скважинах (ГИС). Здесь можно провести увязку данных ГИС и керна (шлама). Особенно интересными являются материалы, характеризующие продуктивный пласт и его изменчивость по мощности и по латерали.

- на разработке месторождения (залежи)

При прохождении практики на эксплуатируемом месторождении нефти или газа студенты специальности ГН исполняют обязанности дублера оператора разработки. В процессе практики студент должен овладеть методикой учета добываемых флюидов, организацией закачки агентов, поддерживающих пластовое давление, производством ежесменных записей в журнал оператора результатов работы по смене. В процессе практики необходимо освоить процесс контроля за разработкой: добыча флюида, транспортировка его на пункт подготовки, где производится подготовка нефти-сырца к транспорту (процессы обессоливания, обезвоживания и т. д).

В качестве материала для курсового проектирования необходимо собрать данные о месторождении (залежи), истории его разведки, структурный план, размещение запасов по категориям. В качестве фактического материала должны быть взяты образцы нефти-сырца (0,5 – 1,0 л), копия суточного рапорта оператора, схема разработки продуктивного пласта, сводный геолого-геофизический разрез. При наличии - план проектируемых разведочных работ, и, по возможности, получить в геологическом отделе предприятия петрофизическую и литологическую характеристику по имеющимся на месторождении коллекторам и покрышкам.

В целом при прохождении практики каждый студент должен четко представлять, что основной курсовой работой по специальности на седьмом семестре буде работа, посвященная теоретическим основам поиска и разведки нефти и газа. Для качественного выполнения данной работы необходим материал с места прохождения производственной практики: структурный план кровли продуктивного для региона (района) НГК (горизонта, пласта) и информация о геологическом строении района работ и истории его изученности.

МИНОБРНАУКИ РФ

ФГБОУ ВО «Уральский государственный горный университет»

УТВЕРЖДАЮ
Проректор по учебно-методическому комплексу_____С.А.Мухоров

МЕТОДИЧЕСКИЕ РЕКОМЕНДАЦИИ
К САМОСТОЯТЕЛЬНОЙ РАБОТЕ ПРИ ПРОХОЖДЕНИИ

ПРОИЗВОДСТВЕННО-ТЕХНОЛОГИЧЕСКОЙ ПРАКТИКИ, Ч.2

Специальность:
21.05.02 *Прикладная геология*

Специализация
Геология месторождений нефти и газа

форма обучения: очная

Автор: Рыльков С.А., доцент, к.г.-м.н.

Одобрены на заседании кафедры

Литологии и геологии горючих ископаемых
(название кафедры)

Зав.кафедрой _____
(подпись)

Рыльков С.А.
(Фамилия И.О.)

Протокол № 2 от 06.10.2020
(Дата)

Рассмотрены методической комиссией факультета

Геологии и геофизики
(название факультета)

Председатель _____
(подпись)

Бондарев В.И.
(Фамилия И.О.)

Протокол № 2 от 13.10.2020
(Дата)

Екатеринбург

ОГЛАВЛЕНИЕ

1. ПРОИЗВОДСТВЕННО-ТЕХНОЛОГИЧЕСКАЯ ПРАКТИКА, Ч.2 3

1.1. Цели и задачи практики 3

1.2. Особенности прохождения практики на конкретных участках производства геологоразведочных и эксплуатационных работ 4

1.3. Перечень основных разделов ВКР со стандартным рубрикатором 5

1.4. Тема для специального рассмотрения (“спецвопрос”) 9

1. ПРОИЗВОДСТВЕННО-ТЕХНОЛОГИЧЕСКАЯ ПРАКТИКА, Ч.2

1.1. Цели и задачи практики

Производственно-технологическая практика, ч. 2 проходится студентами после восьмого семестра обучения на предприятии, проводящем геологоразведочные работы по выбранному студентом профилю специализации.

Основной целью практики является закрепление знаний, полученных студентом в процессе обучения в университете на основе глубокого и всестороннего изучения деятельности предприятия, на котором проходится практика, а также сбор необходимых фондовых и других материалов для написания ВКР в виде дипломного проекта или дипломной работы.

Исходя из этой цели, ***задачами практики являются***:

1. Знакомство с методикой проведения геологоразведочных работ.
2. Изучение вопросов экономики, организации и управления производством.
3. Приобретение практических навыков самостоятельной работы по изучению геологического строения района, участка месторождения.
4. Изучение вопросов безопасности и охраны труда, охраны окружающей природной среды.
5. Сбор материалов для выполнения в процессе написания дипломного проекта самостоятельно выполненной главы (спецглава).

Вышеупомянутая глава является разделом или отдельным вопросом дипломного проекта, выполняемая студентом в процессе дипломного проектирования ***самостоятельно***, поэтому студент, собирая на производственно-технологической практике, ч. 2 фактический материал для завершающего этапа обучения, должен четко представлять оптимальный объем этого материала, обеспечивающий решение всех задач дипломного проектирования. Для этого, перед началом практики, студент должен получить от преподавателя (руководителя практики) задание на ее прохождение (задание на выполнение ВКР). С целью повышения реальности и научно-практической ценности дипломного проекта задание на выполнение ВКР должно быть согласовано с руководством производственного предприятия.

Учитывая, что практически большинство предприятий, ведущих геологоразведочные работы на углеводороды, являются в настоящее время сервисными подразделениями добывающих предприятий ведущих холдингов (компаний) нефтегазовой отрасли и, как правило, не являются стабильными в структурном отношении единицами, прохождение студентом практики возможно на любом участке полевых работ как геологоразведочного, так и эксплуатационного направления. Студент на практике выполняет определенные производственные обязанности, замещая вакантную должность (или в качестве дублера) специалиста геологической службы или другой специальности, по согласованию (договору) с руководством предприятия.

Минимальная продолжительность производственно-технологической

практики, ч. 8 недель.

1.2. Особенности прохождения практики на конкретных участках производства геологоразведочных и эксплуатационных работ

1.2.1. Тематические, научно-исследовательские работы

Практика в подразделении, специализирующемся на выполнении тематических, научно-исследовательских работ позволяет студенту, наряду со знакомством с конкретной тематикой выполняемой коллективом подразделения работы, получить возможность собрать материал по проведенным на конкретной территории геологоразведочным работам регионального (поискового, разведочного) этапа и с достаточной детальностью собрать фондовые и опубликованные материалы по конкретной тематике. В качестве предмета самостоятельной работы, включаемой в дипломный проект в качестве специальной главы, по согласованию с руководителем практики на производстве, можно взять одно из направлений выполняемой студентом работы. Для выполнения курсовой работы по лабораторным методам изучения горючих ископаемых, при отсутствии возможности сбора фактического материала (образцов флюидов), желательно собрать данные аналитических исследований флюидов, методику обработки этих данных на ПК и сделать практический вывод из этих исследований при подсчете запасов (ТЭО КИН и т. п.).

1.2.2. Геофизические работы

Практика в подразделении, выполняющем геофизические полевые работы, позволяет студенту получить необходимый навык геологической интерпретации материалов, получаемых с помощью геофизических методов поиска и разведки горючих полезных ископаемых. Здесь особое внимание следует уделить сбору фондовой и опубликованной информации по комплексированию применяемых методов, собрать коллекцию образцов, отвечающую основным физическим свойствам горных пород, данные бурения параметрических и опорных скважин в районе работ, опыт интерпретации получаемых результатов, накопленный в подразделении. Необходимо усвоить порядок перевода прогнозных ресурсов в ресурсы локализованные и перспективные по данным геофизических работ, и собрать информацию об успешности проверенных бурением объектов с перспективными ресурсами. Особенно интересно получить информацию о причинах отрицательных результатов. В качестве материалов для спецглавы в ВКР в виде дипломного проекта можно рекомендовать собрать информацию по обоснованию применяемой методики исследования геологического строения изучаемой территории.

Практика в подразделении, выполняющем геофизические исследования в скважинах, позволяет студенту получить необходимый навык в интерпретации данных ГИС, особенно при подсчете запасов нефти, газа, газоконденсата. Наряду со сбором фондовых и опубликованных материалов по конкретной тематике проводимых работ, необходимо для дипломного проектирова-

ния собрать информацию о рациональном комплексе ГИС на данном участке, его обосновании, а также получить копии каротажных диаграмм. При возможности, необходимо собрать образцы керна (шлама) из охарактеризованных каротажными диаграммами интервалов.

1.2.3. Поисковое (разведочное, эксплуатационное) бурение

Практика в подразделении, проводящем строительство буровой скважины, позволяет студенту в дополнение к фондовым и опубликованным по конкретному району материалам, собрать фактический материал в виде шлама с привязкой к конкретному интервалу, копии каротажных диаграмм, копию геолого-технического наряда. Участвуя непосредственно при бурении скважины, студент может собрать материал по результатам проведения ГИС, газового каротажа, геолого-технического исследования скважины (ГТИ), получить навык полевого макроописания керна.

1.2.4. Геохимические исследования

Практика в подразделении, проводящем геохимические исследования на конкретной площади, позволяет студенту в дополнение к фондовым и опубликованным по конкретному району материалам собрать информацию о методике проводимых геохимических работ, порядке отбора и обработки проб, интерпретации получаемых результатов. В качестве дополнительного материала для дипломного проектирования желательно получить данные о проведенных на участке работ или на соседней площади геохимических исследованиях и их результативности.

1.2.5. Эксплуатационные работы

Практика на нефтяном (газовом) промысле позволяет студенту получить навык нефтегазопромыслового геолога и в дополнение к фондовому и опубликованному материалу по району работ собрать информацию о методах изучения геолого-промысловой характеристики продуктивных пластов и залежей нефти и газа на конкретной стадии эксплуатации.

1.3. Перечень основных разделов ВКР в виде дипломного проекта со стандартным рубрикатором

Изменившиеся с 1992 г. условия недропользования заставили собственников геологической, геолого-технической и геолого-экономической информации по конкретной территории, в том числе и территориальные геологические фонды МПР России, определить ее в качестве товара с определенной стоимостью, наряду с существующими ранее понятиями «закрытая» и «открытая». Поэтому сбор материалов для дипломного проектирования должен проводиться студентом на преддипломной практике в тесном контакте с руководителем практики от производства и только в том объеме, который позволит ответить на все основные вопросы, затронутые дипломным проектом (дипломной работой).

Выходя на производственно-технологическую практику, ч. 2, студент должен четко представлять ее конечный результат. Это значит, что при дипломном проектировании студент должен осветить следующие вопросы, в сопровождении рисунков, графических и текстовых приложений, согласно нижеприведенному рубрикатору:

1. Введение. Здесь студент должен сообщить, какие материалы легли в основу его ВКР; где и на каком конкретно рабочем месте он проходил преддипломную практику; цель производства работ предприятием, тип флюида участка, этап и стадия выполняемых на производстве работ.

Объем текстовой части – 1 страница; рисунок – не нужен.

2. Общие физико-географические сведения о районе работы. Раздел определяет в конечном итоге принимаемые проектом технические решения, основанные на информации по местонахождению площади проектируемых работ, ее инфраструктуре, орогидрографическим особенностям, климату, растительности, животному миру, наличию особо охраняемых территорий, населению.

Объем текстовой части – 2-3 с.; рисунок – обзорная карта района работ с нанесенной ближайшей железнодорожной станцией, пристанью, в произвольном масштабе. В текстовой части приветствуются фотографии, сделанные студентом на практике, отражающие орогидрографические особенности территории, растительность и другие природные объекты.

3. История изученности района работ. Дается в виде произвольного текста или в виде таблицы. Перечисляются проведенные геологоразведочные работы по годам их проведения, с указанием автора и наименованием отчета о проведенных работах. Для результирующего резюме по ранее проведенным работам необходимо собрать информацию по результатам, полученным каждым исследователем в отдельности.

Объем текстовой (табличной) части – 4-7 с.; рисунок – не обязателен, хотя возможна иллюстрация раздела рисунками в формате А4, характеризующих картограммы изученности.

4. Геологическое строение района работ. Дается в стандарте подразделов: стратиграфия, магматизм, тектоника, нефтегазоносность, гидрогеологические особенности района работ и непосредственно участка проектирования.

Объем главы – 8-15 с. текста; рисунки – выкопировки из обзорных карт (геологической, тектонической и др.) масштаба 1:10000000 – 1:1000000, иллюстрирующие текст подглав, желательно чтобы рисунки текста повторяли в формате А4 чертежи демонстрационной графики.

Демонстрационная графика: тектоническая схема (геологическая карта) района работ масштаба 1:50000 – 1:200000; сводный геолого-геофизический разрез - на листах формата А1.

Следует отметить, что при сравнительно небольшом объеме информации, главы 3 и 4, по усмотрению руководителя по дипломированию, соединяют в одну главу.

5. Методика производства работ. Необходимо в начале главы дать

обоснование стадийности проектируемых работ и перечислить комплекс методов для решения поставленной задачи.

Объем – 1 страница текста.

Для дипломантов специальности ГН основными темами дипломного проектирования (без вариантов) могут быть проведение поисково-оценочной стадии поисково-оценочного этапа работ или производство разведочных работ.

Учитывая, что методический раздел является основой для составления последующих частей дипломного проекта, предлагается разбить главу на подглавы и подразделы. В качестве примера предлагается следующий рубрикатор данной главы:

5.1. Геофизические методы производства работ: здесь, в зависимости от стадии проектируемых работ, рассматривается вопрос по сгущению сети ранее пройденных сейсморазведочных площадных работ 2D, или же постановка сейсморазведочных работ 3D. В зависимости от собранного дипломантом на практике материала можно рассматривать вопрос и о применении других видов геофизических исследований. Объем – в зависимости от объема собранного материала, но не более 5 с. текста; рисунки: расчет годографа, местоположение проектируемых работ на местности. При проектировании сейсморазведочных работ 3D необходим демонстрационный чертеж формата А1.

5.2. Геохимические методы производства работ – комплекс геохимических исследований по уточнению границ залежи (месторождения) дистанционными методами. Дается описание методики производства работ, ожидаемые результаты. Объем текста – 2-4 с.; рисунки – применяемая сеть геохимических наблюдений. При применении данного метода – дать этот же рисунок в качестве демонстрационной графики в формате А1.

5.3. Буровые работы. Эта подглава, в свою очередь, состоит из ряда подразделов:

5.3.1. Выбор места заложения скважины (скважин). В зависимости от задачи дипломного проекта, в соответствии со стадийностью проектируемых работ определяется количество скважин, необходимых для решения задачи, их места заложения, глубина скважин, очередность проходки.

5.3.2. Литолого-технологический разрез и ожидаемые осложнения при бурении скважины (скважин). В текстовой или в табличной форме дается поинтервальный сводный разрез проектируемой скважины с указанием ожидаемых литологических разностей пород (поинтервально), а также категории их по буримости. В текстовой или в табличной форме дать ожидаемые осложнения при бурении.

5.3.3. Конструкция скважины. На основании литолого-технологического разреза и ожидаемых осложнений при бурении скважины предлагается обосновать принимаемую проектом конструкцию скважины.

5.3.4. Отбор проб в процессе бурения скважины керна, флюидов. В соответствии с назначением скважины, ожидаемой мощностью продуктивного горизонта (пласта) определить интервалы проходки с отбором керна, дать

объем ожидаемого керна с условием его выноса (раздельно по коллектору и по покрышке). Описать отбор проб флюидов.

5.3.5. Опробование скважины в открытом стволе и испытание ее в колонне. Дать в текстовой форме описание процесса опробования скважины в открытом стволе и процесс испытания скважины в колонне.

5.3.6. Предлагаемый комплекс ГИС. Дается в табличной форме основной комплекс ГИС для данной территории и при необходимости - дополнительный. Рассматриваются масштабы записей; какие зонды будут применяться в открытом стволе (предварительно, окончательно), какие - в колонне. Желательно дать краткое описание методам: для чего он применяется.

5.3.7. Работы, сопутствующие полевым. Имеются в виду топо-маркшейдерские работы и строительство на буровой.

5.3.8. Лабораторные работы. С учетом стадийности работ, объема вынесенного керна по коллекторам и по покрышкам, определяется объем образцов для проведения петрофизических и петрографических исследований. Делается вывод о репрезентативности полученной выборки.

5.3.9. Подсчет запасов углеводородов объемным методом. При проведении поисково-оценочных работ запасы подсчитываются по категориям C_1+C_2, при проведении разведочных работ – количество запасов, переведенных из категории C_2 в категорию C_1.

Объем текста – 8-12 с.; рисунки (фотографии) – в зависимости от наличия. В качестве демонстрационного чертежа – геолого-технический наряд (ГТН) в формате А1 – чертеж, учитывающий также вопросы, освещенные в технической части проекта.

6. Техническая часть проекта, в том числе: охрана труда, техника безопасности, охрана окружающей природной среды. Объем текстовой части – по согласованию с соответствующим куратором.

7. Экономическая часть (сводная смета, расчеты стоимости отдельных видов работ). Объем текстовой части – по согласованию с соответствующим куратором.

В завершение экономической части необходимо привести подраздел, посвященный эффективности предлагаемых проектом работ. Эффективность проектируемых работ выражается в количественном приросте промышленных запасов углеводородов (категория C_1) на единицу затрат при реализации проекта (тыс т/метр бурения, тыс т/руб., руб./руб. и т. п.). Необходимо учесть, что ожидаемые результаты в денежном выражении (прирост запасов категории C_1, перевод запасов углеводородного сырья из категории C_2 в категорию C_1) должны быть значительно выше ожидаемых затрат на производство работ.

В завершение – приводится список использованной при написании ВКР фондовой и опубликованной литературы.

1.4. Тема для специального рассмотрения (“спецвопрос”)

Особое внимание при написании ВКР в виде дипломного проекта уделяется самостоятельно выполненной студентом работе, оформляемой в виде ***спецглавы (спецраздела)*** в одной из центральных глав дипломного проекта. Это, как правило, самостоятельно выполняемая студентом работа, которая может быть посвящена:

- изучению вещественного состава коллектора, покрышек;
- определению петрофизических и петрографических особенностей продуктивного горизонта;
- выявлению зависимостей между петрофизическими и петрографическими особенностями коллекторов;
- изучению вещественного состава флюидов;
- корреляционной зависимости между пробуренными скважинами по данным ГИС и т. д.

Направления специальных (естественно, *самостоятельных*) исследований могут быть (очень укрупнено) классифицированы следующим образом:

- лабораторно-микроскопические исследования;
- графопостроительные работы;
- количественная обработка информации.

Понятно, что все эти направления теснейшим образом *взаимосвязаны*. В общем виде соотношение методов исследований и решаемых задач изображено на рис. 1. Поясним выбор конкретной темы на некоторых примерах.

Пример 1 - петрографическое изучение песчаников. Основные задачи, которые должны решаться с помощью данного метода на конкретном объекте, могут быть следующими:

- детальное изучение одно-двух или более пластосечений (например, коллекторов), как бы вне зависимости от их геологического положения;
- изучение нескольких песчаных слоев, желательно по одной линии – обнажению, скважине – для последующего рассмотрения смены типов песчаников по вертикали;
- изучение нескольких разрезов одного пласта для их увязки (корреляции) либо для оценки изменений на площади. Эти задачи могут совмещаться, детализироваться и т. п., в зависимости от сложности объекта, стадии изученности и многих других условий, однако порядок рассуждений в целом при этом безусловно сохраняется. Полевые исследования, включая отбор проб на последующие исследования, проводятся уже исходя из определенной цели.

Пример 2 - изучение периодичности (цикличности) в некоторой толще пород. Данная задача может решаться на базе детальной документации керна, или с помощью лабораторных исследований, математического аппарата и т.д. В зависимости от выбранных методов формируется и формулируется конкретная методика работ, способы решения задачи, определя-

ется объем информации, которую следует собрать.

Объем работ для выполнения специальной части ВКР

Достаточно условно определенный ***минимальный*** объем самостоятельных исследований, который позволяет дать некоторые значимые заключения (табл. 1), может быть увеличен в 3–5 раз.

Таблица 1

Рекомендуемый объем самостоятельных исследований
для выполнения специальной части ВКР (некоторые примеры)

Наименование темы	Единицы измерения	Количество
Микроскопические исследования		
Петрографический состав песчаников	шлиф	20-40
Гранулометрический анализ сцементированных пород	то же	10 – 15
Графопостроительные работы		
Расчленение разреза по детальному описанию	скважина, м	1 – 2 Не менее 300
Корреляция отложений (с применением ГИС; лабораторных данных)	скважина, м	Не менее 2* Не менее 100 по каждой из скважин
Обработка информации		
Анализы (химические, спектральные и проч.)	анализ	Не менее100
Изучение качества полезного ископаемого по пластосечениям	пластоточка	Не менее 50
Иные виды работ		
Изучение морфологии продуктивных горизонтов (угольных пластов, коллекторов и пр.)	пластоточка	Не менее 20
Построение моделей (строения толщи, продуктивных горизонтов и пр.)	не регламентируется	

* Может значительно варьировать и зависит от принятого масштаба. Например: корреляция только 20-метрового продуктивного интервала, но в М 1:50 и по 7-10 скважинам.

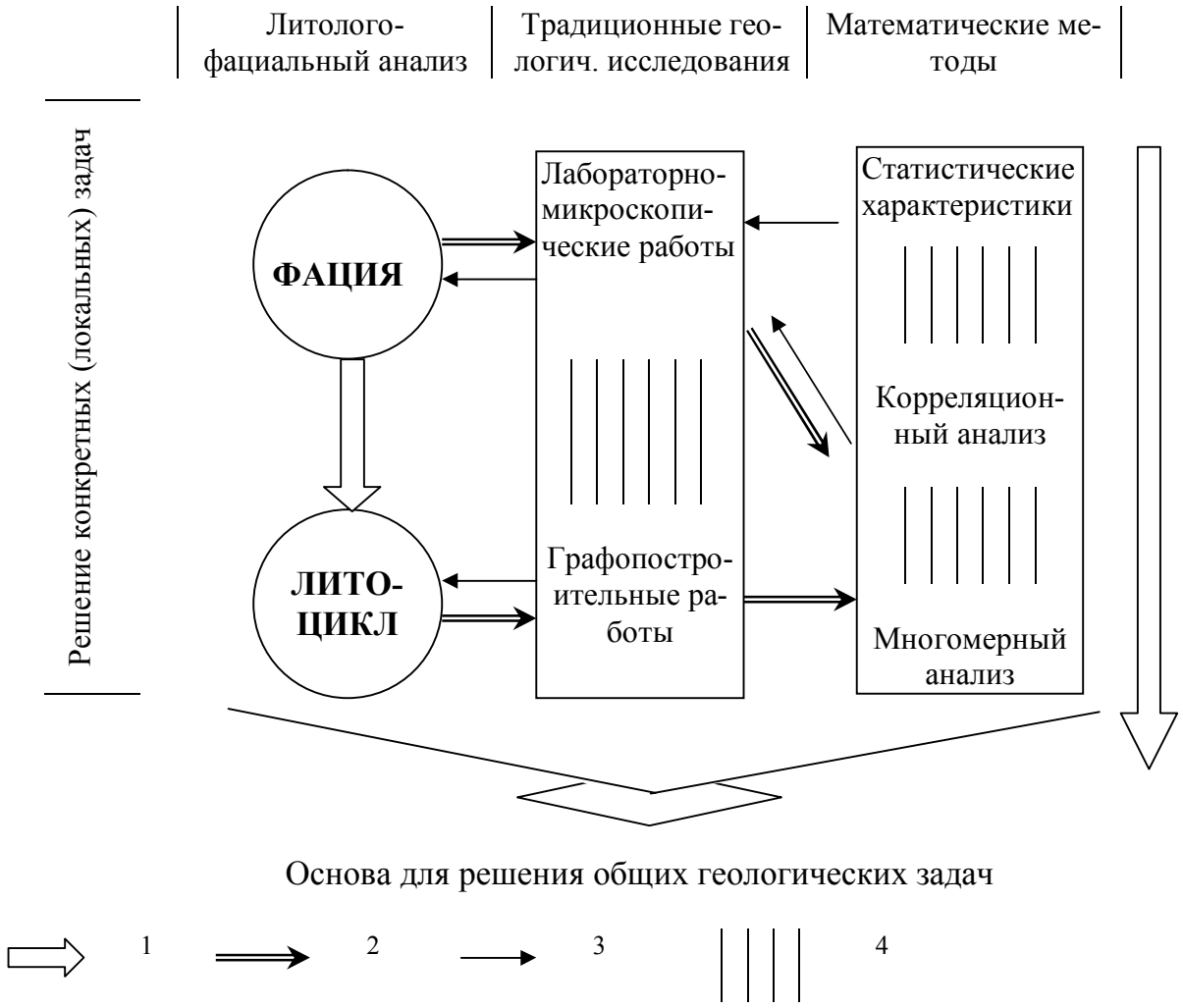

Рис. 1. Соотношение основных видов исследований (применительно к литолого-фациальному анализу)

1 – основное направление в выполнении работ (от частного – к общему); 2 – получение новой информации; 3 – “заверка” и (или) способ получения результатов; 4 – интервалы интенсивного взаимопроникновения и взаимосвязи методов и методик.

В завершение - пример возможного показа полученной информации (рис. 2). Всего лишь на одном чертеже (как правило, это лист ватмана формата А1 или 80×60 см) можно показать колонку строения слоя песчаного коллектора, фотографии или зарисовки конкретных образцов, фотографии шлифов. Все это позволит как с общий позиций, так и с любой степенью детальности осветить рассматриваемые вопросы. Важно подчеркнуть, что возможность такого изображения информации закладывается уже при первоначальном сборе материала (см. выше).

Таблица 2

Рекомендуемое применение колонок различного масштаба

Масштаб	Что изображается	Для чего используются
1 : 50 000 (1: 25 000)	Серии, формации	Общие представления о строении толщи (стратиграфические колонки без детального “наполнения”)
1 : 20 000	Свиты, подформации	
1 : 5 000	Свиты; ЛЦ III порядка	Детальная стратиграфическая колонка; схематические разрезы
1 : 2 000	ЛЦ III, II порядков	Геологические разрезы с увязкой отдельных горизонтов
1 : 500	ЛЦ III, II порядков; реже слои (с обобщением)	Геологические разрезы разного характера в детальности
1 : 200	Слои	Детальные геологические разрезы, колонки скважин
1 : 50 (1 : 20)	Слои, прослои	Детальные колонки, зарисовки

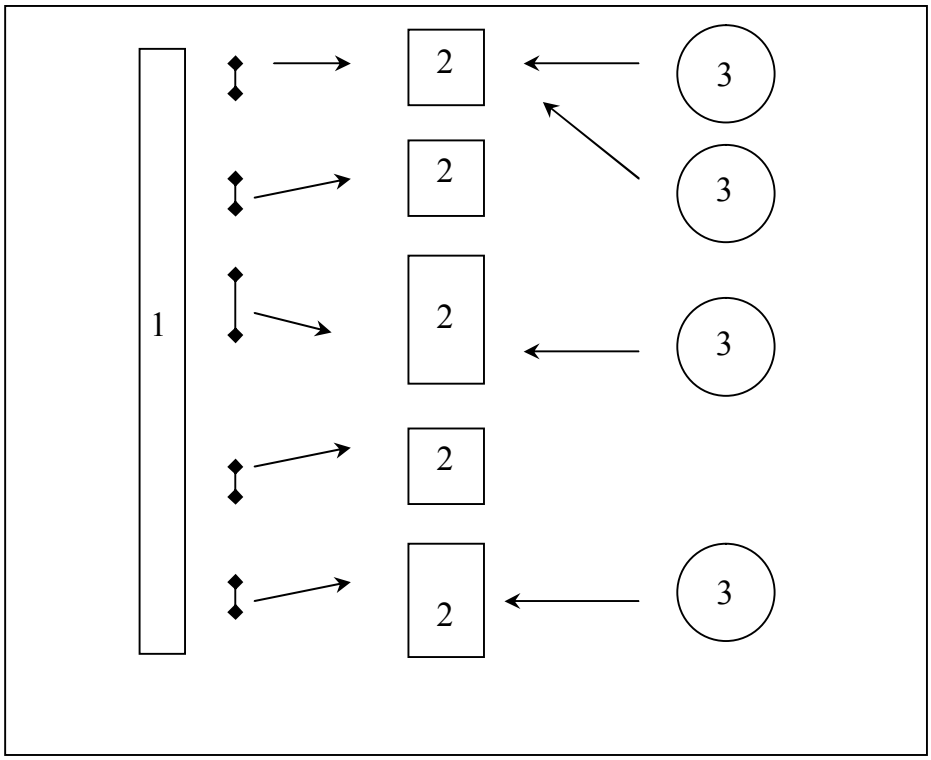

Рис. 2. Вариант совмещения на одном чертеже результатов изучения общего строения интервала

1 - колонка , 2 - детальное описание образцов (фотографии, сканированные отпечатки), 3 - результаты микроскопического изучения (фотографии шлифов).

Объем текстовой части спецглавы не должен превышать 8-10 с. В качестве рисунков – фотографии, графики и т. п. Для демонстрации выполненной работы необходимо сделать один-два чертежа формата А1.

МИНОБРНАУКИ РФ

ФГБОУ ВО «Уральский государственный горный университет»

УТВЕРЖДАЮ

Проректор по учебно-методическому комплексу_____С.А.Мухоров

МЕТОДИЧЕСКИЕ РЕКОМЕНДАЦИИ К САМОСТОЯТЕЛЬНОЙ РАБОТЕ ПРИ ПРОХОЖДЕНИИ ПРЕДДИПЛОМНОЙ ПРАКТИКИ

Специальность:
21.05.02 *Прикладная геология*

Специализация
Геология месторождений нефти и газа

форма обучения: очная

Автор: Рыльков С.А., доцент, к.г.-м.н.

Одобрены на заседании кафедры

Литологии и геологии горючих ископаемых
(название кафедры)

Зав.кафедрой _____
(подпись)

Рыльков С.А.
(Фамилия И.О.)

Протокол № 2 от 06.10.2020
(Дата)

Рассмотрены методической комиссией факультета

Геологии и геофизики
(название факультета)

Председатель _____
(подпись)

Бондарев В.И.
(Фамилия И.О.)

Протокол № 2 от 13.10.2020
(Дата)

Екатеринбург

ЦЕЛИ И ЗАДАЧИ ПРАКТИКИ

Основная цель преддипломной практики – выполнение выпускной квалификационной работы.

Задачами преддипломной практики являются:

- закрепление навыков по самостоятельному ведению геологических исследований, по сбору, обработке и обобщению полученных материалов;
- закрепление организационных навыков и умения работы с людьми;
- приобретение навыков осмысливания и критической оценки данных предыдущих исследований, формулирования основных выводов по геологическому строению и геологической истории исследуемого района.
- приобретение способности к творческой деятельности, готовности вести поиск решения новых задач, связанных с отсутствием разработанных алгоритмов профессионального поведения;
- изучение вопросов экономики, организации и управления производством;
- изучение вопросов безопасности и охраны труда, охраны окружающей природной среды;
- сбор и окончательная обработка материалов для выполнения выпускной квалификационной работы.

. ПРОДОЛЖИТЕЛЬНОСТЬ ПРАКТИКИ

Общая трудоемкость преддипломной практики составляет 3 зачетных единицы, 108 часов.

Общее время прохождения учебной практики студентов 2 недели.

ОБЩИЕ РЕКОМЕНДАЦИИ ОБУЧАЮЩИМСЯ ПО ПРОХОЖДЕНИЮ ПРЕДДИПЛОМНОЙ ПРАКТИКИ

Преддипломная практика проводится как в структурных подразделениях УГГУ (возможно посещение профильных организаций с целью изучения их опыта решения конкретных профессиональных и производственных задач в соответствии с заданием практики), так и в организациях – базах практики, с которыми у УГГУ заключены договоры о практике, деятельность которых соответствует видам деятельности, осваиваемым в рамках ОПОП ВО.

Перед прохождением практики обучающихся должен изучить программу, представленную учебно-методическую документацию по практике и обратиться к соответствующим нормативным материалам, литературе с тем, чтобы быть подготовленным к выполнению поручений, данных руководителем практики, к решению задач практики, конкретных практических вопросов.

При необходимости обучающиеся должны подготовить: ксерокопии своих свидетельств о постановке на учет в налоговом органе (ИНН), пенси-

онного страхования; получить при необходимости медицинскую справку по форме, требуемой предприятием-базой практики, в поликлинике, к которой прикреплены; подготовить фотографии (формат по требованию предприятия-базы практики) и паспортные данные (ксерокопии разворотов с фотографией и регистрацией места жительства) для оформления пропусков на предприятия.

В рамках самостоятельной работы обучающемуся рекомендуется проработать конспекты лекций, учебников и других горнотехнических изданий, технической документации горных предприятий, Контроль качества самостоятельной работы студентов производится при защите отчёта по практике.

При прохождении практики *обучающиеся обязаны:*

своевременно прибыть на место прохождения практики, иметь при себе все необходимые документы, в том числе паспорт, направление на практику;

подчиняться действующим правилам внутреннего трудового распорядка организации – места прохождения практики;

изучить и строго соблюдать правила охраны труда, техники безопасности, производственной санитарии и промышленной безопасности;

полностью выполнять задания, предусмотренные программой практики;

выполнять задания руководителя практики от организации;

быть вежливым, внимательным в общении с работниками;

вести записи о проделанной работе, чтобы в дальнейшем в отчете описать содержание проделанной работы;

в установленный срок отчитаться о прохождении практики руководителю практики от кафедры, подготовить и сдать отчет и другие документы практики на кафедру.

При возникновении затруднений в процессе практики обучающийся может обратиться к руководителю практики от университета либо от организации-базы практики и получить необходимые разъяснения.

ФОРМА ОТЧЕТНОСТИ ПО ПРАКТИКЕ

По результатам преддипломной практики студент представляет набор документов:

индивидуальное задание и график (план) проведения практики заполненный соответствующим образом (приложение В);

характеристика с места практики (приложение Г);

отчет обучающегося.

Индивидуальное задание, график (план) прохождения практики, характеристика –единый документ.

Документы должны быть подписаны руководителем практики от организации – базы практики и заверены печатью организации–базы практики.

Отчет вместе с документами служит основанием для оценки результатов преддипломной практики руководителем практики от университета. Полученная оценка - «зачтено» выставляется в ведомость и зачетную книжку студента.

Содержание отчета должно соответствовать программе практики, в нем обобщается и анализируется весь ход практики, выполнение заданий и других запланированных мероприятий. Отчет должен иметь четкое построение, логическую последовательность, конкретность.

Отчет по преддипломной практике имеет следующую структуру: титульный лист (приложение А), индивидуальное задание и график (план) проведения практики заполненный соответствующим образом, содержание, введение, основная часть, заключение, приложения.

Титульный лист отчета содержит*:* указание места прохождения практики, данные о руководителе практики от университета и от организации (образец – приложение А).

После титульного листа помещается индивидуальное задание на практику, содержащее график (план) практики, характеристику с места практики.

Содержание отчета о прохождении учебной практики помещают после титульного листа и индивидуального задания. *В* содержании отчета указывают: перечень разделов (при желании параграфов), номера страниц, с которых начинается каждый из них.

Во введении следует отразить*:* место и сроки практики; её цели и задачи; выполненные обязанности, изученный информационный материал.

Введение не должно превышать 1 страницы компьютерного набора.

Основная часть отчета представляет собой Геологический раздел ВКР в виде дипломного проекта или геологическую часть ВКР в виде дипломной работы: стратиграфия, тектоника, нефтегазоносность района работ, нефтегазоносность объекта.

Дается в стандарте подразделов: стратиграфия, магматизм, тектоника, нефтегазоносность, гидрогеологические особенности района работ и непосредственно участка проектирования.

Демонстрационная графика: тектоническая схема (геологическая карта) района работ масштаба 1:50000 – 1:200000; сводный геолого-геофизический разрез - на листах формата А1.

Объем основной части не должен превышать 30 страниц, рисунки – выкопировки из обзорных карт (геологической, тектонической и др.) масштаба 1:10000000 – 1:1000000, иллюстрирующие текст главы.

В *заключении* студент должен дать характеристику практики (как проходила практика, знания и навыки (компетенции), которые он приобрел в ходе практики), сделать вывод о ее значении для подготовки специалиста-геолога в нефтегазовой отрасли.

Заключение должно быть по объему не более 1-2 стр.

Характеристика с места практики должна обязательно содержать Ф.И.О. студента полностью, указание на отношение студента к работе, нали-

чие или отсутствие жалоб на студента, оценку его теоретических знаний, умение применять теоретические знания на практике, степень выраженности необходимых личностных и профессиональных качеств.

Приложение А

Федеральное государственное бюджетное образовательное учреждение
высшего образования
«Уральский государственный горный университет»
(ФГБОУ ВО «УГГУ»)
620144, г. Екатеринбург, ул. Куйбышева, 30

ОТЧЕТ
о прохождении преддипломной практики

_____
(наименование организации прохождения практики)

Специальность: 21.05.02
ПРИКЛАДНАЯ ГЕОЛОГИЯ

Специализация:
ГЕОЛОГИЯ МЕСТОРОЖДЕНИЙ НЕФТИ И ГАЗА

Студент: Ларкин Н.А.
Группа: ГН-21

Руководитель практики от университета:

Оценка _____

Подпись _____

Екатеринбург
202__

МИНОБРНАУКИ РФ
ФГБОУ ВО «Уральский государственный горный университет»

УТВЕРЖДАЮ

Проректор по учебно-методическому комплексу _____ С.А. Чупров

МЕТОДИЧЕСКИЕ УКАЗАНИЯ
ПО ОРГАНИЗАЦИИ САМОСТОЯТЕЛЬНОЙ РАБОТЫ
И МЕТОДИКЕ ПРОВЕДЕНИЯ ГЕОЛОГИЧЕСКОЙ ОЗНАКОМИТЕЛЬНОЙ ПРАКТИКИ

Авторы: Огородников В. Н., д.г-м.н., доцент; Поленов Ю. А., д.г-м.н., доцент

Одобрены на заседании кафедры

Геологии
(название кафедры)

Зав.кафедрой _____
(подпись)

Огородников В.Н.
(Фамилия И.О.)

Протокол № 1 от 28.09.2020
(Дата)

Рассмотрены методической комиссией факультета

Геологии и геофизики
(название факультета)

Председатель _____
(подпись)

Бондарев В.И.
(Фамилия И.О.)

Протокол № 2 от 13.10.2020
(Дата)

Екатеринбург

ПРЕДИСЛОВИЕ

В курсе «Общая геология», который читается студентам специальности 21.05.02 Прикладная геология Уральского государственного горного университета (УГГУ), предусмотрено проведение учебной геологической практики. Она является важной составной частью образовательного процесса, так как способствует формированию у студентов умения наблюдать, документировать и обобщать различного рода геологические факты. Все это – основа для закрепления теоретической части указанного курса. В итоге студенты приобретают определенную базу восприятия специальных учебных дисциплин геологического профиля.

Место проведения практики, которое включает обнажения в городе Екатеринбург и его окрестностях, в пределах листов О-41-XXV и О-41-XXXI, выбрано в связи с тем, что здесь на сравнительно небольшой площади расположены разнообразные объекты, которые характеризуются сложным геологическим строением и разнообразием горных пород и месторождений полезных ископаемых всех геодинамических обстановок, проявленных на Урале.

Студенты заочного обучения, работающие на предприятиях геологоразведочного и горного профиля с согласия преподавателя могут проходить учебную геологическую практику на своем предприятии, предварительно получив для этого разрешение руководства учреждения.

1. ЦЕЛИ И ЗАДАЧИ ПРОВЕДЕНИЯ УЧЕБНОЙ ГЕОЛОГИЧЕСКОЙ ПРАКТИКИ

Геологическая ознакомительная практика после первого курса обучения студентов проводится в течение двух недель.

Цель практики: закрепление теоретических знаний и практических навыков студентов по общей и исторической геологии путем изучения результатов эндогенных и экзогенных процессов в натуре на природных геологических объектах и знакомство студентов с элементами документирования естественных и искусственных обнажений.

Задачи практики:

- ознакомление студентов с основами методики полевых геологических, геоморфологических и гидрогеологических наблюдений, с документацией полевых наблюдений, с некоторыми горнопромышленными предприятиями в окрестностях г. Екатеринбурга.

- обучение студентов свободному владению горным компасом при работе с картой и выполнении различных замеров на местности, документированию опорных разрезов, горных выработок и различных объектов при маршрутных наблюдениях, камеральной обработке полевых материалов и оформлению геологического отчета с необходимыми графическими приложениями;

Студенты, прошедшие геологическую практику, должны:

- знать основные геологические структуры земной коры на территории Среднего Урала и геологическую историю их развития;

- иметь представление об эндогенных и экзогенных геологических процессах, приводящих к образованию и преобразованию различных месторождений полезных ископаемых, о пространственно-временных основах геологии, базирующихся на методе актуализма, т. е. развитии процессов и геологических структур в пространстве и во времени;

- закрепить навыки и уметь определять минералы и горные породы как продукты различных геологических процессов; наблюдать и документировать обнажения и горные выработки, уметь вести абрис маршрута, полевую книжку; отбирать стандартные образцы для геологической коллекции; замерять элементы залегания горных пород и

трещиноватости горным компасом, составлять фрагментарные геологические схемы и планы, разрезы к ним; анализировать условия их залегания, возрастные взаимоотношения различных геологических образований как в обнажениях, так и на геологических картах и фиксировать все полученные материалы в геологическом отчете;

- отличать экзогенные процессы, обусловленные антропогенными факторами.

2. СОДЕРЖАНИЕ ПРАКТИКИ

Геологическая ознакомительная практика проводится квалифицированными специалистами, имеющими соответствующее образование. Как любые геологические исследования, она состоит из трех основных этапов – подготовительного, полевого и камерального.

Подготовительный этап. В течение этого этапа со студентами проводятся лекции о целях и задачах экскурсий, формируются учебные бригады, собирается, закупается и выдается полевое снаряжение (рюкзак, полевая сумка, мешки под образцы, компас, фотоаппарат, рулетка, геологический молоток, лупа, саперная лопатка, складной нож, ручка, карандаш, офицерская линейка, медицинская аптечка) и документы (карты, полевой дневник, журнал образцов, этикетки), позволяющие фиксировать полученные наблюдения. Перечисленным снаряжением и документами должна располагать каждая учебная бригада. Полевой дневник должен иметь каждый учащийся. На подготовительном этапе дается форма дневника (полевой книжки) и другой геологической документации.

Для успешного проведения геологических экскурсий заранее необходимо осуществлять рад мероприятий, направленных на строгое выполнение правил по технике безопасности в полевых условиях. Прежде всего, нужно организовать медицинский осмотр всех экскурсантов и сделать предохранительные прививки.

Вторым обязательным мероприятием является ознакомление студентов непосредственно перед проведением экскурсий с правилами техники безопасности с росписью в соответствующей ведомости. Экскурсанты должны усвоить правила техники безопасности при 1) проведении маршрутов, 2) использовании автотранспорта, 3) обеспечении питьевой водой, 4) оказании доврачебной помощи.

В *полевой этап* проводятся геологические маршруты на хорошо обнаженные геологические объекты, сложенные различными метаморфическими, осадочными и магматическими породами; на месторождения полезных ископаемых различного генезиса.

Первые маршруты предусматривают усвоение студентами общих навыков работы в полевых условиях. С этой целью преподаватели рассказывают о методике полевых геологических объектов с теми или иными явлениями и процессами.

Выполнение маршрутного задания, прежде всего, зависит от четкой организации работы студенческих бригад в полевых условиях. Этому способствует предварительное распределение обязанностей между членами бригад перед очередным маршрутом. В каждом маршруте посменно одни студенты отвечают за составление абриса маршрута и привязку обнажений, другие за работу с горным компасом, за отбор образцов горных пород, фотографирование геологических объектов и т.д.

Объем геологической информации возрастает от маршрута к маршруту. Своевременная обработка этого материала определяет качество итоговых геологических документов. Основная форма проведения полевых геологических наблюдений – маршруты, которые являются составной частью учебного процесса. Количество их и содержание определяется целями и задачами, планом обучения и программой геологических экскурсий.

Практически во многих случаях маршруты являются комплексными, когда одновременно ведутся наблюдения над несколькими геологическими процессами и объектами. Целесообразность таких маршрутов обусловлена выявлением взаимосвязи

отдельных геологических процессов и явлений. Например, в одном маршруте полезно проследить связи между формами рельефа, литологией пород и тектоникой района, выходами подземных вод на поверхность и определенным стратиграфическим горизонтом, выветриванием и составом горных пород и т.д.

Необходимо особенно подчеркнуть, что *геологические наблюдения в маршруте должны вестись непрерывно.* Это означает, что после описания какого-либо объекта или процесса наблюдение за ним (ними) не прекращается, а продолжается в процессе всего маршрута.

Основная работа в маршрутах – изучение горных пород, осуществление тектонических, геоморфологических и других наблюдений и записи в полевой книжке проводятся на специальных остановках – точках наблюдения (Тн). По характеру изучаемых явлений "Тн" можно условно разделить на три вида: изучение и описание геолого-географических особенностей (тектоники, рельефа, деятельности подземных вод, выветривания и т.д.), изучение и описание горных пород и условий их залегания в обнажениях и, наконец, наиболее частый случай, когда исследуется и те, и другие вопросы. Остановка на "Тн" даже на небольшом объекте отнимает много времени, поэтому нужно выбирать каждую точку так, чтобы на такой точке породы были хорошо обнажены, легко доступны для наблюдения и вместе с тем обладали чертами, существенными для понимания строения района.

При остановке на "Тн", прежде всего, следует сориентироваться по сторонам света (по компасу, солнцу, часам или другим способом) и определить нахождение точки не карте и местности, т.е. дать адрес. Определение местонахождения производится методом засечек по азимутам на хорошо заметные элементы рельефа, гидрографии (вершины гор характерные излучины рек, устья ручьёв) или глазомерной привязки точки по азимуту и расстоянию, определяемому, например, шагами. После привязки наносят местонахождение данной "Тн" на карту год соответствующим номером (нумерация точек должна быть сквозная).

Изучая на точке геологическое строение отдельного участка, целесообразно, прежде всего, описать общегеологические явления - геоморфологию, гидрографию, тектонику и т.д. Переходя к описанию пород обнажения, прежде всего, отмечают его размер по высоте и ширине и тип (обрывистый склон, скальный выход на склоне, обнажения в русле рек, стенки и забои карьере или шурфа и т.д.). После этого приступают к описанию пород. В зависимости от целей и задач такое описание даётся либо в обобщенном виде, либо более подробно и послойно, либо по отдельным пачкам. В последнем случае лучше описывать слои и пачку снизу вверх (рис. 1). В описании пород должна быть приведена сжатая характеристика главных отличительных и генетически важных свойств пород: текстура, структура, минеральный состав, различные неоднородности, тектонические дислокации. В описании указываются элементы залегания слоистости, сланцеватости, крыльев складок или плоскостей сместителя и т.д. Отмечаются места взятия образцов и их нумерация. На левой стороне пикетажной книжки делаются зарисовки и указываются места фотоиллюстраций.

При описании пород целесообразен следующий порядок работы на обнажении. Прежде всего, студенты должны внимательно осмотреть обнажение, отобрать серию образцов, определить все имеющиеся здесь породы, выделить отдельные пласты или метасоматические зоны, контакты. Определить элементы залегания. Руководитель консультирует и направляет работу, как отдельных студентов, так и всей группы, и в итоге устанавливается общая картина обнажения. После этого делают полное описание, а затем схематическую зарисовку обнажения, которая дублируется фотографированием. При необходимости делают зарисовки и фотографии деталей обнажения.

В первых маршрутах и при изучении принципиально новых объектов преподаватель должен сам давать соответствующие описания. Позднее, когда школьники овладеют определёнными навыками и усвоят общую схему описания, можно поручить

одному из них рассказать о том, что он мог бы написать в своём полевом дневнике на данной "Тн". Остальные участники делают замечания и дополнения. Преподаватель обобщает все сказанное и формулирует данные для общей записи.

Камеральный этап. Камеральные работы проводятся последовательно после завершения одного или двух маршрутов и включает в себя время на составление отчёта и его защиты.

В камеральный этап выполняются следующие виды работ:

- обработка полевых книжек;
- занесение в каталог образцов;
- оформление рисунков к отчёту, изготовление и описание стратиграфических разрезов, схем и карт;
- изготовление фотографий, их ретуширование, при необходимости вынесение на них геологической информации;
- окончательное уточнение полевых определений горных пород и минералов, уточнение наименований окаменелостей с использованием атласа руководящих форм, составление рабочей коллекции каменного материала;
- написание и оформление отчёта;
- защита отчёта.

Главная цель написания отчёта - овладение навыками анализа и обобщения геологических наблюдений и умение геологически грамотно изложить результаты такого обобщения в отчёте, правильного подбора и изготовления графических приложении, составления списка литературы.

2.1. Документация при ведении геологических маршрутов

Обилие различного рода информации, получаемой в результате геологических исследований, разнообразие форм и методов обработки делают задачу систематизации и унификации первичных геологических данных чрезвычайно важной

Первичная геологическая документация при ведении геологических маршрутов включает: I) дневники (полевые книжки); 2) формы регистрации каменного материала - журналы образцов, проб и др.; 3) этикетки; 4) зарисовки обнажений, горных выработок, керна скважин, отдельных деталей геологических тел и т.п.; 5) фотографии естественных и искусственных обнажений и их деталей.

Ко всем видам первичной геологической документации предъявляются единые требования к её оформлению;

1. Все записи должны делаться максимально разборчиво, с тем, чтобы не создавать затруднений при их чтении.
2. Записи должны иметь стандартную форму и строгую последовательность перечисления признаков описываемого объекта.
3. Записи производятся простым карандашом или шариковой ручкой. Использование химических карандашей и чернил всех видов (в том числе фломастеров) воспрещается.
4. Во всех формах документации во избежание затирания записей следует оставлять поля с внешней стороны листа.
5. Рекомендуется все данные о номерах наблюдений, образцов, проб и элементах залегания выделять из текста отдельной строчкой или условным знаком (если для них не предусмотрена фиксация в специальных графах формы документации).
6. Все страницы дневников, пикетажных книжек и других сброшюрованных форм документации должны иметь сквозную нумерацию.

***Дневник (полевая книжка*)** – основной первичный документ регистрации геологических наблюдений всех видов (собственно геологических, поисковых, геоморфологических и др.). Он изготовляется в виде книжки в твердом переплете, покрытом дермантином или другим материалом, предохраняющем ее от сырости,

механических или иных повреждений. Рекомендуется использование материалов яркого цвета, хорошо заметных на фоне растительности и почвенного покрова.

Задняя крышка обычно имеет клапан, закрывающий торец книжки. На третьей странице обложки иногда изготовляется карман. С внутренней стороны клапана располагается держатель для карандаша (ручки).

Формат книжки допускается в пределах от 10-12 на 15-18 см (для кармана полевой одежды) до 13-15 на 20-22 см (для полевой сумки). Большие форматы не рекомендуются вследствие неудобства для использования в маршруте, меньшие - как неоправданно дробящие запись на чрезмерно короткие строки и затрудняющие ее чтение.

Рекомендуемый объем дневника - 100-130 листов. Дневник должен изготовляться из хорошей бумаги и нескольких листов кальки, миллиметровки.

На обороте переплета может помещаться перечень признаков, обязательных для наблюдения.

Титульный лист дневника должен содержать название организации, экспедиции (партий, отрядов), фамилию, имя, отчество исполнителя, даты начала и окончания дневника, номера точек наблюдений и адрес, по которому следует вернуть утерянный дневник.

На первой странице помещается оглавление дневника.

На второй странице помещаются условные обозначения к зарисовкам, список сокращений, принятых в тексте, и необходимые замечания. Далее при необходимости могут быть помещены вспомогательные таблицы и необходимые пояснения к ним.

На правой стороне дневника ведется запись наблюдений. Здесь же отмечаются взятые пробы, образцы и другие виды каменного материала.

Перед описанием маршрута, разреза и т.п. указывается день, месяц, год и цель работы. Описание каждой точки наблюдения начинается с красной строки. Привязка точки к местности или предыдущей точке помещается рядом с её номером и образует вместе с ним отдельную строку или абзац. Номера точек наблюдения рекомендуется выделить прямоугольными рамками, номера образцов и проб подчеркиваются или заключаются в овальную рамку. Измерение элементов залегания, радиоактивности, содержание химических элементов выделяются отдельной строкой.

На левой стороне дневника помещаются вспомогательные записи, облегчающие пользование документацией. На неё выносятся все номера образцов, проб и других видов каменного материала, номера фотографий (с указанием их содержания), могут выносится также элементы залегания. На этой же стороне помещаются зарисовки геологических объектов и их деталей, а также различные схемы для обнажений (отбора образцов и проб, расположение рисунков и фотографий и т.п.) для участков (расположение геологических тел на местности, кроки местности с расположением обнажений, горных выработок). Здесь же излагаются предположения и соображения исследователей, возникающие в процессе наблюдения, но требующие дальнейшего подтверждения или детализации.

В конце описания каждого маршрута должны быть приведены основные выводы исследователя и протяженность маршрута в км.

Законченный дневник подписывается исполнителем, проверяется и подписывается начальником (старшим геологом) партии (отряда, участка).

Формы регистрации каменного материала. Регистрация каменного материала начинается при документации геологических объектов и продолжается в течение всего процесса геологических работ и фиксируется в журнале образцов.

Журнал образцов предназначен для регистрации всех видов образцов и проб, взятых на протяжении полевого периода во время маршрутов, при описании обнажений, горных выработок и предназначенных для любых производственных и научных целей (изготовление шлифов и аншлифов, определение органических остатков, производство разнообразных анализов).

Журнал образцов заполняется непосредственно после маршрута или, если количество взятых образцов не велико, в камеральный день, но не реже одного раза в неделю. Журнал образцов заполняется шариковой ручкой. Желательно, чтобы записи в нем вел один и тот же сотрудник.

Этикетки для образцов рекомендуется печатать на плотной бумаге и брошюровать в виде книжек по 25-50-100 листов; обычный формат этикетки 10х10 или 10х13 см. В разделе "место взятия" для образцов из обнажений и высыпок указывается привязка к точке наблюдения, для скважин - интервал отбора, для горных выработок - глубина или интервал (в канавах) отбора. Этикетки заполняются на месте взятия данного образца. Заполнение этикетки обязательно для рыхлых и слабоцементированных пород. Для крепких пород в полевых условиях допускается подписывать только номер тушью или шариковой ручкой на лейкопластыре, наклеенном на образце. Такая маркировка рациональна, в особенности при отборе ориентированных образцов, когда кроме номера необходимо указывать ориентировку образца. В отдельных случаях допустимо также нанесение маркировки непосредственно на образец. С этой целью могут быть использованы баллончики с тушью (например, "Kaalmar") или цветной (предпочтительно красный) карандаш. В дальнейшем на каждый образец заполняется этикетка.

Номер образца дублируется на бумаге, в которую завернут образец, или на геологическом мешочке. Для образцов, взятых из скважин и горных выработок, указывается также глубина или интервал отбора.

Отдельная этикетка составляется для каждого шлифа. Размеры этикетки шлифа 6х5 см.

Самостоятельные формы этикеток размером 13х10 см рекомендованы для проб, отобранных из горных выработок, извлеченного керна и шлиховых проб.

Регистрационные данные отмечаются также на капсуле для хранения шлихов. Для капсул используется прочная бумага. При разделении шлиха на фракции используется капсула стандартных размеров - 16х22 см. Для отмытого неразделенного шлиха предпочтительнее использовать капсулу формата 21х30 см (размер стандартного листа) либо других размеров, соответствующих реальному объему шлиха.

Альбомы зарисовок и фотографий. Альбом для зарисовок изготавливают из плотной белой бумаги типа чертежной. Его размер не должен превышать 18х24 см. Такой размер позволяет делать достаточно крупные и детальные зарисовки, удовлетворяющие всем предъявленным к ним требованиям.

Альбом не должен содержать более 25 листов, так как со временем, при работе в полевых условиях, он неизбежно загрязняется, и зарисовки, выполненные ранее, могут быть испорчены. Рационально иметь в распоряжении несколько альбомов и заменять их по мере накопления зарисовок.

Альбом заключают в жесткий переплет из дермантина или из плотной материи типа коленкора. Задняя крышка переплета должна иметь клапан шириной около 5 см. На внутренней стороне переплета, на сгибе между внутренней крышкой и клапаном - гнездо для карандаша.

Первая страница альбома - титульный лист. В исключительных случаях для зарисовок могут быть использованы "альбомы для рисования", выпускаемые промышленностью.

Зарисовки выполняются только на одной (правой) стороне листа, где помещаются также все необходимые надписи и пояснения.

Страницы альбома должны иметь сквозную нумерацию. Каждому рисунку присваивается порядковый номер. Номера фотографий и их содержание, как указывалось выше, фиксируется в полевом дневнике. Специальной формы документации для них не предусматривается.

При наиболее ответственных съемках рекомендуется делать в дневнике записи о чувствительности пленки, диафрагме, выдержке, характере погоды и времени съемок.

2.2. Маршрутные наблюдения

Наземные маршруты в обнаженных районах дают основную массу данных по составу геологических тел и признакам полезных ископаемых. Они включают описание рядовых обнажений и промежутков между обнажениями, в которых наблюдения ведутся по высыпкам.

Описание маршрута состоит из следующих частей: 1) дата маршрута, 2) номер маршрута, 3) привязка района маршрута, 4) характеристика ожидаемых объектов наблюдения и цель маршрута, 5) привязка начала маршрута, 6) описание маршрута, 7) выводы по маршруту.

Номер маршрута обычно дается каждым исполнителем на протяжении всего сезона, однако если в дальнейшем намечается обработка на ЭВМ, необходимо каждому исполнителю выделить свою серию номеров.

Привязка района маршрута дается в таком виде чтобы его легко можно было находить на карте фактического материала. С этой целью указывается участок района, где проводится маршрут (бассейн реки, ручья, район крупной высоты, урочище и т.п.). Обязательно наличие всех таких названий на топографических картах. При проведении работ с применением аэрофотоматериалов в привязке указывается номера аэрофотоснимков, на которых расположен маршрут. Для маршрутов, проводимых на нескольких геодезических трапециях, обязательно указание номенклатуры трапеции. Для обработки материалов на ЭВМ привязка района маршрута дается в виде указания координат начала и конца его.

Привязка начала маршрута дается по отношению к четко определенным элементам рельефа и постоянным элементам топографической ситуации, созданным деятельностью человека (дороги и т.п.). В тех случаях, когда маршрут ведется с использованием аэрофотоснимков, привязка начала маршрута проводится после ориентирования и накола начальной его точки на аэрофотоснимке. Допустимо указание координат начальной точки.

Описание маршрута включает фиксацию всех наблюдений, проводимых над геологическими объектами, геоморфологическими элементами и т.д., а также выводов, к которым приходит геолог в процессе маршрута. По ходу маршрута описываются геологические образования и тектонические элементы, осуществляются поиски полезных ископаемых и сборы остатков ископаемой флоры и фауны, собираются материалы для выяснения природы расположенных в зоне маршрута контуров, отдешефрированных на аэрофотоснимках и других дистанционных материалах, геофизических и геохимических аномалий (их связь с геологическими телами, структурами и вещественным составом тел), отбираются необходимые образцы, пробы и т.д. Обязательно проверяются результаты дешифрирования аэрофотоснимков и интерпретации геофизических данных.

Каждая точка наблюдения включает запись на точке и запись по ходу между точками. Рекомендуется сначала записывать наблюдения на точке, а затем наблюдения по ходу следующей точки. В этом случае наблюдение на точке будет своего рода выводом из наблюдений по ходу. Таким "выводом" может быть, например, фиксация резкой смены пород в высыпках, другого стратиграфического подразделения, чем наблюдавшееся по ходу, обнаружение обнажения, в котором видны складки и т.п.

Выводы по маршруту завершают описание. Ими могут быть обобщенная характеристика состава изученных отложений, вывод о взаимоотношении интрузивов, толщ, разрывов, складок и т.п., об их генезисе, о перспективности признаков полезных ископаемых и др.

2.3. Документация обнажений

Документация естественных и искусственных обнажений является одним из основных источников геологической информации, в первую очередь сведений о составе геологических тел и горных пород и условиях их залегания. В соответствии с этим большое значение имеет степень единообразия геологического описания и соответствие его унифицированной схеме, обеспечивающей сопоставимость данных, полученных различными исследователями.

Геологические наблюдения всегда в той или иной мере специализированы применительно к специфике горных пород и геологических тел, слагающих изучаемый район, и образуемых ими структур.

Со времен выхода в свет "Полевой геологии" В.А. Обручева сложился перечень геологических признаков, отражающих минимально необходимый набор сведений об исследуемом объекте и подлежащих обязательному фиксированию в геологической документации. Модификации таких перечней в настоящее время легли в основу формализованной документации, ориентированной на решение задач автоматизированной обработки данных на ЭВМ.

Составление унифицированной схемы описания изучаемых объектов является обязательной частью подготовки к полевым работам. Наличие такой схемы обеспечивает необходимую полноту документации, а тем самым и ее качество.

Требования единой системы первичной документации, удобной для практического использования, диктуют также необходимость единообразной структуры записи. Схему последовательности описания целесообразно иметь каждому геологу в виде краткой памятки, которую следует помещать в качестве вкладки в полевом дневнике.

В описаниях геологических наблюдений можно выделить несколько смысловых полей:

- описание горных пород,
- описание сочетаний горных пород в пределах обнажения,
- описание залегания горных пород,
- выводы.

Описание горных пород имеет последовательность: название породы, структура, цвет, степень литификации, минеральный состав, морфология зерен, текстура, включения, прожилки, органические остатки, конкреции и секреции, контактовые поверхности геологических тел, отдельность, прочие характеристики - элементы залегания пластов в осадочных, потоков в эффузивных и сланцеватости в метаморфических породах, мощность осадочных слоев, потоков эффузивных и пластов метаморфических пород, а также характер эпигенетических изменений.

Описание сочетаний горных пород должно предусматривать характеристику признаков, перечень которых может изменяться в зависимости от того, какой тип пород является объектом исследования.

Осадочные породы:

а) чередование пород по вертикали в виде послойного описания;
б) переходы пластов по простиранию;
в) мощность каждого пласта или обобщенная характеристика;
г) характер поверхностей напластования;
д) соотношение выше- и нижележащих пластов - залегание согласное, согласное с размывом или несогласное.

Вулканогенные породы:

а) чередование пород по вертикали;
б) смена пород по горизонтали;
в) мощность каждого пласта или потока или ее обобщающая характеристика;
г) характер граничных поверхностей между пластами или потоками;

д) соотношение выше- и нижележащих пластов и потоков. Интрузивные породы - контакты и переходы разновидностей пород и их изменение на контактах.

Жилы и прожилки:

а) сочетание между собой;

б) изменения вмещающих пород на контакте;

в) выдержанность жил и прожилков и их мощность.

Для рыхлых отложений следует давать описание в следующем порядке:

а) название, размеры, минералогический состав и форма зерен, их соотношение по размеру;

б) цвет и запах;

в) наличие, содержание, размер и форма неорганических включений;

г) наличие и характер органических остатков;

д) влажность и плотность;

е) консистенция (для минеральных отложений) и степень разложенности (для торфов) - признаки особенно важные при гидрогеологических и инженерно-геологических работах;

ж) степень карбонатности основной части грунта и включений;

з) структура и текстура отложений.

Описание залегания горных пород включает измерение элементов залегания, характеристику складок, разрывов и т.д.

Измерение элементов залегания документируется в виде сокращенной записи азимута и угла падения, например, аз. пад. 340^0, $\angle$-30^0, или при вертикальном залегании - азимута простирания и угла падения, например, аз. прост. 340^0 $\angle 90^0$. Точность измерения в складчатых областях 5^0 для азимута и 2-3^0 для угла. При изменчивых углах падения или отсутствии уверенности в единообразии элементов залегания во всем обнажении и отсутствии видимых складок обязательно измерение в разных частях обнажения для определения среднего залегания с точностью до 4-5^0. Таких измерений необходимо сделать не менее 4-5. Разброс измерений в 20-30^0 обычно свидетельствует о наличии складок. Вычисление средних элементов залегания в этом случае недопустимо и должна быть составлена схема элементов залегания в обнажении. Словами отмечается опрокинутое залегание.

Описание складчатости. Описание единичной складки включает характеристику следующих признаков:

-текстурные элементы, образующие складку (пласты, слоистость, сланцеватость);

- форма складки;

- форма замка складки;

- форма шарнирной (осевой) поверхности;

- высота и ширина складки;

- элементы залегания слоистости на разных участках складки в количестве, достаточном для изображения характера изгибов слоев различной компетентности.

Описание обнажений. Описание естественных коренных обнажений проводится во время маршрутов. Нужно различать описание рядовых и ключевых (опорных) обнажений, которое проводится с разной степенью детальности.

Ключевым обнажением называется изолированный выход (или ряд сближенных выходов) коренных пород, в пределах которого наблюдаются стратиграфические взаимоотношения отложений, типичные интрузивные контакты, характерные структурные формы (складки, разрывы), сочетание структурных форм разного возраста и размера и т.п. Выявление ключевых обнажений, а также оценка степени их типичности и значимости могут быть осуществлены лишь после того, когда будет осмотрен более или менее обширный участок исследуемого района. Следовательно,

в большинстве случаев ключевые обнажения первоначально фиксируются в качестве рядовых и лишь потом подвергаются специальному детальному изучению.

Описание рядовых обнажений включает следующие операции:

- привязка обнажения к местности;
- осмотр обнажения;
- зарисовка или (и) фотографирование;
- описание обнажения и отбор образцов и проб.

Эти операции могут различным образом сочетаться при описании обнажений разного размера. При описании обнажений небольших размеров (до 15-20 м) привязка рядового обнажения к местности осуществляется в ходе маршрута, при котором оно было выявлено.

Осмотр обнажения начинается с определения его положения в рельефе (у подножья склона, на склоне, на водоразделе, в русле реки и т.п.) и оценки того, что оно действительно представляет коренной выход, а не оползень, отдельную скатившуюся глыбу и т.п. Эта оценка отражается словами "в коренном выходе", "в коренном залегании" и т.п. В процессе общего осмотра выясняются характер слагающих пород, условия их залегания и взаимоотношения; предварительно намечаются места отбора образцов и проб (они могут отбираться и на стадии осмотра).

Зарисовка и фотографирование рядовых обнажений осуществляется лишь в тех случаях, когда в них обнаруживаются какие-либо характерные особенности, представляющие значительный геологический интерес. Нередко такие обнажения в дальнейшем переходят в ранг ключевых.

Стратифицированные отложения, сложенные чередованием пластов различных пород, описываются послойно снизу вверх. Описание сверху вниз не рекомендуется как из соображения единства описания во всей геологической службе, так и из-за возможности засорения поверхности обнажения обломками вышележащих пород (это особенно мешает при описании и опробовании обнажений рыхлых образований и горных выработок).

Обнажения значительной протяженности рационально осматривать и описывать поинтервально. В качестве границ интервалов следует выбирать участки существенного изменения состава отложений или условий их залегания, смену пород или толщ и т.п. Осмотренная часть обнажения документируется, дается описание контактирующих толщ. Затем осматривается и документируется следующая часть обнажений и т.д. Если имеется возможность, то целесообразно заранее рационально разметить обнажение шагами или лентой на интервалы по 10-20 м. Для протяженных обнажений обязательно составление маршрутной схемы..

Образцы и пробы. Образцы горных пород представляют собой каменный документ, который хранится до завершения геологосъемочных и поисковых работ. По окончании работ часть образцов, достаточно полно характеризующая все возрастные подразделения района и типичные разновидности пород, выделяется в эталонную коллекцию и часть - в коллекцию обменного фонда. Остальная часть коллекции после окончания камеральной обработки сокращается. В соответствии с этим, к образцам эталонной коллекции и рядовым образцам могут быть предъявлены различные требования.

Образец для эталонной коллекции должен быть достаточно типичным для подразделения и разновидности пород. Нормальный размер его 9 х 12х 3 см. Обычное требование к образцу - наличие свежих поверхностей. Однако, как отмечал ещё В.А. Обручев, при недостатке времени для рядовых случаев необязательно заниматься выкалыванием стандартного образца, достаточно лишь, чтобы он имел три поперечных свежих скола. В дополнении к этому следует заметить, что в ряде случаев структурные и текстурные особенности породы значительно рельефнее видны на выветриваемой поверхности породы (а иногда только на ней!). В таких случаях сохранение выветрелой

поверхности обязательно. Многие образцы сопровождаются по сколам породы для шлифа обязательно из того же куска.

Образец и шлиф отмечаются в документации естественного или искусственного обнажения, из которого они отобраны, наносятся на зарисовку (если она делается), снабжаются этикеткой установленного образца и заносятся в каталог образцов.

Номер образца должен соответствовать номеру обнажения, точке наблюдения, горной выработке или буровой скважине. При отборе нескольких образцов они различаются прибавлением через дефис порядковой цифры, например, обр. I4-I, 14-2 и т. д, Применение букв для различения образцов (например, 14-А, 14-Б и т.д.) не рекомендуется, так как для протяженных обнажений и горных выработок и для скважин значительной глубины букв может не хватить. Самостоятельная (независимая от номера обнажения, скважины и т.п.) нумерация образцов воспрещается.

Пробы горных пород, полезных ископаемых и др. бывают нескольких видов:

- штуфные пробы - образцы горных пород 150-500 г, отбираемые из одного участка;
- сколковые пробы - составленные из небольших (10-25г) обломков породы, взятых в различных частях изучаемого обнажения или его обособленной части с расчетом получения общей массы пробы 150-500 г;
- бороздовые пробы - отбираются сплошной или пунктирной бороздой, пересекающей весь опробуемый объект при сечении борозды 10х5 или 20х10 см; применяется в основном при изучении полезных ископаемых для получения усредненной характеристики полезных компонентов во всем геологическом теле.

Все пробы, отбираемые из естественных обнажений, горных выработок и буровых скважин, обязательно включаются в их описание, их положение изображается на зарисовках. Пробы снабжаются этикеткой единого образца и фиксируются в журналах проб.

2.4. Графическая документация геологических объектов

Графическая документация в виде различного рода зарисовок и фотографий часто применяется в практике геолого-съемочных и поисковых работ, особенно при описании обнажений и геологоразведочных выработок. В настоящей главе содержатся общие рекомендации и специально рассмотрены правила графической документации геологоразведочных выработок, для которых зарисовка является обязательной частью всей документации. Содержание документации не рассматривается, так как оно изложено ранее.

Зарисовки и фотографии геологических объектов являются документами, которые в целом ряде случаев невозможно заменить словесным описанием. Известно, насколько трудно, пользуясь словесным описанием, найти в изученном геологическом объекте все то, что видел автор. Ведь любое описание неполно. Кроме того, язык описания достаточно бледен при фиксации деталей объекта и их пространственных соотношений, тогда как рисунок и фотография обладают наглядностью, т.е. позволяют с необходимой - степенью детальности получить информацию при рассмотрении документа, не пользуясь описанием.

Рисунок и фотография объективно передают все особенности и детали изученного геологического объекта, они дают возможность выделить главное в объекте, что присуще только ему и чем он отличается (или чем сходен) от других аналогичных объектов.

Чтобы рисунок или фотография обладали всеми свойствами документа - носителя объективной информации, они должны в той или иной форме иметь:

- точную географическую привязку;
- ориентировку плоскости рисунка или фотографии;
- масштаб;
- заголовок;
-пояснительные надписи;

- указания на авторство рисунка или фотографии (если они приводятся не в дневнике или журнале).

Графическое документирование любого геологического объекта предусматривает выполнение ряда операций, объемы и методы выполнения которых могут в достаточно широких пределах меняться в зависимости от цели работ и изучаемого объекта:

- подготовку фотоаппаратуры, принадлежностей для рисования, бумаги, дневников, компаса и т.д.;
- привязку - ориентирование плоскости рисунка или фотографии;
- при осмотре геологического объекта выделение отдельных частей и установление мест, где должны быть сделаны зарисовки или фотографии;
- разметка, ведущаяся как для облегчения зарисовок (соблюдение верных соотношений между частями объекта), так и для масштаба при фотографировании.

Под названием "Полевые зарисовки обнажений" объединяется большая группа графических документов, различающихся между собой содержанием и детальностью. Несмотря на то, что выполняемая человеком зарисовка передает его восприятие объекта, вследствие чего, казалось бы, является сугубо субъективной, она вполне объективно отражает облик и состояние объекта и является надежным документом.

Зарисовки в их практическом применении имеют ряд преимуществ перед фотографией. Даже при достаточном опыте и наличии всей необходимой аппаратуры и фотоматериалов хорошую фотографию геологического объекта получить не всегда возможно: объект съёмки может быть мало выразительным, могут быть неблагоприятные условия освещенности или погоды. Кроме того, детали геологического объекта, представляющие наибольший интерес, могут оказаться невыразительными вследствие слабой цветовой или тоновой контрастности. Во всех этих случаях получение удовлетворительного снимка практически невозможно, тогда как полевая зарисовка позволяет не только изобразить, но и подчеркнуть наиболее важные характеристики изучаемого объекта.

Зарисовка в отличие от фотографии не передает объект во всех подробностях, цель ее - максимально объективное изображение особенностей объекта, представляющих интерес для данного исследования. При этом все детали, не имеющие прямого отношения к целевому назначению рисунка, опускаются. Правильно выполненный и оформленный рисунок максимально лаконичен и вместе с тем обладает большой информативностью, четок и точен в изображении всего, что привлекло внимание исследователя.

Для того чтобы рисунок обладал всеми указанными свойствами и удовлетворял всем предъявлявшем требованиям, при его исполнении следует придерживаться определенных правил:

1) Масштаб зарисовки выбирается в зависимости от сложности изображаемого объекта и необходимой степени детализации. Масштаб должен быть выдержан на всей зарисовке во всех частях объекта. При необходимости отдельные части объекта, представляющие особый интерес, изображаются в более крупном масштабе, но уже на другом рисунке;

2) Зарисовки делаются четко и ясно, линиями различной толщины, без штриховки и тем более растушевки;

3) Второстепенные детали, вводимые в рисунок для масштаба (деревья, дома), выполняются схематически;

4) Зарисовка должна иметь географическую привязку, соответствующую привязке объекта в описании. Если на зарисовке изображается только часть объекта, делается привязка к объекту;

5) Плоскость зарисовки должна быть ориентирована;

6) Зарисовка должна иметь заголовок, необходимые поясняющие надписи и условные обозначения (в дневнике условные обозначения могут быть указаны в начале);

7) На рисунке указываются места, в которых делались измерения элементов залегания и их числовые значения и места отбора образцов и проб и их номера;
8) Все данные, помещаемые на рисунке, должны совпадать с записями в дневнике;
9) Запись в дневнике должна содержать ссылку на рисунок.

В соответствии с объектом и масштабом изображения, а также степенью его детальности можно выделить несколько типов зарисовок, различающихся техникой исполнения.

Схема – мелкомасштабная зарисовка, выполненная в условной манере, в приближенном или относительном масштабе. Ее назначение - пояснение записей в дневнике, указание на порядок записей или отбора образцов и т.д. Схема, поскольку она привязана к тексту дневника, обычно выполняется на левой стороне разворота. Если записи в дневнике ведутся шариковой ручкой, то и схему можно выполнять ею же. Схема снабжается надписями, поясняющими цель, с которой она выполнена, и детали изображения.

Зарисовки обнажений и их отдельных частей в зависимости от характера могут проводиться в проекции на вертикальную и наклонную плоскости, а также на разные плоскости, если обнажение расположено на склоне с уступом. В последнем случае зарисовка сопровождается дополнительной схемой, показывающей взаимоотношения и положение отдельных частей обнажения, спроецированных на разные плоскости, и указанием (текстовым или графическим знаком) на плоскость проекции. Соблюдение определенного масштаба и пропорций между отдельными частями обнажения достигается предварительной разметкой путем установки через определенное расстояние вешек или каменных пирамидок.

Крупномасштабные зарисовки отдельных частей обнажений выполняются с возможно более точным соблюдением масштаба и относительного расположения деталей, однако, без загромождения рисунка незначащими подробностями. Для выполнения такой зарисовки разметка обнажения делается более тщательно - обычно с помощью рулетки, натянутой поперек зарисовываемой площади, и в особо сложных случаях - двух рулеток (мерных реек, веревок с узлами и т.п.), натянутых крестообразно (горизонтально и вертикально) в плоскости рисунка.

Зарисовки разнообразных трещин и линейных тектонических структур проводятся с большой тщательностью и точностью в соблюдении размеров, ориентировки и их взаимного расположения. При этом рисуются только главные, наиболее характерные трещины. При изображении систем трещин необходимо дать представление о густоте трещин, принадлежащих к каждой системе. Все измерения помещаются на рисунке с указанием места, где они сделаны.

Фотосъемка в маршруте. Подготовка к маршрутной съемке начинается еще перед выездом на полевые работы. При изучении материалов предыдущих исследований: по району предстоящих работ составляется представление о его геологическом строении и возможных объектах фотографирования, достаточно полно характеризующих наиболее интересные особенности района в соответствии с задачами проектируемых полевых работ.

Порядок фотосъемки в маршруте. При фотографировании геологических объектов в маршруте не следует жалеть пленки: по возможности надо фиксировать все имеющее значение для целей исследования. Возможно, что встреченный объект уникален и случая зафиксировать его на пленку больше не представится. Даже если аналогичные объекты будут встречаться в дальнейшем, их надо фотографировать: снимки можно сравнить, отмечая черты сходства или, напротив, различия, зафиксированные объективом.

Фотосъемка геологических объектов представляет собой ряд последовательно выполняемых операций, каждая из которых в известной степени определяет качество будущего снимка.

1. Точка съемки выбирается с учетом характера объекта и цели, с которой делается снимок. При этом следует иметь в виду:

а) свет на объект должен падать спереди и несколько сбоку. Детали объекта при этом выглядят более контрастно, а сам объект приобретает объемность. Это особенно важно при фотографировании обнажений. Лучше всего для съемки подходит рассеяно направленный свет, которой дает солнце за тонким слоем облаков. При этом тени на объекте получаются не чрезмерно контрастными;

б) нормальная высота точки съемки соответствует уровню глаз человека. При этом фотография передает неискаженное представление об объекте - такое, каким видит его наблюдатель в обычных условиях.

2. Определение границ кадра и его композиция. В кадре должен помещаться фотографируемый объект целиком или его определенные детали, а в некоторых случаях и окружающее объект пространство (если необходимо зафиксировать взаимоотношения фотографируемого объекта с другими объектами или показать его положение в пространстве). В соответствии с этим граница кадра выбирается горизонтальной или вертикальной. Если с данной точки зрения изображение, размещающееся в кадре, не соответствует поставленной цели, границы кадра можно регулировать одним из следующих методов:

а) подойти ближе или, напротив, отойти подальше;

б) применить сменную оптику;

в) сделать панорамный снимок.

В кадре должно располагаться лишь то, что необходимо для цели документации.

3. Масштаб снимка должен быть показан в каждом кадре. Это достигается размещением в кадре предметов, которые могут служить масштабом: при фотографировании крупных обнажений - фигура человека, разметка вешками или пирамидами камней, при съемке деталей обнажений - молоток, компас и т.д., при съемке мелких деталей – линейка с сантиметровыми делениями.

3. ПРАВИЛА ТЕХНИКИ БЕЗОПАСНОСТИ ПРИ ПРОВЕДЕНИИ ГЕОЛОГИЧЕСКОЙ ПРАКТИКИ

Студенты, участвующие в геологических экскурсиях должны знать элементарные правила по технике безопасности. Опыт показывает, что незнание правил техники безопасности, пренебрежение, казалось бы, элементарными правилами влекут за собой несчастные случаи.

Геологические экскурсии должны проводиться по утвержденным в установленном порядке программам, в которых предусматриваются мероприятия по технике безопасности с учетом местных условий в соответствии с «Правилами безопасности при геологоразведочных работах».

Перед геологическими экскурсиями все студенты должны пройти медицинское освидетельствование и сделать предохранительные прививки против энцефалита.

Руководители экскурсий перед их началом обязаны провести специальный инструктаж всех щкольников об условиях экскурсий, правилам безопасности и дисциплине. Врач проводит инструктаж об оказании необходимой медицинской помощи на маршруте. О прохождении инструктажа каждый школьник расписывается в «Книге регистрации обучения и инструктирования по технике безопасности». В процессе проведения полевых работ руководители групп должны также систематически проходить дополнительный инструктаж о мерах предотвращения наиболее вероятных для данного района работ опасностей и несчастных случаев.

Каждый работающий, заметивший опасность, угрожающую людям, обязан принять зависящие от него меры для ее устранения и немедленно сообщить об этом своему непосредственному руководителю. Руководитель обязан принять меры к устранению

опасности; при невозможности устранения опасности прекратить работы, вывести работающих в безопасное место.

Запрещается во время работы и во время перерывов располагаться в траве, кустарнике и других не просматриваемых местах, если на участке работ используются транспортные средства.

Запрещается допускать к работе лиц в состоянии алкогольного, наркотического или токсического опьянения, а также в болезненном состоянии. Перед выходом группы в маршрут руководитель группы обязан:

а) проверить готовность группы к маршруту (обеспечить ее топоосновой, снаряжением, продовольствием, инструментом, защитными и спасательными средствами);

б) дать указание о порядке проведения маршрута, правилах передвижения применительно к местным условиям;

в) нанести на свою карту линию намеченного маршрута группы.

В дни, когда по прогнозу погоды затяжной дождь, сильный ветер, выходить в маршруты запрещается.

Если затяжной дождь, густой туман застают группу в пути, необходимо прервать маршрут, укрыться в безопасном месте и переждать непогоду.

Движение группы должно быть компактным, обеспечивающим постоянную зрительную или голосовую связь между людьми и возможность взаимной помощи. При оставлении кого-либо из участников маршрута с потерей видимости или голосовой связи старший группы обязан остановить движение и подождать отставшего.

В маршрутах каждому участнику рекомендуется надевать яркий шарф, косынку или рубашку для обеспечения лучшей взаимной видимости.

Запрещается употреблять в пищу неизвестные грибы, ягоды и рыбу во избежание возможного отравления.

Использование для питьевой воды минеральных источников, бальнеологические свойства которых неизвестны, запрещается, не рекомендуется также купаться в них.

При движении и на привалах необходимо соблюдать питьевой режим. Пить сырую воду из луж, ям и других поверхностных водоемов запрещается.

Особое внимание в маршрутах необходимо уделять мерам предупреждения тепловых и солнечных ударов. В жаркие безветренные дни работать с непокрытой головой не разрешается.

Одежда не должна стеснять движений при работе, обувь обязательно подбирается по ноге.

Для защиты от кровососущих насекомых рекомендуется надевать накомарники или периодически смазывать лицо, шею, руки репеллентами.

При проведении маршрутов в лесу особенно строго должны соблюдаться правила зрительной и голосовой связи.

Передвижение через лесные завалы разрешается только с соблюдением соответствующих мер предосторожности.

На участках, заросшей высокой и густой травой, рекомендуется начинать работу после высыхания росы.

При работе в лесу следует строго соблюдать меры пожарной безопасности.

Бросать в лесу непотушенные спички и окурки запрещается. Костры разрешается разводить лишь в местах, где исключена возможность возникновения пожара.

При малейшем признаке лесного пожара (запах дыма, гари, бег зверей и полет птиц в одном направлении) группа должна выйти к ближайшей речной долине или поляне.

При возникновении пожара необходимо приступить к его тушению с помощью всех имеющихся средств и одновременно сообщить об этом местным органам власти.

При передвижении по горелым лесам и торфяникам следует соблюдать особую осторожность.

При проведении маршрутов в местах распространения энцефалитных клещей рекомендуется плотно застегивать одежду и 3-4 раза в день осматривать тело и одежду.

При отборе образцов в выработках должны применяться меры по защите от падения кусков породы со склона и бортов выработки.

При одновременной работе двух или более проботборщиков не одном уступе расстояние между участками их работ должно быть не менее 1,5 м.

Если произошел несчастный случай или школьник почувствовал недомогание, то следует:

- прекратить работу, сохранить обстановку места происшествия, если это не представляет опасности для окружающих, и сообщить руководителю, вызвать скорую помощь.

При получении травмы оказать первую помощь пострадавшему, сообщить руководителю, при необходимости вызвать скорую помощь или отправить пострадавшего в ближайшее лечебное учреждение. Для оказания первой помощи при ранениях и кровотечениях необходимо на рану наложить стерильный бинт, предварительно смазать настойкой йода очищенный от грязи участок вокруг раны. При сильном кровотечении необходимо наложить выше раны жгут не более чем на 1.0 – 1.5 часа.

По окончании рабочего времени привести в порядок снаряжение и другие принадлежности. Провести мероприятия личной гигиены. Провести осмотр всех участников экскурсии на предмет обнаружения клещей.

Организованно пройти на автобусную остановку для возврата в город.

Ожидать транспорт разрешается только на посадочных площадках, а при их отсутствии – на тротуаре или обочине.

4. ПОЛЕВОЕ СНАРЯЖЕНИЕ

Вполне очевидно, что успешное проведение геологических маршрутов (экспедиций) в существенной мере зависит от обеспеченности участников соответствующим оборудованием, снаряжением и материалами. Подчеркнем специально, что при ведении полевых исследований все необходимое должно «быть под руками». При этом ничего не должно быть лишнего. В таблице приведен список необходимых «вещей» для полевой бригады, состоящей из 5 человек.

№ п./п.	Наименование оборудования, снаряжения и др.	Кол-во (шт.)
1	Полевая книжка (пикетажка)	5
2	Геологический молоток	1
3	Компас горный	1
4	Лупа с десятикратным увеличением	1
5	Карандаш простой (мягкий и твердый)	10
6	Транспортир	1
7	Авторучка шариковая	10
8	Рулетка 10 м	1
9	Сумка полевая	5
10	Рюкзак (желательно непромокаемый)	1
11	Мешочки пробные	20
12	Линейка 30 см	2
13	Фотоаппарат	1
14	Аптечка универсальная	1

5. ОФОРМЛЕНИЕ МАТЕРИАЛОВ ГЕОЛОГИЧЕСКИХ МАРШРУТОВ

В результате геологических экскурсий накапливается большой фактический материал: коллекции минералов и горных пород, остатки ископаемых животных и растений, образцы полезных ископаемых, графический материал. Все это может составить основу тематических выставок и стендов.

Министерство образования и науки РФ
ФГБОУ ВО
«Уральский государственный горный университет»

И.В. Назаров, Е.В. Шипилова

Методические указания к геодезической практике для студентов всех специальностей

Екатеринбург - 2018

ОГЛАВЛЕНИЕ

ОБЩИЕ ПОЛОЖЕНИЯ 5
1. ГЕОДЕЗИЧЕСКИЕ ПРИБОРЫ И ИХ РАБОЧИЕ ПОВЕРКИ 6
1.1. Рабочие поверки теодолита Т-30 (2Т-30) 6
1.2. Рабочие поверки нивелира Н-3 10
2. ПЛАНОВО-ВЫСОТНОЕ СЪЁМОЧНОЕ ОБОСНОВАНИЕ. ПОЛЕВЫЕ РАБОТЫ. 13
2.1. Рекогносцировка местности и закрепление пунктов съёмочного обоснования. 13
2.2. Измерение горизонтальных и вертикальных углов в тахеометрическом ходе 14
2.3. Измерение длин сторон тахеометрического хода 18
2.4. Привязка хода к пунктам опорной геодезической сети. 19
3. ПЛАНОВО-ВЫСОТНОЕ СЪЁМОЧНОЕ ОБОСНОВАНИЕ. КАМЕРАЛЬНЫЕ РАБОТЫ 20
3.1. Вычисление привязки 20
3.2. Вычисление горизонтальных проложений длин линий 22
3.3 Вычисление отметок пунктов съемочного обоснования методом тригонометрического нивелирования 23
3.4. Вычисление координат пунктов съемочного обоснования 26
3.4.1. Вычисление угловой невязки хода 26
3.4.2. Вычисление дирекционных углов сторон хода 29
3.4.3. Вычисление приращений координат, их невязок и координат пунктов съемочного обоснования. 29
4. ТАХЕОМЕТРИЧЕСКАЯ СЪЕМКА 32
4.1. Работа на станции 32
4.2. Ведение журнала тахеометрической съемки 33
4.3.Составление абриса 37
5. СОСТАВЛЕНИЕ ТОПОГРАФИЧЕСКОГО ПЛАНА 39
5.1. Вычерчивание координатной сетки 39
5.1.1. Построение пунктов съемочного обоснования по координатам 39
5.2. Нанесение ситуации и рельефа местности на план 40

5.3.Оформление топографического плана 40
6. ИНЖЕНЕРНО-ТЕХНИЧЕСКОЕ НИВЕЛИРОВАНИЕ ПО ОСИ ТРАССЫ 41
6.1. Рекогносцировка трассы 42
6.2.Разбивка пикетажа по трассе и поперечных профилей 42
6.3. Нивелирование по оси трассы и по поперечным профилям 43
6.4. Работа на станции при нивелировании 44
6.5. Камеральная обработка результатов нивелирования 4
6.5.1. Обработка нивелирного журнала 4
6.5.2. Построение профиля трассы 6
6.5.3. Проектирование по профилю 9
7. ИНЖЕНЕРНО-ГЕОДЕЗИЧЕСКИЕ ЗАДАЧИ 12
7.1. Элементы геодезических разбивочных работ 12
7.1.1. Вынос в натуру проектного горизонтального угла 12
7.1.2. Вынос в натуру проектного расстояния 13
7.2. Вынос в натуру точки с заданными координатами (полярным способом) 13
7.3. Вынос в натуру точки с заданной отметкой 16
7.4. Вынос в натуру линии с проектным уклоном 17
8. ОФОРМЛЕНИЕ ОТЧЕТА ПО ПРАКТИКЕ 20
Приложение 1 22
Приложение 2 23

ОБЩИЕ ПОЛОЖЕНИЯ

Задачей учебной геодезической практики является закрепление теоретических знаний студентов и приобретение ими практических навыков при решении различных инженерно-геодезических задач.

Все виды работ, предусмотренные программой, выполняются студентами самостоятельно бригадами в составе 6 человек, Продолжительность учебной геодезической практике 2 недели.

Студенты допускается к производству геодезических работ на практике лишь после изучения правил по охране труда и технике безопасности.

В период прохождения геодезической практики студенты обязаны выполнять установленный распорядок дня, бережно относиться к полученным приборам и инструментам и поддерживать дисциплину и порядок на полигоне и территории базы.

Руководитель практики систематически контролирует в течение всего периода практики се виды полевых и камеральных работ и принимает законченные работы.

Зачет по практики преподаватель принимает по пятибалльной системе от каждого студента в присутствии всех членов бригады.

Студенты, пропускающие дни практики, опаздывающие или уходящие с работы раньше срока по неуважительной причине, к зачету по практике не допускаются.

1. ГЕОДЕЗИЧЕСКИЕ ПРИБОРЫ И ИХ РАБОЧИЕ ПОВЕРКИ

Для измерения углов на учебно-геодезической практике используются теодолиты Т-30, 2Т-30.

Основные части теодолита показаны на рис 1.1, отсчетные устройства приборов - на рис 1.2, сетка нитей - на рис 1.3.

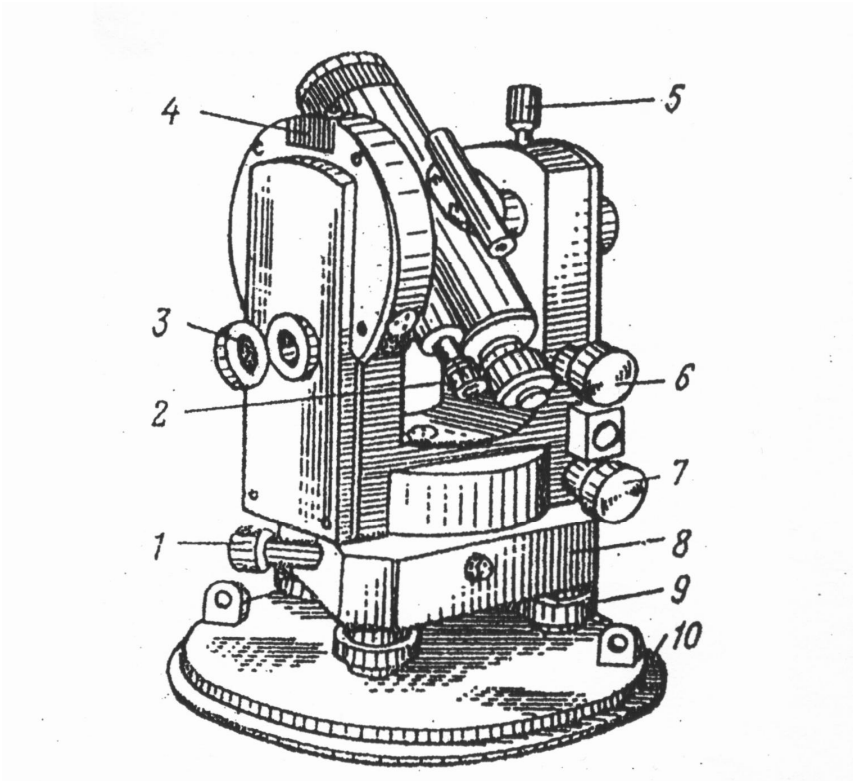

Рис. 1.1. Устройство теодолита 2Т30:
1 – наводящий винт лимба; 2 – микроскоп; 3 – зеркало для освещения шкал микроскопа; 4 – гнездо для крепления буссоли; 5 – закрепительный винт трубы; 6 – наводящий винт трубы; 7 – наводящий винт алидады; 8 – подставка; 9 – подъемные винты; 10 – основание.

1.1. Рабочие поверки теодолита Т-30 (2Т-30)

Поверка 1. Ось цилиндрического уровня при алидаде горизонтального круга должна быть перпендикулярна вертикальной оси вращения прибора.

Уровень горизонтального круга устанавливают по направлению двух подъемных винтов, приводят или пузырек на середину, Затем поворачивают, алидаду на 180°. При отклонении пузырька от средины более чем на 2 деления производят юстировку – на половину дуги отклонения пузырька

уровня перемещают юстировочными винтами уровня. Затем поверку повторяют.

Поверка 2. Визирная ось зрительной трубы должна быть перпендикулярна к горизонтальной оси вращения трубы

Выбирают на местности удаленную точку. Наводят теодолит на удаленную точку и берут отсчёты по горизонтальному кругу при двух положениях вертикального круга $КЛ_1$ и $КП_1$. Открепив становым винтом штатива подставку теодолита, поворачивают прибор примерно на 180° и повторяют то же самое, получая отчеты при $КЛ_2$ и $КП_2$. Получают значение коллимационной ошибки С по формуле:

$$C = \frac{(ККЛ - КП1 \pm 180°) + (ККЛ - КП2 \pm 180°)}{4}$$

Если величина С превышает 2', то вычисляют исправленный отсчет КП - С и устанавливают его на горизонтальном круге микрометренным винтом алидады. При этом центр сетки нитей сместится с точки наведения. Для исправления данного положения вращают горизонтальные исправленные винты сетки нитей до совмещения ее центра с точкой наведения.

Пример: отсчеты по горизонтальному кругу

	КЛ	КП
Наведение 1	40°22′	220°20′
Наведение 2	200°10′	20°10′

$$C = \frac{(40°22' - 220°20' + 180°00') + (200°10' - 20°10' - 180°00')}{4}$$

$$C = \frac{4'}{4} = 1'$$

В штриховом микроскопе теодолита Т30 в середине поля зрения виден штрих, относительно которого осуществляется отсчет по лимбу (рис. 1.2, а). Перед отсчетом по лимбу необходимо определить цену деления лимба. В теодолите Т30 цена деления лимба составляет 10 угловых минут, т.к. градус разделен на шесть частей. Число минут оценивается на глаз в десятых долях

цены деления лимба. Точность отсчета составляет 1′.

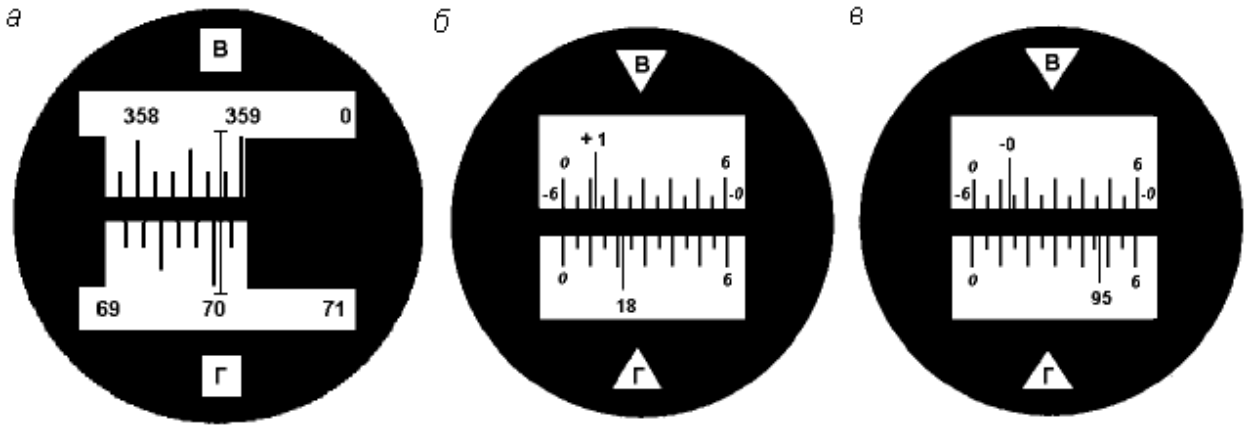

Рис. 1.2. Поле зрения отсчетных устройств: штрихового микроскопа с отсчетами по вертикальному кругу – 358° 48′ , по горизонтальному – 70° 03′ (*а*); шкалового микроскопа с отсчетами: по вертикальному кругу – 1° 11′, по горизонтальному – 18°22′ (*б*); по вертикальному кругу – -0°47′ по горизонтальному – 95° 47′ (*в*).

В шкаловом микроскопе теодолита 2Т30 в поле зрения видна шкала, размер которой соответствует цене деления лимба (рис. 1.2, *б*, *в*). Для теодолита технической точности размер шкалы и цена деления лимба равны 60′. Шкала разделена на двенадцать частей, и цена ее деления составляет 5 угловых минут. Если перед числом градусов знака минус нет, отсчет производится по шкале от 0 до 6 в направлении слева направо (рис. 1.2, *б*). Если перед числом градусов стоит знак минус, в этом случае минуты отсчитываются по шкале вертикального круга, где перед цифрами от 0 до 6 стоит знак минус в направлении справа налево (рис. 1.2, *в*). Десятые доли цены деления шкалы берутся на глаз с точностью до 30″.

Поверка 3. Горизонтальная ось вращения зрительной трубы должна быть перпендикулярна оси вращения теодолита.

Устанавливают теодолит недалеко от стены здания. Центр сетки нитей зрительной трубы наводят на высоко расположенную точку и, закрепив алидаду, наклоняют трубу примерно до горизонтального положения. Отмечают карандашом на стене проекцию центра сетки нитей. Переводят трубу через зенит, снова повторяют все действия. Если наблюдаемое в

зрительной трубе горизонтальное расстояние между двумя проекциями центра сетки нитей не превышает тройную ширину биссектора сетки, то условие поверки считается выполненным (рис. 1.3). В противном случае прибор подлежит исправлению на заводе.



Рис. 1.3 Сетка нитей

Поверка 4. Определение и исправление места нуля (МО) вертикального круга.

При двух положениях круга наводят центр сетки нитей на хорошо видимый предмет и берут отсчёты по вертикальному кругу КЛ и КП. Значение МО вычисляют по формуле:

Для 2Т-30

$$\text{МО} = \frac{\text{КЛ} + \text{КП}}{2}$$

для Т-30

$$\text{МО} = \frac{\text{КЛ} + \text{КП} - 180^\circ}{2}$$

Пример:

Отсчёты КЛ $7^\circ 20'$ $\text{МО} = \frac{7^\circ 20' + 172^\circ 44' - 180^\circ}{2} = 2'$

для Т-30 КП $172^\circ 44'$

отсчёты КЛ $7^\circ 20'$ $\text{МО} = \frac{7^\circ 20' - 7^\circ 24'}{2} = -2'$

для 2Т-30 КП $-7^\circ 24'$

Место нуля определяют дважды. Среднее значение недолжно превышать 1-3′.

В противном случае микрометренным винтом вертикального круга устанавливают на вертикальном круге отсчет, равный КП-МО. При этом центр сетки нитей сместится с наблюдаемой точки. Для исправления МО его совмещают с точкой наведения, вращая вертикальные исправительные винты сетки нитей.

Для контроля поверку повторяют. При выполнении этой поверки следят, чтобы пузырёк уровня горизонтального круга находился в нуль-пункте.

1.2. Рабочие поверки нивелира Н-3

Нивелир Н-3 предназначен для определения превышения между смежными точками местности. Основные части нивелира приведены на рис. 1.4.

Поверка 1. Ось круглого уровня должна быть параллельно оси вращения нивелира.

Вращением подъемных винтов приводят пузырек круглого уровня на середину. Поворачивают нивелир на 180°. Если пузырек не сместится с средины то условие выполнено. В противном случае юстировочными винтами уровня перемещают его к нуль-пункту на половину дуги отклонения. Затем поверку повторяют.

Поверка 2. Визирная ось зрительной трубы, должна быть параллельна оси цилиндрического уровня.

Поверку выполняют двойным нивелированием одной и той же линии длиной 50-75 м (рис 1.5)

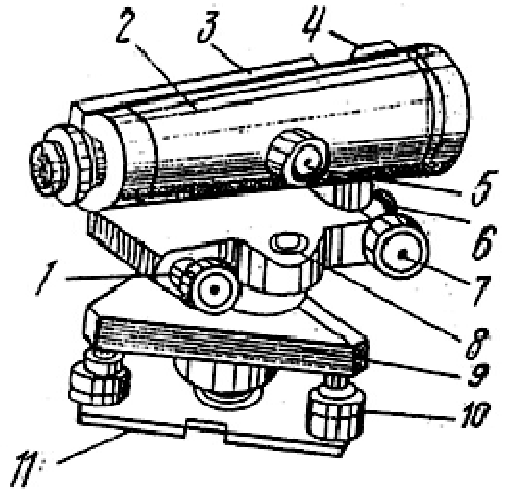

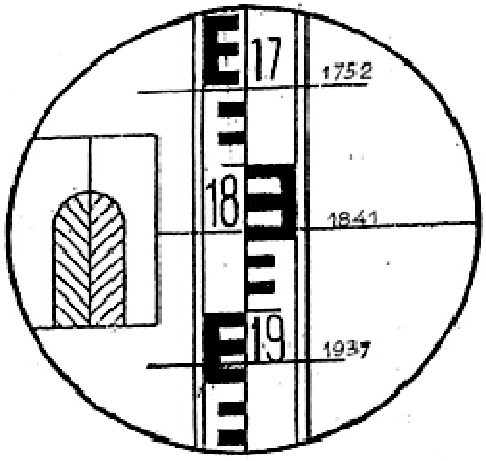

Рис. 1.4. Устройство нивелира:

1 – элевационный винт;

2 – зрительная труба;

3 – цилиндрический уровень;

4 – визир;

5 – винт фокусировки;

6 – закрепительный винт;

7 – наводящий винт;

8 – круглый уровень;

9 – подставка;

10 – подъемные винты;

11 – основание.

Отсчёты по рейке:

1752 мм - верхняя нить

1841 мм - средняя нить

1937 мм - нижняя нить

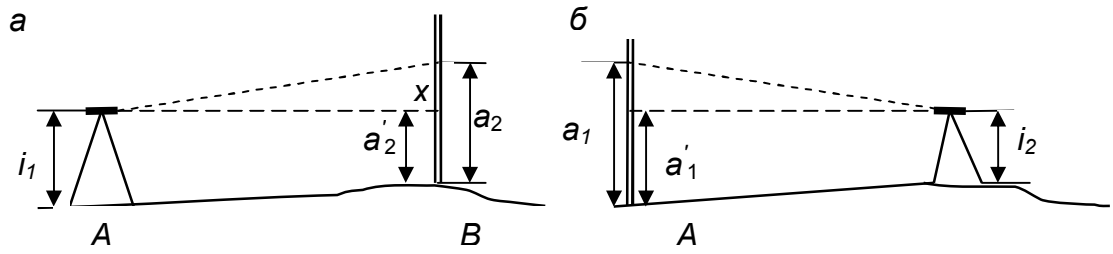

Рис. 1.5. Схема поверки главного геометрического условия

Устанавливают нивелир в точке. А, а рейку в точке В. Измеряют высоту инструмента i_1, в точке А и берут отсчёт по рейке a_1 в точке В. Затем нивелир и рейку меняют местами и снова измеряют высоту инструмента i_2 и берут отсчёт по рейке a_2. Если визирная ось не параллельна оси уровня и составляет с ним некоторый угол v, то отсчёты по рейке будут содержать некоторую погрешность *X*. Величину этой погрешности определяют по формуле:

$$X = \frac{a_1 + a_2}{2} - \frac{i_1 + i_2}{2} \text{ мм}$$

Пример: i_1=1420 мм i_2= 1540 мм

a_1=1180 мм a_2=1786 мм

$$X = \frac{1180 + 1786}{2} - \frac{1420 + 1540}{2} = 3 \text{ мм}$$

Если величина X>4 мм, то не параллельность осей исправляют. Для этого вычисляют исправленный отсчет $a_2=a_2-X$ (рис 1.5) и, действуя элевационным винтом, устанавливают его на рейке по средине нити сетки. Затем, действуя вертикальными юстировочными винтами цилиндрического уровня, совмещают изображение концов пузырька уровня. Для контроля поверку повторяют.

Поверка 3. Сетка нитей должна быть расположена правильно, т.е. вертикальная нить должна быть вертикальна, а горизонтальная – горизонтальна.

На расстояние 15-20 м вывешивают отвес, наводят трубу нивелира на нить отвеса. Если вертикальная нить сетки нитей параллельна нити отвеса, то условие выполнено. В противном случае исправление делают поворотом всей оправы сетки нитей до правильного положения, предварительно ослабив винты оправы.

2. ПЛАНОВО-ВЫСОТНОЕ СЪЁМОЧНОЕ ОБОСНОВАНИЕ. ПОЛЕВЫЕ РАБОТЫ.

Для производства топографо-геодезических работ на местности необходимо иметь сеть пунктов съемочного обоснования.

На практике каждая бригада студентов на своем участке создает планово-высотную съемочную сеть в виде замкнутого тахеометрического хода с общим числом вершин 6-7, в котором измеряют горизонтальные и вертикальные углы и длины сторон, а также осуществляют привязку тахеометрического хода к пунктам опорной геодезической сети.

2.1. Рекогносцировка местности и закрепление пунктов съёмочного обоснования.

Инструменты и принадлежности для выполнения работы: штыри, две вешки, молоток, тетрадь, две ручки.

Бригада студентов вместе с преподавателем обходит участок, выбирает места для точек съемочного обоснования и закрепляет их. При этом необходимо соблюдать ряд условий:

- Удобство установки теодолита для работы на станции;
- Взаимная видимость на соседние пункты;
- Максимальный обзор местности и полнота съемки;
- Расстояния между пунктами от 40 до 100 м.

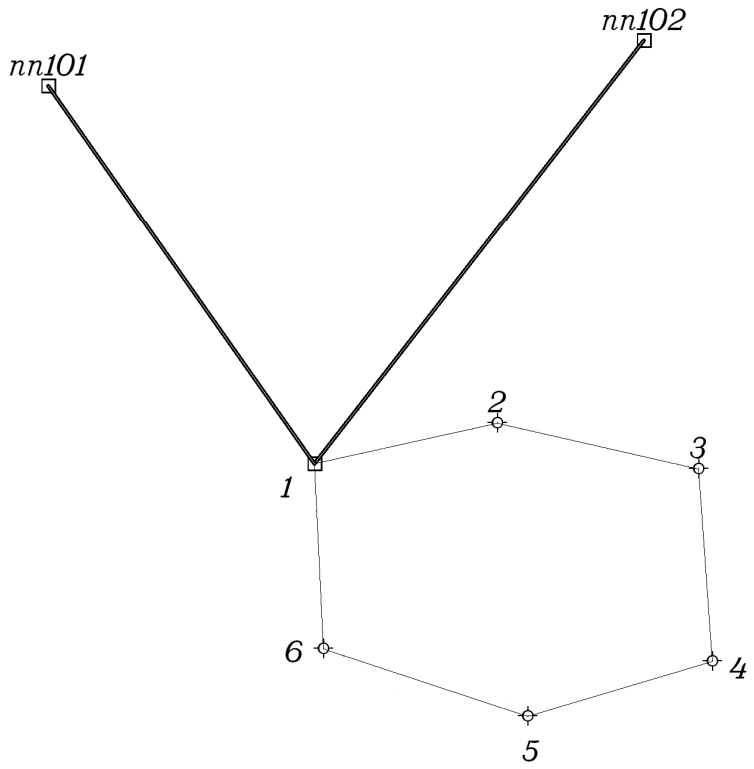

Рис 2.1 Схема расположения пунктов съемочного обоснования.

Закрепление пунктов съемочного обоснования производят металлическими штырями, которые забивают до уровня земной поверхности, вокруг штыря делают окопку, каждому из них присваивается порядковый номер. При рекогносцировке составляют общую схему расположения точек съемочного обоснования (рис. 2.1).

2.2. Измерение горизонтальных и вертикальных углов в тахеометрическом ходе

Инструменты и принадлежности для выполнения работы: теодолит, две вешки, одна рейка, полевой журнал для измерения углов, карандаш, тетрадь.

На каждом пункте планово-высотного хода измеряют горизонтальный угол, вертикальные углы и наклонные длины линий. Углы измеряют теодолитами Т-30 или 2Т-30 одним полным приемом, длины сторон хода – нитяным дальномером. Результаты измерений записывают в журнал

измерения углов и длин линий простым карандашом (таблица 1).

Порядок работы:

1) Теодолит центрируют над пунктом по отвесу с точностью 5 мм и горизонтируют с помощью цилиндрического уровня при горизонтальном круге;

2) На две смежные точки выставляют визирные вехи, на которых отмечают ярким шнурком высоты инструмента на данной точке стояния;

3) Измерение горизонтального угла начинают при положении зрительной трубы КЛ. Открепив закрепительный винт алидады, наводят на низ вехи (во избежание ошибок из-за наклона вехи). Берут отсчет по горизонтальному кругу, записывают его в полевой журнал (1) (таблица 1, действие(1). В скобках показана последовательность действий при измерениях и записи в журнале). Затем открепляют закрепительный винт алидады, пересечение основных штрихов сетки наводят на низ правой вехи, берут отсчет по горизонтальному кругу, записывают в журнал (2). Вычитая из отсчёта (2) отсчёт (1), получают значение угла (3), измеренное одним полуприёмом;

4) Переводят трубу через зенит. Повторяя действия, описанные в пункте 3, измеряют горизонтальный угол вторым полуприемом при положении зрительной трубы КП. По отсчетам (4) и (5) вычисляют значение угла (6), полученного из второго полуприема;

5) Сравнивают значения углов (3) и (6), полученные из двух полуприемов. Их разность не должна быть больше 2t, т.е. 1’, где t=30” – точность теодолита. Вычисляют среднее значение горизонтального угла (7) по формуле:

$$\frac{(3)-(6)}{2}=(7)$$

6) Измерение вертикального угла начинают при положении зрительной трубы КЛ. Зрительную трубу наводят на веху, установленную на смежной точке. Основной (средний) горизонтальный штрих сетки совмещают с

отметкой высоты инструмента на вехе (шнурок). После чего берут отсчет по вертикальному кругу (8). Затем наводятся на веху, установленную второй точке, и записывают значения по вертикальному кругу (9);

7) Переводят зрительную трубу через зенит, повторяют действия, описанные в пункте 6, при положении зрительной трубы КП. Берут отсчет по вертикальному кругу и записывают в журнал (10), (11);

8) Вычисляют МО вертикального круга (12).

9) Вычисляют угол наклона (13) по формуле:

$$\nu = КЛ - МО$$

Контроль:

- При измерении вертикальных углов на станции колебание МО для разных вертикальных углов не должно превышать $\pm 2'$;

- Значения углов наклона, измеренных в прямом и обратном направлениях, не должны отличаться более, чем на $\pm 3'$.

Запрещается! В полевом журнале стирать резинкой результаты измерений, писать цифру на цифре, переписывать полевой журнал. Ошибочные измерения зачеркиваются одной чертой, затем записи продолжаются дальше. Все записи должны вестись четко и аккуратно с использованием шрифтов (см. Приложение 1).

Таблица 1

ЖУРНАЛ ИЗМЕНЕНИЯ УГЛОВ И ДЛИН ЛИНИЙ

Дата Исполнитель $МО = \frac{КЛ + КП}{2}$ $\nu = КЛ - МО$

Точка стояния	**Круг**	**Точки визирован.**	**Горизонтальный круг**			**Точки**		**Круг**	**Вертикальный круг**			**Длины линий измеренные**
			Отсчёт ° '	**Измеренный угол ° '**	**Средний угол ° '**	**Стояния**	**Визиров.**		**Отсчёт**	**Место нуля**	**Угол наклона**	**Горизонт. Проложение**
1	2	3	4	5	6	7	8	9	10	11	12	13
1	КЛ	2	196°15' (1)	244°24' (3)	244°24,5' (7)	1	2	КЛ	-2°01' (8)	-0°0'30" (12)	-2° 00' 30" (13)	57,1 (14)
		6	80°39' (2)					КП	2°00' (10)			
	КП	2	16°17' (4)	244°25' (6)		1	6	КЛ	8°35' (9)	0°	8°35'	116,5 (15)
		6	260°42' (5)					КП	-8°35' (11)			
2	КЛ	3	146°55'	59°46'	59°46'	2	1	КЛ	-8°36'	0°	-8°36'	116,5 (16)
		1	206°41'					КП	8°36'			
	КП	3	326°59'	59°46'		2	3	КЛ	-2°20'	-0°2'	-2°18'	82,5
		1	26°45'					КП	2°18'			

2.3. Измерение длин сторон тахеометрического хода

В процессе проложения тахеометрического хода в поле измеряют длины сторон хода. Для этого на смежные точки ставят нивелирную рейку (нулем вниз), наводят зрительную трубу на рейку, совмещая верхний дальномерный штрих сетки нитей с каким-нибудь целым делением рейки (обычно с отсчетом 1000). Подсчитывают длину отрезка "*l*" в см между верхним и нижним дальномерными штрихами. Доли сантиметровых делений оценивают на глаз.

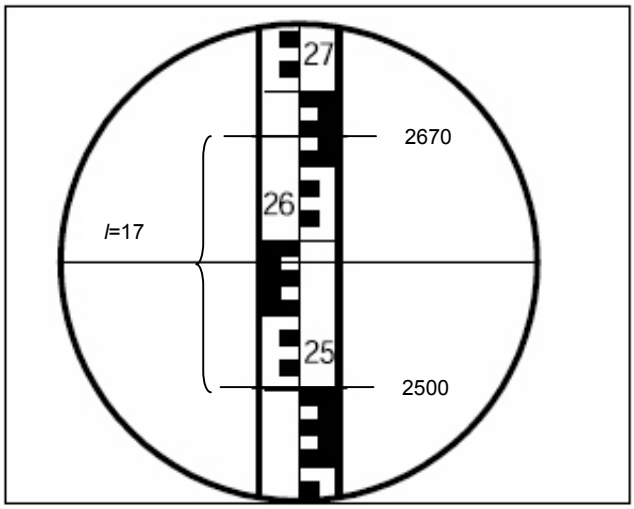

Рис. 2.2 Определение расстояний нитяным дальномером

Длина измеренной стороны определяется по формуле

$$S_{изм} = K * l_{см,}$$

где *K* - коэффициент нитяного дальномера (*K*=100), *l* - длина отрезка в см между верхней и нижней дальномерными нитями.

Пример: на рис. 2.2 отчет по верхней нити 2670, отчет по нижней нити 2500, *l*=2670-2500=170 мм=17 см, $S_{изм}$=17 см х 100=1700 см=17,0 м.

На станции длину каждой стороны хода измеряют дважды по черной и по красной сторонам рейки, или по одной стороне, но по разным делениям рейки. Разность результатов измерений должна быть не более 0,3 м на 100 метров длины. Среднее значение длины стороны хода записывают в полевой журнал (14) с округлением до 0,1 м.

Длины сторон хода обязательно измеряют в обратном направлении. Разность между результатами измерений ”прямо” (15) и “обратно” (16) не должна превышать 1:200-1:400 (0,3-0,5 м на 100 м длины).

2.4. Привязка хода к пунктам опорной геодезической сети.

Привязку тахеометрического хода выполняют для определения дирекционного угла начальной стороны хода. Одна из вершин тахеометрического хода является пунктом опорной геодезической сети (рис. 3.1). С него есть видимость на два других геодезических пункта (пп101, пп102). Для привязки хода к опорной геодезической сети производят измерение примычных углов φ_1 и φ_2. Это угол между твердой стороной и первой стороной тахеометрического хода (рис. 3.1). В полевом журнале вычерчивают схему привязки, показывают примычные углы.

Каждый примычный угол φ_1 и φ_2 измеряют двумя приемами с перестановкой лимба между приемами примерно на 90°. Для контроля измеряют угол между исходными сторонами (δ). Контроль производят по формуле:

$$\delta = \varphi_1 - \varphi_2$$

Допустимое расхождение ±3′.

3. ПЛАНОВО-ВЫСОТНОЕ СЪЁМОЧНОЕ ОБОСНОВАНИЕ. КАМЕРАЛЬНЫЕ РАБОТЫ.

После последних измерений производят проверку полевых журналов, правильность записей и вычислений измеренных и средних значений. По значениям измеренных горизонтальных углов и длин линий составляют схему съемочного обоснования и ее привязки (рис. 3.1). На схему выписывают измеренные значения углов и длин. Затем приступают к вычислениям. Вычисления линейных величин ведут с точностью до 0.1м, а углов – до 30”. Из полевого журнала выписывают измеренные примычные углы φ_1 и φ_2.

3.1. Вычисление привязки

Дирекционный угол начальной стороны хода ($\alpha_{1\text{-}2}$) (рис. 3.1) вычисляют дважды, исходя из значений дирекционных углов исходных сторон опорной геодезической сети ($\alpha_{1\text{-}A}$, $\alpha_{1\text{-}B}$) и измеренных углов (φ_1 , φ_2) по формулам:

$$\alpha_{1\text{-}2}=\alpha_{1\text{-}nn101}+\varphi_1$$

$$\alpha_{1\text{-}2}=\alpha_{1\text{-}nn102}+\varphi_2$$

Дирекционные углы исходных сторон вычисляют решая обратные геодезические задачи , по формулам:

$$r_{1-nn101}=arctg\frac{Y_{nn101}-Y_1}{X_{nn101}-X_1},\ r_{1-nn102}=arctg\frac{Y_{nn102}-Y_1}{X_{nn102}-X_1}.$$

Расхождение полученных значений $\alpha_{1\text{-}2}$ не должно превышать 2-3′.

После нахождения значения румба необходимо определить координатную четверть, содержащую направление. Координатную четверть определяют по знакам приращений координат (рис. 3.2).

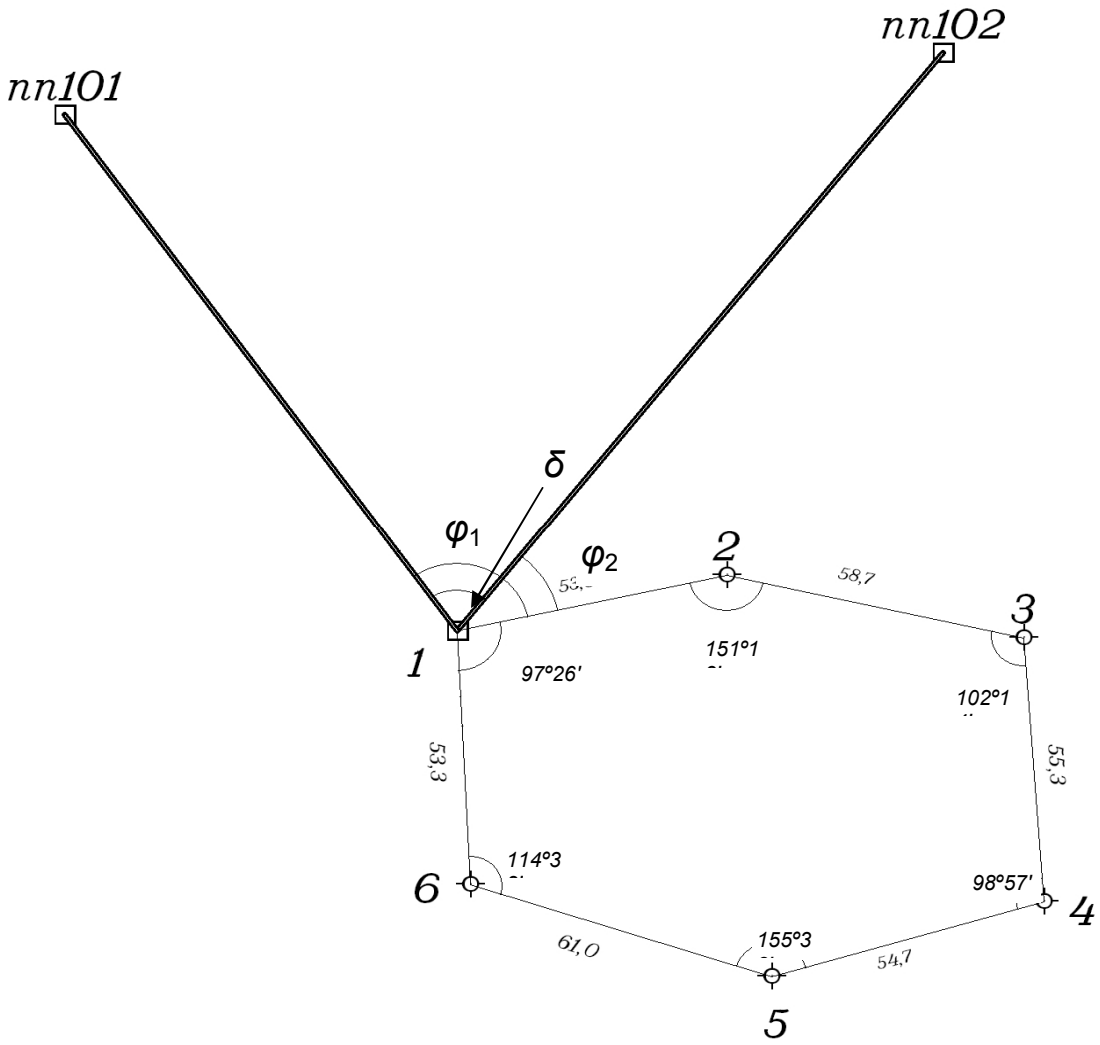

Рис. 3.1. Схема тахеометрического хода и геодезической привязки

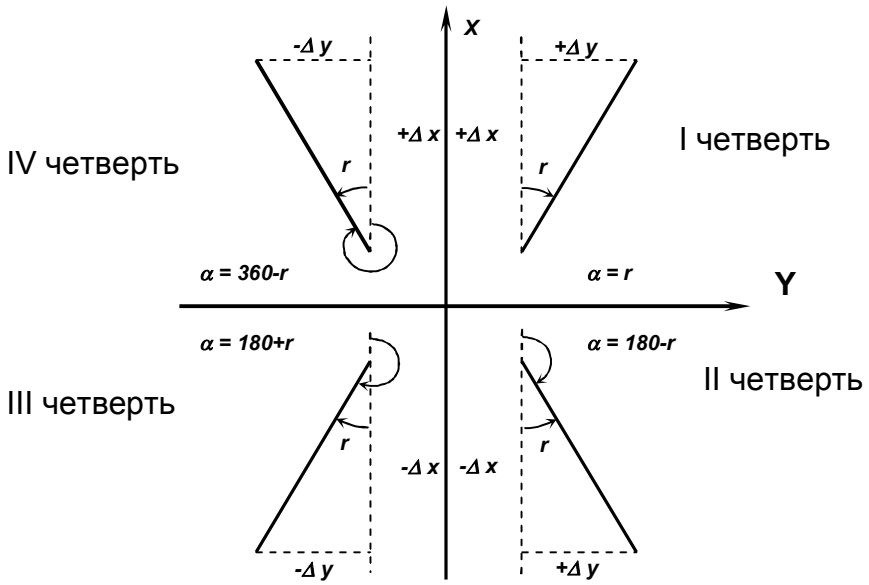

Рис 3.2 Зависимости между дирекционными углами и румбами

Пример записи и вычислений дирекционных углов приведен ниже.

Таблица 2

Исходные данные

Название пункта	X, м	У, м	H, м
1	3348.05	2238.25	271,36
пп101	4099.71	1639.28	282,40
пп102	4001.87	2581.51	290,24

$$r_{1-nn101} = arctg\frac{Y_{nn101} - Y_1}{X_{nn101} - X_1} = arctg\frac{1639.28 - 2238.25}{4099.71 - 3348.05} = arctg\frac{-598.97}{751.66} =$$
$$= 38.54993965° = 38°33'00''(IVч.)$$

$$\alpha_{1-nn101} = 360° - 38°33'00'' = 321°27'$$

$$r_{1-nn102} = arctg\frac{Y_{nn102} - Y_1}{X_{nn102} - X_1} = arctg\frac{2581.51 - 2238.25}{4001.87 - 3348.05} = arctg\frac{343.26}{653.82} =$$
$$= 27.69992196° = 27°42'00''(Iч.)$$

$$\alpha_{1-nn102} = 27°42'00''$$

$\varphi_1 = 333°18'00''$

$$\alpha_{1-2} = 321°27'00'' + 333°18'00'' = 294°45'00''$$

$\varphi_2 = 267°05'00''$

$$\alpha_{1-2} = 27°42'00'' + 267°05'00'' = 294°47'00''$$

Средний $\alpha_{1-2} = 294°46'00''$

3.2. Вычисление горизонтальных проложений длин линий

Горизонтальные проложения необходимо знать для вычисления координат точек тахеометрического хода.

Вычисление горизонтальных проложений выполняют в ведомости вычисления отметок съемочного обоснования (Таблица 3).

Из журнала измерения улов и длин линий выписывают среднее значения длин линий (S), полученные по результатам измерений в прямом и обратном направлениях, в графу 4 табл. 3 и углы наклона (v), измеренные в прямом и обратном направлениях, в графы 2 и 3 табл. 3. По этим данным

вычисляют горизонтальные проложения с точностью до 0.01 м по формуле:

$$D = S * cos^2 v,$$

где S – среднее значение измеренной длины линии (графа 4), v – угол наклона линии в прямом направлении (графа 2), D – горизонтальное проложение (графа 5).

3.3 Вычисление отметок пунктов съемочного обоснования методом тригонометрического нивелирования

Вычисление отметок производится с точностью до 0.01 м в ведомости вычисления отметок (Таблица 3).

По измеренным расстояниям и углам наклона вычисляют превышения между точками хода в прямом и обратном направлениях по формуле:

$$h = D * \tan v$$

Значения превышений с соответствующим знаком записывают в графы 6 и 7.

Расхождения в превышениях, полученных в прямом и обратном направлениях, допускаются не более 4 см на 100 м. Если это условие выполнено, то в графе 8 вычисляют средние превышения, сохраняя перед ними знак превышения из прямого хода. Сумму положительных и отрицательных значений превышений записывают в графе 8 внизу. Далее подсчитывают невязку по превышениям. Она равна сумме превышений замкнутого хода:

$$f_h = \Sigma h_{cp}$$

Допустимую высотную невязку вычисляют по формуле:

$$доп.\ f_h = \pm 0.2 м \sqrt{\sum D(км)}$$

где $-\sum D$ сумма горизонтальных проложений ходя (периметр в км).

Полученную невязку f_h распределяют между превышениями с обратным знаком пропорционально длинам линий по формуле:

$$\delta_{hi} = -\frac{f_h}{\sum D} * D_i$$

Контроль: $\Sigma\delta = -f_h$

Величины поправок записывают в графе 8 над превышениями. В графу 9 записывают исправленные превышения.

Контроль: если исправленные превышения вычислены правильно, их алгебраическая сумма должна быть равна нулю.

По исправленным превышениям последовательно вычисляют отметки пунктов съемочного обоснования по формуле:

$$H_{n+1} = H_n + h_n ,$$

где H_{n+1} – высота последующего пункта (м), H_n– отметка предыдущего пункта (м), h_n- превышение между смежными пунктами (м).

Контролем вычисления отметок является получение отметки исходной точки в конце вычислений.

Таблица 3

Вычисления отметок точек съемочного обоснования

№№ точек	Вертикальные углы		Длины сторон, м		Превышение, м				Отметки точек, м	№№ точек
	Прямо ° '	Обратно ° '	Измеренные S	Горизонтальное проложение D	Прямо	Обратно	Среднее	Исправленное		
1	2	3	4	5	6	7	8	9	10	11
1									230.00	1
	-2°01'	+2°02'	83.0	82.90	-2,92	+2,95	-0,02 -2,94	-2,96		
2									227.04	2
	-5°24'	+5°25'	122.0	120.92	-11,43	11,46	-0,03 -11,45	-11,48		
3									215.56	3
	+2°15'	-2°16'	98.0	97.85	+3,85	-3,88	-0,02 +3,87	+3,85		
4									219.41	4
	+1°56'	-1°57'	120.0	119.86	+4,05	-4,09	-0,03 +4,07	+4,04		
5									223.45	5
	+4°30'	-4°29'	100.5	99.88	+7,86	-7,83	-0,02 +7,85	+7,83		
6									231.28	6
	-0°56'	+0°58'	76.5	76.48	-1,25	+1,29	-0,01 -1,27	-1,28		
1									230.00	1
				ΣD = 597,89 м		$\sum h_{cp}$ (+) = +15.79 $\sum h_{cp}$ (-) = -15.66		Σ=0		
							f_h=+0.13	Доп.f_h = ±0.2м$\sqrt{\sum D(км)}$		
								Доп.f_h = ±0.2м$\sqrt{0.6}$ =±0.15		

Вычислил Орлов Проверил Петров

3.4. Вычисление координат пунктов съемочного обоснования

Вычисление координат производится в ведомости вычисления координат (Таблица 4). В графу 1 ведомости выписывают номера вершин хода, в графу 2 – номера точек визирования. В графу 3 выписывают против соответствующих вершин средние значения измеренных горизонтальных углов. Значения горизонтальных проложений линий выписывают в графу 6 из таблицы 3.

3.4.1. Вычисление угловой невязки хода

Угловой невязкой f_β замкнутого тахеометрического хода называется разность между суммой измеренных горизонтальных углов $\Sigma\beta_{изм}$ и теоретической суммой внутренних углов плоского многоугольника $\Sigma\beta_{теор}$ т.е.

$$f_\beta = \Sigma\beta_{изм} - \Sigma\beta_{теор}$$

где $\Sigma\beta_{теор} = 180°*(n-2)$, n – число углов многоугольника.

Вычисленные значения $\Sigma\beta_{изм}$ и $\Sigma\beta_{теор}$ подписывают внизу графы 3.

Здесь же вычисляют величину допустимой угловой невязки по формуле:

$$f_{\beta доп} = 2 * t \ (t=0°0'30'' – точность\ инструмента),$$

$$f_{\beta доп} = \pm 1' \sqrt{n}\,.$$

Если значение угловой невязки не превосходит допустимой величины, то ее распределяют поровну с обратным знаком между измеренными углами, с точностью до 30″, т.е. вычисляют поправки к измеренным горизонтальным углам по формулам:

$$\delta_\beta = -\frac{f_\beta}{n}$$

Если полученное значение поправки меньше 30″, то угловую невязку вводят в наиболее слабое место тахеометрического хода (короткие стороны хода, горизонтальные углы $\leq 20°$ или $\geq 150°$, точки съемочного обоснования, наиболее удаленные от исходных пунктов сети).

Контроль: $\Sigma\delta_\beta = -f_\beta$.

Поправки в измеренные углы подписывают над их значениями. Вычисляют исправленные горизонтальные углы

$$\beta_{исп} = \beta_{изм} + \delta_\beta.$$

Контроль: $\Sigma\beta_{исп} = 180°*(n-2)$.

Таблица 4

Вычисление координат точек съемочного обоснования

Номера точек		Горизонтальные углы		Дирекционные углы ° '	Горизонтальные проложения, м	Приращения координат, м				Координаты, м	
						Вычисленные		Исправленные			
Стояния	Визиров	Измеренные ° '	Исправленные ° '			ΔX	ΔY	ΔX	ΔY	X	Y
1	2	3	4	5	6	7	8	9	10	11	12
1						+0.05	+0,08			**3348.05**	**2238.25**
2	3			**294°46'**	82.90	+34.73	-75.27	+34.78	-75.19		
	1	110°59'00"	110°59'			+0.07	+0.12			3382.83	2162.06
3	4			3°47'	120.92	+120.64	+7.98	+120.71	+8.10		
	2	123°09'00"	123°09'			+0.06	+0.10			3503.54	2171.16
4	5			60°38'	97.85	+48.01	+85.32	+48.07	+85.42		
	3	105°15'00"	105°15'			+0.07	+0.12			3551.61	2256.58
5	6			135°23'	119.86	-85.35	+84.21	-85.28	+84.33		
	4	117°58'00"	117°58'			+0.06	+0.10			3466.33	2340.91
6	1	-0°0'30"		197°25'	99.88	-95.32	-29.90	-95.26	-29.8		
	5	124°58'30"	124°58'			+0.05	+0.08			3371.07	2311.11
1	2	-0°0'30"		252°27'	76.48	-23.07	-72.94	-23.02	-72.86		
	6	137°41'30"	137°41'							**3348.05**	**2238.25**
				(294°46')	ΣD = 597,89						
			$\sum\beta_{исп}$=720°			fx= -0.36	fy= -0.6				
						fs=0.85		0	0		

$\Sigma\beta_{изм}$=720°01'00"

$\Sigma\beta_{теор}$=720°00'00"

f_{β}=+1'

$f_{\beta доп}=\pm 1'\sqrt{n}=\pm 1'\sqrt{6}=\pm 2{,}4'$

$$\frac{1}{\sum D \div f_s}=\frac{1}{703}\langle\frac{1}{300}$$

Вычислил Орлов

Проверил Петров

3.4.2. Вычисление дирекционных углов сторон хода

Вычисление дирекционных углов сторон хода производят по дирекционному углу начальной стороны и исправленным горизонтальным углам. Начальный дирекционный угол стороны 1-2 выписывают из решения привязки (см. раздел 3.1). В нашем примере $\alpha_{1\text{-}2}$ =294°46'. Его записывают в графу 5 между точками 1 и 2. Дирекционные углы остальных сторон хода вычисляют по формулам:

$$\alpha_{n+1} = \alpha_n + \beta_{\text{лев}} - 180° \text{ - для левых углов,}$$

$$\alpha_{n-1} = \alpha_n - \beta_{\text{прав}} + 180° \text{ - для правых углов,}$$

где α_{n+1} – дирекционный угол последующей стороны хода, α_n– дирекционный угол предыдущей стороны хода.

Контроль: полученный дирекционный угол первой стороны хода в конце вычислений должен быть равен исходному. С этой целью по дирекционному углу последней стороны и горизонтальному углу при вершине 1, которые ранее в вычислениях не участвовал, получают дирекционный угол начальной стороны ($\alpha_{1\text{-}2}$ = 294° 46').

Вычисленные значения дирекционных углов сторон хода записывают в графу 5.

3.4.3. Вычисление приращений координат, их невязок и координат пунктов съемочного обоснования.

Приращение координат хода вычисляют по следующим формулам:

$$\Delta X_i = D_i * cos\alpha_i, \ \Delta Y_i = D_i * sin\alpha_i,$$

где D_i – горизонтальное проложения линий; α_i – дирекционные углы этих линий.

Вычисления производят с точностью до 0.01 м.

Вычисленные приращения координат записывают в графах 7 и 8.

Для замкнутого хода алгебраическая сумма приращений по каждой оси координат должна быть равна нулю:

$$\sum \Delta X = 0,\ \sum \Delta Y = 0$$

Внизу графы 7 и 8 находят значения невязок f_x и f_y (по осям абсцисс и ординат), по формулам:

$$f_x = \sum \Delta X,\ f_y = \sum \Delta Y$$

Невязки в приращениях координат обусловлены действием погрешностей измерения углов и сторон хода. Совместное влияние невязок приращений по осям координат характеризуется линейной невязкой в периметре:

$$f_s = \sqrt{fx^2 + fy^2}$$

Допустимую линейную невязку вычисляют по формуле относительной ошибки:

$$\frac{1}{\sum D \div f_s} \le \frac{1}{500},$$

где $\sum D$ – сумма горизонтальных проложений длин сторон хода (периметр).

Периметр ($\sum D$) подсчитывают в графе 6 и выписывают внизу. После проверки допустимости относительной линейной невязки $\frac{1}{\sum D \div f_s}$ распределяют невязки приращений координат f_x и f_y.

Невязки f_x и f_y распределяют с обратным знаком в каждое приращение координат пропорционально длинам сторон, т.е. вычисляют поправки к приращениям координат по формулам:

$$\delta X_i = -\frac{f_x}{\sum D} * D_i,\ \delta Y_i = -\frac{f_y}{\sum D} * D_i$$

и подписывают их над приращениями в графах 7 и 8.

В графах 9 и 10 записывают исправленные значения приращений координат:

$$\Delta X_{\text{ИСПР}} = \Delta X_i + \delta X_i,\ \Delta Y_{\text{ИСПР}} = \Delta Y_i + \delta Y_i.$$

Контроль: $\sum \Delta X_{\text{ИСПР}} = 0,\ \sum \Delta Y_{\text{ИСПР}} = 0.$

Далее, в графах 11 и 12 последовательно вычисляют координаты точек тахеометрического хода от координат начальной точки 1, используя исправленные приращения координат, по формулам:

$$X_{n+1} = X_n + \Delta X_{\text{ИСПР}},\ Y_{n+1} = Y_n + \Delta Y_{\text{ИСПР}},$$

где X_n, Y_n – координаты предыдущего пункта, X_{n+1} ,Y_{n+1} – координаты последующего пункта.

Контроль: вычисленные координаты начальной точки хода должны быть равны исходным (Таблица 4).

4. ТАХЕОМЕТРИЧЕСКАЯ СЪЕМКА

Инструменты и принадлежности для выполнения работ: теодолит, одна вешка, одна рейка, полевой журнал для тахеометрической съемки, абрисы, два карандаша, тахеометрические таблицы.

Тахеометрическую съемку ситуации и рельефа местности выполняют с пунктов съемочного обоснования в масштабе 1:500. На каждой станции измеряют расстояние, горизонтальный и вертикальные углы до съемочных пикетов, т.е. определяют полярные координаты каждой снимаемой точки (съемочных пикетов).

Все записи результатов измерений ведут в журнале тахеометрической съемки (Таблица 5). В процессе съемки составляют абрис (рис. 4.1).

Особо важное значение при съемке имеет правильный выбор съемочных пикетов. При съемке ситуации рейку устанавливают на характерных точках контуров (углы зданий, изгибы дорог, рек, границы угодий, столбы электролиний и т.д.). При съемке рельефа рейку устанавливают на характерных точках и линиях рельефа местности (вершина холма, дно котловины, водораздел, тальвег, перегибы скатов, урезы воды).

Съемочные пикеты должны равномерно покрывать всю территорию съемки. Расстояние от точек съемочного обоснования до съемочных пикетов должно быть не более 80 м.

4.1. Работа на станции

Работу на станции выполняют в следующем порядке:

- теодолит центрируют над точкой с точностью до 1см с помощью отвеса и горизонтируют с помощью цилиндрического уровня горизонтального круга;

- определяют МО вертикального круга на каждой станции, значение МО записывают в журнал тахеометрической съемки (Таблица 5) для данной станции. Устанавливают визирную веху на следующую по ходу точку

съемочного обоснования. Направление на эту точку принимают за начальное (например: станция 1, направление на точку 2), ориентируют лимб по начальному направлению. Для этого, вращая алидадой, устанавливают отсчет на горизонтальном круге 0°00’. Затем алидаду закрепляют, открепляют лимб, наводят теодолит на выставленную веху (на пункте 2). Далее лимб закрепляют до конца съемки на этой станции, а алидаду открепляют. Съемка ведется только при положении зрительной трубы круг «лево» (КЛ);

- рейкой измеряют высоту инструмента до 0.01м, записывают ее значение в журнал и отмечают на рейке ярким шнурком (i = 1.30м);

- рейку устанавливают на съемочный пикет;

- наводят теодолит на рейку, измеряют нитяным дальномером расстояние до рейки и записывают в журнал (1);

- наводят центр сетки нитей на высоту инструмента (шнурок), берут отсчеты по горизонтальному и вертикальному кругам теодолита и записывают в журнал (2), (3). Если на рейке отметки высоты инструмента не видно, то наводят центр сетки нитей на верх рейки и записывают на этом пикете высоту визирования (v=3 м) в графу 8 таблицы 5.

4.2. Ведение журнала тахеометрической съемки

В журнале указывают номер станции, начальное направление, МО, высоту инструмента i в метрах, отметку точки H_0 съемочного обоснования в метрах. В соответствующие графы журнала записывают результаты полевых измерений (расстояний, отсчетов по горизонтальному и вертикальному кругам). Затем вычисляют углы наклона на съемочные пикеты по формуле:

$$v = КЛ – МО.$$

Находят горизонтальное проложение D и превышение h’ между точкой съемочного обоснования и съемочным пикетом по углу наклона и расстоянию из тахеометрических таблиц или по формулам, которые приведены в тахеометрических таблицах:

$$D = S * cos^2 v,$$

$$h' = D * \tan v$$

$$h = h' + i - v,$$

где D – горизонтальное проложение, S – измеренное нитяным дальномером расстояние, v – угол наклона, i – высота инструмента, v – высота визирования.

Знак превышения соответствует знаку угла наклона.

Отметку съемочного пикета вычисляют по формуле:

$$H = H_0 + h,$$

и записывают в графу 11 (Таблица 5).

Таблица 5

ЖУРНАЛ ТАХЕОМЕТРИЧЕСКОЙ СЪЕМКИ

$$МО = \frac{КЛ + КП - 180°}{2}$$ (Т-30)

КЛ=354°35'

КП=185°23'

МО=- 0°1'

Точка стояния *1* H_0=230.0 *i*=1.30

Дата 13.07.17.

Начальное направление *2*

Исполнитель Петров *v*=КЛ-МО

№№ пикетов	Расстояния по дальномеру, м	Отсчеты по кругам /КЛ/		Углы наклона ° '	Горизонтальн. проложения, м	h', м	Высота визиров v, м	i-v	Превышение h=h'+i-v	Отметки пикетов H=H_0+h	Примечание
		Горизонтальн. ° '	Вертикальн. ° '								
1	2	3	4	5	6	7	8	9	10	11	12
		0°00									
1	38.0	23°00'	352°59'	-7°00'	37.44	-4.60	1.30	0	-4.60	225.40	рельеф, дорога
2	35.0	53°30'	355°06'	-4°53'	34.75	-2.97	1.30	0	-2.97	227.03	рельеф, дорога
3	56.0	81°00'	356°06'	-3°53'	55.74	-3.78	1.30	0	-3.78	226.22	дорога
4	86.1	100°00'	356°36'	-3°23'	85.80	-5.07	1.30	0	-5.07	224.93	дорога
5	52.3	112°41'	358°47'	-1°12'	52.28	-1.10	1.30	0	-1.10	228.90	рельеф,луг
6	72.0	116°02'	354°23'	-5°36'	71.31	-6.99	3.00	-1.70	-8.69	221.31	рельеф,луг
7	25.0	137°30'	352°34'	-7°25'	24.58	-3.20	1.30	0	-3.20	226.80	обрыв, 2м
8	46.5	141°00'	355°17'	-4°42'	46.19	-3.80	1.30	0	-3.80	226.20	обрыв, 2м
9	25.8	180°10'	349°39'	-10°20'	24.97	-4.55	1.30	0	-4.55	225.45	обрыв, 2м

Вычислил

Проверил

4.3.Составление абриса

Абрис – это схематический чертеж участка местности, снимаемого с данной станции. Абрис составляют на каждой станции одновременно с заполнением журнала тахеометрической съемки (рис. 4.1).

При заполнении абриса центр окружности принимают за станцию, с которой выполняют съемку, один из радиусов за начальное направление (0°), расстояния между окружностями принимают равными 10 м. Каждый съемочный пикет намечают на абрисе точкой, рядом надписывают его порядковый номер.

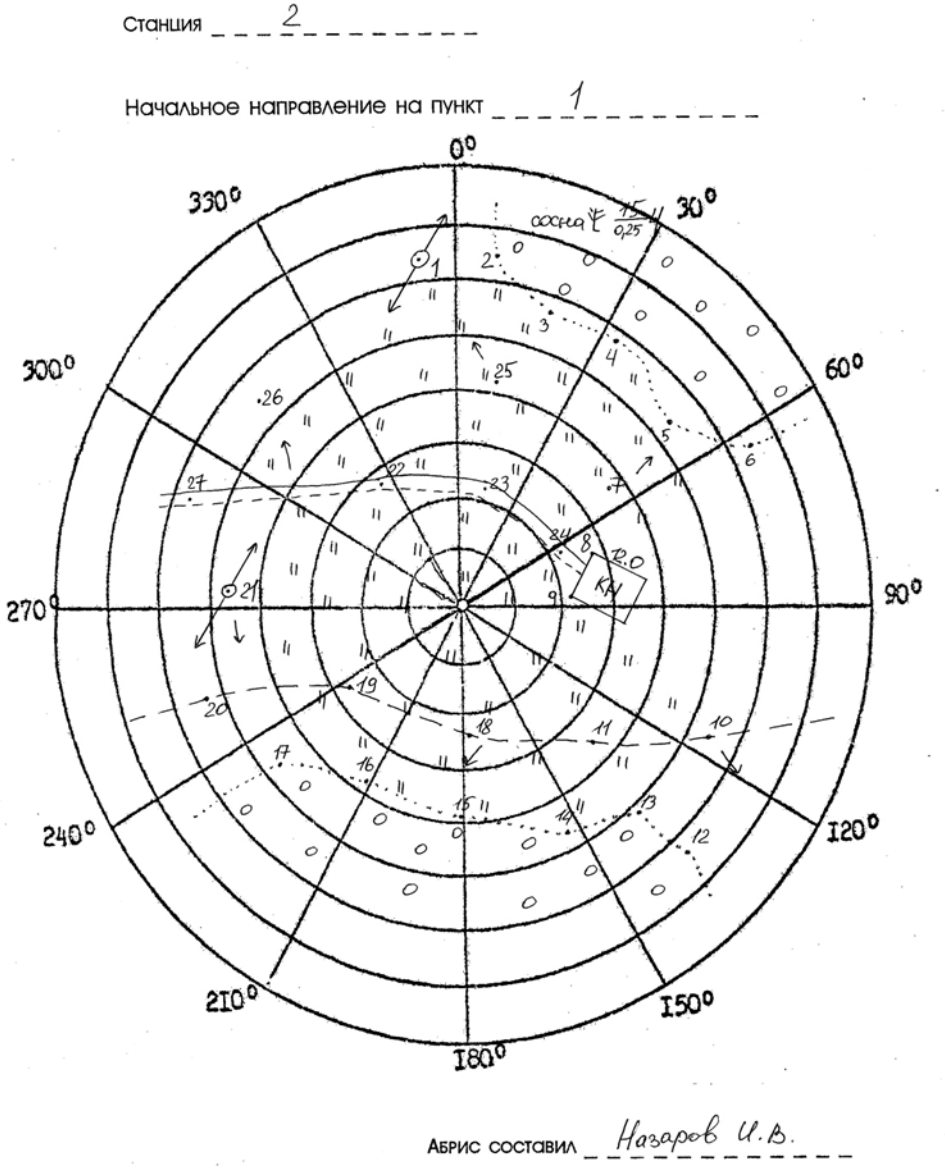

Рис. 4.1 Абрис тахеометрической съемки на п.1

При съемке следят за тем, чтобы нумерация съемочных пикетов на абрисе соответствовала нумерации этих же пикетов в журнале тахеометрической съемки. На абрис наносят все снятые контуры ситуации, сопровождая их пояснительными надписями и условными знаками. На абрисе стрелками показывают направление скатов.

Составление абрисов является ответственной частью тахеометрической съемки, т.к. он в дальнейшем используется для создания топографического плана. Его надо вести аккуратно, все записи делают четко, отточенным карандашом, прямолинейные контуры вычерчивать по линейке. Четкое ведение абриса способствует качественному составлению топографического плана. Абрис сдается вместе с журналом тахеометрической съемки.

Закончив съемку на станции, по абрису проверяют, все ли элементы ситуации и рельефы засняты, нет ли пропусков, достаточно взято ли съемочных пикетов. Съемочные пикеты должны быть расположены не реже, чем через 3 см в масштабе плана, т.е. через 15 м на местности (в масштабе 1:500), их количество зависит от сложности ситуации и сложности рельефа. Кроме того, проверяют, не сбилась ли во время съемки ориентировка теодолита. Для этого в конце съемки снова визируют зрительную трубу по начальному направлению и проверяют неизменность отсчета по лимбу. Допустимое отклонение должно быть не более 3′. Сделав такой контроль, переходят на следующую станцию.

5. СОСТАВЛЕНИЕ ТОПОГРАФИЧЕСКОГО ПЛАНА

При тахеометрической съемке топографический план создается камеральным путем. Размер рамки для планов масштаба 1:500 принят 50*50см. План составляют в масштабе 1:500 и оформляют в соответствии с «Условными знаками для топографических планов масштабов 1:5000, 1:2000, 1:1000 и 1:500».

Составление плана выполняют в следующем порядке:

-вычерчивание координатной сетки;

-построение точек по координатам;

-нанесение ситуации и местности на план;

-оформление топографического плана.

5.1. Вычерчивание координатной сетки

Координатную сетку строят на листе чертежной бумаги А1, стороны сетки принимают равными 10*10см. Координатную сетку получают путем ее переноса со стандартных сеток, изготовленных на картографической пленке, через световой стол.

Правильность построения координатной сетки контролируют путем измерения циркулем-измерителем диагоналей всех квадратов сетки. Ошибки в длинах диагоналей не должно превышать 0.2 – 0.3 мм.

5.1.1. Построение пунктов съемочного обоснования по координатам

Для построения пунктов съемочного обоснования по координатам в масштабе 1:500 сетку координат оцифровывают через 50 м. За начало координат принимают юго-западный угол рамки. От него к северу надписывают абсциссы X, к востоку – ординаты Y. Координаты юго-западного угла плана выбирают так, чтобы тахеометрический ход разместился примерно в середине листа. Построение каждой точки съемочного обоснования производят с помощью циркуля-измерителя и

масштабной линейки. Вначале определяют, в каком квадрате сетки располагается данная точка. Затем значение абсциссы откладывают по обеим сторонам квадрата и соединяют тонкой прямой линией. На этой линии откладывают значение ординаты Y. Полученную точку обводят условным знаком (кружочком), рядом надписывают номер пункта планово-высотного хода и его отметку до 0.01 м (справа от пункта).

Построение пунктов съемочного обоснования обязательно контролируют. Для этого значение горизонтального проложения между двумя точками циркулем-измерителем откладывают на масштабной линейке и сравнивают с расстоянием между соответствующими точками на плане. Допустимое расхождение этих величин не должно быть более ±0.5 мм.

5.2. Нанесение ситуации и рельефа местности на план

Ситуацию наносят на план по данным журнала тахеометрической съемки и абрисов. Съемочные пикеты наносят на план по горизонтальному углу и горизонтальному проложению. Горизонтальные углы откладывают при помощи кругового транспортира от начального направления, а горизонтальные проложения – циркулем-измерителем по линейке. Справа от полученной точки подписывают отметку съемочного пикета до 0.1 м, слева – ее номер. Руководствуясь абрисом и подписями, сделанными в примечаниях тахеометрического журнала, рисуют условными знаками элементы ситуации. Виды угодий пока обозначают надписями. По отметкам точек проводят горизонтали с сечением рельефа через 1 м. Интерполирование горизонталей выполняют по тем направлениям, которые указаны в абрисе.

Окончив составление ситуации и рельефа на станции, приступают к нанесению съемочных пикетов следующей станции.

Составленный план представляют на просмотр преподавателю. После просмотра и проверки по указанию преподавателя план оформляют.

5.3.Оформление топографического плана

Порядок оформления следующий:

1) Пункты опорной геодезической сети, пункты съемочной сети, характерные высотные точки, ориентиры и местные предметы.

2) Гидрографическая сеть, урезы воды, подписи, относящиеся к гидрографии.

3) Населенные пункты.

4) Элементы линейной протяженности (границы контуров, дорожная сеть, электролинии, телефонные линии и др.)

5) Рельеф. При этом выделяют утолщенные горизонтали, расставляют бергштрихи, размещают надписи горизонталей, кратные 5 м, вычерчивают формы рельефа, не выражающиеся горизонталями (обрывы, ямы, скалы и др.).

6) Почвенно-растительный покров (виды угодий, которые ранее подписывались, теперь вычерчивают условными знаками).

7) Рамка и зарамочное оформление.

Во избежание пропусков после оформления план тщательно корректируют. Без разрешения преподавателя не следует стирать с плана съемочные пикеты. Все оформление выполняется в соответствии с «Условными знаками для топографических планов масштабов 1:5000, 1:2000, 1:1000, 1:500».

Перечень сдаваемых материалов: журнал тахеометрической съемки, абрисы для каждой станции, топографический план.

6. ИНЖЕНЕРНО-ТЕХНИЧЕСКОЕ НИВЕЛИРОВАНИЕ ПО ОСИ ТРАССЫ

Назначение нивелирования по оси трассы - определение отметок точек местности и построение профиля оси будущего инженерного сооружения.

Работы по нивелированию трассы состоят из следующих этапов:

-рекогносцировка трассы;

-разбивка пикетажа и поперечных профилей;

-нивелирование по оси трассы и по поперечным профилям;

-камеральная обработка результатов нивелирования;

-построение профиля;

-проектирование по профилю.

Инструменты и принадлежности для выполнения работы: нивелир Н-3 со штативом, две рейки, мерная лента, шпильки, колья или штыри для закрепления пикетов, молоток, нивелирный журнал, пикетажный журнал, карандаши.

6.1. Рекогносцировка трассы

Трассу выбирают с учетом следующих условий: число поворотов трассы должно быть минимальным, стороны трассы должны проходить на местности по возможности с малыми углами наклона.

В процессе рекогносцировки закрепляют вершины углов поворота (ВУ).

6.2.Разбивка пикетажа по трассе и поперечных профилей

Стороны трассы измеряют стальной лентой (шпагатом), отмечая на трассе штырями или колышками пикеты – точки, отстоящие одна от другой на 100м. Для трасс, проходящих по участкам со сложным рельефом, пикеты могут разбиваться через 50м.

Количество пикетов на бригаду – 12, количество поперечников – 2.

Если угол наклона местности больше 2°, то расстояние между пикетами увеличивают на величину поправки за наклон. Около каждого пикета забивают сторожок – кол или штырь с табличкой, на котором пишут номер пикета и номер бригады.

Расстояние до плюсовых точек, намечаемых на перегибах местности и пересечении трассы с дорогами и ЛЭП, измеряют от младшего пикета и

отмечают сторожками, например ПК 5 + 65.0 (рис. 6.1).

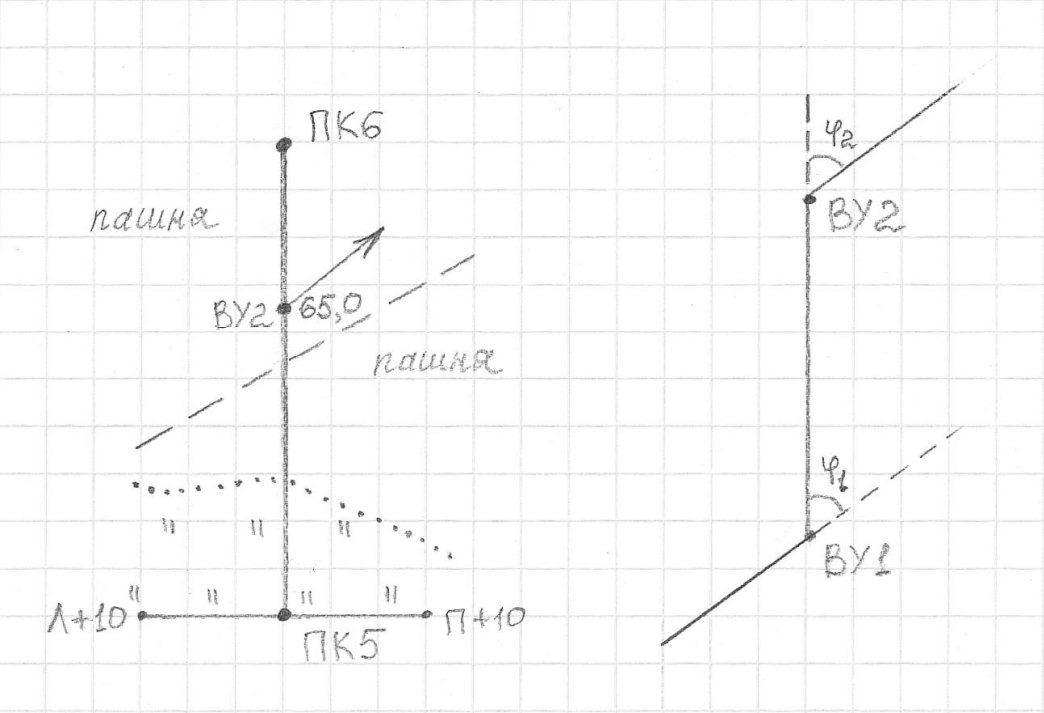

Рис. 6.1 Пикетажный журнал

Разбивают поперечные профили. Для этого перпендикулярно к оси трассы измеряют расстояние от оси трассы влево и вправо до точек перегиба местности. Концы поперечного профиля и точки перегиба отмечают сторожками, на которых надписывают расстояния от оси трассы с добавлением буквы Л (влево) или П (вправо) от оси трассы, например, Л+10.0 или П+5.0. Началом поперечного профиля может быть пикет или плюсовая точка. Его длину принимают по указанию преподавателя (10-20м).

В процессе разбивки пикетажа ведут пикетажный журнал (рис. 6.1), в котором в масштабе 1:1000 показывают ось трассы, пикеты, плюсовые точки, поперечные профили, углы поворота, направление поворота трассы (стрелкой), на глаз зарисовывают контуры местности в полосе шириной по 20м в обе стороны от оси трассы.

6.3. Нивелирование по оси трассы и по поперечным профилям

После выполнения поверок нивелира, результаты которых записывают на первой странице журнала, приступают к нивелированию по пикетажу.

Нивелирование выполняют способом «из середины». Нивелирный ход привязывают к ближайшему реперу. На каждой станции хода две нивелирные точки являются связующими, с их помощью передают высоты по ходу. Остальные точки называются промежуточными. Как правило, связующими точками являются пикеты. Если превышение между пикетами больше длины рейки, то для передачи высот используют дополнительные связующие точки, называемые «икс» точками. «Икс» точки закрепляют колышками или штырями. Между смежными пикетами может быть несколько точек «икс», в зависимости от рельефа. В качестве «икс» точек можно использовать плюсовые точки. Примеры выбора станции и связующих точек показаны на рис. 6.2.

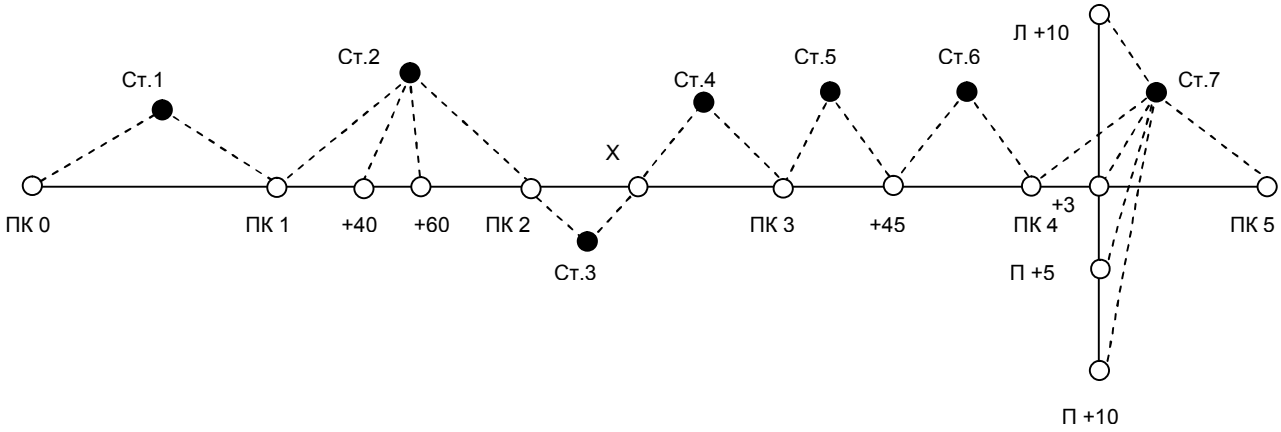

Рис. 1.12 Выбор станций при нивелировании трассы

6.4. Работа на станции при нивелировании

Все записи при нивелировании ведут в полевом журнале карандашом. Работу на станции производят в следующем порядке. Нивелир устанавливают примерно на равном расстоянии от связующих точек. Равенство расстояний определяют на глаз. На связующих точках на колышках устанавливают рейки.

Нивелир горизонтируют с помощью круглого уровня. Наводят трубу нивелира на заднюю рейку, совмещают элевационным винтом концы пузырька цилиндрического уровня и берут отсчет по черной стороне рейки (1). Порядок записей и вычислений показан в таблице 6. Поворачивают

рейку, проверяют точность совмещения концов пузырька цилиндрического уровня и берут отсчет по красной стороне (2). Затем нивелир наводят на переднюю рейку, обязательно совмещают элевационным винтом концы пузырька цилиндрического уровня и снова берут отсчеты по черной и по красной сторонам рейки (3), (4).

При нивелировании все отсчеты и превышения записывают в миллиметрах.

Если отсчет по рейке больше 1м, то рейку необходимо слегка покачивать вперед и назад. При этом в нивелир наблюдают и берут наименьший отсчет. Тут же на станции вычисляют превышения h по черной (5) и красной (6) сторонам реек по формуле:

$$h = З - П,$$

где З – отчет по задней рейке; П – отсчет по передней рейке.

Эти превышения не должны отличаться более чем на 5мм. При большем расхождении нивелирование связующих точек повторяют, несколько изменив высоту инструмента.

ЖУРНАЛ НИВЕЛИРОВАНИЯ

Таблица 6

Прямой ход

Дата 27.07.02

Исполнитель *Орлов*

№№ станции	Номер пикетов и промежут. точек	Отсчет по рейке			Превышения		Среднее превышение		Горизонт инструмента	Отметки точек	Номера пикетов и пром. Точек	Примечания
		задний	передний	промежут.	+	-	+	-				
1	2	3	4	5	6	7	8	9	10	11	12	13
1	0-1	1861(1)	1363(3)		498(5)							
		6646(2)	6146(4)		500(6)		+2 499(7)			127.115	0	
2	1-2	0430(1)	0656(3)			226(5)			128.046	127.616	1	
		5218(2)	5440(4)			222(6)		+2 224(7)				
	1+40.0			2530(8)						125.516	1+40.0	
	1+60.0			2340(9)						125.706	1+60.0	
3	2-x	2830	420		2410					127.394	2	
		7615	5202		2413		+2 2412					
4	x-3	2131	720		1411							
		6915	5509		1406		+2 1408					
5	3-3+45.0	2752	151		2601					131.218	3	
		7535	4942		2593		+1 2597			133.816	3+45.0	
∑		43933	30549		13832	448	6916	224				
		+13384			+13384		+6692					
					+6692							

Вычислил *Петров*

Проверил *Иванов*

Если разность превышений, вычисленных на станции, не превосходит допуск, то вычисляют среднее превышение (7) до целых мм и записывают в графе 8 или 9.

Одновременно с нивелированием связующих точек нивелируют плюсовые точки и точки поперечного профиля. Для этого после вычисления среднего превышения на станции рейку с задней связующей точками и точки поперечного профиля, устанавливают ее на землю у сторожков нулем вниз, берут по одному отсчету только по черной стороне рейки и записывают отсчет в графу 5 (8), (9).

После этого задний реечник переходит на следующую связующую точку, а передний остается на предыдущей связующей точке, наблюдатель переходит и выбирает следующую станцию. Если в районе трассы есть только один репер, к которому будет привязываться трасса, то для контроля нивелирования студенты на практике прокладывают обратный нивелирный ход, начиная нивелирование с последнего пикета. В обратном ходе нивелируют только связующие точки. Если есть возможность привязать последний пикет к реперу, то обратный ход не прокладывают.

Все записи в журнале должны быть выполнены аккуратно, без подчисток и исправлений. Неправильные записи зачеркивают, а в примечаниях пишут причину зачеркивания.

В полевом журнале дают схему привязки (рис. 6.3) и делают полевую привязку. Для этого выполняют нивелирование от репера до ПКО в прямом и обратном направлениях, вычисляют среднее превышение h ср.

Решают привязку, т.е. вычисляют отметку ПКО ($H_{пко}$) по формуле:

$$H_{ПКО} = H_{Rp} + h_{ср}$$

$$h_{\text{ср}} = \frac{h_{\text{пр}} + h_{\text{обр}}}{2}$$

если привязка сделана по схеме (а).

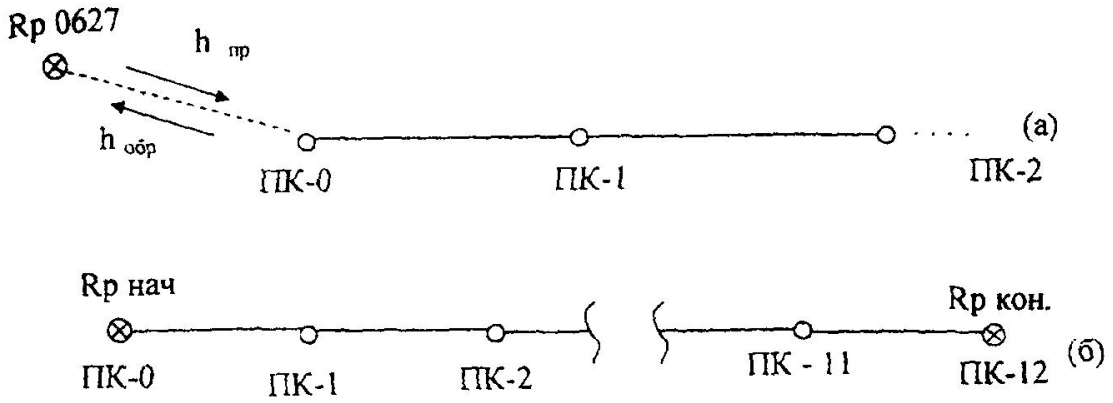

Рис. 6.3 Схемы привязки нивелирного хода: (*а*) – висячий ход, (*б*) – разомкнутый ход

6.5. Камеральная обработка результатов нивелирования

Камеральную обработку производят в таком порядке:

-обработка нивелирного журнала;

-построение профиля;

-проектирование по профилю.

6.5.1. Обработка нивелирного журнала

Для проверки правильности записей и вычислений в журнале производят постраничный контроль по формуле:

$$\sum З - \sum П = \sum h.$$

Для этого на каждой странице журнала находят: суммы отсчетов ∑3, ∑4 по графам 3, 4; суммы превышений ∑6, ∑7, ∑8, ∑9 по графам 6, 7, 8, 9 (Таблица 6). Вычисляют величины:

$$\sum 3 - \sum 4;\ \sum 6 + \sum 7;\ \sum 8 + \sum 9.$$

Соблюдение равенств:

$$\sum 3 - \sum 4 = \sum 6 + \sum 7;\ \frac{\sum 6 + \sum 7}{2} = \sum 8 + \sum 9,$$

показывает, что вычисления на данной странице сделаны верно. Аналогично производят контроль и на следующих страницах журнала. Суммируя величины (∑8+∑9) отдельно по прямому и обратным ходам,

получают суммарное превышения $\sum h_{прям}$ – прямого и $\sum h_{обр}$ обратного ходов. Сумма величин $\sum h$ прямого и обратных ходов дает невязку f_h:

$$f_h = \sum h_{прям} + \sum h_{обр}.$$

Если ход пройден точками с известными отметками $H_{НАЧ}$ и $H_{КОН}$ (Рис. 6.3(б)), невязку вычисляют по формуле:

$$f_h = \sum h_{ср} - (H_{КОН} - H_{НАЧ}).$$

Допустимое значение невязки вычисляют по формуле:

$$f_{h\,доп} = \pm\sqrt{L(км)}\ мм,$$

где L – длина хода (в километрах) от начального до конечного пикета. Вычисляют невязку в полевом журнале, на чистой странице.

Если полученная невязка больше допустимой, то нивелирный ход переделывают. Если полученная невязка допустима, то в случае (а) половину ее распределяют с обратным знаком поровну в превышения прямого хода, округляя при этом поправки до целых километров. Во втором случае (б), вся невязка распределяется поровну с обратным знаком на превышения между связующими точками. Поправки в превышениях δ_h вычисляют по формуле:

$$\delta_h = -\frac{f_h}{n}$$

где n – число превышений.

Записывают поправки над средними превышениями в полевом журнале. Исправленные превышения определяют по формуле:

$$h_1 = h_{ср} + \delta_{h1}.$$

Из привязки хода к реперу вычисляют отметку нулевого пикета $H_{ПКО}$ (в нашем примере $H_{ПКО}$ = 127,115 м). Записывают ее в графе (II) напротив нулевого пикета(0).

Зная эту отметку и исправленные превышения, последовательно вычисляют отметки связующих точек по всему ходу:

$$H_1 = H_0 + h_1,\ H_2 = H_1 + h_2\ \ldots$$

Получив отметку последнего пикета $H_К$, проверяют правильность вычислений по формуле:

$$H_{КОН} - H_{НАЧ} = \sum h - \frac{f_h}{2} \text{ (а) или } H_{КОН} - H_{НАЧ} = \sum h - f_h \text{(б).}$$

Вычисления в журнале заканчивают нахождением отметок промежуточных точек. Их вычисляют через горизонт инструмента ГИ. Горизонтом инструмента называют отметку визирного луча нивелира на данной станции. ГИ вычисляют по формуле:

$$ГИ = H + a,$$

где Н – отметка связующей точки на данной станции; а – отсчет по черной стороне рейки на этой точке.

Пример: Для станции 2 в таблице 6:

$$ГИ = H_1 + a_1,$$

$H_{ПК1}$ = 127.616 м, a_1 = 0430 мм – отсчет на ПК1,

ГИ = 128.046 м (записывают в графу 10 напротив станции 2).

Отметки промежуточных точек $H_{ПРОМ}$ находят вычитанием промежуточных отсчетов по рейке «с» из горизонта инструмента:

$$H_{ПРОМ} = ГИ - c$$

На этой же станции находим:

$$H_{ПК1+40.0} = 128.046 - 2.530 = 125.516м,$$

$$H_{ПК1+60.0} = 128.046 - 2.340 = 125.706м.$$

6.5.2. Построение профиля трассы

По вычисленным отметкам пикетов, плюсовых точек и точек поперечного профиля на координатной бумаге строят продольный и поперечный профили местности по трассе. Масштабы построения:

- для продольного профиля: горизонтальный 1: 2000, вертикальный 1:200;

- для поперечного профиля: горизонтальный 1: 200, вертикальный 1:200.

Последовательность построения профиля приведена ниже.

Первоначально вычерчивают сетку профиля. Название граф и размеры

в миллиметрах показаны на рис. 6.4.

В графе «Расстояния» отмечают положения пикетов и плюсовых точек, выписывают расстояния между плюсовыми точками и пикетами. «Икс» точки не строят. Ниже этой графы выписывают номера пикетов.

Пользуясь пикетажным журналом, заполняют графу «План трассы», в которой показывают:

а) ось в виде прямой линии красного цвета;

б) ситуацию (по результатам съемки полосы местности) соответствующими условными знаками.

В графу «Фактические отметки» выписывают из журнала нивелирования отметки всех пикетов и плюсовых точек с округлением до 0.01 м.

Выбирают и надписывают отметку условного горизонта, которая должна быт на 5-8 метров меньше самой низкой отметки по трассе.

В системе прямоугольных координат, где линия условного горизонта – ось расстояний, а вертикальная линия, проходящая через нулевой пикет – ось отметок, строят положение всех пикетов и плюсовых точек.

Полученные точки соединяют прямыми линиями и получают продольный профиль местности по оси трассы. Все построения выполняют карандашом.

Над точками продольного профиля, которые служили началом поперечных профилей, строят сетки поперечных профилей (рис. 6.4).

Заполняют графы «Расстояния» и «Фактические отметки» так же, как это делалось при построении продольного профили. Под сеткой надписывают пикетажные обозначения точек поперечного профиля.

Выбрав условный горизонт, строят положение точек поперечного профиля. Соединив полученные точки, получают поперечный профиль местности.

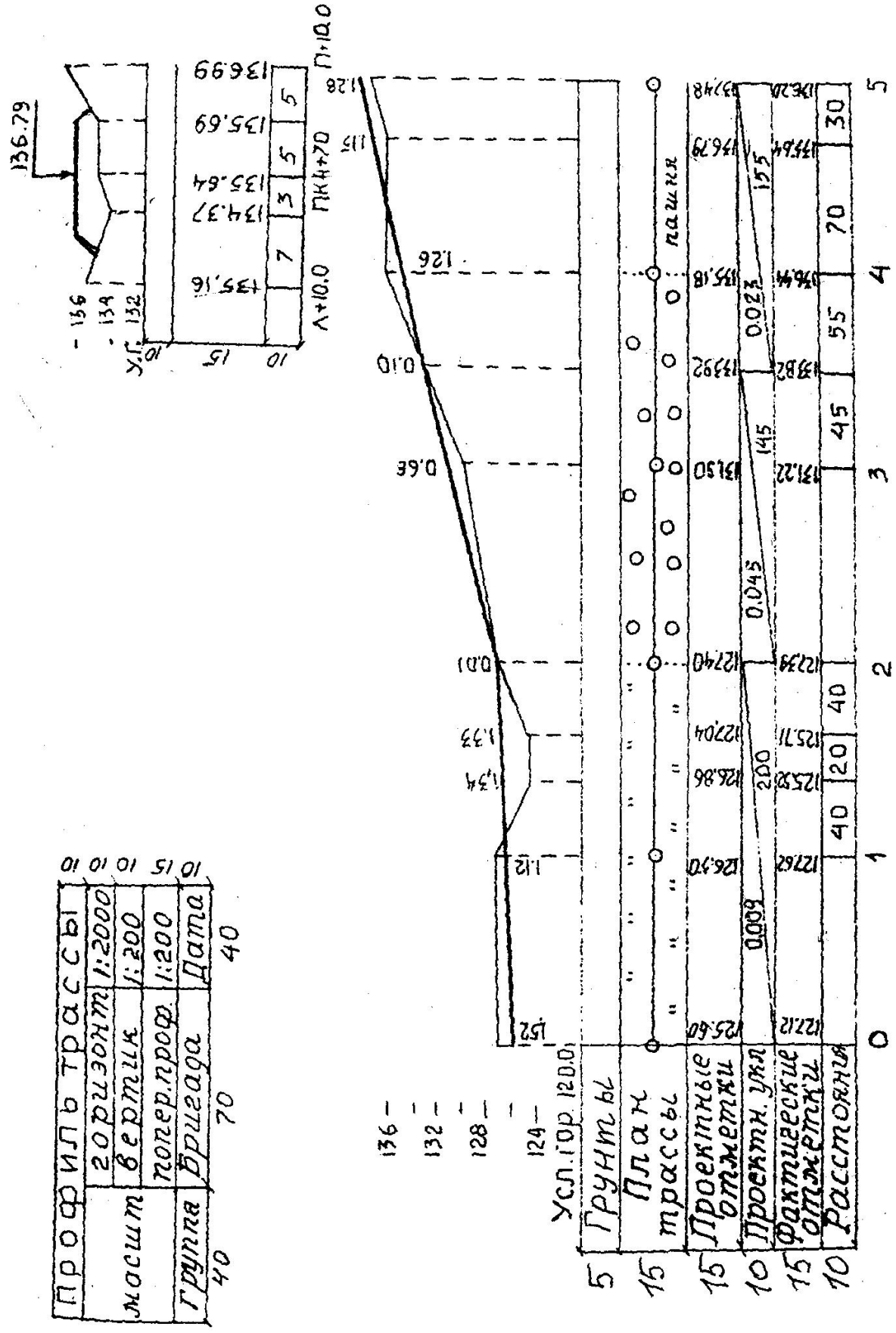

Рис. 6.4 Профиль трассы

Профиль местности – графический документ, позволяющий решать ряд

инженерных задач.

6.5.3. Проектирование по профилю

На практике по продольному профилю студенты проводят проектную линию, которая будет являться профилем оси будущего инженерного сооружения (дороги, канала и т.д.). Проектную линию намечают графически с учетом следующих требований:

- уклоны участков проектной линии не должны превышать допустимых значений (предельный уклон задается преподавателем);

- объем земляных работ должны быть минимальным;

- объемы насыпей и выемок должны быть примерно одинаковы, т.е. на профиле должно соблюдаться примерное равенство площадей насыпей и выемок;

- шаг проектирования принимают от 100 до 600 м;

- измерение уклона проектной линии можно производить на пикетах или плюсовых точках.

Проектная отметка ПКО задается преподавателям или принимается равной фактической отметке этого пикета.

На рис. 6.4 проектная отметка ПКО H_0=125.60 м. участков проектной линии с разными уклонами намечено три: длиной 200, 145 и 155 м; измерение уклона проектной линии предусмотрено в двух точках: на ПК2 и на плюсовой точке ПК3+45.0 расчет и вычерчивание проектной линии производится в следующем порядке:

По профилю определяют приближенно (с точностью 0.1 мм в вертикальном масштабе профиля) проектные отметки точек перелома и конца проектной линии:

$$H_2 = 127.4\text{м};\ H_{3+45.0} = 133.8\text{м};\ H_5 = 137.4\text{м}.$$

Вычисляют превышения по участкам проектной линии:

$$h_1 = H_2 - H_0 = +1.8\text{м};$$

$$h_2 = H_{3\text{-}45.0} - H_2 = +6.4м$$

$$h_3 = H_5 - H_{3+45.0} = +3.6м.$$

вычисляют уклоны i – отношения превышений h к горизонтальным проложениям участков проектной линии d:

$$i = \frac{h}{d}.$$

$$i_1 = \frac{1{,}8}{200} = +0.009;$$

$$i_2 = \frac{6{,}4}{145} = +0.045;$$

$$i_3 = \frac{3{,}6}{155} = +0.023.$$

Полученные уклоны округляют до 0.001 и выписывают в графу «Проектные уклоны» продольного профиля.

Все данные проектирования наносят на профиль красным цветом.

Под выписанными уклонами проводят линии (с подъемом (а), спуском (б) или горизонтальные (с) – в зависимости от знака уклона). Под линиями выписывают длины участков проектной линии.

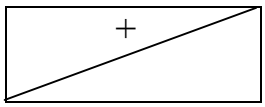

(а)

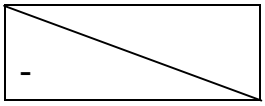

(б)

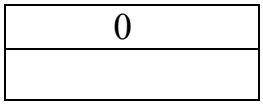

(с)

По значениям округленных уклонов вычисляют и выписывают в соответствующую графу продольного профиля проектные отметки концов участков проектной линии по формуле:

$$H_{n\text{-}1} = H_n + i * d.$$

Для нашего примера:

$$H_2 = 125.60 + 0.009 * 200 = 125.60 + 1.80 = 127.40м$$

$$H_{3\text{-}45} = 127.40 + 0.45 * 145 = 127.40 + 6.52 = 133.92м$$

$$H_5 = 133.92 + 0.023 * 155 = 133.92 + 3.56 = 137.46м$$

На профиле уточняют по вычисленным отметкам положение точек перелома и конца проектной линии, соединяют полученные отрезки линиями и получают проектный профиль оси будущего инженерного сооружения.

Вычисляют и выписывают проектные отметки всех остальных пикетов и плюсовых точек трассы по той же формуле (здесь «*d*» - это расстояние между пикетами, или расстояние от пикета до плюсовой точки). $H_1 = H_0 + i*100 = 126.50$м, $H_{1\text{-}40} = H_1 + i * 40 = 126.86$ м. Контролем вычислений служат выписанные проектные отметки конца участков проектной линии.

Вычисляют рабочие отметки как разности проектных и фактических отметок соответствующих точек профиля. Рабочие отметки выписывают около проектной линии: положительные (высота насыпи) – выше, а отрицательные (глубина выемки) – ниже проектной линии.

В заключении по вычисленной отметке точки оси поперечного профиля наносят положение проектной линии на поперечном профиле. Над проектной линией выписывают ее отметку. Проектную линию наносят горизонтально, по 10м влево и вправо от оси трассы. Показывают кюветы (если линия идет в выемке) и откосы (если линия идет по насыпи). Уклон откосов и бортов канав 45°, ширина дна кювета – 0.6 м. Над продольным профилем вычерчивают штамп.

Перечень сдаваемых материалов: отчет по нивелированию (раздел в общем отчете по практике), пикетажный журнал, журнал нивелирования, профиль местности по оси трассы.

7. ИНЖЕНЕРНО-ГЕОДЕЗИЧЕСКИЕ ЗАДАЧИ

На геодезической практике студенты выполняют следующие инженерно-геодезические задачи:

- вынос в натуру точки с заданными координатами;
- вынос на местность точки с заданной отметкой;
- вынос в натуру линии с заданным уклоном.

Проектные данные для выполнения этих задач (отметки, длины линий, уклон, координаты) задает преподаватель.

Подготовительные работы для решения инженерно-геодезических задач выполняются по топографическому плану масштаба 1:500, составленному студентами по результатам тахеометрической съемки.

Вынос проекта в натуру (геодезические разбивочные работы) осуществляются от имеющихся на участке пунктов геодезической сети с использованием следующих геодезических приборов: теодолита Т-30, нивелира Н-3 или Н-10, мерной ленты, рулетки.

7.1. Элементы геодезических разбивочных работ

Разбивочные работы можно представить как совокупность отдельных простых операций. Рассмотрим основные из них.

7.1.1. Вынос в натуру проектного горизонтального угла

Над вершиной угла О устанавливают теодолит и ориентируют его лимб вдоль заданного направления ОА. Вращением алидады откладывают проектный угол β и по направлению визирной оси трубы забивают колышек C_1. Для исключения влияния коллимационной ошибки проводят трубу через зенит и откладывают величину угла β при другом положении вертикального круга, забивают колышек в точке C_2. Расстояние C_1-C_2 делят пополам, полученный угол АОС и будет проектным углом. После построения проектного угла производят контрольные измерения этого угла.

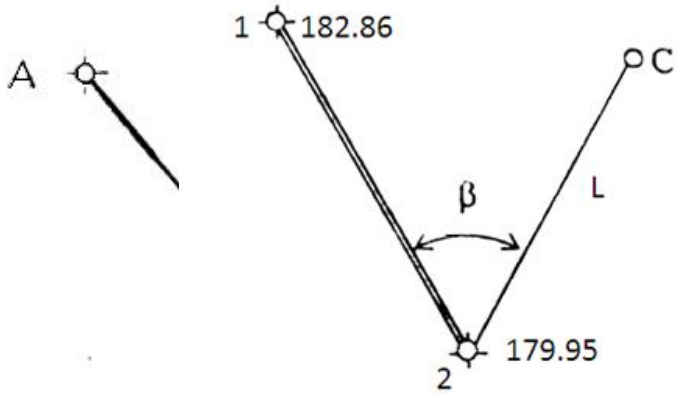

Рис 7.1 Построение на местности проектного горизонтального угла

7.1.2. Вынос в натуру проектного расстояния

Для выноса проектного расстояния по заданному направлению мерной лентой откладывают наклонную длину, конец линии закрепляют колышком. Для контроля длину линии измеряют второй раз – обратно. Наклонное проектное расстояние находят по формуле:

$$L = \sqrt{D^2 + h^2},$$

где D – горизонтальное проложение линии, м; h – превышение между точками концами линии, м.

D и h определяют по топографическому плану.

7.2. Вынос в натуру точки с заданными координатами (полярным способом)

На топографическом плане запроектирована буровая скважина (С), которую необходимо вынести в натуру от ближайших пунктов геодезической сети (в примере пункты 1 и 2 на рис. 7.2).

Рис. 7.2 Схема выноса в натуру запроектированной точки

Прямоугольные координаты и отметки пунктов геодезической сети 1 и 2 выписывают из ведомостей вычисления координат и высот точек съемочного обоснования, а координаты и отметку точки С студенты определяют графически с топографического плана (таблица 7).

Таблица 7

Исходные данные

	X	У	H
1	3833.62	2950.42	182.86
2	3771.20	2838.80	179.95
C	3764.42	2858.20	184.50

Для переноса запроектированной точки в натуру применим способ полярных координат.

Вначале выполняют геодезическую подготовку проекта. Для этого необходимо вычислить разбивочные элементы, т.е. полярный угол β и полярное расстояние L по формулам:

$$\beta = \alpha_{2\text{-}C} - \alpha_{2\text{-}1},$$

$$r(\alpha_{2-C}) = arctg\frac{Y_C - Y_2}{X_C - X_2},$$

$$r(\alpha_{2-1}) = arctg\frac{Y_1 - Y_2}{X1 - X_2},$$

$$L = \sqrt{D^2 + h^2}\ ,\ D_{2-C} = \sqrt{\Delta X^2 + \Delta Y^2}\ ,\ h = H_C - H_2,$$

где X_1, X_2, Y_1, Y_2 – прямоугольные координаты исходных пунктов; X_C, Y_C – прямоугольные координаты запроектированной точки С; H_2, H_C – отметки точек 2 и С; $D_{2\text{-}C}$ – горизонтальное проложение линии 2 – С; L – наклонное проектное расстояние от пункта 2 до точки С; $\alpha_{2\text{-}C}$, $\alpha_{2\text{-}1}$ – дирекционные углы линий 2-С и 2-1.

В нашем примере:

$$r(\alpha_{2-1}) = arctg\frac{2950.42 - 2838.80}{3833.62 - 3771.20} = arctg\frac{+111.62}{+62.42} = 1.78821(1 - \textit{ячетверть}),$$

$$r(\alpha_{2-1}) = \alpha_{2-1} = 60°47'07'',$$

$$r(\alpha_{2-C}) = arctg\frac{2858.20 - 2838.80}{3764.42 - 3771.20} = arctg\frac{+19.40}{-6.78} = 2.86136(2 - \textit{ячетверть}),$$

$$r_{2-C} = 70°44'10'',$$

$$\alpha_{2-C} = 180° - 70°44'10'' = 109°15'50'',$$

$$\beta = 109°15'50'' - 60°47'07'' = 48°28'43'',$$

$$D_{2-C} = \sqrt{19.40^2 + 6.78^2} = 20.55\textit{м},$$

$$h = 184.50\textit{м} - 179.95\textit{м} = 4.55\ \textit{м},$$

$$L = \sqrt{20.55^2 + 4.55^2} = 21.05\textit{м}.$$

Затем составляют разбивочный чертеж в масштабе топографического плана, на котором запроектирован объект (рис. 7.3).

На разбивочный чертеж наносят: пункты геодезической сети (1, 2); величины углов и линий, которые необходимо отложить на местности от исходных пунктов до проектированной точки.

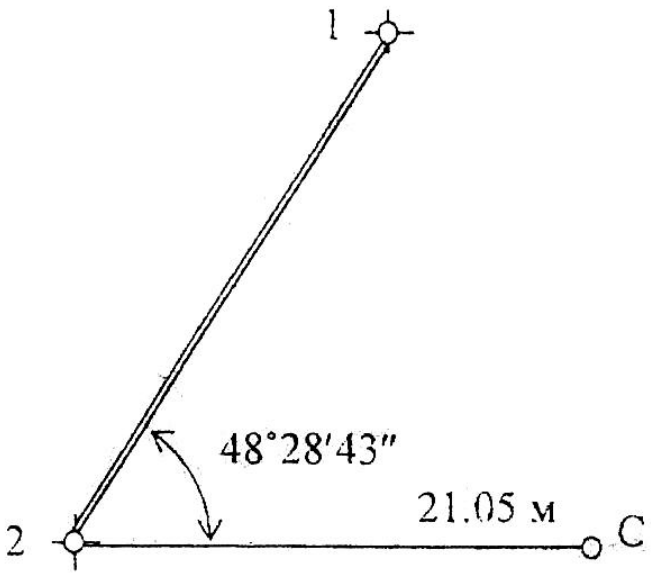

Рис. 7.3 Разбивочный чертеж

На местности в точке 2 устанавливают теодолит и способами изложенными выше (7.1.1, 7.1.2), отмеряют величины, указанные на разбивочном чертеже. Для контроля можно вычислить полярные координаты точки С от пункта 1.

7.3. Вынос в натуру точки с заданной отметкой

От пункта геодезической сети А с отметкой H_0=49.347м необходимо вынести на местность точку В с проектной отметкой $H_{пр}$=48.000м. Сначала точку В выносят и закрепляют на местности в соответствии с ее плановым положением.

Для выноса проектной отметки в точке В между исходной точкой А и проектной точкой В устанавливают нивелир (рис. 1.18).

Установив рейку на т. А, берут по ней отсчет «а» (пусть а = 0.572м).

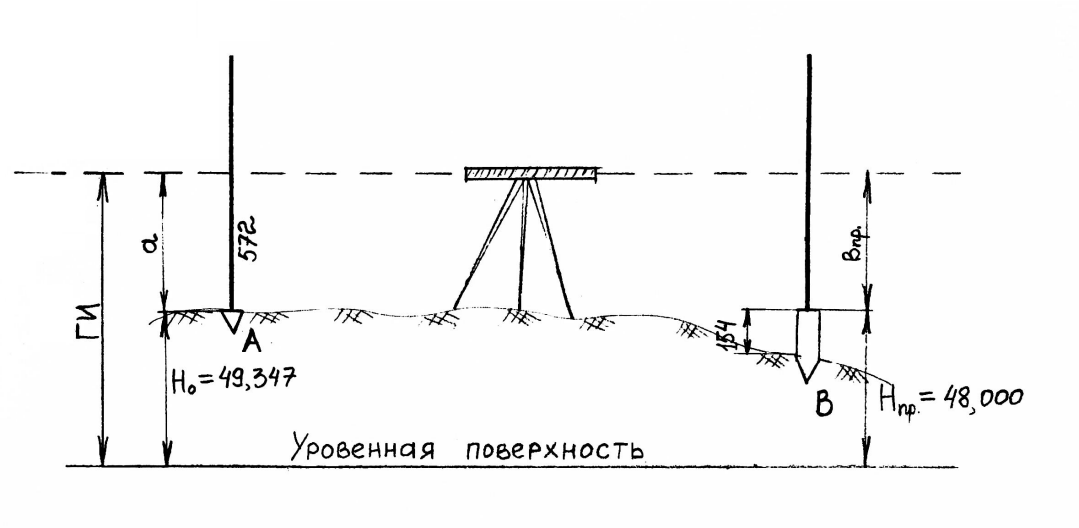

Рис. 7.4 Вынос в натуру точки с проектной отметкой

Определяют горизонт инструмента (ГИ) по формуле:

$$ГИ = H_0 + a = 49.347 + 0.572 = 49.946м.$$

Вычисляют проектный отсчет по рейке $в_{пр}$, соответствующий проектной отметке точки В.

$$в_{пр} = ГИ - H_{пр} = 49.946 \text{ м} - 48.000 \text{ м} = 1946мм.$$

Затем, наблюдая в трубу нивелира по рейке установленной в точке В, забивают колышек на такую глубину, чтобы отсчет по рейке, установленной пятой на колышке, был равен вычисленному значению «в пр» = 1946мм.

Допустим, отсчет по рейке в т. В равен 2100мм, тогда 2100 – 1946 = 154 мм, это величина, на которую надо приподнять колышек, чтобы получить проектную отметку, соответствующую верху колышка.

7.4. Вынос в натуру линии с проектным уклоном

От пункта геодезической сети А с отметкой H_0= 50.20м (рис 7.5(а)) требуется разбить линию длиннойD= 30 м с уклоном i= 0.040.

Проектное направление линии выносят на местность, закрепляют точками, расположенными через 10 м (1, 2, В).

Вычисляют проектные отметки точек 1, 2, В по формуле:

$$H_{пр} = H_0 + i * d,$$

где $H_{пр}$ – проектная отметка точки, закрепленной на линии АВ; i –

проектный уклон; *d* - расстояние от исходной точки А до определенной точки.

$$H_{пр1} = 50.20+0.040*10= 50.20 + 0.04= 50.24м.$$

$$H_{пр2} = 50.20 + 0.040*20 = 50.20+0.08= 50.28м.$$

$$H_{прВ} = 50.20 + 0.040*30= 50.20+0.12= 50.32м.$$

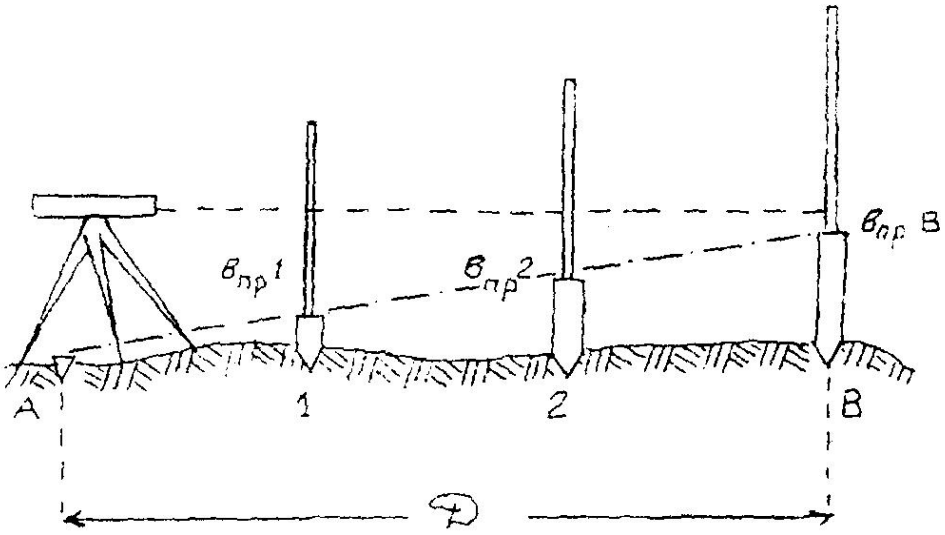

Рис. 7.5 *(а)*. Построение заданного уклона

Вычисленные проектные отметки точек 1, 2, В выносят в натуру изложенным выше способом. На рис. 7.5 (*а*) $в_{пр}1$, $в_{пр}2$, $в_{пр}В$ – проектные отсчеты по рейке в точках 1, 2, В.

При другом способе разбивки проектного уклона подъемными винтами нивелира наклоняют трубу нивелира до тех пор, пока отсчет по рейке на вынесенной проектной точке В не станет равен высоте инструмента. В результате линия визирования будет параллельна линии заданного уклона. Промежуточные точки линии определяют установкой рейки в точках 1 и 2 и получением на них того же отсчета, что и на точке В (рис. 7.5 (*б*)).

Материалы, прилагаемые к отчету в главе «Инженерно-геодезические задачи».

В отчете по геодезической практике в главе «Инженерно-геодезические задачи» дается описание решения задачи, все вычисления по определению разбивочных элементов и разбивочные чертежи с указанием углов и длин,

которые необходимо отложить на местности от исходных пунктов до проектных точек; на топографическом плане бригады указывают проектные точки.

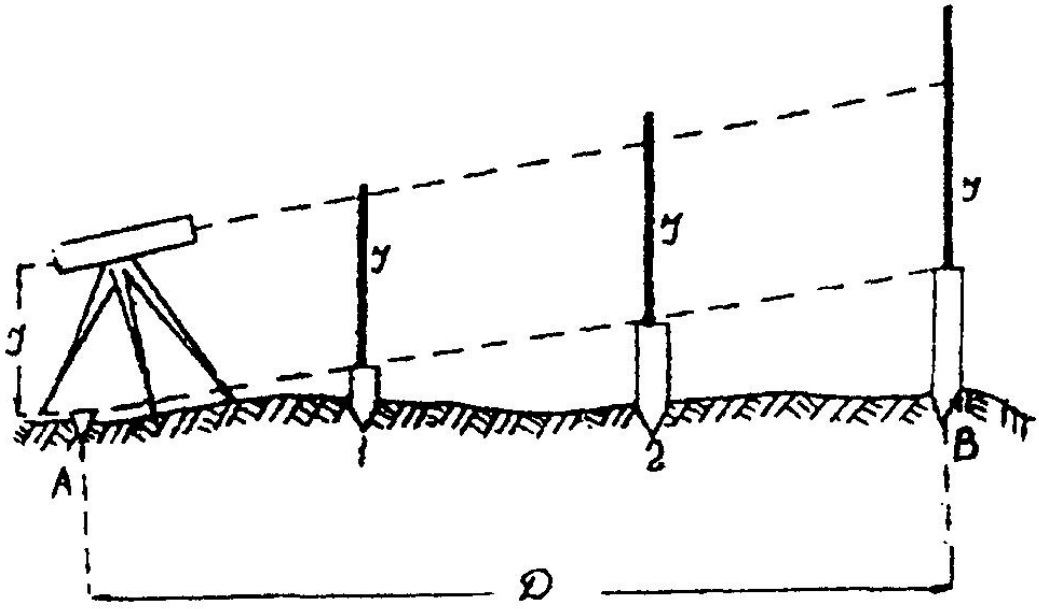

Рис. 7.5(*б*) Построение заданного уклона

8. ОФОРМЛЕНИЕ ОТЧЕТА ПО ПРАКТИКЕ

По итогам геодезической практики студенты пишут бригадный отчет. Отчет оформляется на листах А-4. В отчете отражаются следующие вопросы:

- описание участка работ: местоположения, рельеф, растительность, гидрография, дорожная сеть, наличие населенных пунктов, промышленных предприятий и т.п.;

- виды геодезических работ, поверки приборов, камеральная обработка результатов полевых измерений, результаты и допуски;

- виды работ, выполненные отдельными студентами.

Содержание отчета:

1. Общие сведения
2. Физико-географическая характеристика района работ
3. Рекогносцировка местности и закладка центров
4. Поверки теодолита
5. Измерение горизонтальных и вертикальных углов и измерение расстояний
6. Вычисление координат и отметок съемочного обоснования
7. Тахеометрическая съемка
8. Поверки нивелира
9. Геометрическое нивелирование
10. Инженерно-техническое нивелирование по оси трассы
11. Решение инженерно-геодезических задач
12. Вычерчивание топографического плана

К отчету прилагаются:

1. Схема съемочного обоснования и привязки в произвольном масштабе (на схему выписывают средние значения измеренных углов и длин)

2. Журналы измерения углов и длин сторон

3. Ведомости вычисления отметок точек съемочного обоснования

4. Ведомость вычисления координат точек съемочного обоснования
5. Журнал тахеометрической съемки
6. Абрисы
7. Топографический план масштаба 1:500.
8. Пикетажный журнал
9. Журнал нивелирования
10. Профиль местности по оси трассы

ПРИЛОЖЕНИЕ 1

Стандартный шрифт

Стандартный шрифт (по ГОСТу 2.304-81 – чертежный шрифт) пишется от руки с наклоном 1:3. Применяется для ведения записей в журнале и оформления документации.

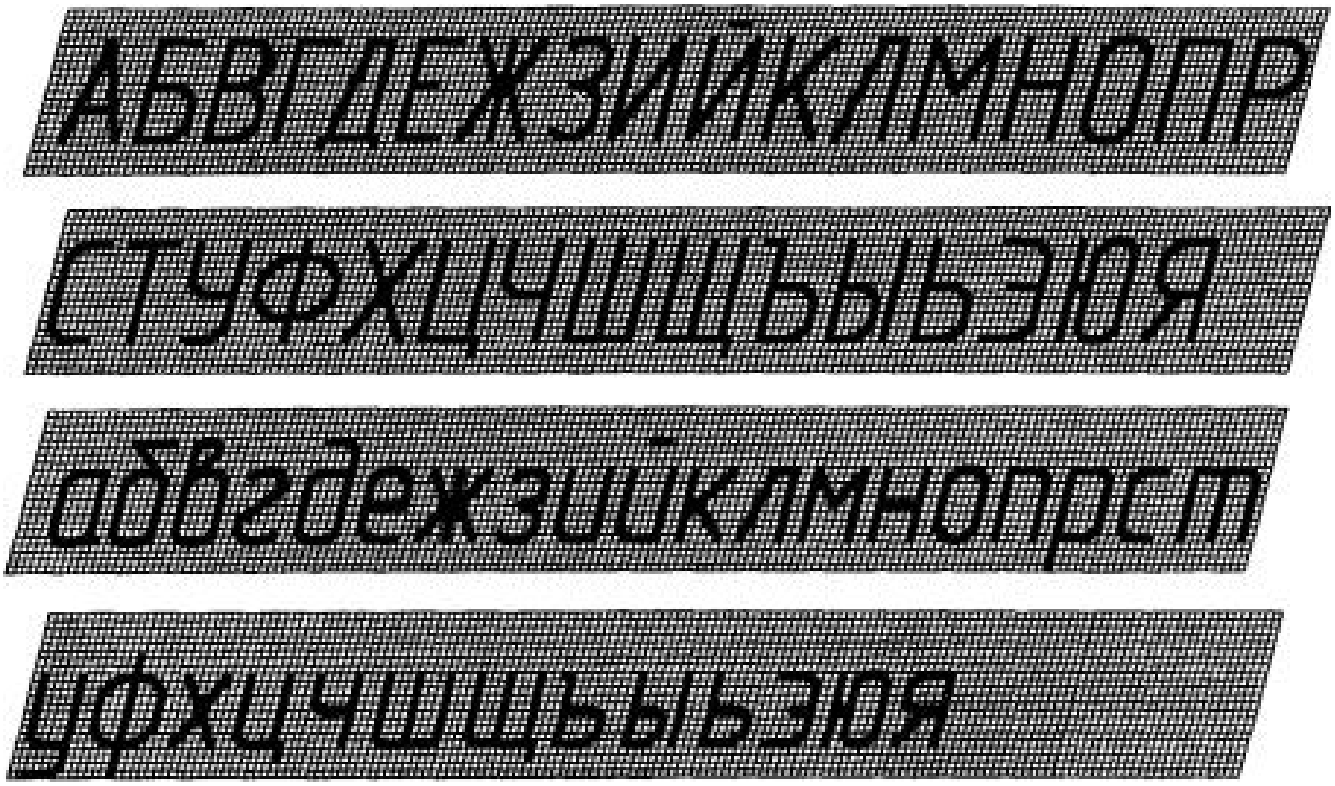

СХЕМАПрофиль План

147°25' 638,9 70,241 139°57'

Студент Преподаватель

ПРИЛОЖЕНИЕ 2

Вычислительный шрифт

Вычислительный шрифт имеет прямое начертание. Он применяется при полевых и вычислительных работах. Шрифт легко запоминается и читается, прост в исполнении.



МИНОБРНАУКИ РФ

ФГБОУ ВО «Уральский государственный горный университет»

УТВЕРЖДАЮ
Проректор по учебно-методическому комплексу_____С.А.Упоров

МЕТОДИЧЕСКИЕ УКАЗАНИЯ К САМОСТОЯТЕЛЬНОЙ РАБОТЕ СТУДЕНТОВ

ПО УЧЕБНОЙ ГЕОЛОГИЧЕСКОЙ ПРАКТИКЕ

Специальность:
21.05.02 Прикладная геология

Специализация:
Геология месторождений нефти и газа

форма обучения: очная

Автор: Душин В.А., профессор, д.г.-м.н.

Одобрены на заседании кафедры

Геологии, поисков и разведки МПИ
(название кафедры)

Зав.кафедрой _____
(подпись)

Душин В.А.
(Фамилия И.О.)

Протокол № 1 от 10.09.2020
(Дата)

Рассмотрены методической комиссией факультета

Геологии и геофизики
(название факультета)

Председатель _____
(подпись)

Бондарев В.И.
(Фамилия И.О.)

Протокол № 2 от 13.10.2020
(Дата)

Екатеринбург

Методические указания по учебной геологической практике согласованы с выпускающей кафедрой литологии и геологии горючих ископаемых

Заведующий кафедрой ЛГГИ _____ к.г.-м.н., С.А. Рыльков____

Содержание

		Стр.
	Введение	4
1.	Организация и методика проведения практики	-
1.1.	Организационные вопросы	-
1.1.1.	План проведения практики	-
1.1.2.	Снаряжение учебных групп	5
1.1.3.	Устройство и ликвидация лагеря	6
1.1.4.	Правила техники безопасности при геологических исследованиях	-
1.2.	Методические вопросы проведения практики	7
1.2.1.	Рекогносцировочный этап практики	-
1.2.1.1.	Методика проведения рекогносцировочных маршрутов	8
1.2.1.2.	Составление отчета по рекогносцировочному этапу практики	-
1.2.1.2.1.	Требования к составлению и оформлению отчета	-
1.2.1.2.2.	Содержание разделов пояснительной записки	9
1.2.1.3.	Аттестация студентов за рекогносцировочный этап практики	13
1.2.2.	Площадная геологическая съемка	-
1.2.2.1.	Составление опорной сети наблюдений	14
1.2.2.2.	Изучение коренных пород	-
1.2.2.3.	Изучение рыхлых отложений	15
1.2.2.4.	Гидрогеологические наблюдения	-
1.2.2.5.	Составление полевой документации	16
1.2.2.6.	Составление коллекции горных пород, минералов и органических остатков	-
1.2.2.7.	Эколого-геологические наблюдения	-
1.2.2.8.	Составление отчета по площадной съемке	17
1.2.2.9.	Аттестация работ по площадной съемке	18
2.	Приемы полевых геологических наблюдений	-
2.1.	Ведение полевой книжки	19
2.2.	Работа с горным компасом	-
2.2.1.	Устройство горного компаса	-
2.2.2.	Понятие элементов залегания горных пород	20
2.2.3.	Правила определения элементов залегания наклонных поверхностей	22
2.2.4.	Определение превышений точек рельефа	23
2.2.5.	Привязка точек наблюдения	24
2.3.	Изучение обнажений горных пород	27
2.3.1.	Типы обнажений горных пород	-
2.3.2.	Привязка обнажений	-
2.3.3.	Описание горных пород	28
2.3.4.	Наблюдение структурных элементов	-
2.3.5.	Отбор образцов горных пород	29

2.3.6. Зарисовка обнажений 30
2.4. Первичная обработка полевых материалов 34
2.4.1. Обработка коллекций горных пород и корректура полевых книжек -
2.4.2. Обработка замеров ориентировки плоскостных структурных элементов 35
3. Физико-географическая и геологическая характеристики Сухоложского района 36
3.1. Физико-географический очерк -
3.2. История геологического изучения района 37
3.3. Геологическое строение района 39
3.3.1. Стратиграфия -
3.3.1.1. Палеозойская эратема -
3.3.1.2. Мезозойская эратема 43
3.3.1.3. Кайнозойская эратема 45
3.3.2. Интрузивные образования 52
3.3.2.1. Среднеордовикские интрузии -
3.3.2.2. Раннеордовикские интрузии -
3.3.2.3. Среднедевонские интрузии 53
3.3.2.4. Раннекаменноугольные интрузии -
3.3.2.5. Ранне-среднекаменноугольные интрузии 54
3.3.2.6. Позднепермские-раннетриасовые интрузии -
3.3.3. Тектоника -
3.3.4. Гидрогеология 55
3.3.5. Геоморфология 56
3.3.5.1. Речные террасы 57
3.3.5.2. Карстовые формы рельефа 58
3.3.6. Полезные ископаемые -
3.3.6.1. Горючие полезные ископаемые 59
3.3.6.2. Металлические полезные искоаемые -
3.3.6.3. Неметаллические полезные ископаемые 60
3.3.6.4. Строительные материалы -
3.3.6.5. Подземные воды -
3.4. Экологическая характеристика района -
Рекомендуемая литература 63
Приложение 1 64

Введение

Учебно-методическая геологосъемочная практика студентов 2-го курса геологических и геофизических специальностей Института геологии и геофизики Уральского государственного горного университета проводится в Сухоложском районе Свердловской области в 120 км к востоку от г. Екатеринбурга. База практики расположена на правом берегу р. Пышмы в 500 м. ниже брода против села Рудянского.

В геологическом отношении район расположен на стыке складчатых структур Урала с горизонтально залегающими отложениями чехла Западно-Сибирской платформы, что позволяет познакомить студентов не только с палеозойскими образованиями Уральской складчатой системы, но и с мезозойскими и кайнозойскими отложениями платформенного чехла.

Учебная практика имеет целью закрепить теоретические знания полученные студентами при прохождении курсов структурной геологии и геологического картирования, минералогии, петрографии, палеонтологии и исторической геологии. Ее задачи сводятся к выработке у студентов навыков полевых геологических исследований, приобретаемых в процессе изучения и описания горных пород, руд, ископаемых остатков и дислокаций горных пород во время рекогносцировочных маршрутов по району практики и при самостоятельной геологической съемке.

Руководство практикой осуществляется коллективом кафедры геологии, поисков и разведки МПИ с привлечением преподавателей других кафедр ИГиГ УГГУ.

1. Организация и методика проведения практики

1.1. Организационные вопросы

1.1.1. План проведения практики

План проведения практики проводится в стенах университета. Не позднее одного месяца до начала практики проводится организационное (первое) собрание, на котором рассматривается состояние противознцифалитных прививок, представляются руководители групп, объявляется перечень продуктов, снаряжения, деталей экипировки, которые студенты должны взять на практику.

Во время второго организационного собрания студентам объявляются: сроки, задачи практики, место прохождения практики, порядок проезда до базы практики, проводится вводный инструктаж по охране труда, бытовой санитарии, и противопожарной безопасности.

Длительность практики составляет 4 недели и время, отводимое на проведение различных видов работы распределяется следующим образом:

Отъезд и устройство на базе	- 2 дня
Вводные установочные лекции и инструктаж по охране труда на рабочем месте	- 1 день
Рекогносцировочные маршруты студентов	- 8 дней
Камеральные работы и аттестация рекогносцировочного этапа практики	- 5 дней
Площадная геологическая съемка (с камеральными работами и защитой отчетов)	- 7 дней
Ликвидационные работы	- 1 день

Итого: 24 раб. дня (4 недели)

Цикл установочных лекций включает следующие темы:

1. Геологическое строение района практики.

2. Геоморфология и гидрогеология района практики.

3. Инструктаж на рабочем месте при устройстве полевого лагеря и проведении геологических исследований.

После чтения установочных лекций и инструктажа по охране труда при ведения полевых исследований студенты совместно с руководителем академической группы решают внутригрупповые организационные вопросы: разбиваются на бригады по 5-6 человек, договариваются о закупках продуктов, посуды и снаряжения, необходимого для полевой жизни. Группа обеспечивает себя билетами для проезда по железной дороге от ст. Свердловск до ст. Кунара. По прибытии на базу практики студентам отводится два дня (включая день прибытия) для устройства лагеря, организации быта и получения со склада полевого снаряжения и методической литературы. В конце второго дня проводится первое практическое занитие, во воремя которого студенты обучаются ориентировке на местности, измерению расстояний шагами, описанию обнажений горных пород.

Геологическая практика начинается с прохождения рекогносцировочных маршрутов, во время которых студенты знакомятся с геологическим строением района практики и с методикой описания естественных и искусственных обнажений горных пород, проявлений полезных ископаемых и керна буровых скважин, с методикой геоморфологических и гидрогеологических наблюдений.

После прохождения рекогносцировочных маршрутов каждая бригада составляет отчет, который включает общую характеристику геологического строения Сухоложского района. Отчет защищается перед комиссией, состоящей из преподавателей, находящихся на практике. Защитившие отчет, бригады приступают к проведению площадной и маршрутной съемок.

Практика считается пройденной после защиты отчетов по самостоятельным съемкам.

1.1.2. Снаряжение учебных групп.

Обеспечение групп необходимым снаряжением и оборудованием проводится через старосту и бригадира. Староста получает на базе снаряжение, общее для всех групп: палатки, постельные принадлежности, лопаты, кайла, топоры. Бригадир получает снаряжение на бригаду: чертежные доски, планшеты, методическую литературу, молотки, компасы, лупы и различные графические материалы.

Каждая бригада должна заранее позаботиться о том, чтобы иметь набор цветных карандашей, тушь (красную, черную, синюю, зеленую), иметь ластик, транспортир, рейсфедер, ручки ученические, линейки, угольники, тетрадь для написания отчета, фотоаппарат, пленки, фотобумагу и реактивы.

Каждая группа должна себя обеспечить посудой, необходимой для приготовления пищи на кострах, запасом продовольствия.

Студент должен быть экипирован применительно к работе в полевых условиях. Минимальный перечень необходимых вещей должен включать:

- костюм из плотной ткани для полевой работы;
- смену белья;
- обувь на рифленой резиновой подошве (туристические ботинки, кеды);
- хлопчатобумажные и шерстяные носки;
- легкую одежду для теплой погоды;
- теплую одежду для прохладной погоды (свитер, теплая кофта, телогрейка, вязаная шапочка);
- плащ и резиновые сапоги на случай непогоды;

- посуду (миску, ложку, кружку);
- туалетные принадлежности;
- складной нож;
- фонарик с запасом батареек;
- средство против комаров и клещей.

Снаряжение учебной группы и ее готовность к прохождению геологических маршрутов проверяется руководителем группы перед выходом в поле.

1.1.3. Устройство и ликвидация лагеря

Каждая академическая группа несет полную ответственность за правильную организацию и оформление места своей стоянки. Основные требования, предъявляемые к полевому геологическому лагерю, сводятся к следующему:

- палатки ставятся выходом на подветренную сторону:
- вокруг палатки должна быть вырыта канавка для стока воды;
- пол в палатке должен быть покрыт специальными щитами, сделапнными из досок, или устлан хвойными (или другими) ветками;
- костер должен располагаться с подветренной стороны на расстоянии не менее 10 м. От ближайшей палатки;
- за пределами лагеря должна быть вырыта яма для пищевых отходов и мусора;
- в обязанность группы входит сооружение своими силами обеденного стола с навесом от дождя;
- внутри палаток должна постоянно поддерживаться чистота и порядок.

По завершению практики лагерь должен быть ликвидирован. На территории бывшего лагеря наводится чистота. Колья, крепившие палатки, выдергиваются, все временные сооружения ликвидируются, ямы для пищевых отходов аккуратно засыпаются землей.

Прием убранной территории производится комиссией во главе с руководителем практики.

1.1.4. Правила техники безопасности при геологических исследованиях

Перед выездом на практику все студенты должны сделать противоэнцефалитные прививки.

На базе практики, перед началом рекогносцировочных маршрутов проводится смотр готовности группы к полевым работам: просматриваются снаряжение, обувь, одежда и пр., а также проверяются знания студентами природных условий и правил безопасности производства полевых работ.

В процессе прохождения геологических маршрутов движение перемещающейся группы должно быть компактным, обеспечивающим постоянную видимость или голосовую связь между людьми на случай оказания им необходимой помощи.

В ясный день нельзя уходить в геологический маршрут не защищенным от солнечных лучей. Каждый бригадир обязан в маршруте иметь при себе индивидуальный санитарный пакет.

Во избежание укусов змей передвижение по базе и вне ее производить в обуви. Воду для питья и приготовления пищи брать только из указанных источников.

При передвижении на автомашине запрещается перегруз машины и превышение нормальных габаритов груза. Груз должен быть распределен равномерно; колющие и

режущие инструменты (топоры, вилы, колья) уложены на днище кузова и прочно закреплены; люди расположены с максимально возможными удобствами. Запрещается: стоять в кузове автомашины, сидеть на бортах, перемещаться без надобности, соскакивать и садиться на ходу, курить и т. д.

При передвижении по крутым скалистым откосам запрещается сбрасывать камни, отваливать без надобности неустойчивые глыбы и т.п. Хождение по крутым тропам и карнизам должно быть осторожным. Особое внимание следует обращать на выступающие камни, ветви деревьев, мешающие передвижению. При передвижении по осыпям всегда следует иметь в виду возможность внезапного срыва сверху камней.

При сильной грозе не рекомендуется находиться вблизи одиноких деревьев, а также у металлических матч, держать вблизи себя геологический молоток и прочие металлические предметы.

Отбивание образцов твердых горных пород геологическим молотком должно производиться с предосторожностями, исключающими попадание осколков в лицо.

При проходке легких горных выработок запрещается раскачивать, сдвигать с места крупные валуны и нависшие камни. Во всех случаях работа должна производиться с помощью лома, кирки, лопаты таким образом, чтобы валун, глыба или отслоившийся пласт не могли причинить работающему травму.

Костры разрешается разводить только в защищенных местах, исключающих возможность возникновения пожара. Место костра необходимо окапывать. После ухода с места стоянки костры должны быть потушены.

Купаться разрешается группами, не менее трех человек так, чтобы умеющие плавать вели наблюдение за купающимися. Категорически запрещается купание в ночное время.

Рекомендуется проводить взаимоосмотр ежедневно на предмет наличия клещей.

Руководство практик (группы) должно знать, где находятся люди, и ежедневно проверять их наличие в лагере. Все отлучки из лагеря или из маршрута должны производиться только с ведома и разрешения руководителя практики (группы).

В случае установления факта отсутствия в лагере по неизвестным причинам кого-либо из сотрудников и студентов или невозвращения группы из маршрута в контрольный срок, руководитель практики (группы) обязан немедленно принять розыскные или спасательные меры.

Только после проведения со студентами инструктажа по охране труда ведения полевых работ и при соответствующей экипировки студентов группа допускается к проведению полевых работ.

1.2. Методические вопросы проведения практики

1.2.1. Рекогносцировочный этап практики

Целью рекогносцировочного этапа практики является ознакомление студентов с главнейшими особенностями геологического строения района практики и привитие студентам навыков описания естественных и искусственных обнажений горных пород, производства геоморфологических и гидрогеологических наблюдений. Выполнение этих задач осуществляется путем проведения маршрутов по наиболее информативным геологическим объектам, изучение которых способствует созданию представлений о строении всего района в целом.

1.2.1.1. Методика проведения рекогносцировочных маршрутов

В соответствии с программой учебной практики студенты проходят 8 рекогносцировочных маршрутов. Перед началом маршрутов каждая бригада получает нераскрашенную геологическую карту района практики, на которую она должна нанести пройденные маршруты и дооформленную и раскрашенную приложить к отчету по рекогносцировочному этапу практики.

Маршруты ведет руководитель учебной группы. По ходу движения он знакомит студентов с конкретными обнажениями (или с другими какими-либо геологическими объектами) путем демонстрации слагающих их пород, возрастных и пространственных взаимоотношений этих пород, а также разрывных и складчатых дислокаций (если таковые имеются). После этого руководитель дает описание обнажения, которое студенты записывают в свои индивидуальные полевые книжки. По рекомендации руководителя студенты отбирают образцы горных пород, измеряют ориентировку текстурной неоднородности пород и контактов, а также ориентировку дислокаций горных пород. Параллельно с вышеуказанным, руководитель обучает студентов делать привязку обнажения, измерять шагами, производить зарисовки обнажений.

После возвращения из маршрута, в указанные в распорядке дня часы, под руководством руководителя группы студенты проводят камеральную обработку полевых материалов: заполняют журнал образцов горных пород, раскрашивают геологическую карту на участке пройденного маршрута, выносят на карту элементы залегания горных пород, либо объекты, описанные в маршруте, но не отмеченные на карте.

Данные, полученные во время прохождения рекогносцировочных маршрутов, наряду с имеющимся в Методических указаниях описаниям района, кладутся в основу представлений о геологическом строении района практики и составляют основной фактический материал по рекогносцировочному этапу практики.

1.2.1.2.Составление отчета по рекогносцировочному этапу практики

После завершения геологических маршрутов каждая бригада распределяет обязанности по составлению отчета и составляет отчет за рекогносцировочный этап практики. Отчет должен включать: 1 – геологическую карту района практики в масштабе 1 : 50 000, 2- карту фактического материала, 3 - пояснительную записку к геологической карте (текстовая часть отчета), 4 – коллекцию горных пород, 5 – индивидуальные полевые книжки.

1.2.1.2.1. Требования к составлению и оформлению отчета

Геологическая карта.

Геологиченская карта, выданная бригадам перед рекогносцировочными маршрутами доложна быть раскрашена в соответствии с требованиями к оформлению геологических карт. Раскрашиваются также условные обозначения и геологический разрез. В правом верхнем углу карты должен быть указан шифр учебной группы, номер бригады и вписан состав бригады. На карту должны быть нанесены пройденные маршруты, элементы залегания горных пород, проявления полезных ископаемых и другие объекты, описанные во время маршрутов, но отсутствующие на карте.

Карта фактического материала.

Карта фактического материала составляется на кальке. На карту должны быть нанесены ручкой или тушью пройденные маршруты и номера точек наблюдений; номера

и места: отбора образцов горных пород, сколков шлифов, находок фауны и флоры, проб на различные лабораторные исследования, микрополигонов для изучения трещиноватости; элементы залегания разрывных нарушений, интервалы (или точки) гидротермальных или метасоматических изменений, зоны (ареалы, точки) рудной минерализации. Линии маршрута должны сопровождаться литологическими знаками горных пород (литологическими «дорожками»).

Пояснительная записка.

Пояснительная записка к геологической карте района должна включать следующие разделы и главы:

Введение

1. Физико-географический очерк.
2. История геолого-геофизических исследований района.
3. Методика маршрутных исследований
4. Геологическое строение района

4.1. Стратиграфия

4.2. Интрузивные образованеия

4.3. Тектоника

5. Геоморфология
6. Гидрогеология
7. Полезные ископаемые
8. История геологического развития
9. Экологическая характеристика

Заключение

1.2.1.2.2. Содержание разделов пояснительной записки

Введение

Во «Введении» указываются: 1 – цели и задачи практики, 2 – место проведения практики, 3 – административное положение, экономика и пути сообщения района практики, 4 – перечень выполненных работ, 5 – состав бригады, 6 – распределение обязанностей по составлению отчета, с указанием авторов глав отчета и его графических приложений.

Физико-географический очерк

Физико-географический очерк должен содержать сведения об особенностях рельефа Сухоложского района, его гидрографической сети, растительности, животном мире и климате. Здесь же указывается степень обнаженности и проходимости района, категория дешифрируемости аэрофотоснимков.

История исследований района

Эта глава должна содержать краткую характеристику ранее проведенных в районе геологических и геофизических исследований. В хронологической последовательности должны быть раскрыты основные результаты проведенных работ.

Методика проведенных маршрутных исследований

В главе приводится перечень пройденных рекогносцировочных маршрутов и их цели, методика полевых наблюдений, виды проведенных камеральных работ.

Геологическое строение района практики

В основе этого раздела должны лежать сведения о геологическом строении района практики, изложенные в соответствующем разделе данных Методических указаний и почерпнутые с геологической карты района м-ба 1:50 000. Студенты только дополняют этот каркас конкретным фактическим материалом, собранным во время рекогносцировочных маршрутов.

Стратиграфия

Глава начинается с общей характеристики стратифицированных образований района: перечисляются развитые в районе стратиграфические подразделения в ранге эратем, приводятся общие сведения об их составе, площадном распространении и условия залегания слагающих их пород. Затем развертывается последовательная характеристика эратем с соблюдением принятой рубрикации излагаемого материала. Описание ведется в хронологической последовательности от наиболее древних к более молодым и заканчивается характеристикой отложений четвертичной системы. Очень важно, чтобы при описании стратиграфических подразделений соблюдалась четкая их рубрикация с указанием группы, системы, отдела, яруса, зоны. Все заголовки внутри главы должны отражать соподчиненность выделенных стратиграфических единиц, исключающую ненужные повторения. Названия стратиграфических подразделений необходимо сопровождать их индексацией.

Характеристика каждой толщи горных пород, выделенных в самостоятельную стратиграфическую единицу, должна приводиться по определенной стандартной форме, облегчающей поиск и усвоение необходимой информации : вначале указывается, какими горными породами сложено данное стратиграфическое подразделение, отмечаются особенности площадного распространения пород данного возраста, положение в главнейших тектонических структурах района, затем характеризуется их состав, текстурные и структурные особенности, после чего дается обоснование возраста и характеристика контактов с подстилающими образованиями. Обязательно приводится перечень руководящих палеонтологических форм, подтверждающих возраст данного стратиграфического подразделения. Заканчивается глава указанием мощности стратиграфического подразделения.

Эффузивные тела покровного типа включаются в состав стратиграфического разреза, и приводится их петрографическая характеристика.

Глава должна быть проиллюстрирована фотографиями и зарисовками, показывающими характер обнажений горных пород того или иного стратиграфического подразделения, особенности его внутреннего строения и характер дислокаций составляющих его пород.

Интрузивные образования

Эта глава начинается с указания интрузивных комплексов, представленных на описываемой территории (совокупностей интрузивных тел, объединенных общностью состава, возраста, условий образования и залегания), которые известны в районе по литературным данным, указаны на геологической карте, а также были встречены при изучении опорных обнажений во время рекогносцировочных маршрутов. Характеристика интрузивных комплексов производится в последовательности: от древних к молодым и от основных (ультраосновных) к кислым.

Относительно каждого интрузивного комплекса указывается следующее: 1 – минеральный состав, структурные и текстурные особенности пород; 2 – количество, форма (дайка, шток, нэкк и пр.) размеры и внутреннее строение интрузивных тел

(наличие, состав и строение экзо- и эндоконтактовых зон, элементы прототектоники); 3 – относительный возраст интрузивных тел.

Все интрузии одного интрузивного комплекса описываются сообща, с указанием каких-то особенностей отдельных тел. Крупные интрузии описываются индивидуально.

Тектоника

В начале главы дается самая общая характеристика структурных особенностей изучаемого района, отмечаются условия залегания стратифицированных образований (складчатое, моноклинальное, горизонтальное). Затем приводится тектоническое районирование территории (то есть указывается положение района в крупных тектонических структурах). После этого дается подробная характеристика сначала складчатых, а затем и разрывных структур последовательно от крупных к мелким.

Описание **складчатых дислокаций** включает в себя указание: 1 – морфологического и генетического типов складок; 2 – ориентировки складок (простирания относительно сторон света); 3 – ориентировки шарниров складок. На геологической карте, при этом, необходимо показать оси складок и значками показать направления погружения шарниров складок.

Описание **разрывных дислокаций** включает в себя: 1 – разделение всех разломов на группы по ориентировке, кинематическому типу и возрасту; 2 – описание каждой группы разломов (или единичных разломов) с указанием размера; направления и амплитуды перемещения блоков; вида пород, слагающих шовную зону разломов; характера взаимоотношений разломов со складчатыми дислокациями и другими геологическими структурами. При этом, для облегчения поиска на карте описываемых в тексте разломов, рекомендуется надписывать наиболее крупным и характерным разломам (как и складкам) собственные названия, указанные в тексте данного Методического руководства, а не поименованным давать свои названия, или хотя бы номера.

Завершается глава описанием **трещиноватости** пород района. Характеристика трещиноватости сопровождается сводной таблицей замеров трещин и круговой диаграммой ориентировки трещин. В конце описания должны быть сделаны выводы о преобладающих направлениях трещиноватости и её генетических типах.

Геоморфология

В этой главе приводится описание генетических типов рельефа и отдельных его элементов (речных долин и оврагов, уступов, водоразделов), дается детальная характеристика речного террасового комплекса с указанием вида террас (эрозионные, аккумулятивные, эрозионно-аккумулятивные), высоты уступа и размеров площадок каждой террасы. Указывается состав горных пород, слагающих террасы. Производится определение высоты склонов долины реки, вычисляются углы наклонов тальвега логов и оврагов.

Глава сопровождается геоморфологическим разрезом (обычно поперечным профилем долины реки Пышмы), на котором должны быть отражены взаимоотношения различных элементов рельефа и генетических типов четвертичных отложений.

Гидрогеология

В главе «Гидрогеология» описываются подземные воды района практики. Указываются типы развитых в районе подземных вод и закономерности их пространственного размещения. Указываются коллекторские свойства разных видов пород, средний дебит приуроченных к ним выходов подземных вод и их химизм. Приводится описание встреченных во время рекогносцировочных маршрутов родников и их дебит.

Полезные ископаемые

Глава начинается с перечня главнейших типов месторождений полезных ископаемых, известных в Сухоложском районе. Далее приводится краткая характеристика месторождений по выделенным типам. При написании главы должна соблюдаться четкая рубрикация текста. Вначале описываются горючие полезные ископаемые, затем металлические (черные, цветные, благородные металлы), неметаллические, подземные и минерализованные воды, строительные материалы. Кроме описания известных в районе месторождений (эксплуатируемых в настоящее время или законсервированных и отработанных), следует охарактеризовать все зафиксированные в районе рудопроявления и пункты минерализации. Известные в районе месторождения должны быть вынесены специальными условными знаками на геологическую карту Сухоложского района .

При написании главы следует использовать литературные источники и личные наблюдения, произведённые во время рекогносцировочных маршрутов.

Глава иллюстрируется разрезами месторождений, показывающими главнейшие особенности форм залегания рудных тел.

История геологического развития

Характеристика истории геологического развития района должна опираться на вертикальное расчленение горных пород, указанное в стратиграфической колонке. По составу горных пород, их текстурным и структурным особенностям восстанавливаются условия образования осадков, реконструируется палеогеографическая обстановка. Особое внимание уделяется характеристике магматических (эффузивных и интрузивных) процессов и тектонических движений земной коры на различных этапах её развития. Обосновывается последовательность внедрения интрузий различного состава. Производится выделение главнейших фаз складчатости, указывается место появления тех или иных месторождений полезных ископаемых в ходе геологического развития Сухоложского района. Приводятся сведения о геотектонической обстановке.

Глава заканчивается характеристикой признаков проявления неотектонических движений и историей формирования современного рельефа.

Экологическая характеристика

В главе приводятся сведения о эколого-геологической ситуации района по личным наблюдениям при проведении маршрутов. Дается характеристика природных неблагоприятных геологических объектов и процессов. В начале главы приводятся сведения об объектах экзогенного происхождения: оползнях, обвалах, осыпях, оврагах, селях, выходах скальных пород, карстовых формах, участков вспучивания грунтов либо проседания, границы паводковых затоплений, заболачивания, участках активной аккумуляции речных и временных водотоков, участках эрозии русловой (интенсивное врезание) и боковой (подмыв берегов).

Далее приводятся сведения о техногенных объектах, нарушающие и загрязняющие среду, а также потенциально опасные для жизни. К таковым относятся карьеры, отвалы, хвостохранилища, заводы и фабрики, очистные сооружения, свалки, склады ГСМ, минеральных удобрений и ядохимикатов, населенные пункты, животноводческие фермы, навозохранилища, участки лесозаготовок, железные и автомобильные дороги, пахотные земли, линии ЛЭП, газопроводы, нефтепроводы.

Приводятся сведения о загрязненности водотоков.

В заключение главы дается характеристика ландшафтов: природных – лесных, луговых, болотных; техногенных: техногенно-образованных (карьерные поля, свалки, отстойники) и техногенно-измененных (промышленные зоны городов и рабочих поселков,

загрязненные участки почвогрунтов и поверхностных вод). Сведения о ландшафтах рекомендуется представлять в табличной форме (в процентах от площади развития).

Заключение

В "Заключении" даются основные выводы о геологическом строении изученного района. Указывается, что остаётся неясным и вызывает сомнения, даются рекомендации о направлении дальнейших исследований.

К отчету по рекогносцировочному этапу практики прикладывается коллекция горных пород, собранная во время маршрутов. Коллекция должна включать главные виды горных пород района практики, образцы минералов и ископаемых органических остатков. Правила отбора и маркировки образцов и заполнения журнала образцов приведены на стр. настоящего пособия.

К отчету прикладываются также индивидуальные полевые книжки членов бригады. Они должны быть оформлены в соответствии с предъявленными требованиями (стр. настоящего пособия) и содержать описания всех пройденных бригадой маршрутов. Неаккуратно заполненные или имеющие пробелы в описании маршрутов полевые книжки возвращаются на доработку.

Отчет за рекогносцировочный этап практики защищается перед комиссией состоящей из преподавателей проводящих учебную практику.

1.2.1.3. Аттестация студентов за рекогносцировочный этап практики

Аттестация студентов за рекогносцировочный этап практики проводится по двум аспектам: сдача коллоквиума и защита отчета. Аттестация проводится путём собеседования раздельно по каждому аспекту, или одновременно по обоим.

Коллоквиум включает опрос студентов на предмет знания методики полевых наблюдений, порядка изложения содержания глав отчета и просмотр индивидуальных полевых книжек. Аттестация за коллоквиум индивидуальна. Студент, не показавший достаточных знаний вопросов коллоквиума, приглашается на повторное собеседование.

Защита отчета включает общую оценку отчета, как результирующего отчетного материала за пройденный рекогносцировочный этап практики, и оценку знаний членами бригады геологического строения и горных пород района практики.

Оценка конкретно отчета включает: полноту содержания глав отчета; полноту использования материалов, полученных во время рекогносцировочных маршрутов; содержание и правильность оформления внутритекстовой графики, геологической карты и журнала образцов.

Защита отчета принимается при общей положительной оценке отчета как результирующего документа и при знании студентами геологии района (каждым персонально).

Не принятый отчет возвращается на доработку, а студент, не знающий геологии района, приглашается на повторное собеседование. Бригада, не аттестованная за рекогносцировочный этап практики, не допускается к выполнению следующего задания - площадной геологической съёмки.

1.2.2. Площадная геологическая съёмка

После аттестации рекогносцировочного этапа практики студенты приступают к проведению площадной геологической съёмки. С этой целью каждой бригаде выделяется участок, контуры которого задаются руководителем группы. Учитывая в общем плохую обнажённость района практики, участки для съёмки выделяются по долинам реки Пышмы

и её крупным притокам. Размер участка, выделяемого бригаде для самостоятельного картирования при масштабе съёмки 1:1000 составляет 500х500 м.

1.2.2.1. Составление опорной сети наблюдений

Перед проведением площадной геологической съёмки каждой бригаде выдаётся топографическая основа будущей геологической карты. Руководитель группы указывает каждой бригаде на местности начало и конец участка на одном из берегов реки и направление линий, ограничивающих участок. Далее студенты сами прокладывают на местности (вдоль берега реки) линию опорных пикетов, к которой будут привязывать в последующем точки наблюдений и геологические маршруты. Рекомендуется пикеты располагать на таких расстояниях друг от друга, чтобы они (пикеты) совпадали с профилями сети наблюдений. Требуемый размер сети наблюдений - 50х50 м (расстояние между профилями, вдоль которых будут проходиться геологические маршруты - 50 м, расстояние между пикетами в профилях - также 50 м). Координаты углов полигонов определяются с помощью топопривязчика.

1.2.2.2. Изучение коренных пород.

Главной задачей геологической съёмки является установление особенностей геологического строения выделенного бригаде участка. Бригада в начале работ производит рекогносцировку местности с целью выявления всех естественных обнажений, которые могут быть детально изучены и описаны. Главным методом съёмки в конкретных условиях является сплошное оконтуривание обнажений и прослеживание контактов. На участках сплошного выхода горных пород, после их оконтуривания, можно ставить на карте точки с указанием номера обнажений и привязывать к ним произведенные в поле наблюдения. Вблизи этих точек на полевой карте указываются, элементы залегания слоистости, сланцеватости и пр.

Первая задача, которая стоит перед бригадой, заключается в выделении главнейших типов горных пород. При этом следует иметь в виду, что диагностика горных пород в поле - дело нелегкое, требующее определённых навыков и предварительного изучения образцов под микроскопом. В первую очередь необходимо обнаружить признаки сходства или различия выделенных разновидностей и положить их в основу определения типа горных пород. В поле можно дать предварительное (условное) название породы, но очень важно, чтобы одинаковые по видимым признакам горные породы назывались одинаково.

Вторая задача, которую приходится решать бригаде, заключается в установлении последовательности напластований. Решение этой задачи становится возможным при детальном изучении контактов между различными типами горных пород. Особенно это трудно делать при картировании чередующихся между собой лавовых покровов, потоков и их туфов. Однако в любых случаях приходится опираться на имеющийся Фактический материал и составлять на его основе представление о стратиграфической последовательности напластований, мощности стратифицированных толщ. Выводы, сделанные в результате проведенных на участке наблюдений, кладутся в основу стратиграфической колонки изученного участка.

Третья и наиболее сложная задача, стоящая перед бригадой, сводится к выявлению структуры закартированного участка. Сложность этой задачи заключается в том, что представления о структурах обычно рождаются на базе отрывочных сведений. В обнажениях горных пород встречаются лишь элементы той цельной структуры, которая должна быть осмыслена и отражена на геологической карте. Часто возникают такие

ситуации, когда нельзя дать однозначной интерпретации структурных наблюдений и приходится останавливаться на том или ином варианте, с которым наиболее полно согласуется имеющийся фактический материал.

В процессе проведения структурных наблюдений рекомендуется шире использовать проходку канав и расчисток. На территории участков, задернованных и покрытых лесом, контакты между различными типами горных пород экстраполируются с учётом элементов залегания в изученных обнажениях и общей структуры участка. В связи с недостаточной обнажённостью и невозможностью проходки нужных объёмов горных выработок, составленная бригадой геологическая карта обычно несёт в себе элементы гипотетичности.

Бригада не имеет права закончить полевые работы, пока не будет составлена и принята руководителем академической группы полевая геологическая карта. Бригада обязана также провести необходимый комплекс геоморфологических и гидрогеологических наблюдений.

1.2.2.3. Изучение рыхлых отложений

Кроме изучения коренных пород, при геологической съёмке выделенного бригаде участка производится детальное изучение рыхлых отложений. Главной задачей, стоящей перед бригадой, является выделение основных генетических типов пород четвертичной системы и установление их возрастных соотношений. На некоторых участках встречаются реликты мезозойской коры выветривания. Особое внимание обращается на возрастное расчленение аллювиальных отложений и оконтуривание поймы, высокой поймы, первой, второй и более высоких надпойменных террас. При наличии аллювиальных галечников определяется петрографический состав, размерность, формы, степень окатанности для 100 галек, непредвзято отобранных (лучше ведром). По процентным соотношениям строятся диаграммы, пригодные для корреляции одновозрастных отложений, а также для определения пригодности галечников в качестве полезного ископаемого (строительного материала). При отсутствии естественных обнажений рекомендуется на уступе террасы пройти канаву или сделать расчистку и дать детальное описание слоев, слагающих террасовый комплекс. Кроме выделения аллювиальных отложений, необходимо оконтурить площади развития и составить описание элювиальных, делювиальных и элювиально-делювиальных, а также озёрно-болотных отложений. Осыпи выделяются как коллювиальные отложения.

Обязательным для бригады является составление геоморфологического профиля с показом на нём всех особенностей пространственно-возрастных соотношений четвертичных отложений различных генетических типов.

1.2.2.4. Гидрогеологические наблюдения

В процессе геологического изучения выделенного бригаде участка должно быть обращено внимание на обследование всех выходов на поверхность подземных вод (источников). В пикетажных книжках необходимо дать описание каждого источника с указанием его относительной отметки, характера проявления (небольшой родник или общее просачивание подземных вод, группа родников и т.д.). В обязанность бригады входит определение расхода воды (дебита),в источниках путем заполнения мерной емкости. Поделив объём ёмкости на время ее заполнения, получают величину расхода воды в л/сек

1.2.2.5. Составление полевой документации

При проведении самостоятельной геологической съёмки обычно заполняется одна полевая книжка на двух членов бригады (на маршрутную пару). Требования к описанию обнажений те же, что и при проведении рекогносцировочных маршрутов. Нумерация точек наблюдений сквозная для всех маршрутных пар. Это значит, что каждая маршрутная пара имеет свой интервал номеров, не перекрывающийся с номерами других маршрутных пар.

Полевая геологическая карта составляется на стратиграфической основе с использованием цветной легенды. Горные породы обозначаются крапом (штриховыми знаками), а интрузивные также и цветом состава. Измеренные элементы залегания текстурной неоднородности пород или контактов показываются соответствующими условными знаками.

На полевой геологической карте четвертичные отложения должны быть расчленены по генезису и по возрасту. Кроме этого на карте должны быть указаны и формы рельефа: низкая и высокая поймы, надпойменные террасы, гребни водоразделов.

Полевая геологическая карта выполняется на миллиметровке, прикреплённой для удобства пользования к фанерному планшету.

Канавы должны документироваться в виде развертки, отражающей особенности строения слоистой толщи на каждой её стенке. При расчистках документируются лишь коренные породы. Обязательно должен быть указан масштаб и ориентировка (азимут) одной из стенок горной выработки.

1.2.2.6. Составление коллекции горных пород, минералов и органических остатков

В отличие от коллекции горных пород за рекогносцировочный этап практики коллекция при площадной съёмке состоит из образцов двух типов - демонстрационных и рабочих.

Во время площадной геологической съёмки, рекомендуется брать образцы всех разновидностей пород из всех обнажений. Это помогает объективно выделить площади развития различных пород при просмотре образцов всеми маршрутными парами, участвующими в съёмке участка. Это позволяет также проконсультироваться с руководителем по любому обнажению или фрагменту участка, тем более что он не всегда может осмотреть (вместе со студентами) весь участок. В итоге получается большое количество образцов, многие из которых дублируют друг друга. По этой причине коллекцию пород, собранную при площадной съёмке, рекомендуется делить на две части - демонстрационные образцы и рабочие. Демонстрационные образцы (как представители группы пород) представляются на защиту отчета, а рабочие оставляются (и предназначаются) для решения спорных вопросов. Рабочие образцы могут иметь меньшие размеры и нестандартную форму.

1.2.2.7. Эколого-геологические наблюдения

Эколого-геологические наблюдения проводятся попутно при геологических маршрутах. Встреченные объекты экзогенного, либо техногенного происхождения отображаются на полевых картах в значковой форме. В полевой документации дается характеристика каждому объекту: параметры, степень опасности для людей и животных,

генезис. В полевых книжках фиксируются также границы ландшафтов и дается краткая их характеристика: растительность, микрорельеф, почвы.

При составлении карты четвертичных образований окантуриваются ландшафты, селитебные зоны (жилая застройка), рекреационные (участки, действующие или рекомендуемые для отдыха населения).

1.2.2.8. Составление отчета по площадной съёмке

Отчёт по площадной съёмке строится по тому же плану, что и отчёт по рекогносцировочному этапу практики. Можно упустить лишь главу "История геолого-геофизических исследований" и дать сокращённое описание главы "Физико-географический очерк" - упустить сведения о климате и экономическую характеристику описываемого участка. Не нужно смущаться, что содержание глав при описании геологии участка будет отличаться небольшим объёмом. Важно, чтобы в их основе лежали материалы личных наблюдений, собранные бригадой при изучении горных пород данного участка. Полнота глав, их насыщенность фактическим материалом, по сути, и характеризуют собой качество самостоятельной работы бригады, творческую инициативу и пытливость её членов, степень их общей теоретической подготовки.

Текст отчёта должен быть иллюстрирован фотографиями и зарисовками обнажений, таблицей замеров трещин и круговыми диаграммами трещиноватости, ритмограммами слоистых толщ и стратиграфическими колонками составленными в поле по обнажениям.

Внутритекстовые графические приложения выполняются на ватмане, в туши. Фотографии также должны быть аккуратно оформлены на вкладных листах. Зарисовки и фотографии необходимо сопровождать подрисуночным текстом, раскрывающим смысл помещения в отчёт данной иллюстрации. Фотографии, зарисовки, схемы и диаграммы должны иметь единую нумерацию (рис. и цифра). Таблицы нумеруются отдельно.

По каждому закартированному участку составляются три чертежа:

1. Геологическая карта.
2. Карта четвертичных отложений.
3. Карта фактического материала.

Геологическая карта выполняется на ватмане. На неё наносятся горизонтали рельефа, гидрографическая сеть и прослеженные в поле геологические границы: литологические, стратиграфические, интрузивные и тектонические. Выделенные на участке стратиграфические подразделения раскрашиваются цветом, соответствующим возрасту горных пород. При этом более древние образования одной системы должны иметь более темные тона, а более молодые образования - более светлые. .Литологический состав стратифицированных толщ указывается штриховыми условными обозначениями. Геологическая карта сопровождается стратиграфической колонкой, разрезом и условными обозначениями. Раскраска интрузивных тел производится соответственно их составу. Обязательно указываются элементы залегания слоистости, кливажа и геологических границ, если их ориентировка была измерена.

Составители геологической карты должны обращать внимание на строгое соответствие изображения структур в плане с их конфигурацией на разрезе. Последовательность напластований, показанная на разрезе, должна соответствовать данным стратиграфической колонки. При оформлении геологической карты должны соблюдаться требования, предъявляемые к размерам шрифта, типам условных обозначений и пр.

Карта четвертичных (или рыхлых) отложений выполняется на ватмане. Разными цветами раскрашиваются площади распространения различных генетических

типов отложений четвертичной системы (аллювиальные, делювиальные, пролювиальные и др.). Оконтуриваются и раскрашиваются одинаковым цветом выходы коренных пород. Наносятся уступы речных террас.

Карта сопровождается геологическим разрезом и схемой возрастных взаимоотношений генетических типов пород четвертичной системы.

На карте отражаются элементы геолого-экологической обстановки (штриховкой, значками).

Карта фактического материала выполняется на кальке на топографической основе. На неё наносятся все точки наблюдения с учетом степени обнаженности (обнажения, элювий, делювий) с указанием их номера. Пройденные геологические маршруты указываются линиями. Выходы коренных пород оконтуриваются пунктирными линиями. На карту наносятся основные геологические границы и пункты отбора и номера фауны и флоры, образцов, проб.

1.2.2.9. Аттестация работ по площадной съемке

Аттестация этапа площадной съемки проводится путем защиты отчета. Отчет защищается перед создаваемой для этих целей комиссией. Отчет комиссией оценивается по тем же критериям, что и отчет по рекогносцировочному этапу практики.

2. ПРИЁМЫ ПОЛЕВЫХ ГЕОЛОГИЧЕСКИХ НАБЛЮДЕНИЙ

Полевые геологические наблюдения проводятся с целью изучения горных пород, их взаимоотношений и особенностей залегания. Это изучение в условиях учебной геологической практики заключается, в основном, в описании обнажений горных пород, состоящем из ряда операций: 1 - привязка обнажения; 2 - определение состава и строения горных пород, формы и условий их залегания; 3 - выяснение пространственных и временных соотношений горных пород; 4 - отбор образцов и остатков ископаемых организмов; 5 - зарисовка или фотографирование обнажения (или его части). Все эти операции могут быть проделаны только при наличии соответствующих предметов и инструментов, составляющих личное снаряжение геолога.

В **личное снаряжение геолога** при полевых исследованиях входят: полевая книжка с карандашом или шариковой ручкой, транспортир и резинка, геологический молоток, горный компас, лупа (или несколько, с разным увеличением), рюкзак и мешочки для сбора образцов, этикетки для образцов, полевая сумка для хранения топографических карт и аэрофотоснимков, рулетка.

Осуществление операций по изучению обнажений требует знания и выполнения определенных правил и приемов пользования предметами личного снаряжения, а также правил текстового и графического изображения полученной при изучении обнажения геологической информации.

К ним относятся: 1 - приемы работы с горным компасом, 2 - правила ведения полевой книжки и выполнения зарисовок геологических объектов, 3 - способы привязки точек наблюдения (в т.ч. топопривязчиком) и другие операции, сопровождающие изучение обнажений.

2.1. Ведение полевой книжки

Полевая книжка (пикетажная книжка) служит для занесения в неё результатов наблюдений, сделанных во время полевой работы и является основным документом, отражающим работу геолога. В книжке должны быть записаны все полевые наблюдения, выводы, сведения об отобранных образцах и сделаны необходимые зарисовки. Записи производятся аккуратно, карандашом или шариковой ручкой, на правой стороне, а рисунки - на левой стороне. Желательно делать выносы, подчеркивания, облегчающие чтение и просмотр пикетажной книжки.

Запись полученных сведений рекомендуется вести в следующем порядке: 1 - номер точки наблюдения (обнажения); 2 - указание о местоположении обнажения (привязка обнажения), 3 - тип обнажения (коренной выход, развал, высыпки); 4 - форма и характер выхода; 5 - указание состава пород, слагающих обнажение, их возрастные и пространственные взаимоотношения; 6 - сведения о трещиноватости горных пород и о разрывах со смещением; 7 - сведения о проявлениях рудной минерализации и пр.

На титульном листе полевой книжки указывается: название института, группа и фамилия студента, год прохождения практики, а также сроки начала и окончания записей.

Во время рекогносцировочного этапа практики полевая книжка ведется каждым студентом персонально и прилагается затем к соответствующему отчету.

Во время выполнения самостоятельных заданий полевая книжка ведется одна на маршрутную пару, занимающуюся геологической съёмкой.

2.2. Работа с горным компасом

Для ориентировки на местности и привязки обнажений, для определения элементов залегания горных пород, а также при проведении ряда других вспомогательных работ, сопровождающих геологические исследования, используется горный компас.

2.2.1. Устройство горного компаса

Устройство горного компаса показано на рис. I.

У компаса есть два независимых друг от друга направления. Одно из них, параллельное установившейся магнитной стрелке, постоянно и не зависит от поворотов корпуса, поскольку магнитная стрелка при отсутствии возмущавших магнитных масс всегда ориентируется по направлению север-юг. Второе направление, проходящее через деления 0 и 180 шкалы лимба, может быть, по желанию наблюдателя, ориентировано параллельно любому направлению на местности. Поскольку эти два направления пересекаются в центре лимба, то с его помощью можно измерять углы между направлением на север (показываемым северным концом магнитной стрелки) и любым другим направлением, параллельно которому устанавливается второе направление компаса

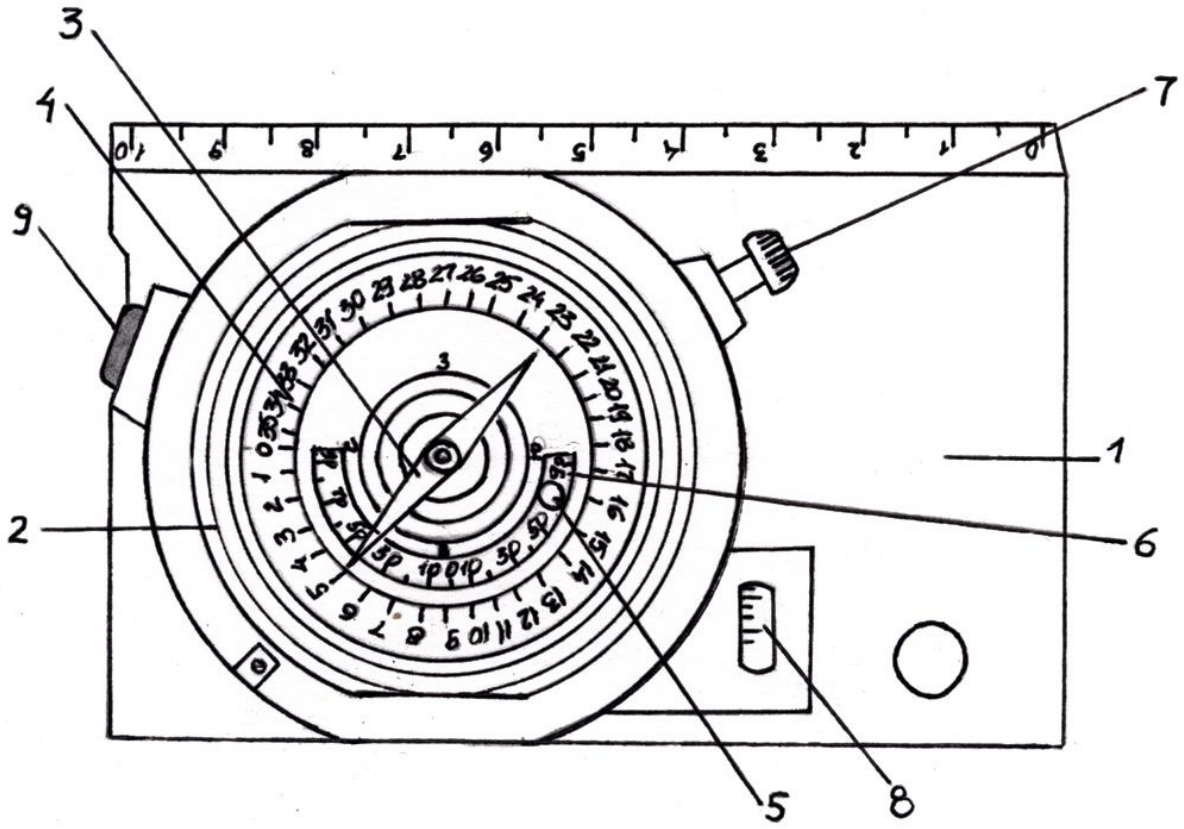

Рис. I. Устройство горного компаса.
1 - основание компаса; 2 - коробка компаса; 3 - магнитная стрелка; 4 - лимб, с помощью которого измеряются горизонтальные углы; 5 - клинометр (отвес); 6 - шкала клинометра; 7 - винт; 8 - уровень; 9 - кнопка

2.2.2. Понятие элементов залегания горных пород

Слоистость, сланцеватость, контакты интрузивных и жильных пород, трещины и сместители разрывных нарушений - все это различного рода геологические поверхности (а на локальных участках, в первом приближении - плоскости).

Элементы залегания поверхности - это выраженная в принятых понятиях ориентировка данной поверхности относительно сторон света и горизонта. В общем случае положение наклонной поверхности в пространстве характеризуют три компоненты: простирание, падение и угол падения.

Простирание - это направление распространения наклонной поверхности в горизонтальном срезе.

Падение - это направление погружения (направление понижения абсолютных отметок) наклонной поверхности.

Угол падения - это двугранный угол между данной наклонной поверхностью и горизонтальной плоскостью.

В частном случае одна из компонент ориентировки поверхности в пространстве может отсутствовать или терять смысл. Так, в случае вертикального положения поверхности у нее нет направления погружения, а при горизонтальном положении поверхности она (поверхность) простирается "во все стороны".

В практике полевых исследований, при измерении ориентировки геологических поверхностей часто пользуются понятиями: линия простирания и линия падения.

Линия простирания - это линия пересечения геологической поверхности с горизонтальной плоскостью. То есть, это любая горизонтальная линия на данной поверхности (ориентируется она по направлению её простирания).

Линия падения - это вектор, перпендикулярный к линии простирания, лежащий на геологической поверхности и направленный в сторону её погружения. Иными словами, это проекция направления погружения на геологическую поверхность.

Примеры использования линий простирания и падения при измерительных операциях будут рассмотрены несколько позже.

Поскольку сами по себе простирание и падение, без привязки их к какой-либо системе отсчёта, не имеют содержательной нагрузки, на практике, для характеристики ориентировки геологических поверхностей, пользуются понятиями азимут простирания и азимут падения.

Азимут простирания - это правый векториальный угол между направлением на север и заданным направлением простирания (или линией простирания). Может изменяться от 0 до 360°.

Азимут падения (погружения) - это правый векториальный угол между направлением на север и заданным направлением погружения (или между направлением на север и проекцией линий падения на горизонтальную плоскость). Может также изменяться от 0 до 360°,

Азимут простирания и азимут падения одной геологической поверхности отличаются на 90°.

Понятие угла падения было дано выше (на стр.). Он изменяется от 0 до 90° и не зависит от простирания и падения.

Так как азимут простирания - это угол между двумя направлениями, одно из которых величина векторная (направление на север), другое - величина не векторная (направление простирания), то цифровое значение азимута простирания может быть выражено двумя числами, отличающимися друг от друга на 180° (рис. 2).

В этом отражается некоторая неопределенность данной компоненты элементов залегания, по которой нельзя определить без дополнительных измерений азимут падения (хотя угол между ними известен и равен 90°).

В противоположность азимуту простирания, азимут падения, как угол между двумя векторами (направление погружения величина векторная), является величиной строго определенной и позволяет вычислить (путем прибавления или вычитания 90°) азимут простирания без дополнительного его измерения. Это обстоятельство позволяет вместо 3-х компонент элементов залегания измерять только две - азимут падения и угол наклона, при необходимости, азимут простирания может быть вычислен.

Ввиду того, что топографические и геологические карты строятся в истинных азимутах, а с помощью горного компаса измеряются магнитные азимуты, во время полевых работ часто приходится переходить от магнитных азимутов к истинным (при нанесении данных на карту) и от истинных к магнитным (при движении по маршруту, проложенному по карте).

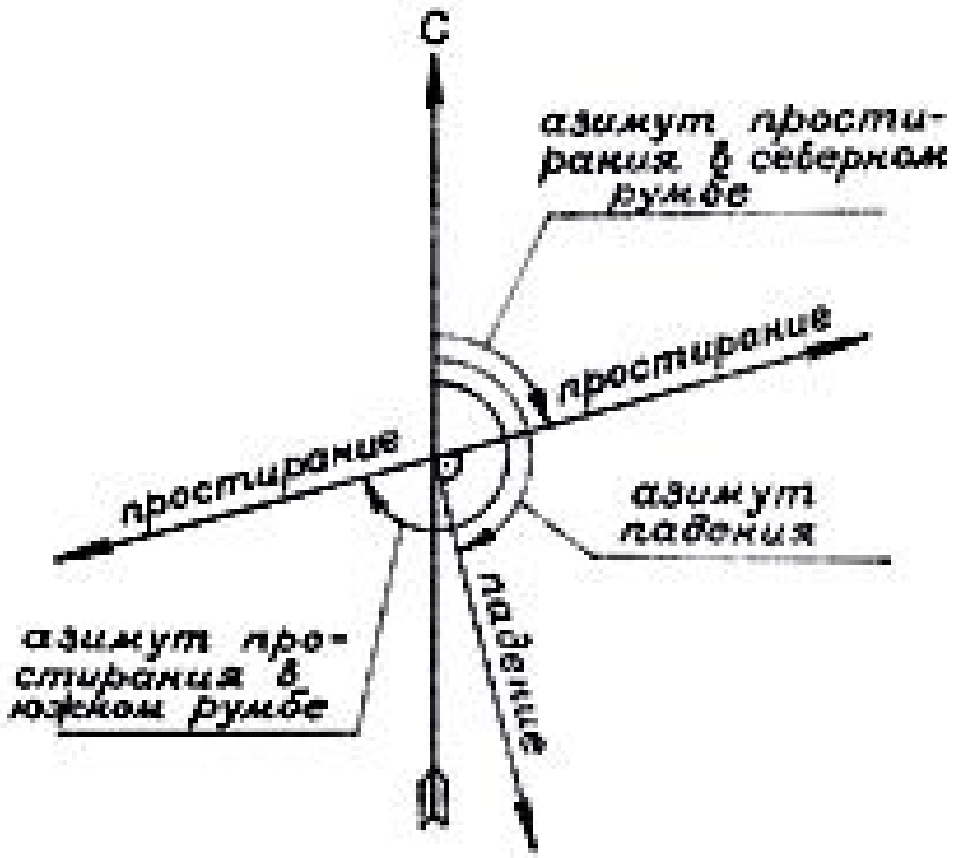

Рис. 2. Схема, поясняющая понятия азимута простирания, азимута падения и соотношения между ними.

Поскольку склонение магнитной стрелки в Сухоложском районе: восточное 13°, то зависимость между магнитным и истинным азимутами приобретает вид:

$$А_и = А_м + 13,$$

где $А_и$ - истинный азимут; $А_м$ - магнитный азимут.

2.2.3. Правила определения элементов залегания наклонных поверхностей

Чтобы определить азимут падения наклонной поверхности, необходимо: при горизонтальном положении лимба, приложить компас короткой стороной основания к измеряемой поверхности так, чтобы ноль лимба был направлен в сторону погружения данной поверхности и против северного конца магнитной стрелки снять отсчёт. При этом необходимо обращать внимание на направление увеличения числовых значений градусных делений шкалы лимба.

Чтобы определить азимут простирания наклонной поверхности, необходимо: при горизонтальном положении лимба приложить компас длинной стороной основания измеряемой поверхности и против одного из концов магнитной стрелки снять отсчёт. Предпочтение отдаётся отсчёту в северных румбах.

Чтобы определить угол падения поверхности, необходимо: компас поставить «на ребро» так, чтобы свободно висел его клинометр и прижать основание компаса длинной стороной к измеряемой поверхности; покачивая компас, определить максимальный угол отклонения клинометра. Это и будет угол падения данной поверхности.

Горизонтальность лимба магнитной стрелки является обязательным условием правильного определения азимутов падения и простирания геологических поверхностей. В некоторых моделях компасов (восновном в старых) горизонтальность лимба достигается "на глаз"; в новых - с помощью уровня, вмонтированного в корпус компаса.

Для начинающих, во избежание больших ошибок (особенно при измерении ориентировки полого залегающих поверхностей) рекомендуется предварительно проводить на изучаемой поверхности линию простирания, а затем при определении азимутов падения и простирания к ней прикладывать компас. При такой установке компаса легче достигается горизонтальность лимба.

Линия простирания легко проводится с помощью компаса. Компас ставится "на ребро", прижимается к измеряемой поверхности в положении, при котором клинометр показывает нулевой отсчёт, и параллельно длинной стороне основания проводится линия.

При измерении угла падения, в таком случае, компас в положении "на ребро" прикладывается длинной стороной основания к измеряемой поверхности перпендикулярно к линии простирания.

Запись замерянных элементов залегания ведётся сокращённо в следующем виде: Аз. пр. 55; Аз. пад. 145, /. 60 {Азимут простирания - 55°, азимут падения - 145°, угол падения - 60°).

При сокращённой записи знак градусов около цифр не ставится. Иногда перед значением азимута буквенными знаками указываются румбы: Аз. пр. СВ 55. Аз. пад. ЮВ 145, 60.

Как указывалось выше, в записях можно ограничиться двумя компонентами - азимутом падения и углом наклона. Но на первом этапе практики студенты, в целях приобретения навыков в определений элементов залегания и для контроля точности определения, измеряют все три компоненты.

2.2.4. Определение превышений точек рельефа

Определение превышений точек рельефа с помощью горного компаса можно производить двумя способами: I) путём последовательного подъёма по склону с фиксированием точек стояния через известный вертикальный интервал; 2) путём измерения угла наклона поверхности и расстояния до точки, превышение которой необходимо определить.

При первом способе превышение между двумя точками определяется следующим образом: начиная с точки, имеющей более низкую относительную отметку, исполнитель визирует длинную сторону вертикально расположенного компаса в направлении второй точки, следя при этом, чтобы клинометр находился "на нуле". Таким способом провешивается горизонтальная линия и на рельефе местности замечается место, куда она «уткнулась». Перейдя на это место, исполнитель провешивает новую горизонтальную линию, снова переходит на место её "утыкания" в склон и так делает необходимое количество раз, пока не дойдёт до второй точки. Превышение между точками равно количеству стоянок между ними, помноженному на высоту исполнителя до глаз плюс ещё какой-то отрезок, если последняя провешенная линия уткнулась в склон ниже или выше второй точки).

При втором способе определения превышений с помощью эклиметра компаса измеряется угол наклона склона вдоль направления, соединяющего точки, затем

измеряется расстояние между точками по склону, и по табличке, приложенной к компасу (или путём расчёта по формуле: $h = l \sin a$, где h - превышение между точками; l - расстояние между точками по склону; a - угол наклона склона), определяется искомое превышение между точками.

2.2.5. Привязка точек наблюдения

Необходимым условием проведения полевых работ является достаточно точное определение положения в пространстве всех точек наблюдения - обнажений горных пород, пунктов геоморфологических, гидрогеологических и других наблюдений.

Привязкой точки наблюдений называется совокупность операций по определению положения её относительно тех или иных реперов, обозначенных на топографической карте и опознанных на местности и нанесение ее на карту.

В зависимости от необходимой точности определения положения точки наблюдений на карте, привязка может быть схематичной, глазомерной и инструментальной. Первые два вида привязок применяют, главным образом, при маршрутных геологических исследованиях, а инструментальную – для привязки скважин, горных выработок и сети геофизических наблюдений.

Во время геологической практики привязку точек наблюдений студенты осуществляют схематически или глазомерно.

Схематическая привязка состоит в определении «на глаз» местоположения точки наблюдений среди характерных элементов рельефа и гидросети (а также объектов, созданных природой или человеком), и в нанесении точки наблюдений среди этих же объектов, опознанных на топографической карте.

Как видно из приведённого положения, использование компаса при схематической привязке точек наблюдений не обязательно. Компас используется при глазомерной привязке, которая может быть осуществлена двумя способами.

При первом способе **глазомерная привязка** состоит в определении местоположения точки наблюдений относительно характерного элемента рельефа или объекта путём проведения вспомогательного хода на местности и в последующем нанесении этого хода и точки обнажения на топографическую карту. Направление хода определяют горным компасом, а длину - шагами (см. стр.). Если привязка точки наблюдений при помощи одного измерения почему-либо невозможна (репер закрыт лесом или горой), то привязочный ход разбивают на несколько, используя промежуточные пикеты. Запись измерений производят в полевой книжке по форме (см. ниже Схему привязочного хода).

При привязке глазомерным способом во время проведения детальной геологической съёмки следует избегать "висячих" незаконченных ходов; нужно заканчивать их либо на другом нанесённом на карту репере, либо делать ходы замкнутыми.

Глазомерная привязка точек наблюдения вторым способом (способом «засечек») осуществляется следующим образом: с точки наблюдения на реперы (характерные формы рельефа или иные объекты) берутся обратные азимуты (азимуты направлений с репера на себя), затем на карте с этих же реперов проводятся лучи (с учетом магнитного склонения) по направлению обратных азимутов и на их пересечении наносится искомая точка наблюдения.

Схема привязочного хода

Направление хода	Азимут хода	Угол превышения пикета, град.	Расстояние между пикетами, м.	Проложение между пикетами, м.
Репер-пикет 1	ЮЗ 250	+ 5	100 п.ш. (165 м.)	165
Пикет 1-пикет 2	СЗ 300	+ 15	200 п.ш. (330 м.)	318
Пикет 2- пикет 3	СВ 40	+ 5	80 п.ш.(133 м.) (п.ш. - пары шагов)	133

Удобство этого способа привязки состоит в том, что не требуется измерять расстояния. Для соблюдения достаточной точности нанесения точки наблюдений на карту необходимо следить, чтобы углы между лучами засечек были возможно ближе к прямым. При наличии тупых или острых углов возможны значительные ошибки в нанесении точки наблюдений.

Как было сказано выше, при глазомерной привязке, расстояния между пикетами (или точкой наблюдений и репером) измеряются шагами. С этой целью определяется масштаб шагов, для чего на местности рулеткой или мерной лентой измеряется расстояние, равное 100 м., а затем определяется количество пар шагов, уложившихся в это расстояние. Желательно также определить количество пар шагов, укладывающихся в стометровый интервал при спуске и подъеме по склону. Выполненные измерения целесообразно свести в таблицу (см. табл. 1).

Таблица 1

Пример масштаба шагов

На ровном месте								
Метры	100	50	30	20	10	5	3	2
Пары шагов	62,0	31,0	18,5	12,5	6,2	3,1	1,9	1,2
Вверх по склону (10^0)								
Метры	100	50	30	20	10	5	3	2
Пары шагов	65,0	32,5	19,5	13,0	6,5	3,2	2,1	1,3
Вниз по склону (10^0)								
Метры	100	50	30	20	10	5	3	2
Пары шагов	59,0	29,5	17,7	11,8	5,9	2,9	1,5	1,2

Инструментальная привязка осуществляется топопривязчиком (рис. 3) по прилагаемой инструкции.

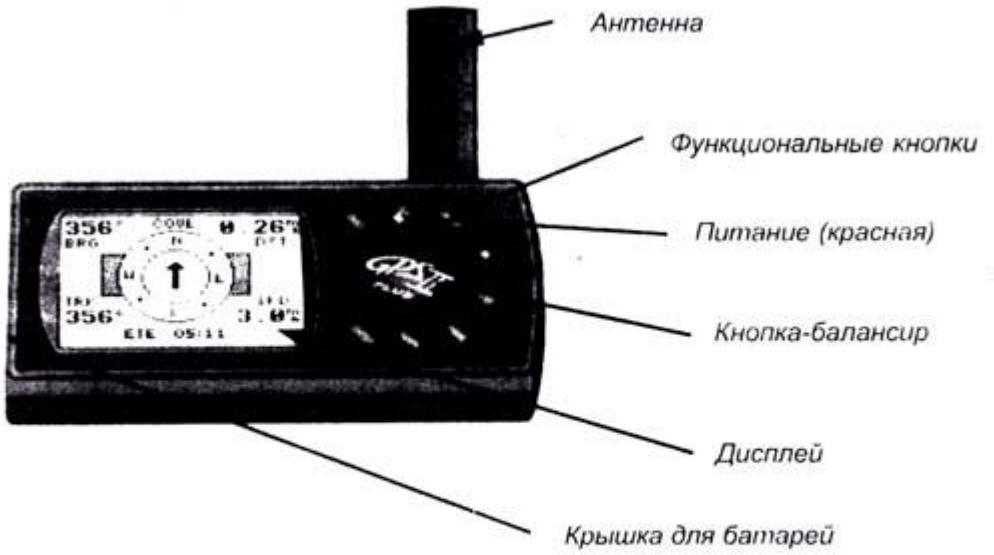
Антенна
Функциональные кнопки
Питание (красная)
Кнопка-балансир
Дисплей
Крышка для батарей


Антенна
Функциональные кнопки
Питание (красная)
Кнопка-балансир
Дисплей
Крышка для батарей
COVE
356° 0.24
BRG DST
N
W E
S
TRK SPD
356° 3.0
ETE 04:52

2.3. Изучение обнажений горных пород

Обнажением называется всякий выход горных пород на поверхность земли.

Обнажения массивных (кристаллических или сцементированных) горных пород называются коренными выходами, если они не разбиты трещинами выветривания на отдельные кусочки и блоки, претерпевшие перемещение на дневной поверхности.

2.3.1. Типы обнажений горных пород

Обнажения бывают естественными и искусственными.

Естественные обнажения (те, что возникли без вмешательства человека) могут быть самых различных типов: сплошные площадные выходы коренных и рыхлых пород; скальные выходы коренных пород; выходы коренных и рыхлых пород в обрывах склонов речных долин; выходы коренных и рыхлых пород в руслах рек, ручьев, промоин и рытвин, в карстовых воронках, провалах и в оползневых обвалах; каменные россыпи (развалы); высыпки (скопления мелких обломков пород на поверхности подстилающих их коренных пород того же состава).

Искусственными обнажениями называются всякие следы деятельности человека, приводящие к вскрытию горных пород. Сюда относятся специальные горные выработки, проходимые с целью вскрытия горных пород: шурфы, канавы, штольни, шахты, карьеры, различные котлованы, колодцы, траншеи. Нередко искусственные обнажения являются единственно возможными пунктами изучения горных пород.

Все обнажения по их значению для геологической съёмки можно подразделить на опорные (или главные) и промежуточные.

Опорными называются обнажения, по которым составляется представление о характере геологического разреза, фациальных изменениях слагающих его толщ, о возрастных соотношениях между ними, о расположении основных геологических границ и маркирующих горизонтах, о различных видах тектонических нарушений; обнажения с признаками полезных ископаемых.

Промежуточными можно назвать все остальные обнажения, фиксирующие распространение той или иной толщи пород.

В процессе полевых работ документируются как опорные, так и промежуточные обнажения, но приёмы документирования их несколько отличны. Опорные обнажения изучаются подробно, промежуточные - более схематично.

Документирование опорных обнажений слагается из следующих операций: I - привязка обнажения; 2 - определение пород, слагающих обнажение, и их взаимоотношений, 3 - определение элементов залегания пород, 4 - составление зарисовки обнажения, 5 - взятие образцов пород, 6 - отбор полезных ископаемых.

2.3.2. Привязка обнажений

Привязка обнажений ничем не отличается от изложенной выше привязки точек наблюдений, поскольку очень часто обнажение идентифицируется с точкой наблюдений (хотя необходимо отметить, что понятие "точка наблюдений" более широкое, чем понятие "обнажение"). Нередко крупное обнажение может включать несколько точек наблюдений, и тогда его привязка будет выглядеть, как привязка некоторого количества точек, расположенных по контуру обнажения. Именно с такой ситуацией часто встречаются студенты во время ведения площадной геологической съёмки. Нередко также точка наблюдений включает несколько небольших сближенных обнажений. Так же, как и

привязку точек наблюдений, привязку обнажений студенты осуществляют **схематически либо глазомерно** (обоими рассмотренными ранее способами), либо топопривязчиком.

2.3.3. Описание горных пород

При осмотре обнажения прежде всего нужно убедиться, что оно не представляет какую-либо глыбу, скатившуюся сверху, или оползень, так как в этом случае все наблюдения относительно условий залегания горных пород могут привести к ложным заключениям. Затем нужно обойти всё обнажение, чтобы получить общее представление об обнажённых породах и структурах и решить, какую часть выхода следует изучать наиболее детально. После этого можно приступить к определению и описанию породы или пород, которыми сложено обнажение.

При описании обнажений осадочных пород указывается следующее: наблюдается ли в породах слоистость; если да, то какие её разновидности - по форме слоев (параллельная, линзовидная или косая), по мощности отдельных слоев (грубая, мелкая, тонкая), по соотношению мощности слоев (равномерная, неравномерная), указывается характер границ слоев (чёткие или нечёткие); строение поверхностей наслоения (наличие знаков ряби или гиероглифов); текстурно-структурные особенности всех разновидностей горных пород и мощность сложенных ими прослоев.

При описании обнажений вулканогенных пород указывается следующее: фациальный тип пород (пирокластическая или лавовая фация); наличие или отсутствие слоистости в пирокластических породах и полосчатости, флюидальности или пористости в лавах; форма и строение кровли и подошвы лавовых потоков и покровов; наличие отдельности, её вид (шаровая, подушечная, плитчатая, столбчатая) и ориентировка; структура и состав пород, состав вкрапленников и обломков; размеры и ориентировка тел.

При описании интрузивных и жильных пород отмечается форма и размер тела, тип контактов (магматический, стратиграфический или тектонический); строение эндо- и экзоконтактовых зон; наличие, форма, размер и ориентировка шлиров и ксенолитов.

Для всех пород, наблюдаемых в обнажении, указывается их цвет и облик в свежем сколе и на выветрелой поверхности. Обязательно фиксируются элементы залегания слоистости и контактов.

2.3.4. Наблюдение структурных элементов

Параллельно с описанием горных пород на обнажении производятся наблюдения над складчатыми и разрывными дислокациями

При описании складчатых дислокаций указываются: форма и размер складок, форма их замков (плавная или угловатая, а также угол сочленения крыльев в замке), форма и ориентировка осевых поверхностей и шарниров складок, симметрия - асимметрия крыльев, соотношение мощности слоев на крыльях и в замках складок; характер мелких осложняющих складок и их ориентировка, генетический тип складок.

При описании разломов, если таковые замечены в обнажении, отмечается следующее: тип разрыва и направление смещения блоков вдоль сместителя; строение шовной зоны (интенсивная трещиноватость, дробление, рассланцевание или смятие); наличие глинки трения и поверхностей скольжения в шовной зоне; наличие оперяющих трещин и их ориентировка; тип коры выветривания над разрывным нарушением (структурная, зона каолинизации и пр.); характер проявления разрывного нарушения в рельефе (лог, уступ, гряда); ориентировка сместителя и штрихов скольжения на поверхности сместителя.

Описание трещиноватости горных пород ведётся по-разному в зависимости от поставленной задачи. При проведении рекогносцировочных маршрутов и в процессе проведения маршрутной съёмки даётся только общая характеристика систем трещин с указанием их ориентировки, кинематического типа (отрыва или скалывания), ориентировки штрихов скольжения, минерального заполнения, удельной плотности (количества трещин на I метр длины в направлении, перпендикулярном плоскостям трещин) и возрастных соотношений.

Если в задачу исследования входит детальное описание трещиноватости с последующим специальным анализом, то наблюдения ведутся по указанной выше схеме над каждой встреченной в обнажении трещиной. Наблюдения заносятся в таблицу (см. табл.2).

Таблица 2

№ п.п.	Азимут и угол падения	Кине-матиче-ский тип	Ориенти-ровка штрихов скольже-ния	Минераль ное заполне-ние	Сте - пень приотк-рыва - ния	Сведения о пересечении с другими трещинами	Примечания
1	132, 48	Скалы-вания	Аз. погруж. 120, 42	__	Закры-тая	___	Сопровождается незначительным рассланцеванием параллельно стенкам
220	220, 85	Отры-ва	____	Крупнок-ристали-ческий кальцит	До 3см	Пересекает 1-ю	

2.3.5. Отбор образцов горных пород

Одновременно с изучением обнажения производится отбор образцов пород и встречающейся в них ископаемой фауны и флоры. Отбираемые образцы должны дать полное представление о характере пород и об их изменениях вследствие различных геологических процессов.

Каждый образец представляет собой ту или иную породу, слагающую данный пласт, прослой, жилу и т.п. Отбор образцов не должен быть случайным, искажающим действительные соотношения между породами в обнажении. Необходимо отбирать образци, характерные для данного слоя, жилы, в которых были бы представлены обычные для них соотношения минералов, текстурные и структурные особенности, минерализация и т.п. Место отбора образцов определяют только после внимательного изучения обнажения. В качестве образца берут свежую, не измененную процессами выветривания, породу. Не обязательно придавать образцу правильную изометрическую форму. Естественная форма обломков является важным текстурным признаком породы. Нужно лишь притупить молотком острые режущие края образца. Образцы берутся различных размеров, в зависимости от их назначения. Обычный размер образцов

колеблется от 4х 6 до 9х12 см. Однако при необходимости проиллюстрировать переход одной породы в другую, изменение минерализации пород около рудных жил, распределение ископаемой фауны и т.п. приходится отбирать штуфные образцы размером до 30х30 см и даже больше.

Отобранные образцы этикетируются на месте их отбора. При этом на образец наклеивается кусочек лейкопластыря с указанием номера образца, номера бригады и наименования учебной группы (рис. 4).

В целях облегчения поиска привязки образца, его номер должен соответствовать номеру обнажения, на котором взят образец. При отборе нескольких образцов из одного обнажения, им присваивается один номер с добавлением буквенных или цифровых индексов, служащих для различия образцов между собой.

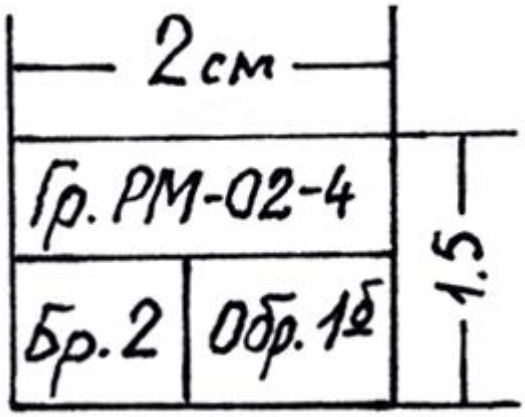

Рис. 4. Форма и содержание этикетки, наклеиваемой на образец.

При документировании опорных обнажений образцы отбирают из каждой литологической разновидности пород.

Часто студенты бывают в затруднительном положении при определении достаточного и необходимого количества образцов, отбираемых за время выполнения самостоятельного задания: нельзя оставить ни одной разновидности пород, не представленной образцом; нежелательно иметь и несколько образцов из каждой разновидности пород. Запомнить же, из какой разновидности уже взяты образцы, не всегда удаётся. А поэтому лучше брать образцы из всех разновидностей пород обнажения, а уже на базе, при камеральной обработке, лишние сократить.

2.3.6. Зарисовка обнажения

В целях лучшего восприятия другим лицом описания обнажения, а также, в какой-то мере, в качестве компенсации субъективизма при его описании, наиболее информативные обнажения или их фрагменты зарисовываются или фотографируются. Чаще всего зарисовку или фотографию делают по фронту обнажения.

При простом строении обнажения достаточно провести через него несколько мысленных вертикальных линий, на которых определяется положение геологических границ и структура обнажения относительно какого-то принятого базиса (подножия склона, границы зарисовываемого фрагмента). Эти вертикальные линии в определённом масштабе наносятся на зарисовку, а затем, по мысленно отмеченным на них точкам {пересечениям этих линий с геологическими границами и контурами обнажения), рисуется контур обнажения и геологическая ситуация (см. рис. 5).

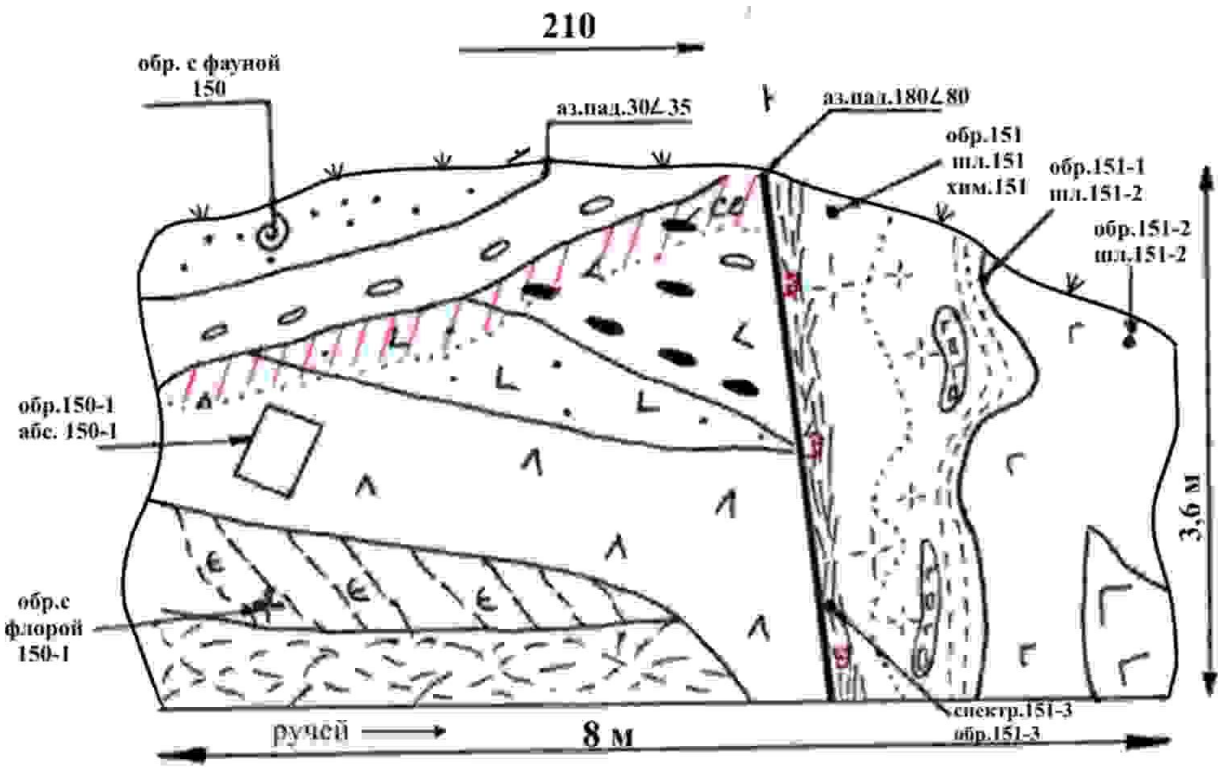

Рис. 5. Пример зарисовки обнажения

При сложном строении обнажения его необходимо разделить на квадраты удобной величины. Сетку можно нанести мелом или каким-либо подсобным материалом. Такая же сетка в определённом масштабе наносится на зарисовку и по ней, как и в предыдущем случае, отрисовывается геологическая ситуация.

При исполнении зарисовки следует широко пользоваться условными значками, отражающими состав горных пород, их текстурные и структурные особенности. Используемые условные знаки должны иметь пояснения.

Зарисовка обнажения может быть дополнена или заменена его фотографией. Фотография имеет некоторые преимущества перед зарисовкой: малые затраты времени, точность воспроизведения объекта, объективность изображения геологической ситуации. К недостаткам относятся: невозможность отражения состава пород, невозможность получения качественного фотоснимка в случае плохого или неудачного освещения, трудность в отображении на фотографии слабо заметных, но важных деталей.

С другой стороны, зарисовка по некоторым аспектам имеет преимущества перед фотографией: полное отражение особенностей строения объекта на основе его углубленного изучения, возможность подчеркнуть главное в воспроизводимом объекте.

Если обнажение сфотографировано, то в полевой книжке и в журнале образцов обязательно должны быть сделаны пометки, указывающие номер пленки и кадра.

Пример ведения дневника маршрутов

Этикетка

Уральский государственный горный университет
Название организации

ГПР МПИ, РМ-03-1, № 2
Название кафедры (партии), группы, отряда

Полевой дневник № 1
Документация маршрутов
т.н. 1-52
Студент Трешкин П.И.

2005г.

Титульный лист
Название организации
Название кафедры (партии), отряда, группы

Дневник № 1

Номенклатура планшета (ов): W-49-43-Б
Родин Иван Петрович
Фамилия, имя, отчество исследователя
Начат 30 мая 2005г.
Окончен 23 июля 2005г.
С т.н. 1 по т.н. 52
Примечание: В случае нахождения дневника просьба вернуть по адресу:
620144 г.Екатеринбург, ул.Куйбышева 30, ОХНИР
к.3319 Родину И.П.
Азимуты магнитные (или истинные с учетом поправки).

Оглавление

№ мар-шру-та	Дата	№ точек набл.	Стр.	Привязка	Объемы				
					Протяжен-ность маршрута, км	Пешие переходы, км	пробы		
							на спектр. ан.	на химич. ан	для опред. абс. возраста
1	15.07.05	1-7	2-5	Северный склон г.Крутой в бассейне руч. Верного	4,5	3	26	5	2
2	16.07.05	8-12	6-11	Верхнее течение руч. Кривого к югу от д. Слюдянки	5,0	4	20	3	1
				Итого:	9,5	7	46	8	3
1			3	Рисунки в дневнике					
2			8						

Условные обозначения и сокращения, применяемые при описании маршрутов

Описание маршрута

Дата
04,08,05

Участок: Савинский
Масштаб работ: 1: 10 000

Маршрут № 1

Цель: Уточнение геологического строения в бассейне руч. Верного, опробование измененных пород, сбор фауны для уточнения возраста известняков.

Привязка маршрута: Проходит на северном склоне горы Крутой в бассейне руч. Верного, в 120 м от высоты 435,0 по аз. 320.

Номенклатура карты: W-49-43-Б

Аэрофотоматериалы (АФС):

Фотоснимки: №№ 4109-4211

Т.н. 05-1 находится в устье руч. Крутого, впадающего в р. Пышму (правый приток) (по топопривязчику: северная широта…., восточная долгота….).

Коренной выход базальтов темно-зеленого цвета массивной текстуры (рис.№ 1).

Вкрапленники (15%) – плагиоклаз таблитчатой субизометричной формы, размером 1-3 мм; роговая обманка – черного цвета вытянутой формы. Основная масса – скрытокристаллическая, зеленого цвета. Миндалины – округлой формы, диаметр 1-3 см, выполнены кальцитом и хлоритом. Наблюдается 2 системы трещин: замеры трещин, густота, характеристика (поверхности трещин, формы, материал заполнения, соотношения по возрасту) обр. 1, шл.1.

Далее ход по аз. 50.

0-150 м в интервале глыбовые развалы (делювий) аналогичных миндалекаменных базальтов. К концу интервала (со 100 м) базальты имеют брекчиевую текстуру обр.1-1, шл.1-1.

150-200 м крупноглыбовый делювий андезитов (характеристика андезитов) – обр. 1-2, шл. 1-2.

200-350 м задернованно. Пойма мелкого ручья, заросшего густой травой.

В 360 м – на правом борту ручья коренной выход темно-серых до черных битуминозных известняков тонкослоистых. Породы катаклазированы, трещины катаклаза выполнены ветвящимися жилками мелкозернистого кальцита с редкой вкрапленностью бледно-фиолетового флюорита (рис.2) обр. 1-3, проба на спектр. ан. – 1-3, шл. 1-3.
Аз. пад. слоистости 120∠ 20-30

360-450 м редкие делювиальные глыбы светло-серых известняков нечеткослоистых с обильной фауной брахиопод. Образцы с фауной отобраны: обр. 1-4 с 380 м
обр. 1-5 с 450 м

450-500 м кора выветривания по гранитам. В высыпках нор сусликов – дресва крупнозернистых гранитов биотитовых и щебень мелкозернистых аплитов.

Т.н. 05-2 находтся в 500 м от т.н. 1 по аз. 50

Вершина сопки. Останец выветрелых крупнозернистых гранитов. В породах отчетливо выражена матрасовидная отдельность – обр.2.
Аз. пад. отдельности 360∠ 20.

В гранитах ксенолиты мраморизованных известняков.

Маршрут окончен. Пройдено:…..км

Отобрано: образцов - …. .
шлифов - ……
проб - ……

Подпись исполнителя.

Вывод по маршруту № 1

В маршруте встречены три комплекса пород: вулканогенная толща среднего-основного состава, представленная фацией текучих лав; толща известковистого состава (морские отложения) и интрузивные породы кислого состава. Наличие катаклазированных пород указывает на тектонический контакт известняков и вулканитов. Предположительно разлом имеет северо-восточное простирание (судя по прямолинейной долине ручья). Предварительно возраст известняков – девонский. Такой вывод можно сделать по комплексу встреченной фауны. Известняки прорываются гранитами. Контакт активный. Возраст гранитов моложе возраста осадочной толщи (постдевонский).

По гранитам развита кора выветривания, представленная зоной дезинтеграции. В поисковом отношении интерес представляет зона разлома, к которому приурочен ручей. Рекомендуется провести шлиховое опробование по данному водотоку.

2.4. Первичная обработка полевых материалов

Первичная обработка полевых материалов в условиях учебной геологосъемочной практики производится на базе после возвращения из маршрута или с участка площадной съемки. Она заключается в обработке коллекций горных пород и полевых книжек, а так же в обработке замеров ориентировки различных структурных элементов.

2.4.1. Обработка коллекций горных пород и корректура полевых книжек

Предварительная обработка коллекций горных пород включает в себя: 1 – окончательные определения горных пород и ископаемых органических остатков, собранных при полевых исследованиях; 2 – принятие одного названия для одних и тех же горных пород, задокументированных различными съемочными парами; 3 – сокращение

излишних образцов; 4 – занесение оставшихся образцов в специальный журнал (каталог образцов).

В первую очередь окончательного определения требуют те породы, при описании которых у практикантов были сомнения в точности данных им названий. Эти сомнения могли возникнуть по причине недостаточной выразительности структуры или текстуры пород, либо из-за трудности определения их минерального состава. На базе, при наличии бинокулярного микроскопа, соляной кислоты, а также эталонной коллекции горных пород со шлифами, диагностику пород можно сделать более точно.

Затем сравниваются породы, задокументированные всеми съемочными парами и при наличии одинаковых признаков, породе дается одно название.

На базе, в стационарных условиях, производится препарирование ископаемых органических остатков и дается окончательное определение их с помощью атласов ископаемых форм.

Результаты полевых наблюдений должны быть показаны руководителю практики, при необходимости откорректированы при его участии, и только после этого они становятся пригодными для дальнейшей камеральной обработки. Возможные лишние образцы пород сокращаются, а оставшиеся заносятся в каталог, составленный по стандартной форме (Табл. 3).

Таблица 3

№ п/п	№ образца	Название породы	Привязка обнажения	Примечание
31	12/а	Тонкослоистый зеленовато-серый псаммитовый туф	Левый берег р. Пышмы в 900 м выше устья рч. Рудянки	Сопоставить с обр. 4/е

В результате первичной обработки полевых материалов в полевую книжку вносятся исправления с учетом изменений в диагностике пород и, возможно, в интерпретацию полевых наблюдений.

2.4.2. Обработка замеров ориентировки плоскостных структурных элементов

Первичная обработка массовых замеров ориентировки различных структурных элементов состоит в построении диаграмм их ориентировки. В настоящее время наиболее широкое применение в изображении ориентировки структурных элементов приобрели круговые точечные диаграммы.

Нанесение замеров на круговую диаграмму производится с помощью трафарета, представляющего собой окружность, разбитую на 360 градусов и проградуированную в направлении против часовой стрелки, с радиусом, разбитым на 90 градусов и проградуированным в направлении от центра окружности к периферии. Радиус трафарета проведен через точку начала отсчета азимутов на трафарете.

Диаграмма ориентировки трещин строится на кальке, которая накалывается на иглу в центре трафарета. На кальке по трафарету проводится окружность, а на окружности черта начала отсчета азимутов («север» диаграммы). Для нанесения на диаграмму ориентировки трещины «север» диаграммы устанавливается на окружности трафарета против цифры, соответствующей азимуту падения трещины, а на радиусе трафарета

ставится точка против цифры, соответствующей углу наклона трещины. Эта точка на диаграмме называется полюсом данной конкретной трещины и отражает ее элементы залегания. Трафарет может быть заменен стереографической проекцией (сеткой Шмидта или Вульфа).

После нанесения всех замеров диаграмма имеет вид круга с расположенными на нем полюсами трещин. Если полюса расположены неравномерно, то каждому участку их сгущения соответствует система трещин.

Для достижения большей наглядности и определенности диаграммы, на ней проводят изолинии плотности полюсов трещин, подсчитывая количество полюсов на 1 процент площади диаграммы.

Для этого в квадратике из плотной бумаги или тонкого картона вырезается круглое отверстие, размером в 1/10 радиуса диаграммы. Затем диаграмма с нанесенными на нее полюсами трещин накладывается на квадратную сетку со стороной ячейки, равной радиусу малого кружка; накрывается сверху еще одной чистой калькой; на каждое перекрестие подложенной сетки накладывается малый кружок (центром в перекрестье); подсчитывается количество полюсов, попавшее в кружок и в перекрестии ставится точка, а рядом с ней цифра, соответствующая количеству полюсов, попавших в кружок.

Определение плотности полюсов на периферии диаграммы производится с помощью приспособления, состоящего из двух малых кружков, расположенных на расстоянии друг от друга, равном диаметру диаграммы. В центре полоски есть узкая прорезь, через которую приспособление одевается на иглу трафарета. Для определения плотности полюсов трещин, при насаженном на иглу приспособлении, один из его кружков устанавливается центром в перекрестие сетки около ее периферии, и в этом перекрестии ставится точка и пишется цифра, отвечающая количеству полюсов, попавших в оба кружка.

После того, как по всему кругу определена плотность полюсов, на верхней кальке через точки с известной плотностью (а между точками методом интерполяции) проводятся изолинии плотности полюсов. При проведении изолиний на периферии диаграммы (где изолинии обрываются) необходимо помнить, что «выход» за пределы контура диаграммы и «вход» внутрь контура одой и той же изолинии должны располагаться на противоположных сторонах диаграммы, симметрично относительно ее центра. С помощью изолиний определяются центры тяжести максимумов полюсов трещин, по которым определяется ориентировка выделившихся систем трещин.

Для определения элементов залегания системы трещин диаграмма накалываетя на трафарет, центр максимума полюсов системы трещин совмещается с радиусом трафарета и на окружности трафарета, против отметки «север» диаграммы, снимается отсчет, соответствующий азимуту падения данной системы трещин, а на радиусе трафарета, против центра тяжести максимума, снимается отсчет, соответствующий углу ее падения.

3. Физико-географическая и геологическая характеристики Сухоложского района.

3.1. Физико-географический очерк

Сухоложский район Свердловской области расположен на восточном склоне Среднего Урала в переходной зоне от холмисто-увалистого рельефа Зауралья к Западно-Сибирской низменности. Поверхность района представляет собой всхолмленую

равнину с общей тенденцией погружения на восток с абсолютными отметками водоразделов 240 м. Граница крупного водораздела проходит северо-восточнее р Пышма.

Обнаженность района неравномерная. Палеозойские образования в виде коренных выходов наблюдаются преимущественно по долинам рек. Мезозойские отложения можно наблюдать в карьерах по добыче строительных материалов и в естественных разрезах в восточной части площади.

Главной водной артерией района является река Пышма с притоками Рефт и Кунара, принадлежащая к бассейну р. Оби.

По характеру растительности район относится к лесной и лесостепной зонам с уменьшением степени залесенности с севера на юг и со сменой сосновых лесов на лиственные.

Климат района континентальный с холодной зимой и прохладным летом. Среднегодовое количество осадков 500 мм. , из них на весенне-осенний период (апрель-октябрь) приходится 360 – 375 мм. Основными ветрами являются западные, средняя скорость ветра 4,4 м/с.

В административном отношении территория входит в состав Сухоложского района Свердловской области. Кроме города Сухого Лога на описываемой территории имеется ряд сел и деревень - Знаменское, Рудянское, Кашино, Курьи, Шата, Брусяна, Глядены, Мокрая. Город Сухой Лог связан с городом Екатеринбургом железной дорогой и асфальтированным шоссе. Населенные пункты в пределах площади связаны автобусным сообщением.

В экономическом отношении район является промышленно-сельскохозяйственным. Основные промышленные предприятия сосредоточены в г.СухойЛог – комбинат асбоцементных изделий, завод по переработке вторичных металлов, авторемонтный завод, бумажная фабрика. Цементный завод располагается за юго-восточной окраиной города.

Основное направление сельского хозяйства – земледелие и животноводство.

3.2. История геологического изучения района

Геологические исследования в Сухоложском районе были предприняты еше в позапрошлом столетии в связи с изучением углей, содержащихся в угленосной толще карбона. Они проводились под руководством А.П.Граматчикова. Результаты этих работ были опубликованы в 1852 году.

В 1880 году в “Горном журнале” была опубликована заметка о находке следов деятельности первобытного человека, населявшего известняковые пещеры на левом берегу р. Пышмы в районе г. Сухого Лога. Наиболее крупная из этих пешер носит имя Гебауэра.

Более полные сведения о геологии Сухоложского района содержатся в трудах А.П.Карпинского. Предварительные результаты работ были изложены им в кратких статьях в “Горном журнале” за 1880 год. Более полные данные его работ были опубликованы в монографии “Геологические исследования и разведки на восточном склоне Урала”, изданной в 1949 году. Наибольший интерес из них представляют описания обнажений по рекам Пышме, Шате, Брусяне Кунаре. А.П.Карпинским, в частности, был определен силурийский возраст известняков в верховьях р. Шаты, девонский возраст известняков на северо-восточной окраине с. Знаменского и в низовье р. Шаты, каменноугольный возраст известняков и песчаниково-сланцевых пород на р. Пышме в окрестностях тогдашнего с. Сухоложского. В пределах окрестностей с. Сухоложского

А.П.Карпинским отмечены признаки медных руд, описаны месторождения каменного угля, минеральных красок, каолиновых глин, трепела и других полезных ископаемых.

С 1920 по 1924 годы по поручению Геологического комитета в окрестностях села Сухоложского детальную геологическую съемку проводил И.И.Горский. Результатом этой съемки явилась геологическая карта окрестностей с. Сухоложского масштаба 1:21000. В отчете об этих работах приведены детальные описания обнажений по рр.Пышме, Шате, Ключ, Усолке и логам, впадающим в долину р. Пышмы.

В послевоенные годы изучением каменноугольных отложений района занимался А.А.Пронин. Результаты исследований вошли в монографию “Карбон восточного склона Среднего Урала”, опубликованную в 1960 г.

С начала 30-ых годов в окрестностях Сухого Лога проводится учебная геологическая практика студентов Свердловского горного института, а ныне Уральского государственного горного университета. Коллективом преподавателей кафедры Общей и динамической геологии под руководством А.А.Малахова и В.Е.Засыпкина на основе накопившегося материала о геологическом строении района было подготовлено и издано в 1954 году “Методическое руководство по учебной геологической практике в окрестностях Сухого Лога”, длительное время являвшееся основным пособием при проведении геологичской практики.

В 60-е годы Т.В.Дианової, а в 70-е и 90-е К.П.Плюсниным изучались вулканогенные образования района. Этими исследоватлями были предложены схемы расчленения вулканогенных толщ и определены наиболее крупные вулканические постройки.

В 1961 году под руководством Ю.П.Алексеева была закончена разведка Кунарского месторождения известняков, интенсивно разрабатываемого в последующие годы.

В 1972 году коллективом, возглавляемым М.Т.Собоевым, были закончены работы по составлению геологической карты масштаба 1: 50 000 восточной части Сухоложского района.

С 1973 по 1978 годы в западной части района под руководством В.П.Олерского проводилась геологическая съемка и доизучение масштаба 1 : 50 000. В результате работ составлены: геологическая карта полезных ископаемых, карта четвертичных образований. Эти материалы были положены в основу Государственной геологической карты СССР масштаба 1 : 200 000 листа О-41-XXVI (автор Грабежева Т.Г.), изданную в 1983 году.

Детальная разведка участка аргиллитов Ново-Сухоложского месторождения цементных глин проводилась в 1991 г. Б.М.Новоселовым.

С 1999 по 2002 годы на листе О-41-XXVI, в состав которого входит западная часть Сухоложского полигона, геологическое доизучение масштаба 1 : 200 000 производилась под руководством В.А. Рыбалко. Был составлен комплект карт и отчет по состоянию изученности на 01.01.2002г.

Сведения о глубинном строении территории (в т.ч. Сухоложского полигона) изложены А.Г.Кислицыным в отчете по теме «Переинтерпретация материалов гравиметрических съемок масштаба 1 : 50 000 на Среднем Урале» (1999г.).

Е.М.Ананьева завершила составление карты глубинного строения верхней части земной коры в масштабе 1 : 200 000 листа О-41-XXVI (Е.М.Ананьева, 2001).

Параллельно продожались исследования, проводимые сотрудниками кафедр Структурной геологии и Общей и исторической геологии и палеонтологии Свердловского горного института. По результатам работ производственных организаций и указанных кафедр СГИ были составлены “Учебная карта Сухоложского района” и учебное пособие “Учебная геологосъемочная практика”. Последующие работы сотрудников тех же кафедр по изучению строения вулканогенных и осадочных толщ, а также по фациальному и

петрохимическому расчленению вулканогенных пород района позволили составить более детальную геологическую карту, соответствующую современным геологическим представлениям, а также учебные пособия “В краю потухших вулканов” и “Учебная геологосъемочная практика”, 2004, «Геофизические исследования Сухоложского полигона в Зауралье», 2004. К Всероссийскому симпозиуму по вулканологии и палеовулканологии профессором В.Н.Огородниковым подготовлен путеводитель Среднеуральской геологической экскурсии, 2003.

3.3. Геологическое строение района

Территория Сухоложского полигона расположена в пределах Восточно-Уральской мегазоны, претерпевшей длительную эволюцию геологического строения.

Геополигон располагается в Алапаевско-Теченской зоне на границе двух подзон: Рефтинско-Каменской (западной) и Алапаевско-Айбыкульской (восточной).

Границей подзон принято считать Тыгишский разлом (ограничивающий с запада бекленищевскую свиту нижнего карбона).

В геологическом строении района практики принимают участие преимущественно осадочные и вулканогенные образования палеозойского возраста, в восточной части района перекрытые чехлом мезозой-кайнозойских недиагенизированных или слабо диагенезированных континентальных и морских отложений.

Интрузивные образования развиты в меньшей степени и представлены Рефтинским массивом раннедевонского возраста, а также малыми телами гипабиссального и субвулканического уровня глубинности девонского и каменноугольного возраста.

Район характеризуется напряженной тектоникой, следствием этого является складчато-чешуйчато-блоковое геологическое строение. Наиболее интенсивно дислоцированы и метаморфизованы дочетвертичные образования.

3.3.1. Стратиграфия

Стратиграфический разрез района представлен осадочными и вулканогенными образованиями палеозойской, мезозойской и кайнозойской эратем.

3.3.1.1. Палеозойская эратема

Палеозойская эратема представлена девонской и каменноугольной системами. Эти образования под покровом маломощных рыхлых четвертичных отложений развиты в западной и центральной частях района, а в восточной части района перекрыты мезо-кайнозойским чехлом. Значительную роль в составе палеозойских стратонов играют вулканогенные образования. Анализ строения, состава и последовательности залегания вулканогенных пород района позволяет выделить среди них разнотипные вулканогенные формации, которые по фациальному и петрохимическому составу и возрасту параллелизуются с типоморфными для Урала вулканогенными формациями Магнитогорского мегаблока.

Девонская система

Девонская система представлена средним и верхним отделами. Образования среднего отдела выделены под названиями: базальт-дацитовая толща (D_2bd) – в Рефтинско-Каменской подзоне; сухоложская толща (D_2sh) – в Алапаевско-Айбыкульской подзона. Средний-верхний отделы представлены маминской толщей (D_{2-3}mm). Верхний

отдел представлен кодинской свитой (D_3kd). Возраст стратонов определен по ископаемой фауне и флоре.

Средний отдел D_2

Базальт-дацитовая толща (D_2bd). Данная толща в пределах Сухоложского полигона имеет ограниченное распространение и тектонические контакты как с габброидами Рефтинского массива, так и с нижнекаменноугольными осадочными породами беклеищевской свиты.

На территории полигона толща представлена базальтами (в том числе миндалекаменными) и туфами базальтов. Породы интенсивно дислоцированы. Вторичные изменения представлены альбитизацией, хлоритизацией, актинолитизацией. Участками породы превращены в зеленые сланцы.

Сухоложская толща (D_2sh). Породы, слагающие сухоложскую толщу, обнажаются в северо-западной и юго-восточной частях геополигона. Толща локализована в пределах тектонических блоков, ориентированных в субмеридиональном направлении.

Нижняя часть толщи представлена осадочным типом разреза. В бассейне р. Шата скважинами К-331, К-348 вскрыты переслаивающиеся известняки с конгломератами, кремнистыми сланцами, песчаниками и алевролитами, гальки конгломератов представлены темно-серыми почти черными известняками. В алевритовом цементе конгломератов содержится микрофауна эйфельского возраста. Мощность пачки 350 м.

Верхняя часть сухоложской толщи представлена преимущественно вулканогенными образованиями. Толща сложена эффузивными, пирокластическими, осадочно-пирокластическими породами непрерывной базальт-андезит-дацит-риолитовой формации, а также вулканогенно-осадочными и осадочными породами. В строении преобладают базальты, андезибазальты, андезиты и их туфы. Преобладающим развитием пользуются эксплозивно-обломочные породы (туфы). По размерности обломков состав туфов изменчив – от алевритовых до псефитовых. Часто наблюдается переслаивание туфов с потоками лав того же состава, как правило, имеющими подушечное и шаровое строение. Потоки базальтов и андезибазальтов афирового строения редки. Вулканиты кислого состава имеют подчиненное значение в разрезах. Кислые лавы – это преимущественно порфировые разности, часто с лавобрекчиями в краевых частях. Пирокластические образования дацитового, риодацитового и риолитового состава представлены алевритовыми, ляппиллевыми и бомбовыми туфами.

В целом, сухоложская толща представлена вулканитами пестрого состава, характеризующихся быстрой фациальной сменой.

В южном направлении характер разреза сухоложской толщи изменяется, что выражается в увеличении объема осадочно-вулканогенных (менее 50% осадочного компонента) и вулканогенно-осадочных ассоциаций в комплексе с рифогенными известняками, песчаниками, кремнистыми сланцами биогенного происхождения.

В пределах развития сухоложской толщи сохраняются фрагменты вулканотектонических построек разного ранга.

В соответствии с петрографическим кодексом (1995г.) по имеющимся геолого-геофизическим данным в пределах геополигона выделяется два вулканических массива. Первый из них располагается в бассейне р. Рефт и его притока Винокурка. Ранее в 1975 году К.П.Плюснин выделил здесь Винокуровскую вулкано-тектоническую структуру центрального типа., которой соответствует положительная гравитационная аномалия. Винокуровский вулканический массив представлен миндалекаменными базальтами, андезитами и их туфами. На территории Сухоложского полигона располагается только южная часть Винокуровского массива. К югу от него выделяется Пышминский массив, характеризующийся слабо аномальным гравитационным полем. В пределах Пышминского

массива сохранятся фрагменты трех вулкано-тектонических структур центрального типа с признаками кальдерообразования и системой радиально-дуговых разломов. В пределах Пышминского вулканического массива исследованиями прошлых лет выделены вулканические постройки центрального типа (стратовулкан «Дивий камень» и другие). На геологической карте они выделены особым знаком. Жерловые и прижерловые фации представлены экструзивными и субвулканическими образованиями, агломератовыми бомбовыми туфами. В прижерловых образованиях наиболее часто проявлены процессы окварцевания, пиритизации, серицитизации. Промежуточные фации представлены преимущественно лавами в ассоциации с псаммитовыми пирокластическими отложениями. Удаленные (периферические) фации вулканитов развиты на геополигоне на южном склоне вулканогенной гряды. Они представлены вулканогенными обломочными породами, алевритовыми туфами в переслаивании с рифогенными и аккумулятивно-рифогенными известняками и морскими мелководными терригенно-осадочными отложениями.

Последние наблюдаются на руч. Брусяны ниже «Белого лога», в карьере у западной окраины села Знаменского, на левом склоне долины р. Пышмы между устьями руч. Брусяны и руч. Знаменка. Живетский возраст кремнистой пачки определен по остаткам фораминифер из известняковых прослоев.

Мощность сухоложской толщи составляет 750м.

Средний-верхний отделы D_{2-3}

Маминская толща (D_{2-3}mm). Толща представлена углисто-глинисто-кремнистыми породами темно-серого и черного цветов с прослоями известняков. Разрезы этих образований наблюдаются на р. Брусяна ниже «Белого Лога», в левом склоне долины р. Пышмы между устьями р. Брусяна и руч. Знаменка, а также в карьере у западной окраины села Знаменское. Мощность кремнистых сланцев 70 м. Взаимоотношения с нижележащими образованиями не ясны. Живетский возраст определен по остаткам фораменифер из прослоев известняков.

К югу от р. Шата разрез маминской толщи представлен светло-серыми и темно-серыми глинистыми известняками, живетский возраст отложений определен по фауне.

Южнее Сухоложского полигона в районе с. Кунарского и юго-западнее оз. Куртугуз в аналогичных кремнистых породах обнаружены конодонты верхнего девона (сборы А.В.Коровко, В.А.Рыбалко, определения Г.Н.Бороздиной).

Мощность маминской свиты – 150 м.

При современной степени изученности определить объем маминской толщи не представляется возможным. В стратотипических разрезах кремнистые породы переслаиваются с вулканитами неконтрастной базальт-андезитовой формации.

Верхний отдел D_3

Кодинская свита (D_3kd). Осадочные породы кодинской свиты локализованы в линейном тектоническом блоке и прослеживаются от южной до северной границы Сухоложского полигона. Разрез свиты можно наблюдать на р. Ключ и в борту р. Пышма. Состав свиты: алевролиты, алевропелиты, аргиллиты, песчаники, конгломераты, линзы известняков. Цвет пород – серый, бурый, зеленоватый, черный. Характерно частое переслаивание пород. Слоистость параллельная. Состав терригенного материала: кварц, плагиоклаз, кремнистые породы, риолиты, дациты, пемзы.

Возраст свиты определен по брахиоподам, фораминиферам, водорослям, спорам растений как позднедевонский в объеме франа.

Мощность свиты 700 м.

Каменноугольная система

Каменноугольная система сложена преимущественно терригенными и карбонатными отложенияи с небольшим количеством вулканогенных образований в западной части района и представлена нижним и средним отделами.

Нижний отдел C_1

Стратоны нижнего отдела каменноугольной системы представлены бекленищевской (C_1bk), егоршинской и бурсунской (C_1eg+C_1br), исетской (C_1is) свитами.

Бекленищевская свита (C_1bk). Свита располагается в западной части Сухоложского полигона и прослеживается в пределах тектонического блока близмеридиональной ориентировки от оз. Куртугуз до приустьевой части р. Рефт. Свита представлена пестрым фациальным комплексом осадочных и вулканогенно-осадочных пород морского генезиса.

Нижняя часть разреза бекленищевской свиты не имеет естественных выходов на дневную поверхность. Свита изучена несколькими профилями скважин, где наблюдалось сложное переслаивание темно-серых до черных алевролитов и аргиллитов с маломощными прослоями песчаников и редкими отпечатками обугленного растительного детрита. Фаунистически эта часть разреза не охарактеризована.

Вверх по разрезу постепенно увеличивается карбонатность пород. Эта часть представлена переслаивающимися серыми и темно-серыми глинистыми и глинисто-известковистыми аргиллитами, полимиктовыми песчаниками, реже конгломератами, а также прослоями туфов и туффитов, мергелей и известняков.

Карбонатно-терригенный разрез свиты фациально замещается вулканогенно-осадочным комплексом пород. Наиболее представительные выходы этих пород располагаются в приустьевой части р. Рефт. В обломках из конглобрекчий определены фораминиферы, свидетельствующие о визейском возрасте (определения Т.Н.Степановой).

Мощность бекленещевской свиты составляет 800 м.

Егоршинская и бурсунская свиты объединенные (C_1eg+C_1br). Континентальные угленосные образования егоршинской и бурсунской свит прослеживаются в узком клиновидном тектоническом блоке вдоль железной дороги. Разрез этих свит можно наблюдать по р. Пышма между ручьями Ключ и Крутой Лог.

Егоршинская свита сложена переслаивающимися темно-серыми до черных глинистыми, углисто-глинистыми и углистыми аргиллитами, алевролитами, серыми и темно-серыми песчаниками и конгломератами. Характерно обилие флористических остатков, наличие маломощных пластов угля, быстрая смена фаций и сложное тектоническое строение. Мощность свиты 350-500 м.

Безугольные отложения *бурсунской свиты* залегают согласно на угленосных породах егоршинской свиты, представлены зеленовато-сероцветными грубообломочными отложениями с бедными органическими остатками. Характерно появление известковистых разновидностей. Мощность свиты 300-500 м.

Возрастная датировка объединенных егоршинской и бурсунской свит – верхнее турне – низы верхнего визе (включая жуковский горизонт). Данные свиты являются возрастным аналогом средней и верхней частей бекленищевской свиты.

Исетская свита (C_1is). Свита имеет широкое площадное распространение в восточной части Сухоложского полигона. Разрез свиты можно наблюдать по р.р. Пышма, Кунара, в Кунарском карьере известняков, в приустьевой части р. Рефт. Вблизи железнодорожного моста через р. Пышма наблюдалось согласное налегание известняков на терригенные породы бурсунской свиты. В пределах листа О-41-XVI взаимоотношения бурсунской и исетской свит установлено в ряде скважин (Олерский, 1978).

Исетская свита представлена преимущественно известняками. В известниках встречается обильная фауна одиночных и колониальных кораллов и брахиопод. Известняки слоистые и массивные, в верхней части разреза породы доломитизированы и брекчированы (известняковые брекчии) с прослоями мергелей. В нижней части разреза преобладают битуминозные известняки с линзами кремней.

По комплексу фауны возраст исетской свиты установлен как визейский – серпуховский.

Мощность свиты – 450 м.

Средний отдел C_2

Щербаковская свита (C_2šc). Свита имеет ограниченное распространение в бассейне р. Кунара. Породы свиты локализованы в мелких тектонических блоках среды известняков исетской свиты. Щербаковская свита представлена алевролитами, аргиллитами, сероцветными известковистыми песчаниками с прослоями конгломератов, мергелей, битуминозных известняков.

Возраст пород свиты установлен по брахиоподам и соответствует башкирскому и московскому веку.

Мощность щербаковской свиты - 350 м.

3.3.1.2. Мезозойская эратема

Коры выветривания

Территория Сухоложского полигона располагается в пределах приподнятого отпрепарированного пенеплена Среднего Урала на границе с континентально-морской цокольной равниной, что и определило широкое развитие кор выветривания. В пределах геополигона выделяется два морфологических типа – площадная и линейная. Площадные коры развиты преимущественно на водоразделах. Традиционно выделяется три зоны профиля коры выветривания: дезинтеграции, промежуточных продуктов, глинистых продуктов. На Сухоложском полигоне зона глинистых продуктов развита только в восточной части, в западной части имеет место двухзональный профиль коры. Линейные коры выветривания обычно развиваются в зоне разломов либо по контактам геологических тел.

Выделяется два генетических типа кор – остаточные и переотложенные. В районе резко преобладает первый тип.

Окраска пород, слагающих профиль коры выветривания, обычно в верхней глинистой зоне неоднородная: пятнистая, пятнисто-полосчатая с преобладанием буроватых и красноватых оттенков. С глубиной окраска выветрелых пород приближается к цвету материнских. К востоку происходит понижение кровли остаточной коры выветривания с 206 м до 160 м. В восточной части полигона коры выветривания перекрываются палеоценовыми отложениями серовской свиты. Среди глинистых продуктов по вещественному составу преобладающим является каолинитовый тип. Состав тяжелой фракции шлихов обычно зависит от состава материнских пород. В площадных корах постоянно присутствуют гидроокислы железа, реже марганца.

Мощность площадных кор в Сухоложском районе в среднем составляет 18-20 м.

Триасовая система, верхний отдел - юрская система, нижний отдел

Челябинская серия (T_3-J_1čl). Нерасчлененные триасово-юрские отложения района представлены вулкаогенно-осадочными породами. Они приурочены к протяженному грабену, пересекающему восточную часть района в субмеридиональном направлении и перекрытому кайнозойским чехлом. Нижнюю часть разреза слагают преимущественно вулканогенные породы разного состава (от базальтов до риолитов) с незначительным количеством пестроцветных конгломератов, песчаников и аргиллитов. Верхнюю часть разреза слагают преимущественно осадочные сероцветные мелко- и тонкообломочные породы.Обломочные породы по составу относятся к полимиктовым. В прибортовых частях грабенов широким развитием пользуются краснобурые конгломераты и гравелиты (фации конусов выноса).

Мощность триасово-юрских отложений на описываемой территории достигает 200 м. Выходы их наблюдаются только в глубоко врезанных долинах крупных рек Пышмы и Кунары.

Меловая система

Меловая система в районе представлена обоими своими отделами. Ее отложения обычно перекрыты более молодыми осадками и не имеют широкого развития на земной поверхности.

Нижний отдел K_1

Нижний отдел меловой системы представлен **аптским и альбским ярусами K_1 а**, состоящим из двух стратонов – алапаевской и синарской.

Алапаевская толща представлена каолинит-гидрослюдитыми серыми, бурыми, кирпично-красными глинами с песком, хорошо окатанной кварцевой галькой и щебнем окремнелого известняка. За белый цвет породы названы “беликами”. Мощность беликовой толщи редко превышает 10 м. В основании “беликов”, как правило, наблюдаются бурые железняки инфильтрационного происхождения в форме линз, гнезд, пластов. Состав бурых железняков: гидрогетит, гидрогематит, сидерит. Алапаевская свита обычно приурочена к понижениям древнего рельефа – эрозионным или карстовым воронкам. Возраст алапаевской толщи предполагается на уровне апского яруса.

Синарская свита нижнего мела сложена пестроцветными и белоцветными континентальными (аллювиально-озерными) глинами каолинитового состава с прослоями лигнитов марказитсодержащих и кварцевых песков. Приурочена к эрозионным депресиям, не имеет широкого площадного распространения и повсеместно перекрыта кайнозойскими отложениями. Синарская свита несогласно залегает на алапаевской толще, либо на известняках. Выходы пород свиты наблюдались только в карьере “Белая глина”, который после прекращения в нем работ по добыче огнеупорных глин затоплен. Мощность свиты достигает 15 м. Апт-альбский возраст отложений установлен по результатам споро-пыльцевого анализа.

Верхний отдел K_2

Верхний отдел меловой системы представлен **коньякским ярусом.**

Камышловская свита (K_2km). Отложения камышловской свиты представлены зеленовато-серыми и светлосерыми мелкозернистыми кварц-глауконитовыми слабо сцементированными песчаниками и песками морского происхождения. Пески хорошо отсортированы. Эти породы имеют широкое площадное распространение, но перекрыты кайнозойскими осадками. Выходы пород наблюдались в карьере “Белая глина” и известны в верховьях рч. Каменки, левого притока р. Пышмы, впадающего в нее

восточнее пос. Курьи. Возраст пород определен по остракодам, фораминиферам, зубам акул. Мощность свиты не превышает 10 м.

3.3.1.3. Кайнозойская эратема

Кайнозойская эратема на описываемой территории представлена всеми тремя системами – палеогеновой, неогеновой и четвертичной.

Палеогеновая система P

Палеогеновая система в Сухоложском районе представлена верхним палеоценом-нижним эоценом. На восточном склоне Урала эти отложения известны под названием **серовской свиты**.

Серовская свита P_{1-2} sr.

Свита сложена опоками, песчаниками и алевролитами на опоковом цементе, трепелами. Преобладают опоки. Песчаники имеют глауконит-полевошпат-кварцевый состав. Эти морские отложения имеют спорадическое развитие в восточной части района, перекрывая собой все более древние отложения в углублениях палеозойского фундамента. Коренные выходы опок встречаются в глубоких логах и в карьерах по добыче глин, известняков и самих опок. Возраст пород свиты определен по ископаемым остаткам фораминифер, моллюсков и гексакораллов.

Мощность свиты достигает 12 м.

Неогеновая система N

Светлинская свита (N_1sv). Отложения неоеновой системы представлены пролювиально-делювиальными песчано-алевритистыми глинами красновато-бурого цвета с редкой галькой кварца. Слоистость выражена не отчетливо. Свита залегает с размывом на более древних образованиях. Неогеновые отложения повсеместно наблюдаются в бортах карьеров на водоразделе рр. Пышмы и Кунары. Мощность отложений неогеновой системы не превышает 4 м. Возраст пород принят по аналогии с подобными отложениями Зауралья, где он был определен по остаткам речных моллюсков в аллювии верхних цокольных террас крупных рек.

Четвертичная система Q

Образования четвертичной системы принадлежат различным генетическим типам и покрывают значительную часть площади в виде маломощного чехла. Возраст аллювиальных, озерных, палюстринных отложений определяется по ископаемым остаткам (фауне и флоре), а также по споро-пыльцевым комплексам. Возраст элювиальных, делювиальных и прочих образований определяется (условно) по геоморфологическому положению.

Эоплейстоцен

Нижнее звено

Отложения этого возраста на площади представлены аллювиальными и озерными (a,l) генетическими типами. В возрастном отношении они приурочены к увельской свите. Встречаются локально в западной части площади (Зауральская цокольная равнина).

Аллювиальные и озерные отложения увельской свиты (a,lEI*uv*) вытянуты в меридиональном направлении.

Фрагмент этих отложений выделен к юго-востоку от оз. Беткулово, на абсолютной отметке 200 м. Отложения представлены известковистыми глинами зеленовато-серого, желтовато-зеленого, зеленовато-бурого, серовато-бурого цвета, песками мелкозернистыми, полимиктовыми с рыхлым железисто-марганцовистым бобовником. На одних участках, аллювиальные и озерные отложения залегают на склоне, на других участках – в переуглублении под аллювиальными отложениями батуринской свиты и выхода на поверхность не имеют. Мощность отложений более 8,4 м . Залегают на мезозойских корах выветривания, перекрыты аллювиальными отложениями батуринской свиты, полигенетическими и делювиальными образованиями среднеуральского надгоризонта.

Неоплейстоцен
Неоплейстоцен нерасчлененный

Отложения этого возраста представлены элювиальными и делювиальными образованиями (e,dNP). Распространены очень широко в пределах приподнятого отпрепарированного пенеплена Среднего Урала. Развиты на возвышенностях и их пологих склонах.

Представлены глинами и суглинками со слабо выветрелым щебнем подстилающих пород и редким полимиктовым гравием.

В большинстве случаев они залегают на мезозойских корах выветривания. Мощность до 3 м.

С ними связаны месторождения керамзитовых и кирпичных глин.

Возраст отложений определен как нерасчлененный неоплейстоцен.

Нижнее звено

Отложения этого возраста представлены аллювиальными отложениями батуринской свиты (al*bt*).

Аллювиальные отложения батуринской свиты (al*bt*) развиты в западной части геополигона в виде участков меридионального и субмеридионального простирания, фиксирующих фрагменты древних речных долин, потерявших связь с современной гидросетью. Они приурочены к контакту приподнятого отпрепарированного пенеплена Среднего Урала и континентально-морской цокольной равнины Зауралья. Фрагменты древнего аллювия выделены от озера Куртугуз к северу, его протяженность 11 км при ширине от 800 до 1300 м. Разрез изучен скважинами мотобурения.

Аллювиальные отложения представлены песками полимиктовыми с гравием, глинами гидрослюдистыми, известковистыми, серыми, зеленовато-серыми, зеленовато-голубыми, серовато-бурыми. Минералогический состав тяжелой фракции песков представлен: эпидотом и цоизитом – 54%, роговой обманкой – 20%, ильменитом – 6%, лимонитом – 8%, цирконом – 6%, рутилом – 2%, сфеном – 2%, апатитом – 1%, хромитом – 1%. Выход 3%. Палеогеографический коэффициент 0,9.

В спорово-пыльцевых комплексах этих отложений преобладает пыльца ели, сосны, пихты.

Путем отстройки поперечных профилей через древние речные долины было установлено, что реки текли с юга на север.

К нижнему звену отложения отнесены на основании геоморфологического положения (в разрезе залегают выше аллювиальных и озерных отложений уйско-

убоганской свиты среднего звена и ниже аллювиальных и озерных отложений увельской свиты нижнего эоплейстоцена). Отложения сопоставляются по литологии с аллювиальными отложениями, описанными и изученными в угольном карьере Батурино Еманжелинского района Челябинской области.

Аллювий батуринской свиты перекрыт аллювиальными и озерными отложениями уйско-убоганской свиты среднего звена, делювиальными отложениями среднего и верхнего звена, торфами голоцена. Залегает на аллювиальных и озерных отложениях увельской свиты нижнего эоплейстоцена, отложениях серовской свиты, мезозойских корах выветривания и известняках палеозоя. Мощность отложений более 9,2 м.

С ними связаны месторождения керамзитовых глин.

В этих отложениях было установлено наличие россыпного золота (Рыбалко, 2002).

Среднее звено

Отложения этого возраста представлены аллювием исетской ($a^{i}II$) и уфимской ($a^{u}II$) террас, озерными (III*uu*), аллювиальными и озерными (a,III*uu*) отложениями уйско-убоганской свиты, делювиальными отложениями среднеуральского надгоризонта (dIIsr).

Аллювиальные отложения уфимской террасы ($a^{u}II$) выделены по рекам Рефт и Пышма. Отложения прослеживаются по правому берегу р. Рефт до устья , в виде полосы шириной 200-300 м, и по правому берегу р. Пышмы между пос. Рудянское и Знаменское. Они слагают четвертую эрозионно-аккумулятивную террасу с высотой поверхности от 22,4 до 40 м и высотой цоколя от 18 до 35 м над урезом реки. Наибольшие параметры уфимская терраса имеет на р. Пышма в районе п. Новая Пышма. Ширина террасы достигает 3,5 км.

Отложения представлены желто-коричневыми, темно-желтыми, буро-коричневыми песками полимиктовыми (полевошпат-кварцевыми) с галькой кварца, бурыми до темно-коричневых песчаными глинами с прослоями иловатых глин темно-серого цвета. Пески от глинистых (глинистая фракция составляет 20%) до гравийных, грубозернистых. Обломочный материал хорошо окатан.

Разрез аллювия уфимской террасы можно показать на примере шурфа 286, пройденного на восточном берегу р. Рефт. Сверху, до глубины 3,2 м залегают глинистые пески мелкозернистые, полимиктовые с преобладанием зерен кварца. Содержание глины 20%. Песок сортирован. С глубины 3,2 м до 3,7 м (забой) вскрыты пески грубозернистые, близкие к гравию с гальками кварцевого состава, размером до 3-4 см в диаметре, хорошо окатанными. Цвет песков желтовато-коричневый, желтый. Из гравийных песков с гл. 3,7 м отобрана шлиховая проба. Минералогический состав тяжелой фракции представлен: гр. эпидота – 47,52%, гранатом – 17,82%, ильменитом – 13,86%, ильменитом + гематитом – 0,99%, амфиболом – 12,87%, хромитом – 4,95%., монацитом – 0,99%, сфеном – 0,99%. Палеогеографический коэффициент 0,25.

Отложения перекрыты делювием североуральского надгоризонта, залегают на мезозойских корах выветривания и породах палеозоя. Мощность более 5,5 м.

Возраст аллювия уфимской террасы принят по аналогии с фаунистически охарактеризованными образованиями соседних районов и определен как сылвицкий и вильгортовский горизонты.

Аллювиальные отложения исетской террасы ($a^{i}II$) развиты по рекам Пышма, Кунара. Они слагают третью, эрозионно-аккумулятивную террасу с высотой поверхности от 4 м до 16,5 м (по р. Пышме) и высотой цоколя от 2,7 м от уреза реки. Ширина террасы от 200 до 2000 м. Разница в высоте поверхности от уреза реки связана с неотектоникой (участки неотектонических поднятий и опусканий).

Строение разреза аллювия исетской террасы двучленное. Нижняя его часть сложена полимиктовыми гравийно-песчаными, песчано-гравийными отложениями коричневого цвета, в основании которой залегает базальный горизонт. Верхняя часть разреза сложена бурыми глинами, полимиктовыми песками (глинистая фракция составляет 30%), чередованием коричневых до темно-буровато-серых мелкозернистых песков с галькой кварца и серых, темно-серовато-желтых до буро-коричневых глин.

Минералогический состав тяжелой фракции представлен: эпидотом – 43-45%, ильменитом – 16-24%, амфиболом – до 17%, магнетитом – 3-5%, гематитом от 4 до 21%, мартитом – до 5%, гранатами – 3-5%, хромшпинелидами – 0,5-1,5%, цирконом – 1,67-1,7%, сфеном – 0,14-0,19%, рутилом – 0,39-0,82%, ставролитом – 0,4%, лейкоксеном – 0,08%, пиритом – 0,03%, кианитом – 0,03%, апатитом – 0,14%, гидроокислами железа – от 0,6 до 1,34%, золотом – единичные знаки. Палеогеографический коэффициент 0,34-0,42.

Спорово-пыльцевые спектры – лесостепные, реконструирующие смешанные елово-сосново-березовые лесные массивы с пихтой, ольхой и лугостепными участками.

Отложения перекрыты делювием североуральского надгоризонта, залегают на мезозойских корах выветривания и породах палеозоя. Мощность от 1,3 м и более 7 м (по р.р. Рефт и Пышма). С ними связаны россыпи золота.

Возраст аллювия исетской террасы принят по аналогии с фаунистически охарактеризованными отложениями смежных районов и определен как ницинский и леплинский горизонты среднеуральского надгоризонта.

Среднеуральский надгоризонт. Озерные отложения уйско-убоганской свиты (l II*ии*) развиты на междуречьях, иногда пространственно тяготеют к современным озерам. Геоморфологически они приурочены к континентально-морской цокольной равнине Зауралья. Развиты локально у западной рамки Сухоложского полигона.

Озерные отложения вскрыты скважинами мотобурения. Они выполняют древние озерные ванны и представлены глинами зеленовато-серыми, серыми до коричневых с включениями гравия, гальки кварца и мелкозернистыми полимиктовыми песками.

Из отложений отобраны пробы на литологический и спорово-пыльцевой анализы. Минералогический состав тяжелой фракции представлен: эпидотом – 61-81%, роговой обманкой – от ед.зер. до 27%, гранатоми – до 2%, пироксенами – 1%, магнетитом – до 1%, ильменитом – от 4 до 23%, лейкоксеном – 2-7%, рутилом – 1-3%, цирконом – до 2%, ставролитом – 1%, хромитом – 2%, турмалином – 1%, андалузитом – до 1%, апатитом – до 2%, корундом – до 2%. Выход от 1 до 7%. Палеогеографический коэффициент от 0,04 до 0,61%.

Отложения перекрыты полигенетическими и делювиальными отложениями североуральского надгоризонта, залегают на мезозойских корах выветривания и аллювиальных отложениях батуринской свиты. Мощность более 9 м.

Для отложений характерны спорово-пыльцевые комплексы степного типа с преобладанием марево-полынных группировок.

Озерные осадки синхронны аллювиальным и озерным отложениям уйско-убоганской свиты, изученной в нижнем течении р. Уй, на меридиональных отрезках Тобола и Убогана, имеющей широкое распространение в Зауралье.

Возраст отложений определен как вильгортовский, ницинский и леплинский горизонты среднеуральского надгоризонта.

Аллювиальные и озерные отложения уйско-убоганской свиты (a,III*ии*), как и озерные развиты на междуречьях, геоморфологически они приурочены к континентально-морской цокольной равнине Зауралья.

Отложения представлены неравномерным переслаиванием зеленовато-серых, голубовато-серых до коричневато-серых глин и коричневато-серых, серых, полимиктовых песков, местами с гравием и галькой кварца.

Минералогический состав тяжелой фракции песков представлен: эпидотом – 44-53%, обыкновенной роговой обманкой – от 28 до 42%, тремолитом-актинолитом – 2-7%, магнетитом – 1-5%, ильменитом – 3-4%, сфеном – 2-5%, гранатом – до 3%, цирконом – 2-3%, лимонитом – 1-3%, апатитом – 1-2%, хромитом – ед.зер.-1%, марказитом – до 1%, пироксеном – до 1%, а также единичными зернами ставролита, рутила, лейкоксена, анатаза. Выход от 6 до 10%. Палеогеографический коэффициент от 0,08 до 0,26.

Отложения перекрыты полигенетическими и делювиальными отложениями североуральского надгоризонта, торфами голоцена, залегают на аллювиальных отложениях батуринской свиты, палеогеновых отложениях серовской свиты, мезозойских корах выветривания. Мощность до 10 м.

Для отложений характерны спорово-пыльцевые комплексы степного типа с преобладанием марево-полынных группировок.

Возраст отложений принят по аналогии с фаунистически охарактеризованными (по моллюскам и остракодам) образованиями смежных территорий и определен как вильгортовский, ницинский и леплинский горизонты среднеуральского надгоризонта.

Делювиальные отложения среднеуральского надгоризонта (dIIsr) развиты достаточно широко на территории района работ. Они приурочены к бортам древних озерных впадин и долин, и распространены на междуречьях.

Представлены бурыми до темно-коричневых плотными глинами и суглинками со щебнем, с небольшим количеством гальки и гравия.

Минералогический состав тяжелой фракции представлен: эпидотом – 53-73%, обыкновенной роговой обманкой – от 15 до 38%, пироксенами моноклинным и ромбическим – 1-7%, ильменитом – 1-6%, лимонитом – 1-3%, магнетитом – 1-4%, сфеном – 1-2%, цирконом – 1%, гранатом – 1%, турмалином – 1%, гр. актинолита – 1%, лейкоксеном – 1%, рутилом – до 1%, единичными зернами апатита, ставролита. Выход составляет 12-15%. Палеогеографический коэффициент 0,1- 0,47.

Спорово-пыльцевой спектр очень бедный. В основном отмечены пыльцевые зерна Betula pubescens (Ehrh.) и единичные экземпляры Pinus sylvestris L., Pinus sp. Пыльца травянистой растительности представлена Artemisia sp., Compositae, Rosaceae. Комплекс лесо-степного типа, воссоздающий смешанные сосново-березовые лесные ландшафты с луго-степными участками.

Отложения перекрыты делювиальными и лессовыми отложениями североуральского надгоризонта, торфами голоцена, залегают на мезозойских корах выветривания. Мощность 3-5 до 10 м.

С ними связаны месторождения керамзитовых и кирпичных глин.

К среднему звену отложения отнесены на основании геоморфологического положения. Возраст отложений определен как вильгортовский, ницинский и леплинский горизонты среднеуральского надгоризонта.

Верхнее звено

Отложения этого возраста представлены элювиальными, аллювиальными отложениями камышловской террасы, полигенетическими и делювиальными образованиями.

Аллювиальные отложения камышловской террасы (a^kIII) распространены по р.р. Пышма, Рефт, Кунара. Они слагают вторую, аккумулятивную надпойменную террасу с высотой поверхности от 5,5 м до 10-12 м над урезом реки. Ширина террасы от 20 до 600 м.

Строение аллювия двучленное. Нижняя его часть сложена песками полимиктовыми с гравием и галькой. Верхняя часть разреза сложена буровато-коричневыми глинами и

суглинками с прослоями темно-серых до зеленовато-серых илистых глин и глинистых, мелкозернистых полимиктовых песков.

Минералогический состав тяжелой фракции представлен эпидотом и цоизитом – 62%, обыкновенной роговой обманкой – 28%, актинолит-тремолитом – 11%, сфеном – 2%, единичными зернами циркона, рутила, граната, апатита, лимонита. Палеогеографический коэффициент 0,05.

Спорово-пыльцевые спектры – светлохвойных лесов. Из травянистых растений встречены единичные зерна: Gramineae, Compositae, Artemisia sp., Polygonaceae, Polygonum bistorta L., Rosaceae.

Отложения перекрыты делювием североуральского надгоризонта, торфами горбуновского горизонта, залегают на мезозойских корах выветривания. Мощность от 5 до 12 м.

С ними связаны россыпи золота.

Возраст аллювия камышловской террасы принят по аналогии с фаунистически охарактеризованными отложениями соседних районов и определен как стрелецкий и ханмейский горизонты позднего неоплейстоцена.

Эллювиальные образования (eIII) встречаются спородически в пределах приподнятого отпрепарированного пенеплена Среднего Урала. Приурочены к плоским вершинам холмов. Представлены продуктами физического выветривания коренных пород: суглинками и глинами со щебнем.

Залегают на мезозойских корах выветривания и коренных породах, перекрыты только современными палюстринными отложениями. Мощность от 0,1 до 1-2 м.

В схеме стратиграфии Урала [32] возраст определен как поздний неоплейстоцен.

Полигенетические образования (pgIIIsv) широко развиты на выровненных междуречьях и геоморфологически они приурочены к континентально-морской цокольной равнине Зауралья.

Они представлены бурыми, коричнево-бурыми известковистыми глинами, суглинками и супесями. В верхней части разреза они слабо облессованы, в нижней – содержат неокатанные зерна кварца и карбонатные включения. Гранулометрический состав (в %): гравий – 4,3; песок – 8,6; алеврит – 80,2. Состав песка и гравия: кварц, полевые шпаты, обломки местных пород. Глинистая фракция представлена гидрослюдой. Тяжелая фракция представлена эпидотом и цоизитом, роговой обманкой, пироксенами, тремолит-актинолитом, сфеном, апатитом, лейкоксеном, цирконом, ильменитом.

Залегают на озерных, аллювиальных и озерных отложениях уйско-убоганской свиты, аллювии батуринской свиты, среднеуральском делювии, неогеновых и палеогеновых отложениях, мезозойских корах выветривания и коренных породах. Мощность колеблется от 2-3 до 6 м.

С ними связаны месторождения керамзитовых глин.

В схеме стратиграфии Урала [32] возраст определен как соответствующий североуральскому надгоризонту.

Делювиальные отложения (dIIIsv) распространены на склонах гор и речных долин, под торфяными образованиями в понижениях современного рельефа.

Отложения представлены бурыми, серовато-бурыми, желтовато-бурыми песчаными глинами и суглинками со щебнем местных пород, с включением гравия и полуокатанной гальки кварца.

Североуральский делювий перекрывает аллювиальные отложения высоких террас, среднеуральский делювий, озерные, аллювиальные и озерные отложения уйско-убоганской и увельской свит, мезозойские коры выветривания. Мощность 2-3 м до 5 м.

С ними связаны месторождения керамзитовых и кирпичных глин.

В схеме стратиграфии Урала [32] возраст делювия определен как соответствующий североуральскому надгоризонту.

Верхнее звено – горбуновский горизонт голоцена

Отложения этого возраста представлены делювиальными и аллювиальными отложениями (d,aIII-Hgr). Наблюдаются по логам и мелким притокам рек.

Они представлены бурыми, желтовато-бурыми, буро-коричневыми, зеленовато-бурыми песчаными глинами, полимиктовыми песками с гравием, галькой и суглинками со щебнем местных пород и валунами.

Залегают на неогеновых ложковых отложениях, мезозойских корах выветривания и коренных породах. Мощность до 8 м.

С ними связаны месторождения керамзитовых глин и россыпи золота.

Возраст отложений определен как поздний неоплейстоцен – горбуновский горизонт голоцена.

Голоцен
Горбуновский горизонт

Отложения горбуновского возраста представлены аллювиальными, озерными, озерными и палюстринными, техногенными образованиями.

Аллювиальные отложения русла и пойменных террас (aHgr) широко развиты по всем современным рекам и ручьям. Высота поверхности пойменных террас над урезом реки составляет до 3-4 м, ширина – от 10 м до 200-300 м.

Аллювий низкой и высокой поймы представлен серыми, голубовато-серыми песчаными глинами с прослоями разнозернистых, полимиктовых песков с галькой и гравием слабой степени окатанности. С глубиной количество песка и гравийно-галечного материала увеличивается до 60-70%, в базальном горизонте отмечаются валунно-галечные отложения.

Отложения русла представлены разнозернистыми, полимиктовыми песками и галечно-гравийным материалом.

По шлихам, отобранным из русловых частей рек, минералогический состав тяжелой фракции представлен: эпидотом – от 23 до 60%, амфиболом – от 10 до 25%, гранатами – от 2 до 15%, магнетитом – от 6 до 16%, ильменитом – 3-10%, сфеном – 1-3%, цирконом – 1-2%, единичными зернами рутила, кианита, апатита, монацита, золота. Палеогеографический коэффициент меньше единицы.

Отложения залегают на аллювии камышловской террасы, мезозойских корах выветривания и коренных породах. Мощность до 15м.

С ними связаны россыпи золота.

Возраст датируется горбуновским горизонтом голоцена.

Озерные отложения (lHgr) приурочены к современным ваннам озера Куртугуз и другим. К ним относятся береговые и донные отложения современных озер, а также осадки заторфованных или высохших озер. Береговые отложения представлены глинистыми песками с галькой кварца и палеозойских пород, которые часто формируют озерные террасы, донные – иловатыми глинами и илами темно-серого цвета.

Залегают на озерных отложенияхверхнего звена, мезозойских корах выветривания и породах палеозоя. Мощность до 5 м.

Возраст озерных осадков определен в объеме горбуновского горизонта голоцена.

Горбуновская свита. Она представлена озерными и палюстринными образованиями (l,plH*gr*), приуроченными к современным заболоченным пространствам.

Образования представлены иловатыми глинами с растительным детритом, илами. Палюстрий представлен торфом. Залегают на мезозойских корах выветривания, на аллювии и делювии позднего неоплейстоцена, породах палеозоя. Мощность до 5 м.

В схеме стратиграфии Урала [32] возраст озерных и палюстринных образований определен в объеме горбуновской свиты голоцена.

Палюстринные образования (plH*gr*) развиты очень широко особенно в северо-восточной части полигона и приурочены к современным заболоченным понижениям рельефа и плоским водоразделам. На площади находится значительное количество торфяников. Они образуются путем заростания озер, либо формируются в долинах рек, низинах и на участках избыточного увлажнения.

Палюстрий представлен торфами и иловатыми глинами.

Отложения залегают на озерных, аллювиальных и делювиальных отложениях позднего неоплейстоцена, неогеновых отложениях, мезозойских корах выветривания и породах палеозоя. Мощность от 0,5 до 9 м.

С ними связаны месторождения торфа.

Учитывая перекрывание торфяниками всех других генетических типов четвертичных образований и согласно схеме стратиграфии Урала [32] возраст определен как горбуновский горизонт голоцена.

Техногенные образования ($tHgr^2$) занимают незначительные площади в районе г. Сухой Лог и вблизи других населенных пунктов. К ним отнесены рыхлые продукты отвалов горных выработок (карьеров), шлакоотвалов предприятий, свалки бытовых отходов (твердых и жидких, прудки очистных сооружений). Отвалы представлены глыбами, щебнем, супесями и суглинками со щебнем коренных пород. Мощность до 10 м.

Возраст техногенных образований определен как верхняя часть горбуновского горизонта.

3.3.2. Интрузивные образования

В пределах Сухоложского полигона распространены интрузивные образования разного возраста и состава. Во всех случаях эволюция магматизма во времени характеризуется гомодромной направленностью.

3.3.2.1. Среднеордовикские интрузии

В западной части полигона встречена протрузия серпентинитов, трассирующая разрывное нарушение внутри Рефтинского массива габброидов. В западной части массива наблюдается обилие аналогичных пород, относимых исследователями к альпинотипной дунит-гарцбургитовой формации среднеордовикского возраста. Данные породы, как правило, серпентинизированы в разной степени.

3.3.2.2. Раннедевонские интрузии

Интрузии этого возраста слагают Рефтинский массив. На территории Сухоложского полигона располагается восточная часть массива. Массив сложен породами трех фаз. Первая фаза представлена габбро, реликты которых слагают поля внутри Рефтинского массива. Габбро – разнозернистое, от мелкозернистых до пегматоидных с пятнистой, иногда трахитоидной текстурой. Основными минералами являются плагиоклаз, пироксен, роговая обманка. Породы несут следы интенсивной дислоцируемости, по отдельным зонам развивается травянисто-зеленый эпидот.

Основная часть массива сложена породами второй фазы габбродиоритами. Текстура пород – грубопятнистая.

Завершающей является третья фаза кислого состава, представленная тоналитами, плагиогранитами, аплитами. Обычно тела гранитоидов – мелкие, ветвящиеся. С ними сопряжены зоны ассимиляции, сложенные гибридными породами, по составу изменяющимися от габбро до кварцевых диоритов и тоналитов. Гранитоиды обычно слагают мелкие тела, рассредоточенные среди габброидов по всему массиву

3.3.2.3. Среднедевонские интрузии

Среднедевонские интрузии представлены сухоложским субвулканическим комплексом. Петрографический состав данного комплекса пестрый – от базальтов до риолитов. По объему преобладают базальты и андезибазальты, которые образуют тела с площадью выхода первые км. Субвулканические образования кислого состава обычно образуют мелкие тела в виде даек. Субвулканические породы слагают тела причудливой формы и подчинены, как правило, радиально-дуговым разломам вулканических построек.

Среди субвулканических образований сухоложского комплекса выделяются интрузии базальтов, андезибазальтов, андезитов, дацитов, риолитов. Обычно эти породы лучше раскристаллизованы, чем аналогичные породы субфации текучих лав, а также большим размером вкрапленников.

Интрузии андезибазальтов можно наблюдать к северо-западу от базы отдыха «Бережок» на левобережье р. Пышмы. Субвулканические андезиты встречаются на левобережье реки Пышмы в верховьях ручьев Устиниха и Рудянка. В этом районе формы тел интрузий удлиненные, размером до 1,5 км.

Интрузии дацитов и риолитов наблюдаются на интервале от реки Рудянка до устья реки Шата. Местами обнажающиеся эндоконтактовые зоны интрузий риолитов, в зависимости от состава вмещающих пород, сложены гибридными мелкопорфировыми дацитами, андезитами и риолитами.

3.3.2.4. Раннекаменноугольные интрузии

В Алапаевско-Айбыкульской подзоне данные интрузии представлены бекленищевским субвулканическим комплексом. В составе комплекса выделяется две фазы. Первая фаза представлена габбродолеритами, долеритами и базальтами. Вторая фаза представлена породами кислого состава – риолитами и трахириолитами. Субвулканические образования представляют собой дайки и дайкообразные тела, ориентированные в близмеридиональном направлении. Вмещающими породами являются осадочные и вулканогенные образования. Породы первой фазы имеют темно-серую, черную, зеленовато-серую окраску. Характерные крупные вкрапленники пироксена и плагиоклаза. Риолиты и трахириолиты окрашены в светлые тона – белые, кремовые. Вкрапленники представлены кварцем, плагиоклазом.

В Рефтинско-Каменской подзоне интрузии раннекаменноугольного возраста представлены смолинским комплексом гипабиссальных габбродолеритов, долеритов. Морфологически данные породы представляют собой малые тела и дайки. Размер дайкообразных тел варьирует от первых десятков сантиметров до первых сотен метров по мощности и до 4 км по простиранию. Распространенность тел комплекса контролируется системой близ меридиональных разломов. Субвулканические образования, как правило, сложены однообразными по составу габбродолеритами в зонах закалки вблизи контактов с тонко-мелкозернистой структурой и средне-крупнозернистыми центральными частями.

3.3.2.5. Ранне-среднекаменноугольные интрузии

К ранне-среднекаменноугольным интрузиям отнесен некрасовский комплекс. Комплекс включает три интрузивные фазы (габбро-диорит-гранитовый). В рамках Сухоложского полигона можно наблюдать только магматические породы третьей (заключительной) фазы внедрения в виде некрупного (площадью 0,3 км) саттелита и одиночными дайками. Граниты, слагающие интрузив, являются мелкозернистыми биотитовыми, иногда с округлыми, элепсовидными зернами кварца. Дайки представлены биотитовыми гранодиорит-порфирами.

В северном направлении от Сухоложского полигона наблюдается серия массивов некрасовского комплекса (Артемовский, Алтынайский).

3.3.2.6. Позднепермские-раннетриасовые интрузии

В пределах Алапаевско-Айбыкульской подзоны различными исследователями выделялись маломощные тела и дайки и описывались как пикриты, керсантиты, миненета. Они характеризуются ультраосновным и основным составом в ассоциации с флогопитом, апатитом, иногда ортоклазом. Отличительной особенностью этих пород является высокое содержание редких земель цериевой группы (сумма редких земель 600-900г/т).

В районе р. Шаты среди пород сухоложской толщи изучены дайки мощностью до 2-3 м трахибазальтов с порфировыми выделениями клинопироксена и гидробиотита. Структура основной массы интерсертальная, в стекле много апатита и карбоната. Ранее эти дайки диагностировались как керсантиты. Порода имеет темно-серый цвет с зеленоватым оттенком, массивную текстуру, порфировую и мелкозернистую структуры. Дайки всегда имеют зоны закалки. Местоположение даек – левый берег р. Пышмы напротив Беленковской плотины и на левом берегу р. Шата в 1100 м от устья.

3.3.3. Тектоника

Характерной чертой геологического строения Сухоложского полигона является близмеридиональная ориентировка крупных тектонических структур в плане и слоисто-блоковое глубинное строение. По результатам интерпретации по Асбестовскому сейсмическому профилю, поверхность Мохо находится на глубине 37-39 км.

В изученном районе выделяется два структурных этажа, представленных структурно-тектоническими комплексами: ордовикско-триасовый (позднеуральский) и мезозойско-кайнозойский (урало-сибирский).

Как указывалось ранее, Сухоложский полигон находится на границе Рефтинско-Каменской и Алапаевско-Айбыкульской подзон. Границей подзон является крупный Тыгишский разлом меридиональной ориентировки. Вдоль Тыгишского разлома (ранее именуемое Рефтинской зоной смятия) породы рассланцованы, будинированы, милонитизированы, содержат протрузии серпентинитов (северней полигона), интенсивно переработаны гидротермальными процессами, в меньшей степени – экзогенными (линейное выветривание).

К Тыгишскому разлому торцово примыкает Рефтинский массив и Некрасовско-Маминский блок, представленный вулканогенными формациями среднего девона. Среди вулканитов встречаются пачки осадочных пород тонкозернистых фаций (свидетельство глубоководных условий).

В Алапаевско-Айбыкульской подзоне выделено 4 блока. Для данной подзоны характерна устойчивая линейная форма блоков, близмеридиональная ориентировка, перемежаемость блоков, сложенных девонскими и каменноугольными образованиями.

В западном направлении выделяется Куртугузский блок, представленный осадочно-вулканогенными образованиями нижнего карбона, интенсивно и неравномерно дислоцированными.

Сухоложский блок сложен преимущественно вулканитами среднего девона. Здесь уверенно картируются фации вулканитов, в том числе выделена серия вулканических построек центрального типа. С вулканитами ассоциируют реликты коралловых рифов с обилием колоний строматопор. Положение рифовых построек позволяет отнести их к береговым барьерным рифам. В меньшем объеме представлены верхнедевонские морские образования – кремнистые, сменяющиеся во времени прибрежно-морскими грубообломочными. Толщи осадочных пород неравномерно смяты в систему пологих гребневидных и крутых складок. Вдоль осевых плоскостей складок обычно сформированы зонки дробления и брекчирования.

Кунарский блок сложен нижнекаменноугольными терригенно-угленосными (прибрежными) образованиями. Разрез наращивается морскими карбонатными образованиями того же возраста. На р. Кунара в мелких тектонических блоках локализованы прибрежно-морские отложения среднекаменноугольного возраста. Породы неравномерно смяты в складки, особенно интенсивно вблизи разрывных нарушений.

Буланашский блок представлен вулканитами среднего девона. О его строении мало данных, так как он перекрыт чехлом молодых отложений.

Помимо главных (меридиональных) разломов в описываемом районе широко развиты разрывные нарушения разной ориентировки, возраста и морфологии. Для вулканогенных структур характерна радиально-кольцевая система разломов. Наиболее молодые разломы имеют близширотное простирание. Разломы выражаются зонами смятия, рассланцевания, тектоническими брекчиями, зеркалами скольжения, уступами в рельефе, водопадами, логами, линейными карстовыми формами. Нередко разломы залечены дайками и жилами.

Мезозойско-кайнозойский структурно-тектонический комплекс сформирован в условиях платформенного режима и представляет собой чехол молодой платформы. На начальной платформенной стадии континентального рифтогенеза в районе сформировалиль грабенообразные прогибы, сопровождающиеся образованием риолит-платобазальтовой формацией (за пределами полигона).

С этим этапом, по видимому, связано формирование малых тел лампроитоидов на «плечах» грабенообразных впадин. Впадины выполнены красноцветными угленосными осадками челябинской серии, со сменой сероцветными в верхних частях разреза.

Реликты подобных впадин имеют место в Буланашском блоке в восточной части геополигона.

На водоразделах в юре и мелу сформировались коры выветривания. Синхронно происходило развитие карста. В пределах карстовых полостей произошло накопление меловых отложений (песчано-глинистых). Средняя (основная) часть платформенного чехла представлена морскими отложениями верхнего мела, палеоцена-эоцена. Верхняя часть чехла сформировалась в миоцене, после регрессии моря.

3.3.4. Гидрогеология

Среди подземных вод Сухоложского района выделяются четыре главных типа: трещинные, трещинно-карстовые, пластово-трещинные и пластово-поровые.

Первые два типа подземных вод приурочены к области распределения пород палеозойской эратемы, а пластовые воды фиксируются среди толщ кайнозойских отложений.

Собственно-трещинные воды развиты в основном среди толщи эффузивных пород девонского возраста и в меньшей степени среди песчано-сланцевых пород каменноугольного возраста: водообильность указанных пород небольшая, что определяется по дебиту источником, который обычно не превышает 0,1-0,2 л/с. Наибольшая водообильность локальной зоны, тяготеющей к тектоническим нарушениям в массивных породах.

Трещинно-карстовые воды приурочены к известнякам визейского яруса, отличаются большим расходом источника, который достигает 15-25 л/с. За счет подземных вод этого типа проектируется водоснабжение города Сухой Лог, здесь дебит скважин, побурненных в визейских известняках, достигает 55 л/с.

Пластово-поровые воды концентрируются в четвертичных песках и палеозойских песчаниках, образуя источники с дебетом до 5 л/с.

Пластово-трещинные воды карбонатных и терригенных пород дают многочисленные источники с колебаниями дебита от 0,05 до 0,3 л/с.

3.3.5. Геоморфология

Согласно геоморфологическому районированию, проведенному А.П.Сиговым (1962, 1969), рассматриваемая территория расположена в пределах двух геоморфологических районов – отпрепарированного Зауральского пенеплена и континентально-морской цокольной равнины Западно-Сибирской низменности. Граница между районами проходит по пос. Алтынай, западной окраине пос. Курьи и восточной окраине д. Кашино.

Отпрепарированный Зауральский пенеплен – это почти плоская, иногда слабо волнистая денудационная равнина, полого наклоненная с запада на восток от абсолютных отметок 220 до 160 м. Выравивание этой поверхности произошло в юрском периоде. В период морских трансгрессий мела и палеогена эта территория покрывалась морем. Затем, под воздействием денудации чехол морских осадков был смыт и на дневную поверхность был снова выведен древний мезозойский пенеплен. За новейший тектонический этап территория испытала поднятие на 150 – 200 м.

Континентально-морская цокольная равнина – это типичная равнина с плоскими, часто заболоченными междуречьями. Породы фундамента здесь перекрыты толщей морских и континентальных мезо-кайнозойских отложений. Мощность их увеличивается с запада на восток от первых метров до 70 м.

Основными морфологическими элементами этого района являются плоские котловины, разделенные небольшими грядками с относительным превышением 0,5 – 1.5 м. Возраст цокольной равнины послеэоценовый. В неотектонический этап произошло поднятие территории на 100 – 150 м.

В результате проявления неотектонических поднятий на оба типа рельефа наложился эрозионно-аккумулятивный рельеф новейшего этапа. Основными формами рельефа этого типа являются междуречья и речные долины.

Формы рельефа междуречий описаны при характеристике поверхностей отпрепарированного Зауральского пенеплена и континентально-морской цокольной равнины Западно-Сибирской низменности. Что касается речных долин, то они четко подразделяются на две группы: долины крупных рек и долины малых рек. К первой группе относятся долины рр. Пышмы, Рефта, Кунары; ко второй – их многочисленные притоки (речки Мокрая, Рудянка, Знаменка, Брусяна, Шата, Усолка и др.).

Долины крупных рек прорезают описанные выше геоморфологические районы в широтном и субширотном направлении Характер речных долин резко меняется в зависимости от положения в том или ином геоморфологическом районе.

В пределах Зауральского пенеплена долины крупных рек глубоко врезаны (45 – 50 м), часто имеют каньонообразный поперечный профиль. Склоны долин слабо террасированы, характерны врезанные меандры. Даже высокая пойма часто бывает цокольной.

В пределах цокольной равнины долины крупных рек расширяются (до 1.5 – 2 км), имеют ящикообразный поперечный профиль. Склоны их террасированы. Наблюдается до четырех надпойменных террас. В придолинных склонах и на междуречьях встречаются "мертвые " долины, не связанные с современной гидросетью.

Долины малых рек не в такой степени изменчивы от их положения в пределах разных геоморфологических районов как долины крупных рек, ибо все они имеют, в основном, меридиональное и субмеридиональное направление. В верховьях почти все долины малых рек имеют вид ложбин или лощин, в средней части они, как правило расширяются, появляется террасированность склона (1 – 2, максимум 3 террасы), в низовьях долины малых ренк в большинстве случаев сильно сужены, имеют V-образный поперечный профиль. Продольный профиль долин малых рек не выработан (порожистое, каменистое русло, водопады). Расширение и сужение долин связано с особенностями литологического состава пород, а также с проявлениями новейших и современных тектонических движений локального характера.

3.3.5.1. Речные террасы

В долинах крупных рек Сухоложского района прослеживается два комплекса террас: пойменные и надпойменные. К пойменным террасам относятся низкая и высокая поймы, а остальные – надпойменным.

Низкая пойма прослеживается в виде прерывистых полос по обеим сторонам русла в пределах цокольной равнины и фрагментарно – в пределах пенеплена. Ширина ее от первых метров до первых сотен метров, высота – от 0.5 до 1.0 м. Небольшие острова в руслах рек в большинстве случаев относятся к пойме. Низкая пойма всегда аккумулятивная, сложена осадками русловой фации – песками, галечниками. Возраст отложений низкой поймы позднеголоценовый.

Высокая пойма развита повсеместно. Высота ее колеблется от 0.8 до 3 м, ширина достигает 200 м. На поверхности высокой поймы часто прослеживается несколько уступов, высота которых не превышает 0.5 – 0.7 м. Высокая пойма в большинстве случаев аккумулятивная. Наблюдается четкая дифференциация осадков поймы: верхи сложены песчано-глинистыми осадками пойменной фации, а низы - гравийно-песчано-галечными осадками русловой фации. Осадки высокой поймы датируются ранним голоценом (3 – 10 тыс. лет).

Первая надпойменная терраса. Ширина террасы достигает 300 м, высота – от 3 до 6 м. Поверхность террасы ровная, обычно слегка наклонена в сторону тылового шва. Прослеживается терраса фрагментарно. Возраст первой надпойменной террасы 12 – 20 тыс. лет (верхи позднего плейстоцена).

Вторая надпойменная терраса имеет ограниченное распротранение в области Зауральского пенеплена и значительное – в области цокольной равнины.

В пределах Зауральского пенеплена терраса чаще всего эрозионно-аккумулятивная (цокольная), где высота цоколя колеблется от 1 до 5 м.

В пределах цокольной равнины терраса аккумулятиная. Разрез террасы четко дифференцирован на фации (русловая, пойменная). Возраст террасы – низы позднего плейстоцена (70 – 100 тыс. лет).

Третья надпойменная терраса имеет весьма ограниченное распространение, слабо изучена. Терраса всегда эрозионно-аккумулятивная. Высота поверхности террасы над урезом реки 12 -–20 м, цоколя – 8 –15 м.Возраст террасы – верхи среднего плейстоцена.

Четвертая надпойменная терраса развита очень широко по крупным рекам района в пределах цокольной равнины. Высота поверхности террасы над урезом реки колеблется от 5 до 35 м. Терраса сложена грубым псчано-гравийным материалом полимиктового состава с диагональной слоистостью. Возраст данной террасы – средний плейстоцен (200 тыс. лет).

В долинах малых рек прослеживаются 1 –2 (максимум 3) террасы голоценового возраста и одна (максимум 2) позднеплейстоценовые террасы.

Из малых эрозионных форм рельефа в Сухоложском районе широким развитием пользуются балки , ложбины, лощины, а в пределах цокольной равнины – овраги.

Широким развитием пользуются **конусы выноса**. Их возраст голоценовый.

3.3.5.2. Карстовые формы рельефа

Современный карст на территории Сухоложского района развит ограниченно. Небольшие участки его отмечены на междуречье рек Пышмы и Кунары, главным образом, на склонах речных долин, где карстующиеся породы (известняки) непосредственно выходят на дневную поверхность или перекрыты маломощным чехлом четвертичных отложений.

Формы современного карста: западины, воронки, пещеры.

Западины – понижения (блюдца) глубиной до 2 м и диаметром до 50 м (суффозионно-карстовый тип рельефа).

Воронки – углубления округлой, овальнлй или неправильной формы. Размер колеблется в широких пределах: глубина – 2 –15 м, даметр – до 30 м.Образование карстовых воронок обуславливается наличием зон повышенной трещиноватости и контактов известняков с терригенной толщей. По происхождению различают: провальные воронки, воронки выщелачивания и просасывания.

Пещеры – крупные пустоты в породах. Встречаются по рекам Пышме и Кунаре в пределах площадей развития известняков. Пещеры небольщие, обычно в виде ниш (пешера Гебауэра и др.).

Древний погребенный карст в современном рельефе не выражен, вскрывается карьерами, буровыми скважинами. Основные формы древнего карста – воронки и котловины. Воронки выполнены континентальными отложениями мела. Образование древнего карста района происходило, в основном в мезозое.

3.3.6. Полезные ископаемые

В описываемом районе имеются месторождения полезных ископаемых различных типов: горючие, металлические, неметаллические и строительных материалов.

3.3.6.1. Горючие полезные ископаемые

Горючие полезные ископаемые района представлены месторождениями и проявлениями каменого угля. Открытие каменного угля в районе с. Сухоложского относится к 1947 г. Было установлено, что наиболее значительные скопления каменного угля приурочены к двум горизонтам терригенной толщи ранневизейского возраста. Проявления угля представляют собой линзообразные включения среди углисто-глинистых и углистых сланцев. Хотя подсчитанные запасы угля весьма значительны, изменчивость угленосности по мощности, простиранию и падению, а также интенсивной дислоцированностью слоев не позволяет вести здесь добычу в промышленных масштабах.

3.3.6.2. Металлические полезные ископаемые

Металлические полезные ископаемые района представлены проявлениями железных, медных и алюминиевых руд, а также россыпей золота.

Железные руды района представлены лимонитами инфильтрационного происхождения (алапаевского типа). Лимониты приурочены к основанию “беликовой” толщи и обычно располагаются в понижениях карстового рельефа нижнекаменноугольных известняков. Лимониты встречаются в Кашинском руднике на левом берегу реки Кунары, в 200 метрах западнее южной окраины села Кашино. Рудник представлен карьером размером 200х300 м. и глубиной до 30 м. Бурые железняки образуют гнездообразные тела, приуроченные к низам беликовой толщи, залегающей на закарстованной поверхности известняков.

Также лимониты имеются в Свято-Чудовском месторождении, который расположен в верхней части правого склона долины реки Кунары против северо-восточной окраины села Кашино. Формы залегания лимонита те же, что на Кашинском руднике.

Бокситы (руда на алюминий) были обнаружены южнее курорта Курьи в 1943 году. Данные геологоразведочных работ, проведенных с целью поисков и разведки бокситов, свидетельствует о том, что рудные тела мощьностью до 5 метров залегают на глубине 6-20 м. от поверхности и имеют карстовое ппроисхождение.

Медно-сульфидная минерализация в районе была впервые отмечена в 1950 г. в риолитах на левом склоне долины р. Пышмы в 520 м. выше Сухоложской плотины. Рудная минерализация представлена в основном пиритом и халькопиритом.

Полиметаллическая минерализация. В районе устья реки Каменки в левом борту реки Пышмы встречаются обломки карбонатных пород с пиритом, сфалеритом, халькопиритом и галенитом. В двух км севернее устья реки Каменки была пройдена линия поисковых скважин, в одной из которых среди андезитов и долеритов порфировых и микрокварцевых была встречена сульфидная минерализация, представленная жилками пирита мощностью до двух см., вкрапленники халькопирита, галенита. Серноколчеданная и полиметаллическая минерализация простирается разобщенно. Сфалерит, халькопирит и галенит приурочены к доломитовым прожилкам, представляют полиметаллический тип оруденения.

Золото в коренном залегании известно в верхнем течении реки Рефт за пределами исследуемой территории. В шлиховых пробах оно встречено на р.р. Рудянка, Пышма, Брусяна, Каменка.

Серный колчедан. Пиритная минерализация широко распространена в ряде пунктов в породах самого различного состава и генезиса. Она известна в порфировых риолитах на р. Рудянке и на правом берегу р. Пышмы у базы практики, в вулканитах на р. Рефт, в риолитах ближе устья р. Шаты, в туфах андезитов, базальтов, а также в

конгломератах левого берега р. Каменки против д. Валовой. Колчеданная минерализация имеет гидротермальное происхождение.

3.3.6.3. Неметаллические полезные ископаемые

Неметаллические полезные ископаемые в районе представлены незначительными проявлениями исландского шпата и жильного кварца.

Исландский шпат. Кристаллы и друзы прозрачного кальцита встречаются в известняковом карьере на левобережье р. Пышмы в 0,5 км к юго-востоку от пещеры Гебауэра и в известняковом карьере цементного завода (в 2-х км к юго-востоку от ст. Кунара). Размеры кристаллов достигают 3 см.

Жильный кварц известен в левом склоне долины р. Пышмы между автодорожным мостом и д. Глядены. Качество его не высокое, запасы не известны

3.3.6.4. Строительные материалы

В Сухоложском районе имеются проявления строительных материалов, а также сырья, пригодного для производства строительных материалов. К ним относятся известняки, огнеупорные, цементные и кирпичные глины, опоки, песчано-гравийный материал, природный щебень и бутовый камень.

Известняки распространены в районе чрезвычайно широко. Обнажения их прослеживается вдоль р. Пышмы от г. Сухого Лога до пос. Курьи и по р. Кунара от с Кашино до с. Заимка. Добыча известняков для производства цемента производилась на Кунарском карьере известняков. На Ново-Сухоложском месторождении производится добыча цементных глин и аргиллитов среди терригенных пород нижнего карбона. На Курьинском месторождении разрабатываются эоценовые трепела и опоки.

Глины. Месторождения глин в Сухоложском районе достаточно разнообразны. Цементные и кирпичные глины разведаны на правом берегу р. Пышмы к югу от ж/д линии, где они образуют покров мощностью 6-10 м. огнеупорные глины добывались на водоразделе рек Пышма и Кунара в районе д. Кашино. Разработка шла шахтным, а затем открытым способом. На правом берегу реки Кунара известны белые каолиновые глины.

Кроме того, в районе известны месторождения строительных песков и глин, песчаников и конгломератов, опок и трепелов, минеральных красок.

3.3.6.5. Подземные воды

Полоса карбонатных пород шириной около 4,5 км между реками Пышма и Кунара образует самостоятельную гидравлическую систему, которая выделена в качестве Кашинского месторождения подземных вод. Площадь месторождения составляет 24 км^2. В пределах Кашинского месторождения находится несколько водозаборов и родник Сухоложской бумажной фабрики. Основной водоотбор происходит на Кунарском карьере известняков. На всех водозаборах Кашинского месторождения подземных вод отбирается 7,8 тыс. м^3/сут.

3.4. Экологическая характеристика района

Оценка экологической ситуации производится на всех стадиях геологоразведочных работ, поэтому на практике студенты обязаны приобрести необходимые навыки подобной оценки.

Сухоложский геополигон согласно геоморфологическому районированию находится в двух геоморфологических районах: отпрепарированном Зауральском пенеплене (западная часть) и континентально-морской цокольной равнине (восточная часть).

На полигоне выделяется три морфологических типа природных ландшафтов: денудационная равнина, цокольная равнина, долины крупных и малых рек. Из техногенных ландшафтов выделены два типа: техногенно-образованные и техногенно-измененные. К первым относятся карьерные поля, отстойники, торфоразработки. Ко вторым отнесены промышленные зоны городов, поселков, загрязненные участки почвогрунтов, поверхностных вод.

Денудационная равнина характеризуется плоскими междуречьями с пологим уклоном местности от 207 м на западе до 170 м на востоке с узкими коньонообразными долинами. Район имеет сложное геологическое строение. Развиты магматические и осадочные породы. Район относится к лесостепной зоне. Леса сосновые и березово-сосновые. Почвы дерново-подзолистые, реже лугово-болотные.

Цокольная равнина характеризуется плоским рельефом с уклоном от 170 до 137 м. В геологическом строении преобладают осадочные породы, в том числе мезозоя и кайнозоя. Почвы дерново-подзолистые, серые лесные, луговые и болотистые.

Долины рек (Пышма, Рефт, Кунара) проходят транзитом через всю территорию полигона. По долинам развит пойменный и террасовый комплекс. Характерны скальные выходы коренных пород, боковая и глубинная эрозия. Реки часто зарегулированы системой прудов. Почвы в речных долинах аллювиальные и торфяно- подзолистые. Растительность лугово-кустарниково-лесная.

Техногенно-измененные ландшафты – это в основном промышленные и служебные зоны городов и других населенных пунктов. Наиболее крупным населенным пунктом является г. Асбест с промышленными объектами. Наиболее вредным объектом для окружающей среды является цементный завод с большими объемами выбросов пыли. Дорожная сеть развита в основном в черте населенных пунктов. Внешние транспортные артерии представлены автодорогами и железными дорогами местного значения. Вдоль трасс выделяются линейно вытянутые линейные техногенные аномалии.

Естественный режим многих рек изменен созданием на них прудов и водохранилищ, вдоль береговой линии которых развиваются оползневые процессы.

Наиболее загрязненной рекой является р. Пышма из-за промышленных и хозяйственно-бытовых стоков г. Екатеринбурга, Березовска, В.Пышмы. В воде р. Пышма зафиксированы тяжелые металлы, фенолы, фтор, мышьяк, медь с концентрациями превышающими нормы.

К промышленному загрязнению окружающей среды добавляется загрязнение атмосферы, почв, гидросферы выбросами Рефтинской ГРЭС. Протяженность выброса загрязняющих веществ Рефтинской ГРЭС составляет 30 км (след загрязнения зафиксирован в зимний период по космическому снимку), т.е. загрязняются почвы до г. Сухой Лог.

Сельскохозяйственная освоенность территории составляет четвертую часть площади (в основном пригородно-овоще-картофеле-молочные направления). Навозохранилища, склады ГСМ и удобрений, свалки, шлакохранилища, накопители очистных сооружений дают начало локальным природным и природно-техногенным аномалиям.

Хозяйственно-питьевое водоснабжение производится из скважин и родников. Динамика изменения состава подземных вод в процессе эксплуатации скважин свидетельствует об увеличении минерализации в 1,1-2,3 раза за счет увеличения концентрации хлоридов, сульфатов, нитратов.

Карьерные воды эксплуатируемых месторождений строительных материалов по данным мониторинга также изменяют свой состав. На Кунарском карьере известняков зафиксировано увеличение содержания сульфат иона в результате аэрогенного загрязнения серной кислотой от выбросов завода «Вторцветмет» (г. Сухой Лог) и окисления сульфидных минералов в техногенной зоне аэрации. Загрязнителями подземных вод являются также свалки бытовых отходов. При отработке карьеров в процессе понижения уровня подземных вод формируется техногенная зона аэрации. Восстановительные условия сменяются окислительными, что приводит к окислению сульфидов коры выветривания и загрязняющих соединений в теле свалки и переводу их в растворимые формы.

В затопленный карьер рудника «Белая глина» производится сброс производственных стоков Сухоложского завода мостовых и дорожных конструкций. Стоки содержат повышенные концентрации нефтепродуктов, хлоридов, сульфатов. Вся сбрасываемая вода поступает в подземные воды.

Влияние экзогенных процессов на экологию среды незначительное. На локальных участках наблюдается оврагообразование. В долинах рек происходят малоактивные процессы донной и боковой эрозии. Небольшие оползни зафиксированы по крутым берегам прудов. Вблизи озер и прудов отмечено заболачивание. В пределах развития карбонатных пород установлено карстообразование. При бурении скважин карстовые формы вскрыты до глубины 117 м. Максимальная закарстованность проявлена в верхней части разреза (до 30-50 м), что соответствует глубине вреза долины р. Пышмы – основной дрены района. Карстовые воронки и полости развиваются в известняках по трещинам напластования и кливажа. Наиболее глубоко в толщу известняков проникает мезозойский карст. Он, как правило, залечен глинистым и песчаным материалом. Открытые карстовые полости, образовавшиеся в четвертичное время, встречаются до глубины 45-50 м. Положение карстовых форм необходимо учитывать при строительстве сооружений, мостов, линий ЛЭП.

Студентам предлагается провести экологическое районирование в рамках выделенных полигонов по степени влияния техногенных изменений на природный ландшафт. Для этого рекомендуется использовать классификацию из 4 групп.

1. Изменения не превышают 10% территории (не измененные).
2. Изменения составляют 10-25% территории (слабо измененные).
3. Изменения составляют 25-50% территории (средне измененные).
4. Изменения составляют более 50% территории (сильно измененные).

Рекомендуемая литература:

Изданная

1. Горский И.И. **Детальная геологическая съемка с. Сухоложского.** / Тр. Геолкома, вып. 182, 1928.
2. Кейльман Г.А., Желобов П.П. и др**. Учебная геологосъемочная практика.** Учебное пособие. - Свердловск: Изд. СГИ им. В.В.Вахрушева, 1981.
3. Козин А.В. **Геофизические исследования Сухоложского полигона в Зауралье.** Учебное пособие.-Екатеринбкрг: Изд.УГГГА, 2004.
4. **Методическое руководство по геологической съемке масштаба 1: 50 000.** /Под редакцией Купмана А.С. – Л.: Недра, 1978.
5. Огородников В.Н. и др**. В краю потухших вулканов.** Учебное пособие. -Екатеринбург: Изд. УГГГА, 1997.
6. Огородников В.Н. и др**. Геологические маршруты по Сухоложскому и Каменскому полигонам**. Учебное пособие. – Екатеринбург: Изд-во УГГГА, 2002.
7. **Наставления по сбору и изучению палеозойских кораллов.** – М.: Наука, 1964.
8. **Наставления по сбору и изучению брахиопод.** – М.: Наука, 1962.
9. **Полевая геология: справочное руководство.** - Л., Недра, 1989.
10. Сигов А.П. **Геоморфология Урала.** – В сб.: Геология СССР, т. ХП, ч. 1, кн. 2. –М.: Недра, 1969.

Фондовая

1. Олерский В.П. и др. **Геологическая съемка и геологическое доизучение масштаба 1: 50 000 групповым методом Рефтинской площади.** –Свердловск, 1978.
2. Рыбалко В.А. и др. **Геологическое доизучение масштаба 1: 200 000 Адуйской площади, лист О-41-XXVI (Среднеуральская серия).** – Екатеринбург, 2002.

Приложение 1

План описания пород различных типов

Осадочные	Вулканогенные	Магматические
• Характер чередования типов пород по вертикали	• Характер чередования типов пород по вертикали	• Минеральный состав
• Тип переслаивания, ритмичность	• Тип переслаивания, ритмичность	• Полосчатость, линейность, их залегание
• Мощность образований общая	• Мощность образований общая	• Включения, ксенолиты, стяжения, пустоты, размер, ориентировка
•Характеристика специфических образований	•Характеристика специфических образований	• Границы фациальных зон
• Степень литификации	• Элементы залегания флюидальности, порфировых выделений, обломков	• Эндоконтактовые зоны
• Зернистость, размеры и форма зерен, их минеральный состав	• Состав, форма и размеры порфировых выделений, содержание	• Вторичные изменения
• Обломки пород, их состав, форма, окатанность, содержание, сортировка, ориентировка	• Включения, форма, размеры, окатанность, рспределение по породе, содержание	
• Пористость, пустоты заполнения	• Основная масса, раскристаллизация, количество стекла, структура	
• Цемент, его состав, тип выполнения, содержание	• Характер дислокаций, трещиноватость	
• Вещественный состав (карбонатность, углистость, прожилки …)	•Литокристалло-класты, форма, размер, сортированность, содержание	
• Запах, его интенсивность	• Обломки пород, состав, размер, форма, окатанность, содержание	
• Наличие и состав конкреций, стяжений, включений	• Цемент, структура, состав, тип выполнения, содержание	
• Органические остатки, сохранность, внешний облик, распределение	• Вторичные изменения (изменения окраски, структуры, состава, свойств)	

Метаморфические	Метасоматические
• Минеральный состав, форма и размер зерен	• Минеральный состав, форма и размер зерен
• Сланцеватость, кливаж, элементы залегания, соотношение кливажа с полосчатостью	• Метаморфическая зональность, ее направленность, интенсивность
• Изменения минералов и породы	• Название первичной породы
• Фация метаморфизма	
• Первичная порода	
• Ультраметаморфизм	

Условные обозначения:

Обломочные и глинистые породы разного состава

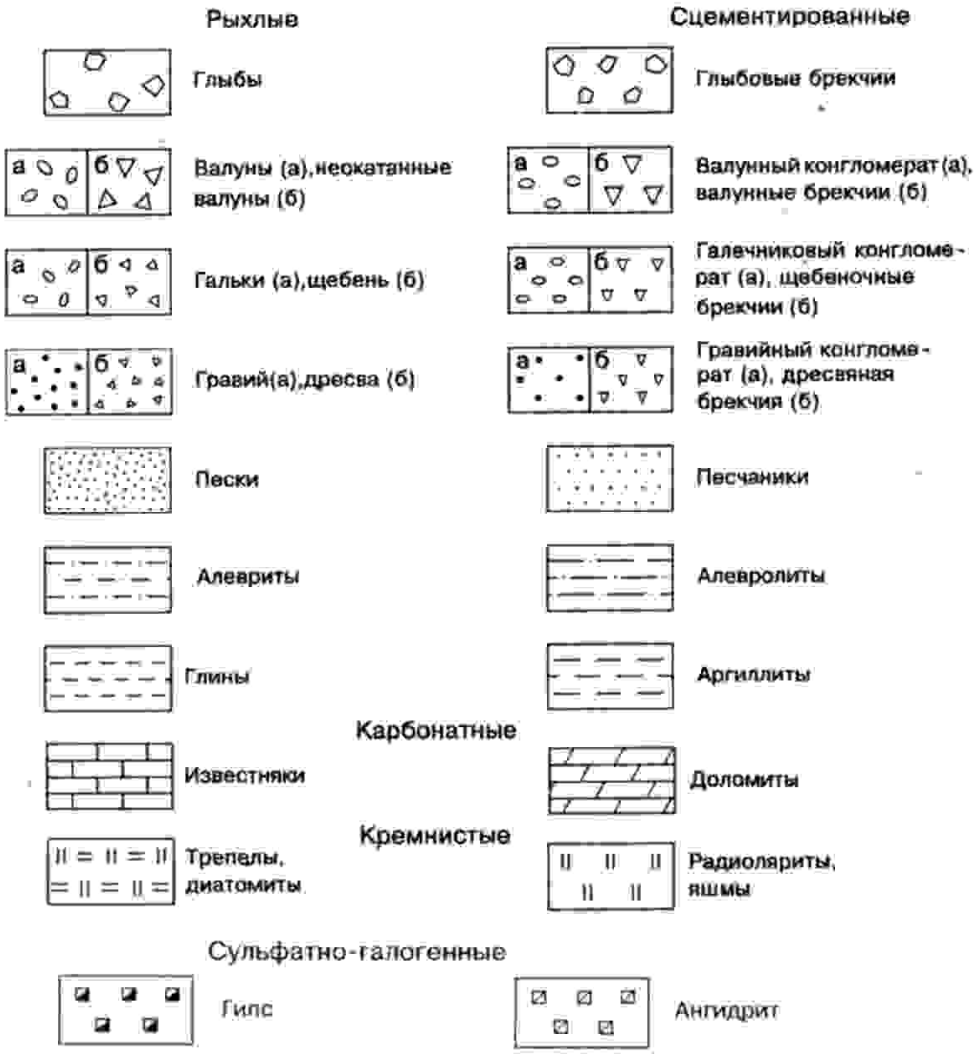

ВУЛКАНОКЛАСТИЧЕСКИЕ ПОРОДЫ

Эксплозивно-обломочные породы сцементированные (туфы)

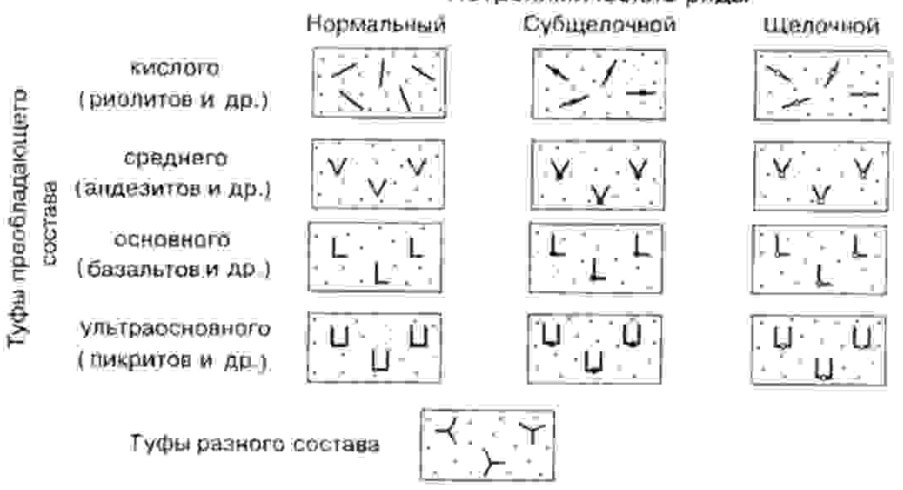

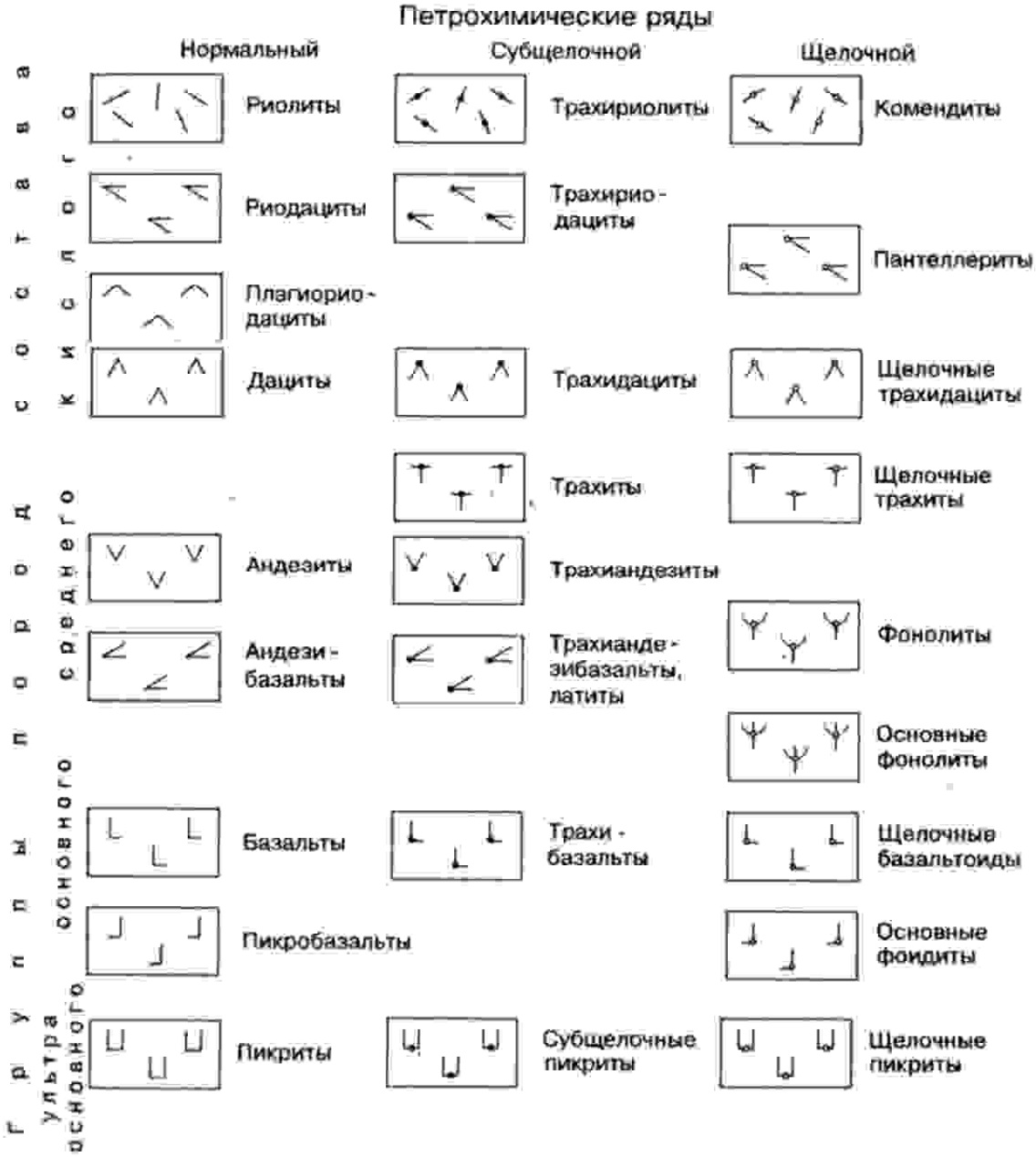

ВУЛКАНОГЕННО-ОСАДОЧНЫЕ ПОРОДЫ

Осадочно-пирокластические породы (туффиты)

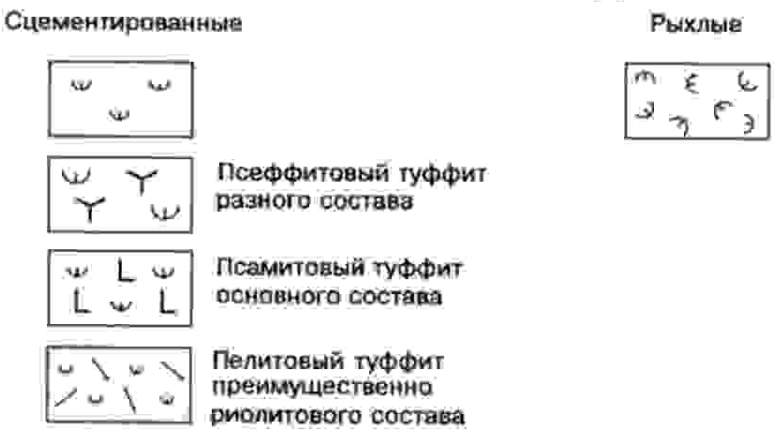

СЕМЕЙСТВА ИНТРУЗИВНЫХ ПОРОД

Петрохимические ряды

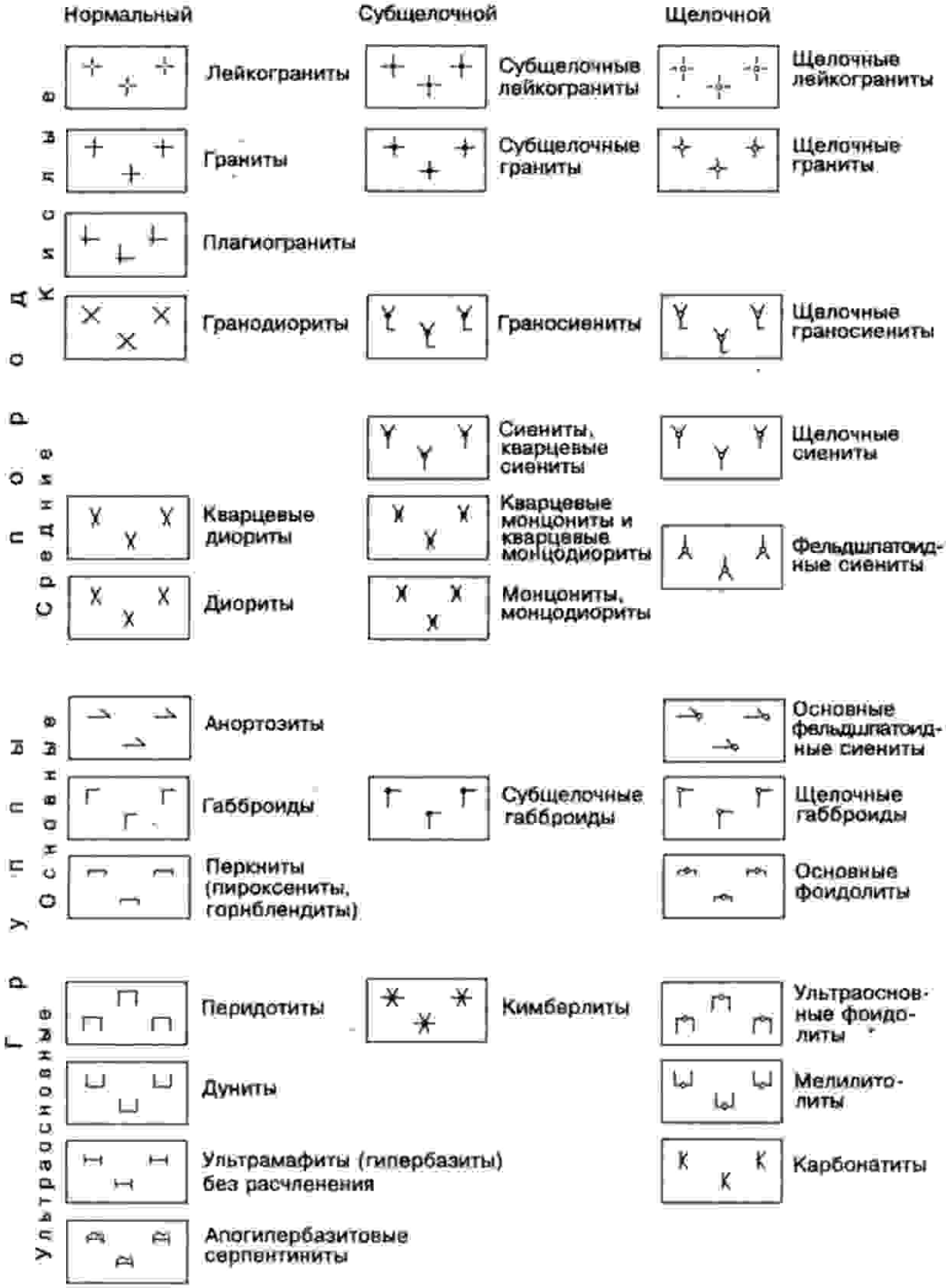

Порфировые породы обозначаются комбинацией знаков видов или разновидностей пород с точками

Метаморфические породы



СОСТАВ ЧЕТВЕРТИЧНЫХ ОБРАЗОВАНИЙ



МИНОБРНАУКИ РФ

ФГБОУ ВО «Уральский государственный горный университет»

УТВЕРЖДАЮ

Проректор по учебно-методическому комплексу

_____ С.А.Упоров

МЕТОДИЧЕСКИЕ РЕКОМЕНДАЦИИ К САМОСТОЯТЕЛЬНОЙ РАБОТЕ ПО ДИСЦИПЛИНЕ

К.М.01.01 УПРАВЛЕНИЕ ПРОЕКТАМИ

Специальность:

21.05.02 Прикладная геология

Специализация:

Геология месторождений нефти и газа

форма обучения: очная

Автор: Устьянцева Н.В.

Одобрены на заседании кафедры

Литологии и геологии горючих ископаемых

(название кафедры)

Зав. кафедрой _____

(подпись)

к.г.-м.н., доц. Рыльков С.А.

(Фамилия И.О.)

Протокол № 2 от 06.10.2020

(Дата)

Рассмотрены методической комиссией

факультета геологии и геофизики

(название факультета)

Председатель _____

(подпись)

д.г.-м.н., проф. Бондарев В.И.

(Фамилия И.О.)

Протокол № 2 от 13.10.2020

(Дата)

Екатеринбург

Введение

Самостоятельная работа студента является важнейшей составной частью образовательной программы подготовки дипломированного специалиста. По курсу «Управление проектами» обязательная самостоятельная работа студента осуществляется в следующих направлениях:

- ✓ выполнение домашних заданий;
  освоение материалов по отдельным темам, входящим в Рабочую программу дисциплины [5];
- ✓ подготовка к экзамену;

Самостоятельная работа студентов направлена на развитие интеллектуальных умений, повышение творческого потенциала студентов и заключается в:

– поиске, анализе, структурировании и презентации информации, анализе научных публикаций;

– исследовательской работе и участии в научных студенческих конференциях, семинарах и олимпиадах.

Оценка результатов самостоятельной работы организуется как единство двух форм: самоконтроль и контроль со стороны преподавателей.

Данные методические указания предназначены для организации самостоятельной работы студентов при освоении отдельных тем дисциплины.

Методические указания к самостоятельной работе студента

В последующем разделе пособия приведена развернутая программа дисциплины «Управление проектами». Здесь указаны наименование и содержание лекционных тем в соответствии с рабочей программой дисциплины [6]. Каждая тема является основой вопросов в зачетном билете. При чтении лекций по курсу преподаватель указывает те темы дисциплины, которые выносятся на самостоятельную проработку студентами. Основной объем информации по каждой теме содержится в учебнике по курсу [1-3]. Для углубленного освоения темы рекомендуется дополнительная литература [4, 5]. Для самоконтроля и приобретения навыков решения задач по отдельным разделам дисциплины в последнем разделе приведены контрольные вопросы и упражнения, которые являются основой подготовки к зачету.

При освоении указанных ниже тем рекомендуется следующий порядок самостоятельной работы студента.

1. Ознакомьтесь со структурой темы.
2. По учебным пособиям [1-3] освойте каждый структурный элемент темы. Во всех темах указаны разделы и страницы учебника, содержащие данный материал.
3. При необходимости используйте указанную дополнительную литературу. Консультацию по использованию дополнительной литературы Вы можете получить у преподавателя.
4. Ответьте на контрольные вопросы и выполните рекомендованные упражнения. При затруднениях в ответах на вопросы вернитесь к изучению рекомендованной литературы.
5. Законспектируйте материал. При этом конспект может быть написан в виде ответов на контрольные вопросы и упражнения.

При самостоятельной работе над указанными темами рекомендуется вести записи в конспектах, формируемых на лекционных занятиях по курсу, и в том порядке, в котором данные темы следуют по учебной программе.

Данное учебно-методическое пособие может быть использовано при подготовке ответов на вопросы во время экзамена.

Содержание курса

Тема 1. Введение в управление проектами

История возникновения проектного менеджмента**.**

Дополнительная литература: [1-3, 4].

Контрольные вопросы и упражнения:

1. Какие основные тенденции в развитии практики управления проектами можно выделить в настоящее время?
2. Какие международные стандарты по управлению проектами вы знаете?
3. Какие области в управлении проектами охватывают стандарты PMI?

Тема 2. Организационная структура проекта.

Основные понятия, подходы к определению и структуре проектного цикла. Предынвестиционная фаза: этапы реализации, состав основных предпроектных документов. Проектный анализ и оценка жизнеспособности и финансовой реализуемости в рамках предынвестиционной фазы. Инвестиционная и эксплуатационная фазы жизненного цикла проекта: состав и этапы разработки проектной документации; строительная фаза проекта; завершение инвестиционно-строительного этапа проекта. Этапы эксплуатационной фазы, ее содержание, период оценки.

Дополнительная литература: [1,2, 5].

Контрольные вопросы и упражнения:

1. Что входит в понятие «окружение проекта»?
2. Что такое «жизненный цикл проекта» и для чего он применяется в управлении проектами?
3. Кто относится к участникам проекта?
4. Каковы обязанности и полномочия менеджера проекта? Какие требования предъявляются к менеджеру проекта?
5. Какие группы интересов пересекаются в проекте?
6. Какие проекты можно отнести к нетрадиционному типу?
7. Каковы подсистемы управления проектами?
8. Перечислите управляемые параметры проекта.
9. Какие преимущества и ограничения с точки зрения управления проектами имеют основные типы организационных структур компаний, исполняющих проекты?
10. Чем отличаются фазы жизненного цикла и этапы реализации проекта?
11. Каковы основные риски и факторы успеха проекта внедрения корпоративной системы управления проектами?
12. Что такое «зрелость компании в области управления проектами»?
13. В чем заключаются различия между проектом, программой и портфелем? Каковы взаимосвязи между ними?
14. К какому виду проектов вы бы отнесли:

— проект перестройки системы высшего образования в России;

— проект финансовой стабилизации России;

— запуск межпланетной станции для высадки человека на Марсе;

— проект строительства пирамид в Древнем Египте;

— постройку железнодорожного вокзала?

15. Что такое проект? Какие признаки характеризуют проект?

16. Перечислите основные отличия проектной деятельности по отношению к функциональной?

Тема 3. Процессы и методы управления проектами.

Планирование проекта: постановка целей и задач проекта; основные понятия и определения; информационное обеспечение; методы планирования; документирование плана проекта. Методы управлениями проекта: диаграмма Ганта; сетевой график. Контроль и регулирование проекта: цели и содержание контроля; мониторинг работ по проекту; измерение процесса выполнения работ и анализ результатов, внесение корректив; принятие решений; управление изменениями. Управление стоимостью проекта: основные принципы; методы оценки; бюджетирование проекта; контроль стоимости. Управление работами по проекту: взаимосвязь объектов, продолжительности и стоимости работ; принципы эффективного управления временем, формы контроля производительности труда. Менеджмент качества, постановка систем качества. Управление ресурсами проекта: процессы, принципы, управление закупками и запасами, правовое регулирование закупок и поставок, проектная логистика. Управление командой проекта: основные понятия, принципы, организационные аспекты, создание команды, эффективные совещания, управление взаимоотношениями, оценка эффективности, организационная культура, мотивация, конфликты.

Дополнительная литература: [2, 3, 5].

Контрольные вопросы и упражнения:

1. Каким образом процессный подход применяется к управлению проектами? Что дает применение процессного подхода компании, исполняющей проекты?

2. Какие процессы могут быть выделены в проектах? Какие из них могут быть стандартизированы?

3. Как организуется взаимодействие между пятью группами процессов управления проектом согласно стандарту «Руководство PMBOK»?

4. Какие аспекты проекта должны быть рассмотрены при принятии решения об инициации проекта?

5. Какие документы могут быть сформированы на выходе фазы инициации проекта?

6. Для чего в проектах предназначен Устав проекта? Кто, как правило, отвечает за его разработку? Какие разделы может включать данный документ?

7. Каковы критические факторы успеха на стадии планирования проекта.

8. Опишите основные и вспомогательные процессы планирования.

9. Каковы наиболее вероятные риски при планировании проекта и действия для их уменьшения?

10. В чем заключается руководство и управление исполнением проекта?

11. Что включает в себя процесс мониторинга и контроля работ проекта? Какие показатели целесообразно использовать для мониторинга проекта на разных стадиях его жизненного цикла?

12. Что входит в понятие «цели проекта»?

Тема 4 Специальные вопросы управления проектами.

Организационные структуры управления проектами: принципы построения, виды, современные методы моделирования проектных структур. Организация офиса проекта: понятие, принципы проектирования и организации. Маркетинг проекта. Проектное финансирование: источники и формы. Оценка эффективности инвестиционных проектов: принципы оценки; информационное обеспечение и исходные данные; основные показате-

ли оценки, критерии выбора вариантов проектных решений. Управление рисками: основные понятия, принципы классификации, методы анализа и снижения проектных рисков, организации управления рисками. Особенности управления проектами при освоении минерально-сырьевой базы: основные понятия; конъюнктура рынков минерального сырья и их виды; принципы и специфика оценки эффективности проектов.

Дополнительная литература: [2, 3, 5].

Контрольные вопросы и упражнения:

1. Что включает в себя понятие «управление стоимостью проекта»?
2. Какие существуют способы проектного финансирования? Какие вы знаете источники финансирования?
3. Какие показатели могут быть использованы для оценки финансовой эффективности проекта на начальных фазах жизненного цикла?
4. Каким образом проводится оценка стоимости проекта? Какие методы для выполнения данного процесса могут быть использованы?
5. Как может изменяться точность расчетов стоимости проекта в зависимости от фаз жизненного цикла проекта, на которых выполняются расчеты?
6. Какие виды оценок стоимости проекта вы знаете?
7. Какими ресурсами определяется стоимость проекта?
8. Какие типы бюджетов в зависимости от стадии жизненного цикла проекта вы знаете?
9. Как связаны между собой бюджеты проектов и другие бюджеты, формируемые в компании, исполняющей проекты?
10. Чем различаются традиционный метод контроля и метод освоенного объема?
11. Что представляет собой метод управления освоенным объемом и как его возможно применить для мониторинга и формирования отчетности по стоимости проекта?

Вопросы
к зачету по курсу «Управление проектами»

1. Понятие, особенности проекта
2. Окружение проекта: структура, состав.
3. Классификация проектов.
4. Сущность управления проектами.
5. Базовые понятия управления проектами.
6. Сравнение функций традиционного и проектного управления.
7. Принципиальная модель управления проектами
8. Фазы и этапы жизненного цикла проекта.
9. Функции управления проектами.
10. Цель, стратегия и результаты проекта.
11. Проектный цикл.
12. Участники проекта.
13. Разработка концепции проекта.
14. Проектный анализ
15. Оценка жизнеспособности и реализуемости проекта.
16. Экспертиза проекта.
17. Оценка эффективности проекта с учетом риска.
18. Управление рисками проекта.
19. Управление ресурсами проекта
20. Управление работами проекта.
21. Управление стоимостью проекта.

22. Управление командой проекта.
23. Контроль и регулирование проекта.

Рекомендуемая литература

1. Рыбалова, Е. А. Управление проектами : учебно-методическое пособие / Е. А. Рыбалова. — Томск : Томский государственный университет систем управления и радиоэлектроники, 2015. — 149 с. — ISBN 2227-8397. — Текст : электронный // Электронно-библиотечная система IPR BOOKS : [сайт]. — URL: http://www.iprbookshop.ru/72202.html

2. Рыбалова, Е. А. Управление проектами : учебное пособие / Е. А. Рыбалова. — Томск : Томский государственный университет систем управления и радиоэлектроники, 2015. — 206 с. — ISBN 2227-8397. — Текст : электронный // Электронно-библиотечная система IPR BOOKS : [сайт]. — URL: http://www.iprbookshop.ru/72203.html

3. Лебедева, Т. Н. Методы и средства управления проектами : учебно-методическое пособие / Т. Н. Лебедева, Л. С. Носова. — Челябинск : Южно-Уральский институт управления и экономики, 2017. — 79 с. — ISBN 978-5-9909865-1-0. — Текст : электронный // Электронно-библиотечная система IPR BOOKS : [сайт]. — URL: http://www.iprbookshop.ru/81304.htmlм

4. Коновальчук, Е. В. Модели и методы оперативного управления проектами : монография / Е. В. Коновальчук, Д. А. Новиков. — Москва : ИПУ РАН, 2004. — 63 с. — ISBN -. — Текст : электронный // Электронно-библиотечная система IPR BOOKS : [сайт]. — URL: http://www.iprbookshop.ru/8516.html

5. Матюшка, В. М. Управление проектами : учебное пособие / В. М. Матюшка. — Москва : Российский университет дружбы народов, 2010. — 556 с. — ISBN 978-5-209-03896-2. — Текст : электронный // Электронно-библиотечная система IPR BOOKS : [сайт]. — URL: http://www.iprbookshop.ru/11440.html

6. Управление проектами: рабочая программа дисциплины для студентов специальности 21.05.02 Прикладная геология специализация № 3 Геология месторождений нефти и газа / Н.В. Устьянцева. Екатеринбург: УГГУ, 2020. 10 с.

МИНОБРНАУКИ РФ

ФГБОУ ВО «Уральский государственный горный университет»

УТВЕРЖДАЮ
Проректор по учебно-методическому комплексу_____С.А.Мухоров

МЕТОДИЧЕСКИЕ РЕКОМЕНДАЦИИ К САМОСТОЯТЕЛЬНОЙ РАБОТЕ ПРИ ПРОХОЖДЕНИИ ПРОЕКТНО-ТЕХНОЛОГИЧЕСКОЙ ПРАКТИКИ

Специальность:
21.05.02 *Прикладная геология*

Специализация
Геология месторождений нефти и газа

форма обучения: очная

Автор: Рыльков С.А., доцент, к.г.-м.н.

Одобрены на заседании кафедры

Литологии и геологии горючих ископаемых
(название кафедры)

Зав.кафедрой _____
(подпись)

Рыльков С.А.
(Фамилия И.О.)

Протокол № 2 от 06.10.2020
(Дата)

Рассмотрены методической комиссией факультета

Геологии и геофизики
(название факультета)

Председатель _____
(подпись)

Бондарев В.И.
(Фамилия И.О.)

Протокол № 2 от 13.10.2020
(Дата)

Екатеринбург

ЦЕЛИ И ЗАДАЧИ ПРАКТИКИ

Проектно-технологическая практика позволяет заложить у студентов основы навыков практической деятельности для решения *профессиональных задач:*

– производственно-технологические исследования;

– проектирование поисково-разведочных работ на нефть и газ.

Основная цель проектно-технологической практики – закрепление теоретических и практических знаний; овладение на основе полученных теоретических знаний профессиональными навыками и умениями по проектированию основных видов поисково-разведочных работ на нефть и газ; определение круга задач при производственно-технологических исследованиях и выбор оптимальных способов их решения, исходя из действующих правовых норм, имеющихся ресурсов и ограничений; формирование умения организовать самостоятельный трудовой процесс.

Задачами проектно-технологической практики являются:

- практическое закрепление теоретических знаний, полученных в период обучения;

- закрепление студентами полученных сведений о будущей профессиональной деятельности;

- приобретение опыта профессиональной деятельности путём выполнения работ, связанных с будущей профессиональной деятельностью в составе геологической службы на предприятиях нефтегазового профиля;

- выполнение заданий кафедры.

ПРОДОЛЖИТЕЛЬНОСТЬ ПРАКТИКИ

Общая трудоемкость учебной проектно-технологической практики составляет 2 зачетных единицы, 72 часа.

Общее время прохождения учебной проектно-технологической практики 7 недель.

ОБЩИЕ РЕКОМЕНДАЦИИ ОБУЧАЮЩИМСЯ ПО ПРОХОЖДЕНИЮ ПРОЕКТНО-ТЕХНОЛОГИЧЕСКОЙ ПРАКТИКИ

Проектно-технологическая практика проводится как в структурных подразделениях УГГУ (возможно посещение профильных организаций с целью изучения их опыта решения конкретных профессиональных и производственных задач в соответствии с заданием практики), так и в организациях – базах практики, с которыми у УГГУ заключены договоры о практике, деятельность которых соответствует видам деятельности, осваиваемым в рамках ОПОП ВО.

Перед прохождением практики обучающихся должен изучить программу, представленную учебно-методическую документацию по практике и обратиться к соответствующим нормативным материалам, литературе с тем, чтобы быть подготовленным к выполнению поручений, данных руководителем практики, к решению задач практики, конкретных практических вопросов.

При необходимости обучающиеся должны подготовить: ксерокопии своих свидетельств о постановке на учет в налоговом органе (ИНН), пенсионного страхования; получить при необходимости медицинскую справку по форме, требуемой предприятием-базой практики, в поликлинике, к которой прикреплены; подготовить фотографии (формат по требованию предприятия-базы практики) и паспортные данные (ксерокопии разворотов с фотографией и регистрацией места жительства) для оформления пропусков на предприятия.

В рамках самостоятельной работы обучающемуся рекомендуется проработать конспекты лекций, учебников и других горнотехнических изданий, технической документации горных предприятий, Контроль качества самостоятельной работы студентов производится при защите отчёта по практике.

При прохождении практики *обучающиеся обязаны:*

своевременно прибыть на место прохождения практики, иметь при себе все необходимые документы, в том числе паспорт, направление на практику;

подчиняться действующим правилам внутреннего трудового распорядка организации – места прохождения практики;

изучить и строго соблюдать правила охраны труда, техники безопасности, производственной санитарии и промышленной безопасности;

полностью выполнять задания, предусмотренные программой практики;

выполнять задания руководителя практики от организации;

быть вежливым, внимательным в общении с работниками;

вести записи о проделанной работе, чтобы в дальнейшем в отчете описать содержание проделанной работы;

в установленный срок отчитаться о прохождении практики руководителю практики от кафедры, подготовить и сдать отчет и другие документы практики на кафедру.

При возникновении затруднений в процессе практики обучающийся может обратиться к руководителю практики от университета либо от организации-базы практики и получить необходимые разъяснения.

ФОРМА ОТЧЕТНОСТИ ПО ПРАКТИКЕ

По результатам практики студент представляет набор документов:

индивидуальное задание и график (план) проведения практики заполненный соответствующим образом (приложение В);

характеристика с места практики (приложение Г);

отчет обучающегося.

Индивидуальное задание, график (план) прохождения практики, характеристика –единый документ.

Документы должны быть подписаны руководителем практики от организации – базы практики и заверены печатью организации–базы практики.

Отчет вместе с документами служит основанием для оценки результатов проектно-технологической практики руководителем практики от университета. Полученная оценка - «зачтено» выставляется в ведомость и зачетную книжку студента.

Содержание отчета должно соответствовать программе практики, в нем обобщается и анализируется весь ход практики, выполнение заданий и других запланированных мероприятий. Отчет должен иметь четкое построение, логическую последовательность, конкретность.

Отчет по проектно-технологической практике имеет следующую структуру: титульный лист (приложение А), индивидуальное задание и график (план) проведения практики заполненный соответствующим образом, содержание, введение, основная часть, заключение, приложения.

Титульный лист отчета содержит*:* указание места прохождения практики, данные о руководителе практики от университета и от организации (образец – приложение А).

После титульного листа помещается индивидуальное задание на практику, содержащее график (план) практики, характеристику с места практики.

Содержание отчета о прохождении учебной практики помещают после титульного листа и индивидуального задания. *В* содержании отчета указывают: перечень разделов (при желании параграфов), номера страниц, с которых начинается каждый из них.

Во введении следует отразить*:* место и сроки практики; её цели и задачи; выполненные обязанности, изученный информационный материал.

Введение не должно превышать 1 страницы компьютерного набора.

Основная часть отчета

Основная часть отчета представляет собой Методический раздел ВКР в виде дипломного проекта или методическую часть ВКР в виде дипломной работы.

Необходимо в начале главы дать обоснование стадийности проектируемых работ и перечислить комплекс методов для решения поставленной задачи.

Объем – 1 страница текста.

Темами части могут быть проведение поисково-оценочной стадии поисково-оценочного этапа работ или производство разведочных работ.

Учитывая, что методический раздел является основой для составления последующих частей дипломного проекта, предлагается разбить главу на подглавы и подразделы. В качестве примера предлагается следующий рубрикатор данной главы:

Геофизические методы производства работ: здесь, в зависимости от стадии проектируемых работ, рассматривается вопрос по сгущению сети ранее пройденных сейсморазведочных площадных работ 2D, или же постанов-

ка сейсморазведочных работ 3D. В зависимости от собранного дипломантом на практике материала можно рассматривать вопрос и о применении других видов геофизических исследований. Объем – в зависимости от объема собранного материала, но не более 5 с. текста; рисунки: расчет годографа, местоположение проектируемых работ на местности. При проектировании сейсморазведочных работ 3D необходим демонстрационный чертеж формата А1.

Геохимические методы производства работ – комплекс геохимических исследований по уточнению границ залежи (месторождения) дистанционными методами. Дается описание методики производства работ, ожидаемые результаты. Объем текста – 2-4 с.; рисунки – применяемая сеть геохимических наблюдений. При применении данного метода – дать этот же рисунок в качестве демонстрационной графики в формате А1.

Буровые работы. Эта подглава, в свою очередь, состоит из ряда подразделов:

1. Выбор места заложения скважины (скважин). В зависимости от задачи дипломного проекта, в соответствии со стадийностью проектируемых работ определяется количество скважин, необходимых для решения задачи, их места заложения, глубина скважин, очередность проходки.

2. Литолого-технологический разрез и ожидаемые осложнения при бурении скважины (скважин). В текстовой или в табличной форме дается поинтервальный сводный разрез проектируемой скважины с указанием ожидаемых литологических разностей пород (поинтервально), а также категории их по буримости. В текстовой или в табличной форме дать ожидаемые осложнения при бурении.

3. Конструкция скважины. На основании литолого-технологичес-кого разреза и ожидаемых осложнений при бурении скважины предлагается обосновать принимаемую проектом конструкцию скважины.

4. Отбор проб в процессе бурения скважины керна, флюидов. В соответствии с назначением скважины, ожидаемой мощностью продуктивного горизонта (пласта) определить интервалы проходки с отбором керна, дать объем ожидаемого керна с условием его выноса (раздельно по коллектору и по покрышке). Описать отбор проб флюидов.

5. Опробование скважины в открытом стволе и испытание ее в колонне. Дать в текстовой форме описание процесса опробования скважины в открытом стволе и процесс испытания скважины в колонне.

6. Предлагаемый комплекс ГИС. Дается в табличной форме основной комплекс ГИС для данной территории и при необходимости - дополнительный. Рассматриваются масштабы записей; какие зонды будут применяться в открытом стволе (предварительно, окончательно), какие - в колонне. Желательно дать краткое описание методам: для чего он применяется.

7. Работы, сопутствующие полевым. Имеются в виду топомаркшейдерские работы и строительство на буровой.

8. Лабораторные работы. С учетом стадийности работ, объема выне-

сенного керна по коллекторам и по покрышкам, определяется объем образцов для проведения петрофизических и петрографических исследований. Делается вывод о репрезентативности полученной выборки.

9. Подсчет запасов углеводородов объемным методом. При проведении поисково-оценочных работ запасы подсчитываются по категориям C_1+C_2, при проведении разведочных работ – количество запасов, переведенных из категории C_2 в категорию C_1.

Объем основной части не должен превышать 30 страниц. В качестве демонстрационного чертежа приводится геолого-технический наряд (ГТН).

В *заключении* студент должен дать характеристику практики (как проходила практика, знания и навыки (компетенции), которые он приобрел в ходе практики), сделать вывод о ее значении для подготовки специалиста-геолога в нефтегазовой отрасли.

Заключение должно быть по объему не более 1-2 стр.

Характеристика с места практики должна обязательно содержать Ф.И.О. студента полностью, указание на отношение студента к работе, наличие или отсутствие жалоб на студента, оценку его теоретических знаний, умение применять теоретические знания на практике, степень выраженности необходимых личностных и профессиональных качеств.

Приложение А

Федеральное государственное бюджетное образовательное учреждение
высшего образования
«Уральский государственный горный университет»
(ФГБОУ ВО «УГГУ»)
620144, г. Екатеринбург, ул. Куйбышева, 30

ОТЧЕТ
о прохождении проектно-технологической практики

_____
(наименование организации прохождения практики)

Специальность: 21.05.02
ПРИКЛАДНАЯ ГЕОЛОГИЯ

Специализация:
ГЕОЛОГИЯ МЕСТОРОЖДЕНИЙ НЕФТИ И ГАЗА

Студент: Ларкин Н.А.
Группа: ГН-21

Руководитель практики от университета:

Оценка _____

Подпись _____

Екатеринбург
202__

МИНОБРНАУКИ РФ

ФГБОУ ВО «Уральский государственный горный университет»

УТВЕРЖДАЮ

Проректор по учебно-методическому комплексу

_____ С.А. Упоров

МЕТОДИЧЕСКИЕ УКАЗАНИЯ ПО САМОСТОЯТЕЛЬНОЙ РАБОТЕ СТУДЕНТОВ

ФТД.01 ТЕХНОЛОГИИ ИНТЕЛЛЕКТУАЛЬНОГО ТРУДА

Специальность:
21.05.02 Прикладная геология

Специализация:
Геология месторождений нефти и газа

Автор: Полянок О.В., к.психол.н.

Одобрены на заседании кафедры
Управления персоналом
(название кафедры)

Зав. кафедрой _____
(подпись)

к.ф.н., доц. Ветошкина Т.А.
(Фамилия И.О.)

Протокол № 17 от 09.09.2020
(Дата)

Рассмотрены методической комиссией
факультета геологии и геофизики
(название факультета)

Председатель _____
(подпись)

д.г.-м.н., проф. Бондарев В.И.
(Фамилия И.О.)

Протокол № 2 от 13.10.2020
(Дата)

Екатеринбург

Методические указания по дисциплине согласованы с выпускающей кафедрой литологии и геологии горючих ископаемых

Заведующий кафедрой ЛГГИ _____к.г.-м.н., С.А. Рыльков____

подпись *И.О. Фамилия*

СОДЕРЖАНИЕ

	Введение	4
1	Методические рекомендации по решению практико-ориентированных заданий	5
2	Методические указания по подготовке к опросу	9
3	Методические рекомендации по подготовке к практическим занятиям	10
4	Методические рекомендации по подготовке семинарским занятиям	11
5	Методические рекомендации по подготовке к сдаче экзаменов и зачетов	12
	Заключение	15
	Список использованных источников	16

ВВЕДЕНИЕ

Самостоятельная работа студентов может рассматриваться как организационная форма обучения - система педагогических условий, обеспечивающих управление учебной деятельностью студентов по освоению знаний и умений в области учебной и научной деятельности без посторонней помощи.

Самостоятельная работа студентов проводится с целью:

- систематизации и закрепления полученных теоретических знаний и практических умений студентов;
- углубления и расширения теоретических знаний;
- формирования умений использовать нормативную, правовую, справочную документацию и специальную литературу;
- развития познавательных способностей и активности студентов: творческой инициативы, самостоятельности, ответственности и организованности;
- формирования самостоятельности мышления, способностей к саморазвитию, самосовершенствованию и самореализации;
- формирования практических (общеучебных и профессиональных) умений и навыков;
- развитияисследовательскихумений;
- получения навыков эффективной самостоятельной профессиональной (практической и научно-теоретической) деятельности.

В учебном процессе выделяют два вида самостоятельной работы:

- аудиторная;
- внеаудиторная.

Аудиторная самостоятельная работа по дисциплине выполняется на учебных занятиях под непосредственным руководством преподавателя и по его заданию.

Внеаудиторная самостоятельная работа - планируемая учебная, учебно-исследовательская, научно-исследовательская работа студентов, выполняемая во внеаудиторное время по заданию и при методическом руководстве преподавателя, но без его непосредственного участия.

Самостоятельная работа, не предусмотренная образовательной программой, учебным планом и учебно-методическими материалами, раскрывающими и конкретизирующими их содержание, осуществляется студентами инициативно, с целью реализации собственных учебных и научных интересов.

Для более эффективного выполнения самостоятельной работы по дисциплине преподаватель рекомендует студентам источники и учебно-методические пособия для работы, характеризует наиболее рациональную методику самостоятельной работы, демонстрирует ранее выполненные студентами работы и т. п.

Подразумевается несколько категорий видов самостоятельной работы студентов, значительная часть которых нашла отражения в данных методических рекомендациях:

- работа с источниками литературы и официальными документами (*использование библиотечно-информационной системы*);
- выполнение заданий для самостоятельной работы в рамках учебных дисциплин (*рефераты, эссе, домашние задания, решения практико-ориентированных заданий*);

- реализация элементов научно-педагогической практики (*разработка методических материалов, тестов, тематических портфолио*);
- реализация элементов научно-исследовательской практики (*подготовка текстов докладов, участие в исследованиях*).

Особенностью организации самостоятельной работы студентов является необходимость не только подготовиться к сдаче зачета, но и собрать, обобщить, систематизировать, проанализировать информацию по темам дисциплины.

Технология организации самостоятельной работы студентов включает использование информационных и материально-технических ресурсов образовательного учреждения.

Самостоятельная работа может осуществляться индивидуально или группами студентовonline и на занятиях в зависимости от цели, объема, конкретной тематики самостоятельной работы, уровня сложности, уровня умений студентов.

В качестве форм и методов контроля внеаудиторной самостоятельной работы студентов могут быть использованы обмен информационными файлами, семинарские занятия, тестирование, опрос, доклад, реферат, самоотчеты, контрольные работы, защита творческих работ и электронных презентаций и др.

Контроль результатов внеаудиторной самостоятельной работы студентов осуществляется в пределах времени, отведенного на обязательные учебные занятия по дисциплине.

1. Методические рекомендации по решению практико-ориентированных заданий

Практико-ориентированные задания - метод анализа ситуаций. Суть его заключается в том, что студентам предлагают осмыслить реальную жизненную ситуацию, описание которой одновременно отражает не только какую-либо практическую проблему, но и актуализирует определенный комплекс знаний, который необходимо усвоить при разрешении данной проблемы. При этом сама проблема не имеет однозначных решений.

Использование метода практико-ориентированного задания как образовательной технологии профессионально-ориентированного обучения представляет собой сложный процесс, плохо поддающийся алгоритмизации [1]. Формальноможновыделитьследующиеэтапы:

- ознакомлениестудентовстекстом;
- анализпрактико-ориентированного задания;
- организация обсуждения практико-ориентированного задания, дискуссии, презентации;
- оцениваниеучастниковдискуссии;
- подведениеитоговдискуссии.

Ознакомление студентов с текстом практико-ориентированного задания и последующий анализ практико-ориентированного задания чаще всего осуществляются за несколько дней до его обсуждения и реализуются как самостоятельная работа студентов; при этом время, отводимое на подготовку, определяется видом практико-ориентированного задания, его объемом и сложностью.

Общая схема работы с практико-ориентированное заданием на данном этапе может быть представлена следующим образом: в первую очередь следует выявить ключевые проблемы практико-ориентированного задания и понять, какие именно из представленных данных важны для решения; войти в ситуационный контекст практико-ориентированного задания, определить, кто его главные действующие лица, отобрать факты и понятия,

[1] Долгоруков А. Метод case-study как современная технология профессионально -ориентированного обучения [Электронный ресурс]. Режим доступа: //http://evolkov.net/case/case.study.html/

необходимые для анализа, понять, какие трудности могут возникнуть при решении задачи; следующим этапом является выбор метода исследования.

Знакомство с небольшими практико-ориентированного заданиями и их обсуждение может быть организовано непосредственно на занятиях. Принципиально важным в этом случае является то, чтобы часть теоретического курса, на которой базируется практико-ориентированное задание, была бы прочитана и проработана студентами.

Максимальная польза из работы над практико-ориентированного заданиями будет извлечена в том случае, если аспиранты при предварительном знакомстве с ними будут придерживаться систематического подхода к их анализу, основные шаги которого представлены ниже:

1. Выпишите из соответствующих разделов учебной дисциплины ключевые идеи, для того, чтобы освежить в памяти теоретические концепции и подходы, которые Вам предстоит использовать при анализе практико-ориентированного задания.
2. Бегло прочтите практико-ориентированное задание, чтобы составить о нем общее представление.
3. Внимательно прочтите вопросы кпрактико-ориентированное задание и убедитесь в том, что Вы хорошо поняли, что Вас просят сделать.
4. Вновь прочтите текст практико-ориентированного задания, внимательно фиксируя все факторы или проблемы, имеющие отношение к поставленным вопросам.
5. Прикиньте, какие идеи и концепции соотносятся с проблемами, которые Вам предлагается рассмотреть при работе с практико-ориентированное заданием.

Организация обсуждения практико-ориентированного задания предполагает формулирование перед студентами вопросов, включение их в дискуссию. Вопросы обычно подготавливают заранее и предлагают студентам вместе с текстом практико-ориентированного задания. При разборе учебной ситуации преподаватель может занимать активную или пассивную позицию, иногда он «дирижирует» разбором, а иногда ограничивается подведением итогов дискуссии.

Организация обсуждения практико-ориентированных заданий обычно основывается на двух методах. Первый из них носит название традиционного Гарвардского метода - открытая дискуссия. Альтернативным методом является метод, связанный с индивидуальным или групповым опросом, в ходе которого аспиранты делают формальную устную оценку ситуации и предлагают анализ представленного практико-ориентированного задания, свои решения и рекомендации, т.е. делают презентацию. Этот метод позволяет некоторым студентам минимизировать их учебные усилия, поскольку каждый аспирант опрашивается один- два раза за занятие. Метод развивает у студентов коммуникативные навыки, учит их четко выражать свои мысли. Однако, этот метод менее динамичен, чем Гарвардский метод. В открытой дискуссии организация и контроль участников более сложен.

Дискуссия занимает центральное место в методе. Ее целесообразно использовать в том случае, когда аспиранты обладают значительной степенью зрелости и самостоятельности мышления, умеют аргументировать, доказывать и обосновывать свою точку зрения. Важнейшей характеристикой дискуссии является уровень ее компетентности, который складывается из компетентности ее участников. Неподготовленность студентов к дискуссии делает ее формальной, превращает в процесс вытаскивания ими информации у преподавателя, а не самостоятельное ее добывание.

Особое место в организации дискуссии при обсуждении и анализе практико-ориентированного задания принадлежит использованию метода генерации идей, получившего название «мозговой атаки» или «мозгового штурма».

Метод «мозговой атаки» или «мозгового штурма» был предложен в 30-х годах прошлого столетия А. Осборном как групповой метод решения проблем. К концу XX столетия этот метод приобрел особую популярность в практике управления и обучения не только как самостоятельный метод, но и как использование в процессе деятельности с целью усиления ее продуктивности. В процессе обучения «мозговая атака» выступает в

качестве важнейшего средства развития творческой активности студентов. «Мозговая атака» включает в себя три фазы.

Первая фаза представляет собой вхождение в психологическую раскованность, отказ от стереотипности, страха показаться смешным и неудачником; достигается созданием благоприятной психологической обстановки и взаимного доверия, когда идеи теряют авторство, становятся общими. Основная задача этой фазы - успокоиться и расковаться.

Вторая фаза - это собственно атака; задача этой фазы - породить поток, лавину идей. «Мозговаяатака» в этойфазеосуществляетсяпоследующимпринципам:

- есть идея, - говорю, нет идеи, - не молчу;
- поощряется самое необузданное ассоциирование, чем более дикой покажется идея, тем лучше;
- количество предложенных идей должно быть как можно большим;
- высказанные идеи разрешается заимствовать и как угодно комбинировать, а также видоизменять и улучшать;
- исключается критика, можно высказывать любые мысли без боязни, что их признают плохими, критикующих лишают слова;
- не имеют никакого значения социальные статусы участников; это абсолютная демократия и одновременно авторитаризм сумасшедшей идеи;
- все идеи записываются в протокольный список идей;
- время высказываний - не более 1-2 минут.

Третья фаза представляет собой творческий анализ идей с целью поиска конструктивного решения проблемы по следующим правилам:

- анализировать все идеи без дискриминации какой-либо из них;
- найти место идее в системе и найти систему под идею;
- не умножать сущностей без надобности;
- не должна нарушаться красота и изящество полученного результата;
- должно быть принципиально новое видение;
- ищи «жемчужину в навозе».

В методе мозговая атака применяется при возникновении у группы реальных затруднений в осмыслении ситуации, является средством повышения активности студентов. В этом смысле мозговая атака представляется не как инструмент поиска новых решений, хотя и такая ее роль не исключена, а как своеобразное «подталкивание» к познавательной активности.

Презентация, или представление результатов анализа практико-ориентированного задания, выступает очень важным аспектом метода ***case-study***. Умение публично представить интеллектуальный продукт, хорошо его рекламировать, показать его достоинства и возможные направления эффективного использования, а также выстоять под шквалом критики, является очень ценным интегральным качеством современного специалиста. Презентация оттачивает многие глубинные качества личности: волю, убежденность, целенаправленность, достоинство и т.п.; она вырабатывает навыки публичного общения, формирования своего собственного имиджа.

Публичная (устная) презентация предполагает представление решений практико-ориентированного задания группе, она максимально вырабатывает навыки публичной деятельности и участия в дискуссии. Устная презентация обладает свойством кратковременного воздействия на студентов и, поэтому, трудна для восприятия и запоминания. Степень подготовленности выступающего проявляется в спровоцированной им дискуссии: для этого необязательно делать все заявления очевидными и неопровержимыми.Такая подача материала при анализе практико-ориентированного задания может послужить началом дискуссии. При устной презентации необходимо учитывать эмоциональный настрой выступающего: отношение и эмоции говорящего вносят существенный вклад в сообщение. Одним из преимуществ публичной (устной) презентации является ее гибкость. Оратор может откликаться на изменения окружающей обстановки, адаптировать свой стиль и материал, чувствуя настроение аудитории.

Непубличная презентация менее эффектна, но обучающая роль ее весьма велика. Чаще всего непубличная презентация выступает в виде подготовки отчета по выполнению задания, при этом стимулируются такие качества, как умение подготовить текст, точно и аккуратно составить отчет, не допустить ошибки в расчетах и т.д. Подготовка письменного анализа практико-ориентированного задания аналогична подготовке устного, с той разницей, что письменные отчеты-презентации обычно более структурированы и детализированы. Основное правило письменного анализа практико-ориентированного задания заключается в том, чтобы избегать простого повторения информации из текста, информация должна быть представлена в переработанном виде. Самым важным при этом является собственный анализ представленного материала, его соответствующая интерпретация и сделанные предложения. Письменный отчет - презентация может сдаваться по истечении некоторого времени после устной презентации, что позволяет студентам более тщательно проанализировать всю информацию, полученную в ходе дискуссии.

Как письменная, так и устная презентация результатов анализа практико-ориентированного задания может быть групповая и индивидуальная. Отчет может быть индивидуальным или групповым в зависимости от сложности и объема задания. Индивидуальная презентация формирует ответственность, собранность, волю; групповая - аналитические способности, умение обобщать материал, системно видеть проект.

Оценивание участников дискуссии является важнейшей проблемой обучения посредством метода практико-ориентированного задания. При этом выделяются следующие требования к оцениванию:

- объективность - создание условий, в которых бы максимально точно выявлялись знания обучаемых, предъявление к ним единых требований, справедливое отношение к каждому;
- обоснованностьоценок - ихаргументация;
- систематичность - важнейший психологический фактор, организующий и дисциплинирующий студентов, формирующий настойчивость и устремленность в достижении цели;
- всесторонность и оптимальность.

Оценивание участников дискуссии предполагает оценивание не столько набора определенных знаний, сколько умения студентов анализировать конкретную ситуацию, принимать решение, логически мыслить.

Следует отметить, что оценивается содержательная активность студента в дискуссии или публичной (устной) презентации, которая включает в себя следующие составляющие:

- выступление, которое характеризует попытку серьезного предварительного
- анализа (правильность предложений, подготовленность,
- аргументированность и т.д.);
- обращение внимания на определенный круг вопросов, которые требуют углубленного обсуждения;
- владение категориальным аппаратом, стремление давать определения, выявлять содержание понятий;
- демонстрация умения логически мыслить, если точки зрения, высказанные раньше, подытоживаются и приводят к логическим выводам;
- предложение альтернатив, которые раньше оставались без внимания;
- предложение определенного плана действий или плана воплощения решения;
- определение существенных элементов, которые должны учитываться при анализе практико-ориентированного задания;
- заметное участие в обработке количественных данных, проведении расчетов;
- подведениеитоговобсуждения.

При оценивании анализа практико-ориентированного задания, данного студентами при непубличной (письменной) презентации учитывается:

- формулировка и анализ большинства проблем, имеющихся в практико-ориентированное задание;
- формулировка собственных выводов на основании информации о практико-ориентированное задание, которые отличаются от выводов других студентов;
- демонстрация адекватных аналитических методов для обработки информации;
- соответствие приведенных в итоге анализа аргументов ранее выявленным проблемам, сделанным выводам, оценкам и использованным аналитическим метода

2. Методическиеуказанияпо подготовке к опросу

Самостоятельная работа обучающихся включает подготовку к устному или письменному опросу на семинарских занятиях. Для этого обучающийся изучает лекции, основную и дополнительную литературу, публикации, информацию из Интернет-ресурсов. Темы и вопросы к семинарским занятиям, вопросы для самоконтроля приведены в методических указаниях по разделам и доводятся до обучающихся заранее.

Письменный опрос

В соответствии с технологической картой письменный опрос является одной из форм текущего контроля успеваемости студента по данной дисциплине. При подготовке к письменному опросу студент должен внимательно изучает лекции, основную и дополнительную литературу, публикации, информацию из Интернет-ресурсов. Темы и вопросы к семинарским занятиям, вопросы для самоконтроля приведены в методических указаниях по разделам и доводятся до обучающихся заранее.

При изучении материала студент должен убедиться, что хорошо понимает основную терминологию темы, умеет ее использовать в нужном контексте. Желательно составить краткий конспект ответа на предполагаемые вопросы письменной работы, чтобы убедиться в том, что студент владеет материалом и может аргументировано, логично и грамотно письменно изложить ответ на вопрос. Следует обратить особое внимание на написание профессиональных терминов, чтобы избегать грамматических ошибок в работе. При изучении новой для студента терминологии рекомендуется изготовить карточки, которые содержат новый термин и его расшифровку, что значительно облегчит работу над материалом.

Устный опрос

Целью устного собеседования являются обобщение и закрепление изученного курса. Студентам предлагаются дляосвещения сквозные концептуальные проблемы. При подготовке следует использовать лекционный материал и учебную литературу. Для более глубокого постижения курса и более основательной подготовки рекомендуется познакомиться с указанной дополнительной литературой. Готовясь к семинару, студент должен, прежде всего, ознакомиться с общим планом семинарского занятия. Следует внимательно прочесть свой конспект лекции по изучаемой теме и рекомендуемую к теме семинара литературу. С незнакомыми терминами и понятиями следует ознакомиться в предлагаемом глоссарии, словаре или энциклопедии[2].

Критерии качества устного ответа.

1. Правильность ответа по содержанию.
2. Полнота и глубинаответа.
3. Сознательность ответа(учитывается понимание излагаемого материала).
4. Логика изложенияматериала (учитывается умение строить целостный, последовательный рассказ, грамотно пользоваться профессиональной терминологией).

[2]Методические рекомендации для студентов [Электронный ресурс]: Режим доступа: http://lesgaft.spb.ru/sites/default/files/u57/metod.rekomendacii_dlya_studentov_21.pdf

5. Рациональность использованных приемов и способов решения поставленной учебной задачи (учитывается умение использовать наиболее прогрессивные и эффективные способы достижения цели).

6. Своевременностьи эффективность использования наглядных пособий и технических средств при ответе (учитывается грамотно и с пользой применять наглядность и демонстрационный опыт при устном ответе).

7. Использованиедополнительного материала (приветствуется, но не обязательно для всех студентов).

8. Рациональность использования времени, отведенного на задание (не одобряется затянутость выполнения задания, устного ответа во времени, с учетом индивидуальных особенностей студентов)[3].

Ответ на каждый вопрос из плана семинарского занятия должен быть содержательным и аргументированным. Для этого следует использовать документы, монографическую, учебную и справочную литературу.

Для успешной подготовки к устному опросу, студент должен законспектировать рекомендуемую литературу, внимательно осмыслить лекционный материал и сделать выводы. В среднем, подготовка к устному опросу по одному семинарскому занятию занимает от 2 до 4 часов в зависимости от сложности темы и особенностей организации обучающимся своей самостоятельной работы.

3.Методические рекомендации по подготовке к практическим занятиям

На практических занятиях необходимо стремиться к самостоятельному решению задач, находя для этого более эффективные методы. При этом студентам надо приучить себя доводить решения задач до конечного «идеального» ответа. Это очень важно для будущих специалистов. Практические занятия вырабатывают навыки самостоятельной творческой работы, развивают мыслительные способности.

Практическое занятие – активная форма учебного процесса, дополняющая теоретический курс или лекционную часть учебной дисциплины и призванная помощь обучающимся освоиться в «пространстве» (тематике) дисциплины, самостоятельно прооперировать теоретическими знаниями на конкретном учебном материале.

Продолжительность одного практического занятия – от 2 до 4 академических часов. Общая доля практических занятий в учебном времени на дисциплину – от 10 до 20 процентов (при условии, что все активные формы займут в учебном времени на дисциплину от 40 до 60 процентов).

Для практического занятия в качестве темы выбирается обычно такая учебная задача, которая предполагает не существенные эвристические и аналитические напряжения и продвижения, а потребность обучающегося «потрогать» материал, опознать в конкретном то общее, о чем говорилось в лекции. Например, при рассмотрении вопросов оплаты труда, мотивации труда и проблем безработицы в России имеет смысл провести практические занятия со следующими сюжетами заданий: «Расчет заработной платы работников предприятия». «Разработка механизма мотивации труда на предприятии N». «В чем причины и особенности безработицы в России?». Последняя тема предполагает уже некоторую аналитическую составляющую. Основная задача первой из этих тем - самим посчитать заработную плату для различных групп работников на примере заданных параметров для конкретного предприятия, т. е. сделать расчеты «как на практике»; второй – дать собственный вариант мотивационной политики для предприятия, учитывая особенности данного объекта, отрасли и т.д.; третьей – опираясь на теоретические знания в области проблем занятости и безработицы, а также статистические материалы, сделать

[3]Методические рекомендации для студентов [Электронный ресурс]: http://priab.ru/images/metod_agro/Metod_Inostran_yazyk_35.03.04_Agro_15.01.2016.pdf

авторские выводы о видах безработицы, характерных для России, и их причинах, а также предложить меры по минимизации безработицы.

Перед проведением занятия должен быть подготовлен специальный материал – тот объект, которым обучающиеся станут оперировать, активизируя свои теоретические (общие) знания и тем самым, приобретая навыки выработки уверенных суждений и осуществления конкретных действий.

Дополнительный материал для практического занятия лучше получить у преподавателя заранее, чтобы у студентов была возможность просмотреть его и подготовить вопросы.

Условия должны быть такими, чтобы каждый мог работать самостоятельно от начала до конца. В аудитории должны быть «под рукой» необходимые справочники и тексты законов и нормативных актов по тематике занятия. Чтобы сделать практическое занятие максимально эффективным, надо заранее подготовить и изучить материал по наиболее интересным и практически важным темам.

Особенности практического занятия с использованием компьютера

Для того чтобы повысить эффективность проведения практического занятия, может использоваться компьютер по следующим направлениям:

- поиск информации в Интернете по поставленной проблеме: в этом случае преподаватель представляет обучающимся перечень рекомендуемых для посещения Интернет-сайтов;
- использование прикладных обучающих программ;
- выполнение заданий с использованием обучающимися заранее установленных преподавателем программ;
- использование программного обеспечения при проведении занятий, связанных с моделированием социально-экономических процессов.

4.Методические рекомендации по подготовке семинарским занятиям

Семинар представляет собой комплексную форму и завершающее звено в изучении определенных тем, предусмотренных программой учебной дисциплины. Комплексность данной формы занятий определяется тем, что в ходе её проведения сочетаются выступления обучающихся и преподавателя: рассмотрение обсуждаемой проблемы и анализ различных, часто дискуссионных позиций; обсуждение мнений обучающихся и разъяснение (консультация) преподавателя; углубленное изучение теории и приобретение навыков умения ее использовать в практической работе.

По своему назначению семинар, в процессе которого обсуждается та или иная научная проблема, способствует:

- углубленному изучению определенного раздела учебной дисциплины, закреплению знаний;
- отработке методологии и методических приемов познания;
- выработке аналитических способностей, умения обобщения и формулирования выводов;
- приобретению навыков использования научных знаний в практической деятельности;
- выработке умения кратко, аргументированно и ясно излагать обсуждаемые вопросы;
- осуществлению контроля преподавателя за ходом обучения.

Семинары представляет собой дискуссию в пределах обсуждаемой темы (проблемы). Дискуссия помогает участникам семинара приобрести более совершенные знания, проникнуть в суть изучаемых проблем. Выработать методологию, овладеть методами анализа социально-экономических процессов. Обсуждение должно носить творческий характер с четкой и убедительной аргументацией.

По своей структуре семинар начинается со вступительного слова преподавателя, в котором кратко излагаются место и значение обсуждаемой темы (проблемы) в данной

дисциплине, напоминаются порядок и направления ее обсуждения. Конкретизируется ранее известный обучающимся план проведения занятия. После этого начинается процесс обсуждения вопросов обучающимися. Завершается занятие заключительным словом преподавателя.

Проведение семинарских занятий в рамках учебной группы (20 - 25 человек) позволяет обеспечить активное участие в обсуждении проблемы всех присутствующих.

По ходу обсуждения темы помните, что изучение теории должно быть связано с определением (выработкой) средств, путей применения теоретических положений в практической деятельности, например, при выполнении функций государственного служащего. В то же время важно не свести обсуждение научной проблемы только к пересказу случаев из практики работы, к критике имеющих место недостатков. Дискуссии имеют важное значение: учат дисциплине ума, умению выступать по существу, мыслить логически, выделяя главное, критически оценивать выступления участников семинара.

В процессе проведения семинара обучающиеся могут использовать разнообразные по своей форме и характеру пособия (от доски смелом до самых современных технических средств), демонстрируя фактический, в том числе статистический материал, убедительно подтверждающий теоретические выводы и положения. В завершение обсудите результаты работы семинара и сделайте выводы, что хорошо усвоено, а над чем следует дополнительно поработать.

В целях эффективности семинарских занятий необходима обстоятельная подготовка к их проведению. В начале семестра (учебного года) возьмите в библиотеке необходимые методические материалы для своевременной подготовки к семинарам. Во время лекций, связанных с темой семинарского занятия, следует обращать внимание на то, что необходимо дополнительно изучить при подготовке к семинару (новые официальные документы, статьи в периодических журналах, вновь вышедшие монографии и т.д.).

5.Методические рекомендации по подготовке к сдаче экзаменов и зачетов

Экзамен - одна из важнейших частей учебного процесса, имеющая огромное значение.

Во-первых, готовясь к экзамену, студент приводит в систему знания, полученные на лекциях, семинарах, практических и лабораторных занятиях, разбирается в том, что осталось непонятным, и тогда изучаемая им дисциплина может быть воспринята в полном объеме с присущей ей строгостью и логичностью, ее практической направленностью. А это чрезвычайно важно для будущего специалиста.

Во-вторых, каждый хочет быть волевым и сообразительным., выдержанным и целеустремленным, иметь хорошую память, научиться быстро находить наиболее рациональное решение в трудных ситуациях. Очевидно, что все эти качества не только украшают человека, но и делают его наиболее действенным членом коллектива. Подготовка и сдача экзамена помогают студенту глубже усвоить изучаемые дисциплины, приобрести навыки и качества, необходимые хорошему специалисту.

Конечно, успех на экзамене во многом обусловлен тем, насколько систематически и глубоко работал студент в течение семестра. Совершенно очевидно, что серьезно продумать и усвоить содержание изучаемых дисциплин за несколько дней подготовки к экзамену просто невозможно даже для очень способного студента. И, кроме того, хорошо известно, что быстро выученные на память разделы учебной дисциплины так же быстро забываются после сдачи экзамена.

При подготовке к экзамену студенты не только повторяют и дорабатывают материал дисциплины, которую они изучали в течение семестра, они обобщают полученные знания, осмысливают методологию предмета, его систему, выделяют в нем основное и главное, воспроизводят общую картину с тем, чтобы яснее понять связь между отдельными элементами дисциплины. Вся эта обобщающая работа проходит в условиях напряжения

воли и сознания, при значительном отвлечении от повседневной жизни, т. е. в условиях, благоприятствующих пониманию и запоминанию.

Подготовка к экзаменам состоит в приведении в порядок своих знаний. Даже самые способные студенты не в состоянии в короткий период зачетно-экзаменационной сессии усвоить материал целого семестра, если они над ним не работали в свое время. Для тех, кто мало занимался в семестре, экзамены принесут мало пользы: что быстро пройдено, то быстро и забудется. И хотя в некоторых случаях студент может «проскочить» через экзаменационный барьер, в его подготовке останется серьезный пробел, трудно восполняемый впоследствии.

Определив назначение и роль экзаменов в процессе обучения, попытаемся на этой основе пояснить, как лучше готовиться к ним.

Экзаменам, как правило, предшествует защита курсовых работ (проектов) и сдача зачетов. К экзаменам допускаются только студенты, защитившие все курсовые работы проекты) и сдавшие все зачеты. В вузе сдача зачетов организована так, что при систематической работе в течение семестра, своевременной и успешной сдаче всех текущих работ, предусмотренных графиком учебного процесса, большая часть зачетов не вызывает повышенной трудности у студента. Студенты, работавшие в семестре по плану, подходят к экзаменационной сессии без напряжения, без излишней затраты сил в последнюю, «зачетную» неделю.

Подготовку к экзамену следует начинать с первого дня изучения дисциплины. Как правило, на лекциях подчеркиваются наиболее важные и трудные вопросы или разделы дисциплины, требующие внимательного изучения и обдумывания. Нужно эти вопросы выделить и обязательно постараться разобраться в них, не дожидаясь экзамена, проработать их, готовясь к семинарам, практическим или лабораторным занятиям, попробовать самостоятельно решить несколько типовых задач. И если, несмотря на это, часть материала осталась неусвоенной, ни в коем случае нельзя успокаиваться, надеясь на то, что это не попадется на экзамене. Факты говорят об обратном; если те или другие вопросы учебной дисциплины не вошли в экзаменационный билет, преподаватель может их задать (и часто задает) в виде дополнительных вопросов.

Точно такое же отношение должно быть выработано к вопросам и задачам, перечисленным в программе учебной дисциплины, выдаваемой студентам в начале семестра. Обычно эти же вопросы и аналогичные задачи содержатся в экзаменационных билетах. Не следует оставлять без внимания ни одного раздела дисциплины: если не удалось в чем-то разобраться самому, нужно обратиться к товарищам; если и это не помогло выяснить какой-либо вопрос до конца, нужно обязательно задать этот вопрос преподавателю на предэкзаменационной консультации. Чрезвычайно важно приучить себя к умению самостоятельно мыслить, учиться думать, понимать суть дела. Очень полезно после проработки каждого раздела восстановить в памяти содержание изученного материала.кратко записав это на листе бумаги. создать карту памяти (умственную карту), изобразить необходимые схемы и чертежи (логико-графические схемы), например, отобразить последовательность вывода теоремы или формулы. Если этого не сделать, то большая часть материала останется не понятой, а лишь формально заученной, и при первом же вопросе экзаменатора студент убедится в том, насколько поверхностно он усвоил материал.

В период экзаменационной сессии происходит резкое изменение режима работы, отсутствует посещение занятий по расписанию. При всяком изменении режима работы очень важно скорее приспособиться к новым условиям. Поэтому нужно сразу выбрать такой режим работы, который сохранился бы в течение всей сессии, т. е. почти на месяц. Необходимо составить для себя новый распорядок дня, чередуя занятия с отдыхом. Для того чтобы сократить потерю времени на включение в работу, рабочие периоды целесообразно делать длительными, разделив день примерно на три части: с утра до обеда, с обеда до ужина и от ужина до сна.

Каждый рабочий период дня надо заканчивать отдыхом. Наилучший отдых в период экзаменационной сессии - прогулка, кратковременная пробежка или какой-либо неутомительный физический труд.

При подготовке к экзаменам основное направление дают программа учебной дисциплины и студенческий конспект, которые указывают, что наиболее важно знать и уметь делать. Основной материал должен прорабатываться по учебнику (если такой имеется) и учебным пособиям, так как конспекта далеко недостаточно для изучения дисциплины, Учебник должен быть изучен в течение семестра, а перед экзаменом сосредоточьте внимание на основных, наиболее сложных разделах. Подготовку по каждому разделу следует заканчивать восстановлением по памяти его краткого содержания в логической последовательности.

За один - два дня до экзамена назначается консультация. Если ее правильно использовать, она принесет большую пользу. Во время консультации студент имеет полную возможность получить ответ на нее ни ясные ему вопросы. А для этого он должен проработать до консультации все темы дисциплины. Кроме того, преподаватель будет отвечать на вопросы других студентов, что будет для вас повторением и закреплением знаний. И еще очень важное обстоятельство: преподаватель на консультации, как правило, обращает внимание на те вопросы, по которым на предыдущих экзаменах ответы были неудовлетворительными, а также фиксирует внимание на наиболее трудных темах дисциплины. Некоторые студенты не приходят на консультации либо потому, что считают, что у них нет вопросов к преподавателю, либо полагают, что у них и так мало времени и лучше самому прочитать материал в конспекте или и учебнике. Это глубокое заблуждение. Никакая другая работа не сможет принести столь значительного эффекта накануне экзамена, как консультация преподавателя.

Но консультация не может возместить отсутствия длительной работы в течение семестра и помочь за несколько часов освоить материал, требующийся к экзамену. На консультации студент получает ответы на трудные или оставшиеся неясными вопросы и, следовательно, дорабатывается материал. Консультации рекомендуется посещать, подготовив к ним все вопросы, вызывающие сомнения. Если студент придет на консультацию, не проработав всего материала, польза от такой консультации будет невелика.

Очень важным условием для правильного режима работы в период экзаменационной сессии является нормальным сон. Подготовка к экзамену не должна идти в ущерб сну, иначе в день экзамена не будет чувства свежести и бодрости, необходимых для хороших ответов. Вечер накануне экзамена рекомендуем закончить небольшой прогулкой.

Итак, *основные советы* для подготовки к сдаче зачетов и экзаменов состоят в следующем:

- лучшая подготовка к зачетам и экзаменам - равномерная работа в течение всего семестра;
- используйте программы учебных дисциплин - это организует вашу подготовку к зачетам и экзаменам;
- учитывайте, что для полноценного изучения учебной дисциплины необходимо время;
- составляйте планы работы во времени;
- работайте равномерно и ритмично;
- курсовые работы (проекты) желательно защищать за одну - две недели до начала зачетно-экзаменационной сессии;
- все зачеты необходимо сдавать до начала экзаменационной сессии;
- помните, что конспект не заменяет учебник и учебные пособия, а помогает выбрать из него основные вопросы и ответы;
- при подготовке наибольшее внимание и время уделяйте трудным и непонятным вопросам учебной дисциплины;
- грамотно используйте консультации;

- соблюдайте правильный режим труда и отдыха во время сессии, это сохранит работоспособность и даст хорошие результаты;
- учитесь владеть собой на зачете и экзамене;
- учитесь точно и кратко передавать свои мысли, поясняя их, если нужно, логико-графическими схемами.

ЗАКЛЮЧЕНИЕ

Методические указания по выполнению самостоятельной работы обучающихся являются неотъемлемой частью процесса обучения в вузе. Правильнаяорганизация самостоятельной работы позволяет обучающимся развивать умения и навыки в усвоении и систематизации приобретаемых знаний, обеспечивает высокий уровень успеваемости в период обучения, способствует формированию навыков совершенствования профессионального мастерства. Также внеаудиторное время включает в себя подготовку к аудиторным занятиям и изучение отдельных тем, расширяющих и углубляющих представления обучающихся по разделам изучаемой дисциплины.

Таким образом, обучающийся используя методические указанияможет в достаточном объеме усвоить и успешно реализовать конкретные знания, умения, навыки и получить опыт при выполнении следующих условий:

1) систематическаясамостоятельная работа по закреплению полученных знаний и навыков;

2) добросовестноевыполнение заданий;

3) выяснениеи уточнение отдельных предпосылок, умозаключений и выводов, содержащихся в учебном курсе;

4) сопоставление точек зрения различных авторов по затрагиваемым в учебном курсе проблемам; выявление неточностей и некорректного изложения материала в периодической и специальной литературе;

5) периодическое ознакомление с последними теоретическими и практическими достижениями в области управления персоналом;

6) проведение собственных научных и практических исследований по одной или нескольким актуальным проблемам для *HR*;

7) подготовка научных статей для опубликования в периодической печати, выступление на научно-практических конференциях, участие в работе студенческих научных обществ, круглых столах и диспутах по проблемам управления персоналом.

СПИСОК ЛИТЕРАТУРЫ

1. Брандес М. П. Немецкий язык. Переводческое реферирование: практикум. М.: КДУ, 2008. – 368с.

2. Долгоруков А. Метод case-study как современная технология профессионально -ориентированного обучения [Электронный ресурс]. Режим доступа: //http://evolkov.net/case/case.study.html/

3. Методические рекомендации по написанию реферата. [Электронный ресурс]. Режим доступа: http://www.hse.spb.ru/edu/recommendations/method-referat-2005.phtml

4. Фролова Н. А. Реферирование и аннотирование текстов по специальности: Учеб.пособие / ВолгГТУ, Волгоград, 2006. - С.5.

5. Методические рекомендации для студентов [Электронный ресурс]: Режим доступа:http://lesgaft.spb.ru/sites/default/files/u57/metod.rekomendacii_dlya_studentov_21.pdf

МИНИСТЕРСТВО ВЫСШЕГО ОБРАЗОВАНИЯ И НАУКИ
РОССИЙСКОЙ ФЕДЕРАЦИИ

ФГБОУ ВО «Уральский государственный горный университет»

УТВЕРЖДАЮ
Проректор по учебно-методическому комплексу _____ С.А.Упоров

МЕТОДИЧЕСКИЕ УКАЗАНИЯ ПО САМОСТОЯТЕЛЬНОЙ РАБОТЕ СТУДЕНТОВ

ФТД.02 СРЕДСТВА КОММУНИКАЦИИ В УЧЕБНОЙ И ПРОФЕССИОНАЛЬНОЙ ДЕЯТЕЛЬНОСТИ

Специальность:
21.05.02 Прикладная геология

Специализация:
Геология месторождений нефти и газа

Автор: Полянок О.В., к.психол.н.

Одобрены на заседании кафедры
Управления персоналом
(название кафедры)
Зав. кафедрой _____
(подпись)
к.ф.н., доц. Ветошкина Т.А.
(Фамилия И.О.)
Протокол № 1 от 09.09.2020
(Дата)

Рассмотрены методической комиссией
факультета геологии и геофизики
(название факультета)
Председатель _____
(подпись)
д.г.-м.н., проф. Бондарев В.И.
(Фамилия И.О.)
Протокол № 2 от 13.10.2020
(Дата)

Екатеринбург

Методические указания по дисциплине согласованы с выпускающей кафедрой литологии и геологии горючих ископаемых

Заведующий кафедрой ЛГГИ _____к.г.-м.н., С.А. Рыльков____

подпись *И.О. Фамилия*

СОДЕРЖАНИЕ

	Введение	3
1	Методические рекомендации по решению практико-ориентированных заданий	5
2	Методические указания по подготовке к опросу	9
3	Методические рекомендации по подготовке к практическим занятиям	11
4	Методические рекомендации по подготовке семинарским занятиям	13
5	Методические рекомендации по подготовке к сдаче экзаменов и зачетов	14
	Заключение	17
	Список использованных источников	18

ВВЕДЕНИЕ

Самостоятельная работа студентов может рассматриваться как организационная форма обучения - система педагогических условий, обеспечивающих управление учебной деятельностью студентов по освоению знаний и умений в области учебной и научной деятельности без посторонней помощи.

Самостоятельная работа студентов проводится с целью:

- систематизации и закрепления полученных теоретических знаний и практических умений студентов;
- углубления и расширения теоретических знаний;
- формирования умений использовать нормативную, правовую, справочную документацию и специальную литературу;
- развития познавательных способностей и активности студентов: творческой инициативы, самостоятельности, ответственности и организованности;
- формирования самостоятельности мышления, способностей к саморазвитию, самосовершенствованию и самореализации;
- формирования практических (общеучебных и профессиональных) умений и навыков;
- развитияисследовательских умений;
- получения навыков эффективной самостоятельной профессиональной (практической и научно-теоретической) деятельности.

В учебном процессе выделяют два вида самостоятельной работы:

- аудиторная;
- внеаудиторная.

Аудиторная самостоятельная работа по дисциплине выполняется на учебных занятиях под непосредственным руководством преподавателя и по его заданию.

Внеаудиторная самостоятельная работа - планируемая учебная, учебно-исследовательская, научно-исследовательская работа студентов, выполняемая во внеаудиторное время по заданию и при методическом руководстве преподавателя, но без его непосредственного участия.

Самостоятельная работа, не предусмотренная образовательной программой, учебным планом и учебно-методическими материалами, раскрывающими и конкретизирующими их содержание, осуществляется студентами инициативно, с целью реализации собственных учебных и научных интересов.

Для более эффективного выполнения самостоятельной работы по дисциплине преподаватель рекомендует студентам источники и учебно-методические пособия для работы, характеризует наиболее рациональную методику самостоятельной работы, демонстрирует ранее выполненные студентами работы и т. п.

Подразумевается несколько категорий видов самостоятельной работы студентов, значительная часть которых нашла отражения в данных методических рекомендациях:

- работа с источниками литературы и официальными документами (*использование библиотечно-информационной системы*);
- выполнение заданий для самостоятельной работы в рамках учебных дисциплин (*рефераты, эссе, домашние задания, решения практико-ориентированных заданий*);

- реализация элементов научно-педагогической практики (*разработка методических материалов, тестов, тематических портфолио*);
- реализация элементов научно-исследовательской практики (*подготовка текстов докладов, участие в исследованиях*).

Особенностью организации самостоятельной работы студентов является необходимость не только подготовиться к сдаче зачета, но и собрать, обобщить, систематизировать, проанализировать информацию по темам дисциплины.

Технология организации самостоятельной работы студентов включает использование информационных и материально-технических ресурсов образовательного учреждения.

Самостоятельная работа может осуществляться индивидуально или группами студентовonline и на занятиях в зависимости от цели, объема, конкретной тематики самостоятельной работы, уровня сложности, уровня умений студентов.

В качестве форм и методов контроля внеаудиторной самостоятельной работы студентов могут быть использованы обмен информационными файлами, семинарские занятия, тестирование, опрос, доклад, реферат, самоотчеты, контрольные работы, защита творческих работ и электронных презентаций и др.

Контроль результатов внеаудиторной самостоятельной работы студентов осуществляется в пределах времени, отведенного на обязательные учебные занятия по дисциплине.

1. Методические рекомендации по решению практико-ориентированных заданий

Практико-ориентированные задания - метод анализа ситуаций. Суть его заключается в том, что студентам предлагают осмыслить реальную жизненную ситуацию, описание которой одновременно отражает не только какую-либо практическую проблему, но и актуализирует определенный комплекс знаний, который необходимо усвоить при разрешении данной проблемы. При этом сама проблема не имеет однозначных решений.

Использование метода практико-ориентированного задания как образовательной технологии профессионально-ориентированного обучения представляет собой сложный процесс, плохо поддающийся алгоритмизации [1] . Формально можновыделить следующиеэтапы:

- ознакомление студентовс текстом;
- анализ практико-ориентированного задания;
- организация обсуждения практико-ориентированного задания, дискуссии, презентации;
- оценивание участников дискуссии;
- подведение итогов дискуссии.

Ознакомление студентов с текстом практико-ориентированного задания и последующий анализ практико-ориентированного задания чаще всего осуществляются за несколько дней до его обсуждения и реализуются как самостоятельная работа студентов; при этом время, отводимое на подготовку, определяется видом практико-ориентированного задания, его объемом и сложностью.

Общая схема работы с практико-ориентированное заданием на данном этапе может быть представлена следующим образом: в первую очередь следует выявить ключевые проблемы практико-ориентированного задания и понять, какие именно из представленных данных важны для решения; войти в ситуационный контекст практико-ориентированного задания, определить, кто его главные действующие лица, отобрать факты и понятия,

---

[1] Долгоруков А. Метод case-study как современная технология профессионально -ориентированного обучения [Электронный ресурс]. Режим доступа: //http://evolkov.net/case/case.study.html/

необходимые для анализа, понять, какие трудности могут возникнуть при решении задачи; следующим этапом является выбор метода исследования.

Знакомство с небольшими практико-ориентированного заданиями и их обсуждение может быть организовано непосредственно на занятиях. Принципиально важным в этом случае является то, чтобы часть теоретического курса, на которой базируется практико-ориентированное задание, была бы прочитана и проработана студентами.

Максимальная польза из работы над практико-ориентированного заданиями будет извлечена в том случае, если аспиранты при предварительном знакомстве с ними будут придерживаться систематического подхода к их анализу, основные шаги которого представлены ниже:

1. Выпишите из соответствующих разделов учебной дисциплины ключевые идеи, для того, чтобы освежить в памяти теоретические концепции и подходы, которые Вам предстоит использовать при анализе практико-ориентированного задания.
2. Бегло прочтите практико-ориентированное задание, чтобы составить о нем общее представление.
3. Внимательно прочтите вопросы к практико-ориентированное задание и убедитесь в том, что Вы хорошо поняли, что Вас просят сделать.
4. Вновь прочтите текст практико-ориентированного задания, внимательно фиксируя все факторы или проблемы, имеющие отношение к поставленным вопросам.
5. Прикиньте, какие идеи и концепции соотносятся с проблемами, которые Вам предлагается рассмотреть при работе с практико-ориентированное заданием.

Организация обсуждения практико-ориентированного задания предполагает формулирование перед студентами вопросов, включение их в дискуссию. Вопросы обычно подготавливают заранее и предлагают студентам вместе с текстом практико-ориентированного задания. При разборе учебной ситуации преподаватель может занимать активную или пассивную позицию, иногда он «дирижирует» разбором, а иногда ограничивается подведением итогов дискуссии.

Организация обсуждения практико-ориентированных заданий обычно основывается на двух методах. Первый из них носит название традиционного Гарвардского метода - открытая дискуссия. Альтернативным методом является метод, связанный с индивидуальным или групповым опросом, в ходе которого аспиранты делают формальную устную оценку ситуации и предлагают анализ представленного практико-ориентированного задания, свои решения и рекомендации, т.е. делают презентацию. Этот метод позволяет некоторым студентам минимизировать их учебные усилия, поскольку каждый аспирант опрашивается один- два раза за занятие. Метод развивает у студентов коммуникативные навыки, учит их четко выражать свои мысли. Однако, этот метод менее динамичен, чем Гарвардский метод. В открытой дискуссии организация и контроль участников более сложен.

Дискуссия занимает центральное место в методе. Ее целесообразно использовать в том случае, когда аспиранты обладают значительной степенью зрелости и самостоятельности мышления, умеют аргументировать, доказывать и обосновывать свою точку зрения. Важнейшей характеристикой дискуссии является уровень ее компетентности, который складывается из компетентности ее участников. Неподготовленность студентов к дискуссии делает ее формальной, превращает в процесс вытаскивания ими информации у преподавателя, а не самостоятельное ее добывание.

Особое место в организации дискуссии при обсуждении и анализе практико-ориентированного задания принадлежит использованию метода генерации идей, получившего название «мозговой атаки» или «мозгового штурма».

Метод «мозговой атаки» или «мозгового штурма» был предложен в 30-х годах прошлого столетия А. Осборном как групповой метод решения проблем. К концу XX столетия этот метод приобрел особую популярность в практике управления и обучения не только как самостоятельный метод, но и как использование в процессе деятельности с

целью усиления ее продуктивности. В процессе обучения «мозговая атака» выступает в качестве важнейшего средства развития творческой активности студентов. «Мозговая атака» включает в себя три фазы.

Первая фаза представляет собой вхождение в психологическую раскованность, отказ от стереотипности, страха показаться смешным и неудачником; достигается созданием благоприятной психологической обстановки и взаимного доверия, когда идеи теряют авторство, становятся общими. Основная задача этой фазы - успокоиться и расковаться.

Вторая фаза - это собственно атака; задача этой фазы - породить поток, лавину идей. «Мозговая атака» в этой фазе осуществляется по следующим принципам:

- есть идея, - говорю, нет идеи, - не молчу;
- поощряется самое необузданное ассоциирование, чем более дикой покажется идея, тем лучше;
- количество предложенных идей должно быть как можно большим;
- высказанные идеи разрешается заимствовать и как угодно комбинировать, а также видоизменять и улучшать;
- исключается критика, можно высказывать любые мысли без боязни, что их признают плохими, критикующих лишают слова;
- не имеют никакого значения социальные статусы участников; это абсолютная демократия и одновременно авторитаризм сумасшедшей идеи;
- все идеи записываются в протокольный список идей;
- время высказываний - не более 1-2 минут.

Третья фаза представляет собой творческий анализ идей с целью поиска конструктивного решения проблемы по следующим правилам:

- анализировать все идеи без дискриминации какой-либо из них;
- найти место идее в системе и найти систему под идею;
- не умножать сущностей без надобности;
- не должна нарушаться красота и изящество полученного результата;
- должно быть принципиально новое видение;
- ищи «жемчужину в навозе».

В методе мозговая атака применяется при возникновении у группы реальных затруднений в осмыслении ситуации, является средством повышения активности студентов. В этом смысле мозговая атака представляется не как инструмент поиска новых решений, хотя и такая ее роль не исключена, а как своеобразное «подталкивание» к познавательной активности.

Презентация, или представление результатов анализа практико-ориентированного задания, выступает очень важным аспектом метода ***case-study***. Умение публично представить интеллектуальный продукт, хорошо его рекламировать, показать его достоинства и возможные направления эффективного использования, а также выстоять под шквалом критики, является очень ценным интегральным качеством современного специалиста. Презентация оттачивает многие глубинные качества личности: волю, убежденность, целенаправленность, достоинство и т.п.; она вырабатывает навыки публичного общения, формирования своего собственного имиджа.

Публичная (устная) презентация предполагает представление решений практико-ориентированного задания группе, она максимально вырабатывает навыки публичной деятельности и участия в дискуссии. Устная презентация обладает свойством кратковременного воздействия на студентов и, поэтому, трудна для восприятия и запоминания. Степень подготовленности выступающего проявляется в спровоцированной им дискуссии: для этого необязательно делать все заявления очевидными и неопровержимыми. Такая подача материала при анализе практико-ориентированного задания может послужить началом дискуссии. При устной презентации необходимо учитывать эмоциональный настрой выступающего: отношение и эмоции говорящего

вносят существенный вклад в сообщение. Одним из преимуществ публичной (устной) презентации является ее гибкость. Оратор может откликаться на изменения окружающей обстановки, адаптировать свой стиль и материал, чувствуя настроение аудитории.

Непубличная презентация менее эффектна, но обучающая роль ее весьма велика. Чаще всего непубличная презентация выступает в виде подготовки отчета по выполнению задания, при этом стимулируются такие качества, как умение подготовить текст, точно и аккуратно составить отчет, не допустить ошибки в расчетах и т.д. Подготовка письменного анализа практико-ориентированного задания аналогична подготовке устного, с той разницей, что письменные отчеты-презентации обычно более структурированы и детализированы. Основное правило письменного анализа практико-ориентированного задания заключается в том, чтобы избегать простого повторения информации из текста, информация должна быть представлена в переработанном виде. Самым важным при этом является собственный анализ представленного материала, его соответствующая интерпретация и сделанные предложения. Письменный отчет - презентация может сдаваться по истечении некоторого времени после устной презентации, что позволяет студентам более тщательно проанализировать всю информацию, полученную в ходе дискуссии.

Как письменная, так и устная презентация результатов анализа практико-ориентированного задания может быть групповая и индивидуальная. Отчет может быть индивидуальным или групповым в зависимости от сложности и объема задания. Индивидуальная презентация формирует ответственность, собранность, волю; групповая - аналитические способности, умение обобщать материал, системно видеть проект.

Оценивание участников дискуссии является важнейшей проблемой обучения посредством метода практико-ориентированного задания. При этом выделяются следующие требования к оцениванию:

- объективность - создание условий, в которых бы максимально точно выявлялись знания обучаемых, предъявление к ним единых требований, справедливое отношение к каждому;
- обоснованность оценок - их аргументация;
- систематичность - важнейший психологический фактор, организующий и дисциплинирующий студентов, формирующий настойчивость и устремленность в достижении цели;
- всесторонность и оптимальность.

Оценивание участников дискуссии предполагает оценивание не столько набора определенных знаний, сколько умения студентов анализировать конкретную ситуацию, принимать решение, логически мыслить.

Следует отметить, что оценивается содержательная активность студента в дискуссии или публичной (устной) презентации, которая включает в себя следующие составляющие:

- выступление, которое характеризует попытку серьезного предварительного
- анализа (правильность предложений, подготовленность,
- аргументированность и т.д.);
- обращение внимания на определенный круг вопросов, которые требуют углубленного обсуждения;
- владение категориальным аппаратом, стремление давать определения, выявлять содержание понятий;
- демонстрация умения логически мыслить, если точки зрения, высказанные раньше, подытоживаются и приводят к логическим выводам;
- предложение альтернатив, которые раньше оставались без внимания;
- предложение определенного плана действий или плана воплощения решения;

- определение существенных элементов, которые должны учитываться при анализе практико-ориентированного задания;
- заметное участие в обработке количественных данных, проведении расчетов;
- подведение итогов обсуждения.

При оценивании анализа практико-ориентированного задания, данного студентами при непубличной (письменной) презентации учитывается:

- формулировка и анализ большинства проблем, имеющихся в практико-ориентированное задание;
- формулировка собственных выводов на основании информации о практико-ориентированное задание, которые отличаются от выводов других студентов;
- демонстрация адекватных аналитических методов для обработки информации;
- соответствие приведенных в итоге анализа аргументов ранее выявленным проблемам, сделанным выводам, оценкам и использованным аналитическим методам

2. Методические указанияпо подготовке к опросу

Самостоятельная работа обучающихся включает подготовку к устному или письменному опросу на семинарских занятиях. Для этого обучающийся изучает лекции, основную и дополнительную литературу, публикации, информацию из Интернет-ресурсов. Темы и вопросы к семинарским занятиям, вопросы для самоконтроля приведены в методических указаниях по разделам и доводятся до обучающихся заранее.

Письменный опрос

В соответствии с технологической картой письменный опрос является одной из форм текущего контроля успеваемости студента по данной дисциплине. При подготовке к письменному опросу студент должен внимательно изучает лекции, основную и дополнительную литературу, публикации, информацию из Интернет-ресурсов. Темы и вопросы к семинарским занятиям, вопросы для самоконтроля приведены в методических указаниях по разделам и доводятся до обучающихся заранее.

При изучении материала студент должен убедиться, что хорошо понимает основную терминологию темы, умеет ее использовать в нужном контексте. Желательно составить краткий конспект ответа на предполагаемые вопросы письменной работы, чтобы убедиться в том, что студент владеет материалом и может аргументировано, логично и грамотно письменно изложить ответ на вопрос. Следует обратить особое внимание на написание профессиональных терминов, чтобы избегать грамматических ошибок в работе. При изучении новой для студента терминологии рекомендуется изготовить карточки, которые содержат новый термин и его расшифровку, что значительно облегчит работу над материалом.

Устный опрос

Целью устного собеседования являются обобщение и закрепление изученного курса. Студентам предлагаются дляосвещения сквозные концептуальные проблемы. При подготовке следует использовать лекционный материал и учебную литературу. Для более глубокого постижения курса и более основательной подготовки рекомендуется познакомиться с указанной дополнительной литературой. Готовясь к семинару, студент должен, прежде всего, ознакомиться с общим планом семинарского занятия. Следует внимательно прочесть свой конспект лекции по изучаемой теме и рекомендуемую к теме семинара литературу. С незнакомыми терминами и понятиями следует ознакомиться в предлагаемом глоссарии, словаре или энциклопедии[2].

Критерии качества устного ответа.

1. Правильность ответа по содержанию.
2. Полнота и глубинаответа.
3. Сознательность ответа(учитывается понимание излагаемого материала).
4. Логика изложенияматериала (учитывается умение строить целостный, последовательный рассказ, грамотно пользоваться профессиональной терминологией).
5. Рациональность использованных приемов и способов решения поставленной учебной задачи (учитывается умение использовать наиболее прогрессивные и эффективные способы достижения цели).
6. Своевременностьи эффективность использования наглядных пособий и технических средств при ответе (учитывается грамотно и с пользой применять наглядность и демонстрационный опыт при устном ответе).
7. Использованиедополнительного материала (приветствуется, но не обязательно для всех студентов).

[2]Методические рекомендации для студентов [Электронный ресурс]: Режим доступа: http://lesgaft.spb.ru/sites/default/files/u57/metod.rekomendacii_dlya_studentov_21.pdf

8. Рациональность использования времени, отведенного на задание (не одобряется затянутость выполнения задания, устного ответа во времени, с учетом индивидуальных особенностей студентов)[3].

Ответ на каждый вопрос из плана семинарского занятия должен быть содержательным и аргументированным. Для этого следует использовать документы, монографическую, учебную и справочную литературу.

Для успешной подготовки к устному опросу, студент должен законспектировать рекомендуемую литературу, внимательно осмыслить лекционный материал и сделать выводы. В среднем, подготовка к устному опросу по одному семинарскому занятию занимает от 2 до 4 часов в зависимости от сложности темы и особенностей организации обучающимся своей самостоятельной работы.

[3]Методические рекомендации для студентов [Электронный ресурс]: http://priab.ru/images/metod_agro/Metod_Inostran_yazyk_35.03.04_Agro_15.01.2016.pdf

3.Методические рекомендации по подготовке к практическим занятиям

На практических занятиях необходимо стремиться к самостоятельному решению задач, находя для этого более эффективные методы. При этом студентам надо приучить себя доводить решения задач до конечного «идеального» ответа. Это очень важно для будущих специалистов. Практические занятия вырабатывают навыки самостоятельной творческой работы, развивают мыслительные способности.

Практическое занятие – активная форма учебного процесса, дополняющая теоретический курс или лекционную часть учебной дисциплины и призванная помощь обучающимся освоиться в «пространстве» (тематике) дисциплины, самостоятельно прооперировать теоретическими знаниями на конкретном учебном материале.

Продолжительность одного практического занятия – от 2 до 4 академических часов. Общая доля практических занятий в учебном времени на дисциплину – от 10 до 20 процентов (при условии, что все активные формы займут в учебном времени на дисциплину от 40 до 60 процентов).

Для практического занятия в качестве темы выбирается обычно такая учебная задача, которая предполагает не существенные эвристические и аналитические напряжения и продвижения, а потребность обучающегося «потрогать» материал, опознать в конкретном то общее, о чем говорилось в лекции. Например, при рассмотрении вопросов оплаты труда, мотивации труда и проблем безработицы в России имеет смысл провести практические занятия со следующими сюжетами заданий: «Расчет заработной платы работников предприятия». «Разработка механизма мотивации труда на предприятии N». «В чем причины и особенности безработицы в России?». Последняя тема предполагает уже некоторую аналитическую составляющую. Основная задача первой из этих тем - самим посчитать заработную плату для различных групп работников на примере заданных параметров для конкретного предприятия, т. е. сделать расчеты «как на практике»; второй – дать собственный вариант мотивационной политики для предприятия, учитывая особенности данного объекта, отрасли и т.д.; третьей – опираясь на теоретические знания в области проблем занятости и безработицы, а также статистические материалы, сделать авторские выводы о видах безработицы, характерных для России, и их причинах, а также предложить меры по минимизации безработицы.

Перед проведением занятия должен быть подготовлен специальный материал – тот объект, которым обучающиеся станут оперировать, активизируя свои теоретические (общие) знания и тем самым, приобретая навыки выработки уверенных суждений и осуществления конкретных действий.

Дополнительный материал для практического занятия лучше получить у преподавателя заранее, чтобы у студентов была возможность просмотреть его и подготовить вопросы.

Условия должны быть такими, чтобы каждый мог работать самостоятельно от начала до конца. В аудитории должны быть «под рукой» необходимые справочники и тексты законов и нормативных актов по тематике занятия. Чтобы сделать практическое занятие максимально эффективным, надо заранее подготовить и изучить материал по наиболее интересным и практически важным темам.

Особенности практического занятия с использованием компьютера

Для того чтобы повысить эффективность проведения практического занятия, может использоваться компьютер по следующим направлениям:

- поиск информации в Интернете по поставленной проблеме: в этом случае преподаватель представляет обучающимся перечень рекомендуемых для посещения Интернет-сайтов;
- использование прикладных обучающих программ;
- выполнение заданий с использованием обучающимися заранее установленных преподавателем программ;

- использование программного обеспечения при проведении занятий, связанных с моделированием социально-экономических процессов.

4.Методические рекомендации по подготовке семинарским занятиям

Семинар представляет собой комплексную форму и завершающее звено в изучении определенных тем, предусмотренных программой учебной дисциплины. Комплексность данной формы занятий определяется тем, что в ходе её проведения сочетаются выступления обучающихся и преподавателя: рассмотрение обсуждаемой проблемы и анализ различных, часто дискуссионных позиций; обсуждение мнений обучающихся и разъяснение (консультация) преподавателя; углубленное изучение теории и приобретение навыков умения ее использовать в практической работе.

По своему назначению семинар, в процессе которого обсуждается та или иная научная проблема, способствует:

- углубленному изучению определенного раздела учебной дисциплины, закреплению знаний;
- отработке методологии и методических приемов познания;
- выработке аналитических способностей, умения обобщения и формулирования выводов;
- приобретению навыков использования научных знаний в практической деятельности;
- выработке умения кратко, аргументированно и ясно излагать обсуждаемые вопросы;
- осуществлению контроля преподавателя за ходом обучения.

Семинары представляет собой дискуссию в пределах обсуждаемой темы (проблемы). Дискуссия помогает участникам семинара приобрести более совершенные знания, проникнуть в суть изучаемых проблем. Выработать методологию, овладеть методами анализа социально-экономических процессов. Обсуждение должно носить творческий характер с четкой и убедительной аргументацией.

По своей структуре семинар начинается со вступительного слова преподавателя, в котором кратко излагаются место и значение обсуждаемой темы (проблемы) в данной дисциплине, напоминаются порядок и направления ее обсуждения. Конкретизируется ранее известный обучающимся план проведения занятия. После этого начинается процесс обсуждения вопросов обучающимися. Завершается занятие заключительным словом преподавателя.

Проведение семинарских занятий в рамках учебной группы (20 - 25 человек) позволяет обеспечить активное участие в обсуждении проблемы всех присутствующих.

По ходу обсуждения темы помните, что изучение теории должно быть связано с определением (выработкой) средств, путей применения теоретических положений в практической деятельности, например, при выполнении функций государственного служащего. В то же время важно не свести обсуждение научной проблемы только к пересказу случаев из практики работы, к критике имеющих место недостатков. Дискуссии имеют важное значение: учат дисциплине ума, умению выступать по существу, мыслить логически, выделяя главное, критически оценивать выступления участников семинара.

В процессе проведения семинара обучающиеся могут использовать разнообразные по своей форме и характеру пособия (от доски смелом до самых современных технических средств), демонстрируя фактический, в том числе статистический материал, убедительно подтверждающий теоретические выводы и положения. В завершение обсудите результаты работы семинара и сделайте выводы, что хорошо усвоено, а над чем следует дополнительно поработать.

В целях эффективности семинарских занятий необходима обстоятельная подготовка к их проведению. В начале семестра (учебного года) возьмите в библиотеке необходимые методические материалы для своевременной подготовки к семинарам. Во время лекций, связанных с темой семинарского занятия, следует обращать внимание на то, что необходимо дополнительно изучить при подготовке к семинару (новые официальные документы, статьи в периодических журналах, вновь вышедшие монографии и т.д.).

5.Методические рекомендации по подготовке к сдаче экзаменов и зачетов

Экзамен - одна из важнейших частей учебного процесса, имеющая огромное значение.

Во-первых, готовясь к экзамену, студент приводит в систему знания, полученные на лекциях, семинарах, практических и лабораторных занятиях, разбирается в том, что осталось непонятным, и тогда изучаемая им дисциплина может быть воспринята в полном объеме с присущей ей строгостью и логичностью, ее практической направленностью. А это чрезвычайно важно для будущего специалиста.

Во-вторых, каждый хочет быть волевым и сообразительным., выдержанным и целеустремленным, иметь хорошую память, научиться быстро находить наиболее рациональное решение в трудных ситуациях. Очевидно, что все эти качества не только украшают человека, но и делают его наиболее действенным членом коллектива. Подготовка и сдача экзамена помогают студенту глубже усвоить изучаемые дисциплины, приобрести навыки и качества, необходимые хорошему специалисту.

Конечно, успех на экзамене во многом обусловлен тем, насколько систематически и глубоко работал студент в течение семестра. Совершенно очевидно, что серьезно продумать и усвоить содержание изучаемых дисциплин за несколько дней подготовки к экзамену просто невозможно даже для очень способного студента. И, кроме того, хорошо известно, что быстро выученные на память разделы учебной дисциплины так же быстро забываются после сдачи экзамена.

При подготовке к экзамену студенты не только повторяют и дорабатывают материал дисциплины, которую они изучали в течение семестра, они обобщают полученные знания, осмысливают методологию предмета, его систему, выделяют в нем основное и главное, воспроизводят общую картину с тем, чтобы яснее понять связь между отдельными элементами дисциплины. Вся эта обобщающая работа проходит в условиях напряжения воли и сознания, при значительном отвлечении от повседневной жизни, т. е. в условиях, благоприятствующих пониманию и запоминанию.

Подготовка к экзаменам состоит в приведении в порядок своих знаний. Даже самые способные студенты не в состоянии в короткий период зачетно-экзаменационной сессии усвоить материал целого семестра, если они над ним не работали в свое время. Для тех, кто мало занимался в семестре, экзамены принесут мало пользы: что быстро пройдено, то быстро и забудется. И хотя в некоторых случаях студент может «проскочить» через экзаменационный барьер, в его подготовке останется серьезный пробел, трудно восполняемый впоследствии.

Определив назначение и роль экзаменов в процессе обучения, попытаемся на этой основе пояснить, как лучше готовиться к ним.

Экзаменам, как правило, предшествует защита курсовых работ (проектов) и сдача зачетов. К экзаменам допускаются только студенты, защитившие все курсовые работы проекты) и сдавшие все зачеты. В вузе сдача зачетов организована так, что при систематической работе в течение семестра, своевременной и успешной сдаче всех текущих работ, предусмотренных графиком учебного процесса, большая часть зачетов не вызывает повышенной трудности у студента. Студенты, работавшие в семестре по плану, подходят к экзаменационной сессии без напряжения, без излишней затраты сил в последнюю, «зачетную» неделю.

Подготовку к экзамену следует начинать с первого дня изучения дисциплины. Как правило, на лекциях подчеркиваются наиболее важные и трудные вопросы или разделы дисциплины, требующие внимательного изучения и обдумывания. Нужно эти вопросы выделить и обязательно постараться разобраться в них, не дожидаясь экзамена, проработать их, готовясь к семинарам, практическим или лабораторным занятиям, попробовать самостоятельно решить несколько типовых задач. И если, несмотря на это, часть материала осталась неусвоенной, ни в коем случае нельзя успокаиваться, надеясь на

то, что это не попадется на экзамене. Факты говорят об обратном; если те или другие вопросы учебной дисциплины не вошли в экзаменационный билет, преподаватель может их задать (и часто задает) в виде дополнительных вопросов.

Точно такое же отношение должно быть выработано к вопросам и задачам, перечисленным в программе учебной дисциплины, выдаваемой студентам в начале семестра. Обычно эти же вопросы и аналогичные задачи содержатся в экзаменационных билетах. Не следует оставлять без внимания ни одного раздела дисциплины: если не удалось в чем-то разобраться самому, нужно обратиться к товарищам; если и это не помогло выяснить какой-либо вопрос до конца, нужно обязательно задать этот вопрос преподавателю на предэкзаменационной консультации. Чрезвычайно важно приучить себя к умению самостоятельно мыслить, учиться думать, понимать суть дела. Очень полезно после проработки каждого раздела восстановить в памяти содержание изученного материала. кратко записав это на листе бумаги. создать карту памяти (умственную карту), изобразить необходимые схемы и чертежи (логико-графические схемы), например, отобразить последовательность вывода теоремы или формулы. Если этого не сделать, то большая часть материала останется не понятой, а лишь формально заученной, и при первом же вопросе экзаменатора студент убедится в том, насколько поверхностно он усвоил материал.

В период экзаменационной сессии происходит резкое изменение режима работы, отсутствует посещение занятий по расписанию. При всяком изменении режима работы очень важно скорее приспособиться к новым условиям. Поэтому нужно сразу выбрать такой режим работы, который сохранился бы в течение всей сессии, т. е. почти на месяц. Необходимо составить для себя новый распорядок дня, чередуя занятия с отдыхом. Для того чтобы сократить потерю времени на включение в работу, рабочие периоды целесообразно делать длительными, разделив день примерно на три части: с утра до обеда, с обеда до ужина и от ужина до сна.

Каждый рабочий период дня надо заканчивать отдыхом. Наилучший отдых в период экзаменационной сессии - прогулка, кратковременная пробежка или какой-либо неутомительный физический труд.

При подготовке к экзаменам основное направление дают программа учебной дисциплины и студенческий конспект, которые указывают, что наиболее важно знать и уметь делать. Основной материал должен прорабатываться по учебнику (если такой имеется) и учебным пособиям, так как конспекта далеко недостаточно для изучения дисциплины, Учебник должен быть изучен в течение семестра, а перед экзаменом сосредоточьте внимание на основных, наиболее сложных разделах. Подготовку по каждому разделу следует заканчивать восстановлением по памяти его краткого содержания в логической последовательности.

За один - два дня до экзамена назначается консультация. Если ее правильно использовать, она принесет большую пользу. Во время консультации студент имеет полную возможность получить ответ на нее ни ясные ему вопросы. А для этого он должен проработать до консультации все темы дисциплины. Кроме того, преподаватель будет отвечать на вопросы других студентов, что будет для вас повторением и закреплением знаний. И еще очень важное обстоятельство: преподаватель на консультации, как правило, обращает внимание на те вопросы, по которым на предыдущих экзаменах ответы были неудовлетворительными, а также фиксирует внимание на наиболее трудных темах дисциплины. Некоторые студенты не приходят на консультации либо потому, что считают, что у них нет вопросов к преподавателю, либо полагают, что у них и так мало времени и лучше самому прочитать материал в конспекте или и учебнике. Это глубокое заблуждение. Никакая другая работа не сможет принести столь значительного эффекта накануне экзамена, как консультация преподавателя.

Но консультация не может возместить отсутствия длительной работы в течение семестра и помочь за несколько часов освоить материал, требующийся к экзамену. На консультации студент получает ответы на трудные или оставшиеся неясными вопросы и, следовательно, дорабатывается материал. Консультации рекомендуется посещать,

подготовив к ним все вопросы, вызывающие сомнения. Если студент придет на консультацию, не проработав всего материала, польза от такой консультации будет невелика.

Очень важным условием для правильного режима работы в период экзаменационной сессии является нормальным сон. Подготовка к экзамену не должна идти в ущерб сну, иначе в день экзамена не будет чувства свежести и бодрости, необходимых для хороших ответов. Вечер накануне экзамена рекомендуем закончить небольшой прогулкой.

Итак, *основные советы* для подготовки к сдаче зачетов и экзаменов состоят в следующем:

- лучшая подготовка к зачетам и экзаменам - равномерная работа в течение всего семестра;
- используйте программы учебных дисциплин - это организует вашу подготовку к зачетам и экзаменам;
- учитывайте, что для полноценного изучения учебной дисциплины необходимо время;
- составляйте планы работы во времени;
- работайте равномерно и ритмично;
- курсовые работы (проекты) желательно защищать за одну - две недели до начала зачетно-экзаменационной сессии;
- все зачеты необходимо сдавать до начала экзаменационной сессии;
- помните, что конспект не заменяет учебник и учебные пособия, а помогает выбрать из него основные вопросы и ответы;
- при подготовке наибольшее внимание и время уделяйте трудным и непонятным вопросам учебной дисциплины;
- грамотно используйте консультации;
- соблюдайте правильный режим труда и отдыха во время сессии, это сохранит работоспособность и даст хорошие результаты;
- учитесь владеть собой на зачете и экзамене;
- учитесь точно и кратко передавать свои мысли, поясняя их, если нужно, логико-графическими схемами.

ЗАКЛЮЧЕНИЕ

Методические указания по выполнению самостоятельной работы обучающихся являются неотъемлемой частью процесса обучения в вузе. Правильнаяорганизация самостоятельной работы позволяет обучающимся развивать умения и навыки в усвоении и систематизации приобретаемых знаний, обеспечивает высокий уровень успеваемости в период обучения, способствует формированию навыков совершенствования профессионального мастерства. Также внеаудиторное время включает в себя подготовку к аудиторным занятиям и изучение отдельных тем, расширяющих и углубляющих представления обучающихся по разделам изучаемой дисциплины.

Таким образом, обучающийся используя методические указания может в достаточном объеме усвоить и успешно реализовать конкретные знания, умения, навыки и получить опыт при выполнении следующих условий:

1) систематическаясамостоятельная работа по закреплению полученных знаний и навыков;

2) добросовестноевыполнение заданий;

3) выяснениеи уточнение отдельных предпосылок, умозаключений и выводов, содержащихся в учебном курсе;

4) сопоставление точек зрения различных авторов по затрагиваемым в учебном курсе проблемам; выявление неточностей и некорректного изложения материала в периодической и специальной литературе;

5) периодическое ознакомление с последними теоретическими и практическими достижениями в области управления персоналом;

6) проведение собственных научных и практических исследований по одной или нескольким актуальным проблемам для *HR*;

7) подготовка научных статей для опубликования в периодической печати, выступление на научно-практических конференциях, участие в работе студенческих научных обществ, круглых столах и диспутах по проблемам управления персоналом.

СПИСОК ЛИТЕРАТУРЫ

1. Брандес М. П. Немецкий язык. Переводческое реферирование: практикум. М.: КДУ, 2008. – 368с.

2. Долгоруков А. Метод case-study как современная технология профессионально -ориентированного обучения [Электронный ресурс]. Режим доступа: //http://evolkov.net/case/case.study.html/

3. Методические рекомендации по написанию реферата. [Электронный ресурс]. Режим доступа: http://www.hse.spb.ru/edu/recommendations/method-referat-2005.phtml

4. Фролова Н. А. Реферирование и аннотирование текстов по специальности: Учеб. пособие / ВолгГТУ, Волгоград, 2006. - С.5.

5. Методические рекомендации для студентов [Электронный ресурс]: Режим доступа:http://lesgaft.spb.ru/sites/default/files/u57/metod.rekomendacii_dlya_studentov_21.pdf

МИНИСТЕРСТВО ВЫСШЕГО ОБРАЗОВАНИЯ И НАУКИ
РОССИЙСКОЙ ФЕДЕРАЦИИ

ФГБОУ ВО «Уральский государственный горный университет»

УТВЕРЖДАЮ
Проректор по учебно-методическому комплексу _____ С.А.Упоров

МЕТОДИЧЕСКИЕ УКАЗАНИЯ ПО САМОСТОЯТЕЛЬНОЙ РАБОТЕ СТУДЕНТОВ

ФТД.03 ОСНОВЫ СОЦИАЛЬНОЙ АДАПТАЦИИ И ПРАВОВЫХ ЗНАНИЙ

Специальность:
21.05.02 Прикладная геология

Специализация:
Геология месторождений нефти и газа

Автор: Полянок О.В., к.психол.н.

Одобрены на заседании кафедры
Управления персоналом
(название кафедры)
Зав. кафедрой _____
(подпись)
к.ф.н., доц. Ветошкина Т.А.
(Фамилия И.О.)
Протокол № 1 от 09.09.2020
(Дата)

Рассмотрены методической комиссией
факультета геологии и геофизики
(название факультета)
Председатель _____
(подпись)
д.г.-м.н., проф. Бондарев В.И.
(Фамилия И.О.)
Протокол № 2 от 13.10.2020
(Дата)

Екатеринбург

Методические указания по дисциплине согласованы с выпускающей кафедрой литологии и геологии горючих ископаемых

Заведующий кафедрой ЛГГИ _____к.г.-м.н., С.А. Рыльков____

СОДЕРЖАНИЕ

	Введение	3
1	Методические рекомендации по решению практико-ориентированных заданий	5
2	Методические указания по подготовке к опросу	9
3	Методические рекомендации по подготовке к практическим занятиям	11
4	Методические рекомендации по подготовке семинарским занятиям	13
5	Методические рекомендации по подготовке к сдаче экзаменов и зачетов	14
	Заключение	17
	Список использованных источников	18

ВВЕДЕНИЕ

Самостоятельная работа студентов может рассматриваться как организационная форма обучения - система педагогических условий, обеспечивающих управление учебной деятельностью студентов по освоению знаний и умений в области учебной и научной деятельности без посторонней помощи.

Самостоятельная работа студентов проводится с целью:

- систематизации и закрепления полученных теоретических знаний и практических умений студентов;
- углубления и расширения теоретических знаний;
- формирования умений использовать нормативную, правовую, справочную документацию и специальную литературу;
- развития познавательных способностей и активности студентов: творческой инициативы, самостоятельности, ответственности и организованности;
- формирования самостоятельности мышления, способностей к саморазвитию, самосовершенствованию и самореализации;
- формирования практических (общеучебных и профессиональных) умений и навыков;
- развитияисследовательских умений;
- получения навыков эффективной самостоятельной профессиональной (практической и научно-теоретической) деятельности.

В учебном процессе выделяют два вида самостоятельной работы:

- аудиторная;
- внеаудиторная.

Аудиторная самостоятельная работа по дисциплине выполняется на учебных занятиях под непосредственным руководством преподавателя и по его заданию.

Внеаудиторная самостоятельная работа - планируемая учебная, учебно-исследовательская, научно-исследовательская работа студентов, выполняемая во внеаудиторное время по заданию и при методическом руководстве преподавателя, но без его непосредственного участия.

Самостоятельная работа, не предусмотренная образовательной программой, учебным планом и учебно-методическими материалами, раскрывающими и конкретизирующими их содержание, осуществляется студентами инициативно, с целью реализации собственных учебных и научных интересов.

Для более эффективного выполнения самостоятельной работы по дисциплине преподаватель рекомендует студентам источники и учебно-методические пособия для работы, характеризует наиболее рациональную методику самостоятельной работы, демонстрирует ранее выполненные студентами работы и т. п.

Подразумевается несколько категорий видов самостоятельной работы студентов, значительная часть которых нашла отражения в данных методических рекомендациях:

- работа с источниками литературы и официальными документами (*использование библиотечно-информационной системы*);
- выполнение заданий для самостоятельной работы в рамках учебных дисциплин (*рефераты, эссе, домашние задания, решения практико-ориентированных заданий*);

- реализация элементов научно-педагогической практики (*разработка методических материалов, тестов, тематических портфолио*);
- реализация элементов научно-исследовательской практики (*подготовка текстов докладов, участие в исследованиях*).

Особенностью организации самостоятельной работы студентов является необходимость не только подготовиться к сдаче зачета, но и собрать, обобщить, систематизировать, проанализировать информацию по темам дисциплины.

Технология организации самостоятельной работы студентов включает использование информационных и материально-технических ресурсов образовательного учреждения.

Самостоятельная работа может осуществляться индивидуально или группами студентовonline и на занятиях в зависимости от цели, объема, конкретной тематики самостоятельной работы, уровня сложности, уровня умений студентов.

В качестве форм и методов контроля внеаудиторной самостоятельной работы студентов могут быть использованы обмен информационными файлами, семинарские занятия, тестирование, опрос, доклад, реферат, самоотчеты, контрольные работы, защита творческих работ и электронных презентаций и др.

Контроль результатов внеаудиторной самостоятельной работы студентов осуществляется в пределах времени, отведенного на обязательные учебные занятия по дисциплине.

1. Методические рекомендации по решению практико-ориентированных заданий

Практико-ориентированные задания - метод анализа ситуаций. Суть его заключается в том, что студентам предлагают осмыслить реальную жизненную ситуацию, описание которой одновременно отражает не только какую-либо практическую проблему, но и актуализирует определенный комплекс знаний, который необходимо усвоить при разрешении данной проблемы. При этом сама проблема не имеет однозначных решений.

Использование метода практико-ориентированного задания как образовательной технологии профессионально-ориентированного обучения представляет собой сложный процесс, плохо поддающийся алгоритмизации [1] . Формально можновыделить следующиеэтапы:

- ознакомление студентовс текстом;
- анализ практико-ориентированного задания;
- организация обсуждения практико-ориентированного задания, дискуссии, презентации;
- оценивание участников дискуссии;
- подведение итогов дискуссии.

Ознакомление студентов с текстом практико-ориентированного задания и последующий анализ практико-ориентированного задания чаще всего осуществляются за несколько дней до его обсуждения и реализуются как самостоятельная работа студентов; при этом время, отводимое на подготовку, определяется видом практико-ориентированного задания, его объемом и сложностью.

Общая схема работы с практико-ориентированное заданием на данном этапе может быть представлена следующим образом: в первую очередь следует выявить ключевые проблемы практико-ориентированного задания и понять, какие именно из представленных данных важны для решения; войти в ситуационный контекст практико-ориентированного задания, определить, кто его главные действующие лица, отобрать факты и понятия,

---

[1] Долгоруков А. Метод case-study как современная технология профессионально -ориентированного обучения [Электронный ресурс]. Режим доступа: //http://evolkov.net/case/case.study.html/

необходимые для анализа, понять, какие трудности могут возникнуть при решении задачи; следующим этапом является выбор метода исследования.

Знакомство с небольшими практико-ориентированного заданиями и их обсуждение может быть организовано непосредственно на занятиях. Принципиально важным в этом случае является то, чтобы часть теоретического курса, на которой базируется практико-ориентированное задание, была бы прочитана и проработана студентами.

Максимальная польза из работы над практико-ориентированного заданиями будет извлечена в том случае, если аспиранты при предварительном знакомстве с ними будут придерживаться систематического подхода к их анализу, основные шаги которого представлены ниже:

1. Выпишите из соответствующих разделов учебной дисциплины ключевые идеи, для того, чтобы освежить в памяти теоретические концепции и подходы, которые Вам предстоит использовать при анализе практико-ориентированного задания.
2. Бегло прочтите практико-ориентированное задание, чтобы составить о нем общее представление.
3. Внимательно прочтите вопросы к практико-ориентированное задание и убедитесь в том, что Вы хорошо поняли, что Вас просят сделать.
4. Вновь прочтите текст практико-ориентированного задания, внимательно фиксируя все факторы или проблемы, имеющие отношение к поставленным вопросам.
5. Прикиньте, какие идеи и концепции соотносятся с проблемами, которые Вам предлагается рассмотреть при работе с практико-ориентированное заданием.

Организация обсуждения практико-ориентированного задания предполагает формулирование перед студентами вопросов, включение их в дискуссию. Вопросы обычно подготавливают заранее и предлагают студентам вместе с текстом практико-ориентированного задания. При разборе учебной ситуации преподаватель может занимать активную или пассивную позицию, иногда он «дирижирует» разбором, а иногда ограничивается подведением итогов дискуссии.

Организация обсуждения практико-ориентированных заданий обычно основывается на двух методах. Первый из них носит название традиционного Гарвардского метода - открытая дискуссия. Альтернативным методом является метод, связанный с индивидуальным или групповым опросом, в ходе которого аспиранты делают формальную устную оценку ситуации и предлагают анализ представленного практико-ориентированного задания, свои решения и рекомендации, т.е. делают презентацию. Этот метод позволяет некоторым студентам минимизировать их учебные усилия, поскольку каждый аспирант опрашивается один- два раза за занятие. Метод развивает у студентов коммуникативные навыки, учит их четко выражать свои мысли. Однако, этот метод менее динамичен, чем Гарвардский метод. В открытой дискуссии организация и контроль участников более сложен.

Дискуссия занимает центральное место в методе. Ее целесообразно использовать в том случае, когда аспиранты обладают значительной степенью зрелости и самостоятельности мышления, умеют аргументировать, доказывать и обосновывать свою точку зрения. Важнейшей характеристикой дискуссии является уровень ее компетентности, который складывается из компетентности ее участников. Неподготовленность студентов к дискуссии делает ее формальной, превращает в процесс вытаскивания ими информации у преподавателя, а не самостоятельное ее добывание.

Особое место в организации дискуссии при обсуждении и анализе практико-ориентированного задания принадлежит использованию метода генерации идей, получившего название «мозговой атаки» или «мозгового штурма».

Метод «мозговой атаки» или «мозгового штурма» был предложен в 30-х годах прошлого столетия А. Осборном как групповой метод решения проблем. К концу XX столетия этот метод приобрел особую популярность в практике управления и обучения не только как самостоятельный метод, но и как использование в процессе деятельности с

целью усиления ее продуктивности. В процессе обучения «мозговая атака» выступает в качестве важнейшего средства развития творческой активности студентов. «Мозговая атака» включает в себя три фазы.

Первая фаза представляет собой вхождение в психологическую раскованность, отказ от стереотипности, страха показаться смешным и неудачником; достигается созданием благоприятной психологической обстановки и взаимного доверия, когда идеи теряют авторство, становятся общими. Основная задача этой фазы - успокоиться и расковаться.

Вторая фаза - это собственно атака; задача этой фазы - породить поток, лавину идей. «Мозговая атака» в этой фазе осуществляется по следующим принципам:

- есть идея, - говорю, нет идеи, - не молчу;
- поощряется самое необузданное ассоциирование, чем более дикой покажется идея, тем лучше;
- количество предложенных идей должно быть как можно большим;
- высказанные идеи разрешается заимствовать и как угодно комбинировать, а также видоизменять и улучшать;
- исключается критика, можно высказывать любые мысли без боязни, что их признают плохими, критикующих лишают слова;
- не имеют никакого значения социальные статусы участников; это абсолютная демократия и одновременно авторитаризм сумасшедшей идеи;
- все идеи записываются в протокольный список идей;
- время высказываний - не более 1-2 минут.

Третья фаза представляет собой творческий анализ идей с целью поиска конструктивного решения проблемы по следующим правилам:

- анализировать все идеи без дискриминации какой-либо из них;
- найти место идее в системе и найти систему под идею;
- не умножать сущностей без надобности;
- не должна нарушаться красота и изящество полученного результата;
- должно быть принципиально новое видение;
- ищи «жемчужину в навозе».

В методе мозговая атака применяется при возникновении у группы реальных затруднений в осмыслении ситуации, является средством повышения активности студентов. В этом смысле мозговая атака представляется не как инструмент поиска новых решений, хотя и такая ее роль не исключена, а как своеобразное «подталкивание» к познавательной активности.

Презентация, или представление результатов анализа практико-ориентированного задания, выступает очень важным аспектом метода ***case-study***. Умение публично представить интеллектуальный продукт, хорошо его рекламировать, показать его достоинства и возможные направления эффективного использования, а также выстоять под шквалом критики, является очень ценным интегральным качеством современного специалиста. Презентация оттачивает многие глубинные качества личности: волю, убежденность, целенаправленность, достоинство и т.п.; она вырабатывает навыки публичного общения, формирования своего собственного имиджа.

Публичная (устная) презентация предполагает представление решений практико-ориентированного задания группе, она максимально вырабатывает навыки публичной деятельности и участия в дискуссии. Устная презентация обладает свойством кратковременного воздействия на студентов и, поэтому, трудна для восприятия и запоминания. Степень подготовленности выступающего проявляется в спровоцированной им дискуссии: для этого необязательно делать все заявления очевидными и неопровержимыми. Такая подача материала при анализе практико-ориентированного задания может послужить началом дискуссии. При устной презентации необходимо учитывать эмоциональный настрой выступающего: отношение и эмоции говорящего

вносят существенный вклад в сообщение. Одним из преимуществ публичной (устной) презентации является ее гибкость. Оратор может откликаться на изменения окружающей обстановки, адаптировать свой стиль и материал, чувствуя настроение аудитории.

Непубличная презентация менее эффектна, но обучающая роль ее весьма велика. Чаще всего непубличная презентация выступает в виде подготовки отчета по выполнению задания, при этом стимулируются такие качества, как умение подготовить текст, точно и аккуратно составить отчет, не допустить ошибки в расчетах и т.д. Подготовка письменного анализа практико-ориентированного задания аналогична подготовке устного, с той разницей, что письменные отчеты-презентации обычно более структурированы и детализированы. Основное правило письменного анализа практико-ориентированного задания заключается в том, чтобы избегать простого повторения информации из текста, информация должна быть представлена в переработанном виде. Самым важным при этом является собственный анализ представленного материала, его соответствующая интерпретация и сделанные предложения. Письменный отчет - презентация может сдаваться по истечении некоторого времени после устной презентации, что позволяет студентам более тщательно проанализировать всю информацию, полученную в ходе дискуссии.

Как письменная, так и устная презентация результатов анализа практико-ориентированного задания может быть групповая и индивидуальная. Отчет может быть индивидуальным или групповым в зависимости от сложности и объема задания. Индивидуальная презентация формирует ответственность, собранность, волю; групповая - аналитические способности, умение обобщать материал, системно видеть проект.

Оценивание участников дискуссии является важнейшей проблемой обучения посредством метода практико-ориентированного задания. При этом выделяются следующие требования к оцениванию:

- объективность - создание условий, в которых бы максимально точно выявлялись знания обучаемых, предъявление к ним единых требований, справедливое отношение к каждому;
- обоснованность оценок - их аргументация;
- систематичность - важнейший психологический фактор, организующий и дисциплинирующий студентов, формирующий настойчивость и устремленность в достижении цели;
- всесторонность и оптимальность.

Оценивание участников дискуссии предполагает оценивание не столько набора определенных знаний, сколько умения студентов анализировать конкретную ситуацию, принимать решение, логически мыслить.

Следует отметить, что оценивается содержательная активность студента в дискуссии или публичной (устной) презентации, которая включает в себя следующие составляющие:

- выступление, которое характеризует попытку серьезного предварительного
- анализа (правильность предложений, подготовленность,
- аргументированность и т.д.);
- обращение внимания на определенный круг вопросов, которые требуют углубленного обсуждения;
- владение категориальным аппаратом, стремление давать определения, выявлять содержание понятий;
- демонстрация умения логически мыслить, если точки зрения, высказанные раньше, подытоживаются и приводят к логическим выводам;
- предложение альтернатив, которые раньше оставались без внимания;
- предложение определенного плана действий или плана воплощения решения;

- определение существенных элементов, которые должны учитываться при анализе практико-ориентированного задания;
- заметное участие в обработке количественных данных, проведении расчетов;
- подведение итогов обсуждения.

При оценивании анализа практико-ориентированного задания, данного студентами при непубличной (письменной) презентации учитывается:

- формулировка и анализ большинства проблем, имеющихся в практико-ориентированное задание;
- формулировка собственных выводов на основании информации о практико-ориентированное задание, которые отличаются от выводов других студентов;
- демонстрация адекватных аналитических методов для обработки информации;
- соответствие приведенных в итоге анализа аргументов ранее выявленным проблемам, сделанным выводам, оценкам и использованным аналитическим методам

2. Методические указанияпо подготовке к опросу

Самостоятельная работа обучающихся включает подготовку к устному или письменному опросу на семинарских занятиях. Для этого обучающийся изучает лекции, основную и дополнительную литературу, публикации, информацию из Интернет-ресурсов. Темы и вопросы к семинарским занятиям, вопросы для самоконтроля приведены в методических указаниях по разделам и доводятся до обучающихся заранее.

Письменный опрос

В соответствии с технологической картой письменный опрос является одной из форм текущего контроля успеваемости студента по данной дисциплине. При подготовке к письменному опросу студент должен внимательно изучает лекции, основную и дополнительную литературу, публикации, информацию из Интернет-ресурсов. Темы и вопросы к семинарским занятиям, вопросы для самоконтроля приведены в методических указаниях по разделам и доводятся до обучающихся заранее.

При изучении материала студент должен убедиться, что хорошо понимает основную терминологию темы, умеет ее использовать в нужном контексте. Желательно составить краткий конспект ответа на предполагаемые вопросы письменной работы, чтобы убедиться в том, что студент владеет материалом и может аргументировано, логично и грамотно письменно изложить ответ на вопрос. Следует обратить особое внимание на написание профессиональных терминов, чтобы избегать грамматических ошибок в работе. При изучении новой для студента терминологии рекомендуется изготовить карточки, которые содержат новый термин и его расшифровку, что значительно облегчит работу над материалом.

Устный опрос

Целью устного собеседования являются обобщение и закрепление изученного курса. Студентам предлагаются дляосвещения сквозные концептуальные проблемы. При подготовке следует использовать лекционный материал и учебную литературу. Для более глубокого постижения курса и более основательной подготовки рекомендуется познакомиться с указанной дополнительной литературой. Готовясь к семинару, студент должен, прежде всего, ознакомиться с общим планом семинарского занятия. Следует внимательно прочесть свой конспект лекции по изучаемой теме и рекомендуемую к теме семинара литературу. С незнакомыми терминами и понятиями следует ознакомиться в предлагаемом глоссарии, словаре или энциклопедии[2].

Критерии качества устного ответа.

1. Правильность ответа по содержанию.
2. Полнота и глубинаответа.
3. Сознательность ответа(учитывается понимание излагаемого материала).
4. Логика изложенияматериала (учитывается умение строить целостный, последовательный рассказ, грамотно пользоваться профессиональной терминологией).
5. Рациональность использованных приемов и способов решения поставленной учебной задачи (учитывается умение использовать наиболее прогрессивные и эффективные способы достижения цели).
6. Своевременностьи эффективность использования наглядных пособий и технических средств при ответе (учитывается грамотно и с пользой применять наглядность и демонстрационный опыт при устном ответе).
7. Использованиедополнительного материала (приветствуется, но не обязательно для всех студентов).

[2]Методические рекомендации для студентов [Электронный ресурс]: Режим доступа: http://lesgaft.spb.ru/sites/default/files/u57/metod.rekomendacii_dlya_studentov_21.pdf

8. Рациональность использования времени, отведенного на задание (не одобряется затянутость выполнения задания, устного ответа во времени, с учетом индивидуальных особенностей студентов)[3].

Ответ на каждый вопрос из плана семинарского занятия должен быть содержательным и аргументированным. Для этого следует использовать документы, монографическую, учебную и справочную литературу.

Для успешной подготовки к устному опросу, студент должен законспектировать рекомендуемую литературу, внимательно осмыслить лекционный материал и сделать выводы. В среднем, подготовка к устному опросу по одному семинарскому занятию занимает от 2 до 4 часов в зависимости от сложности темы и особенностей организации обучающимся своей самостоятельной работы.

[3]Методические рекомендации для студентов [Электронный ресурс]: http://priab.ru/images/metod_agro/Metod_Inostran_yazyk_35.03.04_Agro_15.01.2016.pdf

3.Методические рекомендации по подготовке к практическим занятиям

На практических занятиях необходимо стремиться к самостоятельному решению задач, находя для этого более эффективные методы. При этом студентам надо приучить себя доводить решения задач до конечного «идеального» ответа. Это очень важно для будущих специалистов. Практические занятия вырабатывают навыки самостоятельной творческой работы, развивают мыслительные способности.

Практическое занятие – активная форма учебного процесса, дополняющая теоретический курс или лекционную часть учебной дисциплины и призванная помощь обучающимся освоиться в «пространстве» (тематике) дисциплины, самостоятельно прооперировать теоретическими знаниями на конкретном учебном материале.

Продолжительность одного практического занятия – от 2 до 4 академических часов. Общая доля практических занятий в учебном времени на дисциплину – от 10 до 20 процентов (при условии, что все активные формы займут в учебном времени на дисциплину от 40 до 60 процентов).

Для практического занятия в качестве темы выбирается обычно такая учебная задача, которая предполагает не существенные эвристические и аналитические напряжения и продвижения, а потребность обучающегося «потрогать» материал, опознать в конкретном то общее, о чем говорилось в лекции. Например, при рассмотрении вопросов оплаты труда, мотивации труда и проблем безработицы в России имеет смысл провести практические занятия со следующими сюжетами заданий: «Расчет заработной платы работников предприятия». «Разработка механизма мотивации труда на предприятии N». «В чем причины и особенности безработицы в России?». Последняя тема предполагает уже некоторую аналитическую составляющую. Основная задача первой из этих тем - самим посчитать заработную плату для различных групп работников на примере заданных параметров для конкретного предприятия, т. е. сделать расчеты «как на практике»; второй – дать собственный вариант мотивационной политики для предприятия, учитывая особенности данного объекта, отрасли и т.д.; третьей – опираясь на теоретические знания в области проблем занятости и безработицы, а также статистические материалы, сделать авторские выводы о видах безработицы, характерных для России, и их причинах, а также предложить меры по минимизации безработицы.

Перед проведением занятия должен быть подготовлен специальный материал – тот объект, которым обучающиеся станут оперировать, активизируя свои теоретические (общие) знания и тем самым, приобретая навыки выработки уверенных суждений и осуществления конкретных действий.

Дополнительный материал для практического занятия лучше получить у преподавателя заранее, чтобы у студентов была возможность просмотреть его и подготовить вопросы.

Условия должны быть такими, чтобы каждый мог работать самостоятельно от начала до конца. В аудитории должны быть «под рукой» необходимые справочники и тексты законов и нормативных актов по тематике занятия. Чтобы сделать практическое занятие максимально эффективным, надо заранее подготовить и изучить материал по наиболее интересным и практически важным темам.

Особенности практического занятия с использованием компьютера

Для того чтобы повысить эффективность проведения практического занятия, может использоваться компьютер по следующим направлениям:

- поиск информации в Интернете по поставленной проблеме: в этом случае преподаватель представляет обучающимся перечень рекомендуемых для посещения Интернет-сайтов;
- использование прикладных обучающих программ;
- выполнение заданий с использованием обучающимися заранее установленных преподавателем программ;

- использование программного обеспечения при проведении занятий, связанных с моделированием социально-экономических процессов.

4.Методические рекомендации по подготовке семинарским занятиям

Семинар представляет собой комплексную форму и завершающее звено в изучении определенных тем, предусмотренных программой учебной дисциплины. Комплексность данной формы занятий определяется тем, что в ходе её проведения сочетаются выступления обучающихся и преподавателя: рассмотрение обсуждаемой проблемы и анализ различных, часто дискуссионных позиций; обсуждение мнений обучающихся и разъяснение (консультация) преподавателя; углубленное изучение теории и приобретение навыков умения ее использовать в практической работе.

По своему назначению семинар, в процессе которого обсуждается та или иная научная проблема, способствует:

- углубленному изучению определенного раздела учебной дисциплины, закреплению знаний;
- отработке методологии и методических приемов познания;
- выработке аналитических способностей, умения обобщения и формулирования выводов;
- приобретению навыков использования научных знаний в практической деятельности;
- выработке умения кратко, аргументированно и ясно излагать обсуждаемые вопросы;
- осуществлению контроля преподавателя за ходом обучения.

Семинары представляет собой дискуссию в пределах обсуждаемой темы (проблемы). Дискуссия помогает участникам семинара приобрести более совершенные знания, проникнуть в суть изучаемых проблем. Выработать методологию, овладеть методами анализа социально-экономических процессов. Обсуждение должно носить творческий характер с четкой и убедительной аргументацией.

По своей структуре семинар начинается со вступительного слова преподавателя, в котором кратко излагаются место и значение обсуждаемой темы (проблемы) в данной дисциплине, напоминаются порядок и направления ее обсуждения. Конкретизируется ранее известный обучающимся план проведения занятия. После этого начинается процесс обсуждения вопросов обучающимися. Завершается занятие заключительным словом преподавателя.

Проведение семинарских занятий в рамках учебной группы (20 - 25 человек) позволяет обеспечить активное участие в обсуждении проблемы всех присутствующих.

По ходу обсуждения темы помните, что изучение теории должно быть связано с определением (выработкой) средств, путей применения теоретических положений в практической деятельности, например, при выполнении функций государственного служащего. В то же время важно не свести обсуждение научной проблемы только к пересказу случаев из практики работы, к критике имеющих место недостатков. Дискуссии имеют важное значение: учат дисциплине ума, умению выступать по существу, мыслить логически, выделяя главное, критически оценивать выступления участников семинара.

В процессе проведения семинара обучающиеся могут использовать разнообразные по своей форме и характеру пособия (от доски смелом до самых современных технических средств), демонстрируя фактический, в том числе статистический материал, убедительно подтверждающий теоретические выводы и положения. В завершение обсудите результаты работы семинара и сделайте выводы, что хорошо усвоено, а над чем следует дополнительно поработать.

В целях эффективности семинарских занятий необходима обстоятельная подготовка к их проведению. В начале семестра (учебного года) возьмите в библиотеке необходимые методические материалы для своевременной подготовки к семинарам. Во время лекций, связанных с темой семинарского занятия, следует обращать внимание на то, что необходимо дополнительно изучить при подготовке к семинару (новые официальные документы, статьи в периодических журналах, вновь вышедшие монографии и т.д.).

5.Методические рекомендации по подготовке к сдаче экзаменов и зачетов

Экзамен - одна из важнейших частей учебного процесса, имеющая огромное значение.

Во-первых, готовясь к экзамену, студент приводит в систему знания, полученные на лекциях, семинарах, практических и лабораторных занятиях, разбирается в том, что осталось непонятным, и тогда изучаемая им дисциплина может быть воспринята в полном объеме с присущей ей строгостью и логичностью, ее практической направленностью. А это чрезвычайно важно для будущего специалиста.

Во-вторых, каждый хочет быть волевым и сообразительным., выдержанным и целеустремленным, иметь хорошую память, научиться быстро находить наиболее рациональное решение в трудных ситуациях. Очевидно, что все эти качества не только украшают человека, но и делают его наиболее действенным членом коллектива. Подготовка и сдача экзамена помогают студенту глубже усвоить изучаемые дисциплины, приобрести навыки и качества, необходимые хорошему специалисту.

Конечно, успех на экзамене во многом обусловлен тем, насколько систематически и глубоко работал студент в течение семестра. Совершенно очевидно, что серьезно продумать и усвоить содержание изучаемых дисциплин за несколько дней подготовки к экзамену просто невозможно даже для очень способного студента. И, кроме того, хорошо известно, что быстро выученные на память разделы учебной дисциплины так же быстро забываются после сдачи экзамена.

При подготовке к экзамену студенты не только повторяют и дорабатывают материал дисциплины, которую они изучали в течение семестра, они обобщают полученные знания, осмысливают методологию предмета, его систему, выделяют в нем основное и главное, воспроизводят общую картину с тем, чтобы яснее понять связь между отдельными элементами дисциплины. Вся эта обобщающая работа проходит в условиях напряжения воли и сознания, при значительном отвлечении от повседневной жизни, т. е. в условиях, благоприятствующих пониманию и запоминанию.

Подготовка к экзаменам состоит в приведении в порядок своих знаний. Даже самые способные студенты не в состоянии в короткий период зачетно-экзаменационной сессии усвоить материал целого семестра, если они над ним не работали в свое время. Для тех, кто мало занимался в семестре, экзамены принесут мало пользы: что быстро пройдено, то быстро и забудется. И хотя в некоторых случаях студент может «проскочить» через экзаменационный барьер, в его подготовке останется серьезный пробел, трудно восполняемый впоследствии.

Определив назначение и роль экзаменов в процессе обучения, попытаемся на этой основе пояснить, как лучше готовиться к ним.

Экзаменам, как правило, предшествует защита курсовых работ (проектов) и сдача зачетов. К экзаменам допускаются только студенты, защитившие все курсовые работы проекты) и сдавшие все зачеты. В вузе сдача зачетов организована так, что при систематической работе в течение семестра, своевременной и успешной сдаче всех текущих работ, предусмотренных графиком учебного процесса, большая часть зачетов не вызывает повышенной трудности у студента. Студенты, работавшие в семестре по плану, подходят к экзаменационной сессии без напряжения, без излишней затраты сил в последнюю, «зачетную» неделю.

Подготовку к экзамену следует начинать с первого дня изучения дисциплины. Как правило, на лекциях подчеркиваются наиболее важные и трудные вопросы или разделы дисциплины, требующие внимательного изучения и обдумывания. Нужно эти вопросы выделить и обязательно постараться разобраться в них, не дожидаясь экзамена, проработать их, готовясь к семинарам, практическим или лабораторным занятиям, попробовать самостоятельно решить несколько типовых задач. И если, несмотря на это, часть материала осталась неусвоенной, ни в коем случае нельзя успокаиваться, надеясь на

то, что это не попадется на экзамене. Факты говорят об обратном; если те или другие вопросы учебной дисциплины не вошли в экзаменационный билет, преподаватель может их задать (и часто задает) в виде дополнительных вопросов.

Точно такое же отношение должно быть выработано к вопросам и задачам, перечисленным в программе учебной дисциплины, выдаваемой студентам в начале семестра. Обычно эти же вопросы и аналогичные задачи содержатся в экзаменационных билетах. Не следует оставлять без внимания ни одного раздела дисциплины: если не удалось в чем-то разобраться самому, нужно обратиться к товарищам; если и это не помогло выяснить какой-либо вопрос до конца, нужно обязательно задать этот вопрос преподавателю на предэкзаменационной консультации. Чрезвычайно важно приучить себя к умению самостоятельно мыслить, учиться думать, понимать суть дела. Очень полезно после проработки каждого раздела восстановить в памяти содержание изученного материала. кратко записав это на листе бумаги. создать карту памяти (умственную карту), изобразить необходимые схемы и чертежи (логико-графические схемы), например, отобразить последовательность вывода теоремы или формулы. Если этого не сделать, то большая часть материала останется не понятой, а лишь формально заученной, и при первом же вопросе экзаменатора студент убедится в том, насколько поверхностно он усвоил материал.

В период экзаменационной сессии происходит резкое изменение режима работы, отсутствует посещение занятий по расписанию. При всяком изменении режима работы очень важно скорее приспособиться к новым условиям. Поэтому нужно сразу выбрать такой режим работы, который сохранился бы в течение всей сессии, т. е. почти на месяц. Необходимо составить для себя новый распорядок дня, чередуя занятия с отдыхом. Для того чтобы сократить потерю времени на включение в работу, рабочие периоды целесообразно делать длительными, разделив день примерно на три части: с утра до обеда, с обеда до ужина и от ужина до сна.

Каждый рабочий период дня надо заканчивать отдыхом. Наилучший отдых в период экзаменационной сессии - прогулка, кратковременная пробежка или какой-либо неутомительный физический труд.

При подготовке к экзаменам основное направление дают программа учебной дисциплины и студенческий конспект, которые указывают, что наиболее важно знать и уметь делать. Основной материал должен прорабатываться по учебнику (если такой имеется) и учебным пособиям, так как конспекта далеко недостаточно для изучения дисциплины, Учебник должен быть изучен в течение семестра, а перед экзаменом сосредоточьте внимание на основных, наиболее сложных разделах. Подготовку по каждому разделу следует заканчивать восстановлением по памяти его краткого содержания в логической последовательности.

За один - два дня до экзамена назначается консультация. Если ее правильно использовать, она принесет большую пользу. Во время консультации студент имеет полную возможность получить ответ на нее ни ясные ему вопросы. А для этого он должен проработать до консультации все темы дисциплины. Кроме того, преподаватель будет отвечать на вопросы других студентов, что будет для вас повторением и закреплением знаний. И еще очень важное обстоятельство: преподаватель на консультации, как правило, обращает внимание на те вопросы, по которым на предыдущих экзаменах ответы были неудовлетворительными, а также фиксирует внимание на наиболее трудных темах дисциплины. Некоторые студенты не приходят на консультации либо потому, что считают, что у них нет вопросов к преподавателю, либо полагают, что у них и так мало времени и лучше самому прочитать материал в конспекте или и учебнике. Это глубокое заблуждение. Никакая другая работа не сможет принести столь значительного эффекта накануне экзамена, как консультация преподавателя.

Но консультация не может возместить отсутствия длительной работы в течение семестра и помочь за несколько часов освоить материал, требующийся к экзамену. На консультации студент получает ответы на трудные или оставшиеся неясными вопросы и, следовательно, дорабатывается материал. Консультации рекомендуется посещать,

подготовив к ним все вопросы, вызывающие сомнения. Если студент придет на консультацию, не проработав всего материала, польза от такой консультации будет невелика.

Очень важным условием для правильного режима работы в период экзаменационной сессии является нормальным сон. Подготовка к экзамену не должна идти в ущерб сну, иначе в день экзамена не будет чувства свежести и бодрости, необходимых для хороших ответов. Вечер накануне экзамена рекомендуем закончить небольшой прогулкой.

Итак, *основные советы* для подготовки к сдаче зачетов и экзаменов состоят в следующем:

- лучшая подготовка к зачетам и экзаменам - равномерная работа в течение всего семестра;
- используйте программы учебных дисциплин - это организует вашу подготовку к зачетам и экзаменам;
- учитывайте, что для полноценного изучения учебной дисциплины необходимо время;
- составляйте планы работы во времени;
- работайте равномерно и ритмично;
- курсовые работы (проекты) желательно защищать за одну - две недели до начала зачетно-экзаменационной сессии;
- все зачеты необходимо сдавать до начала экзаменационной сессии;
- помните, что конспект не заменяет учебник и учебные пособия, а помогает выбрать из него основные вопросы и ответы;
- при подготовке наибольшее внимание и время уделяйте трудным и непонятным вопросам учебной дисциплины;
- грамотно используйте консультации;
- соблюдайте правильный режим труда и отдыха во время сессии, это сохранит работоспособность и даст хорошие результаты;
- учитесь владеть собой на зачете и экзамене;
- учитесь точно и кратко передавать свои мысли, поясняя их, если нужно, логико-графическими схемами.

ЗАКЛЮЧЕНИЕ

Методические указания по выполнению самостоятельной работы обучающихся являются неотъемлемой частью процесса обучения в вузе. Правильнаяорганизация самостоятельной работы позволяет обучающимся развивать умения и навыки в усвоении и систематизации приобретаемых знаний, обеспечивает высокий уровень успеваемости в период обучения, способствует формированию навыков совершенствования профессионального мастерства. Также внеаудиторное время включает в себя подготовку к аудиторным занятиям и изучение отдельных тем, расширяющих и углубляющих представления обучающихся по разделам изучаемой дисциплины.

Таким образом, обучающийся используя методические указания может в достаточном объеме усвоить и успешно реализовать конкретные знания, умения, навыки и получить опыт при выполнении следующих условий:

1) систематическаясамостоятельная работа по закреплению полученных знаний и навыков;

2) добросовестноевыполнение заданий;

3) выяснениеи уточнение отдельных предпосылок, умозаключений и выводов, содержащихся в учебном курсе;

4) сопоставление точек зрения различных авторов по затрагиваемым в учебном курсе проблемам; выявление неточностей и некорректного изложения материала в периодической и специальной литературе;

5) периодическое ознакомление с последними теоретическими и практическими достижениями в области управления персоналом;

6) проведение собственных научных и практических исследований по одной или нескольким актуальным проблемам для *HR*;

7) подготовка научных статей для опубликования в периодической печати, выступление на научно-практических конференциях, участие в работе студенческих научных обществ, круглых столах и диспутах по проблемам управления персоналом.

СПИСОК ЛИТЕРАТУРЫ

1. Брандес М. П. Немецкий язык. Переводческое реферирование: практикум. М.: КДУ, 2008. – 368с.

2. Долгоруков А. Метод case-study как современная технология профессионально -ориентированного обучения [Электронный ресурс]. Режим доступа: //http://evolkov.net/case/case.study.html/

3. Методические рекомендации по написанию реферата. [Электронный ресурс]. Режим доступа: http://www.hse.spb.ru/edu/recommendations/method-referat-2005.phtml

4. Фролова Н. А. Реферирование и аннотирование текстов по специальности: Учеб. пособие / ВолгГТУ, Волгоград, 2006. - С.5.

5. Методические рекомендации для студентов [Электронный ресурс]: Режим доступа:http://lesgaft.spb.ru/sites/default/files/u57/metod.rekomendacii_dlya_studentov_21.pdf